

**Universidade Federal do Rio de Janeiro**

**CODIFICAÇÃO DE IMAGENS USANDO WFA -  
*WEIGHTED FINITE AUTOMATA***

**Andressa Fortuna Kalil de Faria**

**2011**

Universidade Federal do Rio de Janeiro

Escola Politécnica

Departamento de Eletrônica e Computação

**CODIFICAÇÃO DE IMAGENS USANDO WFA -  
WEIGHTED FINITE AUTOMATA**

Autora:

---

Andressa Fortuna Kalil de Faria

Orientador:

---

Prof. Gelson Vieira Mendonça, Ph. D.

Examinador:

---

Prof. José Gabriel Rodriguez Carneiro Gomes, Ph. D.

Examinador:

---

José Fernando Leite de Oliveira, D. Sc.

DEL

Abril de 2011

**CODIFICAÇÃO DE IMAGENS USANDO WFA -  
*WEIGHTED FINITE AUTOMATA***

**Andressa Fortuna Kalil de Faria**

Projeto de Graduação apresentado ao Curso de Engenharia Eletrônica e de Computação da Escola Politécnica, Universidade Federal do Rio de Janeiro, como parte dos requisitos necessários à obtenção do título de Engenheira.

Orientador: Gelson Vieira Mendonça, PhD.

**Rio de Janeiro  
Abril 2011**

|   |           |
|---|-----------|
| <b>Capítulo 1 Introdução .....</b>  | <b>1</b>  |
| 1.1. Tema.....  | 1         |
| 1.2. Delimitação.....   | 1         |
| 1.3. Justificativa.....   | 1         |
| 1.4. Objetivos .....  | 2         |
| 1.5. Metodologia.....   | 2         |
| 1.6. Descrição .....  | 2         |
| <b>Capítulo 2 Revisão Teórica .....</b>   | <b>2</b>  |
| 2.1. Segmentação de Imagens - Árvore .....  | 4         |
| 2.2. Segmentação de Imagens - Quadtree .....  | 4         |
| 2.3. Imagens em escala de cinza (ou em tons de cinza).....                              | 9         |
| 2.4. Upsample (super-amostragem).....   | 10        |
| 2.5. Downsample (sub-amostragem) .....  | 12        |
| 2.6. Máquina de Estados Finita (MEF).....   | 13        |
| 2.7. Multiresolução .....   | 17        |
| 2.8. Pseudoinversa de uma matriz ou matriz inversa de Moore-Penrose .....               | 17        |
| 2.9. Fractais .....   | 19        |
| 2.10. PSNR.....   | 21        |
| 2.11. Wavelet.....  | 22        |
| <b>Capítulo 3 Weighted Finite Automata (WFA – Autômato Finito e Proporcional) .....</b> | <b>24</b> |
| <b>Capítulo 4 Desenvolvimento do Algoritmo da WFA.....</b>                              | <b>40</b> |
| 4.1. Codificador WFA.....   | 40        |
| 4.2. Decodificador WFA.....   | 45        |
| 4.3. Codificador/Decodificador WFA combinado ao codificador/Decodificador wavelet ..... | 45        |
| <b>Capítulo 5 Análise dos Resultados .....</b>  | <b>46</b> |
| 5.1. Considerações sobre variável G.....  | 46        |
| 5.2. Considerações sobre variável H.....  | 47        |
| 5.3. Considerações sobre as funções wavelets .....                                      | 47        |
| 5.4. Considerações sobre erros e comparações .....                                      | 47        |
| 5.5. Considerações sobre as configurações da máquina utilizada .....                    | 48        |
| 5.6. Imagens Originais .....  | 49        |
| 5.7. Resultados.....  | 53        |
| <b>Capítulo 6 Conclusão .....</b>   | <b>65</b> |
| 6.1. Proposições para Projetos Futuros .....  | 65        |
| 6.2. Conclusão .....  | 66        |
| <b>Bibliografia .....</b>   | <b>67</b> |
| <b>Anexo I Algoritmos .....</b>   | <b>68</b> |
| I.1 Função EncodeWFAAddressaKalilProjetoFinal .....                                     | 68        |
| I.2 Função DecodeWFAAddressaKalilProjetoFinal .....                                     | 70        |
| I.3 Função codeWFA.....   | 71        |
| I.4 Função ConstructingFwTreeMatrix .....   | 72        |
| I.5 Funções AddressFunc.....  | 74        |
| I.6 Função getCellArrayAddressFunc .....  | 76        |
| I.7 Função WfaEncodeOrNewState .....  | 77        |



|   |            |
|---|------------|
| I.8 Função getImageAsLevelInFwTree .....        | 79         |
| I.9 Função GetFwTreeMatrixValue .....           | 81         |
| I.10 Função DecodeWFA .....                     | 81         |
| I.11 Função decodeTestWFA.....                  | 82         |
| I.12 Função remakeStatesResolution .....        | 83         |
| I.13 Função ResolutionIncrease .....            | 84         |
| I.14 Função ResolutionReduction .....           | 85         |
| I.15 Função psnr .....                          | 85         |
| <b>Anexo II Códigos Fonte .....</b>             | <b>87</b>  |
| II.1 EncodeWFAAddressaKalilProjetoFinal.m.....  | 87         |
| II.2 DecodeWFAAddressaKalilProjetoFinal.m ..... | 89         |
| II.3 codeWFA.m.....                             | 91         |
| II.4 ConstructingFwTreeMatrix.m .....           | 93         |
| II.5 AddressFunc1.m .....                       | 93         |
| II.6 AddressFunc2.m .....                       | 94         |
| II.7 AddressFunc3.m .....                       | 94         |
| II.8 AddressFunc4.m .....                       | 94         |
| II.9 AddressFunc5.m .....                       | 95         |
| II.10 getCellArrayAddressFunc.m .....           | 95         |
| II.11 WfaEncodeOrNewState.m.....                | 96         |
| II.12 getImageAsLevelInFwTree.m .....           | 99         |
| II.13 GetFwTreeMatrixValue.m.....               | 100        |
| II.14 DecodeWFA.m .....                         | 100        |
| II.15 decodeTestWFA.m.....                      | 101        |
| II.16 ResolutionIncrease.m .....                | 102        |
| II.17 ResolutionReduction.m .....               | 102        |
| II.18 psnr.m .....                              | 103        |
| <b>Anexo III Dados Coletados .....</b>          | <b>104</b> |
| III.1 Codificação.....                          | 104        |
| III.2 Decodificação .....                       | 260        |

# Capítulo 1

## Introdução

### *1.1. Tema*

Este trabalho tem como objetivo estudar o algoritmo de codificação e decodificação *WFA* - *Weighted Finite Automata* ou Autômato Finito e Proporcional. *WFA* é uma técnica de processamento de sinais, mais especificadamente de imagens, que tem como objetivo final a compressão.

Essa técnica foi desenvolvida no início da década de 1990 por Karel Culik II e Jarkko Kari a partir da *Mutual Recursive Function Systems (MRFS)* e desenvolvida posteriormente para *Generalized Finite Automata (GFA)*.

### *1.2. Delimitação*

Esse projeto tem como público alvo os acadêmicos estudiosos de processamento de imagens, mais especificamente, aqueles que estudam técnicas de compressão de imagens. O maior objetivo deste projeto é atingir, dentro do subgrupo acadêmico especificado, aqueles que estão desenvolvendo seus trabalhos nas universidades brasileiras.

### *1.3. Justificativa*

A principal relevância deste trabalho é dar continuidade à discussão do método *WFA* no meio acadêmico brasileiro, criando uma base mais sólida para o estudo. Estudo este que a partir deste trabalho, sobe de nível, deixa de ser sobre a solução *WFA* em si, para a análise de resultados e vislumbramento de novas possibilidades.

*WFA* é conhecido pelas altas taxas de compressão; por seu escopo amplo por ser usado em vários tipos de imagens, inclusive em vídeos; por ser multiresolucional; por ser um método com opção de variação da qualidade na codificação; por fazer *Zooming* (parte da imagem pode ser regenerada sem a necessidade de se regenerar a imagem por completo); por suportar manipulação de imagens, isto é, qualquer transformação matemática que se deseje aplicar a uma imagem, um operador linear (filtros, *wavelet*, etc.), por exemplo, pode ser aplicada diretamente na imagem codificada, sem a necessidade de regenerá-la. Por tudo isso, o *WFA* se destaca como uma importante técnica a ser estudada dentro do processamento de imagens.

### ***1.4. Objetivos***

O escopo deste projeto não possui como principal objetivo a análise do WFA como técnica de compressão, mas sim suas propriedades de codificação e decodificação. A intenção é que este projeto seja capaz de implementar o algoritmo WFA em código Matlab de forma genérica, isto é, que o código seja válido para qualquer imagem, com sucesso. Além da implementação, será estudada a relação entre a qualidade do algoritmo e a imagem resultante.

### ***1.5. Metodologia***

O algoritmo foi desenvolvido utilizando Matlab, sua linguagem e algumas de suas funções.

### ***1.6. Descrição***

O projeto tem como produto um conjunto de arquivos em linguagem Matlab e as análises dos resultados feitas neste documento.

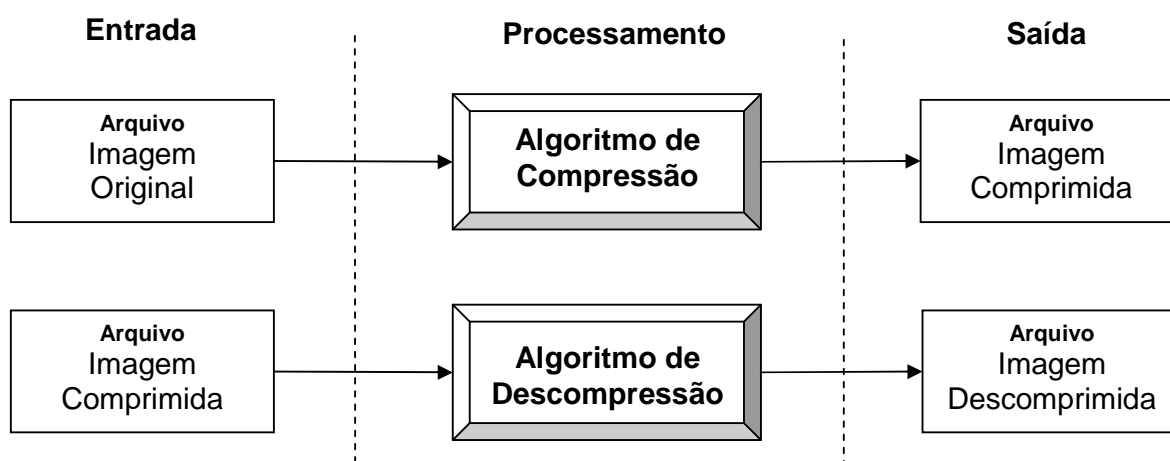
No capítulo 2 será feita a revisão teórica das técnicas utilizadas para o desenvolvimento da WFA. No capítulo 3, o WFA será estudado em detalhes. O capítulo 4 apresenta o desenvolvimento do algoritmo da WFA. O capítulo 5, as análises feitas e os resultados alcançados. Já o capítulo 6 apresenta as conclusões deste trabalho e sugestões para o aprimoramento da ferramenta desenvolvida. O anexo I contém os algoritmos, o II explica o código fonte e o III apresenta os dados coletados.

# Capítulo 2

## Revisão Teórica

Sabendo que uma imagem, neste projeto, é definida como um conjunto de dados representado digitalmente, a compressão de imagens é, então, um conjunto de técnicas de processamento de sinais que tem como objetivo reduzir a redundância dos dados para armazená-los ou transmiti-los em uma forma mais eficiente. Assim, este conjunto de técnicas tem como objetivo representar uma imagem com o menor número de *bits* possível, permitindo a sua compressão. A compressão pode ser de dois tipos, com ou sem perda de dados.

A compressão com perda de dados é utilizada nos casos em que a portabilidade e a redução do número de *bits* da imagem são mais importantes que a preservação integral da imagem. No entanto a qualidade, para este caso, ainda é um fator de grande importância. Já a compressão de dados sem perda é normalmente aplicada em imagens que possuem a preservação da fidelidade como fator de maior importância, sendo que, a imagem refeita após a descompressão, deve ser idêntica à imagem original.



**Figura 2.1– Processo de compressão e descompressão de uma imagem**

Só há sentido em representar uma imagem de forma comprimida, se for possível depois descomprimir os dados, e esse processo for capaz de representar a imagem novamente. Para tanto, é necessário construir além do compressor, um descompressor. Sabendo que a imagem está sendo codificada, ou seja, representada em outra forma de codificação que não a original, o método de compressão também é chamado de codificação, e o método de descompressão de decodificação. A Figura 2.1 indica como se dá o fluxo do processo de compressão e descompressão de uma imagem.

Existem diversos métodos de compressão/descompressão, entre eles o da transformada DCT (*Discrete Cosine Transform*), o da transformada WT (*Wavelet Transform*), o método de Fractal, o método de WFA (*Weighted Finite Automata*), etc. Este projeto trabalhará apenas com o método WFA.

O algoritmo de compressão WFA tem como entrada uma imagem em componentes RGB, e como saída seis matrizes. O algoritmo do WFA é uma máquina de estados finita, também chamada de autômato finito. As matrizes resultantes são as quatro matrizes de transição  $W_0$ ,  $W_1$ ,  $W_2$  e  $W_3$ , o estado inicial da MEF (Máquina de Estados Finita), chamado de vetor  $I$ , e o valor relacionado a cada estado, que são colocados no vetor  $F$ . Mais a frente, esclarecer-se-á toda essa descrição.

Para auxiliar na criação da máquina de estados da WFA, que resultará na codificação da imagem, o algoritmo se utiliza de algumas ferramentas. Primeiro segmenta a imagem e a representa em uma estrutura em árvore, cada nó desta árvore é analisado, verifica-se se este nó pode ou não ser representado como uma combinação linear de outros nós, seguindo a MEF apresentada. Caso seja possível, não há alterações na MEF, caso não seja possível, a MEF é recalculada, incluindo um novo estado que representará o nó em análise. A saída do algoritmo é a máquina de estados finita, representada pelas matrizes indicadas anteriormente.

A decodificação da imagem é feita através da execução do algoritmo da MEF. Coloca-se a máquina em seu estado inicial  $I$ , atribui-se um valor a cada estado segundo  $F$ , e calcula-se o valor de cada *pixel* a partir das transições  $W$ . A Figura 2.2 ilustra esse processo.

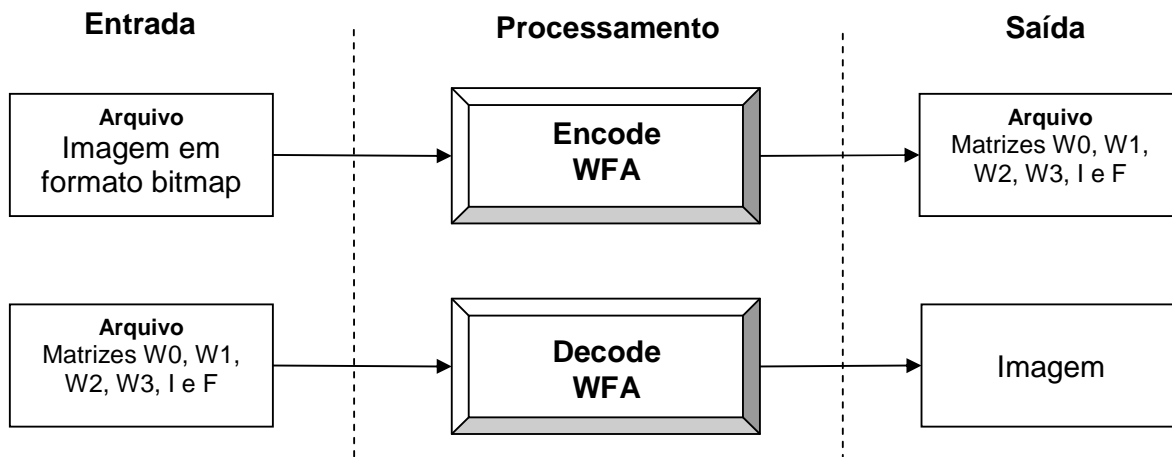


Figura 2.2 – Processo de codificação e decodificação WFA

Todo o processo descrito nesta seção será detalhado assim que todo o embasamento teórico necessário para seu entendimento seja descrito neste projeto.

## 2.1. Segmentação de Imagens - Árvore

A segmentação de imagens consiste em subdividir uma imagem em regiões ou em objetos que a constituem. Geralmente, a segmentação constitui um passo preliminar à análise de imagens e a noção de região ou objeto pode depender da particular aplicação ou análise pretendida. A segmentação reorganiza a imagem, que ao invés de uma matriz, utiliza a estrutura em árvore como método de organização.

Uma árvore é uma estrutura que contém um conjunto finito de um ou mais nós. Sendo assim, o nó é um elemento da árvore. Um nó que não tem subárvores é denominado nó folha. Nós raízes das subárvores são denominados nós pais. Em uma estrutura em árvore cada nó tem apenas um nó pai. O nó que não tem nó pai é denominado nó raiz. Neste trabalho, os nós serão representados como círculos ou quadrados, não havendo nenhuma diferença entre uma representação ou outra. A Figura 2.3 apresenta uma estrutura em árvore.

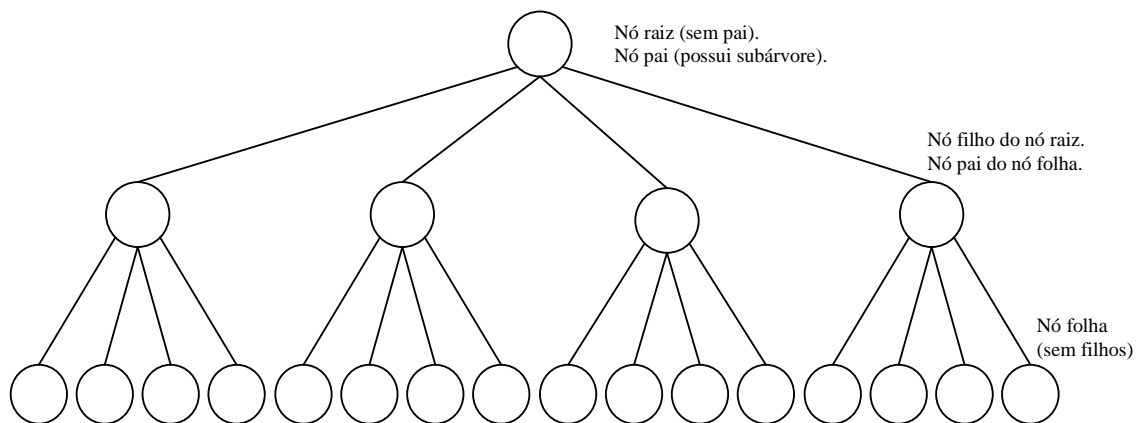


Figura 2.3 - Estrutura em árvore

## 2.2. Segmentação de Imagens - Quadtree

A codificação WFA (*Weighted Finite Automata*) se baseia em segmentação de imagem em regiões (subimagens) na composição de seu algoritmo. O modo de segmentação de uma WFA pode ser de vários tipos, como árvores binárias e árvores binárias HV (Horizontal Vertical), porém, para este projeto, foi escolhido o método *quadtree*.

Esse método assume que a imagem tenha lados de tamanho  $2^k$ ,  $k \in \mathbb{N}$ , ou seja, uma imagem quadrada, e divide a imagem em quatro regiões ou subimagens de tamanhos iguais. A *quadtree* é uma estrutura de dados em árvore. Cada um de seus nós pode possuir até quatro filhos (árvore de grau

quatro), assim, a imagem, que originalmente deve ser quadrada, é então dividida em quatro subimagens de tamanhos iguais e quadradas.

*Quadtree* é uma estrutura de dados hierárquica baseada no princípio de particionamento recursivo. A região de um *quadtree* divide a imagem de entrada recursivamente em quatro quadrantes de lados iguais. A divisão da imagem em subquadrantes pára apenas quando um critério de simplicidade é satisfeito. O critério de simplicidade ocorre quando um nó pai (ou o quadrante da imagem que está sendo analisado) teria todos os seus nós filhos da mesma cor que a sua, assim uma nova divisão da imagem não é necessária já que o nó pai representa os nós filhos satisfatoriamente. No algoritmo original de compressão de imagem *quadtree*, a imagem de entrada é dividida até que todos os *pixels* de um quadrante tenham valores de cor iguais (KATRITRZKE, 2001).

Cada subquadrante, ou subimagem, ganha um identificador, que vai indicar o endereço deste quadrante, ou subimagem dentro da árvore e a sua posição na imagem original. Conforme a Tabela 2.1.

**Tabela 2.1 – Endereçamento dos quadrantes de uma imagem e na árvore *quadtree***

|   |   |
|---|---|
| 0 | 3 |
| 1 | 2 |

Cada quadrante pode ser subdividido em mais quatro quadrantes, esses novos quadrantes têm em seu endereço, como primeiro identificador o quadrante original (nó pai), e seu endereço dentro deste quadrante. A Tabela 2.2 indica como é feito o endereçamento.

**Tabela 2.2 – Endereçamento dos subquadrantes**

|    |    |    |    |
|----|----|----|----|
| 01 | 03 | 31 | 33 |
| 00 | 02 | 30 | 32 |
| 11 | 13 | 21 | 23 |
| 10 | 12 | 20 | 22 |

A mesma lógica se aplica na árvore *quadtree*. Como se pode observar na Figura 2.4, cada círculo é um nó da árvore, e cada nó está preenchido com uma intensidade de cor em escala de cinza (preto, branco e cinza).

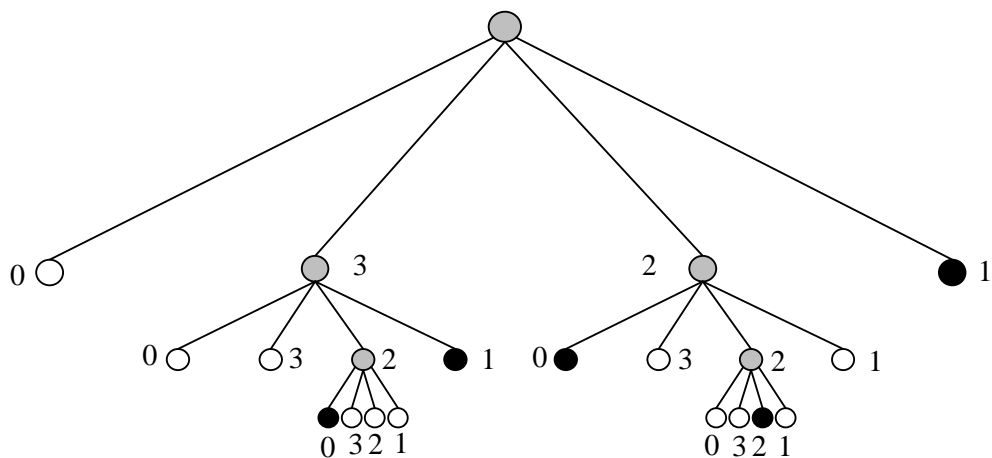


Figura 2.4 – Endereçamento dos nós em uma árvore quadtree

Utilizaremos a árvore em *quadtree* neste projeto para representar uma imagem. Um exemplo de representação de uma imagem 8x8 se encontra na Figura 2.5. Repare que, para melhor compreensão os nós estão representados como quadrados agora, porém não haveria nenhuma diferença caso fossem representados como círculos. As cores dentro dos nós representam a intensidade de cor em escala de cinza para o nó na imagem original.

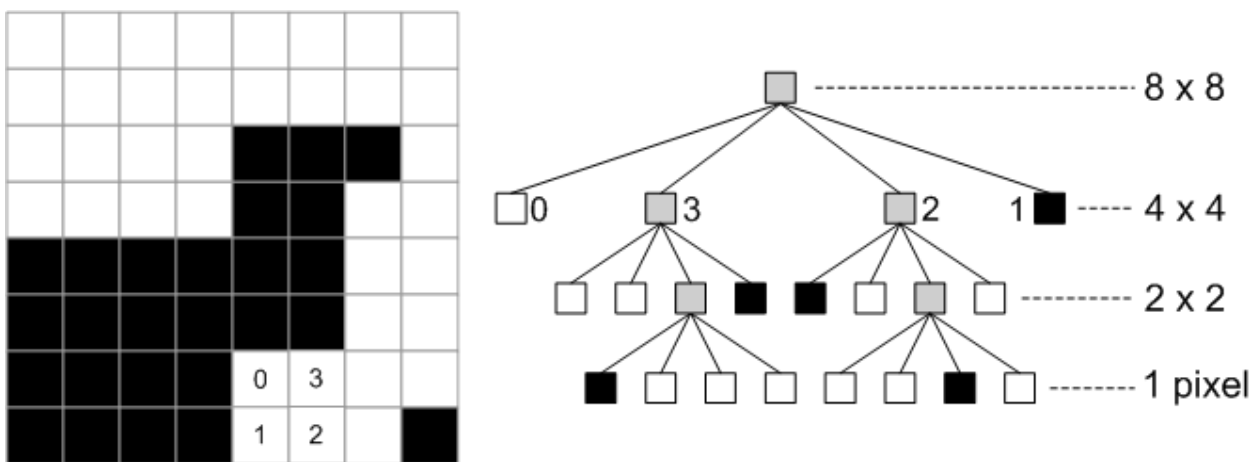


Figura 2.5 – Exemplo de codificação em *quadtree* de uma imagem

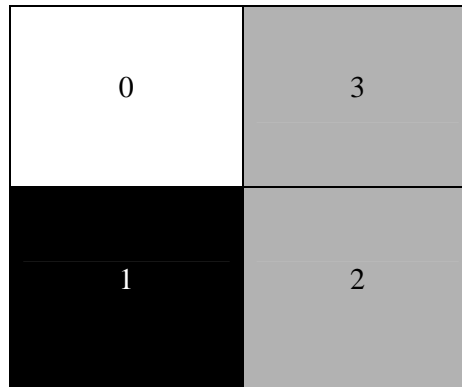
Observa-se que o endereçamento das subimagens é feita a partir dos quadrantes, compondo a árvore. A cor de um nó corresponde à média dos valores das cores dos seus quatro quadrantes filhos. Na árvore, o primeiro nó, no nível 8x8, representa a imagem inteira, sua intensidade de cor é dada pela média de cores de toda a imagem, observe a representação na Figura 2.6. A intensidade média é feita como uma mistura de cores em uma paleta de cor, a imagem para o exemplo, então, seria um cinza mais claro, já que a imagem tem mais “tinta” branca do que “tinta” preta.





**Figura 2.6 - Representação da imagem no nível 8x8**

Dividindo a imagem inteira em quatro quadrantes de tamanhos iguais chega-se ao nível 4x4. Para cada quadrante, então é feita a média de cores. Assim, o quadrante 0, só possui “tinta” branca será branco, assim como o quadrante 1 só tem “tinta” preta e será preto. Já os quadrantes 2 e 3 serão cinza clara, já que seus subquadrantes possuem mais “tinta” branca do que “tinta” preta, e por isso devem ser divididos para que se tenha maior clareza dos seus detalhes de cor. Cada quadrante corresponde a um nó da árvore, filhos do nó em 8x8, com dimensão 4x4, veja a Figura 2.7.



**Figura 2.7 - Representação da imagem no nível 4x4**

Descendo mais um nível, ao nível 2x2, e seguindo a mesma lógica de raciocínio, não se divide mais os quadrantes que possuem filhos com a mesma cor do nó analisado, e aqueles quadrantes que ainda são médias de cores sofrem divisão, criando mais um nível da árvore, o nível 2x2. Assim, os quadrantes 2 e 3 criam novos nós, como na Figura 2.8.

|   |    |    |
|---|----|----|
| 0 | 30 | 33 |
|   | 31 | 32 |
| 1 | 20 | 23 |
|   | 21 | 22 |

Figura 2.8 - Representação da imagem no nível 2x2

Por fim, temos a imagem subdividida em quadrantes que correspondem à todos os nós da árvore, representada pela Figura 2.9.

|   |    |     |     |
|---|----|-----|-----|
| 0 | 30 | 320 | 323 |
|   |    | 321 | 322 |
|   | 31 | 23  |     |
|   |    | 220 | 223 |
| 1 | 20 | 21  | 222 |
|   | 21 |     | 221 |

Figura 2.9 – Representação da imagem no nível de 1 pixel

Na implementação do algoritmo aqui proposto, a árvore de *quadtree* sempre terá quatro filhos. Essa metodologia foi escolhida para facilitar o algoritmo de construção da árvore, apesar dessa escolha ter como consequência informações redundantes, já que quando um quadrante só tem uma cor, suas subimagens (regiões) terão necessariamente a mesma cor. Assim, para o exemplo da Figura 2.5, no algoritmo implementado todos os ramos de sua árvore de *quadtree* terão 4 níveis, como mostrado na Figura 2.10.

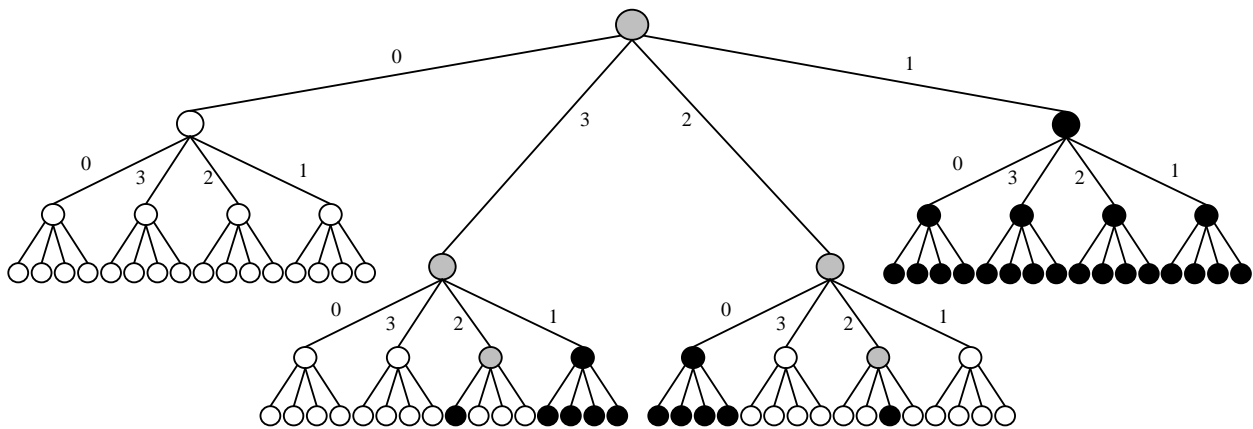


Figura 2.10 – Árvore quadtree com todos os níveis explícitos

### 2.3. Imagens em escala de Cinza (ou em tons de cinza)

Em fotografia e computação, uma imagem em escala de cinza (tons de cinza) é uma aquela cujo valor de cor de cada *pixel* carrega apenas a informação de intensidade de cor, chamada de luminância ou Y, quanto maior a intensidade luminosa (mais branco o *pixel*), maior é o valor da função. Imagens desse tipo, também conhecidas como imagens em preto-e-branco, são compostas exclusivamente de tons cinzentos, tendo o preto como a menor intensidade e o branco como a maior intensidade. A intensidade de um *pixel* é dada dentro de um intervalo com mínimo e máximo, incluindo os extremos. Para o projeto aqui desenvolvido, o valor mínimo do intervalo é zero, valor este que representa a cor preta, e o valor máximo igual a um, representando a cor branca. As cores intermediárias desse intervalo representam apenas tons cinzentos. Quanto menor for valor, mais escuro será o tom. Os valores deste intervalo pertencem ao conjunto dos números reais.

Em uma imagem colorida, cada *pixel* é composto como uma combinação de três sinais de natureza diferentes, ou seja, três cores da base. Sendo assim, para associar valores a uma cor, é necessário escolher uma base no espaço de cores. Uma das bases mais utilizadas em processos computacionais é o RGB, que decompõe uma cor nas componentes vermelha (*Red*), verde (*Green*) e azul (*Blue*).

Quando se transforma uma imagem colorida em uma imagem preto-e-branco, o que se busca é uma propriedade da cor que esteja relacionada a quão luminosa a imagem é em cada ponto. Esta propriedade da cor se chama luminância, correspondendo a uma média ponderada entre as componentes

RGB. A conversão de uma imagem colorida (em RGB) em uma imagem em escala de cinza não possui uma solução única. Diferentes pesos podem ser associados às camadas de cores na representação da imagem em preto-e-branco. O valor da intensidade é igual à soma dos valores de vermelho, verde e azul, cada um multiplicado por seu peso, conforme a equação 2.1.

$$\text{IntensidadePixel} = 0,3 * \text{vermelho} + 0,59 * \text{verde} + 0,11 * \text{azul} \quad (2.1)$$

Para executar a conversão das imagens coloridas em preto-e-branco, foi utilizada uma função do Matlab<sup>1</sup> que é capaz de fazer o cálculo descrito na equação 2.1, e seu nome é *rgb2gray*. É importante lembrar que uma imagem RGB dentro do Matlab é interpretada como uma matriz 3x3, *Imagem(x,y,C)*, que tem em x(linha) e y(coluna) a posição do *pixel*, e em C as componentes RGB. Assim, C tem dimensão três, correspondente as três cores do RGB. Os valores RGB variam de 0 a 255, e antes de utilizar a função *rgb2gray* dividimos os valores das componentes por 255 para que a escala de cinza fique entre 0 e 1 como proposto. Assim, temos na Figura 2.11.

```
disp('Por favor, escolha a imagem:');
imageName = input('imageName = ', 's');

figure ('Name','Input Image'), imshow(imageName);

E = getimage;
RGB64 = double(E)/255;
InputImage = rgb2gray(RGB64);
```

**Figura 2.11 - Script de conversão RGB em escala de cinza no Matlab**

## ***2.4. Upsample (super-amostragem)***

*Upsampling* é processo de aumentar a resolução da imagem.

Imagine uma imagem de dimensão 2x2, como na Figura 2.12. Cada quadrado representa um *pixel*, e os valores dentro de cada quadrado representam a luminância, ou seja, a intensidade em escala de cinza de cada *pixel*.

---

<sup>1</sup> Matlab (MATrix LABoratory) é um software interativo de alta performance voltado para o cálculo numérico, que integra análise numérica, cálculo com matrizes, processamento de sinais e construção de gráficos em um só ambiente.

|      |      |
|------|------|
| 0,5  | 0,25 |
| 0,75 | 1    |

Figura 2.12 – Imagem 2x2 com seus valores em escala de cinza.

O processo de aumento de resolução de uma imagem no algoritmo WFA é dado a partir da árvore de *quadtree*. Assim, a representação da imagem 2x2 em árvore é apresentada na Figura 2.13.

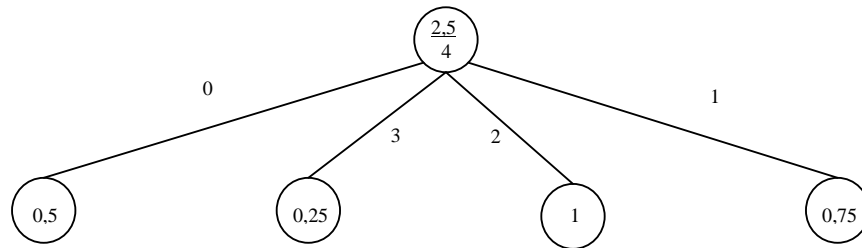


Figura 2.13 – Imagem 2x2 representada em árvore (antes do *upsample*)

O *upsample* cria quatro novas folhas filhas, repetindo-se o valor do nó que deu origem às novas folhas. A consequência disso é o aumento da dimensão da imagem original. A Figura 2.14, apresenta o resultado do *upsample* da imagem 2x2 em árvore.

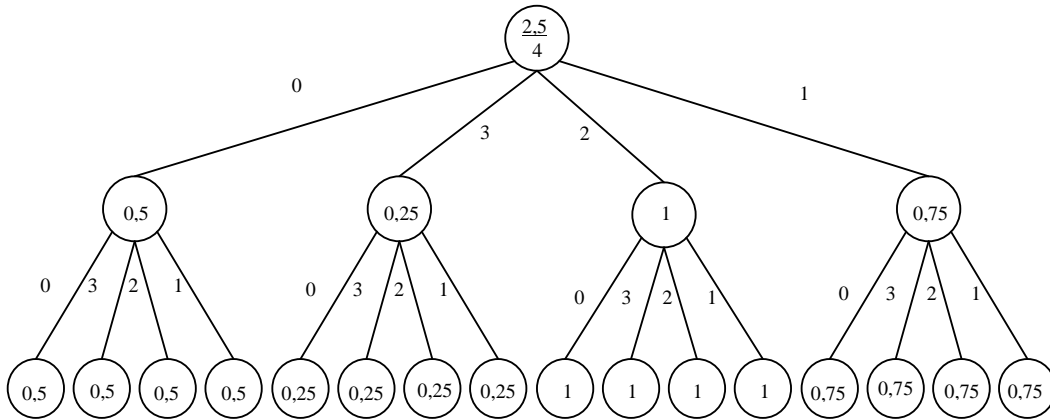


Figura 2.14 – Imagem após o *upsample*, agora com dimensão 4x4

A imagem que possuía dimensão 2x2 agora passa a ter dimensão 4x4, resultando na Figura 2.15.

|      |      |      |      |
|------|------|------|------|
| 0,5  | 0,5  | 0,25 | 0,25 |
| 0,5  | 0,5  | 0,25 | 0,25 |
| 0,75 | 0,75 | 1    | 1    |
| 0,75 | 0,75 | 1    | 1    |

Figura 2.15 – Resultado do *upsample* da imagem: aumento de resolução.

### 2.5. Downsample (sub-amostragem)

*Downsampling* é processo de reduzir a resolução da imagem.

O processo de diminuição da resolução de uma imagem no algoritmo WFA é dado a partir da árvore de *quadtree*, reduzindo um nível fazendo a média aritmética entre os quatro quadrantes filhos do nó da imagem, conforme a equação 2.2.

$$f(w) = \frac{1}{4} [f(w0) + f(w1) + f(w2) + f(w3)] \quad (2.2)$$

Em que  $f(w)$  significa o valor médio dos seus quatro nós filhos. O resultado é uma imagem de resolução menor em que um *pixel* na nova dimensão representa os quatro que lhe deram origem por uma média aritmética.

|     |     |     |     |
|-----|-----|-----|-----|
| 1   | 0   | 0,4 | 1   |
| 0,9 | 0,1 | 0,5 | 0,5 |
| 0,8 | 0,8 | 0   | 0,7 |
| 0,8 | 0,8 | 0   | 0,1 |

Figura 2.16 – Imagem 4x4 antes do *downsample*

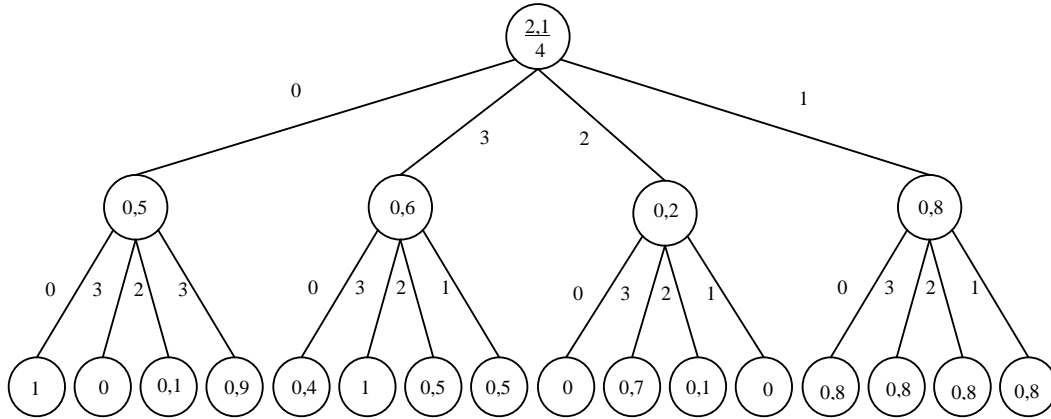


Figura 2.17 – Imagem original em árvore (antes do *downsample*)

Por exemplo, dada a imagem na Figura 2.16 de resolução 4x4 e sua representação em árvore na Figura 2.17, aplicamos o *downsample* para reduzir a dimensão da imagem. A árvore da Figura 2.17, para possuir uma resolução menor, perde os nós folhas, resultando na nova árvore da Figura 2.18.

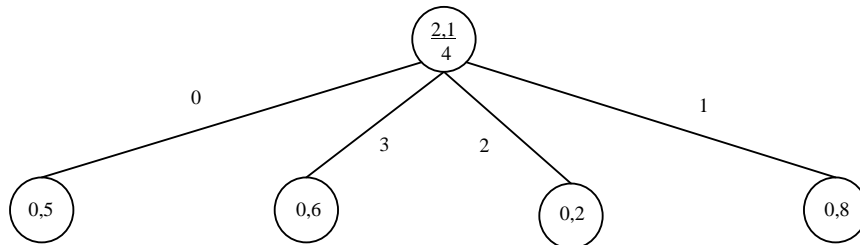


Figura 2.18 – Imagem após o *downsample*

A imagem reconstituída terá dimensão 2x2, representada pela Figura 2.19.

|     |     |
|-----|-----|
| 0,5 | 0,6 |
| 0,8 | 0,2 |

Figura 2.19 – Resultado do *downsample* da imagem, diminuição da resolução.

## 2.6. Máquina de Estados Finita (MEF)

Tudo o que foi visto até aqui compõe a preparação para a codificação WFA. Utilizam-se as ferramentas descritas anteriormente como suporte na criação de uma máquina de estados finita, ou seja,

um autômato finito, que é a WFA. Esta seção tem como objetivo esclarecer o que é uma máquina de estados finita, porém, não se tem como objetivo, ainda, explicar a WFA.

A máquina de estados finita ou autômatos finitos é um modelo usado na teoria da ciência da computação para descrever a execução de um algoritmo (KATRITRZKE, 2001). Seu comportamento é especificado por um conjunto finito de símbolos de entrada (*inputs*), por um alfabeto (conjunto) de símbolos,  $\Sigma$ ; por um conjunto de estados,  $Q$ ; e por uma função de estados,  $f: \Sigma \times Q \rightarrow Q$ . Às vezes, a máquina de estados também pode possuir um conjunto finito de símbolos de saída (*output*),  $O$ , sendo a função de estados, então, redefinida como  $f: \Sigma \times Q \rightarrow O$ . A MEF só pode estar em um estado por vez, quando a MEF recebe um *input*, ela muda de estado de acordo com a sua função. Outra possibilidade é a função retornar um *output* em vez de um estado. Um dos estados é chamado estado inicial. Dado uma seqüência de símbolos de entradas o comportamento da MEF pode ser determinado. Como dito, a MEF muda de estado de acordo com os *inputs*. Existem, portanto, estados intermediários, os quais estão ligados a outros estados pela função de estados da MEF. Um dos estados pode ser definido como estado final – uma vez nesse estado a MEF nunca alcançará outro estado. O estado final modela o sucesso da execução do algoritmo.

A MEF é representada pelo gráfico de transição. Cada estado é representado por um *vertex*<sup>2</sup> no gráfico, e uma flecha direcional de um estado  $s_i$  a um estado  $s_j$  que é utilizada para indicar que um símbolo de entrada,  $a \in \Sigma$ , faz com que a máquina mude do estado  $s_i$  ao estado  $s_j$ . Este fenômeno é denominado transição e é referenciado pelo símbolo de entrada  $a$  que o causou. A flecha também pode indicar a geração de um *output*,  $o \in O$ . O *vertex* representando um estado inicial é freqüentemente representado por um quadrado, enquanto o estado final por dois círculos concêntricos.

Considere, por exemplo, uma MEF genérica com  $\Sigma = \{0,1\}$ ;  $Q = \{s_0, s_1, s_2, s_3\}$ , em que  $s_0$  é o estado inicial e  $s_3$  é o estado final, e a função de estados é definida pela matriz de transição de estados conforme mostrado na Tabela 2.3. Os símbolos de entrada (*inputs*) 0 e 1 podem representar respectivamente, por exemplo, as palavras não e sim, e os estados as seguintes perguntas:  $s_0$ : “Você é homem?”,  $s_1$ : “Você tem menos de 22 anos?”,  $s_2$ : “Tem mais de 25 anos?”,  $s_3$ : “Está querendo casar?”. Chegar ao estado  $s_3$  indica maturidade para o casamento, e não há *outputs* para a função da MEF em questão. A MEF correspondente está representada pelo gráfico de transição na Figura 2.20 (MEF de maturidade para o casamento).

---

<sup>2</sup> Padrão de vínculo onde se encontram entrada e saída de vínculos, neste caso específico, os vínculos são as flechas de transição.

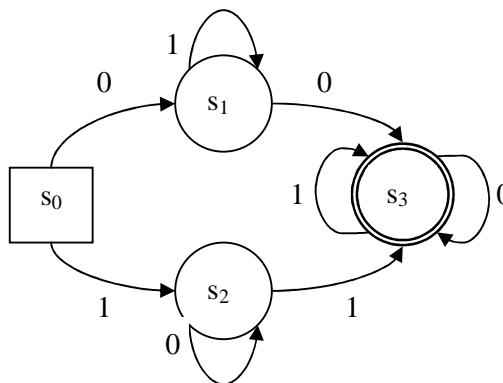


**Tabela 2.3 – Exemplo: transição de estados**

|   |   | Q              |                |                |                |
|---|---|----------------|----------------|----------------|----------------|
|   |   | s <sub>0</sub> | s <sub>1</sub> | s <sub>2</sub> | s <sub>3</sub> |
| Σ | 0 | s <sub>1</sub> | s <sub>3</sub> | s <sub>2</sub> | s <sub>3</sub> |
|   | 1 | s <sub>2</sub> | s <sub>1</sub> | s <sub>3</sub> | s <sub>3</sub> |

Para a máquina de estados apresentada, são produzidos dois exemplos. Roberto tem 25 anos, e por enquanto não quer casar, namora Roberta 23 anos que já tem vontade de casar.

Para Roberto, se faz a pergunta em s<sub>0</sub>: “Você é homem?”, como Roberto é do sexo masculino, a resposta é “sim”, o que o leva ao estado s<sub>2</sub>. No estado s<sub>2</sub> pergunta se Roberto tem mais de 25 anos, como Roberto ainda não completou 26 anos, a resposta é “não”, o que o mantém no estado s<sub>2</sub> até que ele complete 26 anos. Aos 26 anos Roberto já terá maturidade para se casar, fazendo com que ele evolua ao estado s<sub>3</sub>. Repare que a máquina de estados diz que ele já tem maturidade para se casar mesmo que ele não queira se casar, pergunta referente ao estado s<sub>3</sub>.



**Figura 2.20 – Grafo de transição**

Quanto a Roberta, ela não é homem, o que a leva ao estado s<sub>1</sub>. Em s<sub>1</sub> pergunta-se se Roberta tem mais de 22 anos, como ela já possui mais de 22 anos ela então muda de estado e vai a s<sub>3</sub>. O mesmo vale para Roberta, mesmo que aos 23 anos ela não quisesse se casar, a máquina de estados nos diz que ela já tem maturidade suficiente para tanto, mas como observado anteriormente, ela já quer se casar.

A informação contida no gráfico de transição também pode ser especificada pela matriz de transição. Dada uma MEF com  $n$  estados, a matriz de transição é  $n \times n$ , onde cada estado se relaciona com os outros  $n$  estados, cada valor da posição  $(i, j)$  corresponde à transição do estado s<sub>i</sub> ao estado s<sub>j</sub>

causada pelo símbolo de entrada. Caso a MEF gere símbolos de saída, cada símbolo seria guardado na posição (i,j) junto com o *input* que o causou. A matriz de transição correspondente ao exemplo dado é ilustrada na Tabela 2.4. O valor ‘-’ indica que não existe um símbolo de entrada que cause a transição do estado  $s_i$  ao estado  $s_j$ .

**Tabela 2.4 – Matriz de Transição**

|        |                | destino        |                |                |                |
|--------|----------------|----------------|----------------|----------------|----------------|
|        |                | s <sub>0</sub> | s <sub>1</sub> | s <sub>2</sub> | s <sub>3</sub> |
| Origem | s <sub>0</sub> | -              | 0              | 1              | -              |
|        | s <sub>1</sub> | -              | 1              | -              | 0              |
|        | s <sub>2</sub> | -              | -              | 0              | 1              |
|        | s <sub>3</sub> | -              | -              | -              | 0;1            |

O número de símbolos no conjunto  $\Sigma$  é dado pelo cardeal do conjunto, ou seja,  $|\Sigma|$ , que corresponde ao número de símbolos, para o exemplo,  $\Sigma = \{0,1\} = \{\text{“não”}, \text{“sim”}\}$ , ou seja,  $|\Sigma| = 2$ . Uma palavra  $w$  é um número finito de símbolos de  $\Sigma$  em seqüência. No caso de Roberto,  $w = 10010$  onde os dois primeiros “0” correspondem as duas vezes que é perguntado a Roberto se ele tem mais de 25 anos, e sua resposta foi negativa. Para Roberta  $w = 011$ .

Uma palavra vazia,  $\epsilon$ , é uma palavra que não consiste de símbolos. O tamanho de uma palavra  $w$  é dado por  $|w|$ .  $\Sigma^k$  é o conjunto de todas as palavras de tamanho  $k$  em  $\Sigma$ . Enquanto  $\Sigma^*$  é o grupo de todas as palavras, incluindo a palavra vazia  $\epsilon$ .

Considere outro exemplo, um alfabeto  $\Sigma = \{0, 1, 2, 3\}$ , alfabeto este sendo, então, um conjunto de símbolos, 0, 1, 2 e 3. Assim, o cardeal do conjunto, dado por  $|\Sigma| = 4$ . A palavra  $w_1=000$  é uma seqüência de símbolos de  $\Sigma$ , com  $|w_1|=3$ , ela pertence, então, ao conjunto de palavras com três símbolos, ou seja,  $\Sigma^3$ , e também ao conjunto de todas as palavras  $\Sigma^*$ . Uma palavra  $w_2=0111$ , de tamanho quatro, pertence aos conjuntos  $\Sigma^4$  e  $\Sigma^*$ .

## 2.7. Multiresolução

Formalmente, uma imagem multiresolucional é uma função real ( $f$ ) em  $\Sigma^*$ . A compatibilidade de diferentes resoluções tem como pré-condição que  $f: \Sigma^* \rightarrow \mathbb{R}$  seja uma função que preserve as médias.

Uma função  $f: \Sigma^* \rightarrow \mathbb{R}$  preserva as médias (ap – *average preserving*) se:

$$f(w) = \frac{1}{4} [f(w_0) + f(w_1) + f(w_2) + f(w_3)] \quad (2.3)$$

Onde  $w$  refere-se ao endereço do nó em análise,  $w_0$  ao endereço do quadrante 0 do nó em análise,  $w_2$  endereço do quadrante 2, e assim por diante.

## 2.8. Pseudo-inversa de uma Matriz ou Matriz Inversa de Moore-Penrose

A noção de matriz inversa é aplicável a matrizes quadradas, porém existe uma generalização que aplica a inversão de matrizes de qualquer dimensão, chamada de pseudo-inversão ou inversão de Moore-Penrose. A pseudo-inversa não é única. Supondo que  $A$   $m \times n$ , onde  $n < m$ , a pseudo-inversa pode ser calculada da forma:

$$\left( A_{n \times m}^T A_{m \times n} \right)_{n \times n}^{-1} \left( A^T A \right)_{n \times n} = I \quad (2.4)$$

No algoritmo, ao invés de desenvolver os cálculos, é utilizada a função  $\text{pinv}(\cdot)$  que corresponde à pseudo-inversa da matriz. Em todo o caso, nesta seção, apresenta-se a definição de pseudo-inversa, porém ela não é necessária para o entendimento da solução apresentada já que a função Matlab é utilizada e é apresentada aqui por formalidade.

A pseudo-inversa,  $A^+$ , (Inversa de Moore-Penrose) é a matriz  $n$  por  $m$  que “inverte”  $A$  de espaço coluna de volta para espaço linha, em que  $N(A^+) = N(A^T)$ .  $A^+ A$  e  $AA^+$  são as matrizes de projeção no espaço linha e no espaço coluna, para tanto,  $\text{Posto}(A^+) = \text{Posto}(A)$  (HAGEN, 2001).

Os valores singulares  $\sigma_1, \sigma_2, \dots, \sigma_r$  de uma matriz  $A$ , do tipo  $m \times n$ , são as raízes quadradas positivas dos valores próprios  $\lambda_\ell$  da matriz de Gram<sup>3</sup>  $K = A^T A$ , isto é,  $\sigma_\ell = \sqrt{\lambda_\ell} > 0$ . Dada uma matriz  $A$  do tipo  $m \times n$ , com  $m \geq n$ , se a equação 2.5 for respeitada.

$$A = U \Sigma V^T \quad (2.5)$$

Em que  $U$  e  $V$ ,  $m \times r$  e  $n \times r$ , resp., são matrizes cujas colunas são ortonormais e onde  $\Sigma$  é a matriz diagonal  $r \times r$ , identificada pela equação 2.6.

$$\Sigma = \begin{bmatrix} \sigma_1 & & & \\ & \sigma_2 & & \\ & & \dots & \\ & & & \sigma_r \end{bmatrix} \quad (2.6)$$

Então, diremos que  $U \Sigma V^T$  é a fatorização em valores singulares de  $A$ . Qualquer matriz admite uma fatorização em valores singulares, se:

- $A^T A$ :  $n \times n$ ; simétrica; valores próprios reais não negativos.
- Os valores próprios não nulos de  $A^T A$  são como na equação 2.7 (ordenados de modo decrescente):

$$\lambda_1 \geq \lambda_2 \geq \dots \geq \lambda_r > 0 = \lambda_{r+1} = \dots = \lambda_n. \quad (2.7)$$

- $\sigma_\ell = \sqrt{\lambda_\ell} > 0$ , para  $\ell = 1, \dots, r$ .

$$\Sigma = \begin{bmatrix} \sigma_1 & & & \\ & \sigma_2 & & \\ & & \dots & \\ & & & \sigma_r \end{bmatrix}$$

- $v_1, v_2, \dots, v_r$  vetores próprios ortonormais de  $A^T A$  associados aos valores próprios  $\lambda_1, \lambda_2, \dots, \lambda_r$ , respectivamente.
- $V = [v_1 \ v_2 \ \dots \ v_r]$
- $u_\ell = (1/\sigma_\ell) A v_\ell$ , para  $\ell = 1, \dots, r$ , são ortonormais.
- $U = [u_1 \ u_2 \ \dots \ u_r]$ .

---

<sup>3</sup> A matriz de Gram de um conjunto de vetores  $u_1, \dots, u_n$  em um espaço pré-hilbertiano é a matriz que define o produto escalar, cujas entradas vêm dadas por  $G_{ij} = (v_i | v_j)$ . Jørgen Pedersen Gram dá nome a essa matriz. Uma das aplicações mais importantes da matriz de Gram é a comprovação da independência linear: um conjunto de vetores será linearmente independente entre si somente se o determinante de Gram não for nulo.

As seguintes observações devem ser feitas:

- 1) Os valores singulares de uma matriz são únicos; contudo, as matrizes  $U$  e  $V$  não são únicas.
- 2)  $U$  diagonaliza  $A^T A$ .
- 3)  $v_1, v_2, \dots, v_k$  base ortonormal para  $(A)$ .
- 4)  $u_1, u_2, \dots, u_k$  base ortonormal para  $C(A^T)$ .
- 5)  $\text{car}(A) = \text{número de valores singulares}$ .

Suponha que  $U\Sigma V^T$  é a fatorização em valores singulares de  $A$ . A pseudo-inversa ou a inversa de Moore-Penrose de  $A$  é a matriz  $n \times m$   $A^+ = V\Sigma^{-1}U^T$ .

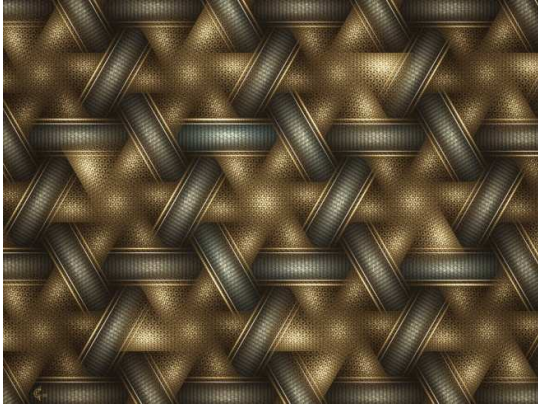
Condições de Penrose:

1.  $AXA = A$
2.  $XAX = X$
3.  $(AX)^T = AX$
4.  $(XA)^T = XA$

Se  $A$  é do tipo  $m \times n$ , então existe uma única matriz  $X$ ,  $n \times m$ , que satisfaz estas condições. Se é (quadrada) não singular, então  $A^+ = A^{-1}$ .

## ***2.9. Fractais***

Fractais são imagens (ou conjuntos) que apresentam fragmentação independente da escala. Esta fragmentação pode ser exatamente ou aproximadamente auto-similar. A Figura 2.21 e a Figura 2.22 demonstram imagens em fractais.



**Figura 2.21**



**Figura 2.22**

Uma definição mais genérica de fractal é qualquer objeto geométrico que pode ser dividido em partes, cada uma das quais semelhante ao objeto original, desde que as partes apresentem fragmentação. Na natureza, temos vários exemplos de fractais, como as árvores e as samambaias, onde podemos observar propriedades de repetição ou recursividade claramente. Um brócolis também é um fractal, observa-se a mesma forma geométrica repetida com a mesma precisão em qualquer escala, sua imagem se encontra na Figura 2.23.



**Figura 2.23 – Brócolis**

A WFA pode ser caracterizada como um fractal, pois a sua MEF (Máquina de Estados Finita) descreve o quadrante da imagem como uma combinação linear de outros quadrantes e subquadrantes (subimagens), quadrantes estes caracterizados como estados da MEF. Isso permite gerar padrões fractais.

Na WFA, a mesma complexidade algorítmica é aplicada a toda a imagem, ou seja, a MEF é válida e aplicada para a reconstrução de toda a imagem. Para se descobrir o valor do menor quadrante da árvore de *quadtree*, se aplica o mesmo algoritmo do quadrante maior. Ao mesmo tempo, a WFA por ser multiresolucional, possui detalhes em qualquer escala, é definida por um algoritmo simples, a MEF. E é o algoritmo simples da MEF que define a combinação linear entre os quadrantes (estados).

No algoritmo implementado não é utilizada nenhuma teoria de fractais. O intuito desta seção é identificar a WFA como um fractal para possível desenvolvimento posterior.

## 2.10. PSNR

A *Peak Signal Noise Ratio* ou *PSNR* é a medida mais aceita entre os métodos atuais para a avaliação de qualidade de vídeo e imagens. A *PSNR* é uma relação entre o máximo possível de potência de um sinal, pela potência do ruído, quando comparamos um sinal antes e depois de um processo de degradação, sendo normalmente representada em *dB (Decibel)*. Aplicando este conceito em imagens comprimidas, tem-se que o *PSNR* é a relação entre a entrada e a saída de um processo de compressão com perdas, que avalia o quanto de ruído a compressão introduziu na imagem original, sendo dada pela expressão 2.8.

$$PSNR = 10 * \log_{10} \left( \frac{Max_I^2}{MSE} \right) = 20 \log_{10} \left( \frac{|Max_I|}{\sqrt{MSE}} \right) \quad (2.8)$$

onde  $Max_I$  é o valor máximo possível de um *pixel* na imagem e o *MSE (Mean Square Error)*:

$$MSE = \frac{1}{mn} \sum_{i=0}^{m-1} \sum_{j=0}^{n-1} \| I(i, j) - K(i, j) \|^2 \quad (2.9)$$

onde  $K$  é a imagem reconstruída,  $I$  é a imagem original,  $m$  e  $n$  definem o tamanho da imagem avaliada. No caso deste projeto final,  $Max_I$  é igual a 1.

Avaliando as equações, quanto maior o valor do *PSNR*, maior é a relação entre a potência do sinal pela potência do ruído, o que significa melhor qualidade, ou seja, a imagem original e a descomprimida são quase iguais, em termos gerais, valores de *PSNR* acima de 42dB correspondem à

compressões que introduzem perdas imperceptíveis ao olho humano, o que significa uma qualidade excepcional.

## 2.11. Wavelet

*Wavelet* é uma função capaz de decompor e descrever outras funções no domínio da frequência, de tal forma que é possível analisar essas funções em diferentes escalas de frequência e de tempo. A decomposição de uma função de *wavelets* é conhecida como transformada *wavelet* e tem duas variantes conhecidas como contínua e discreta. Precisa-se também da transformada inversa, de forma a recompor o sinal no domínio do tempo a partir da sua decomposição *wavelet*, a transformada inversa também tem suas variantes conhecidas como contínua e discreta.

Além disso, na análise *wavelets*, pode-se usar funções que estão contidas em regiões finitas, tornando-as convenientes na aproximação de dados com descontinuidades. O princípio mais geral da construção das *wavelets* é o uso de dilatações e translações. As *wavelets* mais usadas formam um sistema ortogonal de funções com suportes compactos construídos desta forma. Esta é a razão pela qual elas podem distinguir as características locais de um sinal em diferentes escalas e, por translações, elas cobrem toda a região na qual o sinal é estudado. Na análise de sinais não-estacionários, a propriedade de localidade das *wavelets* conduz às suas vantagens sobre a transformada de Fourier. Os algoritmos de *wavelets* processam dados em diferentes escalas ou resoluções e, independentemente da função de interesse ser uma imagem, uma curva ou uma superfície, *wavelets* oferecem uma técnica elegante na representação dos níveis de detalhes presentes. Elas constituem uma ferramenta matemática para decompor funções hierarquicamente.

A transformada discreta de *wavelet* consiste em identificar os parâmetros  $c_k$  e  $d_{j,k}$ ,  $k \in \mathbb{N}$ ,  $j \in \mathbb{N}$  na equação 2.10:

$$f(t) = \sum_{k=-\infty}^{\infty} c_k \phi(t-k) + \sum_{k=-\infty}^{\infty} d_{j,k} \Psi(2^j t - k) \quad (2.10)$$

onde  $\phi(t)$  e  $\Psi(t)$  são as funções conhecidas respectivamente como *wavelet* pai e *wavelet* mãe. A *wavelet* pai é na verdade uma função de escala, que depende da *wavelet* mãe. Das funções  $\phi(t)$  e  $\Psi(t)$  podemos calcular as seqüências  $h = \{h_n\} n \in \mathbb{Z}$  e  $g = \{g_n\} n \in \mathbb{Z}$ :



$$h_n = \langle \Psi_{0,0}, \phi_{1,n} \rangle; \Psi(t) = \sqrt{2} \sum_{n \in \mathbb{Z}} h_n \phi(2t - n) \quad (2.11)$$

e

$$g_n = \langle \phi_{0,0}, \phi_{1,n} \rangle; \phi(t) = \sqrt{2} \sum_{n \in \mathbb{Z}} g_n \phi(2t - n) \quad (2.12)$$

Os coeficientes  $h_n$  e  $g_n$  são denominados coeficientes de filtros da *wavelet*, onde  $h_n$  define o filtro passabaixa e o  $g_n$  o filtro passa-alta. Eles são denominados par de filtros QMF (*Quadrature Mirror Filter*). As equações 2.11 e 2.12, que na verdade são seqüências, são a base da transformada discreta de *wavelet*. Para o trabalho aqui desenvolvido, utiliza-se a transformada discreta *wavelet* e sua inversa provida pelo Matlab, *dwt2* e *idwt2*. Essas duas funções são de primeiro nível e para duas dimensões.

# Capítulo 3

## Weighted Finite Automata (WFA – Autômato Finito e Proporcional)

Antes de formalizar a WFA matematicamente, é importante fazer uma associação conceitual entre as ferramentas teóricas vistas anteriormente e a WFA. Considere um alfabeto  $\Sigma = \{0, 1, 2, 3\}$ , onde cada uma das letras desse alfabeto corresponde ao endereçamento de um quadrante de uma imagem. O padrão de endereçamento utilizado se encontra na Tabela 3.1. Caso seja necessário dividir a imagem em mais subquadrantes, cada subquadrante terá como primeira letra de sua palavra, o quadrante maior, como na Tabela 3.2, para melhor entendimento, os quadrantes da Tabela 3.1 foram coloridos para facilitar a identificação. Pode-se ter, então, para uma imagem qualquer, o endereçamento de um quadrante em vários níveis de profundidade. Cada nível diferente gerará uma palavra de comprimento diferente. A palavra de tamanho 0 assume endereço  $\epsilon$ , e refere-se à imagem inteira, sem quadrantes. Forma-se, portanto, um conjunto de palavras, que chamaremos de  $w$ , de tamanhos diferentes que tem como objetivo identificar o quadrante na imagem, ou a posição dentro da árvore *quadtree*, para análise.

**Tabela 3.1 – Padrão de endereçamento de quadrantes utilizado**

|   |   |
|---|---|
| 0 | 3 |
| 1 | 2 |

**Tabela 3.2 – Padrão de endereçamento de quadrantes**

|    |    |    |    |
|----|----|----|----|
| 01 | 03 | 31 | 33 |
| 00 | 02 | 30 | 32 |
| 11 | 13 | 21 | 23 |
| 10 | 12 | 20 | 22 |

Como visto anteriormente, esse endereçamento pode referenciar a posição do quadrante em uma árvore *quadtree*. A árvore é montada de forma que o endereço  $\epsilon$  tenha associado a ele um valor que represente a média de cor de toda a imagem, em escala de cinza, o que será um valor entre 0 e 1 como visto na seção 2.3. Para montar a árvore, começa-se do *pixel*, o nível mais profundo, anotando seus valores em escala de cinza. A partir daí, calcula-se os valores dos nós pais pela média dos nós filhos, ou seja, conforme a equação 3.1 repetida abaixo:

$$f(w) = \frac{1}{4}[f(w0) + f(w1) + f(w2) + f(w3)] \quad (3.1)$$

Onde  $w$  é o endereço do nó pai, assim, para o exemplo da Figura 2.5, se tem:

$$f(22) = \frac{1}{4}[f(220) + f(221) + f(222) + f(223)] = \frac{1}{4}[1 + 1 + 0 + 1] = 0.75 \quad (3.2)$$

Calcula-se o valor desta função para todos os nós, até que se chegue ao endereço  $\epsilon$ . A Figura 3.1 contém a Figura 2.5, apresentada na seção 2.2, e mostra o valor correspondente, em escala de cinza, de cada um dos nós da árvore.

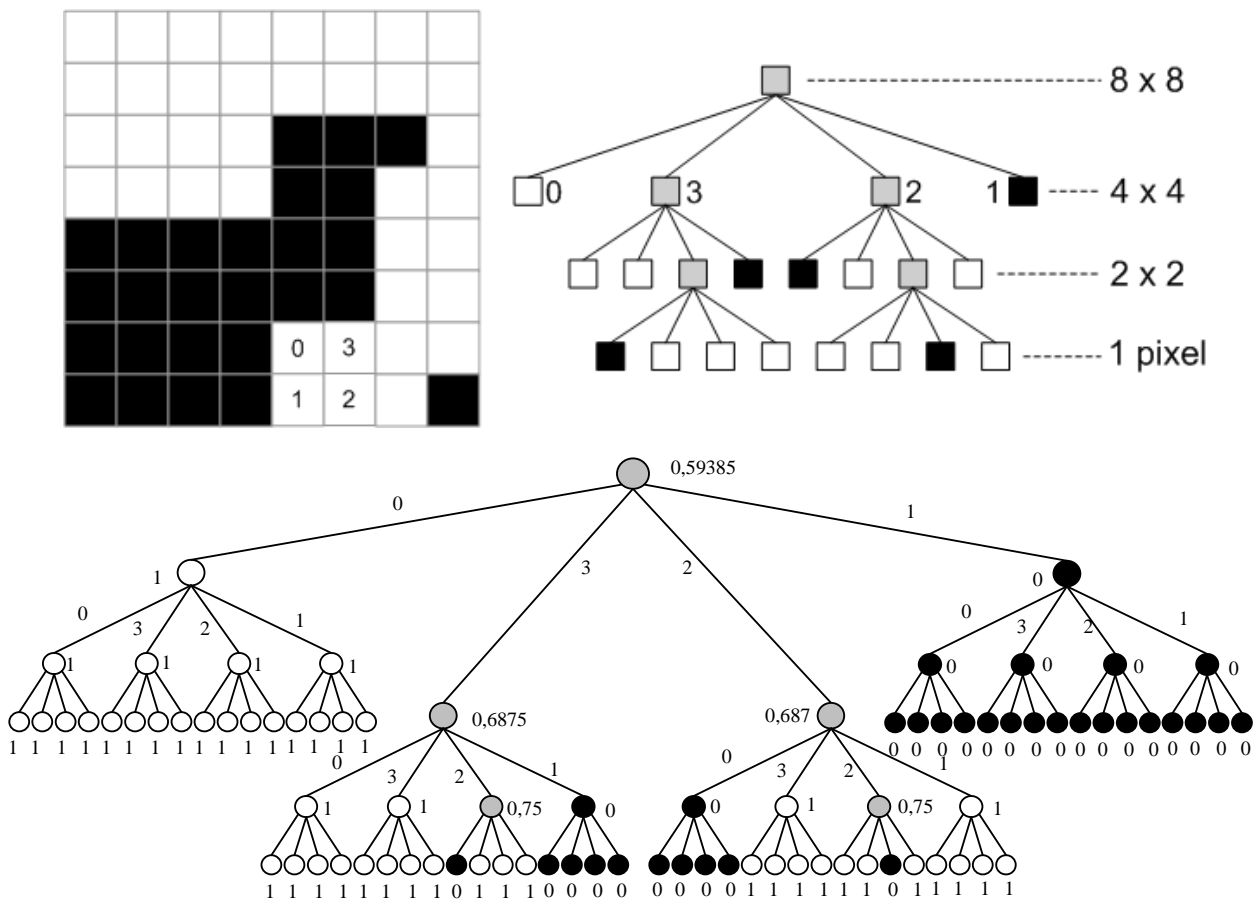
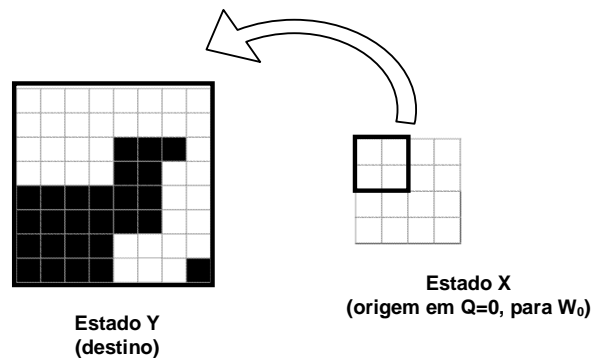


Figura 3.1 – Figura 2.5, e a árvore montada para ela, com os valores da escala de cinza para cada nó da árvore.

Com os endereços de cada quadrante, a árvore montada, e os valores de cor associados a cada nó da árvore, a imagem pode ser analisada pela WFA. A WFA não é, nada mais nada menos que, uma máquina de estados, e o algoritmo de codificação é o que monta a máquina de estados para a imagem analisada. O algoritmo de codificação constrói uma máquina de estados que tem como expressão fundamental a equação 3.3:

$$f(w) = f(a_1, a_2, a_3 \dots a_k) = IW_{a_1}W_{a_2} \dots W_{a_k}F, w \in \Sigma^*, |w| = k; \quad (3.3)$$

Já se sabe que  $f(w)$  é a intensidade média da região da imagem em escala de cinza, como visto na equação 3.1. Considere agora **I** apenas como uma matriz linha qualquer e **F** apenas como uma matriz coluna qualquer, e mais adiante se explicará os seus significados. A intenção, neste momento, é explicar o que são as matrizes **W**. As matrizes **W**<sub>0</sub>, **W**<sub>1</sub>, **W**<sub>2</sub>, **W**<sub>3</sub> são matrizes de transição de uma Máquina de Estados Finitos (MEF). A matriz de transição **W**<sub>0</sub> representa a transição a partir do endereço chamado **Q**, neste caso como é **W**<sub>0</sub>, **Q** = 0, do estado **X**, para o estado **Y**, como mostrado na Figura 3.2. Repare que **Q** identifica o quadrante da matriz **W** e o quadrante do estado analisado. A posição do valor desta transição dentro da matriz pode ser dada por: **W**<sub>0</sub>(x,y) = **T**.



**Figura 3.2 – Transição a partir do Quadrante 0 do Estado X para o Estado Y, onde Estado X é o Quadrante 0 do Estado Y.**

Como dito, a matriz **W**<sub>0</sub> representa a transição a partir do quadrante 0 de cada estado, o peso necessário para se mudar para o estado destino. O significado de cada transição na matriz de transição para **W**<sub>0</sub> é apresentada na Tabela 3.3.

**Tabela 3.3 – Matriz de transição  $W_0$**

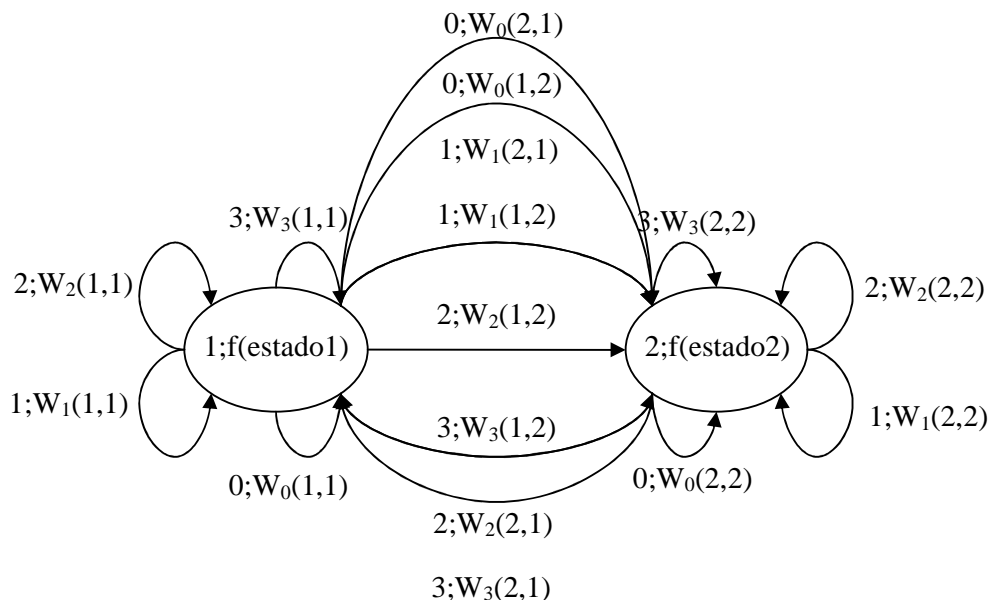
|                  |       | Estado de destino         |                           |                           |                           |
|------------------|-------|---------------------------|---------------------------|---------------------------|---------------------------|
|                  |       | $S_1$                     | $S_2$                     | $S_3$                     | $S_4$                     |
| Estado de Origem | $S_1$ | Q0estado1<br>para estado1 | Q0estado1<br>para estado2 | Q0estado1<br>para estado3 | Q0estado1<br>para estado4 |
|                  | $S_2$ | Q0estado2<br>para estado1 | Q0estado2<br>para estado2 | Q0estado2<br>para estado3 | Q0estado2<br>para estado4 |
|                  | $S_3$ | Q0estado3<br>para estado1 | Q0estado3<br>para estado2 | Q0estado3<br>para estado3 | Q0estado3<br>para estado4 |
|                  | $S_4$ | Q0estado4<br>para estado1 | Q0estado4<br>para estado2 | Q0estado4<br>para estado3 | Q0estado4<br>para estado4 |

O mesmo é válido para a matriz  $W_1$ , que terá a seguinte configuração:

**Tabela 3.4 – Matriz de transição  $W_1$**

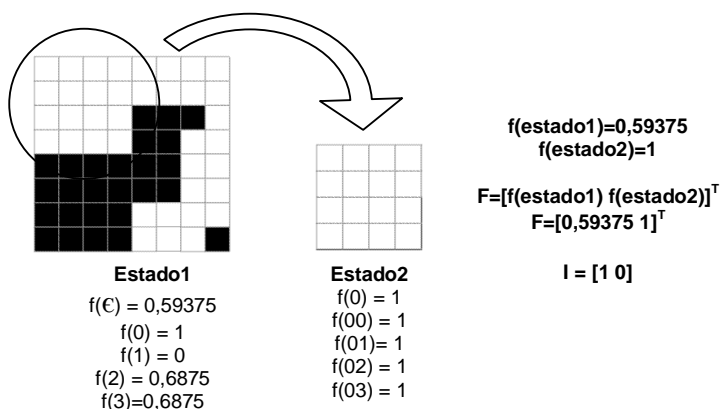
|                  |       | Estado de destino         |                           |                           |                           |
|------------------|-------|---------------------------|---------------------------|---------------------------|---------------------------|
|                  |       | $S_1$                     | $S_2$                     | $S_3$                     | $S_4$                     |
| Estado de Origem | $S_1$ | Q1estado1<br>para estado1 | Q1estado1<br>para estado2 | Q1estado1<br>para estado3 | Q1estado1<br>para estado4 |
|                  | $S_2$ | Q1estado2<br>para estado1 | Q1estado2<br>para estado2 | Q1estado2<br>para estado3 | Q1estado2<br>para estado4 |
|                  | $S_3$ | Q1estado3<br>para estado1 | Q1estado3<br>para estado2 | Q1estado3<br>para estado3 | Q1estado3<br>para estado4 |
|                  | $S_4$ | Q1estado4<br>para estado1 | Q1estado4<br>para estado2 | Q1estado4<br>para estado3 | Q1estado4<br>para estado4 |

E assim, o mesmo vale para  $W_2$  e  $W_3$ . A Figura 3.3 representa o gráfico de transição para dois estados:



**Figura 3.3 – Gráfico de transição para dois estados.**

Especificado o que são as matrizes  $\mathbf{W}$ , volta-se às matrizes linha e coluna  $\mathbf{I}$  e  $\mathbf{F}$ . A matriz coluna  $\mathbf{F}$  contém o valor da função  $f$  para cada estado, assim é o valor médio da intensidade em escala de cinza para a imagem que representa o estado, como já visto anteriormente. Na Figura 3.4, apresenta-se um exemplo do cálculo da matriz  $\mathbf{F}$  para dois estados específicos:

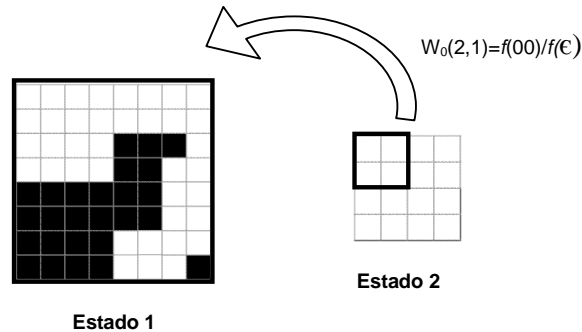


**Figura 3.4 – Calculando  $f$  para dois estados**

A matriz  $\mathbf{I}$  é a matriz que identifica o estado inicial da nossa máquina de estado. A máquina de estados poderia ser iniciada por vários estados ao mesmo tempo, mas isso não será mostrado no algoritmo desenvolvido neste trabalho. A matriz  $\mathbf{I}$  sempre vai ser da forma  $[1 \ 0 \ 0 \ 0 \ \dots \ 0]$ , sua dimensão sempre será  $1 \times n$ , onde  $n$  é o número de estados que compõem a máquina, onde o estado identificado como inicial sempre representará a imagem inteira, e esse estado que representa a imagem inteira

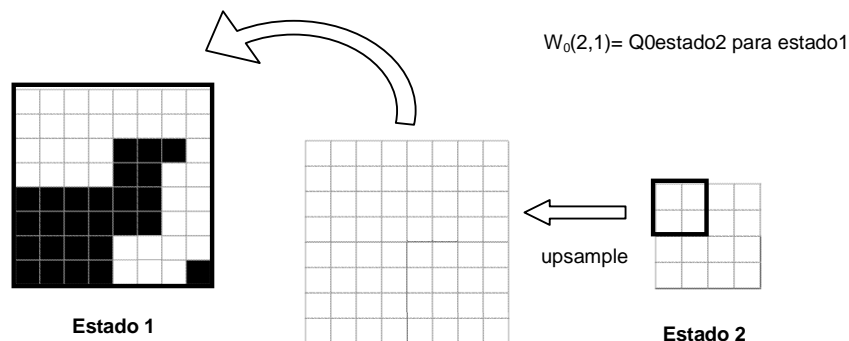
sempre será o primeiro estado. Para o exemplo com dois estados a matriz **I** será [1 0]. Definidas **I** e **F**, definem-se as matrizes **W**.

No exemplo mostrado na Figura 3.6, existe dois estados. A transição que queremos definir é  $W_0(2,1)$ . Essa transição define qual é o peso que devemos dar quando saímos do estado 2, pelo quadrante 0 e vamos para o estado 1. Nada mais justo que utilizar a função  $f$  para calcular o peso da transição. Então,  $W_0(2,1)$  é igual a  $f(Q_{0\text{estado}2})$  dividido por  $f(\text{estado}1)$ .



**Figura 3.5 – Transição do estado dois no subquadrante 0, para o estado 1.**

Porém, essa forma de definir o peso, não reflete bem a realidade, já que a função  $f$  é uma representação resumida, ou seja, uma média de valores da imagem. Porque não definir o valor da transição utilizando uma operação de matrizes, matrizes que contenham os verdadeiros valores, ponto a ponto dos estados, utilizando a maior resolução entre as dimensões das matrizes no cálculo? Isso faria com que os resultados fossem mais fiéis a realidade. É o que realmente acontece, e para isso utiliza-se no desenvolvimento do algoritmo a função  $\text{pinv}(\cdot)$  do Matlab, vista na seção 2.8.



**Figura 3.6 – Calculando  $W_0(2,1)$**

A pergunta que fica é como definir se um estado novo deve ser criado ou não. Fazendo-se a seguinte pergunta resolve-se a questão: “O nó da árvore sob análise pode ser codificado como uma

combinação linear dos estados existentes na MEF?” Caso a resposta seja afirmativa, a máquina de estados se mantém, caso a resposta seja negativa, um estado novo é criado na máquina de estados, associando a este estado, o valor de  $f(w)$  do nó em análise. Caso seja necessário criar um novo nó, toda a MEF é recalculada utilizando a função  $\text{pinv}(\cdot)$ , construindo as transições dos outros estados ao estado novo e vice-versa. Os valores de  $f(w)$  para todos os nós que viraram estados ficam guardados em uma matriz  $F$ ; as condições iniciais da MEF são colocadas em uma matriz  $I$ ; e as transições, em matrizes  $W$ . Existe uma matriz  $W$  para cada quadrante estudado,  $W_0, W_1, W_2$  e  $W_3$ .

A Figura 3.7 ilustra todo o processo de codificação WFA.

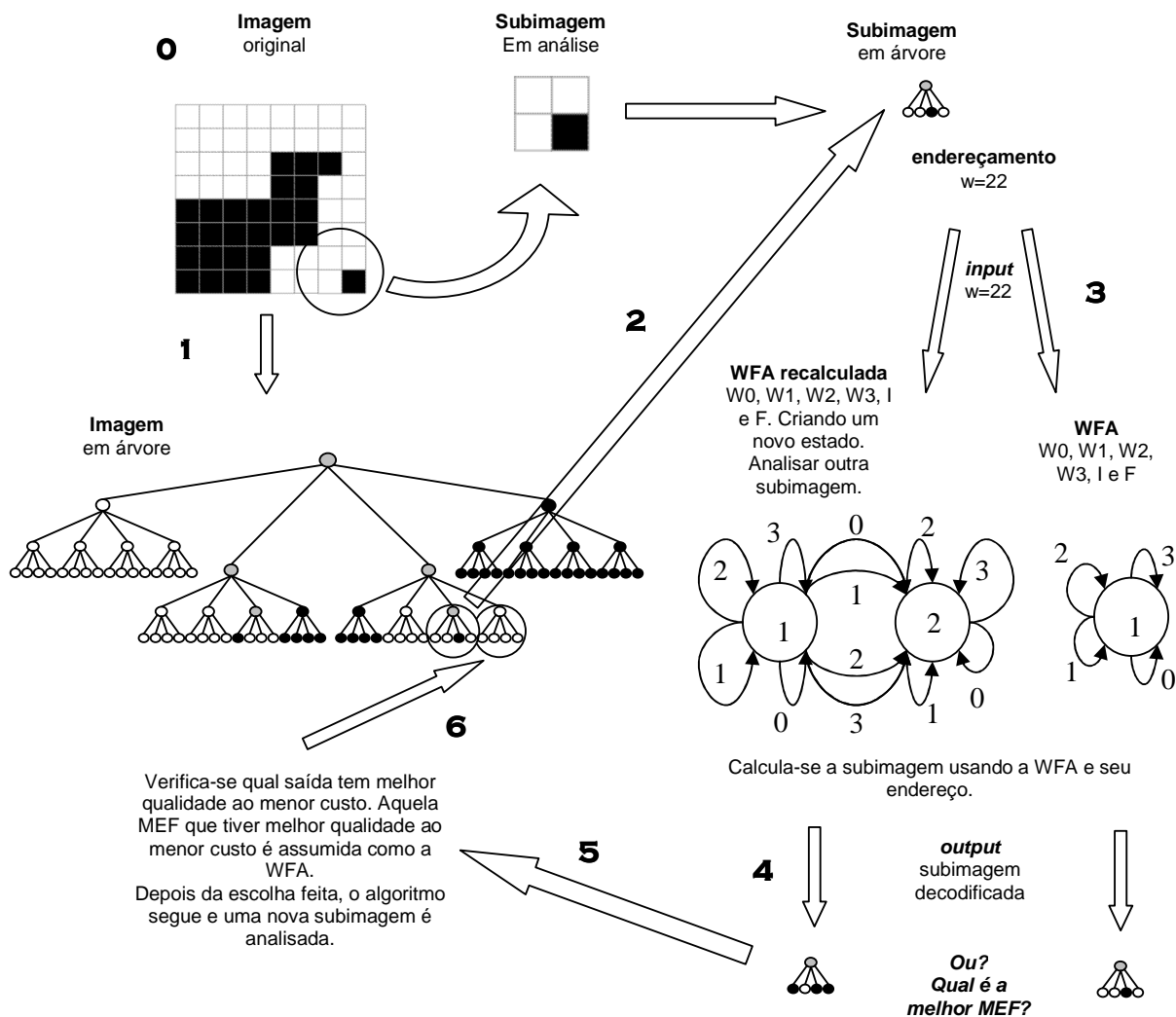


Figura 3.7 – Processo de codificação da WFA

Para decodificar a imagem, basta executar a máquina de estados, o que remontará a árvore de *quadtree*, associando-se novamente os valores de  $f(w)$  para cada nó, a partir da árvore fica então fácil



reconstruir a imagem. Para calcular o valor de cada nó, basta fazer o cálculo indicado na equação 2.9 e repedido em 3.1:

$$f(w) = f(a_1, a_2, a_3 \dots a_k) = IW_{a_1}W_{a_2} \dots W_{a_k}F, w \in \Sigma^*, |w| = k; \quad (3.4)$$

Assim:

$$f(22) = I * W_2 * W_2 * F \quad (3.5)$$

$$f(223) = I * W_2 * W_2 * W_3 * F \quad (3.6)$$

$$f(012) = I * W_0 * W_1 * W_2 * F \quad (3.7)$$

Conclui-se que a WFA é uma máquina de estados representada por uma distribuição inicial **I**, pelas transições **W** e pela distribuição final **F**. Agora, depois de esquematizado todo o processo de codificação e decodificação, fica mais fácil entender a formalização matemática da WFA.

Por imagem de resolução finita entende-se uma imagem digitalizada em preto-e-branco (escala de cinza) com  $2^m \times 2^m$  pixels (tipicamente  $7 \leq m \leq 11$ ), de valores reais (valores entre 0 e  $2^k-1$ , geralmente  $k=8$ , em nosso caso  $k=1$ ).

Por imagem multiresolucional entende-se um conjunto compatível de imagens com resolução  $2^n \times 2^n$ ,  $n=0,1,2,\dots$

**Tabela 3.5– Padrão de endereçamento de quadrantes utilizado**

|   |   |
|---|---|
| 0 | 3 |
| 1 | 2 |

É atribuído a cada *pixel* em resolução  $2^n \times 2^n$  uma palavra de tamanho  $n$  dentro do alfabeto  $\Sigma = \{0, 1, 2, 3\}$ . Cada letra de  $\Sigma$  refere-se a uma unidade quadrática (quadrado, ou quadrante se preferir), como mostrado na Tabela 3.1 e representada novamente pela 3.5. Define-se  $\epsilon$  como o endereço da raiz da árvore *quadtrees* da imagem. Cada letra de  $\Sigma$  compõe o endereço dos filhos da raiz. Cada palavra em  $\Sigma^*$  de tamanho  $k$ , dita  $w$ , é então endereço único de um dos nós da árvore *quadtrees*, com nível de profundidade  $k$ . Os filhos desse nó têm endereço  $w0, w1, w2, w3$ . Assim, formalmente uma imagem multiresolucional é uma função real ( $f$ ) em  $\Sigma^*$ . A compatibilidade de diferentes resoluções tem como condição que  $f: \Sigma^* \rightarrow \mathbb{R}$  seja uma função que preserve as médias. Uma função  $f: \Sigma^* \rightarrow \mathbb{R}$  preserva as médias (ap – *average preserving*) se:

$$f(w) = \frac{1}{4} [f(w0) + f(w1) + f(w2) + f(w3)] \quad (3.8)$$

Equação que já havia sido apresentada como equação 2.3. Uma função  $f$  é representada por um número infinito de *quadtree* rotuladas. A raiz é rotulada por  $f(\epsilon)$ , seus filhos são rotulados da direita para a esquerda por  $f(0)$ ,  $f(1)$ ,  $f(2)$ ,  $f(3)$ . Intuitivamente,  $f(w)$  é a média em escala de cinza dos subquadrantes  $w$  para um dado tom cinza da imagem.

Um WFA de  $m$ -estados com o alfabeto  $\Sigma$  é definido por:

- i. Um vetor linha  $I \in \mathbb{R}^{1 \times m}$  (chamado distribuição inicial);
- ii. Um vetor coluna  $F \in \mathbb{R}^{m \times 1}$  (chamado de distribuição final); e
- iii. Matrizes de transição (ou de proporção, ou de pesos)  $W_a \in \mathbb{R}^{m \times m}$  para todo  $a \in \Sigma$

O WFA  $A$  define uma função multiresolucional  $f$  em  $\Sigma$  por:

$$f_A(a_1, a_2, a_3 \dots a_k) = I W_{a_1} W_{a_2} \dots W_{a_k} F \quad (3.9)$$

Equação que já havia sido apresentada anteriormente em 3.3 e 3.4. No WFA, cada transição é identificada por um número real, conhecido como peso da transição, e pelo símbolo de entrada. Ao invés de se ter estados iniciais e finais, se tem distribuições iniciais e finais, a distribuição final tem o valor de  $f(w)$  associado a cada estado. Um exemplo de gráfico de transição para a WFA com  $\Sigma = \{0, 1, 2, 3\}$  e dois estados é mostrado na Figura 3.8. A distribuição inicial e a distribuição final estão escritos dentro de cada estado (MULLER, 2005).

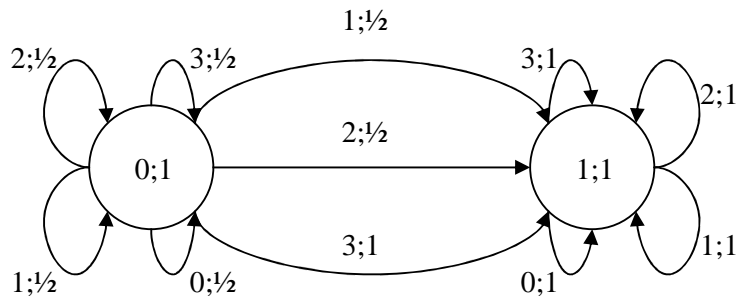


Figura 3.8– Exemplo de um gráfico de transição WFA.

Dada o WFA com um alfabeto  $\Sigma$  consistindo de  $n$  estados, ele é representado por  $|\Sigma|$  matrizes de transições  $W_a$ ,  $a \in \Sigma$ , cada uma com o tamanho  $n \times n$ , um vetor linha  $1 \times n$ ,  $I$ , e um vetor coluna  $n \times 1$ ,  $F$ . O valor em  $W_a(i,j)$  é o peso da transição do estado  $i$  para o estado  $j$  dado um símbolo de entrada  $a$ , caso não seja zero. Se o valor for zero, não existe transição do estado  $i$  para o estado  $j$  para o *input*  $a$ . O elemento  $i$  dos vetores  $I$  e  $F$  correspondem ao valor de distribuição inicial e final, respectivamente do estado  $i$ .

A WFA pode ser utilizada para especificar uma imagem em escala cinza de resolução  $2^n \times 2^n$ . Fazendo  $\Sigma = \{0, 1, 2, 3\}$  e fazendo  $a \in \Sigma$  corresponder a cada quadrante do quadrado (ou imagem), como na Tabela 3.1, apresentada novamente na Tabela 3.6. Isso é aplicado recursivamente até que o quadrado (ou imagem) tenha se dividido em  $2^n \times 2^n$  subquadrados. Uma palavra  $w$  de tamanho  $n$  em  $\Sigma$  representa o endereço de um dos subquadrados.

**Tabela 3.6 – Padrão de endereçamento de quadrantes utilizado**

|   |   |
|---|---|
| 0 | 3 |
| 1 | 2 |

Em geral, se o subquadrado é endereçado por uma palavra  $w$ , os seus quadrantes vão ser endereçados por  $w0$ ,  $w1$ ,  $w2$  e  $w3$ . A palavra vazia  $\epsilon$  é utilizada para endereçar toda a imagem. Isso nos leva a uma representação da imagem por *quadtree*: a raiz da árvore tem endereço  $\epsilon$ , os quatro quadrantes da imagem correspondem aos quatro filhos da raiz, etc. Assim, cada palavra de tamanho  $k$  é o endereço de um único nó da árvore de profundidade  $k$ .

Define-se a função  $f: \Sigma^* \rightarrow \mathbb{R}$  por:

$$f(w) = F(a_1, a_2, a_3 \dots a_k) = IW_{a_1} W_{a_2} \dots W_{a_k} F, w \in \Sigma^*, |w| = k; \quad (3.10)$$

Em outras palavras,  $f$  especifica o valor da escala de cinza cada quadrado na resolução  $2^n \times 2^n$ , definindo assim uma imagem em multiresolução. Para que as diferentes resoluções sejam compatíveis, é requerido que  $f$  preserve a sua média. Equação já apresentada em 2.3, e em 3.8.

$$f(w) = \frac{1}{4} [f(w0) + f(w1) + f(w2) + f(w3)] \quad (3.11)$$

Um exemplo com uma imagem 4x4 é mostrado na Figura 3.9 com sua correspondente representação *quadtree* mostrada na Figura 3.10.

|     |     |     |     |
|-----|-----|-----|-----|
| 1   | 0   | 0,4 | 1   |
| 0,9 | 0,1 | 0,5 | 0,5 |
| 0,8 | 0,8 | 0   | 0,7 |
| 0,8 | 0,8 | 0   | 0,1 |

Figura 3.9 - Imagem 4x4

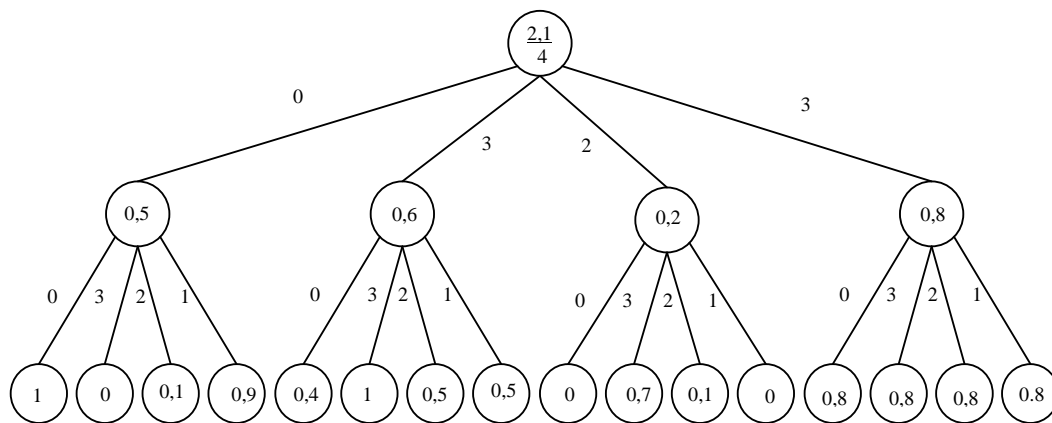


Figura 3.10 – Imagem 4x4 em árvore *quadtree*

O valor em escala de cinza de um quadrado com endereço  $w$  é a média dos valores em escala de cinza dos seus quatro quadrantes (subquadrados), com endereços  $w_0$ ,  $w_1$ ,  $w_2$ , e  $w_3$ . Especificamente, o valor de  $f(\epsilon)$  é a média em escala de cinza de toda a imagem.

Caminhando-se para o nível acima, reduzindo a resolução da imagem, fazemos o *downsample*. Caminhando-se para um nível abaixo, fazemos o *upsample*, aumentando a resolução da imagem. Quanto maior a quantidade de folhas na árvore, maior é o nível.

O modo com que a WFA define uma imagem deve ser interpretado como: cada estado  $i$  na WFA corresponde a alguma subimagem da imagem, com cada elemento do vetor  $F$ ,  $F(i)$  sendo a média em escala de cinza dessa subimagem. Um estado em particular corresponde à imagem por completo, e o vetor  $I$  indica que estado é esse. Se o estado  $k$  corresponde à imagem por inteiro, então:  $I(k) = 1$ , e

$I(l)=0, l \neq k$ . O peso das transições indica como os quadrantes de uma subimagem são expressos como uma combinação linear de outra subimagem (possivelmente incluindo a subimagem que o quadrante pertence), com os pesos especificando os coeficientes das combinações lineares, e os símbolos de entrada especificando o quadrante em questão, como na equação 2.3, repetida em 3.8 e 3.11:

$$(\phi_i)_a = W_a(i,1)\phi_1 + W_a(i,2)\phi_2 + \dots + W_a(i,n)\phi_n \quad (3.12)$$

Em que  $\phi_i$  é a imagem associada ao estado  $i$  e  $(\phi_i)_a$  é o quadrante  $a$  da imagem  $\phi_i$ , para  $i = 1, 2, \dots, n$ . Assim, o quadrante da imagem  $\phi_i$  é uma combinação linear das imagens  $\phi_1, \phi_2, \dots, \phi_n$  com coeficientes dados pelo índice  $i$  da linha da matriz  $W_a$ .

Considere como exemplo a WFA mostrada na Figura 3.12. Essa WFA é especificada pelas matrizes da Figura 3.11:

$$I = \begin{bmatrix} 1 & 0 \end{bmatrix}, F = \begin{bmatrix} 1/2 \\ 1/2 \end{bmatrix},$$

$$W_0 = \begin{bmatrix} 1/2 & 1/2 \\ 0 & 1 \end{bmatrix}, W_1 = \begin{bmatrix} 1/2 & 0 \\ 0 & 1 \end{bmatrix},$$

$$W_2 = \begin{bmatrix} 1/2 & 1/2 \\ 0 & 1 \end{bmatrix}, W_3 = \begin{bmatrix} 1/2 & 1 \\ 0 & 1 \end{bmatrix}.$$

**Figura 3.11 – Matrizes I, F e W para o gráfico de transição da Figura 3.12**

Essa WFA é, na verdade, uma codificação da “escala linear de cinza” da função  $h(x,y) = x + y$ .  
 A Figura 3.12 é a imagem que está codificada por essa função, ela é mostrada na resolução 128 x 128. Sabendo que a distribuição inicial é  $I = [1 \ 0]$ ,  $\phi_1$  (a imagem do estado 1) é também  $h$  (a imagem inteira). O estado 1,  $\phi_1$ , e o estado 2, representado pela imagem  $\phi_2$  são as Figures 3.12 e Figura 3.13, respectivamente. ( $\phi_2$  tem para todos os valores de entrada de sua função, 1 como saída). O vetor de estados F, tem a média da escala em cinza de  $\phi_1$  e de  $\phi_2$ , para ambos é 1/2.

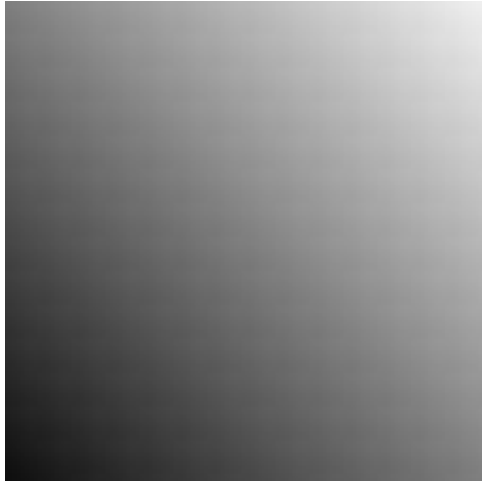


Figura 3.12 – Estado  $\phi_1$



Figura 3.13 – Estado  $\phi_2$

A informação contida na primeira linha das matrizes  $\mathbf{W}_0$ ,  $\mathbf{W}_1$ ,  $\mathbf{W}_2$  e  $\mathbf{W}_3$  são ilustradas na Figura 3.14: a primeira linha de  $\mathbf{W}_0$  nos diz que o quadrante 0 de toda a imagem é igual a imagem completa com sua escala de cinza uniformemente multiplicado por  $\frac{1}{2}$ , como na equação 3.13:

$$(\phi_1)_1 = \frac{1}{2}\phi_1 \quad (3.13)$$

De acordo com a primeira linha de  $\mathbf{W}_1$  e  $\mathbf{W}_2$  os dois quadrantes 1 e 2 da imagem inteira podem ser expressos pela combinação linear na equação 3.14:

$$(\phi_1)_0 = (\phi_1)_2 = \frac{1}{2}\phi_1 + \frac{1}{2}\phi_2 \quad (3.14)$$

E o quadrante 3 de  $\phi_1 = f$  é descrito pela equação 3.15:

$$(\phi_1)_3 = \frac{1}{2}\phi_1 + \phi_2 \quad (3.15)$$

As segundas linhas de  $\mathbf{W}_0$ ,  $\mathbf{W}_1$ ,  $\mathbf{W}_2$  e  $\mathbf{W}_3$  indicam que os quatro quadrantes de  $\phi_2$  são idênticos a  $\phi_2$ . Note que  $\phi_2$  possui perfeita auto similaridade (uma imagem completamente descrita por ela mesma) – WFA é uma maneira geral de descrever fractais.

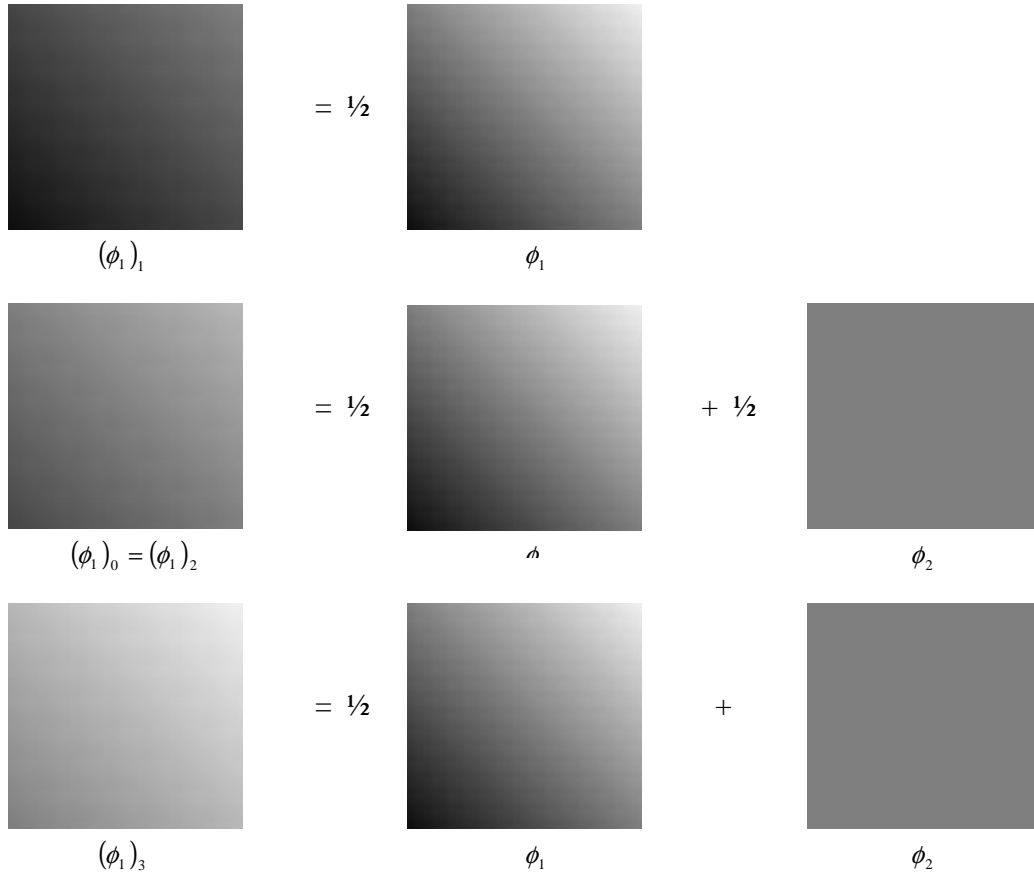


Figura 3.14 – Relação entre os estados

Uma imagem descrita por WFA pode ser decodificada em qualquer resolução  $2^n \times 2^n$ . Decodificando a imagem definida pela WFA no exemplo dado na resolução  $4 \times 4$ ; o endereço dos *pixels* são mostrados na Tabela 3.7. A escala em cinza é computada como em 3.16 e em 3.17:

$$f(11) = IW_1W_1F = [1 \ 0] \begin{bmatrix} 1/2 & 0 \\ 0 & 1 \end{bmatrix} \begin{bmatrix} 1/2 & 0 \\ 0 & 1 \end{bmatrix} \begin{bmatrix} 1/2 \\ 1/2 \end{bmatrix} = \frac{1}{8} \quad (3.16)$$

$$f(10) = IW_1W_0F = [1 \ 0] \begin{bmatrix} 1/2 & 0 \\ 0 & 1 \end{bmatrix} \begin{bmatrix} 1/2 & 1/2 \\ 0 & 1 \end{bmatrix} \begin{bmatrix} 1/2 \\ 1/2 \end{bmatrix} = \frac{1}{4} \quad (3.17)$$

Seguindo o mesmo raciocínio para  $f(00)$ , ...,  $f(33)$ . O resultado da imagem decodificada pode ser ilustrado pela Tabela 3.7. Assim, como nas imagens codificadas por fractais, imagens codificadas por WFA possuem independência de resolução. Verificando, assim, que a compressão por fractais e por WFA possuem similaridades.

**Tabela 3.7 – Imagem decodificada na resolução 4x4**

|     |     |     |     |
|-----|-----|-----|-----|
| 1   | 5/8 | 3/4 | 7/8 |
| 3/8 | 1   | 5/8 | 3/4 |
| 1/4 | 3/8 | 1   | 5/8 |
| 1/8 | 1/4 | 3/8 | 1   |

Depois deste exemplo gráfico, apresenta-se um exemplo numérico. Considere uma imagem em escala de cinza, em uma dimensão qualquer, que possui os seguintes valores em seus quadrantes (Tabela 3.8):

**Tabela 3.8 – Exemplo numérico**

|      |      |
|------|------|
| 0,5  | 0,25 |
| 0,75 | 1    |

Para codificá-la utilizando o algoritmo WFA, criamos o estado 1, correspondente a imagem inteira, que é a própria imagem (Tabela 3.9).

**Tabela 3.9 - Estado 1**

|      |      |
|------|------|
| 0,5  | 0,25 |
| 0,75 | 1    |

O valor da função  $f$ , para a imagem inteira 3.18:

$$fw = f(\text{estado } 1) = \frac{0,5 + 0,75 + 1 + 0,25}{4} = 0,625 \quad (3.18)$$

Calculando as matrizes de transição  $\mathbf{W}$ , para o estado em questão em 3.19, 3.20, 3.21 e 3.22:

$$W_0 = \left[ \frac{w0DoEstado1}{estado1} \right] = \left[ \frac{0,5}{0,625} \right] = [0,8] \quad (3.19)$$

$$W_1 = \left[ \frac{w1DoEstado1}{estado1} \right] = \left[ \frac{0,75}{0,625} \right] = [1,2] \quad (3.20)$$

$$W_2 = \left[ \frac{w2DoEstado1}{estado1} \right] = \left[ \frac{1}{0,625} \right] = [1,6] \quad (3.21)$$



$$W_3 = \left[ \frac{w3DoEstado1}{estado1} \right] = \left[ \begin{array}{c} 0,25 \\ 0,625 \end{array} \right] = [0,4] \quad (3.22)$$

Os vetores **F** e **I** ficam iguais a 3.23:

$$I = [1], F = [0,625], \quad (3.23)$$

Agora, recompondo a imagem utilizando as matrizes dadas, tem-se 3.24, 3.25, 3.26 e 3.27:

$$f(0) = IW_0F = [1][0,8][0,625] = 0,5 \quad (3.24)$$

$$f(1) = IW_1F = [1][1,2][0,625] = 0,75 \quad (3.25)$$

$$f(2) = IW_2F = [1][1,6][0,625] = 1 \quad (3.26)$$

$$f(3) = IW_3F = [1][0,4][0,625] = 0,25 \quad (3.27)$$

A imagem foi recriada com sucesso, veja a Tabela 3.10 e Tabela 3.11.

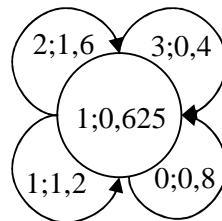
**Tabela 3.10 - Valores da imagem reconstituída**

|      |      |
|------|------|
| f(0) | f(3) |
| f(1) | f(2) |

**Tabela 3.11 - Imagem reconstituída**

|      |      |
|------|------|
| 0,5  | 0,25 |
| 0,75 | 1    |

Na Figura 3.15, é apresentada a máquina de estados para a solução:



**Figura 3.15 – Máquina de estados<sup>4</sup>**

<sup>4</sup> O resultado aqui apresentado parte do princípio que não é necessário fazer um estado que represente a imagem inteira. A solução do algoritmo implementado para a figura *squares*, que será apresentada mais adiante nos resultados, apresentará dois estados, pois o algoritmo presume que é necessário criar um estado que represente a imagem inteira.

# Capítulo 4

## Desenvolvimento do Algoritmo da WFA

Neste capítulo, estão documentados todos os arquivos implementados no Matlab que fazem parte da solução do codificador e decodificador WFA, desenvolvidos durante este projeto final. A intenção é explicar o algoritmo WFA junto com a solução para melhor entendimento.

### 4.1. Codificador WFA

O codificador WFA tem como principais desafios: descobrir a combinação linear entre os estados, fazer com que a quantidade de estados seja mínima, e que a WFA proposta reconstitua a imagem com qualidade.

A primeira e maior dificuldade encontrada foi achar as matrizes de transição W. A solução se deu da seguinte forma: os estados, representados pelos seus nós folhas da árvore *quadtree*, são colocados como colunas de uma matriz. Todos os estados estão na mesma resolução, ou seja, contêm o mesmo número de folhas, para tanto, se necessário é feito o *upsample* ou *downsample*. Constituída a matriz com todos os estados representados em colunas, analisa-se um desses estados. O estado em análise é decomposto em *quadtree*, e então representado por quatro quadrantes: Q0, Q1, Q2, Q3. Em cada quadrante, é feito o *upsample* ou *downsample*, para que eles tenham a mesma resolução da matriz de estados, e cada quadrante origina uma matriz linha. As matrizes W são calculadas linha por linha, indicando a transição a partir do quadrante do estado em análise para todos os estados. No cálculo, é utilizada a função do Matlab chamada *pinv(.)*. A Figura 4.1 ilustra todo esse processo. A equação 4.1 é a equação utilizada no cálculo das matrizes W, onde *a* representa o quadrante em análise e *i* o estado em análise.

$$W_{a(i,:)} = \text{pinv} \left( \begin{bmatrix} \text{matriz} \\ \text{de} \\ \text{estados} \end{bmatrix} \right) * Q_{a\_Estadoi} \quad (4.1)$$

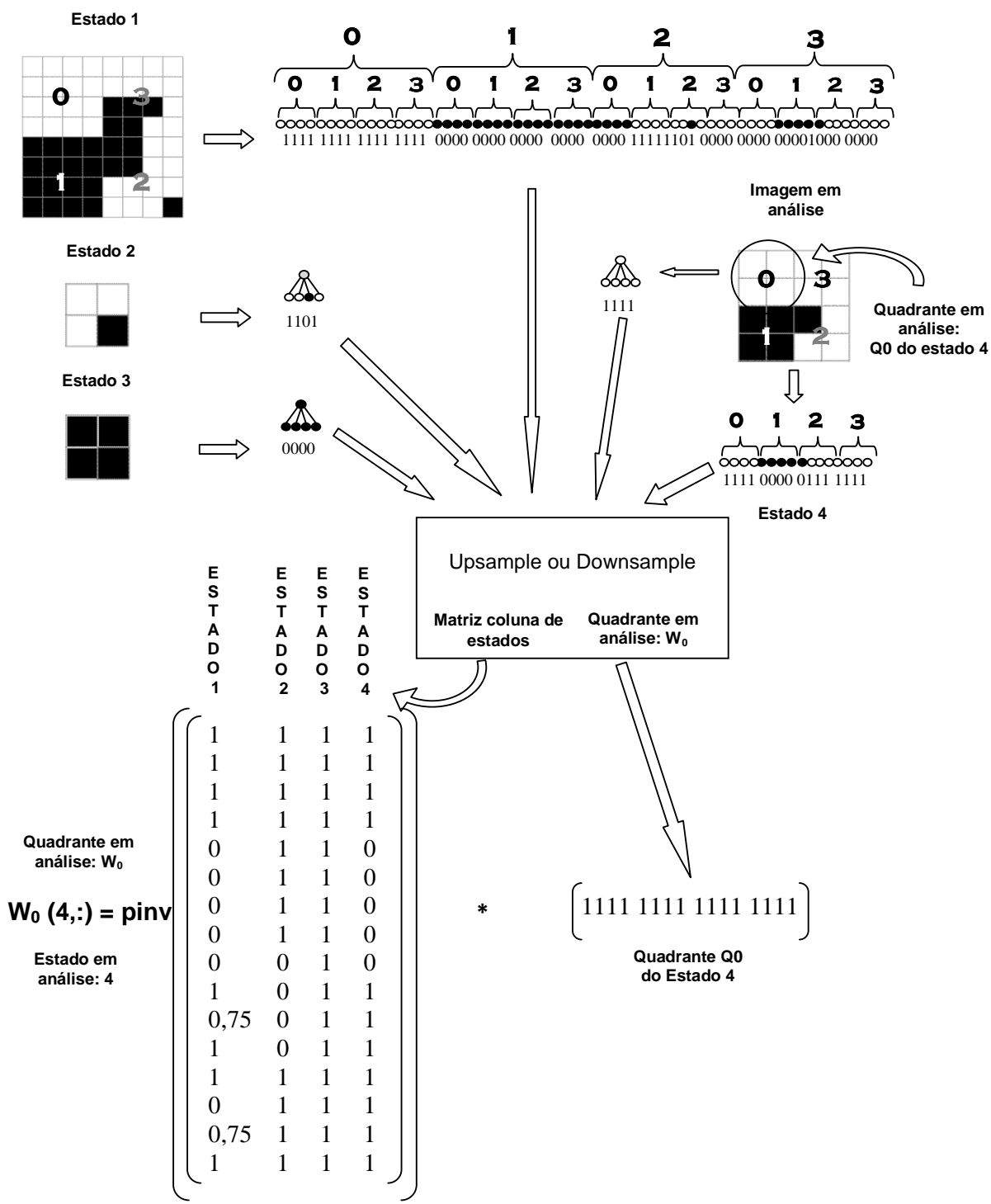


Figura 4.1 – Calculando valores da matriz de transição W

Com as matrizes W calculadas, cabe a pergunta: “O estado criado agregou na qualidade de reconstituição da imagem? O custo, em número de *bits* compensa ou não a adição desse estado?”. Esse questionamento é feito comparando-se a qualidade de reconstrução das matrizes F, I e W com o estado novo, com a anterior, sem o estado novo, ou seja, a imagem é decodificada e comparada.

Essa comparação é feita utilizando o MSE do PSNR apresentado na seção 2.10, adicionado, a esse erro, um peso multiplicado à quantidade de *bits* utilizada na máquina de estados. Como na equação 4.2:

$$\text{CustoDaWFA} = \text{MSE}(\text{ImagemOriginal}, \text{ImagemDecodificada}) + H * \text{númeroDeBitsDaWFA} \quad (4.2)$$

O valor ótimo para o peso  $H$  varia de acordo com a imagem que está sendo codificada. É ele quem define a qualidade da WFA e seu número de estados.  $H$ , em seu valor ótimo, dá a WFA a maior qualidade para o menor número de estados. Duas observações podem ser feitas quanto à solução apresentada neste projeto final (CULIK II e KARI, 1993):

1. Mesmo que a WFA produzida pelo algoritmo seja mínimo em número de estados, ele não é necessariamente mínimo em número de arestas<sup>5</sup>. Geralmente, a mesma imagem pode ser gerada por diversas WFAs, todas tendo o número mínimo de estados, porém variando bastante em termos de arestas. Achar um algoritmo que produza um número mínimo de arestas sem sacrificar a eficiência do algoritmo é um importante problema.
2. Não é uma boa estratégia requerer que o algoritmo produza uma WFA capaz de recriar a imagem original. Qualquer imagem de resolução finita pode ser reconstituída perfeitamente por um WFA, contudo, na maioria dos casos, o autômato vai ser muito grande. Entretanto, se for permitido que a imagem seja reproduzida com algum erro, uma solução bem menor geralmente é encontrada. Como achar um autômato que reconstrua a imagem de forma mais aproximada da original é o outro problema.

O peso  $H$  é responsável por encontrar a quantidade mínima de estados. Quanto ao número de arestas, além de  $H$ , o que varia a sua qualidade são os estados escolhidos para compor a WFA. Os estados são escolhidos de acordo com o tipo de varredura feita pelo algoritmo buscando e analisando os quadrantes da imagem. Foram desenvolvidos três codificadores WFA que apenas diferenciam entre si no tipo de varredura feita por eles na imagem, e em todos eles pode-se considerar o uso de estados iniciais.

---

<sup>5</sup> Aresta é a linha que liga dois nós de uma árvore, no nosso caso a árvore criada a partir da imagem decodificada.

O primeiro estado a ser analisado, sempre, não importa a varredura utilizada, é o estado que representa a imagem inteira. A varredura por quadrante, Figura 4.2, desce na imagem executando a WFA por quadrante, descendo até o *pixel*, antes de passar para o próximo quadrante. A Figura 4.3 também é uma varredura por quadrante, só que ela visita o quadrante antes de descer até o *pixel*. Já a varredura por quadrante invertida, mostrada na Figura 4.4, visita todos os nós terminados em 0, depois todos os nós terminados em 1 e assim por diante. A varredura *up-down* executa o algoritmo do nível mais alto para o nível mais profundo da árvore, a Figura 4.5 ilustra o processo. Já a varredura *down-up* executa o algoritmo do nível mais profundo ao nível mais alto, ela está apresentada na Figura 4.6.

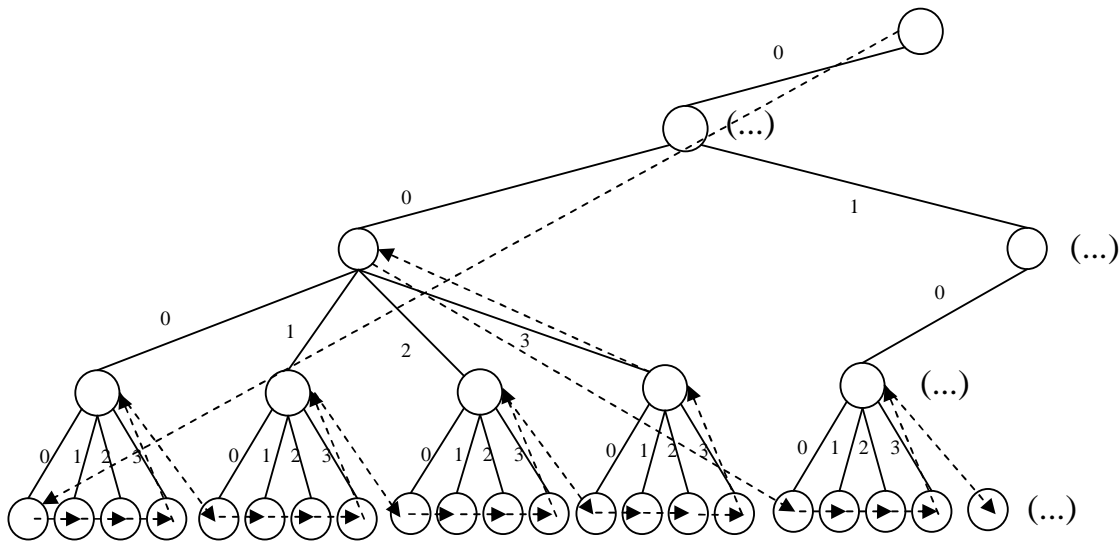


Figura 4.2–Varredura por quadrante *down-up* (*addressFunc1*)

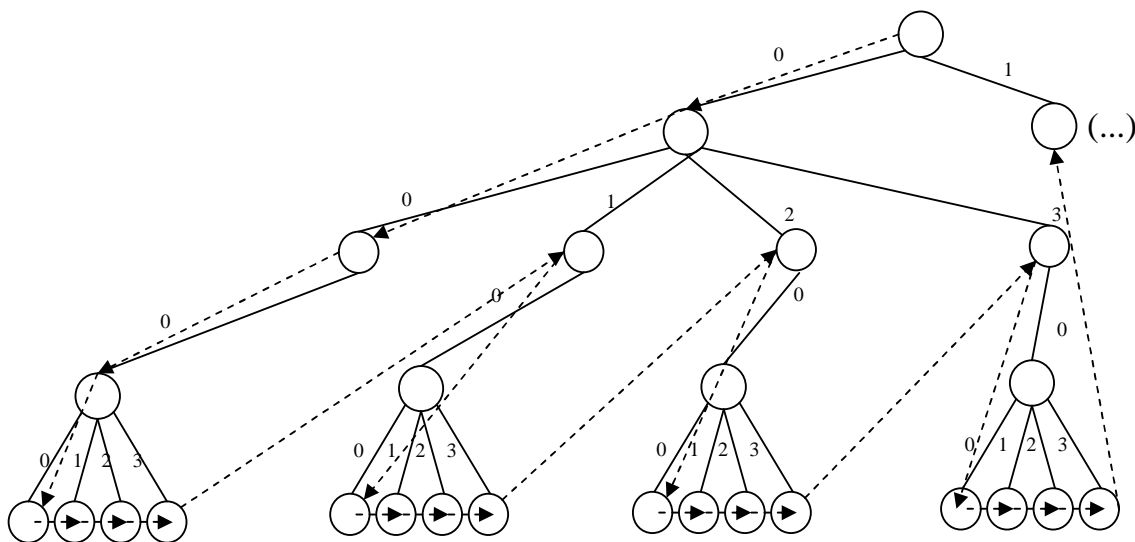
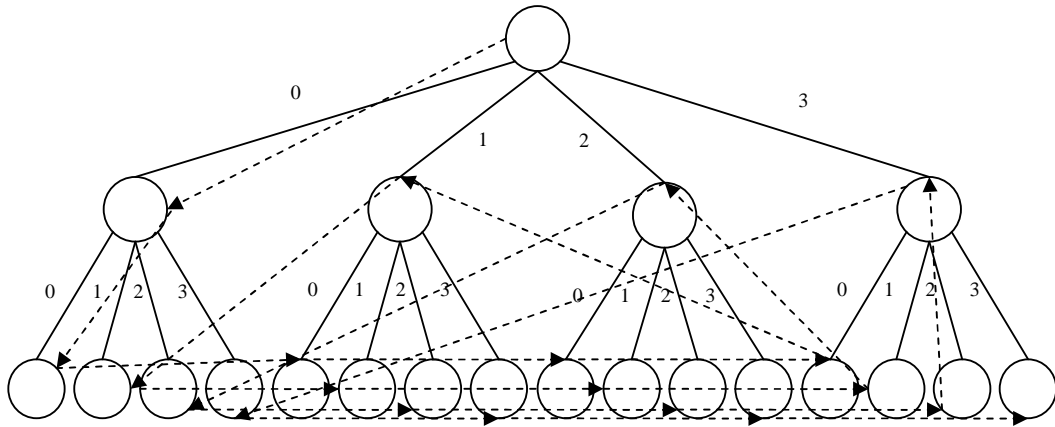
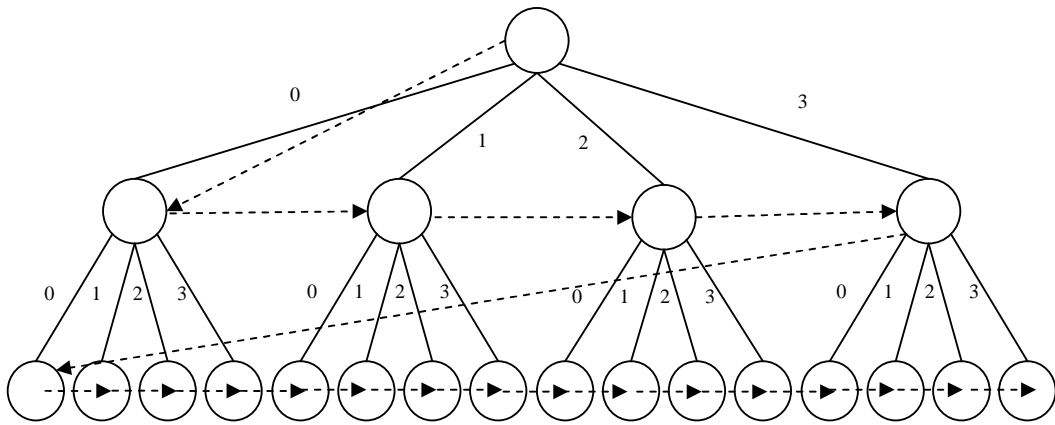


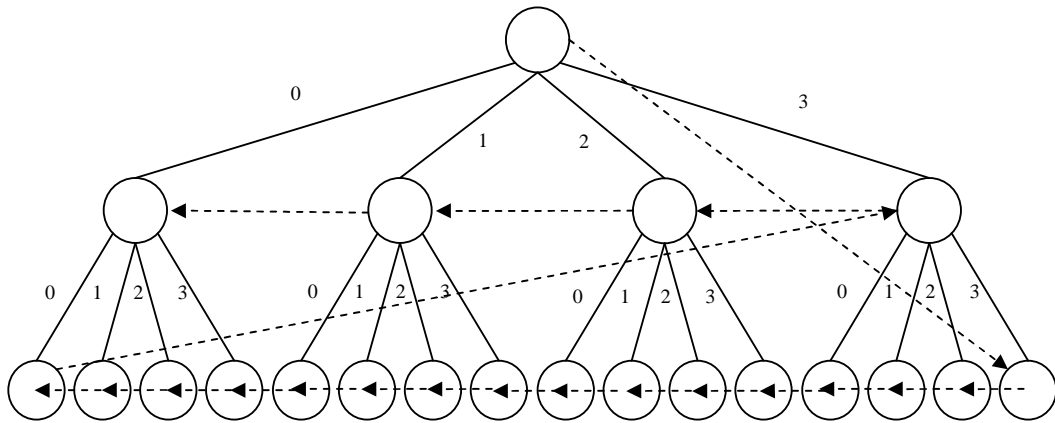
Figura 4.3 – Varredura por quadrante *up-down* (*addressFunc2*)



**Figura 4.4 – Varredura por quadrante invertida (*addressFunc3*)**



**Figura 4.5 – Varredura *up-down* (*addressFunc4*)**



**Figura 4.6 – Varredura *down-up* (*addressFunc5*)**

A quantidade de estados iniciais pode ser escolhida pelo usuário, e eles são derivados da função cosseno. Não foi feito nenhum estudo sobre qual é melhor função para os estados iniciais, a função cosseno foi escolhida baseada na bibliografia (MULLER, 2005).

#### 4.2. Decodificador WFA

O decodificador WFA é muito simples, ele só precisa multiplicar as matrizes para cada *pixel* da imagem decodificada. Ele é recursivo e será detalhado neste capítulo na sessão I.10.

#### 4.3. Codificador/Decodificador WFA Combinado ao Codificador/Decodificador Wavelet

Com o intuito de verificar se a WFA suporta a manipulação de imagens, combinou-se a WFA com a função de Matlab *dwt2* e *idwt2*, respectivamente a transformada *wavelet* discreta de primeiro nível para duas dimensões, e a transformada inversa *wavelet* de primeiro nível, também para duas dimensões. Por manipulação de imagens entende-se qualquer transformação matemática aplicada na imagem, um operador linear (filtros, *wavelet*, etc.), por exemplo, sendo que a transformação WFA pode ser aplicada diretamente na imagem codificada, sem a necessidade de regenerá-la. A Figura 4.7 indica como se configura o novo codificador combinando *wavelet* com WFA.

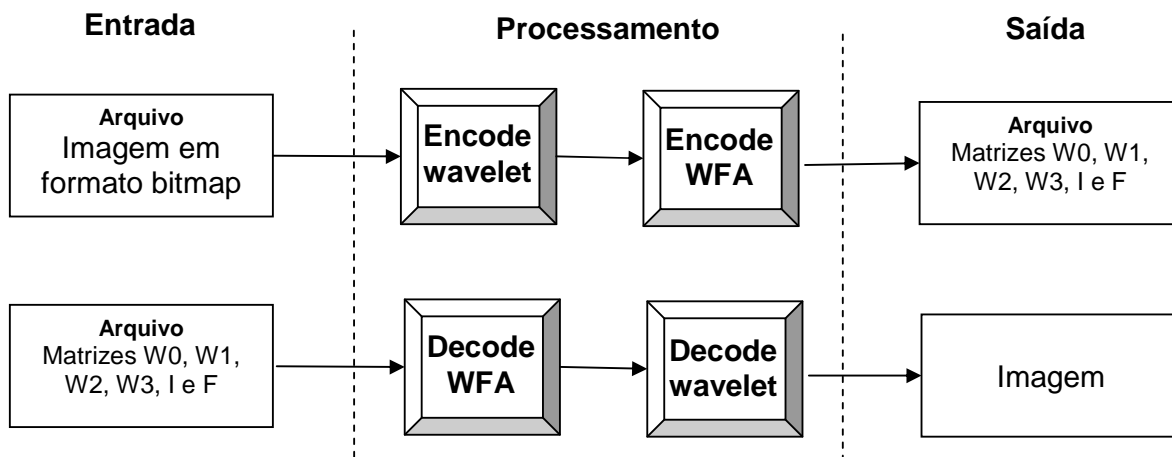


Figura 4.7 – Combinação codificação/decodificação WFA e wavelet.

# Capítulo 5

## Análise dos Resultados

A intenção deste projeto final foi o desenvolvimento de um algoritmo de codificação e decodificação WFA. Houve compromisso com a compressão de dados, porém ele não foi alcançado satisfatoriamente. Sabendo disso, a análise dos resultados se dará na otimização do algoritmo e na qualidade dos resultados.

Para efeito de informação, pode-se verificar que os dados codificados de uma imagem sob o algoritmo WFA desenvolvido aqui, alguma das vezes utilizou mais *bytes* que a imagem original. Um exemplo disso seriam os exemplos numéricos do Capítulo 3.

### 5.1. Considerações sobre a Variável G

Existe uma variável que deve ser definida na codificação do algoritmo, essa variável define em que resolução os cálculos serão feitos, é chamada de G. Dentro do algoritmo, ela é o expoente de 2, ou seja, definem as potência de dois das resoluções. Quanto maior a potência, maior vai ser a quantidade de linhas e colunas nas matrizes, e assim maior vai ser a complexidade do algoritmo.

A criação dessa variável deu-se pelo fato de algumas codificações chegarem a levar mais de um dia para serem executadas, resolveu-se então, diminuir o tamanho das matrizes e verificar o que aconteceria. Depois de se fazer alguns ensaios, pode-se verificar que para a WFA, custo maior, não necessariamente significa precisão ou qualidade mais apurada. Existe uma combinação ótima G que é capaz de fornecer o melhor custo e o melhor resultado.

G é a variável que define em qual resolução o cálculo da combinação linear entre os estados, para acréscimo de um estado novo, será feito, esse cálculo tem como resultado o *array* de matrizes ou célula WTemp.

```
statesAsLevelInColumns(:,NewStateNumber)=getImageAsLevelInFwTree([stateAddress{NewStateNumber}],  
2^((maxlevel-1)*G));  
  
WTemp{1} = zeros(NewStateNumber, NewStateNumber);  
WTemp{2} = zeros(NewStateNumber, NewStateNumber);  
WTemp{3} = zeros(NewStateNumber, NewStateNumber);  
WTemp{4} = zeros(NewStateNumber, NewStateNumber);
```



```

for stateLineNumber=1:1:NewStateNumber
    NewLineInW0Matrix=pinv(statesAsLevelInColumns)*getImageAsLevelInFwTree([stateAddress{stateLineNu
mber} 0], 2^((maxlevel-1)*G))';
    NewLineInW1Matrix=pinv(statesAsLevelInColumns)*getImageAsLevelInFwTree([stateAddress{stateLineNu
mber} 1], 2^((maxlevel-1)*G))';
    NewLineInW2Matrix=pinv(statesAsLevelInColumns)*getImageAsLevelInFwTree([stateAddress{stateLineNu
mber} 2], 2^((maxlevel-1)*G))';
    NewLineInW3Matrix=pinv(statesAsLevelInColumns)*getImageAsLevelInFwTree([stateAddress{stateLineNu
mber} 3], 2^((maxlevel-1)*G))';
    WTemp{1}(stateLineNumber,:) = NewLineInW0Matrix;
    WTemp{2}(stateLineNumber,:) = NewLineInW1Matrix;
    WTemp{3}(stateLineNumber,:) = NewLineInW2Matrix;
    WTemp{4}(stateLineNumber,:) = NewLineInW3Matrix;
End

```

**Figura 5.1– Calculando as novas matrizes W pela combinação linear na resolução  $2^G$**

## ***5.2.Considerações sobre a Variável H***

A variável H, definida pelo usuário, dimensiona o peso da quantidade de bits das matrizes W no cálculo do custo da WFA. Quando menor o valor de H, menos determinante é a quantidade de bits de W na definição do custo da WFA.

$$\text{custoDeUmNovoEstado} = \text{ErroDoNovoEstado} + \text{númeroDeBytes} * 8 * H \quad (5.1)$$

Os valores de H geralmente são muito pequenos, sempre variando entre 0,00001 a 0,0001 nos resultados aqui produzidos.

## ***5.3.Considerações sobre as Funções Wavelets***

As funções *Haar*, *Symlets*, *BiorSplines* e *ReverseBior* fornecidas pelo *Matlab* foram escolhidas para a geração de resultados por serem filtros que possuem transformada inversa *wavelet*. As outras funções oferecidas pelo *Matlab* não possuem essa propriedade.

## ***5.4.Considerações sobre Erros e Comparações***

Na execução do algoritmo, há a escolha entre o acréscimo de um estado novo às matrizes W ou a manutenção da matriz W atual. Para tanto compara-se o resultado de das novas matrizes W com o

estado novo, colocadas em WTemp, e as matrizes W atuais. Regenera-se a subimagem utilizando as WTemp e W, o que nos gera duas imagens. É, então, comparado o custo de se refazer a imagem inteira por W e por WTemp.

Além disso, custo é calculado pelo erro (MSE) somado a quantidade de bits vezes o peso H. Essa comparação é feita na escolha da matriz W a ser utilizada. O MSE e o peso H são determinantes para o resultado do algoritmo.

### 5.5. Considerações sobre as Configurações da Máquina Utilizada

Nos resultados apresenta-se a quantidade de tempo em que cada imagem foi processada. Para que os resultados possam ser comparados e façam sentido é necessário saber a configuração da máquina em que se fez a codificação e a decodificação. A versão *Matlab* utilizada foi a 7.0,0,19920 (R14) rodando sobre *Windows XP service Pack 3*. O *hardware* utilizado foi um *HP Compaq 8510w* que possui processador *Intel Core Duo T9300*, com velocidade de 2.5 GHz e 4.49GHz em suas duas *CPUs*, e memória *RAM* de 1.98GHz. A Figura 5.2 é a janela das propriedades do sistema apresentada pelo computador em questão, com as suas configurações.



Figura 5.2 – Configurações de *hardware* e *software* da máquina utilizada

O tempo de processamento de imagens de resolução maiores devido à utilização dos *software* e *hardware* e aqui apresentados é muito grande. Porém, o maior desafio para diminuir o tempo de processamento é a complexidade do algoritmo que se dá devido ao fato de ele utilizar a multiplicação de matrizes como ponto chave. Por exemplo, para processar lena128 leva-se em media 3 dias.

### 5.6. Imagens Originais

Foram utilizadas oito imagens em diferentes tamanhos para a análise do algoritmo. A Tabela 5.1 contem o nome de cada imagem, em seus respectivos tamanhos e em cores. No processamento de cada imagem pelo algoritmo, ela é transformada para escala de cinza antes de ser codificada.

**Tabela 5.1– Imagens originais utilizadas para a análise do algoritmo implementado**

| Nome        | Colorida (original)   |
|-------------|---|
| lena16.bmp  |    |
| lena32.bmp  |    |
| lena64.bmp  |   |
| lena128.bmp |  |

lena256.bmp



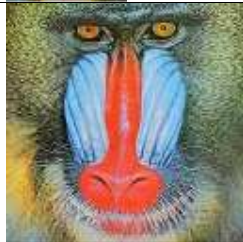
mandril32.bmp



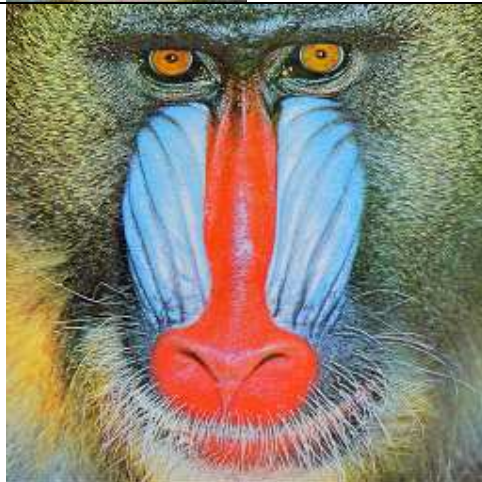
mandril64.bmp



mandril128.bmp



mandril256.bmp





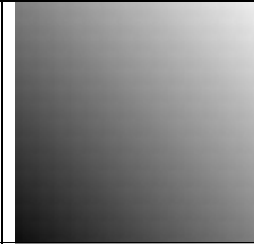
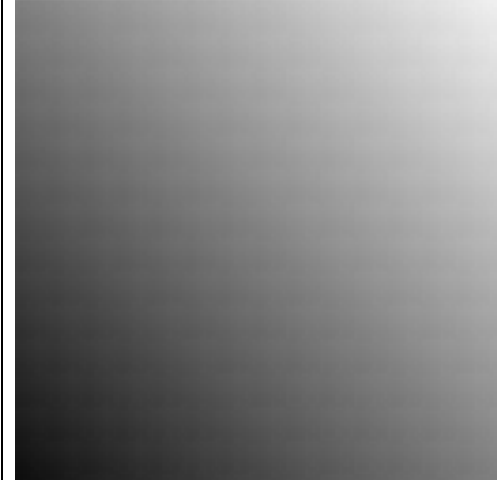








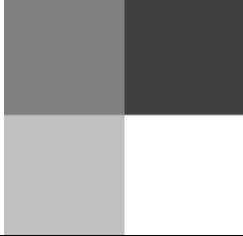

peppers32.bmp



peppers64.bmp



|                 |   |  |
|-----------------|---|--|
| peppers128.bmp  |    |  |
| peppers256.bmp  |    |  |
| phi1_32.bmp     |    |  |
| phi1_64.bmp     |   |  |
| phi1_128.bmp    |  |  |
| phi1_256.bmp    |  |  |
| satellite32.bmp |  |  |

|                  |   |
|------------------|---|
| satellite64.bmp  |    |
| satellite128.bmp |    |
| satellite256.bmp |    |
| squares32.bmp    |  |
| squares64.bmp    |  |
| squares128.bmp   |  |
| squares256.bmp   |  |

## 5.7. Resultados

Foram gerados 19949 resultados de decodificação e 4800 resultados de codificação. Para tanto, foram utilizadas sete imagens em tamanho 32x32, e apenas uma imagem 16x16. As imagens de tamanho reduzido foram utilizadas com o objetivo de gerar a maior quantidade possível de resultados para análise estatística e de tendência, tendo em vista que o processamento das imagens maiores toma muito mais tempo. A Tabela 5.2 apresenta o número de codificações e decodificações geradas para cada uma das sete imagens analisadas.

**Tabela 5.2 – Número de codificações e decodificações geradas para cada imagem**

| Imagem      | Número de Decodificações | Número de Codificações |
|-------------|--------------------------|------------------------|
| lena16      | 3750                     | 750                    |
| lena32      | 3000                     | 750                    |
| peppers32   | 3000                     | 750                    |
| mandrill32  | 2999                     | 750                    |
| satellite32 | 3000                     | 750                    |
| phi1_32     | 3000                     | 750                    |
| squares32   | 1200                     | 300                    |

Para cada codificação foram coletados: o nome da imagem original, nome do arquivo WFA gerado, o nome da função *wavelet* (caso utilizada alguma), função de endereçamento utilizada, número de bytes da imagem original em RGB, o número de bytes da imagem original em escala de cinza, o número de bytes da imagem em *wavelet* (se caso utilizada a transformada *wavelet*), número de estados criados, número de bytes da matriz W, número de bytes da matriz I, número de bytes da matriz F, tempo utilizado pelo algoritmo para construir a WFA, total de bytes utilizados pela WFA (somatório de bytes de W, I e F), compressão ou expansão (número de bytes da imagem original em escala de cinza dividido pelo número total de bytes da WFA).

Para cada decodificação foram coletados: o nome da imagem original, nome do arquivo WFA gerado, o nome da função *wavelet* (caso utilizada alguma), função de endereçamento utilizada, número de bytes da imagem original em RGB, o número de bytes da imagem original em escala de cinza, o número de bytes da imagem em *wavelet* (se caso utilizada a transformada *wavelet*), número de estados criados, número de bytes da matriz W, número de bytes da matriz I, número de bytes da matriz F, resolução que a imagem foi codificada, resolução que a imagem foi decodificada, PSNR, tempo utilizado pelo algoritmo para construir a WFA, total de bytes utilizados pela WFA (somatório de bytes

de W, I e F), compressão ou expansão (número de bytes da imagem original em escala de cinza dividido pelo número total de bytes da WFA).

Resultados individuais podem ser verificados no Anexo III, intitulado Dados Coletados. A intenção é demonstrar a compilação dos resultados de forma que se possa fazer uma análise qualitativa da WFA em suas forças e fraquezas. A Tabela 5.3 considera os resultados de compressão de imagem, isto é, quando a imagem codificada possuiu, em bytes, menor tamanho que a imagem original em escala de cinza. A compressão é representada na tabela pelo símbolo %, que tem sua equação em 5.2. Para que a imagem seja comprimida basta que % seja menor que 1.

$$\% = \frac{\text{NúmeroDeBytesDaCodificaçãoWFAparaAimagem}}{\text{NúmeroDeBytesDaImagemEmEscalaDeCinza}} \quad (5.2)$$

A primeira coluna da Tabela 5.3 contém a imagem para a qual os resultados se apresentaram, a segunda coluna contém o número de resultados com PSNR maior que vinte e que, ao mesmo tempo tenha gerado a compressão da imagem, ou seja, % menor que 1. A terceira coluna apresenta o PSNR máximo para % menor que 1. E a quarta coluna apresenta a máxima compressão para os resultados gerados que tenham PSNR maior que 20 dB.

**Tabela 5.3- Compressão para PSNR maior que 20**

| Imagem      | # com PSNR > 20, % < 1 | MAX PSNR com % < 1 | MAX %, com PSNR >20 |
|-------------|------------------------|--------------------|---------------------|
| lena16      | 252                    | 25.83167441        | 0,5859375           |
| lena32      | 322                    | 24.63777559        | 0,443359375         |
| peppers32   | 134                    | 23.41816275        | 0,59765625          |
| mandrill32  | 717                    | 29.42657943        | 0,037353516         |
| satellite32 | 49                     | 21.57887169        | 0,654296875         |
| phi1_32     | 3000                   | 50,06580041        | 0,000254313         |
| squares32   | 1200                   | 299.6955793        | 0,000254313         |

Nota-se que para as imagens que possuem uma relação linear, como a imagem phi1 e a imagem *square*, a WFA foi capaz de comprimi-las em todos os casos. Para essas duas imagens também se obteve os melhores PSNRs para as compressões. A WFA já não foi tão eficiente para as outras imagens, seu pior resultado aconteceu quando processava a imagem *satellite*, que obteve o menor PSNR máximo, com 21,58 para as imagens comprimidas, e sua maior compressão para PSNR menor que vinte ficou em 0,65. Só foi possível comprimir 49 resultados com PSNR maior que vinte para *satellite*. A WFA, assim, gera melhores resultados para um padrão de imagem que possua sem suas atribuições maior similaridade com fractais e/ou possa ser reconstruída por combinações lineares.



Para cada uma das imagens, apresenta-se o que foi considerado os cinco melhores resultados gerados. Considera-se os melhores resultados aqueles que geraram maior compressão para PSNR maior que vinte, não importando a resolução de decodificação. Há uma tabela para cada uma das imagens estudadas, porém, para efeito de apresentação o nome das colunas foi codificado. A Tabela 5.4 possui o que cada valor representa.

**Tabela 5.4 – Codificação das colunas dos melhores cinco resultados**

|      |                                    |
|------|------------------------------------|
| *(1) | Resolução de Decodificação         |
| *(2) | Número de Estados                  |
| *(3) | Tempo de Codificação em segundos   |
| *(4) | Tempo de Decodificação em segundos |

A Tabela 5.5 apresenta os cinco melhores resultados para lena16. A melhor função de endereçamento para esta imagem é a AF4, com G igual a 1 e H igual a 0,001. O melhor PSNR foi e 20,67 dB e a melhor compressão foi de 0,586 com 10 estados.

**Tabela 5.5 – Os cinco melhores resultados para lena16**

| Nome   | *(1) | *(2) | *(3)  | *(4)  | PSNR      | Compressão |
|--|------|------|-------|-------|-----------|------------|
| lena16.bmp-G_0,75-H0,0001_af3.wfa                  | 16   | 10   | 6.11  | 0,015 | 20,599203 | 0,5859375  |
| lena16.bmp-withWavelet_haar-G_1-H0,0001_af4.wfa    | 16   | 10   | 6.297 | 0,031 | 20,67009  | 0,5859375  |
| lena16.bmp-withWavelet_rbio1.1-G_1-H0,0001_af4.wfa | 16   | 10   | 6.343 | 0,016 | 20,67009  | 0,5859375  |
| lena16.bmp-withWavelet_sym1-G_1-H0,0001_af4.wfa    | 16   | 10   | 6.25  | 0,015 | 20,67009  | 0,5859375  |
| lena16.bmp-withWavelet_bior1.1-G_1-H0,0001_af4.wfa | 16   | 10   | 6.297 | 0,016 | 20,67009  | 0,5859375  |

A Tabela 5.6 possui os resultados para lena32. Repare que ele não é o mesmo que para lena16. A melhor função de endereçamento é a AF1, o maior PSNR é de 20,17 e a maior compressão é de 0,443 com 18 estados. Os melhores resultados foram obtidos com G igual a 0,6 e H igual 0,00009 ou igual a 0.0001.

**Tabela 5.6 – Os cinco melhores resultados para lena32**

| Nome   | *(1) | *(2) | *(3)    | *(4)  | PSNR     | Compressão  |
|--|------|------|---------|-------|----------|-------------|
| lena32.bmp-withWavelet_haar-G_0,6-H9e-005_af1.wfa    | 32   | 18   | 275,781 | 0,109 | 20,17366 | 0,443359375 |
| lena32.bmp-withWavelet_rbio1.1-G_0,6-H9e-005_af1.wfa | 32   | 18   | 317,469 | 0,109 | 20,17366 | 0,443359375 |
| lena32.bmp-withWavelet_sym1-G_0,6-H9e-005_af1.wfa    | 32   | 18   | 312,937 | 0,109 | 20,17366 | 0,443359375 |
| lena32.bmp-withWavelet_bior1.1-G_0,6-H9e-005_af1.wfa | 32   | 18   | 315,359 | 0,109 | 20,17366 | 0,443359375 |
| lena32.bmp-withWavelet_haar-G_0,6-H0,0001_af1.wfa    | 32   | 18   | 313,031 | 0,125 | 20,17366 | 0,443359375 |

**Os resultados para peppers32 são apresentados na**

Tabela 5.7. Esta imagem teve o segundo pior resultado, perdendo apenas para *satellite*. Os melhores resultados foram obtidos para G igual a 0,8 e H igual a 0,0001 ou 0,00009. A função de endereçamento com os melhores resultados foi a AF1 e a maior compressão foi de 0,59766 com 21 estados e PSNR de 20,14.

**Tabela 5.7 – Os cinco melhores resultados para peppers32**

| Nome  | *(1) | *(2) | *(3)    | *(4)  | PSNR      | Compressão  |
|---|------|------|---------|-------|-----------|-------------|
| peppers32.bmp-withWavelet_bior1.1-G_1-H0,0001_af1.wfa   | 32   | 21   | 259,563 | 0,125 | 20,141443 | 0,59765625  |
| peppers32.bmp-withWavelet_haar-G_0,8-H9e-005_af1.wfa    | 32   | 22   | 305,36  | 0,141 | 20,398005 | 0,654296875 |
| peppers32.bmp-withWavelet_rbio1.1-G_0,8-H9e-005_af1.wfa | 32   | 22   | 342,453 | 0,125 | 20,398005 | 0,654296875 |
| peppers32.bmp-withWavelet_sym1-G_0,8-H9e-005_af1.wfa    | 32   | 22   | 393,985 | 0,125 | 20,398005 | 0,654296875 |
| peppers32.bmp-withWavelet_bior1.1-G_0,8-H9e-005_af1.wfa | 32   | 22   | 446,594 | 0,125 | 20,398005 | 0,654296875 |

**Os resultados para mandrill32 são apresentados na**

Tabela 5.8. Esta imagem teve o melhor resultado entre as imagens que não eram fractais puros ou combinações lineares explícitas. Os melhores resultados foram obtidos para G igual a 1 ou a 0,8 e H igual a 0,00003 ou 0,00002. As funções de endereçamento com os melhores resultados foram a AF5 e AF2 e a maior compressão foi de 0,03735 com 21 estados e PSNR de 20,00. Repare que a imagem é apenas 3,7% do tamanho da imagem original. É a primeira vez que se tem entre os melhores resultados uma resolução de decodificação maior do que se codificou a imagem. A resolução de codificação, como se sabe, é 32x32 e a de decodificação apresentada como melhor resultado é de 128x128.

**Tabela 5.8 – Os cinco melhores resultados para mandrill32**

| Nome                                 | *(1) | *(2) | *(3)    | *(4)  | PSNR      | Compressão  |
|--------------------------------------|------|------|---------|-------|-----------|-------------|
| mandrill32.bmp-G_1-H3e-005_af5.wfa   | 128  | 21   | 249,344 | 2,422 | 20,00032  | 0,037353516 |
| mandrill32.bmp-G_0,8-H3e-005_af2.wfa | 128  | 22   | 270,969 | 2,531 | 20,035139 | 0,040893555 |
| mandrill32.bmp-G_1-H3e-005_af2.wfa   | 128  | 22   | 265,782 | 2,485 | 20,039339 | 0,040893555 |
| mandrill32.bmp-G_0,8-H2e-005_af5.wfa | 128  | 23   | 266,031 | 3,016 | 20,129471 | 0,044596354 |
| mandrill32.bmp-G_1-H2e-005_af5.wfa   | 128  | 23   | 268,078 | 3,125 | 20,132594 | 0,044596354 |

Do melhor resultado entre as imagens sem padrões matemáticos puros, apresenta-se agora o pior resultado. A Tabela 5.9 possui os resultados para satellite32. Os melhores resultados foram obtidos para G igual a 0,6 e H igual a 0,0001 ou 0,00009. A função de endereçamento com os melhores resultados foi a AF1 e a maior compressão foi de 0,03735 com 22 estados e PSNR de 20,08.

**Tabela 5.9 – Os cinco melhores resultados para satellite32**

| Nome  | *(1) | *(2) | *(3)    | *(4)  | PSNR      | Compressão  |
|---|------|------|---------|-------|-----------|-------------|
| satellite32.bmp-withWavelet_haar-G_0,6-H0,0001_af1.wfa    | 32   | 22   | 49,828  | 0,125 | 20,085662 | 0,654296875 |
| satellite32.bmp-withWavelet_rbio1.1-G_0,6-H0,0001_af1.wfa | 32   | 22   | 332,593 | 0,125 | 20,085662 | 0,654296875 |
| satellite32.bmp-withWavelet_sym1-G_0,6-H0,0001_af1.wfa    | 32   | 22   | 341,735 | 0,141 | 20,085662 | 0,654296875 |
| satellite32.bmp-withWavelet_bior1.1-G_0,6-H0,0001_af1.wfa | 32   | 22   | 347,188 | 0,125 | 20,085662 | 0,654296875 |
| satellite32.bmp-withWavelet_haar-G_0,6-H9e-005_af1.wfa    | 32   | 23   | 365,86  | 0,157 | 20,466489 | 0,713541667 |

**Como dito anteriormente, a WFA tem a melhor adaptação a imagens que são combinações lineares se subimagens puras. Apresenta-se, então, os melhores resultados, os que se obteve com as imagens phi1\_32 e com squares32. Os resultados para phi1\_32 está na**

Tabela 5.10. A resolução de decodificação com os melhores resultados foi de 256x256, com compressão de 0,025% do tamanho da imagem original e 100% de reconstituição, ou seja, não houve perdas, pois o PSNR é igual a 36,95. Como esperado apenas dois estados foram criados na codificação

da imagem. Nota-se que não há entre os melhores resultados nenhuma imagem codificada com *wavelet*. Porém os resultados apresentados com a combinação da WFA com essa função foram de destaque, também.

**Tabela 5.10 – Os melhores cinco resultados para phi1\_32**

| Nome                              | *(1) | *(2) | *(3)   | *(4)  | PSNR      | Compressão  |
|-----------------------------------|------|------|--------|-------|-----------|-------------|
| phi1_32.bmp-G_0,6-H4e-005_af2.wfa | 256  | 2    | 29,812 | 5,859 | 36,953778 | 0,000254313 |
| phi1_32.bmp-G_0,6-H5e-005_af2.wfa | 256  | 2    | 30,313 | 5,828 | 36,953778 | 0,000254313 |
| phi1_32.bmp-G_0,6-H6e-005_af2.wfa | 256  | 2    | 30,203 | 5,828 | 36,953778 | 0,000254313 |
| phi1_32.bmp-G_0,6-H7e-005_af2.wfa | 256  | 2    | 30,5   | 5,844 | 36,953778 | 0,000254313 |
| phi1_32.bmp-G_0,6-H8e-005_af2.wfa | 256  | 2    | 30,391 | 5,875 | 36,953778 | 0,000254313 |

Já para a imagem squares32 o algoritmo chega à sua capacidade máxima. Os melhores resultados possuem PSNR iguais a 260,67, que indica a reconstrução da imagem com total fidelidade, ao mesmo tempo em que a compressão chega a 0,025%. Foram necessários dois estados para codificar a imagem, e a exemplo da phi1\_32, a resolução de decodificação é a de 256x256. Não há função de endereçamento que se destaque das outras, todas resultam em excelente qualidade, porém as *wavelets* resultam em resultados de qualidade altíssima, mas não se destacam entre os melhores resultados. É importante lembrar que mesmo não gerando os melhores resultados, as *wavelets* não atrapalharam a codificação de imagens que são puramente expressas por equações matemáticas.


**Tabela 5.11 – Os cinco melhores resultados para squares32**





| Nome                              | *(1) | *(2) | *(3)  | *(4)  | PSNR      | Compressão  |
|-----------------------------------|------|------|-------|-------|-----------|-------------|
| squares32.bmp-G_1-H1e-007_af1.wfa | 256  | 2    | 0,5   | 5,734 | 260,67888 | 0,000254313 |
| squares32.bmp-G_1-H1e-007_af2.wfa | 256  | 2    | 0,828 | 5,75  | 260,67888 | 0,000254313 |
| squares32.bmp-G_1-H1e-007_af3.wfa | 256  | 2    | 0,828 | 5,735 | 260,67888 | 0,000254313 |
| squares32.bmp-G_1-H1e-007_af4.wfa | 256  | 2    | 0,922 | 5,781 | 260,67888 | 0,000254313 |
| squares32.bmp-G_1-H1e-006_af1.wfa | 256  | 2    | 0,859 | 5,938 | 260,67888 | 0,000254313 |

Apresenta-se na


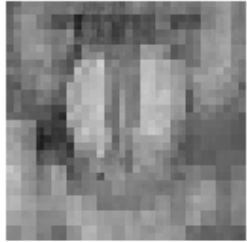
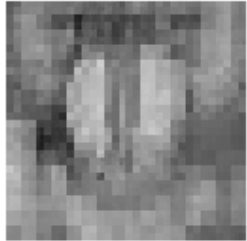



Tabela 5.12 as decodificações para os resultados apresentados anteriormente.





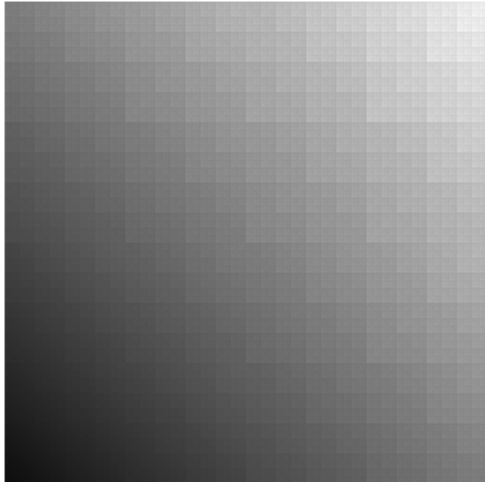
**Tabela 5.12 – Imagens decodificadas**

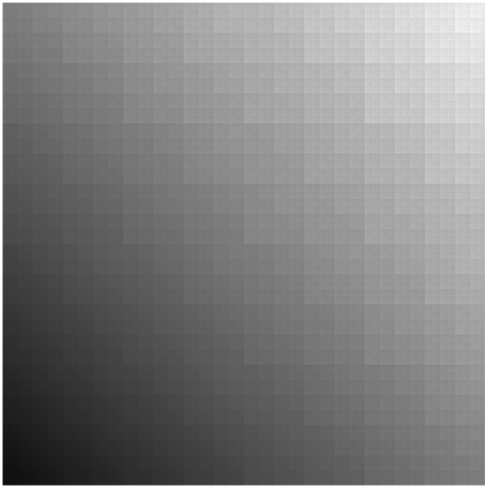
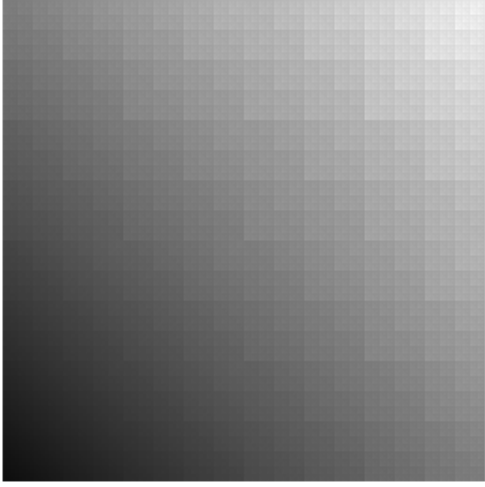
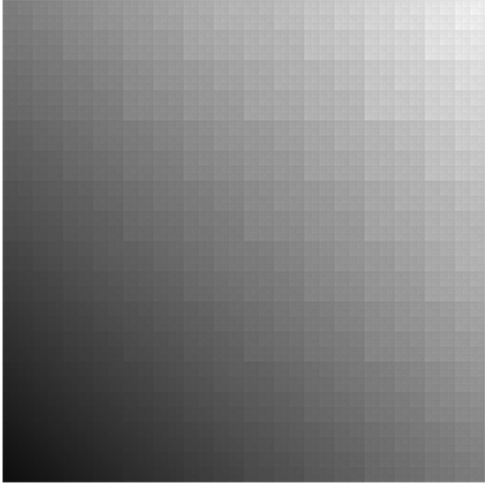
| Arquivo WFA                       | Imagem Decodificada   |
|-----------------------------------|---|
| lena16.bmp-G_0,75-H0,0001_af3.wfa |  |

|  |   |
|--|---|
| lena16.bmp-withWavelet_haar-G_1-H0,0001_af4.wfa      |    |
| lena16.bmp-withWavelet_rbio1.1-G_1-H0,0001_af4.wfa   |    |
| lena16.bmp-withWavelet_sym1-G_1-H0,0001_af4.wfa      |    |
| lena16.bmp-withWavelet_bior1.1-G_1-H0,0001_af4.wfa   |   |
| lena32.bmp-withWavelet_haar-G_0,6-H9e-005_af1.wfa    |  |
| lena32.bmp-withWavelet_rbio1.1-G_0,6-H9e-005_af1.wfa |  |
| lena32.bmp-withWavelet_sym1-G_0,6-H9e-005_af1.wfa    |  |

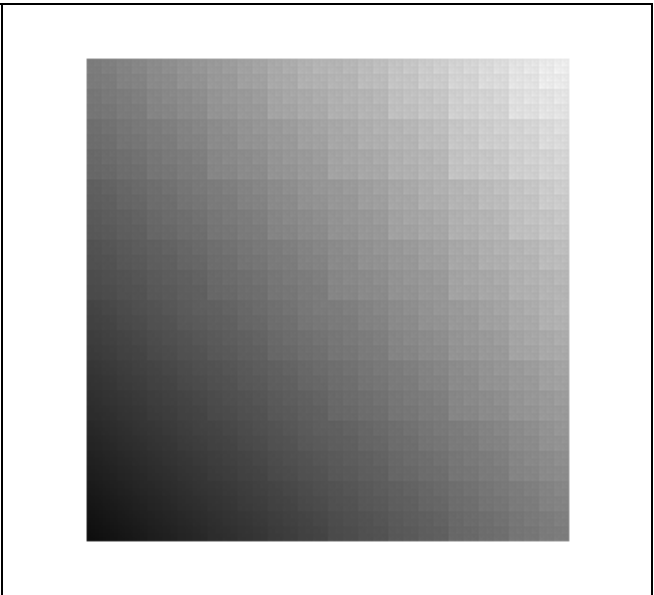
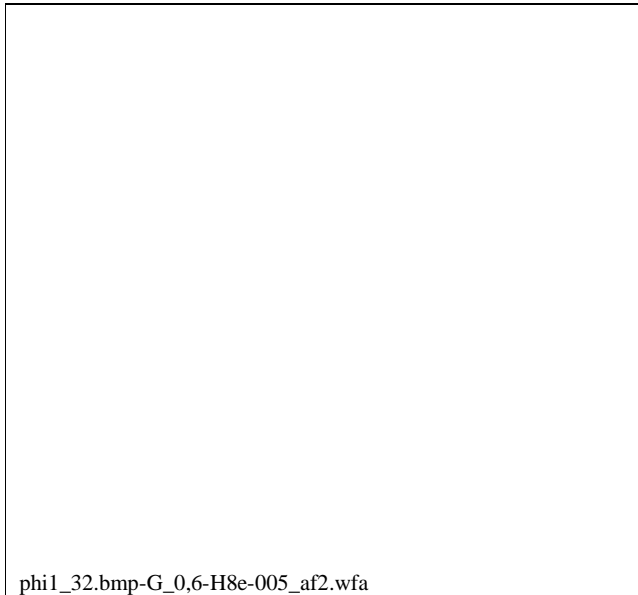
|   |   |
|---|---|
| lena32.bmp-withWavelet_bior1.1-G_0,6-H9e-005_af1.wfa    |    |
| lena32.bmp-withWavelet_haar-G_0,6-H0,0001_af1.wfa       |    |
| peppers32.bmp-withWavelet_bior1.1-G_1-H0,0001_af1.wfa   |    |
| peppers32.bmp-withWavelet_haar-G_0,8-H9e-005_af1.wfa    |   |
| peppers32.bmp-withWavelet_rbio1.1-G_0,8-H9e-005_af1.wfa |  |
| peppers32.bmp-withWavelet_sym1-G_0,8-H9e-005_af1.wfa    |  |
| peppers32.bmp-withWavelet_bior1.1-G_0,8-H9e-005_af1.wfa |  |

|   |  |
|---|--|
| <p>mandrill32.bmp-G_1-H3e-005_af5.wfa</p>                     |    |
| <p>mandrill32.bmp-G_0,8-H3e-005_af2.wfa</p>                   |    |
| <p>mandrill32.bmp-G_1-H3e-005_af2.wfa</p>                     |   |
| <p>mandrill32.bmp-G_0,8-H2e-005_af5.wfa</p>                   |  |
| <p>mandrill32.bmp-G_1-H2e-005_af5.wfa</p>                     |  |
| <p>satellite32.bmp-withWavelet_haar-G_0,6-H0,0001_af1.wfa</p> |   |

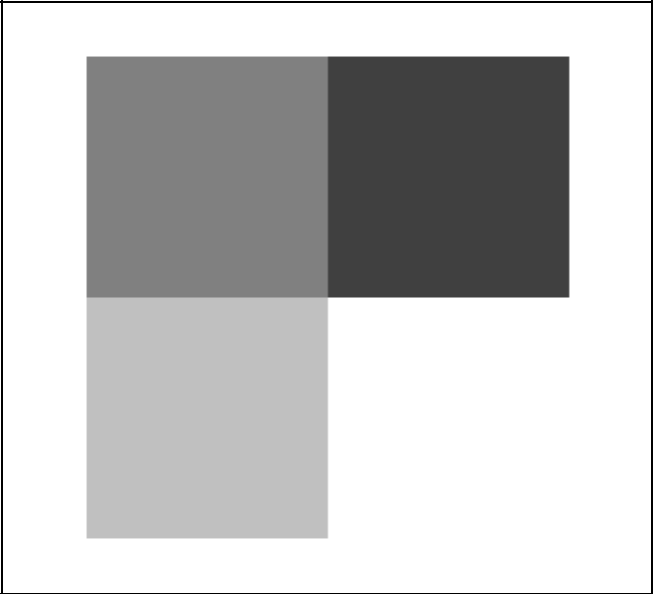
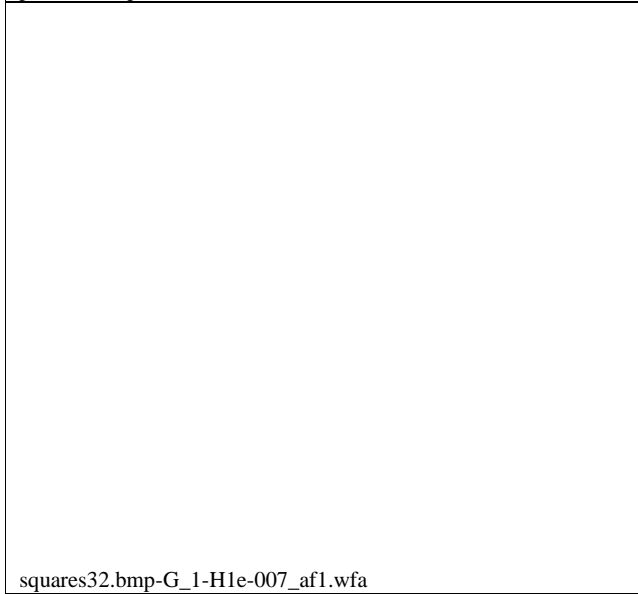
|   |  |
|---|--|
| satellite32.bmp-withWavelet_rbio1.1-G_0,6-H0,0001_af1.wfa |     |
| satellite32.bmp-withWavelet_sym1-G_0,6-H0,0001_af1.wfa    |     |
| satellite32.bmp-withWavelet_bior1.1-G_0,6-H0,0001_af1.wfa |     |
| satellite32.bmp-withWavelet_haar-G_0,6-H9e-005_af1.wfa    |    |
| phi1_32.bmp-G_0,6-H4e-005_af2.wfa                         |  |

|  |  |
|--|--|
|  |    |
| <p>phi1_32.bmp-G_0,6-H5e-005_af2.wfa</p> |   |
| <p>phi1_32.bmp-G_0,6-H6e-005_af2.wfa</p> |  |

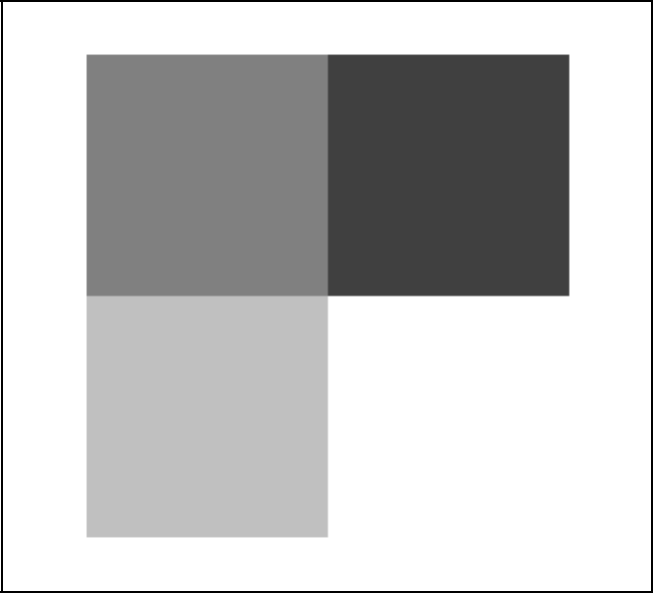




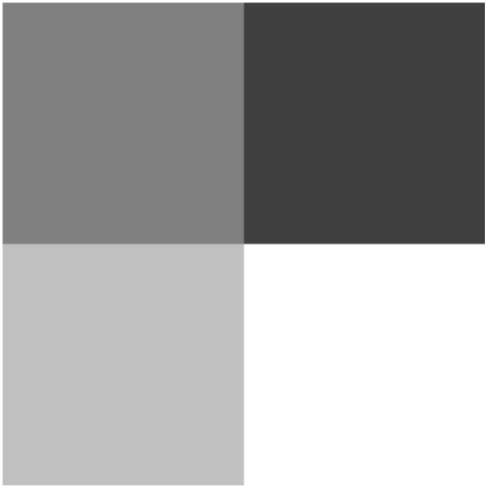
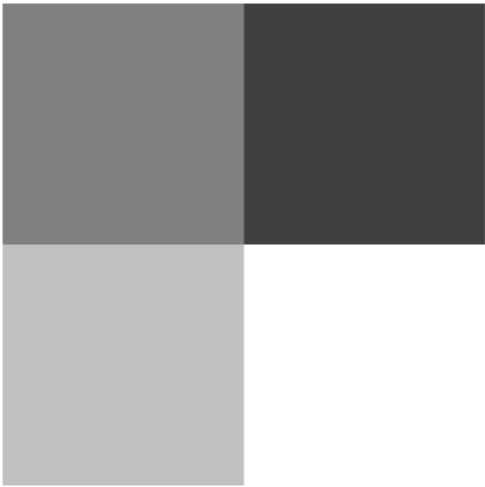
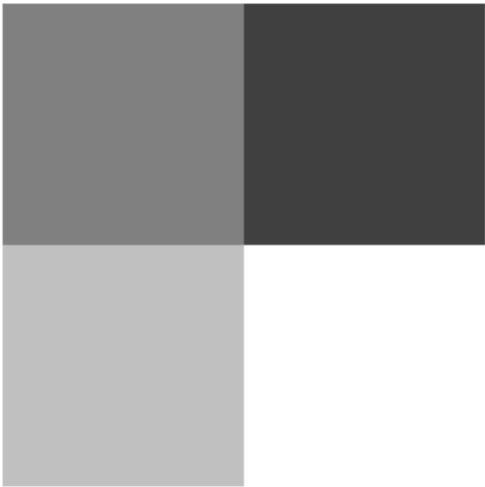
phi1\_32.bmp-G\_0,6-H8e-005\_af2.wfa



squares32.bmp-G\_1-H1e-007\_af1.wfa



squares32.bmp-G\_1-H1e-007\_af2.wfa

|                                   |  |
|-----------------------------------|--|
|                                   |    |
| squares32.bmp-G_1-H1e-007_af3.wfa |   |
| squares32.bmp-G_1-H1e-006_af1.wfa |  |

# Capítulo 6

## Conclusões e Sugestões

Neste capítulo, serão apresentadas as conclusões sobre este trabalho e sugestões para melhorar os resultados. Sabe-se que os resultados gerados não são os melhores já vistos para a WFA, porém o algoritmo aqui desenvolvido é bem primitivo, o que abre a possibilidade de se fazer combinações e melhoras significativas, como, por exemplo, a adição de estados iniciais ao algoritmo, já notório pela melhora imprimida aos resultados da WFA.

### *6.1. Proposições para Projetos Futuros*

Existe um conjunto de melhorias a serem implementadas a fim de otimizar o algoritmo e torná-lo eficiente. São elas:

1. Mudança no cálculo dos custos de criação de estado e de combinação linear visando otimizar o algoritmo;
2. Mudança no cálculo dos custos de criação de estado e de combinação linear visando compressão de imagem.
3. Utilizar PSNR para o cálculo do erro (hoje utiliza-se MSE).
4. Criação de estados iniciais padrões não ligados à imagem, que estariam tanto no algoritmo de codificação quanto no de decodificação, para melhor compressão. A criação desses estados melhoraria a compressão da imagem pois as linhas referentes a esses estados iniciais não precisariam serem salvas no arquivo WFA, podendo ser recalculadas, já que se conhece tais estados.
5. Visando melhor performance, recriar o algoritmo em alguma linguagem compilada como C, C++, Java, etc.
6. Utilizar função de otimização, para definir o melhor G e H para a imagem em análise.

## 6.2. Conclusão

Os resultados apresentados não são os melhores vistos em termos de compressão e PSNR, porém há casos em que a WFA se apresenta extremamente eficiente. Fica claro que a WFA possui potencial para produzir resultados melhores, e para tanto é necessário introduzir os estados iniciais como indicado por trabalhos anteriormente feitos com a WFA e apresentados na bibliografia (Muller 2005).

Em todo o caso, pode-se reafirmar com esse trabalho as propriedades da WFA de multiresolução baseando-se em fractais e a linearidade, que permite a WFA ser combinada com outras funções e assim, ser capaz de produzir resultados melhores. E, como dito anteriormente este trabalho tem como principal objetivo introduzir o estudo da WFA nas universidades brasileiras. Existe ainda muita coisa a se fazer no ramo de estudo da WFA e proposições para tanto foram feitas.

Destacam-se, então, novamente as propriedades do WFA verificadas neste trabalho permitindo que se tenha um papel de destaque nos estudos realizados hoje: por ser multiresolucional; por ser um método com opção de variação da qualidade na codificação; por fazer *Zooming* (parte da imagem pode ser regenerada sem a necessidade de se regenerar a imagem por completo) e por suportar manipulação de imagens, isto é, qualquer transformação matemática que se deseje aplicar a uma imagem, um operador linear (filtros, *wavelet*, etc.), por exemplo, pode ser aplicada diretamente na imagem codificada, sem a necessidade de regenerá-la.

# Bibliografia

CULIK II, K.; KARI, J. Image Compression Using Weighted Finite Automata. **Mathematical Foundations of Computer Science**, 1993. 392-402. Disponível em: <<http://pt.wikipedia.org/>>. Acesso em: 06 Maio 2009.

CULIK II, K.; VALENTA, V. Compression of Silhouette-like Images, South Carolina, Iowa City, 1997.

CULLIK II, K. E. K. J. Finite State Methods for Compression and Manipulation of images. **IEEE 1068-0314/95**, p. 142-151, 1995.

HAFNER, U. Asymmetric Coding in (m)-WFA Image Compression, n. Report number 132, 1995.

HAGEN, R. **C\*-algebras and Numerical Analysis**. [S.l.]: CRC Press, 2001.

KARI, J. Imagem Processing using Finite Automata, Finlândia, EUA, 2006.

KATRITZKE, F. **Refinements of Data Compression Using Weighted Finite Automata**. Siegen: Universität Siegen, 2001.

MULLER, R. **A study of Image Compression Techniques, with specific focus on Weighted Finite Automata**. Stellenbosch: University of Stellenbosch, 2005.

OLIVEIRA, J. F. L. **Geometria Fractal e Aplicações: Compressão de Imagens**. Rio de Janeiro: Dissertação de Mestrado - COPPE - UFRJ, 1997.

# Anexo I

## Algoritmos

Neste capítulo são exibidos todos os algoritmos implementados no Matlab que fazem parte da solução do codificador e decodificador WFA, desenvolvidos durante este projeto final.

### *1.1 Função EncodeWFAAndressaKalilProjetoFinal*

A função `EncodeWFAAndressaKalilProjetoFinal.m` executa a codificação da imagem e escreve os valores de **W**, **F** e **I** em um arquivo com o padrão de nome `<nome da imagem original>-G_<valor de G>-H_<valor de H>-<função de endereçamento>.wfa`, quando há função *wavelet* o padrão é `<nome da imagem original>-wavelet_<nome da função wavelet>-G_<valor de G>-H_<valor de H>-<função de endereçamento>.wfa`. Ele também requisita dos usuários para imagem a ser codificada o valor de **G**, **H**, da função de endereçamento, se o usuário requer ou não a utilização de função *wavelet* e pede o nome dela. Ela verifica se os valores requeridos são válidos e chama a função de codificação `codeWFA`. A função `EncodeWFAAndressaKalil` não requer valores de entrada e não retorna nenhum valor.

[Cabeçalho]

Função **EncodeAndressaKalilProjetoFinal()**

- Limpar todas as variáveis de ambiente;
- Declarar como variáveis globais **fwMatrixTree maxlevel imDecWFA W I F state stateAddress WTemp imDecWFATemp G**;
- Colocar um valor não válido para **G**;
- Enquanto **G** não for  $\leq 2$  fazer:
  - Perguntar ao usuário o valor de **G**;
  - Escrever o valor de **G** na variável **G**;
- Enquanto **H** não for  $\leq 2$  fazer:
  - Perguntar ao usuário o valor de **H**;
  - Escrever o valor de **H** na variável **H**;
- Enquanto **QuerWavelet** não for 0 ou 1 fazer:

- Perguntar ao usuário se ele deseja combinar a WFA com *Wavelet*;
- Se o usuário quer combinar a codificação com *Wavelet*;
- Caso afirmativo, pergunta qual função deseja utilizar
- Perguntar ao usuário qual imagem ele quer codificar em WFA;
- Listar as imagens disponíveis;
- Escrever a imagem escolhida em uma variável [Código Comentado] e mostrar ao usuário;
- Transformar a imagem escolhida para escala de cinza;

[Código Comentado]

- Mostrar a imagem em escala de cinza ao usuário;
- Verificar se a imagem escolhida é quadrada
  - Caso não seja, sair do programa;
- Verificar se a imagem tem largura e altura maior que 2;
  - Caso não possua, sair do programa;
- Verificar se a largura e a altura são potências de 2;
  - Caso não sejam, sair do programa;
- Codifica a imagem em *wavelet*, se for de escolha do usuário
- Chamar a função **codeWFA** para codificar a imagem escolhida e guardar valores de **W**, **I** e **F**;
- Escrever os valores de **W**, **I**, e **F** em um arquivo;
- Apresentar o nome do arquivo;

**Figura I.1 - EncodeAndressaKalilProjetoFinal.m**

*Varáveis Globais:*

**clock1:** data, hora, minutos e segundos em que começou a codificação;

**clock2:** data, hora, minutos e segundos que terminou a codificação;

*Variáveis Internas:*

imageName: Nome da imagem escolhida pelo usuário;

RGB64: Imagem escolhida pelo usuário transformada em RGB64;

InputImage: Imagem escolhida pelo usuário em escala de cinza;

column: número de colunas da imagem;

line: número de linhas da imagem;

filename: nome do arquivo que serão salvos os valores de **W**, **F** e **I**;  
WL: valor booleano, se 1 o usuário combinará a WFA com *wavelet*;  
timeTemp: tempo que demorou para executar o algoritmo;  
timeTempInSec: tempo em segundos que demorou para executar o algoritmo;  
wnameOp: variável que verifica se o nome da *wavelet* selecionado é válido;  
wname: nome da função *wavelet* a ser utilizada.  
cA, cH, cV, cD: variáveis de saída da função *dwt2*, com as composições em frequência da *wavelet*;

Figura 1.2 - EncodeAndressaKalilProjetoFinal.m

## ***1.2 Função DecodeWFAAndressaKalilProjetoFinal***

O arquivo DecodeWFAAndressaKalilProjetoFinal.m decodifica a partir das matrizes **W**, **I** e **F** colocadas em um arquivo a imagem original. A função DecodeWFAAndressaKalilProjetoFinal não requer nenhum valor de entrada e não devolve nenhuma variável.

[Cabeçalho]

Função **DecodeAndressaKalilProjetoFinal()**

- Limpar todas as variáveis de ambiente;
- Declarar como variáveis globais **fwMatrixTree maxlevel imDecWFA W I F state stateAddress WTemp imDecWFATemp G**;
- Perguntar ao usuário qual arquivo WFA ele quer decodificar;
- Listar as os arquivos disponíveis;
- Pegar os valores de **W**, **F** e **I** do arquivo e colocar nas variáveis **W**, **F**, e **I**;
- Zerar o valor para a imagem decodificada;
- Colocar um valor não válido para a variável *resolution*;
- Enquanto *resolution* não for potência de 2;
  - Perguntar ao usuário qual resolução ele deseja para a imagem decodificada;
  - Escrever o valor da resolução desejada na variável **resolution**;
- Chamar a função **DecodeWFA** para decodificar a partir de **W**, **F**, **I** e a resolução desejada, a imagem escolhida.
- Enquanto **QuerWavelet** não for 0 ou 1 fazer:
  - Perguntar ao usuário se a WFA está combinada com *Wavelet*;



- Caso afirmativo, pergunta qual função foi utilizada.
- Caso afirmativo, a função inversa *wavelet* é aplicada na imagem;
- Apresentar os valores de **W**, **W{1}**, **W{2}**, **W{3}**, **W{4}**, **I**, **F**, **imDecWFA**

Figura I.3: DecodeWFAAndressaKalilProjetoFinal.m

*Variáveis Internas:*

wfaName: nome do arquivo que contém a imagem codificada em WFA;

resoluiton: resolução, definida pelo usuário, que a imagem será decodificada;

WL: valor booleano, se 1 o usuário combinará a WFA com *wavelet*;

clock1: data, hora, minutos e segundos em que começou a codificação;

clock2: data, hora, minutos e segundos que terminou a codificação;

timeTemp: tempo que demorou para executar o algoritmo;

timeTempInSec: tempo em segundos que demorou para executar o algoritmo;

wnameOp: variável que verifica se o nome da *wavelet* selecionado é válido;

V: variável temporária que guarda a decodificação *wavelet* caso ela exista;

cA, cH, cV, cD: variáveis de entrada da função *idwt2*, com as composições em frequência da *wavelet*;

wname: nome da função *wavelet* a ser utilizada.

Figura I.4 - DecodeWFAAndressaKalilProjetoFinal.m

### ***1.3 Função codeWFA***

A função `codeWFA` chama a função para construir a árvore *quadtree*, a função para construir as matrizes **W**, calcula a matriz **F** e a matriz **I**, utilizando a função de endereçamento que o usuário seleciona. Tem como variável de entrada a imagem a ser codificada em escala de cinza e retorna os valores de **F**, **I** e **W**.

[Cabeçalho]

[**W**, **I**, **F**] = Função **codeWFA**(Imagem)

- Declara as variáveis globais;
- Acha a largura da imagem;
- Calcula o nível máximo a partir da largura da imagem e coloca o valor em **maxlevel**;
- Inicializa a matriz **fwMatrixTree**;

- Constrói a árvore quadtree e coloca os valores na matriz **fwMatrixTree** utilizando a função **ConstructingFwTreeMatrix**;
- Pergunta ao usuário qual função de endereçamento ele deseja utilizar (**addressFunc1**, **addressFunc2**, **addressFunc3**, **addressFunc4**, **addressFunc5**):
  - Chama a função de endereçamento selecionada;
- Retorna **W**, **I** e **F**;

Figura I.5 - codeWFA.m

*Variáveis globais:*

**globalStateNumber**: variável que contem o número total de estados criados, inclusive o que está sendo estudado agora;

**fwMatrixTree**: variável que contém a imagem como uma árvore, em várias dimensões;

**clock1**: data, hora, minutos e segundos em que começou a codificação;

**clock2**: data, hora, minutos e segundos que terminou a codificação;

*Variáveis Internas:*

n: largura da imagem;

fw: valor da função  $f$  para a imagem inteira;

stateNumber: variável auxiliar no cálculo do vetor **F**;

addressFunc: nome da função de endereçamento escolhida;

Figura I.6 - codeWFA.m

### ***1.4 Função ConstructingFwTreeMatrix***

Essa função é responsável pela construção da árvore *quadtree*, calculando o valor da função  $f$  para todos os níveis possíveis para a imagem em questão e escrevendo esses valores na matriz **fwMatrixTree**. Ela tem como valores de entrada os quadrantes da imagem  $w_0$ ,  $w_1$ ,  $w_2$  e  $w_3$ , assim como o endereço da imagem correspondente aos quadrantes especificados. A **ConstructingFwTreeMatrix** uma função recursiva.

[fw] = Função **ConstructingFwTreeMatrix** (ImagemQuadrante1, ImagemQuadrante2, ImagemQuadrante3)

- Declarar as variáveis globais **fwMatrixTree** e **maxlevel**;
- Salvar o tamanho dos quadrantes de entrada da função;
- Se o tamanho do quadrante é igual a 1, valor da função  $f$  é igual ao valor do quadrante;
- Caso contrário [Código comentado] chamar a função `ConstructingFwTreeMatrix` para calcular o valor da função  $f$  para o próximo nível;

*Obs.:* A função só chega aqui se já se souber o valor da função  $f$  para todos os quadrantes no nível em questão. Já tendo calculado  $f$  para os níveis inferiores. A árvore **fwMatrixTree** é construída de baixo para cima.

- Calcular o valor de  $f$  para o endereço em questão e salvar na matriz **fwMatrixTree**;
- Devolver o valor de  $fw$  para o endereço em questão;

**Figura I.7 - ConstructingFwTreeMatrix.m**

Variáveis Internas:

fw: valor de retorno da função  $f$  para a (sub)imagem;

w0: Quadrante 0 da (sub)imagem, para maiores informações verificar a Tabela 3.1;

w1: Quadrante 1 da (sub)imagem, para maiores informações verificar a Tabela 3.1;

w2: Quadrante 2 da (sub)imagem, para maiores informações verificar a Tabela 3.1;

w3: Quadrante 3 da (sub)imagem, para maiores informações verificar a Tabela 3.1;

address: Endereço da (sub)imagem que será calculado o valor da função  $f$  (chamada aqui de  $fw$ ), para maiores informações verificar a Tabela 3.1.

n: Largura e altura da imagem. É importante lembrar que a imagem tem lados de tamanho em potência de 2 e que a largura e a altura são iguais.

level: variável linha da matriz **fwMatrixTree** que corresponde ao nível da árvore quadtree;

column: Variável coluna matriz **fwMatrixTree** que corresponde ao quadrante com endereço `address`, no nível `level`;

*Obs.:* Para efeitos de cálculo, o endereço da imagem inteira na matriz **fwMatrixTree**, não é [] mas sim [0]. Por isso a função é chamada dentro de `codeWFA` com [0] como endereço.

**Figura I.8 - ConstructingFwTreeMatrix.m**

## ***1.5 Funções AddressFunc***

As funções `addressFunc` são responsáveis por definir como vai ser a varredura da imagem à procura de estados ou combinação linear. Elas são de cinco tipos e foram explicadas na seção 3 e ilustradas, Figura 4.4, Figura 4.5, Figura 4.6, Figura 4.4 e Figura 4.3.

[Cabeçalho]

[cost] = Função `addressFunc1`(estado, endereço)

- Declara as variáveis globais;
- Chama a função **WfaEncodeOrNewState**
- Se o nível da imagem for o penúltimo, chamar **addressFunc1** para cada quadrante

[Comentário]

**Figura I.9 – addressFunc1.m**

[Cabeçalho]

[cost] = Função `addressFunc2`(estado, endereço)

- Declara as variáveis globais;
- Seta custo para infinito;
- Se o nível for igual a zero
  - Chamar a função **WfaEncodeOrNewState**
  - Chamar **addressFunc2** para cada quadrante
- Se o nível for menor que o máximo
  - Chamar **addressFunc2** para cada quadrante
  - Chamar a função **WfaEncodeOrNewState**

[Comentário]

**Figura I.10 – addressFunc2.m**

[Cabeçalho]

[cost] = Função addressFunc3(estado, endereço)

- Declara as variáveis globais;
- Chama a função **WfaEncodeOrNewState**
- Se o nível da imagem for o penúltimo, chamar **addressFunc3** para cada quadrante invertido

[Comentário]

Figura I.11– addressFunc3.m

[Cabeçalho]

[cost] = Função addressFunc4(estado, endereço)

- Declara as variáveis globais;
- Chama a função **WfaEncodeOrNewState**
- Chama **getCellArrayAddressFunc**, para pegar todos os endereços dos nós, em ordem crescente, de um nó pai;
- Para cada endereço devolvido pela função **getCellArrayAddressFunc**
  - Pegue o número de nós filhos;
  - Para todos os nós filhos, faça:
    - Pegar o endereço do quadrante;
    - Chamar a função **WfaEncodeOrNewState**;

Figura I.12– addressFunc4.m

*Variáveis Internas:*

cellArray: Contem os endereços dos nós filhos do nó avaliado;

line: número de níveis de filhos para o nó;

Figura I.13– addressFunc4.m

[Cabeçalho]

[cost] = Função addressFunc4(estado, endereço)

- Declara as variáveis globais;
- Chama a função **WfaEncodeOrNewState**

- Chama **getCellArrayAddressFunc**, para pegar todos os endereços dos nós, em ordem decrescente, de um nó pai;
- Para cada endereço devolvido pela função **getCellArrayAddressFunc**
  - Pegue o número de nós filhos;
  - Para todos os nós filhos, faça:
    - Pegar o endereço do quadrante;
    - Chamar a função **WfaEncodeOrNewState**;

Figura I.14 – addressFunc5.m

*Variáveis Internas:*

cellArray: Contem os endereços dos nós filhos do nó avaliado;

line: número de níveis de filhos para o nó;

Figura I.15 – addressFunc5.m

### ***1.6 Função getCellArrayAddressFunc***

Esta função auxilia as funções de endereçamento a buscar os quadrantes na ordem desejada. Ela é responsável por dizer qual é o endereço dos nós filhos de um nó em particular.

[CellArrayAddress] = Função getCellArrayAddressFunc(endereço)

- Declara as variáveis globais;
- Caso o nó avaliado seja o nó raiz, ou seja, o nó correspondente a imagem inteira
  - Criar a variável CellArrayAddress, para todos os nós, e setar todos eles com valor -1;
- Caso contrário
  - Pegar a quantidade de nós;
  - Caso o endereço no nó avaliado esteja -1
    - Setar valor para o endereço de entrada
  - Caso contrário
    - Setar o endereço do próximo nó para o endereço de entrada
- Se o nível do nó em avaliação seja menor que o nível máximo
  - Chamar **getCellArrayAddressFunc** para todos os quadrantes;

Figura I.16 - getCellArrayAddressFunc.m

*Variáveis Internas:*

line: número de níveis de filhos para o nó;

Figura I.17 – `getCellArrayAddressFunc.m`

### ***1.7 Função `WfaEncodeOrNewState`***

É a principal função de codificação, pois é nela que se calcula os estados, e, a partir deles, as matrizes **W**. Ela utiliza-se de um efeito comparativo de qualidade para decidir se um estado deve ou não ser criado. Para tanto, ela possui variáveis temporárias de estados e de matriz **W**.

Antes de colocar os novos valores para a matriz **W** a partir do estado criado, a função verifica comparando qualitativamente, decodificando a imagem a partir das matrizes **W** e **WTemp**. Caso aconteça uma melhora na decodificação, o novo estado é aceite e as matrizes em **WTemp** passam a ser as matrizes **W**. Caso contrário o estado é descartado e as matrizes **W** continuam as mesmas.

A função é chamada pela função de endereçamento. Ela possui como variáveis de entrada a imagem em estado e o seu endereço, e ela devolve o custo de criação deste estado.

[Cabeçalho]

[custo] = Função **WfaEncodeOrNewState**((Sub)ImagemComoEstado, EndereçoDa(Sub)Imagem)

- Declarar variáveis globais **globalStateNumber**, **state**, **stateAddress**, **fwMatrixTree**, **maxlevel**, **H**, **G**, **statesAsLevelInColumns**, **costOfStatesLinearCombination**, **InitialStatesInColumnsSize** e **imDecWFATemp**;

[Comentário]

- Inicializar variáveis para o estado em questão: **costOfNewState** igual a zero, **cost** igual a infinito e **noNeedToGoFurther** igual a zero (falso);
- Se o nível for igual a 0, devemos criar o primeiro estado que corresponde a imagem inteira.
- Caso contrário avalia-se se o estado possui o mesmo valor em escala de cinza dos seus nós vizinhos. Em caso afirmativo, não é necessário avaliar o nó, já que o nó pai é igual a ele em valor, então **noNeedToGoFurther** é setado para 1 (verdadeiro) .
- Caso **noNeedToGoFurther** seja 0 (falso), é avaliado se o estado deve ser criado ou a combinação linear feita, dependendo do custo.

- Se pudermos criar um novo estado, vamos comparar o custo de se fazer a combinação linear e de se criar um novo estado, assim:
  - Criamos um estado temporariamente;  
[Comentário: porque utilizamos pinv]
  - Calculamos as novas matrizes **W** considerando o novo estado e colocamos em **WTemp**;  
[Comentário]
  - Calculamos a nova imagem pela combinação linear considerando as matrizes **W** original, sem o estado temporário;
  - Calculamos a nova imagem pela combinação linear considerando as matrizes **WTemp**, considerando o estado temporário;  
[Código Comentado]
  - Calculamos o custo das imagens originadas dos dois conjuntos de matrizes **W** (custo da combinação linear, calculado anteriormente – loop anterior) e **WTemp** (custo de se criar o estado novo). Definimos custo como o MSE entre a imagem original e a imagem originada pela combinação linear;

[Comentário]

- O erro da imagem é calculado pelo número de pixels da imagem multiplicado pelo MSE. Já o custo da imagem é o número de bits utilizado pela imagem multiplicado pelo peso **H**, somando-se a este valor o erro.
- Caso o custo de se criar um novo estado seja menor do que a combinação linear, as matrizes **W** passam a ser as matrizes que se encontram em **WTemp**, o custo é igual ao custo de se criar um estado novo e adiciona-se 1 ao **globalStateNumber**;
- Caso contrário, o custo é igual ao custo da combinação linear, **W** continua o mesmo, zera-se a variável estado (**state**) e endereço do estado (**stateAddress**);
- Devolve o custo;

*Obs.:* Para o cálculo de **W** (ou **WTemp**), pegamos todos os estados em mesmo nível da árvore de quadtree e colocamos cada um deles representados como uma coluna de uma matriz (utilizando a função **getImageAsLevelInFwTree**). Fazemos o mesmo com o estado temporário, porém ele é colocado em um vetor separado. Utilizamos a função de matriz “\” que calcula a combinação linear entre duas matrizes para achar os novos valores de **W**. Cada **W** é calculado individualmente, considerando a divisão de quadrantes já especificada.

Repare que o valor de **G** determina o nível que será calculada a combinação linear.



Figura I.18 - WfaEncodeOrNewState.m

*Variáveis Internas:*

cost: custo retornado pela função **newStateWfaEncode**, equivalente ao custo da combinação linear ou ao custo de se criar um novo estado. O custo é dado pela menor diferença na reconstrução da imagem utilizando as matrizes **W** (custo da combinação linear) e **WTemp** (custo de um novo estado);

n: largura da (sub)imagem sendo analisada;

level: nível em que a (sub)imagem se encontra na árvore de quadtree;

costOfStatesLinearCombination: custo associado ao cálculo da combinação linear;

costOfNewState: custo associado à criação de um novo estado;

NewStateNumber: Número de estados considerando o estado temporário;

NewLineInW0Matrix: Cálculo da nova linha na matriz **WTemp{1}**;

NewLineInW1Matrix: Cálculo da nova linha na matriz **WTemp{2}**;

NewLineInW2Matrix: Cálculo da nova linha na matriz **WTemp{3}**;

NewLineInW3Matrix: Cálculo da nova linha na matriz **WTemp{4}**;

costOfNewStateW0: custo de retorno da função **newStateWfaEncode** para o quadrante w0;

costOfNewStateW1: custo de retorno da função **newStateWfaEncode** para o quadrante w1;

costOfNewStateW2: custo de retorno da função **newStateWfaEncode** para o quadrante w2;

costOfNewStateW3: custo de retorno da função **newStateWfaEncode** para o quadrante w3;

statesAsLevelInColumns: matriz que possui cada estado representado como uma de suas colunas em um nível "x" da árvore quadtree.

stateLineNumber: variável que auxilia a construção de cada linha das matrizes de transição **W**.

Figura I.19 - WfaEncodeOrNewState.m

### ***1.8 Função getImageAsLevelInFwTree***

Após a matriz de quadtree estar construída, é possível pegar o valor de cada (sub)imagem em qualquer dimensão. Bastando dizer qual é o endereço da (sub)imagem dentro da árvore e definir o número de pixels que se deseja que ela esteja representada. A função retorna a (sub)imagem com o número de pixels desejado como uma linha da árvore de *quadtree*. Caso a quantidade de níveis da árvore não seja suficiente para a representação com o número de pixels desejado, o valor do pixel é repetido para os quadrantes do nível mais abaixo da árvore (o chamado *upsample*).

[imagem colo nível de quadtree] = Função `getImageAsLevelInTree` (endereço da (sub)imagem, número de pixels)

- Declarar variáveis globais **`fwMatrixTree`** e **`maxlevel`**;
- Se número de níveis maior que zero:
  - Desça na árvore até o nível desejado a partir do endereço dado; [Comentários]
  - Caso [Comentário] a árvore tenha mais níveis que o endereço desejado, pegue os valores na árvore da imagem com o número de pixels desejado e termine o programa;
  - Caso [Comentário] a quantidade de níveis da árvore não seja suficiente para compor a imagem com o número de pixels desejado. Faça o `upsample`, crescendo o nível da árvore, criando 4 novos quadrantes para cada pixel encontrado, repetindo o valor desse pixel para que o valor da função  $f$  se mantenha. Pegue o valor da imagem como linha e retorne;
- Caso o nível é igual a zero, retorne o valor de  $f$  para o endereço.

*Obs.:* Quando o `upsample` é feito criando-se quadrantes pela repetição dos valores da (sub)imagem (ou pixel), o Algoritmo utiliza-se da diferença entre o número de níveis que se deseja e o número máximo de níveis da árvore para recriar todos os quadrantes (sempre múltiplos de 2) ao mesmo tempo.

**Figura I.20 - `getImageAsLevelInFwTree`**

*Variáveis internas:*

`imageAsLevel`: valor de retorno da função que contém a (sub)imagem representada em uma única linha, como um nível da árvore de *quadtree*;

`numberOfPixels`: Número de pixels que se deseja que a imagem tenha;

`address`: endereço da (sub)imagem dentro da árvore de *quadtree*, considerando os endereços dos (sub-)quadrantes.

`addressN`: Variável auxiliar que indica o endereço do quadrante inicial no nível “x” onde deve ser pegos os pixels da imagem a ser retornada;

`a`: variável auxiliar de contagem;

`additionalLevelsAux`: variável auxiliar que indica o número de níveis adicionais que devem ser criados, pois a árvore de *quadtree* não os possui especificados;

`level`: corresponde a linha da matriz **`fwMatrixTree`** para o endereço dado;

`column`: corresponde a coluna da matriz **`fwMatrixTree`** para o endereço dado;

aux: variável auxiliar de contagem;

Figura I.21 – getImageAsLevelInFwTree

### ***1.9 Função GetFwTreeMatrixValue***

Função que retorna o valor da função  $f$  (chamado de fw) para o endereço da (sub)imagem desejada.

[fw] = Função GetFwTreeMatrixValue (endereço da (sub)imagem)

- Declarar as variável global **fwMatrixTree**;
- Caminhar na árvore a partir do endereço dado, para a linha e coluna desejada na matriz **fwMatrixTree**;
- Retornar o valor de  $f$  para o endereço;

Figura I.22 - GetFwTreeMatrixValue.m

Variáveis Internas:

address: endereço da (sub)imagem que se deseja saber o valor de  $f$ ;

fw: valor de  $f$  para o endereço dado;

level: correspondente à linha da matriz **fwMatrixTree**, ou ao nível da árvore de *quadtree*;

column: correspondente a coluna da matriz **fwMatrixTree**;

Figura I.23 - GetFwTreeMatrixValue.m

### ***1.10 Função DecodeWFA***

É o Algoritmo responsável pela decodificação da imagem a partir das matrizes **W**, **I**, e **F**, colocando a imagem decodificada na variável global **imDecWFA**. É um algoritmo recursivo e multiresolucional (a resolução da imagem é definida na decodificação). A imagem é reconstruída a partir do quadrante de nível mais baixo para o quadrante de nível mais alto na árvore de *quadtree*.

[Cabeçalho]

Função DecodeWFA (endereço, nível, I, F, W, resolução)

- Declarar variável global **imDecWFA**;
- Inicializar variáveis linha e coluna, correspondentes a coordenada posição do pixel na

imagem;

[Comentário]

- Se nível +1 é menor ou igual ao nível máximo;
  - Fazer a decodificação para os subquadrantes primeiro;
- Caso contrário;
  - Posicionar o pixel a partir do endereço, em linha e coluna;
  - Calcular o WFA utilizando as matrizes **W**, **I** e **F**, com a resolução desejada;
- Retornar o endereço da imagem;

**Figura I.24 - DecodeWFA.m**

*Variáveis Internas:*

address0: variável de retorno para o quadrante w0;

address1: variável de retorno para o quadrante w1;

address2: variável de retorno para o quadrante w2;

address3: variável de retorno para o quadrante w3;

address: endereço da (sub)imagem ou pixel a ser decodificado;

level: nível para o endereço dado;

n: resolução de decomposição esperada;

column: coordenada de posição do pixel dentro da imagem;

line: coordenada de posição do pixel dentro da imagem;

calculatingWFA: variável que acumula o cálculo parcial da WFA, que depende do endereço da (sub)imagem ou pixel para determinar qual matriz **W** será multiplicada.

**Figura I.25 - DecodeWFA.m**

### ***1.11 Função decodeTestWFA***

É o Algoritmo responsável pela decodificação da imagem a partir das matrizes **W**, **I**, e **F**, colocando a imagem decodificada na variável global **imDecWFATemp**. Este Algoritmo foi criado para a comparação das imagens no Algoritmo de codificação WFA a partir da definição do custo. É um Algoritmo recursivo e multiresolucional (a resolução da imagem é definida na decodificação). A imagem é reconstruída a partir do quadrante de nível mais baixo para o quadrante de nível mais alto na árvore de *quadtree*.

[Cabeçalho]

[endereços] = Função DecodeWFA (endereço, nível, I, F, W, resolução)

- Declarar variável global **imDecWFATemp**;
- Inicializar variáveis linha e coluna, correspondentes a coordenada posição do pixel na imagem;

[Comentário]

- Se nível +1 é menor ou igual ao nível máximo;
  - Fazer a decodificação para os sub-quadrantes primeiro;
- Caso contrário;
  - Posicionar o pixel a partir do endereço, em linha e coluna;
  - Calcular o WFA utilizando as matrizes **WTemp**, **I** e **F**, com a resolução desejada;

Retornar o endereço da imagem;

Figura I.26 - decodeTestWFA.m

*Variáveis Internas:*

address0: variável de retorno para o quadrante w0;

address1: variável de retorno para o quadrante w1;

address2: variável de retorno para o quadrante w2;

address3: variável de retorno para o quadrante w3;

address: endereço da (sub)imagem ou pixel a ser decodificado;

level: nível para o endereço dado;

n: resolução de decomposição esperada;

column: coordenada de posição do pixel dentro da imagem;

line: coordenada de posição do pixel dentro da imagem;

calculatingWFA: variável que acumula o cálculo parcial da WFA, que depende do endereço da (sub)imagem ou pixel para determinar qual matriz W será multiplicada.

Figura I.27 - decodeTestWFA.m

## ***1.12 Função remakeStatesResolution***

Função responsável por fazer o *upsample* ou o *downsample* de uma imagem para a resolução desejada. Ela refaz a imagem na resolução desejada usando a função *f* e os quadrantes.

[imagem em nova resolução] = Função remakeStatesResolution (imagem original, resolução desejada)

- Verificar tamanho da imagem original;
- Enquanto a resolução desejada for maior que a resolução atual
  - Aumentar a resolução até que as resoluções sejam iguais;
- Enquanto a resolução desejada é menor que a resolução atual
  - Diminuir a resolução até que as resoluções sejam iguais;

Figura I.28 - remakeStatesResoluiton.m

*Variáveis Internas:*

NewStateResolution: imagem coma resolução desejada devolvida pela função;

stateOrig: imagem original

k: resolução da imagem original, e das imagens intermediárias durante o processo de *upsample/downsmple*;

n: resolução requerida;

state1: variável auxiliar de imagem;

state2: variável auxiliar de imagem;

Figura I.29 - remakeStatesResoluiton.m

### ***1.13 Função ResolutionIncrease***

Função que executa o *upsample* da imagem, aumentando a sua resolução apenas 1 vez, utilizando a função *f* e os quadrantes da (sub)imagem. Função recursiva.

[Estado em resolução 1x maior] = Função ResolutionIncrease(imagem)

- Se tamanho da imagem igual a 1
  - Fazer os subquadrantes iguais ao valor da imagem;
- Caso contrário
  - Calcular **ResolutionIncrease** para os sub-quadrantes da imagem;

Figura I.30 - ResolutionIncrease.m

*Variáveis Internas:*

StateInNewResolution: imagem coma resolução 1x maior devolvida pela função;

imagem: imagem original;

n: resolução da imagem original;

w0: quadrante w0 da imagem original;  
w1: quadrante w1 da imagem original;  
w2: quadrante w2 da imagem original;  
w3: quadrante w3 da imagem original;

Figura I.31 - ResolutionIncrease.m

### 1.14 Função ResolutionReduction

Função que executa o *downsample* da imagem, diminuindo a sua resolução apenas 1 vez, utilizando a função *f* e os quadrantes da (sub)imagem. Função recursiva.

[Estado em resolução 1x menor] = Função ResolutionReduction(imagem)

- Se tamanho da imagem igual a 2
  - Calcular o valor da função *f* utilizando os quatro subquadrantes da imagem;
- Caso contrário
  - Calcular **ResolutionReduction** para os sub-quadrantes da imagem;

Figura I.32 - ResolutionReduction.m

*Variáveis Internas:*

StateInNewResolution: imagem coma resolução 1x menor devolvida pela função;

image: imagem original;

n: resolução da imagem original;

w0: quadrante w0 da imagem original;

w1: quadrante w1 da imagem original;

w2: quadrante w2 da imagem original;

w3: quadrante w3 da imagem original;

Figura I.33 - ResolutionReduction.m

### 1.15 Função psnr

Função que calcula o PSNR e o MSE entre duas imagens, e retorna esses dois valores.

[PSNR, MSE] = Função psnr(imagemDecodificada, imagemOriginal)

- inicializar variáveis **N**, com tamanho das imagens e **acc** com zero;
- Para cada posição das duas imagens
  - Calcular a diferença quadrática e somar a **acc**;

- **mse** = **acc**/(número de colunas\*número de linhas da imagem);
- Se **mse** = 0
  - **psnr** = 0;
- Caso contrário
  - **psnr** =  $10 \cdot \log_{10}(1/\text{mse})$ ;

Figura I.34 - PSNR.m

*Variáveis Internas:*

im1: imagem com resolução 1x menor devolvida pela função;  
im2: imagem original;  
mse: resolução da imagem original;  
psnr: quadrante w0 da imagem original;  
k1: posição da linha  
k2: posição da coluna  
acc: somatório do erro ao quadrado, pixel por pixel das imagens;

Figura I.35 - psnr.m



# Anexo II

## Códigos Fonte

Neste capítulo são exibidos todos os códigos fontes dos algoritmos implementados no Matlab que fazem parte da solução do codificador e decodificador WFA, desenvolvidos durante este projeto final.

### *II.1 EncodeWFAAndressaKalilProjetoFinal.m*

```
% Universidade Federal do Rio de Janeiro
% Escola Politécnica
% Departamento de Engenharia Eletrônica e de Computação
% Projeto Final
% Prof. Gelson
% Andressa Fortuna Kalil de Faria
% Weighted Finite Automata (WFA)
% Arquivo: EncodeWFAAndressaKalilProjetoFinal.m
% Última Alteração: 29/01/2009

function [] = EncodeWFAAndressaKalilProjetoFinal()

clear all

global fwMatrixTree maxlevel imDecWFA W I F state stateAddress WTemp imDecWFATemp G H addressFunc clock2
clock1

G=3;
while( G > 2)
    disp(' ');
    disp('Inserir gradiente de acuidade G. Valor deve ser menor que 2.');
```

disp('Insert G acuity gradient. Value has to be less than 2.');

disp('Quanto menor o gradiente menor a qualidade da imagem decodificada e menor o tempo de processamento.');

disp('Lower gradient means lower quality of decoded image and less time to process it.');

G = input('G = ');

end

H=3;

while( H > 2)

disp(' ');

disp('Inserir gradiente de acuidade H. Valor deve ser menor que 0,001.');

disp('Insert H acuity gradient. Value has to be less than 0,001.');

disp('Quanto maior o gradiente menor a qualidade da imagem decodificada e menor o tempo de processamento.');

disp('Greater gradient means lower quality of decoded image and less time to process it.');

H = input('H = ');

end

WL=3;

```

while ((WL ~= 1) & (WL ~= 0))
    disp(' ');
    disp('Deseja combinar a WFA com wavelet? Para resposta afirmativa selecione 1. Para resposta
negativa selecione 0,');
    disp('Do you want to combine the WFA with wavelet? If yes, select 1, If no, select 0,');
    WL = input('Wavelet = ');
    if (WL == 1)
        wnameOp = 0;
        while (wnameOp == 0)
            disp(' ');
            disp('Qual função wavelet deseja utilizar? Os nomes das famílias wavelets são:');
            disp('Which function of wavelet family do you ant ot use? Wavelet family names are:');
            disp(' ');
            disp('Haar, Symlets, BiorSplines, ReverseBior');
            wname = input('Wavelet family = ', 's');
            switch lower(wname)
                case {'haar'}
                    wname = 'haar'; wnameOp = 1;
                case {'symlets','sym'}
                    wname = 'sym'; wnameOp = 1;
                case {'biorsplines','bior'}
                    wname = 'bior'; wnameOp = 1;
                case {'reversebior','rbio'}
                    wname = 'rbio'; wnameOp = 1;
            otherwise
                wnameOp = 0;
            end
        end
    end
end

disp(' ');
disp('Por favor, escolha a imagem:');
disp('Please, choose a image:');
ls *.bmp
imageName = input('imageName = ', 's');

%%%%%%%%%%%%%%%%%%%%%%%%%%%%%%%%%%%%%%%%%%%%%%%%%%%%%%%%%%%%%%%%%%%%%%%%
%%%%%%%%%%%%%%%%%%%%%%%%%%%%%%%%%%%%%%%%%%%%%%%%%%%%%%%%%%%%%%%%%%%%%%%%

RGB64 = double(imread(imageName))/255;
InputImage = rgb2gray(RGB64);

figure ('Name','Input Image Gray'), imshow(InputImage);

if (WL == 1)
    [cA, cH, cV, cD]=dwt2(InputImage,'haar');
    InputImage = [cA cH; cV cD];
    figure ('Name','Wavelet'), imshow(InputImage);
end

[line, column] = size(InputImage);

%Checking prerequisites
if column ~= line
    disp(' ');
    disp('Error: The image has to be a square.');
```

```

elseif line < 2
    disp(' ');
    disp('Error: The image has to have as a minimum dimention 2.');
```

disp('A imagem deve ter a dimensão mínima de 2.');

```

    exit;
elseif (isinteger(log2(line)))
    disp(' ');
    disp('Error: The image has to be a dimenstion of 2^n.');
```

disp('Erro: A imagem deve ter a dimensão de 2^n.');

```

    exit;
end

[W, F, I] = codeWFA(InputImage);

if (WL == 0)
    filename = strcat(imageName, '-G_' , num2str(G), '-H', num2str(H), '_', addressFunc, '.wfa')
else
    filename = strcat(imageName, '-withWavelet_', wname, '-G_' , num2str(G), '-H', num2str(H), '_',
addressFunc, '.wfa')
end

save (filename, 'I', 'F', 'W');

disp(' ');
disp('WFA salva como:');
disp('WFA saved as:');

filename

disp(' ');
disp('Quantity of time that was needed to encode just the WFA part.');
```

timeTemp = clock2-clock1;

timeInSec = timeTemp(6) + timeTemp(5)\*60 + timeTemp(4)\*60\*60 + timeTemp(3)\*24\*60\*60

```

whos
```

**Figura II.1 - EncodeAndressaKalilProjetoFinal.m**

## ***II.2 DecodeWFAAndressaKalilProjetoFinal.m***

```

% Universidade Federal do Rio de Janeiro
% Escola Politécnica
% Departamento de Engenharia Eletrônica e de Computação
% Projeto Final
% Prof. Gelson
% Andressa Fortuna Kalil de Faria
% Weighted Finite Automata (WFA)
% Arquivo: DecodeWFAAndressaKalilProjetoFinal.m
% Última Alteração: 29/01/2009

function [] = DecodeWFAAndressaKalilProjetoFinal()

clear all
global fwMatrixTree maxlevel imDecWFA W I F state stateAddress WTemp imDecWFATemp G

disp(' ');
disp('Por favor, escolha a imagem em WFA:');
disp('Please, choose a image as WFA:');
ls *.wfa
wfaName = input('wfaName = ', 's');
```

```

load ('-mat', wfaName);

disp(' ');
disp('Decoding image...');
disp('Decodificando a imagem...');

imDecWFA = [];

resolution = 3;
while((log2(resolution) - round(log2(resolution))) ~= 0)
    disp(' ');
    disp('Qual resolução você deseja que a imagem seja decodificada? A resolução da imagem original
é:');
    disp('What is the resolution do you want the image to be decoded? The resolution of the input
image is:');
    disp(2^(maxlevel-1));
    disp('Lembrando... A resolução deve ser potência de 2. ');
    disp('Remember... The resolution must be a power of 2. ');
    resolution = input('resolution = ');
end

clock1 = clock;
[null1, null2, null3, null4] = DecodeWFA([], 0, I, F, W, resolution);
clock2 = clock;

WL=3;
while ((WL ~= 1) & (WL ~= 0))
    disp(' ');
    disp('A WFA esté combinada com wavelet? Para resposta afirmativa selecione 1. Para resposta negativa
selecione 0,');
    disp('Is the WFA combined with wavelet? If yes, select 1, If no, select 0,');
    WL = input('Wavelet = ');
    if (WL == 1)
        wnameOp = 0;
        while (wnameOp == 0)
            disp(' ');
            disp('Qual função wavelet deseja utilizar? Os nomes das famílias wavelets são:');
            disp('Which function of wavelet family do you ant ot use? Wavelet family names are:');
            disp(' ');
            disp('Haar, Symlets, BiorSplines, ReverseBior');
            wname = input('Wavelet family = ', 's');
            switch lower(wname)
                case {'haar'}
                    wname = 'haar'; wnameOp = 1;
                case {'symlets','sym', 'sym1'}
                    wname = 'sym'; wnameOp = 1;
                case {'biorsplines','bior'}
                    wname = 'bior'; wnameOp = 1;
                case {'reversebior','rbio'}
                    wname = 'rbio'; wnameOp = 1;
            otherwise
                wnameOp = 0;
            end
        end
    end
end

end

if (WL == 1)

```

```

n=length(imDecWFA)
cA=imDecWFA(1:n/2,1:n/2);
cH=imDecWFA(1:n/2,n/2+1:n);
cV=imDecWFA(n/2+1:n,1:n/2);
cD=imDecWFA(n/2+1:n,n/2+1:n);
V = idwt2(cA, cH, cV, cD,wname);
imDecWFA = V;
figure ('Name','Output Image: wavelet'), imshow(imDecWFA);
end

figure ('Name','Output Image: Decoded WFA'), imshow(imDecWFA);

disp(' ');
disp('Por favor, escolha a imagem original para análise:');
disp('Please, choose a image to compare results:');
ls *.bmp
imageName = input('imageName = ', 's');

%%%%%%%%%%%%%%%%%%%%%%%%%%%%%%%%%%%%%%%%%%%%%%%%%%%%%%%%%%%%%%%%%%%%%%%%
%%%%%%%%%%%%%%%%%%%%%%%%%%%%%%%%%%%%%%%%%%%%%%%%%%%%%%%%%%%%%%%%%%%%%%%%

RGB64 = double(imread(imageName))/255;
InputImage = imresize(rgb2gray(RGB64),length(imDecWFA)/length(rgb2gray(RGB64)));
figure ('Name','Input Image Gray'), imshow(InputImage);

[mse,psnr_] = psnr(InputImage, imDecWFA);

disp(' ');
disp('Quantity of time that was needed to decode just the WFA part. ');
timeTemp = clock2-clock1;
timeInSec = timeTemp(6) + timeTemp(5)*60 + timeTemp(4)*60*60 + timeTemp(3)*24*60*60

psnr_
whos

```

**Figura II.2 - DecodeWFAAndressaKalilProjetoFinal.m**

### ***II.3 codeWFA.m***

```

% Universidade Federal do Rio de Janeiro
% Escola Politécnica
% Departamento de Engenharia Eletrônica e de Computação
% Projeto Final
% Prof. Gelson
% Andressa Fortuna Kalil de Faria
% Weighted Finite Automata (WFA)
% Arquivo: codeWFA.m
% Última Alteração: 25/01/2009

function [W, F, I] = codeWFA(InputImage)

global fwMatrixTree maxlevel imDecWFA globalStateNumber state stateAddress W I F H addressFunc clock1
clock2

n=length(InputImage);
maxlevel = log2(n)+1;
fwMatrixTree = (-1)*ones(maxlevel, n*n);

```

```

    numberOfInitialStates = 0;
    globalStateNumber=1;

    fw = ConstructingFwTreeMatrix (InputImage(1:n/2,1:n/2), InputImage(n/2+1:n,1:n/2),
InputImage(n/2+1:n,n/2+1:n), InputImage(1:n/2,n/2+1:n), [0]);
    costOfStatesLinearCombination = Inf;

    %disp(' ');
    %disp('How many initial states do you want to use?');
    %disp('Quantos estados iniciais você deseja utilizar?');
    %numberOfInitialStates = input('numberOfInitialStates = ');
    %if(~isinteger(numberOfInitialStates) | numberOfInitialStates < 0)
    %     disp('It is not a valid value, using:');
    %     disp('Valor inválido, utilizando:');
    %     numberOfInitialStates = uint16(numberOfInitialStates)
    %end

    addressFunc = 'af0';
    while addressFunc == 'af0'
        disp(' ');
        disp('Qual função de endereçamento você quer utilizar? AF1, AF2, AF3, AF4 ou AF5? Para
maiores informações consulte a monografia. ');
        disp('What is the addressing function you want to use? AF1, AF2, AF3 AF4 or AF5? For more
information consult the monography. ');
        addressFunc = lower(input('AddressFunction = ', 's'));
        switch addressFunc
            case {'af1'}
                disp(' ');
                disp('Coding image with AF1... ');
                disp('Codificando a imagem com AF1... ');
                clock1 = clock;
                [cost] = addressFunc1(InputImage, [], numberOfInitialStates);
                clock2 = clock;
            case {'af2'}
                disp(' ');
                disp('Coding image with AF2... ');
                disp('Codificando a imagem com AF2... ');
                clock1 = clock;
                [cost] = addressFunc2(InputImage, [], numberOfInitialStates);
                clock2 = clock;
            case {'af3'}
                disp(' ');
                disp('Coding image with AF3... ');
                disp('Codificando a imagem com AF3... ');
                clock1 = clock;
                [cost] = addressFunc3(InputImage, [], numberOfInitialStates);
                clock2 = clock;
            case {'af4'}
                disp(' ');
                disp('Coding image with AF4... ');
                disp('Codificando a imagem com AF4... ');
                clock1 = clock;
                [cost] = addressFunc4(InputImage, [], numberOfInitialStates);
                clock2 = clock;
            case {'af5'}
                disp(' ');
                disp('Coding image with AF5... ');
                disp('Codificando a imagem com AF5... ');
                clock1 = clock;

```

```

        [cost] = addressFunc5(InputImage, [], numberOfInitialStates);
        clock2 = clock;
    otherwise
        addressFunc = 'af0';
    end
end
end

```

**Figura II.3 - codeWFA.m**

## ***II.4 ConstructingFwTreeMatrix.m***

```

function [fw] = ConstructingFwTreeMatrix (w0, w1, w2, w3, address)
global fwMatrixTree maxlevel
    n = length(w0);
    if (n == 1)
        fw0=w0;
        fw1=w1;
        fw2=w2;
        fw3=w3;
    else
        level = log2(n);
        fw0 = ConstructingFwTreeMatrix (w0(1:n/2,1:n/2), w0((n/2+1):n,1:n/2),
w0((n/2+1):n,(n/2+1):n), w0(1:n/2,(n/2+1):n), [address 0]);
        fw1 = ConstructingFwTreeMatrix (w1(1:n/2,1:n/2), w1((n/2+1):n,1:n/2),
w1((n/2+1):n,(n/2+1):n), w1(1:n/2,(n/2+1):n), [address 1]);
        fw2 = ConstructingFwTreeMatrix (w2(1:n/2,1:n/2), w2((n/2+1):n,1:n/2),
w2((n/2+1):n,(n/2+1):n), w2(1:n/2,(n/2+1):n), [address 2]);
        fw3 = ConstructingFwTreeMatrix (w3(1:n/2,1:n/2), w3((n/2+1):n,1:n/2),
w3((n/2+1):n,(n/2+1):n), w3(1:n/2,(n/2+1):n), [address 3]);
    end
    level=length(address);
    column = 0;
    for i=1:1:level
        column = 4*column + address(i);
    end
    fwMatrixTree(level, column+1) = (fw0 + fw1 + fw2 + fw3)/4;
    if level == (maxlevel-1)
        fwMatrixTree((level+1), (column*4+1):(column*4 + 4)) = [fw0 fw1 fw2 fw3];
    end
    fw = fwMatrixTree(level, column+1);
end

```

**Figura II.4 - ConstructingFwTreeMatrix.m**

## ***II.5 AddressFunc1.m***

```

function [cost] = addressFunc1(stateImage, address, numberOfInitialStates)

global globalStateNumber state stateAddress fwMatrixTree maxlevel H G F I W statesAsLevelInColumns
costOfStatesLinearCombination InitialStatesInColumnsSize
    cost = WfaEncodeOrNewState (stateImage, address, numberOfInitialStates);
    %address
    if (length(address)<(maxlevel-2))
        addressRes=addressFunc1(stateImage, [address 0], numberOfInitialStates);
        addressRes=addressFunc1(stateImage, [address 1], numberOfInitialStates);
        addressRes=addressFunc1(stateImage, [address 2], numberOfInitialStates);
    end

```

```

        addressRes=addressFunc1(stateImage, [address 3], numberOfInitialStates);
    end
end

```

**Figura II.5 - AddressFunc1.m**

## ***II.6 AddressFunc2.m***

```

function [cost] = addressFunc2(stateImage, address, numberOfInitialStates)

global globalStateNumber state stateAddress fwMatrixTree maxlevel H G F I W statesAsLevelInColumns
costOfStatesLinearCombination InitialStatesInColumnsSize

    cost = Inf;
    if (length(address)==0)
        %address
        cost = WfaEncodeOrNewState (stateImage, address, numberOfInitialStates);
        addressRes=addressFunc2(stateImage, [address 0], numberOfInitialStates);
        addressRes=addressFunc2(stateImage, [address 1], numberOfInitialStates);
        addressRes=addressFunc2(stateImage, [address 2], numberOfInitialStates);
        addressRes=addressFunc2(stateImage, [address 3], numberOfInitialStates);
    elseif (length(address)<(maxlevel-1))
        addressRes=addressFunc2(stateImage, [address 0], numberOfInitialStates);
        addressRes=addressFunc2(stateImage, [address 1], numberOfInitialStates);
        addressRes=addressFunc2(stateImage, [address 2], numberOfInitialStates);
        addressRes=addressFunc2(stateImage, [address 3], numberOfInitialStates);
        %address
        cost = WfaEncodeOrNewState (stateImage, address, numberOfInitialStates);
    end
end

```

**Figura II.6 - AddressFunc2.m**

## ***II.7 AddressFunc3.m***

```

function [cost] = addressFunc3(stateImage, address, numberOfInitialStates)

global globalStateNumber state stateAddress fwMatrixTree maxlevel H G F I W statesAsLevelInColumns
costOfStatesLinearCombination InitialStatesInColumnsSize
    %address
    cost = WfaEncodeOrNewState (stateImage, address, numberOfInitialStates);
    if (length(address)<(maxlevel-2))
        addressRes=addressFunc3(stateImage, [0 address], numberOfInitialStates);
        addressRes=addressFunc3(stateImage, [1 address], numberOfInitialStates);
        addressRes=addressFunc3(stateImage, [2 address], numberOfInitialStates);
        addressRes=addressFunc3(stateImage, [3 address], numberOfInitialStates);
    end
end

```

**Figura II.7 - AddressFunc3.m**

## ***II.8 AddressFunc4.m***

```

function [cost] = addressFunc4(stateImage, address, numberOfInitialStates)

global globalStateNumber state stateAddress fwMatrixTree maxlevel H G F I W statesAsLevelInColumns

```



```

costOfStatesLinearCombination InitialStatesInColumnsSize
    %address=[]
    cost = WfaEncodeOrNewState (stateImage, [], numberOfInitialStates);
    cellArray = getCellArrayAddressFunc([]);
    for a=1:1:(length(cellArray)-1)
        [line,column] = size(cellArray{a});
        for i=1:1:line
            address=cellArray{a}(i,:);
            cost = WfaEncodeOrNewState (stateImage, address, numberOfInitialStates);
        end
    end
end
end

```

**Figura II.8 - AddressFunc4.m**

## ***II.9 AddressFunc5.m***

```

function [cost] = addressFunc5(stateImage, address, numberOfInitialStates)

global globalStateNumber state stateAddress fwMatrixTree maxlevel H G F I W statesAsLevelInColumns
costOfStatesLinearCombination InitialStatesInColumnsSize
    %address = []
    cost = WfaEncodeOrNewState (stateImage, [], numberOfInitialStates);
    cellArray = getCellArrayAddressFunc([]);
    for a=(length(cellArray)-1):-1:1
        [line,column] = size(cellArray{a});
        for i=line:-1:1
            address=cellArray{a}(i,:);
            cost = WfaEncodeOrNewState (stateImage, address, numberOfInitialStates);
        end
    end
end
end

```

**Figura II.9 - AddressFunc5.m**

## ***II.10 getCellArrayAddressFunc.m***

```

function [CellArrayAddress] = getCellArrayAddressFunc(address)

global maxlevel CellArrayAddress

    if(length(address) == 0)
        for i=1:1:(maxlevel-1)
            CellArrayAddress{i}=-1*ones(1,i);
        end
    else
        [line, column] = size(CellArrayAddress{length(address)});
        if (CellArrayAddress{length(address)}(line,1) == -1)
            CellArrayAddress{length(address)}(line,:)=address;
        else
            CellArrayAddress{length(address)}(line+1,:)=address;
        end
    end
end
if (length(address)<(maxlevel-1))
    CellArrayAddress=getCellArrayAddressFunc([address 0]);
    CellArrayAddress=getCellArrayAddressFunc([address 1]);
    CellArrayAddress=getCellArrayAddressFunc([address 2]);
end

```

```

        CellArrayAddress=getCellArrayAddressFunc([address 3]);
    end
end

```

**Figura II.10 - getCellArrayAddressFunc.m**

## ***II.11 WfaEncodeOrNewState.m***

```

% Departamento de Engenharia Eletrônica e de Computação
% Projeto Final
% Prof. Gelson
% Andressa Fortuna Kalil de Faria
% Weighted Finite Automata (WFA)
% Arquivo: newStateOrWfaEncode_updown.m
% Última Alteração: 19/12/2009

function [cost] = WfaEncodeOrNewState (stateImage, address, numberOfInitialStates)

global globalStateNumber state stateAddress fwMatrixTree maxlevel H G F I W statesAsLevelInColumns
costOfStatesLinearCombination InitialStatesInColumnsSize imDecWFATemp

% Iniciando variáveis

    costOfNewState = 0;
    cost = Inf;
    noNeedToGoFurther = 0;

    %Se level 0, fazer estado da imagem inteira...
    if(length(address) == 0)
        [F, I, statesAsLevelInColumns, InitialStatesInColumnsSize] =
InitialStates(numberOfInitialStates, 2^((maxlevel-1)*G));
        globalStateNumber=1;
        stateAddress{globalStateNumber} = address;
        W{1} = zeros(globalStateNumber,
numberOfInitialStates+globalStateNumber);
        W{2} = zeros(globalStateNumber,
numberOfInitialStates+globalStateNumber);
        W{3} = zeros(globalStateNumber,
numberOfInitialStates+globalStateNumber);
        W{4} = zeros(globalStateNumber,
numberOfInitialStates+globalStateNumber);
        statesAsLevelInColumns (:,
numberOfInitialStates+globalStateNumber) = getImageAsLevelInFwTree([], 2^((maxlevel-1)*G));
        size=2^((maxlevel-1)*G);
        for k =1:1:numberOfInitialStates
            NewLineInW0Matrix =
pinv(statesAsLevelInColumns)*InitialStatesInColumnsSize(1:size*size,k);
            NewLineInW1Matrix =
pinv(statesAsLevelInColumns)*InitialStatesInColumnsSize(size*size+1:2*size*size,k);
            NewLineInW2Matrix =
pinv(statesAsLevelInColumns)*InitialStatesInColumnsSize(2*size*size+1:3*size*size,k);
            NewLineInW3Matrix =
pinv(statesAsLevelInColumns)*InitialStatesInColumnsSize(3*size*size+1:4*size*size,k);
            W{1}(k,:) = NewLineInW0Matrix;
            W{2}(k,:) = NewLineInW1Matrix;
            W{3}(k,:) = NewLineInW2Matrix;
            W{4}(k,:) = NewLineInW3Matrix;
        end
    end
end

```

```

NewLineInW0Matrix =
pinv(statesAsLevelInColumns)*getImageAsLevelInFwTree([0], 2^((maxlevel-1)*G));
NewLineInW1Matrix =
pinv(statesAsLevelInColumns)*getImageAsLevelInFwTree([1], 2^((maxlevel-1)*G));
NewLineInW2Matrix =
pinv(statesAsLevelInColumns)*getImageAsLevelInFwTree([2], 2^((maxlevel-1)*G));
NewLineInW3Matrix =
pinv(statesAsLevelInColumns)*getImageAsLevelInFwTree([3], 2^((maxlevel-1)*G));
W{1}(globalStateNumber,:) = NewLineInW0Matrix;
W{2}(globalStateNumber,:) = NewLineInW1Matrix;
W{3}(globalStateNumber,:) = NewLineInW2Matrix;
W{4}(globalStateNumber,:) = NewLineInW3Matrix;

globalStateNumber=globalStateNumber+1;
I = [I 1];
F = [F GetFwTreeMatrixValue([])];
imDecWFATemp = [];
[null1, null2, null3, null4] = decodeTestWFA([], 0, I, F, W,
(2^(maxlevel-1)));

[mseOfNewState, psnrOfNewState] = psnr(stateImage, imDecWFATemp);
whosVariable = whos('W');
numberOfBytes = whosVariable.bytes;
whosVariable = whos('I');
numberOfBytes = numberOfBytes + whosVariable.bytes;
whosVariable = whos('F');
numberOfBytes = numberOfBytes + whosVariable.bytes;
ErrorNewState = (length(stateImage)^2)*mseOfNewState;
costOfStatesLinearCombination = ErrorNewState + numberOfBytes*8*H;
cost=costOfStatesLinearCombination;

else
stateAddress{globalStateNumber} = address;
%stateAddress{globalStateNumber}
if (GetFwTreeMatrixValue(address(1:(length(address)-
1)))==GetFwTreeMatrixValue([address(1:(length(address)-1)) 0]))
if (GetFwTreeMatrixValue(address(1:(length(address)-
1)))==GetFwTreeMatrixValue([address(1:(length(address)-1)) 1]))
if (GetFwTreeMatrixValue(address(1:(length(address)-
1)))==GetFwTreeMatrixValue([address(1:(length(address)-1)) 2]))
if (GetFwTreeMatrixValue(address(1:(length(address)-
1)))==GetFwTreeMatrixValue([address(1:(length(address)-1)) 3]))
noNeedToGoFurther = 1;

end
end
end
end

if (noNeedToGoFurther == 0)

statesAsLevelInColumns(:, numberOfInitialStates+globalStateNumber) =
getImageAsLevelInFwTree(stateAddress{globalStateNumber}, 2^((maxlevel-1)*G));
WTemp{1} = zeros(globalStateNumber,
numberOfInitialStates+globalStateNumber);
WTemp{2} = zeros(globalStateNumber,
numberOfInitialStates+globalStateNumber);
WTemp{3} = zeros(globalStateNumber,
numberOfInitialStates+globalStateNumber);
WTemp{4} = zeros(globalStateNumber,
numberOfInitialStates+globalStateNumber);

```

```

        size=2^((maxlevel-1)*G);

        for k =1:1:numberOfInitialStates
            NewLineInW0Matrix =
pinv(statesAsLevelInColumns)*InitialStatesInColumnsSize(1:size*size,k);
            NewLineInW1Matrix =
pinv(statesAsLevelInColumns)*InitialStatesInColumnsSize(size*size+1:2*size*size,k);
            NewLineInW2Matrix =
pinv(statesAsLevelInColumns)*InitialStatesInColumnsSize(2*size*size+1:3*size*size,k);
            NewLineInW3Matrix =
pinv(statesAsLevelInColumns)*InitialStatesInColumnsSize(3*size*size+1:4*size*size,k);
            WTemp{1}(k,:) = NewLineInW0Matrix;
            WTemp{2}(k,:) = NewLineInW1Matrix;
            WTemp{3}(k,:) = NewLineInW2Matrix;
            WTemp{4}(k,:) = NewLineInW3Matrix;
        end
        for stateLineNumber=1:1:globalStateNumber
            NewLineInW0Matrix =
pinv(statesAsLevelInColumns)*getImageAsLevelInFwTree([stateAddress{stateLineNumber} 0], 2^((maxlevel-
1)*G));
            NewLineInW1Matrix =
pinv(statesAsLevelInColumns)*getImageAsLevelInFwTree([stateAddress{stateLineNumber} 1], 2^((maxlevel-
1)*G));
            NewLineInW2Matrix =
pinv(statesAsLevelInColumns)*getImageAsLevelInFwTree([stateAddress{stateLineNumber} 2], 2^((maxlevel-
1)*G));
            NewLineInW3Matrix =
pinv(statesAsLevelInColumns)*getImageAsLevelInFwTree([stateAddress{stateLineNumber} 3], 2^((maxlevel-
1)*G));
            WTemp{1}(numberOfInitialStates+stateLineNumber,:) =
NewLineInW0Matrix;
            WTemp{2}(numberOfInitialStates+stateLineNumber,:) =
NewLineInW1Matrix;
            WTemp{3}(numberOfInitialStates+stateLineNumber,:) =
NewLineInW2Matrix;
            WTemp{4}(numberOfInitialStates+stateLineNumber,:) =
NewLineInW3Matrix;
        end
        % Calculando o custo do estado novo
        imDecWFATemp = [];
        I = [I 0];
        F = [F
GetFwTreeMatrixValue(stateAddress{globalStateNumber})];
        [null1, null2, null3, null4] = decodeTestWFA([], 0, I, F,
WTemp, (2^(maxlevel-1)));
        %imshow(imDecWFATemp)
        [mseOfNewState, psnrOfNewState] = psnr(stateImage,
imDecWFATemp);

        whosVariable = whos('WTemp');
        numberOfBytes = whosVariable.bytes;
        whosVariable = whos('I');
        numberOfBytes = numberOfBytes + whosVariable.bytes;
        whosVariable = whos('F');
        numberOfBytes = numberOfBytes + whosVariable.bytes;

        ErrorNewState = (length(stateImage)^2)*mseOfNewState;
        costOfNewState = ErrorNewState + numberOfBytes*8*H;
        %costOfStatesLinearCombination

```

```

%%%%%%%%%%%%%%%%%%%%%%%%%%%%%%%%%%%%%%%%%%%%%%%%%%%%%%%%%%%%%%%%%%%%%%%%
%%
%% Dependendo do custo...

        if (costOfNewState < costOfStatesLinearCombination)

            % Caso novo estado... recalculando matrizes W
            W = WTemp;
            cost = costOfNewState;
            globalStateNumber=globalStateNumber+1;
            costOfStatesLinearCombination = costOfNewState;

        else

            % Caso combinação linear:
            cost = costOfStatesLinearCombination;
            stateAddress{globalStateNumber} = [-1];
            state{globalStateNumber} = [];
            F = F(1:(length(F)-1));
            I = I(1:(length(I)-1));

        end

    end

end
end

```

Figura II.11 - WfaEncodeOrNewState.m

## II.12 getImageAsLevelInFwTree.m

```

function [imageAsLevel] = getImageAsLevelInFwTree (address, numberOfPixels)
global fwMatrixTree maxlevel

    additionalLevels = log2(numberOfPixels);
    if (additionalLevels > 0)
        addressN = address;
        for a=1:1:additionalLevels % vai pegar a partir do endereço e vai descer até a resolução
desejada
            addressN = [addressN 0];
        end;
        additionalLevelsAux = 0;
        level = length(addressN); % nível com o endereço mais a resolução desejada
        if level < maxlevel % Tem que ser menor para poder pegar os 4 valores de w
            column = 0;
            for i=1:1:level
                column = 4*column + addressN(i);
            end
            imageAsLevel = fwMatrixTree(level+1, (column+1) : (column) + numberOfPixels^2);
        else % caso o nível seja maior ou igual ao nível máximo da imagem...
            column = 0;
            additionalLevelsAux = level - (maxlevel - 1);
            for i=1:1:maxlevel - 1
                column = 4*column + addressN(i);
            end
            imageAsLevel = fwMatrixTree(maxlevel, (column+1) : column + 2^(2*((maxlevel-1) -
length(address))));
            imageAsLevelAux = imageAsLevel;
            aux = length(imageAsLevelAux);
            for i=1:1:aux
                imageAsLevel(((i-1)*(2^(2*additionalLevelsAux))+1):(i-
1)*(2^(2*additionalLevelsAux))+2^(2*additionalLevelsAux)) = imageAsLevelAux(i);
            end
        end
    end

```

```

                                end
    end
    else
        imageAsLevel = GetFwTreeMatrixValue (address);
    end
end

```

**Figura II.12 - getImageAsLevelInFwTree**

### ***II.13 GetFwTreeMatrixValue.m***

```

function [fw] = GetFwTreeMatrixValue (address)
global fwMatrixTree

    level = length(address)+1;

    column = 0;
    for i=1:1:(level-1)
        column = 4*column + address(i);
    end
    fw = fwMatrixTree(level, column+1);
end

```

**Figura II.13 - GetFwTreeMatrixValue.m**

### ***II.14 DecodeWFA.m***

```

% Universidade Federal do Rio de Janeiro
% Escola Politécnica
% Departamento de Engenharia Eletrônica e de Computação
% Projeto Final
% Prof. Gelson
% Andressa Fortuna Kalil de Faria
% Weighted Finite Automata (WFA)
% Arquivo: DecodeWFA.m
% Última Alteração: 25/01/2009

function [address0, address1, address2, address3] = DecodeWFA(address, level, I, F, W, n)

global imDecWFA

    column = 0;
    line = 0;

    if (length(I) == 1)
        imDecWFA(1:(n/2),1:(n/2)) = I*W{1}*F;
        imDecWFA((n/2+1):n,1:(n/2)) = I*W{2}*F;
        imDecWFA((n/2+1):n,(n/2+1):n) = I*W{3}*F;
        imDecWFA(1:(n/2),(n/2+1):n) = I*W{4}*F;
    else
        if (level+1 <= log2(n))
            address0 = DecodeWFA([address 0], level+1, I, F, W, n);
            address1 = DecodeWFA([address 1], level+1, I, F, W, n);
            address2 = DecodeWFA([address 2], level+1, I, F, W, n);
            address3 = DecodeWFA([address 3], level+1, I, F, W, n);
        end

        % Colocando o endereço na posição em dimensão 2x2...
    end

```

```

        for i = 1:1:level
            if (address(i) == 1 | address(i) == 2)
                line = 2^(log2(n)-i) + line;
            end
            if (address(i) == 2 | address(i) == 3)
                column = 2^(log2(n)-i) + column;
            end
        end

        if length(address) == (log2(n))
            calculatingWFA = 1;
            for i = 1:1:length(address)
                calculatingWFA = calculatingWFA*W{address(i)+1};
            end
            imDecWFA(line+1, column+1) = I * calculatingWFA * F';
        end
    end
end
address0 = address;
address1 = address;
address2 = address;
address3 = address;

```

**Figura II.14 - DecodeWFA.m**

### ***II.15 decodeTestWFA.m***

```

% Universidade Federal do Rio de Janeiro
% Escola Politécnica
% Departamento de Engenharia Eletrônica e de Computação
% Projeto Final
% Prof. Gelson
% Andressa Fortuna Kalil de Faria
% Weighted Finite Automata (WFA)
% Arquivo: decodeTestWFA.m
% Última Alteração: 25/01/2009

function [address0, address1, address2, address3] = decodeTestWFA(address, level, I, F, n)

global imDecWFATemp WTemp

    column = 0;
    line = 0;

    if (level+1 <= log2(n))
        address0 = decodeTestWFA([address 0], level+1, I, F, n);
        address1 = decodeTestWFA([address 1], level+1, I, F, n);
        address2 = decodeTestWFA([address 2], level+1, I, F, n);
        address3 = decodeTestWFA([address 3], level+1, I, F, n);
    end

% Colocando o endereço na posição em dimensão 2x2...
    for i = 1:1:level
        if (address(i) == 1 | address(i) == 2)
            line = 2^(log2(n)-i) + line;
        end
        if (address(i) == 2 | address(i) == 3)
            column = 2^(log2(n)-i) + column;
        end
    end

```

```

        end
    end

    if length(address) == (log2(n))
        calculatingWFA = 1;
        for i = 1:1:length(address)
            calculatingWFA = calculatingWFA*(WTemp{address(i)+1});
        end
        imDecWFATemp(line+1, column+1) = I * calculatingWFA * F';
    end

    address0 = address;
    address1 = address;
    address2 = address;
    address3 = address;

```

**Figura II.15 - decodeTestWFA.m**

### ***II.16 ResolutionIncrease.m***

```

function [StateInNewResolution] = ResolutionIncrease(image)

    n = length(image);

    if(n==1)
        StateInNewResolution = [image image; image image];
    else
        w0 = ResolutionIncrease(image(1:(n/2),1:(n/2)));
        w1 = ResolutionIncrease(image((n/2+1):n,1:(n/2)));
        w2 = ResolutionIncrease(image((n/2+1):n,(n/2+1):n));
        w3 = ResolutionIncrease(image(1:(n/2),(n/2+1):n));
        StateInNewResolution = [w0 w3; w1 w2];
    end;

end

```

**Figura II.16 - ResolutionIncrease.m**

### ***II.17 ResolutionReduction.m***

```

function [StateInNewResolution] = ResolutionReduction(image)

    n = length(image);

    if(n == 2)
        w0 = image(1:(n/2),1:(n/2));
        w1 = image((n/2+1):n,1:(n/2));
        w2 = image((n/2+1):n,(n/2+1):n);
        w3 = image(1:(n/2),(n/2+1):n);
        StateInNewResolution = (w0 + w1 + w2 + w3)/4;
    else
        w0 = ResolutionReduction(image(1:(n/2),1:(n/2)));
        w1 = ResolutionReduction(image((n/2+1):n,1:(n/2)));
        w2 = ResolutionReduction(image((n/2+1):n,(n/2+1):n));
        w3 = ResolutionReduction(image(1:(n/2),(n/2+1):n));
        StateInNewResolution = [w0 w3; w1 w2];
    end

end

```

**Figura II.17 - ResolutionReduction.m**



## II.18 *psnr.m*

```
% Universidade Federal do Rio de Janeiro
% Escola Politécnica
% Departamento de Engenharia Eletrônica e de Computação
% Projeto Final
% Prof. Gelson
% Andressa Fortuna Kalil de Faria
% Weighted Finite Automata (WFA)
% Arquivo: psnr.m
% Última Alteração: 18/02/2009

% im1 - Original image
% im2 - reconstructed image
% mse - Mean Square Error
% psnr - Peak Signal to Noise Ratio

function [mse,psnr] = mse_psnr(im1,im2)

N = size(im1);
acc = 0;

for k1=1:N(1)
    for k2=1:N(2)
        acc = acc+ ( im1(k1,k2) - im2(k1,k2) )^2;
    end
end

mse = acc/(N(1)*N(2));
if (mse == 0)
    psnr = 0;
else
    psnr = 10*log10(1/mse);
end

end
```

Figura II.18 - *psnr.m*

# Anexo III

## Dados Coletados

A análise do algoritmo desenvolvido neste trabalho foi baseada em uma extensa lista de dados coletados, tanto para a codificação, quanto para a decodificação. Estes dados são apresentados neste anexo. Para a codificação, foram combinados diferentes valores de G, de H, da função de endereçamento e da função *wavelet*, visando, sempre, obter-se a maior compressão, representada por “%”. Já para a decodificação, cada WFA foi decodificada em diferentes resoluções, com o objetivo de sempre avaliar o índice de qualidade, medido neste trabalho pelo PSNR.

### III.1 Codificação

Tabela III.1 – Legenda das tabelas da coleta de dados para codificação

| Legenda        | Significado  |
|----------------|--|
| Img            | Nome do arquivo da imagem original   |
| Img codificada | Nome do arquivo de saída da imagem codificada  |
| Wlet           | Tipo de wavelet utilizado na codificação, quando aplicável                             |
| AF             | Tipo de endereçamento: af1, af2, af3, af4, af5   |
| G              | Valor de G utilizado   |
| H              | Valor de H utilizado   |
| IBytes         | Número de bytes da imagem de entrada   |
| GSBytes        | Número de bytes da imagem de entrada em escala de cinza                                |
| WletBy         | Número de bytes da imagem de entrada quando já codificada em Wavelets                  |
| #Stes          | Número de estados da codificação WFA   |
| Wby            | Número de bytes da matriz W  |
| Iby            | Número de bytes da matriz I  |
| FBy            | Número de bytes da matriz F  |
| Time           | Tempo em segundos que a codificação foi feita  |
| Total          | Total de bytes da imagem codificada, que se dá somando, o número de bytes de W, I e F. |
| %              | Compressão. Para que a imagem seja comprimida basta que % seja menor que 1.            |

Tabela III.2 – Codificação lena16.bmp em suas combinações

| Img        | Img codificada                                  | Wlet | AF  | G | H       | IBytes | GSByte | WletBy | #Stes | WBy   | IBy | FBy | Time  | Total | %        |
|------------|---|------|-----|---|---------|--------|--------|--------|-------|-------|-----|-----|-------|-------|----------|
| lena16.bmp | lena16.bmp-G_1-H1e-005_af1.wfa                  |      | af1 | 1 | 0.00001 | 6144   | 2048   |        | 19    | 11792 | 152 | 152 | 6.11  | 12096 | 5.90625  |
| lena16.bmp | lena16.bmp-withWavelet_haar-G_1-H1e-005_af1.wfa | haar | af1 | 1 | 0.00001 | 6144   | 2048   | 2048   | 18    | 10608 | 144 | 144 | 6.297 | 10896 | 5.320313 |

|            |   |         |     |      |         |      |      |      |    |       |     |     |       |       |          |
|------------|---|---------|-----|------|---------|------|------|------|----|-------|-----|-----|-------|-------|----------|
| lena16.bmp | lena16.bmp-withWavelet_rbio1.1-G_1-H1e-005_af1.wfa    | rbio1.1 | af1 | 1    | 0.00001 | 6144 | 2048 | 2048 | 18 | 10608 | 144 | 144 | 6.343 | 10896 | 5.320313 |
| lena16.bmp | lena16.bmp-withWavelet_sym1-G_1-H1e-005_af1.wfa       | sym1    | af1 | 1    | 0.00001 | 6144 | 2048 | 2048 | 18 | 10608 | 144 | 144 | 6.25  | 10896 | 5.320313 |
| lena16.bmp | lena16.bmp-withWavelet_bior1.1-G_1-H1e-005_af1.wfa    | bior1.1 | af1 | 1    | 0.00001 | 6144 | 2048 | 2048 | 18 | 10608 | 144 | 144 | 6.297 | 10896 | 5.320313 |
| lena16.bmp | lena16.bmp-G_1-H1e-005_af2.wfa                        |         | af2 | 1    | 0.00001 | 6144 | 2048 |      | 18 | 10608 | 144 | 144 | 5.172 | 10896 | 5.320313 |
| lena16.bmp | lena16.bmp-withWavelet_haar-G_1-H1e-005_af2.wfa       | haar    | af2 | 1    | 0.00001 | 6144 | 2048 | 2048 | 18 | 10608 | 144 | 144 | 4.969 | 10896 | 5.320313 |
| lena16.bmp | lena16.bmp-withWavelet_rbio1.1-G_1-H1e-005_af2.wfa    | rbio1.1 | af2 | 1    | 0.00001 | 6144 | 2048 | 2048 | 18 | 10608 | 144 | 144 | 4.953 | 10896 | 5.320313 |
| lena16.bmp | lena16.bmp-withWavelet_sym1-G_1-H1e-005_af2.wfa       | sym1    | af2 | 1    | 0.00001 | 6144 | 2048 | 2048 | 18 | 10608 | 144 | 144 | 4.906 | 10896 | 5.320313 |
| lena16.bmp | lena16.bmp-withWavelet_bior1.1-G_1-H1e-005_af2.wfa    | bior1.1 | af2 | 1    | 0.00001 | 6144 | 2048 | 2048 | 18 | 10608 | 144 | 144 | 5.032 | 10896 | 5.320313 |
| lena16.bmp | lena16.bmp-G_1-H1e-005_af3.wfa                        |         | af3 | 1    | 0.00001 | 6144 | 2048 |      | 19 | 11792 | 152 | 152 | 6.078 | 12096 | 5.90625  |
| lena16.bmp | lena16.bmp-withWavelet_haar-G_1-H1e-005_af3.wfa       | haar    | af3 | 1    | 0.00001 | 6144 | 2048 | 2048 | 21 | 14352 | 168 | 168 | 7.484 | 14688 | 7.171875 |
| lena16.bmp | lena16.bmp-withWavelet_rbio1.1-G_1-H1e-005_af3.wfa    | rbio1.1 | af3 | 1    | 0.00001 | 6144 | 2048 | 2048 | 21 | 14352 | 168 | 168 | 7.438 | 14688 | 7.171875 |
| lena16.bmp | lena16.bmp-withWavelet_sym1-G_1-H1e-005_af3.wfa       | sym1    | af3 | 1    | 0.00001 | 6144 | 2048 | 2048 | 21 | 14352 | 168 | 168 | 8.14  | 14688 | 7.171875 |
| lena16.bmp | lena16.bmp-withWavelet_bior1.1-G_1-H1e-005_af3.wfa    | bior1.1 | af3 | 1    | 0.00001 | 6144 | 2048 | 2048 | 21 | 14352 | 168 | 168 | 7.734 | 14688 | 7.171875 |
| lena16.bmp | lena16.bmp-G_1-H1e-005_af4.wfa                        |         | af4 | 1    | 0.00001 | 6144 | 2048 |      | 5  | 1040  | 40  | 40  | 2.156 | 1120  | 0.546875 |
| lena16.bmp | lena16.bmp-withWavelet_haar-G_1-H1e-005_af4.wfa       | haar    | af4 | 1    | 0.00001 | 6144 | 2048 | 2048 | 17 | 9488  | 136 | 136 | 7.437 | 9760  | 4.765625 |
| lena16.bmp | lena16.bmp-withWavelet_rbio1.1-G_1-H1e-005_af4.wfa    | rbio1.1 | af4 | 1    | 0.00001 | 6144 | 2048 | 2048 | 17 | 9488  | 136 | 136 | 7.453 | 9760  | 4.765625 |
| lena16.bmp | lena16.bmp-withWavelet_sym1-G_1-H1e-005_af4.wfa       | sym1    | af4 | 1    | 0.00001 | 6144 | 2048 | 2048 | 17 | 9488  | 136 | 136 | 7.407 | 9760  | 4.765625 |
| lena16.bmp | lena16.bmp-withWavelet_bior1.1-G_1-H1e-005_af4.wfa    | bior1.1 | af4 | 1    | 0.00001 | 6144 | 2048 | 2048 | 17 | 9488  | 136 | 136 | 7.156 | 9760  | 4.765625 |
| lena16.bmp | lena16.bmp-G_1-H1e-005_af5.wfa                        |         | af5 | 1    | 0.00001 | 6144 | 2048 |      | 18 | 10608 | 144 | 144 | 2.922 | 10896 | 5.320313 |
| lena16.bmp | lena16.bmp-withWavelet_haar-G_1-H1e-005_af5.wfa       | haar    | af5 | 1    | 0.00001 | 6144 | 2048 | 2048 | 18 | 10608 | 144 | 144 | 2.859 | 10896 | 5.320313 |
| lena16.bmp | lena16.bmp-withWavelet_rbio1.1-G_1-H1e-005_af5.wfa    | rbio1.1 | af5 | 1    | 0.00001 | 6144 | 2048 | 2048 | 18 | 10608 | 144 | 144 | 2.891 | 10896 | 5.320313 |
| lena16.bmp | lena16.bmp-withWavelet_sym1-G_1-H1e-005_af5.wfa       | sym1    | af5 | 1    | 0.00001 | 6144 | 2048 | 2048 | 18 | 10608 | 144 | 144 | 2.89  | 10896 | 5.320313 |
| lena16.bmp | lena16.bmp-withWavelet_bior1.1-G_1-H1e-005_af5.wfa    | bior1.1 | af5 | 1    | 0.00001 | 6144 | 2048 | 2048 | 18 | 10608 | 144 | 144 | 2.859 | 10896 | 5.320313 |
| lena16.bmp | lena16.bmp-G_0.75-H1e-005_af1.wfa                     |         | af1 | 0.75 | 0.00001 | 6144 | 2048 |      | 19 | 11792 | 152 | 152 | 4.171 | 12096 | 5.90625  |
| lena16.bmp | lena16.bmp-withWavelet_haar-G_0.75-H1e-005_af1.wfa    | haar    | af1 | 0.75 | 0.00001 | 6144 | 2048 | 2048 | 18 | 10608 | 144 | 144 | 4.375 | 10896 | 5.320313 |
| lena16.bmp | lena16.bmp-withWavelet_rbio1.1-G_0.75-H1e-005_af1.wfa | rbio1.1 | af1 | 0.75 | 0.00001 | 6144 | 2048 | 2048 | 18 | 10608 | 144 | 144 | 4.344 | 10896 | 5.320313 |
| lena16.bmp | lena16.bmp-withWavelet_sym1-G_0.75-H1e-005_af1.wfa    | sym1    | af1 | 0.75 | 0.00001 | 6144 | 2048 | 2048 | 18 | 10608 | 144 | 144 | 4.328 | 10896 | 5.320313 |
| lena16.bmp | lena16.bmp-withWavelet_bior1.1-G_0.75-H1e-005_af1.wfa | bior1.1 | af1 | 0.75 | 0.00001 | 6144 | 2048 | 2048 | 18 | 10608 | 144 | 144 | 4.391 | 10896 | 5.320313 |
| lena16.bmp | lena16.bmp-G_0.75-H1e-005_af2.wfa                     |         | af2 | 0.75 | 0.00001 | 6144 | 2048 |      | 17 | 9488  | 136 | 136 | 3.578 | 9760  | 4.765625 |
| lena16.bmp | lena16.bmp-withWavelet_haar-G_0.75-H1e-005_af2.wfa    | haar    | af2 | 0.75 | 0.00001 | 6144 | 2048 | 2048 | 18 | 10608 | 144 | 144 | 3.688 | 10896 | 5.320313 |
| lena16.bmp | lena16.bmp-withWavelet_rbio1.1-G_0.75-H1e-005_af2.wfa | rbio1.1 | af2 | 0.75 | 0.00001 | 6144 | 2048 | 2048 | 18 | 10608 | 144 | 144 | 4     | 10896 | 5.320313 |

|            |   |         |     |      |         |      |      |      |    |       |     |     |       |       |          |
|------------|---|---------|-----|------|---------|------|------|------|----|-------|-----|-----|-------|-------|----------|
| lena16.bmp | lena16.bmp-withWavelet_sym1-G_0.75-H1e-005_af2.wfa    | sym1    | af2 | 0.75 | 0.00001 | 6144 | 2048 | 2048 | 18 | 10608 | 144 | 144 | 3.687 | 10896 | 5.320313 |
| lena16.bmp | lena16.bmp-withWavelet_bior1.1-G_0.75-H1e-005_af2.wfa | bior1.1 | af2 | 0.75 | 0.00001 | 6144 | 2048 | 2048 | 18 | 10608 | 144 | 144 | 3.703 | 10896 | 5.320313 |
| lena16.bmp | lena16.bmp-G_0.75-H1e-005_af3.wfa                     |         | af3 | 0.75 | 0.00001 | 6144 | 2048 |      | 19 | 11792 | 152 | 152 | 4.11  | 12096 | 5.90625  |
| lena16.bmp | lena16.bmp-withWavelet_haar-G_0.75-H1e-005_af3.wfa    | haar    | af3 | 0.75 | 0.00001 | 6144 | 2048 | 2048 | 21 | 14352 | 168 | 168 | 4.969 | 14688 | 7.171875 |
| lena16.bmp | lena16.bmp-withWavelet_rbio1.1-G_0.75-H1e-005_af3.wfa | rbio1.1 | af3 | 0.75 | 0.00001 | 6144 | 2048 | 2048 | 21 | 14352 | 168 | 168 | 5.016 | 14688 | 7.171875 |
| lena16.bmp | lena16.bmp-withWavelet_sym1-G_0.75-H1e-005_af3.wfa    | sym1    | af3 | 0.75 | 0.00001 | 6144 | 2048 | 2048 | 21 | 14352 | 168 | 168 | 5.094 | 14688 | 7.171875 |
| lena16.bmp | lena16.bmp-withWavelet_bior1.1-G_0.75-H1e-005_af3.wfa | bior1.1 | af3 | 0.75 | 0.00001 | 6144 | 2048 | 2048 | 21 | 14352 | 168 | 168 | 5.031 | 14688 | 7.171875 |
| lena16.bmp | lena16.bmp-G_0.75-H1e-005_af4.wfa                     |         | af4 | 0.75 | 0.00001 | 6144 | 2048 |      | 5  | 1040  | 40  | 40  | 2.046 | 1120  | 0.546875 |
| lena16.bmp | lena16.bmp-withWavelet_haar-G_0.75-H1e-005_af4.wfa    | haar    | af4 | 0.75 | 0.00001 | 6144 | 2048 | 2048 | 17 | 9488  | 136 | 136 | 5.234 | 9760  | 4.765625 |
| lena16.bmp | lena16.bmp-withWavelet_rbio1.1-G_0.75-H1e-005_af4.wfa | rbio1.1 | af4 | 0.75 | 0.00001 | 6144 | 2048 | 2048 | 17 | 9488  | 136 | 136 | 5.125 | 9760  | 4.765625 |
| lena16.bmp | lena16.bmp-withWavelet_sym1-G_0.75-H1e-005_af4.wfa    | sym1    | af4 | 0.75 | 0.00001 | 6144 | 2048 | 2048 | 17 | 9488  | 136 | 136 | 5.109 | 9760  | 4.765625 |
| lena16.bmp | lena16.bmp-withWavelet_bior1.1-G_0.75-H1e-005_af4.wfa | bior1.1 | af4 | 0.75 | 0.00001 | 6144 | 2048 | 2048 | 17 | 9488  | 136 | 136 | 5.063 | 9760  | 4.765625 |
| lena16.bmp | lena16.bmp-G_0.75-H1e-005_af5.wfa                     |         | af5 | 0.75 | 0.00001 | 6144 | 2048 |      | 18 | 10608 | 144 | 144 | 2.359 | 10896 | 5.320313 |
| lena16.bmp | lena16.bmp-withWavelet_haar-G_0.75-H1e-005_af5.wfa    | haar    | af5 | 0.75 | 0.00001 | 6144 | 2048 | 2048 | 17 | 9488  | 136 | 136 | 2.485 | 9760  | 4.765625 |
| lena16.bmp | lena16.bmp-withWavelet_rbio1.1-G_0.75-H1e-005_af5.wfa | rbio1.1 | af5 | 0.75 | 0.00001 | 6144 | 2048 | 2048 | 17 | 9488  | 136 | 136 | 2.438 | 9760  | 4.765625 |
| lena16.bmp | lena16.bmp-withWavelet_sym1-G_0.75-H1e-005_af5.wfa    | sym1    | af5 | 0.75 | 0.00001 | 6144 | 2048 | 2048 | 17 | 9488  | 136 | 136 | 2.5   | 9760  | 4.765625 |
| lena16.bmp | lena16.bmp-withWavelet_bior1.1-G_0.75-H1e-005_af5.wfa | bior1.1 | af5 | 0.75 | 0.00001 | 6144 | 2048 | 2048 | 17 | 9488  | 136 | 136 | 2.391 | 9760  | 4.765625 |
| lena16.bmp | lena16.bmp-G_0.5-H1e-005_af1.wfa                      |         | af1 | 0.5  | 0.00001 | 6144 | 2048 |      | 14 | 6512  | 112 | 112 | 3.015 | 6736  | 3.289063 |
| lena16.bmp | lena16.bmp-withWavelet_haar-G_0.5-H1e-005_af1.wfa     | haar    | af1 | 0.5  | 0.00001 | 6144 | 2048 | 2048 | 17 | 9488  | 136 | 136 | 3.578 | 9760  | 4.765625 |
| lena16.bmp | lena16.bmp-withWavelet_rbio1.1-G_0.5-H1e-005_af1.wfa  | rbio1.1 | af1 | 0.5  | 0.00001 | 6144 | 2048 | 2048 | 17 | 9488  | 136 | 136 | 3.578 | 9760  | 4.765625 |
| lena16.bmp | lena16.bmp-withWavelet_sym1-G_0.5-H1e-005_af1.wfa     | sym1    | af1 | 0.5  | 0.00001 | 6144 | 2048 | 2048 | 17 | 9488  | 136 | 136 | 3.625 | 9760  | 4.765625 |
| lena16.bmp | lena16.bmp-withWavelet_bior1.1-G_0.5-H1e-005_af1.wfa  | bior1.1 | af1 | 0.5  | 0.00001 | 6144 | 2048 | 2048 | 17 | 9488  | 136 | 136 | 3.609 | 9760  | 4.765625 |
| lena16.bmp | lena16.bmp-G_0.5-H1e-005_af2.wfa                      |         | af2 | 0.5  | 0.00001 | 6144 | 2048 |      | 16 | 8432  | 128 | 128 | 2.985 | 8688  | 4.242188 |
| lena16.bmp | lena16.bmp-withWavelet_haar-G_0.5-H1e-005_af2.wfa     | haar    | af2 | 0.5  | 0.00001 | 6144 | 2048 | 2048 | 17 | 9488  | 136 | 136 | 3.297 | 9760  | 4.765625 |
| lena16.bmp | lena16.bmp-withWavelet_rbio1.1-G_0.5-H1e-005_af2.wfa  | rbio1.1 | af2 | 0.5  | 0.00001 | 6144 | 2048 | 2048 | 17 | 9488  | 136 | 136 | 3.188 | 9760  | 4.765625 |
| lena16.bmp | lena16.bmp-withWavelet_sym1-G_0.5-H1e-005_af2.wfa     | sym1    | af2 | 0.5  | 0.00001 | 6144 | 2048 | 2048 | 17 | 9488  | 136 | 136 | 3.063 | 9760  | 4.765625 |
| lena16.bmp | lena16.bmp-withWavelet_bior1.1-G_0.5-H1e-005_af2.wfa  | bior1.1 | af2 | 0.5  | 0.00001 | 6144 | 2048 | 2048 | 17 | 9488  | 136 | 136 | 3.172 | 9760  | 4.765625 |
| lena16.bmp | lena16.bmp-G_0.5-H1e-005_af3.wfa                      |         | af3 | 0.5  | 0.00001 | 6144 | 2048 |      | 15 | 7440  | 120 | 120 | 3.109 | 7680  | 3.75     |
| lena16.bmp | lena16.bmp-withWavelet_haar-G_0.5-H1e-005_af3.wfa     | haar    | af3 | 0.5  | 0.00001 | 6144 | 2048 | 2048 | 16 | 8432  | 128 | 128 | 3.391 | 8688  | 4.242188 |
| lena16.bmp | lena16.bmp-withWavelet_rbio1.1-G_0.5-H1e-005_af3.wfa  | rbio1.1 | af3 | 0.5  | 0.00001 | 6144 | 2048 | 2048 | 16 | 8432  | 128 | 128 | 3.391 | 8688  | 4.242188 |
| lena16.bmp | lena16.bmp-withWavelet_sym1-G_0.5-H1e-005_af3.wfa     | sym1    | af3 | 0.5  | 0.00001 | 6144 | 2048 | 2048 | 16 | 8432  | 128 | 128 | 3.422 | 8688  | 4.242188 |

|            |  |         |     |     |         |      |      |      |    |       |     |     |       |       |          |
|------------|--|---------|-----|-----|---------|------|------|------|----|-------|-----|-----|-------|-------|----------|
| lena16.bmp | lena16.bmp-withWavelet_bior1.1-G_0.5-H1e-005_af3.wfa | bior1.1 | af3 | 0.5 | 0.00001 | 6144 | 2048 | 2048 | 16 | 8432  | 128 | 128 | 3.516 | 8688  | 4.242188 |
| lena16.bmp | lena16.bmp-G_0.5-H1e-005_af4.wfa                     |         | af4 | 0.5 | 0.00001 | 6144 | 2048 |      | 5  | 1040  | 40  | 40  | 1.954 | 1120  | 0.546875 |
| lena16.bmp | lena16.bmp-withWavelet_haar-G_0.5-H1e-005_af4.wfa    | haar    | af4 | 0.5 | 0.00001 | 6144 | 2048 | 2048 | 16 | 8432  | 128 | 128 | 4.078 | 8688  | 4.242188 |
| lena16.bmp | lena16.bmp-withWavelet_rbio1.1-G_0.5-H1e-005_af4.wfa | rbio1.1 | af4 | 0.5 | 0.00001 | 6144 | 2048 | 2048 | 16 | 8432  | 128 | 128 | 4.125 | 8688  | 4.242188 |
| lena16.bmp | lena16.bmp-withWavelet_sym1-G_0.5-H1e-005_af4.wfa    | sym1    | af4 | 0.5 | 0.00001 | 6144 | 2048 | 2048 | 16 | 8432  | 128 | 128 | 3.953 | 8688  | 4.242188 |
| lena16.bmp | lena16.bmp-withWavelet_bior1.1-G_0.5-H1e-005_af4.wfa | bior1.1 | af4 | 0.5 | 0.00001 | 6144 | 2048 | 2048 | 16 | 8432  | 128 | 128 | 4.015 | 8688  | 4.242188 |
| lena16.bmp | lena16.bmp-G_0.5-H1e-005_af5.wfa                     |         | af5 | 0.5 | 0.00001 | 6144 | 2048 |      | 16 | 8432  | 128 | 128 | 2.093 | 8688  | 4.242188 |
| lena16.bmp | lena16.bmp-withWavelet_haar-G_0.5-H1e-005_af5.wfa    | haar    | af5 | 0.5 | 0.00001 | 6144 | 2048 | 2048 | 14 | 6512  | 112 | 112 | 2.047 | 6736  | 3.289063 |
| lena16.bmp | lena16.bmp-withWavelet_rbio1.1-G_0.5-H1e-005_af5.wfa | rbio1.1 | af5 | 0.5 | 0.00001 | 6144 | 2048 | 2048 | 14 | 6512  | 112 | 112 | 2.047 | 6736  | 3.289063 |
| lena16.bmp | lena16.bmp-withWavelet_sym1-G_0.5-H1e-005_af5.wfa    | sym1    | af5 | 0.5 | 0.00001 | 6144 | 2048 | 2048 | 14 | 6512  | 112 | 112 | 2.094 | 6736  | 3.289063 |
| lena16.bmp | lena16.bmp-withWavelet_bior1.1-G_0.5-H1e-005_af5.wfa | bior1.1 | af5 | 0.5 | 0.00001 | 6144 | 2048 | 2048 | 14 | 6512  | 112 | 112 | 2.172 | 6736  | 3.289063 |
| lena16.bmp | lena16.bmp-G_1-H2e-005_af1.wfa                       |         | af1 | 1   | 0.00002 | 6144 | 2048 |      | 18 | 10608 | 144 | 144 | 5.5   | 10896 | 5.320313 |
| lena16.bmp | lena16.bmp-withWavelet_haar-G_1-H2e-005_af1.wfa      | haar    | af1 | 1   | 0.00002 | 6144 | 2048 | 2048 | 18 | 10608 | 144 | 144 | 6.079 | 10896 | 5.320313 |
| lena16.bmp | lena16.bmp-withWavelet_rbio1.1-G_1-H2e-005_af1.wfa   | rbio1.1 | af1 | 1   | 0.00002 | 6144 | 2048 | 2048 | 18 | 10608 | 144 | 144 | 6.125 | 10896 | 5.320313 |
| lena16.bmp | lena16.bmp-withWavelet_sym1-G_1-H2e-005_af1.wfa      | sym1    | af1 | 1   | 0.00002 | 6144 | 2048 | 2048 | 18 | 10608 | 144 | 144 | 6.078 | 10896 | 5.320313 |
| lena16.bmp | lena16.bmp-withWavelet_bior1.1-G_1-H2e-005_af1.wfa   | bior1.1 | af1 | 1   | 0.00002 | 6144 | 2048 | 2048 | 18 | 10608 | 144 | 144 | 6.157 | 10896 | 5.320313 |
| lena16.bmp | lena16.bmp-G_1-H2e-005_af2.wfa                       |         | af2 | 1   | 0.00002 | 6144 | 2048 |      | 16 | 8432  | 128 | 128 | 4.297 | 8688  | 4.242188 |
| lena16.bmp | lena16.bmp-withWavelet_haar-G_1-H2e-005_af2.wfa      | haar    | af2 | 1   | 0.00002 | 6144 | 2048 | 2048 | 17 | 9488  | 136 | 136 | 4.89  | 9760  | 4.765625 |
| lena16.bmp | lena16.bmp-withWavelet_rbio1.1-G_1-H2e-005_af2.wfa   | rbio1.1 | af2 | 1   | 0.00002 | 6144 | 2048 | 2048 | 17 | 9488  | 136 | 136 | 4.844 | 9760  | 4.765625 |
| lena16.bmp | lena16.bmp-withWavelet_sym1-G_1-H2e-005_af2.wfa      | sym1    | af2 | 1   | 0.00002 | 6144 | 2048 | 2048 | 17 | 9488  | 136 | 136 | 4.829 | 9760  | 4.765625 |
| lena16.bmp | lena16.bmp-withWavelet_bior1.1-G_1-H2e-005_af2.wfa   | bior1.1 | af2 | 1   | 0.00002 | 6144 | 2048 | 2048 | 17 | 9488  | 136 | 136 | 4.938 | 9760  | 4.765625 |
| lena16.bmp | lena16.bmp-G_1-H2e-005_af3.wfa                       |         | af3 | 1   | 0.00002 | 6144 | 2048 |      | 18 | 10608 | 144 | 144 | 4.922 | 10896 | 5.320313 |
| lena16.bmp | lena16.bmp-withWavelet_haar-G_1-H2e-005_af3.wfa      | haar    | af3 | 1   | 0.00002 | 6144 | 2048 | 2048 | 19 | 11792 | 152 | 152 | 6.297 | 12096 | 5.90625  |
| lena16.bmp | lena16.bmp-withWavelet_rbio1.1-G_1-H2e-005_af3.wfa   | rbio1.1 | af3 | 1   | 0.00002 | 6144 | 2048 | 2048 | 19 | 11792 | 152 | 152 | 6.25  | 12096 | 5.90625  |
| lena16.bmp | lena16.bmp-withWavelet_sym1-G_1-H2e-005_af3.wfa      | sym1    | af3 | 1   | 0.00002 | 6144 | 2048 | 2048 | 19 | 11792 | 152 | 152 | 6.344 | 12096 | 5.90625  |
| lena16.bmp | lena16.bmp-withWavelet_bior1.1-G_1-H2e-005_af3.wfa   | bior1.1 | af3 | 1   | 0.00002 | 6144 | 2048 | 2048 | 19 | 11792 | 152 | 152 | 6.297 | 12096 | 5.90625  |
| lena16.bmp | lena16.bmp-G_1-H2e-005_af4.wfa                       |         | af4 | 1   | 0.00002 | 6144 | 2048 |      | 5  | 1040  | 40  | 40  | 2.171 | 1120  | 0.546875 |
| lena16.bmp | lena16.bmp-withWavelet_haar-G_1-H2e-005_af4.wfa      | haar    | af4 | 1   | 0.00002 | 6144 | 2048 | 2048 | 15 | 7440  | 120 | 120 | 6.218 | 7680  | 3.75     |
| lena16.bmp | lena16.bmp-withWavelet_rbio1.1-G_1-H2e-005_af4.wfa   | rbio1.1 | af4 | 1   | 0.00002 | 6144 | 2048 | 2048 | 15 | 7440  | 120 | 120 | 6.296 | 7680  | 3.75     |
| lena16.bmp | lena16.bmp-withWavelet_sym1-G_1-H2e-005_af4.wfa      | sym1    | af4 | 1   | 0.00002 | 6144 | 2048 | 2048 | 15 | 7440  | 120 | 120 | 6.218 | 7680  | 3.75     |
| lena16.bmp | lena16.bmp-withWavelet_bior1.1-G_1-H2e-005_af4.wfa   | bior1.1 | af4 | 1   | 0.00002 | 6144 | 2048 | 2048 | 15 | 7440  | 120 | 120 | 6.141 | 7680  | 3.75     |

|            |   |         |     |      |         |      |      |      |    |       |     |     |       |       |          |
|------------|---|---------|-----|------|---------|------|------|------|----|-------|-----|-----|-------|-------|----------|
| lena16.bmp | lena16.bmp-G_1-H2e-005_af5.wfa                        |         | af5 | 1    | 0.00002 | 6144 | 2048 |      | 18 | 10608 | 144 | 144 | 2.875 | 10896 | 5.320313 |
| lena16.bmp | lena16.bmp-withWavelet_haar-G_1-H2e-005_af5.wfa       | haar    | af5 | 1    | 0.00002 | 6144 | 2048 | 2048 | 15 | 7440  | 120 | 120 | 2.578 | 7680  | 3.75     |
| lena16.bmp | lena16.bmp-withWavelet_rbio1.1-G_1-H2e-005_af5.wfa    | rbio1.1 | af5 | 1    | 0.00002 | 6144 | 2048 | 2048 | 15 | 7440  | 120 | 120 | 2.609 | 7680  | 3.75     |
| lena16.bmp | lena16.bmp-withWavelet_sym1-G_1-H2e-005_af5.wfa       | sym1    | af5 | 1    | 0.00002 | 6144 | 2048 | 2048 | 15 | 7440  | 120 | 120 | 2.578 | 7680  | 3.75     |
| lena16.bmp | lena16.bmp-withWavelet_bior1.1-G_1-H2e-005_af5.wfa    | bior1.1 | af5 | 1    | 0.00002 | 6144 | 2048 | 2048 | 15 | 7440  | 120 | 120 | 2.641 | 7680  | 3.75     |
| lena16.bmp | lena16.bmp-G_0.75-H2e-005_af1.wfa                     |         | af1 | 0.75 | 0.00002 | 6144 | 2048 |      | 18 | 10608 | 144 | 144 | 4     | 10896 | 5.320313 |
| lena16.bmp | lena16.bmp-withWavelet_haar-G_0.75-H2e-005_af1.wfa    | haar    | af1 | 0.75 | 0.00002 | 6144 | 2048 | 2048 | 17 | 9488  | 136 | 136 | 4.25  | 9760  | 4.765625 |
| lena16.bmp | lena16.bmp-withWavelet_rbio1.1-G_0.75-H2e-005_af1.wfa | rbio1.1 | af1 | 0.75 | 0.00002 | 6144 | 2048 | 2048 | 17 | 9488  | 136 | 136 | 4.266 | 9760  | 4.765625 |
| lena16.bmp | lena16.bmp-withWavelet_sym1-G_0.75-H2e-005_af1.wfa    | sym1    | af1 | 0.75 | 0.00002 | 6144 | 2048 | 2048 | 17 | 9488  | 136 | 136 | 4.406 | 9760  | 4.765625 |
| lena16.bmp | lena16.bmp-withWavelet_bior1.1-G_0.75-H2e-005_af1.wfa | bior1.1 | af1 | 0.75 | 0.00002 | 6144 | 2048 | 2048 | 17 | 9488  | 136 | 136 | 4.297 | 9760  | 4.765625 |
| lena16.bmp | lena16.bmp-G_0.75-H2e-005_af2.wfa                     |         | af2 | 0.75 | 0.00002 | 6144 | 2048 |      | 15 | 7440  | 120 | 120 | 3.25  | 7680  | 3.75     |
| lena16.bmp | lena16.bmp-withWavelet_haar-G_0.75-H2e-005_af2.wfa    | haar    | af2 | 0.75 | 0.00002 | 6144 | 2048 | 2048 | 16 | 8432  | 128 | 128 | 4.031 | 8688  | 4.242188 |
| lena16.bmp | lena16.bmp-withWavelet_rbio1.1-G_0.75-H2e-005_af2.wfa | rbio1.1 | af2 | 0.75 | 0.00002 | 6144 | 2048 | 2048 | 16 | 8432  | 128 | 128 | 3.485 | 8688  | 4.242188 |
| lena16.bmp | lena16.bmp-withWavelet_sym1-G_0.75-H2e-005_af2.wfa    | sym1    | af2 | 0.75 | 0.00002 | 6144 | 2048 | 2048 | 16 | 8432  | 128 | 128 | 3.407 | 8688  | 4.242188 |
| lena16.bmp | lena16.bmp-withWavelet_bior1.1-G_0.75-H2e-005_af2.wfa | bior1.1 | af2 | 0.75 | 0.00002 | 6144 | 2048 | 2048 | 16 | 8432  | 128 | 128 | 3.391 | 8688  | 4.242188 |
| lena16.bmp | lena16.bmp-G_0.75-H2e-005_af3.wfa                     |         | af3 | 0.75 | 0.00002 | 6144 | 2048 |      | 18 | 10608 | 144 | 144 | 3.766 | 10896 | 5.320313 |
| lena16.bmp | lena16.bmp-withWavelet_haar-G_0.75-H2e-005_af3.wfa    | haar    | af3 | 0.75 | 0.00002 | 6144 | 2048 | 2048 | 19 | 11792 | 152 | 152 | 4.328 | 12096 | 5.90625  |
| lena16.bmp | lena16.bmp-withWavelet_rbio1.1-G_0.75-H2e-005_af3.wfa | rbio1.1 | af3 | 0.75 | 0.00002 | 6144 | 2048 | 2048 | 19 | 11792 | 152 | 152 | 4.359 | 12096 | 5.90625  |
| lena16.bmp | lena16.bmp-withWavelet_sym1-G_0.75-H2e-005_af3.wfa    | sym1    | af3 | 0.75 | 0.00002 | 6144 | 2048 | 2048 | 19 | 11792 | 152 | 152 | 4.344 | 12096 | 5.90625  |
| lena16.bmp | lena16.bmp-withWavelet_bior1.1-G_0.75-H2e-005_af3.wfa | bior1.1 | af3 | 0.75 | 0.00002 | 6144 | 2048 | 2048 | 19 | 11792 | 152 | 152 | 4.328 | 12096 | 5.90625  |
| lena16.bmp | lena16.bmp-G_0.75-H2e-005_af4.wfa                     |         | af4 | 0.75 | 0.00002 | 6144 | 2048 |      | 5  | 1040  | 40  | 40  | 1.921 | 1120  | 0.546875 |
| lena16.bmp | lena16.bmp-withWavelet_haar-G_0.75-H2e-005_af4.wfa    | haar    | af4 | 0.75 | 0.00002 | 6144 | 2048 | 2048 | 16 | 8432  | 128 | 128 | 4.781 | 8688  | 4.242188 |
| lena16.bmp | lena16.bmp-withWavelet_rbio1.1-G_0.75-H2e-005_af4.wfa | rbio1.1 | af4 | 0.75 | 0.00002 | 6144 | 2048 | 2048 | 16 | 8432  | 128 | 128 | 4.734 | 8688  | 4.242188 |
| lena16.bmp | lena16.bmp-withWavelet_sym1-G_0.75-H2e-005_af4.wfa    | sym1    | af4 | 0.75 | 0.00002 | 6144 | 2048 | 2048 | 16 | 8432  | 128 | 128 | 4.859 | 8688  | 4.242188 |
| lena16.bmp | lena16.bmp-withWavelet_bior1.1-G_0.75-H2e-005_af4.wfa | bior1.1 | af4 | 0.75 | 0.00002 | 6144 | 2048 | 2048 | 16 | 8432  | 128 | 128 | 4.985 | 8688  | 4.242188 |
| lena16.bmp | lena16.bmp-G_0.75-H2e-005_af5.wfa                     |         | af5 | 0.75 | 0.00002 | 6144 | 2048 |      | 18 | 10608 | 144 | 144 | 2.563 | 10896 | 5.320313 |
| lena16.bmp | lena16.bmp-withWavelet_haar-G_0.75-H2e-005_af5.wfa    | haar    | af5 | 0.75 | 0.00002 | 6144 | 2048 | 2048 | 14 | 6512  | 112 | 112 | 2.172 | 6736  | 3.289063 |
| lena16.bmp | lena16.bmp-withWavelet_rbio1.1-G_0.75-H2e-005_af5.wfa | rbio1.1 | af5 | 0.75 | 0.00002 | 6144 | 2048 | 2048 | 14 | 6512  | 112 | 112 | 2.188 | 6736  | 3.289063 |
| lena16.bmp | lena16.bmp-withWavelet_sym1-G_0.75-H2e-005_af5.wfa    | sym1    | af5 | 0.75 | 0.00002 | 6144 | 2048 | 2048 | 14 | 6512  | 112 | 112 | 2.266 | 6736  | 3.289063 |
| lena16.bmp | lena16.bmp-withWavelet_bior1.1-G_0.75-H2e-005_af5.wfa | bior1.1 | af5 | 0.75 | 0.00002 | 6144 | 2048 | 2048 | 14 | 6512  | 112 | 112 | 2.157 | 6736  | 3.289063 |
| lena16.bmp | lena16.bmp-G_0.5-H2e-005_af1.wfa                      |         | af1 | 0.5  | 0.00002 | 6144 | 2048 |      | 13 | 5648  | 104 | 104 | 2.938 | 5856  | 2.859375 |

|            |  |         |     |     |         |      |      |      |    |      |     |     |       |      |          |
|------------|--|---------|-----|-----|---------|------|------|------|----|------|-----|-----|-------|------|----------|
| lena16.bmp | lena16.bmp-withWavelet_haar-G_0.5-H2e-005_af1.wfa    | haar    | af1 | 0.5 | 0.00002 | 6144 | 2048 | 2048 | 17 | 9488 | 136 | 136 | 3.812 | 9760 | 4.765625 |
| lena16.bmp | lena16.bmp-withWavelet_rbio1.1-G_0.5-H2e-005_af1.wfa | rbio1.1 | af1 | 0.5 | 0.00002 | 6144 | 2048 | 2048 | 17 | 9488 | 136 | 136 | 3.437 | 9760 | 4.765625 |
| lena16.bmp | lena16.bmp-withWavelet_sym1-G_0.5-H2e-005_af1.wfa    | sym1    | af1 | 0.5 | 0.00002 | 6144 | 2048 | 2048 | 17 | 9488 | 136 | 136 | 3.453 | 9760 | 4.765625 |
| lena16.bmp | lena16.bmp-withWavelet_bior1.1-G_0.5-H2e-005_af1.wfa | bior1.1 | af1 | 0.5 | 0.00002 | 6144 | 2048 | 2048 | 17 | 9488 | 136 | 136 | 3.422 | 9760 | 4.765625 |
| lena16.bmp | lena16.bmp-G_0.5-H2e-005_af2.wfa                     |         | af2 | 0.5 | 0.00002 | 6144 | 2048 |      | 14 | 6512 | 112 | 112 | 2.812 | 6736 | 3.289063 |
| lena16.bmp | lena16.bmp-withWavelet_haar-G_0.5-H2e-005_af2.wfa    | haar    | af2 | 0.5 | 0.00002 | 6144 | 2048 | 2048 | 15 | 7440 | 120 | 120 | 2.812 | 7680 | 3.75     |
| lena16.bmp | lena16.bmp-withWavelet_rbio1.1-G_0.5-H2e-005_af2.wfa | rbio1.1 | af2 | 0.5 | 0.00002 | 6144 | 2048 | 2048 | 15 | 7440 | 120 | 120 | 2.906 | 7680 | 3.75     |
| lena16.bmp | lena16.bmp-withWavelet_sym1-G_0.5-H2e-005_af2.wfa    | sym1    | af2 | 0.5 | 0.00002 | 6144 | 2048 | 2048 | 15 | 7440 | 120 | 120 | 2.829 | 7680 | 3.75     |
| lena16.bmp | lena16.bmp-withWavelet_bior1.1-G_0.5-H2e-005_af2.wfa | bior1.1 | af2 | 0.5 | 0.00002 | 6144 | 2048 | 2048 | 15 | 7440 | 120 | 120 | 2.828 | 7680 | 3.75     |
| lena16.bmp | lena16.bmp-G_0.5-H2e-005_af3.wfa                     |         | af3 | 0.5 | 0.00002 | 6144 | 2048 |      | 15 | 7440 | 120 | 120 | 3.016 | 7680 | 3.75     |
| lena16.bmp | lena16.bmp-withWavelet_haar-G_0.5-H2e-005_af3.wfa    | haar    | af3 | 0.5 | 0.00002 | 6144 | 2048 | 2048 | 16 | 8432 | 128 | 128 | 3.313 | 8688 | 4.242188 |
| lena16.bmp | lena16.bmp-withWavelet_rbio1.1-G_0.5-H2e-005_af3.wfa | rbio1.1 | af3 | 0.5 | 0.00002 | 6144 | 2048 | 2048 | 16 | 8432 | 128 | 128 | 3.312 | 8688 | 4.242188 |
| lena16.bmp | lena16.bmp-withWavelet_sym1-G_0.5-H2e-005_af3.wfa    | sym1    | af3 | 0.5 | 0.00002 | 6144 | 2048 | 2048 | 16 | 8432 | 128 | 128 | 3.297 | 8688 | 4.242188 |
| lena16.bmp | lena16.bmp-withWavelet_bior1.1-G_0.5-H2e-005_af3.wfa | bior1.1 | af3 | 0.5 | 0.00002 | 6144 | 2048 | 2048 | 16 | 8432 | 128 | 128 | 3.375 | 8688 | 4.242188 |
| lena16.bmp | lena16.bmp-G_0.5-H2e-005_af4.wfa                     |         | af4 | 0.5 | 0.00002 | 6144 | 2048 |      | 5  | 1040 | 40  | 40  | 1.875 | 1120 | 0.546875 |
| lena16.bmp | lena16.bmp-withWavelet_haar-G_0.5-H2e-005_af4.wfa    | haar    | af4 | 0.5 | 0.00002 | 6144 | 2048 | 2048 | 14 | 6512 | 112 | 112 | 3.407 | 6736 | 3.289063 |
| lena16.bmp | lena16.bmp-withWavelet_rbio1.1-G_0.5-H2e-005_af4.wfa | rbio1.1 | af4 | 0.5 | 0.00002 | 6144 | 2048 | 2048 | 14 | 6512 | 112 | 112 | 3.484 | 6736 | 3.289063 |
| lena16.bmp | lena16.bmp-withWavelet_sym1-G_0.5-H2e-005_af4.wfa    | sym1    | af4 | 0.5 | 0.00002 | 6144 | 2048 | 2048 | 14 | 6512 | 112 | 112 | 3.421 | 6736 | 3.289063 |
| lena16.bmp | lena16.bmp-withWavelet_bior1.1-G_0.5-H2e-005_af4.wfa | bior1.1 | af4 | 0.5 | 0.00002 | 6144 | 2048 | 2048 | 14 | 6512 | 112 | 112 | 3.282 | 6736 | 3.289063 |
| lena16.bmp | lena16.bmp-G_0.5-H2e-005_af5.wfa                     |         | af5 | 0.5 | 0.00002 | 6144 | 2048 |      | 15 | 7440 | 120 | 120 | 2.109 | 7680 | 3.75     |
| lena16.bmp | lena16.bmp-withWavelet_haar-G_0.5-H2e-005_af5.wfa    | haar    | af5 | 0.5 | 0.00002 | 6144 | 2048 | 2048 | 10 | 3440 | 80  | 80  | 2.015 | 3600 | 1.757813 |
| lena16.bmp | lena16.bmp-withWavelet_rbio1.1-G_0.5-H2e-005_af5.wfa | rbio1.1 | af5 | 0.5 | 0.00002 | 6144 | 2048 | 2048 | 10 | 3440 | 80  | 80  | 2.031 | 3600 | 1.757813 |
| lena16.bmp | lena16.bmp-withWavelet_sym1-G_0.5-H2e-005_af5.wfa    | sym1    | af5 | 0.5 | 0.00002 | 6144 | 2048 | 2048 | 10 | 3440 | 80  | 80  | 2.015 | 3600 | 1.757813 |
| lena16.bmp | lena16.bmp-withWavelet_bior1.1-G_0.5-H2e-005_af5.wfa | bior1.1 | af5 | 0.5 | 0.00002 | 6144 | 2048 | 2048 | 10 | 3440 | 80  | 80  | 2.016 | 3600 | 1.757813 |
| lena16.bmp | lena16.bmp-G_1-H3e-005_af1.wfa                       |         | af1 | 1   | 0.00003 | 6144 | 2048 |      | 17 | 9488 | 136 | 136 | 5.078 | 9760 | 4.765625 |
| lena16.bmp | lena16.bmp-withWavelet_haar-G_1-H3e-005_af1.wfa      | haar    | af1 | 1   | 0.00003 | 6144 | 2048 | 2048 | 16 | 8432 | 128 | 128 | 5.547 | 8688 | 4.242188 |
| lena16.bmp | lena16.bmp-withWavelet_rbio1.1-G_1-H3e-005_af1.wfa   | rbio1.1 | af1 | 1   | 0.00003 | 6144 | 2048 | 2048 | 16 | 8432 | 128 | 128 | 5.656 | 8688 | 4.242188 |
| lena16.bmp | lena16.bmp-withWavelet_sym1-G_1-H3e-005_af1.wfa      | sym1    | af1 | 1   | 0.00003 | 6144 | 2048 | 2048 | 16 | 8432 | 128 | 128 | 5.734 | 8688 | 4.242188 |
| lena16.bmp | lena16.bmp-withWavelet_bior1.1-G_1-H3e-005_af1.wfa   | bior1.1 | af1 | 1   | 0.00003 | 6144 | 2048 | 2048 | 16 | 8432 | 128 | 128 | 5.828 | 8688 | 4.242188 |
| lena16.bmp | lena16.bmp-G_1-H3e-005_af2.wfa                       |         | af2 | 1   | 0.00003 | 6144 | 2048 |      | 14 | 6512 | 112 | 112 | 4.266 | 6736 | 3.289063 |
| lena16.bmp | lena16.bmp-withWavelet_haar-G_1-H3e-005_af2.wfa      | haar    | af2 | 1   | 0.00003 | 6144 | 2048 | 2048 | 16 | 8432 | 128 | 128 | 4.421 | 8688 | 4.242188 |

|            |   |         |     |      |         |      |      |      |    |       |     |     |       |       |          |
|------------|---|---------|-----|------|---------|------|------|------|----|-------|-----|-----|-------|-------|----------|
| lena16.bmp | lena16.bmp-withWavelet_rbio1.1-G_1-H3e-005_af2.wfa    | rbio1.1 | af2 | 1    | 0.00003 | 6144 | 2048 | 2048 | 16 | 8432  | 128 | 128 | 4.438 | 8688  | 4.242188 |
| lena16.bmp | lena16.bmp-withWavelet_sym1-G_1-H3e-005_af2.wfa       | sym1    | af2 | 1    | 0.00003 | 6144 | 2048 | 2048 | 16 | 8432  | 128 | 128 | 4.453 | 8688  | 4.242188 |
| lena16.bmp | lena16.bmp-withWavelet_bior1.1-G_1-H3e-005_af2.wfa    | bior1.1 | af2 | 1    | 0.00003 | 6144 | 2048 | 2048 | 16 | 8432  | 128 | 128 | 4.437 | 8688  | 4.242188 |
| lena16.bmp | lena16.bmp-G_1-H3e-005_af3.wfa                        |         | af3 | 1    | 0.00003 | 6144 | 2048 |      | 16 | 8432  | 128 | 128 | 4.547 | 8688  | 4.242188 |
| lena16.bmp | lena16.bmp-withWavelet_haar-G_1-H3e-005_af3.wfa       | haar    | af3 | 1    | 0.00003 | 6144 | 2048 | 2048 | 17 | 9488  | 136 | 136 | 5.25  | 9760  | 4.765625 |
| lena16.bmp | lena16.bmp-withWavelet_rbio1.1-G_1-H3e-005_af3.wfa    | rbio1.1 | af3 | 1    | 0.00003 | 6144 | 2048 | 2048 | 17 | 9488  | 136 | 136 | 5.25  | 9760  | 4.765625 |
| lena16.bmp | lena16.bmp-withWavelet_sym1-G_1-H3e-005_af3.wfa       | sym1    | af3 | 1    | 0.00003 | 6144 | 2048 | 2048 | 17 | 9488  | 136 | 136 | 5.344 | 9760  | 4.765625 |
| lena16.bmp | lena16.bmp-withWavelet_bior1.1-G_1-H3e-005_af3.wfa    | bior1.1 | af3 | 1    | 0.00003 | 6144 | 2048 | 2048 | 17 | 9488  | 136 | 136 | 5.296 | 9760  | 4.765625 |
| lena16.bmp | lena16.bmp-G_1-H3e-005_af4.wfa                        |         | af4 | 1    | 0.00003 | 6144 | 2048 |      | 5  | 1040  | 40  | 40  | 2.11  | 1120  | 0.546875 |
| lena16.bmp | lena16.bmp-withWavelet_haar-G_1-H3e-005_af4.wfa       | haar    | af4 | 1    | 0.00003 | 6144 | 2048 | 2048 | 15 | 7440  | 120 | 120 | 5.937 | 7680  | 3.75     |
| lena16.bmp | lena16.bmp-withWavelet_rbio1.1-G_1-H3e-005_af4.wfa    | rbio1.1 | af4 | 1    | 0.00003 | 6144 | 2048 | 2048 | 15 | 7440  | 120 | 120 | 5.937 | 7680  | 3.75     |
| lena16.bmp | lena16.bmp-withWavelet_sym1-G_1-H3e-005_af4.wfa       | sym1    | af4 | 1    | 0.00003 | 6144 | 2048 | 2048 | 15 | 7440  | 120 | 120 | 6.078 | 7680  | 3.75     |
| lena16.bmp | lena16.bmp-withWavelet_bior1.1-G_1-H3e-005_af4.wfa    | bior1.1 | af4 | 1    | 0.00003 | 6144 | 2048 | 2048 | 15 | 7440  | 120 | 120 | 6     | 7680  | 3.75     |
| lena16.bmp | lena16.bmp-G_1-H3e-005_af5.wfa                        |         | af5 | 1    | 0.00003 | 6144 | 2048 |      | 17 | 9488  | 136 | 136 | 2.844 | 9760  | 4.765625 |
| lena16.bmp | lena16.bmp-withWavelet_haar-G_1-H3e-005_af5.wfa       | haar    | af5 | 1    | 0.00003 | 6144 | 2048 | 2048 | 13 | 5648  | 104 | 104 | 2.516 | 5856  | 2.859375 |
| lena16.bmp | lena16.bmp-withWavelet_rbio1.1-G_1-H3e-005_af5.wfa    | rbio1.1 | af5 | 1    | 0.00003 | 6144 | 2048 | 2048 | 13 | 5648  | 104 | 104 | 2.593 | 5856  | 2.859375 |
| lena16.bmp | lena16.bmp-withWavelet_sym1-G_1-H3e-005_af5.wfa       | sym1    | af5 | 1    | 0.00003 | 6144 | 2048 | 2048 | 13 | 5648  | 104 | 104 | 2.515 | 5856  | 2.859375 |
| lena16.bmp | lena16.bmp-withWavelet_bior1.1-G_1-H3e-005_af5.wfa    | bior1.1 | af5 | 1    | 0.00003 | 6144 | 2048 | 2048 | 13 | 5648  | 104 | 104 | 2.532 | 5856  | 2.859375 |
| lena16.bmp | lena16.bmp-G_0.75-H3e-005_af1.wfa                     |         | af1 | 0.75 | 0.00003 | 6144 | 2048 |      | 17 | 9488  | 136 | 136 | 3.719 | 9760  | 4.765625 |
| lena16.bmp | lena16.bmp-withWavelet_haar-G_0.75-H3e-005_af1.wfa    | haar    | af1 | 0.75 | 0.00003 | 6144 | 2048 | 2048 | 16 | 8432  | 128 | 128 | 4.312 | 8688  | 4.242188 |
| lena16.bmp | lena16.bmp-withWavelet_rbio1.1-G_0.75-H3e-005_af1.wfa | rbio1.1 | af1 | 0.75 | 0.00003 | 6144 | 2048 | 2048 | 16 | 8432  | 128 | 128 | 4.281 | 8688  | 4.242188 |
| lena16.bmp | lena16.bmp-withWavelet_sym1-G_0.75-H3e-005_af1.wfa    | sym1    | af1 | 0.75 | 0.00003 | 6144 | 2048 | 2048 | 16 | 8432  | 128 | 128 | 4.14  | 8688  | 4.242188 |
| lena16.bmp | lena16.bmp-withWavelet_bior1.1-G_0.75-H3e-005_af1.wfa | bior1.1 | af1 | 0.75 | 0.00003 | 6144 | 2048 | 2048 | 16 | 8432  | 128 | 128 | 4.032 | 8688  | 4.242188 |
| lena16.bmp | lena16.bmp-G_0.75-H3e-005_af2.wfa                     |         | af2 | 0.75 | 0.00003 | 6144 | 2048 |      | 14 | 6512  | 112 | 112 | 3.141 | 6736  | 3.289063 |
| lena16.bmp | lena16.bmp-withWavelet_haar-G_0.75-H3e-005_af2.wfa    | haar    | af2 | 0.75 | 0.00003 | 6144 | 2048 | 2048 | 15 | 7440  | 120 | 120 | 3.172 | 7680  | 3.75     |
| lena16.bmp | lena16.bmp-withWavelet_rbio1.1-G_0.75-H3e-005_af2.wfa | rbio1.1 | af2 | 0.75 | 0.00003 | 6144 | 2048 | 2048 | 15 | 7440  | 120 | 120 | 3.141 | 7680  | 3.75     |
| lena16.bmp | lena16.bmp-withWavelet_sym1-G_0.75-H3e-005_af2.wfa    | sym1    | af2 | 0.75 | 0.00003 | 6144 | 2048 | 2048 | 15 | 7440  | 120 | 120 | 3.141 | 7680  | 3.75     |
| lena16.bmp | lena16.bmp-withWavelet_bior1.1-G_0.75-H3e-005_af2.wfa | bior1.1 | af2 | 0.75 | 0.00003 | 6144 | 2048 | 2048 | 15 | 7440  | 120 | 120 | 3.172 | 7680  | 3.75     |
| lena16.bmp | lena16.bmp-G_0.75-H3e-005_af3.wfa                     |         | af3 | 0.75 | 0.00003 | 6144 | 2048 |      | 16 | 8432  | 128 | 128 | 3.453 | 8688  | 4.242188 |
| lena16.bmp | lena16.bmp-withWavelet_haar-G_0.75-H3e-005_af3.wfa    | haar    | af3 | 0.75 | 0.00003 | 6144 | 2048 | 2048 | 18 | 10608 | 144 | 144 | 4.125 | 10896 | 5.320313 |
| lena16.bmp | lena16.bmp-withWavelet_rbio1.1-G_0.75-H3e-005_af3.wfa | rbio1.1 | af3 | 0.75 | 0.00003 | 6144 | 2048 | 2048 | 18 | 10608 | 144 | 144 | 4.109 | 10896 | 5.320313 |



|            |   |         |     |      |         |      |      |      |    |       |     |     |       |       |          |
|------------|---|---------|-----|------|---------|------|------|------|----|-------|-----|-----|-------|-------|----------|
| lena16.bmp | lena16.bmp-withWavelet_sym1-G_0.75-H3e-005_af3.wfa    | sym1    | af3 | 0.75 | 0.00003 | 6144 | 2048 | 2048 | 18 | 10608 | 144 | 144 | 4.391 | 10896 | 5.320313 |
| lena16.bmp | lena16.bmp-withWavelet_bior1.1-G_0.75-H3e-005_af3.wfa | bior1.1 | af3 | 0.75 | 0.00003 | 6144 | 2048 | 2048 | 18 | 10608 | 144 | 144 | 4.281 | 10896 | 5.320313 |
| lena16.bmp | lena16.bmp-G_0.75-H3e-005_af4.wfa                     |         | af4 | 0.75 | 0.00003 | 6144 | 2048 |      | 5  | 1040  | 40  | 40  | 2.031 | 1120  | 0.546875 |
| lena16.bmp | lena16.bmp-withWavelet_haar-G_0.75-H3e-005_af4.wfa    | haar    | af4 | 0.75 | 0.00003 | 6144 | 2048 | 2048 | 15 | 7440  | 120 | 120 | 4.235 | 7680  | 3.75     |
| lena16.bmp | lena16.bmp-withWavelet_rbio1.1-G_0.75-H3e-005_af4.wfa | rbio1.1 | af4 | 0.75 | 0.00003 | 6144 | 2048 | 2048 | 15 | 7440  | 120 | 120 | 4.25  | 7680  | 3.75     |
| lena16.bmp | lena16.bmp-withWavelet_sym1-G_0.75-H3e-005_af4.wfa    | sym1    | af4 | 0.75 | 0.00003 | 6144 | 2048 | 2048 | 15 | 7440  | 120 | 120 | 4.234 | 7680  | 3.75     |
| lena16.bmp | lena16.bmp-withWavelet_bior1.1-G_0.75-H3e-005_af4.wfa | bior1.1 | af4 | 0.75 | 0.00003 | 6144 | 2048 | 2048 | 15 | 7440  | 120 | 120 | 4.187 | 7680  | 3.75     |
| lena16.bmp | lena16.bmp-G_0.75-H3e-005_af5.wfa                     |         | af5 | 0.75 | 0.00003 | 6144 | 2048 |      | 17 | 9488  | 136 | 136 | 2.328 | 9760  | 4.765625 |
| lena16.bmp | lena16.bmp-withWavelet_haar-G_0.75-H3e-005_af5.wfa    | haar    | af5 | 0.75 | 0.00003 | 6144 | 2048 | 2048 | 12 | 4848  | 96  | 96  | 2.11  | 5040  | 2.460938 |
| lena16.bmp | lena16.bmp-withWavelet_rbio1.1-G_0.75-H3e-005_af5.wfa | rbio1.1 | af5 | 0.75 | 0.00003 | 6144 | 2048 | 2048 | 12 | 4848  | 96  | 96  | 2.094 | 5040  | 2.460938 |
| lena16.bmp | lena16.bmp-withWavelet_sym1-G_0.75-H3e-005_af5.wfa    | sym1    | af5 | 0.75 | 0.00003 | 6144 | 2048 | 2048 | 12 | 4848  | 96  | 96  | 2.125 | 5040  | 2.460938 |
| lena16.bmp | lena16.bmp-withWavelet_bior1.1-G_0.75-H3e-005_af5.wfa | bior1.1 | af5 | 0.75 | 0.00003 | 6144 | 2048 | 2048 | 12 | 4848  | 96  | 96  | 2.14  | 5040  | 2.460938 |
| lena16.bmp | lena16.bmp-G_0.5-H3e-005_af1.wfa                      |         | af1 | 0.5  | 0.00003 | 6144 | 2048 |      | 13 | 5648  | 104 | 104 | 2.703 | 5856  | 2.859375 |
| lena16.bmp | lena16.bmp-withWavelet_haar-G_0.5-H3e-005_af1.wfa     | haar    | af1 | 0.5  | 0.00003 | 6144 | 2048 | 2048 | 16 | 8432  | 128 | 128 | 3.36  | 8688  | 4.242188 |
| lena16.bmp | lena16.bmp-withWavelet_rbio1.1-G_0.5-H3e-005_af1.wfa  | rbio1.1 | af1 | 0.5  | 0.00003 | 6144 | 2048 | 2048 | 16 | 8432  | 128 | 128 | 3.39  | 8688  | 4.242188 |
| lena16.bmp | lena16.bmp-withWavelet_sym1-G_0.5-H3e-005_af1.wfa     | sym1    | af1 | 0.5  | 0.00003 | 6144 | 2048 | 2048 | 16 | 8432  | 128 | 128 | 3.391 | 8688  | 4.242188 |
| lena16.bmp | lena16.bmp-withWavelet_bior1.1-G_0.5-H3e-005_af1.wfa  | bior1.1 | af1 | 0.5  | 0.00003 | 6144 | 2048 | 2048 | 16 | 8432  | 128 | 128 | 3.469 | 8688  | 4.242188 |
| lena16.bmp | lena16.bmp-G_0.5-H3e-005_af2.wfa                      |         | af2 | 0.5  | 0.00003 | 6144 | 2048 |      | 14 | 6512  | 112 | 112 | 2.922 | 6736  | 3.289063 |
| lena16.bmp | lena16.bmp-withWavelet_haar-G_0.5-H3e-005_af2.wfa     | haar    | af2 | 0.5  | 0.00003 | 6144 | 2048 | 2048 | 14 | 6512  | 112 | 112 | 2.734 | 6736  | 3.289063 |
| lena16.bmp | lena16.bmp-withWavelet_rbio1.1-G_0.5-H3e-005_af2.wfa  | rbio1.1 | af2 | 0.5  | 0.00003 | 6144 | 2048 | 2048 | 14 | 6512  | 112 | 112 | 2.734 | 6736  | 3.289063 |
| lena16.bmp | lena16.bmp-withWavelet_sym1-G_0.5-H3e-005_af2.wfa     | sym1    | af2 | 0.5  | 0.00003 | 6144 | 2048 | 2048 | 14 | 6512  | 112 | 112 | 2.609 | 6736  | 3.289063 |
| lena16.bmp | lena16.bmp-withWavelet_bior1.1-G_0.5-H3e-005_af2.wfa  | bior1.1 | af2 | 0.5  | 0.00003 | 6144 | 2048 | 2048 | 14 | 6512  | 112 | 112 | 2.641 | 6736  | 3.289063 |
| lena16.bmp | lena16.bmp-G_0.5-H3e-005_af3.wfa                      |         | af3 | 0.5  | 0.00003 | 6144 | 2048 |      | 14 | 6512  | 112 | 112 | 2.89  | 6736  | 3.289063 |
| lena16.bmp | lena16.bmp-withWavelet_haar-G_0.5-H3e-005_af3.wfa     | haar    | af3 | 0.5  | 0.00003 | 6144 | 2048 | 2048 | 16 | 8432  | 128 | 128 | 3.25  | 8688  | 4.242188 |
| lena16.bmp | lena16.bmp-withWavelet_rbio1.1-G_0.5-H3e-005_af3.wfa  | rbio1.1 | af3 | 0.5  | 0.00003 | 6144 | 2048 | 2048 | 16 | 8432  | 128 | 128 | 3.328 | 8688  | 4.242188 |
| lena16.bmp | lena16.bmp-withWavelet_sym1-G_0.5-H3e-005_af3.wfa     | sym1    | af3 | 0.5  | 0.00003 | 6144 | 2048 | 2048 | 16 | 8432  | 128 | 128 | 3.313 | 8688  | 4.242188 |
| lena16.bmp | lena16.bmp-withWavelet_bior1.1-G_0.5-H3e-005_af3.wfa  | bior1.1 | af3 | 0.5  | 0.00003 | 6144 | 2048 | 2048 | 16 | 8432  | 128 | 128 | 3.282 | 8688  | 4.242188 |
| lena16.bmp | lena16.bmp-G_0.5-H3e-005_af4.wfa                      |         | af4 | 0.5  | 0.00003 | 6144 | 2048 |      | 5  | 1040  | 40  | 40  | 1.875 | 1120  | 0.546875 |
| lena16.bmp | lena16.bmp-withWavelet_haar-G_0.5-H3e-005_af4.wfa     | haar    | af4 | 0.5  | 0.00003 | 6144 | 2048 | 2048 | 13 | 5648  | 104 | 104 | 3.141 | 5856  | 2.859375 |
| lena16.bmp | lena16.bmp-withWavelet_rbio1.1-G_0.5-H3e-005_af4.wfa  | rbio1.1 | af4 | 0.5  | 0.00003 | 6144 | 2048 | 2048 | 13 | 5648  | 104 | 104 | 3.219 | 5856  | 2.859375 |
| lena16.bmp | lena16.bmp-withWavelet_sym1-G_0.5-H3e-005_af4.wfa     | sym1    | af4 | 0.5  | 0.00003 | 6144 | 2048 | 2048 | 13 | 5648  | 104 | 104 | 3.062 | 5856  | 2.859375 |

|            |  |         |     |     |         |      |      |      |    |      |     |     |       |      |          |
|------------|--|---------|-----|-----|---------|------|------|------|----|------|-----|-----|-------|------|----------|
| lena16.bmp | lena16.bmp-withWavelet_bior1.1-G_0.5-H3e-005_af4.wfa | bior1.1 | af4 | 0.5 | 0.00003 | 6144 | 2048 | 2048 | 13 | 5648 | 104 | 104 | 3.046 | 5856 | 2.859375 |
| lena16.bmp | lena16.bmp-G_0.5-H3e-005_af5.wfa                     |         | af5 | 0.5 | 0.00003 | 6144 | 2048 |      | 15 | 7440 | 120 | 120 | 2.093 | 7680 | 3.75     |
| lena16.bmp | lena16.bmp-withWavelet_haar-G_0.5-H3e-005_af5.wfa    | haar    | af5 | 0.5 | 0.00003 | 6144 | 2048 | 2048 | 10 | 3440 | 80  | 80  | 2     | 3600 | 1.757813 |
| lena16.bmp | lena16.bmp-withWavelet_rbio1.1-G_0.5-H3e-005_af5.wfa | rbio1.1 | af5 | 0.5 | 0.00003 | 6144 | 2048 | 2048 | 10 | 3440 | 80  | 80  | 1.984 | 3600 | 1.757813 |
| lena16.bmp | lena16.bmp-withWavelet_sym1-G_0.5-H3e-005_af5.wfa    | sym1    | af5 | 0.5 | 0.00003 | 6144 | 2048 | 2048 | 10 | 3440 | 80  | 80  | 2     | 3600 | 1.757813 |
| lena16.bmp | lena16.bmp-withWavelet_bior1.1-G_0.5-H3e-005_af5.wfa | bior1.1 | af5 | 0.5 | 0.00003 | 6144 | 2048 | 2048 | 10 | 3440 | 80  | 80  | 2.032 | 3600 | 1.757813 |
| lena16.bmp | lena16.bmp-G_1-H4e-005_af1.wfa                       |         | af1 | 1   | 0.00004 | 6144 | 2048 |      | 15 | 7440 | 120 | 120 | 4.438 | 7680 | 3.75     |
| lena16.bmp | lena16.bmp-withWavelet_haar-G_1-H4e-005_af1.wfa      | haar    | af1 | 1   | 0.00004 | 6144 | 2048 | 2048 | 14 | 6512 | 112 | 112 | 5.094 | 6736 | 3.289063 |
| lena16.bmp | lena16.bmp-withWavelet_rbio1.1-G_1-H4e-005_af1.wfa   | rbio1.1 | af1 | 1   | 0.00004 | 6144 | 2048 | 2048 | 14 | 6512 | 112 | 112 | 4.718 | 6736 | 3.289063 |
| lena16.bmp | lena16.bmp-withWavelet_sym1-G_1-H4e-005_af1.wfa      | sym1    | af1 | 1   | 0.00004 | 6144 | 2048 | 2048 | 14 | 6512 | 112 | 112 | 4.922 | 6736 | 3.289063 |
| lena16.bmp | lena16.bmp-withWavelet_bior1.1-G_1-H4e-005_af1.wfa   | bior1.1 | af1 | 1   | 0.00004 | 6144 | 2048 | 2048 | 14 | 6512 | 112 | 112 | 4.703 | 6736 | 3.289063 |
| lena16.bmp | lena16.bmp-G_1-H4e-005_af2.wfa                       |         | af2 | 1   | 0.00004 | 6144 | 2048 |      | 13 | 5648 | 104 | 104 | 3.781 | 5856 | 2.859375 |
| lena16.bmp | lena16.bmp-withWavelet_haar-G_1-H4e-005_af2.wfa      | haar    | af2 | 1   | 0.00004 | 6144 | 2048 | 2048 | 16 | 8432 | 128 | 128 | 3.812 | 8688 | 4.242188 |
| lena16.bmp | lena16.bmp-withWavelet_rbio1.1-G_1-H4e-005_af2.wfa   | rbio1.1 | af2 | 1   | 0.00004 | 6144 | 2048 | 2048 | 16 | 8432 | 128 | 128 | 3.953 | 8688 | 4.242188 |
| lena16.bmp | lena16.bmp-withWavelet_sym1-G_1-H4e-005_af2.wfa      | sym1    | af2 | 1   | 0.00004 | 6144 | 2048 | 2048 | 16 | 8432 | 128 | 128 | 4.015 | 8688 | 4.242188 |
| lena16.bmp | lena16.bmp-withWavelet_bior1.1-G_1-H4e-005_af2.wfa   | bior1.1 | af2 | 1   | 0.00004 | 6144 | 2048 | 2048 | 16 | 8432 | 128 | 128 | 4.063 | 8688 | 4.242188 |
| lena16.bmp | lena16.bmp-G_1-H4e-005_af3.wfa                       |         | af3 | 1   | 0.00004 | 6144 | 2048 |      | 14 | 6512 | 112 | 112 | 4.328 | 6736 | 3.289063 |
| lena16.bmp | lena16.bmp-withWavelet_haar-G_1-H4e-005_af3.wfa      | haar    | af3 | 1   | 0.00004 | 6144 | 2048 | 2048 | 17 | 9488 | 136 | 136 | 5.532 | 9760 | 4.765625 |
| lena16.bmp | lena16.bmp-withWavelet_rbio1.1-G_1-H4e-005_af3.wfa   | rbio1.1 | af3 | 1   | 0.00004 | 6144 | 2048 | 2048 | 17 | 9488 | 136 | 136 | 5.343 | 9760 | 4.765625 |
| lena16.bmp | lena16.bmp-withWavelet_sym1-G_1-H4e-005_af3.wfa      | sym1    | af3 | 1   | 0.00004 | 6144 | 2048 | 2048 | 17 | 9488 | 136 | 136 | 5.235 | 9760 | 4.765625 |
| lena16.bmp | lena16.bmp-withWavelet_bior1.1-G_1-H4e-005_af3.wfa   | bior1.1 | af3 | 1   | 0.00004 | 6144 | 2048 | 2048 | 17 | 9488 | 136 | 136 | 5.203 | 9760 | 4.765625 |
| lena16.bmp | lena16.bmp-G_1-H4e-005_af4.wfa                       |         | af4 | 1   | 0.00004 | 6144 | 2048 |      | 5  | 1040 | 40  | 40  | 2.156 | 1120 | 0.546875 |
| lena16.bmp | lena16.bmp-withWavelet_haar-G_1-H4e-005_af4.wfa      | haar    | af4 | 1   | 0.00004 | 6144 | 2048 | 2048 | 14 | 6512 | 112 | 112 | 5.64  | 6736 | 3.289063 |
| lena16.bmp | lena16.bmp-withWavelet_rbio1.1-G_1-H4e-005_af4.wfa   | rbio1.1 | af4 | 1   | 0.00004 | 6144 | 2048 | 2048 | 14 | 6512 | 112 | 112 | 5.703 | 6736 | 3.289063 |
| lena16.bmp | lena16.bmp-withWavelet_sym1-G_1-H4e-005_af4.wfa      | sym1    | af4 | 1   | 0.00004 | 6144 | 2048 | 2048 | 14 | 6512 | 112 | 112 | 5.734 | 6736 | 3.289063 |
| lena16.bmp | lena16.bmp-withWavelet_bior1.1-G_1-H4e-005_af4.wfa   | bior1.1 | af4 | 1   | 0.00004 | 6144 | 2048 | 2048 | 14 | 6512 | 112 | 112 | 5.656 | 6736 | 3.289063 |
| lena16.bmp | lena16.bmp-G_1-H4e-005_af5.wfa                       |         | af5 | 1   | 0.00004 | 6144 | 2048 |      | 16 | 8432 | 128 | 128 | 2.657 | 8688 | 4.242188 |
| lena16.bmp | lena16.bmp-withWavelet_haar-G_1-H4e-005_af5.wfa      | haar    | af5 | 1   | 0.00004 | 6144 | 2048 | 2048 | 12 | 4848 | 96  | 96  | 2.407 | 5040 | 2.460938 |
| lena16.bmp | lena16.bmp-withWavelet_rbio1.1-G_1-H4e-005_af5.wfa   | rbio1.1 | af5 | 1   | 0.00004 | 6144 | 2048 | 2048 | 12 | 4848 | 96  | 96  | 2.406 | 5040 | 2.460938 |
| lena16.bmp | lena16.bmp-withWavelet_sym1-G_1-H4e-005_af5.wfa      | sym1    | af5 | 1   | 0.00004 | 6144 | 2048 | 2048 | 12 | 4848 | 96  | 96  | 2.407 | 5040 | 2.460938 |
| lena16.bmp | lena16.bmp-withWavelet_bior1.1-G_1-H4e-005_af5.wfa   | bior1.1 | af5 | 1   | 0.00004 | 6144 | 2048 | 2048 | 12 | 4848 | 96  | 96  | 2.39  | 5040 | 2.460938 |

|            |   |         |     |      |         |      |      |      |    |       |     |     |       |       |          |
|------------|---|---------|-----|------|---------|------|------|------|----|-------|-----|-----|-------|-------|----------|
| lena16.bmp | lena16.bmp-G_0.75-H4e-005_af1.wfa                     |         | af1 | 0.75 | 0.00004 | 6144 | 2048 |      | 15 | 7440  | 120 | 120 | 3.25  | 7680  | 3.75     |
| lena16.bmp | lena16.bmp-withWavelet_haar-G_0.75-H4e-005_af1.wfa    | haar    | af1 | 0.75 | 0.00004 | 6144 | 2048 | 2048 | 15 | 7440  | 120 | 120 | 3.844 | 7680  | 3.75     |
| lena16.bmp | lena16.bmp-withWavelet_rbio1.1-G_0.75-H4e-005_af1.wfa | rbio1.1 | af1 | 0.75 | 0.00004 | 6144 | 2048 | 2048 | 15 | 7440  | 120 | 120 | 3.89  | 7680  | 3.75     |
| lena16.bmp | lena16.bmp-withWavelet_sym1-G_0.75-H4e-005_af1.wfa    | sym1    | af1 | 0.75 | 0.00004 | 6144 | 2048 | 2048 | 15 | 7440  | 120 | 120 | 3.875 | 7680  | 3.75     |
| lena16.bmp | lena16.bmp-withWavelet_bior1.1-G_0.75-H4e-005_af1.wfa | bior1.1 | af1 | 0.75 | 0.00004 | 6144 | 2048 | 2048 | 15 | 7440  | 120 | 120 | 3.86  | 7680  | 3.75     |
| lena16.bmp | lena16.bmp-G_0.75-H4e-005_af2.wfa                     |         | af2 | 0.75 | 0.00004 | 6144 | 2048 |      | 13 | 5648  | 104 | 104 | 2.938 | 5856  | 2.859375 |
| lena16.bmp | lena16.bmp-withWavelet_haar-G_0.75-H4e-005_af2.wfa    | haar    | af2 | 0.75 | 0.00004 | 6144 | 2048 | 2048 | 14 | 6512  | 112 | 112 | 3     | 6736  | 3.289063 |
| lena16.bmp | lena16.bmp-withWavelet_rbio1.1-G_0.75-H4e-005_af2.wfa | rbio1.1 | af2 | 0.75 | 0.00004 | 6144 | 2048 | 2048 | 14 | 6512  | 112 | 112 | 2.969 | 6736  | 3.289063 |
| lena16.bmp | lena16.bmp-withWavelet_sym1-G_0.75-H4e-005_af2.wfa    | sym1    | af2 | 0.75 | 0.00004 | 6144 | 2048 | 2048 | 14 | 6512  | 112 | 112 | 2.969 | 6736  | 3.289063 |
| lena16.bmp | lena16.bmp-withWavelet_bior1.1-G_0.75-H4e-005_af2.wfa | bior1.1 | af2 | 0.75 | 0.00004 | 6144 | 2048 | 2048 | 14 | 6512  | 112 | 112 | 2.969 | 6736  | 3.289063 |
| lena16.bmp | lena16.bmp-G_0.75-H4e-005_af3.wfa                     |         | af3 | 0.75 | 0.00004 | 6144 | 2048 |      | 13 | 5648  | 104 | 104 | 3.015 | 5856  | 2.859375 |
| lena16.bmp | lena16.bmp-withWavelet_haar-G_0.75-H4e-005_af3.wfa    | haar    | af3 | 0.75 | 0.00004 | 6144 | 2048 | 2048 | 18 | 10608 | 144 | 144 | 4.109 | 10896 | 5.320313 |
| lena16.bmp | lena16.bmp-withWavelet_rbio1.1-G_0.75-H4e-005_af3.wfa | rbio1.1 | af3 | 0.75 | 0.00004 | 6144 | 2048 | 2048 | 18 | 10608 | 144 | 144 | 4.078 | 10896 | 5.320313 |
| lena16.bmp | lena16.bmp-withWavelet_sym1-G_0.75-H4e-005_af3.wfa    | sym1    | af3 | 0.75 | 0.00004 | 6144 | 2048 | 2048 | 18 | 10608 | 144 | 144 | 4.062 | 10896 | 5.320313 |
| lena16.bmp | lena16.bmp-withWavelet_bior1.1-G_0.75-H4e-005_af3.wfa | bior1.1 | af3 | 0.75 | 0.00004 | 6144 | 2048 | 2048 | 18 | 10608 | 144 | 144 | 4.093 | 10896 | 5.320313 |
| lena16.bmp | lena16.bmp-G_0.75-H4e-005_af4.wfa                     |         | af4 | 0.75 | 0.00004 | 6144 | 2048 |      | 5  | 1040  | 40  | 40  | 1.906 | 1120  | 0.546875 |
| lena16.bmp | lena16.bmp-withWavelet_haar-G_0.75-H4e-005_af4.wfa    | haar    | af4 | 0.75 | 0.00004 | 6144 | 2048 | 2048 | 14 | 6512  | 112 | 112 | 4.046 | 6736  | 3.289063 |
| lena16.bmp | lena16.bmp-withWavelet_rbio1.1-G_0.75-H4e-005_af4.wfa | rbio1.1 | af4 | 0.75 | 0.00004 | 6144 | 2048 | 2048 | 14 | 6512  | 112 | 112 | 3.921 | 6736  | 3.289063 |
| lena16.bmp | lena16.bmp-withWavelet_sym1-G_0.75-H4e-005_af4.wfa    | sym1    | af4 | 0.75 | 0.00004 | 6144 | 2048 | 2048 | 14 | 6512  | 112 | 112 | 4.062 | 6736  | 3.289063 |
| lena16.bmp | lena16.bmp-withWavelet_bior1.1-G_0.75-H4e-005_af4.wfa | bior1.1 | af4 | 0.75 | 0.00004 | 6144 | 2048 | 2048 | 14 | 6512  | 112 | 112 | 3.922 | 6736  | 3.289063 |
| lena16.bmp | lena16.bmp-G_0.75-H4e-005_af5.wfa                     |         | af5 | 0.75 | 0.00004 | 6144 | 2048 |      | 16 | 8432  | 128 | 128 | 2.234 | 8688  | 4.242188 |
| lena16.bmp | lena16.bmp-withWavelet_haar-G_0.75-H4e-005_af5.wfa    | haar    | af5 | 0.75 | 0.00004 | 6144 | 2048 | 2048 | 12 | 4848  | 96  | 96  | 2.219 | 5040  | 2.460938 |
| lena16.bmp | lena16.bmp-withWavelet_rbio1.1-G_0.75-H4e-005_af5.wfa | rbio1.1 | af5 | 0.75 | 0.00004 | 6144 | 2048 | 2048 | 12 | 4848  | 96  | 96  | 2.141 | 5040  | 2.460938 |
| lena16.bmp | lena16.bmp-withWavelet_sym1-G_0.75-H4e-005_af5.wfa    | sym1    | af5 | 0.75 | 0.00004 | 6144 | 2048 | 2048 | 12 | 4848  | 96  | 96  | 2.078 | 5040  | 2.460938 |
| lena16.bmp | lena16.bmp-withWavelet_bior1.1-G_0.75-H4e-005_af5.wfa | bior1.1 | af5 | 0.75 | 0.00004 | 6144 | 2048 | 2048 | 12 | 4848  | 96  | 96  | 2.157 | 5040  | 2.460938 |
| lena16.bmp | lena16.bmp-G_0.5-H4e-005_af1.wfa                      |         | af1 | 0.5  | 0.00004 | 6144 | 2048 |      | 12 | 4848  | 96  | 96  | 2.594 | 5040  | 2.460938 |
| lena16.bmp | lena16.bmp-withWavelet_haar-G_0.5-H4e-005_af1.wfa     | haar    | af1 | 0.5  | 0.00004 | 6144 | 2048 | 2048 | 15 | 7440  | 120 | 120 | 3.141 | 7680  | 3.75     |
| lena16.bmp | lena16.bmp-withWavelet_rbio1.1-G_0.5-H4e-005_af1.wfa  | rbio1.1 | af1 | 0.5  | 0.00004 | 6144 | 2048 | 2048 | 15 | 7440  | 120 | 120 | 3.172 | 7680  | 3.75     |
| lena16.bmp | lena16.bmp-withWavelet_sym1-G_0.5-H4e-005_af1.wfa     | sym1    | af1 | 0.5  | 0.00004 | 6144 | 2048 | 2048 | 15 | 7440  | 120 | 120 | 3.125 | 7680  | 3.75     |
| lena16.bmp | lena16.bmp-withWavelet_bior1.1-G_0.5-H4e-005_af1.wfa  | bior1.1 | af1 | 0.5  | 0.00004 | 6144 | 2048 | 2048 | 15 | 7440  | 120 | 120 | 3.141 | 7680  | 3.75     |
| lena16.bmp | lena16.bmp-G_0.5-H4e-005_af2.wfa                      |         | af2 | 0.5  | 0.00004 | 6144 | 2048 |      | 14 | 6512  | 112 | 112 | 2.844 | 6736  | 3.289063 |

|            |  |         |     |     |         |      |      |      |    |      |     |     |       |      |          |
|------------|--|---------|-----|-----|---------|------|------|------|----|------|-----|-----|-------|------|----------|
| lena16.bmp | lena16.bmp-withWavelet_haar-G_0.5-H4e-005_af2.wfa    | haar    | af2 | 0.5 | 0.00004 | 6144 | 2048 | 2048 | 14 | 6512 | 112 | 112 | 2.5   | 6736 | 3.289063 |
| lena16.bmp | lena16.bmp-withWavelet_rbio1.1-G_0.5-H4e-005_af2.wfa | rbio1.1 | af2 | 0.5 | 0.00004 | 6144 | 2048 | 2048 | 14 | 6512 | 112 | 112 | 2.516 | 6736 | 3.289063 |
| lena16.bmp | lena16.bmp-withWavelet_sym1-G_0.5-H4e-005_af2.wfa    | sym1    | af2 | 0.5 | 0.00004 | 6144 | 2048 | 2048 | 14 | 6512 | 112 | 112 | 2.547 | 6736 | 3.289063 |
| lena16.bmp | lena16.bmp-withWavelet_bior1.1-G_0.5-H4e-005_af2.wfa | bior1.1 | af2 | 0.5 | 0.00004 | 6144 | 2048 | 2048 | 14 | 6512 | 112 | 112 | 2.657 | 6736 | 3.289063 |
| lena16.bmp | lena16.bmp-G_0.5-H4e-005_af3.wfa                     |         | af3 | 0.5 | 0.00004 | 6144 | 2048 |      | 14 | 6512 | 112 | 112 | 2.86  | 6736 | 3.289063 |
| lena16.bmp | lena16.bmp-withWavelet_haar-G_0.5-H4e-005_af3.wfa    | haar    | af3 | 0.5 | 0.00004 | 6144 | 2048 | 2048 | 16 | 8432 | 128 | 128 | 3.61  | 8688 | 4.242188 |
| lena16.bmp | lena16.bmp-withWavelet_rbio1.1-G_0.5-H4e-005_af3.wfa | rbio1.1 | af3 | 0.5 | 0.00004 | 6144 | 2048 | 2048 | 16 | 8432 | 128 | 128 | 3.312 | 8688 | 4.242188 |
| lena16.bmp | lena16.bmp-withWavelet_sym1-G_0.5-H4e-005_af3.wfa    | sym1    | af3 | 0.5 | 0.00004 | 6144 | 2048 | 2048 | 16 | 8432 | 128 | 128 | 3.516 | 8688 | 4.242188 |
| lena16.bmp | lena16.bmp-withWavelet_bior1.1-G_0.5-H4e-005_af3.wfa | bior1.1 | af3 | 0.5 | 0.00004 | 6144 | 2048 | 2048 | 16 | 8432 | 128 | 128 | 3.312 | 8688 | 4.242188 |
| lena16.bmp | lena16.bmp-G_0.5-H4e-005_af4.wfa                     |         | af4 | 0.5 | 0.00004 | 6144 | 2048 |      | 5  | 1040 | 40  | 40  | 2.125 | 1120 | 0.546875 |
| lena16.bmp | lena16.bmp-withWavelet_haar-G_0.5-H4e-005_af4.wfa    | haar    | af4 | 0.5 | 0.00004 | 6144 | 2048 | 2048 | 12 | 4848 | 96  | 96  | 2.891 | 5040 | 2.460938 |
| lena16.bmp | lena16.bmp-withWavelet_rbio1.1-G_0.5-H4e-005_af4.wfa | rbio1.1 | af4 | 0.5 | 0.00004 | 6144 | 2048 | 2048 | 12 | 4848 | 96  | 96  | 3.297 | 5040 | 2.460938 |
| lena16.bmp | lena16.bmp-withWavelet_sym1-G_0.5-H4e-005_af4.wfa    | sym1    | af4 | 0.5 | 0.00004 | 6144 | 2048 | 2048 | 12 | 4848 | 96  | 96  | 2.969 | 5040 | 2.460938 |
| lena16.bmp | lena16.bmp-withWavelet_bior1.1-G_0.5-H4e-005_af4.wfa | bior1.1 | af4 | 0.5 | 0.00004 | 6144 | 2048 | 2048 | 12 | 4848 | 96  | 96  | 3.25  | 5040 | 2.460938 |
| lena16.bmp | lena16.bmp-G_0.5-H4e-005_af5.wfa                     |         | af5 | 0.5 | 0.00004 | 6144 | 2048 |      | 15 | 7440 | 120 | 120 | 2.109 | 7680 | 3.75     |
| lena16.bmp | lena16.bmp-withWavelet_haar-G_0.5-H4e-005_af5.wfa    | haar    | af5 | 0.5 | 0.00004 | 6144 | 2048 | 2048 | 9  | 2832 | 72  | 72  | 2.266 | 2976 | 1.453125 |
| lena16.bmp | lena16.bmp-withWavelet_rbio1.1-G_0.5-H4e-005_af5.wfa | rbio1.1 | af5 | 0.5 | 0.00004 | 6144 | 2048 | 2048 | 9  | 2832 | 72  | 72  | 2.172 | 2976 | 1.453125 |
| lena16.bmp | lena16.bmp-withWavelet_sym1-G_0.5-H4e-005_af5.wfa    | sym1    | af5 | 0.5 | 0.00004 | 6144 | 2048 | 2048 | 9  | 2832 | 72  | 72  | 2.094 | 2976 | 1.453125 |
| lena16.bmp | lena16.bmp-withWavelet_bior1.1-G_0.5-H4e-005_af5.wfa | bior1.1 | af5 | 0.5 | 0.00004 | 6144 | 2048 | 2048 | 9  | 2832 | 72  | 72  | 2.079 | 2976 | 1.453125 |
| lena16.bmp | lena16.bmp-G_1-H5e-005_af1.wfa                       |         | af1 | 1   | 0.00005 | 6144 | 2048 |      | 14 | 6512 | 112 | 112 | 4.078 | 6736 | 3.289063 |
| lena16.bmp | lena16.bmp-withWavelet_haar-G_1-H5e-005_af1.wfa      | haar    | af1 | 1   | 0.00005 | 6144 | 2048 | 2048 | 14 | 6512 | 112 | 112 | 5     | 6736 | 3.289063 |
| lena16.bmp | lena16.bmp-withWavelet_rbio1.1-G_1-H5e-005_af1.wfa   | rbio1.1 | af1 | 1   | 0.00005 | 6144 | 2048 | 2048 | 14 | 6512 | 112 | 112 | 4.922 | 6736 | 3.289063 |
| lena16.bmp | lena16.bmp-withWavelet_sym1-G_1-H5e-005_af1.wfa      | sym1    | af1 | 1   | 0.00005 | 6144 | 2048 | 2048 | 14 | 6512 | 112 | 112 | 4.953 | 6736 | 3.289063 |
| lena16.bmp | lena16.bmp-withWavelet_bior1.1-G_1-H5e-005_af1.wfa   | bior1.1 | af1 | 1   | 0.00005 | 6144 | 2048 | 2048 | 14 | 6512 | 112 | 112 | 4.922 | 6736 | 3.289063 |
| lena16.bmp | lena16.bmp-G_1-H5e-005_af2.wfa                       |         | af2 | 1   | 0.00005 | 6144 | 2048 |      | 13 | 5648 | 104 | 104 | 3.828 | 5856 | 2.859375 |
| lena16.bmp | lena16.bmp-withWavelet_haar-G_1-H5e-005_af2.wfa      | haar    | af2 | 1   | 0.00005 | 6144 | 2048 | 2048 | 13 | 5648 | 104 | 104 | 3.609 | 5856 | 2.859375 |
| lena16.bmp | lena16.bmp-withWavelet_rbio1.1-G_1-H5e-005_af2.wfa   | rbio1.1 | af2 | 1   | 0.00005 | 6144 | 2048 | 2048 | 13 | 5648 | 104 | 104 | 3.688 | 5856 | 2.859375 |
| lena16.bmp | lena16.bmp-withWavelet_sym1-G_1-H5e-005_af2.wfa      | sym1    | af2 | 1   | 0.00005 | 6144 | 2048 | 2048 | 13 | 5648 | 104 | 104 | 3.609 | 5856 | 2.859375 |
| lena16.bmp | lena16.bmp-withWavelet_bior1.1-G_1-H5e-005_af2.wfa   | bior1.1 | af2 | 1   | 0.00005 | 6144 | 2048 | 2048 | 13 | 5648 | 104 | 104 | 3.609 | 5856 | 2.859375 |
| lena16.bmp | lena16.bmp-G_1-H5e-005_af3.wfa                       |         | af3 | 1   | 0.00005 | 6144 | 2048 |      | 13 | 5648 | 104 | 104 | 4.078 | 5856 | 2.859375 |
| lena16.bmp | lena16.bmp-withWavelet_haar-G_1-H5e-005_af3.wfa      | haar    | af3 | 1   | 0.00005 | 6144 | 2048 | 2048 | 15 | 7440 | 120 | 120 | 4.437 | 7680 | 3.75     |

|            |   |         |     |      |         |      |      |      |    |      |     |     |       |      |          |
|------------|---|---------|-----|------|---------|------|------|------|----|------|-----|-----|-------|------|----------|
| lena16.bmp | lena16.bmp-withWavelet_rbio1.1-G_1-H5e-005_af3.wfa    | rbio1.1 | af3 | 1    | 0.00005 | 6144 | 2048 | 2048 | 15 | 7440 | 120 | 120 | 4.484 | 7680 | 3.75     |
| lena16.bmp | lena16.bmp-withWavelet_sym1-G_1-H5e-005_af3.wfa       | sym1    | af3 | 1    | 0.00005 | 6144 | 2048 | 2048 | 15 | 7440 | 120 | 120 | 5.032 | 7680 | 3.75     |
| lena16.bmp | lena16.bmp-withWavelet_bior1.1-G_1-H5e-005_af3.wfa    | bior1.1 | af3 | 1    | 0.00005 | 6144 | 2048 | 2048 | 15 | 7440 | 120 | 120 | 4.406 | 7680 | 3.75     |
| lena16.bmp | lena16.bmp-G_1-H5e-005_af4.wfa                        |         | af4 | 1    | 0.00005 | 6144 | 2048 |      | 5  | 1040 | 40  | 40  | 2.188 | 1120 | 0.546875 |
| lena16.bmp | lena16.bmp-withWavelet_haar-G_1-H5e-005_af4.wfa       | haar    | af4 | 1    | 0.00005 | 6144 | 2048 | 2048 | 14 | 6512 | 112 | 112 | 5.625 | 6736 | 3.289063 |
| lena16.bmp | lena16.bmp-withWavelet_rbio1.1-G_1-H5e-005_af4.wfa    | rbio1.1 | af4 | 1    | 0.00005 | 6144 | 2048 | 2048 | 14 | 6512 | 112 | 112 | 5.875 | 6736 | 3.289063 |
| lena16.bmp | lena16.bmp-withWavelet_sym1-G_1-H5e-005_af4.wfa       | sym1    | af4 | 1    | 0.00005 | 6144 | 2048 | 2048 | 14 | 6512 | 112 | 112 | 5.515 | 6736 | 3.289063 |
| lena16.bmp | lena16.bmp-withWavelet_bior1.1-G_1-H5e-005_af4.wfa    | bior1.1 | af4 | 1    | 0.00005 | 6144 | 2048 | 2048 | 14 | 6512 | 112 | 112 | 5.453 | 6736 | 3.289063 |
| lena16.bmp | lena16.bmp-G_1-H5e-005_af5.wfa                        |         | af5 | 1    | 0.00005 | 6144 | 2048 |      | 15 | 7440 | 120 | 120 | 2.547 | 7680 | 3.75     |
| lena16.bmp | lena16.bmp-withWavelet_haar-G_1-H5e-005_af5.wfa       | haar    | af5 | 1    | 0.00005 | 6144 | 2048 | 2048 | 11 | 4112 | 88  | 88  | 2.406 | 4288 | 2.09375  |
| lena16.bmp | lena16.bmp-withWavelet_rbio1.1-G_1-H5e-005_af5.wfa    | rbio1.1 | af5 | 1    | 0.00005 | 6144 | 2048 | 2048 | 11 | 4112 | 88  | 88  | 2.344 | 4288 | 2.09375  |
| lena16.bmp | lena16.bmp-withWavelet_sym1-G_1-H5e-005_af5.wfa       | sym1    | af5 | 1    | 0.00005 | 6144 | 2048 | 2048 | 11 | 4112 | 88  | 88  | 2.344 | 4288 | 2.09375  |
| lena16.bmp | lena16.bmp-withWavelet_bior1.1-G_1-H5e-005_af5.wfa    | bior1.1 | af5 | 1    | 0.00005 | 6144 | 2048 | 2048 | 11 | 4112 | 88  | 88  | 2.329 | 4288 | 2.09375  |
| lena16.bmp | lena16.bmp-G_0.75-H5e-005_af1.wfa                     |         | af1 | 0.75 | 0.00005 | 6144 | 2048 |      | 13 | 5648 | 104 | 104 | 3     | 5856 | 2.859375 |
| lena16.bmp | lena16.bmp-withWavelet_haar-G_0.75-H5e-005_af1.wfa    | haar    | af1 | 0.75 | 0.00005 | 6144 | 2048 | 2048 | 14 | 6512 | 112 | 112 | 3.61  | 6736 | 3.289063 |
| lena16.bmp | lena16.bmp-withWavelet_rbio1.1-G_0.75-H5e-005_af1.wfa | rbio1.1 | af1 | 0.75 | 0.00005 | 6144 | 2048 | 2048 | 14 | 6512 | 112 | 112 | 3.578 | 6736 | 3.289063 |
| lena16.bmp | lena16.bmp-withWavelet_sym1-G_0.75-H5e-005_af1.wfa    | sym1    | af1 | 0.75 | 0.00005 | 6144 | 2048 | 2048 | 14 | 6512 | 112 | 112 | 3.735 | 6736 | 3.289063 |
| lena16.bmp | lena16.bmp-withWavelet_bior1.1-G_0.75-H5e-005_af1.wfa | bior1.1 | af1 | 0.75 | 0.00005 | 6144 | 2048 | 2048 | 14 | 6512 | 112 | 112 | 3.734 | 6736 | 3.289063 |
| lena16.bmp | lena16.bmp-G_0.75-H5e-005_af2.wfa                     |         | af2 | 0.75 | 0.00005 | 6144 | 2048 |      | 13 | 5648 | 104 | 104 | 3.203 | 5856 | 2.859375 |
| lena16.bmp | lena16.bmp-withWavelet_haar-G_0.75-H5e-005_af2.wfa    | haar    | af2 | 0.75 | 0.00005 | 6144 | 2048 | 2048 | 14 | 6512 | 112 | 112 | 2.812 | 6736 | 3.289063 |
| lena16.bmp | lena16.bmp-withWavelet_rbio1.1-G_0.75-H5e-005_af2.wfa | rbio1.1 | af2 | 0.75 | 0.00005 | 6144 | 2048 | 2048 | 14 | 6512 | 112 | 112 | 2.843 | 6736 | 3.289063 |
| lena16.bmp | lena16.bmp-withWavelet_sym1-G_0.75-H5e-005_af2.wfa    | sym1    | af2 | 0.75 | 0.00005 | 6144 | 2048 | 2048 | 14 | 6512 | 112 | 112 | 2.859 | 6736 | 3.289063 |
| lena16.bmp | lena16.bmp-withWavelet_bior1.1-G_0.75-H5e-005_af2.wfa | bior1.1 | af2 | 0.75 | 0.00005 | 6144 | 2048 | 2048 | 14 | 6512 | 112 | 112 | 2.828 | 6736 | 3.289063 |
| lena16.bmp | lena16.bmp-G_0.75-H5e-005_af3.wfa                     |         | af3 | 0.75 | 0.00005 | 6144 | 2048 |      | 13 | 5648 | 104 | 104 | 3.031 | 5856 | 2.859375 |
| lena16.bmp | lena16.bmp-withWavelet_haar-G_0.75-H5e-005_af3.wfa    | haar    | af3 | 0.75 | 0.00005 | 6144 | 2048 | 2048 | 14 | 6512 | 112 | 112 | 3.156 | 6736 | 3.289063 |
| lena16.bmp | lena16.bmp-withWavelet_rbio1.1-G_0.75-H5e-005_af3.wfa | rbio1.1 | af3 | 0.75 | 0.00005 | 6144 | 2048 | 2048 | 14 | 6512 | 112 | 112 | 3.265 | 6736 | 3.289063 |
| lena16.bmp | lena16.bmp-withWavelet_sym1-G_0.75-H5e-005_af3.wfa    | sym1    | af3 | 0.75 | 0.00005 | 6144 | 2048 | 2048 | 14 | 6512 | 112 | 112 | 3.172 | 6736 | 3.289063 |
| lena16.bmp | lena16.bmp-withWavelet_bior1.1-G_0.75-H5e-005_af3.wfa | bior1.1 | af3 | 0.75 | 0.00005 | 6144 | 2048 | 2048 | 14 | 6512 | 112 | 112 | 3.188 | 6736 | 3.289063 |
| lena16.bmp | lena16.bmp-G_0.75-H5e-005_af4.wfa                     |         | af4 | 0.75 | 0.00005 | 6144 | 2048 |      | 5  | 1040 | 40  | 40  | 1.954 | 1120 | 0.546875 |
| lena16.bmp | lena16.bmp-withWavelet_haar-G_0.75-H5e-005_af4.wfa    | haar    | af4 | 0.75 | 0.00005 | 6144 | 2048 | 2048 | 14 | 6512 | 112 | 112 | 3.953 | 6736 | 3.289063 |
| lena16.bmp | lena16.bmp-withWavelet_rbio1.1-G_0.75-H5e-005_af4.wfa | rbio1.1 | af4 | 0.75 | 0.00005 | 6144 | 2048 | 2048 | 14 | 6512 | 112 | 112 | 4.078 | 6736 | 3.289063 |

|            |   |         |     |      |         |      |      |      |    |      |     |     |       |      |          |
|------------|---|---------|-----|------|---------|------|------|------|----|------|-----|-----|-------|------|----------|
| lena16.bmp | lena16.bmp-withWavelet_sym1-G_0.75-H5e-005_af4.wfa    | sym1    | af4 | 0.75 | 0.00005 | 6144 | 2048 | 2048 | 14 | 6512 | 112 | 112 | 3.938 | 6736 | 3.289063 |
| lena16.bmp | lena16.bmp-withWavelet_bior1.1-G_0.75-H5e-005_af4.wfa | bior1.1 | af4 | 0.75 | 0.00005 | 6144 | 2048 | 2048 | 14 | 6512 | 112 | 112 | 3.906 | 6736 | 3.289063 |
| lena16.bmp | lena16.bmp-G_0.75-H5e-005_af5.wfa                     |         | af5 | 0.75 | 0.00005 | 6144 | 2048 |      | 16 | 8432 | 128 | 128 | 2.25  | 8688 | 4.242188 |
| lena16.bmp | lena16.bmp-withWavelet_haar-G_0.75-H5e-005_af5.wfa    | haar    | af5 | 0.75 | 0.00005 | 6144 | 2048 | 2048 | 12 | 4848 | 96  | 96  | 2.047 | 5040 | 2.460938 |
| lena16.bmp | lena16.bmp-withWavelet_rbio1.1-G_0.75-H5e-005_af5.wfa | rbio1.1 | af5 | 0.75 | 0.00005 | 6144 | 2048 | 2048 | 12 | 4848 | 96  | 96  | 2.141 | 5040 | 2.460938 |
| lena16.bmp | lena16.bmp-withWavelet_sym1-G_0.75-H5e-005_af5.wfa    | sym1    | af5 | 0.75 | 0.00005 | 6144 | 2048 | 2048 | 12 | 4848 | 96  | 96  | 2.094 | 5040 | 2.460938 |
| lena16.bmp | lena16.bmp-withWavelet_bior1.1-G_0.75-H5e-005_af5.wfa | bior1.1 | af5 | 0.75 | 0.00005 | 6144 | 2048 | 2048 | 12 | 4848 | 96  | 96  | 2.156 | 5040 | 2.460938 |
| lena16.bmp | lena16.bmp-G_0.5-H5e-005_af1.wfa                      |         | af1 | 0.5  | 0.00005 | 6144 | 2048 |      | 11 | 4112 | 88  | 88  | 2.484 | 4288 | 2.09375  |
| lena16.bmp | lena16.bmp-withWavelet_haar-G_0.5-H5e-005_af1.wfa     | haar    | af1 | 0.5  | 0.00005 | 6144 | 2048 | 2048 | 15 | 7440 | 120 | 120 | 3.11  | 7680 | 3.75     |
| lena16.bmp | lena16.bmp-withWavelet_rbio1.1-G_0.5-H5e-005_af1.wfa  | rbio1.1 | af1 | 0.5  | 0.00005 | 6144 | 2048 | 2048 | 15 | 7440 | 120 | 120 | 3.062 | 7680 | 3.75     |
| lena16.bmp | lena16.bmp-withWavelet_sym1-G_0.5-H5e-005_af1.wfa     | sym1    | af1 | 0.5  | 0.00005 | 6144 | 2048 | 2048 | 15 | 7440 | 120 | 120 | 3.015 | 7680 | 3.75     |
| lena16.bmp | lena16.bmp-withWavelet_bior1.1-G_0.5-H5e-005_af1.wfa  | bior1.1 | af1 | 0.5  | 0.00005 | 6144 | 2048 | 2048 | 15 | 7440 | 120 | 120 | 3.094 | 7680 | 3.75     |
| lena16.bmp | lena16.bmp-G_0.5-H5e-005_af2.wfa                      |         | af2 | 0.5  | 0.00005 | 6144 | 2048 |      | 13 | 5648 | 104 | 104 | 2.625 | 5856 | 2.859375 |
| lena16.bmp | lena16.bmp-withWavelet_haar-G_0.5-H5e-005_af2.wfa     | haar    | af2 | 0.5  | 0.00005 | 6144 | 2048 | 2048 | 13 | 5648 | 104 | 104 | 2.453 | 5856 | 2.859375 |
| lena16.bmp | lena16.bmp-withWavelet_rbio1.1-G_0.5-H5e-005_af2.wfa  | rbio1.1 | af2 | 0.5  | 0.00005 | 6144 | 2048 | 2048 | 13 | 5648 | 104 | 104 | 2.469 | 5856 | 2.859375 |
| lena16.bmp | lena16.bmp-withWavelet_sym1-G_0.5-H5e-005_af2.wfa     | sym1    | af2 | 0.5  | 0.00005 | 6144 | 2048 | 2048 | 13 | 5648 | 104 | 104 | 2.469 | 5856 | 2.859375 |
| lena16.bmp | lena16.bmp-withWavelet_bior1.1-G_0.5-H5e-005_af2.wfa  | bior1.1 | af2 | 0.5  | 0.00005 | 6144 | 2048 | 2048 | 13 | 5648 | 104 | 104 | 2.438 | 5856 | 2.859375 |
| lena16.bmp | lena16.bmp-G_0.5-H5e-005_af3.wfa                      |         | af3 | 0.5  | 0.00005 | 6144 | 2048 |      | 14 | 6512 | 112 | 112 | 2.672 | 6736 | 3.289063 |
| lena16.bmp | lena16.bmp-withWavelet_haar-G_0.5-H5e-005_af3.wfa     | haar    | af3 | 0.5  | 0.00005 | 6144 | 2048 | 2048 | 15 | 7440 | 120 | 120 | 3.015 | 7680 | 3.75     |
| lena16.bmp | lena16.bmp-withWavelet_rbio1.1-G_0.5-H5e-005_af3.wfa  | rbio1.1 | af3 | 0.5  | 0.00005 | 6144 | 2048 | 2048 | 15 | 7440 | 120 | 120 | 3.11  | 7680 | 3.75     |
| lena16.bmp | lena16.bmp-withWavelet_sym1-G_0.5-H5e-005_af3.wfa     | sym1    | af3 | 0.5  | 0.00005 | 6144 | 2048 | 2048 | 15 | 7440 | 120 | 120 | 3.031 | 7680 | 3.75     |
| lena16.bmp | lena16.bmp-withWavelet_bior1.1-G_0.5-H5e-005_af3.wfa  | bior1.1 | af3 | 0.5  | 0.00005 | 6144 | 2048 | 2048 | 15 | 7440 | 120 | 120 | 3.047 | 7680 | 3.75     |
| lena16.bmp | lena16.bmp-G_0.5-H5e-005_af4.wfa                      |         | af4 | 0.5  | 0.00005 | 6144 | 2048 |      | 5  | 1040 | 40  | 40  | 1.907 | 1120 | 0.546875 |
| lena16.bmp | lena16.bmp-withWavelet_haar-G_0.5-H5e-005_af4.wfa     | haar    | af4 | 0.5  | 0.00005 | 6144 | 2048 | 2048 | 11 | 4112 | 88  | 88  | 2.75  | 4288 | 2.09375  |
| lena16.bmp | lena16.bmp-withWavelet_rbio1.1-G_0.5-H5e-005_af4.wfa  | rbio1.1 | af4 | 0.5  | 0.00005 | 6144 | 2048 | 2048 | 11 | 4112 | 88  | 88  | 2.75  | 4288 | 2.09375  |
| lena16.bmp | lena16.bmp-withWavelet_sym1-G_0.5-H5e-005_af4.wfa     | sym1    | af4 | 0.5  | 0.00005 | 6144 | 2048 | 2048 | 11 | 4112 | 88  | 88  | 2.735 | 4288 | 2.09375  |
| lena16.bmp | lena16.bmp-withWavelet_bior1.1-G_0.5-H5e-005_af4.wfa  | bior1.1 | af4 | 0.5  | 0.00005 | 6144 | 2048 | 2048 | 11 | 4112 | 88  | 88  | 2.703 | 4288 | 2.09375  |
| lena16.bmp | lena16.bmp-G_0.5-H5e-005_af5.wfa                      |         | af5 | 0.5  | 0.00005 | 6144 | 2048 |      | 13 | 5648 | 104 | 104 | 2.078 | 5856 | 2.859375 |
| lena16.bmp | lena16.bmp-withWavelet_haar-G_0.5-H5e-005_af5.wfa     | haar    | af5 | 0.5  | 0.00005 | 6144 | 2048 | 2048 | 9  | 2832 | 72  | 72  | 2     | 2976 | 1.453125 |
| lena16.bmp | lena16.bmp-withWavelet_rbio1.1-G_0.5-H5e-005_af5.wfa  | rbio1.1 | af5 | 0.5  | 0.00005 | 6144 | 2048 | 2048 | 9  | 2832 | 72  | 72  | 2     | 2976 | 1.453125 |
| lena16.bmp | lena16.bmp-withWavelet_sym1-G_0.5-H5e-005_af5.wfa     | sym1    | af5 | 0.5  | 0.00005 | 6144 | 2048 | 2048 | 9  | 2832 | 72  | 72  | 1.985 | 2976 | 1.453125 |

|            |   |         |     |      |         |      |      |      |    |      |     |     |       |      |          |
|------------|---|---------|-----|------|---------|------|------|------|----|------|-----|-----|-------|------|----------|
| lena16.bmp | lena16.bmp-withWavelet_bior1.1-G_0.5-H5e-005_af5.wfa  | bior1.1 | af5 | 0.5  | 0.00005 | 6144 | 2048 | 2048 | 9  | 2832 | 72  | 72  | 2     | 2976 | 1.453125 |
| lena16.bmp | lena16.bmp-G_1-H6e-005_af1.wfa                        |         | af1 | 1    | 0.00006 | 6144 | 2048 |      | 13 | 5648 | 104 | 104 | 3.922 | 5856 | 2.859375 |
| lena16.bmp | lena16.bmp-withWavelet_haar-G_1-H6e-005_af1.wfa       | haar    | af1 | 1    | 0.00006 | 6144 | 2048 | 2048 | 12 | 4848 | 96  | 96  | 4.14  | 5040 | 2.460938 |
| lena16.bmp | lena16.bmp-withWavelet_rbio1.1-G_1-H6e-005_af1.wfa    | rbio1.1 | af1 | 1    | 0.00006 | 6144 | 2048 | 2048 | 12 | 4848 | 96  | 96  | 4.844 | 5040 | 2.460938 |
| lena16.bmp | lena16.bmp-withWavelet_sym1-G_1-H6e-005_af1.wfa       | sym1    | af1 | 1    | 0.00006 | 6144 | 2048 | 2048 | 12 | 4848 | 96  | 96  | 4.297 | 5040 | 2.460938 |
| lena16.bmp | lena16.bmp-withWavelet_bior1.1-G_1-H6e-005_af1.wfa    | bior1.1 | af1 | 1    | 0.00006 | 6144 | 2048 | 2048 | 12 | 4848 | 96  | 96  | 4.297 | 5040 | 2.460938 |
| lena16.bmp | lena16.bmp-G_1-H6e-005_af2.wfa                        |         | af2 | 1    | 0.00006 | 6144 | 2048 |      | 13 | 5648 | 104 | 104 | 4.422 | 5856 | 2.859375 |
| lena16.bmp | lena16.bmp-withWavelet_haar-G_1-H6e-005_af2.wfa       | haar    | af2 | 1    | 0.00006 | 6144 | 2048 | 2048 | 12 | 4848 | 96  | 96  | 3.469 | 5040 | 2.460938 |
| lena16.bmp | lena16.bmp-withWavelet_rbio1.1-G_1-H6e-005_af2.wfa    | rbio1.1 | af2 | 1    | 0.00006 | 6144 | 2048 | 2048 | 12 | 4848 | 96  | 96  | 3.453 | 5040 | 2.460938 |
| lena16.bmp | lena16.bmp-withWavelet_sym1-G_1-H6e-005_af2.wfa       | sym1    | af2 | 1    | 0.00006 | 6144 | 2048 | 2048 | 12 | 4848 | 96  | 96  | 3.437 | 5040 | 2.460938 |
| lena16.bmp | lena16.bmp-withWavelet_bior1.1-G_1-H6e-005_af2.wfa    | bior1.1 | af2 | 1    | 0.00006 | 6144 | 2048 | 2048 | 12 | 4848 | 96  | 96  | 3.453 | 5040 | 2.460938 |
| lena16.bmp | lena16.bmp-G_1-H6e-005_af3.wfa                        |         | af3 | 1    | 0.00006 | 6144 | 2048 |      | 13 | 5648 | 104 | 104 | 3.969 | 5856 | 2.859375 |
| lena16.bmp | lena16.bmp-withWavelet_haar-G_1-H6e-005_af3.wfa       | haar    | af3 | 1    | 0.00006 | 6144 | 2048 | 2048 | 14 | 6512 | 112 | 112 | 4.125 | 6736 | 3.289063 |
| lena16.bmp | lena16.bmp-withWavelet_rbio1.1-G_1-H6e-005_af3.wfa    | rbio1.1 | af3 | 1    | 0.00006 | 6144 | 2048 | 2048 | 14 | 6512 | 112 | 112 | 4.047 | 6736 | 3.289063 |
| lena16.bmp | lena16.bmp-withWavelet_sym1-G_1-H6e-005_af3.wfa       | sym1    | af3 | 1    | 0.00006 | 6144 | 2048 | 2048 | 14 | 6512 | 112 | 112 | 4.078 | 6736 | 3.289063 |
| lena16.bmp | lena16.bmp-withWavelet_bior1.1-G_1-H6e-005_af3.wfa    | bior1.1 | af3 | 1    | 0.00006 | 6144 | 2048 | 2048 | 14 | 6512 | 112 | 112 | 4.031 | 6736 | 3.289063 |
| lena16.bmp | lena16.bmp-G_1-H6e-005_af4.wfa                        |         | af4 | 1    | 0.00006 | 6144 | 2048 |      | 5  | 1040 | 40  | 40  | 2.141 | 1120 | 0.546875 |
| lena16.bmp | lena16.bmp-withWavelet_haar-G_1-H6e-005_af4.wfa       | haar    | af4 | 1    | 0.00006 | 6144 | 2048 | 2048 | 14 | 6512 | 112 | 112 | 5.297 | 6736 | 3.289063 |
| lena16.bmp | lena16.bmp-withWavelet_rbio1.1-G_1-H6e-005_af4.wfa    | rbio1.1 | af4 | 1    | 0.00006 | 6144 | 2048 | 2048 | 14 | 6512 | 112 | 112 | 5.375 | 6736 | 3.289063 |
| lena16.bmp | lena16.bmp-withWavelet_sym1-G_1-H6e-005_af4.wfa       | sym1    | af4 | 1    | 0.00006 | 6144 | 2048 | 2048 | 14 | 6512 | 112 | 112 | 6     | 6736 | 3.289063 |
| lena16.bmp | lena16.bmp-withWavelet_bior1.1-G_1-H6e-005_af4.wfa    | bior1.1 | af4 | 1    | 0.00006 | 6144 | 2048 | 2048 | 14 | 6512 | 112 | 112 | 5.985 | 6736 | 3.289063 |
| lena16.bmp | lena16.bmp-G_1-H6e-005_af5.wfa                        |         | af5 | 1    | 0.00006 | 6144 | 2048 |      | 14 | 6512 | 112 | 112 | 2.5   | 6736 | 3.289063 |
| lena16.bmp | lena16.bmp-withWavelet_haar-G_1-H6e-005_af5.wfa       | haar    | af5 | 1    | 0.00006 | 6144 | 2048 | 2048 | 10 | 3440 | 80  | 80  | 2.297 | 3600 | 1.757813 |
| lena16.bmp | lena16.bmp-withWavelet_rbio1.1-G_1-H6e-005_af5.wfa    | rbio1.1 | af5 | 1    | 0.00006 | 6144 | 2048 | 2048 | 10 | 3440 | 80  | 80  | 2.312 | 3600 | 1.757813 |
| lena16.bmp | lena16.bmp-withWavelet_sym1-G_1-H6e-005_af5.wfa       | sym1    | af5 | 1    | 0.00006 | 6144 | 2048 | 2048 | 10 | 3440 | 80  | 80  | 2.312 | 3600 | 1.757813 |
| lena16.bmp | lena16.bmp-withWavelet_bior1.1-G_1-H6e-005_af5.wfa    | bior1.1 | af5 | 1    | 0.00006 | 6144 | 2048 | 2048 | 10 | 3440 | 80  | 80  | 2.36  | 3600 | 1.757813 |
| lena16.bmp | lena16.bmp-G_0.75-H6e-005_af1.wfa                     |         | af1 | 0.75 | 0.00006 | 6144 | 2048 |      | 13 | 5648 | 104 | 104 | 3.062 | 5856 | 2.859375 |
| lena16.bmp | lena16.bmp-withWavelet_haar-G_0.75-H6e-005_af1.wfa    | haar    | af1 | 0.75 | 0.00006 | 6144 | 2048 | 2048 | 14 | 6512 | 112 | 112 | 3.609 | 6736 | 3.289063 |
| lena16.bmp | lena16.bmp-withWavelet_rbio1.1-G_0.75-H6e-005_af1.wfa | rbio1.1 | af1 | 0.75 | 0.00006 | 6144 | 2048 | 2048 | 14 | 6512 | 112 | 112 | 3.656 | 6736 | 3.289063 |
| lena16.bmp | lena16.bmp-withWavelet_sym1-G_0.75-H6e-005_af1.wfa    | sym1    | af1 | 0.75 | 0.00006 | 6144 | 2048 | 2048 | 14 | 6512 | 112 | 112 | 3.578 | 6736 | 3.289063 |
| lena16.bmp | lena16.bmp-withWavelet_bior1.1-G_0.75-H6e-005_af1.wfa | bior1.1 | af1 | 0.75 | 0.00006 | 6144 | 2048 | 2048 | 14 | 6512 | 112 | 112 | 3.578 | 6736 | 3.289063 |

|            |   |         |     |      |         |      |      |      |    |      |     |     |       |      |          |
|------------|---|---------|-----|------|---------|------|------|------|----|------|-----|-----|-------|------|----------|
| lena16.bmp | lena16.bmp-G_0.75-H6e-005_af2.wfa                     |         | af2 | 0.75 | 0.00006 | 6144 | 2048 |      | 13 | 5648 | 104 | 104 | 2.953 | 5856 | 2.859375 |
| lena16.bmp | lena16.bmp-withWavelet_haar-G_0.75-H6e-005_af2.wfa    | haar    | af2 | 0.75 | 0.00006 | 6144 | 2048 | 2048 | 13 | 5648 | 104 | 104 | 2.766 | 5856 | 2.859375 |
| lena16.bmp | lena16.bmp-withWavelet_rbio1.1-G_0.75-H6e-005_af2.wfa | rbio1.1 | af2 | 0.75 | 0.00006 | 6144 | 2048 | 2048 | 13 | 5648 | 104 | 104 | 2.734 | 5856 | 2.859375 |
| lena16.bmp | lena16.bmp-withWavelet_sym1-G_0.75-H6e-005_af2.wfa    | sym1    | af2 | 0.75 | 0.00006 | 6144 | 2048 | 2048 | 13 | 5648 | 104 | 104 | 2.781 | 5856 | 2.859375 |
| lena16.bmp | lena16.bmp-withWavelet_bior1.1-G_0.75-H6e-005_af2.wfa | bior1.1 | af2 | 0.75 | 0.00006 | 6144 | 2048 | 2048 | 13 | 5648 | 104 | 104 | 2.781 | 5856 | 2.859375 |
| lena16.bmp | lena16.bmp-G_0.75-H6e-005_af3.wfa                     |         | af3 | 0.75 | 0.00006 | 6144 | 2048 |      | 12 | 4848 | 96  | 96  | 2.813 | 5040 | 2.460938 |
| lena16.bmp | lena16.bmp-withWavelet_haar-G_0.75-H6e-005_af3.wfa    | haar    | af3 | 0.75 | 0.00006 | 6144 | 2048 | 2048 | 15 | 7440 | 120 | 120 | 3.438 | 7680 | 3.75     |
| lena16.bmp | lena16.bmp-withWavelet_rbio1.1-G_0.75-H6e-005_af3.wfa | rbio1.1 | af3 | 0.75 | 0.00006 | 6144 | 2048 | 2048 | 15 | 7440 | 120 | 120 | 3.36  | 7680 | 3.75     |
| lena16.bmp | lena16.bmp-withWavelet_sym1-G_0.75-H6e-005_af3.wfa    | sym1    | af3 | 0.75 | 0.00006 | 6144 | 2048 | 2048 | 15 | 7440 | 120 | 120 | 3.375 | 7680 | 3.75     |
| lena16.bmp | lena16.bmp-withWavelet_bior1.1-G_0.75-H6e-005_af3.wfa | bior1.1 | af3 | 0.75 | 0.00006 | 6144 | 2048 | 2048 | 15 | 7440 | 120 | 120 | 3.422 | 7680 | 3.75     |
| lena16.bmp | lena16.bmp-G_0.75-H6e-005_af4.wfa                     |         | af4 | 0.75 | 0.00006 | 6144 | 2048 |      | 4  | 752  | 32  | 32  | 1.813 | 816  | 0.398438 |
| lena16.bmp | lena16.bmp-withWavelet_haar-G_0.75-H6e-005_af4.wfa    | haar    | af4 | 0.75 | 0.00006 | 6144 | 2048 | 2048 | 14 | 6512 | 112 | 112 | 3.922 | 6736 | 3.289063 |
| lena16.bmp | lena16.bmp-withWavelet_rbio1.1-G_0.75-H6e-005_af4.wfa | rbio1.1 | af4 | 0.75 | 0.00006 | 6144 | 2048 | 2048 | 14 | 6512 | 112 | 112 | 3.921 | 6736 | 3.289063 |
| lena16.bmp | lena16.bmp-withWavelet_sym1-G_0.75-H6e-005_af4.wfa    | sym1    | af4 | 0.75 | 0.00006 | 6144 | 2048 | 2048 | 14 | 6512 | 112 | 112 | 3.843 | 6736 | 3.289063 |
| lena16.bmp | lena16.bmp-withWavelet_bior1.1-G_0.75-H6e-005_af4.wfa | bior1.1 | af4 | 0.75 | 0.00006 | 6144 | 2048 | 2048 | 14 | 6512 | 112 | 112 | 3.891 | 6736 | 3.289063 |
| lena16.bmp | lena16.bmp-G_0.75-H6e-005_af5.wfa                     |         | af5 | 0.75 | 0.00006 | 6144 | 2048 |      | 14 | 6512 | 112 | 112 | 2.156 | 6736 | 3.289063 |
| lena16.bmp | lena16.bmp-withWavelet_haar-G_0.75-H6e-005_af5.wfa    | haar    | af5 | 0.75 | 0.00006 | 6144 | 2048 | 2048 | 11 | 4112 | 88  | 88  | 2.078 | 4288 | 2.09375  |
| lena16.bmp | lena16.bmp-withWavelet_rbio1.1-G_0.75-H6e-005_af5.wfa | rbio1.1 | af5 | 0.75 | 0.00006 | 6144 | 2048 | 2048 | 11 | 4112 | 88  | 88  | 2.031 | 4288 | 2.09375  |
| lena16.bmp | lena16.bmp-withWavelet_sym1-G_0.75-H6e-005_af5.wfa    | sym1    | af5 | 0.75 | 0.00006 | 6144 | 2048 | 2048 | 11 | 4112 | 88  | 88  | 2.063 | 4288 | 2.09375  |
| lena16.bmp | lena16.bmp-withWavelet_bior1.1-G_0.75-H6e-005_af5.wfa | bior1.1 | af5 | 0.75 | 0.00006 | 6144 | 2048 | 2048 | 11 | 4112 | 88  | 88  | 2.062 | 4288 | 2.09375  |
| lena16.bmp | lena16.bmp-G_0.5-H6e-005_af1.wfa                      |         | af1 | 0.5  | 0.00006 | 6144 | 2048 |      | 11 | 4112 | 88  | 88  | 2.484 | 4288 | 2.09375  |
| lena16.bmp | lena16.bmp-withWavelet_haar-G_0.5-H6e-005_af1.wfa     | haar    | af1 | 0.5  | 0.00006 | 6144 | 2048 | 2048 | 14 | 6512 | 112 | 112 | 2.984 | 6736 | 3.289063 |
| lena16.bmp | lena16.bmp-withWavelet_rbio1.1-G_0.5-H6e-005_af1.wfa  | rbio1.1 | af1 | 0.5  | 0.00006 | 6144 | 2048 | 2048 | 14 | 6512 | 112 | 112 | 3.015 | 6736 | 3.289063 |
| lena16.bmp | lena16.bmp-withWavelet_sym1-G_0.5-H6e-005_af1.wfa     | sym1    | af1 | 0.5  | 0.00006 | 6144 | 2048 | 2048 | 14 | 6512 | 112 | 112 | 3.031 | 6736 | 3.289063 |
| lena16.bmp | lena16.bmp-withWavelet_bior1.1-G_0.5-H6e-005_af1.wfa  | bior1.1 | af1 | 0.5  | 0.00006 | 6144 | 2048 | 2048 | 14 | 6512 | 112 | 112 | 3.047 | 6736 | 3.289063 |
| lena16.bmp | lena16.bmp-G_0.5-H6e-005_af2.wfa                      |         | af2 | 0.5  | 0.00006 | 6144 | 2048 |      | 13 | 5648 | 104 | 104 | 2.64  | 5856 | 2.859375 |
| lena16.bmp | lena16.bmp-withWavelet_haar-G_0.5-H6e-005_af2.wfa     | haar    | af2 | 0.5  | 0.00006 | 6144 | 2048 | 2048 | 13 | 5648 | 104 | 104 | 2.453 | 5856 | 2.859375 |
| lena16.bmp | lena16.bmp-withWavelet_rbio1.1-G_0.5-H6e-005_af2.wfa  | rbio1.1 | af2 | 0.5  | 0.00006 | 6144 | 2048 | 2048 | 13 | 5648 | 104 | 104 | 2.484 | 5856 | 2.859375 |
| lena16.bmp | lena16.bmp-withWavelet_sym1-G_0.5-H6e-005_af2.wfa     | sym1    | af2 | 0.5  | 0.00006 | 6144 | 2048 | 2048 | 13 | 5648 | 104 | 104 | 2.437 | 5856 | 2.859375 |
| lena16.bmp | lena16.bmp-withWavelet_bior1.1-G_0.5-H6e-005_af2.wfa  | bior1.1 | af2 | 0.5  | 0.00006 | 6144 | 2048 | 2048 | 13 | 5648 | 104 | 104 | 2.485 | 5856 | 2.859375 |
| lena16.bmp | lena16.bmp-G_0.5-H6e-005_af3.wfa                      |         | af3 | 0.5  | 0.00006 | 6144 | 2048 |      | 13 | 5648 | 104 | 104 | 2.625 | 5856 | 2.859375 |



|            |  |         |     |     |         |      |      |      |    |      |     |     |       |      |          |
|------------|--|---------|-----|-----|---------|------|------|------|----|------|-----|-----|-------|------|----------|
| lena16.bmp | lena16.bmp-withWavelet_haar-G_0.5-H6e-005_af3.wfa    | haar    | af3 | 0.5 | 0.00006 | 6144 | 2048 | 2048 | 14 | 6512 | 112 | 112 | 2.796 | 6736 | 3.289063 |
| lena16.bmp | lena16.bmp-withWavelet_rbio1.1-G_0.5-H6e-005_af3.wfa | rbio1.1 | af3 | 0.5 | 0.00006 | 6144 | 2048 | 2048 | 14 | 6512 | 112 | 112 | 2.844 | 6736 | 3.289063 |
| lena16.bmp | lena16.bmp-withWavelet_sym1-G_0.5-H6e-005_af3.wfa    | sym1    | af3 | 0.5 | 0.00006 | 6144 | 2048 | 2048 | 14 | 6512 | 112 | 112 | 2.812 | 6736 | 3.289063 |
| lena16.bmp | lena16.bmp-withWavelet_bior1.1-G_0.5-H6e-005_af3.wfa | bior1.1 | af3 | 0.5 | 0.00006 | 6144 | 2048 | 2048 | 14 | 6512 | 112 | 112 | 2.844 | 6736 | 3.289063 |
| lena16.bmp | lena16.bmp-G_0.5-H6e-005_af4.wfa                     |         | af4 | 0.5 | 0.00006 | 6144 | 2048 |      | 5  | 1040 | 40  | 40  | 1.875 | 1120 | 0.546875 |
| lena16.bmp | lena16.bmp-withWavelet_haar-G_0.5-H6e-005_af4.wfa    | haar    | af4 | 0.5 | 0.00006 | 6144 | 2048 | 2048 | 11 | 4112 | 88  | 88  | 2.687 | 4288 | 2.09375  |
| lena16.bmp | lena16.bmp-withWavelet_rbio1.1-G_0.5-H6e-005_af4.wfa | rbio1.1 | af4 | 0.5 | 0.00006 | 6144 | 2048 | 2048 | 11 | 4112 | 88  | 88  | 2.766 | 4288 | 2.09375  |
| lena16.bmp | lena16.bmp-withWavelet_sym1-G_0.5-H6e-005_af4.wfa    | sym1    | af4 | 0.5 | 0.00006 | 6144 | 2048 | 2048 | 11 | 4112 | 88  | 88  | 2.688 | 4288 | 2.09375  |
| lena16.bmp | lena16.bmp-withWavelet_bior1.1-G_0.5-H6e-005_af4.wfa | bior1.1 | af4 | 0.5 | 0.00006 | 6144 | 2048 | 2048 | 11 | 4112 | 88  | 88  | 2.719 | 4288 | 2.09375  |
| lena16.bmp | lena16.bmp-G_0.5-H6e-005_af5.wfa                     |         | af5 | 0.5 | 0.00006 | 6144 | 2048 |      | 12 | 4848 | 96  | 96  | 2.031 | 5040 | 2.460938 |
| lena16.bmp | lena16.bmp-withWavelet_haar-G_0.5-H6e-005_af5.wfa    | haar    | af5 | 0.5 | 0.00006 | 6144 | 2048 | 2048 | 8  | 2288 | 64  | 64  | 1.938 | 2416 | 1.179688 |
| lena16.bmp | lena16.bmp-withWavelet_rbio1.1-G_0.5-H6e-005_af5.wfa | rbio1.1 | af5 | 0.5 | 0.00006 | 6144 | 2048 | 2048 | 8  | 2288 | 64  | 64  | 1.922 | 2416 | 1.179688 |
| lena16.bmp | lena16.bmp-withWavelet_sym1-G_0.5-H6e-005_af5.wfa    | sym1    | af5 | 0.5 | 0.00006 | 6144 | 2048 | 2048 | 8  | 2288 | 64  | 64  | 1.937 | 2416 | 1.179688 |
| lena16.bmp | lena16.bmp-withWavelet_bior1.1-G_0.5-H6e-005_af5.wfa | bior1.1 | af5 | 0.5 | 0.00006 | 6144 | 2048 | 2048 | 8  | 2288 | 64  | 64  | 2.062 | 2416 | 1.179688 |
| lena16.bmp | lena16.bmp-G_1-H7e-005_af1.wfa                       |         | af1 | 1   | 0.00007 | 6144 | 2048 |      | 13 | 5648 | 104 | 104 | 3.641 | 5856 | 2.859375 |
| lena16.bmp | lena16.bmp-withWavelet_haar-G_1-H7e-005_af1.wfa      | haar    | af1 | 1   | 0.00007 | 6144 | 2048 | 2048 | 11 | 4112 | 88  | 88  | 3.89  | 4288 | 2.09375  |
| lena16.bmp | lena16.bmp-withWavelet_rbio1.1-G_1-H7e-005_af1.wfa   | rbio1.1 | af1 | 1   | 0.00007 | 6144 | 2048 | 2048 | 11 | 4112 | 88  | 88  | 4.453 | 4288 | 2.09375  |
| lena16.bmp | lena16.bmp-withWavelet_sym1-G_1-H7e-005_af1.wfa      | sym1    | af1 | 1   | 0.00007 | 6144 | 2048 | 2048 | 11 | 4112 | 88  | 88  | 3.844 | 4288 | 2.09375  |
| lena16.bmp | lena16.bmp-withWavelet_bior1.1-G_1-H7e-005_af1.wfa   | bior1.1 | af1 | 1   | 0.00007 | 6144 | 2048 | 2048 | 11 | 4112 | 88  | 88  | 4     | 4288 | 2.09375  |
| lena16.bmp | lena16.bmp-G_1-H7e-005_af2.wfa                       |         | af2 | 1   | 0.00007 | 6144 | 2048 |      | 13 | 5648 | 104 | 104 | 3.828 | 5856 | 2.859375 |
| lena16.bmp | lena16.bmp-withWavelet_haar-G_1-H7e-005_af2.wfa      | haar    | af2 | 1   | 0.00007 | 6144 | 2048 | 2048 | 12 | 4848 | 96  | 96  | 3.297 | 5040 | 2.460938 |
| lena16.bmp | lena16.bmp-withWavelet_rbio1.1-G_1-H7e-005_af2.wfa   | rbio1.1 | af2 | 1   | 0.00007 | 6144 | 2048 | 2048 | 12 | 4848 | 96  | 96  | 3.297 | 5040 | 2.460938 |
| lena16.bmp | lena16.bmp-withWavelet_sym1-G_1-H7e-005_af2.wfa      | sym1    | af2 | 1   | 0.00007 | 6144 | 2048 | 2048 | 12 | 4848 | 96  | 96  | 3.344 | 5040 | 2.460938 |
| lena16.bmp | lena16.bmp-withWavelet_bior1.1-G_1-H7e-005_af2.wfa   | bior1.1 | af2 | 1   | 0.00007 | 6144 | 2048 | 2048 | 12 | 4848 | 96  | 96  | 3.25  | 5040 | 2.460938 |
| lena16.bmp | lena16.bmp-G_1-H7e-005_af3.wfa                       |         | af3 | 1   | 0.00007 | 6144 | 2048 |      | 12 | 4848 | 96  | 96  | 3.703 | 5040 | 2.460938 |
| lena16.bmp | lena16.bmp-withWavelet_haar-G_1-H7e-005_af3.wfa      | haar    | af3 | 1   | 0.00007 | 6144 | 2048 | 2048 | 14 | 6512 | 112 | 112 | 4.094 | 6736 | 3.289063 |
| lena16.bmp | lena16.bmp-withWavelet_rbio1.1-G_1-H7e-005_af3.wfa   | rbio1.1 | af3 | 1   | 0.00007 | 6144 | 2048 | 2048 | 14 | 6512 | 112 | 112 | 4.047 | 6736 | 3.289063 |
| lena16.bmp | lena16.bmp-withWavelet_sym1-G_1-H7e-005_af3.wfa      | sym1    | af3 | 1   | 0.00007 | 6144 | 2048 | 2048 | 14 | 6512 | 112 | 112 | 4.078 | 6736 | 3.289063 |
| lena16.bmp | lena16.bmp-withWavelet_bior1.1-G_1-H7e-005_af3.wfa   | bior1.1 | af3 | 1   | 0.00007 | 6144 | 2048 | 2048 | 14 | 6512 | 112 | 112 | 4.172 | 6736 | 3.289063 |
| lena16.bmp | lena16.bmp-G_1-H7e-005_af4.wfa                       |         | af4 | 1   | 0.00007 | 6144 | 2048 |      | 5  | 1040 | 40  | 40  | 2.093 | 1120 | 0.546875 |
| lena16.bmp | lena16.bmp-withWavelet_haar-G_1-H7e-005_af4.wfa      | haar    | af4 | 1   | 0.00007 | 6144 | 2048 | 2048 | 13 | 5648 | 104 | 104 | 4.75  | 5856 | 2.859375 |

|            |   |         |     |      |         |      |      |      |    |      |     |     |       |      |          |
|------------|---|---------|-----|------|---------|------|------|------|----|------|-----|-----|-------|------|----------|
| lena16.bmp | lena16.bmp-withWavelet_rbio1.1-G_1-H7e-005_af4.wfa    | rbio1.1 | af4 | 1    | 0.00007 | 6144 | 2048 | 2048 | 13 | 5648 | 104 | 104 | 5     | 5856 | 2.859375 |
| lena16.bmp | lena16.bmp-withWavelet_sym1-G_1-H7e-005_af4.wfa       | sym1    | af4 | 1    | 0.00007 | 6144 | 2048 | 2048 | 13 | 5648 | 104 | 104 | 5.516 | 5856 | 2.859375 |
| lena16.bmp | lena16.bmp-withWavelet_bior1.1-G_1-H7e-005_af4.wfa    | bior1.1 | af4 | 1    | 0.00007 | 6144 | 2048 | 2048 | 13 | 5648 | 104 | 104 | 5.125 | 5856 | 2.859375 |
| lena16.bmp | lena16.bmp-G_1-H7e-005_af5.wfa                        |         | af5 | 1    | 0.00007 | 6144 | 2048 |      | 13 | 5648 | 104 | 104 | 2.468 | 5856 | 2.859375 |
| lena16.bmp | lena16.bmp-withWavelet_haar-G_1-H7e-005_af5.wfa       | haar    | af5 | 1    | 0.00007 | 6144 | 2048 | 2048 | 10 | 3440 | 80  | 80  | 2.375 | 3600 | 1.757813 |
| lena16.bmp | lena16.bmp-withWavelet_rbio1.1-G_1-H7e-005_af5.wfa    | rbio1.1 | af5 | 1    | 0.00007 | 6144 | 2048 | 2048 | 10 | 3440 | 80  | 80  | 2.39  | 3600 | 1.757813 |
| lena16.bmp | lena16.bmp-withWavelet_sym1-G_1-H7e-005_af5.wfa       | sym1    | af5 | 1    | 0.00007 | 6144 | 2048 | 2048 | 10 | 3440 | 80  | 80  | 2.375 | 3600 | 1.757813 |
| lena16.bmp | lena16.bmp-withWavelet_bior1.1-G_1-H7e-005_af5.wfa    | bior1.1 | af5 | 1    | 0.00007 | 6144 | 2048 | 2048 | 10 | 3440 | 80  | 80  | 2.344 | 3600 | 1.757813 |
| lena16.bmp | lena16.bmp-G_0.75-H7e-005_af1.wfa                     |         | af1 | 0.75 | 0.00007 | 6144 | 2048 |      | 13 | 5648 | 104 | 104 | 3.047 | 5856 | 2.859375 |
| lena16.bmp | lena16.bmp-withWavelet_haar-G_0.75-H7e-005_af1.wfa    | haar    | af1 | 0.75 | 0.00007 | 6144 | 2048 | 2048 | 12 | 4848 | 96  | 96  | 3.172 | 5040 | 2.460938 |
| lena16.bmp | lena16.bmp-withWavelet_rbio1.1-G_0.75-H7e-005_af1.wfa | rbio1.1 | af1 | 0.75 | 0.00007 | 6144 | 2048 | 2048 | 12 | 4848 | 96  | 96  | 3.219 | 5040 | 2.460938 |
| lena16.bmp | lena16.bmp-withWavelet_sym1-G_0.75-H7e-005_af1.wfa    | sym1    | af1 | 0.75 | 0.00007 | 6144 | 2048 | 2048 | 12 | 4848 | 96  | 96  | 3.172 | 5040 | 2.460938 |
| lena16.bmp | lena16.bmp-withWavelet_bior1.1-G_0.75-H7e-005_af1.wfa | bior1.1 | af1 | 0.75 | 0.00007 | 6144 | 2048 | 2048 | 12 | 4848 | 96  | 96  | 3.203 | 5040 | 2.460938 |
| lena16.bmp | lena16.bmp-G_0.75-H7e-005_af2.wfa                     |         | af2 | 0.75 | 0.00007 | 6144 | 2048 |      | 13 | 5648 | 104 | 104 | 2.938 | 5856 | 2.859375 |
| lena16.bmp | lena16.bmp-withWavelet_haar-G_0.75-H7e-005_af2.wfa    | haar    | af2 | 0.75 | 0.00007 | 6144 | 2048 | 2048 | 11 | 4112 | 88  | 88  | 2.594 | 4288 | 2.09375  |
| lena16.bmp | lena16.bmp-withWavelet_rbio1.1-G_0.75-H7e-005_af2.wfa | rbio1.1 | af2 | 0.75 | 0.00007 | 6144 | 2048 | 2048 | 11 | 4112 | 88  | 88  | 2.625 | 4288 | 2.09375  |
| lena16.bmp | lena16.bmp-withWavelet_sym1-G_0.75-H7e-005_af2.wfa    | sym1    | af2 | 0.75 | 0.00007 | 6144 | 2048 | 2048 | 11 | 4112 | 88  | 88  | 2.594 | 4288 | 2.09375  |
| lena16.bmp | lena16.bmp-withWavelet_bior1.1-G_0.75-H7e-005_af2.wfa | bior1.1 | af2 | 0.75 | 0.00007 | 6144 | 2048 | 2048 | 11 | 4112 | 88  | 88  | 2.672 | 4288 | 2.09375  |
| lena16.bmp | lena16.bmp-G_0.75-H7e-005_af3.wfa                     |         | af3 | 0.75 | 0.00007 | 6144 | 2048 |      | 12 | 4848 | 96  | 96  | 2.796 | 5040 | 2.460938 |
| lena16.bmp | lena16.bmp-withWavelet_haar-G_0.75-H7e-005_af3.wfa    | haar    | af3 | 0.75 | 0.00007 | 6144 | 2048 | 2048 | 14 | 6512 | 112 | 112 | 3.281 | 6736 | 3.289063 |
| lena16.bmp | lena16.bmp-withWavelet_rbio1.1-G_0.75-H7e-005_af3.wfa | rbio1.1 | af3 | 0.75 | 0.00007 | 6144 | 2048 | 2048 | 14 | 6512 | 112 | 112 | 3.25  | 6736 | 3.289063 |
| lena16.bmp | lena16.bmp-withWavelet_sym1-G_0.75-H7e-005_af3.wfa    | sym1    | af3 | 0.75 | 0.00007 | 6144 | 2048 | 2048 | 14 | 6512 | 112 | 112 | 3.25  | 6736 | 3.289063 |
| lena16.bmp | lena16.bmp-withWavelet_bior1.1-G_0.75-H7e-005_af3.wfa | bior1.1 | af3 | 0.75 | 0.00007 | 6144 | 2048 | 2048 | 14 | 6512 | 112 | 112 | 3.25  | 6736 | 3.289063 |
| lena16.bmp | lena16.bmp-G_0.75-H7e-005_af4.wfa                     |         | af4 | 0.75 | 0.00007 | 6144 | 2048 |      | 4  | 752  | 32  | 32  | 1.844 | 816  | 0.398438 |
| lena16.bmp | lena16.bmp-withWavelet_haar-G_0.75-H7e-005_af4.wfa    | haar    | af4 | 0.75 | 0.00007 | 6144 | 2048 | 2048 | 13 | 5648 | 104 | 104 | 3.687 | 5856 | 2.859375 |
| lena16.bmp | lena16.bmp-withWavelet_rbio1.1-G_0.75-H7e-005_af4.wfa | rbio1.1 | af4 | 0.75 | 0.00007 | 6144 | 2048 | 2048 | 13 | 5648 | 104 | 104 | 3.64  | 5856 | 2.859375 |
| lena16.bmp | lena16.bmp-withWavelet_sym1-G_0.75-H7e-005_af4.wfa    | sym1    | af4 | 0.75 | 0.00007 | 6144 | 2048 | 2048 | 13 | 5648 | 104 | 104 | 3.688 | 5856 | 2.859375 |
| lena16.bmp | lena16.bmp-withWavelet_bior1.1-G_0.75-H7e-005_af4.wfa | bior1.1 | af4 | 0.75 | 0.00007 | 6144 | 2048 | 2048 | 13 | 5648 | 104 | 104 | 3.578 | 5856 | 2.859375 |
| lena16.bmp | lena16.bmp-G_0.75-H7e-005_af5.wfa                     |         | af5 | 0.75 | 0.00007 | 6144 | 2048 |      | 13 | 5648 | 104 | 104 | 2.031 | 5856 | 2.859375 |
| lena16.bmp | lena16.bmp-withWavelet_haar-G_0.75-H7e-005_af5.wfa    | haar    | af5 | 0.75 | 0.00007 | 6144 | 2048 | 2048 | 9  | 2832 | 72  | 72  | 2.015 | 2976 | 1.453125 |
| lena16.bmp | lena16.bmp-withWavelet_rbio1.1-G_0.75-H7e-005_af5.wfa | rbio1.1 | af5 | 0.75 | 0.00007 | 6144 | 2048 | 2048 | 9  | 2832 | 72  | 72  | 1.984 | 2976 | 1.453125 |

|            |   |         |     |      |         |      |      |      |    |      |     |     |       |      |          |
|------------|---|---------|-----|------|---------|------|------|------|----|------|-----|-----|-------|------|----------|
| lena16.bmp | lena16.bmp-withWavelet_sym1-G_0.75-H7e-005_af5.wfa    | sym1    | af5 | 0.75 | 0.00007 | 6144 | 2048 | 2048 | 9  | 2832 | 72  | 72  | 2.016 | 2976 | 1.453125 |
| lena16.bmp | lena16.bmp-withWavelet_bior1.1-G_0.75-H7e-005_af5.wfa | bior1.1 | af5 | 0.75 | 0.00007 | 6144 | 2048 | 2048 | 9  | 2832 | 72  | 72  | 1.969 | 2976 | 1.453125 |
| lena16.bmp | lena16.bmp-G_0.5-H7e-005_af1.wfa                      |         | af1 | 0.5  | 0.00007 | 6144 | 2048 |      | 11 | 4112 | 88  | 88  | 2.453 | 4288 | 2.09375  |
| lena16.bmp | lena16.bmp-withWavelet_haar-G_0.5-H7e-005_af1.wfa     | haar    | af1 | 0.5  | 0.00007 | 6144 | 2048 | 2048 | 14 | 6512 | 112 | 112 | 2.953 | 6736 | 3.289063 |
| lena16.bmp | lena16.bmp-withWavelet_rbio1.1-G_0.5-H7e-005_af1.wfa  | rbio1.1 | af1 | 0.5  | 0.00007 | 6144 | 2048 | 2048 | 14 | 6512 | 112 | 112 | 2.984 | 6736 | 3.289063 |
| lena16.bmp | lena16.bmp-withWavelet_sym1-G_0.5-H7e-005_af1.wfa     | sym1    | af1 | 0.5  | 0.00007 | 6144 | 2048 | 2048 | 14 | 6512 | 112 | 112 | 2.984 | 6736 | 3.289063 |
| lena16.bmp | lena16.bmp-withWavelet_bior1.1-G_0.5-H7e-005_af1.wfa  | bior1.1 | af1 | 0.5  | 0.00007 | 6144 | 2048 | 2048 | 14 | 6512 | 112 | 112 | 3     | 6736 | 3.289063 |
| lena16.bmp | lena16.bmp-G_0.5-H7e-005_af2.wfa                      |         | af2 | 0.5  | 0.00007 | 6144 | 2048 |      | 13 | 5648 | 104 | 104 | 2.593 | 5856 | 2.859375 |
| lena16.bmp | lena16.bmp-withWavelet_haar-G_0.5-H7e-005_af2.wfa     | haar    | af2 | 0.5  | 0.00007 | 6144 | 2048 | 2048 | 12 | 4848 | 96  | 96  | 2.375 | 5040 | 2.460938 |
| lena16.bmp | lena16.bmp-withWavelet_rbio1.1-G_0.5-H7e-005_af2.wfa  | rbio1.1 | af2 | 0.5  | 0.00007 | 6144 | 2048 | 2048 | 12 | 4848 | 96  | 96  | 2.391 | 5040 | 2.460938 |
| lena16.bmp | lena16.bmp-withWavelet_sym1-G_0.5-H7e-005_af2.wfa     | sym1    | af2 | 0.5  | 0.00007 | 6144 | 2048 | 2048 | 12 | 4848 | 96  | 96  | 2.375 | 5040 | 2.460938 |
| lena16.bmp | lena16.bmp-withWavelet_bior1.1-G_0.5-H7e-005_af2.wfa  | bior1.1 | af2 | 0.5  | 0.00007 | 6144 | 2048 | 2048 | 12 | 4848 | 96  | 96  | 2.391 | 5040 | 2.460938 |
| lena16.bmp | lena16.bmp-G_0.5-H7e-005_af3.wfa                      |         | af3 | 0.5  | 0.00007 | 6144 | 2048 |      | 11 | 4112 | 88  | 88  | 2.39  | 4288 | 2.09375  |
| lena16.bmp | lena16.bmp-withWavelet_haar-G_0.5-H7e-005_af3.wfa     | haar    | af3 | 0.5  | 0.00007 | 6144 | 2048 | 2048 | 13 | 5648 | 104 | 104 | 2.75  | 5856 | 2.859375 |
| lena16.bmp | lena16.bmp-withWavelet_rbio1.1-G_0.5-H7e-005_af3.wfa  | rbio1.1 | af3 | 0.5  | 0.00007 | 6144 | 2048 | 2048 | 13 | 5648 | 104 | 104 | 2.734 | 5856 | 2.859375 |
| lena16.bmp | lena16.bmp-withWavelet_sym1-G_0.5-H7e-005_af3.wfa     | sym1    | af3 | 0.5  | 0.00007 | 6144 | 2048 | 2048 | 13 | 5648 | 104 | 104 | 2.75  | 5856 | 2.859375 |
| lena16.bmp | lena16.bmp-withWavelet_bior1.1-G_0.5-H7e-005_af3.wfa  | bior1.1 | af3 | 0.5  | 0.00007 | 6144 | 2048 | 2048 | 13 | 5648 | 104 | 104 | 2.765 | 5856 | 2.859375 |
| lena16.bmp | lena16.bmp-G_0.5-H7e-005_af4.wfa                      |         | af4 | 0.5  | 0.00007 | 6144 | 2048 |      | 4  | 752  | 32  | 32  | 1.812 | 816  | 0.398438 |
| lena16.bmp | lena16.bmp-withWavelet_haar-G_0.5-H7e-005_af4.wfa     | haar    | af4 | 0.5  | 0.00007 | 6144 | 2048 | 2048 | 11 | 4112 | 88  | 88  | 2.797 | 4288 | 2.09375  |
| lena16.bmp | lena16.bmp-withWavelet_rbio1.1-G_0.5-H7e-005_af4.wfa  | rbio1.1 | af4 | 0.5  | 0.00007 | 6144 | 2048 | 2048 | 11 | 4112 | 88  | 88  | 2.781 | 4288 | 2.09375  |
| lena16.bmp | lena16.bmp-withWavelet_sym1-G_0.5-H7e-005_af4.wfa     | sym1    | af4 | 0.5  | 0.00007 | 6144 | 2048 | 2048 | 11 | 4112 | 88  | 88  | 2.734 | 4288 | 2.09375  |
| lena16.bmp | lena16.bmp-withWavelet_bior1.1-G_0.5-H7e-005_af4.wfa  | bior1.1 | af4 | 0.5  | 0.00007 | 6144 | 2048 | 2048 | 11 | 4112 | 88  | 88  | 2.75  | 4288 | 2.09375  |
| lena16.bmp | lena16.bmp-G_0.5-H7e-005_af5.wfa                      |         | af5 | 0.5  | 0.00007 | 6144 | 2048 |      | 12 | 4848 | 96  | 96  | 2.016 | 5040 | 2.460938 |
| lena16.bmp | lena16.bmp-withWavelet_haar-G_0.5-H7e-005_af5.wfa     | haar    | af5 | 0.5  | 0.00007 | 6144 | 2048 | 2048 | 8  | 2288 | 64  | 64  | 1.937 | 2416 | 1.179688 |
| lena16.bmp | lena16.bmp-withWavelet_rbio1.1-G_0.5-H7e-005_af5.wfa  | rbio1.1 | af5 | 0.5  | 0.00007 | 6144 | 2048 | 2048 | 8  | 2288 | 64  | 64  | 1.938 | 2416 | 1.179688 |
| lena16.bmp | lena16.bmp-withWavelet_sym1-G_0.5-H7e-005_af5.wfa     | sym1    | af5 | 0.5  | 0.00007 | 6144 | 2048 | 2048 | 8  | 2288 | 64  | 64  | 1.954 | 2416 | 1.179688 |
| lena16.bmp | lena16.bmp-withWavelet_bior1.1-G_0.5-H7e-005_af5.wfa  | bior1.1 | af5 | 0.5  | 0.00007 | 6144 | 2048 | 2048 | 8  | 2288 | 64  | 64  | 1.938 | 2416 | 1.179688 |
| lena16.bmp | lena16.bmp-G_1-H8e-005_af1.wfa                        |         | af1 | 1    | 0.00008 | 6144 | 2048 |      | 12 | 4848 | 96  | 96  | 3.547 | 5040 | 2.460938 |
| lena16.bmp | lena16.bmp-withWavelet_haar-G_1-H8e-005_af1.wfa       | haar    | af1 | 1    | 0.00008 | 6144 | 2048 | 2048 | 11 | 4112 | 88  | 88  | 3.953 | 4288 | 2.09375  |
| lena16.bmp | lena16.bmp-withWavelet_rbio1.1-G_1-H8e-005_af1.wfa    | rbio1.1 | af1 | 1    | 0.00008 | 6144 | 2048 | 2048 | 11 | 4112 | 88  | 88  | 3.984 | 4288 | 2.09375  |
| lena16.bmp | lena16.bmp-withWavelet_sym1-G_1-H8e-005_af1.wfa       | sym1    | af1 | 1    | 0.00008 | 6144 | 2048 | 2048 | 11 | 4112 | 88  | 88  | 3.828 | 4288 | 2.09375  |

|            |   |         |     |      |         |      |      |      |    |      |     |     |       |      |          |
|------------|---|---------|-----|------|---------|------|------|------|----|------|-----|-----|-------|------|----------|
| lena16.bmp | lena16.bmp-withWavelet_bior1.1-G_1-H8e-005_af1.wfa    | bior1.1 | af1 | 1    | 0.00008 | 6144 | 2048 | 2048 | 11 | 4112 | 88  | 88  | 4.625 | 4288 | 2.09375  |
| lena16.bmp | lena16.bmp-G_1-H8e-005_af2.wfa                        |         | af2 | 1    | 0.00008 | 6144 | 2048 |      | 13 | 5648 | 104 | 104 | 3.797 | 5856 | 2.859375 |
| lena16.bmp | lena16.bmp-withWavelet_haar-G_1-H8e-005_af2.wfa       | haar    | af2 | 1    | 0.00008 | 6144 | 2048 | 2048 | 10 | 3440 | 80  | 80  | 2.937 | 3600 | 1.757813 |
| lena16.bmp | lena16.bmp-withWavelet_rbio1.1-G_1-H8e-005_af2.wfa    | rbio1.1 | af2 | 1    | 0.00008 | 6144 | 2048 | 2048 | 10 | 3440 | 80  | 80  | 3     | 3600 | 1.757813 |
| lena16.bmp | lena16.bmp-withWavelet_sym1-G_1-H8e-005_af2.wfa       | sym1    | af2 | 1    | 0.00008 | 6144 | 2048 | 2048 | 10 | 3440 | 80  | 80  | 2.921 | 3600 | 1.757813 |
| lena16.bmp | lena16.bmp-withWavelet_bior1.1-G_1-H8e-005_af2.wfa    | bior1.1 | af2 | 1    | 0.00008 | 6144 | 2048 | 2048 | 10 | 3440 | 80  | 80  | 2.984 | 3600 | 1.757813 |
| lena16.bmp | lena16.bmp-G_1-H8e-005_af3.wfa                        |         | af3 | 1    | 0.00008 | 6144 | 2048 |      | 11 | 4112 | 88  | 88  | 3.453 | 4288 | 2.09375  |
| lena16.bmp | lena16.bmp-withWavelet_haar-G_1-H8e-005_af3.wfa       | haar    | af3 | 1    | 0.00008 | 6144 | 2048 | 2048 | 11 | 4112 | 88  | 88  | 3.297 | 4288 | 2.09375  |
| lena16.bmp | lena16.bmp-withWavelet_rbio1.1-G_1-H8e-005_af3.wfa    | rbio1.1 | af3 | 1    | 0.00008 | 6144 | 2048 | 2048 | 11 | 4112 | 88  | 88  | 3.266 | 4288 | 2.09375  |
| lena16.bmp | lena16.bmp-withWavelet_sym1-G_1-H8e-005_af3.wfa       | sym1    | af3 | 1    | 0.00008 | 6144 | 2048 | 2048 | 11 | 4112 | 88  | 88  | 3.266 | 4288 | 2.09375  |
| lena16.bmp | lena16.bmp-withWavelet_bior1.1-G_1-H8e-005_af3.wfa    | bior1.1 | af3 | 1    | 0.00008 | 6144 | 2048 | 2048 | 11 | 4112 | 88  | 88  | 3.329 | 4288 | 2.09375  |
| lena16.bmp | lena16.bmp-G_1-H8e-005_af4.wfa                        |         | af4 | 1    | 0.00008 | 6144 | 2048 |      | 5  | 1040 | 40  | 40  | 2.078 | 1120 | 0.546875 |
| lena16.bmp | lena16.bmp-withWavelet_haar-G_1-H8e-005_af4.wfa       | haar    | af4 | 1    | 0.00008 | 6144 | 2048 | 2048 | 12 | 4848 | 96  | 96  | 4.656 | 5040 | 2.460938 |
| lena16.bmp | lena16.bmp-withWavelet_rbio1.1-G_1-H8e-005_af4.wfa    | rbio1.1 | af4 | 1    | 0.00008 | 6144 | 2048 | 2048 | 12 | 4848 | 96  | 96  | 4.516 | 5040 | 2.460938 |
| lena16.bmp | lena16.bmp-withWavelet_sym1-G_1-H8e-005_af4.wfa       | sym1    | af4 | 1    | 0.00008 | 6144 | 2048 | 2048 | 12 | 4848 | 96  | 96  | 4.578 | 5040 | 2.460938 |
| lena16.bmp | lena16.bmp-withWavelet_bior1.1-G_1-H8e-005_af4.wfa    | bior1.1 | af4 | 1    | 0.00008 | 6144 | 2048 | 2048 | 12 | 4848 | 96  | 96  | 4.703 | 5040 | 2.460938 |
| lena16.bmp | lena16.bmp-G_1-H8e-005_af5.wfa                        |         | af5 | 1    | 0.00008 | 6144 | 2048 |      | 13 | 5648 | 104 | 104 | 2.438 | 5856 | 2.859375 |
| lena16.bmp | lena16.bmp-withWavelet_haar-G_1-H8e-005_af5.wfa       | haar    | af5 | 1    | 0.00008 | 6144 | 2048 | 2048 | 9  | 2832 | 72  | 72  | 2.265 | 2976 | 1.453125 |
| lena16.bmp | lena16.bmp-withWavelet_rbio1.1-G_1-H8e-005_af5.wfa    | rbio1.1 | af5 | 1    | 0.00008 | 6144 | 2048 | 2048 | 9  | 2832 | 72  | 72  | 2.313 | 2976 | 1.453125 |
| lena16.bmp | lena16.bmp-withWavelet_sym1-G_1-H8e-005_af5.wfa       | sym1    | af5 | 1    | 0.00008 | 6144 | 2048 | 2048 | 9  | 2832 | 72  | 72  | 2.297 | 2976 | 1.453125 |
| lena16.bmp | lena16.bmp-withWavelet_bior1.1-G_1-H8e-005_af5.wfa    | bior1.1 | af5 | 1    | 0.00008 | 6144 | 2048 | 2048 | 9  | 2832 | 72  | 72  | 2.297 | 2976 | 1.453125 |
| lena16.bmp | lena16.bmp-G_0.75-H8e-005_af1.wfa                     |         | af1 | 0.75 | 0.00008 | 6144 | 2048 |      | 11 | 4112 | 88  | 88  | 2.578 | 4288 | 2.09375  |
| lena16.bmp | lena16.bmp-withWavelet_haar-G_0.75-H8e-005_af1.wfa    | haar    | af1 | 0.75 | 0.00008 | 6144 | 2048 | 2048 | 11 | 4112 | 88  | 88  | 3.047 | 4288 | 2.09375  |
| lena16.bmp | lena16.bmp-withWavelet_rbio1.1-G_0.75-H8e-005_af1.wfa | rbio1.1 | af1 | 0.75 | 0.00008 | 6144 | 2048 | 2048 | 11 | 4112 | 88  | 88  | 2.969 | 4288 | 2.09375  |
| lena16.bmp | lena16.bmp-withWavelet_sym1-G_0.75-H8e-005_af1.wfa    | sym1    | af1 | 0.75 | 0.00008 | 6144 | 2048 | 2048 | 11 | 4112 | 88  | 88  | 3.031 | 4288 | 2.09375  |
| lena16.bmp | lena16.bmp-withWavelet_bior1.1-G_0.75-H8e-005_af1.wfa | bior1.1 | af1 | 0.75 | 0.00008 | 6144 | 2048 | 2048 | 11 | 4112 | 88  | 88  | 2.953 | 4288 | 2.09375  |
| lena16.bmp | lena16.bmp-G_0.75-H8e-005_af2.wfa                     |         | af2 | 0.75 | 0.00008 | 6144 | 2048 |      | 13 | 5648 | 104 | 104 | 2.984 | 5856 | 2.859375 |
| lena16.bmp | lena16.bmp-withWavelet_haar-G_0.75-H8e-005_af2.wfa    | haar    | af2 | 0.75 | 0.00008 | 6144 | 2048 | 2048 | 11 | 4112 | 88  | 88  | 2.547 | 4288 | 2.09375  |
| lena16.bmp | lena16.bmp-withWavelet_rbio1.1-G_0.75-H8e-005_af2.wfa | rbio1.1 | af2 | 0.75 | 0.00008 | 6144 | 2048 | 2048 | 11 | 4112 | 88  | 88  | 2.563 | 4288 | 2.09375  |
| lena16.bmp | lena16.bmp-withWavelet_sym1-G_0.75-H8e-005_af2.wfa    | sym1    | af2 | 0.75 | 0.00008 | 6144 | 2048 | 2048 | 11 | 4112 | 88  | 88  | 2.641 | 4288 | 2.09375  |
| lena16.bmp | lena16.bmp-withWavelet_bior1.1-G_0.75-H8e-005_af2.wfa | bior1.1 | af2 | 0.75 | 0.00008 | 6144 | 2048 | 2048 | 11 | 4112 | 88  | 88  | 2.594 | 4288 | 2.09375  |

|            |   |         |     |      |         |      |      |      |    |      |     |     |       |      |          |
|------------|---|---------|-----|------|---------|------|------|------|----|------|-----|-----|-------|------|----------|
| lena16.bmp | lena16.bmp-G_0.75-H8e-005_af3.wfa                     |         | af3 | 0.75 | 0.00008 | 6144 | 2048 |      | 11 | 4112 | 88  | 88  | 2.656 | 4288 | 2.09375  |
| lena16.bmp | lena16.bmp-withWavelet_haar-G_0.75-H8e-005_af3.wfa    | haar    | af3 | 0.75 | 0.00008 | 6144 | 2048 | 2048 | 12 | 4848 | 96  | 96  | 2.969 | 5040 | 2.460938 |
| lena16.bmp | lena16.bmp-withWavelet_rbio1.1-G_0.75-H8e-005_af3.wfa | rbio1.1 | af3 | 0.75 | 0.00008 | 6144 | 2048 | 2048 | 12 | 4848 | 96  | 96  | 2.875 | 5040 | 2.460938 |
| lena16.bmp | lena16.bmp-withWavelet_sym1-G_0.75-H8e-005_af3.wfa    | sym1    | af3 | 0.75 | 0.00008 | 6144 | 2048 | 2048 | 12 | 4848 | 96  | 96  | 2.891 | 5040 | 2.460938 |
| lena16.bmp | lena16.bmp-withWavelet_bior1.1-G_0.75-H8e-005_af3.wfa | bior1.1 | af3 | 0.75 | 0.00008 | 6144 | 2048 | 2048 | 12 | 4848 | 96  | 96  | 2.875 | 5040 | 2.460938 |
| lena16.bmp | lena16.bmp-G_0.75-H8e-005_af4.wfa                     |         | af4 | 0.75 | 0.00008 | 6144 | 2048 |      | 4  | 752  | 32  | 32  | 1.829 | 816  | 0.398438 |
| lena16.bmp | lena16.bmp-withWavelet_haar-G_0.75-H8e-005_af4.wfa    | haar    | af4 | 0.75 | 0.00008 | 6144 | 2048 | 2048 | 12 | 4848 | 96  | 96  | 3.407 | 5040 | 2.460938 |
| lena16.bmp | lena16.bmp-withWavelet_rbio1.1-G_0.75-H8e-005_af4.wfa | rbio1.1 | af4 | 0.75 | 0.00008 | 6144 | 2048 | 2048 | 12 | 4848 | 96  | 96  | 3.36  | 5040 | 2.460938 |
| lena16.bmp | lena16.bmp-withWavelet_sym1-G_0.75-H8e-005_af4.wfa    | sym1    | af4 | 0.75 | 0.00008 | 6144 | 2048 | 2048 | 12 | 4848 | 96  | 96  | 3.438 | 5040 | 2.460938 |
| lena16.bmp | lena16.bmp-withWavelet_bior1.1-G_0.75-H8e-005_af4.wfa | bior1.1 | af4 | 0.75 | 0.00008 | 6144 | 2048 | 2048 | 12 | 4848 | 96  | 96  | 3.359 | 5040 | 2.460938 |
| lena16.bmp | lena16.bmp-G_0.75-H8e-005_af5.wfa                     |         | af5 | 0.75 | 0.00008 | 6144 | 2048 |      | 12 | 4848 | 96  | 96  | 1.984 | 5040 | 2.460938 |
| lena16.bmp | lena16.bmp-withWavelet_haar-G_0.75-H8e-005_af5.wfa    | haar    | af5 | 0.75 | 0.00008 | 6144 | 2048 | 2048 | 9  | 2832 | 72  | 72  | 2.031 | 2976 | 1.453125 |
| lena16.bmp | lena16.bmp-withWavelet_rbio1.1-G_0.75-H8e-005_af5.wfa | rbio1.1 | af5 | 0.75 | 0.00008 | 6144 | 2048 | 2048 | 9  | 2832 | 72  | 72  | 2.015 | 2976 | 1.453125 |
| lena16.bmp | lena16.bmp-withWavelet_sym1-G_0.75-H8e-005_af5.wfa    | sym1    | af5 | 0.75 | 0.00008 | 6144 | 2048 | 2048 | 9  | 2832 | 72  | 72  | 2.016 | 2976 | 1.453125 |
| lena16.bmp | lena16.bmp-withWavelet_bior1.1-G_0.75-H8e-005_af5.wfa | bior1.1 | af5 | 0.75 | 0.00008 | 6144 | 2048 | 2048 | 9  | 2832 | 72  | 72  | 2.047 | 2976 | 1.453125 |
| lena16.bmp | lena16.bmp-G_0.5-H8e-005_af1.wfa                      |         | af1 | 0.5  | 0.00008 | 6144 | 2048 |      | 11 | 4112 | 88  | 88  | 2.437 | 4288 | 2.09375  |
| lena16.bmp | lena16.bmp-withWavelet_haar-G_0.5-H8e-005_af1.wfa     | haar    | af1 | 0.5  | 0.00008 | 6144 | 2048 | 2048 | 13 | 5648 | 104 | 104 | 2.921 | 5856 | 2.859375 |
| lena16.bmp | lena16.bmp-withWavelet_rbio1.1-G_0.5-H8e-005_af1.wfa  | rbio1.1 | af1 | 0.5  | 0.00008 | 6144 | 2048 | 2048 | 13 | 5648 | 104 | 104 | 2.812 | 5856 | 2.859375 |
| lena16.bmp | lena16.bmp-withWavelet_sym1-G_0.5-H8e-005_af1.wfa     | sym1    | af1 | 0.5  | 0.00008 | 6144 | 2048 | 2048 | 13 | 5648 | 104 | 104 | 2.812 | 5856 | 2.859375 |
| lena16.bmp | lena16.bmp-withWavelet_bior1.1-G_0.5-H8e-005_af1.wfa  | bior1.1 | af1 | 0.5  | 0.00008 | 6144 | 2048 | 2048 | 13 | 5648 | 104 | 104 | 2.813 | 5856 | 2.859375 |
| lena16.bmp | lena16.bmp-G_0.5-H8e-005_af2.wfa                      |         | af2 | 0.5  | 0.00008 | 6144 | 2048 |      | 11 | 4112 | 88  | 88  | 2.406 | 4288 | 2.09375  |
| lena16.bmp | lena16.bmp-withWavelet_haar-G_0.5-H8e-005_af2.wfa     | haar    | af2 | 0.5  | 0.00008 | 6144 | 2048 | 2048 | 12 | 4848 | 96  | 96  | 2.375 | 5040 | 2.460938 |
| lena16.bmp | lena16.bmp-withWavelet_rbio1.1-G_0.5-H8e-005_af2.wfa  | rbio1.1 | af2 | 0.5  | 0.00008 | 6144 | 2048 | 2048 | 12 | 4848 | 96  | 96  | 2.39  | 5040 | 2.460938 |
| lena16.bmp | lena16.bmp-withWavelet_sym1-G_0.5-H8e-005_af2.wfa     | sym1    | af2 | 0.5  | 0.00008 | 6144 | 2048 | 2048 | 12 | 4848 | 96  | 96  | 2.375 | 5040 | 2.460938 |
| lena16.bmp | lena16.bmp-withWavelet_bior1.1-G_0.5-H8e-005_af2.wfa  | bior1.1 | af2 | 0.5  | 0.00008 | 6144 | 2048 | 2048 | 12 | 4848 | 96  | 96  | 2.36  | 5040 | 2.460938 |
| lena16.bmp | lena16.bmp-G_0.5-H8e-005_af3.wfa                      |         | af3 | 0.5  | 0.00008 | 6144 | 2048 |      | 11 | 4112 | 88  | 88  | 2.438 | 4288 | 2.09375  |
| lena16.bmp | lena16.bmp-withWavelet_haar-G_0.5-H8e-005_af3.wfa     | haar    | af3 | 0.5  | 0.00008 | 6144 | 2048 | 2048 | 12 | 4848 | 96  | 96  | 2.672 | 5040 | 2.460938 |
| lena16.bmp | lena16.bmp-withWavelet_rbio1.1-G_0.5-H8e-005_af3.wfa  | rbio1.1 | af3 | 0.5  | 0.00008 | 6144 | 2048 | 2048 | 12 | 4848 | 96  | 96  | 2.687 | 5040 | 2.460938 |
| lena16.bmp | lena16.bmp-withWavelet_sym1-G_0.5-H8e-005_af3.wfa     | sym1    | af3 | 0.5  | 0.00008 | 6144 | 2048 | 2048 | 12 | 4848 | 96  | 96  | 2.656 | 5040 | 2.460938 |
| lena16.bmp | lena16.bmp-withWavelet_bior1.1-G_0.5-H8e-005_af3.wfa  | bior1.1 | af3 | 0.5  | 0.00008 | 6144 | 2048 | 2048 | 12 | 4848 | 96  | 96  | 2.657 | 5040 | 2.460938 |
| lena16.bmp | lena16.bmp-G_0.5-H8e-005_af4.wfa                      |         | af4 | 0.5  | 0.00008 | 6144 | 2048 |      | 4  | 752  | 32  | 32  | 1.828 | 816  | 0.398438 |

|            |  |         |     |     |         |      |      |      |    |      |    |    |       |      |          |
|------------|--|---------|-----|-----|---------|------|------|------|----|------|----|----|-------|------|----------|
| lena16.bmp | lena16.bmp-withWavelet_haar-G_0.5-H8e-005_af4.wfa    | haar    | af4 | 0.5 | 0.00008 | 6144 | 2048 | 2048 | 10 | 3440 | 80 | 80 | 2.515 | 3600 | 1.757813 |
| lena16.bmp | lena16.bmp-withWavelet_rbio1.1-G_0.5-H8e-005_af4.wfa | rbio1.1 | af4 | 0.5 | 0.00008 | 6144 | 2048 | 2048 | 10 | 3440 | 80 | 80 | 2.532 | 3600 | 1.757813 |
| lena16.bmp | lena16.bmp-withWavelet_sym1-G_0.5-H8e-005_af4.wfa    | sym1    | af4 | 0.5 | 0.00008 | 6144 | 2048 | 2048 | 10 | 3440 | 80 | 80 | 2.593 | 3600 | 1.757813 |
| lena16.bmp | lena16.bmp-withWavelet_bior1.1-G_0.5-H8e-005_af4.wfa | bior1.1 | af4 | 0.5 | 0.00008 | 6144 | 2048 | 2048 | 10 | 3440 | 80 | 80 | 2.594 | 3600 | 1.757813 |
| lena16.bmp | lena16.bmp-G_0.5-H8e-005_af5.wfa                     |         | af5 | 0.5 | 0.00008 | 6144 | 2048 |      | 11 | 4112 | 88 | 88 | 2     | 4288 | 2.09375  |
| lena16.bmp | lena16.bmp-withWavelet_haar-G_0.5-H8e-005_af5.wfa    | haar    | af5 | 0.5 | 0.00008 | 6144 | 2048 | 2048 | 8  | 2288 | 64 | 64 | 1.937 | 2416 | 1.179688 |
| lena16.bmp | lena16.bmp-withWavelet_rbio1.1-G_0.5-H8e-005_af5.wfa | rbio1.1 | af5 | 0.5 | 0.00008 | 6144 | 2048 | 2048 | 8  | 2288 | 64 | 64 | 1.969 | 2416 | 1.179688 |
| lena16.bmp | lena16.bmp-withWavelet_sym1-G_0.5-H8e-005_af5.wfa    | sym1    | af5 | 0.5 | 0.00008 | 6144 | 2048 | 2048 | 8  | 2288 | 64 | 64 | 1.953 | 2416 | 1.179688 |
| lena16.bmp | lena16.bmp-withWavelet_bior1.1-G_0.5-H8e-005_af5.wfa | bior1.1 | af5 | 0.5 | 0.00008 | 6144 | 2048 | 2048 | 8  | 2288 | 64 | 64 | 1.938 | 2416 | 1.179688 |
| lena16.bmp | lena16.bmp-G_1-H9e-005_af1.wfa                       |         | af1 | 1   | 0.00009 | 6144 | 2048 |      | 10 | 3440 | 80 | 80 | 3.141 | 3600 | 1.757813 |
| lena16.bmp | lena16.bmp-withWavelet_haar-G_1-H9e-005_af1.wfa      | haar    | af1 | 1   | 0.00009 | 6144 | 2048 | 2048 | 11 | 4112 | 88 | 88 | 3.875 | 4288 | 2.09375  |
| lena16.bmp | lena16.bmp-withWavelet_rbio1.1-G_1-H9e-005_af1.wfa   | rbio1.1 | af1 | 1   | 0.00009 | 6144 | 2048 | 2048 | 11 | 4112 | 88 | 88 | 3.86  | 4288 | 2.09375  |
| lena16.bmp | lena16.bmp-withWavelet_sym1-G_1-H9e-005_af1.wfa      | sym1    | af1 | 1   | 0.00009 | 6144 | 2048 | 2048 | 11 | 4112 | 88 | 88 | 3.843 | 4288 | 2.09375  |
| lena16.bmp | lena16.bmp-withWavelet_bior1.1-G_1-H9e-005_af1.wfa   | bior1.1 | af1 | 1   | 0.00009 | 6144 | 2048 | 2048 | 11 | 4112 | 88 | 88 | 3.829 | 4288 | 2.09375  |
| lena16.bmp | lena16.bmp-G_1-H9e-005_af2.wfa                       |         | af2 | 1   | 0.00009 | 6144 | 2048 |      | 12 | 4848 | 96 | 96 | 3.656 | 5040 | 2.460938 |
| lena16.bmp | lena16.bmp-withWavelet_haar-G_1-H9e-005_af2.wfa      | haar    | af2 | 1   | 0.00009 | 6144 | 2048 | 2048 | 10 | 3440 | 80 | 80 | 2.953 | 3600 | 1.757813 |
| lena16.bmp | lena16.bmp-withWavelet_rbio1.1-G_1-H9e-005_af2.wfa   | rbio1.1 | af2 | 1   | 0.00009 | 6144 | 2048 | 2048 | 10 | 3440 | 80 | 80 | 3.016 | 3600 | 1.757813 |
| lena16.bmp | lena16.bmp-withWavelet_sym1-G_1-H9e-005_af2.wfa      | sym1    | af2 | 1   | 0.00009 | 6144 | 2048 | 2048 | 10 | 3440 | 80 | 80 | 2.984 | 3600 | 1.757813 |
| lena16.bmp | lena16.bmp-withWavelet_bior1.1-G_1-H9e-005_af2.wfa   | bior1.1 | af2 | 1   | 0.00009 | 6144 | 2048 | 2048 | 10 | 3440 | 80 | 80 | 3.89  | 3600 | 1.757813 |
| lena16.bmp | lena16.bmp-G_1-H9e-005_af3.wfa                       |         | af3 | 1   | 0.00009 | 6144 | 2048 |      | 11 | 4112 | 88 | 88 | 3.437 | 4288 | 2.09375  |
| lena16.bmp | lena16.bmp-withWavelet_haar-G_1-H9e-005_af3.wfa      | haar    | af3 | 1   | 0.00009 | 6144 | 2048 | 2048 | 11 | 4112 | 88 | 88 | 3.344 | 4288 | 2.09375  |
| lena16.bmp | lena16.bmp-withWavelet_rbio1.1-G_1-H9e-005_af3.wfa   | rbio1.1 | af3 | 1   | 0.00009 | 6144 | 2048 | 2048 | 11 | 4112 | 88 | 88 | 3.36  | 4288 | 2.09375  |
| lena16.bmp | lena16.bmp-withWavelet_sym1-G_1-H9e-005_af3.wfa      | sym1    | af3 | 1   | 0.00009 | 6144 | 2048 | 2048 | 11 | 4112 | 88 | 88 | 3.312 | 4288 | 2.09375  |
| lena16.bmp | lena16.bmp-withWavelet_bior1.1-G_1-H9e-005_af3.wfa   | bior1.1 | af3 | 1   | 0.00009 | 6144 | 2048 | 2048 | 11 | 4112 | 88 | 88 | 3.391 | 4288 | 2.09375  |
| lena16.bmp | lena16.bmp-G_1-H9e-005_af4.wfa                       |         | af4 | 1   | 0.00009 | 6144 | 2048 |      | 5  | 1040 | 40 | 40 | 2.125 | 1120 | 0.546875 |
| lena16.bmp | lena16.bmp-withWavelet_haar-G_1-H9e-005_af4.wfa      | haar    | af4 | 1   | 0.00009 | 6144 | 2048 | 2048 | 12 | 4848 | 96 | 96 | 4.5   | 5040 | 2.460938 |
| lena16.bmp | lena16.bmp-withWavelet_rbio1.1-G_1-H9e-005_af4.wfa   | rbio1.1 | af4 | 1   | 0.00009 | 6144 | 2048 | 2048 | 12 | 4848 | 96 | 96 | 4.515 | 5040 | 2.460938 |
| lena16.bmp | lena16.bmp-withWavelet_sym1-G_1-H9e-005_af4.wfa      | sym1    | af4 | 1   | 0.00009 | 6144 | 2048 | 2048 | 12 | 4848 | 96 | 96 | 4.531 | 5040 | 2.460938 |
| lena16.bmp | lena16.bmp-withWavelet_bior1.1-G_1-H9e-005_af4.wfa   | bior1.1 | af4 | 1   | 0.00009 | 6144 | 2048 | 2048 | 12 | 4848 | 96 | 96 | 4.656 | 5040 | 2.460938 |
| lena16.bmp | lena16.bmp-G_1-H9e-005_af5.wfa                       |         | af5 | 1   | 0.00009 | 6144 | 2048 |      | 11 | 4112 | 88 | 88 | 2.391 | 4288 | 2.09375  |
| lena16.bmp | lena16.bmp-withWavelet_haar-G_1-H9e-005_af5.wfa      | haar    | af5 | 1   | 0.00009 | 6144 | 2048 | 2048 | 9  | 2832 | 72 | 72 | 2.282 | 2976 | 1.453125 |

|            |   |         |     |      |         |      |      |      |    |      |    |    |       |      |          |
|------------|---|---------|-----|------|---------|------|------|------|----|------|----|----|-------|------|----------|
| lena16.bmp | lena16.bmp-withWavelet_rbio1.1-G_1-H9e-005_af5.wfa    | rbio1.1 | af5 | 1    | 0.00009 | 6144 | 2048 | 2048 | 9  | 2832 | 72 | 72 | 2.266 | 2976 | 1.453125 |
| lena16.bmp | lena16.bmp-withWavelet_sym1-G_1-H9e-005_af5.wfa       | sym1    | af5 | 1    | 0.00009 | 6144 | 2048 | 2048 | 9  | 2832 | 72 | 72 | 2.265 | 2976 | 1.453125 |
| lena16.bmp | lena16.bmp-withWavelet_bior1.1-G_1-H9e-005_af5.wfa    | bior1.1 | af5 | 1    | 0.00009 | 6144 | 2048 | 2048 | 9  | 2832 | 72 | 72 | 2.281 | 2976 | 1.453125 |
| lena16.bmp | lena16.bmp-G_0.75-H9e-005_af1.wfa                     |         | af1 | 0.75 | 0.00009 | 6144 | 2048 |      | 11 | 4112 | 88 | 88 | 2.625 | 4288 | 2.09375  |
| lena16.bmp | lena16.bmp-withWavelet_haar-G_0.75-H9e-005_af1.wfa    | haar    | af1 | 0.75 | 0.00009 | 6144 | 2048 | 2048 | 11 | 4112 | 88 | 88 | 2.969 | 4288 | 2.09375  |
| lena16.bmp | lena16.bmp-withWavelet_rbio1.1-G_0.75-H9e-005_af1.wfa | rbio1.1 | af1 | 0.75 | 0.00009 | 6144 | 2048 | 2048 | 11 | 4112 | 88 | 88 | 3     | 4288 | 2.09375  |
| lena16.bmp | lena16.bmp-withWavelet_sym1-G_0.75-H9e-005_af1.wfa    | sym1    | af1 | 0.75 | 0.00009 | 6144 | 2048 | 2048 | 11 | 4112 | 88 | 88 | 2.937 | 4288 | 2.09375  |
| lena16.bmp | lena16.bmp-withWavelet_bior1.1-G_0.75-H9e-005_af1.wfa | bior1.1 | af1 | 0.75 | 0.00009 | 6144 | 2048 | 2048 | 11 | 4112 | 88 | 88 | 2.953 | 4288 | 2.09375  |
| lena16.bmp | lena16.bmp-G_0.75-H9e-005_af2.wfa                     |         | af2 | 0.75 | 0.00009 | 6144 | 2048 |      | 12 | 4848 | 96 | 96 | 2.813 | 5040 | 2.460938 |
| lena16.bmp | lena16.bmp-withWavelet_haar-G_0.75-H9e-005_af2.wfa    | haar    | af2 | 0.75 | 0.00009 | 6144 | 2048 | 2048 | 10 | 3440 | 80 | 80 | 2.484 | 3600 | 1.757813 |
| lena16.bmp | lena16.bmp-withWavelet_rbio1.1-G_0.75-H9e-005_af2.wfa | rbio1.1 | af2 | 0.75 | 0.00009 | 6144 | 2048 | 2048 | 10 | 3440 | 80 | 80 | 2.5   | 3600 | 1.757813 |
| lena16.bmp | lena16.bmp-withWavelet_sym1-G_0.75-H9e-005_af2.wfa    | sym1    | af2 | 0.75 | 0.00009 | 6144 | 2048 | 2048 | 10 | 3440 | 80 | 80 | 2.469 | 3600 | 1.757813 |
| lena16.bmp | lena16.bmp-withWavelet_bior1.1-G_0.75-H9e-005_af2.wfa | bior1.1 | af2 | 0.75 | 0.00009 | 6144 | 2048 | 2048 | 10 | 3440 | 80 | 80 | 2.5   | 3600 | 1.757813 |
| lena16.bmp | lena16.bmp-G_0.75-H9e-005_af3.wfa                     |         | af3 | 0.75 | 0.00009 | 6144 | 2048 |      | 11 | 4112 | 88 | 88 | 2.625 | 4288 | 2.09375  |
| lena16.bmp | lena16.bmp-withWavelet_haar-G_0.75-H9e-005_af3.wfa    | haar    | af3 | 0.75 | 0.00009 | 6144 | 2048 | 2048 | 12 | 4848 | 96 | 96 | 2.86  | 5040 | 2.460938 |
| lena16.bmp | lena16.bmp-withWavelet_rbio1.1-G_0.75-H9e-005_af3.wfa | rbio1.1 | af3 | 0.75 | 0.00009 | 6144 | 2048 | 2048 | 12 | 4848 | 96 | 96 | 2.875 | 5040 | 2.460938 |
| lena16.bmp | lena16.bmp-withWavelet_sym1-G_0.75-H9e-005_af3.wfa    | sym1    | af3 | 0.75 | 0.00009 | 6144 | 2048 | 2048 | 12 | 4848 | 96 | 96 | 2.859 | 5040 | 2.460938 |
| lena16.bmp | lena16.bmp-withWavelet_bior1.1-G_0.75-H9e-005_af3.wfa | bior1.1 | af3 | 0.75 | 0.00009 | 6144 | 2048 | 2048 | 12 | 4848 | 96 | 96 | 2.859 | 5040 | 2.460938 |
| lena16.bmp | lena16.bmp-G_0.75-H9e-005_af4.wfa                     |         | af4 | 0.75 | 0.00009 | 6144 | 2048 |      | 4  | 752  | 32 | 32 | 1.797 | 816  | 0.398438 |
| lena16.bmp | lena16.bmp-withWavelet_haar-G_0.75-H9e-005_af4.wfa    | haar    | af4 | 0.75 | 0.00009 | 6144 | 2048 | 2048 | 12 | 4848 | 96 | 96 | 3.36  | 5040 | 2.460938 |
| lena16.bmp | lena16.bmp-withWavelet_rbio1.1-G_0.75-H9e-005_af4.wfa | rbio1.1 | af4 | 0.75 | 0.00009 | 6144 | 2048 | 2048 | 12 | 4848 | 96 | 96 | 3.406 | 5040 | 2.460938 |
| lena16.bmp | lena16.bmp-withWavelet_sym1-G_0.75-H9e-005_af4.wfa    | sym1    | af4 | 0.75 | 0.00009 | 6144 | 2048 | 2048 | 12 | 4848 | 96 | 96 | 3.407 | 5040 | 2.460938 |
| lena16.bmp | lena16.bmp-withWavelet_bior1.1-G_0.75-H9e-005_af4.wfa | bior1.1 | af4 | 0.75 | 0.00009 | 6144 | 2048 | 2048 | 12 | 4848 | 96 | 96 | 3.391 | 5040 | 2.460938 |
| lena16.bmp | lena16.bmp-G_0.75-H9e-005_af5.wfa                     |         | af5 | 0.75 | 0.00009 | 6144 | 2048 |      | 12 | 4848 | 96 | 96 | 1.984 | 5040 | 2.460938 |
| lena16.bmp | lena16.bmp-withWavelet_haar-G_0.75-H9e-005_af5.wfa    | haar    | af5 | 0.75 | 0.00009 | 6144 | 2048 | 2048 | 8  | 2288 | 64 | 64 | 2     | 2416 | 1.179688 |
| lena16.bmp | lena16.bmp-withWavelet_rbio1.1-G_0.75-H9e-005_af5.wfa | rbio1.1 | af5 | 0.75 | 0.00009 | 6144 | 2048 | 2048 | 8  | 2288 | 64 | 64 | 2.016 | 2416 | 1.179688 |
| lena16.bmp | lena16.bmp-withWavelet_sym1-G_0.75-H9e-005_af5.wfa    | sym1    | af5 | 0.75 | 0.00009 | 6144 | 2048 | 2048 | 8  | 2288 | 64 | 64 | 2.047 | 2416 | 1.179688 |
| lena16.bmp | lena16.bmp-withWavelet_bior1.1-G_0.75-H9e-005_af5.wfa | bior1.1 | af5 | 0.75 | 0.00009 | 6144 | 2048 | 2048 | 8  | 2288 | 64 | 64 | 2.015 | 2416 | 1.179688 |
| lena16.bmp | lena16.bmp-G_0.5-H9e-005_af1.wfa                      |         | af1 | 0.5  | 0.00009 | 6144 | 2048 |      | 10 | 3440 | 80 | 80 | 2.328 | 3600 | 1.757813 |
| lena16.bmp | lena16.bmp-withWavelet_haar-G_0.5-H9e-005_af1.wfa     | haar    | af1 | 0.5  | 0.00009 | 6144 | 2048 | 2048 | 12 | 4848 | 96 | 96 | 2.703 | 5040 | 2.460938 |
| lena16.bmp | lena16.bmp-withWavelet_rbio1.1-G_0.5-H9e-005_af1.wfa  | rbio1.1 | af1 | 0.5  | 0.00009 | 6144 | 2048 | 2048 | 12 | 4848 | 96 | 96 | 2.797 | 5040 | 2.460938 |

|            |  |         |     |     |         |      |      |      |    |      |    |    |       |      |          |
|------------|--|---------|-----|-----|---------|------|------|------|----|------|----|----|-------|------|----------|
| lena16.bmp | lena16.bmp-withWavelet_sym1-G_0.5-H9e-005_af1.wfa    | sym1    | af1 | 0.5 | 0.00009 | 6144 | 2048 | 2048 | 12 | 4848 | 96 | 96 | 2.735 | 5040 | 2.460938 |
| lena16.bmp | lena16.bmp-withWavelet_bior1.1-G_0.5-H9e-005_af1.wfa | bior1.1 | af1 | 0.5 | 0.00009 | 6144 | 2048 | 2048 | 12 | 4848 | 96 | 96 | 2.843 | 5040 | 2.460938 |
| lena16.bmp | lena16.bmp-G_0.5-H9e-005_af2.wfa                     |         | af2 | 0.5 | 0.00009 | 6144 | 2048 |      | 9  | 2832 | 72 | 72 | 2.187 | 2976 | 1.453125 |
| lena16.bmp | lena16.bmp-withWavelet_haar-G_0.5-H9e-005_af2.wfa    | haar    | af2 | 0.5 | 0.00009 | 6144 | 2048 | 2048 | 11 | 4112 | 88 | 88 | 2.406 | 4288 | 2.09375  |
| lena16.bmp | lena16.bmp-withWavelet_rbio1.1-G_0.5-H9e-005_af2.wfa | rbio1.1 | af2 | 0.5 | 0.00009 | 6144 | 2048 | 2048 | 11 | 4112 | 88 | 88 | 2.359 | 4288 | 2.09375  |
| lena16.bmp | lena16.bmp-withWavelet_sym1-G_0.5-H9e-005_af2.wfa    | sym1    | af2 | 0.5 | 0.00009 | 6144 | 2048 | 2048 | 11 | 4112 | 88 | 88 | 2.344 | 4288 | 2.09375  |
| lena16.bmp | lena16.bmp-withWavelet_bior1.1-G_0.5-H9e-005_af2.wfa | bior1.1 | af2 | 0.5 | 0.00009 | 6144 | 2048 | 2048 | 11 | 4112 | 88 | 88 | 2.375 | 4288 | 2.09375  |
| lena16.bmp | lena16.bmp-G_0.5-H9e-005_af3.wfa                     |         | af3 | 0.5 | 0.00009 | 6144 | 2048 |      | 12 | 4848 | 96 | 96 | 2.546 | 5040 | 2.460938 |
| lena16.bmp | lena16.bmp-withWavelet_haar-G_0.5-H9e-005_af3.wfa    | haar    | af3 | 0.5 | 0.00009 | 6144 | 2048 | 2048 | 11 | 4112 | 88 | 88 | 2.531 | 4288 | 2.09375  |
| lena16.bmp | lena16.bmp-withWavelet_rbio1.1-G_0.5-H9e-005_af3.wfa | rbio1.1 | af3 | 0.5 | 0.00009 | 6144 | 2048 | 2048 | 11 | 4112 | 88 | 88 | 2.625 | 4288 | 2.09375  |
| lena16.bmp | lena16.bmp-withWavelet_sym1-G_0.5-H9e-005_af3.wfa    | sym1    | af3 | 0.5 | 0.00009 | 6144 | 2048 | 2048 | 11 | 4112 | 88 | 88 | 2.515 | 4288 | 2.09375  |
| lena16.bmp | lena16.bmp-withWavelet_bior1.1-G_0.5-H9e-005_af3.wfa | bior1.1 | af3 | 0.5 | 0.00009 | 6144 | 2048 | 2048 | 11 | 4112 | 88 | 88 | 2.563 | 4288 | 2.09375  |
| lena16.bmp | lena16.bmp-G_0.5-H9e-005_af4.wfa                     |         | af4 | 0.5 | 0.00009 | 6144 | 2048 |      | 4  | 752  | 32 | 32 | 1.828 | 816  | 0.398438 |
| lena16.bmp | lena16.bmp-withWavelet_haar-G_0.5-H9e-005_af4.wfa    | haar    | af4 | 0.5 | 0.00009 | 6144 | 2048 | 2048 | 10 | 3440 | 80 | 80 | 2.578 | 3600 | 1.757813 |
| lena16.bmp | lena16.bmp-withWavelet_rbio1.1-G_0.5-H9e-005_af4.wfa | rbio1.1 | af4 | 0.5 | 0.00009 | 6144 | 2048 | 2048 | 10 | 3440 | 80 | 80 | 2.547 | 3600 | 1.757813 |
| lena16.bmp | lena16.bmp-withWavelet_sym1-G_0.5-H9e-005_af4.wfa    | sym1    | af4 | 0.5 | 0.00009 | 6144 | 2048 | 2048 | 10 | 3440 | 80 | 80 | 2.563 | 3600 | 1.757813 |
| lena16.bmp | lena16.bmp-withWavelet_bior1.1-G_0.5-H9e-005_af4.wfa | bior1.1 | af4 | 0.5 | 0.00009 | 6144 | 2048 | 2048 | 10 | 3440 | 80 | 80 | 2.531 | 3600 | 1.757813 |
| lena16.bmp | lena16.bmp-G_0.5-H9e-005_af5.wfa                     |         | af5 | 0.5 | 0.00009 | 6144 | 2048 |      | 11 | 4112 | 88 | 88 | 1.968 | 4288 | 2.09375  |
| lena16.bmp | lena16.bmp-withWavelet_haar-G_0.5-H9e-005_af5.wfa    | haar    | af5 | 0.5 | 0.00009 | 6144 | 2048 | 2048 | 8  | 2288 | 64 | 64 | 1.953 | 2416 | 1.179688 |
| lena16.bmp | lena16.bmp-withWavelet_rbio1.1-G_0.5-H9e-005_af5.wfa | rbio1.1 | af5 | 0.5 | 0.00009 | 6144 | 2048 | 2048 | 8  | 2288 | 64 | 64 | 2     | 2416 | 1.179688 |
| lena16.bmp | lena16.bmp-withWavelet_sym1-G_0.5-H9e-005_af5.wfa    | sym1    | af5 | 0.5 | 0.00009 | 6144 | 2048 | 2048 | 8  | 2288 | 64 | 64 | 1.969 | 2416 | 1.179688 |
| lena16.bmp | lena16.bmp-withWavelet_bior1.1-G_0.5-H9e-005_af5.wfa | bior1.1 | af5 | 0.5 | 0.00009 | 6144 | 2048 | 2048 | 8  | 2288 | 64 | 64 | 2.047 | 2416 | 1.179688 |
| lena16.bmp | lena16.bmp-G_1-H0.0001_af1.wfa                       |         | af1 | 1   | 0.0001  | 6144 | 2048 |      | 10 | 3440 | 80 | 80 | 3.422 | 3600 | 1.757813 |
| lena16.bmp | lena16.bmp-withWavelet_haar-G_1-H0.0001_af1.wfa      | haar    | af1 | 1   | 0.0001  | 6144 | 2048 | 2048 | 11 | 4112 | 88 | 88 | 3.907 | 4288 | 2.09375  |
| lena16.bmp | lena16.bmp-withWavelet_rbio1.1-G_1-H0.0001_af1.wfa   | rbio1.1 | af1 | 1   | 0.0001  | 6144 | 2048 | 2048 | 11 | 4112 | 88 | 88 | 4.172 | 4288 | 2.09375  |
| lena16.bmp | lena16.bmp-withWavelet_sym1-G_1-H0.0001_af1.wfa      | sym1    | af1 | 1   | 0.0001  | 6144 | 2048 | 2048 | 11 | 4112 | 88 | 88 | 4     | 4288 | 2.09375  |
| lena16.bmp | lena16.bmp-withWavelet_bior1.1-G_1-H0.0001_af1.wfa   | bior1.1 | af1 | 1   | 0.0001  | 6144 | 2048 | 2048 | 11 | 4112 | 88 | 88 | 4.016 | 4288 | 2.09375  |
| lena16.bmp | lena16.bmp-G_1-H0.0001_af2.wfa                       |         | af2 | 1   | 0.0001  | 6144 | 2048 |      | 11 | 4112 | 88 | 88 | 3.125 | 4288 | 2.09375  |
| lena16.bmp | lena16.bmp-withWavelet_haar-G_1-H0.0001_af2.wfa      | haar    | af2 | 1   | 0.0001  | 6144 | 2048 | 2048 | 10 | 3440 | 80 | 80 | 3.063 | 3600 | 1.757813 |
| lena16.bmp | lena16.bmp-withWavelet_rbio1.1-G_1-H0.0001_af2.wfa   | rbio1.1 | af2 | 1   | 0.0001  | 6144 | 2048 | 2048 | 10 | 3440 | 80 | 80 | 3.032 | 3600 | 1.757813 |
| lena16.bmp | lena16.bmp-withWavelet_sym1-G_1-H0.0001_af2.wfa      | sym1    | af2 | 1   | 0.0001  | 6144 | 2048 | 2048 | 10 | 3440 | 80 | 80 | 3.031 | 3600 | 1.757813 |



|            |   |         |     |      |        |      |      |      |    |      |    |    |       |      |          |
|------------|---|---------|-----|------|--------|------|------|------|----|------|----|----|-------|------|----------|
| lena16.bmp | lena16.bmp-withWavelet_bior1.1-G_1-H0.0001_af2.wfa    | bior1.1 | af2 | 1    | 0.0001 | 6144 | 2048 | 2048 | 10 | 3440 | 80 | 80 | 3.063 | 3600 | 1.757813 |
| lena16.bmp | lena16.bmp-G_1-H0.0001_af3.wfa                        |         | af3 | 1    | 0.0001 | 6144 | 2048 |      | 11 | 4112 | 88 | 88 | 3.187 | 4288 | 2.09375  |
| lena16.bmp | lena16.bmp-withWavelet_haar-G_1-H0.0001_af3.wfa       | haar    | af3 | 1    | 0.0001 | 6144 | 2048 | 2048 | 11 | 4112 | 88 | 88 | 3.438 | 4288 | 2.09375  |
| lena16.bmp | lena16.bmp-withWavelet_rbio1.1-G_1-H0.0001_af3.wfa    | rbio1.1 | af3 | 1    | 0.0001 | 6144 | 2048 | 2048 | 11 | 4112 | 88 | 88 | 3.297 | 4288 | 2.09375  |
| lena16.bmp | lena16.bmp-withWavelet_sym1-G_1-H0.0001_af3.wfa       | sym1    | af3 | 1    | 0.0001 | 6144 | 2048 | 2048 | 11 | 4112 | 88 | 88 | 3.297 | 4288 | 2.09375  |
| lena16.bmp | lena16.bmp-withWavelet_bior1.1-G_1-H0.0001_af3.wfa    | bior1.1 | af3 | 1    | 0.0001 | 6144 | 2048 | 2048 | 11 | 4112 | 88 | 88 | 3.328 | 4288 | 2.09375  |
| lena16.bmp | lena16.bmp-G_1-H0.0001_af4.wfa                        |         | af4 | 1    | 0.0001 | 6144 | 2048 |      | 4  | 752  | 32 | 32 | 2.109 | 816  | 0.398438 |
| lena16.bmp | lena16.bmp-withWavelet_haar-G_1-H0.0001_af4.wfa       | haar    | af4 | 1    | 0.0001 | 6144 | 2048 | 2048 | 10 | 3440 | 80 | 80 | 3.672 | 3600 | 1.757813 |
| lena16.bmp | lena16.bmp-withWavelet_rbio1.1-G_1-H0.0001_af4.wfa    | rbio1.1 | af4 | 1    | 0.0001 | 6144 | 2048 | 2048 | 10 | 3440 | 80 | 80 | 3.641 | 3600 | 1.757813 |
| lena16.bmp | lena16.bmp-withWavelet_sym1-G_1-H0.0001_af4.wfa       | sym1    | af4 | 1    | 0.0001 | 6144 | 2048 | 2048 | 10 | 3440 | 80 | 80 | 3.609 | 3600 | 1.757813 |
| lena16.bmp | lena16.bmp-withWavelet_bior1.1-G_1-H0.0001_af4.wfa    | bior1.1 | af4 | 1    | 0.0001 | 6144 | 2048 | 2048 | 10 | 3440 | 80 | 80 | 3.594 | 3600 | 1.757813 |
| lena16.bmp | lena16.bmp-G_1-H0.0001_af5.wfa                        |         | af5 | 1    | 0.0001 | 6144 | 2048 |      | 11 | 4112 | 88 | 88 | 2.36  | 4288 | 2.09375  |
| lena16.bmp | lena16.bmp-withWavelet_haar-G_1-H0.0001_af5.wfa       | haar    | af5 | 1    | 0.0001 | 6144 | 2048 | 2048 | 9  | 2832 | 72 | 72 | 2.282 | 2976 | 1.453125 |
| lena16.bmp | lena16.bmp-withWavelet_rbio1.1-G_1-H0.0001_af5.wfa    | rbio1.1 | af5 | 1    | 0.0001 | 6144 | 2048 | 2048 | 9  | 2832 | 72 | 72 | 2.266 | 2976 | 1.453125 |
| lena16.bmp | lena16.bmp-withWavelet_sym1-G_1-H0.0001_af5.wfa       | sym1    | af5 | 1    | 0.0001 | 6144 | 2048 | 2048 | 9  | 2832 | 72 | 72 | 2.281 | 2976 | 1.453125 |
| lena16.bmp | lena16.bmp-withWavelet_bior1.1-G_1-H0.0001_af5.wfa    | bior1.1 | af5 | 1    | 0.0001 | 6144 | 2048 | 2048 | 9  | 2832 | 72 | 72 | 2.297 | 2976 | 1.453125 |
| lena16.bmp | lena16.bmp-G_0.75-H0.0001_af1.wfa                     |         | af1 | 0.75 | 0.0001 | 6144 | 2048 |      | 11 | 4112 | 88 | 88 | 2.563 | 4288 | 2.09375  |
| lena16.bmp | lena16.bmp-withWavelet_haar-G_0.75-H0.0001_af1.wfa    | haar    | af1 | 0.75 | 0.0001 | 6144 | 2048 | 2048 | 11 | 4112 | 88 | 88 | 2.984 | 4288 | 2.09375  |
| lena16.bmp | lena16.bmp-withWavelet_rbio1.1-G_0.75-H0.0001_af1.wfa | rbio1.1 | af1 | 0.75 | 0.0001 | 6144 | 2048 | 2048 | 11 | 4112 | 88 | 88 | 3.093 | 4288 | 2.09375  |
| lena16.bmp | lena16.bmp-withWavelet_sym1-G_0.75-H0.0001_af1.wfa    | sym1    | af1 | 0.75 | 0.0001 | 6144 | 2048 | 2048 | 11 | 4112 | 88 | 88 | 3     | 4288 | 2.09375  |
| lena16.bmp | lena16.bmp-withWavelet_bior1.1-G_0.75-H0.0001_af1.wfa | bior1.1 | af1 | 0.75 | 0.0001 | 6144 | 2048 | 2048 | 11 | 4112 | 88 | 88 | 3     | 4288 | 2.09375  |
| lena16.bmp | lena16.bmp-G_0.75-H0.0001_af2.wfa                     |         | af2 | 0.75 | 0.0001 | 6144 | 2048 |      | 12 | 4848 | 96 | 96 | 2.766 | 5040 | 2.460938 |
| lena16.bmp | lena16.bmp-withWavelet_haar-G_0.75-H0.0001_af2.wfa    | haar    | af2 | 0.75 | 0.0001 | 6144 | 2048 | 2048 | 10 | 3440 | 80 | 80 | 2.468 | 3600 | 1.757813 |
| lena16.bmp | lena16.bmp-withWavelet_rbio1.1-G_0.75-H0.0001_af2.wfa | rbio1.1 | af2 | 0.75 | 0.0001 | 6144 | 2048 | 2048 | 10 | 3440 | 80 | 80 | 2.469 | 3600 | 1.757813 |
| lena16.bmp | lena16.bmp-withWavelet_sym1-G_0.75-H0.0001_af2.wfa    | sym1    | af2 | 0.75 | 0.0001 | 6144 | 2048 | 2048 | 10 | 3440 | 80 | 80 | 2.485 | 3600 | 1.757813 |
| lena16.bmp | lena16.bmp-withWavelet_bior1.1-G_0.75-H0.0001_af2.wfa | bior1.1 | af2 | 0.75 | 0.0001 | 6144 | 2048 | 2048 | 10 | 3440 | 80 | 80 | 2.609 | 3600 | 1.757813 |
| lena16.bmp | lena16.bmp-G_0.75-H0.0001_af3.wfa                     |         | af3 | 0.75 | 0.0001 | 6144 | 2048 |      | 10 | 3440 | 80 | 80 | 2.578 | 3600 | 1.757813 |
| lena16.bmp | lena16.bmp-withWavelet_haar-G_0.75-H0.0001_af3.wfa    | haar    | af3 | 0.75 | 0.0001 | 6144 | 2048 | 2048 | 12 | 4848 | 96 | 96 | 2.843 | 5040 | 2.460938 |
| lena16.bmp | lena16.bmp-withWavelet_rbio1.1-G_0.75-H0.0001_af3.wfa | rbio1.1 | af3 | 0.75 | 0.0001 | 6144 | 2048 | 2048 | 12 | 4848 | 96 | 96 | 2.828 | 5040 | 2.460938 |
| lena16.bmp | lena16.bmp-withWavelet_sym1-G_0.75-H0.0001_af3.wfa    | sym1    | af3 | 0.75 | 0.0001 | 6144 | 2048 | 2048 | 12 | 4848 | 96 | 96 | 2.812 | 5040 | 2.460938 |
| lena16.bmp | lena16.bmp-withWavelet_bior1.1-G_0.75-H0.0001_af3.wfa | bior1.1 | af3 | 0.75 | 0.0001 | 6144 | 2048 | 2048 | 12 | 4848 | 96 | 96 | 2.796 | 5040 | 2.460938 |

|            |   |         |     |      |        |      |      |      |    |      |    |    |       |      |          |
|------------|---|---------|-----|------|--------|------|------|------|----|------|----|----|-------|------|----------|
| lena16.bmp | lena16.bmp-G_0.75-H0.0001_af4.wfa                     |         | af4 | 0.75 | 0.0001 | 6144 | 2048 |      | 4  | 752  | 32 | 32 | 1.812 | 816  | 0.398438 |
| lena16.bmp | lena16.bmp-withWavelet_haar-G_0.75-H0.0001_af4.wfa    | haar    | af4 | 0.75 | 0.0001 | 6144 | 2048 | 2048 | 11 | 4112 | 88 | 88 | 3.094 | 4288 | 2.09375  |
| lena16.bmp | lena16.bmp-withWavelet_rbio1.1-G_0.75-H0.0001_af4.wfa | rbio1.1 | af4 | 0.75 | 0.0001 | 6144 | 2048 | 2048 | 11 | 4112 | 88 | 88 | 3.125 | 4288 | 2.09375  |
| lena16.bmp | lena16.bmp-withWavelet_sym1-G_0.75-H0.0001_af4.wfa    | sym1    | af4 | 0.75 | 0.0001 | 6144 | 2048 | 2048 | 11 | 4112 | 88 | 88 | 3.14  | 4288 | 2.09375  |
| lena16.bmp | lena16.bmp-withWavelet_bior1.1-G_0.75-H0.0001_af4.wfa | bior1.1 | af4 | 0.75 | 0.0001 | 6144 | 2048 | 2048 | 11 | 4112 | 88 | 88 | 3.125 | 4288 | 2.09375  |
| lena16.bmp | lena16.bmp-G_0.75-H0.0001_af5.wfa                     |         | af5 | 0.75 | 0.0001 | 6144 | 2048 |      | 12 | 4848 | 96 | 96 | 1.968 | 5040 | 2.460938 |
| lena16.bmp | lena16.bmp-withWavelet_haar-G_0.75-H0.0001_af5.wfa    | haar    | af5 | 0.75 | 0.0001 | 6144 | 2048 | 2048 | 8  | 2288 | 64 | 64 | 2     | 2416 | 1.179688 |
| lena16.bmp | lena16.bmp-withWavelet_rbio1.1-G_0.75-H0.0001_af5.wfa | rbio1.1 | af5 | 0.75 | 0.0001 | 6144 | 2048 | 2048 | 8  | 2288 | 64 | 64 | 1.953 | 2416 | 1.179688 |
| lena16.bmp | lena16.bmp-withWavelet_sym1-G_0.75-H0.0001_af5.wfa    | sym1    | af5 | 0.75 | 0.0001 | 6144 | 2048 | 2048 | 8  | 2288 | 64 | 64 | 2.031 | 2416 | 1.179688 |
| lena16.bmp | lena16.bmp-withWavelet_bior1.1-G_0.75-H0.0001_af5.wfa | bior1.1 | af5 | 0.75 | 0.0001 | 6144 | 2048 | 2048 | 8  | 2288 | 64 | 64 | 1.985 | 2416 | 1.179688 |
| lena16.bmp | lena16.bmp-G_0.5-H0.0001_af1.wfa                      |         | af1 | 0.5  | 0.0001 | 6144 | 2048 |      | 10 | 3440 | 80 | 80 | 2.375 | 3600 | 1.757813 |
| lena16.bmp | lena16.bmp-withWavelet_haar-G_0.5-H0.0001_af1.wfa     | haar    | af1 | 0.5  | 0.0001 | 6144 | 2048 | 2048 | 11 | 4112 | 88 | 88 | 2.61  | 4288 | 2.09375  |
| lena16.bmp | lena16.bmp-withWavelet_rbio1.1-G_0.5-H0.0001_af1.wfa  | rbio1.1 | af1 | 0.5  | 0.0001 | 6144 | 2048 | 2048 | 11 | 4112 | 88 | 88 | 2.703 | 4288 | 2.09375  |
| lena16.bmp | lena16.bmp-withWavelet_sym1-G_0.5-H0.0001_af1.wfa     | sym1    | af1 | 0.5  | 0.0001 | 6144 | 2048 | 2048 | 11 | 4112 | 88 | 88 | 2.61  | 4288 | 2.09375  |
| lena16.bmp | lena16.bmp-withWavelet_bior1.1-G_0.5-H0.0001_af1.wfa  | bior1.1 | af1 | 0.5  | 0.0001 | 6144 | 2048 | 2048 | 11 | 4112 | 88 | 88 | 2.657 | 4288 | 2.09375  |
| lena16.bmp | lena16.bmp-G_0.5-H0.0001_af2.wfa                      |         | af2 | 0.5  | 0.0001 | 6144 | 2048 |      | 9  | 2832 | 72 | 72 | 2.25  | 2976 | 1.453125 |
| lena16.bmp | lena16.bmp-withWavelet_haar-G_0.5-H0.0001_af2.wfa     | haar    | af2 | 0.5  | 0.0001 | 6144 | 2048 | 2048 | 11 | 4112 | 88 | 88 | 2.391 | 4288 | 2.09375  |
| lena16.bmp | lena16.bmp-withWavelet_rbio1.1-G_0.5-H0.0001_af2.wfa  | rbio1.1 | af2 | 0.5  | 0.0001 | 6144 | 2048 | 2048 | 11 | 4112 | 88 | 88 | 2.39  | 4288 | 2.09375  |
| lena16.bmp | lena16.bmp-withWavelet_sym1-G_0.5-H0.0001_af2.wfa     | sym1    | af2 | 0.5  | 0.0001 | 6144 | 2048 | 2048 | 11 | 4112 | 88 | 88 | 2.359 | 4288 | 2.09375  |
| lena16.bmp | lena16.bmp-withWavelet_bior1.1-G_0.5-H0.0001_af2.wfa  | bior1.1 | af2 | 0.5  | 0.0001 | 6144 | 2048 | 2048 | 11 | 4112 | 88 | 88 | 2.36  | 4288 | 2.09375  |
| lena16.bmp | lena16.bmp-G_0.5-H0.0001_af3.wfa                      |         | af3 | 0.5  | 0.0001 | 6144 | 2048 |      | 11 | 4112 | 88 | 88 | 2.422 | 4288 | 2.09375  |
| lena16.bmp | lena16.bmp-withWavelet_haar-G_0.5-H0.0001_af3.wfa     | haar    | af3 | 0.5  | 0.0001 | 6144 | 2048 | 2048 | 11 | 4112 | 88 | 88 | 2.469 | 4288 | 2.09375  |
| lena16.bmp | lena16.bmp-withWavelet_rbio1.1-G_0.5-H0.0001_af3.wfa  | rbio1.1 | af3 | 0.5  | 0.0001 | 6144 | 2048 | 2048 | 11 | 4112 | 88 | 88 | 2.609 | 4288 | 2.09375  |
| lena16.bmp | lena16.bmp-withWavelet_sym1-G_0.5-H0.0001_af3.wfa     | sym1    | af3 | 0.5  | 0.0001 | 6144 | 2048 | 2048 | 11 | 4112 | 88 | 88 | 2.469 | 4288 | 2.09375  |
| lena16.bmp | lena16.bmp-withWavelet_bior1.1-G_0.5-H0.0001_af3.wfa  | bior1.1 | af3 | 0.5  | 0.0001 | 6144 | 2048 | 2048 | 11 | 4112 | 88 | 88 | 2.484 | 4288 | 2.09375  |
| lena16.bmp | lena16.bmp-G_0.5-H0.0001_af4.wfa                      |         | af4 | 0.5  | 0.0001 | 6144 | 2048 |      | 4  | 752  | 32 | 32 | 1.812 | 816  | 0.398438 |
| lena16.bmp | lena16.bmp-withWavelet_haar-G_0.5-H0.0001_af4.wfa     | haar    | af4 | 0.5  | 0.0001 | 6144 | 2048 | 2048 | 10 | 3440 | 80 | 80 | 2.515 | 3600 | 1.757813 |
| lena16.bmp | lena16.bmp-withWavelet_rbio1.1-G_0.5-H0.0001_af4.wfa  | rbio1.1 | af4 | 0.5  | 0.0001 | 6144 | 2048 | 2048 | 10 | 3440 | 80 | 80 | 2.547 | 3600 | 1.757813 |
| lena16.bmp | lena16.bmp-withWavelet_sym1-G_0.5-H0.0001_af4.wfa     | sym1    | af4 | 0.5  | 0.0001 | 6144 | 2048 | 2048 | 10 | 3440 | 80 | 80 | 2.547 | 3600 | 1.757813 |
| lena16.bmp | lena16.bmp-withWavelet_bior1.1-G_0.5-H0.0001_af4.wfa  | bior1.1 | af4 | 0.5  | 0.0001 | 6144 | 2048 | 2048 | 10 | 3440 | 80 | 80 | 2.531 | 3600 | 1.757813 |
| lena16.bmp | lena16.bmp-G_0.5-H0.0001_af5.wfa                      |         | af5 | 0.5  | 0.0001 | 6144 | 2048 |      | 11 | 4112 | 88 | 88 | 1.922 | 4288 | 2.09375  |

|            |  |         |     |     |        |      |      |      |   |      |    |    |       |      |          |
|------------|--|---------|-----|-----|--------|------|------|------|---|------|----|----|-------|------|----------|
| lena16.bmp | lena16.bmp-withWavelet_haar-G_0.5-H0.0001_af5.wfa    | haar    | af5 | 0.5 | 0.0001 | 6144 | 2048 | 2048 | 8 | 2288 | 64 | 64 | 1.938 | 2416 | 1.179688 |
| lena16.bmp | lena16.bmp-withWavelet_rbio1.1-G_0.5-H0.0001_af5.wfa | rbio1.1 | af5 | 0.5 | 0.0001 | 6144 | 2048 | 2048 | 8 | 2288 | 64 | 64 | 1.953 | 2416 | 1.179688 |
| lena16.bmp | lena16.bmp-withWavelet_sym1-G_0.5-H0.0001_af5.wfa    | sym1    | af5 | 0.5 | 0.0001 | 6144 | 2048 | 2048 | 8 | 2288 | 64 | 64 | 1.938 | 2416 | 1.179688 |
| lena16.bmp | lena16.bmp-withWavelet_bior1.1-G_0.5-H0.0001_af5.wfa | bior1.1 | af5 | 0.5 | 0.0001 | 6144 | 2048 | 2048 | 8 | 2288 | 64 | 64 | 1.954 | 2416 | 1.179688 |

**Tabela III.3 – Codificação lena32.bmp em suas combinações**

| Img        | Img codificada                                     | Wlet    | AF  | G | H       | lBytes | GSByte | WletBy | #Stes | WBy   | lBy | FBy | Time    | Total | %        |
|------------|--|---------|-----|---|---------|--------|--------|--------|-------|-------|-----|-----|---------|-------|----------|
| lena32.bmp | lena32.bmp-G_1-H1e-005_af1.wfa                     |         | af1 | 1 | 0.00001 | 24576  | 8192   |        | 35    | 39440 | 280 | 280 | 275.781 | 40000 | 4.882813 |
| lena32.bmp | lena32.bmp-withWavelet_haar-G_1-H1e-005_af1.wfa    | haar    | af1 | 1 | 0.00001 | 24576  | 8192   | 8192   | 36    | 41712 | 288 | 288 | 317.469 | 42288 | 5.162109 |
| lena32.bmp | lena32.bmp-withWavelet_rbio1.1-G_1-H1e-005_af1.wfa | rbio1.1 | af1 | 1 | 0.00001 | 24576  | 8192   | 8192   | 36    | 41712 | 288 | 288 | 312.937 | 42288 | 5.162109 |
| lena32.bmp | lena32.bmp-withWavelet_sym1-G_1-H1e-005_af1.wfa    | sym1    | af1 | 1 | 0.00001 | 24576  | 8192   | 8192   | 36    | 41712 | 288 | 288 | 315.359 | 42288 | 5.162109 |
| lena32.bmp | lena32.bmp-withWavelet_bior1.1-G_1-H1e-005_af1.wfa | bior1.1 | af1 | 1 | 0.00001 | 24576  | 8192   | 8192   | 36    | 41712 | 288 | 288 | 313.031 | 42288 | 5.162109 |
| lena32.bmp | lena32.bmp-G_1-H1e-005_af2.wfa                     |         | af2 | 1 | 0.00001 | 24576  | 8192   |        | 31    | 30992 | 248 | 248 | 205.406 | 31488 | 3.84375  |
| lena32.bmp | lena32.bmp-withWavelet_haar-G_1-H1e-005_af2.wfa    | haar    | af2 | 1 | 0.00001 | 24576  | 8192   | 8192   | 29    | 27152 | 232 | 232 | 185.656 | 27616 | 3.371094 |
| lena32.bmp | lena32.bmp-withWavelet_rbio1.1-G_1-H1e-005_af2.wfa | rbio1.1 | af2 | 1 | 0.00001 | 24576  | 8192   | 8192   | 29    | 27152 | 232 | 232 | 183.375 | 27616 | 3.371094 |
| lena32.bmp | lena32.bmp-withWavelet_sym1-G_1-H1e-005_af2.wfa    | sym1    | af2 | 1 | 0.00001 | 24576  | 8192   | 8192   | 29    | 27152 | 232 | 232 | 186.094 | 27616 | 3.371094 |
| lena32.bmp | lena32.bmp-withWavelet_bior1.1-G_1-H1e-005_af2.wfa | bior1.1 | af2 | 1 | 0.00001 | 24576  | 8192   | 8192   | 29    | 27152 | 232 | 232 | 185.5   | 27616 | 3.371094 |
| lena32.bmp | lena32.bmp-G_1-H1e-005_af3.wfa                     |         | af3 | 1 | 0.00001 | 24576  | 8192   |        | 32    | 33008 | 256 | 256 | 228.203 | 33520 | 4.091797 |
| lena32.bmp | lena32.bmp-withWavelet_haar-G_1-H1e-005_af3.wfa    | haar    | af3 | 1 | 0.00001 | 24576  | 8192   | 8192   | 34    | 37232 | 272 | 272 | 276.844 | 37776 | 4.611328 |
| lena32.bmp | lena32.bmp-withWavelet_rbio1.1-G_1-H1e-005_af3.wfa | rbio1.1 | af3 | 1 | 0.00001 | 24576  | 8192   | 8192   | 34    | 37232 | 272 | 272 | 296.906 | 37776 | 4.611328 |
| lena32.bmp | lena32.bmp-withWavelet_sym1-G_1-H1e-005_af3.wfa    | sym1    | af3 | 1 | 0.00001 | 24576  | 8192   | 8192   | 34    | 37232 | 272 | 272 | 311.89  | 37776 | 4.611328 |
| lena32.bmp | lena32.bmp-withWavelet_bior1.1-G_1-H1e-005_af3.wfa | bior1.1 | af3 | 1 | 0.00001 | 24576  | 8192   | 8192   | 34    | 37232 | 272 | 272 | 319.875 | 37776 | 4.611328 |
| lena32.bmp | lena32.bmp-G_1-H1e-005_af4.wfa                     |         | af4 | 1 | 0.00001 | 24576  | 8192   |        | 17    | 9488  | 136 | 136 | 115.719 | 9760  | 1.191406 |
| lena32.bmp | lena32.bmp-withWavelet_haar-G_1-H1e-005_af4.wfa    | haar    | af4 | 1 | 0.00001 | 24576  | 8192   | 8192   | 37    | 44048 | 296 | 296 | 712.844 | 44640 | 5.449219 |
| lena32.bmp | lena32.bmp-withWavelet_rbio1.1-G_1-H1e-005_af4.wfa | rbio1.1 | af4 | 1 | 0.00001 | 24576  | 8192   | 8192   | 37    | 44048 | 296 | 296 | 678.579 | 44640 | 5.449219 |
| lena32.bmp | lena32.bmp-withWavelet_sym1-G_1-H1e-005_af4.wfa    | sym1    | af4 | 1 | 0.00001 | 24576  | 8192   | 8192   | 37    | 44048 | 296 | 296 | 597.843 | 44640 | 5.449219 |
| lena32.bmp | lena32.bmp-withWavelet_bior1.1-G_1-H1e-005_af4.wfa | bior1.1 | af4 | 1 | 0.00001 | 24576  | 8192   | 8192   | 37    | 44048 | 296 | 296 | 620.828 | 44640 | 5.449219 |
| lena32.bmp | lena32.bmp-G_1-H1e-005_af5.wfa                     |         | af5 | 1 | 0.00001 | 24576  | 8192   |        | 34    | 37232 | 272 | 272 | 65.125  | 37776 | 4.611328 |
| lena32.bmp | lena32.bmp-withWavelet_haar-G_1-H1e-005_af5.wfa    | haar    | af5 | 1 | 0.00001 | 24576  | 8192   | 8192   | 30    | 29040 | 240 | 240 | 56.938  | 29520 | 3.603516 |

|            |  |         |     |     |         |       |      |      |    |       |     |     |         |       |          |
|------------|--|---------|-----|-----|---------|-------|------|------|----|-------|-----|-----|---------|-------|----------|
| lena32.bmp | lena32.bmp-withWavelet_rbio1.1-G_1-H1e-005_af5.wfa   | rbio1.1 | af5 | 1   | 0.00001 | 24576 | 8192 | 8192 | 30 | 29040 | 240 | 240 | 55.625  | 29520 | 3.603516 |
| lena32.bmp | lena32.bmp-withWavelet_sym1-G_1-H1e-005_af5.wfa      | sym1    | af5 | 1   | 0.00001 | 24576 | 8192 | 8192 | 30 | 29040 | 240 | 240 | 57.063  | 29520 | 3.603516 |
| lena32.bmp | lena32.bmp-withWavelet_bior1.1-G_1-H1e-005_af5.wfa   | bior1.1 | af5 | 1   | 0.00001 | 24576 | 8192 | 8192 | 30 | 29040 | 240 | 240 | 57.141  | 29520 | 3.603516 |
| lena32.bmp | lena32.bmp-G_0.8-H1e-005_af1.wfa                     |         | af1 | 0.8 | 0.00001 | 24576 | 8192 |      | 35 | 39440 | 280 | 280 | 134.937 | 40000 | 4.882813 |
| lena32.bmp | lena32.bmp-withWavelet_haar-G_0.8-H1e-005_af1.wfa    | haar    | af1 | 0.8 | 0.00001 | 24576 | 8192 | 8192 | 36 | 41712 | 288 | 288 | 153.937 | 42288 | 5.162109 |
| lena32.bmp | lena32.bmp-withWavelet_rbio1.1-G_0.8-H1e-005_af1.wfa | rbio1.1 | af1 | 0.8 | 0.00001 | 24576 | 8192 | 8192 | 36 | 41712 | 288 | 288 | 156.219 | 42288 | 5.162109 |
| lena32.bmp | lena32.bmp-withWavelet_sym1-G_0.8-H1e-005_af1.wfa    | sym1    | af1 | 0.8 | 0.00001 | 24576 | 8192 | 8192 | 36 | 41712 | 288 | 288 | 152.891 | 42288 | 5.162109 |
| lena32.bmp | lena32.bmp-withWavelet_bior1.1-G_0.8-H1e-005_af1.wfa | bior1.1 | af1 | 0.8 | 0.00001 | 24576 | 8192 | 8192 | 36 | 41712 | 288 | 288 | 154.046 | 42288 | 5.162109 |
| lena32.bmp | lena32.bmp-G_0.8-H1e-005_af2.wfa                     |         | af2 | 0.8 | 0.00001 | 24576 | 8192 |      | 32 | 33008 | 256 | 256 | 111.594 | 33520 | 4.091797 |
| lena32.bmp | lena32.bmp-withWavelet_haar-G_0.8-H1e-005_af2.wfa    | haar    | af2 | 0.8 | 0.00001 | 24576 | 8192 | 8192 | 29 | 27152 | 232 | 232 | 93.422  | 27616 | 3.371094 |
| lena32.bmp | lena32.bmp-withWavelet_rbio1.1-G_0.8-H1e-005_af2.wfa | rbio1.1 | af2 | 0.8 | 0.00001 | 24576 | 8192 | 8192 | 29 | 27152 | 232 | 232 | 92.703  | 27616 | 3.371094 |
| lena32.bmp | lena32.bmp-withWavelet_sym1-G_0.8-H1e-005_af2.wfa    | sym1    | af2 | 0.8 | 0.00001 | 24576 | 8192 | 8192 | 29 | 27152 | 232 | 232 | 93.64   | 27616 | 3.371094 |
| lena32.bmp | lena32.bmp-withWavelet_bior1.1-G_0.8-H1e-005_af2.wfa | bior1.1 | af2 | 0.8 | 0.00001 | 24576 | 8192 | 8192 | 29 | 27152 | 232 | 232 | 92.64   | 27616 | 3.371094 |
| lena32.bmp | lena32.bmp-G_0.8-H1e-005_af3.wfa                     |         | af3 | 0.8 | 0.00001 | 24576 | 8192 |      | 32 | 33008 | 256 | 256 | 115.781 | 33520 | 4.091797 |
| lena32.bmp | lena32.bmp-withWavelet_haar-G_0.8-H1e-005_af3.wfa    | haar    | af3 | 0.8 | 0.00001 | 24576 | 8192 | 8192 | 34 | 37232 | 272 | 272 | 134.937 | 37776 | 4.611328 |
| lena32.bmp | lena32.bmp-withWavelet_rbio1.1-G_0.8-H1e-005_af3.wfa | rbio1.1 | af3 | 0.8 | 0.00001 | 24576 | 8192 | 8192 | 34 | 37232 | 272 | 272 | 135.11  | 37776 | 4.611328 |
| lena32.bmp | lena32.bmp-withWavelet_sym1-G_0.8-H1e-005_af3.wfa    | sym1    | af3 | 0.8 | 0.00001 | 24576 | 8192 | 8192 | 34 | 37232 | 272 | 272 | 133.484 | 37776 | 4.611328 |
| lena32.bmp | lena32.bmp-withWavelet_bior1.1-G_0.8-H1e-005_af3.wfa | bior1.1 | af3 | 0.8 | 0.00001 | 24576 | 8192 | 8192 | 34 | 37232 | 272 | 272 | 134.5   | 37776 | 4.611328 |
| lena32.bmp | lena32.bmp-G_0.8-H1e-005_af4.wfa                     |         | af4 | 0.8 | 0.00001 | 24576 | 8192 |      | 17 | 9488  | 136 | 136 | 58.36   | 9760  | 1.191406 |
| lena32.bmp | lena32.bmp-withWavelet_haar-G_0.8-H1e-005_af4.wfa    | haar    | af4 | 0.8 | 0.00001 | 24576 | 8192 | 8192 | 36 | 41712 | 288 | 288 | 267.563 | 42288 | 5.162109 |
| lena32.bmp | lena32.bmp-withWavelet_rbio1.1-G_0.8-H1e-005_af4.wfa | rbio1.1 | af4 | 0.8 | 0.00001 | 24576 | 8192 | 8192 | 36 | 41712 | 288 | 288 | 259.782 | 42288 | 5.162109 |
| lena32.bmp | lena32.bmp-withWavelet_sym1-G_0.8-H1e-005_af4.wfa    | sym1    | af4 | 0.8 | 0.00001 | 24576 | 8192 | 8192 | 36 | 41712 | 288 | 288 | 273.704 | 42288 | 5.162109 |
| lena32.bmp | lena32.bmp-withWavelet_bior1.1-G_0.8-H1e-005_af4.wfa | bior1.1 | af4 | 0.8 | 0.00001 | 24576 | 8192 | 8192 | 36 | 41712 | 288 | 288 | 276.984 | 42288 | 5.162109 |
| lena32.bmp | lena32.bmp-G_0.8-H1e-005_af5.wfa                     |         | af5 | 0.8 | 0.00001 | 24576 | 8192 |      | 34 | 37232 | 272 | 272 | 41.39   | 37776 | 4.611328 |
| lena32.bmp | lena32.bmp-withWavelet_haar-G_0.8-H1e-005_af5.wfa    | haar    | af5 | 0.8 | 0.00001 | 24576 | 8192 | 8192 | 31 | 30992 | 248 | 248 | 39.609  | 31488 | 3.84375  |
| lena32.bmp | lena32.bmp-withWavelet_rbio1.1-G_0.8-H1e-005_af5.wfa | rbio1.1 | af5 | 0.8 | 0.00001 | 24576 | 8192 | 8192 | 31 | 30992 | 248 | 248 | 39.172  | 31488 | 3.84375  |
| lena32.bmp | lena32.bmp-withWavelet_sym1-G_0.8-H1e-005_af5.wfa    | sym1    | af5 | 0.8 | 0.00001 | 24576 | 8192 | 8192 | 31 | 30992 | 248 | 248 | 39.484  | 31488 | 3.84375  |
| lena32.bmp | lena32.bmp-withWavelet_bior1.1-G_0.8-H1e-005_af5.wfa | bior1.1 | af5 | 0.8 | 0.00001 | 24576 | 8192 | 8192 | 31 | 30992 | 248 | 248 | 39.172  | 31488 | 3.84375  |
| lena32.bmp | lena32.bmp-G_0.6-H1e-005_af1.wfa                     |         | af1 | 0.6 | 0.00001 | 24576 | 8192 |      | 34 | 37232 | 272 | 272 | 95.687  | 37776 | 4.611328 |
| lena32.bmp | lena32.bmp-withWavelet_haar-G_0.6-H1e-005_af1.wfa    | haar    | af1 | 0.6 | 0.00001 | 24576 | 8192 | 8192 | 35 | 39440 | 280 | 280 | 111.172 | 40000 | 4.882813 |
| lena32.bmp | lena32.bmp-withWavelet_rbio1.1-G_0.6-H1e-005_af1.wfa | rbio1.1 | af1 | 0.6 | 0.00001 | 24576 | 8192 | 8192 | 35 | 39440 | 280 | 280 | 109.032 | 40000 | 4.882813 |

|            |  |         |     |     |         |       |      |      |    |       |     |     |         |       |          |
|------------|--|---------|-----|-----|---------|-------|------|------|----|-------|-----|-----|---------|-------|----------|
| lena32.bmp | lena32.bmp-withWavelet_sym1-G_0.6-H1e-005_af1.wfa    | sym1    | af1 | 0.6 | 0.00001 | 24576 | 8192 | 8192 | 35 | 39440 | 280 | 280 | 110.203 | 40000 | 4.882813 |
| lena32.bmp | lena32.bmp-withWavelet_bior1.1-G_0.6-H1e-005_af1.wfa | bior1.1 | af1 | 0.6 | 0.00001 | 24576 | 8192 | 8192 | 35 | 39440 | 280 | 280 | 109.563 | 40000 | 4.882813 |
| lena32.bmp | lena32.bmp-G_0.6-H1e-005_af2.wfa                     |         | af2 | 0.6 | 0.00001 | 24576 | 8192 |      | 31 | 30992 | 248 | 248 | 81.953  | 31488 | 3.84375  |
| lena32.bmp | lena32.bmp-withWavelet_haar-G_0.6-H1e-005_af2.wfa    | haar    | af2 | 0.6 | 0.00001 | 24576 | 8192 | 8192 | 28 | 25328 | 224 | 224 | 74.641  | 25776 | 3.146484 |
| lena32.bmp | lena32.bmp-withWavelet_rbio1.1-G_0.6-H1e-005_af2.wfa | rbio1.1 | af2 | 0.6 | 0.00001 | 24576 | 8192 | 8192 | 28 | 25328 | 224 | 224 | 75      | 25776 | 3.146484 |
| lena32.bmp | lena32.bmp-withWavelet_sym1-G_0.6-H1e-005_af2.wfa    | sym1    | af2 | 0.6 | 0.00001 | 24576 | 8192 | 8192 | 28 | 25328 | 224 | 224 | 74.828  | 25776 | 3.146484 |
| lena32.bmp | lena32.bmp-withWavelet_bior1.1-G_0.6-H1e-005_af2.wfa | bior1.1 | af2 | 0.6 | 0.00001 | 24576 | 8192 | 8192 | 28 | 25328 | 224 | 224 | 74.812  | 25776 | 3.146484 |
| lena32.bmp | lena32.bmp-G_0.6-H1e-005_af3.wfa                     |         | af3 | 0.6 | 0.00001 | 24576 | 8192 |      | 30 | 29040 | 240 | 240 | 81.984  | 29520 | 3.603516 |
| lena32.bmp | lena32.bmp-withWavelet_haar-G_0.6-H1e-005_af3.wfa    | haar    | af3 | 0.6 | 0.00001 | 24576 | 8192 | 8192 | 34 | 37232 | 272 | 272 | 98.89   | 37776 | 4.611328 |
| lena32.bmp | lena32.bmp-withWavelet_rbio1.1-G_0.6-H1e-005_af3.wfa | rbio1.1 | af3 | 0.6 | 0.00001 | 24576 | 8192 | 8192 | 34 | 37232 | 272 | 272 | 99.532  | 37776 | 4.611328 |
| lena32.bmp | lena32.bmp-withWavelet_sym1-G_0.6-H1e-005_af3.wfa    | sym1    | af3 | 0.6 | 0.00001 | 24576 | 8192 | 8192 | 34 | 37232 | 272 | 272 | 98.844  | 37776 | 4.611328 |
| lena32.bmp | lena32.bmp-withWavelet_bior1.1-G_0.6-H1e-005_af3.wfa | bior1.1 | af3 | 0.6 | 0.00001 | 24576 | 8192 | 8192 | 34 | 37232 | 272 | 272 | 99.875  | 37776 | 4.611328 |
| lena32.bmp | lena32.bmp-G_0.6-H1e-005_af4.wfa                     |         | af4 | 0.6 | 0.00001 | 24576 | 8192 |      | 17 | 9488  | 136 | 136 | 47.64   | 9760  | 1.191406 |
| lena32.bmp | lena32.bmp-withWavelet_haar-G_0.6-H1e-005_af4.wfa    | haar    | af4 | 0.6 | 0.00001 | 24576 | 8192 | 8192 | 35 | 39440 | 280 | 280 | 173.453 | 40000 | 4.882813 |
| lena32.bmp | lena32.bmp-withWavelet_rbio1.1-G_0.6-H1e-005_af4.wfa | rbio1.1 | af4 | 0.6 | 0.00001 | 24576 | 8192 | 8192 | 35 | 39440 | 280 | 280 | 182.203 | 40000 | 4.882813 |
| lena32.bmp | lena32.bmp-withWavelet_sym1-G_0.6-H1e-005_af4.wfa    | sym1    | af4 | 0.6 | 0.00001 | 24576 | 8192 | 8192 | 35 | 39440 | 280 | 280 | 188.578 | 40000 | 4.882813 |
| lena32.bmp | lena32.bmp-withWavelet_bior1.1-G_0.6-H1e-005_af4.wfa | bior1.1 | af4 | 0.6 | 0.00001 | 24576 | 8192 | 8192 | 35 | 39440 | 280 | 280 | 178.281 | 40000 | 4.882813 |
| lena32.bmp | lena32.bmp-G_0.6-H1e-005_af5.wfa                     |         | af5 | 0.6 | 0.00001 | 24576 | 8192 |      | 34 | 37232 | 272 | 272 | 38.015  | 37776 | 4.611328 |
| lena32.bmp | lena32.bmp-withWavelet_haar-G_0.6-H1e-005_af5.wfa    | haar    | af5 | 0.6 | 0.00001 | 24576 | 8192 | 8192 | 30 | 29040 | 240 | 240 | 36.437  | 29520 | 3.603516 |
| lena32.bmp | lena32.bmp-withWavelet_rbio1.1-G_0.6-H1e-005_af5.wfa | rbio1.1 | af5 | 0.6 | 0.00001 | 24576 | 8192 | 8192 | 30 | 29040 | 240 | 240 | 36.344  | 29520 | 3.603516 |
| lena32.bmp | lena32.bmp-withWavelet_sym1-G_0.6-H1e-005_af5.wfa    | sym1    | af5 | 0.6 | 0.00001 | 24576 | 8192 | 8192 | 30 | 29040 | 240 | 240 | 36.5    | 29520 | 3.603516 |
| lena32.bmp | lena32.bmp-withWavelet_bior1.1-G_0.6-H1e-005_af5.wfa | bior1.1 | af5 | 0.6 | 0.00001 | 24576 | 8192 | 8192 | 30 | 29040 | 240 | 240 | 36.203  | 29520 | 3.603516 |
| lena32.bmp | lena32.bmp-G_1-H2e-005_af1.wfa                       |         | af1 | 1   | 0.00002 | 24576 | 8192 |      | 33 | 35088 | 264 | 264 | 254.562 | 35616 | 4.347656 |
| lena32.bmp | lena32.bmp-withWavelet_haar-G_1-H2e-005_af1.wfa      | haar    | af1 | 1   | 0.00002 | 24576 | 8192 | 8192 | 33 | 35088 | 264 | 264 | 337.765 | 35616 | 4.347656 |
| lena32.bmp | lena32.bmp-withWavelet_rbio1.1-G_1-H2e-005_af1.wfa   | rbio1.1 | af1 | 1   | 0.00002 | 24576 | 8192 | 8192 | 33 | 35088 | 264 | 264 | 351.484 | 35616 | 4.347656 |
| lena32.bmp | lena32.bmp-withWavelet_sym1-G_1-H2e-005_af1.wfa      | sym1    | af1 | 1   | 0.00002 | 24576 | 8192 | 8192 | 33 | 35088 | 264 | 264 | 372.516 | 35616 | 4.347656 |
| lena32.bmp | lena32.bmp-withWavelet_bior1.1-G_1-H2e-005_af1.wfa   | bior1.1 | af1 | 1   | 0.00002 | 24576 | 8192 | 8192 | 33 | 35088 | 264 | 264 | 368.344 | 35616 | 4.347656 |
| lena32.bmp | lena32.bmp-G_1-H2e-005_af2.wfa                       |         | af2 | 1   | 0.00002 | 24576 | 8192 |      | 28 | 25328 | 224 | 224 | 234.594 | 25776 | 3.146484 |
| lena32.bmp | lena32.bmp-withWavelet_haar-G_1-H2e-005_af2.wfa      | haar    | af2 | 1   | 0.00002 | 24576 | 8192 | 8192 | 25 | 20240 | 200 | 200 | 216.875 | 20640 | 2.519531 |
| lena32.bmp | lena32.bmp-withWavelet_rbio1.1-G_1-H2e-005_af2.wfa   | rbio1.1 | af2 | 1   | 0.00002 | 24576 | 8192 | 8192 | 25 | 20240 | 200 | 200 | 184.563 | 20640 | 2.519531 |
| lena32.bmp | lena32.bmp-withWavelet_sym1-G_1-H2e-005_af2.wfa      | sym1    | af2 | 1   | 0.00002 | 24576 | 8192 | 8192 | 25 | 20240 | 200 | 200 | 197.562 | 20640 | 2.519531 |

|            |  |         |     |     |         |       |      |      |    |       |     |     |         |       |          |
|------------|--|---------|-----|-----|---------|-------|------|------|----|-------|-----|-----|---------|-------|----------|
| lena32.bmp | lena32.bmp-withWavelet_bior1.1-G_1-H2e-005_af2.wfa   | bior1.1 | af2 | 1   | 0.00002 | 24576 | 8192 | 8192 | 25 | 20240 | 200 | 200 | 206.797 | 20640 | 2.519531 |
| lena32.bmp | lena32.bmp-G_1-H2e-005_af3.wfa                       |         | af3 | 1   | 0.00002 | 24576 | 8192 |      | 31 | 30992 | 248 | 248 | 272.718 | 31488 | 3.84375  |
| lena32.bmp | lena32.bmp-withWavelet_haar-G_1-H2e-005_af3.wfa      | haar    | af3 | 1   | 0.00002 | 24576 | 8192 | 8192 | 33 | 35088 | 264 | 264 | 308.734 | 35616 | 4.347656 |
| lena32.bmp | lena32.bmp-withWavelet_rbio1.1-G_1-H2e-005_af3.wfa   | rbio1.1 | af3 | 1   | 0.00002 | 24576 | 8192 | 8192 | 33 | 35088 | 264 | 264 | 318.266 | 35616 | 4.347656 |
| lena32.bmp | lena32.bmp-withWavelet_sym1-G_1-H2e-005_af3.wfa      | sym1    | af3 | 1   | 0.00002 | 24576 | 8192 | 8192 | 33 | 35088 | 264 | 264 | 324.25  | 35616 | 4.347656 |
| lena32.bmp | lena32.bmp-withWavelet_bior1.1-G_1-H2e-005_af3.wfa   | bior1.1 | af3 | 1   | 0.00002 | 24576 | 8192 | 8192 | 33 | 35088 | 264 | 264 | 289.89  | 35616 | 4.347656 |
| lena32.bmp | lena32.bmp-G_1-H2e-005_af4.wfa                       |         | af4 | 1   | 0.00002 | 24576 | 8192 |      | 17 | 9488  | 136 | 136 | 119.109 | 9760  | 1.191406 |
| lena32.bmp | lena32.bmp-withWavelet_haar-G_1-H2e-005_af4.wfa      | haar    | af4 | 1   | 0.00002 | 24576 | 8192 | 8192 | 35 | 39440 | 280 | 280 | 620.078 | 40000 | 4.882813 |
| lena32.bmp | lena32.bmp-withWavelet_rbio1.1-G_1-H2e-005_af4.wfa   | rbio1.1 | af4 | 1   | 0.00002 | 24576 | 8192 | 8192 | 35 | 39440 | 280 | 280 | 625.031 | 40000 | 4.882813 |
| lena32.bmp | lena32.bmp-withWavelet_sym1-G_1-H2e-005_af4.wfa      | sym1    | af4 | 1   | 0.00002 | 24576 | 8192 | 8192 | 35 | 39440 | 280 | 280 | 602.5   | 40000 | 4.882813 |
| lena32.bmp | lena32.bmp-withWavelet_bior1.1-G_1-H2e-005_af4.wfa   | bior1.1 | af4 | 1   | 0.00002 | 24576 | 8192 | 8192 | 35 | 39440 | 280 | 280 | 555.531 | 40000 | 4.882813 |
| lena32.bmp | lena32.bmp-G_1-H2e-005_af5.wfa                       |         | af5 | 1   | 0.00002 | 24576 | 8192 |      | 28 | 25328 | 224 | 224 | 58.859  | 25776 | 3.146484 |
| lena32.bmp | lena32.bmp-withWavelet_haar-G_1-H2e-005_af5.wfa      | haar    | af5 | 1   | 0.00002 | 24576 | 8192 | 8192 | 29 | 27152 | 232 | 232 | 57.75   | 27616 | 3.371094 |
| lena32.bmp | lena32.bmp-withWavelet_rbio1.1-G_1-H2e-005_af5.wfa   | rbio1.1 | af5 | 1   | 0.00002 | 24576 | 8192 | 8192 | 29 | 27152 | 232 | 232 | 59.25   | 27616 | 3.371094 |
| lena32.bmp | lena32.bmp-withWavelet_sym1-G_1-H2e-005_af5.wfa      | sym1    | af5 | 1   | 0.00002 | 24576 | 8192 | 8192 | 29 | 27152 | 232 | 232 | 58.422  | 27616 | 3.371094 |
| lena32.bmp | lena32.bmp-withWavelet_bior1.1-G_1-H2e-005_af5.wfa   | bior1.1 | af5 | 1   | 0.00002 | 24576 | 8192 | 8192 | 29 | 27152 | 232 | 232 | 59.5    | 27616 | 3.371094 |
| lena32.bmp | lena32.bmp-G_0.8-H2e-005_af1.wfa                     |         | af1 | 0.8 | 0.00002 | 24576 | 8192 |      | 34 | 37232 | 272 | 272 | 146.282 | 37776 | 4.611328 |
| lena32.bmp | lena32.bmp-withWavelet_haar-G_0.8-H2e-005_af1.wfa    | haar    | af1 | 0.8 | 0.00002 | 24576 | 8192 | 8192 | 33 | 35088 | 264 | 264 | 151.813 | 35616 | 4.347656 |
| lena32.bmp | lena32.bmp-withWavelet_rbio1.1-G_0.8-H2e-005_af1.wfa | rbio1.1 | af1 | 0.8 | 0.00002 | 24576 | 8192 | 8192 | 33 | 35088 | 264 | 264 | 154.25  | 35616 | 4.347656 |
| lena32.bmp | lena32.bmp-withWavelet_sym1-G_0.8-H2e-005_af1.wfa    | sym1    | af1 | 0.8 | 0.00002 | 24576 | 8192 | 8192 | 33 | 35088 | 264 | 264 | 157.359 | 35616 | 4.347656 |
| lena32.bmp | lena32.bmp-withWavelet_bior1.1-G_0.8-H2e-005_af1.wfa | bior1.1 | af1 | 0.8 | 0.00002 | 24576 | 8192 | 8192 | 33 | 35088 | 264 | 264 | 150.782 | 35616 | 4.347656 |
| lena32.bmp | lena32.bmp-G_0.8-H2e-005_af2.wfa                     |         | af2 | 0.8 | 0.00002 | 24576 | 8192 |      | 28 | 25328 | 224 | 224 | 106.985 | 25776 | 3.146484 |
| lena32.bmp | lena32.bmp-withWavelet_haar-G_0.8-H2e-005_af2.wfa    | haar    | af2 | 0.8 | 0.00002 | 24576 | 8192 | 8192 | 27 | 23568 | 216 | 216 | 95      | 24000 | 2.929688 |
| lena32.bmp | lena32.bmp-withWavelet_rbio1.1-G_0.8-H2e-005_af2.wfa | rbio1.1 | af2 | 0.8 | 0.00002 | 24576 | 8192 | 8192 | 27 | 23568 | 216 | 216 | 99.062  | 24000 | 2.929688 |
| lena32.bmp | lena32.bmp-withWavelet_sym1-G_0.8-H2e-005_af2.wfa    | sym1    | af2 | 0.8 | 0.00002 | 24576 | 8192 | 8192 | 27 | 23568 | 216 | 216 | 97.422  | 24000 | 2.929688 |
| lena32.bmp | lena32.bmp-withWavelet_bior1.1-G_0.8-H2e-005_af2.wfa | bior1.1 | af2 | 0.8 | 0.00002 | 24576 | 8192 | 8192 | 27 | 23568 | 216 | 216 | 99.187  | 24000 | 2.929688 |
| lena32.bmp | lena32.bmp-G_0.8-H2e-005_af3.wfa                     |         | af3 | 0.8 | 0.00002 | 24576 | 8192 |      | 32 | 33008 | 256 | 256 | 128     | 33520 | 4.091797 |
| lena32.bmp | lena32.bmp-withWavelet_haar-G_0.8-H2e-005_af3.wfa    | haar    | af3 | 0.8 | 0.00002 | 24576 | 8192 | 8192 | 33 | 35088 | 264 | 264 | 144.313 | 35616 | 4.347656 |
| lena32.bmp | lena32.bmp-withWavelet_rbio1.1-G_0.8-H2e-005_af3.wfa | rbio1.1 | af3 | 0.8 | 0.00002 | 24576 | 8192 | 8192 | 33 | 35088 | 264 | 264 | 146.875 | 35616 | 4.347656 |
| lena32.bmp | lena32.bmp-withWavelet_sym1-G_0.8-H2e-005_af3.wfa    | sym1    | af3 | 0.8 | 0.00002 | 24576 | 8192 | 8192 | 33 | 35088 | 264 | 264 | 146.938 | 35616 | 4.347656 |
| lena32.bmp | lena32.bmp-withWavelet_bior1.1-G_0.8-H2e-005_af3.wfa | bior1.1 | af3 | 0.8 | 0.00002 | 24576 | 8192 | 8192 | 33 | 35088 | 264 | 264 | 148.266 | 35616 | 4.347656 |

|            |  |         |     |     |         |       |      |      |    |       |     |     |         |       |          |
|------------|--|---------|-----|-----|---------|-------|------|------|----|-------|-----|-----|---------|-------|----------|
| lena32.bmp | lena32.bmp-G_0.8-H2e-005_af4.wfa                     |         | af4 | 0.8 | 0.00002 | 24576 | 8192 |      | 17 | 9488  | 136 | 136 | 59.953  | 9760  | 1.191406 |
| lena32.bmp | lena32.bmp-withWavelet_haar-G_0.8-H2e-005_af4.wfa    | haar    | af4 | 0.8 | 0.00002 | 24576 | 8192 | 8192 | 35 | 39440 | 280 | 280 | 291.781 | 40000 | 4.882813 |
| lena32.bmp | lena32.bmp-withWavelet_rbio1.1-G_0.8-H2e-005_af4.wfa | rbio1.1 | af4 | 0.8 | 0.00002 | 24576 | 8192 | 8192 | 35 | 39440 | 280 | 280 | 279.078 | 40000 | 4.882813 |
| lena32.bmp | lena32.bmp-withWavelet_sym1-G_0.8-H2e-005_af4.wfa    | sym1    | af4 | 0.8 | 0.00002 | 24576 | 8192 | 8192 | 35 | 39440 | 280 | 280 | 287     | 40000 | 4.882813 |
| lena32.bmp | lena32.bmp-withWavelet_bior1.1-G_0.8-H2e-005_af4.wfa | bior1.1 | af4 | 0.8 | 0.00002 | 24576 | 8192 | 8192 | 35 | 39440 | 280 | 280 | 281.062 | 40000 | 4.882813 |
| lena32.bmp | lena32.bmp-G_0.8-H2e-005_af5.wfa                     |         | af5 | 0.8 | 0.00002 | 24576 | 8192 |      | 29 | 27152 | 232 | 232 | 40.297  | 27616 | 3.371094 |
| lena32.bmp | lena32.bmp-withWavelet_haar-G_0.8-H2e-005_af5.wfa    | haar    | af5 | 0.8 | 0.00002 | 24576 | 8192 | 8192 | 29 | 27152 | 232 | 232 | 42.75   | 27616 | 3.371094 |
| lena32.bmp | lena32.bmp-withWavelet_rbio1.1-G_0.8-H2e-005_af5.wfa | rbio1.1 | af5 | 0.8 | 0.00002 | 24576 | 8192 | 8192 | 29 | 27152 | 232 | 232 | 44.125  | 27616 | 3.371094 |
| lena32.bmp | lena32.bmp-withWavelet_sym1-G_0.8-H2e-005_af5.wfa    | sym1    | af5 | 0.8 | 0.00002 | 24576 | 8192 | 8192 | 29 | 27152 | 232 | 232 | 38.938  | 27616 | 3.371094 |
| lena32.bmp | lena32.bmp-withWavelet_bior1.1-G_0.8-H2e-005_af5.wfa | bior1.1 | af5 | 0.8 | 0.00002 | 24576 | 8192 | 8192 | 29 | 27152 | 232 | 232 | 43.609  | 27616 | 3.371094 |
| lena32.bmp | lena32.bmp-G_0.6-H2e-005_af1.wfa                     |         | af1 | 0.6 | 0.00002 | 24576 | 8192 |      | 32 | 33008 | 256 | 256 | 95.531  | 33520 | 4.091797 |
| lena32.bmp | lena32.bmp-withWavelet_haar-G_0.6-H2e-005_af1.wfa    | haar    | af1 | 0.6 | 0.00002 | 24576 | 8192 | 8192 | 33 | 35088 | 264 | 264 | 111.422 | 35616 | 4.347656 |
| lena32.bmp | lena32.bmp-withWavelet_rbio1.1-G_0.6-H2e-005_af1.wfa | rbio1.1 | af1 | 0.6 | 0.00002 | 24576 | 8192 | 8192 | 33 | 35088 | 264 | 264 | 113.14  | 35616 | 4.347656 |
| lena32.bmp | lena32.bmp-withWavelet_sym1-G_0.6-H2e-005_af1.wfa    | sym1    | af1 | 0.6 | 0.00002 | 24576 | 8192 | 8192 | 33 | 35088 | 264 | 264 | 111.359 | 35616 | 4.347656 |
| lena32.bmp | lena32.bmp-withWavelet_bior1.1-G_0.6-H2e-005_af1.wfa | bior1.1 | af1 | 0.6 | 0.00002 | 24576 | 8192 | 8192 | 33 | 35088 | 264 | 264 | 112.672 | 35616 | 4.347656 |
| lena32.bmp | lena32.bmp-G_0.6-H2e-005_af2.wfa                     |         | af2 | 0.6 | 0.00002 | 24576 | 8192 |      | 28 | 25328 | 224 | 224 | 78.922  | 25776 | 3.146484 |
| lena32.bmp | lena32.bmp-withWavelet_haar-G_0.6-H2e-005_af2.wfa    | haar    | af2 | 0.6 | 0.00002 | 24576 | 8192 | 8192 | 27 | 23568 | 216 | 216 | 80.937  | 24000 | 2.929688 |
| lena32.bmp | lena32.bmp-withWavelet_rbio1.1-G_0.6-H2e-005_af2.wfa | rbio1.1 | af2 | 0.6 | 0.00002 | 24576 | 8192 | 8192 | 27 | 23568 | 216 | 216 | 77.328  | 24000 | 2.929688 |
| lena32.bmp | lena32.bmp-withWavelet_sym1-G_0.6-H2e-005_af2.wfa    | sym1    | af2 | 0.6 | 0.00002 | 24576 | 8192 | 8192 | 27 | 23568 | 216 | 216 | 77.672  | 24000 | 2.929688 |
| lena32.bmp | lena32.bmp-withWavelet_bior1.1-G_0.6-H2e-005_af2.wfa | bior1.1 | af2 | 0.6 | 0.00002 | 24576 | 8192 | 8192 | 27 | 23568 | 216 | 216 | 77.219  | 24000 | 2.929688 |
| lena32.bmp | lena32.bmp-G_0.6-H2e-005_af3.wfa                     |         | af3 | 0.6 | 0.00002 | 24576 | 8192 |      | 29 | 27152 | 232 | 232 | 86.454  | 27616 | 3.371094 |
| lena32.bmp | lena32.bmp-withWavelet_haar-G_0.6-H2e-005_af3.wfa    | haar    | af3 | 0.6 | 0.00002 | 24576 | 8192 | 8192 | 33 | 35088 | 264 | 264 | 107.906 | 35616 | 4.347656 |
| lena32.bmp | lena32.bmp-withWavelet_rbio1.1-G_0.6-H2e-005_af3.wfa | rbio1.1 | af3 | 0.6 | 0.00002 | 24576 | 8192 | 8192 | 33 | 35088 | 264 | 264 | 106.812 | 35616 | 4.347656 |
| lena32.bmp | lena32.bmp-withWavelet_sym1-G_0.6-H2e-005_af3.wfa    | sym1    | af3 | 0.6 | 0.00002 | 24576 | 8192 | 8192 | 33 | 35088 | 264 | 264 | 110.329 | 35616 | 4.347656 |
| lena32.bmp | lena32.bmp-withWavelet_bior1.1-G_0.6-H2e-005_af3.wfa | bior1.1 | af3 | 0.6 | 0.00002 | 24576 | 8192 | 8192 | 33 | 35088 | 264 | 264 | 104.672 | 35616 | 4.347656 |
| lena32.bmp | lena32.bmp-G_0.6-H2e-005_af4.wfa                     |         | af4 | 0.6 | 0.00002 | 24576 | 8192 |      | 17 | 9488  | 136 | 136 | 49.953  | 9760  | 1.191406 |
| lena32.bmp | lena32.bmp-withWavelet_haar-G_0.6-H2e-005_af4.wfa    | haar    | af4 | 0.6 | 0.00002 | 24576 | 8192 | 8192 | 33 | 35088 | 264 | 264 | 179.031 | 35616 | 4.347656 |
| lena32.bmp | lena32.bmp-withWavelet_rbio1.1-G_0.6-H2e-005_af4.wfa | rbio1.1 | af4 | 0.6 | 0.00002 | 24576 | 8192 | 8192 | 33 | 35088 | 264 | 264 | 168.75  | 35616 | 4.347656 |
| lena32.bmp | lena32.bmp-withWavelet_sym1-G_0.6-H2e-005_af4.wfa    | sym1    | af4 | 0.6 | 0.00002 | 24576 | 8192 | 8192 | 33 | 35088 | 264 | 264 | 160.282 | 35616 | 4.347656 |
| lena32.bmp | lena32.bmp-withWavelet_bior1.1-G_0.6-H2e-005_af4.wfa | bior1.1 | af4 | 0.6 | 0.00002 | 24576 | 8192 | 8192 | 33 | 35088 | 264 | 264 | 149.907 | 35616 | 4.347656 |
| lena32.bmp | lena32.bmp-G_0.6-H2e-005_af5.wfa                     |         | af5 | 0.6 | 0.00002 | 24576 | 8192 |      | 30 | 29040 | 240 | 240 | 36.047  | 29520 | 3.603516 |

|            |  |         |     |     |         |       |      |      |    |       |     |     |         |       |          |
|------------|--|---------|-----|-----|---------|-------|------|------|----|-------|-----|-----|---------|-------|----------|
| lena32.bmp | lena32.bmp-withWavelet_haar-G_0.6-H2e-005_af5.wfa    | haar    | af5 | 0.6 | 0.00002 | 24576 | 8192 | 8192 | 28 | 25328 | 224 | 224 | 34.719  | 25776 | 3.146484 |
| lena32.bmp | lena32.bmp-withWavelet_rbio1.1-G_0.6-H2e-005_af5.wfa | rbio1.1 | af5 | 0.6 | 0.00002 | 24576 | 8192 | 8192 | 28 | 25328 | 224 | 224 | 34.844  | 25776 | 3.146484 |
| lena32.bmp | lena32.bmp-withWavelet_sym1-G_0.6-H2e-005_af5.wfa    | sym1    | af5 | 0.6 | 0.00002 | 24576 | 8192 | 8192 | 28 | 25328 | 224 | 224 | 35.031  | 25776 | 3.146484 |
| lena32.bmp | lena32.bmp-withWavelet_bior1.1-G_0.6-H2e-005_af5.wfa | bior1.1 | af5 | 0.6 | 0.00002 | 24576 | 8192 | 8192 | 28 | 25328 | 224 | 224 | 35.422  | 25776 | 3.146484 |
| lena32.bmp | lena32.bmp-G_1-H3e-005_af1.wfa                       |         | af1 | 1   | 0.00003 | 24576 | 8192 |      | 33 | 35088 | 264 | 264 | 259.438 | 35616 | 4.347656 |
| lena32.bmp | lena32.bmp-withWavelet_haar-G_1-H3e-005_af1.wfa      | haar    | af1 | 1   | 0.00003 | 24576 | 8192 | 8192 | 33 | 35088 | 264 | 264 | 267.031 | 35616 | 4.347656 |
| lena32.bmp | lena32.bmp-withWavelet_rbio1.1-G_1-H3e-005_af1.wfa   | rbio1.1 | af1 | 1   | 0.00003 | 24576 | 8192 | 8192 | 33 | 35088 | 264 | 264 | 268.813 | 35616 | 4.347656 |
| lena32.bmp | lena32.bmp-withWavelet_sym1-G_1-H3e-005_af1.wfa      | sym1    | af1 | 1   | 0.00003 | 24576 | 8192 | 8192 | 33 | 35088 | 264 | 264 | 269.343 | 35616 | 4.347656 |
| lena32.bmp | lena32.bmp-withWavelet_bior1.1-G_1-H3e-005_af1.wfa   | bior1.1 | af1 | 1   | 0.00003 | 24576 | 8192 | 8192 | 33 | 35088 | 264 | 264 | 273.516 | 35616 | 4.347656 |
| lena32.bmp | lena32.bmp-G_1-H3e-005_af2.wfa                       |         | af2 | 1   | 0.00003 | 24576 | 8192 |      | 27 | 23568 | 216 | 216 | 163.703 | 24000 | 2.929688 |
| lena32.bmp | lena32.bmp-withWavelet_haar-G_1-H3e-005_af2.wfa      | haar    | af2 | 1   | 0.00003 | 24576 | 8192 | 8192 | 25 | 20240 | 200 | 200 | 143.563 | 20640 | 2.519531 |
| lena32.bmp | lena32.bmp-withWavelet_rbio1.1-G_1-H3e-005_af2.wfa   | rbio1.1 | af2 | 1   | 0.00003 | 24576 | 8192 | 8192 | 25 | 20240 | 200 | 200 | 143.515 | 20640 | 2.519531 |
| lena32.bmp | lena32.bmp-withWavelet_sym1-G_1-H3e-005_af2.wfa      | sym1    | af2 | 1   | 0.00003 | 24576 | 8192 | 8192 | 25 | 20240 | 200 | 200 | 144.906 | 20640 | 2.519531 |
| lena32.bmp | lena32.bmp-withWavelet_bior1.1-G_1-H3e-005_af2.wfa   | bior1.1 | af2 | 1   | 0.00003 | 24576 | 8192 | 8192 | 25 | 20240 | 200 | 200 | 145.859 | 20640 | 2.519531 |
| lena32.bmp | lena32.bmp-G_1-H3e-005_af3.wfa                       |         | af3 | 1   | 0.00003 | 24576 | 8192 |      | 28 | 25328 | 224 | 224 | 179.938 | 25776 | 3.146484 |
| lena32.bmp | lena32.bmp-withWavelet_haar-G_1-H3e-005_af3.wfa      | haar    | af3 | 1   | 0.00003 | 24576 | 8192 | 8192 | 32 | 33008 | 256 | 256 | 225.735 | 33520 | 4.091797 |
| lena32.bmp | lena32.bmp-withWavelet_rbio1.1-G_1-H3e-005_af3.wfa   | rbio1.1 | af3 | 1   | 0.00003 | 24576 | 8192 | 8192 | 32 | 33008 | 256 | 256 | 226.343 | 33520 | 4.091797 |
| lena32.bmp | lena32.bmp-withWavelet_sym1-G_1-H3e-005_af3.wfa      | sym1    | af3 | 1   | 0.00003 | 24576 | 8192 | 8192 | 32 | 33008 | 256 | 256 | 224.578 | 33520 | 4.091797 |
| lena32.bmp | lena32.bmp-withWavelet_bior1.1-G_1-H3e-005_af3.wfa   | bior1.1 | af3 | 1   | 0.00003 | 24576 | 8192 | 8192 | 32 | 33008 | 256 | 256 | 225.953 | 33520 | 4.091797 |
| lena32.bmp | lena32.bmp-G_1-H3e-005_af4.wfa                       |         | af4 | 1   | 0.00003 | 24576 | 8192 |      | 16 | 8432  | 128 | 128 | 97.953  | 8688  | 1.060547 |
| lena32.bmp | lena32.bmp-withWavelet_haar-G_1-H3e-005_af4.wfa      | haar    | af4 | 1   | 0.00003 | 24576 | 8192 | 8192 | 30 | 29040 | 240 | 240 | 367.813 | 29520 | 3.603516 |
| lena32.bmp | lena32.bmp-withWavelet_rbio1.1-G_1-H3e-005_af4.wfa   | rbio1.1 | af4 | 1   | 0.00003 | 24576 | 8192 | 8192 | 30 | 29040 | 240 | 240 | 388.75  | 29520 | 3.603516 |
| lena32.bmp | lena32.bmp-withWavelet_sym1-G_1-H3e-005_af4.wfa      | sym1    | af4 | 1   | 0.00003 | 24576 | 8192 | 8192 | 30 | 29040 | 240 | 240 | 359.469 | 29520 | 3.603516 |
| lena32.bmp | lena32.bmp-withWavelet_bior1.1-G_1-H3e-005_af4.wfa   | bior1.1 | af4 | 1   | 0.00003 | 24576 | 8192 | 8192 | 30 | 29040 | 240 | 240 | 354.062 | 29520 | 3.603516 |
| lena32.bmp | lena32.bmp-G_1-H3e-005_af5.wfa                       |         | af5 | 1   | 0.00003 | 24576 | 8192 |      | 26 | 21872 | 208 | 208 | 63.828  | 22288 | 2.720703 |
| lena32.bmp | lena32.bmp-withWavelet_haar-G_1-H3e-005_af5.wfa      | haar    | af5 | 1   | 0.00003 | 24576 | 8192 | 8192 | 27 | 23568 | 216 | 216 | 53.984  | 24000 | 2.929688 |
| lena32.bmp | lena32.bmp-withWavelet_rbio1.1-G_1-H3e-005_af5.wfa   | rbio1.1 | af5 | 1   | 0.00003 | 24576 | 8192 | 8192 | 27 | 23568 | 216 | 216 | 50.734  | 24000 | 2.929688 |
| lena32.bmp | lena32.bmp-withWavelet_sym1-G_1-H3e-005_af5.wfa      | sym1    | af5 | 1   | 0.00003 | 24576 | 8192 | 8192 | 27 | 23568 | 216 | 216 | 51.766  | 24000 | 2.929688 |
| lena32.bmp | lena32.bmp-withWavelet_bior1.1-G_1-H3e-005_af5.wfa   | bior1.1 | af5 | 1   | 0.00003 | 24576 | 8192 | 8192 | 27 | 23568 | 216 | 216 | 50.828  | 24000 | 2.929688 |
| lena32.bmp | lena32.bmp-G_0.8-H3e-005_af1.wfa                     |         | af1 | 0.8 | 0.00003 | 24576 | 8192 |      | 32 | 33008 | 256 | 256 | 116.859 | 33520 | 4.091797 |
| lena32.bmp | lena32.bmp-withWavelet_haar-G_0.8-H3e-005_af1.wfa    | haar    | af1 | 0.8 | 0.00003 | 24576 | 8192 | 8192 | 33 | 35088 | 264 | 264 | 136.313 | 35616 | 4.347656 |



|            |  |         |     |     |         |       |      |      |    |       |     |     |         |       |          |
|------------|--|---------|-----|-----|---------|-------|------|------|----|-------|-----|-----|---------|-------|----------|
| lena32.bmp | lena32.bmp-withWavelet_rbio1.1-G_0.8-H3e-005_af1.wfa | rbio1.1 | af1 | 0.8 | 0.00003 | 24576 | 8192 | 8192 | 33 | 35088 | 264 | 264 | 131.953 | 35616 | 4.347656 |
| lena32.bmp | lena32.bmp-withWavelet_sym1-G_0.8-H3e-005_af1.wfa    | sym1    | af1 | 0.8 | 0.00003 | 24576 | 8192 | 8192 | 33 | 35088 | 264 | 264 | 142.657 | 35616 | 4.347656 |
| lena32.bmp | lena32.bmp-withWavelet_bior1.1-G_0.8-H3e-005_af1.wfa | bior1.1 | af1 | 0.8 | 0.00003 | 24576 | 8192 | 8192 | 33 | 35088 | 264 | 264 | 133.781 | 35616 | 4.347656 |
| lena32.bmp | lena32.bmp-G_0.8-H3e-005_af2.wfa                     |         | af2 | 0.8 | 0.00003 | 24576 | 8192 |      | 27 | 23568 | 216 | 216 | 92.75   | 24000 | 2.929688 |
| lena32.bmp | lena32.bmp-withWavelet_haar-G_0.8-H3e-005_af2.wfa    | haar    | af2 | 0.8 | 0.00003 | 24576 | 8192 | 8192 | 24 | 18672 | 192 | 192 | 72.969  | 19056 | 2.326172 |
| lena32.bmp | lena32.bmp-withWavelet_rbio1.1-G_0.8-H3e-005_af2.wfa | rbio1.1 | af2 | 0.8 | 0.00003 | 24576 | 8192 | 8192 | 24 | 18672 | 192 | 192 | 86.719  | 19056 | 2.326172 |
| lena32.bmp | lena32.bmp-withWavelet_sym1-G_0.8-H3e-005_af2.wfa    | sym1    | af2 | 0.8 | 0.00003 | 24576 | 8192 | 8192 | 24 | 18672 | 192 | 192 | 71.906  | 19056 | 2.326172 |
| lena32.bmp | lena32.bmp-withWavelet_bior1.1-G_0.8-H3e-005_af2.wfa | bior1.1 | af2 | 0.8 | 0.00003 | 24576 | 8192 | 8192 | 24 | 18672 | 192 | 192 | 78.531  | 19056 | 2.326172 |
| lena32.bmp | lena32.bmp-G_0.8-H3e-005_af3.wfa                     |         | af3 | 0.8 | 0.00003 | 24576 | 8192 |      | 28 | 25328 | 224 | 224 | 100.797 | 25776 | 3.146484 |
| lena32.bmp | lena32.bmp-withWavelet_haar-G_0.8-H3e-005_af3.wfa    | haar    | af3 | 0.8 | 0.00003 | 24576 | 8192 | 8192 | 32 | 33008 | 256 | 256 | 126.5   | 33520 | 4.091797 |
| lena32.bmp | lena32.bmp-withWavelet_rbio1.1-G_0.8-H3e-005_af3.wfa | rbio1.1 | af3 | 0.8 | 0.00003 | 24576 | 8192 | 8192 | 32 | 33008 | 256 | 256 | 126.844 | 33520 | 4.091797 |
| lena32.bmp | lena32.bmp-withWavelet_sym1-G_0.8-H3e-005_af3.wfa    | sym1    | af3 | 0.8 | 0.00003 | 24576 | 8192 | 8192 | 32 | 33008 | 256 | 256 | 135.422 | 33520 | 4.091797 |
| lena32.bmp | lena32.bmp-withWavelet_bior1.1-G_0.8-H3e-005_af3.wfa | bior1.1 | af3 | 0.8 | 0.00003 | 24576 | 8192 | 8192 | 32 | 33008 | 256 | 256 | 119.078 | 33520 | 4.091797 |
| lena32.bmp | lena32.bmp-G_0.8-H3e-005_af4.wfa                     |         | af4 | 0.8 | 0.00003 | 24576 | 8192 |      | 17 | 9488  | 136 | 136 | 61.297  | 9760  | 1.191406 |
| lena32.bmp | lena32.bmp-withWavelet_haar-G_0.8-H3e-005_af4.wfa    | haar    | af4 | 0.8 | 0.00003 | 24576 | 8192 | 8192 | 30 | 29040 | 240 | 240 | 178.188 | 29520 | 3.603516 |
| lena32.bmp | lena32.bmp-withWavelet_rbio1.1-G_0.8-H3e-005_af4.wfa | rbio1.1 | af4 | 0.8 | 0.00003 | 24576 | 8192 | 8192 | 30 | 29040 | 240 | 240 | 169.015 | 29520 | 3.603516 |
| lena32.bmp | lena32.bmp-withWavelet_sym1-G_0.8-H3e-005_af4.wfa    | sym1    | af4 | 0.8 | 0.00003 | 24576 | 8192 | 8192 | 30 | 29040 | 240 | 240 | 173.688 | 29520 | 3.603516 |
| lena32.bmp | lena32.bmp-withWavelet_bior1.1-G_0.8-H3e-005_af4.wfa | bior1.1 | af4 | 0.8 | 0.00003 | 24576 | 8192 | 8192 | 30 | 29040 | 240 | 240 | 178.297 | 29520 | 3.603516 |
| lena32.bmp | lena32.bmp-G_0.8-H3e-005_af5.wfa                     |         | af5 | 0.8 | 0.00003 | 24576 | 8192 |      | 26 | 21872 | 208 | 208 | 40.219  | 22288 | 2.720703 |
| lena32.bmp | lena32.bmp-withWavelet_haar-G_0.8-H3e-005_af5.wfa    | haar    | af5 | 0.8 | 0.00003 | 24576 | 8192 | 8192 | 25 | 20240 | 200 | 200 | 38.234  | 20640 | 2.519531 |
| lena32.bmp | lena32.bmp-withWavelet_rbio1.1-G_0.8-H3e-005_af5.wfa | rbio1.1 | af5 | 0.8 | 0.00003 | 24576 | 8192 | 8192 | 25 | 20240 | 200 | 200 | 37.735  | 20640 | 2.519531 |
| lena32.bmp | lena32.bmp-withWavelet_sym1-G_0.8-H3e-005_af5.wfa    | sym1    | af5 | 0.8 | 0.00003 | 24576 | 8192 | 8192 | 25 | 20240 | 200 | 200 | 37.844  | 20640 | 2.519531 |
| lena32.bmp | lena32.bmp-withWavelet_bior1.1-G_0.8-H3e-005_af5.wfa | bior1.1 | af5 | 0.8 | 0.00003 | 24576 | 8192 | 8192 | 25 | 20240 | 200 | 200 | 38.25   | 20640 | 2.519531 |
| lena32.bmp | lena32.bmp-G_0.6-H3e-005_af1.wfa                     |         | af1 | 0.6 | 0.00003 | 24576 | 8192 |      | 30 | 29040 | 240 | 240 | 82.969  | 29520 | 3.603516 |
| lena32.bmp | lena32.bmp-withWavelet_haar-G_0.6-H3e-005_af1.wfa    | haar    | af1 | 0.6 | 0.00003 | 24576 | 8192 | 8192 | 33 | 35088 | 264 | 264 | 104.703 | 35616 | 4.347656 |
| lena32.bmp | lena32.bmp-withWavelet_rbio1.1-G_0.6-H3e-005_af1.wfa | rbio1.1 | af1 | 0.6 | 0.00003 | 24576 | 8192 | 8192 | 33 | 35088 | 264 | 264 | 105.781 | 35616 | 4.347656 |
| lena32.bmp | lena32.bmp-withWavelet_sym1-G_0.6-H3e-005_af1.wfa    | sym1    | af1 | 0.6 | 0.00003 | 24576 | 8192 | 8192 | 33 | 35088 | 264 | 264 | 106.546 | 35616 | 4.347656 |
| lena32.bmp | lena32.bmp-withWavelet_bior1.1-G_0.6-H3e-005_af1.wfa | bior1.1 | af1 | 0.6 | 0.00003 | 24576 | 8192 | 8192 | 33 | 35088 | 264 | 264 | 105.312 | 35616 | 4.347656 |
| lena32.bmp | lena32.bmp-G_0.6-H3e-005_af2.wfa                     |         | af2 | 0.6 | 0.00003 | 24576 | 8192 |      | 28 | 25328 | 224 | 224 | 75.547  | 25776 | 3.146484 |
| lena32.bmp | lena32.bmp-withWavelet_haar-G_0.6-H3e-005_af2.wfa    | haar    | af2 | 0.6 | 0.00003 | 24576 | 8192 | 8192 | 24 | 18672 | 192 | 192 | 67.234  | 19056 | 2.326172 |
| lena32.bmp | lena32.bmp-withWavelet_rbio1.1-G_0.6-H3e-005_af2.wfa | rbio1.1 | af2 | 0.6 | 0.00003 | 24576 | 8192 | 8192 | 24 | 18672 | 192 | 192 | 66.422  | 19056 | 2.326172 |

|            |  |         |     |     |         |       |      |      |    |       |     |     |         |       |          |
|------------|--|---------|-----|-----|---------|-------|------|------|----|-------|-----|-----|---------|-------|----------|
| lena32.bmp | lena32.bmp-withWavelet_sym1-G_0.6-H3e-005_af2.wfa    | sym1    | af2 | 0.6 | 0.00003 | 24576 | 8192 | 8192 | 24 | 18672 | 192 | 192 | 66.078  | 19056 | 2.326172 |
| lena32.bmp | lena32.bmp-withWavelet_bior1.1-G_0.6-H3e-005_af2.wfa | bior1.1 | af2 | 0.6 | 0.00003 | 24576 | 8192 | 8192 | 24 | 18672 | 192 | 192 | 67.407  | 19056 | 2.326172 |
| lena32.bmp | lena32.bmp-G_0.6-H3e-005_af3.wfa                     |         | af3 | 0.6 | 0.00003 | 24576 | 8192 |      | 27 | 23568 | 216 | 216 | 69.672  | 24000 | 2.929688 |
| lena32.bmp | lena32.bmp-withWavelet_haar-G_0.6-H3e-005_af3.wfa    | haar    | af3 | 0.6 | 0.00003 | 24576 | 8192 | 8192 | 32 | 33008 | 256 | 256 | 91.047  | 33520 | 4.091797 |
| lena32.bmp | lena32.bmp-withWavelet_rbio1.1-G_0.6-H3e-005_af3.wfa | rbio1.1 | af3 | 0.6 | 0.00003 | 24576 | 8192 | 8192 | 32 | 33008 | 256 | 256 | 91.547  | 33520 | 4.091797 |
| lena32.bmp | lena32.bmp-withWavelet_sym1-G_0.6-H3e-005_af3.wfa    | sym1    | af3 | 0.6 | 0.00003 | 24576 | 8192 | 8192 | 32 | 33008 | 256 | 256 | 91.265  | 33520 | 4.091797 |
| lena32.bmp | lena32.bmp-withWavelet_bior1.1-G_0.6-H3e-005_af3.wfa | bior1.1 | af3 | 0.6 | 0.00003 | 24576 | 8192 | 8192 | 32 | 33008 | 256 | 256 | 91      | 33520 | 4.091797 |
| lena32.bmp | lena32.bmp-G_0.6-H3e-005_af4.wfa                     |         | af4 | 0.6 | 0.00003 | 24576 | 8192 |      | 16 | 8432  | 128 | 128 | 47.735  | 8688  | 1.060547 |
| lena32.bmp | lena32.bmp-withWavelet_haar-G_0.6-H3e-005_af4.wfa    | haar    | af4 | 0.6 | 0.00003 | 24576 | 8192 | 8192 | 32 | 33008 | 256 | 256 | 152.25  | 33520 | 4.091797 |
| lena32.bmp | lena32.bmp-withWavelet_rbio1.1-G_0.6-H3e-005_af4.wfa | rbio1.1 | af4 | 0.6 | 0.00003 | 24576 | 8192 | 8192 | 32 | 33008 | 256 | 256 | 154.329 | 33520 | 4.091797 |
| lena32.bmp | lena32.bmp-withWavelet_sym1-G_0.6-H3e-005_af4.wfa    | sym1    | af4 | 0.6 | 0.00003 | 24576 | 8192 | 8192 | 32 | 33008 | 256 | 256 | 163.937 | 33520 | 4.091797 |
| lena32.bmp | lena32.bmp-withWavelet_bior1.1-G_0.6-H3e-005_af4.wfa | bior1.1 | af4 | 0.6 | 0.00003 | 24576 | 8192 | 8192 | 32 | 33008 | 256 | 256 | 156.39  | 33520 | 4.091797 |
| lena32.bmp | lena32.bmp-G_0.6-H3e-005_af5.wfa                     |         | af5 | 0.6 | 0.00003 | 24576 | 8192 |      | 26 | 21872 | 208 | 208 | 35.297  | 22288 | 2.720703 |
| lena32.bmp | lena32.bmp-withWavelet_haar-G_0.6-H3e-005_af5.wfa    | haar    | af5 | 0.6 | 0.00003 | 24576 | 8192 | 8192 | 25 | 20240 | 200 | 200 | 33.547  | 20640 | 2.519531 |
| lena32.bmp | lena32.bmp-withWavelet_rbio1.1-G_0.6-H3e-005_af5.wfa | rbio1.1 | af5 | 0.6 | 0.00003 | 24576 | 8192 | 8192 | 25 | 20240 | 200 | 200 | 33.797  | 20640 | 2.519531 |
| lena32.bmp | lena32.bmp-withWavelet_sym1-G_0.6-H3e-005_af5.wfa    | sym1    | af5 | 0.6 | 0.00003 | 24576 | 8192 | 8192 | 25 | 20240 | 200 | 200 | 34.015  | 20640 | 2.519531 |
| lena32.bmp | lena32.bmp-withWavelet_bior1.1-G_0.6-H3e-005_af5.wfa | bior1.1 | af5 | 0.6 | 0.00003 | 24576 | 8192 | 8192 | 25 | 20240 | 200 | 200 | 34.359  | 20640 | 2.519531 |
| lena32.bmp | lena32.bmp-G_1-H4e-005_af1.wfa                       |         | af1 | 1   | 0.00004 | 24576 | 8192 |      | 31 | 30992 | 248 | 248 | 224.953 | 31488 | 3.84375  |
| lena32.bmp | lena32.bmp-withWavelet_haar-G_1-H4e-005_af1.wfa      | haar    | af1 | 1   | 0.00004 | 24576 | 8192 | 8192 | 30 | 29040 | 240 | 240 | 260.047 | 29520 | 3.603516 |
| lena32.bmp | lena32.bmp-withWavelet_rbio1.1-G_1-H4e-005_af1.wfa   | rbio1.1 | af1 | 1   | 0.00004 | 24576 | 8192 | 8192 | 30 | 29040 | 240 | 240 | 267.375 | 29520 | 3.603516 |
| lena32.bmp | lena32.bmp-withWavelet_sym1-G_1-H4e-005_af1.wfa      | sym1    | af1 | 1   | 0.00004 | 24576 | 8192 | 8192 | 30 | 29040 | 240 | 240 | 255.282 | 29520 | 3.603516 |
| lena32.bmp | lena32.bmp-withWavelet_bior1.1-G_1-H4e-005_af1.wfa   | bior1.1 | af1 | 1   | 0.00004 | 24576 | 8192 | 8192 | 30 | 29040 | 240 | 240 | 253.39  | 29520 | 3.603516 |
| lena32.bmp | lena32.bmp-G_1-H4e-005_af2.wfa                       |         | af2 | 1   | 0.00004 | 24576 | 8192 |      | 24 | 18672 | 192 | 192 | 143.984 | 19056 | 2.326172 |
| lena32.bmp | lena32.bmp-withWavelet_haar-G_1-H4e-005_af2.wfa      | haar    | af2 | 1   | 0.00004 | 24576 | 8192 | 8192 | 22 | 15728 | 176 | 176 | 132.703 | 16080 | 1.962891 |
| lena32.bmp | lena32.bmp-withWavelet_rbio1.1-G_1-H4e-005_af2.wfa   | rbio1.1 | af2 | 1   | 0.00004 | 24576 | 8192 | 8192 | 22 | 15728 | 176 | 176 | 134.313 | 16080 | 1.962891 |
| lena32.bmp | lena32.bmp-withWavelet_sym1-G_1-H4e-005_af2.wfa      | sym1    | af2 | 1   | 0.00004 | 24576 | 8192 | 8192 | 22 | 15728 | 176 | 176 | 140.296 | 16080 | 1.962891 |
| lena32.bmp | lena32.bmp-withWavelet_bior1.1-G_1-H4e-005_af2.wfa   | bior1.1 | af2 | 1   | 0.00004 | 24576 | 8192 | 8192 | 22 | 15728 | 176 | 176 | 138.484 | 16080 | 1.962891 |
| lena32.bmp | lena32.bmp-G_1-H4e-005_af3.wfa                       |         | af3 | 1   | 0.00004 | 24576 | 8192 |      | 27 | 23568 | 216 | 216 | 158.765 | 24000 | 2.929688 |
| lena32.bmp | lena32.bmp-withWavelet_haar-G_1-H4e-005_af3.wfa      | haar    | af3 | 1   | 0.00004 | 24576 | 8192 | 8192 | 30 | 29040 | 240 | 240 | 204.5   | 29520 | 3.603516 |
| lena32.bmp | lena32.bmp-withWavelet_rbio1.1-G_1-H4e-005_af3.wfa   | rbio1.1 | af3 | 1   | 0.00004 | 24576 | 8192 | 8192 | 30 | 29040 | 240 | 240 | 205.187 | 29520 | 3.603516 |
| lena32.bmp | lena32.bmp-withWavelet_sym1-G_1-H4e-005_af3.wfa      | sym1    | af3 | 1   | 0.00004 | 24576 | 8192 | 8192 | 30 | 29040 | 240 | 240 | 205.344 | 29520 | 3.603516 |

|            |  |         |     |     |         |       |      |      |    |       |     |     |         |       |          |
|------------|--|---------|-----|-----|---------|-------|------|------|----|-------|-----|-----|---------|-------|----------|
| lena32.bmp | lena32.bmp-withWavelet_bior1.1-G_1-H4e-005_af3.wfa   | bior1.1 | af3 | 1   | 0.00004 | 24576 | 8192 | 8192 | 30 | 29040 | 240 | 240 | 211.515 | 29520 | 3.603516 |
| lena32.bmp | lena32.bmp-G_1-H4e-005_af4.wfa                       |         | af4 | 1   | 0.00004 | 24576 | 8192 |      | 15 | 7440  | 120 | 120 | 82.219  | 7680  | 0.9375   |
| lena32.bmp | lena32.bmp-withWavelet_haar-G_1-H4e-005_af4.wfa      | haar    | af4 | 1   | 0.00004 | 24576 | 8192 | 8192 | 28 | 25328 | 224 | 224 | 301.859 | 25776 | 3.146484 |
| lena32.bmp | lena32.bmp-withWavelet_rbio1.1-G_1-H4e-005_af4.wfa   | rbio1.1 | af4 | 1   | 0.00004 | 24576 | 8192 | 8192 | 28 | 25328 | 224 | 224 | 332.36  | 25776 | 3.146484 |
| lena32.bmp | lena32.bmp-withWavelet_sym1-G_1-H4e-005_af4.wfa      | sym1    | af4 | 1   | 0.00004 | 24576 | 8192 | 8192 | 28 | 25328 | 224 | 224 | 359.25  | 25776 | 3.146484 |
| lena32.bmp | lena32.bmp-withWavelet_bior1.1-G_1-H4e-005_af4.wfa   | bior1.1 | af4 | 1   | 0.00004 | 24576 | 8192 | 8192 | 28 | 25328 | 224 | 224 | 333.656 | 25776 | 3.146484 |
| lena32.bmp | lena32.bmp-G_1-H4e-005_af5.wfa                       |         | af5 | 1   | 0.00004 | 24576 | 8192 |      | 24 | 18672 | 192 | 192 | 47.594  | 19056 | 2.326172 |
| lena32.bmp | lena32.bmp-withWavelet_haar-G_1-H4e-005_af5.wfa      | haar    | af5 | 1   | 0.00004 | 24576 | 8192 | 8192 | 26 | 21872 | 208 | 208 | 47.954  | 22288 | 2.720703 |
| lena32.bmp | lena32.bmp-withWavelet_rbio1.1-G_1-H4e-005_af5.wfa   | rbio1.1 | af5 | 1   | 0.00004 | 24576 | 8192 | 8192 | 26 | 21872 | 208 | 208 | 48.156  | 22288 | 2.720703 |
| lena32.bmp | lena32.bmp-withWavelet_sym1-G_1-H4e-005_af5.wfa      | sym1    | af5 | 1   | 0.00004 | 24576 | 8192 | 8192 | 26 | 21872 | 208 | 208 | 48.312  | 22288 | 2.720703 |
| lena32.bmp | lena32.bmp-withWavelet_bior1.1-G_1-H4e-005_af5.wfa   | bior1.1 | af5 | 1   | 0.00004 | 24576 | 8192 | 8192 | 26 | 21872 | 208 | 208 | 47.281  | 22288 | 2.720703 |
| lena32.bmp | lena32.bmp-G_0.8-H4e-005_af1.wfa                     |         | af1 | 0.8 | 0.00004 | 24576 | 8192 |      | 30 | 29040 | 240 | 240 | 102.531 | 29520 | 3.603516 |
| lena32.bmp | lena32.bmp-withWavelet_haar-G_0.8-H4e-005_af1.wfa    | haar    | af1 | 0.8 | 0.00004 | 24576 | 8192 | 8192 | 31 | 30992 | 248 | 248 | 117.359 | 31488 | 3.84375  |
| lena32.bmp | lena32.bmp-withWavelet_rbio1.1-G_0.8-H4e-005_af1.wfa | rbio1.1 | af1 | 0.8 | 0.00004 | 24576 | 8192 | 8192 | 31 | 30992 | 248 | 248 | 123.454 | 31488 | 3.84375  |
| lena32.bmp | lena32.bmp-withWavelet_sym1-G_0.8-H4e-005_af1.wfa    | sym1    | af1 | 0.8 | 0.00004 | 24576 | 8192 | 8192 | 31 | 30992 | 248 | 248 | 120.89  | 31488 | 3.84375  |
| lena32.bmp | lena32.bmp-withWavelet_bior1.1-G_0.8-H4e-005_af1.wfa | bior1.1 | af1 | 0.8 | 0.00004 | 24576 | 8192 | 8192 | 31 | 30992 | 248 | 248 | 116.985 | 31488 | 3.84375  |
| lena32.bmp | lena32.bmp-G_0.8-H4e-005_af2.wfa                     |         | af2 | 0.8 | 0.00004 | 24576 | 8192 |      | 24 | 18672 | 192 | 192 | 75.031  | 19056 | 2.326172 |
| lena32.bmp | lena32.bmp-withWavelet_haar-G_0.8-H4e-005_af2.wfa    | haar    | af2 | 0.8 | 0.00004 | 24576 | 8192 | 8192 | 23 | 17168 | 184 | 184 | 69.453  | 17536 | 2.140625 |
| lena32.bmp | lena32.bmp-withWavelet_rbio1.1-G_0.8-H4e-005_af2.wfa | rbio1.1 | af2 | 0.8 | 0.00004 | 24576 | 8192 | 8192 | 23 | 17168 | 184 | 184 | 75.516  | 17536 | 2.140625 |
| lena32.bmp | lena32.bmp-withWavelet_sym1-G_0.8-H4e-005_af2.wfa    | sym1    | af2 | 0.8 | 0.00004 | 24576 | 8192 | 8192 | 23 | 17168 | 184 | 184 | 76.078  | 17536 | 2.140625 |
| lena32.bmp | lena32.bmp-withWavelet_bior1.1-G_0.8-H4e-005_af2.wfa | bior1.1 | af2 | 0.8 | 0.00004 | 24576 | 8192 | 8192 | 23 | 17168 | 184 | 184 | 71.719  | 17536 | 2.140625 |
| lena32.bmp | lena32.bmp-G_0.8-H4e-005_af3.wfa                     |         | af3 | 0.8 | 0.00004 | 24576 | 8192 |      | 25 | 20240 | 200 | 200 | 85.266  | 20640 | 2.519531 |
| lena32.bmp | lena32.bmp-withWavelet_haar-G_0.8-H4e-005_af3.wfa    | haar    | af3 | 0.8 | 0.00004 | 24576 | 8192 | 8192 | 30 | 29040 | 240 | 240 | 112.156 | 29520 | 3.603516 |
| lena32.bmp | lena32.bmp-withWavelet_rbio1.1-G_0.8-H4e-005_af3.wfa | rbio1.1 | af3 | 0.8 | 0.00004 | 24576 | 8192 | 8192 | 30 | 29040 | 240 | 240 | 113.797 | 29520 | 3.603516 |
| lena32.bmp | lena32.bmp-withWavelet_sym1-G_0.8-H4e-005_af3.wfa    | sym1    | af3 | 0.8 | 0.00004 | 24576 | 8192 | 8192 | 30 | 29040 | 240 | 240 | 111.391 | 29520 | 3.603516 |
| lena32.bmp | lena32.bmp-withWavelet_bior1.1-G_0.8-H4e-005_af3.wfa | bior1.1 | af3 | 0.8 | 0.00004 | 24576 | 8192 | 8192 | 30 | 29040 | 240 | 240 | 110.953 | 29520 | 3.603516 |
| lena32.bmp | lena32.bmp-G_0.8-H4e-005_af4.wfa                     |         | af4 | 0.8 | 0.00004 | 24576 | 8192 |      | 15 | 7440  | 120 | 120 | 52.86   | 7680  | 0.9375   |
| lena32.bmp | lena32.bmp-withWavelet_haar-G_0.8-H4e-005_af4.wfa    | haar    | af4 | 0.8 | 0.00004 | 24576 | 8192 | 8192 | 28 | 25328 | 224 | 224 | 157.734 | 25776 | 3.146484 |
| lena32.bmp | lena32.bmp-withWavelet_rbio1.1-G_0.8-H4e-005_af4.wfa | rbio1.1 | af4 | 0.8 | 0.00004 | 24576 | 8192 | 8192 | 28 | 25328 | 224 | 224 | 160.844 | 25776 | 3.146484 |
| lena32.bmp | lena32.bmp-withWavelet_sym1-G_0.8-H4e-005_af4.wfa    | sym1    | af4 | 0.8 | 0.00004 | 24576 | 8192 | 8192 | 28 | 25328 | 224 | 224 | 157.75  | 25776 | 3.146484 |
| lena32.bmp | lena32.bmp-withWavelet_bior1.1-G_0.8-H4e-005_af4.wfa | bior1.1 | af4 | 0.8 | 0.00004 | 24576 | 8192 | 8192 | 28 | 25328 | 224 | 224 | 162.953 | 25776 | 3.146484 |

|            |  |         |     |     |         |       |      |      |    |       |     |     |         |       |          |
|------------|--|---------|-----|-----|---------|-------|------|------|----|-------|-----|-----|---------|-------|----------|
| lena32.bmp | lena32.bmp-G_0.8-H4e-005_af5.wfa                     |         | af5 | 0.8 | 0.00004 | 24576 | 8192 |      | 24 | 18672 | 192 | 192 | 37.297  | 19056 | 2.326172 |
| lena32.bmp | lena32.bmp-withWavelet_haar-G_0.8-H4e-005_af5.wfa    | haar    | af5 | 0.8 | 0.00004 | 24576 | 8192 | 8192 | 24 | 18672 | 192 | 192 | 38.828  | 19056 | 2.326172 |
| lena32.bmp | lena32.bmp-withWavelet_rbio1.1-G_0.8-H4e-005_af5.wfa | rbio1.1 | af5 | 0.8 | 0.00004 | 24576 | 8192 | 8192 | 24 | 18672 | 192 | 192 | 35.468  | 19056 | 2.326172 |
| lena32.bmp | lena32.bmp-withWavelet_sym1-G_0.8-H4e-005_af5.wfa    | sym1    | af5 | 0.8 | 0.00004 | 24576 | 8192 | 8192 | 24 | 18672 | 192 | 192 | 38.766  | 19056 | 2.326172 |
| lena32.bmp | lena32.bmp-withWavelet_bior1.1-G_0.8-H4e-005_af5.wfa | bior1.1 | af5 | 0.8 | 0.00004 | 24576 | 8192 | 8192 | 24 | 18672 | 192 | 192 | 35.437  | 19056 | 2.326172 |
| lena32.bmp | lena32.bmp-G_0.6-H4e-005_af1.wfa                     |         | af1 | 0.6 | 0.00004 | 24576 | 8192 |      | 30 | 29040 | 240 | 240 | 86.813  | 29520 | 3.603516 |
| lena32.bmp | lena32.bmp-withWavelet_haar-G_0.6-H4e-005_af1.wfa    | haar    | af1 | 0.6 | 0.00004 | 24576 | 8192 | 8192 | 30 | 29040 | 240 | 240 | 94.969  | 29520 | 3.603516 |
| lena32.bmp | lena32.bmp-withWavelet_rbio1.1-G_0.6-H4e-005_af1.wfa | rbio1.1 | af1 | 0.6 | 0.00004 | 24576 | 8192 | 8192 | 30 | 29040 | 240 | 240 | 84.938  | 29520 | 3.603516 |
| lena32.bmp | lena32.bmp-withWavelet_sym1-G_0.6-H4e-005_af1.wfa    | sym1    | af1 | 0.6 | 0.00004 | 24576 | 8192 | 8192 | 30 | 29040 | 240 | 240 | 86.078  | 29520 | 3.603516 |
| lena32.bmp | lena32.bmp-withWavelet_bior1.1-G_0.6-H4e-005_af1.wfa | bior1.1 | af1 | 0.6 | 0.00004 | 24576 | 8192 | 8192 | 30 | 29040 | 240 | 240 | 86.094  | 29520 | 3.603516 |
| lena32.bmp | lena32.bmp-G_0.6-H4e-005_af2.wfa                     |         | af2 | 0.6 | 0.00004 | 24576 | 8192 |      | 25 | 20240 | 200 | 200 | 66.109  | 20640 | 2.519531 |
| lena32.bmp | lena32.bmp-withWavelet_haar-G_0.6-H4e-005_af2.wfa    | haar    | af2 | 0.6 | 0.00004 | 24576 | 8192 | 8192 | 23 | 17168 | 184 | 184 | 54.828  | 17536 | 2.140625 |
| lena32.bmp | lena32.bmp-withWavelet_rbio1.1-G_0.6-H4e-005_af2.wfa | rbio1.1 | af2 | 0.6 | 0.00004 | 24576 | 8192 | 8192 | 23 | 17168 | 184 | 184 | 55.235  | 17536 | 2.140625 |
| lena32.bmp | lena32.bmp-withWavelet_sym1-G_0.6-H4e-005_af2.wfa    | sym1    | af2 | 0.6 | 0.00004 | 24576 | 8192 | 8192 | 23 | 17168 | 184 | 184 | 55.375  | 17536 | 2.140625 |
| lena32.bmp | lena32.bmp-withWavelet_bior1.1-G_0.6-H4e-005_af2.wfa | bior1.1 | af2 | 0.6 | 0.00004 | 24576 | 8192 | 8192 | 23 | 17168 | 184 | 184 | 55.359  | 17536 | 2.140625 |
| lena32.bmp | lena32.bmp-G_0.6-H4e-005_af3.wfa                     |         | af3 | 0.6 | 0.00004 | 24576 | 8192 |      | 26 | 21872 | 208 | 208 | 63.907  | 22288 | 2.720703 |
| lena32.bmp | lena32.bmp-withWavelet_haar-G_0.6-H4e-005_af3.wfa    | haar    | af3 | 0.6 | 0.00004 | 24576 | 8192 | 8192 | 30 | 29040 | 240 | 240 | 80.109  | 29520 | 3.603516 |
| lena32.bmp | lena32.bmp-withWavelet_rbio1.1-G_0.6-H4e-005_af3.wfa | rbio1.1 | af3 | 0.6 | 0.00004 | 24576 | 8192 | 8192 | 30 | 29040 | 240 | 240 | 80.031  | 29520 | 3.603516 |
| lena32.bmp | lena32.bmp-withWavelet_sym1-G_0.6-H4e-005_af3.wfa    | sym1    | af3 | 0.6 | 0.00004 | 24576 | 8192 | 8192 | 30 | 29040 | 240 | 240 | 79.953  | 29520 | 3.603516 |
| lena32.bmp | lena32.bmp-withWavelet_bior1.1-G_0.6-H4e-005_af3.wfa | bior1.1 | af3 | 0.6 | 0.00004 | 24576 | 8192 | 8192 | 30 | 29040 | 240 | 240 | 79.531  | 29520 | 3.603516 |
| lena32.bmp | lena32.bmp-G_0.6-H4e-005_af4.wfa                     |         | af4 | 0.6 | 0.00004 | 24576 | 8192 |      | 16 | 8432  | 128 | 128 | 45.359  | 8688  | 1.060547 |
| lena32.bmp | lena32.bmp-withWavelet_haar-G_0.6-H4e-005_af4.wfa    | haar    | af4 | 0.6 | 0.00004 | 24576 | 8192 | 8192 | 30 | 29040 | 240 | 240 | 115.281 | 29520 | 3.603516 |
| lena32.bmp | lena32.bmp-withWavelet_rbio1.1-G_0.6-H4e-005_af4.wfa | rbio1.1 | af4 | 0.6 | 0.00004 | 24576 | 8192 | 8192 | 30 | 29040 | 240 | 240 | 113.391 | 29520 | 3.603516 |
| lena32.bmp | lena32.bmp-withWavelet_sym1-G_0.6-H4e-005_af4.wfa    | sym1    | af4 | 0.6 | 0.00004 | 24576 | 8192 | 8192 | 30 | 29040 | 240 | 240 | 113.5   | 29520 | 3.603516 |
| lena32.bmp | lena32.bmp-withWavelet_bior1.1-G_0.6-H4e-005_af4.wfa | bior1.1 | af4 | 0.6 | 0.00004 | 24576 | 8192 | 8192 | 30 | 29040 | 240 | 240 | 114.391 | 29520 | 3.603516 |
| lena32.bmp | lena32.bmp-G_0.6-H4e-005_af5.wfa                     |         | af5 | 0.6 | 0.00004 | 24576 | 8192 |      | 23 | 17168 | 184 | 184 | 33.281  | 17536 | 2.140625 |
| lena32.bmp | lena32.bmp-withWavelet_haar-G_0.6-H4e-005_af5.wfa    | haar    | af5 | 0.6 | 0.00004 | 24576 | 8192 | 8192 | 22 | 15728 | 176 | 176 | 32.016  | 16080 | 1.962891 |
| lena32.bmp | lena32.bmp-withWavelet_rbio1.1-G_0.6-H4e-005_af5.wfa | rbio1.1 | af5 | 0.6 | 0.00004 | 24576 | 8192 | 8192 | 22 | 15728 | 176 | 176 | 31.922  | 16080 | 1.962891 |
| lena32.bmp | lena32.bmp-withWavelet_sym1-G_0.6-H4e-005_af5.wfa    | sym1    | af5 | 0.6 | 0.00004 | 24576 | 8192 | 8192 | 22 | 15728 | 176 | 176 | 31.828  | 16080 | 1.962891 |
| lena32.bmp | lena32.bmp-withWavelet_bior1.1-G_0.6-H4e-005_af5.wfa | bior1.1 | af5 | 0.6 | 0.00004 | 24576 | 8192 | 8192 | 22 | 15728 | 176 | 176 | 32.062  | 16080 | 1.962891 |
| lena32.bmp | lena32.bmp-G_1-H5e-005_af1.wfa                       |         | af1 | 1   | 0.00005 | 24576 | 8192 |      | 29 | 27152 | 232 | 232 | 180.828 | 27616 | 3.371094 |

|            |  |         |     |     |         |       |      |      |    |       |     |     |         |       |          |
|------------|--|---------|-----|-----|---------|-------|------|------|----|-------|-----|-----|---------|-------|----------|
| lena32.bmp | lena32.bmp-withWavelet_haar-G_1-H5e-005_af1.wfa      | haar    | af1 | 1   | 0.00005 | 24576 | 8192 | 8192 | 24 | 18672 | 192 | 192 | 172.89  | 19056 | 2.326172 |
| lena32.bmp | lena32.bmp-withWavelet_rbio1.1-G_1-H5e-005_af1.wfa   | rbio1.1 | af1 | 1   | 0.00005 | 24576 | 8192 | 8192 | 24 | 18672 | 192 | 192 | 177.438 | 19056 | 2.326172 |
| lena32.bmp | lena32.bmp-withWavelet_sym1-G_1-H5e-005_af1.wfa      | sym1    | af1 | 1   | 0.00005 | 24576 | 8192 | 8192 | 24 | 18672 | 192 | 192 | 177.828 | 19056 | 2.326172 |
| lena32.bmp | lena32.bmp-withWavelet_bior1.1-G_1-H5e-005_af1.wfa   | bior1.1 | af1 | 1   | 0.00005 | 24576 | 8192 | 8192 | 24 | 18672 | 192 | 192 | 172.594 | 19056 | 2.326172 |
| lena32.bmp | lena32.bmp-G_1-H5e-005_af2.wfa                       |         | af2 | 1   | 0.00005 | 24576 | 8192 |      | 23 | 17168 | 184 | 184 | 128.672 | 17536 | 2.140625 |
| lena32.bmp | lena32.bmp-withWavelet_haar-G_1-H5e-005_af2.wfa      | haar    | af2 | 1   | 0.00005 | 24576 | 8192 | 8192 | 20 | 13040 | 160 | 160 | 112.812 | 13360 | 1.630859 |
| lena32.bmp | lena32.bmp-withWavelet_rbio1.1-G_1-H5e-005_af2.wfa   | rbio1.1 | af2 | 1   | 0.00005 | 24576 | 8192 | 8192 | 20 | 13040 | 160 | 160 | 112.188 | 13360 | 1.630859 |
| lena32.bmp | lena32.bmp-withWavelet_sym1-G_1-H5e-005_af2.wfa      | sym1    | af2 | 1   | 0.00005 | 24576 | 8192 | 8192 | 20 | 13040 | 160 | 160 | 112.172 | 13360 | 1.630859 |
| lena32.bmp | lena32.bmp-withWavelet_bior1.1-G_1-H5e-005_af2.wfa   | bior1.1 | af2 | 1   | 0.00005 | 24576 | 8192 | 8192 | 20 | 13040 | 160 | 160 | 111.813 | 13360 | 1.630859 |
| lena32.bmp | lena32.bmp-G_1-H5e-005_af3.wfa                       |         | af3 | 1   | 0.00005 | 24576 | 8192 |      | 25 | 20240 | 200 | 200 | 135.172 | 20640 | 2.519531 |
| lena32.bmp | lena32.bmp-withWavelet_haar-G_1-H5e-005_af3.wfa      | haar    | af3 | 1   | 0.00005 | 24576 | 8192 | 8192 | 29 | 27152 | 232 | 232 | 199.797 | 27616 | 3.371094 |
| lena32.bmp | lena32.bmp-withWavelet_rbio1.1-G_1-H5e-005_af3.wfa   | rbio1.1 | af3 | 1   | 0.00005 | 24576 | 8192 | 8192 | 29 | 27152 | 232 | 232 | 199.547 | 27616 | 3.371094 |
| lena32.bmp | lena32.bmp-withWavelet_sym1-G_1-H5e-005_af3.wfa      | sym1    | af3 | 1   | 0.00005 | 24576 | 8192 | 8192 | 29 | 27152 | 232 | 232 | 199.578 | 27616 | 3.371094 |
| lena32.bmp | lena32.bmp-withWavelet_bior1.1-G_1-H5e-005_af3.wfa   | bior1.1 | af3 | 1   | 0.00005 | 24576 | 8192 | 8192 | 29 | 27152 | 232 | 232 | 199.312 | 27616 | 3.371094 |
| lena32.bmp | lena32.bmp-G_1-H5e-005_af4.wfa                       |         | af4 | 1   | 0.00005 | 24576 | 8192 |      | 16 | 8432  | 128 | 128 | 90.953  | 8688  | 1.060547 |
| lena32.bmp | lena32.bmp-withWavelet_haar-G_1-H5e-005_af4.wfa      | haar    | af4 | 1   | 0.00005 | 24576 | 8192 | 8192 | 26 | 21872 | 208 | 208 | 251.688 | 22288 | 2.720703 |
| lena32.bmp | lena32.bmp-withWavelet_rbio1.1-G_1-H5e-005_af4.wfa   | rbio1.1 | af4 | 1   | 0.00005 | 24576 | 8192 | 8192 | 26 | 21872 | 208 | 208 | 252.766 | 22288 | 2.720703 |
| lena32.bmp | lena32.bmp-withWavelet_sym1-G_1-H5e-005_af4.wfa      | sym1    | af4 | 1   | 0.00005 | 24576 | 8192 | 8192 | 26 | 21872 | 208 | 208 | 256.125 | 22288 | 2.720703 |
| lena32.bmp | lena32.bmp-withWavelet_bior1.1-G_1-H5e-005_af4.wfa   | bior1.1 | af4 | 1   | 0.00005 | 24576 | 8192 | 8192 | 26 | 21872 | 208 | 208 | 272.063 | 22288 | 2.720703 |
| lena32.bmp | lena32.bmp-G_1-H5e-005_af5.wfa                       |         | af5 | 1   | 0.00005 | 24576 | 8192 |      | 23 | 17168 | 184 | 184 | 48.156  | 17536 | 2.140625 |
| lena32.bmp | lena32.bmp-withWavelet_haar-G_1-H5e-005_af5.wfa      | haar    | af5 | 1   | 0.00005 | 24576 | 8192 | 8192 | 22 | 15728 | 176 | 176 | 43.359  | 16080 | 1.962891 |
| lena32.bmp | lena32.bmp-withWavelet_rbio1.1-G_1-H5e-005_af5.wfa   | rbio1.1 | af5 | 1   | 0.00005 | 24576 | 8192 | 8192 | 22 | 15728 | 176 | 176 | 43.078  | 16080 | 1.962891 |
| lena32.bmp | lena32.bmp-withWavelet_sym1-G_1-H5e-005_af5.wfa      | sym1    | af5 | 1   | 0.00005 | 24576 | 8192 | 8192 | 22 | 15728 | 176 | 176 | 42.282  | 16080 | 1.962891 |
| lena32.bmp | lena32.bmp-withWavelet_bior1.1-G_1-H5e-005_af5.wfa   | bior1.1 | af5 | 1   | 0.00005 | 24576 | 8192 | 8192 | 22 | 15728 | 176 | 176 | 43      | 16080 | 1.962891 |
| lena32.bmp | lena32.bmp-G_0.8-H5e-005_af1.wfa                     |         | af1 | 0.8 | 0.00005 | 24576 | 8192 |      | 29 | 27152 | 232 | 232 | 100.281 | 27616 | 3.371094 |
| lena32.bmp | lena32.bmp-withWavelet_haar-G_0.8-H5e-005_af1.wfa    | haar    | af1 | 0.8 | 0.00005 | 24576 | 8192 | 8192 | 24 | 18672 | 192 | 192 | 97.391  | 19056 | 2.326172 |
| lena32.bmp | lena32.bmp-withWavelet_rbio1.1-G_0.8-H5e-005_af1.wfa | rbio1.1 | af1 | 0.8 | 0.00005 | 24576 | 8192 | 8192 | 24 | 18672 | 192 | 192 | 105     | 19056 | 2.326172 |
| lena32.bmp | lena32.bmp-withWavelet_sym1-G_0.8-H5e-005_af1.wfa    | sym1    | af1 | 0.8 | 0.00005 | 24576 | 8192 | 8192 | 24 | 18672 | 192 | 192 | 99.297  | 19056 | 2.326172 |
| lena32.bmp | lena32.bmp-withWavelet_bior1.1-G_0.8-H5e-005_af1.wfa | bior1.1 | af1 | 0.8 | 0.00005 | 24576 | 8192 | 8192 | 24 | 18672 | 192 | 192 | 99      | 19056 | 2.326172 |
| lena32.bmp | lena32.bmp-G_0.8-H5e-005_af2.wfa                     |         | af2 | 0.8 | 0.00005 | 24576 | 8192 |      | 23 | 17168 | 184 | 184 | 76.343  | 17536 | 2.140625 |
| lena32.bmp | lena32.bmp-withWavelet_haar-G_0.8-H5e-005_af2.wfa    | haar    | af2 | 0.8 | 0.00005 | 24576 | 8192 | 8192 | 20 | 13040 | 160 | 160 | 73.578  | 13360 | 1.630859 |

|            |  |         |     |     |         |       |      |      |    |       |     |     |         |       |          |
|------------|--|---------|-----|-----|---------|-------|------|------|----|-------|-----|-----|---------|-------|----------|
| lena32.bmp | lena32.bmp-withWavelet_rbio1.1-G_0.8-H5e-005_af2.wfa | rbio1.1 | af2 | 0.8 | 0.00005 | 24576 | 8192 | 8192 | 20 | 13040 | 160 | 160 | 71.703  | 13360 | 1.630859 |
| lena32.bmp | lena32.bmp-withWavelet_sym1-G_0.8-H5e-005_af2.wfa    | sym1    | af2 | 0.8 | 0.00005 | 24576 | 8192 | 8192 | 20 | 13040 | 160 | 160 | 65.687  | 13360 | 1.630859 |
| lena32.bmp | lena32.bmp-withWavelet_bior1.1-G_0.8-H5e-005_af2.wfa | bior1.1 | af2 | 0.8 | 0.00005 | 24576 | 8192 | 8192 | 20 | 13040 | 160 | 160 | 64.11   | 13360 | 1.630859 |
| lena32.bmp | lena32.bmp-G_0.8-H5e-005_af3.wfa                     |         | af3 | 0.8 | 0.00005 | 24576 | 8192 |      | 25 | 20240 | 200 | 200 | 77.906  | 20640 | 2.519531 |
| lena32.bmp | lena32.bmp-withWavelet_haar-G_0.8-H5e-005_af3.wfa    | haar    | af3 | 0.8 | 0.00005 | 24576 | 8192 | 8192 | 29 | 27152 | 232 | 232 | 104.735 | 27616 | 3.371094 |
| lena32.bmp | lena32.bmp-withWavelet_rbio1.1-G_0.8-H5e-005_af3.wfa | rbio1.1 | af3 | 0.8 | 0.00005 | 24576 | 8192 | 8192 | 29 | 27152 | 232 | 232 | 104.125 | 27616 | 3.371094 |
| lena32.bmp | lena32.bmp-withWavelet_sym1-G_0.8-H5e-005_af3.wfa    | sym1    | af3 | 0.8 | 0.00005 | 24576 | 8192 | 8192 | 29 | 27152 | 232 | 232 | 107.11  | 27616 | 3.371094 |
| lena32.bmp | lena32.bmp-withWavelet_bior1.1-G_0.8-H5e-005_af3.wfa | bior1.1 | af3 | 0.8 | 0.00005 | 24576 | 8192 | 8192 | 29 | 27152 | 232 | 232 | 106.672 | 27616 | 3.371094 |
| lena32.bmp | lena32.bmp-G_0.8-H5e-005_af4.wfa                     |         | af4 | 0.8 | 0.00005 | 24576 | 8192 |      | 16 | 8432  | 128 | 128 | 55.234  | 8688  | 1.060547 |
| lena32.bmp | lena32.bmp-withWavelet_haar-G_0.8-H5e-005_af4.wfa    | haar    | af4 | 0.8 | 0.00005 | 24576 | 8192 | 8192 | 26 | 21872 | 208 | 208 | 128.922 | 22288 | 2.720703 |
| lena32.bmp | lena32.bmp-withWavelet_rbio1.1-G_0.8-H5e-005_af4.wfa | rbio1.1 | af4 | 0.8 | 0.00005 | 24576 | 8192 | 8192 | 26 | 21872 | 208 | 208 | 129.563 | 22288 | 2.720703 |
| lena32.bmp | lena32.bmp-withWavelet_sym1-G_0.8-H5e-005_af4.wfa    | sym1    | af4 | 0.8 | 0.00005 | 24576 | 8192 | 8192 | 26 | 21872 | 208 | 208 | 135     | 22288 | 2.720703 |
| lena32.bmp | lena32.bmp-withWavelet_bior1.1-G_0.8-H5e-005_af4.wfa | bior1.1 | af4 | 0.8 | 0.00005 | 24576 | 8192 | 8192 | 26 | 21872 | 208 | 208 | 140.406 | 22288 | 2.720703 |
| lena32.bmp | lena32.bmp-G_0.8-H5e-005_af5.wfa                     |         | af5 | 0.8 | 0.00005 | 24576 | 8192 |      | 24 | 18672 | 192 | 192 | 37.578  | 19056 | 2.326172 |
| lena32.bmp | lena32.bmp-withWavelet_haar-G_0.8-H5e-005_af5.wfa    | haar    | af5 | 0.8 | 0.00005 | 24576 | 8192 | 8192 | 22 | 15728 | 176 | 176 | 35.734  | 16080 | 1.962891 |
| lena32.bmp | lena32.bmp-withWavelet_rbio1.1-G_0.8-H5e-005_af5.wfa | rbio1.1 | af5 | 0.8 | 0.00005 | 24576 | 8192 | 8192 | 22 | 15728 | 176 | 176 | 35.25   | 16080 | 1.962891 |
| lena32.bmp | lena32.bmp-withWavelet_sym1-G_0.8-H5e-005_af5.wfa    | sym1    | af5 | 0.8 | 0.00005 | 24576 | 8192 | 8192 | 22 | 15728 | 176 | 176 | 36.796  | 16080 | 1.962891 |
| lena32.bmp | lena32.bmp-withWavelet_bior1.1-G_0.8-H5e-005_af5.wfa | bior1.1 | af5 | 0.8 | 0.00005 | 24576 | 8192 | 8192 | 22 | 15728 | 176 | 176 | 36.515  | 16080 | 1.962891 |
| lena32.bmp | lena32.bmp-G_0.6-H5e-005_af1.wfa                     |         | af1 | 0.6 | 0.00005 | 24576 | 8192 |      | 28 | 25328 | 224 | 224 | 75.187  | 25776 | 3.146484 |
| lena32.bmp | lena32.bmp-withWavelet_haar-G_0.6-H5e-005_af1.wfa    | haar    | af1 | 0.6 | 0.00005 | 24576 | 8192 | 8192 | 27 | 23568 | 216 | 216 | 84      | 24000 | 2.929688 |
| lena32.bmp | lena32.bmp-withWavelet_rbio1.1-G_0.6-H5e-005_af1.wfa | rbio1.1 | af1 | 0.6 | 0.00005 | 24576 | 8192 | 8192 | 27 | 23568 | 216 | 216 | 83.781  | 24000 | 2.929688 |
| lena32.bmp | lena32.bmp-withWavelet_sym1-G_0.6-H5e-005_af1.wfa    | sym1    | af1 | 0.6 | 0.00005 | 24576 | 8192 | 8192 | 27 | 23568 | 216 | 216 | 84.219  | 24000 | 2.929688 |
| lena32.bmp | lena32.bmp-withWavelet_bior1.1-G_0.6-H5e-005_af1.wfa | bior1.1 | af1 | 0.6 | 0.00005 | 24576 | 8192 | 8192 | 27 | 23568 | 216 | 216 | 84.078  | 24000 | 2.929688 |
| lena32.bmp | lena32.bmp-G_0.6-H5e-005_af2.wfa                     |         | af2 | 0.6 | 0.00005 | 24576 | 8192 |      | 24 | 18672 | 192 | 192 | 61.687  | 19056 | 2.326172 |
| lena32.bmp | lena32.bmp-withWavelet_haar-G_0.6-H5e-005_af2.wfa    | haar    | af2 | 0.6 | 0.00005 | 24576 | 8192 | 8192 | 22 | 15728 | 176 | 176 | 54.75   | 16080 | 1.962891 |
| lena32.bmp | lena32.bmp-withWavelet_rbio1.1-G_0.6-H5e-005_af2.wfa | rbio1.1 | af2 | 0.6 | 0.00005 | 24576 | 8192 | 8192 | 22 | 15728 | 176 | 176 | 54.969  | 16080 | 1.962891 |
| lena32.bmp | lena32.bmp-withWavelet_sym1-G_0.6-H5e-005_af2.wfa    | sym1    | af2 | 0.6 | 0.00005 | 24576 | 8192 | 8192 | 22 | 15728 | 176 | 176 | 54.672  | 16080 | 1.962891 |
| lena32.bmp | lena32.bmp-withWavelet_bior1.1-G_0.6-H5e-005_af2.wfa | bior1.1 | af2 | 0.6 | 0.00005 | 24576 | 8192 | 8192 | 22 | 15728 | 176 | 176 | 54.859  | 16080 | 1.962891 |
| lena32.bmp | lena32.bmp-G_0.6-H5e-005_af3.wfa                     |         | af3 | 0.6 | 0.00005 | 24576 | 8192 |      | 24 | 18672 | 192 | 192 | 63.562  | 19056 | 2.326172 |
| lena32.bmp | lena32.bmp-withWavelet_haar-G_0.6-H5e-005_af3.wfa    | haar    | af3 | 0.6 | 0.00005 | 24576 | 8192 | 8192 | 30 | 29040 | 240 | 240 | 85.797  | 29520 | 3.603516 |
| lena32.bmp | lena32.bmp-withWavelet_rbio1.1-G_0.6-H5e-005_af3.wfa | rbio1.1 | af3 | 0.6 | 0.00005 | 24576 | 8192 | 8192 | 30 | 29040 | 240 | 240 | 84.688  | 29520 | 3.603516 |

|            |  |         |     |     |         |       |      |      |    |       |     |     |         |       |          |
|------------|--|---------|-----|-----|---------|-------|------|------|----|-------|-----|-----|---------|-------|----------|
| lena32.bmp | lena32.bmp-withWavelet_sym1-G_0.6-H5e-005_af3.wfa    | sym1    | af3 | 0.6 | 0.00005 | 24576 | 8192 | 8192 | 30 | 29040 | 240 | 240 | 85.093  | 29520 | 3.603516 |
| lena32.bmp | lena32.bmp-withWavelet_bior1.1-G_0.6-H5e-005_af3.wfa | bior1.1 | af3 | 0.6 | 0.00005 | 24576 | 8192 | 8192 | 30 | 29040 | 240 | 240 | 85.234  | 29520 | 3.603516 |
| lena32.bmp | lena32.bmp-G_0.6-H5e-005_af4.wfa                     |         | af4 | 0.6 | 0.00005 | 24576 | 8192 |      | 15 | 7440  | 120 | 120 | 45.469  | 7680  | 0.9375   |
| lena32.bmp | lena32.bmp-withWavelet_haar-G_0.6-H5e-005_af4.wfa    | haar    | af4 | 0.6 | 0.00005 | 24576 | 8192 | 8192 | 28 | 25328 | 224 | 224 | 113.516 | 25776 | 3.146484 |
| lena32.bmp | lena32.bmp-withWavelet_rbio1.1-G_0.6-H5e-005_af4.wfa | rbio1.1 | af4 | 0.6 | 0.00005 | 24576 | 8192 | 8192 | 28 | 25328 | 224 | 224 | 112.672 | 25776 | 3.146484 |
| lena32.bmp | lena32.bmp-withWavelet_sym1-G_0.6-H5e-005_af4.wfa    | sym1    | af4 | 0.6 | 0.00005 | 24576 | 8192 | 8192 | 28 | 25328 | 224 | 224 | 119.172 | 25776 | 3.146484 |
| lena32.bmp | lena32.bmp-withWavelet_bior1.1-G_0.6-H5e-005_af4.wfa | bior1.1 | af4 | 0.6 | 0.00005 | 24576 | 8192 | 8192 | 28 | 25328 | 224 | 224 | 114.078 | 25776 | 3.146484 |
| lena32.bmp | lena32.bmp-G_0.6-H5e-005_af5.wfa                     |         | af5 | 0.6 | 0.00005 | 24576 | 8192 |      | 22 | 15728 | 176 | 176 | 35.344  | 16080 | 1.962891 |
| lena32.bmp | lena32.bmp-withWavelet_haar-G_0.6-H5e-005_af5.wfa    | haar    | af5 | 0.6 | 0.00005 | 24576 | 8192 | 8192 | 20 | 13040 | 160 | 160 | 33.797  | 13360 | 1.630859 |
| lena32.bmp | lena32.bmp-withWavelet_rbio1.1-G_0.6-H5e-005_af5.wfa | rbio1.1 | af5 | 0.6 | 0.00005 | 24576 | 8192 | 8192 | 20 | 13040 | 160 | 160 | 33.359  | 13360 | 1.630859 |
| lena32.bmp | lena32.bmp-withWavelet_sym1-G_0.6-H5e-005_af5.wfa    | sym1    | af5 | 0.6 | 0.00005 | 24576 | 8192 | 8192 | 20 | 13040 | 160 | 160 | 33.218  | 13360 | 1.630859 |
| lena32.bmp | lena32.bmp-withWavelet_bior1.1-G_0.6-H5e-005_af5.wfa | bior1.1 | af5 | 0.6 | 0.00005 | 24576 | 8192 | 8192 | 20 | 13040 | 160 | 160 | 39.25   | 13360 | 1.630859 |
| lena32.bmp | lena32.bmp-G_1-H6e-005_af1.wfa                       |         | af1 | 1   | 0.00006 | 24576 | 8192 |      | 28 | 25328 | 224 | 224 | 203.015 | 25776 | 3.146484 |
| lena32.bmp | lena32.bmp-withWavelet_haar-G_1-H6e-005_af1.wfa      | haar    | af1 | 1   | 0.00006 | 24576 | 8192 | 8192 | 21 | 14352 | 168 | 168 | 157.593 | 14688 | 1.792969 |
| lena32.bmp | lena32.bmp-withWavelet_rbio1.1-G_1-H6e-005_af1.wfa   | rbio1.1 | af1 | 1   | 0.00006 | 24576 | 8192 | 8192 | 21 | 14352 | 168 | 168 | 171.343 | 14688 | 1.792969 |
| lena32.bmp | lena32.bmp-withWavelet_sym1-G_1-H6e-005_af1.wfa      | sym1    | af1 | 1   | 0.00006 | 24576 | 8192 | 8192 | 21 | 14352 | 168 | 168 | 175.25  | 14688 | 1.792969 |
| lena32.bmp | lena32.bmp-withWavelet_bior1.1-G_1-H6e-005_af1.wfa   | bior1.1 | af1 | 1   | 0.00006 | 24576 | 8192 | 8192 | 21 | 14352 | 168 | 168 | 169.312 | 14688 | 1.792969 |
| lena32.bmp | lena32.bmp-G_1-H6e-005_af2.wfa                       |         | af2 | 1   | 0.00006 | 24576 | 8192 |      | 22 | 15728 | 176 | 176 | 139.047 | 16080 | 1.962891 |
| lena32.bmp | lena32.bmp-withWavelet_haar-G_1-H6e-005_af2.wfa      | haar    | af2 | 1   | 0.00006 | 24576 | 8192 | 8192 | 19 | 11792 | 152 | 152 | 111.157 | 12096 | 1.476563 |
| lena32.bmp | lena32.bmp-withWavelet_rbio1.1-G_1-H6e-005_af2.wfa   | rbio1.1 | af2 | 1   | 0.00006 | 24576 | 8192 | 8192 | 19 | 11792 | 152 | 152 | 111.797 | 12096 | 1.476563 |
| lena32.bmp | lena32.bmp-withWavelet_sym1-G_1-H6e-005_af2.wfa      | sym1    | af2 | 1   | 0.00006 | 24576 | 8192 | 8192 | 19 | 11792 | 152 | 152 | 121.11  | 12096 | 1.476563 |
| lena32.bmp | lena32.bmp-withWavelet_bior1.1-G_1-H6e-005_af2.wfa   | bior1.1 | af2 | 1   | 0.00006 | 24576 | 8192 | 8192 | 19 | 11792 | 152 | 152 | 126.125 | 12096 | 1.476563 |
| lena32.bmp | lena32.bmp-G_1-H6e-005_af3.wfa                       |         | af3 | 1   | 0.00006 | 24576 | 8192 |      | 23 | 17168 | 184 | 184 | 146.437 | 17536 | 2.140625 |
| lena32.bmp | lena32.bmp-withWavelet_haar-G_1-H6e-005_af3.wfa      | haar    | af3 | 1   | 0.00006 | 24576 | 8192 | 8192 | 24 | 18672 | 192 | 192 | 177.11  | 19056 | 2.326172 |
| lena32.bmp | lena32.bmp-withWavelet_rbio1.1-G_1-H6e-005_af3.wfa   | rbio1.1 | af3 | 1   | 0.00006 | 24576 | 8192 | 8192 | 24 | 18672 | 192 | 192 | 187.125 | 19056 | 2.326172 |
| lena32.bmp | lena32.bmp-withWavelet_sym1-G_1-H6e-005_af3.wfa      | sym1    | af3 | 1   | 0.00006 | 24576 | 8192 | 8192 | 24 | 18672 | 192 | 192 | 189.422 | 19056 | 2.326172 |
| lena32.bmp | lena32.bmp-withWavelet_bior1.1-G_1-H6e-005_af3.wfa   | bior1.1 | af3 | 1   | 0.00006 | 24576 | 8192 | 8192 | 24 | 18672 | 192 | 192 | 175.109 | 19056 | 2.326172 |
| lena32.bmp | lena32.bmp-G_1-H6e-005_af4.wfa                       |         | af4 | 1   | 0.00006 | 24576 | 8192 |      | 15 | 7440  | 120 | 120 | 98.625  | 7680  | 0.9375   |
| lena32.bmp | lena32.bmp-withWavelet_haar-G_1-H6e-005_af4.wfa      | haar    | af4 | 1   | 0.00006 | 24576 | 8192 | 8192 | 24 | 18672 | 192 | 192 | 271.875 | 19056 | 2.326172 |
| lena32.bmp | lena32.bmp-withWavelet_rbio1.1-G_1-H6e-005_af4.wfa   | rbio1.1 | af4 | 1   | 0.00006 | 24576 | 8192 | 8192 | 24 | 18672 | 192 | 192 | 260.734 | 19056 | 2.326172 |
| lena32.bmp | lena32.bmp-withWavelet_sym1-G_1-H6e-005_af4.wfa      | sym1    | af4 | 1   | 0.00006 | 24576 | 8192 | 8192 | 24 | 18672 | 192 | 192 | 231.563 | 19056 | 2.326172 |

|            |  |         |     |     |         |       |      |      |    |       |     |     |         |       |          |
|------------|--|---------|-----|-----|---------|-------|------|------|----|-------|-----|-----|---------|-------|----------|
| lena32.bmp | lena32.bmp-withWavelet_bior1.1-G_1-H6e-005_af4.wfa   | bior1.1 | af4 | 1   | 0.00006 | 24576 | 8192 | 8192 | 24 | 18672 | 192 | 192 | 242.891 | 19056 | 2.326172 |
| lena32.bmp | lena32.bmp-G_1-H6e-005_af5.wfa                       |         | af5 | 1   | 0.00006 | 24576 | 8192 |      | 22 | 15728 | 176 | 176 | 48.984  | 16080 | 1.962891 |
| lena32.bmp | lena32.bmp-withWavelet_haar-G_1-H6e-005_af5.wfa      | haar    | af5 | 1   | 0.00006 | 24576 | 8192 | 8192 | 20 | 13040 | 160 | 160 | 48.531  | 13360 | 1.630859 |
| lena32.bmp | lena32.bmp-withWavelet_rbio1.1-G_1-H6e-005_af5.wfa   | rbio1.1 | af5 | 1   | 0.00006 | 24576 | 8192 | 8192 | 20 | 13040 | 160 | 160 | 41.969  | 13360 | 1.630859 |
| lena32.bmp | lena32.bmp-withWavelet_sym1-G_1-H6e-005_af5.wfa      | sym1    | af5 | 1   | 0.00006 | 24576 | 8192 | 8192 | 20 | 13040 | 160 | 160 | 41.828  | 13360 | 1.630859 |
| lena32.bmp | lena32.bmp-withWavelet_bior1.1-G_1-H6e-005_af5.wfa   | bior1.1 | af5 | 1   | 0.00006 | 24576 | 8192 | 8192 | 20 | 13040 | 160 | 160 | 41.766  | 13360 | 1.630859 |
| lena32.bmp | lena32.bmp-G_0.8-H6e-005_af1.wfa                     |         | af1 | 0.8 | 0.00006 | 24576 | 8192 |      | 26 | 21872 | 208 | 208 | 89.813  | 22288 | 2.720703 |
| lena32.bmp | lena32.bmp-withWavelet_haar-G_0.8-H6e-005_af1.wfa    | haar    | af1 | 0.8 | 0.00006 | 24576 | 8192 | 8192 | 21 | 14352 | 168 | 168 | 74.313  | 14688 | 1.792969 |
| lena32.bmp | lena32.bmp-withWavelet_rbio1.1-G_0.8-H6e-005_af1.wfa | rbio1.1 | af1 | 0.8 | 0.00006 | 24576 | 8192 | 8192 | 21 | 14352 | 168 | 168 | 75.422  | 14688 | 1.792969 |
| lena32.bmp | lena32.bmp-withWavelet_sym1-G_0.8-H6e-005_af1.wfa    | sym1    | af1 | 0.8 | 0.00006 | 24576 | 8192 | 8192 | 21 | 14352 | 168 | 168 | 85.266  | 14688 | 1.792969 |
| lena32.bmp | lena32.bmp-withWavelet_bior1.1-G_0.8-H6e-005_af1.wfa | bior1.1 | af1 | 0.8 | 0.00006 | 24576 | 8192 | 8192 | 21 | 14352 | 168 | 168 | 79.219  | 14688 | 1.792969 |
| lena32.bmp | lena32.bmp-G_0.8-H6e-005_af2.wfa                     |         | af2 | 0.8 | 0.00006 | 24576 | 8192 |      | 21 | 14352 | 168 | 168 | 68.469  | 14688 | 1.792969 |
| lena32.bmp | lena32.bmp-withWavelet_haar-G_0.8-H6e-005_af2.wfa    | haar    | af2 | 0.8 | 0.00006 | 24576 | 8192 | 8192 | 19 | 11792 | 152 | 152 | 66.187  | 12096 | 1.476563 |
| lena32.bmp | lena32.bmp-withWavelet_rbio1.1-G_0.8-H6e-005_af2.wfa | rbio1.1 | af2 | 0.8 | 0.00006 | 24576 | 8192 | 8192 | 19 | 11792 | 152 | 152 | 65.875  | 12096 | 1.476563 |
| lena32.bmp | lena32.bmp-withWavelet_sym1-G_0.8-H6e-005_af2.wfa    | sym1    | af2 | 0.8 | 0.00006 | 24576 | 8192 | 8192 | 19 | 11792 | 152 | 152 | 66      | 12096 | 1.476563 |
| lena32.bmp | lena32.bmp-withWavelet_bior1.1-G_0.8-H6e-005_af2.wfa | bior1.1 | af2 | 0.8 | 0.00006 | 24576 | 8192 | 8192 | 19 | 11792 | 152 | 152 | 66.266  | 12096 | 1.476563 |
| lena32.bmp | lena32.bmp-G_0.8-H6e-005_af3.wfa                     |         | af3 | 0.8 | 0.00006 | 24576 | 8192 |      | 23 | 17168 | 184 | 184 | 76.375  | 17536 | 2.140625 |
| lena32.bmp | lena32.bmp-withWavelet_haar-G_0.8-H6e-005_af3.wfa    | haar    | af3 | 0.8 | 0.00006 | 24576 | 8192 | 8192 | 24 | 18672 | 192 | 192 | 88.047  | 19056 | 2.326172 |
| lena32.bmp | lena32.bmp-withWavelet_rbio1.1-G_0.8-H6e-005_af3.wfa | rbio1.1 | af3 | 0.8 | 0.00006 | 24576 | 8192 | 8192 | 24 | 18672 | 192 | 192 | 87.453  | 19056 | 2.326172 |
| lena32.bmp | lena32.bmp-withWavelet_sym1-G_0.8-H6e-005_af3.wfa    | sym1    | af3 | 0.8 | 0.00006 | 24576 | 8192 | 8192 | 24 | 18672 | 192 | 192 | 86.359  | 19056 | 2.326172 |
| lena32.bmp | lena32.bmp-withWavelet_bior1.1-G_0.8-H6e-005_af3.wfa | bior1.1 | af3 | 0.8 | 0.00006 | 24576 | 8192 | 8192 | 24 | 18672 | 192 | 192 | 86.016  | 19056 | 2.326172 |
| lena32.bmp | lena32.bmp-G_0.8-H6e-005_af4.wfa                     |         | af4 | 0.8 | 0.00006 | 24576 | 8192 |      | 15 | 7440  | 120 | 120 | 50.406  | 7680  | 0.9375   |
| lena32.bmp | lena32.bmp-withWavelet_haar-G_0.8-H6e-005_af4.wfa    | haar    | af4 | 0.8 | 0.00006 | 24576 | 8192 | 8192 | 24 | 18672 | 192 | 192 | 110.875 | 19056 | 2.326172 |
| lena32.bmp | lena32.bmp-withWavelet_rbio1.1-G_0.8-H6e-005_af4.wfa | rbio1.1 | af4 | 0.8 | 0.00006 | 24576 | 8192 | 8192 | 24 | 18672 | 192 | 192 | 110.922 | 19056 | 2.326172 |
| lena32.bmp | lena32.bmp-withWavelet_sym1-G_0.8-H6e-005_af4.wfa    | sym1    | af4 | 0.8 | 0.00006 | 24576 | 8192 | 8192 | 24 | 18672 | 192 | 192 | 110.578 | 19056 | 2.326172 |
| lena32.bmp | lena32.bmp-withWavelet_bior1.1-G_0.8-H6e-005_af4.wfa | bior1.1 | af4 | 0.8 | 0.00006 | 24576 | 8192 | 8192 | 24 | 18672 | 192 | 192 | 110.719 | 19056 | 2.326172 |
| lena32.bmp | lena32.bmp-G_0.8-H6e-005_af5.wfa                     |         | af5 | 0.8 | 0.00006 | 24576 | 8192 |      | 21 | 14352 | 168 | 168 | 34.922  | 14688 | 1.792969 |
| lena32.bmp | lena32.bmp-withWavelet_haar-G_0.8-H6e-005_af5.wfa    | haar    | af5 | 0.8 | 0.00006 | 24576 | 8192 | 8192 | 21 | 14352 | 168 | 168 | 33.047  | 14688 | 1.792969 |
| lena32.bmp | lena32.bmp-withWavelet_rbio1.1-G_0.8-H6e-005_af5.wfa | rbio1.1 | af5 | 0.8 | 0.00006 | 24576 | 8192 | 8192 | 21 | 14352 | 168 | 168 | 32.922  | 14688 | 1.792969 |
| lena32.bmp | lena32.bmp-withWavelet_sym1-G_0.8-H6e-005_af5.wfa    | sym1    | af5 | 0.8 | 0.00006 | 24576 | 8192 | 8192 | 21 | 14352 | 168 | 168 | 32.953  | 14688 | 1.792969 |
| lena32.bmp | lena32.bmp-withWavelet_bior1.1-G_0.8-H6e-005_af5.wfa | bior1.1 | af5 | 0.8 | 0.00006 | 24576 | 8192 | 8192 | 21 | 14352 | 168 | 168 | 32.891  | 14688 | 1.792969 |



|            |  |         |     |     |         |       |      |      |    |       |     |     |         |       |          |
|------------|--|---------|-----|-----|---------|-------|------|------|----|-------|-----|-----|---------|-------|----------|
| lena32.bmp | lena32.bmp-G_0.6-H6e-005_af1.wfa                     |         | af1 | 0.6 | 0.00006 | 24576 | 8192 |      | 27 | 23568 | 216 | 216 | 66.375  | 24000 | 2.929688 |
| lena32.bmp | lena32.bmp-withWavelet_haar-G_0.6-H6e-005_af1.wfa    | haar    | af1 | 0.6 | 0.00006 | 24576 | 8192 | 8192 | 22 | 15728 | 176 | 176 | 63.531  | 16080 | 1.962891 |
| lena32.bmp | lena32.bmp-withWavelet_rbio1.1-G_0.6-H6e-005_af1.wfa | rbio1.1 | af1 | 0.6 | 0.00006 | 24576 | 8192 | 8192 | 22 | 15728 | 176 | 176 | 63.75   | 16080 | 1.962891 |
| lena32.bmp | lena32.bmp-withWavelet_sym1-G_0.6-H6e-005_af1.wfa    | sym1    | af1 | 0.6 | 0.00006 | 24576 | 8192 | 8192 | 22 | 15728 | 176 | 176 | 63.734  | 16080 | 1.962891 |
| lena32.bmp | lena32.bmp-withWavelet_bior1.1-G_0.6-H6e-005_af1.wfa | bior1.1 | af1 | 0.6 | 0.00006 | 24576 | 8192 | 8192 | 22 | 15728 | 176 | 176 | 64.437  | 16080 | 1.962891 |
| lena32.bmp | lena32.bmp-G_0.6-H6e-005_af2.wfa                     |         | af2 | 0.6 | 0.00006 | 24576 | 8192 |      | 21 | 14352 | 168 | 168 | 51.078  | 14688 | 1.792969 |
| lena32.bmp | lena32.bmp-withWavelet_haar-G_0.6-H6e-005_af2.wfa    | haar    | af2 | 0.6 | 0.00006 | 24576 | 8192 | 8192 | 19 | 11792 | 152 | 152 | 48.468  | 12096 | 1.476563 |
| lena32.bmp | lena32.bmp-withWavelet_rbio1.1-G_0.6-H6e-005_af2.wfa | rbio1.1 | af2 | 0.6 | 0.00006 | 24576 | 8192 | 8192 | 19 | 11792 | 152 | 152 | 50      | 12096 | 1.476563 |
| lena32.bmp | lena32.bmp-withWavelet_sym1-G_0.6-H6e-005_af2.wfa    | sym1    | af2 | 0.6 | 0.00006 | 24576 | 8192 | 8192 | 19 | 11792 | 152 | 152 | 49.047  | 12096 | 1.476563 |
| lena32.bmp | lena32.bmp-withWavelet_bior1.1-G_0.6-H6e-005_af2.wfa | bior1.1 | af2 | 0.6 | 0.00006 | 24576 | 8192 | 8192 | 19 | 11792 | 152 | 152 | 49.156  | 12096 | 1.476563 |
| lena32.bmp | lena32.bmp-G_0.6-H6e-005_af3.wfa                     |         | af3 | 0.6 | 0.00006 | 24576 | 8192 |      | 23 | 17168 | 184 | 184 | 55.75   | 17536 | 2.140625 |
| lena32.bmp | lena32.bmp-withWavelet_haar-G_0.6-H6e-005_af3.wfa    | haar    | af3 | 0.6 | 0.00006 | 24576 | 8192 | 8192 | 25 | 20240 | 200 | 200 | 64.203  | 20640 | 2.519531 |
| lena32.bmp | lena32.bmp-withWavelet_rbio1.1-G_0.6-H6e-005_af3.wfa | rbio1.1 | af3 | 0.6 | 0.00006 | 24576 | 8192 | 8192 | 25 | 20240 | 200 | 200 | 65.125  | 20640 | 2.519531 |
| lena32.bmp | lena32.bmp-withWavelet_sym1-G_0.6-H6e-005_af3.wfa    | sym1    | af3 | 0.6 | 0.00006 | 24576 | 8192 | 8192 | 25 | 20240 | 200 | 200 | 64.109  | 20640 | 2.519531 |
| lena32.bmp | lena32.bmp-withWavelet_bior1.1-G_0.6-H6e-005_af3.wfa | bior1.1 | af3 | 0.6 | 0.00006 | 24576 | 8192 | 8192 | 25 | 20240 | 200 | 200 | 64.406  | 20640 | 2.519531 |
| lena32.bmp | lena32.bmp-G_0.6-H6e-005_af4.wfa                     |         | af4 | 0.6 | 0.00006 | 24576 | 8192 |      | 14 | 6512  | 112 | 112 | 41.297  | 6736  | 0.822266 |
| lena32.bmp | lena32.bmp-withWavelet_haar-G_0.6-H6e-005_af4.wfa    | haar    | af4 | 0.6 | 0.00006 | 24576 | 8192 | 8192 | 27 | 23568 | 216 | 216 | 99.125  | 24000 | 2.929688 |
| lena32.bmp | lena32.bmp-withWavelet_rbio1.1-G_0.6-H6e-005_af4.wfa | rbio1.1 | af4 | 0.6 | 0.00006 | 24576 | 8192 | 8192 | 27 | 23568 | 216 | 216 | 98.937  | 24000 | 2.929688 |
| lena32.bmp | lena32.bmp-withWavelet_sym1-G_0.6-H6e-005_af4.wfa    | sym1    | af4 | 0.6 | 0.00006 | 24576 | 8192 | 8192 | 27 | 23568 | 216 | 216 | 99.047  | 24000 | 2.929688 |
| lena32.bmp | lena32.bmp-withWavelet_bior1.1-G_0.6-H6e-005_af4.wfa | bior1.1 | af4 | 0.6 | 0.00006 | 24576 | 8192 | 8192 | 27 | 23568 | 216 | 216 | 99.281  | 24000 | 2.929688 |
| lena32.bmp | lena32.bmp-G_0.6-H6e-005_af5.wfa                     |         | af5 | 0.6 | 0.00006 | 24576 | 8192 |      | 22 | 15728 | 176 | 176 | 32.953  | 16080 | 1.962891 |
| lena32.bmp | lena32.bmp-withWavelet_haar-G_0.6-H6e-005_af5.wfa    | haar    | af5 | 0.6 | 0.00006 | 24576 | 8192 | 8192 | 20 | 13040 | 160 | 160 | 31.188  | 13360 | 1.630859 |
| lena32.bmp | lena32.bmp-withWavelet_rbio1.1-G_0.6-H6e-005_af5.wfa | rbio1.1 | af5 | 0.6 | 0.00006 | 24576 | 8192 | 8192 | 20 | 13040 | 160 | 160 | 31.016  | 13360 | 1.630859 |
| lena32.bmp | lena32.bmp-withWavelet_sym1-G_0.6-H6e-005_af5.wfa    | sym1    | af5 | 0.6 | 0.00006 | 24576 | 8192 | 8192 | 20 | 13040 | 160 | 160 | 31.187  | 13360 | 1.630859 |
| lena32.bmp | lena32.bmp-withWavelet_bior1.1-G_0.6-H6e-005_af5.wfa | bior1.1 | af5 | 0.6 | 0.00006 | 24576 | 8192 | 8192 | 20 | 13040 | 160 | 160 | 31.078  | 13360 | 1.630859 |
| lena32.bmp | lena32.bmp-G_1-H7e-005_af1.wfa                       |         | af1 | 1   | 0.00007 | 24576 | 8192 |      | 25 | 20240 | 200 | 200 | 137.968 | 20640 | 2.519531 |
| lena32.bmp | lena32.bmp-withWavelet_haar-G_1-H7e-005_af1.wfa      | haar    | af1 | 1   | 0.00007 | 24576 | 8192 | 8192 | 21 | 14352 | 168 | 168 | 134.078 | 14688 | 1.792969 |
| lena32.bmp | lena32.bmp-withWavelet_rbio1.1-G_1-H7e-005_af1.wfa   | rbio1.1 | af1 | 1   | 0.00007 | 24576 | 8192 | 8192 | 21 | 14352 | 168 | 168 | 133.328 | 14688 | 1.792969 |
| lena32.bmp | lena32.bmp-withWavelet_sym1-G_1-H7e-005_af1.wfa      | sym1    | af1 | 1   | 0.00007 | 24576 | 8192 | 8192 | 21 | 14352 | 168 | 168 | 133.297 | 14688 | 1.792969 |
| lena32.bmp | lena32.bmp-withWavelet_bior1.1-G_1-H7e-005_af1.wfa   | bior1.1 | af1 | 1   | 0.00007 | 24576 | 8192 | 8192 | 21 | 14352 | 168 | 168 | 133.188 | 14688 | 1.792969 |
| lena32.bmp | lena32.bmp-G_1-H7e-005_af2.wfa                       |         | af2 | 1   | 0.00007 | 24576 | 8192 |      | 21 | 14352 | 168 | 168 | 106.906 | 14688 | 1.792969 |

|            |  |         |     |     |         |       |      |      |    |       |     |     |         |       |          |
|------------|--|---------|-----|-----|---------|-------|------|------|----|-------|-----|-----|---------|-------|----------|
| lena32.bmp | lena32.bmp-withWavelet_haar-G_1-H7e-005_af2.wfa      | haar    | af2 | 1   | 0.00007 | 24576 | 8192 | 8192 | 19 | 11792 | 152 | 152 | 94.672  | 12096 | 1.476563 |
| lena32.bmp | lena32.bmp-withWavelet_rbio1.1-G_1-H7e-005_af2.wfa   | rbio1.1 | af2 | 1   | 0.00007 | 24576 | 8192 | 8192 | 19 | 11792 | 152 | 152 | 92.984  | 12096 | 1.476563 |
| lena32.bmp | lena32.bmp-withWavelet_sym1-G_1-H7e-005_af2.wfa      | sym1    | af2 | 1   | 0.00007 | 24576 | 8192 | 8192 | 19 | 11792 | 152 | 152 | 94.563  | 12096 | 1.476563 |
| lena32.bmp | lena32.bmp-withWavelet_bior1.1-G_1-H7e-005_af2.wfa   | bior1.1 | af2 | 1   | 0.00007 | 24576 | 8192 | 8192 | 19 | 11792 | 152 | 152 | 93.094  | 12096 | 1.476563 |
| lena32.bmp | lena32.bmp-G_1-H7e-005_af3.wfa                       |         | af3 | 1   | 0.00007 | 24576 | 8192 |      | 21 | 14352 | 168 | 168 | 101.203 | 14688 | 1.792969 |
| lena32.bmp | lena32.bmp-withWavelet_haar-G_1-H7e-005_af3.wfa      | haar    | af3 | 1   | 0.00007 | 24576 | 8192 | 8192 | 23 | 17168 | 184 | 184 | 136.313 | 17536 | 2.140625 |
| lena32.bmp | lena32.bmp-withWavelet_rbio1.1-G_1-H7e-005_af3.wfa   | rbio1.1 | af3 | 1   | 0.00007 | 24576 | 8192 | 8192 | 23 | 17168 | 184 | 184 | 135.672 | 17536 | 2.140625 |
| lena32.bmp | lena32.bmp-withWavelet_sym1-G_1-H7e-005_af3.wfa      | sym1    | af3 | 1   | 0.00007 | 24576 | 8192 | 8192 | 23 | 17168 | 184 | 184 | 135.781 | 17536 | 2.140625 |
| lena32.bmp | lena32.bmp-withWavelet_bior1.1-G_1-H7e-005_af3.wfa   | bior1.1 | af3 | 1   | 0.00007 | 24576 | 8192 | 8192 | 23 | 17168 | 184 | 184 | 136.656 | 17536 | 2.140625 |
| lena32.bmp | lena32.bmp-G_1-H7e-005_af4.wfa                       |         | af4 | 1   | 0.00007 | 24576 | 8192 |      | 14 | 6512  | 112 | 112 | 74.328  | 6736  | 0.822266 |
| lena32.bmp | lena32.bmp-withWavelet_haar-G_1-H7e-005_af4.wfa      | haar    | af4 | 1   | 0.00007 | 24576 | 8192 | 8192 | 22 | 15728 | 176 | 176 | 177.609 | 16080 | 1.962891 |
| lena32.bmp | lena32.bmp-withWavelet_rbio1.1-G_1-H7e-005_af4.wfa   | rbio1.1 | af4 | 1   | 0.00007 | 24576 | 8192 | 8192 | 22 | 15728 | 176 | 176 | 176.281 | 16080 | 1.962891 |
| lena32.bmp | lena32.bmp-withWavelet_sym1-G_1-H7e-005_af4.wfa      | sym1    | af4 | 1   | 0.00007 | 24576 | 8192 | 8192 | 22 | 15728 | 176 | 176 | 176.172 | 16080 | 1.962891 |
| lena32.bmp | lena32.bmp-withWavelet_bior1.1-G_1-H7e-005_af4.wfa   | bior1.1 | af4 | 1   | 0.00007 | 24576 | 8192 | 8192 | 22 | 15728 | 176 | 176 | 178.234 | 16080 | 1.962891 |
| lena32.bmp | lena32.bmp-G_1-H7e-005_af5.wfa                       |         | af5 | 1   | 0.00007 | 24576 | 8192 |      | 20 | 13040 | 160 | 160 | 43.218  | 13360 | 1.630859 |
| lena32.bmp | lena32.bmp-withWavelet_haar-G_1-H7e-005_af5.wfa      | haar    | af5 | 1   | 0.00007 | 24576 | 8192 | 8192 | 18 | 10608 | 144 | 144 | 39      | 10896 | 1.330078 |
| lena32.bmp | lena32.bmp-withWavelet_rbio1.1-G_1-H7e-005_af5.wfa   | rbio1.1 | af5 | 1   | 0.00007 | 24576 | 8192 | 8192 | 18 | 10608 | 144 | 144 | 39.062  | 10896 | 1.330078 |
| lena32.bmp | lena32.bmp-withWavelet_sym1-G_1-H7e-005_af5.wfa      | sym1    | af5 | 1   | 0.00007 | 24576 | 8192 | 8192 | 18 | 10608 | 144 | 144 | 38.375  | 10896 | 1.330078 |
| lena32.bmp | lena32.bmp-withWavelet_bior1.1-G_1-H7e-005_af5.wfa   | bior1.1 | af5 | 1   | 0.00007 | 24576 | 8192 | 8192 | 18 | 10608 | 144 | 144 | 39.313  | 10896 | 1.330078 |
| lena32.bmp | lena32.bmp-G_0.8-H7e-005_af1.wfa                     |         | af1 | 0.8 | 0.00007 | 24576 | 8192 |      | 25 | 20240 | 200 | 200 | 73.188  | 20640 | 2.519531 |
| lena32.bmp | lena32.bmp-withWavelet_haar-G_0.8-H7e-005_af1.wfa    | haar    | af1 | 0.8 | 0.00007 | 24576 | 8192 | 8192 | 21 | 14352 | 168 | 168 | 73.125  | 14688 | 1.792969 |
| lena32.bmp | lena32.bmp-withWavelet_rbio1.1-G_0.8-H7e-005_af1.wfa | rbio1.1 | af1 | 0.8 | 0.00007 | 24576 | 8192 | 8192 | 21 | 14352 | 168 | 168 | 72.64   | 14688 | 1.792969 |
| lena32.bmp | lena32.bmp-withWavelet_sym1-G_0.8-H7e-005_af1.wfa    | sym1    | af1 | 0.8 | 0.00007 | 24576 | 8192 | 8192 | 21 | 14352 | 168 | 168 | 73.328  | 14688 | 1.792969 |
| lena32.bmp | lena32.bmp-withWavelet_bior1.1-G_0.8-H7e-005_af1.wfa | bior1.1 | af1 | 0.8 | 0.00007 | 24576 | 8192 | 8192 | 21 | 14352 | 168 | 168 | 73.594  | 14688 | 1.792969 |
| lena32.bmp | lena32.bmp-G_0.8-H7e-005_af2.wfa                     |         | af2 | 0.8 | 0.00007 | 24576 | 8192 |      | 21 | 14352 | 168 | 168 | 61.563  | 14688 | 1.792969 |
| lena32.bmp | lena32.bmp-withWavelet_haar-G_0.8-H7e-005_af2.wfa    | haar    | af2 | 0.8 | 0.00007 | 24576 | 8192 | 8192 | 19 | 11792 | 152 | 152 | 57.61   | 12096 | 1.476563 |
| lena32.bmp | lena32.bmp-withWavelet_rbio1.1-G_0.8-H7e-005_af2.wfa | rbio1.1 | af2 | 0.8 | 0.00007 | 24576 | 8192 | 8192 | 19 | 11792 | 152 | 152 | 57.188  | 12096 | 1.476563 |
| lena32.bmp | lena32.bmp-withWavelet_sym1-G_0.8-H7e-005_af2.wfa    | sym1    | af2 | 0.8 | 0.00007 | 24576 | 8192 | 8192 | 19 | 11792 | 152 | 152 | 57.359  | 12096 | 1.476563 |
| lena32.bmp | lena32.bmp-withWavelet_bior1.1-G_0.8-H7e-005_af2.wfa | bior1.1 | af2 | 0.8 | 0.00007 | 24576 | 8192 | 8192 | 19 | 11792 | 152 | 152 | 57.437  | 12096 | 1.476563 |
| lena32.bmp | lena32.bmp-G_0.8-H7e-005_af3.wfa                     |         | af3 | 0.8 | 0.00007 | 24576 | 8192 |      | 21 | 14352 | 168 | 168 | 58.937  | 14688 | 1.792969 |
| lena32.bmp | lena32.bmp-withWavelet_haar-G_0.8-H7e-005_af3.wfa    | haar    | af3 | 0.8 | 0.00007 | 24576 | 8192 | 8192 | 23 | 17168 | 184 | 184 | 75      | 17536 | 2.140625 |

|            |  |         |     |     |         |       |      |      |    |       |     |     |        |       |          |
|------------|--|---------|-----|-----|---------|-------|------|------|----|-------|-----|-----|--------|-------|----------|
| lena32.bmp | lena32.bmp-withWavelet_rbio1.1-G_0.8-H7e-005_af3.wfa | rbio1.1 | af3 | 0.8 | 0.00007 | 24576 | 8192 | 8192 | 23 | 17168 | 184 | 184 | 74.797 | 17536 | 2.140625 |
| lena32.bmp | lena32.bmp-withWavelet_sym1-G_0.8-H7e-005_af3.wfa    | sym1    | af3 | 0.8 | 0.00007 | 24576 | 8192 | 8192 | 23 | 17168 | 184 | 184 | 74.703 | 17536 | 2.140625 |
| lena32.bmp | lena32.bmp-withWavelet_bior1.1-G_0.8-H7e-005_af3.wfa | bior1.1 | af3 | 0.8 | 0.00007 | 24576 | 8192 | 8192 | 23 | 17168 | 184 | 184 | 74.984 | 17536 | 2.140625 |
| lena32.bmp | lena32.bmp-G_0.8-H7e-005_af4.wfa                     |         | af4 | 0.8 | 0.00007 | 24576 | 8192 |      | 14 | 6512  | 112 | 112 | 46.891 | 6736  | 0.822266 |
| lena32.bmp | lena32.bmp-withWavelet_haar-G_0.8-H7e-005_af4.wfa    | haar    | af4 | 0.8 | 0.00007 | 24576 | 8192 | 8192 | 22 | 15728 | 176 | 176 | 95.75  | 16080 | 1.962891 |
| lena32.bmp | lena32.bmp-withWavelet_rbio1.1-G_0.8-H7e-005_af4.wfa | rbio1.1 | af4 | 0.8 | 0.00007 | 24576 | 8192 | 8192 | 22 | 15728 | 176 | 176 | 95.922 | 16080 | 1.962891 |
| lena32.bmp | lena32.bmp-withWavelet_sym1-G_0.8-H7e-005_af4.wfa    | sym1    | af4 | 0.8 | 0.00007 | 24576 | 8192 | 8192 | 22 | 15728 | 176 | 176 | 95.125 | 16080 | 1.962891 |
| lena32.bmp | lena32.bmp-withWavelet_bior1.1-G_0.8-H7e-005_af4.wfa | bior1.1 | af4 | 0.8 | 0.00007 | 24576 | 8192 | 8192 | 22 | 15728 | 176 | 176 | 95.969 | 16080 | 1.962891 |
| lena32.bmp | lena32.bmp-G_0.8-H7e-005_af5.wfa                     |         | af5 | 0.8 | 0.00007 | 24576 | 8192 |      | 21 | 14352 | 168 | 168 | 34.328 | 14688 | 1.792969 |
| lena32.bmp | lena32.bmp-withWavelet_haar-G_0.8-H7e-005_af5.wfa    | haar    | af5 | 0.8 | 0.00007 | 24576 | 8192 | 8192 | 18 | 10608 | 144 | 144 | 32.719 | 10896 | 1.330078 |
| lena32.bmp | lena32.bmp-withWavelet_rbio1.1-G_0.8-H7e-005_af5.wfa | rbio1.1 | af5 | 0.8 | 0.00007 | 24576 | 8192 | 8192 | 18 | 10608 | 144 | 144 | 32.672 | 10896 | 1.330078 |
| lena32.bmp | lena32.bmp-withWavelet_sym1-G_0.8-H7e-005_af5.wfa    | sym1    | af5 | 0.8 | 0.00007 | 24576 | 8192 | 8192 | 18 | 10608 | 144 | 144 | 32.328 | 10896 | 1.330078 |
| lena32.bmp | lena32.bmp-withWavelet_bior1.1-G_0.8-H7e-005_af5.wfa | bior1.1 | af5 | 0.8 | 0.00007 | 24576 | 8192 | 8192 | 18 | 10608 | 144 | 144 | 32.594 | 10896 | 1.330078 |
| lena32.bmp | lena32.bmp-G_0.6-H7e-005_af1.wfa                     |         | af1 | 0.6 | 0.00007 | 24576 | 8192 |      | 24 | 18672 | 192 | 192 | 55.781 | 19056 | 2.326172 |
| lena32.bmp | lena32.bmp-withWavelet_haar-G_0.6-H7e-005_af1.wfa    | haar    | af1 | 0.6 | 0.00007 | 24576 | 8192 | 8192 | 20 | 13040 | 160 | 160 | 56.563 | 13360 | 1.630859 |
| lena32.bmp | lena32.bmp-withWavelet_rbio1.1-G_0.6-H7e-005_af1.wfa | rbio1.1 | af1 | 0.6 | 0.00007 | 24576 | 8192 | 8192 | 20 | 13040 | 160 | 160 | 56.515 | 13360 | 1.630859 |
| lena32.bmp | lena32.bmp-withWavelet_sym1-G_0.6-H7e-005_af1.wfa    | sym1    | af1 | 0.6 | 0.00007 | 24576 | 8192 | 8192 | 20 | 13040 | 160 | 160 | 54.61  | 13360 | 1.630859 |
| lena32.bmp | lena32.bmp-withWavelet_bior1.1-G_0.6-H7e-005_af1.wfa | bior1.1 | af1 | 0.6 | 0.00007 | 24576 | 8192 | 8192 | 20 | 13040 | 160 | 160 | 55.484 | 13360 | 1.630859 |
| lena32.bmp | lena32.bmp-G_0.6-H7e-005_af2.wfa                     |         | af2 | 0.6 | 0.00007 | 24576 | 8192 |      | 20 | 13040 | 160 | 160 | 48.078 | 13360 | 1.630859 |
| lena32.bmp | lena32.bmp-withWavelet_haar-G_0.6-H7e-005_af2.wfa    | haar    | af2 | 0.6 | 0.00007 | 24576 | 8192 | 8192 | 19 | 11792 | 152 | 152 | 48.109 | 12096 | 1.476563 |
| lena32.bmp | lena32.bmp-withWavelet_rbio1.1-G_0.6-H7e-005_af2.wfa | rbio1.1 | af2 | 0.6 | 0.00007 | 24576 | 8192 | 8192 | 19 | 11792 | 152 | 152 | 47.969 | 12096 | 1.476563 |
| lena32.bmp | lena32.bmp-withWavelet_sym1-G_0.6-H7e-005_af2.wfa    | sym1    | af2 | 0.6 | 0.00007 | 24576 | 8192 | 8192 | 19 | 11792 | 152 | 152 | 48.125 | 12096 | 1.476563 |
| lena32.bmp | lena32.bmp-withWavelet_bior1.1-G_0.6-H7e-005_af2.wfa | bior1.1 | af2 | 0.6 | 0.00007 | 24576 | 8192 | 8192 | 19 | 11792 | 152 | 152 | 48.078 | 12096 | 1.476563 |
| lena32.bmp | lena32.bmp-G_0.6-H7e-005_af3.wfa                     |         | af3 | 0.6 | 0.00007 | 24576 | 8192 |      | 21 | 14352 | 168 | 168 | 46.281 | 14688 | 1.792969 |
| lena32.bmp | lena32.bmp-withWavelet_haar-G_0.6-H7e-005_af3.wfa    | haar    | af3 | 0.6 | 0.00007 | 24576 | 8192 | 8192 | 25 | 20240 | 200 | 200 | 64.64  | 20640 | 2.519531 |
| lena32.bmp | lena32.bmp-withWavelet_rbio1.1-G_0.6-H7e-005_af3.wfa | rbio1.1 | af3 | 0.6 | 0.00007 | 24576 | 8192 | 8192 | 25 | 20240 | 200 | 200 | 64.453 | 20640 | 2.519531 |
| lena32.bmp | lena32.bmp-withWavelet_sym1-G_0.6-H7e-005_af3.wfa    | sym1    | af3 | 0.6 | 0.00007 | 24576 | 8192 | 8192 | 25 | 20240 | 200 | 200 | 64.578 | 20640 | 2.519531 |
| lena32.bmp | lena32.bmp-withWavelet_bior1.1-G_0.6-H7e-005_af3.wfa | bior1.1 | af3 | 0.6 | 0.00007 | 24576 | 8192 | 8192 | 25 | 20240 | 200 | 200 | 64.672 | 20640 | 2.519531 |
| lena32.bmp | lena32.bmp-G_0.6-H7e-005_af4.wfa                     |         | af4 | 0.6 | 0.00007 | 24576 | 8192 |      | 14 | 6512  | 112 | 112 | 40.703 | 6736  | 0.822266 |
| lena32.bmp | lena32.bmp-withWavelet_haar-G_0.6-H7e-005_af4.wfa    | haar    | af4 | 0.6 | 0.00007 | 24576 | 8192 | 8192 | 25 | 20240 | 200 | 200 | 89.157 | 20640 | 2.519531 |
| lena32.bmp | lena32.bmp-withWavelet_rbio1.1-G_0.6-H7e-005_af4.wfa | rbio1.1 | af4 | 0.6 | 0.00007 | 24576 | 8192 | 8192 | 25 | 20240 | 200 | 200 | 88.75  | 20640 | 2.519531 |

|            |  |         |     |     |         |       |      |      |    |       |     |     |         |       |          |
|------------|--|---------|-----|-----|---------|-------|------|------|----|-------|-----|-----|---------|-------|----------|
| lena32.bmp | lena32.bmp-withWavelet_sym1-G_0.6-H7e-005_af4.wfa    | sym1    | af4 | 0.6 | 0.00007 | 24576 | 8192 | 8192 | 25 | 20240 | 200 | 200 | 87.578  | 20640 | 2.519531 |
| lena32.bmp | lena32.bmp-withWavelet_bior1.1-G_0.6-H7e-005_af4.wfa | bior1.1 | af4 | 0.6 | 0.00007 | 24576 | 8192 | 8192 | 25 | 20240 | 200 | 200 | 88.484  | 20640 | 2.519531 |
| lena32.bmp | lena32.bmp-G_0.6-H7e-005_af5.wfa                     |         | af5 | 0.6 | 0.00007 | 24576 | 8192 |      | 19 | 11792 | 152 | 152 | 31.984  | 12096 | 1.476563 |
| lena32.bmp | lena32.bmp-withWavelet_haar-G_0.6-H7e-005_af5.wfa    | haar    | af5 | 0.6 | 0.00007 | 24576 | 8192 | 8192 | 19 | 11792 | 152 | 152 | 31.063  | 12096 | 1.476563 |
| lena32.bmp | lena32.bmp-withWavelet_rbio1.1-G_0.6-H7e-005_af5.wfa | rbio1.1 | af5 | 0.6 | 0.00007 | 24576 | 8192 | 8192 | 19 | 11792 | 152 | 152 | 31      | 12096 | 1.476563 |
| lena32.bmp | lena32.bmp-withWavelet_sym1-G_0.6-H7e-005_af5.wfa    | sym1    | af5 | 0.6 | 0.00007 | 24576 | 8192 | 8192 | 19 | 11792 | 152 | 152 | 31.109  | 12096 | 1.476563 |
| lena32.bmp | lena32.bmp-withWavelet_bior1.1-G_0.6-H7e-005_af5.wfa | bior1.1 | af5 | 0.6 | 0.00007 | 24576 | 8192 | 8192 | 19 | 11792 | 152 | 152 | 30.969  | 12096 | 1.476563 |
| lena32.bmp | lena32.bmp-G_1-H8e-005_af1.wfa                       |         | af1 | 1   | 0.00008 | 24576 | 8192 |      | 23 | 17168 | 184 | 184 | 121.407 | 17536 | 2.140625 |
| lena32.bmp | lena32.bmp-withWavelet_haar-G_1-H8e-005_af1.wfa      | haar    | af1 | 1   | 0.00008 | 24576 | 8192 | 8192 | 21 | 14352 | 168 | 168 | 131.672 | 14688 | 1.792969 |
| lena32.bmp | lena32.bmp-withWavelet_rbio1.1-G_1-H8e-005_af1.wfa   | rbio1.1 | af1 | 1   | 0.00008 | 24576 | 8192 | 8192 | 21 | 14352 | 168 | 168 | 133.078 | 14688 | 1.792969 |
| lena32.bmp | lena32.bmp-withWavelet_sym1-G_1-H8e-005_af1.wfa      | sym1    | af1 | 1   | 0.00008 | 24576 | 8192 | 8192 | 21 | 14352 | 168 | 168 | 132.75  | 14688 | 1.792969 |
| lena32.bmp | lena32.bmp-withWavelet_bior1.1-G_1-H8e-005_af1.wfa   | bior1.1 | af1 | 1   | 0.00008 | 24576 | 8192 | 8192 | 21 | 14352 | 168 | 168 | 133.218 | 14688 | 1.792969 |
| lena32.bmp | lena32.bmp-G_1-H8e-005_af2.wfa                       |         | af2 | 1   | 0.00008 | 24576 | 8192 |      | 20 | 13040 | 160 | 160 | 100.203 | 13360 | 1.630859 |
| lena32.bmp | lena32.bmp-withWavelet_haar-G_1-H8e-005_af2.wfa      | haar    | af2 | 1   | 0.00008 | 24576 | 8192 | 8192 | 18 | 10608 | 144 | 144 | 91.156  | 10896 | 1.330078 |
| lena32.bmp | lena32.bmp-withWavelet_rbio1.1-G_1-H8e-005_af2.wfa   | rbio1.1 | af2 | 1   | 0.00008 | 24576 | 8192 | 8192 | 18 | 10608 | 144 | 144 | 92.062  | 10896 | 1.330078 |
| lena32.bmp | lena32.bmp-withWavelet_sym1-G_1-H8e-005_af2.wfa      | sym1    | af2 | 1   | 0.00008 | 24576 | 8192 | 8192 | 18 | 10608 | 144 | 144 | 92.656  | 10896 | 1.330078 |
| lena32.bmp | lena32.bmp-withWavelet_bior1.1-G_1-H8e-005_af2.wfa   | bior1.1 | af2 | 1   | 0.00008 | 24576 | 8192 | 8192 | 18 | 10608 | 144 | 144 | 92.344  | 10896 | 1.330078 |
| lena32.bmp | lena32.bmp-G_1-H8e-005_af3.wfa                       |         | af3 | 1   | 0.00008 | 24576 | 8192 |      | 21 | 14352 | 168 | 168 | 101.203 | 14688 | 1.792969 |
| lena32.bmp | lena32.bmp-withWavelet_haar-G_1-H8e-005_af3.wfa      | haar    | af3 | 1   | 0.00008 | 24576 | 8192 | 8192 | 23 | 17168 | 184 | 184 | 135.953 | 17536 | 2.140625 |
| lena32.bmp | lena32.bmp-withWavelet_rbio1.1-G_1-H8e-005_af3.wfa   | rbio1.1 | af3 | 1   | 0.00008 | 24576 | 8192 | 8192 | 23 | 17168 | 184 | 184 | 136.938 | 17536 | 2.140625 |
| lena32.bmp | lena32.bmp-withWavelet_sym1-G_1-H8e-005_af3.wfa      | sym1    | af3 | 1   | 0.00008 | 24576 | 8192 | 8192 | 23 | 17168 | 184 | 184 | 136.094 | 17536 | 2.140625 |
| lena32.bmp | lena32.bmp-withWavelet_bior1.1-G_1-H8e-005_af3.wfa   | bior1.1 | af3 | 1   | 0.00008 | 24576 | 8192 | 8192 | 23 | 17168 | 184 | 184 | 136.438 | 17536 | 2.140625 |
| lena32.bmp | lena32.bmp-G_1-H8e-005_af4.wfa                       |         | af4 | 1   | 0.00008 | 24576 | 8192 |      | 13 | 5648  | 104 | 104 | 66.391  | 5856  | 0.714844 |
| lena32.bmp | lena32.bmp-withWavelet_haar-G_1-H8e-005_af4.wfa      | haar    | af4 | 1   | 0.00008 | 24576 | 8192 | 8192 | 21 | 14352 | 168 | 168 | 155.141 | 14688 | 1.792969 |
| lena32.bmp | lena32.bmp-withWavelet_rbio1.1-G_1-H8e-005_af4.wfa   | rbio1.1 | af4 | 1   | 0.00008 | 24576 | 8192 | 8192 | 21 | 14352 | 168 | 168 | 157.297 | 14688 | 1.792969 |
| lena32.bmp | lena32.bmp-withWavelet_sym1-G_1-H8e-005_af4.wfa      | sym1    | af4 | 1   | 0.00008 | 24576 | 8192 | 8192 | 21 | 14352 | 168 | 168 | 155.391 | 14688 | 1.792969 |
| lena32.bmp | lena32.bmp-withWavelet_bior1.1-G_1-H8e-005_af4.wfa   | bior1.1 | af4 | 1   | 0.00008 | 24576 | 8192 | 8192 | 21 | 14352 | 168 | 168 | 155.141 | 14688 | 1.792969 |
| lena32.bmp | lena32.bmp-G_1-H8e-005_af5.wfa                       |         | af5 | 1   | 0.00008 | 24576 | 8192 |      | 19 | 11792 | 152 | 152 | 43.203  | 12096 | 1.476563 |
| lena32.bmp | lena32.bmp-withWavelet_haar-G_1-H8e-005_af5.wfa      | haar    | af5 | 1   | 0.00008 | 24576 | 8192 | 8192 | 17 | 9488  | 136 | 136 | 39.157  | 9760  | 1.191406 |
| lena32.bmp | lena32.bmp-withWavelet_rbio1.1-G_1-H8e-005_af5.wfa   | rbio1.1 | af5 | 1   | 0.00008 | 24576 | 8192 | 8192 | 17 | 9488  | 136 | 136 | 38.516  | 9760  | 1.191406 |
| lena32.bmp | lena32.bmp-withWavelet_sym1-G_1-H8e-005_af5.wfa      | sym1    | af5 | 1   | 0.00008 | 24576 | 8192 | 8192 | 17 | 9488  | 136 | 136 | 38.281  | 9760  | 1.191406 |

|            |  |         |     |     |         |       |      |      |    |       |     |     |        |       |          |
|------------|--|---------|-----|-----|---------|-------|------|------|----|-------|-----|-----|--------|-------|----------|
| lena32.bmp | lena32.bmp-withWavelet_bior1.1-G_1-H8e-005_af5.wfa   | bior1.1 | af5 | 1   | 0.00008 | 24576 | 8192 | 8192 | 17 | 9488  | 136 | 136 | 38.625 | 9760  | 1.191406 |
| lena32.bmp | lena32.bmp-G_0.8-H8e-005_af1.wfa                     |         | af1 | 0.8 | 0.00008 | 24576 | 8192 |      | 23 | 17168 | 184 | 184 | 68.86  | 17536 | 2.140625 |
| lena32.bmp | lena32.bmp-withWavelet_haar-G_0.8-H8e-005_af1.wfa    | haar    | af1 | 0.8 | 0.00008 | 24576 | 8192 | 8192 | 21 | 14352 | 168 | 168 | 72.766 | 14688 | 1.792969 |
| lena32.bmp | lena32.bmp-withWavelet_rbio1.1-G_0.8-H8e-005_af1.wfa | rbio1.1 | af1 | 0.8 | 0.00008 | 24576 | 8192 | 8192 | 21 | 14352 | 168 | 168 | 72.937 | 14688 | 1.792969 |
| lena32.bmp | lena32.bmp-withWavelet_sym1-G_0.8-H8e-005_af1.wfa    | sym1    | af1 | 0.8 | 0.00008 | 24576 | 8192 | 8192 | 21 | 14352 | 168 | 168 | 73.11  | 14688 | 1.792969 |
| lena32.bmp | lena32.bmp-withWavelet_bior1.1-G_0.8-H8e-005_af1.wfa | bior1.1 | af1 | 0.8 | 0.00008 | 24576 | 8192 | 8192 | 21 | 14352 | 168 | 168 | 73.109 | 14688 | 1.792969 |
| lena32.bmp | lena32.bmp-G_0.8-H8e-005_af2.wfa                     |         | af2 | 0.8 | 0.00008 | 24576 | 8192 |      | 20 | 13040 | 160 | 160 | 59.313 | 13360 | 1.630859 |
| lena32.bmp | lena32.bmp-withWavelet_haar-G_0.8-H8e-005_af2.wfa    | haar    | af2 | 0.8 | 0.00008 | 24576 | 8192 | 8192 | 17 | 9488  | 136 | 136 | 52.937 | 9760  | 1.191406 |
| lena32.bmp | lena32.bmp-withWavelet_rbio1.1-G_0.8-H8e-005_af2.wfa | rbio1.1 | af2 | 0.8 | 0.00008 | 24576 | 8192 | 8192 | 17 | 9488  | 136 | 136 | 53.11  | 9760  | 1.191406 |
| lena32.bmp | lena32.bmp-withWavelet_sym1-G_0.8-H8e-005_af2.wfa    | sym1    | af2 | 0.8 | 0.00008 | 24576 | 8192 | 8192 | 17 | 9488  | 136 | 136 | 53.391 | 9760  | 1.191406 |
| lena32.bmp | lena32.bmp-withWavelet_bior1.1-G_0.8-H8e-005_af2.wfa | bior1.1 | af2 | 0.8 | 0.00008 | 24576 | 8192 | 8192 | 17 | 9488  | 136 | 136 | 53.718 | 9760  | 1.191406 |
| lena32.bmp | lena32.bmp-G_0.8-H8e-005_af3.wfa                     |         | af3 | 0.8 | 0.00008 | 24576 | 8192 |      | 21 | 14352 | 168 | 168 | 55.593 | 14688 | 1.792969 |
| lena32.bmp | lena32.bmp-withWavelet_haar-G_0.8-H8e-005_af3.wfa    | haar    | af3 | 0.8 | 0.00008 | 24576 | 8192 | 8192 | 23 | 17168 | 184 | 184 | 75.062 | 17536 | 2.140625 |
| lena32.bmp | lena32.bmp-withWavelet_rbio1.1-G_0.8-H8e-005_af3.wfa | rbio1.1 | af3 | 0.8 | 0.00008 | 24576 | 8192 | 8192 | 23 | 17168 | 184 | 184 | 74.844 | 17536 | 2.140625 |
| lena32.bmp | lena32.bmp-withWavelet_sym1-G_0.8-H8e-005_af3.wfa    | sym1    | af3 | 0.8 | 0.00008 | 24576 | 8192 | 8192 | 23 | 17168 | 184 | 184 | 74.828 | 17536 | 2.140625 |
| lena32.bmp | lena32.bmp-withWavelet_bior1.1-G_0.8-H8e-005_af3.wfa | bior1.1 | af3 | 0.8 | 0.00008 | 24576 | 8192 | 8192 | 23 | 17168 | 184 | 184 | 74.703 | 17536 | 2.140625 |
| lena32.bmp | lena32.bmp-G_0.8-H8e-005_af4.wfa                     |         | af4 | 0.8 | 0.00008 | 24576 | 8192 |      | 14 | 6512  | 112 | 112 | 47.109 | 6736  | 0.822266 |
| lena32.bmp | lena32.bmp-withWavelet_haar-G_0.8-H8e-005_af4.wfa    | haar    | af4 | 0.8 | 0.00008 | 24576 | 8192 | 8192 | 21 | 14352 | 168 | 168 | 83.359 | 14688 | 1.792969 |
| lena32.bmp | lena32.bmp-withWavelet_rbio1.1-G_0.8-H8e-005_af4.wfa | rbio1.1 | af4 | 0.8 | 0.00008 | 24576 | 8192 | 8192 | 21 | 14352 | 168 | 168 | 83.172 | 14688 | 1.792969 |
| lena32.bmp | lena32.bmp-withWavelet_sym1-G_0.8-H8e-005_af4.wfa    | sym1    | af4 | 0.8 | 0.00008 | 24576 | 8192 | 8192 | 21 | 14352 | 168 | 168 | 83.875 | 14688 | 1.792969 |
| lena32.bmp | lena32.bmp-withWavelet_bior1.1-G_0.8-H8e-005_af4.wfa | bior1.1 | af4 | 0.8 | 0.00008 | 24576 | 8192 | 8192 | 21 | 14352 | 168 | 168 | 83.765 | 14688 | 1.792969 |
| lena32.bmp | lena32.bmp-G_0.8-H8e-005_af5.wfa                     |         | af5 | 0.8 | 0.00008 | 24576 | 8192 |      | 20 | 13040 | 160 | 160 | 34.375 | 13360 | 1.630859 |
| lena32.bmp | lena32.bmp-withWavelet_haar-G_0.8-H8e-005_af5.wfa    | haar    | af5 | 0.8 | 0.00008 | 24576 | 8192 | 8192 | 17 | 9488  | 136 | 136 | 32.125 | 9760  | 1.191406 |
| lena32.bmp | lena32.bmp-withWavelet_rbio1.1-G_0.8-H8e-005_af5.wfa | rbio1.1 | af5 | 0.8 | 0.00008 | 24576 | 8192 | 8192 | 17 | 9488  | 136 | 136 | 32.359 | 9760  | 1.191406 |
| lena32.bmp | lena32.bmp-withWavelet_sym1-G_0.8-H8e-005_af5.wfa    | sym1    | af5 | 0.8 | 0.00008 | 24576 | 8192 | 8192 | 17 | 9488  | 136 | 136 | 32.328 | 9760  | 1.191406 |
| lena32.bmp | lena32.bmp-withWavelet_bior1.1-G_0.8-H8e-005_af5.wfa | bior1.1 | af5 | 0.8 | 0.00008 | 24576 | 8192 | 8192 | 17 | 9488  | 136 | 136 | 32.11  | 9760  | 1.191406 |
| lena32.bmp | lena32.bmp-G_0.6-H8e-005_af1.wfa                     |         | af1 | 0.6 | 0.00008 | 24576 | 8192 |      | 23 | 17168 | 184 | 184 | 53.891 | 17536 | 2.140625 |
| lena32.bmp | lena32.bmp-withWavelet_haar-G_0.6-H8e-005_af1.wfa    | haar    | af1 | 0.6 | 0.00008 | 24576 | 8192 | 8192 | 21 | 14352 | 168 | 168 | 56.171 | 14688 | 1.792969 |
| lena32.bmp | lena32.bmp-withWavelet_rbio1.1-G_0.6-H8e-005_af1.wfa | rbio1.1 | af1 | 0.6 | 0.00008 | 24576 | 8192 | 8192 | 21 | 14352 | 168 | 168 | 57.078 | 14688 | 1.792969 |
| lena32.bmp | lena32.bmp-withWavelet_sym1-G_0.6-H8e-005_af1.wfa    | sym1    | af1 | 0.6 | 0.00008 | 24576 | 8192 | 8192 | 21 | 14352 | 168 | 168 | 56.328 | 14688 | 1.792969 |
| lena32.bmp | lena32.bmp-withWavelet_bior1.1-G_0.6-H8e-005_af1.wfa | bior1.1 | af1 | 0.6 | 0.00008 | 24576 | 8192 | 8192 | 21 | 14352 | 168 | 168 | 56.985 | 14688 | 1.792969 |

|            |  |         |     |     |         |       |      |      |    |       |     |     |         |       |          |
|------------|--|---------|-----|-----|---------|-------|------|------|----|-------|-----|-----|---------|-------|----------|
| lena32.bmp | lena32.bmp-G_0.6-H8e-005_af2.wfa                     |         | af2 | 0.6 | 0.00008 | 24576 | 8192 |      | 20 | 13040 | 160 | 160 | 48.86   | 13360 | 1.630859 |
| lena32.bmp | lena32.bmp-withWavelet_haar-G_0.6-H8e-005_af2.wfa    | haar    | af2 | 0.6 | 0.00008 | 24576 | 8192 | 8192 | 19 | 11792 | 152 | 152 | 47.203  | 12096 | 1.476563 |
| lena32.bmp | lena32.bmp-withWavelet_rbio1.1-G_0.6-H8e-005_af2.wfa | rbio1.1 | af2 | 0.6 | 0.00008 | 24576 | 8192 | 8192 | 19 | 11792 | 152 | 152 | 47.578  | 12096 | 1.476563 |
| lena32.bmp | lena32.bmp-withWavelet_sym1-G_0.6-H8e-005_af2.wfa    | sym1    | af2 | 0.6 | 0.00008 | 24576 | 8192 | 8192 | 19 | 11792 | 152 | 152 | 47.078  | 12096 | 1.476563 |
| lena32.bmp | lena32.bmp-withWavelet_bior1.1-G_0.6-H8e-005_af2.wfa | bior1.1 | af2 | 0.6 | 0.00008 | 24576 | 8192 | 8192 | 19 | 11792 | 152 | 152 | 47.594  | 12096 | 1.476563 |
| lena32.bmp | lena32.bmp-G_0.6-H8e-005_af3.wfa                     |         | af3 | 0.6 | 0.00008 | 24576 | 8192 |      | 21 | 14352 | 168 | 168 | 46.75   | 14688 | 1.792969 |
| lena32.bmp | lena32.bmp-withWavelet_haar-G_0.6-H8e-005_af3.wfa    | haar    | af3 | 0.6 | 0.00008 | 24576 | 8192 | 8192 | 23 | 17168 | 184 | 184 | 59.078  | 17536 | 2.140625 |
| lena32.bmp | lena32.bmp-withWavelet_rbio1.1-G_0.6-H8e-005_af3.wfa | rbio1.1 | af3 | 0.6 | 0.00008 | 24576 | 8192 | 8192 | 23 | 17168 | 184 | 184 | 59.641  | 17536 | 2.140625 |
| lena32.bmp | lena32.bmp-withWavelet_sym1-G_0.6-H8e-005_af3.wfa    | sym1    | af3 | 0.6 | 0.00008 | 24576 | 8192 | 8192 | 23 | 17168 | 184 | 184 | 59.25   | 17536 | 2.140625 |
| lena32.bmp | lena32.bmp-withWavelet_bior1.1-G_0.6-H8e-005_af3.wfa | bior1.1 | af3 | 0.6 | 0.00008 | 24576 | 8192 | 8192 | 23 | 17168 | 184 | 184 | 58.859  | 17536 | 2.140625 |
| lena32.bmp | lena32.bmp-G_0.6-H8e-005_af4.wfa                     |         | af4 | 0.6 | 0.00008 | 24576 | 8192 |      | 14 | 6512  | 112 | 112 | 40.828  | 6736  | 0.822266 |
| lena32.bmp | lena32.bmp-withWavelet_haar-G_0.6-H8e-005_af4.wfa    | haar    | af4 | 0.6 | 0.00008 | 24576 | 8192 | 8192 | 23 | 17168 | 184 | 184 | 77.328  | 17536 | 2.140625 |
| lena32.bmp | lena32.bmp-withWavelet_rbio1.1-G_0.6-H8e-005_af4.wfa | rbio1.1 | af4 | 0.6 | 0.00008 | 24576 | 8192 | 8192 | 23 | 17168 | 184 | 184 | 77.531  | 17536 | 2.140625 |
| lena32.bmp | lena32.bmp-withWavelet_sym1-G_0.6-H8e-005_af4.wfa    | sym1    | af4 | 0.6 | 0.00008 | 24576 | 8192 | 8192 | 23 | 17168 | 184 | 184 | 77.532  | 17536 | 2.140625 |
| lena32.bmp | lena32.bmp-withWavelet_bior1.1-G_0.6-H8e-005_af4.wfa | bior1.1 | af4 | 0.6 | 0.00008 | 24576 | 8192 | 8192 | 23 | 17168 | 184 | 184 | 78.375  | 17536 | 2.140625 |
| lena32.bmp | lena32.bmp-G_0.6-H8e-005_af5.wfa                     |         | af5 | 0.6 | 0.00008 | 24576 | 8192 |      | 20 | 13040 | 160 | 160 | 32.437  | 13360 | 1.630859 |
| lena32.bmp | lena32.bmp-withWavelet_haar-G_0.6-H8e-005_af5.wfa    | haar    | af5 | 0.6 | 0.00008 | 24576 | 8192 | 8192 | 16 | 8432  | 128 | 128 | 30.625  | 8688  | 1.060547 |
| lena32.bmp | lena32.bmp-withWavelet_rbio1.1-G_0.6-H8e-005_af5.wfa | rbio1.1 | af5 | 0.6 | 0.00008 | 24576 | 8192 | 8192 | 16 | 8432  | 128 | 128 | 30.547  | 8688  | 1.060547 |
| lena32.bmp | lena32.bmp-withWavelet_sym1-G_0.6-H8e-005_af5.wfa    | sym1    | af5 | 0.6 | 0.00008 | 24576 | 8192 | 8192 | 16 | 8432  | 128 | 128 | 30.375  | 8688  | 1.060547 |
| lena32.bmp | lena32.bmp-withWavelet_bior1.1-G_0.6-H8e-005_af5.wfa | bior1.1 | af5 | 0.6 | 0.00008 | 24576 | 8192 | 8192 | 16 | 8432  | 128 | 128 | 30.547  | 8688  | 1.060547 |
| lena32.bmp | lena32.bmp-G_1-H9e-005_af1.wfa                       |         | af1 | 1   | 0.00009 | 24576 | 8192 |      | 22 | 15728 | 176 | 176 | 108.422 | 16080 | 1.962891 |
| lena32.bmp | lena32.bmp-withWavelet_haar-G_1-H9e-005_af1.wfa      | haar    | af1 | 1   | 0.00009 | 24576 | 8192 | 8192 | 20 | 13040 | 160 | 160 | 121.968 | 13360 | 1.630859 |
| lena32.bmp | lena32.bmp-withWavelet_rbio1.1-G_1-H9e-005_af1.wfa   | rbio1.1 | af1 | 1   | 0.00009 | 24576 | 8192 | 8192 | 20 | 13040 | 160 | 160 | 121.625 | 13360 | 1.630859 |
| lena32.bmp | lena32.bmp-withWavelet_sym1-G_1-H9e-005_af1.wfa      | sym1    | af1 | 1   | 0.00009 | 24576 | 8192 | 8192 | 20 | 13040 | 160 | 160 | 119.875 | 13360 | 1.630859 |
| lena32.bmp | lena32.bmp-withWavelet_bior1.1-G_1-H9e-005_af1.wfa   | bior1.1 | af1 | 1   | 0.00009 | 24576 | 8192 | 8192 | 20 | 13040 | 160 | 160 | 121.625 | 13360 | 1.630859 |
| lena32.bmp | lena32.bmp-G_1-H9e-005_af2.wfa                       |         | af2 | 1   | 0.00009 | 24576 | 8192 |      | 19 | 11792 | 152 | 152 | 91.157  | 12096 | 1.476563 |
| lena32.bmp | lena32.bmp-withWavelet_haar-G_1-H9e-005_af2.wfa      | haar    | af2 | 1   | 0.00009 | 24576 | 8192 | 8192 | 17 | 9488  | 136 | 136 | 80.329  | 9760  | 1.191406 |
| lena32.bmp | lena32.bmp-withWavelet_rbio1.1-G_1-H9e-005_af2.wfa   | rbio1.1 | af2 | 1   | 0.00009 | 24576 | 8192 | 8192 | 17 | 9488  | 136 | 136 | 79.656  | 9760  | 1.191406 |
| lena32.bmp | lena32.bmp-withWavelet_sym1-G_1-H9e-005_af2.wfa      | sym1    | af2 | 1   | 0.00009 | 24576 | 8192 | 8192 | 17 | 9488  | 136 | 136 | 79.485  | 9760  | 1.191406 |
| lena32.bmp | lena32.bmp-withWavelet_bior1.1-G_1-H9e-005_af2.wfa   | bior1.1 | af2 | 1   | 0.00009 | 24576 | 8192 | 8192 | 17 | 9488  | 136 | 136 | 79.672  | 9760  | 1.191406 |
| lena32.bmp | lena32.bmp-G_1-H9e-005_af3.wfa                       |         | af3 | 1   | 0.00009 | 24576 | 8192 |      | 21 | 14352 | 168 | 168 | 92.234  | 14688 | 1.792969 |

|            |  |         |     |     |         |       |      |      |    |       |     |     |         |       |          |
|------------|--|---------|-----|-----|---------|-------|------|------|----|-------|-----|-----|---------|-------|----------|
| lena32.bmp | lena32.bmp-withWavelet_haar-G_1-H9e-005_af3.wfa      | haar    | af3 | 1   | 0.00009 | 24576 | 8192 | 8192 | 23 | 17168 | 184 | 184 | 136.828 | 17536 | 2.140625 |
| lena32.bmp | lena32.bmp-withWavelet_rbio1.1-G_1-H9e-005_af3.wfa   | rbio1.1 | af3 | 1   | 0.00009 | 24576 | 8192 | 8192 | 23 | 17168 | 184 | 184 | 136.125 | 17536 | 2.140625 |
| lena32.bmp | lena32.bmp-withWavelet_sym1-G_1-H9e-005_af3.wfa      | sym1    | af3 | 1   | 0.00009 | 24576 | 8192 | 8192 | 23 | 17168 | 184 | 184 | 137.047 | 17536 | 2.140625 |
| lena32.bmp | lena32.bmp-withWavelet_bior1.1-G_1-H9e-005_af3.wfa   | bior1.1 | af3 | 1   | 0.00009 | 24576 | 8192 | 8192 | 23 | 17168 | 184 | 184 | 136.437 | 17536 | 2.140625 |
| lena32.bmp | lena32.bmp-G_1-H9e-005_af4.wfa                       |         | af4 | 1   | 0.00009 | 24576 | 8192 |      | 13 | 5648  | 104 | 104 | 65.766  | 5856  | 0.714844 |
| lena32.bmp | lena32.bmp-withWavelet_haar-G_1-H9e-005_af4.wfa      | haar    | af4 | 1   | 0.00009 | 24576 | 8192 | 8192 | 20 | 13040 | 160 | 160 | 135.172 | 13360 | 1.630859 |
| lena32.bmp | lena32.bmp-withWavelet_rbio1.1-G_1-H9e-005_af4.wfa   | rbio1.1 | af4 | 1   | 0.00009 | 24576 | 8192 | 8192 | 20 | 13040 | 160 | 160 | 143.86  | 13360 | 1.630859 |
| lena32.bmp | lena32.bmp-withWavelet_sym1-G_1-H9e-005_af4.wfa      | sym1    | af4 | 1   | 0.00009 | 24576 | 8192 | 8192 | 20 | 13040 | 160 | 160 | 144.985 | 13360 | 1.630859 |
| lena32.bmp | lena32.bmp-withWavelet_bior1.1-G_1-H9e-005_af4.wfa   | bior1.1 | af4 | 1   | 0.00009 | 24576 | 8192 | 8192 | 20 | 13040 | 160 | 160 | 143.719 | 13360 | 1.630859 |
| lena32.bmp | lena32.bmp-G_1-H9e-005_af5.wfa                       |         | af5 | 1   | 0.00009 | 24576 | 8192 |      | 19 | 11792 | 152 | 152 | 42.875  | 12096 | 1.476563 |
| lena32.bmp | lena32.bmp-withWavelet_haar-G_1-H9e-005_af5.wfa      | haar    | af5 | 1   | 0.00009 | 24576 | 8192 | 8192 | 16 | 8432  | 128 | 128 | 38.844  | 8688  | 1.060547 |
| lena32.bmp | lena32.bmp-withWavelet_rbio1.1-G_1-H9e-005_af5.wfa   | rbio1.1 | af5 | 1   | 0.00009 | 24576 | 8192 | 8192 | 16 | 8432  | 128 | 128 | 38.656  | 8688  | 1.060547 |
| lena32.bmp | lena32.bmp-withWavelet_sym1-G_1-H9e-005_af5.wfa      | sym1    | af5 | 1   | 0.00009 | 24576 | 8192 | 8192 | 16 | 8432  | 128 | 128 | 39.063  | 8688  | 1.060547 |
| lena32.bmp | lena32.bmp-withWavelet_bior1.1-G_1-H9e-005_af5.wfa   | bior1.1 | af5 | 1   | 0.00009 | 24576 | 8192 | 8192 | 16 | 8432  | 128 | 128 | 38.656  | 8688  | 1.060547 |
| lena32.bmp | lena32.bmp-G_0.8-H9e-005_af1.wfa                     |         | af1 | 0.8 | 0.00009 | 24576 | 8192 |      | 22 | 15728 | 176 | 176 | 62.078  | 16080 | 1.962891 |
| lena32.bmp | lena32.bmp-withWavelet_haar-G_0.8-H9e-005_af1.wfa    | haar    | af1 | 0.8 | 0.00009 | 24576 | 8192 | 8192 | 19 | 11792 | 152 | 152 | 64.641  | 12096 | 1.476563 |
| lena32.bmp | lena32.bmp-withWavelet_rbio1.1-G_0.8-H9e-005_af1.wfa | rbio1.1 | af1 | 0.8 | 0.00009 | 24576 | 8192 | 8192 | 19 | 11792 | 152 | 152 | 64.703  | 12096 | 1.476563 |
| lena32.bmp | lena32.bmp-withWavelet_sym1-G_0.8-H9e-005_af1.wfa    | sym1    | af1 | 0.8 | 0.00009 | 24576 | 8192 | 8192 | 19 | 11792 | 152 | 152 | 63.891  | 12096 | 1.476563 |
| lena32.bmp | lena32.bmp-withWavelet_bior1.1-G_0.8-H9e-005_af1.wfa | bior1.1 | af1 | 0.8 | 0.00009 | 24576 | 8192 | 8192 | 19 | 11792 | 152 | 152 | 63.828  | 12096 | 1.476563 |
| lena32.bmp | lena32.bmp-G_0.8-H9e-005_af2.wfa                     |         | af2 | 0.8 | 0.00009 | 24576 | 8192 |      | 19 | 11792 | 152 | 152 | 54.734  | 12096 | 1.476563 |
| lena32.bmp | lena32.bmp-withWavelet_haar-G_0.8-H9e-005_af2.wfa    | haar    | af2 | 0.8 | 0.00009 | 24576 | 8192 | 8192 | 18 | 10608 | 144 | 144 | 55.343  | 10896 | 1.330078 |
| lena32.bmp | lena32.bmp-withWavelet_rbio1.1-G_0.8-H9e-005_af2.wfa | rbio1.1 | af2 | 0.8 | 0.00009 | 24576 | 8192 | 8192 | 18 | 10608 | 144 | 144 | 55.515  | 10896 | 1.330078 |
| lena32.bmp | lena32.bmp-withWavelet_sym1-G_0.8-H9e-005_af2.wfa    | sym1    | af2 | 0.8 | 0.00009 | 24576 | 8192 | 8192 | 18 | 10608 | 144 | 144 | 55.469  | 10896 | 1.330078 |
| lena32.bmp | lena32.bmp-withWavelet_bior1.1-G_0.8-H9e-005_af2.wfa | bior1.1 | af2 | 0.8 | 0.00009 | 24576 | 8192 | 8192 | 18 | 10608 | 144 | 144 | 55.531  | 10896 | 1.330078 |
| lena32.bmp | lena32.bmp-G_0.8-H9e-005_af3.wfa                     |         | af3 | 0.8 | 0.00009 | 24576 | 8192 |      | 21 | 14352 | 168 | 168 | 55.281  | 14688 | 1.792969 |
| lena32.bmp | lena32.bmp-withWavelet_haar-G_0.8-H9e-005_af3.wfa    | haar    | af3 | 0.8 | 0.00009 | 24576 | 8192 | 8192 | 22 | 15728 | 176 | 176 | 69.484  | 16080 | 1.962891 |
| lena32.bmp | lena32.bmp-withWavelet_rbio1.1-G_0.8-H9e-005_af3.wfa | rbio1.1 | af3 | 0.8 | 0.00009 | 24576 | 8192 | 8192 | 22 | 15728 | 176 | 176 | 69.359  | 16080 | 1.962891 |
| lena32.bmp | lena32.bmp-withWavelet_sym1-G_0.8-H9e-005_af3.wfa    | sym1    | af3 | 0.8 | 0.00009 | 24576 | 8192 | 8192 | 22 | 15728 | 176 | 176 | 69.562  | 16080 | 1.962891 |
| lena32.bmp | lena32.bmp-withWavelet_bior1.1-G_0.8-H9e-005_af3.wfa | bior1.1 | af3 | 0.8 | 0.00009 | 24576 | 8192 | 8192 | 22 | 15728 | 176 | 176 | 69.671  | 16080 | 1.962891 |
| lena32.bmp | lena32.bmp-G_0.8-H9e-005_af4.wfa                     |         | af4 | 0.8 | 0.00009 | 24576 | 8192 |      | 12 | 4848  | 96  | 96  | 41.797  | 5040  | 0.615234 |
| lena32.bmp | lena32.bmp-withWavelet_haar-G_0.8-H9e-005_af4.wfa    | haar    | af4 | 0.8 | 0.00009 | 24576 | 8192 | 8192 | 20 | 13040 | 160 | 160 | 79.172  | 13360 | 1.630859 |

|            |  |         |     |     |         |       |      |      |    |       |     |     |        |       |          |
|------------|--|---------|-----|-----|---------|-------|------|------|----|-------|-----|-----|--------|-------|----------|
| lena32.bmp | lena32.bmp-withWavelet_rbio1.1-G_0.8-H9e-005_af4.wfa | rbio1.1 | af4 | 0.8 | 0.00009 | 24576 | 8192 | 8192 | 20 | 13040 | 160 | 160 | 76.875 | 13360 | 1.630859 |
| lena32.bmp | lena32.bmp-withWavelet_sym1-G_0.8-H9e-005_af4.wfa    | sym1    | af4 | 0.8 | 0.00009 | 24576 | 8192 | 8192 | 20 | 13040 | 160 | 160 | 77.719 | 13360 | 1.630859 |
| lena32.bmp | lena32.bmp-withWavelet_bior1.1-G_0.8-H9e-005_af4.wfa | bior1.1 | af4 | 0.8 | 0.00009 | 24576 | 8192 | 8192 | 20 | 13040 | 160 | 160 | 77.61  | 13360 | 1.630859 |
| lena32.bmp | lena32.bmp-G_0.8-H9e-005_af5.wfa                     |         | af5 | 0.8 | 0.00009 | 24576 | 8192 |      | 18 | 10608 | 144 | 144 | 33.843 | 10896 | 1.330078 |
| lena32.bmp | lena32.bmp-withWavelet_haar-G_0.8-H9e-005_af5.wfa    | haar    | af5 | 0.8 | 0.00009 | 24576 | 8192 | 8192 | 17 | 9488  | 136 | 136 | 32.328 | 9760  | 1.191406 |
| lena32.bmp | lena32.bmp-withWavelet_rbio1.1-G_0.8-H9e-005_af5.wfa | rbio1.1 | af5 | 0.8 | 0.00009 | 24576 | 8192 | 8192 | 17 | 9488  | 136 | 136 | 32.328 | 9760  | 1.191406 |
| lena32.bmp | lena32.bmp-withWavelet_sym1-G_0.8-H9e-005_af5.wfa    | sym1    | af5 | 0.8 | 0.00009 | 24576 | 8192 | 8192 | 17 | 9488  | 136 | 136 | 32.328 | 9760  | 1.191406 |
| lena32.bmp | lena32.bmp-withWavelet_bior1.1-G_0.8-H9e-005_af5.wfa | bior1.1 | af5 | 0.8 | 0.00009 | 24576 | 8192 | 8192 | 17 | 9488  | 136 | 136 | 32.391 | 9760  | 1.191406 |
| lena32.bmp | lena32.bmp-G_0.6-H9e-005_af1.wfa                     |         | af1 | 0.6 | 0.00009 | 24576 | 8192 |      | 22 | 15728 | 176 | 176 | 51.546 | 16080 | 1.962891 |
| lena32.bmp | lena32.bmp-withWavelet_haar-G_0.6-H9e-005_af1.wfa    | haar    | af1 | 0.6 | 0.00009 | 24576 | 8192 | 8192 | 18 | 10608 | 144 | 144 | 50.218 | 10896 | 1.330078 |
| lena32.bmp | lena32.bmp-withWavelet_rbio1.1-G_0.6-H9e-005_af1.wfa | rbio1.1 | af1 | 0.6 | 0.00009 | 24576 | 8192 | 8192 | 18 | 10608 | 144 | 144 | 50.062 | 10896 | 1.330078 |
| lena32.bmp | lena32.bmp-withWavelet_sym1-G_0.6-H9e-005_af1.wfa    | sym1    | af1 | 0.6 | 0.00009 | 24576 | 8192 | 8192 | 18 | 10608 | 144 | 144 | 49.484 | 10896 | 1.330078 |
| lena32.bmp | lena32.bmp-withWavelet_bior1.1-G_0.6-H9e-005_af1.wfa | bior1.1 | af1 | 0.6 | 0.00009 | 24576 | 8192 | 8192 | 18 | 10608 | 144 | 144 | 50.047 | 10896 | 1.330078 |
| lena32.bmp | lena32.bmp-G_0.6-H9e-005_af2.wfa                     |         | af2 | 0.6 | 0.00009 | 24576 | 8192 |      | 19 | 11792 | 152 | 152 | 45.187 | 12096 | 1.476563 |
| lena32.bmp | lena32.bmp-withWavelet_haar-G_0.6-H9e-005_af2.wfa    | haar    | af2 | 0.6 | 0.00009 | 24576 | 8192 | 8192 | 18 | 10608 | 144 | 144 | 44.656 | 10896 | 1.330078 |
| lena32.bmp | lena32.bmp-withWavelet_rbio1.1-G_0.6-H9e-005_af2.wfa | rbio1.1 | af2 | 0.6 | 0.00009 | 24576 | 8192 | 8192 | 18 | 10608 | 144 | 144 | 44.812 | 10896 | 1.330078 |
| lena32.bmp | lena32.bmp-withWavelet_sym1-G_0.6-H9e-005_af2.wfa    | sym1    | af2 | 0.6 | 0.00009 | 24576 | 8192 | 8192 | 18 | 10608 | 144 | 144 | 44.234 | 10896 | 1.330078 |
| lena32.bmp | lena32.bmp-withWavelet_bior1.1-G_0.6-H9e-005_af2.wfa | bior1.1 | af2 | 0.6 | 0.00009 | 24576 | 8192 | 8192 | 18 | 10608 | 144 | 144 | 44.547 | 10896 | 1.330078 |
| lena32.bmp | lena32.bmp-G_0.6-H9e-005_af3.wfa                     |         | af3 | 0.6 | 0.00009 | 24576 | 8192 |      | 20 | 13040 | 160 | 160 | 45.828 | 13360 | 1.630859 |
| lena32.bmp | lena32.bmp-withWavelet_haar-G_0.6-H9e-005_af3.wfa    | haar    | af3 | 0.6 | 0.00009 | 24576 | 8192 | 8192 | 22 | 15728 | 176 | 176 | 54.328 | 16080 | 1.962891 |
| lena32.bmp | lena32.bmp-withWavelet_rbio1.1-G_0.6-H9e-005_af3.wfa | rbio1.1 | af3 | 0.6 | 0.00009 | 24576 | 8192 | 8192 | 22 | 15728 | 176 | 176 | 54.406 | 16080 | 1.962891 |
| lena32.bmp | lena32.bmp-withWavelet_sym1-G_0.6-H9e-005_af3.wfa    | sym1    | af3 | 0.6 | 0.00009 | 24576 | 8192 | 8192 | 22 | 15728 | 176 | 176 | 54.141 | 16080 | 1.962891 |
| lena32.bmp | lena32.bmp-withWavelet_bior1.1-G_0.6-H9e-005_af3.wfa | bior1.1 | af3 | 0.6 | 0.00009 | 24576 | 8192 | 8192 | 22 | 15728 | 176 | 176 | 54.579 | 16080 | 1.962891 |
| lena32.bmp | lena32.bmp-G_0.6-H9e-005_af4.wfa                     |         | af4 | 0.6 | 0.00009 | 24576 | 8192 |      | 13 | 5648  | 104 | 104 | 38.734 | 5856  | 0.714844 |
| lena32.bmp | lena32.bmp-withWavelet_haar-G_0.6-H9e-005_af4.wfa    | haar    | af4 | 0.6 | 0.00009 | 24576 | 8192 | 8192 | 21 | 14352 | 168 | 168 | 64.016 | 14688 | 1.792969 |
| lena32.bmp | lena32.bmp-withWavelet_rbio1.1-G_0.6-H9e-005_af4.wfa | rbio1.1 | af4 | 0.6 | 0.00009 | 24576 | 8192 | 8192 | 21 | 14352 | 168 | 168 | 62.969 | 14688 | 1.792969 |
| lena32.bmp | lena32.bmp-withWavelet_sym1-G_0.6-H9e-005_af4.wfa    | sym1    | af4 | 0.6 | 0.00009 | 24576 | 8192 | 8192 | 21 | 14352 | 168 | 168 | 62.843 | 14688 | 1.792969 |
| lena32.bmp | lena32.bmp-withWavelet_bior1.1-G_0.6-H9e-005_af4.wfa | bior1.1 | af4 | 0.6 | 0.00009 | 24576 | 8192 | 8192 | 21 | 14352 | 168 | 168 | 62.734 | 14688 | 1.792969 |
| lena32.bmp | lena32.bmp-G_0.6-H9e-005_af5.wfa                     |         | af5 | 0.6 | 0.00009 | 24576 | 8192 |      | 19 | 11792 | 152 | 152 | 31.734 | 12096 | 1.476563 |
| lena32.bmp | lena32.bmp-withWavelet_haar-G_0.6-H9e-005_af5.wfa    | haar    | af5 | 0.6 | 0.00009 | 24576 | 8192 | 8192 | 15 | 7440  | 120 | 120 | 30.546 | 7680  | 0.9375   |
| lena32.bmp | lena32.bmp-withWavelet_rbio1.1-G_0.6-H9e-005_af5.wfa | rbio1.1 | af5 | 0.6 | 0.00009 | 24576 | 8192 | 8192 | 15 | 7440  | 120 | 120 | 30.594 | 7680  | 0.9375   |



|            |  |         |     |     |         |       |      |      |    |       |     |     |         |       |          |
|------------|--|---------|-----|-----|---------|-------|------|------|----|-------|-----|-----|---------|-------|----------|
| lena32.bmp | lena32.bmp-withWavelet_sym1-G_0.6-H9e-005_af5.wfa    | sym1    | af5 | 0.6 | 0.00009 | 24576 | 8192 | 8192 | 15 | 7440  | 120 | 120 | 30.766  | 7680  | 0.9375   |
| lena32.bmp | lena32.bmp-withWavelet_bior1.1-G_0.6-H9e-005_af5.wfa | bior1.1 | af5 | 0.6 | 0.00009 | 24576 | 8192 | 8192 | 15 | 7440  | 120 | 120 | 30.344  | 7680  | 0.9375   |
| lena32.bmp | lena32.bmp-G_1-H0.0001_af1.wfa                       |         | af1 | 1   | 0.0001  | 24576 | 8192 |      | 21 | 14352 | 168 | 168 | 102.671 | 14688 | 1.792969 |
| lena32.bmp | lena32.bmp-withWavelet_haar-G_1-H0.0001_af1.wfa      | haar    | af1 | 1   | 0.0001  | 24576 | 8192 | 8192 | 19 | 11792 | 152 | 152 | 114.766 | 12096 | 1.476563 |
| lena32.bmp | lena32.bmp-withWavelet_rbio1.1-G_1-H0.0001_af1.wfa   | rbio1.1 | af1 | 1   | 0.0001  | 24576 | 8192 | 8192 | 19 | 11792 | 152 | 152 | 113.031 | 12096 | 1.476563 |
| lena32.bmp | lena32.bmp-withWavelet_sym1-G_1-H0.0001_af1.wfa      | sym1    | af1 | 1   | 0.0001  | 24576 | 8192 | 8192 | 19 | 11792 | 152 | 152 | 113.969 | 12096 | 1.476563 |
| lena32.bmp | lena32.bmp-withWavelet_bior1.1-G_1-H0.0001_af1.wfa   | bior1.1 | af1 | 1   | 0.0001  | 24576 | 8192 | 8192 | 19 | 11792 | 152 | 152 | 113.953 | 12096 | 1.476563 |
| lena32.bmp | lena32.bmp-G_1-H0.0001_af2.wfa                       |         | af2 | 1   | 0.0001  | 24576 | 8192 |      | 19 | 11792 | 152 | 152 | 86.453  | 12096 | 1.476563 |
| lena32.bmp | lena32.bmp-withWavelet_haar-G_1-H0.0001_af2.wfa      | haar    | af2 | 1   | 0.0001  | 24576 | 8192 | 8192 | 16 | 8432  | 128 | 128 | 79.859  | 8688  | 1.060547 |
| lena32.bmp | lena32.bmp-withWavelet_rbio1.1-G_1-H0.0001_af2.wfa   | rbio1.1 | af2 | 1   | 0.0001  | 24576 | 8192 | 8192 | 16 | 8432  | 128 | 128 | 79.562  | 8688  | 1.060547 |
| lena32.bmp | lena32.bmp-withWavelet_sym1-G_1-H0.0001_af2.wfa      | sym1    | af2 | 1   | 0.0001  | 24576 | 8192 | 8192 | 16 | 8432  | 128 | 128 | 79.406  | 8688  | 1.060547 |
| lena32.bmp | lena32.bmp-withWavelet_bior1.1-G_1-H0.0001_af2.wfa   | bior1.1 | af2 | 1   | 0.0001  | 24576 | 8192 | 8192 | 16 | 8432  | 128 | 128 | 79.375  | 8688  | 1.060547 |
| lena32.bmp | lena32.bmp-G_1-H0.0001_af3.wfa                       |         | af3 | 1   | 0.0001  | 24576 | 8192 |      | 19 | 11792 | 152 | 152 | 90.438  | 12096 | 1.476563 |
| lena32.bmp | lena32.bmp-withWavelet_haar-G_1-H0.0001_af3.wfa      | haar    | af3 | 1   | 0.0001  | 24576 | 8192 | 8192 | 22 | 15728 | 176 | 176 | 125.531 | 16080 | 1.962891 |
| lena32.bmp | lena32.bmp-withWavelet_rbio1.1-G_1-H0.0001_af3.wfa   | rbio1.1 | af3 | 1   | 0.0001  | 24576 | 8192 | 8192 | 22 | 15728 | 176 | 176 | 124.266 | 16080 | 1.962891 |
| lena32.bmp | lena32.bmp-withWavelet_sym1-G_1-H0.0001_af3.wfa      | sym1    | af3 | 1   | 0.0001  | 24576 | 8192 | 8192 | 22 | 15728 | 176 | 176 | 124.922 | 16080 | 1.962891 |
| lena32.bmp | lena32.bmp-withWavelet_bior1.1-G_1-H0.0001_af3.wfa   | bior1.1 | af3 | 1   | 0.0001  | 24576 | 8192 | 8192 | 22 | 15728 | 176 | 176 | 124.25  | 16080 | 1.962891 |
| lena32.bmp | lena32.bmp-G_1-H0.0001_af4.wfa                       |         | af4 | 1   | 0.0001  | 24576 | 8192 |      | 12 | 4848  | 96  | 96  | 61.359  | 5040  | 0.615234 |
| lena32.bmp | lena32.bmp-withWavelet_haar-G_1-H0.0001_af4.wfa      | haar    | af4 | 1   | 0.0001  | 24576 | 8192 | 8192 | 20 | 13040 | 160 | 160 | 142.922 | 13360 | 1.630859 |
| lena32.bmp | lena32.bmp-withWavelet_rbio1.1-G_1-H0.0001_af4.wfa   | rbio1.1 | af4 | 1   | 0.0001  | 24576 | 8192 | 8192 | 20 | 13040 | 160 | 160 | 141.828 | 13360 | 1.630859 |
| lena32.bmp | lena32.bmp-withWavelet_sym1-G_1-H0.0001_af4.wfa      | sym1    | af4 | 1   | 0.0001  | 24576 | 8192 | 8192 | 20 | 13040 | 160 | 160 | 141.891 | 13360 | 1.630859 |
| lena32.bmp | lena32.bmp-withWavelet_bior1.1-G_1-H0.0001_af4.wfa   | bior1.1 | af4 | 1   | 0.0001  | 24576 | 8192 | 8192 | 20 | 13040 | 160 | 160 | 145.172 | 13360 | 1.630859 |
| lena32.bmp | lena32.bmp-G_1-H0.0001_af5.wfa                       |         | af5 | 1   | 0.0001  | 24576 | 8192 |      | 18 | 10608 | 144 | 144 | 42.266  | 10896 | 1.330078 |
| lena32.bmp | lena32.bmp-withWavelet_haar-G_1-H0.0001_af5.wfa      | haar    | af5 | 1   | 0.0001  | 24576 | 8192 | 8192 | 15 | 7440  | 120 | 120 | 37.438  | 7680  | 0.9375   |
| lena32.bmp | lena32.bmp-withWavelet_rbio1.1-G_1-H0.0001_af5.wfa   | rbio1.1 | af5 | 1   | 0.0001  | 24576 | 8192 | 8192 | 15 | 7440  | 120 | 120 | 37.562  | 7680  | 0.9375   |
| lena32.bmp | lena32.bmp-withWavelet_sym1-G_1-H0.0001_af5.wfa      | sym1    | af5 | 1   | 0.0001  | 24576 | 8192 | 8192 | 15 | 7440  | 120 | 120 | 38.187  | 7680  | 0.9375   |
| lena32.bmp | lena32.bmp-withWavelet_bior1.1-G_1-H0.0001_af5.wfa   | bior1.1 | af5 | 1   | 0.0001  | 24576 | 8192 | 8192 | 15 | 7440  | 120 | 120 | 37.875  | 7680  | 0.9375   |
| lena32.bmp | lena32.bmp-G_0.8-H0.0001_af1.wfa                     |         | af1 | 0.8 | 0.0001  | 24576 | 8192 |      | 21 | 14352 | 168 | 168 | 59.234  | 14688 | 1.792969 |
| lena32.bmp | lena32.bmp-withWavelet_haar-G_0.8-H0.0001_af1.wfa    | haar    | af1 | 0.8 | 0.0001  | 24576 | 8192 | 8192 | 19 | 11792 | 152 | 152 | 64.109  | 12096 | 1.476563 |
| lena32.bmp | lena32.bmp-withWavelet_rbio1.1-G_0.8-H0.0001_af1.wfa | rbio1.1 | af1 | 0.8 | 0.0001  | 24576 | 8192 | 8192 | 19 | 11792 | 152 | 152 | 64.219  | 12096 | 1.476563 |
| lena32.bmp | lena32.bmp-withWavelet_sym1-G_0.8-H0.0001_af1.wfa    | sym1    | af1 | 0.8 | 0.0001  | 24576 | 8192 | 8192 | 19 | 11792 | 152 | 152 | 63.609  | 12096 | 1.476563 |

|            |  |         |     |     |        |       |      |      |    |       |     |     |        |       |          |
|------------|--|---------|-----|-----|--------|-------|------|------|----|-------|-----|-----|--------|-------|----------|
| lena32.bmp | lena32.bmp-withWavelet_bior1.1-G_0.8-H0.0001_af1.wfa | bior1.1 | af1 | 0.8 | 0.0001 | 24576 | 8192 | 8192 | 19 | 11792 | 152 | 152 | 64.235 | 12096 | 1.476563 |
| lena32.bmp | lena32.bmp-G_0.8-H0.0001_af2.wfa                     |         | af2 | 0.8 | 0.0001 | 24576 | 8192 |      | 19 | 11792 | 152 | 152 | 52.578 | 12096 | 1.476563 |
| lena32.bmp | lena32.bmp-withWavelet_haar-G_0.8-H0.0001_af2.wfa    | haar    | af2 | 0.8 | 0.0001 | 24576 | 8192 | 8192 | 18 | 10608 | 144 | 144 | 55.11  | 10896 | 1.330078 |
| lena32.bmp | lena32.bmp-withWavelet_rbio1.1-G_0.8-H0.0001_af2.wfa | rbio1.1 | af2 | 0.8 | 0.0001 | 24576 | 8192 | 8192 | 18 | 10608 | 144 | 144 | 54.328 | 10896 | 1.330078 |
| lena32.bmp | lena32.bmp-withWavelet_sym1-G_0.8-H0.0001_af2.wfa    | sym1    | af2 | 0.8 | 0.0001 | 24576 | 8192 | 8192 | 18 | 10608 | 144 | 144 | 54.735 | 10896 | 1.330078 |
| lena32.bmp | lena32.bmp-withWavelet_bior1.1-G_0.8-H0.0001_af2.wfa | bior1.1 | af2 | 0.8 | 0.0001 | 24576 | 8192 | 8192 | 18 | 10608 | 144 | 144 | 54.235 | 10896 | 1.330078 |
| lena32.bmp | lena32.bmp-G_0.8-H0.0001_af3.wfa                     |         | af3 | 0.8 | 0.0001 | 24576 | 8192 |      | 19 | 11792 | 152 | 152 | 54.125 | 12096 | 1.476563 |
| lena32.bmp | lena32.bmp-withWavelet_haar-G_0.8-H0.0001_af3.wfa    | haar    | af3 | 0.8 | 0.0001 | 24576 | 8192 | 8192 | 22 | 15728 | 176 | 176 | 69.516 | 16080 | 1.962891 |
| lena32.bmp | lena32.bmp-withWavelet_rbio1.1-G_0.8-H0.0001_af3.wfa | rbio1.1 | af3 | 0.8 | 0.0001 | 24576 | 8192 | 8192 | 22 | 15728 | 176 | 176 | 69.656 | 16080 | 1.962891 |
| lena32.bmp | lena32.bmp-withWavelet_sym1-G_0.8-H0.0001_af3.wfa    | sym1    | af3 | 0.8 | 0.0001 | 24576 | 8192 | 8192 | 22 | 15728 | 176 | 176 | 69.14  | 16080 | 1.962891 |
| lena32.bmp | lena32.bmp-withWavelet_bior1.1-G_0.8-H0.0001_af3.wfa | bior1.1 | af3 | 0.8 | 0.0001 | 24576 | 8192 | 8192 | 22 | 15728 | 176 | 176 | 69.735 | 16080 | 1.962891 |
| lena32.bmp | lena32.bmp-G_0.8-H0.0001_af4.wfa                     |         | af4 | 0.8 | 0.0001 | 24576 | 8192 |      | 12 | 4848  | 96  | 96  | 41.797 | 5040  | 0.615234 |
| lena32.bmp | lena32.bmp-withWavelet_haar-G_0.8-H0.0001_af4.wfa    | haar    | af4 | 0.8 | 0.0001 | 24576 | 8192 | 8192 | 20 | 13040 | 160 | 160 | 77.078 | 13360 | 1.630859 |
| lena32.bmp | lena32.bmp-withWavelet_rbio1.1-G_0.8-H0.0001_af4.wfa | rbio1.1 | af4 | 0.8 | 0.0001 | 24576 | 8192 | 8192 | 20 | 13040 | 160 | 160 | 77.453 | 13360 | 1.630859 |
| lena32.bmp | lena32.bmp-withWavelet_sym1-G_0.8-H0.0001_af4.wfa    | sym1    | af4 | 0.8 | 0.0001 | 24576 | 8192 | 8192 | 20 | 13040 | 160 | 160 | 76.953 | 13360 | 1.630859 |
| lena32.bmp | lena32.bmp-withWavelet_bior1.1-G_0.8-H0.0001_af4.wfa | bior1.1 | af4 | 0.8 | 0.0001 | 24576 | 8192 | 8192 | 20 | 13040 | 160 | 160 | 79.297 | 13360 | 1.630859 |
| lena32.bmp | lena32.bmp-G_0.8-H0.0001_af5.wfa                     |         | af5 | 0.8 | 0.0001 | 24576 | 8192 |      | 18 | 10608 | 144 | 144 | 33.344 | 10896 | 1.330078 |
| lena32.bmp | lena32.bmp-withWavelet_haar-G_0.8-H0.0001_af5.wfa    | haar    | af5 | 0.8 | 0.0001 | 24576 | 8192 | 8192 | 15 | 7440  | 120 | 120 | 31.687 | 7680  | 0.9375   |
| lena32.bmp | lena32.bmp-withWavelet_rbio1.1-G_0.8-H0.0001_af5.wfa | rbio1.1 | af5 | 0.8 | 0.0001 | 24576 | 8192 | 8192 | 15 | 7440  | 120 | 120 | 31.516 | 7680  | 0.9375   |
| lena32.bmp | lena32.bmp-withWavelet_sym1-G_0.8-H0.0001_af5.wfa    | sym1    | af5 | 0.8 | 0.0001 | 24576 | 8192 | 8192 | 15 | 7440  | 120 | 120 | 31.687 | 7680  | 0.9375   |
| lena32.bmp | lena32.bmp-withWavelet_bior1.1-G_0.8-H0.0001_af5.wfa | bior1.1 | af5 | 0.8 | 0.0001 | 24576 | 8192 | 8192 | 15 | 7440  | 120 | 120 | 31.797 | 7680  | 0.9375   |
| lena32.bmp | lena32.bmp-G_0.6-H0.0001_af1.wfa                     |         | af1 | 0.6 | 0.0001 | 24576 | 8192 |      | 21 | 14352 | 168 | 168 | 48.422 | 14688 | 1.792969 |
| lena32.bmp | lena32.bmp-withWavelet_haar-G_0.6-H0.0001_af1.wfa    | haar    | af1 | 0.6 | 0.0001 | 24576 | 8192 | 8192 | 18 | 10608 | 144 | 144 | 50.172 | 10896 | 1.330078 |
| lena32.bmp | lena32.bmp-withWavelet_rbio1.1-G_0.6-H0.0001_af1.wfa | rbio1.1 | af1 | 0.6 | 0.0001 | 24576 | 8192 | 8192 | 18 | 10608 | 144 | 144 | 51.469 | 10896 | 1.330078 |
| lena32.bmp | lena32.bmp-withWavelet_sym1-G_0.6-H0.0001_af1.wfa    | sym1    | af1 | 0.6 | 0.0001 | 24576 | 8192 | 8192 | 18 | 10608 | 144 | 144 | 50.219 | 10896 | 1.330078 |
| lena32.bmp | lena32.bmp-withWavelet_bior1.1-G_0.6-H0.0001_af1.wfa | bior1.1 | af1 | 0.6 | 0.0001 | 24576 | 8192 | 8192 | 18 | 10608 | 144 | 144 | 49.844 | 10896 | 1.330078 |
| lena32.bmp | lena32.bmp-G_0.6-H0.0001_af2.wfa                     |         | af2 | 0.6 | 0.0001 | 24576 | 8192 |      | 18 | 10608 | 144 | 144 | 42.515 | 10896 | 1.330078 |
| lena32.bmp | lena32.bmp-withWavelet_haar-G_0.6-H0.0001_af2.wfa    | haar    | af2 | 0.6 | 0.0001 | 24576 | 8192 | 8192 | 18 | 10608 | 144 | 144 | 44.968 | 10896 | 1.330078 |
| lena32.bmp | lena32.bmp-withWavelet_rbio1.1-G_0.6-H0.0001_af2.wfa | rbio1.1 | af2 | 0.6 | 0.0001 | 24576 | 8192 | 8192 | 18 | 10608 | 144 | 144 | 44.25  | 10896 | 1.330078 |
| lena32.bmp | lena32.bmp-withWavelet_sym1-G_0.6-H0.0001_af2.wfa    | sym1    | af2 | 0.6 | 0.0001 | 24576 | 8192 | 8192 | 18 | 10608 | 144 | 144 | 44.531 | 10896 | 1.330078 |
| lena32.bmp | lena32.bmp-withWavelet_bior1.1-G_0.6-H0.0001_af2.wfa | bior1.1 | af2 | 0.6 | 0.0001 | 24576 | 8192 | 8192 | 18 | 10608 | 144 | 144 | 44.531 | 10896 | 1.330078 |

|            |  |         |     |     |        |       |      |      |    |       |     |     |        |       |          |
|------------|--|---------|-----|-----|--------|-------|------|------|----|-------|-----|-----|--------|-------|----------|
| lena32.bmp | lena32.bmp-G_0.6-H0.0001_af3.wfa                     |         | af3 | 0.6 | 0.0001 | 24576 | 8192 |      | 18 | 10608 | 144 | 144 | 40.781 | 10896 | 1.330078 |
| lena32.bmp | lena32.bmp-withWavelet_haar-G_0.6-H0.0001_af3.wfa    | haar    | af3 | 0.6 | 0.0001 | 24576 | 8192 | 8192 | 22 | 15728 | 176 | 176 | 55.063 | 16080 | 1.962891 |
| lena32.bmp | lena32.bmp-withWavelet_rbio1.1-G_0.6-H0.0001_af3.wfa | rbio1.1 | af3 | 0.6 | 0.0001 | 24576 | 8192 | 8192 | 22 | 15728 | 176 | 176 | 55.187 | 16080 | 1.962891 |
| lena32.bmp | lena32.bmp-withWavelet_sym1-G_0.6-H0.0001_af3.wfa    | sym1    | af3 | 0.6 | 0.0001 | 24576 | 8192 | 8192 | 22 | 15728 | 176 | 176 | 54.578 | 16080 | 1.962891 |
| lena32.bmp | lena32.bmp-withWavelet_bior1.1-G_0.6-H0.0001_af3.wfa | bior1.1 | af3 | 0.6 | 0.0001 | 24576 | 8192 | 8192 | 22 | 15728 | 176 | 176 | 55     | 16080 | 1.962891 |
| lena32.bmp | lena32.bmp-G_0.6-H0.0001_af4.wfa                     |         | af4 | 0.6 | 0.0001 | 24576 | 8192 |      | 13 | 5648  | 104 | 104 | 38.718 | 5856  | 0.714844 |
| lena32.bmp | lena32.bmp-withWavelet_haar-G_0.6-H0.0001_af4.wfa    | haar    | af4 | 0.6 | 0.0001 | 24576 | 8192 | 8192 | 21 | 14352 | 168 | 168 | 62.891 | 14688 | 1.792969 |
| lena32.bmp | lena32.bmp-withWavelet_rbio1.1-G_0.6-H0.0001_af4.wfa | rbio1.1 | af4 | 0.6 | 0.0001 | 24576 | 8192 | 8192 | 21 | 14352 | 168 | 168 | 64.187 | 14688 | 1.792969 |
| lena32.bmp | lena32.bmp-withWavelet_sym1-G_0.6-H0.0001_af4.wfa    | sym1    | af4 | 0.6 | 0.0001 | 24576 | 8192 | 8192 | 21 | 14352 | 168 | 168 | 63.406 | 14688 | 1.792969 |
| lena32.bmp | lena32.bmp-withWavelet_bior1.1-G_0.6-H0.0001_af4.wfa | bior1.1 | af4 | 0.6 | 0.0001 | 24576 | 8192 | 8192 | 21 | 14352 | 168 | 168 | 63.297 | 14688 | 1.792969 |
| lena32.bmp | lena32.bmp-G_0.6-H0.0001_af5.wfa                     |         | af5 | 0.6 | 0.0001 | 24576 | 8192 |      | 18 | 10608 | 144 | 144 | 31.64  | 10896 | 1.330078 |
| lena32.bmp | lena32.bmp-withWavelet_haar-G_0.6-H0.0001_af5.wfa    | haar    | af5 | 0.6 | 0.0001 | 24576 | 8192 | 8192 | 15 | 7440  | 120 | 120 | 30.094 | 7680  | 0.9375   |
| lena32.bmp | lena32.bmp-withWavelet_rbio1.1-G_0.6-H0.0001_af5.wfa | rbio1.1 | af5 | 0.6 | 0.0001 | 24576 | 8192 | 8192 | 15 | 7440  | 120 | 120 | 30.078 | 7680  | 0.9375   |
| lena32.bmp | lena32.bmp-withWavelet_sym1-G_0.6-H0.0001_af5.wfa    | sym1    | af5 | 0.6 | 0.0001 | 24576 | 8192 | 8192 | 15 | 7440  | 120 | 120 | 30.218 | 7680  | 0.9375   |
| lena32.bmp | lena32.bmp-withWavelet_bior1.1-G_0.6-H0.0001_af5.wfa | bior1.1 | af5 | 0.6 | 0.0001 | 24576 | 8192 | 8192 | 15 | 7440  | 120 | 120 | 30.234 | 7680  | 0.9375   |

**Tabela III.4 – Codificação squares32.bmp em suas combinações**

| Img           | Img codificada  | Wlet    | AF  | G | H     | IBytes | GSByte | WletBy | #Stes | WBy | IBy | FBy | Time  | Total | %        |
|---------------|---|---------|-----|---|-------|--------|--------|--------|-------|-----|-----|-----|-------|-------|----------|
| squares32.bmp | squares32.bmp-G_1-H1e-007_af1.wfa                     |         | af1 | 1 | 1E-07 | 24576  | 8192   |        | 2     | 368 | 16  | 16  | 0.5   | 400   | 0.048828 |
| squares32.bmp | squares32.bmp-withWavelet_haar-G_1-H1e-007_af1.wfa    | haar    | af1 | 1 | 1E-07 | 24576  | 8192   | 8192   | 3     | 528 | 24  | 24  | 0.828 | 576   | 0.070313 |
| squares32.bmp | squares32.bmp-withWavelet_rbio1.1-G_1-H1e-007_af1.wfa | rbio1.1 | af1 | 1 | 1E-07 | 24576  | 8192   | 8192   | 3     | 528 | 24  | 24  | 0.828 | 576   | 0.070313 |
| squares32.bmp | squares32.bmp-withWavelet_sym1-G_1-H1e-007_af1.wfa    | sym1    | af1 | 1 | 1E-07 | 24576  | 8192   | 8192   | 3     | 528 | 24  | 24  | 0.922 | 576   | 0.070313 |
| squares32.bmp | squares32.bmp-withWavelet_bior1.1-G_1-H1e-007_af1.wfa | bior1.1 | af1 | 1 | 1E-07 | 24576  | 8192   | 8192   | 3     | 528 | 24  | 24  | 0.859 | 576   | 0.070313 |
| squares32.bmp | squares32.bmp-G_1-H1e-007_af2.wfa                     |         | af2 | 1 | 1E-07 | 24576  | 8192   |        | 2     | 368 | 16  | 16  | 0.515 | 400   | 0.048828 |
| squares32.bmp | squares32.bmp-withWavelet_haar-G_1-H1e-007_af2.wfa    | haar    | af2 | 1 | 1E-07 | 24576  | 8192   | 8192   | 3     | 528 | 24  | 24  | 0.86  | 576   | 0.070313 |
| squares32.bmp | squares32.bmp-withWavelet_rbio1.1-G_1-H1e-007_af2.wfa | rbio1.1 | af2 | 1 | 1E-07 | 24576  | 8192   | 8192   | 3     | 528 | 24  | 24  | 0.859 | 576   | 0.070313 |
| squares32.bmp | squares32.bmp-withWavelet_sym1-G_1-H1e-007_af2.wfa    | sym1    | af2 | 1 | 1E-07 | 24576  | 8192   | 8192   | 3     | 528 | 24  | 24  | 0.875 | 576   | 0.070313 |
| squares32.bmp | squares32.bmp-withWavelet_bior1.1-G_1-H1e-007_af2.wfa | bior1.1 | af2 | 1 | 1E-07 | 24576  | 8192   | 8192   | 3     | 528 | 24  | 24  | 0.875 | 576   | 0.070313 |
| squares32.bmp | squares32.bmp-G_1-H1e-007_af3.wfa                     |         | af3 | 1 | 1E-07 | 24576  | 8192   |        | 2     | 368 | 16  | 16  | 0.578 | 400   | 0.048828 |
| squares32.bmp | squares32.bmp-withWavelet_haar-G_1-H1e-007_af3.wfa    | haar    | af3 | 1 | 1E-07 | 24576  | 8192   | 8192   | 3     | 528 | 24  | 24  | 0.938 | 576   | 0.070313 |

|               |   |         |     |     |       |       |      |      |   |     |    |    |       |     |          |
|---------------|---|---------|-----|-----|-------|-------|------|------|---|-----|----|----|-------|-----|----------|
| squares32.bmp | squares32.bmp-withWavelet_rbio1.1-G_1-H1e-007_af3.wfa   | rbio1.1 | af3 | 1   | 1E-07 | 24576 | 8192 | 8192 | 3 | 528 | 24 | 24 | 0.953 | 576 | 0.070313 |
| squares32.bmp | squares32.bmp-withWavelet_sym1-G_1-H1e-007_af3.wfa      | sym1    | af3 | 1   | 1E-07 | 24576 | 8192 | 8192 | 3 | 528 | 24 | 24 | 0.875 | 576 | 0.070313 |
| squares32.bmp | squares32.bmp-withWavelet_bior1.1-G_1-H1e-007_af3.wfa   | bior1.1 | af3 | 1   | 1E-07 | 24576 | 8192 | 8192 | 3 | 528 | 24 | 24 | 0.828 | 576 | 0.070313 |
| squares32.bmp | squares32.bmp-G_1-H1e-007_af4.wfa                       |         | af4 | 1   | 1E-07 | 24576 | 8192 |      | 2 | 368 | 16 | 16 | 0.531 | 400 | 0.048828 |
| squares32.bmp | squares32.bmp-withWavelet_haar-G_1-H1e-007_af4.wfa      | haar    | af4 | 1   | 1E-07 | 24576 | 8192 | 8192 | 3 | 528 | 24 | 24 | 0.875 | 576 | 0.070313 |
| squares32.bmp | squares32.bmp-withWavelet_rbio1.1-G_1-H1e-007_af4.wfa   | rbio1.1 | af4 | 1   | 1E-07 | 24576 | 8192 | 8192 | 3 | 528 | 24 | 24 | 0.875 | 576 | 0.070313 |
| squares32.bmp | squares32.bmp-withWavelet_sym1-G_1-H1e-007_af4.wfa      | sym1    | af4 | 1   | 1E-07 | 24576 | 8192 | 8192 | 3 | 528 | 24 | 24 | 0.859 | 576 | 0.070313 |
| squares32.bmp | squares32.bmp-withWavelet_bior1.1-G_1-H1e-007_af4.wfa   | bior1.1 | af4 | 1   | 1E-07 | 24576 | 8192 | 8192 | 3 | 528 | 24 | 24 | 0.875 | 576 | 0.070313 |
| squares32.bmp | squares32.bmp-G_1-H1e-007_af5.wfa                       |         | af5 | 1   | 1E-07 | 24576 | 8192 |      | 2 | 368 | 16 | 16 | 0.516 | 400 | 0.048828 |
| squares32.bmp | squares32.bmp-withWavelet_haar-G_1-H1e-007_af5.wfa      | haar    | af5 | 1   | 1E-07 | 24576 | 8192 | 8192 | 3 | 528 | 24 | 24 | 0.875 | 576 | 0.070313 |
| squares32.bmp | squares32.bmp-withWavelet_rbio1.1-G_1-H1e-007_af5.wfa   | rbio1.1 | af5 | 1   | 1E-07 | 24576 | 8192 | 8192 | 3 | 528 | 24 | 24 | 0.875 | 576 | 0.070313 |
| squares32.bmp | squares32.bmp-withWavelet_sym1-G_1-H1e-007_af5.wfa      | sym1    | af5 | 1   | 1E-07 | 24576 | 8192 | 8192 | 3 | 528 | 24 | 24 | 0.86  | 576 | 0.070313 |
| squares32.bmp | squares32.bmp-withWavelet_bior1.1-G_1-H1e-007_af5.wfa   | bior1.1 | af5 | 1   | 1E-07 | 24576 | 8192 | 8192 | 3 | 528 | 24 | 24 | 0.859 | 576 | 0.070313 |
| squares32.bmp | squares32.bmp-G_0.8-H1e-007_af1.wfa                     |         | af1 | 0.8 | 1E-07 | 24576 | 8192 |      | 2 | 368 | 16 | 16 | 0.468 | 400 | 0.048828 |
| squares32.bmp | squares32.bmp-withWavelet_haar-G_0.8-H1e-007_af1.wfa    | haar    | af1 | 0.8 | 1E-07 | 24576 | 8192 | 8192 | 3 | 528 | 24 | 24 | 0.828 | 576 | 0.070313 |
| squares32.bmp | squares32.bmp-withWavelet_rbio1.1-G_0.8-H1e-007_af1.wfa | rbio1.1 | af1 | 0.8 | 1E-07 | 24576 | 8192 | 8192 | 3 | 528 | 24 | 24 | 0.766 | 576 | 0.070313 |
| squares32.bmp | squares32.bmp-withWavelet_sym1-G_0.8-H1e-007_af1.wfa    | sym1    | af1 | 0.8 | 1E-07 | 24576 | 8192 | 8192 | 3 | 528 | 24 | 24 | 0.766 | 576 | 0.070313 |
| squares32.bmp | squares32.bmp-withWavelet_bior1.1-G_0.8-H1e-007_af1.wfa | bior1.1 | af1 | 0.8 | 1E-07 | 24576 | 8192 | 8192 | 3 | 528 | 24 | 24 | 0.781 | 576 | 0.070313 |
| squares32.bmp | squares32.bmp-G_0.8-H1e-007_af2.wfa                     |         | af2 | 0.8 | 1E-07 | 24576 | 8192 |      | 2 | 368 | 16 | 16 | 0.484 | 400 | 0.048828 |
| squares32.bmp | squares32.bmp-withWavelet_haar-G_0.8-H1e-007_af2.wfa    | haar    | af2 | 0.8 | 1E-07 | 24576 | 8192 | 8192 | 3 | 528 | 24 | 24 | 0.875 | 576 | 0.070313 |
| squares32.bmp | squares32.bmp-withWavelet_rbio1.1-G_0.8-H1e-007_af2.wfa | rbio1.1 | af2 | 0.8 | 1E-07 | 24576 | 8192 | 8192 | 3 | 528 | 24 | 24 | 0.828 | 576 | 0.070313 |
| squares32.bmp | squares32.bmp-withWavelet_sym1-G_0.8-H1e-007_af2.wfa    | sym1    | af2 | 0.8 | 1E-07 | 24576 | 8192 | 8192 | 3 | 528 | 24 | 24 | 0.812 | 576 | 0.070313 |
| squares32.bmp | squares32.bmp-withWavelet_bior1.1-G_0.8-H1e-007_af2.wfa | bior1.1 | af2 | 0.8 | 1E-07 | 24576 | 8192 | 8192 | 3 | 528 | 24 | 24 | 0.891 | 576 | 0.070313 |
| squares32.bmp | squares32.bmp-G_0.8-H1e-007_af3.wfa                     |         | af3 | 0.8 | 1E-07 | 24576 | 8192 |      | 2 | 368 | 16 | 16 | 0.422 | 400 | 0.048828 |
| squares32.bmp | squares32.bmp-withWavelet_haar-G_0.8-H1e-007_af3.wfa    | haar    | af3 | 0.8 | 1E-07 | 24576 | 8192 | 8192 | 3 | 528 | 24 | 24 | 0.782 | 576 | 0.070313 |
| squares32.bmp | squares32.bmp-withWavelet_rbio1.1-G_0.8-H1e-007_af3.wfa | rbio1.1 | af3 | 0.8 | 1E-07 | 24576 | 8192 | 8192 | 3 | 528 | 24 | 24 | 0.781 | 576 | 0.070313 |
| squares32.bmp | squares32.bmp-withWavelet_sym1-G_0.8-H1e-007_af3.wfa    | sym1    | af3 | 0.8 | 1E-07 | 24576 | 8192 | 8192 | 3 | 528 | 24 | 24 | 0.766 | 576 | 0.070313 |
| squares32.bmp | squares32.bmp-withWavelet_bior1.1-G_0.8-H1e-007_af3.wfa | bior1.1 | af3 | 0.8 | 1E-07 | 24576 | 8192 | 8192 | 3 | 528 | 24 | 24 | 0.766 | 576 | 0.070313 |
| squares32.bmp | squares32.bmp-G_0.8-H1e-007_af4.wfa                     |         | af4 | 0.8 | 1E-07 | 24576 | 8192 |      | 2 | 368 | 16 | 16 | 0.578 | 400 | 0.048828 |
| squares32.bmp | squares32.bmp-withWavelet_haar-G_0.8-H1e-007_af4.wfa    | haar    | af4 | 0.8 | 1E-07 | 24576 | 8192 | 8192 | 3 | 528 | 24 | 24 | 0.828 | 576 | 0.070313 |
| squares32.bmp | squares32.bmp-withWavelet_rbio1.1-G_0.8-H1e-007_af4.wfa | rbio1.1 | af4 | 0.8 | 1E-07 | 24576 | 8192 | 8192 | 3 | 528 | 24 | 24 | 0.828 | 576 | 0.070313 |

|               |   |         |     |     |       |       |      |      |   |     |    |    |       |     |          |
|---------------|---|---------|-----|-----|-------|-------|------|------|---|-----|----|----|-------|-----|----------|
| squares32.bmp | squares32.bmp-withWavelet_sym1-G_0.8-H1e-007_af4.wfa    | sym1    | af4 | 0.8 | 1E-07 | 24576 | 8192 | 8192 | 3 | 528 | 24 | 24 | 0.937 | 576 | 0.070313 |
| squares32.bmp | squares32.bmp-withWavelet_bior1.1-G_0.8-H1e-007_af4.wfa | bior1.1 | af4 | 0.8 | 1E-07 | 24576 | 8192 | 8192 | 3 | 528 | 24 | 24 | 0.812 | 576 | 0.070313 |
| squares32.bmp | squares32.bmp-G_0.8-H1e-007_af5.wfa                     |         | af5 | 0.8 | 1E-07 | 24576 | 8192 |      | 2 | 368 | 16 | 16 | 0.516 | 400 | 0.048828 |
| squares32.bmp | squares32.bmp-withWavelet_haar-G_0.8-H1e-007_af5.wfa    | haar    | af5 | 0.8 | 1E-07 | 24576 | 8192 | 8192 | 3 | 528 | 24 | 24 | 0.797 | 576 | 0.070313 |
| squares32.bmp | squares32.bmp-withWavelet_rbio1.1-G_0.8-H1e-007_af5.wfa | rbio1.1 | af5 | 0.8 | 1E-07 | 24576 | 8192 | 8192 | 3 | 528 | 24 | 24 | 0.875 | 576 | 0.070313 |
| squares32.bmp | squares32.bmp-withWavelet_sym1-G_0.8-H1e-007_af5.wfa    | sym1    | af5 | 0.8 | 1E-07 | 24576 | 8192 | 8192 | 3 | 528 | 24 | 24 | 0.812 | 576 | 0.070313 |
| squares32.bmp | squares32.bmp-withWavelet_bior1.1-G_0.8-H1e-007_af5.wfa | bior1.1 | af5 | 0.8 | 1E-07 | 24576 | 8192 | 8192 | 3 | 528 | 24 | 24 | 0.875 | 576 | 0.070313 |
| squares32.bmp | squares32.bmp-G_0.6-H1e-007_af1.wfa                     |         | af1 | 0.6 | 1E-07 | 24576 | 8192 |      | 2 | 368 | 16 | 16 | 0.422 | 400 | 0.048828 |
| squares32.bmp | squares32.bmp-withWavelet_haar-G_0.6-H1e-007_af1.wfa    | haar    | af1 | 0.6 | 1E-07 | 24576 | 8192 | 8192 | 3 | 528 | 24 | 24 | 0.765 | 576 | 0.070313 |
| squares32.bmp | squares32.bmp-withWavelet_rbio1.1-G_0.6-H1e-007_af1.wfa | rbio1.1 | af1 | 0.6 | 1E-07 | 24576 | 8192 | 8192 | 3 | 528 | 24 | 24 | 0.75  | 576 | 0.070313 |
| squares32.bmp | squares32.bmp-withWavelet_sym1-G_0.6-H1e-007_af1.wfa    | sym1    | af1 | 0.6 | 1E-07 | 24576 | 8192 | 8192 | 3 | 528 | 24 | 24 | 0.75  | 576 | 0.070313 |
| squares32.bmp | squares32.bmp-withWavelet_bior1.1-G_0.6-H1e-007_af1.wfa | bior1.1 | af1 | 0.6 | 1E-07 | 24576 | 8192 | 8192 | 3 | 528 | 24 | 24 | 0.75  | 576 | 0.070313 |
| squares32.bmp | squares32.bmp-G_0.6-H1e-007_af2.wfa                     |         | af2 | 0.6 | 1E-07 | 24576 | 8192 |      | 2 | 368 | 16 | 16 | 0.484 | 400 | 0.048828 |
| squares32.bmp | squares32.bmp-withWavelet_haar-G_0.6-H1e-007_af2.wfa    | haar    | af2 | 0.6 | 1E-07 | 24576 | 8192 | 8192 | 3 | 528 | 24 | 24 | 0.812 | 576 | 0.070313 |
| squares32.bmp | squares32.bmp-withWavelet_rbio1.1-G_0.6-H1e-007_af2.wfa | rbio1.1 | af2 | 0.6 | 1E-07 | 24576 | 8192 | 8192 | 3 | 528 | 24 | 24 | 0.828 | 576 | 0.070313 |
| squares32.bmp | squares32.bmp-withWavelet_sym1-G_0.6-H1e-007_af2.wfa    | sym1    | af2 | 0.6 | 1E-07 | 24576 | 8192 | 8192 | 3 | 528 | 24 | 24 | 0.844 | 576 | 0.070313 |
| squares32.bmp | squares32.bmp-withWavelet_bior1.1-G_0.6-H1e-007_af2.wfa | bior1.1 | af2 | 0.6 | 1E-07 | 24576 | 8192 | 8192 | 3 | 528 | 24 | 24 | 0.828 | 576 | 0.070313 |
| squares32.bmp | squares32.bmp-G_0.6-H1e-007_af3.wfa                     |         | af3 | 0.6 | 1E-07 | 24576 | 8192 |      | 2 | 368 | 16 | 16 | 0.5   | 400 | 0.048828 |
| squares32.bmp | squares32.bmp-withWavelet_haar-G_0.6-H1e-007_af3.wfa    | haar    | af3 | 0.6 | 1E-07 | 24576 | 8192 | 8192 | 3 | 528 | 24 | 24 | 0.765 | 576 | 0.070313 |
| squares32.bmp | squares32.bmp-withWavelet_rbio1.1-G_0.6-H1e-007_af3.wfa | rbio1.1 | af3 | 0.6 | 1E-07 | 24576 | 8192 | 8192 | 3 | 528 | 24 | 24 | 0.734 | 576 | 0.070313 |
| squares32.bmp | squares32.bmp-withWavelet_sym1-G_0.6-H1e-007_af3.wfa    | sym1    | af3 | 0.6 | 1E-07 | 24576 | 8192 | 8192 | 3 | 528 | 24 | 24 | 0.75  | 576 | 0.070313 |
| squares32.bmp | squares32.bmp-withWavelet_bior1.1-G_0.6-H1e-007_af3.wfa | bior1.1 | af3 | 0.6 | 1E-07 | 24576 | 8192 | 8192 | 3 | 528 | 24 | 24 | 0.765 | 576 | 0.070313 |
| squares32.bmp | squares32.bmp-G_0.6-H1e-007_af4.wfa                     |         | af4 | 0.6 | 1E-07 | 24576 | 8192 |      | 2 | 368 | 16 | 16 | 0.5   | 400 | 0.048828 |
| squares32.bmp | squares32.bmp-withWavelet_haar-G_0.6-H1e-007_af4.wfa    | haar    | af4 | 0.6 | 1E-07 | 24576 | 8192 | 8192 | 3 | 528 | 24 | 24 | 1.266 | 576 | 0.070313 |
| squares32.bmp | squares32.bmp-withWavelet_rbio1.1-G_0.6-H1e-007_af4.wfa | rbio1.1 | af4 | 0.6 | 1E-07 | 24576 | 8192 | 8192 | 3 | 528 | 24 | 24 | 0.813 | 576 | 0.070313 |
| squares32.bmp | squares32.bmp-withWavelet_sym1-G_0.6-H1e-007_af4.wfa    | sym1    | af4 | 0.6 | 1E-07 | 24576 | 8192 | 8192 | 3 | 528 | 24 | 24 | 0.891 | 576 | 0.070313 |
| squares32.bmp | squares32.bmp-withWavelet_bior1.1-G_0.6-H1e-007_af4.wfa | bior1.1 | af4 | 0.6 | 1E-07 | 24576 | 8192 | 8192 | 3 | 528 | 24 | 24 | 0.922 | 576 | 0.070313 |
| squares32.bmp | squares32.bmp-G_0.6-H1e-007_af5.wfa                     |         | af5 | 0.6 | 1E-07 | 24576 | 8192 |      | 2 | 368 | 16 | 16 | 0.531 | 400 | 0.048828 |
| squares32.bmp | squares32.bmp-withWavelet_haar-G_0.6-H1e-007_af5.wfa    | haar    | af5 | 0.6 | 1E-07 | 24576 | 8192 | 8192 | 3 | 528 | 24 | 24 | 0.86  | 576 | 0.070313 |
| squares32.bmp | squares32.bmp-withWavelet_rbio1.1-G_0.6-H1e-007_af5.wfa | rbio1.1 | af5 | 0.6 | 1E-07 | 24576 | 8192 | 8192 | 3 | 528 | 24 | 24 | 0.89  | 576 | 0.070313 |
| squares32.bmp | squares32.bmp-withWavelet_sym1-G_0.6-H1e-007_af5.wfa    | sym1    | af5 | 0.6 | 1E-07 | 24576 | 8192 | 8192 | 3 | 528 | 24 | 24 | 0.906 | 576 | 0.070313 |

|               |   |         |     |     |          |       |      |      |   |     |    |    |       |     |          |
|---------------|---|---------|-----|-----|----------|-------|------|------|---|-----|----|----|-------|-----|----------|
| squares32.bmp | squares32.bmp-withWavelet_bior1.1-G_0.6-H1e-007_af5.wfa | bior1.1 | af5 | 0.6 | 1E-07    | 24576 | 8192 | 8192 | 3 | 528 | 24 | 24 | 0.86  | 576 | 0.070313 |
| squares32.bmp | squares32.bmp-G_1-H1e-006_af1.wfa                       |         | af1 | 1   | 0.000001 | 24576 | 8192 |      | 2 | 368 | 16 | 16 | 0.656 | 400 | 0.048828 |
| squares32.bmp | squares32.bmp-withWavelet_haar-G_1-H1e-006_af1.wfa      | haar    | af1 | 1   | 0.000001 | 24576 | 8192 | 8192 | 3 | 528 | 24 | 24 | 0.844 | 576 | 0.070313 |
| squares32.bmp | squares32.bmp-withWavelet_rbio1.1-G_1-H1e-006_af1.wfa   | rbio1.1 | af1 | 1   | 0.000001 | 24576 | 8192 | 8192 | 3 | 528 | 24 | 24 | 0.891 | 576 | 0.070313 |
| squares32.bmp | squares32.bmp-withWavelet_sym1-G_1-H1e-006_af1.wfa      | sym1    | af1 | 1   | 0.000001 | 24576 | 8192 | 8192 | 3 | 528 | 24 | 24 | 1.016 | 576 | 0.070313 |
| squares32.bmp | squares32.bmp-withWavelet_bior1.1-G_1-H1e-006_af1.wfa   | bior1.1 | af1 | 1   | 0.000001 | 24576 | 8192 | 8192 | 3 | 528 | 24 | 24 | 0.844 | 576 | 0.070313 |
| squares32.bmp | squares32.bmp-G_1-H1e-006_af2.wfa                       |         | af2 | 1   | 0.000001 | 24576 | 8192 |      | 2 | 368 | 16 | 16 | 0.516 | 400 | 0.048828 |
| squares32.bmp | squares32.bmp-withWavelet_haar-G_1-H1e-006_af2.wfa      | haar    | af2 | 1   | 0.000001 | 24576 | 8192 | 8192 | 3 | 528 | 24 | 24 | 0.859 | 576 | 0.070313 |
| squares32.bmp | squares32.bmp-withWavelet_rbio1.1-G_1-H1e-006_af2.wfa   | rbio1.1 | af2 | 1   | 0.000001 | 24576 | 8192 | 8192 | 3 | 528 | 24 | 24 | 0.875 | 576 | 0.070313 |
| squares32.bmp | squares32.bmp-withWavelet_sym1-G_1-H1e-006_af2.wfa      | sym1    | af2 | 1   | 0.000001 | 24576 | 8192 | 8192 | 3 | 528 | 24 | 24 | 0.953 | 576 | 0.070313 |
| squares32.bmp | squares32.bmp-withWavelet_bior1.1-G_1-H1e-006_af2.wfa   | bior1.1 | af2 | 1   | 0.000001 | 24576 | 8192 | 8192 | 3 | 528 | 24 | 24 | 0.922 | 576 | 0.070313 |
| squares32.bmp | squares32.bmp-G_1-H1e-006_af3.wfa                       |         | af3 | 1   | 0.000001 | 24576 | 8192 |      | 2 | 368 | 16 | 16 | 0.578 | 400 | 0.048828 |
| squares32.bmp | squares32.bmp-withWavelet_haar-G_1-H1e-006_af3.wfa      | haar    | af3 | 1   | 0.000001 | 24576 | 8192 | 8192 | 3 | 528 | 24 | 24 | 0.906 | 576 | 0.070313 |
| squares32.bmp | squares32.bmp-withWavelet_rbio1.1-G_1-H1e-006_af3.wfa   | rbio1.1 | af3 | 1   | 0.000001 | 24576 | 8192 | 8192 | 3 | 528 | 24 | 24 | 0.828 | 576 | 0.070313 |
| squares32.bmp | squares32.bmp-withWavelet_sym1-G_1-H1e-006_af3.wfa      | sym1    | af3 | 1   | 0.000001 | 24576 | 8192 | 8192 | 3 | 528 | 24 | 24 | 0.828 | 576 | 0.070313 |
| squares32.bmp | squares32.bmp-withWavelet_bior1.1-G_1-H1e-006_af3.wfa   | bior1.1 | af3 | 1   | 0.000001 | 24576 | 8192 | 8192 | 3 | 528 | 24 | 24 | 0.828 | 576 | 0.070313 |
| squares32.bmp | squares32.bmp-G_1-H1e-006_af4.wfa                       |         | af4 | 1   | 0.000001 | 24576 | 8192 |      | 2 | 368 | 16 | 16 | 0.516 | 400 | 0.048828 |
| squares32.bmp | squares32.bmp-withWavelet_haar-G_1-H1e-006_af4.wfa      | haar    | af4 | 1   | 0.000001 | 24576 | 8192 | 8192 | 3 | 528 | 24 | 24 | 0.875 | 576 | 0.070313 |
| squares32.bmp | squares32.bmp-withWavelet_rbio1.1-G_1-H1e-006_af4.wfa   | rbio1.1 | af4 | 1   | 0.000001 | 24576 | 8192 | 8192 | 3 | 528 | 24 | 24 | 0.89  | 576 | 0.070313 |
| squares32.bmp | squares32.bmp-withWavelet_sym1-G_1-H1e-006_af4.wfa      | sym1    | af4 | 1   | 0.000001 | 24576 | 8192 | 8192 | 3 | 528 | 24 | 24 | 0.907 | 576 | 0.070313 |
| squares32.bmp | squares32.bmp-withWavelet_bior1.1-G_1-H1e-006_af4.wfa   | bior1.1 | af4 | 1   | 0.000001 | 24576 | 8192 | 8192 | 3 | 528 | 24 | 24 | 0.969 | 576 | 0.070313 |
| squares32.bmp | squares32.bmp-G_1-H1e-006_af5.wfa                       |         | af5 | 1   | 0.000001 | 24576 | 8192 |      | 2 | 368 | 16 | 16 | 0.547 | 400 | 0.048828 |
| squares32.bmp | squares32.bmp-withWavelet_haar-G_1-H1e-006_af5.wfa      | haar    | af5 | 1   | 0.000001 | 24576 | 8192 | 8192 | 3 | 528 | 24 | 24 | 0.953 | 576 | 0.070313 |
| squares32.bmp | squares32.bmp-withWavelet_rbio1.1-G_1-H1e-006_af5.wfa   | rbio1.1 | af5 | 1   | 0.000001 | 24576 | 8192 | 8192 | 3 | 528 | 24 | 24 | 0.875 | 576 | 0.070313 |
| squares32.bmp | squares32.bmp-withWavelet_sym1-G_1-H1e-006_af5.wfa      | sym1    | af5 | 1   | 0.000001 | 24576 | 8192 | 8192 | 3 | 528 | 24 | 24 | 0.875 | 576 | 0.070313 |
| squares32.bmp | squares32.bmp-withWavelet_bior1.1-G_1-H1e-006_af5.wfa   | bior1.1 | af5 | 1   | 0.000001 | 24576 | 8192 | 8192 | 3 | 528 | 24 | 24 | 0.906 | 576 | 0.070313 |
| squares32.bmp | squares32.bmp-G_0.8-H1e-006_af1.wfa                     |         | af1 | 0.8 | 0.000001 | 24576 | 8192 |      | 2 | 368 | 16 | 16 | 0.422 | 400 | 0.048828 |
| squares32.bmp | squares32.bmp-withWavelet_haar-G_0.8-H1e-006_af1.wfa    | haar    | af1 | 0.8 | 0.000001 | 24576 | 8192 | 8192 | 3 | 528 | 24 | 24 | 0.781 | 576 | 0.070313 |
| squares32.bmp | squares32.bmp-withWavelet_rbio1.1-G_0.8-H1e-006_af1.wfa | rbio1.1 | af1 | 0.8 | 0.000001 | 24576 | 8192 | 8192 | 3 | 528 | 24 | 24 | 0.75  | 576 | 0.070313 |
| squares32.bmp | squares32.bmp-withWavelet_sym1-G_0.8-H1e-006_af1.wfa    | sym1    | af1 | 0.8 | 0.000001 | 24576 | 8192 | 8192 | 3 | 528 | 24 | 24 | 0.766 | 576 | 0.070313 |
| squares32.bmp | squares32.bmp-withWavelet_bior1.1-G_0.8-H1e-006_af1.wfa | bior1.1 | af1 | 0.8 | 0.000001 | 24576 | 8192 | 8192 | 3 | 528 | 24 | 24 | 0.781 | 576 | 0.070313 |

|               |   |         |     |     |          |       |      |      |  |   |     |    |    |       |     |          |
|---------------|---|---------|-----|-----|----------|-------|------|------|--|---|-----|----|----|-------|-----|----------|
| squares32.bmp | squares32.bmp-G_0.8-H1e-006_af2.wfa                     |         | af2 | 0.8 | 0.000001 | 24576 | 8192 |      |  | 2 | 368 | 16 | 16 | 0.531 | 400 | 0.048828 |
| squares32.bmp | squares32.bmp-withWavelet_haar-G_0.8-H1e-006_af2.wfa    | haar    | af2 | 0.8 | 0.000001 | 24576 | 8192 | 8192 |  | 3 | 528 | 24 | 24 | 0.859 | 576 | 0.070313 |
| squares32.bmp | squares32.bmp-withWavelet_rbio1.1-G_0.8-H1e-006_af2.wfa | rbio1.1 | af2 | 0.8 | 0.000001 | 24576 | 8192 | 8192 |  | 3 | 528 | 24 | 24 | 0.812 | 576 | 0.070313 |
| squares32.bmp | squares32.bmp-withWavelet_sym1-G_0.8-H1e-006_af2.wfa    | sym1    | af2 | 0.8 | 0.000001 | 24576 | 8192 | 8192 |  | 3 | 528 | 24 | 24 | 0.844 | 576 | 0.070313 |
| squares32.bmp | squares32.bmp-withWavelet_bior1.1-G_0.8-H1e-006_af2.wfa | bior1.1 | af2 | 0.8 | 0.000001 | 24576 | 8192 | 8192 |  | 3 | 528 | 24 | 24 | 0.812 | 576 | 0.070313 |
| squares32.bmp | squares32.bmp-G_0.8-H1e-006_af3.wfa                     |         | af3 | 0.8 | 0.000001 | 24576 | 8192 |      |  | 2 | 368 | 16 | 16 | 0.531 | 400 | 0.048828 |
| squares32.bmp | squares32.bmp-withWavelet_haar-G_0.8-H1e-006_af3.wfa    | haar    | af3 | 0.8 | 0.000001 | 24576 | 8192 | 8192 |  | 3 | 528 | 24 | 24 | 0.953 | 576 | 0.070313 |
| squares32.bmp | squares32.bmp-withWavelet_rbio1.1-G_0.8-H1e-006_af3.wfa | rbio1.1 | af3 | 0.8 | 0.000001 | 24576 | 8192 | 8192 |  | 3 | 528 | 24 | 24 | 0.765 | 576 | 0.070313 |
| squares32.bmp | squares32.bmp-withWavelet_sym1-G_0.8-H1e-006_af3.wfa    | sym1    | af3 | 0.8 | 0.000001 | 24576 | 8192 | 8192 |  | 3 | 528 | 24 | 24 | 0.844 | 576 | 0.070313 |
| squares32.bmp | squares32.bmp-withWavelet_bior1.1-G_0.8-H1e-006_af3.wfa | bior1.1 | af3 | 0.8 | 0.000001 | 24576 | 8192 | 8192 |  | 3 | 528 | 24 | 24 | 0.844 | 576 | 0.070313 |
| squares32.bmp | squares32.bmp-G_0.8-H1e-006_af4.wfa                     |         | af4 | 0.8 | 0.000001 | 24576 | 8192 |      |  | 2 | 368 | 16 | 16 | 0.484 | 400 | 0.048828 |
| squares32.bmp | squares32.bmp-withWavelet_haar-G_0.8-H1e-006_af4.wfa    | haar    | af4 | 0.8 | 0.000001 | 24576 | 8192 | 8192 |  | 3 | 528 | 24 | 24 | 0.812 | 576 | 0.070313 |
| squares32.bmp | squares32.bmp-withWavelet_rbio1.1-G_0.8-H1e-006_af4.wfa | rbio1.1 | af4 | 0.8 | 0.000001 | 24576 | 8192 | 8192 |  | 3 | 528 | 24 | 24 | 0.828 | 576 | 0.070313 |
| squares32.bmp | squares32.bmp-withWavelet_sym1-G_0.8-H1e-006_af4.wfa    | sym1    | af4 | 0.8 | 0.000001 | 24576 | 8192 | 8192 |  | 3 | 528 | 24 | 24 | 1.078 | 576 | 0.070313 |
| squares32.bmp | squares32.bmp-withWavelet_bior1.1-G_0.8-H1e-006_af4.wfa | bior1.1 | af4 | 0.8 | 0.000001 | 24576 | 8192 | 8192 |  | 3 | 528 | 24 | 24 | 0.922 | 576 | 0.070313 |
| squares32.bmp | squares32.bmp-G_0.8-H1e-006_af5.wfa                     |         | af5 | 0.8 | 0.000001 | 24576 | 8192 |      |  | 2 | 368 | 16 | 16 | 0.546 | 400 | 0.048828 |
| squares32.bmp | squares32.bmp-withWavelet_haar-G_0.8-H1e-006_af5.wfa    | haar    | af5 | 0.8 | 0.000001 | 24576 | 8192 | 8192 |  | 3 | 528 | 24 | 24 | 0.906 | 576 | 0.070313 |
| squares32.bmp | squares32.bmp-withWavelet_rbio1.1-G_0.8-H1e-006_af5.wfa | rbio1.1 | af5 | 0.8 | 0.000001 | 24576 | 8192 | 8192 |  | 3 | 528 | 24 | 24 | 0.89  | 576 | 0.070313 |
| squares32.bmp | squares32.bmp-withWavelet_sym1-G_0.8-H1e-006_af5.wfa    | sym1    | af5 | 0.8 | 0.000001 | 24576 | 8192 | 8192 |  | 3 | 528 | 24 | 24 | 0.875 | 576 | 0.070313 |
| squares32.bmp | squares32.bmp-withWavelet_bior1.1-G_0.8-H1e-006_af5.wfa | bior1.1 | af5 | 0.8 | 0.000001 | 24576 | 8192 | 8192 |  | 3 | 528 | 24 | 24 | 0.891 | 576 | 0.070313 |
| squares32.bmp | squares32.bmp-G_0.6-H1e-006_af1.wfa                     |         | af1 | 0.6 | 0.000001 | 24576 | 8192 |      |  | 2 | 368 | 16 | 16 | 0.453 | 400 | 0.048828 |
| squares32.bmp | squares32.bmp-withWavelet_haar-G_0.6-H1e-006_af1.wfa    | haar    | af1 | 0.6 | 0.000001 | 24576 | 8192 | 8192 |  | 3 | 528 | 24 | 24 | 0.813 | 576 | 0.070313 |
| squares32.bmp | squares32.bmp-withWavelet_rbio1.1-G_0.6-H1e-006_af1.wfa | rbio1.1 | af1 | 0.6 | 0.000001 | 24576 | 8192 | 8192 |  | 3 | 528 | 24 | 24 | 0.813 | 576 | 0.070313 |
| squares32.bmp | squares32.bmp-withWavelet_sym1-G_0.6-H1e-006_af1.wfa    | sym1    | af1 | 0.6 | 0.000001 | 24576 | 8192 | 8192 |  | 3 | 528 | 24 | 24 | 0.828 | 576 | 0.070313 |
| squares32.bmp | squares32.bmp-withWavelet_bior1.1-G_0.6-H1e-006_af1.wfa | bior1.1 | af1 | 0.6 | 0.000001 | 24576 | 8192 | 8192 |  | 3 | 528 | 24 | 24 | 1     | 576 | 0.070313 |
| squares32.bmp | squares32.bmp-G_0.6-H1e-006_af2.wfa                     |         | af2 | 0.6 | 0.000001 | 24576 | 8192 |      |  | 2 | 368 | 16 | 16 | 0.547 | 400 | 0.048828 |
| squares32.bmp | squares32.bmp-withWavelet_haar-G_0.6-H1e-006_af2.wfa    | haar    | af2 | 0.6 | 0.000001 | 24576 | 8192 | 8192 |  | 3 | 528 | 24 | 24 | 0.953 | 576 | 0.070313 |
| squares32.bmp | squares32.bmp-withWavelet_rbio1.1-G_0.6-H1e-006_af2.wfa | rbio1.1 | af2 | 0.6 | 0.000001 | 24576 | 8192 | 8192 |  | 3 | 528 | 24 | 24 | 0.844 | 576 | 0.070313 |
| squares32.bmp | squares32.bmp-withWavelet_sym1-G_0.6-H1e-006_af2.wfa    | sym1    | af2 | 0.6 | 0.000001 | 24576 | 8192 | 8192 |  | 3 | 528 | 24 | 24 | 0.828 | 576 | 0.070313 |
| squares32.bmp | squares32.bmp-withWavelet_bior1.1-G_0.6-H1e-006_af2.wfa | bior1.1 | af2 | 0.6 | 0.000001 | 24576 | 8192 | 8192 |  | 3 | 528 | 24 | 24 | 1.047 | 576 | 0.070313 |
| squares32.bmp | squares32.bmp-G_0.6-H1e-006_af3.wfa                     |         | af3 | 0.6 | 0.000001 | 24576 | 8192 |      |  | 2 | 368 | 16 | 16 | 0.485 | 400 | 0.048828 |

|               |   |         |     |     |          |       |      |      |   |     |    |    |       |     |          |
|---------------|---|---------|-----|-----|----------|-------|------|------|---|-----|----|----|-------|-----|----------|
| squares32.bmp | squares32.bmp-withWavelet_haar-G_0.6-H1e-006_af3.wfa    | haar    | af3 | 0.6 | 0.000001 | 24576 | 8192 | 8192 | 3 | 528 | 24 | 24 | 0.969 | 576 | 0.070313 |
| squares32.bmp | squares32.bmp-withWavelet_rbio1.1-G_0.6-H1e-006_af3.wfa | rbio1.1 | af3 | 0.6 | 0.000001 | 24576 | 8192 | 8192 | 3 | 528 | 24 | 24 | 0.828 | 576 | 0.070313 |
| squares32.bmp | squares32.bmp-withWavelet_sym1-G_0.6-H1e-006_af3.wfa    | sym1    | af3 | 0.6 | 0.000001 | 24576 | 8192 | 8192 | 3 | 528 | 24 | 24 | 1.125 | 576 | 0.070313 |
| squares32.bmp | squares32.bmp-withWavelet_bior1.1-G_0.6-H1e-006_af3.wfa | bior1.1 | af3 | 0.6 | 0.000001 | 24576 | 8192 | 8192 | 3 | 528 | 24 | 24 | 0.813 | 576 | 0.070313 |
| squares32.bmp | squares32.bmp-G_0.6-H1e-006_af4.wfa                     |         | af4 | 0.6 | 0.000001 | 24576 | 8192 |      | 2 | 368 | 16 | 16 | 0.828 | 400 | 0.048828 |
| squares32.bmp | squares32.bmp-withWavelet_haar-G_0.6-H1e-006_af4.wfa    | haar    | af4 | 0.6 | 0.000001 | 24576 | 8192 | 8192 | 3 | 528 | 24 | 24 | 0.906 | 576 | 0.070313 |
| squares32.bmp | squares32.bmp-withWavelet_rbio1.1-G_0.6-H1e-006_af4.wfa | rbio1.1 | af4 | 0.6 | 0.000001 | 24576 | 8192 | 8192 | 3 | 528 | 24 | 24 | 1.015 | 576 | 0.070313 |
| squares32.bmp | squares32.bmp-withWavelet_sym1-G_0.6-H1e-006_af4.wfa    | sym1    | af4 | 0.6 | 0.000001 | 24576 | 8192 | 8192 | 3 | 528 | 24 | 24 | 0.937 | 576 | 0.070313 |
| squares32.bmp | squares32.bmp-withWavelet_bior1.1-G_0.6-H1e-006_af4.wfa | bior1.1 | af4 | 0.6 | 0.000001 | 24576 | 8192 | 8192 | 3 | 528 | 24 | 24 | 1.219 | 576 | 0.070313 |
| squares32.bmp | squares32.bmp-G_0.6-H1e-006_af5.wfa                     |         | af5 | 0.6 | 0.000001 | 24576 | 8192 |      | 2 | 368 | 16 | 16 | 0.922 | 400 | 0.048828 |
| squares32.bmp | squares32.bmp-withWavelet_haar-G_0.6-H1e-006_af5.wfa    | haar    | af5 | 0.6 | 0.000001 | 24576 | 8192 | 8192 | 3 | 528 | 24 | 24 | 1.032 | 576 | 0.070313 |
| squares32.bmp | squares32.bmp-withWavelet_rbio1.1-G_0.6-H1e-006_af5.wfa | rbio1.1 | af5 | 0.6 | 0.000001 | 24576 | 8192 | 8192 | 3 | 528 | 24 | 24 | 0.984 | 576 | 0.070313 |
| squares32.bmp | squares32.bmp-withWavelet_sym1-G_0.6-H1e-006_af5.wfa    | sym1    | af5 | 0.6 | 0.000001 | 24576 | 8192 | 8192 | 3 | 528 | 24 | 24 | 1.281 | 576 | 0.070313 |
| squares32.bmp | squares32.bmp-withWavelet_bior1.1-G_0.6-H1e-006_af5.wfa | bior1.1 | af5 | 0.6 | 0.000001 | 24576 | 8192 | 8192 | 3 | 528 | 24 | 24 | 0.938 | 576 | 0.070313 |
| squares32.bmp | squares32.bmp-G_1-H1e-005_af1.wfa                       |         | af1 | 1   | 0.00001  | 24576 | 8192 |      | 2 | 368 | 16 | 16 | 0.547 | 400 | 0.048828 |
| squares32.bmp | squares32.bmp-withWavelet_haar-G_1-H1e-005_af1.wfa      | haar    | af1 | 1   | 0.00001  | 24576 | 8192 | 8192 | 3 | 528 | 24 | 24 | 1.641 | 576 | 0.070313 |
| squares32.bmp | squares32.bmp-withWavelet_rbio1.1-G_1-H1e-005_af1.wfa   | rbio1.1 | af1 | 1   | 0.00001  | 24576 | 8192 | 8192 | 3 | 528 | 24 | 24 | 1.563 | 576 | 0.070313 |
| squares32.bmp | squares32.bmp-withWavelet_sym1-G_1-H1e-005_af1.wfa      | sym1    | af1 | 1   | 0.00001  | 24576 | 8192 | 8192 | 3 | 528 | 24 | 24 | 1.594 | 576 | 0.070313 |
| squares32.bmp | squares32.bmp-withWavelet_bior1.1-G_1-H1e-005_af1.wfa   | bior1.1 | af1 | 1   | 0.00001  | 24576 | 8192 | 8192 | 3 | 528 | 24 | 24 | 1.5   | 576 | 0.070313 |
| squares32.bmp | squares32.bmp-G_1-H1e-005_af2.wfa                       |         | af2 | 1   | 0.00001  | 24576 | 8192 |      | 2 | 368 | 16 | 16 | 1.094 | 400 | 0.048828 |
| squares32.bmp | squares32.bmp-withWavelet_haar-G_1-H1e-005_af2.wfa      | haar    | af2 | 1   | 0.00001  | 24576 | 8192 | 8192 | 3 | 528 | 24 | 24 | 1.609 | 576 | 0.070313 |
| squares32.bmp | squares32.bmp-withWavelet_rbio1.1-G_1-H1e-005_af2.wfa   | rbio1.1 | af2 | 1   | 0.00001  | 24576 | 8192 | 8192 | 3 | 528 | 24 | 24 | 1.687 | 576 | 0.070313 |
| squares32.bmp | squares32.bmp-withWavelet_sym1-G_1-H1e-005_af2.wfa      | sym1    | af2 | 1   | 0.00001  | 24576 | 8192 | 8192 | 3 | 528 | 24 | 24 | 1.578 | 576 | 0.070313 |
| squares32.bmp | squares32.bmp-withWavelet_bior1.1-G_1-H1e-005_af2.wfa   | bior1.1 | af2 | 1   | 0.00001  | 24576 | 8192 | 8192 | 3 | 528 | 24 | 24 | 1.219 | 576 | 0.070313 |
| squares32.bmp | squares32.bmp-G_1-H1e-005_af3.wfa                       |         | af3 | 1   | 0.00001  | 24576 | 8192 |      | 2 | 368 | 16 | 16 | 1.047 | 400 | 0.048828 |
| squares32.bmp | squares32.bmp-withWavelet_haar-G_1-H1e-005_af3.wfa      | haar    | af3 | 1   | 0.00001  | 24576 | 8192 | 8192 | 3 | 528 | 24 | 24 | 1.563 | 576 | 0.070313 |
| squares32.bmp | squares32.bmp-withWavelet_rbio1.1-G_1-H1e-005_af3.wfa   | rbio1.1 | af3 | 1   | 0.00001  | 24576 | 8192 | 8192 | 3 | 528 | 24 | 24 | 1.484 | 576 | 0.070313 |
| squares32.bmp | squares32.bmp-withWavelet_sym1-G_1-H1e-005_af3.wfa      | sym1    | af3 | 1   | 0.00001  | 24576 | 8192 | 8192 | 3 | 528 | 24 | 24 | 1.485 | 576 | 0.070313 |
| squares32.bmp | squares32.bmp-withWavelet_bior1.1-G_1-H1e-005_af3.wfa   | bior1.1 | af3 | 1   | 0.00001  | 24576 | 8192 | 8192 | 3 | 528 | 24 | 24 | 1.485 | 576 | 0.070313 |
| squares32.bmp | squares32.bmp-G_1-H1e-005_af4.wfa                       |         | af4 | 1   | 0.00001  | 24576 | 8192 |      | 2 | 368 | 16 | 16 | 1.125 | 400 | 0.048828 |
| squares32.bmp | squares32.bmp-withWavelet_haar-G_1-H1e-005_af4.wfa      | haar    | af4 | 1   | 0.00001  | 24576 | 8192 | 8192 | 3 | 528 | 24 | 24 | 1.672 | 576 | 0.070313 |



|               |   |         |     |     |         |       |      |      |   |     |    |    |       |     |          |
|---------------|---|---------|-----|-----|---------|-------|------|------|---|-----|----|----|-------|-----|----------|
| squares32.bmp | squares32.bmp-withWavelet_rbio1.1-G_1-H1e-005_af4.wfa   | rbio1.1 | af4 | 1   | 0.00001 | 24576 | 8192 | 8192 | 3 | 528 | 24 | 24 | 1.343 | 576 | 0.070313 |
| squares32.bmp | squares32.bmp-withWavelet_sym1-G_1-H1e-005_af4.wfa      | sym1    | af4 | 1   | 0.00001 | 24576 | 8192 | 8192 | 3 | 528 | 24 | 24 | 1.312 | 576 | 0.070313 |
| squares32.bmp | squares32.bmp-withWavelet_bior1.1-G_1-H1e-005_af4.wfa   | bior1.1 | af4 | 1   | 0.00001 | 24576 | 8192 | 8192 | 3 | 528 | 24 | 24 | 0.953 | 576 | 0.070313 |
| squares32.bmp | squares32.bmp-G_1-H1e-005_af5.wfa                       |         | af5 | 1   | 0.00001 | 24576 | 8192 |      | 2 | 368 | 16 | 16 | 0.61  | 400 | 0.048828 |
| squares32.bmp | squares32.bmp-withWavelet_haar-G_1-H1e-005_af5.wfa      | haar    | af5 | 1   | 0.00001 | 24576 | 8192 | 8192 | 3 | 528 | 24 | 24 | 1.078 | 576 | 0.070313 |
| squares32.bmp | squares32.bmp-withWavelet_rbio1.1-G_1-H1e-005_af5.wfa   | rbio1.1 | af5 | 1   | 0.00001 | 24576 | 8192 | 8192 | 3 | 528 | 24 | 24 | 1.5   | 576 | 0.070313 |
| squares32.bmp | squares32.bmp-withWavelet_sym1-G_1-H1e-005_af5.wfa      | sym1    | af5 | 1   | 0.00001 | 24576 | 8192 | 8192 | 3 | 528 | 24 | 24 | 1.546 | 576 | 0.070313 |
| squares32.bmp | squares32.bmp-withWavelet_bior1.1-G_1-H1e-005_af5.wfa   | bior1.1 | af5 | 1   | 0.00001 | 24576 | 8192 | 8192 | 3 | 528 | 24 | 24 | 1.688 | 576 | 0.070313 |
| squares32.bmp | squares32.bmp-G_0.8-H1e-005_af1.wfa                     |         | af1 | 0.8 | 0.00001 | 24576 | 8192 |      | 2 | 368 | 16 | 16 | 1.047 | 400 | 0.048828 |
| squares32.bmp | squares32.bmp-withWavelet_haar-G_0.8-H1e-005_af1.wfa    | haar    | af1 | 0.8 | 0.00001 | 24576 | 8192 | 8192 | 3 | 528 | 24 | 24 | 0.828 | 576 | 0.070313 |
| squares32.bmp | squares32.bmp-withWavelet_rbio1.1-G_0.8-H1e-005_af1.wfa | rbio1.1 | af1 | 0.8 | 0.00001 | 24576 | 8192 | 8192 | 3 | 528 | 24 | 24 | 0.875 | 576 | 0.070313 |
| squares32.bmp | squares32.bmp-withWavelet_sym1-G_0.8-H1e-005_af1.wfa    | sym1    | af1 | 0.8 | 0.00001 | 24576 | 8192 | 8192 | 3 | 528 | 24 | 24 | 0.921 | 576 | 0.070313 |
| squares32.bmp | squares32.bmp-withWavelet_bior1.1-G_0.8-H1e-005_af1.wfa | bior1.1 | af1 | 0.8 | 0.00001 | 24576 | 8192 | 8192 | 3 | 528 | 24 | 24 | 0.891 | 576 | 0.070313 |
| squares32.bmp | squares32.bmp-G_0.8-H1e-005_af2.wfa                     |         | af2 | 0.8 | 0.00001 | 24576 | 8192 |      | 2 | 368 | 16 | 16 | 0.547 | 400 | 0.048828 |
| squares32.bmp | squares32.bmp-withWavelet_haar-G_0.8-H1e-005_af2.wfa    | haar    | af2 | 0.8 | 0.00001 | 24576 | 8192 | 8192 | 3 | 528 | 24 | 24 | 0.953 | 576 | 0.070313 |
| squares32.bmp | squares32.bmp-withWavelet_rbio1.1-G_0.8-H1e-005_af2.wfa | rbio1.1 | af2 | 0.8 | 0.00001 | 24576 | 8192 | 8192 | 3 | 528 | 24 | 24 | 0.891 | 576 | 0.070313 |
| squares32.bmp | squares32.bmp-withWavelet_sym1-G_0.8-H1e-005_af2.wfa    | sym1    | af2 | 0.8 | 0.00001 | 24576 | 8192 | 8192 | 3 | 528 | 24 | 24 | 0.984 | 576 | 0.070313 |
| squares32.bmp | squares32.bmp-withWavelet_bior1.1-G_0.8-H1e-005_af2.wfa | bior1.1 | af2 | 0.8 | 0.00001 | 24576 | 8192 | 8192 | 3 | 528 | 24 | 24 | 1.047 | 576 | 0.070313 |
| squares32.bmp | squares32.bmp-G_0.8-H1e-005_af3.wfa                     |         | af3 | 0.8 | 0.00001 | 24576 | 8192 |      | 2 | 368 | 16 | 16 | 0.562 | 400 | 0.048828 |
| squares32.bmp | squares32.bmp-withWavelet_haar-G_0.8-H1e-005_af3.wfa    | haar    | af3 | 0.8 | 0.00001 | 24576 | 8192 | 8192 | 3 | 528 | 24 | 24 | 0.843 | 576 | 0.070313 |
| squares32.bmp | squares32.bmp-withWavelet_rbio1.1-G_0.8-H1e-005_af3.wfa | rbio1.1 | af3 | 0.8 | 0.00001 | 24576 | 8192 | 8192 | 3 | 528 | 24 | 24 | 0.875 | 576 | 0.070313 |
| squares32.bmp | squares32.bmp-withWavelet_sym1-G_0.8-H1e-005_af3.wfa    | sym1    | af3 | 0.8 | 0.00001 | 24576 | 8192 | 8192 | 3 | 528 | 24 | 24 | 0.86  | 576 | 0.070313 |
| squares32.bmp | squares32.bmp-withWavelet_bior1.1-G_0.8-H1e-005_af3.wfa | bior1.1 | af3 | 0.8 | 0.00001 | 24576 | 8192 | 8192 | 3 | 528 | 24 | 24 | 0.859 | 576 | 0.070313 |
| squares32.bmp | squares32.bmp-G_0.8-H1e-005_af4.wfa                     |         | af4 | 0.8 | 0.00001 | 24576 | 8192 |      | 2 | 368 | 16 | 16 | 0.703 | 400 | 0.048828 |
| squares32.bmp | squares32.bmp-withWavelet_haar-G_0.8-H1e-005_af4.wfa    | haar    | af4 | 0.8 | 0.00001 | 24576 | 8192 | 8192 | 3 | 528 | 24 | 24 | 0.984 | 576 | 0.070313 |
| squares32.bmp | squares32.bmp-withWavelet_rbio1.1-G_0.8-H1e-005_af4.wfa | rbio1.1 | af4 | 0.8 | 0.00001 | 24576 | 8192 | 8192 | 3 | 528 | 24 | 24 | 0.985 | 576 | 0.070313 |
| squares32.bmp | squares32.bmp-withWavelet_sym1-G_0.8-H1e-005_af4.wfa    | sym1    | af4 | 0.8 | 0.00001 | 24576 | 8192 | 8192 | 3 | 528 | 24 | 24 | 0.984 | 576 | 0.070313 |
| squares32.bmp | squares32.bmp-withWavelet_bior1.1-G_0.8-H1e-005_af4.wfa | bior1.1 | af4 | 0.8 | 0.00001 | 24576 | 8192 | 8192 | 3 | 528 | 24 | 24 | 0.907 | 576 | 0.070313 |
| squares32.bmp | squares32.bmp-G_0.8-H1e-005_af5.wfa                     |         | af5 | 0.8 | 0.00001 | 24576 | 8192 |      | 2 | 368 | 16 | 16 | 0.563 | 400 | 0.048828 |
| squares32.bmp | squares32.bmp-withWavelet_haar-G_0.8-H1e-005_af5.wfa    | haar    | af5 | 0.8 | 0.00001 | 24576 | 8192 | 8192 | 3 | 528 | 24 | 24 | 0.985 | 576 | 0.070313 |
| squares32.bmp | squares32.bmp-withWavelet_rbio1.1-G_0.8-H1e-005_af5.wfa | rbio1.1 | af5 | 0.8 | 0.00001 | 24576 | 8192 | 8192 | 3 | 528 | 24 | 24 | 0.953 | 576 | 0.070313 |

|               |   |         |     |     |         |       |      |      |   |     |    |    |       |     |          |
|---------------|---|---------|-----|-----|---------|-------|------|------|---|-----|----|----|-------|-----|----------|
| squares32.bmp | squares32.bmp-withWavelet_sym1-G_0.8-H1e-005_af5.wfa    | sym1    | af5 | 0.8 | 0.00001 | 24576 | 8192 | 8192 | 3 | 528 | 24 | 24 | 0.969 | 576 | 0.070313 |
| squares32.bmp | squares32.bmp-withWavelet_bior1.1-G_0.8-H1e-005_af5.wfa | bior1.1 | af5 | 0.8 | 0.00001 | 24576 | 8192 | 8192 | 3 | 528 | 24 | 24 | 1.031 | 576 | 0.070313 |
| squares32.bmp | squares32.bmp-G_0.6-H1e-005_af1.wfa                     |         | af1 | 0.6 | 0.00001 | 24576 | 8192 |      | 2 | 368 | 16 | 16 | 0.453 | 400 | 0.048828 |
| squares32.bmp | squares32.bmp-withWavelet_haar-G_0.6-H1e-005_af1.wfa    | haar    | af1 | 0.6 | 0.00001 | 24576 | 8192 | 8192 | 3 | 528 | 24 | 24 | 0.844 | 576 | 0.070313 |
| squares32.bmp | squares32.bmp-withWavelet_rbio1.1-G_0.6-H1e-005_af1.wfa | rbio1.1 | af1 | 0.6 | 0.00001 | 24576 | 8192 | 8192 | 3 | 528 | 24 | 24 | 0.875 | 576 | 0.070313 |
| squares32.bmp | squares32.bmp-withWavelet_sym1-G_0.6-H1e-005_af1.wfa    | sym1    | af1 | 0.6 | 0.00001 | 24576 | 8192 | 8192 | 3 | 528 | 24 | 24 | 0.859 | 576 | 0.070313 |
| squares32.bmp | squares32.bmp-withWavelet_bior1.1-G_0.6-H1e-005_af1.wfa | bior1.1 | af1 | 0.6 | 0.00001 | 24576 | 8192 | 8192 | 3 | 528 | 24 | 24 | 0.938 | 576 | 0.070313 |
| squares32.bmp | squares32.bmp-G_0.6-H1e-005_af2.wfa                     |         | af2 | 0.6 | 0.00001 | 24576 | 8192 |      | 2 | 368 | 16 | 16 | 0.547 | 400 | 0.048828 |
| squares32.bmp | squares32.bmp-withWavelet_haar-G_0.6-H1e-005_af2.wfa    | haar    | af2 | 0.6 | 0.00001 | 24576 | 8192 | 8192 | 3 | 528 | 24 | 24 | 0.906 | 576 | 0.070313 |
| squares32.bmp | squares32.bmp-withWavelet_rbio1.1-G_0.6-H1e-005_af2.wfa | rbio1.1 | af2 | 0.6 | 0.00001 | 24576 | 8192 | 8192 | 3 | 528 | 24 | 24 | 0.812 | 576 | 0.070313 |
| squares32.bmp | squares32.bmp-withWavelet_sym1-G_0.6-H1e-005_af2.wfa    | sym1    | af2 | 0.6 | 0.00001 | 24576 | 8192 | 8192 | 3 | 528 | 24 | 24 | 0.813 | 576 | 0.070313 |
| squares32.bmp | squares32.bmp-withWavelet_bior1.1-G_0.6-H1e-005_af2.wfa | bior1.1 | af2 | 0.6 | 0.00001 | 24576 | 8192 | 8192 | 3 | 528 | 24 | 24 | 0.86  | 576 | 0.070313 |
| squares32.bmp | squares32.bmp-G_0.6-H1e-005_af3.wfa                     |         | af3 | 0.6 | 0.00001 | 24576 | 8192 |      | 2 | 368 | 16 | 16 | 0.422 | 400 | 0.048828 |
| squares32.bmp | squares32.bmp-withWavelet_haar-G_0.6-H1e-005_af3.wfa    | haar    | af3 | 0.6 | 0.00001 | 24576 | 8192 | 8192 | 3 | 528 | 24 | 24 | 0.75  | 576 | 0.070313 |
| squares32.bmp | squares32.bmp-withWavelet_rbio1.1-G_0.6-H1e-005_af3.wfa | rbio1.1 | af3 | 0.6 | 0.00001 | 24576 | 8192 | 8192 | 3 | 528 | 24 | 24 | 0.75  | 576 | 0.070313 |
| squares32.bmp | squares32.bmp-withWavelet_sym1-G_0.6-H1e-005_af3.wfa    | sym1    | af3 | 0.6 | 0.00001 | 24576 | 8192 | 8192 | 3 | 528 | 24 | 24 | 0.75  | 576 | 0.070313 |
| squares32.bmp | squares32.bmp-withWavelet_bior1.1-G_0.6-H1e-005_af3.wfa | bior1.1 | af3 | 0.6 | 0.00001 | 24576 | 8192 | 8192 | 3 | 528 | 24 | 24 | 0.766 | 576 | 0.070313 |
| squares32.bmp | squares32.bmp-G_0.6-H1e-005_af4.wfa                     |         | af4 | 0.6 | 0.00001 | 24576 | 8192 |      | 2 | 368 | 16 | 16 | 0.516 | 400 | 0.048828 |
| squares32.bmp | squares32.bmp-withWavelet_haar-G_0.6-H1e-005_af4.wfa    | haar    | af4 | 0.6 | 0.00001 | 24576 | 8192 | 8192 | 3 | 528 | 24 | 24 | 0.797 | 576 | 0.070313 |
| squares32.bmp | squares32.bmp-withWavelet_rbio1.1-G_0.6-H1e-005_af4.wfa | rbio1.1 | af4 | 0.6 | 0.00001 | 24576 | 8192 | 8192 | 3 | 528 | 24 | 24 | 0.844 | 576 | 0.070313 |
| squares32.bmp | squares32.bmp-withWavelet_sym1-G_0.6-H1e-005_af4.wfa    | sym1    | af4 | 0.6 | 0.00001 | 24576 | 8192 | 8192 | 3 | 528 | 24 | 24 | 0.844 | 576 | 0.070313 |
| squares32.bmp | squares32.bmp-withWavelet_bior1.1-G_0.6-H1e-005_af4.wfa | bior1.1 | af4 | 0.6 | 0.00001 | 24576 | 8192 | 8192 | 3 | 528 | 24 | 24 | 0.875 | 576 | 0.070313 |
| squares32.bmp | squares32.bmp-G_0.6-H1e-005_af5.wfa                     |         | af5 | 0.6 | 0.00001 | 24576 | 8192 |      | 2 | 368 | 16 | 16 | 0.484 | 400 | 0.048828 |
| squares32.bmp | squares32.bmp-withWavelet_haar-G_0.6-H1e-005_af5.wfa    | haar    | af5 | 0.6 | 0.00001 | 24576 | 8192 | 8192 | 3 | 528 | 24 | 24 | 0.859 | 576 | 0.070313 |
| squares32.bmp | squares32.bmp-withWavelet_rbio1.1-G_0.6-H1e-005_af5.wfa | rbio1.1 | af5 | 0.6 | 0.00001 | 24576 | 8192 | 8192 | 3 | 528 | 24 | 24 | 1.266 | 576 | 0.070313 |
| squares32.bmp | squares32.bmp-withWavelet_sym1-G_0.6-H1e-005_af5.wfa    | sym1    | af5 | 0.6 | 0.00001 | 24576 | 8192 | 8192 | 3 | 528 | 24 | 24 | 0.906 | 576 | 0.070313 |
| squares32.bmp | squares32.bmp-withWavelet_bior1.1-G_0.6-H1e-005_af5.wfa | bior1.1 | af5 | 0.6 | 0.00001 | 24576 | 8192 | 8192 | 3 | 528 | 24 | 24 | 0.907 | 576 | 0.070313 |
| squares32.bmp | squares32.bmp-G_1-H0.0001_af1.wfa                       |         | af1 | 1   | 0.0001  | 24576 | 8192 |      | 2 | 368 | 16 | 16 | 0.516 | 400 | 0.048828 |
| squares32.bmp | squares32.bmp-withWavelet_haar-G_1-H0.0001_af1.wfa      | haar    | af1 | 1   | 0.0001  | 24576 | 8192 | 8192 | 3 | 528 | 24 | 24 | 0.844 | 576 | 0.070313 |
| squares32.bmp | squares32.bmp-withWavelet_rbio1.1-G_1-H0.0001_af1.wfa   | rbio1.1 | af1 | 1   | 0.0001  | 24576 | 8192 | 8192 | 3 | 528 | 24 | 24 | 0.89  | 576 | 0.070313 |
| squares32.bmp | squares32.bmp-withWavelet_sym1-G_1-H0.0001_af1.wfa      | sym1    | af1 | 1   | 0.0001  | 24576 | 8192 | 8192 | 3 | 528 | 24 | 24 | 0.859 | 576 | 0.070313 |

|               |   |         |     |     |        |       |      |      |   |     |    |    |       |     |          |
|---------------|---|---------|-----|-----|--------|-------|------|------|---|-----|----|----|-------|-----|----------|
| squares32.bmp | squares32.bmp-withWavelet_bior1.1-G_1-H0.0001_af1.wfa   | bior1.1 | af1 | 1   | 0.0001 | 24576 | 8192 | 8192 | 3 | 528 | 24 | 24 | 0.875 | 576 | 0.070313 |
| squares32.bmp | squares32.bmp-G_1-H0.0001_af2.wfa                       |         | af2 | 1   | 0.0001 | 24576 | 8192 |      | 2 | 368 | 16 | 16 | 0.578 | 400 | 0.048828 |
| squares32.bmp | squares32.bmp-withWavelet_haar-G_1-H0.0001_af2.wfa      | haar    | af2 | 1   | 0.0001 | 24576 | 8192 | 8192 | 3 | 528 | 24 | 24 | 0.89  | 576 | 0.070313 |
| squares32.bmp | squares32.bmp-withWavelet_rbio1.1-G_1-H0.0001_af2.wfa   | rbio1.1 | af2 | 1   | 0.0001 | 24576 | 8192 | 8192 | 3 | 528 | 24 | 24 | 1.016 | 576 | 0.070313 |
| squares32.bmp | squares32.bmp-withWavelet_sym1-G_1-H0.0001_af2.wfa      | sym1    | af2 | 1   | 0.0001 | 24576 | 8192 | 8192 | 3 | 528 | 24 | 24 | 0.891 | 576 | 0.070313 |
| squares32.bmp | squares32.bmp-withWavelet_bior1.1-G_1-H0.0001_af2.wfa   | bior1.1 | af2 | 1   | 0.0001 | 24576 | 8192 | 8192 | 3 | 528 | 24 | 24 | 0.875 | 576 | 0.070313 |
| squares32.bmp | squares32.bmp-G_1-H0.0001_af3.wfa                       |         | af3 | 1   | 0.0001 | 24576 | 8192 |      | 2 | 368 | 16 | 16 | 0.531 | 400 | 0.048828 |
| squares32.bmp | squares32.bmp-withWavelet_haar-G_1-H0.0001_af3.wfa      | haar    | af3 | 1   | 0.0001 | 24576 | 8192 | 8192 | 3 | 528 | 24 | 24 | 0.844 | 576 | 0.070313 |
| squares32.bmp | squares32.bmp-withWavelet_rbio1.1-G_1-H0.0001_af3.wfa   | rbio1.1 | af3 | 1   | 0.0001 | 24576 | 8192 | 8192 | 3 | 528 | 24 | 24 | 0.875 | 576 | 0.070313 |
| squares32.bmp | squares32.bmp-withWavelet_sym1-G_1-H0.0001_af3.wfa      | sym1    | af3 | 1   | 0.0001 | 24576 | 8192 | 8192 | 3 | 528 | 24 | 24 | 0.922 | 576 | 0.070313 |
| squares32.bmp | squares32.bmp-withWavelet_bior1.1-G_1-H0.0001_af3.wfa   | bior1.1 | af3 | 1   | 0.0001 | 24576 | 8192 | 8192 | 3 | 528 | 24 | 24 | 0.906 | 576 | 0.070313 |
| squares32.bmp | squares32.bmp-G_1-H0.0001_af4.wfa                       |         | af4 | 1   | 0.0001 | 24576 | 8192 |      | 2 | 368 | 16 | 16 | 0.671 | 400 | 0.048828 |
| squares32.bmp | squares32.bmp-withWavelet_haar-G_1-H0.0001_af4.wfa      | haar    | af4 | 1   | 0.0001 | 24576 | 8192 | 8192 | 3 | 528 | 24 | 24 | 0.937 | 576 | 0.070313 |
| squares32.bmp | squares32.bmp-withWavelet_rbio1.1-G_1-H0.0001_af4.wfa   | rbio1.1 | af4 | 1   | 0.0001 | 24576 | 8192 | 8192 | 3 | 528 | 24 | 24 | 0.906 | 576 | 0.070313 |
| squares32.bmp | squares32.bmp-withWavelet_sym1-G_1-H0.0001_af4.wfa      | sym1    | af4 | 1   | 0.0001 | 24576 | 8192 | 8192 | 3 | 528 | 24 | 24 | 1.047 | 576 | 0.070313 |
| squares32.bmp | squares32.bmp-withWavelet_bior1.1-G_1-H0.0001_af4.wfa   | bior1.1 | af4 | 1   | 0.0001 | 24576 | 8192 | 8192 | 3 | 528 | 24 | 24 | 0.875 | 576 | 0.070313 |
| squares32.bmp | squares32.bmp-G_1-H0.0001_af5.wfa                       |         | af5 | 1   | 0.0001 | 24576 | 8192 |      | 2 | 368 | 16 | 16 | 0.563 | 400 | 0.048828 |
| squares32.bmp | squares32.bmp-withWavelet_haar-G_1-H0.0001_af5.wfa      | haar    | af5 | 1   | 0.0001 | 24576 | 8192 | 8192 | 3 | 528 | 24 | 24 | 0.922 | 576 | 0.070313 |
| squares32.bmp | squares32.bmp-withWavelet_rbio1.1-G_1-H0.0001_af5.wfa   | rbio1.1 | af5 | 1   | 0.0001 | 24576 | 8192 | 8192 | 3 | 528 | 24 | 24 | 0.906 | 576 | 0.070313 |
| squares32.bmp | squares32.bmp-withWavelet_sym1-G_1-H0.0001_af5.wfa      | sym1    | af5 | 1   | 0.0001 | 24576 | 8192 | 8192 | 3 | 528 | 24 | 24 | 0.875 | 576 | 0.070313 |
| squares32.bmp | squares32.bmp-withWavelet_bior1.1-G_1-H0.0001_af5.wfa   | bior1.1 | af5 | 1   | 0.0001 | 24576 | 8192 | 8192 | 3 | 528 | 24 | 24 | 0.954 | 576 | 0.070313 |
| squares32.bmp | squares32.bmp-G_0.8-H0.0001_af1.wfa                     |         | af1 | 0.8 | 0.0001 | 24576 | 8192 |      | 2 | 368 | 16 | 16 | 0.468 | 400 | 0.048828 |
| squares32.bmp | squares32.bmp-withWavelet_haar-G_0.8-H0.0001_af1.wfa    | haar    | af1 | 0.8 | 0.0001 | 24576 | 8192 | 8192 | 3 | 528 | 24 | 24 | 0.985 | 576 | 0.070313 |
| squares32.bmp | squares32.bmp-withWavelet_rbio1.1-G_0.8-H0.0001_af1.wfa | rbio1.1 | af1 | 0.8 | 0.0001 | 24576 | 8192 | 8192 | 3 | 528 | 24 | 24 | 0.766 | 576 | 0.070313 |
| squares32.bmp | squares32.bmp-withWavelet_sym1-G_0.8-H0.0001_af1.wfa    | sym1    | af1 | 0.8 | 0.0001 | 24576 | 8192 | 8192 | 3 | 528 | 24 | 24 | 0.765 | 576 | 0.070313 |
| squares32.bmp | squares32.bmp-withWavelet_bior1.1-G_0.8-H0.0001_af1.wfa | bior1.1 | af1 | 0.8 | 0.0001 | 24576 | 8192 | 8192 | 3 | 528 | 24 | 24 | 0.782 | 576 | 0.070313 |
| squares32.bmp | squares32.bmp-G_0.8-H0.0001_af2.wfa                     |         | af2 | 0.8 | 0.0001 | 24576 | 8192 |      | 2 | 368 | 16 | 16 | 0.547 | 400 | 0.048828 |
| squares32.bmp | squares32.bmp-withWavelet_haar-G_0.8-H0.0001_af2.wfa    | haar    | af2 | 0.8 | 0.0001 | 24576 | 8192 | 8192 | 3 | 528 | 24 | 24 | 0.906 | 576 | 0.070313 |
| squares32.bmp | squares32.bmp-withWavelet_rbio1.1-G_0.8-H0.0001_af2.wfa | rbio1.1 | af2 | 0.8 | 0.0001 | 24576 | 8192 | 8192 | 3 | 528 | 24 | 24 | 0.922 | 576 | 0.070313 |
| squares32.bmp | squares32.bmp-withWavelet_sym1-G_0.8-H0.0001_af2.wfa    | sym1    | af2 | 0.8 | 0.0001 | 24576 | 8192 | 8192 | 3 | 528 | 24 | 24 | 0.953 | 576 | 0.070313 |
| squares32.bmp | squares32.bmp-withWavelet_bior1.1-G_0.8-H0.0001_af2.wfa | bior1.1 | af2 | 0.8 | 0.0001 | 24576 | 8192 | 8192 | 3 | 528 | 24 | 24 | 0.828 | 576 | 0.070313 |

|               |   |         |     |     |        |       |      |      |   |     |    |    |       |     |          |
|---------------|---|---------|-----|-----|--------|-------|------|------|---|-----|----|----|-------|-----|----------|
| squares32.bmp | squares32.bmp-G_0.8-H0.0001_af3.wfa                     |         | af3 | 0.8 | 0.0001 | 24576 | 8192 |      | 2 | 368 | 16 | 16 | 0.485 | 400 | 0.048828 |
| squares32.bmp | squares32.bmp-withWavelet_haar-G_0.8-H0.0001_af3.wfa    | haar    | af3 | 0.8 | 0.0001 | 24576 | 8192 | 8192 | 3 | 528 | 24 | 24 | 0.797 | 576 | 0.070313 |
| squares32.bmp | squares32.bmp-withWavelet_rbio1.1-G_0.8-H0.0001_af3.wfa | rbio1.1 | af3 | 0.8 | 0.0001 | 24576 | 8192 | 8192 | 3 | 528 | 24 | 24 | 0.781 | 576 | 0.070313 |
| squares32.bmp | squares32.bmp-withWavelet_sym1-G_0.8-H0.0001_af3.wfa    | sym1    | af3 | 0.8 | 0.0001 | 24576 | 8192 | 8192 | 3 | 528 | 24 | 24 | 0.859 | 576 | 0.070313 |
| squares32.bmp | squares32.bmp-withWavelet_bior1.1-G_0.8-H0.0001_af3.wfa | bior1.1 | af3 | 0.8 | 0.0001 | 24576 | 8192 | 8192 | 3 | 528 | 24 | 24 | 0.875 | 576 | 0.070313 |
| squares32.bmp | squares32.bmp-G_0.8-H0.0001_af4.wfa                     |         | af4 | 0.8 | 0.0001 | 24576 | 8192 |      | 2 | 368 | 16 | 16 | 0.5   | 400 | 0.048828 |
| squares32.bmp | squares32.bmp-withWavelet_haar-G_0.8-H0.0001_af4.wfa    | haar    | af4 | 0.8 | 0.0001 | 24576 | 8192 | 8192 | 3 | 528 | 24 | 24 | 0.844 | 576 | 0.070313 |
| squares32.bmp | squares32.bmp-withWavelet_rbio1.1-G_0.8-H0.0001_af4.wfa | rbio1.1 | af4 | 0.8 | 0.0001 | 24576 | 8192 | 8192 | 3 | 528 | 24 | 24 | 0.844 | 576 | 0.070313 |
| squares32.bmp | squares32.bmp-withWavelet_sym1-G_0.8-H0.0001_af4.wfa    | sym1    | af4 | 0.8 | 0.0001 | 24576 | 8192 | 8192 | 3 | 528 | 24 | 24 | 0.828 | 576 | 0.070313 |
| squares32.bmp | squares32.bmp-withWavelet_bior1.1-G_0.8-H0.0001_af4.wfa | bior1.1 | af4 | 0.8 | 0.0001 | 24576 | 8192 | 8192 | 3 | 528 | 24 | 24 | 0.828 | 576 | 0.070313 |
| squares32.bmp | squares32.bmp-G_0.8-H0.0001_af5.wfa                     |         | af5 | 0.8 | 0.0001 | 24576 | 8192 |      | 2 | 368 | 16 | 16 | 0.5   | 400 | 0.048828 |
| squares32.bmp | squares32.bmp-withWavelet_haar-G_0.8-H0.0001_af5.wfa    | haar    | af5 | 0.8 | 0.0001 | 24576 | 8192 | 8192 | 3 | 528 | 24 | 24 | 0.844 | 576 | 0.070313 |
| squares32.bmp | squares32.bmp-withWavelet_rbio1.1-G_0.8-H0.0001_af5.wfa | rbio1.1 | af5 | 0.8 | 0.0001 | 24576 | 8192 | 8192 | 3 | 528 | 24 | 24 | 0.813 | 576 | 0.070313 |
| squares32.bmp | squares32.bmp-withWavelet_sym1-G_0.8-H0.0001_af5.wfa    | sym1    | af5 | 0.8 | 0.0001 | 24576 | 8192 | 8192 | 3 | 528 | 24 | 24 | 0.797 | 576 | 0.070313 |
| squares32.bmp | squares32.bmp-withWavelet_bior1.1-G_0.8-H0.0001_af5.wfa | bior1.1 | af5 | 0.8 | 0.0001 | 24576 | 8192 | 8192 | 3 | 528 | 24 | 24 | 0.907 | 576 | 0.070313 |
| squares32.bmp | squares32.bmp-G_0.6-H0.0001_af1.wfa                     |         | af1 | 0.6 | 0.0001 | 24576 | 8192 |      | 2 | 368 | 16 | 16 | 0.422 | 400 | 0.048828 |
| squares32.bmp | squares32.bmp-withWavelet_haar-G_0.6-H0.0001_af1.wfa    | haar    | af1 | 0.6 | 0.0001 | 24576 | 8192 | 8192 | 3 | 528 | 24 | 24 | 0.765 | 576 | 0.070313 |
| squares32.bmp | squares32.bmp-withWavelet_rbio1.1-G_0.6-H0.0001_af1.wfa | rbio1.1 | af1 | 0.6 | 0.0001 | 24576 | 8192 | 8192 | 3 | 528 | 24 | 24 | 0.75  | 576 | 0.070313 |
| squares32.bmp | squares32.bmp-withWavelet_sym1-G_0.6-H0.0001_af1.wfa    | sym1    | af1 | 0.6 | 0.0001 | 24576 | 8192 | 8192 | 3 | 528 | 24 | 24 | 0.813 | 576 | 0.070313 |
| squares32.bmp | squares32.bmp-withWavelet_bior1.1-G_0.6-H0.0001_af1.wfa | bior1.1 | af1 | 0.6 | 0.0001 | 24576 | 8192 | 8192 | 3 | 528 | 24 | 24 | 0.937 | 576 | 0.070313 |
| squares32.bmp | squares32.bmp-G_0.6-H0.0001_af2.wfa                     |         | af2 | 0.6 | 0.0001 | 24576 | 8192 |      | 2 | 368 | 16 | 16 | 0.469 | 400 | 0.048828 |
| squares32.bmp | squares32.bmp-withWavelet_haar-G_0.6-H0.0001_af2.wfa    | haar    | af2 | 0.6 | 0.0001 | 24576 | 8192 | 8192 | 3 | 528 | 24 | 24 | 0.844 | 576 | 0.070313 |
| squares32.bmp | squares32.bmp-withWavelet_rbio1.1-G_0.6-H0.0001_af2.wfa | rbio1.1 | af2 | 0.6 | 0.0001 | 24576 | 8192 | 8192 | 3 | 528 | 24 | 24 | 0.938 | 576 | 0.070313 |
| squares32.bmp | squares32.bmp-withWavelet_sym1-G_0.6-H0.0001_af2.wfa    | sym1    | af2 | 0.6 | 0.0001 | 24576 | 8192 | 8192 | 3 | 528 | 24 | 24 | 0.937 | 576 | 0.070313 |
| squares32.bmp | squares32.bmp-withWavelet_bior1.1-G_0.6-H0.0001_af2.wfa | bior1.1 | af2 | 0.6 | 0.0001 | 24576 | 8192 | 8192 | 3 | 528 | 24 | 24 | 1.141 | 576 | 0.070313 |
| squares32.bmp | squares32.bmp-G_0.6-H0.0001_af3.wfa                     |         | af3 | 0.6 | 0.0001 | 24576 | 8192 |      | 2 | 368 | 16 | 16 | 0.484 | 400 | 0.048828 |
| squares32.bmp | squares32.bmp-withWavelet_haar-G_0.6-H0.0001_af3.wfa    | haar    | af3 | 0.6 | 0.0001 | 24576 | 8192 | 8192 | 3 | 528 | 24 | 24 | 0.969 | 576 | 0.070313 |
| squares32.bmp | squares32.bmp-withWavelet_rbio1.1-G_0.6-H0.0001_af3.wfa | rbio1.1 | af3 | 0.6 | 0.0001 | 24576 | 8192 | 8192 | 3 | 528 | 24 | 24 | 0.875 | 576 | 0.070313 |
| squares32.bmp | squares32.bmp-withWavelet_sym1-G_0.6-H0.0001_af3.wfa    | sym1    | af3 | 0.6 | 0.0001 | 24576 | 8192 | 8192 | 3 | 528 | 24 | 24 | 1.016 | 576 | 0.070313 |
| squares32.bmp | squares32.bmp-withWavelet_bior1.1-G_0.6-H0.0001_af3.wfa | bior1.1 | af3 | 0.6 | 0.0001 | 24576 | 8192 | 8192 | 3 | 528 | 24 | 24 | 0.844 | 576 | 0.070313 |
| squares32.bmp | squares32.bmp-G_0.6-H0.0001_af4.wfa                     |         | af4 | 0.6 | 0.0001 | 24576 | 8192 |      | 2 | 368 | 16 | 16 | 0.594 | 400 | 0.048828 |

|               |   |         |     |     |        |       |      |      |   |     |    |    |       |     |          |
|---------------|---|---------|-----|-----|--------|-------|------|------|---|-----|----|----|-------|-----|----------|
| squares32.bmp | squares32.bmp-withWavelet_haar-G_0.6-H0.0001_af4.wfa    | haar    | af4 | 0.6 | 0.0001 | 24576 | 8192 | 8192 | 3 | 528 | 24 | 24 | 0.922 | 576 | 0.070313 |
| squares32.bmp | squares32.bmp-withWavelet_rbio1.1-G_0.6-H0.0001_af4.wfa | rbio1.1 | af4 | 0.6 | 0.0001 | 24576 | 8192 | 8192 | 3 | 528 | 24 | 24 | 0.922 | 576 | 0.070313 |
| squares32.bmp | squares32.bmp-withWavelet_sym1-G_0.6-H0.0001_af4.wfa    | sym1    | af4 | 0.6 | 0.0001 | 24576 | 8192 | 8192 | 3 | 528 | 24 | 24 | 0.906 | 576 | 0.070313 |
| squares32.bmp | squares32.bmp-withWavelet_bior1.1-G_0.6-H0.0001_af4.wfa | bior1.1 | af4 | 0.6 | 0.0001 | 24576 | 8192 | 8192 | 3 | 528 | 24 | 24 | 0.843 | 576 | 0.070313 |
| squares32.bmp | squares32.bmp-G_0.6-H0.0001_af5.wfa                     |         | af5 | 0.6 | 0.0001 | 24576 | 8192 |      | 2 | 368 | 16 | 16 | 0.516 | 400 | 0.048828 |
| squares32.bmp | squares32.bmp-withWavelet_haar-G_0.6-H0.0001_af5.wfa    | haar    | af5 | 0.6 | 0.0001 | 24576 | 8192 | 8192 | 3 | 528 | 24 | 24 | 0.938 | 576 | 0.070313 |
| squares32.bmp | squares32.bmp-withWavelet_rbio1.1-G_0.6-H0.0001_af5.wfa | rbio1.1 | af5 | 0.6 | 0.0001 | 24576 | 8192 | 8192 | 3 | 528 | 24 | 24 | 0.844 | 576 | 0.070313 |
| squares32.bmp | squares32.bmp-withWavelet_sym1-G_0.6-H0.0001_af5.wfa    | sym1    | af5 | 0.6 | 0.0001 | 24576 | 8192 | 8192 | 3 | 528 | 24 | 24 | 0.937 | 576 | 0.070313 |
| squares32.bmp | squares32.bmp-withWavelet_bior1.1-G_0.6-H0.0001_af5.wfa | bior1.1 | af5 | 0.6 | 0.0001 | 24576 | 8192 | 8192 | 3 | 528 | 24 | 24 | 0.906 | 576 | 0.070313 |

**Tabela III.5 – Codificação mandrill32.bmp em suas combinações**

| Img            | Img codificada   | Wlet    | AF  | G | H       | lBytes | GSByte | WletBy | #Stes | WBy   | lBy | FBy | Time (sec) | Total (bytes) | %        |
|----------------|--|---------|-----|---|---------|--------|--------|--------|-------|-------|-----|-----|------------|---------------|----------|
| mandrill32.bmp | mandrill32.bmp-G_1-H1e-005_af1.wfa                     |         | af1 | 1 | 0.00001 | 24576  | 8192   |        | 31    | 30992 | 248 | 248 | 249.344    | 31488         | 3.84375  |
| mandrill32.bmp | mandrill32.bmp-withWavelet_haar-G_1-H1e-005_af1.wfa    | haar    | af1 | 1 | 0.00001 | 24576  | 8192   | 8192   | 33    | 35088 | 264 | 264 | 270.969    | 35616         | 4.347656 |
| mandrill32.bmp | mandrill32.bmp-withWavelet_rbio1.1-G_1-H1e-005_af1.wfa | rbio1.1 | af1 | 1 | 0.00001 | 24576  | 8192   | 8192   | 33    | 35088 | 264 | 264 | 265.782    | 35616         | 4.347656 |
| mandrill32.bmp | mandrill32.bmp-withWavelet_sym1-G_1-H1e-005_af1.wfa    | sym1    | af1 | 1 | 0.00001 | 24576  | 8192   | 8192   | 33    | 35088 | 264 | 264 | 266.031    | 35616         | 4.347656 |
| mandrill32.bmp | mandrill32.bmp-withWavelet_bior1.1-G_1-H1e-005_af1.wfa | bior1.1 | af1 | 1 | 0.00001 | 24576  | 8192   | 8192   | 33    | 35088 | 264 | 264 | 268.078    | 35616         | 4.347656 |
| mandrill32.bmp | mandrill32.bmp-G_1-H1e-005_af2.wfa                     |         | af2 | 1 | 0.00001 | 24576  | 8192   |        | 28    | 25328 | 224 | 224 | 158.422    | 25776         | 3.146484 |
| mandrill32.bmp | mandrill32.bmp-withWavelet_haar-G_1-H1e-005_af2.wfa    | haar    | af2 | 1 | 0.00001 | 24576  | 8192   | 8192   | 27    | 23568 | 216 | 216 | 163.094    | 24000         | 2.929688 |
| mandrill32.bmp | mandrill32.bmp-withWavelet_rbio1.1-G_1-H1e-005_af2.wfa | rbio1.1 | af2 | 1 | 0.00001 | 24576  | 8192   | 8192   | 27    | 23568 | 216 | 216 | 163.015    | 24000         | 2.929688 |
| mandrill32.bmp | mandrill32.bmp-withWavelet_sym1-G_1-H1e-005_af2.wfa    | sym1    | af2 | 1 | 0.00001 | 24576  | 8192   | 8192   | 27    | 23568 | 216 | 216 | 171.781    | 24000         | 2.929688 |
| mandrill32.bmp | mandrill32.bmp-withWavelet_bior1.1-G_1-H1e-005_af2.wfa | bior1.1 | af2 | 1 | 0.00001 | 24576  | 8192   | 8192   | 27    | 23568 | 216 | 216 | 179.485    | 24000         | 2.929688 |
| mandrill32.bmp | mandrill32.bmp-G_1-H1e-005_af3.wfa                     |         | af3 | 1 | 0.00001 | 24576  | 8192   |        | 28    | 25328 | 224 | 224 | 220.75     | 25776         | 3.146484 |
| mandrill32.bmp | mandrill32.bmp-withWavelet_haar-G_1-H1e-005_af3.wfa    | haar    | af3 | 1 | 0.00001 | 24576  | 8192   | 8192   | 32    | 33008 | 256 | 256 | 299.563    | 33520         | 4.091797 |
| mandrill32.bmp | mandrill32.bmp-withWavelet_rbio1.1-G_1-H1e-005_af3.wfa | rbio1.1 | af3 | 1 | 0.00001 | 24576  | 8192   | 8192   | 32    | 33008 | 256 | 256 | 292.765    | 33520         | 4.091797 |
| mandrill32.bmp | mandrill32.bmp-withWavelet_sym1-G_1-H1e-005_af3.wfa    | sym1    | af3 | 1 | 0.00001 | 24576  | 8192   | 8192   | 32    | 33008 | 256 | 256 | 279.312    | 33520         | 4.091797 |
| mandrill32.bmp | mandrill32.bmp-withWavelet_bior1.1-G_1-H1e-005_af3.wfa | bior1.1 | af3 | 1 | 0.00001 | 24576  | 8192   | 8192   | 32    | 33008 | 256 | 256 | 271.016    | 33520         | 4.091797 |
| mandrill32.bmp | mandrill32.bmp-G_1-H1e-005_af4.wfa                     |         | af4 | 1 | 0.00001 | 24576  | 8192   |        | 22    | 15728 | 176 | 176 | 171.735    | 16080         | 1.962891 |
| mandrill32.bmp | mandrill32.bmp-withWavelet_haar-G_1-H1e-005_af4.wfa    | haar    | af4 | 1 | 0.00001 | 24576  | 8192   | 8192   | 32    | 33008 | 256 | 256 | 450.531    | 33520         | 4.091797 |
| mandrill32.bmp | mandrill32.bmp-withWavelet_rbio1.1-G_1-H1e-005_af4.wfa | rbio1.1 | af4 | 1 | 0.00001 | 24576  | 8192   | 8192   | 32    | 33008 | 256 | 256 | 486.031    | 33520         | 4.091797 |
| mandrill32.bmp | mandrill32.bmp-withWavelet_sym1-G_1-H1e-005_af4.wfa    | sym1    | af4 | 1 | 0.00001 | 24576  | 8192   | 8192   | 32    | 33008 | 256 | 256 | 420.219    | 33520         | 4.091797 |
| mandrill32.bmp | mandrill32.bmp-withWavelet_bior1.1-G_1-H1e-005_af4.wfa | bior1.1 | af4 | 1 | 0.00001 | 24576  | 8192   | 8192   | 32    | 33008 | 256 | 256 | 413.172    | 33520         | 4.091797 |

|                |  |         |     |     |         |       |      |      |    |       |     |     |         |       |          |
|----------------|--|---------|-----|-----|---------|-------|------|------|----|-------|-----|-----|---------|-------|----------|
| mandrill32.bmp | mandrill32.bmp-G_1-H1e-005_af5.wfa                       |         | af5 | 1   | 0.00001 | 24576 | 8192 |      | 27 | 23568 | 216 | 216 | 52.813  | 24000 | 2.929688 |
| mandrill32.bmp | mandrill32.bmp-withWavelet_haar-G_1-H1e-005_af5.wfa      | haar    | af5 | 1   | 0.00001 | 24576 | 8192 | 8192 | 25 | 20240 | 200 | 200 | 49.953  | 20640 | 2.519531 |
| mandrill32.bmp | mandrill32.bmp-withWavelet_rbio1.1-G_1-H1e-005_af5.wfa   | rbio1.1 | af5 | 1   | 0.00001 | 24576 | 8192 | 8192 | 25 | 20240 | 200 | 200 | 49.328  | 20640 | 2.519531 |
| mandrill32.bmp | mandrill32.bmp-withWavelet_sym1-G_1-H1e-005_af5.wfa      | sym1    | af5 | 1   | 0.00001 | 24576 | 8192 | 8192 | 25 | 20240 | 200 | 200 | 48.25   | 20640 | 2.519531 |
| mandrill32.bmp | mandrill32.bmp-withWavelet_bior1.1-G_1-H1e-005_af5.wfa   | bior1.1 | af5 | 1   | 0.00001 | 24576 | 8192 | 8192 | 25 | 20240 | 200 | 200 | 48.75   | 20640 | 2.519531 |
| mandrill32.bmp | mandrill32.bmp-G_0.8-H1e-005_af1.wfa                     |         | af1 | 0.8 | 0.00001 | 24576 | 8192 |      | 31 | 30992 | 248 | 248 | 126.828 | 31488 | 3.84375  |
| mandrill32.bmp | mandrill32.bmp-withWavelet_haar-G_0.8-H1e-005_af1.wfa    | haar    | af1 | 0.8 | 0.00001 | 24576 | 8192 | 8192 | 32 | 33008 | 256 | 256 | 136.015 | 33520 | 4.091797 |
| mandrill32.bmp | mandrill32.bmp-withWavelet_rbio1.1-G_0.8-H1e-005_af1.wfa | rbio1.1 | af1 | 0.8 | 0.00001 | 24576 | 8192 | 8192 | 32 | 33008 | 256 | 256 | 133.844 | 33520 | 4.091797 |
| mandrill32.bmp | mandrill32.bmp-withWavelet_sym1-G_0.8-H1e-005_af1.wfa    | sym1    | af1 | 0.8 | 0.00001 | 24576 | 8192 | 8192 | 32 | 33008 | 256 | 256 | 135.735 | 33520 | 4.091797 |
| mandrill32.bmp | mandrill32.bmp-withWavelet_bior1.1-G_0.8-H1e-005_af1.wfa | bior1.1 | af1 | 0.8 | 0.00001 | 24576 | 8192 | 8192 | 32 | 33008 | 256 | 256 | 135.047 | 33520 | 4.091797 |
| mandrill32.bmp | mandrill32.bmp-G_0.8-H1e-005_af2.wfa                     |         | af2 | 0.8 | 0.00001 | 24576 | 8192 |      | 28 | 25328 | 224 | 224 | 83.938  | 25776 | 3.146484 |
| mandrill32.bmp | mandrill32.bmp-withWavelet_haar-G_0.8-H1e-005_af2.wfa    | haar    | af2 | 0.8 | 0.00001 | 24576 | 8192 | 8192 | 27 | 23568 | 216 | 216 | 88.453  | 24000 | 2.929688 |
| mandrill32.bmp | mandrill32.bmp-withWavelet_rbio1.1-G_0.8-H1e-005_af2.wfa | rbio1.1 | af2 | 0.8 | 0.00001 | 24576 | 8192 | 8192 | 27 | 23568 | 216 | 216 | 88.985  | 24000 | 2.929688 |
| mandrill32.bmp | mandrill32.bmp-withWavelet_sym1-G_0.8-H1e-005_af2.wfa    | sym1    | af2 | 0.8 | 0.00001 | 24576 | 8192 | 8192 | 27 | 23568 | 216 | 216 | 89.14   | 24000 | 2.929688 |
| mandrill32.bmp | mandrill32.bmp-withWavelet_bior1.1-G_0.8-H1e-005_af2.wfa | bior1.1 | af2 | 0.8 | 0.00001 | 24576 | 8192 | 8192 | 27 | 23568 | 216 | 216 | 93.36   | 24000 | 2.929688 |
| mandrill32.bmp | mandrill32.bmp-G_0.8-H1e-005_af3.wfa                     |         | af3 | 0.8 | 0.00001 | 24576 | 8192 |      | 28 | 25328 | 224 | 224 | 110.422 | 25776 | 3.146484 |
| mandrill32.bmp | mandrill32.bmp-withWavelet_haar-G_0.8-H1e-005_af3.wfa    | haar    | af3 | 0.8 | 0.00001 | 24576 | 8192 | 8192 | 32 | 33008 | 256 | 256 | 134.578 | 33520 | 4.091797 |
| mandrill32.bmp | mandrill32.bmp-withWavelet_rbio1.1-G_0.8-H1e-005_af3.wfa | rbio1.1 | af3 | 0.8 | 0.00001 | 24576 | 8192 | 8192 | 32 | 33008 | 256 | 256 | 126.985 | 33520 | 4.091797 |
| mandrill32.bmp | mandrill32.bmp-withWavelet_sym1-G_0.8-H1e-005_af3.wfa    | sym1    | af3 | 0.8 | 0.00001 | 24576 | 8192 | 8192 | 32 | 33008 | 256 | 256 | 132.531 | 33520 | 4.091797 |
| mandrill32.bmp | mandrill32.bmp-withWavelet_bior1.1-G_0.8-H1e-005_af3.wfa | bior1.1 | af3 | 0.8 | 0.00001 | 24576 | 8192 | 8192 | 32 | 33008 | 256 | 256 | 144.312 | 33520 | 4.091797 |
| mandrill32.bmp | mandrill32.bmp-G_0.8-H1e-005_af4.wfa                     |         | af4 | 0.8 | 0.00001 | 24576 | 8192 |      | 21 | 14352 | 168 | 168 | 86.687  | 14688 | 1.792969 |
| mandrill32.bmp | mandrill32.bmp-withWavelet_haar-G_0.8-H1e-005_af4.wfa    | haar    | af4 | 0.8 | 0.00001 | 24576 | 8192 | 8192 | 32 | 33008 | 256 | 256 | 212.156 | 33520 | 4.091797 |
| mandrill32.bmp | mandrill32.bmp-withWavelet_rbio1.1-G_0.8-H1e-005_af4.wfa | rbio1.1 | af4 | 0.8 | 0.00001 | 24576 | 8192 | 8192 | 32 | 33008 | 256 | 256 | 227.203 | 33520 | 4.091797 |
| mandrill32.bmp | mandrill32.bmp-withWavelet_sym1-G_0.8-H1e-005_af4.wfa    | sym1    | af4 | 0.8 | 0.00001 | 24576 | 8192 | 8192 | 32 | 33008 | 256 | 256 | 204.297 | 33520 | 4.091797 |
| mandrill32.bmp | mandrill32.bmp-withWavelet_bior1.1-G_0.8-H1e-005_af4.wfa | bior1.1 | af4 | 0.8 | 0.00001 | 24576 | 8192 | 8192 | 32 | 33008 | 256 | 256 | 208.125 | 33520 | 4.091797 |
| mandrill32.bmp | mandrill32.bmp-G_0.8-H1e-005_af5.wfa                     |         | af5 | 0.8 | 0.00001 | 24576 | 8192 |      | 28 | 25328 | 224 | 224 | 38.296  | 25776 | 3.146484 |
| mandrill32.bmp | mandrill32.bmp-withWavelet_haar-G_0.8-H1e-005_af5.wfa    | haar    | af5 | 0.8 | 0.00001 | 24576 | 8192 | 8192 | 25 | 20240 | 200 | 200 | 35.89   | 20640 | 2.519531 |
| mandrill32.bmp | mandrill32.bmp-withWavelet_rbio1.1-G_0.8-H1e-005_af5.wfa | rbio1.1 | af5 | 0.8 | 0.00001 | 24576 | 8192 | 8192 | 25 | 20240 | 200 | 200 | 35.688  | 20640 | 2.519531 |
| mandrill32.bmp | mandrill32.bmp-withWavelet_sym1-G_0.8-H1e-005_af5.wfa    | sym1    | af5 | 0.8 | 0.00001 | 24576 | 8192 | 8192 | 25 | 20240 | 200 | 200 | 36.047  | 20640 | 2.519531 |
| mandrill32.bmp | mandrill32.bmp-withWavelet_bior1.1-G_0.8-H1e-005_af5.wfa | bior1.1 | af5 | 0.8 | 0.00001 | 24576 | 8192 | 8192 | 25 | 20240 | 200 | 200 | 36.735  | 20640 | 2.519531 |
| mandrill32.bmp | mandrill32.bmp-G_0.6-H1e-005_af1.wfa                     |         | af1 | 0.6 | 0.00001 | 24576 | 8192 |      | 29 | 27152 | 232 | 232 | 82.844  | 27616 | 3.371094 |

|                |  |         |     |     |         |       |      |      |    |       |     |     |         |       |          |
|----------------|--|---------|-----|-----|---------|-------|------|------|----|-------|-----|-----|---------|-------|----------|
| mandrill32.bmp | mandrill32.bmp-withWavelet_haar-G_0.6-H1e-005_af1.wfa    | haar    | af1 | 0.6 | 0.00001 | 24576 | 8192 | 8192 | 32 | 33008 | 256 | 256 | 96.344  | 33520 | 4.091797 |
| mandrill32.bmp | mandrill32.bmp-withWavelet_rbio1.1-G_0.6-H1e-005_af1.wfa | rbio1.1 | af1 | 0.6 | 0.00001 | 24576 | 8192 | 8192 | 32 | 33008 | 256 | 256 | 96.5    | 33520 | 4.091797 |
| mandrill32.bmp | mandrill32.bmp-withWavelet_sym1-G_0.6-H1e-005_af1.wfa    | sym1    | af1 | 0.6 | 0.00001 | 24576 | 8192 | 8192 | 32 | 33008 | 256 | 256 | 95.437  | 33520 | 4.091797 |
| mandrill32.bmp | mandrill32.bmp-withWavelet_bior1.1-G_0.6-H1e-005_af1.wfa | bior1.1 | af1 | 0.6 | 0.00001 | 24576 | 8192 | 8192 | 32 | 33008 | 256 | 256 | 96.281  | 33520 | 4.091797 |
| mandrill32.bmp | mandrill32.bmp-G_0.6-H1e-005_af2.wfa                     |         | af2 | 0.6 | 0.00001 | 24576 | 8192 |      | 27 | 23568 | 216 | 216 | 63.859  | 24000 | 2.929688 |
| mandrill32.bmp | mandrill32.bmp-withWavelet_haar-G_0.6-H1e-005_af2.wfa    | haar    | af2 | 0.6 | 0.00001 | 24576 | 8192 | 8192 | 25 | 20240 | 200 | 200 | 63.187  | 20640 | 2.519531 |
| mandrill32.bmp | mandrill32.bmp-withWavelet_rbio1.1-G_0.6-H1e-005_af2.wfa | rbio1.1 | af2 | 0.6 | 0.00001 | 24576 | 8192 | 8192 | 25 | 20240 | 200 | 200 | 63.343  | 20640 | 2.519531 |
| mandrill32.bmp | mandrill32.bmp-withWavelet_sym1-G_0.6-H1e-005_af2.wfa    | sym1    | af2 | 0.6 | 0.00001 | 24576 | 8192 | 8192 | 25 | 20240 | 200 | 200 | 63.422  | 20640 | 2.519531 |
| mandrill32.bmp | mandrill32.bmp-withWavelet_bior1.1-G_0.6-H1e-005_af2.wfa | bior1.1 | af2 | 0.6 | 0.00001 | 24576 | 8192 | 8192 | 25 | 20240 | 200 | 200 | 63.688  | 20640 | 2.519531 |
| mandrill32.bmp | mandrill32.bmp-G_0.6-H1e-005_af3.wfa                     |         | af3 | 0.6 | 0.00001 | 24576 | 8192 |      | 27 | 23568 | 216 | 216 | 72.89   | 24000 | 2.929688 |
| mandrill32.bmp | mandrill32.bmp-withWavelet_haar-G_0.6-H1e-005_af3.wfa    | haar    | af3 | 0.6 | 0.00001 | 24576 | 8192 | 8192 | 31 | 30992 | 248 | 248 | 85.469  | 31488 | 3.84375  |
| mandrill32.bmp | mandrill32.bmp-withWavelet_rbio1.1-G_0.6-H1e-005_af3.wfa | rbio1.1 | af3 | 0.6 | 0.00001 | 24576 | 8192 | 8192 | 31 | 30992 | 248 | 248 | 85      | 31488 | 3.84375  |
| mandrill32.bmp | mandrill32.bmp-withWavelet_sym1-G_0.6-H1e-005_af3.wfa    | sym1    | af3 | 0.6 | 0.00001 | 24576 | 8192 | 8192 | 31 | 30992 | 248 | 248 | 85.203  | 31488 | 3.84375  |
| mandrill32.bmp | mandrill32.bmp-withWavelet_bior1.1-G_0.6-H1e-005_af3.wfa | bior1.1 | af3 | 0.6 | 0.00001 | 24576 | 8192 | 8192 | 31 | 30992 | 248 | 248 | 87.547  | 31488 | 3.84375  |
| mandrill32.bmp | mandrill32.bmp-G_0.6-H1e-005_af4.wfa                     |         | af4 | 0.6 | 0.00001 | 24576 | 8192 |      | 17 | 9488  | 136 | 136 | 46.187  | 9760  | 1.191406 |
| mandrill32.bmp | mandrill32.bmp-withWavelet_haar-G_0.6-H1e-005_af4.wfa    | haar    | af4 | 0.6 | 0.00001 | 24576 | 8192 | 8192 | 30 | 29040 | 240 | 240 | 135.828 | 29520 | 3.603516 |
| mandrill32.bmp | mandrill32.bmp-withWavelet_rbio1.1-G_0.6-H1e-005_af4.wfa | rbio1.1 | af4 | 0.6 | 0.00001 | 24576 | 8192 | 8192 | 30 | 29040 | 240 | 240 | 130.5   | 29520 | 3.603516 |
| mandrill32.bmp | mandrill32.bmp-withWavelet_sym1-G_0.6-H1e-005_af4.wfa    | sym1    | af4 | 0.6 | 0.00001 | 24576 | 8192 | 8192 | 30 | 29040 | 240 | 240 | 124.031 | 29520 | 3.603516 |
| mandrill32.bmp | mandrill32.bmp-withWavelet_bior1.1-G_0.6-H1e-005_af4.wfa | bior1.1 | af4 | 0.6 | 0.00001 | 24576 | 8192 | 8192 | 30 | 29040 | 240 | 240 | 126.875 | 29520 | 3.603516 |
| mandrill32.bmp | mandrill32.bmp-G_0.6-H1e-005_af5.wfa                     |         | af5 | 0.6 | 0.00001 | 24576 | 8192 |      | 28 | 25328 | 224 | 224 | 35.36   | 25776 | 3.146484 |
| mandrill32.bmp | mandrill32.bmp-withWavelet_haar-G_0.6-H1e-005_af5.wfa    | haar    | af5 | 0.6 | 0.00001 | 24576 | 8192 | 8192 | 25 | 20240 | 200 | 200 | 38.265  | 20640 | 2.519531 |
| mandrill32.bmp | mandrill32.bmp-withWavelet_rbio1.1-G_0.6-H1e-005_af5.wfa | rbio1.1 | af5 | 0.6 | 0.00001 | 24576 | 8192 | 8192 | 25 | 20240 | 200 | 200 | 37.172  | 20640 | 2.519531 |
| mandrill32.bmp | mandrill32.bmp-withWavelet_sym1-G_0.6-H1e-005_af5.wfa    | sym1    | af5 | 0.6 | 0.00001 | 24576 | 8192 | 8192 | 25 | 20240 | 200 | 200 | 34.219  | 20640 | 2.519531 |
| mandrill32.bmp | mandrill32.bmp-withWavelet_bior1.1-G_0.6-H1e-005_af5.wfa | bior1.1 | af5 | 0.6 | 0.00001 | 24576 | 8192 | 8192 | 25 | 20240 | 200 | 200 | 37.047  | 20640 | 2.519531 |
| mandrill32.bmp | mandrill32.bmp-G_1-H2e-005_af1.wfa                       |         | af1 | 1   | 0.00002 | 24576 | 8192 |      | 27 | 23568 | 216 | 216 | 210.11  | 24000 | 2.929688 |
| mandrill32.bmp | mandrill32.bmp-withWavelet_haar-G_1-H2e-005_af1.wfa      | haar    | af1 | 1   | 0.00002 | 24576 | 8192 | 8192 | 24 | 18672 | 192 | 192 | 161.234 | 19056 | 2.326172 |
| mandrill32.bmp | mandrill32.bmp-withWavelet_rbio1.1-G_1-H2e-005_af1.wfa   | rbio1.1 | af1 | 1   | 0.00002 | 24576 | 8192 | 8192 | 24 | 18672 | 192 | 192 | 159.297 | 19056 | 2.326172 |
| mandrill32.bmp | mandrill32.bmp-withWavelet_sym1-G_1-H2e-005_af1.wfa      | sym1    | af1 | 1   | 0.00002 | 24576 | 8192 | 8192 | 24 | 18672 | 192 | 192 | 158.438 | 19056 | 2.326172 |
| mandrill32.bmp | mandrill32.bmp-withWavelet_bior1.1-G_1-H2e-005_af1.wfa   | bior1.1 | af1 | 1   | 0.00002 | 24576 | 8192 | 8192 | 24 | 18672 | 192 | 192 | 160.687 | 19056 | 2.326172 |
| mandrill32.bmp | mandrill32.bmp-G_1-H2e-005_af2.wfa                       |         | af2 | 1   | 0.00002 | 24576 | 8192 |      | 24 | 18672 | 192 | 192 | 135.984 | 19056 | 2.326172 |
| mandrill32.bmp | mandrill32.bmp-withWavelet_haar-G_1-H2e-005_af2.wfa      | haar    | af2 | 1   | 0.00002 | 24576 | 8192 | 8192 | 19 | 11792 | 152 | 152 | 90.125  | 12096 | 1.476563 |

|                |  |         |     |     |         |       |      |      |    |       |     |     |         |       |          |
|----------------|--|---------|-----|-----|---------|-------|------|------|----|-------|-----|-----|---------|-------|----------|
| mandrill32.bmp | mandrill32.bmp-withWavelet_rbio1.1-G_1-H2e-005_af2.wfa   | rbio1.1 | af2 | 1   | 0.00002 | 24576 | 8192 | 8192 | 19 | 11792 | 152 | 152 | 88.469  | 12096 | 1.476563 |
| mandrill32.bmp | mandrill32.bmp-withWavelet_sym1-G_1-H2e-005_af2.wfa      | sym1    | af2 | 1   | 0.00002 | 24576 | 8192 | 8192 | 19 | 11792 | 152 | 152 | 95.844  | 12096 | 1.476563 |
| mandrill32.bmp | mandrill32.bmp-withWavelet_bior1.1-G_1-H2e-005_af2.wfa   | bior1.1 | af2 | 1   | 0.00002 | 24576 | 8192 | 8192 | 19 | 11792 | 152 | 152 | 88.64   | 12096 | 1.476563 |
| mandrill32.bmp | mandrill32.bmp-G_1-H2e-005_af3.wfa                       |         | af3 | 1   | 0.00002 | 24576 | 8192 |      | 25 | 20240 | 200 | 200 | 160.094 | 20640 | 2.519531 |
| mandrill32.bmp | mandrill32.bmp-withWavelet_haar-G_1-H2e-005_af3.wfa      | haar    | af3 | 1   | 0.00002 | 24576 | 8192 | 8192 | 24 | 18672 | 192 | 192 | 147.969 | 19056 | 2.326172 |
| mandrill32.bmp | mandrill32.bmp-withWavelet_rbio1.1-G_1-H2e-005_af3.wfa   | rbio1.1 | af3 | 1   | 0.00002 | 24576 | 8192 | 8192 | 24 | 18672 | 192 | 192 | 148.282 | 19056 | 2.326172 |
| mandrill32.bmp | mandrill32.bmp-withWavelet_sym1-G_1-H2e-005_af3.wfa      | sym1    | af3 | 1   | 0.00002 | 24576 | 8192 | 8192 | 24 | 18672 | 192 | 192 | 148.125 | 19056 | 2.326172 |
| mandrill32.bmp | mandrill32.bmp-withWavelet_bior1.1-G_1-H2e-005_af3.wfa   | bior1.1 | af3 | 1   | 0.00002 | 24576 | 8192 | 8192 | 24 | 18672 | 192 | 192 | 147.906 | 19056 | 2.326172 |
| mandrill32.bmp | mandrill32.bmp-G_1-H2e-005_af4.wfa                       |         | af4 | 1   | 0.00002 | 24576 | 8192 |      | 20 | 13040 | 160 | 160 | 136.688 | 13360 | 1.630859 |
| mandrill32.bmp | mandrill32.bmp-withWavelet_haar-G_1-H2e-005_af4.wfa      | haar    | af4 | 1   | 0.00002 | 24576 | 8192 | 8192 | 26 | 21872 | 208 | 208 | 253.766 | 22288 | 2.720703 |
| mandrill32.bmp | mandrill32.bmp-withWavelet_rbio1.1-G_1-H2e-005_af4.wfa   | rbio1.1 | af4 | 1   | 0.00002 | 24576 | 8192 | 8192 | 26 | 21872 | 208 | 208 | 254.859 | 22288 | 2.720703 |
| mandrill32.bmp | mandrill32.bmp-withWavelet_sym1-G_1-H2e-005_af4.wfa      | sym1    | af4 | 1   | 0.00002 | 24576 | 8192 | 8192 | 26 | 21872 | 208 | 208 | 254.062 | 22288 | 2.720703 |
| mandrill32.bmp | mandrill32.bmp-withWavelet_bior1.1-G_1-H2e-005_af4.wfa   | bior1.1 | af4 | 1   | 0.00002 | 24576 | 8192 | 8192 | 26 | 21872 | 208 | 208 | 254.156 | 22288 | 2.720703 |
| mandrill32.bmp | mandrill32.bmp-G_1-H2e-005_af5.wfa                       |         | af5 | 1   | 0.00002 | 24576 | 8192 |      | 23 | 17168 | 184 | 184 | 47.296  | 17536 | 2.140625 |
| mandrill32.bmp | mandrill32.bmp-withWavelet_haar-G_1-H2e-005_af5.wfa      | haar    | af5 | 1   | 0.00002 | 24576 | 8192 | 8192 | 24 | 18672 | 192 | 192 | 45.047  | 19056 | 2.326172 |
| mandrill32.bmp | mandrill32.bmp-withWavelet_rbio1.1-G_1-H2e-005_af5.wfa   | rbio1.1 | af5 | 1   | 0.00002 | 24576 | 8192 | 8192 | 24 | 18672 | 192 | 192 | 44.579  | 19056 | 2.326172 |
| mandrill32.bmp | mandrill32.bmp-withWavelet_sym1-G_1-H2e-005_af5.wfa      | sym1    | af5 | 1   | 0.00002 | 24576 | 8192 | 8192 | 24 | 18672 | 192 | 192 | 44.813  | 19056 | 2.326172 |
| mandrill32.bmp | mandrill32.bmp-withWavelet_bior1.1-G_1-H2e-005_af5.wfa   | bior1.1 | af5 | 1   | 0.00002 | 24576 | 8192 | 8192 | 24 | 18672 | 192 | 192 | 44.64   | 19056 | 2.326172 |
| mandrill32.bmp | mandrill32.bmp-G_0.8-H2e-005_af1.wfa                     |         | af1 | 0.8 | 0.00002 | 24576 | 8192 |      | 27 | 23568 | 216 | 216 | 98.422  | 24000 | 2.929688 |
| mandrill32.bmp | mandrill32.bmp-withWavelet_haar-G_0.8-H2e-005_af1.wfa    | haar    | af1 | 0.8 | 0.00002 | 24576 | 8192 | 8192 | 24 | 18672 | 192 | 192 | 84.938  | 19056 | 2.326172 |
| mandrill32.bmp | mandrill32.bmp-withWavelet_rbio1.1-G_0.8-H2e-005_af1.wfa | rbio1.1 | af1 | 0.8 | 0.00002 | 24576 | 8192 | 8192 | 24 | 18672 | 192 | 192 | 84.359  | 19056 | 2.326172 |
| mandrill32.bmp | mandrill32.bmp-withWavelet_sym1-G_0.8-H2e-005_af1.wfa    | sym1    | af1 | 0.8 | 0.00002 | 24576 | 8192 | 8192 | 24 | 18672 | 192 | 192 | 84.328  | 19056 | 2.326172 |
| mandrill32.bmp | mandrill32.bmp-withWavelet_bior1.1-G_0.8-H2e-005_af1.wfa | bior1.1 | af1 | 0.8 | 0.00002 | 24576 | 8192 | 8192 | 24 | 18672 | 192 | 192 | 84.641  | 19056 | 2.326172 |
| mandrill32.bmp | mandrill32.bmp-G_0.8-H2e-005_af2.wfa                     |         | af2 | 0.8 | 0.00002 | 24576 | 8192 |      | 24 | 18672 | 192 | 192 | 71.89   | 19056 | 2.326172 |
| mandrill32.bmp | mandrill32.bmp-withWavelet_haar-G_0.8-H2e-005_af2.wfa    | haar    | af2 | 0.8 | 0.00002 | 24576 | 8192 | 8192 | 19 | 11792 | 152 | 152 | 55.016  | 12096 | 1.476563 |
| mandrill32.bmp | mandrill32.bmp-withWavelet_rbio1.1-G_0.8-H2e-005_af2.wfa | rbio1.1 | af2 | 0.8 | 0.00002 | 24576 | 8192 | 8192 | 19 | 11792 | 152 | 152 | 55.156  | 12096 | 1.476563 |
| mandrill32.bmp | mandrill32.bmp-withWavelet_sym1-G_0.8-H2e-005_af2.wfa    | sym1    | af2 | 0.8 | 0.00002 | 24576 | 8192 | 8192 | 19 | 11792 | 152 | 152 | 54.688  | 12096 | 1.476563 |
| mandrill32.bmp | mandrill32.bmp-withWavelet_bior1.1-G_0.8-H2e-005_af2.wfa | bior1.1 | af2 | 0.8 | 0.00002 | 24576 | 8192 | 8192 | 19 | 11792 | 152 | 152 | 54.344  | 12096 | 1.476563 |
| mandrill32.bmp | mandrill32.bmp-G_0.8-H2e-005_af3.wfa                     |         | af3 | 0.8 | 0.00002 | 24576 | 8192 |      | 25 | 20240 | 200 | 200 | 84.641  | 20640 | 2.519531 |
| mandrill32.bmp | mandrill32.bmp-withWavelet_haar-G_0.8-H2e-005_af3.wfa    | haar    | af3 | 0.8 | 0.00002 | 24576 | 8192 | 8192 | 24 | 18672 | 192 | 192 | 79.359  | 19056 | 2.326172 |
| mandrill32.bmp | mandrill32.bmp-withWavelet_rbio1.1-G_0.8-H2e-005_af3.wfa | rbio1.1 | af3 | 0.8 | 0.00002 | 24576 | 8192 | 8192 | 24 | 18672 | 192 | 192 | 80.031  | 19056 | 2.326172 |



|                |  |         |     |     |         |       |      |      |    |       |     |     |         |       |          |
|----------------|--|---------|-----|-----|---------|-------|------|------|----|-------|-----|-----|---------|-------|----------|
| mandrill32.bmp | mandrill32.bmp-withWavelet_sym1-G_0.8-H2e-005_af3.wfa    | sym1    | af3 | 0.8 | 0.00002 | 24576 | 8192 | 8192 | 24 | 18672 | 192 | 192 | 79.281  | 19056 | 2.326172 |
| mandrill32.bmp | mandrill32.bmp-withWavelet_bior1.1-G_0.8-H2e-005_af3.wfa | bior1.1 | af3 | 0.8 | 0.00002 | 24576 | 8192 | 8192 | 24 | 18672 | 192 | 192 | 78.219  | 19056 | 2.326172 |
| mandrill32.bmp | mandrill32.bmp-G_0.8-H2e-005_af4.wfa                     |         | af4 | 0.8 | 0.00002 | 24576 | 8192 |      | 21 | 14352 | 168 | 168 | 75.531  | 14688 | 1.792969 |
| mandrill32.bmp | mandrill32.bmp-withWavelet_haar-G_0.8-H2e-005_af4.wfa    | haar    | af4 | 0.8 | 0.00002 | 24576 | 8192 | 8192 | 26 | 21872 | 208 | 208 | 125.938 | 22288 | 2.720703 |
| mandrill32.bmp | mandrill32.bmp-withWavelet_rbio1.1-G_0.8-H2e-005_af4.wfa | rbio1.1 | af4 | 0.8 | 0.00002 | 24576 | 8192 | 8192 | 26 | 21872 | 208 | 208 | 128.156 | 22288 | 2.720703 |
| mandrill32.bmp | mandrill32.bmp-withWavelet_sym1-G_0.8-H2e-005_af4.wfa    | sym1    | af4 | 0.8 | 0.00002 | 24576 | 8192 | 8192 | 26 | 21872 | 208 | 208 | 128.453 | 22288 | 2.720703 |
| mandrill32.bmp | mandrill32.bmp-withWavelet_bior1.1-G_0.8-H2e-005_af4.wfa | bior1.1 | af4 | 0.8 | 0.00002 | 24576 | 8192 | 8192 | 26 | 21872 | 208 | 208 | 128.344 | 22288 | 2.720703 |
| mandrill32.bmp | mandrill32.bmp-G_0.8-H2e-005_af5.wfa                     |         | af5 | 0.8 | 0.00002 | 24576 | 8192 |      | 23 | 17168 | 184 | 184 | 35.5    | 17536 | 2.140625 |
| mandrill32.bmp | mandrill32.bmp-withWavelet_haar-G_0.8-H2e-005_af5.wfa    | haar    | af5 | 0.8 | 0.00002 | 24576 | 8192 | 8192 | 24 | 18672 | 192 | 192 | 34.782  | 19056 | 2.326172 |
| mandrill32.bmp | mandrill32.bmp-withWavelet_rbio1.1-G_0.8-H2e-005_af5.wfa | rbio1.1 | af5 | 0.8 | 0.00002 | 24576 | 8192 | 8192 | 24 | 18672 | 192 | 192 | 35.156  | 19056 | 2.326172 |
| mandrill32.bmp | mandrill32.bmp-withWavelet_sym1-G_0.8-H2e-005_af5.wfa    | sym1    | af5 | 0.8 | 0.00002 | 24576 | 8192 | 8192 | 24 | 18672 | 192 | 192 | 34.891  | 19056 | 2.326172 |
| mandrill32.bmp | mandrill32.bmp-withWavelet_bior1.1-G_0.8-H2e-005_af5.wfa | bior1.1 | af5 | 0.8 | 0.00002 | 24576 | 8192 | 8192 | 24 | 18672 | 192 | 192 | 35.328  | 19056 | 2.326172 |
| mandrill32.bmp | mandrill32.bmp-G_0.6-H2e-005_af1.wfa                     |         | af1 | 0.6 | 0.00002 | 24576 | 8192 |      | 27 | 23568 | 216 | 216 | 75.656  | 24000 | 2.929688 |
| mandrill32.bmp | mandrill32.bmp-withWavelet_haar-G_0.6-H2e-005_af1.wfa    | haar    | af1 | 0.6 | 0.00002 | 24576 | 8192 | 8192 | 24 | 18672 | 192 | 192 | 66.125  | 19056 | 2.326172 |
| mandrill32.bmp | mandrill32.bmp-withWavelet_rbio1.1-G_0.6-H2e-005_af1.wfa | rbio1.1 | af1 | 0.6 | 0.00002 | 24576 | 8192 | 8192 | 24 | 18672 | 192 | 192 | 66.407  | 19056 | 2.326172 |
| mandrill32.bmp | mandrill32.bmp-withWavelet_sym1-G_0.6-H2e-005_af1.wfa    | sym1    | af1 | 0.6 | 0.00002 | 24576 | 8192 | 8192 | 24 | 18672 | 192 | 192 | 66.391  | 19056 | 2.326172 |
| mandrill32.bmp | mandrill32.bmp-withWavelet_bior1.1-G_0.6-H2e-005_af1.wfa | bior1.1 | af1 | 0.6 | 0.00002 | 24576 | 8192 | 8192 | 24 | 18672 | 192 | 192 | 66.125  | 19056 | 2.326172 |
| mandrill32.bmp | mandrill32.bmp-G_0.6-H2e-005_af2.wfa                     |         | af2 | 0.6 | 0.00002 | 24576 | 8192 |      | 25 | 20240 | 200 | 200 | 57.157  | 20640 | 2.519531 |
| mandrill32.bmp | mandrill32.bmp-withWavelet_haar-G_0.6-H2e-005_af2.wfa    | haar    | af2 | 0.6 | 0.00002 | 24576 | 8192 | 8192 | 21 | 14352 | 168 | 168 | 48.438  | 14688 | 1.792969 |
| mandrill32.bmp | mandrill32.bmp-withWavelet_rbio1.1-G_0.6-H2e-005_af2.wfa | rbio1.1 | af2 | 0.6 | 0.00002 | 24576 | 8192 | 8192 | 21 | 14352 | 168 | 168 | 48.281  | 14688 | 1.792969 |
| mandrill32.bmp | mandrill32.bmp-withWavelet_sym1-G_0.6-H2e-005_af2.wfa    | sym1    | af2 | 0.6 | 0.00002 | 24576 | 8192 | 8192 | 21 | 14352 | 168 | 168 | 48.422  | 14688 | 1.792969 |
| mandrill32.bmp | mandrill32.bmp-withWavelet_bior1.1-G_0.6-H2e-005_af2.wfa | bior1.1 | af2 | 0.6 | 0.00002 | 24576 | 8192 | 8192 | 21 | 14352 | 168 | 168 | 48.5    | 14688 | 1.792969 |
| mandrill32.bmp | mandrill32.bmp-G_0.6-H2e-005_af3.wfa                     |         | af3 | 0.6 | 0.00002 | 24576 | 8192 |      | 24 | 18672 | 192 | 192 | 62.797  | 19056 | 2.326172 |
| mandrill32.bmp | mandrill32.bmp-withWavelet_haar-G_0.6-H2e-005_af3.wfa    | haar    | af3 | 0.6 | 0.00002 | 24576 | 8192 | 8192 | 26 | 21872 | 208 | 208 | 68.172  | 22288 | 2.720703 |
| mandrill32.bmp | mandrill32.bmp-withWavelet_rbio1.1-G_0.6-H2e-005_af3.wfa | rbio1.1 | af3 | 0.6 | 0.00002 | 24576 | 8192 | 8192 | 26 | 21872 | 208 | 208 | 67.734  | 22288 | 2.720703 |
| mandrill32.bmp | mandrill32.bmp-withWavelet_sym1-G_0.6-H2e-005_af3.wfa    | sym1    | af3 | 0.6 | 0.00002 | 24576 | 8192 | 8192 | 26 | 21872 | 208 | 208 | 67.703  | 22288 | 2.720703 |
| mandrill32.bmp | mandrill32.bmp-withWavelet_bior1.1-G_0.6-H2e-005_af3.wfa | bior1.1 | af3 | 0.6 | 0.00002 | 24576 | 8192 | 8192 | 26 | 21872 | 208 | 208 | 67.516  | 22288 | 2.720703 |
| mandrill32.bmp | mandrill32.bmp-G_0.6-H2e-005_af4.wfa                     |         | af4 | 0.6 | 0.00002 | 24576 | 8192 |      | 17 | 9488  | 136 | 136 | 44.094  | 9760  | 1.191406 |
| mandrill32.bmp | mandrill32.bmp-withWavelet_haar-G_0.6-H2e-005_af4.wfa    | haar    | af4 | 0.6 | 0.00002 | 24576 | 8192 | 8192 | 26 | 21872 | 208 | 208 | 95.187  | 22288 | 2.720703 |
| mandrill32.bmp | mandrill32.bmp-withWavelet_rbio1.1-G_0.6-H2e-005_af4.wfa | rbio1.1 | af4 | 0.6 | 0.00002 | 24576 | 8192 | 8192 | 26 | 21872 | 208 | 208 | 95.765  | 22288 | 2.720703 |
| mandrill32.bmp | mandrill32.bmp-withWavelet_sym1-G_0.6-H2e-005_af4.wfa    | sym1    | af4 | 0.6 | 0.00002 | 24576 | 8192 | 8192 | 26 | 21872 | 208 | 208 | 96.11   | 22288 | 2.720703 |

|                |  |         |     |     |         |       |      |      |    |       |     |     |         |       |          |
|----------------|--|---------|-----|-----|---------|-------|------|------|----|-------|-----|-----|---------|-------|----------|
| mandrill32.bmp | mandrill32.bmp-withWavelet_bior1.1-G_0.6-H2e-005_af4.wfa | bior1.1 | af4 | 0.6 | 0.00002 | 24576 | 8192 | 8192 | 26 | 21872 | 208 | 208 | 96.906  | 22288 | 2.720703 |
| mandrill32.bmp | mandrill32.bmp-G_0.6-H2e-005_af5.wfa                     |         | af5 | 0.6 | 0.00002 | 24576 | 8192 |      | 22 | 15728 | 176 | 176 | 33.812  | 16080 | 1.962891 |
| mandrill32.bmp | mandrill32.bmp-withWavelet_haar-G_0.6-H2e-005_af5.wfa    | haar    | af5 | 0.6 | 0.00002 | 24576 | 8192 | 8192 | 22 | 15728 | 176 | 176 | 33.062  | 16080 | 1.962891 |
| mandrill32.bmp | mandrill32.bmp-withWavelet_rbio1.1-G_0.6-H2e-005_af5.wfa | rbio1.1 | af5 | 0.6 | 0.00002 | 24576 | 8192 | 8192 | 22 | 15728 | 176 | 176 | 32.203  | 16080 | 1.962891 |
| mandrill32.bmp | mandrill32.bmp-withWavelet_sym1-G_0.6-H2e-005_af5.wfa    | sym1    | af5 | 0.6 | 0.00002 | 24576 | 8192 | 8192 | 22 | 15728 | 176 | 176 | 33.563  | 16080 | 1.962891 |
| mandrill32.bmp | mandrill32.bmp-withWavelet_bior1.1-G_0.6-H2e-005_af5.wfa | bior1.1 | af5 | 0.6 | 0.00002 | 24576 | 8192 | 8192 | 22 | 15728 | 176 | 176 | 33.297  | 16080 | 1.962891 |
| mandrill32.bmp | mandrill32.bmp-G_1-H3e-005_af1.wfa                       |         | af1 | 1   | 0.00003 | 24576 | 8192 |      | 24 | 18672 | 192 | 192 | 154.344 | 19056 | 2.326172 |
| mandrill32.bmp | mandrill32.bmp-withWavelet_haar-G_1-H3e-005_af1.wfa      | haar    | af1 | 1   | 0.00003 | 24576 | 8192 | 8192 | 20 | 13040 | 160 | 160 | 130.516 | 13360 | 1.630859 |
| mandrill32.bmp | mandrill32.bmp-withWavelet_rbio1.1-G_1-H3e-005_af1.wfa   | rbio1.1 | af1 | 1   | 0.00003 | 24576 | 8192 | 8192 | 20 | 13040 | 160 | 160 | 122.89  | 13360 | 1.630859 |
| mandrill32.bmp | mandrill32.bmp-withWavelet_sym1-G_1-H3e-005_af1.wfa      | sym1    | af1 | 1   | 0.00003 | 24576 | 8192 | 8192 | 20 | 13040 | 160 | 160 | 123.203 | 13360 | 1.630859 |
| mandrill32.bmp | mandrill32.bmp-withWavelet_bior1.1-G_1-H3e-005_af1.wfa   | bior1.1 | af1 | 1   | 0.00003 | 24576 | 8192 | 8192 | 20 | 13040 | 160 | 160 | 120.329 | 13360 | 1.630859 |
| mandrill32.bmp | mandrill32.bmp-G_1-H3e-005_af2.wfa                       |         | af2 | 1   | 0.00003 | 24576 | 8192 |      | 22 | 15728 | 176 | 176 | 111.813 | 16080 | 1.962891 |
| mandrill32.bmp | mandrill32.bmp-withWavelet_haar-G_1-H3e-005_af2.wfa      | haar    | af2 | 1   | 0.00003 | 24576 | 8192 | 8192 | 17 | 9488  | 136 | 136 | 84.844  | 9760  | 1.191406 |
| mandrill32.bmp | mandrill32.bmp-withWavelet_rbio1.1-G_1-H3e-005_af2.wfa   | rbio1.1 | af2 | 1   | 0.00003 | 24576 | 8192 | 8192 | 17 | 9488  | 136 | 136 | 84.703  | 9760  | 1.191406 |
| mandrill32.bmp | mandrill32.bmp-withWavelet_sym1-G_1-H3e-005_af2.wfa      | sym1    | af2 | 1   | 0.00003 | 24576 | 8192 | 8192 | 17 | 9488  | 136 | 136 | 79.625  | 9760  | 1.191406 |
| mandrill32.bmp | mandrill32.bmp-withWavelet_bior1.1-G_1-H3e-005_af2.wfa   | bior1.1 | af2 | 1   | 0.00003 | 24576 | 8192 | 8192 | 17 | 9488  | 136 | 136 | 79.531  | 9760  | 1.191406 |
| mandrill32.bmp | mandrill32.bmp-G_1-H3e-005_af3.wfa                       |         | af3 | 1   | 0.00003 | 24576 | 8192 |      | 21 | 14352 | 168 | 168 | 118.375 | 14688 | 1.792969 |
| mandrill32.bmp | mandrill32.bmp-withWavelet_haar-G_1-H3e-005_af3.wfa      | haar    | af3 | 1   | 0.00003 | 24576 | 8192 | 8192 | 21 | 14352 | 168 | 168 | 130.609 | 14688 | 1.792969 |
| mandrill32.bmp | mandrill32.bmp-withWavelet_rbio1.1-G_1-H3e-005_af3.wfa   | rbio1.1 | af3 | 1   | 0.00003 | 24576 | 8192 | 8192 | 21 | 14352 | 168 | 168 | 120.187 | 14688 | 1.792969 |
| mandrill32.bmp | mandrill32.bmp-withWavelet_sym1-G_1-H3e-005_af3.wfa      | sym1    | af3 | 1   | 0.00003 | 24576 | 8192 | 8192 | 21 | 14352 | 168 | 168 | 118.797 | 14688 | 1.792969 |
| mandrill32.bmp | mandrill32.bmp-withWavelet_bior1.1-G_1-H3e-005_af3.wfa   | bior1.1 | af3 | 1   | 0.00003 | 24576 | 8192 | 8192 | 21 | 14352 | 168 | 168 | 118.578 | 14688 | 1.792969 |
| mandrill32.bmp | mandrill32.bmp-G_1-H3e-005_af4.wfa                       |         | af4 | 1   | 0.00003 | 24576 | 8192 |      | 19 | 11792 | 152 | 152 | 123.734 | 12096 | 1.476563 |
| mandrill32.bmp | mandrill32.bmp-withWavelet_haar-G_1-H3e-005_af4.wfa      | haar    | af4 | 1   | 0.00003 | 24576 | 8192 | 8192 | 21 | 14352 | 168 | 168 | 156.516 | 14688 | 1.792969 |
| mandrill32.bmp | mandrill32.bmp-withWavelet_rbio1.1-G_1-H3e-005_af4.wfa   | rbio1.1 | af4 | 1   | 0.00003 | 24576 | 8192 | 8192 | 21 | 14352 | 168 | 168 | 157.141 | 14688 | 1.792969 |
| mandrill32.bmp | mandrill32.bmp-withWavelet_sym1-G_1-H3e-005_af4.wfa      | sym1    | af4 | 1   | 0.00003 | 24576 | 8192 | 8192 | 21 | 14352 | 168 | 168 | 156.953 | 14688 | 1.792969 |
| mandrill32.bmp | mandrill32.bmp-withWavelet_bior1.1-G_1-H3e-005_af4.wfa   | bior1.1 | af4 | 1   | 0.00003 | 24576 | 8192 | 8192 | 21 | 14352 | 168 | 168 | 156.734 | 14688 | 1.792969 |
| mandrill32.bmp | mandrill32.bmp-G_1-H3e-005_af5.wfa                       |         | af5 | 1   | 0.00003 | 24576 | 8192 |      | 21 | 14352 | 168 | 168 | 44.39   | 14688 | 1.792969 |
| mandrill32.bmp | mandrill32.bmp-withWavelet_haar-G_1-H3e-005_af5.wfa      | haar    | af5 | 1   | 0.00003 | 24576 | 8192 | 8192 | 16 | 8432  | 128 | 128 | 41.219  | 8688  | 1.060547 |
| mandrill32.bmp | mandrill32.bmp-withWavelet_rbio1.1-G_1-H3e-005_af5.wfa   | rbio1.1 | af5 | 1   | 0.00003 | 24576 | 8192 | 8192 | 16 | 8432  | 128 | 128 | 41.172  | 8688  | 1.060547 |
| mandrill32.bmp | mandrill32.bmp-withWavelet_sym1-G_1-H3e-005_af5.wfa      | sym1    | af5 | 1   | 0.00003 | 24576 | 8192 | 8192 | 16 | 8432  | 128 | 128 | 41.125  | 8688  | 1.060547 |
| mandrill32.bmp | mandrill32.bmp-withWavelet_bior1.1-G_1-H3e-005_af5.wfa   | bior1.1 | af5 | 1   | 0.00003 | 24576 | 8192 | 8192 | 16 | 8432  | 128 | 128 | 41.344  | 8688  | 1.060547 |

|                |  |         |     |     |         |       |      |      |    |       |     |     |        |       |          |
|----------------|--|---------|-----|-----|---------|-------|------|------|----|-------|-----|-----|--------|-------|----------|
| mandrill32.bmp | mandrill32.bmp-G_0.8-H3e-005_af1.wfa                     |         | af1 | 0.8 | 0.00003 | 24576 | 8192 |      | 23 | 17168 | 184 | 184 | 71.156 | 17536 | 2.140625 |
| mandrill32.bmp | mandrill32.bmp-withWavelet_haar-G_0.8-H3e-005_af1.wfa    | haar    | af1 | 0.8 | 0.00003 | 24576 | 8192 | 8192 | 20 | 13040 | 160 | 160 | 65.234 | 13360 | 1.630859 |
| mandrill32.bmp | mandrill32.bmp-withWavelet_rbio1.1-G_0.8-H3e-005_af1.wfa | rbio1.1 | af1 | 0.8 | 0.00003 | 24576 | 8192 | 8192 | 20 | 13040 | 160 | 160 | 64.859 | 13360 | 1.630859 |
| mandrill32.bmp | mandrill32.bmp-withWavelet_sym1-G_0.8-H3e-005_af1.wfa    | sym1    | af1 | 0.8 | 0.00003 | 24576 | 8192 | 8192 | 20 | 13040 | 160 | 160 | 64.156 | 13360 | 1.630859 |
| mandrill32.bmp | mandrill32.bmp-withWavelet_bior1.1-G_0.8-H3e-005_af1.wfa | bior1.1 | af1 | 0.8 | 0.00003 | 24576 | 8192 | 8192 | 20 | 13040 | 160 | 160 | 65.359 | 13360 | 1.630859 |
| mandrill32.bmp | mandrill32.bmp-G_0.8-H3e-005_af2.wfa                     |         | af2 | 0.8 | 0.00003 | 24576 | 8192 |      | 22 | 15728 | 176 | 176 | 60.078 | 16080 | 1.962891 |
| mandrill32.bmp | mandrill32.bmp-withWavelet_haar-G_0.8-H3e-005_af2.wfa    | haar    | af2 | 0.8 | 0.00003 | 24576 | 8192 | 8192 | 17 | 9488  | 136 | 136 | 48.188 | 9760  | 1.191406 |
| mandrill32.bmp | mandrill32.bmp-withWavelet_rbio1.1-G_0.8-H3e-005_af2.wfa | rbio1.1 | af2 | 0.8 | 0.00003 | 24576 | 8192 | 8192 | 17 | 9488  | 136 | 136 | 49.063 | 9760  | 1.191406 |
| mandrill32.bmp | mandrill32.bmp-withWavelet_sym1-G_0.8-H3e-005_af2.wfa    | sym1    | af2 | 0.8 | 0.00003 | 24576 | 8192 | 8192 | 17 | 9488  | 136 | 136 | 48.25  | 9760  | 1.191406 |
| mandrill32.bmp | mandrill32.bmp-withWavelet_bior1.1-G_0.8-H3e-005_af2.wfa | bior1.1 | af2 | 0.8 | 0.00003 | 24576 | 8192 | 8192 | 17 | 9488  | 136 | 136 | 49.328 | 9760  | 1.191406 |
| mandrill32.bmp | mandrill32.bmp-G_0.8-H3e-005_af3.wfa                     |         | af3 | 0.8 | 0.00003 | 24576 | 8192 |      | 21 | 14352 | 168 | 168 | 64.188 | 14688 | 1.792969 |
| mandrill32.bmp | mandrill32.bmp-withWavelet_haar-G_0.8-H3e-005_af3.wfa    | haar    | af3 | 0.8 | 0.00003 | 24576 | 8192 | 8192 | 21 | 14352 | 168 | 168 | 64.485 | 14688 | 1.792969 |
| mandrill32.bmp | mandrill32.bmp-withWavelet_rbio1.1-G_0.8-H3e-005_af3.wfa | rbio1.1 | af3 | 0.8 | 0.00003 | 24576 | 8192 | 8192 | 21 | 14352 | 168 | 168 | 64.578 | 14688 | 1.792969 |
| mandrill32.bmp | mandrill32.bmp-withWavelet_sym1-G_0.8-H3e-005_af3.wfa    | sym1    | af3 | 0.8 | 0.00003 | 24576 | 8192 | 8192 | 21 | 14352 | 168 | 168 | 64.094 | 14688 | 1.792969 |
| mandrill32.bmp | mandrill32.bmp-withWavelet_bior1.1-G_0.8-H3e-005_af3.wfa | bior1.1 | af3 | 0.8 | 0.00003 | 24576 | 8192 | 8192 | 21 | 14352 | 168 | 168 | 64.296 | 14688 | 1.792969 |
| mandrill32.bmp | mandrill32.bmp-G_0.8-H3e-005_af4.wfa                     |         | af4 | 0.8 | 0.00003 | 24576 | 8192 |      | 19 | 11792 | 152 | 152 | 65.469 | 12096 | 1.476563 |
| mandrill32.bmp | mandrill32.bmp-withWavelet_haar-G_0.8-H3e-005_af4.wfa    | haar    | af4 | 0.8 | 0.00003 | 24576 | 8192 | 8192 | 21 | 14352 | 168 | 168 | 80.64  | 14688 | 1.792969 |
| mandrill32.bmp | mandrill32.bmp-withWavelet_rbio1.1-G_0.8-H3e-005_af4.wfa | rbio1.1 | af4 | 0.8 | 0.00003 | 24576 | 8192 | 8192 | 21 | 14352 | 168 | 168 | 80.203 | 14688 | 1.792969 |
| mandrill32.bmp | mandrill32.bmp-withWavelet_sym1-G_0.8-H3e-005_af4.wfa    | sym1    | af4 | 0.8 | 0.00003 | 24576 | 8192 | 8192 | 21 | 14352 | 168 | 168 | 82.25  | 14688 | 1.792969 |
| mandrill32.bmp | mandrill32.bmp-withWavelet_bior1.1-G_0.8-H3e-005_af4.wfa | bior1.1 | af4 | 0.8 | 0.00003 | 24576 | 8192 | 8192 | 21 | 14352 | 168 | 168 | 82.172 | 14688 | 1.792969 |
| mandrill32.bmp | mandrill32.bmp-G_0.8-H3e-005_af5.wfa                     |         | af5 | 0.8 | 0.00003 | 24576 | 8192 |      | 21 | 14352 | 168 | 168 | 34.422 | 14688 | 1.792969 |
| mandrill32.bmp | mandrill32.bmp-withWavelet_haar-G_0.8-H3e-005_af5.wfa    | haar    | af5 | 0.8 | 0.00003 | 24576 | 8192 | 8192 | 17 | 9488  | 136 | 136 | 33.297 | 9760  | 1.191406 |
| mandrill32.bmp | mandrill32.bmp-withWavelet_rbio1.1-G_0.8-H3e-005_af5.wfa | rbio1.1 | af5 | 0.8 | 0.00003 | 24576 | 8192 | 8192 | 17 | 9488  | 136 | 136 | 32.906 | 9760  | 1.191406 |
| mandrill32.bmp | mandrill32.bmp-withWavelet_sym1-G_0.8-H3e-005_af5.wfa    | sym1    | af5 | 0.8 | 0.00003 | 24576 | 8192 | 8192 | 17 | 9488  | 136 | 136 | 32.656 | 9760  | 1.191406 |
| mandrill32.bmp | mandrill32.bmp-withWavelet_bior1.1-G_0.8-H3e-005_af5.wfa | bior1.1 | af5 | 0.8 | 0.00003 | 24576 | 8192 | 8192 | 17 | 9488  | 136 | 136 | 33.172 | 9760  | 1.191406 |
| mandrill32.bmp | mandrill32.bmp-G_0.6-H3e-005_af1.wfa                     |         | af1 | 0.6 | 0.00003 | 24576 | 8192 |      | 25 | 20240 | 200 | 200 | 65     | 20640 | 2.519531 |
| mandrill32.bmp | mandrill32.bmp-withWavelet_haar-G_0.6-H3e-005_af1.wfa    | haar    | af1 | 0.6 | 0.00003 | 24576 | 8192 | 8192 | 21 | 14352 | 168 | 168 | 56.5   | 14688 | 1.792969 |
| mandrill32.bmp | mandrill32.bmp-withWavelet_rbio1.1-G_0.6-H3e-005_af1.wfa | rbio1.1 | af1 | 0.6 | 0.00003 | 24576 | 8192 | 8192 | 21 | 14352 | 168 | 168 | 55.875 | 14688 | 1.792969 |
| mandrill32.bmp | mandrill32.bmp-withWavelet_sym1-G_0.6-H3e-005_af1.wfa    | sym1    | af1 | 0.6 | 0.00003 | 24576 | 8192 | 8192 | 21 | 14352 | 168 | 168 | 56.922 | 14688 | 1.792969 |
| mandrill32.bmp | mandrill32.bmp-withWavelet_bior1.1-G_0.6-H3e-005_af1.wfa | bior1.1 | af1 | 0.6 | 0.00003 | 24576 | 8192 | 8192 | 21 | 14352 | 168 | 168 | 56.547 | 14688 | 1.792969 |
| mandrill32.bmp | mandrill32.bmp-G_0.6-H3e-005_af2.wfa                     |         | af2 | 0.6 | 0.00003 | 24576 | 8192 |      | 22 | 15728 | 176 | 176 | 49.312 | 16080 | 1.962891 |

|                |  |         |     |     |         |       |      |      |    |       |     |     |         |       |          |
|----------------|--|---------|-----|-----|---------|-------|------|------|----|-------|-----|-----|---------|-------|----------|
| mandrill32.bmp | mandrill32.bmp-withWavelet_haar-G_0.6-H3e-005_af2.wfa    | haar    | af2 | 0.6 | 0.00003 | 24576 | 8192 | 8192 | 17 | 9488  | 136 | 136 | 43.281  | 9760  | 1.191406 |
| mandrill32.bmp | mandrill32.bmp-withWavelet_rbio1.1-G_0.6-H3e-005_af2.wfa | rbio1.1 | af2 | 0.6 | 0.00003 | 24576 | 8192 | 8192 | 17 | 9488  | 136 | 136 | 42.141  | 9760  | 1.191406 |
| mandrill32.bmp | mandrill32.bmp-withWavelet_sym1-G_0.6-H3e-005_af2.wfa    | sym1    | af2 | 0.6 | 0.00003 | 24576 | 8192 | 8192 | 17 | 9488  | 136 | 136 | 42.109  | 9760  | 1.191406 |
| mandrill32.bmp | mandrill32.bmp-withWavelet_bior1.1-G_0.6-H3e-005_af2.wfa | bior1.1 | af2 | 0.6 | 0.00003 | 24576 | 8192 | 8192 | 17 | 9488  | 136 | 136 | 42.047  | 9760  | 1.191406 |
| mandrill32.bmp | mandrill32.bmp-G_0.6-H3e-005_af3.wfa                     |         | af3 | 0.6 | 0.00003 | 24576 | 8192 |      | 21 | 14352 | 168 | 168 | 52.157  | 14688 | 1.792969 |
| mandrill32.bmp | mandrill32.bmp-withWavelet_haar-G_0.6-H3e-005_af3.wfa    | haar    | af3 | 0.6 | 0.00003 | 24576 | 8192 | 8192 | 21 | 14352 | 168 | 168 | 52.485  | 14688 | 1.792969 |
| mandrill32.bmp | mandrill32.bmp-withWavelet_rbio1.1-G_0.6-H3e-005_af3.wfa | rbio1.1 | af3 | 0.6 | 0.00003 | 24576 | 8192 | 8192 | 21 | 14352 | 168 | 168 | 52.234  | 14688 | 1.792969 |
| mandrill32.bmp | mandrill32.bmp-withWavelet_sym1-G_0.6-H3e-005_af3.wfa    | sym1    | af3 | 0.6 | 0.00003 | 24576 | 8192 | 8192 | 21 | 14352 | 168 | 168 | 52.391  | 14688 | 1.792969 |
| mandrill32.bmp | mandrill32.bmp-withWavelet_bior1.1-G_0.6-H3e-005_af3.wfa | bior1.1 | af3 | 0.6 | 0.00003 | 24576 | 8192 | 8192 | 21 | 14352 | 168 | 168 | 53.156  | 14688 | 1.792969 |
| mandrill32.bmp | mandrill32.bmp-G_0.6-H3e-005_af4.wfa                     |         | af4 | 0.6 | 0.00003 | 24576 | 8192 |      | 5  | 1040  | 40  | 40  | 27.906  | 1120  | 0.136719 |
| mandrill32.bmp | mandrill32.bmp-withWavelet_haar-G_0.6-H3e-005_af4.wfa    | haar    | af4 | 0.6 | 0.00003 | 24576 | 8192 | 8192 | 22 | 15728 | 176 | 176 | 72.078  | 16080 | 1.962891 |
| mandrill32.bmp | mandrill32.bmp-withWavelet_rbio1.1-G_0.6-H3e-005_af4.wfa | rbio1.1 | af4 | 0.6 | 0.00003 | 24576 | 8192 | 8192 | 22 | 15728 | 176 | 176 | 72.203  | 16080 | 1.962891 |
| mandrill32.bmp | mandrill32.bmp-withWavelet_sym1-G_0.6-H3e-005_af4.wfa    | sym1    | af4 | 0.6 | 0.00003 | 24576 | 8192 | 8192 | 22 | 15728 | 176 | 176 | 73.719  | 16080 | 1.962891 |
| mandrill32.bmp | mandrill32.bmp-withWavelet_bior1.1-G_0.6-H3e-005_af4.wfa | bior1.1 | af4 | 0.6 | 0.00003 | 24576 | 8192 | 8192 | 22 | 15728 | 176 | 176 | 73.391  | 16080 | 1.962891 |
| mandrill32.bmp | mandrill32.bmp-G_0.6-H3e-005_af5.wfa                     |         | af5 | 0.6 | 0.00003 | 24576 | 8192 |      | 20 | 13040 | 160 | 160 | 32.328  | 13360 | 1.630859 |
| mandrill32.bmp | mandrill32.bmp-withWavelet_haar-G_0.6-H3e-005_af5.wfa    | haar    | af5 | 0.6 | 0.00003 | 24576 | 8192 | 8192 | 17 | 9488  | 136 | 136 | 30.922  | 9760  | 1.191406 |
| mandrill32.bmp | mandrill32.bmp-withWavelet_rbio1.1-G_0.6-H3e-005_af5.wfa | rbio1.1 | af5 | 0.6 | 0.00003 | 24576 | 8192 | 8192 | 17 | 9488  | 136 | 136 | 30.828  | 9760  | 1.191406 |
| mandrill32.bmp | mandrill32.bmp-withWavelet_sym1-G_0.6-H3e-005_af5.wfa    | sym1    | af5 | 0.6 | 0.00003 | 24576 | 8192 | 8192 | 17 | 9488  | 136 | 136 | 31.125  | 9760  | 1.191406 |
| mandrill32.bmp | mandrill32.bmp-withWavelet_bior1.1-G_0.6-H3e-005_af5.wfa | bior1.1 | af5 | 0.6 | 0.00003 | 24576 | 8192 | 8192 | 17 | 9488  | 136 | 136 | 31.031  | 9760  | 1.191406 |
| mandrill32.bmp | mandrill32.bmp-G_1-H4e-005_af1.wfa                       |         | af1 | 1   | 0.00004 | 24576 | 8192 |      | 21 | 14352 | 168 | 168 | 108.64  | 14688 | 1.792969 |
| mandrill32.bmp | mandrill32.bmp-withWavelet_haar-G_1-H4e-005_af1.wfa      | haar    | af1 | 1   | 0.00004 | 24576 | 8192 | 8192 | 16 | 8432  | 128 | 128 | 84.484  | 8688  | 1.060547 |
| mandrill32.bmp | mandrill32.bmp-withWavelet_rbio1.1-G_1-H4e-005_af1.wfa   | rbio1.1 | af1 | 1   | 0.00004 | 24576 | 8192 | 8192 | 16 | 8432  | 128 | 128 | 84.766  | 8688  | 1.060547 |
| mandrill32.bmp | mandrill32.bmp-withWavelet_sym1-G_1-H4e-005_af1.wfa      | sym1    | af1 | 1   | 0.00004 | 24576 | 8192 | 8192 | 16 | 8432  | 128 | 128 | 84.422  | 8688  | 1.060547 |
| mandrill32.bmp | mandrill32.bmp-withWavelet_bior1.1-G_1-H4e-005_af1.wfa   | bior1.1 | af1 | 1   | 0.00004 | 24576 | 8192 | 8192 | 16 | 8432  | 128 | 128 | 84.703  | 8688  | 1.060547 |
| mandrill32.bmp | mandrill32.bmp-G_1-H4e-005_af2.wfa                       |         | af2 | 1   | 0.00004 | 24576 | 8192 |      | 20 | 13040 | 160 | 160 | 88.969  | 13360 | 1.630859 |
| mandrill32.bmp | mandrill32.bmp-withWavelet_haar-G_1-H4e-005_af2.wfa      | haar    | af2 | 1   | 0.00004 | 24576 | 8192 | 8192 | 17 | 9488  | 136 | 136 | 71.765  | 9760  | 1.191406 |
| mandrill32.bmp | mandrill32.bmp-withWavelet_rbio1.1-G_1-H4e-005_af2.wfa   | rbio1.1 | af2 | 1   | 0.00004 | 24576 | 8192 | 8192 | 17 | 9488  | 136 | 136 | 71.938  | 9760  | 1.191406 |
| mandrill32.bmp | mandrill32.bmp-withWavelet_sym1-G_1-H4e-005_af2.wfa      | sym1    | af2 | 1   | 0.00004 | 24576 | 8192 | 8192 | 17 | 9488  | 136 | 136 | 71.734  | 9760  | 1.191406 |
| mandrill32.bmp | mandrill32.bmp-withWavelet_bior1.1-G_1-H4e-005_af2.wfa   | bior1.1 | af2 | 1   | 0.00004 | 24576 | 8192 | 8192 | 17 | 9488  | 136 | 136 | 72.094  | 9760  | 1.191406 |
| mandrill32.bmp | mandrill32.bmp-G_1-H4e-005_af3.wfa                       |         | af3 | 1   | 0.00004 | 24576 | 8192 |      | 20 | 13040 | 160 | 160 | 101.359 | 13360 | 1.630859 |
| mandrill32.bmp | mandrill32.bmp-withWavelet_haar-G_1-H4e-005_af3.wfa      | haar    | af3 | 1   | 0.00004 | 24576 | 8192 | 8192 | 20 | 13040 | 160 | 160 | 115.532 | 13360 | 1.630859 |

|                |  |         |     |     |         |       |      |      |    |       |     |     |         |       |          |
|----------------|--|---------|-----|-----|---------|-------|------|------|----|-------|-----|-----|---------|-------|----------|
| mandrill32.bmp | mandrill32.bmp-withWavelet_rbio1.1-G_1-H4e-005_af3.wfa   | rbio1.1 | af3 | 1   | 0.00004 | 24576 | 8192 | 8192 | 20 | 13040 | 160 | 160 | 114.969 | 13360 | 1.630859 |
| mandrill32.bmp | mandrill32.bmp-withWavelet_sym1-G_1-H4e-005_af3.wfa      | sym1    | af3 | 1   | 0.00004 | 24576 | 8192 | 8192 | 20 | 13040 | 160 | 160 | 115.641 | 13360 | 1.630859 |
| mandrill32.bmp | mandrill32.bmp-withWavelet_bior1.1-G_1-H4e-005_af3.wfa   | bior1.1 | af3 | 1   | 0.00004 | 24576 | 8192 | 8192 | 20 | 13040 | 160 | 160 | 115.078 | 13360 | 1.630859 |
| mandrill32.bmp | mandrill32.bmp-G_1-H4e-005_af4.wfa                       |         | af4 | 1   | 0.00004 | 24576 | 8192 |      | 16 | 8432  | 128 | 128 | 88.141  | 8688  | 1.060547 |
| mandrill32.bmp | mandrill32.bmp-withWavelet_haar-G_1-H4e-005_af4.wfa      | haar    | af4 | 1   | 0.00004 | 24576 | 8192 | 8192 | 19 | 11792 | 152 | 152 | 130.313 | 12096 | 1.476563 |
| mandrill32.bmp | mandrill32.bmp-withWavelet_rbio1.1-G_1-H4e-005_af4.wfa   | rbio1.1 | af4 | 1   | 0.00004 | 24576 | 8192 | 8192 | 19 | 11792 | 152 | 152 | 130.187 | 12096 | 1.476563 |
| mandrill32.bmp | mandrill32.bmp-withWavelet_sym1-G_1-H4e-005_af4.wfa      | sym1    | af4 | 1   | 0.00004 | 24576 | 8192 | 8192 | 19 | 11792 | 152 | 152 | 129.719 | 12096 | 1.476563 |
| mandrill32.bmp | mandrill32.bmp-withWavelet_bior1.1-G_1-H4e-005_af4.wfa   | bior1.1 | af4 | 1   | 0.00004 | 24576 | 8192 | 8192 | 19 | 11792 | 152 | 152 | 130.109 | 12096 | 1.476563 |
| mandrill32.bmp | mandrill32.bmp-G_1-H4e-005_af5.wfa                       |         | af5 | 1   | 0.00004 | 24576 | 8192 |      | 17 | 9488  | 136 | 136 | 40.281  | 9760  | 1.191406 |
| mandrill32.bmp | mandrill32.bmp-withWavelet_haar-G_1-H4e-005_af5.wfa      | haar    | af5 | 1   | 0.00004 | 24576 | 8192 | 8192 | 14 | 6512  | 112 | 112 | 41      | 6736  | 0.822266 |
| mandrill32.bmp | mandrill32.bmp-withWavelet_rbio1.1-G_1-H4e-005_af5.wfa   | rbio1.1 | af5 | 1   | 0.00004 | 24576 | 8192 | 8192 | 14 | 6512  | 112 | 112 | 40.437  | 6736  | 0.822266 |
| mandrill32.bmp | mandrill32.bmp-withWavelet_sym1-G_1-H4e-005_af5.wfa      | sym1    | af5 | 1   | 0.00004 | 24576 | 8192 | 8192 | 14 | 6512  | 112 | 112 | 40.718  | 6736  | 0.822266 |
| mandrill32.bmp | mandrill32.bmp-withWavelet_bior1.1-G_1-H4e-005_af5.wfa   | bior1.1 | af5 | 1   | 0.00004 | 24576 | 8192 | 8192 | 14 | 6512  | 112 | 112 | 40.735  | 6736  | 0.822266 |
| mandrill32.bmp | mandrill32.bmp-G_0.8-H4e-005_af1.wfa                     |         | af1 | 0.8 | 0.00004 | 24576 | 8192 |      | 21 | 14352 | 168 | 168 | 61.188  | 14688 | 1.792969 |
| mandrill32.bmp | mandrill32.bmp-withWavelet_haar-G_0.8-H4e-005_af1.wfa    | haar    | af1 | 0.8 | 0.00004 | 24576 | 8192 | 8192 | 18 | 10608 | 144 | 144 | 59.547  | 10896 | 1.330078 |
| mandrill32.bmp | mandrill32.bmp-withWavelet_rbio1.1-G_0.8-H4e-005_af1.wfa | rbio1.1 | af1 | 0.8 | 0.00004 | 24576 | 8192 | 8192 | 18 | 10608 | 144 | 144 | 60.578  | 10896 | 1.330078 |
| mandrill32.bmp | mandrill32.bmp-withWavelet_sym1-G_0.8-H4e-005_af1.wfa    | sym1    | af1 | 0.8 | 0.00004 | 24576 | 8192 | 8192 | 18 | 10608 | 144 | 144 | 59.859  | 10896 | 1.330078 |
| mandrill32.bmp | mandrill32.bmp-withWavelet_bior1.1-G_0.8-H4e-005_af1.wfa | bior1.1 | af1 | 0.8 | 0.00004 | 24576 | 8192 | 8192 | 18 | 10608 | 144 | 144 | 60.14   | 10896 | 1.330078 |
| mandrill32.bmp | mandrill32.bmp-G_0.8-H4e-005_af2.wfa                     |         | af2 | 0.8 | 0.00004 | 24576 | 8192 |      | 21 | 14352 | 168 | 168 | 54.937  | 14688 | 1.792969 |
| mandrill32.bmp | mandrill32.bmp-withWavelet_haar-G_0.8-H4e-005_af2.wfa    | haar    | af2 | 0.8 | 0.00004 | 24576 | 8192 | 8192 | 17 | 9488  | 136 | 136 | 47.812  | 9760  | 1.191406 |
| mandrill32.bmp | mandrill32.bmp-withWavelet_rbio1.1-G_0.8-H4e-005_af2.wfa | rbio1.1 | af2 | 0.8 | 0.00004 | 24576 | 8192 | 8192 | 17 | 9488  | 136 | 136 | 47.328  | 9760  | 1.191406 |
| mandrill32.bmp | mandrill32.bmp-withWavelet_sym1-G_0.8-H4e-005_af2.wfa    | sym1    | af2 | 0.8 | 0.00004 | 24576 | 8192 | 8192 | 17 | 9488  | 136 | 136 | 46.765  | 9760  | 1.191406 |
| mandrill32.bmp | mandrill32.bmp-withWavelet_bior1.1-G_0.8-H4e-005_af2.wfa | bior1.1 | af2 | 0.8 | 0.00004 | 24576 | 8192 | 8192 | 17 | 9488  | 136 | 136 | 47.172  | 9760  | 1.191406 |
| mandrill32.bmp | mandrill32.bmp-G_0.8-H4e-005_af3.wfa                     |         | af3 | 0.8 | 0.00004 | 24576 | 8192 |      | 20 | 13040 | 160 | 160 | 59.844  | 13360 | 1.630859 |
| mandrill32.bmp | mandrill32.bmp-withWavelet_haar-G_0.8-H4e-005_af3.wfa    | haar    | af3 | 0.8 | 0.00004 | 24576 | 8192 | 8192 | 20 | 13040 | 160 | 160 | 63.265  | 13360 | 1.630859 |
| mandrill32.bmp | mandrill32.bmp-withWavelet_rbio1.1-G_0.8-H4e-005_af3.wfa | rbio1.1 | af3 | 0.8 | 0.00004 | 24576 | 8192 | 8192 | 20 | 13040 | 160 | 160 | 63.328  | 13360 | 1.630859 |
| mandrill32.bmp | mandrill32.bmp-withWavelet_sym1-G_0.8-H4e-005_af3.wfa    | sym1    | af3 | 0.8 | 0.00004 | 24576 | 8192 | 8192 | 20 | 13040 | 160 | 160 | 63.047  | 13360 | 1.630859 |
| mandrill32.bmp | mandrill32.bmp-withWavelet_bior1.1-G_0.8-H4e-005_af3.wfa | bior1.1 | af3 | 0.8 | 0.00004 | 24576 | 8192 | 8192 | 20 | 13040 | 160 | 160 | 63.515  | 13360 | 1.630859 |
| mandrill32.bmp | mandrill32.bmp-G_0.8-H4e-005_af4.wfa                     |         | af4 | 0.8 | 0.00004 | 24576 | 8192 |      | 16 | 8432  | 128 | 128 | 54.453  | 8688  | 1.060547 |
| mandrill32.bmp | mandrill32.bmp-withWavelet_haar-G_0.8-H4e-005_af4.wfa    | haar    | af4 | 0.8 | 0.00004 | 24576 | 8192 | 8192 | 19 | 11792 | 152 | 152 | 69.265  | 12096 | 1.476563 |
| mandrill32.bmp | mandrill32.bmp-withWavelet_rbio1.1-G_0.8-H4e-005_af4.wfa | rbio1.1 | af4 | 0.8 | 0.00004 | 24576 | 8192 | 8192 | 19 | 11792 | 152 | 152 | 69.625  | 12096 | 1.476563 |

|                |  |         |     |     |         |       |      |      |    |       |     |     |        |       |          |
|----------------|--|---------|-----|-----|---------|-------|------|------|----|-------|-----|-----|--------|-------|----------|
| mandrill32.bmp | mandrill32.bmp-withWavelet_sym1-G_0.8-H4e-005_af4.wfa    | sym1    | af4 | 0.8 | 0.00004 | 24576 | 8192 | 8192 | 19 | 11792 | 152 | 152 | 69.25  | 12096 | 1.476563 |
| mandrill32.bmp | mandrill32.bmp-withWavelet_bior1.1-G_0.8-H4e-005_af4.wfa | bior1.1 | af4 | 0.8 | 0.00004 | 24576 | 8192 | 8192 | 19 | 11792 | 152 | 152 | 69.218 | 12096 | 1.476563 |
| mandrill32.bmp | mandrill32.bmp-G_0.8-H4e-005_af5.wfa                     |         | af5 | 0.8 | 0.00004 | 24576 | 8192 |      | 17 | 9488  | 136 | 136 | 32.766 | 9760  | 1.191406 |
| mandrill32.bmp | mandrill32.bmp-withWavelet_haar-G_0.8-H4e-005_af5.wfa    | haar    | af5 | 0.8 | 0.00004 | 24576 | 8192 | 8192 | 14 | 6512  | 112 | 112 | 32.515 | 6736  | 0.822266 |
| mandrill32.bmp | mandrill32.bmp-withWavelet_rbio1.1-G_0.8-H4e-005_af5.wfa | rbio1.1 | af5 | 0.8 | 0.00004 | 24576 | 8192 | 8192 | 14 | 6512  | 112 | 112 | 33.047 | 6736  | 0.822266 |
| mandrill32.bmp | mandrill32.bmp-withWavelet_sym1-G_0.8-H4e-005_af5.wfa    | sym1    | af5 | 0.8 | 0.00004 | 24576 | 8192 | 8192 | 14 | 6512  | 112 | 112 | 32.594 | 6736  | 0.822266 |
| mandrill32.bmp | mandrill32.bmp-withWavelet_bior1.1-G_0.8-H4e-005_af5.wfa | bior1.1 | af5 | 0.8 | 0.00004 | 24576 | 8192 | 8192 | 14 | 6512  | 112 | 112 | 32.781 | 6736  | 0.822266 |
| mandrill32.bmp | mandrill32.bmp-G_0.6-H4e-005_af1.wfa                     |         | af1 | 0.6 | 0.00004 | 24576 | 8192 |      | 21 | 14352 | 168 | 168 | 51.625 | 14688 | 1.792969 |
| mandrill32.bmp | mandrill32.bmp-withWavelet_haar-G_0.6-H4e-005_af1.wfa    | haar    | af1 | 0.6 | 0.00004 | 24576 | 8192 | 8192 | 17 | 9488  | 136 | 136 | 46.219 | 9760  | 1.191406 |
| mandrill32.bmp | mandrill32.bmp-withWavelet_rbio1.1-G_0.6-H4e-005_af1.wfa | rbio1.1 | af1 | 0.6 | 0.00004 | 24576 | 8192 | 8192 | 17 | 9488  | 136 | 136 | 47.812 | 9760  | 1.191406 |
| mandrill32.bmp | mandrill32.bmp-withWavelet_sym1-G_0.6-H4e-005_af1.wfa    | sym1    | af1 | 0.6 | 0.00004 | 24576 | 8192 | 8192 | 17 | 9488  | 136 | 136 | 46.125 | 9760  | 1.191406 |
| mandrill32.bmp | mandrill32.bmp-withWavelet_bior1.1-G_0.6-H4e-005_af1.wfa | bior1.1 | af1 | 0.6 | 0.00004 | 24576 | 8192 | 8192 | 17 | 9488  | 136 | 136 | 46.157 | 9760  | 1.191406 |
| mandrill32.bmp | mandrill32.bmp-G_0.6-H4e-005_af2.wfa                     |         | af2 | 0.6 | 0.00004 | 24576 | 8192 |      | 20 | 13040 | 160 | 160 | 46.14  | 13360 | 1.630859 |
| mandrill32.bmp | mandrill32.bmp-withWavelet_haar-G_0.6-H4e-005_af2.wfa    | haar    | af2 | 0.6 | 0.00004 | 24576 | 8192 | 8192 | 17 | 9488  | 136 | 136 | 40.907 | 9760  | 1.191406 |
| mandrill32.bmp | mandrill32.bmp-withWavelet_rbio1.1-G_0.6-H4e-005_af2.wfa | rbio1.1 | af2 | 0.6 | 0.00004 | 24576 | 8192 | 8192 | 17 | 9488  | 136 | 136 | 41.891 | 9760  | 1.191406 |
| mandrill32.bmp | mandrill32.bmp-withWavelet_sym1-G_0.6-H4e-005_af2.wfa    | sym1    | af2 | 0.6 | 0.00004 | 24576 | 8192 | 8192 | 17 | 9488  | 136 | 136 | 40.938 | 9760  | 1.191406 |
| mandrill32.bmp | mandrill32.bmp-withWavelet_bior1.1-G_0.6-H4e-005_af2.wfa | bior1.1 | af2 | 0.6 | 0.00004 | 24576 | 8192 | 8192 | 17 | 9488  | 136 | 136 | 40.906 | 9760  | 1.191406 |
| mandrill32.bmp | mandrill32.bmp-G_0.6-H4e-005_af3.wfa                     |         | af3 | 0.6 | 0.00004 | 24576 | 8192 |      | 20 | 13040 | 160 | 160 | 50.094 | 13360 | 1.630859 |
| mandrill32.bmp | mandrill32.bmp-withWavelet_haar-G_0.6-H4e-005_af3.wfa    | haar    | af3 | 0.6 | 0.00004 | 24576 | 8192 | 8192 | 21 | 14352 | 168 | 168 | 53.453 | 14688 | 1.792969 |
| mandrill32.bmp | mandrill32.bmp-withWavelet_rbio1.1-G_0.6-H4e-005_af3.wfa | rbio1.1 | af3 | 0.6 | 0.00004 | 24576 | 8192 | 8192 | 21 | 14352 | 168 | 168 | 53.078 | 14688 | 1.792969 |
| mandrill32.bmp | mandrill32.bmp-withWavelet_sym1-G_0.6-H4e-005_af3.wfa    | sym1    | af3 | 0.6 | 0.00004 | 24576 | 8192 | 8192 | 21 | 14352 | 168 | 168 | 53.953 | 14688 | 1.792969 |
| mandrill32.bmp | mandrill32.bmp-withWavelet_bior1.1-G_0.6-H4e-005_af3.wfa | bior1.1 | af3 | 0.6 | 0.00004 | 24576 | 8192 | 8192 | 21 | 14352 | 168 | 168 | 53.828 | 14688 | 1.792969 |
| mandrill32.bmp | mandrill32.bmp-G_0.6-H4e-005_af4.wfa                     |         | af4 | 0.6 | 0.00004 | 24576 | 8192 |      | 5  | 1040  | 40  | 40  | 28.125 | 1120  | 0.136719 |
| mandrill32.bmp | mandrill32.bmp-withWavelet_haar-G_0.6-H4e-005_af4.wfa    | haar    | af4 | 0.6 | 0.00004 | 24576 | 8192 | 8192 | 19 | 11792 | 152 | 152 | 55.484 | 12096 | 1.476563 |
| mandrill32.bmp | mandrill32.bmp-withWavelet_rbio1.1-G_0.6-H4e-005_af4.wfa | rbio1.1 | af4 | 0.6 | 0.00004 | 24576 | 8192 | 8192 | 19 | 11792 | 152 | 152 | 55.672 | 12096 | 1.476563 |
| mandrill32.bmp | mandrill32.bmp-withWavelet_sym1-G_0.6-H4e-005_af4.wfa    | sym1    | af4 | 0.6 | 0.00004 | 24576 | 8192 | 8192 | 19 | 11792 | 152 | 152 | 55.828 | 12096 | 1.476563 |
| mandrill32.bmp | mandrill32.bmp-withWavelet_bior1.1-G_0.6-H4e-005_af4.wfa | bior1.1 | af4 | 0.6 | 0.00004 | 24576 | 8192 | 8192 | 19 | 11792 | 152 | 152 | 54.844 | 12096 | 1.476563 |
| mandrill32.bmp | mandrill32.bmp-G_0.6-H4e-005_af5.wfa                     |         | af5 | 0.6 | 0.00004 | 24576 | 8192 |      | 17 | 9488  | 136 | 136 | 30.687 | 9760  | 1.191406 |
| mandrill32.bmp | mandrill32.bmp-withWavelet_haar-G_0.6-H4e-005_af5.wfa    | haar    | af5 | 0.6 | 0.00004 | 24576 | 8192 | 8192 | 15 | 7440  | 120 | 120 | 30.906 | 7680  | 0.9375   |
| mandrill32.bmp | mandrill32.bmp-withWavelet_rbio1.1-G_0.6-H4e-005_af5.wfa | rbio1.1 | af5 | 0.6 | 0.00004 | 24576 | 8192 | 8192 | 15 | 7440  | 120 | 120 | 30.656 | 7680  | 0.9375   |
| mandrill32.bmp | mandrill32.bmp-withWavelet_sym1-G_0.6-H4e-005_af5.wfa    | sym1    | af5 | 0.6 | 0.00004 | 24576 | 8192 | 8192 | 15 | 7440  | 120 | 120 | 30.906 | 7680  | 0.9375   |

|                |  |         |     |     |         |       |      |      |    |       |     |     |         |       |          |
|----------------|--|---------|-----|-----|---------|-------|------|------|----|-------|-----|-----|---------|-------|----------|
| mandrill32.bmp | mandrill32.bmp-withWavelet_bior1.1-G_0.6-H4e-005_af5.wfa | bior1.1 | af5 | 0.6 | 0.00004 | 24576 | 8192 | 8192 | 15 | 7440  | 120 | 120 | 31.031  | 7680  | 0.9375   |
| mandrill32.bmp | mandrill32.bmp-G_1-H5e-005_af1.wfa                       |         | af1 | 1   | 0.00005 | 24576 | 8192 |      | 20 | 13040 | 160 | 160 | 98.625  | 13360 | 1.630859 |
| mandrill32.bmp | mandrill32.bmp-withWavelet_haar-G_1-H5e-005_af1.wfa      | haar    | af1 | 1   | 0.00005 | 24576 | 8192 | 8192 | 16 | 8432  | 128 | 128 | 83.844  | 8688  | 1.060547 |
| mandrill32.bmp | mandrill32.bmp-withWavelet_rbio1.1-G_1-H5e-005_af1.wfa   | rbio1.1 | af1 | 1   | 0.00005 | 24576 | 8192 | 8192 | 16 | 8432  | 128 | 128 | 83.906  | 8688  | 1.060547 |
| mandrill32.bmp | mandrill32.bmp-withWavelet_sym1-G_1-H5e-005_af1.wfa      | sym1    | af1 | 1   | 0.00005 | 24576 | 8192 | 8192 | 16 | 8432  | 128 | 128 | 89.047  | 8688  | 1.060547 |
| mandrill32.bmp | mandrill32.bmp-withWavelet_bior1.1-G_1-H5e-005_af1.wfa   | bior1.1 | af1 | 1   | 0.00005 | 24576 | 8192 | 8192 | 16 | 8432  | 128 | 128 | 85.375  | 8688  | 1.060547 |
| mandrill32.bmp | mandrill32.bmp-G_1-H5e-005_af2.wfa                       |         | af2 | 1   | 0.00005 | 24576 | 8192 |      | 18 | 10608 | 144 | 144 | 77.406  | 10896 | 1.330078 |
| mandrill32.bmp | mandrill32.bmp-withWavelet_haar-G_1-H5e-005_af2.wfa      | haar    | af2 | 1   | 0.00005 | 24576 | 8192 | 8192 | 16 | 8432  | 128 | 128 | 67.406  | 8688  | 1.060547 |
| mandrill32.bmp | mandrill32.bmp-withWavelet_rbio1.1-G_1-H5e-005_af2.wfa   | rbio1.1 | af2 | 1   | 0.00005 | 24576 | 8192 | 8192 | 16 | 8432  | 128 | 128 | 66.578  | 8688  | 1.060547 |
| mandrill32.bmp | mandrill32.bmp-withWavelet_sym1-G_1-H5e-005_af2.wfa      | sym1    | af2 | 1   | 0.00005 | 24576 | 8192 | 8192 | 16 | 8432  | 128 | 128 | 67.156  | 8688  | 1.060547 |
| mandrill32.bmp | mandrill32.bmp-withWavelet_bior1.1-G_1-H5e-005_af2.wfa   | bior1.1 | af2 | 1   | 0.00005 | 24576 | 8192 | 8192 | 16 | 8432  | 128 | 128 | 66.672  | 8688  | 1.060547 |
| mandrill32.bmp | mandrill32.bmp-G_1-H5e-005_af3.wfa                       |         | af3 | 1   | 0.00005 | 24576 | 8192 |      | 19 | 11792 | 152 | 152 | 94.64   | 12096 | 1.476563 |
| mandrill32.bmp | mandrill32.bmp-withWavelet_haar-G_1-H5e-005_af3.wfa      | haar    | af3 | 1   | 0.00005 | 24576 | 8192 | 8192 | 19 | 11792 | 152 | 152 | 103.5   | 12096 | 1.476563 |
| mandrill32.bmp | mandrill32.bmp-withWavelet_rbio1.1-G_1-H5e-005_af3.wfa   | rbio1.1 | af3 | 1   | 0.00005 | 24576 | 8192 | 8192 | 19 | 11792 | 152 | 152 | 103.375 | 12096 | 1.476563 |
| mandrill32.bmp | mandrill32.bmp-withWavelet_sym1-G_1-H5e-005_af3.wfa      | sym1    | af3 | 1   | 0.00005 | 24576 | 8192 | 8192 | 19 | 11792 | 152 | 152 | 103.343 | 12096 | 1.476563 |
| mandrill32.bmp | mandrill32.bmp-withWavelet_bior1.1-G_1-H5e-005_af3.wfa   | bior1.1 | af3 | 1   | 0.00005 | 24576 | 8192 | 8192 | 19 | 11792 | 152 | 152 | 103.672 | 12096 | 1.476563 |
| mandrill32.bmp | mandrill32.bmp-G_1-H5e-005_af4.wfa                       |         | af4 | 1   | 0.00005 | 24576 | 8192 |      | 16 | 8432  | 128 | 128 | 86.719  | 8688  | 1.060547 |
| mandrill32.bmp | mandrill32.bmp-withWavelet_haar-G_1-H5e-005_af4.wfa      | haar    | af4 | 1   | 0.00005 | 24576 | 8192 | 8192 | 19 | 11792 | 152 | 152 | 129.406 | 12096 | 1.476563 |
| mandrill32.bmp | mandrill32.bmp-withWavelet_rbio1.1-G_1-H5e-005_af4.wfa   | rbio1.1 | af4 | 1   | 0.00005 | 24576 | 8192 | 8192 | 19 | 11792 | 152 | 152 | 129.5   | 12096 | 1.476563 |
| mandrill32.bmp | mandrill32.bmp-withWavelet_sym1-G_1-H5e-005_af4.wfa      | sym1    | af4 | 1   | 0.00005 | 24576 | 8192 | 8192 | 19 | 11792 | 152 | 152 | 129.485 | 12096 | 1.476563 |
| mandrill32.bmp | mandrill32.bmp-withWavelet_bior1.1-G_1-H5e-005_af4.wfa   | bior1.1 | af4 | 1   | 0.00005 | 24576 | 8192 | 8192 | 19 | 11792 | 152 | 152 | 127.406 | 12096 | 1.476563 |
| mandrill32.bmp | mandrill32.bmp-G_1-H5e-005_af5.wfa                       |         | af5 | 1   | 0.00005 | 24576 | 8192 |      | 16 | 8432  | 128 | 128 | 39.453  | 8688  | 1.060547 |
| mandrill32.bmp | mandrill32.bmp-withWavelet_haar-G_1-H5e-005_af5.wfa      | haar    | af5 | 1   | 0.00005 | 24576 | 8192 | 8192 | 13 | 5648  | 104 | 104 | 39.766  | 5856  | 0.714844 |
| mandrill32.bmp | mandrill32.bmp-withWavelet_rbio1.1-G_1-H5e-005_af5.wfa   | rbio1.1 | af5 | 1   | 0.00005 | 24576 | 8192 | 8192 | 13 | 5648  | 104 | 104 | 39.719  | 5856  | 0.714844 |
| mandrill32.bmp | mandrill32.bmp-withWavelet_sym1-G_1-H5e-005_af5.wfa      | sym1    | af5 | 1   | 0.00005 | 24576 | 8192 | 8192 | 13 | 5648  | 104 | 104 | 39.5    | 5856  | 0.714844 |
| mandrill32.bmp | mandrill32.bmp-withWavelet_bior1.1-G_1-H5e-005_af5.wfa   | bior1.1 | af5 | 1   | 0.00005 | 24576 | 8192 | 8192 | 13 | 5648  | 104 | 104 | 39.5    | 5856  | 0.714844 |
| mandrill32.bmp | mandrill32.bmp-G_0.8-H5e-005_af1.wfa                     |         | af1 | 0.8 | 0.00005 | 24576 | 8192 |      | 20 | 13040 | 160 | 160 | 55.875  | 13360 | 1.630859 |
| mandrill32.bmp | mandrill32.bmp-withWavelet_haar-G_0.8-H5e-005_af1.wfa    | haar    | af1 | 0.8 | 0.00005 | 24576 | 8192 | 8192 | 16 | 8432  | 128 | 128 | 53.765  | 8688  | 1.060547 |
| mandrill32.bmp | mandrill32.bmp-withWavelet_rbio1.1-G_0.8-H5e-005_af1.wfa | rbio1.1 | af1 | 0.8 | 0.00005 | 24576 | 8192 | 8192 | 16 | 8432  | 128 | 128 | 56.031  | 8688  | 1.060547 |
| mandrill32.bmp | mandrill32.bmp-withWavelet_sym1-G_0.8-H5e-005_af1.wfa    | sym1    | af1 | 0.8 | 0.00005 | 24576 | 8192 | 8192 | 16 | 8432  | 128 | 128 | 53.734  | 8688  | 1.060547 |
| mandrill32.bmp | mandrill32.bmp-withWavelet_bior1.1-G_0.8-H5e-005_af1.wfa | bior1.1 | af1 | 0.8 | 0.00005 | 24576 | 8192 | 8192 | 16 | 8432  | 128 | 128 | 53.578  | 8688  | 1.060547 |

|                |  |         |     |     |         |       |      |      |    |       |     |     |        |       |          |
|----------------|--|---------|-----|-----|---------|-------|------|------|----|-------|-----|-----|--------|-------|----------|
| mandrill32.bmp | mandrill32.bmp-G_0.8-H5e-005_af2.wfa                     |         | af2 | 0.8 | 0.00005 | 24576 | 8192 |      | 18 | 10608 | 144 | 144 | 49.078 | 10896 | 1.330078 |
| mandrill32.bmp | mandrill32.bmp-withWavelet_haar-G_0.8-H5e-005_af2.wfa    | haar    | af2 | 0.8 | 0.00005 | 24576 | 8192 | 8192 | 16 | 8432  | 128 | 128 | 44.203 | 8688  | 1.060547 |
| mandrill32.bmp | mandrill32.bmp-withWavelet_rbio1.1-G_0.8-H5e-005_af2.wfa | rbio1.1 | af2 | 0.8 | 0.00005 | 24576 | 8192 | 8192 | 16 | 8432  | 128 | 128 | 45.719 | 8688  | 1.060547 |
| mandrill32.bmp | mandrill32.bmp-withWavelet_sym1-G_0.8-H5e-005_af2.wfa    | sym1    | af2 | 0.8 | 0.00005 | 24576 | 8192 | 8192 | 16 | 8432  | 128 | 128 | 45.719 | 8688  | 1.060547 |
| mandrill32.bmp | mandrill32.bmp-withWavelet_bior1.1-G_0.8-H5e-005_af2.wfa | bior1.1 | af2 | 0.8 | 0.00005 | 24576 | 8192 | 8192 | 16 | 8432  | 128 | 128 | 45.813 | 8688  | 1.060547 |
| mandrill32.bmp | mandrill32.bmp-G_0.8-H5e-005_af3.wfa                     |         | af3 | 0.8 | 0.00005 | 24576 | 8192 |      | 19 | 11792 | 152 | 152 | 56.719 | 12096 | 1.476563 |
| mandrill32.bmp | mandrill32.bmp-withWavelet_haar-G_0.8-H5e-005_af3.wfa    | haar    | af3 | 0.8 | 0.00005 | 24576 | 8192 | 8192 | 18 | 10608 | 144 | 144 | 56.469 | 10896 | 1.330078 |
| mandrill32.bmp | mandrill32.bmp-withWavelet_rbio1.1-G_0.8-H5e-005_af3.wfa | rbio1.1 | af3 | 0.8 | 0.00005 | 24576 | 8192 | 8192 | 18 | 10608 | 144 | 144 | 56.094 | 10896 | 1.330078 |
| mandrill32.bmp | mandrill32.bmp-withWavelet_sym1-G_0.8-H5e-005_af3.wfa    | sym1    | af3 | 0.8 | 0.00005 | 24576 | 8192 | 8192 | 18 | 10608 | 144 | 144 | 57.532 | 10896 | 1.330078 |
| mandrill32.bmp | mandrill32.bmp-withWavelet_bior1.1-G_0.8-H5e-005_af3.wfa | bior1.1 | af3 | 0.8 | 0.00005 | 24576 | 8192 | 8192 | 18 | 10608 | 144 | 144 | 56.328 | 10896 | 1.330078 |
| mandrill32.bmp | mandrill32.bmp-G_0.8-H5e-005_af4.wfa                     |         | af4 | 0.8 | 0.00005 | 24576 | 8192 |      | 16 | 8432  | 128 | 128 | 53.594 | 8688  | 1.060547 |
| mandrill32.bmp | mandrill32.bmp-withWavelet_haar-G_0.8-H5e-005_af4.wfa    | haar    | af4 | 0.8 | 0.00005 | 24576 | 8192 | 8192 | 19 | 11792 | 152 | 152 | 68.875 | 12096 | 1.476563 |
| mandrill32.bmp | mandrill32.bmp-withWavelet_rbio1.1-G_0.8-H5e-005_af4.wfa | rbio1.1 | af4 | 0.8 | 0.00005 | 24576 | 8192 | 8192 | 19 | 11792 | 152 | 152 | 69.328 | 12096 | 1.476563 |
| mandrill32.bmp | mandrill32.bmp-withWavelet_sym1-G_0.8-H5e-005_af4.wfa    | sym1    | af4 | 0.8 | 0.00005 | 24576 | 8192 | 8192 | 19 | 11792 | 152 | 152 | 68.766 | 12096 | 1.476563 |
| mandrill32.bmp | mandrill32.bmp-withWavelet_bior1.1-G_0.8-H5e-005_af4.wfa | bior1.1 | af4 | 0.8 | 0.00005 | 24576 | 8192 | 8192 | 19 | 11792 | 152 | 152 | 69.437 | 12096 | 1.476563 |
| mandrill32.bmp | mandrill32.bmp-G_0.8-H5e-005_af5.wfa                     |         | af5 | 0.8 | 0.00005 | 24576 | 8192 |      | 17 | 9488  | 136 | 136 | 32.531 | 9760  | 1.191406 |
| mandrill32.bmp | mandrill32.bmp-withWavelet_haar-G_0.8-H5e-005_af5.wfa    | haar    | af5 | 0.8 | 0.00005 | 24576 | 8192 | 8192 | 13 | 5648  | 104 | 104 | 32.375 | 5856  | 0.714844 |
| mandrill32.bmp | mandrill32.bmp-withWavelet_rbio1.1-G_0.8-H5e-005_af5.wfa | rbio1.1 | af5 | 0.8 | 0.00005 | 24576 | 8192 | 8192 | 13 | 5648  | 104 | 104 | 32.204 | 5856  | 0.714844 |
| mandrill32.bmp | mandrill32.bmp-withWavelet_sym1-G_0.8-H5e-005_af5.wfa    | sym1    | af5 | 0.8 | 0.00005 | 24576 | 8192 | 8192 | 13 | 5648  | 104 | 104 | 32.172 | 5856  | 0.714844 |
| mandrill32.bmp | mandrill32.bmp-withWavelet_bior1.1-G_0.8-H5e-005_af5.wfa | bior1.1 | af5 | 0.8 | 0.00005 | 24576 | 8192 | 8192 | 13 | 5648  | 104 | 104 | 32.266 | 5856  | 0.714844 |
| mandrill32.bmp | mandrill32.bmp-G_0.6-H5e-005_af1.wfa                     |         | af1 | 0.6 | 0.00005 | 24576 | 8192 |      | 20 | 13040 | 160 | 160 | 46.532 | 13360 | 1.630859 |
| mandrill32.bmp | mandrill32.bmp-withWavelet_haar-G_0.6-H5e-005_af1.wfa    | haar    | af1 | 0.6 | 0.00005 | 24576 | 8192 | 8192 | 16 | 8432  | 128 | 128 | 46.485 | 8688  | 1.060547 |
| mandrill32.bmp | mandrill32.bmp-withWavelet_rbio1.1-G_0.6-H5e-005_af1.wfa | rbio1.1 | af1 | 0.6 | 0.00005 | 24576 | 8192 | 8192 | 16 | 8432  | 128 | 128 | 46.625 | 8688  | 1.060547 |
| mandrill32.bmp | mandrill32.bmp-withWavelet_sym1-G_0.6-H5e-005_af1.wfa    | sym1    | af1 | 0.6 | 0.00005 | 24576 | 8192 | 8192 | 16 | 8432  | 128 | 128 | 44.953 | 8688  | 1.060547 |
| mandrill32.bmp | mandrill32.bmp-withWavelet_bior1.1-G_0.6-H5e-005_af1.wfa | bior1.1 | af1 | 0.6 | 0.00005 | 24576 | 8192 | 8192 | 16 | 8432  | 128 | 128 | 44.703 | 8688  | 1.060547 |
| mandrill32.bmp | mandrill32.bmp-G_0.6-H5e-005_af2.wfa                     |         | af2 | 0.6 | 0.00005 | 24576 | 8192 |      | 19 | 11792 | 152 | 152 | 42.125 | 12096 | 1.476563 |
| mandrill32.bmp | mandrill32.bmp-withWavelet_haar-G_0.6-H5e-005_af2.wfa    | haar    | af2 | 0.6 | 0.00005 | 24576 | 8192 | 8192 | 16 | 8432  | 128 | 128 | 39.797 | 8688  | 1.060547 |
| mandrill32.bmp | mandrill32.bmp-withWavelet_rbio1.1-G_0.6-H5e-005_af2.wfa | rbio1.1 | af2 | 0.6 | 0.00005 | 24576 | 8192 | 8192 | 16 | 8432  | 128 | 128 | 39.75  | 8688  | 1.060547 |
| mandrill32.bmp | mandrill32.bmp-withWavelet_sym1-G_0.6-H5e-005_af2.wfa    | sym1    | af2 | 0.6 | 0.00005 | 24576 | 8192 | 8192 | 16 | 8432  | 128 | 128 | 40.079 | 8688  | 1.060547 |
| mandrill32.bmp | mandrill32.bmp-withWavelet_bior1.1-G_0.6-H5e-005_af2.wfa | bior1.1 | af2 | 0.6 | 0.00005 | 24576 | 8192 | 8192 | 16 | 8432  | 128 | 128 | 39.765 | 8688  | 1.060547 |
| mandrill32.bmp | mandrill32.bmp-G_0.6-H5e-005_af3.wfa                     |         | af3 | 0.6 | 0.00005 | 24576 | 8192 |      | 18 | 10608 | 144 | 144 | 46.453 | 10896 | 1.330078 |



|                |  |         |     |     |         |       |      |      |    |       |     |     |         |       |          |
|----------------|--|---------|-----|-----|---------|-------|------|------|----|-------|-----|-----|---------|-------|----------|
| mandrill32.bmp | mandrill32.bmp-withWavelet_haar-G_0.6-H5e-005_af3.wfa    | haar    | af3 | 0.6 | 0.00005 | 24576 | 8192 | 8192 | 18 | 10608 | 144 | 144 | 47.61   | 10896 | 1.330078 |
| mandrill32.bmp | mandrill32.bmp-withWavelet_rbio1.1-G_0.6-H5e-005_af3.wfa | rbio1.1 | af3 | 0.6 | 0.00005 | 24576 | 8192 | 8192 | 18 | 10608 | 144 | 144 | 46.672  | 10896 | 1.330078 |
| mandrill32.bmp | mandrill32.bmp-withWavelet_sym1-G_0.6-H5e-005_af3.wfa    | sym1    | af3 | 0.6 | 0.00005 | 24576 | 8192 | 8192 | 18 | 10608 | 144 | 144 | 46.984  | 10896 | 1.330078 |
| mandrill32.bmp | mandrill32.bmp-withWavelet_bior1.1-G_0.6-H5e-005_af3.wfa | bior1.1 | af3 | 0.6 | 0.00005 | 24576 | 8192 | 8192 | 18 | 10608 | 144 | 144 | 47.329  | 10896 | 1.330078 |
| mandrill32.bmp | mandrill32.bmp-G_0.6-H5e-005_af4.wfa                     |         | af4 | 0.6 | 0.00005 | 24576 | 8192 |      | 5  | 1040  | 40  | 40  | 28.219  | 1120  | 0.136719 |
| mandrill32.bmp | mandrill32.bmp-withWavelet_haar-G_0.6-H5e-005_af4.wfa    | haar    | af4 | 0.6 | 0.00005 | 24576 | 8192 | 8192 | 18 | 10608 | 144 | 144 | 54.203  | 10896 | 1.330078 |
| mandrill32.bmp | mandrill32.bmp-withWavelet_rbio1.1-G_0.6-H5e-005_af4.wfa | rbio1.1 | af4 | 0.6 | 0.00005 | 24576 | 8192 | 8192 | 18 | 10608 | 144 | 144 | 54.25   | 10896 | 1.330078 |
| mandrill32.bmp | mandrill32.bmp-withWavelet_sym1-G_0.6-H5e-005_af4.wfa    | sym1    | af4 | 0.6 | 0.00005 | 24576 | 8192 | 8192 | 18 | 10608 | 144 | 144 | 53.172  | 10896 | 1.330078 |
| mandrill32.bmp | mandrill32.bmp-withWavelet_bior1.1-G_0.6-H5e-005_af4.wfa | bior1.1 | af4 | 0.6 | 0.00005 | 24576 | 8192 | 8192 | 18 | 10608 | 144 | 144 | 53.406  | 10896 | 1.330078 |
| mandrill32.bmp | mandrill32.bmp-G_0.6-H5e-005_af5.wfa                     |         | af5 | 0.6 | 0.00005 | 24576 | 8192 |      | 17 | 9488  | 136 | 136 | 30.828  | 9760  | 1.191406 |
| mandrill32.bmp | mandrill32.bmp-withWavelet_haar-G_0.6-H5e-005_af5.wfa    | haar    | af5 | 0.6 | 0.00005 | 24576 | 8192 | 8192 | 14 | 6512  | 112 | 112 | 30.719  | 6736  | 0.822266 |
| mandrill32.bmp | mandrill32.bmp-withWavelet_rbio1.1-G_0.6-H5e-005_af5.wfa | rbio1.1 | af5 | 0.6 | 0.00005 | 24576 | 8192 | 8192 | 14 | 6512  | 112 | 112 | 30.656  | 6736  | 0.822266 |
| mandrill32.bmp | mandrill32.bmp-withWavelet_sym1-G_0.6-H5e-005_af5.wfa    | sym1    | af5 | 0.6 | 0.00005 | 24576 | 8192 | 8192 | 14 | 6512  | 112 | 112 | 30.562  | 6736  | 0.822266 |
| mandrill32.bmp | mandrill32.bmp-withWavelet_bior1.1-G_0.6-H5e-005_af5.wfa | bior1.1 | af5 | 0.6 | 0.00005 | 24576 | 8192 | 8192 | 14 | 6512  | 112 | 112 | 30.438  | 6736  | 0.822266 |
| mandrill32.bmp | mandrill32.bmp-G_1-H6e-005_af1.wfa                       |         | af1 | 1   | 0.00006 | 24576 | 8192 |      | 19 | 11792 | 152 | 152 | 85.516  | 12096 | 1.476563 |
| mandrill32.bmp | mandrill32.bmp-withWavelet_haar-G_1-H6e-005_af1.wfa      | haar    | af1 | 1   | 0.00006 | 24576 | 8192 | 8192 | 15 | 7440  | 120 | 120 | 79.516  | 7680  | 0.9375   |
| mandrill32.bmp | mandrill32.bmp-withWavelet_rbio1.1-G_1-H6e-005_af1.wfa   | rbio1.1 | af1 | 1   | 0.00006 | 24576 | 8192 | 8192 | 15 | 7440  | 120 | 120 | 82.234  | 7680  | 0.9375   |
| mandrill32.bmp | mandrill32.bmp-withWavelet_sym1-G_1-H6e-005_af1.wfa      | sym1    | af1 | 1   | 0.00006 | 24576 | 8192 | 8192 | 15 | 7440  | 120 | 120 | 79.625  | 7680  | 0.9375   |
| mandrill32.bmp | mandrill32.bmp-withWavelet_bior1.1-G_1-H6e-005_af1.wfa   | bior1.1 | af1 | 1   | 0.00006 | 24576 | 8192 | 8192 | 15 | 7440  | 120 | 120 | 81.89   | 7680  | 0.9375   |
| mandrill32.bmp | mandrill32.bmp-G_1-H6e-005_af2.wfa                       |         | af2 | 1   | 0.00006 | 24576 | 8192 |      | 17 | 9488  | 136 | 136 | 71.516  | 9760  | 1.191406 |
| mandrill32.bmp | mandrill32.bmp-withWavelet_haar-G_1-H6e-005_af2.wfa      | haar    | af2 | 1   | 0.00006 | 24576 | 8192 | 8192 | 14 | 6512  | 112 | 112 | 58.563  | 6736  | 0.822266 |
| mandrill32.bmp | mandrill32.bmp-withWavelet_rbio1.1-G_1-H6e-005_af2.wfa   | rbio1.1 | af2 | 1   | 0.00006 | 24576 | 8192 | 8192 | 14 | 6512  | 112 | 112 | 59.531  | 6736  | 0.822266 |
| mandrill32.bmp | mandrill32.bmp-withWavelet_sym1-G_1-H6e-005_af2.wfa      | sym1    | af2 | 1   | 0.00006 | 24576 | 8192 | 8192 | 14 | 6512  | 112 | 112 | 59.391  | 6736  | 0.822266 |
| mandrill32.bmp | mandrill32.bmp-withWavelet_bior1.1-G_1-H6e-005_af2.wfa   | bior1.1 | af2 | 1   | 0.00006 | 24576 | 8192 | 8192 | 14 | 6512  | 112 | 112 | 59.297  | 6736  | 0.822266 |
| mandrill32.bmp | mandrill32.bmp-G_1-H6e-005_af3.wfa                       |         | af3 | 1   | 0.00006 | 24576 | 8192 |      | 17 | 9488  | 136 | 136 | 84.64   | 9760  | 1.191406 |
| mandrill32.bmp | mandrill32.bmp-withWavelet_haar-G_1-H6e-005_af3.wfa      | haar    | af3 | 1   | 0.00006 | 24576 | 8192 | 8192 | 16 | 8432  | 128 | 128 | 76      | 8688  | 1.060547 |
| mandrill32.bmp | mandrill32.bmp-withWavelet_rbio1.1-G_1-H6e-005_af3.wfa   | rbio1.1 | af3 | 1   | 0.00006 | 24576 | 8192 | 8192 | 16 | 8432  | 128 | 128 | 76.657  | 8688  | 1.060547 |
| mandrill32.bmp | mandrill32.bmp-withWavelet_sym1-G_1-H6e-005_af3.wfa      | sym1    | af3 | 1   | 0.00006 | 24576 | 8192 | 8192 | 16 | 8432  | 128 | 128 | 77.672  | 8688  | 1.060547 |
| mandrill32.bmp | mandrill32.bmp-withWavelet_bior1.1-G_1-H6e-005_af3.wfa   | bior1.1 | af3 | 1   | 0.00006 | 24576 | 8192 | 8192 | 16 | 8432  | 128 | 128 | 75.843  | 8688  | 1.060547 |
| mandrill32.bmp | mandrill32.bmp-G_1-H6e-005_af4.wfa                       |         | af4 | 1   | 0.00006 | 24576 | 8192 |      | 15 | 7440  | 120 | 120 | 77.922  | 7680  | 0.9375   |
| mandrill32.bmp | mandrill32.bmp-withWavelet_haar-G_1-H6e-005_af4.wfa      | haar    | af4 | 1   | 0.00006 | 24576 | 8192 | 8192 | 18 | 10608 | 144 | 144 | 118.422 | 10896 | 1.330078 |

|                |  |         |     |     |         |       |      |      |    |       |     |     |         |       |          |
|----------------|--|---------|-----|-----|---------|-------|------|------|----|-------|-----|-----|---------|-------|----------|
| mandrill32.bmp | mandrill32.bmp-withWavelet_rbio1.1-G_1-H6e-005_af4.wfa   | rbio1.1 | af4 | 1   | 0.00006 | 24576 | 8192 | 8192 | 18 | 10608 | 144 | 144 | 118.812 | 10896 | 1.330078 |
| mandrill32.bmp | mandrill32.bmp-withWavelet_sym1-G_1-H6e-005_af4.wfa      | sym1    | af4 | 1   | 0.00006 | 24576 | 8192 | 8192 | 18 | 10608 | 144 | 144 | 118.078 | 10896 | 1.330078 |
| mandrill32.bmp | mandrill32.bmp-withWavelet_bior1.1-G_1-H6e-005_af4.wfa   | bior1.1 | af4 | 1   | 0.00006 | 24576 | 8192 | 8192 | 18 | 10608 | 144 | 144 | 118.11  | 10896 | 1.330078 |
| mandrill32.bmp | mandrill32.bmp-G_1-H6e-005_af5.wfa                       |         | af5 | 1   | 0.00006 | 24576 | 8192 |      | 16 | 8432  | 128 | 128 | 40.468  | 8688  | 1.060547 |
| mandrill32.bmp | mandrill32.bmp-withWavelet_haar-G_1-H6e-005_af5.wfa      | haar    | af5 | 1   | 0.00006 | 24576 | 8192 | 8192 | 12 | 4848  | 96  | 96  | 39.453  | 5040  | 0.615234 |
| mandrill32.bmp | mandrill32.bmp-withWavelet_rbio1.1-G_1-H6e-005_af5.wfa   | rbio1.1 | af5 | 1   | 0.00006 | 24576 | 8192 | 8192 | 12 | 4848  | 96  | 96  | 39.609  | 5040  | 0.615234 |
| mandrill32.bmp | mandrill32.bmp-withWavelet_sym1-G_1-H6e-005_af5.wfa      | sym1    | af5 | 1   | 0.00006 | 24576 | 8192 | 8192 | 12 | 4848  | 96  | 96  | 39.406  | 5040  | 0.615234 |
| mandrill32.bmp | mandrill32.bmp-withWavelet_bior1.1-G_1-H6e-005_af5.wfa   | bior1.1 | af5 | 1   | 0.00006 | 24576 | 8192 | 8192 | 12 | 4848  | 96  | 96  | 39.609  | 5040  | 0.615234 |
| mandrill32.bmp | mandrill32.bmp-G_0.8-H6e-005_af1.wfa                     |         | af1 | 0.8 | 0.00006 | 24576 | 8192 |      | 19 | 11792 | 152 | 152 | 52.734  | 12096 | 1.476563 |
| mandrill32.bmp | mandrill32.bmp-withWavelet_haar-G_0.8-H6e-005_af1.wfa    | haar    | af1 | 0.8 | 0.00006 | 24576 | 8192 | 8192 | 15 | 7440  | 120 | 120 | 50.672  | 7680  | 0.9375   |
| mandrill32.bmp | mandrill32.bmp-withWavelet_rbio1.1-G_0.8-H6e-005_af1.wfa | rbio1.1 | af1 | 0.8 | 0.00006 | 24576 | 8192 | 8192 | 15 | 7440  | 120 | 120 | 49.641  | 7680  | 0.9375   |
| mandrill32.bmp | mandrill32.bmp-withWavelet_sym1-G_0.8-H6e-005_af1.wfa    | sym1    | af1 | 0.8 | 0.00006 | 24576 | 8192 | 8192 | 15 | 7440  | 120 | 120 | 49.657  | 7680  | 0.9375   |
| mandrill32.bmp | mandrill32.bmp-withWavelet_bior1.1-G_0.8-H6e-005_af1.wfa | bior1.1 | af1 | 0.8 | 0.00006 | 24576 | 8192 | 8192 | 15 | 7440  | 120 | 120 | 49.625  | 7680  | 0.9375   |
| mandrill32.bmp | mandrill32.bmp-G_0.8-H6e-005_af2.wfa                     |         | af2 | 0.8 | 0.00006 | 24576 | 8192 |      | 17 | 9488  | 136 | 136 | 45.984  | 9760  | 1.191406 |
| mandrill32.bmp | mandrill32.bmp-withWavelet_haar-G_0.8-H6e-005_af2.wfa    | haar    | af2 | 0.8 | 0.00006 | 24576 | 8192 | 8192 | 14 | 6512  | 112 | 112 | 42.062  | 6736  | 0.822266 |
| mandrill32.bmp | mandrill32.bmp-withWavelet_rbio1.1-G_0.8-H6e-005_af2.wfa | rbio1.1 | af2 | 0.8 | 0.00006 | 24576 | 8192 | 8192 | 14 | 6512  | 112 | 112 | 43.235  | 6736  | 0.822266 |
| mandrill32.bmp | mandrill32.bmp-withWavelet_sym1-G_0.8-H6e-005_af2.wfa    | sym1    | af2 | 0.8 | 0.00006 | 24576 | 8192 | 8192 | 14 | 6512  | 112 | 112 | 42.579  | 6736  | 0.822266 |
| mandrill32.bmp | mandrill32.bmp-withWavelet_bior1.1-G_0.8-H6e-005_af2.wfa | bior1.1 | af2 | 0.8 | 0.00006 | 24576 | 8192 | 8192 | 14 | 6512  | 112 | 112 | 42.406  | 6736  | 0.822266 |
| mandrill32.bmp | mandrill32.bmp-G_0.8-H6e-005_af3.wfa                     |         | af3 | 0.8 | 0.00006 | 24576 | 8192 |      | 17 | 9488  | 136 | 136 | 51.921  | 9760  | 1.191406 |
| mandrill32.bmp | mandrill32.bmp-withWavelet_haar-G_0.8-H6e-005_af3.wfa    | haar    | af3 | 0.8 | 0.00006 | 24576 | 8192 | 8192 | 16 | 8432  | 128 | 128 | 49.671  | 8688  | 1.060547 |
| mandrill32.bmp | mandrill32.bmp-withWavelet_rbio1.1-G_0.8-H6e-005_af3.wfa | rbio1.1 | af3 | 0.8 | 0.00006 | 24576 | 8192 | 8192 | 16 | 8432  | 128 | 128 | 49.406  | 8688  | 1.060547 |
| mandrill32.bmp | mandrill32.bmp-withWavelet_sym1-G_0.8-H6e-005_af3.wfa    | sym1    | af3 | 0.8 | 0.00006 | 24576 | 8192 | 8192 | 16 | 8432  | 128 | 128 | 49.39   | 8688  | 1.060547 |
| mandrill32.bmp | mandrill32.bmp-withWavelet_bior1.1-G_0.8-H6e-005_af3.wfa | bior1.1 | af3 | 0.8 | 0.00006 | 24576 | 8192 | 8192 | 16 | 8432  | 128 | 128 | 49.188  | 8688  | 1.060547 |
| mandrill32.bmp | mandrill32.bmp-G_0.8-H6e-005_af4.wfa                     |         | af4 | 0.8 | 0.00006 | 24576 | 8192 |      | 15 | 7440  | 120 | 120 | 50.203  | 7680  | 0.9375   |
| mandrill32.bmp | mandrill32.bmp-withWavelet_haar-G_0.8-H6e-005_af4.wfa    | haar    | af4 | 0.8 | 0.00006 | 24576 | 8192 | 8192 | 18 | 10608 | 144 | 144 | 65.625  | 10896 | 1.330078 |
| mandrill32.bmp | mandrill32.bmp-withWavelet_rbio1.1-G_0.8-H6e-005_af4.wfa | rbio1.1 | af4 | 0.8 | 0.00006 | 24576 | 8192 | 8192 | 18 | 10608 | 144 | 144 | 65.781  | 10896 | 1.330078 |
| mandrill32.bmp | mandrill32.bmp-withWavelet_sym1-G_0.8-H6e-005_af4.wfa    | sym1    | af4 | 0.8 | 0.00006 | 24576 | 8192 | 8192 | 18 | 10608 | 144 | 144 | 65.671  | 10896 | 1.330078 |
| mandrill32.bmp | mandrill32.bmp-withWavelet_bior1.1-G_0.8-H6e-005_af4.wfa | bior1.1 | af4 | 0.8 | 0.00006 | 24576 | 8192 | 8192 | 18 | 10608 | 144 | 144 | 65.734  | 10896 | 1.330078 |
| mandrill32.bmp | mandrill32.bmp-G_0.8-H6e-005_af5.wfa                     |         | af5 | 0.8 | 0.00006 | 24576 | 8192 |      | 16 | 8432  | 128 | 128 | 32.859  | 8688  | 1.060547 |
| mandrill32.bmp | mandrill32.bmp-withWavelet_haar-G_0.8-H6e-005_af5.wfa    | haar    | af5 | 0.8 | 0.00006 | 24576 | 8192 | 8192 | 12 | 4848  | 96  | 96  | 32.062  | 5040  | 0.615234 |
| mandrill32.bmp | mandrill32.bmp-withWavelet_rbio1.1-G_0.8-H6e-005_af5.wfa | rbio1.1 | af5 | 0.8 | 0.00006 | 24576 | 8192 | 8192 | 12 | 4848  | 96  | 96  | 32.015  | 5040  | 0.615234 |

|                |  |         |     |     |         |       |      |      |    |       |     |     |        |       |          |
|----------------|--|---------|-----|-----|---------|-------|------|------|----|-------|-----|-----|--------|-------|----------|
| mandrill32.bmp | mandrill32.bmp-withWavelet_sym1-G_0.8-H6e-005_af5.wfa    | sym1    | af5 | 0.8 | 0.00006 | 24576 | 8192 | 8192 | 12 | 4848  | 96  | 96  | 32.031 | 5040  | 0.615234 |
| mandrill32.bmp | mandrill32.bmp-withWavelet_bior1.1-G_0.8-H6e-005_af5.wfa | bior1.1 | af5 | 0.8 | 0.00006 | 24576 | 8192 | 8192 | 12 | 4848  | 96  | 96  | 32.281 | 5040  | 0.615234 |
| mandrill32.bmp | mandrill32.bmp-G_0.6-H6e-005_af1.wfa                     |         | af1 | 0.6 | 0.00006 | 24576 | 8192 |      | 19 | 11792 | 152 | 152 | 44.078 | 12096 | 1.476563 |
| mandrill32.bmp | mandrill32.bmp-withWavelet_haar-G_0.6-H6e-005_af1.wfa    | haar    | af1 | 0.6 | 0.00006 | 24576 | 8192 | 8192 | 15 | 7440  | 120 | 120 | 44.032 | 7680  | 0.9375   |
| mandrill32.bmp | mandrill32.bmp-withWavelet_rbio1.1-G_0.6-H6e-005_af1.wfa | rbio1.1 | af1 | 0.6 | 0.00006 | 24576 | 8192 | 8192 | 15 | 7440  | 120 | 120 | 43.953 | 7680  | 0.9375   |
| mandrill32.bmp | mandrill32.bmp-withWavelet_sym1-G_0.6-H6e-005_af1.wfa    | sym1    | af1 | 0.6 | 0.00006 | 24576 | 8192 | 8192 | 15 | 7440  | 120 | 120 | 43.031 | 7680  | 0.9375   |
| mandrill32.bmp | mandrill32.bmp-withWavelet_bior1.1-G_0.6-H6e-005_af1.wfa | bior1.1 | af1 | 0.6 | 0.00006 | 24576 | 8192 | 8192 | 15 | 7440  | 120 | 120 | 41.891 | 7680  | 0.9375   |
| mandrill32.bmp | mandrill32.bmp-G_0.6-H6e-005_af2.wfa                     |         | af2 | 0.6 | 0.00006 | 24576 | 8192 |      | 16 | 8432  | 128 | 128 | 38.281 | 8688  | 1.060547 |
| mandrill32.bmp | mandrill32.bmp-withWavelet_haar-G_0.6-H6e-005_af2.wfa    | haar    | af2 | 0.6 | 0.00006 | 24576 | 8192 | 8192 | 14 | 6512  | 112 | 112 | 36.719 | 6736  | 0.822266 |
| mandrill32.bmp | mandrill32.bmp-withWavelet_rbio1.1-G_0.6-H6e-005_af2.wfa | rbio1.1 | af2 | 0.6 | 0.00006 | 24576 | 8192 | 8192 | 14 | 6512  | 112 | 112 | 36.547 | 6736  | 0.822266 |
| mandrill32.bmp | mandrill32.bmp-withWavelet_sym1-G_0.6-H6e-005_af2.wfa    | sym1    | af2 | 0.6 | 0.00006 | 24576 | 8192 | 8192 | 14 | 6512  | 112 | 112 | 36.531 | 6736  | 0.822266 |
| mandrill32.bmp | mandrill32.bmp-withWavelet_bior1.1-G_0.6-H6e-005_af2.wfa | bior1.1 | af2 | 0.6 | 0.00006 | 24576 | 8192 | 8192 | 14 | 6512  | 112 | 112 | 36.719 | 6736  | 0.822266 |
| mandrill32.bmp | mandrill32.bmp-G_0.6-H6e-005_af3.wfa                     |         | af3 | 0.6 | 0.00006 | 24576 | 8192 |      | 17 | 9488  | 136 | 136 | 43.219 | 9760  | 1.191406 |
| mandrill32.bmp | mandrill32.bmp-withWavelet_haar-G_0.6-H6e-005_af3.wfa    | haar    | af3 | 0.6 | 0.00006 | 24576 | 8192 | 8192 | 17 | 9488  | 136 | 136 | 43.359 | 9760  | 1.191406 |
| mandrill32.bmp | mandrill32.bmp-withWavelet_rbio1.1-G_0.6-H6e-005_af3.wfa | rbio1.1 | af3 | 0.6 | 0.00006 | 24576 | 8192 | 8192 | 17 | 9488  | 136 | 136 | 43.25  | 9760  | 1.191406 |
| mandrill32.bmp | mandrill32.bmp-withWavelet_sym1-G_0.6-H6e-005_af3.wfa    | sym1    | af3 | 0.6 | 0.00006 | 24576 | 8192 | 8192 | 17 | 9488  | 136 | 136 | 43.984 | 9760  | 1.191406 |
| mandrill32.bmp | mandrill32.bmp-withWavelet_bior1.1-G_0.6-H6e-005_af3.wfa | bior1.1 | af3 | 0.6 | 0.00006 | 24576 | 8192 | 8192 | 17 | 9488  | 136 | 136 | 44.094 | 9760  | 1.191406 |
| mandrill32.bmp | mandrill32.bmp-G_0.6-H6e-005_af4.wfa                     |         | af4 | 0.6 | 0.00006 | 24576 | 8192 |      | 5  | 1040  | 40  | 40  | 27.969 | 1120  | 0.136719 |
| mandrill32.bmp | mandrill32.bmp-withWavelet_haar-G_0.6-H6e-005_af4.wfa    | haar    | af4 | 0.6 | 0.00006 | 24576 | 8192 | 8192 | 17 | 9488  | 136 | 136 | 47.891 | 9760  | 1.191406 |
| mandrill32.bmp | mandrill32.bmp-withWavelet_rbio1.1-G_0.6-H6e-005_af4.wfa | rbio1.1 | af4 | 0.6 | 0.00006 | 24576 | 8192 | 8192 | 17 | 9488  | 136 | 136 | 48.687 | 9760  | 1.191406 |
| mandrill32.bmp | mandrill32.bmp-withWavelet_sym1-G_0.6-H6e-005_af4.wfa    | sym1    | af4 | 0.6 | 0.00006 | 24576 | 8192 | 8192 | 17 | 9488  | 136 | 136 | 48.094 | 9760  | 1.191406 |
| mandrill32.bmp | mandrill32.bmp-withWavelet_bior1.1-G_0.6-H6e-005_af4.wfa | bior1.1 | af4 | 0.6 | 0.00006 | 24576 | 8192 | 8192 | 17 | 9488  | 136 | 136 | 48.015 | 9760  | 1.191406 |
| mandrill32.bmp | mandrill32.bmp-G_0.6-H6e-005_af5.wfa                     |         | af5 | 0.6 | 0.00006 | 24576 | 8192 |      | 16 | 8432  | 128 | 128 | 30.406 | 8688  | 1.060547 |
| mandrill32.bmp | mandrill32.bmp-withWavelet_haar-G_0.6-H6e-005_af5.wfa    | haar    | af5 | 0.6 | 0.00006 | 24576 | 8192 | 8192 | 13 | 5648  | 104 | 104 | 30.094 | 5856  | 0.714844 |
| mandrill32.bmp | mandrill32.bmp-withWavelet_rbio1.1-G_0.6-H6e-005_af5.wfa | rbio1.1 | af5 | 0.6 | 0.00006 | 24576 | 8192 | 8192 | 13 | 5648  | 104 | 104 | 30.344 | 5856  | 0.714844 |
| mandrill32.bmp | mandrill32.bmp-withWavelet_sym1-G_0.6-H6e-005_af5.wfa    | sym1    | af5 | 0.6 | 0.00006 | 24576 | 8192 | 8192 | 13 | 5648  | 104 | 104 | 30.047 | 5856  | 0.714844 |
| mandrill32.bmp | mandrill32.bmp-withWavelet_bior1.1-G_0.6-H6e-005_af5.wfa | bior1.1 | af5 | 0.6 | 0.00006 | 24576 | 8192 | 8192 | 13 | 5648  | 104 | 104 | 30.157 | 5856  | 0.714844 |
| mandrill32.bmp | mandrill32.bmp-G_1-H7e-005_af1.wfa                       |         | af1 | 1   | 0.00007 | 24576 | 8192 |      | 18 | 10608 | 144 | 144 | 81.578 | 10896 | 1.330078 |
| mandrill32.bmp | mandrill32.bmp-withWavelet_haar-G_1-H7e-005_af1.wfa      | haar    | af1 | 1   | 0.00007 | 24576 | 8192 | 8192 | 14 | 6512  | 112 | 112 | 70.281 | 6736  | 0.822266 |
| mandrill32.bmp | mandrill32.bmp-withWavelet_rbio1.1-G_1-H7e-005_af1.wfa   | rbio1.1 | af1 | 1   | 0.00007 | 24576 | 8192 | 8192 | 14 | 6512  | 112 | 112 | 69.828 | 6736  | 0.822266 |
| mandrill32.bmp | mandrill32.bmp-withWavelet_sym1-G_1-H7e-005_af1.wfa      | sym1    | af1 | 1   | 0.00007 | 24576 | 8192 | 8192 | 14 | 6512  | 112 | 112 | 69.797 | 6736  | 0.822266 |

|                |  |         |     |     |         |       |      |      |    |       |     |     |         |       |          |
|----------------|--|---------|-----|-----|---------|-------|------|------|----|-------|-----|-----|---------|-------|----------|
| mandrill32.bmp | mandrill32.bmp-withWavelet_bior1.1-G_1-H7e-005_af1.wfa   | bior1.1 | af1 | 1   | 0.00007 | 24576 | 8192 | 8192 | 14 | 6512  | 112 | 112 | 69.5    | 6736  | 0.822266 |
| mandrill32.bmp | mandrill32.bmp-G_1-H7e-005_af2.wfa                       |         | af2 | 1   | 0.00007 | 24576 | 8192 |      | 16 | 8432  | 128 | 128 | 64.047  | 8688  | 1.060547 |
| mandrill32.bmp | mandrill32.bmp-withWavelet_haar-G_1-H7e-005_af2.wfa      | haar    | af2 | 1   | 0.00007 | 24576 | 8192 | 8192 | 14 | 6512  | 112 | 112 | 58.219  | 6736  | 0.822266 |
| mandrill32.bmp | mandrill32.bmp-withWavelet_rbio1.1-G_1-H7e-005_af2.wfa   | rbio1.1 | af2 | 1   | 0.00007 | 24576 | 8192 | 8192 | 14 | 6512  | 112 | 112 | 58.39   | 6736  | 0.822266 |
| mandrill32.bmp | mandrill32.bmp-withWavelet_sym1-G_1-H7e-005_af2.wfa      | sym1    | af2 | 1   | 0.00007 | 24576 | 8192 | 8192 | 14 | 6512  | 112 | 112 | 58.343  | 6736  | 0.822266 |
| mandrill32.bmp | mandrill32.bmp-withWavelet_bior1.1-G_1-H7e-005_af2.wfa   | bior1.1 | af2 | 1   | 0.00007 | 24576 | 8192 | 8192 | 14 | 6512  | 112 | 112 | 58.969  | 6736  | 0.822266 |
| mandrill32.bmp | mandrill32.bmp-G_1-H7e-005_af3.wfa                       |         | af3 | 1   | 0.00007 | 24576 | 8192 |      | 15 | 7440  | 120 | 120 | 59.5    | 7680  | 0.9375   |
| mandrill32.bmp | mandrill32.bmp-withWavelet_haar-G_1-H7e-005_af3.wfa      | haar    | af3 | 1   | 0.00007 | 24576 | 8192 | 8192 | 16 | 8432  | 128 | 128 | 76.25   | 8688  | 1.060547 |
| mandrill32.bmp | mandrill32.bmp-withWavelet_rbio1.1-G_1-H7e-005_af3.wfa   | rbio1.1 | af3 | 1   | 0.00007 | 24576 | 8192 | 8192 | 16 | 8432  | 128 | 128 | 76.671  | 8688  | 1.060547 |
| mandrill32.bmp | mandrill32.bmp-withWavelet_sym1-G_1-H7e-005_af3.wfa      | sym1    | af3 | 1   | 0.00007 | 24576 | 8192 | 8192 | 16 | 8432  | 128 | 128 | 76.031  | 8688  | 1.060547 |
| mandrill32.bmp | mandrill32.bmp-withWavelet_bior1.1-G_1-H7e-005_af3.wfa   | bior1.1 | af3 | 1   | 0.00007 | 24576 | 8192 | 8192 | 16 | 8432  | 128 | 128 | 76.375  | 8688  | 1.060547 |
| mandrill32.bmp | mandrill32.bmp-G_1-H7e-005_af4.wfa                       |         | af4 | 1   | 0.00007 | 24576 | 8192 |      | 15 | 7440  | 120 | 120 | 80.094  | 7680  | 0.9375   |
| mandrill32.bmp | mandrill32.bmp-withWavelet_haar-G_1-H7e-005_af4.wfa      | haar    | af4 | 1   | 0.00007 | 24576 | 8192 | 8192 | 18 | 10608 | 144 | 144 | 113.484 | 10896 | 1.330078 |
| mandrill32.bmp | mandrill32.bmp-withWavelet_rbio1.1-G_1-H7e-005_af4.wfa   | rbio1.1 | af4 | 1   | 0.00007 | 24576 | 8192 | 8192 | 18 | 10608 | 144 | 144 | 113.437 | 10896 | 1.330078 |
| mandrill32.bmp | mandrill32.bmp-withWavelet_sym1-G_1-H7e-005_af4.wfa      | sym1    | af4 | 1   | 0.00007 | 24576 | 8192 | 8192 | 18 | 10608 | 144 | 144 | 121.438 | 10896 | 1.330078 |
| mandrill32.bmp | mandrill32.bmp-withWavelet_bior1.1-G_1-H7e-005_af4.wfa   | bior1.1 | af4 | 1   | 0.00007 | 24576 | 8192 | 8192 | 18 | 10608 | 144 | 144 | 118.375 | 10896 | 1.330078 |
| mandrill32.bmp | mandrill32.bmp-G_1-H7e-005_af5.wfa                       |         | af5 | 1   | 0.00007 | 24576 | 8192 |      | 14 | 6512  | 112 | 112 | 37.172  | 6736  | 0.822266 |
| mandrill32.bmp | mandrill32.bmp-withWavelet_haar-G_1-H7e-005_af5.wfa      | haar    | af5 | 1   | 0.00007 | 24576 | 8192 | 8192 | 12 | 4848  | 96  | 96  | 39.187  | 5040  | 0.615234 |
| mandrill32.bmp | mandrill32.bmp-withWavelet_rbio1.1-G_1-H7e-005_af5.wfa   | rbio1.1 | af5 | 1   | 0.00007 | 24576 | 8192 | 8192 | 12 | 4848  | 96  | 96  | 39.141  | 5040  | 0.615234 |
| mandrill32.bmp | mandrill32.bmp-withWavelet_sym1-G_1-H7e-005_af5.wfa      | sym1    | af5 | 1   | 0.00007 | 24576 | 8192 | 8192 | 12 | 4848  | 96  | 96  | 38.937  | 5040  | 0.615234 |
| mandrill32.bmp | mandrill32.bmp-withWavelet_bior1.1-G_1-H7e-005_af5.wfa   | bior1.1 | af5 | 1   | 0.00007 | 24576 | 8192 | 8192 | 12 | 4848  | 96  | 96  | 38.969  | 5040  | 0.615234 |
| mandrill32.bmp | mandrill32.bmp-G_0.8-H7e-005_af1.wfa                     |         | af1 | 0.8 | 0.00007 | 24576 | 8192 |      | 18 | 10608 | 144 | 144 | 51.406  | 10896 | 1.330078 |
| mandrill32.bmp | mandrill32.bmp-withWavelet_haar-G_0.8-H7e-005_af1.wfa    | haar    | af1 | 0.8 | 0.00007 | 24576 | 8192 | 8192 | 14 | 6512  | 112 | 112 | 48.125  | 6736  | 0.822266 |
| mandrill32.bmp | mandrill32.bmp-withWavelet_rbio1.1-G_0.8-H7e-005_af1.wfa | rbio1.1 | af1 | 0.8 | 0.00007 | 24576 | 8192 | 8192 | 14 | 6512  | 112 | 112 | 47.407  | 6736  | 0.822266 |
| mandrill32.bmp | mandrill32.bmp-withWavelet_sym1-G_0.8-H7e-005_af1.wfa    | sym1    | af1 | 0.8 | 0.00007 | 24576 | 8192 | 8192 | 14 | 6512  | 112 | 112 | 49.016  | 6736  | 0.822266 |
| mandrill32.bmp | mandrill32.bmp-withWavelet_bior1.1-G_0.8-H7e-005_af1.wfa | bior1.1 | af1 | 0.8 | 0.00007 | 24576 | 8192 | 8192 | 14 | 6512  | 112 | 112 | 47.281  | 6736  | 0.822266 |
| mandrill32.bmp | mandrill32.bmp-G_0.8-H7e-005_af2.wfa                     |         | af2 | 0.8 | 0.00007 | 24576 | 8192 |      | 17 | 9488  | 136 | 136 | 44.25   | 9760  | 1.191406 |
| mandrill32.bmp | mandrill32.bmp-withWavelet_haar-G_0.8-H7e-005_af2.wfa    | haar    | af2 | 0.8 | 0.00007 | 24576 | 8192 | 8192 | 14 | 6512  | 112 | 112 | 41.89   | 6736  | 0.822266 |
| mandrill32.bmp | mandrill32.bmp-withWavelet_rbio1.1-G_0.8-H7e-005_af2.wfa | rbio1.1 | af2 | 0.8 | 0.00007 | 24576 | 8192 | 8192 | 14 | 6512  | 112 | 112 | 42.015  | 6736  | 0.822266 |
| mandrill32.bmp | mandrill32.bmp-withWavelet_sym1-G_0.8-H7e-005_af2.wfa    | sym1    | af2 | 0.8 | 0.00007 | 24576 | 8192 | 8192 | 14 | 6512  | 112 | 112 | 41.844  | 6736  | 0.822266 |
| mandrill32.bmp | mandrill32.bmp-withWavelet_bior1.1-G_0.8-H7e-005_af2.wfa | bior1.1 | af2 | 0.8 | 0.00007 | 24576 | 8192 | 8192 | 14 | 6512  | 112 | 112 | 41.64   | 6736  | 0.822266 |

|                |  |         |     |     |         |       |      |      |    |       |     |     |        |       |          |
|----------------|--|---------|-----|-----|---------|-------|------|------|----|-------|-----|-----|--------|-------|----------|
| mandrill32.bmp | mandrill32.bmp-G_0.8-H7e-005_af3.wfa                     |         | af3 | 0.8 | 0.00007 | 24576 | 8192 |      | 15 | 7440  | 120 | 120 | 42.188 | 7680  | 0.9375   |
| mandrill32.bmp | mandrill32.bmp-withWavelet_haar-G_0.8-H7e-005_af3.wfa    | haar    | af3 | 0.8 | 0.00007 | 24576 | 8192 | 8192 | 16 | 8432  | 128 | 128 | 50.157 | 8688  | 1.060547 |
| mandrill32.bmp | mandrill32.bmp-withWavelet_rbio1.1-G_0.8-H7e-005_af3.wfa | rbio1.1 | af3 | 0.8 | 0.00007 | 24576 | 8192 | 8192 | 16 | 8432  | 128 | 128 | 50.656 | 8688  | 1.060547 |
| mandrill32.bmp | mandrill32.bmp-withWavelet_sym1-G_0.8-H7e-005_af3.wfa    | sym1    | af3 | 0.8 | 0.00007 | 24576 | 8192 | 8192 | 16 | 8432  | 128 | 128 | 49.344 | 8688  | 1.060547 |
| mandrill32.bmp | mandrill32.bmp-withWavelet_bior1.1-G_0.8-H7e-005_af3.wfa | bior1.1 | af3 | 0.8 | 0.00007 | 24576 | 8192 | 8192 | 16 | 8432  | 128 | 128 | 49.25  | 8688  | 1.060547 |
| mandrill32.bmp | mandrill32.bmp-G_0.8-H7e-005_af4.wfa                     |         | af4 | 0.8 | 0.00007 | 24576 | 8192 |      | 15 | 7440  | 120 | 120 | 48.89  | 7680  | 0.9375   |
| mandrill32.bmp | mandrill32.bmp-withWavelet_haar-G_0.8-H7e-005_af4.wfa    | haar    | af4 | 0.8 | 0.00007 | 24576 | 8192 | 8192 | 18 | 10608 | 144 | 144 | 65.359 | 10896 | 1.330078 |
| mandrill32.bmp | mandrill32.bmp-withWavelet_rbio1.1-G_0.8-H7e-005_af4.wfa | rbio1.1 | af4 | 0.8 | 0.00007 | 24576 | 8192 | 8192 | 18 | 10608 | 144 | 144 | 65.625 | 10896 | 1.330078 |
| mandrill32.bmp | mandrill32.bmp-withWavelet_sym1-G_0.8-H7e-005_af4.wfa    | sym1    | af4 | 0.8 | 0.00007 | 24576 | 8192 | 8192 | 18 | 10608 | 144 | 144 | 65.954 | 10896 | 1.330078 |
| mandrill32.bmp | mandrill32.bmp-withWavelet_bior1.1-G_0.8-H7e-005_af4.wfa | bior1.1 | af4 | 0.8 | 0.00007 | 24576 | 8192 | 8192 | 18 | 10608 | 144 | 144 | 64.968 | 10896 | 1.330078 |
| mandrill32.bmp | mandrill32.bmp-G_0.8-H7e-005_af5.wfa                     |         | af5 | 0.8 | 0.00007 | 24576 | 8192 |      | 14 | 6512  | 112 | 112 | 31.281 | 6736  | 0.822266 |
| mandrill32.bmp | mandrill32.bmp-withWavelet_haar-G_0.8-H7e-005_af5.wfa    | haar    | af5 | 0.8 | 0.00007 | 24576 | 8192 | 8192 | 12 | 4848  | 96  | 96  | 32.032 | 5040  | 0.615234 |
| mandrill32.bmp | mandrill32.bmp-withWavelet_rbio1.1-G_0.8-H7e-005_af5.wfa | rbio1.1 | af5 | 0.8 | 0.00007 | 24576 | 8192 | 8192 | 12 | 4848  | 96  | 96  | 32.281 | 5040  | 0.615234 |
| mandrill32.bmp | mandrill32.bmp-withWavelet_sym1-G_0.8-H7e-005_af5.wfa    | sym1    | af5 | 0.8 | 0.00007 | 24576 | 8192 | 8192 | 12 | 4848  | 96  | 96  | 32.266 | 5040  | 0.615234 |
| mandrill32.bmp | mandrill32.bmp-withWavelet_bior1.1-G_0.8-H7e-005_af5.wfa | bior1.1 | af5 | 0.8 | 0.00007 | 24576 | 8192 | 8192 | 12 | 4848  | 96  | 96  | 32.125 | 5040  | 0.615234 |
| mandrill32.bmp | mandrill32.bmp-G_0.6-H7e-005_af1.wfa                     |         | af1 | 0.6 | 0.00007 | 24576 | 8192 |      | 16 | 8432  | 128 | 128 | 40.218 | 8688  | 1.060547 |
| mandrill32.bmp | mandrill32.bmp-withWavelet_haar-G_0.6-H7e-005_af1.wfa    | haar    | af1 | 0.6 | 0.00007 | 24576 | 8192 | 8192 | 14 | 6512  | 112 | 112 | 40.578 | 6736  | 0.822266 |
| mandrill32.bmp | mandrill32.bmp-withWavelet_rbio1.1-G_0.6-H7e-005_af1.wfa | rbio1.1 | af1 | 0.6 | 0.00007 | 24576 | 8192 | 8192 | 14 | 6512  | 112 | 112 | 40.938 | 6736  | 0.822266 |
| mandrill32.bmp | mandrill32.bmp-withWavelet_sym1-G_0.6-H7e-005_af1.wfa    | sym1    | af1 | 0.6 | 0.00007 | 24576 | 8192 | 8192 | 14 | 6512  | 112 | 112 | 41.328 | 6736  | 0.822266 |
| mandrill32.bmp | mandrill32.bmp-withWavelet_bior1.1-G_0.6-H7e-005_af1.wfa | bior1.1 | af1 | 0.6 | 0.00007 | 24576 | 8192 | 8192 | 14 | 6512  | 112 | 112 | 40.812 | 6736  | 0.822266 |
| mandrill32.bmp | mandrill32.bmp-G_0.6-H7e-005_af2.wfa                     |         | af2 | 0.6 | 0.00007 | 24576 | 8192 |      | 16 | 8432  | 128 | 128 | 39.094 | 8688  | 1.060547 |
| mandrill32.bmp | mandrill32.bmp-withWavelet_haar-G_0.6-H7e-005_af2.wfa    | haar    | af2 | 0.6 | 0.00007 | 24576 | 8192 | 8192 | 14 | 6512  | 112 | 112 | 36.609 | 6736  | 0.822266 |
| mandrill32.bmp | mandrill32.bmp-withWavelet_rbio1.1-G_0.6-H7e-005_af2.wfa | rbio1.1 | af2 | 0.6 | 0.00007 | 24576 | 8192 | 8192 | 14 | 6512  | 112 | 112 | 37.313 | 6736  | 0.822266 |
| mandrill32.bmp | mandrill32.bmp-withWavelet_sym1-G_0.6-H7e-005_af2.wfa    | sym1    | af2 | 0.6 | 0.00007 | 24576 | 8192 | 8192 | 14 | 6512  | 112 | 112 | 36.875 | 6736  | 0.822266 |
| mandrill32.bmp | mandrill32.bmp-withWavelet_bior1.1-G_0.6-H7e-005_af2.wfa | bior1.1 | af2 | 0.6 | 0.00007 | 24576 | 8192 | 8192 | 14 | 6512  | 112 | 112 | 36.641 | 6736  | 0.822266 |
| mandrill32.bmp | mandrill32.bmp-G_0.6-H7e-005_af3.wfa                     |         | af3 | 0.6 | 0.00007 | 24576 | 8192 |      | 14 | 6512  | 112 | 112 | 36.844 | 6736  | 0.822266 |
| mandrill32.bmp | mandrill32.bmp-withWavelet_haar-G_0.6-H7e-005_af3.wfa    | haar    | af3 | 0.6 | 0.00007 | 24576 | 8192 | 8192 | 17 | 9488  | 136 | 136 | 43.094 | 9760  | 1.191406 |
| mandrill32.bmp | mandrill32.bmp-withWavelet_rbio1.1-G_0.6-H7e-005_af3.wfa | rbio1.1 | af3 | 0.6 | 0.00007 | 24576 | 8192 | 8192 | 17 | 9488  | 136 | 136 | 43.25  | 9760  | 1.191406 |
| mandrill32.bmp | mandrill32.bmp-withWavelet_sym1-G_0.6-H7e-005_af3.wfa    | sym1    | af3 | 0.6 | 0.00007 | 24576 | 8192 | 8192 | 17 | 9488  | 136 | 136 | 43.39  | 9760  | 1.191406 |
| mandrill32.bmp | mandrill32.bmp-withWavelet_bior1.1-G_0.6-H7e-005_af3.wfa | bior1.1 | af3 | 0.6 | 0.00007 | 24576 | 8192 | 8192 | 17 | 9488  | 136 | 136 | 42.719 | 9760  | 1.191406 |
| mandrill32.bmp | mandrill32.bmp-G_0.6-H7e-005_af4.wfa                     |         | af4 | 0.6 | 0.00007 | 24576 | 8192 |      | 5  | 1040  | 40  | 40  | 28.172 | 1120  | 0.136719 |

|                |  |         |     |     |         |       |      |      |    |      |     |     |         |      |          |
|----------------|--|---------|-----|-----|---------|-------|------|------|----|------|-----|-----|---------|------|----------|
| mandrill32.bmp | mandrill32.bmp-withWavelet_haar-G_0.6-H7e-005_af4.wfa    | haar    | af4 | 0.6 | 0.00007 | 24576 | 8192 | 8192 | 17 | 9488 | 136 | 136 | 49.031  | 9760 | 1.191406 |
| mandrill32.bmp | mandrill32.bmp-withWavelet_rbio1.1-G_0.6-H7e-005_af4.wfa | rbio1.1 | af4 | 0.6 | 0.00007 | 24576 | 8192 | 8192 | 17 | 9488 | 136 | 136 | 48.25   | 9760 | 1.191406 |
| mandrill32.bmp | mandrill32.bmp-withWavelet_sym1-G_0.6-H7e-005_af4.wfa    | sym1    | af4 | 0.6 | 0.00007 | 24576 | 8192 | 8192 | 17 | 9488 | 136 | 136 | 49.047  | 9760 | 1.191406 |
| mandrill32.bmp | mandrill32.bmp-withWavelet_bior1.1-G_0.6-H7e-005_af4.wfa | bior1.1 | af4 | 0.6 | 0.00007 | 24576 | 8192 | 8192 | 17 | 9488 | 136 | 136 | 49.422  | 9760 | 1.191406 |
| mandrill32.bmp | mandrill32.bmp-G_0.6-H7e-005_af5.wfa                     |         | af5 | 0.6 | 0.00007 | 24576 | 8192 |      | 15 | 7440 | 120 | 120 | 30.891  | 7680 | 0.9375   |
| mandrill32.bmp | mandrill32.bmp-withWavelet_haar-G_0.6-H7e-005_af5.wfa    | haar    | af5 | 0.6 | 0.00007 | 24576 | 8192 | 8192 | 12 | 4848 | 96  | 96  | 30.921  | 5040 | 0.615234 |
| mandrill32.bmp | mandrill32.bmp-withWavelet_rbio1.1-G_0.6-H7e-005_af5.wfa | rbio1.1 | af5 | 0.6 | 0.00007 | 24576 | 8192 | 8192 | 12 | 4848 | 96  | 96  | 31.187  | 5040 | 0.615234 |
| mandrill32.bmp | mandrill32.bmp-withWavelet_sym1-G_0.6-H7e-005_af5.wfa    | sym1    | af5 | 0.6 | 0.00007 | 24576 | 8192 | 8192 | 12 | 4848 | 96  | 96  | 31.078  | 5040 | 0.615234 |
| mandrill32.bmp | mandrill32.bmp-withWavelet_bior1.1-G_0.6-H7e-005_af5.wfa | bior1.1 | af5 | 0.6 | 0.00007 | 24576 | 8192 | 8192 | 12 | 4848 | 96  | 96  | 31.422  | 5040 | 0.615234 |
| mandrill32.bmp | mandrill32.bmp-G_1-H8e-005_af1.wfa                       |         | af1 | 1   | 0.00008 | 24576 | 8192 |      | 15 | 7440 | 120 | 120 | 66.156  | 7680 | 0.9375   |
| mandrill32.bmp | mandrill32.bmp-withWavelet_haar-G_1-H8e-005_af1.wfa      | haar    | af1 | 1   | 0.00008 | 24576 | 8192 | 8192 | 14 | 6512 | 112 | 112 | 77.86   | 6736 | 0.822266 |
| mandrill32.bmp | mandrill32.bmp-withWavelet_rbio1.1-G_1-H8e-005_af1.wfa   | rbio1.1 | af1 | 1   | 0.00008 | 24576 | 8192 | 8192 | 14 | 6512 | 112 | 112 | 77.985  | 6736 | 0.822266 |
| mandrill32.bmp | mandrill32.bmp-withWavelet_sym1-G_1-H8e-005_af1.wfa      | sym1    | af1 | 1   | 0.00008 | 24576 | 8192 | 8192 | 14 | 6512 | 112 | 112 | 72.14   | 6736 | 0.822266 |
| mandrill32.bmp | mandrill32.bmp-withWavelet_bior1.1-G_1-H8e-005_af1.wfa   | bior1.1 | af1 | 1   | 0.00008 | 24576 | 8192 | 8192 | 14 | 6512 | 112 | 112 | 78.156  | 6736 | 0.822266 |
| mandrill32.bmp | mandrill32.bmp-G_1-H8e-005_af2.wfa                       |         | af2 | 1   | 0.00008 | 24576 | 8192 |      | 15 | 7440 | 120 | 120 | 59.063  | 7680 | 0.9375   |
| mandrill32.bmp | mandrill32.bmp-withWavelet_haar-G_1-H8e-005_af2.wfa      | haar    | af2 | 1   | 0.00008 | 24576 | 8192 | 8192 | 12 | 4848 | 96  | 96  | 60.406  | 5040 | 0.615234 |
| mandrill32.bmp | mandrill32.bmp-withWavelet_rbio1.1-G_1-H8e-005_af2.wfa   | rbio1.1 | af2 | 1   | 0.00008 | 24576 | 8192 | 8192 | 12 | 4848 | 96  | 96  | 54.36   | 5040 | 0.615234 |
| mandrill32.bmp | mandrill32.bmp-withWavelet_sym1-G_1-H8e-005_af2.wfa      | sym1    | af2 | 1   | 0.00008 | 24576 | 8192 | 8192 | 12 | 4848 | 96  | 96  | 60.234  | 5040 | 0.615234 |
| mandrill32.bmp | mandrill32.bmp-withWavelet_bior1.1-G_1-H8e-005_af2.wfa   | bior1.1 | af2 | 1   | 0.00008 | 24576 | 8192 | 8192 | 12 | 4848 | 96  | 96  | 60.156  | 5040 | 0.615234 |
| mandrill32.bmp | mandrill32.bmp-G_1-H8e-005_af3.wfa                       |         | af3 | 1   | 0.00008 | 24576 | 8192 |      | 14 | 6512 | 112 | 112 | 62.094  | 6736 | 0.822266 |
| mandrill32.bmp | mandrill32.bmp-withWavelet_haar-G_1-H8e-005_af3.wfa      | haar    | af3 | 1   | 0.00008 | 24576 | 8192 | 8192 | 14 | 6512 | 112 | 112 | 69.313  | 6736 | 0.822266 |
| mandrill32.bmp | mandrill32.bmp-withWavelet_rbio1.1-G_1-H8e-005_af3.wfa   | rbio1.1 | af3 | 1   | 0.00008 | 24576 | 8192 | 8192 | 14 | 6512 | 112 | 112 | 75.906  | 6736 | 0.822266 |
| mandrill32.bmp | mandrill32.bmp-withWavelet_sym1-G_1-H8e-005_af3.wfa      | sym1    | af3 | 1   | 0.00008 | 24576 | 8192 | 8192 | 14 | 6512 | 112 | 112 | 73.297  | 6736 | 0.822266 |
| mandrill32.bmp | mandrill32.bmp-withWavelet_bior1.1-G_1-H8e-005_af3.wfa   | bior1.1 | af3 | 1   | 0.00008 | 24576 | 8192 | 8192 | 14 | 6512 | 112 | 112 | 65.172  | 6736 | 0.822266 |
| mandrill32.bmp | mandrill32.bmp-G_1-H8e-005_af4.wfa                       |         | af4 | 1   | 0.00008 | 24576 | 8192 |      | 15 | 7440 | 120 | 120 | 81.907  | 7680 | 0.9375   |
| mandrill32.bmp | mandrill32.bmp-withWavelet_haar-G_1-H8e-005_af4.wfa      | haar    | af4 | 1   | 0.00008 | 24576 | 8192 | 8192 | 17 | 9488 | 136 | 136 | 106.844 | 9760 | 1.191406 |
| mandrill32.bmp | mandrill32.bmp-withWavelet_rbio1.1-G_1-H8e-005_af4.wfa   | rbio1.1 | af4 | 1   | 0.00008 | 24576 | 8192 | 8192 | 17 | 9488 | 136 | 136 | 106.875 | 9760 | 1.191406 |
| mandrill32.bmp | mandrill32.bmp-withWavelet_sym1-G_1-H8e-005_af4.wfa      | sym1    | af4 | 1   | 0.00008 | 24576 | 8192 | 8192 | 17 | 9488 | 136 | 136 | 107.781 | 9760 | 1.191406 |
| mandrill32.bmp | mandrill32.bmp-withWavelet_bior1.1-G_1-H8e-005_af4.wfa   | bior1.1 | af4 | 1   | 0.00008 | 24576 | 8192 | 8192 | 17 | 9488 | 136 | 136 | 105.422 | 9760 | 1.191406 |
| mandrill32.bmp | mandrill32.bmp-G_1-H8e-005_af5.wfa                       |         | af5 | 1   | 0.00008 | 24576 | 8192 |      | 13 | 5648 | 104 | 104 | 37.234  | 5856 | 0.714844 |
| mandrill32.bmp | mandrill32.bmp-withWavelet_haar-G_1-H8e-005_af5.wfa      | haar    | af5 | 1   | 0.00008 | 24576 | 8192 | 8192 | 12 | 4848 | 96  | 96  | 39.468  | 5040 | 0.615234 |

|                |  |         |     |     |         |       |      |      |    |      |     |     |        |      |          |
|----------------|--|---------|-----|-----|---------|-------|------|------|----|------|-----|-----|--------|------|----------|
| mandrill32.bmp | mandrill32.bmp-withWavelet_rbio1.1-G_1-H8e-005_af5.wfa   | rbio1.1 | af5 | 1   | 0.00008 | 24576 | 8192 | 8192 | 12 | 4848 | 96  | 96  | 40.016 | 5040 | 0.615234 |
| mandrill32.bmp | mandrill32.bmp-withWavelet_sym1-G_1-H8e-005_af5.wfa      | sym1    | af5 | 1   | 0.00008 | 24576 | 8192 | 8192 | 12 | 4848 | 96  | 96  | 41.203 | 5040 | 0.615234 |
| mandrill32.bmp | mandrill32.bmp-withWavelet_bior1.1-G_1-H8e-005_af5.wfa   | bior1.1 | af5 | 1   | 0.00008 | 24576 | 8192 | 8192 | 12 | 4848 | 96  | 96  | 40.297 | 5040 | 0.615234 |
| mandrill32.bmp | mandrill32.bmp-G_0.8-H8e-005_af1.wfa                     |         | af1 | 0.8 | 0.00008 | 24576 | 8192 |      | 15 | 7440 | 120 | 120 | 44.984 | 7680 | 0.9375   |
| mandrill32.bmp | mandrill32.bmp-withWavelet_haar-G_0.8-H8e-005_af1.wfa    | haar    | af1 | 0.8 | 0.00008 | 24576 | 8192 | 8192 | 14 | 6512 | 112 | 112 | 54.297 | 6736 | 0.822266 |
| mandrill32.bmp | mandrill32.bmp-withWavelet_rbio1.1-G_0.8-H8e-005_af1.wfa | rbio1.1 | af1 | 0.8 | 0.00008 | 24576 | 8192 | 8192 | 14 | 6512 | 112 | 112 | 48.172 | 6736 | 0.822266 |
| mandrill32.bmp | mandrill32.bmp-withWavelet_sym1-G_0.8-H8e-005_af1.wfa    | sym1    | af1 | 0.8 | 0.00008 | 24576 | 8192 | 8192 | 14 | 6512 | 112 | 112 | 51.375 | 6736 | 0.822266 |
| mandrill32.bmp | mandrill32.bmp-withWavelet_bior1.1-G_0.8-H8e-005_af1.wfa | bior1.1 | af1 | 0.8 | 0.00008 | 24576 | 8192 | 8192 | 14 | 6512 | 112 | 112 | 52.438 | 6736 | 0.822266 |
| mandrill32.bmp | mandrill32.bmp-G_0.8-H8e-005_af2.wfa                     |         | af2 | 0.8 | 0.00008 | 24576 | 8192 |      | 15 | 7440 | 120 | 120 | 43.531 | 7680 | 0.9375   |
| mandrill32.bmp | mandrill32.bmp-withWavelet_haar-G_0.8-H8e-005_af2.wfa    | haar    | af2 | 0.8 | 0.00008 | 24576 | 8192 | 8192 | 13 | 5648 | 104 | 104 | 44.985 | 5856 | 0.714844 |
| mandrill32.bmp | mandrill32.bmp-withWavelet_rbio1.1-G_0.8-H8e-005_af2.wfa | rbio1.1 | af2 | 0.8 | 0.00008 | 24576 | 8192 | 8192 | 13 | 5648 | 104 | 104 | 45.75  | 5856 | 0.714844 |
| mandrill32.bmp | mandrill32.bmp-withWavelet_sym1-G_0.8-H8e-005_af2.wfa    | sym1    | af2 | 0.8 | 0.00008 | 24576 | 8192 | 8192 | 13 | 5648 | 104 | 104 | 41.062 | 5856 | 0.714844 |
| mandrill32.bmp | mandrill32.bmp-withWavelet_bior1.1-G_0.8-H8e-005_af2.wfa | bior1.1 | af2 | 0.8 | 0.00008 | 24576 | 8192 | 8192 | 13 | 5648 | 104 | 104 | 40.859 | 5856 | 0.714844 |
| mandrill32.bmp | mandrill32.bmp-G_0.8-H8e-005_af3.wfa                     |         | af3 | 0.8 | 0.00008 | 24576 | 8192 |      | 14 | 6512 | 112 | 112 | 45.406 | 6736 | 0.822266 |
| mandrill32.bmp | mandrill32.bmp-withWavelet_haar-G_0.8-H8e-005_af3.wfa    | haar    | af3 | 0.8 | 0.00008 | 24576 | 8192 | 8192 | 15 | 7440 | 120 | 120 | 54.297 | 7680 | 0.9375   |
| mandrill32.bmp | mandrill32.bmp-withWavelet_rbio1.1-G_0.8-H8e-005_af3.wfa | rbio1.1 | af3 | 0.8 | 0.00008 | 24576 | 8192 | 8192 | 15 | 7440 | 120 | 120 | 53.5   | 7680 | 0.9375   |
| mandrill32.bmp | mandrill32.bmp-withWavelet_sym1-G_0.8-H8e-005_af3.wfa    | sym1    | af3 | 0.8 | 0.00008 | 24576 | 8192 | 8192 | 15 | 7440 | 120 | 120 | 46.718 | 7680 | 0.9375   |
| mandrill32.bmp | mandrill32.bmp-withWavelet_bior1.1-G_0.8-H8e-005_af3.wfa | bior1.1 | af3 | 0.8 | 0.00008 | 24576 | 8192 | 8192 | 15 | 7440 | 120 | 120 | 48.063 | 7680 | 0.9375   |
| mandrill32.bmp | mandrill32.bmp-G_0.8-H8e-005_af4.wfa                     |         | af4 | 0.8 | 0.00008 | 24576 | 8192 |      | 15 | 7440 | 120 | 120 | 53.75  | 7680 | 0.9375   |
| mandrill32.bmp | mandrill32.bmp-withWavelet_haar-G_0.8-H8e-005_af4.wfa    | haar    | af4 | 0.8 | 0.00008 | 24576 | 8192 | 8192 | 17 | 9488 | 136 | 136 | 60.468 | 9760 | 1.191406 |
| mandrill32.bmp | mandrill32.bmp-withWavelet_rbio1.1-G_0.8-H8e-005_af4.wfa | rbio1.1 | af4 | 0.8 | 0.00008 | 24576 | 8192 | 8192 | 17 | 9488 | 136 | 136 | 60.843 | 9760 | 1.191406 |
| mandrill32.bmp | mandrill32.bmp-withWavelet_sym1-G_0.8-H8e-005_af4.wfa    | sym1    | af4 | 0.8 | 0.00008 | 24576 | 8192 | 8192 | 17 | 9488 | 136 | 136 | 59.657 | 9760 | 1.191406 |
| mandrill32.bmp | mandrill32.bmp-withWavelet_bior1.1-G_0.8-H8e-005_af4.wfa | bior1.1 | af4 | 0.8 | 0.00008 | 24576 | 8192 | 8192 | 17 | 9488 | 136 | 136 | 59.969 | 9760 | 1.191406 |
| mandrill32.bmp | mandrill32.bmp-G_0.8-H8e-005_af5.wfa                     |         | af5 | 0.8 | 0.00008 | 24576 | 8192 |      | 13 | 5648 | 104 | 104 | 31.079 | 5856 | 0.714844 |
| mandrill32.bmp | mandrill32.bmp-withWavelet_haar-G_0.8-H8e-005_af5.wfa    | haar    | af5 | 0.8 | 0.00008 | 24576 | 8192 | 8192 | 12 | 4848 | 96  | 96  | 32.438 | 5040 | 0.615234 |
| mandrill32.bmp | mandrill32.bmp-withWavelet_rbio1.1-G_0.8-H8e-005_af5.wfa | rbio1.1 | af5 | 0.8 | 0.00008 | 24576 | 8192 | 8192 | 12 | 4848 | 96  | 96  | 32.484 | 5040 | 0.615234 |
| mandrill32.bmp | mandrill32.bmp-withWavelet_sym1-G_0.8-H8e-005_af5.wfa    | sym1    | af5 | 0.8 | 0.00008 | 24576 | 8192 | 8192 | 12 | 4848 | 96  | 96  | 33.015 | 5040 | 0.615234 |
| mandrill32.bmp | mandrill32.bmp-withWavelet_bior1.1-G_0.8-H8e-005_af5.wfa | bior1.1 | af5 | 0.8 | 0.00008 | 24576 | 8192 | 8192 | 12 | 4848 | 96  | 96  | 33.875 | 5040 | 0.615234 |
| mandrill32.bmp | mandrill32.bmp-G_0.6-H8e-005_af1.wfa                     |         | af1 | 0.6 | 0.00008 | 24576 | 8192 |      | 15 | 7440 | 120 | 120 | 42.375 | 7680 | 0.9375   |
| mandrill32.bmp | mandrill32.bmp-withWavelet_haar-G_0.6-H8e-005_af1.wfa    | haar    | af1 | 0.6 | 0.00008 | 24576 | 8192 | 8192 | 14 | 6512 | 112 | 112 | 49.906 | 6736 | 0.822266 |
| mandrill32.bmp | mandrill32.bmp-withWavelet_rbio1.1-G_0.6-H8e-005_af1.wfa | rbio1.1 | af1 | 0.6 | 0.00008 | 24576 | 8192 | 8192 | 14 | 6512 | 112 | 112 | 44.578 | 6736 | 0.822266 |

|                |  |         |     |     |         |       |      |      |    |      |     |     |         |      |          |
|----------------|--|---------|-----|-----|---------|-------|------|------|----|------|-----|-----|---------|------|----------|
| mandrill32.bmp | mandrill32.bmp-withWavelet_sym1-G_0.6-H8e-005_af1.wfa    | sym1    | af1 | 0.6 | 0.00008 | 24576 | 8192 | 8192 | 14 | 6512 | 112 | 112 | 43.813  | 6736 | 0.822266 |
| mandrill32.bmp | mandrill32.bmp-withWavelet_bior1.1-G_0.6-H8e-005_af1.wfa | bior1.1 | af1 | 0.6 | 0.00008 | 24576 | 8192 | 8192 | 14 | 6512 | 112 | 112 | 50.016  | 6736 | 0.822266 |
| mandrill32.bmp | mandrill32.bmp-G_0.6-H8e-005_af2.wfa                     |         | af2 | 0.6 | 0.00008 | 24576 | 8192 |      | 15 | 7440 | 120 | 120 | 50.281  | 7680 | 0.9375   |
| mandrill32.bmp | mandrill32.bmp-withWavelet_haar-G_0.6-H8e-005_af2.wfa    | haar    | af2 | 0.6 | 0.00008 | 24576 | 8192 | 8192 | 13 | 5648 | 104 | 104 | 42.703  | 5856 | 0.714844 |
| mandrill32.bmp | mandrill32.bmp-withWavelet_rbio1.1-G_0.6-H8e-005_af2.wfa | rbio1.1 | af2 | 0.6 | 0.00008 | 24576 | 8192 | 8192 | 13 | 5648 | 104 | 104 | 41.891  | 5856 | 0.714844 |
| mandrill32.bmp | mandrill32.bmp-withWavelet_sym1-G_0.6-H8e-005_af2.wfa    | sym1    | af2 | 0.6 | 0.00008 | 24576 | 8192 | 8192 | 13 | 5648 | 104 | 104 | 46.406  | 5856 | 0.714844 |
| mandrill32.bmp | mandrill32.bmp-withWavelet_bior1.1-G_0.6-H8e-005_af2.wfa | bior1.1 | af2 | 0.6 | 0.00008 | 24576 | 8192 | 8192 | 13 | 5648 | 104 | 104 | 45.75   | 5856 | 0.714844 |
| mandrill32.bmp | mandrill32.bmp-G_0.6-H8e-005_af3.wfa                     |         | af3 | 0.6 | 0.00008 | 24576 | 8192 |      | 14 | 6512 | 112 | 112 | 48.688  | 6736 | 0.822266 |
| mandrill32.bmp | mandrill32.bmp-withWavelet_haar-G_0.6-H8e-005_af3.wfa    | haar    | af3 | 0.6 | 0.00008 | 24576 | 8192 | 8192 | 15 | 7440 | 120 | 120 | 54.812  | 7680 | 0.9375   |
| mandrill32.bmp | mandrill32.bmp-withWavelet_rbio1.1-G_0.6-H8e-005_af3.wfa | rbio1.1 | af3 | 0.6 | 0.00008 | 24576 | 8192 | 8192 | 15 | 7440 | 120 | 120 | 61.484  | 7680 | 0.9375   |
| mandrill32.bmp | mandrill32.bmp-withWavelet_sym1-G_0.6-H8e-005_af3.wfa    | sym1    | af3 | 0.6 | 0.00008 | 24576 | 8192 | 8192 | 15 | 7440 | 120 | 120 | 58.078  | 7680 | 0.9375   |
| mandrill32.bmp | mandrill32.bmp-withWavelet_bior1.1-G_0.6-H8e-005_af3.wfa | bior1.1 | af3 | 0.6 | 0.00008 | 24576 | 8192 | 8192 | 15 | 7440 | 120 | 120 | 47.937  | 7680 | 0.9375   |
| mandrill32.bmp | mandrill32.bmp-G_0.6-H8e-005_af4.wfa                     |         | af4 | 0.6 | 0.00008 | 24576 | 8192 |      | 5  | 1040 | 40  | 40  | 39.735  | 1120 | 0.136719 |
| mandrill32.bmp | mandrill32.bmp-withWavelet_haar-G_0.6-H8e-005_af4.wfa    | haar    | af4 | 0.6 | 0.00008 | 24576 | 8192 | 8192 | 15 | 7440 | 120 | 120 | 58.922  | 7680 | 0.9375   |
| mandrill32.bmp | mandrill32.bmp-withWavelet_rbio1.1-G_0.6-H8e-005_af4.wfa | rbio1.1 | af4 | 0.6 | 0.00008 | 24576 | 8192 | 8192 | 15 | 7440 | 120 | 120 | 71.531  | 7680 | 0.9375   |
| mandrill32.bmp | mandrill32.bmp-withWavelet_sym1-G_0.6-H8e-005_af4.wfa    | sym1    | af4 | 0.6 | 0.00008 | 24576 | 8192 | 8192 | 15 | 7440 | 120 | 120 | 139.922 | 7680 | 0.9375   |
| mandrill32.bmp | mandrill32.bmp-withWavelet_bior1.1-G_0.6-H8e-005_af4.wfa | bior1.1 | af4 | 0.6 | 0.00008 | 24576 | 8192 | 8192 | 15 | 7440 | 120 | 120 | 61.437  | 7680 | 0.9375   |
| mandrill32.bmp | mandrill32.bmp-G_0.6-H8e-005_af5.wfa                     |         | af5 | 0.6 | 0.00008 | 24576 | 8192 |      | 13 | 5648 | 104 | 104 | 40.078  | 5856 | 0.714844 |
| mandrill32.bmp | mandrill32.bmp-withWavelet_haar-G_0.6-H8e-005_af5.wfa    | haar    | af5 | 0.6 | 0.00008 | 24576 | 8192 | 8192 | 12 | 4848 | 96  | 96  | 43.546  | 5040 | 0.615234 |
| mandrill32.bmp | mandrill32.bmp-withWavelet_rbio1.1-G_0.6-H8e-005_af5.wfa | rbio1.1 | af5 | 0.6 | 0.00008 | 24576 | 8192 | 8192 | 12 | 4848 | 96  | 96  | 41.734  | 5040 | 0.615234 |
| mandrill32.bmp | mandrill32.bmp-withWavelet_sym1-G_0.6-H8e-005_af5.wfa    | sym1    | af5 | 0.6 | 0.00008 | 24576 | 8192 | 8192 | 12 | 4848 | 96  | 96  | 52.406  | 5040 | 0.615234 |
| mandrill32.bmp | mandrill32.bmp-withWavelet_bior1.1-G_0.6-H8e-005_af5.wfa | bior1.1 | af5 | 0.6 | 0.00008 | 24576 | 8192 | 8192 | 12 | 4848 | 96  | 96  | 53.5    | 5040 | 0.615234 |
| mandrill32.bmp | mandrill32.bmp-G_1-H9e-005_af1.wfa                       |         | af1 | 1   | 0.00009 | 24576 | 8192 |      | 13 | 5648 | 104 | 104 | 81.86   | 5856 | 0.714844 |
| mandrill32.bmp | mandrill32.bmp-withWavelet_haar-G_1-H9e-005_af1.wfa      | haar    | af1 | 1   | 0.00009 | 24576 | 8192 | 8192 | 13 | 5648 | 104 | 104 | 71.953  | 5856 | 0.714844 |
| mandrill32.bmp | mandrill32.bmp-withWavelet_rbio1.1-G_1-H9e-005_af1.wfa   | rbio1.1 | af1 | 1   | 0.00009 | 24576 | 8192 | 8192 | 13 | 5648 | 104 | 104 | 72.266  | 5856 | 0.714844 |
| mandrill32.bmp | mandrill32.bmp-withWavelet_sym1-G_1-H9e-005_af1.wfa      | sym1    | af1 | 1   | 0.00009 | 24576 | 8192 | 8192 | 13 | 5648 | 104 | 104 | 78.484  | 5856 | 0.714844 |
| mandrill32.bmp | mandrill32.bmp-withWavelet_bior1.1-G_1-H9e-005_af1.wfa   | bior1.1 | af1 | 1   | 0.00009 | 24576 | 8192 | 8192 | 13 | 5648 | 104 | 104 | 74.562  | 5856 | 0.714844 |
| mandrill32.bmp | mandrill32.bmp-G_1-H9e-005_af2.wfa                       |         | af2 | 1   | 0.00009 | 24576 | 8192 |      | 14 | 6512 | 112 | 112 | 60.047  | 6736 | 0.822266 |
| mandrill32.bmp | mandrill32.bmp-withWavelet_haar-G_1-H9e-005_af2.wfa      | haar    | af2 | 1   | 0.00009 | 24576 | 8192 | 8192 | 12 | 4848 | 96  | 96  | 55.875  | 5040 | 0.615234 |
| mandrill32.bmp | mandrill32.bmp-withWavelet_rbio1.1-G_1-H9e-005_af2.wfa   | rbio1.1 | af2 | 1   | 0.00009 | 24576 | 8192 | 8192 | 12 | 4848 | 96  | 96  | 61.235  | 5040 | 0.615234 |
| mandrill32.bmp | mandrill32.bmp-withWavelet_sym1-G_1-H9e-005_af2.wfa      | sym1    | af2 | 1   | 0.00009 | 24576 | 8192 | 8192 | 12 | 4848 | 96  | 96  | 55.265  | 5040 | 0.615234 |



|                |  |         |     |     |         |       |      |      |    |      |     |     |         |      |          |
|----------------|--|---------|-----|-----|---------|-------|------|------|----|------|-----|-----|---------|------|----------|
| mandrill32.bmp | mandrill32.bmp-withWavelet_bior1.1-G_1-H9e-005_af2.wfa   | bior1.1 | af2 | 1   | 0.00009 | 24576 | 8192 | 8192 | 12 | 4848 | 96  | 96  | 61.688  | 5040 | 0.615234 |
| mandrill32.bmp | mandrill32.bmp-G_1-H9e-005_af3.wfa                       |         | af3 | 1   | 0.00009 | 24576 | 8192 |      | 13 | 5648 | 104 | 104 | 55.047  | 5856 | 0.714844 |
| mandrill32.bmp | mandrill32.bmp-withWavelet_haar-G_1-H9e-005_af3.wfa      | haar    | af3 | 1   | 0.00009 | 24576 | 8192 | 8192 | 13 | 5648 | 104 | 104 | 64.125  | 5856 | 0.714844 |
| mandrill32.bmp | mandrill32.bmp-withWavelet_rbio1.1-G_1-H9e-005_af3.wfa   | rbio1.1 | af3 | 1   | 0.00009 | 24576 | 8192 | 8192 | 13 | 5648 | 104 | 104 | 68.531  | 5856 | 0.714844 |
| mandrill32.bmp | mandrill32.bmp-withWavelet_sym1-G_1-H9e-005_af3.wfa      | sym1    | af3 | 1   | 0.00009 | 24576 | 8192 | 8192 | 13 | 5648 | 104 | 104 | 61.094  | 5856 | 0.714844 |
| mandrill32.bmp | mandrill32.bmp-withWavelet_bior1.1-G_1-H9e-005_af3.wfa   | bior1.1 | af3 | 1   | 0.00009 | 24576 | 8192 | 8192 | 13 | 5648 | 104 | 104 | 67.046  | 5856 | 0.714844 |
| mandrill32.bmp | mandrill32.bmp-G_1-H9e-005_af4.wfa                       |         | af4 | 1   | 0.00009 | 24576 | 8192 |      | 12 | 4848 | 96  | 96  | 78.532  | 5040 | 0.615234 |
| mandrill32.bmp | mandrill32.bmp-withWavelet_haar-G_1-H9e-005_af4.wfa      | haar    | af4 | 1   | 0.00009 | 24576 | 8192 | 8192 | 15 | 7440 | 120 | 120 | 109.25  | 7680 | 0.9375   |
| mandrill32.bmp | mandrill32.bmp-withWavelet_rbio1.1-G_1-H9e-005_af4.wfa   | rbio1.1 | af4 | 1   | 0.00009 | 24576 | 8192 | 8192 | 15 | 7440 | 120 | 120 | 104.594 | 7680 | 0.9375   |
| mandrill32.bmp | mandrill32.bmp-withWavelet_sym1-G_1-H9e-005_af4.wfa      | sym1    | af4 | 1   | 0.00009 | 24576 | 8192 | 8192 | 15 | 7440 | 120 | 120 | 97.75   | 7680 | 0.9375   |
| mandrill32.bmp | mandrill32.bmp-withWavelet_bior1.1-G_1-H9e-005_af4.wfa   | bior1.1 | af4 | 1   | 0.00009 | 24576 | 8192 | 8192 | 15 | 7440 | 120 | 120 | 106.406 | 7680 | 0.9375   |
| mandrill32.bmp | mandrill32.bmp-G_1-H9e-005_af5.wfa                       |         | af5 | 1   | 0.00009 | 24576 | 8192 |      | 12 | 4848 | 96  | 96  | 42.985  | 5040 | 0.615234 |
| mandrill32.bmp | mandrill32.bmp-withWavelet_haar-G_1-H9e-005_af5.wfa      | haar    | af5 | 1   | 0.00009 | 24576 | 8192 | 8192 | 12 | 4848 | 96  | 96  | 47.656  | 5040 | 0.615234 |
| mandrill32.bmp | mandrill32.bmp-withWavelet_rbio1.1-G_1-H9e-005_af5.wfa   | rbio1.1 | af5 | 1   | 0.00009 | 24576 | 8192 | 8192 | 12 | 4848 | 96  | 96  | 40.531  | 5040 | 0.615234 |
| mandrill32.bmp | mandrill32.bmp-withWavelet_sym1-G_1-H9e-005_af5.wfa      | sym1    | af5 | 1   | 0.00009 | 24576 | 8192 | 8192 | 12 | 4848 | 96  | 96  | 45.844  | 5040 | 0.615234 |
| mandrill32.bmp | mandrill32.bmp-withWavelet_bior1.1-G_1-H9e-005_af5.wfa   | bior1.1 | af5 | 1   | 0.00009 | 24576 | 8192 | 8192 | 12 | 4848 | 96  | 96  | 42.703  | 5040 | 0.615234 |
| mandrill32.bmp | mandrill32.bmp-G_0.8-H9e-005_af1.wfa                     |         | af1 | 0.8 | 0.00009 | 24576 | 8192 |      | 13 | 5648 | 104 | 104 | 44.25   | 5856 | 0.714844 |
| mandrill32.bmp | mandrill32.bmp-withWavelet_haar-G_0.8-H9e-005_af1.wfa    | haar    | af1 | 0.8 | 0.00009 | 24576 | 8192 | 8192 | 13 | 5648 | 104 | 104 | 52.594  | 5856 | 0.714844 |
| mandrill32.bmp | mandrill32.bmp-withWavelet_rbio1.1-G_0.8-H9e-005_af1.wfa | rbio1.1 | af1 | 0.8 | 0.00009 | 24576 | 8192 | 8192 | 13 | 5648 | 104 | 104 | 52.266  | 5856 | 0.714844 |
| mandrill32.bmp | mandrill32.bmp-withWavelet_sym1-G_0.8-H9e-005_af1.wfa    | sym1    | af1 | 0.8 | 0.00009 | 24576 | 8192 | 8192 | 13 | 5648 | 104 | 104 | 51.594  | 5856 | 0.714844 |
| mandrill32.bmp | mandrill32.bmp-withWavelet_bior1.1-G_0.8-H9e-005_af1.wfa | bior1.1 | af1 | 0.8 | 0.00009 | 24576 | 8192 | 8192 | 13 | 5648 | 104 | 104 | 45.343  | 5856 | 0.714844 |
| mandrill32.bmp | mandrill32.bmp-G_0.8-H9e-005_af2.wfa                     |         | af2 | 0.8 | 0.00009 | 24576 | 8192 |      | 14 | 6512 | 112 | 112 | 46.562  | 6736 | 0.822266 |
| mandrill32.bmp | mandrill32.bmp-withWavelet_haar-G_0.8-H9e-005_af2.wfa    | haar    | af2 | 0.8 | 0.00009 | 24576 | 8192 | 8192 | 12 | 4848 | 96  | 96  | 39.531  | 5040 | 0.615234 |
| mandrill32.bmp | mandrill32.bmp-withWavelet_rbio1.1-G_0.8-H9e-005_af2.wfa | rbio1.1 | af2 | 0.8 | 0.00009 | 24576 | 8192 | 8192 | 12 | 4848 | 96  | 96  | 40.062  | 5040 | 0.615234 |
| mandrill32.bmp | mandrill32.bmp-withWavelet_sym1-G_0.8-H9e-005_af2.wfa    | sym1    | af2 | 0.8 | 0.00009 | 24576 | 8192 | 8192 | 12 | 4848 | 96  | 96  | 40.312  | 5040 | 0.615234 |
| mandrill32.bmp | mandrill32.bmp-withWavelet_bior1.1-G_0.8-H9e-005_af2.wfa | bior1.1 | af2 | 0.8 | 0.00009 | 24576 | 8192 | 8192 | 12 | 4848 | 96  | 96  | 40.172  | 5040 | 0.615234 |
| mandrill32.bmp | mandrill32.bmp-G_0.8-H9e-005_af3.wfa                     |         | af3 | 0.8 | 0.00009 | 24576 | 8192 |      | 13 | 5648 | 104 | 104 | 44.796  | 5856 | 0.714844 |
| mandrill32.bmp | mandrill32.bmp-withWavelet_haar-G_0.8-H9e-005_af3.wfa    | haar    | af3 | 0.8 | 0.00009 | 24576 | 8192 | 8192 | 13 | 5648 | 104 | 104 | 42.812  | 5856 | 0.714844 |
| mandrill32.bmp | mandrill32.bmp-withWavelet_rbio1.1-G_0.8-H9e-005_af3.wfa | rbio1.1 | af3 | 0.8 | 0.00009 | 24576 | 8192 | 8192 | 13 | 5648 | 104 | 104 | 42.328  | 5856 | 0.714844 |
| mandrill32.bmp | mandrill32.bmp-withWavelet_sym1-G_0.8-H9e-005_af3.wfa    | sym1    | af3 | 0.8 | 0.00009 | 24576 | 8192 | 8192 | 13 | 5648 | 104 | 104 | 42.843  | 5856 | 0.714844 |
| mandrill32.bmp | mandrill32.bmp-withWavelet_bior1.1-G_0.8-H9e-005_af3.wfa | bior1.1 | af3 | 0.8 | 0.00009 | 24576 | 8192 | 8192 | 13 | 5648 | 104 | 104 | 42.39   | 5856 | 0.714844 |

|                |  |         |     |     |         |       |      |      |    |      |     |     |        |      |          |
|----------------|--|---------|-----|-----|---------|-------|------|------|----|------|-----|-----|--------|------|----------|
| mandrill32.bmp | mandrill32.bmp-G_0.8-H9e-005_af4.wfa                     |         | af4 | 0.8 | 0.00009 | 24576 | 8192 |      | 12 | 4848 | 96  | 96  | 49.734 | 5040 | 0.615234 |
| mandrill32.bmp | mandrill32.bmp-withWavelet_haar-G_0.8-H9e-005_af4.wfa    | haar    | af4 | 0.8 | 0.00009 | 24576 | 8192 | 8192 | 15 | 7440 | 120 | 120 | 55.484 | 7680 | 0.9375   |
| mandrill32.bmp | mandrill32.bmp-withWavelet_rbio1.1-G_0.8-H9e-005_af4.wfa | rbio1.1 | af4 | 0.8 | 0.00009 | 24576 | 8192 | 8192 | 15 | 7440 | 120 | 120 | 53.984 | 7680 | 0.9375   |
| mandrill32.bmp | mandrill32.bmp-withWavelet_sym1-G_0.8-H9e-005_af4.wfa    | sym1    | af4 | 0.8 | 0.00009 | 24576 | 8192 | 8192 | 15 | 7440 | 120 | 120 | 60.593 | 7680 | 0.9375   |
| mandrill32.bmp | mandrill32.bmp-withWavelet_bior1.1-G_0.8-H9e-005_af4.wfa | bior1.1 | af4 | 0.8 | 0.00009 | 24576 | 8192 | 8192 | 15 | 7440 | 120 | 120 | 54.578 | 7680 | 0.9375   |
| mandrill32.bmp | mandrill32.bmp-G_0.8-H9e-005_af5.wfa                     |         | af5 | 0.8 | 0.00009 | 24576 | 8192 |      | 12 | 4848 | 96  | 96  | 38.14  | 5040 | 0.615234 |
| mandrill32.bmp | mandrill32.bmp-withWavelet_haar-G_0.8-H9e-005_af5.wfa    | haar    | af5 | 0.8 | 0.00009 | 24576 | 8192 | 8192 | 12 | 4848 | 96  | 96  | 33.344 | 5040 | 0.615234 |
| mandrill32.bmp | mandrill32.bmp-withWavelet_rbio1.1-G_0.8-H9e-005_af5.wfa | rbio1.1 | af5 | 0.8 | 0.00009 | 24576 | 8192 | 8192 | 12 | 4848 | 96  | 96  | 33.235 | 5040 | 0.615234 |
| mandrill32.bmp | mandrill32.bmp-withWavelet_sym1-G_0.8-H9e-005_af5.wfa    | sym1    | af5 | 0.8 | 0.00009 | 24576 | 8192 | 8192 | 12 | 4848 | 96  | 96  | 39.937 | 5040 | 0.615234 |
| mandrill32.bmp | mandrill32.bmp-withWavelet_bior1.1-G_0.8-H9e-005_af5.wfa | bior1.1 | af5 | 0.8 | 0.00009 | 24576 | 8192 | 8192 | 12 | 4848 | 96  | 96  | 33.484 | 5040 | 0.615234 |
| mandrill32.bmp | mandrill32.bmp-G_0.6-H9e-005_af1.wfa                     |         | af1 | 0.6 | 0.00009 | 24576 | 8192 |      | 14 | 6512 | 112 | 112 | 38.454 | 6736 | 0.822266 |
| mandrill32.bmp | mandrill32.bmp-withWavelet_haar-G_0.6-H9e-005_af1.wfa    | haar    | af1 | 0.6 | 0.00009 | 24576 | 8192 | 8192 | 14 | 6512 | 112 | 112 | 48.703 | 6736 | 0.822266 |
| mandrill32.bmp | mandrill32.bmp-withWavelet_rbio1.1-G_0.6-H9e-005_af1.wfa | rbio1.1 | af1 | 0.6 | 0.00009 | 24576 | 8192 | 8192 | 14 | 6512 | 112 | 112 | 42.312 | 6736 | 0.822266 |
| mandrill32.bmp | mandrill32.bmp-withWavelet_sym1-G_0.6-H9e-005_af1.wfa    | sym1    | af1 | 0.6 | 0.00009 | 24576 | 8192 | 8192 | 14 | 6512 | 112 | 112 | 45.109 | 6736 | 0.822266 |
| mandrill32.bmp | mandrill32.bmp-withWavelet_bior1.1-G_0.6-H9e-005_af1.wfa | bior1.1 | af1 | 0.6 | 0.00009 | 24576 | 8192 | 8192 | 14 | 6512 | 112 | 112 | 44.954 | 6736 | 0.822266 |
| mandrill32.bmp | mandrill32.bmp-G_0.6-H9e-005_af2.wfa                     |         | af2 | 0.6 | 0.00009 | 24576 | 8192 |      | 14 | 6512 | 112 | 112 | 36.516 | 6736 | 0.822266 |
| mandrill32.bmp | mandrill32.bmp-withWavelet_haar-G_0.6-H9e-005_af2.wfa    | haar    | af2 | 0.6 | 0.00009 | 24576 | 8192 | 8192 | 12 | 4848 | 96  | 96  | 41.89  | 5040 | 0.615234 |
| mandrill32.bmp | mandrill32.bmp-withWavelet_rbio1.1-G_0.6-H9e-005_af2.wfa | rbio1.1 | af2 | 0.6 | 0.00009 | 24576 | 8192 | 8192 | 12 | 4848 | 96  | 96  | 35.657 | 5040 | 0.615234 |
| mandrill32.bmp | mandrill32.bmp-withWavelet_sym1-G_0.6-H9e-005_af2.wfa    | sym1    | af2 | 0.6 | 0.00009 | 24576 | 8192 | 8192 | 12 | 4848 | 96  | 96  | 35.844 | 5040 | 0.615234 |
| mandrill32.bmp | mandrill32.bmp-withWavelet_bior1.1-G_0.6-H9e-005_af2.wfa | bior1.1 | af2 | 0.6 | 0.00009 | 24576 | 8192 | 8192 | 12 | 4848 | 96  | 96  | 35.953 | 5040 | 0.615234 |
| mandrill32.bmp | mandrill32.bmp-G_0.6-H9e-005_af3.wfa                     |         | af3 | 0.6 | 0.00009 | 24576 | 8192 |      | 13 | 5648 | 104 | 104 | 35.14  | 5856 | 0.714844 |
| mandrill32.bmp | mandrill32.bmp-withWavelet_haar-G_0.6-H9e-005_af3.wfa    | haar    | af3 | 0.6 | 0.00009 | 24576 | 8192 | 8192 | 15 | 7440 | 120 | 120 | 47.203 | 7680 | 0.9375   |
| mandrill32.bmp | mandrill32.bmp-withWavelet_rbio1.1-G_0.6-H9e-005_af3.wfa | rbio1.1 | af3 | 0.6 | 0.00009 | 24576 | 8192 | 8192 | 15 | 7440 | 120 | 120 | 41.281 | 7680 | 0.9375   |
| mandrill32.bmp | mandrill32.bmp-withWavelet_sym1-G_0.6-H9e-005_af3.wfa    | sym1    | af3 | 0.6 | 0.00009 | 24576 | 8192 | 8192 | 15 | 7440 | 120 | 120 | 42.078 | 7680 | 0.9375   |
| mandrill32.bmp | mandrill32.bmp-withWavelet_bior1.1-G_0.6-H9e-005_af3.wfa | bior1.1 | af3 | 0.6 | 0.00009 | 24576 | 8192 | 8192 | 15 | 7440 | 120 | 120 | 44.719 | 7680 | 0.9375   |
| mandrill32.bmp | mandrill32.bmp-G_0.6-H9e-005_af4.wfa                     |         | af4 | 0.6 | 0.00009 | 24576 | 8192 |      | 5  | 1040 | 40  | 40  | 30.984 | 1120 | 0.136719 |
| mandrill32.bmp | mandrill32.bmp-withWavelet_haar-G_0.6-H9e-005_af4.wfa    | haar    | af4 | 0.6 | 0.00009 | 24576 | 8192 | 8192 | 14 | 6512 | 112 | 112 | 44.11  | 6736 | 0.822266 |
| mandrill32.bmp | mandrill32.bmp-withWavelet_rbio1.1-G_0.6-H9e-005_af4.wfa | rbio1.1 | af4 | 0.6 | 0.00009 | 24576 | 8192 | 8192 | 14 | 6512 | 112 | 112 | 42.859 | 6736 | 0.822266 |
| mandrill32.bmp | mandrill32.bmp-withWavelet_sym1-G_0.6-H9e-005_af4.wfa    | sym1    | af4 | 0.6 | 0.00009 | 24576 | 8192 | 8192 | 14 | 6512 | 112 | 112 | 42.953 | 6736 | 0.822266 |
| mandrill32.bmp | mandrill32.bmp-withWavelet_bior1.1-G_0.6-H9e-005_af4.wfa | bior1.1 | af4 | 0.6 | 0.00009 | 24576 | 8192 | 8192 | 14 | 6512 | 112 | 112 | 49.219 | 6736 | 0.822266 |
| mandrill32.bmp | mandrill32.bmp-G_0.6-H9e-005_af5.wfa                     |         | af5 | 0.6 | 0.00009 | 24576 | 8192 |      | 14 | 6512 | 112 | 112 | 30.844 | 6736 | 0.822266 |

|                |  |         |     |     |         |       |      |      |    |      |     |     |         |      |          |
|----------------|--|---------|-----|-----|---------|-------|------|------|----|------|-----|-----|---------|------|----------|
| mandrill32.bmp | mandrill32.bmp-withWavelet_haar-G_0.6-H9e-005_af5.wfa    | haar    | af5 | 0.6 | 0.00009 | 24576 | 8192 | 8192 | 12 | 4848 | 96  | 96  | 31.547  | 5040 | 0.615234 |
| mandrill32.bmp | mandrill32.bmp-withWavelet_rbio1.1-G_0.6-H9e-005_af5.wfa | rbio1.1 | af5 | 0.6 | 0.00009 | 24576 | 8192 | 8192 | 12 | 4848 | 96  | 96  | 31.5    | 5040 | 0.615234 |
| mandrill32.bmp | mandrill32.bmp-withWavelet_sym1-G_0.6-H9e-005_af5.wfa    | sym1    | af5 | 0.6 | 0.00009 | 24576 | 8192 | 8192 | 12 | 4848 | 96  | 96  | 31.75   | 5040 | 0.615234 |
| mandrill32.bmp | mandrill32.bmp-withWavelet_bior1.1-G_0.6-H9e-005_af5.wfa | bior1.1 | af5 | 0.6 | 0.00009 | 24576 | 8192 | 8192 | 12 | 4848 | 96  | 96  | 32.343  | 5040 | 0.615234 |
| mandrill32.bmp | mandrill32.bmp-G_1-H0.0001_af1.wfa                       |         | af1 | 1   | 0.0001  | 24576 | 8192 |      | 13 | 5648 | 104 | 104 | 59.859  | 5856 | 0.714844 |
| mandrill32.bmp | mandrill32.bmp-withWavelet_haar-G_1-H0.0001_af1.wfa      | haar    | af1 | 1   | 0.0001  | 24576 | 8192 | 8192 | 13 | 5648 | 104 | 104 | 79.219  | 5856 | 0.714844 |
| mandrill32.bmp | mandrill32.bmp-withWavelet_rbio1.1-G_1-H0.0001_af1.wfa   | rbio1.1 | af1 | 1   | 0.0001  | 24576 | 8192 | 8192 | 13 | 5648 | 104 | 104 | 73.359  | 5856 | 0.714844 |
| mandrill32.bmp | mandrill32.bmp-withWavelet_sym1-G_1-H0.0001_af1.wfa      | sym1    | af1 | 1   | 0.0001  | 24576 | 8192 | 8192 | 13 | 5648 | 104 | 104 | 77.656  | 5856 | 0.714844 |
| mandrill32.bmp | mandrill32.bmp-withWavelet_bior1.1-G_1-H0.0001_af1.wfa   | bior1.1 | af1 | 1   | 0.0001  | 24576 | 8192 | 8192 | 13 | 5648 | 104 | 104 | 71.594  | 5856 | 0.714844 |
| mandrill32.bmp | mandrill32.bmp-G_1-H0.0001_af2.wfa                       |         | af2 | 1   | 0.0001  | 24576 | 8192 |      | 13 | 5648 | 104 | 104 | 59.156  | 5856 | 0.714844 |
| mandrill32.bmp | mandrill32.bmp-withWavelet_haar-G_1-H0.0001_af2.wfa      | haar    | af2 | 1   | 0.0001  | 24576 | 8192 | 8192 | 11 | 4112 | 88  | 88  | 49.954  | 4288 | 0.523438 |
| mandrill32.bmp | mandrill32.bmp-withWavelet_rbio1.1-G_1-H0.0001_af2.wfa   | rbio1.1 | af2 | 1   | 0.0001  | 24576 | 8192 | 8192 | 11 | 4112 | 88  | 88  | 47.313  | 4288 | 0.523438 |
| mandrill32.bmp | mandrill32.bmp-withWavelet_sym1-G_1-H0.0001_af2.wfa      | sym1    | af2 | 1   | 0.0001  | 24576 | 8192 | 8192 | 11 | 4112 | 88  | 88  | 51.922  | 4288 | 0.523438 |
| mandrill32.bmp | mandrill32.bmp-withWavelet_bior1.1-G_1-H0.0001_af2.wfa   | bior1.1 | af2 | 1   | 0.0001  | 24576 | 8192 | 8192 | 11 | 4112 | 88  | 88  | 48.312  | 4288 | 0.523438 |
| mandrill32.bmp | mandrill32.bmp-G_1-H0.0001_af3.wfa                       |         | af3 | 1   | 0.0001  | 24576 | 8192 |      | 13 | 5648 | 104 | 104 | 65.11   | 5856 | 0.714844 |
| mandrill32.bmp | mandrill32.bmp-withWavelet_haar-G_1-H0.0001_af3.wfa      | haar    | af3 | 1   | 0.0001  | 24576 | 8192 | 8192 | 13 | 5648 | 104 | 104 | 66.859  | 5856 | 0.714844 |
| mandrill32.bmp | mandrill32.bmp-withWavelet_rbio1.1-G_1-H0.0001_af3.wfa   | rbio1.1 | af3 | 1   | 0.0001  | 24576 | 8192 | 8192 | 13 | 5648 | 104 | 104 | 68.125  | 5856 | 0.714844 |
| mandrill32.bmp | mandrill32.bmp-withWavelet_sym1-G_1-H0.0001_af3.wfa      | sym1    | af3 | 1   | 0.0001  | 24576 | 8192 | 8192 | 13 | 5648 | 104 | 104 | 64.641  | 5856 | 0.714844 |
| mandrill32.bmp | mandrill32.bmp-withWavelet_bior1.1-G_1-H0.0001_af3.wfa   | bior1.1 | af3 | 1   | 0.0001  | 24576 | 8192 | 8192 | 13 | 5648 | 104 | 104 | 66.797  | 5856 | 0.714844 |
| mandrill32.bmp | mandrill32.bmp-G_1-H0.0001_af4.wfa                       |         | af4 | 1   | 0.0001  | 24576 | 8192 |      | 12 | 4848 | 96  | 96  | 74.657  | 5040 | 0.615234 |
| mandrill32.bmp | mandrill32.bmp-withWavelet_haar-G_1-H0.0001_af4.wfa      | haar    | af4 | 1   | 0.0001  | 24576 | 8192 | 8192 | 15 | 7440 | 120 | 120 | 104.156 | 7680 | 0.9375   |
| mandrill32.bmp | mandrill32.bmp-withWavelet_rbio1.1-G_1-H0.0001_af4.wfa   | rbio1.1 | af4 | 1   | 0.0001  | 24576 | 8192 | 8192 | 15 | 7440 | 120 | 120 | 97.109  | 7680 | 0.9375   |
| mandrill32.bmp | mandrill32.bmp-withWavelet_sym1-G_1-H0.0001_af4.wfa      | sym1    | af4 | 1   | 0.0001  | 24576 | 8192 | 8192 | 15 | 7440 | 120 | 120 | 97.36   | 7680 | 0.9375   |
| mandrill32.bmp | mandrill32.bmp-withWavelet_bior1.1-G_1-H0.0001_af4.wfa   | bior1.1 | af4 | 1   | 0.0001  | 24576 | 8192 | 8192 | 15 | 7440 | 120 | 120 | 99.125  | 7680 | 0.9375   |
| mandrill32.bmp | mandrill32.bmp-G_1-H0.0001_af5.wfa                       |         | af5 | 1   | 0.0001  | 24576 | 8192 |      | 12 | 4848 | 96  | 96  | 41.187  | 5040 | 0.615234 |
| mandrill32.bmp | mandrill32.bmp-withWavelet_haar-G_1-H0.0001_af5.wfa      | haar    | af5 | 1   | 0.0001  | 24576 | 8192 | 8192 | 12 | 4848 | 96  | 96  | 45.562  | 5040 | 0.615234 |
| mandrill32.bmp | mandrill32.bmp-withWavelet_rbio1.1-G_1-H0.0001_af5.wfa   | rbio1.1 | af5 | 1   | 0.0001  | 24576 | 8192 | 8192 | 12 | 4848 | 96  | 96  | 40.094  | 5040 | 0.615234 |
| mandrill32.bmp | mandrill32.bmp-withWavelet_sym1-G_1-H0.0001_af5.wfa      | sym1    | af5 | 1   | 0.0001  | 24576 | 8192 | 8192 | 12 | 4848 | 96  | 96  | 45.266  | 5040 | 0.615234 |
| mandrill32.bmp | mandrill32.bmp-withWavelet_bior1.1-G_1-H0.0001_af5.wfa   | bior1.1 | af5 | 1   | 0.0001  | 24576 | 8192 | 8192 | 12 | 4848 | 96  | 96  | 42.969  | 5040 | 0.615234 |
| mandrill32.bmp | mandrill32.bmp-G_0.8-H0.0001_af1.wfa                     |         | af1 | 0.8 | 0.0001  | 24576 | 8192 |      | 14 | 6512 | 112 | 112 | 44.578  | 6736 | 0.822266 |
| mandrill32.bmp | mandrill32.bmp-withWavelet_haar-G_0.8-H0.0001_af1.wfa    | haar    | af1 | 0.8 | 0.0001  | 24576 | 8192 | 8192 | 13 | 5648 | 104 | 104 | 46.36   | 5856 | 0.714844 |

|                |  |         |     |     |        |       |      |      |    |      |     |     |        |      |          |
|----------------|--|---------|-----|-----|--------|-------|------|------|----|------|-----|-----|--------|------|----------|
| mandrill32.bmp | mandrill32.bmp-withWavelet_rbio1.1-G_0.8-H0.0001_af1.wfa | rbio1.1 | af1 | 0.8 | 0.0001 | 24576 | 8192 | 8192 | 13 | 5648 | 104 | 104 | 45.625 | 5856 | 0.714844 |
| mandrill32.bmp | mandrill32.bmp-withWavelet_sym1-G_0.8-H0.0001_af1.wfa    | sym1    | af1 | 0.8 | 0.0001 | 24576 | 8192 | 8192 | 13 | 5648 | 104 | 104 | 52.187 | 5856 | 0.714844 |
| mandrill32.bmp | mandrill32.bmp-withWavelet_bior1.1-G_0.8-H0.0001_af1.wfa | bior1.1 | af1 | 0.8 | 0.0001 | 24576 | 8192 | 8192 | 13 | 5648 | 104 | 104 | 53.625 | 5856 | 0.714844 |
| mandrill32.bmp | mandrill32.bmp-G_0.8-H0.0001_af2.wfa                     |         | af2 | 0.8 | 0.0001 | 24576 | 8192 |      | 13 | 5648 | 104 | 104 | 49.328 | 5856 | 0.714844 |
| mandrill32.bmp | mandrill32.bmp-withWavelet_haar-G_0.8-H0.0001_af2.wfa    | haar    | af2 | 0.8 | 0.0001 | 24576 | 8192 | 8192 | 11 | 4112 | 88  | 88  | 39.704 | 4288 | 0.523438 |
| mandrill32.bmp | mandrill32.bmp-withWavelet_rbio1.1-G_0.8-H0.0001_af2.wfa | rbio1.1 | af2 | 0.8 | 0.0001 | 24576 | 8192 | 8192 | 11 | 4112 | 88  | 88  | 37.813 | 4288 | 0.523438 |
| mandrill32.bmp | mandrill32.bmp-withWavelet_sym1-G_0.8-H0.0001_af2.wfa    | sym1    | af2 | 0.8 | 0.0001 | 24576 | 8192 | 8192 | 11 | 4112 | 88  | 88  | 41.828 | 4288 | 0.523438 |
| mandrill32.bmp | mandrill32.bmp-withWavelet_bior1.1-G_0.8-H0.0001_af2.wfa | bior1.1 | af2 | 0.8 | 0.0001 | 24576 | 8192 | 8192 | 11 | 4112 | 88  | 88  | 38.829 | 4288 | 0.523438 |
| mandrill32.bmp | mandrill32.bmp-G_0.8-H0.0001_af3.wfa                     |         | af3 | 0.8 | 0.0001 | 24576 | 8192 |      | 13 | 5648 | 104 | 104 | 46.625 | 5856 | 0.714844 |
| mandrill32.bmp | mandrill32.bmp-withWavelet_haar-G_0.8-H0.0001_af3.wfa    | haar    | af3 | 0.8 | 0.0001 | 24576 | 8192 | 8192 | 13 | 5648 | 104 | 104 | 51.5   | 5856 | 0.714844 |
| mandrill32.bmp | mandrill32.bmp-withWavelet_rbio1.1-G_0.8-H0.0001_af3.wfa | rbio1.1 | af3 | 0.8 | 0.0001 | 24576 | 8192 | 8192 | 13 | 5648 | 104 | 104 | 50.5   | 5856 | 0.714844 |
| mandrill32.bmp | mandrill32.bmp-withWavelet_sym1-G_0.8-H0.0001_af3.wfa    | sym1    | af3 | 0.8 | 0.0001 | 24576 | 8192 | 8192 | 13 | 5648 | 104 | 104 | 49.406 | 5856 | 0.714844 |
| mandrill32.bmp | mandrill32.bmp-withWavelet_bior1.1-G_0.8-H0.0001_af3.wfa | bior1.1 | af3 | 0.8 | 0.0001 | 24576 | 8192 | 8192 | 13 | 5648 | 104 | 104 | 45.609 | 5856 | 0.714844 |
| mandrill32.bmp | mandrill32.bmp-G_0.8-H0.0001_af4.wfa                     |         | af4 | 0.8 | 0.0001 | 24576 | 8192 |      | 12 | 4848 | 96  | 96  | 55.563 | 5040 | 0.615234 |
| mandrill32.bmp | mandrill32.bmp-withWavelet_haar-G_0.8-H0.0001_af4.wfa    | haar    | af4 | 0.8 | 0.0001 | 24576 | 8192 | 8192 | 15 | 7440 | 120 | 120 | 63.141 | 7680 | 0.9375   |
| mandrill32.bmp | mandrill32.bmp-withWavelet_rbio1.1-G_0.8-H0.0001_af4.wfa | rbio1.1 | af4 | 0.8 | 0.0001 | 24576 | 8192 | 8192 | 15 | 7440 | 120 | 120 | 64.047 | 7680 | 0.9375   |
| mandrill32.bmp | mandrill32.bmp-withWavelet_sym1-G_0.8-H0.0001_af4.wfa    | sym1    | af4 | 0.8 | 0.0001 | 24576 | 8192 | 8192 | 15 | 7440 | 120 | 120 | 65.609 | 7680 | 0.9375   |
| mandrill32.bmp | mandrill32.bmp-withWavelet_bior1.1-G_0.8-H0.0001_af4.wfa | bior1.1 | af4 | 0.8 | 0.0001 | 24576 | 8192 | 8192 | 15 | 7440 | 120 | 120 | 61.313 | 7680 | 0.9375   |
| mandrill32.bmp | mandrill32.bmp-G_0.8-H0.0001_af5.wfa                     |         | af5 | 0.8 | 0.0001 | 24576 | 8192 |      | 12 | 4848 | 96  | 96  | 32.984 | 5040 | 0.615234 |
| mandrill32.bmp | mandrill32.bmp-withWavelet_haar-G_0.8-H0.0001_af5.wfa    | haar    | af5 | 0.8 | 0.0001 | 24576 | 8192 | 8192 | 12 | 4848 | 96  | 96  | 40.906 | 5040 | 0.615234 |
| mandrill32.bmp | mandrill32.bmp-withWavelet_rbio1.1-G_0.8-H0.0001_af5.wfa | rbio1.1 | af5 | 0.8 | 0.0001 | 24576 | 8192 | 8192 | 12 | 4848 | 96  | 96  | 36.875 | 5040 | 0.615234 |
| mandrill32.bmp | mandrill32.bmp-withWavelet_sym1-G_0.8-H0.0001_af5.wfa    | sym1    | af5 | 0.8 | 0.0001 | 24576 | 8192 | 8192 | 12 | 4848 | 96  | 96  | 38.797 | 5040 | 0.615234 |
| mandrill32.bmp | mandrill32.bmp-withWavelet_bior1.1-G_0.8-H0.0001_af5.wfa | bior1.1 | af5 | 0.8 | 0.0001 | 24576 | 8192 | 8192 | 12 | 4848 | 96  | 96  | 38.625 | 5040 | 0.615234 |
| mandrill32.bmp | mandrill32.bmp-G_0.6-H0.0001_af1.wfa                     |         | af1 | 0.6 | 0.0001 | 24576 | 8192 |      | 13 | 5648 | 104 | 104 | 38.016 | 5856 | 0.714844 |
| mandrill32.bmp | mandrill32.bmp-withWavelet_haar-G_0.6-H0.0001_af1.wfa    | haar    | af1 | 0.6 | 0.0001 | 24576 | 8192 | 8192 | 13 | 5648 | 104 | 104 | 47.813 | 5856 | 0.714844 |
| mandrill32.bmp | mandrill32.bmp-withWavelet_rbio1.1-G_0.6-H0.0001_af1.wfa | rbio1.1 | af1 | 0.6 | 0.0001 | 24576 | 8192 | 8192 | 13 | 5648 | 104 | 104 | 47.437 | 5856 | 0.714844 |
| mandrill32.bmp | mandrill32.bmp-withWavelet_sym1-G_0.6-H0.0001_af1.wfa    | sym1    | af1 | 0.6 | 0.0001 | 24576 | 8192 | 8192 | 13 | 5648 | 104 | 104 | 46.797 | 5856 | 0.714844 |
| mandrill32.bmp | mandrill32.bmp-withWavelet_bior1.1-G_0.6-H0.0001_af1.wfa | bior1.1 | af1 | 0.6 | 0.0001 | 24576 | 8192 | 8192 | 13 | 5648 | 104 | 104 | 43.515 | 5856 | 0.714844 |
| mandrill32.bmp | mandrill32.bmp-G_0.6-H0.0001_af2.wfa                     |         | af2 | 0.6 | 0.0001 | 24576 | 8192 |      | 14 | 6512 | 112 | 112 | 40.266 | 6736 | 0.822266 |
| mandrill32.bmp | mandrill32.bmp-withWavelet_haar-G_0.6-H0.0001_af2.wfa    | haar    | af2 | 0.6 | 0.0001 | 24576 | 8192 | 8192 | 10 | 3440 | 80  | 80  | 41.329 | 3600 | 0.439453 |
| mandrill32.bmp | mandrill32.bmp-withWavelet_rbio1.1-G_0.6-H0.0001_af2.wfa | rbio1.1 | af2 | 0.6 | 0.0001 | 24576 | 8192 | 8192 | 10 | 3440 | 80  | 80  | 40.953 | 3600 | 0.439453 |

|                |  |         |     |     |        |       |      |      |    |      |     |     |        |      |          |
|----------------|--|---------|-----|-----|--------|-------|------|------|----|------|-----|-----|--------|------|----------|
| mandrill32.bmp | mandrill32.bmp-withWavelet_sym1-G_0.6-H0.0001_af2.wfa    | sym1    | af2 | 0.6 | 0.0001 | 24576 | 8192 | 8192 | 10 | 3440 | 80  | 80  | 37.719 | 3600 | 0.439453 |
| mandrill32.bmp | mandrill32.bmp-withWavelet_bior1.1-G_0.6-H0.0001_af2.wfa | bior1.1 | af2 | 0.6 | 0.0001 | 24576 | 8192 | 8192 | 10 | 3440 | 80  | 80  | 37.516 | 3600 | 0.439453 |
| mandrill32.bmp | mandrill32.bmp-G_0.6-H0.0001_af3.wfa                     |         | af3 | 0.6 | 0.0001 | 24576 | 8192 |      | 12 | 4848 | 96  | 96  | 38.829 | 5040 | 0.615234 |
| mandrill32.bmp | mandrill32.bmp-withWavelet_haar-G_0.6-H0.0001_af3.wfa    | haar    | af3 | 0.6 | 0.0001 | 24576 | 8192 | 8192 | 13 | 5648 | 104 | 104 | 41.687 | 5856 | 0.714844 |
| mandrill32.bmp | mandrill32.bmp-withWavelet_rbio1.1-G_0.6-H0.0001_af3.wfa | rbio1.1 | af3 | 0.6 | 0.0001 | 24576 | 8192 | 8192 | 13 | 5648 | 104 | 104 | 44.656 | 5856 | 0.714844 |
| mandrill32.bmp | mandrill32.bmp-withWavelet_sym1-G_0.6-H0.0001_af3.wfa    | sym1    | af3 | 0.6 | 0.0001 | 24576 | 8192 | 8192 | 13 | 5648 | 104 | 104 | 45.531 | 5856 | 0.714844 |
| mandrill32.bmp | mandrill32.bmp-withWavelet_bior1.1-G_0.6-H0.0001_af3.wfa | bior1.1 | af3 | 0.6 | 0.0001 | 24576 | 8192 | 8192 | 13 | 5648 | 104 | 104 | 39.187 | 5856 | 0.714844 |
| mandrill32.bmp | mandrill32.bmp-G_0.6-H0.0001_af4.wfa                     |         | af4 | 0.6 | 0.0001 | 24576 | 8192 |      | 5  | 1040 | 40  | 40  | 30.797 | 1120 | 0.136719 |
| mandrill32.bmp | mandrill32.bmp-withWavelet_haar-G_0.6-H0.0001_af4.wfa    | haar    | af4 | 0.6 | 0.0001 | 24576 | 8192 | 8192 | 13 | 5648 | 104 | 104 | 50.719 | 5856 | 0.714844 |
| mandrill32.bmp | mandrill32.bmp-withWavelet_rbio1.1-G_0.6-H0.0001_af4.wfa | rbio1.1 | af4 | 0.6 | 0.0001 | 24576 | 8192 | 8192 | 13 | 5648 | 104 | 104 | 45.265 | 5856 | 0.714844 |
| mandrill32.bmp | mandrill32.bmp-withWavelet_sym1-G_0.6-H0.0001_af4.wfa    | sym1    | af4 | 0.6 | 0.0001 | 24576 | 8192 | 8192 | 13 | 5648 | 104 | 104 | 43.359 | 5856 | 0.714844 |
| mandrill32.bmp | mandrill32.bmp-withWavelet_bior1.1-G_0.6-H0.0001_af4.wfa | bior1.1 | af4 | 0.6 | 0.0001 | 24576 | 8192 | 8192 | 13 | 5648 | 104 | 104 | 45.64  | 5856 | 0.714844 |
| mandrill32.bmp | mandrill32.bmp-G_0.6-H0.0001_af5.wfa                     |         | af5 | 0.6 | 0.0001 | 24576 | 8192 |      | 12 | 4848 | 96  | 96  | 31.782 | 5040 | 0.615234 |
| mandrill32.bmp | mandrill32.bmp-withWavelet_haar-G_0.6-H0.0001_af5.wfa    | haar    | af5 | 0.6 | 0.0001 | 24576 | 8192 | 8192 | 12 | 4848 | 96  | 96  | 34.328 | 5040 | 0.615234 |
| mandrill32.bmp | mandrill32.bmp-withWavelet_rbio1.1-G_0.6-H0.0001_af5.wfa | rbio1.1 | af5 | 0.6 | 0.0001 | 24576 | 8192 | 8192 | 12 | 4848 | 96  | 96  | 37.515 | 5040 | 0.615234 |
| mandrill32.bmp | mandrill32.bmp-withWavelet_sym1-G_0.6-H0.0001_af5.wfa    | sym1    | af5 | 0.6 | 0.0001 | 24576 | 8192 | 8192 | 12 | 4848 | 96  | 96  | 36.094 | 5040 | 0.615234 |
| mandrill32.bmp | mandrill32.bmp-withWavelet_bior1.1-G_0.6-H0.0001_af5.wfa | bior1.1 | af5 | 0.6 | 0.0001 | 24576 | 8192 | 8192 | 12 | 4848 | 96  | 96  | 35.375 | 5040 | 0.615234 |

**Tabela III.6 – Codificação peppers32.bmp em suas combinações**

| Img           | Img codificada  | Wlet    | AF  | G | H       | IBytes | GSByte | WletBy | #Stes | WBy   | IBy | FBy | Time    | Total | %        |
|---------------|---|---------|-----|---|---------|--------|--------|--------|-------|-------|-----|-----|---------|-------|----------|
| peppers32.bmp | peppers32.bmp-G_1-H1e-005_af1.wfa                     |         | af1 | 1 | 0.00001 | 24576  | 8192   |        | 35    | 39440 | 280 | 280 | 259.563 | 40000 | 4.882813 |
| peppers32.bmp | peppers32.bmp-withWavelet_haar-G_1-H1e-005_af1.wfa    | haar    | af1 | 1 | 0.00001 | 24576  | 8192   | 8192   | 37    | 44048 | 296 | 296 | 305.36  | 44640 | 5.449219 |
| peppers32.bmp | peppers32.bmp-withWavelet_rbio1.1-G_1-H1e-005_af1.wfa | rbio1.1 | af1 | 1 | 0.00001 | 24576  | 8192   | 8192   | 37    | 44048 | 296 | 296 | 342.453 | 44640 | 5.449219 |
| peppers32.bmp | peppers32.bmp-withWavelet_sym1-G_1-H1e-005_af1.wfa    | sym1    | af1 | 1 | 0.00001 | 24576  | 8192   | 8192   | 37    | 44048 | 296 | 296 | 393.985 | 44640 | 5.449219 |
| peppers32.bmp | peppers32.bmp-withWavelet_bior1.1-G_1-H1e-005_af1.wfa | bior1.1 | af1 | 1 | 0.00001 | 24576  | 8192   | 8192   | 37    | 44048 | 296 | 296 | 446.594 | 44640 | 5.449219 |
| peppers32.bmp | peppers32.bmp-G_1-H1e-005_af2.wfa                     |         | af2 | 1 | 0.00001 | 24576  | 8192   |        | 32    | 33008 | 256 | 256 | 263.125 | 33520 | 4.091797 |
| peppers32.bmp | peppers32.bmp-withWavelet_haar-G_1-H1e-005_af2.wfa    | haar    | af2 | 1 | 0.00001 | 24576  | 8192   | 8192   | 33    | 35088 | 264 | 264 | 235.062 | 35616 | 4.347656 |
| peppers32.bmp | peppers32.bmp-withWavelet_rbio1.1-G_1-H1e-005_af2.wfa | rbio1.1 | af2 | 1 | 0.00001 | 24576  | 8192   | 8192   | 33    | 35088 | 264 | 264 | 242.484 | 35616 | 4.347656 |
| peppers32.bmp | peppers32.bmp-withWavelet_sym1-G_1-H1e-005_af2.wfa    | sym1    | af2 | 1 | 0.00001 | 24576  | 8192   | 8192   | 33    | 35088 | 264 | 264 | 247.656 | 35616 | 4.347656 |
| peppers32.bmp | peppers32.bmp-withWavelet_bior1.1-G_1-H1e-005_af2.wfa | bior1.1 | af2 | 1 | 0.00001 | 24576  | 8192   | 8192   | 33    | 35088 | 264 | 264 | 244.859 | 35616 | 4.347656 |

|               |   |         |     |     |         |       |      |      |    |       |     |     |         |       |          |
|---------------|---|---------|-----|-----|---------|-------|------|------|----|-------|-----|-----|---------|-------|----------|
| peppers32.bmp | peppers32.bmp-G_1-H1e-005_af3.wfa                       |         | af3 | 1   | 0.00001 | 24576 | 8192 |      | 32 | 33008 | 256 | 256 | 268.344 | 33520 | 4.091797 |
| peppers32.bmp | peppers32.bmp-withWavelet_haar-G_1-H1e-005_af3.wfa      | haar    | af3 | 1   | 0.00001 | 24576 | 8192 | 8192 | 37 | 44048 | 296 | 296 | 398.781 | 44640 | 5.449219 |
| peppers32.bmp | peppers32.bmp-withWavelet_rbio1.1-G_1-H1e-005_af3.wfa   | rbio1.1 | af3 | 1   | 0.00001 | 24576 | 8192 | 8192 | 37 | 44048 | 296 | 296 | 402.703 | 44640 | 5.449219 |
| peppers32.bmp | peppers32.bmp-withWavelet_sym1-G_1-H1e-005_af3.wfa      | sym1    | af3 | 1   | 0.00001 | 24576 | 8192 | 8192 | 37 | 44048 | 296 | 296 | 407.547 | 44640 | 5.449219 |
| peppers32.bmp | peppers32.bmp-withWavelet_bior1.1-G_1-H1e-005_af3.wfa   | bior1.1 | af3 | 1   | 0.00001 | 24576 | 8192 | 8192 | 37 | 44048 | 296 | 296 | 331.984 | 44640 | 5.449219 |
| peppers32.bmp | peppers32.bmp-G_1-H1e-005_af4.wfa                       |         | af4 | 1   | 0.00001 | 24576 | 8192 |      | 17 | 9488  | 136 | 136 | 98.656  | 9760  | 1.191406 |
| peppers32.bmp | peppers32.bmp-withWavelet_haar-G_1-H1e-005_af4.wfa      | haar    | af4 | 1   | 0.00001 | 24576 | 8192 | 8192 | 37 | 44048 | 296 | 296 | 608.703 | 44640 | 5.449219 |
| peppers32.bmp | peppers32.bmp-withWavelet_rbio1.1-G_1-H1e-005_af4.wfa   | rbio1.1 | af4 | 1   | 0.00001 | 24576 | 8192 | 8192 | 37 | 44048 | 296 | 296 | 646.875 | 44640 | 5.449219 |
| peppers32.bmp | peppers32.bmp-withWavelet_sym1-G_1-H1e-005_af4.wfa      | sym1    | af4 | 1   | 0.00001 | 24576 | 8192 | 8192 | 37 | 44048 | 296 | 296 | 626.828 | 44640 | 5.449219 |
| peppers32.bmp | peppers32.bmp-withWavelet_bior1.1-G_1-H1e-005_af4.wfa   | bior1.1 | af4 | 1   | 0.00001 | 24576 | 8192 | 8192 | 37 | 44048 | 296 | 296 | 610.281 | 44640 | 5.449219 |
| peppers32.bmp | peppers32.bmp-G_1-H1e-005_af5.wfa                       |         | af5 | 1   | 0.00001 | 24576 | 8192 |      | 34 | 37232 | 272 | 272 | 61.703  | 37776 | 4.611328 |
| peppers32.bmp | peppers32.bmp-withWavelet_haar-G_1-H1e-005_af5.wfa      | haar    | af5 | 1   | 0.00001 | 24576 | 8192 | 8192 | 28 | 25328 | 224 | 224 | 54.313  | 25776 | 3.146484 |
| peppers32.bmp | peppers32.bmp-withWavelet_rbio1.1-G_1-H1e-005_af5.wfa   | rbio1.1 | af5 | 1   | 0.00001 | 24576 | 8192 | 8192 | 28 | 25328 | 224 | 224 | 53.766  | 25776 | 3.146484 |
| peppers32.bmp | peppers32.bmp-withWavelet_sym1-G_1-H1e-005_af5.wfa      | sym1    | af5 | 1   | 0.00001 | 24576 | 8192 | 8192 | 28 | 25328 | 224 | 224 | 56.328  | 25776 | 3.146484 |
| peppers32.bmp | peppers32.bmp-withWavelet_bior1.1-G_1-H1e-005_af5.wfa   | bior1.1 | af5 | 1   | 0.00001 | 24576 | 8192 | 8192 | 28 | 25328 | 224 | 224 | 55.875  | 25776 | 3.146484 |
| peppers32.bmp | peppers32.bmp-G_0.8-H1e-005_af1.wfa                     |         | af1 | 0.8 | 0.00001 | 24576 | 8192 |      | 35 | 39440 | 280 | 280 | 142.391 | 40000 | 4.882813 |
| peppers32.bmp | peppers32.bmp-withWavelet_haar-G_0.8-H1e-005_af1.wfa    | haar    | af1 | 0.8 | 0.00001 | 24576 | 8192 | 8192 | 37 | 44048 | 296 | 296 | 169.688 | 44640 | 5.449219 |
| peppers32.bmp | peppers32.bmp-withWavelet_rbio1.1-G_0.8-H1e-005_af1.wfa | rbio1.1 | af1 | 0.8 | 0.00001 | 24576 | 8192 | 8192 | 37 | 44048 | 296 | 296 | 171.359 | 44640 | 5.449219 |
| peppers32.bmp | peppers32.bmp-withWavelet_sym1-G_0.8-H1e-005_af1.wfa    | sym1    | af1 | 0.8 | 0.00001 | 24576 | 8192 | 8192 | 37 | 44048 | 296 | 296 | 170.625 | 44640 | 5.449219 |
| peppers32.bmp | peppers32.bmp-withWavelet_bior1.1-G_0.8-H1e-005_af1.wfa | bior1.1 | af1 | 0.8 | 0.00001 | 24576 | 8192 | 8192 | 37 | 44048 | 296 | 296 | 171.203 | 44640 | 5.449219 |
| peppers32.bmp | peppers32.bmp-G_0.8-H1e-005_af2.wfa                     |         | af2 | 0.8 | 0.00001 | 24576 | 8192 |      | 32 | 33008 | 256 | 256 | 120.484 | 33520 | 4.091797 |
| peppers32.bmp | peppers32.bmp-withWavelet_haar-G_0.8-H1e-005_af2.wfa    | haar    | af2 | 0.8 | 0.00001 | 24576 | 8192 | 8192 | 33 | 35088 | 264 | 264 | 111.188 | 35616 | 4.347656 |
| peppers32.bmp | peppers32.bmp-withWavelet_rbio1.1-G_0.8-H1e-005_af2.wfa | rbio1.1 | af2 | 0.8 | 0.00001 | 24576 | 8192 | 8192 | 33 | 35088 | 264 | 264 | 109.969 | 35616 | 4.347656 |
| peppers32.bmp | peppers32.bmp-withWavelet_sym1-G_0.8-H1e-005_af2.wfa    | sym1    | af2 | 0.8 | 0.00001 | 24576 | 8192 | 8192 | 33 | 35088 | 264 | 264 | 105.734 | 35616 | 4.347656 |
| peppers32.bmp | peppers32.bmp-withWavelet_bior1.1-G_0.8-H1e-005_af2.wfa | bior1.1 | af2 | 0.8 | 0.00001 | 24576 | 8192 | 8192 | 33 | 35088 | 264 | 264 | 107.063 | 35616 | 4.347656 |
| peppers32.bmp | peppers32.bmp-G_0.8-H1e-005_af3.wfa                     |         | af3 | 0.8 | 0.00001 | 24576 | 8192 |      | 34 | 37232 | 272 | 272 | 137.485 | 37776 | 4.611328 |
| peppers32.bmp | peppers32.bmp-withWavelet_haar-G_0.8-H1e-005_af3.wfa    | haar    | af3 | 0.8 | 0.00001 | 24576 | 8192 | 8192 | 37 | 44048 | 296 | 296 | 189.062 | 44640 | 5.449219 |
| peppers32.bmp | peppers32.bmp-withWavelet_rbio1.1-G_0.8-H1e-005_af3.wfa | rbio1.1 | af3 | 0.8 | 0.00001 | 24576 | 8192 | 8192 | 37 | 44048 | 296 | 296 | 183.594 | 44640 | 5.449219 |
| peppers32.bmp | peppers32.bmp-withWavelet_sym1-G_0.8-H1e-005_af3.wfa    | sym1    | af3 | 0.8 | 0.00001 | 24576 | 8192 | 8192 | 37 | 44048 | 296 | 296 | 177.25  | 44640 | 5.449219 |
| peppers32.bmp | peppers32.bmp-withWavelet_bior1.1-G_0.8-H1e-005_af3.wfa | bior1.1 | af3 | 0.8 | 0.00001 | 24576 | 8192 | 8192 | 37 | 44048 | 296 | 296 | 164.094 | 44640 | 5.449219 |
| peppers32.bmp | peppers32.bmp-G_0.8-H1e-005_af4.wfa                     |         | af4 | 0.8 | 0.00001 | 24576 | 8192 |      | 16 | 8432  | 128 | 128 | 55.156  | 8688  | 1.060547 |

|               |   |         |     |     |         |       |      |      |    |       |     |     |         |       |          |
|---------------|---|---------|-----|-----|---------|-------|------|------|----|-------|-----|-----|---------|-------|----------|
| peppers32.bmp | peppers32.bmp-withWavelet_haar-G_0.8-H1e-005_af4.wfa    | haar    | af4 | 0.8 | 0.00001 | 24576 | 8192 | 8192 | 37 | 44048 | 296 | 296 | 289.828 | 44640 | 5.449219 |
| peppers32.bmp | peppers32.bmp-withWavelet_rbio1.1-G_0.8-H1e-005_af4.wfa | rbio1.1 | af4 | 0.8 | 0.00001 | 24576 | 8192 | 8192 | 37 | 44048 | 296 | 296 | 298.562 | 44640 | 5.449219 |
| peppers32.bmp | peppers32.bmp-withWavelet_sym1-G_0.8-H1e-005_af4.wfa    | sym1    | af4 | 0.8 | 0.00001 | 24576 | 8192 | 8192 | 37 | 44048 | 296 | 296 | 294.656 | 44640 | 5.449219 |
| peppers32.bmp | peppers32.bmp-withWavelet_bior1.1-G_0.8-H1e-005_af4.wfa | bior1.1 | af4 | 0.8 | 0.00001 | 24576 | 8192 | 8192 | 37 | 44048 | 296 | 296 | 307.125 | 44640 | 5.449219 |
| peppers32.bmp | peppers32.bmp-G_0.8-H1e-005_af5.wfa                     |         | af5 | 0.8 | 0.00001 | 24576 | 8192 |      | 34 | 37232 | 272 | 272 | 40.953  | 37776 | 4.611328 |
| peppers32.bmp | peppers32.bmp-withWavelet_haar-G_0.8-H1e-005_af5.wfa    | haar    | af5 | 0.8 | 0.00001 | 24576 | 8192 | 8192 | 28 | 25328 | 224 | 224 | 38      | 25776 | 3.146484 |
| peppers32.bmp | peppers32.bmp-withWavelet_rbio1.1-G_0.8-H1e-005_af5.wfa | rbio1.1 | af5 | 0.8 | 0.00001 | 24576 | 8192 | 8192 | 28 | 25328 | 224 | 224 | 38.234  | 25776 | 3.146484 |
| peppers32.bmp | peppers32.bmp-withWavelet_sym1-G_0.8-H1e-005_af5.wfa    | sym1    | af5 | 0.8 | 0.00001 | 24576 | 8192 | 8192 | 28 | 25328 | 224 | 224 | 38.594  | 25776 | 3.146484 |
| peppers32.bmp | peppers32.bmp-withWavelet_bior1.1-G_0.8-H1e-005_af5.wfa | bior1.1 | af5 | 0.8 | 0.00001 | 24576 | 8192 | 8192 | 28 | 25328 | 224 | 224 | 37.813  | 25776 | 3.146484 |
| peppers32.bmp | peppers32.bmp-G_0.6-H1e-005_af1.wfa                     |         | af1 | 0.6 | 0.00001 | 24576 | 8192 |      | 33 | 35088 | 264 | 264 | 85.109  | 35616 | 4.347656 |
| peppers32.bmp | peppers32.bmp-withWavelet_haar-G_0.6-H1e-005_af1.wfa    | haar    | af1 | 0.6 | 0.00001 | 24576 | 8192 | 8192 | 37 | 44048 | 296 | 296 | 121.047 | 44640 | 5.449219 |
| peppers32.bmp | peppers32.bmp-withWavelet_rbio1.1-G_0.6-H1e-005_af1.wfa | rbio1.1 | af1 | 0.6 | 0.00001 | 24576 | 8192 | 8192 | 37 | 44048 | 296 | 296 | 121.906 | 44640 | 5.449219 |
| peppers32.bmp | peppers32.bmp-withWavelet_sym1-G_0.6-H1e-005_af1.wfa    | sym1    | af1 | 0.6 | 0.00001 | 24576 | 8192 | 8192 | 37 | 44048 | 296 | 296 | 118.578 | 44640 | 5.449219 |
| peppers32.bmp | peppers32.bmp-withWavelet_bior1.1-G_0.6-H1e-005_af1.wfa | bior1.1 | af1 | 0.6 | 0.00001 | 24576 | 8192 | 8192 | 37 | 44048 | 296 | 296 | 127.641 | 44640 | 5.449219 |
| peppers32.bmp | peppers32.bmp-G_0.6-H1e-005_af2.wfa                     |         | af2 | 0.6 | 0.00001 | 24576 | 8192 |      | 32 | 33008 | 256 | 256 | 76.25   | 33520 | 4.091797 |
| peppers32.bmp | peppers32.bmp-withWavelet_haar-G_0.6-H1e-005_af2.wfa    | haar    | af2 | 0.6 | 0.00001 | 24576 | 8192 | 8192 | 33 | 35088 | 264 | 264 | 87.438  | 35616 | 4.347656 |
| peppers32.bmp | peppers32.bmp-withWavelet_rbio1.1-G_0.6-H1e-005_af2.wfa | rbio1.1 | af2 | 0.6 | 0.00001 | 24576 | 8192 | 8192 | 33 | 35088 | 264 | 264 | 80      | 35616 | 4.347656 |
| peppers32.bmp | peppers32.bmp-withWavelet_sym1-G_0.6-H1e-005_af2.wfa    | sym1    | af2 | 0.6 | 0.00001 | 24576 | 8192 | 8192 | 33 | 35088 | 264 | 264 | 79.125  | 35616 | 4.347656 |
| peppers32.bmp | peppers32.bmp-withWavelet_bior1.1-G_0.6-H1e-005_af2.wfa | bior1.1 | af2 | 0.6 | 0.00001 | 24576 | 8192 | 8192 | 33 | 35088 | 264 | 264 | 80.438  | 35616 | 4.347656 |
| peppers32.bmp | peppers32.bmp-G_0.6-H1e-005_af3.wfa                     |         | af3 | 0.6 | 0.00001 | 24576 | 8192 |      | 32 | 33008 | 256 | 256 | 85.891  | 33520 | 4.091797 |
| peppers32.bmp | peppers32.bmp-withWavelet_haar-G_0.6-H1e-005_af3.wfa    | haar    | af3 | 0.6 | 0.00001 | 24576 | 8192 | 8192 | 37 | 44048 | 296 | 296 | 119.438 | 44640 | 5.449219 |
| peppers32.bmp | peppers32.bmp-withWavelet_rbio1.1-G_0.6-H1e-005_af3.wfa | rbio1.1 | af3 | 0.6 | 0.00001 | 24576 | 8192 | 8192 | 37 | 44048 | 296 | 296 | 119.141 | 44640 | 5.449219 |
| peppers32.bmp | peppers32.bmp-withWavelet_sym1-G_0.6-H1e-005_af3.wfa    | sym1    | af3 | 0.6 | 0.00001 | 24576 | 8192 | 8192 | 37 | 44048 | 296 | 296 | 120.281 | 44640 | 5.449219 |
| peppers32.bmp | peppers32.bmp-withWavelet_bior1.1-G_0.6-H1e-005_af3.wfa | bior1.1 | af3 | 0.6 | 0.00001 | 24576 | 8192 | 8192 | 37 | 44048 | 296 | 296 | 118.625 | 44640 | 5.449219 |
| peppers32.bmp | peppers32.bmp-G_0.6-H1e-005_af4.wfa                     |         | af4 | 0.6 | 0.00001 | 24576 | 8192 |      | 5  | 1040  | 40  | 40  | 28.328  | 1120  | 0.136719 |
| peppers32.bmp | peppers32.bmp-withWavelet_haar-G_0.6-H1e-005_af4.wfa    | haar    | af4 | 0.6 | 0.00001 | 24576 | 8192 | 8192 | 37 | 44048 | 296 | 296 | 207.969 | 44640 | 5.449219 |
| peppers32.bmp | peppers32.bmp-withWavelet_rbio1.1-G_0.6-H1e-005_af4.wfa | rbio1.1 | af4 | 0.6 | 0.00001 | 24576 | 8192 | 8192 | 37 | 44048 | 296 | 296 | 206.531 | 44640 | 5.449219 |
| peppers32.bmp | peppers32.bmp-withWavelet_sym1-G_0.6-H1e-005_af4.wfa    | sym1    | af4 | 0.6 | 0.00001 | 24576 | 8192 | 8192 | 37 | 44048 | 296 | 296 | 212.25  | 44640 | 5.449219 |
| peppers32.bmp | peppers32.bmp-withWavelet_bior1.1-G_0.6-H1e-005_af4.wfa | bior1.1 | af4 | 0.6 | 0.00001 | 24576 | 8192 | 8192 | 37 | 44048 | 296 | 296 | 207.5   | 44640 | 5.449219 |
| peppers32.bmp | peppers32.bmp-G_0.6-H1e-005_af5.wfa                     |         | af5 | 0.6 | 0.00001 | 24576 | 8192 |      | 35 | 39440 | 280 | 280 | 36.829  | 40000 | 4.882813 |
| peppers32.bmp | peppers32.bmp-withWavelet_haar-G_0.6-H1e-005_af5.wfa    | haar    | af5 | 0.6 | 0.00001 | 24576 | 8192 | 8192 | 28 | 25328 | 224 | 224 | 34.687  | 25776 | 3.146484 |

|               |   |         |     |     |         |       |      |      |    |       |     |     |         |       |          |
|---------------|---|---------|-----|-----|---------|-------|------|------|----|-------|-----|-----|---------|-------|----------|
| peppers32.bmp | peppers32.bmp-withWavelet_rbio1.1-G_0.6-H1e-005_af5.wfa | rbio1.1 | af5 | 0.6 | 0.00001 | 24576 | 8192 | 8192 | 28 | 25328 | 224 | 224 | 34.438  | 25776 | 3.146484 |
| peppers32.bmp | peppers32.bmp-withWavelet_sym1-G_0.6-H1e-005_af5.wfa    | sym1    | af5 | 0.6 | 0.00001 | 24576 | 8192 | 8192 | 28 | 25328 | 224 | 224 | 34.625  | 25776 | 3.146484 |
| peppers32.bmp | peppers32.bmp-withWavelet_bior1.1-G_0.6-H1e-005_af5.wfa | bior1.1 | af5 | 0.6 | 0.00001 | 24576 | 8192 | 8192 | 28 | 25328 | 224 | 224 | 34.781  | 25776 | 3.146484 |
| peppers32.bmp | peppers32.bmp-G_1-H2e-005_af1.wfa                       |         | af1 | 1   | 0.00002 | 24576 | 8192 |      | 34 | 37232 | 272 | 272 | 269.015 | 37776 | 4.611328 |
| peppers32.bmp | peppers32.bmp-withWavelet_haar-G_1-H2e-005_af1.wfa      | haar    | af1 | 1   | 0.00002 | 24576 | 8192 | 8192 | 36 | 41712 | 288 | 288 | 313.297 | 42288 | 5.162109 |
| peppers32.bmp | peppers32.bmp-withWavelet_rbio1.1-G_1-H2e-005_af1.wfa   | rbio1.1 | af1 | 1   | 0.00002 | 24576 | 8192 | 8192 | 36 | 41712 | 288 | 288 | 313.906 | 42288 | 5.162109 |
| peppers32.bmp | peppers32.bmp-withWavelet_sym1-G_1-H2e-005_af1.wfa      | sym1    | af1 | 1   | 0.00002 | 24576 | 8192 | 8192 | 36 | 41712 | 288 | 288 | 318.578 | 42288 | 5.162109 |
| peppers32.bmp | peppers32.bmp-withWavelet_bior1.1-G_1-H2e-005_af1.wfa   | bior1.1 | af1 | 1   | 0.00002 | 24576 | 8192 | 8192 | 36 | 41712 | 288 | 288 | 311.109 | 42288 | 5.162109 |
| peppers32.bmp | peppers32.bmp-G_1-H2e-005_af2.wfa                       |         | af2 | 1   | 0.00002 | 24576 | 8192 |      | 30 | 29040 | 240 | 240 | 207.109 | 29520 | 3.603516 |
| peppers32.bmp | peppers32.bmp-withWavelet_haar-G_1-H2e-005_af2.wfa      | haar    | af2 | 1   | 0.00002 | 24576 | 8192 | 8192 | 31 | 30992 | 248 | 248 | 186.906 | 31488 | 3.84375  |
| peppers32.bmp | peppers32.bmp-withWavelet_rbio1.1-G_1-H2e-005_af2.wfa   | rbio1.1 | af2 | 1   | 0.00002 | 24576 | 8192 | 8192 | 31 | 30992 | 248 | 248 | 186.125 | 31488 | 3.84375  |
| peppers32.bmp | peppers32.bmp-withWavelet_sym1-G_1-H2e-005_af2.wfa      | sym1    | af2 | 1   | 0.00002 | 24576 | 8192 | 8192 | 31 | 30992 | 248 | 248 | 188.922 | 31488 | 3.84375  |
| peppers32.bmp | peppers32.bmp-withWavelet_bior1.1-G_1-H2e-005_af2.wfa   | bior1.1 | af2 | 1   | 0.00002 | 24576 | 8192 | 8192 | 31 | 30992 | 248 | 248 | 191.469 | 31488 | 3.84375  |
| peppers32.bmp | peppers32.bmp-G_1-H2e-005_af3.wfa                       |         | af3 | 1   | 0.00002 | 24576 | 8192 |      | 32 | 33008 | 256 | 256 | 228.687 | 33520 | 4.091797 |
| peppers32.bmp | peppers32.bmp-withWavelet_haar-G_1-H2e-005_af3.wfa      | haar    | af3 | 1   | 0.00002 | 24576 | 8192 | 8192 | 36 | 41712 | 288 | 288 | 310.328 | 42288 | 5.162109 |
| peppers32.bmp | peppers32.bmp-withWavelet_rbio1.1-G_1-H2e-005_af3.wfa   | rbio1.1 | af3 | 1   | 0.00002 | 24576 | 8192 | 8192 | 36 | 41712 | 288 | 288 | 309.438 | 42288 | 5.162109 |
| peppers32.bmp | peppers32.bmp-withWavelet_sym1-G_1-H2e-005_af3.wfa      | sym1    | af3 | 1   | 0.00002 | 24576 | 8192 | 8192 | 36 | 41712 | 288 | 288 | 316.953 | 42288 | 5.162109 |
| peppers32.bmp | peppers32.bmp-withWavelet_bior1.1-G_1-H2e-005_af3.wfa   | bior1.1 | af3 | 1   | 0.00002 | 24576 | 8192 | 8192 | 36 | 41712 | 288 | 288 | 309.141 | 42288 | 5.162109 |
| peppers32.bmp | peppers32.bmp-G_1-H2e-005_af4.wfa                       |         | af4 | 1   | 0.00002 | 24576 | 8192 |      | 17 | 9488  | 136 | 136 | 93.828  | 9760  | 1.191406 |
| peppers32.bmp | peppers32.bmp-withWavelet_haar-G_1-H2e-005_af4.wfa      | haar    | af4 | 1   | 0.00002 | 24576 | 8192 | 8192 | 34 | 37232 | 272 | 272 | 508.093 | 37776 | 4.611328 |
| peppers32.bmp | peppers32.bmp-withWavelet_rbio1.1-G_1-H2e-005_af4.wfa   | rbio1.1 | af4 | 1   | 0.00002 | 24576 | 8192 | 8192 | 34 | 37232 | 272 | 272 | 509.985 | 37776 | 4.611328 |
| peppers32.bmp | peppers32.bmp-withWavelet_sym1-G_1-H2e-005_af4.wfa      | sym1    | af4 | 1   | 0.00002 | 24576 | 8192 | 8192 | 34 | 37232 | 272 | 272 | 507.469 | 37776 | 4.611328 |
| peppers32.bmp | peppers32.bmp-withWavelet_bior1.1-G_1-H2e-005_af4.wfa   | bior1.1 | af4 | 1   | 0.00002 | 24576 | 8192 | 8192 | 34 | 37232 | 272 | 272 | 503.813 | 37776 | 4.611328 |
| peppers32.bmp | peppers32.bmp-G_1-H2e-005_af5.wfa                       |         | af5 | 1   | 0.00002 | 24576 | 8192 |      | 30 | 29040 | 240 | 240 | 56.36   | 29520 | 3.603516 |
| peppers32.bmp | peppers32.bmp-withWavelet_haar-G_1-H2e-005_af5.wfa      | haar    | af5 | 1   | 0.00002 | 24576 | 8192 | 8192 | 23 | 17168 | 184 | 184 | 47.485  | 17536 | 2.140625 |
| peppers32.bmp | peppers32.bmp-withWavelet_rbio1.1-G_1-H2e-005_af5.wfa   | rbio1.1 | af5 | 1   | 0.00002 | 24576 | 8192 | 8192 | 23 | 17168 | 184 | 184 | 47.688  | 17536 | 2.140625 |
| peppers32.bmp | peppers32.bmp-withWavelet_sym1-G_1-H2e-005_af5.wfa      | sym1    | af5 | 1   | 0.00002 | 24576 | 8192 | 8192 | 23 | 17168 | 184 | 184 | 47.609  | 17536 | 2.140625 |
| peppers32.bmp | peppers32.bmp-withWavelet_bior1.1-G_1-H2e-005_af5.wfa   | bior1.1 | af5 | 1   | 0.00002 | 24576 | 8192 | 8192 | 23 | 17168 | 184 | 184 | 47.468  | 17536 | 2.140625 |
| peppers32.bmp | peppers32.bmp-G_0.8-H2e-005_af1.wfa                     |         | af1 | 0.8 | 0.00002 | 24576 | 8192 |      | 34 | 37232 | 272 | 272 | 136.234 | 37776 | 4.611328 |
| peppers32.bmp | peppers32.bmp-withWavelet_haar-G_0.8-H2e-005_af1.wfa    | haar    | af1 | 0.8 | 0.00002 | 24576 | 8192 | 8192 | 36 | 41712 | 288 | 288 | 155.938 | 42288 | 5.162109 |
| peppers32.bmp | peppers32.bmp-withWavelet_rbio1.1-G_0.8-H2e-005_af1.wfa | rbio1.1 | af1 | 0.8 | 0.00002 | 24576 | 8192 | 8192 | 36 | 41712 | 288 | 288 | 154.484 | 42288 | 5.162109 |



|               |   |         |     |     |         |       |      |      |    |       |     |     |         |       |          |
|---------------|---|---------|-----|-----|---------|-------|------|------|----|-------|-----|-----|---------|-------|----------|
| peppers32.bmp | peppers32.bmp-withWavelet_sym1-G_0.8-H2e-005_af1.wfa    | sym1    | af1 | 0.8 | 0.00002 | 24576 | 8192 | 8192 | 36 | 41712 | 288 | 288 | 158.485 | 42288 | 5.162109 |
| peppers32.bmp | peppers32.bmp-withWavelet_bior1.1-G_0.8-H2e-005_af1.wfa | bior1.1 | af1 | 0.8 | 0.00002 | 24576 | 8192 | 8192 | 36 | 41712 | 288 | 288 | 156.938 | 42288 | 5.162109 |
| peppers32.bmp | peppers32.bmp-G_0.8-H2e-005_af2.wfa                     |         | af2 | 0.8 | 0.00002 | 24576 | 8192 |      | 30 | 29040 | 240 | 240 | 106.078 | 29520 | 3.603516 |
| peppers32.bmp | peppers32.bmp-withWavelet_haar-G_0.8-H2e-005_af2.wfa    | haar    | af2 | 0.8 | 0.00002 | 24576 | 8192 | 8192 | 31 | 30992 | 248 | 248 | 96.75   | 31488 | 3.84375  |
| peppers32.bmp | peppers32.bmp-withWavelet_rbio1.1-G_0.8-H2e-005_af2.wfa | rbio1.1 | af2 | 0.8 | 0.00002 | 24576 | 8192 | 8192 | 31 | 30992 | 248 | 248 | 97.016  | 31488 | 3.84375  |
| peppers32.bmp | peppers32.bmp-withWavelet_sym1-G_0.8-H2e-005_af2.wfa    | sym1    | af2 | 0.8 | 0.00002 | 24576 | 8192 | 8192 | 31 | 30992 | 248 | 248 | 96.687  | 31488 | 3.84375  |
| peppers32.bmp | peppers32.bmp-withWavelet_bior1.1-G_0.8-H2e-005_af2.wfa | bior1.1 | af2 | 0.8 | 0.00002 | 24576 | 8192 | 8192 | 31 | 30992 | 248 | 248 | 96.781  | 31488 | 3.84375  |
| peppers32.bmp | peppers32.bmp-G_0.8-H2e-005_af3.wfa                     |         | af3 | 0.8 | 0.00002 | 24576 | 8192 |      | 32 | 33008 | 256 | 256 | 118.797 | 33520 | 4.091797 |
| peppers32.bmp | peppers32.bmp-withWavelet_haar-G_0.8-H2e-005_af3.wfa    | haar    | af3 | 0.8 | 0.00002 | 24576 | 8192 | 8192 | 36 | 41712 | 288 | 288 | 151.828 | 42288 | 5.162109 |
| peppers32.bmp | peppers32.bmp-withWavelet_rbio1.1-G_0.8-H2e-005_af3.wfa | rbio1.1 | af3 | 0.8 | 0.00002 | 24576 | 8192 | 8192 | 36 | 41712 | 288 | 288 | 151.172 | 42288 | 5.162109 |
| peppers32.bmp | peppers32.bmp-withWavelet_sym1-G_0.8-H2e-005_af3.wfa    | sym1    | af3 | 0.8 | 0.00002 | 24576 | 8192 | 8192 | 36 | 41712 | 288 | 288 | 150.625 | 42288 | 5.162109 |
| peppers32.bmp | peppers32.bmp-withWavelet_bior1.1-G_0.8-H2e-005_af3.wfa | bior1.1 | af3 | 0.8 | 0.00002 | 24576 | 8192 | 8192 | 36 | 41712 | 288 | 288 | 151.75  | 42288 | 5.162109 |
| peppers32.bmp | peppers32.bmp-G_0.8-H2e-005_af4.wfa                     |         | af4 | 0.8 | 0.00002 | 24576 | 8192 |      | 16 | 8432  | 128 | 128 | 53.859  | 8688  | 1.060547 |
| peppers32.bmp | peppers32.bmp-withWavelet_haar-G_0.8-H2e-005_af4.wfa    | haar    | af4 | 0.8 | 0.00002 | 24576 | 8192 | 8192 | 34 | 37232 | 272 | 272 | 241.14  | 37776 | 4.611328 |
| peppers32.bmp | peppers32.bmp-withWavelet_rbio1.1-G_0.8-H2e-005_af4.wfa | rbio1.1 | af4 | 0.8 | 0.00002 | 24576 | 8192 | 8192 | 34 | 37232 | 272 | 272 | 238.828 | 37776 | 4.611328 |
| peppers32.bmp | peppers32.bmp-withWavelet_sym1-G_0.8-H2e-005_af4.wfa    | sym1    | af4 | 0.8 | 0.00002 | 24576 | 8192 | 8192 | 34 | 37232 | 272 | 272 | 237.469 | 37776 | 4.611328 |
| peppers32.bmp | peppers32.bmp-withWavelet_bior1.1-G_0.8-H2e-005_af4.wfa | bior1.1 | af4 | 0.8 | 0.00002 | 24576 | 8192 | 8192 | 34 | 37232 | 272 | 272 | 234.687 | 37776 | 4.611328 |
| peppers32.bmp | peppers32.bmp-G_0.8-H2e-005_af5.wfa                     |         | af5 | 0.8 | 0.00002 | 24576 | 8192 |      | 30 | 29040 | 240 | 240 | 39.641  | 29520 | 3.603516 |
| peppers32.bmp | peppers32.bmp-withWavelet_haar-G_0.8-H2e-005_af5.wfa    | haar    | af5 | 0.8 | 0.00002 | 24576 | 8192 | 8192 | 23 | 17168 | 184 | 184 | 35.719  | 17536 | 2.140625 |
| peppers32.bmp | peppers32.bmp-withWavelet_rbio1.1-G_0.8-H2e-005_af5.wfa | rbio1.1 | af5 | 0.8 | 0.00002 | 24576 | 8192 | 8192 | 23 | 17168 | 184 | 184 | 35.938  | 17536 | 2.140625 |
| peppers32.bmp | peppers32.bmp-withWavelet_sym1-G_0.8-H2e-005_af5.wfa    | sym1    | af5 | 0.8 | 0.00002 | 24576 | 8192 | 8192 | 23 | 17168 | 184 | 184 | 36.234  | 17536 | 2.140625 |
| peppers32.bmp | peppers32.bmp-withWavelet_bior1.1-G_0.8-H2e-005_af5.wfa | bior1.1 | af5 | 0.8 | 0.00002 | 24576 | 8192 | 8192 | 23 | 17168 | 184 | 184 | 35.766  | 17536 | 2.140625 |
| peppers32.bmp | peppers32.bmp-G_0.6-H2e-005_af1.wfa                     |         | af1 | 0.6 | 0.00002 | 24576 | 8192 |      | 33 | 35088 | 264 | 264 | 86.719  | 35616 | 4.347656 |
| peppers32.bmp | peppers32.bmp-withWavelet_haar-G_0.6-H2e-005_af1.wfa    | haar    | af1 | 0.6 | 0.00002 | 24576 | 8192 | 8192 | 37 | 44048 | 296 | 296 | 121.438 | 44640 | 5.449219 |
| peppers32.bmp | peppers32.bmp-withWavelet_rbio1.1-G_0.6-H2e-005_af1.wfa | rbio1.1 | af1 | 0.6 | 0.00002 | 24576 | 8192 | 8192 | 37 | 44048 | 296 | 296 | 121.328 | 44640 | 5.449219 |
| peppers32.bmp | peppers32.bmp-withWavelet_sym1-G_0.6-H2e-005_af1.wfa    | sym1    | af1 | 0.6 | 0.00002 | 24576 | 8192 | 8192 | 37 | 44048 | 296 | 296 | 121     | 44640 | 5.449219 |
| peppers32.bmp | peppers32.bmp-withWavelet_bior1.1-G_0.6-H2e-005_af1.wfa | bior1.1 | af1 | 0.6 | 0.00002 | 24576 | 8192 | 8192 | 37 | 44048 | 296 | 296 | 120.063 | 44640 | 5.449219 |
| peppers32.bmp | peppers32.bmp-G_0.6-H2e-005_af2.wfa                     |         | af2 | 0.6 | 0.00002 | 24576 | 8192 |      | 28 | 25328 | 224 | 224 | 71.875  | 25776 | 3.146484 |
| peppers32.bmp | peppers32.bmp-withWavelet_haar-G_0.6-H2e-005_af2.wfa    | haar    | af2 | 0.6 | 0.00002 | 24576 | 8192 | 8192 | 32 | 33008 | 256 | 256 | 76.281  | 33520 | 4.091797 |
| peppers32.bmp | peppers32.bmp-withWavelet_rbio1.1-G_0.6-H2e-005_af2.wfa | rbio1.1 | af2 | 0.6 | 0.00002 | 24576 | 8192 | 8192 | 32 | 33008 | 256 | 256 | 76.11   | 33520 | 4.091797 |
| peppers32.bmp | peppers32.bmp-withWavelet_sym1-G_0.6-H2e-005_af2.wfa    | sym1    | af2 | 0.6 | 0.00002 | 24576 | 8192 | 8192 | 32 | 33008 | 256 | 256 | 77.063  | 33520 | 4.091797 |

|               |   |         |     |     |         |       |      |      |    |       |     |     |         |       |          |
|---------------|---|---------|-----|-----|---------|-------|------|------|----|-------|-----|-----|---------|-------|----------|
| peppers32.bmp | peppers32.bmp-withWavelet_bior1.1-G_0.6-H2e-005_af2.wfa | bior1.1 | af2 | 0.6 | 0.00002 | 24576 | 8192 | 8192 | 32 | 33008 | 256 | 256 | 76.187  | 33520 | 4.091797 |
| peppers32.bmp | peppers32.bmp-G_0.6-H2e-005_af3.wfa                     |         | af3 | 0.6 | 0.00002 | 24576 | 8192 |      | 32 | 33008 | 256 | 256 | 85.484  | 33520 | 4.091797 |
| peppers32.bmp | peppers32.bmp-withWavelet_haar-G_0.6-H2e-005_af3.wfa    | haar    | af3 | 0.6 | 0.00002 | 24576 | 8192 | 8192 | 35 | 39440 | 280 | 280 | 105.421 | 40000 | 4.882813 |
| peppers32.bmp | peppers32.bmp-withWavelet_rbio1.1-G_0.6-H2e-005_af3.wfa | rbio1.1 | af3 | 0.6 | 0.00002 | 24576 | 8192 | 8192 | 35 | 39440 | 280 | 280 | 104.907 | 40000 | 4.882813 |
| peppers32.bmp | peppers32.bmp-withWavelet_sym1-G_0.6-H2e-005_af3.wfa    | sym1    | af3 | 0.6 | 0.00002 | 24576 | 8192 | 8192 | 35 | 39440 | 280 | 280 | 105.39  | 40000 | 4.882813 |
| peppers32.bmp | peppers32.bmp-withWavelet_bior1.1-G_0.6-H2e-005_af3.wfa | bior1.1 | af3 | 0.6 | 0.00002 | 24576 | 8192 | 8192 | 35 | 39440 | 280 | 280 | 104.75  | 40000 | 4.882813 |
| peppers32.bmp | peppers32.bmp-G_0.6-H2e-005_af4.wfa                     |         | af4 | 0.6 | 0.00002 | 24576 | 8192 |      | 5  | 1040  | 40  | 40  | 28.406  | 1120  | 0.136719 |
| peppers32.bmp | peppers32.bmp-withWavelet_haar-G_0.6-H2e-005_af4.wfa    | haar    | af4 | 0.6 | 0.00002 | 24576 | 8192 | 8192 | 35 | 39440 | 280 | 280 | 185.985 | 40000 | 4.882813 |
| peppers32.bmp | peppers32.bmp-withWavelet_rbio1.1-G_0.6-H2e-005_af4.wfa | rbio1.1 | af4 | 0.6 | 0.00002 | 24576 | 8192 | 8192 | 35 | 39440 | 280 | 280 | 184.078 | 40000 | 4.882813 |
| peppers32.bmp | peppers32.bmp-withWavelet_sym1-G_0.6-H2e-005_af4.wfa    | sym1    | af4 | 0.6 | 0.00002 | 24576 | 8192 | 8192 | 35 | 39440 | 280 | 280 | 190.609 | 40000 | 4.882813 |
| peppers32.bmp | peppers32.bmp-withWavelet_bior1.1-G_0.6-H2e-005_af4.wfa | bior1.1 | af4 | 0.6 | 0.00002 | 24576 | 8192 | 8192 | 35 | 39440 | 280 | 280 | 181.047 | 40000 | 4.882813 |
| peppers32.bmp | peppers32.bmp-G_0.6-H2e-005_af5.wfa                     |         | af5 | 0.6 | 0.00002 | 24576 | 8192 |      | 30 | 29040 | 240 | 240 | 35.688  | 29520 | 3.603516 |
| peppers32.bmp | peppers32.bmp-withWavelet_haar-G_0.6-H2e-005_af5.wfa    | haar    | af5 | 0.6 | 0.00002 | 24576 | 8192 | 8192 | 23 | 17168 | 184 | 184 | 33.234  | 17536 | 2.140625 |
| peppers32.bmp | peppers32.bmp-withWavelet_rbio1.1-G_0.6-H2e-005_af5.wfa | rbio1.1 | af5 | 0.6 | 0.00002 | 24576 | 8192 | 8192 | 23 | 17168 | 184 | 184 | 33.922  | 17536 | 2.140625 |
| peppers32.bmp | peppers32.bmp-withWavelet_sym1-G_0.6-H2e-005_af5.wfa    | sym1    | af5 | 0.6 | 0.00002 | 24576 | 8192 | 8192 | 23 | 17168 | 184 | 184 | 33.015  | 17536 | 2.140625 |
| peppers32.bmp | peppers32.bmp-withWavelet_bior1.1-G_0.6-H2e-005_af5.wfa | bior1.1 | af5 | 0.6 | 0.00002 | 24576 | 8192 | 8192 | 23 | 17168 | 184 | 184 | 33      | 17536 | 2.140625 |
| peppers32.bmp | peppers32.bmp-G_1-H3e-005_af1.wfa                       |         | af1 | 1   | 0.00003 | 24576 | 8192 |      | 33 | 35088 | 264 | 264 | 255.375 | 35616 | 4.347656 |
| peppers32.bmp | peppers32.bmp-withWavelet_haar-G_1-H3e-005_af1.wfa      | haar    | af1 | 1   | 0.00003 | 24576 | 8192 | 8192 | 35 | 39440 | 280 | 280 | 306.172 | 40000 | 4.882813 |
| peppers32.bmp | peppers32.bmp-withWavelet_rbio1.1-G_1-H3e-005_af1.wfa   | rbio1.1 | af1 | 1   | 0.00003 | 24576 | 8192 | 8192 | 35 | 39440 | 280 | 280 | 300.359 | 40000 | 4.882813 |
| peppers32.bmp | peppers32.bmp-withWavelet_sym1-G_1-H3e-005_af1.wfa      | sym1    | af1 | 1   | 0.00003 | 24576 | 8192 | 8192 | 35 | 39440 | 280 | 280 | 306.14  | 40000 | 4.882813 |
| peppers32.bmp | peppers32.bmp-withWavelet_bior1.1-G_1-H3e-005_af1.wfa   | bior1.1 | af1 | 1   | 0.00003 | 24576 | 8192 | 8192 | 35 | 39440 | 280 | 280 | 303.531 | 40000 | 4.882813 |
| peppers32.bmp | peppers32.bmp-G_1-H3e-005_af2.wfa                       |         | af2 | 1   | 0.00003 | 24576 | 8192 |      | 28 | 25328 | 224 | 224 | 195.61  | 25776 | 3.146484 |
| peppers32.bmp | peppers32.bmp-withWavelet_haar-G_1-H3e-005_af2.wfa      | haar    | af2 | 1   | 0.00003 | 24576 | 8192 | 8192 | 27 | 23568 | 216 | 216 | 161.765 | 24000 | 2.929688 |
| peppers32.bmp | peppers32.bmp-withWavelet_rbio1.1-G_1-H3e-005_af2.wfa   | rbio1.1 | af2 | 1   | 0.00003 | 24576 | 8192 | 8192 | 27 | 23568 | 216 | 216 | 155.109 | 24000 | 2.929688 |
| peppers32.bmp | peppers32.bmp-withWavelet_sym1-G_1-H3e-005_af2.wfa      | sym1    | af2 | 1   | 0.00003 | 24576 | 8192 | 8192 | 27 | 23568 | 216 | 216 | 161.86  | 24000 | 2.929688 |
| peppers32.bmp | peppers32.bmp-withWavelet_bior1.1-G_1-H3e-005_af2.wfa   | bior1.1 | af2 | 1   | 0.00003 | 24576 | 8192 | 8192 | 27 | 23568 | 216 | 216 | 161.109 | 24000 | 2.929688 |
| peppers32.bmp | peppers32.bmp-G_1-H3e-005_af3.wfa                       |         | af3 | 1   | 0.00003 | 24576 | 8192 |      | 30 | 29040 | 240 | 240 | 202.859 | 29520 | 3.603516 |
| peppers32.bmp | peppers32.bmp-withWavelet_haar-G_1-H3e-005_af3.wfa      | haar    | af3 | 1   | 0.00003 | 24576 | 8192 | 8192 | 34 | 37232 | 272 | 272 | 293.594 | 37776 | 4.611328 |
| peppers32.bmp | peppers32.bmp-withWavelet_rbio1.1-G_1-H3e-005_af3.wfa   | rbio1.1 | af3 | 1   | 0.00003 | 24576 | 8192 | 8192 | 34 | 37232 | 272 | 272 | 290.813 | 37776 | 4.611328 |
| peppers32.bmp | peppers32.bmp-withWavelet_sym1-G_1-H3e-005_af3.wfa      | sym1    | af3 | 1   | 0.00003 | 24576 | 8192 | 8192 | 34 | 37232 | 272 | 272 | 292.469 | 37776 | 4.611328 |
| peppers32.bmp | peppers32.bmp-withWavelet_bior1.1-G_1-H3e-005_af3.wfa   | bior1.1 | af3 | 1   | 0.00003 | 24576 | 8192 | 8192 | 34 | 37232 | 272 | 272 | 285.532 | 37776 | 4.611328 |

|               |   |         |     |     |         |       |      |      |  |    |       |     |     |         |       |          |
|---------------|---|---------|-----|-----|---------|-------|------|------|--|----|-------|-----|-----|---------|-------|----------|
| peppers32.bmp | peppers32.bmp-G_1-H3e-005_af4.wfa                       |         | af4 | 1   | 0.00003 | 24576 | 8192 |      |  | 16 | 8432  | 128 | 128 | 89.718  | 8688  | 1.060547 |
| peppers32.bmp | peppers32.bmp-withWavelet_haar-G_1-H3e-005_af4.wfa      | haar    | af4 | 1   | 0.00003 | 24576 | 8192 | 8192 |  | 33 | 35088 | 264 | 264 | 452.734 | 35616 | 4.347656 |
| peppers32.bmp | peppers32.bmp-withWavelet_rbio1.1-G_1-H3e-005_af4.wfa   | rbio1.1 | af4 | 1   | 0.00003 | 24576 | 8192 | 8192 |  | 33 | 35088 | 264 | 264 | 475.515 | 35616 | 4.347656 |
| peppers32.bmp | peppers32.bmp-withWavelet_sym1-G_1-H3e-005_af4.wfa      | sym1    | af4 | 1   | 0.00003 | 24576 | 8192 | 8192 |  | 33 | 35088 | 264 | 264 | 477.469 | 35616 | 4.347656 |
| peppers32.bmp | peppers32.bmp-withWavelet_bior1.1-G_1-H3e-005_af4.wfa   | bior1.1 | af4 | 1   | 0.00003 | 24576 | 8192 | 8192 |  | 33 | 35088 | 264 | 264 | 485.25  | 35616 | 4.347656 |
| peppers32.bmp | peppers32.bmp-G_1-H3e-005_af5.wfa                       |         | af5 | 1   | 0.00003 | 24576 | 8192 |      |  | 30 | 29040 | 240 | 240 | 56.078  | 29520 | 3.603516 |
| peppers32.bmp | peppers32.bmp-withWavelet_haar-G_1-H3e-005_af5.wfa      | haar    | af5 | 1   | 0.00003 | 24576 | 8192 | 8192 |  | 19 | 11792 | 152 | 152 | 43.36   | 12096 | 1.476563 |
| peppers32.bmp | peppers32.bmp-withWavelet_rbio1.1-G_1-H3e-005_af5.wfa   | rbio1.1 | af5 | 1   | 0.00003 | 24576 | 8192 | 8192 |  | 19 | 11792 | 152 | 152 | 43.078  | 12096 | 1.476563 |
| peppers32.bmp | peppers32.bmp-withWavelet_sym1-G_1-H3e-005_af5.wfa      | sym1    | af5 | 1   | 0.00003 | 24576 | 8192 | 8192 |  | 19 | 11792 | 152 | 152 | 43      | 12096 | 1.476563 |
| peppers32.bmp | peppers32.bmp-withWavelet_bior1.1-G_1-H3e-005_af5.wfa   | bior1.1 | af5 | 1   | 0.00003 | 24576 | 8192 | 8192 |  | 19 | 11792 | 152 | 152 | 43.031  | 12096 | 1.476563 |
| peppers32.bmp | peppers32.bmp-G_0.8-H3e-005_af1.wfa                     |         | af1 | 0.8 | 0.00003 | 24576 | 8192 |      |  | 33 | 35088 | 264 | 264 | 128.078 | 35616 | 4.347656 |
| peppers32.bmp | peppers32.bmp-withWavelet_haar-G_0.8-H3e-005_af1.wfa    | haar    | af1 | 0.8 | 0.00003 | 24576 | 8192 | 8192 |  | 35 | 39440 | 280 | 280 | 144.813 | 40000 | 4.882813 |
| peppers32.bmp | peppers32.bmp-withWavelet_rbio1.1-G_0.8-H3e-005_af1.wfa | rbio1.1 | af1 | 0.8 | 0.00003 | 24576 | 8192 | 8192 |  | 35 | 39440 | 280 | 280 | 145.203 | 40000 | 4.882813 |
| peppers32.bmp | peppers32.bmp-withWavelet_sym1-G_0.8-H3e-005_af1.wfa    | sym1    | af1 | 0.8 | 0.00003 | 24576 | 8192 | 8192 |  | 35 | 39440 | 280 | 280 | 144.594 | 40000 | 4.882813 |
| peppers32.bmp | peppers32.bmp-withWavelet_bior1.1-G_0.8-H3e-005_af1.wfa | bior1.1 | af1 | 0.8 | 0.00003 | 24576 | 8192 | 8192 |  | 35 | 39440 | 280 | 280 | 146.265 | 40000 | 4.882813 |
| peppers32.bmp | peppers32.bmp-G_0.8-H3e-005_af2.wfa                     |         | af2 | 0.8 | 0.00003 | 24576 | 8192 |      |  | 28 | 25328 | 224 | 224 | 99.344  | 25776 | 3.146484 |
| peppers32.bmp | peppers32.bmp-withWavelet_haar-G_0.8-H3e-005_af2.wfa    | haar    | af2 | 0.8 | 0.00003 | 24576 | 8192 | 8192 |  | 28 | 25328 | 224 | 224 | 88.687  | 25776 | 3.146484 |
| peppers32.bmp | peppers32.bmp-withWavelet_rbio1.1-G_0.8-H3e-005_af2.wfa | rbio1.1 | af2 | 0.8 | 0.00003 | 24576 | 8192 | 8192 |  | 28 | 25328 | 224 | 224 | 88.265  | 25776 | 3.146484 |
| peppers32.bmp | peppers32.bmp-withWavelet_sym1-G_0.8-H3e-005_af2.wfa    | sym1    | af2 | 0.8 | 0.00003 | 24576 | 8192 | 8192 |  | 28 | 25328 | 224 | 224 | 88.968  | 25776 | 3.146484 |
| peppers32.bmp | peppers32.bmp-withWavelet_bior1.1-G_0.8-H3e-005_af2.wfa | bior1.1 | af2 | 0.8 | 0.00003 | 24576 | 8192 | 8192 |  | 28 | 25328 | 224 | 224 | 88.672  | 25776 | 3.146484 |
| peppers32.bmp | peppers32.bmp-G_0.8-H3e-005_af3.wfa                     |         | af3 | 0.8 | 0.00003 | 24576 | 8192 |      |  | 30 | 29040 | 240 | 240 | 101.391 | 29520 | 3.603516 |
| peppers32.bmp | peppers32.bmp-withWavelet_haar-G_0.8-H3e-005_af3.wfa    | haar    | af3 | 0.8 | 0.00003 | 24576 | 8192 | 8192 |  | 34 | 37232 | 272 | 272 | 138.313 | 37776 | 4.611328 |
| peppers32.bmp | peppers32.bmp-withWavelet_rbio1.1-G_0.8-H3e-005_af3.wfa | rbio1.1 | af3 | 0.8 | 0.00003 | 24576 | 8192 | 8192 |  | 34 | 37232 | 272 | 272 | 139.532 | 37776 | 4.611328 |
| peppers32.bmp | peppers32.bmp-withWavelet_sym1-G_0.8-H3e-005_af3.wfa    | sym1    | af3 | 0.8 | 0.00003 | 24576 | 8192 | 8192 |  | 34 | 37232 | 272 | 272 | 139.844 | 37776 | 4.611328 |
| peppers32.bmp | peppers32.bmp-withWavelet_bior1.1-G_0.8-H3e-005_af3.wfa | bior1.1 | af3 | 0.8 | 0.00003 | 24576 | 8192 | 8192 |  | 34 | 37232 | 272 | 272 | 138.078 | 37776 | 4.611328 |
| peppers32.bmp | peppers32.bmp-G_0.8-H3e-005_af4.wfa                     |         | af4 | 0.8 | 0.00003 | 24576 | 8192 |      |  | 16 | 8432  | 128 | 128 | 53.219  | 8688  | 1.060547 |
| peppers32.bmp | peppers32.bmp-withWavelet_haar-G_0.8-H3e-005_af4.wfa    | haar    | af4 | 0.8 | 0.00003 | 24576 | 8192 | 8192 |  | 33 | 35088 | 264 | 264 | 219.391 | 35616 | 4.347656 |
| peppers32.bmp | peppers32.bmp-withWavelet_rbio1.1-G_0.8-H3e-005_af4.wfa | rbio1.1 | af4 | 0.8 | 0.00003 | 24576 | 8192 | 8192 |  | 33 | 35088 | 264 | 264 | 217.36  | 35616 | 4.347656 |
| peppers32.bmp | peppers32.bmp-withWavelet_sym1-G_0.8-H3e-005_af4.wfa    | sym1    | af4 | 0.8 | 0.00003 | 24576 | 8192 | 8192 |  | 33 | 35088 | 264 | 264 | 218.906 | 35616 | 4.347656 |
| peppers32.bmp | peppers32.bmp-withWavelet_bior1.1-G_0.8-H3e-005_af4.wfa | bior1.1 | af4 | 0.8 | 0.00003 | 24576 | 8192 | 8192 |  | 33 | 35088 | 264 | 264 | 212.313 | 35616 | 4.347656 |
| peppers32.bmp | peppers32.bmp-G_0.8-H3e-005_af5.wfa                     |         | af5 | 0.8 | 0.00003 | 24576 | 8192 |      |  | 29 | 27152 | 232 | 232 | 39.172  | 27616 | 3.371094 |

|               |   |         |     |     |         |       |      |      |    |       |     |     |         |       |          |
|---------------|---|---------|-----|-----|---------|-------|------|------|----|-------|-----|-----|---------|-------|----------|
| peppers32.bmp | peppers32.bmp-withWavelet_haar-G_0.8-H3e-005_af5.wfa    | haar    | af5 | 0.8 | 0.00003 | 24576 | 8192 | 8192 | 19 | 11792 | 152 | 152 | 33.547  | 12096 | 1.476563 |
| peppers32.bmp | peppers32.bmp-withWavelet_rbio1.1-G_0.8-H3e-005_af5.wfa | rbio1.1 | af5 | 0.8 | 0.00003 | 24576 | 8192 | 8192 | 19 | 11792 | 152 | 152 | 33.75   | 12096 | 1.476563 |
| peppers32.bmp | peppers32.bmp-withWavelet_sym1-G_0.8-H3e-005_af5.wfa    | sym1    | af5 | 0.8 | 0.00003 | 24576 | 8192 | 8192 | 19 | 11792 | 152 | 152 | 33.781  | 12096 | 1.476563 |
| peppers32.bmp | peppers32.bmp-withWavelet_bior1.1-G_0.8-H3e-005_af5.wfa | bior1.1 | af5 | 0.8 | 0.00003 | 24576 | 8192 | 8192 | 19 | 11792 | 152 | 152 | 33.766  | 12096 | 1.476563 |
| peppers32.bmp | peppers32.bmp-G_0.6-H3e-005_af1.wfa                     |         | af1 | 0.6 | 0.00003 | 24576 | 8192 |      | 30 | 29040 | 240 | 240 | 75.313  | 29520 | 3.603516 |
| peppers32.bmp | peppers32.bmp-withWavelet_haar-G_0.6-H3e-005_af1.wfa    | haar    | af1 | 0.6 | 0.00003 | 24576 | 8192 | 8192 | 35 | 39440 | 280 | 280 | 104.297 | 40000 | 4.882813 |
| peppers32.bmp | peppers32.bmp-withWavelet_rbio1.1-G_0.6-H3e-005_af1.wfa | rbio1.1 | af1 | 0.6 | 0.00003 | 24576 | 8192 | 8192 | 35 | 39440 | 280 | 280 | 105.437 | 40000 | 4.882813 |
| peppers32.bmp | peppers32.bmp-withWavelet_sym1-G_0.6-H3e-005_af1.wfa    | sym1    | af1 | 0.6 | 0.00003 | 24576 | 8192 | 8192 | 35 | 39440 | 280 | 280 | 106.359 | 40000 | 4.882813 |
| peppers32.bmp | peppers32.bmp-withWavelet_bior1.1-G_0.6-H3e-005_af1.wfa | bior1.1 | af1 | 0.6 | 0.00003 | 24576 | 8192 | 8192 | 35 | 39440 | 280 | 280 | 104.344 | 40000 | 4.882813 |
| peppers32.bmp | peppers32.bmp-G_0.6-H3e-005_af2.wfa                     |         | af2 | 0.6 | 0.00003 | 24576 | 8192 |      | 28 | 25328 | 224 | 224 | 71.656  | 25776 | 3.146484 |
| peppers32.bmp | peppers32.bmp-withWavelet_haar-G_0.6-H3e-005_af2.wfa    | haar    | af2 | 0.6 | 0.00003 | 24576 | 8192 | 8192 | 28 | 25328 | 224 | 224 | 65.875  | 25776 | 3.146484 |
| peppers32.bmp | peppers32.bmp-withWavelet_rbio1.1-G_0.6-H3e-005_af2.wfa | rbio1.1 | af2 | 0.6 | 0.00003 | 24576 | 8192 | 8192 | 28 | 25328 | 224 | 224 | 65.719  | 25776 | 3.146484 |
| peppers32.bmp | peppers32.bmp-withWavelet_sym1-G_0.6-H3e-005_af2.wfa    | sym1    | af2 | 0.6 | 0.00003 | 24576 | 8192 | 8192 | 28 | 25328 | 224 | 224 | 65.985  | 25776 | 3.146484 |
| peppers32.bmp | peppers32.bmp-withWavelet_bior1.1-G_0.6-H3e-005_af2.wfa | bior1.1 | af2 | 0.6 | 0.00003 | 24576 | 8192 | 8192 | 28 | 25328 | 224 | 224 | 66.437  | 25776 | 3.146484 |
| peppers32.bmp | peppers32.bmp-G_0.6-H3e-005_af3.wfa                     |         | af3 | 0.6 | 0.00003 | 24576 | 8192 |      | 30 | 29040 | 240 | 240 | 77.203  | 29520 | 3.603516 |
| peppers32.bmp | peppers32.bmp-withWavelet_haar-G_0.6-H3e-005_af3.wfa    | haar    | af3 | 0.6 | 0.00003 | 24576 | 8192 | 8192 | 34 | 37232 | 272 | 272 | 98.297  | 37776 | 4.611328 |
| peppers32.bmp | peppers32.bmp-withWavelet_rbio1.1-G_0.6-H3e-005_af3.wfa | rbio1.1 | af3 | 0.6 | 0.00003 | 24576 | 8192 | 8192 | 34 | 37232 | 272 | 272 | 99.39   | 37776 | 4.611328 |
| peppers32.bmp | peppers32.bmp-withWavelet_sym1-G_0.6-H3e-005_af3.wfa    | sym1    | af3 | 0.6 | 0.00003 | 24576 | 8192 | 8192 | 34 | 37232 | 272 | 272 | 99.781  | 37776 | 4.611328 |
| peppers32.bmp | peppers32.bmp-withWavelet_bior1.1-G_0.6-H3e-005_af3.wfa | bior1.1 | af3 | 0.6 | 0.00003 | 24576 | 8192 | 8192 | 34 | 37232 | 272 | 272 | 98.671  | 37776 | 4.611328 |
| peppers32.bmp | peppers32.bmp-G_0.6-H3e-005_af4.wfa                     |         | af4 | 0.6 | 0.00003 | 24576 | 8192 |      | 5  | 1040  | 40  | 40  | 28.719  | 1120  | 0.136719 |
| peppers32.bmp | peppers32.bmp-withWavelet_haar-G_0.6-H3e-005_af4.wfa    | haar    | af4 | 0.6 | 0.00003 | 24576 | 8192 | 8192 | 34 | 37232 | 272 | 272 | 175.75  | 37776 | 4.611328 |
| peppers32.bmp | peppers32.bmp-withWavelet_rbio1.1-G_0.6-H3e-005_af4.wfa | rbio1.1 | af4 | 0.6 | 0.00003 | 24576 | 8192 | 8192 | 34 | 37232 | 272 | 272 | 173.016 | 37776 | 4.611328 |
| peppers32.bmp | peppers32.bmp-withWavelet_sym1-G_0.6-H3e-005_af4.wfa    | sym1    | af4 | 0.6 | 0.00003 | 24576 | 8192 | 8192 | 34 | 37232 | 272 | 272 | 184.5   | 37776 | 4.611328 |
| peppers32.bmp | peppers32.bmp-withWavelet_bior1.1-G_0.6-H3e-005_af4.wfa | bior1.1 | af4 | 0.6 | 0.00003 | 24576 | 8192 | 8192 | 34 | 37232 | 272 | 272 | 183.875 | 37776 | 4.611328 |
| peppers32.bmp | peppers32.bmp-G_0.6-H3e-005_af5.wfa                     |         | af5 | 0.6 | 0.00003 | 24576 | 8192 |      | 28 | 25328 | 224 | 224 | 35.906  | 25776 | 3.146484 |
| peppers32.bmp | peppers32.bmp-withWavelet_haar-G_0.6-H3e-005_af5.wfa    | haar    | af5 | 0.6 | 0.00003 | 24576 | 8192 | 8192 | 21 | 14352 | 168 | 168 | 32.937  | 14688 | 1.792969 |
| peppers32.bmp | peppers32.bmp-withWavelet_rbio1.1-G_0.6-H3e-005_af5.wfa | rbio1.1 | af5 | 0.6 | 0.00003 | 24576 | 8192 | 8192 | 21 | 14352 | 168 | 168 | 32.813  | 14688 | 1.792969 |
| peppers32.bmp | peppers32.bmp-withWavelet_sym1-G_0.6-H3e-005_af5.wfa    | sym1    | af5 | 0.6 | 0.00003 | 24576 | 8192 | 8192 | 21 | 14352 | 168 | 168 | 33.016  | 14688 | 1.792969 |
| peppers32.bmp | peppers32.bmp-withWavelet_bior1.1-G_0.6-H3e-005_af5.wfa | bior1.1 | af5 | 0.6 | 0.00003 | 24576 | 8192 | 8192 | 21 | 14352 | 168 | 168 | 33.125  | 14688 | 1.792969 |
| peppers32.bmp | peppers32.bmp-G_1-H4e-005_af1.wfa                       |         | af1 | 1   | 0.00004 | 24576 | 8192 |      | 33 | 35088 | 264 | 264 | 255.14  | 35616 | 4.347656 |
| peppers32.bmp | peppers32.bmp-withWavelet_haar-G_1-H4e-005_af1.wfa      | haar    | af1 | 1   | 0.00004 | 24576 | 8192 | 8192 | 34 | 37232 | 272 | 272 | 268.75  | 37776 | 4.611328 |

|               |   |         |     |     |         |       |      |      |    |       |     |     |         |       |          |
|---------------|---|---------|-----|-----|---------|-------|------|------|----|-------|-----|-----|---------|-------|----------|
| peppers32.bmp | peppers32.bmp-withWavelet_rbio1.1-G_1-H4e-005_af1.wfa   | rbio1.1 | af1 | 1   | 0.00004 | 24576 | 8192 | 8192 | 34 | 37232 | 272 | 272 | 268.016 | 37776 | 4.611328 |
| peppers32.bmp | peppers32.bmp-withWavelet_sym1-G_1-H4e-005_af1.wfa      | sym1    | af1 | 1   | 0.00004 | 24576 | 8192 | 8192 | 34 | 37232 | 272 | 272 | 268.438 | 37776 | 4.611328 |
| peppers32.bmp | peppers32.bmp-withWavelet_bior1.1-G_1-H4e-005_af1.wfa   | bior1.1 | af1 | 1   | 0.00004 | 24576 | 8192 | 8192 | 34 | 37232 | 272 | 272 | 269.343 | 37776 | 4.611328 |
| peppers32.bmp | peppers32.bmp-G_1-H4e-005_af2.wfa                       |         | af2 | 1   | 0.00004 | 24576 | 8192 |      | 27 | 23568 | 216 | 216 | 182.344 | 24000 | 2.929688 |
| peppers32.bmp | peppers32.bmp-withWavelet_haar-G_1-H4e-005_af2.wfa      | haar    | af2 | 1   | 0.00004 | 24576 | 8192 | 8192 | 26 | 21872 | 208 | 208 | 156.281 | 22288 | 2.720703 |
| peppers32.bmp | peppers32.bmp-withWavelet_rbio1.1-G_1-H4e-005_af2.wfa   | rbio1.1 | af2 | 1   | 0.00004 | 24576 | 8192 | 8192 | 26 | 21872 | 208 | 208 | 158.828 | 22288 | 2.720703 |
| peppers32.bmp | peppers32.bmp-withWavelet_sym1-G_1-H4e-005_af2.wfa      | sym1    | af2 | 1   | 0.00004 | 24576 | 8192 | 8192 | 26 | 21872 | 208 | 208 | 164.671 | 22288 | 2.720703 |
| peppers32.bmp | peppers32.bmp-withWavelet_bior1.1-G_1-H4e-005_af2.wfa   | bior1.1 | af2 | 1   | 0.00004 | 24576 | 8192 | 8192 | 26 | 21872 | 208 | 208 | 155.75  | 22288 | 2.720703 |
| peppers32.bmp | peppers32.bmp-G_1-H4e-005_af3.wfa                       |         | af3 | 1   | 0.00004 | 24576 | 8192 |      | 28 | 25328 | 224 | 224 | 179.375 | 25776 | 3.146484 |
| peppers32.bmp | peppers32.bmp-withWavelet_haar-G_1-H4e-005_af3.wfa      | haar    | af3 | 1   | 0.00004 | 24576 | 8192 | 8192 | 32 | 33008 | 256 | 256 | 247.421 | 33520 | 4.091797 |
| peppers32.bmp | peppers32.bmp-withWavelet_rbio1.1-G_1-H4e-005_af3.wfa   | rbio1.1 | af3 | 1   | 0.00004 | 24576 | 8192 | 8192 | 32 | 33008 | 256 | 256 | 242.14  | 33520 | 4.091797 |
| peppers32.bmp | peppers32.bmp-withWavelet_sym1-G_1-H4e-005_af3.wfa      | sym1    | af3 | 1   | 0.00004 | 24576 | 8192 | 8192 | 32 | 33008 | 256 | 256 | 244.281 | 33520 | 4.091797 |
| peppers32.bmp | peppers32.bmp-withWavelet_bior1.1-G_1-H4e-005_af3.wfa   | bior1.1 | af3 | 1   | 0.00004 | 24576 | 8192 | 8192 | 32 | 33008 | 256 | 256 | 242.844 | 33520 | 4.091797 |
| peppers32.bmp | peppers32.bmp-G_1-H4e-005_af4.wfa                       |         | af4 | 1   | 0.00004 | 24576 | 8192 |      | 16 | 8432  | 128 | 128 | 90.032  | 8688  | 1.060547 |
| peppers32.bmp | peppers32.bmp-withWavelet_haar-G_1-H4e-005_af4.wfa      | haar    | af4 | 1   | 0.00004 | 24576 | 8192 | 8192 | 31 | 30992 | 248 | 248 | 412.125 | 31488 | 3.84375  |
| peppers32.bmp | peppers32.bmp-withWavelet_rbio1.1-G_1-H4e-005_af4.wfa   | rbio1.1 | af4 | 1   | 0.00004 | 24576 | 8192 | 8192 | 31 | 30992 | 248 | 248 | 412.625 | 31488 | 3.84375  |
| peppers32.bmp | peppers32.bmp-withWavelet_sym1-G_1-H4e-005_af4.wfa      | sym1    | af4 | 1   | 0.00004 | 24576 | 8192 | 8192 | 31 | 30992 | 248 | 248 | 397.938 | 31488 | 3.84375  |
| peppers32.bmp | peppers32.bmp-withWavelet_bior1.1-G_1-H4e-005_af4.wfa   | bior1.1 | af4 | 1   | 0.00004 | 24576 | 8192 | 8192 | 31 | 30992 | 248 | 248 | 392.703 | 31488 | 3.84375  |
| peppers32.bmp | peppers32.bmp-G_1-H4e-005_af5.wfa                       |         | af5 | 1   | 0.00004 | 24576 | 8192 |      | 27 | 23568 | 216 | 216 | 57.25   | 24000 | 2.929688 |
| peppers32.bmp | peppers32.bmp-withWavelet_haar-G_1-H4e-005_af5.wfa      | haar    | af5 | 1   | 0.00004 | 24576 | 8192 | 8192 | 20 | 13040 | 160 | 160 | 44.672  | 13360 | 1.630859 |
| peppers32.bmp | peppers32.bmp-withWavelet_rbio1.1-G_1-H4e-005_af5.wfa   | rbio1.1 | af5 | 1   | 0.00004 | 24576 | 8192 | 8192 | 20 | 13040 | 160 | 160 | 45.14   | 13360 | 1.630859 |
| peppers32.bmp | peppers32.bmp-withWavelet_sym1-G_1-H4e-005_af5.wfa      | sym1    | af5 | 1   | 0.00004 | 24576 | 8192 | 8192 | 20 | 13040 | 160 | 160 | 43.563  | 13360 | 1.630859 |
| peppers32.bmp | peppers32.bmp-withWavelet_bior1.1-G_1-H4e-005_af5.wfa   | bior1.1 | af5 | 1   | 0.00004 | 24576 | 8192 | 8192 | 20 | 13040 | 160 | 160 | 44.297  | 13360 | 1.630859 |
| peppers32.bmp | peppers32.bmp-G_0.8-H4e-005_af1.wfa                     |         | af1 | 0.8 | 0.00004 | 24576 | 8192 |      | 33 | 35088 | 264 | 264 | 129.453 | 35616 | 4.347656 |
| peppers32.bmp | peppers32.bmp-withWavelet_haar-G_0.8-H4e-005_af1.wfa    | haar    | af1 | 0.8 | 0.00004 | 24576 | 8192 | 8192 | 34 | 37232 | 272 | 272 | 133.437 | 37776 | 4.611328 |
| peppers32.bmp | peppers32.bmp-withWavelet_rbio1.1-G_0.8-H4e-005_af1.wfa | rbio1.1 | af1 | 0.8 | 0.00004 | 24576 | 8192 | 8192 | 34 | 37232 | 272 | 272 | 131.843 | 37776 | 4.611328 |
| peppers32.bmp | peppers32.bmp-withWavelet_sym1-G_0.8-H4e-005_af1.wfa    | sym1    | af1 | 0.8 | 0.00004 | 24576 | 8192 | 8192 | 34 | 37232 | 272 | 272 | 132     | 37776 | 4.611328 |
| peppers32.bmp | peppers32.bmp-withWavelet_bior1.1-G_0.8-H4e-005_af1.wfa | bior1.1 | af1 | 0.8 | 0.00004 | 24576 | 8192 | 8192 | 34 | 37232 | 272 | 272 | 133.25  | 37776 | 4.611328 |
| peppers32.bmp | peppers32.bmp-G_0.8-H4e-005_af2.wfa                     |         | af2 | 0.8 | 0.00004 | 24576 | 8192 |      | 27 | 23568 | 216 | 216 | 92.735  | 24000 | 2.929688 |
| peppers32.bmp | peppers32.bmp-withWavelet_haar-G_0.8-H4e-005_af2.wfa    | haar    | af2 | 0.8 | 0.00004 | 24576 | 8192 | 8192 | 25 | 20240 | 200 | 200 | 78.562  | 20640 | 2.519531 |
| peppers32.bmp | peppers32.bmp-withWavelet_rbio1.1-G_0.8-H4e-005_af2.wfa | rbio1.1 | af2 | 0.8 | 0.00004 | 24576 | 8192 | 8192 | 25 | 20240 | 200 | 200 | 78.813  | 20640 | 2.519531 |

|               |   |         |     |     |         |       |      |      |    |       |     |     |         |       |          |
|---------------|---|---------|-----|-----|---------|-------|------|------|----|-------|-----|-----|---------|-------|----------|
| peppers32.bmp | peppers32.bmp-withWavelet_sym1-G_0.8-H4e-005_af2.wfa    | sym1    | af2 | 0.8 | 0.00004 | 24576 | 8192 | 8192 | 25 | 20240 | 200 | 200 | 78.781  | 20640 | 2.519531 |
| peppers32.bmp | peppers32.bmp-withWavelet_bior1.1-G_0.8-H4e-005_af2.wfa | bior1.1 | af2 | 0.8 | 0.00004 | 24576 | 8192 | 8192 | 25 | 20240 | 200 | 200 | 79.5    | 20640 | 2.519531 |
| peppers32.bmp | peppers32.bmp-G_0.8-H4e-005_af3.wfa                     |         | af3 | 0.8 | 0.00004 | 24576 | 8192 |      | 28 | 25328 | 224 | 224 | 91.485  | 25776 | 3.146484 |
| peppers32.bmp | peppers32.bmp-withWavelet_haar-G_0.8-H4e-005_af3.wfa    | haar    | af3 | 0.8 | 0.00004 | 24576 | 8192 | 8192 | 31 | 30992 | 248 | 248 | 110.172 | 31488 | 3.84375  |
| peppers32.bmp | peppers32.bmp-withWavelet_rbio1.1-G_0.8-H4e-005_af3.wfa | rbio1.1 | af3 | 0.8 | 0.00004 | 24576 | 8192 | 8192 | 31 | 30992 | 248 | 248 | 111.047 | 31488 | 3.84375  |
| peppers32.bmp | peppers32.bmp-withWavelet_sym1-G_0.8-H4e-005_af3.wfa    | sym1    | af3 | 0.8 | 0.00004 | 24576 | 8192 | 8192 | 31 | 30992 | 248 | 248 | 110.828 | 31488 | 3.84375  |
| peppers32.bmp | peppers32.bmp-withWavelet_bior1.1-G_0.8-H4e-005_af3.wfa | bior1.1 | af3 | 0.8 | 0.00004 | 24576 | 8192 | 8192 | 31 | 30992 | 248 | 248 | 111     | 31488 | 3.84375  |
| peppers32.bmp | peppers32.bmp-G_0.8-H4e-005_af4.wfa                     |         | af4 | 0.8 | 0.00004 | 24576 | 8192 |      | 16 | 8432  | 128 | 128 | 53.469  | 8688  | 1.060547 |
| peppers32.bmp | peppers32.bmp-withWavelet_haar-G_0.8-H4e-005_af4.wfa    | haar    | af4 | 0.8 | 0.00004 | 24576 | 8192 | 8192 | 32 | 33008 | 256 | 256 | 215.328 | 33520 | 4.091797 |
| peppers32.bmp | peppers32.bmp-withWavelet_rbio1.1-G_0.8-H4e-005_af4.wfa | rbio1.1 | af4 | 0.8 | 0.00004 | 24576 | 8192 | 8192 | 32 | 33008 | 256 | 256 | 205.703 | 33520 | 4.091797 |
| peppers32.bmp | peppers32.bmp-withWavelet_sym1-G_0.8-H4e-005_af4.wfa    | sym1    | af4 | 0.8 | 0.00004 | 24576 | 8192 | 8192 | 32 | 33008 | 256 | 256 | 208.281 | 33520 | 4.091797 |
| peppers32.bmp | peppers32.bmp-withWavelet_bior1.1-G_0.8-H4e-005_af4.wfa | bior1.1 | af4 | 0.8 | 0.00004 | 24576 | 8192 | 8192 | 32 | 33008 | 256 | 256 | 206.89  | 33520 | 4.091797 |
| peppers32.bmp | peppers32.bmp-G_0.8-H4e-005_af5.wfa                     |         | af5 | 0.8 | 0.00004 | 24576 | 8192 |      | 27 | 23568 | 216 | 216 | 37.891  | 24000 | 2.929688 |
| peppers32.bmp | peppers32.bmp-withWavelet_haar-G_0.8-H4e-005_af5.wfa    | haar    | af5 | 0.8 | 0.00004 | 24576 | 8192 | 8192 | 20 | 13040 | 160 | 160 | 34.079  | 13360 | 1.630859 |
| peppers32.bmp | peppers32.bmp-withWavelet_rbio1.1-G_0.8-H4e-005_af5.wfa | rbio1.1 | af5 | 0.8 | 0.00004 | 24576 | 8192 | 8192 | 20 | 13040 | 160 | 160 | 34.969  | 13360 | 1.630859 |
| peppers32.bmp | peppers32.bmp-withWavelet_sym1-G_0.8-H4e-005_af5.wfa    | sym1    | af5 | 0.8 | 0.00004 | 24576 | 8192 | 8192 | 20 | 13040 | 160 | 160 | 34.438  | 13360 | 1.630859 |
| peppers32.bmp | peppers32.bmp-withWavelet_bior1.1-G_0.8-H4e-005_af5.wfa | bior1.1 | af5 | 0.8 | 0.00004 | 24576 | 8192 | 8192 | 20 | 13040 | 160 | 160 | 34.344  | 13360 | 1.630859 |
| peppers32.bmp | peppers32.bmp-G_0.6-H4e-005_af1.wfa                     |         | af1 | 0.6 | 0.00004 | 24576 | 8192 |      | 29 | 27152 | 232 | 232 | 70.406  | 27616 | 3.371094 |
| peppers32.bmp | peppers32.bmp-withWavelet_haar-G_0.6-H4e-005_af1.wfa    | haar    | af1 | 0.6 | 0.00004 | 24576 | 8192 | 8192 | 33 | 35088 | 264 | 264 | 95.61   | 35616 | 4.347656 |
| peppers32.bmp | peppers32.bmp-withWavelet_rbio1.1-G_0.6-H4e-005_af1.wfa | rbio1.1 | af1 | 0.6 | 0.00004 | 24576 | 8192 | 8192 | 33 | 35088 | 264 | 264 | 94.157  | 35616 | 4.347656 |
| peppers32.bmp | peppers32.bmp-withWavelet_sym1-G_0.6-H4e-005_af1.wfa    | sym1    | af1 | 0.6 | 0.00004 | 24576 | 8192 | 8192 | 33 | 35088 | 264 | 264 | 95.313  | 35616 | 4.347656 |
| peppers32.bmp | peppers32.bmp-withWavelet_bior1.1-G_0.6-H4e-005_af1.wfa | bior1.1 | af1 | 0.6 | 0.00004 | 24576 | 8192 | 8192 | 33 | 35088 | 264 | 264 | 95.047  | 35616 | 4.347656 |
| peppers32.bmp | peppers32.bmp-G_0.6-H4e-005_af2.wfa                     |         | af2 | 0.6 | 0.00004 | 24576 | 8192 |      | 27 | 23568 | 216 | 216 | 70.437  | 24000 | 2.929688 |
| peppers32.bmp | peppers32.bmp-withWavelet_haar-G_0.6-H4e-005_af2.wfa    | haar    | af2 | 0.6 | 0.00004 | 24576 | 8192 | 8192 | 25 | 20240 | 200 | 200 | 62.547  | 20640 | 2.519531 |
| peppers32.bmp | peppers32.bmp-withWavelet_rbio1.1-G_0.6-H4e-005_af2.wfa | rbio1.1 | af2 | 0.6 | 0.00004 | 24576 | 8192 | 8192 | 25 | 20240 | 200 | 200 | 62.75   | 20640 | 2.519531 |
| peppers32.bmp | peppers32.bmp-withWavelet_sym1-G_0.6-H4e-005_af2.wfa    | sym1    | af2 | 0.6 | 0.00004 | 24576 | 8192 | 8192 | 25 | 20240 | 200 | 200 | 62.266  | 20640 | 2.519531 |
| peppers32.bmp | peppers32.bmp-withWavelet_bior1.1-G_0.6-H4e-005_af2.wfa | bior1.1 | af2 | 0.6 | 0.00004 | 24576 | 8192 | 8192 | 25 | 20240 | 200 | 200 | 62.203  | 20640 | 2.519531 |
| peppers32.bmp | peppers32.bmp-G_0.6-H4e-005_af3.wfa                     |         | af3 | 0.6 | 0.00004 | 24576 | 8192 |      | 29 | 27152 | 232 | 232 | 72.016  | 27616 | 3.371094 |
| peppers32.bmp | peppers32.bmp-withWavelet_haar-G_0.6-H4e-005_af3.wfa    | haar    | af3 | 0.6 | 0.00004 | 24576 | 8192 | 8192 | 32 | 33008 | 256 | 256 | 88.36   | 33520 | 4.091797 |
| peppers32.bmp | peppers32.bmp-withWavelet_rbio1.1-G_0.6-H4e-005_af3.wfa | rbio1.1 | af3 | 0.6 | 0.00004 | 24576 | 8192 | 8192 | 32 | 33008 | 256 | 256 | 87.547  | 33520 | 4.091797 |
| peppers32.bmp | peppers32.bmp-withWavelet_sym1-G_0.6-H4e-005_af3.wfa    | sym1    | af3 | 0.6 | 0.00004 | 24576 | 8192 | 8192 | 32 | 33008 | 256 | 256 | 87.297  | 33520 | 4.091797 |

|               |   |         |     |     |         |       |      |      |    |       |     |     |         |       |          |
|---------------|---|---------|-----|-----|---------|-------|------|------|----|-------|-----|-----|---------|-------|----------|
| peppers32.bmp | peppers32.bmp-withWavelet_bior1.1-G_0.6-H4e-005_af3.wfa | bior1.1 | af3 | 0.6 | 0.00004 | 24576 | 8192 | 8192 | 32 | 33008 | 256 | 256 | 88.266  | 33520 | 4.091797 |
| peppers32.bmp | peppers32.bmp-G_0.6-H4e-005_af4.wfa                     |         | af4 | 0.6 | 0.00004 | 24576 | 8192 |      | 5  | 1040  | 40  | 40  | 28.281  | 1120  | 0.136719 |
| peppers32.bmp | peppers32.bmp-withWavelet_haar-G_0.6-H4e-005_af4.wfa    | haar    | af4 | 0.6 | 0.00004 | 24576 | 8192 | 8192 | 33 | 35088 | 264 | 264 | 164     | 35616 | 4.347656 |
| peppers32.bmp | peppers32.bmp-withWavelet_rbio1.1-G_0.6-H4e-005_af4.wfa | rbio1.1 | af4 | 0.6 | 0.00004 | 24576 | 8192 | 8192 | 33 | 35088 | 264 | 264 | 151.109 | 35616 | 4.347656 |
| peppers32.bmp | peppers32.bmp-withWavelet_sym1-G_0.6-H4e-005_af4.wfa    | sym1    | af4 | 0.6 | 0.00004 | 24576 | 8192 | 8192 | 33 | 35088 | 264 | 264 | 155.406 | 35616 | 4.347656 |
| peppers32.bmp | peppers32.bmp-withWavelet_bior1.1-G_0.6-H4e-005_af4.wfa | bior1.1 | af4 | 0.6 | 0.00004 | 24576 | 8192 | 8192 | 33 | 35088 | 264 | 264 | 162     | 35616 | 4.347656 |
| peppers32.bmp | peppers32.bmp-G_0.6-H4e-005_af5.wfa                     |         | af5 | 0.6 | 0.00004 | 24576 | 8192 |      | 27 | 23568 | 216 | 216 | 34.328  | 24000 | 2.929688 |
| peppers32.bmp | peppers32.bmp-withWavelet_haar-G_0.6-H4e-005_af5.wfa    | haar    | af5 | 0.6 | 0.00004 | 24576 | 8192 | 8192 | 19 | 11792 | 152 | 152 | 31.531  | 12096 | 1.476563 |
| peppers32.bmp | peppers32.bmp-withWavelet_rbio1.1-G_0.6-H4e-005_af5.wfa | rbio1.1 | af5 | 0.6 | 0.00004 | 24576 | 8192 | 8192 | 19 | 11792 | 152 | 152 | 32.078  | 12096 | 1.476563 |
| peppers32.bmp | peppers32.bmp-withWavelet_sym1-G_0.6-H4e-005_af5.wfa    | sym1    | af5 | 0.6 | 0.00004 | 24576 | 8192 | 8192 | 19 | 11792 | 152 | 152 | 31.625  | 12096 | 1.476563 |
| peppers32.bmp | peppers32.bmp-withWavelet_bior1.1-G_0.6-H4e-005_af5.wfa | bior1.1 | af5 | 0.6 | 0.00004 | 24576 | 8192 | 8192 | 19 | 11792 | 152 | 152 | 31.375  | 12096 | 1.476563 |
| peppers32.bmp | peppers32.bmp-G_1-H5e-005_af1.wfa                       |         | af1 | 1   | 0.00005 | 24576 | 8192 |      | 32 | 33008 | 256 | 256 | 236.907 | 33520 | 4.091797 |
| peppers32.bmp | peppers32.bmp-withWavelet_haar-G_1-H5e-005_af1.wfa      | haar    | af1 | 1   | 0.00005 | 24576 | 8192 | 8192 | 32 | 33008 | 256 | 256 | 245.937 | 33520 | 4.091797 |
| peppers32.bmp | peppers32.bmp-withWavelet_rbio1.1-G_1-H5e-005_af1.wfa   | rbio1.1 | af1 | 1   | 0.00005 | 24576 | 8192 | 8192 | 32 | 33008 | 256 | 256 | 253.906 | 33520 | 4.091797 |
| peppers32.bmp | peppers32.bmp-withWavelet_sym1-G_1-H5e-005_af1.wfa      | sym1    | af1 | 1   | 0.00005 | 24576 | 8192 | 8192 | 32 | 33008 | 256 | 256 | 256.344 | 33520 | 4.091797 |
| peppers32.bmp | peppers32.bmp-withWavelet_bior1.1-G_1-H5e-005_af1.wfa   | bior1.1 | af1 | 1   | 0.00005 | 24576 | 8192 | 8192 | 32 | 33008 | 256 | 256 | 245.656 | 33520 | 4.091797 |
| peppers32.bmp | peppers32.bmp-G_1-H5e-005_af2.wfa                       |         | af2 | 1   | 0.00005 | 24576 | 8192 |      | 25 | 20240 | 200 | 200 | 157.656 | 20640 | 2.519531 |
| peppers32.bmp | peppers32.bmp-withWavelet_haar-G_1-H5e-005_af2.wfa      | haar    | af2 | 1   | 0.00005 | 24576 | 8192 | 8192 | 24 | 18672 | 192 | 192 | 134.156 | 19056 | 2.326172 |
| peppers32.bmp | peppers32.bmp-withWavelet_rbio1.1-G_1-H5e-005_af2.wfa   | rbio1.1 | af2 | 1   | 0.00005 | 24576 | 8192 | 8192 | 24 | 18672 | 192 | 192 | 136.843 | 19056 | 2.326172 |
| peppers32.bmp | peppers32.bmp-withWavelet_sym1-G_1-H5e-005_af2.wfa      | sym1    | af2 | 1   | 0.00005 | 24576 | 8192 | 8192 | 24 | 18672 | 192 | 192 | 139.047 | 19056 | 2.326172 |
| peppers32.bmp | peppers32.bmp-withWavelet_bior1.1-G_1-H5e-005_af2.wfa   | bior1.1 | af2 | 1   | 0.00005 | 24576 | 8192 | 8192 | 24 | 18672 | 192 | 192 | 135.141 | 19056 | 2.326172 |
| peppers32.bmp | peppers32.bmp-G_1-H5e-005_af3.wfa                       |         | af3 | 1   | 0.00005 | 24576 | 8192 |      | 28 | 25328 | 224 | 224 | 173.656 | 25776 | 3.146484 |
| peppers32.bmp | peppers32.bmp-withWavelet_haar-G_1-H5e-005_af3.wfa      | haar    | af3 | 1   | 0.00005 | 24576 | 8192 | 8192 | 32 | 33008 | 256 | 256 | 234.328 | 33520 | 4.091797 |
| peppers32.bmp | peppers32.bmp-withWavelet_rbio1.1-G_1-H5e-005_af3.wfa   | rbio1.1 | af3 | 1   | 0.00005 | 24576 | 8192 | 8192 | 32 | 33008 | 256 | 256 | 242.641 | 33520 | 4.091797 |
| peppers32.bmp | peppers32.bmp-withWavelet_sym1-G_1-H5e-005_af3.wfa      | sym1    | af3 | 1   | 0.00005 | 24576 | 8192 | 8192 | 32 | 33008 | 256 | 256 | 236.547 | 33520 | 4.091797 |
| peppers32.bmp | peppers32.bmp-withWavelet_bior1.1-G_1-H5e-005_af3.wfa   | bior1.1 | af3 | 1   | 0.00005 | 24576 | 8192 | 8192 | 32 | 33008 | 256 | 256 | 242.797 | 33520 | 4.091797 |
| peppers32.bmp | peppers32.bmp-G_1-H5e-005_af4.wfa                       |         | af4 | 1   | 0.00005 | 24576 | 8192 |      | 15 | 7440  | 120 | 120 | 76.172  | 7680  | 0.9375   |
| peppers32.bmp | peppers32.bmp-withWavelet_haar-G_1-H5e-005_af4.wfa      | haar    | af4 | 1   | 0.00005 | 24576 | 8192 | 8192 | 30 | 29040 | 240 | 240 | 350.047 | 29520 | 3.603516 |
| peppers32.bmp | peppers32.bmp-withWavelet_rbio1.1-G_1-H5e-005_af4.wfa   | rbio1.1 | af4 | 1   | 0.00005 | 24576 | 8192 | 8192 | 30 | 29040 | 240 | 240 | 355.266 | 29520 | 3.603516 |
| peppers32.bmp | peppers32.bmp-withWavelet_sym1-G_1-H5e-005_af4.wfa      | sym1    | af4 | 1   | 0.00005 | 24576 | 8192 | 8192 | 30 | 29040 | 240 | 240 | 359.609 | 29520 | 3.603516 |
| peppers32.bmp | peppers32.bmp-withWavelet_bior1.1-G_1-H5e-005_af4.wfa   | bior1.1 | af4 | 1   | 0.00005 | 24576 | 8192 | 8192 | 30 | 29040 | 240 | 240 | 354.312 | 29520 | 3.603516 |

|               |   |         |     |     |         |       |      |      |    |       |     |     |         |       |          |
|---------------|---|---------|-----|-----|---------|-------|------|------|----|-------|-----|-----|---------|-------|----------|
| peppers32.bmp | peppers32.bmp-G_1-H5e-005_af5.wfa                       |         | af5 | 1   | 0.00005 | 24576 | 8192 |      | 26 | 21872 | 208 | 208 | 52.36   | 22288 | 2.720703 |
| peppers32.bmp | peppers32.bmp-withWavelet_haar-G_1-H5e-005_af5.wfa      | haar    | af5 | 1   | 0.00005 | 24576 | 8192 | 8192 | 19 | 11792 | 152 | 152 | 43.766  | 12096 | 1.476563 |
| peppers32.bmp | peppers32.bmp-withWavelet_rbio1.1-G_1-H5e-005_af5.wfa   | rbio1.1 | af5 | 1   | 0.00005 | 24576 | 8192 | 8192 | 19 | 11792 | 152 | 152 | 43.344  | 12096 | 1.476563 |
| peppers32.bmp | peppers32.bmp-withWavelet_sym1-G_1-H5e-005_af5.wfa      | sym1    | af5 | 1   | 0.00005 | 24576 | 8192 | 8192 | 19 | 11792 | 152 | 152 | 43.657  | 12096 | 1.476563 |
| peppers32.bmp | peppers32.bmp-withWavelet_bior1.1-G_1-H5e-005_af5.wfa   | bior1.1 | af5 | 1   | 0.00005 | 24576 | 8192 | 8192 | 19 | 11792 | 152 | 152 | 44.75   | 12096 | 1.476563 |
| peppers32.bmp | peppers32.bmp-G_0.8-H5e-005_af1.wfa                     |         | af1 | 0.8 | 0.00005 | 24576 | 8192 |      | 32 | 33008 | 256 | 256 | 119.438 | 33520 | 4.091797 |
| peppers32.bmp | peppers32.bmp-withWavelet_haar-G_0.8-H5e-005_af1.wfa    | haar    | af1 | 0.8 | 0.00005 | 24576 | 8192 | 8192 | 32 | 33008 | 256 | 256 | 123.672 | 33520 | 4.091797 |
| peppers32.bmp | peppers32.bmp-withWavelet_rbio1.1-G_0.8-H5e-005_af1.wfa | rbio1.1 | af1 | 0.8 | 0.00005 | 24576 | 8192 | 8192 | 32 | 33008 | 256 | 256 | 123.547 | 33520 | 4.091797 |
| peppers32.bmp | peppers32.bmp-withWavelet_sym1-G_0.8-H5e-005_af1.wfa    | sym1    | af1 | 0.8 | 0.00005 | 24576 | 8192 | 8192 | 32 | 33008 | 256 | 256 | 123.125 | 33520 | 4.091797 |
| peppers32.bmp | peppers32.bmp-withWavelet_bior1.1-G_0.8-H5e-005_af1.wfa | bior1.1 | af1 | 0.8 | 0.00005 | 24576 | 8192 | 8192 | 32 | 33008 | 256 | 256 | 124.25  | 33520 | 4.091797 |
| peppers32.bmp | peppers32.bmp-G_0.8-H5e-005_af2.wfa                     |         | af2 | 0.8 | 0.00005 | 24576 | 8192 |      | 25 | 20240 | 200 | 200 | 84.531  | 20640 | 2.519531 |
| peppers32.bmp | peppers32.bmp-withWavelet_haar-G_0.8-H5e-005_af2.wfa    | haar    | af2 | 0.8 | 0.00005 | 24576 | 8192 | 8192 | 23 | 17168 | 184 | 184 | 71.797  | 17536 | 2.140625 |
| peppers32.bmp | peppers32.bmp-withWavelet_rbio1.1-G_0.8-H5e-005_af2.wfa | rbio1.1 | af2 | 0.8 | 0.00005 | 24576 | 8192 | 8192 | 23 | 17168 | 184 | 184 | 73.047  | 17536 | 2.140625 |
| peppers32.bmp | peppers32.bmp-withWavelet_sym1-G_0.8-H5e-005_af2.wfa    | sym1    | af2 | 0.8 | 0.00005 | 24576 | 8192 | 8192 | 23 | 17168 | 184 | 184 | 71.922  | 17536 | 2.140625 |
| peppers32.bmp | peppers32.bmp-withWavelet_bior1.1-G_0.8-H5e-005_af2.wfa | bior1.1 | af2 | 0.8 | 0.00005 | 24576 | 8192 | 8192 | 23 | 17168 | 184 | 184 | 72.171  | 17536 | 2.140625 |
| peppers32.bmp | peppers32.bmp-G_0.8-H5e-005_af3.wfa                     |         | af3 | 0.8 | 0.00005 | 24576 | 8192 |      | 28 | 25328 | 224 | 224 | 91.344  | 25776 | 3.146484 |
| peppers32.bmp | peppers32.bmp-withWavelet_haar-G_0.8-H5e-005_af3.wfa    | haar    | af3 | 0.8 | 0.00005 | 24576 | 8192 | 8192 | 32 | 33008 | 256 | 256 | 117.172 | 33520 | 4.091797 |
| peppers32.bmp | peppers32.bmp-withWavelet_rbio1.1-G_0.8-H5e-005_af3.wfa | rbio1.1 | af3 | 0.8 | 0.00005 | 24576 | 8192 | 8192 | 32 | 33008 | 256 | 256 | 117.078 | 33520 | 4.091797 |
| peppers32.bmp | peppers32.bmp-withWavelet_sym1-G_0.8-H5e-005_af3.wfa    | sym1    | af3 | 0.8 | 0.00005 | 24576 | 8192 | 8192 | 32 | 33008 | 256 | 256 | 117.609 | 33520 | 4.091797 |
| peppers32.bmp | peppers32.bmp-withWavelet_bior1.1-G_0.8-H5e-005_af3.wfa | bior1.1 | af3 | 0.8 | 0.00005 | 24576 | 8192 | 8192 | 32 | 33008 | 256 | 256 | 116.859 | 33520 | 4.091797 |
| peppers32.bmp | peppers32.bmp-G_0.8-H5e-005_af4.wfa                     |         | af4 | 0.8 | 0.00005 | 24576 | 8192 |      | 16 | 8432  | 128 | 128 | 53.312  | 8688  | 1.060547 |
| peppers32.bmp | peppers32.bmp-withWavelet_haar-G_0.8-H5e-005_af4.wfa    | haar    | af4 | 0.8 | 0.00005 | 24576 | 8192 | 8192 | 29 | 27152 | 232 | 232 | 165.375 | 27616 | 3.371094 |
| peppers32.bmp | peppers32.bmp-withWavelet_rbio1.1-G_0.8-H5e-005_af4.wfa | rbio1.1 | af4 | 0.8 | 0.00005 | 24576 | 8192 | 8192 | 29 | 27152 | 232 | 232 | 168.563 | 27616 | 3.371094 |
| peppers32.bmp | peppers32.bmp-withWavelet_sym1-G_0.8-H5e-005_af4.wfa    | sym1    | af4 | 0.8 | 0.00005 | 24576 | 8192 | 8192 | 29 | 27152 | 232 | 232 | 158.219 | 27616 | 3.371094 |
| peppers32.bmp | peppers32.bmp-withWavelet_bior1.1-G_0.8-H5e-005_af4.wfa | bior1.1 | af4 | 0.8 | 0.00005 | 24576 | 8192 | 8192 | 29 | 27152 | 232 | 232 | 170.281 | 27616 | 3.371094 |
| peppers32.bmp | peppers32.bmp-G_0.8-H5e-005_af5.wfa                     |         | af5 | 0.8 | 0.00005 | 24576 | 8192 |      | 26 | 21872 | 208 | 208 | 37.344  | 22288 | 2.720703 |
| peppers32.bmp | peppers32.bmp-withWavelet_haar-G_0.8-H5e-005_af5.wfa    | haar    | af5 | 0.8 | 0.00005 | 24576 | 8192 | 8192 | 19 | 11792 | 152 | 152 | 34.594  | 12096 | 1.476563 |
| peppers32.bmp | peppers32.bmp-withWavelet_rbio1.1-G_0.8-H5e-005_af5.wfa | rbio1.1 | af5 | 0.8 | 0.00005 | 24576 | 8192 | 8192 | 19 | 11792 | 152 | 152 | 35.562  | 12096 | 1.476563 |
| peppers32.bmp | peppers32.bmp-withWavelet_sym1-G_0.8-H5e-005_af5.wfa    | sym1    | af5 | 0.8 | 0.00005 | 24576 | 8192 | 8192 | 19 | 11792 | 152 | 152 | 34.437  | 12096 | 1.476563 |
| peppers32.bmp | peppers32.bmp-withWavelet_bior1.1-G_0.8-H5e-005_af5.wfa | bior1.1 | af5 | 0.8 | 0.00005 | 24576 | 8192 | 8192 | 19 | 11792 | 152 | 152 | 35.266  | 12096 | 1.476563 |
| peppers32.bmp | peppers32.bmp-G_0.6-H5e-005_af1.wfa                     |         | af1 | 0.6 | 0.00005 | 24576 | 8192 |      | 28 | 25328 | 224 | 224 | 67.219  | 25776 | 3.146484 |



|               |   |         |     |     |         |       |      |      |    |       |     |     |         |       |          |
|---------------|---|---------|-----|-----|---------|-------|------|------|----|-------|-----|-----|---------|-------|----------|
| peppers32.bmp | peppers32.bmp-withWavelet_haar-G_0.6-H5e-005_af1.wfa    | haar    | af1 | 0.6 | 0.00005 | 24576 | 8192 | 8192 | 31 | 30992 | 248 | 248 | 86.953  | 31488 | 3.84375  |
| peppers32.bmp | peppers32.bmp-withWavelet_rbio1.1-G_0.6-H5e-005_af1.wfa | rbio1.1 | af1 | 0.6 | 0.00005 | 24576 | 8192 | 8192 | 31 | 30992 | 248 | 248 | 87.89   | 31488 | 3.84375  |
| peppers32.bmp | peppers32.bmp-withWavelet_sym1-G_0.6-H5e-005_af1.wfa    | sym1    | af1 | 0.6 | 0.00005 | 24576 | 8192 | 8192 | 31 | 30992 | 248 | 248 | 88.484  | 31488 | 3.84375  |
| peppers32.bmp | peppers32.bmp-withWavelet_bior1.1-G_0.6-H5e-005_af1.wfa | bior1.1 | af1 | 0.6 | 0.00005 | 24576 | 8192 | 8192 | 31 | 30992 | 248 | 248 | 86.969  | 31488 | 3.84375  |
| peppers32.bmp | peppers32.bmp-G_0.6-H5e-005_af2.wfa                     |         | af2 | 0.6 | 0.00005 | 24576 | 8192 |      | 27 | 23568 | 216 | 216 | 69.063  | 24000 | 2.929688 |
| peppers32.bmp | peppers32.bmp-withWavelet_haar-G_0.6-H5e-005_af2.wfa    | haar    | af2 | 0.6 | 0.00005 | 24576 | 8192 | 8192 | 23 | 17168 | 184 | 184 | 58.735  | 17536 | 2.140625 |
| peppers32.bmp | peppers32.bmp-withWavelet_rbio1.1-G_0.6-H5e-005_af2.wfa | rbio1.1 | af2 | 0.6 | 0.00005 | 24576 | 8192 | 8192 | 23 | 17168 | 184 | 184 | 58.25   | 17536 | 2.140625 |
| peppers32.bmp | peppers32.bmp-withWavelet_sym1-G_0.6-H5e-005_af2.wfa    | sym1    | af2 | 0.6 | 0.00005 | 24576 | 8192 | 8192 | 23 | 17168 | 184 | 184 | 58.64   | 17536 | 2.140625 |
| peppers32.bmp | peppers32.bmp-withWavelet_bior1.1-G_0.6-H5e-005_af2.wfa | bior1.1 | af2 | 0.6 | 0.00005 | 24576 | 8192 | 8192 | 23 | 17168 | 184 | 184 | 59.14   | 17536 | 2.140625 |
| peppers32.bmp | peppers32.bmp-G_0.6-H5e-005_af3.wfa                     |         | af3 | 0.6 | 0.00005 | 24576 | 8192 |      | 26 | 21872 | 208 | 208 | 69.032  | 22288 | 2.720703 |
| peppers32.bmp | peppers32.bmp-withWavelet_haar-G_0.6-H5e-005_af3.wfa    | haar    | af3 | 0.6 | 0.00005 | 24576 | 8192 | 8192 | 30 | 29040 | 240 | 240 | 77.75   | 29520 | 3.603516 |
| peppers32.bmp | peppers32.bmp-withWavelet_rbio1.1-G_0.6-H5e-005_af3.wfa | rbio1.1 | af3 | 0.6 | 0.00005 | 24576 | 8192 | 8192 | 30 | 29040 | 240 | 240 | 78.422  | 29520 | 3.603516 |
| peppers32.bmp | peppers32.bmp-withWavelet_sym1-G_0.6-H5e-005_af3.wfa    | sym1    | af3 | 0.6 | 0.00005 | 24576 | 8192 | 8192 | 30 | 29040 | 240 | 240 | 77.765  | 29520 | 3.603516 |
| peppers32.bmp | peppers32.bmp-withWavelet_bior1.1-G_0.6-H5e-005_af3.wfa | bior1.1 | af3 | 0.6 | 0.00005 | 24576 | 8192 | 8192 | 30 | 29040 | 240 | 240 | 78.375  | 29520 | 3.603516 |
| peppers32.bmp | peppers32.bmp-G_0.6-H5e-005_af4.wfa                     |         | af4 | 0.6 | 0.00005 | 24576 | 8192 |      | 5  | 1040  | 40  | 40  | 28.719  | 1120  | 0.136719 |
| peppers32.bmp | peppers32.bmp-withWavelet_haar-G_0.6-H5e-005_af4.wfa    | haar    | af4 | 0.6 | 0.00005 | 24576 | 8192 | 8192 | 32 | 33008 | 256 | 256 | 151.859 | 33520 | 4.091797 |
| peppers32.bmp | peppers32.bmp-withWavelet_rbio1.1-G_0.6-H5e-005_af4.wfa | rbio1.1 | af4 | 0.6 | 0.00005 | 24576 | 8192 | 8192 | 32 | 33008 | 256 | 256 | 152.171 | 33520 | 4.091797 |
| peppers32.bmp | peppers32.bmp-withWavelet_sym1-G_0.6-H5e-005_af4.wfa    | sym1    | af4 | 0.6 | 0.00005 | 24576 | 8192 | 8192 | 32 | 33008 | 256 | 256 | 153.047 | 33520 | 4.091797 |
| peppers32.bmp | peppers32.bmp-withWavelet_bior1.1-G_0.6-H5e-005_af4.wfa | bior1.1 | af4 | 0.6 | 0.00005 | 24576 | 8192 | 8192 | 32 | 33008 | 256 | 256 | 153.735 | 33520 | 4.091797 |
| peppers32.bmp | peppers32.bmp-G_0.6-H5e-005_af5.wfa                     |         | af5 | 0.6 | 0.00005 | 24576 | 8192 |      | 26 | 21872 | 208 | 208 | 33.531  | 22288 | 2.720703 |
| peppers32.bmp | peppers32.bmp-withWavelet_haar-G_0.6-H5e-005_af5.wfa    | haar    | af5 | 0.6 | 0.00005 | 24576 | 8192 | 8192 | 19 | 11792 | 152 | 152 | 32.625  | 12096 | 1.476563 |
| peppers32.bmp | peppers32.bmp-withWavelet_rbio1.1-G_0.6-H5e-005_af5.wfa | rbio1.1 | af5 | 0.6 | 0.00005 | 24576 | 8192 | 8192 | 19 | 11792 | 152 | 152 | 32.625  | 12096 | 1.476563 |
| peppers32.bmp | peppers32.bmp-withWavelet_sym1-G_0.6-H5e-005_af5.wfa    | sym1    | af5 | 0.6 | 0.00005 | 24576 | 8192 | 8192 | 19 | 11792 | 152 | 152 | 31.922  | 12096 | 1.476563 |
| peppers32.bmp | peppers32.bmp-withWavelet_bior1.1-G_0.6-H5e-005_af5.wfa | bior1.1 | af5 | 0.6 | 0.00005 | 24576 | 8192 | 8192 | 19 | 11792 | 152 | 152 | 32.125  | 12096 | 1.476563 |
| peppers32.bmp | peppers32.bmp-G_1-H6e-005_af1.wfa                       |         | af1 | 1   | 0.00006 | 24576 | 8192 |      | 29 | 27152 | 232 | 232 | 178.734 | 27616 | 3.371094 |
| peppers32.bmp | peppers32.bmp-withWavelet_haar-G_1-H6e-005_af1.wfa      | haar    | af1 | 1   | 0.00006 | 24576 | 8192 | 8192 | 29 | 27152 | 232 | 232 | 206.812 | 27616 | 3.371094 |
| peppers32.bmp | peppers32.bmp-withWavelet_rbio1.1-G_1-H6e-005_af1.wfa   | rbio1.1 | af1 | 1   | 0.00006 | 24576 | 8192 | 8192 | 29 | 27152 | 232 | 232 | 209.312 | 27616 | 3.371094 |
| peppers32.bmp | peppers32.bmp-withWavelet_sym1-G_1-H6e-005_af1.wfa      | sym1    | af1 | 1   | 0.00006 | 24576 | 8192 | 8192 | 29 | 27152 | 232 | 232 | 215.219 | 27616 | 3.371094 |
| peppers32.bmp | peppers32.bmp-withWavelet_bior1.1-G_1-H6e-005_af1.wfa   | bior1.1 | af1 | 1   | 0.00006 | 24576 | 8192 | 8192 | 29 | 27152 | 232 | 232 | 216.094 | 27616 | 3.371094 |
| peppers32.bmp | peppers32.bmp-G_1-H6e-005_af2.wfa                       |         | af2 | 1   | 0.00006 | 24576 | 8192 |      | 25 | 20240 | 200 | 200 | 149.765 | 20640 | 2.519531 |
| peppers32.bmp | peppers32.bmp-withWavelet_haar-G_1-H6e-005_af2.wfa      | haar    | af2 | 1   | 0.00006 | 24576 | 8192 | 8192 | 22 | 15728 | 176 | 176 | 117.953 | 16080 | 1.962891 |

|               |   |         |     |     |         |       |      |      |    |       |     |     |         |       |          |
|---------------|---|---------|-----|-----|---------|-------|------|------|----|-------|-----|-----|---------|-------|----------|
| peppers32.bmp | peppers32.bmp-withWavelet_rbio1.1-G_1-H6e-005_af2.wfa   | rbio1.1 | af2 | 1   | 0.00006 | 24576 | 8192 | 8192 | 22 | 15728 | 176 | 176 | 111.579 | 16080 | 1.962891 |
| peppers32.bmp | peppers32.bmp-withWavelet_sym1-G_1-H6e-005_af2.wfa      | sym1    | af2 | 1   | 0.00006 | 24576 | 8192 | 8192 | 22 | 15728 | 176 | 176 | 110.657 | 16080 | 1.962891 |
| peppers32.bmp | peppers32.bmp-withWavelet_bior1.1-G_1-H6e-005_af2.wfa   | bior1.1 | af2 | 1   | 0.00006 | 24576 | 8192 | 8192 | 22 | 15728 | 176 | 176 | 117.36  | 16080 | 1.962891 |
| peppers32.bmp | peppers32.bmp-G_1-H6e-005_af3.wfa                       |         | af3 | 1   | 0.00006 | 24576 | 8192 |      | 26 | 21872 | 208 | 208 | 152.812 | 22288 | 2.720703 |
| peppers32.bmp | peppers32.bmp-withWavelet_haar-G_1-H6e-005_af3.wfa      | haar    | af3 | 1   | 0.00006 | 24576 | 8192 | 8192 | 29 | 27152 | 232 | 232 | 200.25  | 27616 | 3.371094 |
| peppers32.bmp | peppers32.bmp-withWavelet_rbio1.1-G_1-H6e-005_af3.wfa   | rbio1.1 | af3 | 1   | 0.00006 | 24576 | 8192 | 8192 | 29 | 27152 | 232 | 232 | 193.656 | 27616 | 3.371094 |
| peppers32.bmp | peppers32.bmp-withWavelet_sym1-G_1-H6e-005_af3.wfa      | sym1    | af3 | 1   | 0.00006 | 24576 | 8192 | 8192 | 29 | 27152 | 232 | 232 | 232.86  | 27616 | 3.371094 |
| peppers32.bmp | peppers32.bmp-withWavelet_bior1.1-G_1-H6e-005_af3.wfa   | bior1.1 | af3 | 1   | 0.00006 | 24576 | 8192 | 8192 | 29 | 27152 | 232 | 232 | 221.359 | 27616 | 3.371094 |
| peppers32.bmp | peppers32.bmp-G_1-H6e-005_af4.wfa                       |         | af4 | 1   | 0.00006 | 24576 | 8192 |      | 15 | 7440  | 120 | 120 | 96.093  | 7680  | 0.9375   |
| peppers32.bmp | peppers32.bmp-withWavelet_haar-G_1-H6e-005_af4.wfa      | haar    | af4 | 1   | 0.00006 | 24576 | 8192 | 8192 | 29 | 27152 | 232 | 232 | 468.906 | 27616 | 3.371094 |
| peppers32.bmp | peppers32.bmp-withWavelet_rbio1.1-G_1-H6e-005_af4.wfa   | rbio1.1 | af4 | 1   | 0.00006 | 24576 | 8192 | 8192 | 29 | 27152 | 232 | 232 | 549.609 | 27616 | 3.371094 |
| peppers32.bmp | peppers32.bmp-withWavelet_sym1-G_1-H6e-005_af4.wfa      | sym1    | af4 | 1   | 0.00006 | 24576 | 8192 | 8192 | 29 | 27152 | 232 | 232 | 844.562 | 27616 | 3.371094 |
| peppers32.bmp | peppers32.bmp-withWavelet_bior1.1-G_1-H6e-005_af4.wfa   | bior1.1 | af4 | 1   | 0.00006 | 24576 | 8192 | 8192 | 24 | 18672 | 192 | 192 | 98.922  | 19056 | 2.326172 |
| peppers32.bmp | peppers32.bmp-G_1-H6e-005_af5.wfa                       |         | af5 | 1   | 0.00006 | 24576 | 8192 |      | 25 | 20240 | 200 | 200 | 159.109 | 20640 | 2.519531 |
| peppers32.bmp | peppers32.bmp-withWavelet_haar-G_1-H6e-005_af5.wfa      | haar    | af5 | 1   | 0.00006 | 24576 | 8192 | 8192 | 17 | 9488  | 136 | 136 | 145.828 | 9760  | 1.191406 |
| peppers32.bmp | peppers32.bmp-withWavelet_rbio1.1-G_1-H6e-005_af5.wfa   | rbio1.1 | af5 | 1   | 0.00006 | 24576 | 8192 | 8192 | 17 | 9488  | 136 | 136 | 139.875 | 9760  | 1.191406 |
| peppers32.bmp | peppers32.bmp-withWavelet_sym1-G_1-H6e-005_af5.wfa      | sym1    | af5 | 1   | 0.00006 | 24576 | 8192 | 8192 | 17 | 9488  | 136 | 136 | 75.64   | 9760  | 1.191406 |
| peppers32.bmp | peppers32.bmp-withWavelet_bior1.1-G_1-H6e-005_af5.wfa   | bior1.1 | af5 | 1   | 0.00006 | 24576 | 8192 | 8192 | 17 | 9488  | 136 | 136 | 41.5    | 9760  | 1.191406 |
| peppers32.bmp | peppers32.bmp-G_0.8-H6e-005_af1.wfa                     |         | af1 | 0.8 | 0.00006 | 24576 | 8192 |      | 29 | 27152 | 232 | 232 | 108.969 | 27616 | 3.371094 |
| peppers32.bmp | peppers32.bmp-withWavelet_haar-G_0.8-H6e-005_af1.wfa    | haar    | af1 | 0.8 | 0.00006 | 24576 | 8192 | 8192 | 29 | 27152 | 232 | 232 | 132.203 | 27616 | 3.371094 |
| peppers32.bmp | peppers32.bmp-withWavelet_rbio1.1-G_0.8-H6e-005_af1.wfa | rbio1.1 | af1 | 0.8 | 0.00006 | 24576 | 8192 | 8192 | 29 | 27152 | 232 | 232 | 128.469 | 27616 | 3.371094 |
| peppers32.bmp | peppers32.bmp-withWavelet_sym1-G_0.8-H6e-005_af1.wfa    | sym1    | af1 | 0.8 | 0.00006 | 24576 | 8192 | 8192 | 29 | 27152 | 232 | 232 | 127.954 | 27616 | 3.371094 |
| peppers32.bmp | peppers32.bmp-withWavelet_bior1.1-G_0.8-H6e-005_af1.wfa | bior1.1 | af1 | 0.8 | 0.00006 | 24576 | 8192 | 8192 | 29 | 27152 | 232 | 232 | 128.078 | 27616 | 3.371094 |
| peppers32.bmp | peppers32.bmp-G_0.8-H6e-005_af2.wfa                     |         | af2 | 0.8 | 0.00006 | 24576 | 8192 |      | 25 | 20240 | 200 | 200 | 93.344  | 20640 | 2.519531 |
| peppers32.bmp | peppers32.bmp-withWavelet_haar-G_0.8-H6e-005_af2.wfa    | haar    | af2 | 0.8 | 0.00006 | 24576 | 8192 | 8192 | 22 | 15728 | 176 | 176 | 74.328  | 16080 | 1.962891 |
| peppers32.bmp | peppers32.bmp-withWavelet_rbio1.1-G_0.8-H6e-005_af2.wfa | rbio1.1 | af2 | 0.8 | 0.00006 | 24576 | 8192 | 8192 | 22 | 15728 | 176 | 176 | 74.016  | 16080 | 1.962891 |
| peppers32.bmp | peppers32.bmp-withWavelet_sym1-G_0.8-H6e-005_af2.wfa    | sym1    | af2 | 0.8 | 0.00006 | 24576 | 8192 | 8192 | 22 | 15728 | 176 | 176 | 73.859  | 16080 | 1.962891 |
| peppers32.bmp | peppers32.bmp-withWavelet_bior1.1-G_0.8-H6e-005_af2.wfa | bior1.1 | af2 | 0.8 | 0.00006 | 24576 | 8192 | 8192 | 22 | 15728 | 176 | 176 | 80.172  | 16080 | 1.962891 |
| peppers32.bmp | peppers32.bmp-G_0.8-H6e-005_af3.wfa                     |         | af3 | 0.8 | 0.00006 | 24576 | 8192 |      | 26 | 21872 | 208 | 208 | 101.625 | 22288 | 2.720703 |
| peppers32.bmp | peppers32.bmp-withWavelet_haar-G_0.8-H6e-005_af3.wfa    | haar    | af3 | 0.8 | 0.00006 | 24576 | 8192 | 8192 | 29 | 27152 | 232 | 232 | 124.781 | 27616 | 3.371094 |
| peppers32.bmp | peppers32.bmp-withWavelet_rbio1.1-G_0.8-H6e-005_af3.wfa | rbio1.1 | af3 | 0.8 | 0.00006 | 24576 | 8192 | 8192 | 29 | 27152 | 232 | 232 | 122.36  | 27616 | 3.371094 |

|               |   |         |     |     |         |       |      |      |    |       |     |     |         |       |          |
|---------------|---|---------|-----|-----|---------|-------|------|------|----|-------|-----|-----|---------|-------|----------|
| peppers32.bmp | peppers32.bmp-withWavelet_sym1-G_0.8-H6e-005_af3.wfa    | sym1    | af3 | 0.8 | 0.00006 | 24576 | 8192 | 8192 | 29 | 27152 | 232 | 232 | 121.297 | 27616 | 3.371094 |
| peppers32.bmp | peppers32.bmp-withWavelet_bior1.1-G_0.8-H6e-005_af3.wfa | bior1.1 | af3 | 0.8 | 0.00006 | 24576 | 8192 | 8192 | 29 | 27152 | 232 | 232 | 124.265 | 27616 | 3.371094 |
| peppers32.bmp | peppers32.bmp-G_0.8-H6e-005_af4.wfa                     |         | af4 | 0.8 | 0.00006 | 24576 | 8192 |      | 16 | 8432  | 128 | 128 | 60.812  | 8688  | 1.060547 |
| peppers32.bmp | peppers32.bmp-withWavelet_haar-G_0.8-H6e-005_af4.wfa    | haar    | af4 | 0.8 | 0.00006 | 24576 | 8192 | 8192 | 29 | 27152 | 232 | 232 | 201.547 | 27616 | 3.371094 |
| peppers32.bmp | peppers32.bmp-withWavelet_rbio1.1-G_0.8-H6e-005_af4.wfa | rbio1.1 | af4 | 0.8 | 0.00006 | 24576 | 8192 | 8192 | 29 | 27152 | 232 | 232 | 191.454 | 27616 | 3.371094 |
| peppers32.bmp | peppers32.bmp-withWavelet_sym1-G_0.8-H6e-005_af4.wfa    | sym1    | af4 | 0.8 | 0.00006 | 24576 | 8192 | 8192 | 29 | 27152 | 232 | 232 | 201.656 | 27616 | 3.371094 |
| peppers32.bmp | peppers32.bmp-withWavelet_bior1.1-G_0.8-H6e-005_af4.wfa | bior1.1 | af4 | 0.8 | 0.00006 | 24576 | 8192 | 8192 | 29 | 27152 | 232 | 232 | 200.109 | 27616 | 3.371094 |
| peppers32.bmp | peppers32.bmp-G_0.8-H6e-005_af5.wfa                     |         | af5 | 0.8 | 0.00006 | 24576 | 8192 |      | 25 | 20240 | 200 | 200 | 43.687  | 20640 | 2.519531 |
| peppers32.bmp | peppers32.bmp-withWavelet_haar-G_0.8-H6e-005_af5.wfa    | haar    | af5 | 0.8 | 0.00006 | 24576 | 8192 | 8192 | 18 | 10608 | 144 | 144 | 40.265  | 10896 | 1.330078 |
| peppers32.bmp | peppers32.bmp-withWavelet_rbio1.1-G_0.8-H6e-005_af5.wfa | rbio1.1 | af5 | 0.8 | 0.00006 | 24576 | 8192 | 8192 | 18 | 10608 | 144 | 144 | 39.906  | 10896 | 1.330078 |
| peppers32.bmp | peppers32.bmp-withWavelet_sym1-G_0.8-H6e-005_af5.wfa    | sym1    | af5 | 0.8 | 0.00006 | 24576 | 8192 | 8192 | 18 | 10608 | 144 | 144 | 41.203  | 10896 | 1.330078 |
| peppers32.bmp | peppers32.bmp-withWavelet_bior1.1-G_0.8-H6e-005_af5.wfa | bior1.1 | af5 | 0.8 | 0.00006 | 24576 | 8192 | 8192 | 18 | 10608 | 144 | 144 | 38.61   | 10896 | 1.330078 |
| peppers32.bmp | peppers32.bmp-G_0.6-H6e-005_af1.wfa                     |         | af1 | 0.6 | 0.00006 | 24576 | 8192 |      | 26 | 21872 | 208 | 208 | 71.968  | 22288 | 2.720703 |
| peppers32.bmp | peppers32.bmp-withWavelet_haar-G_0.6-H6e-005_af1.wfa    | haar    | af1 | 0.6 | 0.00006 | 24576 | 8192 | 8192 | 28 | 25328 | 224 | 224 | 88.562  | 25776 | 3.146484 |
| peppers32.bmp | peppers32.bmp-withWavelet_rbio1.1-G_0.6-H6e-005_af1.wfa | rbio1.1 | af1 | 0.6 | 0.00006 | 24576 | 8192 | 8192 | 28 | 25328 | 224 | 224 | 91.703  | 25776 | 3.146484 |
| peppers32.bmp | peppers32.bmp-withWavelet_sym1-G_0.6-H6e-005_af1.wfa    | sym1    | af1 | 0.6 | 0.00006 | 24576 | 8192 | 8192 | 28 | 25328 | 224 | 224 | 95.109  | 25776 | 3.146484 |
| peppers32.bmp | peppers32.bmp-withWavelet_bior1.1-G_0.6-H6e-005_af1.wfa | bior1.1 | af1 | 0.6 | 0.00006 | 24576 | 8192 | 8192 | 28 | 25328 | 224 | 224 | 94.875  | 25776 | 3.146484 |
| peppers32.bmp | peppers32.bmp-G_0.6-H6e-005_af2.wfa                     |         | af2 | 0.6 | 0.00006 | 24576 | 8192 |      | 25 | 20240 | 200 | 200 | 74.563  | 20640 | 2.519531 |
| peppers32.bmp | peppers32.bmp-withWavelet_haar-G_0.6-H6e-005_af2.wfa    | haar    | af2 | 0.6 | 0.00006 | 24576 | 8192 | 8192 | 21 | 14352 | 168 | 168 | 59.984  | 14688 | 1.792969 |
| peppers32.bmp | peppers32.bmp-withWavelet_rbio1.1-G_0.6-H6e-005_af2.wfa | rbio1.1 | af2 | 0.6 | 0.00006 | 24576 | 8192 | 8192 | 21 | 14352 | 168 | 168 | 58.656  | 14688 | 1.792969 |
| peppers32.bmp | peppers32.bmp-withWavelet_sym1-G_0.6-H6e-005_af2.wfa    | sym1    | af2 | 0.6 | 0.00006 | 24576 | 8192 | 8192 | 21 | 14352 | 168 | 168 | 60.797  | 14688 | 1.792969 |
| peppers32.bmp | peppers32.bmp-withWavelet_bior1.1-G_0.6-H6e-005_af2.wfa | bior1.1 | af2 | 0.6 | 0.00006 | 24576 | 8192 | 8192 | 21 | 14352 | 168 | 168 | 59.578  | 14688 | 1.792969 |
| peppers32.bmp | peppers32.bmp-G_0.6-H6e-005_af3.wfa                     |         | af3 | 0.6 | 0.00006 | 24576 | 8192 |      | 25 | 20240 | 200 | 200 | 74.14   | 20640 | 2.519531 |
| peppers32.bmp | peppers32.bmp-withWavelet_haar-G_0.6-H6e-005_af3.wfa    | haar    | af3 | 0.6 | 0.00006 | 24576 | 8192 | 8192 | 29 | 27152 | 232 | 232 | 89.75   | 27616 | 3.371094 |
| peppers32.bmp | peppers32.bmp-withWavelet_rbio1.1-G_0.6-H6e-005_af3.wfa | rbio1.1 | af3 | 0.6 | 0.00006 | 24576 | 8192 | 8192 | 29 | 27152 | 232 | 232 | 82.657  | 27616 | 3.371094 |
| peppers32.bmp | peppers32.bmp-withWavelet_sym1-G_0.6-H6e-005_af3.wfa    | sym1    | af3 | 0.6 | 0.00006 | 24576 | 8192 | 8192 | 29 | 27152 | 232 | 232 | 90.172  | 27616 | 3.371094 |
| peppers32.bmp | peppers32.bmp-withWavelet_bior1.1-G_0.6-H6e-005_af3.wfa | bior1.1 | af3 | 0.6 | 0.00006 | 24576 | 8192 | 8192 | 29 | 27152 | 232 | 232 | 87.047  | 27616 | 3.371094 |
| peppers32.bmp | peppers32.bmp-G_0.6-H6e-005_af4.wfa                     |         | af4 | 0.6 | 0.00006 | 24576 | 8192 |      | 5  | 1040  | 40  | 40  | 29.078  | 1120  | 0.136719 |
| peppers32.bmp | peppers32.bmp-withWavelet_haar-G_0.6-H6e-005_af4.wfa    | haar    | af4 | 0.6 | 0.00006 | 24576 | 8192 | 8192 | 30 | 29040 | 240 | 240 | 154.078 | 29520 | 3.603516 |
| peppers32.bmp | peppers32.bmp-withWavelet_rbio1.1-G_0.6-H6e-005_af4.wfa | rbio1.1 | af4 | 0.6 | 0.00006 | 24576 | 8192 | 8192 | 30 | 29040 | 240 | 240 | 148.75  | 29520 | 3.603516 |
| peppers32.bmp | peppers32.bmp-withWavelet_sym1-G_0.6-H6e-005_af4.wfa    | sym1    | af4 | 0.6 | 0.00006 | 24576 | 8192 | 8192 | 30 | 29040 | 240 | 240 | 151.891 | 29520 | 3.603516 |

|               |   |         |     |     |         |       |      |      |    |       |     |     |         |       |          |
|---------------|---|---------|-----|-----|---------|-------|------|------|----|-------|-----|-----|---------|-------|----------|
| peppers32.bmp | peppers32.bmp-withWavelet_bior1.1-G_0.6-H6e-005_af4.wfa | bior1.1 | af4 | 0.6 | 0.00006 | 24576 | 8192 | 8192 | 30 | 29040 | 240 | 240 | 149.484 | 29520 | 3.603516 |
| peppers32.bmp | peppers32.bmp-G_0.6-H6e-005_af5.wfa                     |         | af5 | 0.6 | 0.00006 | 24576 | 8192 |      | 25 | 20240 | 200 | 200 | 34.594  | 20640 | 2.519531 |
| peppers32.bmp | peppers32.bmp-withWavelet_haar-G_0.6-H6e-005_af5.wfa    | haar    | af5 | 0.6 | 0.00006 | 24576 | 8192 | 8192 | 18 | 10608 | 144 | 144 | 38.641  | 10896 | 1.330078 |
| peppers32.bmp | peppers32.bmp-withWavelet_rbio1.1-G_0.6-H6e-005_af5.wfa | rbio1.1 | af5 | 0.6 | 0.00006 | 24576 | 8192 | 8192 | 18 | 10608 | 144 | 144 | 34.438  | 10896 | 1.330078 |
| peppers32.bmp | peppers32.bmp-withWavelet_sym1-G_0.6-H6e-005_af5.wfa    | sym1    | af5 | 0.6 | 0.00006 | 24576 | 8192 | 8192 | 18 | 10608 | 144 | 144 | 36.64   | 10896 | 1.330078 |
| peppers32.bmp | peppers32.bmp-withWavelet_bior1.1-G_0.6-H6e-005_af5.wfa | bior1.1 | af5 | 0.6 | 0.00006 | 24576 | 8192 | 8192 | 18 | 10608 | 144 | 144 | 38.25   | 10896 | 1.330078 |
| peppers32.bmp | peppers32.bmp-G_1-H7e-005_af1.wfa                       |         | af1 | 1   | 0.00007 | 24576 | 8192 |      | 28 | 25328 | 224 | 224 | 208.406 | 25776 | 3.146484 |
| peppers32.bmp | peppers32.bmp-withWavelet_haar-G_1-H7e-005_af1.wfa      | haar    | af1 | 1   | 0.00007 | 24576 | 8192 | 8192 | 27 | 23568 | 216 | 216 | 232.078 | 24000 | 2.929688 |
| peppers32.bmp | peppers32.bmp-withWavelet_rbio1.1-G_1-H7e-005_af1.wfa   | rbio1.1 | af1 | 1   | 0.00007 | 24576 | 8192 | 8192 | 27 | 23568 | 216 | 216 | 237.484 | 24000 | 2.929688 |
| peppers32.bmp | peppers32.bmp-withWavelet_sym1-G_1-H7e-005_af1.wfa      | sym1    | af1 | 1   | 0.00007 | 24576 | 8192 | 8192 | 27 | 23568 | 216 | 216 | 244.562 | 24000 | 2.929688 |
| peppers32.bmp | peppers32.bmp-withWavelet_bior1.1-G_1-H7e-005_af1.wfa   | bior1.1 | af1 | 1   | 0.00007 | 24576 | 8192 | 8192 | 27 | 23568 | 216 | 216 | 235.64  | 24000 | 2.929688 |
| peppers32.bmp | peppers32.bmp-G_1-H7e-005_af2.wfa                       |         | af2 | 1   | 0.00007 | 24576 | 8192 |      | 23 | 17168 | 184 | 184 | 153.875 | 17536 | 2.140625 |
| peppers32.bmp | peppers32.bmp-withWavelet_haar-G_1-H7e-005_af2.wfa      | haar    | af2 | 1   | 0.00007 | 24576 | 8192 | 8192 | 21 | 14352 | 168 | 168 | 121.985 | 14688 | 1.792969 |
| peppers32.bmp | peppers32.bmp-withWavelet_rbio1.1-G_1-H7e-005_af2.wfa   | rbio1.1 | af2 | 1   | 0.00007 | 24576 | 8192 | 8192 | 21 | 14352 | 168 | 168 | 122.313 | 14688 | 1.792969 |
| peppers32.bmp | peppers32.bmp-withWavelet_sym1-G_1-H7e-005_af2.wfa      | sym1    | af2 | 1   | 0.00007 | 24576 | 8192 | 8192 | 21 | 14352 | 168 | 168 | 117.515 | 14688 | 1.792969 |
| peppers32.bmp | peppers32.bmp-withWavelet_bior1.1-G_1-H7e-005_af2.wfa   | bior1.1 | af2 | 1   | 0.00007 | 24576 | 8192 | 8192 | 21 | 14352 | 168 | 168 | 117.25  | 14688 | 1.792969 |
| peppers32.bmp | peppers32.bmp-G_1-H7e-005_af3.wfa                       |         | af3 | 1   | 0.00007 | 24576 | 8192 |      | 24 | 18672 | 192 | 192 | 171.125 | 19056 | 2.326172 |
| peppers32.bmp | peppers32.bmp-withWavelet_haar-G_1-H7e-005_af3.wfa      | haar    | af3 | 1   | 0.00007 | 24576 | 8192 | 8192 | 28 | 25328 | 224 | 224 | 223.422 | 25776 | 3.146484 |
| peppers32.bmp | peppers32.bmp-withWavelet_rbio1.1-G_1-H7e-005_af3.wfa   | rbio1.1 | af3 | 1   | 0.00007 | 24576 | 8192 | 8192 | 28 | 25328 | 224 | 224 | 226.953 | 25776 | 3.146484 |
| peppers32.bmp | peppers32.bmp-withWavelet_sym1-G_1-H7e-005_af3.wfa      | sym1    | af3 | 1   | 0.00007 | 24576 | 8192 | 8192 | 28 | 25328 | 224 | 224 | 225.062 | 25776 | 3.146484 |
| peppers32.bmp | peppers32.bmp-withWavelet_bior1.1-G_1-H7e-005_af3.wfa   | bior1.1 | af3 | 1   | 0.00007 | 24576 | 8192 | 8192 | 28 | 25328 | 224 | 224 | 227.235 | 25776 | 3.146484 |
| peppers32.bmp | peppers32.bmp-G_1-H7e-005_af4.wfa                       |         | af4 | 1   | 0.00007 | 24576 | 8192 |      | 16 | 8432  | 128 | 128 | 111.64  | 8688  | 1.060547 |
| peppers32.bmp | peppers32.bmp-withWavelet_haar-G_1-H7e-005_af4.wfa      | haar    | af4 | 1   | 0.00007 | 24576 | 8192 | 8192 | 27 | 23568 | 216 | 216 | 351.093 | 24000 | 2.929688 |
| peppers32.bmp | peppers32.bmp-withWavelet_rbio1.1-G_1-H7e-005_af4.wfa   | rbio1.1 | af4 | 1   | 0.00007 | 24576 | 8192 | 8192 | 27 | 23568 | 216 | 216 | 341.609 | 24000 | 2.929688 |
| peppers32.bmp | peppers32.bmp-withWavelet_sym1-G_1-H7e-005_af4.wfa      | sym1    | af4 | 1   | 0.00007 | 24576 | 8192 | 8192 | 27 | 23568 | 216 | 216 | 345.828 | 24000 | 2.929688 |
| peppers32.bmp | peppers32.bmp-withWavelet_bior1.1-G_1-H7e-005_af4.wfa   | bior1.1 | af4 | 1   | 0.00007 | 24576 | 8192 | 8192 | 27 | 23568 | 216 | 216 | 342.125 | 24000 | 2.929688 |
| peppers32.bmp | peppers32.bmp-G_1-H7e-005_af5.wfa                       |         | af5 | 1   | 0.00007 | 24576 | 8192 |      | 23 | 17168 | 184 | 184 | 52.469  | 17536 | 2.140625 |
| peppers32.bmp | peppers32.bmp-withWavelet_haar-G_1-H7e-005_af5.wfa      | haar    | af5 | 1   | 0.00007 | 24576 | 8192 | 8192 | 16 | 8432  | 128 | 128 | 45.891  | 8688  | 1.060547 |
| peppers32.bmp | peppers32.bmp-withWavelet_rbio1.1-G_1-H7e-005_af5.wfa   | rbio1.1 | af5 | 1   | 0.00007 | 24576 | 8192 | 8192 | 16 | 8432  | 128 | 128 | 47.328  | 8688  | 1.060547 |
| peppers32.bmp | peppers32.bmp-withWavelet_sym1-G_1-H7e-005_af5.wfa      | sym1    | af5 | 1   | 0.00007 | 24576 | 8192 | 8192 | 16 | 8432  | 128 | 128 | 49.344  | 8688  | 1.060547 |
| peppers32.bmp | peppers32.bmp-withWavelet_bior1.1-G_1-H7e-005_af5.wfa   | bior1.1 | af5 | 1   | 0.00007 | 24576 | 8192 | 8192 | 16 | 8432  | 128 | 128 | 43.937  | 8688  | 1.060547 |

|               |   |         |     |     |         |       |      |      |    |       |     |     |         |       |          |
|---------------|---|---------|-----|-----|---------|-------|------|------|----|-------|-----|-----|---------|-------|----------|
| peppers32.bmp | peppers32.bmp-G_0.8-H7e-005_af1.wfa                     |         | af1 | 0.8 | 0.00007 | 24576 | 8192 |      | 28 | 25328 | 224 | 224 | 104.125 | 25776 | 3.146484 |
| peppers32.bmp | peppers32.bmp-withWavelet_haar-G_0.8-H7e-005_af1.wfa    | haar    | af1 | 0.8 | 0.00007 | 24576 | 8192 | 8192 | 27 | 23568 | 216 | 216 | 118.469 | 24000 | 2.929688 |
| peppers32.bmp | peppers32.bmp-withWavelet_rbio1.1-G_0.8-H7e-005_af1.wfa | rbio1.1 | af1 | 0.8 | 0.00007 | 24576 | 8192 | 8192 | 27 | 23568 | 216 | 216 | 137.187 | 24000 | 2.929688 |
| peppers32.bmp | peppers32.bmp-withWavelet_sym1-G_0.8-H7e-005_af1.wfa    | sym1    | af1 | 0.8 | 0.00007 | 24576 | 8192 | 8192 | 27 | 23568 | 216 | 216 | 150.641 | 24000 | 2.929688 |
| peppers32.bmp | peppers32.bmp-withWavelet_bior1.1-G_0.8-H7e-005_af1.wfa | bior1.1 | af1 | 0.8 | 0.00007 | 24576 | 8192 | 8192 | 27 | 23568 | 216 | 216 | 117.75  | 24000 | 2.929688 |
| peppers32.bmp | peppers32.bmp-G_0.8-H7e-005_af2.wfa                     |         | af2 | 0.8 | 0.00007 | 24576 | 8192 |      | 23 | 17168 | 184 | 184 | 81.515  | 17536 | 2.140625 |
| peppers32.bmp | peppers32.bmp-withWavelet_haar-G_0.8-H7e-005_af2.wfa    | haar    | af2 | 0.8 | 0.00007 | 24576 | 8192 | 8192 | 21 | 14352 | 168 | 168 | 67.218  | 14688 | 1.792969 |
| peppers32.bmp | peppers32.bmp-withWavelet_rbio1.1-G_0.8-H7e-005_af2.wfa | rbio1.1 | af2 | 0.8 | 0.00007 | 24576 | 8192 | 8192 | 21 | 14352 | 168 | 168 | 68.235  | 14688 | 1.792969 |
| peppers32.bmp | peppers32.bmp-withWavelet_sym1-G_0.8-H7e-005_af2.wfa    | sym1    | af2 | 0.8 | 0.00007 | 24576 | 8192 | 8192 | 21 | 14352 | 168 | 168 | 67.938  | 14688 | 1.792969 |
| peppers32.bmp | peppers32.bmp-withWavelet_bior1.1-G_0.8-H7e-005_af2.wfa | bior1.1 | af2 | 0.8 | 0.00007 | 24576 | 8192 | 8192 | 21 | 14352 | 168 | 168 | 67.75   | 14688 | 1.792969 |
| peppers32.bmp | peppers32.bmp-G_0.8-H7e-005_af3.wfa                     |         | af3 | 0.8 | 0.00007 | 24576 | 8192 |      | 24 | 18672 | 192 | 192 | 85.062  | 19056 | 2.326172 |
| peppers32.bmp | peppers32.bmp-withWavelet_haar-G_0.8-H7e-005_af3.wfa    | haar    | af3 | 0.8 | 0.00007 | 24576 | 8192 | 8192 | 29 | 27152 | 232 | 232 | 121.187 | 27616 | 3.371094 |
| peppers32.bmp | peppers32.bmp-withWavelet_rbio1.1-G_0.8-H7e-005_af3.wfa | rbio1.1 | af3 | 0.8 | 0.00007 | 24576 | 8192 | 8192 | 29 | 27152 | 232 | 232 | 116.406 | 27616 | 3.371094 |
| peppers32.bmp | peppers32.bmp-withWavelet_sym1-G_0.8-H7e-005_af3.wfa    | sym1    | af3 | 0.8 | 0.00007 | 24576 | 8192 | 8192 | 29 | 27152 | 232 | 232 | 115.234 | 27616 | 3.371094 |
| peppers32.bmp | peppers32.bmp-withWavelet_bior1.1-G_0.8-H7e-005_af3.wfa | bior1.1 | af3 | 0.8 | 0.00007 | 24576 | 8192 | 8192 | 29 | 27152 | 232 | 232 | 106.313 | 27616 | 3.371094 |
| peppers32.bmp | peppers32.bmp-G_0.8-H7e-005_af4.wfa                     |         | af4 | 0.8 | 0.00007 | 24576 | 8192 |      | 16 | 8432  | 128 | 128 | 55.047  | 8688  | 1.060547 |
| peppers32.bmp | peppers32.bmp-withWavelet_haar-G_0.8-H7e-005_af4.wfa    | haar    | af4 | 0.8 | 0.00007 | 24576 | 8192 | 8192 | 27 | 23568 | 216 | 216 | 160.781 | 24000 | 2.929688 |
| peppers32.bmp | peppers32.bmp-withWavelet_rbio1.1-G_0.8-H7e-005_af4.wfa | rbio1.1 | af4 | 0.8 | 0.00007 | 24576 | 8192 | 8192 | 27 | 23568 | 216 | 216 | 155.703 | 24000 | 2.929688 |
| peppers32.bmp | peppers32.bmp-withWavelet_sym1-G_0.8-H7e-005_af4.wfa    | sym1    | af4 | 0.8 | 0.00007 | 24576 | 8192 | 8192 | 27 | 23568 | 216 | 216 | 161.157 | 24000 | 2.929688 |
| peppers32.bmp | peppers32.bmp-withWavelet_bior1.1-G_0.8-H7e-005_af4.wfa | bior1.1 | af4 | 0.8 | 0.00007 | 24576 | 8192 | 8192 | 27 | 23568 | 216 | 216 | 154.281 | 24000 | 2.929688 |
| peppers32.bmp | peppers32.bmp-G_0.8-H7e-005_af5.wfa                     |         | af5 | 0.8 | 0.00007 | 24576 | 8192 |      | 24 | 18672 | 192 | 192 | 41.015  | 19056 | 2.326172 |
| peppers32.bmp | peppers32.bmp-withWavelet_haar-G_0.8-H7e-005_af5.wfa    | haar    | af5 | 0.8 | 0.00007 | 24576 | 8192 | 8192 | 16 | 8432  | 128 | 128 | 35.969  | 8688  | 1.060547 |
| peppers32.bmp | peppers32.bmp-withWavelet_rbio1.1-G_0.8-H7e-005_af5.wfa | rbio1.1 | af5 | 0.8 | 0.00007 | 24576 | 8192 | 8192 | 16 | 8432  | 128 | 128 | 36.703  | 8688  | 1.060547 |
| peppers32.bmp | peppers32.bmp-withWavelet_sym1-G_0.8-H7e-005_af5.wfa    | sym1    | af5 | 0.8 | 0.00007 | 24576 | 8192 | 8192 | 16 | 8432  | 128 | 128 | 33.766  | 8688  | 1.060547 |
| peppers32.bmp | peppers32.bmp-withWavelet_bior1.1-G_0.8-H7e-005_af5.wfa | bior1.1 | af5 | 0.8 | 0.00007 | 24576 | 8192 | 8192 | 16 | 8432  | 128 | 128 | 37.297  | 8688  | 1.060547 |
| peppers32.bmp | peppers32.bmp-G_0.6-H7e-005_af1.wfa                     |         | af1 | 0.6 | 0.00007 | 24576 | 8192 |      | 25 | 20240 | 200 | 200 | 64.422  | 20640 | 2.519531 |
| peppers32.bmp | peppers32.bmp-withWavelet_haar-G_0.6-H7e-005_af1.wfa    | haar    | af1 | 0.6 | 0.00007 | 24576 | 8192 | 8192 | 27 | 23568 | 216 | 216 | 77.328  | 24000 | 2.929688 |
| peppers32.bmp | peppers32.bmp-withWavelet_rbio1.1-G_0.6-H7e-005_af1.wfa | rbio1.1 | af1 | 0.6 | 0.00007 | 24576 | 8192 | 8192 | 27 | 23568 | 216 | 216 | 80.563  | 24000 | 2.929688 |
| peppers32.bmp | peppers32.bmp-withWavelet_sym1-G_0.6-H7e-005_af1.wfa    | sym1    | af1 | 0.6 | 0.00007 | 24576 | 8192 | 8192 | 27 | 23568 | 216 | 216 | 82.093  | 24000 | 2.929688 |
| peppers32.bmp | peppers32.bmp-withWavelet_bior1.1-G_0.6-H7e-005_af1.wfa | bior1.1 | af1 | 0.6 | 0.00007 | 24576 | 8192 | 8192 | 27 | 23568 | 216 | 216 | 80.25   | 24000 | 2.929688 |
| peppers32.bmp | peppers32.bmp-G_0.6-H7e-005_af2.wfa                     |         | af2 | 0.6 | 0.00007 | 24576 | 8192 |      | 25 | 20240 | 200 | 200 | 64.719  | 20640 | 2.519531 |

|               |   |         |     |     |         |       |      |      |    |       |     |     |         |       |          |
|---------------|---|---------|-----|-----|---------|-------|------|------|----|-------|-----|-----|---------|-------|----------|
| peppers32.bmp | peppers32.bmp-withWavelet_haar-G_0.6-H7e-005_af2.wfa    | haar    | af2 | 0.6 | 0.00007 | 24576 | 8192 | 8192 | 21 | 14352 | 168 | 168 | 56.094  | 14688 | 1.792969 |
| peppers32.bmp | peppers32.bmp-withWavelet_rbio1.1-G_0.6-H7e-005_af2.wfa | rbio1.1 | af2 | 0.6 | 0.00007 | 24576 | 8192 | 8192 | 21 | 14352 | 168 | 168 | 50.594  | 14688 | 1.792969 |
| peppers32.bmp | peppers32.bmp-withWavelet_sym1-G_0.6-H7e-005_af2.wfa    | sym1    | af2 | 0.6 | 0.00007 | 24576 | 8192 | 8192 | 21 | 14352 | 168 | 168 | 51.047  | 14688 | 1.792969 |
| peppers32.bmp | peppers32.bmp-withWavelet_bior1.1-G_0.6-H7e-005_af2.wfa | bior1.1 | af2 | 0.6 | 0.00007 | 24576 | 8192 | 8192 | 21 | 14352 | 168 | 168 | 51.094  | 14688 | 1.792969 |
| peppers32.bmp | peppers32.bmp-G_0.6-H7e-005_af3.wfa                     |         | af3 | 0.6 | 0.00007 | 24576 | 8192 |      | 24 | 18672 | 192 | 192 | 57.234  | 19056 | 2.326172 |
| peppers32.bmp | peppers32.bmp-withWavelet_haar-G_0.6-H7e-005_af3.wfa    | haar    | af3 | 0.6 | 0.00007 | 24576 | 8192 | 8192 | 28 | 25328 | 224 | 224 | 78.875  | 25776 | 3.146484 |
| peppers32.bmp | peppers32.bmp-withWavelet_rbio1.1-G_0.6-H7e-005_af3.wfa | rbio1.1 | af3 | 0.6 | 0.00007 | 24576 | 8192 | 8192 | 28 | 25328 | 224 | 224 | 79.797  | 25776 | 3.146484 |
| peppers32.bmp | peppers32.bmp-withWavelet_sym1-G_0.6-H7e-005_af3.wfa    | sym1    | af3 | 0.6 | 0.00007 | 24576 | 8192 | 8192 | 28 | 25328 | 224 | 224 | 72.688  | 25776 | 3.146484 |
| peppers32.bmp | peppers32.bmp-withWavelet_bior1.1-G_0.6-H7e-005_af3.wfa | bior1.1 | af3 | 0.6 | 0.00007 | 24576 | 8192 | 8192 | 28 | 25328 | 224 | 224 | 86.594  | 25776 | 3.146484 |
| peppers32.bmp | peppers32.bmp-G_0.6-H7e-005_af4.wfa                     |         | af4 | 0.6 | 0.00007 | 24576 | 8192 |      | 5  | 1040  | 40  | 40  | 28.531  | 1120  | 0.136719 |
| peppers32.bmp | peppers32.bmp-withWavelet_haar-G_0.6-H7e-005_af4.wfa    | haar    | af4 | 0.6 | 0.00007 | 24576 | 8192 | 8192 | 28 | 25328 | 224 | 224 | 117.453 | 25776 | 3.146484 |
| peppers32.bmp | peppers32.bmp-withWavelet_rbio1.1-G_0.6-H7e-005_af4.wfa | rbio1.1 | af4 | 0.6 | 0.00007 | 24576 | 8192 | 8192 | 28 | 25328 | 224 | 224 | 115.656 | 25776 | 3.146484 |
| peppers32.bmp | peppers32.bmp-withWavelet_sym1-G_0.6-H7e-005_af4.wfa    | sym1    | af4 | 0.6 | 0.00007 | 24576 | 8192 | 8192 | 28 | 25328 | 224 | 224 | 116.516 | 25776 | 3.146484 |
| peppers32.bmp | peppers32.bmp-withWavelet_bior1.1-G_0.6-H7e-005_af4.wfa | bior1.1 | af4 | 0.6 | 0.00007 | 24576 | 8192 | 8192 | 28 | 25328 | 224 | 224 | 121.25  | 25776 | 3.146484 |
| peppers32.bmp | peppers32.bmp-G_0.6-H7e-005_af5.wfa                     |         | af5 | 0.6 | 0.00007 | 24576 | 8192 |      | 24 | 18672 | 192 | 192 | 33.922  | 19056 | 2.326172 |
| peppers32.bmp | peppers32.bmp-withWavelet_haar-G_0.6-H7e-005_af5.wfa    | haar    | af5 | 0.6 | 0.00007 | 24576 | 8192 | 8192 | 17 | 9488  | 136 | 136 | 31.859  | 9760  | 1.191406 |
| peppers32.bmp | peppers32.bmp-withWavelet_rbio1.1-G_0.6-H7e-005_af5.wfa | rbio1.1 | af5 | 0.6 | 0.00007 | 24576 | 8192 | 8192 | 17 | 9488  | 136 | 136 | 37.766  | 9760  | 1.191406 |
| peppers32.bmp | peppers32.bmp-withWavelet_sym1-G_0.6-H7e-005_af5.wfa    | sym1    | af5 | 0.6 | 0.00007 | 24576 | 8192 | 8192 | 17 | 9488  | 136 | 136 | 32.797  | 9760  | 1.191406 |
| peppers32.bmp | peppers32.bmp-withWavelet_bior1.1-G_0.6-H7e-005_af5.wfa | bior1.1 | af5 | 0.6 | 0.00007 | 24576 | 8192 | 8192 | 17 | 9488  | 136 | 136 | 32.016  | 9760  | 1.191406 |
| peppers32.bmp | peppers32.bmp-G_1-H8e-005_af1.wfa                       |         | af1 | 1   | 0.00008 | 24576 | 8192 |      | 27 | 23568 | 216 | 216 | 183.813 | 24000 | 2.929688 |
| peppers32.bmp | peppers32.bmp-withWavelet_haar-G_1-H8e-005_af1.wfa      | haar    | af1 | 1   | 0.00008 | 24576 | 8192 | 8192 | 26 | 21872 | 208 | 208 | 214.265 | 22288 | 2.720703 |
| peppers32.bmp | peppers32.bmp-withWavelet_rbio1.1-G_1-H8e-005_af1.wfa   | rbio1.1 | af1 | 1   | 0.00008 | 24576 | 8192 | 8192 | 26 | 21872 | 208 | 208 | 211.359 | 22288 | 2.720703 |
| peppers32.bmp | peppers32.bmp-withWavelet_sym1-G_1-H8e-005_af1.wfa      | sym1    | af1 | 1   | 0.00008 | 24576 | 8192 | 8192 | 26 | 21872 | 208 | 208 | 215.906 | 22288 | 2.720703 |
| peppers32.bmp | peppers32.bmp-withWavelet_bior1.1-G_1-H8e-005_af1.wfa   | bior1.1 | af1 | 1   | 0.00008 | 24576 | 8192 | 8192 | 26 | 21872 | 208 | 208 | 211.703 | 22288 | 2.720703 |
| peppers32.bmp | peppers32.bmp-G_1-H8e-005_af2.wfa                       |         | af2 | 1   | 0.00008 | 24576 | 8192 |      | 22 | 15728 | 176 | 176 | 132.25  | 16080 | 1.962891 |
| peppers32.bmp | peppers32.bmp-withWavelet_haar-G_1-H8e-005_af2.wfa      | haar    | af2 | 1   | 0.00008 | 24576 | 8192 | 8192 | 20 | 13040 | 160 | 160 | 107.875 | 13360 | 1.630859 |
| peppers32.bmp | peppers32.bmp-withWavelet_rbio1.1-G_1-H8e-005_af2.wfa   | rbio1.1 | af2 | 1   | 0.00008 | 24576 | 8192 | 8192 | 20 | 13040 | 160 | 160 | 104.812 | 13360 | 1.630859 |
| peppers32.bmp | peppers32.bmp-withWavelet_sym1-G_1-H8e-005_af2.wfa      | sym1    | af2 | 1   | 0.00008 | 24576 | 8192 | 8192 | 20 | 13040 | 160 | 160 | 103.765 | 13360 | 1.630859 |
| peppers32.bmp | peppers32.bmp-withWavelet_bior1.1-G_1-H8e-005_af2.wfa   | bior1.1 | af2 | 1   | 0.00008 | 24576 | 8192 | 8192 | 20 | 13040 | 160 | 160 | 109.468 | 13360 | 1.630859 |
| peppers32.bmp | peppers32.bmp-G_1-H8e-005_af3.wfa                       |         | af3 | 1   | 0.00008 | 24576 | 8192 |      | 24 | 18672 | 192 | 192 | 167.015 | 19056 | 2.326172 |
| peppers32.bmp | peppers32.bmp-withWavelet_haar-G_1-H8e-005_af3.wfa      | haar    | af3 | 1   | 0.00008 | 24576 | 8192 | 8192 | 26 | 21872 | 208 | 208 | 191.656 | 22288 | 2.720703 |

|               |   |         |     |     |         |       |      |      |    |       |     |     |         |       |          |
|---------------|---|---------|-----|-----|---------|-------|------|------|----|-------|-----|-----|---------|-------|----------|
| peppers32.bmp | peppers32.bmp-withWavelet_rbio1.1-G_1-H8e-005_af3.wfa   | rbio1.1 | af3 | 1   | 0.00008 | 24576 | 8192 | 8192 | 26 | 21872 | 208 | 208 | 195.531 | 22288 | 2.720703 |
| peppers32.bmp | peppers32.bmp-withWavelet_sym1-G_1-H8e-005_af3.wfa      | sym1    | af3 | 1   | 0.00008 | 24576 | 8192 | 8192 | 26 | 21872 | 208 | 208 | 196.094 | 22288 | 2.720703 |
| peppers32.bmp | peppers32.bmp-withWavelet_bior1.1-G_1-H8e-005_af3.wfa   | bior1.1 | af3 | 1   | 0.00008 | 24576 | 8192 | 8192 | 26 | 21872 | 208 | 208 | 195.609 | 22288 | 2.720703 |
| peppers32.bmp | peppers32.bmp-G_1-H8e-005_af4.wfa                       |         | af4 | 1   | 0.00008 | 24576 | 8192 |      | 16 | 8432  | 128 | 128 | 101.391 | 8688  | 1.060547 |
| peppers32.bmp | peppers32.bmp-withWavelet_haar-G_1-H8e-005_af4.wfa      | haar    | af4 | 1   | 0.00008 | 24576 | 8192 | 8192 | 26 | 21872 | 208 | 208 | 309.234 | 22288 | 2.720703 |
| peppers32.bmp | peppers32.bmp-withWavelet_rbio1.1-G_1-H8e-005_af4.wfa   | rbio1.1 | af4 | 1   | 0.00008 | 24576 | 8192 | 8192 | 26 | 21872 | 208 | 208 | 310.329 | 22288 | 2.720703 |
| peppers32.bmp | peppers32.bmp-withWavelet_sym1-G_1-H8e-005_af4.wfa      | sym1    | af4 | 1   | 0.00008 | 24576 | 8192 | 8192 | 26 | 21872 | 208 | 208 | 308.922 | 22288 | 2.720703 |
| peppers32.bmp | peppers32.bmp-withWavelet_bior1.1-G_1-H8e-005_af4.wfa   | bior1.1 | af4 | 1   | 0.00008 | 24576 | 8192 | 8192 | 26 | 21872 | 208 | 208 | 313.078 | 22288 | 2.720703 |
| peppers32.bmp | peppers32.bmp-G_1-H8e-005_af5.wfa                       |         | af5 | 1   | 0.00008 | 24576 | 8192 |      | 23 | 17168 | 184 | 184 | 53.047  | 17536 | 2.140625 |
| peppers32.bmp | peppers32.bmp-withWavelet_haar-G_1-H8e-005_af5.wfa      | haar    | af5 | 1   | 0.00008 | 24576 | 8192 | 8192 | 14 | 6512  | 112 | 112 | 47.953  | 6736  | 0.822266 |
| peppers32.bmp | peppers32.bmp-withWavelet_rbio1.1-G_1-H8e-005_af5.wfa   | rbio1.1 | af5 | 1   | 0.00008 | 24576 | 8192 | 8192 | 14 | 6512  | 112 | 112 | 42.485  | 6736  | 0.822266 |
| peppers32.bmp | peppers32.bmp-withWavelet_sym1-G_1-H8e-005_af5.wfa      | sym1    | af5 | 1   | 0.00008 | 24576 | 8192 | 8192 | 14 | 6512  | 112 | 112 | 44.734  | 6736  | 0.822266 |
| peppers32.bmp | peppers32.bmp-withWavelet_bior1.1-G_1-H8e-005_af5.wfa   | bior1.1 | af5 | 1   | 0.00008 | 24576 | 8192 | 8192 | 14 | 6512  | 112 | 112 | 46.625  | 6736  | 0.822266 |
| peppers32.bmp | peppers32.bmp-G_0.8-H8e-005_af1.wfa                     |         | af1 | 0.8 | 0.00008 | 24576 | 8192 |      | 27 | 23568 | 216 | 216 | 91.734  | 24000 | 2.929688 |
| peppers32.bmp | peppers32.bmp-withWavelet_haar-G_0.8-H8e-005_af1.wfa    | haar    | af1 | 0.8 | 0.00008 | 24576 | 8192 | 8192 | 26 | 21872 | 208 | 208 | 105.938 | 22288 | 2.720703 |
| peppers32.bmp | peppers32.bmp-withWavelet_rbio1.1-G_0.8-H8e-005_af1.wfa | rbio1.1 | af1 | 0.8 | 0.00008 | 24576 | 8192 | 8192 | 26 | 21872 | 208 | 208 | 104.703 | 22288 | 2.720703 |
| peppers32.bmp | peppers32.bmp-withWavelet_sym1-G_0.8-H8e-005_af1.wfa    | sym1    | af1 | 0.8 | 0.00008 | 24576 | 8192 | 8192 | 26 | 21872 | 208 | 208 | 102.562 | 22288 | 2.720703 |
| peppers32.bmp | peppers32.bmp-withWavelet_bior1.1-G_0.8-H8e-005_af1.wfa | bior1.1 | af1 | 0.8 | 0.00008 | 24576 | 8192 | 8192 | 26 | 21872 | 208 | 208 | 108.11  | 22288 | 2.720703 |
| peppers32.bmp | peppers32.bmp-G_0.8-H8e-005_af2.wfa                     |         | af2 | 0.8 | 0.00008 | 24576 | 8192 |      | 22 | 15728 | 176 | 176 | 67.656  | 16080 | 1.962891 |
| peppers32.bmp | peppers32.bmp-withWavelet_haar-G_0.8-H8e-005_af2.wfa    | haar    | af2 | 0.8 | 0.00008 | 24576 | 8192 | 8192 | 20 | 13040 | 160 | 160 | 63.516  | 13360 | 1.630859 |
| peppers32.bmp | peppers32.bmp-withWavelet_rbio1.1-G_0.8-H8e-005_af2.wfa | rbio1.1 | af2 | 0.8 | 0.00008 | 24576 | 8192 | 8192 | 20 | 13040 | 160 | 160 | 57.859  | 13360 | 1.630859 |
| peppers32.bmp | peppers32.bmp-withWavelet_sym1-G_0.8-H8e-005_af2.wfa    | sym1    | af2 | 0.8 | 0.00008 | 24576 | 8192 | 8192 | 20 | 13040 | 160 | 160 | 67.484  | 13360 | 1.630859 |
| peppers32.bmp | peppers32.bmp-withWavelet_bior1.1-G_0.8-H8e-005_af2.wfa | bior1.1 | af2 | 0.8 | 0.00008 | 24576 | 8192 | 8192 | 20 | 13040 | 160 | 160 | 62.579  | 13360 | 1.630859 |
| peppers32.bmp | peppers32.bmp-G_0.8-H8e-005_af3.wfa                     |         | af3 | 0.8 | 0.00008 | 24576 | 8192 |      | 24 | 18672 | 192 | 192 | 88.094  | 19056 | 2.326172 |
| peppers32.bmp | peppers32.bmp-withWavelet_haar-G_0.8-H8e-005_af3.wfa    | haar    | af3 | 0.8 | 0.00008 | 24576 | 8192 | 8192 | 28 | 25328 | 224 | 224 | 108.234 | 25776 | 3.146484 |
| peppers32.bmp | peppers32.bmp-withWavelet_rbio1.1-G_0.8-H8e-005_af3.wfa | rbio1.1 | af3 | 0.8 | 0.00008 | 24576 | 8192 | 8192 | 28 | 25328 | 224 | 224 | 107.235 | 25776 | 3.146484 |
| peppers32.bmp | peppers32.bmp-withWavelet_sym1-G_0.8-H8e-005_af3.wfa    | sym1    | af3 | 0.8 | 0.00008 | 24576 | 8192 | 8192 | 28 | 25328 | 224 | 224 | 107.188 | 25776 | 3.146484 |
| peppers32.bmp | peppers32.bmp-withWavelet_bior1.1-G_0.8-H8e-005_af3.wfa | bior1.1 | af3 | 0.8 | 0.00008 | 24576 | 8192 | 8192 | 28 | 25328 | 224 | 224 | 100.579 | 25776 | 3.146484 |
| peppers32.bmp | peppers32.bmp-G_0.8-H8e-005_af4.wfa                     |         | af4 | 0.8 | 0.00008 | 24576 | 8192 |      | 15 | 7440  | 120 | 120 | 52.813  | 7680  | 0.9375   |
| peppers32.bmp | peppers32.bmp-withWavelet_haar-G_0.8-H8e-005_af4.wfa    | haar    | af4 | 0.8 | 0.00008 | 24576 | 8192 | 8192 | 27 | 23568 | 216 | 216 | 157.594 | 24000 | 2.929688 |
| peppers32.bmp | peppers32.bmp-withWavelet_rbio1.1-G_0.8-H8e-005_af4.wfa | rbio1.1 | af4 | 0.8 | 0.00008 | 24576 | 8192 | 8192 | 27 | 23568 | 216 | 216 | 148.672 | 24000 | 2.929688 |

|               |   |         |     |     |         |       |      |      |    |       |     |     |         |       |          |
|---------------|---|---------|-----|-----|---------|-------|------|------|----|-------|-----|-----|---------|-------|----------|
| peppers32.bmp | peppers32.bmp-withWavelet_sym1-G_0.8-H8e-005_af4.wfa    | sym1    | af4 | 0.8 | 0.00008 | 24576 | 8192 | 8192 | 27 | 23568 | 216 | 216 | 156.281 | 24000 | 2.929688 |
| peppers32.bmp | peppers32.bmp-withWavelet_bior1.1-G_0.8-H8e-005_af4.wfa | bior1.1 | af4 | 0.8 | 0.00008 | 24576 | 8192 | 8192 | 27 | 23568 | 216 | 216 | 156.375 | 24000 | 2.929688 |
| peppers32.bmp | peppers32.bmp-G_0.8-H8e-005_af5.wfa                     |         | af5 | 0.8 | 0.00008 | 24576 | 8192 |      | 23 | 17168 | 184 | 184 | 36.563  | 17536 | 2.140625 |
| peppers32.bmp | peppers32.bmp-withWavelet_haar-G_0.8-H8e-005_af5.wfa    | haar    | af5 | 0.8 | 0.00008 | 24576 | 8192 | 8192 | 14 | 6512  | 112 | 112 | 39.203  | 6736  | 0.822266 |
| peppers32.bmp | peppers32.bmp-withWavelet_rbio1.1-G_0.8-H8e-005_af5.wfa | rbio1.1 | af5 | 0.8 | 0.00008 | 24576 | 8192 | 8192 | 14 | 6512  | 112 | 112 | 32.469  | 6736  | 0.822266 |
| peppers32.bmp | peppers32.bmp-withWavelet_sym1-G_0.8-H8e-005_af5.wfa    | sym1    | af5 | 0.8 | 0.00008 | 24576 | 8192 | 8192 | 14 | 6512  | 112 | 112 | 35.281  | 6736  | 0.822266 |
| peppers32.bmp | peppers32.bmp-withWavelet_bior1.1-G_0.8-H8e-005_af5.wfa | bior1.1 | af5 | 0.8 | 0.00008 | 24576 | 8192 | 8192 | 14 | 6512  | 112 | 112 | 35.735  | 6736  | 0.822266 |
| peppers32.bmp | peppers32.bmp-G_0.6-H8e-005_af1.wfa                     |         | af1 | 0.6 | 0.00008 | 24576 | 8192 |      | 23 | 17168 | 184 | 184 | 52.594  | 17536 | 2.140625 |
| peppers32.bmp | peppers32.bmp-withWavelet_haar-G_0.6-H8e-005_af1.wfa    | haar    | af1 | 0.6 | 0.00008 | 24576 | 8192 | 8192 | 26 | 21872 | 208 | 208 | 73.25   | 22288 | 2.720703 |
| peppers32.bmp | peppers32.bmp-withWavelet_rbio1.1-G_0.6-H8e-005_af1.wfa | rbio1.1 | af1 | 0.6 | 0.00008 | 24576 | 8192 | 8192 | 26 | 21872 | 208 | 208 | 76.328  | 22288 | 2.720703 |
| peppers32.bmp | peppers32.bmp-withWavelet_sym1-G_0.6-H8e-005_af1.wfa    | sym1    | af1 | 0.6 | 0.00008 | 24576 | 8192 | 8192 | 26 | 21872 | 208 | 208 | 78.313  | 22288 | 2.720703 |
| peppers32.bmp | peppers32.bmp-withWavelet_bior1.1-G_0.6-H8e-005_af1.wfa | bior1.1 | af1 | 0.6 | 0.00008 | 24576 | 8192 | 8192 | 26 | 21872 | 208 | 208 | 84.969  | 22288 | 2.720703 |
| peppers32.bmp | peppers32.bmp-G_0.6-H8e-005_af2.wfa                     |         | af2 | 0.6 | 0.00008 | 24576 | 8192 |      | 23 | 17168 | 184 | 184 | 53      | 17536 | 2.140625 |
| peppers32.bmp | peppers32.bmp-withWavelet_haar-G_0.6-H8e-005_af2.wfa    | haar    | af2 | 0.6 | 0.00008 | 24576 | 8192 | 8192 | 21 | 14352 | 168 | 168 | 57.297  | 14688 | 1.792969 |
| peppers32.bmp | peppers32.bmp-withWavelet_rbio1.1-G_0.6-H8e-005_af2.wfa | rbio1.1 | af2 | 0.6 | 0.00008 | 24576 | 8192 | 8192 | 21 | 14352 | 168 | 168 | 49.89   | 14688 | 1.792969 |
| peppers32.bmp | peppers32.bmp-withWavelet_sym1-G_0.6-H8e-005_af2.wfa    | sym1    | af2 | 0.6 | 0.00008 | 24576 | 8192 | 8192 | 21 | 14352 | 168 | 168 | 56.188  | 14688 | 1.792969 |
| peppers32.bmp | peppers32.bmp-withWavelet_bior1.1-G_0.6-H8e-005_af2.wfa | bior1.1 | af2 | 0.6 | 0.00008 | 24576 | 8192 | 8192 | 21 | 14352 | 168 | 168 | 57.375  | 14688 | 1.792969 |
| peppers32.bmp | peppers32.bmp-G_0.6-H8e-005_af3.wfa                     |         | af3 | 0.6 | 0.00008 | 24576 | 8192 |      | 24 | 18672 | 192 | 192 | 67.375  | 19056 | 2.326172 |
| peppers32.bmp | peppers32.bmp-withWavelet_haar-G_0.6-H8e-005_af3.wfa    | haar    | af3 | 0.6 | 0.00008 | 24576 | 8192 | 8192 | 27 | 23568 | 216 | 216 | 81.172  | 24000 | 2.929688 |
| peppers32.bmp | peppers32.bmp-withWavelet_rbio1.1-G_0.6-H8e-005_af3.wfa | rbio1.1 | af3 | 0.6 | 0.00008 | 24576 | 8192 | 8192 | 27 | 23568 | 216 | 216 | 75.906  | 24000 | 2.929688 |
| peppers32.bmp | peppers32.bmp-withWavelet_sym1-G_0.6-H8e-005_af3.wfa    | sym1    | af3 | 0.6 | 0.00008 | 24576 | 8192 | 8192 | 27 | 23568 | 216 | 216 | 85.969  | 24000 | 2.929688 |
| peppers32.bmp | peppers32.bmp-withWavelet_bior1.1-G_0.6-H8e-005_af3.wfa | bior1.1 | af3 | 0.6 | 0.00008 | 24576 | 8192 | 8192 | 27 | 23568 | 216 | 216 | 75.594  | 24000 | 2.929688 |
| peppers32.bmp | peppers32.bmp-G_0.6-H8e-005_af4.wfa                     |         | af4 | 0.6 | 0.00008 | 24576 | 8192 |      | 5  | 1040  | 40  | 40  | 33.437  | 1120  | 0.136719 |
| peppers32.bmp | peppers32.bmp-withWavelet_haar-G_0.6-H8e-005_af4.wfa    | haar    | af4 | 0.6 | 0.00008 | 24576 | 8192 | 8192 | 28 | 25328 | 224 | 224 | 129.282 | 25776 | 3.146484 |
| peppers32.bmp | peppers32.bmp-withWavelet_rbio1.1-G_0.6-H8e-005_af4.wfa | rbio1.1 | af4 | 0.6 | 0.00008 | 24576 | 8192 | 8192 | 28 | 25328 | 224 | 224 | 125.265 | 25776 | 3.146484 |
| peppers32.bmp | peppers32.bmp-withWavelet_sym1-G_0.6-H8e-005_af4.wfa    | sym1    | af4 | 0.6 | 0.00008 | 24576 | 8192 | 8192 | 28 | 25328 | 224 | 224 | 124.359 | 25776 | 3.146484 |
| peppers32.bmp | peppers32.bmp-withWavelet_bior1.1-G_0.6-H8e-005_af4.wfa | bior1.1 | af4 | 0.6 | 0.00008 | 24576 | 8192 | 8192 | 28 | 25328 | 224 | 224 | 119.344 | 25776 | 3.146484 |
| peppers32.bmp | peppers32.bmp-G_0.6-H8e-005_af5.wfa                     |         | af5 | 0.6 | 0.00008 | 24576 | 8192 |      | 22 | 15728 | 176 | 176 | 38.454  | 16080 | 1.962891 |
| peppers32.bmp | peppers32.bmp-withWavelet_haar-G_0.6-H8e-005_af5.wfa    | haar    | af5 | 0.6 | 0.00008 | 24576 | 8192 | 8192 | 15 | 7440  | 120 | 120 | 38.578  | 7680  | 0.9375   |
| peppers32.bmp | peppers32.bmp-withWavelet_rbio1.1-G_0.6-H8e-005_af5.wfa | rbio1.1 | af5 | 0.6 | 0.00008 | 24576 | 8192 | 8192 | 15 | 7440  | 120 | 120 | 33.75   | 7680  | 0.9375   |
| peppers32.bmp | peppers32.bmp-withWavelet_sym1-G_0.6-H8e-005_af5.wfa    | sym1    | af5 | 0.6 | 0.00008 | 24576 | 8192 | 8192 | 15 | 7440  | 120 | 120 | 35.75   | 7680  | 0.9375   |



|               |   |         |     |     |         |       |      |      |    |       |     |     |         |       |          |
|---------------|---|---------|-----|-----|---------|-------|------|------|----|-------|-----|-----|---------|-------|----------|
| peppers32.bmp | peppers32.bmp-withWavelet_bior1.1-G_0.6-H8e-005_af5.wfa | bior1.1 | af5 | 0.6 | 0.00008 | 24576 | 8192 | 8192 | 15 | 7440  | 120 | 120 | 35.453  | 7680  | 0.9375   |
| peppers32.bmp | peppers32.bmp-G_1-H9e-005_af1.wfa                       |         | af1 | 1   | 0.00009 | 24576 | 8192 |      | 26 | 21872 | 208 | 208 | 175.641 | 22288 | 2.720703 |
| peppers32.bmp | peppers32.bmp-withWavelet_haar-G_1-H9e-005_af1.wfa      | haar    | af1 | 1   | 0.00009 | 24576 | 8192 | 8192 | 23 | 17168 | 184 | 184 | 183.141 | 17536 | 2.140625 |
| peppers32.bmp | peppers32.bmp-withWavelet_rbio1.1-G_1-H9e-005_af1.wfa   | rbio1.1 | af1 | 1   | 0.00009 | 24576 | 8192 | 8192 | 23 | 17168 | 184 | 184 | 183.719 | 17536 | 2.140625 |
| peppers32.bmp | peppers32.bmp-withWavelet_sym1-G_1-H9e-005_af1.wfa      | sym1    | af1 | 1   | 0.00009 | 24576 | 8192 | 8192 | 23 | 17168 | 184 | 184 | 181.657 | 17536 | 2.140625 |
| peppers32.bmp | peppers32.bmp-withWavelet_bior1.1-G_1-H9e-005_af1.wfa   | bior1.1 | af1 | 1   | 0.00009 | 24576 | 8192 | 8192 | 23 | 17168 | 184 | 184 | 178.5   | 17536 | 2.140625 |
| peppers32.bmp | peppers32.bmp-G_1-H9e-005_af2.wfa                       |         | af2 | 1   | 0.00009 | 24576 | 8192 |      | 22 | 15728 | 176 | 176 | 132.719 | 16080 | 1.962891 |
| peppers32.bmp | peppers32.bmp-withWavelet_haar-G_1-H9e-005_af2.wfa      | haar    | af2 | 1   | 0.00009 | 24576 | 8192 | 8192 | 18 | 10608 | 144 | 144 | 93.141  | 10896 | 1.330078 |
| peppers32.bmp | peppers32.bmp-withWavelet_rbio1.1-G_1-H9e-005_af2.wfa   | rbio1.1 | af2 | 1   | 0.00009 | 24576 | 8192 | 8192 | 18 | 10608 | 144 | 144 | 92.593  | 10896 | 1.330078 |
| peppers32.bmp | peppers32.bmp-withWavelet_sym1-G_1-H9e-005_af2.wfa      | sym1    | af2 | 1   | 0.00009 | 24576 | 8192 | 8192 | 18 | 10608 | 144 | 144 | 95.5    | 10896 | 1.330078 |
| peppers32.bmp | peppers32.bmp-withWavelet_bior1.1-G_1-H9e-005_af2.wfa   | bior1.1 | af2 | 1   | 0.00009 | 24576 | 8192 | 8192 | 18 | 10608 | 144 | 144 | 100.14  | 10896 | 1.330078 |
| peppers32.bmp | peppers32.bmp-G_1-H9e-005_af3.wfa                       |         | af3 | 1   | 0.00009 | 24576 | 8192 |      | 23 | 17168 | 184 | 184 | 162.922 | 17536 | 2.140625 |
| peppers32.bmp | peppers32.bmp-withWavelet_haar-G_1-H9e-005_af3.wfa      | haar    | af3 | 1   | 0.00009 | 24576 | 8192 | 8192 | 26 | 21872 | 208 | 208 | 199.422 | 22288 | 2.720703 |
| peppers32.bmp | peppers32.bmp-withWavelet_rbio1.1-G_1-H9e-005_af3.wfa   | rbio1.1 | af3 | 1   | 0.00009 | 24576 | 8192 | 8192 | 26 | 21872 | 208 | 208 | 194.891 | 22288 | 2.720703 |
| peppers32.bmp | peppers32.bmp-withWavelet_sym1-G_1-H9e-005_af3.wfa      | sym1    | af3 | 1   | 0.00009 | 24576 | 8192 | 8192 | 26 | 21872 | 208 | 208 | 192.266 | 22288 | 2.720703 |
| peppers32.bmp | peppers32.bmp-withWavelet_bior1.1-G_1-H9e-005_af3.wfa   | bior1.1 | af3 | 1   | 0.00009 | 24576 | 8192 | 8192 | 26 | 21872 | 208 | 208 | 195.406 | 22288 | 2.720703 |
| peppers32.bmp | peppers32.bmp-G_1-H9e-005_af4.wfa                       |         | af4 | 1   | 0.00009 | 24576 | 8192 |      | 14 | 6512  | 112 | 112 | 85      | 6736  | 0.822266 |
| peppers32.bmp | peppers32.bmp-withWavelet_haar-G_1-H9e-005_af4.wfa      | haar    | af4 | 1   | 0.00009 | 24576 | 8192 | 8192 | 24 | 18672 | 192 | 192 | 246.062 | 19056 | 2.326172 |
| peppers32.bmp | peppers32.bmp-withWavelet_rbio1.1-G_1-H9e-005_af4.wfa   | rbio1.1 | af4 | 1   | 0.00009 | 24576 | 8192 | 8192 | 24 | 18672 | 192 | 192 | 250.687 | 19056 | 2.326172 |
| peppers32.bmp | peppers32.bmp-withWavelet_sym1-G_1-H9e-005_af4.wfa      | sym1    | af4 | 1   | 0.00009 | 24576 | 8192 | 8192 | 24 | 18672 | 192 | 192 | 248.937 | 19056 | 2.326172 |
| peppers32.bmp | peppers32.bmp-withWavelet_bior1.1-G_1-H9e-005_af4.wfa   | bior1.1 | af4 | 1   | 0.00009 | 24576 | 8192 | 8192 | 24 | 18672 | 192 | 192 | 259.343 | 19056 | 2.326172 |
| peppers32.bmp | peppers32.bmp-G_1-H9e-005_af5.wfa                       |         | af5 | 1   | 0.00009 | 24576 | 8192 |      | 22 | 15728 | 176 | 176 | 47.766  | 16080 | 1.962891 |
| peppers32.bmp | peppers32.bmp-withWavelet_haar-G_1-H9e-005_af5.wfa      | haar    | af5 | 1   | 0.00009 | 24576 | 8192 | 8192 | 14 | 6512  | 112 | 112 | 43.203  | 6736  | 0.822266 |
| peppers32.bmp | peppers32.bmp-withWavelet_rbio1.1-G_1-H9e-005_af5.wfa   | rbio1.1 | af5 | 1   | 0.00009 | 24576 | 8192 | 8192 | 14 | 6512  | 112 | 112 | 40.797  | 6736  | 0.822266 |
| peppers32.bmp | peppers32.bmp-withWavelet_sym1-G_1-H9e-005_af5.wfa      | sym1    | af5 | 1   | 0.00009 | 24576 | 8192 | 8192 | 14 | 6512  | 112 | 112 | 47.328  | 6736  | 0.822266 |
| peppers32.bmp | peppers32.bmp-withWavelet_bior1.1-G_1-H9e-005_af5.wfa   | bior1.1 | af5 | 1   | 0.00009 | 24576 | 8192 | 8192 | 14 | 6512  | 112 | 112 | 43.907  | 6736  | 0.822266 |
| peppers32.bmp | peppers32.bmp-G_0.8-H9e-005_af1.wfa                     |         | af1 | 0.8 | 0.00009 | 24576 | 8192 |      | 26 | 21872 | 208 | 208 | 95.14   | 22288 | 2.720703 |
| peppers32.bmp | peppers32.bmp-withWavelet_haar-G_0.8-H9e-005_af1.wfa    | haar    | af1 | 0.8 | 0.00009 | 24576 | 8192 | 8192 | 22 | 15728 | 176 | 176 | 82.297  | 16080 | 1.962891 |
| peppers32.bmp | peppers32.bmp-withWavelet_rbio1.1-G_0.8-H9e-005_af1.wfa | rbio1.1 | af1 | 0.8 | 0.00009 | 24576 | 8192 | 8192 | 22 | 15728 | 176 | 176 | 92.766  | 16080 | 1.962891 |
| peppers32.bmp | peppers32.bmp-withWavelet_sym1-G_0.8-H9e-005_af1.wfa    | sym1    | af1 | 0.8 | 0.00009 | 24576 | 8192 | 8192 | 22 | 15728 | 176 | 176 | 85.5    | 16080 | 1.962891 |
| peppers32.bmp | peppers32.bmp-withWavelet_bior1.1-G_0.8-H9e-005_af1.wfa | bior1.1 | af1 | 0.8 | 0.00009 | 24576 | 8192 | 8192 | 22 | 15728 | 176 | 176 | 82.594  | 16080 | 1.962891 |

|               |   |         |     |     |         |       |      |      |    |       |     |     |         |       |          |
|---------------|---|---------|-----|-----|---------|-------|------|------|----|-------|-----|-----|---------|-------|----------|
| peppers32.bmp | peppers32.bmp-G_0.8-H9e-005_af2.wfa                     |         | af2 | 0.8 | 0.00009 | 24576 | 8192 |      | 22 | 15728 | 176 | 176 | 72.094  | 16080 | 1.962891 |
| peppers32.bmp | peppers32.bmp-withWavelet_haar-G_0.8-H9e-005_af2.wfa    | haar    | af2 | 0.8 | 0.00009 | 24576 | 8192 | 8192 | 18 | 10608 | 144 | 144 | 59.469  | 10896 | 1.330078 |
| peppers32.bmp | peppers32.bmp-withWavelet_rbio1.1-G_0.8-H9e-005_af2.wfa | rbio1.1 | af2 | 0.8 | 0.00009 | 24576 | 8192 | 8192 | 18 | 10608 | 144 | 144 | 60.047  | 10896 | 1.330078 |
| peppers32.bmp | peppers32.bmp-withWavelet_sym1-G_0.8-H9e-005_af2.wfa    | sym1    | af2 | 0.8 | 0.00009 | 24576 | 8192 | 8192 | 18 | 10608 | 144 | 144 | 57.25   | 10896 | 1.330078 |
| peppers32.bmp | peppers32.bmp-withWavelet_bior1.1-G_0.8-H9e-005_af2.wfa | bior1.1 | af2 | 0.8 | 0.00009 | 24576 | 8192 | 8192 | 18 | 10608 | 144 | 144 | 58.266  | 10896 | 1.330078 |
| peppers32.bmp | peppers32.bmp-G_0.8-H9e-005_af3.wfa                     |         | af3 | 0.8 | 0.00009 | 24576 | 8192 |      | 23 | 17168 | 184 | 184 | 87.719  | 17536 | 2.140625 |
| peppers32.bmp | peppers32.bmp-withWavelet_haar-G_0.8-H9e-005_af3.wfa    | haar    | af3 | 0.8 | 0.00009 | 24576 | 8192 | 8192 | 26 | 21872 | 208 | 208 | 94.828  | 22288 | 2.720703 |
| peppers32.bmp | peppers32.bmp-withWavelet_rbio1.1-G_0.8-H9e-005_af3.wfa | rbio1.1 | af3 | 0.8 | 0.00009 | 24576 | 8192 | 8192 | 26 | 21872 | 208 | 208 | 104.875 | 22288 | 2.720703 |
| peppers32.bmp | peppers32.bmp-withWavelet_sym1-G_0.8-H9e-005_af3.wfa    | sym1    | af3 | 0.8 | 0.00009 | 24576 | 8192 | 8192 | 26 | 21872 | 208 | 208 | 105.922 | 22288 | 2.720703 |
| peppers32.bmp | peppers32.bmp-withWavelet_bior1.1-G_0.8-H9e-005_af3.wfa | bior1.1 | af3 | 0.8 | 0.00009 | 24576 | 8192 | 8192 | 26 | 21872 | 208 | 208 | 106.078 | 22288 | 2.720703 |
| peppers32.bmp | peppers32.bmp-G_0.8-H9e-005_af4.wfa                     |         | af4 | 0.8 | 0.00009 | 24576 | 8192 |      | 15 | 7440  | 120 | 120 | 61.031  | 7680  | 0.9375   |
| peppers32.bmp | peppers32.bmp-withWavelet_haar-G_0.8-H9e-005_af4.wfa    | haar    | af4 | 0.8 | 0.00009 | 24576 | 8192 | 8192 | 25 | 20240 | 200 | 200 | 149.204 | 20640 | 2.519531 |
| peppers32.bmp | peppers32.bmp-withWavelet_rbio1.1-G_0.8-H9e-005_af4.wfa | rbio1.1 | af4 | 0.8 | 0.00009 | 24576 | 8192 | 8192 | 25 | 20240 | 200 | 200 | 146.844 | 20640 | 2.519531 |
| peppers32.bmp | peppers32.bmp-withWavelet_sym1-G_0.8-H9e-005_af4.wfa    | sym1    | af4 | 0.8 | 0.00009 | 24576 | 8192 | 8192 | 25 | 20240 | 200 | 200 | 149.25  | 20640 | 2.519531 |
| peppers32.bmp | peppers32.bmp-withWavelet_bior1.1-G_0.8-H9e-005_af4.wfa | bior1.1 | af4 | 0.8 | 0.00009 | 24576 | 8192 | 8192 | 25 | 20240 | 200 | 200 | 146.954 | 20640 | 2.519531 |
| peppers32.bmp | peppers32.bmp-G_0.8-H9e-005_af5.wfa                     |         | af5 | 0.8 | 0.00009 | 24576 | 8192 |      | 23 | 17168 | 184 | 184 | 41.687  | 17536 | 2.140625 |
| peppers32.bmp | peppers32.bmp-withWavelet_haar-G_0.8-H9e-005_af5.wfa    | haar    | af5 | 0.8 | 0.00009 | 24576 | 8192 | 8192 | 14 | 6512  | 112 | 112 | 34.172  | 6736  | 0.822266 |
| peppers32.bmp | peppers32.bmp-withWavelet_rbio1.1-G_0.8-H9e-005_af5.wfa | rbio1.1 | af5 | 0.8 | 0.00009 | 24576 | 8192 | 8192 | 14 | 6512  | 112 | 112 | 46.86   | 6736  | 0.822266 |
| peppers32.bmp | peppers32.bmp-withWavelet_sym1-G_0.8-H9e-005_af5.wfa    | sym1    | af5 | 0.8 | 0.00009 | 24576 | 8192 | 8192 | 14 | 6512  | 112 | 112 | 48.531  | 6736  | 0.822266 |
| peppers32.bmp | peppers32.bmp-withWavelet_bior1.1-G_0.8-H9e-005_af5.wfa | bior1.1 | af5 | 0.8 | 0.00009 | 24576 | 8192 | 8192 | 14 | 6512  | 112 | 112 | 60.641  | 6736  | 0.822266 |
| peppers32.bmp | peppers32.bmp-G_0.6-H9e-005_af1.wfa                     |         | af1 | 0.6 | 0.00009 | 24576 | 8192 |      | 23 | 17168 | 184 | 184 | 89.297  | 17536 | 2.140625 |
| peppers32.bmp | peppers32.bmp-withWavelet_haar-G_0.6-H9e-005_af1.wfa    | haar    | af1 | 0.6 | 0.00009 | 24576 | 8192 | 8192 | 24 | 18672 | 192 | 192 | 89.578  | 19056 | 2.326172 |
| peppers32.bmp | peppers32.bmp-withWavelet_rbio1.1-G_0.6-H9e-005_af1.wfa | rbio1.1 | af1 | 0.6 | 0.00009 | 24576 | 8192 | 8192 | 24 | 18672 | 192 | 192 | 83.594  | 19056 | 2.326172 |
| peppers32.bmp | peppers32.bmp-withWavelet_sym1-G_0.6-H9e-005_af1.wfa    | sym1    | af1 | 0.6 | 0.00009 | 24576 | 8192 | 8192 | 24 | 18672 | 192 | 192 | 78.657  | 19056 | 2.326172 |
| peppers32.bmp | peppers32.bmp-withWavelet_bior1.1-G_0.6-H9e-005_af1.wfa | bior1.1 | af1 | 0.6 | 0.00009 | 24576 | 8192 | 8192 | 24 | 18672 | 192 | 192 | 78.578  | 19056 | 2.326172 |
| peppers32.bmp | peppers32.bmp-G_0.6-H9e-005_af2.wfa                     |         | af2 | 0.6 | 0.00009 | 24576 | 8192 |      | 23 | 17168 | 184 | 184 | 63.671  | 17536 | 2.140625 |
| peppers32.bmp | peppers32.bmp-withWavelet_haar-G_0.6-H9e-005_af2.wfa    | haar    | af2 | 0.6 | 0.00009 | 24576 | 8192 | 8192 | 20 | 13040 | 160 | 160 | 54.36   | 13360 | 1.630859 |
| peppers32.bmp | peppers32.bmp-withWavelet_rbio1.1-G_0.6-H9e-005_af2.wfa | rbio1.1 | af2 | 0.6 | 0.00009 | 24576 | 8192 | 8192 | 20 | 13040 | 160 | 160 | 54.844  | 13360 | 1.630859 |
| peppers32.bmp | peppers32.bmp-withWavelet_sym1-G_0.6-H9e-005_af2.wfa    | sym1    | af2 | 0.6 | 0.00009 | 24576 | 8192 | 8192 | 20 | 13040 | 160 | 160 | 54.094  | 13360 | 1.630859 |
| peppers32.bmp | peppers32.bmp-withWavelet_bior1.1-G_0.6-H9e-005_af2.wfa | bior1.1 | af2 | 0.6 | 0.00009 | 24576 | 8192 | 8192 | 20 | 13040 | 160 | 160 | 54.312  | 13360 | 1.630859 |
| peppers32.bmp | peppers32.bmp-G_0.6-H9e-005_af3.wfa                     |         | af3 | 0.6 | 0.00009 | 24576 | 8192 |      | 22 | 15728 | 176 | 176 | 58.953  | 16080 | 1.962891 |

|               |   |         |     |     |         |       |      |      |    |       |     |     |         |       |          |
|---------------|---|---------|-----|-----|---------|-------|------|------|----|-------|-----|-----|---------|-------|----------|
| peppers32.bmp | peppers32.bmp-withWavelet_haar-G_0.6-H9e-005_af3.wfa    | haar    | af3 | 0.6 | 0.00009 | 24576 | 8192 | 8192 | 26 | 21872 | 208 | 208 | 75.719  | 22288 | 2.720703 |
| peppers32.bmp | peppers32.bmp-withWavelet_rbio1.1-G_0.6-H9e-005_af3.wfa | rbio1.1 | af3 | 0.6 | 0.00009 | 24576 | 8192 | 8192 | 26 | 21872 | 208 | 208 | 80.969  | 22288 | 2.720703 |
| peppers32.bmp | peppers32.bmp-withWavelet_sym1-G_0.6-H9e-005_af3.wfa    | sym1    | af3 | 0.6 | 0.00009 | 24576 | 8192 | 8192 | 26 | 21872 | 208 | 208 | 73.75   | 22288 | 2.720703 |
| peppers32.bmp | peppers32.bmp-withWavelet_bior1.1-G_0.6-H9e-005_af3.wfa | bior1.1 | af3 | 0.6 | 0.00009 | 24576 | 8192 | 8192 | 26 | 21872 | 208 | 208 | 83.047  | 22288 | 2.720703 |
| peppers32.bmp | peppers32.bmp-G_0.6-H9e-005_af4.wfa                     |         | af4 | 0.6 | 0.00009 | 24576 | 8192 |      | 5  | 1040  | 40  | 40  | 30.375  | 1120  | 0.136719 |
| peppers32.bmp | peppers32.bmp-withWavelet_haar-G_0.6-H9e-005_af4.wfa    | haar    | af4 | 0.6 | 0.00009 | 24576 | 8192 | 8192 | 25 | 20240 | 200 | 200 | 109.703 | 20640 | 2.519531 |
| peppers32.bmp | peppers32.bmp-withWavelet_rbio1.1-G_0.6-H9e-005_af4.wfa | rbio1.1 | af4 | 0.6 | 0.00009 | 24576 | 8192 | 8192 | 25 | 20240 | 200 | 200 | 104.797 | 20640 | 2.519531 |
| peppers32.bmp | peppers32.bmp-withWavelet_sym1-G_0.6-H9e-005_af4.wfa    | sym1    | af4 | 0.6 | 0.00009 | 24576 | 8192 | 8192 | 25 | 20240 | 200 | 200 | 102.656 | 20640 | 2.519531 |
| peppers32.bmp | peppers32.bmp-withWavelet_bior1.1-G_0.6-H9e-005_af4.wfa | bior1.1 | af4 | 0.6 | 0.00009 | 24576 | 8192 | 8192 | 25 | 20240 | 200 | 200 | 106.625 | 20640 | 2.519531 |
| peppers32.bmp | peppers32.bmp-G_0.6-H9e-005_af5.wfa                     |         | af5 | 0.6 | 0.00009 | 24576 | 8192 |      | 22 | 15728 | 176 | 176 | 35.719  | 16080 | 1.962891 |
| peppers32.bmp | peppers32.bmp-withWavelet_haar-G_0.6-H9e-005_af5.wfa    | haar    | af5 | 0.6 | 0.00009 | 24576 | 8192 | 8192 | 15 | 7440  | 120 | 120 | 35.859  | 7680  | 0.9375   |
| peppers32.bmp | peppers32.bmp-withWavelet_rbio1.1-G_0.6-H9e-005_af5.wfa | rbio1.1 | af5 | 0.6 | 0.00009 | 24576 | 8192 | 8192 | 15 | 7440  | 120 | 120 | 32.172  | 7680  | 0.9375   |
| peppers32.bmp | peppers32.bmp-withWavelet_sym1-G_0.6-H9e-005_af5.wfa    | sym1    | af5 | 0.6 | 0.00009 | 24576 | 8192 | 8192 | 15 | 7440  | 120 | 120 | 31.984  | 7680  | 0.9375   |
| peppers32.bmp | peppers32.bmp-withWavelet_bior1.1-G_0.6-H9e-005_af5.wfa | bior1.1 | af5 | 0.6 | 0.00009 | 24576 | 8192 | 8192 | 15 | 7440  | 120 | 120 | 36.062  | 7680  | 0.9375   |
| peppers32.bmp | peppers32.bmp-G_1-H0.0001_af1.wfa                       |         | af1 | 1   | 0.0001  | 24576 | 8192 |      | 25 | 20240 | 200 | 200 | 162.703 | 20640 | 2.519531 |
| peppers32.bmp | peppers32.bmp-withWavelet_haar-G_1-H0.0001_af1.wfa      | haar    | af1 | 1   | 0.0001  | 24576 | 8192 | 8192 | 22 | 15728 | 176 | 176 | 169.875 | 16080 | 1.962891 |
| peppers32.bmp | peppers32.bmp-withWavelet_rbio1.1-G_1-H0.0001_af1.wfa   | rbio1.1 | af1 | 1   | 0.0001  | 24576 | 8192 | 8192 | 22 | 15728 | 176 | 176 | 168.141 | 16080 | 1.962891 |
| peppers32.bmp | peppers32.bmp-withWavelet_sym1-G_1-H0.0001_af1.wfa      | sym1    | af1 | 1   | 0.0001  | 24576 | 8192 | 8192 | 22 | 15728 | 176 | 176 | 167.187 | 16080 | 1.962891 |
| peppers32.bmp | peppers32.bmp-withWavelet_bior1.1-G_1-H0.0001_af1.wfa   | bior1.1 | af1 | 1   | 0.0001  | 24576 | 8192 | 8192 | 21 | 14352 | 168 | 168 | 63.484  | 14688 | 1.792969 |
| peppers32.bmp | peppers32.bmp-G_1-H0.0001_af2.wfa                       |         | af2 | 1   | 0.0001  | 24576 | 8192 |      | 20 | 13040 | 160 | 160 | 51.516  | 13360 | 1.630859 |
| peppers32.bmp | peppers32.bmp-withWavelet_haar-G_1-H0.0001_af2.wfa      | haar    | af2 | 1   | 0.0001  | 24576 | 8192 | 8192 | 18 | 10608 | 144 | 144 | 90.547  | 10896 | 1.330078 |
| peppers32.bmp | peppers32.bmp-withWavelet_rbio1.1-G_1-H0.0001_af2.wfa   | rbio1.1 | af2 | 1   | 0.0001  | 24576 | 8192 | 8192 | 18 | 10608 | 144 | 144 | 90.922  | 10896 | 1.330078 |
| peppers32.bmp | peppers32.bmp-withWavelet_sym1-G_1-H0.0001_af2.wfa      | sym1    | af2 | 1   | 0.0001  | 24576 | 8192 | 8192 | 18 | 10608 | 144 | 144 | 98.422  | 10896 | 1.330078 |
| peppers32.bmp | peppers32.bmp-withWavelet_bior1.1-G_1-H0.0001_af2.wfa   | bior1.1 | af2 | 1   | 0.0001  | 24576 | 8192 | 8192 | 18 | 10608 | 144 | 144 | 92.734  | 10896 | 1.330078 |
| peppers32.bmp | peppers32.bmp-G_1-H0.0001_af3.wfa                       |         | af3 | 1   | 0.0001  | 24576 | 8192 |      | 22 | 15728 | 176 | 176 | 130.86  | 16080 | 1.962891 |
| peppers32.bmp | peppers32.bmp-withWavelet_haar-G_1-H0.0001_af3.wfa      | haar    | af3 | 1   | 0.0001  | 24576 | 8192 | 8192 | 23 | 17168 | 184 | 184 | 148.968 | 17536 | 2.140625 |
| peppers32.bmp | peppers32.bmp-withWavelet_rbio1.1-G_1-H0.0001_af3.wfa   | rbio1.1 | af3 | 1   | 0.0001  | 24576 | 8192 | 8192 | 23 | 17168 | 184 | 184 | 146.828 | 17536 | 2.140625 |
| peppers32.bmp | peppers32.bmp-withWavelet_sym1-G_1-H0.0001_af3.wfa      | sym1    | af3 | 1   | 0.0001  | 24576 | 8192 | 8192 | 23 | 17168 | 184 | 184 | 151.328 | 17536 | 2.140625 |
| peppers32.bmp | peppers32.bmp-withWavelet_bior1.1-G_1-H0.0001_af3.wfa   | bior1.1 | af3 | 1   | 0.0001  | 24576 | 8192 | 8192 | 23 | 17168 | 184 | 184 | 152.297 | 17536 | 2.140625 |
| peppers32.bmp | peppers32.bmp-G_1-H0.0001_af4.wfa                       |         | af4 | 1   | 0.0001  | 24576 | 8192 |      | 13 | 5648  | 104 | 104 | 72.875  | 5856  | 0.714844 |
| peppers32.bmp | peppers32.bmp-withWavelet_haar-G_1-H0.0001_af4.wfa      | haar    | af4 | 1   | 0.0001  | 24576 | 8192 | 8192 | 24 | 18672 | 192 | 192 | 250.578 | 19056 | 2.326172 |

|               |   |         |     |     |        |       |      |      |    |       |     |     |         |       |          |
|---------------|---|---------|-----|-----|--------|-------|------|------|----|-------|-----|-----|---------|-------|----------|
| peppers32.bmp | peppers32.bmp-withWavelet_rbio1.1-G_1-H0.0001_af4.wfa   | rbio1.1 | af4 | 1   | 0.0001 | 24576 | 8192 | 8192 | 24 | 18672 | 192 | 192 | 253.141 | 19056 | 2.326172 |
| peppers32.bmp | peppers32.bmp-withWavelet_sym1-G_1-H0.0001_af4.wfa      | sym1    | af4 | 1   | 0.0001 | 24576 | 8192 | 8192 | 24 | 18672 | 192 | 192 | 276.313 | 19056 | 2.326172 |
| peppers32.bmp | peppers32.bmp-withWavelet_bior1.1-G_1-H0.0001_af4.wfa   | bior1.1 | af4 | 1   | 0.0001 | 24576 | 8192 | 8192 | 24 | 18672 | 192 | 192 | 284.063 | 19056 | 2.326172 |
| peppers32.bmp | peppers32.bmp-G_1-H0.0001_af5.wfa                       |         | af5 | 1   | 0.0001 | 24576 | 8192 |      | 22 | 15728 | 176 | 176 | 58.531  | 16080 | 1.962891 |
| peppers32.bmp | peppers32.bmp-withWavelet_haar-G_1-H0.0001_af5.wfa      | haar    | af5 | 1   | 0.0001 | 24576 | 8192 | 8192 | 14 | 6512  | 112 | 112 | 52.266  | 6736  | 0.822266 |
| peppers32.bmp | peppers32.bmp-withWavelet_rbio1.1-G_1-H0.0001_af5.wfa   | rbio1.1 | af5 | 1   | 0.0001 | 24576 | 8192 | 8192 | 14 | 6512  | 112 | 112 | 52.188  | 6736  | 0.822266 |
| peppers32.bmp | peppers32.bmp-withWavelet_sym1-G_1-H0.0001_af5.wfa      | sym1    | af5 | 1   | 0.0001 | 24576 | 8192 | 8192 | 14 | 6512  | 112 | 112 | 52.078  | 6736  | 0.822266 |
| peppers32.bmp | peppers32.bmp-withWavelet_bior1.1-G_1-H0.0001_af5.wfa   | bior1.1 | af5 | 1   | 0.0001 | 24576 | 8192 | 8192 | 14 | 6512  | 112 | 112 | 51.688  | 6736  | 0.822266 |
| peppers32.bmp | peppers32.bmp-G_0.8-H0.0001_af1.wfa                     |         | af1 | 0.8 | 0.0001 | 24576 | 8192 |      | 24 | 18672 | 192 | 192 | 94.953  | 19056 | 2.326172 |
| peppers32.bmp | peppers32.bmp-withWavelet_haar-G_0.8-H0.0001_af1.wfa    | haar    | af1 | 0.8 | 0.0001 | 24576 | 8192 | 8192 | 21 | 14352 | 168 | 168 | 100.828 | 14688 | 1.792969 |
| peppers32.bmp | peppers32.bmp-withWavelet_rbio1.1-G_0.8-H0.0001_af1.wfa | rbio1.1 | af1 | 0.8 | 0.0001 | 24576 | 8192 | 8192 | 21 | 14352 | 168 | 168 | 94.047  | 14688 | 1.792969 |
| peppers32.bmp | peppers32.bmp-withWavelet_sym1-G_0.8-H0.0001_af1.wfa    | sym1    | af1 | 0.8 | 0.0001 | 24576 | 8192 | 8192 | 21 | 14352 | 168 | 168 | 98.14   | 14688 | 1.792969 |
| peppers32.bmp | peppers32.bmp-withWavelet_bior1.1-G_0.8-H0.0001_af1.wfa | bior1.1 | af1 | 0.8 | 0.0001 | 24576 | 8192 | 8192 | 21 | 14352 | 168 | 168 | 94.75   | 14688 | 1.792969 |
| peppers32.bmp | peppers32.bmp-G_0.8-H0.0001_af2.wfa                     |         | af2 | 0.8 | 0.0001 | 24576 | 8192 |      | 22 | 15728 | 176 | 176 | 91.016  | 16080 | 1.962891 |
| peppers32.bmp | peppers32.bmp-withWavelet_haar-G_0.8-H0.0001_af2.wfa    | haar    | af2 | 0.8 | 0.0001 | 24576 | 8192 | 8192 | 18 | 10608 | 144 | 144 | 67.797  | 10896 | 1.330078 |
| peppers32.bmp | peppers32.bmp-withWavelet_rbio1.1-G_0.8-H0.0001_af2.wfa | rbio1.1 | af2 | 0.8 | 0.0001 | 24576 | 8192 | 8192 | 18 | 10608 | 144 | 144 | 73.593  | 10896 | 1.330078 |
| peppers32.bmp | peppers32.bmp-withWavelet_sym1-G_0.8-H0.0001_af2.wfa    | sym1    | af2 | 0.8 | 0.0001 | 24576 | 8192 | 8192 | 18 | 10608 | 144 | 144 | 67.781  | 10896 | 1.330078 |
| peppers32.bmp | peppers32.bmp-withWavelet_bior1.1-G_0.8-H0.0001_af2.wfa | bior1.1 | af2 | 0.8 | 0.0001 | 24576 | 8192 | 8192 | 18 | 10608 | 144 | 144 | 74.735  | 10896 | 1.330078 |
| peppers32.bmp | peppers32.bmp-G_0.8-H0.0001_af3.wfa                     |         | af3 | 0.8 | 0.0001 | 24576 | 8192 |      | 21 | 14352 | 168 | 168 | 87.859  | 14688 | 1.792969 |
| peppers32.bmp | peppers32.bmp-withWavelet_haar-G_0.8-H0.0001_af3.wfa    | haar    | af3 | 0.8 | 0.0001 | 24576 | 8192 | 8192 | 24 | 18672 | 192 | 192 | 102.844 | 19056 | 2.326172 |
| peppers32.bmp | peppers32.bmp-withWavelet_rbio1.1-G_0.8-H0.0001_af3.wfa | rbio1.1 | af3 | 0.8 | 0.0001 | 24576 | 8192 | 8192 | 24 | 18672 | 192 | 192 | 108.391 | 19056 | 2.326172 |
| peppers32.bmp | peppers32.bmp-withWavelet_sym1-G_0.8-H0.0001_af3.wfa    | sym1    | af3 | 0.8 | 0.0001 | 24576 | 8192 | 8192 | 24 | 18672 | 192 | 192 | 105.5   | 19056 | 2.326172 |
| peppers32.bmp | peppers32.bmp-withWavelet_bior1.1-G_0.8-H0.0001_af3.wfa | bior1.1 | af3 | 0.8 | 0.0001 | 24576 | 8192 | 8192 | 24 | 18672 | 192 | 192 | 106.593 | 19056 | 2.326172 |
| peppers32.bmp | peppers32.bmp-G_0.8-H0.0001_af4.wfa                     |         | af4 | 0.8 | 0.0001 | 24576 | 8192 |      | 13 | 5648  | 104 | 104 | 61.75   | 5856  | 0.714844 |
| peppers32.bmp | peppers32.bmp-withWavelet_haar-G_0.8-H0.0001_af4.wfa    | haar    | af4 | 0.8 | 0.0001 | 24576 | 8192 | 8192 | 23 | 17168 | 184 | 184 | 144.687 | 17536 | 2.140625 |
| peppers32.bmp | peppers32.bmp-withWavelet_rbio1.1-G_0.8-H0.0001_af4.wfa | rbio1.1 | af4 | 0.8 | 0.0001 | 24576 | 8192 | 8192 | 23 | 17168 | 184 | 184 | 153.797 | 17536 | 2.140625 |
| peppers32.bmp | peppers32.bmp-withWavelet_sym1-G_0.8-H0.0001_af4.wfa    | sym1    | af4 | 0.8 | 0.0001 | 24576 | 8192 | 8192 | 23 | 17168 | 184 | 184 | 149.39  | 17536 | 2.140625 |
| peppers32.bmp | peppers32.bmp-withWavelet_bior1.1-G_0.8-H0.0001_af4.wfa | bior1.1 | af4 | 0.8 | 0.0001 | 24576 | 8192 | 8192 | 23 | 17168 | 184 | 184 | 150.656 | 17536 | 2.140625 |
| peppers32.bmp | peppers32.bmp-G_0.8-H0.0001_af5.wfa                     |         | af5 | 0.8 | 0.0001 | 24576 | 8192 |      | 22 | 15728 | 176 | 176 | 49.688  | 16080 | 1.962891 |
| peppers32.bmp | peppers32.bmp-withWavelet_haar-G_0.8-H0.0001_af5.wfa    | haar    | af5 | 0.8 | 0.0001 | 24576 | 8192 | 8192 | 14 | 6512  | 112 | 112 | 46.14   | 6736  | 0.822266 |
| peppers32.bmp | peppers32.bmp-withWavelet_rbio1.1-G_0.8-H0.0001_af5.wfa | rbio1.1 | af5 | 0.8 | 0.0001 | 24576 | 8192 | 8192 | 14 | 6512  | 112 | 112 | 43.938  | 6736  | 0.822266 |

|               |   |         |     |     |        |       |      |      |    |       |     |     |         |       |          |
|---------------|---|---------|-----|-----|--------|-------|------|------|----|-------|-----|-----|---------|-------|----------|
| peppers32.bmp | peppers32.bmp-withWavelet_sym1-G_0.8-H0.0001_af5.wfa    | sym1    | af5 | 0.8 | 0.0001 | 24576 | 8192 | 8192 | 14 | 6512  | 112 | 112 | 49.188  | 6736  | 0.822266 |
| peppers32.bmp | peppers32.bmp-withWavelet_bior1.1-G_0.8-H0.0001_af5.wfa | bior1.1 | af5 | 0.8 | 0.0001 | 24576 | 8192 | 8192 | 14 | 6512  | 112 | 112 | 47.875  | 6736  | 0.822266 |
| peppers32.bmp | peppers32.bmp-G_0.6-H0.0001_af1.wfa                     |         | af1 | 0.6 | 0.0001 | 24576 | 8192 |      | 22 | 15728 | 176 | 176 | 71.938  | 16080 | 1.962891 |
| peppers32.bmp | peppers32.bmp-withWavelet_haar-G_0.6-H0.0001_af1.wfa    | haar    | af1 | 0.6 | 0.0001 | 24576 | 8192 | 8192 | 22 | 15728 | 176 | 176 | 81.735  | 16080 | 1.962891 |
| peppers32.bmp | peppers32.bmp-withWavelet_rbio1.1-G_0.6-H0.0001_af1.wfa | rbio1.1 | af1 | 0.6 | 0.0001 | 24576 | 8192 | 8192 | 22 | 15728 | 176 | 176 | 81.641  | 16080 | 1.962891 |
| peppers32.bmp | peppers32.bmp-withWavelet_sym1-G_0.6-H0.0001_af1.wfa    | sym1    | af1 | 0.6 | 0.0001 | 24576 | 8192 | 8192 | 22 | 15728 | 176 | 176 | 82.313  | 16080 | 1.962891 |
| peppers32.bmp | peppers32.bmp-withWavelet_bior1.1-G_0.6-H0.0001_af1.wfa | bior1.1 | af1 | 0.6 | 0.0001 | 24576 | 8192 | 8192 | 22 | 15728 | 176 | 176 | 95.531  | 16080 | 1.962891 |
| peppers32.bmp | peppers32.bmp-G_0.6-H0.0001_af2.wfa                     |         | af2 | 0.6 | 0.0001 | 24576 | 8192 |      | 21 | 14352 | 168 | 168 | 66.703  | 14688 | 1.792969 |
| peppers32.bmp | peppers32.bmp-withWavelet_haar-G_0.6-H0.0001_af2.wfa    | haar    | af2 | 0.6 | 0.0001 | 24576 | 8192 | 8192 | 18 | 10608 | 144 | 144 | 65.234  | 10896 | 1.330078 |
| peppers32.bmp | peppers32.bmp-withWavelet_rbio1.1-G_0.6-H0.0001_af2.wfa | rbio1.1 | af2 | 0.6 | 0.0001 | 24576 | 8192 | 8192 | 18 | 10608 | 144 | 144 | 65.031  | 10896 | 1.330078 |
| peppers32.bmp | peppers32.bmp-withWavelet_sym1-G_0.6-H0.0001_af2.wfa    | sym1    | af2 | 0.6 | 0.0001 | 24576 | 8192 | 8192 | 18 | 10608 | 144 | 144 | 60.5    | 10896 | 1.330078 |
| peppers32.bmp | peppers32.bmp-withWavelet_bior1.1-G_0.6-H0.0001_af2.wfa | bior1.1 | af2 | 0.6 | 0.0001 | 24576 | 8192 | 8192 | 18 | 10608 | 144 | 144 | 68.25   | 10896 | 1.330078 |
| peppers32.bmp | peppers32.bmp-G_0.6-H0.0001_af3.wfa                     |         | af3 | 0.6 | 0.0001 | 24576 | 8192 |      | 22 | 15728 | 176 | 176 | 74.438  | 16080 | 1.962891 |
| peppers32.bmp | peppers32.bmp-withWavelet_haar-G_0.6-H0.0001_af3.wfa    | haar    | af3 | 0.6 | 0.0001 | 24576 | 8192 | 8192 | 25 | 20240 | 200 | 200 | 85.11   | 20640 | 2.519531 |
| peppers32.bmp | peppers32.bmp-withWavelet_rbio1.1-G_0.6-H0.0001_af3.wfa | rbio1.1 | af3 | 0.6 | 0.0001 | 24576 | 8192 | 8192 | 25 | 20240 | 200 | 200 | 100.438 | 20640 | 2.519531 |
| peppers32.bmp | peppers32.bmp-withWavelet_sym1-G_0.6-H0.0001_af3.wfa    | sym1    | af3 | 0.6 | 0.0001 | 24576 | 8192 | 8192 | 25 | 20240 | 200 | 200 | 86.329  | 20640 | 2.519531 |
| peppers32.bmp | peppers32.bmp-withWavelet_bior1.1-G_0.6-H0.0001_af3.wfa | bior1.1 | af3 | 0.6 | 0.0001 | 24576 | 8192 | 8192 | 22 | 15728 | 176 | 176 | 60.094  | 16080 | 1.962891 |
| peppers32.bmp | peppers32.bmp-G_0.6-H0.0001_af4.wfa                     |         | af4 | 0.6 | 0.0001 | 24576 | 8192 |      | 5  | 1040  | 40  | 40  | 30.718  | 1120  | 0.136719 |
| peppers32.bmp | peppers32.bmp-withWavelet_haar-G_0.6-H0.0001_af4.wfa    | haar    | af4 | 0.6 | 0.0001 | 24576 | 8192 | 8192 | 24 | 18672 | 192 | 192 | 89.75   | 19056 | 2.326172 |
| peppers32.bmp | peppers32.bmp-withWavelet_rbio1.1-G_0.6-H0.0001_af4.wfa | rbio1.1 | af4 | 0.6 | 0.0001 | 24576 | 8192 | 8192 | 24 | 18672 | 192 | 192 | 93.296  | 19056 | 2.326172 |
| peppers32.bmp | peppers32.bmp-withWavelet_sym1-G_0.6-H0.0001_af4.wfa    | sym1    | af4 | 0.6 | 0.0001 | 24576 | 8192 | 8192 | 24 | 18672 | 192 | 192 | 98.86   | 19056 | 2.326172 |
| peppers32.bmp | peppers32.bmp-withWavelet_bior1.1-G_0.6-H0.0001_af4.wfa | bior1.1 | af4 | 0.6 | 0.0001 | 24576 | 8192 | 8192 | 24 | 18672 | 192 | 192 | 94.813  | 19056 | 2.326172 |
| peppers32.bmp | peppers32.bmp-G_0.6-H0.0001_af5.wfa                     |         | af5 | 0.6 | 0.0001 | 24576 | 8192 |      | 21 | 14352 | 168 | 168 | 36.204  | 14688 | 1.792969 |
| peppers32.bmp | peppers32.bmp-withWavelet_haar-G_0.6-H0.0001_af5.wfa    | haar    | af5 | 0.6 | 0.0001 | 24576 | 8192 | 8192 | 15 | 7440  | 120 | 120 | 33.313  | 7680  | 0.9375   |
| peppers32.bmp | peppers32.bmp-withWavelet_rbio1.1-G_0.6-H0.0001_af5.wfa | rbio1.1 | af5 | 0.6 | 0.0001 | 24576 | 8192 | 8192 | 15 | 7440  | 120 | 120 | 33.203  | 7680  | 0.9375   |
| peppers32.bmp | peppers32.bmp-withWavelet_sym1-G_0.6-H0.0001_af5.wfa    | sym1    | af5 | 0.6 | 0.0001 | 24576 | 8192 | 8192 | 15 | 7440  | 120 | 120 | 32.922  | 7680  | 0.9375   |
| peppers32.bmp | peppers32.bmp-withWavelet_bior1.1-G_0.6-H0.0001_af5.wfa | bior1.1 | af5 | 0.6 | 0.0001 | 24576 | 8192 | 8192 | 15 | 7440  | 120 | 120 | 33.781  | 7680  | 0.9375   |

**Tabela III.7 – Codificação satellite32.bmp em suas combinações**

| Img             | Img codificada                                       | Wlet | AF  | G | H       | IBytes | GByte | WletBy | #Stes | WBy   | IBy | FBy | Time    | Total | %        |
|-----------------|--|------|-----|---|---------|--------|-------|--------|-------|-------|-----|-----|---------|-------|----------|
| satellite32.bmp | satellite32.bmp-G_1-H1e-005_af1.wfa                  |      | af1 | 1 | 0.00001 | 24576  | 8192  |        | 22    | 15728 | 176 | 176 | 49.828  | 16080 | 1.962891 |
| satellite32.bmp | satellite32.bmp-withWavelet_haar-G_1-H1e-005_af1.wfa | haar | af1 | 1 | 0.00001 | 24576  | 8192  | 8192   | 37    | 44048 | 296 | 296 | 332.593 | 44640 | 5.449219 |

|                 |   |         |     |     |         |       |      |      |    |       |     |     |         |       |          |
|-----------------|---|---------|-----|-----|---------|-------|------|------|----|-------|-----|-----|---------|-------|----------|
| satellite32.bmp | satellite32.bmp-withWavelet_rbio1.1-G_1-H1e-005_af1.wfa   | rbio1.1 | af1 | 1   | 0.00001 | 24576 | 8192 | 8192 | 37 | 44048 | 296 | 296 | 341.735 | 44640 | 5.449219 |
| satellite32.bmp | satellite32.bmp-withWavelet_sym1-G_1-H1e-005_af1.wfa      | sym1    | af1 | 1   | 0.00001 | 24576 | 8192 | 8192 | 37 | 44048 | 296 | 296 | 347.188 | 44640 | 5.449219 |
| satellite32.bmp | satellite32.bmp-withWavelet_bior1.1-G_1-H1e-005_af1.wfa   | bior1.1 | af1 | 1   | 0.00001 | 24576 | 8192 | 8192 | 37 | 44048 | 296 | 296 | 365.86  | 44640 | 5.449219 |
| satellite32.bmp | satellite32.bmp-G_1-H1e-005_af2.wfa                       |         | af2 | 1   | 0.00001 | 24576 | 8192 |      | 23 | 17168 | 184 | 184 | 52.422  | 17536 | 2.140625 |
| satellite32.bmp | satellite32.bmp-withWavelet_haar-G_1-H1e-005_af2.wfa      | haar    | af2 | 1   | 0.00001 | 24576 | 8192 | 8192 | 31 | 30992 | 248 | 248 | 220.296 | 31488 | 3.84375  |
| satellite32.bmp | satellite32.bmp-withWavelet_rbio1.1-G_1-H1e-005_af2.wfa   | rbio1.1 | af2 | 1   | 0.00001 | 24576 | 8192 | 8192 | 31 | 30992 | 248 | 248 | 227.157 | 31488 | 3.84375  |
| satellite32.bmp | satellite32.bmp-withWavelet_sym1-G_1-H1e-005_af2.wfa      | sym1    | af2 | 1   | 0.00001 | 24576 | 8192 | 8192 | 31 | 30992 | 248 | 248 | 227.672 | 31488 | 3.84375  |
| satellite32.bmp | satellite32.bmp-withWavelet_bior1.1-G_1-H1e-005_af2.wfa   | bior1.1 | af2 | 1   | 0.00001 | 24576 | 8192 | 8192 | 31 | 30992 | 248 | 248 | 229.563 | 31488 | 3.84375  |
| satellite32.bmp | satellite32.bmp-G_1-H1e-005_af3.wfa                       |         | af3 | 1   | 0.00001 | 24576 | 8192 |      | 22 | 15728 | 176 | 176 | 53.687  | 16080 | 1.962891 |
| satellite32.bmp | satellite32.bmp-withWavelet_haar-G_1-H1e-005_af3.wfa      | haar    | af3 | 1   | 0.00001 | 24576 | 8192 | 8192 | 34 | 37232 | 272 | 272 | 296.125 | 37776 | 4.611328 |
| satellite32.bmp | satellite32.bmp-withWavelet_rbio1.1-G_1-H1e-005_af3.wfa   | rbio1.1 | af3 | 1   | 0.00001 | 24576 | 8192 | 8192 | 34 | 37232 | 272 | 272 | 294.359 | 37776 | 4.611328 |
| satellite32.bmp | satellite32.bmp-withWavelet_sym1-G_1-H1e-005_af3.wfa      | sym1    | af3 | 1   | 0.00001 | 24576 | 8192 | 8192 | 34 | 37232 | 272 | 272 | 293.859 | 37776 | 4.611328 |
| satellite32.bmp | satellite32.bmp-withWavelet_bior1.1-G_1-H1e-005_af3.wfa   | bior1.1 | af3 | 1   | 0.00001 | 24576 | 8192 | 8192 | 34 | 37232 | 272 | 272 | 283.531 | 37776 | 4.611328 |
| satellite32.bmp | satellite32.bmp-G_1-H1e-005_af4.wfa                       |         | af4 | 1   | 0.00001 | 24576 | 8192 |      | 5  | 1040  | 40  | 40  | 29.547  | 1120  | 0.136719 |
| satellite32.bmp | satellite32.bmp-withWavelet_haar-G_1-H1e-005_af4.wfa      | haar    | af4 | 1   | 0.00001 | 24576 | 8192 | 8192 | 36 | 41712 | 288 | 288 | 643.25  | 42288 | 5.162109 |
| satellite32.bmp | satellite32.bmp-withWavelet_rbio1.1-G_1-H1e-005_af4.wfa   | rbio1.1 | af4 | 1   | 0.00001 | 24576 | 8192 | 8192 | 36 | 41712 | 288 | 288 | 611.953 | 42288 | 5.162109 |
| satellite32.bmp | satellite32.bmp-withWavelet_sym1-G_1-H1e-005_af4.wfa      | sym1    | af4 | 1   | 0.00001 | 24576 | 8192 | 8192 | 36 | 41712 | 288 | 288 | 624.203 | 42288 | 5.162109 |
| satellite32.bmp | satellite32.bmp-withWavelet_bior1.1-G_1-H1e-005_af4.wfa   | bior1.1 | af4 | 1   | 0.00001 | 24576 | 8192 | 8192 | 36 | 41712 | 288 | 288 | 623.657 | 42288 | 5.162109 |
| satellite32.bmp | satellite32.bmp-G_1-H1e-005_af5.wfa                       |         | af5 | 1   | 0.00001 | 24576 | 8192 |      | 33 | 35088 | 264 | 264 | 59.547  | 35616 | 4.347656 |
| satellite32.bmp | satellite32.bmp-withWavelet_haar-G_1-H1e-005_af5.wfa      | haar    | af5 | 1   | 0.00001 | 24576 | 8192 | 8192 | 25 | 20240 | 200 | 200 | 52.579  | 20640 | 2.519531 |
| satellite32.bmp | satellite32.bmp-withWavelet_rbio1.1-G_1-H1e-005_af5.wfa   | rbio1.1 | af5 | 1   | 0.00001 | 24576 | 8192 | 8192 | 25 | 20240 | 200 | 200 | 48.344  | 20640 | 2.519531 |
| satellite32.bmp | satellite32.bmp-withWavelet_sym1-G_1-H1e-005_af5.wfa      | sym1    | af5 | 1   | 0.00001 | 24576 | 8192 | 8192 | 25 | 20240 | 200 | 200 | 48.282  | 20640 | 2.519531 |
| satellite32.bmp | satellite32.bmp-withWavelet_bior1.1-G_1-H1e-005_af5.wfa   | bior1.1 | af5 | 1   | 0.00001 | 24576 | 8192 | 8192 | 25 | 20240 | 200 | 200 | 52.125  | 20640 | 2.519531 |
| satellite32.bmp | satellite32.bmp-G_0.8-H1e-005_af1.wfa                     |         | af1 | 0.8 | 0.00001 | 24576 | 8192 |      | 1  | 272   | 8   | 8   | 29.516  | 288   | 0.035156 |
| satellite32.bmp | satellite32.bmp-withWavelet_haar-G_0.8-H1e-005_af1.wfa    | haar    | af1 | 0.8 | 0.00001 | 24576 | 8192 | 8192 | 37 | 44048 | 296 | 296 | 170.047 | 44640 | 5.449219 |
| satellite32.bmp | satellite32.bmp-withWavelet_rbio1.1-G_0.8-H1e-005_af1.wfa | rbio1.1 | af1 | 0.8 | 0.00001 | 24576 | 8192 | 8192 | 37 | 44048 | 296 | 296 | 168.938 | 44640 | 5.449219 |
| satellite32.bmp | satellite32.bmp-withWavelet_sym1-G_0.8-H1e-005_af1.wfa    | sym1    | af1 | 0.8 | 0.00001 | 24576 | 8192 | 8192 | 37 | 44048 | 296 | 296 | 162.907 | 44640 | 5.449219 |
| satellite32.bmp | satellite32.bmp-withWavelet_bior1.1-G_0.8-H1e-005_af1.wfa | bior1.1 | af1 | 0.8 | 0.00001 | 24576 | 8192 | 8192 | 37 | 44048 | 296 | 296 | 164.125 | 44640 | 5.449219 |
| satellite32.bmp | satellite32.bmp-G_0.8-H1e-005_af2.wfa                     |         | af2 | 0.8 | 0.00001 | 24576 | 8192 |      | 1  | 272   | 8   | 8   | 26.813  | 288   | 0.035156 |
| satellite32.bmp | satellite32.bmp-withWavelet_haar-G_0.8-H1e-005_af2.wfa    | haar    | af2 | 0.8 | 0.00001 | 24576 | 8192 | 8192 | 32 | 33008 | 256 | 256 | 98.797  | 33520 | 4.091797 |
| satellite32.bmp | satellite32.bmp-withWavelet_rbio1.1-G_0.8-H1e-005_af2.wfa | rbio1.1 | af2 | 0.8 | 0.00001 | 24576 | 8192 | 8192 | 32 | 33008 | 256 | 256 | 99.515  | 33520 | 4.091797 |

|                 |   |         |     |     |         |       |      |      |    |       |     |     |         |       |          |
|-----------------|---|---------|-----|-----|---------|-------|------|------|----|-------|-----|-----|---------|-------|----------|
| satellite32.bmp | satellite32.bmp-withWavelet_sym1-G_0.8-H1e-005_af2.wfa    | sym1    | af2 | 0.8 | 0.00001 | 24576 | 8192 | 8192 | 32 | 33008 | 256 | 256 | 105.235 | 33520 | 4.091797 |
| satellite32.bmp | satellite32.bmp-withWavelet_bior1.1-G_0.8-H1e-005_af2.wfa | bior1.1 | af2 | 0.8 | 0.00001 | 24576 | 8192 | 8192 | 32 | 33008 | 256 | 256 | 100.437 | 33520 | 4.091797 |
| satellite32.bmp | satellite32.bmp-G_0.8-H1e-005_af3.wfa                     |         | af3 | 0.8 | 0.00001 | 24576 | 8192 |      | 1  | 272   | 8   | 8   | 27.359  | 288   | 0.035156 |
| satellite32.bmp | satellite32.bmp-withWavelet_haar-G_0.8-H1e-005_af3.wfa    | haar    | af3 | 0.8 | 0.00001 | 24576 | 8192 | 8192 | 34 | 37232 | 272 | 272 | 131.235 | 37776 | 4.611328 |
| satellite32.bmp | satellite32.bmp-withWavelet_rbio1.1-G_0.8-H1e-005_af3.wfa | rbio1.1 | af3 | 0.8 | 0.00001 | 24576 | 8192 | 8192 | 34 | 37232 | 272 | 272 | 132.047 | 37776 | 4.611328 |
| satellite32.bmp | satellite32.bmp-withWavelet_sym1-G_0.8-H1e-005_af3.wfa    | sym1    | af3 | 0.8 | 0.00001 | 24576 | 8192 | 8192 | 34 | 37232 | 272 | 272 | 131.485 | 37776 | 4.611328 |
| satellite32.bmp | satellite32.bmp-withWavelet_bior1.1-G_0.8-H1e-005_af3.wfa | bior1.1 | af3 | 0.8 | 0.00001 | 24576 | 8192 | 8192 | 34 | 37232 | 272 | 272 | 133.359 | 37776 | 4.611328 |
| satellite32.bmp | satellite32.bmp-G_0.8-H1e-005_af4.wfa                     |         | af4 | 0.8 | 0.00001 | 24576 | 8192 |      | 1  | 272   | 8   | 8   | 31.61   | 288   | 0.035156 |
| satellite32.bmp | satellite32.bmp-withWavelet_haar-G_0.8-H1e-005_af4.wfa    | haar    | af4 | 0.8 | 0.00001 | 24576 | 8192 | 8192 | 36 | 41712 | 288 | 288 | 275.578 | 42288 | 5.162109 |
| satellite32.bmp | satellite32.bmp-withWavelet_rbio1.1-G_0.8-H1e-005_af4.wfa | rbio1.1 | af4 | 0.8 | 0.00001 | 24576 | 8192 | 8192 | 36 | 41712 | 288 | 288 | 314.328 | 42288 | 5.162109 |
| satellite32.bmp | satellite32.bmp-withWavelet_sym1-G_0.8-H1e-005_af4.wfa    | sym1    | af4 | 0.8 | 0.00001 | 24576 | 8192 | 8192 | 36 | 41712 | 288 | 288 | 294.219 | 42288 | 5.162109 |
| satellite32.bmp | satellite32.bmp-withWavelet_bior1.1-G_0.8-H1e-005_af4.wfa | bior1.1 | af4 | 0.8 | 0.00001 | 24576 | 8192 | 8192 | 36 | 41712 | 288 | 288 | 291.312 | 42288 | 5.162109 |
| satellite32.bmp | satellite32.bmp-G_0.8-H1e-005_af5.wfa                     |         | af5 | 0.8 | 0.00001 | 24576 | 8192 |      | 1  | 272   | 8   | 8   | 32.282  | 288   | 0.035156 |
| satellite32.bmp | satellite32.bmp-withWavelet_haar-G_0.8-H1e-005_af5.wfa    | haar    | af5 | 0.8 | 0.00001 | 24576 | 8192 | 8192 | 26 | 21872 | 208 | 208 | 37.047  | 22288 | 2.720703 |
| satellite32.bmp | satellite32.bmp-withWavelet_rbio1.1-G_0.8-H1e-005_af5.wfa | rbio1.1 | af5 | 0.8 | 0.00001 | 24576 | 8192 | 8192 | 26 | 21872 | 208 | 208 | 37.344  | 22288 | 2.720703 |
| satellite32.bmp | satellite32.bmp-withWavelet_sym1-G_0.8-H1e-005_af5.wfa    | sym1    | af5 | 0.8 | 0.00001 | 24576 | 8192 | 8192 | 26 | 21872 | 208 | 208 | 37.25   | 22288 | 2.720703 |
| satellite32.bmp | satellite32.bmp-withWavelet_bior1.1-G_0.8-H1e-005_af5.wfa | bior1.1 | af5 | 0.8 | 0.00001 | 24576 | 8192 | 8192 | 26 | 21872 | 208 | 208 | 37.25   | 22288 | 2.720703 |
| satellite32.bmp | satellite32.bmp-G_0.6-H1e-005_af1.wfa                     |         | af1 | 0.6 | 0.00001 | 24576 | 8192 |      | 1  | 272   | 8   | 8   | 27.5    | 288   | 0.035156 |
| satellite32.bmp | satellite32.bmp-withWavelet_haar-G_0.6-H1e-005_af1.wfa    | haar    | af1 | 0.6 | 0.00001 | 24576 | 8192 | 8192 | 37 | 44048 | 296 | 296 | 126.109 | 44640 | 5.449219 |
| satellite32.bmp | satellite32.bmp-withWavelet_rbio1.1-G_0.6-H1e-005_af1.wfa | rbio1.1 | af1 | 0.6 | 0.00001 | 24576 | 8192 | 8192 | 37 | 44048 | 296 | 296 | 123.828 | 44640 | 5.449219 |
| satellite32.bmp | satellite32.bmp-withWavelet_sym1-G_0.6-H1e-005_af1.wfa    | sym1    | af1 | 0.6 | 0.00001 | 24576 | 8192 | 8192 | 37 | 44048 | 296 | 296 | 126.875 | 44640 | 5.449219 |
| satellite32.bmp | satellite32.bmp-withWavelet_bior1.1-G_0.6-H1e-005_af1.wfa | bior1.1 | af1 | 0.6 | 0.00001 | 24576 | 8192 | 8192 | 37 | 44048 | 296 | 296 | 123.313 | 44640 | 5.449219 |
| satellite32.bmp | satellite32.bmp-G_0.6-H1e-005_af2.wfa                     |         | af2 | 0.6 | 0.00001 | 24576 | 8192 |      | 1  | 272   | 8   | 8   | 27.313  | 288   | 0.035156 |
| satellite32.bmp | satellite32.bmp-withWavelet_haar-G_0.6-H1e-005_af2.wfa    | haar    | af2 | 0.6 | 0.00001 | 24576 | 8192 | 8192 | 33 | 35088 | 264 | 264 | 87.953  | 35616 | 4.347656 |
| satellite32.bmp | satellite32.bmp-withWavelet_rbio1.1-G_0.6-H1e-005_af2.wfa | rbio1.1 | af2 | 0.6 | 0.00001 | 24576 | 8192 | 8192 | 33 | 35088 | 264 | 264 | 81.844  | 35616 | 4.347656 |
| satellite32.bmp | satellite32.bmp-withWavelet_sym1-G_0.6-H1e-005_af2.wfa    | sym1    | af2 | 0.6 | 0.00001 | 24576 | 8192 | 8192 | 33 | 35088 | 264 | 264 | 88.468  | 35616 | 4.347656 |
| satellite32.bmp | satellite32.bmp-withWavelet_bior1.1-G_0.6-H1e-005_af2.wfa | bior1.1 | af2 | 0.6 | 0.00001 | 24576 | 8192 | 8192 | 33 | 35088 | 264 | 264 | 86.922  | 35616 | 4.347656 |
| satellite32.bmp | satellite32.bmp-G_0.6-H1e-005_af3.wfa                     |         | af3 | 0.6 | 0.00001 | 24576 | 8192 |      | 1  | 272   | 8   | 8   | 27.157  | 288   | 0.035156 |
| satellite32.bmp | satellite32.bmp-withWavelet_haar-G_0.6-H1e-005_af3.wfa    | haar    | af3 | 0.6 | 0.00001 | 24576 | 8192 | 8192 | 34 | 37232 | 272 | 272 | 106.282 | 37776 | 4.611328 |
| satellite32.bmp | satellite32.bmp-withWavelet_rbio1.1-G_0.6-H1e-005_af3.wfa | rbio1.1 | af3 | 0.6 | 0.00001 | 24576 | 8192 | 8192 | 34 | 37232 | 272 | 272 | 106.015 | 37776 | 4.611328 |
| satellite32.bmp | satellite32.bmp-withWavelet_sym1-G_0.6-H1e-005_af3.wfa    | sym1    | af3 | 0.6 | 0.00001 | 24576 | 8192 | 8192 | 34 | 37232 | 272 | 272 | 100.329 | 37776 | 4.611328 |

|                 |   |         |     |     |         |       |      |      |    |       |     |     |         |       |          |
|-----------------|---|---------|-----|-----|---------|-------|------|------|----|-------|-----|-----|---------|-------|----------|
| satellite32.bmp | satellite32.bmp-withWavelet_bior1.1-G_0.6-H1e-005_af3.wfa | bior1.1 | af3 | 0.6 | 0.00001 | 24576 | 8192 | 8192 | 34 | 37232 | 272 | 272 | 100.578 | 37776 | 4.611328 |
| satellite32.bmp | satellite32.bmp-G_0.6-H1e-005_af4.wfa                     |         | af4 | 0.6 | 0.00001 | 24576 | 8192 |      | 1  | 272   | 8   | 8   | 27.609  | 288   | 0.035156 |
| satellite32.bmp | satellite32.bmp-withWavelet_haar-G_0.6-H1e-005_af4.wfa    | haar    | af4 | 0.6 | 0.00001 | 24576 | 8192 | 8192 | 36 | 41712 | 288 | 288 | 202.563 | 42288 | 5.162109 |
| satellite32.bmp | satellite32.bmp-withWavelet_rbio1.1-G_0.6-H1e-005_af4.wfa | rbio1.1 | af4 | 0.6 | 0.00001 | 24576 | 8192 | 8192 | 36 | 41712 | 288 | 288 | 202.437 | 42288 | 5.162109 |
| satellite32.bmp | satellite32.bmp-withWavelet_sym1-G_0.6-H1e-005_af4.wfa    | sym1    | af4 | 0.6 | 0.00001 | 24576 | 8192 | 8192 | 36 | 41712 | 288 | 288 | 190     | 42288 | 5.162109 |
| satellite32.bmp | satellite32.bmp-withWavelet_bior1.1-G_0.6-H1e-005_af4.wfa | bior1.1 | af4 | 0.6 | 0.00001 | 24576 | 8192 | 8192 | 36 | 41712 | 288 | 288 | 195.828 | 42288 | 5.162109 |
| satellite32.bmp | satellite32.bmp-G_0.6-H1e-005_af5.wfa                     |         | af5 | 0.6 | 0.00001 | 24576 | 8192 |      | 1  | 272   | 8   | 8   | 27.14   | 288   | 0.035156 |
| satellite32.bmp | satellite32.bmp-withWavelet_haar-G_0.6-H1e-005_af5.wfa    | haar    | af5 | 0.6 | 0.00001 | 24576 | 8192 | 8192 | 24 | 18672 | 192 | 192 | 33.375  | 19056 | 2.326172 |
| satellite32.bmp | satellite32.bmp-withWavelet_rbio1.1-G_0.6-H1e-005_af5.wfa | rbio1.1 | af5 | 0.6 | 0.00001 | 24576 | 8192 | 8192 | 24 | 18672 | 192 | 192 | 33.937  | 19056 | 2.326172 |
| satellite32.bmp | satellite32.bmp-withWavelet_sym1-G_0.6-H1e-005_af5.wfa    | sym1    | af5 | 0.6 | 0.00001 | 24576 | 8192 | 8192 | 24 | 18672 | 192 | 192 | 33.797  | 19056 | 2.326172 |
| satellite32.bmp | satellite32.bmp-withWavelet_bior1.1-G_0.6-H1e-005_af5.wfa | bior1.1 | af5 | 0.6 | 0.00001 | 24576 | 8192 | 8192 | 24 | 18672 | 192 | 192 | 33.656  | 19056 | 2.326172 |
| satellite32.bmp | satellite32.bmp-G_1-H2e-005_af1.wfa                       |         | af1 | 1   | 0.00002 | 24576 | 8192 |      | 21 | 14352 | 168 | 168 | 44.969  | 14688 | 1.792969 |
| satellite32.bmp | satellite32.bmp-withWavelet_haar-G_1-H2e-005_af1.wfa      | haar    | af1 | 1   | 0.00002 | 24576 | 8192 | 8192 | 37 | 44048 | 296 | 296 | 343.296 | 44640 | 5.449219 |
| satellite32.bmp | satellite32.bmp-withWavelet_rbio1.1-G_1-H2e-005_af1.wfa   | rbio1.1 | af1 | 1   | 0.00002 | 24576 | 8192 | 8192 | 37 | 44048 | 296 | 296 | 340.062 | 44640 | 5.449219 |
| satellite32.bmp | satellite32.bmp-withWavelet_sym1-G_1-H2e-005_af1.wfa      | sym1    | af1 | 1   | 0.00002 | 24576 | 8192 | 8192 | 37 | 44048 | 296 | 296 | 353.156 | 44640 | 5.449219 |
| satellite32.bmp | satellite32.bmp-withWavelet_bior1.1-G_1-H2e-005_af1.wfa   | bior1.1 | af1 | 1   | 0.00002 | 24576 | 8192 | 8192 | 37 | 44048 | 296 | 296 | 354.359 | 44640 | 5.449219 |
| satellite32.bmp | satellite32.bmp-G_1-H2e-005_af2.wfa                       |         | af2 | 1   | 0.00002 | 24576 | 8192 |      | 22 | 15728 | 176 | 176 | 50.938  | 16080 | 1.962891 |
| satellite32.bmp | satellite32.bmp-withWavelet_haar-G_1-H2e-005_af2.wfa      | haar    | af2 | 1   | 0.00002 | 24576 | 8192 | 8192 | 30 | 29040 | 240 | 240 | 175.031 | 29520 | 3.603516 |
| satellite32.bmp | satellite32.bmp-withWavelet_rbio1.1-G_1-H2e-005_af2.wfa   | rbio1.1 | af2 | 1   | 0.00002 | 24576 | 8192 | 8192 | 30 | 29040 | 240 | 240 | 168.813 | 29520 | 3.603516 |
| satellite32.bmp | satellite32.bmp-withWavelet_sym1-G_1-H2e-005_af2.wfa      | sym1    | af2 | 1   | 0.00002 | 24576 | 8192 | 8192 | 30 | 29040 | 240 | 240 | 174.219 | 29520 | 3.603516 |
| satellite32.bmp | satellite32.bmp-withWavelet_bior1.1-G_1-H2e-005_af2.wfa   | bior1.1 | af2 | 1   | 0.00002 | 24576 | 8192 | 8192 | 30 | 29040 | 240 | 240 | 176.047 | 29520 | 3.603516 |
| satellite32.bmp | satellite32.bmp-G_1-H2e-005_af3.wfa                       |         | af3 | 1   | 0.00002 | 24576 | 8192 |      | 20 | 13040 | 160 | 160 | 45.078  | 13360 | 1.630859 |
| satellite32.bmp | satellite32.bmp-withWavelet_haar-G_1-H2e-005_af3.wfa      | haar    | af3 | 1   | 0.00002 | 24576 | 8192 | 8192 | 32 | 33008 | 256 | 256 | 231.937 | 33520 | 4.091797 |
| satellite32.bmp | satellite32.bmp-withWavelet_rbio1.1-G_1-H2e-005_af3.wfa   | rbio1.1 | af3 | 1   | 0.00002 | 24576 | 8192 | 8192 | 32 | 33008 | 256 | 256 | 227.781 | 33520 | 4.091797 |
| satellite32.bmp | satellite32.bmp-withWavelet_sym1-G_1-H2e-005_af3.wfa      | sym1    | af3 | 1   | 0.00002 | 24576 | 8192 | 8192 | 32 | 33008 | 256 | 256 | 230.297 | 33520 | 4.091797 |
| satellite32.bmp | satellite32.bmp-withWavelet_bior1.1-G_1-H2e-005_af3.wfa   | bior1.1 | af3 | 1   | 0.00002 | 24576 | 8192 | 8192 | 32 | 33008 | 256 | 256 | 225.843 | 33520 | 4.091797 |
| satellite32.bmp | satellite32.bmp-G_1-H2e-005_af4.wfa                       |         | af4 | 1   | 0.00002 | 24576 | 8192 |      | 5  | 1040  | 40  | 40  | 29.953  | 1120  | 0.136719 |
| satellite32.bmp | satellite32.bmp-withWavelet_haar-G_1-H2e-005_af4.wfa      | haar    | af4 | 1   | 0.00002 | 24576 | 8192 | 8192 | 35 | 39440 | 280 | 280 | 540.906 | 40000 | 4.882813 |
| satellite32.bmp | satellite32.bmp-withWavelet_rbio1.1-G_1-H2e-005_af4.wfa   | rbio1.1 | af4 | 1   | 0.00002 | 24576 | 8192 | 8192 | 35 | 39440 | 280 | 280 | 565.75  | 40000 | 4.882813 |
| satellite32.bmp | satellite32.bmp-withWavelet_sym1-G_1-H2e-005_af4.wfa      | sym1    | af4 | 1   | 0.00002 | 24576 | 8192 | 8192 | 35 | 39440 | 280 | 280 | 574.734 | 40000 | 4.882813 |
| satellite32.bmp | satellite32.bmp-withWavelet_bior1.1-G_1-H2e-005_af4.wfa   | bior1.1 | af4 | 1   | 0.00002 | 24576 | 8192 | 8192 | 35 | 39440 | 280 | 280 | 576.672 | 40000 | 4.882813 |



|                 |   |         |     |     |         |       |      |      |    |       |     |     |         |       |          |
|-----------------|---|---------|-----|-----|---------|-------|------|------|----|-------|-----|-----|---------|-------|----------|
| satellite32.bmp | satellite32.bmp-G_1-H2e-005_af5.wfa                       |         | af5 | 1   | 0.00002 | 24576 | 8192 |      | 26 | 21872 | 208 | 208 | 49.344  | 22288 | 2.720703 |
| satellite32.bmp | satellite32.bmp-withWavelet_haar-G_1-H2e-005_af5.wfa      | haar    | af5 | 1   | 0.00002 | 24576 | 8192 | 8192 | 19 | 11792 | 152 | 152 | 43.718  | 12096 | 1.476563 |
| satellite32.bmp | satellite32.bmp-withWavelet_rbio1.1-G_1-H2e-005_af5.wfa   | rbio1.1 | af5 | 1   | 0.00002 | 24576 | 8192 | 8192 | 19 | 11792 | 152 | 152 | 43.407  | 12096 | 1.476563 |
| satellite32.bmp | satellite32.bmp-withWavelet_sym1-G_1-H2e-005_af5.wfa      | sym1    | af5 | 1   | 0.00002 | 24576 | 8192 | 8192 | 19 | 11792 | 152 | 152 | 43.422  | 12096 | 1.476563 |
| satellite32.bmp | satellite32.bmp-withWavelet_bior1.1-G_1-H2e-005_af5.wfa   | bior1.1 | af5 | 1   | 0.00002 | 24576 | 8192 | 8192 | 19 | 11792 | 152 | 152 | 43.187  | 12096 | 1.476563 |
| satellite32.bmp | satellite32.bmp-G_0.8-H2e-005_af1.wfa                     |         | af1 | 0.8 | 0.00002 | 24576 | 8192 |      | 1  | 272   | 8   | 8   | 27.282  | 288   | 0.035156 |
| satellite32.bmp | satellite32.bmp-withWavelet_haar-G_0.8-H2e-005_af1.wfa    | haar    | af1 | 0.8 | 0.00002 | 24576 | 8192 | 8192 | 37 | 44048 | 296 | 296 | 165.766 | 44640 | 5.449219 |
| satellite32.bmp | satellite32.bmp-withWavelet_rbio1.1-G_0.8-H2e-005_af1.wfa | rbio1.1 | af1 | 0.8 | 0.00002 | 24576 | 8192 | 8192 | 37 | 44048 | 296 | 296 | 167.094 | 44640 | 5.449219 |
| satellite32.bmp | satellite32.bmp-withWavelet_sym1-G_0.8-H2e-005_af1.wfa    | sym1    | af1 | 0.8 | 0.00002 | 24576 | 8192 | 8192 | 37 | 44048 | 296 | 296 | 168.469 | 44640 | 5.449219 |
| satellite32.bmp | satellite32.bmp-withWavelet_bior1.1-G_0.8-H2e-005_af1.wfa | bior1.1 | af1 | 0.8 | 0.00002 | 24576 | 8192 | 8192 | 37 | 44048 | 296 | 296 | 169.14  | 44640 | 5.449219 |
| satellite32.bmp | satellite32.bmp-G_0.8-H2e-005_af2.wfa                     |         | af2 | 0.8 | 0.00002 | 24576 | 8192 |      | 1  | 272   | 8   | 8   | 27.562  | 288   | 0.035156 |
| satellite32.bmp | satellite32.bmp-withWavelet_haar-G_0.8-H2e-005_af2.wfa    | haar    | af2 | 0.8 | 0.00002 | 24576 | 8192 | 8192 | 30 | 29040 | 240 | 240 | 96.625  | 29520 | 3.603516 |
| satellite32.bmp | satellite32.bmp-withWavelet_rbio1.1-G_0.8-H2e-005_af2.wfa | rbio1.1 | af2 | 0.8 | 0.00002 | 24576 | 8192 | 8192 | 30 | 29040 | 240 | 240 | 90.25   | 29520 | 3.603516 |
| satellite32.bmp | satellite32.bmp-withWavelet_sym1-G_0.8-H2e-005_af2.wfa    | sym1    | af2 | 0.8 | 0.00002 | 24576 | 8192 | 8192 | 30 | 29040 | 240 | 240 | 97.843  | 29520 | 3.603516 |
| satellite32.bmp | satellite32.bmp-withWavelet_bior1.1-G_0.8-H2e-005_af2.wfa | bior1.1 | af2 | 0.8 | 0.00002 | 24576 | 8192 | 8192 | 30 | 29040 | 240 | 240 | 97.203  | 29520 | 3.603516 |
| satellite32.bmp | satellite32.bmp-G_0.8-H2e-005_af3.wfa                     |         | af3 | 0.8 | 0.00002 | 24576 | 8192 |      | 1  | 272   | 8   | 8   | 27.703  | 288   | 0.035156 |
| satellite32.bmp | satellite32.bmp-withWavelet_haar-G_0.8-H2e-005_af3.wfa    | haar    | af3 | 0.8 | 0.00002 | 24576 | 8192 | 8192 | 32 | 33008 | 256 | 256 | 114.75  | 33520 | 4.091797 |
| satellite32.bmp | satellite32.bmp-withWavelet_rbio1.1-G_0.8-H2e-005_af3.wfa | rbio1.1 | af3 | 0.8 | 0.00002 | 24576 | 8192 | 8192 | 32 | 33008 | 256 | 256 | 120.203 | 33520 | 4.091797 |
| satellite32.bmp | satellite32.bmp-withWavelet_sym1-G_0.8-H2e-005_af3.wfa    | sym1    | af3 | 0.8 | 0.00002 | 24576 | 8192 | 8192 | 32 | 33008 | 256 | 256 | 114.516 | 33520 | 4.091797 |
| satellite32.bmp | satellite32.bmp-withWavelet_bior1.1-G_0.8-H2e-005_af3.wfa | bior1.1 | af3 | 0.8 | 0.00002 | 24576 | 8192 | 8192 | 32 | 33008 | 256 | 256 | 120.641 | 33520 | 4.091797 |
| satellite32.bmp | satellite32.bmp-G_0.8-H2e-005_af4.wfa                     |         | af4 | 0.8 | 0.00002 | 24576 | 8192 |      | 1  | 272   | 8   | 8   | 33.828  | 288   | 0.035156 |
| satellite32.bmp | satellite32.bmp-withWavelet_haar-G_0.8-H2e-005_af4.wfa    | haar    | af4 | 0.8 | 0.00002 | 24576 | 8192 | 8192 | 34 | 37232 | 272 | 272 | 252.156 | 37776 | 4.611328 |
| satellite32.bmp | satellite32.bmp-withWavelet_rbio1.1-G_0.8-H2e-005_af4.wfa | rbio1.1 | af4 | 0.8 | 0.00002 | 24576 | 8192 | 8192 | 34 | 37232 | 272 | 272 | 252.297 | 37776 | 4.611328 |
| satellite32.bmp | satellite32.bmp-withWavelet_sym1-G_0.8-H2e-005_af4.wfa    | sym1    | af4 | 0.8 | 0.00002 | 24576 | 8192 | 8192 | 34 | 37232 | 272 | 272 | 276.219 | 37776 | 4.611328 |
| satellite32.bmp | satellite32.bmp-withWavelet_bior1.1-G_0.8-H2e-005_af4.wfa | bior1.1 | af4 | 0.8 | 0.00002 | 24576 | 8192 | 8192 | 34 | 37232 | 272 | 272 | 247.281 | 37776 | 4.611328 |
| satellite32.bmp | satellite32.bmp-G_0.8-H2e-005_af5.wfa                     |         | af5 | 0.8 | 0.00002 | 24576 | 8192 |      | 1  | 272   | 8   | 8   | 27.453  | 288   | 0.035156 |
| satellite32.bmp | satellite32.bmp-withWavelet_haar-G_0.8-H2e-005_af5.wfa    | haar    | af5 | 0.8 | 0.00002 | 24576 | 8192 | 8192 | 20 | 13040 | 160 | 160 | 34.406  | 13360 | 1.630859 |
| satellite32.bmp | satellite32.bmp-withWavelet_rbio1.1-G_0.8-H2e-005_af5.wfa | rbio1.1 | af5 | 0.8 | 0.00002 | 24576 | 8192 | 8192 | 20 | 13040 | 160 | 160 | 34.453  | 13360 | 1.630859 |
| satellite32.bmp | satellite32.bmp-withWavelet_sym1-G_0.8-H2e-005_af5.wfa    | sym1    | af5 | 0.8 | 0.00002 | 24576 | 8192 | 8192 | 20 | 13040 | 160 | 160 | 34.25   | 13360 | 1.630859 |
| satellite32.bmp | satellite32.bmp-withWavelet_bior1.1-G_0.8-H2e-005_af5.wfa | bior1.1 | af5 | 0.8 | 0.00002 | 24576 | 8192 | 8192 | 20 | 13040 | 160 | 160 | 34.297  | 13360 | 1.630859 |
| satellite32.bmp | satellite32.bmp-G_0.6-H2e-005_af1.wfa                     |         | af1 | 0.6 | 0.00002 | 24576 | 8192 |      | 1  | 272   | 8   | 8   | 27.157  | 288   | 0.035156 |

|                 |   |         |     |     |         |       |      |      |    |       |     |     |         |       |          |
|-----------------|---|---------|-----|-----|---------|-------|------|------|----|-------|-----|-----|---------|-------|----------|
| satellite32.bmp | satellite32.bmp-withWavelet_haar-G_0.6-H2e-005_af1.wfa    | haar    | af1 | 0.6 | 0.00002 | 24576 | 8192 | 8192 | 37 | 44048 | 296 | 296 | 118.219 | 44640 | 5.449219 |
| satellite32.bmp | satellite32.bmp-withWavelet_rbio1.1-G_0.6-H2e-005_af1.wfa | rbio1.1 | af1 | 0.6 | 0.00002 | 24576 | 8192 | 8192 | 37 | 44048 | 296 | 296 | 119.234 | 44640 | 5.449219 |
| satellite32.bmp | satellite32.bmp-withWavelet_sym1-G_0.6-H2e-005_af1.wfa    | sym1    | af1 | 0.6 | 0.00002 | 24576 | 8192 | 8192 | 37 | 44048 | 296 | 296 | 118.641 | 44640 | 5.449219 |
| satellite32.bmp | satellite32.bmp-withWavelet_bior1.1-G_0.6-H2e-005_af1.wfa | bior1.1 | af1 | 0.6 | 0.00002 | 24576 | 8192 | 8192 | 37 | 44048 | 296 | 296 | 118.813 | 44640 | 5.449219 |
| satellite32.bmp | satellite32.bmp-G_0.6-H2e-005_af2.wfa                     |         | af2 | 0.6 | 0.00002 | 24576 | 8192 |      | 1  | 272   | 8   | 8   | 27.391  | 288   | 0.035156 |
| satellite32.bmp | satellite32.bmp-withWavelet_haar-G_0.6-H2e-005_af2.wfa    | haar    | af2 | 0.6 | 0.00002 | 24576 | 8192 | 8192 | 29 | 27152 | 232 | 232 | 68.687  | 27616 | 3.371094 |
| satellite32.bmp | satellite32.bmp-withWavelet_rbio1.1-G_0.6-H2e-005_af2.wfa | rbio1.1 | af2 | 0.6 | 0.00002 | 24576 | 8192 | 8192 | 29 | 27152 | 232 | 232 | 67.985  | 27616 | 3.371094 |
| satellite32.bmp | satellite32.bmp-withWavelet_sym1-G_0.6-H2e-005_af2.wfa    | sym1    | af2 | 0.6 | 0.00002 | 24576 | 8192 | 8192 | 29 | 27152 | 232 | 232 | 67.188  | 27616 | 3.371094 |
| satellite32.bmp | satellite32.bmp-withWavelet_bior1.1-G_0.6-H2e-005_af2.wfa | bior1.1 | af2 | 0.6 | 0.00002 | 24576 | 8192 | 8192 | 29 | 27152 | 232 | 232 | 68.14   | 27616 | 3.371094 |
| satellite32.bmp | satellite32.bmp-G_0.6-H2e-005_af3.wfa                     |         | af3 | 0.6 | 0.00002 | 24576 | 8192 |      | 1  | 272   | 8   | 8   | 29.437  | 288   | 0.035156 |
| satellite32.bmp | satellite32.bmp-withWavelet_haar-G_0.6-H2e-005_af3.wfa    | haar    | af3 | 0.6 | 0.00002 | 24576 | 8192 | 8192 | 32 | 33008 | 256 | 256 | 89.218  | 33520 | 4.091797 |
| satellite32.bmp | satellite32.bmp-withWavelet_rbio1.1-G_0.6-H2e-005_af3.wfa | rbio1.1 | af3 | 0.6 | 0.00002 | 24576 | 8192 | 8192 | 32 | 33008 | 256 | 256 | 86.39   | 33520 | 4.091797 |
| satellite32.bmp | satellite32.bmp-withWavelet_sym1-G_0.6-H2e-005_af3.wfa    | sym1    | af3 | 0.6 | 0.00002 | 24576 | 8192 | 8192 | 32 | 33008 | 256 | 256 | 85.657  | 33520 | 4.091797 |
| satellite32.bmp | satellite32.bmp-withWavelet_bior1.1-G_0.6-H2e-005_af3.wfa | bior1.1 | af3 | 0.6 | 0.00002 | 24576 | 8192 | 8192 | 32 | 33008 | 256 | 256 | 85.532  | 33520 | 4.091797 |
| satellite32.bmp | satellite32.bmp-G_0.6-H2e-005_af4.wfa                     |         | af4 | 0.6 | 0.00002 | 24576 | 8192 |      | 1  | 272   | 8   | 8   | 26.703  | 288   | 0.035156 |
| satellite32.bmp | satellite32.bmp-withWavelet_haar-G_0.6-H2e-005_af4.wfa    | haar    | af4 | 0.6 | 0.00002 | 24576 | 8192 | 8192 | 34 | 37232 | 272 | 272 | 169.453 | 37776 | 4.611328 |
| satellite32.bmp | satellite32.bmp-withWavelet_rbio1.1-G_0.6-H2e-005_af4.wfa | rbio1.1 | af4 | 0.6 | 0.00002 | 24576 | 8192 | 8192 | 34 | 37232 | 272 | 272 | 170.485 | 37776 | 4.611328 |
| satellite32.bmp | satellite32.bmp-withWavelet_sym1-G_0.6-H2e-005_af4.wfa    | sym1    | af4 | 0.6 | 0.00002 | 24576 | 8192 | 8192 | 34 | 37232 | 272 | 272 | 165.328 | 37776 | 4.611328 |
| satellite32.bmp | satellite32.bmp-withWavelet_bior1.1-G_0.6-H2e-005_af4.wfa | bior1.1 | af4 | 0.6 | 0.00002 | 24576 | 8192 | 8192 | 34 | 37232 | 272 | 272 | 179.328 | 37776 | 4.611328 |
| satellite32.bmp | satellite32.bmp-G_0.6-H2e-005_af5.wfa                     |         | af5 | 0.6 | 0.00002 | 24576 | 8192 |      | 1  | 272   | 8   | 8   | 26.5    | 288   | 0.035156 |
| satellite32.bmp | satellite32.bmp-withWavelet_haar-G_0.6-H2e-005_af5.wfa    | haar    | af5 | 0.6 | 0.00002 | 24576 | 8192 | 8192 | 20 | 13040 | 160 | 160 | 31.718  | 13360 | 1.630859 |
| satellite32.bmp | satellite32.bmp-withWavelet_rbio1.1-G_0.6-H2e-005_af5.wfa | rbio1.1 | af5 | 0.6 | 0.00002 | 24576 | 8192 | 8192 | 20 | 13040 | 160 | 160 | 32.313  | 13360 | 1.630859 |
| satellite32.bmp | satellite32.bmp-withWavelet_sym1-G_0.6-H2e-005_af5.wfa    | sym1    | af5 | 0.6 | 0.00002 | 24576 | 8192 | 8192 | 20 | 13040 | 160 | 160 | 32.218  | 13360 | 1.630859 |
| satellite32.bmp | satellite32.bmp-withWavelet_bior1.1-G_0.6-H2e-005_af5.wfa | bior1.1 | af5 | 0.6 | 0.00002 | 24576 | 8192 | 8192 | 20 | 13040 | 160 | 160 | 32.282  | 13360 | 1.630859 |
| satellite32.bmp | satellite32.bmp-G_1-H3e-005_af1.wfa                       |         | af1 | 1   | 0.00003 | 24576 | 8192 |      | 18 | 10608 | 144 | 144 | 42.969  | 10896 | 1.330078 |
| satellite32.bmp | satellite32.bmp-withWavelet_haar-G_1-H3e-005_af1.wfa      | haar    | af1 | 1   | 0.00003 | 24576 | 8192 | 8192 | 36 | 41712 | 288 | 288 | 329.468 | 42288 | 5.162109 |
| satellite32.bmp | satellite32.bmp-withWavelet_rbio1.1-G_1-H3e-005_af1.wfa   | rbio1.1 | af1 | 1   | 0.00003 | 24576 | 8192 | 8192 | 36 | 41712 | 288 | 288 | 324.547 | 42288 | 5.162109 |
| satellite32.bmp | satellite32.bmp-withWavelet_sym1-G_1-H3e-005_af1.wfa      | sym1    | af1 | 1   | 0.00003 | 24576 | 8192 | 8192 | 36 | 41712 | 288 | 288 | 322.922 | 42288 | 5.162109 |
| satellite32.bmp | satellite32.bmp-withWavelet_bior1.1-G_1-H3e-005_af1.wfa   | bior1.1 | af1 | 1   | 0.00003 | 24576 | 8192 | 8192 | 36 | 41712 | 288 | 288 | 317.703 | 42288 | 5.162109 |
| satellite32.bmp | satellite32.bmp-G_1-H3e-005_af2.wfa                       |         | af2 | 1   | 0.00003 | 24576 | 8192 |      | 21 | 14352 | 168 | 168 | 49.938  | 14688 | 1.792969 |
| satellite32.bmp | satellite32.bmp-withWavelet_haar-G_1-H3e-005_af2.wfa      | haar    | af2 | 1   | 0.00003 | 24576 | 8192 | 8192 | 26 | 21872 | 208 | 208 | 125.032 | 22288 | 2.720703 |

|                 |   |         |     |     |         |       |      |      |    |       |     |     |         |       |          |
|-----------------|---|---------|-----|-----|---------|-------|------|------|----|-------|-----|-----|---------|-------|----------|
| satellite32.bmp | satellite32.bmp-withWavelet_rbio1.1-G_1-H3e-005_af2.wfa   | rbio1.1 | af2 | 1   | 0.00003 | 24576 | 8192 | 8192 | 26 | 21872 | 208 | 208 | 122.219 | 22288 | 2.720703 |
| satellite32.bmp | satellite32.bmp-withWavelet_sym1-G_1-H3e-005_af2.wfa      | sym1    | af2 | 1   | 0.00003 | 24576 | 8192 | 8192 | 26 | 21872 | 208 | 208 | 122.172 | 22288 | 2.720703 |
| satellite32.bmp | satellite32.bmp-withWavelet_bior1.1-G_1-H3e-005_af2.wfa   | bior1.1 | af2 | 1   | 0.00003 | 24576 | 8192 | 8192 | 26 | 21872 | 208 | 208 | 127.735 | 22288 | 2.720703 |
| satellite32.bmp | satellite32.bmp-G_1-H3e-005_af3.wfa                       |         | af3 | 1   | 0.00003 | 24576 | 8192 |      | 17 | 9488  | 136 | 136 | 40.703  | 9760  | 1.191406 |
| satellite32.bmp | satellite32.bmp-withWavelet_haar-G_1-H3e-005_af3.wfa      | haar    | af3 | 1   | 0.00003 | 24576 | 8192 | 8192 | 31 | 30992 | 248 | 248 | 232.656 | 31488 | 3.84375  |
| satellite32.bmp | satellite32.bmp-withWavelet_rbio1.1-G_1-H3e-005_af3.wfa   | rbio1.1 | af3 | 1   | 0.00003 | 24576 | 8192 | 8192 | 31 | 30992 | 248 | 248 | 230.921 | 31488 | 3.84375  |
| satellite32.bmp | satellite32.bmp-withWavelet_sym1-G_1-H3e-005_af3.wfa      | sym1    | af3 | 1   | 0.00003 | 24576 | 8192 | 8192 | 31 | 30992 | 248 | 248 | 243.89  | 31488 | 3.84375  |
| satellite32.bmp | satellite32.bmp-withWavelet_bior1.1-G_1-H3e-005_af3.wfa   | bior1.1 | af3 | 1   | 0.00003 | 24576 | 8192 | 8192 | 31 | 30992 | 248 | 248 | 229.032 | 31488 | 3.84375  |
| satellite32.bmp | satellite32.bmp-G_1-H3e-005_af4.wfa                       |         | af4 | 1   | 0.00003 | 24576 | 8192 |      | 5  | 1040  | 40  | 40  | 30.328  | 1120  | 0.136719 |
| satellite32.bmp | satellite32.bmp-withWavelet_haar-G_1-H3e-005_af4.wfa      | haar    | af4 | 1   | 0.00003 | 24576 | 8192 | 8192 | 33 | 35088 | 264 | 264 | 501.484 | 35616 | 4.347656 |
| satellite32.bmp | satellite32.bmp-withWavelet_rbio1.1-G_1-H3e-005_af4.wfa   | rbio1.1 | af4 | 1   | 0.00003 | 24576 | 8192 | 8192 | 33 | 35088 | 264 | 264 | 465.156 | 35616 | 4.347656 |
| satellite32.bmp | satellite32.bmp-withWavelet_sym1-G_1-H3e-005_af4.wfa      | sym1    | af4 | 1   | 0.00003 | 24576 | 8192 | 8192 | 33 | 35088 | 264 | 264 | 445.593 | 35616 | 4.347656 |
| satellite32.bmp | satellite32.bmp-withWavelet_bior1.1-G_1-H3e-005_af4.wfa   | bior1.1 | af4 | 1   | 0.00003 | 24576 | 8192 | 8192 | 33 | 35088 | 264 | 264 | 446.453 | 35616 | 4.347656 |
| satellite32.bmp | satellite32.bmp-G_1-H3e-005_af5.wfa                       |         | af5 | 1   | 0.00003 | 24576 | 8192 |      | 19 | 11792 | 152 | 152 | 41.218  | 12096 | 1.476563 |
| satellite32.bmp | satellite32.bmp-withWavelet_haar-G_1-H3e-005_af5.wfa      | haar    | af5 | 1   | 0.00003 | 24576 | 8192 | 8192 | 17 | 9488  | 136 | 136 | 40.062  | 9760  | 1.191406 |
| satellite32.bmp | satellite32.bmp-withWavelet_rbio1.1-G_1-H3e-005_af5.wfa   | rbio1.1 | af5 | 1   | 0.00003 | 24576 | 8192 | 8192 | 17 | 9488  | 136 | 136 | 39.484  | 9760  | 1.191406 |
| satellite32.bmp | satellite32.bmp-withWavelet_sym1-G_1-H3e-005_af5.wfa      | sym1    | af5 | 1   | 0.00003 | 24576 | 8192 | 8192 | 17 | 9488  | 136 | 136 | 39.671  | 9760  | 1.191406 |
| satellite32.bmp | satellite32.bmp-withWavelet_bior1.1-G_1-H3e-005_af5.wfa   | bior1.1 | af5 | 1   | 0.00003 | 24576 | 8192 | 8192 | 17 | 9488  | 136 | 136 | 39.844  | 9760  | 1.191406 |
| satellite32.bmp | satellite32.bmp-G_0.8-H3e-005_af1.wfa                     |         | af1 | 0.8 | 0.00003 | 24576 | 8192 |      | 1  | 272   | 8   | 8   | 26.453  | 288   | 0.035156 |
| satellite32.bmp | satellite32.bmp-withWavelet_haar-G_0.8-H3e-005_af1.wfa    | haar    | af1 | 0.8 | 0.00003 | 24576 | 8192 | 8192 | 36 | 41712 | 288 | 288 | 150.89  | 42288 | 5.162109 |
| satellite32.bmp | satellite32.bmp-withWavelet_rbio1.1-G_0.8-H3e-005_af1.wfa | rbio1.1 | af1 | 0.8 | 0.00003 | 24576 | 8192 | 8192 | 36 | 41712 | 288 | 288 | 154.016 | 42288 | 5.162109 |
| satellite32.bmp | satellite32.bmp-withWavelet_sym1-G_0.8-H3e-005_af1.wfa    | sym1    | af1 | 0.8 | 0.00003 | 24576 | 8192 | 8192 | 36 | 41712 | 288 | 288 | 153.328 | 42288 | 5.162109 |
| satellite32.bmp | satellite32.bmp-withWavelet_bior1.1-G_0.8-H3e-005_af1.wfa | bior1.1 | af1 | 0.8 | 0.00003 | 24576 | 8192 | 8192 | 36 | 41712 | 288 | 288 | 152.984 | 42288 | 5.162109 |
| satellite32.bmp | satellite32.bmp-G_0.8-H3e-005_af2.wfa                     |         | af2 | 0.8 | 0.00003 | 24576 | 8192 |      | 1  | 272   | 8   | 8   | 27.219  | 288   | 0.035156 |
| satellite32.bmp | satellite32.bmp-withWavelet_haar-G_0.8-H3e-005_af2.wfa    | haar    | af2 | 0.8 | 0.00003 | 24576 | 8192 | 8192 | 26 | 21872 | 208 | 208 | 60.516  | 22288 | 2.720703 |
| satellite32.bmp | satellite32.bmp-withWavelet_rbio1.1-G_0.8-H3e-005_af2.wfa | rbio1.1 | af2 | 0.8 | 0.00003 | 24576 | 8192 | 8192 | 26 | 21872 | 208 | 208 | 60.156  | 22288 | 2.720703 |
| satellite32.bmp | satellite32.bmp-withWavelet_sym1-G_0.8-H3e-005_af2.wfa    | sym1    | af2 | 0.8 | 0.00003 | 24576 | 8192 | 8192 | 26 | 21872 | 208 | 208 | 60.296  | 22288 | 2.720703 |
| satellite32.bmp | satellite32.bmp-withWavelet_bior1.1-G_0.8-H3e-005_af2.wfa | bior1.1 | af2 | 0.8 | 0.00003 | 24576 | 8192 | 8192 | 26 | 21872 | 208 | 208 | 61.156  | 22288 | 2.720703 |
| satellite32.bmp | satellite32.bmp-G_0.8-H3e-005_af3.wfa                     |         | af3 | 0.8 | 0.00003 | 24576 | 8192 |      | 1  | 272   | 8   | 8   | 26.516  | 288   | 0.035156 |
| satellite32.bmp | satellite32.bmp-withWavelet_haar-G_0.8-H3e-005_af3.wfa    | haar    | af3 | 0.8 | 0.00003 | 24576 | 8192 | 8192 | 31 | 30992 | 248 | 248 | 101.266 | 31488 | 3.84375  |
| satellite32.bmp | satellite32.bmp-withWavelet_rbio1.1-G_0.8-H3e-005_af3.wfa | rbio1.1 | af3 | 0.8 | 0.00003 | 24576 | 8192 | 8192 | 31 | 30992 | 248 | 248 | 102.109 | 31488 | 3.84375  |

|                 |   |         |     |     |         |       |      |      |    |       |     |     |         |       |          |
|-----------------|---|---------|-----|-----|---------|-------|------|------|----|-------|-----|-----|---------|-------|----------|
| satellite32.bmp | satellite32.bmp-withWavelet_sym1-G_0.8-H3e-005_af3.wfa    | sym1    | af3 | 0.8 | 0.00003 | 24576 | 8192 | 8192 | 31 | 30992 | 248 | 248 | 101     | 31488 | 3.84375  |
| satellite32.bmp | satellite32.bmp-withWavelet_bior1.1-G_0.8-H3e-005_af3.wfa | bior1.1 | af3 | 0.8 | 0.00003 | 24576 | 8192 | 8192 | 31 | 30992 | 248 | 248 | 100.594 | 31488 | 3.84375  |
| satellite32.bmp | satellite32.bmp-G_0.8-H3e-005_af4.wfa                     |         | af4 | 0.8 | 0.00003 | 24576 | 8192 |      | 1  | 272   | 8   | 8   | 27.047  | 288   | 0.035156 |
| satellite32.bmp | satellite32.bmp-withWavelet_haar-G_0.8-H3e-005_af4.wfa    | haar    | af4 | 0.8 | 0.00003 | 24576 | 8192 | 8192 | 33 | 35088 | 264 | 264 | 224.922 | 35616 | 4.347656 |
| satellite32.bmp | satellite32.bmp-withWavelet_rbio1.1-G_0.8-H3e-005_af4.wfa | rbio1.1 | af4 | 0.8 | 0.00003 | 24576 | 8192 | 8192 | 33 | 35088 | 264 | 264 | 219.75  | 35616 | 4.347656 |
| satellite32.bmp | satellite32.bmp-withWavelet_sym1-G_0.8-H3e-005_af4.wfa    | sym1    | af4 | 0.8 | 0.00003 | 24576 | 8192 | 8192 | 33 | 35088 | 264 | 264 | 215.14  | 35616 | 4.347656 |
| satellite32.bmp | satellite32.bmp-withWavelet_bior1.1-G_0.8-H3e-005_af4.wfa | bior1.1 | af4 | 0.8 | 0.00003 | 24576 | 8192 | 8192 | 33 | 35088 | 264 | 264 | 225.859 | 35616 | 4.347656 |
| satellite32.bmp | satellite32.bmp-G_0.8-H3e-005_af5.wfa                     |         | af5 | 0.8 | 0.00003 | 24576 | 8192 |      | 1  | 272   | 8   | 8   | 27.765  | 288   | 0.035156 |
| satellite32.bmp | satellite32.bmp-withWavelet_haar-G_0.8-H3e-005_af5.wfa    | haar    | af5 | 0.8 | 0.00003 | 24576 | 8192 | 8192 | 17 | 9488  | 136 | 136 | 33.922  | 9760  | 1.191406 |
| satellite32.bmp | satellite32.bmp-withWavelet_rbio1.1-G_0.8-H3e-005_af5.wfa | rbio1.1 | af5 | 0.8 | 0.00003 | 24576 | 8192 | 8192 | 17 | 9488  | 136 | 136 | 33.25   | 9760  | 1.191406 |
| satellite32.bmp | satellite32.bmp-withWavelet_sym1-G_0.8-H3e-005_af5.wfa    | sym1    | af5 | 0.8 | 0.00003 | 24576 | 8192 | 8192 | 17 | 9488  | 136 | 136 | 32.484  | 9760  | 1.191406 |
| satellite32.bmp | satellite32.bmp-withWavelet_bior1.1-G_0.8-H3e-005_af5.wfa | bior1.1 | af5 | 0.8 | 0.00003 | 24576 | 8192 | 8192 | 17 | 9488  | 136 | 136 | 35.954  | 9760  | 1.191406 |
| satellite32.bmp | satellite32.bmp-G_0.6-H3e-005_af1.wfa                     |         | af1 | 0.6 | 0.00003 | 24576 | 8192 |      | 1  | 272   | 8   | 8   | 31.094  | 288   | 0.035156 |
| satellite32.bmp | satellite32.bmp-withWavelet_haar-G_0.6-H3e-005_af1.wfa    | haar    | af1 | 0.6 | 0.00003 | 24576 | 8192 | 8192 | 35 | 39440 | 280 | 280 | 109.031 | 40000 | 4.882813 |
| satellite32.bmp | satellite32.bmp-withWavelet_rbio1.1-G_0.6-H3e-005_af1.wfa | rbio1.1 | af1 | 0.6 | 0.00003 | 24576 | 8192 | 8192 | 35 | 39440 | 280 | 280 | 113.843 | 40000 | 4.882813 |
| satellite32.bmp | satellite32.bmp-withWavelet_sym1-G_0.6-H3e-005_af1.wfa    | sym1    | af1 | 0.6 | 0.00003 | 24576 | 8192 | 8192 | 35 | 39440 | 280 | 280 | 110.344 | 40000 | 4.882813 |
| satellite32.bmp | satellite32.bmp-withWavelet_bior1.1-G_0.6-H3e-005_af1.wfa | bior1.1 | af1 | 0.6 | 0.00003 | 24576 | 8192 | 8192 | 35 | 39440 | 280 | 280 | 102.39  | 40000 | 4.882813 |
| satellite32.bmp | satellite32.bmp-G_0.6-H3e-005_af2.wfa                     |         | af2 | 0.6 | 0.00003 | 24576 | 8192 |      | 1  | 272   | 8   | 8   | 27.234  | 288   | 0.035156 |
| satellite32.bmp | satellite32.bmp-withWavelet_haar-G_0.6-H3e-005_af2.wfa    | haar    | af2 | 0.6 | 0.00003 | 24576 | 8192 | 8192 | 28 | 25328 | 224 | 224 | 57.328  | 25776 | 3.146484 |
| satellite32.bmp | satellite32.bmp-withWavelet_rbio1.1-G_0.6-H3e-005_af2.wfa | rbio1.1 | af2 | 0.6 | 0.00003 | 24576 | 8192 | 8192 | 28 | 25328 | 224 | 224 | 57.36   | 25776 | 3.146484 |
| satellite32.bmp | satellite32.bmp-withWavelet_sym1-G_0.6-H3e-005_af2.wfa    | sym1    | af2 | 0.6 | 0.00003 | 24576 | 8192 | 8192 | 28 | 25328 | 224 | 224 | 57.438  | 25776 | 3.146484 |
| satellite32.bmp | satellite32.bmp-withWavelet_bior1.1-G_0.6-H3e-005_af2.wfa | bior1.1 | af2 | 0.6 | 0.00003 | 24576 | 8192 | 8192 | 28 | 25328 | 224 | 224 | 55.781  | 25776 | 3.146484 |
| satellite32.bmp | satellite32.bmp-G_0.6-H3e-005_af3.wfa                     |         | af3 | 0.6 | 0.00003 | 24576 | 8192 |      | 1  | 272   | 8   | 8   | 26.703  | 288   | 0.035156 |
| satellite32.bmp | satellite32.bmp-withWavelet_haar-G_0.6-H3e-005_af3.wfa    | haar    | af3 | 0.6 | 0.00003 | 24576 | 8192 | 8192 | 32 | 33008 | 256 | 256 | 77.735  | 33520 | 4.091797 |
| satellite32.bmp | satellite32.bmp-withWavelet_rbio1.1-G_0.6-H3e-005_af3.wfa | rbio1.1 | af3 | 0.6 | 0.00003 | 24576 | 8192 | 8192 | 32 | 33008 | 256 | 256 | 78.297  | 33520 | 4.091797 |
| satellite32.bmp | satellite32.bmp-withWavelet_sym1-G_0.6-H3e-005_af3.wfa    | sym1    | af3 | 0.6 | 0.00003 | 24576 | 8192 | 8192 | 32 | 33008 | 256 | 256 | 79.266  | 33520 | 4.091797 |
| satellite32.bmp | satellite32.bmp-withWavelet_bior1.1-G_0.6-H3e-005_af3.wfa | bior1.1 | af3 | 0.6 | 0.00003 | 24576 | 8192 | 8192 | 32 | 33008 | 256 | 256 | 79.25   | 33520 | 4.091797 |
| satellite32.bmp | satellite32.bmp-G_0.6-H3e-005_af4.wfa                     |         | af4 | 0.6 | 0.00003 | 24576 | 8192 |      | 1  | 272   | 8   | 8   | 26.672  | 288   | 0.035156 |
| satellite32.bmp | satellite32.bmp-withWavelet_haar-G_0.6-H3e-005_af4.wfa    | haar    | af4 | 0.6 | 0.00003 | 24576 | 8192 | 8192 | 34 | 37232 | 272 | 272 | 166.156 | 37776 | 4.611328 |
| satellite32.bmp | satellite32.bmp-withWavelet_rbio1.1-G_0.6-H3e-005_af4.wfa | rbio1.1 | af4 | 0.6 | 0.00003 | 24576 | 8192 | 8192 | 34 | 37232 | 272 | 272 | 168.719 | 37776 | 4.611328 |
| satellite32.bmp | satellite32.bmp-withWavelet_sym1-G_0.6-H3e-005_af4.wfa    | sym1    | af4 | 0.6 | 0.00003 | 24576 | 8192 | 8192 | 34 | 37232 | 272 | 272 | 170.969 | 37776 | 4.611328 |

|                 |   |         |     |     |         |       |      |      |    |       |     |     |          |       |          |
|-----------------|---|---------|-----|-----|---------|-------|------|------|----|-------|-----|-----|----------|-------|----------|
| satellite32.bmp | satellite32.bmp-withWavelet_bior1.1-G_0.6-H3e-005_af4.wfa | bior1.1 | af4 | 0.6 | 0.00003 | 24576 | 8192 | 8192 | 34 | 37232 | 272 | 272 | 167.781  | 37776 | 4.611328 |
| satellite32.bmp | satellite32.bmp-G_0.6-H3e-005_af5.wfa                     |         | af5 | 0.6 | 0.00003 | 24576 | 8192 |      | 1  | 272   | 8   | 8   | 27.063   | 288   | 0.035156 |
| satellite32.bmp | satellite32.bmp-withWavelet_haar-G_0.6-H3e-005_af5.wfa    | haar    | af5 | 0.6 | 0.00003 | 24576 | 8192 | 8192 | 19 | 11792 | 152 | 152 | 31.422   | 12096 | 1.476563 |
| satellite32.bmp | satellite32.bmp-withWavelet_rbio1.1-G_0.6-H3e-005_af5.wfa | rbio1.1 | af5 | 0.6 | 0.00003 | 24576 | 8192 | 8192 | 19 | 11792 | 152 | 152 | 31.125   | 12096 | 1.476563 |
| satellite32.bmp | satellite32.bmp-withWavelet_sym1-G_0.6-H3e-005_af5.wfa    | sym1    | af5 | 0.6 | 0.00003 | 24576 | 8192 | 8192 | 19 | 11792 | 152 | 152 | 31.078   | 12096 | 1.476563 |
| satellite32.bmp | satellite32.bmp-withWavelet_bior1.1-G_0.6-H3e-005_af5.wfa | bior1.1 | af5 | 0.6 | 0.00003 | 24576 | 8192 | 8192 | 19 | 11792 | 152 | 152 | 30.953   | 12096 | 1.476563 |
| satellite32.bmp | satellite32.bmp-G_1-H4e-005_af1.wfa                       |         | af1 | 1   | 0.00004 | 24576 | 8192 |      | 17 | 9488  | 136 | 136 | 39.454   | 9760  | 1.191406 |
| satellite32.bmp | satellite32.bmp-withWavelet_haar-G_1-H4e-005_af1.wfa      | haar    | af1 | 1   | 0.00004 | 24576 | 8192 | 8192 | 34 | 37232 | 272 | 272 | 258.297  | 37776 | 4.611328 |
| satellite32.bmp | satellite32.bmp-withWavelet_rbio1.1-G_1-H4e-005_af1.wfa   | rbio1.1 | af1 | 1   | 0.00004 | 24576 | 8192 | 8192 | 34 | 37232 | 272 | 272 | 254.844  | 37776 | 4.611328 |
| satellite32.bmp | satellite32.bmp-withWavelet_sym1-G_1-H4e-005_af1.wfa      | sym1    | af1 | 1   | 0.00004 | 24576 | 8192 | 8192 | 34 | 37232 | 272 | 272 | 256.125  | 37776 | 4.611328 |
| satellite32.bmp | satellite32.bmp-withWavelet_bior1.1-G_1-H4e-005_af1.wfa   | bior1.1 | af1 | 1   | 0.00004 | 24576 | 8192 | 8192 | 34 | 37232 | 272 | 272 | 254.813  | 37776 | 4.611328 |
| satellite32.bmp | satellite32.bmp-G_1-H4e-005_af2.wfa                       |         | af2 | 1   | 0.00004 | 24576 | 8192 |      | 20 | 13040 | 160 | 160 | 42.031   | 13360 | 1.630859 |
| satellite32.bmp | satellite32.bmp-withWavelet_haar-G_1-H4e-005_af2.wfa      | haar    | af2 | 1   | 0.00004 | 24576 | 8192 | 8192 | 25 | 20240 | 200 | 200 | 98.25    | 20640 | 2.519531 |
| satellite32.bmp | satellite32.bmp-withWavelet_rbio1.1-G_1-H4e-005_af2.wfa   | rbio1.1 | af2 | 1   | 0.00004 | 24576 | 8192 | 8192 | 25 | 20240 | 200 | 200 | 109.235  | 20640 | 2.519531 |
| satellite32.bmp | satellite32.bmp-withWavelet_sym1-G_1-H4e-005_af2.wfa      | sym1    | af2 | 1   | 0.00004 | 24576 | 8192 | 8192 | 25 | 20240 | 200 | 200 | 92.968   | 20640 | 2.519531 |
| satellite32.bmp | satellite32.bmp-withWavelet_bior1.1-G_1-H4e-005_af2.wfa   | bior1.1 | af2 | 1   | 0.00004 | 24576 | 8192 | 8192 | 25 | 20240 | 200 | 200 | 98.047   | 20640 | 2.519531 |
| satellite32.bmp | satellite32.bmp-G_1-H4e-005_af3.wfa                       |         | af3 | 1   | 0.00004 | 24576 | 8192 |      | 14 | 6512  | 112 | 112 | 35.578   | 6736  | 0.822266 |
| satellite32.bmp | satellite32.bmp-withWavelet_haar-G_1-H4e-005_af3.wfa      | haar    | af3 | 1   | 0.00004 | 24576 | 8192 | 8192 | 30 | 29040 | 240 | 240 | 183.344  | 29520 | 3.603516 |
| satellite32.bmp | satellite32.bmp-withWavelet_rbio1.1-G_1-H4e-005_af3.wfa   | rbio1.1 | af3 | 1   | 0.00004 | 24576 | 8192 | 8192 | 30 | 29040 | 240 | 240 | 180.5    | 29520 | 3.603516 |
| satellite32.bmp | satellite32.bmp-withWavelet_sym1-G_1-H4e-005_af3.wfa      | sym1    | af3 | 1   | 0.00004 | 24576 | 8192 | 8192 | 30 | 29040 | 240 | 240 | 178.391  | 29520 | 3.603516 |
| satellite32.bmp | satellite32.bmp-withWavelet_bior1.1-G_1-H4e-005_af3.wfa   | bior1.1 | af3 | 1   | 0.00004 | 24576 | 8192 | 8192 | 30 | 29040 | 240 | 240 | 3999.687 | 29520 | 3.603516 |
| satellite32.bmp | satellite32.bmp-G_1-H4e-005_af4.wfa                       |         | af4 | 1   | 0.00004 | 24576 | 8192 |      | 5  | 1040  | 40  | 40  | 31.203   | 1120  | 0.136719 |
| satellite32.bmp | satellite32.bmp-withWavelet_haar-G_1-H4e-005_af4.wfa      | haar    | af4 | 1   | 0.00004 | 24576 | 8192 | 8192 | 33 | 35088 | 264 | 264 | 452.391  | 35616 | 4.347656 |
| satellite32.bmp | satellite32.bmp-withWavelet_rbio1.1-G_1-H4e-005_af4.wfa   | rbio1.1 | af4 | 1   | 0.00004 | 24576 | 8192 | 8192 | 33 | 35088 | 264 | 264 | 463.969  | 35616 | 4.347656 |
| satellite32.bmp | satellite32.bmp-withWavelet_sym1-G_1-H4e-005_af4.wfa      | sym1    | af4 | 1   | 0.00004 | 24576 | 8192 | 8192 | 33 | 35088 | 264 | 264 | 510.797  | 35616 | 4.347656 |
| satellite32.bmp | satellite32.bmp-withWavelet_bior1.1-G_1-H4e-005_af4.wfa   | bior1.1 | af4 | 1   | 0.00004 | 24576 | 8192 | 8192 | 33 | 35088 | 264 | 264 | 531.125  | 35616 | 4.347656 |
| satellite32.bmp | satellite32.bmp-G_1-H4e-005_af5.wfa                       |         | af5 | 1   | 0.00004 | 24576 | 8192 |      | 17 | 9488  | 136 | 136 | 45.25    | 9760  | 1.191406 |
| satellite32.bmp | satellite32.bmp-withWavelet_haar-G_1-H4e-005_af5.wfa      | haar    | af5 | 1   | 0.00004 | 24576 | 8192 | 8192 | 14 | 6512  | 112 | 112 | 40.203   | 6736  | 0.822266 |
| satellite32.bmp | satellite32.bmp-withWavelet_rbio1.1-G_1-H4e-005_af5.wfa   | rbio1.1 | af5 | 1   | 0.00004 | 24576 | 8192 | 8192 | 14 | 6512  | 112 | 112 | 43.687   | 6736  | 0.822266 |
| satellite32.bmp | satellite32.bmp-withWavelet_sym1-G_1-H4e-005_af5.wfa      | sym1    | af5 | 1   | 0.00004 | 24576 | 8192 | 8192 | 14 | 6512  | 112 | 112 | 40.75    | 6736  | 0.822266 |
| satellite32.bmp | satellite32.bmp-withWavelet_bior1.1-G_1-H4e-005_af5.wfa   | bior1.1 | af5 | 1   | 0.00004 | 24576 | 8192 | 8192 | 14 | 6512  | 112 | 112 | 43.359   | 6736  | 0.822266 |

|                 |   |         |     |     |         |       |      |      |    |       |     |     |         |       |          |
|-----------------|---|---------|-----|-----|---------|-------|------|------|----|-------|-----|-----|---------|-------|----------|
| satellite32.bmp | satellite32.bmp-G_0.8-H4e-005_af1.wfa                     |         | af1 | 0.8 | 0.00004 | 24576 | 8192 |      | 1  | 272   | 8   | 8   | 32.047  | 288   | 0.035156 |
| satellite32.bmp | satellite32.bmp-withWavelet_haar-G_0.8-H4e-005_af1.wfa    | haar    | af1 | 0.8 | 0.00004 | 24576 | 8192 | 8192 | 34 | 37232 | 272 | 272 | 155.969 | 37776 | 4.611328 |
| satellite32.bmp | satellite32.bmp-withWavelet_rbio1.1-G_0.8-H4e-005_af1.wfa | rbio1.1 | af1 | 0.8 | 0.00004 | 24576 | 8192 | 8192 | 34 | 37232 | 272 | 272 | 152.188 | 37776 | 4.611328 |
| satellite32.bmp | satellite32.bmp-withWavelet_sym1-G_0.8-H4e-005_af1.wfa    | sym1    | af1 | 0.8 | 0.00004 | 24576 | 8192 | 8192 | 34 | 37232 | 272 | 272 | 152.313 | 37776 | 4.611328 |
| satellite32.bmp | satellite32.bmp-withWavelet_bior1.1-G_0.8-H4e-005_af1.wfa | bior1.1 | af1 | 0.8 | 0.00004 | 24576 | 8192 | 8192 | 34 | 37232 | 272 | 272 | 152.422 | 37776 | 4.611328 |
| satellite32.bmp | satellite32.bmp-G_0.8-H4e-005_af2.wfa                     |         | af2 | 0.8 | 0.00004 | 24576 | 8192 |      | 1  | 272   | 8   | 8   | 27.703  | 288   | 0.035156 |
| satellite32.bmp | satellite32.bmp-withWavelet_haar-G_0.8-H4e-005_af2.wfa    | haar    | af2 | 0.8 | 0.00004 | 24576 | 8192 | 8192 | 25 | 20240 | 200 | 200 | 72.578  | 20640 | 2.519531 |
| satellite32.bmp | satellite32.bmp-withWavelet_rbio1.1-G_0.8-H4e-005_af2.wfa | rbio1.1 | af2 | 0.8 | 0.00004 | 24576 | 8192 | 8192 | 25 | 20240 | 200 | 200 | 69.781  | 20640 | 2.519531 |
| satellite32.bmp | satellite32.bmp-withWavelet_sym1-G_0.8-H4e-005_af2.wfa    | sym1    | af2 | 0.8 | 0.00004 | 24576 | 8192 | 8192 | 25 | 20240 | 200 | 200 | 68.391  | 20640 | 2.519531 |
| satellite32.bmp | satellite32.bmp-withWavelet_bior1.1-G_0.8-H4e-005_af2.wfa | bior1.1 | af2 | 0.8 | 0.00004 | 24576 | 8192 | 8192 | 25 | 20240 | 200 | 200 | 70.297  | 20640 | 2.519531 |
| satellite32.bmp | satellite32.bmp-G_0.8-H4e-005_af3.wfa                     |         | af3 | 0.8 | 0.00004 | 24576 | 8192 |      | 1  | 272   | 8   | 8   | 27.625  | 288   | 0.035156 |
| satellite32.bmp | satellite32.bmp-withWavelet_haar-G_0.8-H4e-005_af3.wfa    | haar    | af3 | 0.8 | 0.00004 | 24576 | 8192 | 8192 | 31 | 30992 | 248 | 248 | 120.359 | 31488 | 3.84375  |
| satellite32.bmp | satellite32.bmp-withWavelet_rbio1.1-G_0.8-H4e-005_af3.wfa | rbio1.1 | af3 | 0.8 | 0.00004 | 24576 | 8192 | 8192 | 31 | 30992 | 248 | 248 | 116.844 | 31488 | 3.84375  |
| satellite32.bmp | satellite32.bmp-withWavelet_sym1-G_0.8-H4e-005_af3.wfa    | sym1    | af3 | 0.8 | 0.00004 | 24576 | 8192 | 8192 | 31 | 30992 | 248 | 248 | 116.453 | 31488 | 3.84375  |
| satellite32.bmp | satellite32.bmp-withWavelet_bior1.1-G_0.8-H4e-005_af3.wfa | bior1.1 | af3 | 0.8 | 0.00004 | 24576 | 8192 | 8192 | 31 | 30992 | 248 | 248 | 118.032 | 31488 | 3.84375  |
| satellite32.bmp | satellite32.bmp-G_0.8-H4e-005_af4.wfa                     |         | af4 | 0.8 | 0.00004 | 24576 | 8192 |      | 1  | 272   | 8   | 8   | 31.172  | 288   | 0.035156 |
| satellite32.bmp | satellite32.bmp-withWavelet_haar-G_0.8-H4e-005_af4.wfa    | haar    | af4 | 0.8 | 0.00004 | 24576 | 8192 | 8192 | 33 | 35088 | 264 | 264 | 267.454 | 35616 | 4.347656 |
| satellite32.bmp | satellite32.bmp-withWavelet_rbio1.1-G_0.8-H4e-005_af4.wfa | rbio1.1 | af4 | 0.8 | 0.00004 | 24576 | 8192 | 8192 | 33 | 35088 | 264 | 264 | 274.719 | 35616 | 4.347656 |
| satellite32.bmp | satellite32.bmp-withWavelet_sym1-G_0.8-H4e-005_af4.wfa    | sym1    | af4 | 0.8 | 0.00004 | 24576 | 8192 | 8192 | 33 | 35088 | 264 | 264 | 266.422 | 35616 | 4.347656 |
| satellite32.bmp | satellite32.bmp-withWavelet_bior1.1-G_0.8-H4e-005_af4.wfa | bior1.1 | af4 | 0.8 | 0.00004 | 24576 | 8192 | 8192 | 33 | 35088 | 264 | 264 | 262.797 | 35616 | 4.347656 |
| satellite32.bmp | satellite32.bmp-G_0.8-H4e-005_af5.wfa                     |         | af5 | 0.8 | 0.00004 | 24576 | 8192 |      | 1  | 272   | 8   | 8   | 32.062  | 288   | 0.035156 |
| satellite32.bmp | satellite32.bmp-withWavelet_haar-G_0.8-H4e-005_af5.wfa    | haar    | af5 | 0.8 | 0.00004 | 24576 | 8192 | 8192 | 14 | 6512  | 112 | 112 | 37.438  | 6736  | 0.822266 |
| satellite32.bmp | satellite32.bmp-withWavelet_rbio1.1-G_0.8-H4e-005_af5.wfa | rbio1.1 | af5 | 0.8 | 0.00004 | 24576 | 8192 | 8192 | 14 | 6512  | 112 | 112 | 33.485  | 6736  | 0.822266 |
| satellite32.bmp | satellite32.bmp-withWavelet_sym1-G_0.8-H4e-005_af5.wfa    | sym1    | af5 | 0.8 | 0.00004 | 24576 | 8192 | 8192 | 14 | 6512  | 112 | 112 | 37.953  | 6736  | 0.822266 |
| satellite32.bmp | satellite32.bmp-withWavelet_bior1.1-G_0.8-H4e-005_af5.wfa | bior1.1 | af5 | 0.8 | 0.00004 | 24576 | 8192 | 8192 | 14 | 6512  | 112 | 112 | 36.672  | 6736  | 0.822266 |
| satellite32.bmp | satellite32.bmp-G_0.6-H4e-005_af1.wfa                     |         | af1 | 0.6 | 0.00004 | 24576 | 8192 |      | 1  | 272   | 8   | 8   | 28.547  | 288   | 0.035156 |
| satellite32.bmp | satellite32.bmp-withWavelet_haar-G_0.6-H4e-005_af1.wfa    | haar    | af1 | 0.6 | 0.00004 | 24576 | 8192 | 8192 | 33 | 35088 | 264 | 264 | 109.391 | 35616 | 4.347656 |
| satellite32.bmp | satellite32.bmp-withWavelet_rbio1.1-G_0.6-H4e-005_af1.wfa | rbio1.1 | af1 | 0.6 | 0.00004 | 24576 | 8192 | 8192 | 33 | 35088 | 264 | 264 | 103.093 | 35616 | 4.347656 |
| satellite32.bmp | satellite32.bmp-withWavelet_sym1-G_0.6-H4e-005_af1.wfa    | sym1    | af1 | 0.6 | 0.00004 | 24576 | 8192 | 8192 | 33 | 35088 | 264 | 264 | 103.203 | 35616 | 4.347656 |
| satellite32.bmp | satellite32.bmp-withWavelet_bior1.1-G_0.6-H4e-005_af1.wfa | bior1.1 | af1 | 0.6 | 0.00004 | 24576 | 8192 | 8192 | 33 | 35088 | 264 | 264 | 102.688 | 35616 | 4.347656 |
| satellite32.bmp | satellite32.bmp-G_0.6-H4e-005_af2.wfa                     |         | af2 | 0.6 | 0.00004 | 24576 | 8192 |      | 1  | 272   | 8   | 8   | 29.813  | 288   | 0.035156 |

|                 |   |         |     |     |         |       |      |      |    |       |     |     |         |       |          |
|-----------------|---|---------|-----|-----|---------|-------|------|------|----|-------|-----|-----|---------|-------|----------|
| satellite32.bmp | satellite32.bmp-withWavelet_haar-G_0.6-H4e-005_af2.wfa    | haar    | af2 | 0.6 | 0.00004 | 24576 | 8192 | 8192 | 23 | 17168 | 184 | 184 | 49.172  | 17536 | 2.140625 |
| satellite32.bmp | satellite32.bmp-withWavelet_rbio1.1-G_0.6-H4e-005_af2.wfa | rbio1.1 | af2 | 0.6 | 0.00004 | 24576 | 8192 | 8192 | 23 | 17168 | 184 | 184 | 50.594  | 17536 | 2.140625 |
| satellite32.bmp | satellite32.bmp-withWavelet_sym1-G_0.6-H4e-005_af2.wfa    | sym1    | af2 | 0.6 | 0.00004 | 24576 | 8192 | 8192 | 23 | 17168 | 184 | 184 | 46.688  | 17536 | 2.140625 |
| satellite32.bmp | satellite32.bmp-withWavelet_bior1.1-G_0.6-H4e-005_af2.wfa | bior1.1 | af2 | 0.6 | 0.00004 | 24576 | 8192 | 8192 | 23 | 17168 | 184 | 184 | 46.906  | 17536 | 2.140625 |
| satellite32.bmp | satellite32.bmp-G_0.6-H4e-005_af3.wfa                     |         | af3 | 0.6 | 0.00004 | 24576 | 8192 |      | 1  | 272   | 8   | 8   | 29.703  | 288   | 0.035156 |
| satellite32.bmp | satellite32.bmp-withWavelet_haar-G_0.6-H4e-005_af3.wfa    | haar    | af3 | 0.6 | 0.00004 | 24576 | 8192 | 8192 | 29 | 27152 | 232 | 232 | 84.563  | 27616 | 3.371094 |
| satellite32.bmp | satellite32.bmp-withWavelet_rbio1.1-G_0.6-H4e-005_af3.wfa | rbio1.1 | af3 | 0.6 | 0.00004 | 24576 | 8192 | 8192 | 29 | 27152 | 232 | 232 | 82.703  | 27616 | 3.371094 |
| satellite32.bmp | satellite32.bmp-withWavelet_sym1-G_0.6-H4e-005_af3.wfa    | sym1    | af3 | 0.6 | 0.00004 | 24576 | 8192 | 8192 | 29 | 27152 | 232 | 232 | 79.25   | 27616 | 3.371094 |
| satellite32.bmp | satellite32.bmp-withWavelet_bior1.1-G_0.6-H4e-005_af3.wfa | bior1.1 | af3 | 0.6 | 0.00004 | 24576 | 8192 | 8192 | 29 | 27152 | 232 | 232 | 82.359  | 27616 | 3.371094 |
| satellite32.bmp | satellite32.bmp-G_0.6-H4e-005_af4.wfa                     |         | af4 | 0.6 | 0.00004 | 24576 | 8192 |      | 1  | 272   | 8   | 8   | 28.5    | 288   | 0.035156 |
| satellite32.bmp | satellite32.bmp-withWavelet_haar-G_0.6-H4e-005_af4.wfa    | haar    | af4 | 0.6 | 0.00004 | 24576 | 8192 | 8192 | 33 | 35088 | 264 | 264 | 179.828 | 35616 | 4.347656 |
| satellite32.bmp | satellite32.bmp-withWavelet_rbio1.1-G_0.6-H4e-005_af4.wfa | rbio1.1 | af4 | 0.6 | 0.00004 | 24576 | 8192 | 8192 | 33 | 35088 | 264 | 264 | 188.453 | 35616 | 4.347656 |
| satellite32.bmp | satellite32.bmp-withWavelet_sym1-G_0.6-H4e-005_af4.wfa    | sym1    | af4 | 0.6 | 0.00004 | 24576 | 8192 | 8192 | 33 | 35088 | 264 | 264 | 173     | 35616 | 4.347656 |
| satellite32.bmp | satellite32.bmp-withWavelet_bior1.1-G_0.6-H4e-005_af4.wfa | bior1.1 | af4 | 0.6 | 0.00004 | 24576 | 8192 | 8192 | 33 | 35088 | 264 | 264 | 178.875 | 35616 | 4.347656 |
| satellite32.bmp | satellite32.bmp-G_0.6-H4e-005_af5.wfa                     |         | af5 | 0.6 | 0.00004 | 24576 | 8192 |      | 1  | 272   | 8   | 8   | 31.218  | 288   | 0.035156 |
| satellite32.bmp | satellite32.bmp-withWavelet_haar-G_0.6-H4e-005_af5.wfa    | haar    | af5 | 0.6 | 0.00004 | 24576 | 8192 | 8192 | 15 | 7440  | 120 | 120 | 31.516  | 7680  | 0.9375   |
| satellite32.bmp | satellite32.bmp-withWavelet_rbio1.1-G_0.6-H4e-005_af5.wfa | rbio1.1 | af5 | 0.6 | 0.00004 | 24576 | 8192 | 8192 | 15 | 7440  | 120 | 120 | 36.25   | 7680  | 0.9375   |
| satellite32.bmp | satellite32.bmp-withWavelet_sym1-G_0.6-H4e-005_af5.wfa    | sym1    | af5 | 0.6 | 0.00004 | 24576 | 8192 | 8192 | 15 | 7440  | 120 | 120 | 37.297  | 7680  | 0.9375   |
| satellite32.bmp | satellite32.bmp-withWavelet_bior1.1-G_0.6-H4e-005_af5.wfa | bior1.1 | af5 | 0.6 | 0.00004 | 24576 | 8192 | 8192 | 15 | 7440  | 120 | 120 | 31.172  | 7680  | 0.9375   |
| satellite32.bmp | satellite32.bmp-G_1-H5e-005_af1.wfa                       |         | af1 | 1   | 0.00005 | 24576 | 8192 |      | 15 | 7440  | 120 | 120 | 44.454  | 7680  | 0.9375   |
| satellite32.bmp | satellite32.bmp-withWavelet_haar-G_1-H5e-005_af1.wfa      | haar    | af1 | 1   | 0.00005 | 24576 | 8192 | 8192 | 33 | 35088 | 264 | 264 | 306.11  | 35616 | 4.347656 |
| satellite32.bmp | satellite32.bmp-withWavelet_rbio1.1-G_1-H5e-005_af1.wfa   | rbio1.1 | af1 | 1   | 0.00005 | 24576 | 8192 | 8192 | 33 | 35088 | 264 | 264 | 301.672 | 35616 | 4.347656 |
| satellite32.bmp | satellite32.bmp-withWavelet_sym1-G_1-H5e-005_af1.wfa      | sym1    | af1 | 1   | 0.00005 | 24576 | 8192 | 8192 | 33 | 35088 | 264 | 264 | 300.563 | 35616 | 4.347656 |
| satellite32.bmp | satellite32.bmp-withWavelet_bior1.1-G_1-H5e-005_af1.wfa   | bior1.1 | af1 | 1   | 0.00005 | 24576 | 8192 | 8192 | 33 | 35088 | 264 | 264 | 300.484 | 35616 | 4.347656 |
| satellite32.bmp | satellite32.bmp-G_1-H5e-005_af2.wfa                       |         | af2 | 1   | 0.00005 | 24576 | 8192 |      | 18 | 10608 | 144 | 144 | 48.953  | 10896 | 1.330078 |
| satellite32.bmp | satellite32.bmp-withWavelet_haar-G_1-H5e-005_af2.wfa      | haar    | af2 | 1   | 0.00005 | 24576 | 8192 | 8192 | 23 | 17168 | 184 | 184 | 92.75   | 17536 | 2.140625 |
| satellite32.bmp | satellite32.bmp-withWavelet_rbio1.1-G_1-H5e-005_af2.wfa   | rbio1.1 | af2 | 1   | 0.00005 | 24576 | 8192 | 8192 | 23 | 17168 | 184 | 184 | 94.969  | 17536 | 2.140625 |
| satellite32.bmp | satellite32.bmp-withWavelet_sym1-G_1-H5e-005_af2.wfa      | sym1    | af2 | 1   | 0.00005 | 24576 | 8192 | 8192 | 23 | 17168 | 184 | 184 | 95.625  | 17536 | 2.140625 |
| satellite32.bmp | satellite32.bmp-withWavelet_bior1.1-G_1-H5e-005_af2.wfa   | bior1.1 | af2 | 1   | 0.00005 | 24576 | 8192 | 8192 | 23 | 17168 | 184 | 184 | 95.344  | 17536 | 2.140625 |
| satellite32.bmp | satellite32.bmp-G_1-H5e-005_af3.wfa                       |         | af3 | 1   | 0.00005 | 24576 | 8192 |      | 14 | 6512  | 112 | 112 | 40.109  | 6736  | 0.822266 |
| satellite32.bmp | satellite32.bmp-withWavelet_haar-G_1-H5e-005_af3.wfa      | haar    | af3 | 1   | 0.00005 | 24576 | 8192 | 8192 | 29 | 27152 | 232 | 232 | 206.375 | 27616 | 3.371094 |

|                 |   |         |     |     |         |       |      |      |    |       |     |     |         |       |          |
|-----------------|---|---------|-----|-----|---------|-------|------|------|----|-------|-----|-----|---------|-------|----------|
| satellite32.bmp | satellite32.bmp-withWavelet_rbio1.1-G_1-H5e-005_af3.wfa   | rbio1.1 | af3 | 1   | 0.00005 | 24576 | 8192 | 8192 | 29 | 27152 | 232 | 232 | 203.797 | 27616 | 3.371094 |
| satellite32.bmp | satellite32.bmp-withWavelet_sym1-G_1-H5e-005_af3.wfa      | sym1    | af3 | 1   | 0.00005 | 24576 | 8192 | 8192 | 29 | 27152 | 232 | 232 | 204.328 | 27616 | 3.371094 |
| satellite32.bmp | satellite32.bmp-withWavelet_bior1.1-G_1-H5e-005_af3.wfa   | bior1.1 | af3 | 1   | 0.00005 | 24576 | 8192 | 8192 | 29 | 27152 | 232 | 232 | 203.797 | 27616 | 3.371094 |
| satellite32.bmp | satellite32.bmp-G_1-H5e-005_af4.wfa                       |         | af4 | 1   | 0.00005 | 24576 | 8192 |      | 5  | 1040  | 40  | 40  | 33.984  | 1120  | 0.136719 |
| satellite32.bmp | satellite32.bmp-withWavelet_haar-G_1-H5e-005_af4.wfa      | haar    | af4 | 1   | 0.00005 | 24576 | 8192 | 8192 | 32 | 33008 | 256 | 256 | 510.266 | 33520 | 4.091797 |
| satellite32.bmp | satellite32.bmp-withWavelet_rbio1.1-G_1-H5e-005_af4.wfa   | rbio1.1 | af4 | 1   | 0.00005 | 24576 | 8192 | 8192 | 32 | 33008 | 256 | 256 | 421.172 | 33520 | 4.091797 |
| satellite32.bmp | satellite32.bmp-withWavelet_sym1-G_1-H5e-005_af4.wfa      | sym1    | af4 | 1   | 0.00005 | 24576 | 8192 | 8192 | 32 | 33008 | 256 | 256 | 413.859 | 33520 | 4.091797 |
| satellite32.bmp | satellite32.bmp-withWavelet_bior1.1-G_1-H5e-005_af4.wfa   | bior1.1 | af4 | 1   | 0.00005 | 24576 | 8192 | 8192 | 32 | 33008 | 256 | 256 | 414.375 | 33520 | 4.091797 |
| satellite32.bmp | satellite32.bmp-G_1-H5e-005_af5.wfa                       |         | af5 | 1   | 0.00005 | 24576 | 8192 |      | 15 | 7440  | 120 | 120 | 37.609  | 7680  | 0.9375   |
| satellite32.bmp | satellite32.bmp-withWavelet_haar-G_1-H5e-005_af5.wfa      | haar    | af5 | 1   | 0.00005 | 24576 | 8192 | 8192 | 14 | 6512  | 112 | 112 | 37.829  | 6736  | 0.822266 |
| satellite32.bmp | satellite32.bmp-withWavelet_rbio1.1-G_1-H5e-005_af5.wfa   | rbio1.1 | af5 | 1   | 0.00005 | 24576 | 8192 | 8192 | 14 | 6512  | 112 | 112 | 37.75   | 6736  | 0.822266 |
| satellite32.bmp | satellite32.bmp-withWavelet_sym1-G_1-H5e-005_af5.wfa      | sym1    | af5 | 1   | 0.00005 | 24576 | 8192 | 8192 | 14 | 6512  | 112 | 112 | 37.75   | 6736  | 0.822266 |
| satellite32.bmp | satellite32.bmp-withWavelet_bior1.1-G_1-H5e-005_af5.wfa   | bior1.1 | af5 | 1   | 0.00005 | 24576 | 8192 | 8192 | 14 | 6512  | 112 | 112 | 37.891  | 6736  | 0.822266 |
| satellite32.bmp | satellite32.bmp-G_0.8-H5e-005_af1.wfa                     |         | af1 | 0.8 | 0.00005 | 24576 | 8192 |      | 1  | 272   | 8   | 8   | 26.859  | 288   | 0.035156 |
| satellite32.bmp | satellite32.bmp-withWavelet_haar-G_0.8-H5e-005_af1.wfa    | haar    | af1 | 0.8 | 0.00005 | 24576 | 8192 | 8192 | 32 | 33008 | 256 | 256 | 117.719 | 33520 | 4.091797 |
| satellite32.bmp | satellite32.bmp-withWavelet_rbio1.1-G_0.8-H5e-005_af1.wfa | rbio1.1 | af1 | 0.8 | 0.00005 | 24576 | 8192 | 8192 | 32 | 33008 | 256 | 256 | 119.5   | 33520 | 4.091797 |
| satellite32.bmp | satellite32.bmp-withWavelet_sym1-G_0.8-H5e-005_af1.wfa    | sym1    | af1 | 0.8 | 0.00005 | 24576 | 8192 | 8192 | 32 | 33008 | 256 | 256 | 118.25  | 33520 | 4.091797 |
| satellite32.bmp | satellite32.bmp-withWavelet_bior1.1-G_0.8-H5e-005_af1.wfa | bior1.1 | af1 | 0.8 | 0.00005 | 24576 | 8192 | 8192 | 32 | 33008 | 256 | 256 | 117.797 | 33520 | 4.091797 |
| satellite32.bmp | satellite32.bmp-G_0.8-H5e-005_af2.wfa                     |         | af2 | 0.8 | 0.00005 | 24576 | 8192 |      | 1  | 272   | 8   | 8   | 26.812  | 288   | 0.035156 |
| satellite32.bmp | satellite32.bmp-withWavelet_haar-G_0.8-H5e-005_af2.wfa    | haar    | af2 | 0.8 | 0.00005 | 24576 | 8192 | 8192 | 23 | 17168 | 184 | 184 | 51.14   | 17536 | 2.140625 |
| satellite32.bmp | satellite32.bmp-withWavelet_rbio1.1-G_0.8-H5e-005_af2.wfa | rbio1.1 | af2 | 0.8 | 0.00005 | 24576 | 8192 | 8192 | 23 | 17168 | 184 | 184 | 51      | 17536 | 2.140625 |
| satellite32.bmp | satellite32.bmp-withWavelet_sym1-G_0.8-H5e-005_af2.wfa    | sym1    | af2 | 0.8 | 0.00005 | 24576 | 8192 | 8192 | 23 | 17168 | 184 | 184 | 50.75   | 17536 | 2.140625 |
| satellite32.bmp | satellite32.bmp-withWavelet_bior1.1-G_0.8-H5e-005_af2.wfa | bior1.1 | af2 | 0.8 | 0.00005 | 24576 | 8192 | 8192 | 23 | 17168 | 184 | 184 | 51.39   | 17536 | 2.140625 |
| satellite32.bmp | satellite32.bmp-G_0.8-H5e-005_af3.wfa                     |         | af3 | 0.8 | 0.00005 | 24576 | 8192 |      | 1  | 272   | 8   | 8   | 26.812  | 288   | 0.035156 |
| satellite32.bmp | satellite32.bmp-withWavelet_haar-G_0.8-H5e-005_af3.wfa    | haar    | af3 | 0.8 | 0.00005 | 24576 | 8192 | 8192 | 29 | 27152 | 232 | 232 | 87.187  | 27616 | 3.371094 |
| satellite32.bmp | satellite32.bmp-withWavelet_rbio1.1-G_0.8-H5e-005_af3.wfa | rbio1.1 | af3 | 0.8 | 0.00005 | 24576 | 8192 | 8192 | 29 | 27152 | 232 | 232 | 87.734  | 27616 | 3.371094 |
| satellite32.bmp | satellite32.bmp-withWavelet_sym1-G_0.8-H5e-005_af3.wfa    | sym1    | af3 | 0.8 | 0.00005 | 24576 | 8192 | 8192 | 29 | 27152 | 232 | 232 | 87.781  | 27616 | 3.371094 |
| satellite32.bmp | satellite32.bmp-withWavelet_bior1.1-G_0.8-H5e-005_af3.wfa | bior1.1 | af3 | 0.8 | 0.00005 | 24576 | 8192 | 8192 | 29 | 27152 | 232 | 232 | 86.984  | 27616 | 3.371094 |
| satellite32.bmp | satellite32.bmp-G_0.8-H5e-005_af4.wfa                     |         | af4 | 0.8 | 0.00005 | 24576 | 8192 |      | 1  | 272   | 8   | 8   | 26.984  | 288   | 0.035156 |
| satellite32.bmp | satellite32.bmp-withWavelet_haar-G_0.8-H5e-005_af4.wfa    | haar    | af4 | 0.8 | 0.00005 | 24576 | 8192 | 8192 | 33 | 35088 | 264 | 264 | 221.719 | 35616 | 4.347656 |
| satellite32.bmp | satellite32.bmp-withWavelet_rbio1.1-G_0.8-H5e-005_af4.wfa | rbio1.1 | af4 | 0.8 | 0.00005 | 24576 | 8192 | 8192 | 33 | 35088 | 264 | 264 | 224.781 | 35616 | 4.347656 |



|                 |   |         |     |     |         |       |      |      |    |       |     |     |         |       |          |
|-----------------|---|---------|-----|-----|---------|-------|------|------|----|-------|-----|-----|---------|-------|----------|
| satellite32.bmp | satellite32.bmp-withWavelet_sym1-G_0.8-H5e-005_af4.wfa    | sym1    | af4 | 0.8 | 0.00005 | 24576 | 8192 | 8192 | 33 | 35088 | 264 | 264 | 216.688 | 35616 | 4.347656 |
| satellite32.bmp | satellite32.bmp-withWavelet_bior1.1-G_0.8-H5e-005_af4.wfa | bior1.1 | af4 | 0.8 | 0.00005 | 24576 | 8192 | 8192 | 33 | 35088 | 264 | 264 | 210.281 | 35616 | 4.347656 |
| satellite32.bmp | satellite32.bmp-G_0.8-H5e-005_af5.wfa                     |         | af5 | 0.8 | 0.00005 | 24576 | 8192 |      | 1  | 272   | 8   | 8   | 26.828  | 288   | 0.035156 |
| satellite32.bmp | satellite32.bmp-withWavelet_haar-G_0.8-H5e-005_af5.wfa    | haar    | af5 | 0.8 | 0.00005 | 24576 | 8192 | 8192 | 13 | 5648  | 104 | 104 | 31.188  | 5856  | 0.714844 |
| satellite32.bmp | satellite32.bmp-withWavelet_rbio1.1-G_0.8-H5e-005_af5.wfa | rbio1.1 | af5 | 0.8 | 0.00005 | 24576 | 8192 | 8192 | 13 | 5648  | 104 | 104 | 31.312  | 5856  | 0.714844 |
| satellite32.bmp | satellite32.bmp-withWavelet_sym1-G_0.8-H5e-005_af5.wfa    | sym1    | af5 | 0.8 | 0.00005 | 24576 | 8192 | 8192 | 13 | 5648  | 104 | 104 | 31.328  | 5856  | 0.714844 |
| satellite32.bmp | satellite32.bmp-withWavelet_bior1.1-G_0.8-H5e-005_af5.wfa | bior1.1 | af5 | 0.8 | 0.00005 | 24576 | 8192 | 8192 | 13 | 5648  | 104 | 104 | 31.094  | 5856  | 0.714844 |
| satellite32.bmp | satellite32.bmp-G_0.6-H5e-005_af1.wfa                     |         | af1 | 0.6 | 0.00005 | 24576 | 8192 |      | 1  | 272   | 8   | 8   | 26.844  | 288   | 0.035156 |
| satellite32.bmp | satellite32.bmp-withWavelet_haar-G_0.6-H5e-005_af1.wfa    | haar    | af1 | 0.6 | 0.00005 | 24576 | 8192 | 8192 | 32 | 33008 | 256 | 256 | 85.657  | 33520 | 4.091797 |
| satellite32.bmp | satellite32.bmp-withWavelet_rbio1.1-G_0.6-H5e-005_af1.wfa | rbio1.1 | af1 | 0.6 | 0.00005 | 24576 | 8192 | 8192 | 32 | 33008 | 256 | 256 | 87.172  | 33520 | 4.091797 |
| satellite32.bmp | satellite32.bmp-withWavelet_sym1-G_0.6-H5e-005_af1.wfa    | sym1    | af1 | 0.6 | 0.00005 | 24576 | 8192 | 8192 | 32 | 33008 | 256 | 256 | 86.14   | 33520 | 4.091797 |
| satellite32.bmp | satellite32.bmp-withWavelet_bior1.1-G_0.6-H5e-005_af1.wfa | bior1.1 | af1 | 0.6 | 0.00005 | 24576 | 8192 | 8192 | 32 | 33008 | 256 | 256 | 86.437  | 33520 | 4.091797 |
| satellite32.bmp | satellite32.bmp-G_0.6-H5e-005_af2.wfa                     |         | af2 | 0.6 | 0.00005 | 24576 | 8192 |      | 1  | 272   | 8   | 8   | 26.89   | 288   | 0.035156 |
| satellite32.bmp | satellite32.bmp-withWavelet_haar-G_0.6-H5e-005_af2.wfa    | haar    | af2 | 0.6 | 0.00005 | 24576 | 8192 | 8192 | 21 | 14352 | 168 | 168 | 40.859  | 14688 | 1.792969 |
| satellite32.bmp | satellite32.bmp-withWavelet_rbio1.1-G_0.6-H5e-005_af2.wfa | rbio1.1 | af2 | 0.6 | 0.00005 | 24576 | 8192 | 8192 | 21 | 14352 | 168 | 168 | 41.094  | 14688 | 1.792969 |
| satellite32.bmp | satellite32.bmp-withWavelet_sym1-G_0.6-H5e-005_af2.wfa    | sym1    | af2 | 0.6 | 0.00005 | 24576 | 8192 | 8192 | 21 | 14352 | 168 | 168 | 40.985  | 14688 | 1.792969 |
| satellite32.bmp | satellite32.bmp-withWavelet_bior1.1-G_0.6-H5e-005_af2.wfa | bior1.1 | af2 | 0.6 | 0.00005 | 24576 | 8192 | 8192 | 21 | 14352 | 168 | 168 | 40.891  | 14688 | 1.792969 |
| satellite32.bmp | satellite32.bmp-G_0.6-H5e-005_af3.wfa                     |         | af3 | 0.6 | 0.00005 | 24576 | 8192 |      | 1  | 272   | 8   | 8   | 26.781  | 288   | 0.035156 |
| satellite32.bmp | satellite32.bmp-withWavelet_haar-G_0.6-H5e-005_af3.wfa    | haar    | af3 | 0.6 | 0.00005 | 24576 | 8192 | 8192 | 28 | 25328 | 224 | 224 | 64.5    | 25776 | 3.146484 |
| satellite32.bmp | satellite32.bmp-withWavelet_rbio1.1-G_0.6-H5e-005_af3.wfa | rbio1.1 | af3 | 0.6 | 0.00005 | 24576 | 8192 | 8192 | 28 | 25328 | 224 | 224 | 64.547  | 25776 | 3.146484 |
| satellite32.bmp | satellite32.bmp-withWavelet_sym1-G_0.6-H5e-005_af3.wfa    | sym1    | af3 | 0.6 | 0.00005 | 24576 | 8192 | 8192 | 28 | 25328 | 224 | 224 | 64.687  | 25776 | 3.146484 |
| satellite32.bmp | satellite32.bmp-withWavelet_bior1.1-G_0.6-H5e-005_af3.wfa | bior1.1 | af3 | 0.6 | 0.00005 | 24576 | 8192 | 8192 | 28 | 25328 | 224 | 224 | 65.734  | 25776 | 3.146484 |
| satellite32.bmp | satellite32.bmp-G_0.6-H5e-005_af4.wfa                     |         | af4 | 0.6 | 0.00005 | 24576 | 8192 |      | 1  | 272   | 8   | 8   | 26.765  | 288   | 0.035156 |
| satellite32.bmp | satellite32.bmp-withWavelet_haar-G_0.6-H5e-005_af4.wfa    | haar    | af4 | 0.6 | 0.00005 | 24576 | 8192 | 8192 | 32 | 33008 | 256 | 256 | 144.453 | 33520 | 4.091797 |
| satellite32.bmp | satellite32.bmp-withWavelet_rbio1.1-G_0.6-H5e-005_af4.wfa | rbio1.1 | af4 | 0.6 | 0.00005 | 24576 | 8192 | 8192 | 32 | 33008 | 256 | 256 | 143.891 | 33520 | 4.091797 |
| satellite32.bmp | satellite32.bmp-withWavelet_sym1-G_0.6-H5e-005_af4.wfa    | sym1    | af4 | 0.6 | 0.00005 | 24576 | 8192 | 8192 | 32 | 33008 | 256 | 256 | 143.844 | 33520 | 4.091797 |
| satellite32.bmp | satellite32.bmp-withWavelet_bior1.1-G_0.6-H5e-005_af4.wfa | bior1.1 | af4 | 0.6 | 0.00005 | 24576 | 8192 | 8192 | 32 | 33008 | 256 | 256 | 143.14  | 33520 | 4.091797 |
| satellite32.bmp | satellite32.bmp-G_0.6-H5e-005_af5.wfa                     |         | af5 | 0.6 | 0.00005 | 24576 | 8192 |      | 1  | 272   | 8   | 8   | 26.75   | 288   | 0.035156 |
| satellite32.bmp | satellite32.bmp-withWavelet_haar-G_0.6-H5e-005_af5.wfa    | haar    | af5 | 0.6 | 0.00005 | 24576 | 8192 | 8192 | 13 | 5648  | 104 | 104 | 29.844  | 5856  | 0.714844 |
| satellite32.bmp | satellite32.bmp-withWavelet_rbio1.1-G_0.6-H5e-005_af5.wfa | rbio1.1 | af5 | 0.6 | 0.00005 | 24576 | 8192 | 8192 | 13 | 5648  | 104 | 104 | 30.063  | 5856  | 0.714844 |
| satellite32.bmp | satellite32.bmp-withWavelet_sym1-G_0.6-H5e-005_af5.wfa    | sym1    | af5 | 0.6 | 0.00005 | 24576 | 8192 | 8192 | 13 | 5648  | 104 | 104 | 29.782  | 5856  | 0.714844 |

|                 |   |         |     |     |         |       |      |      |    |       |     |     |         |       |          |
|-----------------|---|---------|-----|-----|---------|-------|------|------|----|-------|-----|-----|---------|-------|----------|
| satellite32.bmp | satellite32.bmp-withWavelet_bior1.1-G_0.6-H6e-005_af5.wfa | bior1.1 | af5 | 0.6 | 0.00005 | 24576 | 8192 | 8192 | 13 | 5648  | 104 | 104 | 29.828  | 5856  | 0.714844 |
| satellite32.bmp | satellite32.bmp-G_1-H6e-005_af1.wfa                       |         | af1 | 1   | 0.00006 | 24576 | 8192 |      | 14 | 6512  | 112 | 112 | 36.157  | 6736  | 0.822266 |
| satellite32.bmp | satellite32.bmp-withWavelet_haar-G_1-H6e-005_af1.wfa      | haar    | af1 | 1   | 0.00006 | 24576 | 8192 | 8192 | 28 | 25328 | 224 | 224 | 158.828 | 25776 | 3.146484 |
| satellite32.bmp | satellite32.bmp-withWavelet_rbio1.1-G_1-H6e-005_af1.wfa   | rbio1.1 | af1 | 1   | 0.00006 | 24576 | 8192 | 8192 | 28 | 25328 | 224 | 224 | 157.859 | 25776 | 3.146484 |
| satellite32.bmp | satellite32.bmp-withWavelet_sym1-G_1-H6e-005_af1.wfa      | sym1    | af1 | 1   | 0.00006 | 24576 | 8192 | 8192 | 28 | 25328 | 224 | 224 | 158.328 | 25776 | 3.146484 |
| satellite32.bmp | satellite32.bmp-withWavelet_bior1.1-G_1-H6e-005_af1.wfa   | bior1.1 | af1 | 1   | 0.00006 | 24576 | 8192 | 8192 | 28 | 25328 | 224 | 224 | 158.281 | 25776 | 3.146484 |
| satellite32.bmp | satellite32.bmp-G_1-H6e-005_af2.wfa                       |         | af2 | 1   | 0.00006 | 24576 | 8192 |      | 15 | 7440  | 120 | 120 | 37.297  | 7680  | 0.9375   |
| satellite32.bmp | satellite32.bmp-withWavelet_haar-G_1-H6e-005_af2.wfa      | haar    | af2 | 1   | 0.00006 | 24576 | 8192 | 8192 | 20 | 13040 | 160 | 160 | 64.469  | 13360 | 1.630859 |
| satellite32.bmp | satellite32.bmp-withWavelet_rbio1.1-G_1-H6e-005_af2.wfa   | rbio1.1 | af2 | 1   | 0.00006 | 24576 | 8192 | 8192 | 20 | 13040 | 160 | 160 | 64.063  | 13360 | 1.630859 |
| satellite32.bmp | satellite32.bmp-withWavelet_sym1-G_1-H6e-005_af2.wfa      | sym1    | af2 | 1   | 0.00006 | 24576 | 8192 | 8192 | 20 | 13040 | 160 | 160 | 64.782  | 13360 | 1.630859 |
| satellite32.bmp | satellite32.bmp-withWavelet_bior1.1-G_1-H6e-005_af2.wfa   | bior1.1 | af2 | 1   | 0.00006 | 24576 | 8192 | 8192 | 20 | 13040 | 160 | 160 | 64.532  | 13360 | 1.630859 |
| satellite32.bmp | satellite32.bmp-G_1-H6e-005_af3.wfa                       |         | af3 | 1   | 0.00006 | 24576 | 8192 |      | 13 | 5648  | 104 | 104 | 35.015  | 5856  | 0.714844 |
| satellite32.bmp | satellite32.bmp-withWavelet_haar-G_1-H6e-005_af3.wfa      | haar    | af3 | 1   | 0.00006 | 24576 | 8192 | 8192 | 25 | 20240 | 200 | 200 | 120.109 | 20640 | 2.519531 |
| satellite32.bmp | satellite32.bmp-withWavelet_rbio1.1-G_1-H6e-005_af3.wfa   | rbio1.1 | af3 | 1   | 0.00006 | 24576 | 8192 | 8192 | 25 | 20240 | 200 | 200 | 120.719 | 20640 | 2.519531 |
| satellite32.bmp | satellite32.bmp-withWavelet_sym1-G_1-H6e-005_af3.wfa      | sym1    | af3 | 1   | 0.00006 | 24576 | 8192 | 8192 | 25 | 20240 | 200 | 200 | 120.687 | 20640 | 2.519531 |
| satellite32.bmp | satellite32.bmp-withWavelet_bior1.1-G_1-H6e-005_af3.wfa   | bior1.1 | af3 | 1   | 0.00006 | 24576 | 8192 | 8192 | 25 | 20240 | 200 | 200 | 120.937 | 20640 | 2.519531 |
| satellite32.bmp | satellite32.bmp-G_1-H6e-005_af4.wfa                       |         | af4 | 1   | 0.00006 | 24576 | 8192 |      | 5  | 1040  | 40  | 40  | 29.609  | 1120  | 0.136719 |
| satellite32.bmp | satellite32.bmp-withWavelet_haar-G_1-H6e-005_af4.wfa      | haar    | af4 | 1   | 0.00006 | 24576 | 8192 | 8192 | 24 | 18672 | 192 | 192 | 208.078 | 19056 | 2.326172 |
| satellite32.bmp | satellite32.bmp-withWavelet_rbio1.1-G_1-H6e-005_af4.wfa   | rbio1.1 | af4 | 1   | 0.00006 | 24576 | 8192 | 8192 | 24 | 18672 | 192 | 192 | 207.109 | 19056 | 2.326172 |
| satellite32.bmp | satellite32.bmp-withWavelet_sym1-G_1-H6e-005_af4.wfa      | sym1    | af4 | 1   | 0.00006 | 24576 | 8192 | 8192 | 24 | 18672 | 192 | 192 | 207.812 | 19056 | 2.326172 |
| satellite32.bmp | satellite32.bmp-withWavelet_bior1.1-G_1-H6e-005_af4.wfa   | bior1.1 | af4 | 1   | 0.00006 | 24576 | 8192 | 8192 | 24 | 18672 | 192 | 192 | 206.719 | 19056 | 2.326172 |
| satellite32.bmp | satellite32.bmp-G_1-H6e-005_af5.wfa                       |         | af5 | 1   | 0.00006 | 24576 | 8192 |      | 15 | 7440  | 120 | 120 | 38.469  | 7680  | 0.9375   |
| satellite32.bmp | satellite32.bmp-withWavelet_haar-G_1-H6e-005_af5.wfa      | haar    | af5 | 1   | 0.00006 | 24576 | 8192 | 8192 | 11 | 4112  | 88  | 88  | 37.125  | 4288  | 0.523438 |
| satellite32.bmp | satellite32.bmp-withWavelet_rbio1.1-G_1-H6e-005_af5.wfa   | rbio1.1 | af5 | 1   | 0.00006 | 24576 | 8192 | 8192 | 11 | 4112  | 88  | 88  | 36.672  | 4288  | 0.523438 |
| satellite32.bmp | satellite32.bmp-withWavelet_sym1-G_1-H6e-005_af5.wfa      | sym1    | af5 | 1   | 0.00006 | 24576 | 8192 | 8192 | 11 | 4112  | 88  | 88  | 36.75   | 4288  | 0.523438 |
| satellite32.bmp | satellite32.bmp-withWavelet_bior1.1-G_1-H6e-005_af5.wfa   | bior1.1 | af5 | 1   | 0.00006 | 24576 | 8192 | 8192 | 11 | 4112  | 88  | 88  | 36.828  | 4288  | 0.523438 |
| satellite32.bmp | satellite32.bmp-G_0.8-H6e-005_af1.wfa                     |         | af1 | 0.8 | 0.00006 | 24576 | 8192 |      | 1  | 272   | 8   | 8   | 26.985  | 288   | 0.035156 |
| satellite32.bmp | satellite32.bmp-withWavelet_haar-G_0.8-H6e-005_af1.wfa    | haar    | af1 | 0.8 | 0.00006 | 24576 | 8192 | 8192 | 28 | 25328 | 224 | 224 | 84.907  | 25776 | 3.146484 |
| satellite32.bmp | satellite32.bmp-withWavelet_rbio1.1-G_0.8-H6e-005_af1.wfa | rbio1.1 | af1 | 0.8 | 0.00006 | 24576 | 8192 | 8192 | 28 | 25328 | 224 | 224 | 84.125  | 25776 | 3.146484 |
| satellite32.bmp | satellite32.bmp-withWavelet_sym1-G_0.8-H6e-005_af1.wfa    | sym1    | af1 | 0.8 | 0.00006 | 24576 | 8192 | 8192 | 28 | 25328 | 224 | 224 | 84.125  | 25776 | 3.146484 |
| satellite32.bmp | satellite32.bmp-withWavelet_bior1.1-G_0.8-H6e-005_af1.wfa | bior1.1 | af1 | 0.8 | 0.00006 | 24576 | 8192 | 8192 | 28 | 25328 | 224 | 224 | 84.516  | 25776 | 3.146484 |

|                 |   |         |     |     |         |       |      |      |    |       |     |     |         |       |          |
|-----------------|---|---------|-----|-----|---------|-------|------|------|----|-------|-----|-----|---------|-------|----------|
| satellite32.bmp | satellite32.bmp-G_0.8-H6e-005_af2.wfa                     |         | af2 | 0.8 | 0.00006 | 24576 | 8192 |      | 1  | 272   | 8   | 8   | 27.344  | 288   | 0.035156 |
| satellite32.bmp | satellite32.bmp-withWavelet_haar-G_0.8-H6e-005_af2.wfa    | haar    | af2 | 0.8 | 0.00006 | 24576 | 8192 | 8192 | 22 | 15728 | 176 | 176 | 46.484  | 16080 | 1.962891 |
| satellite32.bmp | satellite32.bmp-withWavelet_rbio1.1-G_0.8-H6e-005_af2.wfa | rbio1.1 | af2 | 0.8 | 0.00006 | 24576 | 8192 | 8192 | 22 | 15728 | 176 | 176 | 46.515  | 16080 | 1.962891 |
| satellite32.bmp | satellite32.bmp-withWavelet_sym1-G_0.8-H6e-005_af2.wfa    | sym1    | af2 | 0.8 | 0.00006 | 24576 | 8192 | 8192 | 22 | 15728 | 176 | 176 | 46.297  | 16080 | 1.962891 |
| satellite32.bmp | satellite32.bmp-withWavelet_bior1.1-G_0.8-H6e-005_af2.wfa | bior1.1 | af2 | 0.8 | 0.00006 | 24576 | 8192 | 8192 | 22 | 15728 | 176 | 176 | 46.062  | 16080 | 1.962891 |
| satellite32.bmp | satellite32.bmp-G_0.8-H6e-005_af3.wfa                     |         | af3 | 0.8 | 0.00006 | 24576 | 8192 |      | 1  | 272   | 8   | 8   | 27.156  | 288   | 0.035156 |
| satellite32.bmp | satellite32.bmp-withWavelet_haar-G_0.8-H6e-005_af3.wfa    | haar    | af3 | 0.8 | 0.00006 | 24576 | 8192 | 8192 | 25 | 20240 | 200 | 200 | 68.437  | 20640 | 2.519531 |
| satellite32.bmp | satellite32.bmp-withWavelet_rbio1.1-G_0.8-H6e-005_af3.wfa | rbio1.1 | af3 | 0.8 | 0.00006 | 24576 | 8192 | 8192 | 25 | 20240 | 200 | 200 | 68.172  | 20640 | 2.519531 |
| satellite32.bmp | satellite32.bmp-withWavelet_sym1-G_0.8-H6e-005_af3.wfa    | sym1    | af3 | 0.8 | 0.00006 | 24576 | 8192 | 8192 | 25 | 20240 | 200 | 200 | 68.469  | 20640 | 2.519531 |
| satellite32.bmp | satellite32.bmp-withWavelet_bior1.1-G_0.8-H6e-005_af3.wfa | bior1.1 | af3 | 0.8 | 0.00006 | 24576 | 8192 | 8192 | 25 | 20240 | 200 | 200 | 68.547  | 20640 | 2.519531 |
| satellite32.bmp | satellite32.bmp-G_0.8-H6e-005_af4.wfa                     |         | af4 | 0.8 | 0.00006 | 24576 | 8192 |      | 1  | 272   | 8   | 8   | 27.641  | 288   | 0.035156 |
| satellite32.bmp | satellite32.bmp-withWavelet_haar-G_0.8-H6e-005_af4.wfa    | haar    | af4 | 0.8 | 0.00006 | 24576 | 8192 | 8192 | 24 | 18672 | 192 | 192 | 108.985 | 19056 | 2.326172 |
| satellite32.bmp | satellite32.bmp-withWavelet_rbio1.1-G_0.8-H6e-005_af4.wfa | rbio1.1 | af4 | 0.8 | 0.00006 | 24576 | 8192 | 8192 | 24 | 18672 | 192 | 192 | 107.641 | 19056 | 2.326172 |
| satellite32.bmp | satellite32.bmp-withWavelet_sym1-G_0.8-H6e-005_af4.wfa    | sym1    | af4 | 0.8 | 0.00006 | 24576 | 8192 | 8192 | 24 | 18672 | 192 | 192 | 108.016 | 19056 | 2.326172 |
| satellite32.bmp | satellite32.bmp-withWavelet_bior1.1-G_0.8-H6e-005_af4.wfa | bior1.1 | af4 | 0.8 | 0.00006 | 24576 | 8192 | 8192 | 24 | 18672 | 192 | 192 | 108.844 | 19056 | 2.326172 |
| satellite32.bmp | satellite32.bmp-G_0.8-H6e-005_af5.wfa                     |         | af5 | 0.8 | 0.00006 | 24576 | 8192 |      | 1  | 272   | 8   | 8   | 27.156  | 288   | 0.035156 |
| satellite32.bmp | satellite32.bmp-withWavelet_haar-G_0.8-H6e-005_af5.wfa    | haar    | af5 | 0.8 | 0.00006 | 24576 | 8192 | 8192 | 11 | 4112  | 88  | 88  | 32.172  | 4288  | 0.523438 |
| satellite32.bmp | satellite32.bmp-withWavelet_rbio1.1-G_0.8-H6e-005_af5.wfa | rbio1.1 | af5 | 0.8 | 0.00006 | 24576 | 8192 | 8192 | 11 | 4112  | 88  | 88  | 32.171  | 4288  | 0.523438 |
| satellite32.bmp | satellite32.bmp-withWavelet_sym1-G_0.8-H6e-005_af5.wfa    | sym1    | af5 | 0.8 | 0.00006 | 24576 | 8192 | 8192 | 11 | 4112  | 88  | 88  | 30.969  | 4288  | 0.523438 |
| satellite32.bmp | satellite32.bmp-withWavelet_bior1.1-G_0.8-H6e-005_af5.wfa | bior1.1 | af5 | 0.8 | 0.00006 | 24576 | 8192 | 8192 | 11 | 4112  | 88  | 88  | 32.204  | 4288  | 0.523438 |
| satellite32.bmp | satellite32.bmp-G_0.6-H6e-005_af1.wfa                     |         | af1 | 0.6 | 0.00006 | 24576 | 8192 |      | 1  | 272   | 8   | 8   | 27.015  | 288   | 0.035156 |
| satellite32.bmp | satellite32.bmp-withWavelet_haar-G_0.6-H6e-005_af1.wfa    | haar    | af1 | 0.6 | 0.00006 | 24576 | 8192 | 8192 | 31 | 30992 | 248 | 248 | 82.453  | 31488 | 3.84375  |
| satellite32.bmp | satellite32.bmp-withWavelet_rbio1.1-G_0.6-H6e-005_af1.wfa | rbio1.1 | af1 | 0.6 | 0.00006 | 24576 | 8192 | 8192 | 31 | 30992 | 248 | 248 | 82.641  | 31488 | 3.84375  |
| satellite32.bmp | satellite32.bmp-withWavelet_sym1-G_0.6-H6e-005_af1.wfa    | sym1    | af1 | 0.6 | 0.00006 | 24576 | 8192 | 8192 | 31 | 30992 | 248 | 248 | 82.531  | 31488 | 3.84375  |
| satellite32.bmp | satellite32.bmp-withWavelet_bior1.1-G_0.6-H6e-005_af1.wfa | bior1.1 | af1 | 0.6 | 0.00006 | 24576 | 8192 | 8192 | 31 | 30992 | 248 | 248 | 82.547  | 31488 | 3.84375  |
| satellite32.bmp | satellite32.bmp-G_0.6-H6e-005_af2.wfa                     |         | af2 | 0.6 | 0.00006 | 24576 | 8192 |      | 1  | 272   | 8   | 8   | 27.031  | 288   | 0.035156 |
| satellite32.bmp | satellite32.bmp-withWavelet_haar-G_0.6-H6e-005_af2.wfa    | haar    | af2 | 0.6 | 0.00006 | 24576 | 8192 | 8192 | 19 | 11792 | 152 | 152 | 37.625  | 12096 | 1.476563 |
| satellite32.bmp | satellite32.bmp-withWavelet_rbio1.1-G_0.6-H6e-005_af2.wfa | rbio1.1 | af2 | 0.6 | 0.00006 | 24576 | 8192 | 8192 | 19 | 11792 | 152 | 152 | 37.954  | 12096 | 1.476563 |
| satellite32.bmp | satellite32.bmp-withWavelet_sym1-G_0.6-H6e-005_af2.wfa    | sym1    | af2 | 0.6 | 0.00006 | 24576 | 8192 | 8192 | 19 | 11792 | 152 | 152 | 37.516  | 12096 | 1.476563 |
| satellite32.bmp | satellite32.bmp-withWavelet_bior1.1-G_0.6-H6e-005_af2.wfa | bior1.1 | af2 | 0.6 | 0.00006 | 24576 | 8192 | 8192 | 19 | 11792 | 152 | 152 | 37.906  | 12096 | 1.476563 |
| satellite32.bmp | satellite32.bmp-G_0.6-H6e-005_af3.wfa                     |         | af3 | 0.6 | 0.00006 | 24576 | 8192 |      | 1  | 272   | 8   | 8   | 26.953  | 288   | 0.035156 |

|                 |   |         |     |     |         |       |      |      |    |       |     |     |         |       |          |
|-----------------|---|---------|-----|-----|---------|-------|------|------|----|-------|-----|-----|---------|-------|----------|
| satellite32.bmp | satellite32.bmp-withWavelet_haar-G_0.6-H6e-005_af3.wfa    | haar    | af3 | 0.6 | 0.00006 | 24576 | 8192 | 8192 | 27 | 23568 | 216 | 216 | 58.844  | 24000 | 2.929688 |
| satellite32.bmp | satellite32.bmp-withWavelet_rbio1.1-G_0.6-H6e-005_af3.wfa | rbio1.1 | af3 | 0.6 | 0.00006 | 24576 | 8192 | 8192 | 27 | 23568 | 216 | 216 | 59.14   | 24000 | 2.929688 |
| satellite32.bmp | satellite32.bmp-withWavelet_sym1-G_0.6-H6e-005_af3.wfa    | sym1    | af3 | 0.6 | 0.00006 | 24576 | 8192 | 8192 | 27 | 23568 | 216 | 216 | 58.469  | 24000 | 2.929688 |
| satellite32.bmp | satellite32.bmp-withWavelet_bior1.1-G_0.6-H6e-005_af3.wfa | bior1.1 | af3 | 0.6 | 0.00006 | 24576 | 8192 | 8192 | 27 | 23568 | 216 | 216 | 58.968  | 24000 | 2.929688 |
| satellite32.bmp | satellite32.bmp-G_0.6-H6e-005_af4.wfa                     |         | af4 | 0.6 | 0.00006 | 24576 | 8192 |      | 1  | 272   | 8   | 8   | 26.828  | 288   | 0.035156 |
| satellite32.bmp | satellite32.bmp-withWavelet_haar-G_0.6-H6e-005_af4.wfa    | haar    | af4 | 0.6 | 0.00006 | 24576 | 8192 | 8192 | 26 | 21872 | 208 | 208 | 93      | 22288 | 2.720703 |
| satellite32.bmp | satellite32.bmp-withWavelet_rbio1.1-G_0.6-H6e-005_af4.wfa | rbio1.1 | af4 | 0.6 | 0.00006 | 24576 | 8192 | 8192 | 26 | 21872 | 208 | 208 | 93.891  | 22288 | 2.720703 |
| satellite32.bmp | satellite32.bmp-withWavelet_sym1-G_0.6-H6e-005_af4.wfa    | sym1    | af4 | 0.6 | 0.00006 | 24576 | 8192 | 8192 | 26 | 21872 | 208 | 208 | 94.125  | 22288 | 2.720703 |
| satellite32.bmp | satellite32.bmp-withWavelet_bior1.1-G_0.6-H6e-005_af4.wfa | bior1.1 | af4 | 0.6 | 0.00006 | 24576 | 8192 | 8192 | 26 | 21872 | 208 | 208 | 93.516  | 22288 | 2.720703 |
| satellite32.bmp | satellite32.bmp-G_0.6-H6e-005_af5.wfa                     |         | af5 | 0.6 | 0.00006 | 24576 | 8192 |      | 1  | 272   | 8   | 8   | 27.812  | 288   | 0.035156 |
| satellite32.bmp | satellite32.bmp-withWavelet_haar-G_0.6-H6e-005_af5.wfa    | haar    | af5 | 0.6 | 0.00006 | 24576 | 8192 | 8192 | 13 | 5648  | 104 | 104 | 29.953  | 5856  | 0.714844 |
| satellite32.bmp | satellite32.bmp-withWavelet_rbio1.1-G_0.6-H6e-005_af5.wfa | rbio1.1 | af5 | 0.6 | 0.00006 | 24576 | 8192 | 8192 | 13 | 5648  | 104 | 104 | 29.812  | 5856  | 0.714844 |
| satellite32.bmp | satellite32.bmp-withWavelet_sym1-G_0.6-H6e-005_af5.wfa    | sym1    | af5 | 0.6 | 0.00006 | 24576 | 8192 | 8192 | 13 | 5648  | 104 | 104 | 29.953  | 5856  | 0.714844 |
| satellite32.bmp | satellite32.bmp-withWavelet_bior1.1-G_0.6-H6e-005_af5.wfa | bior1.1 | af5 | 0.6 | 0.00006 | 24576 | 8192 | 8192 | 13 | 5648  | 104 | 104 | 29.938  | 5856  | 0.714844 |
| satellite32.bmp | satellite32.bmp-G_1-H7e-005_af1.wfa                       |         | af1 | 1   | 0.00007 | 24576 | 8192 |      | 7  | 1808  | 56  | 56  | 30.844  | 1920  | 0.234375 |
| satellite32.bmp | satellite32.bmp-withWavelet_haar-G_1-H7e-005_af1.wfa      | haar    | af1 | 1   | 0.00007 | 24576 | 8192 | 8192 | 23 | 17168 | 184 | 184 | 119.703 | 17536 | 2.140625 |
| satellite32.bmp | satellite32.bmp-withWavelet_rbio1.1-G_1-H7e-005_af1.wfa   | rbio1.1 | af1 | 1   | 0.00007 | 24576 | 8192 | 8192 | 23 | 17168 | 184 | 184 | 120.296 | 17536 | 2.140625 |
| satellite32.bmp | satellite32.bmp-withWavelet_sym1-G_1-H7e-005_af1.wfa      | sym1    | af1 | 1   | 0.00007 | 24576 | 8192 | 8192 | 23 | 17168 | 184 | 184 | 119.547 | 17536 | 2.140625 |
| satellite32.bmp | satellite32.bmp-withWavelet_bior1.1-G_1-H7e-005_af1.wfa   | bior1.1 | af1 | 1   | 0.00007 | 24576 | 8192 | 8192 | 23 | 17168 | 184 | 184 | 120.093 | 17536 | 2.140625 |
| satellite32.bmp | satellite32.bmp-G_1-H7e-005_af2.wfa                       |         | af2 | 1   | 0.00007 | 24576 | 8192 |      | 14 | 6512  | 112 | 112 | 35.812  | 6736  | 0.822266 |
| satellite32.bmp | satellite32.bmp-withWavelet_haar-G_1-H7e-005_af2.wfa      | haar    | af2 | 1   | 0.00007 | 24576 | 8192 | 8192 | 14 | 6512  | 112 | 112 | 51.235  | 6736  | 0.822266 |
| satellite32.bmp | satellite32.bmp-withWavelet_rbio1.1-G_1-H7e-005_af2.wfa   | rbio1.1 | af2 | 1   | 0.00007 | 24576 | 8192 | 8192 | 14 | 6512  | 112 | 112 | 51.922  | 6736  | 0.822266 |
| satellite32.bmp | satellite32.bmp-withWavelet_sym1-G_1-H7e-005_af2.wfa      | sym1    | af2 | 1   | 0.00007 | 24576 | 8192 | 8192 | 14 | 6512  | 112 | 112 | 51.469  | 6736  | 0.822266 |
| satellite32.bmp | satellite32.bmp-withWavelet_bior1.1-G_1-H7e-005_af2.wfa   | bior1.1 | af2 | 1   | 0.00007 | 24576 | 8192 | 8192 | 14 | 6512  | 112 | 112 | 51.266  | 6736  | 0.822266 |
| satellite32.bmp | satellite32.bmp-G_1-H7e-005_af3.wfa                       |         | af3 | 1   | 0.00007 | 24576 | 8192 |      | 13 | 5648  | 104 | 104 | 35.078  | 5856  | 0.714844 |
| satellite32.bmp | satellite32.bmp-withWavelet_haar-G_1-H7e-005_af3.wfa      | haar    | af3 | 1   | 0.00007 | 24576 | 8192 | 8192 | 23 | 17168 | 184 | 184 | 97.782  | 17536 | 2.140625 |
| satellite32.bmp | satellite32.bmp-withWavelet_rbio1.1-G_1-H7e-005_af3.wfa   | rbio1.1 | af3 | 1   | 0.00007 | 24576 | 8192 | 8192 | 23 | 17168 | 184 | 184 | 97.735  | 17536 | 2.140625 |
| satellite32.bmp | satellite32.bmp-withWavelet_sym1-G_1-H7e-005_af3.wfa      | sym1    | af3 | 1   | 0.00007 | 24576 | 8192 | 8192 | 23 | 17168 | 184 | 184 | 97.75   | 17536 | 2.140625 |
| satellite32.bmp | satellite32.bmp-withWavelet_bior1.1-G_1-H7e-005_af3.wfa   | bior1.1 | af3 | 1   | 0.00007 | 24576 | 8192 | 8192 | 23 | 17168 | 184 | 184 | 98.016  | 17536 | 2.140625 |
| satellite32.bmp | satellite32.bmp-G_1-H7e-005_af4.wfa                       |         | af4 | 1   | 0.00007 | 24576 | 8192 |      | 5  | 1040  | 40  | 40  | 29.313  | 1120  | 0.136719 |
| satellite32.bmp | satellite32.bmp-withWavelet_haar-G_1-H7e-005_af4.wfa      | haar    | af4 | 1   | 0.00007 | 24576 | 8192 | 8192 | 22 | 15728 | 176 | 176 | 176.954 | 16080 | 1.962891 |

|                 |   |         |     |     |         |       |      |      |    |       |     |     |         |       |          |
|-----------------|---|---------|-----|-----|---------|-------|------|------|----|-------|-----|-----|---------|-------|----------|
| satellite32.bmp | satellite32.bmp-withWavelet_rbio1.1-G_1-H7e-005_af4.wfa   | rbio1.1 | af4 | 1   | 0.00007 | 24576 | 8192 | 8192 | 22 | 15728 | 176 | 176 | 178.781 | 16080 | 1.962891 |
| satellite32.bmp | satellite32.bmp-withWavelet_sym1-G_1-H7e-005_af4.wfa      | sym1    | af4 | 1   | 0.00007 | 24576 | 8192 | 8192 | 22 | 15728 | 176 | 176 | 178.829 | 16080 | 1.962891 |
| satellite32.bmp | satellite32.bmp-withWavelet_bior1.1-G_1-H7e-005_af4.wfa   | bior1.1 | af4 | 1   | 0.00007 | 24576 | 8192 | 8192 | 22 | 15728 | 176 | 176 | 177.562 | 16080 | 1.962891 |
| satellite32.bmp | satellite32.bmp-G_1-H7e-005_af5.wfa                       |         | af5 | 1   | 0.00007 | 24576 | 8192 |      | 13 | 5648  | 104 | 104 | 36.688  | 5856  | 0.714844 |
| satellite32.bmp | satellite32.bmp-withWavelet_haar-G_1-H7e-005_af5.wfa      | haar    | af5 | 1   | 0.00007 | 24576 | 8192 | 8192 | 10 | 3440  | 80  | 80  | 36.594  | 3600  | 0.439453 |
| satellite32.bmp | satellite32.bmp-withWavelet_rbio1.1-G_1-H7e-005_af5.wfa   | rbio1.1 | af5 | 1   | 0.00007 | 24576 | 8192 | 8192 | 10 | 3440  | 80  | 80  | 36.515  | 3600  | 0.439453 |
| satellite32.bmp | satellite32.bmp-withWavelet_sym1-G_1-H7e-005_af5.wfa      | sym1    | af5 | 1   | 0.00007 | 24576 | 8192 | 8192 | 10 | 3440  | 80  | 80  | 37.016  | 3600  | 0.439453 |
| satellite32.bmp | satellite32.bmp-withWavelet_bior1.1-G_1-H7e-005_af5.wfa   | bior1.1 | af5 | 1   | 0.00007 | 24576 | 8192 | 8192 | 10 | 3440  | 80  | 80  | 37.109  | 3600  | 0.439453 |
| satellite32.bmp | satellite32.bmp-G_0.8-H7e-005_af1.wfa                     |         | af1 | 0.8 | 0.00007 | 24576 | 8192 |      | 1  | 272   | 8   | 8   | 27.031  | 288   | 0.035156 |
| satellite32.bmp | satellite32.bmp-withWavelet_haar-G_0.8-H7e-005_af1.wfa    | haar    | af1 | 0.8 | 0.00007 | 24576 | 8192 | 8192 | 26 | 21872 | 208 | 208 | 76.734  | 22288 | 2.720703 |
| satellite32.bmp | satellite32.bmp-withWavelet_rbio1.1-G_0.8-H7e-005_af1.wfa | rbio1.1 | af1 | 0.8 | 0.00007 | 24576 | 8192 | 8192 | 26 | 21872 | 208 | 208 | 75.938  | 22288 | 2.720703 |
| satellite32.bmp | satellite32.bmp-withWavelet_sym1-G_0.8-H7e-005_af1.wfa    | sym1    | af1 | 0.8 | 0.00007 | 24576 | 8192 | 8192 | 26 | 21872 | 208 | 208 | 76      | 22288 | 2.720703 |
| satellite32.bmp | satellite32.bmp-withWavelet_bior1.1-G_0.8-H7e-005_af1.wfa | bior1.1 | af1 | 0.8 | 0.00007 | 24576 | 8192 | 8192 | 26 | 21872 | 208 | 208 | 76.313  | 22288 | 2.720703 |
| satellite32.bmp | satellite32.bmp-G_0.8-H7e-005_af2.wfa                     |         | af2 | 0.8 | 0.00007 | 24576 | 8192 |      | 1  | 272   | 8   | 8   | 26.938  | 288   | 0.035156 |
| satellite32.bmp | satellite32.bmp-withWavelet_haar-G_0.8-H7e-005_af2.wfa    | haar    | af2 | 0.8 | 0.00007 | 24576 | 8192 | 8192 | 17 | 9488  | 136 | 136 | 41.687  | 9760  | 1.191406 |
| satellite32.bmp | satellite32.bmp-withWavelet_rbio1.1-G_0.8-H7e-005_af2.wfa | rbio1.1 | af2 | 0.8 | 0.00007 | 24576 | 8192 | 8192 | 17 | 9488  | 136 | 136 | 41.719  | 9760  | 1.191406 |
| satellite32.bmp | satellite32.bmp-withWavelet_sym1-G_0.8-H7e-005_af2.wfa    | sym1    | af2 | 0.8 | 0.00007 | 24576 | 8192 | 8192 | 17 | 9488  | 136 | 136 | 41.422  | 9760  | 1.191406 |
| satellite32.bmp | satellite32.bmp-withWavelet_bior1.1-G_0.8-H7e-005_af2.wfa | bior1.1 | af2 | 0.8 | 0.00007 | 24576 | 8192 | 8192 | 17 | 9488  | 136 | 136 | 41.86   | 9760  | 1.191406 |
| satellite32.bmp | satellite32.bmp-G_0.8-H7e-005_af3.wfa                     |         | af3 | 0.8 | 0.00007 | 24576 | 8192 |      | 1  | 272   | 8   | 8   | 26.907  | 288   | 0.035156 |
| satellite32.bmp | satellite32.bmp-withWavelet_haar-G_0.8-H7e-005_af3.wfa    | haar    | af3 | 0.8 | 0.00007 | 24576 | 8192 | 8192 | 23 | 17168 | 184 | 184 | 62.734  | 17536 | 2.140625 |
| satellite32.bmp | satellite32.bmp-withWavelet_rbio1.1-G_0.8-H7e-005_af3.wfa | rbio1.1 | af3 | 0.8 | 0.00007 | 24576 | 8192 | 8192 | 23 | 17168 | 184 | 184 | 62.547  | 17536 | 2.140625 |
| satellite32.bmp | satellite32.bmp-withWavelet_sym1-G_0.8-H7e-005_af3.wfa    | sym1    | af3 | 0.8 | 0.00007 | 24576 | 8192 | 8192 | 23 | 17168 | 184 | 184 | 62.344  | 17536 | 2.140625 |
| satellite32.bmp | satellite32.bmp-withWavelet_bior1.1-G_0.8-H7e-005_af3.wfa | bior1.1 | af3 | 0.8 | 0.00007 | 24576 | 8192 | 8192 | 23 | 17168 | 184 | 184 | 62.093  | 17536 | 2.140625 |
| satellite32.bmp | satellite32.bmp-G_0.8-H7e-005_af4.wfa                     |         | af4 | 0.8 | 0.00007 | 24576 | 8192 |      | 1  | 272   | 8   | 8   | 27.218  | 288   | 0.035156 |
| satellite32.bmp | satellite32.bmp-withWavelet_haar-G_0.8-H7e-005_af4.wfa    | haar    | af4 | 0.8 | 0.00007 | 24576 | 8192 | 8192 | 22 | 15728 | 176 | 176 | 94.281  | 16080 | 1.962891 |
| satellite32.bmp | satellite32.bmp-withWavelet_rbio1.1-G_0.8-H7e-005_af4.wfa | rbio1.1 | af4 | 0.8 | 0.00007 | 24576 | 8192 | 8192 | 22 | 15728 | 176 | 176 | 92.015  | 16080 | 1.962891 |
| satellite32.bmp | satellite32.bmp-withWavelet_sym1-G_0.8-H7e-005_af4.wfa    | sym1    | af4 | 0.8 | 0.00007 | 24576 | 8192 | 8192 | 22 | 15728 | 176 | 176 | 92.984  | 16080 | 1.962891 |
| satellite32.bmp | satellite32.bmp-withWavelet_bior1.1-G_0.8-H7e-005_af4.wfa | bior1.1 | af4 | 0.8 | 0.00007 | 24576 | 8192 | 8192 | 22 | 15728 | 176 | 176 | 94.391  | 16080 | 1.962891 |
| satellite32.bmp | satellite32.bmp-G_0.8-H7e-005_af5.wfa                     |         | af5 | 0.8 | 0.00007 | 24576 | 8192 |      | 1  | 272   | 8   | 8   | 27.39   | 288   | 0.035156 |
| satellite32.bmp | satellite32.bmp-withWavelet_haar-G_0.8-H7e-005_af5.wfa    | haar    | af5 | 0.8 | 0.00007 | 24576 | 8192 | 8192 | 10 | 3440  | 80  | 80  | 31.093  | 3600  | 0.439453 |
| satellite32.bmp | satellite32.bmp-withWavelet_rbio1.1-G_0.8-H7e-005_af5.wfa | rbio1.1 | af5 | 0.8 | 0.00007 | 24576 | 8192 | 8192 | 10 | 3440  | 80  | 80  | 30.891  | 3600  | 0.439453 |

|                 |   |         |     |     |         |       |      |      |    |       |     |     |         |       |          |
|-----------------|---|---------|-----|-----|---------|-------|------|------|----|-------|-----|-----|---------|-------|----------|
| satellite32.bmp | satellite32.bmp-withWavelet_sym1-G_0.8-H7e-005_af5.wfa    | sym1    | af5 | 0.8 | 0.00007 | 24576 | 8192 | 8192 | 10 | 3440  | 80  | 80  | 30.735  | 3600  | 0.439453 |
| satellite32.bmp | satellite32.bmp-withWavelet_bior1.1-G_0.8-H7e-005_af5.wfa | bior1.1 | af5 | 0.8 | 0.00007 | 24576 | 8192 | 8192 | 10 | 3440  | 80  | 80  | 31.266  | 3600  | 0.439453 |
| satellite32.bmp | satellite32.bmp-G_0.6-H7e-005_af1.wfa                     |         | af1 | 0.6 | 0.00007 | 24576 | 8192 |      | 1  | 272   | 8   | 8   | 26.75   | 288   | 0.035156 |
| satellite32.bmp | satellite32.bmp-withWavelet_haar-G_0.6-H7e-005_af1.wfa    | haar    | af1 | 0.6 | 0.00007 | 24576 | 8192 | 8192 | 25 | 20240 | 200 | 200 | 57.156  | 20640 | 2.519531 |
| satellite32.bmp | satellite32.bmp-withWavelet_rbio1.1-G_0.6-H7e-005_af1.wfa | rbio1.1 | af1 | 0.6 | 0.00007 | 24576 | 8192 | 8192 | 25 | 20240 | 200 | 200 | 56.938  | 20640 | 2.519531 |
| satellite32.bmp | satellite32.bmp-withWavelet_sym1-G_0.6-H7e-005_af1.wfa    | sym1    | af1 | 0.6 | 0.00007 | 24576 | 8192 | 8192 | 25 | 20240 | 200 | 200 | 56.891  | 20640 | 2.519531 |
| satellite32.bmp | satellite32.bmp-withWavelet_bior1.1-G_0.6-H7e-005_af1.wfa | bior1.1 | af1 | 0.6 | 0.00007 | 24576 | 8192 | 8192 | 25 | 20240 | 200 | 200 | 57.047  | 20640 | 2.519531 |
| satellite32.bmp | satellite32.bmp-G_0.6-H7e-005_af2.wfa                     |         | af2 | 0.6 | 0.00007 | 24576 | 8192 |      | 1  | 272   | 8   | 8   | 26.906  | 288   | 0.035156 |
| satellite32.bmp | satellite32.bmp-withWavelet_haar-G_0.6-H7e-005_af2.wfa    | haar    | af2 | 0.6 | 0.00007 | 24576 | 8192 | 8192 | 17 | 9488  | 136 | 136 | 35.328  | 9760  | 1.191406 |
| satellite32.bmp | satellite32.bmp-withWavelet_rbio1.1-G_0.6-H7e-005_af2.wfa | rbio1.1 | af2 | 0.6 | 0.00007 | 24576 | 8192 | 8192 | 17 | 9488  | 136 | 136 | 35.406  | 9760  | 1.191406 |
| satellite32.bmp | satellite32.bmp-withWavelet_sym1-G_0.6-H7e-005_af2.wfa    | sym1    | af2 | 0.6 | 0.00007 | 24576 | 8192 | 8192 | 17 | 9488  | 136 | 136 | 35.516  | 9760  | 1.191406 |
| satellite32.bmp | satellite32.bmp-withWavelet_bior1.1-G_0.6-H7e-005_af2.wfa | bior1.1 | af2 | 0.6 | 0.00007 | 24576 | 8192 | 8192 | 17 | 9488  | 136 | 136 | 35.328  | 9760  | 1.191406 |
| satellite32.bmp | satellite32.bmp-G_0.6-H7e-005_af3.wfa                     |         | af3 | 0.6 | 0.00007 | 24576 | 8192 |      | 1  | 272   | 8   | 8   | 26.797  | 288   | 0.035156 |
| satellite32.bmp | satellite32.bmp-withWavelet_haar-G_0.6-H7e-005_af3.wfa    | haar    | af3 | 0.6 | 0.00007 | 24576 | 8192 | 8192 | 26 | 21872 | 208 | 208 | 55.984  | 22288 | 2.720703 |
| satellite32.bmp | satellite32.bmp-withWavelet_rbio1.1-G_0.6-H7e-005_af3.wfa | rbio1.1 | af3 | 0.6 | 0.00007 | 24576 | 8192 | 8192 | 26 | 21872 | 208 | 208 | 55.109  | 22288 | 2.720703 |
| satellite32.bmp | satellite32.bmp-withWavelet_sym1-G_0.6-H7e-005_af3.wfa    | sym1    | af3 | 0.6 | 0.00007 | 24576 | 8192 | 8192 | 26 | 21872 | 208 | 208 | 55.172  | 22288 | 2.720703 |
| satellite32.bmp | satellite32.bmp-withWavelet_bior1.1-G_0.6-H7e-005_af3.wfa | bior1.1 | af3 | 0.6 | 0.00007 | 24576 | 8192 | 8192 | 26 | 21872 | 208 | 208 | 55.234  | 22288 | 2.720703 |
| satellite32.bmp | satellite32.bmp-G_0.6-H7e-005_af4.wfa                     |         | af4 | 0.6 | 0.00007 | 24576 | 8192 |      | 1  | 272   | 8   | 8   | 27.469  | 288   | 0.035156 |
| satellite32.bmp | satellite32.bmp-withWavelet_haar-G_0.6-H7e-005_af4.wfa    | haar    | af4 | 0.6 | 0.00007 | 24576 | 8192 | 8192 | 25 | 20240 | 200 | 200 | 88.828  | 20640 | 2.519531 |
| satellite32.bmp | satellite32.bmp-withWavelet_rbio1.1-G_0.6-H7e-005_af4.wfa | rbio1.1 | af4 | 0.6 | 0.00007 | 24576 | 8192 | 8192 | 25 | 20240 | 200 | 200 | 88.531  | 20640 | 2.519531 |
| satellite32.bmp | satellite32.bmp-withWavelet_sym1-G_0.6-H7e-005_af4.wfa    | sym1    | af4 | 0.6 | 0.00007 | 24576 | 8192 | 8192 | 25 | 20240 | 200 | 200 | 88.438  | 20640 | 2.519531 |
| satellite32.bmp | satellite32.bmp-withWavelet_bior1.1-G_0.6-H7e-005_af4.wfa | bior1.1 | af4 | 0.6 | 0.00007 | 24576 | 8192 | 8192 | 25 | 20240 | 200 | 200 | 87.937  | 20640 | 2.519531 |
| satellite32.bmp | satellite32.bmp-G_0.6-H7e-005_af5.wfa                     |         | af5 | 0.6 | 0.00007 | 24576 | 8192 |      | 1  | 272   | 8   | 8   | 26.765  | 288   | 0.035156 |
| satellite32.bmp | satellite32.bmp-withWavelet_haar-G_0.6-H7e-005_af5.wfa    | haar    | af5 | 0.6 | 0.00007 | 24576 | 8192 | 8192 | 12 | 4848  | 96  | 96  | 29.828  | 5040  | 0.615234 |
| satellite32.bmp | satellite32.bmp-withWavelet_rbio1.1-G_0.6-H7e-005_af5.wfa | rbio1.1 | af5 | 0.6 | 0.00007 | 24576 | 8192 | 8192 | 12 | 4848  | 96  | 96  | 29.75   | 5040  | 0.615234 |
| satellite32.bmp | satellite32.bmp-withWavelet_sym1-G_0.6-H7e-005_af5.wfa    | sym1    | af5 | 0.6 | 0.00007 | 24576 | 8192 | 8192 | 12 | 4848  | 96  | 96  | 29.656  | 5040  | 0.615234 |
| satellite32.bmp | satellite32.bmp-withWavelet_bior1.1-G_0.6-H7e-005_af5.wfa | bior1.1 | af5 | 0.6 | 0.00007 | 24576 | 8192 | 8192 | 12 | 4848  | 96  | 96  | 29.938  | 5040  | 0.615234 |
| satellite32.bmp | satellite32.bmp-G_1-H8e-005_af1.wfa                       |         | af1 | 1   | 0.00008 | 24576 | 8192 |      | 6  | 1392  | 48  | 48  | 30.187  | 1488  | 0.181641 |
| satellite32.bmp | satellite32.bmp-withWavelet_haar-G_1-H8e-005_af1.wfa      | haar    | af1 | 1   | 0.00008 | 24576 | 8192 | 8192 | 22 | 15728 | 176 | 176 | 106.703 | 16080 | 1.962891 |
| satellite32.bmp | satellite32.bmp-withWavelet_rbio1.1-G_1-H8e-005_af1.wfa   | rbio1.1 | af1 | 1   | 0.00008 | 24576 | 8192 | 8192 | 22 | 15728 | 176 | 176 | 106.468 | 16080 | 1.962891 |
| satellite32.bmp | satellite32.bmp-withWavelet_sym1-G_1-H8e-005_af1.wfa      | sym1    | af1 | 1   | 0.00008 | 24576 | 8192 | 8192 | 22 | 15728 | 176 | 176 | 104.859 | 16080 | 1.962891 |

|                 |   |         |     |     |         |       |      |      |    |       |     |     |         |       |          |
|-----------------|---|---------|-----|-----|---------|-------|------|------|----|-------|-----|-----|---------|-------|----------|
| satellite32.bmp | satellite32.bmp-withWavelet_bior1.1-G_1-H8e-005_af1.wfa   | bior1.1 | af1 | 1   | 0.00008 | 24576 | 8192 | 8192 | 22 | 15728 | 176 | 176 | 106.078 | 16080 | 1.962891 |
| satellite32.bmp | satellite32.bmp-G_1-H8e-005_af2.wfa                       |         | af2 | 1   | 0.00008 | 24576 | 8192 |      | 12 | 4848  | 96  | 96  | 33.562  | 5040  | 0.615234 |
| satellite32.bmp | satellite32.bmp-withWavelet_haar-G_1-H8e-005_af2.wfa      | haar    | af2 | 1   | 0.00008 | 24576 | 8192 | 8192 | 12 | 4848  | 96  | 96  | 45.75   | 5040  | 0.615234 |
| satellite32.bmp | satellite32.bmp-withWavelet_rbio1.1-G_1-H8e-005_af2.wfa   | rbio1.1 | af2 | 1   | 0.00008 | 24576 | 8192 | 8192 | 12 | 4848  | 96  | 96  | 46.344  | 5040  | 0.615234 |
| satellite32.bmp | satellite32.bmp-withWavelet_sym1-G_1-H8e-005_af2.wfa      | sym1    | af2 | 1   | 0.00008 | 24576 | 8192 | 8192 | 12 | 4848  | 96  | 96  | 45.906  | 5040  | 0.615234 |
| satellite32.bmp | satellite32.bmp-withWavelet_bior1.1-G_1-H8e-005_af2.wfa   | bior1.1 | af2 | 1   | 0.00008 | 24576 | 8192 | 8192 | 12 | 4848  | 96  | 96  | 46.578  | 5040  | 0.615234 |
| satellite32.bmp | satellite32.bmp-G_1-H8e-005_af3.wfa                       |         | af3 | 1   | 0.00008 | 24576 | 8192 |      | 12 | 4848  | 96  | 96  | 33.656  | 5040  | 0.615234 |
| satellite32.bmp | satellite32.bmp-withWavelet_haar-G_1-H8e-005_af3.wfa      | haar    | af3 | 1   | 0.00008 | 24576 | 8192 | 8192 | 21 | 14352 | 168 | 168 | 90.156  | 14688 | 1.792969 |
| satellite32.bmp | satellite32.bmp-withWavelet_rbio1.1-G_1-H8e-005_af3.wfa   | rbio1.1 | af3 | 1   | 0.00008 | 24576 | 8192 | 8192 | 21 | 14352 | 168 | 168 | 90.516  | 14688 | 1.792969 |
| satellite32.bmp | satellite32.bmp-withWavelet_sym1-G_1-H8e-005_af3.wfa      | sym1    | af3 | 1   | 0.00008 | 24576 | 8192 | 8192 | 21 | 14352 | 168 | 168 | 90.218  | 14688 | 1.792969 |
| satellite32.bmp | satellite32.bmp-withWavelet_bior1.1-G_1-H8e-005_af3.wfa   | bior1.1 | af3 | 1   | 0.00008 | 24576 | 8192 | 8192 | 21 | 14352 | 168 | 168 | 90.625  | 14688 | 1.792969 |
| satellite32.bmp | satellite32.bmp-G_1-H8e-005_af4.wfa                       |         | af4 | 1   | 0.00008 | 24576 | 8192 |      | 5  | 1040  | 40  | 40  | 29.328  | 1120  | 0.136719 |
| satellite32.bmp | satellite32.bmp-withWavelet_haar-G_1-H8e-005_af4.wfa      | haar    | af4 | 1   | 0.00008 | 24576 | 8192 | 8192 | 21 | 14352 | 168 | 168 | 151.14  | 14688 | 1.792969 |
| satellite32.bmp | satellite32.bmp-withWavelet_rbio1.1-G_1-H8e-005_af4.wfa   | rbio1.1 | af4 | 1   | 0.00008 | 24576 | 8192 | 8192 | 21 | 14352 | 168 | 168 | 150.703 | 14688 | 1.792969 |
| satellite32.bmp | satellite32.bmp-withWavelet_sym1-G_1-H8e-005_af4.wfa      | sym1    | af4 | 1   | 0.00008 | 24576 | 8192 | 8192 | 21 | 14352 | 168 | 168 | 150.718 | 14688 | 1.792969 |
| satellite32.bmp | satellite32.bmp-withWavelet_bior1.1-G_1-H8e-005_af4.wfa   | bior1.1 | af4 | 1   | 0.00008 | 24576 | 8192 | 8192 | 21 | 14352 | 168 | 168 | 150.688 | 14688 | 1.792969 |
| satellite32.bmp | satellite32.bmp-G_1-H8e-005_af5.wfa                       |         | af5 | 1   | 0.00008 | 24576 | 8192 |      | 13 | 5648  | 104 | 104 | 36.406  | 5856  | 0.714844 |
| satellite32.bmp | satellite32.bmp-withWavelet_haar-G_1-H8e-005_af5.wfa      | haar    | af5 | 1   | 0.00008 | 24576 | 8192 | 8192 | 9  | 2832  | 72  | 72  | 35.25   | 2976  | 0.363281 |
| satellite32.bmp | satellite32.bmp-withWavelet_rbio1.1-G_1-H8e-005_af5.wfa   | rbio1.1 | af5 | 1   | 0.00008 | 24576 | 8192 | 8192 | 9  | 2832  | 72  | 72  | 35.562  | 2976  | 0.363281 |
| satellite32.bmp | satellite32.bmp-withWavelet_sym1-G_1-H8e-005_af5.wfa      | sym1    | af5 | 1   | 0.00008 | 24576 | 8192 | 8192 | 9  | 2832  | 72  | 72  | 35.891  | 2976  | 0.363281 |
| satellite32.bmp | satellite32.bmp-withWavelet_bior1.1-G_1-H8e-005_af5.wfa   | bior1.1 | af5 | 1   | 0.00008 | 24576 | 8192 | 8192 | 9  | 2832  | 72  | 72  | 35.547  | 2976  | 0.363281 |
| satellite32.bmp | satellite32.bmp-G_0.8-H8e-005_af1.wfa                     |         | af1 | 0.8 | 0.00008 | 24576 | 8192 |      | 1  | 272   | 8   | 8   | 26.921  | 288   | 0.035156 |
| satellite32.bmp | satellite32.bmp-withWavelet_haar-G_0.8-H8e-005_af1.wfa    | haar    | af1 | 0.8 | 0.00008 | 24576 | 8192 | 8192 | 22 | 15728 | 176 | 176 | 61.25   | 16080 | 1.962891 |
| satellite32.bmp | satellite32.bmp-withWavelet_rbio1.1-G_0.8-H8e-005_af1.wfa | rbio1.1 | af1 | 0.8 | 0.00008 | 24576 | 8192 | 8192 | 22 | 15728 | 176 | 176 | 62.015  | 16080 | 1.962891 |
| satellite32.bmp | satellite32.bmp-withWavelet_sym1-G_0.8-H8e-005_af1.wfa    | sym1    | af1 | 0.8 | 0.00008 | 24576 | 8192 | 8192 | 22 | 15728 | 176 | 176 | 61.766  | 16080 | 1.962891 |
| satellite32.bmp | satellite32.bmp-withWavelet_bior1.1-G_0.8-H8e-005_af1.wfa | bior1.1 | af1 | 0.8 | 0.00008 | 24576 | 8192 | 8192 | 22 | 15728 | 176 | 176 | 61.375  | 16080 | 1.962891 |
| satellite32.bmp | satellite32.bmp-G_0.8-H8e-005_af2.wfa                     |         | af2 | 0.8 | 0.00008 | 24576 | 8192 |      | 1  | 272   | 8   | 8   | 26.938  | 288   | 0.035156 |
| satellite32.bmp | satellite32.bmp-withWavelet_haar-G_0.8-H8e-005_af2.wfa    | haar    | af2 | 0.8 | 0.00008 | 24576 | 8192 | 8192 | 12 | 4848  | 96  | 96  | 35.407  | 5040  | 0.615234 |
| satellite32.bmp | satellite32.bmp-withWavelet_rbio1.1-G_0.8-H8e-005_af2.wfa | rbio1.1 | af2 | 0.8 | 0.00008 | 24576 | 8192 | 8192 | 12 | 4848  | 96  | 96  | 35.422  | 5040  | 0.615234 |
| satellite32.bmp | satellite32.bmp-withWavelet_sym1-G_0.8-H8e-005_af2.wfa    | sym1    | af2 | 0.8 | 0.00008 | 24576 | 8192 | 8192 | 12 | 4848  | 96  | 96  | 35.562  | 5040  | 0.615234 |
| satellite32.bmp | satellite32.bmp-withWavelet_bior1.1-G_0.8-H8e-005_af2.wfa | bior1.1 | af2 | 0.8 | 0.00008 | 24576 | 8192 | 8192 | 12 | 4848  | 96  | 96  | 35.516  | 5040  | 0.615234 |

|                 |   |         |     |     |         |       |      |      |    |       |     |     |        |       |          |
|-----------------|---|---------|-----|-----|---------|-------|------|------|----|-------|-----|-----|--------|-------|----------|
| satellite32.bmp | satellite32.bmp-G_0.8-H8e-005_af3.wfa                     |         | af3 | 0.8 | 0.00008 | 24576 | 8192 |      | 1  | 272   | 8   | 8   | 26.875 | 288   | 0.035156 |
| satellite32.bmp | satellite32.bmp-withWavelet_haar-G_0.8-H8e-005_af3.wfa    | haar    | af3 | 0.8 | 0.00008 | 24576 | 8192 | 8192 | 22 | 15728 | 176 | 176 | 55.125 | 16080 | 1.962891 |
| satellite32.bmp | satellite32.bmp-withWavelet_rbio1.1-G_0.8-H8e-005_af3.wfa | rbio1.1 | af3 | 0.8 | 0.00008 | 24576 | 8192 | 8192 | 22 | 15728 | 176 | 176 | 55.25  | 16080 | 1.962891 |
| satellite32.bmp | satellite32.bmp-withWavelet_sym1-G_0.8-H8e-005_af3.wfa    | sym1    | af3 | 0.8 | 0.00008 | 24576 | 8192 | 8192 | 22 | 15728 | 176 | 176 | 55.25  | 16080 | 1.962891 |
| satellite32.bmp | satellite32.bmp-withWavelet_bior1.1-G_0.8-H8e-005_af3.wfa | bior1.1 | af3 | 0.8 | 0.00008 | 24576 | 8192 | 8192 | 22 | 15728 | 176 | 176 | 55.031 | 16080 | 1.962891 |
| satellite32.bmp | satellite32.bmp-G_0.8-H8e-005_af4.wfa                     |         | af4 | 0.8 | 0.00008 | 24576 | 8192 |      | 1  | 272   | 8   | 8   | 26.797 | 288   | 0.035156 |
| satellite32.bmp | satellite32.bmp-withWavelet_haar-G_0.8-H8e-005_af4.wfa    | haar    | af4 | 0.8 | 0.00008 | 24576 | 8192 | 8192 | 20 | 13040 | 160 | 160 | 77.875 | 13360 | 1.630859 |
| satellite32.bmp | satellite32.bmp-withWavelet_rbio1.1-G_0.8-H8e-005_af4.wfa | rbio1.1 | af4 | 0.8 | 0.00008 | 24576 | 8192 | 8192 | 20 | 13040 | 160 | 160 | 77.86  | 13360 | 1.630859 |
| satellite32.bmp | satellite32.bmp-withWavelet_sym1-G_0.8-H8e-005_af4.wfa    | sym1    | af4 | 0.8 | 0.00008 | 24576 | 8192 | 8192 | 20 | 13040 | 160 | 160 | 77.203 | 13360 | 1.630859 |
| satellite32.bmp | satellite32.bmp-withWavelet_bior1.1-G_0.8-H8e-005_af4.wfa | bior1.1 | af4 | 0.8 | 0.00008 | 24576 | 8192 | 8192 | 20 | 13040 | 160 | 160 | 77.282 | 13360 | 1.630859 |
| satellite32.bmp | satellite32.bmp-G_0.8-H8e-005_af5.wfa                     |         | af5 | 0.8 | 0.00008 | 24576 | 8192 |      | 1  | 272   | 8   | 8   | 26.812 | 288   | 0.035156 |
| satellite32.bmp | satellite32.bmp-withWavelet_haar-G_0.8-H8e-005_af5.wfa    | haar    | af5 | 0.8 | 0.00008 | 24576 | 8192 | 8192 | 9  | 2832  | 72  | 72  | 30.594 | 2976  | 0.363281 |
| satellite32.bmp | satellite32.bmp-withWavelet_rbio1.1-G_0.8-H8e-005_af5.wfa | rbio1.1 | af5 | 0.8 | 0.00008 | 24576 | 8192 | 8192 | 9  | 2832  | 72  | 72  | 30.485 | 2976  | 0.363281 |
| satellite32.bmp | satellite32.bmp-withWavelet_sym1-G_0.8-H8e-005_af5.wfa    | sym1    | af5 | 0.8 | 0.00008 | 24576 | 8192 | 8192 | 9  | 2832  | 72  | 72  | 30.39  | 2976  | 0.363281 |
| satellite32.bmp | satellite32.bmp-withWavelet_bior1.1-G_0.8-H8e-005_af5.wfa | bior1.1 | af5 | 0.8 | 0.00008 | 24576 | 8192 | 8192 | 9  | 2832  | 72  | 72  | 30.485 | 2976  | 0.363281 |
| satellite32.bmp | satellite32.bmp-G_0.6-H8e-005_af1.wfa                     |         | af1 | 0.6 | 0.00008 | 24576 | 8192 |      | 1  | 272   | 8   | 8   | 26.719 | 288   | 0.035156 |
| satellite32.bmp | satellite32.bmp-withWavelet_haar-G_0.6-H8e-005_af1.wfa    | haar    | af1 | 0.6 | 0.00008 | 24576 | 8192 | 8192 | 25 | 20240 | 200 | 200 | 57.125 | 20640 | 2.519531 |
| satellite32.bmp | satellite32.bmp-withWavelet_rbio1.1-G_0.6-H8e-005_af1.wfa | rbio1.1 | af1 | 0.6 | 0.00008 | 24576 | 8192 | 8192 | 25 | 20240 | 200 | 200 | 57     | 20640 | 2.519531 |
| satellite32.bmp | satellite32.bmp-withWavelet_sym1-G_0.6-H8e-005_af1.wfa    | sym1    | af1 | 0.6 | 0.00008 | 24576 | 8192 | 8192 | 25 | 20240 | 200 | 200 | 56.563 | 20640 | 2.519531 |
| satellite32.bmp | satellite32.bmp-withWavelet_bior1.1-G_0.6-H8e-005_af1.wfa | bior1.1 | af1 | 0.6 | 0.00008 | 24576 | 8192 | 8192 | 25 | 20240 | 200 | 200 | 56.719 | 20640 | 2.519531 |
| satellite32.bmp | satellite32.bmp-G_0.6-H8e-005_af2.wfa                     |         | af2 | 0.6 | 0.00008 | 24576 | 8192 |      | 1  | 272   | 8   | 8   | 26.859 | 288   | 0.035156 |
| satellite32.bmp | satellite32.bmp-withWavelet_haar-G_0.6-H8e-005_af2.wfa    | haar    | af2 | 0.6 | 0.00008 | 24576 | 8192 | 8192 | 14 | 6512  | 112 | 112 | 33.281 | 6736  | 0.822266 |
| satellite32.bmp | satellite32.bmp-withWavelet_rbio1.1-G_0.6-H8e-005_af2.wfa | rbio1.1 | af2 | 0.6 | 0.00008 | 24576 | 8192 | 8192 | 14 | 6512  | 112 | 112 | 33.422 | 6736  | 0.822266 |
| satellite32.bmp | satellite32.bmp-withWavelet_sym1-G_0.6-H8e-005_af2.wfa    | sym1    | af2 | 0.6 | 0.00008 | 24576 | 8192 | 8192 | 14 | 6512  | 112 | 112 | 33.281 | 6736  | 0.822266 |
| satellite32.bmp | satellite32.bmp-withWavelet_bior1.1-G_0.6-H8e-005_af2.wfa | bior1.1 | af2 | 0.6 | 0.00008 | 24576 | 8192 | 8192 | 14 | 6512  | 112 | 112 | 33.297 | 6736  | 0.822266 |
| satellite32.bmp | satellite32.bmp-G_0.6-H8e-005_af3.wfa                     |         | af3 | 0.6 | 0.00008 | 24576 | 8192 |      | 1  | 272   | 8   | 8   | 26.844 | 288   | 0.035156 |
| satellite32.bmp | satellite32.bmp-withWavelet_haar-G_0.6-H8e-005_af3.wfa    | haar    | af3 | 0.6 | 0.00008 | 24576 | 8192 | 8192 | 21 | 14352 | 168 | 168 | 46.469 | 14688 | 1.792969 |
| satellite32.bmp | satellite32.bmp-withWavelet_rbio1.1-G_0.6-H8e-005_af3.wfa | rbio1.1 | af3 | 0.6 | 0.00008 | 24576 | 8192 | 8192 | 21 | 14352 | 168 | 168 | 46.593 | 14688 | 1.792969 |
| satellite32.bmp | satellite32.bmp-withWavelet_sym1-G_0.6-H8e-005_af3.wfa    | sym1    | af3 | 0.6 | 0.00008 | 24576 | 8192 | 8192 | 21 | 14352 | 168 | 168 | 46.594 | 14688 | 1.792969 |
| satellite32.bmp | satellite32.bmp-withWavelet_bior1.1-G_0.6-H8e-005_af3.wfa | bior1.1 | af3 | 0.6 | 0.00008 | 24576 | 8192 | 8192 | 21 | 14352 | 168 | 168 | 46.391 | 14688 | 1.792969 |
| satellite32.bmp | satellite32.bmp-G_0.6-H8e-005_af4.wfa                     |         | af4 | 0.6 | 0.00008 | 24576 | 8192 |      | 1  | 272   | 8   | 8   | 26.797 | 288   | 0.035156 |



|                 |   |         |     |     |         |       |      |      |    |       |     |     |         |       |          |
|-----------------|---|---------|-----|-----|---------|-------|------|------|----|-------|-----|-----|---------|-------|----------|
| satellite32.bmp | satellite32.bmp-withWavelet_haar-G_0.6-H8e-005_af4.wfa    | haar    | af4 | 0.6 | 0.00008 | 24576 | 8192 | 8192 | 25 | 20240 | 200 | 200 | 87.813  | 20640 | 2.519531 |
| satellite32.bmp | satellite32.bmp-withWavelet_rbio1.1-G_0.6-H8e-005_af4.wfa | rbio1.1 | af4 | 0.6 | 0.00008 | 24576 | 8192 | 8192 | 25 | 20240 | 200 | 200 | 86.625  | 20640 | 2.519531 |
| satellite32.bmp | satellite32.bmp-withWavelet_sym1-G_0.6-H8e-005_af4.wfa    | sym1    | af4 | 0.6 | 0.00008 | 24576 | 8192 | 8192 | 25 | 20240 | 200 | 200 | 87      | 20640 | 2.519531 |
| satellite32.bmp | satellite32.bmp-withWavelet_bior1.1-G_0.6-H8e-005_af4.wfa | bior1.1 | af4 | 0.6 | 0.00008 | 24576 | 8192 | 8192 | 25 | 20240 | 200 | 200 | 87.437  | 20640 | 2.519531 |
| satellite32.bmp | satellite32.bmp-G_0.6-H8e-005_af5.wfa                     |         | af5 | 0.6 | 0.00008 | 24576 | 8192 |      | 1  | 272   | 8   | 8   | 26.812  | 288   | 0.035156 |
| satellite32.bmp | satellite32.bmp-withWavelet_haar-G_0.6-H8e-005_af5.wfa    | haar    | af5 | 0.6 | 0.00008 | 24576 | 8192 | 8192 | 10 | 3440  | 80  | 80  | 29.532  | 3600  | 0.439453 |
| satellite32.bmp | satellite32.bmp-withWavelet_rbio1.1-G_0.6-H8e-005_af5.wfa | rbio1.1 | af5 | 0.6 | 0.00008 | 24576 | 8192 | 8192 | 10 | 3440  | 80  | 80  | 29.515  | 3600  | 0.439453 |
| satellite32.bmp | satellite32.bmp-withWavelet_sym1-G_0.6-H8e-005_af5.wfa    | sym1    | af5 | 0.6 | 0.00008 | 24576 | 8192 | 8192 | 10 | 3440  | 80  | 80  | 29.641  | 3600  | 0.439453 |
| satellite32.bmp | satellite32.bmp-withWavelet_bior1.1-G_0.6-H8e-005_af5.wfa | bior1.1 | af5 | 0.6 | 0.00008 | 24576 | 8192 | 8192 | 10 | 3440  | 80  | 80  | 29.422  | 3600  | 0.439453 |
| satellite32.bmp | satellite32.bmp-G_1-H9e-005_af1.wfa                       |         | af1 | 1   | 0.00009 | 24576 | 8192 |      | 6  | 1392  | 48  | 48  | 29.625  | 1488  | 0.181641 |
| satellite32.bmp | satellite32.bmp-withWavelet_haar-G_1-H9e-005_af1.wfa      | haar    | af1 | 1   | 0.00009 | 24576 | 8192 | 8192 | 21 | 14352 | 168 | 168 | 102.219 | 14688 | 1.792969 |
| satellite32.bmp | satellite32.bmp-withWavelet_rbio1.1-G_1-H9e-005_af1.wfa   | rbio1.1 | af1 | 1   | 0.00009 | 24576 | 8192 | 8192 | 21 | 14352 | 168 | 168 | 101.984 | 14688 | 1.792969 |
| satellite32.bmp | satellite32.bmp-withWavelet_sym1-G_1-H9e-005_af1.wfa      | sym1    | af1 | 1   | 0.00009 | 24576 | 8192 | 8192 | 21 | 14352 | 168 | 168 | 102.265 | 14688 | 1.792969 |
| satellite32.bmp | satellite32.bmp-withWavelet_bior1.1-G_1-H9e-005_af1.wfa   | bior1.1 | af1 | 1   | 0.00009 | 24576 | 8192 | 8192 | 21 | 14352 | 168 | 168 | 102.328 | 14688 | 1.792969 |
| satellite32.bmp | satellite32.bmp-G_1-H9e-005_af2.wfa                       |         | af2 | 1   | 0.00009 | 24576 | 8192 |      | 12 | 4848  | 96  | 96  | 33.796  | 5040  | 0.615234 |
| satellite32.bmp | satellite32.bmp-withWavelet_haar-G_1-H9e-005_af2.wfa      | haar    | af2 | 1   | 0.00009 | 24576 | 8192 | 8192 | 11 | 4112  | 88  | 88  | 45.391  | 4288  | 0.523438 |
| satellite32.bmp | satellite32.bmp-withWavelet_rbio1.1-G_1-H9e-005_af2.wfa   | rbio1.1 | af2 | 1   | 0.00009 | 24576 | 8192 | 8192 | 11 | 4112  | 88  | 88  | 46.235  | 4288  | 0.523438 |
| satellite32.bmp | satellite32.bmp-withWavelet_sym1-G_1-H9e-005_af2.wfa      | sym1    | af2 | 1   | 0.00009 | 24576 | 8192 | 8192 | 11 | 4112  | 88  | 88  | 45.282  | 4288  | 0.523438 |
| satellite32.bmp | satellite32.bmp-withWavelet_bior1.1-G_1-H9e-005_af2.wfa   | bior1.1 | af2 | 1   | 0.00009 | 24576 | 8192 | 8192 | 11 | 4112  | 88  | 88  | 45.5    | 4288  | 0.523438 |
| satellite32.bmp | satellite32.bmp-G_1-H9e-005_af3.wfa                       |         | af3 | 1   | 0.00009 | 24576 | 8192 |      | 11 | 4112  | 88  | 88  | 33.36   | 4288  | 0.523438 |
| satellite32.bmp | satellite32.bmp-withWavelet_haar-G_1-H9e-005_af3.wfa      | haar    | af3 | 1   | 0.00009 | 24576 | 8192 | 8192 | 21 | 14352 | 168 | 168 | 85.156  | 14688 | 1.792969 |
| satellite32.bmp | satellite32.bmp-withWavelet_rbio1.1-G_1-H9e-005_af3.wfa   | rbio1.1 | af3 | 1   | 0.00009 | 24576 | 8192 | 8192 | 21 | 14352 | 168 | 168 | 85.079  | 14688 | 1.792969 |
| satellite32.bmp | satellite32.bmp-withWavelet_sym1-G_1-H9e-005_af3.wfa      | sym1    | af3 | 1   | 0.00009 | 24576 | 8192 | 8192 | 21 | 14352 | 168 | 168 | 84.937  | 14688 | 1.792969 |
| satellite32.bmp | satellite32.bmp-withWavelet_bior1.1-G_1-H9e-005_af3.wfa   | bior1.1 | af3 | 1   | 0.00009 | 24576 | 8192 | 8192 | 21 | 14352 | 168 | 168 | 84.906  | 14688 | 1.792969 |
| satellite32.bmp | satellite32.bmp-G_1-H9e-005_af4.wfa                       |         | af4 | 1   | 0.00009 | 24576 | 8192 |      | 5  | 1040  | 40  | 40  | 29.344  | 1120  | 0.136719 |
| satellite32.bmp | satellite32.bmp-withWavelet_haar-G_1-H9e-005_af4.wfa      | haar    | af4 | 1   | 0.00009 | 24576 | 8192 | 8192 | 20 | 13040 | 160 | 160 | 143.797 | 13360 | 1.630859 |
| satellite32.bmp | satellite32.bmp-withWavelet_rbio1.1-G_1-H9e-005_af4.wfa   | rbio1.1 | af4 | 1   | 0.00009 | 24576 | 8192 | 8192 | 20 | 13040 | 160 | 160 | 143.828 | 13360 | 1.630859 |
| satellite32.bmp | satellite32.bmp-withWavelet_sym1-G_1-H9e-005_af4.wfa      | sym1    | af4 | 1   | 0.00009 | 24576 | 8192 | 8192 | 20 | 13040 | 160 | 160 | 143.782 | 13360 | 1.630859 |
| satellite32.bmp | satellite32.bmp-withWavelet_bior1.1-G_1-H9e-005_af4.wfa   | bior1.1 | af4 | 1   | 0.00009 | 24576 | 8192 | 8192 | 20 | 13040 | 160 | 160 | 143.594 | 13360 | 1.630859 |
| satellite32.bmp | satellite32.bmp-G_1-H9e-005_af5.wfa                       |         | af5 | 1   | 0.00009 | 24576 | 8192 |      | 11 | 4112  | 88  | 88  | 36.218  | 4288  | 0.523438 |
| satellite32.bmp | satellite32.bmp-withWavelet_haar-G_1-H9e-005_af5.wfa      | haar    | af5 | 1   | 0.00009 | 24576 | 8192 | 8192 | 9  | 2832  | 72  | 72  | 35.391  | 2976  | 0.363281 |

|                 |   |         |     |     |         |       |      |      |    |       |     |     |        |       |          |
|-----------------|---|---------|-----|-----|---------|-------|------|------|----|-------|-----|-----|--------|-------|----------|
| satellite32.bmp | satellite32.bmp-withWavelet_rbio1.1-G_1-H9e-005_af5.wfa   | rbio1.1 | af5 | 1   | 0.00009 | 24576 | 8192 | 8192 | 9  | 2832  | 72  | 72  | 35.14  | 2976  | 0.363281 |
| satellite32.bmp | satellite32.bmp-withWavelet_sym1-G_1-H9e-005_af5.wfa      | sym1    | af5 | 1   | 0.00009 | 24576 | 8192 | 8192 | 9  | 2832  | 72  | 72  | 35.75  | 2976  | 0.363281 |
| satellite32.bmp | satellite32.bmp-withWavelet_bior1.1-G_1-H9e-005_af5.wfa   | bior1.1 | af5 | 1   | 0.00009 | 24576 | 8192 | 8192 | 9  | 2832  | 72  | 72  | 35.688 | 2976  | 0.363281 |
| satellite32.bmp | satellite32.bmp-G_0.8-H9e-005_af1.wfa                     |         | af1 | 0.8 | 0.00009 | 24576 | 8192 |      | 1  | 272   | 8   | 8   | 26.828 | 288   | 0.035156 |
| satellite32.bmp | satellite32.bmp-withWavelet_haar-G_0.8-H9e-005_af1.wfa    | haar    | af1 | 0.8 | 0.00009 | 24576 | 8192 | 8192 | 21 | 14352 | 168 | 168 | 59.968 | 14688 | 1.792969 |
| satellite32.bmp | satellite32.bmp-withWavelet_rbio1.1-G_0.8-H9e-005_af1.wfa | rbio1.1 | af1 | 0.8 | 0.00009 | 24576 | 8192 | 8192 | 21 | 14352 | 168 | 168 | 59.188 | 14688 | 1.792969 |
| satellite32.bmp | satellite32.bmp-withWavelet_sym1-G_0.8-H9e-005_af1.wfa    | sym1    | af1 | 0.8 | 0.00009 | 24576 | 8192 | 8192 | 21 | 14352 | 168 | 168 | 59.343 | 14688 | 1.792969 |
| satellite32.bmp | satellite32.bmp-withWavelet_bior1.1-G_0.8-H9e-005_af1.wfa | bior1.1 | af1 | 0.8 | 0.00009 | 24576 | 8192 | 8192 | 21 | 14352 | 168 | 168 | 59.094 | 14688 | 1.792969 |
| satellite32.bmp | satellite32.bmp-G_0.8-H9e-005_af2.wfa                     |         | af2 | 0.8 | 0.00009 | 24576 | 8192 |      | 1  | 272   | 8   | 8   | 27.25  | 288   | 0.035156 |
| satellite32.bmp | satellite32.bmp-withWavelet_haar-G_0.8-H9e-005_af2.wfa    | haar    | af2 | 0.8 | 0.00009 | 24576 | 8192 | 8192 | 11 | 4112  | 88  | 88  | 35.312 | 4288  | 0.523438 |
| satellite32.bmp | satellite32.bmp-withWavelet_rbio1.1-G_0.8-H9e-005_af2.wfa | rbio1.1 | af2 | 0.8 | 0.00009 | 24576 | 8192 | 8192 | 11 | 4112  | 88  | 88  | 35.438 | 4288  | 0.523438 |
| satellite32.bmp | satellite32.bmp-withWavelet_sym1-G_0.8-H9e-005_af2.wfa    | sym1    | af2 | 0.8 | 0.00009 | 24576 | 8192 | 8192 | 11 | 4112  | 88  | 88  | 35.156 | 4288  | 0.523438 |
| satellite32.bmp | satellite32.bmp-withWavelet_bior1.1-G_0.8-H9e-005_af2.wfa | bior1.1 | af2 | 0.8 | 0.00009 | 24576 | 8192 | 8192 | 11 | 4112  | 88  | 88  | 35.391 | 4288  | 0.523438 |
| satellite32.bmp | satellite32.bmp-G_0.8-H9e-005_af3.wfa                     |         | af3 | 0.8 | 0.00009 | 24576 | 8192 |      | 1  | 272   | 8   | 8   | 26.891 | 288   | 0.035156 |
| satellite32.bmp | satellite32.bmp-withWavelet_haar-G_0.8-H9e-005_af3.wfa    | haar    | af3 | 0.8 | 0.00009 | 24576 | 8192 | 8192 | 20 | 13040 | 160 | 160 | 50.218 | 13360 | 1.630859 |
| satellite32.bmp | satellite32.bmp-withWavelet_rbio1.1-G_0.8-H9e-005_af3.wfa | rbio1.1 | af3 | 0.8 | 0.00009 | 24576 | 8192 | 8192 | 20 | 13040 | 160 | 160 | 50.016 | 13360 | 1.630859 |
| satellite32.bmp | satellite32.bmp-withWavelet_sym1-G_0.8-H9e-005_af3.wfa    | sym1    | af3 | 0.8 | 0.00009 | 24576 | 8192 | 8192 | 20 | 13040 | 160 | 160 | 50.75  | 13360 | 1.630859 |
| satellite32.bmp | satellite32.bmp-withWavelet_bior1.1-G_0.8-H9e-005_af3.wfa | bior1.1 | af3 | 0.8 | 0.00009 | 24576 | 8192 | 8192 | 20 | 13040 | 160 | 160 | 50.656 | 13360 | 1.630859 |
| satellite32.bmp | satellite32.bmp-G_0.8-H9e-005_af4.wfa                     |         | af4 | 0.8 | 0.00009 | 24576 | 8192 |      | 1  | 272   | 8   | 8   | 26.765 | 288   | 0.035156 |
| satellite32.bmp | satellite32.bmp-withWavelet_haar-G_0.8-H9e-005_af4.wfa    | haar    | af4 | 0.8 | 0.00009 | 24576 | 8192 | 8192 | 20 | 13040 | 160 | 160 | 78.391 | 13360 | 1.630859 |
| satellite32.bmp | satellite32.bmp-withWavelet_rbio1.1-G_0.8-H9e-005_af4.wfa | rbio1.1 | af4 | 0.8 | 0.00009 | 24576 | 8192 | 8192 | 20 | 13040 | 160 | 160 | 77.578 | 13360 | 1.630859 |
| satellite32.bmp | satellite32.bmp-withWavelet_sym1-G_0.8-H9e-005_af4.wfa    | sym1    | af4 | 0.8 | 0.00009 | 24576 | 8192 | 8192 | 20 | 13040 | 160 | 160 | 76.875 | 13360 | 1.630859 |
| satellite32.bmp | satellite32.bmp-withWavelet_bior1.1-G_0.8-H9e-005_af4.wfa | bior1.1 | af4 | 0.8 | 0.00009 | 24576 | 8192 | 8192 | 20 | 13040 | 160 | 160 | 78.61  | 13360 | 1.630859 |
| satellite32.bmp | satellite32.bmp-G_0.8-H9e-005_af5.wfa                     |         | af5 | 0.8 | 0.00009 | 24576 | 8192 |      | 1  | 272   | 8   | 8   | 26.86  | 288   | 0.035156 |
| satellite32.bmp | satellite32.bmp-withWavelet_haar-G_0.8-H9e-005_af5.wfa    | haar    | af5 | 0.8 | 0.00009 | 24576 | 8192 | 8192 | 9  | 2832  | 72  | 72  | 30.422 | 2976  | 0.363281 |
| satellite32.bmp | satellite32.bmp-withWavelet_rbio1.1-G_0.8-H9e-005_af5.wfa | rbio1.1 | af5 | 0.8 | 0.00009 | 24576 | 8192 | 8192 | 9  | 2832  | 72  | 72  | 30.39  | 2976  | 0.363281 |
| satellite32.bmp | satellite32.bmp-withWavelet_sym1-G_0.8-H9e-005_af5.wfa    | sym1    | af5 | 0.8 | 0.00009 | 24576 | 8192 | 8192 | 9  | 2832  | 72  | 72  | 30.735 | 2976  | 0.363281 |
| satellite32.bmp | satellite32.bmp-withWavelet_bior1.1-G_0.8-H9e-005_af5.wfa | bior1.1 | af5 | 0.8 | 0.00009 | 24576 | 8192 | 8192 | 9  | 2832  | 72  | 72  | 30.594 | 2976  | 0.363281 |
| satellite32.bmp | satellite32.bmp-G_0.6-H9e-005_af1.wfa                     |         | af1 | 0.6 | 0.00009 | 24576 | 8192 |      | 1  | 272   | 8   | 8   | 27     | 288   | 0.035156 |
| satellite32.bmp | satellite32.bmp-withWavelet_haar-G_0.6-H9e-005_af1.wfa    | haar    | af1 | 0.6 | 0.00009 | 24576 | 8192 | 8192 | 23 | 17168 | 184 | 184 | 51.563 | 17536 | 2.140625 |
| satellite32.bmp | satellite32.bmp-withWavelet_rbio1.1-G_0.6-H9e-005_af1.wfa | rbio1.1 | af1 | 0.6 | 0.00009 | 24576 | 8192 | 8192 | 23 | 17168 | 184 | 184 | 51.672 | 17536 | 2.140625 |

|                 |   |         |     |     |         |       |      |      |    |       |     |     |         |       |          |
|-----------------|---|---------|-----|-----|---------|-------|------|------|----|-------|-----|-----|---------|-------|----------|
| satellite32.bmp | satellite32.bmp-withWavelet_sym1-G_0.6-H9e-005_af1.wfa    | sym1    | af1 | 0.6 | 0.00009 | 24576 | 8192 | 8192 | 23 | 17168 | 184 | 184 | 51.703  | 17536 | 2.140625 |
| satellite32.bmp | satellite32.bmp-withWavelet_bior1.1-G_0.6-H9e-005_af1.wfa | bior1.1 | af1 | 0.6 | 0.00009 | 24576 | 8192 | 8192 | 23 | 17168 | 184 | 184 | 51.781  | 17536 | 2.140625 |
| satellite32.bmp | satellite32.bmp-G_0.6-H9e-005_af2.wfa                     |         | af2 | 0.6 | 0.00009 | 24576 | 8192 |      | 1  | 272   | 8   | 8   | 26.89   | 288   | 0.035156 |
| satellite32.bmp | satellite32.bmp-withWavelet_haar-G_0.6-H9e-005_af2.wfa    | haar    | af2 | 0.6 | 0.00009 | 24576 | 8192 | 8192 | 12 | 4848  | 96  | 96  | 32.593  | 5040  | 0.615234 |
| satellite32.bmp | satellite32.bmp-withWavelet_rbio1.1-G_0.6-H9e-005_af2.wfa | rbio1.1 | af2 | 0.6 | 0.00009 | 24576 | 8192 | 8192 | 12 | 4848  | 96  | 96  | 32.656  | 5040  | 0.615234 |
| satellite32.bmp | satellite32.bmp-withWavelet_sym1-G_0.6-H9e-005_af2.wfa    | sym1    | af2 | 0.6 | 0.00009 | 24576 | 8192 | 8192 | 12 | 4848  | 96  | 96  | 32.687  | 5040  | 0.615234 |
| satellite32.bmp | satellite32.bmp-withWavelet_bior1.1-G_0.6-H9e-005_af2.wfa | bior1.1 | af2 | 0.6 | 0.00009 | 24576 | 8192 | 8192 | 12 | 4848  | 96  | 96  | 32.813  | 5040  | 0.615234 |
| satellite32.bmp | satellite32.bmp-G_0.6-H9e-005_af3.wfa                     |         | af3 | 0.6 | 0.00009 | 24576 | 8192 |      | 1  | 272   | 8   | 8   | 26.782  | 288   | 0.035156 |
| satellite32.bmp | satellite32.bmp-withWavelet_haar-G_0.6-H9e-005_af3.wfa    | haar    | af3 | 0.6 | 0.00009 | 24576 | 8192 | 8192 | 20 | 13040 | 160 | 160 | 43.985  | 13360 | 1.630859 |
| satellite32.bmp | satellite32.bmp-withWavelet_rbio1.1-G_0.6-H9e-005_af3.wfa | rbio1.1 | af3 | 0.6 | 0.00009 | 24576 | 8192 | 8192 | 20 | 13040 | 160 | 160 | 43.953  | 13360 | 1.630859 |
| satellite32.bmp | satellite32.bmp-withWavelet_sym1-G_0.6-H9e-005_af3.wfa    | sym1    | af3 | 0.6 | 0.00009 | 24576 | 8192 | 8192 | 20 | 13040 | 160 | 160 | 44.031  | 13360 | 1.630859 |
| satellite32.bmp | satellite32.bmp-withWavelet_bior1.1-G_0.6-H9e-005_af3.wfa | bior1.1 | af3 | 0.6 | 0.00009 | 24576 | 8192 | 8192 | 20 | 13040 | 160 | 160 | 43.938  | 13360 | 1.630859 |
| satellite32.bmp | satellite32.bmp-G_0.6-H9e-005_af4.wfa                     |         | af4 | 0.6 | 0.00009 | 24576 | 8192 |      | 1  | 272   | 8   | 8   | 26.688  | 288   | 0.035156 |
| satellite32.bmp | satellite32.bmp-withWavelet_haar-G_0.6-H9e-005_af4.wfa    | haar    | af4 | 0.6 | 0.00009 | 24576 | 8192 | 8192 | 24 | 18672 | 192 | 192 | 83.75   | 19056 | 2.326172 |
| satellite32.bmp | satellite32.bmp-withWavelet_rbio1.1-G_0.6-H9e-005_af4.wfa | rbio1.1 | af4 | 0.6 | 0.00009 | 24576 | 8192 | 8192 | 24 | 18672 | 192 | 192 | 84.125  | 19056 | 2.326172 |
| satellite32.bmp | satellite32.bmp-withWavelet_sym1-G_0.6-H9e-005_af4.wfa    | sym1    | af4 | 0.6 | 0.00009 | 24576 | 8192 | 8192 | 24 | 18672 | 192 | 192 | 84.016  | 19056 | 2.326172 |
| satellite32.bmp | satellite32.bmp-withWavelet_bior1.1-G_0.6-H9e-005_af4.wfa | bior1.1 | af4 | 0.6 | 0.00009 | 24576 | 8192 | 8192 | 24 | 18672 | 192 | 192 | 84      | 19056 | 2.326172 |
| satellite32.bmp | satellite32.bmp-G_0.6-H9e-005_af5.wfa                     |         | af5 | 0.6 | 0.00009 | 24576 | 8192 |      | 1  | 272   | 8   | 8   | 26.687  | 288   | 0.035156 |
| satellite32.bmp | satellite32.bmp-withWavelet_haar-G_0.6-H9e-005_af5.wfa    | haar    | af5 | 0.6 | 0.00009 | 24576 | 8192 | 8192 | 10 | 3440  | 80  | 80  | 29.454  | 3600  | 0.439453 |
| satellite32.bmp | satellite32.bmp-withWavelet_rbio1.1-G_0.6-H9e-005_af5.wfa | rbio1.1 | af5 | 0.6 | 0.00009 | 24576 | 8192 | 8192 | 10 | 3440  | 80  | 80  | 29.422  | 3600  | 0.439453 |
| satellite32.bmp | satellite32.bmp-withWavelet_sym1-G_0.6-H9e-005_af5.wfa    | sym1    | af5 | 0.6 | 0.00009 | 24576 | 8192 | 8192 | 10 | 3440  | 80  | 80  | 29.438  | 3600  | 0.439453 |
| satellite32.bmp | satellite32.bmp-withWavelet_bior1.1-G_0.6-H9e-005_af5.wfa | bior1.1 | af5 | 0.6 | 0.00009 | 24576 | 8192 | 8192 | 10 | 3440  | 80  | 80  | 29.375  | 3600  | 0.439453 |
| satellite32.bmp | satellite32.bmp-G_1-H0.0001_af1.wfa                       |         | af1 | 1   | 0.0001  | 24576 | 8192 |      | 5  | 1040  | 40  | 40  | 29.75   | 1120  | 0.136719 |
| satellite32.bmp | satellite32.bmp-withWavelet_haar-G_1-H0.0001_af1.wfa      | haar    | af1 | 1   | 0.0001  | 24576 | 8192 | 8192 | 22 | 15728 | 176 | 176 | 110.234 | 16080 | 1.962891 |
| satellite32.bmp | satellite32.bmp-withWavelet_rbio1.1-G_1-H0.0001_af1.wfa   | rbio1.1 | af1 | 1   | 0.0001  | 24576 | 8192 | 8192 | 22 | 15728 | 176 | 176 | 109.953 | 16080 | 1.962891 |
| satellite32.bmp | satellite32.bmp-withWavelet_sym1-G_1-H0.0001_af1.wfa      | sym1    | af1 | 1   | 0.0001  | 24576 | 8192 | 8192 | 22 | 15728 | 176 | 176 | 110.156 | 16080 | 1.962891 |
| satellite32.bmp | satellite32.bmp-withWavelet_bior1.1-G_1-H0.0001_af1.wfa   | bior1.1 | af1 | 1   | 0.0001  | 24576 | 8192 | 8192 | 22 | 15728 | 176 | 176 | 110.406 | 16080 | 1.962891 |
| satellite32.bmp | satellite32.bmp-G_1-H0.0001_af2.wfa                       |         | af2 | 1   | 0.0001  | 24576 | 8192 |      | 11 | 4112  | 88  | 88  | 33.234  | 4288  | 0.523438 |
| satellite32.bmp | satellite32.bmp-withWavelet_haar-G_1-H0.0001_af2.wfa      | haar    | af2 | 1   | 0.0001  | 24576 | 8192 | 8192 | 11 | 4112  | 88  | 88  | 43.578  | 4288  | 0.523438 |
| satellite32.bmp | satellite32.bmp-withWavelet_rbio1.1-G_1-H0.0001_af2.wfa   | rbio1.1 | af2 | 1   | 0.0001  | 24576 | 8192 | 8192 | 11 | 4112  | 88  | 88  | 43.891  | 4288  | 0.523438 |
| satellite32.bmp | satellite32.bmp-withWavelet_sym1-G_1-H0.0001_af2.wfa      | sym1    | af2 | 1   | 0.0001  | 24576 | 8192 | 8192 | 11 | 4112  | 88  | 88  | 43.875  | 4288  | 0.523438 |

|                 |   |         |     |     |        |       |      |      |    |       |     |     |         |       |          |
|-----------------|---|---------|-----|-----|--------|-------|------|------|----|-------|-----|-----|---------|-------|----------|
| satellite32.bmp | satellite32.bmp-withWavelet_bior1.1-G_1-H0.0001_af2.wfa   | bior1.1 | af2 | 1   | 0.0001 | 24576 | 8192 | 8192 | 11 | 4112  | 88  | 88  | 43.719  | 4288  | 0.523438 |
| satellite32.bmp | satellite32.bmp-G_1-H0.0001_af3.wfa                       |         | af3 | 1   | 0.0001 | 24576 | 8192 |      | 11 | 4112  | 88  | 88  | 33.86   | 4288  | 0.523438 |
| satellite32.bmp | satellite32.bmp-withWavelet_haar-G_1-H0.0001_af3.wfa      | haar    | af3 | 1   | 0.0001 | 24576 | 8192 | 8192 | 19 | 11792 | 152 | 152 | 77.765  | 12096 | 1.476563 |
| satellite32.bmp | satellite32.bmp-withWavelet_rbio1.1-G_1-H0.0001_af3.wfa   | rbio1.1 | af3 | 1   | 0.0001 | 24576 | 8192 | 8192 | 19 | 11792 | 152 | 152 | 77.422  | 12096 | 1.476563 |
| satellite32.bmp | satellite32.bmp-withWavelet_sym1-G_1-H0.0001_af3.wfa      | sym1    | af3 | 1   | 0.0001 | 24576 | 8192 | 8192 | 19 | 11792 | 152 | 152 | 77.375  | 12096 | 1.476563 |
| satellite32.bmp | satellite32.bmp-withWavelet_bior1.1-G_1-H0.0001_af3.wfa   | bior1.1 | af3 | 1   | 0.0001 | 24576 | 8192 | 8192 | 19 | 11792 | 152 | 152 | 77.188  | 12096 | 1.476563 |
| satellite32.bmp | satellite32.bmp-G_1-H0.0001_af4.wfa                       |         | af4 | 1   | 0.0001 | 24576 | 8192 |      | 5  | 1040  | 40  | 40  | 30.172  | 1120  | 0.136719 |
| satellite32.bmp | satellite32.bmp-withWavelet_haar-G_1-H0.0001_af4.wfa      | haar    | af4 | 1   | 0.0001 | 24576 | 8192 | 8192 | 18 | 10608 | 144 | 144 | 116.109 | 10896 | 1.330078 |
| satellite32.bmp | satellite32.bmp-withWavelet_rbio1.1-G_1-H0.0001_af4.wfa   | rbio1.1 | af4 | 1   | 0.0001 | 24576 | 8192 | 8192 | 18 | 10608 | 144 | 144 | 116.86  | 10896 | 1.330078 |
| satellite32.bmp | satellite32.bmp-withWavelet_sym1-G_1-H0.0001_af4.wfa      | sym1    | af4 | 1   | 0.0001 | 24576 | 8192 | 8192 | 18 | 10608 | 144 | 144 | 117.078 | 10896 | 1.330078 |
| satellite32.bmp | satellite32.bmp-withWavelet_bior1.1-G_1-H0.0001_af4.wfa   | bior1.1 | af4 | 1   | 0.0001 | 24576 | 8192 | 8192 | 18 | 10608 | 144 | 144 | 116.766 | 10896 | 1.330078 |
| satellite32.bmp | satellite32.bmp-G_1-H0.0001_af5.wfa                       |         | af5 | 1   | 0.0001 | 24576 | 8192 |      | 10 | 3440  | 80  | 80  | 35.203  | 3600  | 0.439453 |
| satellite32.bmp | satellite32.bmp-withWavelet_haar-G_1-H0.0001_af5.wfa      | haar    | af5 | 1   | 0.0001 | 24576 | 8192 | 8192 | 9  | 2832  | 72  | 72  | 35.406  | 2976  | 0.363281 |
| satellite32.bmp | satellite32.bmp-withWavelet_rbio1.1-G_1-H0.0001_af5.wfa   | rbio1.1 | af5 | 1   | 0.0001 | 24576 | 8192 | 8192 | 9  | 2832  | 72  | 72  | 35.25   | 2976  | 0.363281 |
| satellite32.bmp | satellite32.bmp-withWavelet_sym1-G_1-H0.0001_af5.wfa      | sym1    | af5 | 1   | 0.0001 | 24576 | 8192 | 8192 | 9  | 2832  | 72  | 72  | 35.063  | 2976  | 0.363281 |
| satellite32.bmp | satellite32.bmp-withWavelet_bior1.1-G_1-H0.0001_af5.wfa   | bior1.1 | af5 | 1   | 0.0001 | 24576 | 8192 | 8192 | 9  | 2832  | 72  | 72  | 35.282  | 2976  | 0.363281 |
| satellite32.bmp | satellite32.bmp-G_0.8-H0.0001_af1.wfa                     |         | af1 | 0.8 | 0.0001 | 24576 | 8192 |      | 1  | 272   | 8   | 8   | 26.875  | 288   | 0.035156 |
| satellite32.bmp | satellite32.bmp-withWavelet_haar-G_0.8-H0.0001_af1.wfa    | haar    | af1 | 0.8 | 0.0001 | 24576 | 8192 | 8192 | 21 | 14352 | 168 | 168 | 55.937  | 14688 | 1.792969 |
| satellite32.bmp | satellite32.bmp-withWavelet_rbio1.1-G_0.8-H0.0001_af1.wfa | rbio1.1 | af1 | 0.8 | 0.0001 | 24576 | 8192 | 8192 | 21 | 14352 | 168 | 168 | 56.016  | 14688 | 1.792969 |
| satellite32.bmp | satellite32.bmp-withWavelet_sym1-G_0.8-H0.0001_af1.wfa    | sym1    | af1 | 0.8 | 0.0001 | 24576 | 8192 | 8192 | 21 | 14352 | 168 | 168 | 56.39   | 14688 | 1.792969 |
| satellite32.bmp | satellite32.bmp-withWavelet_bior1.1-G_0.8-H0.0001_af1.wfa | bior1.1 | af1 | 0.8 | 0.0001 | 24576 | 8192 | 8192 | 21 | 14352 | 168 | 168 | 56.5    | 14688 | 1.792969 |
| satellite32.bmp | satellite32.bmp-G_0.8-H0.0001_af2.wfa                     |         | af2 | 0.8 | 0.0001 | 24576 | 8192 |      | 1  | 272   | 8   | 8   | 26.922  | 288   | 0.035156 |
| satellite32.bmp | satellite32.bmp-withWavelet_haar-G_0.8-H0.0001_af2.wfa    | haar    | af2 | 0.8 | 0.0001 | 24576 | 8192 | 8192 | 11 | 4112  | 88  | 88  | 35.062  | 4288  | 0.523438 |
| satellite32.bmp | satellite32.bmp-withWavelet_rbio1.1-G_0.8-H0.0001_af2.wfa | rbio1.1 | af2 | 0.8 | 0.0001 | 24576 | 8192 | 8192 | 11 | 4112  | 88  | 88  | 35.328  | 4288  | 0.523438 |
| satellite32.bmp | satellite32.bmp-withWavelet_sym1-G_0.8-H0.0001_af2.wfa    | sym1    | af2 | 0.8 | 0.0001 | 24576 | 8192 | 8192 | 11 | 4112  | 88  | 88  | 34.984  | 4288  | 0.523438 |
| satellite32.bmp | satellite32.bmp-withWavelet_bior1.1-G_0.8-H0.0001_af2.wfa | bior1.1 | af2 | 0.8 | 0.0001 | 24576 | 8192 | 8192 | 11 | 4112  | 88  | 88  | 35.266  | 4288  | 0.523438 |
| satellite32.bmp | satellite32.bmp-G_0.8-H0.0001_af3.wfa                     |         | af3 | 0.8 | 0.0001 | 24576 | 8192 |      | 1  | 272   | 8   | 8   | 27.172  | 288   | 0.035156 |
| satellite32.bmp | satellite32.bmp-withWavelet_haar-G_0.8-H0.0001_af3.wfa    | haar    | af3 | 0.8 | 0.0001 | 24576 | 8192 | 8192 | 18 | 10608 | 144 | 144 | 48.547  | 10896 | 1.330078 |
| satellite32.bmp | satellite32.bmp-withWavelet_rbio1.1-G_0.8-H0.0001_af3.wfa | rbio1.1 | af3 | 0.8 | 0.0001 | 24576 | 8192 | 8192 | 18 | 10608 | 144 | 144 | 48.204  | 10896 | 1.330078 |
| satellite32.bmp | satellite32.bmp-withWavelet_sym1-G_0.8-H0.0001_af3.wfa    | sym1    | af3 | 0.8 | 0.0001 | 24576 | 8192 | 8192 | 18 | 10608 | 144 | 144 | 48.312  | 10896 | 1.330078 |
| satellite32.bmp | satellite32.bmp-withWavelet_bior1.1-G_0.8-H0.0001_af3.wfa | bior1.1 | af3 | 0.8 | 0.0001 | 24576 | 8192 | 8192 | 18 | 10608 | 144 | 144 | 47.766  | 10896 | 1.330078 |

|                 |   |         |     |     |        |       |      |      |    |       |     |     |        |       |          |
|-----------------|---|---------|-----|-----|--------|-------|------|------|----|-------|-----|-----|--------|-------|----------|
| satellite32.bmp | satellite32.bmp-G_0.8-H0.0001_af4.wfa                     |         | af4 | 0.8 | 0.0001 | 24576 | 8192 |      | 1  | 272   | 8   | 8   | 26.781 | 288   | 0.035156 |
| satellite32.bmp | satellite32.bmp-withWavelet_haar-G_0.8-H0.0001_af4.wfa    | haar    | af4 | 0.8 | 0.0001 | 24576 | 8192 | 8192 | 18 | 10608 | 144 | 144 | 65.329 | 10896 | 1.330078 |
| satellite32.bmp | satellite32.bmp-withWavelet_rbio1.1-G_0.8-H0.0001_af4.wfa | rbio1.1 | af4 | 0.8 | 0.0001 | 24576 | 8192 | 8192 | 18 | 10608 | 144 | 144 | 65.391 | 10896 | 1.330078 |
| satellite32.bmp | satellite32.bmp-withWavelet_sym1-G_0.8-H0.0001_af4.wfa    | sym1    | af4 | 0.8 | 0.0001 | 24576 | 8192 | 8192 | 18 | 10608 | 144 | 144 | 64.235 | 10896 | 1.330078 |
| satellite32.bmp | satellite32.bmp-withWavelet_bior1.1-G_0.8-H0.0001_af4.wfa | bior1.1 | af4 | 0.8 | 0.0001 | 24576 | 8192 | 8192 | 18 | 10608 | 144 | 144 | 64.984 | 10896 | 1.330078 |
| satellite32.bmp | satellite32.bmp-G_0.8-H0.0001_af5.wfa                     |         | af5 | 0.8 | 0.0001 | 24576 | 8192 |      | 1  | 272   | 8   | 8   | 27.562 | 288   | 0.035156 |
| satellite32.bmp | satellite32.bmp-withWavelet_haar-G_0.8-H0.0001_af5.wfa    | haar    | af5 | 0.8 | 0.0001 | 24576 | 8192 | 8192 | 9  | 2832  | 72  | 72  | 30.594 | 2976  | 0.363281 |
| satellite32.bmp | satellite32.bmp-withWavelet_rbio1.1-G_0.8-H0.0001_af5.wfa | rbio1.1 | af5 | 0.8 | 0.0001 | 24576 | 8192 | 8192 | 9  | 2832  | 72  | 72  | 30.609 | 2976  | 0.363281 |
| satellite32.bmp | satellite32.bmp-withWavelet_sym1-G_0.8-H0.0001_af5.wfa    | sym1    | af5 | 0.8 | 0.0001 | 24576 | 8192 | 8192 | 9  | 2832  | 72  | 72  | 30.438 | 2976  | 0.363281 |
| satellite32.bmp | satellite32.bmp-withWavelet_bior1.1-G_0.8-H0.0001_af5.wfa | bior1.1 | af5 | 0.8 | 0.0001 | 24576 | 8192 | 8192 | 9  | 2832  | 72  | 72  | 30.36  | 2976  | 0.363281 |
| satellite32.bmp | satellite32.bmp-G_0.6-H0.0001_af1.wfa                     |         | af1 | 0.6 | 0.0001 | 24576 | 8192 |      | 1  | 272   | 8   | 8   | 26.969 | 288   | 0.035156 |
| satellite32.bmp | satellite32.bmp-withWavelet_haar-G_0.6-H0.0001_af1.wfa    | haar    | af1 | 0.6 | 0.0001 | 24576 | 8192 | 8192 | 22 | 15728 | 176 | 176 | 50.266 | 16080 | 1.962891 |
| satellite32.bmp | satellite32.bmp-withWavelet_rbio1.1-G_0.6-H0.0001_af1.wfa | rbio1.1 | af1 | 0.6 | 0.0001 | 24576 | 8192 | 8192 | 22 | 15728 | 176 | 176 | 50.062 | 16080 | 1.962891 |
| satellite32.bmp | satellite32.bmp-withWavelet_sym1-G_0.6-H0.0001_af1.wfa    | sym1    | af1 | 0.6 | 0.0001 | 24576 | 8192 | 8192 | 22 | 15728 | 176 | 176 | 50.344 | 16080 | 1.962891 |
| satellite32.bmp | satellite32.bmp-withWavelet_bior1.1-G_0.6-H0.0001_af1.wfa | bior1.1 | af1 | 0.6 | 0.0001 | 24576 | 8192 | 8192 | 22 | 15728 | 176 | 176 | 50.141 | 16080 | 1.962891 |
| satellite32.bmp | satellite32.bmp-G_0.6-H0.0001_af2.wfa                     |         | af2 | 0.6 | 0.0001 | 24576 | 8192 |      | 1  | 272   | 8   | 8   | 26.906 | 288   | 0.035156 |
| satellite32.bmp | satellite32.bmp-withWavelet_haar-G_0.6-H0.0001_af2.wfa    | haar    | af2 | 0.6 | 0.0001 | 24576 | 8192 | 8192 | 9  | 2832  | 72  | 72  | 31.422 | 2976  | 0.363281 |
| satellite32.bmp | satellite32.bmp-withWavelet_rbio1.1-G_0.6-H0.0001_af2.wfa | rbio1.1 | af2 | 0.6 | 0.0001 | 24576 | 8192 | 8192 | 9  | 2832  | 72  | 72  | 31.375 | 2976  | 0.363281 |
| satellite32.bmp | satellite32.bmp-withWavelet_sym1-G_0.6-H0.0001_af2.wfa    | sym1    | af2 | 0.6 | 0.0001 | 24576 | 8192 | 8192 | 9  | 2832  | 72  | 72  | 31.421 | 2976  | 0.363281 |
| satellite32.bmp | satellite32.bmp-withWavelet_bior1.1-G_0.6-H0.0001_af2.wfa | bior1.1 | af2 | 0.6 | 0.0001 | 24576 | 8192 | 8192 | 9  | 2832  | 72  | 72  | 31.531 | 2976  | 0.363281 |
| satellite32.bmp | satellite32.bmp-G_0.6-H0.0001_af3.wfa                     |         | af3 | 0.6 | 0.0001 | 24576 | 8192 |      | 1  | 272   | 8   | 8   | 26.703 | 288   | 0.035156 |
| satellite32.bmp | satellite32.bmp-withWavelet_haar-G_0.6-H0.0001_af3.wfa    | haar    | af3 | 0.6 | 0.0001 | 24576 | 8192 | 8192 | 18 | 10608 | 144 | 144 | 42.015 | 10896 | 1.330078 |
| satellite32.bmp | satellite32.bmp-withWavelet_rbio1.1-G_0.6-H0.0001_af3.wfa | rbio1.1 | af3 | 0.6 | 0.0001 | 24576 | 8192 | 8192 | 18 | 10608 | 144 | 144 | 42.453 | 10896 | 1.330078 |
| satellite32.bmp | satellite32.bmp-withWavelet_sym1-G_0.6-H0.0001_af3.wfa    | sym1    | af3 | 0.6 | 0.0001 | 24576 | 8192 | 8192 | 18 | 10608 | 144 | 144 | 42.218 | 10896 | 1.330078 |
| satellite32.bmp | satellite32.bmp-withWavelet_bior1.1-G_0.6-H0.0001_af3.wfa | bior1.1 | af3 | 0.6 | 0.0001 | 24576 | 8192 | 8192 | 18 | 10608 | 144 | 144 | 42.313 | 10896 | 1.330078 |
| satellite32.bmp | satellite32.bmp-G_0.6-H0.0001_af4.wfa                     |         | af4 | 0.6 | 0.0001 | 24576 | 8192 |      | 1  | 272   | 8   | 8   | 26.797 | 288   | 0.035156 |
| satellite32.bmp | satellite32.bmp-withWavelet_haar-G_0.6-H0.0001_af4.wfa    | haar    | af4 | 0.6 | 0.0001 | 24576 | 8192 | 8192 | 24 | 18672 | 192 | 192 | 82.921 | 19056 | 2.326172 |
| satellite32.bmp | satellite32.bmp-withWavelet_rbio1.1-G_0.6-H0.0001_af4.wfa | rbio1.1 | af4 | 0.6 | 0.0001 | 24576 | 8192 | 8192 | 24 | 18672 | 192 | 192 | 82.672 | 19056 | 2.326172 |
| satellite32.bmp | satellite32.bmp-withWavelet_sym1-G_0.6-H0.0001_af4.wfa    | sym1    | af4 | 0.6 | 0.0001 | 24576 | 8192 | 8192 | 24 | 18672 | 192 | 192 | 82.64  | 19056 | 2.326172 |
| satellite32.bmp | satellite32.bmp-withWavelet_bior1.1-G_0.6-H0.0001_af4.wfa | bior1.1 | af4 | 0.6 | 0.0001 | 24576 | 8192 | 8192 | 24 | 18672 | 192 | 192 | 82.203 | 19056 | 2.326172 |
| satellite32.bmp | satellite32.bmp-G_0.6-H0.0001_af5.wfa                     |         | af5 | 0.6 | 0.0001 | 24576 | 8192 |      | 1  | 272   | 8   | 8   | 27     | 288   | 0.035156 |

|                 |   |         |     |     |        |       |      |      |    |      |    |    |        |      |          |
|-----------------|---|---------|-----|-----|--------|-------|------|------|----|------|----|----|--------|------|----------|
| satellite32.bmp | satellite32.bmp-withWavelet_haar-G_0.6-H0.0001_af5.wfa    | haar    | af5 | 0.6 | 0.0001 | 24576 | 8192 | 8192 | 10 | 3440 | 80 | 80 | 30.516 | 3600 | 0.439453 |
| satellite32.bmp | satellite32.bmp-withWavelet_rbio1.1-G_0.6-H0.0001_af5.wfa | rbio1.1 | af5 | 0.6 | 0.0001 | 24576 | 8192 | 8192 | 10 | 3440 | 80 | 80 | 30.094 | 3600 | 0.439453 |
| satellite32.bmp | satellite32.bmp-withWavelet_sym1-G_0.6-H0.0001_af5.wfa    | sym1    | af5 | 0.6 | 0.0001 | 24576 | 8192 | 8192 | 10 | 3440 | 80 | 80 | 29.797 | 3600 | 0.439453 |
| satellite32.bmp | satellite32.bmp-withWavelet_bior1.1-G_0.6-H0.0001_af5.wfa | bior1.1 | af5 | 0.6 | 0.0001 | 24576 | 8192 | 8192 | 10 | 3440 | 80 | 80 | 29.656 | 3600 | 0.439453 |

**Tabela III.8 – Codificação phi1\_32.bmp em suas combinações**

| Img         | Img codificada                                      | Wlet    | AF  | G | H       | lBytes | GSByte | WletBy | #Stes | WBy   | lBy | FBy | Time   | Total | %        |
|-------------|---|---------|-----|---|---------|--------|--------|--------|-------|-------|-----|-----|--------|-------|----------|
| phi1_32.bmp | phi1_32.bmp-G_1-H1e-005_af1.wfa                     |         | af1 | 1 | 0.00001 | 24576  | 8192   |        | 2     | 368   | 16  | 16  | 29.812 | 400   | 0.048828 |
| phi1_32.bmp | phi1_32.bmp-withWavelet_haar-G_1-H1e-005_af1.wfa    | haar    | af1 | 1 | 0.00001 | 24576  | 8192   | 8192   | 3     | 528   | 24  | 24  | 30.313 | 576   | 0.070313 |
| phi1_32.bmp | phi1_32.bmp-withWavelet_rbio1.1-G_1-H1e-005_af1.wfa | rbio1.1 | af1 | 1 | 0.00001 | 24576  | 8192   | 8192   | 3     | 528   | 24  | 24  | 30.203 | 576   | 0.070313 |
| phi1_32.bmp | phi1_32.bmp-withWavelet_sym1-G_1-H1e-005_af1.wfa    | sym1    | af1 | 1 | 0.00001 | 24576  | 8192   | 8192   | 3     | 528   | 24  | 24  | 30.5   | 576   | 0.070313 |
| phi1_32.bmp | phi1_32.bmp-withWavelet_bior1.1-G_1-H1e-005_af1.wfa | bior1.1 | af1 | 1 | 0.00001 | 24576  | 8192   | 8192   | 3     | 528   | 24  | 24  | 30.391 | 576   | 0.070313 |
| phi1_32.bmp | phi1_32.bmp-G_1-H1e-005_af2.wfa                     |         | af2 | 1 | 0.00001 | 24576  | 8192   |        | 4     | 752   | 32  | 32  | 32.64  | 816   | 0.099609 |
| phi1_32.bmp | phi1_32.bmp-withWavelet_haar-G_1-H1e-005_af2.wfa    | haar    | af2 | 1 | 0.00001 | 24576  | 8192   | 8192   | 9     | 2832  | 72  | 72  | 44.672 | 2976  | 0.363281 |
| phi1_32.bmp | phi1_32.bmp-withWavelet_rbio1.1-G_1-H1e-005_af2.wfa | rbio1.1 | af2 | 1 | 0.00001 | 24576  | 8192   | 8192   | 9     | 2832  | 72  | 72  | 45.578 | 2976  | 0.363281 |
| phi1_32.bmp | phi1_32.bmp-withWavelet_sym1-G_1-H1e-005_af2.wfa    | sym1    | af2 | 1 | 0.00001 | 24576  | 8192   | 8192   | 9     | 2832  | 72  | 72  | 44.437 | 2976  | 0.363281 |
| phi1_32.bmp | phi1_32.bmp-withWavelet_bior1.1-G_1-H1e-005_af2.wfa | bior1.1 | af2 | 1 | 0.00001 | 24576  | 8192   | 8192   | 9     | 2832  | 72  | 72  | 46.282 | 2976  | 0.363281 |
| phi1_32.bmp | phi1_32.bmp-G_1-H1e-005_af3.wfa                     |         | af3 | 1 | 0.00001 | 24576  | 8192   |        | 2     | 368   | 16  | 16  | 29.375 | 400   | 0.048828 |
| phi1_32.bmp | phi1_32.bmp-withWavelet_haar-G_1-H1e-005_af3.wfa    | haar    | af3 | 1 | 0.00001 | 24576  | 8192   | 8192   | 3     | 528   | 24  | 24  | 30.594 | 576   | 0.070313 |
| phi1_32.bmp | phi1_32.bmp-withWavelet_rbio1.1-G_1-H1e-005_af3.wfa | rbio1.1 | af3 | 1 | 0.00001 | 24576  | 8192   | 8192   | 3     | 528   | 24  | 24  | 30.437 | 576   | 0.070313 |
| phi1_32.bmp | phi1_32.bmp-withWavelet_sym1-G_1-H1e-005_af3.wfa    | sym1    | af3 | 1 | 0.00001 | 24576  | 8192   | 8192   | 3     | 528   | 24  | 24  | 30.531 | 576   | 0.070313 |
| phi1_32.bmp | phi1_32.bmp-withWavelet_bior1.1-G_1-H1e-005_af3.wfa | bior1.1 | af3 | 1 | 0.00001 | 24576  | 8192   | 8192   | 3     | 528   | 24  | 24  | 30.406 | 576   | 0.070313 |
| phi1_32.bmp | phi1_32.bmp-G_1-H1e-005_af4.wfa                     |         | af4 | 1 | 0.00001 | 24576  | 8192   |        | 2     | 368   | 16  | 16  | 29.578 | 400   | 0.048828 |
| phi1_32.bmp | phi1_32.bmp-withWavelet_haar-G_1-H1e-005_af4.wfa    | haar    | af4 | 1 | 0.00001 | 24576  | 8192   | 8192   | 5     | 1040  | 40  | 40  | 35.75  | 1120  | 0.136719 |
| phi1_32.bmp | phi1_32.bmp-withWavelet_rbio1.1-G_1-H1e-005_af4.wfa | rbio1.1 | af4 | 1 | 0.00001 | 24576  | 8192   | 8192   | 5     | 1040  | 40  | 40  | 35.36  | 1120  | 0.136719 |
| phi1_32.bmp | phi1_32.bmp-withWavelet_sym1-G_1-H1e-005_af4.wfa    | sym1    | af4 | 1 | 0.00001 | 24576  | 8192   | 8192   | 5     | 1040  | 40  | 40  | 35.609 | 1120  | 0.136719 |
| phi1_32.bmp | phi1_32.bmp-withWavelet_bior1.1-G_1-H1e-005_af4.wfa | bior1.1 | af4 | 1 | 0.00001 | 24576  | 8192   | 8192   | 5     | 1040  | 40  | 40  | 35.359 | 1120  | 0.136719 |
| phi1_32.bmp | phi1_32.bmp-G_1-H1e-005_af5.wfa                     |         | af5 | 1 | 0.00001 | 24576  | 8192   |        | 3     | 528   | 24  | 24  | 30.094 | 576   | 0.070313 |
| phi1_32.bmp | phi1_32.bmp-withWavelet_haar-G_1-H1e-005_af5.wfa    | haar    | af5 | 1 | 0.00001 | 24576  | 8192   | 8192   | 19    | 11792 | 152 | 152 | 50.062 | 12096 | 1.476563 |

|             |   |         |     |     |         |       |      |      |    |       |     |     |        |       |          |
|-------------|---|---------|-----|-----|---------|-------|------|------|----|-------|-----|-----|--------|-------|----------|
| phi1_32.bmp | phi1_32.bmp-withWavelet_rbio1.1-G_1-H1e-005_af5.wfa   | rbio1.1 | af5 | 1   | 0.00001 | 24576 | 8192 | 8192 | 19 | 11792 | 152 | 152 | 50.438 | 12096 | 1.476563 |
| phi1_32.bmp | phi1_32.bmp-withWavelet_sym1-G_1-H1e-005_af5.wfa      | sym1    | af5 | 1   | 0.00001 | 24576 | 8192 | 8192 | 19 | 11792 | 152 | 152 | 50.109 | 12096 | 1.476563 |
| phi1_32.bmp | phi1_32.bmp-withWavelet_bior1.1-G_1-H1e-005_af5.wfa   | bior1.1 | af5 | 1   | 0.00001 | 24576 | 8192 | 8192 | 19 | 11792 | 152 | 152 | 49.766 | 12096 | 1.476563 |
| phi1_32.bmp | phi1_32.bmp-G_0.8-H1e-005_af1.wfa                     |         | af1 | 0.8 | 0.00001 | 24576 | 8192 |      | 2  | 368   | 16  | 16  | 27.703 | 400   | 0.048828 |
| phi1_32.bmp | phi1_32.bmp-withWavelet_haar-G_0.8-H1e-005_af1.wfa    | haar    | af1 | 0.8 | 0.00001 | 24576 | 8192 | 8192 | 3  | 528   | 24  | 24  | 28.031 | 576   | 0.070313 |
| phi1_32.bmp | phi1_32.bmp-withWavelet_rbio1.1-G_0.8-H1e-005_af1.wfa | rbio1.1 | af1 | 0.8 | 0.00001 | 24576 | 8192 | 8192 | 3  | 528   | 24  | 24  | 28.782 | 576   | 0.070313 |
| phi1_32.bmp | phi1_32.bmp-withWavelet_sym1-G_0.8-H1e-005_af1.wfa    | sym1    | af1 | 0.8 | 0.00001 | 24576 | 8192 | 8192 | 3  | 528   | 24  | 24  | 28.047 | 576   | 0.070313 |
| phi1_32.bmp | phi1_32.bmp-withWavelet_bior1.1-G_0.8-H1e-005_af1.wfa | bior1.1 | af1 | 0.8 | 0.00001 | 24576 | 8192 | 8192 | 3  | 528   | 24  | 24  | 28.094 | 576   | 0.070313 |
| phi1_32.bmp | phi1_32.bmp-G_0.8-H1e-005_af2.wfa                     |         | af2 | 0.8 | 0.00001 | 24576 | 8192 |      | 4  | 752   | 32  | 32  | 28.641 | 816   | 0.099609 |
| phi1_32.bmp | phi1_32.bmp-withWavelet_haar-G_0.8-H1e-005_af2.wfa    | haar    | af2 | 0.8 | 0.00001 | 24576 | 8192 | 8192 | 9  | 2832  | 72  | 72  | 35.156 | 2976  | 0.363281 |
| phi1_32.bmp | phi1_32.bmp-withWavelet_rbio1.1-G_0.8-H1e-005_af2.wfa | rbio1.1 | af2 | 0.8 | 0.00001 | 24576 | 8192 | 8192 | 9  | 2832  | 72  | 72  | 34.782 | 2976  | 0.363281 |
| phi1_32.bmp | phi1_32.bmp-withWavelet_sym1-G_0.8-H1e-005_af2.wfa    | sym1    | af2 | 0.8 | 0.00001 | 24576 | 8192 | 8192 | 9  | 2832  | 72  | 72  | 34.906 | 2976  | 0.363281 |
| phi1_32.bmp | phi1_32.bmp-withWavelet_bior1.1-G_0.8-H1e-005_af2.wfa | bior1.1 | af2 | 0.8 | 0.00001 | 24576 | 8192 | 8192 | 9  | 2832  | 72  | 72  | 34.797 | 2976  | 0.363281 |
| phi1_32.bmp | phi1_32.bmp-G_0.8-H1e-005_af3.wfa                     |         | af3 | 0.8 | 0.00001 | 24576 | 8192 |      | 2  | 368   | 16  | 16  | 27.75  | 400   | 0.048828 |
| phi1_32.bmp | phi1_32.bmp-withWavelet_haar-G_0.8-H1e-005_af3.wfa    | haar    | af3 | 0.8 | 0.00001 | 24576 | 8192 | 8192 | 3  | 528   | 24  | 24  | 27.984 | 576   | 0.070313 |
| phi1_32.bmp | phi1_32.bmp-withWavelet_rbio1.1-G_0.8-H1e-005_af3.wfa | rbio1.1 | af3 | 0.8 | 0.00001 | 24576 | 8192 | 8192 | 3  | 528   | 24  | 24  | 28.063 | 576   | 0.070313 |
| phi1_32.bmp | phi1_32.bmp-withWavelet_sym1-G_0.8-H1e-005_af3.wfa    | sym1    | af3 | 0.8 | 0.00001 | 24576 | 8192 | 8192 | 3  | 528   | 24  | 24  | 28.125 | 576   | 0.070313 |
| phi1_32.bmp | phi1_32.bmp-withWavelet_bior1.1-G_0.8-H1e-005_af3.wfa | bior1.1 | af3 | 0.8 | 0.00001 | 24576 | 8192 | 8192 | 3  | 528   | 24  | 24  | 28.203 | 576   | 0.070313 |
| phi1_32.bmp | phi1_32.bmp-G_0.8-H1e-005_af4.wfa                     |         | af4 | 0.8 | 0.00001 | 24576 | 8192 |      | 2  | 368   | 16  | 16  | 27.719 | 400   | 0.048828 |
| phi1_32.bmp | phi1_32.bmp-withWavelet_haar-G_0.8-H1e-005_af4.wfa    | haar    | af4 | 0.8 | 0.00001 | 24576 | 8192 | 8192 | 5  | 1040  | 40  | 40  | 30.969 | 1120  | 0.136719 |
| phi1_32.bmp | phi1_32.bmp-withWavelet_rbio1.1-G_0.8-H1e-005_af4.wfa | rbio1.1 | af4 | 0.8 | 0.00001 | 24576 | 8192 | 8192 | 5  | 1040  | 40  | 40  | 31.375 | 1120  | 0.136719 |
| phi1_32.bmp | phi1_32.bmp-withWavelet_sym1-G_0.8-H1e-005_af4.wfa    | sym1    | af4 | 0.8 | 0.00001 | 24576 | 8192 | 8192 | 5  | 1040  | 40  | 40  | 30.844 | 1120  | 0.136719 |
| phi1_32.bmp | phi1_32.bmp-withWavelet_bior1.1-G_0.8-H1e-005_af4.wfa | bior1.1 | af4 | 0.8 | 0.00001 | 24576 | 8192 | 8192 | 5  | 1040  | 40  | 40  | 30.797 | 1120  | 0.136719 |
| phi1_32.bmp | phi1_32.bmp-G_0.8-H1e-005_af5.wfa                     |         | af5 | 0.8 | 0.00001 | 24576 | 8192 |      | 3  | 528   | 24  | 24  | 27.781 | 576   | 0.070313 |
| phi1_32.bmp | phi1_32.bmp-withWavelet_haar-G_0.8-H1e-005_af5.wfa    | haar    | af5 | 0.8 | 0.00001 | 24576 | 8192 | 8192 | 19 | 11792 | 152 | 152 | 36.89  | 12096 | 1.476563 |
| phi1_32.bmp | phi1_32.bmp-withWavelet_rbio1.1-G_0.8-H1e-005_af5.wfa | rbio1.1 | af5 | 0.8 | 0.00001 | 24576 | 8192 | 8192 | 19 | 11792 | 152 | 152 | 37.204 | 12096 | 1.476563 |
| phi1_32.bmp | phi1_32.bmp-withWavelet_sym1-G_0.8-H1e-005_af5.wfa    | sym1    | af5 | 0.8 | 0.00001 | 24576 | 8192 | 8192 | 19 | 11792 | 152 | 152 | 36.954 | 12096 | 1.476563 |
| phi1_32.bmp | phi1_32.bmp-withWavelet_bior1.1-G_0.8-H1e-005_af5.wfa | bior1.1 | af5 | 0.8 | 0.00001 | 24576 | 8192 | 8192 | 19 | 11792 | 152 | 152 | 37     | 12096 | 1.476563 |
| phi1_32.bmp | phi1_32.bmp-G_0.6-H1e-005_af1.wfa                     |         | af1 | 0.6 | 0.00001 | 24576 | 8192 |      | 2  | 368   | 16  | 16  | 27.547 | 400   | 0.048828 |
| phi1_32.bmp | phi1_32.bmp-withWavelet_haar-G_0.6-H1e-005_af1.wfa    | haar    | af1 | 0.6 | 0.00001 | 24576 | 8192 | 8192 | 4  | 752   | 32  | 32  | 28.172 | 816   | 0.099609 |
| phi1_32.bmp | phi1_32.bmp-withWavelet_rbio1.1-G_0.6-H1e-005_af1.wfa | rbio1.1 | af1 | 0.6 | 0.00001 | 24576 | 8192 | 8192 | 4  | 752   | 32  | 32  | 28.235 | 816   | 0.099609 |

|             |   |         |     |     |         |       |      |      |    |       |     |     |        |       |          |
|-------------|---|---------|-----|-----|---------|-------|------|------|----|-------|-----|-----|--------|-------|----------|
| phi1_32.bmp | phi1_32.bmp-withWavelet_sym1-G_0.6-H1e-005_af1.wfa    | sym1    | af1 | 0.6 | 0.00001 | 24576 | 8192 | 8192 | 4  | 752   | 32  | 32  | 28.187 | 816   | 0.099609 |
| phi1_32.bmp | phi1_32.bmp-withWavelet_bior1.1-G_0.6-H1e-005_af1.wfa | bior1.1 | af1 | 0.6 | 0.00001 | 24576 | 8192 | 8192 | 4  | 752   | 32  | 32  | 28.312 | 816   | 0.099609 |
| phi1_32.bmp | phi1_32.bmp-G_0.6-H1e-005_af2.wfa                     |         | af2 | 0.6 | 0.00001 | 24576 | 8192 |      | 4  | 752   | 32  | 32  | 28.171 | 816   | 0.099609 |
| phi1_32.bmp | phi1_32.bmp-withWavelet_haar-G_0.6-H1e-005_af2.wfa    | haar    | af2 | 0.6 | 0.00001 | 24576 | 8192 | 8192 | 9  | 2832  | 72  | 72  | 32.454 | 2976  | 0.363281 |
| phi1_32.bmp | phi1_32.bmp-withWavelet_rbio1.1-G_0.6-H1e-005_af2.wfa | rbio1.1 | af2 | 0.6 | 0.00001 | 24576 | 8192 | 8192 | 9  | 2832  | 72  | 72  | 32.547 | 2976  | 0.363281 |
| phi1_32.bmp | phi1_32.bmp-withWavelet_sym1-G_0.6-H1e-005_af2.wfa    | sym1    | af2 | 0.6 | 0.00001 | 24576 | 8192 | 8192 | 9  | 2832  | 72  | 72  | 32.562 | 2976  | 0.363281 |
| phi1_32.bmp | phi1_32.bmp-withWavelet_bior1.1-G_0.6-H1e-005_af2.wfa | bior1.1 | af2 | 0.6 | 0.00001 | 24576 | 8192 | 8192 | 9  | 2832  | 72  | 72  | 32.875 | 2976  | 0.363281 |
| phi1_32.bmp | phi1_32.bmp-G_0.6-H1e-005_af3.wfa                     |         | af3 | 0.6 | 0.00001 | 24576 | 8192 |      | 2  | 368   | 16  | 16  | 27.531 | 400   | 0.048828 |
| phi1_32.bmp | phi1_32.bmp-withWavelet_haar-G_0.6-H1e-005_af3.wfa    | haar    | af3 | 0.6 | 0.00001 | 24576 | 8192 | 8192 | 4  | 752   | 32  | 32  | 28.734 | 816   | 0.099609 |
| phi1_32.bmp | phi1_32.bmp-withWavelet_rbio1.1-G_0.6-H1e-005_af3.wfa | rbio1.1 | af3 | 0.6 | 0.00001 | 24576 | 8192 | 8192 | 4  | 752   | 32  | 32  | 28.047 | 816   | 0.099609 |
| phi1_32.bmp | phi1_32.bmp-withWavelet_sym1-G_0.6-H1e-005_af3.wfa    | sym1    | af3 | 0.6 | 0.00001 | 24576 | 8192 | 8192 | 4  | 752   | 32  | 32  | 28.172 | 816   | 0.099609 |
| phi1_32.bmp | phi1_32.bmp-withWavelet_bior1.1-G_0.6-H1e-005_af3.wfa | bior1.1 | af3 | 0.6 | 0.00001 | 24576 | 8192 | 8192 | 4  | 752   | 32  | 32  | 28.312 | 816   | 0.099609 |
| phi1_32.bmp | phi1_32.bmp-G_0.6-H1e-005_af4.wfa                     |         | af4 | 0.6 | 0.00001 | 24576 | 8192 |      | 2  | 368   | 16  | 16  | 27.296 | 400   | 0.048828 |
| phi1_32.bmp | phi1_32.bmp-withWavelet_haar-G_0.6-H1e-005_af4.wfa    | haar    | af4 | 0.6 | 0.00001 | 24576 | 8192 | 8192 | 5  | 1040  | 40  | 40  | 29.375 | 1120  | 0.136719 |
| phi1_32.bmp | phi1_32.bmp-withWavelet_rbio1.1-G_0.6-H1e-005_af4.wfa | rbio1.1 | af4 | 0.6 | 0.00001 | 24576 | 8192 | 8192 | 5  | 1040  | 40  | 40  | 29.5   | 1120  | 0.136719 |
| phi1_32.bmp | phi1_32.bmp-withWavelet_sym1-G_0.6-H1e-005_af4.wfa    | sym1    | af4 | 0.6 | 0.00001 | 24576 | 8192 | 8192 | 5  | 1040  | 40  | 40  | 29.171 | 1120  | 0.136719 |
| phi1_32.bmp | phi1_32.bmp-withWavelet_bior1.1-G_0.6-H1e-005_af4.wfa | bior1.1 | af4 | 0.6 | 0.00001 | 24576 | 8192 | 8192 | 5  | 1040  | 40  | 40  | 29.422 | 1120  | 0.136719 |
| phi1_32.bmp | phi1_32.bmp-G_0.6-H1e-005_af5.wfa                     |         | af5 | 0.6 | 0.00001 | 24576 | 8192 |      | 3  | 528   | 24  | 24  | 27.422 | 576   | 0.070313 |
| phi1_32.bmp | phi1_32.bmp-withWavelet_haar-G_0.6-H1e-005_af5.wfa    | haar    | af5 | 0.6 | 0.00001 | 24576 | 8192 | 8192 | 19 | 11792 | 152 | 152 | 33.937 | 12096 | 1.476563 |
| phi1_32.bmp | phi1_32.bmp-withWavelet_rbio1.1-G_0.6-H1e-005_af5.wfa | rbio1.1 | af5 | 0.6 | 0.00001 | 24576 | 8192 | 8192 | 19 | 11792 | 152 | 152 | 33.828 | 12096 | 1.476563 |
| phi1_32.bmp | phi1_32.bmp-withWavelet_sym1-G_0.6-H1e-005_af5.wfa    | sym1    | af5 | 0.6 | 0.00001 | 24576 | 8192 | 8192 | 19 | 11792 | 152 | 152 | 33.75  | 12096 | 1.476563 |
| phi1_32.bmp | phi1_32.bmp-withWavelet_bior1.1-G_0.6-H1e-005_af5.wfa | bior1.1 | af5 | 0.6 | 0.00001 | 24576 | 8192 | 8192 | 19 | 11792 | 152 | 152 | 33.829 | 12096 | 1.476563 |
| phi1_32.bmp | phi1_32.bmp-G_1-H2e-005_af1.wfa                       |         | af1 | 1   | 0.00002 | 24576 | 8192 |      | 2  | 368   | 16  | 16  | 29.657 | 400   | 0.048828 |
| phi1_32.bmp | phi1_32.bmp-withWavelet_haar-G_1-H2e-005_af1.wfa      | haar    | af1 | 1   | 0.00002 | 24576 | 8192 | 8192 | 3  | 528   | 24  | 24  | 30.844 | 576   | 0.070313 |
| phi1_32.bmp | phi1_32.bmp-withWavelet_rbio1.1-G_1-H2e-005_af1.wfa   | rbio1.1 | af1 | 1   | 0.00002 | 24576 | 8192 | 8192 | 3  | 528   | 24  | 24  | 30.75  | 576   | 0.070313 |
| phi1_32.bmp | phi1_32.bmp-withWavelet_sym1-G_1-H2e-005_af1.wfa      | sym1    | af1 | 1   | 0.00002 | 24576 | 8192 | 8192 | 3  | 528   | 24  | 24  | 30.718 | 576   | 0.070313 |
| phi1_32.bmp | phi1_32.bmp-withWavelet_bior1.1-G_1-H2e-005_af1.wfa   | bior1.1 | af1 | 1   | 0.00002 | 24576 | 8192 | 8192 | 3  | 528   | 24  | 24  | 30.594 | 576   | 0.070313 |
| phi1_32.bmp | phi1_32.bmp-G_1-H2e-005_af2.wfa                       |         | af2 | 1   | 0.00002 | 24576 | 8192 |      | 3  | 528   | 24  | 24  | 30.234 | 576   | 0.070313 |
| phi1_32.bmp | phi1_32.bmp-withWavelet_haar-G_1-H2e-005_af2.wfa      | haar    | af2 | 1   | 0.00002 | 24576 | 8192 | 8192 | 8  | 2288  | 64  | 64  | 42.047 | 2416  | 0.294922 |
| phi1_32.bmp | phi1_32.bmp-withWavelet_rbio1.1-G_1-H2e-005_af2.wfa   | rbio1.1 | af2 | 1   | 0.00002 | 24576 | 8192 | 8192 | 8  | 2288  | 64  | 64  | 42.266 | 2416  | 0.294922 |
| phi1_32.bmp | phi1_32.bmp-withWavelet_sym1-G_1-H2e-005_af2.wfa      | sym1    | af2 | 1   | 0.00002 | 24576 | 8192 | 8192 | 8  | 2288  | 64  | 64  | 41.421 | 2416  | 0.294922 |



|             |   |         |     |     |         |       |      |      |    |      |     |     |        |      |          |
|-------------|---|---------|-----|-----|---------|-------|------|------|----|------|-----|-----|--------|------|----------|
| phi1_32.bmp | phi1_32.bmp-withWavelet_bior1.1-G_1-H2e-005_af2.wfa   | bior1.1 | af2 | 1   | 0.00002 | 24576 | 8192 | 8192 | 8  | 2288 | 64  | 64  | 42.422 | 2416 | 0.294922 |
| phi1_32.bmp | phi1_32.bmp-G_1-H2e-005_af3.wfa                       |         | af3 | 1   | 0.00002 | 24576 | 8192 |      | 2  | 368  | 16  | 16  | 29.453 | 400  | 0.048828 |
| phi1_32.bmp | phi1_32.bmp-withWavelet_haar-G_1-H2e-005_af3.wfa      | haar    | af3 | 1   | 0.00002 | 24576 | 8192 | 8192 | 3  | 528  | 24  | 24  | 30.5   | 576  | 0.070313 |
| phi1_32.bmp | phi1_32.bmp-withWavelet_rbio1.1-G_1-H2e-005_af3.wfa   | rbio1.1 | af3 | 1   | 0.00002 | 24576 | 8192 | 8192 | 3  | 528  | 24  | 24  | 30.64  | 576  | 0.070313 |
| phi1_32.bmp | phi1_32.bmp-withWavelet_sym1-G_1-H2e-005_af3.wfa      | sym1    | af3 | 1   | 0.00002 | 24576 | 8192 | 8192 | 3  | 528  | 24  | 24  | 31.015 | 576  | 0.070313 |
| phi1_32.bmp | phi1_32.bmp-withWavelet_bior1.1-G_1-H2e-005_af3.wfa   | bior1.1 | af3 | 1   | 0.00002 | 24576 | 8192 | 8192 | 3  | 528  | 24  | 24  | 30.625 | 576  | 0.070313 |
| phi1_32.bmp | phi1_32.bmp-G_1-H2e-005_af4.wfa                       |         | af4 | 1   | 0.00002 | 24576 | 8192 |      | 2  | 368  | 16  | 16  | 29.609 | 400  | 0.048828 |
| phi1_32.bmp | phi1_32.bmp-withWavelet_haar-G_1-H2e-005_af4.wfa      | haar    | af4 | 1   | 0.00002 | 24576 | 8192 | 8192 | 5  | 1040 | 40  | 40  | 35.406 | 1120 | 0.136719 |
| phi1_32.bmp | phi1_32.bmp-withWavelet_rbio1.1-G_1-H2e-005_af4.wfa   | rbio1.1 | af4 | 1   | 0.00002 | 24576 | 8192 | 8192 | 5  | 1040 | 40  | 40  | 35.719 | 1120 | 0.136719 |
| phi1_32.bmp | phi1_32.bmp-withWavelet_sym1-G_1-H2e-005_af4.wfa      | sym1    | af4 | 1   | 0.00002 | 24576 | 8192 | 8192 | 5  | 1040 | 40  | 40  | 35.937 | 1120 | 0.136719 |
| phi1_32.bmp | phi1_32.bmp-withWavelet_bior1.1-G_1-H2e-005_af4.wfa   | bior1.1 | af4 | 1   | 0.00002 | 24576 | 8192 | 8192 | 5  | 1040 | 40  | 40  | 35.688 | 1120 | 0.136719 |
| phi1_32.bmp | phi1_32.bmp-G_1-H2e-005_af5.wfa                       |         | af5 | 1   | 0.00002 | 24576 | 8192 |      | 2  | 368  | 16  | 16  | 29.515 | 400  | 0.048828 |
| phi1_32.bmp | phi1_32.bmp-withWavelet_haar-G_1-H2e-005_af5.wfa      | haar    | af5 | 1   | 0.00002 | 24576 | 8192 | 8192 | 17 | 9488 | 136 | 136 | 45.172 | 9760 | 1.191406 |
| phi1_32.bmp | phi1_32.bmp-withWavelet_rbio1.1-G_1-H2e-005_af5.wfa   | rbio1.1 | af5 | 1   | 0.00002 | 24576 | 8192 | 8192 | 17 | 9488 | 136 | 136 | 44.891 | 9760 | 1.191406 |
| phi1_32.bmp | phi1_32.bmp-withWavelet_sym1-G_1-H2e-005_af5.wfa      | sym1    | af5 | 1   | 0.00002 | 24576 | 8192 | 8192 | 17 | 9488 | 136 | 136 | 45.062 | 9760 | 1.191406 |
| phi1_32.bmp | phi1_32.bmp-withWavelet_bior1.1-G_1-H2e-005_af5.wfa   | bior1.1 | af5 | 1   | 0.00002 | 24576 | 8192 | 8192 | 17 | 9488 | 136 | 136 | 44.984 | 9760 | 1.191406 |
| phi1_32.bmp | phi1_32.bmp-G_0.8-H2e-005_af1.wfa                     |         | af1 | 0.8 | 0.00002 | 24576 | 8192 |      | 2  | 368  | 16  | 16  | 27.625 | 400  | 0.048828 |
| phi1_32.bmp | phi1_32.bmp-withWavelet_haar-G_0.8-H2e-005_af1.wfa    | haar    | af1 | 0.8 | 0.00002 | 24576 | 8192 | 8192 | 3  | 528  | 24  | 24  | 28.125 | 576  | 0.070313 |
| phi1_32.bmp | phi1_32.bmp-withWavelet_rbio1.1-G_0.8-H2e-005_af1.wfa | rbio1.1 | af1 | 0.8 | 0.00002 | 24576 | 8192 | 8192 | 3  | 528  | 24  | 24  | 28.031 | 576  | 0.070313 |
| phi1_32.bmp | phi1_32.bmp-withWavelet_sym1-G_0.8-H2e-005_af1.wfa    | sym1    | af1 | 0.8 | 0.00002 | 24576 | 8192 | 8192 | 3  | 528  | 24  | 24  | 27.984 | 576  | 0.070313 |
| phi1_32.bmp | phi1_32.bmp-withWavelet_bior1.1-G_0.8-H2e-005_af1.wfa | bior1.1 | af1 | 0.8 | 0.00002 | 24576 | 8192 | 8192 | 3  | 528  | 24  | 24  | 28.187 | 576  | 0.070313 |
| phi1_32.bmp | phi1_32.bmp-G_0.8-H2e-005_af2.wfa                     |         | af2 | 0.8 | 0.00002 | 24576 | 8192 |      | 3  | 528  | 24  | 24  | 27.781 | 576  | 0.070313 |
| phi1_32.bmp | phi1_32.bmp-withWavelet_haar-G_0.8-H2e-005_af2.wfa    | haar    | af2 | 0.8 | 0.00002 | 24576 | 8192 | 8192 | 8  | 2288 | 64  | 64  | 33.297 | 2416 | 0.294922 |
| phi1_32.bmp | phi1_32.bmp-withWavelet_rbio1.1-G_0.8-H2e-005_af2.wfa | rbio1.1 | af2 | 0.8 | 0.00002 | 24576 | 8192 | 8192 | 8  | 2288 | 64  | 64  | 33.531 | 2416 | 0.294922 |
| phi1_32.bmp | phi1_32.bmp-withWavelet_sym1-G_0.8-H2e-005_af2.wfa    | sym1    | af2 | 0.8 | 0.00002 | 24576 | 8192 | 8192 | 8  | 2288 | 64  | 64  | 34.031 | 2416 | 0.294922 |
| phi1_32.bmp | phi1_32.bmp-withWavelet_bior1.1-G_0.8-H2e-005_af2.wfa | bior1.1 | af2 | 0.8 | 0.00002 | 24576 | 8192 | 8192 | 8  | 2288 | 64  | 64  | 33.594 | 2416 | 0.294922 |
| phi1_32.bmp | phi1_32.bmp-G_0.8-H2e-005_af3.wfa                     |         | af3 | 0.8 | 0.00002 | 24576 | 8192 |      | 2  | 368  | 16  | 16  | 27.781 | 400  | 0.048828 |
| phi1_32.bmp | phi1_32.bmp-withWavelet_haar-G_0.8-H2e-005_af3.wfa    | haar    | af3 | 0.8 | 0.00002 | 24576 | 8192 | 8192 | 3  | 528  | 24  | 24  | 28.109 | 576  | 0.070313 |
| phi1_32.bmp | phi1_32.bmp-withWavelet_rbio1.1-G_0.8-H2e-005_af3.wfa | rbio1.1 | af3 | 0.8 | 0.00002 | 24576 | 8192 | 8192 | 3  | 528  | 24  | 24  | 28.078 | 576  | 0.070313 |
| phi1_32.bmp | phi1_32.bmp-withWavelet_sym1-G_0.8-H2e-005_af3.wfa    | sym1    | af3 | 0.8 | 0.00002 | 24576 | 8192 | 8192 | 3  | 528  | 24  | 24  | 28.062 | 576  | 0.070313 |
| phi1_32.bmp | phi1_32.bmp-withWavelet_bior1.1-G_0.8-H2e-005_af3.wfa | bior1.1 | af3 | 0.8 | 0.00002 | 24576 | 8192 | 8192 | 3  | 528  | 24  | 24  | 28.031 | 576  | 0.070313 |

|             |   |         |     |     |         |       |      |      |  |    |      |     |     |        |      |          |
|-------------|---|---------|-----|-----|---------|-------|------|------|--|----|------|-----|-----|--------|------|----------|
| phi1_32.bmp | phi1_32.bmp-G_0.8-H2e-005_af4.wfa                     |         | af4 | 0.8 | 0.00002 | 24576 | 8192 |      |  | 2  | 368  | 16  | 16  | 27.812 | 400  | 0.048828 |
| phi1_32.bmp | phi1_32.bmp-withWavelet_haar-G_0.8-H2e-005_af4.wfa    | haar    | af4 | 0.8 | 0.00002 | 24576 | 8192 | 8192 |  | 5  | 1040 | 40  | 40  | 30.985 | 1120 | 0.136719 |
| phi1_32.bmp | phi1_32.bmp-withWavelet_rbio1.1-G_0.8-H2e-005_af4.wfa | rbio1.1 | af4 | 0.8 | 0.00002 | 24576 | 8192 | 8192 |  | 5  | 1040 | 40  | 40  | 30.672 | 1120 | 0.136719 |
| phi1_32.bmp | phi1_32.bmp-withWavelet_sym1-G_0.8-H2e-005_af4.wfa    | sym1    | af4 | 0.8 | 0.00002 | 24576 | 8192 | 8192 |  | 5  | 1040 | 40  | 40  | 30.984 | 1120 | 0.136719 |
| phi1_32.bmp | phi1_32.bmp-withWavelet_bior1.1-G_0.8-H2e-005_af4.wfa | bior1.1 | af4 | 0.8 | 0.00002 | 24576 | 8192 | 8192 |  | 5  | 1040 | 40  | 40  | 30.75  | 1120 | 0.136719 |
| phi1_32.bmp | phi1_32.bmp-G_0.8-H2e-005_af5.wfa                     |         | af5 | 0.8 | 0.00002 | 24576 | 8192 |      |  | 2  | 368  | 16  | 16  | 27.562 | 400  | 0.048828 |
| phi1_32.bmp | phi1_32.bmp-withWavelet_haar-G_0.8-H2e-005_af5.wfa    | haar    | af5 | 0.8 | 0.00002 | 24576 | 8192 | 8192 |  | 17 | 9488 | 136 | 136 | 34.969 | 9760 | 1.191406 |
| phi1_32.bmp | phi1_32.bmp-withWavelet_rbio1.1-G_0.8-H2e-005_af5.wfa | rbio1.1 | af5 | 0.8 | 0.00002 | 24576 | 8192 | 8192 |  | 17 | 9488 | 136 | 136 | 35.062 | 9760 | 1.191406 |
| phi1_32.bmp | phi1_32.bmp-withWavelet_sym1-G_0.8-H2e-005_af5.wfa    | sym1    | af5 | 0.8 | 0.00002 | 24576 | 8192 | 8192 |  | 17 | 9488 | 136 | 136 | 35.203 | 9760 | 1.191406 |
| phi1_32.bmp | phi1_32.bmp-withWavelet_bior1.1-G_0.8-H2e-005_af5.wfa | bior1.1 | af5 | 0.8 | 0.00002 | 24576 | 8192 | 8192 |  | 17 | 9488 | 136 | 136 | 34.625 | 9760 | 1.191406 |
| phi1_32.bmp | phi1_32.bmp-G_0.6-H2e-005_af1.wfa                     |         | af1 | 0.6 | 0.00002 | 24576 | 8192 |      |  | 2  | 368  | 16  | 16  | 27.281 | 400  | 0.048828 |
| phi1_32.bmp | phi1_32.bmp-withWavelet_haar-G_0.6-H2e-005_af1.wfa    | haar    | af1 | 0.6 | 0.00002 | 24576 | 8192 | 8192 |  | 3  | 528  | 24  | 24  | 27.594 | 576  | 0.070313 |
| phi1_32.bmp | phi1_32.bmp-withWavelet_rbio1.1-G_0.6-H2e-005_af1.wfa | rbio1.1 | af1 | 0.6 | 0.00002 | 24576 | 8192 | 8192 |  | 3  | 528  | 24  | 24  | 27.532 | 576  | 0.070313 |
| phi1_32.bmp | phi1_32.bmp-withWavelet_sym1-G_0.6-H2e-005_af1.wfa    | sym1    | af1 | 0.6 | 0.00002 | 24576 | 8192 | 8192 |  | 3  | 528  | 24  | 24  | 27.547 | 576  | 0.070313 |
| phi1_32.bmp | phi1_32.bmp-withWavelet_bior1.1-G_0.6-H2e-005_af1.wfa | bior1.1 | af1 | 0.6 | 0.00002 | 24576 | 8192 | 8192 |  | 3  | 528  | 24  | 24  | 27.844 | 576  | 0.070313 |
| phi1_32.bmp | phi1_32.bmp-G_0.6-H2e-005_af2.wfa                     |         | af2 | 0.6 | 0.00002 | 24576 | 8192 |      |  | 3  | 528  | 24  | 24  | 27.422 | 576  | 0.070313 |
| phi1_32.bmp | phi1_32.bmp-withWavelet_haar-G_0.6-H2e-005_af2.wfa    | haar    | af2 | 0.6 | 0.00002 | 24576 | 8192 | 8192 |  | 8  | 2288 | 64  | 64  | 31.562 | 2416 | 0.294922 |
| phi1_32.bmp | phi1_32.bmp-withWavelet_rbio1.1-G_0.6-H2e-005_af2.wfa | rbio1.1 | af2 | 0.6 | 0.00002 | 24576 | 8192 | 8192 |  | 8  | 2288 | 64  | 64  | 31.641 | 2416 | 0.294922 |
| phi1_32.bmp | phi1_32.bmp-withWavelet_sym1-G_0.6-H2e-005_af2.wfa    | sym1    | af2 | 0.6 | 0.00002 | 24576 | 8192 | 8192 |  | 8  | 2288 | 64  | 64  | 31.781 | 2416 | 0.294922 |
| phi1_32.bmp | phi1_32.bmp-withWavelet_bior1.1-G_0.6-H2e-005_af2.wfa | bior1.1 | af2 | 0.6 | 0.00002 | 24576 | 8192 | 8192 |  | 8  | 2288 | 64  | 64  | 31.578 | 2416 | 0.294922 |
| phi1_32.bmp | phi1_32.bmp-G_0.6-H2e-005_af3.wfa                     |         | af3 | 0.6 | 0.00002 | 24576 | 8192 |      |  | 2  | 368  | 16  | 16  | 27.422 | 400  | 0.048828 |
| phi1_32.bmp | phi1_32.bmp-withWavelet_haar-G_0.6-H2e-005_af3.wfa    | haar    | af3 | 0.6 | 0.00002 | 24576 | 8192 | 8192 |  | 3  | 528  | 24  | 24  | 27.453 | 576  | 0.070313 |
| phi1_32.bmp | phi1_32.bmp-withWavelet_rbio1.1-G_0.6-H2e-005_af3.wfa | rbio1.1 | af3 | 0.6 | 0.00002 | 24576 | 8192 | 8192 |  | 3  | 528  | 24  | 24  | 27.406 | 576  | 0.070313 |
| phi1_32.bmp | phi1_32.bmp-withWavelet_sym1-G_0.6-H2e-005_af3.wfa    | sym1    | af3 | 0.6 | 0.00002 | 24576 | 8192 | 8192 |  | 3  | 528  | 24  | 24  | 27.734 | 576  | 0.070313 |
| phi1_32.bmp | phi1_32.bmp-withWavelet_bior1.1-G_0.6-H2e-005_af3.wfa | bior1.1 | af3 | 0.6 | 0.00002 | 24576 | 8192 | 8192 |  | 3  | 528  | 24  | 24  | 27.579 | 576  | 0.070313 |
| phi1_32.bmp | phi1_32.bmp-G_0.6-H2e-005_af4.wfa                     |         | af4 | 0.6 | 0.00002 | 24576 | 8192 |      |  | 2  | 368  | 16  | 16  | 27.469 | 400  | 0.048828 |
| phi1_32.bmp | phi1_32.bmp-withWavelet_haar-G_0.6-H2e-005_af4.wfa    | haar    | af4 | 0.6 | 0.00002 | 24576 | 8192 | 8192 |  | 5  | 1040 | 40  | 40  | 29.469 | 1120 | 0.136719 |
| phi1_32.bmp | phi1_32.bmp-withWavelet_rbio1.1-G_0.6-H2e-005_af4.wfa | rbio1.1 | af4 | 0.6 | 0.00002 | 24576 | 8192 | 8192 |  | 5  | 1040 | 40  | 40  | 29.437 | 1120 | 0.136719 |
| phi1_32.bmp | phi1_32.bmp-withWavelet_sym1-G_0.6-H2e-005_af4.wfa    | sym1    | af4 | 0.6 | 0.00002 | 24576 | 8192 | 8192 |  | 5  | 1040 | 40  | 40  | 29.484 | 1120 | 0.136719 |
| phi1_32.bmp | phi1_32.bmp-withWavelet_bior1.1-G_0.6-H2e-005_af4.wfa | bior1.1 | af4 | 0.6 | 0.00002 | 24576 | 8192 | 8192 |  | 5  | 1040 | 40  | 40  | 29.313 | 1120 | 0.136719 |
| phi1_32.bmp | phi1_32.bmp-G_0.6-H2e-005_af5.wfa                     |         | af5 | 0.6 | 0.00002 | 24576 | 8192 |      |  | 2  | 368  | 16  | 16  | 27.469 | 400  | 0.048828 |

|             |   |         |     |     |         |       |      |      |    |      |     |     |        |      |          |
|-------------|---|---------|-----|-----|---------|-------|------|------|----|------|-----|-----|--------|------|----------|
| phi1_32.bmp | phi1_32.bmp-withWavelet_haar-G_0.6-H2e-005_af5.wfa    | haar    | af5 | 0.6 | 0.00002 | 24576 | 8192 | 8192 | 17 | 9488 | 136 | 136 | 32.25  | 9760 | 1.191406 |
| phi1_32.bmp | phi1_32.bmp-withWavelet_rbio1.1-G_0.6-H2e-005_af5.wfa | rbio1.1 | af5 | 0.6 | 0.00002 | 24576 | 8192 | 8192 | 17 | 9488 | 136 | 136 | 32.422 | 9760 | 1.191406 |
| phi1_32.bmp | phi1_32.bmp-withWavelet_sym1-G_0.6-H2e-005_af5.wfa    | sym1    | af5 | 0.6 | 0.00002 | 24576 | 8192 | 8192 | 17 | 9488 | 136 | 136 | 32.187 | 9760 | 1.191406 |
| phi1_32.bmp | phi1_32.bmp-withWavelet_bior1.1-G_0.6-H2e-005_af5.wfa | bior1.1 | af5 | 0.6 | 0.00002 | 24576 | 8192 | 8192 | 17 | 9488 | 136 | 136 | 32.672 | 9760 | 1.191406 |
| phi1_32.bmp | phi1_32.bmp-G_1-H3e-005_af1.wfa                       |         | af1 | 1   | 0.00003 | 24576 | 8192 |      | 2  | 368  | 16  | 16  | 29.641 | 400  | 0.048828 |
| phi1_32.bmp | phi1_32.bmp-withWavelet_haar-G_1-H3e-005_af1.wfa      | haar    | af1 | 1   | 0.00003 | 24576 | 8192 | 8192 | 3  | 528  | 24  | 24  | 30.641 | 576  | 0.070313 |
| phi1_32.bmp | phi1_32.bmp-withWavelet_rbio1.1-G_1-H3e-005_af1.wfa   | rbio1.1 | af1 | 1   | 0.00003 | 24576 | 8192 | 8192 | 3  | 528  | 24  | 24  | 30.422 | 576  | 0.070313 |
| phi1_32.bmp | phi1_32.bmp-withWavelet_sym1-G_1-H3e-005_af1.wfa      | sym1    | af1 | 1   | 0.00003 | 24576 | 8192 | 8192 | 3  | 528  | 24  | 24  | 30.516 | 576  | 0.070313 |
| phi1_32.bmp | phi1_32.bmp-withWavelet_bior1.1-G_1-H3e-005_af1.wfa   | bior1.1 | af1 | 1   | 0.00003 | 24576 | 8192 | 8192 | 3  | 528  | 24  | 24  | 30.812 | 576  | 0.070313 |
| phi1_32.bmp | phi1_32.bmp-G_1-H3e-005_af2.wfa                       |         | af2 | 1   | 0.00003 | 24576 | 8192 |      | 2  | 368  | 16  | 16  | 29.282 | 400  | 0.048828 |
| phi1_32.bmp | phi1_32.bmp-withWavelet_haar-G_1-H3e-005_af2.wfa      | haar    | af2 | 1   | 0.00003 | 24576 | 8192 | 8192 | 8  | 2288 | 64  | 64  | 42.235 | 2416 | 0.294922 |
| phi1_32.bmp | phi1_32.bmp-withWavelet_rbio1.1-G_1-H3e-005_af2.wfa   | rbio1.1 | af2 | 1   | 0.00003 | 24576 | 8192 | 8192 | 8  | 2288 | 64  | 64  | 40.812 | 2416 | 0.294922 |
| phi1_32.bmp | phi1_32.bmp-withWavelet_sym1-G_1-H3e-005_af2.wfa      | sym1    | af2 | 1   | 0.00003 | 24576 | 8192 | 8192 | 8  | 2288 | 64  | 64  | 42     | 2416 | 0.294922 |
| phi1_32.bmp | phi1_32.bmp-withWavelet_bior1.1-G_1-H3e-005_af2.wfa   | bior1.1 | af2 | 1   | 0.00003 | 24576 | 8192 | 8192 | 8  | 2288 | 64  | 64  | 42.218 | 2416 | 0.294922 |
| phi1_32.bmp | phi1_32.bmp-G_1-H3e-005_af3.wfa                       |         | af3 | 1   | 0.00003 | 24576 | 8192 |      | 2  | 368  | 16  | 16  | 29.672 | 400  | 0.048828 |
| phi1_32.bmp | phi1_32.bmp-withWavelet_haar-G_1-H3e-005_af3.wfa      | haar    | af3 | 1   | 0.00003 | 24576 | 8192 | 8192 | 3  | 528  | 24  | 24  | 30.454 | 576  | 0.070313 |
| phi1_32.bmp | phi1_32.bmp-withWavelet_rbio1.1-G_1-H3e-005_af3.wfa   | rbio1.1 | af3 | 1   | 0.00003 | 24576 | 8192 | 8192 | 3  | 528  | 24  | 24  | 30.453 | 576  | 0.070313 |
| phi1_32.bmp | phi1_32.bmp-withWavelet_sym1-G_1-H3e-005_af3.wfa      | sym1    | af3 | 1   | 0.00003 | 24576 | 8192 | 8192 | 3  | 528  | 24  | 24  | 30.485 | 576  | 0.070313 |
| phi1_32.bmp | phi1_32.bmp-withWavelet_bior1.1-G_1-H3e-005_af3.wfa   | bior1.1 | af3 | 1   | 0.00003 | 24576 | 8192 | 8192 | 3  | 528  | 24  | 24  | 31.063 | 576  | 0.070313 |
| phi1_32.bmp | phi1_32.bmp-G_1-H3e-005_af4.wfa                       |         | af4 | 1   | 0.00003 | 24576 | 8192 |      | 2  | 368  | 16  | 16  | 29.891 | 400  | 0.048828 |
| phi1_32.bmp | phi1_32.bmp-withWavelet_haar-G_1-H3e-005_af4.wfa      | haar    | af4 | 1   | 0.00003 | 24576 | 8192 | 8192 | 5  | 1040 | 40  | 40  | 35.719 | 1120 | 0.136719 |
| phi1_32.bmp | phi1_32.bmp-withWavelet_rbio1.1-G_1-H3e-005_af4.wfa   | rbio1.1 | af4 | 1   | 0.00003 | 24576 | 8192 | 8192 | 5  | 1040 | 40  | 40  | 36.078 | 1120 | 0.136719 |
| phi1_32.bmp | phi1_32.bmp-withWavelet_sym1-G_1-H3e-005_af4.wfa      | sym1    | af4 | 1   | 0.00003 | 24576 | 8192 | 8192 | 5  | 1040 | 40  | 40  | 35.422 | 1120 | 0.136719 |
| phi1_32.bmp | phi1_32.bmp-withWavelet_bior1.1-G_1-H3e-005_af4.wfa   | bior1.1 | af4 | 1   | 0.00003 | 24576 | 8192 | 8192 | 5  | 1040 | 40  | 40  | 35.828 | 1120 | 0.136719 |
| phi1_32.bmp | phi1_32.bmp-G_1-H3e-005_af5.wfa                       |         | af5 | 1   | 0.00003 | 24576 | 8192 |      | 2  | 368  | 16  | 16  | 29.703 | 400  | 0.048828 |
| phi1_32.bmp | phi1_32.bmp-withWavelet_haar-G_1-H3e-005_af5.wfa      | haar    | af5 | 1   | 0.00003 | 24576 | 8192 | 8192 | 16 | 8432 | 128 | 128 | 43.563 | 8688 | 1.060547 |
| phi1_32.bmp | phi1_32.bmp-withWavelet_rbio1.1-G_1-H3e-005_af5.wfa   | rbio1.1 | af5 | 1   | 0.00003 | 24576 | 8192 | 8192 | 16 | 8432 | 128 | 128 | 43.312 | 8688 | 1.060547 |
| phi1_32.bmp | phi1_32.bmp-withWavelet_sym1-G_1-H3e-005_af5.wfa      | sym1    | af5 | 1   | 0.00003 | 24576 | 8192 | 8192 | 16 | 8432 | 128 | 128 | 43.75  | 8688 | 1.060547 |
| phi1_32.bmp | phi1_32.bmp-withWavelet_bior1.1-G_1-H3e-005_af5.wfa   | bior1.1 | af5 | 1   | 0.00003 | 24576 | 8192 | 8192 | 16 | 8432 | 128 | 128 | 43.531 | 8688 | 1.060547 |
| phi1_32.bmp | phi1_32.bmp-G_0.8-H3e-005_af1.wfa                     |         | af1 | 0.8 | 0.00003 | 24576 | 8192 |      | 2  | 368  | 16  | 16  | 27.656 | 400  | 0.048828 |
| phi1_32.bmp | phi1_32.bmp-withWavelet_haar-G_0.8-H3e-005_af1.wfa    | haar    | af1 | 0.8 | 0.00003 | 24576 | 8192 | 8192 | 3  | 528  | 24  | 24  | 28.094 | 576  | 0.070313 |

|             |   |         |     |     |         |       |      |      |    |      |     |     |        |      |          |
|-------------|---|---------|-----|-----|---------|-------|------|------|----|------|-----|-----|--------|------|----------|
| phi1_32.bmp | phi1_32.bmp-withWavelet_rbio1.1-G_0.8-H3e-005_af1.wfa | rbio1.1 | af1 | 0.8 | 0.00003 | 24576 | 8192 | 8192 | 3  | 528  | 24  | 24  | 27.969 | 576  | 0.070313 |
| phi1_32.bmp | phi1_32.bmp-withWavelet_sym1-G_0.8-H3e-005_af1.wfa    | sym1    | af1 | 0.8 | 0.00003 | 24576 | 8192 | 8192 | 3  | 528  | 24  | 24  | 28.11  | 576  | 0.070313 |
| phi1_32.bmp | phi1_32.bmp-withWavelet_bior1.1-G_0.8-H3e-005_af1.wfa | bior1.1 | af1 | 0.8 | 0.00003 | 24576 | 8192 | 8192 | 3  | 528  | 24  | 24  | 28.078 | 576  | 0.070313 |
| phi1_32.bmp | phi1_32.bmp-G_0.8-H3e-005_af2.wfa                     |         | af2 | 0.8 | 0.00003 | 24576 | 8192 |      | 3  | 528  | 24  | 24  | 28.391 | 576  | 0.070313 |
| phi1_32.bmp | phi1_32.bmp-withWavelet_haar-G_0.8-H3e-005_af2.wfa    | haar    | af2 | 0.8 | 0.00003 | 24576 | 8192 | 8192 | 8  | 2288 | 64  | 64  | 33.469 | 2416 | 0.294922 |
| phi1_32.bmp | phi1_32.bmp-withWavelet_rbio1.1-G_0.8-H3e-005_af2.wfa | rbio1.1 | af2 | 0.8 | 0.00003 | 24576 | 8192 | 8192 | 8  | 2288 | 64  | 64  | 34.047 | 2416 | 0.294922 |
| phi1_32.bmp | phi1_32.bmp-withWavelet_sym1-G_0.8-H3e-005_af2.wfa    | sym1    | af2 | 0.8 | 0.00003 | 24576 | 8192 | 8192 | 8  | 2288 | 64  | 64  | 33.343 | 2416 | 0.294922 |
| phi1_32.bmp | phi1_32.bmp-withWavelet_bior1.1-G_0.8-H3e-005_af2.wfa | bior1.1 | af2 | 0.8 | 0.00003 | 24576 | 8192 | 8192 | 8  | 2288 | 64  | 64  | 33.547 | 2416 | 0.294922 |
| phi1_32.bmp | phi1_32.bmp-G_0.8-H3e-005_af3.wfa                     |         | af3 | 0.8 | 0.00003 | 24576 | 8192 |      | 2  | 368  | 16  | 16  | 27.766 | 400  | 0.048828 |
| phi1_32.bmp | phi1_32.bmp-withWavelet_haar-G_0.8-H3e-005_af3.wfa    | haar    | af3 | 0.8 | 0.00003 | 24576 | 8192 | 8192 | 3  | 528  | 24  | 24  | 28.094 | 576  | 0.070313 |
| phi1_32.bmp | phi1_32.bmp-withWavelet_rbio1.1-G_0.8-H3e-005_af3.wfa | rbio1.1 | af3 | 0.8 | 0.00003 | 24576 | 8192 | 8192 | 3  | 528  | 24  | 24  | 28.171 | 576  | 0.070313 |
| phi1_32.bmp | phi1_32.bmp-withWavelet_sym1-G_0.8-H3e-005_af3.wfa    | sym1    | af3 | 0.8 | 0.00003 | 24576 | 8192 | 8192 | 3  | 528  | 24  | 24  | 28.031 | 576  | 0.070313 |
| phi1_32.bmp | phi1_32.bmp-withWavelet_bior1.1-G_0.8-H3e-005_af3.wfa | bior1.1 | af3 | 0.8 | 0.00003 | 24576 | 8192 | 8192 | 3  | 528  | 24  | 24  | 28.219 | 576  | 0.070313 |
| phi1_32.bmp | phi1_32.bmp-G_0.8-H3e-005_af4.wfa                     |         | af4 | 0.8 | 0.00003 | 24576 | 8192 |      | 2  | 368  | 16  | 16  | 27.86  | 400  | 0.048828 |
| phi1_32.bmp | phi1_32.bmp-withWavelet_haar-G_0.8-H3e-005_af4.wfa    | haar    | af4 | 0.8 | 0.00003 | 24576 | 8192 | 8192 | 5  | 1040 | 40  | 40  | 30.797 | 1120 | 0.136719 |
| phi1_32.bmp | phi1_32.bmp-withWavelet_rbio1.1-G_0.8-H3e-005_af4.wfa | rbio1.1 | af4 | 0.8 | 0.00003 | 24576 | 8192 | 8192 | 5  | 1040 | 40  | 40  | 30.938 | 1120 | 0.136719 |
| phi1_32.bmp | phi1_32.bmp-withWavelet_sym1-G_0.8-H3e-005_af4.wfa    | sym1    | af4 | 0.8 | 0.00003 | 24576 | 8192 | 8192 | 5  | 1040 | 40  | 40  | 30.985 | 1120 | 0.136719 |
| phi1_32.bmp | phi1_32.bmp-withWavelet_bior1.1-G_0.8-H3e-005_af4.wfa | bior1.1 | af4 | 0.8 | 0.00003 | 24576 | 8192 | 8192 | 5  | 1040 | 40  | 40  | 30.797 | 1120 | 0.136719 |
| phi1_32.bmp | phi1_32.bmp-G_0.8-H3e-005_af5.wfa                     |         | af5 | 0.8 | 0.00003 | 24576 | 8192 |      | 2  | 368  | 16  | 16  | 27.594 | 400  | 0.048828 |
| phi1_32.bmp | phi1_32.bmp-withWavelet_haar-G_0.8-H3e-005_af5.wfa    | haar    | af5 | 0.8 | 0.00003 | 24576 | 8192 | 8192 | 16 | 8432 | 128 | 128 | 34.297 | 8688 | 1.060547 |
| phi1_32.bmp | phi1_32.bmp-withWavelet_rbio1.1-G_0.8-H3e-005_af5.wfa | rbio1.1 | af5 | 0.8 | 0.00003 | 24576 | 8192 | 8192 | 16 | 8432 | 128 | 128 | 34.062 | 8688 | 1.060547 |
| phi1_32.bmp | phi1_32.bmp-withWavelet_sym1-G_0.8-H3e-005_af5.wfa    | sym1    | af5 | 0.8 | 0.00003 | 24576 | 8192 | 8192 | 16 | 8432 | 128 | 128 | 33.953 | 8688 | 1.060547 |
| phi1_32.bmp | phi1_32.bmp-withWavelet_bior1.1-G_0.8-H3e-005_af5.wfa | bior1.1 | af5 | 0.8 | 0.00003 | 24576 | 8192 | 8192 | 16 | 8432 | 128 | 128 | 34.062 | 8688 | 1.060547 |
| phi1_32.bmp | phi1_32.bmp-G_0.6-H3e-005_af1.wfa                     |         | af1 | 0.6 | 0.00003 | 24576 | 8192 |      | 2  | 368  | 16  | 16  | 27.39  | 400  | 0.048828 |
| phi1_32.bmp | phi1_32.bmp-withWavelet_haar-G_0.6-H3e-005_af1.wfa    | haar    | af1 | 0.6 | 0.00003 | 24576 | 8192 | 8192 | 3  | 528  | 24  | 24  | 27.547 | 576  | 0.070313 |
| phi1_32.bmp | phi1_32.bmp-withWavelet_rbio1.1-G_0.6-H3e-005_af1.wfa | rbio1.1 | af1 | 0.6 | 0.00003 | 24576 | 8192 | 8192 | 3  | 528  | 24  | 24  | 27.704 | 576  | 0.070313 |
| phi1_32.bmp | phi1_32.bmp-withWavelet_sym1-G_0.6-H3e-005_af1.wfa    | sym1    | af1 | 0.6 | 0.00003 | 24576 | 8192 | 8192 | 3  | 528  | 24  | 24  | 27.5   | 576  | 0.070313 |
| phi1_32.bmp | phi1_32.bmp-withWavelet_bior1.1-G_0.6-H3e-005_af1.wfa | bior1.1 | af1 | 0.6 | 0.00003 | 24576 | 8192 | 8192 | 3  | 528  | 24  | 24  | 27.578 | 576  | 0.070313 |
| phi1_32.bmp | phi1_32.bmp-G_0.6-H3e-005_af2.wfa                     |         | af2 | 0.6 | 0.00003 | 24576 | 8192 |      | 3  | 528  | 24  | 24  | 27.578 | 576  | 0.070313 |
| phi1_32.bmp | phi1_32.bmp-withWavelet_haar-G_0.6-H3e-005_af2.wfa    | haar    | af2 | 0.6 | 0.00003 | 24576 | 8192 | 8192 | 8  | 2288 | 64  | 64  | 31.875 | 2416 | 0.294922 |
| phi1_32.bmp | phi1_32.bmp-withWavelet_rbio1.1-G_0.6-H3e-005_af2.wfa | rbio1.1 | af2 | 0.6 | 0.00003 | 24576 | 8192 | 8192 | 8  | 2288 | 64  | 64  | 31.703 | 2416 | 0.294922 |

|             |   |         |     |     |         |       |      |      |    |      |     |     |        |      |          |
|-------------|---|---------|-----|-----|---------|-------|------|------|----|------|-----|-----|--------|------|----------|
| phi1_32.bmp | phi1_32.bmp-withWavelet_sym1-G_0.6-H3e-005_af2.wfa    | sym1    | af2 | 0.6 | 0.00003 | 24576 | 8192 | 8192 | 8  | 2288 | 64  | 64  | 31.594 | 2416 | 0.294922 |
| phi1_32.bmp | phi1_32.bmp-withWavelet_bior1.1-G_0.6-H3e-005_af2.wfa | bior1.1 | af2 | 0.6 | 0.00003 | 24576 | 8192 | 8192 | 8  | 2288 | 64  | 64  | 31.875 | 2416 | 0.294922 |
| phi1_32.bmp | phi1_32.bmp-G_0.6-H3e-005_af3.wfa                     |         | af3 | 0.6 | 0.00003 | 24576 | 8192 |      | 2  | 368  | 16  | 16  | 27.39  | 400  | 0.048828 |
| phi1_32.bmp | phi1_32.bmp-withWavelet_haar-G_0.6-H3e-005_af3.wfa    | haar    | af3 | 0.6 | 0.00003 | 24576 | 8192 | 8192 | 3  | 528  | 24  | 24  | 27.547 | 576  | 0.070313 |
| phi1_32.bmp | phi1_32.bmp-withWavelet_rbio1.1-G_0.6-H3e-005_af3.wfa | rbio1.1 | af3 | 0.6 | 0.00003 | 24576 | 8192 | 8192 | 3  | 528  | 24  | 24  | 27.531 | 576  | 0.070313 |
| phi1_32.bmp | phi1_32.bmp-withWavelet_sym1-G_0.6-H3e-005_af3.wfa    | sym1    | af3 | 0.6 | 0.00003 | 24576 | 8192 | 8192 | 3  | 528  | 24  | 24  | 27.547 | 576  | 0.070313 |
| phi1_32.bmp | phi1_32.bmp-withWavelet_bior1.1-G_0.6-H3e-005_af3.wfa | bior1.1 | af3 | 0.6 | 0.00003 | 24576 | 8192 | 8192 | 3  | 528  | 24  | 24  | 27.625 | 576  | 0.070313 |
| phi1_32.bmp | phi1_32.bmp-G_0.6-H3e-005_af4.wfa                     |         | af4 | 0.6 | 0.00003 | 24576 | 8192 |      | 2  | 368  | 16  | 16  | 27.219 | 400  | 0.048828 |
| phi1_32.bmp | phi1_32.bmp-withWavelet_haar-G_0.6-H3e-005_af4.wfa    | haar    | af4 | 0.6 | 0.00003 | 24576 | 8192 | 8192 | 5  | 1040 | 40  | 40  | 29.328 | 1120 | 0.136719 |
| phi1_32.bmp | phi1_32.bmp-withWavelet_rbio1.1-G_0.6-H3e-005_af4.wfa | rbio1.1 | af4 | 0.6 | 0.00003 | 24576 | 8192 | 8192 | 5  | 1040 | 40  | 40  | 29.282 | 1120 | 0.136719 |
| phi1_32.bmp | phi1_32.bmp-withWavelet_sym1-G_0.6-H3e-005_af4.wfa    | sym1    | af4 | 0.6 | 0.00003 | 24576 | 8192 | 8192 | 5  | 1040 | 40  | 40  | 29.391 | 1120 | 0.136719 |
| phi1_32.bmp | phi1_32.bmp-withWavelet_bior1.1-G_0.6-H3e-005_af4.wfa | bior1.1 | af4 | 0.6 | 0.00003 | 24576 | 8192 | 8192 | 5  | 1040 | 40  | 40  | 29.344 | 1120 | 0.136719 |
| phi1_32.bmp | phi1_32.bmp-G_0.6-H3e-005_af5.wfa                     |         | af5 | 0.6 | 0.00003 | 24576 | 8192 |      | 2  | 368  | 16  | 16  | 27.344 | 400  | 0.048828 |
| phi1_32.bmp | phi1_32.bmp-withWavelet_haar-G_0.6-H3e-005_af5.wfa    | haar    | af5 | 0.6 | 0.00003 | 24576 | 8192 | 8192 | 16 | 8432 | 128 | 128 | 31.907 | 8688 | 1.060547 |
| phi1_32.bmp | phi1_32.bmp-withWavelet_rbio1.1-G_0.6-H3e-005_af5.wfa | rbio1.1 | af5 | 0.6 | 0.00003 | 24576 | 8192 | 8192 | 16 | 8432 | 128 | 128 | 32.016 | 8688 | 1.060547 |
| phi1_32.bmp | phi1_32.bmp-withWavelet_sym1-G_0.6-H3e-005_af5.wfa    | sym1    | af5 | 0.6 | 0.00003 | 24576 | 8192 | 8192 | 16 | 8432 | 128 | 128 | 32     | 8688 | 1.060547 |
| phi1_32.bmp | phi1_32.bmp-withWavelet_bior1.1-G_0.6-H3e-005_af5.wfa | bior1.1 | af5 | 0.6 | 0.00003 | 24576 | 8192 | 8192 | 16 | 8432 | 128 | 128 | 32.016 | 8688 | 1.060547 |
| phi1_32.bmp | phi1_32.bmp-G_1-H4e-005_af1.wfa                       |         | af1 | 1   | 0.00004 | 24576 | 8192 |      | 2  | 368  | 16  | 16  | 29.625 | 400  | 0.048828 |
| phi1_32.bmp | phi1_32.bmp-withWavelet_haar-G_1-H4e-005_af1.wfa      | haar    | af1 | 1   | 0.00004 | 24576 | 8192 | 8192 | 3  | 528  | 24  | 24  | 30.219 | 576  | 0.070313 |
| phi1_32.bmp | phi1_32.bmp-withWavelet_rbio1.1-G_1-H4e-005_af1.wfa   | rbio1.1 | af1 | 1   | 0.00004 | 24576 | 8192 | 8192 | 3  | 528  | 24  | 24  | 30.547 | 576  | 0.070313 |
| phi1_32.bmp | phi1_32.bmp-withWavelet_sym1-G_1-H4e-005_af1.wfa      | sym1    | af1 | 1   | 0.00004 | 24576 | 8192 | 8192 | 3  | 528  | 24  | 24  | 30.36  | 576  | 0.070313 |
| phi1_32.bmp | phi1_32.bmp-withWavelet_bior1.1-G_1-H4e-005_af1.wfa   | bior1.1 | af1 | 1   | 0.00004 | 24576 | 8192 | 8192 | 3  | 528  | 24  | 24  | 30.281 | 576  | 0.070313 |
| phi1_32.bmp | phi1_32.bmp-G_1-H4e-005_af2.wfa                       |         | af2 | 1   | 0.00004 | 24576 | 8192 |      | 2  | 368  | 16  | 16  | 29.047 | 400  | 0.048828 |
| phi1_32.bmp | phi1_32.bmp-withWavelet_haar-G_1-H4e-005_af2.wfa      | haar    | af2 | 1   | 0.00004 | 24576 | 8192 | 8192 | 8  | 2288 | 64  | 64  | 42.203 | 2416 | 0.294922 |
| phi1_32.bmp | phi1_32.bmp-withWavelet_rbio1.1-G_1-H4e-005_af2.wfa   | rbio1.1 | af2 | 1   | 0.00004 | 24576 | 8192 | 8192 | 8  | 2288 | 64  | 64  | 42.328 | 2416 | 0.294922 |
| phi1_32.bmp | phi1_32.bmp-withWavelet_sym1-G_1-H4e-005_af2.wfa      | sym1    | af2 | 1   | 0.00004 | 24576 | 8192 | 8192 | 8  | 2288 | 64  | 64  | 42.172 | 2416 | 0.294922 |
| phi1_32.bmp | phi1_32.bmp-withWavelet_bior1.1-G_1-H4e-005_af2.wfa   | bior1.1 | af2 | 1   | 0.00004 | 24576 | 8192 | 8192 | 8  | 2288 | 64  | 64  | 42.25  | 2416 | 0.294922 |
| phi1_32.bmp | phi1_32.bmp-G_1-H4e-005_af3.wfa                       |         | af3 | 1   | 0.00004 | 24576 | 8192 |      | 2  | 368  | 16  | 16  | 29.516 | 400  | 0.048828 |
| phi1_32.bmp | phi1_32.bmp-withWavelet_haar-G_1-H4e-005_af3.wfa      | haar    | af3 | 1   | 0.00004 | 24576 | 8192 | 8192 | 3  | 528  | 24  | 24  | 30.578 | 576  | 0.070313 |
| phi1_32.bmp | phi1_32.bmp-withWavelet_rbio1.1-G_1-H4e-005_af3.wfa   | rbio1.1 | af3 | 1   | 0.00004 | 24576 | 8192 | 8192 | 3  | 528  | 24  | 24  | 30.797 | 576  | 0.070313 |
| phi1_32.bmp | phi1_32.bmp-withWavelet_sym1-G_1-H4e-005_af3.wfa      | sym1    | af3 | 1   | 0.00004 | 24576 | 8192 | 8192 | 3  | 528  | 24  | 24  | 30.625 | 576  | 0.070313 |

|             |   |         |     |     |         |       |      |      |    |      |     |     |        |      |          |
|-------------|---|---------|-----|-----|---------|-------|------|------|----|------|-----|-----|--------|------|----------|
| phi1_32.bmp | phi1_32.bmp-withWavelet_bior1.1-G_1-H4e-005_af3.wfa   | bior1.1 | af3 | 1   | 0.00004 | 24576 | 8192 | 8192 | 3  | 528  | 24  | 24  | 30.032 | 576  | 0.070313 |
| phi1_32.bmp | phi1_32.bmp-G_1-H4e-005_af4.wfa                       |         | af4 | 1   | 0.00004 | 24576 | 8192 |      | 2  | 368  | 16  | 16  | 29.781 | 400  | 0.048828 |
| phi1_32.bmp | phi1_32.bmp-withWavelet_haar-G_1-H4e-005_af4.wfa      | haar    | af4 | 1   | 0.00004 | 24576 | 8192 | 8192 | 5  | 1040 | 40  | 40  | 35.813 | 1120 | 0.136719 |
| phi1_32.bmp | phi1_32.bmp-withWavelet_rbio1.1-G_1-H4e-005_af4.wfa   | rbio1.1 | af4 | 1   | 0.00004 | 24576 | 8192 | 8192 | 5  | 1040 | 40  | 40  | 35.64  | 1120 | 0.136719 |
| phi1_32.bmp | phi1_32.bmp-withWavelet_sym1-G_1-H4e-005_af4.wfa      | sym1    | af4 | 1   | 0.00004 | 24576 | 8192 | 8192 | 5  | 1040 | 40  | 40  | 35.531 | 1120 | 0.136719 |
| phi1_32.bmp | phi1_32.bmp-withWavelet_bior1.1-G_1-H4e-005_af4.wfa   | bior1.1 | af4 | 1   | 0.00004 | 24576 | 8192 | 8192 | 5  | 1040 | 40  | 40  | 35.782 | 1120 | 0.136719 |
| phi1_32.bmp | phi1_32.bmp-G_1-H4e-005_af5.wfa                       |         | af5 | 1   | 0.00004 | 24576 | 8192 |      | 2  | 368  | 16  | 16  | 29.766 | 400  | 0.048828 |
| phi1_32.bmp | phi1_32.bmp-withWavelet_haar-G_1-H4e-005_af5.wfa      | haar    | af5 | 1   | 0.00004 | 24576 | 8192 | 8192 | 13 | 5648 | 104 | 104 | 41.234 | 5856 | 0.714844 |
| phi1_32.bmp | phi1_32.bmp-withWavelet_rbio1.1-G_1-H4e-005_af5.wfa   | rbio1.1 | af5 | 1   | 0.00004 | 24576 | 8192 | 8192 | 13 | 5648 | 104 | 104 | 40.782 | 5856 | 0.714844 |
| phi1_32.bmp | phi1_32.bmp-withWavelet_sym1-G_1-H4e-005_af5.wfa      | sym1    | af5 | 1   | 0.00004 | 24576 | 8192 | 8192 | 13 | 5648 | 104 | 104 | 40.734 | 5856 | 0.714844 |
| phi1_32.bmp | phi1_32.bmp-withWavelet_bior1.1-G_1-H4e-005_af5.wfa   | bior1.1 | af5 | 1   | 0.00004 | 24576 | 8192 | 8192 | 13 | 5648 | 104 | 104 | 40.657 | 5856 | 0.714844 |
| phi1_32.bmp | phi1_32.bmp-G_0.8-H4e-005_af1.wfa                     |         | af1 | 0.8 | 0.00004 | 24576 | 8192 |      | 2  | 368  | 16  | 16  | 27.781 | 400  | 0.048828 |
| phi1_32.bmp | phi1_32.bmp-withWavelet_haar-G_0.8-H4e-005_af1.wfa    | haar    | af1 | 0.8 | 0.00004 | 24576 | 8192 | 8192 | 3  | 528  | 24  | 24  | 28.203 | 576  | 0.070313 |
| phi1_32.bmp | phi1_32.bmp-withWavelet_rbio1.1-G_0.8-H4e-005_af1.wfa | rbio1.1 | af1 | 0.8 | 0.00004 | 24576 | 8192 | 8192 | 3  | 528  | 24  | 24  | 28.172 | 576  | 0.070313 |
| phi1_32.bmp | phi1_32.bmp-withWavelet_sym1-G_0.8-H4e-005_af1.wfa    | sym1    | af1 | 0.8 | 0.00004 | 24576 | 8192 | 8192 | 3  | 528  | 24  | 24  | 28.25  | 576  | 0.070313 |
| phi1_32.bmp | phi1_32.bmp-withWavelet_bior1.1-G_0.8-H4e-005_af1.wfa | bior1.1 | af1 | 0.8 | 0.00004 | 24576 | 8192 | 8192 | 3  | 528  | 24  | 24  | 28.234 | 576  | 0.070313 |
| phi1_32.bmp | phi1_32.bmp-G_0.8-H4e-005_af2.wfa                     |         | af2 | 0.8 | 0.00004 | 24576 | 8192 |      | 2  | 368  | 16  | 16  | 27.625 | 400  | 0.048828 |
| phi1_32.bmp | phi1_32.bmp-withWavelet_haar-G_0.8-H4e-005_af2.wfa    | haar    | af2 | 0.8 | 0.00004 | 24576 | 8192 | 8192 | 8  | 2288 | 64  | 64  | 33.656 | 2416 | 0.294922 |
| phi1_32.bmp | phi1_32.bmp-withWavelet_rbio1.1-G_0.8-H4e-005_af2.wfa | rbio1.1 | af2 | 0.8 | 0.00004 | 24576 | 8192 | 8192 | 8  | 2288 | 64  | 64  | 33.625 | 2416 | 0.294922 |
| phi1_32.bmp | phi1_32.bmp-withWavelet_sym1-G_0.8-H4e-005_af2.wfa    | sym1    | af2 | 0.8 | 0.00004 | 24576 | 8192 | 8192 | 8  | 2288 | 64  | 64  | 33.532 | 2416 | 0.294922 |
| phi1_32.bmp | phi1_32.bmp-withWavelet_bior1.1-G_0.8-H4e-005_af2.wfa | bior1.1 | af2 | 0.8 | 0.00004 | 24576 | 8192 | 8192 | 8  | 2288 | 64  | 64  | 33.469 | 2416 | 0.294922 |
| phi1_32.bmp | phi1_32.bmp-G_0.8-H4e-005_af3.wfa                     |         | af3 | 0.8 | 0.00004 | 24576 | 8192 |      | 2  | 368  | 16  | 16  | 27.734 | 400  | 0.048828 |
| phi1_32.bmp | phi1_32.bmp-withWavelet_haar-G_0.8-H4e-005_af3.wfa    | haar    | af3 | 0.8 | 0.00004 | 24576 | 8192 | 8192 | 3  | 528  | 24  | 24  | 28.078 | 576  | 0.070313 |
| phi1_32.bmp | phi1_32.bmp-withWavelet_rbio1.1-G_0.8-H4e-005_af3.wfa | rbio1.1 | af3 | 0.8 | 0.00004 | 24576 | 8192 | 8192 | 3  | 528  | 24  | 24  | 28.25  | 576  | 0.070313 |
| phi1_32.bmp | phi1_32.bmp-withWavelet_sym1-G_0.8-H4e-005_af3.wfa    | sym1    | af3 | 0.8 | 0.00004 | 24576 | 8192 | 8192 | 3  | 528  | 24  | 24  | 28.203 | 576  | 0.070313 |
| phi1_32.bmp | phi1_32.bmp-withWavelet_bior1.1-G_0.8-H4e-005_af3.wfa | bior1.1 | af3 | 0.8 | 0.00004 | 24576 | 8192 | 8192 | 3  | 528  | 24  | 24  | 28.344 | 576  | 0.070313 |
| phi1_32.bmp | phi1_32.bmp-G_0.8-H4e-005_af4.wfa                     |         | af4 | 0.8 | 0.00004 | 24576 | 8192 |      | 2  | 368  | 16  | 16  | 27.64  | 400  | 0.048828 |
| phi1_32.bmp | phi1_32.bmp-withWavelet_haar-G_0.8-H4e-005_af4.wfa    | haar    | af4 | 0.8 | 0.00004 | 24576 | 8192 | 8192 | 5  | 1040 | 40  | 40  | 30.86  | 1120 | 0.136719 |
| phi1_32.bmp | phi1_32.bmp-withWavelet_rbio1.1-G_0.8-H4e-005_af4.wfa | rbio1.1 | af4 | 0.8 | 0.00004 | 24576 | 8192 | 8192 | 5  | 1040 | 40  | 40  | 31.172 | 1120 | 0.136719 |
| phi1_32.bmp | phi1_32.bmp-withWavelet_sym1-G_0.8-H4e-005_af4.wfa    | sym1    | af4 | 0.8 | 0.00004 | 24576 | 8192 | 8192 | 5  | 1040 | 40  | 40  | 30.875 | 1120 | 0.136719 |
| phi1_32.bmp | phi1_32.bmp-withWavelet_bior1.1-G_0.8-H4e-005_af4.wfa | bior1.1 | af4 | 0.8 | 0.00004 | 24576 | 8192 | 8192 | 5  | 1040 | 40  | 40  | 30.859 | 1120 | 0.136719 |

|             |   |         |     |     |         |       |      |      |  |    |      |     |     |        |      |          |
|-------------|---|---------|-----|-----|---------|-------|------|------|--|----|------|-----|-----|--------|------|----------|
| phi1_32.bmp | phi1_32.bmp-G_0.8-H4e-005_af5.wfa                     |         | af5 | 0.8 | 0.00004 | 24576 | 8192 |      |  | 2  | 368  | 16  | 16  | 27.532 | 400  | 0.048828 |
| phi1_32.bmp | phi1_32.bmp-withWavelet_haar-G_0.8-H4e-005_af5.wfa    | haar    | af5 | 0.8 | 0.00004 | 24576 | 8192 | 8192 |  | 13 | 5648 | 104 | 104 | 33.219 | 5856 | 0.714844 |
| phi1_32.bmp | phi1_32.bmp-withWavelet_rbio1.1-G_0.8-H4e-005_af5.wfa | rbio1.1 | af5 | 0.8 | 0.00004 | 24576 | 8192 | 8192 |  | 13 | 5648 | 104 | 104 | 33.203 | 5856 | 0.714844 |
| phi1_32.bmp | phi1_32.bmp-withWavelet_sym1-G_0.8-H4e-005_af5.wfa    | sym1    | af5 | 0.8 | 0.00004 | 24576 | 8192 | 8192 |  | 13 | 5648 | 104 | 104 | 33.157 | 5856 | 0.714844 |
| phi1_32.bmp | phi1_32.bmp-withWavelet_bior1.1-G_0.8-H4e-005_af5.wfa | bior1.1 | af5 | 0.8 | 0.00004 | 24576 | 8192 | 8192 |  | 13 | 5648 | 104 | 104 | 33.235 | 5856 | 0.714844 |
| phi1_32.bmp | phi1_32.bmp-G_0.6-H4e-005_af1.wfa                     |         | af1 | 0.6 | 0.00004 | 24576 | 8192 |      |  | 2  | 368  | 16  | 16  | 27.297 | 400  | 0.048828 |
| phi1_32.bmp | phi1_32.bmp-withWavelet_haar-G_0.6-H4e-005_af1.wfa    | haar    | af1 | 0.6 | 0.00004 | 24576 | 8192 | 8192 |  | 3  | 528  | 24  | 24  | 27.547 | 576  | 0.070313 |
| phi1_32.bmp | phi1_32.bmp-withWavelet_rbio1.1-G_0.6-H4e-005_af1.wfa | rbio1.1 | af1 | 0.6 | 0.00004 | 24576 | 8192 | 8192 |  | 3  | 528  | 24  | 24  | 27.657 | 576  | 0.070313 |
| phi1_32.bmp | phi1_32.bmp-withWavelet_sym1-G_0.6-H4e-005_af1.wfa    | sym1    | af1 | 0.6 | 0.00004 | 24576 | 8192 | 8192 |  | 3  | 528  | 24  | 24  | 27.5   | 576  | 0.070313 |
| phi1_32.bmp | phi1_32.bmp-withWavelet_bior1.1-G_0.6-H4e-005_af1.wfa | bior1.1 | af1 | 0.6 | 0.00004 | 24576 | 8192 | 8192 |  | 3  | 528  | 24  | 24  | 27.468 | 576  | 0.070313 |
| phi1_32.bmp | phi1_32.bmp-G_0.6-H4e-005_af2.wfa                     |         | af2 | 0.6 | 0.00004 | 24576 | 8192 |      |  | 2  | 368  | 16  | 16  | 27.344 | 400  | 0.048828 |
| phi1_32.bmp | phi1_32.bmp-withWavelet_haar-G_0.6-H4e-005_af2.wfa    | haar    | af2 | 0.6 | 0.00004 | 24576 | 8192 | 8192 |  | 8  | 2288 | 64  | 64  | 31.734 | 2416 | 0.294922 |
| phi1_32.bmp | phi1_32.bmp-withWavelet_rbio1.1-G_0.6-H4e-005_af2.wfa | rbio1.1 | af2 | 0.6 | 0.00004 | 24576 | 8192 | 8192 |  | 8  | 2288 | 64  | 64  | 31.844 | 2416 | 0.294922 |
| phi1_32.bmp | phi1_32.bmp-withWavelet_sym1-G_0.6-H4e-005_af2.wfa    | sym1    | af2 | 0.6 | 0.00004 | 24576 | 8192 | 8192 |  | 8  | 2288 | 64  | 64  | 32.172 | 2416 | 0.294922 |
| phi1_32.bmp | phi1_32.bmp-withWavelet_bior1.1-G_0.6-H4e-005_af2.wfa | bior1.1 | af2 | 0.6 | 0.00004 | 24576 | 8192 | 8192 |  | 8  | 2288 | 64  | 64  | 31.828 | 2416 | 0.294922 |
| phi1_32.bmp | phi1_32.bmp-G_0.6-H4e-005_af3.wfa                     |         | af3 | 0.6 | 0.00004 | 24576 | 8192 |      |  | 2  | 368  | 16  | 16  | 27.375 | 400  | 0.048828 |
| phi1_32.bmp | phi1_32.bmp-withWavelet_haar-G_0.6-H4e-005_af3.wfa    | haar    | af3 | 0.6 | 0.00004 | 24576 | 8192 | 8192 |  | 3  | 528  | 24  | 24  | 27.5   | 576  | 0.070313 |
| phi1_32.bmp | phi1_32.bmp-withWavelet_rbio1.1-G_0.6-H4e-005_af3.wfa | rbio1.1 | af3 | 0.6 | 0.00004 | 24576 | 8192 | 8192 |  | 3  | 528  | 24  | 24  | 27.453 | 576  | 0.070313 |
| phi1_32.bmp | phi1_32.bmp-withWavelet_sym1-G_0.6-H4e-005_af3.wfa    | sym1    | af3 | 0.6 | 0.00004 | 24576 | 8192 | 8192 |  | 3  | 528  | 24  | 24  | 27.75  | 576  | 0.070313 |
| phi1_32.bmp | phi1_32.bmp-withWavelet_bior1.1-G_0.6-H4e-005_af3.wfa | bior1.1 | af3 | 0.6 | 0.00004 | 24576 | 8192 | 8192 |  | 3  | 528  | 24  | 24  | 27.578 | 576  | 0.070313 |
| phi1_32.bmp | phi1_32.bmp-G_0.6-H4e-005_af4.wfa                     |         | af4 | 0.6 | 0.00004 | 24576 | 8192 |      |  | 2  | 368  | 16  | 16  | 27.453 | 400  | 0.048828 |
| phi1_32.bmp | phi1_32.bmp-withWavelet_haar-G_0.6-H4e-005_af4.wfa    | haar    | af4 | 0.6 | 0.00004 | 24576 | 8192 | 8192 |  | 5  | 1040 | 40  | 40  | 29.531 | 1120 | 0.136719 |
| phi1_32.bmp | phi1_32.bmp-withWavelet_rbio1.1-G_0.6-H4e-005_af4.wfa | rbio1.1 | af4 | 0.6 | 0.00004 | 24576 | 8192 | 8192 |  | 5  | 1040 | 40  | 40  | 29.453 | 1120 | 0.136719 |
| phi1_32.bmp | phi1_32.bmp-withWavelet_sym1-G_0.6-H4e-005_af4.wfa    | sym1    | af4 | 0.6 | 0.00004 | 24576 | 8192 | 8192 |  | 5  | 1040 | 40  | 40  | 29.328 | 1120 | 0.136719 |
| phi1_32.bmp | phi1_32.bmp-withWavelet_bior1.1-G_0.6-H4e-005_af4.wfa | bior1.1 | af4 | 0.6 | 0.00004 | 24576 | 8192 | 8192 |  | 5  | 1040 | 40  | 40  | 29.375 | 1120 | 0.136719 |
| phi1_32.bmp | phi1_32.bmp-G_0.6-H4e-005_af5.wfa                     |         | af5 | 0.6 | 0.00004 | 24576 | 8192 |      |  | 2  | 368  | 16  | 16  | 27.438 | 400  | 0.048828 |
| phi1_32.bmp | phi1_32.bmp-withWavelet_haar-G_0.6-H4e-005_af5.wfa    | haar    | af5 | 0.6 | 0.00004 | 24576 | 8192 | 8192 |  | 13 | 5648 | 104 | 104 | 31.203 | 5856 | 0.714844 |
| phi1_32.bmp | phi1_32.bmp-withWavelet_rbio1.1-G_0.6-H4e-005_af5.wfa | rbio1.1 | af5 | 0.6 | 0.00004 | 24576 | 8192 | 8192 |  | 13 | 5648 | 104 | 104 | 31.266 | 5856 | 0.714844 |
| phi1_32.bmp | phi1_32.bmp-withWavelet_sym1-G_0.6-H4e-005_af5.wfa    | sym1    | af5 | 0.6 | 0.00004 | 24576 | 8192 | 8192 |  | 13 | 5648 | 104 | 104 | 31.265 | 5856 | 0.714844 |
| phi1_32.bmp | phi1_32.bmp-withWavelet_bior1.1-G_0.6-H4e-005_af5.wfa | bior1.1 | af5 | 0.6 | 0.00004 | 24576 | 8192 | 8192 |  | 13 | 5648 | 104 | 104 | 31.14  | 5856 | 0.714844 |
| phi1_32.bmp | phi1_32.bmp-G_1-H5e-005_af1.wfa                       |         | af1 | 1   | 0.00005 | 24576 | 8192 |      |  | 2  | 368  | 16  | 16  | 29.704 | 400  | 0.048828 |

|             |   |         |     |     |         |       |      |      |    |      |     |     |        |      |          |
|-------------|---|---------|-----|-----|---------|-------|------|------|----|------|-----|-----|--------|------|----------|
| phi1_32.bmp | phi1_32.bmp-withWavelet_haar-G_1-H5e-005_af1.wfa      | haar    | af1 | 1   | 0.00005 | 24576 | 8192 | 8192 | 3  | 528  | 24  | 24  | 30.5   | 576  | 0.070313 |
| phi1_32.bmp | phi1_32.bmp-withWavelet_rbio1.1-G_1-H5e-005_af1.wfa   | rbio1.1 | af1 | 1   | 0.00005 | 24576 | 8192 | 8192 | 3  | 528  | 24  | 24  | 30.531 | 576  | 0.070313 |
| phi1_32.bmp | phi1_32.bmp-withWavelet_sym1-G_1-H5e-005_af1.wfa      | sym1    | af1 | 1   | 0.00005 | 24576 | 8192 | 8192 | 3  | 528  | 24  | 24  | 30.782 | 576  | 0.070313 |
| phi1_32.bmp | phi1_32.bmp-withWavelet_bior1.1-G_1-H5e-005_af1.wfa   | bior1.1 | af1 | 1   | 0.00005 | 24576 | 8192 | 8192 | 3  | 528  | 24  | 24  | 31.203 | 576  | 0.070313 |
| phi1_32.bmp | phi1_32.bmp-G_1-H5e-005_af2.wfa                       |         | af2 | 1   | 0.00005 | 24576 | 8192 |      | 2  | 368  | 16  | 16  | 29.391 | 400  | 0.048828 |
| phi1_32.bmp | phi1_32.bmp-withWavelet_haar-G_1-H5e-005_af2.wfa      | haar    | af2 | 1   | 0.00005 | 24576 | 8192 | 8192 | 8  | 2288 | 64  | 64  | 42.328 | 2416 | 0.294922 |
| phi1_32.bmp | phi1_32.bmp-withWavelet_rbio1.1-G_1-H5e-005_af2.wfa   | rbio1.1 | af2 | 1   | 0.00005 | 24576 | 8192 | 8192 | 8  | 2288 | 64  | 64  | 41.797 | 2416 | 0.294922 |
| phi1_32.bmp | phi1_32.bmp-withWavelet_sym1-G_1-H5e-005_af2.wfa      | sym1    | af2 | 1   | 0.00005 | 24576 | 8192 | 8192 | 8  | 2288 | 64  | 64  | 42.844 | 2416 | 0.294922 |
| phi1_32.bmp | phi1_32.bmp-withWavelet_bior1.1-G_1-H5e-005_af2.wfa   | bior1.1 | af2 | 1   | 0.00005 | 24576 | 8192 | 8192 | 8  | 2288 | 64  | 64  | 42.093 | 2416 | 0.294922 |
| phi1_32.bmp | phi1_32.bmp-G_1-H5e-005_af3.wfa                       |         | af3 | 1   | 0.00005 | 24576 | 8192 |      | 2  | 368  | 16  | 16  | 29.735 | 400  | 0.048828 |
| phi1_32.bmp | phi1_32.bmp-withWavelet_haar-G_1-H5e-005_af3.wfa      | haar    | af3 | 1   | 0.00005 | 24576 | 8192 | 8192 | 3  | 528  | 24  | 24  | 30.469 | 576  | 0.070313 |
| phi1_32.bmp | phi1_32.bmp-withWavelet_rbio1.1-G_1-H5e-005_af3.wfa   | rbio1.1 | af3 | 1   | 0.00005 | 24576 | 8192 | 8192 | 3  | 528  | 24  | 24  | 30.875 | 576  | 0.070313 |
| phi1_32.bmp | phi1_32.bmp-withWavelet_sym1-G_1-H5e-005_af3.wfa      | sym1    | af3 | 1   | 0.00005 | 24576 | 8192 | 8192 | 3  | 528  | 24  | 24  | 30.531 | 576  | 0.070313 |
| phi1_32.bmp | phi1_32.bmp-withWavelet_bior1.1-G_1-H5e-005_af3.wfa   | bior1.1 | af3 | 1   | 0.00005 | 24576 | 8192 | 8192 | 3  | 528  | 24  | 24  | 30.875 | 576  | 0.070313 |
| phi1_32.bmp | phi1_32.bmp-G_1-H5e-005_af4.wfa                       |         | af4 | 1   | 0.00005 | 24576 | 8192 |      | 2  | 368  | 16  | 16  | 29.562 | 400  | 0.048828 |
| phi1_32.bmp | phi1_32.bmp-withWavelet_haar-G_1-H5e-005_af4.wfa      | haar    | af4 | 1   | 0.00005 | 24576 | 8192 | 8192 | 5  | 1040 | 40  | 40  | 35.891 | 1120 | 0.136719 |
| phi1_32.bmp | phi1_32.bmp-withWavelet_rbio1.1-G_1-H5e-005_af4.wfa   | rbio1.1 | af4 | 1   | 0.00005 | 24576 | 8192 | 8192 | 5  | 1040 | 40  | 40  | 36.14  | 1120 | 0.136719 |
| phi1_32.bmp | phi1_32.bmp-withWavelet_sym1-G_1-H5e-005_af4.wfa      | sym1    | af4 | 1   | 0.00005 | 24576 | 8192 | 8192 | 5  | 1040 | 40  | 40  | 35.984 | 1120 | 0.136719 |
| phi1_32.bmp | phi1_32.bmp-withWavelet_bior1.1-G_1-H5e-005_af4.wfa   | bior1.1 | af4 | 1   | 0.00005 | 24576 | 8192 | 8192 | 5  | 1040 | 40  | 40  | 35.891 | 1120 | 0.136719 |
| phi1_32.bmp | phi1_32.bmp-G_1-H5e-005_af5.wfa                       |         | af5 | 1   | 0.00005 | 24576 | 8192 |      | 2  | 368  | 16  | 16  | 29.546 | 400  | 0.048828 |
| phi1_32.bmp | phi1_32.bmp-withWavelet_haar-G_1-H5e-005_af5.wfa      | haar    | af5 | 1   | 0.00005 | 24576 | 8192 | 8192 | 13 | 5648 | 104 | 104 | 41.031 | 5856 | 0.714844 |
| phi1_32.bmp | phi1_32.bmp-withWavelet_rbio1.1-G_1-H5e-005_af5.wfa   | rbio1.1 | af5 | 1   | 0.00005 | 24576 | 8192 | 8192 | 13 | 5648 | 104 | 104 | 41.218 | 5856 | 0.714844 |
| phi1_32.bmp | phi1_32.bmp-withWavelet_sym1-G_1-H5e-005_af5.wfa      | sym1    | af5 | 1   | 0.00005 | 24576 | 8192 | 8192 | 13 | 5648 | 104 | 104 | 40.719 | 5856 | 0.714844 |
| phi1_32.bmp | phi1_32.bmp-withWavelet_bior1.1-G_1-H5e-005_af5.wfa   | bior1.1 | af5 | 1   | 0.00005 | 24576 | 8192 | 8192 | 13 | 5648 | 104 | 104 | 41.078 | 5856 | 0.714844 |
| phi1_32.bmp | phi1_32.bmp-G_0.8-H5e-005_af1.wfa                     |         | af1 | 0.8 | 0.00005 | 24576 | 8192 |      | 2  | 368  | 16  | 16  | 28     | 400  | 0.048828 |
| phi1_32.bmp | phi1_32.bmp-withWavelet_haar-G_0.8-H5e-005_af1.wfa    | haar    | af1 | 0.8 | 0.00005 | 24576 | 8192 | 8192 | 3  | 528  | 24  | 24  | 28.078 | 576  | 0.070313 |
| phi1_32.bmp | phi1_32.bmp-withWavelet_rbio1.1-G_0.8-H5e-005_af1.wfa | rbio1.1 | af1 | 0.8 | 0.00005 | 24576 | 8192 | 8192 | 3  | 528  | 24  | 24  | 28.078 | 576  | 0.070313 |
| phi1_32.bmp | phi1_32.bmp-withWavelet_sym1-G_0.8-H5e-005_af1.wfa    | sym1    | af1 | 0.8 | 0.00005 | 24576 | 8192 | 8192 | 3  | 528  | 24  | 24  | 28.015 | 576  | 0.070313 |
| phi1_32.bmp | phi1_32.bmp-withWavelet_bior1.1-G_0.8-H5e-005_af1.wfa | bior1.1 | af1 | 0.8 | 0.00005 | 24576 | 8192 | 8192 | 3  | 528  | 24  | 24  | 28.281 | 576  | 0.070313 |
| phi1_32.bmp | phi1_32.bmp-G_0.8-H5e-005_af2.wfa                     |         | af2 | 0.8 | 0.00005 | 24576 | 8192 |      | 2  | 368  | 16  | 16  | 27.64  | 400  | 0.048828 |
| phi1_32.bmp | phi1_32.bmp-withWavelet_haar-G_0.8-H5e-005_af2.wfa    | haar    | af2 | 0.8 | 0.00005 | 24576 | 8192 | 8192 | 8  | 2288 | 64  | 64  | 33.891 | 2416 | 0.294922 |



|             |   |         |     |     |         |       |      |      |    |      |     |     |        |      |          |
|-------------|---|---------|-----|-----|---------|-------|------|------|----|------|-----|-----|--------|------|----------|
| phi1_32.bmp | phi1_32.bmp-withWavelet_rbio1.1-G_0.8-H5e-005_af2.wfa | rbio1.1 | af2 | 0.8 | 0.00005 | 24576 | 8192 | 8192 | 8  | 2288 | 64  | 64  | 33.531 | 2416 | 0.294922 |
| phi1_32.bmp | phi1_32.bmp-withWavelet_sym1-G_0.8-H5e-005_af2.wfa    | sym1    | af2 | 0.8 | 0.00005 | 24576 | 8192 | 8192 | 8  | 2288 | 64  | 64  | 33.562 | 2416 | 0.294922 |
| phi1_32.bmp | phi1_32.bmp-withWavelet_bior1.1-G_0.8-H5e-005_af2.wfa | bior1.1 | af2 | 0.8 | 0.00005 | 24576 | 8192 | 8192 | 8  | 2288 | 64  | 64  | 34     | 2416 | 0.294922 |
| phi1_32.bmp | phi1_32.bmp-G_0.8-H5e-005_af3.wfa                     |         | af3 | 0.8 | 0.00005 | 24576 | 8192 |      | 2  | 368  | 16  | 16  | 28.14  | 400  | 0.048828 |
| phi1_32.bmp | phi1_32.bmp-withWavelet_haar-G_0.8-H5e-005_af3.wfa    | haar    | af3 | 0.8 | 0.00005 | 24576 | 8192 | 8192 | 3  | 528  | 24  | 24  | 28.672 | 576  | 0.070313 |
| phi1_32.bmp | phi1_32.bmp-withWavelet_rbio1.1-G_0.8-H5e-005_af3.wfa | rbio1.1 | af3 | 0.8 | 0.00005 | 24576 | 8192 | 8192 | 3  | 528  | 24  | 24  | 28.015 | 576  | 0.070313 |
| phi1_32.bmp | phi1_32.bmp-withWavelet_sym1-G_0.8-H5e-005_af3.wfa    | sym1    | af3 | 0.8 | 0.00005 | 24576 | 8192 | 8192 | 3  | 528  | 24  | 24  | 28     | 576  | 0.070313 |
| phi1_32.bmp | phi1_32.bmp-withWavelet_bior1.1-G_0.8-H5e-005_af3.wfa | bior1.1 | af3 | 0.8 | 0.00005 | 24576 | 8192 | 8192 | 3  | 528  | 24  | 24  | 28.093 | 576  | 0.070313 |
| phi1_32.bmp | phi1_32.bmp-G_0.8-H5e-005_af4.wfa                     |         | af4 | 0.8 | 0.00005 | 24576 | 8192 |      | 2  | 368  | 16  | 16  | 27.734 | 400  | 0.048828 |
| phi1_32.bmp | phi1_32.bmp-withWavelet_haar-G_0.8-H5e-005_af4.wfa    | haar    | af4 | 0.8 | 0.00005 | 24576 | 8192 | 8192 | 5  | 1040 | 40  | 40  | 31.859 | 1120 | 0.136719 |
| phi1_32.bmp | phi1_32.bmp-withWavelet_rbio1.1-G_0.8-H5e-005_af4.wfa | rbio1.1 | af4 | 0.8 | 0.00005 | 24576 | 8192 | 8192 | 5  | 1040 | 40  | 40  | 31.812 | 1120 | 0.136719 |
| phi1_32.bmp | phi1_32.bmp-withWavelet_sym1-G_0.8-H5e-005_af4.wfa    | sym1    | af4 | 0.8 | 0.00005 | 24576 | 8192 | 8192 | 5  | 1040 | 40  | 40  | 31.766 | 1120 | 0.136719 |
| phi1_32.bmp | phi1_32.bmp-withWavelet_bior1.1-G_0.8-H5e-005_af4.wfa | bior1.1 | af4 | 0.8 | 0.00005 | 24576 | 8192 | 8192 | 5  | 1040 | 40  | 40  | 31.906 | 1120 | 0.136719 |
| phi1_32.bmp | phi1_32.bmp-G_0.8-H5e-005_af5.wfa                     |         | af5 | 0.8 | 0.00005 | 24576 | 8192 |      | 2  | 368  | 16  | 16  | 28.547 | 400  | 0.048828 |
| phi1_32.bmp | phi1_32.bmp-withWavelet_haar-G_0.8-H5e-005_af5.wfa    | haar    | af5 | 0.8 | 0.00005 | 24576 | 8192 | 8192 | 13 | 5648 | 104 | 104 | 33.844 | 5856 | 0.714844 |
| phi1_32.bmp | phi1_32.bmp-withWavelet_rbio1.1-G_0.8-H5e-005_af5.wfa | rbio1.1 | af5 | 0.8 | 0.00005 | 24576 | 8192 | 8192 | 13 | 5648 | 104 | 104 | 33.031 | 5856 | 0.714844 |
| phi1_32.bmp | phi1_32.bmp-withWavelet_sym1-G_0.8-H5e-005_af5.wfa    | sym1    | af5 | 0.8 | 0.00005 | 24576 | 8192 | 8192 | 13 | 5648 | 104 | 104 | 33.312 | 5856 | 0.714844 |
| phi1_32.bmp | phi1_32.bmp-withWavelet_bior1.1-G_0.8-H5e-005_af5.wfa | bior1.1 | af5 | 0.8 | 0.00005 | 24576 | 8192 | 8192 | 13 | 5648 | 104 | 104 | 33.094 | 5856 | 0.714844 |
| phi1_32.bmp | phi1_32.bmp-G_0.6-H5e-005_af1.wfa                     |         | af1 | 0.6 | 0.00005 | 24576 | 8192 |      | 2  | 368  | 16  | 16  | 27.359 | 400  | 0.048828 |
| phi1_32.bmp | phi1_32.bmp-withWavelet_haar-G_0.6-H5e-005_af1.wfa    | haar    | af1 | 0.6 | 0.00005 | 24576 | 8192 | 8192 | 3  | 528  | 24  | 24  | 27.453 | 576  | 0.070313 |
| phi1_32.bmp | phi1_32.bmp-withWavelet_rbio1.1-G_0.6-H5e-005_af1.wfa | rbio1.1 | af1 | 0.6 | 0.00005 | 24576 | 8192 | 8192 | 3  | 528  | 24  | 24  | 27.688 | 576  | 0.070313 |
| phi1_32.bmp | phi1_32.bmp-withWavelet_sym1-G_0.6-H5e-005_af1.wfa    | sym1    | af1 | 0.6 | 0.00005 | 24576 | 8192 | 8192 | 3  | 528  | 24  | 24  | 27.594 | 576  | 0.070313 |
| phi1_32.bmp | phi1_32.bmp-withWavelet_bior1.1-G_0.6-H5e-005_af1.wfa | bior1.1 | af1 | 0.6 | 0.00005 | 24576 | 8192 | 8192 | 3  | 528  | 24  | 24  | 27.609 | 576  | 0.070313 |
| phi1_32.bmp | phi1_32.bmp-G_0.6-H5e-005_af2.wfa                     |         | af2 | 0.6 | 0.00005 | 24576 | 8192 |      | 2  | 368  | 16  | 16  | 27.437 | 400  | 0.048828 |
| phi1_32.bmp | phi1_32.bmp-withWavelet_haar-G_0.6-H5e-005_af2.wfa    | haar    | af2 | 0.6 | 0.00005 | 24576 | 8192 | 8192 | 8  | 2288 | 64  | 64  | 32.422 | 2416 | 0.294922 |
| phi1_32.bmp | phi1_32.bmp-withWavelet_rbio1.1-G_0.6-H5e-005_af2.wfa | rbio1.1 | af2 | 0.6 | 0.00005 | 24576 | 8192 | 8192 | 8  | 2288 | 64  | 64  | 32.297 | 2416 | 0.294922 |
| phi1_32.bmp | phi1_32.bmp-withWavelet_sym1-G_0.6-H5e-005_af2.wfa    | sym1    | af2 | 0.6 | 0.00005 | 24576 | 8192 | 8192 | 8  | 2288 | 64  | 64  | 32.297 | 2416 | 0.294922 |
| phi1_32.bmp | phi1_32.bmp-withWavelet_bior1.1-G_0.6-H5e-005_af2.wfa | bior1.1 | af2 | 0.6 | 0.00005 | 24576 | 8192 | 8192 | 8  | 2288 | 64  | 64  | 32.406 | 2416 | 0.294922 |
| phi1_32.bmp | phi1_32.bmp-G_0.6-H5e-005_af3.wfa                     |         | af3 | 0.6 | 0.00005 | 24576 | 8192 |      | 2  | 368  | 16  | 16  | 27.313 | 400  | 0.048828 |
| phi1_32.bmp | phi1_32.bmp-withWavelet_haar-G_0.6-H5e-005_af3.wfa    | haar    | af3 | 0.6 | 0.00005 | 24576 | 8192 | 8192 | 3  | 528  | 24  | 24  | 27.531 | 576  | 0.070313 |
| phi1_32.bmp | phi1_32.bmp-withWavelet_rbio1.1-G_0.6-H5e-005_af3.wfa | rbio1.1 | af3 | 0.6 | 0.00005 | 24576 | 8192 | 8192 | 3  | 528  | 24  | 24  | 27.688 | 576  | 0.070313 |

|             |   |         |     |     |         |       |      |      |    |      |     |     |        |      |          |
|-------------|---|---------|-----|-----|---------|-------|------|------|----|------|-----|-----|--------|------|----------|
| phi1_32.bmp | phi1_32.bmp-withWavelet_sym1-G_0.6-H5e-005_af3.wfa    | sym1    | af3 | 0.6 | 0.00005 | 24576 | 8192 | 8192 | 3  | 528  | 24  | 24  | 27.703 | 576  | 0.070313 |
| phi1_32.bmp | phi1_32.bmp-withWavelet_bior1.1-G_0.6-H5e-005_af3.wfa | bior1.1 | af3 | 0.6 | 0.00005 | 24576 | 8192 | 8192 | 3  | 528  | 24  | 24  | 27.719 | 576  | 0.070313 |
| phi1_32.bmp | phi1_32.bmp-G_0.6-H5e-005_af4.wfa                     |         | af4 | 0.6 | 0.00005 | 24576 | 8192 |      | 2  | 368  | 16  | 16  | 27.453 | 400  | 0.048828 |
| phi1_32.bmp | phi1_32.bmp-withWavelet_haar-G_0.6-H5e-005_af4.wfa    | haar    | af4 | 0.6 | 0.00005 | 24576 | 8192 | 8192 | 5  | 1040 | 40  | 40  | 29.438 | 1120 | 0.136719 |
| phi1_32.bmp | phi1_32.bmp-withWavelet_rbio1.1-G_0.6-H5e-005_af4.wfa | rbio1.1 | af4 | 0.6 | 0.00005 | 24576 | 8192 | 8192 | 5  | 1040 | 40  | 40  | 29.36  | 1120 | 0.136719 |
| phi1_32.bmp | phi1_32.bmp-withWavelet_sym1-G_0.6-H5e-005_af4.wfa    | sym1    | af4 | 0.6 | 0.00005 | 24576 | 8192 | 8192 | 5  | 1040 | 40  | 40  | 29.359 | 1120 | 0.136719 |
| phi1_32.bmp | phi1_32.bmp-withWavelet_bior1.1-G_0.6-H5e-005_af4.wfa | bior1.1 | af4 | 0.6 | 0.00005 | 24576 | 8192 | 8192 | 5  | 1040 | 40  | 40  | 29.375 | 1120 | 0.136719 |
| phi1_32.bmp | phi1_32.bmp-G_0.6-H5e-005_af5.wfa                     |         | af5 | 0.6 | 0.00005 | 24576 | 8192 |      | 2  | 368  | 16  | 16  | 27.453 | 400  | 0.048828 |
| phi1_32.bmp | phi1_32.bmp-withWavelet_haar-G_0.6-H5e-005_af5.wfa    | haar    | af5 | 0.6 | 0.00005 | 24576 | 8192 | 8192 | 13 | 5648 | 104 | 104 | 31.218 | 5856 | 0.714844 |
| phi1_32.bmp | phi1_32.bmp-withWavelet_rbio1.1-G_0.6-H5e-005_af5.wfa | rbio1.1 | af5 | 0.6 | 0.00005 | 24576 | 8192 | 8192 | 13 | 5648 | 104 | 104 | 31.344 | 5856 | 0.714844 |
| phi1_32.bmp | phi1_32.bmp-withWavelet_sym1-G_0.6-H5e-005_af5.wfa    | sym1    | af5 | 0.6 | 0.00005 | 24576 | 8192 | 8192 | 13 | 5648 | 104 | 104 | 31.359 | 5856 | 0.714844 |
| phi1_32.bmp | phi1_32.bmp-withWavelet_bior1.1-G_0.6-H5e-005_af5.wfa | bior1.1 | af5 | 0.6 | 0.00005 | 24576 | 8192 | 8192 | 13 | 5648 | 104 | 104 | 31.281 | 5856 | 0.714844 |
| phi1_32.bmp | phi1_32.bmp-G_1-H6e-005_af1.wfa                       |         | af1 | 1   | 0.00006 | 24576 | 8192 |      | 2  | 368  | 16  | 16  | 29.703 | 400  | 0.048828 |
| phi1_32.bmp | phi1_32.bmp-withWavelet_haar-G_1-H6e-005_af1.wfa      | haar    | af1 | 1   | 0.00006 | 24576 | 8192 | 8192 | 3  | 528  | 24  | 24  | 30.61  | 576  | 0.070313 |
| phi1_32.bmp | phi1_32.bmp-withWavelet_rbio1.1-G_1-H6e-005_af1.wfa   | rbio1.1 | af1 | 1   | 0.00006 | 24576 | 8192 | 8192 | 3  | 528  | 24  | 24  | 30.844 | 576  | 0.070313 |
| phi1_32.bmp | phi1_32.bmp-withWavelet_sym1-G_1-H6e-005_af1.wfa      | sym1    | af1 | 1   | 0.00006 | 24576 | 8192 | 8192 | 3  | 528  | 24  | 24  | 30.813 | 576  | 0.070313 |
| phi1_32.bmp | phi1_32.bmp-withWavelet_bior1.1-G_1-H6e-005_af1.wfa   | bior1.1 | af1 | 1   | 0.00006 | 24576 | 8192 | 8192 | 3  | 528  | 24  | 24  | 30.828 | 576  | 0.070313 |
| phi1_32.bmp | phi1_32.bmp-G_1-H6e-005_af2.wfa                       |         | af2 | 1   | 0.00006 | 24576 | 8192 |      | 2  | 368  | 16  | 16  | 29.656 | 400  | 0.048828 |
| phi1_32.bmp | phi1_32.bmp-withWavelet_haar-G_1-H6e-005_af2.wfa      | haar    | af2 | 1   | 0.00006 | 24576 | 8192 | 8192 | 8  | 2288 | 64  | 64  | 41.344 | 2416 | 0.294922 |
| phi1_32.bmp | phi1_32.bmp-withWavelet_rbio1.1-G_1-H6e-005_af2.wfa   | rbio1.1 | af2 | 1   | 0.00006 | 24576 | 8192 | 8192 | 8  | 2288 | 64  | 64  | 42.563 | 2416 | 0.294922 |
| phi1_32.bmp | phi1_32.bmp-withWavelet_sym1-G_1-H6e-005_af2.wfa      | sym1    | af2 | 1   | 0.00006 | 24576 | 8192 | 8192 | 8  | 2288 | 64  | 64  | 41.61  | 2416 | 0.294922 |
| phi1_32.bmp | phi1_32.bmp-withWavelet_bior1.1-G_1-H6e-005_af2.wfa   | bior1.1 | af2 | 1   | 0.00006 | 24576 | 8192 | 8192 | 8  | 2288 | 64  | 64  | 42.656 | 2416 | 0.294922 |
| phi1_32.bmp | phi1_32.bmp-G_1-H6e-005_af3.wfa                       |         | af3 | 1   | 0.00006 | 24576 | 8192 |      | 2  | 368  | 16  | 16  | 29.875 | 400  | 0.048828 |
| phi1_32.bmp | phi1_32.bmp-withWavelet_haar-G_1-H6e-005_af3.wfa      | haar    | af3 | 1   | 0.00006 | 24576 | 8192 | 8192 | 3  | 528  | 24  | 24  | 30.719 | 576  | 0.070313 |
| phi1_32.bmp | phi1_32.bmp-withWavelet_rbio1.1-G_1-H6e-005_af3.wfa   | rbio1.1 | af3 | 1   | 0.00006 | 24576 | 8192 | 8192 | 3  | 528  | 24  | 24  | 30.687 | 576  | 0.070313 |
| phi1_32.bmp | phi1_32.bmp-withWavelet_sym1-G_1-H6e-005_af3.wfa      | sym1    | af3 | 1   | 0.00006 | 24576 | 8192 | 8192 | 3  | 528  | 24  | 24  | 30.594 | 576  | 0.070313 |
| phi1_32.bmp | phi1_32.bmp-withWavelet_bior1.1-G_1-H6e-005_af3.wfa   | bior1.1 | af3 | 1   | 0.00006 | 24576 | 8192 | 8192 | 3  | 528  | 24  | 24  | 30.656 | 576  | 0.070313 |
| phi1_32.bmp | phi1_32.bmp-G_1-H6e-005_af4.wfa                       |         | af4 | 1   | 0.00006 | 24576 | 8192 |      | 2  | 368  | 16  | 16  | 29.828 | 400  | 0.048828 |
| phi1_32.bmp | phi1_32.bmp-withWavelet_haar-G_1-H6e-005_af4.wfa      | haar    | af4 | 1   | 0.00006 | 24576 | 8192 | 8192 | 5  | 1040 | 40  | 40  | 35.843 | 1120 | 0.136719 |
| phi1_32.bmp | phi1_32.bmp-withWavelet_rbio1.1-G_1-H6e-005_af4.wfa   | rbio1.1 | af4 | 1   | 0.00006 | 24576 | 8192 | 8192 | 5  | 1040 | 40  | 40  | 36.109 | 1120 | 0.136719 |
| phi1_32.bmp | phi1_32.bmp-withWavelet_sym1-G_1-H6e-005_af4.wfa      | sym1    | af4 | 1   | 0.00006 | 24576 | 8192 | 8192 | 5  | 1040 | 40  | 40  | 36.125 | 1120 | 0.136719 |

|             |   |         |     |     |         |       |      |      |    |      |    |    |        |      |          |
|-------------|---|---------|-----|-----|---------|-------|------|------|----|------|----|----|--------|------|----------|
| phi1_32.bmp | phi1_32.bmp-withWavelet_bior1.1-G_1-H6e-005_af4.wfa   | bior1.1 | af4 | 1   | 0.00006 | 24576 | 8192 | 8192 | 5  | 1040 | 40 | 40 | 35.89  | 1120 | 0.136719 |
| phi1_32.bmp | phi1_32.bmp-G_1-H6e-005_af5.wfa                       |         | af5 | 1   | 0.00006 | 24576 | 8192 |      | 2  | 368  | 16 | 16 | 29.5   | 400  | 0.048828 |
| phi1_32.bmp | phi1_32.bmp-withWavelet_haar-G_1-H6e-005_af5.wfa      | haar    | af5 | 1   | 0.00006 | 24576 | 8192 | 8192 | 12 | 4848 | 96 | 96 | 39.625 | 5040 | 0.615234 |
| phi1_32.bmp | phi1_32.bmp-withWavelet_rbio1.1-G_1-H6e-005_af5.wfa   | rbio1.1 | af5 | 1   | 0.00006 | 24576 | 8192 | 8192 | 12 | 4848 | 96 | 96 | 39.469 | 5040 | 0.615234 |
| phi1_32.bmp | phi1_32.bmp-withWavelet_sym1-G_1-H6e-005_af5.wfa      | sym1    | af5 | 1   | 0.00006 | 24576 | 8192 | 8192 | 12 | 4848 | 96 | 96 | 39.422 | 5040 | 0.615234 |
| phi1_32.bmp | phi1_32.bmp-withWavelet_bior1.1-G_1-H6e-005_af5.wfa   | bior1.1 | af5 | 1   | 0.00006 | 24576 | 8192 | 8192 | 12 | 4848 | 96 | 96 | 39.187 | 5040 | 0.615234 |
| phi1_32.bmp | phi1_32.bmp-G_0.8-H6e-005_af1.wfa                     |         | af1 | 0.8 | 0.00006 | 24576 | 8192 |      | 2  | 368  | 16 | 16 | 27.765 | 400  | 0.048828 |
| phi1_32.bmp | phi1_32.bmp-withWavelet_haar-G_0.8-H6e-005_af1.wfa    | haar    | af1 | 0.8 | 0.00006 | 24576 | 8192 | 8192 | 3  | 528  | 24 | 24 | 28.265 | 576  | 0.070313 |
| phi1_32.bmp | phi1_32.bmp-withWavelet_rbio1.1-G_0.8-H6e-005_af1.wfa | rbio1.1 | af1 | 0.8 | 0.00006 | 24576 | 8192 | 8192 | 3  | 528  | 24 | 24 | 27.922 | 576  | 0.070313 |
| phi1_32.bmp | phi1_32.bmp-withWavelet_sym1-G_0.8-H6e-005_af1.wfa    | sym1    | af1 | 0.8 | 0.00006 | 24576 | 8192 | 8192 | 3  | 528  | 24 | 24 | 28.094 | 576  | 0.070313 |
| phi1_32.bmp | phi1_32.bmp-withWavelet_bior1.1-G_0.8-H6e-005_af1.wfa | bior1.1 | af1 | 0.8 | 0.00006 | 24576 | 8192 | 8192 | 3  | 528  | 24 | 24 | 28.266 | 576  | 0.070313 |
| phi1_32.bmp | phi1_32.bmp-G_0.8-H6e-005_af2.wfa                     |         | af2 | 0.8 | 0.00006 | 24576 | 8192 |      | 2  | 368  | 16 | 16 | 27.516 | 400  | 0.048828 |
| phi1_32.bmp | phi1_32.bmp-withWavelet_haar-G_0.8-H6e-005_af2.wfa    | haar    | af2 | 0.8 | 0.00006 | 24576 | 8192 | 8192 | 8  | 2288 | 64 | 64 | 33.453 | 2416 | 0.294922 |
| phi1_32.bmp | phi1_32.bmp-withWavelet_rbio1.1-G_0.8-H6e-005_af2.wfa | rbio1.1 | af2 | 0.8 | 0.00006 | 24576 | 8192 | 8192 | 8  | 2288 | 64 | 64 | 33.656 | 2416 | 0.294922 |
| phi1_32.bmp | phi1_32.bmp-withWavelet_sym1-G_0.8-H6e-005_af2.wfa    | sym1    | af2 | 0.8 | 0.00006 | 24576 | 8192 | 8192 | 8  | 2288 | 64 | 64 | 34.016 | 2416 | 0.294922 |
| phi1_32.bmp | phi1_32.bmp-withWavelet_bior1.1-G_0.8-H6e-005_af2.wfa | bior1.1 | af2 | 0.8 | 0.00006 | 24576 | 8192 | 8192 | 8  | 2288 | 64 | 64 | 33.562 | 2416 | 0.294922 |
| phi1_32.bmp | phi1_32.bmp-G_0.8-H6e-005_af3.wfa                     |         | af3 | 0.8 | 0.00006 | 24576 | 8192 |      | 2  | 368  | 16 | 16 | 27.672 | 400  | 0.048828 |
| phi1_32.bmp | phi1_32.bmp-withWavelet_haar-G_0.8-H6e-005_af3.wfa    | haar    | af3 | 0.8 | 0.00006 | 24576 | 8192 | 8192 | 3  | 528  | 24 | 24 | 28.172 | 576  | 0.070313 |
| phi1_32.bmp | phi1_32.bmp-withWavelet_rbio1.1-G_0.8-H6e-005_af3.wfa | rbio1.1 | af3 | 0.8 | 0.00006 | 24576 | 8192 | 8192 | 3  | 528  | 24 | 24 | 28.188 | 576  | 0.070313 |
| phi1_32.bmp | phi1_32.bmp-withWavelet_sym1-G_0.8-H6e-005_af3.wfa    | sym1    | af3 | 0.8 | 0.00006 | 24576 | 8192 | 8192 | 3  | 528  | 24 | 24 | 28.125 | 576  | 0.070313 |
| phi1_32.bmp | phi1_32.bmp-withWavelet_bior1.1-G_0.8-H6e-005_af3.wfa | bior1.1 | af3 | 0.8 | 0.00006 | 24576 | 8192 | 8192 | 3  | 528  | 24 | 24 | 28.171 | 576  | 0.070313 |
| phi1_32.bmp | phi1_32.bmp-G_0.8-H6e-005_af4.wfa                     |         | af4 | 0.8 | 0.00006 | 24576 | 8192 |      | 2  | 368  | 16 | 16 | 27.844 | 400  | 0.048828 |
| phi1_32.bmp | phi1_32.bmp-withWavelet_haar-G_0.8-H6e-005_af4.wfa    | haar    | af4 | 0.8 | 0.00006 | 24576 | 8192 | 8192 | 5  | 1040 | 40 | 40 | 30.719 | 1120 | 0.136719 |
| phi1_32.bmp | phi1_32.bmp-withWavelet_rbio1.1-G_0.8-H6e-005_af4.wfa | rbio1.1 | af4 | 0.8 | 0.00006 | 24576 | 8192 | 8192 | 5  | 1040 | 40 | 40 | 30.75  | 1120 | 0.136719 |
| phi1_32.bmp | phi1_32.bmp-withWavelet_sym1-G_0.8-H6e-005_af4.wfa    | sym1    | af4 | 0.8 | 0.00006 | 24576 | 8192 | 8192 | 5  | 1040 | 40 | 40 | 31     | 1120 | 0.136719 |
| phi1_32.bmp | phi1_32.bmp-withWavelet_bior1.1-G_0.8-H6e-005_af4.wfa | bior1.1 | af4 | 0.8 | 0.00006 | 24576 | 8192 | 8192 | 5  | 1040 | 40 | 40 | 31.047 | 1120 | 0.136719 |
| phi1_32.bmp | phi1_32.bmp-G_0.8-H6e-005_af5.wfa                     |         | af5 | 0.8 | 0.00006 | 24576 | 8192 |      | 2  | 368  | 16 | 16 | 27.5   | 400  | 0.048828 |
| phi1_32.bmp | phi1_32.bmp-withWavelet_haar-G_0.8-H6e-005_af5.wfa    | haar    | af5 | 0.8 | 0.00006 | 24576 | 8192 | 8192 | 12 | 4848 | 96 | 96 | 32.516 | 5040 | 0.615234 |
| phi1_32.bmp | phi1_32.bmp-withWavelet_rbio1.1-G_0.8-H6e-005_af5.wfa | rbio1.1 | af5 | 0.8 | 0.00006 | 24576 | 8192 | 8192 | 12 | 4848 | 96 | 96 | 32.375 | 5040 | 0.615234 |
| phi1_32.bmp | phi1_32.bmp-withWavelet_sym1-G_0.8-H6e-005_af5.wfa    | sym1    | af5 | 0.8 | 0.00006 | 24576 | 8192 | 8192 | 12 | 4848 | 96 | 96 | 32.141 | 5040 | 0.615234 |
| phi1_32.bmp | phi1_32.bmp-withWavelet_bior1.1-G_0.8-H6e-005_af5.wfa | bior1.1 | af5 | 0.8 | 0.00006 | 24576 | 8192 | 8192 | 12 | 4848 | 96 | 96 | 32.5   | 5040 | 0.615234 |

|             |   |         |     |     |         |       |      |      |  |    |      |    |    |        |      |          |
|-------------|---|---------|-----|-----|---------|-------|------|------|--|----|------|----|----|--------|------|----------|
| phi1_32.bmp | phi1_32.bmp-G_0.6-H6e-005_af1.wfa                     |         | af1 | 0.6 | 0.00006 | 24576 | 8192 |      |  | 2  | 368  | 16 | 16 | 27.422 | 400  | 0.048828 |
| phi1_32.bmp | phi1_32.bmp-withWavelet_haar-G_0.6-H6e-005_af1.wfa    | haar    | af1 | 0.6 | 0.00006 | 24576 | 8192 | 8192 |  | 3  | 528  | 24 | 24 | 27.547 | 576  | 0.070313 |
| phi1_32.bmp | phi1_32.bmp-withWavelet_rbio1.1-G_0.6-H6e-005_af1.wfa | rbio1.1 | af1 | 0.6 | 0.00006 | 24576 | 8192 | 8192 |  | 3  | 528  | 24 | 24 | 27.453 | 576  | 0.070313 |
| phi1_32.bmp | phi1_32.bmp-withWavelet_sym1-G_0.6-H6e-005_af1.wfa    | sym1    | af1 | 0.6 | 0.00006 | 24576 | 8192 | 8192 |  | 3  | 528  | 24 | 24 | 27.594 | 576  | 0.070313 |
| phi1_32.bmp | phi1_32.bmp-withWavelet_bior1.1-G_0.6-H6e-005_af1.wfa | bior1.1 | af1 | 0.6 | 0.00006 | 24576 | 8192 | 8192 |  | 3  | 528  | 24 | 24 | 27.609 | 576  | 0.070313 |
| phi1_32.bmp | phi1_32.bmp-G_0.6-H6e-005_af2.wfa                     |         | af2 | 0.6 | 0.00006 | 24576 | 8192 |      |  | 2  | 368  | 16 | 16 | 27.203 | 400  | 0.048828 |
| phi1_32.bmp | phi1_32.bmp-withWavelet_haar-G_0.6-H6e-005_af2.wfa    | haar    | af2 | 0.6 | 0.00006 | 24576 | 8192 | 8192 |  | 8  | 2288 | 64 | 64 | 31.672 | 2416 | 0.294922 |
| phi1_32.bmp | phi1_32.bmp-withWavelet_rbio1.1-G_0.6-H6e-005_af2.wfa | rbio1.1 | af2 | 0.6 | 0.00006 | 24576 | 8192 | 8192 |  | 8  | 2288 | 64 | 64 | 31.625 | 2416 | 0.294922 |
| phi1_32.bmp | phi1_32.bmp-withWavelet_sym1-G_0.6-H6e-005_af2.wfa    | sym1    | af2 | 0.6 | 0.00006 | 24576 | 8192 | 8192 |  | 8  | 2288 | 64 | 64 | 32.25  | 2416 | 0.294922 |
| phi1_32.bmp | phi1_32.bmp-withWavelet_bior1.1-G_0.6-H6e-005_af2.wfa | bior1.1 | af2 | 0.6 | 0.00006 | 24576 | 8192 | 8192 |  | 8  | 2288 | 64 | 64 | 31.656 | 2416 | 0.294922 |
| phi1_32.bmp | phi1_32.bmp-G_0.6-H6e-005_af3.wfa                     |         | af3 | 0.6 | 0.00006 | 24576 | 8192 |      |  | 2  | 368  | 16 | 16 | 27.312 | 400  | 0.048828 |
| phi1_32.bmp | phi1_32.bmp-withWavelet_haar-G_0.6-H6e-005_af3.wfa    | haar    | af3 | 0.6 | 0.00006 | 24576 | 8192 | 8192 |  | 3  | 528  | 24 | 24 | 27.532 | 576  | 0.070313 |
| phi1_32.bmp | phi1_32.bmp-withWavelet_rbio1.1-G_0.6-H6e-005_af3.wfa | rbio1.1 | af3 | 0.6 | 0.00006 | 24576 | 8192 | 8192 |  | 3  | 528  | 24 | 24 | 27.625 | 576  | 0.070313 |
| phi1_32.bmp | phi1_32.bmp-withWavelet_sym1-G_0.6-H6e-005_af3.wfa    | sym1    | af3 | 0.6 | 0.00006 | 24576 | 8192 | 8192 |  | 3  | 528  | 24 | 24 | 27.563 | 576  | 0.070313 |
| phi1_32.bmp | phi1_32.bmp-withWavelet_bior1.1-G_0.6-H6e-005_af3.wfa | bior1.1 | af3 | 0.6 | 0.00006 | 24576 | 8192 | 8192 |  | 3  | 528  | 24 | 24 | 27.688 | 576  | 0.070313 |
| phi1_32.bmp | phi1_32.bmp-G_0.6-H6e-005_af4.wfa                     |         | af4 | 0.6 | 0.00006 | 24576 | 8192 |      |  | 2  | 368  | 16 | 16 | 27.344 | 400  | 0.048828 |
| phi1_32.bmp | phi1_32.bmp-withWavelet_haar-G_0.6-H6e-005_af4.wfa    | haar    | af4 | 0.6 | 0.00006 | 24576 | 8192 | 8192 |  | 5  | 1040 | 40 | 40 | 29.375 | 1120 | 0.136719 |
| phi1_32.bmp | phi1_32.bmp-withWavelet_rbio1.1-G_0.6-H6e-005_af4.wfa | rbio1.1 | af4 | 0.6 | 0.00006 | 24576 | 8192 | 8192 |  | 5  | 1040 | 40 | 40 | 30.063 | 1120 | 0.136719 |
| phi1_32.bmp | phi1_32.bmp-withWavelet_sym1-G_0.6-H6e-005_af4.wfa    | sym1    | af4 | 0.6 | 0.00006 | 24576 | 8192 | 8192 |  | 5  | 1040 | 40 | 40 | 29.36  | 1120 | 0.136719 |
| phi1_32.bmp | phi1_32.bmp-withWavelet_bior1.1-G_0.6-H6e-005_af4.wfa | bior1.1 | af4 | 0.6 | 0.00006 | 24576 | 8192 | 8192 |  | 5  | 1040 | 40 | 40 | 29.281 | 1120 | 0.136719 |
| phi1_32.bmp | phi1_32.bmp-G_0.6-H6e-005_af5.wfa                     |         | af5 | 0.6 | 0.00006 | 24576 | 8192 |      |  | 2  | 368  | 16 | 16 | 27.297 | 400  | 0.048828 |
| phi1_32.bmp | phi1_32.bmp-withWavelet_haar-G_0.6-H6e-005_af5.wfa    | haar    | af5 | 0.6 | 0.00006 | 24576 | 8192 | 8192 |  | 12 | 4848 | 96 | 96 | 30.734 | 5040 | 0.615234 |
| phi1_32.bmp | phi1_32.bmp-withWavelet_rbio1.1-G_0.6-H6e-005_af5.wfa | rbio1.1 | af5 | 0.6 | 0.00006 | 24576 | 8192 | 8192 |  | 12 | 4848 | 96 | 96 | 30.75  | 5040 | 0.615234 |
| phi1_32.bmp | phi1_32.bmp-withWavelet_sym1-G_0.6-H6e-005_af5.wfa    | sym1    | af5 | 0.6 | 0.00006 | 24576 | 8192 | 8192 |  | 12 | 4848 | 96 | 96 | 30.718 | 5040 | 0.615234 |
| phi1_32.bmp | phi1_32.bmp-withWavelet_bior1.1-G_0.6-H6e-005_af5.wfa | bior1.1 | af5 | 0.6 | 0.00006 | 24576 | 8192 | 8192 |  | 12 | 4848 | 96 | 96 | 31.265 | 5040 | 0.615234 |
| phi1_32.bmp | phi1_32.bmp-G_1-H7e-005_af1.wfa                       |         | af1 | 1   | 0.00007 | 24576 | 8192 |      |  | 2  | 368  | 16 | 16 | 29.828 | 400  | 0.048828 |
| phi1_32.bmp | phi1_32.bmp-withWavelet_haar-G_1-H7e-005_af1.wfa      | haar    | af1 | 1   | 0.00007 | 24576 | 8192 | 8192 |  | 3  | 528  | 24 | 24 | 30.985 | 576  | 0.070313 |
| phi1_32.bmp | phi1_32.bmp-withWavelet_rbio1.1-G_1-H7e-005_af1.wfa   | rbio1.1 | af1 | 1   | 0.00007 | 24576 | 8192 | 8192 |  | 3  | 528  | 24 | 24 | 30.937 | 576  | 0.070313 |
| phi1_32.bmp | phi1_32.bmp-withWavelet_sym1-G_1-H7e-005_af1.wfa      | sym1    | af1 | 1   | 0.00007 | 24576 | 8192 | 8192 |  | 3  | 528  | 24 | 24 | 30.687 | 576  | 0.070313 |
| phi1_32.bmp | phi1_32.bmp-withWavelet_bior1.1-G_1-H7e-005_af1.wfa   | bior1.1 | af1 | 1   | 0.00007 | 24576 | 8192 | 8192 |  | 3  | 528  | 24 | 24 | 31.281 | 576  | 0.070313 |
| phi1_32.bmp | phi1_32.bmp-G_1-H7e-005_af2.wfa                       |         | af2 | 1   | 0.00007 | 24576 | 8192 |      |  | 2  | 368  | 16 | 16 | 29.407 | 400  | 0.048828 |

|             |   |         |     |     |         |       |      |      |    |      |    |    |        |      |          |
|-------------|---|---------|-----|-----|---------|-------|------|------|----|------|----|----|--------|------|----------|
| phi1_32.bmp | phi1_32.bmp-withWavelet_haar-G_1-H7e-005_af2.wfa      | haar    | af2 | 1   | 0.00007 | 24576 | 8192 | 8192 | 8  | 2288 | 64 | 64 | 41.828 | 2416 | 0.294922 |
| phi1_32.bmp | phi1_32.bmp-withWavelet_rbio1.1-G_1-H7e-005_af2.wfa   | rbio1.1 | af2 | 1   | 0.00007 | 24576 | 8192 | 8192 | 8  | 2288 | 64 | 64 | 42.594 | 2416 | 0.294922 |
| phi1_32.bmp | phi1_32.bmp-withWavelet_sym1-G_1-H7e-005_af2.wfa      | sym1    | af2 | 1   | 0.00007 | 24576 | 8192 | 8192 | 8  | 2288 | 64 | 64 | 41.875 | 2416 | 0.294922 |
| phi1_32.bmp | phi1_32.bmp-withWavelet_bior1.1-G_1-H7e-005_af2.wfa   | bior1.1 | af2 | 1   | 0.00007 | 24576 | 8192 | 8192 | 8  | 2288 | 64 | 64 | 42.813 | 2416 | 0.294922 |
| phi1_32.bmp | phi1_32.bmp-G_1-H7e-005_af3.wfa                       |         | af3 | 1   | 0.00007 | 24576 | 8192 |      | 2  | 368  | 16 | 16 | 29.656 | 400  | 0.048828 |
| phi1_32.bmp | phi1_32.bmp-withWavelet_haar-G_1-H7e-005_af3.wfa      | haar    | af3 | 1   | 0.00007 | 24576 | 8192 | 8192 | 3  | 528  | 24 | 24 | 30.719 | 576  | 0.070313 |
| phi1_32.bmp | phi1_32.bmp-withWavelet_rbio1.1-G_1-H7e-005_af3.wfa   | rbio1.1 | af3 | 1   | 0.00007 | 24576 | 8192 | 8192 | 3  | 528  | 24 | 24 | 30.734 | 576  | 0.070313 |
| phi1_32.bmp | phi1_32.bmp-withWavelet_sym1-G_1-H7e-005_af3.wfa      | sym1    | af3 | 1   | 0.00007 | 24576 | 8192 | 8192 | 3  | 528  | 24 | 24 | 30.593 | 576  | 0.070313 |
| phi1_32.bmp | phi1_32.bmp-withWavelet_bior1.1-G_1-H7e-005_af3.wfa   | bior1.1 | af3 | 1   | 0.00007 | 24576 | 8192 | 8192 | 3  | 528  | 24 | 24 | 31     | 576  | 0.070313 |
| phi1_32.bmp | phi1_32.bmp-G_1-H7e-005_af4.wfa                       |         | af4 | 1   | 0.00007 | 24576 | 8192 |      | 2  | 368  | 16 | 16 | 29.844 | 400  | 0.048828 |
| phi1_32.bmp | phi1_32.bmp-withWavelet_haar-G_1-H7e-005_af4.wfa      | haar    | af4 | 1   | 0.00007 | 24576 | 8192 | 8192 | 5  | 1040 | 40 | 40 | 35.953 | 1120 | 0.136719 |
| phi1_32.bmp | phi1_32.bmp-withWavelet_rbio1.1-G_1-H7e-005_af4.wfa   | rbio1.1 | af4 | 1   | 0.00007 | 24576 | 8192 | 8192 | 5  | 1040 | 40 | 40 | 36.75  | 1120 | 0.136719 |
| phi1_32.bmp | phi1_32.bmp-withWavelet_sym1-G_1-H7e-005_af4.wfa      | sym1    | af4 | 1   | 0.00007 | 24576 | 8192 | 8192 | 5  | 1040 | 40 | 40 | 36.422 | 1120 | 0.136719 |
| phi1_32.bmp | phi1_32.bmp-withWavelet_bior1.1-G_1-H7e-005_af4.wfa   | bior1.1 | af4 | 1   | 0.00007 | 24576 | 8192 | 8192 | 5  | 1040 | 40 | 40 | 36.218 | 1120 | 0.136719 |
| phi1_32.bmp | phi1_32.bmp-G_1-H7e-005_af5.wfa                       |         | af5 | 1   | 0.00007 | 24576 | 8192 |      | 2  | 368  | 16 | 16 | 29.797 | 400  | 0.048828 |
| phi1_32.bmp | phi1_32.bmp-withWavelet_haar-G_1-H7e-005_af5.wfa      | haar    | af5 | 1   | 0.00007 | 24576 | 8192 | 8192 | 12 | 4848 | 96 | 96 | 39.578 | 5040 | 0.615234 |
| phi1_32.bmp | phi1_32.bmp-withWavelet_rbio1.1-G_1-H7e-005_af5.wfa   | rbio1.1 | af5 | 1   | 0.00007 | 24576 | 8192 | 8192 | 12 | 4848 | 96 | 96 | 39.141 | 5040 | 0.615234 |
| phi1_32.bmp | phi1_32.bmp-withWavelet_sym1-G_1-H7e-005_af5.wfa      | sym1    | af5 | 1   | 0.00007 | 24576 | 8192 | 8192 | 12 | 4848 | 96 | 96 | 39.265 | 5040 | 0.615234 |
| phi1_32.bmp | phi1_32.bmp-withWavelet_bior1.1-G_1-H7e-005_af5.wfa   | bior1.1 | af5 | 1   | 0.00007 | 24576 | 8192 | 8192 | 12 | 4848 | 96 | 96 | 38.875 | 5040 | 0.615234 |
| phi1_32.bmp | phi1_32.bmp-G_0.8-H7e-005_af1.wfa                     |         | af1 | 0.8 | 0.00007 | 24576 | 8192 |      | 2  | 368  | 16 | 16 | 27.797 | 400  | 0.048828 |
| phi1_32.bmp | phi1_32.bmp-withWavelet_haar-G_0.8-H7e-005_af1.wfa    | haar    | af1 | 0.8 | 0.00007 | 24576 | 8192 | 8192 | 3  | 528  | 24 | 24 | 28.093 | 576  | 0.070313 |
| phi1_32.bmp | phi1_32.bmp-withWavelet_rbio1.1-G_0.8-H7e-005_af1.wfa | rbio1.1 | af1 | 0.8 | 0.00007 | 24576 | 8192 | 8192 | 3  | 528  | 24 | 24 | 27.921 | 576  | 0.070313 |
| phi1_32.bmp | phi1_32.bmp-withWavelet_sym1-G_0.8-H7e-005_af1.wfa    | sym1    | af1 | 0.8 | 0.00007 | 24576 | 8192 | 8192 | 3  | 528  | 24 | 24 | 27.984 | 576  | 0.070313 |
| phi1_32.bmp | phi1_32.bmp-withWavelet_bior1.1-G_0.8-H7e-005_af1.wfa | bior1.1 | af1 | 0.8 | 0.00007 | 24576 | 8192 | 8192 | 3  | 528  | 24 | 24 | 28     | 576  | 0.070313 |
| phi1_32.bmp | phi1_32.bmp-G_0.8-H7e-005_af2.wfa                     |         | af2 | 0.8 | 0.00007 | 24576 | 8192 |      | 2  | 368  | 16 | 16 | 27.688 | 400  | 0.048828 |
| phi1_32.bmp | phi1_32.bmp-withWavelet_haar-G_0.8-H7e-005_af2.wfa    | haar    | af2 | 0.8 | 0.00007 | 24576 | 8192 | 8192 | 8  | 2288 | 64 | 64 | 33.812 | 2416 | 0.294922 |
| phi1_32.bmp | phi1_32.bmp-withWavelet_rbio1.1-G_0.8-H7e-005_af2.wfa | rbio1.1 | af2 | 0.8 | 0.00007 | 24576 | 8192 | 8192 | 8  | 2288 | 64 | 64 | 33.625 | 2416 | 0.294922 |
| phi1_32.bmp | phi1_32.bmp-withWavelet_sym1-G_0.8-H7e-005_af2.wfa    | sym1    | af2 | 0.8 | 0.00007 | 24576 | 8192 | 8192 | 8  | 2288 | 64 | 64 | 33.875 | 2416 | 0.294922 |
| phi1_32.bmp | phi1_32.bmp-withWavelet_bior1.1-G_0.8-H7e-005_af2.wfa | bior1.1 | af2 | 0.8 | 0.00007 | 24576 | 8192 | 8192 | 8  | 2288 | 64 | 64 | 34.625 | 2416 | 0.294922 |
| phi1_32.bmp | phi1_32.bmp-G_0.8-H7e-005_af3.wfa                     |         | af3 | 0.8 | 0.00007 | 24576 | 8192 |      | 2  | 368  | 16 | 16 | 28.093 | 400  | 0.048828 |
| phi1_32.bmp | phi1_32.bmp-withWavelet_haar-G_0.8-H7e-005_af3.wfa    | haar    | af3 | 0.8 | 0.00007 | 24576 | 8192 | 8192 | 3  | 528  | 24 | 24 | 28.672 | 576  | 0.070313 |

|             |   |         |     |     |         |       |      |      |    |      |    |    |        |      |          |
|-------------|---|---------|-----|-----|---------|-------|------|------|----|------|----|----|--------|------|----------|
| phi1_32.bmp | phi1_32.bmp-withWavelet_rbio1.1-G_0.8-H7e-005_af3.wfa | rbio1.1 | af3 | 0.8 | 0.00007 | 24576 | 8192 | 8192 | 3  | 528  | 24 | 24 | 28.032 | 576  | 0.070313 |
| phi1_32.bmp | phi1_32.bmp-withWavelet_sym1-G_0.8-H7e-005_af3.wfa    | sym1    | af3 | 0.8 | 0.00007 | 24576 | 8192 | 8192 | 3  | 528  | 24 | 24 | 28     | 576  | 0.070313 |
| phi1_32.bmp | phi1_32.bmp-withWavelet_bior1.1-G_0.8-H7e-005_af3.wfa | bior1.1 | af3 | 0.8 | 0.00007 | 24576 | 8192 | 8192 | 3  | 528  | 24 | 24 | 28.187 | 576  | 0.070313 |
| phi1_32.bmp | phi1_32.bmp-G_0.8-H7e-005_af4.wfa                     |         | af4 | 0.8 | 0.00007 | 24576 | 8192 |      | 2  | 368  | 16 | 16 | 27.812 | 400  | 0.048828 |
| phi1_32.bmp | phi1_32.bmp-withWavelet_haar-G_0.8-H7e-005_af4.wfa    | haar    | af4 | 0.8 | 0.00007 | 24576 | 8192 | 8192 | 5  | 1040 | 40 | 40 | 30.953 | 1120 | 0.136719 |
| phi1_32.bmp | phi1_32.bmp-withWavelet_rbio1.1-G_0.8-H7e-005_af4.wfa | rbio1.1 | af4 | 0.8 | 0.00007 | 24576 | 8192 | 8192 | 5  | 1040 | 40 | 40 | 30.781 | 1120 | 0.136719 |
| phi1_32.bmp | phi1_32.bmp-withWavelet_sym1-G_0.8-H7e-005_af4.wfa    | sym1    | af4 | 0.8 | 0.00007 | 24576 | 8192 | 8192 | 5  | 1040 | 40 | 40 | 31.094 | 1120 | 0.136719 |
| phi1_32.bmp | phi1_32.bmp-withWavelet_bior1.1-G_0.8-H7e-005_af4.wfa | bior1.1 | af4 | 0.8 | 0.00007 | 24576 | 8192 | 8192 | 5  | 1040 | 40 | 40 | 30.984 | 1120 | 0.136719 |
| phi1_32.bmp | phi1_32.bmp-G_0.8-H7e-005_af5.wfa                     |         | af5 | 0.8 | 0.00007 | 24576 | 8192 |      | 2  | 368  | 16 | 16 | 27.547 | 400  | 0.048828 |
| phi1_32.bmp | phi1_32.bmp-withWavelet_haar-G_0.8-H7e-005_af5.wfa    | haar    | af5 | 0.8 | 0.00007 | 24576 | 8192 | 8192 | 12 | 4848 | 96 | 96 | 32.109 | 5040 | 0.615234 |
| phi1_32.bmp | phi1_32.bmp-withWavelet_rbio1.1-G_0.8-H7e-005_af5.wfa | rbio1.1 | af5 | 0.8 | 0.00007 | 24576 | 8192 | 8192 | 12 | 4848 | 96 | 96 | 32.312 | 5040 | 0.615234 |
| phi1_32.bmp | phi1_32.bmp-withWavelet_sym1-G_0.8-H7e-005_af5.wfa    | sym1    | af5 | 0.8 | 0.00007 | 24576 | 8192 | 8192 | 12 | 4848 | 96 | 96 | 32.219 | 5040 | 0.615234 |
| phi1_32.bmp | phi1_32.bmp-withWavelet_bior1.1-G_0.8-H7e-005_af5.wfa | bior1.1 | af5 | 0.8 | 0.00007 | 24576 | 8192 | 8192 | 12 | 4848 | 96 | 96 | 32.109 | 5040 | 0.615234 |
| phi1_32.bmp | phi1_32.bmp-G_0.6-H7e-005_af1.wfa                     |         | af1 | 0.6 | 0.00007 | 24576 | 8192 |      | 2  | 368  | 16 | 16 | 27.547 | 400  | 0.048828 |
| phi1_32.bmp | phi1_32.bmp-withWavelet_haar-G_0.6-H7e-005_af1.wfa    | haar    | af1 | 0.6 | 0.00007 | 24576 | 8192 | 8192 | 3  | 528  | 24 | 24 | 27.672 | 576  | 0.070313 |
| phi1_32.bmp | phi1_32.bmp-withWavelet_rbio1.1-G_0.6-H7e-005_af1.wfa | rbio1.1 | af1 | 0.6 | 0.00007 | 24576 | 8192 | 8192 | 3  | 528  | 24 | 24 | 27.562 | 576  | 0.070313 |
| phi1_32.bmp | phi1_32.bmp-withWavelet_sym1-G_0.6-H7e-005_af1.wfa    | sym1    | af1 | 0.6 | 0.00007 | 24576 | 8192 | 8192 | 3  | 528  | 24 | 24 | 27.609 | 576  | 0.070313 |
| phi1_32.bmp | phi1_32.bmp-withWavelet_bior1.1-G_0.6-H7e-005_af1.wfa | bior1.1 | af1 | 0.6 | 0.00007 | 24576 | 8192 | 8192 | 3  | 528  | 24 | 24 | 27.469 | 576  | 0.070313 |
| phi1_32.bmp | phi1_32.bmp-G_0.6-H7e-005_af2.wfa                     |         | af2 | 0.6 | 0.00007 | 24576 | 8192 |      | 2  | 368  | 16 | 16 | 27.375 | 400  | 0.048828 |
| phi1_32.bmp | phi1_32.bmp-withWavelet_haar-G_0.6-H7e-005_af2.wfa    | haar    | af2 | 0.6 | 0.00007 | 24576 | 8192 | 8192 | 8  | 2288 | 64 | 64 | 31.609 | 2416 | 0.294922 |
| phi1_32.bmp | phi1_32.bmp-withWavelet_rbio1.1-G_0.6-H7e-005_af2.wfa | rbio1.1 | af2 | 0.6 | 0.00007 | 24576 | 8192 | 8192 | 8  | 2288 | 64 | 64 | 31.953 | 2416 | 0.294922 |
| phi1_32.bmp | phi1_32.bmp-withWavelet_sym1-G_0.6-H7e-005_af2.wfa    | sym1    | af2 | 0.6 | 0.00007 | 24576 | 8192 | 8192 | 8  | 2288 | 64 | 64 | 31.953 | 2416 | 0.294922 |
| phi1_32.bmp | phi1_32.bmp-withWavelet_bior1.1-G_0.6-H7e-005_af2.wfa | bior1.1 | af2 | 0.6 | 0.00007 | 24576 | 8192 | 8192 | 8  | 2288 | 64 | 64 | 31.64  | 2416 | 0.294922 |
| phi1_32.bmp | phi1_32.bmp-G_0.6-H7e-005_af3.wfa                     |         | af3 | 0.6 | 0.00007 | 24576 | 8192 |      | 2  | 368  | 16 | 16 | 27.5   | 400  | 0.048828 |
| phi1_32.bmp | phi1_32.bmp-withWavelet_haar-G_0.6-H7e-005_af3.wfa    | haar    | af3 | 0.6 | 0.00007 | 24576 | 8192 | 8192 | 3  | 528  | 24 | 24 | 27.61  | 576  | 0.070313 |
| phi1_32.bmp | phi1_32.bmp-withWavelet_rbio1.1-G_0.6-H7e-005_af3.wfa | rbio1.1 | af3 | 0.6 | 0.00007 | 24576 | 8192 | 8192 | 3  | 528  | 24 | 24 | 27.593 | 576  | 0.070313 |
| phi1_32.bmp | phi1_32.bmp-withWavelet_sym1-G_0.6-H7e-005_af3.wfa    | sym1    | af3 | 0.6 | 0.00007 | 24576 | 8192 | 8192 | 3  | 528  | 24 | 24 | 27.672 | 576  | 0.070313 |
| phi1_32.bmp | phi1_32.bmp-withWavelet_bior1.1-G_0.6-H7e-005_af3.wfa | bior1.1 | af3 | 0.6 | 0.00007 | 24576 | 8192 | 8192 | 3  | 528  | 24 | 24 | 27.797 | 576  | 0.070313 |
| phi1_32.bmp | phi1_32.bmp-G_0.6-H7e-005_af4.wfa                     |         | af4 | 0.6 | 0.00007 | 24576 | 8192 |      | 2  | 368  | 16 | 16 | 27.437 | 400  | 0.048828 |
| phi1_32.bmp | phi1_32.bmp-withWavelet_haar-G_0.6-H7e-005_af4.wfa    | haar    | af4 | 0.6 | 0.00007 | 24576 | 8192 | 8192 | 5  | 1040 | 40 | 40 | 29.391 | 1120 | 0.136719 |
| phi1_32.bmp | phi1_32.bmp-withWavelet_rbio1.1-G_0.6-H7e-005_af4.wfa | rbio1.1 | af4 | 0.6 | 0.00007 | 24576 | 8192 | 8192 | 5  | 1040 | 40 | 40 | 29.312 | 1120 | 0.136719 |

|             |   |         |     |     |         |       |      |      |    |      |    |    |        |      |          |
|-------------|---|---------|-----|-----|---------|-------|------|------|----|------|----|----|--------|------|----------|
| phi1_32.bmp | phi1_32.bmp-withWavelet_sym1-G_0.6-H7e-005_af4.wfa    | sym1    | af4 | 0.6 | 0.00007 | 24576 | 8192 | 8192 | 5  | 1040 | 40 | 40 | 29.453 | 1120 | 0.136719 |
| phi1_32.bmp | phi1_32.bmp-withWavelet_bior1.1-G_0.6-H7e-005_af4.wfa | bior1.1 | af4 | 0.6 | 0.00007 | 24576 | 8192 | 8192 | 5  | 1040 | 40 | 40 | 29.344 | 1120 | 0.136719 |
| phi1_32.bmp | phi1_32.bmp-G_0.6-H7e-005_af5.wfa                     |         | af5 | 0.6 | 0.00007 | 24576 | 8192 |      | 2  | 368  | 16 | 16 | 27.422 | 400  | 0.048828 |
| phi1_32.bmp | phi1_32.bmp-withWavelet_haar-G_0.6-H7e-005_af5.wfa    | haar    | af5 | 0.6 | 0.00007 | 24576 | 8192 | 8192 | 12 | 4848 | 96 | 96 | 30.765 | 5040 | 0.615234 |
| phi1_32.bmp | phi1_32.bmp-withWavelet_rbio1.1-G_0.6-H7e-005_af5.wfa | rbio1.1 | af5 | 0.6 | 0.00007 | 24576 | 8192 | 8192 | 12 | 4848 | 96 | 96 | 30.641 | 5040 | 0.615234 |
| phi1_32.bmp | phi1_32.bmp-withWavelet_sym1-G_0.6-H7e-005_af5.wfa    | sym1    | af5 | 0.6 | 0.00007 | 24576 | 8192 | 8192 | 12 | 4848 | 96 | 96 | 30.64  | 5040 | 0.615234 |
| phi1_32.bmp | phi1_32.bmp-withWavelet_bior1.1-G_0.6-H7e-005_af5.wfa | bior1.1 | af5 | 0.6 | 0.00007 | 24576 | 8192 | 8192 | 12 | 4848 | 96 | 96 | 30.563 | 5040 | 0.615234 |
| phi1_32.bmp | phi1_32.bmp-G_1-H8e-005_af1.wfa                       |         | af1 | 1   | 0.00008 | 24576 | 8192 |      | 2  | 368  | 16 | 16 | 29.672 | 400  | 0.048828 |
| phi1_32.bmp | phi1_32.bmp-withWavelet_haar-G_1-H8e-005_af1.wfa      | haar    | af1 | 1   | 0.00008 | 24576 | 8192 | 8192 | 3  | 528  | 24 | 24 | 30.5   | 576  | 0.070313 |
| phi1_32.bmp | phi1_32.bmp-withWavelet_rbio1.1-G_1-H8e-005_af1.wfa   | rbio1.1 | af1 | 1   | 0.00008 | 24576 | 8192 | 8192 | 3  | 528  | 24 | 24 | 30.453 | 576  | 0.070313 |
| phi1_32.bmp | phi1_32.bmp-withWavelet_sym1-G_1-H8e-005_af1.wfa      | sym1    | af1 | 1   | 0.00008 | 24576 | 8192 | 8192 | 3  | 528  | 24 | 24 | 30.531 | 576  | 0.070313 |
| phi1_32.bmp | phi1_32.bmp-withWavelet_bior1.1-G_1-H8e-005_af1.wfa   | bior1.1 | af1 | 1   | 0.00008 | 24576 | 8192 | 8192 | 3  | 528  | 24 | 24 | 30.438 | 576  | 0.070313 |
| phi1_32.bmp | phi1_32.bmp-G_1-H8e-005_af2.wfa                       |         | af2 | 1   | 0.00008 | 24576 | 8192 |      | 2  | 368  | 16 | 16 | 29.407 | 400  | 0.048828 |
| phi1_32.bmp | phi1_32.bmp-withWavelet_haar-G_1-H8e-005_af2.wfa      | haar    | af2 | 1   | 0.00008 | 24576 | 8192 | 8192 | 8  | 2288 | 64 | 64 | 41.234 | 2416 | 0.294922 |
| phi1_32.bmp | phi1_32.bmp-withWavelet_rbio1.1-G_1-H8e-005_af2.wfa   | rbio1.1 | af2 | 1   | 0.00008 | 24576 | 8192 | 8192 | 8  | 2288 | 64 | 64 | 41.906 | 2416 | 0.294922 |
| phi1_32.bmp | phi1_32.bmp-withWavelet_sym1-G_1-H8e-005_af2.wfa      | sym1    | af2 | 1   | 0.00008 | 24576 | 8192 | 8192 | 8  | 2288 | 64 | 64 | 41.907 | 2416 | 0.294922 |
| phi1_32.bmp | phi1_32.bmp-withWavelet_bior1.1-G_1-H8e-005_af2.wfa   | bior1.1 | af2 | 1   | 0.00008 | 24576 | 8192 | 8192 | 8  | 2288 | 64 | 64 | 41.579 | 2416 | 0.294922 |
| phi1_32.bmp | phi1_32.bmp-G_1-H8e-005_af3.wfa                       |         | af3 | 1   | 0.00008 | 24576 | 8192 |      | 2  | 368  | 16 | 16 | 29.609 | 400  | 0.048828 |
| phi1_32.bmp | phi1_32.bmp-withWavelet_haar-G_1-H8e-005_af3.wfa      | haar    | af3 | 1   | 0.00008 | 24576 | 8192 | 8192 | 3  | 528  | 24 | 24 | 30.375 | 576  | 0.070313 |
| phi1_32.bmp | phi1_32.bmp-withWavelet_rbio1.1-G_1-H8e-005_af3.wfa   | rbio1.1 | af3 | 1   | 0.00008 | 24576 | 8192 | 8192 | 3  | 528  | 24 | 24 | 30.937 | 576  | 0.070313 |
| phi1_32.bmp | phi1_32.bmp-withWavelet_sym1-G_1-H8e-005_af3.wfa      | sym1    | af3 | 1   | 0.00008 | 24576 | 8192 | 8192 | 3  | 528  | 24 | 24 | 30.484 | 576  | 0.070313 |
| phi1_32.bmp | phi1_32.bmp-withWavelet_bior1.1-G_1-H8e-005_af3.wfa   | bior1.1 | af3 | 1   | 0.00008 | 24576 | 8192 | 8192 | 3  | 528  | 24 | 24 | 30.594 | 576  | 0.070313 |
| phi1_32.bmp | phi1_32.bmp-G_1-H8e-005_af4.wfa                       |         | af4 | 1   | 0.00008 | 24576 | 8192 |      | 2  | 368  | 16 | 16 | 29.844 | 400  | 0.048828 |
| phi1_32.bmp | phi1_32.bmp-withWavelet_haar-G_1-H8e-005_af4.wfa      | haar    | af4 | 1   | 0.00008 | 24576 | 8192 | 8192 | 5  | 1040 | 40 | 40 | 35.656 | 1120 | 0.136719 |
| phi1_32.bmp | phi1_32.bmp-withWavelet_rbio1.1-G_1-H8e-005_af4.wfa   | rbio1.1 | af4 | 1   | 0.00008 | 24576 | 8192 | 8192 | 5  | 1040 | 40 | 40 | 36.015 | 1120 | 0.136719 |
| phi1_32.bmp | phi1_32.bmp-withWavelet_sym1-G_1-H8e-005_af4.wfa      | sym1    | af4 | 1   | 0.00008 | 24576 | 8192 | 8192 | 5  | 1040 | 40 | 40 | 36.188 | 1120 | 0.136719 |
| phi1_32.bmp | phi1_32.bmp-withWavelet_bior1.1-G_1-H8e-005_af4.wfa   | bior1.1 | af4 | 1   | 0.00008 | 24576 | 8192 | 8192 | 5  | 1040 | 40 | 40 | 36.266 | 1120 | 0.136719 |
| phi1_32.bmp | phi1_32.bmp-G_1-H8e-005_af5.wfa                       |         | af5 | 1   | 0.00008 | 24576 | 8192 |      | 2  | 368  | 16 | 16 | 29.438 | 400  | 0.048828 |
| phi1_32.bmp | phi1_32.bmp-withWavelet_haar-G_1-H8e-005_af5.wfa      | haar    | af5 | 1   | 0.00008 | 24576 | 8192 | 8192 | 12 | 4848 | 96 | 96 | 38.516 | 5040 | 0.615234 |
| phi1_32.bmp | phi1_32.bmp-withWavelet_rbio1.1-G_1-H8e-005_af5.wfa   | rbio1.1 | af5 | 1   | 0.00008 | 24576 | 8192 | 8192 | 12 | 4848 | 96 | 96 | 38.953 | 5040 | 0.615234 |
| phi1_32.bmp | phi1_32.bmp-withWavelet_sym1-G_1-H8e-005_af5.wfa      | sym1    | af5 | 1   | 0.00008 | 24576 | 8192 | 8192 | 12 | 4848 | 96 | 96 | 38.922 | 5040 | 0.615234 |

|             |   |         |     |     |         |       |      |      |    |      |    |    |        |      |          |
|-------------|---|---------|-----|-----|---------|-------|------|------|----|------|----|----|--------|------|----------|
| phi1_32.bmp | phi1_32.bmp-withWavelet_bior1.1-G_1-H8e-005_af5.wfa   | bior1.1 | af5 | 1   | 0.00008 | 24576 | 8192 | 8192 | 12 | 4848 | 96 | 96 | 38.812 | 5040 | 0.615234 |
| phi1_32.bmp | phi1_32.bmp-G_0.8-H8e-005_af1.wfa                     |         | af1 | 0.8 | 0.00008 | 24576 | 8192 |      | 2  | 368  | 16 | 16 | 27.906 | 400  | 0.048828 |
| phi1_32.bmp | phi1_32.bmp-withWavelet_haar-G_0.8-H8e-005_af1.wfa    | haar    | af1 | 0.8 | 0.00008 | 24576 | 8192 | 8192 | 3  | 528  | 24 | 24 | 28.141 | 576  | 0.070313 |
| phi1_32.bmp | phi1_32.bmp-withWavelet_rbio1.1-G_0.8-H8e-005_af1.wfa | rbio1.1 | af1 | 0.8 | 0.00008 | 24576 | 8192 | 8192 | 3  | 528  | 24 | 24 | 28.296 | 576  | 0.070313 |
| phi1_32.bmp | phi1_32.bmp-withWavelet_sym1-G_0.8-H8e-005_af1.wfa    | sym1    | af1 | 0.8 | 0.00008 | 24576 | 8192 | 8192 | 3  | 528  | 24 | 24 | 28.109 | 576  | 0.070313 |
| phi1_32.bmp | phi1_32.bmp-withWavelet_bior1.1-G_0.8-H8e-005_af1.wfa | bior1.1 | af1 | 0.8 | 0.00008 | 24576 | 8192 | 8192 | 3  | 528  | 24 | 24 | 28.062 | 576  | 0.070313 |
| phi1_32.bmp | phi1_32.bmp-G_0.8-H8e-005_af2.wfa                     |         | af2 | 0.8 | 0.00008 | 24576 | 8192 |      | 2  | 368  | 16 | 16 | 27.64  | 400  | 0.048828 |
| phi1_32.bmp | phi1_32.bmp-withWavelet_haar-G_0.8-H8e-005_af2.wfa    | haar    | af2 | 0.8 | 0.00008 | 24576 | 8192 | 8192 | 8  | 2288 | 64 | 64 | 33.703 | 2416 | 0.294922 |
| phi1_32.bmp | phi1_32.bmp-withWavelet_rbio1.1-G_0.8-H8e-005_af2.wfa | rbio1.1 | af2 | 0.8 | 0.00008 | 24576 | 8192 | 8192 | 8  | 2288 | 64 | 64 | 33.406 | 2416 | 0.294922 |
| phi1_32.bmp | phi1_32.bmp-withWavelet_sym1-G_0.8-H8e-005_af2.wfa    | sym1    | af2 | 0.8 | 0.00008 | 24576 | 8192 | 8192 | 8  | 2288 | 64 | 64 | 33.515 | 2416 | 0.294922 |
| phi1_32.bmp | phi1_32.bmp-withWavelet_bior1.1-G_0.8-H8e-005_af2.wfa | bior1.1 | af2 | 0.8 | 0.00008 | 24576 | 8192 | 8192 | 8  | 2288 | 64 | 64 | 34.047 | 2416 | 0.294922 |
| phi1_32.bmp | phi1_32.bmp-G_0.8-H8e-005_af3.wfa                     |         | af3 | 0.8 | 0.00008 | 24576 | 8192 |      | 2  | 368  | 16 | 16 | 27.75  | 400  | 0.048828 |
| phi1_32.bmp | phi1_32.bmp-withWavelet_haar-G_0.8-H8e-005_af3.wfa    | haar    | af3 | 0.8 | 0.00008 | 24576 | 8192 | 8192 | 3  | 528  | 24 | 24 | 28.125 | 576  | 0.070313 |
| phi1_32.bmp | phi1_32.bmp-withWavelet_rbio1.1-G_0.8-H8e-005_af3.wfa | rbio1.1 | af3 | 0.8 | 0.00008 | 24576 | 8192 | 8192 | 3  | 528  | 24 | 24 | 28.203 | 576  | 0.070313 |
| phi1_32.bmp | phi1_32.bmp-withWavelet_sym1-G_0.8-H8e-005_af3.wfa    | sym1    | af3 | 0.8 | 0.00008 | 24576 | 8192 | 8192 | 3  | 528  | 24 | 24 | 28.078 | 576  | 0.070313 |
| phi1_32.bmp | phi1_32.bmp-withWavelet_bior1.1-G_0.8-H8e-005_af3.wfa | bior1.1 | af3 | 0.8 | 0.00008 | 24576 | 8192 | 8192 | 3  | 528  | 24 | 24 | 28.188 | 576  | 0.070313 |
| phi1_32.bmp | phi1_32.bmp-G_0.8-H8e-005_af4.wfa                     |         | af4 | 0.8 | 0.00008 | 24576 | 8192 |      | 2  | 368  | 16 | 16 | 27.719 | 400  | 0.048828 |
| phi1_32.bmp | phi1_32.bmp-withWavelet_haar-G_0.8-H8e-005_af4.wfa    | haar    | af4 | 0.8 | 0.00008 | 24576 | 8192 | 8192 | 5  | 1040 | 40 | 40 | 30.937 | 1120 | 0.136719 |
| phi1_32.bmp | phi1_32.bmp-withWavelet_rbio1.1-G_0.8-H8e-005_af4.wfa | rbio1.1 | af4 | 0.8 | 0.00008 | 24576 | 8192 | 8192 | 5  | 1040 | 40 | 40 | 31.016 | 1120 | 0.136719 |
| phi1_32.bmp | phi1_32.bmp-withWavelet_sym1-G_0.8-H8e-005_af4.wfa    | sym1    | af4 | 0.8 | 0.00008 | 24576 | 8192 | 8192 | 5  | 1040 | 40 | 40 | 30.828 | 1120 | 0.136719 |
| phi1_32.bmp | phi1_32.bmp-withWavelet_bior1.1-G_0.8-H8e-005_af4.wfa | bior1.1 | af4 | 0.8 | 0.00008 | 24576 | 8192 | 8192 | 5  | 1040 | 40 | 40 | 31.063 | 1120 | 0.136719 |
| phi1_32.bmp | phi1_32.bmp-G_0.8-H8e-005_af5.wfa                     |         | af5 | 0.8 | 0.00008 | 24576 | 8192 |      | 2  | 368  | 16 | 16 | 27.469 | 400  | 0.048828 |
| phi1_32.bmp | phi1_32.bmp-withWavelet_haar-G_0.8-H8e-005_af5.wfa    | haar    | af5 | 0.8 | 0.00008 | 24576 | 8192 | 8192 | 12 | 4848 | 96 | 96 | 31.968 | 5040 | 0.615234 |
| phi1_32.bmp | phi1_32.bmp-withWavelet_rbio1.1-G_0.8-H8e-005_af5.wfa | rbio1.1 | af5 | 0.8 | 0.00008 | 24576 | 8192 | 8192 | 12 | 4848 | 96 | 96 | 31.954 | 5040 | 0.615234 |
| phi1_32.bmp | phi1_32.bmp-withWavelet_sym1-G_0.8-H8e-005_af5.wfa    | sym1    | af5 | 0.8 | 0.00008 | 24576 | 8192 | 8192 | 12 | 4848 | 96 | 96 | 32.485 | 5040 | 0.615234 |
| phi1_32.bmp | phi1_32.bmp-withWavelet_bior1.1-G_0.8-H8e-005_af5.wfa | bior1.1 | af5 | 0.8 | 0.00008 | 24576 | 8192 | 8192 | 12 | 4848 | 96 | 96 | 32.094 | 5040 | 0.615234 |
| phi1_32.bmp | phi1_32.bmp-G_0.6-H8e-005_af1.wfa                     |         | af1 | 0.6 | 0.00008 | 24576 | 8192 |      | 2  | 368  | 16 | 16 | 27.359 | 400  | 0.048828 |
| phi1_32.bmp | phi1_32.bmp-withWavelet_haar-G_0.6-H8e-005_af1.wfa    | haar    | af1 | 0.6 | 0.00008 | 24576 | 8192 | 8192 | 3  | 528  | 24 | 24 | 27.562 | 576  | 0.070313 |
| phi1_32.bmp | phi1_32.bmp-withWavelet_rbio1.1-G_0.6-H8e-005_af1.wfa | rbio1.1 | af1 | 0.6 | 0.00008 | 24576 | 8192 | 8192 | 3  | 528  | 24 | 24 | 27.578 | 576  | 0.070313 |
| phi1_32.bmp | phi1_32.bmp-withWavelet_sym1-G_0.6-H8e-005_af1.wfa    | sym1    | af1 | 0.6 | 0.00008 | 24576 | 8192 | 8192 | 3  | 528  | 24 | 24 | 27.562 | 576  | 0.070313 |
| phi1_32.bmp | phi1_32.bmp-withWavelet_bior1.1-G_0.6-H8e-005_af1.wfa | bior1.1 | af1 | 0.6 | 0.00008 | 24576 | 8192 | 8192 | 3  | 528  | 24 | 24 | 27.593 | 576  | 0.070313 |



|             |   |         |     |     |         |       |      |      |  |    |      |    |    |        |      |          |
|-------------|---|---------|-----|-----|---------|-------|------|------|--|----|------|----|----|--------|------|----------|
| phi1_32.bmp | phi1_32.bmp-G_0.6-H8e-005_af2.wfa                     |         | af2 | 0.6 | 0.00008 | 24576 | 8192 |      |  | 2  | 368  | 16 | 16 | 27.563 | 400  | 0.048828 |
| phi1_32.bmp | phi1_32.bmp-withWavelet_haar-G_0.6-H8e-005_af2.wfa    | haar    | af2 | 0.6 | 0.00008 | 24576 | 8192 | 8192 |  | 8  | 2288 | 64 | 64 | 31.766 | 2416 | 0.294922 |
| phi1_32.bmp | phi1_32.bmp-withWavelet_rbio1.1-G_0.6-H8e-005_af2.wfa | rbio1.1 | af2 | 0.6 | 0.00008 | 24576 | 8192 | 8192 |  | 8  | 2288 | 64 | 64 | 31.734 | 2416 | 0.294922 |
| phi1_32.bmp | phi1_32.bmp-withWavelet_sym1-G_0.6-H8e-005_af2.wfa    | sym1    | af2 | 0.6 | 0.00008 | 24576 | 8192 | 8192 |  | 8  | 2288 | 64 | 64 | 31.781 | 2416 | 0.294922 |
| phi1_32.bmp | phi1_32.bmp-withWavelet_bior1.1-G_0.6-H8e-005_af2.wfa | bior1.1 | af2 | 0.6 | 0.00008 | 24576 | 8192 | 8192 |  | 8  | 2288 | 64 | 64 | 31.687 | 2416 | 0.294922 |
| phi1_32.bmp | phi1_32.bmp-G_0.6-H8e-005_af3.wfa                     |         | af3 | 0.6 | 0.00008 | 24576 | 8192 |      |  | 2  | 368  | 16 | 16 | 27.422 | 400  | 0.048828 |
| phi1_32.bmp | phi1_32.bmp-withWavelet_haar-G_0.6-H8e-005_af3.wfa    | haar    | af3 | 0.6 | 0.00008 | 24576 | 8192 | 8192 |  | 3  | 528  | 24 | 24 | 27.531 | 576  | 0.070313 |
| phi1_32.bmp | phi1_32.bmp-withWavelet_rbio1.1-G_0.6-H8e-005_af3.wfa | rbio1.1 | af3 | 0.6 | 0.00008 | 24576 | 8192 | 8192 |  | 3  | 528  | 24 | 24 | 27.609 | 576  | 0.070313 |
| phi1_32.bmp | phi1_32.bmp-withWavelet_sym1-G_0.6-H8e-005_af3.wfa    | sym1    | af3 | 0.6 | 0.00008 | 24576 | 8192 | 8192 |  | 3  | 528  | 24 | 24 | 27.484 | 576  | 0.070313 |
| phi1_32.bmp | phi1_32.bmp-withWavelet_bior1.1-G_0.6-H8e-005_af3.wfa | bior1.1 | af3 | 0.6 | 0.00008 | 24576 | 8192 | 8192 |  | 3  | 528  | 24 | 24 | 27.593 | 576  | 0.070313 |
| phi1_32.bmp | phi1_32.bmp-G_0.6-H8e-005_af4.wfa                     |         | af4 | 0.6 | 0.00008 | 24576 | 8192 |      |  | 2  | 368  | 16 | 16 | 27.656 | 400  | 0.048828 |
| phi1_32.bmp | phi1_32.bmp-withWavelet_haar-G_0.6-H8e-005_af4.wfa    | haar    | af4 | 0.6 | 0.00008 | 24576 | 8192 | 8192 |  | 5  | 1040 | 40 | 40 | 29.484 | 1120 | 0.136719 |
| phi1_32.bmp | phi1_32.bmp-withWavelet_rbio1.1-G_0.6-H8e-005_af4.wfa | rbio1.1 | af4 | 0.6 | 0.00008 | 24576 | 8192 | 8192 |  | 5  | 1040 | 40 | 40 | 30.078 | 1120 | 0.136719 |
| phi1_32.bmp | phi1_32.bmp-withWavelet_sym1-G_0.6-H8e-005_af4.wfa    | sym1    | af4 | 0.6 | 0.00008 | 24576 | 8192 | 8192 |  | 5  | 1040 | 40 | 40 | 29.328 | 1120 | 0.136719 |
| phi1_32.bmp | phi1_32.bmp-withWavelet_bior1.1-G_0.6-H8e-005_af4.wfa | bior1.1 | af4 | 0.6 | 0.00008 | 24576 | 8192 | 8192 |  | 5  | 1040 | 40 | 40 | 29.625 | 1120 | 0.136719 |
| phi1_32.bmp | phi1_32.bmp-G_0.6-H8e-005_af5.wfa                     |         | af5 | 0.6 | 0.00008 | 24576 | 8192 |      |  | 2  | 368  | 16 | 16 | 27.422 | 400  | 0.048828 |
| phi1_32.bmp | phi1_32.bmp-withWavelet_haar-G_0.6-H8e-005_af5.wfa    | haar    | af5 | 0.6 | 0.00008 | 24576 | 8192 | 8192 |  | 12 | 4848 | 96 | 96 | 30.688 | 5040 | 0.615234 |
| phi1_32.bmp | phi1_32.bmp-withWavelet_rbio1.1-G_0.6-H8e-005_af5.wfa | rbio1.1 | af5 | 0.6 | 0.00008 | 24576 | 8192 | 8192 |  | 12 | 4848 | 96 | 96 | 30.718 | 5040 | 0.615234 |
| phi1_32.bmp | phi1_32.bmp-withWavelet_sym1-G_0.6-H8e-005_af5.wfa    | sym1    | af5 | 0.6 | 0.00008 | 24576 | 8192 | 8192 |  | 12 | 4848 | 96 | 96 | 30.625 | 5040 | 0.615234 |
| phi1_32.bmp | phi1_32.bmp-withWavelet_bior1.1-G_0.6-H8e-005_af5.wfa | bior1.1 | af5 | 0.6 | 0.00008 | 24576 | 8192 | 8192 |  | 12 | 4848 | 96 | 96 | 30.563 | 5040 | 0.615234 |
| phi1_32.bmp | phi1_32.bmp-G_1-H9e-005_af1.wfa                       |         | af1 | 1   | 0.00009 | 24576 | 8192 |      |  | 2  | 368  | 16 | 16 | 29.75  | 400  | 0.048828 |
| phi1_32.bmp | phi1_32.bmp-withWavelet_haar-G_1-H9e-005_af1.wfa      | haar    | af1 | 1   | 0.00009 | 24576 | 8192 | 8192 |  | 3  | 528  | 24 | 24 | 31.5   | 576  | 0.070313 |
| phi1_32.bmp | phi1_32.bmp-withWavelet_rbio1.1-G_1-H9e-005_af1.wfa   | rbio1.1 | af1 | 1   | 0.00009 | 24576 | 8192 | 8192 |  | 3  | 528  | 24 | 24 | 30.437 | 576  | 0.070313 |
| phi1_32.bmp | phi1_32.bmp-withWavelet_sym1-G_1-H9e-005_af1.wfa      | sym1    | af1 | 1   | 0.00009 | 24576 | 8192 | 8192 |  | 3  | 528  | 24 | 24 | 30.688 | 576  | 0.070313 |
| phi1_32.bmp | phi1_32.bmp-withWavelet_bior1.1-G_1-H9e-005_af1.wfa   | bior1.1 | af1 | 1   | 0.00009 | 24576 | 8192 | 8192 |  | 3  | 528  | 24 | 24 | 30.625 | 576  | 0.070313 |
| phi1_32.bmp | phi1_32.bmp-G_1-H9e-005_af2.wfa                       |         | af2 | 1   | 0.00009 | 24576 | 8192 |      |  | 2  | 368  | 16 | 16 | 29.406 | 400  | 0.048828 |
| phi1_32.bmp | phi1_32.bmp-withWavelet_haar-G_1-H9e-005_af2.wfa      | haar    | af2 | 1   | 0.00009 | 24576 | 8192 | 8192 |  | 8  | 2288 | 64 | 64 | 41.547 | 2416 | 0.294922 |
| phi1_32.bmp | phi1_32.bmp-withWavelet_rbio1.1-G_1-H9e-005_af2.wfa   | rbio1.1 | af2 | 1   | 0.00009 | 24576 | 8192 | 8192 |  | 8  | 2288 | 64 | 64 | 41.984 | 2416 | 0.294922 |
| phi1_32.bmp | phi1_32.bmp-withWavelet_sym1-G_1-H9e-005_af2.wfa      | sym1    | af2 | 1   | 0.00009 | 24576 | 8192 | 8192 |  | 8  | 2288 | 64 | 64 | 41.609 | 2416 | 0.294922 |
| phi1_32.bmp | phi1_32.bmp-withWavelet_bior1.1-G_1-H9e-005_af2.wfa   | bior1.1 | af2 | 1   | 0.00009 | 24576 | 8192 | 8192 |  | 8  | 2288 | 64 | 64 | 42.781 | 2416 | 0.294922 |
| phi1_32.bmp | phi1_32.bmp-G_1-H9e-005_af3.wfa                       |         | af3 | 1   | 0.00009 | 24576 | 8192 |      |  | 2  | 368  | 16 | 16 | 29.938 | 400  | 0.048828 |

|             |   |         |     |     |         |       |      |      |    |      |    |    |        |      |          |
|-------------|---|---------|-----|-----|---------|-------|------|------|----|------|----|----|--------|------|----------|
| phi1_32.bmp | phi1_32.bmp-withWavelet_haar-G_1-H9e-005_af3.wfa      | haar    | af3 | 1   | 0.00009 | 24576 | 8192 | 8192 | 3  | 528  | 24 | 24 | 30.453 | 576  | 0.070313 |
| phi1_32.bmp | phi1_32.bmp-withWavelet_rbio1.1-G_1-H9e-005_af3.wfa   | rbio1.1 | af3 | 1   | 0.00009 | 24576 | 8192 | 8192 | 3  | 528  | 24 | 24 | 30.968 | 576  | 0.070313 |
| phi1_32.bmp | phi1_32.bmp-withWavelet_sym1-G_1-H9e-005_af3.wfa      | sym1    | af3 | 1   | 0.00009 | 24576 | 8192 | 8192 | 3  | 528  | 24 | 24 | 30.297 | 576  | 0.070313 |
| phi1_32.bmp | phi1_32.bmp-withWavelet_bior1.1-G_1-H9e-005_af3.wfa   | bior1.1 | af3 | 1   | 0.00009 | 24576 | 8192 | 8192 | 3  | 528  | 24 | 24 | 30.375 | 576  | 0.070313 |
| phi1_32.bmp | phi1_32.bmp-G_1-H9e-005_af4.wfa                       |         | af4 | 1   | 0.00009 | 24576 | 8192 |      | 2  | 368  | 16 | 16 | 29.844 | 400  | 0.048828 |
| phi1_32.bmp | phi1_32.bmp-withWavelet_haar-G_1-H9e-005_af4.wfa      | haar    | af4 | 1   | 0.00009 | 24576 | 8192 | 8192 | 5  | 1040 | 40 | 40 | 35.968 | 1120 | 0.136719 |
| phi1_32.bmp | phi1_32.bmp-withWavelet_rbio1.1-G_1-H9e-005_af4.wfa   | rbio1.1 | af4 | 1   | 0.00009 | 24576 | 8192 | 8192 | 5  | 1040 | 40 | 40 | 35.375 | 1120 | 0.136719 |
| phi1_32.bmp | phi1_32.bmp-withWavelet_sym1-G_1-H9e-005_af4.wfa      | sym1    | af4 | 1   | 0.00009 | 24576 | 8192 | 8192 | 5  | 1040 | 40 | 40 | 35.235 | 1120 | 0.136719 |
| phi1_32.bmp | phi1_32.bmp-withWavelet_bior1.1-G_1-H9e-005_af4.wfa   | bior1.1 | af4 | 1   | 0.00009 | 24576 | 8192 | 8192 | 5  | 1040 | 40 | 40 | 35.953 | 1120 | 0.136719 |
| phi1_32.bmp | phi1_32.bmp-G_1-H9e-005_af5.wfa                       |         | af5 | 1   | 0.00009 | 24576 | 8192 |      | 2  | 368  | 16 | 16 | 29.406 | 400  | 0.048828 |
| phi1_32.bmp | phi1_32.bmp-withWavelet_haar-G_1-H9e-005_af5.wfa      | haar    | af5 | 1   | 0.00009 | 24576 | 8192 | 8192 | 11 | 4112 | 88 | 88 | 37.984 | 4288 | 0.523438 |
| phi1_32.bmp | phi1_32.bmp-withWavelet_rbio1.1-G_1-H9e-005_af5.wfa   | rbio1.1 | af5 | 1   | 0.00009 | 24576 | 8192 | 8192 | 11 | 4112 | 88 | 88 | 38.109 | 4288 | 0.523438 |
| phi1_32.bmp | phi1_32.bmp-withWavelet_sym1-G_1-H9e-005_af5.wfa      | sym1    | af5 | 1   | 0.00009 | 24576 | 8192 | 8192 | 11 | 4112 | 88 | 88 | 38.125 | 4288 | 0.523438 |
| phi1_32.bmp | phi1_32.bmp-withWavelet_bior1.1-G_1-H9e-005_af5.wfa   | bior1.1 | af5 | 1   | 0.00009 | 24576 | 8192 | 8192 | 11 | 4112 | 88 | 88 | 38.281 | 4288 | 0.523438 |
| phi1_32.bmp | phi1_32.bmp-G_0.8-H9e-005_af1.wfa                     |         | af1 | 0.8 | 0.00009 | 24576 | 8192 |      | 2  | 368  | 16 | 16 | 28.078 | 400  | 0.048828 |
| phi1_32.bmp | phi1_32.bmp-withWavelet_haar-G_0.8-H9e-005_af1.wfa    | haar    | af1 | 0.8 | 0.00009 | 24576 | 8192 | 8192 | 3  | 528  | 24 | 24 | 28.016 | 576  | 0.070313 |
| phi1_32.bmp | phi1_32.bmp-withWavelet_rbio1.1-G_0.8-H9e-005_af1.wfa | rbio1.1 | af1 | 0.8 | 0.00009 | 24576 | 8192 | 8192 | 3  | 528  | 24 | 24 | 28.156 | 576  | 0.070313 |
| phi1_32.bmp | phi1_32.bmp-withWavelet_sym1-G_0.8-H9e-005_af1.wfa    | sym1    | af1 | 0.8 | 0.00009 | 24576 | 8192 | 8192 | 3  | 528  | 24 | 24 | 28.093 | 576  | 0.070313 |
| phi1_32.bmp | phi1_32.bmp-withWavelet_bior1.1-G_0.8-H9e-005_af1.wfa | bior1.1 | af1 | 0.8 | 0.00009 | 24576 | 8192 | 8192 | 3  | 528  | 24 | 24 | 27.906 | 576  | 0.070313 |
| phi1_32.bmp | phi1_32.bmp-G_0.8-H9e-005_af2.wfa                     |         | af2 | 0.8 | 0.00009 | 24576 | 8192 |      | 2  | 368  | 16 | 16 | 27.718 | 400  | 0.048828 |
| phi1_32.bmp | phi1_32.bmp-withWavelet_haar-G_0.8-H9e-005_af2.wfa    | haar    | af2 | 0.8 | 0.00009 | 24576 | 8192 | 8192 | 8  | 2288 | 64 | 64 | 33.891 | 2416 | 0.294922 |
| phi1_32.bmp | phi1_32.bmp-withWavelet_rbio1.1-G_0.8-H9e-005_af2.wfa | rbio1.1 | af2 | 0.8 | 0.00009 | 24576 | 8192 | 8192 | 8  | 2288 | 64 | 64 | 34.094 | 2416 | 0.294922 |
| phi1_32.bmp | phi1_32.bmp-withWavelet_sym1-G_0.8-H9e-005_af2.wfa    | sym1    | af2 | 0.8 | 0.00009 | 24576 | 8192 | 8192 | 8  | 2288 | 64 | 64 | 33.891 | 2416 | 0.294922 |
| phi1_32.bmp | phi1_32.bmp-withWavelet_bior1.1-G_0.8-H9e-005_af2.wfa | bior1.1 | af2 | 0.8 | 0.00009 | 24576 | 8192 | 8192 | 8  | 2288 | 64 | 64 | 33.61  | 2416 | 0.294922 |
| phi1_32.bmp | phi1_32.bmp-G_0.8-H9e-005_af3.wfa                     |         | af3 | 0.8 | 0.00009 | 24576 | 8192 |      | 2  | 368  | 16 | 16 | 27.828 | 400  | 0.048828 |
| phi1_32.bmp | phi1_32.bmp-withWavelet_haar-G_0.8-H9e-005_af3.wfa    | haar    | af3 | 0.8 | 0.00009 | 24576 | 8192 | 8192 | 3  | 528  | 24 | 24 | 27.985 | 576  | 0.070313 |
| phi1_32.bmp | phi1_32.bmp-withWavelet_rbio1.1-G_0.8-H9e-005_af3.wfa | rbio1.1 | af3 | 0.8 | 0.00009 | 24576 | 8192 | 8192 | 3  | 528  | 24 | 24 | 28.016 | 576  | 0.070313 |
| phi1_32.bmp | phi1_32.bmp-withWavelet_sym1-G_0.8-H9e-005_af3.wfa    | sym1    | af3 | 0.8 | 0.00009 | 24576 | 8192 | 8192 | 3  | 528  | 24 | 24 | 28.172 | 576  | 0.070313 |
| phi1_32.bmp | phi1_32.bmp-withWavelet_bior1.1-G_0.8-H9e-005_af3.wfa | bior1.1 | af3 | 0.8 | 0.00009 | 24576 | 8192 | 8192 | 3  | 528  | 24 | 24 | 28.062 | 576  | 0.070313 |
| phi1_32.bmp | phi1_32.bmp-G_0.8-H9e-005_af4.wfa                     |         | af4 | 0.8 | 0.00009 | 24576 | 8192 |      | 2  | 368  | 16 | 16 | 27.891 | 400  | 0.048828 |
| phi1_32.bmp | phi1_32.bmp-withWavelet_haar-G_0.8-H9e-005_af4.wfa    | haar    | af4 | 0.8 | 0.00009 | 24576 | 8192 | 8192 | 5  | 1040 | 40 | 40 | 30.921 | 1120 | 0.136719 |

|             |   |         |     |     |         |       |      |      |    |      |    |    |        |      |          |
|-------------|---|---------|-----|-----|---------|-------|------|------|----|------|----|----|--------|------|----------|
| phi1_32.bmp | phi1_32.bmp-withWavelet_rbio1.1-G_0.8-H9e-005_af4.wfa | rbio1.1 | af4 | 0.8 | 0.00009 | 24576 | 8192 | 8192 | 5  | 1040 | 40 | 40 | 30.922 | 1120 | 0.136719 |
| phi1_32.bmp | phi1_32.bmp-withWavelet_sym1-G_0.8-H9e-005_af4.wfa    | sym1    | af4 | 0.8 | 0.00009 | 24576 | 8192 | 8192 | 5  | 1040 | 40 | 40 | 31.172 | 1120 | 0.136719 |
| phi1_32.bmp | phi1_32.bmp-withWavelet_bior1.1-G_0.8-H9e-005_af4.wfa | bior1.1 | af4 | 0.8 | 0.00009 | 24576 | 8192 | 8192 | 5  | 1040 | 40 | 40 | 30.937 | 1120 | 0.136719 |
| phi1_32.bmp | phi1_32.bmp-G_0.8-H9e-005_af5.wfa                     |         | af5 | 0.8 | 0.00009 | 24576 | 8192 |      | 2  | 368  | 16 | 16 | 27.719 | 400  | 0.048828 |
| phi1_32.bmp | phi1_32.bmp-withWavelet_haar-G_0.8-H9e-005_af5.wfa    | haar    | af5 | 0.8 | 0.00009 | 24576 | 8192 | 8192 | 11 | 4112 | 88 | 88 | 32.204 | 4288 | 0.523438 |
| phi1_32.bmp | phi1_32.bmp-withWavelet_rbio1.1-G_0.8-H9e-005_af5.wfa | rbio1.1 | af5 | 0.8 | 0.00009 | 24576 | 8192 | 8192 | 11 | 4112 | 88 | 88 | 31.953 | 4288 | 0.523438 |
| phi1_32.bmp | phi1_32.bmp-withWavelet_sym1-G_0.8-H9e-005_af5.wfa    | sym1    | af5 | 0.8 | 0.00009 | 24576 | 8192 | 8192 | 11 | 4112 | 88 | 88 | 31.688 | 4288 | 0.523438 |
| phi1_32.bmp | phi1_32.bmp-withWavelet_bior1.1-G_0.8-H9e-005_af5.wfa | bior1.1 | af5 | 0.8 | 0.00009 | 24576 | 8192 | 8192 | 11 | 4112 | 88 | 88 | 31.922 | 4288 | 0.523438 |
| phi1_32.bmp | phi1_32.bmp-G_0.6-H9e-005_af1.wfa                     |         | af1 | 0.6 | 0.00009 | 24576 | 8192 |      | 2  | 368  | 16 | 16 | 27.485 | 400  | 0.048828 |
| phi1_32.bmp | phi1_32.bmp-withWavelet_haar-G_0.6-H9e-005_af1.wfa    | haar    | af1 | 0.6 | 0.00009 | 24576 | 8192 | 8192 | 3  | 528  | 24 | 24 | 27.609 | 576  | 0.070313 |
| phi1_32.bmp | phi1_32.bmp-withWavelet_rbio1.1-G_0.6-H9e-005_af1.wfa | rbio1.1 | af1 | 0.6 | 0.00009 | 24576 | 8192 | 8192 | 3  | 528  | 24 | 24 | 27.594 | 576  | 0.070313 |
| phi1_32.bmp | phi1_32.bmp-withWavelet_sym1-G_0.6-H9e-005_af1.wfa    | sym1    | af1 | 0.6 | 0.00009 | 24576 | 8192 | 8192 | 3  | 528  | 24 | 24 | 27.547 | 576  | 0.070313 |
| phi1_32.bmp | phi1_32.bmp-withWavelet_bior1.1-G_0.6-H9e-005_af1.wfa | bior1.1 | af1 | 0.6 | 0.00009 | 24576 | 8192 | 8192 | 3  | 528  | 24 | 24 | 27.562 | 576  | 0.070313 |
| phi1_32.bmp | phi1_32.bmp-G_0.6-H9e-005_af2.wfa                     |         | af2 | 0.6 | 0.00009 | 24576 | 8192 |      | 2  | 368  | 16 | 16 | 27.422 | 400  | 0.048828 |
| phi1_32.bmp | phi1_32.bmp-withWavelet_haar-G_0.6-H9e-005_af2.wfa    | haar    | af2 | 0.6 | 0.00009 | 24576 | 8192 | 8192 | 8  | 2288 | 64 | 64 | 31.688 | 2416 | 0.294922 |
| phi1_32.bmp | phi1_32.bmp-withWavelet_rbio1.1-G_0.6-H9e-005_af2.wfa | rbio1.1 | af2 | 0.6 | 0.00009 | 24576 | 8192 | 8192 | 8  | 2288 | 64 | 64 | 31.547 | 2416 | 0.294922 |
| phi1_32.bmp | phi1_32.bmp-withWavelet_sym1-G_0.6-H9e-005_af2.wfa    | sym1    | af2 | 0.6 | 0.00009 | 24576 | 8192 | 8192 | 8  | 2288 | 64 | 64 | 31.578 | 2416 | 0.294922 |
| phi1_32.bmp | phi1_32.bmp-withWavelet_bior1.1-G_0.6-H9e-005_af2.wfa | bior1.1 | af2 | 0.6 | 0.00009 | 24576 | 8192 | 8192 | 8  | 2288 | 64 | 64 | 31.766 | 2416 | 0.294922 |
| phi1_32.bmp | phi1_32.bmp-G_0.6-H9e-005_af3.wfa                     |         | af3 | 0.6 | 0.00009 | 24576 | 8192 |      | 2  | 368  | 16 | 16 | 27.422 | 400  | 0.048828 |
| phi1_32.bmp | phi1_32.bmp-withWavelet_haar-G_0.6-H9e-005_af3.wfa    | haar    | af3 | 0.6 | 0.00009 | 24576 | 8192 | 8192 | 3  | 528  | 24 | 24 | 27.516 | 576  | 0.070313 |
| phi1_32.bmp | phi1_32.bmp-withWavelet_rbio1.1-G_0.6-H9e-005_af3.wfa | rbio1.1 | af3 | 0.6 | 0.00009 | 24576 | 8192 | 8192 | 3  | 528  | 24 | 24 | 27.531 | 576  | 0.070313 |
| phi1_32.bmp | phi1_32.bmp-withWavelet_sym1-G_0.6-H9e-005_af3.wfa    | sym1    | af3 | 0.6 | 0.00009 | 24576 | 8192 | 8192 | 3  | 528  | 24 | 24 | 27.453 | 576  | 0.070313 |
| phi1_32.bmp | phi1_32.bmp-withWavelet_bior1.1-G_0.6-H9e-005_af3.wfa | bior1.1 | af3 | 0.6 | 0.00009 | 24576 | 8192 | 8192 | 3  | 528  | 24 | 24 | 27.625 | 576  | 0.070313 |
| phi1_32.bmp | phi1_32.bmp-G_0.6-H9e-005_af4.wfa                     |         | af4 | 0.6 | 0.00009 | 24576 | 8192 |      | 2  | 368  | 16 | 16 | 27.437 | 400  | 0.048828 |
| phi1_32.bmp | phi1_32.bmp-withWavelet_haar-G_0.6-H9e-005_af4.wfa    | haar    | af4 | 0.6 | 0.00009 | 24576 | 8192 | 8192 | 5  | 1040 | 40 | 40 | 29.484 | 1120 | 0.136719 |
| phi1_32.bmp | phi1_32.bmp-withWavelet_rbio1.1-G_0.6-H9e-005_af4.wfa | rbio1.1 | af4 | 0.6 | 0.00009 | 24576 | 8192 | 8192 | 5  | 1040 | 40 | 40 | 29.375 | 1120 | 0.136719 |
| phi1_32.bmp | phi1_32.bmp-withWavelet_sym1-G_0.6-H9e-005_af4.wfa    | sym1    | af4 | 0.6 | 0.00009 | 24576 | 8192 | 8192 | 5  | 1040 | 40 | 40 | 29.313 | 1120 | 0.136719 |
| phi1_32.bmp | phi1_32.bmp-withWavelet_bior1.1-G_0.6-H9e-005_af4.wfa | bior1.1 | af4 | 0.6 | 0.00009 | 24576 | 8192 | 8192 | 5  | 1040 | 40 | 40 | 29.422 | 1120 | 0.136719 |
| phi1_32.bmp | phi1_32.bmp-G_0.6-H9e-005_af5.wfa                     |         | af5 | 0.6 | 0.00009 | 24576 | 8192 |      | 2  | 368  | 16 | 16 | 27.266 | 400  | 0.048828 |
| phi1_32.bmp | phi1_32.bmp-withWavelet_haar-G_0.6-H9e-005_af5.wfa    | haar    | af5 | 0.6 | 0.00009 | 24576 | 8192 | 8192 | 11 | 4112 | 88 | 88 | 30.407 | 4288 | 0.523438 |
| phi1_32.bmp | phi1_32.bmp-withWavelet_rbio1.1-G_0.6-H9e-005_af5.wfa | rbio1.1 | af5 | 0.6 | 0.00009 | 24576 | 8192 | 8192 | 11 | 4112 | 88 | 88 | 30.343 | 4288 | 0.523438 |

|             |   |         |     |     |         |       |      |      |    |      |    |    |        |      |          |
|-------------|---|---------|-----|-----|---------|-------|------|------|----|------|----|----|--------|------|----------|
| phi1_32.bmp | phi1_32.bmp-withWavelet_sym1-G_0.6-H9e-005_af5.wfa    | sym1    | af5 | 0.6 | 0.00009 | 24576 | 8192 | 8192 | 11 | 4112 | 88 | 88 | 30.578 | 4288 | 0.523438 |
| phi1_32.bmp | phi1_32.bmp-withWavelet_bior1.1-G_0.6-H9e-005_af5.wfa | bior1.1 | af5 | 0.6 | 0.00009 | 24576 | 8192 | 8192 | 11 | 4112 | 88 | 88 | 30.36  | 4288 | 0.523438 |
| phi1_32.bmp | phi1_32.bmp-G_1-H0.0001_af1.wfa                       |         | af1 | 1   | 0.0001  | 24576 | 8192 |      | 2  | 368  | 16 | 16 | 29.578 | 400  | 0.048828 |
| phi1_32.bmp | phi1_32.bmp-withWavelet_haar-G_1-H0.0001_af1.wfa      | haar    | af1 | 1   | 0.0001  | 24576 | 8192 | 8192 | 3  | 528  | 24 | 24 | 30.359 | 576  | 0.070313 |
| phi1_32.bmp | phi1_32.bmp-withWavelet_rbio1.1-G_1-H0.0001_af1.wfa   | rbio1.1 | af1 | 1   | 0.0001  | 24576 | 8192 | 8192 | 3  | 528  | 24 | 24 | 30.516 | 576  | 0.070313 |
| phi1_32.bmp | phi1_32.bmp-withWavelet_sym1-G_1-H0.0001_af1.wfa      | sym1    | af1 | 1   | 0.0001  | 24576 | 8192 | 8192 | 3  | 528  | 24 | 24 | 30.516 | 576  | 0.070313 |
| phi1_32.bmp | phi1_32.bmp-withWavelet_bior1.1-G_1-H0.0001_af1.wfa   | bior1.1 | af1 | 1   | 0.0001  | 24576 | 8192 | 8192 | 3  | 528  | 24 | 24 | 30.5   | 576  | 0.070313 |
| phi1_32.bmp | phi1_32.bmp-G_1-H0.0001_af2.wfa                       |         | af2 | 1   | 0.0001  | 24576 | 8192 |      | 2  | 368  | 16 | 16 | 29.609 | 400  | 0.048828 |
| phi1_32.bmp | phi1_32.bmp-withWavelet_haar-G_1-H0.0001_af2.wfa      | haar    | af2 | 1   | 0.0001  | 24576 | 8192 | 8192 | 8  | 2288 | 64 | 64 | 41.89  | 2416 | 0.294922 |
| phi1_32.bmp | phi1_32.bmp-withWavelet_rbio1.1-G_1-H0.0001_af2.wfa   | rbio1.1 | af2 | 1   | 0.0001  | 24576 | 8192 | 8192 | 8  | 2288 | 64 | 64 | 42.219 | 2416 | 0.294922 |
| phi1_32.bmp | phi1_32.bmp-withWavelet_sym1-G_1-H0.0001_af2.wfa      | sym1    | af2 | 1   | 0.0001  | 24576 | 8192 | 8192 | 8  | 2288 | 64 | 64 | 41.922 | 2416 | 0.294922 |
| phi1_32.bmp | phi1_32.bmp-withWavelet_bior1.1-G_1-H0.0001_af2.wfa   | bior1.1 | af2 | 1   | 0.0001  | 24576 | 8192 | 8192 | 8  | 2288 | 64 | 64 | 42.25  | 2416 | 0.294922 |
| phi1_32.bmp | phi1_32.bmp-G_1-H0.0001_af3.wfa                       |         | af3 | 1   | 0.0001  | 24576 | 8192 |      | 2  | 368  | 16 | 16 | 29.766 | 400  | 0.048828 |
| phi1_32.bmp | phi1_32.bmp-withWavelet_haar-G_1-H0.0001_af3.wfa      | haar    | af3 | 1   | 0.0001  | 24576 | 8192 | 8192 | 3  | 528  | 24 | 24 | 30.375 | 576  | 0.070313 |
| phi1_32.bmp | phi1_32.bmp-withWavelet_rbio1.1-G_1-H0.0001_af3.wfa   | rbio1.1 | af3 | 1   | 0.0001  | 24576 | 8192 | 8192 | 3  | 528  | 24 | 24 | 30.562 | 576  | 0.070313 |
| phi1_32.bmp | phi1_32.bmp-withWavelet_sym1-G_1-H0.0001_af3.wfa      | sym1    | af3 | 1   | 0.0001  | 24576 | 8192 | 8192 | 3  | 528  | 24 | 24 | 30.641 | 576  | 0.070313 |
| phi1_32.bmp | phi1_32.bmp-withWavelet_bior1.1-G_1-H0.0001_af3.wfa   | bior1.1 | af3 | 1   | 0.0001  | 24576 | 8192 | 8192 | 3  | 528  | 24 | 24 | 30.625 | 576  | 0.070313 |
| phi1_32.bmp | phi1_32.bmp-G_1-H0.0001_af4.wfa                       |         | af4 | 1   | 0.0001  | 24576 | 8192 |      | 2  | 368  | 16 | 16 | 29.61  | 400  | 0.048828 |
| phi1_32.bmp | phi1_32.bmp-withWavelet_haar-G_1-H0.0001_af4.wfa      | haar    | af4 | 1   | 0.0001  | 24576 | 8192 | 8192 | 5  | 1040 | 40 | 40 | 35.578 | 1120 | 0.136719 |
| phi1_32.bmp | phi1_32.bmp-withWavelet_rbio1.1-G_1-H0.0001_af4.wfa   | rbio1.1 | af4 | 1   | 0.0001  | 24576 | 8192 | 8192 | 5  | 1040 | 40 | 40 | 36.047 | 1120 | 0.136719 |
| phi1_32.bmp | phi1_32.bmp-withWavelet_sym1-G_1-H0.0001_af4.wfa      | sym1    | af4 | 1   | 0.0001  | 24576 | 8192 | 8192 | 5  | 1040 | 40 | 40 | 36.015 | 1120 | 0.136719 |
| phi1_32.bmp | phi1_32.bmp-withWavelet_bior1.1-G_1-H0.0001_af4.wfa   | bior1.1 | af4 | 1   | 0.0001  | 24576 | 8192 | 8192 | 5  | 1040 | 40 | 40 | 35.187 | 1120 | 0.136719 |
| phi1_32.bmp | phi1_32.bmp-G_1-H0.0001_af5.wfa                       |         | af5 | 1   | 0.0001  | 24576 | 8192 |      | 2  | 368  | 16 | 16 | 29.609 | 400  | 0.048828 |
| phi1_32.bmp | phi1_32.bmp-withWavelet_haar-G_1-H0.0001_af5.wfa      | haar    | af5 | 1   | 0.0001  | 24576 | 8192 | 8192 | 11 | 4112 | 88 | 88 | 38.125 | 4288 | 0.523438 |
| phi1_32.bmp | phi1_32.bmp-withWavelet_rbio1.1-G_1-H0.0001_af5.wfa   | rbio1.1 | af5 | 1   | 0.0001  | 24576 | 8192 | 8192 | 11 | 4112 | 88 | 88 | 37.547 | 4288 | 0.523438 |
| phi1_32.bmp | phi1_32.bmp-withWavelet_sym1-G_1-H0.0001_af5.wfa      | sym1    | af5 | 1   | 0.0001  | 24576 | 8192 | 8192 | 11 | 4112 | 88 | 88 | 37.796 | 4288 | 0.523438 |
| phi1_32.bmp | phi1_32.bmp-withWavelet_bior1.1-G_1-H0.0001_af5.wfa   | bior1.1 | af5 | 1   | 0.0001  | 24576 | 8192 | 8192 | 11 | 4112 | 88 | 88 | 37.844 | 4288 | 0.523438 |
| phi1_32.bmp | phi1_32.bmp-G_0.8-H0.0001_af1.wfa                     |         | af1 | 0.8 | 0.0001  | 24576 | 8192 |      | 2  | 368  | 16 | 16 | 27.828 | 400  | 0.048828 |
| phi1_32.bmp | phi1_32.bmp-withWavelet_haar-G_0.8-H0.0001_af1.wfa    | haar    | af1 | 0.8 | 0.0001  | 24576 | 8192 | 8192 | 3  | 528  | 24 | 24 | 28.219 | 576  | 0.070313 |
| phi1_32.bmp | phi1_32.bmp-withWavelet_rbio1.1-G_0.8-H0.0001_af1.wfa | rbio1.1 | af1 | 0.8 | 0.0001  | 24576 | 8192 | 8192 | 3  | 528  | 24 | 24 | 28.063 | 576  | 0.070313 |
| phi1_32.bmp | phi1_32.bmp-withWavelet_sym1-G_0.8-H0.0001_af1.wfa    | sym1    | af1 | 0.8 | 0.0001  | 24576 | 8192 | 8192 | 3  | 528  | 24 | 24 | 27.953 | 576  | 0.070313 |

|             |   |         |     |     |        |       |      |      |    |      |    |    |        |      |          |
|-------------|---|---------|-----|-----|--------|-------|------|------|----|------|----|----|--------|------|----------|
| phi1_32.bmp | phi1_32.bmp-withWavelet_bior1.1-G_0.8-H0.0001_af1.wfa | bior1.1 | af1 | 0.8 | 0.0001 | 24576 | 8192 | 8192 | 3  | 528  | 24 | 24 | 28.329 | 576  | 0.070313 |
| phi1_32.bmp | phi1_32.bmp-G_0.8-H0.0001_af2.wfa                     |         | af2 | 0.8 | 0.0001 | 24576 | 8192 |      | 2  | 368  | 16 | 16 | 27.532 | 400  | 0.048828 |
| phi1_32.bmp | phi1_32.bmp-withWavelet_haar-G_0.8-H0.0001_af2.wfa    | haar    | af2 | 0.8 | 0.0001 | 24576 | 8192 | 8192 | 8  | 2288 | 64 | 64 | 33.625 | 2416 | 0.294922 |
| phi1_32.bmp | phi1_32.bmp-withWavelet_rbio1.1-G_0.8-H0.0001_af2.wfa | rbio1.1 | af2 | 0.8 | 0.0001 | 24576 | 8192 | 8192 | 8  | 2288 | 64 | 64 | 33.61  | 2416 | 0.294922 |
| phi1_32.bmp | phi1_32.bmp-withWavelet_sym1-G_0.8-H0.0001_af2.wfa    | sym1    | af2 | 0.8 | 0.0001 | 24576 | 8192 | 8192 | 8  | 2288 | 64 | 64 | 34.016 | 2416 | 0.294922 |
| phi1_32.bmp | phi1_32.bmp-withWavelet_bior1.1-G_0.8-H0.0001_af2.wfa | bior1.1 | af2 | 0.8 | 0.0001 | 24576 | 8192 | 8192 | 8  | 2288 | 64 | 64 | 33.453 | 2416 | 0.294922 |
| phi1_32.bmp | phi1_32.bmp-G_0.8-H0.0001_af3.wfa                     |         | af3 | 0.8 | 0.0001 | 24576 | 8192 |      | 2  | 368  | 16 | 16 | 28.266 | 400  | 0.048828 |
| phi1_32.bmp | phi1_32.bmp-withWavelet_haar-G_0.8-H0.0001_af3.wfa    | haar    | af3 | 0.8 | 0.0001 | 24576 | 8192 | 8192 | 3  | 528  | 24 | 24 | 28.141 | 576  | 0.070313 |
| phi1_32.bmp | phi1_32.bmp-withWavelet_rbio1.1-G_0.8-H0.0001_af3.wfa | rbio1.1 | af3 | 0.8 | 0.0001 | 24576 | 8192 | 8192 | 3  | 528  | 24 | 24 | 28.094 | 576  | 0.070313 |
| phi1_32.bmp | phi1_32.bmp-withWavelet_sym1-G_0.8-H0.0001_af3.wfa    | sym1    | af3 | 0.8 | 0.0001 | 24576 | 8192 | 8192 | 3  | 528  | 24 | 24 | 28.156 | 576  | 0.070313 |
| phi1_32.bmp | phi1_32.bmp-withWavelet_bior1.1-G_0.8-H0.0001_af3.wfa | bior1.1 | af3 | 0.8 | 0.0001 | 24576 | 8192 | 8192 | 3  | 528  | 24 | 24 | 27.969 | 576  | 0.070313 |
| phi1_32.bmp | phi1_32.bmp-G_0.8-H0.0001_af4.wfa                     |         | af4 | 0.8 | 0.0001 | 24576 | 8192 |      | 2  | 368  | 16 | 16 | 27.719 | 400  | 0.048828 |
| phi1_32.bmp | phi1_32.bmp-withWavelet_haar-G_0.8-H0.0001_af4.wfa    | haar    | af4 | 0.8 | 0.0001 | 24576 | 8192 | 8192 | 5  | 1040 | 40 | 40 | 31.047 | 1120 | 0.136719 |
| phi1_32.bmp | phi1_32.bmp-withWavelet_rbio1.1-G_0.8-H0.0001_af4.wfa | rbio1.1 | af4 | 0.8 | 0.0001 | 24576 | 8192 | 8192 | 5  | 1040 | 40 | 40 | 31.266 | 1120 | 0.136719 |
| phi1_32.bmp | phi1_32.bmp-withWavelet_sym1-G_0.8-H0.0001_af4.wfa    | sym1    | af4 | 0.8 | 0.0001 | 24576 | 8192 | 8192 | 5  | 1040 | 40 | 40 | 30.844 | 1120 | 0.136719 |
| phi1_32.bmp | phi1_32.bmp-withWavelet_bior1.1-G_0.8-H0.0001_af4.wfa | bior1.1 | af4 | 0.8 | 0.0001 | 24576 | 8192 | 8192 | 5  | 1040 | 40 | 40 | 31.063 | 1120 | 0.136719 |
| phi1_32.bmp | phi1_32.bmp-G_0.8-H0.0001_af5.wfa                     |         | af5 | 0.8 | 0.0001 | 24576 | 8192 |      | 2  | 368  | 16 | 16 | 27.562 | 400  | 0.048828 |
| phi1_32.bmp | phi1_32.bmp-withWavelet_haar-G_0.8-H0.0001_af5.wfa    | haar    | af5 | 0.8 | 0.0001 | 24576 | 8192 | 8192 | 11 | 4112 | 88 | 88 | 31.796 | 4288 | 0.523438 |
| phi1_32.bmp | phi1_32.bmp-withWavelet_rbio1.1-G_0.8-H0.0001_af5.wfa | rbio1.1 | af5 | 0.8 | 0.0001 | 24576 | 8192 | 8192 | 11 | 4112 | 88 | 88 | 31.703 | 4288 | 0.523438 |
| phi1_32.bmp | phi1_32.bmp-withWavelet_sym1-G_0.8-H0.0001_af5.wfa    | sym1    | af5 | 0.8 | 0.0001 | 24576 | 8192 | 8192 | 11 | 4112 | 88 | 88 | 31.781 | 4288 | 0.523438 |
| phi1_32.bmp | phi1_32.bmp-withWavelet_bior1.1-G_0.8-H0.0001_af5.wfa | bior1.1 | af5 | 0.8 | 0.0001 | 24576 | 8192 | 8192 | 11 | 4112 | 88 | 88 | 31.594 | 4288 | 0.523438 |
| phi1_32.bmp | phi1_32.bmp-G_0.6-H0.0001_af1.wfa                     |         | af1 | 0.6 | 0.0001 | 24576 | 8192 |      | 2  | 368  | 16 | 16 | 27.485 | 400  | 0.048828 |
| phi1_32.bmp | phi1_32.bmp-withWavelet_haar-G_0.6-H0.0001_af1.wfa    | haar    | af1 | 0.6 | 0.0001 | 24576 | 8192 | 8192 | 3  | 528  | 24 | 24 | 27.609 | 576  | 0.070313 |
| phi1_32.bmp | phi1_32.bmp-withWavelet_rbio1.1-G_0.6-H0.0001_af1.wfa | rbio1.1 | af1 | 0.6 | 0.0001 | 24576 | 8192 | 8192 | 3  | 528  | 24 | 24 | 27.657 | 576  | 0.070313 |
| phi1_32.bmp | phi1_32.bmp-withWavelet_sym1-G_0.6-H0.0001_af1.wfa    | sym1    | af1 | 0.6 | 0.0001 | 24576 | 8192 | 8192 | 3  | 528  | 24 | 24 | 27.688 | 576  | 0.070313 |
| phi1_32.bmp | phi1_32.bmp-withWavelet_bior1.1-G_0.6-H0.0001_af1.wfa | bior1.1 | af1 | 0.6 | 0.0001 | 24576 | 8192 | 8192 | 3  | 528  | 24 | 24 | 27.734 | 576  | 0.070313 |
| phi1_32.bmp | phi1_32.bmp-G_0.6-H0.0001_af2.wfa                     |         | af2 | 0.6 | 0.0001 | 24576 | 8192 |      | 2  | 368  | 16 | 16 | 27.485 | 400  | 0.048828 |
| phi1_32.bmp | phi1_32.bmp-withWavelet_haar-G_0.6-H0.0001_af2.wfa    | haar    | af2 | 0.6 | 0.0001 | 24576 | 8192 | 8192 | 7  | 1808 | 56 | 56 | 30.828 | 1920 | 0.234375 |
| phi1_32.bmp | phi1_32.bmp-withWavelet_rbio1.1-G_0.6-H0.0001_af2.wfa | rbio1.1 | af2 | 0.6 | 0.0001 | 24576 | 8192 | 8192 | 7  | 1808 | 56 | 56 | 30.812 | 1920 | 0.234375 |
| phi1_32.bmp | phi1_32.bmp-withWavelet_sym1-G_0.6-H0.0001_af2.wfa    | sym1    | af2 | 0.6 | 0.0001 | 24576 | 8192 | 8192 | 7  | 1808 | 56 | 56 | 30.859 | 1920 | 0.234375 |
| phi1_32.bmp | phi1_32.bmp-withWavelet_bior1.1-G_0.6-H0.0001_af2.wfa | bior1.1 | af2 | 0.6 | 0.0001 | 24576 | 8192 | 8192 | 7  | 1808 | 56 | 56 | 30.891 | 1920 | 0.234375 |

|             |   |         |     |     |        |       |      |      |    |      |    |    |        |      |          |
|-------------|---|---------|-----|-----|--------|-------|------|------|----|------|----|----|--------|------|----------|
| phi1_32.bmp | phi1_32.bmp-G_0.6-H0.0001_af3.wfa                     |         | af3 | 0.6 | 0.0001 | 24576 | 8192 |      | 2  | 368  | 16 | 16 | 27.516 | 400  | 0.048828 |
| phi1_32.bmp | phi1_32.bmp-withWavelet_haar-G_0.6-H0.0001_af3.wfa    | haar    | af3 | 0.6 | 0.0001 | 24576 | 8192 | 8192 | 3  | 528  | 24 | 24 | 27.531 | 576  | 0.070313 |
| phi1_32.bmp | phi1_32.bmp-withWavelet_rbio1.1-G_0.6-H0.0001_af3.wfa | rbio1.1 | af3 | 0.6 | 0.0001 | 24576 | 8192 | 8192 | 3  | 528  | 24 | 24 | 27.484 | 576  | 0.070313 |
| phi1_32.bmp | phi1_32.bmp-withWavelet_sym1-G_0.6-H0.0001_af3.wfa    | sym1    | af3 | 0.6 | 0.0001 | 24576 | 8192 | 8192 | 3  | 528  | 24 | 24 | 27.516 | 576  | 0.070313 |
| phi1_32.bmp | phi1_32.bmp-withWavelet_bior1.1-G_0.6-H0.0001_af3.wfa | bior1.1 | af3 | 0.6 | 0.0001 | 24576 | 8192 | 8192 | 3  | 528  | 24 | 24 | 27.594 | 576  | 0.070313 |
| phi1_32.bmp | phi1_32.bmp-G_0.6-H0.0001_af4.wfa                     |         | af4 | 0.6 | 0.0001 | 24576 | 8192 |      | 2  | 368  | 16 | 16 | 27.453 | 400  | 0.048828 |
| phi1_32.bmp | phi1_32.bmp-withWavelet_haar-G_0.6-H0.0001_af4.wfa    | haar    | af4 | 0.6 | 0.0001 | 24576 | 8192 | 8192 | 5  | 1040 | 40 | 40 | 29.485 | 1120 | 0.136719 |
| phi1_32.bmp | phi1_32.bmp-withWavelet_rbio1.1-G_0.6-H0.0001_af4.wfa | rbio1.1 | af4 | 0.6 | 0.0001 | 24576 | 8192 | 8192 | 5  | 1040 | 40 | 40 | 29.547 | 1120 | 0.136719 |
| phi1_32.bmp | phi1_32.bmp-withWavelet_sym1-G_0.6-H0.0001_af4.wfa    | sym1    | af4 | 0.6 | 0.0001 | 24576 | 8192 | 8192 | 5  | 1040 | 40 | 40 | 29.781 | 1120 | 0.136719 |
| phi1_32.bmp | phi1_32.bmp-withWavelet_bior1.1-G_0.6-H0.0001_af4.wfa | bior1.1 | af4 | 0.6 | 0.0001 | 24576 | 8192 | 8192 | 5  | 1040 | 40 | 40 | 29.406 | 1120 | 0.136719 |
| phi1_32.bmp | phi1_32.bmp-G_0.6-H0.0001_af5.wfa                     |         | af5 | 0.6 | 0.0001 | 24576 | 8192 |      | 2  | 368  | 16 | 16 | 27.344 | 400  | 0.048828 |
| phi1_32.bmp | phi1_32.bmp-withWavelet_haar-G_0.6-H0.0001_af5.wfa    | haar    | af5 | 0.6 | 0.0001 | 24576 | 8192 | 8192 | 11 | 4112 | 88 | 88 | 30.344 | 4288 | 0.523438 |
| phi1_32.bmp | phi1_32.bmp-withWavelet_rbio1.1-G_0.6-H0.0001_af5.wfa | rbio1.1 | af5 | 0.6 | 0.0001 | 24576 | 8192 | 8192 | 11 | 4112 | 88 | 88 | 30.859 | 4288 | 0.523438 |
| phi1_32.bmp | phi1_32.bmp-withWavelet_sym1-G_0.6-H0.0001_af5.wfa    | sym1    | af5 | 0.6 | 0.0001 | 24576 | 8192 | 8192 | 11 | 4112 | 88 | 88 | 30.219 | 4288 | 0.523438 |
| phi1_32.bmp | phi1_32.bmp-withWavelet_bior1.1-G_0.6-H0.0001_af5.wfa | bior1.1 | af5 | 0.6 | 0.0001 | 24576 | 8192 | 8192 | 11 | 4112 | 88 | 88 | 30.313 | 4288 | 0.523438 |

### III.2 Decodificação

**Tabela III.9 – Legenda das tabelas da coleta de dados para decodificação**

| Legenda        | Significado  |
|----------------|--|
| Img            | Nome do arquivo da imagem original   |
| Img codificada | Nome do arquivo de saída da imagem codificada  |
| Wlet           | Tipo de wavelet utilizado na codificação, quando aplicável                               |
| AF             | Tipo de endereçamento: af1, af2, af3, af4, af5   |
| IBytes         | Número de bytes da imagem de entrada   |
| GSBytes        | Número de bytes da imagem de entrada em escala de cinza                                  |
| WletBy         | Número de bytes da imagem de entrada quando já codificada em Wavelets                    |
| #Stes          | Número de estados da codificação WFA   |
| Wby            | Número de bytes da matriz W  |
| Iby            | Número de bytes da matriz I  |
| FBy            | Número de bytes da matriz F  |
| ResCo          | Resolução da imagem quando codificada  |
| ResDe          | Resolução da imagem quando decodificada  |
| Time           | Tempo em segundos que a decodificação foi feita  |
| Total          | Total de bytes da imagem decodificada, que se dá somando, o número de bytes de W, I e F. |
| %              | Compressão. Para que a imagem seja comprimida basta que % seja menor que 1.              |

**Tabela III.10 – Decodificação para lena16.bmp**

| Img        | Img codificada                                       | IBytes | GSByte | WletBy | #Stes | Wby  | IBy | FBy | ResCo | ResDe | PSNR        | Time  | Total | %           |
|------------|--|--------|--------|--------|-------|------|-----|-----|-------|-------|-------------|-------|-------|-------------|
| lena16.bmp | lena16.bmp-G_0.75-H0.0001_af3.wfa                    | 6144   | 2048   |        | 10    | 3440 | 80  | 80  | 16    | 16    | 20.59920319 | 0.015 | 3600  | 0.5859375   |
| lena16.bmp | lena16.bmp-withWavelet_haar-G_1-H0.0001_af4.wfa      | 6144   | 2048   | 2048   | 10    | 3440 | 80  | 80  | 16    | 16    | 20.67009003 | 0.031 | 3600  | 0.5859375   |
| lena16.bmp | lena16.bmp-withWavelet_rbio1.1-G_1-H0.0001_af4.wfa   | 6144   | 2048   | 2048   | 10    | 3440 | 80  | 80  | 16    | 16    | 20.67009003 | 0.016 | 3600  | 0.5859375   |
| lena16.bmp | lena16.bmp-withWavelet_sym1-G_1-H0.0001_af4.wfa      | 6144   | 2048   | 2048   | 10    | 3440 | 80  | 80  | 16    | 16    | 20.67009003 | 0.015 | 3600  | 0.5859375   |
| lena16.bmp | lena16.bmp-withWavelet_bior1.1-G_1-H0.0001_af4.wfa   | 6144   | 2048   | 2048   | 10    | 3440 | 80  | 80  | 16    | 16    | 20.67009003 | 0.016 | 3600  | 0.5859375   |
| lena16.bmp | lena16.bmp-G_0.5-H9e-005_af1.wfa                     | 6144   | 2048   |        | 10    | 3440 | 80  | 80  | 16    | 16    | 20.71622478 | 0.031 | 3600  | 0.5859375   |
| lena16.bmp | lena16.bmp-G_0.5-H0.0001_af1.wfa                     | 6144   | 2048   |        | 10    | 3440 | 80  | 80  | 16    | 16    | 20.71622478 | 0.015 | 3600  | 0.5859375   |
| lena16.bmp | lena16.bmp-withWavelet_haar-G_0.5-H8e-005_af4.wfa    | 6144   | 2048   | 2048   | 10    | 3440 | 80  | 80  | 16    | 16    | 21.83477614 | 0.031 | 3600  | 0.5859375   |
| lena16.bmp | lena16.bmp-withWavelet_rbio1.1-G_0.5-H8e-005_af4.wfa | 6144   | 2048   | 2048   | 10    | 3440 | 80  | 80  | 16    | 16    | 21.83477614 | 0.015 | 3600  | 0.5859375   |
| lena16.bmp | lena16.bmp-withWavelet_sym1-G_0.5-H8e-005_af4.wfa    | 6144   | 2048   | 2048   | 10    | 3440 | 80  | 80  | 16    | 16    | 21.83477614 | 0.031 | 3600  | 0.5859375   |
| lena16.bmp | lena16.bmp-withWavelet_bior1.1-G_0.5-H8e-005_af4.wfa | 6144   | 2048   | 2048   | 10    | 3440 | 80  | 80  | 16    | 16    | 21.83477614 | 0.031 | 3600  | 0.5859375   |
| lena16.bmp | lena16.bmp-withWavelet_haar-G_0.5-H9e-005_af4.wfa    | 6144   | 2048   | 2048   | 10    | 3440 | 80  | 80  | 16    | 16    | 21.83477614 | 0.032 | 3600  | 0.5859375   |
| lena16.bmp | lena16.bmp-withWavelet_rbio1.1-G_0.5-H9e-005_af4.wfa | 6144   | 2048   | 2048   | 10    | 3440 | 80  | 80  | 16    | 16    | 21.83477614 | 0.015 | 3600  | 0.5859375   |
| lena16.bmp | lena16.bmp-withWavelet_sym1-G_0.5-H9e-005_af4.wfa    | 6144   | 2048   | 2048   | 10    | 3440 | 80  | 80  | 16    | 16    | 21.83477614 | 0.015 | 3600  | 0.5859375   |
| lena16.bmp | lena16.bmp-withWavelet_bior1.1-G_0.5-H9e-005_af4.wfa | 6144   | 2048   | 2048   | 10    | 3440 | 80  | 80  | 16    | 16    | 21.83477614 | 0.015 | 3600  | 0.5859375   |
| lena16.bmp | lena16.bmp-withWavelet_haar-G_0.5-H0.0001_af4.wfa    | 6144   | 2048   | 2048   | 10    | 3440 | 80  | 80  | 16    | 16    | 21.83477614 | 0.016 | 3600  | 0.5859375   |
| lena16.bmp | lena16.bmp-withWavelet_rbio1.1-G_0.5-H0.0001_af4.wfa | 6144   | 2048   | 2048   | 10    | 3440 | 80  | 80  | 16    | 16    | 21.83477614 | 0.016 | 3600  | 0.5859375   |
| lena16.bmp | lena16.bmp-withWavelet_sym1-G_0.5-H0.0001_af4.wfa    | 6144   | 2048   | 2048   | 10    | 3440 | 80  | 80  | 16    | 16    | 21.83477614 | 0.016 | 3600  | 0.5859375   |
| lena16.bmp | lena16.bmp-withWavelet_bior1.1-G_0.5-H0.0001_af4.wfa | 6144   | 2048   | 2048   | 10    | 3440 | 80  | 80  | 16    | 16    | 21.83477614 | 0.016 | 3600  | 0.5859375   |
| lena16.bmp | lena16.bmp-G_0.5-H8e-005_af2.wfa                     | 6144   | 2048   |        | 11    | 4112 | 88  | 88  | 16    | 16    | 20.09940889 | 0.016 | 4288  | 0.697916667 |
| lena16.bmp | lena16.bmp-G_0.5-H5e-005_af1.wfa                     | 6144   | 2048   |        | 11    | 4112 | 88  | 88  | 16    | 16    | 20.51307919 | 0.031 | 4288  | 0.697916667 |
| lena16.bmp | lena16.bmp-G_0.5-H6e-005_af1.wfa                     | 6144   | 2048   |        | 11    | 4112 | 88  | 88  | 16    | 16    | 20.51307919 | 0.016 | 4288  | 0.697916667 |
| lena16.bmp | lena16.bmp-G_0.5-H7e-005_af1.wfa                     | 6144   | 2048   |        | 11    | 4112 | 88  | 88  | 16    | 16    | 20.51307919 | 0.016 | 4288  | 0.697916667 |
| lena16.bmp | lena16.bmp-G_0.5-H8e-005_af1.wfa                     | 6144   | 2048   |        | 11    | 4112 | 88  | 88  | 16    | 16    | 20.51307919 | 0.016 | 4288  | 0.697916667 |
| lena16.bmp | lena16.bmp-withWavelet_haar-G_1-H8e-005_af3.wfa      | 6144   | 2048   | 2048   | 11    | 4112 | 88  | 88  | 16    | 16    | 20.66541626 | 0.032 | 4288  | 0.697916667 |
| lena16.bmp | lena16.bmp-withWavelet_rbio1.1-G_1-H8e-005_af3.wfa   | 6144   | 2048   | 2048   | 11    | 4112 | 88  | 88  | 16    | 16    | 20.66541626 | 0.031 | 4288  | 0.697916667 |
| lena16.bmp | lena16.bmp-withWavelet_sym1-G_1-H8e-005_af3.wfa      | 6144   | 2048   | 2048   | 11    | 4112 | 88  | 88  | 16    | 16    | 20.66541626 | 0.015 | 4288  | 0.697916667 |
| lena16.bmp | lena16.bmp-withWavelet_bior1.1-G_1-H8e-005_af3.wfa   | 6144   | 2048   | 2048   | 11    | 4112 | 88  | 88  | 16    | 16    | 20.66541626 | 0.016 | 4288  | 0.697916667 |
| lena16.bmp | lena16.bmp-withWavelet_haar-G_1-H9e-005_af3.wfa      | 6144   | 2048   | 2048   | 11    | 4112 | 88  | 88  | 16    | 16    | 20.66541626 | 0.031 | 4288  | 0.697916667 |

|            |   |      |      |      |    |      |    |    |    |    |             |       |      |             |
|------------|---|------|------|------|----|------|----|----|----|----|-------------|-------|------|-------------|
| lena16.bmp | lena16.bmp-withWavelet_rbio1.1-G_1-H9e-005_af3.wfa    | 6144 | 2048 | 2048 | 11 | 4112 | 88 | 88 | 16 | 16 | 20.66541626 | 0.031 | 4288 | 0.697916667 |
| lena16.bmp | lena16.bmp-withWavelet_sym1-G_1-H9e-005_af3.wfa       | 6144 | 2048 | 2048 | 11 | 4112 | 88 | 88 | 16 | 16 | 20.66541626 | 0.031 | 4288 | 0.697916667 |
| lena16.bmp | lena16.bmp-withWavelet_bior1.1-G_1-H9e-005_af3.wfa    | 6144 | 2048 | 2048 | 11 | 4112 | 88 | 88 | 16 | 16 | 20.66541626 | 0.016 | 4288 | 0.697916667 |
| lena16.bmp | lena16.bmp-withWavelet_haar-G_1-H0.0001_af3.wfa       | 6144 | 2048 | 2048 | 11 | 4112 | 88 | 88 | 16 | 16 | 20.66541626 | 0.015 | 4288 | 0.697916667 |
| lena16.bmp | lena16.bmp-withWavelet_rbio1.1-G_1-H0.0001_af3.wfa    | 6144 | 2048 | 2048 | 11 | 4112 | 88 | 88 | 16 | 16 | 20.66541626 | 0.031 | 4288 | 0.697916667 |
| lena16.bmp | lena16.bmp-withWavelet_sym1-G_1-H0.0001_af3.wfa       | 6144 | 2048 | 2048 | 11 | 4112 | 88 | 88 | 16 | 16 | 20.66541626 | 0.016 | 4288 | 0.697916667 |
| lena16.bmp | lena16.bmp-withWavelet_bior1.1-G_1-H0.0001_af3.wfa    | 6144 | 2048 | 2048 | 11 | 4112 | 88 | 88 | 16 | 16 | 20.66541626 | 0.031 | 4288 | 0.697916667 |
| lena16.bmp | lena16.bmp-withWavelet_haar-G_0.5-H9e-005_af2.wfa     | 6144 | 2048 | 2048 | 11 | 4112 | 88 | 88 | 16 | 16 | 20.70738372 | 0.031 | 4288 | 0.697916667 |
| lena16.bmp | lena16.bmp-withWavelet_rbio1.1-G_0.5-H9e-005_af2.wfa  | 6144 | 2048 | 2048 | 11 | 4112 | 88 | 88 | 16 | 16 | 20.70738372 | 0.031 | 4288 | 0.697916667 |
| lena16.bmp | lena16.bmp-withWavelet_sym1-G_0.5-H9e-005_af2.wfa     | 6144 | 2048 | 2048 | 11 | 4112 | 88 | 88 | 16 | 16 | 20.70738372 | 0.016 | 4288 | 0.697916667 |
| lena16.bmp | lena16.bmp-withWavelet_bior1.1-G_0.5-H9e-005_af2.wfa  | 6144 | 2048 | 2048 | 11 | 4112 | 88 | 88 | 16 | 16 | 20.70738372 | 0.015 | 4288 | 0.697916667 |
| lena16.bmp | lena16.bmp-withWavelet_haar-G_0.5-H0.0001_af2.wfa     | 6144 | 2048 | 2048 | 11 | 4112 | 88 | 88 | 16 | 16 | 20.70738372 | 0.031 | 4288 | 0.697916667 |
| lena16.bmp | lena16.bmp-withWavelet_rbio1.1-G_0.5-H0.0001_af2.wfa  | 6144 | 2048 | 2048 | 11 | 4112 | 88 | 88 | 16 | 16 | 20.70738372 | 0.016 | 4288 | 0.697916667 |
| lena16.bmp | lena16.bmp-withWavelet_sym1-G_0.5-H0.0001_af2.wfa     | 6144 | 2048 | 2048 | 11 | 4112 | 88 | 88 | 16 | 16 | 20.70738372 | 0.016 | 4288 | 0.697916667 |
| lena16.bmp | lena16.bmp-withWavelet_bior1.1-G_0.5-H0.0001_af2.wfa  | 6144 | 2048 | 2048 | 11 | 4112 | 88 | 88 | 16 | 16 | 20.70738372 | 0.031 | 4288 | 0.697916667 |
| lena16.bmp | lena16.bmp-G_0.75-H8e-005_af1.wfa                     | 6144 | 2048 |      | 11 | 4112 | 88 | 88 | 16 | 16 | 20.74379487 | 0.015 | 4288 | 0.697916667 |
| lena16.bmp | lena16.bmp-G_0.75-H9e-005_af1.wfa                     | 6144 | 2048 |      | 11 | 4112 | 88 | 88 | 16 | 16 | 20.74379487 | 0.015 | 4288 | 0.697916667 |
| lena16.bmp | lena16.bmp-G_1-H8e-005_af3.wfa                        | 6144 | 2048 |      | 11 | 4112 | 88 | 88 | 16 | 16 | 20.87607266 | 0.016 | 4288 | 0.697916667 |
| lena16.bmp | lena16.bmp-G_1-H9e-005_af3.wfa                        | 6144 | 2048 |      | 11 | 4112 | 88 | 88 | 16 | 16 | 20.87607266 | 0.015 | 4288 | 0.697916667 |
| lena16.bmp | lena16.bmp-G_0.75-H8e-005_af3.wfa                     | 6144 | 2048 |      | 11 | 4112 | 88 | 88 | 16 | 16 | 20.91051506 | 0.031 | 4288 | 0.697916667 |
| lena16.bmp | lena16.bmp-withWavelet_haar-G_0.75-H8e-005_af1.wfa    | 6144 | 2048 | 2048 | 11 | 4112 | 88 | 88 | 16 | 16 | 20.93787966 | 0.015 | 4288 | 0.697916667 |
| lena16.bmp | lena16.bmp-withWavelet_rbio1.1-G_0.75-H8e-005_af1.wfa | 6144 | 2048 | 2048 | 11 | 4112 | 88 | 88 | 16 | 16 | 20.93787966 | 0.015 | 4288 | 0.697916667 |
| lena16.bmp | lena16.bmp-withWavelet_sym1-G_0.75-H8e-005_af1.wfa    | 6144 | 2048 | 2048 | 11 | 4112 | 88 | 88 | 16 | 16 | 20.93787966 | 0.016 | 4288 | 0.697916667 |
| lena16.bmp | lena16.bmp-withWavelet_bior1.1-G_0.75-H8e-005_af1.wfa | 6144 | 2048 | 2048 | 11 | 4112 | 88 | 88 | 16 | 16 | 20.93787966 | 0.031 | 4288 | 0.697916667 |
| lena16.bmp | lena16.bmp-withWavelet_haar-G_0.75-H9e-005_af1.wfa    | 6144 | 2048 | 2048 | 11 | 4112 | 88 | 88 | 16 | 16 | 20.93787966 | 0.016 | 4288 | 0.697916667 |
| lena16.bmp | lena16.bmp-withWavelet_rbio1.1-G_0.75-H9e-005_af1.wfa | 6144 | 2048 | 2048 | 11 | 4112 | 88 | 88 | 16 | 16 | 20.93787966 | 0.016 | 4288 | 0.697916667 |
| lena16.bmp | lena16.bmp-withWavelet_sym1-G_0.75-H9e-005_af1.wfa    | 6144 | 2048 | 2048 | 11 | 4112 | 88 | 88 | 16 | 16 | 20.93787966 | 0.031 | 4288 | 0.697916667 |
| lena16.bmp | lena16.bmp-withWavelet_bior1.1-G_0.75-H9e-005_af1.wfa | 6144 | 2048 | 2048 | 11 | 4112 | 88 | 88 | 16 | 16 | 20.93787966 | 0.031 | 4288 | 0.697916667 |
| lena16.bmp | lena16.bmp-G_1-H9e-005_af5.wfa                        | 6144 | 2048 |      | 11 | 4112 | 88 | 88 | 16 | 16 | 21.0340335  | 0.031 | 4288 | 0.697916667 |
| lena16.bmp | lena16.bmp-G_1-H0.0001_af5.wfa                        | 6144 | 2048 |      | 11 | 4112 | 88 | 88 | 16 | 16 | 21.0340335  | 0.015 | 4288 | 0.697916667 |
| lena16.bmp | lena16.bmp-G_0.5-H7e-005_af3.wfa                      | 6144 | 2048 |      | 11 | 4112 | 88 | 88 | 16 | 16 | 21.09946398 | 0.032 | 4288 | 0.697916667 |



|            |   |      |      |      |    |      |    |    |    |    |             |       |      |             |
|------------|---|------|------|------|----|------|----|----|----|----|-------------|-------|------|-------------|
| lena16.bmp | lena16.bmp-G_0.5-H8e-005_af3.wfa                      | 6144 | 2048 |      | 11 | 4112 | 88 | 88 | 16 | 16 | 21.09946398 | 0.015 | 4288 | 0.697916667 |
| lena16.bmp | lena16.bmp-G_0.5-H0.0001_af3.wfa                      | 6144 | 2048 |      | 11 | 4112 | 88 | 88 | 16 | 16 | 21.10002803 | 0.032 | 4288 | 0.697916667 |
| lena16.bmp | lena16.bmp-G_0.75-H9e-005_af3.wfa                     | 6144 | 2048 |      | 11 | 4112 | 88 | 88 | 16 | 16 | 21.20952318 | 0.031 | 4288 | 0.697916667 |
| lena16.bmp | lena16.bmp-G_0.75-H0.0001_af1.wfa                     | 6144 | 2048 |      | 11 | 4112 | 88 | 88 | 16 | 16 | 21.26316997 | 0.031 | 4288 | 0.697916667 |
| lena16.bmp | lena16.bmp-G_1-H0.0001_af3.wfa                        | 6144 | 2048 |      | 11 | 4112 | 88 | 88 | 16 | 16 | 21.34107199 | 0.015 | 4288 | 0.697916667 |
| lena16.bmp | lena16.bmp-withWavelet_haar-G_1-H7e-005_af1.wfa       | 6144 | 2048 | 2048 | 11 | 4112 | 88 | 88 | 16 | 16 | 21.39702496 | 0.016 | 4288 | 0.697916667 |
| lena16.bmp | lena16.bmp-withWavelet_rbio1.1-G_1-H7e-005_af1.wfa    | 6144 | 2048 | 2048 | 11 | 4112 | 88 | 88 | 16 | 16 | 21.39702496 | 0.015 | 4288 | 0.697916667 |
| lena16.bmp | lena16.bmp-withWavelet_sym1-G_1-H7e-005_af1.wfa       | 6144 | 2048 | 2048 | 11 | 4112 | 88 | 88 | 16 | 16 | 21.39702496 | 0.031 | 4288 | 0.697916667 |
| lena16.bmp | lena16.bmp-withWavelet_bior1.1-G_1-H7e-005_af1.wfa    | 6144 | 2048 | 2048 | 11 | 4112 | 88 | 88 | 16 | 16 | 21.39702496 | 0.016 | 4288 | 0.697916667 |
| lena16.bmp | lena16.bmp-withWavelet_haar-G_1-H8e-005_af1.wfa       | 6144 | 2048 | 2048 | 11 | 4112 | 88 | 88 | 16 | 16 | 21.39702496 | 0.032 | 4288 | 0.697916667 |
| lena16.bmp | lena16.bmp-withWavelet_rbio1.1-G_1-H8e-005_af1.wfa    | 6144 | 2048 | 2048 | 11 | 4112 | 88 | 88 | 16 | 16 | 21.39702496 | 0.016 | 4288 | 0.697916667 |
| lena16.bmp | lena16.bmp-withWavelet_sym1-G_1-H8e-005_af1.wfa       | 6144 | 2048 | 2048 | 11 | 4112 | 88 | 88 | 16 | 16 | 21.39702496 | 0.016 | 4288 | 0.697916667 |
| lena16.bmp | lena16.bmp-withWavelet_bior1.1-G_1-H8e-005_af1.wfa    | 6144 | 2048 | 2048 | 11 | 4112 | 88 | 88 | 16 | 16 | 21.39702496 | 0.016 | 4288 | 0.697916667 |
| lena16.bmp | lena16.bmp-withWavelet_haar-G_1-H9e-005_af1.wfa       | 6144 | 2048 | 2048 | 11 | 4112 | 88 | 88 | 16 | 16 | 21.39702496 | 0.016 | 4288 | 0.697916667 |
| lena16.bmp | lena16.bmp-withWavelet_rbio1.1-G_1-H9e-005_af1.wfa    | 6144 | 2048 | 2048 | 11 | 4112 | 88 | 88 | 16 | 16 | 21.39702496 | 0.016 | 4288 | 0.697916667 |
| lena16.bmp | lena16.bmp-withWavelet_sym1-G_1-H9e-005_af1.wfa       | 6144 | 2048 | 2048 | 11 | 4112 | 88 | 88 | 16 | 16 | 21.39702496 | 0.031 | 4288 | 0.697916667 |
| lena16.bmp | lena16.bmp-withWavelet_bior1.1-G_1-H9e-005_af1.wfa    | 6144 | 2048 | 2048 | 11 | 4112 | 88 | 88 | 16 | 16 | 21.39702496 | 0.031 | 4288 | 0.697916667 |
| lena16.bmp | lena16.bmp-withWavelet_haar-G_1-H0.0001_af1.wfa       | 6144 | 2048 | 2048 | 11 | 4112 | 88 | 88 | 16 | 16 | 21.39702496 | 0.032 | 4288 | 0.697916667 |
| lena16.bmp | lena16.bmp-withWavelet_rbio1.1-G_1-H0.0001_af1.wfa    | 6144 | 2048 | 2048 | 11 | 4112 | 88 | 88 | 16 | 16 | 21.39702496 | 0.016 | 4288 | 0.697916667 |
| lena16.bmp | lena16.bmp-withWavelet_sym1-G_1-H0.0001_af1.wfa       | 6144 | 2048 | 2048 | 11 | 4112 | 88 | 88 | 16 | 16 | 21.39702496 | 0.016 | 4288 | 0.697916667 |
| lena16.bmp | lena16.bmp-withWavelet_bior1.1-G_1-H0.0001_af1.wfa    | 6144 | 2048 | 2048 | 11 | 4112 | 88 | 88 | 16 | 16 | 21.39702496 | 0.016 | 4288 | 0.697916667 |
| lena16.bmp | lena16.bmp-withWavelet_haar-G_0.75-H0.0001_af4.wfa    | 6144 | 2048 | 2048 | 11 | 4112 | 88 | 88 | 16 | 16 | 21.44640594 | 0.015 | 4288 | 0.697916667 |
| lena16.bmp | lena16.bmp-withWavelet_rbio1.1-G_0.75-H0.0001_af4.wfa | 6144 | 2048 | 2048 | 11 | 4112 | 88 | 88 | 16 | 16 | 21.44640594 | 0.031 | 4288 | 0.697916667 |
| lena16.bmp | lena16.bmp-withWavelet_sym1-G_0.75-H0.0001_af4.wfa    | 6144 | 2048 | 2048 | 11 | 4112 | 88 | 88 | 16 | 16 | 21.44640594 | 0.016 | 4288 | 0.697916667 |
| lena16.bmp | lena16.bmp-withWavelet_bior1.1-G_0.75-H0.0001_af4.wfa | 6144 | 2048 | 2048 | 11 | 4112 | 88 | 88 | 16 | 16 | 21.44640594 | 0.016 | 4288 | 0.697916667 |
| lena16.bmp | lena16.bmp-G_0.5-H8e-005_af5.wfa                      | 6144 | 2048 |      | 11 | 4112 | 88 | 88 | 16 | 16 | 21.46751927 | 0.031 | 4288 | 0.697916667 |
| lena16.bmp | lena16.bmp-G_0.5-H9e-005_af5.wfa                      | 6144 | 2048 |      | 11 | 4112 | 88 | 88 | 16 | 16 | 21.46751927 | 0.016 | 4288 | 0.697916667 |
| lena16.bmp | lena16.bmp-withWavelet_haar-G_0.5-H9e-005_af3.wfa     | 6144 | 2048 | 2048 | 11 | 4112 | 88 | 88 | 16 | 16 | 21.5144075  | 0.016 | 4288 | 0.697916667 |
| lena16.bmp | lena16.bmp-withWavelet_rbio1.1-G_0.5-H9e-005_af3.wfa  | 6144 | 2048 | 2048 | 11 | 4112 | 88 | 88 | 16 | 16 | 21.5144075  | 0.015 | 4288 | 0.697916667 |
| lena16.bmp | lena16.bmp-withWavelet_sym1-G_0.5-H9e-005_af3.wfa     | 6144 | 2048 | 2048 | 11 | 4112 | 88 | 88 | 16 | 16 | 21.5144075  | 0.015 | 4288 | 0.697916667 |
| lena16.bmp | lena16.bmp-withWavelet_bior1.1-G_0.5-H9e-005_af3.wfa  | 6144 | 2048 | 2048 | 11 | 4112 | 88 | 88 | 16 | 16 | 21.5144075  | 0.015 | 4288 | 0.697916667 |

|            |   |      |      |      |    |      |    |    |    |    |             |       |      |             |
|------------|---|------|------|------|----|------|----|----|----|----|-------------|-------|------|-------------|
| lena16.bmp | lena16.bmp-withWavelet_haar-G_0.75-H0.0001_af1.wfa    | 6144 | 2048 | 2048 | 11 | 4112 | 88 | 88 | 16 | 16 | 21.56418307 | 0.031 | 4288 | 0.697916667 |
| lena16.bmp | lena16.bmp-withWavelet_rbio1.1-G_0.75-H0.0001_af1.wfa | 6144 | 2048 | 2048 | 11 | 4112 | 88 | 88 | 16 | 16 | 21.56418307 | 0.031 | 4288 | 0.697916667 |
| lena16.bmp | lena16.bmp-withWavelet_sym1-G_0.75-H0.0001_af1.wfa    | 6144 | 2048 | 2048 | 11 | 4112 | 88 | 88 | 16 | 16 | 21.56418307 | 0.031 | 4288 | 0.697916667 |
| lena16.bmp | lena16.bmp-withWavelet_bior1.1-G_0.75-H0.0001_af1.wfa | 6144 | 2048 | 2048 | 11 | 4112 | 88 | 88 | 16 | 16 | 21.56418307 | 0.031 | 4288 | 0.697916667 |
| lena16.bmp | lena16.bmp-withWavelet_haar-G_0.5-H0.0001_af1.wfa     | 6144 | 2048 | 2048 | 11 | 4112 | 88 | 88 | 16 | 16 | 21.62915083 | 0.016 | 4288 | 0.697916667 |
| lena16.bmp | lena16.bmp-withWavelet_rbio1.1-G_0.5-H0.0001_af1.wfa  | 6144 | 2048 | 2048 | 11 | 4112 | 88 | 88 | 16 | 16 | 21.62915083 | 0.031 | 4288 | 0.697916667 |
| lena16.bmp | lena16.bmp-withWavelet_sym1-G_0.5-H0.0001_af1.wfa     | 6144 | 2048 | 2048 | 11 | 4112 | 88 | 88 | 16 | 16 | 21.62915083 | 0.031 | 4288 | 0.697916667 |
| lena16.bmp | lena16.bmp-withWavelet_bior1.1-G_0.5-H0.0001_af1.wfa  | 6144 | 2048 | 2048 | 11 | 4112 | 88 | 88 | 16 | 16 | 21.62915083 | 0.015 | 4288 | 0.697916667 |
| lena16.bmp | lena16.bmp-withWavelet_haar-G_0.5-H0.0001_af3.wfa     | 6144 | 2048 | 2048 | 11 | 4112 | 88 | 88 | 16 | 16 | 21.73590377 | 0.031 | 4288 | 0.697916667 |
| lena16.bmp | lena16.bmp-withWavelet_rbio1.1-G_0.5-H0.0001_af3.wfa  | 6144 | 2048 | 2048 | 11 | 4112 | 88 | 88 | 16 | 16 | 21.73590377 | 0.031 | 4288 | 0.697916667 |
| lena16.bmp | lena16.bmp-withWavelet_sym1-G_0.5-H0.0001_af3.wfa     | 6144 | 2048 | 2048 | 11 | 4112 | 88 | 88 | 16 | 16 | 21.73590377 | 0.016 | 4288 | 0.697916667 |
| lena16.bmp | lena16.bmp-withWavelet_bior1.1-G_0.5-H0.0001_af3.wfa  | 6144 | 2048 | 2048 | 11 | 4112 | 88 | 88 | 16 | 16 | 21.73590377 | 0.031 | 4288 | 0.697916667 |
| lena16.bmp | lena16.bmp-G_1-H0.0001_af2.wfa                        | 6144 | 2048 |      | 11 | 4112 | 88 | 88 | 16 | 16 | 21.80824863 | 0.016 | 4288 | 0.697916667 |
| lena16.bmp | lena16.bmp-G_0.5-H0.0001_af5.wfa                      | 6144 | 2048 |      | 11 | 4112 | 88 | 88 | 16 | 16 | 22.02789241 | 0.031 | 4288 | 0.697916667 |
| lena16.bmp | lena16.bmp-withWavelet_haar-G_0.5-H5e-005_af4.wfa     | 6144 | 2048 | 2048 | 11 | 4112 | 88 | 88 | 16 | 16 | 22.50962879 | 0.032 | 4288 | 0.697916667 |
| lena16.bmp | lena16.bmp-withWavelet_rbio1.1-G_0.5-H5e-005_af4.wfa  | 6144 | 2048 | 2048 | 11 | 4112 | 88 | 88 | 16 | 16 | 22.50962879 | 0.032 | 4288 | 0.697916667 |
| lena16.bmp | lena16.bmp-withWavelet_sym1-G_0.5-H5e-005_af4.wfa     | 6144 | 2048 | 2048 | 11 | 4112 | 88 | 88 | 16 | 16 | 22.50962879 | 0.016 | 4288 | 0.697916667 |
| lena16.bmp | lena16.bmp-withWavelet_bior1.1-G_0.5-H5e-005_af4.wfa  | 6144 | 2048 | 2048 | 11 | 4112 | 88 | 88 | 16 | 16 | 22.50962879 | 0.016 | 4288 | 0.697916667 |
| lena16.bmp | lena16.bmp-withWavelet_haar-G_0.5-H6e-005_af4.wfa     | 6144 | 2048 | 2048 | 11 | 4112 | 88 | 88 | 16 | 16 | 22.50962879 | 0.016 | 4288 | 0.697916667 |
| lena16.bmp | lena16.bmp-withWavelet_rbio1.1-G_0.5-H6e-005_af4.wfa  | 6144 | 2048 | 2048 | 11 | 4112 | 88 | 88 | 16 | 16 | 22.50962879 | 0.016 | 4288 | 0.697916667 |
| lena16.bmp | lena16.bmp-withWavelet_sym1-G_0.5-H6e-005_af4.wfa     | 6144 | 2048 | 2048 | 11 | 4112 | 88 | 88 | 16 | 16 | 22.50962879 | 0.031 | 4288 | 0.697916667 |
| lena16.bmp | lena16.bmp-withWavelet_bior1.1-G_0.5-H6e-005_af4.wfa  | 6144 | 2048 | 2048 | 11 | 4112 | 88 | 88 | 16 | 16 | 22.50962879 | 0.032 | 4288 | 0.697916667 |
| lena16.bmp | lena16.bmp-withWavelet_haar-G_0.5-H7e-005_af4.wfa     | 6144 | 2048 | 2048 | 11 | 4112 | 88 | 88 | 16 | 16 | 22.50962879 | 0.016 | 4288 | 0.697916667 |
| lena16.bmp | lena16.bmp-withWavelet_rbio1.1-G_0.5-H7e-005_af4.wfa  | 6144 | 2048 | 2048 | 11 | 4112 | 88 | 88 | 16 | 16 | 22.50962879 | 0.031 | 4288 | 0.697916667 |
| lena16.bmp | lena16.bmp-withWavelet_sym1-G_0.5-H7e-005_af4.wfa     | 6144 | 2048 | 2048 | 11 | 4112 | 88 | 88 | 16 | 16 | 22.50962879 | 0.015 | 4288 | 0.697916667 |
| lena16.bmp | lena16.bmp-withWavelet_bior1.1-G_0.5-H7e-005_af4.wfa  | 6144 | 2048 | 2048 | 11 | 4112 | 88 | 88 | 16 | 16 | 22.50962879 | 0.031 | 4288 | 0.697916667 |
| lena16.bmp | lena16.bmp-G_0.5-H4e-005_af1.wfa                      | 6144 | 2048 |      | 12 | 4848 | 96 | 96 | 16 | 16 | 20.9835189  | 0.032 | 5040 | 0.8203125   |
| lena16.bmp | lena16.bmp-withWavelet_haar-G_0.75-H8e-005_af3.wfa    | 6144 | 2048 | 2048 | 12 | 4848 | 96 | 96 | 16 | 16 | 21.33122724 | 0.031 | 5040 | 0.8203125   |
| lena16.bmp | lena16.bmp-withWavelet_rbio1.1-G_0.75-H8e-005_af3.wfa | 6144 | 2048 | 2048 | 12 | 4848 | 96 | 96 | 16 | 16 | 21.33122724 | 0.016 | 5040 | 0.8203125   |
| lena16.bmp | lena16.bmp-withWavelet_sym1-G_0.75-H8e-005_af3.wfa    | 6144 | 2048 | 2048 | 12 | 4848 | 96 | 96 | 16 | 16 | 21.33122724 | 0.016 | 5040 | 0.8203125   |
| lena16.bmp | lena16.bmp-withWavelet_bior1.1-G_0.75-H8e-005_af3.wfa | 6144 | 2048 | 2048 | 12 | 4848 | 96 | 96 | 16 | 16 | 21.33122724 | 0.015 | 5040 | 0.8203125   |

|            |   |      |      |      |    |      |    |    |    |    |             |       |      |           |
|------------|---|------|------|------|----|------|----|----|----|----|-------------|-------|------|-----------|
| lena16.bmp | lena16.bmp-withWavelet_haar-G_0.75-H9e-005_af3.wfa    | 6144 | 2048 | 2048 | 12 | 4848 | 96 | 96 | 16 | 16 | 21.33122724 | 0.016 | 5040 | 0.8203125 |
| lena16.bmp | lena16.bmp-withWavelet_rbio1.1-G_0.75-H9e-005_af3.wfa | 6144 | 2048 | 2048 | 12 | 4848 | 96 | 96 | 16 | 16 | 21.33122724 | 0.016 | 5040 | 0.8203125 |
| lena16.bmp | lena16.bmp-withWavelet_sym1-G_0.75-H9e-005_af3.wfa    | 6144 | 2048 | 2048 | 12 | 4848 | 96 | 96 | 16 | 16 | 21.33122724 | 0.015 | 5040 | 0.8203125 |
| lena16.bmp | lena16.bmp-withWavelet_bior1.1-G_0.75-H9e-005_af3.wfa | 6144 | 2048 | 2048 | 12 | 4848 | 96 | 96 | 16 | 16 | 21.33122724 | 0.031 | 5040 | 0.8203125 |
| lena16.bmp | lena16.bmp-withWavelet_haar-G_0.75-H7e-005_af1.wfa    | 6144 | 2048 | 2048 | 12 | 4848 | 96 | 96 | 16 | 16 | 21.33889088 | 0.031 | 5040 | 0.8203125 |
| lena16.bmp | lena16.bmp-withWavelet_rbio1.1-G_0.75-H7e-005_af1.wfa | 6144 | 2048 | 2048 | 12 | 4848 | 96 | 96 | 16 | 16 | 21.33889088 | 0.016 | 5040 | 0.8203125 |
| lena16.bmp | lena16.bmp-withWavelet_sym1-G_0.75-H7e-005_af1.wfa    | 6144 | 2048 | 2048 | 12 | 4848 | 96 | 96 | 16 | 16 | 21.33889088 | 0.016 | 5040 | 0.8203125 |
| lena16.bmp | lena16.bmp-withWavelet_bior1.1-G_0.75-H7e-005_af1.wfa | 6144 | 2048 | 2048 | 12 | 4848 | 96 | 96 | 16 | 16 | 21.33889088 | 0.015 | 5040 | 0.8203125 |
| lena16.bmp | lena16.bmp-G_1-H7e-005_af3.wfa                        | 6144 | 2048 |      | 12 | 4848 | 96 | 96 | 16 | 16 | 21.48194031 | 0.031 | 5040 | 0.8203125 |
| lena16.bmp | lena16.bmp-G_0.75-H6e-005_af3.wfa                     | 6144 | 2048 |      | 12 | 4848 | 96 | 96 | 16 | 16 | 21.56526893 | 0.032 | 5040 | 0.8203125 |
| lena16.bmp | lena16.bmp-G_1-H8e-005_af1.wfa                        | 6144 | 2048 |      | 12 | 4848 | 96 | 96 | 16 | 16 | 21.57028322 | 0.032 | 5040 | 0.8203125 |
| lena16.bmp | lena16.bmp-G_0.75-H7e-005_af3.wfa                     | 6144 | 2048 |      | 12 | 4848 | 96 | 96 | 16 | 16 | 21.61562543 | 0.032 | 5040 | 0.8203125 |
| lena16.bmp | lena16.bmp-withWavelet_haar-G_0.5-H7e-005_af2.wfa     | 6144 | 2048 | 2048 | 12 | 4848 | 96 | 96 | 16 | 16 | 21.61883359 | 0.031 | 5040 | 0.8203125 |
| lena16.bmp | lena16.bmp-withWavelet_rbio1.1-G_0.5-H7e-005_af2.wfa  | 6144 | 2048 | 2048 | 12 | 4848 | 96 | 96 | 16 | 16 | 21.61883359 | 0.031 | 5040 | 0.8203125 |
| lena16.bmp | lena16.bmp-withWavelet_sym1-G_0.5-H7e-005_af2.wfa     | 6144 | 2048 | 2048 | 12 | 4848 | 96 | 96 | 16 | 16 | 21.61883359 | 0.016 | 5040 | 0.8203125 |
| lena16.bmp | lena16.bmp-withWavelet_bior1.1-G_0.5-H7e-005_af2.wfa  | 6144 | 2048 | 2048 | 12 | 4848 | 96 | 96 | 16 | 16 | 21.61883359 | 0.016 | 5040 | 0.8203125 |
| lena16.bmp | lena16.bmp-withWavelet_haar-G_0.5-H8e-005_af2.wfa     | 6144 | 2048 | 2048 | 12 | 4848 | 96 | 96 | 16 | 16 | 21.61883359 | 0.032 | 5040 | 0.8203125 |
| lena16.bmp | lena16.bmp-withWavelet_rbio1.1-G_0.5-H8e-005_af2.wfa  | 6144 | 2048 | 2048 | 12 | 4848 | 96 | 96 | 16 | 16 | 21.61883359 | 0.016 | 5040 | 0.8203125 |
| lena16.bmp | lena16.bmp-withWavelet_sym1-G_0.5-H8e-005_af2.wfa     | 6144 | 2048 | 2048 | 12 | 4848 | 96 | 96 | 16 | 16 | 21.61883359 | 0.031 | 5040 | 0.8203125 |
| lena16.bmp | lena16.bmp-withWavelet_bior1.1-G_0.5-H8e-005_af2.wfa  | 6144 | 2048 | 2048 | 12 | 4848 | 96 | 96 | 16 | 16 | 21.61883359 | 0.031 | 5040 | 0.8203125 |
| lena16.bmp | lena16.bmp-withWavelet_haar-G_0.75-H0.0001_af3.wfa    | 6144 | 2048 | 2048 | 12 | 4848 | 96 | 96 | 16 | 16 | 21.6585197  | 0.031 | 5040 | 0.8203125 |
| lena16.bmp | lena16.bmp-withWavelet_rbio1.1-G_0.75-H0.0001_af3.wfa | 6144 | 2048 | 2048 | 12 | 4848 | 96 | 96 | 16 | 16 | 21.6585197  | 0.031 | 5040 | 0.8203125 |
| lena16.bmp | lena16.bmp-withWavelet_sym1-G_0.75-H0.0001_af3.wfa    | 6144 | 2048 | 2048 | 12 | 4848 | 96 | 96 | 16 | 16 | 21.6585197  | 0.031 | 5040 | 0.8203125 |
| lena16.bmp | lena16.bmp-withWavelet_bior1.1-G_0.75-H0.0001_af3.wfa | 6144 | 2048 | 2048 | 12 | 4848 | 96 | 96 | 16 | 16 | 21.6585197  | 0.015 | 5040 | 0.8203125 |
| lena16.bmp | lena16.bmp-G_1-H9e-005_af2.wfa                        | 6144 | 2048 |      | 12 | 4848 | 96 | 96 | 16 | 16 | 21.67303365 | 0.015 | 5040 | 0.8203125 |
| lena16.bmp | lena16.bmp-withWavelet_haar-G_1-H8e-005_af4.wfa       | 6144 | 2048 | 2048 | 12 | 4848 | 96 | 96 | 16 | 16 | 21.80498812 | 0.016 | 5040 | 0.8203125 |
| lena16.bmp | lena16.bmp-withWavelet_rbio1.1-G_1-H8e-005_af4.wfa    | 6144 | 2048 | 2048 | 12 | 4848 | 96 | 96 | 16 | 16 | 21.80498812 | 0.031 | 5040 | 0.8203125 |
| lena16.bmp | lena16.bmp-withWavelet_sym1-G_1-H8e-005_af4.wfa       | 6144 | 2048 | 2048 | 12 | 4848 | 96 | 96 | 16 | 16 | 21.80498812 | 0.031 | 5040 | 0.8203125 |
| lena16.bmp | lena16.bmp-withWavelet_bior1.1-G_1-H8e-005_af4.wfa    | 6144 | 2048 | 2048 | 12 | 4848 | 96 | 96 | 16 | 16 | 21.80498812 | 0.015 | 5040 | 0.8203125 |
| lena16.bmp | lena16.bmp-withWavelet_haar-G_1-H9e-005_af4.wfa       | 6144 | 2048 | 2048 | 12 | 4848 | 96 | 96 | 16 | 16 | 21.80498812 | 0.015 | 5040 | 0.8203125 |
| lena16.bmp | lena16.bmp-withWavelet_rbio1.1-G_1-H9e-005_af4.wfa    | 6144 | 2048 | 2048 | 12 | 4848 | 96 | 96 | 16 | 16 | 21.80498812 | 0.016 | 5040 | 0.8203125 |

|            |   |      |      |      |    |      |    |    |    |    |             |       |      |           |
|------------|---|------|------|------|----|------|----|----|----|----|-------------|-------|------|-----------|
| lena16.bmp | lena16.bmp-withWavelet_sym1-G_1-H9e-005_af4.wfa       | 6144 | 2048 | 2048 | 12 | 4848 | 96 | 96 | 16 | 16 | 21.80498812 | 0.032 | 5040 | 0.8203125 |
| lena16.bmp | lena16.bmp-withWavelet_bior1.1-G_1-H9e-005_af4.wfa    | 6144 | 2048 | 2048 | 12 | 4848 | 96 | 96 | 16 | 16 | 21.80498812 | 0.016 | 5040 | 0.8203125 |
| lena16.bmp | lena16.bmp-withWavelet_haar-G_1-H6e-005_af1.wfa       | 6144 | 2048 | 2048 | 12 | 4848 | 96 | 96 | 16 | 16 | 21.81419825 | 0.016 | 5040 | 0.8203125 |
| lena16.bmp | lena16.bmp-withWavelet_rbio1.1-G_1-H6e-005_af1.wfa    | 6144 | 2048 | 2048 | 12 | 4848 | 96 | 96 | 16 | 16 | 21.81419825 | 0.031 | 5040 | 0.8203125 |
| lena16.bmp | lena16.bmp-withWavelet_sym1-G_1-H6e-005_af1.wfa       | 6144 | 2048 | 2048 | 12 | 4848 | 96 | 96 | 16 | 16 | 21.81419825 | 0.015 | 5040 | 0.8203125 |
| lena16.bmp | lena16.bmp-withWavelet_bior1.1-G_1-H6e-005_af1.wfa    | 6144 | 2048 | 2048 | 12 | 4848 | 96 | 96 | 16 | 16 | 21.81419825 | 0.015 | 5040 | 0.8203125 |
| lena16.bmp | lena16.bmp-G_0.75-H9e-005_af2.wfa                     | 6144 | 2048 |      | 12 | 4848 | 96 | 96 | 16 | 16 | 21.82285    | 0.016 | 5040 | 0.8203125 |
| lena16.bmp | lena16.bmp-G_0.5-H9e-005_af3.wfa                      | 6144 | 2048 |      | 12 | 4848 | 96 | 96 | 16 | 16 | 21.83458511 | 0.032 | 5040 | 0.8203125 |
| lena16.bmp | lena16.bmp-withWavelet_haar-G_0.75-H8e-005_af4.wfa    | 6144 | 2048 | 2048 | 12 | 4848 | 96 | 96 | 16 | 16 | 21.89187217 | 0.016 | 5040 | 0.8203125 |
| lena16.bmp | lena16.bmp-withWavelet_rbio1.1-G_0.75-H8e-005_af4.wfa | 6144 | 2048 | 2048 | 12 | 4848 | 96 | 96 | 16 | 16 | 21.89187217 | 0.016 | 5040 | 0.8203125 |
| lena16.bmp | lena16.bmp-withWavelet_sym1-G_0.75-H8e-005_af4.wfa    | 6144 | 2048 | 2048 | 12 | 4848 | 96 | 96 | 16 | 16 | 21.89187217 | 0.016 | 5040 | 0.8203125 |
| lena16.bmp | lena16.bmp-withWavelet_bior1.1-G_0.75-H8e-005_af4.wfa | 6144 | 2048 | 2048 | 12 | 4848 | 96 | 96 | 16 | 16 | 21.89187217 | 0.031 | 5040 | 0.8203125 |
| lena16.bmp | lena16.bmp-withWavelet_haar-G_0.75-H9e-005_af4.wfa    | 6144 | 2048 | 2048 | 12 | 4848 | 96 | 96 | 16 | 16 | 21.89187217 | 0.016 | 5040 | 0.8203125 |
| lena16.bmp | lena16.bmp-withWavelet_rbio1.1-G_0.75-H9e-005_af4.wfa | 6144 | 2048 | 2048 | 12 | 4848 | 96 | 96 | 16 | 16 | 21.89187217 | 0.031 | 5040 | 0.8203125 |
| lena16.bmp | lena16.bmp-withWavelet_sym1-G_0.75-H9e-005_af4.wfa    | 6144 | 2048 | 2048 | 12 | 4848 | 96 | 96 | 16 | 16 | 21.89187217 | 0.031 | 5040 | 0.8203125 |
| lena16.bmp | lena16.bmp-withWavelet_bior1.1-G_0.75-H9e-005_af4.wfa | 6144 | 2048 | 2048 | 12 | 4848 | 96 | 96 | 16 | 16 | 21.89187217 | 0.016 | 5040 | 0.8203125 |
| lena16.bmp | lena16.bmp-G_0.5-H6e-005_af5.wfa                      | 6144 | 2048 |      | 12 | 4848 | 96 | 96 | 16 | 16 | 22.02326123 | 0.015 | 5040 | 0.8203125 |
| lena16.bmp | lena16.bmp-G_0.5-H7e-005_af5.wfa                      | 6144 | 2048 |      | 12 | 4848 | 96 | 96 | 16 | 16 | 22.02326123 | 0.032 | 5040 | 0.8203125 |
| lena16.bmp | lena16.bmp-withWavelet_haar-G_0.5-H8e-005_af3.wfa     | 6144 | 2048 | 2048 | 12 | 4848 | 96 | 96 | 16 | 16 | 22.10488745 | 0.031 | 5040 | 0.8203125 |
| lena16.bmp | lena16.bmp-withWavelet_rbio1.1-G_0.5-H8e-005_af3.wfa  | 6144 | 2048 | 2048 | 12 | 4848 | 96 | 96 | 16 | 16 | 22.10488745 | 0.016 | 5040 | 0.8203125 |
| lena16.bmp | lena16.bmp-withWavelet_sym1-G_0.5-H8e-005_af3.wfa     | 6144 | 2048 | 2048 | 12 | 4848 | 96 | 96 | 16 | 16 | 22.10488745 | 0.016 | 5040 | 0.8203125 |
| lena16.bmp | lena16.bmp-withWavelet_bior1.1-G_0.5-H8e-005_af3.wfa  | 6144 | 2048 | 2048 | 12 | 4848 | 96 | 96 | 16 | 16 | 22.10488745 | 0.031 | 5040 | 0.8203125 |
| lena16.bmp | lena16.bmp-G_0.75-H8e-005_af5.wfa                     | 6144 | 2048 |      | 12 | 4848 | 96 | 96 | 16 | 16 | 22.30889372 | 0.016 | 5040 | 0.8203125 |
| lena16.bmp | lena16.bmp-G_0.75-H9e-005_af5.wfa                     | 6144 | 2048 |      | 12 | 4848 | 96 | 96 | 16 | 16 | 22.30889372 | 0.016 | 5040 | 0.8203125 |
| lena16.bmp | lena16.bmp-G_0.75-H0.0001_af5.wfa                     | 6144 | 2048 |      | 12 | 4848 | 96 | 96 | 16 | 16 | 22.30889372 | 0.031 | 5040 | 0.8203125 |
| lena16.bmp | lena16.bmp-G_0.75-H0.0001_af2.wfa                     | 6144 | 2048 |      | 12 | 4848 | 96 | 96 | 16 | 16 | 22.42271303 | 0.047 | 5040 | 0.8203125 |
| lena16.bmp | lena16.bmp-withWavelet_haar-G_0.5-H9e-005_af1.wfa     | 6144 | 2048 | 2048 | 12 | 4848 | 96 | 96 | 16 | 16 | 23.16104938 | 0.016 | 5040 | 0.8203125 |
| lena16.bmp | lena16.bmp-withWavelet_rbio1.1-G_0.5-H9e-005_af1.wfa  | 6144 | 2048 | 2048 | 12 | 4848 | 96 | 96 | 16 | 16 | 23.16104938 | 0.031 | 5040 | 0.8203125 |
| lena16.bmp | lena16.bmp-withWavelet_sym1-G_0.5-H9e-005_af1.wfa     | 6144 | 2048 | 2048 | 12 | 4848 | 96 | 96 | 16 | 16 | 23.16104938 | 0.031 | 5040 | 0.8203125 |
| lena16.bmp | lena16.bmp-withWavelet_bior1.1-G_0.5-H9e-005_af1.wfa  | 6144 | 2048 | 2048 | 12 | 4848 | 96 | 96 | 16 | 16 | 23.16104938 | 0.032 | 5040 | 0.8203125 |
| lena16.bmp | lena16.bmp-withWavelet_haar-G_0.5-H4e-005_af4.wfa     | 6144 | 2048 | 2048 | 12 | 4848 | 96 | 96 | 16 | 16 | 23.49381199 | 0.016 | 5040 | 0.8203125 |

|            |   |      |      |      |    |      |     |     |    |    |             |       |      |           |
|------------|---|------|------|------|----|------|-----|-----|----|----|-------------|-------|------|-----------|
| lena16.bmp | lena16.bmp-withWavelet_rbio1.1-G_0.5-H4e-005_af4.wfa  | 6144 | 2048 | 2048 | 12 | 4848 | 96  | 96  | 16 | 16 | 23.49381199 | 0.016 | 5040 | 0.8203125 |
| lena16.bmp | lena16.bmp-withWavelet_sym1-G_0.5-H4e-005_af4.wfa     | 6144 | 2048 | 2048 | 12 | 4848 | 96  | 96  | 16 | 16 | 23.49381199 | 0.016 | 5040 | 0.8203125 |
| lena16.bmp | lena16.bmp-withWavelet_bior1.1-G_0.5-H4e-005_af4.wfa  | 6144 | 2048 | 2048 | 12 | 4848 | 96  | 96  | 16 | 16 | 23.49381199 | 0.015 | 5040 | 0.8203125 |
| lena16.bmp | lena16.bmp-withWavelet_haar-G_1-H5e-005_af2.wfa       | 6144 | 2048 | 2048 | 13 | 5648 | 104 | 104 | 16 | 16 | 20.25782469 | 0.031 | 5856 | 0.953125  |
| lena16.bmp | lena16.bmp-withWavelet_rbio1.1-G_1-H5e-005_af2.wfa    | 6144 | 2048 | 2048 | 13 | 5648 | 104 | 104 | 16 | 16 | 20.25782469 | 0.031 | 5856 | 0.953125  |
| lena16.bmp | lena16.bmp-withWavelet_sym1-G_1-H5e-005_af2.wfa       | 6144 | 2048 | 2048 | 13 | 5648 | 104 | 104 | 16 | 16 | 20.25782469 | 0.031 | 5856 | 0.953125  |
| lena16.bmp | lena16.bmp-withWavelet_bior1.1-G_1-H5e-005_af2.wfa    | 6144 | 2048 | 2048 | 13 | 5648 | 104 | 104 | 16 | 16 | 20.25782469 | 0.032 | 5856 | 0.953125  |
| lena16.bmp | lena16.bmp-withWavelet_haar-G_0.75-H6e-005_af2.wfa    | 6144 | 2048 | 2048 | 13 | 5648 | 104 | 104 | 16 | 16 | 20.40248739 | 0.031 | 5856 | 0.953125  |
| lena16.bmp | lena16.bmp-withWavelet_rbio1.1-G_0.75-H6e-005_af2.wfa | 6144 | 2048 | 2048 | 13 | 5648 | 104 | 104 | 16 | 16 | 20.40248739 | 0.016 | 5856 | 0.953125  |
| lena16.bmp | lena16.bmp-withWavelet_sym1-G_0.75-H6e-005_af2.wfa    | 6144 | 2048 | 2048 | 13 | 5648 | 104 | 104 | 16 | 16 | 20.40248739 | 0.016 | 5856 | 0.953125  |
| lena16.bmp | lena16.bmp-withWavelet_bior1.1-G_0.75-H6e-005_af2.wfa | 6144 | 2048 | 2048 | 13 | 5648 | 104 | 104 | 16 | 16 | 20.40248739 | 0.016 | 5856 | 0.953125  |
| lena16.bmp | lena16.bmp-G_0.5-H3e-005_af1.wfa                      | 6144 | 2048 |      | 13 | 5648 | 104 | 104 | 16 | 16 | 21.468792   | 0.016 | 5856 | 0.953125  |
| lena16.bmp | lena16.bmp-G_0.5-H2e-005_af1.wfa                      | 6144 | 2048 |      | 13 | 5648 | 104 | 104 | 16 | 16 | 21.468792   | 0.016 | 5856 | 0.953125  |
| lena16.bmp | lena16.bmp-G_1-H6e-005_af1.wfa                        | 6144 | 2048 |      | 13 | 5648 | 104 | 104 | 16 | 16 | 22.13859643 | 0.015 | 5856 | 0.953125  |
| lena16.bmp | lena16.bmp-G_0.75-H5e-005_af1.wfa                     | 6144 | 2048 |      | 13 | 5648 | 104 | 104 | 16 | 16 | 22.24459038 | 0.016 | 5856 | 0.953125  |
| lena16.bmp | lena16.bmp-G_0.75-H6e-005_af1.wfa                     | 6144 | 2048 |      | 13 | 5648 | 104 | 104 | 16 | 16 | 22.24459038 | 0.031 | 5856 | 0.953125  |
| lena16.bmp | lena16.bmp-G_0.75-H7e-005_af1.wfa                     | 6144 | 2048 |      | 13 | 5648 | 104 | 104 | 16 | 16 | 22.24459038 | 0.032 | 5856 | 0.953125  |
| lena16.bmp | lena16.bmp-G_1-H5e-005_af3.wfa                        | 6144 | 2048 |      | 13 | 5648 | 104 | 104 | 16 | 16 | 22.26365993 | 0.032 | 5856 | 0.953125  |
| lena16.bmp | lena16.bmp-G_1-H6e-005_af3.wfa                        | 6144 | 2048 |      | 13 | 5648 | 104 | 104 | 16 | 16 | 22.27005504 | 0.031 | 5856 | 0.953125  |
| lena16.bmp | lena16.bmp-withWavelet_haar-G_1-H7e-005_af4.wfa       | 6144 | 2048 | 2048 | 13 | 5648 | 104 | 104 | 16 | 16 | 22.28733689 | 0.015 | 5856 | 0.953125  |
| lena16.bmp | lena16.bmp-withWavelet_rbio1.1-G_1-H7e-005_af4.wfa    | 6144 | 2048 | 2048 | 13 | 5648 | 104 | 104 | 16 | 16 | 22.28733689 | 0.016 | 5856 | 0.953125  |
| lena16.bmp | lena16.bmp-withWavelet_sym1-G_1-H7e-005_af4.wfa       | 6144 | 2048 | 2048 | 13 | 5648 | 104 | 104 | 16 | 16 | 22.28733689 | 0.016 | 5856 | 0.953125  |
| lena16.bmp | lena16.bmp-withWavelet_bior1.1-G_1-H7e-005_af4.wfa    | 6144 | 2048 | 2048 | 13 | 5648 | 104 | 104 | 16 | 16 | 22.28733689 | 0.016 | 5856 | 0.953125  |
| lena16.bmp | lena16.bmp-G_0.75-H4e-005_af3.wfa                     | 6144 | 2048 |      | 13 | 5648 | 104 | 104 | 16 | 16 | 22.37498741 | 0.015 | 5856 | 0.953125  |
| lena16.bmp | lena16.bmp-G_0.75-H5e-005_af3.wfa                     | 6144 | 2048 |      | 13 | 5648 | 104 | 104 | 16 | 16 | 22.37498741 | 0.016 | 5856 | 0.953125  |
| lena16.bmp | lena16.bmp-withWavelet_haar-G_0.75-H7e-005_af4.wfa    | 6144 | 2048 | 2048 | 13 | 5648 | 104 | 104 | 16 | 16 | 22.37964219 | 0.015 | 5856 | 0.953125  |
| lena16.bmp | lena16.bmp-withWavelet_rbio1.1-G_0.75-H7e-005_af4.wfa | 6144 | 2048 | 2048 | 13 | 5648 | 104 | 104 | 16 | 16 | 22.37964219 | 0.031 | 5856 | 0.953125  |
| lena16.bmp | lena16.bmp-withWavelet_sym1-G_0.75-H7e-005_af4.wfa    | 6144 | 2048 | 2048 | 13 | 5648 | 104 | 104 | 16 | 16 | 22.37964219 | 0.015 | 5856 | 0.953125  |
| lena16.bmp | lena16.bmp-withWavelet_bior1.1-G_0.75-H7e-005_af4.wfa | 6144 | 2048 | 2048 | 13 | 5648 | 104 | 104 | 16 | 16 | 22.37964219 | 0.015 | 5856 | 0.953125  |
| lena16.bmp | lena16.bmp-G_0.75-H7e-005_af5.wfa                     | 6144 | 2048 |      | 13 | 5648 | 104 | 104 | 16 | 16 | 22.82299297 | 0.016 | 5856 | 0.953125  |
| lena16.bmp | lena16.bmp-G_1-H7e-005_af1.wfa                        | 6144 | 2048 |      | 13 | 5648 | 104 | 104 | 16 | 16 | 22.9494196  | 0.015 | 5856 | 0.953125  |

|            |  |      |      |      |    |      |     |     |    |    |             |       |      |          |
|------------|--|------|------|------|----|------|-----|-----|----|----|-------------|-------|------|----------|
| lena16.bmp | lena16.bmp-G_0.5-H5e-005_af2.wfa                     | 6144 | 2048 |      | 13 | 5648 | 104 | 104 | 16 | 16 | 22.98696374 | 0.032 | 5856 | 0.953125 |
| lena16.bmp | lena16.bmp-G_0.5-H6e-005_af2.wfa                     | 6144 | 2048 |      | 13 | 5648 | 104 | 104 | 16 | 16 | 22.98696374 | 0.016 | 5856 | 0.953125 |
| lena16.bmp | lena16.bmp-G_0.5-H7e-005_af2.wfa                     | 6144 | 2048 |      | 13 | 5648 | 104 | 104 | 16 | 16 | 22.98696374 | 0.016 | 5856 | 0.953125 |
| lena16.bmp | lena16.bmp-G_0.5-H5e-005_af5.wfa                     | 6144 | 2048 |      | 13 | 5648 | 104 | 104 | 16 | 16 | 23.03771754 | 0.016 | 5856 | 0.953125 |
| lena16.bmp | lena16.bmp-withWavelet_haar-G_0.5-H5e-005_af2.wfa    | 6144 | 2048 | 2048 | 13 | 5648 | 104 | 104 | 16 | 16 | 23.29616355 | 0.016 | 5856 | 0.953125 |
| lena16.bmp | lena16.bmp-withWavelet_rbio1.1-G_0.5-H5e-005_af2.wfa | 6144 | 2048 | 2048 | 13 | 5648 | 104 | 104 | 16 | 16 | 23.29616355 | 0.031 | 5856 | 0.953125 |
| lena16.bmp | lena16.bmp-withWavelet_sym1-G_0.5-H5e-005_af2.wfa    | 6144 | 2048 | 2048 | 13 | 5648 | 104 | 104 | 16 | 16 | 23.29616355 | 0.016 | 5856 | 0.953125 |
| lena16.bmp | lena16.bmp-withWavelet_bior1.1-G_0.5-H5e-005_af2.wfa | 6144 | 2048 | 2048 | 13 | 5648 | 104 | 104 | 16 | 16 | 23.29616355 | 0.031 | 5856 | 0.953125 |
| lena16.bmp | lena16.bmp-withWavelet_haar-G_0.5-H6e-005_af2.wfa    | 6144 | 2048 | 2048 | 13 | 5648 | 104 | 104 | 16 | 16 | 23.29616355 | 0.015 | 5856 | 0.953125 |
| lena16.bmp | lena16.bmp-withWavelet_rbio1.1-G_0.5-H6e-005_af2.wfa | 6144 | 2048 | 2048 | 13 | 5648 | 104 | 104 | 16 | 16 | 23.29616355 | 0.031 | 5856 | 0.953125 |
| lena16.bmp | lena16.bmp-withWavelet_sym1-G_0.5-H6e-005_af2.wfa    | 6144 | 2048 | 2048 | 13 | 5648 | 104 | 104 | 16 | 16 | 23.29616355 | 0.016 | 5856 | 0.953125 |
| lena16.bmp | lena16.bmp-withWavelet_bior1.1-G_0.5-H6e-005_af2.wfa | 6144 | 2048 | 2048 | 13 | 5648 | 104 | 104 | 16 | 16 | 23.29616355 | 0.016 | 5856 | 0.953125 |
| lena16.bmp | lena16.bmp-G_1-H7e-005_af5.wfa                       | 6144 | 2048 |      | 13 | 5648 | 104 | 104 | 16 | 16 | 23.31152707 | 0.016 | 5856 | 0.953125 |
| lena16.bmp | lena16.bmp-G_1-H8e-005_af5.wfa                       | 6144 | 2048 |      | 13 | 5648 | 104 | 104 | 16 | 16 | 23.31152707 | 0.016 | 5856 | 0.953125 |
| lena16.bmp | lena16.bmp-G_1-H4e-005_af2.wfa                       | 6144 | 2048 |      | 13 | 5648 | 104 | 104 | 16 | 16 | 23.3510606  | 0.032 | 5856 | 0.953125 |
| lena16.bmp | lena16.bmp-G_1-H5e-005_af2.wfa                       | 6144 | 2048 |      | 13 | 5648 | 104 | 104 | 16 | 16 | 23.3510606  | 0.015 | 5856 | 0.953125 |
| lena16.bmp | lena16.bmp-G_1-H6e-005_af2.wfa                       | 6144 | 2048 |      | 13 | 5648 | 104 | 104 | 16 | 16 | 23.3510606  | 0.015 | 5856 | 0.953125 |
| lena16.bmp | lena16.bmp-G_1-H7e-005_af2.wfa                       | 6144 | 2048 |      | 13 | 5648 | 104 | 104 | 16 | 16 | 23.3510606  | 0.015 | 5856 | 0.953125 |
| lena16.bmp | lena16.bmp-G_1-H8e-005_af2.wfa                       | 6144 | 2048 |      | 13 | 5648 | 104 | 104 | 16 | 16 | 23.3510606  | 0.016 | 5856 | 0.953125 |
| lena16.bmp | lena16.bmp-G_0.75-H4e-005_af2.wfa                    | 6144 | 2048 |      | 13 | 5648 | 104 | 104 | 16 | 16 | 23.42067189 | 0.031 | 5856 | 0.953125 |
| lena16.bmp | lena16.bmp-G_0.75-H5e-005_af2.wfa                    | 6144 | 2048 |      | 13 | 5648 | 104 | 104 | 16 | 16 | 23.42067189 | 0.031 | 5856 | 0.953125 |
| lena16.bmp | lena16.bmp-G_0.75-H6e-005_af2.wfa                    | 6144 | 2048 |      | 13 | 5648 | 104 | 104 | 16 | 16 | 23.42067189 | 0.015 | 5856 | 0.953125 |
| lena16.bmp | lena16.bmp-G_0.75-H7e-005_af2.wfa                    | 6144 | 2048 |      | 13 | 5648 | 104 | 104 | 16 | 16 | 23.42067189 | 0.016 | 5856 | 0.953125 |
| lena16.bmp | lena16.bmp-G_0.75-H8e-005_af2.wfa                    | 6144 | 2048 |      | 13 | 5648 | 104 | 104 | 16 | 16 | 23.42067189 | 0.015 | 5856 | 0.953125 |
| lena16.bmp | lena16.bmp-G_0.5-H6e-005_af3.wfa                     | 6144 | 2048 |      | 13 | 5648 | 104 | 104 | 16 | 16 | 23.49628782 | 0.031 | 5856 | 0.953125 |
| lena16.bmp | lena16.bmp-withWavelet_haar-G_0.5-H7e-005_af3.wfa    | 6144 | 2048 | 2048 | 13 | 5648 | 104 | 104 | 16 | 16 | 23.62991178 | 0.031 | 5856 | 0.953125 |
| lena16.bmp | lena16.bmp-withWavelet_rbio1.1-G_0.5-H7e-005_af3.wfa | 6144 | 2048 | 2048 | 13 | 5648 | 104 | 104 | 16 | 16 | 23.62991178 | 0.031 | 5856 | 0.953125 |
| lena16.bmp | lena16.bmp-withWavelet_sym1-G_0.5-H7e-005_af3.wfa    | 6144 | 2048 | 2048 | 13 | 5648 | 104 | 104 | 16 | 16 | 23.62991178 | 0.016 | 5856 | 0.953125 |
| lena16.bmp | lena16.bmp-withWavelet_bior1.1-G_0.5-H7e-005_af3.wfa | 6144 | 2048 | 2048 | 13 | 5648 | 104 | 104 | 16 | 16 | 23.62991178 | 0.016 | 5856 | 0.953125 |
| lena16.bmp | lena16.bmp-withWavelet_haar-G_0.5-H3e-005_af4.wfa    | 6144 | 2048 | 2048 | 13 | 5648 | 104 | 104 | 16 | 16 | 24.43306231 | 0.031 | 5856 | 0.953125 |
| lena16.bmp | lena16.bmp-withWavelet_rbio1.1-G_0.5-H3e-005_af4.wfa | 6144 | 2048 | 2048 | 13 | 5648 | 104 | 104 | 16 | 16 | 24.43306231 | 0.016 | 5856 | 0.953125 |

|            |   |      |      |      |    |       |     |     |    |    |             |       |       |           |
|------------|---|------|------|------|----|-------|-----|-----|----|----|-------------|-------|-------|-----------|
| lena16.bmp | lena16.bmp-withWavelet_sym1-G_0.5-H3e-005_af4.wfa     | 6144 | 2048 | 2048 | 13 | 5648  | 104 | 104 | 16 | 16 | 24.43306231 | 0.031 | 5856  | 0.953125  |
| lena16.bmp | lena16.bmp-withWavelet_bior1.1-G_0.5-H3e-005_af4.wfa  | 6144 | 2048 | 2048 | 13 | 5648  | 104 | 104 | 16 | 16 | 24.43306231 | 0.031 | 5856  | 0.953125  |
| lena16.bmp | lena16.bmp-withWavelet_haar-G_0.5-H8e-005_af1.wfa     | 6144 | 2048 | 2048 | 13 | 5648  | 104 | 104 | 16 | 16 | 25.83167441 | 0.031 | 5856  | 0.953125  |
| lena16.bmp | lena16.bmp-withWavelet_rbio1.1-G_0.5-H8e-005_af1.wfa  | 6144 | 2048 | 2048 | 13 | 5648  | 104 | 104 | 16 | 16 | 25.83167441 | 0.031 | 5856  | 0.953125  |
| lena16.bmp | lena16.bmp-withWavelet_sym1-G_0.5-H8e-005_af1.wfa     | 6144 | 2048 | 2048 | 13 | 5648  | 104 | 104 | 16 | 16 | 25.83167441 | 0.031 | 5856  | 0.953125  |
| lena16.bmp | lena16.bmp-withWavelet_bior1.1-G_0.5-H8e-005_af1.wfa  | 6144 | 2048 | 2048 | 13 | 5648  | 104 | 104 | 16 | 16 | 25.83167441 | 0.031 | 5856  | 0.953125  |
| lena16.bmp | lena16.bmp-withWavelet_haar-G_0.5-H2e-005_af3.wfa     | 6144 | 2048 | 2048 | 16 | 8432  | 128 | 128 | 16 | 16 | 272.3069167 | 0.032 | 8688  | 1.4140625 |
| lena16.bmp | lena16.bmp-withWavelet_rbio1.1-G_0.5-H2e-005_af3.wfa  | 6144 | 2048 | 2048 | 16 | 8432  | 128 | 128 | 16 | 16 | 272.3069167 | 0.031 | 8688  | 1.4140625 |
| lena16.bmp | lena16.bmp-withWavelet_rbio1.1-G_0.5-H2e-005_af3.wfa  | 6144 | 2048 | 2048 | 16 | 8432  | 128 | 128 | 16 | 16 | 272.3069167 | 0.031 | 8688  | 1.4140625 |
| lena16.bmp | lena16.bmp-withWavelet_sym1-G_0.5-H2e-005_af3.wfa     | 6144 | 2048 | 2048 | 16 | 8432  | 128 | 128 | 16 | 16 | 272.3069167 | 0.016 | 8688  | 1.4140625 |
| lena16.bmp | lena16.bmp-withWavelet_bior1.1-G_0.5-H2e-005_af3.wfa  | 6144 | 2048 | 2048 | 16 | 8432  | 128 | 128 | 16 | 16 | 272.3069167 | 0.016 | 8688  | 1.4140625 |
| lena16.bmp | lena16.bmp-withWavelet_haar-G_0.5-H3e-005_af1.wfa     | 6144 | 2048 | 2048 | 16 | 8432  | 128 | 128 | 16 | 16 | 267.1715101 | 0.031 | 8688  | 1.4140625 |
| lena16.bmp | lena16.bmp-withWavelet_rbio1.1-G_0.5-H3e-005_af1.wfa  | 6144 | 2048 | 2048 | 16 | 8432  | 128 | 128 | 16 | 16 | 267.1715101 | 0.016 | 8688  | 1.4140625 |
| lena16.bmp | lena16.bmp-withWavelet_sym1-G_0.5-H3e-005_af1.wfa     | 6144 | 2048 | 2048 | 16 | 8432  | 128 | 128 | 16 | 16 | 267.1715101 | 0.031 | 8688  | 1.4140625 |
| lena16.bmp | lena16.bmp-withWavelet_bior1.1-G_0.5-H3e-005_af1.wfa  | 6144 | 2048 | 2048 | 16 | 8432  | 128 | 128 | 16 | 16 | 267.1715101 | 0.031 | 8688  | 1.4140625 |
| lena16.bmp | lena16.bmp-withWavelet_haar-G_0.75-H1e-005_af3.wfa    | 6144 | 2048 | 2048 | 21 | 14352 | 168 | 168 | 16 | 16 | 254.5734278 | 0.031 | 14688 | 2.390625  |
| lena16.bmp | lena16.bmp-withWavelet_rbio1.1-G_0.75-H1e-005_af3.wfa | 6144 | 2048 | 2048 | 21 | 14352 | 168 | 168 | 16 | 16 | 254.5734278 | 0.016 | 14688 | 2.390625  |
| lena16.bmp | lena16.bmp-withWavelet_sym1-G_0.75-H1e-005_af3.wfa    | 6144 | 2048 | 2048 | 21 | 14352 | 168 | 168 | 16 | 16 | 254.5734278 | 0.031 | 14688 | 2.390625  |
| lena16.bmp | lena16.bmp-withWavelet_bior1.1-G_0.75-H1e-005_af3.wfa | 6144 | 2048 | 2048 | 21 | 14352 | 168 | 168 | 16 | 16 | 254.5734278 | 0.032 | 14688 | 2.390625  |
| lena16.bmp | lena16.bmp-withWavelet_haar-G_0.5-H1e-005_af3.wfa     | 6144 | 2048 | 2048 | 16 | 8432  | 128 | 128 | 16 | 16 | 247.1111158 | 0.031 | 8688  | 1.4140625 |
| lena16.bmp | lena16.bmp-withWavelet_rbio1.1-G_0.5-H1e-005_af3.wfa  | 6144 | 2048 | 2048 | 16 | 8432  | 128 | 128 | 16 | 16 | 247.1111158 | 0.016 | 8688  | 1.4140625 |
| lena16.bmp | lena16.bmp-withWavelet_sym1-G_0.5-H1e-005_af3.wfa     | 6144 | 2048 | 2048 | 16 | 8432  | 128 | 128 | 16 | 16 | 247.1111158 | 0.016 | 8688  | 1.4140625 |
| lena16.bmp | lena16.bmp-withWavelet_bior1.1-G_0.5-H1e-005_af3.wfa  | 6144 | 2048 | 2048 | 16 | 8432  | 128 | 128 | 16 | 16 | 247.1111158 | 0.032 | 8688  | 1.4140625 |
| lena16.bmp | lena16.bmp-withWavelet_haar-G_1-H1e-005_af3.wfa       | 6144 | 2048 | 2048 | 21 | 14352 | 168 | 168 | 16 | 16 | 240.1295088 | 0.031 | 14688 | 2.390625  |
| lena16.bmp | lena16.bmp-withWavelet_rbio1.1-G_1-H1e-005_af3.wfa    | 6144 | 2048 | 2048 | 21 | 14352 | 168 | 168 | 16 | 16 | 240.1295088 | 0.031 | 14688 | 2.390625  |
| lena16.bmp | lena16.bmp-withWavelet_sym1-G_1-H1e-005_af3.wfa       | 6144 | 2048 | 2048 | 21 | 14352 | 168 | 168 | 16 | 16 | 240.1295088 | 0.031 | 14688 | 2.390625  |
| lena16.bmp | lena16.bmp-withWavelet_bior1.1-G_1-H1e-005_af3.wfa    | 6144 | 2048 | 2048 | 21 | 14352 | 168 | 168 | 16 | 16 | 240.1295088 | 0.031 | 14688 | 2.390625  |
| lena16.bmp | lena16.bmp-withWavelet_haar-G_0.5-H3e-005_af3.wfa     | 6144 | 2048 | 2048 | 16 | 8432  | 128 | 128 | 16 | 16 | 192.0113827 | 0.031 | 8688  | 1.4140625 |
| lena16.bmp | lena16.bmp-withWavelet_rbio1.1-G_0.5-H3e-005_af3.wfa  | 6144 | 2048 | 2048 | 16 | 8432  | 128 | 128 | 16 | 16 | 192.0113827 | 0.032 | 8688  | 1.4140625 |
| lena16.bmp | lena16.bmp-withWavelet_sym1-G_0.5-H3e-005_af3.wfa     | 6144 | 2048 | 2048 | 16 | 8432  | 128 | 128 | 16 | 16 | 192.0113827 | 0.031 | 8688  | 1.4140625 |
| lena16.bmp | lena16.bmp-withWavelet_bior1.1-G_0.5-H3e-005_af3.wfa  | 6144 | 2048 | 2048 | 16 | 8432  | 128 | 128 | 16 | 16 | 192.0113827 | 0.031 | 8688  | 1.4140625 |

|            |   |      |      |      |    |       |     |     |    |    |             |       |       |             |
|------------|---|------|------|------|----|-------|-----|-----|----|----|-------------|-------|-------|-------------|
| lena16.bmp | lena16.bmp-withWavelet_haar-G_0.5-H4e-005_af3.wfa     | 6144 | 2048 | 2048 | 16 | 8432  | 128 | 128 | 16 | 16 | 192.0113827 | 0.031 | 8688  | 1.4140625   |
| lena16.bmp | lena16.bmp-withWavelet_rbio1.1-G_0.5-H4e-005_af3.wfa  | 6144 | 2048 | 2048 | 16 | 8432  | 128 | 128 | 16 | 16 | 192.0113827 | 0.031 | 8688  | 1.4140625   |
| lena16.bmp | lena16.bmp-withWavelet_sym1-G_0.5-H4e-005_af3.wfa     | 6144 | 2048 | 2048 | 16 | 8432  | 128 | 128 | 16 | 16 | 192.0113827 | 0.016 | 8688  | 1.4140625   |
| lena16.bmp | lena16.bmp-withWavelet_bior1.1-G_0.5-H4e-005_af3.wfa  | 6144 | 2048 | 2048 | 16 | 8432  | 128 | 128 | 16 | 16 | 192.0113827 | 0.032 | 8688  | 1.4140625   |
| lena16.bmp | lena16.bmp-G_0.5-H1e-005_af2.wfa                      | 6144 | 2048 |      | 16 | 8432  | 128 | 128 | 16 | 16 | 176.0425681 | 0.031 | 8688  | 1.4140625   |
| lena16.bmp | lena16.bmp-withWavelet_haar-G_0.5-H1e-005_af2.wfa     | 6144 | 2048 | 2048 | 17 | 9488  | 136 | 136 | 16 | 16 | 46.38571223 | 0.031 | 9760  | 1.588541667 |
| lena16.bmp | lena16.bmp-withWavelet_rbio1.1-G_0.5-H1e-005_af2.wfa  | 6144 | 2048 | 2048 | 17 | 9488  | 136 | 136 | 16 | 16 | 46.38571223 | 0.031 | 9760  | 1.588541667 |
| lena16.bmp | lena16.bmp-withWavelet_sym1-G_0.5-H1e-005_af2.wfa     | 6144 | 2048 | 2048 | 17 | 9488  | 136 | 136 | 16 | 16 | 46.38571223 | 0.032 | 9760  | 1.588541667 |
| lena16.bmp | lena16.bmp-withWavelet_bior1.1-G_0.5-H1e-005_af2.wfa  | 6144 | 2048 | 2048 | 17 | 9488  | 136 | 136 | 16 | 16 | 46.38571223 | 0.031 | 9760  | 1.588541667 |
| lena16.bmp | lena16.bmp-withWavelet_haar-G_0.5-H2e-005_af1.wfa     | 6144 | 2048 | 2048 | 17 | 9488  | 136 | 136 | 16 | 16 | 44.45999382 | 0.031 | 9760  | 1.588541667 |
| lena16.bmp | lena16.bmp-withWavelet_rbio1.1-G_0.5-H2e-005_af1.wfa  | 6144 | 2048 | 2048 | 17 | 9488  | 136 | 136 | 16 | 16 | 44.45999382 | 0.032 | 9760  | 1.588541667 |
| lena16.bmp | lena16.bmp-withWavelet_sym1-G_0.5-H2e-005_af1.wfa     | 6144 | 2048 | 2048 | 17 | 9488  | 136 | 136 | 16 | 16 | 44.45999382 | 0.031 | 9760  | 1.588541667 |
| lena16.bmp | lena16.bmp-withWavelet_bior1.1-G_0.5-H2e-005_af1.wfa  | 6144 | 2048 | 2048 | 17 | 9488  | 136 | 136 | 16 | 16 | 44.45999382 | 0.016 | 9760  | 1.588541667 |
| lena16.bmp | lena16.bmp-withWavelet_haar-G_0.75-H2e-005_af3.wfa    | 6144 | 2048 | 2048 | 19 | 11792 | 152 | 152 | 16 | 16 | 34.09550385 | 0.032 | 12096 | 1.96875     |
| lena16.bmp | lena16.bmp-withWavelet_rbio1.1-G_0.75-H2e-005_af3.wfa | 6144 | 2048 | 2048 | 19 | 11792 | 152 | 152 | 16 | 16 | 34.09550385 | 0.031 | 12096 | 1.96875     |
| lena16.bmp | lena16.bmp-withWavelet_sym1-G_0.75-H2e-005_af3.wfa    | 6144 | 2048 | 2048 | 19 | 11792 | 152 | 152 | 16 | 16 | 34.09550385 | 0.016 | 12096 | 1.96875     |
| lena16.bmp | lena16.bmp-withWavelet_bior1.1-G_0.75-H2e-005_af3.wfa | 6144 | 2048 | 2048 | 19 | 11792 | 152 | 152 | 16 | 16 | 34.09550385 | 0.031 | 12096 | 1.96875     |
| lena16.bmp | lena16.bmp-withWavelet_haar-G_1-H2e-005_af3.wfa       | 6144 | 2048 | 2048 | 19 | 11792 | 152 | 152 | 16 | 16 | 33.85386499 | 0.031 | 12096 | 1.96875     |
| lena16.bmp | lena16.bmp-withWavelet_rbio1.1-G_1-H2e-005_af3.wfa    | 6144 | 2048 | 2048 | 19 | 11792 | 152 | 152 | 16 | 16 | 33.85386499 | 0.031 | 12096 | 1.96875     |
| lena16.bmp | lena16.bmp-withWavelet_sym1-G_1-H2e-005_af3.wfa       | 6144 | 2048 | 2048 | 19 | 11792 | 152 | 152 | 16 | 16 | 33.85386499 | 0.031 | 12096 | 1.96875     |
| lena16.bmp | lena16.bmp-withWavelet_bior1.1-G_1-H2e-005_af3.wfa    | 6144 | 2048 | 2048 | 19 | 11792 | 152 | 152 | 16 | 16 | 33.85386499 | 0.032 | 12096 | 1.96875     |
| lena16.bmp | lena16.bmp-G_0.75-H1e-005_af5.wfa                     | 6144 | 2048 |      | 18 | 10608 | 144 | 144 | 16 | 16 | 33.39651617 | 0.031 | 10896 | 1.7734375   |
| lena16.bmp | lena16.bmp-G_0.75-H2e-005_af5.wfa                     | 6144 | 2048 |      | 18 | 10608 | 144 | 144 | 16 | 16 | 33.39651617 | 0.015 | 10896 | 1.7734375   |
| lena16.bmp | lena16.bmp-G_1-H1e-005_af5.wfa                        | 6144 | 2048 |      | 18 | 10608 | 144 | 144 | 16 | 16 | 33.35860812 | 0.032 | 10896 | 1.7734375   |
| lena16.bmp | lena16.bmp-G_1-H2e-005_af5.wfa                        | 6144 | 2048 |      | 18 | 10608 | 144 | 144 | 16 | 16 | 33.35860812 | 0.031 | 10896 | 1.7734375   |
| lena16.bmp | lena16.bmp-withWavelet_haar-G_1-H2e-005_af1.wfa       | 6144 | 2048 | 2048 | 18 | 10608 | 144 | 144 | 16 | 16 | 33.22229703 | 0.016 | 10896 | 1.7734375   |
| lena16.bmp | lena16.bmp-withWavelet_rbio1.1-G_1-H2e-005_af1.wfa    | 6144 | 2048 | 2048 | 18 | 10608 | 144 | 144 | 16 | 16 | 33.22229703 | 0.093 | 10896 | 1.7734375   |
| lena16.bmp | lena16.bmp-withWavelet_sym1-G_1-H2e-005_af1.wfa       | 6144 | 2048 | 2048 | 18 | 10608 | 144 | 144 | 16 | 16 | 33.22229703 | 0.031 | 10896 | 1.7734375   |
| lena16.bmp | lena16.bmp-withWavelet_bior1.1-G_1-H2e-005_af1.wfa    | 6144 | 2048 | 2048 | 18 | 10608 | 144 | 144 | 16 | 16 | 33.22229703 | 0.016 | 10896 | 1.7734375   |
| lena16.bmp | lena16.bmp-G_0.5-H2e-005_af2.wfa                      | 6144 | 2048 |      | 14 | 6512  | 112 | 112 | 16 | 16 | 31.96776103 | 0.016 | 6736  | 1.096354167 |
| lena16.bmp | lena16.bmp-G_0.5-H3e-005_af2.wfa                      | 6144 | 2048 |      | 14 | 6512  | 112 | 112 | 16 | 16 | 31.96776103 | 0.031 | 6736  | 1.096354167 |



|            |   |      |      |      |    |       |     |     |    |    |             |       |       |             |
|------------|---|------|------|------|----|-------|-----|-----|----|----|-------------|-------|-------|-------------|
| lena16.bmp | lena16.bmp-G_0.5-H4e-005_af2.wfa                      | 6144 | 2048 |      | 14 | 6512  | 112 | 112 | 16 | 16 | 31.96776103 | 0.016 | 6736  | 1.096354167 |
| lena16.bmp | lena16.bmp-withWavelet_haar-G_0.75-H1e-005_af1.wfa    | 6144 | 2048 | 2048 | 18 | 10608 | 144 | 144 | 16 | 16 | 31.70957552 | 0.015 | 10896 | 1.7734375   |
| lena16.bmp | lena16.bmp-withWavelet_rbio1.1-G_0.75-H1e-005_af1.wfa | 6144 | 2048 | 2048 | 18 | 10608 | 144 | 144 | 16 | 16 | 31.70957552 | 0.016 | 10896 | 1.7734375   |
| lena16.bmp | lena16.bmp-withWavelet_sym1-G_0.75-H1e-005_af1.wfa    | 6144 | 2048 | 2048 | 18 | 10608 | 144 | 144 | 16 | 16 | 31.70957552 | 0.016 | 10896 | 1.7734375   |
| lena16.bmp | lena16.bmp-withWavelet_bior1.1-G_0.75-H1e-005_af1.wfa | 6144 | 2048 | 2048 | 18 | 10608 | 144 | 144 | 16 | 16 | 31.70957552 | 0.032 | 10896 | 1.7734375   |
| lena16.bmp | lena16.bmp-withWavelet_haar-G_1-H1e-005_af1.wfa       | 6144 | 2048 | 2048 | 18 | 10608 | 144 | 144 | 16 | 16 | 31.53920562 | 0.047 | 10896 | 1.7734375   |
| lena16.bmp | lena16.bmp-withWavelet_rbio1.1-G_1-H1e-005_af1.wfa    | 6144 | 2048 | 2048 | 18 | 10608 | 144 | 144 | 16 | 16 | 31.53920562 | 0.031 | 10896 | 1.7734375   |
| lena16.bmp | lena16.bmp-withWavelet_sym1-G_1-H1e-005_af1.wfa       | 6144 | 2048 | 2048 | 18 | 10608 | 144 | 144 | 16 | 16 | 31.53920562 | 0.031 | 10896 | 1.7734375   |
| lena16.bmp | lena16.bmp-withWavelet_bior1.1-G_1-H1e-005_af1.wfa    | 6144 | 2048 | 2048 | 18 | 10608 | 144 | 144 | 16 | 16 | 31.53920562 | 0.032 | 10896 | 1.7734375   |
| lena16.bmp | lena16.bmp-withWavelet_haar-G_0.75-H3e-005_af3.wfa    | 6144 | 2048 | 2048 | 18 | 10608 | 144 | 144 | 16 | 16 | 31.3521032  | 0.031 | 10896 | 1.7734375   |
| lena16.bmp | lena16.bmp-withWavelet_rbio1.1-G_0.75-H3e-005_af3.wfa | 6144 | 2048 | 2048 | 18 | 10608 | 144 | 144 | 16 | 16 | 31.3521032  | 0.031 | 10896 | 1.7734375   |
| lena16.bmp | lena16.bmp-withWavelet_sym1-G_0.75-H3e-005_af3.wfa    | 6144 | 2048 | 2048 | 18 | 10608 | 144 | 144 | 16 | 16 | 31.3521032  | 0.031 | 10896 | 1.7734375   |
| lena16.bmp | lena16.bmp-withWavelet_bior1.1-G_0.75-H3e-005_af3.wfa | 6144 | 2048 | 2048 | 18 | 10608 | 144 | 144 | 16 | 16 | 31.3521032  | 0.031 | 10896 | 1.7734375   |
| lena16.bmp | lena16.bmp-withWavelet_haar-G_0.75-H4e-005_af3.wfa    | 6144 | 2048 | 2048 | 18 | 10608 | 144 | 144 | 16 | 16 | 31.3521032  | 0.016 | 10896 | 1.7734375   |
| lena16.bmp | lena16.bmp-withWavelet_rbio1.1-G_0.75-H4e-005_af3.wfa | 6144 | 2048 | 2048 | 18 | 10608 | 144 | 144 | 16 | 16 | 31.3521032  | 0.031 | 10896 | 1.7734375   |
| lena16.bmp | lena16.bmp-withWavelet_sym1-G_0.75-H4e-005_af3.wfa    | 6144 | 2048 | 2048 | 18 | 10608 | 144 | 144 | 16 | 16 | 31.3521032  | 0.016 | 10896 | 1.7734375   |
| lena16.bmp | lena16.bmp-withWavelet_bior1.1-G_0.75-H4e-005_af3.wfa | 6144 | 2048 | 2048 | 18 | 10608 | 144 | 144 | 16 | 16 | 31.3521032  | 0.016 | 10896 | 1.7734375   |
| lena16.bmp | lena16.bmp-withWavelet_haar-G_1-H1e-005_af2.wfa       | 6144 | 2048 | 2048 | 18 | 10608 | 144 | 144 | 16 | 16 | 31.06063005 | 0.016 | 10896 | 1.7734375   |
| lena16.bmp | lena16.bmp-withWavelet_rbio1.1-G_1-H1e-005_af2.wfa    | 6144 | 2048 | 2048 | 18 | 10608 | 144 | 144 | 16 | 16 | 31.06063005 | 0.031 | 10896 | 1.7734375   |
| lena16.bmp | lena16.bmp-withWavelet_sym1-G_1-H1e-005_af2.wfa       | 6144 | 2048 | 2048 | 18 | 10608 | 144 | 144 | 16 | 16 | 31.06063005 | 0.031 | 10896 | 1.7734375   |
| lena16.bmp | lena16.bmp-withWavelet_bior1.1-G_1-H1e-005_af2.wfa    | 6144 | 2048 | 2048 | 18 | 10608 | 144 | 144 | 16 | 16 | 31.06063005 | 0.031 | 10896 | 1.7734375   |
| lena16.bmp | lena16.bmp-G_1-H1e-005_af2.wfa                        | 6144 | 2048 |      | 18 | 10608 | 144 | 144 | 16 | 16 | 30.50359284 | 0.062 | 10896 | 1.7734375   |
| lena16.bmp | lena16.bmp-withWavelet_haar-G_0.5-H4e-005_af1.wfa     | 6144 | 2048 | 2048 | 15 | 7440  | 120 | 120 | 16 | 16 | 30.30594781 | 0.031 | 7680  | 1.25        |
| lena16.bmp | lena16.bmp-withWavelet_rbio1.1-G_0.5-H4e-005_af1.wfa  | 6144 | 2048 | 2048 | 15 | 7440  | 120 | 120 | 16 | 16 | 30.30594781 | 0.031 | 7680  | 1.25        |
| lena16.bmp | lena16.bmp-withWavelet_sym1-G_0.5-H4e-005_af1.wfa     | 6144 | 2048 | 2048 | 15 | 7440  | 120 | 120 | 16 | 16 | 30.30594781 | 0.016 | 7680  | 1.25        |
| lena16.bmp | lena16.bmp-withWavelet_bior1.1-G_0.5-H4e-005_af1.wfa  | 6144 | 2048 | 2048 | 15 | 7440  | 120 | 120 | 16 | 16 | 30.30594781 | 0.032 | 7680  | 1.25        |
| lena16.bmp | lena16.bmp-withWavelet_haar-G_0.5-H5e-005_af1.wfa     | 6144 | 2048 | 2048 | 15 | 7440  | 120 | 120 | 16 | 16 | 30.02294317 | 0.031 | 7680  | 1.25        |
| lena16.bmp | lena16.bmp-withWavelet_rbio1.1-G_0.5-H5e-005_af1.wfa  | 6144 | 2048 | 2048 | 15 | 7440  | 120 | 120 | 16 | 16 | 30.02294317 | 0.031 | 7680  | 1.25        |
| lena16.bmp | lena16.bmp-withWavelet_sym1-G_0.5-H5e-005_af1.wfa     | 6144 | 2048 | 2048 | 15 | 7440  | 120 | 120 | 16 | 16 | 30.02294317 | 0.015 | 7680  | 1.25        |
| lena16.bmp | lena16.bmp-withWavelet_bior1.1-G_0.5-H5e-005_af1.wfa  | 6144 | 2048 | 2048 | 15 | 7440  | 120 | 120 | 16 | 16 | 30.02294317 | 0.016 | 7680  | 1.25        |
| lena16.bmp | lena16.bmp-withWavelet_haar-G_0.5-H2e-005_af2.wfa     | 6144 | 2048 | 2048 | 15 | 7440  | 120 | 120 | 16 | 16 | 29.91876048 | 0.016 | 7680  | 1.25        |

|            |   |      |      |      |    |       |     |     |    |    |             |       |       |             |
|------------|---|------|------|------|----|-------|-----|-----|----|----|-------------|-------|-------|-------------|
| lena16.bmp | lena16.bmp-withWavelet_rbio1.1-G_0.5-H2e-005_af2.wfa  | 6144 | 2048 | 2048 | 15 | 7440  | 120 | 120 | 16 | 16 | 29.91876048 | 0.015 | 7680  | 1.25        |
| lena16.bmp | lena16.bmp-withWavelet_sym1-G_0.5-H2e-005_af2.wfa     | 6144 | 2048 | 2048 | 15 | 7440  | 120 | 120 | 16 | 16 | 29.91876048 | 0.047 | 7680  | 1.25        |
| lena16.bmp | lena16.bmp-withWavelet_bior1.1-G_0.5-H2e-005_af2.wfa  | 6144 | 2048 | 2048 | 15 | 7440  | 120 | 120 | 16 | 16 | 29.91876048 | 0.032 | 7680  | 1.25        |
| lena16.bmp | lena16.bmp-withWavelet_haar-G_0.75-H1e-005_af2.wfa    | 6144 | 2048 | 2048 | 18 | 10608 | 144 | 144 | 16 | 16 | 29.82977547 | 0.031 | 10896 | 1.7734375   |
| lena16.bmp | lena16.bmp-withWavelet_rbio1.1-G_0.75-H1e-005_af2.wfa | 6144 | 2048 | 2048 | 18 | 10608 | 144 | 144 | 16 | 16 | 29.82977547 | 0.016 | 10896 | 1.7734375   |
| lena16.bmp | lena16.bmp-withWavelet_sym1-G_0.75-H1e-005_af2.wfa    | 6144 | 2048 | 2048 | 18 | 10608 | 144 | 144 | 16 | 16 | 29.82977547 | 0.031 | 10896 | 1.7734375   |
| lena16.bmp | lena16.bmp-withWavelet_bior1.1-G_0.75-H1e-005_af2.wfa | 6144 | 2048 | 2048 | 18 | 10608 | 144 | 144 | 16 | 16 | 29.82977547 | 0.015 | 10896 | 1.7734375   |
| lena16.bmp | lena16.bmp-withWavelet_haar-G_0.5-H7e-005_af1.wfa     | 6144 | 2048 | 2048 | 14 | 6512  | 112 | 112 | 16 | 16 | 29.58659644 | 0.031 | 6736  | 1.096354167 |
| lena16.bmp | lena16.bmp-withWavelet_rbio1.1-G_0.5-H7e-005_af1.wfa  | 6144 | 2048 | 2048 | 14 | 6512  | 112 | 112 | 16 | 16 | 29.58659644 | 0.016 | 6736  | 1.096354167 |
| lena16.bmp | lena16.bmp-withWavelet_sym1-G_0.5-H7e-005_af1.wfa     | 6144 | 2048 | 2048 | 14 | 6512  | 112 | 112 | 16 | 16 | 29.58659644 | 0.016 | 6736  | 1.096354167 |
| lena16.bmp | lena16.bmp-withWavelet_bior1.1-G_0.5-H7e-005_af1.wfa  | 6144 | 2048 | 2048 | 14 | 6512  | 112 | 112 | 16 | 16 | 29.58659644 | 0.015 | 6736  | 1.096354167 |
| lena16.bmp | lena16.bmp-withWavelet_haar-G_0.75-H2e-005_af1.wfa    | 6144 | 2048 | 2048 | 17 | 9488  | 136 | 136 | 16 | 16 | 29.51379332 | 0.015 | 9760  | 1.588541667 |
| lena16.bmp | lena16.bmp-withWavelet_rbio1.1-G_0.75-H2e-005_af1.wfa | 6144 | 2048 | 2048 | 17 | 9488  | 136 | 136 | 16 | 16 | 29.51379332 | 0.032 | 9760  | 1.588541667 |
| lena16.bmp | lena16.bmp-withWavelet_sym1-G_0.75-H2e-005_af1.wfa    | 6144 | 2048 | 2048 | 17 | 9488  | 136 | 136 | 16 | 16 | 29.51379332 | 0.015 | 9760  | 1.588541667 |
| lena16.bmp | lena16.bmp-withWavelet_bior1.1-G_0.75-H2e-005_af1.wfa | 6144 | 2048 | 2048 | 17 | 9488  | 136 | 136 | 16 | 16 | 29.51379332 | 0.015 | 9760  | 1.588541667 |
| lena16.bmp | lena16.bmp-G_0.75-H3e-005_af5.wfa                     | 6144 | 2048 |      | 17 | 9488  | 136 | 136 | 16 | 16 | 29.31940289 | 0.031 | 9760  | 1.588541667 |
| lena16.bmp | lena16.bmp-G_1-H3e-005_af5.wfa                        | 6144 | 2048 |      | 17 | 9488  | 136 | 136 | 16 | 16 | 29.2217077  | 0.031 | 9760  | 1.588541667 |
| lena16.bmp | lena16.bmp-withWavelet_haar-G_0.5-H5e-005_af3.wfa     | 6144 | 2048 | 2048 | 15 | 7440  | 120 | 120 | 16 | 16 | 29.10769081 | 0.016 | 7680  | 1.25        |
| lena16.bmp | lena16.bmp-withWavelet_rbio1.1-G_0.5-H5e-005_af3.wfa  | 6144 | 2048 | 2048 | 15 | 7440  | 120 | 120 | 16 | 16 | 29.10769081 | 0.031 | 7680  | 1.25        |
| lena16.bmp | lena16.bmp-withWavelet_sym1-G_0.5-H5e-005_af3.wfa     | 6144 | 2048 | 2048 | 15 | 7440  | 120 | 120 | 16 | 16 | 29.10769081 | 0.031 | 7680  | 1.25        |
| lena16.bmp | lena16.bmp-withWavelet_bior1.1-G_0.5-H5e-005_af3.wfa  | 6144 | 2048 | 2048 | 15 | 7440  | 120 | 120 | 16 | 16 | 29.10769081 | 0.031 | 7680  | 1.25        |
| lena16.bmp | lena16.bmp-withWavelet_haar-G_0.5-H1e-005_af1.wfa     | 6144 | 2048 | 2048 | 17 | 9488  | 136 | 136 | 16 | 16 | 28.9334647  | 0.031 | 9760  | 1.588541667 |
| lena16.bmp | lena16.bmp-withWavelet_rbio1.1-G_0.5-H1e-005_af1.wfa  | 6144 | 2048 | 2048 | 17 | 9488  | 136 | 136 | 16 | 16 | 28.9334647  | 0.015 | 9760  | 1.588541667 |
| lena16.bmp | lena16.bmp-withWavelet_sym1-G_0.5-H1e-005_af1.wfa     | 6144 | 2048 | 2048 | 17 | 9488  | 136 | 136 | 16 | 16 | 28.9334647  | 0.032 | 9760  | 1.588541667 |
| lena16.bmp | lena16.bmp-withWavelet_bior1.1-G_0.5-H1e-005_af1.wfa  | 6144 | 2048 | 2048 | 17 | 9488  | 136 | 136 | 16 | 16 | 28.9334647  | 0.032 | 9760  | 1.588541667 |
| lena16.bmp | lena16.bmp-G_0.75-H4e-005_af5.wfa                     | 6144 | 2048 |      | 16 | 8432  | 128 | 128 | 16 | 16 | 28.40558441 | 0.016 | 8688  | 1.4140625   |
| lena16.bmp | lena16.bmp-withWavelet_haar-G_1-H4e-005_af3.wfa       | 6144 | 2048 | 2048 | 17 | 9488  | 136 | 136 | 16 | 16 | 28.18789244 | 0.031 | 9760  | 1.588541667 |
| lena16.bmp | lena16.bmp-withWavelet_rbio1.1-G_1-H4e-005_af3.wfa    | 6144 | 2048 | 2048 | 17 | 9488  | 136 | 136 | 16 | 16 | 28.18789244 | 0.016 | 9760  | 1.588541667 |
| lena16.bmp | lena16.bmp-withWavelet_sym1-G_1-H4e-005_af3.wfa       | 6144 | 2048 | 2048 | 17 | 9488  | 136 | 136 | 16 | 16 | 28.18789244 | 0.016 | 9760  | 1.588541667 |
| lena16.bmp | lena16.bmp-withWavelet_bior1.1-G_1-H4e-005_af3.wfa    | 6144 | 2048 | 2048 | 17 | 9488  | 136 | 136 | 16 | 16 | 28.18789244 | 0.031 | 9760  | 1.588541667 |
| lena16.bmp | lena16.bmp-G_0.75-H1e-005_af2.wfa                     | 6144 | 2048 |      | 17 | 9488  | 136 | 136 | 16 | 16 | 27.99743316 | 0.032 | 9760  | 1.588541667 |

|            |   |      |      |      |    |       |     |     |    |    |             |       |       |             |
|------------|---|------|------|------|----|-------|-----|-----|----|----|-------------|-------|-------|-------------|
| lena16.bmp | lena16.bmp-withWavelet_haar-G_1-H3e-005_af3.wfa       | 6144 | 2048 | 2048 | 17 | 9488  | 136 | 136 | 16 | 16 | 27.97990923 | 0.016 | 9760  | 1.588541667 |
| lena16.bmp | lena16.bmp-withWavelet_rbio1.1-G_1-H3e-005_af3.wfa    | 6144 | 2048 | 2048 | 17 | 9488  | 136 | 136 | 16 | 16 | 27.97990923 | 0.031 | 9760  | 1.588541667 |
| lena16.bmp | lena16.bmp-withWavelet_sym1-G_1-H3e-005_af3.wfa       | 6144 | 2048 | 2048 | 17 | 9488  | 136 | 136 | 16 | 16 | 27.97990923 | 0.031 | 9760  | 1.588541667 |
| lena16.bmp | lena16.bmp-withWavelet_bior1.1-G_1-H3e-005_af3.wfa    | 6144 | 2048 | 2048 | 17 | 9488  | 136 | 136 | 16 | 16 | 27.97990923 | 0.016 | 9760  | 1.588541667 |
| lena16.bmp | lena16.bmp-withWavelet_haar-G_1-H3e-005_af1.wfa       | 6144 | 2048 | 2048 | 16 | 8432  | 128 | 128 | 16 | 16 | 27.44721474 | 0.016 | 8688  | 1.4140625   |
| lena16.bmp | lena16.bmp-withWavelet_rbio1.1-G_1-H3e-005_af1.wfa    | 6144 | 2048 | 2048 | 16 | 8432  | 128 | 128 | 16 | 16 | 27.44721474 | 0.047 | 8688  | 1.4140625   |
| lena16.bmp | lena16.bmp-withWavelet_sym1-G_1-H3e-005_af1.wfa       | 6144 | 2048 | 2048 | 16 | 8432  | 128 | 128 | 16 | 16 | 27.44721474 | 0.031 | 8688  | 1.4140625   |
| lena16.bmp | lena16.bmp-withWavelet_bior1.1-G_1-H3e-005_af1.wfa    | 6144 | 2048 | 2048 | 16 | 8432  | 128 | 128 | 16 | 16 | 27.44721474 | 0.031 | 8688  | 1.4140625   |
| lena16.bmp | lena16.bmp-withWavelet_haar-G_0.5-H6e-005_af1.wfa     | 6144 | 2048 | 2048 | 14 | 6512  | 112 | 112 | 16 | 16 | 27.36401101 | 0.016 | 6736  | 1.096354167 |
| lena16.bmp | lena16.bmp-withWavelet_rbio1.1-G_0.5-H6e-005_af1.wfa  | 6144 | 2048 | 2048 | 14 | 6512  | 112 | 112 | 16 | 16 | 27.36401101 | 0.031 | 6736  | 1.096354167 |
| lena16.bmp | lena16.bmp-withWavelet_sym1-G_0.5-H6e-005_af1.wfa     | 6144 | 2048 | 2048 | 14 | 6512  | 112 | 112 | 16 | 16 | 27.36401101 | 0.031 | 6736  | 1.096354167 |
| lena16.bmp | lena16.bmp-withWavelet_bior1.1-G_0.5-H6e-005_af1.wfa  | 6144 | 2048 | 2048 | 14 | 6512  | 112 | 112 | 16 | 16 | 27.36401101 | 0.032 | 6736  | 1.096354167 |
| lena16.bmp | lena16.bmp-G_0.75-H1e-005_af3.wfa                     | 6144 | 2048 |      | 19 | 11792 | 152 | 152 | 16 | 16 | 27.28413656 | 0.031 | 12096 | 1.96875     |
| lena16.bmp | lena16.bmp-withWavelet_haar-G_0.75-H3e-005_af1.wfa    | 6144 | 2048 | 2048 | 16 | 8432  | 128 | 128 | 16 | 16 | 27.24078558 | 0.031 | 8688  | 1.4140625   |
| lena16.bmp | lena16.bmp-withWavelet_rbio1.1-G_0.75-H3e-005_af1.wfa | 6144 | 2048 | 2048 | 16 | 8432  | 128 | 128 | 16 | 16 | 27.24078558 | 0.031 | 8688  | 1.4140625   |
| lena16.bmp | lena16.bmp-withWavelet_sym1-G_0.75-H3e-005_af1.wfa    | 6144 | 2048 | 2048 | 16 | 8432  | 128 | 128 | 16 | 16 | 27.24078558 | 0.016 | 8688  | 1.4140625   |
| lena16.bmp | lena16.bmp-withWavelet_bior1.1-G_0.75-H3e-005_af1.wfa | 6144 | 2048 | 2048 | 16 | 8432  | 128 | 128 | 16 | 16 | 27.24078558 | 0.032 | 8688  | 1.4140625   |
| lena16.bmp | lena16.bmp-G_1-H1e-005_af3.wfa                        | 6144 | 2048 |      | 19 | 11792 | 152 | 152 | 16 | 16 | 27.16257537 | 0.016 | 12096 | 1.96875     |
| lena16.bmp | lena16.bmp-G_0.75-H1e-005_af1.wfa                     | 6144 | 2048 |      | 19 | 11792 | 152 | 152 | 16 | 16 | 27.04536642 | 0.031 | 12096 | 1.96875     |
| lena16.bmp | lena16.bmp-G_1-H2e-005_af3.wfa                        | 6144 | 2048 |      | 18 | 10608 | 144 | 144 | 16 | 16 | 27.04062116 | 0.031 | 10896 | 1.7734375   |
| lena16.bmp | lena16.bmp-G_0.75-H5e-005_af5.wfa                     | 6144 | 2048 |      | 16 | 8432  | 128 | 128 | 16 | 16 | 26.97969283 | 0.015 | 8688  | 1.4140625   |
| lena16.bmp | lena16.bmp-G_1-H4e-005_af5.wfa                        | 6144 | 2048 |      | 16 | 8432  | 128 | 128 | 16 | 16 | 26.92264735 | 0.016 | 8688  | 1.4140625   |
| lena16.bmp | lena16.bmp-G_1-H1e-005_af1.wfa                        | 6144 | 2048 |      | 19 | 11792 | 152 | 152 | 16 | 16 | 26.90753756 | 0.047 | 12096 | 1.96875     |
| lena16.bmp | lena16.bmp-G_1-H2e-005_af2.wfa                        | 6144 | 2048 |      | 16 | 8432  | 128 | 128 | 16 | 16 | 26.76799167 | 0.031 | 8688  | 1.4140625   |
| lena16.bmp | lena16.bmp-G_0.75-H3e-005_af1.wfa                     | 6144 | 2048 |      | 17 | 9488  | 136 | 136 | 16 | 16 | 26.52861423 | 0.032 | 9760  | 1.588541667 |
| lena16.bmp | lena16.bmp-G_0.75-H2e-005_af1.wfa                     | 6144 | 2048 |      | 18 | 10608 | 144 | 144 | 16 | 16 | 26.47398759 | 0.032 | 10896 | 1.7734375   |
| lena16.bmp | lena16.bmp-G_1-H3e-005_af1.wfa                        | 6144 | 2048 |      | 17 | 9488  | 136 | 136 | 16 | 16 | 26.41269545 | 0.031 | 9760  | 1.588541667 |
| lena16.bmp | lena16.bmp-G_0.75-H2e-005_af3.wfa                     | 6144 | 2048 |      | 18 | 10608 | 144 | 144 | 16 | 16 | 26.34329293 | 0.015 | 10896 | 1.7734375   |
| lena16.bmp | lena16.bmp-G_1-H2e-005_af1.wfa                        | 6144 | 2048 |      | 18 | 10608 | 144 | 144 | 16 | 16 | 26.32508179 | 0.031 | 10896 | 1.7734375   |
| lena16.bmp | lena16.bmp-withWavelet_haar-G_0.75-H2e-005_af2.wfa    | 6144 | 2048 | 2048 | 16 | 8432  | 128 | 128 | 16 | 16 | 26.05393285 | 0.032 | 8688  | 1.4140625   |
| lena16.bmp | lena16.bmp-withWavelet_rbio1.1-G_0.75-H2e-005_af2.wfa | 6144 | 2048 | 2048 | 16 | 8432  | 128 | 128 | 16 | 16 | 26.05393285 | 0.015 | 8688  | 1.4140625   |

|            |   |      |      |      |    |      |     |     |    |    |             |       |      |             |
|------------|---|------|------|------|----|------|-----|-----|----|----|-------------|-------|------|-------------|
| lena16.bmp | lena16.bmp-withWavelet_sym1-G_0.75-H2e-005_af2.wfa    | 6144 | 2048 | 2048 | 16 | 8432 | 128 | 128 | 16 | 16 | 26.05393285 | 0.031 | 8688 | 1.4140625   |
| lena16.bmp | lena16.bmp-withWavelet_bior1.1-G_0.75-H2e-005_af2.wfa | 6144 | 2048 | 2048 | 16 | 8432 | 128 | 128 | 16 | 16 | 26.05393285 | 0.031 | 8688 | 1.4140625   |
| lena16.bmp | lena16.bmp-withWavelet_haar-G_0.5-H6e-005_af3.wfa     | 6144 | 2048 | 2048 | 14 | 6512 | 112 | 112 | 16 | 16 | 25.90069414 | 0.031 | 6736 | 1.096354167 |
| lena16.bmp | lena16.bmp-withWavelet_rbio1.1-G_0.5-H6e-005_af3.wfa  | 6144 | 2048 | 2048 | 14 | 6512 | 112 | 112 | 16 | 16 | 25.90069414 | 0.031 | 6736 | 1.096354167 |
| lena16.bmp | lena16.bmp-withWavelet_sym1-G_0.5-H6e-005_af3.wfa     | 6144 | 2048 | 2048 | 14 | 6512 | 112 | 112 | 16 | 16 | 25.90069414 | 0.032 | 6736 | 1.096354167 |
| lena16.bmp | lena16.bmp-withWavelet_bior1.1-G_0.5-H6e-005_af3.wfa  | 6144 | 2048 | 2048 | 14 | 6512 | 112 | 112 | 16 | 16 | 25.90069414 | 0.032 | 6736 | 1.096354167 |
| lena16.bmp | lena16.bmp-G_1-H5e-005_af5.wfa                        | 6144 | 2048 |      | 15 | 7440 | 120 | 120 | 16 | 16 | 25.66039486 | 0.031 | 7680 | 1.25        |
| lena16.bmp | lena16.bmp-G_0.75-H2e-005_af2.wfa                     | 6144 | 2048 |      | 15 | 7440 | 120 | 120 | 16 | 16 | 25.48216817 | 0.015 | 7680 | 1.25        |
| lena16.bmp | lena16.bmp-G_0.5-H5e-005_af3.wfa                      | 6144 | 2048 |      | 14 | 6512 | 112 | 112 | 16 | 16 | 25.40157848 | 0.031 | 6736 | 1.096354167 |
| lena16.bmp | lena16.bmp-withWavelet_haar-G_0.75-H4e-005_af1.wfa    | 6144 | 2048 | 2048 | 15 | 7440 | 120 | 120 | 16 | 16 | 25.1210762  | 0.031 | 7680 | 1.25        |
| lena16.bmp | lena16.bmp-withWavelet_rbio1.1-G_0.75-H4e-005_af1.wfa | 6144 | 2048 | 2048 | 15 | 7440 | 120 | 120 | 16 | 16 | 25.1210762  | 0.016 | 7680 | 1.25        |
| lena16.bmp | lena16.bmp-withWavelet_sym1-G_0.75-H4e-005_af1.wfa    | 6144 | 2048 | 2048 | 15 | 7440 | 120 | 120 | 16 | 16 | 25.1210762  | 0.031 | 7680 | 1.25        |
| lena16.bmp | lena16.bmp-withWavelet_bior1.1-G_0.75-H4e-005_af1.wfa | 6144 | 2048 | 2048 | 15 | 7440 | 120 | 120 | 16 | 16 | 25.1210762  | 0.016 | 7680 | 1.25        |
| lena16.bmp | lena16.bmp-withWavelet_haar-G_0.5-H4e-005_af2.wfa     | 6144 | 2048 | 2048 | 14 | 6512 | 112 | 112 | 16 | 16 | 25.00639159 | 0.015 | 6736 | 1.096354167 |
| lena16.bmp | lena16.bmp-withWavelet_rbio1.1-G_0.5-H4e-005_af2.wfa  | 6144 | 2048 | 2048 | 14 | 6512 | 112 | 112 | 16 | 16 | 25.00639159 | 0.031 | 6736 | 1.096354167 |
| lena16.bmp | lena16.bmp-withWavelet_sym1-G_0.5-H4e-005_af2.wfa     | 6144 | 2048 | 2048 | 14 | 6512 | 112 | 112 | 16 | 16 | 25.00639159 | 0.015 | 6736 | 1.096354167 |
| lena16.bmp | lena16.bmp-withWavelet_bior1.1-G_0.5-H4e-005_af2.wfa  | 6144 | 2048 | 2048 | 14 | 6512 | 112 | 112 | 16 | 16 | 25.00639159 | 0.016 | 6736 | 1.096354167 |
| lena16.bmp | lena16.bmp-withWavelet_haar-G_0.75-H1e-005_af4.wfa    | 6144 | 2048 | 2048 | 17 | 9488 | 136 | 136 | 16 | 16 | 24.92660231 | 0.032 | 9760 | 1.588541667 |
| lena16.bmp | lena16.bmp-withWavelet_rbio1.1-G_0.75-H1e-005_af4.wfa | 6144 | 2048 | 2048 | 17 | 9488 | 136 | 136 | 16 | 16 | 24.92660231 | 0.016 | 9760 | 1.588541667 |
| lena16.bmp | lena16.bmp-withWavelet_sym1-G_0.75-H1e-005_af4.wfa    | 6144 | 2048 | 2048 | 17 | 9488 | 136 | 136 | 16 | 16 | 24.92660231 | 0.031 | 9760 | 1.588541667 |
| lena16.bmp | lena16.bmp-withWavelet_bior1.1-G_0.75-H1e-005_af4.wfa | 6144 | 2048 | 2048 | 17 | 9488 | 136 | 136 | 16 | 16 | 24.92660231 | 0.031 | 9760 | 1.588541667 |
| lena16.bmp | lena16.bmp-withWavelet_haar-G_0.75-H2e-005_af4.wfa    | 6144 | 2048 | 2048 | 16 | 8432 | 128 | 128 | 16 | 16 | 24.86400987 | 0.015 | 8688 | 1.4140625   |
| lena16.bmp | lena16.bmp-withWavelet_rbio1.1-G_0.75-H2e-005_af4.wfa | 6144 | 2048 | 2048 | 16 | 8432 | 128 | 128 | 16 | 16 | 24.86400987 | 0.031 | 8688 | 1.4140625   |
| lena16.bmp | lena16.bmp-withWavelet_sym1-G_0.75-H2e-005_af4.wfa    | 6144 | 2048 | 2048 | 16 | 8432 | 128 | 128 | 16 | 16 | 24.86400987 | 0.031 | 8688 | 1.4140625   |
| lena16.bmp | lena16.bmp-withWavelet_bior1.1-G_0.75-H2e-005_af4.wfa | 6144 | 2048 | 2048 | 16 | 8432 | 128 | 128 | 16 | 16 | 24.86400987 | 0.032 | 8688 | 1.4140625   |
| lena16.bmp | lena16.bmp-withWavelet_haar-G_1-H1e-005_af4.wfa       | 6144 | 2048 | 2048 | 17 | 9488 | 136 | 136 | 16 | 16 | 24.86230874 | 0.032 | 9760 | 1.588541667 |
| lena16.bmp | lena16.bmp-withWavelet_rbio1.1-G_1-H1e-005_af4.wfa    | 6144 | 2048 | 2048 | 17 | 9488 | 136 | 136 | 16 | 16 | 24.86230874 | 0.032 | 9760 | 1.588541667 |
| lena16.bmp | lena16.bmp-withWavelet_sym1-G_1-H1e-005_af4.wfa       | 6144 | 2048 | 2048 | 17 | 9488 | 136 | 136 | 16 | 16 | 24.86230874 | 0.047 | 9760 | 1.588541667 |
| lena16.bmp | lena16.bmp-withWavelet_bior1.1-G_1-H1e-005_af4.wfa    | 6144 | 2048 | 2048 | 17 | 9488 | 136 | 136 | 16 | 16 | 24.86230874 | 0.016 | 9760 | 1.588541667 |
| lena16.bmp | lena16.bmp-withWavelet_haar-G_1-H5e-005_af3.wfa       | 6144 | 2048 | 2048 | 15 | 7440 | 120 | 120 | 16 | 16 | 24.83812913 | 0.031 | 7680 | 1.25        |
| lena16.bmp | lena16.bmp-withWavelet_rbio1.1-G_1-H5e-005_af3.wfa    | 6144 | 2048 | 2048 | 15 | 7440 | 120 | 120 | 16 | 16 | 24.83812913 | 0.015 | 7680 | 1.25        |

|            |   |      |      |      |    |       |     |     |    |    |             |       |       |             |
|------------|---|------|------|------|----|-------|-----|-----|----|----|-------------|-------|-------|-------------|
| lena16.bmp | lena16.bmp-withWavelet_sym1-G_1-H5e-005_af3.wfa       | 6144 | 2048 | 2048 | 15 | 7440  | 120 | 120 | 16 | 16 | 24.83812913 | 0.031 | 7680  | 1.25        |
| lena16.bmp | lena16.bmp-withWavelet_bior1.1-G_1-H5e-005_af3.wfa    | 6144 | 2048 | 2048 | 15 | 7440  | 120 | 120 | 16 | 16 | 24.83812913 | 0.031 | 7680  | 1.25        |
| lena16.bmp | lena16.bmp-G_1-H3e-005_af3.wfa                        | 6144 | 2048 |      | 16 | 8432  | 128 | 128 | 16 | 16 | 24.83138909 | 0.016 | 8688  | 1.4140625   |
| lena16.bmp | lena16.bmp-withWavelet_haar-G_0.5-H1e-005_af4.wfa     | 6144 | 2048 | 2048 | 16 | 8432  | 128 | 128 | 16 | 16 | 24.82872403 | 0.031 | 8688  | 1.4140625   |
| lena16.bmp | lena16.bmp-withWavelet_rbio1.1-G_0.5-H1e-005_af4.wfa  | 6144 | 2048 | 2048 | 16 | 8432  | 128 | 128 | 16 | 16 | 24.82872403 | 0.031 | 8688  | 1.4140625   |
| lena16.bmp | lena16.bmp-withWavelet_sym1-G_0.5-H1e-005_af4.wfa     | 6144 | 2048 | 2048 | 16 | 8432  | 128 | 128 | 16 | 16 | 24.82872403 | 0.015 | 8688  | 1.4140625   |
| lena16.bmp | lena16.bmp-withWavelet_bior1.1-G_0.5-H1e-005_af4.wfa  | 6144 | 2048 | 2048 | 16 | 8432  | 128 | 128 | 16 | 16 | 24.82872403 | 0.031 | 8688  | 1.4140625   |
| lena16.bmp | lena16.bmp-withWavelet_haar-G_1-H1e-005_af5.wfa       | 6144 | 2048 | 2048 | 18 | 10608 | 144 | 144 | 16 | 16 | 24.77802075 | 0.016 | 10896 | 1.7734375   |
| lena16.bmp | lena16.bmp-withWavelet_rbio1.1-G_1-H1e-005_af5.wfa    | 6144 | 2048 | 2048 | 18 | 10608 | 144 | 144 | 16 | 16 | 24.77802075 | 0.032 | 10896 | 1.7734375   |
| lena16.bmp | lena16.bmp-withWavelet_sym1-G_1-H1e-005_af5.wfa       | 6144 | 2048 | 2048 | 18 | 10608 | 144 | 144 | 16 | 16 | 24.77802075 | 0.031 | 10896 | 1.7734375   |
| lena16.bmp | lena16.bmp-withWavelet_bior1.1-G_1-H1e-005_af5.wfa    | 6144 | 2048 | 2048 | 18 | 10608 | 144 | 144 | 16 | 16 | 24.77802075 | 0.031 | 10896 | 1.7734375   |
| lena16.bmp | lena16.bmp-withWavelet_haar-G_0.75-H1e-005_af5.wfa    | 6144 | 2048 | 2048 | 17 | 9488  | 136 | 136 | 16 | 16 | 24.59104227 | 0.015 | 9760  | 1.588541667 |
| lena16.bmp | lena16.bmp-withWavelet_rbio1.1-G_0.75-H1e-005_af5.wfa | 6144 | 2048 | 2048 | 17 | 9488  | 136 | 136 | 16 | 16 | 24.59104227 | 0.016 | 9760  | 1.588541667 |
| lena16.bmp | lena16.bmp-withWavelet_sym1-G_0.75-H1e-005_af5.wfa    | 6144 | 2048 | 2048 | 17 | 9488  | 136 | 136 | 16 | 16 | 24.59104227 | 0.031 | 9760  | 1.588541667 |
| lena16.bmp | lena16.bmp-withWavelet_bior1.1-G_0.75-H1e-005_af5.wfa | 6144 | 2048 | 2048 | 17 | 9488  | 136 | 136 | 16 | 16 | 24.59104227 | 0.031 | 9760  | 1.588541667 |
| lena16.bmp | lena16.bmp-withWavelet_haar-G_0.5-H2e-005_af4.wfa     | 6144 | 2048 | 2048 | 14 | 6512  | 112 | 112 | 16 | 16 | 24.57763275 | 0.016 | 6736  | 1.096354167 |
| lena16.bmp | lena16.bmp-withWavelet_rbio1.1-G_0.5-H2e-005_af4.wfa  | 6144 | 2048 | 2048 | 14 | 6512  | 112 | 112 | 16 | 16 | 24.57763275 | 0.015 | 6736  | 1.096354167 |
| lena16.bmp | lena16.bmp-withWavelet_sym1-G_0.5-H2e-005_af4.wfa     | 6144 | 2048 | 2048 | 14 | 6512  | 112 | 112 | 16 | 16 | 24.57763275 | 0.016 | 6736  | 1.096354167 |
| lena16.bmp | lena16.bmp-withWavelet_bior1.1-G_0.5-H2e-005_af4.wfa  | 6144 | 2048 | 2048 | 14 | 6512  | 112 | 112 | 16 | 16 | 24.57763275 | 0.031 | 6736  | 1.096354167 |
| lena16.bmp | lena16.bmp-G_0.5-H2e-005_af3.wfa                      | 6144 | 2048 |      | 15 | 7440  | 120 | 120 | 16 | 16 | 24.57119559 | 0.015 | 7680  | 1.25        |
| lena16.bmp | lena16.bmp-G_0.75-H3e-005_af3.wfa                     | 6144 | 2048 |      | 16 | 8432  | 128 | 128 | 16 | 16 | 24.49318274 | 0.031 | 8688  | 1.4140625   |
| lena16.bmp | lena16.bmp-withWavelet_haar-G_1-H2e-005_af2.wfa       | 6144 | 2048 | 2048 | 17 | 9488  | 136 | 136 | 16 | 16 | 24.4630305  | 0.016 | 9760  | 1.588541667 |
| lena16.bmp | lena16.bmp-withWavelet_rbio1.1-G_1-H2e-005_af2.wfa    | 6144 | 2048 | 2048 | 17 | 9488  | 136 | 136 | 16 | 16 | 24.4630305  | 0.047 | 9760  | 1.588541667 |
| lena16.bmp | lena16.bmp-withWavelet_sym1-G_1-H2e-005_af2.wfa       | 6144 | 2048 | 2048 | 17 | 9488  | 136 | 136 | 16 | 16 | 24.4630305  | 0.031 | 9760  | 1.588541667 |
| lena16.bmp | lena16.bmp-withWavelet_bior1.1-G_1-H2e-005_af2.wfa    | 6144 | 2048 | 2048 | 17 | 9488  | 136 | 136 | 16 | 16 | 24.4630305  | 0.031 | 9760  | 1.588541667 |
| lena16.bmp | lena16.bmp-G_0.75-H4e-005_af1.wfa                     | 6144 | 2048 |      | 15 | 7440  | 120 | 120 | 16 | 16 | 24.43168709 | 0.031 | 7680  | 1.25        |
| lena16.bmp | lena16.bmp-G_1-H6e-005_af5.wfa                        | 6144 | 2048 |      | 14 | 6512  | 112 | 112 | 16 | 16 | 24.41853312 | 0.016 | 6736  | 1.096354167 |
| lena16.bmp | lena16.bmp-G_0.75-H6e-005_af5.wfa                     | 6144 | 2048 |      | 14 | 6512  | 112 | 112 | 16 | 16 | 24.40651911 | 0.015 | 6736  | 1.096354167 |
| lena16.bmp | lena16.bmp-withWavelet_haar-G_0.5-H3e-005_af2.wfa     | 6144 | 2048 | 2048 | 14 | 6512  | 112 | 112 | 16 | 16 | 24.40615771 | 0.031 | 6736  | 1.096354167 |
| lena16.bmp | lena16.bmp-withWavelet_rbio1.1-G_0.5-H3e-005_af2.wfa  | 6144 | 2048 | 2048 | 14 | 6512  | 112 | 112 | 16 | 16 | 24.40615771 | 0.015 | 6736  | 1.096354167 |
| lena16.bmp | lena16.bmp-withWavelet_sym1-G_0.5-H3e-005_af2.wfa     | 6144 | 2048 | 2048 | 14 | 6512  | 112 | 112 | 16 | 16 | 24.40615771 | 0.016 | 6736  | 1.096354167 |

|            |   |      |      |      |    |      |     |     |    |    |             |       |      |             |
|------------|---|------|------|------|----|------|-----|-----|----|----|-------------|-------|------|-------------|
| lena16.bmp | lena16.bmp-withWavelet_bior1.1-G_0.5-H3e-005_af2.wfa  | 6144 | 2048 | 2048 | 14 | 6512 | 112 | 112 | 16 | 16 | 24.40615771 | 0.015 | 6736 | 1.096354167 |
| lena16.bmp | lena16.bmp-G_0.5-H1e-005_af5.wfa                      | 6144 | 2048 |      | 16 | 8432 | 128 | 128 | 16 | 16 | 24.4017022  | 0.031 | 8688 | 1.4140625   |
| lena16.bmp | lena16.bmp-withWavelet_haar-G_0.75-H6e-005_af3.wfa    | 6144 | 2048 | 2048 | 15 | 7440 | 120 | 120 | 16 | 16 | 24.38305013 | 0.032 | 7680 | 1.25        |
| lena16.bmp | lena16.bmp-withWavelet_rbio1.1-G_0.75-H6e-005_af3.wfa | 6144 | 2048 | 2048 | 15 | 7440 | 120 | 120 | 16 | 16 | 24.38305013 | 0.016 | 7680 | 1.25        |
| lena16.bmp | lena16.bmp-withWavelet_sym1-G_0.75-H6e-005_af3.wfa    | 6144 | 2048 | 2048 | 15 | 7440 | 120 | 120 | 16 | 16 | 24.38305013 | 0.016 | 7680 | 1.25        |
| lena16.bmp | lena16.bmp-withWavelet_bior1.1-G_0.75-H6e-005_af3.wfa | 6144 | 2048 | 2048 | 15 | 7440 | 120 | 120 | 16 | 16 | 24.38305013 | 0.015 | 7680 | 1.25        |
| lena16.bmp | lena16.bmp-G_0.75-H3e-005_af2.wfa                     | 6144 | 2048 |      | 14 | 6512 | 112 | 112 | 16 | 16 | 24.36862457 | 0.031 | 6736 | 1.096354167 |
| lena16.bmp | lena16.bmp-withWavelet_haar-G_0.75-H3e-005_af4.wfa    | 6144 | 2048 | 2048 | 15 | 7440 | 120 | 120 | 16 | 16 | 24.35865337 | 0.031 | 7680 | 1.25        |
| lena16.bmp | lena16.bmp-withWavelet_rbio1.1-G_0.75-H3e-005_af4.wfa | 6144 | 2048 | 2048 | 15 | 7440 | 120 | 120 | 16 | 16 | 24.35865337 | 0.031 | 7680 | 1.25        |
| lena16.bmp | lena16.bmp-withWavelet_sym1-G_0.75-H3e-005_af4.wfa    | 6144 | 2048 | 2048 | 15 | 7440 | 120 | 120 | 16 | 16 | 24.35865337 | 0.031 | 7680 | 1.25        |
| lena16.bmp | lena16.bmp-withWavelet_bior1.1-G_0.75-H3e-005_af4.wfa | 6144 | 2048 | 2048 | 15 | 7440 | 120 | 120 | 16 | 16 | 24.35865337 | 0.031 | 7680 | 1.25        |
| lena16.bmp | lena16.bmp-withWavelet_haar-G_1-H4e-005_af1.wfa       | 6144 | 2048 | 2048 | 14 | 6512 | 112 | 112 | 16 | 16 | 24.35846808 | 0.031 | 6736 | 1.096354167 |
| lena16.bmp | lena16.bmp-withWavelet_rbio1.1-G_1-H4e-005_af1.wfa    | 6144 | 2048 | 2048 | 14 | 6512 | 112 | 112 | 16 | 16 | 24.35846808 | 0.016 | 6736 | 1.096354167 |
| lena16.bmp | lena16.bmp-withWavelet_sym1-G_1-H4e-005_af1.wfa       | 6144 | 2048 | 2048 | 14 | 6512 | 112 | 112 | 16 | 16 | 24.35846808 | 0.015 | 6736 | 1.096354167 |
| lena16.bmp | lena16.bmp-withWavelet_bior1.1-G_1-H4e-005_af1.wfa    | 6144 | 2048 | 2048 | 14 | 6512 | 112 | 112 | 16 | 16 | 24.35846808 | 0.031 | 6736 | 1.096354167 |
| lena16.bmp | lena16.bmp-withWavelet_haar-G_1-H5e-005_af1.wfa       | 6144 | 2048 | 2048 | 14 | 6512 | 112 | 112 | 16 | 16 | 24.35846808 | 0.015 | 6736 | 1.096354167 |
| lena16.bmp | lena16.bmp-withWavelet_rbio1.1-G_1-H5e-005_af1.wfa    | 6144 | 2048 | 2048 | 14 | 6512 | 112 | 112 | 16 | 16 | 24.35846808 | 0.016 | 6736 | 1.096354167 |
| lena16.bmp | lena16.bmp-withWavelet_sym1-G_1-H5e-005_af1.wfa       | 6144 | 2048 | 2048 | 14 | 6512 | 112 | 112 | 16 | 16 | 24.35846808 | 0.015 | 6736 | 1.096354167 |
| lena16.bmp | lena16.bmp-withWavelet_bior1.1-G_1-H5e-005_af1.wfa    | 6144 | 2048 | 2048 | 14 | 6512 | 112 | 112 | 16 | 16 | 24.35846808 | 0.031 | 6736 | 1.096354167 |
| lena16.bmp | lena16.bmp-G_1-H4e-005_af1.wfa                        | 6144 | 2048 |      | 15 | 7440 | 120 | 120 | 16 | 16 | 24.31536656 | 0.031 | 7680 | 1.25        |
| lena16.bmp | lena16.bmp-G_1-H3e-005_af2.wfa                        | 6144 | 2048 |      | 14 | 6512 | 112 | 112 | 16 | 16 | 24.26676446 | 0.031 | 6736 | 1.096354167 |
| lena16.bmp | lena16.bmp-withWavelet_haar-G_1-H3e-005_af4.wfa       | 6144 | 2048 | 2048 | 15 | 7440 | 120 | 120 | 16 | 16 | 24.2503273  | 0.032 | 7680 | 1.25        |
| lena16.bmp | lena16.bmp-withWavelet_rbio1.1-G_1-H3e-005_af4.wfa    | 6144 | 2048 | 2048 | 15 | 7440 | 120 | 120 | 16 | 16 | 24.2503273  | 0.031 | 7680 | 1.25        |
| lena16.bmp | lena16.bmp-withWavelet_sym1-G_1-H3e-005_af4.wfa       | 6144 | 2048 | 2048 | 15 | 7440 | 120 | 120 | 16 | 16 | 24.2503273  | 0.031 | 7680 | 1.25        |
| lena16.bmp | lena16.bmp-withWavelet_bior1.1-G_1-H3e-005_af4.wfa    | 6144 | 2048 | 2048 | 15 | 7440 | 120 | 120 | 16 | 16 | 24.2503273  | 0.031 | 7680 | 1.25        |
| lena16.bmp | lena16.bmp-withWavelet_haar-G_1-H6e-005_af3.wfa       | 6144 | 2048 | 2048 | 14 | 6512 | 112 | 112 | 16 | 16 | 24.14214907 | 0.016 | 6736 | 1.096354167 |
| lena16.bmp | lena16.bmp-withWavelet_rbio1.1-G_1-H6e-005_af3.wfa    | 6144 | 2048 | 2048 | 14 | 6512 | 112 | 112 | 16 | 16 | 24.14214907 | 0.015 | 6736 | 1.096354167 |
| lena16.bmp | lena16.bmp-withWavelet_sym1-G_1-H6e-005_af3.wfa       | 6144 | 2048 | 2048 | 14 | 6512 | 112 | 112 | 16 | 16 | 24.14214907 | 0.015 | 6736 | 1.096354167 |
| lena16.bmp | lena16.bmp-withWavelet_bior1.1-G_1-H6e-005_af3.wfa    | 6144 | 2048 | 2048 | 14 | 6512 | 112 | 112 | 16 | 16 | 24.14214907 | 0.016 | 6736 | 1.096354167 |
| lena16.bmp | lena16.bmp-withWavelet_haar-G_1-H7e-005_af3.wfa       | 6144 | 2048 | 2048 | 14 | 6512 | 112 | 112 | 16 | 16 | 24.14214907 | 0.015 | 6736 | 1.096354167 |
| lena16.bmp | lena16.bmp-withWavelet_rbio1.1-G_1-H7e-005_af3.wfa    | 6144 | 2048 | 2048 | 14 | 6512 | 112 | 112 | 16 | 16 | 24.14214907 | 0.015 | 6736 | 1.096354167 |

|            |   |      |      |      |    |      |     |     |    |    |             |       |      |             |
|------------|---|------|------|------|----|------|-----|-----|----|----|-------------|-------|------|-------------|
| lena16.bmp | lena16.bmp-withWavelet_sym1-G_1-H7e-005_af3.wfa       | 6144 | 2048 | 2048 | 14 | 6512 | 112 | 112 | 16 | 16 | 24.14214907 | 0.016 | 6736 | 1.096354167 |
| lena16.bmp | lena16.bmp-withWavelet_bior1.1-G_1-H7e-005_af3.wfa    | 6144 | 2048 | 2048 | 14 | 6512 | 112 | 112 | 16 | 16 | 24.14214907 | 0.032 | 6736 | 1.096354167 |
| lena16.bmp | lena16.bmp-withWavelet_haar-G_1-H2e-005_af4.wfa       | 6144 | 2048 | 2048 | 15 | 7440 | 120 | 120 | 16 | 16 | 23.9690487  | 0.016 | 7680 | 1.25        |
| lena16.bmp | lena16.bmp-withWavelet_rbio1.1-G_1-H2e-005_af4.wfa    | 6144 | 2048 | 2048 | 15 | 7440 | 120 | 120 | 16 | 16 | 23.9690487  | 0.031 | 7680 | 1.25        |
| lena16.bmp | lena16.bmp-withWavelet_sym1-G_1-H2e-005_af4.wfa       | 6144 | 2048 | 2048 | 15 | 7440 | 120 | 120 | 16 | 16 | 23.9690487  | 0.031 | 7680 | 1.25        |
| lena16.bmp | lena16.bmp-withWavelet_bior1.1-G_1-H2e-005_af4.wfa    | 6144 | 2048 | 2048 | 15 | 7440 | 120 | 120 | 16 | 16 | 23.9690487  | 0.031 | 7680 | 1.25        |
| lena16.bmp | lena16.bmp-withWavelet_haar-G_0.75-H5e-005_af3.wfa    | 6144 | 2048 | 2048 | 14 | 6512 | 112 | 112 | 16 | 16 | 23.89825276 | 0.031 | 6736 | 1.096354167 |
| lena16.bmp | lena16.bmp-withWavelet_rbio1.1-G_0.75-H5e-005_af3.wfa | 6144 | 2048 | 2048 | 14 | 6512 | 112 | 112 | 16 | 16 | 23.89825276 | 0.031 | 6736 | 1.096354167 |
| lena16.bmp | lena16.bmp-withWavelet_sym1-G_0.75-H5e-005_af3.wfa    | 6144 | 2048 | 2048 | 14 | 6512 | 112 | 112 | 16 | 16 | 23.89825276 | 0.031 | 6736 | 1.096354167 |
| lena16.bmp | lena16.bmp-withWavelet_bior1.1-G_0.75-H5e-005_af3.wfa | 6144 | 2048 | 2048 | 14 | 6512 | 112 | 112 | 16 | 16 | 23.89825276 | 0.016 | 6736 | 1.096354167 |
| lena16.bmp | lena16.bmp-withWavelet_haar-G_0.75-H6e-005_af4.wfa    | 6144 | 2048 | 2048 | 14 | 6512 | 112 | 112 | 16 | 16 | 23.8929288  | 0.015 | 6736 | 1.096354167 |
| lena16.bmp | lena16.bmp-withWavelet_rbio1.1-G_0.75-H6e-005_af4.wfa | 6144 | 2048 | 2048 | 14 | 6512 | 112 | 112 | 16 | 16 | 23.8929288  | 0.016 | 6736 | 1.096354167 |
| lena16.bmp | lena16.bmp-withWavelet_sym1-G_0.75-H6e-005_af4.wfa    | 6144 | 2048 | 2048 | 14 | 6512 | 112 | 112 | 16 | 16 | 23.8929288  | 0.016 | 6736 | 1.096354167 |
| lena16.bmp | lena16.bmp-withWavelet_bior1.1-G_0.75-H6e-005_af4.wfa | 6144 | 2048 | 2048 | 14 | 6512 | 112 | 112 | 16 | 16 | 23.8929288  | 0.016 | 6736 | 1.096354167 |
| lena16.bmp | lena16.bmp-withWavelet_haar-G_1-H6e-005_af4.wfa       | 6144 | 2048 | 2048 | 14 | 6512 | 112 | 112 | 16 | 16 | 23.78422712 | 0.031 | 6736 | 1.096354167 |
| lena16.bmp | lena16.bmp-withWavelet_rbio1.1-G_1-H6e-005_af4.wfa    | 6144 | 2048 | 2048 | 14 | 6512 | 112 | 112 | 16 | 16 | 23.78422712 | 0.031 | 6736 | 1.096354167 |
| lena16.bmp | lena16.bmp-withWavelet_sym1-G_1-H6e-005_af4.wfa       | 6144 | 2048 | 2048 | 14 | 6512 | 112 | 112 | 16 | 16 | 23.78422712 | 0.015 | 6736 | 1.096354167 |
| lena16.bmp | lena16.bmp-withWavelet_bior1.1-G_1-H6e-005_af4.wfa    | 6144 | 2048 | 2048 | 14 | 6512 | 112 | 112 | 16 | 16 | 23.78422712 | 0.032 | 6736 | 1.096354167 |
| lena16.bmp | lena16.bmp-G_0.5-H4e-005_af5.wfa                      | 6144 | 2048 |      | 15 | 7440 | 120 | 120 | 16 | 16 | 23.77291681 | 0.016 | 7680 | 1.25        |
| lena16.bmp | lena16.bmp-G_0.5-H3e-005_af5.wfa                      | 6144 | 2048 |      | 15 | 7440 | 120 | 120 | 16 | 16 | 23.77291681 | 0.031 | 7680 | 1.25        |
| lena16.bmp | lena16.bmp-G_0.5-H1e-005_af3.wfa                      | 6144 | 2048 |      | 15 | 7440 | 120 | 120 | 16 | 16 | 23.76421047 | 0.031 | 7680 | 1.25        |
| lena16.bmp | lena16.bmp-withWavelet_haar-G_0.75-H7e-005_af3.wfa    | 6144 | 2048 | 2048 | 14 | 6512 | 112 | 112 | 16 | 16 | 23.64006049 | 0.032 | 6736 | 1.096354167 |
| lena16.bmp | lena16.bmp-withWavelet_rbio1.1-G_0.75-H7e-005_af3.wfa | 6144 | 2048 | 2048 | 14 | 6512 | 112 | 112 | 16 | 16 | 23.64006049 | 0.015 | 6736 | 1.096354167 |
| lena16.bmp | lena16.bmp-withWavelet_sym1-G_0.75-H7e-005_af3.wfa    | 6144 | 2048 | 2048 | 14 | 6512 | 112 | 112 | 16 | 16 | 23.64006049 | 0.031 | 6736 | 1.096354167 |
| lena16.bmp | lena16.bmp-withWavelet_bior1.1-G_0.75-H7e-005_af3.wfa | 6144 | 2048 | 2048 | 14 | 6512 | 112 | 112 | 16 | 16 | 23.64006049 | 0.015 | 6736 | 1.096354167 |
| lena16.bmp | lena16.bmp-withWavelet_haar-G_0.75-H5e-005_af4.wfa    | 6144 | 2048 | 2048 | 14 | 6512 | 112 | 112 | 16 | 16 | 23.63724833 | 0.031 | 6736 | 1.096354167 |
| lena16.bmp | lena16.bmp-withWavelet_rbio1.1-G_0.75-H5e-005_af4.wfa | 6144 | 2048 | 2048 | 14 | 6512 | 112 | 112 | 16 | 16 | 23.63724833 | 0.015 | 6736 | 1.096354167 |
| lena16.bmp | lena16.bmp-withWavelet_sym1-G_0.75-H5e-005_af4.wfa    | 6144 | 2048 | 2048 | 14 | 6512 | 112 | 112 | 16 | 16 | 23.63724833 | 0.031 | 6736 | 1.096354167 |
| lena16.bmp | lena16.bmp-withWavelet_bior1.1-G_0.75-H5e-005_af4.wfa | 6144 | 2048 | 2048 | 14 | 6512 | 112 | 112 | 16 | 16 | 23.63724833 | 0.031 | 6736 | 1.096354167 |
| lena16.bmp | lena16.bmp-withWavelet_haar-G_0.75-H5e-005_af1.wfa    | 6144 | 2048 | 2048 | 14 | 6512 | 112 | 112 | 16 | 16 | 23.60623149 | 0.015 | 6736 | 1.096354167 |
| lena16.bmp | lena16.bmp-withWavelet_rbio1.1-G_0.75-H5e-005_af1.wfa | 6144 | 2048 | 2048 | 14 | 6512 | 112 | 112 | 16 | 16 | 23.60623149 | 0.031 | 6736 | 1.096354167 |

|            |   |      |      |      |    |      |     |     |    |    |             |       |      |             |
|------------|---|------|------|------|----|------|-----|-----|----|----|-------------|-------|------|-------------|
| lena16.bmp | lena16.bmp-withWavelet_sym1-G_0.75-H5e-005_af1.wfa    | 6144 | 2048 | 2048 | 14 | 6512 | 112 | 112 | 16 | 16 | 23.60623149 | 0.031 | 6736 | 1.096354167 |
| lena16.bmp | lena16.bmp-withWavelet_bior1.1-G_0.75-H5e-005_af1.wfa | 6144 | 2048 | 2048 | 14 | 6512 | 112 | 112 | 16 | 16 | 23.60623149 | 0.031 | 6736 | 1.096354167 |
| lena16.bmp | lena16.bmp-withWavelet_haar-G_0.75-H6e-005_af1.wfa    | 6144 | 2048 | 2048 | 14 | 6512 | 112 | 112 | 16 | 16 | 23.60623149 | 0.015 | 6736 | 1.096354167 |
| lena16.bmp | lena16.bmp-withWavelet_rbio1.1-G_0.75-H6e-005_af1.wfa | 6144 | 2048 | 2048 | 14 | 6512 | 112 | 112 | 16 | 16 | 23.60623149 | 0.015 | 6736 | 1.096354167 |
| lena16.bmp | lena16.bmp-withWavelet_sym1-G_0.75-H6e-005_af1.wfa    | 6144 | 2048 | 2048 | 14 | 6512 | 112 | 112 | 16 | 16 | 23.60623149 | 0.015 | 6736 | 1.096354167 |
| lena16.bmp | lena16.bmp-withWavelet_bior1.1-G_0.75-H6e-005_af1.wfa | 6144 | 2048 | 2048 | 14 | 6512 | 112 | 112 | 16 | 16 | 23.60623149 | 0.015 | 6736 | 1.096354167 |
| lena16.bmp | lena16.bmp-withWavelet_haar-G_1-H3e-005_af2.wfa       | 6144 | 2048 | 2048 | 16 | 8432 | 128 | 128 | 16 | 16 | 23.57618334 | 0.031 | 8688 | 1.4140625   |
| lena16.bmp | lena16.bmp-withWavelet_rbio1.1-G_1-H3e-005_af2.wfa    | 6144 | 2048 | 2048 | 16 | 8432 | 128 | 128 | 16 | 16 | 23.57618334 | 0.047 | 8688 | 1.4140625   |
| lena16.bmp | lena16.bmp-withWavelet_sym1-G_1-H3e-005_af2.wfa       | 6144 | 2048 | 2048 | 16 | 8432 | 128 | 128 | 16 | 16 | 23.57618334 | 0.031 | 8688 | 1.4140625   |
| lena16.bmp | lena16.bmp-withWavelet_bior1.1-G_1-H3e-005_af2.wfa    | 6144 | 2048 | 2048 | 16 | 8432 | 128 | 128 | 16 | 16 | 23.57618334 | 0.031 | 8688 | 1.4140625   |
| lena16.bmp | lena16.bmp-withWavelet_haar-G_1-H5e-005_af4.wfa       | 6144 | 2048 | 2048 | 14 | 6512 | 112 | 112 | 16 | 16 | 23.53747864 | 0.031 | 6736 | 1.096354167 |
| lena16.bmp | lena16.bmp-withWavelet_rbio1.1-G_1-H5e-005_af4.wfa    | 6144 | 2048 | 2048 | 14 | 6512 | 112 | 112 | 16 | 16 | 23.53747864 | 0.031 | 6736 | 1.096354167 |
| lena16.bmp | lena16.bmp-withWavelet_sym1-G_1-H5e-005_af4.wfa       | 6144 | 2048 | 2048 | 14 | 6512 | 112 | 112 | 16 | 16 | 23.53747864 | 0.016 | 6736 | 1.096354167 |
| lena16.bmp | lena16.bmp-withWavelet_bior1.1-G_1-H5e-005_af4.wfa    | 6144 | 2048 | 2048 | 14 | 6512 | 112 | 112 | 16 | 16 | 23.53747864 | 0.015 | 6736 | 1.096354167 |
| lena16.bmp | lena16.bmp-withWavelet_haar-G_0.75-H3e-005_af2.wfa    | 6144 | 2048 | 2048 | 15 | 7440 | 120 | 120 | 16 | 16 | 23.51107669 | 0.015 | 7680 | 1.25        |
| lena16.bmp | lena16.bmp-withWavelet_rbio1.1-G_0.75-H3e-005_af2.wfa | 6144 | 2048 | 2048 | 15 | 7440 | 120 | 120 | 16 | 16 | 23.51107669 | 0.016 | 7680 | 1.25        |
| lena16.bmp | lena16.bmp-withWavelet_sym1-G_0.75-H3e-005_af2.wfa    | 6144 | 2048 | 2048 | 15 | 7440 | 120 | 120 | 16 | 16 | 23.51107669 | 0.016 | 7680 | 1.25        |
| lena16.bmp | lena16.bmp-withWavelet_bior1.1-G_0.75-H3e-005_af2.wfa | 6144 | 2048 | 2048 | 15 | 7440 | 120 | 120 | 16 | 16 | 23.51107669 | 0.016 | 7680 | 1.25        |
| lena16.bmp | lena16.bmp-G_0.5-H4e-005_af3.wfa                      | 6144 | 2048 |      | 14 | 6512 | 112 | 112 | 16 | 16 | 23.36366418 | 0.016 | 6736 | 1.096354167 |
| lena16.bmp | lena16.bmp-withWavelet_haar-G_0.75-H4e-005_af4.wfa    | 6144 | 2048 | 2048 | 14 | 6512 | 112 | 112 | 16 | 16 | 23.35222723 | 0.032 | 6736 | 1.096354167 |
| lena16.bmp | lena16.bmp-withWavelet_rbio1.1-G_0.75-H4e-005_af4.wfa | 6144 | 2048 | 2048 | 14 | 6512 | 112 | 112 | 16 | 16 | 23.35222723 | 0.032 | 6736 | 1.096354167 |
| lena16.bmp | lena16.bmp-withWavelet_sym1-G_0.75-H4e-005_af4.wfa    | 6144 | 2048 | 2048 | 14 | 6512 | 112 | 112 | 16 | 16 | 23.35222723 | 0.016 | 6736 | 1.096354167 |
| lena16.bmp | lena16.bmp-withWavelet_bior1.1-G_0.75-H4e-005_af4.wfa | 6144 | 2048 | 2048 | 14 | 6512 | 112 | 112 | 16 | 16 | 23.35222723 | 0.016 | 6736 | 1.096354167 |
| lena16.bmp | lena16.bmp-withWavelet_haar-G_1-H4e-005_af4.wfa       | 6144 | 2048 | 2048 | 14 | 6512 | 112 | 112 | 16 | 16 | 23.2912314  | 0.016 | 6736 | 1.096354167 |
| lena16.bmp | lena16.bmp-withWavelet_rbio1.1-G_1-H4e-005_af4.wfa    | 6144 | 2048 | 2048 | 14 | 6512 | 112 | 112 | 16 | 16 | 23.2912314  | 0.016 | 6736 | 1.096354167 |
| lena16.bmp | lena16.bmp-withWavelet_sym1-G_1-H4e-005_af4.wfa       | 6144 | 2048 | 2048 | 14 | 6512 | 112 | 112 | 16 | 16 | 23.2912314  | 0.015 | 6736 | 1.096354167 |
| lena16.bmp | lena16.bmp-withWavelet_bior1.1-G_1-H4e-005_af4.wfa    | 6144 | 2048 | 2048 | 14 | 6512 | 112 | 112 | 16 | 16 | 23.2912314  | 0.016 | 6736 | 1.096354167 |
| lena16.bmp | lena16.bmp-G_1-H5e-005_af1.wfa                        | 6144 | 2048 |      | 14 | 6512 | 112 | 112 | 16 | 16 | 23.26810859 | 0.016 | 6736 | 1.096354167 |
| lena16.bmp | lena16.bmp-G_1-H4e-005_af3.wfa                        | 6144 | 2048 |      | 14 | 6512 | 112 | 112 | 16 | 16 | 23.15443446 | 0.016 | 6736 | 1.096354167 |
| lena16.bmp | lena16.bmp-withWavelet_haar-G_1-H4e-005_af2.wfa       | 6144 | 2048 | 2048 | 16 | 8432 | 128 | 128 | 16 | 16 | 22.83794194 | 0.032 | 8688 | 1.4140625   |
| lena16.bmp | lena16.bmp-withWavelet_rbio1.1-G_1-H4e-005_af2.wfa    | 6144 | 2048 | 2048 | 16 | 8432 | 128 | 128 | 16 | 16 | 22.83794194 | 0.032 | 8688 | 1.4140625   |



|            |   |      |      |      |    |      |     |     |    |    |             |       |      |             |
|------------|---|------|------|------|----|------|-----|-----|----|----|-------------|-------|------|-------------|
| lena16.bmp | lena16.bmp-withWavelet_sym1-G_1-H4e-005_af2.wfa       | 6144 | 2048 | 2048 | 16 | 8432 | 128 | 128 | 16 | 16 | 22.83794194 | 0.031 | 8688 | 1.4140625   |
| lena16.bmp | lena16.bmp-withWavelet_bior1.1-G_1-H4e-005_af2.wfa    | 6144 | 2048 | 2048 | 16 | 8432 | 128 | 128 | 16 | 16 | 22.83794194 | 0.015 | 8688 | 1.4140625   |
| lena16.bmp | lena16.bmp-withWavelet_haar-G_0.75-H4e-005_af2.wfa    | 6144 | 2048 | 2048 | 14 | 6512 | 112 | 112 | 16 | 16 | 21.59676616 | 0.031 | 6736 | 1.096354167 |
| lena16.bmp | lena16.bmp-withWavelet_rbio1.1-G_0.75-H4e-005_af2.wfa | 6144 | 2048 | 2048 | 14 | 6512 | 112 | 112 | 16 | 16 | 21.59676616 | 0.032 | 6736 | 1.096354167 |
| lena16.bmp | lena16.bmp-withWavelet_sym1-G_0.75-H4e-005_af2.wfa    | 6144 | 2048 | 2048 | 14 | 6512 | 112 | 112 | 16 | 16 | 21.59676616 | 0.031 | 6736 | 1.096354167 |
| lena16.bmp | lena16.bmp-withWavelet_bior1.1-G_0.75-H4e-005_af2.wfa | 6144 | 2048 | 2048 | 14 | 6512 | 112 | 112 | 16 | 16 | 21.59676616 | 0.032 | 6736 | 1.096354167 |
| lena16.bmp | lena16.bmp-withWavelet_haar-G_0.75-H5e-005_af2.wfa    | 6144 | 2048 | 2048 | 14 | 6512 | 112 | 112 | 16 | 16 | 21.46766674 | 0.016 | 6736 | 1.096354167 |
| lena16.bmp | lena16.bmp-withWavelet_rbio1.1-G_0.75-H5e-005_af2.wfa | 6144 | 2048 | 2048 | 14 | 6512 | 112 | 112 | 16 | 16 | 21.46766674 | 0.015 | 6736 | 1.096354167 |
| lena16.bmp | lena16.bmp-withWavelet_sym1-G_0.75-H5e-005_af2.wfa    | 6144 | 2048 | 2048 | 14 | 6512 | 112 | 112 | 16 | 16 | 21.46766674 | 0.032 | 6736 | 1.096354167 |
| lena16.bmp | lena16.bmp-withWavelet_bior1.1-G_0.75-H5e-005_af2.wfa | 6144 | 2048 | 2048 | 14 | 6512 | 112 | 112 | 16 | 16 | 21.46766674 | 0.016 | 6736 | 1.096354167 |
| lena16.bmp | lena16.bmp-withWavelet_haar-G_0.75-H2e-005_af5.wfa    | 6144 | 2048 | 2048 | 14 | 6512 | 112 | 112 | 16 | 16 | 20.95533088 | 0.031 | 6736 | 1.096354167 |
| lena16.bmp | lena16.bmp-withWavelet_rbio1.1-G_0.75-H2e-005_af5.wfa | 6144 | 2048 | 2048 | 14 | 6512 | 112 | 112 | 16 | 16 | 20.95533088 | 0.032 | 6736 | 1.096354167 |
| lena16.bmp | lena16.bmp-withWavelet_sym1-G_0.75-H2e-005_af5.wfa    | 6144 | 2048 | 2048 | 14 | 6512 | 112 | 112 | 16 | 16 | 20.95533088 | 0.047 | 6736 | 1.096354167 |
| lena16.bmp | lena16.bmp-withWavelet_bior1.1-G_0.75-H2e-005_af5.wfa | 6144 | 2048 | 2048 | 14 | 6512 | 112 | 112 | 16 | 16 | 20.95533088 | 0.046 | 6736 | 1.096354167 |
| lena16.bmp | lena16.bmp-G_0.5-H1e-005_af1.wfa                      | 6144 | 2048 |      | 14 | 6512 | 112 | 112 | 16 | 16 | 20.9121057  | 0.016 | 6736 | 1.096354167 |
| lena16.bmp | lena16.bmp-withWavelet_haar-G_1-H2e-005_af5.wfa       | 6144 | 2048 | 2048 | 15 | 7440 | 120 | 120 | 16 | 16 | 20.84189687 | 0.031 | 7680 | 1.25        |
| lena16.bmp | lena16.bmp-withWavelet_rbio1.1-G_1-H2e-005_af5.wfa    | 6144 | 2048 | 2048 | 15 | 7440 | 120 | 120 | 16 | 16 | 20.84189687 | 0.032 | 7680 | 1.25        |
| lena16.bmp | lena16.bmp-withWavelet_sym1-G_1-H2e-005_af5.wfa       | 6144 | 2048 | 2048 | 15 | 7440 | 120 | 120 | 16 | 16 | 20.84189687 | 0.016 | 7680 | 1.25        |
| lena16.bmp | lena16.bmp-withWavelet_bior1.1-G_1-H2e-005_af5.wfa    | 6144 | 2048 | 2048 | 15 | 7440 | 120 | 120 | 16 | 16 | 20.84189687 | 0.047 | 7680 | 1.25        |
| lena16.bmp | lena16.bmp-G_0.5-H2e-005_af5.wfa                      | 6144 | 2048 |      | 15 | 7440 | 120 | 120 | 16 | 16 | 20.42637707 | 0.031 | 7680 | 1.25        |
| lena16.bmp | lena16.bmp-G_1-H9e-005_af1.wfa                        | 6144 | 2048 |      | 10 | 3440 | 80  | 80  | 16 | 16 | 19.83666158 | 0.015 | 3600 | 0.5859375   |
| lena16.bmp | lena16.bmp-G_1-H0.0001_af1.wfa                        | 6144 | 2048 |      | 10 | 3440 | 80  | 80  | 16 | 16 | 19.83666158 | 0.016 | 3600 | 0.5859375   |
| lena16.bmp | lena16.bmp-withWavelet_haar-G_1-H6e-005_af2.wfa       | 6144 | 2048 | 2048 | 12 | 4848 | 96  | 96  | 16 | 16 | 19.65586398 | 0.015 | 5040 | 0.8203125   |
| lena16.bmp | lena16.bmp-withWavelet_rbio1.1-G_1-H6e-005_af2.wfa    | 6144 | 2048 | 2048 | 12 | 4848 | 96  | 96  | 16 | 16 | 19.65586398 | 0.031 | 5040 | 0.8203125   |
| lena16.bmp | lena16.bmp-withWavelet_sym1-G_1-H6e-005_af2.wfa       | 6144 | 2048 | 2048 | 12 | 4848 | 96  | 96  | 16 | 16 | 19.65586398 | 0.016 | 5040 | 0.8203125   |
| lena16.bmp | lena16.bmp-withWavelet_bior1.1-G_1-H6e-005_af2.wfa    | 6144 | 2048 | 2048 | 12 | 4848 | 96  | 96  | 16 | 16 | 19.65586398 | 0.015 | 5040 | 0.8203125   |
| lena16.bmp | lena16.bmp-G_0.5-H3e-005_af3.wfa                      | 6144 | 2048 |      | 14 | 6512 | 112 | 112 | 16 | 16 | 19.61111413 | 0.016 | 6736 | 1.096354167 |
| lena16.bmp | lena16.bmp-withWavelet_haar-G_0.5-H3e-005_af5.wfa     | 6144 | 2048 | 2048 | 10 | 3440 | 80  | 80  | 16 | 16 | 19.60078233 | 0.015 | 3600 | 0.5859375   |
| lena16.bmp | lena16.bmp-withWavelet_rbio1.1-G_0.5-H3e-005_af5.wfa  | 6144 | 2048 | 2048 | 10 | 3440 | 80  | 80  | 16 | 16 | 19.60078233 | 0.031 | 3600 | 0.5859375   |
| lena16.bmp | lena16.bmp-withWavelet_sym1-G_0.5-H3e-005_af5.wfa     | 6144 | 2048 | 2048 | 10 | 3440 | 80  | 80  | 16 | 16 | 19.60078233 | 0.031 | 3600 | 0.5859375   |
| lena16.bmp | lena16.bmp-withWavelet_bior1.1-G_0.5-H3e-005_af5.wfa  | 6144 | 2048 | 2048 | 10 | 3440 | 80  | 80  | 16 | 16 | 19.60078233 | 0.016 | 3600 | 0.5859375   |

|            |   |       |      |      |    |       |     |     |    |    |             |       |       |             |
|------------|---|-------|------|------|----|-------|-----|-----|----|----|-------------|-------|-------|-------------|
| lena16.bmp | lena16.bmp-withWavelet_haar-G_1-H7e-005_af2.wfa       | 6144  | 2048 | 2048 | 12 | 4848  | 96  | 96  | 16 | 16 | 19.58778731 | 0.016 | 5040  | 0.8203125   |
| lena16.bmp | lena16.bmp-withWavelet_rbio1.1-G_1-H7e-005_af2.wfa    | 6144  | 2048 | 2048 | 12 | 4848  | 96  | 96  | 16 | 16 | 19.58778731 | 0.031 | 5040  | 0.8203125   |
| lena16.bmp | lena16.bmp-withWavelet_sym1-G_1-H7e-005_af2.wfa       | 6144  | 2048 | 2048 | 12 | 4848  | 96  | 96  | 16 | 16 | 19.58778731 | 0.031 | 5040  | 0.8203125   |
| lena16.bmp | lena16.bmp-withWavelet_bior1.1-G_1-H7e-005_af2.wfa    | 6144  | 2048 | 2048 | 12 | 4848  | 96  | 96  | 16 | 16 | 19.58778731 | 0.016 | 5040  | 0.8203125   |
| lena16.bmp | lena16.bmp-withWavelet_haar-G_0.5-H1e-005_af5.wfa     | 6144  | 2048 | 2048 | 14 | 6512  | 112 | 112 | 16 | 16 | 19.35628734 | 0.016 | 6736  | 1.096354167 |
| lena16.bmp | lena16.bmp-withWavelet_rbio1.1-G_0.5-H1e-005_af5.wfa  | 6144  | 2048 | 2048 | 14 | 6512  | 112 | 112 | 16 | 16 | 19.35628734 | 0.016 | 6736  | 1.096354167 |
| lena16.bmp | lena16.bmp-withWavelet_sym1-G_0.5-H1e-005_af5.wfa     | 6144  | 2048 | 2048 | 14 | 6512  | 112 | 112 | 16 | 16 | 19.35628734 | 0.031 | 6736  | 1.096354167 |
| lena16.bmp | lena16.bmp-withWavelet_bior1.1-G_0.5-H1e-005_af5.wfa  | 6144  | 2048 | 2048 | 14 | 6512  | 112 | 112 | 16 | 16 | 19.35628734 | 0.031 | 6736  | 1.096354167 |
| lena16.bmp | lena16.bmp-withWavelet_haar-G_0.75-H8e-005_af2.wfa    | 6144  | 2048 | 2048 | 11 | 4112  | 88  | 88  | 16 | 16 | 19.09607507 | 0.016 | 4288  | 0.697916667 |
| lena16.bmp | lena16.bmp-withWavelet_rbio1.1-G_0.75-H8e-005_af2.wfa | 6144  | 2048 | 2048 | 11 | 4112  | 88  | 88  | 16 | 16 | 19.09607507 | 0.016 | 4288  | 0.697916667 |
| lena16.bmp | lena16.bmp-withWavelet_sym1-G_0.75-H8e-005_af2.wfa    | 6144  | 2048 | 2048 | 11 | 4112  | 88  | 88  | 16 | 16 | 19.09607507 | 0.016 | 4288  | 0.697916667 |
| lena16.bmp | lena16.bmp-withWavelet_bior1.1-G_0.75-H8e-005_af2.wfa | 6144  | 2048 | 2048 | 11 | 4112  | 88  | 88  | 16 | 16 | 19.09607507 | 0.031 | 4288  | 0.697916667 |
| lena16.bmp | lena16.bmp-withWavelet_haar-G_0.75-H7e-005_af2.wfa    | 6144  | 2048 | 2048 | 11 | 4112  | 88  | 88  | 16 | 16 | 18.8640589  | 0.015 | 4288  | 0.697916667 |
| lena16.bmp | lena16.bmp-withWavelet_rbio1.1-G_0.75-H7e-005_af2.wfa | 6144  | 2048 | 2048 | 11 | 4112  | 88  | 88  | 16 | 16 | 18.8640589  | 0.016 | 4288  | 0.697916667 |
| lena16.bmp | lena16.bmp-withWavelet_sym1-G_0.75-H7e-005_af2.wfa    | 6144  | 2048 | 2048 | 11 | 4112  | 88  | 88  | 16 | 16 | 18.8640589  | 0.032 | 4288  | 0.697916667 |
| lena16.bmp | lena16.bmp-withWavelet_bior1.1-G_0.75-H7e-005_af2.wfa | 6144  | 2048 | 2048 | 11 | 4112  | 88  | 88  | 16 | 16 | 18.8640589  | 0.016 | 4288  | 0.697916667 |
| lena16.bmp | lena16.bmp-G_0.5-H9e-005_af2.wfa                      | 6144  | 2048 |      | 9  | 2832  | 72  | 72  | 16 | 16 | 18.84643498 | 0.016 | 2976  | 0.484375    |
| lena16.bmp | lena16.bmp-G_0.5-H0.0001_af2.wfa                      | 6144  | 2048 |      | 9  | 2832  | 72  | 72  | 16 | 16 | 18.84643498 | 0.016 | 2976  | 0.484375    |
| lena16.bmp | lena16.bmp-withWavelet_haar-G_0.75-H3e-005_af5.wfa    | 6144  | 2048 | 2048 | 12 | 4848  | 96  | 96  | 16 | 16 | 18.67986375 | 0.032 | 5040  | 0.8203125   |
| lena16.bmp | lena16.bmp-withWavelet_rbio1.1-G_0.75-H3e-005_af5.wfa | 6144  | 2048 | 2048 | 12 | 4848  | 96  | 96  | 16 | 16 | 18.67986375 | 0.031 | 5040  | 0.8203125   |
| lena16.bmp | lena16.bmp-withWavelet_sym1-G_0.75-H3e-005_af5.wfa    | 6144  | 2048 | 2048 | 12 | 4848  | 96  | 96  | 16 | 16 | 18.67986375 | 0.015 | 5040  | 0.8203125   |
| lena16.bmp | lena16.bmp-withWavelet_bior1.1-G_0.75-H3e-005_af5.wfa | 6144  | 2048 | 2048 | 12 | 4848  | 96  | 96  | 16 | 16 | 18.67986375 | 0.031 | 5040  | 0.8203125   |
| lena16.bmp | lena16.bmp-withWavelet_haar-G_0.75-H4e-005_af5.wfa    | 6144  | 2048 | 2048 | 12 | 4848  | 96  | 96  | 16 | 16 | 18.67986375 | 0.015 | 5040  | 0.8203125   |
| lena16.bmp | lena16.bmp-withWavelet_rbio1.1-G_0.75-H4e-005_af5.wfa | 6144  | 2048 | 2048 | 12 | 4848  | 96  | 96  | 16 | 16 | 18.67986375 | 0.031 | 5040  | 0.8203125   |
| lena16.bmp | lena16.bmp-withWavelet_sym1-G_0.75-H4e-005_af5.wfa    | 6144  | 2048 | 2048 | 12 | 4848  | 96  | 96  | 16 | 16 | 18.67986375 | 0.015 | 5040  | 0.8203125   |
| lena16.bmp | lena16.bmp-withWavelet_bior1.1-G_0.75-H4e-005_af5.wfa | 6144  | 2048 | 2048 | 12 | 4848  | 96  | 96  | 16 | 16 | 18.67986375 | 0.016 | 5040  | 0.8203125   |
| lena16.bmp | lena16.bmp-withWavelet_haar-G_0.75-H5e-005_af5.wfa    | 6144  | 2048 | 2048 | 12 | 4848  | 96  | 96  | 16 | 16 | 18.67986375 | 0.031 | 5040  | 0.8203125   |
| lena16.bmp | lena16.bmp-withWavelet_rbio1.1-G_0.75-H5e-005_af5.wfa | 6144  | 2048 | 2048 | 12 | 4848  | 96  | 96  | 16 | 16 | 18.67986375 | 0.015 | 5040  | 0.8203125   |
| lena16.bmp | lena16.bmp-withWavelet_sym1-G_0.75-H5e-005_af5.wfa    | 6144  | 2048 | 2048 | 12 | 4848  | 96  | 96  | 16 | 16 | 18.67986375 | 0.031 | 5040  | 0.8203125   |
| lena16.bmp | lena16.bmp-withWavelet_bior1.1-G_0.75-H5e-005_af5.wfa | 6144  | 2048 | 2048 | 12 | 4848  | 96  | 96  | 16 | 16 | 18.67986375 | 0.031 | 5040  | 0.8203125   |
| lena16.bmp | lena16.bmp-G_1-H1e-005_af5.wfa                        | 24576 | 8192 |      | 18 | 10608 | 144 | 144 | 16 | 32 | 18.64086295 | 0.109 | 10896 | 0.443359375 |

|            |   |       |      |      |    |       |     |     |    |    |             |       |       |             |
|------------|---|-------|------|------|----|-------|-----|-----|----|----|-------------|-------|-------|-------------|
| lena16.bmp | lena16.bmp-G_1-H2e-005_af5.wfa                        | 24576 | 8192 |      | 18 | 10608 | 144 | 144 | 16 | 32 | 18.64086295 | 0.235 | 10896 | 0.443359375 |
| lena16.bmp | lena16.bmp-G_0.75-H1e-005_af5.wfa                     | 24576 | 8192 |      | 18 | 10608 | 144 | 144 | 16 | 32 | 18.63978258 | 0.125 | 10896 | 0.443359375 |
| lena16.bmp | lena16.bmp-G_0.75-H2e-005_af5.wfa                     | 24576 | 8192 |      | 18 | 10608 | 144 | 144 | 16 | 32 | 18.63978258 | 0.109 | 10896 | 0.443359375 |
| lena16.bmp | lena16.bmp-withWavelet_haar-G_0.75-H0.0001_af2.wfa    | 6144  | 2048 | 2048 | 10 | 3440  | 80  | 80  | 16 | 16 | 18.582692   | 0.016 | 3600  | 0.5859375   |
| lena16.bmp | lena16.bmp-withWavelet_rbio1.1-G_0.75-H0.0001_af2.wfa | 6144  | 2048 | 2048 | 10 | 3440  | 80  | 80  | 16 | 16 | 18.582692   | 0.016 | 3600  | 0.5859375   |
| lena16.bmp | lena16.bmp-withWavelet_sym1-G_0.75-H0.0001_af2.wfa    | 6144  | 2048 | 2048 | 10 | 3440  | 80  | 80  | 16 | 16 | 18.582692   | 0.031 | 3600  | 0.5859375   |
| lena16.bmp | lena16.bmp-withWavelet_bior1.1-G_0.75-H0.0001_af2.wfa | 6144  | 2048 | 2048 | 10 | 3440  | 80  | 80  | 16 | 16 | 18.582692   | 0.015 | 3600  | 0.5859375   |
| lena16.bmp | lena16.bmp-withWavelet_haar-G_1-H3e-005_af5.wfa       | 6144  | 2048 | 2048 | 13 | 5648  | 104 | 104 | 16 | 16 | 18.56189519 | 0.016 | 5856  | 0.953125    |
| lena16.bmp | lena16.bmp-withWavelet_rbio1.1-G_1-H3e-005_af5.wfa    | 6144  | 2048 | 2048 | 13 | 5648  | 104 | 104 | 16 | 16 | 18.56189519 | 0.015 | 5856  | 0.953125    |
| lena16.bmp | lena16.bmp-withWavelet_sym1-G_1-H3e-005_af5.wfa       | 6144  | 2048 | 2048 | 13 | 5648  | 104 | 104 | 16 | 16 | 18.56189519 | 0.031 | 5856  | 0.953125    |
| lena16.bmp | lena16.bmp-withWavelet_bior1.1-G_1-H3e-005_af5.wfa    | 6144  | 2048 | 2048 | 13 | 5648  | 104 | 104 | 16 | 16 | 18.56189519 | 0.032 | 5856  | 0.953125    |
| lena16.bmp | lena16.bmp-G_1-H1e-005_af2.wfa                        | 24576 | 8192 |      | 18 | 10608 | 144 | 144 | 16 | 32 | 18.51131834 | 0.14  | 10896 | 0.443359375 |
| lena16.bmp | lena16.bmp-withWavelet_haar-G_0.75-H9e-005_af2.wfa    | 6144  | 2048 | 2048 | 10 | 3440  | 80  | 80  | 16 | 16 | 18.50720991 | 0.015 | 3600  | 0.5859375   |
| lena16.bmp | lena16.bmp-withWavelet_rbio1.1-G_0.75-H9e-005_af2.wfa | 6144  | 2048 | 2048 | 10 | 3440  | 80  | 80  | 16 | 16 | 18.50720991 | 0.016 | 3600  | 0.5859375   |
| lena16.bmp | lena16.bmp-withWavelet_sym1-G_0.75-H9e-005_af2.wfa    | 6144  | 2048 | 2048 | 10 | 3440  | 80  | 80  | 16 | 16 | 18.50720991 | 0.016 | 3600  | 0.5859375   |
| lena16.bmp | lena16.bmp-withWavelet_bior1.1-G_0.75-H9e-005_af2.wfa | 6144  | 2048 | 2048 | 10 | 3440  | 80  | 80  | 16 | 16 | 18.50720991 | 0.016 | 3600  | 0.5859375   |
| lena16.bmp | lena16.bmp-withWavelet_haar-G_1-H8e-005_af2.wfa       | 6144  | 2048 | 2048 | 10 | 3440  | 80  | 80  | 16 | 16 | 18.46392369 | 0.016 | 3600  | 0.5859375   |
| lena16.bmp | lena16.bmp-withWavelet_rbio1.1-G_1-H8e-005_af2.wfa    | 6144  | 2048 | 2048 | 10 | 3440  | 80  | 80  | 16 | 16 | 18.46392369 | 0.016 | 3600  | 0.5859375   |
| lena16.bmp | lena16.bmp-withWavelet_sym1-G_1-H8e-005_af2.wfa       | 6144  | 2048 | 2048 | 10 | 3440  | 80  | 80  | 16 | 16 | 18.46392369 | 0.031 | 3600  | 0.5859375   |
| lena16.bmp | lena16.bmp-withWavelet_bior1.1-G_1-H8e-005_af2.wfa    | 6144  | 2048 | 2048 | 10 | 3440  | 80  | 80  | 16 | 16 | 18.46392369 | 0.031 | 3600  | 0.5859375   |
| lena16.bmp | lena16.bmp-withWavelet_haar-G_1-H9e-005_af2.wfa       | 6144  | 2048 | 2048 | 10 | 3440  | 80  | 80  | 16 | 16 | 18.46392369 | 0.016 | 3600  | 0.5859375   |
| lena16.bmp | lena16.bmp-withWavelet_rbio1.1-G_1-H9e-005_af2.wfa    | 6144  | 2048 | 2048 | 10 | 3440  | 80  | 80  | 16 | 16 | 18.46392369 | 0.015 | 3600  | 0.5859375   |
| lena16.bmp | lena16.bmp-withWavelet_sym1-G_1-H9e-005_af2.wfa       | 6144  | 2048 | 2048 | 10 | 3440  | 80  | 80  | 16 | 16 | 18.46392369 | 0.032 | 3600  | 0.5859375   |
| lena16.bmp | lena16.bmp-withWavelet_bior1.1-G_1-H9e-005_af2.wfa    | 6144  | 2048 | 2048 | 10 | 3440  | 80  | 80  | 16 | 16 | 18.46392369 | 0.016 | 3600  | 0.5859375   |
| lena16.bmp | lena16.bmp-withWavelet_haar-G_1-H0.0001_af2.wfa       | 6144  | 2048 | 2048 | 10 | 3440  | 80  | 80  | 16 | 16 | 18.46392369 | 0.031 | 3600  | 0.5859375   |
| lena16.bmp | lena16.bmp-withWavelet_rbio1.1-G_1-H0.0001_af2.wfa    | 6144  | 2048 | 2048 | 10 | 3440  | 80  | 80  | 16 | 16 | 18.46392369 | 0.016 | 3600  | 0.5859375   |
| lena16.bmp | lena16.bmp-withWavelet_sym1-G_1-H0.0001_af2.wfa       | 6144  | 2048 | 2048 | 10 | 3440  | 80  | 80  | 16 | 16 | 18.46392369 | 0.016 | 3600  | 0.5859375   |
| lena16.bmp | lena16.bmp-withWavelet_bior1.1-G_1-H0.0001_af2.wfa    | 6144  | 2048 | 2048 | 10 | 3440  | 80  | 80  | 16 | 16 | 18.46392369 | 0.015 | 3600  | 0.5859375   |
| lena16.bmp | lena16.bmp-G_0.75-H3e-005_af5.wfa                     | 24576 | 8192 |      | 17 | 9488  | 136 | 136 | 16 | 32 | 18.45498112 | 0.109 | 9760  | 0.397135417 |
| lena16.bmp | lena16.bmp-G_1-H3e-005_af5.wfa                        | 24576 | 8192 |      | 17 | 9488  | 136 | 136 | 16 | 32 | 18.44691071 | 0.11  | 9760  | 0.397135417 |
| lena16.bmp | lena16.bmp-G_0.75-H4e-005_af5.wfa                     | 24576 | 8192 |      | 16 | 8432  | 128 | 128 | 16 | 32 | 18.40738561 | 0.11  | 8688  | 0.353515625 |

|            |   |       |      |      |    |       |     |     |    |    |             |       |       |             |
|------------|---|-------|------|------|----|-------|-----|-----|----|----|-------------|-------|-------|-------------|
| lena16.bmp | lena16.bmp-G_0.75-H1e-005_af2.wfa                     | 24576 | 8192 |      | 17 | 9488  | 136 | 136 | 16 | 32 | 18.39338765 | 0.125 | 9760  | 0.397135417 |
| lena16.bmp | lena16.bmp-G_1-H1e-005_af3.wfa                        | 24576 | 8192 |      | 19 | 11792 | 152 | 152 | 16 | 32 | 18.3460083  | 0.156 | 12096 | 0.4921875   |
| lena16.bmp | lena16.bmp-G_1-H2e-005_af3.wfa                        | 24576 | 8192 |      | 18 | 10608 | 144 | 144 | 16 | 32 | 18.32948461 | 0.11  | 10896 | 0.443359375 |
| lena16.bmp | lena16.bmp-G_1-H1e-005_af1.wfa                        | 24576 | 8192 |      | 19 | 11792 | 152 | 152 | 16 | 32 | 18.30517123 | 0.14  | 12096 | 0.4921875   |
| lena16.bmp | lena16.bmp-G_0.75-H5e-005_af5.wfa                     | 24576 | 8192 |      | 16 | 8432  | 128 | 128 | 16 | 32 | 18.30352115 | 0.109 | 8688  | 0.353515625 |
| lena16.bmp | lena16.bmp-G_0.75-H1e-005_af3.wfa                     | 24576 | 8192 |      | 19 | 11792 | 152 | 152 | 16 | 32 | 18.30220733 | 0.125 | 12096 | 0.4921875   |
| lena16.bmp | lena16.bmp-G_1-H4e-005_af5.wfa                        | 24576 | 8192 |      | 16 | 8432  | 128 | 128 | 16 | 32 | 18.29543988 | 0.11  | 8688  | 0.353515625 |
| lena16.bmp | lena16.bmp-G_1-H2e-005_af2.wfa                        | 24576 | 8192 |      | 16 | 8432  | 128 | 128 | 16 | 32 | 18.29056929 | 0.14  | 8688  | 0.353515625 |
| lena16.bmp | lena16.bmp-withWavelet_haar-G_0.75-H6e-005_af5.wfa    | 6144  | 2048 | 2048 | 11 | 4112  | 88  | 88  | 16 | 16 | 18.28140507 | 0.016 | 4288  | 0.697916667 |
| lena16.bmp | lena16.bmp-withWavelet_rbio1.1-G_0.75-H6e-005_af5.wfa | 6144  | 2048 | 2048 | 11 | 4112  | 88  | 88  | 16 | 16 | 18.28140507 | 0.031 | 4288  | 0.697916667 |
| lena16.bmp | lena16.bmp-withWavelet_sym1-G_0.75-H6e-005_af5.wfa    | 6144  | 2048 | 2048 | 11 | 4112  | 88  | 88  | 16 | 16 | 18.28140507 | 0.062 | 4288  | 0.697916667 |
| lena16.bmp | lena16.bmp-withWavelet_bior1.1-G_0.75-H6e-005_af5.wfa | 6144  | 2048 | 2048 | 11 | 4112  | 88  | 88  | 16 | 16 | 18.28140507 | 0.016 | 4288  | 0.697916667 |
| lena16.bmp | lena16.bmp-G_1-H3e-005_af1.wfa                        | 24576 | 8192 |      | 17 | 9488  | 136 | 136 | 16 | 32 | 18.27554921 | 0.14  | 9760  | 0.397135417 |
| lena16.bmp | lena16.bmp-G_0.75-H1e-005_af1.wfa                     | 24576 | 8192 |      | 19 | 11792 | 152 | 152 | 16 | 32 | 18.25255798 | 0.125 | 12096 | 0.4921875   |
| lena16.bmp | lena16.bmp-G_1-H2e-005_af1.wfa                        | 24576 | 8192 |      | 18 | 10608 | 144 | 144 | 16 | 32 | 18.25035871 | 0.11  | 10896 | 0.443359375 |
| lena16.bmp | lena16.bmp-G_0.75-H3e-005_af1.wfa                     | 24576 | 8192 |      | 17 | 9488  | 136 | 136 | 16 | 32 | 18.2261819  | 0.125 | 9760  | 0.397135417 |
| lena16.bmp | lena16.bmp-G_0.75-H2e-005_af3.wfa                     | 24576 | 8192 |      | 18 | 10608 | 144 | 144 | 16 | 32 | 18.19393569 | 0.141 | 10896 | 0.443359375 |
| lena16.bmp | lena16.bmp-G_0.75-H2e-005_af1.wfa                     | 24576 | 8192 |      | 18 | 10608 | 144 | 144 | 16 | 32 | 18.19302786 | 0.125 | 10896 | 0.443359375 |
| lena16.bmp | lena16.bmp-withWavelet_haar-G_1-H4e-005_af5.wfa       | 6144  | 2048 | 2048 | 12 | 4848  | 96  | 96  | 16 | 16 | 18.18448836 | 0.016 | 5040  | 0.8203125   |
| lena16.bmp | lena16.bmp-withWavelet_rbio1.1-G_1-H4e-005_af5.wfa    | 6144  | 2048 | 2048 | 12 | 4848  | 96  | 96  | 16 | 16 | 18.18448836 | 0.031 | 5040  | 0.8203125   |
| lena16.bmp | lena16.bmp-withWavelet_sym1-G_1-H4e-005_af5.wfa       | 6144  | 2048 | 2048 | 12 | 4848  | 96  | 96  | 16 | 16 | 18.18448836 | 0.015 | 5040  | 0.8203125   |
| lena16.bmp | lena16.bmp-withWavelet_bior1.1-G_1-H4e-005_af5.wfa    | 6144  | 2048 | 2048 | 12 | 4848  | 96  | 96  | 16 | 16 | 18.18448836 | 0.016 | 5040  | 0.8203125   |
| lena16.bmp | lena16.bmp-G_0.75-H2e-005_af2.wfa                     | 24576 | 8192 |      | 15 | 7440  | 120 | 120 | 16 | 32 | 18.15756641 | 0.11  | 7680  | 0.3125      |
| lena16.bmp | lena16.bmp-G_1-H5e-005_af5.wfa                        | 24576 | 8192 |      | 15 | 7440  | 120 | 120 | 16 | 32 | 18.13474963 | 0.094 | 7680  | 0.3125      |
| lena16.bmp | lena16.bmp-G_1-H3e-005_af3.wfa                        | 24576 | 8192 |      | 16 | 8432  | 128 | 128 | 16 | 32 | 18.07658859 | 0.109 | 8688  | 0.353515625 |
| lena16.bmp | lena16.bmp-G_1-H4e-005_af1.wfa                        | 24576 | 8192 |      | 15 | 7440  | 120 | 120 | 16 | 32 | 18.06337911 | 0.094 | 7680  | 0.3125      |
| lena16.bmp | lena16.bmp-G_0.75-H3e-005_af2.wfa                     | 24576 | 8192 |      | 14 | 6512  | 112 | 112 | 16 | 32 | 18.02061227 | 0.094 | 6736  | 0.274088542 |
| lena16.bmp | lena16.bmp-G_1-H3e-005_af2.wfa                        | 24576 | 8192 |      | 14 | 6512  | 112 | 112 | 16 | 32 | 18.02025957 | 0.094 | 6736  | 0.274088542 |
| lena16.bmp | lena16.bmp-withWavelet_haar-G_0.5-H6e-005_af5.wfa     | 6144  | 2048 | 2048 | 8  | 2288  | 64  | 64  | 16 | 16 | 18.01767779 | 0.016 | 2416  | 0.393229167 |
| lena16.bmp | lena16.bmp-withWavelet_rbio1.1-G_0.5-H6e-005_af5.wfa  | 6144  | 2048 | 2048 | 8  | 2288  | 64  | 64  | 16 | 16 | 18.01767779 | 0.016 | 2416  | 0.393229167 |
| lena16.bmp | lena16.bmp-withWavelet_sym1-G_0.5-H6e-005_af5.wfa     | 6144  | 2048 | 2048 | 8  | 2288  | 64  | 64  | 16 | 16 | 18.01767779 | 0.015 | 2416  | 0.393229167 |

|            |  |       |      |      |    |      |     |     |    |    |             |       |      |             |
|------------|--|-------|------|------|----|------|-----|-----|----|----|-------------|-------|------|-------------|
| lena16.bmp | lena16.bmp-withWavelet_bior1.1-G_0.5-H6e-005_af5.wfa | 6144  | 2048 | 2048 | 8  | 2288 | 64  | 64  | 16 | 16 | 18.01767779 | 0.016 | 2416 | 0.393229167 |
| lena16.bmp | lena16.bmp-withWavelet_haar-G_0.5-H7e-005_af5.wfa    | 6144  | 2048 | 2048 | 8  | 2288 | 64  | 64  | 16 | 16 | 18.01767779 | 0.016 | 2416 | 0.393229167 |
| lena16.bmp | lena16.bmp-withWavelet_rbio1.1-G_0.5-H7e-005_af5.wfa | 6144  | 2048 | 2048 | 8  | 2288 | 64  | 64  | 16 | 16 | 18.01767779 | 0.015 | 2416 | 0.393229167 |
| lena16.bmp | lena16.bmp-withWavelet_sym1-G_0.5-H7e-005_af5.wfa    | 6144  | 2048 | 2048 | 8  | 2288 | 64  | 64  | 16 | 16 | 18.01767779 | 0.016 | 2416 | 0.393229167 |
| lena16.bmp | lena16.bmp-withWavelet_bior1.1-G_0.5-H7e-005_af5.wfa | 6144  | 2048 | 2048 | 8  | 2288 | 64  | 64  | 16 | 16 | 18.01767779 | 0.016 | 2416 | 0.393229167 |
| lena16.bmp | lena16.bmp-withWavelet_haar-G_0.5-H8e-005_af5.wfa    | 6144  | 2048 | 2048 | 8  | 2288 | 64  | 64  | 16 | 16 | 18.01767779 | 0.015 | 2416 | 0.393229167 |
| lena16.bmp | lena16.bmp-withWavelet_rbio1.1-G_0.5-H8e-005_af5.wfa | 6144  | 2048 | 2048 | 8  | 2288 | 64  | 64  | 16 | 16 | 18.01767779 | 0.015 | 2416 | 0.393229167 |
| lena16.bmp | lena16.bmp-withWavelet_sym1-G_0.5-H8e-005_af5.wfa    | 6144  | 2048 | 2048 | 8  | 2288 | 64  | 64  | 16 | 16 | 18.01767779 | 0.015 | 2416 | 0.393229167 |
| lena16.bmp | lena16.bmp-withWavelet_bior1.1-G_0.5-H8e-005_af5.wfa | 6144  | 2048 | 2048 | 8  | 2288 | 64  | 64  | 16 | 16 | 18.01767779 | 0.031 | 2416 | 0.393229167 |
| lena16.bmp | lena16.bmp-withWavelet_haar-G_0.5-H9e-005_af5.wfa    | 6144  | 2048 | 2048 | 8  | 2288 | 64  | 64  | 16 | 16 | 18.01767779 | 0.016 | 2416 | 0.393229167 |
| lena16.bmp | lena16.bmp-withWavelet_rbio1.1-G_0.5-H9e-005_af5.wfa | 6144  | 2048 | 2048 | 8  | 2288 | 64  | 64  | 16 | 16 | 18.01767779 | 0.032 | 2416 | 0.393229167 |
| lena16.bmp | lena16.bmp-withWavelet_sym1-G_0.5-H9e-005_af5.wfa    | 6144  | 2048 | 2048 | 8  | 2288 | 64  | 64  | 16 | 16 | 18.01767779 | 0.015 | 2416 | 0.393229167 |
| lena16.bmp | lena16.bmp-withWavelet_bior1.1-G_0.5-H9e-005_af5.wfa | 6144  | 2048 | 2048 | 8  | 2288 | 64  | 64  | 16 | 16 | 18.01767779 | 0.016 | 2416 | 0.393229167 |
| lena16.bmp | lena16.bmp-withWavelet_haar-G_0.5-H0.0001_af5.wfa    | 6144  | 2048 | 2048 | 8  | 2288 | 64  | 64  | 16 | 16 | 18.01767779 | 0.031 | 2416 | 0.393229167 |
| lena16.bmp | lena16.bmp-withWavelet_rbio1.1-G_0.5-H0.0001_af5.wfa | 6144  | 2048 | 2048 | 8  | 2288 | 64  | 64  | 16 | 16 | 18.01767779 | 0.016 | 2416 | 0.393229167 |
| lena16.bmp | lena16.bmp-withWavelet_sym1-G_0.5-H0.0001_af5.wfa    | 6144  | 2048 | 2048 | 8  | 2288 | 64  | 64  | 16 | 16 | 18.01767779 | 0.031 | 2416 | 0.393229167 |
| lena16.bmp | lena16.bmp-withWavelet_bior1.1-G_0.5-H0.0001_af5.wfa | 6144  | 2048 | 2048 | 8  | 2288 | 64  | 64  | 16 | 16 | 18.01767779 | 0.032 | 2416 | 0.393229167 |
| lena16.bmp | lena16.bmp-G_0.75-H4e-005_af1.wfa                    | 24576 | 8192 |      | 15 | 7440 | 120 | 120 | 16 | 32 | 18.01348943 | 0.11  | 7680 | 0.3125      |
| lena16.bmp | lena16.bmp-G_0.75-H6e-005_af5.wfa                    | 24576 | 8192 |      | 14 | 6512 | 112 | 112 | 16 | 32 | 18.00780307 | 0.094 | 6736 | 0.274088542 |
| lena16.bmp | lena16.bmp-G_0.75-H3e-005_af3.wfa                    | 24576 | 8192 |      | 16 | 8432 | 128 | 128 | 16 | 32 | 17.9619028  | 0.109 | 8688 | 0.353515625 |
| lena16.bmp | lena16.bmp-G_1-H6e-005_af5.wfa                       | 24576 | 8192 |      | 14 | 6512 | 112 | 112 | 16 | 32 | 17.95305509 | 0.094 | 6736 | 0.274088542 |
| lena16.bmp | lena16.bmp-G_1-H5e-005_af1.wfa                       | 24576 | 8192 |      | 14 | 6512 | 112 | 112 | 16 | 32 | 17.91994905 | 0.094 | 6736 | 0.274088542 |
| lena16.bmp | lena16.bmp-G_1-H7e-005_af1.wfa                       | 24576 | 8192 |      | 13 | 5648 | 104 | 104 | 16 | 32 | 17.85783324 | 0.094 | 5856 | 0.23828125  |
| lena16.bmp | lena16.bmp-G_1-H7e-005_af5.wfa                       | 24576 | 8192 |      | 13 | 5648 | 104 | 104 | 16 | 32 | 17.84858054 | 0.094 | 5856 | 0.23828125  |
| lena16.bmp | lena16.bmp-G_1-H8e-005_af5.wfa                       | 24576 | 8192 |      | 13 | 5648 | 104 | 104 | 16 | 32 | 17.84858054 | 0.109 | 5856 | 0.23828125  |
| lena16.bmp | lena16.bmp-G_0.75-H6e-005_af2.wfa                    | 24576 | 8192 |      | 13 | 5648 | 104 | 104 | 16 | 32 | 17.83573573 | 0.109 | 5856 | 0.23828125  |
| lena16.bmp | lena16.bmp-G_0.75-H7e-005_af2.wfa                    | 24576 | 8192 |      | 13 | 5648 | 104 | 104 | 16 | 32 | 17.83573573 | 0.094 | 5856 | 0.23828125  |
| lena16.bmp | lena16.bmp-G_0.75-H8e-005_af2.wfa                    | 24576 | 8192 |      | 13 | 5648 | 104 | 104 | 16 | 32 | 17.83573573 | 0.109 | 5856 | 0.23828125  |
| lena16.bmp | lena16.bmp-G_0.75-H4e-005_af2.wfa                    | 24576 | 8192 |      | 13 | 5648 | 104 | 104 | 16 | 32 | 17.83573573 | 0.093 | 5856 | 0.23828125  |
| lena16.bmp | lena16.bmp-G_0.75-H5e-005_af2.wfa                    | 24576 | 8192 |      | 13 | 5648 | 104 | 104 | 16 | 32 | 17.83573573 | 0.094 | 5856 | 0.23828125  |
| lena16.bmp | lena16.bmp-G_1-H4e-005_af2.wfa                       | 24576 | 8192 |      | 13 | 5648 | 104 | 104 | 16 | 32 | 17.83408956 | 0.109 | 5856 | 0.23828125  |

|            |  |         |        |      |    |       |     |     |    |     |             |        |       |             |
|------------|--|---------|--------|------|----|-------|-----|-----|----|-----|-------------|--------|-------|-------------|
| lena16.bmp | lena16.bmp-G_1-H5e-005_af2.wfa                     | 24576   | 8192   |      | 13 | 5648  | 104 | 104 | 16 | 32  | 17.83408956 | 0.093  | 5856  | 0.23828125  |
| lena16.bmp | lena16.bmp-G_1-H6e-005_af2.wfa                     | 24576   | 8192   |      | 13 | 5648  | 104 | 104 | 16 | 32  | 17.83408956 | 0.11   | 5856  | 0.23828125  |
| lena16.bmp | lena16.bmp-G_1-H7e-005_af2.wfa                     | 24576   | 8192   |      | 13 | 5648  | 104 | 104 | 16 | 32  | 17.83408956 | 0.109  | 5856  | 0.23828125  |
| lena16.bmp | lena16.bmp-G_1-H8e-005_af2.wfa                     | 24576   | 8192   |      | 13 | 5648  | 104 | 104 | 16 | 32  | 17.83408956 | 0.094  | 5856  | 0.23828125  |
| lena16.bmp | lena16.bmp-withWavelet_haar1-G_1-H5e-005_af5.wfa   | 6144    | 2048   | 2048 | 11 | 4112  | 88  | 88  | 16 | 16  | 17.82828765 | 0.031  | 4288  | 0.697916667 |
| lena16.bmp | lena16.bmp-withWavelet_rbio1.1-G_1-H5e-005_af5.wfa | 6144    | 2048   | 2048 | 11 | 4112  | 88  | 88  | 16 | 16  | 17.82828765 | 0.016  | 4288  | 0.697916667 |
| lena16.bmp | lena16.bmp-withWavelet_sym1-G_1-H5e-005_af5.wfa    | 6144    | 2048   | 2048 | 11 | 4112  | 88  | 88  | 16 | 16  | 17.82828765 | 0.016  | 4288  | 0.697916667 |
| lena16.bmp | lena16.bmp-withWavelet_bior1.1-G_1-H5e-005_af5.wfa | 6144    | 2048   | 2048 | 11 | 4112  | 88  | 88  | 16 | 16  | 17.82828765 | 0.016  | 4288  | 0.697916667 |
| lena16.bmp | lena16.bmp-G_1-H4e-005_af3.wfa                     | 24576   | 8192   |      | 14 | 6512  | 112 | 112 | 16 | 32  | 17.82367719 | 0.109  | 6736  | 0.274088542 |
| lena16.bmp | lena16.bmp-G_1-H1e-005_af5.wfa                     | 1572864 | 524288 |      | 18 | 10608 | 144 | 144 | 16 | 256 | 17.81672443 | 9.391  | 10896 | 0.00692749  |
| lena16.bmp | lena16.bmp-G_1-H2e-005_af5.wfa                     | 1572864 | 524288 |      | 18 | 10608 | 144 | 144 | 16 | 256 | 17.81672443 | 8.953  | 10896 | 0.00692749  |
| lena16.bmp | lena16.bmp-G_0.75-H1e-005_af5.wfa                  | 1572864 | 524288 |      | 18 | 10608 | 144 | 144 | 16 | 256 | 17.81275715 | 9.703  | 10896 | 0.00692749  |
| lena16.bmp | lena16.bmp-G_0.75-H2e-005_af5.wfa                  | 1572864 | 524288 |      | 18 | 10608 | 144 | 144 | 16 | 256 | 17.81275715 | 9.062  | 10896 | 0.00692749  |
| lena16.bmp | lena16.bmp-G_1-H1e-005_af2.wfa                     | 1572864 | 524288 |      | 18 | 10608 | 144 | 144 | 16 | 256 | 17.75897055 | 9.5    | 10896 | 0.00692749  |
| lena16.bmp | lena16.bmp-G_0.75-H7e-005_af5.wfa                  | 24576   | 8192   |      | 13 | 5648  | 104 | 104 | 16 | 32  | 17.74871523 | 0.109  | 5856  | 0.23828125  |
| lena16.bmp | lena16.bmp-G_1-H3e-005_af5.wfa                     | 1572864 | 524288 |      | 17 | 9488  | 136 | 136 | 16 | 256 | 17.72158934 | 8.625  | 9760  | 0.006205241 |
| lena16.bmp | lena16.bmp-G_0.75-H3e-005_af5.wfa                  | 1572864 | 524288 |      | 17 | 9488  | 136 | 136 | 16 | 256 | 17.71291354 | 8.656  | 9760  | 0.006205241 |
| lena16.bmp | lena16.bmp-G_0.75-H1e-005_af2.wfa                  | 1572864 | 524288 |      | 17 | 9488  | 136 | 136 | 16 | 256 | 17.70802507 | 8.906  | 9760  | 0.006205241 |
| lena16.bmp | lena16.bmp-G_0.75-H0.0001_af2.wfa                  | 24576   | 8192   |      | 12 | 4848  | 96  | 96  | 16 | 32  | 17.69655637 | 0.094  | 5040  | 0.205078125 |
| lena16.bmp | lena16.bmp-G_1-H1e-005_af3.wfa                     | 1572864 | 524288 |      | 19 | 11792 | 152 | 152 | 16 | 256 | 17.69460296 | 9.704  | 12096 | 0.00769043  |
| lena16.bmp | lena16.bmp-G_0.75-H4e-005_af5.wfa                  | 1572864 | 524288 |      | 16 | 8432  | 128 | 128 | 16 | 256 | 17.69034364 | 8.187  | 8688  | 0.005523682 |
| lena16.bmp | lena16.bmp-G_0.75-H8e-005_af5.wfa                  | 24576   | 8192   |      | 12 | 4848  | 96  | 96  | 16 | 32  | 17.69010684 | 0.093  | 5040  | 0.205078125 |
| lena16.bmp | lena16.bmp-G_0.75-H9e-005_af5.wfa                  | 24576   | 8192   |      | 12 | 4848  | 96  | 96  | 16 | 32  | 17.69010684 | 0.093  | 5040  | 0.205078125 |
| lena16.bmp | lena16.bmp-G_0.75-H0.0001_af5.wfa                  | 24576   | 8192   |      | 12 | 4848  | 96  | 96  | 16 | 32  | 17.69010684 | 0.109  | 5040  | 0.205078125 |
| lena16.bmp | lena16.bmp-G_1-H2e-005_af3.wfa                     | 1572864 | 524288 |      | 18 | 10608 | 144 | 144 | 16 | 256 | 17.68294596 | 9.313  | 10896 | 0.00692749  |
| lena16.bmp | lena16.bmp-G_1-H2e-005_af2.wfa                     | 1572864 | 524288 |      | 16 | 8432  | 128 | 128 | 16 | 256 | 17.67939786 | 8.609  | 8688  | 0.005523682 |
| lena16.bmp | lena16.bmp-G_1-H6e-005_af1.wfa                     | 24576   | 8192   |      | 13 | 5648  | 104 | 104 | 16 | 32  | 17.67472368 | 0.094  | 5856  | 0.23828125  |
| lena16.bmp | lena16.bmp-G_0.75-H6e-005_af1.wfa                  | 24576   | 8192   |      | 13 | 5648  | 104 | 104 | 16 | 32  | 17.66411928 | 0.094  | 5856  | 0.23828125  |
| lena16.bmp | lena16.bmp-G_0.75-H7e-005_af1.wfa                  | 24576   | 8192   |      | 13 | 5648  | 104 | 104 | 16 | 32  | 17.66411928 | 0.093  | 5856  | 0.23828125  |
| lena16.bmp | lena16.bmp-G_0.75-H5e-005_af1.wfa                  | 24576   | 8192   |      | 13 | 5648  | 104 | 104 | 16 | 32  | 17.66411928 | 0.094  | 5856  | 0.23828125  |
| lena16.bmp | lena16.bmp-G_1-H1e-005_af1.wfa                     | 1572864 | 524288 |      | 19 | 11792 | 152 | 152 | 16 | 256 | 17.65488355 | 10.093 | 12096 | 0.00769043  |

|            |   |         |        |      |    |       |     |     |    |     |             |        |       |             |
|------------|---|---------|--------|------|----|-------|-----|-----|----|-----|-------------|--------|-------|-------------|
| lena16.bmp | lena16.bmp-G_1-H3e-005_af1.wfa                        | 1572864 | 524288 |      | 17 | 9488  | 136 | 136 | 16 | 256 | 17.65172244 | 9.609  | 9760  | 0.006205241 |
| lena16.bmp | lena16.bmp-G_1-H4e-005_af5.wfa                        | 1572864 | 524288 |      | 16 | 8432  | 128 | 128 | 16 | 256 | 17.6503772  | 8.25   | 8688  | 0.005523682 |
| lena16.bmp | lena16.bmp-G_0.75-H5e-005_af5.wfa                     | 1572864 | 524288 |      | 16 | 8432  | 128 | 128 | 16 | 256 | 17.64279995 | 8.359  | 8688  | 0.005523682 |
| lena16.bmp | lena16.bmp-G_0.75-H1e-005_af3.wfa                     | 1572864 | 524288 |      | 19 | 11792 | 152 | 152 | 16 | 256 | 17.63959758 | 9.828  | 12096 | 0.00769043  |
| lena16.bmp | lena16.bmp-G_1-H2e-005_af1.wfa                        | 1572864 | 524288 |      | 18 | 10608 | 144 | 144 | 16 | 256 | 17.62999693 | 9.546  | 10896 | 0.00692749  |
| lena16.bmp | lena16.bmp-G_1-H5e-005_af3.wfa                        | 24576   | 8192   |      | 13 | 5648  | 104 | 104 | 16 | 32  | 17.6279452  | 0.109  | 5856  | 0.23828125  |
| lena16.bmp | lena16.bmp-G_0.75-H4e-005_af3.wfa                     | 24576   | 8192   |      | 13 | 5648  | 104 | 104 | 16 | 32  | 17.61628814 | 0.094  | 5856  | 0.23828125  |
| lena16.bmp | lena16.bmp-G_0.75-H5e-005_af3.wfa                     | 24576   | 8192   |      | 13 | 5648  | 104 | 104 | 16 | 32  | 17.61628814 | 0.094  | 5856  | 0.23828125  |
| lena16.bmp | lena16.bmp-G_1-H1e-005_af5.wfa                        | 98304   | 32768  |      | 18 | 10608 | 144 | 144 | 16 | 64  | 17.60902599 | 0.531  | 10896 | 0.110839844 |
| lena16.bmp | lena16.bmp-G_1-H2e-005_af5.wfa                        | 98304   | 32768  |      | 18 | 10608 | 144 | 144 | 16 | 64  | 17.60902599 | 0.515  | 10896 | 0.110839844 |
| lena16.bmp | lena16.bmp-G_1-H3e-005_af2.wfa                        | 1572864 | 524288 |      | 14 | 6512  | 112 | 112 | 16 | 256 | 17.60772366 | 7.75   | 6736  | 0.004282633 |
| lena16.bmp | lena16.bmp-G_0.75-H1e-005_af5.wfa                     | 98304   | 32768  |      | 18 | 10608 | 144 | 144 | 16 | 64  | 17.6052857  | 0.531  | 10896 | 0.110839844 |
| lena16.bmp | lena16.bmp-G_0.75-H2e-005_af5.wfa                     | 98304   | 32768  |      | 18 | 10608 | 144 | 144 | 16 | 64  | 17.6052857  | 0.5    | 10896 | 0.110839844 |
| lena16.bmp | lena16.bmp-G_0.75-H2e-005_af2.wfa                     | 1572864 | 524288 |      | 15 | 7440  | 120 | 120 | 16 | 256 | 17.59903877 | 8.062  | 7680  | 0.004882813 |
| lena16.bmp | lena16.bmp-G_0.75-H3e-005_af1.wfa                     | 1572864 | 524288 |      | 17 | 9488  | 136 | 136 | 16 | 256 | 17.594458   | 8.641  | 9760  | 0.006205241 |
| lena16.bmp | lena16.bmp-G_0.75-H1e-005_af1.wfa                     | 1572864 | 524288 |      | 19 | 11792 | 152 | 152 | 16 | 256 | 17.59148352 | 9.562  | 12096 | 0.00769043  |
| lena16.bmp | lena16.bmp-G_0.75-H3e-005_af2.wfa                     | 1572864 | 524288 |      | 14 | 6512  | 112 | 112 | 16 | 256 | 17.58376696 | 7.594  | 6736  | 0.004282633 |
| lena16.bmp | lena16.bmp-G_1-H0.0001_af2.wfa                        | 24576   | 8192   |      | 11 | 4112  | 88  | 88  | 16 | 32  | 17.58337091 | 0.094  | 4288  | 0.174479167 |
| lena16.bmp | lena16.bmp-G_0.75-H2e-005_af3.wfa                     | 1572864 | 524288 |      | 18 | 10608 | 144 | 144 | 16 | 256 | 17.58055583 | 10.344 | 10896 | 0.00692749  |
| lena16.bmp | lena16.bmp-G_1-H1e-005_af5.wfa                        | 393216  | 131072 |      | 18 | 10608 | 144 | 144 | 16 | 128 | 17.57064928 | 2.265  | 10896 | 0.027709961 |
| lena16.bmp | lena16.bmp-G_1-H2e-005_af5.wfa                        | 393216  | 131072 |      | 18 | 10608 | 144 | 144 | 16 | 128 | 17.57064928 | 2.062  | 10896 | 0.027709961 |
| lena16.bmp | lena16.bmp-G_0.75-H1e-005_af5.wfa                     | 393216  | 131072 |      | 18 | 10608 | 144 | 144 | 16 | 128 | 17.56692739 | 2.313  | 10896 | 0.027709961 |
| lena16.bmp | lena16.bmp-G_0.75-H2e-005_af5.wfa                     | 393216  | 131072 |      | 18 | 10608 | 144 | 144 | 16 | 128 | 17.56692739 | 2.093  | 10896 | 0.027709961 |
| lena16.bmp | lena16.bmp-G_1-H5e-005_af5.wfa                        | 1572864 | 524288 |      | 15 | 7440  | 120 | 120 | 16 | 256 | 17.56238786 | 8.078  | 7680  | 0.004882813 |
| lena16.bmp | lena16.bmp-G_0.75-H2e-005_af1.wfa                     | 1572864 | 524288 |      | 18 | 10608 | 144 | 144 | 16 | 256 | 17.56138682 | 8.907  | 10896 | 0.00692749  |
| lena16.bmp | lena16.bmp-G_1-H6e-005_af3.wfa                        | 24576   | 8192   |      | 13 | 5648  | 104 | 104 | 16 | 32  | 17.56130111 | 0.11   | 5856  | 0.23828125  |
| lena16.bmp | lena16.bmp-withWavelet_haar-G_0.75-H7e-005_af5.wfa    | 6144    | 2048   | 2048 | 9  | 2832  | 72  | 72  | 16 | 16  | 17.55908202 | 0.016  | 2976  | 0.484375    |
| lena16.bmp | lena16.bmp-withWavelet_rbio1.1-G_0.75-H7e-005_af5.wfa | 6144    | 2048   | 2048 | 9  | 2832  | 72  | 72  | 16 | 16  | 17.55908202 | 0.015  | 2976  | 0.484375    |
| lena16.bmp | lena16.bmp-withWavelet_sym1-G_0.75-H7e-005_af5.wfa    | 6144    | 2048   | 2048 | 9  | 2832  | 72  | 72  | 16 | 16  | 17.55908202 | 0.015  | 2976  | 0.484375    |
| lena16.bmp | lena16.bmp-withWavelet_bior1.1-G_0.75-H7e-005_af5.wfa | 6144    | 2048   | 2048 | 9  | 2832  | 72  | 72  | 16 | 16  | 17.55908202 | 0.031  | 2976  | 0.484375    |
| lena16.bmp | lena16.bmp-withWavelet_haar-G_0.75-H8e-005_af5.wfa    | 6144    | 2048   | 2048 | 9  | 2832  | 72  | 72  | 16 | 16  | 17.55908202 | 0.016  | 2976  | 0.484375    |

|            |   |         |        |      |    |       |     |     |    |     |             |       |       |             |
|------------|---|---------|--------|------|----|-------|-----|-----|----|-----|-------------|-------|-------|-------------|
| lena16.bmp | lena16.bmp-withWavelet_rbio1.1-G_0.75-H8e-005_af5.wfa | 6144    | 2048   | 2048 | 9  | 2832  | 72  | 72  | 16 | 16  | 17.55908202 | 0.015 | 2976  | 0.484375    |
| lena16.bmp | lena16.bmp-withWavelet_sym1-G_0.75-H8e-005_af5.wfa    | 6144    | 2048   | 2048 | 9  | 2832  | 72  | 72  | 16 | 16  | 17.55908202 | 0.031 | 2976  | 0.484375    |
| lena16.bmp | lena16.bmp-withWavelet_bior1.1-G_0.75-H8e-005_af5.wfa | 6144    | 2048   | 2048 | 9  | 2832  | 72  | 72  | 16 | 16  | 17.55908202 | 0.016 | 2976  | 0.484375    |
| lena16.bmp | lena16.bmp-G_1-H4e-005_af1.wfa                        | 1572864 | 524288 |      | 15 | 7440  | 120 | 120 | 16 | 256 | 17.55016086 | 7.86  | 7680  | 0.004882813 |
| lena16.bmp | lena16.bmp-withWavelet_haar-G_1-H6e-005_af5.wfa       | 6144    | 2048   | 2048 | 10 | 3440  | 80  | 80  | 16 | 16  | 17.54690411 | 0.016 | 3600  | 0.5859375   |
| lena16.bmp | lena16.bmp-withWavelet_rbio1.1-G_1-H6e-005_af5.wfa    | 6144    | 2048   | 2048 | 10 | 3440  | 80  | 80  | 16 | 16  | 17.54690411 | 0.015 | 3600  | 0.5859375   |
| lena16.bmp | lena16.bmp-withWavelet_sym1-G_1-H6e-005_af5.wfa       | 6144    | 2048   | 2048 | 10 | 3440  | 80  | 80  | 16 | 16  | 17.54690411 | 0.032 | 3600  | 0.5859375   |
| lena16.bmp | lena16.bmp-withWavelet_bior1.1-G_1-H6e-005_af5.wfa    | 6144    | 2048   | 2048 | 10 | 3440  | 80  | 80  | 16 | 16  | 17.54690411 | 0.032 | 3600  | 0.5859375   |
| lena16.bmp | lena16.bmp-withWavelet_haar-G_1-H7e-005_af5.wfa       | 6144    | 2048   | 2048 | 10 | 3440  | 80  | 80  | 16 | 16  | 17.54690411 | 0.031 | 3600  | 0.5859375   |
| lena16.bmp | lena16.bmp-withWavelet_rbio1.1-G_1-H7e-005_af5.wfa    | 6144    | 2048   | 2048 | 10 | 3440  | 80  | 80  | 16 | 16  | 17.54690411 | 0.016 | 3600  | 0.5859375   |
| lena16.bmp | lena16.bmp-withWavelet_sym1-G_1-H7e-005_af5.wfa       | 6144    | 2048   | 2048 | 10 | 3440  | 80  | 80  | 16 | 16  | 17.54690411 | 0.031 | 3600  | 0.5859375   |
| lena16.bmp | lena16.bmp-withWavelet_bior1.1-G_1-H7e-005_af5.wfa    | 6144    | 2048   | 2048 | 10 | 3440  | 80  | 80  | 16 | 16  | 17.54690411 | 0.016 | 3600  | 0.5859375   |
| lena16.bmp | lena16.bmp-G_1-H1e-005_af2.wfa                        | 98304   | 32768  |      | 18 | 10608 | 144 | 144 | 16 | 64  | 17.5448918  | 0.547 | 10896 | 0.110839844 |
| lena16.bmp | lena16.bmp-G_1-H3e-005_af3.wfa                        | 1572864 | 524288 |      | 16 | 8432  | 128 | 128 | 16 | 256 | 17.53880295 | 8.11  | 8688  | 0.005523682 |
| lena16.bmp | lena16.bmp-G_1-H9e-005_af2.wfa                        | 24576   | 8192   |      | 12 | 4848  | 96  | 96  | 16 | 32  | 17.5370688  | 0.094 | 5040  | 0.205078125 |
| lena16.bmp | lena16.bmp-G_1-H1e-005_af2.wfa                        | 393216  | 131072 |      | 18 | 10608 | 144 | 144 | 16 | 128 | 17.51471261 | 2.234 | 10896 | 0.027709961 |
| lena16.bmp | lena16.bmp-G_0.75-H6e-005_af5.wfa                     | 1572864 | 524288 |      | 14 | 6512  | 112 | 112 | 16 | 256 | 17.51226344 | 7.579 | 6736  | 0.004282633 |
| lena16.bmp | lena16.bmp-G_1-H0.0001_af3.wfa                        | 24576   | 8192   |      | 11 | 4112  | 88  | 88  | 16 | 32  | 17.50517904 | 0.094 | 4288  | 0.174479167 |
| lena16.bmp | lena16.bmp-G_1-H5e-005_af1.wfa                        | 1572864 | 524288 |      | 14 | 6512  | 112 | 112 | 16 | 256 | 17.50426723 | 7.516 | 6736  | 0.004282633 |
| lena16.bmp | lena16.bmp-G_1-H8e-005_af1.wfa                        | 24576   | 8192   |      | 12 | 4848  | 96  | 96  | 16 | 32  | 17.50405036 | 0.093 | 5040  | 0.205078125 |
| lena16.bmp | lena16.bmp-G_1-H3e-005_af5.wfa                        | 98304   | 32768  |      | 17 | 9488  | 136 | 136 | 16 | 64  | 17.50348119 | 0.485 | 9760  | 0.099283854 |
| lena16.bmp | lena16.bmp-G_0.75-H9e-005_af2.wfa                     | 24576   | 8192   |      | 12 | 4848  | 96  | 96  | 16 | 32  | 17.49750085 | 0.109 | 5040  | 0.205078125 |
| lena16.bmp | lena16.bmp-G_0.75-H3e-005_af5.wfa                     | 98304   | 32768  |      | 17 | 9488  | 136 | 136 | 16 | 64  | 17.4959087  | 0.484 | 9760  | 0.099283854 |
| lena16.bmp | lena16.bmp-G_1-H7e-005_af1.wfa                        | 1572864 | 524288 |      | 13 | 5648  | 104 | 104 | 16 | 256 | 17.49188926 | 7.391 | 5856  | 0.003723145 |
| lena16.bmp | lena16.bmp-G_0.75-H6e-005_af3.wfa                     | 24576   | 8192   |      | 12 | 4848  | 96  | 96  | 16 | 32  | 17.48997112 | 0.093 | 5040  | 0.205078125 |
| lena16.bmp | lena16.bmp-withWavelet_haar-G_0.5-H2e-005_af5.wfa     | 6144    | 2048   | 2048 | 10 | 3440  | 80  | 80  | 16 | 16  | 17.48718093 | 0.016 | 3600  | 0.5859375   |
| lena16.bmp | lena16.bmp-withWavelet_rbio1.1-G_0.5-H2e-005_af5.wfa  | 6144    | 2048   | 2048 | 10 | 3440  | 80  | 80  | 16 | 16  | 17.48718093 | 0.016 | 3600  | 0.5859375   |
| lena16.bmp | lena16.bmp-withWavelet_sym1-G_0.5-H2e-005_af5.wfa     | 6144    | 2048   | 2048 | 10 | 3440  | 80  | 80  | 16 | 16  | 17.48718093 | 0.031 | 3600  | 0.5859375   |
| lena16.bmp | lena16.bmp-withWavelet_bior1.1-G_0.5-H2e-005_af5.wfa  | 6144    | 2048   | 2048 | 10 | 3440  | 80  | 80  | 16 | 16  | 17.48718093 | 0.031 | 3600  | 0.5859375   |
| lena16.bmp | lena16.bmp-G_1-H6e-005_af5.wfa                        | 1572864 | 524288 |      | 14 | 6512  | 112 | 112 | 16 | 256 | 17.48648805 | 7.578 | 6736  | 0.004282633 |
| lena16.bmp | lena16.bmp-G_0.75-H4e-005_af1.wfa                     | 1572864 | 524288 |      | 15 | 7440  | 120 | 120 | 16 | 256 | 17.48316697 | 8.047 | 7680  | 0.004882813 |



|            |                                   |         |        |  |    |       |     |     |    |     |             |       |       |             |
|------------|-----------------------------------|---------|--------|--|----|-------|-----|-----|----|-----|-------------|-------|-------|-------------|
| lena16.bmp | lena16.bmp-G_0.75-H1e-005_af2.wfa | 98304   | 32768  |  | 17 | 9488  | 136 | 136 | 16 | 64  | 17.47966795 | 0.5   | 9760  | 0.099283854 |
| lena16.bmp | lena16.bmp-G_1-H4e-005_af2.wfa    | 1572864 | 524288 |  | 13 | 5648  | 104 | 104 | 16 | 256 | 17.47915969 | 7.344 | 5856  | 0.003723145 |
| lena16.bmp | lena16.bmp-G_1-H5e-005_af2.wfa    | 1572864 | 524288 |  | 13 | 5648  | 104 | 104 | 16 | 256 | 17.47915969 | 7.359 | 5856  | 0.003723145 |
| lena16.bmp | lena16.bmp-G_1-H6e-005_af2.wfa    | 1572864 | 524288 |  | 13 | 5648  | 104 | 104 | 16 | 256 | 17.47915969 | 7.422 | 5856  | 0.003723145 |
| lena16.bmp | lena16.bmp-G_1-H7e-005_af2.wfa    | 1572864 | 524288 |  | 13 | 5648  | 104 | 104 | 16 | 256 | 17.47915969 | 7.406 | 5856  | 0.003723145 |
| lena16.bmp | lena16.bmp-G_1-H8e-005_af2.wfa    | 1572864 | 524288 |  | 13 | 5648  | 104 | 104 | 16 | 256 | 17.47915969 | 7.703 | 5856  | 0.003723145 |
| lena16.bmp | lena16.bmp-G_1-H7e-005_af5.wfa    | 1572864 | 524288 |  | 13 | 5648  | 104 | 104 | 16 | 256 | 17.47838605 | 7.437 | 5856  | 0.003723145 |
| lena16.bmp | lena16.bmp-G_1-H8e-005_af5.wfa    | 1572864 | 524288 |  | 13 | 5648  | 104 | 104 | 16 | 256 | 17.47838605 | 7.625 | 5856  | 0.003723145 |
| lena16.bmp | lena16.bmp-G_1-H3e-005_af5.wfa    | 393216  | 131072 |  | 17 | 9488  | 136 | 136 | 16 | 128 | 17.47816029 | 2.015 | 9760  | 0.024820964 |
| lena16.bmp | lena16.bmp-G_0.75-H3e-005_af5.wfa | 393216  | 131072 |  | 17 | 9488  | 136 | 136 | 16 | 128 | 17.4701525  | 2.016 | 9760  | 0.024820964 |
| lena16.bmp | lena16.bmp-G_0.75-H4e-005_af5.wfa | 98304   | 32768  |  | 16 | 8432  | 128 | 128 | 16 | 64  | 17.46977439 | 0.453 | 8688  | 0.088378906 |
| lena16.bmp | lena16.bmp-G_0.75-H7e-005_af3.wfa | 24576   | 8192   |  | 12 | 4848  | 96  | 96  | 16 | 32  | 17.46240394 | 0.093 | 5040  | 0.205078125 |
| lena16.bmp | lena16.bmp-G_0.75-H1e-005_af2.wfa | 393216  | 131072 |  | 17 | 9488  | 136 | 136 | 16 | 128 | 17.46232171 | 2.188 | 9760  | 0.024820964 |
| lena16.bmp | lena16.bmp-G_0.75-H6e-005_af2.wfa | 1572864 | 524288 |  | 13 | 5648  | 104 | 104 | 16 | 256 | 17.46126734 | 7.453 | 5856  | 0.003723145 |
| lena16.bmp | lena16.bmp-G_0.75-H7e-005_af2.wfa | 1572864 | 524288 |  | 13 | 5648  | 104 | 104 | 16 | 256 | 17.46126734 | 7.531 | 5856  | 0.003723145 |
| lena16.bmp | lena16.bmp-G_0.75-H8e-005_af2.wfa | 1572864 | 524288 |  | 13 | 5648  | 104 | 104 | 16 | 256 | 17.46126734 | 7.656 | 5856  | 0.003723145 |
| lena16.bmp | lena16.bmp-G_0.75-H4e-005_af2.wfa | 1572864 | 524288 |  | 13 | 5648  | 104 | 104 | 16 | 256 | 17.46126734 | 7.438 | 5856  | 0.003723145 |
| lena16.bmp | lena16.bmp-G_0.75-H5e-005_af2.wfa | 1572864 | 524288 |  | 13 | 5648  | 104 | 104 | 16 | 256 | 17.46126734 | 7.39  | 5856  | 0.003723145 |
| lena16.bmp | lena16.bmp-G_0.75-H3e-005_af3.wfa | 1572864 | 524288 |  | 16 | 8432  | 128 | 128 | 16 | 256 | 17.46110984 | 8.797 | 8688  | 0.005523682 |
| lena16.bmp | lena16.bmp-G_1-H1e-005_af3.wfa    | 98304   | 32768  |  | 19 | 11792 | 152 | 152 | 16 | 64  | 17.45931088 | 0.516 | 12096 | 0.123046875 |
| lena16.bmp | lena16.bmp-G_1-H1e-005_af3.wfa    | 393216  | 131072 |  | 19 | 11792 | 152 | 152 | 16 | 128 | 17.44941953 | 2.406 | 12096 | 0.030761719 |
| lena16.bmp | lena16.bmp-G_1-H7e-005_af3.wfa    | 24576   | 8192   |  | 12 | 4848  | 96  | 96  | 16 | 32  | 17.44940073 | 0.094 | 5040  | 0.205078125 |
| lena16.bmp | lena16.bmp-G_0.75-H4e-005_af5.wfa | 393216  | 131072 |  | 16 | 8432  | 128 | 128 | 16 | 128 | 17.44816538 | 1.906 | 8688  | 0.022094727 |
| lena16.bmp | lena16.bmp-G_1-H2e-005_af3.wfa    | 98304   | 32768  |  | 18 | 10608 | 144 | 144 | 16 | 64  | 17.446928   | 0.516 | 10896 | 0.110839844 |
| lena16.bmp | lena16.bmp-G_1-H2e-005_af2.wfa    | 98304   | 32768  |  | 16 | 8432  | 128 | 128 | 16 | 64  | 17.44224384 | 1.046 | 8688  | 0.088378906 |
| lena16.bmp | lena16.bmp-G_1-H4e-005_af3.wfa    | 1572864 | 524288 |  | 14 | 6512  | 112 | 112 | 16 | 256 | 17.43942556 | 7.531 | 6736  | 0.004282633 |
| lena16.bmp | lena16.bmp-G_1-H2e-005_af3.wfa    | 393216  | 131072 |  | 18 | 10608 | 144 | 144 | 16 | 128 | 17.43770454 | 2.312 | 10896 | 0.027709961 |
| lena16.bmp | lena16.bmp-G_1-H2e-005_af2.wfa    | 393216  | 131072 |  | 16 | 8432  | 128 | 128 | 16 | 128 | 17.4335047  | 2.125 | 8688  | 0.022094727 |
| lena16.bmp | lena16.bmp-G_1-H1e-005_af1.wfa    | 98304   | 32768  |  | 19 | 11792 | 152 | 152 | 16 | 64  | 17.42351708 | 0.516 | 12096 | 0.123046875 |
| lena16.bmp | lena16.bmp-G_0.75-H0.0001_af1.wfa | 24576   | 8192   |  | 11 | 4112  | 88  | 88  | 16 | 32  | 17.42071752 | 0.094 | 4288  | 0.174479167 |
| lena16.bmp | lena16.bmp-G_1-H4e-005_af5.wfa    | 98304   | 32768  |  | 16 | 8432  | 128 | 128 | 16 | 64  | 17.41859016 | 0.672 | 8688  | 0.088378906 |

|            |                                   |         |        |  |    |       |     |     |    |     |             |       |       |             |
|------------|-----------------------------------|---------|--------|--|----|-------|-----|-----|----|-----|-------------|-------|-------|-------------|
| lena16.bmp | lena16.bmp-G_1-H3e-005_af1.wfa    | 98304   | 32768  |  | 17 | 9488  | 136 | 136 | 16 | 64  | 17.41325698 | 0.563 | 9760  | 0.099283854 |
| lena16.bmp | lena16.bmp-G_0.75-H0.0001_af2.wfa | 1572864 | 524288 |  | 12 | 4848  | 96  | 96  | 16 | 256 | 17.41316438 | 7.094 | 5040  | 0.003204346 |
| lena16.bmp | lena16.bmp-G_0.75-H5e-005_af5.wfa | 98304   | 32768  |  | 16 | 8432  | 128 | 128 | 16 | 64  | 17.41263412 | 0.469 | 8688  | 0.088378906 |
| lena16.bmp | lena16.bmp-G_1-H1e-005_af1.wfa    | 393216  | 131072 |  | 19 | 11792 | 152 | 152 | 16 | 128 | 17.41241892 | 2.328 | 12096 | 0.030761719 |
| lena16.bmp | lena16.bmp-G_0.75-H1e-005_af3.wfa | 98304   | 32768  |  | 19 | 11792 | 152 | 152 | 16 | 64  | 17.41178708 | 0.859 | 12096 | 0.123046875 |
| lena16.bmp | lena16.bmp-G_1-H3e-005_af1.wfa    | 393216  | 131072 |  | 17 | 9488  | 136 | 136 | 16 | 128 | 17.40795048 | 2.25  | 9760  | 0.024820964 |
| lena16.bmp | lena16.bmp-G_1-H4e-005_af5.wfa    | 393216  | 131072 |  | 16 | 8432  | 128 | 128 | 16 | 128 | 17.40701218 | 2.047 | 8688  | 0.022094727 |
| lena16.bmp | lena16.bmp-G_0.75-H5e-005_af5.wfa | 393216  | 131072 |  | 16 | 8432  | 128 | 128 | 16 | 128 | 17.40023271 | 1.89  | 8688  | 0.022094727 |
| lena16.bmp | lena16.bmp-G_0.75-H1e-005_af3.wfa | 393216  | 131072 |  | 19 | 11792 | 152 | 152 | 16 | 128 | 17.39831454 | 2.328 | 12096 | 0.030761719 |
| lena16.bmp | lena16.bmp-G_1-H2e-005_af1.wfa    | 98304   | 32768  |  | 18 | 10608 | 144 | 144 | 16 | 64  | 17.39567473 | 0.594 | 10896 | 0.110839844 |
| lena16.bmp | lena16.bmp-G_1-H6e-005_af1.wfa    | 1572864 | 524288 |  | 13 | 5648  | 104 | 104 | 16 | 256 | 17.38940927 | 7.39  | 5856  | 0.003723145 |
| lena16.bmp | lena16.bmp-G_1-H2e-005_af1.wfa    | 393216  | 131072 |  | 18 | 10608 | 144 | 144 | 16 | 128 | 17.3881199  | 2.125 | 10896 | 0.027709961 |
| lena16.bmp | lena16.bmp-G_1-H0.0001_af2.wfa    | 1572864 | 524288 |  | 11 | 4112  | 88  | 88  | 16 | 256 | 17.38664484 | 6.875 | 4288  | 0.002726237 |
| lena16.bmp | lena16.bmp-G_1-H9e-005_af5.wfa    | 24576   | 8192   |  | 11 | 4112  | 88  | 88  | 16 | 32  | 17.37698452 | 0.094 | 4288  | 0.174479167 |
| lena16.bmp | lena16.bmp-G_1-H0.0001_af5.wfa    | 24576   | 8192   |  | 11 | 4112  | 88  | 88  | 16 | 32  | 17.37698452 | 0.094 | 4288  | 0.174479167 |
| lena16.bmp | lena16.bmp-G_0.75-H1e-005_af1.wfa | 98304   | 32768  |  | 19 | 11792 | 152 | 152 | 16 | 64  | 17.36852194 | 0.515 | 12096 | 0.123046875 |
| lena16.bmp | lena16.bmp-G_0.75-H3e-005_af1.wfa | 98304   | 32768  |  | 17 | 9488  | 136 | 136 | 16 | 64  | 17.36349655 | 0.484 | 9760  | 0.099283854 |
| lena16.bmp | lena16.bmp-G_1-H3e-005_af2.wfa    | 393216  | 131072 |  | 14 | 6512  | 112 | 112 | 16 | 128 | 17.35504673 | 1.797 | 6736  | 0.017130534 |
| lena16.bmp | lena16.bmp-G_0.75-H2e-005_af2.wfa | 393216  | 131072 |  | 15 | 7440  | 120 | 120 | 16 | 128 | 17.35480796 | 1.937 | 7680  | 0.01953125  |
| lena16.bmp | lena16.bmp-G_0.75-H3e-005_af1.wfa | 393216  | 131072 |  | 17 | 9488  | 136 | 136 | 16 | 128 | 17.35462104 | 2     | 9760  | 0.024820964 |
| lena16.bmp | lena16.bmp-G_0.75-H1e-005_af1.wfa | 393216  | 131072 |  | 19 | 11792 | 152 | 152 | 16 | 128 | 17.35341023 | 2.219 | 12096 | 0.030761719 |
| lena16.bmp | lena16.bmp-G_0.75-H2e-005_af2.wfa | 98304   | 32768  |  | 15 | 7440  | 120 | 120 | 16 | 64  | 17.35333826 | 0.469 | 7680  | 0.078125    |
| lena16.bmp | lena16.bmp-G_1-H5e-005_af3.wfa    | 1572864 | 524288 |  | 13 | 5648  | 104 | 104 | 16 | 256 | 17.35293037 | 7.422 | 5856  | 0.003723145 |
| lena16.bmp | lena16.bmp-G_0.75-H2e-005_af3.wfa | 98304   | 32768  |  | 18 | 10608 | 144 | 144 | 16 | 64  | 17.346508   | 0.516 | 10896 | 0.110839844 |
| lena16.bmp | lena16.bmp-G_0.75-H6e-005_af1.wfa | 1572864 | 524288 |  | 13 | 5648  | 104 | 104 | 16 | 256 | 17.34215896 | 7.5   | 5856  | 0.003723145 |
| lena16.bmp | lena16.bmp-G_0.75-H7e-005_af1.wfa | 1572864 | 524288 |  | 13 | 5648  | 104 | 104 | 16 | 256 | 17.34215896 | 7.422 | 5856  | 0.003723145 |
| lena16.bmp | lena16.bmp-G_0.75-H5e-005_af1.wfa | 1572864 | 524288 |  | 13 | 5648  | 104 | 104 | 16 | 256 | 17.34215896 | 7.422 | 5856  | 0.003723145 |
| lena16.bmp | lena16.bmp-G_0.75-H2e-005_af3.wfa | 393216  | 131072 |  | 18 | 10608 | 144 | 144 | 16 | 128 | 17.33961029 | 2.187 | 10896 | 0.027709961 |
| lena16.bmp | lena16.bmp-G_0.75-H2e-005_af1.wfa | 98304   | 32768  |  | 18 | 10608 | 144 | 144 | 16 | 64  | 17.33610274 | 0.531 | 10896 | 0.110839844 |
| lena16.bmp | lena16.bmp-G_0.75-H3e-005_af2.wfa | 393216  | 131072 |  | 14 | 6512  | 112 | 112 | 16 | 128 | 17.33333045 | 1.781 | 6736  | 0.017130534 |
| lena16.bmp | lena16.bmp-G_0.75-H8e-005_af3.wfa | 24576   | 8192   |  | 11 | 4112  | 88  | 88  | 16 | 32  | 17.33245435 | 0.094 | 4288  | 0.174479167 |

|            |  |         |        |      |    |       |     |     |    |     |             |       |       |             |
|------------|--|---------|--------|------|----|-------|-----|-----|----|-----|-------------|-------|-------|-------------|
| lena16.bmp | lena16.bmp-G_1-H3e-005_af2.wfa                       | 98304   | 32768  |      | 14 | 6512  | 112 | 112 | 16 | 64  | 17.32731099 | 0.422 | 6736  | 0.068522135 |
| lena16.bmp | lena16.bmp-G_0.75-H2e-005_af1.wfa                    | 393216  | 131072 |      | 18 | 10608 | 144 | 144 | 16 | 128 | 17.32431456 | 2.078 | 10896 | 0.027709961 |
| lena16.bmp | lena16.bmp-G_1-H5e-005_af5.wfa                       | 98304   | 32768  |      | 15 | 7440  | 120 | 120 | 16 | 64  | 17.32322008 | 0.437 | 7680  | 0.078125    |
| lena16.bmp | lena16.bmp-G_1-H5e-005_af5.wfa                       | 393216  | 131072 |      | 15 | 7440  | 120 | 120 | 16 | 128 | 17.31996068 | 1.875 | 7680  | 0.01953125  |
| lena16.bmp | lena16.bmp-withWavelet_haar-G_0.5-H4e-005_af5.wfa    | 6144    | 2048   | 2048 | 9  | 2832  | 72  | 72  | 16 | 16  | 17.31922033 | 0.032 | 2976  | 0.484375    |
| lena16.bmp | lena16.bmp-withWavelet_rbio1.1-G_0.5-H4e-005_af5.wfa | 6144    | 2048   | 2048 | 9  | 2832  | 72  | 72  | 16 | 16  | 17.31922033 | 0.016 | 2976  | 0.484375    |
| lena16.bmp | lena16.bmp-withWavelet_sym1-G_0.5-H4e-005_af5.wfa    | 6144    | 2048   | 2048 | 9  | 2832  | 72  | 72  | 16 | 16  | 17.31922033 | 0.015 | 2976  | 0.484375    |
| lena16.bmp | lena16.bmp-withWavelet_bior1.1-G_0.5-H4e-005_af5.wfa | 6144    | 2048   | 2048 | 9  | 2832  | 72  | 72  | 16 | 16  | 17.31922033 | 0.016 | 2976  | 0.484375    |
| lena16.bmp | lena16.bmp-withWavelet_haar-G_0.5-H5e-005_af5.wfa    | 6144    | 2048   | 2048 | 9  | 2832  | 72  | 72  | 16 | 16  | 17.31922033 | 0.031 | 2976  | 0.484375    |
| lena16.bmp | lena16.bmp-withWavelet_rbio1.1-G_0.5-H5e-005_af5.wfa | 6144    | 2048   | 2048 | 9  | 2832  | 72  | 72  | 16 | 16  | 17.31922033 | 0.015 | 2976  | 0.484375    |
| lena16.bmp | lena16.bmp-withWavelet_sym1-G_0.5-H5e-005_af5.wfa    | 6144    | 2048   | 2048 | 9  | 2832  | 72  | 72  | 16 | 16  | 17.31922033 | 0.015 | 2976  | 0.484375    |
| lena16.bmp | lena16.bmp-withWavelet_bior1.1-G_0.5-H5e-005_af5.wfa | 6144    | 2048   | 2048 | 9  | 2832  | 72  | 72  | 16 | 16  | 17.31922033 | 0.016 | 2976  | 0.484375    |
| lena16.bmp | lena16.bmp-G_1-H8e-005_af1.wfa                       | 1572864 | 524288 |      | 12 | 4848  | 96  | 96  | 16 | 256 | 17.31426563 | 7.078 | 5040  | 0.003204346 |
| lena16.bmp | lena16.bmp-G_0.75-H3e-005_af2.wfa                    | 98304   | 32768  |      | 14 | 6512  | 112 | 112 | 16 | 64  | 17.30904508 | 0.438 | 6736  | 0.068522135 |
| lena16.bmp | lena16.bmp-G_1-H4e-005_af1.wfa                       | 393216  | 131072 |      | 15 | 7440  | 120 | 120 | 16 | 128 | 17.30867835 | 1.875 | 7680  | 0.01953125  |
| lena16.bmp | lena16.bmp-G_0.75-H4e-005_af3.wfa                    | 1572864 | 524288 |      | 13 | 5648  | 104 | 104 | 16 | 256 | 17.30571176 | 7.609 | 5856  | 0.003723145 |
| lena16.bmp | lena16.bmp-G_0.75-H5e-005_af3.wfa                    | 1572864 | 524288 |      | 13 | 5648  | 104 | 104 | 16 | 256 | 17.30571176 | 7.641 | 5856  | 0.003723145 |
| lena16.bmp | lena16.bmp-G_1-H4e-005_af1.wfa                       | 98304   | 32768  |      | 15 | 7440  | 120 | 120 | 16 | 64  | 17.29960486 | 0.453 | 7680  | 0.078125    |
| lena16.bmp | lena16.bmp-G_1-H3e-005_af3.wfa                       | 393216  | 131072 |      | 16 | 8432  | 128 | 128 | 16 | 128 | 17.29854696 | 1.922 | 8688  | 0.022094727 |
| lena16.bmp | lena16.bmp-G_0.75-H7e-005_af5.wfa                    | 1572864 | 524288 |      | 13 | 5648  | 104 | 104 | 16 | 256 | 17.2966865  | 7.469 | 5856  | 0.003723145 |
| lena16.bmp | lena16.bmp-G_1-H9e-005_af2.wfa                       | 1572864 | 524288 |      | 12 | 4848  | 96  | 96  | 16 | 256 | 17.29476668 | 7.094 | 5040  | 0.003204346 |
| lena16.bmp | lena16.bmp-G_1-H3e-005_af3.wfa                       | 98304   | 32768  |      | 16 | 8432  | 128 | 128 | 16 | 64  | 17.29302993 | 0.454 | 8688  | 0.088378906 |
| lena16.bmp | lena16.bmp-G_0.75-H8e-005_af5.wfa                    | 1572864 | 524288 |      | 12 | 4848  | 96  | 96  | 16 | 256 | 17.2805023  | 7.156 | 5040  | 0.003204346 |
| lena16.bmp | lena16.bmp-G_0.75-H9e-005_af5.wfa                    | 1572864 | 524288 |      | 12 | 4848  | 96  | 96  | 16 | 256 | 17.2805023  | 7.125 | 5040  | 0.003204346 |
| lena16.bmp | lena16.bmp-G_0.75-H0.0001_af5.wfa                    | 1572864 | 524288 |      | 12 | 4848  | 96  | 96  | 16 | 256 | 17.2805023  | 7.141 | 5040  | 0.003204346 |
| lena16.bmp | lena16.bmp-G_0.75-H8e-005_af1.wfa                    | 24576   | 8192   |      | 11 | 4112  | 88  | 88  | 16 | 32  | 17.27893946 | 0.094 | 4288  | 0.174479167 |
| lena16.bmp | lena16.bmp-G_0.75-H9e-005_af1.wfa                    | 24576   | 8192   |      | 11 | 4112  | 88  | 88  | 16 | 32  | 17.27893946 | 0.094 | 4288  | 0.174479167 |
| lena16.bmp | lena16.bmp-G_1-H8e-005_af3.wfa                       | 24576   | 8192   |      | 11 | 4112  | 88  | 88  | 16 | 32  | 17.27782416 | 0.094 | 4288  | 0.174479167 |
| lena16.bmp | lena16.bmp-G_1-H9e-005_af3.wfa                       | 24576   | 8192   |      | 11 | 4112  | 88  | 88  | 16 | 32  | 17.27782416 | 0.094 | 4288  | 0.174479167 |
| lena16.bmp | lena16.bmp-G_1-H0.0001_af3.wfa                       | 1572864 | 524288 |      | 11 | 4112  | 88  | 88  | 16 | 256 | 17.27630322 | 6.875 | 4288  | 0.002726237 |
| lena16.bmp | lena16.bmp-G_0.75-H6e-005_af5.wfa                    | 393216  | 131072 |      | 14 | 6512  | 112 | 112 | 16 | 128 | 17.26762363 | 1.797 | 6736  | 0.017130534 |

|            |  |         |        |      |    |      |     |     |    |     |             |       |      |             |
|------------|--|---------|--------|------|----|------|-----|-----|----|-----|-------------|-------|------|-------------|
| lena16.bmp | lena16.bmp-G_0.75-H0.0001_af3.wfa                  | 24576   | 8192   |      | 10 | 3440 | 80  | 80  | 16 | 32  | 17.26399807 | 0.094 | 3600 | 0.146484375 |
| lena16.bmp | lena16.bmp-G_1-H5e-005_af1.wfa                     | 393216  | 131072 |      | 14 | 6512 | 112 | 112 | 16 | 128 | 17.25946232 | 1.75  | 6736 | 0.017130534 |
| lena16.bmp | lena16.bmp-G_0.75-H6e-005_af3.wfa                  | 1572864 | 524288 |      | 12 | 4848 | 96  | 96  | 16 | 256 | 17.25545981 | 7.094 | 5040 | 0.003204346 |
| lena16.bmp | lena16.bmp-G_0.75-H6e-005_af5.wfa                  | 98304   | 32768  |      | 14 | 6512 | 112 | 112 | 16 | 64  | 17.25442582 | 0.437 | 6736 | 0.068522135 |
| lena16.bmp | lena16.bmp-G_0.75-H4e-005_af1.wfa                  | 393216  | 131072 |      | 15 | 7440 | 120 | 120 | 16 | 128 | 17.24640822 | 1.875 | 7680 | 0.01953125  |
| lena16.bmp | lena16.bmp-G_1-H7e-005_af1.wfa                     | 393216  | 131072 |      | 13 | 5648 | 104 | 104 | 16 | 128 | 17.24461124 | 1.734 | 5856 | 0.014892578 |
| lena16.bmp | lena16.bmp-G_1-H6e-005_af5.wfa                     | 393216  | 131072 |      | 14 | 6512 | 112 | 112 | 16 | 128 | 17.24441604 | 1.781 | 6736 | 0.017130534 |
| lena16.bmp | lena16.bmp-G_0.75-H4e-005_af1.wfa                  | 98304   | 32768  |      | 15 | 7440 | 120 | 120 | 16 | 64  | 17.24244579 | 0.453 | 7680 | 0.078125    |
| lena16.bmp | lena16.bmp-G_1-H6e-005_af3.wfa                     | 1572864 | 524288 |      | 13 | 5648 | 104 | 104 | 16 | 256 | 17.23991906 | 7.437 | 5856 | 0.003723145 |
| lena16.bmp | lena16.bmp-G_0.75-H0.0001_af1.wfa                  | 1572864 | 524288 |      | 11 | 4112 | 88  | 88  | 16 | 256 | 17.23487486 | 6.86  | 4288 | 0.002726237 |
| lena16.bmp | lena16.bmp-G_1-H4e-005_af2.wfa                     | 393216  | 131072 |      | 13 | 5648 | 104 | 104 | 16 | 128 | 17.23273144 | 1.813 | 5856 | 0.014892578 |
| lena16.bmp | lena16.bmp-G_1-H5e-005_af2.wfa                     | 393216  | 131072 |      | 13 | 5648 | 104 | 104 | 16 | 128 | 17.23273144 | 1.75  | 5856 | 0.014892578 |
| lena16.bmp | lena16.bmp-G_1-H6e-005_af2.wfa                     | 393216  | 131072 |      | 13 | 5648 | 104 | 104 | 16 | 128 | 17.23273144 | 1.75  | 5856 | 0.014892578 |
| lena16.bmp | lena16.bmp-G_1-H7e-005_af2.wfa                     | 393216  | 131072 |      | 13 | 5648 | 104 | 104 | 16 | 128 | 17.23273144 | 1.718 | 5856 | 0.014892578 |
| lena16.bmp | lena16.bmp-G_1-H8e-005_af2.wfa                     | 393216  | 131072 |      | 13 | 5648 | 104 | 104 | 16 | 128 | 17.23273144 | 1.75  | 5856 | 0.014892578 |
| lena16.bmp | lena16.bmp-G_1-H5e-005_af1.wfa                     | 98304   | 32768  |      | 14 | 6512 | 112 | 112 | 16 | 64  | 17.23180631 | 0.421 | 6736 | 0.068522135 |
| lena16.bmp | lena16.bmp-G_1-H7e-005_af5.wfa                     | 393216  | 131072 |      | 13 | 5648 | 104 | 104 | 16 | 128 | 17.23063304 | 1.735 | 5856 | 0.014892578 |
| lena16.bmp | lena16.bmp-G_1-H8e-005_af5.wfa                     | 393216  | 131072 |      | 13 | 5648 | 104 | 104 | 16 | 128 | 17.23063304 | 1.75  | 5856 | 0.014892578 |
| lena16.bmp | lena16.bmp-G_1-H6e-005_af5.wfa                     | 98304   | 32768  |      | 14 | 6512 | 112 | 112 | 16 | 64  | 17.23051484 | 0.438 | 6736 | 0.068522135 |
| lena16.bmp | lena16.bmp-withWavelet_haar-G_1-H8e-005_af5.wfa    | 6144    | 2048   | 2048 | 9  | 2832 | 72  | 72  | 16 | 16  | 17.22835214 | 0.016 | 2976 | 0.484375    |
| lena16.bmp | lena16.bmp-withWavelet_rbio1.1-G_1-H8e-005_af5.wfa | 6144    | 2048   | 2048 | 9  | 2832 | 72  | 72  | 16 | 16  | 17.22835214 | 0.031 | 2976 | 0.484375    |
| lena16.bmp | lena16.bmp-withWavelet_sym1-G_1-H8e-005_af5.wfa    | 6144    | 2048   | 2048 | 9  | 2832 | 72  | 72  | 16 | 16  | 17.22835214 | 0.016 | 2976 | 0.484375    |
| lena16.bmp | lena16.bmp-withWavelet_bior1.1-G_1-H8e-005_af5.wfa | 6144    | 2048   | 2048 | 9  | 2832 | 72  | 72  | 16 | 16  | 17.22835214 | 0.032 | 2976 | 0.484375    |
| lena16.bmp | lena16.bmp-withWavelet_haar-G_1-H9e-005_af5.wfa    | 6144    | 2048   | 2048 | 9  | 2832 | 72  | 72  | 16 | 16  | 17.22835214 | 0.015 | 2976 | 0.484375    |
| lena16.bmp | lena16.bmp-withWavelet_rbio1.1-G_1-H9e-005_af5.wfa | 6144    | 2048   | 2048 | 9  | 2832 | 72  | 72  | 16 | 16  | 17.22835214 | 0.016 | 2976 | 0.484375    |
| lena16.bmp | lena16.bmp-withWavelet_sym1-G_1-H9e-005_af5.wfa    | 6144    | 2048   | 2048 | 9  | 2832 | 72  | 72  | 16 | 16  | 17.22835214 | 0.016 | 2976 | 0.484375    |
| lena16.bmp | lena16.bmp-withWavelet_bior1.1-G_1-H9e-005_af5.wfa | 6144    | 2048   | 2048 | 9  | 2832 | 72  | 72  | 16 | 16  | 17.22835214 | 0.016 | 2976 | 0.484375    |
| lena16.bmp | lena16.bmp-withWavelet_haar-G_1-H0.0001_af5.wfa    | 6144    | 2048   | 2048 | 9  | 2832 | 72  | 72  | 16 | 16  | 17.22835214 | 0.015 | 2976 | 0.484375    |
| lena16.bmp | lena16.bmp-withWavelet_rbio1.1-G_1-H0.0001_af5.wfa | 6144    | 2048   | 2048 | 9  | 2832 | 72  | 72  | 16 | 16  | 17.22835214 | 0.031 | 2976 | 0.484375    |
| lena16.bmp | lena16.bmp-withWavelet_sym1-G_1-H0.0001_af5.wfa    | 6144    | 2048   | 2048 | 9  | 2832 | 72  | 72  | 16 | 16  | 17.22835214 | 0.031 | 2976 | 0.484375    |
| lena16.bmp | lena16.bmp-withWavelet_bior1.1-G_1-H0.0001_af5.wfa | 6144    | 2048   | 2048 | 9  | 2832 | 72  | 72  | 16 | 16  | 17.22835214 | 0.015 | 2976 | 0.484375    |

|            |   |         |        |      |    |      |     |     |    |     |             |       |      |             |
|------------|---|---------|--------|------|----|------|-----|-----|----|-----|-------------|-------|------|-------------|
| lena16.bmp | lena16.bmp-withWavelet_haar-G_0.75-H9e-005_af5.wfa    | 6144    | 2048   | 2048 | 8  | 2288 | 64  | 64  | 16 | 16  | 17.22490285 | 0.016 | 2416 | 0.393229167 |
| lena16.bmp | lena16.bmp-withWavelet_rbio1.1-G_0.75-H9e-005_af5.wfa | 6144    | 2048   | 2048 | 8  | 2288 | 64  | 64  | 16 | 16  | 17.22490285 | 0.015 | 2416 | 0.393229167 |
| lena16.bmp | lena16.bmp-withWavelet_sym1-G_0.75-H9e-005_af5.wfa    | 6144    | 2048   | 2048 | 8  | 2288 | 64  | 64  | 16 | 16  | 17.22490285 | 0.032 | 2416 | 0.393229167 |
| lena16.bmp | lena16.bmp-withWavelet_bior1.1-G_0.75-H9e-005_af5.wfa | 6144    | 2048   | 2048 | 8  | 2288 | 64  | 64  | 16 | 16  | 17.22490285 | 0.016 | 2416 | 0.393229167 |
| lena16.bmp | lena16.bmp-withWavelet_haar-G_0.75-H0.0001_af5.wfa    | 6144    | 2048   | 2048 | 8  | 2288 | 64  | 64  | 16 | 16  | 17.22490285 | 0.016 | 2416 | 0.393229167 |
| lena16.bmp | lena16.bmp-withWavelet_rbio1.1-G_0.75-H0.0001_af5.wfa | 6144    | 2048   | 2048 | 8  | 2288 | 64  | 64  | 16 | 16  | 17.22490285 | 0.015 | 2416 | 0.393229167 |
| lena16.bmp | lena16.bmp-withWavelet_sym1-G_0.75-H0.0001_af5.wfa    | 6144    | 2048   | 2048 | 8  | 2288 | 64  | 64  | 16 | 16  | 17.22490285 | 0.031 | 2416 | 0.393229167 |
| lena16.bmp | lena16.bmp-withWavelet_bior1.1-G_0.75-H0.0001_af5.wfa | 6144    | 2048   | 2048 | 8  | 2288 | 64  | 64  | 16 | 16  | 17.22490285 | 0.032 | 2416 | 0.393229167 |
| lena16.bmp | lena16.bmp-G_0.75-H3e-005_af3.wfa                     | 393216  | 131072 |      | 16 | 8432 | 128 | 128 | 16 | 128 | 17.2236458  | 2.125 | 8688 | 0.022094727 |
| lena16.bmp | lena16.bmp-G_0.75-H9e-005_af2.wfa                     | 1572864 | 524288 |      | 12 | 4848 | 96  | 96  | 16 | 256 | 17.21896804 | 7.156 | 5040 | 0.003204346 |
| lena16.bmp | lena16.bmp-G_0.75-H6e-005_af2.wfa                     | 393216  | 131072 |      | 13 | 5648 | 104 | 104 | 16 | 128 | 17.21627593 | 1.735 | 5856 | 0.014892578 |
| lena16.bmp | lena16.bmp-G_0.75-H7e-005_af2.wfa                     | 393216  | 131072 |      | 13 | 5648 | 104 | 104 | 16 | 128 | 17.21627593 | 1.735 | 5856 | 0.014892578 |
| lena16.bmp | lena16.bmp-G_0.75-H8e-005_af2.wfa                     | 393216  | 131072 |      | 13 | 5648 | 104 | 104 | 16 | 128 | 17.21627593 | 1.797 | 5856 | 0.014892578 |
| lena16.bmp | lena16.bmp-G_0.75-H4e-005_af2.wfa                     | 393216  | 131072 |      | 13 | 5648 | 104 | 104 | 16 | 128 | 17.21627593 | 1.75  | 5856 | 0.014892578 |
| lena16.bmp | lena16.bmp-G_0.75-H5e-005_af2.wfa                     | 393216  | 131072 |      | 13 | 5648 | 104 | 104 | 16 | 128 | 17.21627593 | 1.765 | 5856 | 0.014892578 |
| lena16.bmp | lena16.bmp-G_0.75-H3e-005_af3.wfa                     | 98304   | 32768  |      | 16 | 8432 | 128 | 128 | 16 | 64  | 17.21293357 | 0.485 | 8688 | 0.088378906 |
| lena16.bmp | lena16.bmp-G_1-H7e-005_af3.wfa                        | 1572864 | 524288 |      | 12 | 4848 | 96  | 96  | 16 | 256 | 17.21216301 | 7.14  | 5040 | 0.003204346 |
| lena16.bmp | lena16.bmp-G_0.75-H9e-005_af3.wfa                     | 24576   | 8192   |      | 11 | 4112 | 88  | 88  | 16 | 32  | 17.20821559 | 0.094 | 4288 | 0.174479167 |
| lena16.bmp | lena16.bmp-G_1-H9e-005_af5.wfa                        | 1572864 | 524288 |      | 11 | 4112 | 88  | 88  | 16 | 256 | 17.20662256 | 6.828 | 4288 | 0.002726237 |
| lena16.bmp | lena16.bmp-G_1-H0.0001_af5.wfa                        | 1572864 | 524288 |      | 11 | 4112 | 88  | 88  | 16 | 256 | 17.20662256 | 6.86  | 4288 | 0.002726237 |
| lena16.bmp | lena16.bmp-G_1-H7e-005_af1.wfa                        | 98304   | 32768  |      | 13 | 5648 | 104 | 104 | 16 | 64  | 17.20661522 | 0.437 | 5856 | 0.059570313 |
| lena16.bmp | lena16.bmp-G_1-H4e-005_af2.wfa                        | 98304   | 32768  |      | 13 | 5648 | 104 | 104 | 16 | 64  | 17.19894785 | 0.422 | 5856 | 0.059570313 |
| lena16.bmp | lena16.bmp-G_1-H5e-005_af2.wfa                        | 98304   | 32768  |      | 13 | 5648 | 104 | 104 | 16 | 64  | 17.19894785 | 0.422 | 5856 | 0.059570313 |
| lena16.bmp | lena16.bmp-G_1-H6e-005_af2.wfa                        | 98304   | 32768  |      | 13 | 5648 | 104 | 104 | 16 | 64  | 17.19894785 | 0.422 | 5856 | 0.059570313 |
| lena16.bmp | lena16.bmp-G_1-H7e-005_af2.wfa                        | 98304   | 32768  |      | 13 | 5648 | 104 | 104 | 16 | 64  | 17.19894785 | 0.422 | 5856 | 0.059570313 |
| lena16.bmp | lena16.bmp-G_1-H8e-005_af2.wfa                        | 98304   | 32768  |      | 13 | 5648 | 104 | 104 | 16 | 64  | 17.19894785 | 0.422 | 5856 | 0.059570313 |
| lena16.bmp | lena16.bmp-G_1-H7e-005_af5.wfa                        | 98304   | 32768  |      | 13 | 5648 | 104 | 104 | 16 | 64  | 17.19711926 | 0.438 | 5856 | 0.059570313 |
| lena16.bmp | lena16.bmp-G_1-H8e-005_af5.wfa                        | 98304   | 32768  |      | 13 | 5648 | 104 | 104 | 16 | 64  | 17.19711926 | 0.453 | 5856 | 0.059570313 |
| lena16.bmp | lena16.bmp-G_1-H4e-005_af3.wfa                        | 393216  | 131072 |      | 14 | 6512 | 112 | 112 | 16 | 128 | 17.19615674 | 1.766 | 6736 | 0.017130534 |
| lena16.bmp | lena16.bmp-G_0.75-H6e-005_af2.wfa                     | 98304   | 32768  |      | 13 | 5648 | 104 | 104 | 16 | 64  | 17.18556108 | 0.422 | 5856 | 0.059570313 |
| lena16.bmp | lena16.bmp-G_0.75-H7e-005_af2.wfa                     | 98304   | 32768  |      | 13 | 5648 | 104 | 104 | 16 | 64  | 17.18556108 | 0.422 | 5856 | 0.059570313 |

|            |                                   |         |        |  |    |      |     |     |    |     |             |       |      |             |
|------------|-----------------------------------|---------|--------|--|----|------|-----|-----|----|-----|-------------|-------|------|-------------|
| lena16.bmp | lena16.bmp-G_0.75-H8e-005_af2.wfa | 98304   | 32768  |  | 13 | 5648 | 104 | 104 | 16 | 64  | 17.18556108 | 0.422 | 5856 | 0.059570313 |
| lena16.bmp | lena16.bmp-G_0.75-H4e-005_af2.wfa | 98304   | 32768  |  | 13 | 5648 | 104 | 104 | 16 | 64  | 17.18556108 | 0.422 | 5856 | 0.059570313 |
| lena16.bmp | lena16.bmp-G_0.75-H5e-005_af2.wfa | 98304   | 32768  |  | 13 | 5648 | 104 | 104 | 16 | 64  | 17.18556108 | 0.422 | 5856 | 0.059570313 |
| lena16.bmp | lena16.bmp-G_0.75-H7e-005_af3.wfa | 1572864 | 524288 |  | 12 | 4848 | 96  | 96  | 16 | 256 | 17.17238231 | 7.141 | 5040 | 0.003204346 |
| lena16.bmp | lena16.bmp-G_0.75-H0.0001_af2.wfa | 393216  | 131072 |  | 12 | 4848 | 96  | 96  | 16 | 128 | 17.16549006 | 1.687 | 5040 | 0.012817383 |
| lena16.bmp | lena16.bmp-G_1-H4e-005_af3.wfa    | 98304   | 32768  |  | 14 | 6512 | 112 | 112 | 16 | 64  | 17.16284002 | 0.422 | 6736 | 0.068522135 |
| lena16.bmp | lena16.bmp-G_1-H8e-005_af3.wfa    | 1572864 | 524288 |  | 11 | 4112 | 88  | 88  | 16 | 256 | 17.14594717 | 6.828 | 4288 | 0.002726237 |
| lena16.bmp | lena16.bmp-G_1-H9e-005_af3.wfa    | 1572864 | 524288 |  | 11 | 4112 | 88  | 88  | 16 | 256 | 17.14594717 | 6.844 | 4288 | 0.002726237 |
| lena16.bmp | lena16.bmp-G_1-H6e-005_af1.wfa    | 393216  | 131072 |  | 13 | 5648 | 104 | 104 | 16 | 128 | 17.14421749 | 1.75  | 5856 | 0.014892578 |
| lena16.bmp | lena16.bmp-G_1-H0.0001_af2.wfa    | 393216  | 131072 |  | 11 | 4112 | 88  | 88  | 16 | 128 | 17.13514531 | 1.625 | 4288 | 0.010904948 |
| lena16.bmp | lena16.bmp-G_0.75-H8e-005_af3.wfa | 1572864 | 524288 |  | 11 | 4112 | 88  | 88  | 16 | 256 | 17.13346649 | 6.891 | 4288 | 0.002726237 |
| lena16.bmp | lena16.bmp-G_0.75-H8e-005_af1.wfa | 1572864 | 524288 |  | 11 | 4112 | 88  | 88  | 16 | 256 | 17.12926365 | 6.843 | 4288 | 0.002726237 |
| lena16.bmp | lena16.bmp-G_0.75-H9e-005_af1.wfa | 1572864 | 524288 |  | 11 | 4112 | 88  | 88  | 16 | 256 | 17.12926365 | 6.875 | 4288 | 0.002726237 |
| lena16.bmp | lena16.bmp-G_0.75-H0.0001_af2.wfa | 98304   | 32768  |  | 12 | 4848 | 96  | 96  | 16 | 64  | 17.11326482 | 0.422 | 5040 | 0.051269531 |
| lena16.bmp | lena16.bmp-G_1-H5e-005_af3.wfa    | 393216  | 131072 |  | 13 | 5648 | 104 | 104 | 16 | 128 | 17.10849218 | 1.719 | 5856 | 0.014892578 |
| lena16.bmp | lena16.bmp-G_0.75-H6e-005_af1.wfa | 393216  | 131072 |  | 13 | 5648 | 104 | 104 | 16 | 128 | 17.10087665 | 1.75  | 5856 | 0.014892578 |
| lena16.bmp | lena16.bmp-G_0.75-H7e-005_af1.wfa | 393216  | 131072 |  | 13 | 5648 | 104 | 104 | 16 | 128 | 17.10087665 | 1.75  | 5856 | 0.014892578 |
| lena16.bmp | lena16.bmp-G_0.75-H5e-005_af1.wfa | 393216  | 131072 |  | 13 | 5648 | 104 | 104 | 16 | 128 | 17.10087665 | 1.735 | 5856 | 0.014892578 |
| lena16.bmp | lena16.bmp-G_1-H6e-005_af1.wfa    | 98304   | 32768  |  | 13 | 5648 | 104 | 104 | 16 | 64  | 17.09468183 | 0.422 | 5856 | 0.059570313 |
| lena16.bmp | lena16.bmp-G_0.75-H0.0001_af3.wfa | 1572864 | 524288 |  | 10 | 3440 | 80  | 80  | 16 | 256 | 17.09387634 | 6.672 | 3600 | 0.002288818 |
| lena16.bmp | lena16.bmp-G_0.75-H7e-005_af5.wfa | 98304   | 32768  |  | 13 | 5648 | 104 | 104 | 16 | 64  | 17.08615764 | 0.422 | 5856 | 0.059570313 |
| lena16.bmp | lena16.bmp-G_0.75-H7e-005_af5.wfa | 393216  | 131072 |  | 13 | 5648 | 104 | 104 | 16 | 128 | 17.07974424 | 1.75  | 5856 | 0.014892578 |
| lena16.bmp | lena16.bmp-G_1-H9e-005_af1.wfa    | 1572864 | 524288 |  | 10 | 3440 | 80  | 80  | 16 | 256 | 17.06937749 | 6.515 | 3600 | 0.002288818 |
| lena16.bmp | lena16.bmp-G_1-H0.0001_af1.wfa    | 1572864 | 524288 |  | 10 | 3440 | 80  | 80  | 16 | 256 | 17.06937749 | 6.704 | 3600 | 0.002288818 |
| lena16.bmp | lena16.bmp-G_1-H0.0001_af2.wfa    | 98304   | 32768  |  | 11 | 4112 | 88  | 88  | 16 | 64  | 17.06913939 | 0.391 | 4288 | 0.043619792 |
| lena16.bmp | lena16.bmp-G_1-H8e-005_af1.wfa    | 393216  | 131072 |  | 12 | 4848 | 96  | 96  | 16 | 128 | 17.06688097 | 1.688 | 5040 | 0.012817383 |
| lena16.bmp | lena16.bmp-G_0.75-H4e-005_af3.wfa | 393216  | 131072 |  | 13 | 5648 | 104 | 104 | 16 | 128 | 17.06496793 | 1.766 | 5856 | 0.014892578 |
| lena16.bmp | lena16.bmp-G_0.75-H5e-005_af3.wfa | 393216  | 131072 |  | 13 | 5648 | 104 | 104 | 16 | 128 | 17.06496793 | 1.735 | 5856 | 0.014892578 |
| lena16.bmp | lena16.bmp-G_0.75-H8e-005_af5.wfa | 393216  | 131072 |  | 12 | 4848 | 96  | 96  | 16 | 128 | 17.06231624 | 1.672 | 5040 | 0.012817383 |
| lena16.bmp | lena16.bmp-G_0.75-H9e-005_af5.wfa | 393216  | 131072 |  | 12 | 4848 | 96  | 96  | 16 | 128 | 17.06231624 | 1.672 | 5040 | 0.012817383 |
| lena16.bmp | lena16.bmp-G_0.75-H0.0001_af5.wfa | 393216  | 131072 |  | 12 | 4848 | 96  | 96  | 16 | 128 | 17.06231624 | 1.672 | 5040 | 0.012817383 |

|            |                                   |         |        |  |    |      |     |     |    |     |             |       |      |             |
|------------|-----------------------------------|---------|--------|--|----|------|-----|-----|----|-----|-------------|-------|------|-------------|
| lena16.bmp | lena16.bmp-G_0.75-H8e-005_af5.wfa | 98304   | 32768  |  | 12 | 4848 | 96  | 96  | 16 | 64  | 17.06218537 | 0.422 | 5040 | 0.051269531 |
| lena16.bmp | lena16.bmp-G_0.75-H9e-005_af5.wfa | 98304   | 32768  |  | 12 | 4848 | 96  | 96  | 16 | 64  | 17.06218537 | 0.407 | 5040 | 0.051269531 |
| lena16.bmp | lena16.bmp-G_0.75-H0.0001_af5.wfa | 98304   | 32768  |  | 12 | 4848 | 96  | 96  | 16 | 64  | 17.06218537 | 0.406 | 5040 | 0.051269531 |
| lena16.bmp | lena16.bmp-G_1-H9e-005_af1.wfa    | 24576   | 8192   |  | 10 | 3440 | 80  | 80  | 16 | 32  | 17.05827411 | 0.078 | 3600 | 0.146484375 |
| lena16.bmp | lena16.bmp-G_1-H0.0001_af1.wfa    | 24576   | 8192   |  | 10 | 3440 | 80  | 80  | 16 | 32  | 17.05827411 | 0.094 | 3600 | 0.146484375 |
| lena16.bmp | lena16.bmp-G_1-H5e-005_af3.wfa    | 98304   | 32768  |  | 13 | 5648 | 104 | 104 | 16 | 64  | 17.05615291 | 0.422 | 5856 | 0.059570313 |
| lena16.bmp | lena16.bmp-G_0.75-H6e-005_af1.wfa | 98304   | 32768  |  | 13 | 5648 | 104 | 104 | 16 | 64  | 17.05396806 | 0.422 | 5856 | 0.059570313 |
| lena16.bmp | lena16.bmp-G_0.75-H7e-005_af1.wfa | 98304   | 32768  |  | 13 | 5648 | 104 | 104 | 16 | 64  | 17.05396806 | 0.422 | 5856 | 0.059570313 |
| lena16.bmp | lena16.bmp-G_0.75-H5e-005_af1.wfa | 98304   | 32768  |  | 13 | 5648 | 104 | 104 | 16 | 64  | 17.05396806 | 0.421 | 5856 | 0.059570313 |
| lena16.bmp | lena16.bmp-G_1-H9e-005_af2.wfa    | 393216  | 131072 |  | 12 | 4848 | 96  | 96  | 16 | 128 | 17.05389522 | 1.687 | 5040 | 0.012817383 |
| lena16.bmp | lena16.bmp-G_1-H0.0001_af3.wfa    | 393216  | 131072 |  | 11 | 4112 | 88  | 88  | 16 | 128 | 17.03399312 | 1.625 | 4288 | 0.010904948 |
| lena16.bmp | lena16.bmp-G_0.75-H4e-005_af3.wfa | 98304   | 32768  |  | 13 | 5648 | 104 | 104 | 16 | 64  | 17.01486329 | 0.422 | 5856 | 0.059570313 |
| lena16.bmp | lena16.bmp-G_0.75-H5e-005_af3.wfa | 98304   | 32768  |  | 13 | 5648 | 104 | 104 | 16 | 64  | 17.01486329 | 0.422 | 5856 | 0.059570313 |
| lena16.bmp | lena16.bmp-G_0.75-H6e-005_af3.wfa | 393216  | 131072 |  | 12 | 4848 | 96  | 96  | 16 | 128 | 17.01350181 | 1.672 | 5040 | 0.012817383 |
| lena16.bmp | lena16.bmp-G_1-H6e-005_af3.wfa    | 393216  | 131072 |  | 13 | 5648 | 104 | 104 | 16 | 128 | 17.00400067 | 1.75  | 5856 | 0.014892578 |
| lena16.bmp | lena16.bmp-G_1-H9e-005_af2.wfa    | 98304   | 32768  |  | 12 | 4848 | 96  | 96  | 16 | 64  | 17.0031265  | 0.407 | 5040 | 0.051269531 |
| lena16.bmp | lena16.bmp-G_1-H8e-005_af1.wfa    | 98304   | 32768  |  | 12 | 4848 | 96  | 96  | 16 | 64  | 16.99833264 | 0.407 | 5040 | 0.051269531 |
| lena16.bmp | lena16.bmp-G_0.75-H0.0001_af1.wfa | 393216  | 131072 |  | 11 | 4112 | 88  | 88  | 16 | 128 | 16.99295732 | 1.61  | 4288 | 0.010904948 |
| lena16.bmp | lena16.bmp-G_0.75-H9e-005_af2.wfa | 393216  | 131072 |  | 12 | 4848 | 96  | 96  | 16 | 128 | 16.98248789 | 1.672 | 5040 | 0.012817383 |
| lena16.bmp | lena16.bmp-G_0.75-H9e-005_af3.wfa | 1572864 | 524288 |  | 11 | 4112 | 88  | 88  | 16 | 256 | 16.97704045 | 6.984 | 4288 | 0.002726237 |
| lena16.bmp | lena16.bmp-G_1-H0.0001_af3.wfa    | 98304   | 32768  |  | 11 | 4112 | 88  | 88  | 16 | 64  | 16.97480882 | 0.391 | 4288 | 0.043619792 |
| lena16.bmp | lena16.bmp-G_1-H7e-005_af3.wfa    | 393216  | 131072 |  | 12 | 4848 | 96  | 96  | 16 | 128 | 16.97306611 | 1.688 | 5040 | 0.012817383 |
| lena16.bmp | lena16.bmp-G_1-H9e-005_af5.wfa    | 393216  | 131072 |  | 11 | 4112 | 88  | 88  | 16 | 128 | 16.96419898 | 1.61  | 4288 | 0.010904948 |
| lena16.bmp | lena16.bmp-G_1-H0.0001_af5.wfa    | 393216  | 131072 |  | 11 | 4112 | 88  | 88  | 16 | 128 | 16.96419898 | 1.609 | 4288 | 0.010904948 |
| lena16.bmp | lena16.bmp-G_1-H6e-005_af3.wfa    | 98304   | 32768  |  | 13 | 5648 | 104 | 104 | 16 | 64  | 16.96312644 | 0.422 | 5856 | 0.059570313 |
| lena16.bmp | lena16.bmp-G_0.75-H6e-005_af3.wfa | 98304   | 32768  |  | 12 | 4848 | 96  | 96  | 16 | 64  | 16.94801455 | 0.406 | 5040 | 0.051269531 |
| lena16.bmp | lena16.bmp-G_0.75-H7e-005_af3.wfa | 393216  | 131072 |  | 12 | 4848 | 96  | 96  | 16 | 128 | 16.93854914 | 1.703 | 5040 | 0.012817383 |
| lena16.bmp | lena16.bmp-G_0.75-H9e-005_af2.wfa | 98304   | 32768  |  | 12 | 4848 | 96  | 96  | 16 | 64  | 16.93625829 | 0.406 | 5040 | 0.051269531 |
| lena16.bmp | lena16.bmp-G_0.75-H0.0001_af1.wfa | 98304   | 32768  |  | 11 | 4112 | 88  | 88  | 16 | 64  | 16.92600949 | 0.391 | 4288 | 0.043619792 |
| lena16.bmp | lena16.bmp-G_1-H7e-005_af3.wfa    | 98304   | 32768  |  | 12 | 4848 | 96  | 96  | 16 | 64  | 16.91700036 | 0.407 | 5040 | 0.051269531 |
| lena16.bmp | lena16.bmp-G_1-H8e-005_af3.wfa    | 393216  | 131072 |  | 11 | 4112 | 88  | 88  | 16 | 128 | 16.90524673 | 1.609 | 4288 | 0.010904948 |

|            |                                   |        |        |  |    |      |     |     |    |     |             |       |      |             |
|------------|-----------------------------------|--------|--------|--|----|------|-----|-----|----|-----|-------------|-------|------|-------------|
| lena16.bmp | lena16.bmp-G_1-H9e-005_af3.wfa    | 393216 | 131072 |  | 11 | 4112 | 88  | 88  | 16 | 128 | 16.90524673 | 1.609 | 4288 | 0.010904948 |
| lena16.bmp | lena16.bmp-G_1-H9e-005_af5.wfa    | 98304  | 32768  |  | 11 | 4112 | 88  | 88  | 16 | 64  | 16.89669054 | 0.391 | 4288 | 0.043619792 |
| lena16.bmp | lena16.bmp-G_1-H0.0001_af5.wfa    | 98304  | 32768  |  | 11 | 4112 | 88  | 88  | 16 | 64  | 16.89669054 | 0.391 | 4288 | 0.043619792 |
| lena16.bmp | lena16.bmp-G_0.75-H8e-005_af3.wfa | 393216 | 131072 |  | 11 | 4112 | 88  | 88  | 16 | 128 | 16.89643122 | 1.609 | 4288 | 0.010904948 |
| lena16.bmp | lena16.bmp-G_0.75-H8e-005_af1.wfa | 393216 | 131072 |  | 11 | 4112 | 88  | 88  | 16 | 128 | 16.89333156 | 1.625 | 4288 | 0.010904948 |
| lena16.bmp | lena16.bmp-G_0.75-H9e-005_af1.wfa | 393216 | 131072 |  | 11 | 4112 | 88  | 88  | 16 | 128 | 16.89333156 | 1.625 | 4288 | 0.010904948 |
| lena16.bmp | lena16.bmp-G_0.75-H7e-005_af3.wfa | 98304  | 32768  |  | 12 | 4848 | 96  | 96  | 16 | 64  | 16.8896898  | 0.391 | 5040 | 0.051269531 |
| lena16.bmp | lena16.bmp-G_0.75-H0.0001_af3.wfa | 393216 | 131072 |  | 10 | 3440 | 80  | 80  | 16 | 128 | 16.86330489 | 1.562 | 3600 | 0.009155273 |
| lena16.bmp | lena16.bmp-G_1-H8e-005_af3.wfa    | 98304  | 32768  |  | 11 | 4112 | 88  | 88  | 16 | 64  | 16.83190047 | 0.391 | 4288 | 0.043619792 |
| lena16.bmp | lena16.bmp-G_1-H9e-005_af3.wfa    | 98304  | 32768  |  | 11 | 4112 | 88  | 88  | 16 | 64  | 16.83190047 | 0.39  | 4288 | 0.043619792 |
| lena16.bmp | lena16.bmp-G_0.75-H8e-005_af3.wfa | 98304  | 32768  |  | 11 | 4112 | 88  | 88  | 16 | 64  | 16.82922953 | 0.407 | 4288 | 0.043619792 |
| lena16.bmp | lena16.bmp-G_1-H9e-005_af1.wfa    | 393216 | 131072 |  | 10 | 3440 | 80  | 80  | 16 | 128 | 16.82674801 | 1.593 | 3600 | 0.009155273 |
| lena16.bmp | lena16.bmp-G_1-H0.0001_af1.wfa    | 393216 | 131072 |  | 10 | 3440 | 80  | 80  | 16 | 128 | 16.82674801 | 1.579 | 3600 | 0.009155273 |
| lena16.bmp | lena16.bmp-G_0.75-H8e-005_af1.wfa | 98304  | 32768  |  | 11 | 4112 | 88  | 88  | 16 | 64  | 16.82652427 | 0.406 | 4288 | 0.043619792 |
| lena16.bmp | lena16.bmp-G_0.75-H9e-005_af1.wfa | 98304  | 32768  |  | 11 | 4112 | 88  | 88  | 16 | 64  | 16.82652427 | 0.406 | 4288 | 0.043619792 |
| lena16.bmp | lena16.bmp-G_0.75-H0.0001_af3.wfa | 98304  | 32768  |  | 10 | 3440 | 80  | 80  | 16 | 64  | 16.81770981 | 0.39  | 3600 | 0.036621094 |
| lena16.bmp | lena16.bmp-G_0.75-H9e-005_af3.wfa | 393216 | 131072 |  | 11 | 4112 | 88  | 88  | 16 | 128 | 16.75384288 | 1.625 | 4288 | 0.010904948 |
| lena16.bmp | lena16.bmp-G_1-H9e-005_af1.wfa    | 98304  | 32768  |  | 10 | 3440 | 80  | 80  | 16 | 64  | 16.72773364 | 0.391 | 3600 | 0.036621094 |
| lena16.bmp | lena16.bmp-G_1-H0.0001_af1.wfa    | 98304  | 32768  |  | 10 | 3440 | 80  | 80  | 16 | 64  | 16.72773364 | 0.39  | 3600 | 0.036621094 |
| lena16.bmp | lena16.bmp-G_0.75-H9e-005_af3.wfa | 98304  | 32768  |  | 11 | 4112 | 88  | 88  | 16 | 64  | 16.71310727 | 0.406 | 4288 | 0.043619792 |
| lena16.bmp | lena16.bmp-G_0.5-H0.0001_af5.wfa  | 24576  | 8192   |  | 11 | 4112 | 88  | 88  | 16 | 32  | 16.37459204 | 0.093 | 4288 | 0.174479167 |
| lena16.bmp | lena16.bmp-G_0.5-H4e-005_af5.wfa  | 24576  | 8192   |  | 15 | 7440 | 120 | 120 | 16 | 32  | 16.22608249 | 0.093 | 7680 | 0.3125      |
| lena16.bmp | lena16.bmp-G_0.5-H3e-005_af5.wfa  | 24576  | 8192   |  | 15 | 7440 | 120 | 120 | 16 | 32  | 16.22608249 | 0.109 | 7680 | 0.3125      |
| lena16.bmp | lena16.bmp-G_0.5-H1e-005_af5.wfa  | 24576  | 8192   |  | 16 | 8432 | 128 | 128 | 16 | 32  | 16.21436866 | 0.5   | 8688 | 0.353515625 |
| lena16.bmp | lena16.bmp-G_0.5-H8e-005_af5.wfa  | 24576  | 8192   |  | 11 | 4112 | 88  | 88  | 16 | 32  | 16.11057184 | 0.093 | 4288 | 0.174479167 |
| lena16.bmp | lena16.bmp-G_0.5-H9e-005_af5.wfa  | 24576  | 8192   |  | 11 | 4112 | 88  | 88  | 16 | 32  | 16.11057184 | 0.094 | 4288 | 0.174479167 |
| lena16.bmp | lena16.bmp-G_0.5-H8e-005_af2.wfa  | 24576  | 8192   |  | 11 | 4112 | 88  | 88  | 16 | 32  | 15.87699567 | 0.094 | 4288 | 0.174479167 |
| lena16.bmp | lena16.bmp-G_0.5-H9e-005_af2.wfa  | 24576  | 8192   |  | 9  | 2832 | 72  | 72  | 16 | 32  | 15.80746712 | 0.094 | 2976 | 0.12109375  |
| lena16.bmp | lena16.bmp-G_0.5-H0.0001_af2.wfa  | 24576  | 8192   |  | 9  | 2832 | 72  | 72  | 16 | 32  | 15.80746712 | 0.094 | 2976 | 0.12109375  |
| lena16.bmp | lena16.bmp-G_0.5-H6e-005_af5.wfa  | 24576  | 8192   |  | 12 | 4848 | 96  | 96  | 16 | 32  | 15.79052973 | 0.094 | 5040 | 0.205078125 |
| lena16.bmp | lena16.bmp-G_0.5-H7e-005_af5.wfa  | 24576  | 8192   |  | 12 | 4848 | 96  | 96  | 16 | 32  | 15.79052973 | 0.25  | 5040 | 0.205078125 |



|            |                                   |       |      |  |    |      |     |     |    |    |             |       |      |             |
|------------|-----------------------------------|-------|------|--|----|------|-----|-----|----|----|-------------|-------|------|-------------|
| lena16.bmp | lena16.bmp-G_0.5-H2e-005_af5.wfa  | 24576 | 8192 |  | 15 | 7440 | 120 | 120 | 16 | 32 | 15.77861307 | 0.094 | 7680 | 0.3125      |
| lena16.bmp | lena16.bmp-G_0.5-H3e-005_af4.wfa  | 6144  | 2048 |  | 5  | 1040 | 40  | 40  | 16 | 16 | 15.56795899 | 0.015 | 1120 | 0.182291667 |
| lena16.bmp | lena16.bmp-G_0.5-H4e-005_af4.wfa  | 6144  | 2048 |  | 5  | 1040 | 40  | 40  | 16 | 16 | 15.56795899 | 0.016 | 1120 | 0.182291667 |
| lena16.bmp | lena16.bmp-G_0.5-H5e-005_af4.wfa  | 6144  | 2048 |  | 5  | 1040 | 40  | 40  | 16 | 16 | 15.56795899 | 0.015 | 1120 | 0.182291667 |
| lena16.bmp | lena16.bmp-G_0.5-H6e-005_af4.wfa  | 6144  | 2048 |  | 5  | 1040 | 40  | 40  | 16 | 16 | 15.56795899 | 0.016 | 1120 | 0.182291667 |
| lena16.bmp | lena16.bmp-G_0.5-H2e-005_af4.wfa  | 6144  | 2048 |  | 5  | 1040 | 40  | 40  | 16 | 16 | 15.56795899 | 0.015 | 1120 | 0.182291667 |
| lena16.bmp | lena16.bmp-G_0.5-H1e-005_af4.wfa  | 6144  | 2048 |  | 5  | 1040 | 40  | 40  | 16 | 16 | 15.56795899 | 0.031 | 1120 | 0.182291667 |
| lena16.bmp | lena16.bmp-G_1-H1e-005_af4.wfa    | 6144  | 2048 |  | 5  | 1040 | 40  | 40  | 16 | 16 | 15.53013824 | 0.031 | 1120 | 0.182291667 |
| lena16.bmp | lena16.bmp-G_1-H2e-005_af4.wfa    | 6144  | 2048 |  | 5  | 1040 | 40  | 40  | 16 | 16 | 15.53013824 | 0.015 | 1120 | 0.182291667 |
| lena16.bmp | lena16.bmp-G_1-H3e-005_af4.wfa    | 6144  | 2048 |  | 5  | 1040 | 40  | 40  | 16 | 16 | 15.53013824 | 0.031 | 1120 | 0.182291667 |
| lena16.bmp | lena16.bmp-G_1-H4e-005_af4.wfa    | 6144  | 2048 |  | 5  | 1040 | 40  | 40  | 16 | 16 | 15.53013824 | 0.016 | 1120 | 0.182291667 |
| lena16.bmp | lena16.bmp-G_1-H5e-005_af4.wfa    | 6144  | 2048 |  | 5  | 1040 | 40  | 40  | 16 | 16 | 15.53013824 | 0.016 | 1120 | 0.182291667 |
| lena16.bmp | lena16.bmp-G_1-H6e-005_af4.wfa    | 6144  | 2048 |  | 5  | 1040 | 40  | 40  | 16 | 16 | 15.53013824 | 0.032 | 1120 | 0.182291667 |
| lena16.bmp | lena16.bmp-G_1-H7e-005_af4.wfa    | 6144  | 2048 |  | 5  | 1040 | 40  | 40  | 16 | 16 | 15.53013824 | 0.031 | 1120 | 0.182291667 |
| lena16.bmp | lena16.bmp-G_1-H8e-005_af4.wfa    | 6144  | 2048 |  | 5  | 1040 | 40  | 40  | 16 | 16 | 15.53013824 | 0.032 | 1120 | 0.182291667 |
| lena16.bmp | lena16.bmp-G_1-H9e-005_af4.wfa    | 6144  | 2048 |  | 5  | 1040 | 40  | 40  | 16 | 16 | 15.53013824 | 0.016 | 1120 | 0.182291667 |
| lena16.bmp | lena16.bmp-G_0.75-H1e-005_af4.wfa | 6144  | 2048 |  | 5  | 1040 | 40  | 40  | 16 | 16 | 15.51282141 | 0.031 | 1120 | 0.182291667 |
| lena16.bmp | lena16.bmp-G_0.75-H2e-005_af4.wfa | 6144  | 2048 |  | 5  | 1040 | 40  | 40  | 16 | 16 | 15.51282141 | 0.031 | 1120 | 0.182291667 |
| lena16.bmp | lena16.bmp-G_0.75-H3e-005_af4.wfa | 6144  | 2048 |  | 5  | 1040 | 40  | 40  | 16 | 16 | 15.51282141 | 0.016 | 1120 | 0.182291667 |
| lena16.bmp | lena16.bmp-G_0.75-H4e-005_af4.wfa | 6144  | 2048 |  | 5  | 1040 | 40  | 40  | 16 | 16 | 15.51282141 | 0.031 | 1120 | 0.182291667 |
| lena16.bmp | lena16.bmp-G_0.75-H5e-005_af4.wfa | 6144  | 2048 |  | 5  | 1040 | 40  | 40  | 16 | 16 | 15.51282141 | 0.031 | 1120 | 0.182291667 |
| lena16.bmp | lena16.bmp-G_0.5-H9e-005_af4.wfa  | 6144  | 2048 |  | 4  | 752  | 32  | 32  | 16 | 16 | 15.50656068 | 0.015 | 816  | 0.1328125   |
| lena16.bmp | lena16.bmp-G_0.5-H0.0001_af4.wfa  | 6144  | 2048 |  | 4  | 752  | 32  | 32  | 16 | 16 | 15.50656068 | 0.031 | 816  | 0.1328125   |
| lena16.bmp | lena16.bmp-G_0.75-H8e-005_af4.wfa | 6144  | 2048 |  | 4  | 752  | 32  | 32  | 16 | 16 | 15.47905736 | 0.015 | 816  | 0.1328125   |
| lena16.bmp | lena16.bmp-G_0.75-H9e-005_af4.wfa | 6144  | 2048 |  | 4  | 752  | 32  | 32  | 16 | 16 | 15.47905736 | 0.015 | 816  | 0.1328125   |
| lena16.bmp | lena16.bmp-G_0.75-H0.0001_af4.wfa | 6144  | 2048 |  | 4  | 752  | 32  | 32  | 16 | 16 | 15.47905736 | 0.031 | 816  | 0.1328125   |
| lena16.bmp | lena16.bmp-G_0.5-H7e-005_af4.wfa  | 6144  | 2048 |  | 4  | 752  | 32  | 32  | 16 | 16 | 15.46744083 | 0.016 | 816  | 0.1328125   |
| lena16.bmp | lena16.bmp-G_0.5-H8e-005_af4.wfa  | 6144  | 2048 |  | 4  | 752  | 32  | 32  | 16 | 16 | 15.46744083 | 0.015 | 816  | 0.1328125   |
| lena16.bmp | lena16.bmp-G_0.75-H6e-005_af4.wfa | 6144  | 2048 |  | 4  | 752  | 32  | 32  | 16 | 16 | 15.44036113 | 0.016 | 816  | 0.1328125   |
| lena16.bmp | lena16.bmp-G_0.75-H7e-005_af4.wfa | 6144  | 2048 |  | 4  | 752  | 32  | 32  | 16 | 16 | 15.44036113 | 0.016 | 816  | 0.1328125   |
| lena16.bmp | lena16.bmp-G_1-H0.0001_af4.wfa    | 6144  | 2048 |  | 4  | 752  | 32  | 32  | 16 | 16 | 15.41580256 | 0.016 | 816  | 0.1328125   |

|            |                                   |         |        |  |    |      |    |    |    |     |             |       |      |             |
|------------|-----------------------------------|---------|--------|--|----|------|----|----|----|-----|-------------|-------|------|-------------|
| lena16.bmp | lena16.bmp-G_0.5-H3e-005_af4.wfa  | 1572864 | 524288 |  | 5  | 1040 | 40 | 40 | 16 | 256 | 15.39045742 | 5.906 | 1120 | 0.000712077 |
| lena16.bmp | lena16.bmp-G_0.5-H4e-005_af4.wfa  | 1572864 | 524288 |  | 5  | 1040 | 40 | 40 | 16 | 256 | 15.39045742 | 5.937 | 1120 | 0.000712077 |
| lena16.bmp | lena16.bmp-G_0.5-H5e-005_af4.wfa  | 1572864 | 524288 |  | 5  | 1040 | 40 | 40 | 16 | 256 | 15.39045742 | 5.922 | 1120 | 0.000712077 |
| lena16.bmp | lena16.bmp-G_0.5-H6e-005_af4.wfa  | 1572864 | 524288 |  | 5  | 1040 | 40 | 40 | 16 | 256 | 15.39045742 | 6     | 1120 | 0.000712077 |
| lena16.bmp | lena16.bmp-G_0.5-H1e-005_af4.wfa  | 1572864 | 524288 |  | 5  | 1040 | 40 | 40 | 16 | 256 | 15.39045742 | 6     | 1120 | 0.000712077 |
| lena16.bmp | lena16.bmp-G_0.5-H2e-005_af4.wfa  | 1572864 | 524288 |  | 5  | 1040 | 40 | 40 | 16 | 256 | 15.39045742 | 5.922 | 1120 | 0.000712077 |
| lena16.bmp | lena16.bmp-G_1-H1e-005_af4.wfa    | 1572864 | 524288 |  | 5  | 1040 | 40 | 40 | 16 | 256 | 15.37992646 | 5.953 | 1120 | 0.000712077 |
| lena16.bmp | lena16.bmp-G_1-H2e-005_af4.wfa    | 1572864 | 524288 |  | 5  | 1040 | 40 | 40 | 16 | 256 | 15.37992646 | 6.063 | 1120 | 0.000712077 |
| lena16.bmp | lena16.bmp-G_1-H3e-005_af4.wfa    | 1572864 | 524288 |  | 5  | 1040 | 40 | 40 | 16 | 256 | 15.37992646 | 6.391 | 1120 | 0.000712077 |
| lena16.bmp | lena16.bmp-G_1-H4e-005_af4.wfa    | 1572864 | 524288 |  | 5  | 1040 | 40 | 40 | 16 | 256 | 15.37992646 | 6     | 1120 | 0.000712077 |
| lena16.bmp | lena16.bmp-G_1-H5e-005_af4.wfa    | 1572864 | 524288 |  | 5  | 1040 | 40 | 40 | 16 | 256 | 15.37992646 | 5.968 | 1120 | 0.000712077 |
| lena16.bmp | lena16.bmp-G_1-H6e-005_af4.wfa    | 1572864 | 524288 |  | 5  | 1040 | 40 | 40 | 16 | 256 | 15.37992646 | 5.953 | 1120 | 0.000712077 |
| lena16.bmp | lena16.bmp-G_1-H7e-005_af4.wfa    | 1572864 | 524288 |  | 5  | 1040 | 40 | 40 | 16 | 256 | 15.37992646 | 5.969 | 1120 | 0.000712077 |
| lena16.bmp | lena16.bmp-G_1-H8e-005_af4.wfa    | 1572864 | 524288 |  | 5  | 1040 | 40 | 40 | 16 | 256 | 15.37992646 | 5.89  | 1120 | 0.000712077 |
| lena16.bmp | lena16.bmp-G_1-H9e-005_af4.wfa    | 1572864 | 524288 |  | 5  | 1040 | 40 | 40 | 16 | 256 | 15.37992646 | 5.968 | 1120 | 0.000712077 |
| lena16.bmp | lena16.bmp-G_0.75-H1e-005_af4.wfa | 1572864 | 524288 |  | 5  | 1040 | 40 | 40 | 16 | 256 | 15.36769428 | 5.984 | 1120 | 0.000712077 |
| lena16.bmp | lena16.bmp-G_0.75-H2e-005_af4.wfa | 1572864 | 524288 |  | 5  | 1040 | 40 | 40 | 16 | 256 | 15.36769428 | 6.094 | 1120 | 0.000712077 |
| lena16.bmp | lena16.bmp-G_0.75-H3e-005_af4.wfa | 1572864 | 524288 |  | 5  | 1040 | 40 | 40 | 16 | 256 | 15.36769428 | 6.156 | 1120 | 0.000712077 |
| lena16.bmp | lena16.bmp-G_0.75-H4e-005_af4.wfa | 1572864 | 524288 |  | 5  | 1040 | 40 | 40 | 16 | 256 | 15.36769428 | 5.938 | 1120 | 0.000712077 |
| lena16.bmp | lena16.bmp-G_0.75-H5e-005_af4.wfa | 1572864 | 524288 |  | 5  | 1040 | 40 | 40 | 16 | 256 | 15.36769428 | 5.938 | 1120 | 0.000712077 |
| lena16.bmp | lena16.bmp-G_0.5-H9e-005_af4.wfa  | 1572864 | 524288 |  | 4  | 752  | 32 | 32 | 16 | 256 | 15.3300714  | 5.829 | 816  | 0.000518799 |
| lena16.bmp | lena16.bmp-G_0.5-H0.0001_af4.wfa  | 1572864 | 524288 |  | 4  | 752  | 32 | 32 | 16 | 256 | 15.3300714  | 5.844 | 816  | 0.000518799 |
| lena16.bmp | lena16.bmp-G_0.75-H8e-005_af4.wfa | 1572864 | 524288 |  | 4  | 752  | 32 | 32 | 16 | 256 | 15.32670013 | 5.859 | 816  | 0.000518799 |
| lena16.bmp | lena16.bmp-G_0.75-H9e-005_af4.wfa | 1572864 | 524288 |  | 4  | 752  | 32 | 32 | 16 | 256 | 15.32670013 | 5.875 | 816  | 0.000518799 |
| lena16.bmp | lena16.bmp-G_0.75-H0.0001_af4.wfa | 1572864 | 524288 |  | 4  | 752  | 32 | 32 | 16 | 256 | 15.32670013 | 5.906 | 816  | 0.000518799 |
| lena16.bmp | lena16.bmp-G_0.75-H6e-005_af4.wfa | 1572864 | 524288 |  | 4  | 752  | 32 | 32 | 16 | 256 | 15.3162505  | 5.86  | 816  | 0.000518799 |
| lena16.bmp | lena16.bmp-G_0.75-H7e-005_af4.wfa | 1572864 | 524288 |  | 4  | 752  | 32 | 32 | 16 | 256 | 15.3162505  | 5.875 | 816  | 0.000518799 |
| lena16.bmp | lena16.bmp-G_0.5-H7e-005_af4.wfa  | 1572864 | 524288 |  | 4  | 752  | 32 | 32 | 16 | 256 | 15.30641729 | 5.844 | 816  | 0.000518799 |
| lena16.bmp | lena16.bmp-G_0.5-H8e-005_af4.wfa  | 1572864 | 524288 |  | 4  | 752  | 32 | 32 | 16 | 256 | 15.30641729 | 5.812 | 816  | 0.000518799 |
| lena16.bmp | lena16.bmp-G_0.5-H7e-005_af3.wfa  | 24576   | 8192   |  | 11 | 4112 | 88 | 88 | 16 | 32  | 15.29326655 | 0.093 | 4288 | 0.174479167 |
| lena16.bmp | lena16.bmp-G_0.5-H8e-005_af3.wfa  | 24576   | 8192   |  | 11 | 4112 | 88 | 88 | 16 | 32  | 15.29326655 | 0.093 | 4288 | 0.174479167 |

|            |  |         |        |      |    |      |    |    |    |     |             |       |      |             |
|------------|--|---------|--------|------|----|------|----|----|----|-----|-------------|-------|------|-------------|
| lena16.bmp | lena16.bmp-G_1-H0.0001_af4.wfa                     | 1572864 | 524288 |      | 4  | 752  | 32 | 32 | 16 | 256 | 15.29223236 | 5.844 | 816  | 0.000518799 |
| lena16.bmp | lena16.bmp-G_0.5-H0.0001_af1.wfa                   | 24576   | 8192   |      | 10 | 3440 | 80 | 80 | 16 | 32  | 15.23263713 | 0.094 | 3600 | 0.146484375 |
| lena16.bmp | lena16.bmp-G_0.5-H9e-005_af1.wfa                   | 24576   | 8192   |      | 10 | 3440 | 80 | 80 | 16 | 32  | 15.23263713 | 0.094 | 3600 | 0.146484375 |
| lena16.bmp | lena16.bmp-G_0.5-H0.0001_af5.wfa                   | 98304   | 32768  |      | 11 | 4112 | 88 | 88 | 16 | 64  | 15.20828417 | 0.422 | 4288 | 0.043619792 |
| lena16.bmp | lena16.bmp-G_0.5-H3e-005_af4.wfa                   | 393216  | 131072 |      | 5  | 1040 | 40 | 40 | 16 | 128 | 15.18685055 | 1.422 | 1120 | 0.002848307 |
| lena16.bmp | lena16.bmp-G_0.5-H4e-005_af4.wfa                   | 393216  | 131072 |      | 5  | 1040 | 40 | 40 | 16 | 128 | 15.18685055 | 1.422 | 1120 | 0.002848307 |
| lena16.bmp | lena16.bmp-G_0.5-H5e-005_af4.wfa                   | 393216  | 131072 |      | 5  | 1040 | 40 | 40 | 16 | 128 | 15.18685055 | 1.438 | 1120 | 0.002848307 |
| lena16.bmp | lena16.bmp-G_0.5-H6e-005_af4.wfa                   | 393216  | 131072 |      | 5  | 1040 | 40 | 40 | 16 | 128 | 15.18685055 | 1.406 | 1120 | 0.002848307 |
| lena16.bmp | lena16.bmp-G_0.5-H1e-005_af4.wfa                   | 393216  | 131072 |      | 5  | 1040 | 40 | 40 | 16 | 128 | 15.18685055 | 1.437 | 1120 | 0.002848307 |
| lena16.bmp | lena16.bmp-G_0.5-H2e-005_af4.wfa                   | 393216  | 131072 |      | 5  | 1040 | 40 | 40 | 16 | 128 | 15.18685055 | 1.437 | 1120 | 0.002848307 |
| lena16.bmp | lena16.bmp-G_1-H1e-005_af4.wfa                     | 393216  | 131072 |      | 5  | 1040 | 40 | 40 | 16 | 128 | 15.17622002 | 1.438 | 1120 | 0.002848307 |
| lena16.bmp | lena16.bmp-G_1-H2e-005_af4.wfa                     | 393216  | 131072 |      | 5  | 1040 | 40 | 40 | 16 | 128 | 15.17622002 | 1.469 | 1120 | 0.002848307 |
| lena16.bmp | lena16.bmp-G_1-H3e-005_af4.wfa                     | 393216  | 131072 |      | 5  | 1040 | 40 | 40 | 16 | 128 | 15.17622002 | 1.594 | 1120 | 0.002848307 |
| lena16.bmp | lena16.bmp-G_1-H4e-005_af4.wfa                     | 393216  | 131072 |      | 5  | 1040 | 40 | 40 | 16 | 128 | 15.17622002 | 1.421 | 1120 | 0.002848307 |
| lena16.bmp | lena16.bmp-G_1-H5e-005_af4.wfa                     | 393216  | 131072 |      | 5  | 1040 | 40 | 40 | 16 | 128 | 15.17622002 | 1.438 | 1120 | 0.002848307 |
| lena16.bmp | lena16.bmp-G_1-H6e-005_af4.wfa                     | 393216  | 131072 |      | 5  | 1040 | 40 | 40 | 16 | 128 | 15.17622002 | 1.422 | 1120 | 0.002848307 |
| lena16.bmp | lena16.bmp-G_1-H7e-005_af4.wfa                     | 393216  | 131072 |      | 5  | 1040 | 40 | 40 | 16 | 128 | 15.17622002 | 1.438 | 1120 | 0.002848307 |
| lena16.bmp | lena16.bmp-G_1-H8e-005_af4.wfa                     | 393216  | 131072 |      | 5  | 1040 | 40 | 40 | 16 | 128 | 15.17622002 | 1.422 | 1120 | 0.002848307 |
| lena16.bmp | lena16.bmp-G_1-H9e-005_af4.wfa                     | 393216  | 131072 |      | 5  | 1040 | 40 | 40 | 16 | 128 | 15.17622002 | 1.437 | 1120 | 0.002848307 |
| lena16.bmp | lena16.bmp-withWavelet_haar-G_1-H7e-005_af1.wfa    | 24576   | 8192   | 8192 | 11 | 4112 | 88 | 88 | 16 | 32  | 15.16841816 | 0.094 | 4288 | 0.174479167 |
| lena16.bmp | lena16.bmp-withWavelet_rbio1.1-G_1-H7e-005_af1.wfa | 24576   | 8192   | 8192 | 11 | 4112 | 88 | 88 | 16 | 32  | 15.16841816 | 0.094 | 4288 | 0.174479167 |
| lena16.bmp | lena16.bmp-withWavelet_sym1-G_1-H7e-005_af1.wfa    | 24576   | 8192   | 8192 | 11 | 4112 | 88 | 88 | 16 | 32  | 15.16841816 | 0.094 | 4288 | 0.174479167 |
| lena16.bmp | lena16.bmp-withWavelet_bior1.1-G_1-H7e-005_af1.wfa | 24576   | 8192   | 8192 | 11 | 4112 | 88 | 88 | 16 | 32  | 15.16841816 | 0.094 | 4288 | 0.174479167 |
| lena16.bmp | lena16.bmp-withWavelet_haar-G_1-H8e-005_af1.wfa    | 24576   | 8192   | 8192 | 11 | 4112 | 88 | 88 | 16 | 32  | 15.16841816 | 0.094 | 4288 | 0.174479167 |
| lena16.bmp | lena16.bmp-withWavelet_rbio1.1-G_1-H8e-005_af1.wfa | 24576   | 8192   | 8192 | 11 | 4112 | 88 | 88 | 16 | 32  | 15.16841816 | 0.094 | 4288 | 0.174479167 |
| lena16.bmp | lena16.bmp-withWavelet_sym1-G_1-H8e-005_af1.wfa    | 24576   | 8192   | 8192 | 11 | 4112 | 88 | 88 | 16 | 32  | 15.16841816 | 0.093 | 4288 | 0.174479167 |
| lena16.bmp | lena16.bmp-withWavelet_bior1.1-G_1-H8e-005_af1.wfa | 24576   | 8192   | 8192 | 11 | 4112 | 88 | 88 | 16 | 32  | 15.16841816 | 0.094 | 4288 | 0.174479167 |
| lena16.bmp | lena16.bmp-withWavelet_haar-G_1-H9e-005_af1.wfa    | 24576   | 8192   | 8192 | 11 | 4112 | 88 | 88 | 16 | 32  | 15.16841816 | 0.094 | 4288 | 0.174479167 |
| lena16.bmp | lena16.bmp-withWavelet_rbio1.1-G_1-H9e-005_af1.wfa | 24576   | 8192   | 8192 | 11 | 4112 | 88 | 88 | 16 | 32  | 15.16841816 | 0.109 | 4288 | 0.174479167 |
| lena16.bmp | lena16.bmp-withWavelet_sym1-G_1-H9e-005_af1.wfa    | 24576   | 8192   | 8192 | 11 | 4112 | 88 | 88 | 16 | 32  | 15.16841816 | 0.093 | 4288 | 0.174479167 |
| lena16.bmp | lena16.bmp-withWavelet_bior1.1-G_1-H9e-005_af1.wfa | 24576   | 8192   | 8192 | 11 | 4112 | 88 | 88 | 16 | 32  | 15.16841816 | 0.094 | 4288 | 0.174479167 |

|            |   |        |        |      |    |      |    |    |    |     |             |       |      |             |
|------------|---|--------|--------|------|----|------|----|----|----|-----|-------------|-------|------|-------------|
| lena16.bmp | lena16.bmp-withWavelet_haar-G_1-H0.0001_af1.wfa       | 24576  | 8192   | 8192 | 11 | 4112 | 88 | 88 | 16 | 32  | 15.16841816 | 0.093 | 4288 | 0.174479167 |
| lena16.bmp | lena16.bmp-withWavelet_rbio1.1-G_1-H0.0001_af1.wfa    | 24576  | 8192   | 8192 | 11 | 4112 | 88 | 88 | 16 | 32  | 15.16841816 | 0.094 | 4288 | 0.174479167 |
| lena16.bmp | lena16.bmp-withWavelet_sym1-G_1-H0.0001_af1.wfa       | 24576  | 8192   | 8192 | 11 | 4112 | 88 | 88 | 16 | 32  | 15.16841816 | 0.094 | 4288 | 0.174479167 |
| lena16.bmp | lena16.bmp-withWavelet_bior1.1-G_1-H0.0001_af1.wfa    | 24576  | 8192   | 8192 | 11 | 4112 | 88 | 88 | 16 | 32  | 15.16841816 | 0.094 | 4288 | 0.174479167 |
| lena16.bmp | lena16.bmp-withWavelet_haar-G_0.75-H7e-005_af1.wfa    | 24576  | 8192   | 8192 | 12 | 4848 | 96 | 96 | 16 | 32  | 15.16657426 | 0.094 | 5040 | 0.205078125 |
| lena16.bmp | lena16.bmp-withWavelet_rbio1.1-G_0.75-H7e-005_af1.wfa | 24576  | 8192   | 8192 | 12 | 4848 | 96 | 96 | 16 | 32  | 15.16657426 | 0.094 | 5040 | 0.205078125 |
| lena16.bmp | lena16.bmp-withWavelet_sym1-G_0.75-H7e-005_af1.wfa    | 24576  | 8192   | 8192 | 12 | 4848 | 96 | 96 | 16 | 32  | 15.16657426 | 0.093 | 5040 | 0.205078125 |
| lena16.bmp | lena16.bmp-withWavelet_bior1.1-G_0.75-H7e-005_af1.wfa | 24576  | 8192   | 8192 | 12 | 4848 | 96 | 96 | 16 | 32  | 15.16657426 | 0.109 | 5040 | 0.205078125 |
| lena16.bmp | lena16.bmp-G_0.75-H1e-005_af4.wfa                     | 393216 | 131072 |      | 5  | 1040 | 40 | 40 | 16 | 128 | 15.16408905 | 1.453 | 1120 | 0.002848307 |
| lena16.bmp | lena16.bmp-G_0.75-H2e-005_af4.wfa                     | 393216 | 131072 |      | 5  | 1040 | 40 | 40 | 16 | 128 | 15.16408905 | 1.437 | 1120 | 0.002848307 |
| lena16.bmp | lena16.bmp-G_0.75-H3e-005_af4.wfa                     | 393216 | 131072 |      | 5  | 1040 | 40 | 40 | 16 | 128 | 15.16408905 | 1.437 | 1120 | 0.002848307 |
| lena16.bmp | lena16.bmp-G_0.75-H4e-005_af4.wfa                     | 393216 | 131072 |      | 5  | 1040 | 40 | 40 | 16 | 128 | 15.16408905 | 1.469 | 1120 | 0.002848307 |
| lena16.bmp | lena16.bmp-G_0.75-H5e-005_af4.wfa                     | 393216 | 131072 |      | 5  | 1040 | 40 | 40 | 16 | 128 | 15.16408905 | 1.422 | 1120 | 0.002848307 |
| lena16.bmp | lena16.bmp-G_0.5-H9e-005_af4.wfa                      | 393216 | 131072 |      | 4  | 752  | 32 | 32 | 16 | 128 | 15.13505916 | 1.406 | 816  | 0.002075195 |
| lena16.bmp | lena16.bmp-G_0.5-H0.0001_af4.wfa                      | 393216 | 131072 |      | 4  | 752  | 32 | 32 | 16 | 128 | 15.13505916 | 1.406 | 816  | 0.002075195 |
| lena16.bmp | lena16.bmp-G_0.75-H8e-005_af4.wfa                     | 393216 | 131072 |      | 4  | 752  | 32 | 32 | 16 | 128 | 15.12759031 | 1.391 | 816  | 0.002075195 |
| lena16.bmp | lena16.bmp-G_0.75-H9e-005_af4.wfa                     | 393216 | 131072 |      | 4  | 752  | 32 | 32 | 16 | 128 | 15.12759031 | 1.406 | 816  | 0.002075195 |
| lena16.bmp | lena16.bmp-G_0.75-H0.0001_af4.wfa                     | 393216 | 131072 |      | 4  | 752  | 32 | 32 | 16 | 128 | 15.12759031 | 1.39  | 816  | 0.002075195 |
| lena16.bmp | lena16.bmp-withWavelet_haar-G_0.75-H0.0001_af1.wfa    | 24576  | 8192   | 8192 | 11 | 4112 | 88 | 88 | 16 | 32  | 15.12742901 | 0.094 | 4288 | 0.174479167 |
| lena16.bmp | lena16.bmp-withWavelet_rbio1.1-G_0.75-H0.0001_af1.wfa | 24576  | 8192   | 8192 | 11 | 4112 | 88 | 88 | 16 | 32  | 15.12742901 | 0.093 | 4288 | 0.174479167 |
| lena16.bmp | lena16.bmp-withWavelet_sym1-G_0.75-H0.0001_af1.wfa    | 24576  | 8192   | 8192 | 11 | 4112 | 88 | 88 | 16 | 32  | 15.12742901 | 0.093 | 4288 | 0.174479167 |
| lena16.bmp | lena16.bmp-withWavelet_bior1.1-G_0.75-H0.0001_af1.wfa | 24576  | 8192   | 8192 | 11 | 4112 | 88 | 88 | 16 | 32  | 15.12742901 | 0.094 | 4288 | 0.174479167 |
| lena16.bmp | lena16.bmp-G_0.75-H6e-005_af4.wfa                     | 393216 | 131072 |      | 4  | 752  | 32 | 32 | 16 | 128 | 15.11514506 | 1.391 | 816  | 0.002075195 |
| lena16.bmp | lena16.bmp-G_0.75-H7e-005_af4.wfa                     | 393216 | 131072 |      | 4  | 752  | 32 | 32 | 16 | 128 | 15.11514506 | 1.406 | 816  | 0.002075195 |
| lena16.bmp | lena16.bmp-G_0.5-H7e-005_af4.wfa                      | 393216 | 131072 |      | 4  | 752  | 32 | 32 | 16 | 128 | 15.11396094 | 1.406 | 816  | 0.002075195 |
| lena16.bmp | lena16.bmp-G_0.5-H8e-005_af4.wfa                      | 393216 | 131072 |      | 4  | 752  | 32 | 32 | 16 | 128 | 15.11396094 | 1.406 | 816  | 0.002075195 |
| lena16.bmp | lena16.bmp-withWavelet_haar-G_1-H6e-005_af1.wfa       | 24576  | 8192   | 8192 | 12 | 4848 | 96 | 96 | 16 | 32  | 15.09507524 | 0.093 | 5040 | 0.205078125 |
| lena16.bmp | lena16.bmp-withWavelet_rbio1.1-G_1-H6e-005_af1.wfa    | 24576  | 8192   | 8192 | 12 | 4848 | 96 | 96 | 16 | 32  | 15.09507524 | 0.094 | 5040 | 0.205078125 |
| lena16.bmp | lena16.bmp-withWavelet_sym1-G_1-H6e-005_af1.wfa       | 24576  | 8192   | 8192 | 12 | 4848 | 96 | 96 | 16 | 32  | 15.09507524 | 0.109 | 5040 | 0.205078125 |
| lena16.bmp | lena16.bmp-withWavelet_bior1.1-G_1-H6e-005_af1.wfa    | 24576  | 8192   | 8192 | 12 | 4848 | 96 | 96 | 16 | 32  | 15.09507524 | 0.093 | 5040 | 0.205078125 |
| lena16.bmp | lena16.bmp-G_1-H0.0001_af4.wfa                        | 393216 | 131072 |      | 4  | 752  | 32 | 32 | 16 | 128 | 15.09255525 | 1.438 | 816  | 0.002075195 |

|            |   |         |        |        |    |      |    |    |    |     |             |       |      |             |
|------------|---|---------|--------|--------|----|------|----|----|----|-----|-------------|-------|------|-------------|
| lena16.bmp | lena16.bmp-withWavelet_haar-G_1-H7e-005_af1.wfa       | 1572864 | 524288 | 524288 | 11 | 4112 | 88 | 88 | 16 | 256 | 15.07584432 | 6.937 | 4288 | 0.002726237 |
| lena16.bmp | lena16.bmp-withWavelet_rbio1.1-G_1-H7e-005_af1.wfa    | 1572864 | 524288 | 524288 | 11 | 4112 | 88 | 88 | 16 | 256 | 15.07584432 | 6.813 | 4288 | 0.002726237 |
| lena16.bmp | lena16.bmp-withWavelet_sym1-G_1-H7e-005_af1.wfa       | 1572864 | 524288 | 524288 | 11 | 4112 | 88 | 88 | 16 | 256 | 15.07584432 | 6.921 | 4288 | 0.002726237 |
| lena16.bmp | lena16.bmp-withWavelet_bior1.1-G_1-H7e-005_af1.wfa    | 1572864 | 524288 | 524288 | 11 | 4112 | 88 | 88 | 16 | 256 | 15.07584432 | 6.875 | 4288 | 0.002726237 |
| lena16.bmp | lena16.bmp-withWavelet_haar-G_1-H8e-005_af1.wfa       | 1572864 | 524288 | 524288 | 11 | 4112 | 88 | 88 | 16 | 256 | 15.07584432 | 6.859 | 4288 | 0.002726237 |
| lena16.bmp | lena16.bmp-withWavelet_rbio1.1-G_1-H8e-005_af1.wfa    | 1572864 | 524288 | 524288 | 11 | 4112 | 88 | 88 | 16 | 256 | 15.07584432 | 6.86  | 4288 | 0.002726237 |
| lena16.bmp | lena16.bmp-withWavelet_sym1-G_1-H8e-005_af1.wfa       | 1572864 | 524288 | 524288 | 11 | 4112 | 88 | 88 | 16 | 256 | 15.07584432 | 6.89  | 4288 | 0.002726237 |
| lena16.bmp | lena16.bmp-withWavelet_bior1.1-G_1-H8e-005_af1.wfa    | 1572864 | 524288 | 524288 | 11 | 4112 | 88 | 88 | 16 | 256 | 15.07584432 | 6.86  | 4288 | 0.002726237 |
| lena16.bmp | lena16.bmp-withWavelet_haar-G_1-H9e-005_af1.wfa       | 1572864 | 524288 | 524288 | 11 | 4112 | 88 | 88 | 16 | 256 | 15.07584432 | 6.859 | 4288 | 0.002726237 |
| lena16.bmp | lena16.bmp-withWavelet_rbio1.1-G_1-H9e-005_af1.wfa    | 1572864 | 524288 | 524288 | 11 | 4112 | 88 | 88 | 16 | 256 | 15.07584432 | 6.875 | 4288 | 0.002726237 |
| lena16.bmp | lena16.bmp-withWavelet_sym1-G_1-H9e-005_af1.wfa       | 1572864 | 524288 | 524288 | 11 | 4112 | 88 | 88 | 16 | 256 | 15.07584432 | 6.875 | 4288 | 0.002726237 |
| lena16.bmp | lena16.bmp-withWavelet_bior1.1-G_1-H9e-005_af1.wfa    | 1572864 | 524288 | 524288 | 11 | 4112 | 88 | 88 | 16 | 256 | 15.07584432 | 6.813 | 4288 | 0.002726237 |
| lena16.bmp | lena16.bmp-withWavelet_haar-G_1-H0.0001_af1.wfa       | 1572864 | 524288 | 524288 | 11 | 4112 | 88 | 88 | 16 | 256 | 15.07584432 | 6.875 | 4288 | 0.002726237 |
| lena16.bmp | lena16.bmp-withWavelet_rbio1.1-G_1-H0.0001_af1.wfa    | 1572864 | 524288 | 524288 | 11 | 4112 | 88 | 88 | 16 | 256 | 15.07584432 | 6.906 | 4288 | 0.002726237 |
| lena16.bmp | lena16.bmp-withWavelet_sym1-G_1-H0.0001_af1.wfa       | 1572864 | 524288 | 524288 | 11 | 4112 | 88 | 88 | 16 | 256 | 15.07584432 | 6.89  | 4288 | 0.002726237 |
| lena16.bmp | lena16.bmp-withWavelet_bior1.1-G_1-H0.0001_af1.wfa    | 1572864 | 524288 | 524288 | 11 | 4112 | 88 | 88 | 16 | 256 | 15.07584432 | 6.875 | 4288 | 0.002726237 |
| lena16.bmp | lena16.bmp-withWavelet_haar-G_0.75-H0.0001_af3.wfa    | 24576   | 8192   | 8192   | 12 | 4848 | 96 | 96 | 16 | 32  | 15.07400179 | 0.094 | 5040 | 0.205078125 |
| lena16.bmp | lena16.bmp-withWavelet_rbio1.1-G_0.75-H0.0001_af3.wfa | 24576   | 8192   | 8192   | 12 | 4848 | 96 | 96 | 16 | 32  | 15.07400179 | 0.094 | 5040 | 0.205078125 |
| lena16.bmp | lena16.bmp-withWavelet_sym1-G_0.75-H0.0001_af3.wfa    | 24576   | 8192   | 8192   | 12 | 4848 | 96 | 96 | 16 | 32  | 15.07400179 | 0.109 | 5040 | 0.205078125 |
| lena16.bmp | lena16.bmp-withWavelet_bior1.1-G_0.75-H0.0001_af3.wfa | 24576   | 8192   | 8192   | 12 | 4848 | 96 | 96 | 16 | 32  | 15.07400179 | 0.094 | 5040 | 0.205078125 |
| lena16.bmp | lena16.bmp-withWavelet_haar-G_1-H8e-005_af4.wfa       | 24576   | 8192   | 8192   | 12 | 4848 | 96 | 96 | 16 | 32  | 15.03588925 | 0.094 | 5040 | 0.205078125 |
| lena16.bmp | lena16.bmp-withWavelet_rbio1.1-G_1-H8e-005_af4.wfa    | 24576   | 8192   | 8192   | 12 | 4848 | 96 | 96 | 16 | 32  | 15.03588925 | 0.093 | 5040 | 0.205078125 |
| lena16.bmp | lena16.bmp-withWavelet_sym1-G_1-H8e-005_af4.wfa       | 24576   | 8192   | 8192   | 12 | 4848 | 96 | 96 | 16 | 32  | 15.03588925 | 0.094 | 5040 | 0.205078125 |
| lena16.bmp | lena16.bmp-withWavelet_bior1.1-G_1-H8e-005_af4.wfa    | 24576   | 8192   | 8192   | 12 | 4848 | 96 | 96 | 16 | 32  | 15.03588925 | 0.094 | 5040 | 0.205078125 |
| lena16.bmp | lena16.bmp-withWavelet_haar-G_1-H9e-005_af4.wfa       | 24576   | 8192   | 8192   | 12 | 4848 | 96 | 96 | 16 | 32  | 15.03588925 | 0.11  | 5040 | 0.205078125 |
| lena16.bmp | lena16.bmp-withWavelet_rbio1.1-G_1-H9e-005_af4.wfa    | 24576   | 8192   | 8192   | 12 | 4848 | 96 | 96 | 16 | 32  | 15.03588925 | 0.094 | 5040 | 0.205078125 |
| lena16.bmp | lena16.bmp-withWavelet_sym1-G_1-H9e-005_af4.wfa       | 24576   | 8192   | 8192   | 12 | 4848 | 96 | 96 | 16 | 32  | 15.03588925 | 0.094 | 5040 | 0.205078125 |
| lena16.bmp | lena16.bmp-withWavelet_bior1.1-G_1-H9e-005_af4.wfa    | 24576   | 8192   | 8192   | 12 | 4848 | 96 | 96 | 16 | 32  | 15.03588925 | 0.093 | 5040 | 0.205078125 |
| lena16.bmp | lena16.bmp-withWavelet_haar-G_0.75-H8e-005_af1.wfa    | 24576   | 8192   | 8192   | 11 | 4112 | 88 | 88 | 16 | 32  | 15.02118882 | 0.094 | 4288 | 0.174479167 |
| lena16.bmp | lena16.bmp-withWavelet_rbio1.1-G_0.75-H8e-005_af1.wfa | 24576   | 8192   | 8192   | 11 | 4112 | 88 | 88 | 16 | 32  | 15.02118882 | 0.094 | 4288 | 0.174479167 |
| lena16.bmp | lena16.bmp-withWavelet_sym1-G_0.75-H8e-005_af1.wfa    | 24576   | 8192   | 8192   | 11 | 4112 | 88 | 88 | 16 | 32  | 15.02118882 | 0.093 | 4288 | 0.174479167 |

|            |   |         |        |        |    |      |     |     |    |     |             |       |      |             |
|------------|---|---------|--------|--------|----|------|-----|-----|----|-----|-------------|-------|------|-------------|
| lena16.bmp | lena16.bmp-withWavelet_bior1.1-G_0.75-H8e-005_af1.wfa | 24576   | 8192   | 8192   | 11 | 4112 | 88  | 88  | 16 | 32  | 15.02118882 | 0.079 | 4288 | 0.174479167 |
| lena16.bmp | lena16.bmp-withWavelet_haar-G_0.75-H9e-005_af1.wfa    | 24576   | 8192   | 8192   | 11 | 4112 | 88  | 88  | 16 | 32  | 15.02118882 | 0.094 | 4288 | 0.174479167 |
| lena16.bmp | lena16.bmp-withWavelet_rbio1.1-G_0.75-H9e-005_af1.wfa | 24576   | 8192   | 8192   | 11 | 4112 | 88  | 88  | 16 | 32  | 15.02118882 | 0.094 | 4288 | 0.174479167 |
| lena16.bmp | lena16.bmp-withWavelet_sym1-G_0.75-H9e-005_af1.wfa    | 24576   | 8192   | 8192   | 11 | 4112 | 88  | 88  | 16 | 32  | 15.02118882 | 0.094 | 4288 | 0.174479167 |
| lena16.bmp | lena16.bmp-withWavelet_bior1.1-G_0.75-H9e-005_af1.wfa | 24576   | 8192   | 8192   | 11 | 4112 | 88  | 88  | 16 | 32  | 15.02118882 | 0.094 | 4288 | 0.174479167 |
| lena16.bmp | lena16.bmp-G_0.5-H0.0001_af3.wfa                      | 24576   | 8192   |        | 11 | 4112 | 88  | 88  | 16 | 32  | 15.00555688 | 0.094 | 4288 | 0.174479167 |
| lena16.bmp | lena16.bmp-withWavelet_haar-G_1-H7e-005_af4.wfa       | 24576   | 8192   | 8192   | 13 | 5648 | 104 | 104 | 16 | 32  | 14.9977423  | 0.11  | 5856 | 0.23828125  |
| lena16.bmp | lena16.bmp-withWavelet_rbio1.1-G_1-H7e-005_af4.wfa    | 24576   | 8192   | 8192   | 13 | 5648 | 104 | 104 | 16 | 32  | 14.9977423  | 0.094 | 5856 | 0.23828125  |
| lena16.bmp | lena16.bmp-withWavelet_sym1-G_1-H7e-005_af4.wfa       | 24576   | 8192   | 8192   | 13 | 5648 | 104 | 104 | 16 | 32  | 14.9977423  | 0.094 | 5856 | 0.23828125  |
| lena16.bmp | lena16.bmp-withWavelet_bior1.1-G_1-H7e-005_af4.wfa    | 24576   | 8192   | 8192   | 13 | 5648 | 104 | 104 | 16 | 32  | 14.9977423  | 0.109 | 5856 | 0.23828125  |
| lena16.bmp | lena16.bmp-withWavelet_haar-G_1-H6e-005_af1.wfa       | 1572864 | 524288 | 524288 | 12 | 4848 | 96  | 96  | 16 | 256 | 14.99681287 | 7.078 | 5040 | 0.003204346 |
| lena16.bmp | lena16.bmp-withWavelet_rbio1.1-G_1-H6e-005_af1.wfa    | 1572864 | 524288 | 524288 | 12 | 4848 | 96  | 96  | 16 | 256 | 14.99681287 | 7.25  | 5040 | 0.003204346 |
| lena16.bmp | lena16.bmp-withWavelet_sym1-G_1-H6e-005_af1.wfa       | 1572864 | 524288 | 524288 | 12 | 4848 | 96  | 96  | 16 | 256 | 14.99681287 | 7.14  | 5040 | 0.003204346 |
| lena16.bmp | lena16.bmp-withWavelet_bior1.1-G_1-H6e-005_af1.wfa    | 1572864 | 524288 | 524288 | 12 | 4848 | 96  | 96  | 16 | 256 | 14.99681287 | 7.11  | 5040 | 0.003204346 |
| lena16.bmp | lena16.bmp-withWavelet_haar-G_1-H0.0001_af4.wfa       | 24576   | 8192   | 8192   | 10 | 3440 | 80  | 80  | 16 | 32  | 14.99143854 | 0.094 | 3600 | 0.146484375 |
| lena16.bmp | lena16.bmp-withWavelet_rbio1.1-G_1-H0.0001_af4.wfa    | 24576   | 8192   | 8192   | 10 | 3440 | 80  | 80  | 16 | 32  | 14.99143854 | 0.093 | 3600 | 0.146484375 |
| lena16.bmp | lena16.bmp-withWavelet_sym1-G_1-H0.0001_af4.wfa       | 24576   | 8192   | 8192   | 10 | 3440 | 80  | 80  | 16 | 32  | 14.99143854 | 0.094 | 3600 | 0.146484375 |
| lena16.bmp | lena16.bmp-withWavelet_bior1.1-G_1-H0.0001_af4.wfa    | 24576   | 8192   | 8192   | 10 | 3440 | 80  | 80  | 16 | 32  | 14.99143854 | 0.094 | 3600 | 0.146484375 |
| lena16.bmp | lena16.bmp-G_0.5-H9e-005_af2.wfa                      | 98304   | 32768  |        | 9  | 2832 | 72  | 72  | 16 | 64  | 14.98961822 | 0.375 | 2976 | 0.030273438 |
| lena16.bmp | lena16.bmp-G_0.5-H0.0001_af2.wfa                      | 98304   | 32768  |        | 9  | 2832 | 72  | 72  | 16 | 64  | 14.98961822 | 0.391 | 2976 | 0.030273438 |
| lena16.bmp | lena16.bmp-withWavelet_haar-G_0.75-H5e-005_af3.wfa    | 24576   | 8192   | 8192   | 14 | 6512 | 112 | 112 | 16 | 32  | 14.9884095  | 0.094 | 6736 | 0.274088542 |
| lena16.bmp | lena16.bmp-withWavelet_rbio1.1-G_0.75-H5e-005_af3.wfa | 24576   | 8192   | 8192   | 14 | 6512 | 112 | 112 | 16 | 32  | 14.9884095  | 0.094 | 6736 | 0.274088542 |
| lena16.bmp | lena16.bmp-withWavelet_sym1-G_0.75-H5e-005_af3.wfa    | 24576   | 8192   | 8192   | 14 | 6512 | 112 | 112 | 16 | 32  | 14.9884095  | 0.109 | 6736 | 0.274088542 |
| lena16.bmp | lena16.bmp-withWavelet_bior1.1-G_0.75-H5e-005_af3.wfa | 24576   | 8192   | 8192   | 14 | 6512 | 112 | 112 | 16 | 32  | 14.9884095  | 0.094 | 6736 | 0.274088542 |
| lena16.bmp | lena16.bmp-G_0.5-H3e-005_af4.wfa                      | 98304   | 32768  |        | 5  | 1040 | 40  | 40  | 16 | 64  | 14.98676607 | 0.344 | 1120 | 0.011393229 |
| lena16.bmp | lena16.bmp-G_0.5-H4e-005_af4.wfa                      | 98304   | 32768  |        | 5  | 1040 | 40  | 40  | 16 | 64  | 14.98676607 | 0.344 | 1120 | 0.011393229 |
| lena16.bmp | lena16.bmp-G_0.5-H5e-005_af4.wfa                      | 98304   | 32768  |        | 5  | 1040 | 40  | 40  | 16 | 64  | 14.98676607 | 0.36  | 1120 | 0.011393229 |
| lena16.bmp | lena16.bmp-G_0.5-H6e-005_af4.wfa                      | 98304   | 32768  |        | 5  | 1040 | 40  | 40  | 16 | 64  | 14.98676607 | 0.359 | 1120 | 0.011393229 |
| lena16.bmp | lena16.bmp-G_0.5-H1e-005_af4.wfa                      | 98304   | 32768  |        | 5  | 1040 | 40  | 40  | 16 | 64  | 14.98676607 | 0.375 | 1120 | 0.011393229 |
| lena16.bmp | lena16.bmp-G_0.5-H2e-005_af4.wfa                      | 98304   | 32768  |        | 5  | 1040 | 40  | 40  | 16 | 64  | 14.98676607 | 0.359 | 1120 | 0.011393229 |
| lena16.bmp | lena16.bmp-withWavelet_haar-G_1-H4e-005_af4.wfa       | 24576   | 8192   | 8192   | 14 | 6512 | 112 | 112 | 16 | 32  | 14.98660155 | 0.093 | 6736 | 0.274088542 |

|            |   |       |       |      |    |      |     |     |    |    |             |       |      |             |
|------------|---|-------|-------|------|----|------|-----|-----|----|----|-------------|-------|------|-------------|
| lena16.bmp | lena16.bmp-withWavelet_rbio1.1-G_1-H4e-005_af4.wfa    | 24576 | 8192  | 8192 | 14 | 6512 | 112 | 112 | 16 | 32 | 14.98660155 | 0.11  | 6736 | 0.274088542 |
| lena16.bmp | lena16.bmp-withWavelet_sym1-G_1-H4e-005_af4.wfa       | 24576 | 8192  | 8192 | 14 | 6512 | 112 | 112 | 16 | 32 | 14.98660155 | 0.094 | 6736 | 0.274088542 |
| lena16.bmp | lena16.bmp-withWavelet_bior1.1-G_1-H4e-005_af4.wfa    | 24576 | 8192  | 8192 | 14 | 6512 | 112 | 112 | 16 | 32 | 14.98660155 | 0.094 | 6736 | 0.274088542 |
| lena16.bmp | lena16.bmp-withWavelet_haar-G_0.75-H8e-005_af4.wfa    | 24576 | 8192  | 8192 | 12 | 4848 | 96  | 96  | 16 | 32 | 14.98291864 | 0.11  | 5040 | 0.205078125 |
| lena16.bmp | lena16.bmp-withWavelet_rbio1.1-G_0.75-H8e-005_af4.wfa | 24576 | 8192  | 8192 | 12 | 4848 | 96  | 96  | 16 | 32 | 14.98291864 | 0.094 | 5040 | 0.205078125 |
| lena16.bmp | lena16.bmp-withWavelet_sym1-G_0.75-H8e-005_af4.wfa    | 24576 | 8192  | 8192 | 12 | 4848 | 96  | 96  | 16 | 32 | 14.98291864 | 0.094 | 5040 | 0.205078125 |
| lena16.bmp | lena16.bmp-withWavelet_bior1.1-G_0.75-H8e-005_af4.wfa | 24576 | 8192  | 8192 | 12 | 4848 | 96  | 96  | 16 | 32 | 14.98291864 | 0.094 | 5040 | 0.205078125 |
| lena16.bmp | lena16.bmp-withWavelet_haar-G_0.75-H9e-005_af4.wfa    | 24576 | 8192  | 8192 | 12 | 4848 | 96  | 96  | 16 | 32 | 14.98291864 | 0.093 | 5040 | 0.205078125 |
| lena16.bmp | lena16.bmp-withWavelet_rbio1.1-G_0.75-H9e-005_af4.wfa | 24576 | 8192  | 8192 | 12 | 4848 | 96  | 96  | 16 | 32 | 14.98291864 | 0.094 | 5040 | 0.205078125 |
| lena16.bmp | lena16.bmp-withWavelet_sym1-G_0.75-H9e-005_af4.wfa    | 24576 | 8192  | 8192 | 12 | 4848 | 96  | 96  | 16 | 32 | 14.98291864 | 0.093 | 5040 | 0.205078125 |
| lena16.bmp | lena16.bmp-withWavelet_bior1.1-G_0.75-H9e-005_af4.wfa | 24576 | 8192  | 8192 | 12 | 4848 | 96  | 96  | 16 | 32 | 14.98291864 | 0.093 | 5040 | 0.205078125 |
| lena16.bmp | lena16.bmp-withWavelet_haar-G_1-H2e-005_af4.wfa       | 24576 | 8192  | 8192 | 15 | 7440 | 120 | 120 | 16 | 32 | 14.98034002 | 0.11  | 7680 | 0.3125      |
| lena16.bmp | lena16.bmp-withWavelet_rbio1.1-G_1-H2e-005_af4.wfa    | 24576 | 8192  | 8192 | 15 | 7440 | 120 | 120 | 16 | 32 | 14.98034002 | 0.109 | 7680 | 0.3125      |
| lena16.bmp | lena16.bmp-withWavelet_sym1-G_1-H2e-005_af4.wfa       | 24576 | 8192  | 8192 | 15 | 7440 | 120 | 120 | 16 | 32 | 14.98034002 | 0.11  | 7680 | 0.3125      |
| lena16.bmp | lena16.bmp-withWavelet_bior1.1-G_1-H2e-005_af4.wfa    | 24576 | 8192  | 8192 | 15 | 7440 | 120 | 120 | 16 | 32 | 14.98034002 | 0.109 | 7680 | 0.3125      |
| lena16.bmp | lena16.bmp-G_0.5-H3e-005_af3.wfa                      | 24576 | 8192  |      | 14 | 6512 | 112 | 112 | 16 | 32 | 14.97527119 | 0.156 | 6736 | 0.274088542 |
| lena16.bmp | lena16.bmp-G_1-H1e-005_af4.wfa                        | 98304 | 32768 |      | 5  | 1040 | 40  | 40  | 16 | 64 | 14.9746922  | 0.359 | 1120 | 0.011393229 |
| lena16.bmp | lena16.bmp-G_1-H2e-005_af4.wfa                        | 98304 | 32768 |      | 5  | 1040 | 40  | 40  | 16 | 64 | 14.9746922  | 0.375 | 1120 | 0.011393229 |
| lena16.bmp | lena16.bmp-G_1-H3e-005_af4.wfa                        | 98304 | 32768 |      | 5  | 1040 | 40  | 40  | 16 | 64 | 14.9746922  | 0.391 | 1120 | 0.011393229 |
| lena16.bmp | lena16.bmp-G_1-H4e-005_af4.wfa                        | 98304 | 32768 |      | 5  | 1040 | 40  | 40  | 16 | 64 | 14.9746922  | 0.359 | 1120 | 0.011393229 |
| lena16.bmp | lena16.bmp-G_1-H5e-005_af4.wfa                        | 98304 | 32768 |      | 5  | 1040 | 40  | 40  | 16 | 64 | 14.9746922  | 0.344 | 1120 | 0.011393229 |
| lena16.bmp | lena16.bmp-G_1-H6e-005_af4.wfa                        | 98304 | 32768 |      | 5  | 1040 | 40  | 40  | 16 | 64 | 14.9746922  | 0.359 | 1120 | 0.011393229 |
| lena16.bmp | lena16.bmp-G_1-H7e-005_af4.wfa                        | 98304 | 32768 |      | 5  | 1040 | 40  | 40  | 16 | 64 | 14.9746922  | 0.375 | 1120 | 0.011393229 |
| lena16.bmp | lena16.bmp-G_1-H8e-005_af4.wfa                        | 98304 | 32768 |      | 5  | 1040 | 40  | 40  | 16 | 64 | 14.9746922  | 0.359 | 1120 | 0.011393229 |
| lena16.bmp | lena16.bmp-G_1-H9e-005_af4.wfa                        | 98304 | 32768 |      | 5  | 1040 | 40  | 40  | 16 | 64 | 14.9746922  | 0.344 | 1120 | 0.011393229 |
| lena16.bmp | lena16.bmp-withWavelet_haar-G_1-H1e-005_af4.wfa       | 24576 | 8192  | 8192 | 17 | 9488 | 136 | 136 | 16 | 32 | 14.96830148 | 0.125 | 9760 | 0.397135417 |
| lena16.bmp | lena16.bmp-withWavelet_rbio1.1-G_1-H1e-005_af4.wfa    | 24576 | 8192  | 8192 | 17 | 9488 | 136 | 136 | 16 | 32 | 14.96830148 | 0.109 | 9760 | 0.397135417 |
| lena16.bmp | lena16.bmp-withWavelet_sym1-G_1-H1e-005_af4.wfa       | 24576 | 8192  | 8192 | 17 | 9488 | 136 | 136 | 16 | 32 | 14.96830148 | 0.109 | 9760 | 0.397135417 |
| lena16.bmp | lena16.bmp-withWavelet_bior1.1-G_1-H1e-005_af4.wfa    | 24576 | 8192  | 8192 | 17 | 9488 | 136 | 136 | 16 | 32 | 14.96830148 | 0.11  | 9760 | 0.397135417 |
| lena16.bmp | lena16.bmp-withWavelet_haar-G_0.75-H2e-005_af4.wfa    | 24576 | 8192  | 8192 | 16 | 8432 | 128 | 128 | 16 | 32 | 14.96440827 | 0.422 | 8688 | 0.353515625 |
| lena16.bmp | lena16.bmp-withWavelet_rbio1.1-G_0.75-H2e-005_af4.wfa | 24576 | 8192  | 8192 | 16 | 8432 | 128 | 128 | 16 | 32 | 14.96440827 | 0.11  | 8688 | 0.353515625 |

|            |   |        |        |        |    |      |     |     |    |     |             |       |      |             |
|------------|---|--------|--------|--------|----|------|-----|-----|----|-----|-------------|-------|------|-------------|
| lena16.bmp | lena16.bmp-withWavelet_sym1-G_0.75-H2e-005_af4.wfa    | 24576  | 8192   | 8192   | 16 | 8432 | 128 | 128 | 16 | 32  | 14.96440827 | 0.11  | 8688 | 0.353515625 |
| lena16.bmp | lena16.bmp-withWavelet_bior1.1-G_0.75-H2e-005_af4.wfa | 24576  | 8192   | 8192   | 16 | 8432 | 128 | 128 | 16 | 32  | 14.96440827 | 0.109 | 8688 | 0.353515625 |
| lena16.bmp | lena16.bmp-withWavelet_haar-G_1-H3e-005_af4.wfa       | 24576  | 8192   | 8192   | 15 | 7440 | 120 | 120 | 16 | 32  | 14.9636346  | 0.11  | 7680 | 0.3125      |
| lena16.bmp | lena16.bmp-withWavelet_rbio1.1-G_1-H3e-005_af4.wfa    | 24576  | 8192   | 8192   | 15 | 7440 | 120 | 120 | 16 | 32  | 14.9636346  | 0.109 | 7680 | 0.3125      |
| lena16.bmp | lena16.bmp-withWavelet_sym1-G_1-H3e-005_af4.wfa       | 24576  | 8192   | 8192   | 15 | 7440 | 120 | 120 | 16 | 32  | 14.9636346  | 0.11  | 7680 | 0.3125      |
| lena16.bmp | lena16.bmp-withWavelet_bior1.1-G_1-H3e-005_af4.wfa    | 24576  | 8192   | 8192   | 15 | 7440 | 120 | 120 | 16 | 32  | 14.9636346  | 0.094 | 7680 | 0.3125      |
| lena16.bmp | lena16.bmp-G_0.75-H1e-005_af4.wfa                     | 98304  | 32768  |        | 5  | 1040 | 40  | 40  | 16 | 64  | 14.96147001 | 0.36  | 1120 | 0.011393229 |
| lena16.bmp | lena16.bmp-G_0.75-H2e-005_af4.wfa                     | 98304  | 32768  |        | 5  | 1040 | 40  | 40  | 16 | 64  | 14.96147001 | 0.36  | 1120 | 0.011393229 |
| lena16.bmp | lena16.bmp-G_0.75-H3e-005_af4.wfa                     | 98304  | 32768  |        | 5  | 1040 | 40  | 40  | 16 | 64  | 14.96147001 | 0.359 | 1120 | 0.011393229 |
| lena16.bmp | lena16.bmp-G_0.75-H4e-005_af4.wfa                     | 98304  | 32768  |        | 5  | 1040 | 40  | 40  | 16 | 64  | 14.96147001 | 0.343 | 1120 | 0.011393229 |
| lena16.bmp | lena16.bmp-G_0.75-H5e-005_af4.wfa                     | 98304  | 32768  |        | 5  | 1040 | 40  | 40  | 16 | 64  | 14.96147001 | 0.359 | 1120 | 0.011393229 |
| lena16.bmp | lena16.bmp-withWavelet_haar-G_0.75-H7e-005_af4.wfa    | 24576  | 8192   | 8192   | 13 | 5648 | 104 | 104 | 16 | 32  | 14.94800664 | 0.094 | 5856 | 0.23828125  |
| lena16.bmp | lena16.bmp-withWavelet_rbio1.1-G_0.75-H7e-005_af4.wfa | 24576  | 8192   | 8192   | 13 | 5648 | 104 | 104 | 16 | 32  | 14.94800664 | 0.11  | 5856 | 0.23828125  |
| lena16.bmp | lena16.bmp-withWavelet_sym1-G_0.75-H7e-005_af4.wfa    | 24576  | 8192   | 8192   | 13 | 5648 | 104 | 104 | 16 | 32  | 14.94800664 | 0.093 | 5856 | 0.23828125  |
| lena16.bmp | lena16.bmp-withWavelet_bior1.1-G_0.75-H7e-005_af4.wfa | 24576  | 8192   | 8192   | 13 | 5648 | 104 | 104 | 16 | 32  | 14.94800664 | 0.109 | 5856 | 0.23828125  |
| lena16.bmp | lena16.bmp-G_0.5-H9e-005_af4.wfa                      | 98304  | 32768  |        | 4  | 752  | 32  | 32  | 16 | 64  | 14.9442396  | 0.344 | 816  | 0.008300781 |
| lena16.bmp | lena16.bmp-G_0.5-H0.0001_af4.wfa                      | 98304  | 32768  |        | 4  | 752  | 32  | 32  | 16 | 64  | 14.9442396  | 0.344 | 816  | 0.008300781 |
| lena16.bmp | lena16.bmp-withWavelet_haar-G_0.75-H4e-005_af4.wfa    | 24576  | 8192   | 8192   | 14 | 6512 | 112 | 112 | 16 | 32  | 14.94230382 | 0.094 | 6736 | 0.274088542 |
| lena16.bmp | lena16.bmp-withWavelet_rbio1.1-G_0.75-H4e-005_af4.wfa | 24576  | 8192   | 8192   | 14 | 6512 | 112 | 112 | 16 | 32  | 14.94230382 | 0.094 | 6736 | 0.274088542 |
| lena16.bmp | lena16.bmp-withWavelet_sym1-G_0.75-H4e-005_af4.wfa    | 24576  | 8192   | 8192   | 14 | 6512 | 112 | 112 | 16 | 32  | 14.94230382 | 0.094 | 6736 | 0.274088542 |
| lena16.bmp | lena16.bmp-withWavelet_bior1.1-G_0.75-H4e-005_af4.wfa | 24576  | 8192   | 8192   | 14 | 6512 | 112 | 112 | 16 | 32  | 14.94230382 | 0.109 | 6736 | 0.274088542 |
| lena16.bmp | lena16.bmp-withWavelet_haar-G_1-H7e-005_af1.wfa       | 393216 | 131072 | 131072 | 11 | 4112 | 88  | 88  | 16 | 128 | 14.93933281 | 1.625 | 4288 | 0.010904948 |
| lena16.bmp | lena16.bmp-withWavelet_rbio1.1-G_1-H7e-005_af1.wfa    | 393216 | 131072 | 131072 | 11 | 4112 | 88  | 88  | 16 | 128 | 14.93933281 | 1.641 | 4288 | 0.010904948 |
| lena16.bmp | lena16.bmp-withWavelet_sym1-G_1-H7e-005_af1.wfa       | 393216 | 131072 | 131072 | 11 | 4112 | 88  | 88  | 16 | 128 | 14.93933281 | 1.609 | 4288 | 0.010904948 |
| lena16.bmp | lena16.bmp-withWavelet_bior1.1-G_1-H7e-005_af1.wfa    | 393216 | 131072 | 131072 | 11 | 4112 | 88  | 88  | 16 | 128 | 14.93933281 | 1.625 | 4288 | 0.010904948 |
| lena16.bmp | lena16.bmp-withWavelet_haar-G_1-H8e-005_af1.wfa       | 393216 | 131072 | 131072 | 11 | 4112 | 88  | 88  | 16 | 128 | 14.93933281 | 1.625 | 4288 | 0.010904948 |
| lena16.bmp | lena16.bmp-withWavelet_rbio1.1-G_1-H8e-005_af1.wfa    | 393216 | 131072 | 131072 | 11 | 4112 | 88  | 88  | 16 | 128 | 14.93933281 | 1.641 | 4288 | 0.010904948 |
| lena16.bmp | lena16.bmp-withWavelet_sym1-G_1-H8e-005_af1.wfa       | 393216 | 131072 | 131072 | 11 | 4112 | 88  | 88  | 16 | 128 | 14.93933281 | 1.64  | 4288 | 0.010904948 |
| lena16.bmp | lena16.bmp-withWavelet_bior1.1-G_1-H8e-005_af1.wfa    | 393216 | 131072 | 131072 | 11 | 4112 | 88  | 88  | 16 | 128 | 14.93933281 | 1.656 | 4288 | 0.010904948 |
| lena16.bmp | lena16.bmp-withWavelet_haar-G_1-H9e-005_af1.wfa       | 393216 | 131072 | 131072 | 11 | 4112 | 88  | 88  | 16 | 128 | 14.93933281 | 1.609 | 4288 | 0.010904948 |
| lena16.bmp | lena16.bmp-withWavelet_rbio1.1-G_1-H9e-005_af1.wfa    | 393216 | 131072 | 131072 | 11 | 4112 | 88  | 88  | 16 | 128 | 14.93933281 | 1.625 | 4288 | 0.010904948 |



|            |   |        |        |        |    |      |     |     |    |     |             |       |      |             |
|------------|---|--------|--------|--------|----|------|-----|-----|----|-----|-------------|-------|------|-------------|
| lena16.bmp | lena16.bmp-withWavelet_sym1-G_1-H9e-005_af1.wfa       | 393216 | 131072 | 131072 | 11 | 4112 | 88  | 88  | 16 | 128 | 14.93933281 | 1.625 | 4288 | 0.010904948 |
| lena16.bmp | lena16.bmp-withWavelet_bior1.1-G_1-H9e-005_af1.wfa    | 393216 | 131072 | 131072 | 11 | 4112 | 88  | 88  | 16 | 128 | 14.93933281 | 1.641 | 4288 | 0.010904948 |
| lena16.bmp | lena16.bmp-withWavelet_haar-G_1-H0.0001_af1.wfa       | 393216 | 131072 | 131072 | 11 | 4112 | 88  | 88  | 16 | 128 | 14.93933281 | 1.625 | 4288 | 0.010904948 |
| lena16.bmp | lena16.bmp-withWavelet_rbio1.1-G_1-H0.0001_af1.wfa    | 393216 | 131072 | 131072 | 11 | 4112 | 88  | 88  | 16 | 128 | 14.93933281 | 1.625 | 4288 | 0.010904948 |
| lena16.bmp | lena16.bmp-withWavelet_sym1-G_1-H0.0001_af1.wfa       | 393216 | 131072 | 131072 | 11 | 4112 | 88  | 88  | 16 | 128 | 14.93933281 | 1.625 | 4288 | 0.010904948 |
| lena16.bmp | lena16.bmp-withWavelet_bior1.1-G_1-H0.0001_af1.wfa    | 393216 | 131072 | 131072 | 11 | 4112 | 88  | 88  | 16 | 128 | 14.93933281 | 1.625 | 4288 | 0.010904948 |
| lena16.bmp | lena16.bmp-G_0.75-H8e-005_af4.wfa                     | 98304  | 32768  |        | 4  | 752  | 32  | 32  | 16 | 64  | 14.93092729 | 0.344 | 816  | 0.008300781 |
| lena16.bmp | lena16.bmp-G_0.75-H9e-005_af4.wfa                     | 98304  | 32768  |        | 4  | 752  | 32  | 32  | 16 | 64  | 14.93092729 | 0.343 | 816  | 0.008300781 |
| lena16.bmp | lena16.bmp-G_0.75-H0.0001_af4.wfa                     | 98304  | 32768  |        | 4  | 752  | 32  | 32  | 16 | 64  | 14.93092729 | 0.343 | 816  | 0.008300781 |
| lena16.bmp | lena16.bmp-withWavelet_haar-G_1-H6e-005_af4.wfa       | 24576  | 8192   | 8192   | 14 | 6512 | 112 | 112 | 16 | 32  | 14.93042024 | 0.11  | 6736 | 0.274088542 |
| lena16.bmp | lena16.bmp-withWavelet_rbio1.1-G_1-H6e-005_af4.wfa    | 24576  | 8192   | 8192   | 14 | 6512 | 112 | 112 | 16 | 32  | 14.93042024 | 0.11  | 6736 | 0.274088542 |
| lena16.bmp | lena16.bmp-withWavelet_sym1-G_1-H6e-005_af4.wfa       | 24576  | 8192   | 8192   | 14 | 6512 | 112 | 112 | 16 | 32  | 14.93042024 | 0.11  | 6736 | 0.274088542 |
| lena16.bmp | lena16.bmp-withWavelet_bior1.1-G_1-H6e-005_af4.wfa    | 24576  | 8192   | 8192   | 14 | 6512 | 112 | 112 | 16 | 32  | 14.93042024 | 0.109 | 6736 | 0.274088542 |
| lena16.bmp | lena16.bmp-G_0.5-H7e-005_af4.wfa                      | 98304  | 32768  |        | 4  | 752  | 32  | 32  | 16 | 64  | 14.92479398 | 0.344 | 816  | 0.008300781 |
| lena16.bmp | lena16.bmp-G_0.5-H8e-005_af4.wfa                      | 98304  | 32768  |        | 4  | 752  | 32  | 32  | 16 | 64  | 14.92479398 | 0.344 | 816  | 0.008300781 |
| lena16.bmp | lena16.bmp-withWavelet_haar-G_0.75-H3e-005_af4.wfa    | 24576  | 8192   | 8192   | 15 | 7440 | 120 | 120 | 16 | 32  | 14.92458166 | 0.109 | 7680 | 0.3125      |
| lena16.bmp | lena16.bmp-withWavelet_rbio1.1-G_0.75-H3e-005_af4.wfa | 24576  | 8192   | 8192   | 15 | 7440 | 120 | 120 | 16 | 32  | 14.92458166 | 0.11  | 7680 | 0.3125      |
| lena16.bmp | lena16.bmp-withWavelet_sym1-G_0.75-H3e-005_af4.wfa    | 24576  | 8192   | 8192   | 15 | 7440 | 120 | 120 | 16 | 32  | 14.92458166 | 0.093 | 7680 | 0.3125      |
| lena16.bmp | lena16.bmp-withWavelet_bior1.1-G_0.75-H3e-005_af4.wfa | 24576  | 8192   | 8192   | 15 | 7440 | 120 | 120 | 16 | 32  | 14.92458166 | 0.109 | 7680 | 0.3125      |
| lena16.bmp | lena16.bmp-withWavelet_haar-G_0.75-H8e-005_af3.wfa    | 24576  | 8192   | 8192   | 12 | 4848 | 96  | 96  | 16 | 32  | 14.9204512  | 0.109 | 5040 | 0.205078125 |
| lena16.bmp | lena16.bmp-withWavelet_rbio1.1-G_0.75-H8e-005_af3.wfa | 24576  | 8192   | 8192   | 12 | 4848 | 96  | 96  | 16 | 32  | 14.9204512  | 0.109 | 5040 | 0.205078125 |
| lena16.bmp | lena16.bmp-withWavelet_sym1-G_0.75-H8e-005_af3.wfa    | 24576  | 8192   | 8192   | 12 | 4848 | 96  | 96  | 16 | 32  | 14.9204512  | 0.094 | 5040 | 0.205078125 |
| lena16.bmp | lena16.bmp-withWavelet_bior1.1-G_0.75-H8e-005_af3.wfa | 24576  | 8192   | 8192   | 12 | 4848 | 96  | 96  | 16 | 32  | 14.9204512  | 0.093 | 5040 | 0.205078125 |
| lena16.bmp | lena16.bmp-withWavelet_haar-G_0.75-H9e-005_af3.wfa    | 24576  | 8192   | 8192   | 12 | 4848 | 96  | 96  | 16 | 32  | 14.9204512  | 0.094 | 5040 | 0.205078125 |
| lena16.bmp | lena16.bmp-withWavelet_rbio1.1-G_0.75-H9e-005_af3.wfa | 24576  | 8192   | 8192   | 12 | 4848 | 96  | 96  | 16 | 32  | 14.9204512  | 0.094 | 5040 | 0.205078125 |
| lena16.bmp | lena16.bmp-withWavelet_sym1-G_0.75-H9e-005_af3.wfa    | 24576  | 8192   | 8192   | 12 | 4848 | 96  | 96  | 16 | 32  | 14.9204512  | 0.094 | 5040 | 0.205078125 |
| lena16.bmp | lena16.bmp-withWavelet_bior1.1-G_0.75-H9e-005_af3.wfa | 24576  | 8192   | 8192   | 12 | 4848 | 96  | 96  | 16 | 32  | 14.9204512  | 0.094 | 5040 | 0.205078125 |
| lena16.bmp | lena16.bmp-withWavelet_haar-G_0.75-H1e-005_af4.wfa    | 24576  | 8192   | 8192   | 17 | 9488 | 136 | 136 | 16 | 32  | 14.91995634 | 0.11  | 9760 | 0.397135417 |
| lena16.bmp | lena16.bmp-withWavelet_rbio1.1-G_0.75-H1e-005_af4.wfa | 24576  | 8192   | 8192   | 17 | 9488 | 136 | 136 | 16 | 32  | 14.91995634 | 0.11  | 9760 | 0.397135417 |
| lena16.bmp | lena16.bmp-withWavelet_sym1-G_0.75-H1e-005_af4.wfa    | 24576  | 8192   | 8192   | 17 | 9488 | 136 | 136 | 16 | 32  | 14.91995634 | 0.109 | 9760 | 0.397135417 |
| lena16.bmp | lena16.bmp-withWavelet_bior1.1-G_0.75-H1e-005_af4.wfa | 24576  | 8192   | 8192   | 17 | 9488 | 136 | 136 | 16 | 32  | 14.91995634 | 0.11  | 9760 | 0.397135417 |

|            |   |         |        |        |    |      |    |    |    |     |             |       |      |             |
|------------|---|---------|--------|--------|----|------|----|----|----|-----|-------------|-------|------|-------------|
| lena16.bmp | lena16.bmp-G_0.75-H6e-005_af4.wfa                     | 98304   | 32768  |        | 4  | 752  | 32 | 32 | 16 | 64  | 14.91416381 | 0.344 | 816  | 0.008300781 |
| lena16.bmp | lena16.bmp-G_0.75-H7e-005_af4.wfa                     | 98304   | 32768  |        | 4  | 752  | 32 | 32 | 16 | 64  | 14.91416381 | 0.344 | 816  | 0.008300781 |
| lena16.bmp | lena16.bmp-withWavelet_haar-G_0.75-H7e-005_af1.wfa    | 1572864 | 524288 | 524288 | 12 | 4848 | 96 | 96 | 16 | 256 | 14.90428314 | 7.171 | 5040 | 0.003204346 |
| lena16.bmp | lena16.bmp-withWavelet_rbio1.1-G_0.75-H7e-005_af1.wfa | 1572864 | 524288 | 524288 | 12 | 4848 | 96 | 96 | 16 | 256 | 14.90428314 | 7.093 | 5040 | 0.003204346 |
| lena16.bmp | lena16.bmp-withWavelet_sym1-G_0.75-H7e-005_af1.wfa    | 1572864 | 524288 | 524288 | 12 | 4848 | 96 | 96 | 16 | 256 | 14.90428314 | 7.093 | 5040 | 0.003204346 |
| lena16.bmp | lena16.bmp-withWavelet_bior1.1-G_0.75-H7e-005_af1.wfa | 1572864 | 524288 | 524288 | 12 | 4848 | 96 | 96 | 16 | 256 | 14.90428314 | 7.188 | 5040 | 0.003204346 |
| lena16.bmp | lena16.bmp-withWavelet_haar-G_0.75-H0.0001_af1.wfa    | 1572864 | 524288 | 524288 | 11 | 4112 | 88 | 88 | 16 | 256 | 14.90313845 | 6.859 | 4288 | 0.002726237 |
| lena16.bmp | lena16.bmp-withWavelet_rbio1.1-G_0.75-H0.0001_af1.wfa | 1572864 | 524288 | 524288 | 11 | 4112 | 88 | 88 | 16 | 256 | 14.90313845 | 6.89  | 4288 | 0.002726237 |
| lena16.bmp | lena16.bmp-withWavelet_sym1-G_0.75-H0.0001_af1.wfa    | 1572864 | 524288 | 524288 | 11 | 4112 | 88 | 88 | 16 | 256 | 14.90313845 | 6.891 | 4288 | 0.002726237 |
| lena16.bmp | lena16.bmp-withWavelet_bior1.1-G_0.75-H0.0001_af1.wfa | 1572864 | 524288 | 524288 | 11 | 4112 | 88 | 88 | 16 | 256 | 14.90313845 | 6.891 | 4288 | 0.002726237 |
| lena16.bmp | lena16.bmp-G_1-H0.0001_af4.wfa                        | 98304   | 32768  |        | 4  | 752  | 32 | 32 | 16 | 64  | 14.8935808  | 0.344 | 816  | 0.008300781 |
| lena16.bmp | lena16.bmp-withWavelet_haar-G_1-H7e-005_af1.wfa       | 98304   | 32768  | 32768  | 11 | 4112 | 88 | 88 | 16 | 64  | 14.88491355 | 0.39  | 4288 | 0.043619792 |
| lena16.bmp | lena16.bmp-withWavelet_rbio1.1-G_1-H7e-005_af1.wfa    | 98304   | 32768  | 32768  | 11 | 4112 | 88 | 88 | 16 | 64  | 14.88491355 | 0.39  | 4288 | 0.043619792 |
| lena16.bmp | lena16.bmp-withWavelet_sym1-G_1-H7e-005_af1.wfa       | 98304   | 32768  | 32768  | 11 | 4112 | 88 | 88 | 16 | 64  | 14.88491355 | 0.406 | 4288 | 0.043619792 |
| lena16.bmp | lena16.bmp-withWavelet_bior1.1-G_1-H7e-005_af1.wfa    | 98304   | 32768  | 32768  | 11 | 4112 | 88 | 88 | 16 | 64  | 14.88491355 | 0.406 | 4288 | 0.043619792 |
| lena16.bmp | lena16.bmp-withWavelet_haar-G_1-H8e-005_af1.wfa       | 98304   | 32768  | 32768  | 11 | 4112 | 88 | 88 | 16 | 64  | 14.88491355 | 0.406 | 4288 | 0.043619792 |
| lena16.bmp | lena16.bmp-withWavelet_rbio1.1-G_1-H8e-005_af1.wfa    | 98304   | 32768  | 32768  | 11 | 4112 | 88 | 88 | 16 | 64  | 14.88491355 | 0.391 | 4288 | 0.043619792 |
| lena16.bmp | lena16.bmp-withWavelet_sym1-G_1-H8e-005_af1.wfa       | 98304   | 32768  | 32768  | 11 | 4112 | 88 | 88 | 16 | 64  | 14.88491355 | 0.391 | 4288 | 0.043619792 |
| lena16.bmp | lena16.bmp-withWavelet_bior1.1-G_1-H8e-005_af1.wfa    | 98304   | 32768  | 32768  | 11 | 4112 | 88 | 88 | 16 | 64  | 14.88491355 | 0.391 | 4288 | 0.043619792 |
| lena16.bmp | lena16.bmp-withWavelet_haar-G_1-H9e-005_af1.wfa       | 98304   | 32768  | 32768  | 11 | 4112 | 88 | 88 | 16 | 64  | 14.88491355 | 0.391 | 4288 | 0.043619792 |
| lena16.bmp | lena16.bmp-withWavelet_rbio1.1-G_1-H9e-005_af1.wfa    | 98304   | 32768  | 32768  | 11 | 4112 | 88 | 88 | 16 | 64  | 14.88491355 | 0.469 | 4288 | 0.043619792 |
| lena16.bmp | lena16.bmp-withWavelet_sym1-G_1-H9e-005_af1.wfa       | 98304   | 32768  | 32768  | 11 | 4112 | 88 | 88 | 16 | 64  | 14.88491355 | 0.391 | 4288 | 0.043619792 |
| lena16.bmp | lena16.bmp-withWavelet_bior1.1-G_1-H9e-005_af1.wfa    | 98304   | 32768  | 32768  | 11 | 4112 | 88 | 88 | 16 | 64  | 14.88491355 | 0.391 | 4288 | 0.043619792 |
| lena16.bmp | lena16.bmp-withWavelet_haar-G_1-H0.0001_af1.wfa       | 98304   | 32768  | 32768  | 11 | 4112 | 88 | 88 | 16 | 64  | 14.88491355 | 0.406 | 4288 | 0.043619792 |
| lena16.bmp | lena16.bmp-withWavelet_rbio1.1-G_1-H0.0001_af1.wfa    | 98304   | 32768  | 32768  | 11 | 4112 | 88 | 88 | 16 | 64  | 14.88491355 | 0.391 | 4288 | 0.043619792 |
| lena16.bmp | lena16.bmp-withWavelet_sym1-G_1-H0.0001_af1.wfa       | 98304   | 32768  | 32768  | 11 | 4112 | 88 | 88 | 16 | 64  | 14.88491355 | 0.406 | 4288 | 0.043619792 |
| lena16.bmp | lena16.bmp-withWavelet_bior1.1-G_1-H0.0001_af1.wfa    | 98304   | 32768  | 32768  | 11 | 4112 | 88 | 88 | 16 | 64  | 14.88491355 | 0.406 | 4288 | 0.043619792 |
| lena16.bmp | lena16.bmp-withWavelet_haar-G_1-H6e-005_af1.wfa       | 393216  | 131072 | 131072 | 12 | 4848 | 96 | 96 | 16 | 128 | 14.87194234 | 1.672 | 5040 | 0.012817383 |
| lena16.bmp | lena16.bmp-withWavelet_rbio1.1-G_1-H6e-005_af1.wfa    | 393216  | 131072 | 131072 | 12 | 4848 | 96 | 96 | 16 | 128 | 14.87194234 | 1.687 | 5040 | 0.012817383 |
| lena16.bmp | lena16.bmp-withWavelet_sym1-G_1-H6e-005_af1.wfa       | 393216  | 131072 | 131072 | 12 | 4848 | 96 | 96 | 16 | 128 | 14.87194234 | 1.687 | 5040 | 0.012817383 |
| lena16.bmp | lena16.bmp-withWavelet_bior1.1-G_1-H6e-005_af1.wfa    | 393216  | 131072 | 131072 | 12 | 4848 | 96 | 96 | 16 | 128 | 14.87194234 | 1.672 | 5040 | 0.012817383 |

|            |   |         |        |        |    |      |     |     |    |     |             |       |      |             |
|------------|---|---------|--------|--------|----|------|-----|-----|----|-----|-------------|-------|------|-------------|
| lena16.bmp | lena16.bmp-withWavelet_haar-G_0.75-H0.0001_af4.wfa    | 24576   | 8192   | 8192   | 11 | 4112 | 88  | 88  | 16 | 32  | 14.87166166 | 0.094 | 4288 | 0.174479167 |
| lena16.bmp | lena16.bmp-withWavelet_rbio1.1-G_0.75-H0.0001_af4.wfa | 24576   | 8192   | 8192   | 11 | 4112 | 88  | 88  | 16 | 32  | 14.87166166 | 0.093 | 4288 | 0.174479167 |
| lena16.bmp | lena16.bmp-withWavelet_sym1-G_0.75-H0.0001_af4.wfa    | 24576   | 8192   | 8192   | 11 | 4112 | 88  | 88  | 16 | 32  | 14.87166166 | 0.094 | 4288 | 0.174479167 |
| lena16.bmp | lena16.bmp-withWavelet_bior1.1-G_0.75-H0.0001_af4.wfa | 24576   | 8192   | 8192   | 11 | 4112 | 88  | 88  | 16 | 32  | 14.87166166 | 0.094 | 4288 | 0.174479167 |
| lena16.bmp | lena16.bmp-withWavelet_haar-G_0.75-H6e-005_af4.wfa    | 24576   | 8192   | 8192   | 14 | 6512 | 112 | 112 | 16 | 32  | 14.87099219 | 0.093 | 6736 | 0.274088542 |
| lena16.bmp | lena16.bmp-withWavelet_rbio1.1-G_0.75-H6e-005_af4.wfa | 24576   | 8192   | 8192   | 14 | 6512 | 112 | 112 | 16 | 32  | 14.87099219 | 0.11  | 6736 | 0.274088542 |
| lena16.bmp | lena16.bmp-withWavelet_sym1-G_0.75-H6e-005_af4.wfa    | 24576   | 8192   | 8192   | 14 | 6512 | 112 | 112 | 16 | 32  | 14.87099219 | 0.11  | 6736 | 0.274088542 |
| lena16.bmp | lena16.bmp-withWavelet_bior1.1-G_0.75-H6e-005_af4.wfa | 24576   | 8192   | 8192   | 14 | 6512 | 112 | 112 | 16 | 32  | 14.87099219 | 0.11  | 6736 | 0.274088542 |
| lena16.bmp | lena16.bmp-withWavelet_haar-G_1-H5e-005_af4.wfa       | 24576   | 8192   | 8192   | 14 | 6512 | 112 | 112 | 16 | 32  | 14.8697651  | 0.094 | 6736 | 0.274088542 |
| lena16.bmp | lena16.bmp-withWavelet_rbio1.1-G_1-H5e-005_af4.wfa    | 24576   | 8192   | 8192   | 14 | 6512 | 112 | 112 | 16 | 32  | 14.8697651  | 0.109 | 6736 | 0.274088542 |
| lena16.bmp | lena16.bmp-withWavelet_sym1-G_1-H5e-005_af4.wfa       | 24576   | 8192   | 8192   | 14 | 6512 | 112 | 112 | 16 | 32  | 14.8697651  | 0.094 | 6736 | 0.274088542 |
| lena16.bmp | lena16.bmp-withWavelet_bior1.1-G_1-H5e-005_af4.wfa    | 24576   | 8192   | 8192   | 14 | 6512 | 112 | 112 | 16 | 32  | 14.8697651  | 0.109 | 6736 | 0.274088542 |
| lena16.bmp | lena16.bmp-G_0.5-H8e-005_af2.wfa                      | 98304   | 32768  |        | 11 | 4112 | 88  | 88  | 16 | 64  | 14.85770273 | 0.391 | 4288 | 0.043619792 |
| lena16.bmp | lena16.bmp-withWavelet_haar-G_0.75-H6e-005_af1.wfa    | 24576   | 8192   | 8192   | 14 | 6512 | 112 | 112 | 16 | 32  | 14.84392939 | 0.11  | 6736 | 0.274088542 |
| lena16.bmp | lena16.bmp-withWavelet_rbio1.1-G_0.75-H6e-005_af1.wfa | 24576   | 8192   | 8192   | 14 | 6512 | 112 | 112 | 16 | 32  | 14.84392939 | 0.094 | 6736 | 0.274088542 |
| lena16.bmp | lena16.bmp-withWavelet_sym1-G_0.75-H6e-005_af1.wfa    | 24576   | 8192   | 8192   | 14 | 6512 | 112 | 112 | 16 | 32  | 14.84392939 | 0.094 | 6736 | 0.274088542 |
| lena16.bmp | lena16.bmp-withWavelet_bior1.1-G_0.75-H6e-005_af1.wfa | 24576   | 8192   | 8192   | 14 | 6512 | 112 | 112 | 16 | 32  | 14.84392939 | 0.11  | 6736 | 0.274088542 |
| lena16.bmp | lena16.bmp-withWavelet_haar-G_0.75-H5e-005_af1.wfa    | 24576   | 8192   | 8192   | 14 | 6512 | 112 | 112 | 16 | 32  | 14.84392939 | 0.109 | 6736 | 0.274088542 |
| lena16.bmp | lena16.bmp-withWavelet_rbio1.1-G_0.75-H5e-005_af1.wfa | 24576   | 8192   | 8192   | 14 | 6512 | 112 | 112 | 16 | 32  | 14.84392939 | 0.094 | 6736 | 0.274088542 |
| lena16.bmp | lena16.bmp-withWavelet_sym1-G_0.75-H5e-005_af1.wfa    | 24576   | 8192   | 8192   | 14 | 6512 | 112 | 112 | 16 | 32  | 14.84392939 | 0.094 | 6736 | 0.274088542 |
| lena16.bmp | lena16.bmp-withWavelet_bior1.1-G_0.75-H5e-005_af1.wfa | 24576   | 8192   | 8192   | 14 | 6512 | 112 | 112 | 16 | 32  | 14.84392939 | 0.093 | 6736 | 0.274088542 |
| lena16.bmp | lena16.bmp-withWavelet_haar-G_1-H4e-005_af1.wfa       | 24576   | 8192   | 8192   | 14 | 6512 | 112 | 112 | 16 | 32  | 14.84373069 | 0.094 | 6736 | 0.274088542 |
| lena16.bmp | lena16.bmp-withWavelet_rbio1.1-G_1-H4e-005_af1.wfa    | 24576   | 8192   | 8192   | 14 | 6512 | 112 | 112 | 16 | 32  | 14.84373069 | 0.094 | 6736 | 0.274088542 |
| lena16.bmp | lena16.bmp-withWavelet_sym1-G_1-H4e-005_af1.wfa       | 24576   | 8192   | 8192   | 14 | 6512 | 112 | 112 | 16 | 32  | 14.84373069 | 0.109 | 6736 | 0.274088542 |
| lena16.bmp | lena16.bmp-withWavelet_bior1.1-G_1-H4e-005_af1.wfa    | 24576   | 8192   | 8192   | 14 | 6512 | 112 | 112 | 16 | 32  | 14.84373069 | 0.094 | 6736 | 0.274088542 |
| lena16.bmp | lena16.bmp-withWavelet_haar-G_1-H5e-005_af1.wfa       | 24576   | 8192   | 8192   | 14 | 6512 | 112 | 112 | 16 | 32  | 14.84373069 | 0.109 | 6736 | 0.274088542 |
| lena16.bmp | lena16.bmp-withWavelet_rbio1.1-G_1-H5e-005_af1.wfa    | 24576   | 8192   | 8192   | 14 | 6512 | 112 | 112 | 16 | 32  | 14.84373069 | 0.094 | 6736 | 0.274088542 |
| lena16.bmp | lena16.bmp-withWavelet_sym1-G_1-H5e-005_af1.wfa       | 24576   | 8192   | 8192   | 14 | 6512 | 112 | 112 | 16 | 32  | 14.84373069 | 0.094 | 6736 | 0.274088542 |
| lena16.bmp | lena16.bmp-withWavelet_bior1.1-G_1-H5e-005_af1.wfa    | 24576   | 8192   | 8192   | 14 | 6512 | 112 | 112 | 16 | 32  | 14.84373069 | 0.093 | 6736 | 0.274088542 |
| lena16.bmp | lena16.bmp-withWavelet_haar-G_0.75-H8e-005_af1.wfa    | 1572864 | 524288 | 524288 | 11 | 4112 | 88  | 88  | 16 | 256 | 14.84358366 | 6.89  | 4288 | 0.002726237 |
| lena16.bmp | lena16.bmp-withWavelet_rbio1.1-G_0.75-H8e-005_af1.wfa | 1572864 | 524288 | 524288 | 11 | 4112 | 88  | 88  | 16 | 256 | 14.84358366 | 6.859 | 4288 | 0.002726237 |

|            |   |         |        |        |    |      |     |     |    |     |             |       |      |             |
|------------|---|---------|--------|--------|----|------|-----|-----|----|-----|-------------|-------|------|-------------|
| lena16.bmp | lena16.bmp-withWavelet_sym1-G_0.75-H8e-005_af1.wfa    | 1572864 | 524288 | 524288 | 11 | 4112 | 88  | 88  | 16 | 256 | 14.84358366 | 6.828 | 4288 | 0.002726237 |
| lena16.bmp | lena16.bmp-withWavelet_bior1.1-G_0.75-H8e-005_af1.wfa | 1572864 | 524288 | 524288 | 11 | 4112 | 88  | 88  | 16 | 256 | 14.84358366 | 6.875 | 4288 | 0.002726237 |
| lena16.bmp | lena16.bmp-withWavelet_haar-G_0.75-H9e-005_af1.wfa    | 1572864 | 524288 | 524288 | 11 | 4112 | 88  | 88  | 16 | 256 | 14.84358366 | 6.844 | 4288 | 0.002726237 |
| lena16.bmp | lena16.bmp-withWavelet_rbio1.1-G_0.75-H9e-005_af1.wfa | 1572864 | 524288 | 524288 | 11 | 4112 | 88  | 88  | 16 | 256 | 14.84358366 | 6.828 | 4288 | 0.002726237 |
| lena16.bmp | lena16.bmp-withWavelet_sym1-G_0.75-H9e-005_af1.wfa    | 1572864 | 524288 | 524288 | 11 | 4112 | 88  | 88  | 16 | 256 | 14.84358366 | 6.906 | 4288 | 0.002726237 |
| lena16.bmp | lena16.bmp-withWavelet_bior1.1-G_0.75-H9e-005_af1.wfa | 1572864 | 524288 | 524288 | 11 | 4112 | 88  | 88  | 16 | 256 | 14.84358366 | 6.875 | 4288 | 0.002726237 |
| lena16.bmp | lena16.bmp-withWavelet_haar-G_0.75-H5e-005_af4.wfa    | 24576   | 8192   | 8192   | 14 | 6512 | 112 | 112 | 16 | 32  | 14.82624854 | 0.109 | 6736 | 0.274088542 |
| lena16.bmp | lena16.bmp-withWavelet_rbio1.1-G_0.75-H5e-005_af4.wfa | 24576   | 8192   | 8192   | 14 | 6512 | 112 | 112 | 16 | 32  | 14.82624854 | 0.094 | 6736 | 0.274088542 |
| lena16.bmp | lena16.bmp-withWavelet_sym1-G_0.75-H5e-005_af4.wfa    | 24576   | 8192   | 8192   | 14 | 6512 | 112 | 112 | 16 | 32  | 14.82624854 | 0.109 | 6736 | 0.274088542 |
| lena16.bmp | lena16.bmp-withWavelet_bior1.1-G_0.75-H5e-005_af4.wfa | 24576   | 8192   | 8192   | 14 | 6512 | 112 | 112 | 16 | 32  | 14.82624854 | 0.11  | 6736 | 0.274088542 |
| lena16.bmp | lena16.bmp-withWavelet_haar-G_0.75-H0.0001_af1.wfa    | 98304   | 32768  | 32768  | 11 | 4112 | 88  | 88  | 16 | 64  | 14.8158859  | 0.391 | 4288 | 0.043619792 |
| lena16.bmp | lena16.bmp-withWavelet_rbio1.1-G_0.75-H0.0001_af1.wfa | 98304   | 32768  | 32768  | 11 | 4112 | 88  | 88  | 16 | 64  | 14.8158859  | 0.391 | 4288 | 0.043619792 |
| lena16.bmp | lena16.bmp-withWavelet_sym1-G_0.75-H0.0001_af1.wfa    | 98304   | 32768  | 32768  | 11 | 4112 | 88  | 88  | 16 | 64  | 14.8158859  | 0.391 | 4288 | 0.043619792 |
| lena16.bmp | lena16.bmp-withWavelet_bior1.1-G_0.75-H0.0001_af1.wfa | 98304   | 32768  | 32768  | 11 | 4112 | 88  | 88  | 16 | 64  | 14.8158859  | 0.406 | 4288 | 0.043619792 |
| lena16.bmp | lena16.bmp-withWavelet_haar-G_1-H6e-005_af3.wfa       | 24576   | 8192   | 8192   | 14 | 6512 | 112 | 112 | 16 | 32  | 14.81374538 | 0.14  | 6736 | 0.274088542 |
| lena16.bmp | lena16.bmp-withWavelet_rbio1.1-G_1-H6e-005_af3.wfa    | 24576   | 8192   | 8192   | 14 | 6512 | 112 | 112 | 16 | 32  | 14.81374538 | 0.094 | 6736 | 0.274088542 |
| lena16.bmp | lena16.bmp-withWavelet_sym1-G_1-H6e-005_af3.wfa       | 24576   | 8192   | 8192   | 14 | 6512 | 112 | 112 | 16 | 32  | 14.81374538 | 0.11  | 6736 | 0.274088542 |
| lena16.bmp | lena16.bmp-withWavelet_bior1.1-G_1-H6e-005_af3.wfa    | 24576   | 8192   | 8192   | 14 | 6512 | 112 | 112 | 16 | 32  | 14.81374538 | 0.094 | 6736 | 0.274088542 |
| lena16.bmp | lena16.bmp-withWavelet_haar-G_1-H7e-005_af3.wfa       | 24576   | 8192   | 8192   | 14 | 6512 | 112 | 112 | 16 | 32  | 14.81374538 | 0.11  | 6736 | 0.274088542 |
| lena16.bmp | lena16.bmp-withWavelet_rbio1.1-G_1-H7e-005_af3.wfa    | 24576   | 8192   | 8192   | 14 | 6512 | 112 | 112 | 16 | 32  | 14.81374538 | 0.094 | 6736 | 0.274088542 |
| lena16.bmp | lena16.bmp-withWavelet_sym1-G_1-H7e-005_af3.wfa       | 24576   | 8192   | 8192   | 14 | 6512 | 112 | 112 | 16 | 32  | 14.81374538 | 0.11  | 6736 | 0.274088542 |
| lena16.bmp | lena16.bmp-withWavelet_bior1.1-G_1-H7e-005_af3.wfa    | 24576   | 8192   | 8192   | 14 | 6512 | 112 | 112 | 16 | 32  | 14.81374538 | 0.094 | 6736 | 0.274088542 |
| lena16.bmp | lena16.bmp-withWavelet_haar-G_1-H8e-005_af2.wfa       | 1572864 | 524288 | 524288 | 10 | 3440 | 80  | 80  | 16 | 256 | 14.80816733 | 6.656 | 3600 | 0.002288818 |
| lena16.bmp | lena16.bmp-withWavelet_rbio1.1-G_1-H8e-005_af2.wfa    | 1572864 | 524288 | 524288 | 10 | 3440 | 80  | 80  | 16 | 256 | 14.80816733 | 6.594 | 3600 | 0.002288818 |
| lena16.bmp | lena16.bmp-withWavelet_sym1-G_1-H8e-005_af2.wfa       | 1572864 | 524288 | 524288 | 10 | 3440 | 80  | 80  | 16 | 256 | 14.80816733 | 6.532 | 3600 | 0.002288818 |
| lena16.bmp | lena16.bmp-withWavelet_bior1.1-G_1-H8e-005_af2.wfa    | 1572864 | 524288 | 524288 | 10 | 3440 | 80  | 80  | 16 | 256 | 14.80816733 | 6.516 | 3600 | 0.002288818 |
| lena16.bmp | lena16.bmp-withWavelet_haar-G_1-H9e-005_af2.wfa       | 1572864 | 524288 | 524288 | 10 | 3440 | 80  | 80  | 16 | 256 | 14.80816733 | 6.657 | 3600 | 0.002288818 |
| lena16.bmp | lena16.bmp-withWavelet_rbio1.1-G_1-H9e-005_af2.wfa    | 1572864 | 524288 | 524288 | 10 | 3440 | 80  | 80  | 16 | 256 | 14.80816733 | 6.594 | 3600 | 0.002288818 |
| lena16.bmp | lena16.bmp-withWavelet_sym1-G_1-H9e-005_af2.wfa       | 1572864 | 524288 | 524288 | 10 | 3440 | 80  | 80  | 16 | 256 | 14.80816733 | 6.562 | 3600 | 0.002288818 |
| lena16.bmp | lena16.bmp-withWavelet_bior1.1-G_1-H9e-005_af2.wfa    | 1572864 | 524288 | 524288 | 10 | 3440 | 80  | 80  | 16 | 256 | 14.80816733 | 6.64  | 3600 | 0.002288818 |
| lena16.bmp | lena16.bmp-withWavelet_haar-G_1-H0.0001_af2.wfa       | 1572864 | 524288 | 524288 | 10 | 3440 | 80  | 80  | 16 | 256 | 14.80816733 | 6.657 | 3600 | 0.002288818 |

|            |   |         |        |        |    |      |     |     |    |     |             |       |      |             |
|------------|---|---------|--------|--------|----|------|-----|-----|----|-----|-------------|-------|------|-------------|
| lena16.bmp | lena16.bmp-withWavelet_rbio1.1-G_1-H0.0001_af2.wfa    | 1572864 | 524288 | 524288 | 10 | 3440 | 80  | 80  | 16 | 256 | 14.80816733 | 6.641 | 3600 | 0.002288818 |
| lena16.bmp | lena16.bmp-withWavelet_sym1-G_1-H0.0001_af2.wfa       | 1572864 | 524288 | 524288 | 10 | 3440 | 80  | 80  | 16 | 256 | 14.80816733 | 6.593 | 3600 | 0.002288818 |
| lena16.bmp | lena16.bmp-withWavelet_bior1.1-G_1-H0.0001_af2.wfa    | 1572864 | 524288 | 524288 | 10 | 3440 | 80  | 80  | 16 | 256 | 14.80816733 | 6.593 | 3600 | 0.002288818 |
| lena16.bmp | lena16.bmp-withWavelet_haar-G_1-H6e-005_af1.wfa       | 98304   | 32768  | 32768  | 12 | 4848 | 96  | 96  | 16 | 64  | 14.80758647 | 0.406 | 5040 | 0.051269531 |
| lena16.bmp | lena16.bmp-withWavelet_rbio1.1-G_1-H6e-005_af1.wfa    | 98304   | 32768  | 32768  | 12 | 4848 | 96  | 96  | 16 | 64  | 14.80758647 | 0.421 | 5040 | 0.051269531 |
| lena16.bmp | lena16.bmp-withWavelet_sym1-G_1-H6e-005_af1.wfa       | 98304   | 32768  | 32768  | 12 | 4848 | 96  | 96  | 16 | 64  | 14.80758647 | 0.406 | 5040 | 0.051269531 |
| lena16.bmp | lena16.bmp-withWavelet_bior1.1-G_1-H6e-005_af1.wfa    | 98304   | 32768  | 32768  | 12 | 4848 | 96  | 96  | 16 | 64  | 14.80758647 | 0.407 | 5040 | 0.051269531 |
| lena16.bmp | lena16.bmp-withWavelet_haar-G_0.75-H7e-005_af1.wfa    | 98304   | 32768  | 32768  | 12 | 4848 | 96  | 96  | 16 | 64  | 14.80725121 | 0.422 | 5040 | 0.051269531 |
| lena16.bmp | lena16.bmp-withWavelet_rbio1.1-G_0.75-H7e-005_af1.wfa | 98304   | 32768  | 32768  | 12 | 4848 | 96  | 96  | 16 | 64  | 14.80725121 | 0.406 | 5040 | 0.051269531 |
| lena16.bmp | lena16.bmp-withWavelet_sym1-G_0.75-H7e-005_af1.wfa    | 98304   | 32768  | 32768  | 12 | 4848 | 96  | 96  | 16 | 64  | 14.80725121 | 0.406 | 5040 | 0.051269531 |
| lena16.bmp | lena16.bmp-withWavelet_bior1.1-G_0.75-H7e-005_af1.wfa | 98304   | 32768  | 32768  | 12 | 4848 | 96  | 96  | 16 | 64  | 14.80725121 | 0.407 | 5040 | 0.051269531 |
| lena16.bmp | lena16.bmp-withWavelet_haar-G_1-H5e-005_af3.wfa       | 24576   | 8192   | 8192   | 15 | 7440 | 120 | 120 | 16 | 32  | 14.80668432 | 0.109 | 7680 | 0.3125      |
| lena16.bmp | lena16.bmp-withWavelet_rbio1.1-G_1-H5e-005_af3.wfa    | 24576   | 8192   | 8192   | 15 | 7440 | 120 | 120 | 16 | 32  | 14.80668432 | 0.11  | 7680 | 0.3125      |
| lena16.bmp | lena16.bmp-withWavelet_sym1-G_1-H5e-005_af3.wfa       | 24576   | 8192   | 8192   | 15 | 7440 | 120 | 120 | 16 | 32  | 14.80668432 | 0.109 | 7680 | 0.3125      |
| lena16.bmp | lena16.bmp-withWavelet_bior1.1-G_1-H5e-005_af3.wfa    | 24576   | 8192   | 8192   | 15 | 7440 | 120 | 120 | 16 | 32  | 14.80668432 | 0.11  | 7680 | 0.3125      |
| lena16.bmp | lena16.bmp-G_0.5-H4e-005_af5.wfa                      | 98304   | 32768  |        | 15 | 7440 | 120 | 120 | 16 | 64  | 14.80639626 | 0.454 | 7680 | 0.078125    |
| lena16.bmp | lena16.bmp-G_0.5-H3e-005_af5.wfa                      | 98304   | 32768  |        | 15 | 7440 | 120 | 120 | 16 | 64  | 14.80639626 | 0.454 | 7680 | 0.078125    |
| lena16.bmp | lena16.bmp-withWavelet_haar-G_0.75-H7e-005_af1.wfa    | 393216  | 131072 | 131072 | 12 | 4848 | 96  | 96  | 16 | 128 | 14.80614118 | 1.687 | 5040 | 0.012817383 |
| lena16.bmp | lena16.bmp-withWavelet_rbio1.1-G_0.75-H7e-005_af1.wfa | 393216  | 131072 | 131072 | 12 | 4848 | 96  | 96  | 16 | 128 | 14.80614118 | 1.687 | 5040 | 0.012817383 |
| lena16.bmp | lena16.bmp-withWavelet_sym1-G_0.75-H7e-005_af1.wfa    | 393216  | 131072 | 131072 | 12 | 4848 | 96  | 96  | 16 | 128 | 14.80614118 | 1.688 | 5040 | 0.012817383 |
| lena16.bmp | lena16.bmp-withWavelet_bior1.1-G_0.75-H7e-005_af1.wfa | 393216  | 131072 | 131072 | 12 | 4848 | 96  | 96  | 16 | 128 | 14.80614118 | 1.703 | 5040 | 0.012817383 |
| lena16.bmp | lena16.bmp-G_0.5-H3e-005_af4.wfa                      | 24576   | 8192   |        | 5  | 1040 | 40  | 40  | 16 | 32  | 14.80461434 | 0.094 | 1120 | 0.045572917 |
| lena16.bmp | lena16.bmp-G_0.5-H4e-005_af4.wfa                      | 24576   | 8192   |        | 5  | 1040 | 40  | 40  | 16 | 32  | 14.80461434 | 0.078 | 1120 | 0.045572917 |
| lena16.bmp | lena16.bmp-G_0.5-H5e-005_af4.wfa                      | 24576   | 8192   |        | 5  | 1040 | 40  | 40  | 16 | 32  | 14.80461434 | 0.094 | 1120 | 0.045572917 |
| lena16.bmp | lena16.bmp-G_0.5-H6e-005_af4.wfa                      | 24576   | 8192   |        | 5  | 1040 | 40  | 40  | 16 | 32  | 14.80461434 | 0.094 | 1120 | 0.045572917 |
| lena16.bmp | lena16.bmp-G_0.5-H1e-005_af4.wfa                      | 24576   | 8192   |        | 5  | 1040 | 40  | 40  | 16 | 32  | 14.80461434 | 0.078 | 1120 | 0.045572917 |
| lena16.bmp | lena16.bmp-G_0.5-H2e-005_af4.wfa                      | 24576   | 8192   |        | 5  | 1040 | 40  | 40  | 16 | 32  | 14.80461434 | 0.093 | 1120 | 0.045572917 |
| lena16.bmp | lena16.bmp-withWavelet_haar-G_0.75-H0.0001_af2.wfa    | 1572864 | 524288 | 524288 | 10 | 3440 | 80  | 80  | 16 | 256 | 14.7885649  | 6.594 | 3600 | 0.002288818 |
| lena16.bmp | lena16.bmp-withWavelet_rbio1.1-G_0.75-H0.0001_af2.wfa | 1572864 | 524288 | 524288 | 10 | 3440 | 80  | 80  | 16 | 256 | 14.7885649  | 6.641 | 3600 | 0.002288818 |
| lena16.bmp | lena16.bmp-withWavelet_sym1-G_0.75-H0.0001_af2.wfa    | 1572864 | 524288 | 524288 | 10 | 3440 | 80  | 80  | 16 | 256 | 14.7885649  | 6.594 | 3600 | 0.002288818 |
| lena16.bmp | lena16.bmp-withWavelet_bior1.1-G_0.75-H0.0001_af2.wfa | 1572864 | 524288 | 524288 | 10 | 3440 | 80  | 80  | 16 | 256 | 14.7885649  | 6.593 | 3600 | 0.002288818 |

|            |   |        |        |        |    |      |    |    |    |     |             |       |      |             |
|------------|---|--------|--------|--------|----|------|----|----|----|-----|-------------|-------|------|-------------|
| lena16.bmp | lena16.bmp-G_1-H1e-005_af4.wfa                        | 24576  | 8192   |        | 5  | 1040 | 40 | 40 | 16 | 32  | 14.78820808 | 0.078 | 1120 | 0.045572917 |
| lena16.bmp | lena16.bmp-G_1-H2e-005_af4.wfa                        | 24576  | 8192   |        | 5  | 1040 | 40 | 40 | 16 | 32  | 14.78820808 | 0.093 | 1120 | 0.045572917 |
| lena16.bmp | lena16.bmp-G_1-H3e-005_af4.wfa                        | 24576  | 8192   |        | 5  | 1040 | 40 | 40 | 16 | 32  | 14.78820808 | 0.094 | 1120 | 0.045572917 |
| lena16.bmp | lena16.bmp-G_1-H4e-005_af4.wfa                        | 24576  | 8192   |        | 5  | 1040 | 40 | 40 | 16 | 32  | 14.78820808 | 0.078 | 1120 | 0.045572917 |
| lena16.bmp | lena16.bmp-G_1-H5e-005_af4.wfa                        | 24576  | 8192   |        | 5  | 1040 | 40 | 40 | 16 | 32  | 14.78820808 | 0.078 | 1120 | 0.045572917 |
| lena16.bmp | lena16.bmp-G_1-H6e-005_af4.wfa                        | 24576  | 8192   |        | 5  | 1040 | 40 | 40 | 16 | 32  | 14.78820808 | 0.078 | 1120 | 0.045572917 |
| lena16.bmp | lena16.bmp-G_1-H7e-005_af4.wfa                        | 24576  | 8192   |        | 5  | 1040 | 40 | 40 | 16 | 32  | 14.78820808 | 0.079 | 1120 | 0.045572917 |
| lena16.bmp | lena16.bmp-G_1-H8e-005_af4.wfa                        | 24576  | 8192   |        | 5  | 1040 | 40 | 40 | 16 | 32  | 14.78820808 | 0.078 | 1120 | 0.045572917 |
| lena16.bmp | lena16.bmp-G_1-H9e-005_af4.wfa                        | 24576  | 8192   |        | 5  | 1040 | 40 | 40 | 16 | 32  | 14.78820808 | 0.094 | 1120 | 0.045572917 |
| lena16.bmp | lena16.bmp-withWavelet_haar-G_0.75-H0.0001_af1.wfa    | 393216 | 131072 | 131072 | 11 | 4112 | 88 | 88 | 16 | 128 | 14.77639917 | 1.609 | 4288 | 0.010904948 |
| lena16.bmp | lena16.bmp-withWavelet_rbio1.1-G_0.75-H0.0001_af1.wfa | 393216 | 131072 | 131072 | 11 | 4112 | 88 | 88 | 16 | 128 | 14.77639917 | 1.609 | 4288 | 0.010904948 |
| lena16.bmp | lena16.bmp-withWavelet_sym1-G_0.75-H0.0001_af1.wfa    | 393216 | 131072 | 131072 | 11 | 4112 | 88 | 88 | 16 | 128 | 14.77639917 | 1.625 | 4288 | 0.010904948 |
| lena16.bmp | lena16.bmp-withWavelet_bior1.1-G_0.75-H0.0001_af1.wfa | 393216 | 131072 | 131072 | 11 | 4112 | 88 | 88 | 16 | 128 | 14.77639917 | 1.609 | 4288 | 0.010904948 |
| lena16.bmp | lena16.bmp-G_0.75-H1e-005_af4.wfa                     | 24576  | 8192   |        | 5  | 1040 | 40 | 40 | 16 | 32  | 14.77124741 | 0.078 | 1120 | 0.045572917 |
| lena16.bmp | lena16.bmp-G_0.75-H2e-005_af4.wfa                     | 24576  | 8192   |        | 5  | 1040 | 40 | 40 | 16 | 32  | 14.77124741 | 0.078 | 1120 | 0.045572917 |
| lena16.bmp | lena16.bmp-G_0.75-H3e-005_af4.wfa                     | 24576  | 8192   |        | 5  | 1040 | 40 | 40 | 16 | 32  | 14.77124741 | 0.078 | 1120 | 0.045572917 |
| lena16.bmp | lena16.bmp-G_0.75-H4e-005_af4.wfa                     | 24576  | 8192   |        | 5  | 1040 | 40 | 40 | 16 | 32  | 14.77124741 | 0.093 | 1120 | 0.045572917 |
| lena16.bmp | lena16.bmp-G_0.75-H5e-005_af4.wfa                     | 24576  | 8192   |        | 5  | 1040 | 40 | 40 | 16 | 32  | 14.77124741 | 0.094 | 1120 | 0.045572917 |
| lena16.bmp | lena16.bmp-G_0.5-H9e-005_af4.wfa                      | 24576  | 8192   |        | 4  | 752  | 32 | 32 | 16 | 32  | 14.77010521 | 0.079 | 816  | 0.033203125 |
| lena16.bmp | lena16.bmp-G_0.5-H0.0001_af4.wfa                      | 24576  | 8192   |        | 4  | 752  | 32 | 32 | 16 | 32  | 14.77010521 | 0.078 | 816  | 0.033203125 |
| lena16.bmp | lena16.bmp-withWavelet_haar-G_1-H8e-005_af3.wfa       | 24576  | 8192   | 8192   | 11 | 4112 | 88 | 88 | 16 | 32  | 14.76834459 | 0.094 | 4288 | 0.174479167 |
| lena16.bmp | lena16.bmp-withWavelet_rbio1.1-G_1-H8e-005_af3.wfa    | 24576  | 8192   | 8192   | 11 | 4112 | 88 | 88 | 16 | 32  | 14.76834459 | 0.094 | 4288 | 0.174479167 |
| lena16.bmp | lena16.bmp-withWavelet_sym1-G_1-H8e-005_af3.wfa       | 24576  | 8192   | 8192   | 11 | 4112 | 88 | 88 | 16 | 32  | 14.76834459 | 0.093 | 4288 | 0.174479167 |
| lena16.bmp | lena16.bmp-withWavelet_bior1.1-G_1-H8e-005_af3.wfa    | 24576  | 8192   | 8192   | 11 | 4112 | 88 | 88 | 16 | 32  | 14.76834459 | 0.094 | 4288 | 0.174479167 |
| lena16.bmp | lena16.bmp-withWavelet_haar-G_1-H9e-005_af3.wfa       | 24576  | 8192   | 8192   | 11 | 4112 | 88 | 88 | 16 | 32  | 14.76834459 | 0.078 | 4288 | 0.174479167 |
| lena16.bmp | lena16.bmp-withWavelet_rbio1.1-G_1-H9e-005_af3.wfa    | 24576  | 8192   | 8192   | 11 | 4112 | 88 | 88 | 16 | 32  | 14.76834459 | 0.094 | 4288 | 0.174479167 |
| lena16.bmp | lena16.bmp-withWavelet_sym1-G_1-H9e-005_af3.wfa       | 24576  | 8192   | 8192   | 11 | 4112 | 88 | 88 | 16 | 32  | 14.76834459 | 0.093 | 4288 | 0.174479167 |
| lena16.bmp | lena16.bmp-withWavelet_bior1.1-G_1-H9e-005_af3.wfa    | 24576  | 8192   | 8192   | 11 | 4112 | 88 | 88 | 16 | 32  | 14.76834459 | 0.094 | 4288 | 0.174479167 |
| lena16.bmp | lena16.bmp-withWavelet_haar-G_1-H0.0001_af3.wfa       | 24576  | 8192   | 8192   | 11 | 4112 | 88 | 88 | 16 | 32  | 14.76834459 | 0.093 | 4288 | 0.174479167 |
| lena16.bmp | lena16.bmp-withWavelet_rbio1.1-G_1-H0.0001_af3.wfa    | 24576  | 8192   | 8192   | 11 | 4112 | 88 | 88 | 16 | 32  | 14.76834459 | 0.094 | 4288 | 0.174479167 |
| lena16.bmp | lena16.bmp-withWavelet_sym1-G_1-H0.0001_af3.wfa       | 24576  | 8192   | 8192   | 11 | 4112 | 88 | 88 | 16 | 32  | 14.76834459 | 0.094 | 4288 | 0.174479167 |

|            |   |        |        |        |    |      |     |     |    |     |             |       |      |             |
|------------|---|--------|--------|--------|----|------|-----|-----|----|-----|-------------|-------|------|-------------|
| lena16.bmp | lena16.bmp-withWavelet_bior1.1-G_1-H0.0001_af3.wfa    | 24576  | 8192   | 8192   | 11 | 4112 | 88  | 88  | 16 | 32  | 14.76834459 | 0.094 | 4288 | 0.174479167 |
| lena16.bmp | lena16.bmp-G_0.5-H9e-005_af3.wfa                      | 24576  | 8192   |        | 12 | 4848 | 96  | 96  | 16 | 32  | 14.76608094 | 0.11  | 5040 | 0.205078125 |
| lena16.bmp | lena16.bmp-withWavelet_haar-G_0.75-H0.0001_af2.wfa    | 24576  | 8192   | 8192   | 10 | 3440 | 80  | 80  | 16 | 32  | 14.75680357 | 0.094 | 3600 | 0.146484375 |
| lena16.bmp | lena16.bmp-withWavelet_rbio1.1-G_0.75-H0.0001_af2.wfa | 24576  | 8192   | 8192   | 10 | 3440 | 80  | 80  | 16 | 32  | 14.75680357 | 0.094 | 3600 | 0.146484375 |
| lena16.bmp | lena16.bmp-withWavelet_sym1-G_0.75-H0.0001_af2.wfa    | 24576  | 8192   | 8192   | 10 | 3440 | 80  | 80  | 16 | 32  | 14.75680357 | 0.094 | 3600 | 0.146484375 |
| lena16.bmp | lena16.bmp-withWavelet_bior1.1-G_0.75-H0.0001_af2.wfa | 24576  | 8192   | 8192   | 10 | 3440 | 80  | 80  | 16 | 32  | 14.75680357 | 0.078 | 3600 | 0.146484375 |
| lena16.bmp | lena16.bmp-withWavelet_haar-G_0.75-H4e-005_af2.wfa    | 24576  | 8192   | 8192   | 14 | 6512 | 112 | 112 | 16 | 32  | 14.75587646 | 0.11  | 6736 | 0.274088542 |
| lena16.bmp | lena16.bmp-withWavelet_rbio1.1-G_0.75-H4e-005_af2.wfa | 24576  | 8192   | 8192   | 14 | 6512 | 112 | 112 | 16 | 32  | 14.75587646 | 0.109 | 6736 | 0.274088542 |
| lena16.bmp | lena16.bmp-withWavelet_sym1-G_0.75-H4e-005_af2.wfa    | 24576  | 8192   | 8192   | 14 | 6512 | 112 | 112 | 16 | 32  | 14.75587646 | 0.094 | 6736 | 0.274088542 |
| lena16.bmp | lena16.bmp-withWavelet_bior1.1-G_0.75-H4e-005_af2.wfa | 24576  | 8192   | 8192   | 14 | 6512 | 112 | 112 | 16 | 32  | 14.75587646 | 0.109 | 6736 | 0.274088542 |
| lena16.bmp | lena16.bmp-G_0.5-H7e-005_af4.wfa                      | 24576  | 8192   |        | 4  | 752  | 32  | 32  | 16 | 32  | 14.74870662 | 0.078 | 816  | 0.033203125 |
| lena16.bmp | lena16.bmp-G_0.5-H8e-005_af4.wfa                      | 24576  | 8192   |        | 4  | 752  | 32  | 32  | 16 | 32  | 14.74870662 | 0.094 | 816  | 0.033203125 |
| lena16.bmp | lena16.bmp-withWavelet_haar-G_1-H3e-005_af1.wfa       | 24576  | 8192   | 8192   | 16 | 8432 | 128 | 128 | 16 | 32  | 14.74758004 | 0.11  | 8688 | 0.353515625 |
| lena16.bmp | lena16.bmp-withWavelet_rbio1.1-G_1-H3e-005_af1.wfa    | 24576  | 8192   | 8192   | 16 | 8432 | 128 | 128 | 16 | 32  | 14.74758004 | 0.219 | 8688 | 0.353515625 |
| lena16.bmp | lena16.bmp-withWavelet_sym1-G_1-H3e-005_af1.wfa       | 24576  | 8192   | 8192   | 16 | 8432 | 128 | 128 | 16 | 32  | 14.74758004 | 0.109 | 8688 | 0.353515625 |
| lena16.bmp | lena16.bmp-withWavelet_bior1.1-G_1-H3e-005_af1.wfa    | 24576  | 8192   | 8192   | 16 | 8432 | 128 | 128 | 16 | 32  | 14.74758004 | 0.11  | 8688 | 0.353515625 |
| lena16.bmp | lena16.bmp-G_0.75-H8e-005_af4.wfa                     | 24576  | 8192   |        | 4  | 752  | 32  | 32  | 16 | 32  | 14.74706865 | 0.093 | 816  | 0.033203125 |
| lena16.bmp | lena16.bmp-G_0.75-H9e-005_af4.wfa                     | 24576  | 8192   |        | 4  | 752  | 32  | 32  | 16 | 32  | 14.74706865 | 0.079 | 816  | 0.033203125 |
| lena16.bmp | lena16.bmp-G_0.75-H0.0001_af4.wfa                     | 24576  | 8192   |        | 4  | 752  | 32  | 32  | 16 | 32  | 14.74706865 | 0.093 | 816  | 0.033203125 |
| lena16.bmp | lena16.bmp-withWavelet_haar-G_0.75-H4e-005_af1.wfa    | 24576  | 8192   | 8192   | 15 | 7440 | 120 | 120 | 16 | 32  | 14.74536505 | 0.125 | 7680 | 0.3125      |
| lena16.bmp | lena16.bmp-withWavelet_rbio1.1-G_0.75-H4e-005_af1.wfa | 24576  | 8192   | 8192   | 15 | 7440 | 120 | 120 | 16 | 32  | 14.74536505 | 0.109 | 7680 | 0.3125      |
| lena16.bmp | lena16.bmp-withWavelet_sym1-G_0.75-H4e-005_af1.wfa    | 24576  | 8192   | 8192   | 15 | 7440 | 120 | 120 | 16 | 32  | 14.74536505 | 0.109 | 7680 | 0.3125      |
| lena16.bmp | lena16.bmp-withWavelet_bior1.1-G_0.75-H4e-005_af1.wfa | 24576  | 8192   | 8192   | 15 | 7440 | 120 | 120 | 16 | 32  | 14.74536505 | 0.109 | 7680 | 0.3125      |
| lena16.bmp | lena16.bmp-withWavelet_haar-G_0.75-H8e-005_af1.wfa    | 393216 | 131072 | 131072 | 11 | 4112 | 88  | 88  | 16 | 128 | 14.73623297 | 1.609 | 4288 | 0.010904948 |
| lena16.bmp | lena16.bmp-withWavelet_rbio1.1-G_0.75-H8e-005_af1.wfa | 393216 | 131072 | 131072 | 11 | 4112 | 88  | 88  | 16 | 128 | 14.73623297 | 1.61  | 4288 | 0.010904948 |
| lena16.bmp | lena16.bmp-withWavelet_sym1-G_0.75-H8e-005_af1.wfa    | 393216 | 131072 | 131072 | 11 | 4112 | 88  | 88  | 16 | 128 | 14.73623297 | 1.625 | 4288 | 0.010904948 |
| lena16.bmp | lena16.bmp-withWavelet_bior1.1-G_0.75-H8e-005_af1.wfa | 393216 | 131072 | 131072 | 11 | 4112 | 88  | 88  | 16 | 128 | 14.73623297 | 1.61  | 4288 | 0.010904948 |
| lena16.bmp | lena16.bmp-withWavelet_haar-G_0.75-H9e-005_af1.wfa    | 393216 | 131072 | 131072 | 11 | 4112 | 88  | 88  | 16 | 128 | 14.73623297 | 1.61  | 4288 | 0.010904948 |
| lena16.bmp | lena16.bmp-withWavelet_rbio1.1-G_0.75-H9e-005_af1.wfa | 393216 | 131072 | 131072 | 11 | 4112 | 88  | 88  | 16 | 128 | 14.73623297 | 1.641 | 4288 | 0.010904948 |
| lena16.bmp | lena16.bmp-withWavelet_sym1-G_0.75-H9e-005_af1.wfa    | 393216 | 131072 | 131072 | 11 | 4112 | 88  | 88  | 16 | 128 | 14.73623297 | 1.609 | 4288 | 0.010904948 |
| lena16.bmp | lena16.bmp-withWavelet_bior1.1-G_0.75-H9e-005_af1.wfa | 393216 | 131072 | 131072 | 11 | 4112 | 88  | 88  | 16 | 128 | 14.73623297 | 1.625 | 4288 | 0.010904948 |

|            |   |         |        |        |    |      |     |     |    |     |             |       |      |             |
|------------|---|---------|--------|--------|----|------|-----|-----|----|-----|-------------|-------|------|-------------|
| lena16.bmp | lena16.bmp-withWavelet_haar-G_0.75-H3e-005_af1.wfa    | 24576   | 8192   | 8192   | 16 | 8432 | 128 | 128 | 16 | 32  | 14.73426588 | 0.125 | 8688 | 0.353515625 |
| lena16.bmp | lena16.bmp-withWavelet_rbio1.1-G_0.75-H3e-005_af1.wfa | 24576   | 8192   | 8192   | 16 | 8432 | 128 | 128 | 16 | 32  | 14.73426588 | 0.109 | 8688 | 0.353515625 |
| lena16.bmp | lena16.bmp-withWavelet_sym1-G_0.75-H3e-005_af1.wfa    | 24576   | 8192   | 8192   | 16 | 8432 | 128 | 128 | 16 | 32  | 14.73426588 | 0.109 | 8688 | 0.353515625 |
| lena16.bmp | lena16.bmp-withWavelet_bior1.1-G_0.75-H3e-005_af1.wfa | 24576   | 8192   | 8192   | 16 | 8432 | 128 | 128 | 16 | 32  | 14.73426588 | 0.11  | 8688 | 0.353515625 |
| lena16.bmp | lena16.bmp-G_0.5-H0.0001_af5.wfa                      | 393216  | 131072 |        | 11 | 4112 | 88  | 88  | 16 | 128 | 14.72956275 | 1.625 | 4288 | 0.010904948 |
| lena16.bmp | lena16.bmp-G_0.75-H6e-005_af4.wfa                     | 24576   | 8192   |        | 4  | 752  | 32  | 32  | 16 | 32  | 14.72208715 | 0.078 | 816  | 0.033203125 |
| lena16.bmp | lena16.bmp-G_0.75-H7e-005_af4.wfa                     | 24576   | 8192   |        | 4  | 752  | 32  | 32  | 16 | 32  | 14.72208715 | 0.094 | 816  | 0.033203125 |
| lena16.bmp | lena16.bmp-withWavelet_haar-G_1-H8e-005_af4.wfa       | 1572864 | 524288 | 524288 | 12 | 4848 | 96  | 96  | 16 | 256 | 14.71820338 | 7.062 | 5040 | 0.003204346 |
| lena16.bmp | lena16.bmp-withWavelet_rbio1.1-G_1-H8e-005_af4.wfa    | 1572864 | 524288 | 524288 | 12 | 4848 | 96  | 96  | 16 | 256 | 14.71820338 | 7.094 | 5040 | 0.003204346 |
| lena16.bmp | lena16.bmp-withWavelet_sym1-G_1-H8e-005_af4.wfa       | 1572864 | 524288 | 524288 | 12 | 4848 | 96  | 96  | 16 | 256 | 14.71820338 | 7.125 | 5040 | 0.003204346 |
| lena16.bmp | lena16.bmp-withWavelet_bior1.1-G_1-H8e-005_af4.wfa    | 1572864 | 524288 | 524288 | 12 | 4848 | 96  | 96  | 16 | 256 | 14.71820338 | 7.141 | 5040 | 0.003204346 |
| lena16.bmp | lena16.bmp-withWavelet_haar-G_1-H9e-005_af4.wfa       | 1572864 | 524288 | 524288 | 12 | 4848 | 96  | 96  | 16 | 256 | 14.71820338 | 7.156 | 5040 | 0.003204346 |
| lena16.bmp | lena16.bmp-withWavelet_rbio1.1-G_1-H9e-005_af4.wfa    | 1572864 | 524288 | 524288 | 12 | 4848 | 96  | 96  | 16 | 256 | 14.71820338 | 7.156 | 5040 | 0.003204346 |
| lena16.bmp | lena16.bmp-withWavelet_sym1-G_1-H9e-005_af4.wfa       | 1572864 | 524288 | 524288 | 12 | 4848 | 96  | 96  | 16 | 256 | 14.71820338 | 7.078 | 5040 | 0.003204346 |
| lena16.bmp | lena16.bmp-withWavelet_bior1.1-G_1-H9e-005_af4.wfa    | 1572864 | 524288 | 524288 | 12 | 4848 | 96  | 96  | 16 | 256 | 14.71820338 | 7.093 | 5040 | 0.003204346 |
| lena16.bmp | lena16.bmp-withWavelet_haar-G_1-H8e-005_af5.wfa       | 1572864 | 524288 | 524288 | 9  | 2832 | 72  | 72  | 16 | 256 | 14.71131097 | 6.531 | 2976 | 0.00189209  |
| lena16.bmp | lena16.bmp-withWavelet_rbio1.1-G_1-H8e-005_af5.wfa    | 1572864 | 524288 | 524288 | 9  | 2832 | 72  | 72  | 16 | 256 | 14.71131097 | 6.547 | 2976 | 0.00189209  |
| lena16.bmp | lena16.bmp-withWavelet_sym1-G_1-H8e-005_af5.wfa       | 1572864 | 524288 | 524288 | 9  | 2832 | 72  | 72  | 16 | 256 | 14.71131097 | 6.531 | 2976 | 0.00189209  |
| lena16.bmp | lena16.bmp-withWavelet_bior1.1-G_1-H8e-005_af5.wfa    | 1572864 | 524288 | 524288 | 9  | 2832 | 72  | 72  | 16 | 256 | 14.71131097 | 6.531 | 2976 | 0.00189209  |
| lena16.bmp | lena16.bmp-withWavelet_haar-G_1-H9e-005_af5.wfa       | 1572864 | 524288 | 524288 | 9  | 2832 | 72  | 72  | 16 | 256 | 14.71131097 | 6.515 | 2976 | 0.00189209  |
| lena16.bmp | lena16.bmp-withWavelet_rbio1.1-G_1-H9e-005_af5.wfa    | 1572864 | 524288 | 524288 | 9  | 2832 | 72  | 72  | 16 | 256 | 14.71131097 | 6.532 | 2976 | 0.00189209  |
| lena16.bmp | lena16.bmp-withWavelet_sym1-G_1-H9e-005_af5.wfa       | 1572864 | 524288 | 524288 | 9  | 2832 | 72  | 72  | 16 | 256 | 14.71131097 | 6.563 | 2976 | 0.00189209  |
| lena16.bmp | lena16.bmp-withWavelet_bior1.1-G_1-H9e-005_af5.wfa    | 1572864 | 524288 | 524288 | 9  | 2832 | 72  | 72  | 16 | 256 | 14.71131097 | 6.547 | 2976 | 0.00189209  |
| lena16.bmp | lena16.bmp-withWavelet_haar-G_1-H0.0001_af5.wfa       | 1572864 | 524288 | 524288 | 9  | 2832 | 72  | 72  | 16 | 256 | 14.71131097 | 6.469 | 2976 | 0.00189209  |
| lena16.bmp | lena16.bmp-withWavelet_rbio1.1-G_1-H0.0001_af5.wfa    | 1572864 | 524288 | 524288 | 9  | 2832 | 72  | 72  | 16 | 256 | 14.71131097 | 6.563 | 2976 | 0.00189209  |
| lena16.bmp | lena16.bmp-withWavelet_sym1-G_1-H0.0001_af5.wfa       | 1572864 | 524288 | 524288 | 9  | 2832 | 72  | 72  | 16 | 256 | 14.71131097 | 6.5   | 2976 | 0.00189209  |
| lena16.bmp | lena16.bmp-withWavelet_bior1.1-G_1-H0.0001_af5.wfa    | 1572864 | 524288 | 524288 | 9  | 2832 | 72  | 72  | 16 | 256 | 14.71131097 | 6.547 | 2976 | 0.00189209  |
| lena16.bmp | lena16.bmp-withWavelet_haar-G_0.75-H3e-005_af2.wfa    | 24576   | 8192   | 8192   | 15 | 7440 | 120 | 120 | 16 | 32  | 14.70963449 | 0.109 | 7680 | 0.3125      |
| lena16.bmp | lena16.bmp-withWavelet_rbio1.1-G_0.75-H3e-005_af2.wfa | 24576   | 8192   | 8192   | 15 | 7440 | 120 | 120 | 16 | 32  | 14.70963449 | 0.109 | 7680 | 0.3125      |
| lena16.bmp | lena16.bmp-withWavelet_sym1-G_0.75-H3e-005_af2.wfa    | 24576   | 8192   | 8192   | 15 | 7440 | 120 | 120 | 16 | 32  | 14.70963449 | 0.11  | 7680 | 0.3125      |
| lena16.bmp | lena16.bmp-withWavelet_bior1.1-G_0.75-H3e-005_af2.wfa | 24576   | 8192   | 8192   | 15 | 7440 | 120 | 120 | 16 | 32  | 14.70963449 | 0.094 | 7680 | 0.3125      |



|            |   |       |       |       |    |      |     |     |    |    |             |       |      |             |
|------------|---|-------|-------|-------|----|------|-----|-----|----|----|-------------|-------|------|-------------|
| lena16.bmp | lena16.bmp-withWavelet_haar-G_1-H8e-005_af2.wfa       | 24576 | 8192  | 8192  | 10 | 3440 | 80  | 80  | 16 | 32 | 14.70864307 | 0.094 | 3600 | 0.146484375 |
| lena16.bmp | lena16.bmp-withWavelet_rbio1.1-G_1-H8e-005_af2.wfa    | 24576 | 8192  | 8192  | 10 | 3440 | 80  | 80  | 16 | 32 | 14.70864307 | 0.079 | 3600 | 0.146484375 |
| lena16.bmp | lena16.bmp-withWavelet_sym1-G_1-H8e-005_af2.wfa       | 24576 | 8192  | 8192  | 10 | 3440 | 80  | 80  | 16 | 32 | 14.70864307 | 0.094 | 3600 | 0.146484375 |
| lena16.bmp | lena16.bmp-withWavelet_bior1.1-G_1-H8e-005_af2.wfa    | 24576 | 8192  | 8192  | 10 | 3440 | 80  | 80  | 16 | 32 | 14.70864307 | 0.078 | 3600 | 0.146484375 |
| lena16.bmp | lena16.bmp-withWavelet_haar-G_1-H9e-005_af2.wfa       | 24576 | 8192  | 8192  | 10 | 3440 | 80  | 80  | 16 | 32 | 14.70864307 | 0.094 | 3600 | 0.146484375 |
| lena16.bmp | lena16.bmp-withWavelet_rbio1.1-G_1-H9e-005_af2.wfa    | 24576 | 8192  | 8192  | 10 | 3440 | 80  | 80  | 16 | 32 | 14.70864307 | 0.093 | 3600 | 0.146484375 |
| lena16.bmp | lena16.bmp-withWavelet_sym1-G_1-H9e-005_af2.wfa       | 24576 | 8192  | 8192  | 10 | 3440 | 80  | 80  | 16 | 32 | 14.70864307 | 0.094 | 3600 | 0.146484375 |
| lena16.bmp | lena16.bmp-withWavelet_bior1.1-G_1-H9e-005_af2.wfa    | 24576 | 8192  | 8192  | 10 | 3440 | 80  | 80  | 16 | 32 | 14.70864307 | 0.094 | 3600 | 0.146484375 |
| lena16.bmp | lena16.bmp-withWavelet_haar-G_1-H0.0001_af2.wfa       | 24576 | 8192  | 8192  | 10 | 3440 | 80  | 80  | 16 | 32 | 14.70864307 | 0.094 | 3600 | 0.146484375 |
| lena16.bmp | lena16.bmp-withWavelet_rbio1.1-G_1-H0.0001_af2.wfa    | 24576 | 8192  | 8192  | 10 | 3440 | 80  | 80  | 16 | 32 | 14.70864307 | 0.094 | 3600 | 0.146484375 |
| lena16.bmp | lena16.bmp-withWavelet_sym1-G_1-H0.0001_af2.wfa       | 24576 | 8192  | 8192  | 10 | 3440 | 80  | 80  | 16 | 32 | 14.70864307 | 0.094 | 3600 | 0.146484375 |
| lena16.bmp | lena16.bmp-withWavelet_bior1.1-G_1-H0.0001_af2.wfa    | 24576 | 8192  | 8192  | 10 | 3440 | 80  | 80  | 16 | 32 | 14.70864307 | 0.093 | 3600 | 0.146484375 |
| lena16.bmp | lena16.bmp-withWavelet_haar-G_0.75-H8e-005_af1.wfa    | 98304 | 32768 | 32768 | 11 | 4112 | 88  | 88  | 16 | 64 | 14.70555287 | 0.391 | 4288 | 0.043619792 |
| lena16.bmp | lena16.bmp-withWavelet_rbio1.1-G_0.75-H8e-005_af1.wfa | 98304 | 32768 | 32768 | 11 | 4112 | 88  | 88  | 16 | 64 | 14.70555287 | 0.406 | 4288 | 0.043619792 |
| lena16.bmp | lena16.bmp-withWavelet_sym1-G_0.75-H8e-005_af1.wfa    | 98304 | 32768 | 32768 | 11 | 4112 | 88  | 88  | 16 | 64 | 14.70555287 | 0.39  | 4288 | 0.043619792 |
| lena16.bmp | lena16.bmp-withWavelet_bior1.1-G_0.75-H8e-005_af1.wfa | 98304 | 32768 | 32768 | 11 | 4112 | 88  | 88  | 16 | 64 | 14.70555287 | 0.406 | 4288 | 0.043619792 |
| lena16.bmp | lena16.bmp-withWavelet_haar-G_0.75-H9e-005_af1.wfa    | 98304 | 32768 | 32768 | 11 | 4112 | 88  | 88  | 16 | 64 | 14.70555287 | 0.406 | 4288 | 0.043619792 |
| lena16.bmp | lena16.bmp-withWavelet_rbio1.1-G_0.75-H9e-005_af1.wfa | 98304 | 32768 | 32768 | 11 | 4112 | 88  | 88  | 16 | 64 | 14.70555287 | 0.391 | 4288 | 0.043619792 |
| lena16.bmp | lena16.bmp-withWavelet_sym1-G_0.75-H9e-005_af1.wfa    | 98304 | 32768 | 32768 | 11 | 4112 | 88  | 88  | 16 | 64 | 14.70555287 | 0.406 | 4288 | 0.043619792 |
| lena16.bmp | lena16.bmp-withWavelet_bior1.1-G_0.75-H9e-005_af1.wfa | 98304 | 32768 | 32768 | 11 | 4112 | 88  | 88  | 16 | 64 | 14.70555287 | 0.391 | 4288 | 0.043619792 |
| lena16.bmp | lena16.bmp-G_1-H0.0001_af4.wfa                        | 24576 | 8192  |       | 4  | 752  | 32  | 32  | 16 | 32 | 14.7044702  | 0.094 | 816  | 0.033203125 |
| lena16.bmp | lena16.bmp-withWavelet_haar-G_1-H5e-005_af2.wfa       | 24576 | 8192  | 8192  | 13 | 5648 | 104 | 104 | 16 | 32 | 14.70152878 | 0.11  | 5856 | 0.23828125  |
| lena16.bmp | lena16.bmp-withWavelet_rbio1.1-G_1-H5e-005_af2.wfa    | 24576 | 8192  | 8192  | 13 | 5648 | 104 | 104 | 16 | 32 | 14.70152878 | 0.11  | 5856 | 0.23828125  |
| lena16.bmp | lena16.bmp-withWavelet_sym1-G_1-H5e-005_af2.wfa       | 24576 | 8192  | 8192  | 13 | 5648 | 104 | 104 | 16 | 32 | 14.70152878 | 0.109 | 5856 | 0.23828125  |
| lena16.bmp | lena16.bmp-withWavelet_bior1.1-G_1-H5e-005_af2.wfa    | 24576 | 8192  | 8192  | 13 | 5648 | 104 | 104 | 16 | 32 | 14.70152878 | 0.109 | 5856 | 0.23828125  |
| lena16.bmp | lena16.bmp-G_0.5-H4e-005_af3.wfa                      | 24576 | 8192  |       | 14 | 6512 | 112 | 112 | 16 | 32 | 14.69375082 | 0.094 | 6736 | 0.274088542 |
| lena16.bmp | lena16.bmp-withWavelet_haar-G_0.75-H7e-005_af3.wfa    | 24576 | 8192  | 8192  | 14 | 6512 | 112 | 112 | 16 | 32 | 14.68358219 | 0.109 | 6736 | 0.274088542 |
| lena16.bmp | lena16.bmp-withWavelet_rbio1.1-G_0.75-H7e-005_af3.wfa | 24576 | 8192  | 8192  | 14 | 6512 | 112 | 112 | 16 | 32 | 14.68358219 | 0.11  | 6736 | 0.274088542 |
| lena16.bmp | lena16.bmp-withWavelet_sym1-G_0.75-H7e-005_af3.wfa    | 24576 | 8192  | 8192  | 14 | 6512 | 112 | 112 | 16 | 32 | 14.68358219 | 0.11  | 6736 | 0.274088542 |
| lena16.bmp | lena16.bmp-withWavelet_bior1.1-G_0.75-H7e-005_af3.wfa | 24576 | 8192  | 8192  | 14 | 6512 | 112 | 112 | 16 | 32 | 14.68358219 | 0.094 | 6736 | 0.274088542 |
| lena16.bmp | lena16.bmp-withWavelet_haar-G_0.75-H0.0001_af3.wfa    | 98304 | 32768 | 32768 | 12 | 4848 | 96  | 96  | 16 | 64 | 14.67988623 | 0.406 | 5040 | 0.051269531 |

|            |   |         |        |        |    |      |    |    |    |     |             |       |      |             |
|------------|---|---------|--------|--------|----|------|----|----|----|-----|-------------|-------|------|-------------|
| lena16.bmp | lena16.bmp-withWavelet_rbio1.1-G_0.75-H0.0001_af3.wfa | 98304   | 32768  | 32768  | 12 | 4848 | 96 | 96 | 16 | 64  | 14.67988623 | 0.406 | 5040 | 0.051269531 |
| lena16.bmp | lena16.bmp-withWavelet_sym1-G_0.75-H0.0001_af3.wfa    | 98304   | 32768  | 32768  | 12 | 4848 | 96 | 96 | 16 | 64  | 14.67988623 | 0.391 | 5040 | 0.051269531 |
| lena16.bmp | lena16.bmp-withWavelet_bior1.1-G_0.75-H0.0001_af3.wfa | 98304   | 32768  | 32768  | 12 | 4848 | 96 | 96 | 16 | 64  | 14.67988623 | 0.407 | 5040 | 0.051269531 |
| lena16.bmp | lena16.bmp-withWavelet_haar-G_1-H8e-005_af4.wfa       | 98304   | 32768  | 32768  | 12 | 4848 | 96 | 96 | 16 | 64  | 14.67642639 | 0.407 | 5040 | 0.051269531 |
| lena16.bmp | lena16.bmp-withWavelet_rbio1.1-G_1-H8e-005_af4.wfa    | 98304   | 32768  | 32768  | 12 | 4848 | 96 | 96 | 16 | 64  | 14.67642639 | 0.406 | 5040 | 0.051269531 |
| lena16.bmp | lena16.bmp-withWavelet_sym1-G_1-H8e-005_af4.wfa       | 98304   | 32768  | 32768  | 12 | 4848 | 96 | 96 | 16 | 64  | 14.67642639 | 0.406 | 5040 | 0.051269531 |
| lena16.bmp | lena16.bmp-withWavelet_bior1.1-G_1-H8e-005_af4.wfa    | 98304   | 32768  | 32768  | 12 | 4848 | 96 | 96 | 16 | 64  | 14.67642639 | 0.407 | 5040 | 0.051269531 |
| lena16.bmp | lena16.bmp-withWavelet_haar-G_1-H9e-005_af4.wfa       | 98304   | 32768  | 32768  | 12 | 4848 | 96 | 96 | 16 | 64  | 14.67642639 | 0.406 | 5040 | 0.051269531 |
| lena16.bmp | lena16.bmp-withWavelet_rbio1.1-G_1-H9e-005_af4.wfa    | 98304   | 32768  | 32768  | 12 | 4848 | 96 | 96 | 16 | 64  | 14.67642639 | 0.407 | 5040 | 0.051269531 |
| lena16.bmp | lena16.bmp-withWavelet_sym1-G_1-H9e-005_af4.wfa       | 98304   | 32768  | 32768  | 12 | 4848 | 96 | 96 | 16 | 64  | 14.67642639 | 0.406 | 5040 | 0.051269531 |
| lena16.bmp | lena16.bmp-withWavelet_bior1.1-G_1-H9e-005_af4.wfa    | 98304   | 32768  | 32768  | 12 | 4848 | 96 | 96 | 16 | 64  | 14.67642639 | 0.407 | 5040 | 0.051269531 |
| lena16.bmp | lena16.bmp-withWavelet_haar-G_1-H8e-005_af2.wfa       | 393216  | 131072 | 131072 | 10 | 3440 | 80 | 80 | 16 | 128 | 14.67468955 | 1.547 | 3600 | 0.009155273 |
| lena16.bmp | lena16.bmp-withWavelet_rbio1.1-G_1-H8e-005_af2.wfa    | 393216  | 131072 | 131072 | 10 | 3440 | 80 | 80 | 16 | 128 | 14.67468955 | 1.547 | 3600 | 0.009155273 |
| lena16.bmp | lena16.bmp-withWavelet_sym1-G_1-H8e-005_af2.wfa       | 393216  | 131072 | 131072 | 10 | 3440 | 80 | 80 | 16 | 128 | 14.67468955 | 1.579 | 3600 | 0.009155273 |
| lena16.bmp | lena16.bmp-withWavelet_bior1.1-G_1-H8e-005_af2.wfa    | 393216  | 131072 | 131072 | 10 | 3440 | 80 | 80 | 16 | 128 | 14.67468955 | 1.578 | 3600 | 0.009155273 |
| lena16.bmp | lena16.bmp-withWavelet_haar-G_1-H9e-005_af2.wfa       | 393216  | 131072 | 131072 | 10 | 3440 | 80 | 80 | 16 | 128 | 14.67468955 | 1.578 | 3600 | 0.009155273 |
| lena16.bmp | lena16.bmp-withWavelet_rbio1.1-G_1-H9e-005_af2.wfa    | 393216  | 131072 | 131072 | 10 | 3440 | 80 | 80 | 16 | 128 | 14.67468955 | 1.578 | 3600 | 0.009155273 |
| lena16.bmp | lena16.bmp-withWavelet_sym1-G_1-H9e-005_af2.wfa       | 393216  | 131072 | 131072 | 10 | 3440 | 80 | 80 | 16 | 128 | 14.67468955 | 1.546 | 3600 | 0.009155273 |
| lena16.bmp | lena16.bmp-withWavelet_bior1.1-G_1-H9e-005_af2.wfa    | 393216  | 131072 | 131072 | 10 | 3440 | 80 | 80 | 16 | 128 | 14.67468955 | 1.578 | 3600 | 0.009155273 |
| lena16.bmp | lena16.bmp-withWavelet_haar-G_1-H0.0001_af2.wfa       | 393216  | 131072 | 131072 | 10 | 3440 | 80 | 80 | 16 | 128 | 14.67468955 | 1.579 | 3600 | 0.009155273 |
| lena16.bmp | lena16.bmp-withWavelet_rbio1.1-G_1-H0.0001_af2.wfa    | 393216  | 131072 | 131072 | 10 | 3440 | 80 | 80 | 16 | 128 | 14.67468955 | 1.594 | 3600 | 0.009155273 |
| lena16.bmp | lena16.bmp-withWavelet_sym1-G_1-H0.0001_af2.wfa       | 393216  | 131072 | 131072 | 10 | 3440 | 80 | 80 | 16 | 128 | 14.67468955 | 1.562 | 3600 | 0.009155273 |
| lena16.bmp | lena16.bmp-withWavelet_bior1.1-G_1-H0.0001_af2.wfa    | 393216  | 131072 | 131072 | 10 | 3440 | 80 | 80 | 16 | 128 | 14.67468955 | 1.547 | 3600 | 0.009155273 |
| lena16.bmp | lena16.bmp-withWavelet_haar-G_0.75-H9e-005_af2.wfa    | 1572864 | 524288 | 524288 | 10 | 3440 | 80 | 80 | 16 | 256 | 14.67309378 | 6.609 | 3600 | 0.002288818 |
| lena16.bmp | lena16.bmp-withWavelet_rbio1.1-G_0.75-H9e-005_af2.wfa | 1572864 | 524288 | 524288 | 10 | 3440 | 80 | 80 | 16 | 256 | 14.67309378 | 6.594 | 3600 | 0.002288818 |
| lena16.bmp | lena16.bmp-withWavelet_sym1-G_0.75-H9e-005_af2.wfa    | 1572864 | 524288 | 524288 | 10 | 3440 | 80 | 80 | 16 | 256 | 14.67309378 | 6.593 | 3600 | 0.002288818 |
| lena16.bmp | lena16.bmp-withWavelet_bior1.1-G_0.75-H9e-005_af2.wfa | 1572864 | 524288 | 524288 | 10 | 3440 | 80 | 80 | 16 | 256 | 14.67309378 | 6.578 | 3600 | 0.002288818 |
| lena16.bmp | lena16.bmp-withWavelet_haar-G_1-H8e-005_af4.wfa       | 393216  | 131072 | 131072 | 12 | 4848 | 96 | 96 | 16 | 128 | 14.67264436 | 1.656 | 5040 | 0.012817383 |
| lena16.bmp | lena16.bmp-withWavelet_rbio1.1-G_1-H8e-005_af4.wfa    | 393216  | 131072 | 131072 | 12 | 4848 | 96 | 96 | 16 | 128 | 14.67264436 | 1.672 | 5040 | 0.012817383 |
| lena16.bmp | lena16.bmp-withWavelet_sym1-G_1-H8e-005_af4.wfa       | 393216  | 131072 | 131072 | 12 | 4848 | 96 | 96 | 16 | 128 | 14.67264436 | 1.765 | 5040 | 0.012817383 |
| lena16.bmp | lena16.bmp-withWavelet_bior1.1-G_1-H8e-005_af4.wfa    | 393216  | 131072 | 131072 | 12 | 4848 | 96 | 96 | 16 | 128 | 14.67264436 | 1.688 | 5040 | 0.012817383 |

|            |   |         |        |        |    |      |     |     |    |     |             |       |      |             |
|------------|---|---------|--------|--------|----|------|-----|-----|----|-----|-------------|-------|------|-------------|
| lena16.bmp | lena16.bmp-withWavelet_haar-G_1-H9e-005_af4.wfa       | 393216  | 131072 | 131072 | 12 | 4848 | 96  | 96  | 16 | 128 | 14.67264436 | 1.672 | 5040 | 0.012817383 |
| lena16.bmp | lena16.bmp-withWavelet_rbio1.1-G_1-H9e-005_af4.wfa    | 393216  | 131072 | 131072 | 12 | 4848 | 96  | 96  | 16 | 128 | 14.67264436 | 1.688 | 5040 | 0.012817383 |
| lena16.bmp | lena16.bmp-withWavelet_sym1-G_1-H9e-005_af4.wfa       | 393216  | 131072 | 131072 | 12 | 4848 | 96  | 96  | 16 | 128 | 14.67264436 | 1.938 | 5040 | 0.012817383 |
| lena16.bmp | lena16.bmp-withWavelet_bior1.1-G_1-H9e-005_af4.wfa    | 393216  | 131072 | 131072 | 12 | 4848 | 96  | 96  | 16 | 128 | 14.67264436 | 1.657 | 5040 | 0.012817383 |
| lena16.bmp | lena16.bmp-withWavelet_haar-G_1-H3e-005_af3.wfa       | 24576   | 8192   | 8192   | 17 | 9488 | 136 | 136 | 16 | 32  | 14.67190151 | 0.109 | 9760 | 0.397135417 |
| lena16.bmp | lena16.bmp-withWavelet_rbio1.1-G_1-H3e-005_af3.wfa    | 24576   | 8192   | 8192   | 17 | 9488 | 136 | 136 | 16 | 32  | 14.67190151 | 0.141 | 9760 | 0.397135417 |
| lena16.bmp | lena16.bmp-withWavelet_sym1-G_1-H3e-005_af3.wfa       | 24576   | 8192   | 8192   | 17 | 9488 | 136 | 136 | 16 | 32  | 14.67190151 | 0.109 | 9760 | 0.397135417 |
| lena16.bmp | lena16.bmp-withWavelet_bior1.1-G_1-H3e-005_af3.wfa    | 24576   | 8192   | 8192   | 17 | 9488 | 136 | 136 | 16 | 32  | 14.67190151 | 0.11  | 9760 | 0.397135417 |
| lena16.bmp | lena16.bmp-withWavelet_haar-G_1-H6e-005_af2.wfa       | 24576   | 8192   | 8192   | 12 | 4848 | 96  | 96  | 16 | 32  | 14.67187749 | 0.093 | 5040 | 0.205078125 |
| lena16.bmp | lena16.bmp-withWavelet_rbio1.1-G_1-H6e-005_af2.wfa    | 24576   | 8192   | 8192   | 12 | 4848 | 96  | 96  | 16 | 32  | 14.67187749 | 0.094 | 5040 | 0.205078125 |
| lena16.bmp | lena16.bmp-withWavelet_sym1-G_1-H6e-005_af2.wfa       | 24576   | 8192   | 8192   | 12 | 4848 | 96  | 96  | 16 | 32  | 14.67187749 | 0.109 | 5040 | 0.205078125 |
| lena16.bmp | lena16.bmp-withWavelet_bior1.1-G_1-H6e-005_af2.wfa    | 24576   | 8192   | 8192   | 12 | 4848 | 96  | 96  | 16 | 32  | 14.67187749 | 0.094 | 5040 | 0.205078125 |
| lena16.bmp | lena16.bmp-withWavelet_haar-G_1-H3e-005_af2.wfa       | 24576   | 8192   | 8192   | 16 | 8432 | 128 | 128 | 16 | 32  | 14.67142252 | 0.172 | 8688 | 0.353515625 |
| lena16.bmp | lena16.bmp-withWavelet_rbio1.1-G_1-H3e-005_af2.wfa    | 24576   | 8192   | 8192   | 16 | 8432 | 128 | 128 | 16 | 32  | 14.67142252 | 0.109 | 8688 | 0.353515625 |
| lena16.bmp | lena16.bmp-withWavelet_sym1-G_1-H3e-005_af2.wfa       | 24576   | 8192   | 8192   | 16 | 8432 | 128 | 128 | 16 | 32  | 14.67142252 | 0.109 | 8688 | 0.353515625 |
| lena16.bmp | lena16.bmp-withWavelet_bior1.1-G_1-H3e-005_af2.wfa    | 24576   | 8192   | 8192   | 16 | 8432 | 128 | 128 | 16 | 32  | 14.67142252 | 0.109 | 8688 | 0.353515625 |
| lena16.bmp | lena16.bmp-withWavelet_haar-G_0.75-H2e-005_af2.wfa    | 24576   | 8192   | 8192   | 16 | 8432 | 128 | 128 | 16 | 32  | 14.67139793 | 0.109 | 8688 | 0.353515625 |
| lena16.bmp | lena16.bmp-withWavelet_rbio1.1-G_0.75-H2e-005_af2.wfa | 24576   | 8192   | 8192   | 16 | 8432 | 128 | 128 | 16 | 32  | 14.67139793 | 0.109 | 8688 | 0.353515625 |
| lena16.bmp | lena16.bmp-withWavelet_sym1-G_0.75-H2e-005_af2.wfa    | 24576   | 8192   | 8192   | 16 | 8432 | 128 | 128 | 16 | 32  | 14.67139793 | 0.109 | 8688 | 0.353515625 |
| lena16.bmp | lena16.bmp-withWavelet_bior1.1-G_0.75-H2e-005_af2.wfa | 24576   | 8192   | 8192   | 16 | 8432 | 128 | 128 | 16 | 32  | 14.67139793 | 0.125 | 8688 | 0.353515625 |
| lena16.bmp | lena16.bmp-G_0.5-H2e-005_af5.wfa                      | 98304   | 32768  |        | 15 | 7440 | 120 | 120 | 16 | 64  | 14.66982441 | 0.437 | 7680 | 0.078125    |
| lena16.bmp | lena16.bmp-withWavelet_haar-G_1-H7e-005_af2.wfa       | 24576   | 8192   | 8192   | 12 | 4848 | 96  | 96  | 16 | 32  | 14.66428428 | 0.094 | 5040 | 0.205078125 |
| lena16.bmp | lena16.bmp-withWavelet_rbio1.1-G_1-H7e-005_af2.wfa    | 24576   | 8192   | 8192   | 12 | 4848 | 96  | 96  | 16 | 32  | 14.66428428 | 0.094 | 5040 | 0.205078125 |
| lena16.bmp | lena16.bmp-withWavelet_sym1-G_1-H7e-005_af2.wfa       | 24576   | 8192   | 8192   | 12 | 4848 | 96  | 96  | 16 | 32  | 14.66428428 | 0.093 | 5040 | 0.205078125 |
| lena16.bmp | lena16.bmp-withWavelet_bior1.1-G_1-H7e-005_af2.wfa    | 24576   | 8192   | 8192   | 12 | 4848 | 96  | 96  | 16 | 32  | 14.66428428 | 0.109 | 5040 | 0.205078125 |
| lena16.bmp | lena16.bmp-withWavelet_haar-G_0.75-H0.0001_af2.wfa    | 393216  | 131072 | 131072 | 10 | 3440 | 80  | 80  | 16 | 128 | 14.65835384 | 1.547 | 3600 | 0.009155273 |
| lena16.bmp | lena16.bmp-withWavelet_rbio1.1-G_0.75-H0.0001_af2.wfa | 393216  | 131072 | 131072 | 10 | 3440 | 80  | 80  | 16 | 128 | 14.65835384 | 1.562 | 3600 | 0.009155273 |
| lena16.bmp | lena16.bmp-withWavelet_sym1-G_0.75-H0.0001_af2.wfa    | 393216  | 131072 | 131072 | 10 | 3440 | 80  | 80  | 16 | 128 | 14.65835384 | 1.547 | 3600 | 0.009155273 |
| lena16.bmp | lena16.bmp-withWavelet_bior1.1-G_0.75-H0.0001_af2.wfa | 393216  | 131072 | 131072 | 10 | 3440 | 80  | 80  | 16 | 128 | 14.65835384 | 1.578 | 3600 | 0.009155273 |
| lena16.bmp | lena16.bmp-withWavelet_haar-G_1-H7e-005_af2.wfa       | 1572864 | 524288 | 524288 | 12 | 4848 | 96  | 96  | 16 | 256 | 14.65394054 | 7.031 | 5040 | 0.003204346 |
| lena16.bmp | lena16.bmp-withWavelet_rbio1.1-G_1-H7e-005_af2.wfa    | 1572864 | 524288 | 524288 | 12 | 4848 | 96  | 96  | 16 | 256 | 14.65394054 | 7.172 | 5040 | 0.003204346 |

|            |   |         |        |        |    |       |     |     |    |     |             |       |       |             |
|------------|---|---------|--------|--------|----|-------|-----|-----|----|-----|-------------|-------|-------|-------------|
| lena16.bmp | lena16.bmp-withWavelet_sym1-G_1-H7e-005_af2.wfa       | 1572864 | 524288 | 524288 | 12 | 4848  | 96  | 96  | 16 | 256 | 14.65394054 | 7.109 | 5040  | 0.003204346 |
| lena16.bmp | lena16.bmp-withWavelet_bior1.1-G_1-H7e-005_af2.wfa    | 1572864 | 524288 | 524288 | 12 | 4848  | 96  | 96  | 16 | 256 | 14.65394054 | 7.047 | 5040  | 0.003204346 |
| lena16.bmp | lena16.bmp-withWavelet_haar-G_1-H4e-005_af1.wfa       | 1572864 | 524288 | 524288 | 14 | 6512  | 112 | 112 | 16 | 256 | 14.64809159 | 7.531 | 6736  | 0.004282633 |
| lena16.bmp | lena16.bmp-withWavelet_rbio1.1-G_1-H4e-005_af1.wfa    | 1572864 | 524288 | 524288 | 14 | 6512  | 112 | 112 | 16 | 256 | 14.64809159 | 7.531 | 6736  | 0.004282633 |
| lena16.bmp | lena16.bmp-withWavelet_sym1-G_1-H4e-005_af1.wfa       | 1572864 | 524288 | 524288 | 14 | 6512  | 112 | 112 | 16 | 256 | 14.64809159 | 7.609 | 6736  | 0.004282633 |
| lena16.bmp | lena16.bmp-withWavelet_bior1.1-G_1-H4e-005_af1.wfa    | 1572864 | 524288 | 524288 | 14 | 6512  | 112 | 112 | 16 | 256 | 14.64809159 | 7.688 | 6736  | 0.004282633 |
| lena16.bmp | lena16.bmp-withWavelet_haar-G_1-H5e-005_af1.wfa       | 1572864 | 524288 | 524288 | 14 | 6512  | 112 | 112 | 16 | 256 | 14.64809159 | 7.594 | 6736  | 0.004282633 |
| lena16.bmp | lena16.bmp-withWavelet_rbio1.1-G_1-H5e-005_af1.wfa    | 1572864 | 524288 | 524288 | 14 | 6512  | 112 | 112 | 16 | 256 | 14.64809159 | 7.703 | 6736  | 0.004282633 |
| lena16.bmp | lena16.bmp-withWavelet_sym1-G_1-H5e-005_af1.wfa       | 1572864 | 524288 | 524288 | 14 | 6512  | 112 | 112 | 16 | 256 | 14.64809159 | 7.531 | 6736  | 0.004282633 |
| lena16.bmp | lena16.bmp-withWavelet_bior1.1-G_1-H5e-005_af1.wfa    | 1572864 | 524288 | 524288 | 14 | 6512  | 112 | 112 | 16 | 256 | 14.64809159 | 7.562 | 6736  | 0.004282633 |
| lena16.bmp | lena16.bmp-withWavelet_haar-G_1-H1e-005_af2.wfa       | 24576   | 8192   | 8192   | 18 | 10608 | 144 | 144 | 16 | 32  | 14.64446515 | 0.109 | 10896 | 0.443359375 |
| lena16.bmp | lena16.bmp-withWavelet_rbio1.1-G_1-H1e-005_af2.wfa    | 24576   | 8192   | 8192   | 18 | 10608 | 144 | 144 | 16 | 32  | 14.64446515 | 0.11  | 10896 | 0.443359375 |
| lena16.bmp | lena16.bmp-withWavelet_sym1-G_1-H1e-005_af2.wfa       | 24576   | 8192   | 8192   | 18 | 10608 | 144 | 144 | 16 | 32  | 14.64446515 | 0.125 | 10896 | 0.443359375 |
| lena16.bmp | lena16.bmp-withWavelet_bior1.1-G_1-H1e-005_af2.wfa    | 24576   | 8192   | 8192   | 18 | 10608 | 144 | 144 | 16 | 32  | 14.64446515 | 0.125 | 10896 | 0.443359375 |
| lena16.bmp | lena16.bmp-G_0.5-H8e-005_af5.wfa                      | 98304   | 32768  |        | 11 | 4112  | 88  | 88  | 16 | 64  | 14.64332675 | 0.438 | 4288  | 0.043619792 |
| lena16.bmp | lena16.bmp-G_0.5-H9e-005_af5.wfa                      | 98304   | 32768  |        | 11 | 4112  | 88  | 88  | 16 | 64  | 14.64332675 | 0.407 | 4288  | 0.043619792 |
| lena16.bmp | lena16.bmp-withWavelet_haar-G_0.75-H2e-005_af1.wfa    | 24576   | 8192   | 8192   | 17 | 9488  | 136 | 136 | 16 | 32  | 14.64219185 | 0.11  | 9760  | 0.397135417 |
| lena16.bmp | lena16.bmp-withWavelet_rbio1.1-G_0.75-H2e-005_af1.wfa | 24576   | 8192   | 8192   | 17 | 9488  | 136 | 136 | 16 | 32  | 14.64219185 | 0.109 | 9760  | 0.397135417 |
| lena16.bmp | lena16.bmp-withWavelet_sym1-G_0.75-H2e-005_af1.wfa    | 24576   | 8192   | 8192   | 17 | 9488  | 136 | 136 | 16 | 32  | 14.64219185 | 0.11  | 9760  | 0.397135417 |
| lena16.bmp | lena16.bmp-withWavelet_bior1.1-G_0.75-H2e-005_af1.wfa | 24576   | 8192   | 8192   | 17 | 9488  | 136 | 136 | 16 | 32  | 14.64219185 | 0.125 | 9760  | 0.397135417 |
| lena16.bmp | lena16.bmp-withWavelet_haar-G_1-H4e-005_af3.wfa       | 24576   | 8192   | 8192   | 17 | 9488  | 136 | 136 | 16 | 32  | 14.64063033 | 0.11  | 9760  | 0.397135417 |
| lena16.bmp | lena16.bmp-withWavelet_rbio1.1-G_1-H4e-005_af3.wfa    | 24576   | 8192   | 8192   | 17 | 9488  | 136 | 136 | 16 | 32  | 14.64063033 | 0.109 | 9760  | 0.397135417 |
| lena16.bmp | lena16.bmp-withWavelet_sym1-G_1-H4e-005_af3.wfa       | 24576   | 8192   | 8192   | 17 | 9488  | 136 | 136 | 16 | 32  | 14.64063033 | 0.11  | 9760  | 0.397135417 |
| lena16.bmp | lena16.bmp-withWavelet_bior1.1-G_1-H4e-005_af3.wfa    | 24576   | 8192   | 8192   | 17 | 9488  | 136 | 136 | 16 | 32  | 14.64063033 | 0.125 | 9760  | 0.397135417 |
| lena16.bmp | lena16.bmp-withWavelet_haar-G_1-H7e-005_af4.wfa       | 1572864 | 524288 | 524288 | 13 | 5648  | 104 | 104 | 16 | 256 | 14.63700791 | 7.39  | 5856  | 0.003723145 |
| lena16.bmp | lena16.bmp-withWavelet_rbio1.1-G_1-H7e-005_af4.wfa    | 1572864 | 524288 | 524288 | 13 | 5648  | 104 | 104 | 16 | 256 | 14.63700791 | 7.375 | 5856  | 0.003723145 |
| lena16.bmp | lena16.bmp-withWavelet_sym1-G_1-H7e-005_af4.wfa       | 1572864 | 524288 | 524288 | 13 | 5648  | 104 | 104 | 16 | 256 | 14.63700791 | 7.5   | 5856  | 0.003723145 |
| lena16.bmp | lena16.bmp-withWavelet_bior1.1-G_1-H7e-005_af4.wfa    | 1572864 | 524288 | 524288 | 13 | 5648  | 104 | 104 | 16 | 256 | 14.63700791 | 7.375 | 5856  | 0.003723145 |
| lena16.bmp | lena16.bmp-withWavelet_haar-G_1-H2e-005_af2.wfa       | 24576   | 8192   | 8192   | 17 | 9488  | 136 | 136 | 16 | 32  | 14.63358223 | 0.11  | 9760  | 0.397135417 |
| lena16.bmp | lena16.bmp-withWavelet_rbio1.1-G_1-H2e-005_af2.wfa    | 24576   | 8192   | 8192   | 17 | 9488  | 136 | 136 | 16 | 32  | 14.63358223 | 0.125 | 9760  | 0.397135417 |
| lena16.bmp | lena16.bmp-withWavelet_sym1-G_1-H2e-005_af2.wfa       | 24576   | 8192   | 8192   | 17 | 9488  | 136 | 136 | 16 | 32  | 14.63358223 | 0.125 | 9760  | 0.397135417 |

|            |   |         |        |        |    |       |     |     |    |     |             |       |       |             |
|------------|---|---------|--------|--------|----|-------|-----|-----|----|-----|-------------|-------|-------|-------------|
| lena16.bmp | lena16.bmp-withWavelet_bior1.1-G_1-H2e-005_af2.wfa    | 24576   | 8192   | 8192   | 17 | 9488  | 136 | 136 | 16 | 32  | 14.63358223 | 0.141 | 9760  | 0.397135417 |
| lena16.bmp | lena16.bmp-withWavelet_haar-G_1-H7e-005_af4.wfa       | 98304   | 32768  | 32768  | 13 | 5648  | 104 | 104 | 16 | 64  | 14.63024017 | 0.422 | 5856  | 0.059570313 |
| lena16.bmp | lena16.bmp-withWavelet_rbio1.1-G_1-H7e-005_af4.wfa    | 98304   | 32768  | 32768  | 13 | 5648  | 104 | 104 | 16 | 64  | 14.63024017 | 0.421 | 5856  | 0.059570313 |
| lena16.bmp | lena16.bmp-withWavelet_sym1-G_1-H7e-005_af4.wfa       | 98304   | 32768  | 32768  | 13 | 5648  | 104 | 104 | 16 | 64  | 14.63024017 | 0.422 | 5856  | 0.059570313 |
| lena16.bmp | lena16.bmp-withWavelet_bior1.1-G_1-H7e-005_af4.wfa    | 98304   | 32768  | 32768  | 13 | 5648  | 104 | 104 | 16 | 64  | 14.63024017 | 0.422 | 5856  | 0.059570313 |
| lena16.bmp | lena16.bmp-withWavelet_haar-G_0.75-H1e-005_af2.wfa    | 24576   | 8192   | 8192   | 18 | 10608 | 144 | 144 | 16 | 32  | 14.62536955 | 0.109 | 10896 | 0.443359375 |
| lena16.bmp | lena16.bmp-withWavelet_rbio1.1-G_0.75-H1e-005_af2.wfa | 24576   | 8192   | 8192   | 18 | 10608 | 144 | 144 | 16 | 32  | 14.62536955 | 0.109 | 10896 | 0.443359375 |
| lena16.bmp | lena16.bmp-withWavelet_sym1-G_0.75-H1e-005_af2.wfa    | 24576   | 8192   | 8192   | 18 | 10608 | 144 | 144 | 16 | 32  | 14.62536955 | 0.11  | 10896 | 0.443359375 |
| lena16.bmp | lena16.bmp-withWavelet_bior1.1-G_0.75-H1e-005_af2.wfa | 24576   | 8192   | 8192   | 18 | 10608 | 144 | 144 | 16 | 32  | 14.62536955 | 0.125 | 10896 | 0.443359375 |
| lena16.bmp | lena16.bmp-G_0.5-H9e-005_af2.wfa                      | 393216  | 131072 |        | 9  | 2832  | 72  | 72  | 16 | 128 | 14.6245005  | 1.546 | 2976  | 0.007568359 |
| lena16.bmp | lena16.bmp-G_0.5-H0.0001_af2.wfa                      | 393216  | 131072 |        | 9  | 2832  | 72  | 72  | 16 | 128 | 14.6245005  | 1.547 | 2976  | 0.007568359 |
| lena16.bmp | lena16.bmp-withWavelet_haar-G_0.75-H3e-005_af3.wfa    | 24576   | 8192   | 8192   | 18 | 10608 | 144 | 144 | 16 | 32  | 14.619559   | 0.11  | 10896 | 0.443359375 |
| lena16.bmp | lena16.bmp-withWavelet_rbio1.1-G_0.75-H3e-005_af3.wfa | 24576   | 8192   | 8192   | 18 | 10608 | 144 | 144 | 16 | 32  | 14.619559   | 0.125 | 10896 | 0.443359375 |
| lena16.bmp | lena16.bmp-withWavelet_sym1-G_0.75-H3e-005_af3.wfa    | 24576   | 8192   | 8192   | 18 | 10608 | 144 | 144 | 16 | 32  | 14.619559   | 0.125 | 10896 | 0.443359375 |
| lena16.bmp | lena16.bmp-withWavelet_bior1.1-G_0.75-H3e-005_af3.wfa | 24576   | 8192   | 8192   | 18 | 10608 | 144 | 144 | 16 | 32  | 14.619559   | 0.125 | 10896 | 0.443359375 |
| lena16.bmp | lena16.bmp-withWavelet_haar-G_0.75-H4e-005_af3.wfa    | 24576   | 8192   | 8192   | 18 | 10608 | 144 | 144 | 16 | 32  | 14.619559   | 0.109 | 10896 | 0.443359375 |
| lena16.bmp | lena16.bmp-withWavelet_rbio1.1-G_0.75-H4e-005_af3.wfa | 24576   | 8192   | 8192   | 18 | 10608 | 144 | 144 | 16 | 32  | 14.619559   | 0.109 | 10896 | 0.443359375 |
| lena16.bmp | lena16.bmp-withWavelet_sym1-G_0.75-H4e-005_af3.wfa    | 24576   | 8192   | 8192   | 18 | 10608 | 144 | 144 | 16 | 32  | 14.619559   | 0.11  | 10896 | 0.443359375 |
| lena16.bmp | lena16.bmp-withWavelet_bior1.1-G_0.75-H4e-005_af3.wfa | 24576   | 8192   | 8192   | 18 | 10608 | 144 | 144 | 16 | 32  | 14.619559   | 0.125 | 10896 | 0.443359375 |
| lena16.bmp | lena16.bmp-withWavelet_haar-G_0.75-H2e-005_af3.wfa    | 24576   | 8192   | 8192   | 19 | 11792 | 152 | 152 | 16 | 32  | 14.619449   | 0.125 | 12096 | 0.4921875   |
| lena16.bmp | lena16.bmp-withWavelet_rbio1.1-G_0.75-H2e-005_af3.wfa | 24576   | 8192   | 8192   | 19 | 11792 | 152 | 152 | 16 | 32  | 14.619449   | 0.125 | 12096 | 0.4921875   |
| lena16.bmp | lena16.bmp-withWavelet_sym1-G_0.75-H2e-005_af3.wfa    | 24576   | 8192   | 8192   | 19 | 11792 | 152 | 152 | 16 | 32  | 14.619449   | 0.109 | 12096 | 0.4921875   |
| lena16.bmp | lena16.bmp-withWavelet_bior1.1-G_0.75-H2e-005_af3.wfa | 24576   | 8192   | 8192   | 19 | 11792 | 152 | 152 | 16 | 32  | 14.619449   | 0.125 | 12096 | 0.4921875   |
| lena16.bmp | lena16.bmp-withWavelet_haar-G_1-H4e-005_af4.wfa       | 1572864 | 524288 | 524288 | 14 | 6512  | 112 | 112 | 16 | 256 | 14.61875211 | 7.562 | 6736  | 0.004282633 |
| lena16.bmp | lena16.bmp-withWavelet_rbio1.1-G_1-H4e-005_af4.wfa    | 1572864 | 524288 | 524288 | 14 | 6512  | 112 | 112 | 16 | 256 | 14.61875211 | 7.625 | 6736  | 0.004282633 |
| lena16.bmp | lena16.bmp-withWavelet_sym1-G_1-H4e-005_af4.wfa       | 1572864 | 524288 | 524288 | 14 | 6512  | 112 | 112 | 16 | 256 | 14.61875211 | 8.125 | 6736  | 0.004282633 |
| lena16.bmp | lena16.bmp-withWavelet_bior1.1-G_1-H4e-005_af4.wfa    | 1572864 | 524288 | 524288 | 14 | 6512  | 112 | 112 | 16 | 256 | 14.61875211 | 7.547 | 6736  | 0.004282633 |
| lena16.bmp | lena16.bmp-withWavelet_haar-G_1-H2e-005_af3.wfa       | 24576   | 8192   | 8192   | 19 | 11792 | 152 | 152 | 16 | 32  | 14.61726958 | 0.125 | 12096 | 0.4921875   |
| lena16.bmp | lena16.bmp-withWavelet_rbio1.1-G_1-H2e-005_af3.wfa    | 24576   | 8192   | 8192   | 19 | 11792 | 152 | 152 | 16 | 32  | 14.61726958 | 0.125 | 12096 | 0.4921875   |
| lena16.bmp | lena16.bmp-withWavelet_sym1-G_1-H2e-005_af3.wfa       | 24576   | 8192   | 8192   | 19 | 11792 | 152 | 152 | 16 | 32  | 14.61726958 | 0.156 | 12096 | 0.4921875   |
| lena16.bmp | lena16.bmp-withWavelet_bior1.1-G_1-H2e-005_af3.wfa    | 24576   | 8192   | 8192   | 19 | 11792 | 152 | 152 | 16 | 32  | 14.61726958 | 0.125 | 12096 | 0.4921875   |

|            |   |         |        |        |    |       |     |     |    |     |             |       |       |             |
|------------|---|---------|--------|--------|----|-------|-----|-----|----|-----|-------------|-------|-------|-------------|
| lena16.bmp | lena16.bmp-withWavelet_haar-G_0.75-H9e-005_af5.wfa    | 1572864 | 524288 | 524288 | 8  | 2288  | 64  | 64  | 16 | 256 | 14.61525921 | 6.375 | 2416  | 0.001536051 |
| lena16.bmp | lena16.bmp-withWavelet_rbio1.1-G_0.75-H9e-005_af5.wfa | 1572864 | 524288 | 524288 | 8  | 2288  | 64  | 64  | 16 | 256 | 14.61525921 | 6.328 | 2416  | 0.001536051 |
| lena16.bmp | lena16.bmp-withWavelet_sym1-G_0.75-H9e-005_af5.wfa    | 1572864 | 524288 | 524288 | 8  | 2288  | 64  | 64  | 16 | 256 | 14.61525921 | 6.375 | 2416  | 0.001536051 |
| lena16.bmp | lena16.bmp-withWavelet_bior1.1-G_0.75-H9e-005_af5.wfa | 1572864 | 524288 | 524288 | 8  | 2288  | 64  | 64  | 16 | 256 | 14.61525921 | 6.344 | 2416  | 0.001536051 |
| lena16.bmp | lena16.bmp-withWavelet_haar-G_0.75-H0.0001_af5.wfa    | 1572864 | 524288 | 524288 | 8  | 2288  | 64  | 64  | 16 | 256 | 14.61525921 | 6.312 | 2416  | 0.001536051 |
| lena16.bmp | lena16.bmp-withWavelet_rbio1.1-G_0.75-H0.0001_af5.wfa | 1572864 | 524288 | 524288 | 8  | 2288  | 64  | 64  | 16 | 256 | 14.61525921 | 6.391 | 2416  | 0.001536051 |
| lena16.bmp | lena16.bmp-withWavelet_sym1-G_0.75-H0.0001_af5.wfa    | 1572864 | 524288 | 524288 | 8  | 2288  | 64  | 64  | 16 | 256 | 14.61525921 | 6.391 | 2416  | 0.001536051 |
| lena16.bmp | lena16.bmp-withWavelet_bior1.1-G_0.75-H0.0001_af5.wfa | 1572864 | 524288 | 524288 | 8  | 2288  | 64  | 64  | 16 | 256 | 14.61525921 | 6.375 | 2416  | 0.001536051 |
| lena16.bmp | lena16.bmp-withWavelet_haar-G_0.75-H6e-005_af3.wfa    | 24576   | 8192   | 8192   | 15 | 7440  | 120 | 120 | 16 | 32  | 14.61407217 | 0.094 | 7680  | 0.3125      |
| lena16.bmp | lena16.bmp-withWavelet_rbio1.1-G_0.75-H6e-005_af3.wfa | 24576   | 8192   | 8192   | 15 | 7440  | 120 | 120 | 16 | 32  | 14.61407217 | 0.094 | 7680  | 0.3125      |
| lena16.bmp | lena16.bmp-withWavelet_sym1-G_0.75-H6e-005_af3.wfa    | 24576   | 8192   | 8192   | 15 | 7440  | 120 | 120 | 16 | 32  | 14.61407217 | 0.109 | 7680  | 0.3125      |
| lena16.bmp | lena16.bmp-withWavelet_bior1.1-G_0.75-H6e-005_af3.wfa | 24576   | 8192   | 8192   | 15 | 7440  | 120 | 120 | 16 | 32  | 14.61407217 | 0.094 | 7680  | 0.3125      |
| lena16.bmp | lena16.bmp-withWavelet_haar-G_0.75-H6e-005_af1.wfa    | 1572864 | 524288 | 524288 | 14 | 6512  | 112 | 112 | 16 | 256 | 14.60823717 | 7.532 | 6736  | 0.004282633 |
| lena16.bmp | lena16.bmp-withWavelet_rbio1.1-G_0.75-H6e-005_af1.wfa | 1572864 | 524288 | 524288 | 14 | 6512  | 112 | 112 | 16 | 256 | 14.60823717 | 7.532 | 6736  | 0.004282633 |
| lena16.bmp | lena16.bmp-withWavelet_sym1-G_0.75-H6e-005_af1.wfa    | 1572864 | 524288 | 524288 | 14 | 6512  | 112 | 112 | 16 | 256 | 14.60823717 | 7.562 | 6736  | 0.004282633 |
| lena16.bmp | lena16.bmp-withWavelet_bior1.1-G_0.75-H6e-005_af1.wfa | 1572864 | 524288 | 524288 | 14 | 6512  | 112 | 112 | 16 | 256 | 14.60823717 | 7.531 | 6736  | 0.004282633 |
| lena16.bmp | lena16.bmp-withWavelet_haar-G_0.75-H5e-005_af1.wfa    | 1572864 | 524288 | 524288 | 14 | 6512  | 112 | 112 | 16 | 256 | 14.60823717 | 7.656 | 6736  | 0.004282633 |
| lena16.bmp | lena16.bmp-withWavelet_rbio1.1-G_0.75-H5e-005_af1.wfa | 1572864 | 524288 | 524288 | 14 | 6512  | 112 | 112 | 16 | 256 | 14.60823717 | 7.516 | 6736  | 0.004282633 |
| lena16.bmp | lena16.bmp-withWavelet_sym1-G_0.75-H5e-005_af1.wfa    | 1572864 | 524288 | 524288 | 14 | 6512  | 112 | 112 | 16 | 256 | 14.60823717 | 7.563 | 6736  | 0.004282633 |
| lena16.bmp | lena16.bmp-withWavelet_bior1.1-G_0.75-H5e-005_af1.wfa | 1572864 | 524288 | 524288 | 14 | 6512  | 112 | 112 | 16 | 256 | 14.60823717 | 7.578 | 6736  | 0.004282633 |
| lena16.bmp | lena16.bmp-withWavelet_haar-G_1-H1e-005_af1.wfa       | 24576   | 8192   | 8192   | 18 | 10608 | 144 | 144 | 16 | 32  | 14.60729093 | 0.125 | 10896 | 0.443359375 |
| lena16.bmp | lena16.bmp-withWavelet_rbio1.1-G_1-H1e-005_af1.wfa    | 24576   | 8192   | 8192   | 18 | 10608 | 144 | 144 | 16 | 32  | 14.60729093 | 0.109 | 10896 | 0.443359375 |
| lena16.bmp | lena16.bmp-withWavelet_sym1-G_1-H1e-005_af1.wfa       | 24576   | 8192   | 8192   | 18 | 10608 | 144 | 144 | 16 | 32  | 14.60729093 | 0.125 | 10896 | 0.443359375 |
| lena16.bmp | lena16.bmp-withWavelet_bior1.1-G_1-H1e-005_af1.wfa    | 24576   | 8192   | 8192   | 18 | 10608 | 144 | 144 | 16 | 32  | 14.60729093 | 0.109 | 10896 | 0.443359375 |
| lena16.bmp | lena16.bmp-withWavelet_haar-G_0.75-H1e-005_af1.wfa    | 24576   | 8192   | 8192   | 18 | 10608 | 144 | 144 | 16 | 32  | 14.60476298 | 0.125 | 10896 | 0.443359375 |
| lena16.bmp | lena16.bmp-withWavelet_rbio1.1-G_0.75-H1e-005_af1.wfa | 24576   | 8192   | 8192   | 18 | 10608 | 144 | 144 | 16 | 32  | 14.60476298 | 0.125 | 10896 | 0.443359375 |
| lena16.bmp | lena16.bmp-withWavelet_sym1-G_0.75-H1e-005_af1.wfa    | 24576   | 8192   | 8192   | 18 | 10608 | 144 | 144 | 16 | 32  | 14.60476298 | 0.109 | 10896 | 0.443359375 |
| lena16.bmp | lena16.bmp-withWavelet_bior1.1-G_0.75-H1e-005_af1.wfa | 24576   | 8192   | 8192   | 18 | 10608 | 144 | 144 | 16 | 32  | 14.60476298 | 0.11  | 10896 | 0.443359375 |
| lena16.bmp | lena16.bmp-withWavelet_haar-G_1-H2e-005_af1.wfa       | 24576   | 8192   | 8192   | 18 | 10608 | 144 | 144 | 16 | 32  | 14.60228174 | 0.406 | 10896 | 0.443359375 |
| lena16.bmp | lena16.bmp-withWavelet_rbio1.1-G_1-H2e-005_af1.wfa    | 24576   | 8192   | 8192   | 18 | 10608 | 144 | 144 | 16 | 32  | 14.60228174 | 0.14  | 10896 | 0.443359375 |
| lena16.bmp | lena16.bmp-withWavelet_sym1-G_1-H2e-005_af1.wfa       | 24576   | 8192   | 8192   | 18 | 10608 | 144 | 144 | 16 | 32  | 14.60228174 | 0.141 | 10896 | 0.443359375 |

|            |   |         |        |        |    |       |     |     |    |     |             |       |       |             |
|------------|---|---------|--------|--------|----|-------|-----|-----|----|-----|-------------|-------|-------|-------------|
| lena16.bmp | lena16.bmp-withWavelet_bior1.1-G_1-H2e-005_af1.wfa    | 24576   | 8192   | 8192   | 18 | 10608 | 144 | 144 | 16 | 32  | 14.60228174 | 0.125 | 10896 | 0.443359375 |
| lena16.bmp | lena16.bmp-withWavelet_haar-G_0.75-H9e-005_af2.wfa    | 24576   | 8192   | 8192   | 10 | 3440  | 80  | 80  | 16 | 32  | 14.60189657 | 0.093 | 3600  | 0.146484375 |
| lena16.bmp | lena16.bmp-withWavelet_rbio1.1-G_0.75-H9e-005_af2.wfa | 24576   | 8192   | 8192   | 10 | 3440  | 80  | 80  | 16 | 32  | 14.60189657 | 0.094 | 3600  | 0.146484375 |
| lena16.bmp | lena16.bmp-withWavelet_sym1-G_0.75-H9e-005_af2.wfa    | 24576   | 8192   | 8192   | 10 | 3440  | 80  | 80  | 16 | 32  | 14.60189657 | 0.094 | 3600  | 0.146484375 |
| lena16.bmp | lena16.bmp-withWavelet_bior1.1-G_0.75-H9e-005_af2.wfa | 24576   | 8192   | 8192   | 10 | 3440  | 80  | 80  | 16 | 32  | 14.60189657 | 0.078 | 3600  | 0.146484375 |
| lena16.bmp | lena16.bmp-withWavelet_haar-G_1-H7e-005_af4.wfa       | 393216  | 131072 | 131072 | 13 | 5648  | 104 | 104 | 16 | 128 | 14.60030542 | 1.735 | 5856  | 0.014892578 |
| lena16.bmp | lena16.bmp-withWavelet_rbio1.1-G_1-H7e-005_af4.wfa    | 393216  | 131072 | 131072 | 13 | 5648  | 104 | 104 | 16 | 128 | 14.60030542 | 1.735 | 5856  | 0.014892578 |
| lena16.bmp | lena16.bmp-withWavelet_sym1-G_1-H7e-005_af4.wfa       | 393216  | 131072 | 131072 | 13 | 5648  | 104 | 104 | 16 | 128 | 14.60030542 | 1.719 | 5856  | 0.014892578 |
| lena16.bmp | lena16.bmp-withWavelet_bior1.1-G_1-H7e-005_af4.wfa    | 393216  | 131072 | 131072 | 13 | 5648  | 104 | 104 | 16 | 128 | 14.60030542 | 1.734 | 5856  | 0.014892578 |
| lena16.bmp | lena16.bmp-withWavelet_haar-G_0.75-H8e-005_af4.wfa    | 1572864 | 524288 | 524288 | 12 | 4848  | 96  | 96  | 16 | 256 | 14.5999984  | 7.203 | 5040  | 0.003204346 |
| lena16.bmp | lena16.bmp-withWavelet_rbio1.1-G_0.75-H8e-005_af4.wfa | 1572864 | 524288 | 524288 | 12 | 4848  | 96  | 96  | 16 | 256 | 14.5999984  | 7.094 | 5040  | 0.003204346 |
| lena16.bmp | lena16.bmp-withWavelet_sym1-G_0.75-H8e-005_af4.wfa    | 1572864 | 524288 | 524288 | 12 | 4848  | 96  | 96  | 16 | 256 | 14.5999984  | 7.094 | 5040  | 0.003204346 |
| lena16.bmp | lena16.bmp-withWavelet_bior1.1-G_0.75-H8e-005_af4.wfa | 1572864 | 524288 | 524288 | 12 | 4848  | 96  | 96  | 16 | 256 | 14.5999984  | 7.063 | 5040  | 0.003204346 |
| lena16.bmp | lena16.bmp-withWavelet_haar-G_0.75-H9e-005_af4.wfa    | 1572864 | 524288 | 524288 | 12 | 4848  | 96  | 96  | 16 | 256 | 14.5999984  | 7.109 | 5040  | 0.003204346 |
| lena16.bmp | lena16.bmp-withWavelet_rbio1.1-G_0.75-H9e-005_af4.wfa | 1572864 | 524288 | 524288 | 12 | 4848  | 96  | 96  | 16 | 256 | 14.5999984  | 7.125 | 5040  | 0.003204346 |
| lena16.bmp | lena16.bmp-withWavelet_sym1-G_0.75-H9e-005_af4.wfa    | 1572864 | 524288 | 524288 | 12 | 4848  | 96  | 96  | 16 | 256 | 14.5999984  | 7.14  | 5040  | 0.003204346 |
| lena16.bmp | lena16.bmp-withWavelet_bior1.1-G_0.75-H9e-005_af4.wfa | 1572864 | 524288 | 524288 | 12 | 4848  | 96  | 96  | 16 | 256 | 14.5999984  | 7.125 | 5040  | 0.003204346 |
| lena16.bmp | lena16.bmp-withWavelet_haar-G_1-H4e-005_af4.wfa       | 98304   | 32768  | 32768  | 14 | 6512  | 112 | 112 | 16 | 64  | 14.59942782 | 0.438 | 6736  | 0.068522135 |
| lena16.bmp | lena16.bmp-withWavelet_rbio1.1-G_1-H4e-005_af4.wfa    | 98304   | 32768  | 32768  | 14 | 6512  | 112 | 112 | 16 | 64  | 14.59942782 | 0.437 | 6736  | 0.068522135 |
| lena16.bmp | lena16.bmp-withWavelet_sym1-G_1-H4e-005_af4.wfa       | 98304   | 32768  | 32768  | 14 | 6512  | 112 | 112 | 16 | 64  | 14.59942782 | 0.438 | 6736  | 0.068522135 |
| lena16.bmp | lena16.bmp-withWavelet_bior1.1-G_1-H4e-005_af4.wfa    | 98304   | 32768  | 32768  | 14 | 6512  | 112 | 112 | 16 | 64  | 14.59942782 | 0.422 | 6736  | 0.068522135 |
| lena16.bmp | lena16.bmp-withWavelet_haar-G_0.75-H8e-005_af4.wfa    | 98304   | 32768  | 32768  | 12 | 4848  | 96  | 96  | 16 | 64  | 14.59635894 | 0.407 | 5040  | 0.051269531 |
| lena16.bmp | lena16.bmp-withWavelet_rbio1.1-G_0.75-H8e-005_af4.wfa | 98304   | 32768  | 32768  | 12 | 4848  | 96  | 96  | 16 | 64  | 14.59635894 | 0.406 | 5040  | 0.051269531 |
| lena16.bmp | lena16.bmp-withWavelet_sym1-G_0.75-H8e-005_af4.wfa    | 98304   | 32768  | 32768  | 12 | 4848  | 96  | 96  | 16 | 64  | 14.59635894 | 0.453 | 5040  | 0.051269531 |
| lena16.bmp | lena16.bmp-withWavelet_bior1.1-G_0.75-H8e-005_af4.wfa | 98304   | 32768  | 32768  | 12 | 4848  | 96  | 96  | 16 | 64  | 14.59635894 | 0.406 | 5040  | 0.051269531 |
| lena16.bmp | lena16.bmp-withWavelet_haar-G_0.75-H9e-005_af4.wfa    | 98304   | 32768  | 32768  | 12 | 4848  | 96  | 96  | 16 | 64  | 14.59635894 | 0.406 | 5040  | 0.051269531 |
| lena16.bmp | lena16.bmp-withWavelet_rbio1.1-G_0.75-H9e-005_af4.wfa | 98304   | 32768  | 32768  | 12 | 4848  | 96  | 96  | 16 | 64  | 14.59635894 | 0.406 | 5040  | 0.051269531 |
| lena16.bmp | lena16.bmp-withWavelet_sym1-G_0.75-H9e-005_af4.wfa    | 98304   | 32768  | 32768  | 12 | 4848  | 96  | 96  | 16 | 64  | 14.59635894 | 0.406 | 5040  | 0.051269531 |
| lena16.bmp | lena16.bmp-withWavelet_bior1.1-G_0.75-H9e-005_af4.wfa | 98304   | 32768  | 32768  | 12 | 4848  | 96  | 96  | 16 | 64  | 14.59635894 | 0.422 | 5040  | 0.051269531 |
| lena16.bmp | lena16.bmp-withWavelet_haar-G_0.75-H2e-005_af5.wfa    | 24576   | 8192   | 8192   | 14 | 6512  | 112 | 112 | 16 | 32  | 14.59176316 | 0.109 | 6736  | 0.274088542 |
| lena16.bmp | lena16.bmp-withWavelet_rbio1.1-G_0.75-H2e-005_af5.wfa | 24576   | 8192   | 8192   | 14 | 6512  | 112 | 112 | 16 | 32  | 14.59176316 | 0.094 | 6736  | 0.274088542 |

|            |   |         |        |        |    |      |     |     |    |     |             |       |      |             |
|------------|---|---------|--------|--------|----|------|-----|-----|----|-----|-------------|-------|------|-------------|
| lena16.bmp | lena16.bmp-withWavelet_sym1-G_0.75-H2e-005_af5.wfa    | 24576   | 8192   | 8192   | 14 | 6512 | 112 | 112 | 16 | 32  | 14.59176316 | 0.282 | 6736 | 0.274088542 |
| lena16.bmp | lena16.bmp-withWavelet_bior1.1-G_0.75-H2e-005_af5.wfa | 24576   | 8192   | 8192   | 14 | 6512 | 112 | 112 | 16 | 32  | 14.59176316 | 0.11  | 6736 | 0.274088542 |
| lena16.bmp | lena16.bmp-withWavelet_haar-G_1-H6e-005_af5.wfa       | 1572864 | 524288 | 524288 | 10 | 3440 | 80  | 80  | 16 | 256 | 14.58786661 | 6.547 | 3600 | 0.002288818 |
| lena16.bmp | lena16.bmp-withWavelet_rbio1.1-G_1-H6e-005_af5.wfa    | 1572864 | 524288 | 524288 | 10 | 3440 | 80  | 80  | 16 | 256 | 14.58786661 | 6.563 | 3600 | 0.002288818 |
| lena16.bmp | lena16.bmp-withWavelet_sym1-G_1-H6e-005_af5.wfa       | 1572864 | 524288 | 524288 | 10 | 3440 | 80  | 80  | 16 | 256 | 14.58786661 | 6.531 | 3600 | 0.002288818 |
| lena16.bmp | lena16.bmp-withWavelet_bior1.1-G_1-H6e-005_af5.wfa    | 1572864 | 524288 | 524288 | 10 | 3440 | 80  | 80  | 16 | 256 | 14.58786661 | 6.562 | 3600 | 0.002288818 |
| lena16.bmp | lena16.bmp-withWavelet_haar-G_1-H7e-005_af5.wfa       | 1572864 | 524288 | 524288 | 10 | 3440 | 80  | 80  | 16 | 256 | 14.58786661 | 6.688 | 3600 | 0.002288818 |
| lena16.bmp | lena16.bmp-withWavelet_rbio1.1-G_1-H7e-005_af5.wfa    | 1572864 | 524288 | 524288 | 10 | 3440 | 80  | 80  | 16 | 256 | 14.58786661 | 6.563 | 3600 | 0.002288818 |
| lena16.bmp | lena16.bmp-withWavelet_sym1-G_1-H7e-005_af5.wfa       | 1572864 | 524288 | 524288 | 10 | 3440 | 80  | 80  | 16 | 256 | 14.58786661 | 6.656 | 3600 | 0.002288818 |
| lena16.bmp | lena16.bmp-withWavelet_bior1.1-G_1-H7e-005_af5.wfa    | 1572864 | 524288 | 524288 | 10 | 3440 | 80  | 80  | 16 | 256 | 14.58786661 | 6.563 | 3600 | 0.002288818 |
| lena16.bmp | lena16.bmp-withWavelet_haar-G_1-H4e-005_af2.wfa       | 24576   | 8192   | 8192   | 16 | 8432 | 128 | 128 | 16 | 32  | 14.58303317 | 0.109 | 8688 | 0.353515625 |
| lena16.bmp | lena16.bmp-withWavelet_rbio1.1-G_1-H4e-005_af2.wfa    | 24576   | 8192   | 8192   | 16 | 8432 | 128 | 128 | 16 | 32  | 14.58303317 | 0.094 | 8688 | 0.353515625 |
| lena16.bmp | lena16.bmp-withWavelet_sym1-G_1-H4e-005_af2.wfa       | 24576   | 8192   | 8192   | 16 | 8432 | 128 | 128 | 16 | 32  | 14.58303317 | 0.109 | 8688 | 0.353515625 |
| lena16.bmp | lena16.bmp-withWavelet_bior1.1-G_1-H4e-005_af2.wfa    | 24576   | 8192   | 8192   | 16 | 8432 | 128 | 128 | 16 | 32  | 14.58303317 | 0.109 | 8688 | 0.353515625 |
| lena16.bmp | lena16.bmp-withWavelet_haar-G_1-H8e-005_af2.wfa       | 98304   | 32768  | 32768  | 10 | 3440 | 80  | 80  | 16 | 64  | 14.58233413 | 0.375 | 3600 | 0.036621094 |
| lena16.bmp | lena16.bmp-withWavelet_rbio1.1-G_1-H8e-005_af2.wfa    | 98304   | 32768  | 32768  | 10 | 3440 | 80  | 80  | 16 | 64  | 14.58233413 | 0.391 | 3600 | 0.036621094 |
| lena16.bmp | lena16.bmp-withWavelet_sym1-G_1-H8e-005_af2.wfa       | 98304   | 32768  | 32768  | 10 | 3440 | 80  | 80  | 16 | 64  | 14.58233413 | 0.375 | 3600 | 0.036621094 |
| lena16.bmp | lena16.bmp-withWavelet_bior1.1-G_1-H8e-005_af2.wfa    | 98304   | 32768  | 32768  | 10 | 3440 | 80  | 80  | 16 | 64  | 14.58233413 | 0.375 | 3600 | 0.036621094 |
| lena16.bmp | lena16.bmp-withWavelet_haar-G_1-H9e-005_af2.wfa       | 98304   | 32768  | 32768  | 10 | 3440 | 80  | 80  | 16 | 64  | 14.58233413 | 0.39  | 3600 | 0.036621094 |
| lena16.bmp | lena16.bmp-withWavelet_rbio1.1-G_1-H9e-005_af2.wfa    | 98304   | 32768  | 32768  | 10 | 3440 | 80  | 80  | 16 | 64  | 14.58233413 | 0.375 | 3600 | 0.036621094 |
| lena16.bmp | lena16.bmp-withWavelet_sym1-G_1-H9e-005_af2.wfa       | 98304   | 32768  | 32768  | 10 | 3440 | 80  | 80  | 16 | 64  | 14.58233413 | 0.375 | 3600 | 0.036621094 |
| lena16.bmp | lena16.bmp-withWavelet_bior1.1-G_1-H9e-005_af2.wfa    | 98304   | 32768  | 32768  | 10 | 3440 | 80  | 80  | 16 | 64  | 14.58233413 | 0.391 | 3600 | 0.036621094 |
| lena16.bmp | lena16.bmp-withWavelet_haar-G_1-H0.0001_af2.wfa       | 98304   | 32768  | 32768  | 10 | 3440 | 80  | 80  | 16 | 64  | 14.58233413 | 0.375 | 3600 | 0.036621094 |
| lena16.bmp | lena16.bmp-withWavelet_rbio1.1-G_1-H0.0001_af2.wfa    | 98304   | 32768  | 32768  | 10 | 3440 | 80  | 80  | 16 | 64  | 14.58233413 | 0.375 | 3600 | 0.036621094 |
| lena16.bmp | lena16.bmp-withWavelet_sym1-G_1-H0.0001_af2.wfa       | 98304   | 32768  | 32768  | 10 | 3440 | 80  | 80  | 16 | 64  | 14.58233413 | 0.375 | 3600 | 0.036621094 |
| lena16.bmp | lena16.bmp-withWavelet_bior1.1-G_1-H0.0001_af2.wfa    | 98304   | 32768  | 32768  | 10 | 3440 | 80  | 80  | 16 | 64  | 14.58233413 | 0.39  | 3600 | 0.036621094 |
| lena16.bmp | lena16.bmp-withWavelet_haar-G_0.75-H0.0001_af2.wfa    | 98304   | 32768  | 32768  | 10 | 3440 | 80  | 80  | 16 | 64  | 14.58187367 | 0.375 | 3600 | 0.036621094 |
| lena16.bmp | lena16.bmp-withWavelet_rbio1.1-G_0.75-H0.0001_af2.wfa | 98304   | 32768  | 32768  | 10 | 3440 | 80  | 80  | 16 | 64  | 14.58187367 | 0.391 | 3600 | 0.036621094 |
| lena16.bmp | lena16.bmp-withWavelet_sym1-G_0.75-H0.0001_af2.wfa    | 98304   | 32768  | 32768  | 10 | 3440 | 80  | 80  | 16 | 64  | 14.58187367 | 0.39  | 3600 | 0.036621094 |
| lena16.bmp | lena16.bmp-withWavelet_bior1.1-G_0.75-H0.0001_af2.wfa | 98304   | 32768  | 32768  | 10 | 3440 | 80  | 80  | 16 | 64  | 14.58187367 | 0.375 | 3600 | 0.036621094 |
| lena16.bmp | lena16.bmp-withWavelet_haar-G_0.75-H6e-005_af2.wfa    | 24576   | 8192   | 8192   | 13 | 5648 | 104 | 104 | 16 | 32  | 14.58088627 | 0.109 | 5856 | 0.23828125  |



|            |   |         |        |        |    |      |     |     |    |     |             |       |      |             |
|------------|---|---------|--------|--------|----|------|-----|-----|----|-----|-------------|-------|------|-------------|
| lena16.bmp | lena16.bmp-withWavelet_rbio1.1-G_0.75-H6e-005_af2.wfa | 24576   | 8192   | 8192   | 13 | 5648 | 104 | 104 | 16 | 32  | 14.58088627 | 0.109 | 5856 | 0.23828125  |
| lena16.bmp | lena16.bmp-withWavelet_sym1-G_0.75-H6e-005_af2.wfa    | 24576   | 8192   | 8192   | 13 | 5648 | 104 | 104 | 16 | 32  | 14.58088627 | 0.094 | 5856 | 0.23828125  |
| lena16.bmp | lena16.bmp-withWavelet_bior1.1-G_0.75-H6e-005_af2.wfa | 24576   | 8192   | 8192   | 13 | 5648 | 104 | 104 | 16 | 32  | 14.58088627 | 0.109 | 5856 | 0.23828125  |
| lena16.bmp | lena16.bmp-withWavelet_haar-G_1-H8e-005_af5.wfa       | 24576   | 8192   | 8192   | 9  | 2832 | 72  | 72  | 16 | 32  | 14.58057112 | 0.093 | 2976 | 0.12109375  |
| lena16.bmp | lena16.bmp-withWavelet_rbio1.1-G_1-H8e-005_af5.wfa    | 24576   | 8192   | 8192   | 9  | 2832 | 72  | 72  | 16 | 32  | 14.58057112 | 0.078 | 2976 | 0.12109375  |
| lena16.bmp | lena16.bmp-withWavelet_sym1-G_1-H8e-005_af5.wfa       | 24576   | 8192   | 8192   | 9  | 2832 | 72  | 72  | 16 | 32  | 14.58057112 | 0.125 | 2976 | 0.12109375  |
| lena16.bmp | lena16.bmp-withWavelet_bior1.1-G_1-H8e-005_af5.wfa    | 24576   | 8192   | 8192   | 9  | 2832 | 72  | 72  | 16 | 32  | 14.58057112 | 0.093 | 2976 | 0.12109375  |
| lena16.bmp | lena16.bmp-withWavelet_haar-G_1-H9e-005_af5.wfa       | 24576   | 8192   | 8192   | 9  | 2832 | 72  | 72  | 16 | 32  | 14.58057112 | 0.094 | 2976 | 0.12109375  |
| lena16.bmp | lena16.bmp-withWavelet_rbio1.1-G_1-H9e-005_af5.wfa    | 24576   | 8192   | 8192   | 9  | 2832 | 72  | 72  | 16 | 32  | 14.58057112 | 0.094 | 2976 | 0.12109375  |
| lena16.bmp | lena16.bmp-withWavelet_sym1-G_1-H9e-005_af5.wfa       | 24576   | 8192   | 8192   | 9  | 2832 | 72  | 72  | 16 | 32  | 14.58057112 | 0.093 | 2976 | 0.12109375  |
| lena16.bmp | lena16.bmp-withWavelet_bior1.1-G_1-H9e-005_af5.wfa    | 24576   | 8192   | 8192   | 9  | 2832 | 72  | 72  | 16 | 32  | 14.58057112 | 0.094 | 2976 | 0.12109375  |
| lena16.bmp | lena16.bmp-withWavelet_haar-G_1-H0.0001_af5.wfa       | 24576   | 8192   | 8192   | 9  | 2832 | 72  | 72  | 16 | 32  | 14.58057112 | 0.094 | 2976 | 0.12109375  |
| lena16.bmp | lena16.bmp-withWavelet_rbio1.1-G_1-H0.0001_af5.wfa    | 24576   | 8192   | 8192   | 9  | 2832 | 72  | 72  | 16 | 32  | 14.58057112 | 0.078 | 2976 | 0.12109375  |
| lena16.bmp | lena16.bmp-withWavelet_sym1-G_1-H0.0001_af5.wfa       | 24576   | 8192   | 8192   | 9  | 2832 | 72  | 72  | 16 | 32  | 14.58057112 | 0.094 | 2976 | 0.12109375  |
| lena16.bmp | lena16.bmp-withWavelet_bior1.1-G_1-H0.0001_af5.wfa    | 24576   | 8192   | 8192   | 9  | 2832 | 72  | 72  | 16 | 32  | 14.58057112 | 0.094 | 2976 | 0.12109375  |
| lena16.bmp | lena16.bmp-G_0.5-H1e-005_af5.wfa                      | 98304   | 32768  |        | 16 | 8432 | 128 | 128 | 16 | 64  | 14.58009812 | 0.484 | 8688 | 0.088378906 |
| lena16.bmp | lena16.bmp-withWavelet_haar-G_1-H5e-005_af2.wfa       | 1572864 | 524288 | 524288 | 13 | 5648 | 104 | 104 | 16 | 256 | 14.57881089 | 7.359 | 5856 | 0.003723145 |
| lena16.bmp | lena16.bmp-withWavelet_rbio1.1-G_1-H5e-005_af2.wfa    | 1572864 | 524288 | 524288 | 13 | 5648 | 104 | 104 | 16 | 256 | 14.57881089 | 7.375 | 5856 | 0.003723145 |
| lena16.bmp | lena16.bmp-withWavelet_sym1-G_1-H5e-005_af2.wfa       | 1572864 | 524288 | 524288 | 13 | 5648 | 104 | 104 | 16 | 256 | 14.57881089 | 7.406 | 5856 | 0.003723145 |
| lena16.bmp | lena16.bmp-withWavelet_bior1.1-G_1-H5e-005_af2.wfa    | 1572864 | 524288 | 524288 | 13 | 5648 | 104 | 104 | 16 | 256 | 14.57881089 | 7.453 | 5856 | 0.003723145 |
| lena16.bmp | lena16.bmp-withWavelet_haar-G_1-H8e-005_af5.wfa       | 393216  | 131072 | 131072 | 9  | 2832 | 72  | 72  | 16 | 128 | 14.57603402 | 1.531 | 2976 | 0.007568359 |
| lena16.bmp | lena16.bmp-withWavelet_rbio1.1-G_1-H8e-005_af5.wfa    | 393216  | 131072 | 131072 | 9  | 2832 | 72  | 72  | 16 | 128 | 14.57603402 | 1.532 | 2976 | 0.007568359 |
| lena16.bmp | lena16.bmp-withWavelet_sym1-G_1-H8e-005_af5.wfa       | 393216  | 131072 | 131072 | 9  | 2832 | 72  | 72  | 16 | 128 | 14.57603402 | 1.563 | 2976 | 0.007568359 |
| lena16.bmp | lena16.bmp-withWavelet_bior1.1-G_1-H8e-005_af5.wfa    | 393216  | 131072 | 131072 | 9  | 2832 | 72  | 72  | 16 | 128 | 14.57603402 | 1.547 | 2976 | 0.007568359 |
| lena16.bmp | lena16.bmp-withWavelet_haar-G_1-H9e-005_af5.wfa       | 393216  | 131072 | 131072 | 9  | 2832 | 72  | 72  | 16 | 128 | 14.57603402 | 1.531 | 2976 | 0.007568359 |
| lena16.bmp | lena16.bmp-withWavelet_rbio1.1-G_1-H9e-005_af5.wfa    | 393216  | 131072 | 131072 | 9  | 2832 | 72  | 72  | 16 | 128 | 14.57603402 | 1.547 | 2976 | 0.007568359 |
| lena16.bmp | lena16.bmp-withWavelet_sym1-G_1-H9e-005_af5.wfa       | 393216  | 131072 | 131072 | 9  | 2832 | 72  | 72  | 16 | 128 | 14.57603402 | 1.547 | 2976 | 0.007568359 |
| lena16.bmp | lena16.bmp-withWavelet_bior1.1-G_1-H9e-005_af5.wfa    | 393216  | 131072 | 131072 | 9  | 2832 | 72  | 72  | 16 | 128 | 14.57603402 | 1.547 | 2976 | 0.007568359 |
| lena16.bmp | lena16.bmp-withWavelet_haar-G_1-H0.0001_af5.wfa       | 393216  | 131072 | 131072 | 9  | 2832 | 72  | 72  | 16 | 128 | 14.57603402 | 1.531 | 2976 | 0.007568359 |
| lena16.bmp | lena16.bmp-withWavelet_rbio1.1-G_1-H0.0001_af5.wfa    | 393216  | 131072 | 131072 | 9  | 2832 | 72  | 72  | 16 | 128 | 14.57603402 | 1.547 | 2976 | 0.007568359 |
| lena16.bmp | lena16.bmp-withWavelet_sym1-G_1-H0.0001_af5.wfa       | 393216  | 131072 | 131072 | 9  | 2832 | 72  | 72  | 16 | 128 | 14.57603402 | 1.546 | 2976 | 0.007568359 |

|            |   |         |        |        |    |       |     |     |    |     |             |       |       |             |
|------------|---|---------|--------|--------|----|-------|-----|-----|----|-----|-------------|-------|-------|-------------|
| lena16.bmp | lena16.bmp-withWavelet_bior1.1-G_1-H0.0001_af5.wfa    | 393216  | 131072 | 131072 | 9  | 2832  | 72  | 72  | 16 | 128 | 14.57603402 | 1.546 | 2976  | 0.007568359 |
| lena16.bmp | lena16.bmp-withWavelet_haar-G_0.75-H0.0001_af3.wfa    | 1572864 | 524288 | 524288 | 12 | 4848  | 96  | 96  | 16 | 256 | 14.575041   | 7.203 | 5040  | 0.003204346 |
| lena16.bmp | lena16.bmp-withWavelet_rbio1.1-G_0.75-H0.0001_af3.wfa | 1572864 | 524288 | 524288 | 12 | 4848  | 96  | 96  | 16 | 256 | 14.575041   | 7.156 | 5040  | 0.003204346 |
| lena16.bmp | lena16.bmp-withWavelet_sym1-G_0.75-H0.0001_af3.wfa    | 1572864 | 524288 | 524288 | 12 | 4848  | 96  | 96  | 16 | 256 | 14.575041   | 7.093 | 5040  | 0.003204346 |
| lena16.bmp | lena16.bmp-withWavelet_bior1.1-G_0.75-H0.0001_af3.wfa | 1572864 | 524288 | 524288 | 12 | 4848  | 96  | 96  | 16 | 256 | 14.575041   | 7.125 | 5040  | 0.003204346 |
| lena16.bmp | lena16.bmp-withWavelet_haar-G_0.75-H1e-005_af3.wfa    | 24576   | 8192   | 8192   | 21 | 14352 | 168 | 168 | 16 | 32  | 14.57087184 | 0.188 | 14688 | 0.59765625  |
| lena16.bmp | lena16.bmp-withWavelet_rbio1.1-G_0.75-H1e-005_af3.wfa | 24576   | 8192   | 8192   | 21 | 14352 | 168 | 168 | 16 | 32  | 14.57087184 | 0.125 | 14688 | 0.59765625  |
| lena16.bmp | lena16.bmp-withWavelet_sym1-G_0.75-H1e-005_af3.wfa    | 24576   | 8192   | 8192   | 21 | 14352 | 168 | 168 | 16 | 32  | 14.57087184 | 0.14  | 14688 | 0.59765625  |
| lena16.bmp | lena16.bmp-withWavelet_bior1.1-G_0.75-H1e-005_af3.wfa | 24576   | 8192   | 8192   | 21 | 14352 | 168 | 168 | 16 | 32  | 14.57087184 | 0.125 | 14688 | 0.59765625  |
| lena16.bmp | lena16.bmp-withWavelet_haar-G_1-H1e-005_af3.wfa       | 24576   | 8192   | 8192   | 21 | 14352 | 168 | 168 | 16 | 32  | 14.57087184 | 0.125 | 14688 | 0.59765625  |
| lena16.bmp | lena16.bmp-withWavelet_rbio1.1-G_1-H1e-005_af3.wfa    | 24576   | 8192   | 8192   | 21 | 14352 | 168 | 168 | 16 | 32  | 14.57087184 | 0.141 | 14688 | 0.59765625  |
| lena16.bmp | lena16.bmp-withWavelet_sym1-G_1-H1e-005_af3.wfa       | 24576   | 8192   | 8192   | 21 | 14352 | 168 | 168 | 16 | 32  | 14.57087184 | 0.156 | 14688 | 0.59765625  |
| lena16.bmp | lena16.bmp-withWavelet_bior1.1-G_1-H1e-005_af3.wfa    | 24576   | 8192   | 8192   | 21 | 14352 | 168 | 168 | 16 | 32  | 14.57087184 | 0.141 | 14688 | 0.59765625  |
| lena16.bmp | lena16.bmp-withWavelet_haar-G_1-H4e-005_af4.wfa       | 393216  | 131072 | 131072 | 14 | 6512  | 112 | 112 | 16 | 128 | 14.56901226 | 1.781 | 6736  | 0.017130534 |
| lena16.bmp | lena16.bmp-withWavelet_rbio1.1-G_1-H4e-005_af4.wfa    | 393216  | 131072 | 131072 | 14 | 6512  | 112 | 112 | 16 | 128 | 14.56901226 | 1.781 | 6736  | 0.017130534 |
| lena16.bmp | lena16.bmp-withWavelet_sym1-G_1-H4e-005_af4.wfa       | 393216  | 131072 | 131072 | 14 | 6512  | 112 | 112 | 16 | 128 | 14.56901226 | 1.765 | 6736  | 0.017130534 |
| lena16.bmp | lena16.bmp-withWavelet_bior1.1-G_1-H4e-005_af4.wfa    | 393216  | 131072 | 131072 | 14 | 6512  | 112 | 112 | 16 | 128 | 14.56901226 | 1.765 | 6736  | 0.017130534 |
| lena16.bmp | lena16.bmp-withWavelet_haar-G_0.75-H8e-005_af4.wfa    | 393216  | 131072 | 131072 | 12 | 4848  | 96  | 96  | 16 | 128 | 14.56790282 | 1.672 | 5040  | 0.012817383 |
| lena16.bmp | lena16.bmp-withWavelet_rbio1.1-G_0.75-H8e-005_af4.wfa | 393216  | 131072 | 131072 | 12 | 4848  | 96  | 96  | 16 | 128 | 14.56790282 | 1.672 | 5040  | 0.012817383 |
| lena16.bmp | lena16.bmp-withWavelet_sym1-G_0.75-H8e-005_af4.wfa    | 393216  | 131072 | 131072 | 12 | 4848  | 96  | 96  | 16 | 128 | 14.56790282 | 1.688 | 5040  | 0.012817383 |
| lena16.bmp | lena16.bmp-withWavelet_bior1.1-G_0.75-H8e-005_af4.wfa | 393216  | 131072 | 131072 | 12 | 4848  | 96  | 96  | 16 | 128 | 14.56790282 | 1.672 | 5040  | 0.012817383 |
| lena16.bmp | lena16.bmp-withWavelet_haar-G_0.75-H9e-005_af4.wfa    | 393216  | 131072 | 131072 | 12 | 4848  | 96  | 96  | 16 | 128 | 14.56790282 | 1.734 | 5040  | 0.012817383 |
| lena16.bmp | lena16.bmp-withWavelet_rbio1.1-G_0.75-H9e-005_af4.wfa | 393216  | 131072 | 131072 | 12 | 4848  | 96  | 96  | 16 | 128 | 14.56790282 | 1.703 | 5040  | 0.012817383 |
| lena16.bmp | lena16.bmp-withWavelet_sym1-G_0.75-H9e-005_af4.wfa    | 393216  | 131072 | 131072 | 12 | 4848  | 96  | 96  | 16 | 128 | 14.56790282 | 1.672 | 5040  | 0.012817383 |
| lena16.bmp | lena16.bmp-withWavelet_bior1.1-G_0.75-H9e-005_af4.wfa | 393216  | 131072 | 131072 | 12 | 4848  | 96  | 96  | 16 | 128 | 14.56790282 | 1.687 | 5040  | 0.012817383 |
| lena16.bmp | lena16.bmp-withWavelet_haar-G_1-H2e-005_af4.wfa       | 98304   | 32768  | 32768  | 15 | 7440  | 120 | 120 | 16 | 64  | 14.56758849 | 0.453 | 7680  | 0.078125    |
| lena16.bmp | lena16.bmp-withWavelet_rbio1.1-G_1-H2e-005_af4.wfa    | 98304   | 32768  | 32768  | 15 | 7440  | 120 | 120 | 16 | 64  | 14.56758849 | 0.453 | 7680  | 0.078125    |
| lena16.bmp | lena16.bmp-withWavelet_sym1-G_1-H2e-005_af4.wfa       | 98304   | 32768  | 32768  | 15 | 7440  | 120 | 120 | 16 | 64  | 14.56758849 | 0.469 | 7680  | 0.078125    |
| lena16.bmp | lena16.bmp-withWavelet_bior1.1-G_1-H2e-005_af4.wfa    | 98304   | 32768  | 32768  | 15 | 7440  | 120 | 120 | 16 | 64  | 14.56758849 | 0.453 | 7680  | 0.078125    |
| lena16.bmp | lena16.bmp-withWavelet_haar-G_0.75-H7e-005_af4.wfa    | 98304   | 32768  | 32768  | 13 | 5648  | 104 | 104 | 16 | 64  | 14.55693249 | 0.422 | 5856  | 0.059570313 |
| lena16.bmp | lena16.bmp-withWavelet_rbio1.1-G_0.75-H7e-005_af4.wfa | 98304   | 32768  | 32768  | 13 | 5648  | 104 | 104 | 16 | 64  | 14.55693249 | 0.421 | 5856  | 0.059570313 |

|            |   |         |        |        |    |      |     |     |    |     |             |       |      |             |
|------------|---|---------|--------|--------|----|------|-----|-----|----|-----|-------------|-------|------|-------------|
| lena16.bmp | lena16.bmp-withWavelet_sym1-G_0.75-H7e-005_af4.wfa    | 98304   | 32768  | 32768  | 13 | 5648 | 104 | 104 | 16 | 64  | 14.55693249 | 0.422 | 5856 | 0.059570313 |
| lena16.bmp | lena16.bmp-withWavelet_bior1.1-G_0.75-H7e-005_af4.wfa | 98304   | 32768  | 32768  | 13 | 5648 | 104 | 104 | 16 | 64  | 14.55693249 | 0.422 | 5856 | 0.059570313 |
| lena16.bmp | lena16.bmp-G_0.5-H3e-005_af1.wfa                      | 24576   | 8192   |        | 13 | 5648 | 104 | 104 | 16 | 32  | 14.55515683 | 0.094 | 5856 | 0.23828125  |
| lena16.bmp | lena16.bmp-G_0.5-H2e-005_af1.wfa                      | 24576   | 8192   |        | 13 | 5648 | 104 | 104 | 16 | 32  | 14.55515683 | 0.109 | 5856 | 0.23828125  |
| lena16.bmp | lena16.bmp-withWavelet_haar-G_1-H4e-005_af1.wfa       | 393216  | 131072 | 131072 | 14 | 6512 | 112 | 112 | 16 | 128 | 14.54622137 | 1.75  | 6736 | 0.017130534 |
| lena16.bmp | lena16.bmp-withWavelet_rbio1.1-G_1-H4e-005_af1.wfa    | 393216  | 131072 | 131072 | 14 | 6512 | 112 | 112 | 16 | 128 | 14.54622137 | 1.781 | 6736 | 0.017130534 |
| lena16.bmp | lena16.bmp-withWavelet_sym1-G_1-H4e-005_af1.wfa       | 393216  | 131072 | 131072 | 14 | 6512 | 112 | 112 | 16 | 128 | 14.54622137 | 1.765 | 6736 | 0.017130534 |
| lena16.bmp | lena16.bmp-withWavelet_bior1.1-G_1-H4e-005_af1.wfa    | 393216  | 131072 | 131072 | 14 | 6512 | 112 | 112 | 16 | 128 | 14.54622137 | 1.766 | 6736 | 0.017130534 |
| lena16.bmp | lena16.bmp-withWavelet_haar-G_1-H5e-005_af1.wfa       | 393216  | 131072 | 131072 | 14 | 6512 | 112 | 112 | 16 | 128 | 14.54622137 | 1.781 | 6736 | 0.017130534 |
| lena16.bmp | lena16.bmp-withWavelet_rbio1.1-G_1-H5e-005_af1.wfa    | 393216  | 131072 | 131072 | 14 | 6512 | 112 | 112 | 16 | 128 | 14.54622137 | 1.766 | 6736 | 0.017130534 |
| lena16.bmp | lena16.bmp-withWavelet_sym1-G_1-H5e-005_af1.wfa       | 393216  | 131072 | 131072 | 14 | 6512 | 112 | 112 | 16 | 128 | 14.54622137 | 1.781 | 6736 | 0.017130534 |
| lena16.bmp | lena16.bmp-withWavelet_bior1.1-G_1-H5e-005_af1.wfa    | 393216  | 131072 | 131072 | 14 | 6512 | 112 | 112 | 16 | 128 | 14.54622137 | 1.937 | 6736 | 0.017130534 |
| lena16.bmp | lena16.bmp-withWavelet_haar-G_0.75-H9e-005_af2.wfa    | 393216  | 131072 | 131072 | 10 | 3440 | 80  | 80  | 16 | 128 | 14.54485156 | 1.546 | 3600 | 0.009155273 |
| lena16.bmp | lena16.bmp-withWavelet_rbio1.1-G_0.75-H9e-005_af2.wfa | 393216  | 131072 | 131072 | 10 | 3440 | 80  | 80  | 16 | 128 | 14.54485156 | 1.546 | 3600 | 0.009155273 |
| lena16.bmp | lena16.bmp-withWavelet_sym1-G_0.75-H9e-005_af2.wfa    | 393216  | 131072 | 131072 | 10 | 3440 | 80  | 80  | 16 | 128 | 14.54485156 | 1.546 | 3600 | 0.009155273 |
| lena16.bmp | lena16.bmp-withWavelet_bior1.1-G_0.75-H9e-005_af2.wfa | 393216  | 131072 | 131072 | 10 | 3440 | 80  | 80  | 16 | 128 | 14.54485156 | 1.562 | 3600 | 0.009155273 |
| lena16.bmp | lena16.bmp-withWavelet_haar-G_1-H2e-005_af4.wfa       | 1572864 | 524288 | 524288 | 15 | 7440 | 120 | 120 | 16 | 256 | 14.54298739 | 8.14  | 7680 | 0.004882813 |
| lena16.bmp | lena16.bmp-withWavelet_rbio1.1-G_1-H2e-005_af4.wfa    | 1572864 | 524288 | 524288 | 15 | 7440 | 120 | 120 | 16 | 256 | 14.54298739 | 8.016 | 7680 | 0.004882813 |
| lena16.bmp | lena16.bmp-withWavelet_sym1-G_1-H2e-005_af4.wfa       | 1572864 | 524288 | 524288 | 15 | 7440 | 120 | 120 | 16 | 256 | 14.54298739 | 8.125 | 7680 | 0.004882813 |
| lena16.bmp | lena16.bmp-withWavelet_bior1.1-G_1-H2e-005_af4.wfa    | 1572864 | 524288 | 524288 | 15 | 7440 | 120 | 120 | 16 | 256 | 14.54298739 | 8.063 | 7680 | 0.004882813 |
| lena16.bmp | lena16.bmp-withWavelet_haar-G_0.75-H7e-005_af2.wfa    | 24576   | 8192   | 8192   | 11 | 4112 | 88  | 88  | 16 | 32  | 14.5409224  | 0.094 | 4288 | 0.174479167 |
| lena16.bmp | lena16.bmp-withWavelet_rbio1.1-G_0.75-H7e-005_af2.wfa | 24576   | 8192   | 8192   | 11 | 4112 | 88  | 88  | 16 | 32  | 14.5409224  | 0.094 | 4288 | 0.174479167 |
| lena16.bmp | lena16.bmp-withWavelet_sym1-G_0.75-H7e-005_af2.wfa    | 24576   | 8192   | 8192   | 11 | 4112 | 88  | 88  | 16 | 32  | 14.5409224  | 0.093 | 4288 | 0.174479167 |
| lena16.bmp | lena16.bmp-withWavelet_bior1.1-G_0.75-H7e-005_af2.wfa | 24576   | 8192   | 8192   | 11 | 4112 | 88  | 88  | 16 | 32  | 14.5409224  | 0.094 | 4288 | 0.174479167 |
| lena16.bmp | lena16.bmp-withWavelet_haar-G_0.75-H0.0001_af3.wfa    | 393216  | 131072 | 131072 | 12 | 4848 | 96  | 96  | 16 | 128 | 14.53903863 | 1.703 | 5040 | 0.012817383 |
| lena16.bmp | lena16.bmp-withWavelet_rbio1.1-G_0.75-H0.0001_af3.wfa | 393216  | 131072 | 131072 | 12 | 4848 | 96  | 96  | 16 | 128 | 14.53903863 | 1.688 | 5040 | 0.012817383 |
| lena16.bmp | lena16.bmp-withWavelet_sym1-G_0.75-H0.0001_af3.wfa    | 393216  | 131072 | 131072 | 12 | 4848 | 96  | 96  | 16 | 128 | 14.53903863 | 1.703 | 5040 | 0.012817383 |
| lena16.bmp | lena16.bmp-withWavelet_bior1.1-G_0.75-H0.0001_af3.wfa | 393216  | 131072 | 131072 | 12 | 4848 | 96  | 96  | 16 | 128 | 14.53903863 | 1.687 | 5040 | 0.012817383 |
| lena16.bmp | lena16.bmp-withWavelet_haar-G_0.75-H4e-005_af4.wfa    | 98304   | 32768  | 32768  | 14 | 6512 | 112 | 112 | 16 | 64  | 14.53740899 | 0.437 | 6736 | 0.068522135 |
| lena16.bmp | lena16.bmp-withWavelet_rbio1.1-G_0.75-H4e-005_af4.wfa | 98304   | 32768  | 32768  | 14 | 6512 | 112 | 112 | 16 | 64  | 14.53740899 | 0.422 | 6736 | 0.068522135 |
| lena16.bmp | lena16.bmp-withWavelet_sym1-G_0.75-H4e-005_af4.wfa    | 98304   | 32768  | 32768  | 14 | 6512 | 112 | 112 | 16 | 64  | 14.53740899 | 0.453 | 6736 | 0.068522135 |

|            |   |         |        |        |    |      |     |     |    |     |             |       |      |             |
|------------|---|---------|--------|--------|----|------|-----|-----|----|-----|-------------|-------|------|-------------|
| lena16.bmp | lena16.bmp-withWavelet_bior1.1-G_0.75-H4e-005_af4.wfa | 98304   | 32768  | 32768  | 14 | 6512 | 112 | 112 | 16 | 64  | 14.53740899 | 0.422 | 6736 | 0.068522135 |
| lena16.bmp | lena16.bmp-withWavelet_haar-G_1-H6e-005_af2.wfa       | 1572864 | 524288 | 524288 | 12 | 4848 | 96  | 96  | 16 | 256 | 14.53587982 | 7.172 | 5040 | 0.003204346 |
| lena16.bmp | lena16.bmp-withWavelet_rbio1.1-G_1-H6e-005_af2.wfa    | 1572864 | 524288 | 524288 | 12 | 4848 | 96  | 96  | 16 | 256 | 14.53587982 | 7.109 | 5040 | 0.003204346 |
| lena16.bmp | lena16.bmp-withWavelet_sym1-G_1-H6e-005_af2.wfa       | 1572864 | 524288 | 524288 | 12 | 4848 | 96  | 96  | 16 | 256 | 14.53587982 | 7.078 | 5040 | 0.003204346 |
| lena16.bmp | lena16.bmp-withWavelet_bior1.1-G_1-H6e-005_af2.wfa    | 1572864 | 524288 | 524288 | 12 | 4848 | 96  | 96  | 16 | 256 | 14.53587982 | 7.094 | 5040 | 0.003204346 |
| lena16.bmp | lena16.bmp-withWavelet_haar-G_0.75-H4e-005_af2.wfa    | 1572864 | 524288 | 524288 | 14 | 6512 | 112 | 112 | 16 | 256 | 14.53038685 | 7.594 | 6736 | 0.004282633 |
| lena16.bmp | lena16.bmp-withWavelet_rbio1.1-G_0.75-H4e-005_af2.wfa | 1572864 | 524288 | 524288 | 14 | 6512 | 112 | 112 | 16 | 256 | 14.53038685 | 7.609 | 6736 | 0.004282633 |
| lena16.bmp | lena16.bmp-withWavelet_sym1-G_0.75-H4e-005_af2.wfa    | 1572864 | 524288 | 524288 | 14 | 6512 | 112 | 112 | 16 | 256 | 14.53038685 | 7.562 | 6736 | 0.004282633 |
| lena16.bmp | lena16.bmp-withWavelet_bior1.1-G_0.75-H4e-005_af2.wfa | 1572864 | 524288 | 524288 | 14 | 6512 | 112 | 112 | 16 | 256 | 14.53038685 | 7.484 | 6736 | 0.004282633 |
| lena16.bmp | lena16.bmp-withWavelet_haar-G_1-H4e-005_af1.wfa       | 98304   | 32768  | 32768  | 14 | 6512 | 112 | 112 | 16 | 64  | 14.52983959 | 0.422 | 6736 | 0.068522135 |
| lena16.bmp | lena16.bmp-withWavelet_rbio1.1-G_1-H4e-005_af1.wfa    | 98304   | 32768  | 32768  | 14 | 6512 | 112 | 112 | 16 | 64  | 14.52983959 | 0.421 | 6736 | 0.068522135 |
| lena16.bmp | lena16.bmp-withWavelet_sym1-G_1-H4e-005_af1.wfa       | 98304   | 32768  | 32768  | 14 | 6512 | 112 | 112 | 16 | 64  | 14.52983959 | 0.422 | 6736 | 0.068522135 |
| lena16.bmp | lena16.bmp-withWavelet_bior1.1-G_1-H4e-005_af1.wfa    | 98304   | 32768  | 32768  | 14 | 6512 | 112 | 112 | 16 | 64  | 14.52983959 | 0.438 | 6736 | 0.068522135 |
| lena16.bmp | lena16.bmp-withWavelet_haar-G_1-H5e-005_af1.wfa       | 98304   | 32768  | 32768  | 14 | 6512 | 112 | 112 | 16 | 64  | 14.52983959 | 0.422 | 6736 | 0.068522135 |
| lena16.bmp | lena16.bmp-withWavelet_rbio1.1-G_1-H5e-005_af1.wfa    | 98304   | 32768  | 32768  | 14 | 6512 | 112 | 112 | 16 | 64  | 14.52983959 | 0.438 | 6736 | 0.068522135 |
| lena16.bmp | lena16.bmp-withWavelet_sym1-G_1-H5e-005_af1.wfa       | 98304   | 32768  | 32768  | 14 | 6512 | 112 | 112 | 16 | 64  | 14.52983959 | 0.437 | 6736 | 0.068522135 |
| lena16.bmp | lena16.bmp-withWavelet_bior1.1-G_1-H5e-005_af1.wfa    | 98304   | 32768  | 32768  | 14 | 6512 | 112 | 112 | 16 | 64  | 14.52983959 | 0.438 | 6736 | 0.068522135 |
| lena16.bmp | lena16.bmp-withWavelet_haar-G_0.75-H8e-005_af3.wfa    | 98304   | 32768  | 32768  | 12 | 4848 | 96  | 96  | 16 | 64  | 14.52673525 | 0.406 | 5040 | 0.051269531 |
| lena16.bmp | lena16.bmp-withWavelet_rbio1.1-G_0.75-H8e-005_af3.wfa | 98304   | 32768  | 32768  | 12 | 4848 | 96  | 96  | 16 | 64  | 14.52673525 | 0.406 | 5040 | 0.051269531 |
| lena16.bmp | lena16.bmp-withWavelet_sym1-G_0.75-H8e-005_af3.wfa    | 98304   | 32768  | 32768  | 12 | 4848 | 96  | 96  | 16 | 64  | 14.52673525 | 0.406 | 5040 | 0.051269531 |
| lena16.bmp | lena16.bmp-withWavelet_bior1.1-G_0.75-H8e-005_af3.wfa | 98304   | 32768  | 32768  | 12 | 4848 | 96  | 96  | 16 | 64  | 14.52673525 | 0.422 | 5040 | 0.051269531 |
| lena16.bmp | lena16.bmp-withWavelet_haar-G_0.75-H9e-005_af3.wfa    | 98304   | 32768  | 32768  | 12 | 4848 | 96  | 96  | 16 | 64  | 14.52673525 | 0.406 | 5040 | 0.051269531 |
| lena16.bmp | lena16.bmp-withWavelet_rbio1.1-G_0.75-H9e-005_af3.wfa | 98304   | 32768  | 32768  | 12 | 4848 | 96  | 96  | 16 | 64  | 14.52673525 | 0.406 | 5040 | 0.051269531 |
| lena16.bmp | lena16.bmp-withWavelet_sym1-G_0.75-H9e-005_af3.wfa    | 98304   | 32768  | 32768  | 12 | 4848 | 96  | 96  | 16 | 64  | 14.52673525 | 0.39  | 5040 | 0.051269531 |
| lena16.bmp | lena16.bmp-withWavelet_bior1.1-G_0.75-H9e-005_af3.wfa | 98304   | 32768  | 32768  | 12 | 4848 | 96  | 96  | 16 | 64  | 14.52673525 | 0.407 | 5040 | 0.051269531 |
| lena16.bmp | lena16.bmp-withWavelet_haar-G_1-H7e-005_af2.wfa       | 393216  | 131072 | 131072 | 12 | 4848 | 96  | 96  | 16 | 128 | 14.52256359 | 1.703 | 5040 | 0.012817383 |
| lena16.bmp | lena16.bmp-withWavelet_rbio1.1-G_1-H7e-005_af2.wfa    | 393216  | 131072 | 131072 | 12 | 4848 | 96  | 96  | 16 | 128 | 14.52256359 | 1.766 | 5040 | 0.012817383 |
| lena16.bmp | lena16.bmp-withWavelet_sym1-G_1-H7e-005_af2.wfa       | 393216  | 131072 | 131072 | 12 | 4848 | 96  | 96  | 16 | 128 | 14.52256359 | 1.671 | 5040 | 0.012817383 |
| lena16.bmp | lena16.bmp-withWavelet_bior1.1-G_1-H7e-005_af2.wfa    | 393216  | 131072 | 131072 | 12 | 4848 | 96  | 96  | 16 | 128 | 14.52256359 | 1.703 | 5040 | 0.012817383 |
| lena16.bmp | lena16.bmp-withWavelet_haar-G_0.75-H8e-005_af3.wfa    | 1572864 | 524288 | 524288 | 12 | 4848 | 96  | 96  | 16 | 256 | 14.52140741 | 7.094 | 5040 | 0.003204346 |
| lena16.bmp | lena16.bmp-withWavelet_rbio1.1-G_0.75-H8e-005_af3.wfa | 1572864 | 524288 | 524288 | 12 | 4848 | 96  | 96  | 16 | 256 | 14.52140741 | 7.156 | 5040 | 0.003204346 |

|            |   |         |        |        |    |      |     |     |    |     |             |       |      |             |
|------------|---|---------|--------|--------|----|------|-----|-----|----|-----|-------------|-------|------|-------------|
| lena16.bmp | lena16.bmp-withWavelet_sym1-G_0.75-H8e-005_af3.wfa    | 1572864 | 524288 | 524288 | 12 | 4848 | 96  | 96  | 16 | 256 | 14.52140741 | 7.375 | 5040 | 0.003204346 |
| lena16.bmp | lena16.bmp-withWavelet_bior1.1-G_0.75-H8e-005_af3.wfa | 1572864 | 524288 | 524288 | 12 | 4848 | 96  | 96  | 16 | 256 | 14.52140741 | 7.141 | 5040 | 0.003204346 |
| lena16.bmp | lena16.bmp-withWavelet_haar-G_0.75-H9e-005_af3.wfa    | 1572864 | 524288 | 524288 | 12 | 4848 | 96  | 96  | 16 | 256 | 14.52140741 | 7.125 | 5040 | 0.003204346 |
| lena16.bmp | lena16.bmp-withWavelet_rbio1.1-G_0.75-H9e-005_af3.wfa | 1572864 | 524288 | 524288 | 12 | 4848 | 96  | 96  | 16 | 256 | 14.52140741 | 7.109 | 5040 | 0.003204346 |
| lena16.bmp | lena16.bmp-withWavelet_sym1-G_0.75-H9e-005_af3.wfa    | 1572864 | 524288 | 524288 | 12 | 4848 | 96  | 96  | 16 | 256 | 14.52140741 | 7.125 | 5040 | 0.003204346 |
| lena16.bmp | lena16.bmp-withWavelet_bior1.1-G_0.75-H9e-005_af3.wfa | 1572864 | 524288 | 524288 | 12 | 4848 | 96  | 96  | 16 | 256 | 14.52140741 | 7.125 | 5040 | 0.003204346 |
| lena16.bmp | lena16.bmp-withWavelet_haar-G_0.75-H4e-005_af4.wfa    | 1572864 | 524288 | 524288 | 14 | 6512 | 112 | 112 | 16 | 256 | 14.52034884 | 7.547 | 6736 | 0.004282633 |
| lena16.bmp | lena16.bmp-withWavelet_rbio1.1-G_0.75-H4e-005_af4.wfa | 1572864 | 524288 | 524288 | 14 | 6512 | 112 | 112 | 16 | 256 | 14.52034884 | 7.468 | 6736 | 0.004282633 |
| lena16.bmp | lena16.bmp-withWavelet_sym1-G_0.75-H4e-005_af4.wfa    | 1572864 | 524288 | 524288 | 14 | 6512 | 112 | 112 | 16 | 256 | 14.52034884 | 7.438 | 6736 | 0.004282633 |
| lena16.bmp | lena16.bmp-withWavelet_bior1.1-G_0.75-H4e-005_af4.wfa | 1572864 | 524288 | 524288 | 14 | 6512 | 112 | 112 | 16 | 256 | 14.52034884 | 7.468 | 6736 | 0.004282633 |
| lena16.bmp | lena16.bmp-withWavelet_haar-G_0.75-H7e-005_af4.wfa    | 1572864 | 524288 | 524288 | 13 | 5648 | 104 | 104 | 16 | 256 | 14.5202461  | 7.531 | 5856 | 0.003723145 |
| lena16.bmp | lena16.bmp-withWavelet_rbio1.1-G_0.75-H7e-005_af4.wfa | 1572864 | 524288 | 524288 | 13 | 5648 | 104 | 104 | 16 | 256 | 14.5202461  | 7.453 | 5856 | 0.003723145 |
| lena16.bmp | lena16.bmp-withWavelet_sym1-G_0.75-H7e-005_af4.wfa    | 1572864 | 524288 | 524288 | 13 | 5648 | 104 | 104 | 16 | 256 | 14.5202461  | 7.485 | 5856 | 0.003723145 |
| lena16.bmp | lena16.bmp-withWavelet_bior1.1-G_0.75-H7e-005_af4.wfa | 1572864 | 524288 | 524288 | 13 | 5648 | 104 | 104 | 16 | 256 | 14.5202461  | 7.438 | 5856 | 0.003723145 |
| lena16.bmp | lena16.bmp-withWavelet_haar-G_0.75-H9e-005_af5.wfa    | 24576   | 8192   | 8192   | 8  | 2288 | 64  | 64  | 16 | 32  | 14.51569392 | 0.093 | 2416 | 0.098307292 |
| lena16.bmp | lena16.bmp-withWavelet_rbio1.1-G_0.75-H9e-005_af5.wfa | 24576   | 8192   | 8192   | 8  | 2288 | 64  | 64  | 16 | 32  | 14.51569392 | 0.094 | 2416 | 0.098307292 |
| lena16.bmp | lena16.bmp-withWavelet_sym1-G_0.75-H9e-005_af5.wfa    | 24576   | 8192   | 8192   | 8  | 2288 | 64  | 64  | 16 | 32  | 14.51569392 | 0.093 | 2416 | 0.098307292 |
| lena16.bmp | lena16.bmp-withWavelet_bior1.1-G_0.75-H9e-005_af5.wfa | 24576   | 8192   | 8192   | 8  | 2288 | 64  | 64  | 16 | 32  | 14.51569392 | 0.078 | 2416 | 0.098307292 |
| lena16.bmp | lena16.bmp-withWavelet_haar-G_0.75-H0.0001_af5.wfa    | 24576   | 8192   | 8192   | 8  | 2288 | 64  | 64  | 16 | 32  | 14.51569392 | 0.094 | 2416 | 0.098307292 |
| lena16.bmp | lena16.bmp-withWavelet_rbio1.1-G_0.75-H0.0001_af5.wfa | 24576   | 8192   | 8192   | 8  | 2288 | 64  | 64  | 16 | 32  | 14.51569392 | 0.094 | 2416 | 0.098307292 |
| lena16.bmp | lena16.bmp-withWavelet_sym1-G_0.75-H0.0001_af5.wfa    | 24576   | 8192   | 8192   | 8  | 2288 | 64  | 64  | 16 | 32  | 14.51569392 | 0.078 | 2416 | 0.098307292 |
| lena16.bmp | lena16.bmp-withWavelet_bior1.1-G_0.75-H0.0001_af5.wfa | 24576   | 8192   | 8192   | 8  | 2288 | 64  | 64  | 16 | 32  | 14.51569392 | 0.093 | 2416 | 0.098307292 |
| lena16.bmp | lena16.bmp-withWavelet_haar-G_1-H3e-005_af4.wfa       | 98304   | 32768  | 32768  | 15 | 7440 | 120 | 120 | 16 | 64  | 14.51365529 | 0.469 | 7680 | 0.078125    |
| lena16.bmp | lena16.bmp-withWavelet_rbio1.1-G_1-H3e-005_af4.wfa    | 98304   | 32768  | 32768  | 15 | 7440 | 120 | 120 | 16 | 64  | 14.51365529 | 0.453 | 7680 | 0.078125    |
| lena16.bmp | lena16.bmp-withWavelet_sym1-G_1-H3e-005_af4.wfa       | 98304   | 32768  | 32768  | 15 | 7440 | 120 | 120 | 16 | 64  | 14.51365529 | 0.485 | 7680 | 0.078125    |
| lena16.bmp | lena16.bmp-withWavelet_bior1.1-G_1-H3e-005_af4.wfa    | 98304   | 32768  | 32768  | 15 | 7440 | 120 | 120 | 16 | 64  | 14.51365529 | 0.453 | 7680 | 0.078125    |
| lena16.bmp | lena16.bmp-withWavelet_haar-G_0.75-H2e-005_af4.wfa    | 98304   | 32768  | 32768  | 16 | 8432 | 128 | 128 | 16 | 64  | 14.50612104 | 0.453 | 8688 | 0.088378906 |
| lena16.bmp | lena16.bmp-withWavelet_rbio1.1-G_0.75-H2e-005_af4.wfa | 98304   | 32768  | 32768  | 16 | 8432 | 128 | 128 | 16 | 64  | 14.50612104 | 0.453 | 8688 | 0.088378906 |
| lena16.bmp | lena16.bmp-withWavelet_sym1-G_0.75-H2e-005_af4.wfa    | 98304   | 32768  | 32768  | 16 | 8432 | 128 | 128 | 16 | 64  | 14.50612104 | 0.469 | 8688 | 0.088378906 |
| lena16.bmp | lena16.bmp-withWavelet_bior1.1-G_0.75-H2e-005_af4.wfa | 98304   | 32768  | 32768  | 16 | 8432 | 128 | 128 | 16 | 64  | 14.50612104 | 0.469 | 8688 | 0.088378906 |
| lena16.bmp | lena16.bmp-withWavelet_haar-G_1-H0.0001_af4.wfa       | 98304   | 32768  | 32768  | 10 | 3440 | 80  | 80  | 16 | 64  | 14.5050171  | 0.422 | 3600 | 0.036621094 |

|            |   |         |        |        |    |      |     |     |    |     |             |       |      |             |
|------------|---|---------|--------|--------|----|------|-----|-----|----|-----|-------------|-------|------|-------------|
| lena16.bmp | lena16.bmp-withWavelet_rbio1.1-G_1-H0.0001_af4.wfa    | 98304   | 32768  | 32768  | 10 | 3440 | 80  | 80  | 16 | 64  | 14.5050171  | 0.375 | 3600 | 0.036621094 |
| lena16.bmp | lena16.bmp-withWavelet_sym1-G_1-H0.0001_af4.wfa       | 98304   | 32768  | 32768  | 10 | 3440 | 80  | 80  | 16 | 64  | 14.5050171  | 0.391 | 3600 | 0.036621094 |
| lena16.bmp | lena16.bmp-withWavelet_bior1.1-G_1-H0.0001_af4.wfa    | 98304   | 32768  | 32768  | 10 | 3440 | 80  | 80  | 16 | 64  | 14.5050171  | 0.375 | 3600 | 0.036621094 |
| lena16.bmp | lena16.bmp-withWavelet_haar-G_1-H5e-005_af5.wfa       | 1572864 | 524288 | 524288 | 11 | 4112 | 88  | 88  | 16 | 256 | 14.50254715 | 6.875 | 4288 | 0.002726237 |
| lena16.bmp | lena16.bmp-withWavelet_rbio1.1-G_1-H5e-005_af5.wfa    | 1572864 | 524288 | 524288 | 11 | 4112 | 88  | 88  | 16 | 256 | 14.50254715 | 6.859 | 4288 | 0.002726237 |
| lena16.bmp | lena16.bmp-withWavelet_sym1-G_1-H5e-005_af5.wfa       | 1572864 | 524288 | 524288 | 11 | 4112 | 88  | 88  | 16 | 256 | 14.50254715 | 6.906 | 4288 | 0.002726237 |
| lena16.bmp | lena16.bmp-withWavelet_bior1.1-G_1-H5e-005_af5.wfa    | 1572864 | 524288 | 524288 | 11 | 4112 | 88  | 88  | 16 | 256 | 14.50254715 | 6.875 | 4288 | 0.002726237 |
| lena16.bmp | lena16.bmp-withWavelet_haar-G_0.75-H5e-005_af3.wfa    | 98304   | 32768  | 32768  | 14 | 6512 | 112 | 112 | 16 | 64  | 14.50224775 | 0.422 | 6736 | 0.068522135 |
| lena16.bmp | lena16.bmp-withWavelet_rbio1.1-G_0.75-H5e-005_af3.wfa | 98304   | 32768  | 32768  | 14 | 6512 | 112 | 112 | 16 | 64  | 14.50224775 | 0.422 | 6736 | 0.068522135 |
| lena16.bmp | lena16.bmp-withWavelet_sym1-G_0.75-H5e-005_af3.wfa    | 98304   | 32768  | 32768  | 14 | 6512 | 112 | 112 | 16 | 64  | 14.50224775 | 0.422 | 6736 | 0.068522135 |
| lena16.bmp | lena16.bmp-withWavelet_bior1.1-G_0.75-H5e-005_af3.wfa | 98304   | 32768  | 32768  | 14 | 6512 | 112 | 112 | 16 | 64  | 14.50224775 | 0.422 | 6736 | 0.068522135 |
| lena16.bmp | lena16.bmp-withWavelet_haar-G_1-H2e-005_af4.wfa       | 393216  | 131072 | 131072 | 15 | 7440 | 120 | 120 | 16 | 128 | 14.50079963 | 2.031 | 7680 | 0.01953125  |
| lena16.bmp | lena16.bmp-withWavelet_rbio1.1-G_1-H2e-005_af4.wfa    | 393216  | 131072 | 131072 | 15 | 7440 | 120 | 120 | 16 | 128 | 14.50079963 | 1.922 | 7680 | 0.01953125  |
| lena16.bmp | lena16.bmp-withWavelet_sym1-G_1-H2e-005_af4.wfa       | 393216  | 131072 | 131072 | 15 | 7440 | 120 | 120 | 16 | 128 | 14.50079963 | 1.89  | 7680 | 0.01953125  |
| lena16.bmp | lena16.bmp-withWavelet_bior1.1-G_1-H2e-005_af4.wfa    | 393216  | 131072 | 131072 | 15 | 7440 | 120 | 120 | 16 | 128 | 14.50079963 | 1.906 | 7680 | 0.01953125  |
| lena16.bmp | lena16.bmp-withWavelet_haar-G_0.75-H7e-005_af2.wfa    | 1572864 | 524288 | 524288 | 11 | 4112 | 88  | 88  | 16 | 256 | 14.49941722 | 6.86  | 4288 | 0.002726237 |
| lena16.bmp | lena16.bmp-withWavelet_rbio1.1-G_0.75-H7e-005_af2.wfa | 1572864 | 524288 | 524288 | 11 | 4112 | 88  | 88  | 16 | 256 | 14.49941722 | 6.922 | 4288 | 0.002726237 |
| lena16.bmp | lena16.bmp-withWavelet_sym1-G_0.75-H7e-005_af2.wfa    | 1572864 | 524288 | 524288 | 11 | 4112 | 88  | 88  | 16 | 256 | 14.49941722 | 6.922 | 4288 | 0.002726237 |
| lena16.bmp | lena16.bmp-withWavelet_bior1.1-G_0.75-H7e-005_af2.wfa | 1572864 | 524288 | 524288 | 11 | 4112 | 88  | 88  | 16 | 256 | 14.49941722 | 6.86  | 4288 | 0.002726237 |
| lena16.bmp | lena16.bmp-withWavelet_haar-G_0.75-H7e-005_af4.wfa    | 393216  | 131072 | 131072 | 13 | 5648 | 104 | 104 | 16 | 128 | 14.49761976 | 1.781 | 5856 | 0.014892578 |
| lena16.bmp | lena16.bmp-withWavelet_rbio1.1-G_0.75-H7e-005_af4.wfa | 393216  | 131072 | 131072 | 13 | 5648 | 104 | 104 | 16 | 128 | 14.49761976 | 1.75  | 5856 | 0.014892578 |
| lena16.bmp | lena16.bmp-withWavelet_sym1-G_0.75-H7e-005_af4.wfa    | 393216  | 131072 | 131072 | 13 | 5648 | 104 | 104 | 16 | 128 | 14.49761976 | 1.765 | 5856 | 0.014892578 |
| lena16.bmp | lena16.bmp-withWavelet_bior1.1-G_0.75-H7e-005_af4.wfa | 393216  | 131072 | 131072 | 13 | 5648 | 104 | 104 | 16 | 128 | 14.49761976 | 1.75  | 5856 | 0.014892578 |
| lena16.bmp | lena16.bmp-withWavelet_haar-G_0.75-H6e-005_af1.wfa    | 393216  | 131072 | 131072 | 14 | 6512 | 112 | 112 | 16 | 128 | 14.49751431 | 1.782 | 6736 | 0.017130534 |
| lena16.bmp | lena16.bmp-withWavelet_rbio1.1-G_0.75-H6e-005_af1.wfa | 393216  | 131072 | 131072 | 14 | 6512 | 112 | 112 | 16 | 128 | 14.49751431 | 1.781 | 6736 | 0.017130534 |
| lena16.bmp | lena16.bmp-withWavelet_sym1-G_0.75-H6e-005_af1.wfa    | 393216  | 131072 | 131072 | 14 | 6512 | 112 | 112 | 16 | 128 | 14.49751431 | 1.766 | 6736 | 0.017130534 |
| lena16.bmp | lena16.bmp-withWavelet_bior1.1-G_0.75-H6e-005_af1.wfa | 393216  | 131072 | 131072 | 14 | 6512 | 112 | 112 | 16 | 128 | 14.49751431 | 1.796 | 6736 | 0.017130534 |
| lena16.bmp | lena16.bmp-withWavelet_haar-G_0.75-H5e-005_af1.wfa    | 393216  | 131072 | 131072 | 14 | 6512 | 112 | 112 | 16 | 128 | 14.49751431 | 1.782 | 6736 | 0.017130534 |
| lena16.bmp | lena16.bmp-withWavelet_rbio1.1-G_0.75-H5e-005_af1.wfa | 393216  | 131072 | 131072 | 14 | 6512 | 112 | 112 | 16 | 128 | 14.49751431 | 1.781 | 6736 | 0.017130534 |
| lena16.bmp | lena16.bmp-withWavelet_sym1-G_0.75-H5e-005_af1.wfa    | 393216  | 131072 | 131072 | 14 | 6512 | 112 | 112 | 16 | 128 | 14.49751431 | 1.813 | 6736 | 0.017130534 |
| lena16.bmp | lena16.bmp-withWavelet_bior1.1-G_0.75-H5e-005_af1.wfa | 393216  | 131072 | 131072 | 14 | 6512 | 112 | 112 | 16 | 128 | 14.49751431 | 1.766 | 6736 | 0.017130534 |

|            |   |         |        |        |    |      |     |     |    |     |             |       |      |             |
|------------|---|---------|--------|--------|----|------|-----|-----|----|-----|-------------|-------|------|-------------|
| lena16.bmp | lena16.bmp-withWavelet_haar-G_1-H1e-005_af4.wfa       | 98304   | 32768  | 32768  | 17 | 9488 | 136 | 136 | 16 | 64  | 14.49372587 | 0.468 | 9760 | 0.099283854 |
| lena16.bmp | lena16.bmp-withWavelet_rbio1.1-G_1-H1e-005_af4.wfa    | 98304   | 32768  | 32768  | 17 | 9488 | 136 | 136 | 16 | 64  | 14.49372587 | 0.468 | 9760 | 0.099283854 |
| lena16.bmp | lena16.bmp-withWavelet_sym1-G_1-H1e-005_af4.wfa       | 98304   | 32768  | 32768  | 17 | 9488 | 136 | 136 | 16 | 64  | 14.49372587 | 0.515 | 9760 | 0.099283854 |
| lena16.bmp | lena16.bmp-withWavelet_bior1.1-G_1-H1e-005_af4.wfa    | 98304   | 32768  | 32768  | 17 | 9488 | 136 | 136 | 16 | 64  | 14.49372587 | 0.5   | 9760 | 0.099283854 |
| lena16.bmp | lena16.bmp-withWavelet_haar-G_0.75-H9e-005_af5.wfa    | 393216  | 131072 | 131072 | 8  | 2288 | 64  | 64  | 16 | 128 | 14.49263831 | 1.5   | 2416 | 0.006144206 |
| lena16.bmp | lena16.bmp-withWavelet_rbio1.1-G_0.75-H9e-005_af5.wfa | 393216  | 131072 | 131072 | 8  | 2288 | 64  | 64  | 16 | 128 | 14.49263831 | 1.5   | 2416 | 0.006144206 |
| lena16.bmp | lena16.bmp-withWavelet_sym1-G_0.75-H9e-005_af5.wfa    | 393216  | 131072 | 131072 | 8  | 2288 | 64  | 64  | 16 | 128 | 14.49263831 | 1.516 | 2416 | 0.006144206 |
| lena16.bmp | lena16.bmp-withWavelet_bior1.1-G_0.75-H9e-005_af5.wfa | 393216  | 131072 | 131072 | 8  | 2288 | 64  | 64  | 16 | 128 | 14.49263831 | 1.5   | 2416 | 0.006144206 |
| lena16.bmp | lena16.bmp-withWavelet_haar-G_0.75-H0.0001_af5.wfa    | 393216  | 131072 | 131072 | 8  | 2288 | 64  | 64  | 16 | 128 | 14.49263831 | 1.5   | 2416 | 0.006144206 |
| lena16.bmp | lena16.bmp-withWavelet_rbio1.1-G_0.75-H0.0001_af5.wfa | 393216  | 131072 | 131072 | 8  | 2288 | 64  | 64  | 16 | 128 | 14.49263831 | 1.5   | 2416 | 0.006144206 |
| lena16.bmp | lena16.bmp-withWavelet_sym1-G_0.75-H0.0001_af5.wfa    | 393216  | 131072 | 131072 | 8  | 2288 | 64  | 64  | 16 | 128 | 14.49263831 | 1.515 | 2416 | 0.006144206 |
| lena16.bmp | lena16.bmp-withWavelet_bior1.1-G_0.75-H0.0001_af5.wfa | 393216  | 131072 | 131072 | 8  | 2288 | 64  | 64  | 16 | 128 | 14.49263831 | 1.5   | 2416 | 0.006144206 |
| lena16.bmp | lena16.bmp-withWavelet_haar-G_1-H6e-005_af3.wfa       | 1572864 | 524288 | 524288 | 14 | 6512 | 112 | 112 | 16 | 256 | 14.49228125 | 7.578 | 6736 | 0.004282633 |
| lena16.bmp | lena16.bmp-withWavelet_rbio1.1-G_1-H6e-005_af3.wfa    | 1572864 | 524288 | 524288 | 14 | 6512 | 112 | 112 | 16 | 256 | 14.49228125 | 7.657 | 6736 | 0.004282633 |
| lena16.bmp | lena16.bmp-withWavelet_sym1-G_1-H6e-005_af3.wfa       | 1572864 | 524288 | 524288 | 14 | 6512 | 112 | 112 | 16 | 256 | 14.49228125 | 7.5   | 6736 | 0.004282633 |
| lena16.bmp | lena16.bmp-withWavelet_bior1.1-G_1-H6e-005_af3.wfa    | 1572864 | 524288 | 524288 | 14 | 6512 | 112 | 112 | 16 | 256 | 14.49228125 | 7.547 | 6736 | 0.004282633 |
| lena16.bmp | lena16.bmp-withWavelet_haar-G_1-H7e-005_af3.wfa       | 1572864 | 524288 | 524288 | 14 | 6512 | 112 | 112 | 16 | 256 | 14.49228125 | 7.531 | 6736 | 0.004282633 |
| lena16.bmp | lena16.bmp-withWavelet_rbio1.1-G_1-H7e-005_af3.wfa    | 1572864 | 524288 | 524288 | 14 | 6512 | 112 | 112 | 16 | 256 | 14.49228125 | 7.515 | 6736 | 0.004282633 |
| lena16.bmp | lena16.bmp-withWavelet_sym1-G_1-H7e-005_af3.wfa       | 1572864 | 524288 | 524288 | 14 | 6512 | 112 | 112 | 16 | 256 | 14.49228125 | 7.609 | 6736 | 0.004282633 |
| lena16.bmp | lena16.bmp-withWavelet_bior1.1-G_1-H7e-005_af3.wfa    | 1572864 | 524288 | 524288 | 14 | 6512 | 112 | 112 | 16 | 256 | 14.49228125 | 7.531 | 6736 | 0.004282633 |
| lena16.bmp | lena16.bmp-G_0.5-H0.0001_af5.wfa                      | 1572864 | 524288 |        | 11 | 4112 | 88  | 88  | 16 | 256 | 14.48727406 | 6.891 | 4288 | 0.002726237 |
| lena16.bmp | lena16.bmp-withWavelet_haar-G_0.75-H8e-005_af2.wfa    | 1572864 | 524288 | 524288 | 11 | 4112 | 88  | 88  | 16 | 256 | 14.48413763 | 6.844 | 4288 | 0.002726237 |
| lena16.bmp | lena16.bmp-withWavelet_rbio1.1-G_0.75-H8e-005_af2.wfa | 1572864 | 524288 | 524288 | 11 | 4112 | 88  | 88  | 16 | 256 | 14.48413763 | 6.844 | 4288 | 0.002726237 |
| lena16.bmp | lena16.bmp-withWavelet_sym1-G_0.75-H8e-005_af2.wfa    | 1572864 | 524288 | 524288 | 11 | 4112 | 88  | 88  | 16 | 256 | 14.48413763 | 6.875 | 4288 | 0.002726237 |
| lena16.bmp | lena16.bmp-withWavelet_bior1.1-G_0.75-H8e-005_af2.wfa | 1572864 | 524288 | 524288 | 11 | 4112 | 88  | 88  | 16 | 256 | 14.48413763 | 6.875 | 4288 | 0.002726237 |
| lena16.bmp | lena16.bmp-withWavelet_haar-G_1-H4e-005_af5.wfa       | 1572864 | 524288 | 524288 | 12 | 4848 | 96  | 96  | 16 | 256 | 14.48302511 | 7.109 | 5040 | 0.003204346 |
| lena16.bmp | lena16.bmp-withWavelet_rbio1.1-G_1-H4e-005_af5.wfa    | 1572864 | 524288 | 524288 | 12 | 4848 | 96  | 96  | 16 | 256 | 14.48302511 | 7.063 | 5040 | 0.003204346 |
| lena16.bmp | lena16.bmp-withWavelet_sym1-G_1-H4e-005_af5.wfa       | 1572864 | 524288 | 524288 | 12 | 4848 | 96  | 96  | 16 | 256 | 14.48302511 | 7.094 | 5040 | 0.003204346 |
| lena16.bmp | lena16.bmp-withWavelet_bior1.1-G_1-H4e-005_af5.wfa    | 1572864 | 524288 | 524288 | 12 | 4848 | 96  | 96  | 16 | 256 | 14.48302511 | 7.094 | 5040 | 0.003204346 |
| lena16.bmp | lena16.bmp-withWavelet_haar-G_0.75-H4e-005_af4.wfa    | 393216  | 131072 | 131072 | 14 | 6512 | 112 | 112 | 16 | 128 | 14.4811389  | 1.75  | 6736 | 0.017130534 |
| lena16.bmp | lena16.bmp-withWavelet_rbio1.1-G_0.75-H4e-005_af4.wfa | 393216  | 131072 | 131072 | 14 | 6512 | 112 | 112 | 16 | 128 | 14.4811389  | 1.765 | 6736 | 0.017130534 |

|            |   |         |        |        |    |      |     |     |    |     |             |       |      |             |
|------------|---|---------|--------|--------|----|------|-----|-----|----|-----|-------------|-------|------|-------------|
| lena16.bmp | lena16.bmp-withWavelet_sym1-G_0.75-H4e-005_af4.wfa    | 393216  | 131072 | 131072 | 14 | 6512 | 112 | 112 | 16 | 128 | 14.4811389  | 1.765 | 6736 | 0.017130534 |
| lena16.bmp | lena16.bmp-withWavelet_bior1.1-G_0.75-H4e-005_af4.wfa | 393216  | 131072 | 131072 | 14 | 6512 | 112 | 112 | 16 | 128 | 14.4811389  | 1.781 | 6736 | 0.017130534 |
| lena16.bmp | lena16.bmp-withWavelet_haar-G_0.75-H6e-005_af1.wfa    | 98304   | 32768  | 32768  | 14 | 6512 | 112 | 112 | 16 | 64  | 14.47859695 | 0.437 | 6736 | 0.068522135 |
| lena16.bmp | lena16.bmp-withWavelet_rbio1.1-G_0.75-H6e-005_af1.wfa | 98304   | 32768  | 32768  | 14 | 6512 | 112 | 112 | 16 | 64  | 14.47859695 | 0.422 | 6736 | 0.068522135 |
| lena16.bmp | lena16.bmp-withWavelet_sym1-G_0.75-H6e-005_af1.wfa    | 98304   | 32768  | 32768  | 14 | 6512 | 112 | 112 | 16 | 64  | 14.47859695 | 0.422 | 6736 | 0.068522135 |
| lena16.bmp | lena16.bmp-withWavelet_bior1.1-G_0.75-H6e-005_af1.wfa | 98304   | 32768  | 32768  | 14 | 6512 | 112 | 112 | 16 | 64  | 14.47859695 | 0.437 | 6736 | 0.068522135 |
| lena16.bmp | lena16.bmp-withWavelet_haar-G_0.75-H5e-005_af1.wfa    | 98304   | 32768  | 32768  | 14 | 6512 | 112 | 112 | 16 | 64  | 14.47859695 | 0.422 | 6736 | 0.068522135 |
| lena16.bmp | lena16.bmp-withWavelet_rbio1.1-G_0.75-H5e-005_af1.wfa | 98304   | 32768  | 32768  | 14 | 6512 | 112 | 112 | 16 | 64  | 14.47859695 | 0.437 | 6736 | 0.068522135 |
| lena16.bmp | lena16.bmp-withWavelet_sym1-G_0.75-H5e-005_af1.wfa    | 98304   | 32768  | 32768  | 14 | 6512 | 112 | 112 | 16 | 64  | 14.47859695 | 0.422 | 6736 | 0.068522135 |
| lena16.bmp | lena16.bmp-withWavelet_bior1.1-G_0.75-H5e-005_af1.wfa | 98304   | 32768  | 32768  | 14 | 6512 | 112 | 112 | 16 | 64  | 14.47859695 | 0.422 | 6736 | 0.068522135 |
| lena16.bmp | lena16.bmp-withWavelet_haar-G_1-H5e-005_af3.wfa       | 1572864 | 524288 | 524288 | 15 | 7440 | 120 | 120 | 16 | 256 | 14.47464163 | 8.047 | 7680 | 0.004882813 |
| lena16.bmp | lena16.bmp-withWavelet_rbio1.1-G_1-H5e-005_af3.wfa    | 1572864 | 524288 | 524288 | 15 | 7440 | 120 | 120 | 16 | 256 | 14.47464163 | 7.907 | 7680 | 0.004882813 |
| lena16.bmp | lena16.bmp-withWavelet_sym1-G_1-H5e-005_af3.wfa       | 1572864 | 524288 | 524288 | 15 | 7440 | 120 | 120 | 16 | 256 | 14.47464163 | 7.969 | 7680 | 0.004882813 |
| lena16.bmp | lena16.bmp-withWavelet_bior1.1-G_1-H5e-005_af3.wfa    | 1572864 | 524288 | 524288 | 15 | 7440 | 120 | 120 | 16 | 256 | 14.47464163 | 8.141 | 7680 | 0.004882813 |
| lena16.bmp | lena16.bmp-withWavelet_haar-G_0.75-H7e-005_af5.wfa    | 1572864 | 524288 | 524288 | 9  | 2832 | 72  | 72  | 16 | 256 | 14.46976408 | 6.484 | 2976 | 0.00189209  |
| lena16.bmp | lena16.bmp-withWavelet_rbio1.1-G_0.75-H7e-005_af5.wfa | 1572864 | 524288 | 524288 | 9  | 2832 | 72  | 72  | 16 | 256 | 14.46976408 | 6.532 | 2976 | 0.00189209  |
| lena16.bmp | lena16.bmp-withWavelet_sym1-G_0.75-H7e-005_af5.wfa    | 1572864 | 524288 | 524288 | 9  | 2832 | 72  | 72  | 16 | 256 | 14.46976408 | 6.563 | 2976 | 0.00189209  |
| lena16.bmp | lena16.bmp-withWavelet_bior1.1-G_0.75-H7e-005_af5.wfa | 1572864 | 524288 | 524288 | 9  | 2832 | 72  | 72  | 16 | 256 | 14.46976408 | 6.484 | 2976 | 0.00189209  |
| lena16.bmp | lena16.bmp-withWavelet_haar-G_0.75-H8e-005_af5.wfa    | 1572864 | 524288 | 524288 | 9  | 2832 | 72  | 72  | 16 | 256 | 14.46976408 | 6.578 | 2976 | 0.00189209  |
| lena16.bmp | lena16.bmp-withWavelet_rbio1.1-G_0.75-H8e-005_af5.wfa | 1572864 | 524288 | 524288 | 9  | 2832 | 72  | 72  | 16 | 256 | 14.46976408 | 6.562 | 2976 | 0.00189209  |
| lena16.bmp | lena16.bmp-withWavelet_sym1-G_0.75-H8e-005_af5.wfa    | 1572864 | 524288 | 524288 | 9  | 2832 | 72  | 72  | 16 | 256 | 14.46976408 | 6.672 | 2976 | 0.00189209  |
| lena16.bmp | lena16.bmp-withWavelet_bior1.1-G_0.75-H8e-005_af5.wfa | 1572864 | 524288 | 524288 | 9  | 2832 | 72  | 72  | 16 | 256 | 14.46976408 | 6.547 | 2976 | 0.00189209  |
| lena16.bmp | lena16.bmp-withWavelet_haar-G_1-H6e-005_af5.wfa       | 393216  | 131072 | 131072 | 10 | 3440 | 80  | 80  | 16 | 128 | 14.46726392 | 1.578 | 3600 | 0.009155273 |
| lena16.bmp | lena16.bmp-withWavelet_rbio1.1-G_1-H6e-005_af5.wfa    | 393216  | 131072 | 131072 | 10 | 3440 | 80  | 80  | 16 | 128 | 14.46726392 | 1.688 | 3600 | 0.009155273 |
| lena16.bmp | lena16.bmp-withWavelet_sym1-G_1-H6e-005_af5.wfa       | 393216  | 131072 | 131072 | 10 | 3440 | 80  | 80  | 16 | 128 | 14.46726392 | 1.562 | 3600 | 0.009155273 |
| lena16.bmp | lena16.bmp-withWavelet_bior1.1-G_1-H6e-005_af5.wfa    | 393216  | 131072 | 131072 | 10 | 3440 | 80  | 80  | 16 | 128 | 14.46726392 | 1.578 | 3600 | 0.009155273 |
| lena16.bmp | lena16.bmp-withWavelet_haar-G_1-H7e-005_af5.wfa       | 393216  | 131072 | 131072 | 10 | 3440 | 80  | 80  | 16 | 128 | 14.46726392 | 1.609 | 3600 | 0.009155273 |
| lena16.bmp | lena16.bmp-withWavelet_rbio1.1-G_1-H7e-005_af5.wfa    | 393216  | 131072 | 131072 | 10 | 3440 | 80  | 80  | 16 | 128 | 14.46726392 | 1.609 | 3600 | 0.009155273 |
| lena16.bmp | lena16.bmp-withWavelet_sym1-G_1-H7e-005_af5.wfa       | 393216  | 131072 | 131072 | 10 | 3440 | 80  | 80  | 16 | 128 | 14.46726392 | 1.547 | 3600 | 0.009155273 |
| lena16.bmp | lena16.bmp-withWavelet_bior1.1-G_1-H7e-005_af5.wfa    | 393216  | 131072 | 131072 | 10 | 3440 | 80  | 80  | 16 | 128 | 14.46726392 | 1.547 | 3600 | 0.009155273 |
| lena16.bmp | lena16.bmp-withWavelet_haar-G_0.75-H7e-005_af5.wfa    | 24576   | 8192   | 8192   | 9  | 2832 | 72  | 72  | 16 | 32  | 14.46708816 | 0.078 | 2976 | 0.12109375  |



|            |   |         |        |        |    |      |     |     |    |     |             |       |      |             |
|------------|---|---------|--------|--------|----|------|-----|-----|----|-----|-------------|-------|------|-------------|
| lena16.bmp | lena16.bmp-withWavelet_rbio1.1-G_0.75-H7e-005_af5.wfa | 24576   | 8192   | 8192   | 9  | 2832 | 72  | 72  | 16 | 32  | 14.46708816 | 0.078 | 2976 | 0.12109375  |
| lena16.bmp | lena16.bmp-withWavelet_sym1-G_0.75-H7e-005_af5.wfa    | 24576   | 8192   | 8192   | 9  | 2832 | 72  | 72  | 16 | 32  | 14.46708816 | 0.094 | 2976 | 0.12109375  |
| lena16.bmp | lena16.bmp-withWavelet_bior1.1-G_0.75-H7e-005_af5.wfa | 24576   | 8192   | 8192   | 9  | 2832 | 72  | 72  | 16 | 32  | 14.46708816 | 0.094 | 2976 | 0.12109375  |
| lena16.bmp | lena16.bmp-withWavelet_haar-G_0.75-H8e-005_af5.wfa    | 24576   | 8192   | 8192   | 9  | 2832 | 72  | 72  | 16 | 32  | 14.46708816 | 0.094 | 2976 | 0.12109375  |
| lena16.bmp | lena16.bmp-withWavelet_rbio1.1-G_0.75-H8e-005_af5.wfa | 24576   | 8192   | 8192   | 9  | 2832 | 72  | 72  | 16 | 32  | 14.46708816 | 0.094 | 2976 | 0.12109375  |
| lena16.bmp | lena16.bmp-withWavelet_sym1-G_0.75-H8e-005_af5.wfa    | 24576   | 8192   | 8192   | 9  | 2832 | 72  | 72  | 16 | 32  | 14.46708816 | 0.078 | 2976 | 0.12109375  |
| lena16.bmp | lena16.bmp-withWavelet_bior1.1-G_0.75-H8e-005_af5.wfa | 24576   | 8192   | 8192   | 9  | 2832 | 72  | 72  | 16 | 32  | 14.46708816 | 0.094 | 2976 | 0.12109375  |
| lena16.bmp | lena16.bmp-withWavelet_haar-G_1-H6e-005_af5.wfa       | 24576   | 8192   | 8192   | 10 | 3440 | 80  | 80  | 16 | 32  | 14.46631901 | 0.093 | 3600 | 0.146484375 |
| lena16.bmp | lena16.bmp-withWavelet_rbio1.1-G_1-H6e-005_af5.wfa    | 24576   | 8192   | 8192   | 10 | 3440 | 80  | 80  | 16 | 32  | 14.46631901 | 0.078 | 3600 | 0.146484375 |
| lena16.bmp | lena16.bmp-withWavelet_sym1-G_1-H6e-005_af5.wfa       | 24576   | 8192   | 8192   | 10 | 3440 | 80  | 80  | 16 | 32  | 14.46631901 | 0.094 | 3600 | 0.146484375 |
| lena16.bmp | lena16.bmp-withWavelet_bior1.1-G_1-H6e-005_af5.wfa    | 24576   | 8192   | 8192   | 10 | 3440 | 80  | 80  | 16 | 32  | 14.46631901 | 0.094 | 3600 | 0.146484375 |
| lena16.bmp | lena16.bmp-withWavelet_haar-G_1-H7e-005_af5.wfa       | 24576   | 8192   | 8192   | 10 | 3440 | 80  | 80  | 16 | 32  | 14.46631901 | 0.094 | 3600 | 0.146484375 |
| lena16.bmp | lena16.bmp-withWavelet_rbio1.1-G_1-H7e-005_af5.wfa    | 24576   | 8192   | 8192   | 10 | 3440 | 80  | 80  | 16 | 32  | 14.46631901 | 0.078 | 3600 | 0.146484375 |
| lena16.bmp | lena16.bmp-withWavelet_sym1-G_1-H7e-005_af5.wfa       | 24576   | 8192   | 8192   | 10 | 3440 | 80  | 80  | 16 | 32  | 14.46631901 | 0.094 | 3600 | 0.146484375 |
| lena16.bmp | lena16.bmp-withWavelet_bior1.1-G_1-H7e-005_af5.wfa    | 24576   | 8192   | 8192   | 10 | 3440 | 80  | 80  | 16 | 32  | 14.46631901 | 0.078 | 3600 | 0.146484375 |
| lena16.bmp | lena16.bmp-withWavelet_haar-G_1-H3e-005_af4.wfa       | 1572864 | 524288 | 524288 | 15 | 7440 | 120 | 120 | 16 | 256 | 14.46420236 | 7.953 | 7680 | 0.004882813 |
| lena16.bmp | lena16.bmp-withWavelet_rbio1.1-G_1-H3e-005_af4.wfa    | 1572864 | 524288 | 524288 | 15 | 7440 | 120 | 120 | 16 | 256 | 14.46420236 | 8.031 | 7680 | 0.004882813 |
| lena16.bmp | lena16.bmp-withWavelet_sym1-G_1-H3e-005_af4.wfa       | 1572864 | 524288 | 524288 | 15 | 7440 | 120 | 120 | 16 | 256 | 14.46420236 | 8.016 | 7680 | 0.004882813 |
| lena16.bmp | lena16.bmp-withWavelet_bior1.1-G_1-H3e-005_af4.wfa    | 1572864 | 524288 | 524288 | 15 | 7440 | 120 | 120 | 16 | 256 | 14.46420236 | 8.031 | 7680 | 0.004882813 |
| lena16.bmp | lena16.bmp-withWavelet_haar-G_1-H6e-005_af4.wfa       | 98304   | 32768  | 32768  | 14 | 6512 | 112 | 112 | 16 | 64  | 14.46313719 | 0.437 | 6736 | 0.068522135 |
| lena16.bmp | lena16.bmp-withWavelet_rbio1.1-G_1-H6e-005_af4.wfa    | 98304   | 32768  | 32768  | 14 | 6512 | 112 | 112 | 16 | 64  | 14.46313719 | 0.421 | 6736 | 0.068522135 |
| lena16.bmp | lena16.bmp-withWavelet_sym1-G_1-H6e-005_af4.wfa       | 98304   | 32768  | 32768  | 14 | 6512 | 112 | 112 | 16 | 64  | 14.46313719 | 0.422 | 6736 | 0.068522135 |
| lena16.bmp | lena16.bmp-withWavelet_bior1.1-G_1-H6e-005_af4.wfa    | 98304   | 32768  | 32768  | 14 | 6512 | 112 | 112 | 16 | 64  | 14.46313719 | 0.422 | 6736 | 0.068522135 |
| lena16.bmp | lena16.bmp-withWavelet_haar-G_1-H1e-005_af4.wfa       | 1572864 | 524288 | 524288 | 17 | 9488 | 136 | 136 | 16 | 256 | 14.4630252  | 8.922 | 9760 | 0.006205241 |
| lena16.bmp | lena16.bmp-withWavelet_rbio1.1-G_1-H1e-005_af4.wfa    | 1572864 | 524288 | 524288 | 17 | 9488 | 136 | 136 | 16 | 256 | 14.4630252  | 8.641 | 9760 | 0.006205241 |
| lena16.bmp | lena16.bmp-withWavelet_sym1-G_1-H1e-005_af4.wfa       | 1572864 | 524288 | 524288 | 17 | 9488 | 136 | 136 | 16 | 256 | 14.4630252  | 9.593 | 9760 | 0.006205241 |
| lena16.bmp | lena16.bmp-withWavelet_bior1.1-G_1-H1e-005_af4.wfa    | 1572864 | 524288 | 524288 | 17 | 9488 | 136 | 136 | 16 | 256 | 14.4630252  | 8.859 | 9760 | 0.006205241 |
| lena16.bmp | lena16.bmp-withWavelet_haar-G_1-H6e-005_af3.wfa       | 98304   | 32768  | 32768  | 14 | 6512 | 112 | 112 | 16 | 64  | 14.46267875 | 0.422 | 6736 | 0.068522135 |
| lena16.bmp | lena16.bmp-withWavelet_rbio1.1-G_1-H6e-005_af3.wfa    | 98304   | 32768  | 32768  | 14 | 6512 | 112 | 112 | 16 | 64  | 14.46267875 | 0.437 | 6736 | 0.068522135 |
| lena16.bmp | lena16.bmp-withWavelet_sym1-G_1-H6e-005_af3.wfa       | 98304   | 32768  | 32768  | 14 | 6512 | 112 | 112 | 16 | 64  | 14.46267875 | 0.438 | 6736 | 0.068522135 |
| lena16.bmp | lena16.bmp-withWavelet_bior1.1-G_1-H6e-005_af3.wfa    | 98304   | 32768  | 32768  | 14 | 6512 | 112 | 112 | 16 | 64  | 14.46267875 | 0.438 | 6736 | 0.068522135 |

|            |   |         |        |        |    |      |     |     |    |     |             |       |      |             |
|------------|---|---------|--------|--------|----|------|-----|-----|----|-----|-------------|-------|------|-------------|
| lena16.bmp | lena16.bmp-withWavelet_haar-G_1-H7e-005_af3.wfa       | 98304   | 32768  | 32768  | 14 | 6512 | 112 | 112 | 16 | 64  | 14.46267875 | 0.438 | 6736 | 0.068522135 |
| lena16.bmp | lena16.bmp-withWavelet_rbio1.1-G_1-H7e-005_af3.wfa    | 98304   | 32768  | 32768  | 14 | 6512 | 112 | 112 | 16 | 64  | 14.46267875 | 0.437 | 6736 | 0.068522135 |
| lena16.bmp | lena16.bmp-withWavelet_sym1-G_1-H7e-005_af3.wfa       | 98304   | 32768  | 32768  | 14 | 6512 | 112 | 112 | 16 | 64  | 14.46267875 | 0.422 | 6736 | 0.068522135 |
| lena16.bmp | lena16.bmp-withWavelet_bior1.1-G_1-H7e-005_af3.wfa    | 98304   | 32768  | 32768  | 14 | 6512 | 112 | 112 | 16 | 64  | 14.46267875 | 0.438 | 6736 | 0.068522135 |
| lena16.bmp | lena16.bmp-withWavelet_haar-G_0.75-H3e-005_af4.wfa    | 98304   | 32768  | 32768  | 15 | 7440 | 120 | 120 | 16 | 64  | 14.46033874 | 0.469 | 7680 | 0.078125    |
| lena16.bmp | lena16.bmp-withWavelet_rbio1.1-G_0.75-H3e-005_af4.wfa | 98304   | 32768  | 32768  | 15 | 7440 | 120 | 120 | 16 | 64  | 14.46033874 | 0.453 | 7680 | 0.078125    |
| lena16.bmp | lena16.bmp-withWavelet_sym1-G_0.75-H3e-005_af4.wfa    | 98304   | 32768  | 32768  | 15 | 7440 | 120 | 120 | 16 | 64  | 14.46033874 | 0.453 | 7680 | 0.078125    |
| lena16.bmp | lena16.bmp-withWavelet_bior1.1-G_0.75-H3e-005_af4.wfa | 98304   | 32768  | 32768  | 15 | 7440 | 120 | 120 | 16 | 64  | 14.46033874 | 0.453 | 7680 | 0.078125    |
| lena16.bmp | lena16.bmp-withWavelet_haar-G_1-H8e-005_af5.wfa       | 98304   | 32768  | 32768  | 9  | 2832 | 72  | 72  | 16 | 64  | 14.46013801 | 0.391 | 2976 | 0.030273438 |
| lena16.bmp | lena16.bmp-withWavelet_rbio1.1-G_1-H8e-005_af5.wfa    | 98304   | 32768  | 32768  | 9  | 2832 | 72  | 72  | 16 | 64  | 14.46013801 | 0.391 | 2976 | 0.030273438 |
| lena16.bmp | lena16.bmp-withWavelet_sym1-G_1-H8e-005_af5.wfa       | 98304   | 32768  | 32768  | 9  | 2832 | 72  | 72  | 16 | 64  | 14.46013801 | 0.375 | 2976 | 0.030273438 |
| lena16.bmp | lena16.bmp-withWavelet_bior1.1-G_1-H8e-005_af5.wfa    | 98304   | 32768  | 32768  | 9  | 2832 | 72  | 72  | 16 | 64  | 14.46013801 | 0.375 | 2976 | 0.030273438 |
| lena16.bmp | lena16.bmp-withWavelet_haar-G_1-H9e-005_af5.wfa       | 98304   | 32768  | 32768  | 9  | 2832 | 72  | 72  | 16 | 64  | 14.46013801 | 0.406 | 2976 | 0.030273438 |
| lena16.bmp | lena16.bmp-withWavelet_rbio1.1-G_1-H9e-005_af5.wfa    | 98304   | 32768  | 32768  | 9  | 2832 | 72  | 72  | 16 | 64  | 14.46013801 | 0.39  | 2976 | 0.030273438 |
| lena16.bmp | lena16.bmp-withWavelet_sym1-G_1-H9e-005_af5.wfa       | 98304   | 32768  | 32768  | 9  | 2832 | 72  | 72  | 16 | 64  | 14.46013801 | 0.375 | 2976 | 0.030273438 |
| lena16.bmp | lena16.bmp-withWavelet_bior1.1-G_1-H9e-005_af5.wfa    | 98304   | 32768  | 32768  | 9  | 2832 | 72  | 72  | 16 | 64  | 14.46013801 | 0.375 | 2976 | 0.030273438 |
| lena16.bmp | lena16.bmp-withWavelet_haar-G_1-H0.0001_af5.wfa       | 98304   | 32768  | 32768  | 9  | 2832 | 72  | 72  | 16 | 64  | 14.46013801 | 0.375 | 2976 | 0.030273438 |
| lena16.bmp | lena16.bmp-withWavelet_rbio1.1-G_1-H0.0001_af5.wfa    | 98304   | 32768  | 32768  | 9  | 2832 | 72  | 72  | 16 | 64  | 14.46013801 | 0.375 | 2976 | 0.030273438 |
| lena16.bmp | lena16.bmp-withWavelet_sym1-G_1-H0.0001_af5.wfa       | 98304   | 32768  | 32768  | 9  | 2832 | 72  | 72  | 16 | 64  | 14.46013801 | 0.375 | 2976 | 0.030273438 |
| lena16.bmp | lena16.bmp-withWavelet_bior1.1-G_1-H0.0001_af5.wfa    | 98304   | 32768  | 32768  | 9  | 2832 | 72  | 72  | 16 | 64  | 14.46013801 | 0.375 | 2976 | 0.030273438 |
| lena16.bmp | lena16.bmp-withWavelet_haar-G_0.75-H2e-005_af4.wfa    | 1572864 | 524288 | 524288 | 16 | 8432 | 128 | 128 | 16 | 256 | 14.45936164 | 8.296 | 8688 | 0.005523682 |
| lena16.bmp | lena16.bmp-withWavelet_rbio1.1-G_0.75-H2e-005_af4.wfa | 1572864 | 524288 | 524288 | 16 | 8432 | 128 | 128 | 16 | 256 | 14.45936164 | 8.203 | 8688 | 0.005523682 |
| lena16.bmp | lena16.bmp-withWavelet_sym1-G_0.75-H2e-005_af4.wfa    | 1572864 | 524288 | 524288 | 16 | 8432 | 128 | 128 | 16 | 256 | 14.45936164 | 8.891 | 8688 | 0.005523682 |
| lena16.bmp | lena16.bmp-withWavelet_bior1.1-G_0.75-H2e-005_af4.wfa | 1572864 | 524288 | 524288 | 16 | 8432 | 128 | 128 | 16 | 256 | 14.45936164 | 8.281 | 8688 | 0.005523682 |
| lena16.bmp | lena16.bmp-withWavelet_haar-G_0.75-H4e-005_af1.wfa    | 1572864 | 524288 | 524288 | 15 | 7440 | 120 | 120 | 16 | 256 | 14.45887695 | 8.063 | 7680 | 0.004882813 |
| lena16.bmp | lena16.bmp-withWavelet_rbio1.1-G_0.75-H4e-005_af1.wfa | 1572864 | 524288 | 524288 | 15 | 7440 | 120 | 120 | 16 | 256 | 14.45887695 | 8.578 | 7680 | 0.004882813 |
| lena16.bmp | lena16.bmp-withWavelet_sym1-G_0.75-H4e-005_af1.wfa    | 1572864 | 524288 | 524288 | 15 | 7440 | 120 | 120 | 16 | 256 | 14.45887695 | 8.641 | 7680 | 0.004882813 |
| lena16.bmp | lena16.bmp-withWavelet_bior1.1-G_0.75-H4e-005_af1.wfa | 1572864 | 524288 | 524288 | 15 | 7440 | 120 | 120 | 16 | 256 | 14.45887695 | 8.594 | 7680 | 0.004882813 |
| lena16.bmp | lena16.bmp-withWavelet_haar-G_0.75-H9e-005_af2.wfa    | 98304   | 32768  | 32768  | 10 | 3440 | 80  | 80  | 16 | 64  | 14.45884587 | 0.39  | 3600 | 0.036621094 |
| lena16.bmp | lena16.bmp-withWavelet_rbio1.1-G_0.75-H9e-005_af2.wfa | 98304   | 32768  | 32768  | 10 | 3440 | 80  | 80  | 16 | 64  | 14.45884587 | 0.39  | 3600 | 0.036621094 |
| lena16.bmp | lena16.bmp-withWavelet_sym1-G_0.75-H9e-005_af2.wfa    | 98304   | 32768  | 32768  | 10 | 3440 | 80  | 80  | 16 | 64  | 14.45884587 | 0.391 | 3600 | 0.036621094 |

|            |   |         |        |        |    |       |     |     |    |     |             |       |       |             |
|------------|---|---------|--------|--------|----|-------|-----|-----|----|-----|-------------|-------|-------|-------------|
| lena16.bmp | lena16.bmp-withWavelet_bior1.1-G_0.75-H9e-005_af2.wfa | 98304   | 32768  | 32768  | 10 | 3440  | 80  | 80  | 16 | 64  | 14.45884587 | 0.375 | 3600  | 0.036621094 |
| lena16.bmp | lena16.bmp-withWavelet_haar-G_1-H5e-005_af2.wfa       | 393216  | 131072 | 131072 | 13 | 5648  | 104 | 104 | 16 | 128 | 14.45539613 | 1.75  | 5856  | 0.014892578 |
| lena16.bmp | lena16.bmp-withWavelet_rbio1.1-G_1-H5e-005_af2.wfa    | 393216  | 131072 | 131072 | 13 | 5648  | 104 | 104 | 16 | 128 | 14.45539613 | 1.75  | 5856  | 0.014892578 |
| lena16.bmp | lena16.bmp-withWavelet_sym1-G_1-H5e-005_af2.wfa       | 393216  | 131072 | 131072 | 13 | 5648  | 104 | 104 | 16 | 128 | 14.45539613 | 1.765 | 5856  | 0.014892578 |
| lena16.bmp | lena16.bmp-withWavelet_bior1.1-G_1-H5e-005_af2.wfa    | 393216  | 131072 | 131072 | 13 | 5648  | 104 | 104 | 16 | 128 | 14.45539613 | 1.765 | 5856  | 0.014892578 |
| lena16.bmp | lena16.bmp-withWavelet_haar-G_1-H1e-005_af5.wfa       | 24576   | 8192   | 8192   | 18 | 10608 | 144 | 144 | 16 | 32  | 14.45407698 | 0.11  | 10896 | 0.443359375 |
| lena16.bmp | lena16.bmp-withWavelet_rbio1.1-G_1-H1e-005_af5.wfa    | 24576   | 8192   | 8192   | 18 | 10608 | 144 | 144 | 16 | 32  | 14.45407698 | 0.125 | 10896 | 0.443359375 |
| lena16.bmp | lena16.bmp-withWavelet_sym1-G_1-H1e-005_af5.wfa       | 24576   | 8192   | 8192   | 18 | 10608 | 144 | 144 | 16 | 32  | 14.45407698 | 0.109 | 10896 | 0.443359375 |
| lena16.bmp | lena16.bmp-withWavelet_bior1.1-G_1-H1e-005_af5.wfa    | 24576   | 8192   | 8192   | 18 | 10608 | 144 | 144 | 16 | 32  | 14.45407698 | 0.125 | 10896 | 0.443359375 |
| lena16.bmp | lena16.bmp-withWavelet_haar-G_1-H3e-005_af1.wfa       | 1572864 | 524288 | 524288 | 16 | 8432  | 128 | 128 | 16 | 256 | 14.45202277 | 8.468 | 8688  | 0.005523682 |
| lena16.bmp | lena16.bmp-withWavelet_rbio1.1-G_1-H3e-005_af1.wfa    | 1572864 | 524288 | 524288 | 16 | 8432  | 128 | 128 | 16 | 256 | 14.45202277 | 8.328 | 8688  | 0.005523682 |
| lena16.bmp | lena16.bmp-withWavelet_sym1-G_1-H3e-005_af1.wfa       | 1572864 | 524288 | 524288 | 16 | 8432  | 128 | 128 | 16 | 256 | 14.45202277 | 8.328 | 8688  | 0.005523682 |
| lena16.bmp | lena16.bmp-withWavelet_bior1.1-G_1-H3e-005_af1.wfa    | 1572864 | 524288 | 524288 | 16 | 8432  | 128 | 128 | 16 | 256 | 14.45202277 | 8.219 | 8688  | 0.005523682 |
| lena16.bmp | lena16.bmp-withWavelet_haar-G_1-H2e-005_af5.wfa       | 24576   | 8192   | 8192   | 15 | 7440  | 120 | 120 | 16 | 32  | 14.45083151 | 0.11  | 7680  | 0.3125      |
| lena16.bmp | lena16.bmp-withWavelet_rbio1.1-G_1-H2e-005_af5.wfa    | 24576   | 8192   | 8192   | 15 | 7440  | 120 | 120 | 16 | 32  | 14.45083151 | 0.093 | 7680  | 0.3125      |
| lena16.bmp | lena16.bmp-withWavelet_sym1-G_1-H2e-005_af5.wfa       | 24576   | 8192   | 8192   | 15 | 7440  | 120 | 120 | 16 | 32  | 14.45083151 | 0.141 | 7680  | 0.3125      |
| lena16.bmp | lena16.bmp-withWavelet_bior1.1-G_1-H2e-005_af5.wfa    | 24576   | 8192   | 8192   | 15 | 7440  | 120 | 120 | 16 | 32  | 14.45083151 | 0.11  | 7680  | 0.3125      |
| lena16.bmp | lena16.bmp-withWavelet_haar-G_0.75-H1e-005_af4.wfa    | 98304   | 32768  | 32768  | 17 | 9488  | 136 | 136 | 16 | 64  | 14.44494785 | 0.515 | 9760  | 0.099283854 |
| lena16.bmp | lena16.bmp-withWavelet_rbio1.1-G_0.75-H1e-005_af4.wfa | 98304   | 32768  | 32768  | 17 | 9488  | 136 | 136 | 16 | 64  | 14.44494785 | 0.609 | 9760  | 0.099283854 |
| lena16.bmp | lena16.bmp-withWavelet_sym1-G_0.75-H1e-005_af4.wfa    | 98304   | 32768  | 32768  | 17 | 9488  | 136 | 136 | 16 | 64  | 14.44494785 | 0.532 | 9760  | 0.099283854 |
| lena16.bmp | lena16.bmp-withWavelet_bior1.1-G_0.75-H1e-005_af4.wfa | 98304   | 32768  | 32768  | 17 | 9488  | 136 | 136 | 16 | 64  | 14.44494785 | 0.547 | 9760  | 0.099283854 |
| lena16.bmp | lena16.bmp-withWavelet_haar-G_0.75-H8e-005_af2.wfa    | 24576   | 8192   | 8192   | 11 | 4112  | 88  | 88  | 16 | 32  | 14.44198421 | 0.093 | 4288  | 0.174479167 |
| lena16.bmp | lena16.bmp-withWavelet_rbio1.1-G_0.75-H8e-005_af2.wfa | 24576   | 8192   | 8192   | 11 | 4112  | 88  | 88  | 16 | 32  | 14.44198421 | 0.094 | 4288  | 0.174479167 |
| lena16.bmp | lena16.bmp-withWavelet_sym1-G_0.75-H8e-005_af2.wfa    | 24576   | 8192   | 8192   | 11 | 4112  | 88  | 88  | 16 | 32  | 14.44198421 | 0.078 | 4288  | 0.174479167 |
| lena16.bmp | lena16.bmp-withWavelet_bior1.1-G_0.75-H8e-005_af2.wfa | 24576   | 8192   | 8192   | 11 | 4112  | 88  | 88  | 16 | 32  | 14.44198421 | 0.094 | 4288  | 0.174479167 |
| lena16.bmp | lena16.bmp-withWavelet_haar-G_1-H4e-005_af5.wfa       | 24576   | 8192   | 8192   | 12 | 4848  | 96  | 96  | 16 | 32  | 14.43973418 | 0.094 | 5040  | 0.205078125 |
| lena16.bmp | lena16.bmp-withWavelet_rbio1.1-G_1-H4e-005_af5.wfa    | 24576   | 8192   | 8192   | 12 | 4848  | 96  | 96  | 16 | 32  | 14.43973418 | 0.093 | 5040  | 0.205078125 |
| lena16.bmp | lena16.bmp-withWavelet_sym1-G_1-H4e-005_af5.wfa       | 24576   | 8192   | 8192   | 12 | 4848  | 96  | 96  | 16 | 32  | 14.43973418 | 0.11  | 5040  | 0.205078125 |
| lena16.bmp | lena16.bmp-withWavelet_bior1.1-G_1-H4e-005_af5.wfa    | 24576   | 8192   | 8192   | 12 | 4848  | 96  | 96  | 16 | 32  | 14.43973418 | 0.094 | 5040  | 0.205078125 |
| lena16.bmp | lena16.bmp-withWavelet_haar-G_0.75-H4e-005_af2.wfa    | 393216  | 131072 | 131072 | 14 | 6512  | 112 | 112 | 16 | 128 | 14.43910308 | 1.782 | 6736  | 0.017130534 |
| lena16.bmp | lena16.bmp-withWavelet_rbio1.1-G_0.75-H4e-005_af2.wfa | 393216  | 131072 | 131072 | 14 | 6512  | 112 | 112 | 16 | 128 | 14.43910308 | 1.828 | 6736  | 0.017130534 |

|            |   |         |        |        |    |      |     |     |    |     |             |       |      |             |
|------------|---|---------|--------|--------|----|------|-----|-----|----|-----|-------------|-------|------|-------------|
| lena16.bmp | lena16.bmp-withWavelet_sym1-G_0.75-H4e-005_af2.wfa    | 393216  | 131072 | 131072 | 14 | 6512 | 112 | 112 | 16 | 128 | 14.43910308 | 1.812 | 6736 | 0.017130534 |
| lena16.bmp | lena16.bmp-withWavelet_bior1.1-G_0.75-H4e-005_af2.wfa | 393216  | 131072 | 131072 | 14 | 6512 | 112 | 112 | 16 | 128 | 14.43910308 | 1.781 | 6736 | 0.017130534 |
| lena16.bmp | lena16.bmp-withWavelet_haar-G_0.75-H5e-005_af2.wfa    | 24576   | 8192   | 8192   | 14 | 6512 | 112 | 112 | 16 | 32  | 14.43747996 | 0.094 | 6736 | 0.274088542 |
| lena16.bmp | lena16.bmp-withWavelet_rbio1.1-G_0.75-H5e-005_af2.wfa | 24576   | 8192   | 8192   | 14 | 6512 | 112 | 112 | 16 | 32  | 14.43747996 | 0.094 | 6736 | 0.274088542 |
| lena16.bmp | lena16.bmp-withWavelet_sym1-G_0.75-H5e-005_af2.wfa    | 24576   | 8192   | 8192   | 14 | 6512 | 112 | 112 | 16 | 32  | 14.43747996 | 0.109 | 6736 | 0.274088542 |
| lena16.bmp | lena16.bmp-withWavelet_bior1.1-G_0.75-H5e-005_af2.wfa | 24576   | 8192   | 8192   | 14 | 6512 | 112 | 112 | 16 | 32  | 14.43747996 | 0.093 | 6736 | 0.274088542 |
| lena16.bmp | lena16.bmp-withWavelet_haar-G_1-H3e-005_af4.wfa       | 393216  | 131072 | 131072 | 15 | 7440 | 120 | 120 | 16 | 128 | 14.43630172 | 1.859 | 7680 | 0.01953125  |
| lena16.bmp | lena16.bmp-withWavelet_rbio1.1-G_1-H3e-005_af4.wfa    | 393216  | 131072 | 131072 | 15 | 7440 | 120 | 120 | 16 | 128 | 14.43630172 | 1.938 | 7680 | 0.01953125  |
| lena16.bmp | lena16.bmp-withWavelet_sym1-G_1-H3e-005_af4.wfa       | 393216  | 131072 | 131072 | 15 | 7440 | 120 | 120 | 16 | 128 | 14.43630172 | 1.859 | 7680 | 0.01953125  |
| lena16.bmp | lena16.bmp-withWavelet_bior1.1-G_1-H3e-005_af4.wfa    | 393216  | 131072 | 131072 | 15 | 7440 | 120 | 120 | 16 | 128 | 14.43630172 | 1.922 | 7680 | 0.01953125  |
| lena16.bmp | lena16.bmp-G_0.5-H8e-005_af2.wfa                      | 393216  | 131072 |        | 11 | 4112 | 88  | 88  | 16 | 128 | 14.43526035 | 1.625 | 4288 | 0.010904948 |
| lena16.bmp | lena16.bmp-withWavelet_haar-G_1-H5e-005_af3.wfa       | 98304   | 32768  | 32768  | 15 | 7440 | 120 | 120 | 16 | 64  | 14.43391201 | 0.484 | 7680 | 0.078125    |
| lena16.bmp | lena16.bmp-withWavelet_rbio1.1-G_1-H5e-005_af3.wfa    | 98304   | 32768  | 32768  | 15 | 7440 | 120 | 120 | 16 | 64  | 14.43391201 | 0.437 | 7680 | 0.078125    |
| lena16.bmp | lena16.bmp-withWavelet_sym1-G_1-H5e-005_af3.wfa       | 98304   | 32768  | 32768  | 15 | 7440 | 120 | 120 | 16 | 64  | 14.43391201 | 0.469 | 7680 | 0.078125    |
| lena16.bmp | lena16.bmp-withWavelet_bior1.1-G_1-H5e-005_af3.wfa    | 98304   | 32768  | 32768  | 15 | 7440 | 120 | 120 | 16 | 64  | 14.43391201 | 0.437 | 7680 | 0.078125    |
| lena16.bmp | lena16.bmp-G_0.5-H9e-005_af2.wfa                      | 1572864 | 524288 |        | 9  | 2832 | 72  | 72  | 16 | 256 | 14.43185602 | 6.594 | 2976 | 0.00189209  |
| lena16.bmp | lena16.bmp-G_0.5-H0.0001_af2.wfa                      | 1572864 | 524288 |        | 9  | 2832 | 72  | 72  | 16 | 256 | 14.43185602 | 6.547 | 2976 | 0.00189209  |
| lena16.bmp | lena16.bmp-withWavelet_haar-G_1-H3e-005_af5.wfa       | 24576   | 8192   | 8192   | 13 | 5648 | 104 | 104 | 16 | 32  | 14.43180529 | 0.109 | 5856 | 0.23828125  |
| lena16.bmp | lena16.bmp-withWavelet_rbio1.1-G_1-H3e-005_af5.wfa    | 24576   | 8192   | 8192   | 13 | 5648 | 104 | 104 | 16 | 32  | 14.43180529 | 0.11  | 5856 | 0.23828125  |
| lena16.bmp | lena16.bmp-withWavelet_sym1-G_1-H3e-005_af5.wfa       | 24576   | 8192   | 8192   | 13 | 5648 | 104 | 104 | 16 | 32  | 14.43180529 | 0.094 | 5856 | 0.23828125  |
| lena16.bmp | lena16.bmp-withWavelet_bior1.1-G_1-H3e-005_af5.wfa    | 24576   | 8192   | 8192   | 13 | 5648 | 104 | 104 | 16 | 32  | 14.43180529 | 0.093 | 5856 | 0.23828125  |
| lena16.bmp | lena16.bmp-withWavelet_haar-G_1-H6e-005_af3.wfa       | 393216  | 131072 | 131072 | 14 | 6512 | 112 | 112 | 16 | 128 | 14.4306717  | 1.766 | 6736 | 0.017130534 |
| lena16.bmp | lena16.bmp-withWavelet_rbio1.1-G_1-H6e-005_af3.wfa    | 393216  | 131072 | 131072 | 14 | 6512 | 112 | 112 | 16 | 128 | 14.4306717  | 1.781 | 6736 | 0.017130534 |
| lena16.bmp | lena16.bmp-withWavelet_sym1-G_1-H6e-005_af3.wfa       | 393216  | 131072 | 131072 | 14 | 6512 | 112 | 112 | 16 | 128 | 14.4306717  | 1.782 | 6736 | 0.017130534 |
| lena16.bmp | lena16.bmp-withWavelet_bior1.1-G_1-H6e-005_af3.wfa    | 393216  | 131072 | 131072 | 14 | 6512 | 112 | 112 | 16 | 128 | 14.4306717  | 1.781 | 6736 | 0.017130534 |
| lena16.bmp | lena16.bmp-withWavelet_haar-G_1-H7e-005_af3.wfa       | 393216  | 131072 | 131072 | 14 | 6512 | 112 | 112 | 16 | 128 | 14.4306717  | 1.766 | 6736 | 0.017130534 |
| lena16.bmp | lena16.bmp-withWavelet_rbio1.1-G_1-H7e-005_af3.wfa    | 393216  | 131072 | 131072 | 14 | 6512 | 112 | 112 | 16 | 128 | 14.4306717  | 1.797 | 6736 | 0.017130534 |
| lena16.bmp | lena16.bmp-withWavelet_sym1-G_1-H7e-005_af3.wfa       | 393216  | 131072 | 131072 | 14 | 6512 | 112 | 112 | 16 | 128 | 14.4306717  | 1.781 | 6736 | 0.017130534 |
| lena16.bmp | lena16.bmp-withWavelet_bior1.1-G_1-H7e-005_af3.wfa    | 393216  | 131072 | 131072 | 14 | 6512 | 112 | 112 | 16 | 128 | 14.4306717  | 1.765 | 6736 | 0.017130534 |
| lena16.bmp | lena16.bmp-withWavelet_haar-G_1-H7e-005_af2.wfa       | 98304   | 32768  | 32768  | 12 | 4848 | 96  | 96  | 16 | 64  | 14.42694292 | 0.422 | 5040 | 0.051269531 |
| lena16.bmp | lena16.bmp-withWavelet_rbio1.1-G_1-H7e-005_af2.wfa    | 98304   | 32768  | 32768  | 12 | 4848 | 96  | 96  | 16 | 64  | 14.42694292 | 0.421 | 5040 | 0.051269531 |

|            |   |         |        |        |    |      |     |     |    |     |             |       |      |             |
|------------|---|---------|--------|--------|----|------|-----|-----|----|-----|-------------|-------|------|-------------|
| lena16.bmp | lena16.bmp-withWavelet_sym1-G_1-H7e-005_af2.wfa       | 98304   | 32768  | 32768  | 12 | 4848 | 96  | 96  | 16 | 64  | 14.42694292 | 0.437 | 5040 | 0.051269531 |
| lena16.bmp | lena16.bmp-withWavelet_bior1.1-G_1-H7e-005_af2.wfa    | 98304   | 32768  | 32768  | 12 | 4848 | 96  | 96  | 16 | 64  | 14.42694292 | 0.406 | 5040 | 0.051269531 |
| lena16.bmp | lena16.bmp-withWavelet_haar-G_0.75-H8e-005_af3.wfa    | 393216  | 131072 | 131072 | 12 | 4848 | 96  | 96  | 16 | 128 | 14.42648609 | 1.656 | 5040 | 0.012817383 |
| lena16.bmp | lena16.bmp-withWavelet_rbio1.1-G_0.75-H8e-005_af3.wfa | 393216  | 131072 | 131072 | 12 | 4848 | 96  | 96  | 16 | 128 | 14.42648609 | 1.703 | 5040 | 0.012817383 |
| lena16.bmp | lena16.bmp-withWavelet_sym1-G_0.75-H8e-005_af3.wfa    | 393216  | 131072 | 131072 | 12 | 4848 | 96  | 96  | 16 | 128 | 14.42648609 | 1.688 | 5040 | 0.012817383 |
| lena16.bmp | lena16.bmp-withWavelet_bior1.1-G_0.75-H8e-005_af3.wfa | 393216  | 131072 | 131072 | 12 | 4848 | 96  | 96  | 16 | 128 | 14.42648609 | 1.672 | 5040 | 0.012817383 |
| lena16.bmp | lena16.bmp-withWavelet_haar-G_0.75-H9e-005_af3.wfa    | 393216  | 131072 | 131072 | 12 | 4848 | 96  | 96  | 16 | 128 | 14.42648609 | 1.656 | 5040 | 0.012817383 |
| lena16.bmp | lena16.bmp-withWavelet_rbio1.1-G_0.75-H9e-005_af3.wfa | 393216  | 131072 | 131072 | 12 | 4848 | 96  | 96  | 16 | 128 | 14.42648609 | 1.672 | 5040 | 0.012817383 |
| lena16.bmp | lena16.bmp-withWavelet_sym1-G_0.75-H9e-005_af3.wfa    | 393216  | 131072 | 131072 | 12 | 4848 | 96  | 96  | 16 | 128 | 14.42648609 | 1.656 | 5040 | 0.012817383 |
| lena16.bmp | lena16.bmp-withWavelet_bior1.1-G_0.75-H9e-005_af3.wfa | 393216  | 131072 | 131072 | 12 | 4848 | 96  | 96  | 16 | 128 | 14.42648609 | 1.688 | 5040 | 0.012817383 |
| lena16.bmp | lena16.bmp-withWavelet_haar-G_1-H3e-005_af5.wfa       | 1572864 | 524288 | 524288 | 13 | 5648 | 104 | 104 | 16 | 256 | 14.42290406 | 7.469 | 5856 | 0.003723145 |
| lena16.bmp | lena16.bmp-withWavelet_rbio1.1-G_1-H3e-005_af5.wfa    | 1572864 | 524288 | 524288 | 13 | 5648 | 104 | 104 | 16 | 256 | 14.42290406 | 8.203 | 5856 | 0.003723145 |
| lena16.bmp | lena16.bmp-withWavelet_sym1-G_1-H3e-005_af5.wfa       | 1572864 | 524288 | 524288 | 13 | 5648 | 104 | 104 | 16 | 256 | 14.42290406 | 7.531 | 5856 | 0.003723145 |
| lena16.bmp | lena16.bmp-withWavelet_bior1.1-G_1-H3e-005_af5.wfa    | 1572864 | 524288 | 524288 | 13 | 5648 | 104 | 104 | 16 | 256 | 14.42290406 | 7.609 | 5856 | 0.003723145 |
| lena16.bmp | lena16.bmp-withWavelet_haar-G_1-H1e-005_af4.wfa       | 393216  | 131072 | 131072 | 17 | 9488 | 136 | 136 | 16 | 128 | 14.42052542 | 2.094 | 9760 | 0.024820964 |
| lena16.bmp | lena16.bmp-withWavelet_rbio1.1-G_1-H1e-005_af4.wfa    | 393216  | 131072 | 131072 | 17 | 9488 | 136 | 136 | 16 | 128 | 14.42052542 | 2.032 | 9760 | 0.024820964 |
| lena16.bmp | lena16.bmp-withWavelet_sym1-G_1-H1e-005_af4.wfa       | 393216  | 131072 | 131072 | 17 | 9488 | 136 | 136 | 16 | 128 | 14.42052542 | 2.187 | 9760 | 0.024820964 |
| lena16.bmp | lena16.bmp-withWavelet_bior1.1-G_1-H1e-005_af4.wfa    | 393216  | 131072 | 131072 | 17 | 9488 | 136 | 136 | 16 | 128 | 14.42052542 | 2.047 | 9760 | 0.024820964 |
| lena16.bmp | lena16.bmp-G_0.5-H1e-005_af3.wfa                      | 24576   | 8192   |        | 15 | 7440 | 120 | 120 | 16 | 32  | 14.41866321 | 0.157 | 7680 | 0.3125      |
| lena16.bmp | lena16.bmp-withWavelet_haar-G_0.75-H2e-005_af4.wfa    | 393216  | 131072 | 131072 | 16 | 8432 | 128 | 128 | 16 | 128 | 14.41154203 | 1.954 | 8688 | 0.022094727 |
| lena16.bmp | lena16.bmp-withWavelet_rbio1.1-G_0.75-H2e-005_af4.wfa | 393216  | 131072 | 131072 | 16 | 8432 | 128 | 128 | 16 | 128 | 14.41154203 | 1.937 | 8688 | 0.022094727 |
| lena16.bmp | lena16.bmp-withWavelet_sym1-G_0.75-H2e-005_af4.wfa    | 393216  | 131072 | 131072 | 16 | 8432 | 128 | 128 | 16 | 128 | 14.41154203 | 1.921 | 8688 | 0.022094727 |
| lena16.bmp | lena16.bmp-withWavelet_bior1.1-G_0.75-H2e-005_af4.wfa | 393216  | 131072 | 131072 | 16 | 8432 | 128 | 128 | 16 | 128 | 14.41154203 | 1.938 | 8688 | 0.022094727 |
| lena16.bmp | lena16.bmp-withWavelet_haar-G_1-H6e-005_af2.wfa       | 393216  | 131072 | 131072 | 12 | 4848 | 96  | 96  | 16 | 128 | 14.41001123 | 1.704 | 5040 | 0.012817383 |
| lena16.bmp | lena16.bmp-withWavelet_rbio1.1-G_1-H6e-005_af2.wfa    | 393216  | 131072 | 131072 | 12 | 4848 | 96  | 96  | 16 | 128 | 14.41001123 | 1.672 | 5040 | 0.012817383 |
| lena16.bmp | lena16.bmp-withWavelet_sym1-G_1-H6e-005_af2.wfa       | 393216  | 131072 | 131072 | 12 | 4848 | 96  | 96  | 16 | 128 | 14.41001123 | 1.656 | 5040 | 0.012817383 |
| lena16.bmp | lena16.bmp-withWavelet_bior1.1-G_1-H6e-005_af2.wfa    | 393216  | 131072 | 131072 | 12 | 4848 | 96  | 96  | 16 | 128 | 14.41001123 | 1.704 | 5040 | 0.012817383 |
| lena16.bmp | lena16.bmp-withWavelet_haar-G_1-H5e-005_af3.wfa       | 393216  | 131072 | 131072 | 15 | 7440 | 120 | 120 | 16 | 128 | 14.40988896 | 1.86  | 7680 | 0.01953125  |
| lena16.bmp | lena16.bmp-withWavelet_rbio1.1-G_1-H5e-005_af3.wfa    | 393216  | 131072 | 131072 | 15 | 7440 | 120 | 120 | 16 | 128 | 14.40988896 | 1.875 | 7680 | 0.01953125  |
| lena16.bmp | lena16.bmp-withWavelet_sym1-G_1-H5e-005_af3.wfa       | 393216  | 131072 | 131072 | 15 | 7440 | 120 | 120 | 16 | 128 | 14.40988896 | 1.844 | 7680 | 0.01953125  |
| lena16.bmp | lena16.bmp-withWavelet_bior1.1-G_1-H5e-005_af3.wfa    | 393216  | 131072 | 131072 | 15 | 7440 | 120 | 120 | 16 | 128 | 14.40988896 | 1.859 | 7680 | 0.01953125  |

|            |   |         |        |        |    |      |     |     |    |     |             |       |      |             |
|------------|---|---------|--------|--------|----|------|-----|-----|----|-----|-------------|-------|------|-------------|
| lena16.bmp | lena16.bmp-withWavelet_haar-G_1-H5e-005_af5.wfa       | 24576   | 8192   | 8192   | 11 | 4112 | 88  | 88  | 16 | 32  | 14.40799392 | 0.11  | 4288 | 0.174479167 |
| lena16.bmp | lena16.bmp-withWavelet_rbio1.1-G_1-H5e-005_af5.wfa    | 24576   | 8192   | 8192   | 11 | 4112 | 88  | 88  | 16 | 32  | 14.40799392 | 0.109 | 4288 | 0.174479167 |
| lena16.bmp | lena16.bmp-withWavelet_sym1-G_1-H5e-005_af5.wfa       | 24576   | 8192   | 8192   | 11 | 4112 | 88  | 88  | 16 | 32  | 14.40799392 | 0.093 | 4288 | 0.174479167 |
| lena16.bmp | lena16.bmp-withWavelet_bior1.1-G_1-H5e-005_af5.wfa    | 24576   | 8192   | 8192   | 11 | 4112 | 88  | 88  | 16 | 32  | 14.40799392 | 0.094 | 4288 | 0.174479167 |
| lena16.bmp | lena16.bmp-withWavelet_haar-G_1-H5e-005_af4.wfa       | 98304   | 32768  | 32768  | 14 | 6512 | 112 | 112 | 16 | 64  | 14.40541311 | 0.422 | 6736 | 0.068522135 |
| lena16.bmp | lena16.bmp-withWavelet_rbio1.1-G_1-H5e-005_af4.wfa    | 98304   | 32768  | 32768  | 14 | 6512 | 112 | 112 | 16 | 64  | 14.40541311 | 0.438 | 6736 | 0.068522135 |
| lena16.bmp | lena16.bmp-withWavelet_sym1-G_1-H5e-005_af4.wfa       | 98304   | 32768  | 32768  | 14 | 6512 | 112 | 112 | 16 | 64  | 14.40541311 | 0.421 | 6736 | 0.068522135 |
| lena16.bmp | lena16.bmp-withWavelet_bior1.1-G_1-H5e-005_af4.wfa    | 98304   | 32768  | 32768  | 14 | 6512 | 112 | 112 | 16 | 64  | 14.40541311 | 0.422 | 6736 | 0.068522135 |
| lena16.bmp | lena16.bmp-withWavelet_haar-G_0.75-H6e-005_af4.wfa    | 98304   | 32768  | 32768  | 14 | 6512 | 112 | 112 | 16 | 64  | 14.39400129 | 0.422 | 6736 | 0.068522135 |
| lena16.bmp | lena16.bmp-withWavelet_rbio1.1-G_0.75-H6e-005_af4.wfa | 98304   | 32768  | 32768  | 14 | 6512 | 112 | 112 | 16 | 64  | 14.39400129 | 0.438 | 6736 | 0.068522135 |
| lena16.bmp | lena16.bmp-withWavelet_sym1-G_0.75-H6e-005_af4.wfa    | 98304   | 32768  | 32768  | 14 | 6512 | 112 | 112 | 16 | 64  | 14.39400129 | 0.422 | 6736 | 0.068522135 |
| lena16.bmp | lena16.bmp-withWavelet_bior1.1-G_0.75-H6e-005_af4.wfa | 98304   | 32768  | 32768  | 14 | 6512 | 112 | 112 | 16 | 64  | 14.39400129 | 0.422 | 6736 | 0.068522135 |
| lena16.bmp | lena16.bmp-withWavelet_haar-G_0.75-H7e-005_af2.wfa    | 393216  | 131072 | 131072 | 11 | 4112 | 88  | 88  | 16 | 128 | 14.38825224 | 1.625 | 4288 | 0.010904948 |
| lena16.bmp | lena16.bmp-withWavelet_rbio1.1-G_0.75-H7e-005_af2.wfa | 393216  | 131072 | 131072 | 11 | 4112 | 88  | 88  | 16 | 128 | 14.38825224 | 1.656 | 4288 | 0.010904948 |
| lena16.bmp | lena16.bmp-withWavelet_sym1-G_0.75-H7e-005_af2.wfa    | 393216  | 131072 | 131072 | 11 | 4112 | 88  | 88  | 16 | 128 | 14.38825224 | 1.625 | 4288 | 0.010904948 |
| lena16.bmp | lena16.bmp-withWavelet_bior1.1-G_0.75-H7e-005_af2.wfa | 393216  | 131072 | 131072 | 11 | 4112 | 88  | 88  | 16 | 128 | 14.38825224 | 1.625 | 4288 | 0.010904948 |
| lena16.bmp | lena16.bmp-withWavelet_haar-G_1-H3e-005_af2.wfa       | 1572864 | 524288 | 524288 | 16 | 8432 | 128 | 128 | 16 | 256 | 14.38759343 | 8.312 | 8688 | 0.005523682 |
| lena16.bmp | lena16.bmp-withWavelet_rbio1.1-G_1-H3e-005_af2.wfa    | 1572864 | 524288 | 524288 | 16 | 8432 | 128 | 128 | 16 | 256 | 14.38759343 | 8.937 | 8688 | 0.005523682 |
| lena16.bmp | lena16.bmp-withWavelet_sym1-G_1-H3e-005_af2.wfa       | 1572864 | 524288 | 524288 | 16 | 8432 | 128 | 128 | 16 | 256 | 14.38759343 | 8.375 | 8688 | 0.005523682 |
| lena16.bmp | lena16.bmp-withWavelet_bior1.1-G_1-H3e-005_af2.wfa    | 1572864 | 524288 | 524288 | 16 | 8432 | 128 | 128 | 16 | 256 | 14.38759343 | 8.235 | 8688 | 0.005523682 |
| lena16.bmp | lena16.bmp-withWavelet_haar-G_1-H5e-005_af5.wfa       | 393216  | 131072 | 131072 | 11 | 4112 | 88  | 88  | 16 | 128 | 14.38646885 | 1.609 | 4288 | 0.010904948 |
| lena16.bmp | lena16.bmp-withWavelet_rbio1.1-G_1-H5e-005_af5.wfa    | 393216  | 131072 | 131072 | 11 | 4112 | 88  | 88  | 16 | 128 | 14.38646885 | 1.625 | 4288 | 0.010904948 |
| lena16.bmp | lena16.bmp-withWavelet_sym1-G_1-H5e-005_af5.wfa       | 393216  | 131072 | 131072 | 11 | 4112 | 88  | 88  | 16 | 128 | 14.38646885 | 1.609 | 4288 | 0.010904948 |
| lena16.bmp | lena16.bmp-withWavelet_bior1.1-G_1-H5e-005_af5.wfa    | 393216  | 131072 | 131072 | 11 | 4112 | 88  | 88  | 16 | 128 | 14.38646885 | 1.641 | 4288 | 0.010904948 |
| lena16.bmp | lena16.bmp-withWavelet_haar-G_0.75-H1e-005_af4.wfa    | 1572864 | 524288 | 524288 | 17 | 9488 | 136 | 136 | 16 | 256 | 14.38586634 | 8.813 | 9760 | 0.006205241 |
| lena16.bmp | lena16.bmp-withWavelet_rbio1.1-G_0.75-H1e-005_af4.wfa | 1572864 | 524288 | 524288 | 17 | 9488 | 136 | 136 | 16 | 256 | 14.38586634 | 8.641 | 9760 | 0.006205241 |
| lena16.bmp | lena16.bmp-withWavelet_sym1-G_0.75-H1e-005_af4.wfa    | 1572864 | 524288 | 524288 | 17 | 9488 | 136 | 136 | 16 | 256 | 14.38586634 | 8.781 | 9760 | 0.006205241 |
| lena16.bmp | lena16.bmp-withWavelet_bior1.1-G_0.75-H1e-005_af4.wfa | 1572864 | 524288 | 524288 | 17 | 9488 | 136 | 136 | 16 | 256 | 14.38586634 | 8.766 | 9760 | 0.006205241 |
| lena16.bmp | lena16.bmp-withWavelet_haar-G_0.75-H3e-005_af1.wfa    | 1572864 | 524288 | 524288 | 16 | 8432 | 128 | 128 | 16 | 256 | 14.38263567 | 8.922 | 8688 | 0.005523682 |
| lena16.bmp | lena16.bmp-withWavelet_rbio1.1-G_0.75-H3e-005_af1.wfa | 1572864 | 524288 | 524288 | 16 | 8432 | 128 | 128 | 16 | 256 | 14.38263567 | 8.109 | 8688 | 0.005523682 |
| lena16.bmp | lena16.bmp-withWavelet_sym1-G_0.75-H3e-005_af1.wfa    | 1572864 | 524288 | 524288 | 16 | 8432 | 128 | 128 | 16 | 256 | 14.38263567 | 8.797 | 8688 | 0.005523682 |

|            |   |         |        |        |    |      |     |     |    |     |             |       |      |             |
|------------|---|---------|--------|--------|----|------|-----|-----|----|-----|-------------|-------|------|-------------|
| lena16.bmp | lena16.bmp-withWavelet_bior1.1-G_0.75-H3e-005_af1.wfa | 1572864 | 524288 | 524288 | 16 | 8432 | 128 | 128 | 16 | 256 | 14.38263567 | 8.125 | 8688 | 0.005523682 |
| lena16.bmp | lena16.bmp-withWavelet_haar-G_1-H6e-005_af4.wfa       | 1572864 | 524288 | 524288 | 14 | 6512 | 112 | 112 | 16 | 256 | 14.38170422 | 7.516 | 6736 | 0.004282633 |
| lena16.bmp | lena16.bmp-withWavelet_rbio1.1-G_1-H6e-005_af4.wfa    | 1572864 | 524288 | 524288 | 14 | 6512 | 112 | 112 | 16 | 256 | 14.38170422 | 7.625 | 6736 | 0.004282633 |
| lena16.bmp | lena16.bmp-withWavelet_sym1-G_1-H6e-005_af4.wfa       | 1572864 | 524288 | 524288 | 14 | 6512 | 112 | 112 | 16 | 256 | 14.38170422 | 7.578 | 6736 | 0.004282633 |
| lena16.bmp | lena16.bmp-withWavelet_bior1.1-G_1-H6e-005_af4.wfa    | 1572864 | 524288 | 524288 | 14 | 6512 | 112 | 112 | 16 | 256 | 14.38170422 | 7.641 | 6736 | 0.004282633 |
| lena16.bmp | lena16.bmp-withWavelet_haar-G_1-H5e-005_af2.wfa       | 98304   | 32768  | 32768  | 13 | 5648 | 104 | 104 | 16 | 64  | 14.38144315 | 0.422 | 5856 | 0.059570313 |
| lena16.bmp | lena16.bmp-withWavelet_rbio1.1-G_1-H5e-005_af2.wfa    | 98304   | 32768  | 32768  | 13 | 5648 | 104 | 104 | 16 | 64  | 14.38144315 | 0.422 | 5856 | 0.059570313 |
| lena16.bmp | lena16.bmp-withWavelet_sym1-G_1-H5e-005_af2.wfa       | 98304   | 32768  | 32768  | 13 | 5648 | 104 | 104 | 16 | 64  | 14.38144315 | 0.407 | 5856 | 0.059570313 |
| lena16.bmp | lena16.bmp-withWavelet_bior1.1-G_1-H5e-005_af2.wfa    | 98304   | 32768  | 32768  | 13 | 5648 | 104 | 104 | 16 | 64  | 14.38144315 | 0.422 | 5856 | 0.059570313 |
| lena16.bmp | lena16.bmp-withWavelet_haar-G_0.75-H4e-005_af2.wfa    | 98304   | 32768  | 32768  | 14 | 6512 | 112 | 112 | 16 | 64  | 14.37974025 | 0.437 | 6736 | 0.068522135 |
| lena16.bmp | lena16.bmp-withWavelet_rbio1.1-G_0.75-H4e-005_af2.wfa | 98304   | 32768  | 32768  | 14 | 6512 | 112 | 112 | 16 | 64  | 14.37974025 | 0.422 | 6736 | 0.068522135 |
| lena16.bmp | lena16.bmp-withWavelet_sym1-G_0.75-H4e-005_af2.wfa    | 98304   | 32768  | 32768  | 14 | 6512 | 112 | 112 | 16 | 64  | 14.37974025 | 0.438 | 6736 | 0.068522135 |
| lena16.bmp | lena16.bmp-withWavelet_bior1.1-G_0.75-H4e-005_af2.wfa | 98304   | 32768  | 32768  | 14 | 6512 | 112 | 112 | 16 | 64  | 14.37974025 | 0.437 | 6736 | 0.068522135 |
| lena16.bmp | lena16.bmp-withWavelet_haar-G_1-H6e-005_af4.wfa       | 393216  | 131072 | 131072 | 14 | 6512 | 112 | 112 | 16 | 128 | 14.37793616 | 1.766 | 6736 | 0.017130534 |
| lena16.bmp | lena16.bmp-withWavelet_rbio1.1-G_1-H6e-005_af4.wfa    | 393216  | 131072 | 131072 | 14 | 6512 | 112 | 112 | 16 | 128 | 14.37793616 | 1.781 | 6736 | 0.017130534 |
| lena16.bmp | lena16.bmp-withWavelet_sym1-G_1-H6e-005_af4.wfa       | 393216  | 131072 | 131072 | 14 | 6512 | 112 | 112 | 16 | 128 | 14.37793616 | 1.766 | 6736 | 0.017130534 |
| lena16.bmp | lena16.bmp-withWavelet_bior1.1-G_1-H6e-005_af4.wfa    | 393216  | 131072 | 131072 | 14 | 6512 | 112 | 112 | 16 | 128 | 14.37793616 | 1.781 | 6736 | 0.017130534 |
| lena16.bmp | lena16.bmp-withWavelet_haar-G_0.75-H4e-005_af1.wfa    | 98304   | 32768  | 32768  | 15 | 7440 | 120 | 120 | 16 | 64  | 14.37335818 | 0.453 | 7680 | 0.078125    |
| lena16.bmp | lena16.bmp-withWavelet_rbio1.1-G_0.75-H4e-005_af1.wfa | 98304   | 32768  | 32768  | 15 | 7440 | 120 | 120 | 16 | 64  | 14.37335818 | 0.453 | 7680 | 0.078125    |
| lena16.bmp | lena16.bmp-withWavelet_sym1-G_0.75-H4e-005_af1.wfa    | 98304   | 32768  | 32768  | 15 | 7440 | 120 | 120 | 16 | 64  | 14.37335818 | 0.438 | 7680 | 0.078125    |
| lena16.bmp | lena16.bmp-withWavelet_bior1.1-G_0.75-H4e-005_af1.wfa | 98304   | 32768  | 32768  | 15 | 7440 | 120 | 120 | 16 | 64  | 14.37335818 | 0.453 | 7680 | 0.078125    |
| lena16.bmp | lena16.bmp-withWavelet_haar-G_0.75-H3e-005_af4.wfa    | 1572864 | 524288 | 524288 | 15 | 7440 | 120 | 120 | 16 | 256 | 14.37313758 | 8     | 7680 | 0.004882813 |
| lena16.bmp | lena16.bmp-withWavelet_rbio1.1-G_0.75-H3e-005_af4.wfa | 1572864 | 524288 | 524288 | 15 | 7440 | 120 | 120 | 16 | 256 | 14.37313758 | 8.187 | 7680 | 0.004882813 |
| lena16.bmp | lena16.bmp-withWavelet_sym1-G_0.75-H3e-005_af4.wfa    | 1572864 | 524288 | 524288 | 15 | 7440 | 120 | 120 | 16 | 256 | 14.37313758 | 8.61  | 7680 | 0.004882813 |
| lena16.bmp | lena16.bmp-withWavelet_bior1.1-G_0.75-H3e-005_af4.wfa | 1572864 | 524288 | 524288 | 15 | 7440 | 120 | 120 | 16 | 256 | 14.37313758 | 8.203 | 7680 | 0.004882813 |
| lena16.bmp | lena16.bmp-withWavelet_haar-G_0.75-H9e-005_af5.wfa    | 98304   | 32768  | 32768  | 8  | 2288 | 64  | 64  | 16 | 64  | 14.37275468 | 0.375 | 2416 | 0.024576823 |
| lena16.bmp | lena16.bmp-withWavelet_rbio1.1-G_0.75-H9e-005_af5.wfa | 98304   | 32768  | 32768  | 8  | 2288 | 64  | 64  | 16 | 64  | 14.37275468 | 0.36  | 2416 | 0.024576823 |
| lena16.bmp | lena16.bmp-withWavelet_sym1-G_0.75-H9e-005_af5.wfa    | 98304   | 32768  | 32768  | 8  | 2288 | 64  | 64  | 16 | 64  | 14.37275468 | 0.36  | 2416 | 0.024576823 |
| lena16.bmp | lena16.bmp-withWavelet_bior1.1-G_0.75-H9e-005_af5.wfa | 98304   | 32768  | 32768  | 8  | 2288 | 64  | 64  | 16 | 64  | 14.37275468 | 0.375 | 2416 | 0.024576823 |
| lena16.bmp | lena16.bmp-withWavelet_haar-G_0.75-H0.0001_af5.wfa    | 98304   | 32768  | 32768  | 8  | 2288 | 64  | 64  | 16 | 64  | 14.37275468 | 0.359 | 2416 | 0.024576823 |
| lena16.bmp | lena16.bmp-withWavelet_rbio1.1-G_0.75-H0.0001_af5.wfa | 98304   | 32768  | 32768  | 8  | 2288 | 64  | 64  | 16 | 64  | 14.37275468 | 0.375 | 2416 | 0.024576823 |

|            |   |        |        |        |    |      |     |     |    |     |             |       |      |             |
|------------|---|--------|--------|--------|----|------|-----|-----|----|-----|-------------|-------|------|-------------|
| lena16.bmp | lena16.bmp-withWavelet_sym1-G_0.75-H0.0001_af5.wfa    | 98304  | 32768  | 32768  | 8  | 2288 | 64  | 64  | 16 | 64  | 14.37275468 | 0.375 | 2416 | 0.024576823 |
| lena16.bmp | lena16.bmp-withWavelet_bior1.1-G_0.75-H0.0001_af5.wfa | 98304  | 32768  | 32768  | 8  | 2288 | 64  | 64  | 16 | 64  | 14.37275468 | 0.36  | 2416 | 0.024576823 |
| lena16.bmp | lena16.bmp-withWavelet_haar-G_1-H0.0001_af4.wfa       | 393216 | 131072 | 131072 | 10 | 3440 | 80  | 80  | 16 | 128 | 14.37262384 | 1.594 | 3600 | 0.009155273 |
| lena16.bmp | lena16.bmp-withWavelet_rbio1.1-G_1-H0.0001_af4.wfa    | 393216 | 131072 | 131072 | 10 | 3440 | 80  | 80  | 16 | 128 | 14.37262384 | 1.562 | 3600 | 0.009155273 |
| lena16.bmp | lena16.bmp-withWavelet_sym1-G_1-H0.0001_af4.wfa       | 393216 | 131072 | 131072 | 10 | 3440 | 80  | 80  | 16 | 128 | 14.37262384 | 1.562 | 3600 | 0.009155273 |
| lena16.bmp | lena16.bmp-withWavelet_bior1.1-G_1-H0.0001_af4.wfa    | 393216 | 131072 | 131072 | 10 | 3440 | 80  | 80  | 16 | 128 | 14.37262384 | 1.563 | 3600 | 0.009155273 |
| lena16.bmp | lena16.bmp-withWavelet_haar-G_1-H4e-005_af5.wfa       | 393216 | 131072 | 131072 | 12 | 4848 | 96  | 96  | 16 | 128 | 14.37018799 | 1.688 | 5040 | 0.012817383 |
| lena16.bmp | lena16.bmp-withWavelet_rbio1.1-G_1-H4e-005_af5.wfa    | 393216 | 131072 | 131072 | 12 | 4848 | 96  | 96  | 16 | 128 | 14.37018799 | 1.672 | 5040 | 0.012817383 |
| lena16.bmp | lena16.bmp-withWavelet_sym1-G_1-H4e-005_af5.wfa       | 393216 | 131072 | 131072 | 12 | 4848 | 96  | 96  | 16 | 128 | 14.37018799 | 1.672 | 5040 | 0.012817383 |
| lena16.bmp | lena16.bmp-withWavelet_bior1.1-G_1-H4e-005_af5.wfa    | 393216 | 131072 | 131072 | 12 | 4848 | 96  | 96  | 16 | 128 | 14.37018799 | 1.688 | 5040 | 0.012817383 |
| lena16.bmp | lena16.bmp-withWavelet_haar-G_0.75-H4e-005_af1.wfa    | 393216 | 131072 | 131072 | 15 | 7440 | 120 | 120 | 16 | 128 | 14.36935532 | 1.984 | 7680 | 0.01953125  |
| lena16.bmp | lena16.bmp-withWavelet_rbio1.1-G_0.75-H4e-005_af1.wfa | 393216 | 131072 | 131072 | 15 | 7440 | 120 | 120 | 16 | 128 | 14.36935532 | 1.859 | 7680 | 0.01953125  |
| lena16.bmp | lena16.bmp-withWavelet_sym1-G_0.75-H4e-005_af1.wfa    | 393216 | 131072 | 131072 | 15 | 7440 | 120 | 120 | 16 | 128 | 14.36935532 | 1.859 | 7680 | 0.01953125  |
| lena16.bmp | lena16.bmp-withWavelet_bior1.1-G_0.75-H4e-005_af1.wfa | 393216 | 131072 | 131072 | 15 | 7440 | 120 | 120 | 16 | 128 | 14.36935532 | 1.844 | 7680 | 0.01953125  |
| lena16.bmp | lena16.bmp-withWavelet_haar-G_1-H6e-005_af5.wfa       | 98304  | 32768  | 32768  | 10 | 3440 | 80  | 80  | 16 | 64  | 14.36917219 | 0.391 | 3600 | 0.036621094 |
| lena16.bmp | lena16.bmp-withWavelet_rbio1.1-G_1-H6e-005_af5.wfa    | 98304  | 32768  | 32768  | 10 | 3440 | 80  | 80  | 16 | 64  | 14.36917219 | 0.39  | 3600 | 0.036621094 |
| lena16.bmp | lena16.bmp-withWavelet_sym1-G_1-H6e-005_af5.wfa       | 98304  | 32768  | 32768  | 10 | 3440 | 80  | 80  | 16 | 64  | 14.36917219 | 0.375 | 3600 | 0.036621094 |
| lena16.bmp | lena16.bmp-withWavelet_bior1.1-G_1-H6e-005_af5.wfa    | 98304  | 32768  | 32768  | 10 | 3440 | 80  | 80  | 16 | 64  | 14.36917219 | 0.391 | 3600 | 0.036621094 |
| lena16.bmp | lena16.bmp-withWavelet_haar-G_1-H7e-005_af5.wfa       | 98304  | 32768  | 32768  | 10 | 3440 | 80  | 80  | 16 | 64  | 14.36917219 | 0.391 | 3600 | 0.036621094 |
| lena16.bmp | lena16.bmp-withWavelet_rbio1.1-G_1-H7e-005_af5.wfa    | 98304  | 32768  | 32768  | 10 | 3440 | 80  | 80  | 16 | 64  | 14.36917219 | 0.375 | 3600 | 0.036621094 |
| lena16.bmp | lena16.bmp-withWavelet_sym1-G_1-H7e-005_af5.wfa       | 98304  | 32768  | 32768  | 10 | 3440 | 80  | 80  | 16 | 64  | 14.36917219 | 0.391 | 3600 | 0.036621094 |
| lena16.bmp | lena16.bmp-withWavelet_bior1.1-G_1-H7e-005_af5.wfa    | 98304  | 32768  | 32768  | 10 | 3440 | 80  | 80  | 16 | 64  | 14.36917219 | 0.375 | 3600 | 0.036621094 |
| lena16.bmp | lena16.bmp-withWavelet_haar-G_1-H3e-005_af1.wfa       | 393216 | 131072 | 131072 | 16 | 8432 | 128 | 128 | 16 | 128 | 14.36778027 | 2     | 8688 | 0.022094727 |
| lena16.bmp | lena16.bmp-withWavelet_rbio1.1-G_1-H3e-005_af1.wfa    | 393216 | 131072 | 131072 | 16 | 8432 | 128 | 128 | 16 | 128 | 14.36778027 | 2.078 | 8688 | 0.022094727 |
| lena16.bmp | lena16.bmp-withWavelet_sym1-G_1-H3e-005_af1.wfa       | 393216 | 131072 | 131072 | 16 | 8432 | 128 | 128 | 16 | 128 | 14.36778027 | 2.094 | 8688 | 0.022094727 |
| lena16.bmp | lena16.bmp-withWavelet_bior1.1-G_1-H3e-005_af1.wfa    | 393216 | 131072 | 131072 | 16 | 8432 | 128 | 128 | 16 | 128 | 14.36778027 | 1.953 | 8688 | 0.022094727 |
| lena16.bmp | lena16.bmp-withWavelet_haar-G_0.75-H7e-005_af5.wfa    | 393216 | 131072 | 131072 | 9  | 2832 | 72  | 72  | 16 | 128 | 14.36777384 | 1.547 | 2976 | 0.007568359 |
| lena16.bmp | lena16.bmp-withWavelet_rbio1.1-G_0.75-H7e-005_af5.wfa | 393216 | 131072 | 131072 | 9  | 2832 | 72  | 72  | 16 | 128 | 14.36777384 | 1.532 | 2976 | 0.007568359 |
| lena16.bmp | lena16.bmp-withWavelet_sym1-G_0.75-H7e-005_af5.wfa    | 393216 | 131072 | 131072 | 9  | 2832 | 72  | 72  | 16 | 128 | 14.36777384 | 1.563 | 2976 | 0.007568359 |
| lena16.bmp | lena16.bmp-withWavelet_bior1.1-G_0.75-H7e-005_af5.wfa | 393216 | 131072 | 131072 | 9  | 2832 | 72  | 72  | 16 | 128 | 14.36777384 | 1.547 | 2976 | 0.007568359 |
| lena16.bmp | lena16.bmp-withWavelet_haar-G_0.75-H8e-005_af5.wfa    | 393216 | 131072 | 131072 | 9  | 2832 | 72  | 72  | 16 | 128 | 14.36777384 | 1.578 | 2976 | 0.007568359 |



|            |   |         |        |        |    |      |     |     |    |     |             |       |      |             |
|------------|---|---------|--------|--------|----|------|-----|-----|----|-----|-------------|-------|------|-------------|
| lena16.bmp | lena16.bmp-withWavelet_rbio1.1-G_0.75-H8e-005_af5.wfa | 393216  | 131072 | 131072 | 9  | 2832 | 72  | 72  | 16 | 128 | 14.36777384 | 1.562 | 2976 | 0.007568359 |
| lena16.bmp | lena16.bmp-withWavelet_sym1-G_0.75-H8e-005_af5.wfa    | 393216  | 131072 | 131072 | 9  | 2832 | 72  | 72  | 16 | 128 | 14.36777384 | 1.547 | 2976 | 0.007568359 |
| lena16.bmp | lena16.bmp-withWavelet_bior1.1-G_0.75-H8e-005_af5.wfa | 393216  | 131072 | 131072 | 9  | 2832 | 72  | 72  | 16 | 128 | 14.36777384 | 1.547 | 2976 | 0.007568359 |
| lena16.bmp | lena16.bmp-withWavelet_haar-G_0.75-H8e-005_af2.wfa    | 393216  | 131072 | 131072 | 11 | 4112 | 88  | 88  | 16 | 128 | 14.36691226 | 1.625 | 4288 | 0.010904948 |
| lena16.bmp | lena16.bmp-withWavelet_rbio1.1-G_0.75-H8e-005_af2.wfa | 393216  | 131072 | 131072 | 11 | 4112 | 88  | 88  | 16 | 128 | 14.36691226 | 1.641 | 4288 | 0.010904948 |
| lena16.bmp | lena16.bmp-withWavelet_sym1-G_0.75-H8e-005_af2.wfa    | 393216  | 131072 | 131072 | 11 | 4112 | 88  | 88  | 16 | 128 | 14.36691226 | 1.625 | 4288 | 0.010904948 |
| lena16.bmp | lena16.bmp-withWavelet_bior1.1-G_0.75-H8e-005_af2.wfa | 393216  | 131072 | 131072 | 11 | 4112 | 88  | 88  | 16 | 128 | 14.36691226 | 1.609 | 4288 | 0.010904948 |
| lena16.bmp | lena16.bmp-withWavelet_haar-G_0.75-H6e-005_af2.wfa    | 1572864 | 524288 | 524288 | 13 | 5648 | 104 | 104 | 16 | 256 | 14.36620252 | 7.453 | 5856 | 0.003723145 |
| lena16.bmp | lena16.bmp-withWavelet_rbio1.1-G_0.75-H6e-005_af2.wfa | 1572864 | 524288 | 524288 | 13 | 5648 | 104 | 104 | 16 | 256 | 14.36620252 | 7.406 | 5856 | 0.003723145 |
| lena16.bmp | lena16.bmp-withWavelet_sym1-G_0.75-H6e-005_af2.wfa    | 1572864 | 524288 | 524288 | 13 | 5648 | 104 | 104 | 16 | 256 | 14.36620252 | 7.422 | 5856 | 0.003723145 |
| lena16.bmp | lena16.bmp-withWavelet_bior1.1-G_0.75-H6e-005_af2.wfa | 1572864 | 524288 | 524288 | 13 | 5648 | 104 | 104 | 16 | 256 | 14.36620252 | 7.469 | 5856 | 0.003723145 |
| lena16.bmp | lena16.bmp-withWavelet_haar-G_0.75-H1e-005_af5.wfa    | 24576   | 8192   | 8192   | 17 | 9488 | 136 | 136 | 16 | 32  | 14.36536107 | 0.125 | 9760 | 0.397135417 |
| lena16.bmp | lena16.bmp-withWavelet_rbio1.1-G_0.75-H1e-005_af5.wfa | 24576   | 8192   | 8192   | 17 | 9488 | 136 | 136 | 16 | 32  | 14.36536107 | 0.125 | 9760 | 0.397135417 |
| lena16.bmp | lena16.bmp-withWavelet_sym1-G_0.75-H1e-005_af5.wfa    | 24576   | 8192   | 8192   | 17 | 9488 | 136 | 136 | 16 | 32  | 14.36536107 | 0.141 | 9760 | 0.397135417 |
| lena16.bmp | lena16.bmp-withWavelet_bior1.1-G_0.75-H1e-005_af5.wfa | 24576   | 8192   | 8192   | 17 | 9488 | 136 | 136 | 16 | 32  | 14.36536107 | 0.125 | 9760 | 0.397135417 |
| lena16.bmp | lena16.bmp-withWavelet_haar-G_1-H3e-005_af1.wfa       | 98304   | 32768  | 32768  | 16 | 8432 | 128 | 128 | 16 | 64  | 14.36329187 | 0.469 | 8688 | 0.088378906 |
| lena16.bmp | lena16.bmp-withWavelet_rbio1.1-G_1-H3e-005_af1.wfa    | 98304   | 32768  | 32768  | 16 | 8432 | 128 | 128 | 16 | 64  | 14.36329187 | 0.609 | 8688 | 0.088378906 |
| lena16.bmp | lena16.bmp-withWavelet_sym1-G_1-H3e-005_af1.wfa       | 98304   | 32768  | 32768  | 16 | 8432 | 128 | 128 | 16 | 64  | 14.36329187 | 0.453 | 8688 | 0.088378906 |
| lena16.bmp | lena16.bmp-withWavelet_bior1.1-G_1-H3e-005_af1.wfa    | 98304   | 32768  | 32768  | 16 | 8432 | 128 | 128 | 16 | 64  | 14.36329187 | 0.468 | 8688 | 0.088378906 |
| lena16.bmp | lena16.bmp-withWavelet_haar-G_0.75-H3e-005_af2.wfa    | 1572864 | 524288 | 524288 | 15 | 7440 | 120 | 120 | 16 | 256 | 14.35578615 | 8.047 | 7680 | 0.004882813 |
| lena16.bmp | lena16.bmp-withWavelet_rbio1.1-G_0.75-H3e-005_af2.wfa | 1572864 | 524288 | 524288 | 15 | 7440 | 120 | 120 | 16 | 256 | 14.35578615 | 8.015 | 7680 | 0.004882813 |
| lena16.bmp | lena16.bmp-withWavelet_sym1-G_0.75-H3e-005_af2.wfa    | 1572864 | 524288 | 524288 | 15 | 7440 | 120 | 120 | 16 | 256 | 14.35578615 | 8     | 7680 | 0.004882813 |
| lena16.bmp | lena16.bmp-withWavelet_bior1.1-G_0.75-H3e-005_af2.wfa | 1572864 | 524288 | 524288 | 15 | 7440 | 120 | 120 | 16 | 256 | 14.35578615 | 8.062 | 7680 | 0.004882813 |
| lena16.bmp | lena16.bmp-withWavelet_haar-G_0.75-H3e-005_af4.wfa    | 393216  | 131072 | 131072 | 15 | 7440 | 120 | 120 | 16 | 128 | 14.35296844 | 1.875 | 7680 | 0.01953125  |
| lena16.bmp | lena16.bmp-withWavelet_rbio1.1-G_0.75-H3e-005_af4.wfa | 393216  | 131072 | 131072 | 15 | 7440 | 120 | 120 | 16 | 128 | 14.35296844 | 1.891 | 7680 | 0.01953125  |
| lena16.bmp | lena16.bmp-withWavelet_sym1-G_0.75-H3e-005_af4.wfa    | 393216  | 131072 | 131072 | 15 | 7440 | 120 | 120 | 16 | 128 | 14.35296844 | 1.875 | 7680 | 0.01953125  |
| lena16.bmp | lena16.bmp-withWavelet_bior1.1-G_0.75-H3e-005_af4.wfa | 393216  | 131072 | 131072 | 15 | 7440 | 120 | 120 | 16 | 128 | 14.35296844 | 1.875 | 7680 | 0.01953125  |
| lena16.bmp | lena16.bmp-withWavelet_haar-G_1-H5e-005_af4.wfa       | 1572864 | 524288 | 524288 | 14 | 6512 | 112 | 112 | 16 | 256 | 14.35119774 | 7.515 | 6736 | 0.004282633 |
| lena16.bmp | lena16.bmp-withWavelet_rbio1.1-G_1-H5e-005_af4.wfa    | 1572864 | 524288 | 524288 | 14 | 6512 | 112 | 112 | 16 | 256 | 14.35119774 | 7.546 | 6736 | 0.004282633 |
| lena16.bmp | lena16.bmp-withWavelet_sym1-G_1-H5e-005_af4.wfa       | 1572864 | 524288 | 524288 | 14 | 6512 | 112 | 112 | 16 | 256 | 14.35119774 | 7.781 | 6736 | 0.004282633 |
| lena16.bmp | lena16.bmp-withWavelet_bior1.1-G_1-H5e-005_af4.wfa    | 1572864 | 524288 | 524288 | 14 | 6512 | 112 | 112 | 16 | 256 | 14.35119774 | 7.531 | 6736 | 0.004282633 |

|            |   |         |        |        |    |      |     |     |    |     |             |        |      |             |
|------------|---|---------|--------|--------|----|------|-----|-----|----|-----|-------------|--------|------|-------------|
| lena16.bmp | lena16.bmp-withWavelet_haar-G_0.75-H0.0001_af4.wfa    | 98304   | 32768  | 32768  | 11 | 4112 | 88  | 88  | 16 | 64  | 14.34729722 | 0.422  | 4288 | 0.043619792 |
| lena16.bmp | lena16.bmp-withWavelet_rbio1.1-G_0.75-H0.0001_af4.wfa | 98304   | 32768  | 32768  | 11 | 4112 | 88  | 88  | 16 | 64  | 14.34729722 | 0.406  | 4288 | 0.043619792 |
| lena16.bmp | lena16.bmp-withWavelet_sym1-G_0.75-H0.0001_af4.wfa    | 98304   | 32768  | 32768  | 11 | 4112 | 88  | 88  | 16 | 64  | 14.34729722 | 0.407  | 4288 | 0.043619792 |
| lena16.bmp | lena16.bmp-withWavelet_bior1.1-G_0.75-H0.0001_af4.wfa | 98304   | 32768  | 32768  | 11 | 4112 | 88  | 88  | 16 | 64  | 14.34729722 | 0.391  | 4288 | 0.043619792 |
| lena16.bmp | lena16.bmp-withWavelet_haar-G_0.75-H1e-005_af4.wfa    | 393216  | 131072 | 131072 | 17 | 9488 | 136 | 136 | 16 | 128 | 14.34685207 | 2.204  | 9760 | 0.024820964 |
| lena16.bmp | lena16.bmp-withWavelet_rbio1.1-G_0.75-H1e-005_af4.wfa | 393216  | 131072 | 131072 | 17 | 9488 | 136 | 136 | 16 | 128 | 14.34685207 | 2      | 9760 | 0.024820964 |
| lena16.bmp | lena16.bmp-withWavelet_sym1-G_0.75-H1e-005_af4.wfa    | 393216  | 131072 | 131072 | 17 | 9488 | 136 | 136 | 16 | 128 | 14.34685207 | 2.203  | 9760 | 0.024820964 |
| lena16.bmp | lena16.bmp-withWavelet_bior1.1-G_0.75-H1e-005_af4.wfa | 393216  | 131072 | 131072 | 17 | 9488 | 136 | 136 | 16 | 128 | 14.34685207 | 2.047  | 9760 | 0.024820964 |
| lena16.bmp | lena16.bmp-withWavelet_haar-G_1-H5e-005_af4.wfa       | 393216  | 131072 | 131072 | 14 | 6512 | 112 | 112 | 16 | 128 | 14.34506832 | 1.766  | 6736 | 0.017130534 |
| lena16.bmp | lena16.bmp-withWavelet_rbio1.1-G_1-H5e-005_af4.wfa    | 393216  | 131072 | 131072 | 14 | 6512 | 112 | 112 | 16 | 128 | 14.34506832 | 1.797  | 6736 | 0.017130534 |
| lena16.bmp | lena16.bmp-withWavelet_sym1-G_1-H5e-005_af4.wfa       | 393216  | 131072 | 131072 | 14 | 6512 | 112 | 112 | 16 | 128 | 14.34506832 | 1.766  | 6736 | 0.017130534 |
| lena16.bmp | lena16.bmp-withWavelet_bior1.1-G_1-H5e-005_af4.wfa    | 393216  | 131072 | 131072 | 14 | 6512 | 112 | 112 | 16 | 128 | 14.34506832 | 1.797  | 6736 | 0.017130534 |
| lena16.bmp | lena16.bmp-withWavelet_haar-G_0.75-H5e-005_af3.wfa    | 1572864 | 524288 | 524288 | 14 | 6512 | 112 | 112 | 16 | 256 | 14.34196291 | 7.516  | 6736 | 0.004282633 |
| lena16.bmp | lena16.bmp-withWavelet_rbio1.1-G_0.75-H5e-005_af3.wfa | 1572864 | 524288 | 524288 | 14 | 6512 | 112 | 112 | 16 | 256 | 14.34196291 | 7.469  | 6736 | 0.004282633 |
| lena16.bmp | lena16.bmp-withWavelet_sym1-G_0.75-H5e-005_af3.wfa    | 1572864 | 524288 | 524288 | 14 | 6512 | 112 | 112 | 16 | 256 | 14.34196291 | 7.547  | 6736 | 0.004282633 |
| lena16.bmp | lena16.bmp-withWavelet_bior1.1-G_0.75-H5e-005_af3.wfa | 1572864 | 524288 | 524288 | 14 | 6512 | 112 | 112 | 16 | 256 | 14.34196291 | 7.531  | 6736 | 0.004282633 |
| lena16.bmp | lena16.bmp-withWavelet_haar-G_0.75-H5e-005_af4.wfa    | 98304   | 32768  | 32768  | 14 | 6512 | 112 | 112 | 16 | 64  | 14.34026324 | 0.438  | 6736 | 0.068522135 |
| lena16.bmp | lena16.bmp-withWavelet_rbio1.1-G_0.75-H5e-005_af4.wfa | 98304   | 32768  | 32768  | 14 | 6512 | 112 | 112 | 16 | 64  | 14.34026324 | 0.422  | 6736 | 0.068522135 |
| lena16.bmp | lena16.bmp-withWavelet_sym1-G_0.75-H5e-005_af4.wfa    | 98304   | 32768  | 32768  | 14 | 6512 | 112 | 112 | 16 | 64  | 14.34026324 | 0.437  | 6736 | 0.068522135 |
| lena16.bmp | lena16.bmp-withWavelet_bior1.1-G_0.75-H5e-005_af4.wfa | 98304   | 32768  | 32768  | 14 | 6512 | 112 | 112 | 16 | 64  | 14.34026324 | 0.422  | 6736 | 0.068522135 |
| lena16.bmp | lena16.bmp-withWavelet_haar-G_1-H2e-005_af2.wfa       | 1572864 | 524288 | 524288 | 17 | 9488 | 136 | 136 | 16 | 256 | 14.34010318 | 8.594  | 9760 | 0.006205241 |
| lena16.bmp | lena16.bmp-withWavelet_rbio1.1-G_1-H2e-005_af2.wfa    | 1572864 | 524288 | 524288 | 17 | 9488 | 136 | 136 | 16 | 256 | 14.34010318 | 8.828  | 9760 | 0.006205241 |
| lena16.bmp | lena16.bmp-withWavelet_sym1-G_1-H2e-005_af2.wfa       | 1572864 | 524288 | 524288 | 17 | 9488 | 136 | 136 | 16 | 256 | 14.34010318 | 10.032 | 9760 | 0.006205241 |
| lena16.bmp | lena16.bmp-withWavelet_bior1.1-G_1-H2e-005_af2.wfa    | 1572864 | 524288 | 524288 | 17 | 9488 | 136 | 136 | 16 | 256 | 14.34010318 | 9      | 9760 | 0.006205241 |
| lena16.bmp | lena16.bmp-withWavelet_haar-G_1-H6e-005_af2.wfa       | 98304   | 32768  | 32768  | 12 | 4848 | 96  | 96  | 16 | 64  | 14.32331061 | 0.406  | 5040 | 0.051269531 |
| lena16.bmp | lena16.bmp-withWavelet_rbio1.1-G_1-H6e-005_af2.wfa    | 98304   | 32768  | 32768  | 12 | 4848 | 96  | 96  | 16 | 64  | 14.32331061 | 0.406  | 5040 | 0.051269531 |
| lena16.bmp | lena16.bmp-withWavelet_sym1-G_1-H6e-005_af2.wfa       | 98304   | 32768  | 32768  | 12 | 4848 | 96  | 96  | 16 | 64  | 14.32331061 | 0.407  | 5040 | 0.051269531 |
| lena16.bmp | lena16.bmp-withWavelet_bior1.1-G_1-H6e-005_af2.wfa    | 98304   | 32768  | 32768  | 12 | 4848 | 96  | 96  | 16 | 64  | 14.32331061 | 0.407  | 5040 | 0.051269531 |
| lena16.bmp | lena16.bmp-withWavelet_haar-G_1-H3e-005_af5.wfa       | 393216  | 131072 | 131072 | 13 | 5648 | 104 | 104 | 16 | 128 | 14.31993698 | 1.766  | 5856 | 0.014892578 |
| lena16.bmp | lena16.bmp-withWavelet_rbio1.1-G_1-H3e-005_af5.wfa    | 393216  | 131072 | 131072 | 13 | 5648 | 104 | 104 | 16 | 128 | 14.31993698 | 1.891  | 5856 | 0.014892578 |
| lena16.bmp | lena16.bmp-withWavelet_sym1-G_1-H3e-005_af5.wfa       | 393216  | 131072 | 131072 | 13 | 5648 | 104 | 104 | 16 | 128 | 14.31993698 | 1.765  | 5856 | 0.014892578 |

|            |   |        |        |        |    |      |     |     |    |     |             |       |      |             |
|------------|---|--------|--------|--------|----|------|-----|-----|----|-----|-------------|-------|------|-------------|
| lena16.bmp | lena16.bmp-withWavelet_bior1.1-G_1-H3e-005_af5.wfa    | 393216 | 131072 | 131072 | 13 | 5648 | 104 | 104 | 16 | 128 | 14.31993698 | 1.766 | 5856 | 0.014892578 |
| lena16.bmp | lena16.bmp-withWavelet_haar-G_0.75-H5e-005_af3.wfa    | 393216 | 131072 | 131072 | 14 | 6512 | 112 | 112 | 16 | 128 | 14.3196784  | 1.782 | 6736 | 0.017130534 |
| lena16.bmp | lena16.bmp-withWavelet_rbio1.1-G_0.75-H5e-005_af3.wfa | 393216 | 131072 | 131072 | 14 | 6512 | 112 | 112 | 16 | 128 | 14.3196784  | 1.766 | 6736 | 0.017130534 |
| lena16.bmp | lena16.bmp-withWavelet_sym1-G_0.75-H5e-005_af3.wfa    | 393216 | 131072 | 131072 | 14 | 6512 | 112 | 112 | 16 | 128 | 14.3196784  | 1.781 | 6736 | 0.017130534 |
| lena16.bmp | lena16.bmp-withWavelet_bior1.1-G_0.75-H5e-005_af3.wfa | 393216 | 131072 | 131072 | 14 | 6512 | 112 | 112 | 16 | 128 | 14.3196784  | 1.782 | 6736 | 0.017130534 |
| lena16.bmp | lena16.bmp-withWavelet_haar-G_0.75-H3e-005_af5.wfa    | 24576  | 8192   | 8192   | 12 | 4848 | 96  | 96  | 16 | 32  | 14.3178955  | 0.109 | 5040 | 0.205078125 |
| lena16.bmp | lena16.bmp-withWavelet_rbio1.1-G_0.75-H3e-005_af5.wfa | 24576  | 8192   | 8192   | 12 | 4848 | 96  | 96  | 16 | 32  | 14.3178955  | 0.094 | 5040 | 0.205078125 |
| lena16.bmp | lena16.bmp-withWavelet_sym1-G_0.75-H3e-005_af5.wfa    | 24576  | 8192   | 8192   | 12 | 4848 | 96  | 96  | 16 | 32  | 14.3178955  | 0.093 | 5040 | 0.205078125 |
| lena16.bmp | lena16.bmp-withWavelet_bior1.1-G_0.75-H3e-005_af5.wfa | 24576  | 8192   | 8192   | 12 | 4848 | 96  | 96  | 16 | 32  | 14.3178955  | 0.094 | 5040 | 0.205078125 |
| lena16.bmp | lena16.bmp-withWavelet_haar-G_0.75-H4e-005_af5.wfa    | 24576  | 8192   | 8192   | 12 | 4848 | 96  | 96  | 16 | 32  | 14.3178955  | 0.093 | 5040 | 0.205078125 |
| lena16.bmp | lena16.bmp-withWavelet_rbio1.1-G_0.75-H4e-005_af5.wfa | 24576  | 8192   | 8192   | 12 | 4848 | 96  | 96  | 16 | 32  | 14.3178955  | 0.094 | 5040 | 0.205078125 |
| lena16.bmp | lena16.bmp-withWavelet_sym1-G_0.75-H4e-005_af5.wfa    | 24576  | 8192   | 8192   | 12 | 4848 | 96  | 96  | 16 | 32  | 14.3178955  | 0.094 | 5040 | 0.205078125 |
| lena16.bmp | lena16.bmp-withWavelet_bior1.1-G_0.75-H4e-005_af5.wfa | 24576  | 8192   | 8192   | 12 | 4848 | 96  | 96  | 16 | 32  | 14.3178955  | 0.093 | 5040 | 0.205078125 |
| lena16.bmp | lena16.bmp-withWavelet_haar-G_0.75-H5e-005_af5.wfa    | 24576  | 8192   | 8192   | 12 | 4848 | 96  | 96  | 16 | 32  | 14.3178955  | 0.094 | 5040 | 0.205078125 |
| lena16.bmp | lena16.bmp-withWavelet_rbio1.1-G_0.75-H5e-005_af5.wfa | 24576  | 8192   | 8192   | 12 | 4848 | 96  | 96  | 16 | 32  | 14.3178955  | 0.094 | 5040 | 0.205078125 |
| lena16.bmp | lena16.bmp-withWavelet_sym1-G_0.75-H5e-005_af5.wfa    | 24576  | 8192   | 8192   | 12 | 4848 | 96  | 96  | 16 | 32  | 14.3178955  | 0.094 | 5040 | 0.205078125 |
| lena16.bmp | lena16.bmp-withWavelet_bior1.1-G_0.75-H5e-005_af5.wfa | 24576  | 8192   | 8192   | 12 | 4848 | 96  | 96  | 16 | 32  | 14.3178955  | 0.093 | 5040 | 0.205078125 |
| lena16.bmp | lena16.bmp-withWavelet_haar-G_0.75-H7e-005_af2.wfa    | 98304  | 32768  | 32768  | 11 | 4112 | 88  | 88  | 16 | 64  | 14.31660773 | 0.391 | 4288 | 0.043619792 |
| lena16.bmp | lena16.bmp-withWavelet_rbio1.1-G_0.75-H7e-005_af2.wfa | 98304  | 32768  | 32768  | 11 | 4112 | 88  | 88  | 16 | 64  | 14.31660773 | 0.391 | 4288 | 0.043619792 |
| lena16.bmp | lena16.bmp-withWavelet_sym1-G_0.75-H7e-005_af2.wfa    | 98304  | 32768  | 32768  | 11 | 4112 | 88  | 88  | 16 | 64  | 14.31660773 | 0.391 | 4288 | 0.043619792 |
| lena16.bmp | lena16.bmp-withWavelet_bior1.1-G_0.75-H7e-005_af2.wfa | 98304  | 32768  | 32768  | 11 | 4112 | 88  | 88  | 16 | 64  | 14.31660773 | 0.39  | 4288 | 0.043619792 |
| lena16.bmp | lena16.bmp-withWavelet_haar-G_0.75-H3e-005_af1.wfa    | 393216 | 131072 | 131072 | 16 | 8432 | 128 | 128 | 16 | 128 | 14.30230033 | 2.015 | 8688 | 0.022094727 |
| lena16.bmp | lena16.bmp-withWavelet_rbio1.1-G_0.75-H3e-005_af1.wfa | 393216 | 131072 | 131072 | 16 | 8432 | 128 | 128 | 16 | 128 | 14.30230033 | 1.906 | 8688 | 0.022094727 |
| lena16.bmp | lena16.bmp-withWavelet_sym1-G_0.75-H3e-005_af1.wfa    | 393216 | 131072 | 131072 | 16 | 8432 | 128 | 128 | 16 | 128 | 14.30230033 | 1.906 | 8688 | 0.022094727 |
| lena16.bmp | lena16.bmp-withWavelet_bior1.1-G_0.75-H3e-005_af1.wfa | 393216 | 131072 | 131072 | 16 | 8432 | 128 | 128 | 16 | 128 | 14.30230033 | 1.89  | 8688 | 0.022094727 |
| lena16.bmp | lena16.bmp-withWavelet_haar-G_1-H3e-005_af2.wfa       | 393216 | 131072 | 131072 | 16 | 8432 | 128 | 128 | 16 | 128 | 14.2991558  | 1.969 | 8688 | 0.022094727 |
| lena16.bmp | lena16.bmp-withWavelet_rbio1.1-G_1-H3e-005_af2.wfa    | 393216 | 131072 | 131072 | 16 | 8432 | 128 | 128 | 16 | 128 | 14.2991558  | 1.921 | 8688 | 0.022094727 |
| lena16.bmp | lena16.bmp-withWavelet_sym1-G_1-H3e-005_af2.wfa       | 393216 | 131072 | 131072 | 16 | 8432 | 128 | 128 | 16 | 128 | 14.2991558  | 2.25  | 8688 | 0.022094727 |
| lena16.bmp | lena16.bmp-withWavelet_bior1.1-G_1-H3e-005_af2.wfa    | 393216 | 131072 | 131072 | 16 | 8432 | 128 | 128 | 16 | 128 | 14.2991558  | 1.968 | 8688 | 0.022094727 |
| lena16.bmp | lena16.bmp-withWavelet_haar-G_0.75-H3e-005_af1.wfa    | 98304  | 32768  | 32768  | 16 | 8432 | 128 | 128 | 16 | 64  | 14.29881759 | 0.516 | 8688 | 0.088378906 |
| lena16.bmp | lena16.bmp-withWavelet_rbio1.1-G_0.75-H3e-005_af1.wfa | 98304  | 32768  | 32768  | 16 | 8432 | 128 | 128 | 16 | 64  | 14.29881759 | 0.469 | 8688 | 0.088378906 |

|            |   |         |        |        |    |      |     |     |    |     |             |       |      |             |
|------------|---|---------|--------|--------|----|------|-----|-----|----|-----|-------------|-------|------|-------------|
| lena16.bmp | lena16.bmp-withWavelet_sym1-G_0.75-H3e-005_af1.wfa    | 98304   | 32768  | 32768  | 16 | 8432 | 128 | 128 | 16 | 64  | 14.29881759 | 0.485 | 8688 | 0.088378906 |
| lena16.bmp | lena16.bmp-withWavelet_bior1.1-G_0.75-H3e-005_af1.wfa | 98304   | 32768  | 32768  | 16 | 8432 | 128 | 128 | 16 | 64  | 14.29881759 | 0.453 | 8688 | 0.088378906 |
| lena16.bmp | lena16.bmp-withWavelet_haar-G_1-H0.0001_af4.wfa       | 1572864 | 524288 | 524288 | 10 | 3440 | 80  | 80  | 16 | 256 | 14.29652532 | 6.562 | 3600 | 0.002288818 |
| lena16.bmp | lena16.bmp-withWavelet_rbio1.1-G_1-H0.0001_af4.wfa    | 1572864 | 524288 | 524288 | 10 | 3440 | 80  | 80  | 16 | 256 | 14.29652532 | 6.547 | 3600 | 0.002288818 |
| lena16.bmp | lena16.bmp-withWavelet_sym1-G_1-H0.0001_af4.wfa       | 1572864 | 524288 | 524288 | 10 | 3440 | 80  | 80  | 16 | 256 | 14.29652532 | 6.719 | 3600 | 0.002288818 |
| lena16.bmp | lena16.bmp-withWavelet_bior1.1-G_1-H0.0001_af4.wfa    | 1572864 | 524288 | 524288 | 10 | 3440 | 80  | 80  | 16 | 256 | 14.29652532 | 6.61  | 3600 | 0.002288818 |
| lena16.bmp | lena16.bmp-withWavelet_haar-G_1-H5e-005_af5.wfa       | 98304   | 32768  | 32768  | 11 | 4112 | 88  | 88  | 16 | 64  | 14.29081189 | 0.391 | 4288 | 0.043619792 |
| lena16.bmp | lena16.bmp-withWavelet_rbio1.1-G_1-H5e-005_af5.wfa    | 98304   | 32768  | 32768  | 11 | 4112 | 88  | 88  | 16 | 64  | 14.29081189 | 0.406 | 4288 | 0.043619792 |
| lena16.bmp | lena16.bmp-withWavelet_sym1-G_1-H5e-005_af5.wfa       | 98304   | 32768  | 32768  | 11 | 4112 | 88  | 88  | 16 | 64  | 14.29081189 | 0.406 | 4288 | 0.043619792 |
| lena16.bmp | lena16.bmp-withWavelet_bior1.1-G_1-H5e-005_af5.wfa    | 98304   | 32768  | 32768  | 11 | 4112 | 88  | 88  | 16 | 64  | 14.29081189 | 0.406 | 4288 | 0.043619792 |
| lena16.bmp | lena16.bmp-withWavelet_haar-G_1-H8e-005_af3.wfa       | 98304   | 32768  | 32768  | 11 | 4112 | 88  | 88  | 16 | 64  | 14.28857508 | 0.391 | 4288 | 0.043619792 |
| lena16.bmp | lena16.bmp-withWavelet_rbio1.1-G_1-H8e-005_af3.wfa    | 98304   | 32768  | 32768  | 11 | 4112 | 88  | 88  | 16 | 64  | 14.28857508 | 0.406 | 4288 | 0.043619792 |
| lena16.bmp | lena16.bmp-withWavelet_sym1-G_1-H8e-005_af3.wfa       | 98304   | 32768  | 32768  | 11 | 4112 | 88  | 88  | 16 | 64  | 14.28857508 | 0.391 | 4288 | 0.043619792 |
| lena16.bmp | lena16.bmp-withWavelet_bior1.1-G_1-H8e-005_af3.wfa    | 98304   | 32768  | 32768  | 11 | 4112 | 88  | 88  | 16 | 64  | 14.28857508 | 0.391 | 4288 | 0.043619792 |
| lena16.bmp | lena16.bmp-withWavelet_haar-G_1-H9e-005_af3.wfa       | 98304   | 32768  | 32768  | 11 | 4112 | 88  | 88  | 16 | 64  | 14.28857508 | 0.39  | 4288 | 0.043619792 |
| lena16.bmp | lena16.bmp-withWavelet_rbio1.1-G_1-H9e-005_af3.wfa    | 98304   | 32768  | 32768  | 11 | 4112 | 88  | 88  | 16 | 64  | 14.28857508 | 0.391 | 4288 | 0.043619792 |
| lena16.bmp | lena16.bmp-withWavelet_sym1-G_1-H9e-005_af3.wfa       | 98304   | 32768  | 32768  | 11 | 4112 | 88  | 88  | 16 | 64  | 14.28857508 | 0.406 | 4288 | 0.043619792 |
| lena16.bmp | lena16.bmp-withWavelet_bior1.1-G_1-H9e-005_af3.wfa    | 98304   | 32768  | 32768  | 11 | 4112 | 88  | 88  | 16 | 64  | 14.28857508 | 0.391 | 4288 | 0.043619792 |
| lena16.bmp | lena16.bmp-withWavelet_haar-G_1-H0.0001_af3.wfa       | 98304   | 32768  | 32768  | 11 | 4112 | 88  | 88  | 16 | 64  | 14.28857508 | 0.421 | 4288 | 0.043619792 |
| lena16.bmp | lena16.bmp-withWavelet_rbio1.1-G_1-H0.0001_af3.wfa    | 98304   | 32768  | 32768  | 11 | 4112 | 88  | 88  | 16 | 64  | 14.28857508 | 0.391 | 4288 | 0.043619792 |
| lena16.bmp | lena16.bmp-withWavelet_sym1-G_1-H0.0001_af3.wfa       | 98304   | 32768  | 32768  | 11 | 4112 | 88  | 88  | 16 | 64  | 14.28857508 | 0.391 | 4288 | 0.043619792 |
| lena16.bmp | lena16.bmp-withWavelet_bior1.1-G_1-H0.0001_af3.wfa    | 98304   | 32768  | 32768  | 11 | 4112 | 88  | 88  | 16 | 64  | 14.28857508 | 0.406 | 4288 | 0.043619792 |
| lena16.bmp | lena16.bmp-G_0.5-H6e-005_af5.wfa                      | 98304   | 32768  |        | 12 | 4848 | 96  | 96  | 16 | 64  | 14.28769379 | 0.438 | 5040 | 0.051269531 |
| lena16.bmp | lena16.bmp-G_0.5-H7e-005_af5.wfa                      | 98304   | 32768  |        | 12 | 4848 | 96  | 96  | 16 | 64  | 14.28769379 | 0.422 | 5040 | 0.051269531 |
| lena16.bmp | lena16.bmp-withWavelet_haar-G_0.75-H8e-005_af2.wfa    | 98304   | 32768  | 32768  | 11 | 4112 | 88  | 88  | 16 | 64  | 14.28756683 | 0.391 | 4288 | 0.043619792 |
| lena16.bmp | lena16.bmp-withWavelet_rbio1.1-G_0.75-H8e-005_af2.wfa | 98304   | 32768  | 32768  | 11 | 4112 | 88  | 88  | 16 | 64  | 14.28756683 | 0.391 | 4288 | 0.043619792 |
| lena16.bmp | lena16.bmp-withWavelet_sym1-G_0.75-H8e-005_af2.wfa    | 98304   | 32768  | 32768  | 11 | 4112 | 88  | 88  | 16 | 64  | 14.28756683 | 0.406 | 4288 | 0.043619792 |
| lena16.bmp | lena16.bmp-withWavelet_bior1.1-G_0.75-H8e-005_af2.wfa | 98304   | 32768  | 32768  | 11 | 4112 | 88  | 88  | 16 | 64  | 14.28756683 | 0.391 | 4288 | 0.043619792 |
| lena16.bmp | lena16.bmp-withWavelet_haar-G_0.75-H6e-005_af4.wfa    | 393216  | 131072 | 131072 | 14 | 6512 | 112 | 112 | 16 | 128 | 14.28116776 | 1.875 | 6736 | 0.017130534 |
| lena16.bmp | lena16.bmp-withWavelet_rbio1.1-G_0.75-H6e-005_af4.wfa | 393216  | 131072 | 131072 | 14 | 6512 | 112 | 112 | 16 | 128 | 14.28116776 | 1.953 | 6736 | 0.017130534 |
| lena16.bmp | lena16.bmp-withWavelet_sym1-G_0.75-H6e-005_af4.wfa    | 393216  | 131072 | 131072 | 14 | 6512 | 112 | 112 | 16 | 128 | 14.28116776 | 1.781 | 6736 | 0.017130534 |

|            |   |         |        |        |    |       |     |     |    |     |             |       |       |             |
|------------|---|---------|--------|--------|----|-------|-----|-----|----|-----|-------------|-------|-------|-------------|
| lena16.bmp | lena16.bmp-withWavelet_bior1.1-G_0.75-H6e-005_af4.wfa | 393216  | 131072 | 131072 | 14 | 6512  | 112 | 112 | 16 | 128 | 14.28116776 | 1.766 | 6736  | 0.017130534 |
| lena16.bmp | lena16.bmp-withWavelet_haar-G_0.75-H2e-005_af1.wfa    | 1572864 | 524288 | 524288 | 17 | 9488  | 136 | 136 | 16 | 256 | 14.28009981 | 8.609 | 9760  | 0.006205241 |
| lena16.bmp | lena16.bmp-withWavelet_rbio1.1-G_0.75-H2e-005_af1.wfa | 1572864 | 524288 | 524288 | 17 | 9488  | 136 | 136 | 16 | 256 | 14.28009981 | 8.719 | 9760  | 0.006205241 |
| lena16.bmp | lena16.bmp-withWavelet_sym1-G_0.75-H2e-005_af1.wfa    | 1572864 | 524288 | 524288 | 17 | 9488  | 136 | 136 | 16 | 256 | 14.28009981 | 8.813 | 9760  | 0.006205241 |
| lena16.bmp | lena16.bmp-withWavelet_bior1.1-G_0.75-H2e-005_af1.wfa | 1572864 | 524288 | 524288 | 17 | 9488  | 136 | 136 | 16 | 256 | 14.28009981 | 8.672 | 9760  | 0.006205241 |
| lena16.bmp | lena16.bmp-withWavelet_haar-G_1-H1e-005_af2.wfa       | 1572864 | 524288 | 524288 | 18 | 10608 | 144 | 144 | 16 | 256 | 14.27962522 | 8.86  | 10896 | 0.00692749  |
| lena16.bmp | lena16.bmp-withWavelet_rbio1.1-G_1-H1e-005_af2.wfa    | 1572864 | 524288 | 524288 | 18 | 10608 | 144 | 144 | 16 | 256 | 14.27962522 | 9.234 | 10896 | 0.00692749  |
| lena16.bmp | lena16.bmp-withWavelet_sym1-G_1-H1e-005_af2.wfa       | 1572864 | 524288 | 524288 | 18 | 10608 | 144 | 144 | 16 | 256 | 14.27962522 | 9.625 | 10896 | 0.00692749  |
| lena16.bmp | lena16.bmp-withWavelet_bior1.1-G_1-H1e-005_af2.wfa    | 1572864 | 524288 | 524288 | 18 | 10608 | 144 | 144 | 16 | 256 | 14.27962522 | 8.953 | 10896 | 0.00692749  |
| lena16.bmp | lena16.bmp-withWavelet_haar-G_1-H4e-005_af5.wfa       | 98304   | 32768  | 32768  | 12 | 4848  | 96  | 96  | 16 | 64  | 14.27712789 | 0.406 | 5040  | 0.051269531 |
| lena16.bmp | lena16.bmp-withWavelet_rbio1.1-G_1-H4e-005_af5.wfa    | 98304   | 32768  | 32768  | 12 | 4848  | 96  | 96  | 16 | 64  | 14.27712789 | 0.407 | 5040  | 0.051269531 |
| lena16.bmp | lena16.bmp-withWavelet_sym1-G_1-H4e-005_af5.wfa       | 98304   | 32768  | 32768  | 12 | 4848  | 96  | 96  | 16 | 64  | 14.27712789 | 0.406 | 5040  | 0.051269531 |
| lena16.bmp | lena16.bmp-withWavelet_bior1.1-G_1-H4e-005_af5.wfa    | 98304   | 32768  | 32768  | 12 | 4848  | 96  | 96  | 16 | 64  | 14.27712789 | 0.406 | 5040  | 0.051269531 |
| lena16.bmp | lena16.bmp-withWavelet_haar-G_0.75-H3e-005_af2.wfa    | 393216  | 131072 | 131072 | 15 | 7440  | 120 | 120 | 16 | 128 | 14.2756903  | 1.891 | 7680  | 0.01953125  |
| lena16.bmp | lena16.bmp-withWavelet_rbio1.1-G_0.75-H3e-005_af2.wfa | 393216  | 131072 | 131072 | 15 | 7440  | 120 | 120 | 16 | 128 | 14.2756903  | 1.875 | 7680  | 0.01953125  |
| lena16.bmp | lena16.bmp-withWavelet_sym1-G_0.75-H3e-005_af2.wfa    | 393216  | 131072 | 131072 | 15 | 7440  | 120 | 120 | 16 | 128 | 14.2756903  | 1.875 | 7680  | 0.01953125  |
| lena16.bmp | lena16.bmp-withWavelet_bior1.1-G_0.75-H3e-005_af2.wfa | 393216  | 131072 | 131072 | 15 | 7440  | 120 | 120 | 16 | 128 | 14.2756903  | 1.891 | 7680  | 0.01953125  |
| lena16.bmp | lena16.bmp-withWavelet_haar-G_0.75-H6e-005_af4.wfa    | 1572864 | 524288 | 524288 | 14 | 6512  | 112 | 112 | 16 | 256 | 14.27556189 | 7.578 | 6736  | 0.004282633 |
| lena16.bmp | lena16.bmp-withWavelet_rbio1.1-G_0.75-H6e-005_af4.wfa | 1572864 | 524288 | 524288 | 14 | 6512  | 112 | 112 | 16 | 256 | 14.27556189 | 7.531 | 6736  | 0.004282633 |
| lena16.bmp | lena16.bmp-withWavelet_sym1-G_0.75-H6e-005_af4.wfa    | 1572864 | 524288 | 524288 | 14 | 6512  | 112 | 112 | 16 | 256 | 14.27556189 | 7.484 | 6736  | 0.004282633 |
| lena16.bmp | lena16.bmp-withWavelet_bior1.1-G_0.75-H6e-005_af4.wfa | 1572864 | 524288 | 524288 | 14 | 6512  | 112 | 112 | 16 | 256 | 14.27556189 | 7.547 | 6736  | 0.004282633 |
| lena16.bmp | lena16.bmp-withWavelet_haar-G_1-H4e-005_af3.wfa       | 1572864 | 524288 | 524288 | 17 | 9488  | 136 | 136 | 16 | 256 | 14.27440324 | 9.437 | 9760  | 0.006205241 |
| lena16.bmp | lena16.bmp-withWavelet_rbio1.1-G_1-H4e-005_af3.wfa    | 1572864 | 524288 | 524288 | 17 | 9488  | 136 | 136 | 16 | 256 | 14.27440324 | 8.547 | 9760  | 0.006205241 |
| lena16.bmp | lena16.bmp-withWavelet_sym1-G_1-H4e-005_af3.wfa       | 1572864 | 524288 | 524288 | 17 | 9488  | 136 | 136 | 16 | 256 | 14.27440324 | 8.563 | 9760  | 0.006205241 |
| lena16.bmp | lena16.bmp-withWavelet_bior1.1-G_1-H4e-005_af3.wfa    | 1572864 | 524288 | 524288 | 17 | 9488  | 136 | 136 | 16 | 256 | 14.27440324 | 8.703 | 9760  | 0.006205241 |
| lena16.bmp | lena16.bmp-withWavelet_haar-G_1-H4e-005_af2.wfa       | 1572864 | 524288 | 524288 | 16 | 8432  | 128 | 128 | 16 | 256 | 14.2729244  | 8.891 | 8688  | 0.005523682 |
| lena16.bmp | lena16.bmp-withWavelet_rbio1.1-G_1-H4e-005_af2.wfa    | 1572864 | 524288 | 524288 | 16 | 8432  | 128 | 128 | 16 | 256 | 14.2729244  | 8.171 | 8688  | 0.005523682 |
| lena16.bmp | lena16.bmp-withWavelet_sym1-G_1-H4e-005_af2.wfa       | 1572864 | 524288 | 524288 | 16 | 8432  | 128 | 128 | 16 | 256 | 14.2729244  | 8.141 | 8688  | 0.005523682 |
| lena16.bmp | lena16.bmp-withWavelet_bior1.1-G_1-H4e-005_af2.wfa    | 1572864 | 524288 | 524288 | 16 | 8432  | 128 | 128 | 16 | 256 | 14.2729244  | 8.141 | 8688  | 0.005523682 |
| lena16.bmp | lena16.bmp-withWavelet_haar-G_1-H1e-005_af1.wfa       | 1572864 | 524288 | 524288 | 18 | 10608 | 144 | 144 | 16 | 256 | 14.2724718  | 9.656 | 10896 | 0.00692749  |
| lena16.bmp | lena16.bmp-withWavelet_rbio1.1-G_1-H1e-005_af1.wfa    | 1572864 | 524288 | 524288 | 18 | 10608 | 144 | 144 | 16 | 256 | 14.2724718  | 9.625 | 10896 | 0.00692749  |

|            |   |         |        |        |    |       |     |     |    |     |             |       |       |             |
|------------|---|---------|--------|--------|----|-------|-----|-----|----|-----|-------------|-------|-------|-------------|
| lena16.bmp | lena16.bmp-withWavelet_sym1-G_1-H1e-005_af1.wfa       | 1572864 | 524288 | 524288 | 18 | 10608 | 144 | 144 | 16 | 256 | 14.2724718  | 9.328 | 10896 | 0.00692749  |
| lena16.bmp | lena16.bmp-withWavelet_bior1.1-G_1-H1e-005_af1.wfa    | 1572864 | 524288 | 524288 | 18 | 10608 | 144 | 144 | 16 | 256 | 14.2724718  | 8.828 | 10896 | 0.00692749  |
| lena16.bmp | lena16.bmp-withWavelet_haar-G_0.75-H3e-005_af3.wfa    | 1572864 | 524288 | 524288 | 18 | 10608 | 144 | 144 | 16 | 256 | 14.26756018 | 8.891 | 10896 | 0.00692749  |
| lena16.bmp | lena16.bmp-withWavelet_rbio1.1-G_0.75-H3e-005_af3.wfa | 1572864 | 524288 | 524288 | 18 | 10608 | 144 | 144 | 16 | 256 | 14.26756018 | 9.329 | 10896 | 0.00692749  |
| lena16.bmp | lena16.bmp-withWavelet_sym1-G_0.75-H3e-005_af3.wfa    | 1572864 | 524288 | 524288 | 18 | 10608 | 144 | 144 | 16 | 256 | 14.26756018 | 8.922 | 10896 | 0.00692749  |
| lena16.bmp | lena16.bmp-withWavelet_bior1.1-G_0.75-H3e-005_af3.wfa | 1572864 | 524288 | 524288 | 18 | 10608 | 144 | 144 | 16 | 256 | 14.26756018 | 9.125 | 10896 | 0.00692749  |
| lena16.bmp | lena16.bmp-withWavelet_haar-G_0.75-H4e-005_af3.wfa    | 1572864 | 524288 | 524288 | 18 | 10608 | 144 | 144 | 16 | 256 | 14.26756018 | 8.938 | 10896 | 0.00692749  |
| lena16.bmp | lena16.bmp-withWavelet_rbio1.1-G_0.75-H4e-005_af3.wfa | 1572864 | 524288 | 524288 | 18 | 10608 | 144 | 144 | 16 | 256 | 14.26756018 | 9.062 | 10896 | 0.00692749  |
| lena16.bmp | lena16.bmp-withWavelet_sym1-G_0.75-H4e-005_af3.wfa    | 1572864 | 524288 | 524288 | 18 | 10608 | 144 | 144 | 16 | 256 | 14.26756018 | 8.891 | 10896 | 0.00692749  |
| lena16.bmp | lena16.bmp-withWavelet_bior1.1-G_0.75-H4e-005_af3.wfa | 1572864 | 524288 | 524288 | 18 | 10608 | 144 | 144 | 16 | 256 | 14.26756018 | 9.125 | 10896 | 0.00692749  |
| lena16.bmp | lena16.bmp-withWavelet_haar-G_0.75-H7e-005_af5.wfa    | 98304   | 32768  | 32768  | 9  | 2832  | 72  | 72  | 16 | 64  | 14.26676503 | 0.375 | 2976  | 0.030273438 |
| lena16.bmp | lena16.bmp-withWavelet_rbio1.1-G_0.75-H7e-005_af5.wfa | 98304   | 32768  | 32768  | 9  | 2832  | 72  | 72  | 16 | 64  | 14.26676503 | 0.391 | 2976  | 0.030273438 |
| lena16.bmp | lena16.bmp-withWavelet_sym1-G_0.75-H7e-005_af5.wfa    | 98304   | 32768  | 32768  | 9  | 2832  | 72  | 72  | 16 | 64  | 14.26676503 | 0.391 | 2976  | 0.030273438 |
| lena16.bmp | lena16.bmp-withWavelet_bior1.1-G_0.75-H7e-005_af5.wfa | 98304   | 32768  | 32768  | 9  | 2832  | 72  | 72  | 16 | 64  | 14.26676503 | 0.391 | 2976  | 0.030273438 |
| lena16.bmp | lena16.bmp-withWavelet_haar-G_0.75-H8e-005_af5.wfa    | 98304   | 32768  | 32768  | 9  | 2832  | 72  | 72  | 16 | 64  | 14.26676503 | 0.375 | 2976  | 0.030273438 |
| lena16.bmp | lena16.bmp-withWavelet_rbio1.1-G_0.75-H8e-005_af5.wfa | 98304   | 32768  | 32768  | 9  | 2832  | 72  | 72  | 16 | 64  | 14.26676503 | 0.391 | 2976  | 0.030273438 |
| lena16.bmp | lena16.bmp-withWavelet_sym1-G_0.75-H8e-005_af5.wfa    | 98304   | 32768  | 32768  | 9  | 2832  | 72  | 72  | 16 | 64  | 14.26676503 | 0.375 | 2976  | 0.030273438 |
| lena16.bmp | lena16.bmp-withWavelet_bior1.1-G_0.75-H8e-005_af5.wfa | 98304   | 32768  | 32768  | 9  | 2832  | 72  | 72  | 16 | 64  | 14.26676503 | 0.375 | 2976  | 0.030273438 |
| lena16.bmp | lena16.bmp-withWavelet_haar-G_0.75-H6e-005_af5.wfa    | 24576   | 8192   | 8192   | 11 | 4112  | 88  | 88  | 16 | 32  | 14.26611607 | 0.094 | 4288  | 0.174479167 |
| lena16.bmp | lena16.bmp-withWavelet_rbio1.1-G_0.75-H6e-005_af5.wfa | 24576   | 8192   | 8192   | 11 | 4112  | 88  | 88  | 16 | 32  | 14.26611607 | 0.094 | 4288  | 0.174479167 |
| lena16.bmp | lena16.bmp-withWavelet_sym1-G_0.75-H6e-005_af5.wfa    | 24576   | 8192   | 8192   | 11 | 4112  | 88  | 88  | 16 | 32  | 14.26611607 | 0.094 | 4288  | 0.174479167 |
| lena16.bmp | lena16.bmp-withWavelet_bior1.1-G_0.75-H6e-005_af5.wfa | 24576   | 8192   | 8192   | 11 | 4112  | 88  | 88  | 16 | 32  | 14.26611607 | 0.094 | 4288  | 0.174479167 |
| lena16.bmp | lena16.bmp-withWavelet_haar-G_0.75-H1e-005_af1.wfa    | 1572864 | 524288 | 524288 | 18 | 10608 | 144 | 144 | 16 | 256 | 14.26116213 | 9.609 | 10896 | 0.00692749  |
| lena16.bmp | lena16.bmp-withWavelet_rbio1.1-G_0.75-H1e-005_af1.wfa | 1572864 | 524288 | 524288 | 18 | 10608 | 144 | 144 | 16 | 256 | 14.26116213 | 8.891 | 10896 | 0.00692749  |
| lena16.bmp | lena16.bmp-withWavelet_sym1-G_0.75-H1e-005_af1.wfa    | 1572864 | 524288 | 524288 | 18 | 10608 | 144 | 144 | 16 | 256 | 14.26116213 | 8.953 | 10896 | 0.00692749  |
| lena16.bmp | lena16.bmp-withWavelet_bior1.1-G_0.75-H1e-005_af1.wfa | 1572864 | 524288 | 524288 | 18 | 10608 | 144 | 144 | 16 | 256 | 14.26116213 | 8.86  | 10896 | 0.00692749  |
| lena16.bmp | lena16.bmp-withWavelet_haar-G_0.75-H6e-005_af2.wfa    | 393216  | 131072 | 131072 | 13 | 5648  | 104 | 104 | 16 | 128 | 14.25986125 | 1.734 | 5856  | 0.014892578 |
| lena16.bmp | lena16.bmp-withWavelet_rbio1.1-G_0.75-H6e-005_af2.wfa | 393216  | 131072 | 131072 | 13 | 5648  | 104 | 104 | 16 | 128 | 14.25986125 | 1.797 | 5856  | 0.014892578 |
| lena16.bmp | lena16.bmp-withWavelet_sym1-G_0.75-H6e-005_af2.wfa    | 393216  | 131072 | 131072 | 13 | 5648  | 104 | 104 | 16 | 128 | 14.25986125 | 1.75  | 5856  | 0.014892578 |
| lena16.bmp | lena16.bmp-withWavelet_bior1.1-G_0.75-H6e-005_af2.wfa | 393216  | 131072 | 131072 | 13 | 5648  | 104 | 104 | 16 | 128 | 14.25986125 | 1.765 | 5856  | 0.014892578 |
| lena16.bmp | lena16.bmp-withWavelet_haar-G_1-H3e-005_af5.wfa       | 98304   | 32768  | 32768  | 13 | 5648  | 104 | 104 | 16 | 64  | 14.25487989 | 0.422 | 5856  | 0.059570313 |

|            |   |         |        |        |    |       |     |     |    |     |             |       |       |             |
|------------|---|---------|--------|--------|----|-------|-----|-----|----|-----|-------------|-------|-------|-------------|
| lena16.bmp | lena16.bmp-withWavelet_rbio1.1-G_1-H3e-005_af5.wfa    | 98304   | 32768  | 32768  | 13 | 5648  | 104 | 104 | 16 | 64  | 14.25487989 | 0.421 | 5856  | 0.059570313 |
| lena16.bmp | lena16.bmp-withWavelet_sym1-G_1-H3e-005_af5.wfa       | 98304   | 32768  | 32768  | 13 | 5648  | 104 | 104 | 16 | 64  | 14.25487989 | 0.422 | 5856  | 0.059570313 |
| lena16.bmp | lena16.bmp-withWavelet_bior1.1-G_1-H3e-005_af5.wfa    | 98304   | 32768  | 32768  | 13 | 5648  | 104 | 104 | 16 | 64  | 14.25487989 | 0.422 | 5856  | 0.059570313 |
| lena16.bmp | lena16.bmp-withWavelet_haar-G_1-H3e-005_af2.wfa       | 98304   | 32768  | 32768  | 16 | 8432  | 128 | 128 | 16 | 64  | 14.25385994 | 0.485 | 8688  | 0.088378906 |
| lena16.bmp | lena16.bmp-withWavelet_rbio1.1-G_1-H3e-005_af2.wfa    | 98304   | 32768  | 32768  | 16 | 8432  | 128 | 128 | 16 | 64  | 14.25385994 | 0.453 | 8688  | 0.088378906 |
| lena16.bmp | lena16.bmp-withWavelet_sym1-G_1-H3e-005_af2.wfa       | 98304   | 32768  | 32768  | 16 | 8432  | 128 | 128 | 16 | 64  | 14.25385994 | 0.562 | 8688  | 0.088378906 |
| lena16.bmp | lena16.bmp-withWavelet_bior1.1-G_1-H3e-005_af2.wfa    | 98304   | 32768  | 32768  | 16 | 8432  | 128 | 128 | 16 | 64  | 14.25385994 | 0.5   | 8688  | 0.088378906 |
| lena16.bmp | lena16.bmp-withWavelet_haar-G_0.75-H1e-005_af2.wfa    | 1572864 | 524288 | 524288 | 18 | 10608 | 144 | 144 | 16 | 256 | 14.25239021 | 8.86  | 10896 | 0.00692749  |
| lena16.bmp | lena16.bmp-withWavelet_rbio1.1-G_0.75-H1e-005_af2.wfa | 1572864 | 524288 | 524288 | 18 | 10608 | 144 | 144 | 16 | 256 | 14.25239021 | 9.703 | 10896 | 0.00692749  |
| lena16.bmp | lena16.bmp-withWavelet_sym1-G_0.75-H1e-005_af2.wfa    | 1572864 | 524288 | 524288 | 18 | 10608 | 144 | 144 | 16 | 256 | 14.25239021 | 8.969 | 10896 | 0.00692749  |
| lena16.bmp | lena16.bmp-withWavelet_bior1.1-G_0.75-H1e-005_af2.wfa | 1572864 | 524288 | 524288 | 18 | 10608 | 144 | 144 | 16 | 256 | 14.25239021 | 9.156 | 10896 | 0.00692749  |
| lena16.bmp | lena16.bmp-withWavelet_haar-G_1-H3e-005_af3.wfa       | 1572864 | 524288 | 524288 | 17 | 9488  | 136 | 136 | 16 | 256 | 14.25048971 | 8.797 | 9760  | 0.006205241 |
| lena16.bmp | lena16.bmp-withWavelet_rbio1.1-G_1-H3e-005_af3.wfa    | 1572864 | 524288 | 524288 | 17 | 9488  | 136 | 136 | 16 | 256 | 14.25048971 | 8.64  | 9760  | 0.006205241 |
| lena16.bmp | lena16.bmp-withWavelet_sym1-G_1-H3e-005_af3.wfa       | 1572864 | 524288 | 524288 | 17 | 9488  | 136 | 136 | 16 | 256 | 14.25048971 | 8.922 | 9760  | 0.006205241 |
| lena16.bmp | lena16.bmp-withWavelet_bior1.1-G_1-H3e-005_af3.wfa    | 1572864 | 524288 | 524288 | 17 | 9488  | 136 | 136 | 16 | 256 | 14.25048971 | 9.39  | 9760  | 0.006205241 |
| lena16.bmp | lena16.bmp-withWavelet_haar-G_1-H3e-005_af3.wfa       | 98304   | 32768  | 32768  | 17 | 9488  | 136 | 136 | 16 | 64  | 14.24850589 | 0.484 | 9760  | 0.099283854 |
| lena16.bmp | lena16.bmp-withWavelet_rbio1.1-G_1-H3e-005_af3.wfa    | 98304   | 32768  | 32768  | 17 | 9488  | 136 | 136 | 16 | 64  | 14.24850589 | 0.5   | 9760  | 0.099283854 |
| lena16.bmp | lena16.bmp-withWavelet_sym1-G_1-H3e-005_af3.wfa       | 98304   | 32768  | 32768  | 17 | 9488  | 136 | 136 | 16 | 64  | 14.24850589 | 0.5   | 9760  | 0.099283854 |
| lena16.bmp | lena16.bmp-withWavelet_bior1.1-G_1-H3e-005_af3.wfa    | 98304   | 32768  | 32768  | 17 | 9488  | 136 | 136 | 16 | 64  | 14.24850589 | 0.469 | 9760  | 0.099283854 |
| lena16.bmp | lena16.bmp-withWavelet_haar-G_1-H2e-005_af2.wfa       | 393216  | 131072 | 131072 | 17 | 9488  | 136 | 136 | 16 | 128 | 14.24815207 | 2.079 | 9760  | 0.024820964 |
| lena16.bmp | lena16.bmp-withWavelet_rbio1.1-G_1-H2e-005_af2.wfa    | 393216  | 131072 | 131072 | 17 | 9488  | 136 | 136 | 16 | 128 | 14.24815207 | 2.015 | 9760  | 0.024820964 |
| lena16.bmp | lena16.bmp-withWavelet_sym1-G_1-H2e-005_af2.wfa       | 393216  | 131072 | 131072 | 17 | 9488  | 136 | 136 | 16 | 128 | 14.24815207 | 2.078 | 9760  | 0.024820964 |
| lena16.bmp | lena16.bmp-withWavelet_bior1.1-G_1-H2e-005_af2.wfa    | 393216  | 131072 | 131072 | 17 | 9488  | 136 | 136 | 16 | 128 | 14.24815207 | 2.109 | 9760  | 0.024820964 |
| lena16.bmp | lena16.bmp-withWavelet_haar-G_0.75-H5e-005_af4.wfa    | 1572864 | 524288 | 524288 | 14 | 6512  | 112 | 112 | 16 | 256 | 14.2478326  | 7.5   | 6736  | 0.004282633 |
| lena16.bmp | lena16.bmp-withWavelet_rbio1.1-G_0.75-H5e-005_af4.wfa | 1572864 | 524288 | 524288 | 14 | 6512  | 112 | 112 | 16 | 256 | 14.2478326  | 7.531 | 6736  | 0.004282633 |
| lena16.bmp | lena16.bmp-withWavelet_sym1-G_0.75-H5e-005_af4.wfa    | 1572864 | 524288 | 524288 | 14 | 6512  | 112 | 112 | 16 | 256 | 14.2478326  | 7.594 | 6736  | 0.004282633 |
| lena16.bmp | lena16.bmp-withWavelet_bior1.1-G_0.75-H5e-005_af4.wfa | 1572864 | 524288 | 524288 | 14 | 6512  | 112 | 112 | 16 | 256 | 14.2478326  | 7.469 | 6736  | 0.004282633 |
| lena16.bmp | lena16.bmp-withWavelet_haar-G_1-H2e-005_af1.wfa       | 1572864 | 524288 | 524288 | 18 | 10608 | 144 | 144 | 16 | 256 | 14.24618155 | 9.203 | 10896 | 0.00692749  |
| lena16.bmp | lena16.bmp-withWavelet_rbio1.1-G_1-H2e-005_af1.wfa    | 1572864 | 524288 | 524288 | 18 | 10608 | 144 | 144 | 16 | 256 | 14.24618155 | 9.843 | 10896 | 0.00692749  |
| lena16.bmp | lena16.bmp-withWavelet_sym1-G_1-H2e-005_af1.wfa       | 1572864 | 524288 | 524288 | 18 | 10608 | 144 | 144 | 16 | 256 | 14.24618155 | 9.062 | 10896 | 0.00692749  |
| lena16.bmp | lena16.bmp-withWavelet_bior1.1-G_1-H2e-005_af1.wfa    | 1572864 | 524288 | 524288 | 18 | 10608 | 144 | 144 | 16 | 256 | 14.24618155 | 9.453 | 10896 | 0.00692749  |

|            |   |         |        |        |    |       |     |     |    |     |             |       |       |             |
|------------|---|---------|--------|--------|----|-------|-----|-----|----|-----|-------------|-------|-------|-------------|
| lena16.bmp | lena16.bmp-withWavelet_haar-G_0.75-H5e-005_af4.wfa    | 393216  | 131072 | 131072 | 14 | 6512  | 112 | 112 | 16 | 128 | 14.24593138 | 1.797 | 6736  | 0.017130534 |
| lena16.bmp | lena16.bmp-withWavelet_rbio1.1-G_0.75-H5e-005_af4.wfa | 393216  | 131072 | 131072 | 14 | 6512  | 112 | 112 | 16 | 128 | 14.24593138 | 1.75  | 6736  | 0.017130534 |
| lena16.bmp | lena16.bmp-withWavelet_sym1-G_0.75-H5e-005_af4.wfa    | 393216  | 131072 | 131072 | 14 | 6512  | 112 | 112 | 16 | 128 | 14.24593138 | 1.75  | 6736  | 0.017130534 |
| lena16.bmp | lena16.bmp-withWavelet_bior1.1-G_0.75-H5e-005_af4.wfa | 393216  | 131072 | 131072 | 14 | 6512  | 112 | 112 | 16 | 128 | 14.24593138 | 1.766 | 6736  | 0.017130534 |
| lena16.bmp | lena16.bmp-withWavelet_haar-G_1-H2e-005_af3.wfa       | 1572864 | 524288 | 524288 | 19 | 11792 | 152 | 152 | 16 | 256 | 14.23854962 | 9.875 | 12096 | 0.00769043  |
| lena16.bmp | lena16.bmp-withWavelet_rbio1.1-G_1-H2e-005_af3.wfa    | 1572864 | 524288 | 524288 | 19 | 11792 | 152 | 152 | 16 | 256 | 14.23854962 | 9.782 | 12096 | 0.00769043  |
| lena16.bmp | lena16.bmp-withWavelet_sym1-G_1-H2e-005_af3.wfa       | 1572864 | 524288 | 524288 | 19 | 11792 | 152 | 152 | 16 | 256 | 14.23854962 | 9.75  | 12096 | 0.00769043  |
| lena16.bmp | lena16.bmp-withWavelet_bior1.1-G_1-H2e-005_af3.wfa    | 1572864 | 524288 | 524288 | 19 | 11792 | 152 | 152 | 16 | 256 | 14.23854962 | 9.703 | 12096 | 0.00769043  |
| lena16.bmp | lena16.bmp-withWavelet_haar-G_1-H4e-005_af3.wfa       | 98304   | 32768  | 32768  | 17 | 9488  | 136 | 136 | 16 | 64  | 14.23821062 | 0.484 | 9760  | 0.099283854 |
| lena16.bmp | lena16.bmp-withWavelet_rbio1.1-G_1-H4e-005_af3.wfa    | 98304   | 32768  | 32768  | 17 | 9488  | 136 | 136 | 16 | 64  | 14.23821062 | 0.484 | 9760  | 0.099283854 |
| lena16.bmp | lena16.bmp-withWavelet_sym1-G_1-H4e-005_af3.wfa       | 98304   | 32768  | 32768  | 17 | 9488  | 136 | 136 | 16 | 64  | 14.23821062 | 0.484 | 9760  | 0.099283854 |
| lena16.bmp | lena16.bmp-withWavelet_bior1.1-G_1-H4e-005_af3.wfa    | 98304   | 32768  | 32768  | 17 | 9488  | 136 | 136 | 16 | 64  | 14.23821062 | 0.484 | 9760  | 0.099283854 |
| lena16.bmp | lena16.bmp-withWavelet_haar-G_0.75-H3e-005_af2.wfa    | 98304   | 32768  | 32768  | 15 | 7440  | 120 | 120 | 16 | 64  | 14.23504973 | 0.454 | 7680  | 0.078125    |
| lena16.bmp | lena16.bmp-withWavelet_rbio1.1-G_0.75-H3e-005_af2.wfa | 98304   | 32768  | 32768  | 15 | 7440  | 120 | 120 | 16 | 64  | 14.23504973 | 0.437 | 7680  | 0.078125    |
| lena16.bmp | lena16.bmp-withWavelet_sym1-G_0.75-H3e-005_af2.wfa    | 98304   | 32768  | 32768  | 15 | 7440  | 120 | 120 | 16 | 64  | 14.23504973 | 0.453 | 7680  | 0.078125    |
| lena16.bmp | lena16.bmp-withWavelet_bior1.1-G_0.75-H3e-005_af2.wfa | 98304   | 32768  | 32768  | 15 | 7440  | 120 | 120 | 16 | 64  | 14.23504973 | 0.547 | 7680  | 0.078125    |
| lena16.bmp | lena16.bmp-withWavelet_haar-G_0.75-H6e-005_af3.wfa    | 1572864 | 524288 | 524288 | 15 | 7440  | 120 | 120 | 16 | 256 | 14.23492904 | 8.078 | 7680  | 0.004882813 |
| lena16.bmp | lena16.bmp-withWavelet_rbio1.1-G_0.75-H6e-005_af3.wfa | 1572864 | 524288 | 524288 | 15 | 7440  | 120 | 120 | 16 | 256 | 14.23492904 | 7.968 | 7680  | 0.004882813 |
| lena16.bmp | lena16.bmp-withWavelet_sym1-G_0.75-H6e-005_af3.wfa    | 1572864 | 524288 | 524288 | 15 | 7440  | 120 | 120 | 16 | 256 | 14.23492904 | 7.953 | 7680  | 0.004882813 |
| lena16.bmp | lena16.bmp-withWavelet_bior1.1-G_0.75-H6e-005_af3.wfa | 1572864 | 524288 | 524288 | 15 | 7440  | 120 | 120 | 16 | 256 | 14.23492904 | 7.953 | 7680  | 0.004882813 |
| lena16.bmp | lena16.bmp-G_0.5-H2e-005_af5.wfa                      | 393216  | 131072 |        | 15 | 7440  | 120 | 120 | 16 | 128 | 14.23327465 | 1.859 | 7680  | 0.01953125  |
| lena16.bmp | lena16.bmp-withWavelet_haar-G_0.75-H7e-005_af3.wfa    | 1572864 | 524288 | 524288 | 14 | 6512  | 112 | 112 | 16 | 256 | 14.23161855 | 7.578 | 6736  | 0.004282633 |
| lena16.bmp | lena16.bmp-withWavelet_rbio1.1-G_0.75-H7e-005_af3.wfa | 1572864 | 524288 | 524288 | 14 | 6512  | 112 | 112 | 16 | 256 | 14.23161855 | 7.593 | 6736  | 0.004282633 |
| lena16.bmp | lena16.bmp-withWavelet_sym1-G_0.75-H7e-005_af3.wfa    | 1572864 | 524288 | 524288 | 14 | 6512  | 112 | 112 | 16 | 256 | 14.23161855 | 7.563 | 6736  | 0.004282633 |
| lena16.bmp | lena16.bmp-withWavelet_bior1.1-G_0.75-H7e-005_af3.wfa | 1572864 | 524288 | 524288 | 14 | 6512  | 112 | 112 | 16 | 256 | 14.23161855 | 7.828 | 6736  | 0.004282633 |
| lena16.bmp | lena16.bmp-withWavelet_haar-G_0.75-H2e-005_af3.wfa    | 1572864 | 524288 | 524288 | 19 | 11792 | 152 | 152 | 16 | 256 | 14.22841077 | 9.703 | 12096 | 0.00769043  |
| lena16.bmp | lena16.bmp-withWavelet_rbio1.1-G_0.75-H2e-005_af3.wfa | 1572864 | 524288 | 524288 | 19 | 11792 | 152 | 152 | 16 | 256 | 14.22841077 | 9.984 | 12096 | 0.00769043  |
| lena16.bmp | lena16.bmp-withWavelet_sym1-G_0.75-H2e-005_af3.wfa    | 1572864 | 524288 | 524288 | 19 | 11792 | 152 | 152 | 16 | 256 | 14.22841077 | 9.797 | 12096 | 0.00769043  |
| lena16.bmp | lena16.bmp-withWavelet_bior1.1-G_0.75-H2e-005_af3.wfa | 1572864 | 524288 | 524288 | 19 | 11792 | 152 | 152 | 16 | 256 | 14.22841077 | 9.89  | 12096 | 0.00769043  |
| lena16.bmp | lena16.bmp-withWavelet_haar-G_0.75-H7e-005_af3.wfa    | 98304   | 32768  | 32768  | 14 | 6512  | 112 | 112 | 16 | 64  | 14.22740299 | 0.438 | 6736  | 0.068522135 |
| lena16.bmp | lena16.bmp-withWavelet_rbio1.1-G_0.75-H7e-005_af3.wfa | 98304   | 32768  | 32768  | 14 | 6512  | 112 | 112 | 16 | 64  | 14.22740299 | 0.422 | 6736  | 0.068522135 |



|            |   |         |        |        |    |       |     |     |    |     |             |       |       |             |
|------------|---|---------|--------|--------|----|-------|-----|-----|----|-----|-------------|-------|-------|-------------|
| lena16.bmp | lena16.bmp-withWavelet_sym1-G_0.75-H7e-005_af3.wfa    | 98304   | 32768  | 32768  | 14 | 6512  | 112 | 112 | 16 | 64  | 14.22740299 | 0.437 | 6736  | 0.068522135 |
| lena16.bmp | lena16.bmp-withWavelet_bior1.1-G_0.75-H7e-005_af3.wfa | 98304   | 32768  | 32768  | 14 | 6512  | 112 | 112 | 16 | 64  | 14.22740299 | 0.421 | 6736  | 0.068522135 |
| lena16.bmp | lena16.bmp-withWavelet_haar-G_1-H4e-005_af3.wfa       | 393216  | 131072 | 131072 | 17 | 9488  | 136 | 136 | 16 | 128 | 14.22381076 | 2.204 | 9760  | 0.024820964 |
| lena16.bmp | lena16.bmp-withWavelet_rbio1.1-G_1-H4e-005_af3.wfa    | 393216  | 131072 | 131072 | 17 | 9488  | 136 | 136 | 16 | 128 | 14.22381076 | 2     | 9760  | 0.024820964 |
| lena16.bmp | lena16.bmp-withWavelet_sym1-G_1-H4e-005_af3.wfa       | 393216  | 131072 | 131072 | 17 | 9488  | 136 | 136 | 16 | 128 | 14.22381076 | 2.015 | 9760  | 0.024820964 |
| lena16.bmp | lena16.bmp-withWavelet_bior1.1-G_1-H4e-005_af3.wfa    | 393216  | 131072 | 131072 | 17 | 9488  | 136 | 136 | 16 | 128 | 14.22381076 | 1.985 | 9760  | 0.024820964 |
| lena16.bmp | lena16.bmp-withWavelet_haar-G_1-H2e-005_af5.wfa       | 1572864 | 524288 | 524288 | 15 | 7440  | 120 | 120 | 16 | 256 | 14.22047952 | 8.203 | 7680  | 0.004882813 |
| lena16.bmp | lena16.bmp-withWavelet_rbio1.1-G_1-H2e-005_af5.wfa    | 1572864 | 524288 | 524288 | 15 | 7440  | 120 | 120 | 16 | 256 | 14.22047952 | 8.062 | 7680  | 0.004882813 |
| lena16.bmp | lena16.bmp-withWavelet_sym1-G_1-H2e-005_af5.wfa       | 1572864 | 524288 | 524288 | 15 | 7440  | 120 | 120 | 16 | 256 | 14.22047952 | 8.016 | 7680  | 0.004882813 |
| lena16.bmp | lena16.bmp-withWavelet_bior1.1-G_1-H2e-005_af5.wfa    | 1572864 | 524288 | 524288 | 15 | 7440  | 120 | 120 | 16 | 256 | 14.22047952 | 7.953 | 7680  | 0.004882813 |
| lena16.bmp | lena16.bmp-withWavelet_haar-G_0.75-H2e-005_af2.wfa    | 1572864 | 524288 | 524288 | 16 | 8432  | 128 | 128 | 16 | 256 | 14.21964393 | 8.328 | 8688  | 0.005523682 |
| lena16.bmp | lena16.bmp-withWavelet_rbio1.1-G_0.75-H2e-005_af2.wfa | 1572864 | 524288 | 524288 | 16 | 8432  | 128 | 128 | 16 | 256 | 14.21964393 | 9     | 8688  | 0.005523682 |
| lena16.bmp | lena16.bmp-withWavelet_sym1-G_0.75-H2e-005_af2.wfa    | 1572864 | 524288 | 524288 | 16 | 8432  | 128 | 128 | 16 | 256 | 14.21964393 | 9.562 | 8688  | 0.005523682 |
| lena16.bmp | lena16.bmp-withWavelet_bior1.1-G_0.75-H2e-005_af2.wfa | 1572864 | 524288 | 524288 | 16 | 8432  | 128 | 128 | 16 | 256 | 14.21964393 | 9.266 | 8688  | 0.005523682 |
| lena16.bmp | lena16.bmp-withWavelet_haar-G_1-H3e-005_af3.wfa       | 393216  | 131072 | 131072 | 17 | 9488  | 136 | 136 | 16 | 128 | 14.21110345 | 2     | 9760  | 0.024820964 |
| lena16.bmp | lena16.bmp-withWavelet_rbio1.1-G_1-H3e-005_af3.wfa    | 393216  | 131072 | 131072 | 17 | 9488  | 136 | 136 | 16 | 128 | 14.21110345 | 2     | 9760  | 0.024820964 |
| lena16.bmp | lena16.bmp-withWavelet_sym1-G_1-H3e-005_af3.wfa       | 393216  | 131072 | 131072 | 17 | 9488  | 136 | 136 | 16 | 128 | 14.21110345 | 2.062 | 9760  | 0.024820964 |
| lena16.bmp | lena16.bmp-withWavelet_bior1.1-G_1-H3e-005_af3.wfa    | 393216  | 131072 | 131072 | 17 | 9488  | 136 | 136 | 16 | 128 | 14.21110345 | 2.109 | 9760  | 0.024820964 |
| lena16.bmp | lena16.bmp-withWavelet_haar-G_0.75-H5e-005_af2.wfa    | 1572864 | 524288 | 524288 | 14 | 6512  | 112 | 112 | 16 | 256 | 14.20465379 | 7.5   | 6736  | 0.004282633 |
| lena16.bmp | lena16.bmp-withWavelet_rbio1.1-G_0.75-H5e-005_af2.wfa | 1572864 | 524288 | 524288 | 14 | 6512  | 112 | 112 | 16 | 256 | 14.20465379 | 7.562 | 6736  | 0.004282633 |
| lena16.bmp | lena16.bmp-withWavelet_sym1-G_0.75-H5e-005_af2.wfa    | 1572864 | 524288 | 524288 | 14 | 6512  | 112 | 112 | 16 | 256 | 14.20465379 | 7.609 | 6736  | 0.004282633 |
| lena16.bmp | lena16.bmp-withWavelet_bior1.1-G_0.75-H5e-005_af2.wfa | 1572864 | 524288 | 524288 | 14 | 6512  | 112 | 112 | 16 | 256 | 14.20465379 | 7.546 | 6736  | 0.004282633 |
| lena16.bmp | lena16.bmp-withWavelet_haar-G_0.75-H2e-005_af1.wfa    | 393216  | 131072 | 131072 | 17 | 9488  | 136 | 136 | 16 | 128 | 14.2039048  | 2.015 | 9760  | 0.024820964 |
| lena16.bmp | lena16.bmp-withWavelet_rbio1.1-G_0.75-H2e-005_af1.wfa | 393216  | 131072 | 131072 | 17 | 9488  | 136 | 136 | 16 | 128 | 14.2039048  | 1.984 | 9760  | 0.024820964 |
| lena16.bmp | lena16.bmp-withWavelet_sym1-G_0.75-H2e-005_af1.wfa    | 393216  | 131072 | 131072 | 17 | 9488  | 136 | 136 | 16 | 128 | 14.2039048  | 2.016 | 9760  | 0.024820964 |
| lena16.bmp | lena16.bmp-withWavelet_bior1.1-G_0.75-H2e-005_af1.wfa | 393216  | 131072 | 131072 | 17 | 9488  | 136 | 136 | 16 | 128 | 14.2039048  | 2     | 9760  | 0.024820964 |
| lena16.bmp | lena16.bmp-withWavelet_haar-G_1-H2e-005_af2.wfa       | 98304   | 32768  | 32768  | 17 | 9488  | 136 | 136 | 16 | 64  | 14.20090531 | 0.5   | 9760  | 0.099283854 |
| lena16.bmp | lena16.bmp-withWavelet_rbio1.1-G_1-H2e-005_af2.wfa    | 98304   | 32768  | 32768  | 17 | 9488  | 136 | 136 | 16 | 64  | 14.20090531 | 0.469 | 9760  | 0.099283854 |
| lena16.bmp | lena16.bmp-withWavelet_sym1-G_1-H2e-005_af2.wfa       | 98304   | 32768  | 32768  | 17 | 9488  | 136 | 136 | 16 | 64  | 14.20090531 | 0.516 | 9760  | 0.099283854 |
| lena16.bmp | lena16.bmp-withWavelet_bior1.1-G_1-H2e-005_af2.wfa    | 98304   | 32768  | 32768  | 17 | 9488  | 136 | 136 | 16 | 64  | 14.20090531 | 0.5   | 9760  | 0.099283854 |
| lena16.bmp | lena16.bmp-withWavelet_haar-G_1-H1e-005_af2.wfa       | 393216  | 131072 | 131072 | 18 | 10608 | 144 | 144 | 16 | 128 | 14.2007432  | 2.046 | 10896 | 0.027709961 |

|            |   |        |        |        |    |       |     |     |    |     |             |       |       |             |
|------------|---|--------|--------|--------|----|-------|-----|-----|----|-----|-------------|-------|-------|-------------|
| lena16.bmp | lena16.bmp-withWavelet_rbio1.1-G_1-H1e-005_af2.wfa    | 393216 | 131072 | 131072 | 18 | 10608 | 144 | 144 | 16 | 128 | 14.2007432  | 2.109 | 10896 | 0.027709961 |
| lena16.bmp | lena16.bmp-withWavelet_sym1-G_1-H1e-005_af2.wfa       | 393216 | 131072 | 131072 | 18 | 10608 | 144 | 144 | 16 | 128 | 14.2007432  | 2.078 | 10896 | 0.027709961 |
| lena16.bmp | lena16.bmp-withWavelet_bior1.1-G_1-H1e-005_af2.wfa    | 393216 | 131072 | 131072 | 18 | 10608 | 144 | 144 | 16 | 128 | 14.2007432  | 2.078 | 10896 | 0.027709961 |
| lena16.bmp | lena16.bmp-withWavelet_haar-G_1-H1e-005_af1.wfa       | 393216 | 131072 | 131072 | 18 | 10608 | 144 | 144 | 16 | 128 | 14.19908967 | 2.11  | 10896 | 0.027709961 |
| lena16.bmp | lena16.bmp-withWavelet_rbio1.1-G_1-H1e-005_af1.wfa    | 393216 | 131072 | 131072 | 18 | 10608 | 144 | 144 | 16 | 128 | 14.19908967 | 2.156 | 10896 | 0.027709961 |
| lena16.bmp | lena16.bmp-withWavelet_sym1-G_1-H1e-005_af1.wfa       | 393216 | 131072 | 131072 | 18 | 10608 | 144 | 144 | 16 | 128 | 14.19908967 | 2.328 | 10896 | 0.027709961 |
| lena16.bmp | lena16.bmp-withWavelet_bior1.1-G_1-H1e-005_af1.wfa    | 393216 | 131072 | 131072 | 18 | 10608 | 144 | 144 | 16 | 128 | 14.19908967 | 2.078 | 10896 | 0.027709961 |
| lena16.bmp | lena16.bmp-withWavelet_haar-G_1-H1e-005_af1.wfa       | 98304  | 32768  | 32768  | 18 | 10608 | 144 | 144 | 16 | 64  | 14.19847554 | 0.485 | 10896 | 0.110839844 |
| lena16.bmp | lena16.bmp-withWavelet_rbio1.1-G_1-H1e-005_af1.wfa    | 98304  | 32768  | 32768  | 18 | 10608 | 144 | 144 | 16 | 64  | 14.19847554 | 0.547 | 10896 | 0.110839844 |
| lena16.bmp | lena16.bmp-withWavelet_sym1-G_1-H1e-005_af1.wfa       | 98304  | 32768  | 32768  | 18 | 10608 | 144 | 144 | 16 | 64  | 14.19847554 | 0.547 | 10896 | 0.110839844 |
| lena16.bmp | lena16.bmp-withWavelet_bior1.1-G_1-H1e-005_af1.wfa    | 98304  | 32768  | 32768  | 18 | 10608 | 144 | 144 | 16 | 64  | 14.19847554 | 0.485 | 10896 | 0.110839844 |
| lena16.bmp | lena16.bmp-withWavelet_haar-G_0.75-H3e-005_af3.wfa    | 98304  | 32768  | 32768  | 18 | 10608 | 144 | 144 | 16 | 64  | 14.19599494 | 0.5   | 10896 | 0.110839844 |
| lena16.bmp | lena16.bmp-withWavelet_rbio1.1-G_0.75-H3e-005_af3.wfa | 98304  | 32768  | 32768  | 18 | 10608 | 144 | 144 | 16 | 64  | 14.19599494 | 0.484 | 10896 | 0.110839844 |
| lena16.bmp | lena16.bmp-withWavelet_sym1-G_0.75-H3e-005_af3.wfa    | 98304  | 32768  | 32768  | 18 | 10608 | 144 | 144 | 16 | 64  | 14.19599494 | 0.516 | 10896 | 0.110839844 |
| lena16.bmp | lena16.bmp-withWavelet_bior1.1-G_0.75-H3e-005_af3.wfa | 98304  | 32768  | 32768  | 18 | 10608 | 144 | 144 | 16 | 64  | 14.19599494 | 0.5   | 10896 | 0.110839844 |
| lena16.bmp | lena16.bmp-withWavelet_haar-G_0.75-H4e-005_af3.wfa    | 98304  | 32768  | 32768  | 18 | 10608 | 144 | 144 | 16 | 64  | 14.19599494 | 0.484 | 10896 | 0.110839844 |
| lena16.bmp | lena16.bmp-withWavelet_rbio1.1-G_0.75-H4e-005_af3.wfa | 98304  | 32768  | 32768  | 18 | 10608 | 144 | 144 | 16 | 64  | 14.19599494 | 0.484 | 10896 | 0.110839844 |
| lena16.bmp | lena16.bmp-withWavelet_sym1-G_0.75-H4e-005_af3.wfa    | 98304  | 32768  | 32768  | 18 | 10608 | 144 | 144 | 16 | 64  | 14.19599494 | 0.5   | 10896 | 0.110839844 |
| lena16.bmp | lena16.bmp-withWavelet_bior1.1-G_0.75-H4e-005_af3.wfa | 98304  | 32768  | 32768  | 18 | 10608 | 144 | 144 | 16 | 64  | 14.19599494 | 0.5   | 10896 | 0.110839844 |
| lena16.bmp | lena16.bmp-withWavelet_haar-G_0.75-H6e-005_af2.wfa    | 98304  | 32768  | 32768  | 13 | 5648  | 104 | 104 | 16 | 64  | 14.19585526 | 0.422 | 5856  | 0.059570313 |
| lena16.bmp | lena16.bmp-withWavelet_rbio1.1-G_0.75-H6e-005_af2.wfa | 98304  | 32768  | 32768  | 13 | 5648  | 104 | 104 | 16 | 64  | 14.19585526 | 0.422 | 5856  | 0.059570313 |
| lena16.bmp | lena16.bmp-withWavelet_sym1-G_0.75-H6e-005_af2.wfa    | 98304  | 32768  | 32768  | 13 | 5648  | 104 | 104 | 16 | 64  | 14.19585526 | 0.422 | 5856  | 0.059570313 |
| lena16.bmp | lena16.bmp-withWavelet_bior1.1-G_0.75-H6e-005_af2.wfa | 98304  | 32768  | 32768  | 13 | 5648  | 104 | 104 | 16 | 64  | 14.19585526 | 0.422 | 5856  | 0.059570313 |
| lena16.bmp | lena16.bmp-withWavelet_haar-G_0.75-H3e-005_af3.wfa    | 393216 | 131072 | 131072 | 18 | 10608 | 144 | 144 | 16 | 128 | 14.19480751 | 2.047 | 10896 | 0.027709961 |
| lena16.bmp | lena16.bmp-withWavelet_rbio1.1-G_0.75-H3e-005_af3.wfa | 393216 | 131072 | 131072 | 18 | 10608 | 144 | 144 | 16 | 128 | 14.19480751 | 2.063 | 10896 | 0.027709961 |
| lena16.bmp | lena16.bmp-withWavelet_sym1-G_0.75-H3e-005_af3.wfa    | 393216 | 131072 | 131072 | 18 | 10608 | 144 | 144 | 16 | 128 | 14.19480751 | 2.204 | 10896 | 0.027709961 |
| lena16.bmp | lena16.bmp-withWavelet_bior1.1-G_0.75-H3e-005_af3.wfa | 393216 | 131072 | 131072 | 18 | 10608 | 144 | 144 | 16 | 128 | 14.19480751 | 2.094 | 10896 | 0.027709961 |
| lena16.bmp | lena16.bmp-withWavelet_haar-G_0.75-H4e-005_af3.wfa    | 393216 | 131072 | 131072 | 18 | 10608 | 144 | 144 | 16 | 128 | 14.19480751 | 2.062 | 10896 | 0.027709961 |
| lena16.bmp | lena16.bmp-withWavelet_rbio1.1-G_0.75-H4e-005_af3.wfa | 393216 | 131072 | 131072 | 18 | 10608 | 144 | 144 | 16 | 128 | 14.19480751 | 2.109 | 10896 | 0.027709961 |
| lena16.bmp | lena16.bmp-withWavelet_sym1-G_0.75-H4e-005_af3.wfa    | 393216 | 131072 | 131072 | 18 | 10608 | 144 | 144 | 16 | 128 | 14.19480751 | 2.079 | 10896 | 0.027709961 |
| lena16.bmp | lena16.bmp-withWavelet_bior1.1-G_0.75-H4e-005_af3.wfa | 393216 | 131072 | 131072 | 18 | 10608 | 144 | 144 | 16 | 128 | 14.19480751 | 2.031 | 10896 | 0.027709961 |

|            |   |         |        |        |    |       |     |     |    |     |             |        |       |             |
|------------|---|---------|--------|--------|----|-------|-----|-----|----|-----|-------------|--------|-------|-------------|
| lena16.bmp | lena16.bmp-withWavelet_haar-G_0.75-H2e-005_af1.wfa    | 98304   | 32768  | 32768  | 17 | 9488  | 136 | 136 | 16 | 64  | 14.1944116  | 0.484  | 9760  | 0.099283854 |
| lena16.bmp | lena16.bmp-withWavelet_rbio1.1-G_0.75-H2e-005_af1.wfa | 98304   | 32768  | 32768  | 17 | 9488  | 136 | 136 | 16 | 64  | 14.1944116  | 0.5    | 9760  | 0.099283854 |
| lena16.bmp | lena16.bmp-withWavelet_sym1-G_0.75-H2e-005_af1.wfa    | 98304   | 32768  | 32768  | 17 | 9488  | 136 | 136 | 16 | 64  | 14.1944116  | 0.485  | 9760  | 0.099283854 |
| lena16.bmp | lena16.bmp-withWavelet_bior1.1-G_0.75-H2e-005_af1.wfa | 98304   | 32768  | 32768  | 17 | 9488  | 136 | 136 | 16 | 64  | 14.1944116  | 0.484  | 9760  | 0.099283854 |
| lena16.bmp | lena16.bmp-withWavelet_haar-G_0.75-H1e-005_af3.wfa    | 1572864 | 524288 | 524288 | 21 | 14352 | 168 | 168 | 16 | 256 | 14.19026494 | 11.453 | 14688 | 0.009338379 |
| lena16.bmp | lena16.bmp-withWavelet_rbio1.1-G_0.75-H1e-005_af3.wfa | 1572864 | 524288 | 524288 | 21 | 14352 | 168 | 168 | 16 | 256 | 14.19026494 | 10.531 | 14688 | 0.009338379 |
| lena16.bmp | lena16.bmp-withWavelet_sym1-G_0.75-H1e-005_af3.wfa    | 1572864 | 524288 | 524288 | 21 | 14352 | 168 | 168 | 16 | 256 | 14.19026494 | 11.469 | 14688 | 0.009338379 |
| lena16.bmp | lena16.bmp-withWavelet_bior1.1-G_0.75-H1e-005_af3.wfa | 1572864 | 524288 | 524288 | 21 | 14352 | 168 | 168 | 16 | 256 | 14.19026494 | 10.609 | 14688 | 0.009338379 |
| lena16.bmp | lena16.bmp-withWavelet_haar-G_1-H1e-005_af3.wfa       | 1572864 | 524288 | 524288 | 21 | 14352 | 168 | 168 | 16 | 256 | 14.19026494 | 10.5   | 14688 | 0.009338379 |
| lena16.bmp | lena16.bmp-withWavelet_rbio1.1-G_1-H1e-005_af3.wfa    | 1572864 | 524288 | 524288 | 21 | 14352 | 168 | 168 | 16 | 256 | 14.19026494 | 11.656 | 14688 | 0.009338379 |
| lena16.bmp | lena16.bmp-withWavelet_sym1-G_1-H1e-005_af3.wfa       | 1572864 | 524288 | 524288 | 21 | 14352 | 168 | 168 | 16 | 256 | 14.19026494 | 10.547 | 14688 | 0.009338379 |
| lena16.bmp | lena16.bmp-withWavelet_bior1.1-G_1-H1e-005_af3.wfa    | 1572864 | 524288 | 524288 | 21 | 14352 | 168 | 168 | 16 | 256 | 14.19026494 | 11.266 | 14688 | 0.009338379 |
| lena16.bmp | lena16.bmp-withWavelet_haar-G_1-H1e-005_af2.wfa       | 98304   | 32768  | 32768  | 18 | 10608 | 144 | 144 | 16 | 64  | 14.18849699 | 0.5    | 10896 | 0.110839844 |
| lena16.bmp | lena16.bmp-withWavelet_rbio1.1-G_1-H1e-005_af2.wfa    | 98304   | 32768  | 32768  | 18 | 10608 | 144 | 144 | 16 | 64  | 14.18849699 | 0.531  | 10896 | 0.110839844 |
| lena16.bmp | lena16.bmp-withWavelet_sym1-G_1-H1e-005_af2.wfa       | 98304   | 32768  | 32768  | 18 | 10608 | 144 | 144 | 16 | 64  | 14.18849699 | 0.593  | 10896 | 0.110839844 |
| lena16.bmp | lena16.bmp-withWavelet_bior1.1-G_1-H1e-005_af2.wfa    | 98304   | 32768  | 32768  | 18 | 10608 | 144 | 144 | 16 | 64  | 14.18849699 | 0.5    | 10896 | 0.110839844 |
| lena16.bmp | lena16.bmp-withWavelet_haar-G_0.75-H1e-005_af1.wfa    | 393216  | 131072 | 131072 | 18 | 10608 | 144 | 144 | 16 | 128 | 14.1874626  | 2.218  | 10896 | 0.027709961 |
| lena16.bmp | lena16.bmp-withWavelet_rbio1.1-G_0.75-H1e-005_af1.wfa | 393216  | 131072 | 131072 | 18 | 10608 | 144 | 144 | 16 | 128 | 14.1874626  | 2.046  | 10896 | 0.027709961 |
| lena16.bmp | lena16.bmp-withWavelet_sym1-G_0.75-H1e-005_af1.wfa    | 393216  | 131072 | 131072 | 18 | 10608 | 144 | 144 | 16 | 128 | 14.1874626  | 2.265  | 10896 | 0.027709961 |
| lena16.bmp | lena16.bmp-withWavelet_bior1.1-G_0.75-H1e-005_af1.wfa | 393216  | 131072 | 131072 | 18 | 10608 | 144 | 144 | 16 | 128 | 14.1874626  | 2.047  | 10896 | 0.027709961 |
| lena16.bmp | lena16.bmp-withWavelet_haar-G_0.75-H1e-005_af1.wfa    | 98304   | 32768  | 32768  | 18 | 10608 | 144 | 144 | 16 | 64  | 14.18706059 | 0.5    | 10896 | 0.110839844 |
| lena16.bmp | lena16.bmp-withWavelet_rbio1.1-G_0.75-H1e-005_af1.wfa | 98304   | 32768  | 32768  | 18 | 10608 | 144 | 144 | 16 | 64  | 14.18706059 | 0.485  | 10896 | 0.110839844 |
| lena16.bmp | lena16.bmp-withWavelet_sym1-G_0.75-H1e-005_af1.wfa    | 98304   | 32768  | 32768  | 18 | 10608 | 144 | 144 | 16 | 64  | 14.18706059 | 0.516  | 10896 | 0.110839844 |
| lena16.bmp | lena16.bmp-withWavelet_bior1.1-G_0.75-H1e-005_af1.wfa | 98304   | 32768  | 32768  | 18 | 10608 | 144 | 144 | 16 | 64  | 14.18706059 | 0.485  | 10896 | 0.110839844 |
| lena16.bmp | lena16.bmp-withWavelet_haar-G_0.75-H1e-005_af2.wfa    | 98304   | 32768  | 32768  | 18 | 10608 | 144 | 144 | 16 | 64  | 14.18576037 | 0.5    | 10896 | 0.110839844 |
| lena16.bmp | lena16.bmp-withWavelet_rbio1.1-G_0.75-H1e-005_af2.wfa | 98304   | 32768  | 32768  | 18 | 10608 | 144 | 144 | 16 | 64  | 14.18576037 | 0.516  | 10896 | 0.110839844 |
| lena16.bmp | lena16.bmp-withWavelet_sym1-G_0.75-H1e-005_af2.wfa    | 98304   | 32768  | 32768  | 18 | 10608 | 144 | 144 | 16 | 64  | 14.18576037 | 0.5    | 10896 | 0.110839844 |
| lena16.bmp | lena16.bmp-withWavelet_bior1.1-G_0.75-H1e-005_af2.wfa | 98304   | 32768  | 32768  | 18 | 10608 | 144 | 144 | 16 | 64  | 14.18576037 | 0.516  | 10896 | 0.110839844 |
| lena16.bmp | lena16.bmp-withWavelet_haar-G_0.5-H8e-005_af4.wfa     | 24576   | 8192   | 8192   | 10 | 3440  | 80  | 80  | 16 | 32  | 14.1854941  | 0.093  | 3600  | 0.146484375 |
| lena16.bmp | lena16.bmp-withWavelet_rbio1.1-G_0.5-H8e-005_af4.wfa  | 24576   | 8192   | 8192   | 10 | 3440  | 80  | 80  | 16 | 32  | 14.1854941  | 0.094  | 3600  | 0.146484375 |
| lena16.bmp | lena16.bmp-withWavelet_sym1-G_0.5-H8e-005_af4.wfa     | 24576   | 8192   | 8192   | 10 | 3440  | 80  | 80  | 16 | 32  | 14.1854941  | 0.094  | 3600  | 0.146484375 |

|            |   |        |        |        |    |       |     |     |    |     |             |       |       |             |
|------------|---|--------|--------|--------|----|-------|-----|-----|----|-----|-------------|-------|-------|-------------|
| lena16.bmp | lena16.bmp-withWavelet_bior1.1-G_0.5-H8e-005_af4.wfa  | 24576  | 8192   | 8192   | 10 | 3440  | 80  | 80  | 16 | 32  | 14.1854941  | 0.093 | 3600  | 0.146484375 |
| lena16.bmp | lena16.bmp-withWavelet_haar-G_0.5-H9e-005_af4.wfa     | 24576  | 8192   | 8192   | 10 | 3440  | 80  | 80  | 16 | 32  | 14.1854941  | 0.093 | 3600  | 0.146484375 |
| lena16.bmp | lena16.bmp-withWavelet_rbio1.1-G_0.5-H9e-005_af4.wfa  | 24576  | 8192   | 8192   | 10 | 3440  | 80  | 80  | 16 | 32  | 14.1854941  | 0.094 | 3600  | 0.146484375 |
| lena16.bmp | lena16.bmp-withWavelet_sym1-G_0.5-H9e-005_af4.wfa     | 24576  | 8192   | 8192   | 10 | 3440  | 80  | 80  | 16 | 32  | 14.1854941  | 0.094 | 3600  | 0.146484375 |
| lena16.bmp | lena16.bmp-withWavelet_bior1.1-G_0.5-H9e-005_af4.wfa  | 24576  | 8192   | 8192   | 10 | 3440  | 80  | 80  | 16 | 32  | 14.1854941  | 0.078 | 3600  | 0.146484375 |
| lena16.bmp | lena16.bmp-withWavelet_haar-G_0.5-H0.0001_af4.wfa     | 24576  | 8192   | 8192   | 10 | 3440  | 80  | 80  | 16 | 32  | 14.1854941  | 0.094 | 3600  | 0.146484375 |
| lena16.bmp | lena16.bmp-withWavelet_rbio1.1-G_0.5-H0.0001_af4.wfa  | 24576  | 8192   | 8192   | 10 | 3440  | 80  | 80  | 16 | 32  | 14.1854941  | 0.094 | 3600  | 0.146484375 |
| lena16.bmp | lena16.bmp-withWavelet_sym1-G_0.5-H0.0001_af4.wfa     | 24576  | 8192   | 8192   | 10 | 3440  | 80  | 80  | 16 | 32  | 14.1854941  | 0.094 | 3600  | 0.146484375 |
| lena16.bmp | lena16.bmp-withWavelet_bior1.1-G_0.5-H0.0001_af4.wfa  | 24576  | 8192   | 8192   | 10 | 3440  | 80  | 80  | 16 | 32  | 14.1854941  | 0.078 | 3600  | 0.146484375 |
| lena16.bmp | lena16.bmp-withWavelet_haar-G_1-H4e-005_af2.wfa       | 393216 | 131072 | 131072 | 16 | 8432  | 128 | 128 | 16 | 128 | 14.18206777 | 1.922 | 8688  | 0.022094727 |
| lena16.bmp | lena16.bmp-withWavelet_rbio1.1-G_1-H4e-005_af2.wfa    | 393216 | 131072 | 131072 | 16 | 8432  | 128 | 128 | 16 | 128 | 14.18206777 | 1.922 | 8688  | 0.022094727 |
| lena16.bmp | lena16.bmp-withWavelet_sym1-G_1-H4e-005_af2.wfa       | 393216 | 131072 | 131072 | 16 | 8432  | 128 | 128 | 16 | 128 | 14.18206777 | 1.906 | 8688  | 0.022094727 |
| lena16.bmp | lena16.bmp-withWavelet_bior1.1-G_1-H4e-005_af2.wfa    | 393216 | 131072 | 131072 | 16 | 8432  | 128 | 128 | 16 | 128 | 14.18206777 | 1.985 | 8688  | 0.022094727 |
| lena16.bmp | lena16.bmp-withWavelet_haar-G_0.75-H1e-005_af2.wfa    | 393216 | 131072 | 131072 | 18 | 10608 | 144 | 144 | 16 | 128 | 14.17902634 | 2.062 | 10896 | 0.027709961 |
| lena16.bmp | lena16.bmp-withWavelet_rbio1.1-G_0.75-H1e-005_af2.wfa | 393216 | 131072 | 131072 | 18 | 10608 | 144 | 144 | 16 | 128 | 14.17902634 | 2.094 | 10896 | 0.027709961 |
| lena16.bmp | lena16.bmp-withWavelet_sym1-G_0.75-H1e-005_af2.wfa    | 393216 | 131072 | 131072 | 18 | 10608 | 144 | 144 | 16 | 128 | 14.17902634 | 2.062 | 10896 | 0.027709961 |
| lena16.bmp | lena16.bmp-withWavelet_bior1.1-G_0.75-H1e-005_af2.wfa | 393216 | 131072 | 131072 | 18 | 10608 | 144 | 144 | 16 | 128 | 14.17902634 | 2.031 | 10896 | 0.027709961 |
| lena16.bmp | lena16.bmp-withWavelet_haar-G_0.75-H0.0001_af4.wfa    | 393216 | 131072 | 131072 | 11 | 4112  | 88  | 88  | 16 | 128 | 14.17540697 | 1.641 | 4288  | 0.010904948 |
| lena16.bmp | lena16.bmp-withWavelet_rbio1.1-G_0.75-H0.0001_af4.wfa | 393216 | 131072 | 131072 | 11 | 4112  | 88  | 88  | 16 | 128 | 14.17540697 | 1.688 | 4288  | 0.010904948 |
| lena16.bmp | lena16.bmp-withWavelet_sym1-G_0.75-H0.0001_af4.wfa    | 393216 | 131072 | 131072 | 11 | 4112  | 88  | 88  | 16 | 128 | 14.17540697 | 1.609 | 4288  | 0.010904948 |
| lena16.bmp | lena16.bmp-withWavelet_bior1.1-G_0.75-H0.0001_af4.wfa | 393216 | 131072 | 131072 | 11 | 4112  | 88  | 88  | 16 | 128 | 14.17540697 | 1.609 | 4288  | 0.010904948 |
| lena16.bmp | lena16.bmp-withWavelet_haar-G_1-H2e-005_af1.wfa       | 98304  | 32768  | 32768  | 18 | 10608 | 144 | 144 | 16 | 64  | 14.17491068 | 0.531 | 10896 | 0.110839844 |
| lena16.bmp | lena16.bmp-withWavelet_rbio1.1-G_1-H2e-005_af1.wfa    | 98304  | 32768  | 32768  | 18 | 10608 | 144 | 144 | 16 | 64  | 14.17491068 | 0.5   | 10896 | 0.110839844 |
| lena16.bmp | lena16.bmp-withWavelet_sym1-G_1-H2e-005_af1.wfa       | 98304  | 32768  | 32768  | 18 | 10608 | 144 | 144 | 16 | 64  | 14.17491068 | 0.563 | 10896 | 0.110839844 |
| lena16.bmp | lena16.bmp-withWavelet_bior1.1-G_1-H2e-005_af1.wfa    | 98304  | 32768  | 32768  | 18 | 10608 | 144 | 144 | 16 | 64  | 14.17491068 | 0.531 | 10896 | 0.110839844 |
| lena16.bmp | lena16.bmp-withWavelet_haar-G_1-H2e-005_af1.wfa       | 393216 | 131072 | 131072 | 18 | 10608 | 144 | 144 | 16 | 128 | 14.17411274 | 2.406 | 10896 | 0.027709961 |
| lena16.bmp | lena16.bmp-withWavelet_rbio1.1-G_1-H2e-005_af1.wfa    | 393216 | 131072 | 131072 | 18 | 10608 | 144 | 144 | 16 | 128 | 14.17411274 | 2.328 | 10896 | 0.027709961 |
| lena16.bmp | lena16.bmp-withWavelet_sym1-G_1-H2e-005_af1.wfa       | 393216 | 131072 | 131072 | 18 | 10608 | 144 | 144 | 16 | 128 | 14.17411274 | 2.078 | 10896 | 0.027709961 |
| lena16.bmp | lena16.bmp-withWavelet_bior1.1-G_1-H2e-005_af1.wfa    | 393216 | 131072 | 131072 | 18 | 10608 | 144 | 144 | 16 | 128 | 14.17411274 | 2.219 | 10896 | 0.027709961 |
| lena16.bmp | lena16.bmp-withWavelet_haar-G_1-H2e-005_af3.wfa       | 98304  | 32768  | 32768  | 19 | 11792 | 152 | 152 | 16 | 64  | 14.170212   | 0.531 | 12096 | 0.123046875 |
| lena16.bmp | lena16.bmp-withWavelet_rbio1.1-G_1-H2e-005_af3.wfa    | 98304  | 32768  | 32768  | 19 | 11792 | 152 | 152 | 16 | 64  | 14.170212   | 0.547 | 12096 | 0.123046875 |

|            |   |         |        |        |    |       |     |     |    |     |             |       |       |             |
|------------|---|---------|--------|--------|----|-------|-----|-----|----|-----|-------------|-------|-------|-------------|
| lena16.bmp | lena16.bmp-withWavelet_sym1-G_1-H2e-005_af3.wfa       | 98304   | 32768  | 32768  | 19 | 11792 | 152 | 152 | 16 | 64  | 14.170212   | 0.563 | 12096 | 0.123046875 |
| lena16.bmp | lena16.bmp-withWavelet_bior1.1-G_1-H2e-005_af3.wfa    | 98304   | 32768  | 32768  | 19 | 11792 | 152 | 152 | 16 | 64  | 14.170212   | 0.547 | 12096 | 0.123046875 |
| lena16.bmp | lena16.bmp-withWavelet_haar-G_1-H2e-005_af3.wfa       | 393216  | 131072 | 131072 | 19 | 11792 | 152 | 152 | 16 | 128 | 14.16534594 | 2.282 | 12096 | 0.030761719 |
| lena16.bmp | lena16.bmp-withWavelet_rbio1.1-G_1-H2e-005_af3.wfa    | 393216  | 131072 | 131072 | 19 | 11792 | 152 | 152 | 16 | 128 | 14.16534594 | 2.297 | 12096 | 0.030761719 |
| lena16.bmp | lena16.bmp-withWavelet_sym1-G_1-H2e-005_af3.wfa       | 393216  | 131072 | 131072 | 19 | 11792 | 152 | 152 | 16 | 128 | 14.16534594 | 2.328 | 12096 | 0.030761719 |
| lena16.bmp | lena16.bmp-withWavelet_bior1.1-G_1-H2e-005_af3.wfa    | 393216  | 131072 | 131072 | 19 | 11792 | 152 | 152 | 16 | 128 | 14.16534594 | 2.25  | 12096 | 0.030761719 |
| lena16.bmp | lena16.bmp-withWavelet_haar-G_0.75-H2e-005_af3.wfa    | 98304   | 32768  | 32768  | 19 | 11792 | 152 | 152 | 16 | 64  | 14.16467691 | 0.562 | 12096 | 0.123046875 |
| lena16.bmp | lena16.bmp-withWavelet_rbio1.1-G_0.75-H2e-005_af3.wfa | 98304   | 32768  | 32768  | 19 | 11792 | 152 | 152 | 16 | 64  | 14.16467691 | 0.532 | 12096 | 0.123046875 |
| lena16.bmp | lena16.bmp-withWavelet_sym1-G_0.75-H2e-005_af3.wfa    | 98304   | 32768  | 32768  | 19 | 11792 | 152 | 152 | 16 | 64  | 14.16467691 | 0.515 | 12096 | 0.123046875 |
| lena16.bmp | lena16.bmp-withWavelet_bior1.1-G_0.75-H2e-005_af3.wfa | 98304   | 32768  | 32768  | 19 | 11792 | 152 | 152 | 16 | 64  | 14.16467691 | 0.531 | 12096 | 0.123046875 |
| lena16.bmp | lena16.bmp-withWavelet_haar-G_0.75-H6e-005_af5.wfa    | 1572864 | 524288 | 524288 | 11 | 4112  | 88  | 88  | 16 | 256 | 14.16340424 | 6.844 | 4288  | 0.002726237 |
| lena16.bmp | lena16.bmp-withWavelet_rbio1.1-G_0.75-H6e-005_af5.wfa | 1572864 | 524288 | 524288 | 11 | 4112  | 88  | 88  | 16 | 256 | 14.16340424 | 6.859 | 4288  | 0.002726237 |
| lena16.bmp | lena16.bmp-withWavelet_sym1-G_0.75-H6e-005_af5.wfa    | 1572864 | 524288 | 524288 | 11 | 4112  | 88  | 88  | 16 | 256 | 14.16340424 | 6.859 | 4288  | 0.002726237 |
| lena16.bmp | lena16.bmp-withWavelet_bior1.1-G_0.75-H6e-005_af5.wfa | 1572864 | 524288 | 524288 | 11 | 4112  | 88  | 88  | 16 | 256 | 14.16340424 | 6.891 | 4288  | 0.002726237 |
| lena16.bmp | lena16.bmp-G_0.5-H8e-005_af2.wfa                      | 1572864 | 524288 |        | 11 | 4112  | 88  | 88  | 16 | 256 | 14.16029223 | 6.875 | 4288  | 0.002726237 |
| lena16.bmp | lena16.bmp-G_0.5-H4e-005_af5.wfa                      | 393216  | 131072 |        | 15 | 7440  | 120 | 120 | 16 | 128 | 14.15563838 | 1.843 | 7680  | 0.01953125  |
| lena16.bmp | lena16.bmp-G_0.5-H3e-005_af5.wfa                      | 393216  | 131072 |        | 15 | 7440  | 120 | 120 | 16 | 128 | 14.15563838 | 1.844 | 7680  | 0.01953125  |
| lena16.bmp | lena16.bmp-withWavelet_haar-G_0.75-H6e-005_af3.wfa    | 393216  | 131072 | 131072 | 15 | 7440  | 120 | 120 | 16 | 128 | 14.1548475  | 1.86  | 7680  | 0.01953125  |
| lena16.bmp | lena16.bmp-withWavelet_rbio1.1-G_0.75-H6e-005_af3.wfa | 393216  | 131072 | 131072 | 15 | 7440  | 120 | 120 | 16 | 128 | 14.1548475  | 1.875 | 7680  | 0.01953125  |
| lena16.bmp | lena16.bmp-withWavelet_sym1-G_0.75-H6e-005_af3.wfa    | 393216  | 131072 | 131072 | 15 | 7440  | 120 | 120 | 16 | 128 | 14.1548475  | 1.859 | 7680  | 0.01953125  |
| lena16.bmp | lena16.bmp-withWavelet_bior1.1-G_0.75-H6e-005_af3.wfa | 393216  | 131072 | 131072 | 15 | 7440  | 120 | 120 | 16 | 128 | 14.1548475  | 1.844 | 7680  | 0.01953125  |
| lena16.bmp | lena16.bmp-withWavelet_haar-G_0.75-H2e-005_af3.wfa    | 393216  | 131072 | 131072 | 19 | 11792 | 152 | 152 | 16 | 128 | 14.1547376  | 2.219 | 12096 | 0.030761719 |
| lena16.bmp | lena16.bmp-withWavelet_rbio1.1-G_0.75-H2e-005_af3.wfa | 393216  | 131072 | 131072 | 19 | 11792 | 152 | 152 | 16 | 128 | 14.1547376  | 2.218 | 12096 | 0.030761719 |
| lena16.bmp | lena16.bmp-withWavelet_sym1-G_0.75-H2e-005_af3.wfa    | 393216  | 131072 | 131072 | 19 | 11792 | 152 | 152 | 16 | 128 | 14.1547376  | 2.297 | 12096 | 0.030761719 |
| lena16.bmp | lena16.bmp-withWavelet_bior1.1-G_0.75-H2e-005_af3.wfa | 393216  | 131072 | 131072 | 19 | 11792 | 152 | 152 | 16 | 128 | 14.1547376  | 2.281 | 12096 | 0.030761719 |
| lena16.bmp | lena16.bmp-withWavelet_haar-G_0.75-H7e-005_af3.wfa    | 393216  | 131072 | 131072 | 14 | 6512  | 112 | 112 | 16 | 128 | 14.1535485  | 1.781 | 6736  | 0.017130534 |
| lena16.bmp | lena16.bmp-withWavelet_rbio1.1-G_0.75-H7e-005_af3.wfa | 393216  | 131072 | 131072 | 14 | 6512  | 112 | 112 | 16 | 128 | 14.1535485  | 1.781 | 6736  | 0.017130534 |
| lena16.bmp | lena16.bmp-withWavelet_sym1-G_0.75-H7e-005_af3.wfa    | 393216  | 131072 | 131072 | 14 | 6512  | 112 | 112 | 16 | 128 | 14.1535485  | 1.797 | 6736  | 0.017130534 |
| lena16.bmp | lena16.bmp-withWavelet_bior1.1-G_0.75-H7e-005_af3.wfa | 393216  | 131072 | 131072 | 14 | 6512  | 112 | 112 | 16 | 128 | 14.1535485  | 1.782 | 6736  | 0.017130534 |
| lena16.bmp | lena16.bmp-withWavelet_haar-G_0.75-H6e-005_af3.wfa    | 98304   | 32768  | 32768  | 15 | 7440  | 120 | 120 | 16 | 64  | 14.15345884 | 0.453 | 7680  | 0.078125    |
| lena16.bmp | lena16.bmp-withWavelet_rbio1.1-G_0.75-H6e-005_af3.wfa | 98304   | 32768  | 32768  | 15 | 7440  | 120 | 120 | 16 | 64  | 14.15345884 | 0.453 | 7680  | 0.078125    |

|            |   |         |        |        |    |       |     |     |    |     |             |       |       |             |
|------------|---|---------|--------|--------|----|-------|-----|-----|----|-----|-------------|-------|-------|-------------|
| lena16.bmp | lena16.bmp-withWavelet_sym1-G_0.75-H6e-005_af3.wfa    | 98304   | 32768  | 32768  | 15 | 7440  | 120 | 120 | 16 | 64  | 14.15345884 | 0.454 | 7680  | 0.078125    |
| lena16.bmp | lena16.bmp-withWavelet_bior1.1-G_0.75-H6e-005_af3.wfa | 98304   | 32768  | 32768  | 15 | 7440  | 120 | 120 | 16 | 64  | 14.15345884 | 0.438 | 7680  | 0.078125    |
| lena16.bmp | lena16.bmp-withWavelet_haar-G_0.75-H2e-005_af2.wfa    | 98304   | 32768  | 32768  | 16 | 8432  | 128 | 128 | 16 | 64  | 14.15157844 | 0.453 | 8688  | 0.088378906 |
| lena16.bmp | lena16.bmp-withWavelet_rbio1.1-G_0.75-H2e-005_af2.wfa | 98304   | 32768  | 32768  | 16 | 8432  | 128 | 128 | 16 | 64  | 14.15157844 | 0.469 | 8688  | 0.088378906 |
| lena16.bmp | lena16.bmp-withWavelet_sym1-G_0.75-H2e-005_af2.wfa    | 98304   | 32768  | 32768  | 16 | 8432  | 128 | 128 | 16 | 64  | 14.15157844 | 0.5   | 8688  | 0.088378906 |
| lena16.bmp | lena16.bmp-withWavelet_bior1.1-G_0.75-H2e-005_af2.wfa | 98304   | 32768  | 32768  | 16 | 8432  | 128 | 128 | 16 | 64  | 14.15157844 | 0.625 | 8688  | 0.088378906 |
| lena16.bmp | lena16.bmp-withWavelet_haar-G_0.75-H2e-005_af2.wfa    | 393216  | 131072 | 131072 | 16 | 8432  | 128 | 128 | 16 | 128 | 14.1509137  | 1.921 | 8688  | 0.022094727 |
| lena16.bmp | lena16.bmp-withWavelet_rbio1.1-G_0.75-H2e-005_af2.wfa | 393216  | 131072 | 131072 | 16 | 8432  | 128 | 128 | 16 | 128 | 14.1509137  | 1.938 | 8688  | 0.022094727 |
| lena16.bmp | lena16.bmp-withWavelet_sym1-G_0.75-H2e-005_af2.wfa    | 393216  | 131072 | 131072 | 16 | 8432  | 128 | 128 | 16 | 128 | 14.1509137  | 1.921 | 8688  | 0.022094727 |
| lena16.bmp | lena16.bmp-withWavelet_bior1.1-G_0.75-H2e-005_af2.wfa | 393216  | 131072 | 131072 | 16 | 8432  | 128 | 128 | 16 | 128 | 14.1509137  | 2.032 | 8688  | 0.022094727 |
| lena16.bmp | lena16.bmp-withWavelet_haar-G_1-H8e-005_af3.wfa       | 393216  | 131072 | 131072 | 11 | 4112  | 88  | 88  | 16 | 128 | 14.14943034 | 1.625 | 4288  | 0.010904948 |
| lena16.bmp | lena16.bmp-withWavelet_rbio1.1-G_1-H8e-005_af3.wfa    | 393216  | 131072 | 131072 | 11 | 4112  | 88  | 88  | 16 | 128 | 14.14943034 | 1.625 | 4288  | 0.010904948 |
| lena16.bmp | lena16.bmp-withWavelet_sym1-G_1-H8e-005_af3.wfa       | 393216  | 131072 | 131072 | 11 | 4112  | 88  | 88  | 16 | 128 | 14.14943034 | 1.594 | 4288  | 0.010904948 |
| lena16.bmp | lena16.bmp-withWavelet_bior1.1-G_1-H8e-005_af3.wfa    | 393216  | 131072 | 131072 | 11 | 4112  | 88  | 88  | 16 | 128 | 14.14943034 | 1.625 | 4288  | 0.010904948 |
| lena16.bmp | lena16.bmp-withWavelet_haar-G_1-H9e-005_af3.wfa       | 393216  | 131072 | 131072 | 11 | 4112  | 88  | 88  | 16 | 128 | 14.14943034 | 1.61  | 4288  | 0.010904948 |
| lena16.bmp | lena16.bmp-withWavelet_rbio1.1-G_1-H9e-005_af3.wfa    | 393216  | 131072 | 131072 | 11 | 4112  | 88  | 88  | 16 | 128 | 14.14943034 | 1.61  | 4288  | 0.010904948 |
| lena16.bmp | lena16.bmp-withWavelet_sym1-G_1-H9e-005_af3.wfa       | 393216  | 131072 | 131072 | 11 | 4112  | 88  | 88  | 16 | 128 | 14.14943034 | 1.61  | 4288  | 0.010904948 |
| lena16.bmp | lena16.bmp-withWavelet_bior1.1-G_1-H9e-005_af3.wfa    | 393216  | 131072 | 131072 | 11 | 4112  | 88  | 88  | 16 | 128 | 14.14943034 | 1.641 | 4288  | 0.010904948 |
| lena16.bmp | lena16.bmp-withWavelet_haar-G_1-H0.0001_af3.wfa       | 393216  | 131072 | 131072 | 11 | 4112  | 88  | 88  | 16 | 128 | 14.14943034 | 1.641 | 4288  | 0.010904948 |
| lena16.bmp | lena16.bmp-withWavelet_rbio1.1-G_1-H0.0001_af3.wfa    | 393216  | 131072 | 131072 | 11 | 4112  | 88  | 88  | 16 | 128 | 14.14943034 | 1.625 | 4288  | 0.010904948 |
| lena16.bmp | lena16.bmp-withWavelet_sym1-G_1-H0.0001_af3.wfa       | 393216  | 131072 | 131072 | 11 | 4112  | 88  | 88  | 16 | 128 | 14.14943034 | 1.656 | 4288  | 0.010904948 |
| lena16.bmp | lena16.bmp-withWavelet_bior1.1-G_1-H0.0001_af3.wfa    | 393216  | 131072 | 131072 | 11 | 4112  | 88  | 88  | 16 | 128 | 14.14943034 | 1.609 | 4288  | 0.010904948 |
| lena16.bmp | lena16.bmp-withWavelet_haar-G_1-H1e-005_af5.wfa       | 1572864 | 524288 | 524288 | 18 | 10608 | 144 | 144 | 16 | 256 | 14.14828775 | 8.891 | 10896 | 0.00692749  |
| lena16.bmp | lena16.bmp-withWavelet_rbio1.1-G_1-H1e-005_af5.wfa    | 1572864 | 524288 | 524288 | 18 | 10608 | 144 | 144 | 16 | 256 | 14.14828775 | 9.047 | 10896 | 0.00692749  |
| lena16.bmp | lena16.bmp-withWavelet_sym1-G_1-H1e-005_af5.wfa       | 1572864 | 524288 | 524288 | 18 | 10608 | 144 | 144 | 16 | 256 | 14.14828775 | 8.844 | 10896 | 0.00692749  |
| lena16.bmp | lena16.bmp-withWavelet_bior1.1-G_1-H1e-005_af5.wfa    | 1572864 | 524288 | 524288 | 18 | 10608 | 144 | 144 | 16 | 256 | 14.14828775 | 9.047 | 10896 | 0.00692749  |
| lena16.bmp | lena16.bmp-withWavelet_haar-G_1-H2e-005_af5.wfa       | 98304   | 32768  | 32768  | 15 | 7440  | 120 | 120 | 16 | 64  | 14.1475088  | 0.484 | 7680  | 0.078125    |
| lena16.bmp | lena16.bmp-withWavelet_rbio1.1-G_1-H2e-005_af5.wfa    | 98304   | 32768  | 32768  | 15 | 7440  | 120 | 120 | 16 | 64  | 14.1475088  | 0.469 | 7680  | 0.078125    |
| lena16.bmp | lena16.bmp-withWavelet_sym1-G_1-H2e-005_af5.wfa       | 98304   | 32768  | 32768  | 15 | 7440  | 120 | 120 | 16 | 64  | 14.1475088  | 0.516 | 7680  | 0.078125    |
| lena16.bmp | lena16.bmp-withWavelet_bior1.1-G_1-H2e-005_af5.wfa    | 98304   | 32768  | 32768  | 15 | 7440  | 120 | 120 | 16 | 64  | 14.1475088  | 0.453 | 7680  | 0.078125    |
| lena16.bmp | lena16.bmp-withWavelet_haar-G_0.75-H2e-005_af5.wfa    | 1572864 | 524288 | 524288 | 14 | 6512  | 112 | 112 | 16 | 256 | 14.14703089 | 7.547 | 6736  | 0.004282633 |

|            |   |         |        |        |    |       |     |     |    |     |             |       |       |             |
|------------|---|---------|--------|--------|----|-------|-----|-----|----|-----|-------------|-------|-------|-------------|
| lena16.bmp | lena16.bmp-withWavelet_rbio1.1-G_0.75-H2e-005_af5.wfa | 1572864 | 524288 | 524288 | 14 | 6512  | 112 | 112 | 16 | 256 | 14.14703089 | 7.672 | 6736  | 0.004282633 |
| lena16.bmp | lena16.bmp-withWavelet_sym1-G_0.75-H2e-005_af5.wfa    | 1572864 | 524288 | 524288 | 14 | 6512  | 112 | 112 | 16 | 256 | 14.14703089 | 8.421 | 6736  | 0.004282633 |
| lena16.bmp | lena16.bmp-withWavelet_bior1.1-G_0.75-H2e-005_af5.wfa | 1572864 | 524288 | 524288 | 14 | 6512  | 112 | 112 | 16 | 256 | 14.14703089 | 7.704 | 6736  | 0.004282633 |
| lena16.bmp | lena16.bmp-withWavelet_haar-G_1-H2e-005_af5.wfa       | 393216  | 131072 | 131072 | 15 | 7440  | 120 | 120 | 16 | 128 | 14.14629131 | 1.906 | 7680  | 0.01953125  |
| lena16.bmp | lena16.bmp-withWavelet_rbio1.1-G_1-H2e-005_af5.wfa    | 393216  | 131072 | 131072 | 15 | 7440  | 120 | 120 | 16 | 128 | 14.14629131 | 2     | 7680  | 0.01953125  |
| lena16.bmp | lena16.bmp-withWavelet_sym1-G_1-H2e-005_af5.wfa       | 393216  | 131072 | 131072 | 15 | 7440  | 120 | 120 | 16 | 128 | 14.14629131 | 1.891 | 7680  | 0.01953125  |
| lena16.bmp | lena16.bmp-withWavelet_bior1.1-G_1-H2e-005_af5.wfa    | 393216  | 131072 | 131072 | 15 | 7440  | 120 | 120 | 16 | 128 | 14.14629131 | 1.875 | 7680  | 0.01953125  |
| lena16.bmp | lena16.bmp-withWavelet_haar-G_1-H4e-005_af2.wfa       | 98304   | 32768  | 32768  | 16 | 8432  | 128 | 128 | 16 | 64  | 14.14573437 | 0.453 | 8688  | 0.088378906 |
| lena16.bmp | lena16.bmp-withWavelet_rbio1.1-G_1-H4e-005_af2.wfa    | 98304   | 32768  | 32768  | 16 | 8432  | 128 | 128 | 16 | 64  | 14.14573437 | 0.453 | 8688  | 0.088378906 |
| lena16.bmp | lena16.bmp-withWavelet_sym1-G_1-H4e-005_af2.wfa       | 98304   | 32768  | 32768  | 16 | 8432  | 128 | 128 | 16 | 64  | 14.14573437 | 0.453 | 8688  | 0.088378906 |
| lena16.bmp | lena16.bmp-withWavelet_bior1.1-G_1-H4e-005_af2.wfa    | 98304   | 32768  | 32768  | 16 | 8432  | 128 | 128 | 16 | 64  | 14.14573437 | 0.469 | 8688  | 0.088378906 |
| lena16.bmp | lena16.bmp-withWavelet_haar-G_0.75-H3e-005_af5.wfa    | 1572864 | 524288 | 524288 | 12 | 4848  | 96  | 96  | 16 | 256 | 14.13139445 | 7.078 | 5040  | 0.003204346 |
| lena16.bmp | lena16.bmp-withWavelet_rbio1.1-G_0.75-H3e-005_af5.wfa | 1572864 | 524288 | 524288 | 12 | 4848  | 96  | 96  | 16 | 256 | 14.13139445 | 7.375 | 5040  | 0.003204346 |
| lena16.bmp | lena16.bmp-withWavelet_sym1-G_0.75-H3e-005_af5.wfa    | 1572864 | 524288 | 524288 | 12 | 4848  | 96  | 96  | 16 | 256 | 14.13139445 | 7.141 | 5040  | 0.003204346 |
| lena16.bmp | lena16.bmp-withWavelet_bior1.1-G_0.75-H3e-005_af5.wfa | 1572864 | 524288 | 524288 | 12 | 4848  | 96  | 96  | 16 | 256 | 14.13139445 | 7.188 | 5040  | 0.003204346 |
| lena16.bmp | lena16.bmp-withWavelet_haar-G_0.75-H4e-005_af5.wfa    | 1572864 | 524288 | 524288 | 12 | 4848  | 96  | 96  | 16 | 256 | 14.13139445 | 7.219 | 5040  | 0.003204346 |
| lena16.bmp | lena16.bmp-withWavelet_rbio1.1-G_0.75-H4e-005_af5.wfa | 1572864 | 524288 | 524288 | 12 | 4848  | 96  | 96  | 16 | 256 | 14.13139445 | 7.187 | 5040  | 0.003204346 |
| lena16.bmp | lena16.bmp-withWavelet_sym1-G_0.75-H4e-005_af5.wfa    | 1572864 | 524288 | 524288 | 12 | 4848  | 96  | 96  | 16 | 256 | 14.13139445 | 7.094 | 5040  | 0.003204346 |
| lena16.bmp | lena16.bmp-withWavelet_bior1.1-G_0.75-H4e-005_af5.wfa | 1572864 | 524288 | 524288 | 12 | 4848  | 96  | 96  | 16 | 256 | 14.13139445 | 7.031 | 5040  | 0.003204346 |
| lena16.bmp | lena16.bmp-withWavelet_haar-G_0.75-H5e-005_af5.wfa    | 1572864 | 524288 | 524288 | 12 | 4848  | 96  | 96  | 16 | 256 | 14.13139445 | 7.078 | 5040  | 0.003204346 |
| lena16.bmp | lena16.bmp-withWavelet_rbio1.1-G_0.75-H5e-005_af5.wfa | 1572864 | 524288 | 524288 | 12 | 4848  | 96  | 96  | 16 | 256 | 14.13139445 | 7.093 | 5040  | 0.003204346 |
| lena16.bmp | lena16.bmp-withWavelet_sym1-G_0.75-H5e-005_af5.wfa    | 1572864 | 524288 | 524288 | 12 | 4848  | 96  | 96  | 16 | 256 | 14.13139445 | 7.094 | 5040  | 0.003204346 |
| lena16.bmp | lena16.bmp-withWavelet_bior1.1-G_0.75-H5e-005_af5.wfa | 1572864 | 524288 | 524288 | 12 | 4848  | 96  | 96  | 16 | 256 | 14.13139445 | 7.094 | 5040  | 0.003204346 |
| lena16.bmp | lena16.bmp-withWavelet_haar-G_0.75-H1e-005_af3.wfa    | 98304   | 32768  | 32768  | 21 | 14352 | 168 | 168 | 16 | 64  | 14.12364859 | 0.594 | 14688 | 0.149414063 |
| lena16.bmp | lena16.bmp-withWavelet_rbio1.1-G_0.75-H1e-005_af3.wfa | 98304   | 32768  | 32768  | 21 | 14352 | 168 | 168 | 16 | 64  | 14.12364859 | 0.593 | 14688 | 0.149414063 |
| lena16.bmp | lena16.bmp-withWavelet_sym1-G_0.75-H1e-005_af3.wfa    | 98304   | 32768  | 32768  | 21 | 14352 | 168 | 168 | 16 | 64  | 14.12364859 | 0.672 | 14688 | 0.149414063 |
| lena16.bmp | lena16.bmp-withWavelet_bior1.1-G_0.75-H1e-005_af3.wfa | 98304   | 32768  | 32768  | 21 | 14352 | 168 | 168 | 16 | 64  | 14.12364859 | 0.593 | 14688 | 0.149414063 |
| lena16.bmp | lena16.bmp-withWavelet_haar-G_1-H1e-005_af3.wfa       | 98304   | 32768  | 32768  | 21 | 14352 | 168 | 168 | 16 | 64  | 14.12364859 | 0.578 | 14688 | 0.149414063 |
| lena16.bmp | lena16.bmp-withWavelet_rbio1.1-G_1-H1e-005_af3.wfa    | 98304   | 32768  | 32768  | 21 | 14352 | 168 | 168 | 16 | 64  | 14.12364859 | 0.578 | 14688 | 0.149414063 |
| lena16.bmp | lena16.bmp-withWavelet_sym1-G_1-H1e-005_af3.wfa       | 98304   | 32768  | 32768  | 21 | 14352 | 168 | 168 | 16 | 64  | 14.12364859 | 0.563 | 14688 | 0.149414063 |
| lena16.bmp | lena16.bmp-withWavelet_bior1.1-G_1-H1e-005_af3.wfa    | 98304   | 32768  | 32768  | 21 | 14352 | 168 | 168 | 16 | 64  | 14.12364859 | 0.562 | 14688 | 0.149414063 |

|            |   |        |        |        |    |       |     |     |    |     |             |       |       |             |
|------------|---|--------|--------|--------|----|-------|-----|-----|----|-----|-------------|-------|-------|-------------|
| lena16.bmp | lena16.bmp-withWavelet_haar-G_0.75-H5e-005_af2.wfa    | 393216 | 131072 | 131072 | 14 | 6512  | 112 | 112 | 16 | 128 | 14.12139702 | 1.782 | 6736  | 0.017130534 |
| lena16.bmp | lena16.bmp-withWavelet_rbio1.1-G_0.75-H5e-005_af2.wfa | 393216 | 131072 | 131072 | 14 | 6512  | 112 | 112 | 16 | 128 | 14.12139702 | 1.781 | 6736  | 0.017130534 |
| lena16.bmp | lena16.bmp-withWavelet_sym1-G_0.75-H5e-005_af2.wfa    | 393216 | 131072 | 131072 | 14 | 6512  | 112 | 112 | 16 | 128 | 14.12139702 | 1.781 | 6736  | 0.017130534 |
| lena16.bmp | lena16.bmp-withWavelet_bior1.1-G_0.75-H5e-005_af2.wfa | 393216 | 131072 | 131072 | 14 | 6512  | 112 | 112 | 16 | 128 | 14.12139702 | 1.781 | 6736  | 0.017130534 |
| lena16.bmp | lena16.bmp-withWavelet_haar-G_0.75-H1e-005_af3.wfa    | 393216 | 131072 | 131072 | 21 | 14352 | 168 | 168 | 16 | 128 | 14.12005169 | 2.609 | 14688 | 0.037353516 |
| lena16.bmp | lena16.bmp-withWavelet_rbio1.1-G_0.75-H1e-005_af3.wfa | 393216 | 131072 | 131072 | 21 | 14352 | 168 | 168 | 16 | 128 | 14.12005169 | 2.484 | 14688 | 0.037353516 |
| lena16.bmp | lena16.bmp-withWavelet_sym1-G_0.75-H1e-005_af3.wfa    | 393216 | 131072 | 131072 | 21 | 14352 | 168 | 168 | 16 | 128 | 14.12005169 | 2.641 | 14688 | 0.037353516 |
| lena16.bmp | lena16.bmp-withWavelet_bior1.1-G_0.75-H1e-005_af3.wfa | 393216 | 131072 | 131072 | 21 | 14352 | 168 | 168 | 16 | 128 | 14.12005169 | 2.422 | 14688 | 0.037353516 |
| lena16.bmp | lena16.bmp-withWavelet_haar-G_1-H1e-005_af3.wfa       | 393216 | 131072 | 131072 | 21 | 14352 | 168 | 168 | 16 | 128 | 14.12005169 | 2.421 | 14688 | 0.037353516 |
| lena16.bmp | lena16.bmp-withWavelet_rbio1.1-G_1-H1e-005_af3.wfa    | 393216 | 131072 | 131072 | 21 | 14352 | 168 | 168 | 16 | 128 | 14.12005169 | 2.609 | 14688 | 0.037353516 |
| lena16.bmp | lena16.bmp-withWavelet_sym1-G_1-H1e-005_af3.wfa       | 393216 | 131072 | 131072 | 21 | 14352 | 168 | 168 | 16 | 128 | 14.12005169 | 2.422 | 14688 | 0.037353516 |
| lena16.bmp | lena16.bmp-withWavelet_bior1.1-G_1-H1e-005_af3.wfa    | 393216 | 131072 | 131072 | 21 | 14352 | 168 | 168 | 16 | 128 | 14.12005169 | 2.594 | 14688 | 0.037353516 |
| lena16.bmp | lena16.bmp-withWavelet_haar-G_0.5-H5e-005_af4.wfa     | 24576  | 8192   | 8192   | 11 | 4112  | 88  | 88  | 16 | 32  | 14.10782663 | 0.093 | 4288  | 0.174479167 |
| lena16.bmp | lena16.bmp-withWavelet_rbio1.1-G_0.5-H5e-005_af4.wfa  | 24576  | 8192   | 8192   | 11 | 4112  | 88  | 88  | 16 | 32  | 14.10782663 | 0.094 | 4288  | 0.174479167 |
| lena16.bmp | lena16.bmp-withWavelet_sym1-G_0.5-H5e-005_af4.wfa     | 24576  | 8192   | 8192   | 11 | 4112  | 88  | 88  | 16 | 32  | 14.10782663 | 0.078 | 4288  | 0.174479167 |
| lena16.bmp | lena16.bmp-withWavelet_bior1.1-G_0.5-H5e-005_af4.wfa  | 24576  | 8192   | 8192   | 11 | 4112  | 88  | 88  | 16 | 32  | 14.10782663 | 0.094 | 4288  | 0.174479167 |
| lena16.bmp | lena16.bmp-withWavelet_haar-G_0.5-H6e-005_af4.wfa     | 24576  | 8192   | 8192   | 11 | 4112  | 88  | 88  | 16 | 32  | 14.10782663 | 0.094 | 4288  | 0.174479167 |
| lena16.bmp | lena16.bmp-withWavelet_rbio1.1-G_0.5-H6e-005_af4.wfa  | 24576  | 8192   | 8192   | 11 | 4112  | 88  | 88  | 16 | 32  | 14.10782663 | 0.093 | 4288  | 0.174479167 |
| lena16.bmp | lena16.bmp-withWavelet_sym1-G_0.5-H6e-005_af4.wfa     | 24576  | 8192   | 8192   | 11 | 4112  | 88  | 88  | 16 | 32  | 14.10782663 | 0.093 | 4288  | 0.174479167 |
| lena16.bmp | lena16.bmp-withWavelet_bior1.1-G_0.5-H6e-005_af4.wfa  | 24576  | 8192   | 8192   | 11 | 4112  | 88  | 88  | 16 | 32  | 14.10782663 | 0.094 | 4288  | 0.174479167 |
| lena16.bmp | lena16.bmp-withWavelet_haar-G_0.5-H7e-005_af4.wfa     | 24576  | 8192   | 8192   | 11 | 4112  | 88  | 88  | 16 | 32  | 14.10782663 | 0.093 | 4288  | 0.174479167 |
| lena16.bmp | lena16.bmp-withWavelet_rbio1.1-G_0.5-H7e-005_af4.wfa  | 24576  | 8192   | 8192   | 11 | 4112  | 88  | 88  | 16 | 32  | 14.10782663 | 0.094 | 4288  | 0.174479167 |
| lena16.bmp | lena16.bmp-withWavelet_sym1-G_0.5-H7e-005_af4.wfa     | 24576  | 8192   | 8192   | 11 | 4112  | 88  | 88  | 16 | 32  | 14.10782663 | 0.094 | 4288  | 0.174479167 |
| lena16.bmp | lena16.bmp-withWavelet_bior1.1-G_0.5-H7e-005_af4.wfa  | 24576  | 8192   | 8192   | 11 | 4112  | 88  | 88  | 16 | 32  | 14.10782663 | 0.094 | 4288  | 0.174479167 |
| lena16.bmp | lena16.bmp-withWavelet_haar-G_0.75-H6e-005_af5.wfa    | 393216 | 131072 | 131072 | 11 | 4112  | 88  | 88  | 16 | 128 | 14.09933228 | 1.625 | 4288  | 0.010904948 |
| lena16.bmp | lena16.bmp-withWavelet_rbio1.1-G_0.75-H6e-005_af5.wfa | 393216 | 131072 | 131072 | 11 | 4112  | 88  | 88  | 16 | 128 | 14.09933228 | 1.61  | 4288  | 0.010904948 |
| lena16.bmp | lena16.bmp-withWavelet_sym1-G_0.75-H6e-005_af5.wfa    | 393216 | 131072 | 131072 | 11 | 4112  | 88  | 88  | 16 | 128 | 14.09933228 | 1.625 | 4288  | 0.010904948 |
| lena16.bmp | lena16.bmp-withWavelet_bior1.1-G_0.75-H6e-005_af5.wfa | 393216 | 131072 | 131072 | 11 | 4112  | 88  | 88  | 16 | 128 | 14.09933228 | 1.625 | 4288  | 0.010904948 |
| lena16.bmp | lena16.bmp-withWavelet_haar-G_0.75-H2e-005_af5.wfa    | 393216 | 131072 | 131072 | 14 | 6512  | 112 | 112 | 16 | 128 | 14.09929837 | 2.063 | 6736  | 0.017130534 |
| lena16.bmp | lena16.bmp-withWavelet_rbio1.1-G_0.75-H2e-005_af5.wfa | 393216 | 131072 | 131072 | 14 | 6512  | 112 | 112 | 16 | 128 | 14.09929837 | 1.828 | 6736  | 0.017130534 |
| lena16.bmp | lena16.bmp-withWavelet_sym1-G_0.75-H2e-005_af5.wfa    | 393216 | 131072 | 131072 | 14 | 6512  | 112 | 112 | 16 | 128 | 14.09929837 | 1.86  | 6736  | 0.017130534 |



|            |   |         |        |        |    |      |     |     |    |     |             |       |      |             |
|------------|---|---------|--------|--------|----|------|-----|-----|----|-----|-------------|-------|------|-------------|
| lena16.bmp | lena16.bmp-withWavelet_bior1.1-G_0.75-H2e-005_af5.wfa | 393216  | 131072 | 131072 | 14 | 6512 | 112 | 112 | 16 | 128 | 14.09929837 | 1.796 | 6736 | 0.017130534 |
| lena16.bmp | lena16.bmp-withWavelet_haar-G_0.75-H0.0001_af4.wfa    | 1572864 | 524288 | 524288 | 11 | 4112 | 88  | 88  | 16 | 256 | 14.09197925 | 6.89  | 4288 | 0.002726237 |
| lena16.bmp | lena16.bmp-withWavelet_rbio1.1-G_0.75-H0.0001_af4.wfa | 1572864 | 524288 | 524288 | 11 | 4112 | 88  | 88  | 16 | 256 | 14.09197925 | 6.875 | 4288 | 0.002726237 |
| lena16.bmp | lena16.bmp-withWavelet_sym1-G_0.75-H0.0001_af4.wfa    | 1572864 | 524288 | 524288 | 11 | 4112 | 88  | 88  | 16 | 256 | 14.09197925 | 6.844 | 4288 | 0.002726237 |
| lena16.bmp | lena16.bmp-withWavelet_bior1.1-G_0.75-H0.0001_af4.wfa | 1572864 | 524288 | 524288 | 11 | 4112 | 88  | 88  | 16 | 256 | 14.09197925 | 6.953 | 4288 | 0.002726237 |
| lena16.bmp | lena16.bmp-withWavelet_haar-G_1-H8e-005_af3.wfa       | 1572864 | 524288 | 524288 | 11 | 4112 | 88  | 88  | 16 | 256 | 14.08653664 | 6.813 | 4288 | 0.002726237 |
| lena16.bmp | lena16.bmp-withWavelet_rbio1.1-G_1-H8e-005_af3.wfa    | 1572864 | 524288 | 524288 | 11 | 4112 | 88  | 88  | 16 | 256 | 14.08653664 | 6.875 | 4288 | 0.002726237 |
| lena16.bmp | lena16.bmp-withWavelet_sym1-G_1-H8e-005_af3.wfa       | 1572864 | 524288 | 524288 | 11 | 4112 | 88  | 88  | 16 | 256 | 14.08653664 | 6.86  | 4288 | 0.002726237 |
| lena16.bmp | lena16.bmp-withWavelet_bior1.1-G_1-H8e-005_af3.wfa    | 1572864 | 524288 | 524288 | 11 | 4112 | 88  | 88  | 16 | 256 | 14.08653664 | 6.782 | 4288 | 0.002726237 |
| lena16.bmp | lena16.bmp-withWavelet_haar-G_1-H9e-005_af3.wfa       | 1572864 | 524288 | 524288 | 11 | 4112 | 88  | 88  | 16 | 256 | 14.08653664 | 6.843 | 4288 | 0.002726237 |
| lena16.bmp | lena16.bmp-withWavelet_rbio1.1-G_1-H9e-005_af3.wfa    | 1572864 | 524288 | 524288 | 11 | 4112 | 88  | 88  | 16 | 256 | 14.08653664 | 6.953 | 4288 | 0.002726237 |
| lena16.bmp | lena16.bmp-withWavelet_sym1-G_1-H9e-005_af3.wfa       | 1572864 | 524288 | 524288 | 11 | 4112 | 88  | 88  | 16 | 256 | 14.08653664 | 6.812 | 4288 | 0.002726237 |
| lena16.bmp | lena16.bmp-withWavelet_bior1.1-G_1-H9e-005_af3.wfa    | 1572864 | 524288 | 524288 | 11 | 4112 | 88  | 88  | 16 | 256 | 14.08653664 | 6.844 | 4288 | 0.002726237 |
| lena16.bmp | lena16.bmp-withWavelet_haar-G_1-H0.0001_af3.wfa       | 1572864 | 524288 | 524288 | 11 | 4112 | 88  | 88  | 16 | 256 | 14.08653664 | 6.906 | 4288 | 0.002726237 |
| lena16.bmp | lena16.bmp-withWavelet_rbio1.1-G_1-H0.0001_af3.wfa    | 1572864 | 524288 | 524288 | 11 | 4112 | 88  | 88  | 16 | 256 | 14.08653664 | 6.922 | 4288 | 0.002726237 |
| lena16.bmp | lena16.bmp-withWavelet_sym1-G_1-H0.0001_af3.wfa       | 1572864 | 524288 | 524288 | 11 | 4112 | 88  | 88  | 16 | 256 | 14.08653664 | 6.922 | 4288 | 0.002726237 |
| lena16.bmp | lena16.bmp-withWavelet_bior1.1-G_1-H0.0001_af3.wfa    | 1572864 | 524288 | 524288 | 11 | 4112 | 88  | 88  | 16 | 256 | 14.08653664 | 6.828 | 4288 | 0.002726237 |
| lena16.bmp | lena16.bmp-withWavelet_haar-G_0.75-H5e-005_af2.wfa    | 98304   | 32768  | 32768  | 14 | 6512 | 112 | 112 | 16 | 64  | 14.0838574  | 0.422 | 6736 | 0.068522135 |
| lena16.bmp | lena16.bmp-withWavelet_rbio1.1-G_0.75-H5e-005_af2.wfa | 98304   | 32768  | 32768  | 14 | 6512 | 112 | 112 | 16 | 64  | 14.0838574  | 0.421 | 6736 | 0.068522135 |
| lena16.bmp | lena16.bmp-withWavelet_sym1-G_0.75-H5e-005_af2.wfa    | 98304   | 32768  | 32768  | 14 | 6512 | 112 | 112 | 16 | 64  | 14.0838574  | 0.438 | 6736 | 0.068522135 |
| lena16.bmp | lena16.bmp-withWavelet_bior1.1-G_0.75-H5e-005_af2.wfa | 98304   | 32768  | 32768  | 14 | 6512 | 112 | 112 | 16 | 64  | 14.0838574  | 0.422 | 6736 | 0.068522135 |
| lena16.bmp | lena16.bmp-withWavelet_haar-G_0.75-H3e-005_af5.wfa    | 393216  | 131072 | 131072 | 12 | 4848 | 96  | 96  | 16 | 128 | 14.0745237  | 1.734 | 5040 | 0.012817383 |
| lena16.bmp | lena16.bmp-withWavelet_rbio1.1-G_0.75-H3e-005_af5.wfa | 393216  | 131072 | 131072 | 12 | 4848 | 96  | 96  | 16 | 128 | 14.0745237  | 1.875 | 5040 | 0.012817383 |
| lena16.bmp | lena16.bmp-withWavelet_sym1-G_0.75-H3e-005_af5.wfa    | 393216  | 131072 | 131072 | 12 | 4848 | 96  | 96  | 16 | 128 | 14.0745237  | 1.672 | 5040 | 0.012817383 |
| lena16.bmp | lena16.bmp-withWavelet_bior1.1-G_0.75-H3e-005_af5.wfa | 393216  | 131072 | 131072 | 12 | 4848 | 96  | 96  | 16 | 128 | 14.0745237  | 1.672 | 5040 | 0.012817383 |
| lena16.bmp | lena16.bmp-withWavelet_haar-G_0.75-H4e-005_af5.wfa    | 393216  | 131072 | 131072 | 12 | 4848 | 96  | 96  | 16 | 128 | 14.0745237  | 1.687 | 5040 | 0.012817383 |
| lena16.bmp | lena16.bmp-withWavelet_rbio1.1-G_0.75-H4e-005_af5.wfa | 393216  | 131072 | 131072 | 12 | 4848 | 96  | 96  | 16 | 128 | 14.0745237  | 1.844 | 5040 | 0.012817383 |
| lena16.bmp | lena16.bmp-withWavelet_sym1-G_0.75-H4e-005_af5.wfa    | 393216  | 131072 | 131072 | 12 | 4848 | 96  | 96  | 16 | 128 | 14.0745237  | 1.687 | 5040 | 0.012817383 |
| lena16.bmp | lena16.bmp-withWavelet_bior1.1-G_0.75-H4e-005_af5.wfa | 393216  | 131072 | 131072 | 12 | 4848 | 96  | 96  | 16 | 128 | 14.0745237  | 1.657 | 5040 | 0.012817383 |
| lena16.bmp | lena16.bmp-withWavelet_haar-G_0.75-H5e-005_af5.wfa    | 393216  | 131072 | 131072 | 12 | 4848 | 96  | 96  | 16 | 128 | 14.0745237  | 1.671 | 5040 | 0.012817383 |
| lena16.bmp | lena16.bmp-withWavelet_rbio1.1-G_0.75-H5e-005_af5.wfa | 393216  | 131072 | 131072 | 12 | 4848 | 96  | 96  | 16 | 128 | 14.0745237  | 1.687 | 5040 | 0.012817383 |

|            |   |         |        |        |    |       |     |     |    |     |             |       |       |             |
|------------|---|---------|--------|--------|----|-------|-----|-----|----|-----|-------------|-------|-------|-------------|
| lena16.bmp | lena16.bmp-withWavelet_sym1-G_0.75-H5e-005_af5.wfa    | 393216  | 131072 | 131072 | 12 | 4848  | 96  | 96  | 16 | 128 | 14.0745237  | 1.672 | 5040  | 0.012817383 |
| lena16.bmp | lena16.bmp-withWavelet_bior1.1-G_0.75-H5e-005_af5.wfa | 393216  | 131072 | 131072 | 12 | 4848  | 96  | 96  | 16 | 128 | 14.0745237  | 1.875 | 5040  | 0.012817383 |
| lena16.bmp | lena16.bmp-withWavelet_haar-G_1-H1e-005_af5.wfa       | 393216  | 131072 | 131072 | 18 | 10608 | 144 | 144 | 16 | 128 | 14.07148725 | 2.109 | 10896 | 0.027709961 |
| lena16.bmp | lena16.bmp-withWavelet_rbio1.1-G_1-H1e-005_af5.wfa    | 393216  | 131072 | 131072 | 18 | 10608 | 144 | 144 | 16 | 128 | 14.07148725 | 2.266 | 10896 | 0.027709961 |
| lena16.bmp | lena16.bmp-withWavelet_sym1-G_1-H1e-005_af5.wfa       | 393216  | 131072 | 131072 | 18 | 10608 | 144 | 144 | 16 | 128 | 14.07148725 | 2.047 | 10896 | 0.027709961 |
| lena16.bmp | lena16.bmp-withWavelet_bior1.1-G_1-H1e-005_af5.wfa    | 393216  | 131072 | 131072 | 18 | 10608 | 144 | 144 | 16 | 128 | 14.07148725 | 2.265 | 10896 | 0.027709961 |
| lena16.bmp | lena16.bmp-G_0.5-H2e-005_af5.wfa                      | 1572864 | 524288 |        | 15 | 7440  | 120 | 120 | 16 | 256 | 14.05787419 | 7.906 | 7680  | 0.004882813 |
| lena16.bmp | lena16.bmp-withWavelet_haar-G_0.75-H2e-005_af5.wfa    | 98304   | 32768  | 32768  | 14 | 6512  | 112 | 112 | 16 | 64  | 14.05642915 | 0.422 | 6736  | 0.068522135 |
| lena16.bmp | lena16.bmp-withWavelet_rbio1.1-G_0.75-H2e-005_af5.wfa | 98304   | 32768  | 32768  | 14 | 6512  | 112 | 112 | 16 | 64  | 14.05642915 | 0.422 | 6736  | 0.068522135 |
| lena16.bmp | lena16.bmp-withWavelet_sym1-G_0.75-H2e-005_af5.wfa    | 98304   | 32768  | 32768  | 14 | 6512  | 112 | 112 | 16 | 64  | 14.05642915 | 0.469 | 6736  | 0.068522135 |
| lena16.bmp | lena16.bmp-withWavelet_bior1.1-G_0.75-H2e-005_af5.wfa | 98304   | 32768  | 32768  | 14 | 6512  | 112 | 112 | 16 | 64  | 14.05642915 | 0.422 | 6736  | 0.068522135 |
| lena16.bmp | lena16.bmp-withWavelet_haar-G_1-H1e-005_af5.wfa       | 98304   | 32768  | 32768  | 18 | 10608 | 144 | 144 | 16 | 64  | 14.05486695 | 0.485 | 10896 | 0.110839844 |
| lena16.bmp | lena16.bmp-withWavelet_rbio1.1-G_1-H1e-005_af5.wfa    | 98304   | 32768  | 32768  | 18 | 10608 | 144 | 144 | 16 | 64  | 14.05486695 | 0.484 | 10896 | 0.110839844 |
| lena16.bmp | lena16.bmp-withWavelet_sym1-G_1-H1e-005_af5.wfa       | 98304   | 32768  | 32768  | 18 | 10608 | 144 | 144 | 16 | 64  | 14.05486695 | 0.5   | 10896 | 0.110839844 |
| lena16.bmp | lena16.bmp-withWavelet_bior1.1-G_1-H1e-005_af5.wfa    | 98304   | 32768  | 32768  | 18 | 10608 | 144 | 144 | 16 | 64  | 14.05486695 | 0.484 | 10896 | 0.110839844 |
| lena16.bmp | lena16.bmp-G_0.5-H8e-005_af5.wfa                      | 393216  | 131072 |        | 11 | 4112  | 88  | 88  | 16 | 128 | 14.04387958 | 1.64  | 4288  | 0.010904948 |
| lena16.bmp | lena16.bmp-G_0.5-H9e-005_af5.wfa                      | 393216  | 131072 |        | 11 | 4112  | 88  | 88  | 16 | 128 | 14.04387958 | 1.625 | 4288  | 0.010904948 |
| lena16.bmp | lena16.bmp-withWavelet_haar-G_0.75-H6e-005_af5.wfa    | 98304   | 32768  | 32768  | 11 | 4112  | 88  | 88  | 16 | 64  | 14.02326545 | 0.391 | 4288  | 0.043619792 |
| lena16.bmp | lena16.bmp-withWavelet_rbio1.1-G_0.75-H6e-005_af5.wfa | 98304   | 32768  | 32768  | 11 | 4112  | 88  | 88  | 16 | 64  | 14.02326545 | 0.391 | 4288  | 0.043619792 |
| lena16.bmp | lena16.bmp-withWavelet_sym1-G_0.75-H6e-005_af5.wfa    | 98304   | 32768  | 32768  | 11 | 4112  | 88  | 88  | 16 | 64  | 14.02326545 | 0.39  | 4288  | 0.043619792 |
| lena16.bmp | lena16.bmp-withWavelet_bior1.1-G_0.75-H6e-005_af5.wfa | 98304   | 32768  | 32768  | 11 | 4112  | 88  | 88  | 16 | 64  | 14.02326545 | 0.39  | 4288  | 0.043619792 |
| lena16.bmp | lena16.bmp-withWavelet_haar-G_0.75-H3e-005_af5.wfa    | 98304   | 32768  | 32768  | 12 | 4848  | 96  | 96  | 16 | 64  | 13.99585747 | 0.407 | 5040  | 0.051269531 |
| lena16.bmp | lena16.bmp-withWavelet_rbio1.1-G_0.75-H3e-005_af5.wfa | 98304   | 32768  | 32768  | 12 | 4848  | 96  | 96  | 16 | 64  | 13.99585747 | 0.422 | 5040  | 0.051269531 |
| lena16.bmp | lena16.bmp-withWavelet_sym1-G_0.75-H3e-005_af5.wfa    | 98304   | 32768  | 32768  | 12 | 4848  | 96  | 96  | 16 | 64  | 13.99585747 | 0.407 | 5040  | 0.051269531 |
| lena16.bmp | lena16.bmp-withWavelet_bior1.1-G_0.75-H3e-005_af5.wfa | 98304   | 32768  | 32768  | 12 | 4848  | 96  | 96  | 16 | 64  | 13.99585747 | 0.422 | 5040  | 0.051269531 |
| lena16.bmp | lena16.bmp-withWavelet_haar-G_0.75-H4e-005_af5.wfa    | 98304   | 32768  | 32768  | 12 | 4848  | 96  | 96  | 16 | 64  | 13.99585747 | 0.406 | 5040  | 0.051269531 |
| lena16.bmp | lena16.bmp-withWavelet_rbio1.1-G_0.75-H4e-005_af5.wfa | 98304   | 32768  | 32768  | 12 | 4848  | 96  | 96  | 16 | 64  | 13.99585747 | 0.422 | 5040  | 0.051269531 |
| lena16.bmp | lena16.bmp-withWavelet_sym1-G_0.75-H4e-005_af5.wfa    | 98304   | 32768  | 32768  | 12 | 4848  | 96  | 96  | 16 | 64  | 13.99585747 | 0.407 | 5040  | 0.051269531 |
| lena16.bmp | lena16.bmp-withWavelet_bior1.1-G_0.75-H4e-005_af5.wfa | 98304   | 32768  | 32768  | 12 | 4848  | 96  | 96  | 16 | 64  | 13.99585747 | 0.406 | 5040  | 0.051269531 |
| lena16.bmp | lena16.bmp-withWavelet_haar-G_0.75-H5e-005_af5.wfa    | 98304   | 32768  | 32768  | 12 | 4848  | 96  | 96  | 16 | 64  | 13.99585747 | 0.406 | 5040  | 0.051269531 |
| lena16.bmp | lena16.bmp-withWavelet_rbio1.1-G_0.75-H5e-005_af5.wfa | 98304   | 32768  | 32768  | 12 | 4848  | 96  | 96  | 16 | 64  | 13.99585747 | 0.406 | 5040  | 0.051269531 |

|            |   |         |        |        |    |      |     |     |    |     |             |        |      |             |
|------------|---|---------|--------|--------|----|------|-----|-----|----|-----|-------------|--------|------|-------------|
| lena16.bmp | lena16.bmp-withWavelet_sym1-G_0.75-H5e-005_af5.wfa    | 98304   | 32768  | 32768  | 12 | 4848 | 96  | 96  | 16 | 64  | 13.99585747 | 0.406  | 5040 | 0.051269531 |
| lena16.bmp | lena16.bmp-withWavelet_bior1.1-G_0.75-H5e-005_af5.wfa | 98304   | 32768  | 32768  | 12 | 4848 | 96  | 96  | 16 | 64  | 13.99585747 | 0.406  | 5040 | 0.051269531 |
| lena16.bmp | lena16.bmp-withWavelet_haar-G_0.75-H1e-005_af5.wfa    | 1572864 | 524288 | 524288 | 17 | 9488 | 136 | 136 | 16 | 256 | 13.95564639 | 8.938  | 9760 | 0.006205241 |
| lena16.bmp | lena16.bmp-withWavelet_rbio1.1-G_0.75-H1e-005_af5.wfa | 1572864 | 524288 | 524288 | 17 | 9488 | 136 | 136 | 16 | 256 | 13.95564639 | 10.766 | 9760 | 0.006205241 |
| lena16.bmp | lena16.bmp-withWavelet_sym1-G_0.75-H1e-005_af5.wfa    | 1572864 | 524288 | 524288 | 17 | 9488 | 136 | 136 | 16 | 256 | 13.95564639 | 9.032  | 9760 | 0.006205241 |
| lena16.bmp | lena16.bmp-withWavelet_bior1.1-G_0.75-H1e-005_af5.wfa | 1572864 | 524288 | 524288 | 17 | 9488 | 136 | 136 | 16 | 256 | 13.95564639 | 8.953  | 9760 | 0.006205241 |
| lena16.bmp | lena16.bmp-G_0.5-H1e-005_af1.wfa                      | 24576   | 8192   |        | 14 | 6512 | 112 | 112 | 16 | 32  | 13.92408999 | 0.11   | 6736 | 0.274088542 |
| lena16.bmp | lena16.bmp-withWavelet_haar-G_0.75-H1e-005_af5.wfa    | 393216  | 131072 | 131072 | 17 | 9488 | 136 | 136 | 16 | 128 | 13.89181011 | 2.016  | 9760 | 0.024820964 |
| lena16.bmp | lena16.bmp-withWavelet_rbio1.1-G_0.75-H1e-005_af5.wfa | 393216  | 131072 | 131072 | 17 | 9488 | 136 | 136 | 16 | 128 | 13.89181011 | 3.031  | 9760 | 0.024820964 |
| lena16.bmp | lena16.bmp-withWavelet_sym1-G_0.75-H1e-005_af5.wfa    | 393216  | 131072 | 131072 | 17 | 9488 | 136 | 136 | 16 | 128 | 13.89181011 | 2.281  | 9760 | 0.024820964 |
| lena16.bmp | lena16.bmp-withWavelet_bior1.1-G_0.75-H1e-005_af5.wfa | 393216  | 131072 | 131072 | 17 | 9488 | 136 | 136 | 16 | 128 | 13.89181011 | 2.078  | 9760 | 0.024820964 |
| lena16.bmp | lena16.bmp-withWavelet_haar-G_0.75-H1e-005_af5.wfa    | 98304   | 32768  | 32768  | 17 | 9488 | 136 | 136 | 16 | 64  | 13.87809818 | 0.484  | 9760 | 0.099283854 |
| lena16.bmp | lena16.bmp-withWavelet_rbio1.1-G_0.75-H1e-005_af5.wfa | 98304   | 32768  | 32768  | 17 | 9488 | 136 | 136 | 16 | 64  | 13.87809818 | 0.531  | 9760 | 0.099283854 |
| lena16.bmp | lena16.bmp-withWavelet_sym1-G_0.75-H1e-005_af5.wfa    | 98304   | 32768  | 32768  | 17 | 9488 | 136 | 136 | 16 | 64  | 13.87809818 | 0.609  | 9760 | 0.099283854 |
| lena16.bmp | lena16.bmp-withWavelet_bior1.1-G_0.75-H1e-005_af5.wfa | 98304   | 32768  | 32768  | 17 | 9488 | 136 | 136 | 16 | 64  | 13.87809818 | 0.578  | 9760 | 0.099283854 |
| lena16.bmp | lena16.bmp-G_0.5-H1e-005_af5.wfa                      | 393216  | 131072 |        | 16 | 8432 | 128 | 128 | 16 | 128 | 13.81900111 | 2      | 8688 | 0.022094727 |
| lena16.bmp | lena16.bmp-G_0.5-H5e-005_af1.wfa                      | 24576   | 8192   |        | 11 | 4112 | 88  | 88  | 16 | 32  | 13.78610208 | 0.094  | 4288 | 0.174479167 |
| lena16.bmp | lena16.bmp-G_0.5-H6e-005_af1.wfa                      | 24576   | 8192   |        | 11 | 4112 | 88  | 88  | 16 | 32  | 13.78610208 | 0.094  | 4288 | 0.174479167 |
| lena16.bmp | lena16.bmp-G_0.5-H7e-005_af1.wfa                      | 24576   | 8192   |        | 11 | 4112 | 88  | 88  | 16 | 32  | 13.78610208 | 0.094  | 4288 | 0.174479167 |
| lena16.bmp | lena16.bmp-G_0.5-H8e-005_af1.wfa                      | 24576   | 8192   |        | 11 | 4112 | 88  | 88  | 16 | 32  | 13.78610208 | 0.094  | 4288 | 0.174479167 |
| lena16.bmp | lena16.bmp-withWavelet_haar-G_0.5-H4e-005_af5.wfa     | 24576   | 8192   | 8192   | 9  | 2832 | 72  | 72  | 16 | 32  | 13.78172156 | 0.094  | 2976 | 0.12109375  |
| lena16.bmp | lena16.bmp-withWavelet_rbio1.1-G_0.5-H4e-005_af5.wfa  | 24576   | 8192   | 8192   | 9  | 2832 | 72  | 72  | 16 | 32  | 13.78172156 | 0.094  | 2976 | 0.12109375  |
| lena16.bmp | lena16.bmp-withWavelet_sym1-G_0.5-H4e-005_af5.wfa     | 24576   | 8192   | 8192   | 9  | 2832 | 72  | 72  | 16 | 32  | 13.78172156 | 0.094  | 2976 | 0.12109375  |
| lena16.bmp | lena16.bmp-withWavelet_bior1.1-G_0.5-H4e-005_af5.wfa  | 24576   | 8192   | 8192   | 9  | 2832 | 72  | 72  | 16 | 32  | 13.78172156 | 0.078  | 2976 | 0.12109375  |
| lena16.bmp | lena16.bmp-withWavelet_haar-G_0.5-H5e-005_af5.wfa     | 24576   | 8192   | 8192   | 9  | 2832 | 72  | 72  | 16 | 32  | 13.78172156 | 0.078  | 2976 | 0.12109375  |
| lena16.bmp | lena16.bmp-withWavelet_rbio1.1-G_0.5-H5e-005_af5.wfa  | 24576   | 8192   | 8192   | 9  | 2832 | 72  | 72  | 16 | 32  | 13.78172156 | 0.094  | 2976 | 0.12109375  |
| lena16.bmp | lena16.bmp-withWavelet_sym1-G_0.5-H5e-005_af5.wfa     | 24576   | 8192   | 8192   | 9  | 2832 | 72  | 72  | 16 | 32  | 13.78172156 | 0.093  | 2976 | 0.12109375  |
| lena16.bmp | lena16.bmp-withWavelet_bior1.1-G_0.5-H5e-005_af5.wfa  | 24576   | 8192   | 8192   | 9  | 2832 | 72  | 72  | 16 | 32  | 13.78172156 | 0.094  | 2976 | 0.12109375  |
| lena16.bmp | lena16.bmp-G_0.5-H3e-005_af5.wfa                      | 1572864 | 524288 |        | 15 | 7440 | 120 | 120 | 16 | 256 | 13.74981964 | 7.922  | 7680 | 0.004882813 |
| lena16.bmp | lena16.bmp-G_0.5-H4e-005_af5.wfa                      | 1572864 | 524288 |        | 15 | 7440 | 120 | 120 | 16 | 256 | 13.74981964 | 7.938  | 7680 | 0.004882813 |
| lena16.bmp | lena16.bmp-G_0.5-H6e-005_af3.wfa                      | 24576   | 8192   |        | 13 | 5648 | 104 | 104 | 16 | 32  | 13.68471452 | 0.093  | 5856 | 0.23828125  |

|            |  |         |        |      |    |      |     |     |    |     |             |       |      |             |
|------------|--|---------|--------|------|----|------|-----|-----|----|-----|-------------|-------|------|-------------|
| lena16.bmp | lena16.bmp-G_0.5-H8e-005_af5.wfa                     | 1572864 | 524288 |      | 11 | 4112 | 88  | 88  | 16 | 256 | 13.66910407 | 6.875 | 4288 | 0.002726237 |
| lena16.bmp | lena16.bmp-G_0.5-H9e-005_af5.wfa                     | 1572864 | 524288 |      | 11 | 4112 | 88  | 88  | 16 | 256 | 13.66910407 | 6.86  | 4288 | 0.002726237 |
| lena16.bmp | lena16.bmp-G_0.5-H5e-005_af5.wfa                     | 24576   | 8192   |      | 13 | 5648 | 104 | 104 | 16 | 32  | 13.63199243 | 0.094 | 5856 | 0.23828125  |
| lena16.bmp | lena16.bmp-G_0.5-H7e-005_af2.wfa                     | 24576   | 8192   |      | 13 | 5648 | 104 | 104 | 16 | 32  | 13.61820886 | 0.094 | 5856 | 0.23828125  |
| lena16.bmp | lena16.bmp-G_0.5-H5e-005_af2.wfa                     | 24576   | 8192   |      | 13 | 5648 | 104 | 104 | 16 | 32  | 13.61820886 | 0.094 | 5856 | 0.23828125  |
| lena16.bmp | lena16.bmp-G_0.5-H6e-005_af2.wfa                     | 24576   | 8192   |      | 13 | 5648 | 104 | 104 | 16 | 32  | 13.61820886 | 0.109 | 5856 | 0.23828125  |
| lena16.bmp | lena16.bmp-G_0.5-H6e-005_af5.wfa                     | 393216  | 131072 |      | 12 | 4848 | 96  | 96  | 16 | 128 | 13.57201081 | 1.672 | 5040 | 0.012817383 |
| lena16.bmp | lena16.bmp-G_0.5-H7e-005_af5.wfa                     | 393216  | 131072 |      | 12 | 4848 | 96  | 96  | 16 | 128 | 13.57201081 | 1.672 | 5040 | 0.012817383 |
| lena16.bmp | lena16.bmp-withWavelet_haar-G_0.5-H2e-005_af5.wfa    | 24576   | 8192   | 8192 | 10 | 3440 | 80  | 80  | 16 | 32  | 13.54897487 | 0.094 | 3600 | 0.146484375 |
| lena16.bmp | lena16.bmp-withWavelet_rbio1.1-G_0.5-H2e-005_af5.wfa | 24576   | 8192   | 8192 | 10 | 3440 | 80  | 80  | 16 | 32  | 13.54897487 | 0.094 | 3600 | 0.146484375 |
| lena16.bmp | lena16.bmp-withWavelet_sym1-G_0.5-H2e-005_af5.wfa    | 24576   | 8192   | 8192 | 10 | 3440 | 80  | 80  | 16 | 32  | 13.54897487 | 0.094 | 3600 | 0.146484375 |
| lena16.bmp | lena16.bmp-withWavelet_bior1.1-G_0.5-H2e-005_af5.wfa | 24576   | 8192   | 8192 | 10 | 3440 | 80  | 80  | 16 | 32  | 13.54897487 | 0.094 | 3600 | 0.146484375 |
| lena16.bmp | lena16.bmp-G_0.5-H3e-005_af3.wfa                     | 98304   | 32768  |      | 14 | 6512 | 112 | 112 | 16 | 64  | 13.4783372  | 0.75  | 6736 | 0.068522135 |
| lena16.bmp | lena16.bmp-withWavelet_haar-G_0.5-H2e-005_af4.wfa    | 24576   | 8192   | 8192 | 14 | 6512 | 112 | 112 | 16 | 32  | 13.40166715 | 0.094 | 6736 | 0.274088542 |
| lena16.bmp | lena16.bmp-withWavelet_rbio1.1-G_0.5-H2e-005_af4.wfa | 24576   | 8192   | 8192 | 14 | 6512 | 112 | 112 | 16 | 32  | 13.40166715 | 0.094 | 6736 | 0.274088542 |
| lena16.bmp | lena16.bmp-withWavelet_sym1-G_0.5-H2e-005_af4.wfa    | 24576   | 8192   | 8192 | 14 | 6512 | 112 | 112 | 16 | 32  | 13.40166715 | 0.094 | 6736 | 0.274088542 |
| lena16.bmp | lena16.bmp-withWavelet_bior1.1-G_0.5-H2e-005_af4.wfa | 24576   | 8192   | 8192 | 14 | 6512 | 112 | 112 | 16 | 32  | 13.40166715 | 0.11  | 6736 | 0.274088542 |
| lena16.bmp | lena16.bmp-G_0.5-H1e-005_af5.wfa                     | 1572864 | 524288 |      | 16 | 8432 | 128 | 128 | 16 | 256 | 13.35574759 | 8.906 | 8688 | 0.005523682 |
| lena16.bmp | lena16.bmp-G_0.5-H4e-005_af1.wfa                     | 24576   | 8192   |      | 12 | 4848 | 96  | 96  | 16 | 32  | 13.3294473  | 0.094 | 5040 | 0.205078125 |
| lena16.bmp | lena16.bmp-withWavelet_haar-G_0.5-H9e-005_af1.wfa    | 24576   | 8192   | 8192 | 12 | 4848 | 96  | 96  | 16 | 32  | 13.16549478 | 0.094 | 5040 | 0.205078125 |
| lena16.bmp | lena16.bmp-withWavelet_rbio1.1-G_0.5-H9e-005_af1.wfa | 24576   | 8192   | 8192 | 12 | 4848 | 96  | 96  | 16 | 32  | 13.16549478 | 0.094 | 5040 | 0.205078125 |
| lena16.bmp | lena16.bmp-withWavelet_sym1-G_0.5-H9e-005_af1.wfa    | 24576   | 8192   | 8192 | 12 | 4848 | 96  | 96  | 16 | 32  | 13.16549478 | 0.11  | 5040 | 0.205078125 |
| lena16.bmp | lena16.bmp-withWavelet_bior1.1-G_0.5-H9e-005_af1.wfa | 24576   | 8192   | 8192 | 12 | 4848 | 96  | 96  | 16 | 32  | 13.16549478 | 0.094 | 5040 | 0.205078125 |
| lena16.bmp | lena16.bmp-G_0.5-H0.0001_af1.wfa                     | 98304   | 32768  |      | 10 | 3440 | 80  | 80  | 16 | 64  | 13.15598848 | 0.391 | 3600 | 0.036621094 |
| lena16.bmp | lena16.bmp-G_0.5-H9e-005_af1.wfa                     | 98304   | 32768  |      | 10 | 3440 | 80  | 80  | 16 | 64  | 13.15598848 | 0.39  | 3600 | 0.036621094 |
| lena16.bmp | lena16.bmp-G_0.5-H6e-005_af5.wfa                     | 1572864 | 524288 |      | 12 | 4848 | 96  | 96  | 16 | 256 | 13.06300265 | 7.203 | 5040 | 0.003204346 |
| lena16.bmp | lena16.bmp-G_0.5-H7e-005_af5.wfa                     | 1572864 | 524288 |      | 12 | 4848 | 96  | 96  | 16 | 256 | 13.06300265 | 7.141 | 5040 | 0.003204346 |
| lena16.bmp | lena16.bmp-withWavelet_haar-G_0.5-H0.0001_af1.wfa    | 24576   | 8192   | 8192 | 11 | 4112 | 88  | 88  | 16 | 32  | 13.05846123 | 0.094 | 4288 | 0.174479167 |
| lena16.bmp | lena16.bmp-withWavelet_rbio1.1-G_0.5-H0.0001_af1.wfa | 24576   | 8192   | 8192 | 11 | 4112 | 88  | 88  | 16 | 32  | 13.05846123 | 0.093 | 4288 | 0.174479167 |
| lena16.bmp | lena16.bmp-withWavelet_sym1-G_0.5-H0.0001_af1.wfa    | 24576   | 8192   | 8192 | 11 | 4112 | 88  | 88  | 16 | 32  | 13.05846123 | 0.094 | 4288 | 0.174479167 |
| lena16.bmp | lena16.bmp-withWavelet_bior1.1-G_0.5-H0.0001_af1.wfa | 24576   | 8192   | 8192 | 11 | 4112 | 88  | 88  | 16 | 32  | 13.05846123 | 0.094 | 4288 | 0.174479167 |

|            |  |         |        |       |    |      |     |     |    |     |             |       |      |             |
|------------|--|---------|--------|-------|----|------|-----|-----|----|-----|-------------|-------|------|-------------|
| lena16.bmp | lena16.bmp-G_0.5-H7e-005_af3.wfa                     | 98304   | 32768  |       | 11 | 4112 | 88  | 88  | 16 | 64  | 12.9885252  | 0.407 | 4288 | 0.043619792 |
| lena16.bmp | lena16.bmp-G_0.5-H8e-005_af3.wfa                     | 98304   | 32768  |       | 11 | 4112 | 88  | 88  | 16 | 64  | 12.9885252  | 0.406 | 4288 | 0.043619792 |
| lena16.bmp | lena16.bmp-G_0.5-H3e-005_af3.wfa                     | 393216  | 131072 |       | 14 | 6512 | 112 | 112 | 16 | 128 | 12.94173952 | 1.859 | 6736 | 0.017130534 |
| lena16.bmp | lena16.bmp-G_0.5-H5e-005_af3.wfa                     | 24576   | 8192   |       | 14 | 6512 | 112 | 112 | 16 | 32  | 12.80462414 | 0.11  | 6736 | 0.274088542 |
| lena16.bmp | lena16.bmp-withWavelet_haar-G_0.5-H4e-005_af5.wfa    | 98304   | 32768  | 32768 | 9  | 2832 | 72  | 72  | 16 | 64  | 12.66793148 | 0.375 | 2976 | 0.030273438 |
| lena16.bmp | lena16.bmp-withWavelet_rbio1.1-G_0.5-H4e-005_af5.wfa | 98304   | 32768  | 32768 | 9  | 2832 | 72  | 72  | 16 | 64  | 12.66793148 | 0.39  | 2976 | 0.030273438 |
| lena16.bmp | lena16.bmp-withWavelet_sym1-G_0.5-H4e-005_af5.wfa    | 98304   | 32768  | 32768 | 9  | 2832 | 72  | 72  | 16 | 64  | 12.66793148 | 0.375 | 2976 | 0.030273438 |
| lena16.bmp | lena16.bmp-withWavelet_bior1.1-G_0.5-H4e-005_af5.wfa | 98304   | 32768  | 32768 | 9  | 2832 | 72  | 72  | 16 | 64  | 12.66793148 | 0.375 | 2976 | 0.030273438 |
| lena16.bmp | lena16.bmp-withWavelet_haar-G_0.5-H5e-005_af5.wfa    | 98304   | 32768  | 32768 | 9  | 2832 | 72  | 72  | 16 | 64  | 12.66793148 | 0.39  | 2976 | 0.030273438 |
| lena16.bmp | lena16.bmp-withWavelet_rbio1.1-G_0.5-H5e-005_af5.wfa | 98304   | 32768  | 32768 | 9  | 2832 | 72  | 72  | 16 | 64  | 12.66793148 | 0.375 | 2976 | 0.030273438 |
| lena16.bmp | lena16.bmp-withWavelet_sym1-G_0.5-H5e-005_af5.wfa    | 98304   | 32768  | 32768 | 9  | 2832 | 72  | 72  | 16 | 64  | 12.66793148 | 0.375 | 2976 | 0.030273438 |
| lena16.bmp | lena16.bmp-withWavelet_bior1.1-G_0.5-H5e-005_af5.wfa | 98304   | 32768  | 32768 | 9  | 2832 | 72  | 72  | 16 | 64  | 12.66793148 | 0.375 | 2976 | 0.030273438 |
| lena16.bmp | lena16.bmp-G_0.5-H3e-005_af3.wfa                     | 1572864 | 524288 |       | 14 | 6512 | 112 | 112 | 16 | 256 | 12.64690944 | 8.641 | 6736 | 0.004282633 |
| lena16.bmp | lena16.bmp-withWavelet_haar-G_0.5-H6e-005_af5.wfa    | 24576   | 8192   | 8192  | 8  | 2288 | 64  | 64  | 16 | 32  | 12.55217574 | 0.078 | 2416 | 0.098307292 |
| lena16.bmp | lena16.bmp-withWavelet_rbio1.1-G_0.5-H6e-005_af5.wfa | 24576   | 8192   | 8192  | 8  | 2288 | 64  | 64  | 16 | 32  | 12.55217574 | 0.079 | 2416 | 0.098307292 |
| lena16.bmp | lena16.bmp-withWavelet_sym1-G_0.5-H6e-005_af5.wfa    | 24576   | 8192   | 8192  | 8  | 2288 | 64  | 64  | 16 | 32  | 12.55217574 | 0.094 | 2416 | 0.098307292 |
| lena16.bmp | lena16.bmp-withWavelet_bior1.1-G_0.5-H6e-005_af5.wfa | 24576   | 8192   | 8192  | 8  | 2288 | 64  | 64  | 16 | 32  | 12.55217574 | 0.093 | 2416 | 0.098307292 |
| lena16.bmp | lena16.bmp-withWavelet_haar-G_0.5-H7e-005_af5.wfa    | 24576   | 8192   | 8192  | 8  | 2288 | 64  | 64  | 16 | 32  | 12.55217574 | 0.094 | 2416 | 0.098307292 |
| lena16.bmp | lena16.bmp-withWavelet_rbio1.1-G_0.5-H7e-005_af5.wfa | 24576   | 8192   | 8192  | 8  | 2288 | 64  | 64  | 16 | 32  | 12.55217574 | 0.078 | 2416 | 0.098307292 |
| lena16.bmp | lena16.bmp-withWavelet_sym1-G_0.5-H7e-005_af5.wfa    | 24576   | 8192   | 8192  | 8  | 2288 | 64  | 64  | 16 | 32  | 12.55217574 | 0.093 | 2416 | 0.098307292 |
| lena16.bmp | lena16.bmp-withWavelet_bior1.1-G_0.5-H7e-005_af5.wfa | 24576   | 8192   | 8192  | 8  | 2288 | 64  | 64  | 16 | 32  | 12.55217574 | 0.094 | 2416 | 0.098307292 |
| lena16.bmp | lena16.bmp-withWavelet_haar-G_0.5-H8e-005_af5.wfa    | 24576   | 8192   | 8192  | 8  | 2288 | 64  | 64  | 16 | 32  | 12.55217574 | 0.078 | 2416 | 0.098307292 |
| lena16.bmp | lena16.bmp-withWavelet_rbio1.1-G_0.5-H8e-005_af5.wfa | 24576   | 8192   | 8192  | 8  | 2288 | 64  | 64  | 16 | 32  | 12.55217574 | 0.094 | 2416 | 0.098307292 |
| lena16.bmp | lena16.bmp-withWavelet_sym1-G_0.5-H8e-005_af5.wfa    | 24576   | 8192   | 8192  | 8  | 2288 | 64  | 64  | 16 | 32  | 12.55217574 | 0.093 | 2416 | 0.098307292 |
| lena16.bmp | lena16.bmp-withWavelet_bior1.1-G_0.5-H8e-005_af5.wfa | 24576   | 8192   | 8192  | 8  | 2288 | 64  | 64  | 16 | 32  | 12.55217574 | 0.078 | 2416 | 0.098307292 |
| lena16.bmp | lena16.bmp-withWavelet_haar-G_0.5-H9e-005_af5.wfa    | 24576   | 8192   | 8192  | 8  | 2288 | 64  | 64  | 16 | 32  | 12.55217574 | 0.078 | 2416 | 0.098307292 |
| lena16.bmp | lena16.bmp-withWavelet_rbio1.1-G_0.5-H9e-005_af5.wfa | 24576   | 8192   | 8192  | 8  | 2288 | 64  | 64  | 16 | 32  | 12.55217574 | 0.078 | 2416 | 0.098307292 |
| lena16.bmp | lena16.bmp-withWavelet_sym1-G_0.5-H9e-005_af5.wfa    | 24576   | 8192   | 8192  | 8  | 2288 | 64  | 64  | 16 | 32  | 12.55217574 | 0.078 | 2416 | 0.098307292 |
| lena16.bmp | lena16.bmp-withWavelet_bior1.1-G_0.5-H9e-005_af5.wfa | 24576   | 8192   | 8192  | 8  | 2288 | 64  | 64  | 16 | 32  | 12.55217574 | 0.078 | 2416 | 0.098307292 |
| lena16.bmp | lena16.bmp-withWavelet_haar-G_0.5-H0.0001_af5.wfa    | 24576   | 8192   | 8192  | 8  | 2288 | 64  | 64  | 16 | 32  | 12.55217574 | 0.094 | 2416 | 0.098307292 |
| lena16.bmp | lena16.bmp-withWavelet_rbio1.1-G_0.5-H0.0001_af5.wfa | 24576   | 8192   | 8192  | 8  | 2288 | 64  | 64  | 16 | 32  | 12.55217574 | 0.094 | 2416 | 0.098307292 |

|            |  |       |       |       |    |      |     |     |    |    |             |       |      |             |
|------------|--|-------|-------|-------|----|------|-----|-----|----|----|-------------|-------|------|-------------|
| lena16.bmp | lena16.bmp-withWavelet_sym1-G_0.5-H0.0001_af5.wfa    | 24576 | 8192  | 8192  | 8  | 2288 | 64  | 64  | 16 | 32 | 12.55217574 | 0.094 | 2416 | 0.098307292 |
| lena16.bmp | lena16.bmp-withWavelet_bior1.1-G_0.5-H0.0001_af5.wfa | 24576 | 8192  | 8192  | 8  | 2288 | 64  | 64  | 16 | 32 | 12.55217574 | 0.078 | 2416 | 0.098307292 |
| lena16.bmp | lena16.bmp-withWavelet_haar-G_0.5-H3e-005_af4.wfa    | 24576 | 8192  | 8192  | 13 | 5648 | 104 | 104 | 16 | 32 | 12.51159454 | 0.093 | 5856 | 0.23828125  |
| lena16.bmp | lena16.bmp-withWavelet_rbio1.1-G_0.5-H3e-005_af4.wfa | 24576 | 8192  | 8192  | 13 | 5648 | 104 | 104 | 16 | 32 | 12.51159454 | 0.094 | 5856 | 0.23828125  |
| lena16.bmp | lena16.bmp-withWavelet_sym1-G_0.5-H3e-005_af4.wfa    | 24576 | 8192  | 8192  | 13 | 5648 | 104 | 104 | 16 | 32 | 12.51159454 | 0.094 | 5856 | 0.23828125  |
| lena16.bmp | lena16.bmp-withWavelet_bior1.1-G_0.5-H3e-005_af4.wfa | 24576 | 8192  | 8192  | 13 | 5648 | 104 | 104 | 16 | 32 | 12.51159454 | 0.094 | 5856 | 0.23828125  |
| lena16.bmp | lena16.bmp-withWavelet_haar-G_0.5-H8e-005_af4.wfa    | 98304 | 32768 | 32768 | 10 | 3440 | 80  | 80  | 16 | 64 | 12.49986987 | 0.375 | 3600 | 0.036621094 |
| lena16.bmp | lena16.bmp-withWavelet_rbio1.1-G_0.5-H8e-005_af4.wfa | 98304 | 32768 | 32768 | 10 | 3440 | 80  | 80  | 16 | 64 | 12.49986987 | 0.375 | 3600 | 0.036621094 |
| lena16.bmp | lena16.bmp-withWavelet_sym1-G_0.5-H8e-005_af4.wfa    | 98304 | 32768 | 32768 | 10 | 3440 | 80  | 80  | 16 | 64 | 12.49986987 | 0.375 | 3600 | 0.036621094 |
| lena16.bmp | lena16.bmp-withWavelet_bior1.1-G_0.5-H8e-005_af4.wfa | 98304 | 32768 | 32768 | 10 | 3440 | 80  | 80  | 16 | 64 | 12.49986987 | 0.391 | 3600 | 0.036621094 |
| lena16.bmp | lena16.bmp-withWavelet_haar-G_0.5-H9e-005_af4.wfa    | 98304 | 32768 | 32768 | 10 | 3440 | 80  | 80  | 16 | 64 | 12.49986987 | 0.375 | 3600 | 0.036621094 |
| lena16.bmp | lena16.bmp-withWavelet_rbio1.1-G_0.5-H9e-005_af4.wfa | 98304 | 32768 | 32768 | 10 | 3440 | 80  | 80  | 16 | 64 | 12.49986987 | 0.375 | 3600 | 0.036621094 |
| lena16.bmp | lena16.bmp-withWavelet_sym1-G_0.5-H9e-005_af4.wfa    | 98304 | 32768 | 32768 | 10 | 3440 | 80  | 80  | 16 | 64 | 12.49986987 | 0.391 | 3600 | 0.036621094 |
| lena16.bmp | lena16.bmp-withWavelet_bior1.1-G_0.5-H9e-005_af4.wfa | 98304 | 32768 | 32768 | 10 | 3440 | 80  | 80  | 16 | 64 | 12.49986987 | 0.375 | 3600 | 0.036621094 |
| lena16.bmp | lena16.bmp-withWavelet_haar-G_0.5-H0.0001_af4.wfa    | 98304 | 32768 | 32768 | 10 | 3440 | 80  | 80  | 16 | 64 | 12.49986987 | 0.375 | 3600 | 0.036621094 |
| lena16.bmp | lena16.bmp-withWavelet_rbio1.1-G_0.5-H0.0001_af4.wfa | 98304 | 32768 | 32768 | 10 | 3440 | 80  | 80  | 16 | 64 | 12.49986987 | 0.407 | 3600 | 0.036621094 |
| lena16.bmp | lena16.bmp-withWavelet_sym1-G_0.5-H0.0001_af4.wfa    | 98304 | 32768 | 32768 | 10 | 3440 | 80  | 80  | 16 | 64 | 12.49986987 | 0.422 | 3600 | 0.036621094 |
| lena16.bmp | lena16.bmp-withWavelet_bior1.1-G_0.5-H0.0001_af4.wfa | 98304 | 32768 | 32768 | 10 | 3440 | 80  | 80  | 16 | 64 | 12.49986987 | 0.375 | 3600 | 0.036621094 |
| lena16.bmp | lena16.bmp-withWavelet_haar-G_0.5-H4e-005_af4.wfa    | 24576 | 8192  | 8192  | 12 | 4848 | 96  | 96  | 16 | 32 | 12.46733599 | 0.11  | 5040 | 0.205078125 |
| lena16.bmp | lena16.bmp-withWavelet_rbio1.1-G_0.5-H4e-005_af4.wfa | 24576 | 8192  | 8192  | 12 | 4848 | 96  | 96  | 16 | 32 | 12.46733599 | 0.094 | 5040 | 0.205078125 |
| lena16.bmp | lena16.bmp-withWavelet_sym1-G_0.5-H4e-005_af4.wfa    | 24576 | 8192  | 8192  | 12 | 4848 | 96  | 96  | 16 | 32 | 12.46733599 | 0.094 | 5040 | 0.205078125 |
| lena16.bmp | lena16.bmp-withWavelet_bior1.1-G_0.5-H4e-005_af4.wfa | 24576 | 8192  | 8192  | 12 | 4848 | 96  | 96  | 16 | 32 | 12.46733599 | 0.094 | 5040 | 0.205078125 |
| lena16.bmp | lena16.bmp-withWavelet_haar-G_0.5-H8e-005_af1.wfa    | 24576 | 8192  | 8192  | 13 | 5648 | 104 | 104 | 16 | 32 | 12.20903545 | 0.094 | 5856 | 0.23828125  |
| lena16.bmp | lena16.bmp-withWavelet_rbio1.1-G_0.5-H8e-005_af1.wfa | 24576 | 8192  | 8192  | 13 | 5648 | 104 | 104 | 16 | 32 | 12.20903545 | 0.094 | 5856 | 0.23828125  |
| lena16.bmp | lena16.bmp-withWavelet_sym1-G_0.5-H8e-005_af1.wfa    | 24576 | 8192  | 8192  | 13 | 5648 | 104 | 104 | 16 | 32 | 12.20903545 | 0.093 | 5856 | 0.23828125  |
| lena16.bmp | lena16.bmp-withWavelet_bior1.1-G_0.5-H8e-005_af1.wfa | 24576 | 8192  | 8192  | 13 | 5648 | 104 | 104 | 16 | 32 | 12.20903545 | 0.094 | 5856 | 0.23828125  |
| lena16.bmp | lena16.bmp-withWavelet_haar-G_0.5-H7e-005_af1.wfa    | 24576 | 8192  | 8192  | 14 | 6512 | 112 | 112 | 16 | 32 | 12.11555588 | 0.094 | 6736 | 0.274088542 |
| lena16.bmp | lena16.bmp-withWavelet_rbio1.1-G_0.5-H7e-005_af1.wfa | 24576 | 8192  | 8192  | 14 | 6512 | 112 | 112 | 16 | 32 | 12.11555588 | 0.109 | 6736 | 0.274088542 |
| lena16.bmp | lena16.bmp-withWavelet_sym1-G_0.5-H7e-005_af1.wfa    | 24576 | 8192  | 8192  | 14 | 6512 | 112 | 112 | 16 | 32 | 12.11555588 | 0.094 | 6736 | 0.274088542 |
| lena16.bmp | lena16.bmp-withWavelet_bior1.1-G_0.5-H7e-005_af1.wfa | 24576 | 8192  | 8192  | 14 | 6512 | 112 | 112 | 16 | 32 | 12.11555588 | 0.11  | 6736 | 0.274088542 |
| lena16.bmp | lena16.bmp-withWavelet_haar-G_0.5-H2e-005_af5.wfa    | 98304 | 32768 | 32768 | 10 | 3440 | 80  | 80  | 16 | 64 | 12.11224608 | 0.375 | 3600 | 0.036621094 |

|            |  |        |        |        |    |      |     |     |    |     |             |       |      |             |
|------------|--|--------|--------|--------|----|------|-----|-----|----|-----|-------------|-------|------|-------------|
| lena16.bmp | lena16.bmp-withWavelet_rbio1.1-G_0.5-H2e-005_af5.wfa | 98304  | 32768  | 32768  | 10 | 3440 | 80  | 80  | 16 | 64  | 12.11224608 | 0.391 | 3600 | 0.036621094 |
| lena16.bmp | lena16.bmp-withWavelet_sym1-G_0.5-H2e-005_af5.wfa    | 98304  | 32768  | 32768  | 10 | 3440 | 80  | 80  | 16 | 64  | 12.11224608 | 0.375 | 3600 | 0.036621094 |
| lena16.bmp | lena16.bmp-withWavelet_bior1.1-G_0.5-H2e-005_af5.wfa | 98304  | 32768  | 32768  | 10 | 3440 | 80  | 80  | 16 | 64  | 12.11224608 | 0.453 | 3600 | 0.036621094 |
| lena16.bmp | lena16.bmp-G_0.5-H0.0001_af3.wfa                     | 98304  | 32768  |        | 11 | 4112 | 88  | 88  | 16 | 64  | 12.09665008 | 0.39  | 4288 | 0.043619792 |
| lena16.bmp | lena16.bmp-G_0.5-H9e-005_af3.wfa                     | 98304  | 32768  |        | 12 | 4848 | 96  | 96  | 16 | 64  | 12.08074788 | 0.406 | 5040 | 0.051269531 |
| lena16.bmp | lena16.bmp-G_0.5-H4e-005_af3.wfa                     | 98304  | 32768  |        | 14 | 6512 | 112 | 112 | 16 | 64  | 12.07016619 | 0.422 | 6736 | 0.068522135 |
| lena16.bmp | lena16.bmp-withWavelet_haar-G_0.5-H1e-005_af5.wfa    | 24576  | 8192   | 8192   | 14 | 6512 | 112 | 112 | 16 | 32  | 12.03081849 | 0.109 | 6736 | 0.274088542 |
| lena16.bmp | lena16.bmp-withWavelet_rbio1.1-G_0.5-H1e-005_af5.wfa | 24576  | 8192   | 8192   | 14 | 6512 | 112 | 112 | 16 | 32  | 12.03081849 | 0.109 | 6736 | 0.274088542 |
| lena16.bmp | lena16.bmp-withWavelet_sym1-G_0.5-H1e-005_af5.wfa    | 24576  | 8192   | 8192   | 14 | 6512 | 112 | 112 | 16 | 32  | 12.03081849 | 0.109 | 6736 | 0.274088542 |
| lena16.bmp | lena16.bmp-withWavelet_bior1.1-G_0.5-H1e-005_af5.wfa | 24576  | 8192   | 8192   | 14 | 6512 | 112 | 112 | 16 | 32  | 12.03081849 | 0.11  | 6736 | 0.274088542 |
| lena16.bmp | lena16.bmp-G_0.5-H2e-005_af3.wfa                     | 24576  | 8192   |        | 15 | 7440 | 120 | 120 | 16 | 32  | 12.02015588 | 0.094 | 7680 | 0.3125      |
| lena16.bmp | lena16.bmp-withWavelet_haar-G_0.5-H5e-005_af4.wfa    | 98304  | 32768  | 32768  | 11 | 4112 | 88  | 88  | 16 | 64  | 11.99591787 | 0.391 | 4288 | 0.043619792 |
| lena16.bmp | lena16.bmp-withWavelet_rbio1.1-G_0.5-H5e-005_af4.wfa | 98304  | 32768  | 32768  | 11 | 4112 | 88  | 88  | 16 | 64  | 11.99591787 | 0.406 | 4288 | 0.043619792 |
| lena16.bmp | lena16.bmp-withWavelet_sym1-G_0.5-H5e-005_af4.wfa    | 98304  | 32768  | 32768  | 11 | 4112 | 88  | 88  | 16 | 64  | 11.99591787 | 0.391 | 4288 | 0.043619792 |
| lena16.bmp | lena16.bmp-withWavelet_bior1.1-G_0.5-H5e-005_af4.wfa | 98304  | 32768  | 32768  | 11 | 4112 | 88  | 88  | 16 | 64  | 11.99591787 | 0.406 | 4288 | 0.043619792 |
| lena16.bmp | lena16.bmp-withWavelet_haar-G_0.5-H6e-005_af4.wfa    | 98304  | 32768  | 32768  | 11 | 4112 | 88  | 88  | 16 | 64  | 11.99591787 | 0.391 | 4288 | 0.043619792 |
| lena16.bmp | lena16.bmp-withWavelet_rbio1.1-G_0.5-H6e-005_af4.wfa | 98304  | 32768  | 32768  | 11 | 4112 | 88  | 88  | 16 | 64  | 11.99591787 | 0.406 | 4288 | 0.043619792 |
| lena16.bmp | lena16.bmp-withWavelet_sym1-G_0.5-H6e-005_af4.wfa    | 98304  | 32768  | 32768  | 11 | 4112 | 88  | 88  | 16 | 64  | 11.99591787 | 0.391 | 4288 | 0.043619792 |
| lena16.bmp | lena16.bmp-withWavelet_bior1.1-G_0.5-H6e-005_af4.wfa | 98304  | 32768  | 32768  | 11 | 4112 | 88  | 88  | 16 | 64  | 11.99591787 | 0.406 | 4288 | 0.043619792 |
| lena16.bmp | lena16.bmp-withWavelet_haar-G_0.5-H7e-005_af4.wfa    | 98304  | 32768  | 32768  | 11 | 4112 | 88  | 88  | 16 | 64  | 11.99591787 | 0.39  | 4288 | 0.043619792 |
| lena16.bmp | lena16.bmp-withWavelet_rbio1.1-G_0.5-H7e-005_af4.wfa | 98304  | 32768  | 32768  | 11 | 4112 | 88  | 88  | 16 | 64  | 11.99591787 | 0.391 | 4288 | 0.043619792 |
| lena16.bmp | lena16.bmp-withWavelet_sym1-G_0.5-H7e-005_af4.wfa    | 98304  | 32768  | 32768  | 11 | 4112 | 88  | 88  | 16 | 64  | 11.99591787 | 0.391 | 4288 | 0.043619792 |
| lena16.bmp | lena16.bmp-withWavelet_bior1.1-G_0.5-H7e-005_af4.wfa | 98304  | 32768  | 32768  | 11 | 4112 | 88  | 88  | 16 | 64  | 11.99591787 | 0.391 | 4288 | 0.043619792 |
| lena16.bmp | lena16.bmp-G_0.5-H9e-005_af1.wfa                     | 393216 | 131072 |        | 10 | 3440 | 80  | 80  | 16 | 128 | 11.81672512 | 1.562 | 3600 | 0.009155273 |
| lena16.bmp | lena16.bmp-G_0.5-H0.0001_af1.wfa                     | 393216 | 131072 |        | 10 | 3440 | 80  | 80  | 16 | 128 | 11.81672512 | 1.594 | 3600 | 0.009155273 |
| lena16.bmp | lena16.bmp-withWavelet_haar-G_0.5-H4e-005_af5.wfa    | 393216 | 131072 | 131072 | 9  | 2832 | 72  | 72  | 16 | 128 | 11.76042092 | 1.562 | 2976 | 0.007568359 |
| lena16.bmp | lena16.bmp-withWavelet_rbio1.1-G_0.5-H4e-005_af5.wfa | 393216 | 131072 | 131072 | 9  | 2832 | 72  | 72  | 16 | 128 | 11.76042092 | 1.547 | 2976 | 0.007568359 |
| lena16.bmp | lena16.bmp-withWavelet_sym1-G_0.5-H4e-005_af5.wfa    | 393216 | 131072 | 131072 | 9  | 2832 | 72  | 72  | 16 | 128 | 11.76042092 | 1.547 | 2976 | 0.007568359 |
| lena16.bmp | lena16.bmp-withWavelet_bior1.1-G_0.5-H4e-005_af5.wfa | 393216 | 131072 | 131072 | 9  | 2832 | 72  | 72  | 16 | 128 | 11.76042092 | 1.547 | 2976 | 0.007568359 |
| lena16.bmp | lena16.bmp-withWavelet_haar-G_0.5-H5e-005_af5.wfa    | 393216 | 131072 | 131072 | 9  | 2832 | 72  | 72  | 16 | 128 | 11.76042092 | 1.547 | 2976 | 0.007568359 |
| lena16.bmp | lena16.bmp-withWavelet_rbio1.1-G_0.5-H5e-005_af5.wfa | 393216 | 131072 | 131072 | 9  | 2832 | 72  | 72  | 16 | 128 | 11.76042092 | 1.547 | 2976 | 0.007568359 |

|            |  |         |        |        |    |      |     |     |    |     |             |       |      |             |
|------------|--|---------|--------|--------|----|------|-----|-----|----|-----|-------------|-------|------|-------------|
| lena16.bmp | lena16.bmp-withWavelet_sym1-G_0.5-H5e-005_af5.wfa    | 393216  | 131072 | 131072 | 9  | 2832 | 72  | 72  | 16 | 128 | 11.76042092 | 1.546 | 2976 | 0.007568359 |
| lena16.bmp | lena16.bmp-withWavelet_bior1.1-G_0.5-H5e-005_af5.wfa | 393216  | 131072 | 131072 | 9  | 2832 | 72  | 72  | 16 | 128 | 11.76042092 | 1.578 | 2976 | 0.007568359 |
| lena16.bmp | lena16.bmp-G_0.5-H1e-005_af3.wfa                     | 98304   | 32768  |        | 15 | 7440 | 120 | 120 | 16 | 64  | 11.75359903 | 0.532 | 7680 | 0.078125    |
| lena16.bmp | lena16.bmp-G_0.5-H3e-005_af1.wfa                     | 98304   | 32768  |        | 13 | 5648 | 104 | 104 | 16 | 64  | 11.63679056 | 0.484 | 5856 | 0.059570313 |
| lena16.bmp | lena16.bmp-G_0.5-H2e-005_af1.wfa                     | 98304   | 32768  |        | 13 | 5648 | 104 | 104 | 16 | 64  | 11.63679056 | 0.437 | 5856 | 0.059570313 |
| lena16.bmp | lena16.bmp-G_0.5-H6e-005_af3.wfa                     | 98304   | 32768  |        | 13 | 5648 | 104 | 104 | 16 | 64  | 11.51284693 | 0.453 | 5856 | 0.059570313 |
| lena16.bmp | lena16.bmp-G_0.5-H7e-005_af3.wfa                     | 393216  | 131072 |        | 11 | 4112 | 88  | 88  | 16 | 128 | 11.44475515 | 1.625 | 4288 | 0.010904948 |
| lena16.bmp | lena16.bmp-G_0.5-H8e-005_af3.wfa                     | 393216  | 131072 |        | 11 | 4112 | 88  | 88  | 16 | 128 | 11.44475515 | 1.625 | 4288 | 0.010904948 |
| lena16.bmp | lena16.bmp-withWavelet_haar-G_0.5-H1e-005_af1.wfa    | 24576   | 8192   | 8192   | 17 | 9488 | 136 | 136 | 16 | 32  | 11.04601958 | 0.141 | 9760 | 0.397135417 |
| lena16.bmp | lena16.bmp-withWavelet_rbio1.1-G_0.5-H1e-005_af1.wfa | 24576   | 8192   | 8192   | 17 | 9488 | 136 | 136 | 16 | 32  | 11.04601958 | 0.125 | 9760 | 0.397135417 |
| lena16.bmp | lena16.bmp-withWavelet_sym1-G_0.5-H1e-005_af1.wfa    | 24576   | 8192   | 8192   | 17 | 9488 | 136 | 136 | 16 | 32  | 11.04601958 | 0.125 | 9760 | 0.397135417 |
| lena16.bmp | lena16.bmp-withWavelet_bior1.1-G_0.5-H1e-005_af1.wfa | 24576   | 8192   | 8192   | 17 | 9488 | 136 | 136 | 16 | 32  | 11.04601958 | 0.125 | 9760 | 0.397135417 |
| lena16.bmp | lena16.bmp-G_0.5-H5e-005_af5.wfa                     | 98304   | 32768  |        | 13 | 5648 | 104 | 104 | 16 | 64  | 10.93751399 | 0.422 | 5856 | 0.059570313 |
| lena16.bmp | lena16.bmp-withWavelet_haar-G_0.5-H2e-005_af5.wfa    | 393216  | 131072 | 131072 | 10 | 3440 | 80  | 80  | 16 | 128 | 10.89363525 | 1.609 | 3600 | 0.009155273 |
| lena16.bmp | lena16.bmp-withWavelet_rbio1.1-G_0.5-H2e-005_af5.wfa | 393216  | 131072 | 131072 | 10 | 3440 | 80  | 80  | 16 | 128 | 10.89363525 | 1.625 | 3600 | 0.009155273 |
| lena16.bmp | lena16.bmp-withWavelet_sym1-G_0.5-H2e-005_af5.wfa    | 393216  | 131072 | 131072 | 10 | 3440 | 80  | 80  | 16 | 128 | 10.89363525 | 1.578 | 3600 | 0.009155273 |
| lena16.bmp | lena16.bmp-withWavelet_bior1.1-G_0.5-H2e-005_af5.wfa | 393216  | 131072 | 131072 | 10 | 3440 | 80  | 80  | 16 | 128 | 10.89363525 | 1.562 | 3600 | 0.009155273 |
| lena16.bmp | lena16.bmp-withWavelet_haar-G_0.5-H8e-005_af3.wfa    | 24576   | 8192   | 8192   | 12 | 4848 | 96  | 96  | 16 | 32  | 10.86727606 | 0.093 | 5040 | 0.205078125 |
| lena16.bmp | lena16.bmp-withWavelet_rbio1.1-G_0.5-H8e-005_af3.wfa | 24576   | 8192   | 8192   | 12 | 4848 | 96  | 96  | 16 | 32  | 10.86727606 | 0.094 | 5040 | 0.205078125 |
| lena16.bmp | lena16.bmp-withWavelet_sym1-G_0.5-H8e-005_af3.wfa    | 24576   | 8192   | 8192   | 12 | 4848 | 96  | 96  | 16 | 32  | 10.86727606 | 0.094 | 5040 | 0.205078125 |
| lena16.bmp | lena16.bmp-withWavelet_bior1.1-G_0.5-H8e-005_af3.wfa | 24576   | 8192   | 8192   | 12 | 4848 | 96  | 96  | 16 | 32  | 10.86727606 | 0.094 | 5040 | 0.205078125 |
| lena16.bmp | lena16.bmp-G_0.5-H1e-005_af1.wfa                     | 98304   | 32768  |        | 14 | 6512 | 112 | 112 | 16 | 64  | 10.86039613 | 0.453 | 6736 | 0.068522135 |
| lena16.bmp | lena16.bmp-withWavelet_haar-G_0.5-H4e-005_af5.wfa    | 1572864 | 524288 | 524288 | 9  | 2832 | 72  | 72  | 16 | 256 | 10.75223715 | 6.531 | 2976 | 0.00189209  |
| lena16.bmp | lena16.bmp-withWavelet_rbio1.1-G_0.5-H4e-005_af5.wfa | 1572864 | 524288 | 524288 | 9  | 2832 | 72  | 72  | 16 | 256 | 10.75223715 | 6.547 | 2976 | 0.00189209  |
| lena16.bmp | lena16.bmp-withWavelet_sym1-G_0.5-H4e-005_af5.wfa    | 1572864 | 524288 | 524288 | 9  | 2832 | 72  | 72  | 16 | 256 | 10.75223715 | 6.625 | 2976 | 0.00189209  |
| lena16.bmp | lena16.bmp-withWavelet_bior1.1-G_0.5-H4e-005_af5.wfa | 1572864 | 524288 | 524288 | 9  | 2832 | 72  | 72  | 16 | 256 | 10.75223715 | 6.515 | 2976 | 0.00189209  |
| lena16.bmp | lena16.bmp-withWavelet_haar-G_0.5-H5e-005_af5.wfa    | 1572864 | 524288 | 524288 | 9  | 2832 | 72  | 72  | 16 | 256 | 10.75223715 | 6.547 | 2976 | 0.00189209  |
| lena16.bmp | lena16.bmp-withWavelet_rbio1.1-G_0.5-H5e-005_af5.wfa | 1572864 | 524288 | 524288 | 9  | 2832 | 72  | 72  | 16 | 256 | 10.75223715 | 6.5   | 2976 | 0.00189209  |
| lena16.bmp | lena16.bmp-withWavelet_sym1-G_0.5-H5e-005_af5.wfa    | 1572864 | 524288 | 524288 | 9  | 2832 | 72  | 72  | 16 | 256 | 10.75223715 | 6.515 | 2976 | 0.00189209  |
| lena16.bmp | lena16.bmp-withWavelet_bior1.1-G_0.5-H5e-005_af5.wfa | 1572864 | 524288 | 524288 | 9  | 2832 | 72  | 72  | 16 | 256 | 10.75223715 | 6.516 | 2976 | 0.00189209  |
| lena16.bmp | lena16.bmp-G_0.5-H9e-005_af1.wfa                     | 1572864 | 524288 |        | 10 | 3440 | 80  | 80  | 16 | 256 | 10.67637779 | 6.578 | 3600 | 0.002288818 |



|            |  |         |        |        |    |      |     |     |    |     |             |       |      |             |
|------------|--|---------|--------|--------|----|------|-----|-----|----|-----|-------------|-------|------|-------------|
| lena16.bmp | lena16.bmp-G_0.5-H0.0001_af1.wfa                     | 1572864 | 524288 |        | 10 | 3440 | 80  | 80  | 16 | 256 | 10.67637779 | 6.593 | 3600 | 0.002288818 |
| lena16.bmp | lena16.bmp-withWavelet_haar-G_0.5-H8e-005_af4.wfa    | 393216  | 131072 | 131072 | 10 | 3440 | 80  | 80  | 16 | 128 | 10.65969866 | 1.547 | 3600 | 0.009155273 |
| lena16.bmp | lena16.bmp-withWavelet_rbio1.1-G_0.5-H8e-005_af4.wfa | 393216  | 131072 | 131072 | 10 | 3440 | 80  | 80  | 16 | 128 | 10.65969866 | 1.594 | 3600 | 0.009155273 |
| lena16.bmp | lena16.bmp-withWavelet_sym1-G_0.5-H8e-005_af4.wfa    | 393216  | 131072 | 131072 | 10 | 3440 | 80  | 80  | 16 | 128 | 10.65969866 | 1.562 | 3600 | 0.009155273 |
| lena16.bmp | lena16.bmp-withWavelet_bior1.1-G_0.5-H8e-005_af4.wfa | 393216  | 131072 | 131072 | 10 | 3440 | 80  | 80  | 16 | 128 | 10.65969866 | 1.547 | 3600 | 0.009155273 |
| lena16.bmp | lena16.bmp-withWavelet_haar-G_0.5-H9e-005_af4.wfa    | 393216  | 131072 | 131072 | 10 | 3440 | 80  | 80  | 16 | 128 | 10.65969866 | 1.562 | 3600 | 0.009155273 |
| lena16.bmp | lena16.bmp-withWavelet_rbio1.1-G_0.5-H9e-005_af4.wfa | 393216  | 131072 | 131072 | 10 | 3440 | 80  | 80  | 16 | 128 | 10.65969866 | 1.578 | 3600 | 0.009155273 |
| lena16.bmp | lena16.bmp-withWavelet_sym1-G_0.5-H9e-005_af4.wfa    | 393216  | 131072 | 131072 | 10 | 3440 | 80  | 80  | 16 | 128 | 10.65969866 | 1.563 | 3600 | 0.009155273 |
| lena16.bmp | lena16.bmp-withWavelet_bior1.1-G_0.5-H9e-005_af4.wfa | 393216  | 131072 | 131072 | 10 | 3440 | 80  | 80  | 16 | 128 | 10.65969866 | 1.562 | 3600 | 0.009155273 |
| lena16.bmp | lena16.bmp-withWavelet_haar-G_0.5-H0.0001_af4.wfa    | 393216  | 131072 | 131072 | 10 | 3440 | 80  | 80  | 16 | 128 | 10.65969866 | 1.547 | 3600 | 0.009155273 |
| lena16.bmp | lena16.bmp-withWavelet_rbio1.1-G_0.5-H0.0001_af4.wfa | 393216  | 131072 | 131072 | 10 | 3440 | 80  | 80  | 16 | 128 | 10.65969866 | 1.562 | 3600 | 0.009155273 |
| lena16.bmp | lena16.bmp-withWavelet_sym1-G_0.5-H0.0001_af4.wfa    | 393216  | 131072 | 131072 | 10 | 3440 | 80  | 80  | 16 | 128 | 10.65969866 | 1.563 | 3600 | 0.009155273 |
| lena16.bmp | lena16.bmp-withWavelet_bior1.1-G_0.5-H0.0001_af4.wfa | 393216  | 131072 | 131072 | 10 | 3440 | 80  | 80  | 16 | 128 | 10.65969866 | 1.563 | 3600 | 0.009155273 |
| lena16.bmp | lena16.bmp-G_0.5-H9e-005_af3.wfa                     | 393216  | 131072 |        | 12 | 4848 | 96  | 96  | 16 | 128 | 10.6332862  | 1.672 | 5040 | 0.012817383 |
| lena16.bmp | lena16.bmp-G_0.5-H5e-005_af1.wfa                     | 98304   | 32768  |        | 11 | 4112 | 88  | 88  | 16 | 64  | 10.52427308 | 0.406 | 4288 | 0.043619792 |
| lena16.bmp | lena16.bmp-G_0.5-H6e-005_af1.wfa                     | 98304   | 32768  |        | 11 | 4112 | 88  | 88  | 16 | 64  | 10.52427308 | 0.391 | 4288 | 0.043619792 |
| lena16.bmp | lena16.bmp-G_0.5-H7e-005_af1.wfa                     | 98304   | 32768  |        | 11 | 4112 | 88  | 88  | 16 | 64  | 10.52427308 | 0.391 | 4288 | 0.043619792 |
| lena16.bmp | lena16.bmp-G_0.5-H8e-005_af1.wfa                     | 98304   | 32768  |        | 11 | 4112 | 88  | 88  | 16 | 64  | 10.52427308 | 0.391 | 4288 | 0.043619792 |
| lena16.bmp | lena16.bmp-G_0.5-H4e-005_af3.wfa                     | 393216  | 131072 |        | 14 | 6512 | 112 | 112 | 16 | 128 | 10.4193767  | 1.765 | 6736 | 0.017130534 |
| lena16.bmp | lena16.bmp-withWavelet_haar-G_0.5-H6e-005_af5.wfa    | 98304   | 32768  | 32768  | 8  | 2288 | 64  | 64  | 16 | 64  | 10.41009712 | 0.375 | 2416 | 0.024576823 |
| lena16.bmp | lena16.bmp-withWavelet_rbio1.1-G_0.5-H6e-005_af5.wfa | 98304   | 32768  | 32768  | 8  | 2288 | 64  | 64  | 16 | 64  | 10.41009712 | 0.359 | 2416 | 0.024576823 |
| lena16.bmp | lena16.bmp-withWavelet_sym1-G_0.5-H6e-005_af5.wfa    | 98304   | 32768  | 32768  | 8  | 2288 | 64  | 64  | 16 | 64  | 10.41009712 | 0.375 | 2416 | 0.024576823 |
| lena16.bmp | lena16.bmp-withWavelet_bior1.1-G_0.5-H6e-005_af5.wfa | 98304   | 32768  | 32768  | 8  | 2288 | 64  | 64  | 16 | 64  | 10.41009712 | 0.375 | 2416 | 0.024576823 |
| lena16.bmp | lena16.bmp-withWavelet_haar-G_0.5-H7e-005_af5.wfa    | 98304   | 32768  | 32768  | 8  | 2288 | 64  | 64  | 16 | 64  | 10.41009712 | 0.36  | 2416 | 0.024576823 |
| lena16.bmp | lena16.bmp-withWavelet_rbio1.1-G_0.5-H7e-005_af5.wfa | 98304   | 32768  | 32768  | 8  | 2288 | 64  | 64  | 16 | 64  | 10.41009712 | 0.375 | 2416 | 0.024576823 |
| lena16.bmp | lena16.bmp-withWavelet_sym1-G_0.5-H7e-005_af5.wfa    | 98304   | 32768  | 32768  | 8  | 2288 | 64  | 64  | 16 | 64  | 10.41009712 | 0.375 | 2416 | 0.024576823 |
| lena16.bmp | lena16.bmp-withWavelet_bior1.1-G_0.5-H7e-005_af5.wfa | 98304   | 32768  | 32768  | 8  | 2288 | 64  | 64  | 16 | 64  | 10.41009712 | 0.375 | 2416 | 0.024576823 |
| lena16.bmp | lena16.bmp-withWavelet_haar-G_0.5-H8e-005_af5.wfa    | 98304   | 32768  | 32768  | 8  | 2288 | 64  | 64  | 16 | 64  | 10.41009712 | 0.36  | 2416 | 0.024576823 |
| lena16.bmp | lena16.bmp-withWavelet_rbio1.1-G_0.5-H8e-005_af5.wfa | 98304   | 32768  | 32768  | 8  | 2288 | 64  | 64  | 16 | 64  | 10.41009712 | 0.375 | 2416 | 0.024576823 |
| lena16.bmp | lena16.bmp-withWavelet_sym1-G_0.5-H8e-005_af5.wfa    | 98304   | 32768  | 32768  | 8  | 2288 | 64  | 64  | 16 | 64  | 10.41009712 | 0.375 | 2416 | 0.024576823 |
| lena16.bmp | lena16.bmp-withWavelet_bior1.1-G_0.5-H8e-005_af5.wfa | 98304   | 32768  | 32768  | 8  | 2288 | 64  | 64  | 16 | 64  | 10.41009712 | 0.375 | 2416 | 0.024576823 |

|            |  |         |        |       |    |      |     |     |    |     |             |       |      |             |
|------------|--|---------|--------|-------|----|------|-----|-----|----|-----|-------------|-------|------|-------------|
| lena16.bmp | lena16.bmp-withWavelet_haar-G_0.5-H9e-005_af5.wfa    | 98304   | 32768  | 32768 | 8  | 2288 | 64  | 64  | 16 | 64  | 10.41009712 | 0.375 | 2416 | 0.024576823 |
| lena16.bmp | lena16.bmp-withWavelet_rbio1.1-G_0.5-H9e-005_af5.wfa | 98304   | 32768  | 32768 | 8  | 2288 | 64  | 64  | 16 | 64  | 10.41009712 | 0.375 | 2416 | 0.024576823 |
| lena16.bmp | lena16.bmp-withWavelet_sym1-G_0.5-H9e-005_af5.wfa    | 98304   | 32768  | 32768 | 8  | 2288 | 64  | 64  | 16 | 64  | 10.41009712 | 0.36  | 2416 | 0.024576823 |
| lena16.bmp | lena16.bmp-withWavelet_bior1.1-G_0.5-H9e-005_af5.wfa | 98304   | 32768  | 32768 | 8  | 2288 | 64  | 64  | 16 | 64  | 10.41009712 | 0.359 | 2416 | 0.024576823 |
| lena16.bmp | lena16.bmp-withWavelet_haar-G_0.5-H0.0001_af5.wfa    | 98304   | 32768  | 32768 | 8  | 2288 | 64  | 64  | 16 | 64  | 10.41009712 | 0.375 | 2416 | 0.024576823 |
| lena16.bmp | lena16.bmp-withWavelet_rbio1.1-G_0.5-H0.0001_af5.wfa | 98304   | 32768  | 32768 | 8  | 2288 | 64  | 64  | 16 | 64  | 10.41009712 | 0.375 | 2416 | 0.024576823 |
| lena16.bmp | lena16.bmp-withWavelet_sym1-G_0.5-H0.0001_af5.wfa    | 98304   | 32768  | 32768 | 8  | 2288 | 64  | 64  | 16 | 64  | 10.41009712 | 0.375 | 2416 | 0.024576823 |
| lena16.bmp | lena16.bmp-withWavelet_bior1.1-G_0.5-H0.0001_af5.wfa | 98304   | 32768  | 32768 | 8  | 2288 | 64  | 64  | 16 | 64  | 10.41009712 | 0.375 | 2416 | 0.024576823 |
| lena16.bmp | lena16.bmp-withWavelet_haar-G_0.5-H9e-005_af1.wfa    | 98304   | 32768  | 32768 | 12 | 4848 | 96  | 96  | 16 | 64  | 10.34886635 | 0.421 | 5040 | 0.051269531 |
| lena16.bmp | lena16.bmp-withWavelet_rbio1.1-G_0.5-H9e-005_af1.wfa | 98304   | 32768  | 32768 | 12 | 4848 | 96  | 96  | 16 | 64  | 10.34886635 | 0.406 | 5040 | 0.051269531 |
| lena16.bmp | lena16.bmp-withWavelet_sym1-G_0.5-H9e-005_af1.wfa    | 98304   | 32768  | 32768 | 12 | 4848 | 96  | 96  | 16 | 64  | 10.34886635 | 0.422 | 5040 | 0.051269531 |
| lena16.bmp | lena16.bmp-withWavelet_bior1.1-G_0.5-H9e-005_af1.wfa | 98304   | 32768  | 32768 | 12 | 4848 | 96  | 96  | 16 | 64  | 10.34886635 | 0.407 | 5040 | 0.051269531 |
| lena16.bmp | lena16.bmp-G_0.5-H6e-005_af3.wfa                     | 393216  | 131072 |       | 13 | 5648 | 104 | 104 | 16 | 128 | 10.29087091 | 1.75  | 5856 | 0.014892578 |
| lena16.bmp | lena16.bmp-withWavelet_haar-G_0.5-H3e-005_af5.wfa    | 24576   | 8192   | 8192  | 10 | 3440 | 80  | 80  | 16 | 32  | 10.23010316 | 0.094 | 3600 | 0.146484375 |
| lena16.bmp | lena16.bmp-withWavelet_rbio1.1-G_0.5-H3e-005_af5.wfa | 24576   | 8192   | 8192  | 10 | 3440 | 80  | 80  | 16 | 32  | 10.23010316 | 0.079 | 3600 | 0.146484375 |
| lena16.bmp | lena16.bmp-withWavelet_sym1-G_0.5-H3e-005_af5.wfa    | 24576   | 8192   | 8192  | 10 | 3440 | 80  | 80  | 16 | 32  | 10.23010316 | 0.094 | 3600 | 0.146484375 |
| lena16.bmp | lena16.bmp-withWavelet_bior1.1-G_0.5-H3e-005_af5.wfa | 24576   | 8192   | 8192  | 10 | 3440 | 80  | 80  | 16 | 32  | 10.23010316 | 0.094 | 3600 | 0.146484375 |
| lena16.bmp | lena16.bmp-withWavelet_haar-G_0.5-H1e-005_af5.wfa    | 98304   | 32768  | 32768 | 14 | 6512 | 112 | 112 | 16 | 64  | 10.17118306 | 0.438 | 6736 | 0.068522135 |
| lena16.bmp | lena16.bmp-withWavelet_rbio1.1-G_0.5-H1e-005_af5.wfa | 98304   | 32768  | 32768 | 14 | 6512 | 112 | 112 | 16 | 64  | 10.17118306 | 0.422 | 6736 | 0.068522135 |
| lena16.bmp | lena16.bmp-withWavelet_sym1-G_0.5-H1e-005_af5.wfa    | 98304   | 32768  | 32768 | 14 | 6512 | 112 | 112 | 16 | 64  | 10.17118306 | 0.421 | 6736 | 0.068522135 |
| lena16.bmp | lena16.bmp-withWavelet_bior1.1-G_0.5-H1e-005_af5.wfa | 98304   | 32768  | 32768 | 14 | 6512 | 112 | 112 | 16 | 64  | 10.17118306 | 0.438 | 6736 | 0.068522135 |
| lena16.bmp | lena16.bmp-G_0.5-H1e-005_af3.wfa                     | 393216  | 131072 |       | 15 | 7440 | 120 | 120 | 16 | 128 | 10.11815611 | 2.421 | 7680 | 0.01953125  |
| lena16.bmp | lena16.bmp-withWavelet_haar-G_0.5-H9e-005_af3.wfa    | 24576   | 8192   | 8192  | 11 | 4112 | 88  | 88  | 16 | 32  | 10.10263467 | 0.094 | 4288 | 0.174479167 |
| lena16.bmp | lena16.bmp-withWavelet_rbio1.1-G_0.5-H9e-005_af3.wfa | 24576   | 8192   | 8192  | 11 | 4112 | 88  | 88  | 16 | 32  | 10.10263467 | 0.094 | 4288 | 0.174479167 |
| lena16.bmp | lena16.bmp-withWavelet_sym1-G_0.5-H9e-005_af3.wfa    | 24576   | 8192   | 8192  | 11 | 4112 | 88  | 88  | 16 | 32  | 10.10263467 | 0.094 | 4288 | 0.174479167 |
| lena16.bmp | lena16.bmp-withWavelet_bior1.1-G_0.5-H9e-005_af3.wfa | 24576   | 8192   | 8192  | 11 | 4112 | 88  | 88  | 16 | 32  | 10.10263467 | 0.094 | 4288 | 0.174479167 |
| lena16.bmp | lena16.bmp-withWavelet_haar-G_0.5-H6e-005_af1.wfa    | 24576   | 8192   | 8192  | 14 | 6512 | 112 | 112 | 16 | 32  | 10.09181923 | 0.11  | 6736 | 0.274088542 |
| lena16.bmp | lena16.bmp-withWavelet_rbio1.1-G_0.5-H6e-005_af1.wfa | 24576   | 8192   | 8192  | 14 | 6512 | 112 | 112 | 16 | 32  | 10.09181923 | 0.094 | 6736 | 0.274088542 |
| lena16.bmp | lena16.bmp-withWavelet_sym1-G_0.5-H6e-005_af1.wfa    | 24576   | 8192   | 8192  | 14 | 6512 | 112 | 112 | 16 | 32  | 10.09181923 | 0.093 | 6736 | 0.274088542 |
| lena16.bmp | lena16.bmp-withWavelet_bior1.1-G_0.5-H6e-005_af1.wfa | 24576   | 8192   | 8192  | 14 | 6512 | 112 | 112 | 16 | 32  | 10.09181923 | 0.093 | 6736 | 0.274088542 |
| lena16.bmp | lena16.bmp-G_0.5-H7e-005_af3.wfa                     | 1572864 | 524288 |       | 11 | 4112 | 88  | 88  | 16 | 256 | 10.07443432 | 6.89  | 4288 | 0.002726237 |

|            |  |         |        |        |    |      |     |     |    |     |             |       |      |             |
|------------|--|---------|--------|--------|----|------|-----|-----|----|-----|-------------|-------|------|-------------|
| lena16.bmp | lena16.bmp-G_0.5-H8e-005_af3.wfa                     | 1572864 | 524288 |        | 11 | 4112 | 88  | 88  | 16 | 256 | 10.07443432 | 6.844 | 4288 | 0.002726237 |
| lena16.bmp | lena16.bmp-withWavelet_haar-G_0.5-H5e-005_af4.wfa    | 393216  | 131072 | 131072 | 11 | 4112 | 88  | 88  | 16 | 128 | 10.00354697 | 1.625 | 4288 | 0.010904948 |
| lena16.bmp | lena16.bmp-withWavelet_rbio1.1-G_0.5-H5e-005_af4.wfa | 393216  | 131072 | 131072 | 11 | 4112 | 88  | 88  | 16 | 128 | 10.00354697 | 1.61  | 4288 | 0.010904948 |
| lena16.bmp | lena16.bmp-withWavelet_sym1-G_0.5-H5e-005_af4.wfa    | 393216  | 131072 | 131072 | 11 | 4112 | 88  | 88  | 16 | 128 | 10.00354697 | 1.625 | 4288 | 0.010904948 |
| lena16.bmp | lena16.bmp-withWavelet_bior1.1-G_0.5-H5e-005_af4.wfa | 393216  | 131072 | 131072 | 11 | 4112 | 88  | 88  | 16 | 128 | 10.00354697 | 1.609 | 4288 | 0.010904948 |
| lena16.bmp | lena16.bmp-withWavelet_haar-G_0.5-H6e-005_af4.wfa    | 393216  | 131072 | 131072 | 11 | 4112 | 88  | 88  | 16 | 128 | 10.00354697 | 1.609 | 4288 | 0.010904948 |
| lena16.bmp | lena16.bmp-withWavelet_rbio1.1-G_0.5-H6e-005_af4.wfa | 393216  | 131072 | 131072 | 11 | 4112 | 88  | 88  | 16 | 128 | 10.00354697 | 1.61  | 4288 | 0.010904948 |
| lena16.bmp | lena16.bmp-withWavelet_sym1-G_0.5-H6e-005_af4.wfa    | 393216  | 131072 | 131072 | 11 | 4112 | 88  | 88  | 16 | 128 | 10.00354697 | 1.609 | 4288 | 0.010904948 |
| lena16.bmp | lena16.bmp-withWavelet_bior1.1-G_0.5-H6e-005_af4.wfa | 393216  | 131072 | 131072 | 11 | 4112 | 88  | 88  | 16 | 128 | 10.00354697 | 1.625 | 4288 | 0.010904948 |
| lena16.bmp | lena16.bmp-withWavelet_haar-G_0.5-H7e-005_af4.wfa    | 393216  | 131072 | 131072 | 11 | 4112 | 88  | 88  | 16 | 128 | 10.00354697 | 1.609 | 4288 | 0.010904948 |
| lena16.bmp | lena16.bmp-withWavelet_rbio1.1-G_0.5-H7e-005_af4.wfa | 393216  | 131072 | 131072 | 11 | 4112 | 88  | 88  | 16 | 128 | 10.00354697 | 1.641 | 4288 | 0.010904948 |
| lena16.bmp | lena16.bmp-withWavelet_sym1-G_0.5-H7e-005_af4.wfa    | 393216  | 131072 | 131072 | 11 | 4112 | 88  | 88  | 16 | 128 | 10.00354697 | 1.625 | 4288 | 0.010904948 |
| lena16.bmp | lena16.bmp-withWavelet_bior1.1-G_0.5-H7e-005_af4.wfa | 393216  | 131072 | 131072 | 11 | 4112 | 88  | 88  | 16 | 128 | 10.00354697 | 1.64  | 4288 | 0.010904948 |
| lena16.bmp | lena16.bmp-withWavelet_haar-G_0.5-H0.0001_af1.wfa    | 98304   | 32768  | 32768  | 11 | 4112 | 88  | 88  | 16 | 64  | 9.817187502 | 0.39  | 4288 | 0.043619792 |
| lena16.bmp | lena16.bmp-withWavelet_rbio1.1-G_0.5-H0.0001_af1.wfa | 98304   | 32768  | 32768  | 11 | 4112 | 88  | 88  | 16 | 64  | 9.817187502 | 0.437 | 4288 | 0.043619792 |
| lena16.bmp | lena16.bmp-withWavelet_sym1-G_0.5-H0.0001_af1.wfa    | 98304   | 32768  | 32768  | 11 | 4112 | 88  | 88  | 16 | 64  | 9.817187502 | 0.406 | 4288 | 0.043619792 |
| lena16.bmp | lena16.bmp-withWavelet_bior1.1-G_0.5-H0.0001_af1.wfa | 98304   | 32768  | 32768  | 11 | 4112 | 88  | 88  | 16 | 64  | 9.817187502 | 0.391 | 4288 | 0.043619792 |
| lena16.bmp | lena16.bmp-withWavelet_haar-G_0.5-H7e-005_af3.wfa    | 24576   | 8192   | 8192   | 13 | 5648 | 104 | 104 | 16 | 32  | 9.743192713 | 0.093 | 5856 | 0.23828125  |
| lena16.bmp | lena16.bmp-withWavelet_rbio1.1-G_0.5-H7e-005_af3.wfa | 24576   | 8192   | 8192   | 13 | 5648 | 104 | 104 | 16 | 32  | 9.743192713 | 0.094 | 5856 | 0.23828125  |
| lena16.bmp | lena16.bmp-withWavelet_sym1-G_0.5-H7e-005_af3.wfa    | 24576   | 8192   | 8192   | 13 | 5648 | 104 | 104 | 16 | 32  | 9.743192713 | 0.109 | 5856 | 0.23828125  |
| lena16.bmp | lena16.bmp-withWavelet_bior1.1-G_0.5-H7e-005_af3.wfa | 24576   | 8192   | 8192   | 13 | 5648 | 104 | 104 | 16 | 32  | 9.743192713 | 0.094 | 5856 | 0.23828125  |
| lena16.bmp | lena16.bmp-G_0.5-H7e-005_af2.wfa                     | 98304   | 32768  |        | 13 | 5648 | 104 | 104 | 16 | 64  | 9.574504121 | 0.422 | 5856 | 0.059570313 |
| lena16.bmp | lena16.bmp-G_0.5-H5e-005_af2.wfa                     | 98304   | 32768  |        | 13 | 5648 | 104 | 104 | 16 | 64  | 9.574504121 | 0.422 | 5856 | 0.059570313 |
| lena16.bmp | lena16.bmp-G_0.5-H6e-005_af2.wfa                     | 98304   | 32768  |        | 13 | 5648 | 104 | 104 | 16 | 64  | 9.574504121 | 0.438 | 5856 | 0.059570313 |
| lena16.bmp | lena16.bmp-withWavelet_haar-G_0.5-H6e-005_af3.wfa    | 24576   | 8192   | 8192   | 14 | 6512 | 112 | 112 | 16 | 32  | 9.557979128 | 0.11  | 6736 | 0.274088542 |
| lena16.bmp | lena16.bmp-withWavelet_rbio1.1-G_0.5-H6e-005_af3.wfa | 24576   | 8192   | 8192   | 14 | 6512 | 112 | 112 | 16 | 32  | 9.557979128 | 0.109 | 6736 | 0.274088542 |
| lena16.bmp | lena16.bmp-withWavelet_sym1-G_0.5-H6e-005_af3.wfa    | 24576   | 8192   | 8192   | 14 | 6512 | 112 | 112 | 16 | 32  | 9.557979128 | 0.109 | 6736 | 0.274088542 |
| lena16.bmp | lena16.bmp-withWavelet_bior1.1-G_0.5-H6e-005_af3.wfa | 24576   | 8192   | 8192   | 14 | 6512 | 112 | 112 | 16 | 32  | 9.557979128 | 0.109 | 6736 | 0.274088542 |
| lena16.bmp | lena16.bmp-withWavelet_haar-G_0.5-H2e-005_af5.wfa    | 1572864 | 524288 | 524288 | 10 | 3440 | 80  | 80  | 16 | 256 | 9.523385516 | 6.906 | 3600 | 0.002288818 |
| lena16.bmp | lena16.bmp-withWavelet_rbio1.1-G_0.5-H2e-005_af5.wfa | 1572864 | 524288 | 524288 | 10 | 3440 | 80  | 80  | 16 | 256 | 9.523385516 | 6.719 | 3600 | 0.002288818 |
| lena16.bmp | lena16.bmp-withWavelet_sym1-G_0.5-H2e-005_af5.wfa    | 1572864 | 524288 | 524288 | 10 | 3440 | 80  | 80  | 16 | 256 | 9.523385516 | 6.625 | 3600 | 0.002288818 |

|            |  |         |        |        |    |      |     |     |    |     |             |       |      |             |
|------------|--|---------|--------|--------|----|------|-----|-----|----|-----|-------------|-------|------|-------------|
| lena16.bmp | lena16.bmp-withWavelet_bior1.1-G_0.5-H2e-005_af5.wfa | 1572864 | 524288 | 524288 | 10 | 3440 | 80  | 80  | 16 | 256 | 9.523385516 | 6.625 | 3600 | 0.002288818 |
| lena16.bmp | lena16.bmp-G_0.5-H3e-005_af1.wfa                     | 393216  | 131072 |        | 13 | 5648 | 104 | 104 | 16 | 128 | 9.454791883 | 1.75  | 5856 | 0.014892578 |
| lena16.bmp | lena16.bmp-G_0.5-H2e-005_af1.wfa                     | 393216  | 131072 |        | 13 | 5648 | 104 | 104 | 16 | 128 | 9.454791883 | 1.812 | 5856 | 0.014892578 |
| lena16.bmp | lena16.bmp-G_0.5-H9e-005_af3.wfa                     | 1572864 | 524288 |        | 12 | 4848 | 96  | 96  | 16 | 256 | 9.391722684 | 7.11  | 5040 | 0.003204346 |
| lena16.bmp | lena16.bmp-G_0.5-H6e-005_af3.wfa                     | 1572864 | 524288 |        | 13 | 5648 | 104 | 104 | 16 | 256 | 9.373106881 | 7.391 | 5856 | 0.003723145 |
| lena16.bmp | lena16.bmp-G_0.5-H0.0001_af3.wfa                     | 393216  | 131072 |        | 11 | 4112 | 88  | 88  | 16 | 128 | 9.337624897 | 1.641 | 4288 | 0.010904948 |
| lena16.bmp | lena16.bmp-G_0.5-H5e-005_af3.wfa                     | 98304   | 32768  |        | 14 | 6512 | 112 | 112 | 16 | 64  | 9.337294468 | 0.422 | 6736 | 0.068522135 |
| lena16.bmp | lena16.bmp-G_0.5-H4e-005_af1.wfa                     | 98304   | 32768  |        | 12 | 4848 | 96  | 96  | 16 | 64  | 9.292305703 | 0.406 | 5040 | 0.051269531 |
| lena16.bmp | lena16.bmp-withWavelet_haar-G_0.5-H2e-005_af1.wfa    | 24576   | 8192   | 8192   | 17 | 9488 | 136 | 136 | 16 | 32  | 9.288041479 | 0.109 | 9760 | 0.397135417 |
| lena16.bmp | lena16.bmp-withWavelet_rbio1.1-G_0.5-H2e-005_af1.wfa | 24576   | 8192   | 8192   | 17 | 9488 | 136 | 136 | 16 | 32  | 9.288041479 | 0.109 | 9760 | 0.397135417 |
| lena16.bmp | lena16.bmp-withWavelet_sym1-G_0.5-H2e-005_af1.wfa    | 24576   | 8192   | 8192   | 17 | 9488 | 136 | 136 | 16 | 32  | 9.288041479 | 0.188 | 9760 | 0.397135417 |
| lena16.bmp | lena16.bmp-withWavelet_bior1.1-G_0.5-H2e-005_af1.wfa | 24576   | 8192   | 8192   | 17 | 9488 | 136 | 136 | 16 | 32  | 9.288041479 | 0.109 | 9760 | 0.397135417 |
| lena16.bmp | lena16.bmp-withWavelet_haar-G_0.5-H4e-005_af1.wfa    | 24576   | 8192   | 8192   | 15 | 7440 | 120 | 120 | 16 | 32  | 9.273728802 | 0.109 | 7680 | 0.3125      |
| lena16.bmp | lena16.bmp-withWavelet_rbio1.1-G_0.5-H4e-005_af1.wfa | 24576   | 8192   | 8192   | 15 | 7440 | 120 | 120 | 16 | 32  | 9.273728802 | 0.109 | 7680 | 0.3125      |
| lena16.bmp | lena16.bmp-withWavelet_sym1-G_0.5-H4e-005_af1.wfa    | 24576   | 8192   | 8192   | 15 | 7440 | 120 | 120 | 16 | 32  | 9.273728802 | 0.094 | 7680 | 0.3125      |
| lena16.bmp | lena16.bmp-withWavelet_bior1.1-G_0.5-H4e-005_af1.wfa | 24576   | 8192   | 8192   | 15 | 7440 | 120 | 120 | 16 | 32  | 9.273728802 | 0.109 | 7680 | 0.3125      |
| lena16.bmp | lena16.bmp-withWavelet_haar-G_0.5-H9e-005_af2.wfa    | 24576   | 8192   | 8192   | 11 | 4112 | 88  | 88  | 16 | 32  | 9.264182406 | 0.078 | 4288 | 0.174479167 |
| lena16.bmp | lena16.bmp-withWavelet_rbio1.1-G_0.5-H9e-005_af2.wfa | 24576   | 8192   | 8192   | 11 | 4112 | 88  | 88  | 16 | 32  | 9.264182406 | 0.093 | 4288 | 0.174479167 |
| lena16.bmp | lena16.bmp-withWavelet_sym1-G_0.5-H9e-005_af2.wfa    | 24576   | 8192   | 8192   | 11 | 4112 | 88  | 88  | 16 | 32  | 9.264182406 | 0.094 | 4288 | 0.174479167 |
| lena16.bmp | lena16.bmp-withWavelet_bior1.1-G_0.5-H9e-005_af2.wfa | 24576   | 8192   | 8192   | 11 | 4112 | 88  | 88  | 16 | 32  | 9.264182406 | 0.094 | 4288 | 0.174479167 |
| lena16.bmp | lena16.bmp-withWavelet_haar-G_0.5-H0.0001_af2.wfa    | 24576   | 8192   | 8192   | 11 | 4112 | 88  | 88  | 16 | 32  | 9.264182406 | 0.094 | 4288 | 0.174479167 |
| lena16.bmp | lena16.bmp-withWavelet_rbio1.1-G_0.5-H0.0001_af2.wfa | 24576   | 8192   | 8192   | 11 | 4112 | 88  | 88  | 16 | 32  | 9.264182406 | 0.094 | 4288 | 0.174479167 |
| lena16.bmp | lena16.bmp-withWavelet_sym1-G_0.5-H0.0001_af2.wfa    | 24576   | 8192   | 8192   | 11 | 4112 | 88  | 88  | 16 | 32  | 9.264182406 | 0.094 | 4288 | 0.174479167 |
| lena16.bmp | lena16.bmp-withWavelet_bior1.1-G_0.5-H0.0001_af2.wfa | 24576   | 8192   | 8192   | 11 | 4112 | 88  | 88  | 16 | 32  | 9.264182406 | 0.094 | 4288 | 0.174479167 |
| lena16.bmp | lena16.bmp-withWavelet_haar-G_0.5-H0.0001_af3.wfa    | 24576   | 8192   | 8192   | 11 | 4112 | 88  | 88  | 16 | 32  | 9.210092403 | 0.094 | 4288 | 0.174479167 |
| lena16.bmp | lena16.bmp-withWavelet_rbio1.1-G_0.5-H0.0001_af3.wfa | 24576   | 8192   | 8192   | 11 | 4112 | 88  | 88  | 16 | 32  | 9.210092403 | 0.094 | 4288 | 0.174479167 |
| lena16.bmp | lena16.bmp-withWavelet_sym1-G_0.5-H0.0001_af3.wfa    | 24576   | 8192   | 8192   | 11 | 4112 | 88  | 88  | 16 | 32  | 9.210092403 | 0.093 | 4288 | 0.174479167 |
| lena16.bmp | lena16.bmp-withWavelet_bior1.1-G_0.5-H0.0001_af3.wfa | 24576   | 8192   | 8192   | 11 | 4112 | 88  | 88  | 16 | 32  | 9.210092403 | 0.093 | 4288 | 0.174479167 |
| lena16.bmp | lena16.bmp-withWavelet_haar-G_0.5-H8e-005_af4.wfa    | 1572864 | 524288 | 524288 | 10 | 3440 | 80  | 80  | 16 | 256 | 9.179251998 | 6.641 | 3600 | 0.002288818 |
| lena16.bmp | lena16.bmp-withWavelet_rbio1.1-G_0.5-H8e-005_af4.wfa | 1572864 | 524288 | 524288 | 10 | 3440 | 80  | 80  | 16 | 256 | 9.179251998 | 6.562 | 3600 | 0.002288818 |
| lena16.bmp | lena16.bmp-withWavelet_sym1-G_0.5-H8e-005_af4.wfa    | 1572864 | 524288 | 524288 | 10 | 3440 | 80  | 80  | 16 | 256 | 9.179251998 | 6.578 | 3600 | 0.002288818 |

|            |  |         |        |        |    |      |     |     |    |     |             |       |      |             |
|------------|--|---------|--------|--------|----|------|-----|-----|----|-----|-------------|-------|------|-------------|
| lena16.bmp | lena16.bmp-withWavelet_bior1.1-G_0.5-H8e-005_af4.wfa | 1572864 | 524288 | 524288 | 10 | 3440 | 80  | 80  | 16 | 256 | 9.179251998 | 6.594 | 3600 | 0.002288818 |
| lena16.bmp | lena16.bmp-withWavelet_haar-G_0.5-H9e-005_af4.wfa    | 1572864 | 524288 | 524288 | 10 | 3440 | 80  | 80  | 16 | 256 | 9.179251998 | 6.516 | 3600 | 0.002288818 |
| lena16.bmp | lena16.bmp-withWavelet_rbio1.1-G_0.5-H9e-005_af4.wfa | 1572864 | 524288 | 524288 | 10 | 3440 | 80  | 80  | 16 | 256 | 9.179251998 | 6.578 | 3600 | 0.002288818 |
| lena16.bmp | lena16.bmp-withWavelet_sym1-G_0.5-H9e-005_af4.wfa    | 1572864 | 524288 | 524288 | 10 | 3440 | 80  | 80  | 16 | 256 | 9.179251998 | 6.609 | 3600 | 0.002288818 |
| lena16.bmp | lena16.bmp-withWavelet_bior1.1-G_0.5-H9e-005_af4.wfa | 1572864 | 524288 | 524288 | 10 | 3440 | 80  | 80  | 16 | 256 | 9.179251998 | 6.562 | 3600 | 0.002288818 |
| lena16.bmp | lena16.bmp-withWavelet_haar-G_0.5-H0.0001_af4.wfa    | 1572864 | 524288 | 524288 | 10 | 3440 | 80  | 80  | 16 | 256 | 9.179251998 | 6.563 | 3600 | 0.002288818 |
| lena16.bmp | lena16.bmp-withWavelet_rbio1.1-G_0.5-H0.0001_af4.wfa | 1572864 | 524288 | 524288 | 10 | 3440 | 80  | 80  | 16 | 256 | 9.179251998 | 6.61  | 3600 | 0.002288818 |
| lena16.bmp | lena16.bmp-withWavelet_sym1-G_0.5-H0.0001_af4.wfa    | 1572864 | 524288 | 524288 | 10 | 3440 | 80  | 80  | 16 | 256 | 9.179251998 | 6.625 | 3600 | 0.002288818 |
| lena16.bmp | lena16.bmp-withWavelet_bior1.1-G_0.5-H0.0001_af4.wfa | 1572864 | 524288 | 524288 | 10 | 3440 | 80  | 80  | 16 | 256 | 9.179251998 | 6.657 | 3600 | 0.002288818 |
| lena16.bmp | lena16.bmp-withWavelet_haar-G_0.5-H1e-005_af4.wfa    | 24576   | 8192   | 8192   | 16 | 8432 | 128 | 128 | 16 | 32  | 9.167332392 | 0.11  | 8688 | 0.353515625 |
| lena16.bmp | lena16.bmp-withWavelet_rbio1.1-G_0.5-H1e-005_af4.wfa | 24576   | 8192   | 8192   | 16 | 8432 | 128 | 128 | 16 | 32  | 9.167332392 | 0.11  | 8688 | 0.353515625 |
| lena16.bmp | lena16.bmp-withWavelet_sym1-G_0.5-H1e-005_af4.wfa    | 24576   | 8192   | 8192   | 16 | 8432 | 128 | 128 | 16 | 32  | 9.167332392 | 0.328 | 8688 | 0.353515625 |
| lena16.bmp | lena16.bmp-withWavelet_bior1.1-G_0.5-H1e-005_af4.wfa | 24576   | 8192   | 8192   | 16 | 8432 | 128 | 128 | 16 | 32  | 9.167332392 | 0.11  | 8688 | 0.353515625 |
| lena16.bmp | lena16.bmp-G_0.5-H2e-005_af2.wfa                     | 24576   | 8192   |        | 14 | 6512 | 112 | 112 | 16 | 32  | 9.118939672 | 0.094 | 6736 | 0.274088542 |
| lena16.bmp | lena16.bmp-G_0.5-H3e-005_af2.wfa                     | 24576   | 8192   |        | 14 | 6512 | 112 | 112 | 16 | 32  | 9.118939671 | 0.11  | 6736 | 0.274088542 |
| lena16.bmp | lena16.bmp-G_0.5-H4e-005_af2.wfa                     | 24576   | 8192   |        | 14 | 6512 | 112 | 112 | 16 | 32  | 9.118939671 | 0.11  | 6736 | 0.274088542 |
| lena16.bmp | lena16.bmp-G_0.5-H4e-005_af3.wfa                     | 1572864 | 524288 |        | 14 | 6512 | 112 | 112 | 16 | 256 | 9.004188911 | 7.547 | 6736 | 0.004282633 |
| lena16.bmp | lena16.bmp-G_0.5-H1e-005_af3.wfa                     | 1572864 | 524288 |        | 15 | 7440 | 120 | 120 | 16 | 256 | 8.822257994 | 9.063 | 7680 | 0.004882813 |
| lena16.bmp | lena16.bmp-withWavelet_haar-G_0.5-H2e-005_af4.wfa    | 98304   | 32768  | 32768  | 14 | 6512 | 112 | 112 | 16 | 64  | 8.526608534 | 0.438 | 6736 | 0.068522135 |
| lena16.bmp | lena16.bmp-withWavelet_rbio1.1-G_0.5-H2e-005_af4.wfa | 98304   | 32768  | 32768  | 14 | 6512 | 112 | 112 | 16 | 64  | 8.526608534 | 0.438 | 6736 | 0.068522135 |
| lena16.bmp | lena16.bmp-withWavelet_sym1-G_0.5-H2e-005_af4.wfa    | 98304   | 32768  | 32768  | 14 | 6512 | 112 | 112 | 16 | 64  | 8.526608534 | 0.438 | 6736 | 0.068522135 |
| lena16.bmp | lena16.bmp-withWavelet_bior1.1-G_0.5-H2e-005_af4.wfa | 98304   | 32768  | 32768  | 14 | 6512 | 112 | 112 | 16 | 64  | 8.526608534 | 0.485 | 6736 | 0.068522135 |
| lena16.bmp | lena16.bmp-withWavelet_haar-G_0.5-H1e-005_af5.wfa    | 393216  | 131072 | 131072 | 14 | 6512 | 112 | 112 | 16 | 128 | 8.511661856 | 1.875 | 6736 | 0.017130534 |
| lena16.bmp | lena16.bmp-withWavelet_rbio1.1-G_0.5-H1e-005_af5.wfa | 393216  | 131072 | 131072 | 14 | 6512 | 112 | 112 | 16 | 128 | 8.511661856 | 1.891 | 6736 | 0.017130534 |
| lena16.bmp | lena16.bmp-withWavelet_sym1-G_0.5-H1e-005_af5.wfa    | 393216  | 131072 | 131072 | 14 | 6512 | 112 | 112 | 16 | 128 | 8.511661856 | 1.765 | 6736 | 0.017130534 |
| lena16.bmp | lena16.bmp-withWavelet_bior1.1-G_0.5-H1e-005_af5.wfa | 393216  | 131072 | 131072 | 14 | 6512 | 112 | 112 | 16 | 128 | 8.511661856 | 1.812 | 6736 | 0.017130534 |
| lena16.bmp | lena16.bmp-withWavelet_haar-G_0.5-H8e-005_af1.wfa    | 98304   | 32768  | 32768  | 13 | 5648 | 104 | 104 | 16 | 64  | 8.396564308 | 0.422 | 5856 | 0.059570313 |
| lena16.bmp | lena16.bmp-withWavelet_rbio1.1-G_0.5-H8e-005_af1.wfa | 98304   | 32768  | 32768  | 13 | 5648 | 104 | 104 | 16 | 64  | 8.396564308 | 0.422 | 5856 | 0.059570313 |
| lena16.bmp | lena16.bmp-withWavelet_sym1-G_0.5-H8e-005_af1.wfa    | 98304   | 32768  | 32768  | 13 | 5648 | 104 | 104 | 16 | 64  | 8.396564308 | 0.422 | 5856 | 0.059570313 |
| lena16.bmp | lena16.bmp-withWavelet_bior1.1-G_0.5-H8e-005_af1.wfa | 98304   | 32768  | 32768  | 13 | 5648 | 104 | 104 | 16 | 64  | 8.396564308 | 0.438 | 5856 | 0.059570313 |
| lena16.bmp | lena16.bmp-withWavelet_haar-G_0.5-H3e-005_af1.wfa    | 24576   | 8192   | 8192   | 16 | 8432 | 128 | 128 | 16 | 32  | 8.345146904 | 0.125 | 8688 | 0.353515625 |

|            |  |         |        |        |    |      |     |     |    |     |             |       |      |             |
|------------|--|---------|--------|--------|----|------|-----|-----|----|-----|-------------|-------|------|-------------|
| lena16.bmp | lena16.bmp-withWavelet_rbio1.1-G_0.5-H3e-005_af1.wfa | 24576   | 8192   | 8192   | 16 | 8432 | 128 | 128 | 16 | 32  | 8.345146904 | 0.11  | 8688 | 0.353515625 |
| lena16.bmp | lena16.bmp-withWavelet_sym1-G_0.5-H3e-005_af1.wfa    | 24576   | 8192   | 8192   | 16 | 8432 | 128 | 128 | 16 | 32  | 8.345146904 | 0.11  | 8688 | 0.353515625 |
| lena16.bmp | lena16.bmp-withWavelet_bior1.1-G_0.5-H3e-005_af1.wfa | 24576   | 8192   | 8192   | 16 | 8432 | 128 | 128 | 16 | 32  | 8.345146904 | 0.109 | 8688 | 0.353515625 |
| lena16.bmp | lena16.bmp-withWavelet_haar-G_0.5-H5e-005_af4.wfa    | 1572864 | 524288 | 524288 | 11 | 4112 | 88  | 88  | 16 | 256 | 8.325530733 | 6.843 | 4288 | 0.002726237 |
| lena16.bmp | lena16.bmp-withWavelet_rbio1.1-G_0.5-H5e-005_af4.wfa | 1572864 | 524288 | 524288 | 11 | 4112 | 88  | 88  | 16 | 256 | 8.325530733 | 6.828 | 4288 | 0.002726237 |
| lena16.bmp | lena16.bmp-withWavelet_sym1-G_0.5-H5e-005_af4.wfa    | 1572864 | 524288 | 524288 | 11 | 4112 | 88  | 88  | 16 | 256 | 8.325530733 | 6.891 | 4288 | 0.002726237 |
| lena16.bmp | lena16.bmp-withWavelet_bior1.1-G_0.5-H5e-005_af4.wfa | 1572864 | 524288 | 524288 | 11 | 4112 | 88  | 88  | 16 | 256 | 8.325530733 | 6.844 | 4288 | 0.002726237 |
| lena16.bmp | lena16.bmp-withWavelet_haar-G_0.5-H6e-005_af4.wfa    | 1572864 | 524288 | 524288 | 11 | 4112 | 88  | 88  | 16 | 256 | 8.325530733 | 6.797 | 4288 | 0.002726237 |
| lena16.bmp | lena16.bmp-withWavelet_rbio1.1-G_0.5-H6e-005_af4.wfa | 1572864 | 524288 | 524288 | 11 | 4112 | 88  | 88  | 16 | 256 | 8.325530733 | 6.812 | 4288 | 0.002726237 |
| lena16.bmp | lena16.bmp-withWavelet_sym1-G_0.5-H6e-005_af4.wfa    | 1572864 | 524288 | 524288 | 11 | 4112 | 88  | 88  | 16 | 256 | 8.325530733 | 6.797 | 4288 | 0.002726237 |
| lena16.bmp | lena16.bmp-withWavelet_bior1.1-G_0.5-H6e-005_af4.wfa | 1572864 | 524288 | 524288 | 11 | 4112 | 88  | 88  | 16 | 256 | 8.325530733 | 6.797 | 4288 | 0.002726237 |
| lena16.bmp | lena16.bmp-withWavelet_haar-G_0.5-H7e-005_af4.wfa    | 1572864 | 524288 | 524288 | 11 | 4112 | 88  | 88  | 16 | 256 | 8.325530733 | 6.875 | 4288 | 0.002726237 |
| lena16.bmp | lena16.bmp-withWavelet_rbio1.1-G_0.5-H7e-005_af4.wfa | 1572864 | 524288 | 524288 | 11 | 4112 | 88  | 88  | 16 | 256 | 8.325530733 | 6.828 | 4288 | 0.002726237 |
| lena16.bmp | lena16.bmp-withWavelet_sym1-G_0.5-H7e-005_af4.wfa    | 1572864 | 524288 | 524288 | 11 | 4112 | 88  | 88  | 16 | 256 | 8.325530733 | 6.859 | 4288 | 0.002726237 |
| lena16.bmp | lena16.bmp-withWavelet_bior1.1-G_0.5-H7e-005_af4.wfa | 1572864 | 524288 | 524288 | 11 | 4112 | 88  | 88  | 16 | 256 | 8.325530733 | 6.844 | 4288 | 0.002726237 |
| lena16.bmp | lena16.bmp-G_0.5-H5e-005_af5.wfa                     | 393216  | 131072 |        | 13 | 5648 | 104 | 104 | 16 | 128 | 8.313786571 | 1.75  | 5856 | 0.014892578 |
| lena16.bmp | lena16.bmp-withWavelet_haar-G_0.5-H5e-005_af3.wfa    | 24576   | 8192   | 8192   | 15 | 7440 | 120 | 120 | 16 | 32  | 8.309576109 | 0.11  | 7680 | 0.3125      |
| lena16.bmp | lena16.bmp-withWavelet_rbio1.1-G_0.5-H5e-005_af3.wfa | 24576   | 8192   | 8192   | 15 | 7440 | 120 | 120 | 16 | 32  | 8.309576109 | 0.094 | 7680 | 0.3125      |
| lena16.bmp | lena16.bmp-withWavelet_sym1-G_0.5-H5e-005_af3.wfa    | 24576   | 8192   | 8192   | 15 | 7440 | 120 | 120 | 16 | 32  | 8.309576109 | 0.093 | 7680 | 0.3125      |
| lena16.bmp | lena16.bmp-withWavelet_bior1.1-G_0.5-H5e-005_af3.wfa | 24576   | 8192   | 8192   | 15 | 7440 | 120 | 120 | 16 | 32  | 8.309576109 | 0.109 | 7680 | 0.3125      |
| lena16.bmp | lena16.bmp-withWavelet_haar-G_0.5-H5e-005_af1.wfa    | 24576   | 8192   | 8192   | 15 | 7440 | 120 | 120 | 16 | 32  | 8.308643495 | 0.109 | 7680 | 0.3125      |
| lena16.bmp | lena16.bmp-withWavelet_rbio1.1-G_0.5-H5e-005_af1.wfa | 24576   | 8192   | 8192   | 15 | 7440 | 120 | 120 | 16 | 32  | 8.308643495 | 0.093 | 7680 | 0.3125      |
| lena16.bmp | lena16.bmp-withWavelet_sym1-G_0.5-H5e-005_af1.wfa    | 24576   | 8192   | 8192   | 15 | 7440 | 120 | 120 | 16 | 32  | 8.308643495 | 0.094 | 7680 | 0.3125      |
| lena16.bmp | lena16.bmp-withWavelet_bior1.1-G_0.5-H5e-005_af1.wfa | 24576   | 8192   | 8192   | 15 | 7440 | 120 | 120 | 16 | 32  | 8.308643495 | 0.109 | 7680 | 0.3125      |
| lena16.bmp | lena16.bmp-G_0.5-H1e-005_af1.wfa                     | 393216  | 131072 |        | 14 | 6512 | 112 | 112 | 16 | 128 | 8.173883965 | 1.875 | 6736 | 0.017130534 |
| lena16.bmp | lena16.bmp-withWavelet_haar-G_0.5-H2e-005_af2.wfa    | 24576   | 8192   | 8192   | 15 | 7440 | 120 | 120 | 16 | 32  | 8.144357446 | 0.109 | 7680 | 0.3125      |
| lena16.bmp | lena16.bmp-withWavelet_rbio1.1-G_0.5-H2e-005_af2.wfa | 24576   | 8192   | 8192   | 15 | 7440 | 120 | 120 | 16 | 32  | 8.144357446 | 0.109 | 7680 | 0.3125      |
| lena16.bmp | lena16.bmp-withWavelet_sym1-G_0.5-H2e-005_af2.wfa    | 24576   | 8192   | 8192   | 15 | 7440 | 120 | 120 | 16 | 32  | 8.144357446 | 0.11  | 7680 | 0.3125      |
| lena16.bmp | lena16.bmp-withWavelet_bior1.1-G_0.5-H2e-005_af2.wfa | 24576   | 8192   | 8192   | 15 | 7440 | 120 | 120 | 16 | 32  | 8.144357446 | 0.109 | 7680 | 0.3125      |
| lena16.bmp | lena16.bmp-withWavelet_haar-G_0.5-H7e-005_af2.wfa    | 24576   | 8192   | 8192   | 12 | 4848 | 96  | 96  | 16 | 32  | 8.062235053 | 0.094 | 5040 | 0.205078125 |
| lena16.bmp | lena16.bmp-withWavelet_rbio1.1-G_0.5-H7e-005_af2.wfa | 24576   | 8192   | 8192   | 12 | 4848 | 96  | 96  | 16 | 32  | 8.062235053 | 0.094 | 5040 | 0.205078125 |

|            |  |        |        |        |    |      |     |     |    |     |             |       |      |             |
|------------|--|--------|--------|--------|----|------|-----|-----|----|-----|-------------|-------|------|-------------|
| lena16.bmp | lena16.bmp-withWavelet_sym1-G_0.5-H7e-005_af2.wfa    | 24576  | 8192   | 8192   | 12 | 4848 | 96  | 96  | 16 | 32  | 8.062235053 | 0.094 | 5040 | 0.205078125 |
| lena16.bmp | lena16.bmp-withWavelet_bior1.1-G_0.5-H7e-005_af2.wfa | 24576  | 8192   | 8192   | 12 | 4848 | 96  | 96  | 16 | 32  | 8.062235053 | 0.094 | 5040 | 0.205078125 |
| lena16.bmp | lena16.bmp-withWavelet_haar-G_0.5-H8e-005_af2.wfa    | 24576  | 8192   | 8192   | 12 | 4848 | 96  | 96  | 16 | 32  | 8.062235053 | 0.094 | 5040 | 0.205078125 |
| lena16.bmp | lena16.bmp-withWavelet_rbio1.1-G_0.5-H8e-005_af2.wfa | 24576  | 8192   | 8192   | 12 | 4848 | 96  | 96  | 16 | 32  | 8.062235053 | 0.094 | 5040 | 0.205078125 |
| lena16.bmp | lena16.bmp-withWavelet_sym1-G_0.5-H8e-005_af2.wfa    | 24576  | 8192   | 8192   | 12 | 4848 | 96  | 96  | 16 | 32  | 8.062235053 | 0.094 | 5040 | 0.205078125 |
| lena16.bmp | lena16.bmp-withWavelet_bior1.1-G_0.5-H8e-005_af2.wfa | 24576  | 8192   | 8192   | 12 | 4848 | 96  | 96  | 16 | 32  | 8.062235053 | 0.094 | 5040 | 0.205078125 |
| lena16.bmp | lena16.bmp-withWavelet_haar-G_0.5-H6e-005_af5.wfa    | 393216 | 131072 | 131072 | 8  | 2288 | 64  | 64  | 16 | 128 | 7.958472261 | 1.5   | 2416 | 0.006144206 |
| lena16.bmp | lena16.bmp-withWavelet_rbio1.1-G_0.5-H6e-005_af5.wfa | 393216 | 131072 | 131072 | 8  | 2288 | 64  | 64  | 16 | 128 | 7.958472261 | 1.516 | 2416 | 0.006144206 |
| lena16.bmp | lena16.bmp-withWavelet_sym1-G_0.5-H6e-005_af5.wfa    | 393216 | 131072 | 131072 | 8  | 2288 | 64  | 64  | 16 | 128 | 7.958472261 | 1.5   | 2416 | 0.006144206 |
| lena16.bmp | lena16.bmp-withWavelet_bior1.1-G_0.5-H6e-005_af5.wfa | 393216 | 131072 | 131072 | 8  | 2288 | 64  | 64  | 16 | 128 | 7.958472261 | 1.5   | 2416 | 0.006144206 |
| lena16.bmp | lena16.bmp-withWavelet_haar-G_0.5-H7e-005_af5.wfa    | 393216 | 131072 | 131072 | 8  | 2288 | 64  | 64  | 16 | 128 | 7.958472261 | 1.516 | 2416 | 0.006144206 |
| lena16.bmp | lena16.bmp-withWavelet_rbio1.1-G_0.5-H7e-005_af5.wfa | 393216 | 131072 | 131072 | 8  | 2288 | 64  | 64  | 16 | 128 | 7.958472261 | 1.516 | 2416 | 0.006144206 |
| lena16.bmp | lena16.bmp-withWavelet_sym1-G_0.5-H7e-005_af5.wfa    | 393216 | 131072 | 131072 | 8  | 2288 | 64  | 64  | 16 | 128 | 7.958472261 | 1.516 | 2416 | 0.006144206 |
| lena16.bmp | lena16.bmp-withWavelet_bior1.1-G_0.5-H7e-005_af5.wfa | 393216 | 131072 | 131072 | 8  | 2288 | 64  | 64  | 16 | 128 | 7.958472261 | 1.515 | 2416 | 0.006144206 |
| lena16.bmp | lena16.bmp-withWavelet_haar-G_0.5-H8e-005_af5.wfa    | 393216 | 131072 | 131072 | 8  | 2288 | 64  | 64  | 16 | 128 | 7.958472261 | 1.515 | 2416 | 0.006144206 |
| lena16.bmp | lena16.bmp-withWavelet_rbio1.1-G_0.5-H8e-005_af5.wfa | 393216 | 131072 | 131072 | 8  | 2288 | 64  | 64  | 16 | 128 | 7.958472261 | 1.5   | 2416 | 0.006144206 |
| lena16.bmp | lena16.bmp-withWavelet_sym1-G_0.5-H8e-005_af5.wfa    | 393216 | 131072 | 131072 | 8  | 2288 | 64  | 64  | 16 | 128 | 7.958472261 | 1.515 | 2416 | 0.006144206 |
| lena16.bmp | lena16.bmp-withWavelet_bior1.1-G_0.5-H8e-005_af5.wfa | 393216 | 131072 | 131072 | 8  | 2288 | 64  | 64  | 16 | 128 | 7.958472261 | 1.5   | 2416 | 0.006144206 |
| lena16.bmp | lena16.bmp-withWavelet_haar-G_0.5-H9e-005_af5.wfa    | 393216 | 131072 | 131072 | 8  | 2288 | 64  | 64  | 16 | 128 | 7.958472261 | 1.516 | 2416 | 0.006144206 |
| lena16.bmp | lena16.bmp-withWavelet_rbio1.1-G_0.5-H9e-005_af5.wfa | 393216 | 131072 | 131072 | 8  | 2288 | 64  | 64  | 16 | 128 | 7.958472261 | 1.547 | 2416 | 0.006144206 |
| lena16.bmp | lena16.bmp-withWavelet_sym1-G_0.5-H9e-005_af5.wfa    | 393216 | 131072 | 131072 | 8  | 2288 | 64  | 64  | 16 | 128 | 7.958472261 | 1.5   | 2416 | 0.006144206 |
| lena16.bmp | lena16.bmp-withWavelet_bior1.1-G_0.5-H9e-005_af5.wfa | 393216 | 131072 | 131072 | 8  | 2288 | 64  | 64  | 16 | 128 | 7.958472261 | 1.547 | 2416 | 0.006144206 |
| lena16.bmp | lena16.bmp-withWavelet_haar-G_0.5-H0.0001_af5.wfa    | 393216 | 131072 | 131072 | 8  | 2288 | 64  | 64  | 16 | 128 | 7.958472261 | 1.516 | 2416 | 0.006144206 |
| lena16.bmp | lena16.bmp-withWavelet_rbio1.1-G_0.5-H0.0001_af5.wfa | 393216 | 131072 | 131072 | 8  | 2288 | 64  | 64  | 16 | 128 | 7.958472261 | 1.562 | 2416 | 0.006144206 |
| lena16.bmp | lena16.bmp-withWavelet_sym1-G_0.5-H0.0001_af5.wfa    | 393216 | 131072 | 131072 | 8  | 2288 | 64  | 64  | 16 | 128 | 7.958472261 | 1.5   | 2416 | 0.006144206 |
| lena16.bmp | lena16.bmp-withWavelet_bior1.1-G_0.5-H0.0001_af5.wfa | 393216 | 131072 | 131072 | 8  | 2288 | 64  | 64  | 16 | 128 | 7.958472261 | 1.5   | 2416 | 0.006144206 |
| lena16.bmp | lena16.bmp-withWavelet_haar-G_0.5-H1e-005_af2.wfa    | 24576  | 8192   | 8192   | 17 | 9488 | 136 | 136 | 16 | 32  | 7.926470947 | 0.125 | 9760 | 0.397135417 |
| lena16.bmp | lena16.bmp-withWavelet_rbio1.1-G_0.5-H1e-005_af2.wfa | 24576  | 8192   | 8192   | 17 | 9488 | 136 | 136 | 16 | 32  | 7.926470947 | 0.11  | 9760 | 0.397135417 |
| lena16.bmp | lena16.bmp-withWavelet_sym1-G_0.5-H1e-005_af2.wfa    | 24576  | 8192   | 8192   | 17 | 9488 | 136 | 136 | 16 | 32  | 7.926470947 | 0.125 | 9760 | 0.397135417 |
| lena16.bmp | lena16.bmp-withWavelet_bior1.1-G_0.5-H1e-005_af2.wfa | 24576  | 8192   | 8192   | 17 | 9488 | 136 | 136 | 16 | 32  | 7.926470947 | 0.125 | 9760 | 0.397135417 |
| lena16.bmp | lena16.bmp-withWavelet_haar-G_0.5-H3e-005_af2.wfa    | 24576  | 8192   | 8192   | 14 | 6512 | 112 | 112 | 16 | 32  | 7.686048416 | 0.109 | 6736 | 0.274088542 |

|            |  |         |        |        |    |      |     |     |    |     |             |       |      |             |
|------------|--|---------|--------|--------|----|------|-----|-----|----|-----|-------------|-------|------|-------------|
| lena16.bmp | lena16.bmp-withWavelet_rbio1.1-G_0.5-H3e-005_af2.wfa | 24576   | 8192   | 8192   | 14 | 6512 | 112 | 112 | 16 | 32  | 7.686048416 | 0.094 | 6736 | 0.274088542 |
| lena16.bmp | lena16.bmp-withWavelet_sym1-G_0.5-H3e-005_af2.wfa    | 24576   | 8192   | 8192   | 14 | 6512 | 112 | 112 | 16 | 32  | 7.686048416 | 0.094 | 6736 | 0.274088542 |
| lena16.bmp | lena16.bmp-withWavelet_bior1.1-G_0.5-H3e-005_af2.wfa | 24576   | 8192   | 8192   | 14 | 6512 | 112 | 112 | 16 | 32  | 7.686048416 | 0.093 | 6736 | 0.274088542 |
| lena16.bmp | lena16.bmp-withWavelet_haar-G_0.5-H9e-005_af1.wfa    | 393216  | 131072 | 131072 | 12 | 4848 | 96  | 96  | 16 | 128 | 7.663754465 | 1.688 | 5040 | 0.012817383 |
| lena16.bmp | lena16.bmp-withWavelet_rbio1.1-G_0.5-H9e-005_af1.wfa | 393216  | 131072 | 131072 | 12 | 4848 | 96  | 96  | 16 | 128 | 7.663754465 | 1.656 | 5040 | 0.012817383 |
| lena16.bmp | lena16.bmp-withWavelet_sym1-G_0.5-H9e-005_af1.wfa    | 393216  | 131072 | 131072 | 12 | 4848 | 96  | 96  | 16 | 128 | 7.663754465 | 1.671 | 5040 | 0.012817383 |
| lena16.bmp | lena16.bmp-withWavelet_bior1.1-G_0.5-H9e-005_af1.wfa | 393216  | 131072 | 131072 | 12 | 4848 | 96  | 96  | 16 | 128 | 7.663754465 | 1.672 | 5040 | 0.012817383 |
| lena16.bmp | lena16.bmp-withWavelet_haar-G_0.5-H7e-005_af1.wfa    | 98304   | 32768  | 32768  | 14 | 6512 | 112 | 112 | 16 | 64  | 7.639319622 | 0.422 | 6736 | 0.068522135 |
| lena16.bmp | lena16.bmp-withWavelet_rbio1.1-G_0.5-H7e-005_af1.wfa | 98304   | 32768  | 32768  | 14 | 6512 | 112 | 112 | 16 | 64  | 7.639319622 | 0.437 | 6736 | 0.068522135 |
| lena16.bmp | lena16.bmp-withWavelet_sym1-G_0.5-H7e-005_af1.wfa    | 98304   | 32768  | 32768  | 14 | 6512 | 112 | 112 | 16 | 64  | 7.639319622 | 0.422 | 6736 | 0.068522135 |
| lena16.bmp | lena16.bmp-withWavelet_bior1.1-G_0.5-H7e-005_af1.wfa | 98304   | 32768  | 32768  | 14 | 6512 | 112 | 112 | 16 | 64  | 7.639319622 | 0.422 | 6736 | 0.068522135 |
| lena16.bmp | lena16.bmp-G_0.5-H3e-005_af1.wfa                     | 1572864 | 524288 |        | 13 | 5648 | 104 | 104 | 16 | 256 | 7.432150472 | 7.469 | 5856 | 0.003723145 |
| lena16.bmp | lena16.bmp-G_0.5-H2e-005_af1.wfa                     | 1572864 | 524288 |        | 13 | 5648 | 104 | 104 | 16 | 256 | 7.432150472 | 7.531 | 5856 | 0.003723145 |
| lena16.bmp | lena16.bmp-withWavelet_haar-G_0.5-H2e-005_af3.wfa    | 24576   | 8192   | 8192   | 16 | 8432 | 128 | 128 | 16 | 32  | 7.368871683 | 0.11  | 8688 | 0.353515625 |
| lena16.bmp | lena16.bmp-withWavelet_rbio1.1-G_0.5-H2e-005_af3.wfa | 24576   | 8192   | 8192   | 16 | 8432 | 128 | 128 | 16 | 32  | 7.368871683 | 0.109 | 8688 | 0.353515625 |
| lena16.bmp | lena16.bmp-withWavelet_sym1-G_0.5-H2e-005_af3.wfa    | 24576   | 8192   | 8192   | 16 | 8432 | 128 | 128 | 16 | 32  | 7.368871683 | 0.109 | 8688 | 0.353515625 |
| lena16.bmp | lena16.bmp-withWavelet_bior1.1-G_0.5-H2e-005_af3.wfa | 24576   | 8192   | 8192   | 16 | 8432 | 128 | 128 | 16 | 32  | 7.368871683 | 0.125 | 8688 | 0.353515625 |
| lena16.bmp | lena16.bmp-withWavelet_haar-G_0.5-H1e-005_af3.wfa    | 24576   | 8192   | 8192   | 16 | 8432 | 128 | 128 | 16 | 32  | 7.368871683 | 0.141 | 8688 | 0.353515625 |
| lena16.bmp | lena16.bmp-withWavelet_rbio1.1-G_0.5-H1e-005_af3.wfa | 24576   | 8192   | 8192   | 16 | 8432 | 128 | 128 | 16 | 32  | 7.368871683 | 0.125 | 8688 | 0.353515625 |
| lena16.bmp | lena16.bmp-withWavelet_sym1-G_0.5-H1e-005_af3.wfa    | 24576   | 8192   | 8192   | 16 | 8432 | 128 | 128 | 16 | 32  | 7.368871683 | 0.109 | 8688 | 0.353515625 |
| lena16.bmp | lena16.bmp-withWavelet_bior1.1-G_0.5-H1e-005_af3.wfa | 24576   | 8192   | 8192   | 16 | 8432 | 128 | 128 | 16 | 32  | 7.368871683 | 0.109 | 8688 | 0.353515625 |
| lena16.bmp | lena16.bmp-G_0.5-H5e-005_af1.wfa                     | 393216  | 131072 |        | 11 | 4112 | 88  | 88  | 16 | 128 | 7.270011817 | 1.625 | 4288 | 0.010904948 |
| lena16.bmp | lena16.bmp-G_0.5-H6e-005_af1.wfa                     | 393216  | 131072 |        | 11 | 4112 | 88  | 88  | 16 | 128 | 7.270011817 | 1.625 | 4288 | 0.010904948 |
| lena16.bmp | lena16.bmp-G_0.5-H7e-005_af1.wfa                     | 393216  | 131072 |        | 11 | 4112 | 88  | 88  | 16 | 128 | 7.270011817 | 1.61  | 4288 | 0.010904948 |
| lena16.bmp | lena16.bmp-G_0.5-H8e-005_af1.wfa                     | 393216  | 131072 |        | 11 | 4112 | 88  | 88  | 16 | 128 | 7.270011817 | 1.672 | 4288 | 0.010904948 |
| lena16.bmp | lena16.bmp-G_0.5-H2e-005_af3.wfa                     | 98304   | 32768  |        | 15 | 7440 | 120 | 120 | 16 | 64  | 7.00784692  | 0.453 | 7680 | 0.078125    |
| lena16.bmp | lena16.bmp-withWavelet_haar-G_0.5-H1e-005_af5.wfa    | 1572864 | 524288 | 524288 | 14 | 6512 | 112 | 112 | 16 | 256 | 6.921386088 | 7.578 | 6736 | 0.004282633 |
| lena16.bmp | lena16.bmp-withWavelet_rbio1.1-G_0.5-H1e-005_af5.wfa | 1572864 | 524288 | 524288 | 14 | 6512 | 112 | 112 | 16 | 256 | 6.921386088 | 7.812 | 6736 | 0.004282633 |
| lena16.bmp | lena16.bmp-withWavelet_sym1-G_0.5-H1e-005_af5.wfa    | 1572864 | 524288 | 524288 | 14 | 6512 | 112 | 112 | 16 | 256 | 6.921386088 | 7.594 | 6736 | 0.004282633 |
| lena16.bmp | lena16.bmp-withWavelet_bior1.1-G_0.5-H1e-005_af5.wfa | 1572864 | 524288 | 524288 | 14 | 6512 | 112 | 112 | 16 | 256 | 6.921386088 | 7.812 | 6736 | 0.004282633 |
| lena16.bmp | lena16.bmp-G_0.5-H5e-005_af3.wfa                     | 393216  | 131072 |        | 14 | 6512 | 112 | 112 | 16 | 128 | 6.86690665  | 1.781 | 6736 | 0.017130534 |



|            |  |         |        |        |    |      |     |     |    |     |             |       |      |             |
|------------|--|---------|--------|--------|----|------|-----|-----|----|-----|-------------|-------|------|-------------|
| lena16.bmp | lena16.bmp-withWavelet_haar-G_0.5-H5e-005_af2.wfa    | 24576   | 8192   | 8192   | 13 | 5648 | 104 | 104 | 16 | 32  | 6.537946432 | 0.109 | 5856 | 0.23828125  |
| lena16.bmp | lena16.bmp-withWavelet_rbio1.1-G_0.5-H5e-005_af2.wfa | 24576   | 8192   | 8192   | 13 | 5648 | 104 | 104 | 16 | 32  | 6.537946432 | 0.093 | 5856 | 0.23828125  |
| lena16.bmp | lena16.bmp-withWavelet_sym1-G_0.5-H5e-005_af2.wfa    | 24576   | 8192   | 8192   | 13 | 5648 | 104 | 104 | 16 | 32  | 6.537946432 | 0.093 | 5856 | 0.23828125  |
| lena16.bmp | lena16.bmp-withWavelet_bior1.1-G_0.5-H5e-005_af2.wfa | 24576   | 8192   | 8192   | 13 | 5648 | 104 | 104 | 16 | 32  | 6.537946432 | 0.094 | 5856 | 0.23828125  |
| lena16.bmp | lena16.bmp-withWavelet_haar-G_0.5-H6e-005_af2.wfa    | 24576   | 8192   | 8192   | 13 | 5648 | 104 | 104 | 16 | 32  | 6.537946432 | 0.094 | 5856 | 0.23828125  |
| lena16.bmp | lena16.bmp-withWavelet_rbio1.1-G_0.5-H6e-005_af2.wfa | 24576   | 8192   | 8192   | 13 | 5648 | 104 | 104 | 16 | 32  | 6.537946432 | 0.094 | 5856 | 0.23828125  |
| lena16.bmp | lena16.bmp-withWavelet_sym1-G_0.5-H6e-005_af2.wfa    | 24576   | 8192   | 8192   | 13 | 5648 | 104 | 104 | 16 | 32  | 6.537946432 | 0.109 | 5856 | 0.23828125  |
| lena16.bmp | lena16.bmp-withWavelet_bior1.1-G_0.5-H6e-005_af2.wfa | 24576   | 8192   | 8192   | 13 | 5648 | 104 | 104 | 16 | 32  | 6.537946432 | 0.093 | 5856 | 0.23828125  |
| lena16.bmp | lena16.bmp-withWavelet_haar-G_0.5-H0.0001_af1.wfa    | 393216  | 131072 | 131072 | 11 | 4112 | 88  | 88  | 16 | 128 | 6.284119687 | 1.625 | 4288 | 0.010904948 |
| lena16.bmp | lena16.bmp-withWavelet_rbio1.1-G_0.5-H0.0001_af1.wfa | 393216  | 131072 | 131072 | 11 | 4112 | 88  | 88  | 16 | 128 | 6.284119687 | 1.656 | 4288 | 0.010904948 |
| lena16.bmp | lena16.bmp-withWavelet_sym1-G_0.5-H0.0001_af1.wfa    | 393216  | 131072 | 131072 | 11 | 4112 | 88  | 88  | 16 | 128 | 6.284119687 | 1.609 | 4288 | 0.010904948 |
| lena16.bmp | lena16.bmp-withWavelet_bior1.1-G_0.5-H0.0001_af1.wfa | 393216  | 131072 | 131072 | 11 | 4112 | 88  | 88  | 16 | 128 | 6.284119687 | 1.641 | 4288 | 0.010904948 |
| lena16.bmp | lena16.bmp-G_0.5-H0.0001_af3.wfa                     | 1572864 | 524288 |        | 11 | 4112 | 88  | 88  | 16 | 256 | 6.193004721 | 6.875 | 4288 | 0.002726237 |
| lena16.bmp | lena16.bmp-G_0.5-H7e-005_af2.wfa                     | 393216  | 131072 |        | 13 | 5648 | 104 | 104 | 16 | 128 | 6.070731351 | 1.75  | 5856 | 0.014892578 |
| lena16.bmp | lena16.bmp-G_0.5-H5e-005_af2.wfa                     | 393216  | 131072 |        | 13 | 5648 | 104 | 104 | 16 | 128 | 6.070731351 | 1.75  | 5856 | 0.014892578 |
| lena16.bmp | lena16.bmp-G_0.5-H6e-005_af2.wfa                     | 393216  | 131072 |        | 13 | 5648 | 104 | 104 | 16 | 128 | 6.070731351 | 1.734 | 5856 | 0.014892578 |
| lena16.bmp | lena16.bmp-withWavelet_haar-G_0.5-H1e-005_af1.wfa    | 98304   | 32768  | 32768  | 17 | 9488 | 136 | 136 | 16 | 64  | 5.959053168 | 0.532 | 9760 | 0.099283854 |
| lena16.bmp | lena16.bmp-withWavelet_rbio1.1-G_0.5-H1e-005_af1.wfa | 98304   | 32768  | 32768  | 17 | 9488 | 136 | 136 | 16 | 64  | 5.959053168 | 0.516 | 9760 | 0.099283854 |
| lena16.bmp | lena16.bmp-withWavelet_sym1-G_0.5-H1e-005_af1.wfa    | 98304   | 32768  | 32768  | 17 | 9488 | 136 | 136 | 16 | 64  | 5.959053168 | 0.593 | 9760 | 0.099283854 |
| lena16.bmp | lena16.bmp-withWavelet_bior1.1-G_0.5-H1e-005_af1.wfa | 98304   | 32768  | 32768  | 17 | 9488 | 136 | 136 | 16 | 64  | 5.959053168 | 0.594 | 9760 | 0.099283854 |
| lena16.bmp | lena16.bmp-G_0.5-H5e-005_af5.wfa                     | 1572864 | 524288 |        | 13 | 5648 | 104 | 104 | 16 | 256 | 5.751819115 | 7.454 | 5856 | 0.003723145 |
| lena16.bmp | lena16.bmp-G_0.5-H1e-005_af1.wfa                     | 1572864 | 524288 |        | 14 | 6512 | 112 | 112 | 16 | 256 | 5.629676837 | 7.86  | 6736 | 0.004282633 |
| lena16.bmp | lena16.bmp-withWavelet_haar-G_0.5-H4e-005_af2.wfa    | 24576   | 8192   | 8192   | 14 | 6512 | 112 | 112 | 16 | 32  | 5.452889352 | 0.109 | 6736 | 0.274088542 |
| lena16.bmp | lena16.bmp-withWavelet_rbio1.1-G_0.5-H4e-005_af2.wfa | 24576   | 8192   | 8192   | 14 | 6512 | 112 | 112 | 16 | 32  | 5.452889352 | 0.094 | 6736 | 0.274088542 |
| lena16.bmp | lena16.bmp-withWavelet_sym1-G_0.5-H4e-005_af2.wfa    | 24576   | 8192   | 8192   | 14 | 6512 | 112 | 112 | 16 | 32  | 5.452889352 | 0.094 | 6736 | 0.274088542 |
| lena16.bmp | lena16.bmp-withWavelet_bior1.1-G_0.5-H4e-005_af2.wfa | 24576   | 8192   | 8192   | 14 | 6512 | 112 | 112 | 16 | 32  | 5.452889352 | 0.109 | 6736 | 0.274088542 |
| lena16.bmp | lena16.bmp-G_0.5-H4e-005_af1.wfa                     | 393216  | 131072 |        | 12 | 4848 | 96  | 96  | 16 | 128 | 5.286645629 | 1.688 | 5040 | 0.012817383 |
| lena16.bmp | lena16.bmp-withWavelet_haar-G_0.5-H6e-005_af5.wfa    | 1572864 | 524288 | 524288 | 8  | 2288 | 64  | 64  | 16 | 256 | 5.202156836 | 6.265 | 2416 | 0.001536051 |
| lena16.bmp | lena16.bmp-withWavelet_rbio1.1-G_0.5-H6e-005_af5.wfa | 1572864 | 524288 | 524288 | 8  | 2288 | 64  | 64  | 16 | 256 | 5.202156836 | 6.265 | 2416 | 0.001536051 |
| lena16.bmp | lena16.bmp-withWavelet_sym1-G_0.5-H6e-005_af5.wfa    | 1572864 | 524288 | 524288 | 8  | 2288 | 64  | 64  | 16 | 256 | 5.202156836 | 6.265 | 2416 | 0.001536051 |
| lena16.bmp | lena16.bmp-withWavelet_bior1.1-G_0.5-H6e-005_af5.wfa | 1572864 | 524288 | 524288 | 8  | 2288 | 64  | 64  | 16 | 256 | 5.202156836 | 6.25  | 2416 | 0.001536051 |

|            |  |         |        |        |    |      |     |     |    |     |             |       |      |             |
|------------|--|---------|--------|--------|----|------|-----|-----|----|-----|-------------|-------|------|-------------|
| lena16.bmp | lena16.bmp-withWavelet_haar-G_0.5-H7e-005_af5.wfa    | 1572864 | 524288 | 524288 | 8  | 2288 | 64  | 64  | 16 | 256 | 5.202156836 | 6.375 | 2416 | 0.001536051 |
| lena16.bmp | lena16.bmp-withWavelet_rbio1.1-G_0.5-H7e-005_af5.wfa | 1572864 | 524288 | 524288 | 8  | 2288 | 64  | 64  | 16 | 256 | 5.202156836 | 6.391 | 2416 | 0.001536051 |
| lena16.bmp | lena16.bmp-withWavelet_sym1-G_0.5-H7e-005_af5.wfa    | 1572864 | 524288 | 524288 | 8  | 2288 | 64  | 64  | 16 | 256 | 5.202156836 | 6.312 | 2416 | 0.001536051 |
| lena16.bmp | lena16.bmp-withWavelet_bior1.1-G_0.5-H7e-005_af5.wfa | 1572864 | 524288 | 524288 | 8  | 2288 | 64  | 64  | 16 | 256 | 5.202156836 | 6.359 | 2416 | 0.001536051 |
| lena16.bmp | lena16.bmp-withWavelet_haar-G_0.5-H8e-005_af5.wfa    | 1572864 | 524288 | 524288 | 8  | 2288 | 64  | 64  | 16 | 256 | 5.202156836 | 6.312 | 2416 | 0.001536051 |
| lena16.bmp | lena16.bmp-withWavelet_rbio1.1-G_0.5-H8e-005_af5.wfa | 1572864 | 524288 | 524288 | 8  | 2288 | 64  | 64  | 16 | 256 | 5.202156836 | 6.281 | 2416 | 0.001536051 |
| lena16.bmp | lena16.bmp-withWavelet_sym1-G_0.5-H8e-005_af5.wfa    | 1572864 | 524288 | 524288 | 8  | 2288 | 64  | 64  | 16 | 256 | 5.202156836 | 6.312 | 2416 | 0.001536051 |
| lena16.bmp | lena16.bmp-withWavelet_bior1.1-G_0.5-H8e-005_af5.wfa | 1572864 | 524288 | 524288 | 8  | 2288 | 64  | 64  | 16 | 256 | 5.202156836 | 6.328 | 2416 | 0.001536051 |
| lena16.bmp | lena16.bmp-withWavelet_haar-G_0.5-H9e-005_af5.wfa    | 1572864 | 524288 | 524288 | 8  | 2288 | 64  | 64  | 16 | 256 | 5.202156836 | 6.344 | 2416 | 0.001536051 |
| lena16.bmp | lena16.bmp-withWavelet_rbio1.1-G_0.5-H9e-005_af5.wfa | 1572864 | 524288 | 524288 | 8  | 2288 | 64  | 64  | 16 | 256 | 5.202156836 | 6.344 | 2416 | 0.001536051 |
| lena16.bmp | lena16.bmp-withWavelet_sym1-G_0.5-H9e-005_af5.wfa    | 1572864 | 524288 | 524288 | 8  | 2288 | 64  | 64  | 16 | 256 | 5.202156836 | 6.313 | 2416 | 0.001536051 |
| lena16.bmp | lena16.bmp-withWavelet_bior1.1-G_0.5-H9e-005_af5.wfa | 1572864 | 524288 | 524288 | 8  | 2288 | 64  | 64  | 16 | 256 | 5.202156836 | 6.328 | 2416 | 0.001536051 |
| lena16.bmp | lena16.bmp-withWavelet_haar-G_0.5-H0.0001_af5.wfa    | 1572864 | 524288 | 524288 | 8  | 2288 | 64  | 64  | 16 | 256 | 5.202156836 | 6.391 | 2416 | 0.001536051 |
| lena16.bmp | lena16.bmp-withWavelet_rbio1.1-G_0.5-H0.0001_af5.wfa | 1572864 | 524288 | 524288 | 8  | 2288 | 64  | 64  | 16 | 256 | 5.202156836 | 6.391 | 2416 | 0.001536051 |
| lena16.bmp | lena16.bmp-withWavelet_sym1-G_0.5-H0.0001_af5.wfa    | 1572864 | 524288 | 524288 | 8  | 2288 | 64  | 64  | 16 | 256 | 5.202156836 | 6.359 | 2416 | 0.001536051 |
| lena16.bmp | lena16.bmp-withWavelet_bior1.1-G_0.5-H0.0001_af5.wfa | 1572864 | 524288 | 524288 | 8  | 2288 | 64  | 64  | 16 | 256 | 5.202156836 | 6.344 | 2416 | 0.001536051 |
| lena16.bmp | lena16.bmp-withWavelet_haar-G_0.5-H9e-005_af1.wfa    | 1572864 | 524288 | 524288 | 12 | 4848 | 96  | 96  | 16 | 256 | 4.940434072 | 7.109 | 5040 | 0.003204346 |
| lena16.bmp | lena16.bmp-withWavelet_rbio1.1-G_0.5-H9e-005_af1.wfa | 1572864 | 524288 | 524288 | 12 | 4848 | 96  | 96  | 16 | 256 | 4.940434072 | 7.125 | 5040 | 0.003204346 |
| lena16.bmp | lena16.bmp-withWavelet_sym1-G_0.5-H9e-005_af1.wfa    | 1572864 | 524288 | 524288 | 12 | 4848 | 96  | 96  | 16 | 256 | 4.940434072 | 7.063 | 5040 | 0.003204346 |
| lena16.bmp | lena16.bmp-withWavelet_bior1.1-G_0.5-H9e-005_af1.wfa | 1572864 | 524288 | 524288 | 12 | 4848 | 96  | 96  | 16 | 256 | 4.940434072 | 7.109 | 5040 | 0.003204346 |
| lena16.bmp | lena16.bmp-withWavelet_haar-G_0.5-H6e-005_af1.wfa    | 98304   | 32768  | 32768  | 14 | 6512 | 112 | 112 | 16 | 64  | 4.663230618 | 0.422 | 6736 | 0.068522135 |
| lena16.bmp | lena16.bmp-withWavelet_rbio1.1-G_0.5-H6e-005_af1.wfa | 98304   | 32768  | 32768  | 14 | 6512 | 112 | 112 | 16 | 64  | 4.663230618 | 0.421 | 6736 | 0.068522135 |
| lena16.bmp | lena16.bmp-withWavelet_sym1-G_0.5-H6e-005_af1.wfa    | 98304   | 32768  | 32768  | 14 | 6512 | 112 | 112 | 16 | 64  | 4.663230618 | 0.422 | 6736 | 0.068522135 |
| lena16.bmp | lena16.bmp-withWavelet_bior1.1-G_0.5-H6e-005_af1.wfa | 98304   | 32768  | 32768  | 14 | 6512 | 112 | 112 | 16 | 64  | 4.663230618 | 0.437 | 6736 | 0.068522135 |
| lena16.bmp | lena16.bmp-G_0.5-H5e-005_af3.wfa                     | 1572864 | 524288 |        | 14 | 6512 | 112 | 112 | 16 | 256 | 4.524881097 | 7.532 | 6736 | 0.004282633 |
| lena16.bmp | lena16.bmp-withWavelet_haar-G_0.5-H8e-005_af1.wfa    | 393216  | 131072 | 131072 | 13 | 5648 | 104 | 104 | 16 | 128 | 4.418020529 | 1.75  | 5856 | 0.014892578 |
| lena16.bmp | lena16.bmp-withWavelet_rbio1.1-G_0.5-H8e-005_af1.wfa | 393216  | 131072 | 131072 | 13 | 5648 | 104 | 104 | 16 | 128 | 4.418020529 | 1.765 | 5856 | 0.014892578 |
| lena16.bmp | lena16.bmp-withWavelet_sym1-G_0.5-H8e-005_af1.wfa    | 393216  | 131072 | 131072 | 13 | 5648 | 104 | 104 | 16 | 128 | 4.418020529 | 1.766 | 5856 | 0.014892578 |
| lena16.bmp | lena16.bmp-withWavelet_bior1.1-G_0.5-H8e-005_af1.wfa | 393216  | 131072 | 131072 | 13 | 5648 | 104 | 104 | 16 | 128 | 4.418020529 | 1.765 | 5856 | 0.014892578 |
| lena16.bmp | lena16.bmp-withWavelet_haar-G_0.5-H3e-005_af5.wfa    | 98304   | 32768  | 32768  | 10 | 3440 | 80  | 80  | 16 | 64  | 4.370846112 | 0.375 | 3600 | 0.036621094 |
| lena16.bmp | lena16.bmp-withWavelet_rbio1.1-G_0.5-H3e-005_af5.wfa | 98304   | 32768  | 32768  | 10 | 3440 | 80  | 80  | 16 | 64  | 4.370846112 | 0.375 | 3600 | 0.036621094 |

|            |  |         |        |        |    |      |     |     |    |     |             |       |      |             |
|------------|--|---------|--------|--------|----|------|-----|-----|----|-----|-------------|-------|------|-------------|
| lena16.bmp | lena16.bmp-withWavelet_sym1-G_0.5-H3e-005_af5.wfa    | 98304   | 32768  | 32768  | 10 | 3440 | 80  | 80  | 16 | 64  | 4.370846112 | 0.391 | 3600 | 0.036621094 |
| lena16.bmp | lena16.bmp-withWavelet_bior1.1-G_0.5-H3e-005_af5.wfa | 98304   | 32768  | 32768  | 10 | 3440 | 80  | 80  | 16 | 64  | 4.370846112 | 0.391 | 3600 | 0.036621094 |
| lena16.bmp | lena16.bmp-G_0.5-H5e-005_af1.wfa                     | 1572864 | 524288 |        | 11 | 4112 | 88  | 88  | 16 | 256 | 3.929773068 | 6.844 | 4288 | 0.002726237 |
| lena16.bmp | lena16.bmp-G_0.5-H6e-005_af1.wfa                     | 1572864 | 524288 |        | 11 | 4112 | 88  | 88  | 16 | 256 | 3.929773068 | 6.875 | 4288 | 0.002726237 |
| lena16.bmp | lena16.bmp-G_0.5-H7e-005_af1.wfa                     | 1572864 | 524288 |        | 11 | 4112 | 88  | 88  | 16 | 256 | 3.929773068 | 6.875 | 4288 | 0.002726237 |
| lena16.bmp | lena16.bmp-G_0.5-H8e-005_af1.wfa                     | 1572864 | 524288 |        | 11 | 4112 | 88  | 88  | 16 | 256 | 3.929773068 | 6.86  | 4288 | 0.002726237 |
| lena16.bmp | lena16.bmp-withWavelet_haar-G_0.5-H9e-005_af3.wfa    | 98304   | 32768  | 32768  | 11 | 4112 | 88  | 88  | 16 | 64  | 3.667278411 | 0.406 | 4288 | 0.043619792 |
| lena16.bmp | lena16.bmp-withWavelet_rbio1.1-G_0.5-H9e-005_af3.wfa | 98304   | 32768  | 32768  | 11 | 4112 | 88  | 88  | 16 | 64  | 3.667278411 | 0.391 | 4288 | 0.043619792 |
| lena16.bmp | lena16.bmp-withWavelet_sym1-G_0.5-H9e-005_af3.wfa    | 98304   | 32768  | 32768  | 11 | 4112 | 88  | 88  | 16 | 64  | 3.667278411 | 0.391 | 4288 | 0.043619792 |
| lena16.bmp | lena16.bmp-withWavelet_bior1.1-G_0.5-H9e-005_af3.wfa | 98304   | 32768  | 32768  | 11 | 4112 | 88  | 88  | 16 | 64  | 3.667278411 | 0.406 | 4288 | 0.043619792 |
| lena16.bmp | lena16.bmp-withWavelet_haar-G_0.5-H8e-005_af3.wfa    | 98304   | 32768  | 32768  | 12 | 4848 | 96  | 96  | 16 | 64  | 3.662152914 | 0.407 | 5040 | 0.051269531 |
| lena16.bmp | lena16.bmp-withWavelet_rbio1.1-G_0.5-H8e-005_af3.wfa | 98304   | 32768  | 32768  | 12 | 4848 | 96  | 96  | 16 | 64  | 3.662152914 | 0.407 | 5040 | 0.051269531 |
| lena16.bmp | lena16.bmp-withWavelet_sym1-G_0.5-H8e-005_af3.wfa    | 98304   | 32768  | 32768  | 12 | 4848 | 96  | 96  | 16 | 64  | 3.662152914 | 0.406 | 5040 | 0.051269531 |
| lena16.bmp | lena16.bmp-withWavelet_bior1.1-G_0.5-H8e-005_af3.wfa | 98304   | 32768  | 32768  | 12 | 4848 | 96  | 96  | 16 | 64  | 3.662152914 | 0.468 | 5040 | 0.051269531 |
| lena16.bmp | lena16.bmp-withWavelet_haar-G_0.5-H4e-005_af4.wfa    | 98304   | 32768  | 32768  | 12 | 4848 | 96  | 96  | 16 | 64  | 3.543784147 | 0.407 | 5040 | 0.051269531 |
| lena16.bmp | lena16.bmp-withWavelet_rbio1.1-G_0.5-H4e-005_af4.wfa | 98304   | 32768  | 32768  | 12 | 4848 | 96  | 96  | 16 | 64  | 3.543784147 | 0.422 | 5040 | 0.051269531 |
| lena16.bmp | lena16.bmp-withWavelet_sym1-G_0.5-H4e-005_af4.wfa    | 98304   | 32768  | 32768  | 12 | 4848 | 96  | 96  | 16 | 64  | 3.543784147 | 0.406 | 5040 | 0.051269531 |
| lena16.bmp | lena16.bmp-withWavelet_bior1.1-G_0.5-H4e-005_af4.wfa | 98304   | 32768  | 32768  | 12 | 4848 | 96  | 96  | 16 | 64  | 3.543784147 | 0.406 | 5040 | 0.051269531 |
| lena16.bmp | lena16.bmp-withWavelet_haar-G_0.5-H7e-005_af1.wfa    | 393216  | 131072 | 131072 | 14 | 6512 | 112 | 112 | 16 | 128 | 3.477468458 | 1.781 | 6736 | 0.017130534 |
| lena16.bmp | lena16.bmp-withWavelet_rbio1.1-G_0.5-H7e-005_af1.wfa | 393216  | 131072 | 131072 | 14 | 6512 | 112 | 112 | 16 | 128 | 3.477468458 | 1.797 | 6736 | 0.017130534 |
| lena16.bmp | lena16.bmp-withWavelet_sym1-G_0.5-H7e-005_af1.wfa    | 393216  | 131072 | 131072 | 14 | 6512 | 112 | 112 | 16 | 128 | 3.477468458 | 1.797 | 6736 | 0.017130534 |
| lena16.bmp | lena16.bmp-withWavelet_bior1.1-G_0.5-H7e-005_af1.wfa | 393216  | 131072 | 131072 | 14 | 6512 | 112 | 112 | 16 | 128 | 3.477468458 | 1.765 | 6736 | 0.017130534 |
| lena16.bmp | lena16.bmp-withWavelet_haar-G_0.5-H2e-005_af4.wfa    | 393216  | 131072 | 131072 | 14 | 6512 | 112 | 112 | 16 | 128 | 2.889845016 | 1.828 | 6736 | 0.017130534 |
| lena16.bmp | lena16.bmp-withWavelet_rbio1.1-G_0.5-H2e-005_af4.wfa | 393216  | 131072 | 131072 | 14 | 6512 | 112 | 112 | 16 | 128 | 2.889845016 | 1.891 | 6736 | 0.017130534 |
| lena16.bmp | lena16.bmp-withWavelet_sym1-G_0.5-H2e-005_af4.wfa    | 393216  | 131072 | 131072 | 14 | 6512 | 112 | 112 | 16 | 128 | 2.889845016 | 1.828 | 6736 | 0.017130534 |
| lena16.bmp | lena16.bmp-withWavelet_bior1.1-G_0.5-H2e-005_af4.wfa | 393216  | 131072 | 131072 | 14 | 6512 | 112 | 112 | 16 | 128 | 2.889845016 | 1.844 | 6736 | 0.017130534 |
| lena16.bmp | lena16.bmp-withWavelet_haar-G_0.5-H3e-005_af4.wfa    | 98304   | 32768  | 32768  | 13 | 5648 | 104 | 104 | 16 | 64  | 2.814291088 | 0.422 | 5856 | 0.059570313 |
| lena16.bmp | lena16.bmp-withWavelet_rbio1.1-G_0.5-H3e-005_af4.wfa | 98304   | 32768  | 32768  | 13 | 5648 | 104 | 104 | 16 | 64  | 2.814291088 | 0.781 | 5856 | 0.059570313 |
| lena16.bmp | lena16.bmp-withWavelet_sym1-G_0.5-H3e-005_af4.wfa    | 98304   | 32768  | 32768  | 13 | 5648 | 104 | 104 | 16 | 64  | 2.814291088 | 0.422 | 5856 | 0.059570313 |
| lena16.bmp | lena16.bmp-withWavelet_bior1.1-G_0.5-H3e-005_af4.wfa | 98304   | 32768  | 32768  | 13 | 5648 | 104 | 104 | 16 | 64  | 2.814291088 | 0.422 | 5856 | 0.059570313 |
| lena16.bmp | lena16.bmp-G_0.5-H1e-005_af2.wfa                     | 24576   | 8192   |        | 16 | 8432 | 128 | 128 | 16 | 32  | 2.708248089 | 0.125 | 8688 | 0.353515625 |

|            |  |         |        |        |    |      |     |     |    |     |             |       |      |             |
|------------|--|---------|--------|--------|----|------|-----|-----|----|-----|-------------|-------|------|-------------|
| lena16.bmp | lena16.bmp-G_0.5-H7e-005_af2.wfa                     | 1572864 | 524288 |        | 13 | 5648 | 104 | 104 | 16 | 256 | 2.573370789 | 7.75  | 5856 | 0.003723145 |
| lena16.bmp | lena16.bmp-G_0.5-H5e-005_af2.wfa                     | 1572864 | 524288 |        | 13 | 5648 | 104 | 104 | 16 | 256 | 2.573370789 | 7.578 | 5856 | 0.003723145 |
| lena16.bmp | lena16.bmp-G_0.5-H6e-005_af2.wfa                     | 1572864 | 524288 |        | 13 | 5648 | 104 | 104 | 16 | 256 | 2.573370789 | 7.437 | 5856 | 0.003723145 |
| lena16.bmp | lena16.bmp-G_0.5-H2e-005_af3.wfa                     | 393216  | 131072 |        | 15 | 7440 | 120 | 120 | 16 | 128 | 2.51811126  | 1.906 | 7680 | 0.01953125  |
| lena16.bmp | lena16.bmp-withWavelet_haar-G_0.5-H0.0001_af1.wfa    | 1572864 | 524288 | 524288 | 11 | 4112 | 88  | 88  | 16 | 256 | 2.435838442 | 6.843 | 4288 | 0.002726237 |
| lena16.bmp | lena16.bmp-withWavelet_rbio1.1-G_0.5-H0.0001_af1.wfa | 1572864 | 524288 | 524288 | 11 | 4112 | 88  | 88  | 16 | 256 | 2.435838442 | 6.859 | 4288 | 0.002726237 |
| lena16.bmp | lena16.bmp-withWavelet_sym1-G_0.5-H0.0001_af1.wfa    | 1572864 | 524288 | 524288 | 11 | 4112 | 88  | 88  | 16 | 256 | 2.435838442 | 6.828 | 4288 | 0.002726237 |
| lena16.bmp | lena16.bmp-withWavelet_bior1.1-G_0.5-H0.0001_af1.wfa | 1572864 | 524288 | 524288 | 11 | 4112 | 88  | 88  | 16 | 256 | 2.435838442 | 6.89  | 4288 | 0.002726237 |
| lena16.bmp | lena16.bmp-withWavelet_haar-G_0.5-H4e-005_af1.wfa    | 98304   | 32768  | 32768  | 15 | 7440 | 120 | 120 | 16 | 64  | 2.197330362 | 0.5   | 7680 | 0.078125    |
| lena16.bmp | lena16.bmp-withWavelet_rbio1.1-G_0.5-H4e-005_af1.wfa | 98304   | 32768  | 32768  | 15 | 7440 | 120 | 120 | 16 | 64  | 2.197330362 | 0.453 | 7680 | 0.078125    |
| lena16.bmp | lena16.bmp-withWavelet_sym1-G_0.5-H4e-005_af1.wfa    | 98304   | 32768  | 32768  | 15 | 7440 | 120 | 120 | 16 | 64  | 2.197330362 | 0.438 | 7680 | 0.078125    |
| lena16.bmp | lena16.bmp-withWavelet_bior1.1-G_0.5-H4e-005_af1.wfa | 98304   | 32768  | 32768  | 15 | 7440 | 120 | 120 | 16 | 64  | 2.197330362 | 0.454 | 7680 | 0.078125    |
| lena16.bmp | lena16.bmp-withWavelet_haar-G_0.5-H7e-005_af3.wfa    | 98304   | 32768  | 32768  | 13 | 5648 | 104 | 104 | 16 | 64  | 2.011119374 | 0.422 | 5856 | 0.059570313 |
| lena16.bmp | lena16.bmp-withWavelet_rbio1.1-G_0.5-H7e-005_af3.wfa | 98304   | 32768  | 32768  | 13 | 5648 | 104 | 104 | 16 | 64  | 2.011119374 | 0.422 | 5856 | 0.059570313 |
| lena16.bmp | lena16.bmp-withWavelet_sym1-G_0.5-H7e-005_af3.wfa    | 98304   | 32768  | 32768  | 13 | 5648 | 104 | 104 | 16 | 64  | 2.011119374 | 0.421 | 5856 | 0.059570313 |
| lena16.bmp | lena16.bmp-withWavelet_bior1.1-G_0.5-H7e-005_af3.wfa | 98304   | 32768  | 32768  | 13 | 5648 | 104 | 104 | 16 | 64  | 2.011119374 | 0.422 | 5856 | 0.059570313 |
| lena16.bmp | lena16.bmp-withWavelet_haar-G_0.5-H6e-005_af3.wfa    | 98304   | 32768  | 32768  | 14 | 6512 | 112 | 112 | 16 | 64  | 1.968313001 | 0.422 | 6736 | 0.068522135 |
| lena16.bmp | lena16.bmp-withWavelet_rbio1.1-G_0.5-H6e-005_af3.wfa | 98304   | 32768  | 32768  | 14 | 6512 | 112 | 112 | 16 | 64  | 1.968313001 | 0.438 | 6736 | 0.068522135 |
| lena16.bmp | lena16.bmp-withWavelet_sym1-G_0.5-H6e-005_af3.wfa    | 98304   | 32768  | 32768  | 14 | 6512 | 112 | 112 | 16 | 64  | 1.968313001 | 0.438 | 6736 | 0.068522135 |
| lena16.bmp | lena16.bmp-withWavelet_bior1.1-G_0.5-H6e-005_af3.wfa | 98304   | 32768  | 32768  | 14 | 6512 | 112 | 112 | 16 | 64  | 1.968313001 | 0.422 | 6736 | 0.068522135 |
| lena16.bmp | lena16.bmp-G_0.5-H4e-005_af1.wfa                     | 1572864 | 524288 |        | 12 | 4848 | 96  | 96  | 16 | 256 | 1.167852559 | 7.141 | 5040 | 0.003204346 |
| lena16.bmp | lena16.bmp-withWavelet_haar-G_0.5-H2e-005_af1.wfa    | 98304   | 32768  | 32768  | 17 | 9488 | 136 | 136 | 16 | 64  | 0.974009132 | 0.531 | 9760 | 0.099283854 |
| lena16.bmp | lena16.bmp-withWavelet_rbio1.1-G_0.5-H2e-005_af1.wfa | 98304   | 32768  | 32768  | 17 | 9488 | 136 | 136 | 16 | 64  | 0.974009132 | 0.485 | 9760 | 0.099283854 |
| lena16.bmp | lena16.bmp-withWavelet_sym1-G_0.5-H2e-005_af1.wfa    | 98304   | 32768  | 32768  | 17 | 9488 | 136 | 136 | 16 | 64  | 0.974009132 | 0.469 | 9760 | 0.099283854 |
| lena16.bmp | lena16.bmp-withWavelet_bior1.1-G_0.5-H2e-005_af1.wfa | 98304   | 32768  | 32768  | 17 | 9488 | 136 | 136 | 16 | 64  | 0.974009132 | 0.5   | 9760 | 0.099283854 |
| lena16.bmp | lena16.bmp-withWavelet_haar-G_0.5-H1e-005_af1.wfa    | 393216  | 131072 | 131072 | 17 | 9488 | 136 | 136 | 16 | 128 | 0.854446828 | 2.094 | 9760 | 0.024820964 |
| lena16.bmp | lena16.bmp-withWavelet_rbio1.1-G_0.5-H1e-005_af1.wfa | 393216  | 131072 | 131072 | 17 | 9488 | 136 | 136 | 16 | 128 | 0.854446828 | 2.156 | 9760 | 0.024820964 |
| lena16.bmp | lena16.bmp-withWavelet_sym1-G_0.5-H1e-005_af1.wfa    | 393216  | 131072 | 131072 | 17 | 9488 | 136 | 136 | 16 | 128 | 0.854446828 | 2.265 | 9760 | 0.024820964 |
| lena16.bmp | lena16.bmp-withWavelet_bior1.1-G_0.5-H1e-005_af1.wfa | 393216  | 131072 | 131072 | 17 | 9488 | 136 | 136 | 16 | 128 | 0.854446828 | 2.094 | 9760 | 0.024820964 |
| lena16.bmp | lena16.bmp-withWavelet_haar-G_0.5-H8e-005_af1.wfa    | 1572864 | 524288 | 524288 | 13 | 5648 | 104 | 104 | 16 | 256 | 0.41735616  | 7.719 | 5856 | 0.003723145 |
| lena16.bmp | lena16.bmp-withWavelet_rbio1.1-G_0.5-H8e-005_af1.wfa | 1572864 | 524288 | 524288 | 13 | 5648 | 104 | 104 | 16 | 256 | 0.41735616  | 7.484 | 5856 | 0.003723145 |

|            |  |         |        |        |    |      |     |     |    |     |              |       |      |             |
|------------|--|---------|--------|--------|----|------|-----|-----|----|-----|--------------|-------|------|-------------|
| lena16.bmp | lena16.bmp-withWavelet_sym1-G_0.5-H8e-005_af1.wfa    | 1572864 | 524288 | 524288 | 13 | 5648 | 104 | 104 | 16 | 256 | 0.41735616   | 7.406 | 5856 | 0.003723145 |
| lena16.bmp | lena16.bmp-withWavelet_bior1.1-G_0.5-H8e-005_af1.wfa | 1572864 | 524288 | 524288 | 13 | 5648 | 104 | 104 | 16 | 256 | 0.41735616   | 7.453 | 5856 | 0.003723145 |
| lena16.bmp | lena16.bmp-withWavelet_haar-G_0.5-H9e-005_af2.wfa    | 98304   | 32768  | 32768  | 11 | 4112 | 88  | 88  | 16 | 64  | 0.061664165  | 0.391 | 4288 | 0.043619792 |
| lena16.bmp | lena16.bmp-withWavelet_rbio1.1-G_0.5-H9e-005_af2.wfa | 98304   | 32768  | 32768  | 11 | 4112 | 88  | 88  | 16 | 64  | 0.061664165  | 0.391 | 4288 | 0.043619792 |
| lena16.bmp | lena16.bmp-withWavelet_sym1-G_0.5-H9e-005_af2.wfa    | 98304   | 32768  | 32768  | 11 | 4112 | 88  | 88  | 16 | 64  | 0.061664165  | 0.407 | 4288 | 0.043619792 |
| lena16.bmp | lena16.bmp-withWavelet_bior1.1-G_0.5-H9e-005_af2.wfa | 98304   | 32768  | 32768  | 11 | 4112 | 88  | 88  | 16 | 64  | 0.061664165  | 0.406 | 4288 | 0.043619792 |
| lena16.bmp | lena16.bmp-withWavelet_haar-G_0.5-H0.0001_af2.wfa    | 98304   | 32768  | 32768  | 11 | 4112 | 88  | 88  | 16 | 64  | 0.061664165  | 0.391 | 4288 | 0.043619792 |
| lena16.bmp | lena16.bmp-withWavelet_rbio1.1-G_0.5-H0.0001_af2.wfa | 98304   | 32768  | 32768  | 11 | 4112 | 88  | 88  | 16 | 64  | 0.061664165  | 0.406 | 4288 | 0.043619792 |
| lena16.bmp | lena16.bmp-withWavelet_sym1-G_0.5-H0.0001_af2.wfa    | 98304   | 32768  | 32768  | 11 | 4112 | 88  | 88  | 16 | 64  | 0.061664165  | 0.39  | 4288 | 0.043619792 |
| lena16.bmp | lena16.bmp-withWavelet_bior1.1-G_0.5-H0.0001_af2.wfa | 98304   | 32768  | 32768  | 11 | 4112 | 88  | 88  | 16 | 64  | 0.061664165  | 0.39  | 4288 | 0.043619792 |
| lena16.bmp | lena16.bmp-withWavelet_haar-G_0.5-H1e-005_af4.wfa    | 98304   | 32768  | 32768  | 16 | 8432 | 128 | 128 | 16 | 64  | -0.200511163 | 0.453 | 8688 | 0.088378906 |
| lena16.bmp | lena16.bmp-withWavelet_rbio1.1-G_0.5-H1e-005_af4.wfa | 98304   | 32768  | 32768  | 16 | 8432 | 128 | 128 | 16 | 64  | -0.200511163 | 0.531 | 8688 | 0.088378906 |
| lena16.bmp | lena16.bmp-withWavelet_sym1-G_0.5-H1e-005_af4.wfa    | 98304   | 32768  | 32768  | 16 | 8432 | 128 | 128 | 16 | 64  | -0.200511163 | 0.531 | 8688 | 0.088378906 |
| lena16.bmp | lena16.bmp-withWavelet_bior1.1-G_0.5-H1e-005_af4.wfa | 98304   | 32768  | 32768  | 16 | 8432 | 128 | 128 | 16 | 64  | -0.200511163 | 0.578 | 8688 | 0.088378906 |
| lena16.bmp | lena16.bmp-withWavelet_haar-G_0.5-H0.0001_af3.wfa    | 98304   | 32768  | 32768  | 11 | 4112 | 88  | 88  | 16 | 64  | -0.334691601 | 0.391 | 4288 | 0.043619792 |
| lena16.bmp | lena16.bmp-withWavelet_rbio1.1-G_0.5-H0.0001_af3.wfa | 98304   | 32768  | 32768  | 11 | 4112 | 88  | 88  | 16 | 64  | -0.334691601 | 0.39  | 4288 | 0.043619792 |
| lena16.bmp | lena16.bmp-withWavelet_sym1-G_0.5-H0.0001_af3.wfa    | 98304   | 32768  | 32768  | 11 | 4112 | 88  | 88  | 16 | 64  | -0.334691601 | 0.437 | 4288 | 0.043619792 |
| lena16.bmp | lena16.bmp-withWavelet_bior1.1-G_0.5-H0.0001_af3.wfa | 98304   | 32768  | 32768  | 11 | 4112 | 88  | 88  | 16 | 64  | -0.334691601 | 0.39  | 4288 | 0.043619792 |
| lena16.bmp | lena16.bmp-withWavelet_haar-G_0.5-H2e-005_af2.wfa    | 98304   | 32768  | 32768  | 15 | 7440 | 120 | 120 | 16 | 64  | -0.5959339   | 0.454 | 7680 | 0.078125    |
| lena16.bmp | lena16.bmp-withWavelet_rbio1.1-G_0.5-H2e-005_af2.wfa | 98304   | 32768  | 32768  | 15 | 7440 | 120 | 120 | 16 | 64  | -0.5959339   | 0.453 | 7680 | 0.078125    |
| lena16.bmp | lena16.bmp-withWavelet_sym1-G_0.5-H2e-005_af2.wfa    | 98304   | 32768  | 32768  | 15 | 7440 | 120 | 120 | 16 | 64  | -0.5959339   | 0.453 | 7680 | 0.078125    |
| lena16.bmp | lena16.bmp-withWavelet_bior1.1-G_0.5-H2e-005_af2.wfa | 98304   | 32768  | 32768  | 15 | 7440 | 120 | 120 | 16 | 64  | -0.5959339   | 0.437 | 7680 | 0.078125    |
| lena16.bmp | lena16.bmp-withWavelet_haar-G_0.5-H5e-005_af1.wfa    | 98304   | 32768  | 32768  | 15 | 7440 | 120 | 120 | 16 | 64  | -0.638824258 | 0.454 | 7680 | 0.078125    |
| lena16.bmp | lena16.bmp-withWavelet_rbio1.1-G_0.5-H5e-005_af1.wfa | 98304   | 32768  | 32768  | 15 | 7440 | 120 | 120 | 16 | 64  | -0.638824258 | 0.438 | 7680 | 0.078125    |
| lena16.bmp | lena16.bmp-withWavelet_sym1-G_0.5-H5e-005_af1.wfa    | 98304   | 32768  | 32768  | 15 | 7440 | 120 | 120 | 16 | 64  | -0.638824258 | 0.453 | 7680 | 0.078125    |
| lena16.bmp | lena16.bmp-withWavelet_bior1.1-G_0.5-H5e-005_af1.wfa | 98304   | 32768  | 32768  | 15 | 7440 | 120 | 120 | 16 | 64  | -0.638824258 | 0.437 | 7680 | 0.078125    |
| lena16.bmp | lena16.bmp-withWavelet_haar-G_0.5-H3e-005_af1.wfa    | 98304   | 32768  | 32768  | 16 | 8432 | 128 | 128 | 16 | 64  | -0.673470825 | 0.453 | 8688 | 0.088378906 |
| lena16.bmp | lena16.bmp-withWavelet_rbio1.1-G_0.5-H3e-005_af1.wfa | 98304   | 32768  | 32768  | 16 | 8432 | 128 | 128 | 16 | 64  | -0.673470825 | 0.453 | 8688 | 0.088378906 |
| lena16.bmp | lena16.bmp-withWavelet_sym1-G_0.5-H3e-005_af1.wfa    | 98304   | 32768  | 32768  | 16 | 8432 | 128 | 128 | 16 | 64  | -0.673470825 | 0.469 | 8688 | 0.088378906 |
| lena16.bmp | lena16.bmp-withWavelet_bior1.1-G_0.5-H3e-005_af1.wfa | 98304   | 32768  | 32768  | 16 | 8432 | 128 | 128 | 16 | 64  | -0.673470825 | 0.469 | 8688 | 0.088378906 |
| lena16.bmp | lena16.bmp-G_0.5-H2e-005_af2.wfa                     | 98304   | 32768  |        | 14 | 6512 | 112 | 112 | 16 | 64  | -0.765794684 | 0.438 | 6736 | 0.068522135 |

|            |  |         |        |        |    |      |     |     |    |     |              |       |      |             |
|------------|--|---------|--------|--------|----|------|-----|-----|----|-----|--------------|-------|------|-------------|
| lena16.bmp | lena16.bmp-G_0.5-H3e-005_af2.wfa                     | 98304   | 32768  |        | 14 | 6512 | 112 | 112 | 16 | 64  | -0.765794684 | 0.437 | 6736 | 0.068522135 |
| lena16.bmp | lena16.bmp-G_0.5-H4e-005_af2.wfa                     | 98304   | 32768  |        | 14 | 6512 | 112 | 112 | 16 | 64  | -0.765794684 | 0.422 | 6736 | 0.068522135 |
| lena16.bmp | lena16.bmp-withWavelet_haar-G_0.5-H7e-005_af1.wfa    | 1572864 | 524288 | 524288 | 14 | 6512 | 112 | 112 | 16 | 256 | -1.161618015 | 7.547 | 6736 | 0.004282633 |
| lena16.bmp | lena16.bmp-withWavelet_rbio1.1-G_0.5-H7e-005_af1.wfa | 1572864 | 524288 | 524288 | 14 | 6512 | 112 | 112 | 16 | 256 | -1.161618015 | 7.579 | 6736 | 0.004282633 |
| lena16.bmp | lena16.bmp-withWavelet_sym1-G_0.5-H7e-005_af1.wfa    | 1572864 | 524288 | 524288 | 14 | 6512 | 112 | 112 | 16 | 256 | -1.161618015 | 7.562 | 6736 | 0.004282633 |
| lena16.bmp | lena16.bmp-withWavelet_bior1.1-G_0.5-H7e-005_af1.wfa | 1572864 | 524288 | 524288 | 14 | 6512 | 112 | 112 | 16 | 256 | -1.161618015 | 7.64  | 6736 | 0.004282633 |
| lena16.bmp | lena16.bmp-withWavelet_haar-G_0.5-H5e-005_af3.wfa    | 98304   | 32768  | 32768  | 15 | 7440 | 120 | 120 | 16 | 64  | -1.266248027 | 0.438 | 7680 | 0.078125    |
| lena16.bmp | lena16.bmp-withWavelet_rbio1.1-G_0.5-H5e-005_af3.wfa | 98304   | 32768  | 32768  | 15 | 7440 | 120 | 120 | 16 | 64  | -1.266248027 | 0.437 | 7680 | 0.078125    |
| lena16.bmp | lena16.bmp-withWavelet_sym1-G_0.5-H5e-005_af3.wfa    | 98304   | 32768  | 32768  | 15 | 7440 | 120 | 120 | 16 | 64  | -1.266248027 | 0.438 | 7680 | 0.078125    |
| lena16.bmp | lena16.bmp-withWavelet_bior1.1-G_0.5-H5e-005_af3.wfa | 98304   | 32768  | 32768  | 15 | 7440 | 120 | 120 | 16 | 64  | -1.266248027 | 0.485 | 7680 | 0.078125    |
| lena16.bmp | lena16.bmp-withWavelet_haar-G_0.5-H3e-005_af2.wfa    | 98304   | 32768  | 32768  | 14 | 6512 | 112 | 112 | 16 | 64  | -1.603593555 | 0.437 | 6736 | 0.068522135 |
| lena16.bmp | lena16.bmp-withWavelet_rbio1.1-G_0.5-H3e-005_af2.wfa | 98304   | 32768  | 32768  | 14 | 6512 | 112 | 112 | 16 | 64  | -1.603593555 | 0.422 | 6736 | 0.068522135 |
| lena16.bmp | lena16.bmp-withWavelet_sym1-G_0.5-H3e-005_af2.wfa    | 98304   | 32768  | 32768  | 14 | 6512 | 112 | 112 | 16 | 64  | -1.603593555 | 0.437 | 6736 | 0.068522135 |
| lena16.bmp | lena16.bmp-withWavelet_bior1.1-G_0.5-H3e-005_af2.wfa | 98304   | 32768  | 32768  | 14 | 6512 | 112 | 112 | 16 | 64  | -1.603593555 | 0.422 | 6736 | 0.068522135 |
| lena16.bmp | lena16.bmp-G_0.5-H2e-005_af3.wfa                     | 1572864 | 524288 |        | 15 | 7440 | 120 | 120 | 16 | 256 | -1.747755904 | 8.812 | 7680 | 0.004882813 |
| lena16.bmp | lena16.bmp-withWavelet_haar-G_0.5-H3e-005_af5.wfa    | 393216  | 131072 | 131072 | 10 | 3440 | 80  | 80  | 16 | 128 | -1.945118798 | 1.547 | 3600 | 0.009155273 |
| lena16.bmp | lena16.bmp-withWavelet_rbio1.1-G_0.5-H3e-005_af5.wfa | 393216  | 131072 | 131072 | 10 | 3440 | 80  | 80  | 16 | 128 | -1.945118798 | 1.579 | 3600 | 0.009155273 |
| lena16.bmp | lena16.bmp-withWavelet_sym1-G_0.5-H3e-005_af5.wfa    | 393216  | 131072 | 131072 | 10 | 3440 | 80  | 80  | 16 | 128 | -1.945118798 | 1.578 | 3600 | 0.009155273 |
| lena16.bmp | lena16.bmp-withWavelet_bior1.1-G_0.5-H3e-005_af5.wfa | 393216  | 131072 | 131072 | 10 | 3440 | 80  | 80  | 16 | 128 | -1.945118798 | 1.563 | 3600 | 0.009155273 |
| lena16.bmp | lena16.bmp-withWavelet_haar-G_0.5-H2e-005_af3.wfa    | 98304   | 32768  | 32768  | 16 | 8432 | 128 | 128 | 16 | 64  | -2.119662251 | 0.485 | 8688 | 0.088378906 |
| lena16.bmp | lena16.bmp-withWavelet_rbio1.1-G_0.5-H2e-005_af3.wfa | 98304   | 32768  | 32768  | 16 | 8432 | 128 | 128 | 16 | 64  | -2.119662251 | 0.469 | 8688 | 0.088378906 |
| lena16.bmp | lena16.bmp-withWavelet_sym1-G_0.5-H2e-005_af3.wfa    | 98304   | 32768  | 32768  | 16 | 8432 | 128 | 128 | 16 | 64  | -2.119662251 | 0.453 | 8688 | 0.088378906 |
| lena16.bmp | lena16.bmp-withWavelet_bior1.1-G_0.5-H2e-005_af3.wfa | 98304   | 32768  | 32768  | 16 | 8432 | 128 | 128 | 16 | 64  | -2.119662251 | 0.453 | 8688 | 0.088378906 |
| lena16.bmp | lena16.bmp-withWavelet_haar-G_0.5-H1e-005_af3.wfa    | 98304   | 32768  | 32768  | 16 | 8432 | 128 | 128 | 16 | 64  | -2.119662251 | 0.656 | 8688 | 0.088378906 |
| lena16.bmp | lena16.bmp-withWavelet_rbio1.1-G_0.5-H1e-005_af3.wfa | 98304   | 32768  | 32768  | 16 | 8432 | 128 | 128 | 16 | 64  | -2.119662251 | 0.453 | 8688 | 0.088378906 |
| lena16.bmp | lena16.bmp-withWavelet_sym1-G_0.5-H1e-005_af3.wfa    | 98304   | 32768  | 32768  | 16 | 8432 | 128 | 128 | 16 | 64  | -2.119662251 | 0.453 | 8688 | 0.088378906 |
| lena16.bmp | lena16.bmp-withWavelet_bior1.1-G_0.5-H1e-005_af3.wfa | 98304   | 32768  | 32768  | 16 | 8432 | 128 | 128 | 16 | 64  | -2.119662251 | 0.5   | 8688 | 0.088378906 |
| lena16.bmp | lena16.bmp-withWavelet_haar-G_0.5-H6e-005_af1.wfa    | 393216  | 131072 | 131072 | 14 | 6512 | 112 | 112 | 16 | 128 | -2.12256475  | 1.765 | 6736 | 0.017130534 |
| lena16.bmp | lena16.bmp-withWavelet_rbio1.1-G_0.5-H6e-005_af1.wfa | 393216  | 131072 | 131072 | 14 | 6512 | 112 | 112 | 16 | 128 | -2.12256475  | 1.781 | 6736 | 0.017130534 |
| lena16.bmp | lena16.bmp-withWavelet_sym1-G_0.5-H6e-005_af1.wfa    | 393216  | 131072 | 131072 | 14 | 6512 | 112 | 112 | 16 | 128 | -2.12256475  | 1.766 | 6736 | 0.017130534 |
| lena16.bmp | lena16.bmp-withWavelet_bior1.1-G_0.5-H6e-005_af1.wfa | 393216  | 131072 | 131072 | 14 | 6512 | 112 | 112 | 16 | 128 | -2.12256475  | 1.797 | 6736 | 0.017130534 |

|            |  |         |        |        |    |      |     |     |    |     |              |        |      |             |
|------------|--|---------|--------|--------|----|------|-----|-----|----|-----|--------------|--------|------|-------------|
| lena16.bmp | lena16.bmp-withWavelet_haar-G_0.5-H2e-005_af4.wfa    | 1572864 | 524288 | 524288 | 14 | 6512 | 112 | 112 | 16 | 256 | -3.057516439 | 7.609  | 6736 | 0.004282633 |
| lena16.bmp | lena16.bmp-withWavelet_rbio1.1-G_0.5-H2e-005_af4.wfa | 1572864 | 524288 | 524288 | 14 | 6512 | 112 | 112 | 16 | 256 | -3.057516439 | 7.86   | 6736 | 0.004282633 |
| lena16.bmp | lena16.bmp-withWavelet_sym1-G_0.5-H2e-005_af4.wfa    | 1572864 | 524288 | 524288 | 14 | 6512 | 112 | 112 | 16 | 256 | -3.057516439 | 7.703  | 6736 | 0.004282633 |
| lena16.bmp | lena16.bmp-withWavelet_bior1.1-G_0.5-H2e-005_af4.wfa | 1572864 | 524288 | 524288 | 14 | 6512 | 112 | 112 | 16 | 256 | -3.057516439 | 7.64   | 6736 | 0.004282633 |
| lena16.bmp | lena16.bmp-withWavelet_haar-G_0.5-H1e-005_af2.wfa    | 98304   | 32768  | 32768  | 17 | 9488 | 136 | 136 | 16 | 64  | -3.501839329 | 0.5    | 9760 | 0.099283854 |
| lena16.bmp | lena16.bmp-withWavelet_rbio1.1-G_0.5-H1e-005_af2.wfa | 98304   | 32768  | 32768  | 17 | 9488 | 136 | 136 | 16 | 64  | -3.501839329 | 0.656  | 9760 | 0.099283854 |
| lena16.bmp | lena16.bmp-withWavelet_sym1-G_0.5-H1e-005_af2.wfa    | 98304   | 32768  | 32768  | 17 | 9488 | 136 | 136 | 16 | 64  | -3.501839329 | 0.578  | 9760 | 0.099283854 |
| lena16.bmp | lena16.bmp-withWavelet_bior1.1-G_0.5-H1e-005_af2.wfa | 98304   | 32768  | 32768  | 17 | 9488 | 136 | 136 | 16 | 64  | -3.501839329 | 0.563  | 9760 | 0.099283854 |
| lena16.bmp | lena16.bmp-withWavelet_haar-G_0.5-H4e-005_af4.wfa    | 393216  | 131072 | 131072 | 12 | 4848 | 96  | 96  | 16 | 128 | -3.757576239 | 1.688  | 5040 | 0.012817383 |
| lena16.bmp | lena16.bmp-withWavelet_rbio1.1-G_0.5-H4e-005_af4.wfa | 393216  | 131072 | 131072 | 12 | 4848 | 96  | 96  | 16 | 128 | -3.757576239 | 1.704  | 5040 | 0.012817383 |
| lena16.bmp | lena16.bmp-withWavelet_sym1-G_0.5-H4e-005_af4.wfa    | 393216  | 131072 | 131072 | 12 | 4848 | 96  | 96  | 16 | 128 | -3.757576239 | 1.672  | 5040 | 0.012817383 |
| lena16.bmp | lena16.bmp-withWavelet_bior1.1-G_0.5-H4e-005_af4.wfa | 393216  | 131072 | 131072 | 12 | 4848 | 96  | 96  | 16 | 128 | -3.757576239 | 1.703  | 5040 | 0.012817383 |
| lena16.bmp | lena16.bmp-withWavelet_haar-G_0.5-H9e-005_af3.wfa    | 393216  | 131072 | 131072 | 11 | 4112 | 88  | 88  | 16 | 128 | -4.006989327 | 1.641  | 4288 | 0.010904948 |
| lena16.bmp | lena16.bmp-withWavelet_rbio1.1-G_0.5-H9e-005_af3.wfa | 393216  | 131072 | 131072 | 11 | 4112 | 88  | 88  | 16 | 128 | -4.006989327 | 1.625  | 4288 | 0.010904948 |
| lena16.bmp | lena16.bmp-withWavelet_sym1-G_0.5-H9e-005_af3.wfa    | 393216  | 131072 | 131072 | 11 | 4112 | 88  | 88  | 16 | 128 | -4.006989327 | 1.609  | 4288 | 0.010904948 |
| lena16.bmp | lena16.bmp-withWavelet_bior1.1-G_0.5-H9e-005_af3.wfa | 393216  | 131072 | 131072 | 11 | 4112 | 88  | 88  | 16 | 128 | -4.006989327 | 1.719  | 4288 | 0.010904948 |
| lena16.bmp | lena16.bmp-withWavelet_haar-G_0.5-H7e-005_af2.wfa    | 98304   | 32768  | 32768  | 12 | 4848 | 96  | 96  | 16 | 64  | -4.448745548 | 0.422  | 5040 | 0.051269531 |
| lena16.bmp | lena16.bmp-withWavelet_rbio1.1-G_0.5-H7e-005_af2.wfa | 98304   | 32768  | 32768  | 12 | 4848 | 96  | 96  | 16 | 64  | -4.448745548 | 0.406  | 5040 | 0.051269531 |
| lena16.bmp | lena16.bmp-withWavelet_sym1-G_0.5-H7e-005_af2.wfa    | 98304   | 32768  | 32768  | 12 | 4848 | 96  | 96  | 16 | 64  | -4.448745548 | 0.407  | 5040 | 0.051269531 |
| lena16.bmp | lena16.bmp-withWavelet_bior1.1-G_0.5-H7e-005_af2.wfa | 98304   | 32768  | 32768  | 12 | 4848 | 96  | 96  | 16 | 64  | -4.448745548 | 0.437  | 5040 | 0.051269531 |
| lena16.bmp | lena16.bmp-withWavelet_haar-G_0.5-H8e-005_af2.wfa    | 98304   | 32768  | 32768  | 12 | 4848 | 96  | 96  | 16 | 64  | -4.448745548 | 0.406  | 5040 | 0.051269531 |
| lena16.bmp | lena16.bmp-withWavelet_rbio1.1-G_0.5-H8e-005_af2.wfa | 98304   | 32768  | 32768  | 12 | 4848 | 96  | 96  | 16 | 64  | -4.448745548 | 0.406  | 5040 | 0.051269531 |
| lena16.bmp | lena16.bmp-withWavelet_sym1-G_0.5-H8e-005_af2.wfa    | 98304   | 32768  | 32768  | 12 | 4848 | 96  | 96  | 16 | 64  | -4.448745548 | 0.406  | 5040 | 0.051269531 |
| lena16.bmp | lena16.bmp-withWavelet_bior1.1-G_0.5-H8e-005_af2.wfa | 98304   | 32768  | 32768  | 12 | 4848 | 96  | 96  | 16 | 64  | -4.448745548 | 0.406  | 5040 | 0.051269531 |
| lena16.bmp | lena16.bmp-withWavelet_haar-G_0.5-H1e-005_af1.wfa    | 1572864 | 524288 | 524288 | 17 | 9488 | 136 | 136 | 16 | 256 | -4.512192577 | 9.922  | 9760 | 0.006205241 |
| lena16.bmp | lena16.bmp-withWavelet_rbio1.1-G_0.5-H1e-005_af1.wfa | 1572864 | 524288 | 524288 | 17 | 9488 | 136 | 136 | 16 | 256 | -4.512192577 | 8.875  | 9760 | 0.006205241 |
| lena16.bmp | lena16.bmp-withWavelet_sym1-G_0.5-H1e-005_af1.wfa    | 1572864 | 524288 | 524288 | 17 | 9488 | 136 | 136 | 16 | 256 | -4.512192577 | 8.969  | 9760 | 0.006205241 |
| lena16.bmp | lena16.bmp-withWavelet_bior1.1-G_0.5-H1e-005_af1.wfa | 1572864 | 524288 | 524288 | 17 | 9488 | 136 | 136 | 16 | 256 | -4.512192577 | 10.219 | 9760 | 0.006205241 |
| lena16.bmp | lena16.bmp-withWavelet_haar-G_0.5-H3e-005_af4.wfa    | 393216  | 131072 | 131072 | 13 | 5648 | 104 | 104 | 16 | 128 | -4.53349148  | 1.812  | 5856 | 0.014892578 |
| lena16.bmp | lena16.bmp-withWavelet_rbio1.1-G_0.5-H3e-005_af4.wfa | 393216  | 131072 | 131072 | 13 | 5648 | 104 | 104 | 16 | 128 | -4.53349148  | 1.859  | 5856 | 0.014892578 |
| lena16.bmp | lena16.bmp-withWavelet_sym1-G_0.5-H3e-005_af4.wfa    | 393216  | 131072 | 131072 | 13 | 5648 | 104 | 104 | 16 | 128 | -4.53349148  | 1.75   | 5856 | 0.014892578 |

|            |  |         |        |        |    |      |     |     |    |     |              |       |      |             |
|------------|--|---------|--------|--------|----|------|-----|-----|----|-----|--------------|-------|------|-------------|
| lena16.bmp | lena16.bmp-withWavelet_bior1.1-G_0.5-H3e-005_af4.wfa | 393216  | 131072 | 131072 | 13 | 5648 | 104 | 104 | 16 | 128 | -4.53349148  | 1.734 | 5856 | 0.014892578 |
| lena16.bmp | lena16.bmp-withWavelet_haar-G_0.5-H4e-005_af1.wfa    | 393216  | 131072 | 131072 | 15 | 7440 | 120 | 120 | 16 | 128 | -4.604898957 | 1.875 | 7680 | 0.01953125  |
| lena16.bmp | lena16.bmp-withWavelet_rbio1.1-G_0.5-H4e-005_af1.wfa | 393216  | 131072 | 131072 | 15 | 7440 | 120 | 120 | 16 | 128 | -4.604898957 | 1.86  | 7680 | 0.01953125  |
| lena16.bmp | lena16.bmp-withWavelet_sym1-G_0.5-H4e-005_af1.wfa    | 393216  | 131072 | 131072 | 15 | 7440 | 120 | 120 | 16 | 128 | -4.604898957 | 1.89  | 7680 | 0.01953125  |
| lena16.bmp | lena16.bmp-withWavelet_bior1.1-G_0.5-H4e-005_af1.wfa | 393216  | 131072 | 131072 | 15 | 7440 | 120 | 120 | 16 | 128 | -4.604898957 | 2     | 7680 | 0.01953125  |
| lena16.bmp | lena16.bmp-withWavelet_haar-G_0.5-H8e-005_af3.wfa    | 393216  | 131072 | 131072 | 12 | 4848 | 96  | 96  | 16 | 128 | -4.802518319 | 1.672 | 5040 | 0.012817383 |
| lena16.bmp | lena16.bmp-withWavelet_rbio1.1-G_0.5-H8e-005_af3.wfa | 393216  | 131072 | 131072 | 12 | 4848 | 96  | 96  | 16 | 128 | -4.802518319 | 1.687 | 5040 | 0.012817383 |
| lena16.bmp | lena16.bmp-withWavelet_sym1-G_0.5-H8e-005_af3.wfa    | 393216  | 131072 | 131072 | 12 | 4848 | 96  | 96  | 16 | 128 | -4.802518319 | 1.688 | 5040 | 0.012817383 |
| lena16.bmp | lena16.bmp-withWavelet_bior1.1-G_0.5-H8e-005_af3.wfa | 393216  | 131072 | 131072 | 12 | 4848 | 96  | 96  | 16 | 128 | -4.802518319 | 1.688 | 5040 | 0.012817383 |
| lena16.bmp | lena16.bmp-withWavelet_haar-G_0.5-H6e-005_af3.wfa    | 393216  | 131072 | 131072 | 14 | 6512 | 112 | 112 | 16 | 128 | -6.418125217 | 1.812 | 6736 | 0.017130534 |
| lena16.bmp | lena16.bmp-withWavelet_rbio1.1-G_0.5-H6e-005_af3.wfa | 393216  | 131072 | 131072 | 14 | 6512 | 112 | 112 | 16 | 128 | -6.418125217 | 1.782 | 6736 | 0.017130534 |
| lena16.bmp | lena16.bmp-withWavelet_sym1-G_0.5-H6e-005_af3.wfa    | 393216  | 131072 | 131072 | 14 | 6512 | 112 | 112 | 16 | 128 | -6.418125217 | 1.797 | 6736 | 0.017130534 |
| lena16.bmp | lena16.bmp-withWavelet_bior1.1-G_0.5-H6e-005_af3.wfa | 393216  | 131072 | 131072 | 14 | 6512 | 112 | 112 | 16 | 128 | -6.418125217 | 1.766 | 6736 | 0.017130534 |
| lena16.bmp | lena16.bmp-withWavelet_haar-G_0.5-H7e-005_af3.wfa    | 393216  | 131072 | 131072 | 13 | 5648 | 104 | 104 | 16 | 128 | -6.698918164 | 1.766 | 5856 | 0.014892578 |
| lena16.bmp | lena16.bmp-withWavelet_rbio1.1-G_0.5-H7e-005_af3.wfa | 393216  | 131072 | 131072 | 13 | 5648 | 104 | 104 | 16 | 128 | -6.698918164 | 1.75  | 5856 | 0.014892578 |
| lena16.bmp | lena16.bmp-withWavelet_sym1-G_0.5-H7e-005_af3.wfa    | 393216  | 131072 | 131072 | 13 | 5648 | 104 | 104 | 16 | 128 | -6.698918164 | 1.735 | 5856 | 0.014892578 |
| lena16.bmp | lena16.bmp-withWavelet_bior1.1-G_0.5-H7e-005_af3.wfa | 393216  | 131072 | 131072 | 13 | 5648 | 104 | 104 | 16 | 128 | -6.698918164 | 1.766 | 5856 | 0.014892578 |
| lena16.bmp | lena16.bmp-withWavelet_haar-G_0.5-H5e-005_af2.wfa    | 98304   | 32768  | 32768  | 13 | 5648 | 104 | 104 | 16 | 64  | -6.807329769 | 0.421 | 5856 | 0.059570313 |
| lena16.bmp | lena16.bmp-withWavelet_rbio1.1-G_0.5-H5e-005_af2.wfa | 98304   | 32768  | 32768  | 13 | 5648 | 104 | 104 | 16 | 64  | -6.807329769 | 0.422 | 5856 | 0.059570313 |
| lena16.bmp | lena16.bmp-withWavelet_sym1-G_0.5-H5e-005_af2.wfa    | 98304   | 32768  | 32768  | 13 | 5648 | 104 | 104 | 16 | 64  | -6.807329769 | 0.421 | 5856 | 0.059570313 |
| lena16.bmp | lena16.bmp-withWavelet_bior1.1-G_0.5-H5e-005_af2.wfa | 98304   | 32768  | 32768  | 13 | 5648 | 104 | 104 | 16 | 64  | -6.807329769 | 0.422 | 5856 | 0.059570313 |
| lena16.bmp | lena16.bmp-withWavelet_haar-G_0.5-H6e-005_af2.wfa    | 98304   | 32768  | 32768  | 13 | 5648 | 104 | 104 | 16 | 64  | -6.807329769 | 0.422 | 5856 | 0.059570313 |
| lena16.bmp | lena16.bmp-withWavelet_rbio1.1-G_0.5-H6e-005_af2.wfa | 98304   | 32768  | 32768  | 13 | 5648 | 104 | 104 | 16 | 64  | -6.807329769 | 0.422 | 5856 | 0.059570313 |
| lena16.bmp | lena16.bmp-withWavelet_sym1-G_0.5-H6e-005_af2.wfa    | 98304   | 32768  | 32768  | 13 | 5648 | 104 | 104 | 16 | 64  | -6.807329769 | 0.422 | 5856 | 0.059570313 |
| lena16.bmp | lena16.bmp-withWavelet_bior1.1-G_0.5-H6e-005_af2.wfa | 98304   | 32768  | 32768  | 13 | 5648 | 104 | 104 | 16 | 64  | -6.807329769 | 0.422 | 5856 | 0.059570313 |
| lena16.bmp | lena16.bmp-withWavelet_haar-G_0.5-H4e-005_af2.wfa    | 98304   | 32768  | 32768  | 14 | 6512 | 112 | 112 | 16 | 64  | -7.786824473 | 0.422 | 6736 | 0.068522135 |
| lena16.bmp | lena16.bmp-withWavelet_rbio1.1-G_0.5-H4e-005_af2.wfa | 98304   | 32768  | 32768  | 14 | 6512 | 112 | 112 | 16 | 64  | -7.786824473 | 0.422 | 6736 | 0.068522135 |
| lena16.bmp | lena16.bmp-withWavelet_sym1-G_0.5-H4e-005_af2.wfa    | 98304   | 32768  | 32768  | 14 | 6512 | 112 | 112 | 16 | 64  | -7.786824473 | 0.422 | 6736 | 0.068522135 |
| lena16.bmp | lena16.bmp-withWavelet_bior1.1-G_0.5-H4e-005_af2.wfa | 98304   | 32768  | 32768  | 14 | 6512 | 112 | 112 | 16 | 64  | -7.786824473 | 0.422 | 6736 | 0.068522135 |
| lena16.bmp | lena16.bmp-withWavelet_haar-G_0.5-H6e-005_af1.wfa    | 1572864 | 524288 | 524288 | 14 | 6512 | 112 | 112 | 16 | 256 | -8.450461583 | 7.563 | 6736 | 0.004282633 |
| lena16.bmp | lena16.bmp-withWavelet_rbio1.1-G_0.5-H6e-005_af1.wfa | 1572864 | 524288 | 524288 | 14 | 6512 | 112 | 112 | 16 | 256 | -8.450461583 | 7.516 | 6736 | 0.004282633 |



|            |  |         |        |        |    |      |     |     |    |     |              |       |      |             |
|------------|--|---------|--------|--------|----|------|-----|-----|----|-----|--------------|-------|------|-------------|
| lena16.bmp | lena16.bmp-withWavelet_sym1-G_0.5-H6e-005_af1.wfa    | 1572864 | 524288 | 524288 | 14 | 6512 | 112 | 112 | 16 | 256 | -8.450461583 | 7.875 | 6736 | 0.004282633 |
| lena16.bmp | lena16.bmp-withWavelet_bior1.1-G_0.5-H6e-005_af1.wfa | 1572864 | 524288 | 524288 | 14 | 6512 | 112 | 112 | 16 | 256 | -8.450461583 | 7.579 | 6736 | 0.004282633 |
| lena16.bmp | lena16.bmp-withWavelet_haar-G_0.5-H3e-005_af5.wfa    | 1572864 | 524288 | 524288 | 10 | 3440 | 80  | 80  | 16 | 256 | -8.453781937 | 6.532 | 3600 | 0.002288818 |
| lena16.bmp | lena16.bmp-withWavelet_rbio1.1-G_0.5-H3e-005_af5.wfa | 1572864 | 524288 | 524288 | 10 | 3440 | 80  | 80  | 16 | 256 | -8.453781937 | 6.562 | 3600 | 0.002288818 |
| lena16.bmp | lena16.bmp-withWavelet_sym1-G_0.5-H3e-005_af5.wfa    | 1572864 | 524288 | 524288 | 10 | 3440 | 80  | 80  | 16 | 256 | -8.453781937 | 6.515 | 3600 | 0.002288818 |
| lena16.bmp | lena16.bmp-withWavelet_bior1.1-G_0.5-H3e-005_af5.wfa | 1572864 | 524288 | 524288 | 10 | 3440 | 80  | 80  | 16 | 256 | -8.453781937 | 6.547 | 3600 | 0.002288818 |
| lena16.bmp | lena16.bmp-withWavelet_haar-G_0.5-H2e-005_af1.wfa    | 393216  | 131072 | 131072 | 17 | 9488 | 136 | 136 | 16 | 128 | -8.543418982 | 2.015 | 9760 | 0.024820964 |
| lena16.bmp | lena16.bmp-withWavelet_rbio1.1-G_0.5-H2e-005_af1.wfa | 393216  | 131072 | 131072 | 17 | 9488 | 136 | 136 | 16 | 128 | -8.543418982 | 2.047 | 9760 | 0.024820964 |
| lena16.bmp | lena16.bmp-withWavelet_sym1-G_0.5-H2e-005_af1.wfa    | 393216  | 131072 | 131072 | 17 | 9488 | 136 | 136 | 16 | 128 | -8.543418982 | 2.141 | 9760 | 0.024820964 |
| lena16.bmp | lena16.bmp-withWavelet_bior1.1-G_0.5-H2e-005_af1.wfa | 393216  | 131072 | 131072 | 17 | 9488 | 136 | 136 | 16 | 128 | -8.543418982 | 2.031 | 9760 | 0.024820964 |
| lena16.bmp | lena16.bmp-withWavelet_haar-G_0.5-H9e-005_af2.wfa    | 393216  | 131072 | 131072 | 11 | 4112 | 88  | 88  | 16 | 128 | -9.858282653 | 1.625 | 4288 | 0.010904948 |
| lena16.bmp | lena16.bmp-withWavelet_rbio1.1-G_0.5-H9e-005_af2.wfa | 393216  | 131072 | 131072 | 11 | 4112 | 88  | 88  | 16 | 128 | -9.858282653 | 1.609 | 4288 | 0.010904948 |
| lena16.bmp | lena16.bmp-withWavelet_sym1-G_0.5-H9e-005_af2.wfa    | 393216  | 131072 | 131072 | 11 | 4112 | 88  | 88  | 16 | 128 | -9.858282653 | 1.625 | 4288 | 0.010904948 |
| lena16.bmp | lena16.bmp-withWavelet_bior1.1-G_0.5-H9e-005_af2.wfa | 393216  | 131072 | 131072 | 11 | 4112 | 88  | 88  | 16 | 128 | -9.858282653 | 1.625 | 4288 | 0.010904948 |
| lena16.bmp | lena16.bmp-withWavelet_haar-G_0.5-H0.0001_af2.wfa    | 393216  | 131072 | 131072 | 11 | 4112 | 88  | 88  | 16 | 128 | -9.858282653 | 1.641 | 4288 | 0.010904948 |
| lena16.bmp | lena16.bmp-withWavelet_rbio1.1-G_0.5-H0.0001_af2.wfa | 393216  | 131072 | 131072 | 11 | 4112 | 88  | 88  | 16 | 128 | -9.858282653 | 1.609 | 4288 | 0.010904948 |
| lena16.bmp | lena16.bmp-withWavelet_sym1-G_0.5-H0.0001_af2.wfa    | 393216  | 131072 | 131072 | 11 | 4112 | 88  | 88  | 16 | 128 | -9.858282653 | 1.61  | 4288 | 0.010904948 |
| lena16.bmp | lena16.bmp-withWavelet_bior1.1-G_0.5-H0.0001_af2.wfa | 393216  | 131072 | 131072 | 11 | 4112 | 88  | 88  | 16 | 128 | -9.858282653 | 1.641 | 4288 | 0.010904948 |
| lena16.bmp | lena16.bmp-withWavelet_haar-G_0.5-H1e-005_af4.wfa    | 393216  | 131072 | 131072 | 16 | 8432 | 128 | 128 | 16 | 128 | -9.890472608 | 2.031 | 8688 | 0.022094727 |
| lena16.bmp | lena16.bmp-withWavelet_rbio1.1-G_0.5-H1e-005_af4.wfa | 393216  | 131072 | 131072 | 16 | 8432 | 128 | 128 | 16 | 128 | -9.890472608 | 2.11  | 8688 | 0.022094727 |
| lena16.bmp | lena16.bmp-withWavelet_sym1-G_0.5-H1e-005_af4.wfa    | 393216  | 131072 | 131072 | 16 | 8432 | 128 | 128 | 16 | 128 | -9.890472608 | 2.266 | 8688 | 0.022094727 |
| lena16.bmp | lena16.bmp-withWavelet_bior1.1-G_0.5-H1e-005_af4.wfa | 393216  | 131072 | 131072 | 16 | 8432 | 128 | 128 | 16 | 128 | -9.890472608 | 1.969 | 8688 | 0.022094727 |
| lena16.bmp | lena16.bmp-withWavelet_haar-G_0.5-H3e-005_af1.wfa    | 393216  | 131072 | 131072 | 16 | 8432 | 128 | 128 | 16 | 128 | -9.969826524 | 1.906 | 8688 | 0.022094727 |
| lena16.bmp | lena16.bmp-withWavelet_rbio1.1-G_0.5-H3e-005_af1.wfa | 393216  | 131072 | 131072 | 16 | 8432 | 128 | 128 | 16 | 128 | -9.969826524 | 1.922 | 8688 | 0.022094727 |
| lena16.bmp | lena16.bmp-withWavelet_sym1-G_0.5-H3e-005_af1.wfa    | 393216  | 131072 | 131072 | 16 | 8432 | 128 | 128 | 16 | 128 | -9.969826524 | 1.891 | 8688 | 0.022094727 |
| lena16.bmp | lena16.bmp-withWavelet_bior1.1-G_0.5-H3e-005_af1.wfa | 393216  | 131072 | 131072 | 16 | 8432 | 128 | 128 | 16 | 128 | -9.969826524 | 2.031 | 8688 | 0.022094727 |
| lena16.bmp | lena16.bmp-withWavelet_haar-G_0.5-H5e-005_af1.wfa    | 393216  | 131072 | 131072 | 15 | 7440 | 120 | 120 | 16 | 128 | -10.21945418 | 1.859 | 7680 | 0.01953125  |
| lena16.bmp | lena16.bmp-withWavelet_rbio1.1-G_0.5-H5e-005_af1.wfa | 393216  | 131072 | 131072 | 15 | 7440 | 120 | 120 | 16 | 128 | -10.21945418 | 1.875 | 7680 | 0.01953125  |
| lena16.bmp | lena16.bmp-withWavelet_sym1-G_0.5-H5e-005_af1.wfa    | 393216  | 131072 | 131072 | 15 | 7440 | 120 | 120 | 16 | 128 | -10.21945418 | 1.875 | 7680 | 0.01953125  |
| lena16.bmp | lena16.bmp-withWavelet_bior1.1-G_0.5-H5e-005_af1.wfa | 393216  | 131072 | 131072 | 15 | 7440 | 120 | 120 | 16 | 128 | -10.21945418 | 1.859 | 7680 | 0.01953125  |
| lena16.bmp | lena16.bmp-withWavelet_haar-G_0.5-H2e-005_af2.wfa    | 393216  | 131072 | 131072 | 15 | 7440 | 120 | 120 | 16 | 128 | -10.45826117 | 1.875 | 7680 | 0.01953125  |

|            |  |         |        |        |    |      |     |     |    |     |              |       |      |             |
|------------|--|---------|--------|--------|----|------|-----|-----|----|-----|--------------|-------|------|-------------|
| lena16.bmp | lena16.bmp-withWavelet_rbio1.1-G_0.5-H2e-005_af2.wfa | 393216  | 131072 | 131072 | 15 | 7440 | 120 | 120 | 16 | 128 | -10.45826117 | 1.891 | 7680 | 0.01953125  |
| lena16.bmp | lena16.bmp-withWavelet_sym1-G_0.5-H2e-005_af2.wfa    | 393216  | 131072 | 131072 | 15 | 7440 | 120 | 120 | 16 | 128 | -10.45826117 | 1.891 | 7680 | 0.01953125  |
| lena16.bmp | lena16.bmp-withWavelet_bior1.1-G_0.5-H2e-005_af2.wfa | 393216  | 131072 | 131072 | 15 | 7440 | 120 | 120 | 16 | 128 | -10.45826117 | 1.89  | 7680 | 0.01953125  |
| lena16.bmp | lena16.bmp-G_0.5-H2e-005_af2.wfa                     | 393216  | 131072 |        | 14 | 6512 | 112 | 112 | 16 | 128 | -10.67133849 | 1.797 | 6736 | 0.017130534 |
| lena16.bmp | lena16.bmp-G_0.5-H3e-005_af2.wfa                     | 393216  | 131072 |        | 14 | 6512 | 112 | 112 | 16 | 128 | -10.67133849 | 1.828 | 6736 | 0.017130534 |
| lena16.bmp | lena16.bmp-G_0.5-H4e-005_af2.wfa                     | 393216  | 131072 |        | 14 | 6512 | 112 | 112 | 16 | 128 | -10.67133849 | 1.797 | 6736 | 0.017130534 |
| lena16.bmp | lena16.bmp-withWavelet_haar-G_0.5-H3e-005_af2.wfa    | 393216  | 131072 | 131072 | 14 | 6512 | 112 | 112 | 16 | 128 | -10.73321355 | 1.796 | 6736 | 0.017130534 |
| lena16.bmp | lena16.bmp-withWavelet_rbio1.1-G_0.5-H3e-005_af2.wfa | 393216  | 131072 | 131072 | 14 | 6512 | 112 | 112 | 16 | 128 | -10.73321355 | 1.765 | 6736 | 0.017130534 |
| lena16.bmp | lena16.bmp-withWavelet_sym1-G_0.5-H3e-005_af2.wfa    | 393216  | 131072 | 131072 | 14 | 6512 | 112 | 112 | 16 | 128 | -10.73321355 | 1.797 | 6736 | 0.017130534 |
| lena16.bmp | lena16.bmp-withWavelet_bior1.1-G_0.5-H3e-005_af2.wfa | 393216  | 131072 | 131072 | 14 | 6512 | 112 | 112 | 16 | 128 | -10.73321355 | 1.969 | 6736 | 0.017130534 |
| lena16.bmp | lena16.bmp-withWavelet_haar-G_0.5-H0.0001_af3.wfa    | 393216  | 131072 | 131072 | 11 | 4112 | 88  | 88  | 16 | 128 | -11.00454308 | 1.641 | 4288 | 0.010904948 |
| lena16.bmp | lena16.bmp-withWavelet_rbio1.1-G_0.5-H0.0001_af3.wfa | 393216  | 131072 | 131072 | 11 | 4112 | 88  | 88  | 16 | 128 | -11.00454308 | 1.625 | 4288 | 0.010904948 |
| lena16.bmp | lena16.bmp-withWavelet_sym1-G_0.5-H0.0001_af3.wfa    | 393216  | 131072 | 131072 | 11 | 4112 | 88  | 88  | 16 | 128 | -11.00454308 | 1.625 | 4288 | 0.010904948 |
| lena16.bmp | lena16.bmp-withWavelet_bior1.1-G_0.5-H0.0001_af3.wfa | 393216  | 131072 | 131072 | 11 | 4112 | 88  | 88  | 16 | 128 | -11.00454308 | 1.61  | 4288 | 0.010904948 |
| lena16.bmp | lena16.bmp-withWavelet_haar-G_0.5-H9e-005_af3.wfa    | 1572864 | 524288 | 524288 | 11 | 4112 | 88  | 88  | 16 | 256 | -11.74270985 | 6.875 | 4288 | 0.002726237 |
| lena16.bmp | lena16.bmp-withWavelet_rbio1.1-G_0.5-H9e-005_af3.wfa | 1572864 | 524288 | 524288 | 11 | 4112 | 88  | 88  | 16 | 256 | -11.74270985 | 6.86  | 4288 | 0.002726237 |
| lena16.bmp | lena16.bmp-withWavelet_sym1-G_0.5-H9e-005_af3.wfa    | 1572864 | 524288 | 524288 | 11 | 4112 | 88  | 88  | 16 | 256 | -11.74270985 | 6.828 | 4288 | 0.002726237 |
| lena16.bmp | lena16.bmp-withWavelet_bior1.1-G_0.5-H9e-005_af3.wfa | 1572864 | 524288 | 524288 | 11 | 4112 | 88  | 88  | 16 | 256 | -11.74270985 | 6.875 | 4288 | 0.002726237 |
| lena16.bmp | lena16.bmp-withWavelet_haar-G_0.5-H5e-005_af3.wfa    | 393216  | 131072 | 131072 | 15 | 7440 | 120 | 120 | 16 | 128 | -12.01077607 | 1.843 | 7680 | 0.01953125  |
| lena16.bmp | lena16.bmp-withWavelet_rbio1.1-G_0.5-H5e-005_af3.wfa | 393216  | 131072 | 131072 | 15 | 7440 | 120 | 120 | 16 | 128 | -12.01077607 | 1.875 | 7680 | 0.01953125  |
| lena16.bmp | lena16.bmp-withWavelet_sym1-G_0.5-H5e-005_af3.wfa    | 393216  | 131072 | 131072 | 15 | 7440 | 120 | 120 | 16 | 128 | -12.01077607 | 1.844 | 7680 | 0.01953125  |
| lena16.bmp | lena16.bmp-withWavelet_bior1.1-G_0.5-H5e-005_af3.wfa | 393216  | 131072 | 131072 | 15 | 7440 | 120 | 120 | 16 | 128 | -12.01077607 | 1.86  | 7680 | 0.01953125  |
| lena16.bmp | lena16.bmp-withWavelet_haar-G_0.5-H4e-005_af1.wfa    | 1572864 | 524288 | 524288 | 15 | 7440 | 120 | 120 | 16 | 256 | -12.03834192 | 7.969 | 7680 | 0.004882813 |
| lena16.bmp | lena16.bmp-withWavelet_rbio1.1-G_0.5-H4e-005_af1.wfa | 1572864 | 524288 | 524288 | 15 | 7440 | 120 | 120 | 16 | 256 | -12.03834192 | 7.906 | 7680 | 0.004882813 |
| lena16.bmp | lena16.bmp-withWavelet_sym1-G_0.5-H4e-005_af1.wfa    | 1572864 | 524288 | 524288 | 15 | 7440 | 120 | 120 | 16 | 256 | -12.03834192 | 7.937 | 7680 | 0.004882813 |
| lena16.bmp | lena16.bmp-withWavelet_bior1.1-G_0.5-H4e-005_af1.wfa | 1572864 | 524288 | 524288 | 15 | 7440 | 120 | 120 | 16 | 256 | -12.03834192 | 8     | 7680 | 0.004882813 |
| lena16.bmp | lena16.bmp-withWavelet_haar-G_0.5-H4e-005_af4.wfa    | 1572864 | 524288 | 524288 | 12 | 4848 | 96  | 96  | 16 | 256 | -12.93537384 | 7.125 | 5040 | 0.003204346 |
| lena16.bmp | lena16.bmp-withWavelet_rbio1.1-G_0.5-H4e-005_af4.wfa | 1572864 | 524288 | 524288 | 12 | 4848 | 96  | 96  | 16 | 256 | -12.93537384 | 7.109 | 5040 | 0.003204346 |
| lena16.bmp | lena16.bmp-withWavelet_sym1-G_0.5-H4e-005_af4.wfa    | 1572864 | 524288 | 524288 | 12 | 4848 | 96  | 96  | 16 | 256 | -12.93537384 | 7.11  | 5040 | 0.003204346 |
| lena16.bmp | lena16.bmp-withWavelet_bior1.1-G_0.5-H4e-005_af4.wfa | 1572864 | 524288 | 524288 | 12 | 4848 | 96  | 96  | 16 | 256 | -12.93537384 | 7.156 | 5040 | 0.003204346 |
| lena16.bmp | lena16.bmp-withWavelet_haar-G_0.5-H8e-005_af3.wfa    | 1572864 | 524288 | 524288 | 12 | 4848 | 96  | 96  | 16 | 256 | -13.57730395 | 7.141 | 5040 | 0.003204346 |

|            |  |         |        |        |    |      |     |     |    |     |              |       |      |             |
|------------|--|---------|--------|--------|----|------|-----|-----|----|-----|--------------|-------|------|-------------|
| lena16.bmp | lena16.bmp-withWavelet_rbio1.1-G_0.5-H8e-005_af3.wfa | 1572864 | 524288 | 524288 | 12 | 4848 | 96  | 96  | 16 | 256 | -13.57730395 | 7.078 | 5040 | 0.003204346 |
| lena16.bmp | lena16.bmp-withWavelet_sym1-G_0.5-H8e-005_af3.wfa    | 1572864 | 524288 | 524288 | 12 | 4848 | 96  | 96  | 16 | 256 | -13.57730395 | 7.094 | 5040 | 0.003204346 |
| lena16.bmp | lena16.bmp-withWavelet_bior1.1-G_0.5-H8e-005_af3.wfa | 1572864 | 524288 | 524288 | 12 | 4848 | 96  | 96  | 16 | 256 | -13.57730395 | 7.078 | 5040 | 0.003204346 |
| lena16.bmp | lena16.bmp-withWavelet_haar-G_0.5-H2e-005_af3.wfa    | 393216  | 131072 | 131072 | 16 | 8432 | 128 | 128 | 16 | 128 | -13.58756183 | 1.953 | 8688 | 0.022094727 |
| lena16.bmp | lena16.bmp-withWavelet_sym1-G_0.5-H2e-005_af3.wfa    | 393216  | 131072 | 131072 | 16 | 8432 | 128 | 128 | 16 | 128 | -13.58756183 | 1.906 | 8688 | 0.022094727 |
| lena16.bmp | lena16.bmp-withWavelet_bior1.1-G_0.5-H2e-005_af3.wfa | 393216  | 131072 | 131072 | 16 | 8432 | 128 | 128 | 16 | 128 | -13.58756183 | 1.891 | 8688 | 0.022094727 |
| lena16.bmp | lena16.bmp-withWavelet_haar-G_0.5-H1e-005_af3.wfa    | 393216  | 131072 | 131072 | 16 | 8432 | 128 | 128 | 16 | 128 | -13.58756183 | 2.125 | 8688 | 0.022094727 |
| lena16.bmp | lena16.bmp-withWavelet_rbio1.1-G_0.5-H1e-005_af3.wfa | 393216  | 131072 | 131072 | 16 | 8432 | 128 | 128 | 16 | 128 | -13.58756183 | 2.313 | 8688 | 0.022094727 |
| lena16.bmp | lena16.bmp-withWavelet_sym1-G_0.5-H1e-005_af3.wfa    | 393216  | 131072 | 131072 | 16 | 8432 | 128 | 128 | 16 | 128 | -13.58756183 | 2.063 | 8688 | 0.022094727 |
| lena16.bmp | lena16.bmp-withWavelet_bior1.1-G_0.5-H1e-005_af3.wfa | 393216  | 131072 | 131072 | 16 | 8432 | 128 | 128 | 16 | 128 | -13.58756183 | 1.891 | 8688 | 0.022094727 |
| lena16.bmp | lena16.bmp-withWavelet_haar-G_0.5-H3e-005_af3.wfa    | 24576   | 8192   | 8192   | 16 | 8432 | 128 | 128 | 16 | 32  | -14.01320585 | 0.125 | 8688 | 0.353515625 |
| lena16.bmp | lena16.bmp-withWavelet_rbio1.1-G_0.5-H3e-005_af3.wfa | 24576   | 8192   | 8192   | 16 | 8432 | 128 | 128 | 16 | 32  | -14.01320585 | 0.11  | 8688 | 0.353515625 |
| lena16.bmp | lena16.bmp-withWavelet_sym1-G_0.5-H3e-005_af3.wfa    | 24576   | 8192   | 8192   | 16 | 8432 | 128 | 128 | 16 | 32  | -14.01320585 | 0.11  | 8688 | 0.353515625 |
| lena16.bmp | lena16.bmp-withWavelet_bior1.1-G_0.5-H3e-005_af3.wfa | 24576   | 8192   | 8192   | 16 | 8432 | 128 | 128 | 16 | 32  | -14.01320585 | 0.11  | 8688 | 0.353515625 |
| lena16.bmp | lena16.bmp-withWavelet_haar-G_0.5-H4e-005_af3.wfa    | 24576   | 8192   | 8192   | 16 | 8432 | 128 | 128 | 16 | 32  | -14.01320585 | 0.11  | 8688 | 0.353515625 |
| lena16.bmp | lena16.bmp-withWavelet_rbio1.1-G_0.5-H4e-005_af3.wfa | 24576   | 8192   | 8192   | 16 | 8432 | 128 | 128 | 16 | 32  | -14.01320585 | 0.125 | 8688 | 0.353515625 |
| lena16.bmp | lena16.bmp-withWavelet_sym1-G_0.5-H4e-005_af3.wfa    | 24576   | 8192   | 8192   | 16 | 8432 | 128 | 128 | 16 | 32  | -14.01320585 | 0.11  | 8688 | 0.353515625 |
| lena16.bmp | lena16.bmp-withWavelet_bior1.1-G_0.5-H4e-005_af3.wfa | 24576   | 8192   | 8192   | 16 | 8432 | 128 | 128 | 16 | 32  | -14.01320585 | 0.125 | 8688 | 0.353515625 |
| lena16.bmp | lena16.bmp-withWavelet_haar-G_0.5-H3e-005_af4.wfa    | 1572864 | 524288 | 524288 | 13 | 5648 | 104 | 104 | 16 | 256 | -14.05933471 | 7.485 | 5856 | 0.003723145 |
| lena16.bmp | lena16.bmp-withWavelet_rbio1.1-G_0.5-H3e-005_af4.wfa | 1572864 | 524288 | 524288 | 13 | 5648 | 104 | 104 | 16 | 256 | -14.05933471 | 7.547 | 5856 | 0.003723145 |
| lena16.bmp | lena16.bmp-withWavelet_sym1-G_0.5-H3e-005_af4.wfa    | 1572864 | 524288 | 524288 | 13 | 5648 | 104 | 104 | 16 | 256 | -14.05933471 | 7.359 | 5856 | 0.003723145 |
| lena16.bmp | lena16.bmp-withWavelet_bior1.1-G_0.5-H3e-005_af4.wfa | 1572864 | 524288 | 524288 | 13 | 5648 | 104 | 104 | 16 | 256 | -14.05933471 | 7.406 | 5856 | 0.003723145 |
| lena16.bmp | lena16.bmp-G_0.5-H1e-005_af2.wfa                     | 98304   | 32768  |        | 16 | 8432 | 128 | 128 | 16 | 64  | -14.58558081 | 0.515 | 8688 | 0.088378906 |
| lena16.bmp | lena16.bmp-withWavelet_haar-G_0.5-H6e-005_af3.wfa    | 1572864 | 524288 | 524288 | 14 | 6512 | 112 | 112 | 16 | 256 | -14.78065646 | 7.5   | 6736 | 0.004282633 |
| lena16.bmp | lena16.bmp-withWavelet_rbio1.1-G_0.5-H6e-005_af3.wfa | 1572864 | 524288 | 524288 | 14 | 6512 | 112 | 112 | 16 | 256 | -14.78065646 | 7.547 | 6736 | 0.004282633 |
| lena16.bmp | lena16.bmp-withWavelet_sym1-G_0.5-H6e-005_af3.wfa    | 1572864 | 524288 | 524288 | 14 | 6512 | 112 | 112 | 16 | 256 | -14.78065646 | 7.547 | 6736 | 0.004282633 |
| lena16.bmp | lena16.bmp-withWavelet_bior1.1-G_0.5-H6e-005_af3.wfa | 1572864 | 524288 | 524288 | 14 | 6512 | 112 | 112 | 16 | 256 | -14.78065646 | 7.625 | 6736 | 0.004282633 |
| lena16.bmp | lena16.bmp-withWavelet_haar-G_0.5-H7e-005_af3.wfa    | 1572864 | 524288 | 524288 | 13 | 5648 | 104 | 104 | 16 | 256 | -15.58906587 | 7.39  | 5856 | 0.003723145 |
| lena16.bmp | lena16.bmp-withWavelet_rbio1.1-G_0.5-H7e-005_af3.wfa | 1572864 | 524288 | 524288 | 13 | 5648 | 104 | 104 | 16 | 256 | -15.58906587 | 7.454 | 5856 | 0.003723145 |
| lena16.bmp | lena16.bmp-withWavelet_sym1-G_0.5-H7e-005_af3.wfa    | 1572864 | 524288 | 524288 | 13 | 5648 | 104 | 104 | 16 | 256 | -15.58906587 | 7.656 | 5856 | 0.003723145 |
| lena16.bmp | lena16.bmp-withWavelet_bior1.1-G_0.5-H7e-005_af3.wfa | 1572864 | 524288 | 524288 | 13 | 5648 | 104 | 104 | 16 | 256 | -15.58906587 | 7.532 | 5856 | 0.003723145 |

|            |  |         |        |        |    |      |     |     |    |     |              |       |      |             |
|------------|--|---------|--------|--------|----|------|-----|-----|----|-----|--------------|-------|------|-------------|
| lena16.bmp | lena16.bmp-withWavelet_haar-G_0.5-H1e-005_af2.wfa    | 393216  | 131072 | 131072 | 17 | 9488 | 136 | 136 | 16 | 128 | -15.66957381 | 2.094 | 9760 | 0.024820964 |
| lena16.bmp | lena16.bmp-withWavelet_rbio1.1-G_0.5-H1e-005_af2.wfa | 393216  | 131072 | 131072 | 17 | 9488 | 136 | 136 | 16 | 128 | -15.66957381 | 2.094 | 9760 | 0.024820964 |
| lena16.bmp | lena16.bmp-withWavelet_sym1-G_0.5-H1e-005_af2.wfa    | 393216  | 131072 | 131072 | 17 | 9488 | 136 | 136 | 16 | 128 | -15.66957381 | 2.125 | 9760 | 0.024820964 |
| lena16.bmp | lena16.bmp-withWavelet_bior1.1-G_0.5-H1e-005_af2.wfa | 393216  | 131072 | 131072 | 17 | 9488 | 136 | 136 | 16 | 128 | -15.66957381 | 2.203 | 9760 | 0.024820964 |
| lena16.bmp | lena16.bmp-withWavelet_haar-G_0.5-H7e-005_af2.wfa    | 393216  | 131072 | 131072 | 12 | 4848 | 96  | 96  | 16 | 128 | -18.11761396 | 1.672 | 5040 | 0.012817383 |
| lena16.bmp | lena16.bmp-withWavelet_rbio1.1-G_0.5-H7e-005_af2.wfa | 393216  | 131072 | 131072 | 12 | 4848 | 96  | 96  | 16 | 128 | -18.11761396 | 1.687 | 5040 | 0.012817383 |
| lena16.bmp | lena16.bmp-withWavelet_sym1-G_0.5-H7e-005_af2.wfa    | 393216  | 131072 | 131072 | 12 | 4848 | 96  | 96  | 16 | 128 | -18.11761396 | 1.687 | 5040 | 0.012817383 |
| lena16.bmp | lena16.bmp-withWavelet_bior1.1-G_0.5-H7e-005_af2.wfa | 393216  | 131072 | 131072 | 12 | 4848 | 96  | 96  | 16 | 128 | -18.11761396 | 1.687 | 5040 | 0.012817383 |
| lena16.bmp | lena16.bmp-withWavelet_haar-G_0.5-H8e-005_af2.wfa    | 393216  | 131072 | 131072 | 12 | 4848 | 96  | 96  | 16 | 128 | -18.11761396 | 1.671 | 5040 | 0.012817383 |
| lena16.bmp | lena16.bmp-withWavelet_rbio1.1-G_0.5-H8e-005_af2.wfa | 393216  | 131072 | 131072 | 12 | 4848 | 96  | 96  | 16 | 128 | -18.11761396 | 1.688 | 5040 | 0.012817383 |
| lena16.bmp | lena16.bmp-withWavelet_sym1-G_0.5-H8e-005_af2.wfa    | 393216  | 131072 | 131072 | 12 | 4848 | 96  | 96  | 16 | 128 | -18.11761396 | 1.672 | 5040 | 0.012817383 |
| lena16.bmp | lena16.bmp-withWavelet_bior1.1-G_0.5-H8e-005_af2.wfa | 393216  | 131072 | 131072 | 12 | 4848 | 96  | 96  | 16 | 128 | -18.11761396 | 1.672 | 5040 | 0.012817383 |
| lena16.bmp | lena16.bmp-withWavelet_haar-G_0.5-H1e-005_af4.wfa    | 1572864 | 524288 | 524288 | 16 | 8432 | 128 | 128 | 16 | 256 | -18.38453905 | 8.985 | 8688 | 0.005523682 |
| lena16.bmp | lena16.bmp-withWavelet_rbio1.1-G_0.5-H1e-005_af4.wfa | 1572864 | 524288 | 524288 | 16 | 8432 | 128 | 128 | 16 | 256 | -18.38453905 | 8.328 | 8688 | 0.005523682 |
| lena16.bmp | lena16.bmp-withWavelet_sym1-G_0.5-H1e-005_af4.wfa    | 1572864 | 524288 | 524288 | 16 | 8432 | 128 | 128 | 16 | 256 | -18.38453905 | 8.953 | 8688 | 0.005523682 |
| lena16.bmp | lena16.bmp-withWavelet_bior1.1-G_0.5-H1e-005_af4.wfa | 1572864 | 524288 | 524288 | 16 | 8432 | 128 | 128 | 16 | 256 | -18.38453905 | 8.39  | 8688 | 0.005523682 |
| lena16.bmp | lena16.bmp-withWavelet_haar-G_0.5-H2e-005_af1.wfa    | 1572864 | 524288 | 524288 | 17 | 9488 | 136 | 136 | 16 | 256 | -18.48401203 | 9.547 | 9760 | 0.006205241 |
| lena16.bmp | lena16.bmp-withWavelet_rbio1.1-G_0.5-H2e-005_af1.wfa | 1572864 | 524288 | 524288 | 17 | 9488 | 136 | 136 | 16 | 256 | -18.48401203 | 8.687 | 9760 | 0.006205241 |
| lena16.bmp | lena16.bmp-withWavelet_sym1-G_0.5-H2e-005_af1.wfa    | 1572864 | 524288 | 524288 | 17 | 9488 | 136 | 136 | 16 | 256 | -18.48401203 | 9.328 | 9760 | 0.006205241 |
| lena16.bmp | lena16.bmp-withWavelet_bior1.1-G_0.5-H2e-005_af1.wfa | 1572864 | 524288 | 524288 | 17 | 9488 | 136 | 136 | 16 | 256 | -18.48401203 | 8.656 | 9760 | 0.006205241 |
| lena16.bmp | lena16.bmp-withWavelet_haar-G_0.5-H9e-005_af2.wfa    | 1572864 | 524288 | 524288 | 11 | 4112 | 88  | 88  | 16 | 256 | -19.42236619 | 6.859 | 4288 | 0.002726237 |
| lena16.bmp | lena16.bmp-withWavelet_rbio1.1-G_0.5-H9e-005_af2.wfa | 1572864 | 524288 | 524288 | 11 | 4112 | 88  | 88  | 16 | 256 | -19.42236619 | 6.875 | 4288 | 0.002726237 |
| lena16.bmp | lena16.bmp-withWavelet_sym1-G_0.5-H9e-005_af2.wfa    | 1572864 | 524288 | 524288 | 11 | 4112 | 88  | 88  | 16 | 256 | -19.42236619 | 6.969 | 4288 | 0.002726237 |
| lena16.bmp | lena16.bmp-withWavelet_bior1.1-G_0.5-H9e-005_af2.wfa | 1572864 | 524288 | 524288 | 11 | 4112 | 88  | 88  | 16 | 256 | -19.42236619 | 6.86  | 4288 | 0.002726237 |
| lena16.bmp | lena16.bmp-withWavelet_haar-G_0.5-H0.0001_af2.wfa    | 1572864 | 524288 | 524288 | 11 | 4112 | 88  | 88  | 16 | 256 | -19.42236619 | 6.89  | 4288 | 0.002726237 |
| lena16.bmp | lena16.bmp-withWavelet_rbio1.1-G_0.5-H0.0001_af2.wfa | 1572864 | 524288 | 524288 | 11 | 4112 | 88  | 88  | 16 | 256 | -19.42236619 | 6.844 | 4288 | 0.002726237 |
| lena16.bmp | lena16.bmp-withWavelet_sym1-G_0.5-H0.0001_af2.wfa    | 1572864 | 524288 | 524288 | 11 | 4112 | 88  | 88  | 16 | 256 | -19.42236619 | 6.922 | 4288 | 0.002726237 |
| lena16.bmp | lena16.bmp-withWavelet_bior1.1-G_0.5-H0.0001_af2.wfa | 1572864 | 524288 | 524288 | 11 | 4112 | 88  | 88  | 16 | 256 | -19.42236619 | 6.907 | 4288 | 0.002726237 |
| lena16.bmp | lena16.bmp-withWavelet_haar-G_0.5-H3e-005_af1.wfa    | 1572864 | 524288 | 524288 | 16 | 8432 | 128 | 128 | 16 | 256 | -19.60227006 | 8.36  | 8688 | 0.005523682 |
| lena16.bmp | lena16.bmp-withWavelet_rbio1.1-G_0.5-H3e-005_af1.wfa | 1572864 | 524288 | 524288 | 16 | 8432 | 128 | 128 | 16 | 256 | -19.60227006 | 8.922 | 8688 | 0.005523682 |
| lena16.bmp | lena16.bmp-withWavelet_sym1-G_0.5-H3e-005_af1.wfa    | 1572864 | 524288 | 524288 | 16 | 8432 | 128 | 128 | 16 | 256 | -19.60227006 | 8.141 | 8688 | 0.005523682 |

|            |  |         |        |        |    |      |     |     |    |     |              |       |      |             |
|------------|--|---------|--------|--------|----|------|-----|-----|----|-----|--------------|-------|------|-------------|
| lena16.bmp | lena16.bmp-withWavelet_bior1.1-G_0.5-H3e-005_af1.wfa | 1572864 | 524288 | 524288 | 16 | 8432 | 128 | 128 | 16 | 256 | -19.60227006 | 8.859 | 8688 | 0.005523682 |
| lena16.bmp | lena16.bmp-withWavelet_haar-G_0.5-H3e-005_af2.wfa    | 1572864 | 524288 | 524288 | 14 | 6512 | 112 | 112 | 16 | 256 | -19.97376464 | 7.671 | 6736 | 0.004282633 |
| lena16.bmp | lena16.bmp-withWavelet_rbio1.1-G_0.5-H3e-005_af2.wfa | 1572864 | 524288 | 524288 | 14 | 6512 | 112 | 112 | 16 | 256 | -19.97376464 | 7.594 | 6736 | 0.004282633 |
| lena16.bmp | lena16.bmp-withWavelet_sym1-G_0.5-H3e-005_af2.wfa    | 1572864 | 524288 | 524288 | 14 | 6512 | 112 | 112 | 16 | 256 | -19.97376464 | 7.578 | 6736 | 0.004282633 |
| lena16.bmp | lena16.bmp-withWavelet_bior1.1-G_0.5-H3e-005_af2.wfa | 1572864 | 524288 | 524288 | 14 | 6512 | 112 | 112 | 16 | 256 | -19.97376464 | 7.687 | 6736 | 0.004282633 |
| lena16.bmp | lena16.bmp-withWavelet_haar-G_0.5-H5e-005_af1.wfa    | 1572864 | 524288 | 524288 | 15 | 7440 | 120 | 120 | 16 | 256 | -20.06123382 | 7.953 | 7680 | 0.004882813 |
| lena16.bmp | lena16.bmp-withWavelet_rbio1.1-G_0.5-H5e-005_af1.wfa | 1572864 | 524288 | 524288 | 15 | 7440 | 120 | 120 | 16 | 256 | -20.06123382 | 7.969 | 7680 | 0.004882813 |
| lena16.bmp | lena16.bmp-withWavelet_sym1-G_0.5-H5e-005_af1.wfa    | 1572864 | 524288 | 524288 | 15 | 7440 | 120 | 120 | 16 | 256 | -20.06123382 | 8.016 | 7680 | 0.004882813 |
| lena16.bmp | lena16.bmp-withWavelet_bior1.1-G_0.5-H5e-005_af1.wfa | 1572864 | 524288 | 524288 | 15 | 7440 | 120 | 120 | 16 | 256 | -20.06123382 | 7.984 | 7680 | 0.004882813 |
| lena16.bmp | lena16.bmp-withWavelet_haar-G_0.5-H2e-005_af2.wfa    | 1572864 | 524288 | 524288 | 15 | 7440 | 120 | 120 | 16 | 256 | -20.57414231 | 8     | 7680 | 0.004882813 |
| lena16.bmp | lena16.bmp-withWavelet_rbio1.1-G_0.5-H2e-005_af2.wfa | 1572864 | 524288 | 524288 | 15 | 7440 | 120 | 120 | 16 | 256 | -20.57414231 | 7.984 | 7680 | 0.004882813 |
| lena16.bmp | lena16.bmp-withWavelet_sym1-G_0.5-H2e-005_af2.wfa    | 1572864 | 524288 | 524288 | 15 | 7440 | 120 | 120 | 16 | 256 | -20.57414231 | 8.063 | 7680 | 0.004882813 |
| lena16.bmp | lena16.bmp-withWavelet_bior1.1-G_0.5-H2e-005_af2.wfa | 1572864 | 524288 | 524288 | 15 | 7440 | 120 | 120 | 16 | 256 | -20.57414231 | 8.265 | 7680 | 0.004882813 |
| lena16.bmp | lena16.bmp-G_0.5-H2e-005_af2.wfa                     | 1572864 | 524288 |        | 14 | 6512 | 112 | 112 | 16 | 256 | -20.63021605 | 7.562 | 6736 | 0.004282633 |
| lena16.bmp | lena16.bmp-G_0.5-H3e-005_af2.wfa                     | 1572864 | 524288 |        | 14 | 6512 | 112 | 112 | 16 | 256 | -20.63021605 | 7.61  | 6736 | 0.004282633 |
| lena16.bmp | lena16.bmp-G_0.5-H4e-005_af2.wfa                     | 1572864 | 524288 |        | 14 | 6512 | 112 | 112 | 16 | 256 | -20.63021605 | 7.531 | 6736 | 0.004282633 |
| lena16.bmp | lena16.bmp-withWavelet_haar-G_0.5-H5e-005_af2.wfa    | 393216  | 131072 | 131072 | 13 | 5648 | 104 | 104 | 16 | 128 | -21.09383353 | 1.734 | 5856 | 0.014892578 |
| lena16.bmp | lena16.bmp-withWavelet_rbio1.1-G_0.5-H5e-005_af2.wfa | 393216  | 131072 | 131072 | 13 | 5648 | 104 | 104 | 16 | 128 | -21.09383353 | 1.734 | 5856 | 0.014892578 |
| lena16.bmp | lena16.bmp-withWavelet_sym1-G_0.5-H5e-005_af2.wfa    | 393216  | 131072 | 131072 | 13 | 5648 | 104 | 104 | 16 | 128 | -21.09383353 | 1.766 | 5856 | 0.014892578 |
| lena16.bmp | lena16.bmp-withWavelet_bior1.1-G_0.5-H5e-005_af2.wfa | 393216  | 131072 | 131072 | 13 | 5648 | 104 | 104 | 16 | 128 | -21.09383353 | 1.735 | 5856 | 0.014892578 |
| lena16.bmp | lena16.bmp-withWavelet_haar-G_0.5-H6e-005_af2.wfa    | 393216  | 131072 | 131072 | 13 | 5648 | 104 | 104 | 16 | 128 | -21.09383353 | 1.766 | 5856 | 0.014892578 |
| lena16.bmp | lena16.bmp-withWavelet_rbio1.1-G_0.5-H6e-005_af2.wfa | 393216  | 131072 | 131072 | 13 | 5648 | 104 | 104 | 16 | 128 | -21.09383353 | 1.766 | 5856 | 0.014892578 |
| lena16.bmp | lena16.bmp-withWavelet_sym1-G_0.5-H6e-005_af2.wfa    | 393216  | 131072 | 131072 | 13 | 5648 | 104 | 104 | 16 | 128 | -21.09383353 | 1.735 | 5856 | 0.014892578 |
| lena16.bmp | lena16.bmp-withWavelet_bior1.1-G_0.5-H6e-005_af2.wfa | 393216  | 131072 | 131072 | 13 | 5648 | 104 | 104 | 16 | 128 | -21.09383353 | 1.75  | 5856 | 0.014892578 |
| lena16.bmp | lena16.bmp-withWavelet_haar-G_0.5-H4e-005_af2.wfa    | 393216  | 131072 | 131072 | 14 | 6512 | 112 | 112 | 16 | 128 | -21.7681202  | 1.797 | 6736 | 0.017130534 |
| lena16.bmp | lena16.bmp-withWavelet_rbio1.1-G_0.5-H4e-005_af2.wfa | 393216  | 131072 | 131072 | 14 | 6512 | 112 | 112 | 16 | 128 | -21.7681202  | 1.782 | 6736 | 0.017130534 |
| lena16.bmp | lena16.bmp-withWavelet_sym1-G_0.5-H4e-005_af2.wfa    | 393216  | 131072 | 131072 | 14 | 6512 | 112 | 112 | 16 | 128 | -21.7681202  | 1.813 | 6736 | 0.017130534 |
| lena16.bmp | lena16.bmp-withWavelet_bior1.1-G_0.5-H4e-005_af2.wfa | 393216  | 131072 | 131072 | 14 | 6512 | 112 | 112 | 16 | 128 | -21.7681202  | 1.813 | 6736 | 0.017130534 |
| lena16.bmp | lena16.bmp-withWavelet_haar-G_0.5-H0.0001_af3.wfa    | 1572864 | 524288 | 524288 | 11 | 4112 | 88  | 88  | 16 | 256 | -21.84870868 | 6.921 | 4288 | 0.002726237 |
| lena16.bmp | lena16.bmp-withWavelet_rbio1.1-G_0.5-H0.0001_af3.wfa | 1572864 | 524288 | 524288 | 11 | 4112 | 88  | 88  | 16 | 256 | -21.84870868 | 6.875 | 4288 | 0.002726237 |
| lena16.bmp | lena16.bmp-withWavelet_sym1-G_0.5-H0.0001_af3.wfa    | 1572864 | 524288 | 524288 | 11 | 4112 | 88  | 88  | 16 | 256 | -21.84870868 | 6.891 | 4288 | 0.002726237 |

|            |  |         |        |        |    |      |     |     |    |     |              |        |      |             |
|------------|--|---------|--------|--------|----|------|-----|-----|----|-----|--------------|--------|------|-------------|
| lena16.bmp | lena16.bmp-withWavelet_bior1.1-G_0.5-H0.0001_af3.wfa | 1572864 | 524288 | 524288 | 11 | 4112 | 88  | 88  | 16 | 256 | -21.84870868 | 6.844  | 4288 | 0.002726237 |
| lena16.bmp | lena16.bmp-withWavelet_haar-G_0.5-H5e-005_af3.wfa    | 1572864 | 524288 | 524288 | 15 | 7440 | 120 | 120 | 16 | 256 | -23.12048571 | 8.171  | 7680 | 0.004882813 |
| lena16.bmp | lena16.bmp-withWavelet_rbio1.1-G_0.5-H5e-005_af3.wfa | 1572864 | 524288 | 524288 | 15 | 7440 | 120 | 120 | 16 | 256 | -23.12048571 | 8.016  | 7680 | 0.004882813 |
| lena16.bmp | lena16.bmp-withWavelet_sym1-G_0.5-H5e-005_af3.wfa    | 1572864 | 524288 | 524288 | 15 | 7440 | 120 | 120 | 16 | 256 | -23.12048571 | 7.875  | 7680 | 0.004882813 |
| lena16.bmp | lena16.bmp-withWavelet_bior1.1-G_0.5-H5e-005_af3.wfa | 1572864 | 524288 | 524288 | 15 | 7440 | 120 | 120 | 16 | 256 | -23.12048571 | 7.968  | 7680 | 0.004882813 |
| lena16.bmp | lena16.bmp-withWavelet_haar-G_0.5-H2e-005_af3.wfa    | 1572864 | 524288 | 524288 | 16 | 8432 | 128 | 128 | 16 | 256 | -25.13183757 | 8.188  | 8688 | 0.005523682 |
| lena16.bmp | lena16.bmp-withWavelet_rbio1.1-G_0.5-H2e-005_af3.wfa | 1572864 | 524288 | 524288 | 16 | 8432 | 128 | 128 | 16 | 256 | -25.13183757 | 8.953  | 8688 | 0.005523682 |
| lena16.bmp | lena16.bmp-withWavelet_sym1-G_0.5-H2e-005_af3.wfa    | 1572864 | 524288 | 524288 | 16 | 8432 | 128 | 128 | 16 | 256 | -25.13183757 | 8.234  | 8688 | 0.005523682 |
| lena16.bmp | lena16.bmp-withWavelet_bior1.1-G_0.5-H2e-005_af3.wfa | 1572864 | 524288 | 524288 | 16 | 8432 | 128 | 128 | 16 | 256 | -25.13183757 | 8.797  | 8688 | 0.005523682 |
| lena16.bmp | lena16.bmp-withWavelet_haar-G_0.5-H1e-005_af3.wfa    | 1572864 | 524288 | 524288 | 16 | 8432 | 128 | 128 | 16 | 256 | -25.13183757 | 9.39   | 8688 | 0.005523682 |
| lena16.bmp | lena16.bmp-withWavelet_rbio1.1-G_0.5-H1e-005_af3.wfa | 1572864 | 524288 | 524288 | 16 | 8432 | 128 | 128 | 16 | 256 | -25.13183757 | 9.219  | 8688 | 0.005523682 |
| lena16.bmp | lena16.bmp-withWavelet_sym1-G_0.5-H1e-005_af3.wfa    | 1572864 | 524288 | 524288 | 16 | 8432 | 128 | 128 | 16 | 256 | -25.13183757 | 8.109  | 8688 | 0.005523682 |
| lena16.bmp | lena16.bmp-withWavelet_bior1.1-G_0.5-H1e-005_af3.wfa | 1572864 | 524288 | 524288 | 16 | 8432 | 128 | 128 | 16 | 256 | -25.13183757 | 9.016  | 8688 | 0.005523682 |
| lena16.bmp | lena16.bmp-withWavelet_haar-G_0.5-H1e-005_af2.wfa    | 1572864 | 524288 | 524288 | 17 | 9488 | 136 | 136 | 16 | 256 | -27.80257014 | 8.812  | 9760 | 0.006205241 |
| lena16.bmp | lena16.bmp-withWavelet_rbio1.1-G_0.5-H1e-005_af2.wfa | 1572864 | 524288 | 524288 | 17 | 9488 | 136 | 136 | 16 | 256 | -27.80257014 | 9.234  | 9760 | 0.006205241 |
| lena16.bmp | lena16.bmp-withWavelet_sym1-G_0.5-H1e-005_af2.wfa    | 1572864 | 524288 | 524288 | 17 | 9488 | 136 | 136 | 16 | 256 | -27.80257014 | 8.844  | 9760 | 0.006205241 |
| lena16.bmp | lena16.bmp-withWavelet_bior1.1-G_0.5-H1e-005_af2.wfa | 1572864 | 524288 | 524288 | 17 | 9488 | 136 | 136 | 16 | 256 | -27.80257014 | 11.203 | 9760 | 0.006205241 |
| lena16.bmp | lena16.bmp-G_0.5-H1e-005_af2.wfa                     | 393216  | 131072 |        | 16 | 8432 | 128 | 128 | 16 | 128 | -31.56976599 | 2.172  | 8688 | 0.022094727 |
| lena16.bmp | lena16.bmp-withWavelet_haar-G_0.5-H7e-005_af2.wfa    | 1572864 | 524288 | 524288 | 12 | 4848 | 96  | 96  | 16 | 256 | -31.92992016 | 7.14   | 5040 | 0.003204346 |
| lena16.bmp | lena16.bmp-withWavelet_rbio1.1-G_0.5-H7e-005_af2.wfa | 1572864 | 524288 | 524288 | 12 | 4848 | 96  | 96  | 16 | 256 | -31.92992016 | 7.125  | 5040 | 0.003204346 |
| lena16.bmp | lena16.bmp-withWavelet_sym1-G_0.5-H7e-005_af2.wfa    | 1572864 | 524288 | 524288 | 12 | 4848 | 96  | 96  | 16 | 256 | -31.92992016 | 7.219  | 5040 | 0.003204346 |
| lena16.bmp | lena16.bmp-withWavelet_bior1.1-G_0.5-H7e-005_af2.wfa | 1572864 | 524288 | 524288 | 12 | 4848 | 96  | 96  | 16 | 256 | -31.92992016 | 7.125  | 5040 | 0.003204346 |
| lena16.bmp | lena16.bmp-withWavelet_haar-G_0.5-H8e-005_af2.wfa    | 1572864 | 524288 | 524288 | 12 | 4848 | 96  | 96  | 16 | 256 | -31.92992016 | 7.109  | 5040 | 0.003204346 |
| lena16.bmp | lena16.bmp-withWavelet_rbio1.1-G_0.5-H8e-005_af2.wfa | 1572864 | 524288 | 524288 | 12 | 4848 | 96  | 96  | 16 | 256 | -31.92992016 | 7.094  | 5040 | 0.003204346 |
| lena16.bmp | lena16.bmp-withWavelet_sym1-G_0.5-H8e-005_af2.wfa    | 1572864 | 524288 | 524288 | 12 | 4848 | 96  | 96  | 16 | 256 | -31.92992016 | 7.265  | 5040 | 0.003204346 |
| lena16.bmp | lena16.bmp-withWavelet_bior1.1-G_0.5-H8e-005_af2.wfa | 1572864 | 524288 | 524288 | 12 | 4848 | 96  | 96  | 16 | 256 | -31.92992016 | 7.062  | 5040 | 0.003204346 |
| lena16.bmp | lena16.bmp-withWavelet_haar-G_0.5-H5e-005_af2.wfa    | 1572864 | 524288 | 524288 | 13 | 5648 | 104 | 104 | 16 | 256 | -35.43328563 | 7.438  | 5856 | 0.003723145 |
| lena16.bmp | lena16.bmp-withWavelet_rbio1.1-G_0.5-H5e-005_af2.wfa | 1572864 | 524288 | 524288 | 13 | 5648 | 104 | 104 | 16 | 256 | -35.43328563 | 7.453  | 5856 | 0.003723145 |
| lena16.bmp | lena16.bmp-withWavelet_sym1-G_0.5-H5e-005_af2.wfa    | 1572864 | 524288 | 524288 | 13 | 5648 | 104 | 104 | 16 | 256 | -35.43328563 | 7.469  | 5856 | 0.003723145 |
| lena16.bmp | lena16.bmp-withWavelet_bior1.1-G_0.5-H5e-005_af2.wfa | 1572864 | 524288 | 524288 | 13 | 5648 | 104 | 104 | 16 | 256 | -35.43328563 | 7.422  | 5856 | 0.003723145 |
| lena16.bmp | lena16.bmp-withWavelet_haar-G_0.5-H6e-005_af2.wfa    | 1572864 | 524288 | 524288 | 13 | 5648 | 104 | 104 | 16 | 256 | -35.43328563 | 7.422  | 5856 | 0.003723145 |

|            |  |         |        |        |    |      |     |     |    |     |              |       |      |             |
|------------|--|---------|--------|--------|----|------|-----|-----|----|-----|--------------|-------|------|-------------|
| lena16.bmp | lena16.bmp-withWavelet_rbio1.1-G_0.5-H6e-005_af2.wfa | 1572864 | 524288 | 524288 | 13 | 5648 | 104 | 104 | 16 | 256 | -35.43328563 | 7.454 | 5856 | 0.003723145 |
| lena16.bmp | lena16.bmp-withWavelet_sym1-G_0.5-H6e-005_af2.wfa    | 1572864 | 524288 | 524288 | 13 | 5648 | 104 | 104 | 16 | 256 | -35.43328563 | 7.422 | 5856 | 0.003723145 |
| lena16.bmp | lena16.bmp-withWavelet_bior1.1-G_0.5-H6e-005_af2.wfa | 1572864 | 524288 | 524288 | 13 | 5648 | 104 | 104 | 16 | 256 | -35.43328563 | 7.406 | 5856 | 0.003723145 |
| lena16.bmp | lena16.bmp-withWavelet_haar-G_0.5-H4e-005_af2.wfa    | 1572864 | 524288 | 524288 | 14 | 6512 | 112 | 112 | 16 | 256 | -35.8388807  | 7.687 | 6736 | 0.004282633 |
| lena16.bmp | lena16.bmp-withWavelet_rbio1.1-G_0.5-H4e-005_af2.wfa | 1572864 | 524288 | 524288 | 14 | 6512 | 112 | 112 | 16 | 256 | -35.8388807  | 7.578 | 6736 | 0.004282633 |
| lena16.bmp | lena16.bmp-withWavelet_sym1-G_0.5-H4e-005_af2.wfa    | 1572864 | 524288 | 524288 | 14 | 6512 | 112 | 112 | 16 | 256 | -35.8388807  | 7.579 | 6736 | 0.004282633 |
| lena16.bmp | lena16.bmp-withWavelet_bior1.1-G_0.5-H4e-005_af2.wfa | 1572864 | 524288 | 524288 | 14 | 6512 | 112 | 112 | 16 | 256 | -35.8388807  | 7.609 | 6736 | 0.004282633 |
| lena16.bmp | lena16.bmp-G_0.5-H1e-005_af2.wfa                     | 1572864 | 524288 |        | 16 | 8432 | 128 | 128 | 16 | 256 | -48.56708272 | 8.625 | 8688 | 0.005523682 |
| lena16.bmp | lena16.bmp-withWavelet_haar-G_0.5-H3e-005_af3.wfa    | 98304   | 32768  | 32768  | 16 | 8432 | 128 | 128 | 16 | 64  | -48.78765193 | 0.516 | 8688 | 0.088378906 |
| lena16.bmp | lena16.bmp-withWavelet_rbio1.1-G_0.5-H3e-005_af3.wfa | 98304   | 32768  | 32768  | 16 | 8432 | 128 | 128 | 16 | 64  | -48.78765193 | 0.469 | 8688 | 0.088378906 |
| lena16.bmp | lena16.bmp-withWavelet_sym1-G_0.5-H3e-005_af3.wfa    | 98304   | 32768  | 32768  | 16 | 8432 | 128 | 128 | 16 | 64  | -48.78765193 | 0.453 | 8688 | 0.088378906 |
| lena16.bmp | lena16.bmp-withWavelet_bior1.1-G_0.5-H3e-005_af3.wfa | 98304   | 32768  | 32768  | 16 | 8432 | 128 | 128 | 16 | 64  | -48.78765193 | 0.469 | 8688 | 0.088378906 |
| lena16.bmp | lena16.bmp-withWavelet_haar-G_0.5-H4e-005_af3.wfa    | 98304   | 32768  | 32768  | 16 | 8432 | 128 | 128 | 16 | 64  | -48.78765193 | 0.468 | 8688 | 0.088378906 |
| lena16.bmp | lena16.bmp-withWavelet_rbio1.1-G_0.5-H4e-005_af3.wfa | 98304   | 32768  | 32768  | 16 | 8432 | 128 | 128 | 16 | 64  | -48.78765193 | 0.453 | 8688 | 0.088378906 |
| lena16.bmp | lena16.bmp-withWavelet_sym1-G_0.5-H4e-005_af3.wfa    | 98304   | 32768  | 32768  | 16 | 8432 | 128 | 128 | 16 | 64  | -48.78765193 | 0.453 | 8688 | 0.088378906 |
| lena16.bmp | lena16.bmp-withWavelet_bior1.1-G_0.5-H4e-005_af3.wfa | 98304   | 32768  | 32768  | 16 | 8432 | 128 | 128 | 16 | 64  | -48.78765193 | 0.453 | 8688 | 0.088378906 |
| lena16.bmp | lena16.bmp-withWavelet_haar-G_0.5-H3e-005_af3.wfa    | 393216  | 131072 | 131072 | 16 | 8432 | 128 | 128 | 16 | 128 | -83.50156389 | 2.047 | 8688 | 0.022094727 |
| lena16.bmp | lena16.bmp-withWavelet_rbio1.1-G_0.5-H3e-005_af3.wfa | 393216  | 131072 | 131072 | 16 | 8432 | 128 | 128 | 16 | 128 | -83.50156389 | 1.953 | 8688 | 0.022094727 |
| lena16.bmp | lena16.bmp-withWavelet_sym1-G_0.5-H3e-005_af3.wfa    | 393216  | 131072 | 131072 | 16 | 8432 | 128 | 128 | 16 | 128 | -83.50156389 | 1.922 | 8688 | 0.022094727 |
| lena16.bmp | lena16.bmp-withWavelet_bior1.1-G_0.5-H3e-005_af3.wfa | 393216  | 131072 | 131072 | 16 | 8432 | 128 | 128 | 16 | 128 | -83.50156389 | 1.922 | 8688 | 0.022094727 |
| lena16.bmp | lena16.bmp-withWavelet_haar-G_0.5-H4e-005_af3.wfa    | 393216  | 131072 | 131072 | 16 | 8432 | 128 | 128 | 16 | 128 | -83.50156389 | 1.907 | 8688 | 0.022094727 |
| lena16.bmp | lena16.bmp-withWavelet_rbio1.1-G_0.5-H4e-005_af3.wfa | 393216  | 131072 | 131072 | 16 | 8432 | 128 | 128 | 16 | 128 | -83.50156389 | 1.922 | 8688 | 0.022094727 |
| lena16.bmp | lena16.bmp-withWavelet_sym1-G_0.5-H4e-005_af3.wfa    | 393216  | 131072 | 131072 | 16 | 8432 | 128 | 128 | 16 | 128 | -83.50156389 | 1.906 | 8688 | 0.022094727 |
| lena16.bmp | lena16.bmp-withWavelet_bior1.1-G_0.5-H4e-005_af3.wfa | 393216  | 131072 | 131072 | 16 | 8432 | 128 | 128 | 16 | 128 | -83.50156389 | 1.906 | 8688 | 0.022094727 |
| lena16.bmp | lena16.bmp-withWavelet_haar-G_0.5-H3e-005_af3.wfa    | 1572864 | 524288 | 524288 | 16 | 8432 | 128 | 128 | 16 | 256 | -118.2149551 | 8.328 | 8688 | 0.005523682 |
| lena16.bmp | lena16.bmp-withWavelet_rbio1.1-G_0.5-H3e-005_af3.wfa | 1572864 | 524288 | 524288 | 16 | 8432 | 128 | 128 | 16 | 256 | -118.2149551 | 8.984 | 8688 | 0.005523682 |
| lena16.bmp | lena16.bmp-withWavelet_sym1-G_0.5-H3e-005_af3.wfa    | 1572864 | 524288 | 524288 | 16 | 8432 | 128 | 128 | 16 | 256 | -118.2149551 | 8.188 | 8688 | 0.005523682 |
| lena16.bmp | lena16.bmp-withWavelet_bior1.1-G_0.5-H3e-005_af3.wfa | 1572864 | 524288 | 524288 | 16 | 8432 | 128 | 128 | 16 | 256 | -118.2149551 | 8.953 | 8688 | 0.005523682 |
| lena16.bmp | lena16.bmp-withWavelet_haar-G_0.5-H4e-005_af3.wfa    | 1572864 | 524288 | 524288 | 16 | 8432 | 128 | 128 | 16 | 256 | -118.2149551 | 8.875 | 8688 | 0.005523682 |
| lena16.bmp | lena16.bmp-withWavelet_rbio1.1-G_0.5-H4e-005_af3.wfa | 1572864 | 524288 | 524288 | 16 | 8432 | 128 | 128 | 16 | 256 | -118.2149551 | 8.891 | 8688 | 0.005523682 |
| lena16.bmp | lena16.bmp-withWavelet_sym1-G_0.5-H4e-005_af3.wfa    | 1572864 | 524288 | 524288 | 16 | 8432 | 128 | 128 | 16 | 256 | -118.2149551 | 8.141 | 8688 | 0.005523682 |

|            |  |         |        |        |    |      |     |     |    |     |              |       |      |             |
|------------|--|---------|--------|--------|----|------|-----|-----|----|-----|--------------|-------|------|-------------|
| lena16.bmp | lena16.bmp-withWavelet_bior1.1-G_0.5-H4e-005_af3.wfa | 1572864 | 524288 | 524288 | 16 | 8432 | 128 | 128 | 16 | 256 | -118.2149551 | 8.172 | 8688 | 0.005523682 |
|------------|--|---------|--------|--------|----|------|-----|-----|----|-----|--------------|-------|------|-------------|

**Tabela III.11 – Decodificação para lena32.bmp**

| Img        | Img codificada                                       | IBytes | GSByte | WletBy | #Stes | Wby   | IBy | FBy | ResCo | ResDe | PSNR        | Time  | Total | %           |
|------------|--|--------|--------|--------|-------|-------|-----|-----|-------|-------|-------------|-------|-------|-------------|
| lena32.bmp | lena32.bmp-withWavelet_haar-G_0.6-H9e-005_af1.wfa    | 24576  | 8192   | 8192   | 18    | 10608 | 144 | 144 | 32    | 32    | 20.17365955 | 0.109 | 10896 | 0.443359375 |
| lena32.bmp | lena32.bmp-withWavelet_rbio1.1-G_0.6-H9e-005_af1.wfa | 24576  | 8192   | 8192   | 18    | 10608 | 144 | 144 | 32    | 32    | 20.17365955 | 0.109 | 10896 | 0.443359375 |
| lena32.bmp | lena32.bmp-withWavelet_sym1-G_0.6-H9e-005_af1.wfa    | 24576  | 8192   | 8192   | 18    | 10608 | 144 | 144 | 32    | 32    | 20.17365955 | 0.109 | 10896 | 0.443359375 |
| lena32.bmp | lena32.bmp-withWavelet_bior1.1-G_0.6-H9e-005_af1.wfa | 24576  | 8192   | 8192   | 18    | 10608 | 144 | 144 | 32    | 32    | 20.17365955 | 0.109 | 10896 | 0.443359375 |
| lena32.bmp | lena32.bmp-withWavelet_haar-G_0.6-H0.0001_af1.wfa    | 24576  | 8192   | 8192   | 18    | 10608 | 144 | 144 | 32    | 32    | 20.17365955 | 0.125 | 10896 | 0.443359375 |
| lena32.bmp | lena32.bmp-withWavelet_rbio1.1-G_0.6-H0.0001_af1.wfa | 24576  | 8192   | 8192   | 18    | 10608 | 144 | 144 | 32    | 32    | 20.17365955 | 0.11  | 10896 | 0.443359375 |
| lena32.bmp | lena32.bmp-withWavelet_sym1-G_0.6-H0.0001_af1.wfa    | 24576  | 8192   | 8192   | 18    | 10608 | 144 | 144 | 32    | 32    | 20.17365955 | 0.125 | 10896 | 0.443359375 |
| lena32.bmp | lena32.bmp-withWavelet_bior1.1-G_0.6-H0.0001_af1.wfa | 24576  | 8192   | 8192   | 18    | 10608 | 144 | 144 | 32    | 32    | 20.17365955 | 0.125 | 10896 | 0.443359375 |
| lena32.bmp | lena32.bmp-G_0.6-H9e-005_af5.wfa                     | 24576  | 8192   |        | 19    | 11792 | 152 | 152 | 32    | 32    | 20.06656174 | 0.125 | 12096 | 0.4921875   |
| lena32.bmp | lena32.bmp-withWavelet_haar-G_1-H0.0001_af1.wfa      | 24576  | 8192   | 8192   | 19    | 11792 | 152 | 152 | 32    | 32    | 20.39588102 | 0.125 | 12096 | 0.4921875   |
| lena32.bmp | lena32.bmp-withWavelet_haar-G_1-H0.0001_af1.wfa      | 24576  | 8192   | 8192   | 19    | 11792 | 152 | 152 | 32    | 32    | 20.39588102 | 0.11  | 12096 | 0.4921875   |
| lena32.bmp | lena32.bmp-withWavelet_rbio1.1-G_1-H0.0001_af1.wfa   | 24576  | 8192   | 8192   | 19    | 11792 | 152 | 152 | 32    | 32    | 20.39588102 | 0.125 | 12096 | 0.4921875   |
| lena32.bmp | lena32.bmp-withWavelet_sym1-G_1-H0.0001_af1.wfa      | 24576  | 8192   | 8192   | 19    | 11792 | 152 | 152 | 32    | 32    | 20.39588102 | 0.343 | 12096 | 0.4921875   |
| lena32.bmp | lena32.bmp-withWavelet_bior1.1-G_1-H0.0001_af1.wfa   | 24576  | 8192   | 8192   | 19    | 11792 | 152 | 152 | 32    | 32    | 20.39588102 | 0.109 | 12096 | 0.4921875   |
| lena32.bmp | lena32.bmp-withWavelet_haar-G_0.8-H9e-005_af1.wfa    | 24576  | 8192   | 8192   | 19    | 11792 | 152 | 152 | 32    | 32    | 20.41699716 | 0.141 | 12096 | 0.4921875   |
| lena32.bmp | lena32.bmp-withWavelet_rbio1.1-G_0.8-H9e-005_af1.wfa | 24576  | 8192   | 8192   | 19    | 11792 | 152 | 152 | 32    | 32    | 20.41699716 | 0.11  | 12096 | 0.4921875   |
| lena32.bmp | lena32.bmp-withWavelet_sym1-G_0.8-H9e-005_af1.wfa    | 24576  | 8192   | 8192   | 19    | 11792 | 152 | 152 | 32    | 32    | 20.41699716 | 0.141 | 12096 | 0.4921875   |
| lena32.bmp | lena32.bmp-withWavelet_bior1.1-G_0.8-H9e-005_af1.wfa | 24576  | 8192   | 8192   | 19    | 11792 | 152 | 152 | 32    | 32    | 20.41699716 | 0.125 | 12096 | 0.4921875   |
| lena32.bmp | lena32.bmp-withWavelet_haar-G_0.8-H0.0001_af1.wfa    | 24576  | 8192   | 8192   | 19    | 11792 | 152 | 152 | 32    | 32    | 20.41699716 | 0.11  | 12096 | 0.4921875   |
| lena32.bmp | lena32.bmp-withWavelet_rbio1.1-G_0.8-H0.0001_af1.wfa | 24576  | 8192   | 8192   | 19    | 11792 | 152 | 152 | 32    | 32    | 20.41699716 | 0.125 | 12096 | 0.4921875   |
| lena32.bmp | lena32.bmp-withWavelet_sym1-G_0.8-H0.0001_af1.wfa    | 24576  | 8192   | 8192   | 19    | 11792 | 152 | 152 | 32    | 32    | 20.41699716 | 0.109 | 12096 | 0.4921875   |
| lena32.bmp | lena32.bmp-withWavelet_bior1.1-G_0.8-H0.0001_af1.wfa | 24576  | 8192   | 8192   | 19    | 11792 | 152 | 152 | 32    | 32    | 20.41699716 | 0.125 | 12096 | 0.4921875   |
| lena32.bmp | lena32.bmp-G_0.8-H8e-005_af5.wfa                     | 24576  | 8192   |        | 20    | 13040 | 160 | 160 | 32    | 32    | 20.05299384 | 0.109 | 13360 | 0.543619792 |
| lena32.bmp | lena32.bmp-G_0.6-H8e-005_af5.wfa                     | 24576  | 8192   |        | 20    | 13040 | 160 | 160 | 32    | 32    | 20.13990389 | 0.125 | 13360 | 0.543619792 |
| lena32.bmp | lena32.bmp-withWavelet_haar-G_1-H9e-005_af1.wfa      | 24576  | 8192   | 8192   | 20    | 13040 | 160 | 160 | 32    | 32    | 20.84089186 | 0.125 | 13360 | 0.543619792 |
| lena32.bmp | lena32.bmp-withWavelet_rbio1.1-G_1-H9e-005_af1.wfa   | 24576  | 8192   | 8192   | 20    | 13040 | 160 | 160 | 32    | 32    | 20.84089186 | 0.156 | 13360 | 0.543619792 |
| lena32.bmp | lena32.bmp-withWavelet_sym1-G_1-H9e-005_af1.wfa      | 24576  | 8192   | 8192   | 20    | 13040 | 160 | 160 | 32    | 32    | 20.84089186 | 0.125 | 13360 | 0.543619792 |
| lena32.bmp | lena32.bmp-withWavelet_bior1.1-G_1-H9e-005_af1.wfa   | 24576  | 8192   | 8192   | 20    | 13040 | 160 | 160 | 32    | 32    | 20.84089186 | 0.11  | 13360 | 0.543619792 |



|            |  |       |      |      |    |       |     |     |    |    |             |       |       |             |
|------------|--|-------|------|------|----|-------|-----|-----|----|----|-------------|-------|-------|-------------|
| lena32.bmp | lena32.bmp-withWavelet_haar-G_0.6-H7e-005_af1.wfa    | 24576 | 8192 | 8192 | 20 | 13040 | 160 | 160 | 32 | 32 | 20.90798157 | 0.125 | 13360 | 0.543619792 |
| lena32.bmp | lena32.bmp-withWavelet_rbio1.1-G_0.6-H7e-005_af1.wfa | 24576 | 8192 | 8192 | 20 | 13040 | 160 | 160 | 32 | 32 | 20.90798157 | 0.109 | 13360 | 0.543619792 |
| lena32.bmp | lena32.bmp-withWavelet_sym1-G_0.6-H7e-005_af1.wfa    | 24576 | 8192 | 8192 | 20 | 13040 | 160 | 160 | 32 | 32 | 20.90798157 | 0.125 | 13360 | 0.543619792 |
| lena32.bmp | lena32.bmp-withWavelet_bior1.1-G_0.6-H7e-005_af1.wfa | 24576 | 8192 | 8192 | 20 | 13040 | 160 | 160 | 32 | 32 | 20.90798157 | 0.109 | 13360 | 0.543619792 |
| lena32.bmp | lena32.bmp-withWavelet_haar-G_1-H9e-005_af4.wfa      | 24576 | 8192 | 8192 | 20 | 13040 | 160 | 160 | 32 | 32 | 20.93058445 | 0.125 | 13360 | 0.543619792 |
| lena32.bmp | lena32.bmp-withWavelet_rbio1.1-G_1-H9e-005_af4.wfa   | 24576 | 8192 | 8192 | 20 | 13040 | 160 | 160 | 32 | 32 | 20.93058445 | 0.125 | 13360 | 0.543619792 |
| lena32.bmp | lena32.bmp-withWavelet_sym1-G_1-H9e-005_af4.wfa      | 24576 | 8192 | 8192 | 20 | 13040 | 160 | 160 | 32 | 32 | 20.93058445 | 0.157 | 13360 | 0.543619792 |
| lena32.bmp | lena32.bmp-withWavelet_bior1.1-G_1-H9e-005_af4.wfa   | 24576 | 8192 | 8192 | 20 | 13040 | 160 | 160 | 32 | 32 | 20.93058445 | 0.14  | 13360 | 0.543619792 |
| lena32.bmp | lena32.bmp-withWavelet_haar-G_0.8-H9e-005_af4.wfa    | 24576 | 8192 | 8192 | 20 | 13040 | 160 | 160 | 32 | 32 | 20.97162512 | 0.125 | 13360 | 0.543619792 |
| lena32.bmp | lena32.bmp-withWavelet_rbio1.1-G_0.8-H9e-005_af4.wfa | 24576 | 8192 | 8192 | 20 | 13040 | 160 | 160 | 32 | 32 | 20.97162512 | 0.125 | 13360 | 0.543619792 |
| lena32.bmp | lena32.bmp-withWavelet_sym1-G_0.8-H9e-005_af4.wfa    | 24576 | 8192 | 8192 | 20 | 13040 | 160 | 160 | 32 | 32 | 20.97162512 | 0.125 | 13360 | 0.543619792 |
| lena32.bmp | lena32.bmp-withWavelet_bior1.1-G_0.8-H9e-005_af4.wfa | 24576 | 8192 | 8192 | 20 | 13040 | 160 | 160 | 32 | 32 | 20.97162512 | 0.125 | 13360 | 0.543619792 |
| lena32.bmp | lena32.bmp-withWavelet_haar-G_1-H0.0001_af4.wfa      | 24576 | 8192 | 8192 | 20 | 13040 | 160 | 160 | 32 | 32 | 20.98347352 | 0.125 | 13360 | 0.543619792 |
| lena32.bmp | lena32.bmp-withWavelet_rbio1.1-G_1-H0.0001_af4.wfa   | 24576 | 8192 | 8192 | 20 | 13040 | 160 | 160 | 32 | 32 | 20.98347352 | 0.125 | 13360 | 0.543619792 |
| lena32.bmp | lena32.bmp-withWavelet_sym1-G_1-H0.0001_af4.wfa      | 24576 | 8192 | 8192 | 20 | 13040 | 160 | 160 | 32 | 32 | 20.98347352 | 0.156 | 13360 | 0.543619792 |
| lena32.bmp | lena32.bmp-withWavelet_bior1.1-G_1-H0.0001_af4.wfa   | 24576 | 8192 | 8192 | 20 | 13040 | 160 | 160 | 32 | 32 | 20.98347352 | 0.265 | 13360 | 0.543619792 |
| lena32.bmp | lena32.bmp-withWavelet_haar-G_0.8-H0.0001_af4.wfa    | 24576 | 8192 | 8192 | 20 | 13040 | 160 | 160 | 32 | 32 | 21.0118312  | 0.11  | 13360 | 0.543619792 |
| lena32.bmp | lena32.bmp-withWavelet_rbio1.1-G_0.8-H0.0001_af4.wfa | 24576 | 8192 | 8192 | 20 | 13040 | 160 | 160 | 32 | 32 | 21.0118312  | 0.125 | 13360 | 0.543619792 |
| lena32.bmp | lena32.bmp-withWavelet_sym1-G_0.8-H0.0001_af4.wfa    | 24576 | 8192 | 8192 | 20 | 13040 | 160 | 160 | 32 | 32 | 21.0118312  | 0.125 | 13360 | 0.543619792 |
| lena32.bmp | lena32.bmp-withWavelet_bior1.1-G_0.8-H0.0001_af4.wfa | 24576 | 8192 | 8192 | 20 | 13040 | 160 | 160 | 32 | 32 | 21.0118312  | 0.109 | 13360 | 0.543619792 |
| lena32.bmp | lena32.bmp-G_0.8-H7e-005_af5.wfa                     | 24576 | 8192 |      | 21 | 14352 | 168 | 168 | 32 | 32 | 20.13090518 | 0.125 | 14688 | 0.59765625  |
| lena32.bmp | lena32.bmp-G_0.6-H6e-005_af2.wfa                     | 24576 | 8192 |      | 21 | 14352 | 168 | 168 | 32 | 32 | 20.17430416 | 0.14  | 14688 | 0.59765625  |
| lena32.bmp | lena32.bmp-G_0.6-H8e-005_af3.wfa                     | 24576 | 8192 |      | 21 | 14352 | 168 | 168 | 32 | 32 | 20.27830221 | 0.141 | 14688 | 0.59765625  |
| lena32.bmp | lena32.bmp-G_0.6-H7e-005_af3.wfa                     | 24576 | 8192 |      | 21 | 14352 | 168 | 168 | 32 | 32 | 20.31338686 | 0.125 | 14688 | 0.59765625  |
| lena32.bmp | lena32.bmp-G_1-H9e-005_af3.wfa                       | 24576 | 8192 |      | 21 | 14352 | 168 | 168 | 32 | 32 | 20.32451239 | 0.172 | 14688 | 0.59765625  |
| lena32.bmp | lena32.bmp-G_0.8-H8e-005_af3.wfa                     | 24576 | 8192 |      | 21 | 14352 | 168 | 168 | 32 | 32 | 20.34291477 | 0.14  | 14688 | 0.59765625  |
| lena32.bmp | lena32.bmp-G_0.8-H9e-005_af3.wfa                     | 24576 | 8192 |      | 21 | 14352 | 168 | 168 | 32 | 32 | 20.34291477 | 0.156 | 14688 | 0.59765625  |
| lena32.bmp | lena32.bmp-G_1-H7e-005_af3.wfa                       | 24576 | 8192 |      | 21 | 14352 | 168 | 168 | 32 | 32 | 20.50723814 | 0.14  | 14688 | 0.59765625  |
| lena32.bmp | lena32.bmp-G_1-H8e-005_af3.wfa                       | 24576 | 8192 |      | 21 | 14352 | 168 | 168 | 32 | 32 | 20.50723814 | 0.125 | 14688 | 0.59765625  |
| lena32.bmp | lena32.bmp-G_0.8-H7e-005_af3.wfa                     | 24576 | 8192 |      | 21 | 14352 | 168 | 168 | 32 | 32 | 20.52258817 | 0.141 | 14688 | 0.59765625  |
| lena32.bmp | lena32.bmp-G_1-H0.0001_af1.wfa                       | 24576 | 8192 |      | 21 | 14352 | 168 | 168 | 32 | 32 | 20.64517835 | 0.125 | 14688 | 0.59765625  |



|            |  |       |      |      |    |       |     |     |    |    |             |       |       |             |
|------------|--|-------|------|------|----|-------|-----|-----|----|----|-------------|-------|-------|-------------|
| lena32.bmp | lena32.bmp-withWavelet_rbio1.1-G_0.8-H8e-005_af1.wfa | 24576 | 8192 | 8192 | 21 | 14352 | 168 | 168 | 32 | 32 | 21.33848831 | 0.172 | 14688 | 0.59765625  |
| lena32.bmp | lena32.bmp-withWavelet_sym1-G_0.8-H8e-005_af1.wfa    | 24576 | 8192 | 8192 | 21 | 14352 | 168 | 168 | 32 | 32 | 21.33848831 | 0.14  | 14688 | 0.59765625  |
| lena32.bmp | lena32.bmp-withWavelet_bior1.1-G_0.8-H8e-005_af1.wfa | 24576 | 8192 | 8192 | 21 | 14352 | 168 | 168 | 32 | 32 | 21.33848831 | 0.125 | 14688 | 0.59765625  |
| lena32.bmp | lena32.bmp-withWavelet_haar-G_0.6-H8e-005_af1.wfa    | 24576 | 8192 | 8192 | 21 | 14352 | 168 | 168 | 32 | 32 | 21.47798321 | 0.125 | 14688 | 0.59765625  |
| lena32.bmp | lena32.bmp-withWavelet_rbio1.1-G_0.6-H8e-005_af1.wfa | 24576 | 8192 | 8192 | 21 | 14352 | 168 | 168 | 32 | 32 | 21.47798321 | 0.125 | 14688 | 0.59765625  |
| lena32.bmp | lena32.bmp-withWavelet_sym1-G_0.6-H8e-005_af1.wfa    | 24576 | 8192 | 8192 | 21 | 14352 | 168 | 168 | 32 | 32 | 21.47798321 | 0.125 | 14688 | 0.59765625  |
| lena32.bmp | lena32.bmp-withWavelet_bior1.1-G_0.6-H8e-005_af1.wfa | 24576 | 8192 | 8192 | 21 | 14352 | 168 | 168 | 32 | 32 | 21.47798321 | 0.125 | 14688 | 0.59765625  |
| lena32.bmp | lena32.bmp-G_1-H6e-005_af2.wfa                       | 24576 | 8192 |      | 22 | 15728 | 176 | 176 | 32 | 32 | 20.03526324 | 0.156 | 16080 | 0.654296875 |
| lena32.bmp | lena32.bmp-withWavelet_haar-G_0.6-H9e-005_af4.wfa    | 24576 | 8192 | 8192 | 21 | 14352 | 168 | 168 | 32 | 32 | 21.96176471 | 0.141 | 14688 | 0.59765625  |
| lena32.bmp | lena32.bmp-withWavelet_rbio1.1-G_0.6-H9e-005_af4.wfa | 24576 | 8192 | 8192 | 21 | 14352 | 168 | 168 | 32 | 32 | 21.96176471 | 0.171 | 14688 | 0.59765625  |
| lena32.bmp | lena32.bmp-withWavelet_sym1-G_0.6-H9e-005_af4.wfa    | 24576 | 8192 | 8192 | 21 | 14352 | 168 | 168 | 32 | 32 | 21.96176471 | 0.141 | 14688 | 0.59765625  |
| lena32.bmp | lena32.bmp-withWavelet_bior1.1-G_0.6-H9e-005_af4.wfa | 24576 | 8192 | 8192 | 21 | 14352 | 168 | 168 | 32 | 32 | 21.96176471 | 0.125 | 14688 | 0.59765625  |
| lena32.bmp | lena32.bmp-withWavelet_haar-G_0.6-H0.0001_af4.wfa    | 24576 | 8192 | 8192 | 21 | 14352 | 168 | 168 | 32 | 32 | 22.00223391 | 0.141 | 14688 | 0.59765625  |
| lena32.bmp | lena32.bmp-withWavelet_rbio1.1-G_0.6-H0.0001_af4.wfa | 24576 | 8192 | 8192 | 21 | 14352 | 168 | 168 | 32 | 32 | 22.00223391 | 0.14  | 14688 | 0.59765625  |
| lena32.bmp | lena32.bmp-withWavelet_sym1-G_0.6-H0.0001_af4.wfa    | 24576 | 8192 | 8192 | 21 | 14352 | 168 | 168 | 32 | 32 | 22.00223391 | 0.156 | 14688 | 0.59765625  |
| lena32.bmp | lena32.bmp-withWavelet_bior1.1-G_0.6-H0.0001_af4.wfa | 24576 | 8192 | 8192 | 21 | 14352 | 168 | 168 | 32 | 32 | 22.00223391 | 0.141 | 14688 | 0.59765625  |
| lena32.bmp | lena32.bmp-withWavelet_haar-G_1-H5e-005_af5.wfa      | 24576 | 8192 | 8192 | 22 | 15728 | 176 | 176 | 32 | 32 | 20.10390393 | 0.14  | 16080 | 0.654296875 |
| lena32.bmp | lena32.bmp-withWavelet_rbio1.1-G_1-H5e-005_af5.wfa   | 24576 | 8192 | 8192 | 22 | 15728 | 176 | 176 | 32 | 32 | 20.10390393 | 0.125 | 16080 | 0.654296875 |
| lena32.bmp | lena32.bmp-withWavelet_sym1-G_1-H5e-005_af5.wfa      | 24576 | 8192 | 8192 | 22 | 15728 | 176 | 176 | 32 | 32 | 20.10390393 | 0.125 | 16080 | 0.654296875 |
| lena32.bmp | lena32.bmp-withWavelet_bior1.1-G_1-H5e-005_af5.wfa   | 24576 | 8192 | 8192 | 22 | 15728 | 176 | 176 | 32 | 32 | 20.10390393 | 0.141 | 16080 | 0.654296875 |
| lena32.bmp | lena32.bmp-withWavelet_haar-G_1-H4e-005_af2.wfa      | 24576 | 8192 | 8192 | 22 | 15728 | 176 | 176 | 32 | 32 | 20.26582743 | 0.156 | 16080 | 0.654296875 |
| lena32.bmp | lena32.bmp-withWavelet_rbio1.1-G_1-H4e-005_af2.wfa   | 24576 | 8192 | 8192 | 22 | 15728 | 176 | 176 | 32 | 32 | 20.26582743 | 0.141 | 16080 | 0.654296875 |
| lena32.bmp | lena32.bmp-withWavelet_sym1-G_1-H4e-005_af2.wfa      | 24576 | 8192 | 8192 | 22 | 15728 | 176 | 176 | 32 | 32 | 20.26582743 | 0.141 | 16080 | 0.654296875 |
| lena32.bmp | lena32.bmp-withWavelet_bior1.1-G_1-H4e-005_af2.wfa   | 24576 | 8192 | 8192 | 22 | 15728 | 176 | 176 | 32 | 32 | 20.26582743 | 0.141 | 16080 | 0.654296875 |
| lena32.bmp | lena32.bmp-G_1-H6e-005_af5.wfa                       | 24576 | 8192 |      | 22 | 15728 | 176 | 176 | 32 | 32 | 20.35094288 | 0.141 | 16080 | 0.654296875 |
| lena32.bmp | lena32.bmp-G_0.6-H5e-005_af5.wfa                     | 24576 | 8192 |      | 22 | 15728 | 176 | 176 | 32 | 32 | 20.42268519 | 0.141 | 16080 | 0.654296875 |
| lena32.bmp | lena32.bmp-G_0.6-H6e-005_af5.wfa                     | 24576 | 8192 |      | 22 | 15728 | 176 | 176 | 32 | 32 | 20.46015933 | 0.125 | 16080 | 0.654296875 |
| lena32.bmp | lena32.bmp-withWavelet_haar-G_0.6-H5e-005_af2.wfa    | 24576 | 8192 | 8192 | 22 | 15728 | 176 | 176 | 32 | 32 | 20.52854044 | 0.141 | 16080 | 0.654296875 |
| lena32.bmp | lena32.bmp-withWavelet_rbio1.1-G_0.6-H5e-005_af2.wfa | 24576 | 8192 | 8192 | 22 | 15728 | 176 | 176 | 32 | 32 | 20.52854044 | 0.125 | 16080 | 0.654296875 |
| lena32.bmp | lena32.bmp-withWavelet_sym1-G_0.6-H5e-005_af2.wfa    | 24576 | 8192 | 8192 | 22 | 15728 | 176 | 176 | 32 | 32 | 20.52854044 | 0.156 | 16080 | 0.654296875 |
| lena32.bmp | lena32.bmp-withWavelet_bior1.1-G_0.6-H5e-005_af2.wfa | 24576 | 8192 | 8192 | 22 | 15728 | 176 | 176 | 32 | 32 | 20.52854044 | 0.125 | 16080 | 0.654296875 |



|            |  |       |      |      |    |       |     |     |    |    |             |       |       |             |
|------------|--|-------|------|------|----|-------|-----|-----|----|----|-------------|-------|-------|-------------|
| lena32.bmp | lena32.bmp-withWavelet_haar-G_0.6-H6e-005_af1.wfa    | 24576 | 8192 | 8192 | 22 | 15728 | 176 | 176 | 32 | 32 | 21.59695445 | 0.141 | 16080 | 0.654296875 |
| lena32.bmp | lena32.bmp-withWavelet_rbio1.1-G_0.6-H6e-005_af1.wfa | 24576 | 8192 | 8192 | 22 | 15728 | 176 | 176 | 32 | 32 | 21.59695445 | 0.125 | 16080 | 0.654296875 |
| lena32.bmp | lena32.bmp-withWavelet_sym1-G_0.6-H6e-005_af1.wfa    | 24576 | 8192 | 8192 | 22 | 15728 | 176 | 176 | 32 | 32 | 21.59695445 | 0.14  | 16080 | 0.654296875 |
| lena32.bmp | lena32.bmp-withWavelet_bior1.1-G_0.6-H6e-005_af1.wfa | 24576 | 8192 | 8192 | 22 | 15728 | 176 | 176 | 32 | 32 | 21.59695445 | 0.125 | 16080 | 0.654296875 |
| lena32.bmp | lena32.bmp-G_1-H5e-005_af2.wfa                       | 24576 | 8192 |      | 23 | 17168 | 184 | 184 | 32 | 32 | 20.14745325 | 0.156 | 17536 | 0.713541667 |
| lena32.bmp | lena32.bmp-G_0.8-H5e-005_af2.wfa                     | 24576 | 8192 |      | 23 | 17168 | 184 | 184 | 32 | 32 | 20.16972959 | 0.171 | 17536 | 0.713541667 |
| lena32.bmp | lena32.bmp-withWavelet_haar-G_0.8-H4e-005_af2.wfa    | 24576 | 8192 | 8192 | 23 | 17168 | 184 | 184 | 32 | 32 | 20.47971348 | 0.156 | 17536 | 0.713541667 |
| lena32.bmp | lena32.bmp-withWavelet_rbio1.1-G_0.8-H4e-005_af2.wfa | 24576 | 8192 | 8192 | 23 | 17168 | 184 | 184 | 32 | 32 | 20.47971348 | 0.156 | 17536 | 0.713541667 |
| lena32.bmp | lena32.bmp-withWavelet_sym1-G_0.8-H4e-005_af2.wfa    | 24576 | 8192 | 8192 | 23 | 17168 | 184 | 184 | 32 | 32 | 20.47971348 | 0.156 | 17536 | 0.713541667 |
| lena32.bmp | lena32.bmp-withWavelet_bior1.1-G_0.8-H4e-005_af2.wfa | 24576 | 8192 | 8192 | 23 | 17168 | 184 | 184 | 32 | 32 | 20.47971348 | 0.157 | 17536 | 0.713541667 |
| lena32.bmp | lena32.bmp-G_1-H5e-005_af5.wfa                       | 24576 | 8192 |      | 23 | 17168 | 184 | 184 | 32 | 32 | 20.6475533  | 0.141 | 17536 | 0.713541667 |
| lena32.bmp | lena32.bmp-G_0.6-H4e-005_af5.wfa                     | 24576 | 8192 |      | 23 | 17168 | 184 | 184 | 32 | 32 | 20.70176971 | 0.156 | 17536 | 0.713541667 |
| lena32.bmp | lena32.bmp-G_1-H6e-005_af3.wfa                       | 24576 | 8192 |      | 23 | 17168 | 184 | 184 | 32 | 32 | 21.15107122 | 0.14  | 17536 | 0.713541667 |
| lena32.bmp | lena32.bmp-withWavelet_haar-G_0.6-H4e-005_af2.wfa    | 24576 | 8192 | 8192 | 23 | 17168 | 184 | 184 | 32 | 32 | 21.17020639 | 0.156 | 17536 | 0.713541667 |
| lena32.bmp | lena32.bmp-withWavelet_rbio1.1-G_0.6-H4e-005_af2.wfa | 24576 | 8192 | 8192 | 23 | 17168 | 184 | 184 | 32 | 32 | 21.17020639 | 0.141 | 17536 | 0.713541667 |
| lena32.bmp | lena32.bmp-withWavelet_sym1-G_0.6-H4e-005_af2.wfa    | 24576 | 8192 | 8192 | 23 | 17168 | 184 | 184 | 32 | 32 | 21.17020639 | 0.156 | 17536 | 0.713541667 |
| lena32.bmp | lena32.bmp-withWavelet_bior1.1-G_0.6-H4e-005_af2.wfa | 24576 | 8192 | 8192 | 23 | 17168 | 184 | 184 | 32 | 32 | 21.17020639 | 0.156 | 17536 | 0.713541667 |
| lena32.bmp | lena32.bmp-G_0.8-H6e-005_af3.wfa                     | 24576 | 8192 |      | 23 | 17168 | 184 | 184 | 32 | 32 | 21.17213102 | 0.157 | 17536 | 0.713541667 |
| lena32.bmp | lena32.bmp-G_0.6-H6e-005_af3.wfa                     | 24576 | 8192 |      | 23 | 17168 | 184 | 184 | 32 | 32 | 21.23457971 | 0.156 | 17536 | 0.713541667 |
| lena32.bmp | lena32.bmp-G_1-H8e-005_af1.wfa                       | 24576 | 8192 |      | 23 | 17168 | 184 | 184 | 32 | 32 | 21.58527151 | 0.219 | 17536 | 0.713541667 |
| lena32.bmp | lena32.bmp-withWavelet_haar-G_1-H7e-005_af3.wfa      | 24576 | 8192 | 8192 | 23 | 17168 | 184 | 184 | 32 | 32 | 21.6021451  | 0.156 | 17536 | 0.713541667 |
| lena32.bmp | lena32.bmp-withWavelet_rbio1.1-G_1-H7e-005_af3.wfa   | 24576 | 8192 | 8192 | 23 | 17168 | 184 | 184 | 32 | 32 | 21.6021451  | 0.156 | 17536 | 0.713541667 |
| lena32.bmp | lena32.bmp-withWavelet_sym1-G_1-H7e-005_af3.wfa      | 24576 | 8192 | 8192 | 23 | 17168 | 184 | 184 | 32 | 32 | 21.6021451  | 0.156 | 17536 | 0.713541667 |
| lena32.bmp | lena32.bmp-withWavelet_bior1.1-G_1-H7e-005_af3.wfa   | 24576 | 8192 | 8192 | 23 | 17168 | 184 | 184 | 32 | 32 | 21.6021451  | 0.157 | 17536 | 0.713541667 |
| lena32.bmp | lena32.bmp-withWavelet_haar-G_1-H8e-005_af3.wfa      | 24576 | 8192 | 8192 | 23 | 17168 | 184 | 184 | 32 | 32 | 21.6021451  | 0.156 | 17536 | 0.713541667 |
| lena32.bmp | lena32.bmp-withWavelet_rbio1.1-G_1-H8e-005_af3.wfa   | 24576 | 8192 | 8192 | 23 | 17168 | 184 | 184 | 32 | 32 | 21.6021451  | 0.156 | 17536 | 0.713541667 |
| lena32.bmp | lena32.bmp-withWavelet_sym1-G_1-H8e-005_af3.wfa      | 24576 | 8192 | 8192 | 23 | 17168 | 184 | 184 | 32 | 32 | 21.6021451  | 0.156 | 17536 | 0.713541667 |
| lena32.bmp | lena32.bmp-withWavelet_bior1.1-G_1-H8e-005_af3.wfa   | 24576 | 8192 | 8192 | 23 | 17168 | 184 | 184 | 32 | 32 | 21.6021451  | 0.156 | 17536 | 0.713541667 |
| lena32.bmp | lena32.bmp-G_0.8-H8e-005_af1.wfa                     | 24576 | 8192 |      | 23 | 17168 | 184 | 184 | 32 | 32 | 21.60352754 | 0.156 | 17536 | 0.713541667 |
| lena32.bmp | lena32.bmp-withWavelet_haar-G_0.8-H7e-005_af3.wfa    | 24576 | 8192 | 8192 | 23 | 17168 | 184 | 184 | 32 | 32 | 21.61168465 | 0.156 | 17536 | 0.713541667 |
| lena32.bmp | lena32.bmp-withWavelet_rbio1.1-G_0.8-H7e-005_af3.wfa | 24576 | 8192 | 8192 | 23 | 17168 | 184 | 184 | 32 | 32 | 21.61168465 | 0.156 | 17536 | 0.713541667 |

|            |  |       |      |      |    |       |     |     |    |    |             |       |       |             |
|------------|--|-------|------|------|----|-------|-----|-----|----|----|-------------|-------|-------|-------------|
| lena32.bmp | lena32.bmp-withWavelet_sym1-G_0.8-H7e-005_af3.wfa    | 24576 | 8192 | 8192 | 23 | 17168 | 184 | 184 | 32 | 32 | 21.61168465 | 0.156 | 17536 | 0.713541667 |
| lena32.bmp | lena32.bmp-withWavelet_bior1.1-G_0.8-H7e-005_af3.wfa | 24576 | 8192 | 8192 | 23 | 17168 | 184 | 184 | 32 | 32 | 21.61168465 | 0.203 | 17536 | 0.713541667 |
| lena32.bmp | lena32.bmp-withWavelet_haar-G_0.8-H8e-005_af3.wfa    | 24576 | 8192 | 8192 | 23 | 17168 | 184 | 184 | 32 | 32 | 21.61168465 | 0.157 | 17536 | 0.713541667 |
| lena32.bmp | lena32.bmp-withWavelet_rbio1.1-G_0.8-H8e-005_af3.wfa | 24576 | 8192 | 8192 | 23 | 17168 | 184 | 184 | 32 | 32 | 21.61168465 | 0.203 | 17536 | 0.713541667 |
| lena32.bmp | lena32.bmp-withWavelet_sym1-G_0.8-H8e-005_af3.wfa    | 24576 | 8192 | 8192 | 23 | 17168 | 184 | 184 | 32 | 32 | 21.61168465 | 0.187 | 17536 | 0.713541667 |
| lena32.bmp | lena32.bmp-withWavelet_bior1.1-G_0.8-H8e-005_af3.wfa | 24576 | 8192 | 8192 | 23 | 17168 | 184 | 184 | 32 | 32 | 21.61168465 | 0.156 | 17536 | 0.713541667 |
| lena32.bmp | lena32.bmp-withWavelet_haar-G_1-H9e-005_af3.wfa      | 24576 | 8192 | 8192 | 23 | 17168 | 184 | 184 | 32 | 32 | 21.62937366 | 0.156 | 17536 | 0.713541667 |
| lena32.bmp | lena32.bmp-withWavelet_rbio1.1-G_1-H9e-005_af3.wfa   | 24576 | 8192 | 8192 | 23 | 17168 | 184 | 184 | 32 | 32 | 21.62937366 | 0.188 | 17536 | 0.713541667 |
| lena32.bmp | lena32.bmp-withWavelet_sym1-G_1-H9e-005_af3.wfa      | 24576 | 8192 | 8192 | 23 | 17168 | 184 | 184 | 32 | 32 | 21.62937366 | 0.14  | 17536 | 0.713541667 |
| lena32.bmp | lena32.bmp-withWavelet_bior1.1-G_1-H9e-005_af3.wfa   | 24576 | 8192 | 8192 | 23 | 17168 | 184 | 184 | 32 | 32 | 21.62937366 | 0.157 | 17536 | 0.713541667 |
| lena32.bmp | lena32.bmp-withWavelet_haar-G_0.6-H8e-005_af3.wfa    | 24576 | 8192 | 8192 | 23 | 17168 | 184 | 184 | 32 | 32 | 21.68469644 | 0.156 | 17536 | 0.713541667 |
| lena32.bmp | lena32.bmp-withWavelet_rbio1.1-G_0.6-H8e-005_af3.wfa | 24576 | 8192 | 8192 | 23 | 17168 | 184 | 184 | 32 | 32 | 21.68469644 | 0.156 | 17536 | 0.713541667 |
| lena32.bmp | lena32.bmp-withWavelet_sym1-G_0.6-H8e-005_af3.wfa    | 24576 | 8192 | 8192 | 23 | 17168 | 184 | 184 | 32 | 32 | 21.68469644 | 0.156 | 17536 | 0.713541667 |
| lena32.bmp | lena32.bmp-withWavelet_bior1.1-G_0.6-H8e-005_af3.wfa | 24576 | 8192 | 8192 | 23 | 17168 | 184 | 184 | 32 | 32 | 21.68469644 | 0.171 | 17536 | 0.713541667 |
| lena32.bmp | lena32.bmp-G_0.6-H8e-005_af1.wfa                     | 24576 | 8192 |      | 23 | 17168 | 184 | 184 | 32 | 32 | 21.77333393 | 0.156 | 17536 | 0.713541667 |
| lena32.bmp | lena32.bmp-withWavelet_haar-G_0.8-H4e-005_af5.wfa    | 24576 | 8192 | 8192 | 24 | 18672 | 192 | 192 | 32 | 32 | 20.11330728 | 0.156 | 19056 | 0.775390625 |
| lena32.bmp | lena32.bmp-withWavelet_rbio1.1-G_0.8-H4e-005_af5.wfa | 24576 | 8192 | 8192 | 24 | 18672 | 192 | 192 | 32 | 32 | 20.11330728 | 0.156 | 19056 | 0.775390625 |
| lena32.bmp | lena32.bmp-withWavelet_sym1-G_0.8-H4e-005_af5.wfa    | 24576 | 8192 | 8192 | 24 | 18672 | 192 | 192 | 32 | 32 | 20.11330728 | 0.156 | 19056 | 0.775390625 |
| lena32.bmp | lena32.bmp-withWavelet_bior1.1-G_0.8-H4e-005_af5.wfa | 24576 | 8192 | 8192 | 24 | 18672 | 192 | 192 | 32 | 32 | 20.11330728 | 0.156 | 19056 | 0.775390625 |
| lena32.bmp | lena32.bmp-withWavelet_haar-G_0.8-H3e-005_af2.wfa    | 24576 | 8192 | 8192 | 24 | 18672 | 192 | 192 | 32 | 32 | 20.55768541 | 0.156 | 19056 | 0.775390625 |
| lena32.bmp | lena32.bmp-withWavelet_rbio1.1-G_0.8-H3e-005_af2.wfa | 24576 | 8192 | 8192 | 24 | 18672 | 192 | 192 | 32 | 32 | 20.55768541 | 0.203 | 19056 | 0.775390625 |
| lena32.bmp | lena32.bmp-withWavelet_sym1-G_0.8-H3e-005_af2.wfa    | 24576 | 8192 | 8192 | 24 | 18672 | 192 | 192 | 32 | 32 | 20.55768541 | 0.172 | 19056 | 0.775390625 |
| lena32.bmp | lena32.bmp-withWavelet_bior1.1-G_0.8-H3e-005_af2.wfa | 24576 | 8192 | 8192 | 24 | 18672 | 192 | 192 | 32 | 32 | 20.55768541 | 0.172 | 19056 | 0.775390625 |
| lena32.bmp | lena32.bmp-withWavelet_haar-G_0.6-H8e-005_af4.wfa    | 24576 | 8192 | 8192 | 23 | 17168 | 184 | 184 | 32 | 32 | 22.57388844 | 0.218 | 17536 | 0.713541667 |
| lena32.bmp | lena32.bmp-withWavelet_rbio1.1-G_0.6-H8e-005_af4.wfa | 24576 | 8192 | 8192 | 23 | 17168 | 184 | 184 | 32 | 32 | 22.57388844 | 0.156 | 17536 | 0.713541667 |
| lena32.bmp | lena32.bmp-withWavelet_sym1-G_0.6-H8e-005_af4.wfa    | 24576 | 8192 | 8192 | 23 | 17168 | 184 | 184 | 32 | 32 | 22.57388844 | 0.156 | 17536 | 0.713541667 |
| lena32.bmp | lena32.bmp-withWavelet_bior1.1-G_0.6-H8e-005_af4.wfa | 24576 | 8192 | 8192 | 23 | 17168 | 184 | 184 | 32 | 32 | 22.57388844 | 0.157 | 17536 | 0.713541667 |
| lena32.bmp | lena32.bmp-G_1-H4e-005_af2.wfa                       | 24576 | 8192 |      | 24 | 18672 | 192 | 192 | 32 | 32 | 20.78126881 | 0.171 | 19056 | 0.775390625 |
| lena32.bmp | lena32.bmp-G_0.8-H4e-005_af2.wfa                     | 24576 | 8192 |      | 24 | 18672 | 192 | 192 | 32 | 32 | 20.80711549 | 0.156 | 19056 | 0.775390625 |
| lena32.bmp | lena32.bmp-G_1-H4e-005_af5.wfa                       | 24576 | 8192 |      | 24 | 18672 | 192 | 192 | 32 | 32 | 20.88598791 | 0.172 | 19056 | 0.775390625 |
| lena32.bmp | lena32.bmp-G_0.8-H4e-005_af5.wfa                     | 24576 | 8192 |      | 24 | 18672 | 192 | 192 | 32 | 32 | 20.89692633 | 0.156 | 19056 | 0.775390625 |

|            |  |       |      |      |    |       |     |     |    |    |             |       |       |             |
|------------|--|-------|------|------|----|-------|-----|-----|----|----|-------------|-------|-------|-------------|
| lena32.bmp | lena32.bmp-withWavelet_haar-G_0.6-H3e-005_af2.wfa    | 24576 | 8192 | 8192 | 24 | 18672 | 192 | 192 | 32 | 32 | 20.97079939 | 0.156 | 19056 | 0.775390625 |
| lena32.bmp | lena32.bmp-withWavelet_rbio1.1-G_0.6-H3e-005_af2.wfa | 24576 | 8192 | 8192 | 24 | 18672 | 192 | 192 | 32 | 32 | 20.97079939 | 0.532 | 19056 | 0.775390625 |
| lena32.bmp | lena32.bmp-withWavelet_sym1-G_0.6-H3e-005_af2.wfa    | 24576 | 8192 | 8192 | 24 | 18672 | 192 | 192 | 32 | 32 | 20.97079939 | 0.172 | 19056 | 0.775390625 |
| lena32.bmp | lena32.bmp-withWavelet_bior1.1-G_0.6-H3e-005_af2.wfa | 24576 | 8192 | 8192 | 24 | 18672 | 192 | 192 | 32 | 32 | 20.97079939 | 0.172 | 19056 | 0.775390625 |
| lena32.bmp | lena32.bmp-G_0.8-H5e-005_af5.wfa                     | 24576 | 8192 |      | 24 | 18672 | 192 | 192 | 32 | 32 | 20.97749206 | 0.156 | 19056 | 0.775390625 |
| lena32.bmp | lena32.bmp-G_0.6-H5e-005_af2.wfa                     | 24576 | 8192 |      | 24 | 18672 | 192 | 192 | 32 | 32 | 21.18584503 | 0.156 | 19056 | 0.775390625 |
| lena32.bmp | lena32.bmp-G_0.6-H5e-005_af3.wfa                     | 24576 | 8192 |      | 24 | 18672 | 192 | 192 | 32 | 32 | 21.58846578 | 0.156 | 19056 | 0.775390625 |
| lena32.bmp | lena32.bmp-G_0.6-H7e-005_af1.wfa                     | 24576 | 8192 |      | 24 | 18672 | 192 | 192 | 32 | 32 | 21.90259296 | 0.156 | 19056 | 0.775390625 |
| lena32.bmp | lena32.bmp-withWavelet_haar-G_1-H6e-005_af3.wfa      | 24576 | 8192 | 8192 | 24 | 18672 | 192 | 192 | 32 | 32 | 21.94125611 | 0.156 | 19056 | 0.775390625 |
| lena32.bmp | lena32.bmp-withWavelet_rbio1.1-G_1-H6e-005_af3.wfa   | 24576 | 8192 | 8192 | 24 | 18672 | 192 | 192 | 32 | 32 | 21.94125611 | 0.156 | 19056 | 0.775390625 |
| lena32.bmp | lena32.bmp-withWavelet_sym1-G_1-H6e-005_af3.wfa      | 24576 | 8192 | 8192 | 24 | 18672 | 192 | 192 | 32 | 32 | 21.94125611 | 0.172 | 19056 | 0.775390625 |
| lena32.bmp | lena32.bmp-withWavelet_bior1.1-G_1-H6e-005_af3.wfa   | 24576 | 8192 | 8192 | 24 | 18672 | 192 | 192 | 32 | 32 | 21.94125611 | 0.235 | 19056 | 0.775390625 |
| lena32.bmp | lena32.bmp-withWavelet_haar-G_0.8-H6e-005_af3.wfa    | 24576 | 8192 | 8192 | 24 | 18672 | 192 | 192 | 32 | 32 | 21.95298921 | 0.171 | 19056 | 0.775390625 |
| lena32.bmp | lena32.bmp-withWavelet_rbio1.1-G_0.8-H6e-005_af3.wfa | 24576 | 8192 | 8192 | 24 | 18672 | 192 | 192 | 32 | 32 | 21.95298921 | 0.172 | 19056 | 0.775390625 |
| lena32.bmp | lena32.bmp-withWavelet_sym1-G_0.8-H6e-005_af3.wfa    | 24576 | 8192 | 8192 | 24 | 18672 | 192 | 192 | 32 | 32 | 21.95298921 | 0.172 | 19056 | 0.775390625 |
| lena32.bmp | lena32.bmp-withWavelet_bior1.1-G_0.8-H6e-005_af3.wfa | 24576 | 8192 | 8192 | 24 | 18672 | 192 | 192 | 32 | 32 | 21.95298921 | 0.187 | 19056 | 0.775390625 |
| lena32.bmp | lena32.bmp-withWavelet_haar-G_1-H6e-005_af4.wfa      | 24576 | 8192 | 8192 | 24 | 18672 | 192 | 192 | 32 | 32 | 22.06863568 | 0.219 | 19056 | 0.775390625 |
| lena32.bmp | lena32.bmp-withWavelet_rbio1.1-G_1-H6e-005_af4.wfa   | 24576 | 8192 | 8192 | 24 | 18672 | 192 | 192 | 32 | 32 | 22.06863568 | 0.156 | 19056 | 0.775390625 |
| lena32.bmp | lena32.bmp-withWavelet_sym1-G_1-H6e-005_af4.wfa      | 24576 | 8192 | 8192 | 24 | 18672 | 192 | 192 | 32 | 32 | 22.06863568 | 0.203 | 19056 | 0.775390625 |
| lena32.bmp | lena32.bmp-withWavelet_bior1.1-G_1-H6e-005_af4.wfa   | 24576 | 8192 | 8192 | 24 | 18672 | 192 | 192 | 32 | 32 | 22.06863568 | 0.156 | 19056 | 0.775390625 |
| lena32.bmp | lena32.bmp-withWavelet_haar-G_1-H5e-005_af1.wfa      | 24576 | 8192 | 8192 | 24 | 18672 | 192 | 192 | 32 | 32 | 22.12421548 | 0.156 | 19056 | 0.775390625 |
| lena32.bmp | lena32.bmp-withWavelet_rbio1.1-G_1-H5e-005_af1.wfa   | 24576 | 8192 | 8192 | 24 | 18672 | 192 | 192 | 32 | 32 | 22.12421548 | 0.172 | 19056 | 0.775390625 |
| lena32.bmp | lena32.bmp-withWavelet_sym1-G_1-H5e-005_af1.wfa      | 24576 | 8192 | 8192 | 24 | 18672 | 192 | 192 | 32 | 32 | 22.12421548 | 0.172 | 19056 | 0.775390625 |
| lena32.bmp | lena32.bmp-withWavelet_bior1.1-G_1-H5e-005_af1.wfa   | 24576 | 8192 | 8192 | 24 | 18672 | 192 | 192 | 32 | 32 | 22.12421548 | 0.157 | 19056 | 0.775390625 |
| lena32.bmp | lena32.bmp-withWavelet_haar-G_0.8-H5e-005_af1.wfa    | 24576 | 8192 | 8192 | 24 | 18672 | 192 | 192 | 32 | 32 | 22.13577692 | 0.203 | 19056 | 0.775390625 |
| lena32.bmp | lena32.bmp-withWavelet_rbio1.1-G_0.8-H5e-005_af1.wfa | 24576 | 8192 | 8192 | 24 | 18672 | 192 | 192 | 32 | 32 | 22.13577692 | 0.172 | 19056 | 0.775390625 |
| lena32.bmp | lena32.bmp-withWavelet_sym1-G_0.8-H5e-005_af1.wfa    | 24576 | 8192 | 8192 | 24 | 18672 | 192 | 192 | 32 | 32 | 22.13577692 | 0.156 | 19056 | 0.775390625 |
| lena32.bmp | lena32.bmp-withWavelet_bior1.1-G_0.8-H5e-005_af1.wfa | 24576 | 8192 | 8192 | 24 | 18672 | 192 | 192 | 32 | 32 | 22.13577692 | 0.172 | 19056 | 0.775390625 |
| lena32.bmp | lena32.bmp-withWavelet_haar-G_0.8-H6e-005_af4.wfa    | 24576 | 8192 | 8192 | 24 | 18672 | 192 | 192 | 32 | 32 | 22.17439082 | 0.172 | 19056 | 0.775390625 |
| lena32.bmp | lena32.bmp-withWavelet_rbio1.1-G_0.8-H6e-005_af4.wfa | 24576 | 8192 | 8192 | 24 | 18672 | 192 | 192 | 32 | 32 | 22.17439082 | 0.156 | 19056 | 0.775390625 |
| lena32.bmp | lena32.bmp-withWavelet_sym1-G_0.8-H6e-005_af4.wfa    | 24576 | 8192 | 8192 | 24 | 18672 | 192 | 192 | 32 | 32 | 22.17439082 | 0.156 | 19056 | 0.775390625 |

|            |  |       |      |      |    |       |     |     |    |    |             |       |       |             |
|------------|--|-------|------|------|----|-------|-----|-----|----|----|-------------|-------|-------|-------------|
| lena32.bmp | lena32.bmp-withWavelet_bior1.1-G_0.8-H6e-005_af4.wfa | 24576 | 8192 | 8192 | 24 | 18672 | 192 | 192 | 32 | 32 | 22.17439082 | 0.25  | 19056 | 0.775390625 |
| lena32.bmp | lena32.bmp-withWavelet_haar-G_0.8-H3e-005_af5.wfa    | 24576 | 8192 | 8192 | 25 | 20240 | 200 | 200 | 32 | 32 | 20.59460802 | 0.453 | 20640 | 0.83984375  |
| lena32.bmp | lena32.bmp-withWavelet_rbio1.1-G_0.8-H3e-005_af5.wfa | 24576 | 8192 | 8192 | 25 | 20240 | 200 | 200 | 32 | 32 | 20.59460802 | 0.187 | 20640 | 0.83984375  |
| lena32.bmp | lena32.bmp-withWavelet_sym1-G_0.8-H3e-005_af5.wfa    | 24576 | 8192 | 8192 | 25 | 20240 | 200 | 200 | 32 | 32 | 20.59460802 | 0.172 | 20640 | 0.83984375  |
| lena32.bmp | lena32.bmp-withWavelet_bior1.1-G_0.8-H3e-005_af5.wfa | 24576 | 8192 | 8192 | 25 | 20240 | 200 | 200 | 32 | 32 | 20.59460802 | 0.187 | 20640 | 0.83984375  |
| lena32.bmp | lena32.bmp-withWavelet_haar-G_0.6-H3e-005_af5.wfa    | 24576 | 8192 | 8192 | 25 | 20240 | 200 | 200 | 32 | 32 | 21.02886811 | 0.172 | 20640 | 0.83984375  |
| lena32.bmp | lena32.bmp-withWavelet_rbio1.1-G_0.6-H3e-005_af5.wfa | 24576 | 8192 | 8192 | 25 | 20240 | 200 | 200 | 32 | 32 | 21.02886811 | 0.172 | 20640 | 0.83984375  |
| lena32.bmp | lena32.bmp-withWavelet_sym1-G_0.6-H3e-005_af5.wfa    | 24576 | 8192 | 8192 | 25 | 20240 | 200 | 200 | 32 | 32 | 21.02886811 | 0.156 | 20640 | 0.83984375  |
| lena32.bmp | lena32.bmp-withWavelet_bior1.1-G_0.6-H3e-005_af5.wfa | 24576 | 8192 | 8192 | 25 | 20240 | 200 | 200 | 32 | 32 | 21.02886811 | 0.172 | 20640 | 0.83984375  |
| lena32.bmp | lena32.bmp-withWavelet_haar-G_1-H2e-005_af2.wfa      | 24576 | 8192 | 8192 | 25 | 20240 | 200 | 200 | 32 | 32 | 21.15803925 | 0.172 | 20640 | 0.83984375  |
| lena32.bmp | lena32.bmp-withWavelet_rbio1.1-G_1-H2e-005_af2.wfa   | 24576 | 8192 | 8192 | 25 | 20240 | 200 | 200 | 32 | 32 | 21.15803925 | 0.172 | 20640 | 0.83984375  |
| lena32.bmp | lena32.bmp-withWavelet_sym1-G_1-H2e-005_af2.wfa      | 24576 | 8192 | 8192 | 25 | 20240 | 200 | 200 | 32 | 32 | 21.15803925 | 0.391 | 20640 | 0.83984375  |
| lena32.bmp | lena32.bmp-withWavelet_bior1.1-G_1-H2e-005_af2.wfa   | 24576 | 8192 | 8192 | 25 | 20240 | 200 | 200 | 32 | 32 | 21.15803925 | 0.187 | 20640 | 0.83984375  |
| lena32.bmp | lena32.bmp-withWavelet_haar-G_1-H3e-005_af2.wfa      | 24576 | 8192 | 8192 | 25 | 20240 | 200 | 200 | 32 | 32 | 21.2197992  | 0.235 | 20640 | 0.83984375  |
| lena32.bmp | lena32.bmp-withWavelet_rbio1.1-G_1-H3e-005_af2.wfa   | 24576 | 8192 | 8192 | 25 | 20240 | 200 | 200 | 32 | 32 | 21.2197992  | 0.265 | 20640 | 0.83984375  |
| lena32.bmp | lena32.bmp-withWavelet_sym1-G_1-H3e-005_af2.wfa      | 24576 | 8192 | 8192 | 25 | 20240 | 200 | 200 | 32 | 32 | 21.2197992  | 0.281 | 20640 | 0.83984375  |
| lena32.bmp | lena32.bmp-withWavelet_bior1.1-G_1-H3e-005_af2.wfa   | 24576 | 8192 | 8192 | 25 | 20240 | 200 | 200 | 32 | 32 | 21.2197992  | 0.25  | 20640 | 0.83984375  |
| lena32.bmp | lena32.bmp-G_0.6-H4e-005_af2.wfa                     | 24576 | 8192 |      | 25 | 20240 | 200 | 200 | 32 | 32 | 21.52628568 | 0.172 | 20640 | 0.83984375  |
| lena32.bmp | lena32.bmp-G_1-H5e-005_af3.wfa                       | 24576 | 8192 |      | 25 | 20240 | 200 | 200 | 32 | 32 | 21.81323062 | 0.156 | 20640 | 0.83984375  |
| lena32.bmp | lena32.bmp-G_0.8-H5e-005_af3.wfa                     | 24576 | 8192 |      | 25 | 20240 | 200 | 200 | 32 | 32 | 21.83126671 | 0.171 | 20640 | 0.83984375  |
| lena32.bmp | lena32.bmp-G_0.8-H4e-005_af3.wfa                     | 24576 | 8192 |      | 25 | 20240 | 200 | 200 | 32 | 32 | 21.85366632 | 0.156 | 20640 | 0.83984375  |
| lena32.bmp | lena32.bmp-G_0.8-H7e-005_af1.wfa                     | 24576 | 8192 |      | 25 | 20240 | 200 | 200 | 32 | 32 | 22.39872707 | 0.313 | 20640 | 0.83984375  |
| lena32.bmp | lena32.bmp-withWavelet_haar-G_0.6-H7e-005_af3.wfa    | 24576 | 8192 | 8192 | 25 | 20240 | 200 | 200 | 32 | 32 | 22.44862435 | 0.171 | 20640 | 0.83984375  |
| lena32.bmp | lena32.bmp-withWavelet_rbio1.1-G_0.6-H7e-005_af3.wfa | 24576 | 8192 | 8192 | 25 | 20240 | 200 | 200 | 32 | 32 | 22.44862435 | 0.172 | 20640 | 0.83984375  |
| lena32.bmp | lena32.bmp-withWavelet_sym1-G_0.6-H7e-005_af3.wfa    | 24576 | 8192 | 8192 | 25 | 20240 | 200 | 200 | 32 | 32 | 22.44862435 | 0.172 | 20640 | 0.83984375  |
| lena32.bmp | lena32.bmp-withWavelet_bior1.1-G_0.6-H7e-005_af3.wfa | 24576 | 8192 | 8192 | 25 | 20240 | 200 | 200 | 32 | 32 | 22.44862435 | 0.172 | 20640 | 0.83984375  |
| lena32.bmp | lena32.bmp-G_1-H7e-005_af1.wfa                       | 24576 | 8192 |      | 25 | 20240 | 200 | 200 | 32 | 32 | 22.49726005 | 0.172 | 20640 | 0.83984375  |
| lena32.bmp | lena32.bmp-withWavelet_haar-G_1-H4e-005_af5.wfa      | 24576 | 8192 | 8192 | 26 | 21872 | 208 | 208 | 32 | 32 | 20.84033426 | 0.172 | 22288 | 0.906901042 |
| lena32.bmp | lena32.bmp-withWavelet_rbio1.1-G_1-H4e-005_af5.wfa   | 24576 | 8192 | 8192 | 26 | 21872 | 208 | 208 | 32 | 32 | 20.84033426 | 0.172 | 22288 | 0.906901042 |
| lena32.bmp | lena32.bmp-withWavelet_sym1-G_1-H4e-005_af5.wfa      | 24576 | 8192 | 8192 | 26 | 21872 | 208 | 208 | 32 | 32 | 20.84033426 | 0.172 | 22288 | 0.906901042 |
| lena32.bmp | lena32.bmp-withWavelet_bior1.1-G_1-H4e-005_af5.wfa   | 24576 | 8192 | 8192 | 26 | 21872 | 208 | 208 | 32 | 32 | 20.84033426 | 0.172 | 22288 | 0.906901042 |



|            |  |       |      |      |    |       |     |     |    |    |             |       |       |             |
|------------|--|-------|------|------|----|-------|-----|-----|----|----|-------------|-------|-------|-------------|
| lena32.bmp | lena32.bmp-withWavelet_haar-G_0.6-H6e-005_af3.wfa    | 24576 | 8192 | 8192 | 25 | 20240 | 200 | 200 | 32 | 32 | 22.57851507 | 0.172 | 20640 | 0.83984375  |
| lena32.bmp | lena32.bmp-withWavelet_rbio1.1-G_0.6-H6e-005_af3.wfa | 24576 | 8192 | 8192 | 25 | 20240 | 200 | 200 | 32 | 32 | 22.57851507 | 0.203 | 20640 | 0.83984375  |
| lena32.bmp | lena32.bmp-withWavelet_sym1-G_0.6-H6e-005_af3.wfa    | 24576 | 8192 | 8192 | 25 | 20240 | 200 | 200 | 32 | 32 | 22.57851507 | 0.172 | 20640 | 0.83984375  |
| lena32.bmp | lena32.bmp-withWavelet_bior1.1-G_0.6-H6e-005_af3.wfa | 24576 | 8192 | 8192 | 25 | 20240 | 200 | 200 | 32 | 32 | 22.57851507 | 0.172 | 20640 | 0.83984375  |
| lena32.bmp | lena32.bmp-withWavelet_haar-G_0.6-H7e-005_af4.wfa    | 24576 | 8192 | 8192 | 25 | 20240 | 200 | 200 | 32 | 32 | 23.01274828 | 0.172 | 20640 | 0.83984375  |
| lena32.bmp | lena32.bmp-withWavelet_rbio1.1-G_0.6-H7e-005_af4.wfa | 24576 | 8192 | 8192 | 25 | 20240 | 200 | 200 | 32 | 32 | 23.01274828 | 0.172 | 20640 | 0.83984375  |
| lena32.bmp | lena32.bmp-withWavelet_sym1-G_0.6-H7e-005_af4.wfa    | 24576 | 8192 | 8192 | 25 | 20240 | 200 | 200 | 32 | 32 | 23.01274828 | 0.156 | 20640 | 0.83984375  |
| lena32.bmp | lena32.bmp-withWavelet_bior1.1-G_0.6-H7e-005_af4.wfa | 24576 | 8192 | 8192 | 25 | 20240 | 200 | 200 | 32 | 32 | 23.01274828 | 0.172 | 20640 | 0.83984375  |
| lena32.bmp | lena32.bmp-G_1-H3e-005_af5.wfa                       | 24576 | 8192 |      | 26 | 21872 | 208 | 208 | 32 | 32 | 21.84042524 | 0.234 | 22288 | 0.906901042 |
| lena32.bmp | lena32.bmp-G_0.8-H3e-005_af5.wfa                     | 24576 | 8192 |      | 26 | 21872 | 208 | 208 | 32 | 32 | 21.85611837 | 0.172 | 22288 | 0.906901042 |
| lena32.bmp | lena32.bmp-G_0.6-H3e-005_af5.wfa                     | 24576 | 8192 |      | 26 | 21872 | 208 | 208 | 32 | 32 | 21.86745927 | 0.172 | 22288 | 0.906901042 |
| lena32.bmp | lena32.bmp-G_0.6-H4e-005_af3.wfa                     | 24576 | 8192 |      | 26 | 21872 | 208 | 208 | 32 | 32 | 22.23296268 | 0.187 | 22288 | 0.906901042 |
| lena32.bmp | lena32.bmp-withWavelet_haar-G_1-H5e-005_af4.wfa      | 24576 | 8192 | 8192 | 26 | 21872 | 208 | 208 | 32 | 32 | 22.82529435 | 0.172 | 22288 | 0.906901042 |
| lena32.bmp | lena32.bmp-withWavelet_rbio1.1-G_1-H5e-005_af4.wfa   | 24576 | 8192 | 8192 | 26 | 21872 | 208 | 208 | 32 | 32 | 22.82529435 | 0.171 | 22288 | 0.906901042 |
| lena32.bmp | lena32.bmp-withWavelet_sym1-G_1-H5e-005_af4.wfa      | 24576 | 8192 | 8192 | 26 | 21872 | 208 | 208 | 32 | 32 | 22.82529435 | 0.187 | 22288 | 0.906901042 |
| lena32.bmp | lena32.bmp-withWavelet_bior1.1-G_1-H5e-005_af4.wfa   | 24576 | 8192 | 8192 | 26 | 21872 | 208 | 208 | 32 | 32 | 22.82529435 | 0.187 | 22288 | 0.906901042 |
| lena32.bmp | lena32.bmp-G_0.8-H6e-005_af1.wfa                     | 24576 | 8192 |      | 26 | 21872 | 208 | 208 | 32 | 32 | 22.83205783 | 0.187 | 22288 | 0.906901042 |
| lena32.bmp | lena32.bmp-withWavelet_haar-G_1-H3e-005_af5.wfa      | 24576 | 8192 | 8192 | 27 | 23568 | 216 | 216 | 32 | 32 | 21.264647   | 0.219 | 24000 | 0.9765625   |
| lena32.bmp | lena32.bmp-withWavelet_rbio1.1-G_1-H3e-005_af5.wfa   | 24576 | 8192 | 8192 | 27 | 23568 | 216 | 216 | 32 | 32 | 21.264647   | 0.172 | 24000 | 0.9765625   |
| lena32.bmp | lena32.bmp-withWavelet_sym1-G_1-H3e-005_af5.wfa      | 24576 | 8192 | 8192 | 27 | 23568 | 216 | 216 | 32 | 32 | 21.264647   | 0.188 | 24000 | 0.9765625   |
| lena32.bmp | lena32.bmp-withWavelet_bior1.1-G_1-H3e-005_af5.wfa   | 24576 | 8192 | 8192 | 27 | 23568 | 216 | 216 | 32 | 32 | 21.264647   | 0.219 | 24000 | 0.9765625   |
| lena32.bmp | lena32.bmp-withWavelet_haar-G_0.8-H5e-005_af4.wfa    | 24576 | 8192 | 8192 | 26 | 21872 | 208 | 208 | 32 | 32 | 22.945846   | 0.172 | 22288 | 0.906901042 |
| lena32.bmp | lena32.bmp-withWavelet_rbio1.1-G_0.8-H5e-005_af4.wfa | 24576 | 8192 | 8192 | 26 | 21872 | 208 | 208 | 32 | 32 | 22.945846   | 0.172 | 22288 | 0.906901042 |
| lena32.bmp | lena32.bmp-withWavelet_sym1-G_0.8-H5e-005_af4.wfa    | 24576 | 8192 | 8192 | 26 | 21872 | 208 | 208 | 32 | 32 | 22.945846   | 0.172 | 22288 | 0.906901042 |
| lena32.bmp | lena32.bmp-withWavelet_bior1.1-G_0.8-H5e-005_af4.wfa | 24576 | 8192 | 8192 | 26 | 21872 | 208 | 208 | 32 | 32 | 22.945846   | 0.266 | 22288 | 0.906901042 |
| lena32.bmp | lena32.bmp-G_1-H3e-005_af2.wfa                       | 24576 | 8192 |      | 27 | 23568 | 216 | 216 | 32 | 32 | 21.53354932 | 0.328 | 24000 | 0.9765625   |
| lena32.bmp | lena32.bmp-G_0.8-H3e-005_af2.wfa                     | 24576 | 8192 |      | 27 | 23568 | 216 | 216 | 32 | 32 | 21.56309448 | 0.187 | 24000 | 0.9765625   |
| lena32.bmp | lena32.bmp-withWavelet_haar-G_0.8-H2e-005_af2.wfa    | 24576 | 8192 | 8192 | 27 | 23568 | 216 | 216 | 32 | 32 | 22.03407877 | 0.187 | 24000 | 0.9765625   |
| lena32.bmp | lena32.bmp-withWavelet_rbio1.1-G_0.8-H2e-005_af2.wfa | 24576 | 8192 | 8192 | 27 | 23568 | 216 | 216 | 32 | 32 | 22.03407877 | 0.469 | 24000 | 0.9765625   |
| lena32.bmp | lena32.bmp-withWavelet_sym1-G_0.8-H2e-005_af2.wfa    | 24576 | 8192 | 8192 | 27 | 23568 | 216 | 216 | 32 | 32 | 22.03407877 | 0.187 | 24000 | 0.9765625   |
| lena32.bmp | lena32.bmp-withWavelet_bior1.1-G_0.8-H2e-005_af2.wfa | 24576 | 8192 | 8192 | 27 | 23568 | 216 | 216 | 32 | 32 | 22.03407877 | 0.219 | 24000 | 0.9765625   |

|            |  |         |        |      |    |       |     |     |    |     |             |       |       |             |
|------------|--|---------|--------|------|----|-------|-----|-----|----|-----|-------------|-------|-------|-------------|
| lena32.bmp | lena32.bmp-G_0.6-H3e-005_af3.wfa                     | 24576   | 8192   |      | 27 | 23568 | 216 | 216 | 32 | 32  | 22.34246441 | 0.172 | 24000 | 0.9765625   |
| lena32.bmp | lena32.bmp-withWavelet_haar-G_0.6-H2e-005_af2.wfa    | 24576   | 8192   | 8192 | 27 | 23568 | 216 | 216 | 32 | 32  | 22.38703606 | 0.235 | 24000 | 0.9765625   |
| lena32.bmp | lena32.bmp-withWavelet_rbio1.1-G_0.6-H2e-005_af2.wfa | 24576   | 8192   | 8192 | 27 | 23568 | 216 | 216 | 32 | 32  | 22.38703606 | 0.218 | 24000 | 0.9765625   |
| lena32.bmp | lena32.bmp-withWavelet_sym1-G_0.6-H2e-005_af2.wfa    | 24576   | 8192   | 8192 | 27 | 23568 | 216 | 216 | 32 | 32  | 22.38703606 | 0.219 | 24000 | 0.9765625   |
| lena32.bmp | lena32.bmp-withWavelet_bior1.1-G_0.6-H2e-005_af2.wfa | 24576   | 8192   | 8192 | 27 | 23568 | 216 | 216 | 32 | 32  | 22.38703606 | 0.234 | 24000 | 0.9765625   |
| lena32.bmp | lena32.bmp-G_1-H4e-005_af3.wfa                       | 24576   | 8192   |      | 27 | 23568 | 216 | 216 | 32 | 32  | 22.53705867 | 0.188 | 24000 | 0.9765625   |
| lena32.bmp | lena32.bmp-G_0.6-H6e-005_af1.wfa                     | 24576   | 8192   |      | 27 | 23568 | 216 | 216 | 32 | 32  | 23.34733983 | 0.187 | 24000 | 0.9765625   |
| lena32.bmp | lena32.bmp-withWavelet_haar-G_0.6-H5e-005_af1.wfa    | 24576   | 8192   | 8192 | 27 | 23568 | 216 | 216 | 32 | 32  | 24.44731523 | 0.188 | 24000 | 0.9765625   |
| lena32.bmp | lena32.bmp-withWavelet_rbio1.1-G_0.6-H5e-005_af1.wfa | 24576   | 8192   | 8192 | 27 | 23568 | 216 | 216 | 32 | 32  | 24.44731523 | 0.187 | 24000 | 0.9765625   |
| lena32.bmp | lena32.bmp-withWavelet_sym1-G_0.6-H5e-005_af1.wfa    | 24576   | 8192   | 8192 | 27 | 23568 | 216 | 216 | 32 | 32  | 24.44731523 | 0.187 | 24000 | 0.9765625   |
| lena32.bmp | lena32.bmp-withWavelet_bior1.1-G_0.6-H5e-005_af1.wfa | 24576   | 8192   | 8192 | 27 | 23568 | 216 | 216 | 32 | 32  | 24.44731523 | 0.172 | 24000 | 0.9765625   |
| lena32.bmp | lena32.bmp-withWavelet_haar-G_0.6-H6e-005_af4.wfa    | 24576   | 8192   | 8192 | 27 | 23568 | 216 | 216 | 32 | 32  | 24.63777559 | 0.188 | 24000 | 0.9765625   |
| lena32.bmp | lena32.bmp-withWavelet_rbio1.1-G_0.6-H6e-005_af4.wfa | 24576   | 8192   | 8192 | 27 | 23568 | 216 | 216 | 32 | 32  | 24.63777559 | 0.188 | 24000 | 0.9765625   |
| lena32.bmp | lena32.bmp-withWavelet_sym1-G_0.6-H6e-005_af4.wfa    | 24576   | 8192   | 8192 | 27 | 23568 | 216 | 216 | 32 | 32  | 24.63777559 | 0.188 | 24000 | 0.9765625   |
| lena32.bmp | lena32.bmp-withWavelet_bior1.1-G_0.6-H6e-005_af4.wfa | 24576   | 8192   | 8192 | 27 | 23568 | 216 | 216 | 32 | 32  | 24.63777559 | 0.188 | 24000 | 0.9765625   |
| lena32.bmp | lena32.bmp-G_0.8-H9e-005_af4.wfa                     | 1572864 | 524288 |      | 12 | 4848  | 96  | 96  | 32 | 256 | 16.477104   | 8.296 | 5040  | 0.003204346 |
| lena32.bmp | lena32.bmp-G_0.8-H0.0001_af4.wfa                     | 1572864 | 524288 |      | 12 | 4848  | 96  | 96  | 32 | 256 | 16.477104   | 7.219 | 5040  | 0.003204346 |
| lena32.bmp | lena32.bmp-G_1-H0.0001_af4.wfa                       | 1572864 | 524288 |      | 12 | 4848  | 96  | 96  | 32 | 256 | 16.45005098 | 7.359 | 5040  | 0.003204346 |
| lena32.bmp | lena32.bmp-G_0.6-H9e-005_af4.wfa                     | 1572864 | 524288 |      | 13 | 5648  | 104 | 104 | 32 | 256 | 16.61218345 | 7.5   | 5856  | 0.003723145 |
| lena32.bmp | lena32.bmp-G_0.6-H0.0001_af4.wfa                     | 1572864 | 524288 |      | 13 | 5648  | 104 | 104 | 32 | 256 | 16.6062839  | 7.812 | 5856  | 0.003723145 |
| lena32.bmp | lena32.bmp-G_1-H8e-005_af4.wfa                       | 1572864 | 524288 |      | 13 | 5648  | 104 | 104 | 32 | 256 | 16.53492587 | 7.453 | 5856  | 0.003723145 |
| lena32.bmp | lena32.bmp-G_1-H9e-005_af4.wfa                       | 1572864 | 524288 |      | 13 | 5648  | 104 | 104 | 32 | 256 | 16.52979723 | 7.437 | 5856  | 0.003723145 |
| lena32.bmp | lena32.bmp-G_0.6-H8e-005_af4.wfa                     | 1572864 | 524288 |      | 14 | 6512  | 112 | 112 | 32 | 256 | 16.69498689 | 7.656 | 6736  | 0.004282633 |
| lena32.bmp | lena32.bmp-G_0.6-H7e-005_af4.wfa                     | 1572864 | 524288 |      | 14 | 6512  | 112 | 112 | 32 | 256 | 16.67858596 | 7.765 | 6736  | 0.004282633 |
| lena32.bmp | lena32.bmp-G_0.6-H6e-005_af4.wfa                     | 1572864 | 524288 |      | 14 | 6512  | 112 | 112 | 32 | 256 | 16.67557328 | 7.469 | 6736  | 0.004282633 |
| lena32.bmp | lena32.bmp-G_0.8-H8e-005_af4.wfa                     | 1572864 | 524288 |      | 14 | 6512  | 112 | 112 | 32 | 256 | 16.65317087 | 7.5   | 6736  | 0.004282633 |
| lena32.bmp | lena32.bmp-G_0.8-H7e-005_af4.wfa                     | 1572864 | 524288 |      | 14 | 6512  | 112 | 112 | 32 | 256 | 16.64282634 | 7.641 | 6736  | 0.004282633 |
| lena32.bmp | lena32.bmp-G_1-H7e-005_af4.wfa                       | 1572864 | 524288 |      | 14 | 6512  | 112 | 112 | 32 | 256 | 16.59898987 | 7.531 | 6736  | 0.004282633 |
| lena32.bmp | lena32.bmp-G_0.6-H5e-005_af4.wfa                     | 1572864 | 524288 |      | 15 | 7440  | 120 | 120 | 32 | 256 | 16.72996763 | 8     | 7680  | 0.004882813 |
| lena32.bmp | lena32.bmp-G_0.8-H6e-005_af4.wfa                     | 1572864 | 524288 |      | 15 | 7440  | 120 | 120 | 32 | 256 | 16.71449147 | 8.031 | 7680  | 0.004882813 |
| lena32.bmp | lena32.bmp-G_1-H6e-005_af4.wfa                       | 1572864 | 524288 |      | 15 | 7440  | 120 | 120 | 32 | 256 | 16.70024423 | 7.844 | 7680  | 0.004882813 |

|            |  |         |        |        |    |      |     |     |    |     |             |        |      |             |
|------------|--|---------|--------|--------|----|------|-----|-----|----|-----|-------------|--------|------|-------------|
| lena32.bmp | lena32.bmp-G_0.8-H4e-005_af4.wfa                     | 1572864 | 524288 |        | 15 | 7440 | 120 | 120 | 32 | 256 | 16.69179366 | 7.953  | 7680 | 0.004882813 |
| lena32.bmp | lena32.bmp-G_1-H4e-005_af4.wfa                       | 1572864 | 524288 |        | 15 | 7440 | 120 | 120 | 32 | 256 | 16.65606023 | 8.047  | 7680 | 0.004882813 |
| lena32.bmp | lena32.bmp-withWavelet_haar-G_1-H0.0001_af5.wfa      | 1572864 | 524288 | 524288 | 15 | 7440 | 120 | 120 | 32 | 256 | 16.54649418 | 8.484  | 7680 | 0.004882813 |
| lena32.bmp | lena32.bmp-withWavelet_rbio1.1-G_1-H0.0001_af5.wfa   | 1572864 | 524288 | 524288 | 15 | 7440 | 120 | 120 | 32 | 256 | 16.54649418 | 10.265 | 7680 | 0.004882813 |
| lena32.bmp | lena32.bmp-withWavelet_sym1-G_1-H0.0001_af5.wfa      | 1572864 | 524288 | 524288 | 15 | 7440 | 120 | 120 | 32 | 256 | 16.54649418 | 8.032  | 7680 | 0.004882813 |
| lena32.bmp | lena32.bmp-withWavelet_bior1.1-G_1-H0.0001_af5.wfa   | 1572864 | 524288 | 524288 | 15 | 7440 | 120 | 120 | 32 | 256 | 16.54649418 | 8.062  | 7680 | 0.004882813 |
| lena32.bmp | lena32.bmp-withWavelet_haar-G_0.8-H0.0001_af5.wfa    | 1572864 | 524288 | 524288 | 15 | 7440 | 120 | 120 | 32 | 256 | 16.53278118 | 8.172  | 7680 | 0.004882813 |
| lena32.bmp | lena32.bmp-withWavelet_rbio1.1-G_0.8-H0.0001_af5.wfa | 1572864 | 524288 | 524288 | 15 | 7440 | 120 | 120 | 32 | 256 | 16.53278118 | 8.109  | 7680 | 0.004882813 |
| lena32.bmp | lena32.bmp-withWavelet_sym1-G_0.8-H0.0001_af5.wfa    | 1572864 | 524288 | 524288 | 15 | 7440 | 120 | 120 | 32 | 256 | 16.53278118 | 8.078  | 7680 | 0.004882813 |
| lena32.bmp | lena32.bmp-withWavelet_bior1.1-G_0.8-H0.0001_af5.wfa | 1572864 | 524288 | 524288 | 15 | 7440 | 120 | 120 | 32 | 256 | 16.53278118 | 8.094  | 7680 | 0.004882813 |
| lena32.bmp | lena32.bmp-withWavelet_haar-G_0.6-H0.0001_af5.wfa    | 1572864 | 524288 | 524288 | 15 | 7440 | 120 | 120 | 32 | 256 | 16.14245298 | 8.375  | 7680 | 0.004882813 |
| lena32.bmp | lena32.bmp-withWavelet_rbio1.1-G_0.6-H0.0001_af5.wfa | 1572864 | 524288 | 524288 | 15 | 7440 | 120 | 120 | 32 | 256 | 16.14245298 | 8.532  | 7680 | 0.004882813 |
| lena32.bmp | lena32.bmp-withWavelet_sym1-G_0.6-H0.0001_af5.wfa    | 1572864 | 524288 | 524288 | 15 | 7440 | 120 | 120 | 32 | 256 | 16.14245298 | 8.328  | 7680 | 0.004882813 |
| lena32.bmp | lena32.bmp-withWavelet_bior1.1-G_0.6-H0.0001_af5.wfa | 1572864 | 524288 | 524288 | 15 | 7440 | 120 | 120 | 32 | 256 | 16.14245298 | 8.391  | 7680 | 0.004882813 |
| lena32.bmp | lena32.bmp-withWavelet_haar-G_0.6-H9e-005_af5.wfa    | 1572864 | 524288 | 524288 | 15 | 7440 | 120 | 120 | 32 | 256 | 15.9224279  | 8.015  | 7680 | 0.004882813 |
| lena32.bmp | lena32.bmp-withWavelet_rbio1.1-G_0.6-H9e-005_af5.wfa | 1572864 | 524288 | 524288 | 15 | 7440 | 120 | 120 | 32 | 256 | 15.9224279  | 8.062  | 7680 | 0.004882813 |
| lena32.bmp | lena32.bmp-withWavelet_sym1-G_0.6-H9e-005_af5.wfa    | 1572864 | 524288 | 524288 | 15 | 7440 | 120 | 120 | 32 | 256 | 15.9224279  | 8.094  | 7680 | 0.004882813 |
| lena32.bmp | lena32.bmp-withWavelet_bior1.1-G_0.6-H9e-005_af5.wfa | 1572864 | 524288 | 524288 | 15 | 7440 | 120 | 120 | 32 | 256 | 15.9224279  | 8.156  | 7680 | 0.004882813 |
| lena32.bmp | lena32.bmp-withWavelet_haar-G_1-H0.0001_af2.wfa      | 1572864 | 524288 | 524288 | 16 | 8432 | 128 | 128 | 32 | 256 | 17.65802074 | 8.313  | 8688 | 0.005523682 |
| lena32.bmp | lena32.bmp-withWavelet_rbio1.1-G_1-H0.0001_af2.wfa   | 1572864 | 524288 | 524288 | 16 | 8432 | 128 | 128 | 32 | 256 | 17.65802074 | 8.359  | 8688 | 0.005523682 |
| lena32.bmp | lena32.bmp-withWavelet_sym1-G_1-H0.0001_af2.wfa      | 1572864 | 524288 | 524288 | 16 | 8432 | 128 | 128 | 32 | 256 | 17.65802074 | 8.297  | 8688 | 0.005523682 |
| lena32.bmp | lena32.bmp-withWavelet_bior1.1-G_1-H0.0001_af2.wfa   | 1572864 | 524288 | 524288 | 16 | 8432 | 128 | 128 | 32 | 256 | 17.65802074 | 8.531  | 8688 | 0.005523682 |
| lena32.bmp | lena32.bmp-G_0.8-H5e-005_af4.wfa                     | 1572864 | 524288 |        | 16 | 8432 | 128 | 128 | 32 | 256 | 16.8046449  | 8.11   | 8688 | 0.005523682 |
| lena32.bmp | lena32.bmp-G_1-H5e-005_af4.wfa                       | 1572864 | 524288 |        | 16 | 8432 | 128 | 128 | 32 | 256 | 16.78211496 | 8.125  | 8688 | 0.005523682 |
| lena32.bmp | lena32.bmp-G_0.6-H4e-005_af4.wfa                     | 1572864 | 524288 |        | 16 | 8432 | 128 | 128 | 32 | 256 | 16.77677459 | 8.25   | 8688 | 0.005523682 |
| lena32.bmp | lena32.bmp-G_0.6-H3e-005_af4.wfa                     | 1572864 | 524288 |        | 16 | 8432 | 128 | 128 | 32 | 256 | 16.76796685 | 8.203  | 8688 | 0.005523682 |
| lena32.bmp | lena32.bmp-G_1-H3e-005_af4.wfa                       | 1572864 | 524288 |        | 16 | 8432 | 128 | 128 | 32 | 256 | 16.74122279 | 10.641 | 8688 | 0.005523682 |
| lena32.bmp | lena32.bmp-withWavelet_haar-G_1-H9e-005_af5.wfa      | 1572864 | 524288 | 524288 | 16 | 8432 | 128 | 128 | 32 | 256 | 16.51968577 | 9.187  | 8688 | 0.005523682 |
| lena32.bmp | lena32.bmp-withWavelet_rbio1.1-G_1-H9e-005_af5.wfa   | 1572864 | 524288 | 524288 | 16 | 8432 | 128 | 128 | 32 | 256 | 16.51968577 | 8.265  | 8688 | 0.005523682 |
| lena32.bmp | lena32.bmp-withWavelet_sym1-G_1-H9e-005_af5.wfa      | 1572864 | 524288 | 524288 | 16 | 8432 | 128 | 128 | 32 | 256 | 16.51968577 | 8.719  | 8688 | 0.005523682 |
| lena32.bmp | lena32.bmp-withWavelet_bior1.1-G_1-H9e-005_af5.wfa   | 1572864 | 524288 | 524288 | 16 | 8432 | 128 | 128 | 32 | 256 | 16.51968577 | 10.296 | 8688 | 0.005523682 |

|            |  |         |        |        |    |      |     |     |    |     |             |        |      |             |
|------------|--|---------|--------|--------|----|------|-----|-----|----|-----|-------------|--------|------|-------------|
| lena32.bmp | lena32.bmp-withWavelet_haar-G_0.6-H8e-005_af5.wfa    | 1572864 | 524288 | 524288 | 16 | 8432 | 128 | 128 | 32 | 256 | 16.20619809 | 8.219  | 8688 | 0.005523682 |
| lena32.bmp | lena32.bmp-withWavelet_rbio1.1-G_0.6-H8e-005_af5.wfa | 1572864 | 524288 | 524288 | 16 | 8432 | 128 | 128 | 32 | 256 | 16.20619809 | 8.125  | 8688 | 0.005523682 |
| lena32.bmp | lena32.bmp-withWavelet_sym1-G_0.6-H8e-005_af5.wfa    | 1572864 | 524288 | 524288 | 16 | 8432 | 128 | 128 | 32 | 256 | 16.20619809 | 8.109  | 8688 | 0.005523682 |
| lena32.bmp | lena32.bmp-withWavelet_bior1.1-G_0.6-H8e-005_af5.wfa | 1572864 | 524288 | 524288 | 16 | 8432 | 128 | 128 | 32 | 256 | 16.20619809 | 8.203  | 8688 | 0.005523682 |
| lena32.bmp | lena32.bmp-withWavelet_haar-G_0.8-H8e-005_af2.wfa    | 1572864 | 524288 | 524288 | 17 | 9488 | 136 | 136 | 32 | 256 | 17.64060186 | 8.64   | 9760 | 0.006205241 |
| lena32.bmp | lena32.bmp-withWavelet_rbio1.1-G_0.8-H8e-005_af2.wfa | 1572864 | 524288 | 524288 | 17 | 9488 | 136 | 136 | 32 | 256 | 17.64060186 | 8.609  | 9760 | 0.006205241 |
| lena32.bmp | lena32.bmp-withWavelet_sym1-G_0.8-H8e-005_af2.wfa    | 1572864 | 524288 | 524288 | 17 | 9488 | 136 | 136 | 32 | 256 | 17.64060186 | 8.719  | 9760 | 0.006205241 |
| lena32.bmp | lena32.bmp-withWavelet_bior1.1-G_0.8-H8e-005_af2.wfa | 1572864 | 524288 | 524288 | 17 | 9488 | 136 | 136 | 32 | 256 | 17.64060186 | 8.594  | 9760 | 0.006205241 |
| lena32.bmp | lena32.bmp-withWavelet_haar-G_1-H9e-005_af2.wfa      | 1572864 | 524288 | 524288 | 17 | 9488 | 136 | 136 | 32 | 256 | 17.36196117 | 9.954  | 9760 | 0.006205241 |
| lena32.bmp | lena32.bmp-withWavelet_rbio1.1-G_1-H9e-005_af2.wfa   | 1572864 | 524288 | 524288 | 17 | 9488 | 136 | 136 | 32 | 256 | 17.36196117 | 10.094 | 9760 | 0.006205241 |
| lena32.bmp | lena32.bmp-withWavelet_sym1-G_1-H9e-005_af2.wfa      | 1572864 | 524288 | 524288 | 17 | 9488 | 136 | 136 | 32 | 256 | 17.36196117 | 8.625  | 9760 | 0.006205241 |
| lena32.bmp | lena32.bmp-withWavelet_bior1.1-G_1-H9e-005_af2.wfa   | 1572864 | 524288 | 524288 | 17 | 9488 | 136 | 136 | 32 | 256 | 17.36196117 | 10.594 | 9760 | 0.006205241 |
| lena32.bmp | lena32.bmp-withWavelet_haar-G_1-H8e-005_af5.wfa      | 1572864 | 524288 | 524288 | 17 | 9488 | 136 | 136 | 32 | 256 | 17.28716109 | 8.828  | 9760 | 0.006205241 |
| lena32.bmp | lena32.bmp-withWavelet_rbio1.1-G_1-H8e-005_af5.wfa   | 1572864 | 524288 | 524288 | 17 | 9488 | 136 | 136 | 32 | 256 | 17.28716109 | 11.157 | 9760 | 0.006205241 |
| lena32.bmp | lena32.bmp-withWavelet_sym1-G_1-H8e-005_af5.wfa      | 1572864 | 524288 | 524288 | 17 | 9488 | 136 | 136 | 32 | 256 | 17.28716109 | 8.828  | 9760 | 0.006205241 |
| lena32.bmp | lena32.bmp-withWavelet_bior1.1-G_1-H8e-005_af5.wfa   | 1572864 | 524288 | 524288 | 17 | 9488 | 136 | 136 | 32 | 256 | 17.28716109 | 8.954  | 9760 | 0.006205241 |
| lena32.bmp | lena32.bmp-withWavelet_haar-G_0.8-H8e-005_af5.wfa    | 1572864 | 524288 | 524288 | 17 | 9488 | 136 | 136 | 32 | 256 | 17.07728816 | 8.985  | 9760 | 0.006205241 |
| lena32.bmp | lena32.bmp-withWavelet_rbio1.1-G_0.8-H8e-005_af5.wfa | 1572864 | 524288 | 524288 | 17 | 9488 | 136 | 136 | 32 | 256 | 17.07728816 | 8.735  | 9760 | 0.006205241 |
| lena32.bmp | lena32.bmp-withWavelet_sym1-G_0.8-H8e-005_af5.wfa    | 1572864 | 524288 | 524288 | 17 | 9488 | 136 | 136 | 32 | 256 | 17.07728816 | 8.609  | 9760 | 0.006205241 |
| lena32.bmp | lena32.bmp-withWavelet_bior1.1-G_0.8-H8e-005_af5.wfa | 1572864 | 524288 | 524288 | 17 | 9488 | 136 | 136 | 32 | 256 | 17.07728816 | 8.657  | 9760 | 0.006205241 |
| lena32.bmp | lena32.bmp-withWavelet_haar-G_0.8-H9e-005_af5.wfa    | 1572864 | 524288 | 524288 | 17 | 9488 | 136 | 136 | 32 | 256 | 16.88985541 | 8.875  | 9760 | 0.006205241 |
| lena32.bmp | lena32.bmp-withWavelet_rbio1.1-G_0.8-H9e-005_af5.wfa | 1572864 | 524288 | 524288 | 17 | 9488 | 136 | 136 | 32 | 256 | 16.88985541 | 8.906  | 9760 | 0.006205241 |
| lena32.bmp | lena32.bmp-withWavelet_sym1-G_0.8-H9e-005_af5.wfa    | 1572864 | 524288 | 524288 | 17 | 9488 | 136 | 136 | 32 | 256 | 16.88985541 | 8.672  | 9760 | 0.006205241 |
| lena32.bmp | lena32.bmp-withWavelet_bior1.1-G_0.8-H9e-005_af5.wfa | 1572864 | 524288 | 524288 | 17 | 9488 | 136 | 136 | 32 | 256 | 16.88985541 | 8.766  | 9760 | 0.006205241 |
| lena32.bmp | lena32.bmp-G_0.6-H2e-005_af4.wfa                     | 1572864 | 524288 |        | 17 | 9488 | 136 | 136 | 32 | 256 | 16.80520862 | 9.031  | 9760 | 0.006205241 |
| lena32.bmp | lena32.bmp-G_0.6-H1e-005_af4.wfa                     | 1572864 | 524288 |        | 17 | 9488 | 136 | 136 | 32 | 256 | 16.80520862 | 8.844  | 9760 | 0.006205241 |
| lena32.bmp | lena32.bmp-G_0.8-H3e-005_af4.wfa                     | 1572864 | 524288 |        | 17 | 9488 | 136 | 136 | 32 | 256 | 16.79867215 | 8.672  | 9760 | 0.006205241 |
| lena32.bmp | lena32.bmp-G_0.8-H2e-005_af4.wfa                     | 1572864 | 524288 |        | 17 | 9488 | 136 | 136 | 32 | 256 | 16.79867215 | 8.906  | 9760 | 0.006205241 |
| lena32.bmp | lena32.bmp-G_0.8-H1e-005_af4.wfa                     | 1572864 | 524288 |        | 17 | 9488 | 136 | 136 | 32 | 256 | 16.79867215 | 8.719  | 9760 | 0.006205241 |
| lena32.bmp | lena32.bmp-G_1-H2e-005_af4.wfa                       | 1572864 | 524288 |        | 17 | 9488 | 136 | 136 | 32 | 256 | 16.76385884 | 8.984  | 9760 | 0.006205241 |
| lena32.bmp | lena32.bmp-G_1-H1e-005_af4.wfa                       | 1572864 | 524288 |        | 17 | 9488 | 136 | 136 | 32 | 256 | 16.76385884 | 8.735  | 9760 | 0.006205241 |

|            |  |         |        |        |    |       |     |     |    |     |             |        |       |            |
|------------|--|---------|--------|--------|----|-------|-----|-----|----|-----|-------------|--------|-------|------------|
| lena32.bmp | lena32.bmp-G_1-H0.0001_af5.wfa                       | 1572864 | 524288 |        | 18 | 10608 | 144 | 144 | 32 | 256 | 18.50158326 | 9      | 10896 | 0.00692749 |
| lena32.bmp | lena32.bmp-G_0.8-H0.0001_af5.wfa                     | 1572864 | 524288 |        | 18 | 10608 | 144 | 144 | 32 | 256 | 18.4932177  | 9.016  | 10896 | 0.00692749 |
| lena32.bmp | lena32.bmp-G_0.8-H9e-005_af5.wfa                     | 1572864 | 524288 |        | 18 | 10608 | 144 | 144 | 32 | 256 | 18.47277646 | 8.985  | 10896 | 0.00692749 |
| lena32.bmp | lena32.bmp-G_0.6-H0.0001_af5.wfa                     | 1572864 | 524288 |        | 18 | 10608 | 144 | 144 | 32 | 256 | 18.25805372 | 9.25   | 10896 | 0.00692749 |
| lena32.bmp | lena32.bmp-G_0.6-H0.0001_af2.wfa                     | 1572864 | 524288 |        | 18 | 10608 | 144 | 144 | 32 | 256 | 18.21107629 | 9.047  | 10896 | 0.00692749 |
| lena32.bmp | lena32.bmp-G_0.6-H0.0001_af3.wfa                     | 1572864 | 524288 |        | 18 | 10608 | 144 | 144 | 32 | 256 | 17.75830161 | 9.406  | 10896 | 0.00692749 |
| lena32.bmp | lena32.bmp-withWavelet_haar-G_0.8-H0.0001_af2.wfa    | 1572864 | 524288 | 524288 | 18 | 10608 | 144 | 144 | 32 | 256 | 17.33649237 | 9.031  | 10896 | 0.00692749 |
| lena32.bmp | lena32.bmp-withWavelet_rbio1.1-G_0.8-H0.0001_af2.wfa | 1572864 | 524288 | 524288 | 18 | 10608 | 144 | 144 | 32 | 256 | 17.33649237 | 9.078  | 10896 | 0.00692749 |
| lena32.bmp | lena32.bmp-withWavelet_sym1-G_0.8-H0.0001_af2.wfa    | 1572864 | 524288 | 524288 | 18 | 10608 | 144 | 144 | 32 | 256 | 17.33649237 | 8.969  | 10896 | 0.00692749 |
| lena32.bmp | lena32.bmp-withWavelet_bior1.1-G_0.8-H0.0001_af2.wfa | 1572864 | 524288 | 524288 | 18 | 10608 | 144 | 144 | 32 | 256 | 17.33649237 | 8.984  | 10896 | 0.00692749 |
| lena32.bmp | lena32.bmp-withWavelet_haar-G_1-H8e-005_af2.wfa      | 1572864 | 524288 | 524288 | 18 | 10608 | 144 | 144 | 32 | 256 | 17.32778473 | 8.891  | 10896 | 0.00692749 |
| lena32.bmp | lena32.bmp-withWavelet_rbio1.1-G_1-H8e-005_af2.wfa   | 1572864 | 524288 | 524288 | 18 | 10608 | 144 | 144 | 32 | 256 | 17.32778473 | 8.875  | 10896 | 0.00692749 |
| lena32.bmp | lena32.bmp-withWavelet_sym1-G_1-H8e-005_af2.wfa      | 1572864 | 524288 | 524288 | 18 | 10608 | 144 | 144 | 32 | 256 | 17.32778473 | 9.046  | 10896 | 0.00692749 |
| lena32.bmp | lena32.bmp-withWavelet_bior1.1-G_1-H8e-005_af2.wfa   | 1572864 | 524288 | 524288 | 18 | 10608 | 144 | 144 | 32 | 256 | 17.32778473 | 8.922  | 10896 | 0.00692749 |
| lena32.bmp | lena32.bmp-withWavelet_haar-G_0.8-H9e-005_af2.wfa    | 1572864 | 524288 | 524288 | 18 | 10608 | 144 | 144 | 32 | 256 | 17.26400443 | 11.531 | 10896 | 0.00692749 |
| lena32.bmp | lena32.bmp-withWavelet_rbio1.1-G_0.8-H9e-005_af2.wfa | 1572864 | 524288 | 524288 | 18 | 10608 | 144 | 144 | 32 | 256 | 17.26400443 | 9.891  | 10896 | 0.00692749 |
| lena32.bmp | lena32.bmp-withWavelet_sym1-G_0.8-H9e-005_af2.wfa    | 1572864 | 524288 | 524288 | 18 | 10608 | 144 | 144 | 32 | 256 | 17.26400443 | 10.657 | 10896 | 0.00692749 |
| lena32.bmp | lena32.bmp-withWavelet_bior1.1-G_0.8-H9e-005_af2.wfa | 1572864 | 524288 | 524288 | 18 | 10608 | 144 | 144 | 32 | 256 | 17.26400443 | 11.375 | 10896 | 0.00692749 |
| lena32.bmp | lena32.bmp-withWavelet_haar-G_0.8-H7e-005_af5.wfa    | 1572864 | 524288 | 524288 | 18 | 10608 | 144 | 144 | 32 | 256 | 17.00989494 | 8.906  | 10896 | 0.00692749 |
| lena32.bmp | lena32.bmp-withWavelet_rbio1.1-G_0.8-H7e-005_af5.wfa | 1572864 | 524288 | 524288 | 18 | 10608 | 144 | 144 | 32 | 256 | 17.00989494 | 8.953  | 10896 | 0.00692749 |
| lena32.bmp | lena32.bmp-withWavelet_sym1-G_0.8-H7e-005_af5.wfa    | 1572864 | 524288 | 524288 | 18 | 10608 | 144 | 144 | 32 | 256 | 17.00989494 | 8.781  | 10896 | 0.00692749 |
| lena32.bmp | lena32.bmp-withWavelet_bior1.1-G_0.8-H7e-005_af5.wfa | 1572864 | 524288 | 524288 | 18 | 10608 | 144 | 144 | 32 | 256 | 17.00989494 | 8.875  | 10896 | 0.00692749 |
| lena32.bmp | lena32.bmp-withWavelet_haar-G_0.6-H9e-005_af2.wfa    | 1572864 | 524288 | 524288 | 18 | 10608 | 144 | 144 | 32 | 256 | 16.99554737 | 8.937  | 10896 | 0.00692749 |
| lena32.bmp | lena32.bmp-withWavelet_rbio1.1-G_0.6-H9e-005_af2.wfa | 1572864 | 524288 | 524288 | 18 | 10608 | 144 | 144 | 32 | 256 | 16.99554737 | 9      | 10896 | 0.00692749 |
| lena32.bmp | lena32.bmp-withWavelet_sym1-G_0.6-H9e-005_af2.wfa    | 1572864 | 524288 | 524288 | 18 | 10608 | 144 | 144 | 32 | 256 | 16.99554737 | 11.235 | 10896 | 0.00692749 |
| lena32.bmp | lena32.bmp-withWavelet_bior1.1-G_0.6-H9e-005_af2.wfa | 1572864 | 524288 | 524288 | 18 | 10608 | 144 | 144 | 32 | 256 | 16.99554737 | 9.844  | 10896 | 0.00692749 |
| lena32.bmp | lena32.bmp-withWavelet_haar-G_0.6-H0.0001_af2.wfa    | 1572864 | 524288 | 524288 | 18 | 10608 | 144 | 144 | 32 | 256 | 16.99554737 | 9.125  | 10896 | 0.00692749 |
| lena32.bmp | lena32.bmp-withWavelet_rbio1.1-G_0.6-H0.0001_af2.wfa | 1572864 | 524288 | 524288 | 18 | 10608 | 144 | 144 | 32 | 256 | 16.99554737 | 9.172  | 10896 | 0.00692749 |
| lena32.bmp | lena32.bmp-withWavelet_sym1-G_0.6-H0.0001_af2.wfa    | 1572864 | 524288 | 524288 | 18 | 10608 | 144 | 144 | 32 | 256 | 16.99554737 | 9.344  | 10896 | 0.00692749 |
| lena32.bmp | lena32.bmp-withWavelet_bior1.1-G_0.6-H0.0001_af2.wfa | 1572864 | 524288 | 524288 | 18 | 10608 | 144 | 144 | 32 | 256 | 16.99554737 | 9.187  | 10896 | 0.00692749 |
| lena32.bmp | lena32.bmp-withWavelet_haar-G_1-H7e-005_af5.wfa      | 1572864 | 524288 | 524288 | 18 | 10608 | 144 | 144 | 32 | 256 | 16.82633403 | 8.765  | 10896 | 0.00692749 |

|            |  |         |        |        |    |       |     |     |    |     |             |        |       |            |
|------------|--|---------|--------|--------|----|-------|-----|-----|----|-----|-------------|--------|-------|------------|
| lena32.bmp | lena32.bmp-withWavelet_rbio1.1-G_1-H7e-005_af5.wfa   | 1572864 | 524288 | 524288 | 18 | 10608 | 144 | 144 | 32 | 256 | 16.82633403 | 8.86   | 10896 | 0.00692749 |
| lena32.bmp | lena32.bmp-withWavelet_sym1-G_1-H7e-005_af5.wfa      | 1572864 | 524288 | 524288 | 18 | 10608 | 144 | 144 | 32 | 256 | 16.82633403 | 8.875  | 10896 | 0.00692749 |
| lena32.bmp | lena32.bmp-withWavelet_bior1.1-G_1-H7e-005_af5.wfa   | 1572864 | 524288 | 524288 | 18 | 10608 | 144 | 144 | 32 | 256 | 16.82633403 | 9.078  | 10896 | 0.00692749 |
| lena32.bmp | lena32.bmp-withWavelet_haar-G_0.6-H9e-005_af1.wfa    | 1572864 | 524288 | 524288 | 18 | 10608 | 144 | 144 | 32 | 256 | 16.78785476 | 9.203  | 10896 | 0.00692749 |
| lena32.bmp | lena32.bmp-withWavelet_rbio1.1-G_0.6-H9e-005_af1.wfa | 1572864 | 524288 | 524288 | 18 | 10608 | 144 | 144 | 32 | 256 | 16.78785476 | 8.953  | 10896 | 0.00692749 |
| lena32.bmp | lena32.bmp-withWavelet_sym1-G_0.6-H9e-005_af1.wfa    | 1572864 | 524288 | 524288 | 18 | 10608 | 144 | 144 | 32 | 256 | 16.78785476 | 8.922  | 10896 | 0.00692749 |
| lena32.bmp | lena32.bmp-withWavelet_bior1.1-G_0.6-H9e-005_af1.wfa | 1572864 | 524288 | 524288 | 18 | 10608 | 144 | 144 | 32 | 256 | 16.78785476 | 9.015  | 10896 | 0.00692749 |
| lena32.bmp | lena32.bmp-withWavelet_haar-G_0.6-H0.0001_af1.wfa    | 1572864 | 524288 | 524288 | 18 | 10608 | 144 | 144 | 32 | 256 | 16.78785476 | 9.094  | 10896 | 0.00692749 |
| lena32.bmp | lena32.bmp-withWavelet_rbio1.1-G_0.6-H0.0001_af1.wfa | 1572864 | 524288 | 524288 | 18 | 10608 | 144 | 144 | 32 | 256 | 16.78785476 | 9.031  | 10896 | 0.00692749 |
| lena32.bmp | lena32.bmp-withWavelet_sym1-G_0.6-H0.0001_af1.wfa    | 1572864 | 524288 | 524288 | 18 | 10608 | 144 | 144 | 32 | 256 | 16.78785476 | 9.313  | 10896 | 0.00692749 |
| lena32.bmp | lena32.bmp-withWavelet_bior1.1-G_0.6-H0.0001_af1.wfa | 1572864 | 524288 | 524288 | 18 | 10608 | 144 | 144 | 32 | 256 | 16.78785476 | 9.187  | 10896 | 0.00692749 |
| lena32.bmp | lena32.bmp-G_0.8-H0.0001_af2.wfa                     | 1572864 | 524288 |        | 19 | 11792 | 152 | 152 | 32 | 256 | 18.624768   | 9.703  | 12096 | 0.00769043 |
| lena32.bmp | lena32.bmp-G_1-H0.0001_af2.wfa                       | 1572864 | 524288 |        | 19 | 11792 | 152 | 152 | 32 | 256 | 18.59921213 | 9.86   | 12096 | 0.00769043 |
| lena32.bmp | lena32.bmp-G_1-H9e-005_af5.wfa                       | 1572864 | 524288 |        | 19 | 11792 | 152 | 152 | 32 | 256 | 18.57807103 | 11.516 | 12096 | 0.00769043 |
| lena32.bmp | lena32.bmp-G_1-H9e-005_af2.wfa                       | 1572864 | 524288 |        | 19 | 11792 | 152 | 152 | 32 | 256 | 18.57572701 | 10.078 | 12096 | 0.00769043 |
| lena32.bmp | lena32.bmp-G_0.8-H9e-005_af2.wfa                     | 1572864 | 524288 |        | 19 | 11792 | 152 | 152 | 32 | 256 | 18.56508837 | 9.89   | 12096 | 0.00769043 |
| lena32.bmp | lena32.bmp-G_1-H8e-005_af5.wfa                       | 1572864 | 524288 |        | 19 | 11792 | 152 | 152 | 32 | 256 | 18.56073713 | 9.844  | 12096 | 0.00769043 |
| lena32.bmp | lena32.bmp-G_0.6-H9e-005_af5.wfa                     | 1572864 | 524288 |        | 19 | 11792 | 152 | 152 | 32 | 256 | 18.29652036 | 9.703  | 12096 | 0.00769043 |
| lena32.bmp | lena32.bmp-G_1-H0.0001_af3.wfa                       | 1572864 | 524288 |        | 19 | 11792 | 152 | 152 | 32 | 256 | 18.2550152  | 12.203 | 12096 | 0.00769043 |
| lena32.bmp | lena32.bmp-G_0.8-H0.0001_af3.wfa                     | 1572864 | 524288 |        | 19 | 11792 | 152 | 152 | 32 | 256 | 18.25195097 | 9.703  | 12096 | 0.00769043 |
| lena32.bmp | lena32.bmp-G_0.6-H9e-005_af2.wfa                     | 1572864 | 524288 |        | 19 | 11792 | 152 | 152 | 32 | 256 | 18.17863649 | 9.657  | 12096 | 0.00769043 |
| lena32.bmp | lena32.bmp-G_0.6-H7e-005_af5.wfa                     | 1572864 | 524288 |        | 19 | 11792 | 152 | 152 | 32 | 256 | 18.15394005 | 9.671  | 12096 | 0.00769043 |
| lena32.bmp | lena32.bmp-withWavelet_haar-G_0.8-H7e-005_af2.wfa    | 1572864 | 524288 | 524288 | 19 | 11792 | 152 | 152 | 32 | 256 | 17.69483849 | 11.281 | 12096 | 0.00769043 |
| lena32.bmp | lena32.bmp-withWavelet_rbio1.1-G_0.8-H7e-005_af2.wfa | 1572864 | 524288 | 524288 | 19 | 11792 | 152 | 152 | 32 | 256 | 17.69483849 | 9.797  | 12096 | 0.00769043 |
| lena32.bmp | lena32.bmp-withWavelet_sym1-G_0.8-H7e-005_af2.wfa    | 1572864 | 524288 | 524288 | 19 | 11792 | 152 | 152 | 32 | 256 | 17.69483849 | 9.859  | 12096 | 0.00769043 |
| lena32.bmp | lena32.bmp-withWavelet_bior1.1-G_0.8-H7e-005_af2.wfa | 1572864 | 524288 | 524288 | 19 | 11792 | 152 | 152 | 32 | 256 | 17.69483849 | 9.453  | 12096 | 0.00769043 |
| lena32.bmp | lena32.bmp-withWavelet_haar-G_1-H6e-005_af2.wfa      | 1572864 | 524288 | 524288 | 19 | 11792 | 152 | 152 | 32 | 256 | 17.69119535 | 9.563  | 12096 | 0.00769043 |
| lena32.bmp | lena32.bmp-withWavelet_rbio1.1-G_1-H6e-005_af2.wfa   | 1572864 | 524288 | 524288 | 19 | 11792 | 152 | 152 | 32 | 256 | 17.69119535 | 9.469  | 12096 | 0.00769043 |
| lena32.bmp | lena32.bmp-withWavelet_sym1-G_1-H6e-005_af2.wfa      | 1572864 | 524288 | 524288 | 19 | 11792 | 152 | 152 | 32 | 256 | 17.69119535 | 10.125 | 12096 | 0.00769043 |
| lena32.bmp | lena32.bmp-withWavelet_bior1.1-G_1-H6e-005_af2.wfa   | 1572864 | 524288 | 524288 | 19 | 11792 | 152 | 152 | 32 | 256 | 17.69119535 | 9.828  | 12096 | 0.00769043 |
| lena32.bmp | lena32.bmp-withWavelet_haar-G_0.8-H6e-005_af2.wfa    | 1572864 | 524288 | 524288 | 19 | 11792 | 152 | 152 | 32 | 256 | 17.667447   | 9.547  | 12096 | 0.00769043 |



|            |  |         |        |        |    |       |     |     |    |     |             |        |       |             |
|------------|--|---------|--------|--------|----|-------|-----|-----|----|-----|-------------|--------|-------|-------------|
| lena32.bmp | lena32.bmp-withWavelet_haar-G_0.6-H7e-005_af5.wfa    | 1572864 | 524288 | 524288 | 19 | 11792 | 152 | 152 | 32 | 256 | 16.29934221 | 9.984  | 12096 | 0.00769043  |
| lena32.bmp | lena32.bmp-withWavelet_rbio1.1-G_0.6-H7e-005_af5.wfa | 1572864 | 524288 | 524288 | 19 | 11792 | 152 | 152 | 32 | 256 | 16.29934221 | 9.5    | 12096 | 0.00769043  |
| lena32.bmp | lena32.bmp-withWavelet_sym1-G_0.6-H7e-005_af5.wfa    | 1572864 | 524288 | 524288 | 19 | 11792 | 152 | 152 | 32 | 256 | 16.29934221 | 9.5    | 12096 | 0.00769043  |
| lena32.bmp | lena32.bmp-withWavelet_bior1.1-G_0.6-H7e-005_af5.wfa | 1572864 | 524288 | 524288 | 19 | 11792 | 152 | 152 | 32 | 256 | 16.29934221 | 9.531  | 12096 | 0.00769043  |
| lena32.bmp | lena32.bmp-G_0.8-H8e-005_af5.wfa                     | 1572864 | 524288 |        | 20 | 13040 | 160 | 160 | 32 | 256 | 18.69706058 | 9.985  | 13360 | 0.008494059 |
| lena32.bmp | lena32.bmp-G_1-H8e-005_af2.wfa                       | 1572864 | 524288 |        | 20 | 13040 | 160 | 160 | 32 | 256 | 18.62472278 | 9.906  | 13360 | 0.008494059 |
| lena32.bmp | lena32.bmp-G_0.8-H8e-005_af2.wfa                     | 1572864 | 524288 |        | 20 | 13040 | 160 | 160 | 32 | 256 | 18.61706235 | 9.766  | 13360 | 0.008494059 |
| lena32.bmp | lena32.bmp-G_1-H7e-005_af5.wfa                       | 1572864 | 524288 |        | 20 | 13040 | 160 | 160 | 32 | 256 | 18.5145318  | 9.734  | 13360 | 0.008494059 |
| lena32.bmp | lena32.bmp-G_0.6-H8e-005_af2.wfa                     | 1572864 | 524288 |        | 20 | 13040 | 160 | 160 | 32 | 256 | 18.33798253 | 9.922  | 13360 | 0.008494059 |
| lena32.bmp | lena32.bmp-G_0.6-H8e-005_af5.wfa                     | 1572864 | 524288 |        | 20 | 13040 | 160 | 160 | 32 | 256 | 18.29528289 | 9.86   | 13360 | 0.008494059 |
| lena32.bmp | lena32.bmp-G_0.6-H7e-005_af2.wfa                     | 1572864 | 524288 |        | 20 | 13040 | 160 | 160 | 32 | 256 | 18.16203312 | 9.61   | 13360 | 0.008494059 |
| lena32.bmp | lena32.bmp-G_0.6-H9e-005_af3.wfa                     | 1572864 | 524288 |        | 20 | 13040 | 160 | 160 | 32 | 256 | 17.91306544 | 10.156 | 13360 | 0.008494059 |
| lena32.bmp | lena32.bmp-withWavelet_haar-G_1-H5e-005_af2.wfa      | 1572864 | 524288 | 524288 | 20 | 13040 | 160 | 160 | 32 | 256 | 17.77604269 | 9.891  | 13360 | 0.008494059 |
| lena32.bmp | lena32.bmp-withWavelet_rbio1.1-G_1-H5e-005_af2.wfa   | 1572864 | 524288 | 524288 | 20 | 13040 | 160 | 160 | 32 | 256 | 17.77604269 | 9.828  | 13360 | 0.008494059 |
| lena32.bmp | lena32.bmp-withWavelet_sym1-G_1-H5e-005_af2.wfa      | 1572864 | 524288 | 524288 | 20 | 13040 | 160 | 160 | 32 | 256 | 17.77604269 | 9.907  | 13360 | 0.008494059 |
| lena32.bmp | lena32.bmp-withWavelet_bior1.1-G_1-H5e-005_af2.wfa   | 1572864 | 524288 | 524288 | 20 | 13040 | 160 | 160 | 32 | 256 | 17.77604269 | 9.765  | 13360 | 0.008494059 |
| lena32.bmp | lena32.bmp-withWavelet_haar-G_0.8-H5e-005_af2.wfa    | 1572864 | 524288 | 524288 | 20 | 13040 | 160 | 160 | 32 | 256 | 17.62760697 | 9.875  | 13360 | 0.008494059 |
| lena32.bmp | lena32.bmp-withWavelet_rbio1.1-G_0.8-H5e-005_af2.wfa | 1572864 | 524288 | 524288 | 20 | 13040 | 160 | 160 | 32 | 256 | 17.62760697 | 9.937  | 13360 | 0.008494059 |
| lena32.bmp | lena32.bmp-withWavelet_sym1-G_0.8-H5e-005_af2.wfa    | 1572864 | 524288 | 524288 | 20 | 13040 | 160 | 160 | 32 | 256 | 17.62760697 | 9.828  | 13360 | 0.008494059 |
| lena32.bmp | lena32.bmp-withWavelet_bior1.1-G_0.8-H5e-005_af2.wfa | 1572864 | 524288 | 524288 | 20 | 13040 | 160 | 160 | 32 | 256 | 17.62760697 | 9.813  | 13360 | 0.008494059 |
| lena32.bmp | lena32.bmp-withWavelet_haar-G_1-H6e-005_af5.wfa      | 1572864 | 524288 | 524288 | 20 | 13040 | 160 | 160 | 32 | 256 | 17.17089415 | 9.719  | 13360 | 0.008494059 |
| lena32.bmp | lena32.bmp-withWavelet_rbio1.1-G_1-H6e-005_af5.wfa   | 1572864 | 524288 | 524288 | 20 | 13040 | 160 | 160 | 32 | 256 | 17.17089415 | 9.75   | 13360 | 0.008494059 |
| lena32.bmp | lena32.bmp-withWavelet_sym1-G_1-H6e-005_af5.wfa      | 1572864 | 524288 | 524288 | 20 | 13040 | 160 | 160 | 32 | 256 | 17.17089415 | 9.687  | 13360 | 0.008494059 |
| lena32.bmp | lena32.bmp-withWavelet_bior1.1-G_1-H6e-005_af5.wfa   | 1572864 | 524288 | 524288 | 20 | 13040 | 160 | 160 | 32 | 256 | 17.17089415 | 9.75   | 13360 | 0.008494059 |
| lena32.bmp | lena32.bmp-withWavelet_haar-G_1-H9e-005_af1.wfa      | 1572864 | 524288 | 524288 | 20 | 13040 | 160 | 160 | 32 | 256 | 17.09127046 | 12.531 | 13360 | 0.008494059 |
| lena32.bmp | lena32.bmp-withWavelet_rbio1.1-G_1-H9e-005_af1.wfa   | 1572864 | 524288 | 524288 | 20 | 13040 | 160 | 160 | 32 | 256 | 17.09127046 | 9.828  | 13360 | 0.008494059 |
| lena32.bmp | lena32.bmp-withWavelet_sym1-G_1-H9e-005_af1.wfa      | 1572864 | 524288 | 524288 | 20 | 13040 | 160 | 160 | 32 | 256 | 17.09127046 | 10.078 | 13360 | 0.008494059 |
| lena32.bmp | lena32.bmp-withWavelet_bior1.1-G_1-H9e-005_af1.wfa   | 1572864 | 524288 | 524288 | 20 | 13040 | 160 | 160 | 32 | 256 | 17.09127046 | 12.031 | 13360 | 0.008494059 |
| lena32.bmp | lena32.bmp-withWavelet_haar-G_1-H0.0001_af4.wfa      | 1572864 | 524288 | 524288 | 20 | 13040 | 160 | 160 | 32 | 256 | 16.83825856 | 10.031 | 13360 | 0.008494059 |
| lena32.bmp | lena32.bmp-withWavelet_rbio1.1-G_1-H0.0001_af4.wfa   | 1572864 | 524288 | 524288 | 20 | 13040 | 160 | 160 | 32 | 256 | 16.83825856 | 12.063 | 13360 | 0.008494059 |
| lena32.bmp | lena32.bmp-withWavelet_sym1-G_1-H0.0001_af4.wfa      | 1572864 | 524288 | 524288 | 20 | 13040 | 160 | 160 | 32 | 256 | 16.83825856 | 10.422 | 13360 | 0.008494059 |



|            |  |         |        |        |    |       |     |     |    |     |             |        |       |             |
|------------|--|---------|--------|--------|----|-------|-----|-----|----|-----|-------------|--------|-------|-------------|
| lena32.bmp | lena32.bmp-withWavelet_bior1.1-G_1-H0.0001_af4.wfa   | 1572864 | 524288 | 524288 | 20 | 13040 | 160 | 160 | 32 | 256 | 16.83825856 | 9.906  | 13360 | 0.008494059 |
| lena32.bmp | lena32.bmp-withWavelet_haar-G_1-H9e-005_af4.wfa      | 1572864 | 524288 | 524288 | 20 | 13040 | 160 | 160 | 32 | 256 | 16.82634698 | 10.078 | 13360 | 0.008494059 |
| lena32.bmp | lena32.bmp-withWavelet_rbio1.1-G_1-H9e-005_af4.wfa   | 1572864 | 524288 | 524288 | 20 | 13040 | 160 | 160 | 32 | 256 | 16.82634698 | 11.672 | 13360 | 0.008494059 |
| lena32.bmp | lena32.bmp-withWavelet_sym1-G_1-H9e-005_af4.wfa      | 1572864 | 524288 | 524288 | 20 | 13040 | 160 | 160 | 32 | 256 | 16.82634698 | 10.812 | 13360 | 0.008494059 |
| lena32.bmp | lena32.bmp-withWavelet_bior1.1-G_1-H9e-005_af4.wfa   | 1572864 | 524288 | 524288 | 20 | 13040 | 160 | 160 | 32 | 256 | 16.82634698 | 12.39  | 13360 | 0.008494059 |
| lena32.bmp | lena32.bmp-withWavelet_haar-G_0.6-H7e-005_af1.wfa    | 1572864 | 524288 | 524288 | 20 | 13040 | 160 | 160 | 32 | 256 | 16.80896312 | 9.687  | 13360 | 0.008494059 |
| lena32.bmp | lena32.bmp-withWavelet_rbio1.1-G_0.6-H7e-005_af1.wfa | 1572864 | 524288 | 524288 | 20 | 13040 | 160 | 160 | 32 | 256 | 16.80896312 | 9.688  | 13360 | 0.008494059 |
| lena32.bmp | lena32.bmp-withWavelet_sym1-G_0.6-H7e-005_af1.wfa    | 1572864 | 524288 | 524288 | 20 | 13040 | 160 | 160 | 32 | 256 | 16.80896312 | 9.813  | 13360 | 0.008494059 |
| lena32.bmp | lena32.bmp-withWavelet_bior1.1-G_0.6-H7e-005_af1.wfa | 1572864 | 524288 | 524288 | 20 | 13040 | 160 | 160 | 32 | 256 | 16.80896312 | 9.672  | 13360 | 0.008494059 |
| lena32.bmp | lena32.bmp-withWavelet_haar-G_0.8-H0.0001_af4.wfa    | 1572864 | 524288 | 524288 | 20 | 13040 | 160 | 160 | 32 | 256 | 16.77589526 | 10.047 | 13360 | 0.008494059 |
| lena32.bmp | lena32.bmp-withWavelet_rbio1.1-G_0.8-H0.0001_af4.wfa | 1572864 | 524288 | 524288 | 20 | 13040 | 160 | 160 | 32 | 256 | 16.77589526 | 10.047 | 13360 | 0.008494059 |
| lena32.bmp | lena32.bmp-withWavelet_sym1-G_0.8-H0.0001_af4.wfa    | 1572864 | 524288 | 524288 | 20 | 13040 | 160 | 160 | 32 | 256 | 16.77589526 | 10.094 | 13360 | 0.008494059 |
| lena32.bmp | lena32.bmp-withWavelet_bior1.1-G_0.8-H0.0001_af4.wfa | 1572864 | 524288 | 524288 | 20 | 13040 | 160 | 160 | 32 | 256 | 16.77589526 | 9.937  | 13360 | 0.008494059 |
| lena32.bmp | lena32.bmp-withWavelet_haar-G_0.8-H9e-005_af4.wfa    | 1572864 | 524288 | 524288 | 20 | 13040 | 160 | 160 | 32 | 256 | 16.75441226 | 10.313 | 13360 | 0.008494059 |
| lena32.bmp | lena32.bmp-withWavelet_rbio1.1-G_0.8-H9e-005_af4.wfa | 1572864 | 524288 | 524288 | 20 | 13040 | 160 | 160 | 32 | 256 | 16.75441226 | 9.984  | 13360 | 0.008494059 |
| lena32.bmp | lena32.bmp-withWavelet_sym1-G_0.8-H9e-005_af4.wfa    | 1572864 | 524288 | 524288 | 20 | 13040 | 160 | 160 | 32 | 256 | 16.75441226 | 9.875  | 13360 | 0.008494059 |
| lena32.bmp | lena32.bmp-withWavelet_bior1.1-G_0.8-H9e-005_af4.wfa | 1572864 | 524288 | 524288 | 20 | 13040 | 160 | 160 | 32 | 256 | 16.75441226 | 9.953  | 13360 | 0.008494059 |
| lena32.bmp | lena32.bmp-withWavelet_haar-G_0.6-H5e-005_af5.wfa    | 1572864 | 524288 | 524288 | 20 | 13040 | 160 | 160 | 32 | 256 | 15.9633272  | 9.796  | 13360 | 0.008494059 |
| lena32.bmp | lena32.bmp-withWavelet_rbio1.1-G_0.6-H5e-005_af5.wfa | 1572864 | 524288 | 524288 | 20 | 13040 | 160 | 160 | 32 | 256 | 15.9633272  | 9.75   | 13360 | 0.008494059 |
| lena32.bmp | lena32.bmp-withWavelet_sym1-G_0.6-H5e-005_af5.wfa    | 1572864 | 524288 | 524288 | 20 | 13040 | 160 | 160 | 32 | 256 | 15.9633272  | 9.813  | 13360 | 0.008494059 |
| lena32.bmp | lena32.bmp-withWavelet_bior1.1-G_0.6-H5e-005_af5.wfa | 1572864 | 524288 | 524288 | 20 | 13040 | 160 | 160 | 32 | 256 | 15.9633272  | 9.907  | 13360 | 0.008494059 |
| lena32.bmp | lena32.bmp-withWavelet_haar-G_0.6-H6e-005_af5.wfa    | 1572864 | 524288 | 524288 | 20 | 13040 | 160 | 160 | 32 | 256 | 15.90197842 | 9.984  | 13360 | 0.008494059 |
| lena32.bmp | lena32.bmp-withWavelet_rbio1.1-G_0.6-H6e-005_af5.wfa | 1572864 | 524288 | 524288 | 20 | 13040 | 160 | 160 | 32 | 256 | 15.90197842 | 9.734  | 13360 | 0.008494059 |
| lena32.bmp | lena32.bmp-withWavelet_sym1-G_0.6-H6e-005_af5.wfa    | 1572864 | 524288 | 524288 | 20 | 13040 | 160 | 160 | 32 | 256 | 15.90197842 | 9.813  | 13360 | 0.008494059 |
| lena32.bmp | lena32.bmp-withWavelet_bior1.1-G_0.6-H6e-005_af5.wfa | 1572864 | 524288 | 524288 | 20 | 13040 | 160 | 160 | 32 | 256 | 15.90197842 | 9.75   | 13360 | 0.008494059 |
| lena32.bmp | lena32.bmp-G_1-H7e-005_af2.wfa                       | 1572864 | 524288 |        | 21 | 14352 | 168 | 168 | 32 | 256 | 18.67052569 | 10.437 | 14688 | 0.009338379 |
| lena32.bmp | lena32.bmp-G_0.8-H6e-005_af2.wfa                     | 1572864 | 524288 |        | 21 | 14352 | 168 | 168 | 32 | 256 | 18.65664732 | 10.562 | 14688 | 0.009338379 |
| lena32.bmp | lena32.bmp-G_0.8-H7e-005_af2.wfa                     | 1572864 | 524288 |        | 21 | 14352 | 168 | 168 | 32 | 256 | 18.65664732 | 10.891 | 14688 | 0.009338379 |
| lena32.bmp | lena32.bmp-G_0.8-H7e-005_af5.wfa                     | 1572864 | 524288 |        | 21 | 14352 | 168 | 168 | 32 | 256 | 18.56782358 | 10.562 | 14688 | 0.009338379 |
| lena32.bmp | lena32.bmp-G_0.8-H6e-005_af5.wfa                     | 1572864 | 524288 |        | 21 | 14352 | 168 | 168 | 32 | 256 | 18.56583084 | 10.453 | 14688 | 0.009338379 |
| lena32.bmp | lena32.bmp-G_1-H7e-005_af3.wfa                       | 1572864 | 524288 |        | 21 | 14352 | 168 | 168 | 32 | 256 | 18.41578917 | 10.469 | 14688 | 0.009338379 |

|            |  |         |        |        |    |       |     |     |    |     |             |        |       |             |
|------------|--|---------|--------|--------|----|-------|-----|-----|----|-----|-------------|--------|-------|-------------|
| lena32.bmp | lena32.bmp-G_1-H8e-005_af3.wfa                       | 1572864 | 524288 |        | 21 | 14352 | 168 | 168 | 32 | 256 | 18.41578917 | 10.562 | 14688 | 0.009338379 |
| lena32.bmp | lena32.bmp-G_1-H9e-005_af3.wfa                       | 1572864 | 524288 |        | 21 | 14352 | 168 | 168 | 32 | 256 | 18.41081374 | 11.015 | 14688 | 0.009338379 |
| lena32.bmp | lena32.bmp-G_0.8-H7e-005_af3.wfa                     | 1572864 | 524288 |        | 21 | 14352 | 168 | 168 | 32 | 256 | 18.40247576 | 10.719 | 14688 | 0.009338379 |
| lena32.bmp | lena32.bmp-G_1-H0.0001_af1.wfa                       | 1572864 | 524288 |        | 21 | 14352 | 168 | 168 | 32 | 256 | 18.4018035  | 11.25  | 14688 | 0.009338379 |
| lena32.bmp | lena32.bmp-G_0.8-H0.0001_af1.wfa                     | 1572864 | 524288 |        | 21 | 14352 | 168 | 168 | 32 | 256 | 18.40000906 | 11.313 | 14688 | 0.009338379 |
| lena32.bmp | lena32.bmp-G_0.8-H8e-005_af3.wfa                     | 1572864 | 524288 |        | 21 | 14352 | 168 | 168 | 32 | 256 | 18.39593339 | 10.61  | 14688 | 0.009338379 |
| lena32.bmp | lena32.bmp-G_0.8-H9e-005_af3.wfa                     | 1572864 | 524288 |        | 21 | 14352 | 168 | 168 | 32 | 256 | 18.39593339 | 11.296 | 14688 | 0.009338379 |
| lena32.bmp | lena32.bmp-G_0.6-H6e-005_af2.wfa                     | 1572864 | 524288 |        | 21 | 14352 | 168 | 168 | 32 | 256 | 18.19565661 | 10.735 | 14688 | 0.009338379 |
| lena32.bmp | lena32.bmp-G_0.6-H0.0001_af1.wfa                     | 1572864 | 524288 |        | 21 | 14352 | 168 | 168 | 32 | 256 | 18.04436472 | 11.422 | 14688 | 0.009338379 |
| lena32.bmp | lena32.bmp-G_0.6-H8e-005_af3.wfa                     | 1572864 | 524288 |        | 21 | 14352 | 168 | 168 | 32 | 256 | 17.98039883 | 11.313 | 14688 | 0.009338379 |
| lena32.bmp | lena32.bmp-G_0.6-H7e-005_af3.wfa                     | 1572864 | 524288 |        | 21 | 14352 | 168 | 168 | 32 | 256 | 17.83641037 | 10.453 | 14688 | 0.009338379 |
| lena32.bmp | lena32.bmp-withWavelet_haar-G_0.8-H6e-005_af5.wfa    | 1572864 | 524288 | 524288 | 21 | 14352 | 168 | 168 | 32 | 256 | 17.08159711 | 11.063 | 14688 | 0.009338379 |
| lena32.bmp | lena32.bmp-withWavelet_rbio1.1-G_0.8-H6e-005_af5.wfa | 1572864 | 524288 | 524288 | 21 | 14352 | 168 | 168 | 32 | 256 | 17.08159711 | 10.593 | 14688 | 0.009338379 |
| lena32.bmp | lena32.bmp-withWavelet_sym1-G_0.8-H6e-005_af5.wfa    | 1572864 | 524288 | 524288 | 21 | 14352 | 168 | 168 | 32 | 256 | 17.08159711 | 10.609 | 14688 | 0.009338379 |
| lena32.bmp | lena32.bmp-withWavelet_bior1.1-G_0.8-H6e-005_af5.wfa | 1572864 | 524288 | 524288 | 21 | 14352 | 168 | 168 | 32 | 256 | 17.08159711 | 10.437 | 14688 | 0.009338379 |
| lena32.bmp | lena32.bmp-withWavelet_haar-G_1-H8e-005_af1.wfa      | 1572864 | 524288 | 524288 | 21 | 14352 | 168 | 168 | 32 | 256 | 16.96419145 | 11.484 | 14688 | 0.009338379 |
| lena32.bmp | lena32.bmp-withWavelet_rbio1.1-G_1-H8e-005_af1.wfa   | 1572864 | 524288 | 524288 | 21 | 14352 | 168 | 168 | 32 | 256 | 16.96419145 | 11.141 | 14688 | 0.009338379 |
| lena32.bmp | lena32.bmp-withWavelet_sym1-G_1-H8e-005_af1.wfa      | 1572864 | 524288 | 524288 | 21 | 14352 | 168 | 168 | 32 | 256 | 16.96419145 | 11.953 | 14688 | 0.009338379 |
| lena32.bmp | lena32.bmp-withWavelet_bior1.1-G_1-H8e-005_af1.wfa   | 1572864 | 524288 | 524288 | 21 | 14352 | 168 | 168 | 32 | 256 | 16.96419145 | 10.797 | 14688 | 0.009338379 |
| lena32.bmp | lena32.bmp-withWavelet_haar-G_1-H6e-005_af1.wfa      | 1572864 | 524288 | 524288 | 21 | 14352 | 168 | 168 | 32 | 256 | 16.96089761 | 10.562 | 14688 | 0.009338379 |
| lena32.bmp | lena32.bmp-withWavelet_rbio1.1-G_1-H6e-005_af1.wfa   | 1572864 | 524288 | 524288 | 21 | 14352 | 168 | 168 | 32 | 256 | 16.96089761 | 10.937 | 14688 | 0.009338379 |
| lena32.bmp | lena32.bmp-withWavelet_sym1-G_1-H6e-005_af1.wfa      | 1572864 | 524288 | 524288 | 21 | 14352 | 168 | 168 | 32 | 256 | 16.96089761 | 10.547 | 14688 | 0.009338379 |
| lena32.bmp | lena32.bmp-withWavelet_bior1.1-G_1-H6e-005_af1.wfa   | 1572864 | 524288 | 524288 | 21 | 14352 | 168 | 168 | 32 | 256 | 16.96089761 | 10.453 | 14688 | 0.009338379 |
| lena32.bmp | lena32.bmp-withWavelet_haar-G_1-H7e-005_af1.wfa      | 1572864 | 524288 | 524288 | 21 | 14352 | 168 | 168 | 32 | 256 | 16.96089761 | 10.625 | 14688 | 0.009338379 |
| lena32.bmp | lena32.bmp-withWavelet_rbio1.1-G_1-H7e-005_af1.wfa   | 1572864 | 524288 | 524288 | 21 | 14352 | 168 | 168 | 32 | 256 | 16.96089761 | 10.375 | 14688 | 0.009338379 |
| lena32.bmp | lena32.bmp-withWavelet_sym1-G_1-H7e-005_af1.wfa      | 1572864 | 524288 | 524288 | 21 | 14352 | 168 | 168 | 32 | 256 | 16.96089761 | 11.016 | 14688 | 0.009338379 |
| lena32.bmp | lena32.bmp-withWavelet_bior1.1-G_1-H7e-005_af1.wfa   | 1572864 | 524288 | 524288 | 21 | 14352 | 168 | 168 | 32 | 256 | 16.96089761 | 10.422 | 14688 | 0.009338379 |
| lena32.bmp | lena32.bmp-withWavelet_haar-G_0.8-H8e-005_af1.wfa    | 1572864 | 524288 | 524288 | 21 | 14352 | 168 | 168 | 32 | 256 | 16.94236829 | 10.765 | 14688 | 0.009338379 |
| lena32.bmp | lena32.bmp-withWavelet_rbio1.1-G_0.8-H8e-005_af1.wfa | 1572864 | 524288 | 524288 | 21 | 14352 | 168 | 168 | 32 | 256 | 16.94236829 | 10.484 | 14688 | 0.009338379 |
| lena32.bmp | lena32.bmp-withWavelet_sym1-G_0.8-H8e-005_af1.wfa    | 1572864 | 524288 | 524288 | 21 | 14352 | 168 | 168 | 32 | 256 | 16.94236829 | 10.516 | 14688 | 0.009338379 |
| lena32.bmp | lena32.bmp-withWavelet_bior1.1-G_0.8-H8e-005_af1.wfa | 1572864 | 524288 | 524288 | 21 | 14352 | 168 | 168 | 32 | 256 | 16.94236829 | 10.562 | 14688 | 0.009338379 |

|            |  |         |        |        |    |       |     |     |    |     |             |        |       |             |
|------------|--|---------|--------|--------|----|-------|-----|-----|----|-----|-------------|--------|-------|-------------|
| lena32.bmp | lena32.bmp-withWavelet_haar-G_0.8-H6e-005_af1.wfa    | 1572864 | 524288 | 524288 | 21 | 14352 | 168 | 168 | 32 | 256 | 16.93566481 | 10.578 | 14688 | 0.009338379 |
| lena32.bmp | lena32.bmp-withWavelet_rbio1.1-G_0.8-H6e-005_af1.wfa | 1572864 | 524288 | 524288 | 21 | 14352 | 168 | 168 | 32 | 256 | 16.93566481 | 10.391 | 14688 | 0.009338379 |
| lena32.bmp | lena32.bmp-withWavelet_sym1-G_0.8-H6e-005_af1.wfa    | 1572864 | 524288 | 524288 | 21 | 14352 | 168 | 168 | 32 | 256 | 16.93566481 | 10.484 | 14688 | 0.009338379 |
| lena32.bmp | lena32.bmp-withWavelet_bior1.1-G_0.8-H6e-005_af1.wfa | 1572864 | 524288 | 524288 | 21 | 14352 | 168 | 168 | 32 | 256 | 16.93566481 | 10.469 | 14688 | 0.009338379 |
| lena32.bmp | lena32.bmp-withWavelet_haar-G_0.8-H7e-005_af1.wfa    | 1572864 | 524288 | 524288 | 21 | 14352 | 168 | 168 | 32 | 256 | 16.93566481 | 10.5   | 14688 | 0.009338379 |
| lena32.bmp | lena32.bmp-withWavelet_rbio1.1-G_0.8-H7e-005_af1.wfa | 1572864 | 524288 | 524288 | 21 | 14352 | 168 | 168 | 32 | 256 | 16.93566481 | 10.547 | 14688 | 0.009338379 |
| lena32.bmp | lena32.bmp-withWavelet_sym1-G_0.8-H7e-005_af1.wfa    | 1572864 | 524288 | 524288 | 21 | 14352 | 168 | 168 | 32 | 256 | 16.93566481 | 11.25  | 14688 | 0.009338379 |
| lena32.bmp | lena32.bmp-withWavelet_bior1.1-G_0.8-H7e-005_af1.wfa | 1572864 | 524288 | 524288 | 21 | 14352 | 168 | 168 | 32 | 256 | 16.93566481 | 10.719 | 14688 | 0.009338379 |
| lena32.bmp | lena32.bmp-withWavelet_haar-G_1-H8e-005_af4.wfa      | 1572864 | 524288 | 524288 | 21 | 14352 | 168 | 168 | 32 | 256 | 16.81679547 | 10.656 | 14688 | 0.009338379 |
| lena32.bmp | lena32.bmp-withWavelet_rbio1.1-G_1-H8e-005_af4.wfa   | 1572864 | 524288 | 524288 | 21 | 14352 | 168 | 168 | 32 | 256 | 16.81679547 | 10.719 | 14688 | 0.009338379 |
| lena32.bmp | lena32.bmp-withWavelet_sym1-G_1-H8e-005_af4.wfa      | 1572864 | 524288 | 524288 | 21 | 14352 | 168 | 168 | 32 | 256 | 16.81679547 | 11.516 | 14688 | 0.009338379 |
| lena32.bmp | lena32.bmp-withWavelet_bior1.1-G_1-H8e-005_af4.wfa   | 1572864 | 524288 | 524288 | 21 | 14352 | 168 | 168 | 32 | 256 | 16.81679547 | 10.75  | 14688 | 0.009338379 |
| lena32.bmp | lena32.bmp-withWavelet_haar-G_0.6-H8e-005_af1.wfa    | 1572864 | 524288 | 524288 | 21 | 14352 | 168 | 168 | 32 | 256 | 16.76015189 | 10.5   | 14688 | 0.009338379 |
| lena32.bmp | lena32.bmp-withWavelet_rbio1.1-G_0.6-H8e-005_af1.wfa | 1572864 | 524288 | 524288 | 21 | 14352 | 168 | 168 | 32 | 256 | 16.76015189 | 10.782 | 14688 | 0.009338379 |
| lena32.bmp | lena32.bmp-withWavelet_sym1-G_0.6-H8e-005_af1.wfa    | 1572864 | 524288 | 524288 | 21 | 14352 | 168 | 168 | 32 | 256 | 16.76015189 | 11.312 | 14688 | 0.009338379 |
| lena32.bmp | lena32.bmp-withWavelet_bior1.1-G_0.6-H8e-005_af1.wfa | 1572864 | 524288 | 524288 | 21 | 14352 | 168 | 168 | 32 | 256 | 16.76015189 | 10.625 | 14688 | 0.009338379 |
| lena32.bmp | lena32.bmp-withWavelet_haar-G_0.8-H8e-005_af4.wfa    | 1572864 | 524288 | 524288 | 21 | 14352 | 168 | 168 | 32 | 256 | 16.74355529 | 11.469 | 14688 | 0.009338379 |
| lena32.bmp | lena32.bmp-withWavelet_rbio1.1-G_0.8-H8e-005_af4.wfa | 1572864 | 524288 | 524288 | 21 | 14352 | 168 | 168 | 32 | 256 | 16.74355529 | 10.641 | 14688 | 0.009338379 |
| lena32.bmp | lena32.bmp-withWavelet_sym1-G_0.8-H8e-005_af4.wfa    | 1572864 | 524288 | 524288 | 21 | 14352 | 168 | 168 | 32 | 256 | 16.74355529 | 11.219 | 14688 | 0.009338379 |
| lena32.bmp | lena32.bmp-withWavelet_bior1.1-G_0.8-H8e-005_af4.wfa | 1572864 | 524288 | 524288 | 21 | 14352 | 168 | 168 | 32 | 256 | 16.74355529 | 10.718 | 14688 | 0.009338379 |
| lena32.bmp | lena32.bmp-withWavelet_haar-G_0.6-H0.0001_af4.wfa    | 1572864 | 524288 | 524288 | 21 | 14352 | 168 | 168 | 32 | 256 | 16.11669409 | 11.172 | 14688 | 0.009338379 |
| lena32.bmp | lena32.bmp-withWavelet_rbio1.1-G_0.6-H0.0001_af4.wfa | 1572864 | 524288 | 524288 | 21 | 14352 | 168 | 168 | 32 | 256 | 16.11669409 | 11.094 | 14688 | 0.009338379 |
| lena32.bmp | lena32.bmp-withWavelet_sym1-G_0.6-H0.0001_af4.wfa    | 1572864 | 524288 | 524288 | 21 | 14352 | 168 | 168 | 32 | 256 | 16.11669409 | 11.062 | 14688 | 0.009338379 |
| lena32.bmp | lena32.bmp-withWavelet_bior1.1-G_0.6-H0.0001_af4.wfa | 1572864 | 524288 | 524288 | 21 | 14352 | 168 | 168 | 32 | 256 | 16.11669409 | 10.891 | 14688 | 0.009338379 |
| lena32.bmp | lena32.bmp-withWavelet_haar-G_0.6-H9e-005_af4.wfa    | 1572864 | 524288 | 524288 | 21 | 14352 | 168 | 168 | 32 | 256 | 16.04622986 | 13.453 | 14688 | 0.009338379 |
| lena32.bmp | lena32.bmp-withWavelet_rbio1.1-G_0.6-H9e-005_af4.wfa | 1572864 | 524288 | 524288 | 21 | 14352 | 168 | 168 | 32 | 256 | 16.04622986 | 10.719 | 14688 | 0.009338379 |
| lena32.bmp | lena32.bmp-withWavelet_sym1-G_0.6-H9e-005_af4.wfa    | 1572864 | 524288 | 524288 | 21 | 14352 | 168 | 168 | 32 | 256 | 16.04622986 | 10.578 | 14688 | 0.009338379 |
| lena32.bmp | lena32.bmp-withWavelet_bior1.1-G_0.6-H9e-005_af4.wfa | 1572864 | 524288 | 524288 | 21 | 14352 | 168 | 168 | 32 | 256 | 16.04622986 | 10.703 | 14688 | 0.009338379 |
| lena32.bmp | lena32.bmp-G_1-H6e-005_af2.wfa                       | 1572864 | 524288 |        | 22 | 15728 | 176 | 176 | 32 | 256 | 18.66926413 | 11.391 | 16080 | 0.010223389 |
| lena32.bmp | lena32.bmp-G_1-H6e-005_af5.wfa                       | 1572864 | 524288 |        | 22 | 15728 | 176 | 176 | 32 | 256 | 18.61643311 | 11.281 | 16080 | 0.010223389 |
| lena32.bmp | lena32.bmp-G_1-H9e-005_af1.wfa                       | 1572864 | 524288 |        | 22 | 15728 | 176 | 176 | 32 | 256 | 18.44005512 | 11.156 | 16080 | 0.010223389 |

|            |  |         |        |        |    |       |     |     |    |     |             |        |       |             |
|------------|--|---------|--------|--------|----|-------|-----|-----|----|-----|-------------|--------|-------|-------------|
| lena32.bmp | lena32.bmp-G_0.8-H9e-005_af1.wfa                     | 1572864 | 524288 |        | 22 | 15728 | 176 | 176 | 32 | 256 | 18.42071551 | 13.437 | 16080 | 0.010223389 |
| lena32.bmp | lena32.bmp-G_0.6-H6e-005_af5.wfa                     | 1572864 | 524288 |        | 22 | 15728 | 176 | 176 | 32 | 256 | 18.29896096 | 11.422 | 16080 | 0.010223389 |
| lena32.bmp | lena32.bmp-G_0.6-H5e-005_af5.wfa                     | 1572864 | 524288 |        | 22 | 15728 | 176 | 176 | 32 | 256 | 18.18495435 | 10.906 | 16080 | 0.010223389 |
| lena32.bmp | lena32.bmp-G_0.6-H9e-005_af1.wfa                     | 1572864 | 524288 |        | 22 | 15728 | 176 | 176 | 32 | 256 | 18.03963762 | 11.157 | 16080 | 0.010223389 |
| lena32.bmp | lena32.bmp-withWavelet_haar-G_1-H4e-005_af2.wfa      | 1572864 | 524288 | 524288 | 22 | 15728 | 176 | 176 | 32 | 256 | 17.56294173 | 11.657 | 16080 | 0.010223389 |
| lena32.bmp | lena32.bmp-withWavelet_rbio1.1-G_1-H4e-005_af2.wfa   | 1572864 | 524288 | 524288 | 22 | 15728 | 176 | 176 | 32 | 256 | 17.56294173 | 10.906 | 16080 | 0.010223389 |
| lena32.bmp | lena32.bmp-withWavelet_sym1-G_1-H4e-005_af2.wfa      | 1572864 | 524288 | 524288 | 22 | 15728 | 176 | 176 | 32 | 256 | 17.56294173 | 11.641 | 16080 | 0.010223389 |
| lena32.bmp | lena32.bmp-withWavelet_bior1.1-G_1-H4e-005_af2.wfa   | 1572864 | 524288 | 524288 | 22 | 15728 | 176 | 176 | 32 | 256 | 17.56294173 | 10.969 | 16080 | 0.010223389 |
| lena32.bmp | lena32.bmp-withWavelet_haar-G_1-H0.0001_af3.wfa      | 1572864 | 524288 | 524288 | 22 | 15728 | 176 | 176 | 32 | 256 | 16.95204083 | 12.469 | 16080 | 0.010223389 |
| lena32.bmp | lena32.bmp-withWavelet_rbio1.1-G_1-H0.0001_af3.wfa   | 1572864 | 524288 | 524288 | 22 | 15728 | 176 | 176 | 32 | 256 | 16.95204083 | 11.438 | 16080 | 0.010223389 |
| lena32.bmp | lena32.bmp-withWavelet_sym1-G_1-H0.0001_af3.wfa      | 1572864 | 524288 | 524288 | 22 | 15728 | 176 | 176 | 32 | 256 | 16.95204083 | 11.922 | 16080 | 0.010223389 |
| lena32.bmp | lena32.bmp-withWavelet_bior1.1-G_1-H0.0001_af3.wfa   | 1572864 | 524288 | 524288 | 22 | 15728 | 176 | 176 | 32 | 256 | 16.95204083 | 11.203 | 16080 | 0.010223389 |
| lena32.bmp | lena32.bmp-withWavelet_haar-G_0.8-H9e-005_af3.wfa    | 1572864 | 524288 | 524288 | 22 | 15728 | 176 | 176 | 32 | 256 | 16.93091972 | 13.14  | 16080 | 0.010223389 |
| lena32.bmp | lena32.bmp-withWavelet_rbio1.1-G_0.8-H9e-005_af3.wfa | 1572864 | 524288 | 524288 | 22 | 15728 | 176 | 176 | 32 | 256 | 16.93091972 | 14.797 | 16080 | 0.010223389 |
| lena32.bmp | lena32.bmp-withWavelet_sym1-G_0.8-H9e-005_af3.wfa    | 1572864 | 524288 | 524288 | 22 | 15728 | 176 | 176 | 32 | 256 | 16.93091972 | 12.5   | 16080 | 0.010223389 |
| lena32.bmp | lena32.bmp-withWavelet_bior1.1-G_0.8-H9e-005_af3.wfa | 1572864 | 524288 | 524288 | 22 | 15728 | 176 | 176 | 32 | 256 | 16.93091972 | 14.672 | 16080 | 0.010223389 |
| lena32.bmp | lena32.bmp-withWavelet_haar-G_0.8-H0.0001_af3.wfa    | 1572864 | 524288 | 524288 | 22 | 15728 | 176 | 176 | 32 | 256 | 16.93091972 | 10.906 | 16080 | 0.010223389 |
| lena32.bmp | lena32.bmp-withWavelet_rbio1.1-G_0.8-H0.0001_af3.wfa | 1572864 | 524288 | 524288 | 22 | 15728 | 176 | 176 | 32 | 256 | 16.93091972 | 11.75  | 16080 | 0.010223389 |
| lena32.bmp | lena32.bmp-withWavelet_sym1-G_0.8-H0.0001_af3.wfa    | 1572864 | 524288 | 524288 | 22 | 15728 | 176 | 176 | 32 | 256 | 16.93091972 | 11.062 | 16080 | 0.010223389 |
| lena32.bmp | lena32.bmp-withWavelet_bior1.1-G_0.8-H0.0001_af3.wfa | 1572864 | 524288 | 524288 | 22 | 15728 | 176 | 176 | 32 | 256 | 16.93091972 | 11.938 | 16080 | 0.010223389 |
| lena32.bmp | lena32.bmp-withWavelet_haar-G_0.6-H5e-005_af2.wfa    | 1572864 | 524288 | 524288 | 22 | 15728 | 176 | 176 | 32 | 256 | 16.9175786  | 11.719 | 16080 | 0.010223389 |
| lena32.bmp | lena32.bmp-withWavelet_rbio1.1-G_0.6-H5e-005_af2.wfa | 1572864 | 524288 | 524288 | 22 | 15728 | 176 | 176 | 32 | 256 | 16.9175786  | 10.844 | 16080 | 0.010223389 |
| lena32.bmp | lena32.bmp-withWavelet_sym1-G_0.6-H5e-005_af2.wfa    | 1572864 | 524288 | 524288 | 22 | 15728 | 176 | 176 | 32 | 256 | 16.9175786  | 11.641 | 16080 | 0.010223389 |
| lena32.bmp | lena32.bmp-withWavelet_bior1.1-G_0.6-H5e-005_af2.wfa | 1572864 | 524288 | 524288 | 22 | 15728 | 176 | 176 | 32 | 256 | 16.9175786  | 10.922 | 16080 | 0.010223389 |
| lena32.bmp | lena32.bmp-withWavelet_haar-G_1-H5e-005_af5.wfa      | 1572864 | 524288 | 524288 | 22 | 15728 | 176 | 176 | 32 | 256 | 16.90871312 | 11.5   | 16080 | 0.010223389 |
| lena32.bmp | lena32.bmp-withWavelet_rbio1.1-G_1-H5e-005_af5.wfa   | 1572864 | 524288 | 524288 | 22 | 15728 | 176 | 176 | 32 | 256 | 16.90871312 | 10.875 | 16080 | 0.010223389 |
| lena32.bmp | lena32.bmp-withWavelet_sym1-G_1-H5e-005_af5.wfa      | 1572864 | 524288 | 524288 | 22 | 15728 | 176 | 176 | 32 | 256 | 16.90871312 | 11.688 | 16080 | 0.010223389 |
| lena32.bmp | lena32.bmp-withWavelet_bior1.1-G_1-H5e-005_af5.wfa   | 1572864 | 524288 | 524288 | 22 | 15728 | 176 | 176 | 32 | 256 | 16.90871312 | 10.891 | 16080 | 0.010223389 |
| lena32.bmp | lena32.bmp-withWavelet_haar-G_0.8-H5e-005_af5.wfa    | 1572864 | 524288 | 524288 | 22 | 15728 | 176 | 176 | 32 | 256 | 16.88165828 | 10.906 | 16080 | 0.010223389 |
| lena32.bmp | lena32.bmp-withWavelet_rbio1.1-G_0.8-H5e-005_af5.wfa | 1572864 | 524288 | 524288 | 22 | 15728 | 176 | 176 | 32 | 256 | 16.88165828 | 11.672 | 16080 | 0.010223389 |
| lena32.bmp | lena32.bmp-withWavelet_sym1-G_0.8-H5e-005_af5.wfa    | 1572864 | 524288 | 524288 | 22 | 15728 | 176 | 176 | 32 | 256 | 16.88165828 | 10.891 | 16080 | 0.010223389 |

|            |  |         |        |        |    |       |     |     |    |     |             |        |       |             |
|------------|--|---------|--------|--------|----|-------|-----|-----|----|-----|-------------|--------|-------|-------------|
| lena32.bmp | lena32.bmp-withWavelet_bior1.1-G_0.8-H5e-005_af5.wfa | 1572864 | 524288 | 524288 | 22 | 15728 | 176 | 176 | 32 | 256 | 16.88165828 | 11.641 | 16080 | 0.010223389 |
| lena32.bmp | lena32.bmp-withWavelet_haar-G_0.6-H6e-005_af1.wfa    | 1572864 | 524288 | 524288 | 22 | 15728 | 176 | 176 | 32 | 256 | 16.85384062 | 11.781 | 16080 | 0.010223389 |
| lena32.bmp | lena32.bmp-withWavelet_rbio1.1-G_0.6-H6e-005_af1.wfa | 1572864 | 524288 | 524288 | 22 | 15728 | 176 | 176 | 32 | 256 | 16.85384062 | 10.797 | 16080 | 0.010223389 |
| lena32.bmp | lena32.bmp-withWavelet_sym1-G_0.6-H6e-005_af1.wfa    | 1572864 | 524288 | 524288 | 22 | 15728 | 176 | 176 | 32 | 256 | 16.85384062 | 10.766 | 16080 | 0.010223389 |
| lena32.bmp | lena32.bmp-withWavelet_bior1.1-G_0.6-H6e-005_af1.wfa | 1572864 | 524288 | 524288 | 22 | 15728 | 176 | 176 | 32 | 256 | 16.85384062 | 10.797 | 16080 | 0.010223389 |
| lena32.bmp | lena32.bmp-withWavelet_haar-G_1-H7e-005_af4.wfa      | 1572864 | 524288 | 524288 | 22 | 15728 | 176 | 176 | 32 | 256 | 16.80668099 | 10.719 | 16080 | 0.010223389 |
| lena32.bmp | lena32.bmp-withWavelet_rbio1.1-G_1-H7e-005_af4.wfa   | 1572864 | 524288 | 524288 | 22 | 15728 | 176 | 176 | 32 | 256 | 16.80668099 | 10.781 | 16080 | 0.010223389 |
| lena32.bmp | lena32.bmp-withWavelet_sym1-G_1-H7e-005_af4.wfa      | 1572864 | 524288 | 524288 | 22 | 15728 | 176 | 176 | 32 | 256 | 16.80668099 | 10.922 | 16080 | 0.010223389 |
| lena32.bmp | lena32.bmp-withWavelet_bior1.1-G_1-H7e-005_af4.wfa   | 1572864 | 524288 | 524288 | 22 | 15728 | 176 | 176 | 32 | 256 | 16.80668099 | 11.984 | 16080 | 0.010223389 |
| lena32.bmp | lena32.bmp-withWavelet_haar-G_0.6-H9e-005_af3.wfa    | 1572864 | 524288 | 524288 | 22 | 15728 | 176 | 176 | 32 | 256 | 16.79374301 | 12.25  | 16080 | 0.010223389 |
| lena32.bmp | lena32.bmp-withWavelet_rbio1.1-G_0.6-H9e-005_af3.wfa | 1572864 | 524288 | 524288 | 22 | 15728 | 176 | 176 | 32 | 256 | 16.79374301 | 12.406 | 16080 | 0.010223389 |
| lena32.bmp | lena32.bmp-withWavelet_sym1-G_0.6-H9e-005_af3.wfa    | 1572864 | 524288 | 524288 | 22 | 15728 | 176 | 176 | 32 | 256 | 16.79374301 | 13     | 16080 | 0.010223389 |
| lena32.bmp | lena32.bmp-withWavelet_bior1.1-G_0.6-H9e-005_af3.wfa | 1572864 | 524288 | 524288 | 22 | 15728 | 176 | 176 | 32 | 256 | 16.79374301 | 11.047 | 16080 | 0.010223389 |
| lena32.bmp | lena32.bmp-withWavelet_haar-G_0.6-H0.0001_af3.wfa    | 1572864 | 524288 | 524288 | 22 | 15728 | 176 | 176 | 32 | 256 | 16.79374301 | 11.344 | 16080 | 0.010223389 |
| lena32.bmp | lena32.bmp-withWavelet_rbio1.1-G_0.6-H0.0001_af3.wfa | 1572864 | 524288 | 524288 | 22 | 15728 | 176 | 176 | 32 | 256 | 16.79374301 | 12.375 | 16080 | 0.010223389 |
| lena32.bmp | lena32.bmp-withWavelet_sym1-G_0.6-H0.0001_af3.wfa    | 1572864 | 524288 | 524288 | 22 | 15728 | 176 | 176 | 32 | 256 | 16.79374301 | 11.547 | 16080 | 0.010223389 |
| lena32.bmp | lena32.bmp-withWavelet_bior1.1-G_0.6-H0.0001_af3.wfa | 1572864 | 524288 | 524288 | 22 | 15728 | 176 | 176 | 32 | 256 | 16.79374301 | 12.39  | 16080 | 0.010223389 |
| lena32.bmp | lena32.bmp-withWavelet_haar-G_0.8-H7e-005_af4.wfa    | 1572864 | 524288 | 524288 | 22 | 15728 | 176 | 176 | 32 | 256 | 16.73497665 | 11.281 | 16080 | 0.010223389 |
| lena32.bmp | lena32.bmp-withWavelet_rbio1.1-G_0.8-H7e-005_af4.wfa | 1572864 | 524288 | 524288 | 22 | 15728 | 176 | 176 | 32 | 256 | 16.73497665 | 11.578 | 16080 | 0.010223389 |
| lena32.bmp | lena32.bmp-withWavelet_sym1-G_0.8-H7e-005_af4.wfa    | 1572864 | 524288 | 524288 | 22 | 15728 | 176 | 176 | 32 | 256 | 16.73497665 | 11.063 | 16080 | 0.010223389 |
| lena32.bmp | lena32.bmp-withWavelet_bior1.1-G_0.8-H7e-005_af4.wfa | 1572864 | 524288 | 524288 | 22 | 15728 | 176 | 176 | 32 | 256 | 16.73497665 | 11.516 | 16080 | 0.010223389 |
| lena32.bmp | lena32.bmp-withWavelet_haar-G_0.6-H4e-005_af5.wfa    | 1572864 | 524288 | 524288 | 22 | 15728 | 176 | 176 | 32 | 256 | 15.64993668 | 10.844 | 16080 | 0.010223389 |
| lena32.bmp | lena32.bmp-withWavelet_rbio1.1-G_0.6-H4e-005_af5.wfa | 1572864 | 524288 | 524288 | 22 | 15728 | 176 | 176 | 32 | 256 | 15.64993668 | 10.844 | 16080 | 0.010223389 |
| lena32.bmp | lena32.bmp-withWavelet_sym1-G_0.6-H4e-005_af5.wfa    | 1572864 | 524288 | 524288 | 22 | 15728 | 176 | 176 | 32 | 256 | 15.64993668 | 11.641 | 16080 | 0.010223389 |
| lena32.bmp | lena32.bmp-withWavelet_bior1.1-G_0.6-H4e-005_af5.wfa | 1572864 | 524288 | 524288 | 22 | 15728 | 176 | 176 | 32 | 256 | 15.64993668 | 10.844 | 16080 | 0.010223389 |
| lena32.bmp | lena32.bmp-G_1-H5e-005_af2.wfa                       | 1572864 | 524288 |        | 23 | 17168 | 184 | 184 | 32 | 256 | 18.72194551 | 13.11  | 17536 | 0.011149089 |
| lena32.bmp | lena32.bmp-G_0.8-H5e-005_af2.wfa                     | 1572864 | 524288 |        | 23 | 17168 | 184 | 184 | 32 | 256 | 18.70942942 | 13.219 | 17536 | 0.011149089 |
| lena32.bmp | lena32.bmp-G_1-H5e-005_af5.wfa                       | 1572864 | 524288 |        | 23 | 17168 | 184 | 184 | 32 | 256 | 18.69300784 | 13.032 | 17536 | 0.011149089 |
| lena32.bmp | lena32.bmp-G_1-H8e-005_af1.wfa                       | 1572864 | 524288 |        | 23 | 17168 | 184 | 184 | 32 | 256 | 18.52175356 | 13.047 | 17536 | 0.011149089 |
| lena32.bmp | lena32.bmp-G_0.8-H8e-005_af1.wfa                     | 1572864 | 524288 |        | 23 | 17168 | 184 | 184 | 32 | 256 | 18.5035256  | 17.11  | 17536 | 0.011149089 |
| lena32.bmp | lena32.bmp-G_1-H6e-005_af3.wfa                       | 1572864 | 524288 |        | 23 | 17168 | 184 | 184 | 32 | 256 | 18.43213055 | 13.109 | 17536 | 0.011149089 |

|            |  |         |        |        |    |       |     |     |    |     |             |        |       |             |
|------------|--|---------|--------|--------|----|-------|-----|-----|----|-----|-------------|--------|-------|-------------|
| lena32.bmp | lena32.bmp-G_0.8-H6e-005_af3.wfa                     | 1572864 | 524288 |        | 23 | 17168 | 184 | 184 | 32 | 256 | 18.41796626 | 13.141 | 17536 | 0.011149089 |
| lena32.bmp | lena32.bmp-G_0.6-H4e-005_af5.wfa                     | 1572864 | 524288 |        | 23 | 17168 | 184 | 184 | 32 | 256 | 18.23508857 | 13.141 | 17536 | 0.011149089 |
| lena32.bmp | lena32.bmp-G_0.6-H6e-005_af3.wfa                     | 1572864 | 524288 |        | 23 | 17168 | 184 | 184 | 32 | 256 | 18.14095533 | 12.922 | 17536 | 0.011149089 |
| lena32.bmp | lena32.bmp-G_0.6-H8e-005_af1.wfa                     | 1572864 | 524288 |        | 23 | 17168 | 184 | 184 | 32 | 256 | 18.08472135 | 13.172 | 17536 | 0.011149089 |
| lena32.bmp | lena32.bmp-withWavelet_haar-G_0.8-H4e-005_af2.wfa    | 1572864 | 524288 | 524288 | 23 | 17168 | 184 | 184 | 32 | 256 | 17.47976235 | 13.265 | 17536 | 0.011149089 |
| lena32.bmp | lena32.bmp-withWavelet_rbio1.1-G_0.8-H4e-005_af2.wfa | 1572864 | 524288 | 524288 | 23 | 17168 | 184 | 184 | 32 | 256 | 17.47976235 | 13.141 | 17536 | 0.011149089 |
| lena32.bmp | lena32.bmp-withWavelet_sym1-G_0.8-H4e-005_af2.wfa    | 1572864 | 524288 | 524288 | 23 | 17168 | 184 | 184 | 32 | 256 | 17.47976235 | 13.141 | 17536 | 0.011149089 |
| lena32.bmp | lena32.bmp-withWavelet_bior1.1-G_0.8-H4e-005_af2.wfa | 1572864 | 524288 | 524288 | 23 | 17168 | 184 | 184 | 32 | 256 | 17.47976235 | 13.11  | 17536 | 0.011149089 |
| lena32.bmp | lena32.bmp-withWavelet_haar-G_1-H7e-005_af3.wfa      | 1572864 | 524288 | 524288 | 23 | 17168 | 184 | 184 | 32 | 256 | 16.9073428  | 12.829 | 17536 | 0.011149089 |
| lena32.bmp | lena32.bmp-withWavelet_rbio1.1-G_1-H7e-005_af3.wfa   | 1572864 | 524288 | 524288 | 23 | 17168 | 184 | 184 | 32 | 256 | 16.9073428  | 12.859 | 17536 | 0.011149089 |
| lena32.bmp | lena32.bmp-withWavelet_sym1-G_1-H7e-005_af3.wfa      | 1572864 | 524288 | 524288 | 23 | 17168 | 184 | 184 | 32 | 256 | 16.9073428  | 12.765 | 17536 | 0.011149089 |
| lena32.bmp | lena32.bmp-withWavelet_bior1.1-G_1-H7e-005_af3.wfa   | 1572864 | 524288 | 524288 | 23 | 17168 | 184 | 184 | 32 | 256 | 16.9073428  | 12.813 | 17536 | 0.011149089 |
| lena32.bmp | lena32.bmp-withWavelet_haar-G_1-H8e-005_af3.wfa      | 1572864 | 524288 | 524288 | 23 | 17168 | 184 | 184 | 32 | 256 | 16.9073428  | 13.093 | 17536 | 0.011149089 |
| lena32.bmp | lena32.bmp-withWavelet_rbio1.1-G_1-H8e-005_af3.wfa   | 1572864 | 524288 | 524288 | 23 | 17168 | 184 | 184 | 32 | 256 | 16.9073428  | 13.078 | 17536 | 0.011149089 |
| lena32.bmp | lena32.bmp-withWavelet_sym1-G_1-H8e-005_af3.wfa      | 1572864 | 524288 | 524288 | 23 | 17168 | 184 | 184 | 32 | 256 | 16.9073428  | 13.094 | 17536 | 0.011149089 |
| lena32.bmp | lena32.bmp-withWavelet_bior1.1-G_1-H8e-005_af3.wfa   | 1572864 | 524288 | 524288 | 23 | 17168 | 184 | 184 | 32 | 256 | 16.9073428  | 13.125 | 17536 | 0.011149089 |
| lena32.bmp | lena32.bmp-withWavelet_haar-G_1-H9e-005_af3.wfa      | 1572864 | 524288 | 524288 | 23 | 17168 | 184 | 184 | 32 | 256 | 16.89028859 | 16.219 | 17536 | 0.011149089 |
| lena32.bmp | lena32.bmp-withWavelet_rbio1.1-G_1-H9e-005_af3.wfa   | 1572864 | 524288 | 524288 | 23 | 17168 | 184 | 184 | 32 | 256 | 16.89028859 | 13.125 | 17536 | 0.011149089 |
| lena32.bmp | lena32.bmp-withWavelet_sym1-G_1-H9e-005_af3.wfa      | 1572864 | 524288 | 524288 | 23 | 17168 | 184 | 184 | 32 | 256 | 16.89028859 | 13.391 | 17536 | 0.011149089 |
| lena32.bmp | lena32.bmp-withWavelet_bior1.1-G_1-H9e-005_af3.wfa   | 1572864 | 524288 | 524288 | 23 | 17168 | 184 | 184 | 32 | 256 | 16.89028859 | 16.297 | 17536 | 0.011149089 |
| lena32.bmp | lena32.bmp-withWavelet_haar-G_0.8-H7e-005_af3.wfa    | 1572864 | 524288 | 524288 | 23 | 17168 | 184 | 184 | 32 | 256 | 16.88596581 | 13.047 | 17536 | 0.011149089 |
| lena32.bmp | lena32.bmp-withWavelet_rbio1.1-G_0.8-H7e-005_af3.wfa | 1572864 | 524288 | 524288 | 23 | 17168 | 184 | 184 | 32 | 256 | 16.88596581 | 13.015 | 17536 | 0.011149089 |
| lena32.bmp | lena32.bmp-withWavelet_sym1-G_0.8-H7e-005_af3.wfa    | 1572864 | 524288 | 524288 | 23 | 17168 | 184 | 184 | 32 | 256 | 16.88596581 | 14.344 | 17536 | 0.011149089 |
| lena32.bmp | lena32.bmp-withWavelet_bior1.1-G_0.8-H7e-005_af3.wfa | 1572864 | 524288 | 524288 | 23 | 17168 | 184 | 184 | 32 | 256 | 16.88596581 | 13.266 | 17536 | 0.011149089 |
| lena32.bmp | lena32.bmp-withWavelet_haar-G_0.8-H8e-005_af3.wfa    | 1572864 | 524288 | 524288 | 23 | 17168 | 184 | 184 | 32 | 256 | 16.88596581 | 13.25  | 17536 | 0.011149089 |
| lena32.bmp | lena32.bmp-withWavelet_rbio1.1-G_0.8-H8e-005_af3.wfa | 1572864 | 524288 | 524288 | 23 | 17168 | 184 | 184 | 32 | 256 | 16.88596581 | 13.156 | 17536 | 0.011149089 |
| lena32.bmp | lena32.bmp-withWavelet_sym1-G_0.8-H8e-005_af3.wfa    | 1572864 | 524288 | 524288 | 23 | 17168 | 184 | 184 | 32 | 256 | 16.88596581 | 13.047 | 17536 | 0.011149089 |
| lena32.bmp | lena32.bmp-withWavelet_bior1.1-G_0.8-H8e-005_af3.wfa | 1572864 | 524288 | 524288 | 23 | 17168 | 184 | 184 | 32 | 256 | 16.88596581 | 13.125 | 17536 | 0.011149089 |
| lena32.bmp | lena32.bmp-withWavelet_haar-G_0.6-H8e-005_af3.wfa    | 1572864 | 524288 | 524288 | 23 | 17168 | 184 | 184 | 32 | 256 | 16.75980116 | 13.203 | 17536 | 0.011149089 |
| lena32.bmp | lena32.bmp-withWavelet_rbio1.1-G_0.6-H8e-005_af3.wfa | 1572864 | 524288 | 524288 | 23 | 17168 | 184 | 184 | 32 | 256 | 16.75980116 | 13.188 | 17536 | 0.011149089 |
| lena32.bmp | lena32.bmp-withWavelet_sym1-G_0.6-H8e-005_af3.wfa    | 1572864 | 524288 | 524288 | 23 | 17168 | 184 | 184 | 32 | 256 | 16.75980116 | 13.125 | 17536 | 0.011149089 |

|            |  |         |        |        |    |       |     |     |    |     |             |        |       |             |
|------------|--|---------|--------|--------|----|-------|-----|-----|----|-----|-------------|--------|-------|-------------|
| lena32.bmp | lena32.bmp-withWavelet_bior1.1-G_0.6-H8e-005_af3.wfa | 1572864 | 524288 | 524288 | 23 | 17168 | 184 | 184 | 32 | 256 | 16.75980116 | 13.094 | 17536 | 0.011149089 |
| lena32.bmp | lena32.bmp-withWavelet_haar-G_0.6-H4e-005_af2.wfa    | 1572864 | 524288 | 524288 | 23 | 17168 | 184 | 184 | 32 | 256 | 16.56089198 | 13.11  | 17536 | 0.011149089 |
| lena32.bmp | lena32.bmp-withWavelet_rbio1.1-G_0.6-H4e-005_af2.wfa | 1572864 | 524288 | 524288 | 23 | 17168 | 184 | 184 | 32 | 256 | 16.56089198 | 13.203 | 17536 | 0.011149089 |
| lena32.bmp | lena32.bmp-withWavelet_sym1-G_0.6-H4e-005_af2.wfa    | 1572864 | 524288 | 524288 | 23 | 17168 | 184 | 184 | 32 | 256 | 16.56089198 | 13.14  | 17536 | 0.011149089 |
| lena32.bmp | lena32.bmp-withWavelet_bior1.1-G_0.6-H4e-005_af2.wfa | 1572864 | 524288 | 524288 | 23 | 17168 | 184 | 184 | 32 | 256 | 16.56089198 | 13.141 | 17536 | 0.011149089 |
| lena32.bmp | lena32.bmp-withWavelet_haar-G_0.6-H8e-005_af4.wfa    | 1572864 | 524288 | 524288 | 23 | 17168 | 184 | 184 | 32 | 256 | 15.95343303 | 13.078 | 17536 | 0.011149089 |
| lena32.bmp | lena32.bmp-withWavelet_rbio1.1-G_0.6-H8e-005_af4.wfa | 1572864 | 524288 | 524288 | 23 | 17168 | 184 | 184 | 32 | 256 | 15.95343303 | 13.219 | 17536 | 0.011149089 |
| lena32.bmp | lena32.bmp-withWavelet_sym1-G_0.6-H8e-005_af4.wfa    | 1572864 | 524288 | 524288 | 23 | 17168 | 184 | 184 | 32 | 256 | 15.95343303 | 13.187 | 17536 | 0.011149089 |
| lena32.bmp | lena32.bmp-withWavelet_bior1.1-G_0.6-H8e-005_af4.wfa | 1572864 | 524288 | 524288 | 23 | 17168 | 184 | 184 | 32 | 256 | 15.95343303 | 13.078 | 17536 | 0.011149089 |
| lena32.bmp | lena32.bmp-G_1-H4e-005_af2.wfa                       | 1572864 | 524288 |        | 24 | 18672 | 192 | 192 | 32 | 256 | 18.80437422 | 13.625 | 19056 | 0.012115479 |
| lena32.bmp | lena32.bmp-G_0.8-H4e-005_af2.wfa                     | 1572864 | 524288 |        | 24 | 18672 | 192 | 192 | 32 | 256 | 18.79408719 | 13.703 | 19056 | 0.012115479 |
| lena32.bmp | lena32.bmp-G_1-H4e-005_af5.wfa                       | 1572864 | 524288 |        | 24 | 18672 | 192 | 192 | 32 | 256 | 18.7367725  | 13.547 | 19056 | 0.012115479 |
| lena32.bmp | lena32.bmp-G_0.8-H5e-005_af5.wfa                     | 1572864 | 524288 |        | 24 | 18672 | 192 | 192 | 32 | 256 | 18.72037765 | 13.578 | 19056 | 0.012115479 |
| lena32.bmp | lena32.bmp-G_0.8-H4e-005_af5.wfa                     | 1572864 | 524288 |        | 24 | 18672 | 192 | 192 | 32 | 256 | 18.70346249 | 13.531 | 19056 | 0.012115479 |
| lena32.bmp | lena32.bmp-G_0.6-H5e-005_af2.wfa                     | 1572864 | 524288 |        | 24 | 18672 | 192 | 192 | 32 | 256 | 18.26023561 | 13.515 | 19056 | 0.012115479 |
| lena32.bmp | lena32.bmp-G_0.6-H7e-005_af1.wfa                     | 1572864 | 524288 |        | 24 | 18672 | 192 | 192 | 32 | 256 | 18.13163492 | 13.297 | 19056 | 0.012115479 |
| lena32.bmp | lena32.bmp-G_0.6-H5e-005_af3.wfa                     | 1572864 | 524288 |        | 24 | 18672 | 192 | 192 | 32 | 256 | 18.11636538 | 13.703 | 19056 | 0.012115479 |
| lena32.bmp | lena32.bmp-withWavelet_haar-G_0.8-H3e-005_af2.wfa    | 1572864 | 524288 | 524288 | 24 | 18672 | 192 | 192 | 32 | 256 | 17.44663411 | 13.907 | 19056 | 0.012115479 |
| lena32.bmp | lena32.bmp-withWavelet_rbio1.1-G_0.8-H3e-005_af2.wfa | 1572864 | 524288 | 524288 | 24 | 18672 | 192 | 192 | 32 | 256 | 17.44663411 | 13.828 | 19056 | 0.012115479 |
| lena32.bmp | lena32.bmp-withWavelet_sym1-G_0.8-H3e-005_af2.wfa    | 1572864 | 524288 | 524288 | 24 | 18672 | 192 | 192 | 32 | 256 | 17.44663411 | 13.735 | 19056 | 0.012115479 |
| lena32.bmp | lena32.bmp-withWavelet_bior1.1-G_0.8-H3e-005_af2.wfa | 1572864 | 524288 | 524288 | 24 | 18672 | 192 | 192 | 32 | 256 | 17.44663411 | 13.859 | 19056 | 0.012115479 |
| lena32.bmp | lena32.bmp-withWavelet_haar-G_1-H5e-005_af1.wfa      | 1572864 | 524288 | 524288 | 24 | 18672 | 192 | 192 | 32 | 256 | 16.87524078 | 13.625 | 19056 | 0.012115479 |
| lena32.bmp | lena32.bmp-withWavelet_rbio1.1-G_1-H5e-005_af1.wfa   | 1572864 | 524288 | 524288 | 24 | 18672 | 192 | 192 | 32 | 256 | 16.87524078 | 13.609 | 19056 | 0.012115479 |
| lena32.bmp | lena32.bmp-withWavelet_sym1-G_1-H5e-005_af1.wfa      | 1572864 | 524288 | 524288 | 24 | 18672 | 192 | 192 | 32 | 256 | 16.87524078 | 13.531 | 19056 | 0.012115479 |
| lena32.bmp | lena32.bmp-withWavelet_bior1.1-G_1-H5e-005_af1.wfa   | 1572864 | 524288 | 524288 | 24 | 18672 | 192 | 192 | 32 | 256 | 16.87524078 | 13.688 | 19056 | 0.012115479 |
| lena32.bmp | lena32.bmp-withWavelet_haar-G_0.8-H5e-005_af1.wfa    | 1572864 | 524288 | 524288 | 24 | 18672 | 192 | 192 | 32 | 256 | 16.85417371 | 13.5   | 19056 | 0.012115479 |
| lena32.bmp | lena32.bmp-withWavelet_rbio1.1-G_0.8-H5e-005_af1.wfa | 1572864 | 524288 | 524288 | 24 | 18672 | 192 | 192 | 32 | 256 | 16.85417371 | 13.594 | 19056 | 0.012115479 |
| lena32.bmp | lena32.bmp-withWavelet_sym1-G_0.8-H5e-005_af1.wfa    | 1572864 | 524288 | 524288 | 24 | 18672 | 192 | 192 | 32 | 256 | 16.85417371 | 13.625 | 19056 | 0.012115479 |
| lena32.bmp | lena32.bmp-withWavelet_bior1.1-G_0.8-H5e-005_af1.wfa | 1572864 | 524288 | 524288 | 24 | 18672 | 192 | 192 | 32 | 256 | 16.85417371 | 13.546 | 19056 | 0.012115479 |
| lena32.bmp | lena32.bmp-withWavelet_haar-G_1-H6e-005_af3.wfa      | 1572864 | 524288 | 524288 | 24 | 18672 | 192 | 192 | 32 | 256 | 16.85298478 | 13.484 | 19056 | 0.012115479 |
| lena32.bmp | lena32.bmp-withWavelet_rbio1.1-G_1-H6e-005_af3.wfa   | 1572864 | 524288 | 524288 | 24 | 18672 | 192 | 192 | 32 | 256 | 16.85298478 | 13.453 | 19056 | 0.012115479 |

|            |  |         |        |        |    |       |     |     |    |     |             |        |       |             |
|------------|--|---------|--------|--------|----|-------|-----|-----|----|-----|-------------|--------|-------|-------------|
| lena32.bmp | lena32.bmp-withWavelet_sym1-G_1-H6e-005_af3.wfa      | 1572864 | 524288 | 524288 | 24 | 18672 | 192 | 192 | 32 | 256 | 16.85298478 | 13.656 | 19056 | 0.012115479 |
| lena32.bmp | lena32.bmp-withWavelet_bior1.1-G_1-H6e-005_af3.wfa   | 1572864 | 524288 | 524288 | 24 | 18672 | 192 | 192 | 32 | 256 | 16.85298478 | 13.453 | 19056 | 0.012115479 |
| lena32.bmp | lena32.bmp-withWavelet_haar-G_0.8-H6e-005_af3.wfa    | 1572864 | 524288 | 524288 | 24 | 18672 | 192 | 192 | 32 | 256 | 16.83192062 | 13.375 | 19056 | 0.012115479 |
| lena32.bmp | lena32.bmp-withWavelet_rbio1.1-G_0.8-H6e-005_af3.wfa | 1572864 | 524288 | 524288 | 24 | 18672 | 192 | 192 | 32 | 256 | 16.83192062 | 13.328 | 19056 | 0.012115479 |
| lena32.bmp | lena32.bmp-withWavelet_sym1-G_0.8-H6e-005_af3.wfa    | 1572864 | 524288 | 524288 | 24 | 18672 | 192 | 192 | 32 | 256 | 16.83192062 | 13.813 | 19056 | 0.012115479 |
| lena32.bmp | lena32.bmp-withWavelet_bior1.1-G_0.8-H6e-005_af3.wfa | 1572864 | 524288 | 524288 | 24 | 18672 | 192 | 192 | 32 | 256 | 16.83192062 | 13.593 | 19056 | 0.012115479 |
| lena32.bmp | lena32.bmp-withWavelet_haar-G_0.8-H4e-005_af5.wfa    | 1572864 | 524288 | 524288 | 24 | 18672 | 192 | 192 | 32 | 256 | 16.81383348 | 13.563 | 19056 | 0.012115479 |
| lena32.bmp | lena32.bmp-withWavelet_rbio1.1-G_0.8-H4e-005_af5.wfa | 1572864 | 524288 | 524288 | 24 | 18672 | 192 | 192 | 32 | 256 | 16.81383348 | 13.625 | 19056 | 0.012115479 |
| lena32.bmp | lena32.bmp-withWavelet_sym1-G_0.8-H4e-005_af5.wfa    | 1572864 | 524288 | 524288 | 24 | 18672 | 192 | 192 | 32 | 256 | 16.81383348 | 13.485 | 19056 | 0.012115479 |
| lena32.bmp | lena32.bmp-withWavelet_bior1.1-G_0.8-H4e-005_af5.wfa | 1572864 | 524288 | 524288 | 24 | 18672 | 192 | 192 | 32 | 256 | 16.81383348 | 13.593 | 19056 | 0.012115479 |
| lena32.bmp | lena32.bmp-withWavelet_haar-G_1-H6e-005_af4.wfa      | 1572864 | 524288 | 524288 | 24 | 18672 | 192 | 192 | 32 | 256 | 16.8117514  | 13.375 | 19056 | 0.012115479 |
| lena32.bmp | lena32.bmp-withWavelet_rbio1.1-G_1-H6e-005_af4.wfa   | 1572864 | 524288 | 524288 | 24 | 18672 | 192 | 192 | 32 | 256 | 16.8117514  | 13.391 | 19056 | 0.012115479 |
| lena32.bmp | lena32.bmp-withWavelet_sym1-G_1-H6e-005_af4.wfa      | 1572864 | 524288 | 524288 | 24 | 18672 | 192 | 192 | 32 | 256 | 16.8117514  | 13.344 | 19056 | 0.012115479 |
| lena32.bmp | lena32.bmp-withWavelet_bior1.1-G_1-H6e-005_af4.wfa   | 1572864 | 524288 | 524288 | 24 | 18672 | 192 | 192 | 32 | 256 | 16.8117514  | 13.532 | 19056 | 0.012115479 |
| lena32.bmp | lena32.bmp-withWavelet_haar-G_0.6-H3e-005_af2.wfa    | 1572864 | 524288 | 524288 | 24 | 18672 | 192 | 192 | 32 | 256 | 16.64136481 | 13.625 | 19056 | 0.012115479 |
| lena32.bmp | lena32.bmp-withWavelet_rbio1.1-G_0.6-H3e-005_af2.wfa | 1572864 | 524288 | 524288 | 24 | 18672 | 192 | 192 | 32 | 256 | 16.64136481 | 14.078 | 19056 | 0.012115479 |
| lena32.bmp | lena32.bmp-withWavelet_sym1-G_0.6-H3e-005_af2.wfa    | 1572864 | 524288 | 524288 | 24 | 18672 | 192 | 192 | 32 | 256 | 16.64136481 | 14.234 | 19056 | 0.012115479 |
| lena32.bmp | lena32.bmp-withWavelet_bior1.1-G_0.6-H3e-005_af2.wfa | 1572864 | 524288 | 524288 | 24 | 18672 | 192 | 192 | 32 | 256 | 16.64136481 | 13.656 | 19056 | 0.012115479 |
| lena32.bmp | lena32.bmp-withWavelet_haar-G_0.8-H6e-005_af4.wfa    | 1572864 | 524288 | 524288 | 24 | 18672 | 192 | 192 | 32 | 256 | 16.63112764 | 13.578 | 19056 | 0.012115479 |
| lena32.bmp | lena32.bmp-withWavelet_rbio1.1-G_0.8-H6e-005_af4.wfa | 1572864 | 524288 | 524288 | 24 | 18672 | 192 | 192 | 32 | 256 | 16.63112764 | 13.484 | 19056 | 0.012115479 |
| lena32.bmp | lena32.bmp-withWavelet_sym1-G_0.8-H6e-005_af4.wfa    | 1572864 | 524288 | 524288 | 24 | 18672 | 192 | 192 | 32 | 256 | 16.63112764 | 13.391 | 19056 | 0.012115479 |
| lena32.bmp | lena32.bmp-withWavelet_bior1.1-G_0.8-H6e-005_af4.wfa | 1572864 | 524288 | 524288 | 24 | 18672 | 192 | 192 | 32 | 256 | 16.63112764 | 13.297 | 19056 | 0.012115479 |
| lena32.bmp | lena32.bmp-G_0.8-H9e-005_af4.wfa                     | 393216  | 131072 |        | 12 | 4848  | 96  | 96  | 32 | 128 | 16.2399916  | 2.156  | 5040  | 0.012817383 |
| lena32.bmp | lena32.bmp-G_0.8-H0.0001_af4.wfa                     | 393216  | 131072 |        | 12 | 4848  | 96  | 96  | 32 | 128 | 16.2399916  | 1.875  | 5040  | 0.012817383 |
| lena32.bmp | lena32.bmp-G_1-H0.0001_af4.wfa                       | 393216  | 131072 |        | 12 | 4848  | 96  | 96  | 32 | 128 | 16.21393036 | 1.719  | 5040  | 0.012817383 |
| lena32.bmp | lena32.bmp-G_1-H7e-005_af1.wfa                       | 1572864 | 524288 |        | 25 | 20240 | 200 | 200 | 32 | 256 | 18.71441407 | 14.578 | 20640 | 0.013122559 |
| lena32.bmp | lena32.bmp-G_1-H5e-005_af3.wfa                       | 1572864 | 524288 |        | 25 | 20240 | 200 | 200 | 32 | 256 | 18.61843308 | 14.469 | 20640 | 0.013122559 |
| lena32.bmp | lena32.bmp-G_0.8-H5e-005_af3.wfa                     | 1572864 | 524288 |        | 25 | 20240 | 200 | 200 | 32 | 256 | 18.61257359 | 14.437 | 20640 | 0.013122559 |
| lena32.bmp | lena32.bmp-G_0.8-H7e-005_af1.wfa                     | 1572864 | 524288 |        | 25 | 20240 | 200 | 200 | 32 | 256 | 18.60534549 | 14.656 | 20640 | 0.013122559 |
| lena32.bmp | lena32.bmp-G_0.8-H4e-005_af3.wfa                     | 1572864 | 524288 |        | 25 | 20240 | 200 | 200 | 32 | 256 | 18.5805451  | 14.593 | 20640 | 0.013122559 |
| lena32.bmp | lena32.bmp-G_0.6-H4e-005_af2.wfa                     | 1572864 | 524288 |        | 25 | 20240 | 200 | 200 | 32 | 256 | 18.28395754 | 14.485 | 20640 | 0.013122559 |



|            |  |         |        |        |    |       |     |     |    |     |             |        |       |             |
|------------|--|---------|--------|--------|----|-------|-----|-----|----|-----|-------------|--------|-------|-------------|
| lena32.bmp | lena32.bmp-withWavelet_haar-G_1-H2e-005_af2.wfa      | 1572864 | 524288 | 524288 | 25 | 20240 | 200 | 200 | 32 | 256 | 17.26729446 | 14.953 | 20640 | 0.013122559 |
| lena32.bmp | lena32.bmp-withWavelet_rbio1.1-G_1-H2e-005_af2.wfa   | 1572864 | 524288 | 524288 | 25 | 20240 | 200 | 200 | 32 | 256 | 17.26729446 | 14.984 | 20640 | 0.013122559 |
| lena32.bmp | lena32.bmp-withWavelet_sym1-G_1-H2e-005_af2.wfa      | 1572864 | 524288 | 524288 | 25 | 20240 | 200 | 200 | 32 | 256 | 17.26729446 | 14.641 | 20640 | 0.013122559 |
| lena32.bmp | lena32.bmp-withWavelet_bior1.1-G_1-H2e-005_af2.wfa   | 1572864 | 524288 | 524288 | 25 | 20240 | 200 | 200 | 32 | 256 | 17.26729446 | 14.718 | 20640 | 0.013122559 |
| lena32.bmp | lena32.bmp-withWavelet_haar-G_1-H3e-005_af2.wfa      | 1572864 | 524288 | 524288 | 25 | 20240 | 200 | 200 | 32 | 256 | 17.24975008 | 18.219 | 20640 | 0.013122559 |
| lena32.bmp | lena32.bmp-withWavelet_rbio1.1-G_1-H3e-005_af2.wfa   | 1572864 | 524288 | 524288 | 25 | 20240 | 200 | 200 | 32 | 256 | 17.24975008 | 17.828 | 20640 | 0.013122559 |
| lena32.bmp | lena32.bmp-withWavelet_sym1-G_1-H3e-005_af2.wfa      | 1572864 | 524288 | 524288 | 25 | 20240 | 200 | 200 | 32 | 256 | 17.24975008 | 19.015 | 20640 | 0.013122559 |
| lena32.bmp | lena32.bmp-withWavelet_bior1.1-G_1-H3e-005_af2.wfa   | 1572864 | 524288 | 524288 | 25 | 20240 | 200 | 200 | 32 | 256 | 17.24975008 | 18.266 | 20640 | 0.013122559 |
| lena32.bmp | lena32.bmp-withWavelet_haar-G_0.8-H3e-005_af5.wfa    | 1572864 | 524288 | 524288 | 25 | 20240 | 200 | 200 | 32 | 256 | 17.04566025 | 14.953 | 20640 | 0.013122559 |
| lena32.bmp | lena32.bmp-withWavelet_rbio1.1-G_0.8-H3e-005_af5.wfa | 1572864 | 524288 | 524288 | 25 | 20240 | 200 | 200 | 32 | 256 | 17.04566025 | 14.734 | 20640 | 0.013122559 |
| lena32.bmp | lena32.bmp-withWavelet_sym1-G_0.8-H3e-005_af5.wfa    | 1572864 | 524288 | 524288 | 25 | 20240 | 200 | 200 | 32 | 256 | 17.04566025 | 14.641 | 20640 | 0.013122559 |
| lena32.bmp | lena32.bmp-withWavelet_bior1.1-G_0.8-H3e-005_af5.wfa | 1572864 | 524288 | 524288 | 25 | 20240 | 200 | 200 | 32 | 256 | 17.04566025 | 14.906 | 20640 | 0.013122559 |
| lena32.bmp | lena32.bmp-withWavelet_haar-G_0.6-H6e-005_af3.wfa    | 1572864 | 524288 | 524288 | 25 | 20240 | 200 | 200 | 32 | 256 | 16.5819169  | 14.235 | 20640 | 0.013122559 |
| lena32.bmp | lena32.bmp-withWavelet_rbio1.1-G_0.6-H6e-005_af3.wfa | 1572864 | 524288 | 524288 | 25 | 20240 | 200 | 200 | 32 | 256 | 16.5819169  | 14.172 | 20640 | 0.013122559 |
| lena32.bmp | lena32.bmp-withWavelet_sym1-G_0.6-H6e-005_af3.wfa    | 1572864 | 524288 | 524288 | 25 | 20240 | 200 | 200 | 32 | 256 | 16.5819169  | 14.234 | 20640 | 0.013122559 |
| lena32.bmp | lena32.bmp-withWavelet_bior1.1-G_0.6-H6e-005_af3.wfa | 1572864 | 524288 | 524288 | 25 | 20240 | 200 | 200 | 32 | 256 | 16.5819169  | 14.156 | 20640 | 0.013122559 |
| lena32.bmp | lena32.bmp-withWavelet_haar-G_0.6-H7e-005_af3.wfa    | 1572864 | 524288 | 524288 | 25 | 20240 | 200 | 200 | 32 | 256 | 16.48590385 | 14.75  | 20640 | 0.013122559 |
| lena32.bmp | lena32.bmp-withWavelet_rbio1.1-G_0.6-H7e-005_af3.wfa | 1572864 | 524288 | 524288 | 25 | 20240 | 200 | 200 | 32 | 256 | 16.48590385 | 14.625 | 20640 | 0.013122559 |
| lena32.bmp | lena32.bmp-withWavelet_sym1-G_0.6-H7e-005_af3.wfa    | 1572864 | 524288 | 524288 | 25 | 20240 | 200 | 200 | 32 | 256 | 16.48590385 | 14.75  | 20640 | 0.013122559 |
| lena32.bmp | lena32.bmp-withWavelet_bior1.1-G_0.6-H7e-005_af3.wfa | 1572864 | 524288 | 524288 | 25 | 20240 | 200 | 200 | 32 | 256 | 16.48590385 | 14.546 | 20640 | 0.013122559 |
| lena32.bmp | lena32.bmp-withWavelet_haar-G_0.6-H7e-005_af4.wfa    | 1572864 | 524288 | 524288 | 25 | 20240 | 200 | 200 | 32 | 256 | 15.94556431 | 14.578 | 20640 | 0.013122559 |
| lena32.bmp | lena32.bmp-withWavelet_rbio1.1-G_0.6-H7e-005_af4.wfa | 1572864 | 524288 | 524288 | 25 | 20240 | 200 | 200 | 32 | 256 | 15.94556431 | 14.484 | 20640 | 0.013122559 |
| lena32.bmp | lena32.bmp-withWavelet_sym1-G_0.6-H7e-005_af4.wfa    | 1572864 | 524288 | 524288 | 25 | 20240 | 200 | 200 | 32 | 256 | 15.94556431 | 14.594 | 20640 | 0.013122559 |
| lena32.bmp | lena32.bmp-withWavelet_bior1.1-G_0.6-H7e-005_af4.wfa | 1572864 | 524288 | 524288 | 25 | 20240 | 200 | 200 | 32 | 256 | 15.94556431 | 14.891 | 20640 | 0.013122559 |
| lena32.bmp | lena32.bmp-withWavelet_haar-G_0.6-H3e-005_af5.wfa    | 1572864 | 524288 | 524288 | 25 | 20240 | 200 | 200 | 32 | 256 | 15.90863137 | 14.578 | 20640 | 0.013122559 |
| lena32.bmp | lena32.bmp-withWavelet_rbio1.1-G_0.6-H3e-005_af5.wfa | 1572864 | 524288 | 524288 | 25 | 20240 | 200 | 200 | 32 | 256 | 15.90863137 | 14.578 | 20640 | 0.013122559 |
| lena32.bmp | lena32.bmp-withWavelet_sym1-G_0.6-H3e-005_af5.wfa    | 1572864 | 524288 | 524288 | 25 | 20240 | 200 | 200 | 32 | 256 | 15.90863137 | 14.61  | 20640 | 0.013122559 |
| lena32.bmp | lena32.bmp-withWavelet_bior1.1-G_0.6-H3e-005_af5.wfa | 1572864 | 524288 | 524288 | 25 | 20240 | 200 | 200 | 32 | 256 | 15.90863137 | 14.625 | 20640 | 0.013122559 |
| lena32.bmp | lena32.bmp-G_1-H3e-005_af5.wfa                       | 1572864 | 524288 |        | 26 | 21872 | 208 | 208 | 32 | 256 | 18.75236099 | 15.438 | 22288 | 0.014170329 |
| lena32.bmp | lena32.bmp-G_0.8-H3e-005_af5.wfa                     | 1572864 | 524288 |        | 26 | 21872 | 208 | 208 | 32 | 256 | 18.74786592 | 15.344 | 22288 | 0.014170329 |
| lena32.bmp | lena32.bmp-G_0.8-H6e-005_af1.wfa                     | 1572864 | 524288 |        | 26 | 21872 | 208 | 208 | 32 | 256 | 18.64377169 | 15.016 | 22288 | 0.014170329 |

|            |  |         |        |        |    |       |     |     |    |     |             |        |       |             |
|------------|--|---------|--------|--------|----|-------|-----|-----|----|-----|-------------|--------|-------|-------------|
| lena32.bmp | lena32.bmp-G_0.6-H3e-005_af5.wfa                     | 1572864 | 524288 |        | 26 | 21872 | 208 | 208 | 32 | 256 | 18.2950587  | 15.047 | 22288 | 0.014170329 |
| lena32.bmp | lena32.bmp-G_0.6-H4e-005_af3.wfa                     | 1572864 | 524288 |        | 26 | 21872 | 208 | 208 | 32 | 256 | 18.21855636 | 15.078 | 22288 | 0.014170329 |
| lena32.bmp | lena32.bmp-withWavelet_haar-G_1-H5e-005_af4.wfa      | 1572864 | 524288 | 524288 | 26 | 21872 | 208 | 208 | 32 | 256 | 16.63798552 | 15.25  | 22288 | 0.014170329 |
| lena32.bmp | lena32.bmp-withWavelet_rbio1.1-G_1-H5e-005_af4.wfa   | 1572864 | 524288 | 524288 | 26 | 21872 | 208 | 208 | 32 | 256 | 16.63798552 | 15.031 | 22288 | 0.014170329 |
| lena32.bmp | lena32.bmp-withWavelet_sym1-G_1-H5e-005_af4.wfa      | 1572864 | 524288 | 524288 | 26 | 21872 | 208 | 208 | 32 | 256 | 16.63798552 | 15.125 | 22288 | 0.014170329 |
| lena32.bmp | lena32.bmp-withWavelet_bior1.1-G_1-H5e-005_af4.wfa   | 1572864 | 524288 | 524288 | 26 | 21872 | 208 | 208 | 32 | 256 | 16.63798552 | 15.141 | 22288 | 0.014170329 |
| lena32.bmp | lena32.bmp-withWavelet_haar-G_0.8-H5e-005_af4.wfa    | 1572864 | 524288 | 524288 | 26 | 21872 | 208 | 208 | 32 | 256 | 16.56155262 | 15.172 | 22288 | 0.014170329 |
| lena32.bmp | lena32.bmp-withWavelet_rbio1.1-G_0.8-H5e-005_af4.wfa | 1572864 | 524288 | 524288 | 26 | 21872 | 208 | 208 | 32 | 256 | 16.56155262 | 15.063 | 22288 | 0.014170329 |
| lena32.bmp | lena32.bmp-withWavelet_sym1-G_0.8-H5e-005_af4.wfa    | 1572864 | 524288 | 524288 | 26 | 21872 | 208 | 208 | 32 | 256 | 16.56155262 | 15.015 | 22288 | 0.014170329 |
| lena32.bmp | lena32.bmp-withWavelet_bior1.1-G_0.8-H5e-005_af4.wfa | 1572864 | 524288 | 524288 | 26 | 21872 | 208 | 208 | 32 | 256 | 16.56155262 | 15.078 | 22288 | 0.014170329 |
| lena32.bmp | lena32.bmp-withWavelet_haar-G_1-H4e-005_af5.wfa      | 1572864 | 524288 | 524288 | 26 | 21872 | 208 | 208 | 32 | 256 | 16.53132938 | 15.14  | 22288 | 0.014170329 |
| lena32.bmp | lena32.bmp-withWavelet_rbio1.1-G_1-H4e-005_af5.wfa   | 1572864 | 524288 | 524288 | 26 | 21872 | 208 | 208 | 32 | 256 | 16.53132938 | 15.078 | 22288 | 0.014170329 |
| lena32.bmp | lena32.bmp-withWavelet_sym1-G_1-H4e-005_af5.wfa      | 1572864 | 524288 | 524288 | 26 | 21872 | 208 | 208 | 32 | 256 | 16.53132938 | 15.203 | 22288 | 0.014170329 |
| lena32.bmp | lena32.bmp-withWavelet_bior1.1-G_1-H4e-005_af5.wfa   | 1572864 | 524288 | 524288 | 26 | 21872 | 208 | 208 | 32 | 256 | 16.53132938 | 15.094 | 22288 | 0.014170329 |
| lena32.bmp | lena32.bmp-G_0.6-H9e-005_af4.wfa                     | 393216  | 131072 |        | 13 | 5648  | 104 | 104 | 32 | 128 | 16.36814451 | 1.796  | 5856  | 0.014892578 |
| lena32.bmp | lena32.bmp-G_0.6-H0.0001_af4.wfa                     | 393216  | 131072 |        | 13 | 5648  | 104 | 104 | 32 | 128 | 16.36579184 | 1.875  | 5856  | 0.014892578 |
| lena32.bmp | lena32.bmp-G_1-H8e-005_af4.wfa                       | 393216  | 131072 |        | 13 | 5648  | 104 | 104 | 32 | 128 | 16.29584206 | 1.813  | 5856  | 0.014892578 |
| lena32.bmp | lena32.bmp-G_1-H9e-005_af4.wfa                       | 393216  | 131072 |        | 13 | 5648  | 104 | 104 | 32 | 128 | 16.29019122 | 2.234  | 5856  | 0.014892578 |
| lena32.bmp | lena32.bmp-G_1-H3e-005_af2.wfa                       | 1572864 | 524288 |        | 27 | 23568 | 216 | 216 | 32 | 256 | 18.9410653  | 21.312 | 24000 | 0.015258789 |
| lena32.bmp | lena32.bmp-G_0.8-H3e-005_af2.wfa                     | 1572864 | 524288 |        | 27 | 23568 | 216 | 216 | 32 | 256 | 18.92841683 | 16.391 | 24000 | 0.015258789 |
| lena32.bmp | lena32.bmp-G_1-H4e-005_af3.wfa                       | 1572864 | 524288 |        | 27 | 23568 | 216 | 216 | 32 | 256 | 18.62817508 | 16.234 | 24000 | 0.015258789 |
| lena32.bmp | lena32.bmp-G_0.6-H6e-005_af1.wfa                     | 1572864 | 524288 |        | 27 | 23568 | 216 | 216 | 32 | 256 | 18.24428264 | 15.922 | 24000 | 0.015258789 |
| lena32.bmp | lena32.bmp-G_0.6-H3e-005_af3.wfa                     | 1572864 | 524288 |        | 27 | 23568 | 216 | 216 | 32 | 256 | 18.06907718 | 17     | 24000 | 0.015258789 |
| lena32.bmp | lena32.bmp-withWavelet_haar-G_0.8-H2e-005_af2.wfa    | 1572864 | 524288 | 524288 | 27 | 23568 | 216 | 216 | 32 | 256 | 16.97402523 | 16.86  | 24000 | 0.015258789 |
| lena32.bmp | lena32.bmp-withWavelet_rbio1.1-G_0.8-H2e-005_af2.wfa | 1572864 | 524288 | 524288 | 27 | 23568 | 216 | 216 | 32 | 256 | 16.97402523 | 16.765 | 24000 | 0.015258789 |
| lena32.bmp | lena32.bmp-withWavelet_sym1-G_0.8-H2e-005_af2.wfa    | 1572864 | 524288 | 524288 | 27 | 23568 | 216 | 216 | 32 | 256 | 16.97402523 | 16.563 | 24000 | 0.015258789 |
| lena32.bmp | lena32.bmp-withWavelet_bior1.1-G_0.8-H2e-005_af2.wfa | 1572864 | 524288 | 524288 | 27 | 23568 | 216 | 216 | 32 | 256 | 16.97402523 | 16.766 | 24000 | 0.015258789 |
| lena32.bmp | lena32.bmp-withWavelet_haar-G_1-H3e-005_af5.wfa      | 1572864 | 524288 | 524288 | 27 | 23568 | 216 | 216 | 32 | 256 | 16.70118222 | 17.187 | 24000 | 0.015258789 |
| lena32.bmp | lena32.bmp-withWavelet_rbio1.1-G_1-H3e-005_af5.wfa   | 1572864 | 524288 | 524288 | 27 | 23568 | 216 | 216 | 32 | 256 | 16.70118222 | 16.969 | 24000 | 0.015258789 |
| lena32.bmp | lena32.bmp-withWavelet_sym1-G_1-H3e-005_af5.wfa      | 1572864 | 524288 | 524288 | 27 | 23568 | 216 | 216 | 32 | 256 | 16.70118222 | 16.218 | 24000 | 0.015258789 |
| lena32.bmp | lena32.bmp-withWavelet_bior1.1-G_1-H3e-005_af5.wfa   | 1572864 | 524288 | 524288 | 27 | 23568 | 216 | 216 | 32 | 256 | 16.70118222 | 16.344 | 24000 | 0.015258789 |

|            |  |         |        |        |    |       |     |     |    |     |             |        |       |             |
|------------|--|---------|--------|--------|----|-------|-----|-----|----|-----|-------------|--------|-------|-------------|
| lena32.bmp | lena32.bmp-withWavelet_haar-G_0.6-H5e-005_af1.wfa    | 1572864 | 524288 | 524288 | 27 | 23568 | 216 | 216 | 32 | 256 | 16.14079964 | 16.141 | 24000 | 0.015258789 |
| lena32.bmp | lena32.bmp-withWavelet_rbio1.1-G_0.6-H5e-005_af1.wfa | 1572864 | 524288 | 524288 | 27 | 23568 | 216 | 216 | 32 | 256 | 16.14079964 | 16.312 | 24000 | 0.015258789 |
| lena32.bmp | lena32.bmp-withWavelet_sym1-G_0.6-H5e-005_af1.wfa    | 1572864 | 524288 | 524288 | 27 | 23568 | 216 | 216 | 32 | 256 | 16.14079964 | 16.328 | 24000 | 0.015258789 |
| lena32.bmp | lena32.bmp-withWavelet_bior1.1-G_0.6-H5e-005_af1.wfa | 1572864 | 524288 | 524288 | 27 | 23568 | 216 | 216 | 32 | 256 | 16.14079964 | 16.266 | 24000 | 0.015258789 |
| lena32.bmp | lena32.bmp-withWavelet_haar-G_0.6-H2e-005_af2.wfa    | 1572864 | 524288 | 524288 | 27 | 23568 | 216 | 216 | 32 | 256 | 16.06111766 | 17.141 | 24000 | 0.015258789 |
| lena32.bmp | lena32.bmp-withWavelet_rbio1.1-G_0.6-H2e-005_af2.wfa | 1572864 | 524288 | 524288 | 27 | 23568 | 216 | 216 | 32 | 256 | 16.06111766 | 17.219 | 24000 | 0.015258789 |
| lena32.bmp | lena32.bmp-withWavelet_sym1-G_0.6-H2e-005_af2.wfa    | 1572864 | 524288 | 524288 | 27 | 23568 | 216 | 216 | 32 | 256 | 16.06111766 | 17.14  | 24000 | 0.015258789 |
| lena32.bmp | lena32.bmp-withWavelet_bior1.1-G_0.6-H2e-005_af2.wfa | 1572864 | 524288 | 524288 | 27 | 23568 | 216 | 216 | 32 | 256 | 16.06111766 | 17.047 | 24000 | 0.015258789 |
| lena32.bmp | lena32.bmp-withWavelet_haar-G_0.6-H6e-005_af4.wfa    | 1572864 | 524288 | 524288 | 27 | 23568 | 216 | 216 | 32 | 256 | 15.73148538 | 15.891 | 24000 | 0.015258789 |
| lena32.bmp | lena32.bmp-withWavelet_rbio1.1-G_0.6-H6e-005_af4.wfa | 1572864 | 524288 | 524288 | 27 | 23568 | 216 | 216 | 32 | 256 | 15.73148538 | 15.922 | 24000 | 0.015258789 |
| lena32.bmp | lena32.bmp-withWavelet_sym1-G_0.6-H6e-005_af4.wfa    | 1572864 | 524288 | 524288 | 27 | 23568 | 216 | 216 | 32 | 256 | 15.73148538 | 15.921 | 24000 | 0.015258789 |
| lena32.bmp | lena32.bmp-withWavelet_bior1.1-G_0.6-H6e-005_af4.wfa | 1572864 | 524288 | 524288 | 27 | 23568 | 216 | 216 | 32 | 256 | 15.73148538 | 15.953 | 24000 | 0.015258789 |
| lena32.bmp | lena32.bmp-G_1-H2e-005_af5.wfa                       | 1572864 | 524288 |        | 28 | 25328 | 224 | 224 | 32 | 256 | 18.91627577 | 17.25  | 25776 | 0.016387939 |
| lena32.bmp | lena32.bmp-G_1-H2e-005_af2.wfa                       | 1572864 | 524288 |        | 28 | 25328 | 224 | 224 | 32 | 256 | 18.90282171 | 17.375 | 25776 | 0.016387939 |
| lena32.bmp | lena32.bmp-G_0.8-H2e-005_af2.wfa                     | 1572864 | 524288 |        | 28 | 25328 | 224 | 224 | 32 | 256 | 18.89154144 | 17.109 | 25776 | 0.016387939 |
| lena32.bmp | lena32.bmp-G_1-H3e-005_af3.wfa                       | 1572864 | 524288 |        | 28 | 25328 | 224 | 224 | 32 | 256 | 18.73836896 | 21.422 | 25776 | 0.016387939 |
| lena32.bmp | lena32.bmp-G_0.8-H3e-005_af3.wfa                     | 1572864 | 524288 |        | 28 | 25328 | 224 | 224 | 32 | 256 | 18.72190029 | 17.515 | 25776 | 0.016387939 |
| lena32.bmp | lena32.bmp-G_1-H6e-005_af1.wfa                       | 1572864 | 524288 |        | 28 | 25328 | 224 | 224 | 32 | 256 | 18.71212915 | 16.782 | 25776 | 0.016387939 |
| lena32.bmp | lena32.bmp-G_0.6-H2e-005_af2.wfa                     | 1572864 | 524288 |        | 28 | 25328 | 224 | 224 | 32 | 256 | 18.37438634 | 17.578 | 25776 | 0.016387939 |
| lena32.bmp | lena32.bmp-G_0.6-H3e-005_af2.wfa                     | 1572864 | 524288 |        | 28 | 25328 | 224 | 224 | 32 | 256 | 18.37438634 | 17     | 25776 | 0.016387939 |
| lena32.bmp | lena32.bmp-G_0.6-H5e-005_af1.wfa                     | 1572864 | 524288 |        | 28 | 25328 | 224 | 224 | 32 | 256 | 18.33735426 | 16.875 | 25776 | 0.016387939 |
| lena32.bmp | lena32.bmp-withWavelet_haar-G_1-H4e-005_af4.wfa      | 1572864 | 524288 | 524288 | 28 | 25328 | 224 | 224 | 32 | 256 | 16.58172828 | 16.797 | 25776 | 0.016387939 |
| lena32.bmp | lena32.bmp-withWavelet_rbio1.1-G_1-H4e-005_af4.wfa   | 1572864 | 524288 | 524288 | 28 | 25328 | 224 | 224 | 32 | 256 | 16.58172828 | 16.844 | 25776 | 0.016387939 |
| lena32.bmp | lena32.bmp-withWavelet_sym1-G_1-H4e-005_af4.wfa      | 1572864 | 524288 | 524288 | 28 | 25328 | 224 | 224 | 32 | 256 | 16.58172828 | 16.782 | 25776 | 0.016387939 |
| lena32.bmp | lena32.bmp-withWavelet_bior1.1-G_1-H4e-005_af4.wfa   | 1572864 | 524288 | 524288 | 28 | 25328 | 224 | 224 | 32 | 256 | 16.58172828 | 16.969 | 25776 | 0.016387939 |
| lena32.bmp | lena32.bmp-withWavelet_haar-G_0.8-H4e-005_af4.wfa    | 1572864 | 524288 | 524288 | 28 | 25328 | 224 | 224 | 32 | 256 | 16.51011372 | 16.797 | 25776 | 0.016387939 |
| lena32.bmp | lena32.bmp-withWavelet_rbio1.1-G_0.8-H4e-005_af4.wfa | 1572864 | 524288 | 524288 | 28 | 25328 | 224 | 224 | 32 | 256 | 16.51011372 | 16.953 | 25776 | 0.016387939 |
| lena32.bmp | lena32.bmp-withWavelet_sym1-G_0.8-H4e-005_af4.wfa    | 1572864 | 524288 | 524288 | 28 | 25328 | 224 | 224 | 32 | 256 | 16.51011372 | 16.781 | 25776 | 0.016387939 |
| lena32.bmp | lena32.bmp-withWavelet_bior1.1-G_0.8-H4e-005_af4.wfa | 1572864 | 524288 | 524288 | 28 | 25328 | 224 | 224 | 32 | 256 | 16.51011372 | 16.828 | 25776 | 0.016387939 |
| lena32.bmp | lena32.bmp-withWavelet_haar-G_0.6-H1e-005_af2.wfa    | 1572864 | 524288 | 524288 | 28 | 25328 | 224 | 224 | 32 | 256 | 15.92817345 | 16.875 | 25776 | 0.016387939 |
| lena32.bmp | lena32.bmp-withWavelet_rbio1.1-G_0.6-H1e-005_af2.wfa | 1572864 | 524288 | 524288 | 28 | 25328 | 224 | 224 | 32 | 256 | 15.92817345 | 16.797 | 25776 | 0.016387939 |

|            |  |         |        |        |    |       |     |     |    |     |             |        |       |             |
|------------|--|---------|--------|--------|----|-------|-----|-----|----|-----|-------------|--------|-------|-------------|
| lena32.bmp | lena32.bmp-withWavelet_sym1-G_0.6-H1e-005_af2.wfa    | 1572864 | 524288 | 524288 | 28 | 25328 | 224 | 224 | 32 | 256 | 15.92817345 | 16.875 | 25776 | 0.016387939 |
| lena32.bmp | lena32.bmp-withWavelet_bior1.1-G_0.6-H1e-005_af2.wfa | 1572864 | 524288 | 524288 | 28 | 25328 | 224 | 224 | 32 | 256 | 15.92817345 | 16.765 | 25776 | 0.016387939 |
| lena32.bmp | lena32.bmp-withWavelet_haar-G_0.6-H2e-005_af5.wfa    | 1572864 | 524288 | 524288 | 28 | 25328 | 224 | 224 | 32 | 256 | 15.81517916 | 17.656 | 25776 | 0.016387939 |
| lena32.bmp | lena32.bmp-withWavelet_rbio1.1-G_0.6-H2e-005_af5.wfa | 1572864 | 524288 | 524288 | 28 | 25328 | 224 | 224 | 32 | 256 | 15.81517916 | 22.172 | 25776 | 0.016387939 |
| lena32.bmp | lena32.bmp-withWavelet_sym1-G_0.6-H2e-005_af5.wfa    | 1572864 | 524288 | 524288 | 28 | 25328 | 224 | 224 | 32 | 256 | 15.81517916 | 22.25  | 25776 | 0.016387939 |
| lena32.bmp | lena32.bmp-withWavelet_bior1.1-G_0.6-H2e-005_af5.wfa | 1572864 | 524288 | 524288 | 28 | 25328 | 224 | 224 | 32 | 256 | 15.81517916 | 22.093 | 25776 | 0.016387939 |
| lena32.bmp | lena32.bmp-withWavelet_haar-G_0.6-H5e-005_af4.wfa    | 1572864 | 524288 | 524288 | 28 | 25328 | 224 | 224 | 32 | 256 | 15.70115166 | 16.844 | 25776 | 0.016387939 |
| lena32.bmp | lena32.bmp-withWavelet_rbio1.1-G_0.6-H5e-005_af4.wfa | 1572864 | 524288 | 524288 | 28 | 25328 | 224 | 224 | 32 | 256 | 15.70115166 | 16.828 | 25776 | 0.016387939 |
| lena32.bmp | lena32.bmp-withWavelet_sym1-G_0.6-H5e-005_af4.wfa    | 1572864 | 524288 | 524288 | 28 | 25328 | 224 | 224 | 32 | 256 | 15.70115166 | 16.922 | 25776 | 0.016387939 |
| lena32.bmp | lena32.bmp-withWavelet_bior1.1-G_0.6-H5e-005_af4.wfa | 1572864 | 524288 | 524288 | 28 | 25328 | 224 | 224 | 32 | 256 | 15.70115166 | 16.812 | 25776 | 0.016387939 |
| lena32.bmp | lena32.bmp-G_0.6-H8e-005_af4.wfa                     | 393216  | 131072 |        | 14 | 6512  | 112 | 112 | 32 | 128 | 16.44853127 | 1.766  | 6736  | 0.017130534 |
| lena32.bmp | lena32.bmp-G_0.6-H7e-005_af4.wfa                     | 393216  | 131072 |        | 14 | 6512  | 112 | 112 | 32 | 128 | 16.43258935 | 1.75   | 6736  | 0.017130534 |
| lena32.bmp | lena32.bmp-G_0.6-H6e-005_af4.wfa                     | 393216  | 131072 |        | 14 | 6512  | 112 | 112 | 32 | 128 | 16.42809372 | 1.766  | 6736  | 0.017130534 |
| lena32.bmp | lena32.bmp-G_0.8-H8e-005_af4.wfa                     | 393216  | 131072 |        | 14 | 6512  | 112 | 112 | 32 | 128 | 16.40703252 | 1.765  | 6736  | 0.017130534 |
| lena32.bmp | lena32.bmp-G_0.8-H7e-005_af4.wfa                     | 393216  | 131072 |        | 14 | 6512  | 112 | 112 | 32 | 128 | 16.39598564 | 1.781  | 6736  | 0.017130534 |
| lena32.bmp | lena32.bmp-G_1-H7e-005_af4.wfa                       | 393216  | 131072 |        | 14 | 6512  | 112 | 112 | 32 | 128 | 16.35605195 | 1.766  | 6736  | 0.017130534 |
| lena32.bmp | lena32.bmp-G_0.8-H2e-005_af5.wfa                     | 1572864 | 524288 |        | 29 | 27152 | 232 | 232 | 32 | 256 | 18.89962354 | 22.344 | 27616 | 0.01755778  |
| lena32.bmp | lena32.bmp-G_1-H5e-005_af1.wfa                       | 1572864 | 524288 |        | 29 | 27152 | 232 | 232 | 32 | 256 | 18.7743764  | 18     | 27616 | 0.01755778  |
| lena32.bmp | lena32.bmp-G_0.8-H5e-005_af1.wfa                     | 1572864 | 524288 |        | 29 | 27152 | 232 | 232 | 32 | 256 | 18.76580696 | 18.125 | 27616 | 0.01755778  |
| lena32.bmp | lena32.bmp-G_0.6-H2e-005_af3.wfa                     | 1572864 | 524288 |        | 29 | 27152 | 232 | 232 | 32 | 256 | 18.38985142 | 18.906 | 27616 | 0.01755778  |
| lena32.bmp | lena32.bmp-withWavelet_haar-G_1-H1e-005_af2.wfa      | 1572864 | 524288 | 524288 | 29 | 27152 | 232 | 232 | 32 | 256 | 16.70164752 | 18.36  | 27616 | 0.01755778  |
| lena32.bmp | lena32.bmp-withWavelet_rbio1.1-G_1-H1e-005_af2.wfa   | 1572864 | 524288 | 524288 | 29 | 27152 | 232 | 232 | 32 | 256 | 16.70164752 | 18.547 | 27616 | 0.01755778  |
| lena32.bmp | lena32.bmp-withWavelet_sym1-G_1-H1e-005_af2.wfa      | 1572864 | 524288 | 524288 | 29 | 27152 | 232 | 232 | 32 | 256 | 16.70164752 | 18.297 | 27616 | 0.01755778  |
| lena32.bmp | lena32.bmp-withWavelet_bior1.1-G_1-H1e-005_af2.wfa   | 1572864 | 524288 | 524288 | 29 | 27152 | 232 | 232 | 32 | 256 | 16.70164752 | 18.406 | 27616 | 0.01755778  |
| lena32.bmp | lena32.bmp-withWavelet_haar-G_0.8-H1e-005_af2.wfa    | 1572864 | 524288 | 524288 | 29 | 27152 | 232 | 232 | 32 | 256 | 16.69806859 | 18.406 | 27616 | 0.01755778  |
| lena32.bmp | lena32.bmp-withWavelet_rbio1.1-G_0.8-H1e-005_af2.wfa | 1572864 | 524288 | 524288 | 29 | 27152 | 232 | 232 | 32 | 256 | 16.69806859 | 18.079 | 27616 | 0.01755778  |
| lena32.bmp | lena32.bmp-withWavelet_sym1-G_0.8-H1e-005_af2.wfa    | 1572864 | 524288 | 524288 | 29 | 27152 | 232 | 232 | 32 | 256 | 16.69806859 | 18.016 | 27616 | 0.01755778  |
| lena32.bmp | lena32.bmp-withWavelet_bior1.1-G_0.8-H1e-005_af2.wfa | 1572864 | 524288 | 524288 | 29 | 27152 | 232 | 232 | 32 | 256 | 16.69806859 | 18.281 | 27616 | 0.01755778  |
| lena32.bmp | lena32.bmp-withWavelet_haar-G_1-H2e-005_af5.wfa      | 1572864 | 524288 | 524288 | 29 | 27152 | 232 | 232 | 32 | 256 | 16.61459274 | 18.5   | 27616 | 0.01755778  |
| lena32.bmp | lena32.bmp-withWavelet_rbio1.1-G_1-H2e-005_af5.wfa   | 1572864 | 524288 | 524288 | 29 | 27152 | 232 | 232 | 32 | 256 | 16.61459274 | 18.422 | 27616 | 0.01755778  |
| lena32.bmp | lena32.bmp-withWavelet_sym1-G_1-H2e-005_af5.wfa      | 1572864 | 524288 | 524288 | 29 | 27152 | 232 | 232 | 32 | 256 | 16.61459274 | 18.843 | 27616 | 0.01755778  |

|            |  |         |        |        |    |       |     |     |    |     |             |        |       |             |
|------------|--|---------|--------|--------|----|-------|-----|-----|----|-----|-------------|--------|-------|-------------|
| lena32.bmp | lena32.bmp-withWavelet_bior1.1-G_1-H2e-005_af5.wfa   | 1572864 | 524288 | 524288 | 29 | 27152 | 232 | 232 | 32 | 256 | 16.61459274 | 18.437 | 27616 | 0.01755778  |
| lena32.bmp | lena32.bmp-withWavelet_haar-G_0.8-H2e-005_af5.wfa    | 1572864 | 524288 | 524288 | 29 | 27152 | 232 | 232 | 32 | 256 | 16.60571978 | 21.609 | 27616 | 0.01755778  |
| lena32.bmp | lena32.bmp-withWavelet_rbio1.1-G_0.8-H2e-005_af5.wfa | 1572864 | 524288 | 524288 | 29 | 27152 | 232 | 232 | 32 | 256 | 16.60571978 | 19.093 | 27616 | 0.01755778  |
| lena32.bmp | lena32.bmp-withWavelet_sym1-G_0.8-H2e-005_af5.wfa    | 1572864 | 524288 | 524288 | 29 | 27152 | 232 | 232 | 32 | 256 | 16.60571978 | 19.11  | 27616 | 0.01755778  |
| lena32.bmp | lena32.bmp-withWavelet_bior1.1-G_0.8-H2e-005_af5.wfa | 1572864 | 524288 | 524288 | 29 | 27152 | 232 | 232 | 32 | 256 | 16.60571978 | 18.937 | 27616 | 0.01755778  |
| lena32.bmp | lena32.bmp-withWavelet_haar-G_1-H5e-005_af3.wfa      | 1572864 | 524288 | 524288 | 29 | 27152 | 232 | 232 | 32 | 256 | 16.3709882  | 18.125 | 27616 | 0.01755778  |
| lena32.bmp | lena32.bmp-withWavelet_rbio1.1-G_1-H5e-005_af3.wfa   | 1572864 | 524288 | 524288 | 29 | 27152 | 232 | 232 | 32 | 256 | 16.3709882  | 17.985 | 27616 | 0.01755778  |
| lena32.bmp | lena32.bmp-withWavelet_sym1-G_1-H5e-005_af3.wfa      | 1572864 | 524288 | 524288 | 29 | 27152 | 232 | 232 | 32 | 256 | 16.3709882  | 18.031 | 27616 | 0.01755778  |
| lena32.bmp | lena32.bmp-withWavelet_bior1.1-G_1-H5e-005_af3.wfa   | 1572864 | 524288 | 524288 | 29 | 27152 | 232 | 232 | 32 | 256 | 16.3709882  | 18.203 | 27616 | 0.01755778  |
| lena32.bmp | lena32.bmp-withWavelet_haar-G_0.8-H5e-005_af3.wfa    | 1572864 | 524288 | 524288 | 29 | 27152 | 232 | 232 | 32 | 256 | 16.37026837 | 18.078 | 27616 | 0.01755778  |
| lena32.bmp | lena32.bmp-withWavelet_rbio1.1-G_0.8-H5e-005_af3.wfa | 1572864 | 524288 | 524288 | 29 | 27152 | 232 | 232 | 32 | 256 | 16.37026837 | 18.078 | 27616 | 0.01755778  |
| lena32.bmp | lena32.bmp-withWavelet_sym1-G_0.8-H5e-005_af3.wfa    | 1572864 | 524288 | 524288 | 29 | 27152 | 232 | 232 | 32 | 256 | 16.37026837 | 18.063 | 27616 | 0.01755778  |
| lena32.bmp | lena32.bmp-withWavelet_bior1.1-G_0.8-H5e-005_af3.wfa | 1572864 | 524288 | 524288 | 29 | 27152 | 232 | 232 | 32 | 256 | 16.37026837 | 18.172 | 27616 | 0.01755778  |
| lena32.bmp | lena32.bmp-G_0.8-H4e-005_af1.wfa                     | 1572864 | 524288 |        | 30 | 29040 | 240 | 240 | 32 | 256 | 18.76289658 | 18.765 | 29520 | 0.018768311 |
| lena32.bmp | lena32.bmp-G_0.6-H2e-005_af5.wfa                     | 1572864 | 524288 |        | 30 | 29040 | 240 | 240 | 32 | 256 | 18.67728303 | 23.547 | 29520 | 0.018768311 |
| lena32.bmp | lena32.bmp-G_0.6-H1e-005_af3.wfa                     | 1572864 | 524288 |        | 30 | 29040 | 240 | 240 | 32 | 256 | 18.44293816 | 18.781 | 29520 | 0.018768311 |
| lena32.bmp | lena32.bmp-G_0.6-H4e-005_af1.wfa                     | 1572864 | 524288 |        | 30 | 29040 | 240 | 240 | 32 | 256 | 18.37204346 | 18.766 | 29520 | 0.018768311 |
| lena32.bmp | lena32.bmp-G_0.6-H3e-005_af1.wfa                     | 1572864 | 524288 |        | 30 | 29040 | 240 | 240 | 32 | 256 | 18.37023304 | 18.687 | 29520 | 0.018768311 |
| lena32.bmp | lena32.bmp-withWavelet_haar-G_1-H1e-005_af5.wfa      | 1572864 | 524288 | 524288 | 30 | 29040 | 240 | 240 | 32 | 256 | 16.71492739 | 18.844 | 29520 | 0.018768311 |
| lena32.bmp | lena32.bmp-withWavelet_rbio1.1-G_1-H1e-005_af5.wfa   | 1572864 | 524288 | 524288 | 30 | 29040 | 240 | 240 | 32 | 256 | 16.71492739 | 18.875 | 29520 | 0.018768311 |
| lena32.bmp | lena32.bmp-withWavelet_sym1-G_1-H1e-005_af5.wfa      | 1572864 | 524288 | 524288 | 30 | 29040 | 240 | 240 | 32 | 256 | 16.71492739 | 18.812 | 29520 | 0.018768311 |
| lena32.bmp | lena32.bmp-withWavelet_bior1.1-G_1-H1e-005_af5.wfa   | 1572864 | 524288 | 524288 | 30 | 29040 | 240 | 240 | 32 | 256 | 16.71492739 | 18.766 | 29520 | 0.018768311 |
| lena32.bmp | lena32.bmp-withWavelet_haar-G_1-H3e-005_af4.wfa      | 1572864 | 524288 | 524288 | 30 | 29040 | 240 | 240 | 32 | 256 | 16.35965717 | 24.156 | 29520 | 0.018768311 |
| lena32.bmp | lena32.bmp-withWavelet_rbio1.1-G_1-H3e-005_af4.wfa   | 1572864 | 524288 | 524288 | 30 | 29040 | 240 | 240 | 32 | 256 | 16.35965717 | 26.25  | 29520 | 0.018768311 |
| lena32.bmp | lena32.bmp-withWavelet_sym1-G_1-H3e-005_af4.wfa      | 1572864 | 524288 | 524288 | 30 | 29040 | 240 | 240 | 32 | 256 | 16.35965717 | 22.391 | 29520 | 0.018768311 |
| lena32.bmp | lena32.bmp-withWavelet_bior1.1-G_1-H3e-005_af4.wfa   | 1572864 | 524288 | 524288 | 30 | 29040 | 240 | 240 | 32 | 256 | 16.35965717 | 26.156 | 29520 | 0.018768311 |
| lena32.bmp | lena32.bmp-withWavelet_haar-G_0.8-H3e-005_af4.wfa    | 1572864 | 524288 | 524288 | 30 | 29040 | 240 | 240 | 32 | 256 | 16.27830781 | 19.031 | 29520 | 0.018768311 |
| lena32.bmp | lena32.bmp-withWavelet_rbio1.1-G_0.8-H3e-005_af4.wfa | 1572864 | 524288 | 524288 | 30 | 29040 | 240 | 240 | 32 | 256 | 16.27830781 | 18.75  | 29520 | 0.018768311 |
| lena32.bmp | lena32.bmp-withWavelet_sym1-G_0.8-H3e-005_af4.wfa    | 1572864 | 524288 | 524288 | 30 | 29040 | 240 | 240 | 32 | 256 | 16.27830781 | 18.766 | 29520 | 0.018768311 |
| lena32.bmp | lena32.bmp-withWavelet_bior1.1-G_0.8-H3e-005_af4.wfa | 1572864 | 524288 | 524288 | 30 | 29040 | 240 | 240 | 32 | 256 | 16.27830781 | 18.703 | 29520 | 0.018768311 |
| lena32.bmp | lena32.bmp-withWavelet_haar-G_1-H4e-005_af3.wfa      | 1572864 | 524288 | 524288 | 30 | 29040 | 240 | 240 | 32 | 256 | 16.24101988 | 18.859 | 29520 | 0.018768311 |



|            |  |         |        |        |    |       |     |     |    |     |             |        |       |             |
|------------|--|---------|--------|--------|----|-------|-----|-----|----|-----|-------------|--------|-------|-------------|
| lena32.bmp | lena32.bmp-G_0.6-H5e-005_af4.wfa                     | 393216  | 131072 |        | 15 | 7440  | 120 | 120 | 32 | 128 | 16.47815314 | 1.859  | 7680  | 0.01953125  |
| lena32.bmp | lena32.bmp-G_0.8-H6e-005_af4.wfa                     | 393216  | 131072 |        | 15 | 7440  | 120 | 120 | 32 | 128 | 16.4622514  | 1.922  | 7680  | 0.01953125  |
| lena32.bmp | lena32.bmp-G_1-H6e-005_af4.wfa                       | 393216  | 131072 |        | 15 | 7440  | 120 | 120 | 32 | 128 | 16.44475538 | 1.843  | 7680  | 0.01953125  |
| lena32.bmp | lena32.bmp-G_0.8-H4e-005_af4.wfa                     | 393216  | 131072 |        | 15 | 7440  | 120 | 120 | 32 | 128 | 16.44059467 | 1.844  | 7680  | 0.01953125  |
| lena32.bmp | lena32.bmp-G_1-H4e-005_af4.wfa                       | 393216  | 131072 |        | 15 | 7440  | 120 | 120 | 32 | 128 | 16.40607191 | 1.891  | 7680  | 0.01953125  |
| lena32.bmp | lena32.bmp-withWavelet_haar-G_1-H0.0001_af5.wfa      | 393216  | 131072 | 131072 | 15 | 7440  | 120 | 120 | 32 | 128 | 16.33363813 | 1.89   | 7680  | 0.01953125  |
| lena32.bmp | lena32.bmp-withWavelet_rbio1.1-G_1-H0.0001_af5.wfa   | 393216  | 131072 | 131072 | 15 | 7440  | 120 | 120 | 32 | 128 | 16.33363813 | 2.375  | 7680  | 0.01953125  |
| lena32.bmp | lena32.bmp-withWavelet_sym1-G_1-H0.0001_af5.wfa      | 393216  | 131072 | 131072 | 15 | 7440  | 120 | 120 | 32 | 128 | 16.33363813 | 1.875  | 7680  | 0.01953125  |
| lena32.bmp | lena32.bmp-withWavelet_bior1.1-G_1-H0.0001_af5.wfa   | 393216  | 131072 | 131072 | 15 | 7440  | 120 | 120 | 32 | 128 | 16.33363813 | 1.891  | 7680  | 0.01953125  |
| lena32.bmp | lena32.bmp-withWavelet_haar-G_0.8-H0.0001_af5.wfa    | 393216  | 131072 | 131072 | 15 | 7440  | 120 | 120 | 32 | 128 | 16.32693284 | 1.937  | 7680  | 0.01953125  |
| lena32.bmp | lena32.bmp-withWavelet_rbio1.1-G_0.8-H0.0001_af5.wfa | 393216  | 131072 | 131072 | 15 | 7440  | 120 | 120 | 32 | 128 | 16.32693284 | 1.859  | 7680  | 0.01953125  |
| lena32.bmp | lena32.bmp-withWavelet_sym1-G_0.8-H0.0001_af5.wfa    | 393216  | 131072 | 131072 | 15 | 7440  | 120 | 120 | 32 | 128 | 16.32693284 | 1.937  | 7680  | 0.01953125  |
| lena32.bmp | lena32.bmp-withWavelet_bior1.1-G_0.8-H0.0001_af5.wfa | 393216  | 131072 | 131072 | 15 | 7440  | 120 | 120 | 32 | 128 | 16.32693284 | 2      | 7680  | 0.01953125  |
| lena32.bmp | lena32.bmp-withWavelet_haar-G_0.6-H0.0001_af5.wfa    | 393216  | 131072 | 131072 | 15 | 7440  | 120 | 120 | 32 | 128 | 16.02193731 | 1.953  | 7680  | 0.01953125  |
| lena32.bmp | lena32.bmp-withWavelet_rbio1.1-G_0.6-H0.0001_af5.wfa | 393216  | 131072 | 131072 | 15 | 7440  | 120 | 120 | 32 | 128 | 16.02193731 | 1.968  | 7680  | 0.01953125  |
| lena32.bmp | lena32.bmp-withWavelet_sym1-G_0.6-H0.0001_af5.wfa    | 393216  | 131072 | 131072 | 15 | 7440  | 120 | 120 | 32 | 128 | 16.02193731 | 1.969  | 7680  | 0.01953125  |
| lena32.bmp | lena32.bmp-withWavelet_bior1.1-G_0.6-H0.0001_af5.wfa | 393216  | 131072 | 131072 | 15 | 7440  | 120 | 120 | 32 | 128 | 16.02193731 | 2.078  | 7680  | 0.01953125  |
| lena32.bmp | lena32.bmp-withWavelet_haar-G_0.6-H9e-005_af5.wfa    | 393216  | 131072 | 131072 | 15 | 7440  | 120 | 120 | 32 | 128 | 15.80117578 | 2.032  | 7680  | 0.01953125  |
| lena32.bmp | lena32.bmp-withWavelet_rbio1.1-G_0.6-H9e-005_af5.wfa | 393216  | 131072 | 131072 | 15 | 7440  | 120 | 120 | 32 | 128 | 15.80117578 | 1.938  | 7680  | 0.01953125  |
| lena32.bmp | lena32.bmp-withWavelet_sym1-G_0.6-H9e-005_af5.wfa    | 393216  | 131072 | 131072 | 15 | 7440  | 120 | 120 | 32 | 128 | 15.80117578 | 1.922  | 7680  | 0.01953125  |
| lena32.bmp | lena32.bmp-withWavelet_bior1.1-G_0.6-H9e-005_af5.wfa | 393216  | 131072 | 131072 | 15 | 7440  | 120 | 120 | 32 | 128 | 15.80117578 | 1.859  | 7680  | 0.01953125  |
| lena32.bmp | lena32.bmp-G_1-H1e-005_af2.wfa                       | 1572864 | 524288 |        | 31 | 30992 | 248 | 248 | 32 | 256 | 19.03282849 | 20.672 | 31488 | 0.020019531 |
| lena32.bmp | lena32.bmp-G_1-H2e-005_af3.wfa                       | 1572864 | 524288 |        | 31 | 30992 | 248 | 248 | 32 | 256 | 18.86804698 | 20.594 | 31488 | 0.020019531 |
| lena32.bmp | lena32.bmp-G_1-H4e-005_af1.wfa                       | 1572864 | 524288 |        | 31 | 30992 | 248 | 248 | 32 | 256 | 18.80966028 | 20.188 | 31488 | 0.020019531 |
| lena32.bmp | lena32.bmp-G_0.6-H1e-005_af2.wfa                     | 1572864 | 524288 |        | 31 | 30992 | 248 | 248 | 32 | 256 | 18.61065803 | 20.25  | 31488 | 0.020019531 |
| lena32.bmp | lena32.bmp-withWavelet_haar-G_0.8-H1e-005_af5.wfa    | 1572864 | 524288 | 524288 | 31 | 30992 | 248 | 248 | 32 | 256 | 16.55291523 | 20.282 | 31488 | 0.020019531 |
| lena32.bmp | lena32.bmp-withWavelet_rbio1.1-G_0.8-H1e-005_af5.wfa | 1572864 | 524288 | 524288 | 31 | 30992 | 248 | 248 | 32 | 256 | 16.55291523 | 20.219 | 31488 | 0.020019531 |
| lena32.bmp | lena32.bmp-withWavelet_sym1-G_0.8-H1e-005_af5.wfa    | 1572864 | 524288 | 524288 | 31 | 30992 | 248 | 248 | 32 | 256 | 16.55291523 | 20.328 | 31488 | 0.020019531 |
| lena32.bmp | lena32.bmp-withWavelet_bior1.1-G_0.8-H1e-005_af5.wfa | 1572864 | 524288 | 524288 | 31 | 30992 | 248 | 248 | 32 | 256 | 16.55291523 | 20.25  | 31488 | 0.020019531 |
| lena32.bmp | lena32.bmp-withWavelet_haar-G_0.8-H4e-005_af1.wfa    | 1572864 | 524288 | 524288 | 31 | 30992 | 248 | 248 | 32 | 256 | 16.07468564 | 20.203 | 31488 | 0.020019531 |
| lena32.bmp | lena32.bmp-withWavelet_rbio1.1-G_0.8-H4e-005_af1.wfa | 1572864 | 524288 | 524288 | 31 | 30992 | 248 | 248 | 32 | 256 | 16.07468564 | 20.14  | 31488 | 0.020019531 |

|            |  |         |        |        |    |       |     |     |    |     |             |        |       |             |
|------------|--|---------|--------|--------|----|-------|-----|-----|----|-----|-------------|--------|-------|-------------|
| lena32.bmp | lena32.bmp-withWavelet_sym1-G_0.8-H4e-005_af1.wfa    | 1572864 | 524288 | 524288 | 31 | 30992 | 248 | 248 | 32 | 256 | 16.07468564 | 20.25  | 31488 | 0.020019531 |
| lena32.bmp | lena32.bmp-withWavelet_bior1.1-G_0.8-H4e-005_af1.wfa | 1572864 | 524288 | 524288 | 31 | 30992 | 248 | 248 | 32 | 256 | 16.07468564 | 20.25  | 31488 | 0.020019531 |
| lena32.bmp | lena32.bmp-G_0.8-H1e-005_af2.wfa                     | 1572864 | 524288 |        | 32 | 33008 | 256 | 256 | 32 | 256 | 19.04119972 | 21.328 | 33520 | 0.021311442 |
| lena32.bmp | lena32.bmp-G_0.8-H3e-005_af1.wfa                     | 1572864 | 524288 |        | 32 | 33008 | 256 | 256 | 32 | 256 | 18.84761591 | 24.796 | 33520 | 0.021311442 |
| lena32.bmp | lena32.bmp-G_1-H1e-005_af3.wfa                       | 1572864 | 524288 |        | 32 | 33008 | 256 | 256 | 32 | 256 | 18.80972592 | 24.016 | 33520 | 0.021311442 |
| lena32.bmp | lena32.bmp-G_0.8-H1e-005_af3.wfa                     | 1572864 | 524288 |        | 32 | 33008 | 256 | 256 | 32 | 256 | 18.80532851 | 21.125 | 33520 | 0.021311442 |
| lena32.bmp | lena32.bmp-G_0.8-H2e-005_af3.wfa                     | 1572864 | 524288 |        | 32 | 33008 | 256 | 256 | 32 | 256 | 18.8053285  | 26.188 | 33520 | 0.021311442 |
| lena32.bmp | lena32.bmp-G_0.6-H2e-005_af1.wfa                     | 1572864 | 524288 |        | 32 | 33008 | 256 | 256 | 32 | 256 | 18.41128531 | 26.609 | 33520 | 0.021311442 |
| lena32.bmp | lena32.bmp-withWavelet_haar-G_1-H3e-005_af3.wfa      | 1572864 | 524288 | 524288 | 32 | 33008 | 256 | 256 | 32 | 256 | 16.11330138 | 30.422 | 33520 | 0.021311442 |
| lena32.bmp | lena32.bmp-withWavelet_rbio1.1-G_1-H3e-005_af3.wfa   | 1572864 | 524288 | 524288 | 32 | 33008 | 256 | 256 | 32 | 256 | 16.11330138 | 26.938 | 33520 | 0.021311442 |
| lena32.bmp | lena32.bmp-withWavelet_sym1-G_1-H3e-005_af3.wfa      | 1572864 | 524288 | 524288 | 32 | 33008 | 256 | 256 | 32 | 256 | 16.11330138 | 32.188 | 33520 | 0.021311442 |
| lena32.bmp | lena32.bmp-withWavelet_bior1.1-G_1-H3e-005_af3.wfa   | 1572864 | 524288 | 524288 | 32 | 33008 | 256 | 256 | 32 | 256 | 16.11330138 | 30.125 | 33520 | 0.021311442 |
| lena32.bmp | lena32.bmp-withWavelet_haar-G_0.8-H3e-005_af3.wfa    | 1572864 | 524288 | 524288 | 32 | 33008 | 256 | 256 | 32 | 256 | 16.11301189 | 24.407 | 33520 | 0.021311442 |
| lena32.bmp | lena32.bmp-withWavelet_rbio1.1-G_0.8-H3e-005_af3.wfa | 1572864 | 524288 | 524288 | 32 | 33008 | 256 | 256 | 32 | 256 | 16.11301189 | 21.031 | 33520 | 0.021311442 |
| lena32.bmp | lena32.bmp-withWavelet_sym1-G_0.8-H3e-005_af3.wfa    | 1572864 | 524288 | 524288 | 32 | 33008 | 256 | 256 | 32 | 256 | 16.11301189 | 21.343 | 33520 | 0.021311442 |
| lena32.bmp | lena32.bmp-withWavelet_bior1.1-G_0.8-H3e-005_af3.wfa | 1572864 | 524288 | 524288 | 32 | 33008 | 256 | 256 | 32 | 256 | 16.11301189 | 21.297 | 33520 | 0.021311442 |
| lena32.bmp | lena32.bmp-withWavelet_haar-G_0.6-H3e-005_af3.wfa    | 1572864 | 524288 | 524288 | 32 | 33008 | 256 | 256 | 32 | 256 | 15.6656973  | 20.969 | 33520 | 0.021311442 |
| lena32.bmp | lena32.bmp-withWavelet_rbio1.1-G_0.6-H3e-005_af3.wfa | 1572864 | 524288 | 524288 | 32 | 33008 | 256 | 256 | 32 | 256 | 15.6656973  | 24.11  | 33520 | 0.021311442 |
| lena32.bmp | lena32.bmp-withWavelet_sym1-G_0.6-H3e-005_af3.wfa    | 1572864 | 524288 | 524288 | 32 | 33008 | 256 | 256 | 32 | 256 | 15.6656973  | 23.484 | 33520 | 0.021311442 |
| lena32.bmp | lena32.bmp-withWavelet_bior1.1-G_0.6-H3e-005_af3.wfa | 1572864 | 524288 | 524288 | 32 | 33008 | 256 | 256 | 32 | 256 | 15.6656973  | 21.14  | 33520 | 0.021311442 |
| lena32.bmp | lena32.bmp-withWavelet_haar-G_0.6-H3e-005_af4.wfa    | 1572864 | 524288 | 524288 | 32 | 33008 | 256 | 256 | 32 | 256 | 15.37498795 | 21.078 | 33520 | 0.021311442 |
| lena32.bmp | lena32.bmp-withWavelet_rbio1.1-G_0.6-H3e-005_af4.wfa | 1572864 | 524288 | 524288 | 32 | 33008 | 256 | 256 | 32 | 256 | 15.37498795 | 21.218 | 33520 | 0.021311442 |
| lena32.bmp | lena32.bmp-withWavelet_sym1-G_0.6-H3e-005_af4.wfa    | 1572864 | 524288 | 524288 | 32 | 33008 | 256 | 256 | 32 | 256 | 15.37498795 | 24.203 | 33520 | 0.021311442 |
| lena32.bmp | lena32.bmp-withWavelet_bior1.1-G_0.6-H3e-005_af4.wfa | 1572864 | 524288 | 524288 | 32 | 33008 | 256 | 256 | 32 | 256 | 15.37498795 | 23.656 | 33520 | 0.021311442 |
| lena32.bmp | lena32.bmp-withWavelet_haar-G_1-H0.0001_af2.wfa      | 393216  | 131072 | 131072 | 16 | 8432  | 128 | 128 | 32 | 128 | 17.42123892 | 1.922  | 8688  | 0.022094727 |
| lena32.bmp | lena32.bmp-withWavelet_rbio1.1-G_1-H0.0001_af2.wfa   | 393216  | 131072 | 131072 | 16 | 8432  | 128 | 128 | 32 | 128 | 17.42123892 | 1.953  | 8688  | 0.022094727 |
| lena32.bmp | lena32.bmp-withWavelet_sym1-G_1-H0.0001_af2.wfa      | 393216  | 131072 | 131072 | 16 | 8432  | 128 | 128 | 32 | 128 | 17.42123892 | 1.906  | 8688  | 0.022094727 |
| lena32.bmp | lena32.bmp-withWavelet_bior1.1-G_1-H0.0001_af2.wfa   | 393216  | 131072 | 131072 | 16 | 8432  | 128 | 128 | 32 | 128 | 17.42123892 | 1.969  | 8688  | 0.022094727 |
| lena32.bmp | lena32.bmp-G_0.8-H5e-005_af4.wfa                     | 393216  | 131072 |        | 16 | 8432  | 128 | 128 | 32 | 128 | 16.54160047 | 1.906  | 8688  | 0.022094727 |
| lena32.bmp | lena32.bmp-G_0.6-H4e-005_af4.wfa                     | 393216  | 131072 |        | 16 | 8432  | 128 | 128 | 32 | 128 | 16.52213049 | 1.906  | 8688  | 0.022094727 |
| lena32.bmp | lena32.bmp-G_1-H5e-005_af4.wfa                       | 393216  | 131072 |        | 16 | 8432  | 128 | 128 | 32 | 128 | 16.51884227 | 1.907  | 8688  | 0.022094727 |



|            |  |         |        |        |    |       |     |     |    |     |             |        |       |             |
|------------|--|---------|--------|--------|----|-------|-----|-----|----|-----|-------------|--------|-------|-------------|
| lena32.bmp | lena32.bmp-G_0.6-H3e-005_af4.wfa                     | 393216  | 131072 |        | 16 | 8432  | 128 | 128 | 32 | 128 | 16.51231991 | 1.922  | 8688  | 0.022094727 |
| lena32.bmp | lena32.bmp-G_1-H3e-005_af4.wfa                       | 393216  | 131072 |        | 16 | 8432  | 128 | 128 | 32 | 128 | 16.48046087 | 2.016  | 8688  | 0.022094727 |
| lena32.bmp | lena32.bmp-withWavelet_haar-G_1-H9e-005_af5.wfa      | 393216  | 131072 | 131072 | 16 | 8432  | 128 | 128 | 32 | 128 | 16.30362293 | 2.438  | 8688  | 0.022094727 |
| lena32.bmp | lena32.bmp-withWavelet_rbio1.1-G_1-H9e-005_af5.wfa   | 393216  | 131072 | 131072 | 16 | 8432  | 128 | 128 | 32 | 128 | 16.30362293 | 1.906  | 8688  | 0.022094727 |
| lena32.bmp | lena32.bmp-withWavelet_sym1-G_1-H9e-005_af5.wfa      | 393216  | 131072 | 131072 | 16 | 8432  | 128 | 128 | 32 | 128 | 16.30362293 | 1.937  | 8688  | 0.022094727 |
| lena32.bmp | lena32.bmp-withWavelet_bior1.1-G_1-H9e-005_af5.wfa   | 393216  | 131072 | 131072 | 16 | 8432  | 128 | 128 | 32 | 128 | 16.30362293 | 2.438  | 8688  | 0.022094727 |
| lena32.bmp | lena32.bmp-withWavelet_haar-G_0.6-H8e-005_af5.wfa    | 393216  | 131072 | 131072 | 16 | 8432  | 128 | 128 | 32 | 128 | 16.08761197 | 1.922  | 8688  | 0.022094727 |
| lena32.bmp | lena32.bmp-withWavelet_rbio1.1-G_0.6-H8e-005_af5.wfa | 393216  | 131072 | 131072 | 16 | 8432  | 128 | 128 | 32 | 128 | 16.08761197 | 2      | 8688  | 0.022094727 |
| lena32.bmp | lena32.bmp-withWavelet_sym1-G_0.6-H8e-005_af5.wfa    | 393216  | 131072 | 131072 | 16 | 8432  | 128 | 128 | 32 | 128 | 16.08761197 | 1.937  | 8688  | 0.022094727 |
| lena32.bmp | lena32.bmp-withWavelet_bior1.1-G_0.6-H8e-005_af5.wfa | 393216  | 131072 | 131072 | 16 | 8432  | 128 | 128 | 32 | 128 | 16.08761197 | 1.907  | 8688  | 0.022094727 |
| lena32.bmp | lena32.bmp-G_1-H2e-005_af1.wfa                       | 1572864 | 524288 |        | 33 | 35088 | 264 | 264 | 32 | 256 | 18.83575136 | 23.312 | 35616 | 0.022644043 |
| lena32.bmp | lena32.bmp-G_1-H3e-005_af1.wfa                       | 1572864 | 524288 |        | 33 | 35088 | 264 | 264 | 32 | 256 | 18.83151846 | 29.359 | 35616 | 0.022644043 |
| lena32.bmp | lena32.bmp-withWavelet_haar-G_1-H2e-005_af3.wfa      | 1572864 | 524288 | 524288 | 33 | 35088 | 264 | 264 | 32 | 256 | 16.08438242 | 23.156 | 35616 | 0.022644043 |
| lena32.bmp | lena32.bmp-withWavelet_rbio1.1-G_1-H2e-005_af3.wfa   | 1572864 | 524288 | 524288 | 33 | 35088 | 264 | 264 | 32 | 256 | 16.08438242 | 23.203 | 35616 | 0.022644043 |
| lena32.bmp | lena32.bmp-withWavelet_sym1-G_1-H2e-005_af3.wfa      | 1572864 | 524288 | 524288 | 33 | 35088 | 264 | 264 | 32 | 256 | 16.08438242 | 25.625 | 35616 | 0.022644043 |
| lena32.bmp | lena32.bmp-withWavelet_bior1.1-G_1-H2e-005_af3.wfa   | 1572864 | 524288 | 524288 | 33 | 35088 | 264 | 264 | 32 | 256 | 16.08438242 | 22.969 | 35616 | 0.022644043 |
| lena32.bmp | lena32.bmp-withWavelet_haar-G_0.8-H2e-005_af3.wfa    | 1572864 | 524288 | 524288 | 33 | 35088 | 264 | 264 | 32 | 256 | 16.08428662 | 23.297 | 35616 | 0.022644043 |
| lena32.bmp | lena32.bmp-withWavelet_rbio1.1-G_0.8-H2e-005_af3.wfa | 1572864 | 524288 | 524288 | 33 | 35088 | 264 | 264 | 32 | 256 | 16.08428662 | 23     | 35616 | 0.022644043 |
| lena32.bmp | lena32.bmp-withWavelet_sym1-G_0.8-H2e-005_af3.wfa    | 1572864 | 524288 | 524288 | 33 | 35088 | 264 | 264 | 32 | 256 | 16.08428662 | 26.437 | 35616 | 0.022644043 |
| lena32.bmp | lena32.bmp-withWavelet_bior1.1-G_0.8-H2e-005_af3.wfa | 1572864 | 524288 | 524288 | 33 | 35088 | 264 | 264 | 32 | 256 | 16.08428662 | 23.094 | 35616 | 0.022644043 |
| lena32.bmp | lena32.bmp-withWavelet_haar-G_1-H3e-005_af1.wfa      | 1572864 | 524288 | 524288 | 33 | 35088 | 264 | 264 | 32 | 256 | 15.96466856 | 29.422 | 35616 | 0.022644043 |
| lena32.bmp | lena32.bmp-withWavelet_rbio1.1-G_1-H3e-005_af1.wfa   | 1572864 | 524288 | 524288 | 33 | 35088 | 264 | 264 | 32 | 256 | 15.96466856 | 28.937 | 35616 | 0.022644043 |
| lena32.bmp | lena32.bmp-withWavelet_sym1-G_1-H3e-005_af1.wfa      | 1572864 | 524288 | 524288 | 33 | 35088 | 264 | 264 | 32 | 256 | 15.96466856 | 28.531 | 35616 | 0.022644043 |
| lena32.bmp | lena32.bmp-withWavelet_bior1.1-G_1-H3e-005_af1.wfa   | 1572864 | 524288 | 524288 | 33 | 35088 | 264 | 264 | 32 | 256 | 15.96466856 | 28.375 | 35616 | 0.022644043 |
| lena32.bmp | lena32.bmp-withWavelet_haar-G_0.8-H3e-005_af1.wfa    | 1572864 | 524288 | 524288 | 33 | 35088 | 264 | 264 | 32 | 256 | 15.96367121 | 22.844 | 35616 | 0.022644043 |
| lena32.bmp | lena32.bmp-withWavelet_rbio1.1-G_0.8-H3e-005_af1.wfa | 1572864 | 524288 | 524288 | 33 | 35088 | 264 | 264 | 32 | 256 | 15.96367121 | 23.218 | 35616 | 0.022644043 |
| lena32.bmp | lena32.bmp-withWavelet_sym1-G_0.8-H3e-005_af1.wfa    | 1572864 | 524288 | 524288 | 33 | 35088 | 264 | 264 | 32 | 256 | 15.96367121 | 23.391 | 35616 | 0.022644043 |
| lena32.bmp | lena32.bmp-withWavelet_bior1.1-G_0.8-H3e-005_af1.wfa | 1572864 | 524288 | 524288 | 33 | 35088 | 264 | 264 | 32 | 256 | 15.96367121 | 22.782 | 35616 | 0.022644043 |
| lena32.bmp | lena32.bmp-withWavelet_haar-G_1-H2e-005_af1.wfa      | 1572864 | 524288 | 524288 | 33 | 35088 | 264 | 264 | 32 | 256 | 15.95609218 | 23.672 | 35616 | 0.022644043 |
| lena32.bmp | lena32.bmp-withWavelet_rbio1.1-G_1-H2e-005_af1.wfa   | 1572864 | 524288 | 524288 | 33 | 35088 | 264 | 264 | 32 | 256 | 15.95609218 | 26.75  | 35616 | 0.022644043 |
| lena32.bmp | lena32.bmp-withWavelet_sym1-G_1-H2e-005_af1.wfa      | 1572864 | 524288 | 524288 | 33 | 35088 | 264 | 264 | 32 | 256 | 15.95609218 | 24.859 | 35616 | 0.022644043 |

|            |  |         |        |        |    |       |     |     |    |     |             |        |       |             |
|------------|--|---------|--------|--------|----|-------|-----|-----|----|-----|-------------|--------|-------|-------------|
| lena32.bmp | lena32.bmp-withWavelet_bior1.1-G_1-H2e-005_af1.wfa   | 1572864 | 524288 | 524288 | 33 | 35088 | 264 | 264 | 32 | 256 | 15.95609218 | 25.422 | 35616 | 0.022644043 |
| lena32.bmp | lena32.bmp-withWavelet_haar-G_0.8-H2e-005_af1.wfa    | 1572864 | 524288 | 524288 | 33 | 35088 | 264 | 264 | 32 | 256 | 15.95515643 | 23.187 | 35616 | 0.022644043 |
| lena32.bmp | lena32.bmp-withWavelet_rbio1.1-G_0.8-H2e-005_af1.wfa | 1572864 | 524288 | 524288 | 33 | 35088 | 264 | 264 | 32 | 256 | 15.95515643 | 26.282 | 35616 | 0.022644043 |
| lena32.bmp | lena32.bmp-withWavelet_sym1-G_0.8-H2e-005_af1.wfa    | 1572864 | 524288 | 524288 | 33 | 35088 | 264 | 264 | 32 | 256 | 15.95515643 | 23.094 | 35616 | 0.022644043 |
| lena32.bmp | lena32.bmp-withWavelet_bior1.1-G_0.8-H2e-005_af1.wfa | 1572864 | 524288 | 524288 | 33 | 35088 | 264 | 264 | 32 | 256 | 15.95515643 | 23.5   | 35616 | 0.022644043 |
| lena32.bmp | lena32.bmp-withWavelet_haar-G_0.6-H3e-005_af1.wfa    | 1572864 | 524288 | 524288 | 33 | 35088 | 264 | 264 | 32 | 256 | 15.7318781  | 22.781 | 35616 | 0.022644043 |
| lena32.bmp | lena32.bmp-withWavelet_rbio1.1-G_0.6-H3e-005_af1.wfa | 1572864 | 524288 | 524288 | 33 | 35088 | 264 | 264 | 32 | 256 | 15.7318781  | 22.922 | 35616 | 0.022644043 |
| lena32.bmp | lena32.bmp-withWavelet_sym1-G_0.6-H3e-005_af1.wfa    | 1572864 | 524288 | 524288 | 33 | 35088 | 264 | 264 | 32 | 256 | 15.7318781  | 26.266 | 35616 | 0.022644043 |
| lena32.bmp | lena32.bmp-withWavelet_bior1.1-G_0.6-H3e-005_af1.wfa | 1572864 | 524288 | 524288 | 33 | 35088 | 264 | 264 | 32 | 256 | 15.7318781  | 22.75  | 35616 | 0.022644043 |
| lena32.bmp | lena32.bmp-withWavelet_haar-G_0.6-H2e-005_af1.wfa    | 1572864 | 524288 | 524288 | 33 | 35088 | 264 | 264 | 32 | 256 | 15.73106942 | 23.86  | 35616 | 0.022644043 |
| lena32.bmp | lena32.bmp-withWavelet_rbio1.1-G_0.6-H2e-005_af1.wfa | 1572864 | 524288 | 524288 | 33 | 35088 | 264 | 264 | 32 | 256 | 15.73106942 | 23.704 | 35616 | 0.022644043 |
| lena32.bmp | lena32.bmp-withWavelet_sym1-G_0.6-H2e-005_af1.wfa    | 1572864 | 524288 | 524288 | 33 | 35088 | 264 | 264 | 32 | 256 | 15.73106942 | 26.765 | 35616 | 0.022644043 |
| lena32.bmp | lena32.bmp-withWavelet_bior1.1-G_0.6-H2e-005_af1.wfa | 1572864 | 524288 | 524288 | 33 | 35088 | 264 | 264 | 32 | 256 | 15.73106942 | 23.797 | 35616 | 0.022644043 |
| lena32.bmp | lena32.bmp-withWavelet_haar-G_0.6-H2e-005_af3.wfa    | 1572864 | 524288 | 524288 | 33 | 35088 | 264 | 264 | 32 | 256 | 15.6749469  | 23.937 | 35616 | 0.022644043 |
| lena32.bmp | lena32.bmp-withWavelet_rbio1.1-G_0.6-H2e-005_af3.wfa | 1572864 | 524288 | 524288 | 33 | 35088 | 264 | 264 | 32 | 256 | 15.6749469  | 23.594 | 35616 | 0.022644043 |
| lena32.bmp | lena32.bmp-withWavelet_sym1-G_0.6-H2e-005_af3.wfa    | 1572864 | 524288 | 524288 | 33 | 35088 | 264 | 264 | 32 | 256 | 15.6749469  | 23.797 | 35616 | 0.022644043 |
| lena32.bmp | lena32.bmp-withWavelet_bior1.1-G_0.6-H2e-005_af3.wfa | 1572864 | 524288 | 524288 | 33 | 35088 | 264 | 264 | 32 | 256 | 15.6749469  | 28.813 | 35616 | 0.022644043 |
| lena32.bmp | lena32.bmp-withWavelet_haar-G_0.6-H2e-005_af4.wfa    | 1572864 | 524288 | 524288 | 33 | 35088 | 264 | 264 | 32 | 256 | 15.43868969 | 27.891 | 35616 | 0.022644043 |
| lena32.bmp | lena32.bmp-withWavelet_rbio1.1-G_0.6-H2e-005_af4.wfa | 1572864 | 524288 | 524288 | 33 | 35088 | 264 | 264 | 32 | 256 | 15.43868969 | 27.453 | 35616 | 0.022644043 |
| lena32.bmp | lena32.bmp-withWavelet_sym1-G_0.6-H2e-005_af4.wfa    | 1572864 | 524288 | 524288 | 33 | 35088 | 264 | 264 | 32 | 256 | 15.43868969 | 23.688 | 35616 | 0.022644043 |
| lena32.bmp | lena32.bmp-withWavelet_bior1.1-G_0.6-H2e-005_af4.wfa | 1572864 | 524288 | 524288 | 33 | 35088 | 264 | 264 | 32 | 256 | 15.43868969 | 27.922 | 35616 | 0.022644043 |
| lena32.bmp | lena32.bmp-G_1-H1e-005_af5.wfa                       | 1572864 | 524288 |        | 34 | 37232 | 272 | 272 | 32 | 256 | 19.12323505 | 26.203 | 37776 | 0.024017334 |
| lena32.bmp | lena32.bmp-G_0.8-H1e-005_af5.wfa                     | 1572864 | 524288 |        | 34 | 37232 | 272 | 272 | 32 | 256 | 19.12321046 | 27.297 | 37776 | 0.024017334 |
| lena32.bmp | lena32.bmp-G_0.6-H1e-005_af5.wfa                     | 1572864 | 524288 |        | 34 | 37232 | 272 | 272 | 32 | 256 | 19.08873147 | 27.297 | 37776 | 0.024017334 |
| lena32.bmp | lena32.bmp-G_0.8-H2e-005_af1.wfa                     | 1572864 | 524288 |        | 34 | 37232 | 272 | 272 | 32 | 256 | 18.84139261 | 27.375 | 37776 | 0.024017334 |
| lena32.bmp | lena32.bmp-G_0.6-H1e-005_af1.wfa                     | 1572864 | 524288 |        | 34 | 37232 | 272 | 272 | 32 | 256 | 18.42287726 | 23.766 | 37776 | 0.024017334 |
| lena32.bmp | lena32.bmp-withWavelet_haar-G_1-H1e-005_af3.wfa      | 1572864 | 524288 | 524288 | 34 | 37232 | 272 | 272 | 32 | 256 | 16.05316288 | 23.672 | 37776 | 0.024017334 |
| lena32.bmp | lena32.bmp-withWavelet_rbio1.1-G_1-H1e-005_af3.wfa   | 1572864 | 524288 | 524288 | 34 | 37232 | 272 | 272 | 32 | 256 | 16.05316288 | 23.797 | 37776 | 0.024017334 |
| lena32.bmp | lena32.bmp-withWavelet_sym1-G_1-H1e-005_af3.wfa      | 1572864 | 524288 | 524288 | 34 | 37232 | 272 | 272 | 32 | 256 | 16.05316288 | 23.766 | 37776 | 0.024017334 |
| lena32.bmp | lena32.bmp-withWavelet_bior1.1-G_1-H1e-005_af3.wfa   | 1572864 | 524288 | 524288 | 34 | 37232 | 272 | 272 | 32 | 256 | 16.05316288 | 23.813 | 37776 | 0.024017334 |
| lena32.bmp | lena32.bmp-withWavelet_haar-G_0.8-H1e-005_af3.wfa    | 1572864 | 524288 | 524288 | 34 | 37232 | 272 | 272 | 32 | 256 | 16.05308697 | 23.781 | 37776 | 0.024017334 |

|            |  |         |        |        |    |       |     |     |    |     |             |        |       |             |
|------------|--|---------|--------|--------|----|-------|-----|-----|----|-----|-------------|--------|-------|-------------|
| lena32.bmp | lena32.bmp-withWavelet_rbio1.1-G_0.8-H1e-005_af3.wfa | 1572864 | 524288 | 524288 | 34 | 37232 | 272 | 272 | 32 | 256 | 16.05308697 | 23.781 | 37776 | 0.024017334 |
| lena32.bmp | lena32.bmp-withWavelet_sym1-G_0.8-H1e-005_af3.wfa    | 1572864 | 524288 | 524288 | 34 | 37232 | 272 | 272 | 32 | 256 | 16.05308697 | 23.672 | 37776 | 0.024017334 |
| lena32.bmp | lena32.bmp-withWavelet_bior1.1-G_0.8-H1e-005_af3.wfa | 1572864 | 524288 | 524288 | 34 | 37232 | 272 | 272 | 32 | 256 | 16.05308697 | 24.546 | 37776 | 0.024017334 |
| lena32.bmp | lena32.bmp-withWavelet_haar-G_0.6-H1e-005_af3.wfa    | 1572864 | 524288 | 524288 | 34 | 37232 | 272 | 272 | 32 | 256 | 15.63319692 | 23.703 | 37776 | 0.024017334 |
| lena32.bmp | lena32.bmp-withWavelet_rbio1.1-G_0.6-H1e-005_af3.wfa | 1572864 | 524288 | 524288 | 34 | 37232 | 272 | 272 | 32 | 256 | 15.63319692 | 23.891 | 37776 | 0.024017334 |
| lena32.bmp | lena32.bmp-withWavelet_sym1-G_0.6-H1e-005_af3.wfa    | 1572864 | 524288 | 524288 | 34 | 37232 | 272 | 272 | 32 | 256 | 15.63319692 | 23.718 | 37776 | 0.024017334 |
| lena32.bmp | lena32.bmp-withWavelet_bior1.1-G_0.6-H1e-005_af3.wfa | 1572864 | 524288 | 524288 | 34 | 37232 | 272 | 272 | 32 | 256 | 15.63319692 | 27.203 | 37776 | 0.024017334 |
| lena32.bmp | lena32.bmp-withWavelet_haar-G_0.8-H8e-005_af2.wfa    | 393216  | 131072 | 131072 | 17 | 9488  | 136 | 136 | 32 | 128 | 17.41029704 | 2      | 9760  | 0.024820964 |
| lena32.bmp | lena32.bmp-withWavelet_rbio1.1-G_0.8-H8e-005_af2.wfa | 393216  | 131072 | 131072 | 17 | 9488  | 136 | 136 | 32 | 128 | 17.41029704 | 2.032  | 9760  | 0.024820964 |
| lena32.bmp | lena32.bmp-withWavelet_sym1-G_0.8-H8e-005_af2.wfa    | 393216  | 131072 | 131072 | 17 | 9488  | 136 | 136 | 32 | 128 | 17.41029704 | 1.984  | 9760  | 0.024820964 |
| lena32.bmp | lena32.bmp-withWavelet_bior1.1-G_0.8-H8e-005_af2.wfa | 393216  | 131072 | 131072 | 17 | 9488  | 136 | 136 | 32 | 128 | 17.41029704 | 2.031  | 9760  | 0.024820964 |
| lena32.bmp | lena32.bmp-withWavelet_haar-G_1-H9e-005_af2.wfa      | 393216  | 131072 | 131072 | 17 | 9488  | 136 | 136 | 32 | 128 | 17.13120798 | 2.063  | 9760  | 0.024820964 |
| lena32.bmp | lena32.bmp-withWavelet_rbio1.1-G_1-H9e-005_af2.wfa   | 393216  | 131072 | 131072 | 17 | 9488  | 136 | 136 | 32 | 128 | 17.13120798 | 2.625  | 9760  | 0.024820964 |
| lena32.bmp | lena32.bmp-withWavelet_sym1-G_1-H9e-005_af2.wfa      | 393216  | 131072 | 131072 | 17 | 9488  | 136 | 136 | 32 | 128 | 17.13120798 | 2.015  | 9760  | 0.024820964 |
| lena32.bmp | lena32.bmp-withWavelet_bior1.1-G_1-H9e-005_af2.wfa   | 393216  | 131072 | 131072 | 17 | 9488  | 136 | 136 | 32 | 128 | 17.13120798 | 2.047  | 9760  | 0.024820964 |
| lena32.bmp | lena32.bmp-withWavelet_haar-G_1-H8e-005_af5.wfa      | 393216  | 131072 | 131072 | 17 | 9488  | 136 | 136 | 32 | 128 | 17.05029159 | 2.016  | 9760  | 0.024820964 |
| lena32.bmp | lena32.bmp-withWavelet_rbio1.1-G_1-H8e-005_af5.wfa   | 393216  | 131072 | 131072 | 17 | 9488  | 136 | 136 | 32 | 128 | 17.05029159 | 2.344  | 9760  | 0.024820964 |
| lena32.bmp | lena32.bmp-withWavelet_sym1-G_1-H8e-005_af5.wfa      | 393216  | 131072 | 131072 | 17 | 9488  | 136 | 136 | 32 | 128 | 17.05029159 | 2.578  | 9760  | 0.024820964 |
| lena32.bmp | lena32.bmp-withWavelet_bior1.1-G_1-H8e-005_af5.wfa   | 393216  | 131072 | 131072 | 17 | 9488  | 136 | 136 | 32 | 128 | 17.05029159 | 2.14   | 9760  | 0.024820964 |
| lena32.bmp | lena32.bmp-withWavelet_haar-G_0.8-H8e-005_af5.wfa    | 393216  | 131072 | 131072 | 17 | 9488  | 136 | 136 | 32 | 128 | 16.86082328 | 2.5    | 9760  | 0.024820964 |
| lena32.bmp | lena32.bmp-withWavelet_rbio1.1-G_0.8-H8e-005_af5.wfa | 393216  | 131072 | 131072 | 17 | 9488  | 136 | 136 | 32 | 128 | 16.86082328 | 2.015  | 9760  | 0.024820964 |
| lena32.bmp | lena32.bmp-withWavelet_sym1-G_0.8-H8e-005_af5.wfa    | 393216  | 131072 | 131072 | 17 | 9488  | 136 | 136 | 32 | 128 | 16.86082328 | 2.031  | 9760  | 0.024820964 |
| lena32.bmp | lena32.bmp-withWavelet_bior1.1-G_0.8-H8e-005_af5.wfa | 393216  | 131072 | 131072 | 17 | 9488  | 136 | 136 | 32 | 128 | 16.86082328 | 2      | 9760  | 0.024820964 |
| lena32.bmp | lena32.bmp-withWavelet_haar-G_0.8-H9e-005_af5.wfa    | 393216  | 131072 | 131072 | 17 | 9488  | 136 | 136 | 32 | 128 | 16.66950872 | 2.016  | 9760  | 0.024820964 |
| lena32.bmp | lena32.bmp-withWavelet_rbio1.1-G_0.8-H9e-005_af5.wfa | 393216  | 131072 | 131072 | 17 | 9488  | 136 | 136 | 32 | 128 | 16.66950872 | 2.11   | 9760  | 0.024820964 |
| lena32.bmp | lena32.bmp-withWavelet_sym1-G_0.8-H9e-005_af5.wfa    | 393216  | 131072 | 131072 | 17 | 9488  | 136 | 136 | 32 | 128 | 16.66950872 | 2.031  | 9760  | 0.024820964 |
| lena32.bmp | lena32.bmp-withWavelet_bior1.1-G_0.8-H9e-005_af5.wfa | 393216  | 131072 | 131072 | 17 | 9488  | 136 | 136 | 32 | 128 | 16.66950872 | 2.016  | 9760  | 0.024820964 |
| lena32.bmp | lena32.bmp-G_0.6-H2e-005_af4.wfa                     | 393216  | 131072 |        | 17 | 9488  | 136 | 136 | 32 | 128 | 16.54541326 | 2.079  | 9760  | 0.024820964 |
| lena32.bmp | lena32.bmp-G_0.6-H1e-005_af4.wfa                     | 393216  | 131072 |        | 17 | 9488  | 136 | 136 | 32 | 128 | 16.54541326 | 2.156  | 9760  | 0.024820964 |
| lena32.bmp | lena32.bmp-G_0.8-H3e-005_af4.wfa                     | 393216  | 131072 |        | 17 | 9488  | 136 | 136 | 32 | 128 | 16.53584528 | 2.14   | 9760  | 0.024820964 |
| lena32.bmp | lena32.bmp-G_0.8-H1e-005_af4.wfa                     | 393216  | 131072 |        | 17 | 9488  | 136 | 136 | 32 | 128 | 16.53584528 | 2.032  | 9760  | 0.024820964 |

|            |  |         |        |        |    |       |     |     |    |     |             |        |       |             |
|------------|--|---------|--------|--------|----|-------|-----|-----|----|-----|-------------|--------|-------|-------------|
| lena32.bmp | lena32.bmp-G_0.8-H2e-005_af4.wfa                     | 393216  | 131072 |        | 17 | 9488  | 136 | 136 | 32 | 128 | 16.53584528 | 2.188  | 9760  | 0.024820964 |
| lena32.bmp | lena32.bmp-G_1-H2e-005_af4.wfa                       | 393216  | 131072 |        | 17 | 9488  | 136 | 136 | 32 | 128 | 16.50213921 | 2.328  | 9760  | 0.024820964 |
| lena32.bmp | lena32.bmp-G_1-H1e-005_af4.wfa                       | 393216  | 131072 |        | 17 | 9488  | 136 | 136 | 32 | 128 | 16.50213921 | 2.047  | 9760  | 0.024820964 |
| lena32.bmp | lena32.bmp-G_1-H1e-005_af1.wfa                       | 1572864 | 524288 |        | 35 | 39440 | 280 | 280 | 32 | 256 | 18.84521677 | 26.828 | 40000 | 0.025431315 |
| lena32.bmp | lena32.bmp-G_0.8-H1e-005_af1.wfa                     | 1572864 | 524288 |        | 35 | 39440 | 280 | 280 | 32 | 256 | 18.84282227 | 25.969 | 40000 | 0.025431315 |
| lena32.bmp | lena32.bmp-withWavelet_haar-G_1-H2e-005_af4.wfa      | 1572864 | 524288 | 524288 | 35 | 39440 | 280 | 280 | 32 | 256 | 15.92205526 | 26.375 | 40000 | 0.025431315 |
| lena32.bmp | lena32.bmp-withWavelet_rbio1.1-G_1-H2e-005_af4.wfa   | 1572864 | 524288 | 524288 | 35 | 39440 | 280 | 280 | 32 | 256 | 15.92205526 | 26.656 | 40000 | 0.025431315 |
| lena32.bmp | lena32.bmp-withWavelet_sym1-G_1-H2e-005_af4.wfa      | 1572864 | 524288 | 524288 | 35 | 39440 | 280 | 280 | 32 | 256 | 15.92205526 | 26.485 | 40000 | 0.025431315 |
| lena32.bmp | lena32.bmp-withWavelet_bior1.1-G_1-H2e-005_af4.wfa   | 1572864 | 524288 | 524288 | 35 | 39440 | 280 | 280 | 32 | 256 | 15.92205526 | 26.25  | 40000 | 0.025431315 |
| lena32.bmp | lena32.bmp-withWavelet_haar-G_0.8-H2e-005_af4.wfa    | 1572864 | 524288 | 524288 | 35 | 39440 | 280 | 280 | 32 | 256 | 15.87394295 | 26.578 | 40000 | 0.025431315 |
| lena32.bmp | lena32.bmp-withWavelet_rbio1.1-G_0.8-H2e-005_af4.wfa | 1572864 | 524288 | 524288 | 35 | 39440 | 280 | 280 | 32 | 256 | 15.87394295 | 28.984 | 40000 | 0.025431315 |
| lena32.bmp | lena32.bmp-withWavelet_sym1-G_0.8-H2e-005_af4.wfa    | 1572864 | 524288 | 524288 | 35 | 39440 | 280 | 280 | 32 | 256 | 15.87394295 | 26.406 | 40000 | 0.025431315 |
| lena32.bmp | lena32.bmp-withWavelet_bior1.1-G_0.8-H2e-005_af4.wfa | 1572864 | 524288 | 524288 | 35 | 39440 | 280 | 280 | 32 | 256 | 15.87394295 | 30.297 | 40000 | 0.025431315 |
| lena32.bmp | lena32.bmp-withWavelet_haar-G_0.6-H1e-005_af1.wfa    | 1572864 | 524288 | 524288 | 35 | 39440 | 280 | 280 | 32 | 256 | 15.70552885 | 26.031 | 40000 | 0.025431315 |
| lena32.bmp | lena32.bmp-withWavelet_rbio1.1-G_0.6-H1e-005_af1.wfa | 1572864 | 524288 | 524288 | 35 | 39440 | 280 | 280 | 32 | 256 | 15.70552885 | 26.094 | 40000 | 0.025431315 |
| lena32.bmp | lena32.bmp-withWavelet_sym1-G_0.6-H1e-005_af1.wfa    | 1572864 | 524288 | 524288 | 35 | 39440 | 280 | 280 | 32 | 256 | 15.70552885 | 25.844 | 40000 | 0.025431315 |
| lena32.bmp | lena32.bmp-withWavelet_bior1.1-G_0.6-H1e-005_af1.wfa | 1572864 | 524288 | 524288 | 35 | 39440 | 280 | 280 | 32 | 256 | 15.70552885 | 25.953 | 40000 | 0.025431315 |
| lena32.bmp | lena32.bmp-withWavelet_haar-G_0.6-H1e-005_af4.wfa    | 1572864 | 524288 | 524288 | 35 | 39440 | 280 | 280 | 32 | 256 | 15.56079806 | 26.063 | 40000 | 0.025431315 |
| lena32.bmp | lena32.bmp-withWavelet_rbio1.1-G_0.6-H1e-005_af4.wfa | 1572864 | 524288 | 524288 | 35 | 39440 | 280 | 280 | 32 | 256 | 15.56079806 | 28.782 | 40000 | 0.025431315 |
| lena32.bmp | lena32.bmp-withWavelet_sym1-G_0.6-H1e-005_af4.wfa    | 1572864 | 524288 | 524288 | 35 | 39440 | 280 | 280 | 32 | 256 | 15.56079806 | 26.281 | 40000 | 0.025431315 |
| lena32.bmp | lena32.bmp-withWavelet_bior1.1-G_0.6-H1e-005_af4.wfa | 1572864 | 524288 | 524288 | 35 | 39440 | 280 | 280 | 32 | 256 | 15.56079806 | 29.719 | 40000 | 0.025431315 |
| lena32.bmp | lena32.bmp-withWavelet_haar-G_0.8-H1e-005_af4.wfa    | 1572864 | 524288 | 524288 | 36 | 41712 | 288 | 288 | 32 | 256 | 15.87978697 | 26.797 | 42288 | 0.026885986 |
| lena32.bmp | lena32.bmp-withWavelet_rbio1.1-G_0.8-H1e-005_af4.wfa | 1572864 | 524288 | 524288 | 36 | 41712 | 288 | 288 | 32 | 256 | 15.87978697 | 26.782 | 42288 | 0.026885986 |
| lena32.bmp | lena32.bmp-withWavelet_sym1-G_0.8-H1e-005_af4.wfa    | 1572864 | 524288 | 524288 | 36 | 41712 | 288 | 288 | 32 | 256 | 15.87978697 | 26.828 | 42288 | 0.026885986 |
| lena32.bmp | lena32.bmp-withWavelet_bior1.1-G_0.8-H1e-005_af4.wfa | 1572864 | 524288 | 524288 | 36 | 41712 | 288 | 288 | 32 | 256 | 15.87978697 | 26.609 | 42288 | 0.026885986 |
| lena32.bmp | lena32.bmp-withWavelet_haar-G_1-H1e-005_af1.wfa      | 1572864 | 524288 | 524288 | 36 | 41712 | 288 | 288 | 32 | 256 | 15.86763481 | 29.578 | 42288 | 0.026885986 |
| lena32.bmp | lena32.bmp-withWavelet_rbio1.1-G_1-H1e-005_af1.wfa   | 1572864 | 524288 | 524288 | 36 | 41712 | 288 | 288 | 32 | 256 | 15.86763481 | 26.656 | 42288 | 0.026885986 |
| lena32.bmp | lena32.bmp-withWavelet_sym1-G_1-H1e-005_af1.wfa      | 1572864 | 524288 | 524288 | 36 | 41712 | 288 | 288 | 32 | 256 | 15.86763481 | 26.953 | 42288 | 0.026885986 |
| lena32.bmp | lena32.bmp-withWavelet_bior1.1-G_1-H1e-005_af1.wfa   | 1572864 | 524288 | 524288 | 36 | 41712 | 288 | 288 | 32 | 256 | 15.86763481 | 27.422 | 42288 | 0.026885986 |
| lena32.bmp | lena32.bmp-withWavelet_haar-G_0.8-H1e-005_af1.wfa    | 1572864 | 524288 | 524288 | 36 | 41712 | 288 | 288 | 32 | 256 | 15.8675938  | 26.703 | 42288 | 0.026885986 |
| lena32.bmp | lena32.bmp-withWavelet_rbio1.1-G_0.8-H1e-005_af1.wfa | 1572864 | 524288 | 524288 | 36 | 41712 | 288 | 288 | 32 | 256 | 15.8675938  | 26.75  | 42288 | 0.026885986 |

|            |  |         |        |        |    |       |     |     |    |     |             |        |       |             |
|------------|--|---------|--------|--------|----|-------|-----|-----|----|-----|-------------|--------|-------|-------------|
| lena32.bmp | lena32.bmp-withWavelet_sym1-G_0.8-H1e-005_af1.wfa    | 1572864 | 524288 | 524288 | 36 | 41712 | 288 | 288 | 32 | 256 | 15.8675938  | 26.563 | 42288 | 0.026885986 |
| lena32.bmp | lena32.bmp-withWavelet_bior1.1-G_0.8-H1e-005_af1.wfa | 1572864 | 524288 | 524288 | 36 | 41712 | 288 | 288 | 32 | 256 | 15.8675938  | 29.703 | 42288 | 0.026885986 |
| lena32.bmp | lena32.bmp-G_1-H0.0001_af5.wfa                       | 393216  | 131072 |        | 18 | 10608 | 144 | 144 | 32 | 128 | 18.20133299 | 2.219  | 10896 | 0.027709961 |
| lena32.bmp | lena32.bmp-G_0.8-H0.0001_af5.wfa                     | 393216  | 131072 |        | 18 | 10608 | 144 | 144 | 32 | 128 | 18.19434243 | 2.172  | 10896 | 0.027709961 |
| lena32.bmp | lena32.bmp-G_0.8-H9e-005_af5.wfa                     | 393216  | 131072 |        | 18 | 10608 | 144 | 144 | 32 | 128 | 18.17345588 | 2.063  | 10896 | 0.027709961 |
| lena32.bmp | lena32.bmp-G_0.6-H0.0001_af5.wfa                     | 393216  | 131072 |        | 18 | 10608 | 144 | 144 | 32 | 128 | 18.00009642 | 2.141  | 10896 | 0.027709961 |
| lena32.bmp | lena32.bmp-G_0.6-H0.0001_af2.wfa                     | 393216  | 131072 |        | 18 | 10608 | 144 | 144 | 32 | 128 | 17.99008341 | 2.11   | 10896 | 0.027709961 |
| lena32.bmp | lena32.bmp-G_0.6-H0.0001_af3.wfa                     | 393216  | 131072 |        | 18 | 10608 | 144 | 144 | 32 | 128 | 17.56320658 | 2.328  | 10896 | 0.027709961 |
| lena32.bmp | lena32.bmp-withWavelet_haar-G_0.8-H0.0001_af2.wfa    | 393216  | 131072 | 131072 | 18 | 10608 | 144 | 144 | 32 | 128 | 17.11771397 | 2.078  | 10896 | 0.027709961 |
| lena32.bmp | lena32.bmp-withWavelet_rbio1.1-G_0.8-H0.0001_af2.wfa | 393216  | 131072 | 131072 | 18 | 10608 | 144 | 144 | 32 | 128 | 17.11771397 | 2.078  | 10896 | 0.027709961 |
| lena32.bmp | lena32.bmp-withWavelet_sym1-G_0.8-H0.0001_af2.wfa    | 393216  | 131072 | 131072 | 18 | 10608 | 144 | 144 | 32 | 128 | 17.11771397 | 2.078  | 10896 | 0.027709961 |
| lena32.bmp | lena32.bmp-withWavelet_bior1.1-G_0.8-H0.0001_af2.wfa | 393216  | 131072 | 131072 | 18 | 10608 | 144 | 144 | 32 | 128 | 17.11771397 | 2.093  | 10896 | 0.027709961 |
| lena32.bmp | lena32.bmp-withWavelet_haar-G_1-H8e-005_af2.wfa      | 393216  | 131072 | 131072 | 18 | 10608 | 144 | 144 | 32 | 128 | 17.09626977 | 2.062  | 10896 | 0.027709961 |
| lena32.bmp | lena32.bmp-withWavelet_rbio1.1-G_1-H8e-005_af2.wfa   | 393216  | 131072 | 131072 | 18 | 10608 | 144 | 144 | 32 | 128 | 17.09626977 | 2.14   | 10896 | 0.027709961 |
| lena32.bmp | lena32.bmp-withWavelet_sym1-G_1-H8e-005_af2.wfa      | 393216  | 131072 | 131072 | 18 | 10608 | 144 | 144 | 32 | 128 | 17.09626977 | 2.047  | 10896 | 0.027709961 |
| lena32.bmp | lena32.bmp-withWavelet_bior1.1-G_1-H8e-005_af2.wfa   | 393216  | 131072 | 131072 | 18 | 10608 | 144 | 144 | 32 | 128 | 17.09626977 | 2.062  | 10896 | 0.027709961 |
| lena32.bmp | lena32.bmp-withWavelet_haar-G_0.8-H9e-005_af2.wfa    | 393216  | 131072 | 131072 | 18 | 10608 | 144 | 144 | 32 | 128 | 17.03487905 | 2.656  | 10896 | 0.027709961 |
| lena32.bmp | lena32.bmp-withWavelet_rbio1.1-G_0.8-H9e-005_af2.wfa | 393216  | 131072 | 131072 | 18 | 10608 | 144 | 144 | 32 | 128 | 17.03487905 | 2.109  | 10896 | 0.027709961 |
| lena32.bmp | lena32.bmp-withWavelet_sym1-G_0.8-H9e-005_af2.wfa    | 393216  | 131072 | 131072 | 18 | 10608 | 144 | 144 | 32 | 128 | 17.03487905 | 2.734  | 10896 | 0.027709961 |
| lena32.bmp | lena32.bmp-withWavelet_bior1.1-G_0.8-H9e-005_af2.wfa | 393216  | 131072 | 131072 | 18 | 10608 | 144 | 144 | 32 | 128 | 17.03487905 | 2.172  | 10896 | 0.027709961 |
| lena32.bmp | lena32.bmp-withWavelet_haar-G_0.6-H9e-005_af2.wfa    | 393216  | 131072 | 131072 | 18 | 10608 | 144 | 144 | 32 | 128 | 16.82973592 | 2.203  | 10896 | 0.027709961 |
| lena32.bmp | lena32.bmp-withWavelet_rbio1.1-G_0.6-H9e-005_af2.wfa | 393216  | 131072 | 131072 | 18 | 10608 | 144 | 144 | 32 | 128 | 16.82973592 | 2.063  | 10896 | 0.027709961 |
| lena32.bmp | lena32.bmp-withWavelet_sym1-G_0.6-H9e-005_af2.wfa    | 393216  | 131072 | 131072 | 18 | 10608 | 144 | 144 | 32 | 128 | 16.82973592 | 2.14   | 10896 | 0.027709961 |
| lena32.bmp | lena32.bmp-withWavelet_bior1.1-G_0.6-H9e-005_af2.wfa | 393216  | 131072 | 131072 | 18 | 10608 | 144 | 144 | 32 | 128 | 16.82973592 | 2.64   | 10896 | 0.027709961 |
| lena32.bmp | lena32.bmp-withWavelet_haar-G_0.6-H0.0001_af2.wfa    | 393216  | 131072 | 131072 | 18 | 10608 | 144 | 144 | 32 | 128 | 16.82973592 | 2.125  | 10896 | 0.027709961 |
| lena32.bmp | lena32.bmp-withWavelet_rbio1.1-G_0.6-H0.0001_af2.wfa | 393216  | 131072 | 131072 | 18 | 10608 | 144 | 144 | 32 | 128 | 16.82973592 | 2.094  | 10896 | 0.027709961 |
| lena32.bmp | lena32.bmp-withWavelet_sym1-G_0.6-H0.0001_af2.wfa    | 393216  | 131072 | 131072 | 18 | 10608 | 144 | 144 | 32 | 128 | 16.82973592 | 2.141  | 10896 | 0.027709961 |
| lena32.bmp | lena32.bmp-withWavelet_bior1.1-G_0.6-H0.0001_af2.wfa | 393216  | 131072 | 131072 | 18 | 10608 | 144 | 144 | 32 | 128 | 16.82973592 | 2.172  | 10896 | 0.027709961 |
| lena32.bmp | lena32.bmp-withWavelet_haar-G_0.8-H7e-005_af5.wfa    | 393216  | 131072 | 131072 | 18 | 10608 | 144 | 144 | 32 | 128 | 16.82057161 | 2.172  | 10896 | 0.027709961 |
| lena32.bmp | lena32.bmp-withWavelet_rbio1.1-G_0.8-H7e-005_af5.wfa | 393216  | 131072 | 131072 | 18 | 10608 | 144 | 144 | 32 | 128 | 16.82057161 | 2.047  | 10896 | 0.027709961 |
| lena32.bmp | lena32.bmp-withWavelet_sym1-G_0.8-H7e-005_af5.wfa    | 393216  | 131072 | 131072 | 18 | 10608 | 144 | 144 | 32 | 128 | 16.82057161 | 2.157  | 10896 | 0.027709961 |

|            |  |         |        |        |    |       |     |     |    |     |             |        |       |             |
|------------|--|---------|--------|--------|----|-------|-----|-----|----|-----|-------------|--------|-------|-------------|
| lena32.bmp | lena32.bmp-withWavelet_bior1.1-G_0.8-H7e-005_af5.wfa | 393216  | 131072 | 131072 | 18 | 10608 | 144 | 144 | 32 | 128 | 16.82057161 | 2.031  | 10896 | 0.027709961 |
| lena32.bmp | lena32.bmp-withWavelet_haar-G_0.6-H9e-005_af1.wfa    | 393216  | 131072 | 131072 | 18 | 10608 | 144 | 144 | 32 | 128 | 16.70910488 | 2.078  | 10896 | 0.027709961 |
| lena32.bmp | lena32.bmp-withWavelet_rbio1.1-G_0.6-H9e-005_af1.wfa | 393216  | 131072 | 131072 | 18 | 10608 | 144 | 144 | 32 | 128 | 16.70910488 | 2.218  | 10896 | 0.027709961 |
| lena32.bmp | lena32.bmp-withWavelet_sym1-G_0.6-H9e-005_af1.wfa    | 393216  | 131072 | 131072 | 18 | 10608 | 144 | 144 | 32 | 128 | 16.70910488 | 2.187  | 10896 | 0.027709961 |
| lena32.bmp | lena32.bmp-withWavelet_bior1.1-G_0.6-H9e-005_af1.wfa | 393216  | 131072 | 131072 | 18 | 10608 | 144 | 144 | 32 | 128 | 16.70910488 | 2.093  | 10896 | 0.027709961 |
| lena32.bmp | lena32.bmp-withWavelet_haar-G_0.6-H0.0001_af1.wfa    | 393216  | 131072 | 131072 | 18 | 10608 | 144 | 144 | 32 | 128 | 16.70910488 | 2.109  | 10896 | 0.027709961 |
| lena32.bmp | lena32.bmp-withWavelet_rbio1.1-G_0.6-H0.0001_af1.wfa | 393216  | 131072 | 131072 | 18 | 10608 | 144 | 144 | 32 | 128 | 16.70910488 | 2.11   | 10896 | 0.027709961 |
| lena32.bmp | lena32.bmp-withWavelet_sym1-G_0.6-H0.0001_af1.wfa    | 393216  | 131072 | 131072 | 18 | 10608 | 144 | 144 | 32 | 128 | 16.70910488 | 2.281  | 10896 | 0.027709961 |
| lena32.bmp | lena32.bmp-withWavelet_bior1.1-G_0.6-H0.0001_af1.wfa | 393216  | 131072 | 131072 | 18 | 10608 | 144 | 144 | 32 | 128 | 16.70910488 | 2.172  | 10896 | 0.027709961 |
| lena32.bmp | lena32.bmp-withWavelet_haar-G_1-H7e-005_af5.wfa      | 393216  | 131072 | 131072 | 18 | 10608 | 144 | 144 | 32 | 128 | 16.61657819 | 2.031  | 10896 | 0.027709961 |
| lena32.bmp | lena32.bmp-withWavelet_rbio1.1-G_1-H7e-005_af5.wfa   | 393216  | 131072 | 131072 | 18 | 10608 | 144 | 144 | 32 | 128 | 16.61657819 | 2.047  | 10896 | 0.027709961 |
| lena32.bmp | lena32.bmp-withWavelet_sym1-G_1-H7e-005_af5.wfa      | 393216  | 131072 | 131072 | 18 | 10608 | 144 | 144 | 32 | 128 | 16.61657819 | 2.031  | 10896 | 0.027709961 |
| lena32.bmp | lena32.bmp-withWavelet_bior1.1-G_1-H7e-005_af5.wfa   | 393216  | 131072 | 131072 | 18 | 10608 | 144 | 144 | 32 | 128 | 16.61657819 | 2.187  | 10896 | 0.027709961 |
| lena32.bmp | lena32.bmp-withWavelet_haar-G_1-H1e-005_af4.wfa      | 1572864 | 524288 | 524288 | 37 | 44048 | 296 | 296 | 32 | 256 | 15.84730309 | 32.156 | 44640 | 0.028381348 |
| lena32.bmp | lena32.bmp-withWavelet_rbio1.1-G_1-H1e-005_af4.wfa   | 1572864 | 524288 | 524288 | 37 | 44048 | 296 | 296 | 32 | 256 | 15.84730309 | 30.109 | 44640 | 0.028381348 |
| lena32.bmp | lena32.bmp-withWavelet_sym1-G_1-H1e-005_af4.wfa      | 1572864 | 524288 | 524288 | 37 | 44048 | 296 | 296 | 32 | 256 | 15.84730309 | 28.579 | 44640 | 0.028381348 |
| lena32.bmp | lena32.bmp-withWavelet_bior1.1-G_1-H1e-005_af4.wfa   | 1572864 | 524288 | 524288 | 37 | 44048 | 296 | 296 | 32 | 256 | 15.84730309 | 28.969 | 44640 | 0.028381348 |
| lena32.bmp | lena32.bmp-G_0.8-H0.0001_af2.wfa                     | 393216  | 131072 |        | 19 | 11792 | 152 | 152 | 32 | 128 | 18.34270153 | 2.234  | 12096 | 0.030761719 |
| lena32.bmp | lena32.bmp-G_1-H0.0001_af2.wfa                       | 393216  | 131072 |        | 19 | 11792 | 152 | 152 | 32 | 128 | 18.30377526 | 2.422  | 12096 | 0.030761719 |
| lena32.bmp | lena32.bmp-G_1-H9e-005_af5.wfa                       | 393216  | 131072 |        | 19 | 11792 | 152 | 152 | 32 | 128 | 18.29016271 | 2.219  | 12096 | 0.030761719 |
| lena32.bmp | lena32.bmp-G_1-H9e-005_af2.wfa                       | 393216  | 131072 |        | 19 | 11792 | 152 | 152 | 32 | 128 | 18.2808116  | 2.906  | 12096 | 0.030761719 |
| lena32.bmp | lena32.bmp-G_1-H8e-005_af5.wfa                       | 393216  | 131072 |        | 19 | 11792 | 152 | 152 | 32 | 128 | 18.27572444 | 2.391  | 12096 | 0.030761719 |
| lena32.bmp | lena32.bmp-G_0.8-H9e-005_af2.wfa                     | 393216  | 131072 |        | 19 | 11792 | 152 | 152 | 32 | 128 | 18.27205588 | 2.296  | 12096 | 0.030761719 |
| lena32.bmp | lena32.bmp-G_0.6-H9e-005_af5.wfa                     | 393216  | 131072 |        | 19 | 11792 | 152 | 152 | 32 | 128 | 18.06901533 | 2.219  | 12096 | 0.030761719 |
| lena32.bmp | lena32.bmp-G_1-H0.0001_af3.wfa                       | 393216  | 131072 |        | 19 | 11792 | 152 | 152 | 32 | 128 | 18.0041333  | 2.859  | 12096 | 0.030761719 |
| lena32.bmp | lena32.bmp-G_0.8-H0.0001_af3.wfa                     | 393216  | 131072 |        | 19 | 11792 | 152 | 152 | 32 | 128 | 18.0037669  | 2.203  | 12096 | 0.030761719 |
| lena32.bmp | lena32.bmp-G_0.6-H9e-005_af2.wfa                     | 393216  | 131072 |        | 19 | 11792 | 152 | 152 | 32 | 128 | 17.95679893 | 2.25   | 12096 | 0.030761719 |
| lena32.bmp | lena32.bmp-G_0.6-H7e-005_af5.wfa                     | 393216  | 131072 |        | 19 | 11792 | 152 | 152 | 32 | 128 | 17.90739002 | 2.219  | 12096 | 0.030761719 |
| lena32.bmp | lena32.bmp-withWavelet_haar-G_0.8-H7e-005_af2.wfa    | 393216  | 131072 | 131072 | 19 | 11792 | 152 | 152 | 32 | 128 | 17.46421834 | 3.062  | 12096 | 0.030761719 |
| lena32.bmp | lena32.bmp-withWavelet_rbio1.1-G_0.8-H7e-005_af2.wfa | 393216  | 131072 | 131072 | 19 | 11792 | 152 | 152 | 32 | 128 | 17.46421834 | 2.328  | 12096 | 0.030761719 |
| lena32.bmp | lena32.bmp-withWavelet_sym1-G_0.8-H7e-005_af2.wfa    | 393216  | 131072 | 131072 | 19 | 11792 | 152 | 152 | 32 | 128 | 17.46421834 | 2.234  | 12096 | 0.030761719 |



|            |  |        |        |        |    |       |     |     |    |     |             |       |       |             |
|------------|--|--------|--------|--------|----|-------|-----|-----|----|-----|-------------|-------|-------|-------------|
| lena32.bmp | lena32.bmp-withWavelet_sym1-G_0.6-H7e-005_af2.wfa    | 393216 | 131072 | 131072 | 19 | 11792 | 152 | 152 | 32 | 128 | 16.76847268 | 2.187 | 12096 | 0.030761719 |
| lena32.bmp | lena32.bmp-withWavelet_bior1.1-G_0.6-H7e-005_af2.wfa | 393216 | 131072 | 131072 | 19 | 11792 | 152 | 152 | 32 | 128 | 16.76847268 | 2.188 | 12096 | 0.030761719 |
| lena32.bmp | lena32.bmp-withWavelet_haar-G_0.6-H8e-005_af2.wfa    | 393216 | 131072 | 131072 | 19 | 11792 | 152 | 152 | 32 | 128 | 16.75027927 | 2.235 | 12096 | 0.030761719 |
| lena32.bmp | lena32.bmp-withWavelet_rbio1.1-G_0.6-H8e-005_af2.wfa | 393216 | 131072 | 131072 | 19 | 11792 | 152 | 152 | 32 | 128 | 16.75027927 | 2.235 | 12096 | 0.030761719 |
| lena32.bmp | lena32.bmp-withWavelet_sym1-G_0.6-H8e-005_af2.wfa    | 393216 | 131072 | 131072 | 19 | 11792 | 152 | 152 | 32 | 128 | 16.75027927 | 2.25  | 12096 | 0.030761719 |
| lena32.bmp | lena32.bmp-withWavelet_bior1.1-G_0.6-H8e-005_af2.wfa | 393216 | 131072 | 131072 | 19 | 11792 | 152 | 152 | 32 | 128 | 16.75027927 | 2.218 | 12096 | 0.030761719 |
| lena32.bmp | lena32.bmp-withWavelet_haar-G_0.6-H7e-005_af5.wfa    | 393216 | 131072 | 131072 | 19 | 11792 | 152 | 152 | 32 | 128 | 16.32874347 | 2.406 | 12096 | 0.030761719 |
| lena32.bmp | lena32.bmp-withWavelet_rbio1.1-G_0.6-H7e-005_af5.wfa | 393216 | 131072 | 131072 | 19 | 11792 | 152 | 152 | 32 | 128 | 16.32874347 | 2.391 | 12096 | 0.030761719 |
| lena32.bmp | lena32.bmp-withWavelet_sym1-G_0.6-H7e-005_af5.wfa    | 393216 | 131072 | 131072 | 19 | 11792 | 152 | 152 | 32 | 128 | 16.32874347 | 2.187 | 12096 | 0.030761719 |
| lena32.bmp | lena32.bmp-withWavelet_bior1.1-G_0.6-H7e-005_af5.wfa | 393216 | 131072 | 131072 | 19 | 11792 | 152 | 152 | 32 | 128 | 16.32874347 | 2.235 | 12096 | 0.030761719 |
| lena32.bmp | lena32.bmp-G_0.8-H8e-005_af5.wfa                     | 393216 | 131072 |        | 20 | 13040 | 160 | 160 | 32 | 128 | 18.41338153 | 2.5   | 13360 | 0.033976237 |
| lena32.bmp | lena32.bmp-G_1-H8e-005_af2.wfa                       | 393216 | 131072 |        | 20 | 13040 | 160 | 160 | 32 | 128 | 18.33001181 | 2.297 | 13360 | 0.033976237 |
| lena32.bmp | lena32.bmp-G_0.8-H8e-005_af2.wfa                     | 393216 | 131072 |        | 20 | 13040 | 160 | 160 | 32 | 128 | 18.32415317 | 2.375 | 13360 | 0.033976237 |
| lena32.bmp | lena32.bmp-G_1-H7e-005_af5.wfa                       | 393216 | 131072 |        | 20 | 13040 | 160 | 160 | 32 | 128 | 18.24044844 | 2.297 | 13360 | 0.033976237 |
| lena32.bmp | lena32.bmp-G_0.6-H8e-005_af2.wfa                     | 393216 | 131072 |        | 20 | 13040 | 160 | 160 | 32 | 128 | 18.09761604 | 2.25  | 13360 | 0.033976237 |
| lena32.bmp | lena32.bmp-G_0.6-H8e-005_af5.wfa                     | 393216 | 131072 |        | 20 | 13040 | 160 | 160 | 32 | 128 | 18.0697797  | 2.25  | 13360 | 0.033976237 |
| lena32.bmp | lena32.bmp-G_0.6-H7e-005_af2.wfa                     | 393216 | 131072 |        | 20 | 13040 | 160 | 160 | 32 | 128 | 17.95564041 | 2.219 | 13360 | 0.033976237 |
| lena32.bmp | lena32.bmp-G_0.6-H9e-005_af3.wfa                     | 393216 | 131072 |        | 20 | 13040 | 160 | 160 | 32 | 128 | 17.71889309 | 2.36  | 13360 | 0.033976237 |
| lena32.bmp | lena32.bmp-withWavelet_haar-G_1-H5e-005_af2.wfa      | 393216 | 131072 | 131072 | 20 | 13040 | 160 | 160 | 32 | 128 | 17.54918342 | 2.25  | 13360 | 0.033976237 |
| lena32.bmp | lena32.bmp-withWavelet_rbio1.1-G_1-H5e-005_af2.wfa   | 393216 | 131072 | 131072 | 20 | 13040 | 160 | 160 | 32 | 128 | 17.54918342 | 2.265 | 13360 | 0.033976237 |
| lena32.bmp | lena32.bmp-withWavelet_sym1-G_1-H5e-005_af2.wfa      | 393216 | 131072 | 131072 | 20 | 13040 | 160 | 160 | 32 | 128 | 17.54918342 | 2.282 | 13360 | 0.033976237 |
| lena32.bmp | lena32.bmp-withWavelet_bior1.1-G_1-H5e-005_af2.wfa   | 393216 | 131072 | 131072 | 20 | 13040 | 160 | 160 | 32 | 128 | 17.54918342 | 2.266 | 13360 | 0.033976237 |
| lena32.bmp | lena32.bmp-withWavelet_haar-G_0.8-H5e-005_af2.wfa    | 393216 | 131072 | 131072 | 20 | 13040 | 160 | 160 | 32 | 128 | 17.41334182 | 2.25  | 13360 | 0.033976237 |
| lena32.bmp | lena32.bmp-withWavelet_rbio1.1-G_0.8-H5e-005_af2.wfa | 393216 | 131072 | 131072 | 20 | 13040 | 160 | 160 | 32 | 128 | 17.41334182 | 2.266 | 13360 | 0.033976237 |
| lena32.bmp | lena32.bmp-withWavelet_sym1-G_0.8-H5e-005_af2.wfa    | 393216 | 131072 | 131072 | 20 | 13040 | 160 | 160 | 32 | 128 | 17.41334182 | 2.281 | 13360 | 0.033976237 |
| lena32.bmp | lena32.bmp-withWavelet_bior1.1-G_0.8-H5e-005_af2.wfa | 393216 | 131072 | 131072 | 20 | 13040 | 160 | 160 | 32 | 128 | 17.41334182 | 2.266 | 13360 | 0.033976237 |
| lena32.bmp | lena32.bmp-withWavelet_haar-G_1-H6e-005_af5.wfa      | 393216 | 131072 | 131072 | 20 | 13040 | 160 | 160 | 32 | 128 | 16.9855625  | 2.25  | 13360 | 0.033976237 |
| lena32.bmp | lena32.bmp-withWavelet_rbio1.1-G_1-H6e-005_af5.wfa   | 393216 | 131072 | 131072 | 20 | 13040 | 160 | 160 | 32 | 128 | 16.9855625  | 2.234 | 13360 | 0.033976237 |
| lena32.bmp | lena32.bmp-withWavelet_sym1-G_1-H6e-005_af5.wfa      | 393216 | 131072 | 131072 | 20 | 13040 | 160 | 160 | 32 | 128 | 16.9855625  | 2.25  | 13360 | 0.033976237 |
| lena32.bmp | lena32.bmp-withWavelet_bior1.1-G_1-H6e-005_af5.wfa   | 393216 | 131072 | 131072 | 20 | 13040 | 160 | 160 | 32 | 128 | 16.9855625  | 2.313 | 13360 | 0.033976237 |
| lena32.bmp | lena32.bmp-withWavelet_haar-G_1-H9e-005_af1.wfa      | 393216 | 131072 | 131072 | 20 | 13040 | 160 | 160 | 32 | 128 | 16.94152249 | 2.266 | 13360 | 0.033976237 |





|            |  |        |        |        |    |       |     |     |    |     |             |       |       |             |
|------------|--|--------|--------|--------|----|-------|-----|-----|----|-----|-------------|-------|-------|-------------|
| lena32.bmp | lena32.bmp-G_1-H7e-005_af2.wfa                       | 393216 | 131072 |        | 21 | 14352 | 168 | 168 | 32 | 128 | 18.38207683 | 2.563 | 14688 | 0.037353516 |
| lena32.bmp | lena32.bmp-G_0.8-H6e-005_af2.wfa                     | 393216 | 131072 |        | 21 | 14352 | 168 | 168 | 32 | 128 | 18.37040635 | 2.485 | 14688 | 0.037353516 |
| lena32.bmp | lena32.bmp-G_0.8-H7e-005_af2.wfa                     | 393216 | 131072 |        | 21 | 14352 | 168 | 168 | 32 | 128 | 18.37040635 | 2.687 | 14688 | 0.037353516 |
| lena32.bmp | lena32.bmp-G_0.8-H7e-005_af5.wfa                     | 393216 | 131072 |        | 21 | 14352 | 168 | 168 | 32 | 128 | 18.30367331 | 2.516 | 14688 | 0.037353516 |
| lena32.bmp | lena32.bmp-G_0.8-H6e-005_af5.wfa                     | 393216 | 131072 |        | 21 | 14352 | 168 | 168 | 32 | 128 | 18.29372056 | 2.391 | 14688 | 0.037353516 |
| lena32.bmp | lena32.bmp-G_1-H7e-005_af3.wfa                       | 393216 | 131072 |        | 21 | 14352 | 168 | 168 | 32 | 128 | 18.18670179 | 2.641 | 14688 | 0.037353516 |
| lena32.bmp | lena32.bmp-G_1-H8e-005_af3.wfa                       | 393216 | 131072 |        | 21 | 14352 | 168 | 168 | 32 | 128 | 18.18670179 | 2.421 | 14688 | 0.037353516 |
| lena32.bmp | lena32.bmp-G_0.8-H0.0001_af1.wfa                     | 393216 | 131072 |        | 21 | 14352 | 168 | 168 | 32 | 128 | 18.18019336 | 2.64  | 14688 | 0.037353516 |
| lena32.bmp | lena32.bmp-G_1-H0.0001_af1.wfa                       | 393216 | 131072 |        | 21 | 14352 | 168 | 168 | 32 | 128 | 18.17885611 | 2.531 | 14688 | 0.037353516 |
| lena32.bmp | lena32.bmp-G_0.8-H7e-005_af3.wfa                     | 393216 | 131072 |        | 21 | 14352 | 168 | 168 | 32 | 128 | 18.17521322 | 2.421 | 14688 | 0.037353516 |
| lena32.bmp | lena32.bmp-G_1-H9e-005_af3.wfa                       | 393216 | 131072 |        | 21 | 14352 | 168 | 168 | 32 | 128 | 18.17335493 | 3.141 | 14688 | 0.037353516 |
| lena32.bmp | lena32.bmp-G_0.8-H8e-005_af3.wfa                     | 393216 | 131072 |        | 21 | 14352 | 168 | 168 | 32 | 128 | 18.16039684 | 2.406 | 14688 | 0.037353516 |
| lena32.bmp | lena32.bmp-G_0.8-H9e-005_af3.wfa                     | 393216 | 131072 |        | 21 | 14352 | 168 | 168 | 32 | 128 | 18.16039684 | 3.109 | 14688 | 0.037353516 |
| lena32.bmp | lena32.bmp-G_0.6-H6e-005_af2.wfa                     | 393216 | 131072 |        | 21 | 14352 | 168 | 168 | 32 | 128 | 17.98864822 | 2.468 | 14688 | 0.037353516 |
| lena32.bmp | lena32.bmp-G_0.6-H0.0001_af1.wfa                     | 393216 | 131072 |        | 21 | 14352 | 168 | 168 | 32 | 128 | 17.8766829  | 2.563 | 14688 | 0.037353516 |
| lena32.bmp | lena32.bmp-G_0.6-H8e-005_af3.wfa                     | 393216 | 131072 |        | 21 | 14352 | 168 | 168 | 32 | 128 | 17.79309882 | 2.422 | 14688 | 0.037353516 |
| lena32.bmp | lena32.bmp-G_0.6-H7e-005_af3.wfa                     | 393216 | 131072 |        | 21 | 14352 | 168 | 168 | 32 | 128 | 17.66582496 | 2.469 | 14688 | 0.037353516 |
| lena32.bmp | lena32.bmp-withWavelet_haar-G_0.8-H6e-005_af5.wfa    | 393216 | 131072 | 131072 | 21 | 14352 | 168 | 168 | 32 | 128 | 16.90852414 | 2.421 | 14688 | 0.037353516 |
| lena32.bmp | lena32.bmp-withWavelet_rbio1.1-G_0.8-H6e-005_af5.wfa | 393216 | 131072 | 131072 | 21 | 14352 | 168 | 168 | 32 | 128 | 16.90852414 | 2.406 | 14688 | 0.037353516 |
| lena32.bmp | lena32.bmp-withWavelet_sym1-G_0.8-H6e-005_af5.wfa    | 393216 | 131072 | 131072 | 21 | 14352 | 168 | 168 | 32 | 128 | 16.90852414 | 2.406 | 14688 | 0.037353516 |
| lena32.bmp | lena32.bmp-withWavelet_bior1.1-G_0.8-H6e-005_af5.wfa | 393216 | 131072 | 131072 | 21 | 14352 | 168 | 168 | 32 | 128 | 16.90852414 | 2.594 | 14688 | 0.037353516 |
| lena32.bmp | lena32.bmp-withWavelet_haar-G_1-H8e-005_af1.wfa      | 393216 | 131072 | 131072 | 21 | 14352 | 168 | 168 | 32 | 128 | 16.8230193  | 2.469 | 14688 | 0.037353516 |
| lena32.bmp | lena32.bmp-withWavelet_rbio1.1-G_1-H8e-005_af1.wfa   | 393216 | 131072 | 131072 | 21 | 14352 | 168 | 168 | 32 | 128 | 16.8230193  | 2.906 | 14688 | 0.037353516 |
| lena32.bmp | lena32.bmp-withWavelet_sym1-G_1-H8e-005_af1.wfa      | 393216 | 131072 | 131072 | 21 | 14352 | 168 | 168 | 32 | 128 | 16.8230193  | 2.547 | 14688 | 0.037353516 |
| lena32.bmp | lena32.bmp-withWavelet_bior1.1-G_1-H8e-005_af1.wfa   | 393216 | 131072 | 131072 | 21 | 14352 | 168 | 168 | 32 | 128 | 16.8230193  | 2.531 | 14688 | 0.037353516 |
| lena32.bmp | lena32.bmp-withWavelet_haar-G_1-H6e-005_af1.wfa      | 393216 | 131072 | 131072 | 21 | 14352 | 168 | 168 | 32 | 128 | 16.81935484 | 2.437 | 14688 | 0.037353516 |
| lena32.bmp | lena32.bmp-withWavelet_rbio1.1-G_1-H6e-005_af1.wfa   | 393216 | 131072 | 131072 | 21 | 14352 | 168 | 168 | 32 | 128 | 16.81935484 | 2.437 | 14688 | 0.037353516 |
| lena32.bmp | lena32.bmp-withWavelet_sym1-G_1-H6e-005_af1.wfa      | 393216 | 131072 | 131072 | 21 | 14352 | 168 | 168 | 32 | 128 | 16.81935484 | 2.5   | 14688 | 0.037353516 |
| lena32.bmp | lena32.bmp-withWavelet_bior1.1-G_1-H6e-005_af1.wfa   | 393216 | 131072 | 131072 | 21 | 14352 | 168 | 168 | 32 | 128 | 16.81935484 | 2.39  | 14688 | 0.037353516 |
| lena32.bmp | lena32.bmp-withWavelet_haar-G_1-H7e-005_af1.wfa      | 393216 | 131072 | 131072 | 21 | 14352 | 168 | 168 | 32 | 128 | 16.81935484 | 2.453 | 14688 | 0.037353516 |
| lena32.bmp | lena32.bmp-withWavelet_rbio1.1-G_1-H7e-005_af1.wfa   | 393216 | 131072 | 131072 | 21 | 14352 | 168 | 168 | 32 | 128 | 16.81935484 | 2.39  | 14688 | 0.037353516 |



|            |  |        |        |        |    |       |     |     |    |     |             |       |       |             |
|------------|--|--------|--------|--------|----|-------|-----|-----|----|-----|-------------|-------|-------|-------------|
| lena32.bmp | lena32.bmp-withWavelet_rbio1.1-G_0.6-H9e-005_af4.wfa | 393216 | 131072 | 131072 | 21 | 14352 | 168 | 168 | 32 | 128 | 16.17047314 | 3.172 | 14688 | 0.037353516 |
| lena32.bmp | lena32.bmp-withWavelet_sym1-G_0.6-H9e-005_af4.wfa    | 393216 | 131072 | 131072 | 21 | 14352 | 168 | 168 | 32 | 128 | 16.17047314 | 2.469 | 14688 | 0.037353516 |
| lena32.bmp | lena32.bmp-withWavelet_bior1.1-G_0.6-H9e-005_af4.wfa | 393216 | 131072 | 131072 | 21 | 14352 | 168 | 168 | 32 | 128 | 16.17047314 | 2.453 | 14688 | 0.037353516 |
| lena32.bmp | lena32.bmp-G_1-H6e-005_af2.wfa                       | 393216 | 131072 |        | 22 | 15728 | 176 | 176 | 32 | 128 | 18.38594825 | 2.547 | 16080 | 0.040893555 |
| lena32.bmp | lena32.bmp-G_1-H6e-005_af5.wfa                       | 393216 | 131072 |        | 22 | 15728 | 176 | 176 | 32 | 128 | 18.35280253 | 2.532 | 16080 | 0.040893555 |
| lena32.bmp | lena32.bmp-G_1-H9e-005_af1.wfa                       | 393216 | 131072 |        | 22 | 15728 | 176 | 176 | 32 | 128 | 18.23103457 | 2.547 | 16080 | 0.040893555 |
| lena32.bmp | lena32.bmp-G_0.8-H9e-005_af1.wfa                     | 393216 | 131072 |        | 22 | 15728 | 176 | 176 | 32 | 128 | 18.21408401 | 2.5   | 16080 | 0.040893555 |
| lena32.bmp | lena32.bmp-G_0.6-H6e-005_af5.wfa                     | 393216 | 131072 |        | 22 | 15728 | 176 | 176 | 32 | 128 | 18.09088492 | 2.688 | 16080 | 0.040893555 |
| lena32.bmp | lena32.bmp-G_0.6-H5e-005_af5.wfa                     | 393216 | 131072 |        | 22 | 15728 | 176 | 176 | 32 | 128 | 17.98914684 | 2.484 | 16080 | 0.040893555 |
| lena32.bmp | lena32.bmp-G_0.6-H9e-005_af1.wfa                     | 393216 | 131072 |        | 22 | 15728 | 176 | 176 | 32 | 128 | 17.88051042 | 2.531 | 16080 | 0.040893555 |
| lena32.bmp | lena32.bmp-withWavelet_haar-G_1-H4e-005_af2.wfa      | 393216 | 131072 | 131072 | 22 | 15728 | 176 | 176 | 32 | 128 | 17.34808887 | 2.672 | 16080 | 0.040893555 |
| lena32.bmp | lena32.bmp-withWavelet_rbio1.1-G_1-H4e-005_af2.wfa   | 393216 | 131072 | 131072 | 22 | 15728 | 176 | 176 | 32 | 128 | 17.34808887 | 2.796 | 16080 | 0.040893555 |
| lena32.bmp | lena32.bmp-withWavelet_sym1-G_1-H4e-005_af2.wfa      | 393216 | 131072 | 131072 | 22 | 15728 | 176 | 176 | 32 | 128 | 17.34808887 | 2.656 | 16080 | 0.040893555 |
| lena32.bmp | lena32.bmp-withWavelet_bior1.1-G_1-H4e-005_af2.wfa   | 393216 | 131072 | 131072 | 22 | 15728 | 176 | 176 | 32 | 128 | 17.34808887 | 2.515 | 16080 | 0.040893555 |
| lena32.bmp | lena32.bmp-withWavelet_haar-G_0.6-H5e-005_af2.wfa    | 393216 | 131072 | 131072 | 22 | 15728 | 176 | 176 | 32 | 128 | 16.82697917 | 2.75  | 16080 | 0.040893555 |
| lena32.bmp | lena32.bmp-withWavelet_rbio1.1-G_0.6-H5e-005_af2.wfa | 393216 | 131072 | 131072 | 22 | 15728 | 176 | 176 | 32 | 128 | 16.82697917 | 2.484 | 16080 | 0.040893555 |
| lena32.bmp | lena32.bmp-withWavelet_sym1-G_0.6-H5e-005_af2.wfa    | 393216 | 131072 | 131072 | 22 | 15728 | 176 | 176 | 32 | 128 | 16.82697917 | 2.625 | 16080 | 0.040893555 |
| lena32.bmp | lena32.bmp-withWavelet_bior1.1-G_0.6-H5e-005_af2.wfa | 393216 | 131072 | 131072 | 22 | 15728 | 176 | 176 | 32 | 128 | 16.82697917 | 2.516 | 16080 | 0.040893555 |
| lena32.bmp | lena32.bmp-withWavelet_haar-G_1-H0.0001_af3.wfa      | 393216 | 131072 | 131072 | 22 | 15728 | 176 | 176 | 32 | 128 | 16.81561441 | 2.656 | 16080 | 0.040893555 |
| lena32.bmp | lena32.bmp-withWavelet_rbio1.1-G_1-H0.0001_af3.wfa   | 393216 | 131072 | 131072 | 22 | 15728 | 176 | 176 | 32 | 128 | 16.81561441 | 2.641 | 16080 | 0.040893555 |
| lena32.bmp | lena32.bmp-withWavelet_sym1-G_1-H0.0001_af3.wfa      | 393216 | 131072 | 131072 | 22 | 15728 | 176 | 176 | 32 | 128 | 16.81561441 | 2.797 | 16080 | 0.040893555 |
| lena32.bmp | lena32.bmp-withWavelet_bior1.1-G_1-H0.0001_af3.wfa   | 393216 | 131072 | 131072 | 22 | 15728 | 176 | 176 | 32 | 128 | 16.81561441 | 2.516 | 16080 | 0.040893555 |
| lena32.bmp | lena32.bmp-withWavelet_haar-G_0.8-H9e-005_af3.wfa    | 393216 | 131072 | 131072 | 22 | 15728 | 176 | 176 | 32 | 128 | 16.79568567 | 3.203 | 16080 | 0.040893555 |
| lena32.bmp | lena32.bmp-withWavelet_rbio1.1-G_0.8-H9e-005_af3.wfa | 393216 | 131072 | 131072 | 22 | 15728 | 176 | 176 | 32 | 128 | 16.79568567 | 3.437 | 16080 | 0.040893555 |
| lena32.bmp | lena32.bmp-withWavelet_sym1-G_0.8-H9e-005_af3.wfa    | 393216 | 131072 | 131072 | 22 | 15728 | 176 | 176 | 32 | 128 | 16.79568567 | 2.485 | 16080 | 0.040893555 |
| lena32.bmp | lena32.bmp-withWavelet_bior1.1-G_0.8-H9e-005_af3.wfa | 393216 | 131072 | 131072 | 22 | 15728 | 176 | 176 | 32 | 128 | 16.79568567 | 3.406 | 16080 | 0.040893555 |
| lena32.bmp | lena32.bmp-withWavelet_haar-G_0.8-H0.0001_af3.wfa    | 393216 | 131072 | 131072 | 22 | 15728 | 176 | 176 | 32 | 128 | 16.79568567 | 2.485 | 16080 | 0.040893555 |
| lena32.bmp | lena32.bmp-withWavelet_rbio1.1-G_0.8-H0.0001_af3.wfa | 393216 | 131072 | 131072 | 22 | 15728 | 176 | 176 | 32 | 128 | 16.79568567 | 2.672 | 16080 | 0.040893555 |
| lena32.bmp | lena32.bmp-withWavelet_sym1-G_0.8-H0.0001_af3.wfa    | 393216 | 131072 | 131072 | 22 | 15728 | 176 | 176 | 32 | 128 | 16.79568567 | 2.766 | 16080 | 0.040893555 |
| lena32.bmp | lena32.bmp-withWavelet_bior1.1-G_0.8-H0.0001_af3.wfa | 393216 | 131072 | 131072 | 22 | 15728 | 176 | 176 | 32 | 128 | 16.79568567 | 2.64  | 16080 | 0.040893555 |
| lena32.bmp | lena32.bmp-withWavelet_haar-G_1-H7e-005_af4.wfa      | 393216 | 131072 | 131072 | 22 | 15728 | 176 | 176 | 32 | 128 | 16.77365815 | 2.453 | 16080 | 0.040893555 |

|            |  |        |        |        |    |       |     |     |    |     |             |       |       |             |
|------------|--|--------|--------|--------|----|-------|-----|-----|----|-----|-------------|-------|-------|-------------|
| lena32.bmp | lena32.bmp-withWavelet_rbio1.1-G_1-H7e-005_af4.wfa   | 393216 | 131072 | 131072 | 22 | 15728 | 176 | 176 | 32 | 128 | 16.77365815 | 2.484 | 16080 | 0.040893555 |
| lena32.bmp | lena32.bmp-withWavelet_sym1-G_1-H7e-005_af4.wfa      | 393216 | 131072 | 131072 | 22 | 15728 | 176 | 176 | 32 | 128 | 16.77365815 | 2.531 | 16080 | 0.040893555 |
| lena32.bmp | lena32.bmp-withWavelet_bior1.1-G_1-H7e-005_af4.wfa   | 393216 | 131072 | 131072 | 22 | 15728 | 176 | 176 | 32 | 128 | 16.77365815 | 2.515 | 16080 | 0.040893555 |
| lena32.bmp | lena32.bmp-withWavelet_haar-G_0.6-H6e-005_af1.wfa    | 393216 | 131072 | 131072 | 22 | 15728 | 176 | 176 | 32 | 128 | 16.7546645  | 2.469 | 16080 | 0.040893555 |
| lena32.bmp | lena32.bmp-withWavelet_rbio1.1-G_0.6-H6e-005_af1.wfa | 393216 | 131072 | 131072 | 22 | 15728 | 176 | 176 | 32 | 128 | 16.7546645  | 2.516 | 16080 | 0.040893555 |
| lena32.bmp | lena32.bmp-withWavelet_sym1-G_0.6-H6e-005_af1.wfa    | 393216 | 131072 | 131072 | 22 | 15728 | 176 | 176 | 32 | 128 | 16.7546645  | 2.609 | 16080 | 0.040893555 |
| lena32.bmp | lena32.bmp-withWavelet_bior1.1-G_0.6-H6e-005_af1.wfa | 393216 | 131072 | 131072 | 22 | 15728 | 176 | 176 | 32 | 128 | 16.7546645  | 2.453 | 16080 | 0.040893555 |
| lena32.bmp | lena32.bmp-withWavelet_haar-G_1-H5e-005_af5.wfa      | 393216 | 131072 | 131072 | 22 | 15728 | 176 | 176 | 32 | 128 | 16.7443353  | 2.469 | 16080 | 0.040893555 |
| lena32.bmp | lena32.bmp-withWavelet_rbio1.1-G_1-H5e-005_af5.wfa   | 393216 | 131072 | 131072 | 22 | 15728 | 176 | 176 | 32 | 128 | 16.7443353  | 2.484 | 16080 | 0.040893555 |
| lena32.bmp | lena32.bmp-withWavelet_sym1-G_1-H5e-005_af5.wfa      | 393216 | 131072 | 131072 | 22 | 15728 | 176 | 176 | 32 | 128 | 16.7443353  | 2.5   | 16080 | 0.040893555 |
| lena32.bmp | lena32.bmp-withWavelet_bior1.1-G_1-H5e-005_af5.wfa   | 393216 | 131072 | 131072 | 22 | 15728 | 176 | 176 | 32 | 128 | 16.7443353  | 2.485 | 16080 | 0.040893555 |
| lena32.bmp | lena32.bmp-withWavelet_haar-G_0.8-H5e-005_af5.wfa    | 393216 | 131072 | 131072 | 22 | 15728 | 176 | 176 | 32 | 128 | 16.7254807  | 2.484 | 16080 | 0.040893555 |
| lena32.bmp | lena32.bmp-withWavelet_rbio1.1-G_0.8-H5e-005_af5.wfa | 393216 | 131072 | 131072 | 22 | 15728 | 176 | 176 | 32 | 128 | 16.7254807  | 2.64  | 16080 | 0.040893555 |
| lena32.bmp | lena32.bmp-withWavelet_sym1-G_0.8-H5e-005_af5.wfa    | 393216 | 131072 | 131072 | 22 | 15728 | 176 | 176 | 32 | 128 | 16.7254807  | 2.484 | 16080 | 0.040893555 |
| lena32.bmp | lena32.bmp-withWavelet_bior1.1-G_0.8-H5e-005_af5.wfa | 393216 | 131072 | 131072 | 22 | 15728 | 176 | 176 | 32 | 128 | 16.7254807  | 2.641 | 16080 | 0.040893555 |
| lena32.bmp | lena32.bmp-withWavelet_haar-G_0.8-H7e-005_af4.wfa    | 393216 | 131072 | 131072 | 22 | 15728 | 176 | 176 | 32 | 128 | 16.72065309 | 2.562 | 16080 | 0.040893555 |
| lena32.bmp | lena32.bmp-withWavelet_rbio1.1-G_0.8-H7e-005_af4.wfa | 393216 | 131072 | 131072 | 22 | 15728 | 176 | 176 | 32 | 128 | 16.72065309 | 2.797 | 16080 | 0.040893555 |
| lena32.bmp | lena32.bmp-withWavelet_sym1-G_0.8-H7e-005_af4.wfa    | 393216 | 131072 | 131072 | 22 | 15728 | 176 | 176 | 32 | 128 | 16.72065309 | 2.766 | 16080 | 0.040893555 |
| lena32.bmp | lena32.bmp-withWavelet_bior1.1-G_0.8-H7e-005_af4.wfa | 393216 | 131072 | 131072 | 22 | 15728 | 176 | 176 | 32 | 128 | 16.72065309 | 2.469 | 16080 | 0.040893555 |
| lena32.bmp | lena32.bmp-withWavelet_haar-G_0.6-H9e-005_af3.wfa    | 393216 | 131072 | 131072 | 22 | 15728 | 176 | 176 | 32 | 128 | 16.68141385 | 2.954 | 16080 | 0.040893555 |
| lena32.bmp | lena32.bmp-withWavelet_rbio1.1-G_0.6-H9e-005_af3.wfa | 393216 | 131072 | 131072 | 22 | 15728 | 176 | 176 | 32 | 128 | 16.68141385 | 2.469 | 16080 | 0.040893555 |
| lena32.bmp | lena32.bmp-withWavelet_sym1-G_0.6-H9e-005_af3.wfa    | 393216 | 131072 | 131072 | 22 | 15728 | 176 | 176 | 32 | 128 | 16.68141385 | 3.484 | 16080 | 0.040893555 |
| lena32.bmp | lena32.bmp-withWavelet_bior1.1-G_0.6-H9e-005_af3.wfa | 393216 | 131072 | 131072 | 22 | 15728 | 176 | 176 | 32 | 128 | 16.68141385 | 2.532 | 16080 | 0.040893555 |
| lena32.bmp | lena32.bmp-withWavelet_haar-G_0.6-H0.0001_af3.wfa    | 393216 | 131072 | 131072 | 22 | 15728 | 176 | 176 | 32 | 128 | 16.68141385 | 2.64  | 16080 | 0.040893555 |
| lena32.bmp | lena32.bmp-withWavelet_rbio1.1-G_0.6-H0.0001_af3.wfa | 393216 | 131072 | 131072 | 22 | 15728 | 176 | 176 | 32 | 128 | 16.68141385 | 2.937 | 16080 | 0.040893555 |
| lena32.bmp | lena32.bmp-withWavelet_sym1-G_0.6-H0.0001_af3.wfa    | 393216 | 131072 | 131072 | 22 | 15728 | 176 | 176 | 32 | 128 | 16.68141385 | 2.953 | 16080 | 0.040893555 |
| lena32.bmp | lena32.bmp-withWavelet_bior1.1-G_0.6-H0.0001_af3.wfa | 393216 | 131072 | 131072 | 22 | 15728 | 176 | 176 | 32 | 128 | 16.68141385 | 2.875 | 16080 | 0.040893555 |
| lena32.bmp | lena32.bmp-withWavelet_haar-G_0.6-H4e-005_af5.wfa    | 393216 | 131072 | 131072 | 22 | 15728 | 176 | 176 | 32 | 128 | 15.61310408 | 2.656 | 16080 | 0.040893555 |
| lena32.bmp | lena32.bmp-withWavelet_rbio1.1-G_0.6-H4e-005_af5.wfa | 393216 | 131072 | 131072 | 22 | 15728 | 176 | 176 | 32 | 128 | 15.61310408 | 2.547 | 16080 | 0.040893555 |
| lena32.bmp | lena32.bmp-withWavelet_sym1-G_0.6-H4e-005_af5.wfa    | 393216 | 131072 | 131072 | 22 | 15728 | 176 | 176 | 32 | 128 | 15.61310408 | 2.672 | 16080 | 0.040893555 |
| lena32.bmp | lena32.bmp-withWavelet_bior1.1-G_0.6-H4e-005_af5.wfa | 393216 | 131072 | 131072 | 22 | 15728 | 176 | 176 | 32 | 128 | 15.61310408 | 2.609 | 16080 | 0.040893555 |

|            |  |        |        |        |    |       |     |     |    |     |             |       |       |             |
|------------|--|--------|--------|--------|----|-------|-----|-----|----|-----|-------------|-------|-------|-------------|
| lena32.bmp | lena32.bmp-G_1-H5e-005_af2.wfa                       | 393216 | 131072 |        | 23 | 17168 | 184 | 184 | 32 | 128 | 18.43851486 | 2.953 | 17536 | 0.044596354 |
| lena32.bmp | lena32.bmp-G_1-H5e-005_af5.wfa                       | 393216 | 131072 |        | 23 | 17168 | 184 | 184 | 32 | 128 | 18.43350828 | 2.969 | 17536 | 0.044596354 |
| lena32.bmp | lena32.bmp-G_0.8-H5e-005_af2.wfa                     | 393216 | 131072 |        | 23 | 17168 | 184 | 184 | 32 | 128 | 18.42798573 | 2.984 | 17536 | 0.044596354 |
| lena32.bmp | lena32.bmp-G_1-H8e-005_af1.wfa                       | 393216 | 131072 |        | 23 | 17168 | 184 | 184 | 32 | 128 | 18.31737381 | 2.953 | 17536 | 0.044596354 |
| lena32.bmp | lena32.bmp-G_0.8-H8e-005_af1.wfa                     | 393216 | 131072 |        | 23 | 17168 | 184 | 184 | 32 | 128 | 18.30129859 | 3.859 | 17536 | 0.044596354 |
| lena32.bmp | lena32.bmp-G_1-H6e-005_af3.wfa                       | 393216 | 131072 |        | 23 | 17168 | 184 | 184 | 32 | 128 | 18.22164844 | 2.969 | 17536 | 0.044596354 |
| lena32.bmp | lena32.bmp-G_0.8-H6e-005_af3.wfa                     | 393216 | 131072 |        | 23 | 17168 | 184 | 184 | 32 | 128 | 18.2096972  | 2.922 | 17536 | 0.044596354 |
| lena32.bmp | lena32.bmp-G_0.6-H4e-005_af5.wfa                     | 393216 | 131072 |        | 23 | 17168 | 184 | 184 | 32 | 128 | 18.04642003 | 3.094 | 17536 | 0.044596354 |
| lena32.bmp | lena32.bmp-G_0.6-H6e-005_af3.wfa                     | 393216 | 131072 |        | 23 | 17168 | 184 | 184 | 32 | 128 | 17.97213439 | 2.907 | 17536 | 0.044596354 |
| lena32.bmp | lena32.bmp-G_0.6-H8e-005_af1.wfa                     | 393216 | 131072 |        | 23 | 17168 | 184 | 184 | 32 | 128 | 17.93301628 | 3.016 | 17536 | 0.044596354 |
| lena32.bmp | lena32.bmp-withWavelet_haar-G_0.8-H4e-005_af2.wfa    | 393216 | 131072 | 131072 | 23 | 17168 | 184 | 184 | 32 | 128 | 17.28522281 | 2.984 | 17536 | 0.044596354 |
| lena32.bmp | lena32.bmp-withWavelet_rbio1.1-G_0.8-H4e-005_af2.wfa | 393216 | 131072 | 131072 | 23 | 17168 | 184 | 184 | 32 | 128 | 17.28522281 | 2.984 | 17536 | 0.044596354 |
| lena32.bmp | lena32.bmp-withWavelet_sym1-G_0.8-H4e-005_af2.wfa    | 393216 | 131072 | 131072 | 23 | 17168 | 184 | 184 | 32 | 128 | 17.28522281 | 2.984 | 17536 | 0.044596354 |
| lena32.bmp | lena32.bmp-withWavelet_bior1.1-G_0.8-H4e-005_af2.wfa | 393216 | 131072 | 131072 | 23 | 17168 | 184 | 184 | 32 | 128 | 17.28522281 | 2.969 | 17536 | 0.044596354 |
| lena32.bmp | lena32.bmp-withWavelet_haar-G_1-H7e-005_af3.wfa      | 393216 | 131072 | 131072 | 23 | 17168 | 184 | 184 | 32 | 128 | 16.7761318  | 2.921 | 17536 | 0.044596354 |
| lena32.bmp | lena32.bmp-withWavelet_rbio1.1-G_1-H7e-005_af3.wfa   | 393216 | 131072 | 131072 | 23 | 17168 | 184 | 184 | 32 | 128 | 16.7761318  | 2.984 | 17536 | 0.044596354 |
| lena32.bmp | lena32.bmp-withWavelet_sym1-G_1-H7e-005_af3.wfa      | 393216 | 131072 | 131072 | 23 | 17168 | 184 | 184 | 32 | 128 | 16.7761318  | 2.937 | 17536 | 0.044596354 |
| lena32.bmp | lena32.bmp-withWavelet_bior1.1-G_1-H7e-005_af3.wfa   | 393216 | 131072 | 131072 | 23 | 17168 | 184 | 184 | 32 | 128 | 16.7761318  | 2.937 | 17536 | 0.044596354 |
| lena32.bmp | lena32.bmp-withWavelet_haar-G_1-H8e-005_af3.wfa      | 393216 | 131072 | 131072 | 23 | 17168 | 184 | 184 | 32 | 128 | 16.7761318  | 2.954 | 17536 | 0.044596354 |
| lena32.bmp | lena32.bmp-withWavelet_rbio1.1-G_1-H8e-005_af3.wfa   | 393216 | 131072 | 131072 | 23 | 17168 | 184 | 184 | 32 | 128 | 16.7761318  | 2.984 | 17536 | 0.044596354 |
| lena32.bmp | lena32.bmp-withWavelet_sym1-G_1-H8e-005_af3.wfa      | 393216 | 131072 | 131072 | 23 | 17168 | 184 | 184 | 32 | 128 | 16.7761318  | 2.985 | 17536 | 0.044596354 |
| lena32.bmp | lena32.bmp-withWavelet_bior1.1-G_1-H8e-005_af3.wfa   | 393216 | 131072 | 131072 | 23 | 17168 | 184 | 184 | 32 | 128 | 16.7761318  | 2.969 | 17536 | 0.044596354 |
| lena32.bmp | lena32.bmp-withWavelet_haar-G_1-H9e-005_af3.wfa      | 393216 | 131072 | 131072 | 23 | 17168 | 184 | 184 | 32 | 128 | 16.75996724 | 2.984 | 17536 | 0.044596354 |
| lena32.bmp | lena32.bmp-withWavelet_rbio1.1-G_1-H9e-005_af3.wfa   | 393216 | 131072 | 131072 | 23 | 17168 | 184 | 184 | 32 | 128 | 16.75996724 | 3.828 | 17536 | 0.044596354 |
| lena32.bmp | lena32.bmp-withWavelet_sym1-G_1-H9e-005_af3.wfa      | 393216 | 131072 | 131072 | 23 | 17168 | 184 | 184 | 32 | 128 | 16.75996724 | 3.015 | 17536 | 0.044596354 |
| lena32.bmp | lena32.bmp-withWavelet_bior1.1-G_1-H9e-005_af3.wfa   | 393216 | 131072 | 131072 | 23 | 17168 | 184 | 184 | 32 | 128 | 16.75996724 | 3.032 | 17536 | 0.044596354 |
| lena32.bmp | lena32.bmp-withWavelet_haar-G_0.8-H7e-005_af3.wfa    | 393216 | 131072 | 131072 | 23 | 17168 | 184 | 184 | 32 | 128 | 16.75583685 | 4.828 | 17536 | 0.044596354 |
| lena32.bmp | lena32.bmp-withWavelet_rbio1.1-G_0.8-H7e-005_af3.wfa | 393216 | 131072 | 131072 | 23 | 17168 | 184 | 184 | 32 | 128 | 16.75583685 | 3.234 | 17536 | 0.044596354 |
| lena32.bmp | lena32.bmp-withWavelet_sym1-G_0.8-H7e-005_af3.wfa    | 393216 | 131072 | 131072 | 23 | 17168 | 184 | 184 | 32 | 128 | 16.75583685 | 3.734 | 17536 | 0.044596354 |
| lena32.bmp | lena32.bmp-withWavelet_bior1.1-G_0.8-H7e-005_af3.wfa | 393216 | 131072 | 131072 | 23 | 17168 | 184 | 184 | 32 | 128 | 16.75583685 | 3.375 | 17536 | 0.044596354 |
| lena32.bmp | lena32.bmp-withWavelet_haar-G_0.8-H8e-005_af3.wfa    | 393216 | 131072 | 131072 | 23 | 17168 | 184 | 184 | 32 | 128 | 16.75583685 | 3     | 17536 | 0.044596354 |

|            |  |        |        |        |    |       |     |     |    |     |             |       |       |             |
|------------|--|--------|--------|--------|----|-------|-----|-----|----|-----|-------------|-------|-------|-------------|
| lena32.bmp | lena32.bmp-withWavelet_rbio1.1-G_0.8-H8e-005_af3.wfa | 393216 | 131072 | 131072 | 23 | 17168 | 184 | 184 | 32 | 128 | 16.75583685 | 3.109 | 17536 | 0.044596354 |
| lena32.bmp | lena32.bmp-withWavelet_sym1-G_0.8-H8e-005_af3.wfa    | 393216 | 131072 | 131072 | 23 | 17168 | 184 | 184 | 32 | 128 | 16.75583685 | 3.031 | 17536 | 0.044596354 |
| lena32.bmp | lena32.bmp-withWavelet_bior1.1-G_0.8-H8e-005_af3.wfa | 393216 | 131072 | 131072 | 23 | 17168 | 184 | 184 | 32 | 128 | 16.75583685 | 3.031 | 17536 | 0.044596354 |
| lena32.bmp | lena32.bmp-withWavelet_haar-G_0.6-H8e-005_af3.wfa    | 393216 | 131072 | 131072 | 23 | 17168 | 184 | 184 | 32 | 128 | 16.64118907 | 3.016 | 17536 | 0.044596354 |
| lena32.bmp | lena32.bmp-withWavelet_rbio1.1-G_0.6-H8e-005_af3.wfa | 393216 | 131072 | 131072 | 23 | 17168 | 184 | 184 | 32 | 128 | 16.64118907 | 3     | 17536 | 0.044596354 |
| lena32.bmp | lena32.bmp-withWavelet_sym1-G_0.6-H8e-005_af3.wfa    | 393216 | 131072 | 131072 | 23 | 17168 | 184 | 184 | 32 | 128 | 16.64118907 | 3     | 17536 | 0.044596354 |
| lena32.bmp | lena32.bmp-withWavelet_bior1.1-G_0.6-H8e-005_af3.wfa | 393216 | 131072 | 131072 | 23 | 17168 | 184 | 184 | 32 | 128 | 16.64118907 | 2.968 | 17536 | 0.044596354 |
| lena32.bmp | lena32.bmp-withWavelet_haar-G_0.6-H4e-005_af2.wfa    | 393216 | 131072 | 131072 | 23 | 17168 | 184 | 184 | 32 | 128 | 16.52224071 | 2.984 | 17536 | 0.044596354 |
| lena32.bmp | lena32.bmp-withWavelet_rbio1.1-G_0.6-H4e-005_af2.wfa | 393216 | 131072 | 131072 | 23 | 17168 | 184 | 184 | 32 | 128 | 16.52224071 | 3     | 17536 | 0.044596354 |
| lena32.bmp | lena32.bmp-withWavelet_sym1-G_0.6-H4e-005_af2.wfa    | 393216 | 131072 | 131072 | 23 | 17168 | 184 | 184 | 32 | 128 | 16.52224071 | 2.953 | 17536 | 0.044596354 |
| lena32.bmp | lena32.bmp-withWavelet_bior1.1-G_0.6-H4e-005_af2.wfa | 393216 | 131072 | 131072 | 23 | 17168 | 184 | 184 | 32 | 128 | 16.52224071 | 3     | 17536 | 0.044596354 |
| lena32.bmp | lena32.bmp-withWavelet_haar-G_0.6-H8e-005_af4.wfa    | 393216 | 131072 | 131072 | 23 | 17168 | 184 | 184 | 32 | 128 | 16.09045053 | 2.984 | 17536 | 0.044596354 |
| lena32.bmp | lena32.bmp-withWavelet_rbio1.1-G_0.6-H8e-005_af4.wfa | 393216 | 131072 | 131072 | 23 | 17168 | 184 | 184 | 32 | 128 | 16.09045053 | 3.031 | 17536 | 0.044596354 |
| lena32.bmp | lena32.bmp-withWavelet_sym1-G_0.6-H8e-005_af4.wfa    | 393216 | 131072 | 131072 | 23 | 17168 | 184 | 184 | 32 | 128 | 16.09045053 | 2.969 | 17536 | 0.044596354 |
| lena32.bmp | lena32.bmp-withWavelet_bior1.1-G_0.6-H8e-005_af4.wfa | 393216 | 131072 | 131072 | 23 | 17168 | 184 | 184 | 32 | 128 | 16.09045053 | 2.953 | 17536 | 0.044596354 |
| lena32.bmp | lena32.bmp-G_1-H4e-005_af2.wfa                       | 393216 | 131072 |        | 24 | 18672 | 192 | 192 | 32 | 128 | 18.53862074 | 3.156 | 19056 | 0.048461914 |
| lena32.bmp | lena32.bmp-G_0.8-H4e-005_af2.wfa                     | 393216 | 131072 |        | 24 | 18672 | 192 | 192 | 32 | 128 | 18.53002231 | 3.093 | 19056 | 0.048461914 |
| lena32.bmp | lena32.bmp-G_1-H4e-005_af5.wfa                       | 393216 | 131072 |        | 24 | 18672 | 192 | 192 | 32 | 128 | 18.48474714 | 3.141 | 19056 | 0.048461914 |
| lena32.bmp | lena32.bmp-G_0.8-H5e-005_af5.wfa                     | 393216 | 131072 |        | 24 | 18672 | 192 | 192 | 32 | 128 | 18.4712483  | 3.078 | 19056 | 0.048461914 |
| lena32.bmp | lena32.bmp-G_0.8-H4e-005_af5.wfa                     | 393216 | 131072 |        | 24 | 18672 | 192 | 192 | 32 | 128 | 18.44787548 | 3.172 | 19056 | 0.048461914 |
| lena32.bmp | lena32.bmp-G_0.6-H5e-005_af2.wfa                     | 393216 | 131072 |        | 24 | 18672 | 192 | 192 | 32 | 128 | 18.08683379 | 3.266 | 19056 | 0.048461914 |
| lena32.bmp | lena32.bmp-G_0.6-H7e-005_af1.wfa                     | 393216 | 131072 |        | 24 | 18672 | 192 | 192 | 32 | 128 | 17.98107502 | 3.109 | 19056 | 0.048461914 |
| lena32.bmp | lena32.bmp-G_0.6-H5e-005_af3.wfa                     | 393216 | 131072 |        | 24 | 18672 | 192 | 192 | 32 | 128 | 17.96261805 | 3.156 | 19056 | 0.048461914 |
| lena32.bmp | lena32.bmp-withWavelet_haar-G_0.8-H3e-005_af2.wfa    | 393216 | 131072 | 131072 | 24 | 18672 | 192 | 192 | 32 | 128 | 17.25892371 | 3.11  | 19056 | 0.048461914 |
| lena32.bmp | lena32.bmp-withWavelet_rbio1.1-G_0.8-H3e-005_af2.wfa | 393216 | 131072 | 131072 | 24 | 18672 | 192 | 192 | 32 | 128 | 17.25892371 | 3.187 | 19056 | 0.048461914 |
| lena32.bmp | lena32.bmp-withWavelet_sym1-G_0.8-H3e-005_af2.wfa    | 393216 | 131072 | 131072 | 24 | 18672 | 192 | 192 | 32 | 128 | 17.25892371 | 3.078 | 19056 | 0.048461914 |
| lena32.bmp | lena32.bmp-withWavelet_bior1.1-G_0.8-H3e-005_af2.wfa | 393216 | 131072 | 131072 | 24 | 18672 | 192 | 192 | 32 | 128 | 17.25892371 | 3.188 | 19056 | 0.048461914 |
| lena32.bmp | lena32.bmp-withWavelet_haar-G_1-H5e-005_af1.wfa      | 393216 | 131072 | 131072 | 24 | 18672 | 192 | 192 | 32 | 128 | 16.75680156 | 3.078 | 19056 | 0.048461914 |
| lena32.bmp | lena32.bmp-withWavelet_rbio1.1-G_1-H5e-005_af1.wfa   | 393216 | 131072 | 131072 | 24 | 18672 | 192 | 192 | 32 | 128 | 16.75680156 | 3.078 | 19056 | 0.048461914 |
| lena32.bmp | lena32.bmp-withWavelet_sym1-G_1-H5e-005_af1.wfa      | 393216 | 131072 | 131072 | 24 | 18672 | 192 | 192 | 32 | 128 | 16.75680156 | 3.047 | 19056 | 0.048461914 |
| lena32.bmp | lena32.bmp-withWavelet_bior1.1-G_1-H5e-005_af1.wfa   | 393216 | 131072 | 131072 | 24 | 18672 | 192 | 192 | 32 | 128 | 16.75680156 | 3.078 | 19056 | 0.048461914 |

|            |  |        |        |        |    |       |     |     |    |     |             |       |       |             |
|------------|--|--------|--------|--------|----|-------|-----|-----|----|-----|-------------|-------|-------|-------------|
| lena32.bmp | lena32.bmp-withWavelet_haar-G_1-H6e-005_af4.wfa      | 393216 | 131072 | 131072 | 24 | 18672 | 192 | 192 | 32 | 128 | 16.74500981 | 3.313 | 19056 | 0.048461914 |
| lena32.bmp | lena32.bmp-withWavelet_rbio1.1-G_1-H6e-005_af4.wfa   | 393216 | 131072 | 131072 | 24 | 18672 | 192 | 192 | 32 | 128 | 16.74500981 | 3.047 | 19056 | 0.048461914 |
| lena32.bmp | lena32.bmp-withWavelet_sym1-G_1-H6e-005_af4.wfa      | 393216 | 131072 | 131072 | 24 | 18672 | 192 | 192 | 32 | 128 | 16.74500981 | 3.063 | 19056 | 0.048461914 |
| lena32.bmp | lena32.bmp-withWavelet_bior1.1-G_1-H6e-005_af4.wfa   | 393216 | 131072 | 131072 | 24 | 18672 | 192 | 192 | 32 | 128 | 16.74500981 | 3.047 | 19056 | 0.048461914 |
| lena32.bmp | lena32.bmp-withWavelet_haar-G_0.8-H5e-005_af1.wfa    | 393216 | 131072 | 131072 | 24 | 18672 | 192 | 192 | 32 | 128 | 16.73691198 | 3.063 | 19056 | 0.048461914 |
| lena32.bmp | lena32.bmp-withWavelet_rbio1.1-G_0.8-H5e-005_af1.wfa | 393216 | 131072 | 131072 | 24 | 18672 | 192 | 192 | 32 | 128 | 16.73691198 | 3.156 | 19056 | 0.048461914 |
| lena32.bmp | lena32.bmp-withWavelet_sym1-G_0.8-H5e-005_af1.wfa    | 393216 | 131072 | 131072 | 24 | 18672 | 192 | 192 | 32 | 128 | 16.73691198 | 3.078 | 19056 | 0.048461914 |
| lena32.bmp | lena32.bmp-withWavelet_bior1.1-G_0.8-H5e-005_af1.wfa | 393216 | 131072 | 131072 | 24 | 18672 | 192 | 192 | 32 | 128 | 16.73691198 | 3.062 | 19056 | 0.048461914 |
| lena32.bmp | lena32.bmp-withWavelet_haar-G_1-H6e-005_af3.wfa      | 393216 | 131072 | 131072 | 24 | 18672 | 192 | 192 | 32 | 128 | 16.73234193 | 3.031 | 19056 | 0.048461914 |
| lena32.bmp | lena32.bmp-withWavelet_rbio1.1-G_1-H6e-005_af3.wfa   | 393216 | 131072 | 131072 | 24 | 18672 | 192 | 192 | 32 | 128 | 16.73234193 | 3.359 | 19056 | 0.048461914 |
| lena32.bmp | lena32.bmp-withWavelet_sym1-G_1-H6e-005_af3.wfa      | 393216 | 131072 | 131072 | 24 | 18672 | 192 | 192 | 32 | 128 | 16.73234193 | 3.203 | 19056 | 0.048461914 |
| lena32.bmp | lena32.bmp-withWavelet_bior1.1-G_1-H6e-005_af3.wfa   | 393216 | 131072 | 131072 | 24 | 18672 | 192 | 192 | 32 | 128 | 16.73234193 | 3.219 | 19056 | 0.048461914 |
| lena32.bmp | lena32.bmp-withWavelet_haar-G_0.8-H6e-005_af3.wfa    | 393216 | 131072 | 131072 | 24 | 18672 | 192 | 192 | 32 | 128 | 16.71244815 | 3.015 | 19056 | 0.048461914 |
| lena32.bmp | lena32.bmp-withWavelet_rbio1.1-G_0.8-H6e-005_af3.wfa | 393216 | 131072 | 131072 | 24 | 18672 | 192 | 192 | 32 | 128 | 16.71244815 | 3.015 | 19056 | 0.048461914 |
| lena32.bmp | lena32.bmp-withWavelet_sym1-G_0.8-H6e-005_af3.wfa    | 393216 | 131072 | 131072 | 24 | 18672 | 192 | 192 | 32 | 128 | 16.71244815 | 3.141 | 19056 | 0.048461914 |
| lena32.bmp | lena32.bmp-withWavelet_bior1.1-G_0.8-H6e-005_af3.wfa | 393216 | 131072 | 131072 | 24 | 18672 | 192 | 192 | 32 | 128 | 16.71244815 | 3.203 | 19056 | 0.048461914 |
| lena32.bmp | lena32.bmp-withWavelet_haar-G_0.8-H4e-005_af5.wfa    | 393216 | 131072 | 131072 | 24 | 18672 | 192 | 192 | 32 | 128 | 16.66956601 | 3.296 | 19056 | 0.048461914 |
| lena32.bmp | lena32.bmp-withWavelet_rbio1.1-G_0.8-H4e-005_af5.wfa | 393216 | 131072 | 131072 | 24 | 18672 | 192 | 192 | 32 | 128 | 16.66956601 | 3.093 | 19056 | 0.048461914 |
| lena32.bmp | lena32.bmp-withWavelet_sym1-G_0.8-H4e-005_af5.wfa    | 393216 | 131072 | 131072 | 24 | 18672 | 192 | 192 | 32 | 128 | 16.66956601 | 3.063 | 19056 | 0.048461914 |
| lena32.bmp | lena32.bmp-withWavelet_bior1.1-G_0.8-H4e-005_af5.wfa | 393216 | 131072 | 131072 | 24 | 18672 | 192 | 192 | 32 | 128 | 16.66956601 | 3.094 | 19056 | 0.048461914 |
| lena32.bmp | lena32.bmp-withWavelet_haar-G_0.8-H6e-005_af4.wfa    | 393216 | 131072 | 131072 | 24 | 18672 | 192 | 192 | 32 | 128 | 16.6100017  | 3.047 | 19056 | 0.048461914 |
| lena32.bmp | lena32.bmp-withWavelet_rbio1.1-G_0.8-H6e-005_af4.wfa | 393216 | 131072 | 131072 | 24 | 18672 | 192 | 192 | 32 | 128 | 16.6100017  | 3.063 | 19056 | 0.048461914 |
| lena32.bmp | lena32.bmp-withWavelet_sym1-G_0.8-H6e-005_af4.wfa    | 393216 | 131072 | 131072 | 24 | 18672 | 192 | 192 | 32 | 128 | 16.6100017  | 3.063 | 19056 | 0.048461914 |
| lena32.bmp | lena32.bmp-withWavelet_bior1.1-G_0.8-H6e-005_af4.wfa | 393216 | 131072 | 131072 | 24 | 18672 | 192 | 192 | 32 | 128 | 16.6100017  | 3.015 | 19056 | 0.048461914 |
| lena32.bmp | lena32.bmp-withWavelet_haar-G_0.6-H3e-005_af2.wfa    | 393216 | 131072 | 131072 | 24 | 18672 | 192 | 192 | 32 | 128 | 16.57913527 | 3.265 | 19056 | 0.048461914 |
| lena32.bmp | lena32.bmp-withWavelet_rbio1.1-G_0.6-H3e-005_af2.wfa | 393216 | 131072 | 131072 | 24 | 18672 | 192 | 192 | 32 | 128 | 16.57913527 | 3.078 | 19056 | 0.048461914 |
| lena32.bmp | lena32.bmp-withWavelet_sym1-G_0.6-H3e-005_af2.wfa    | 393216 | 131072 | 131072 | 24 | 18672 | 192 | 192 | 32 | 128 | 16.57913527 | 3.188 | 19056 | 0.048461914 |
| lena32.bmp | lena32.bmp-withWavelet_bior1.1-G_0.6-H3e-005_af2.wfa | 393216 | 131072 | 131072 | 24 | 18672 | 192 | 192 | 32 | 128 | 16.57913527 | 3.094 | 19056 | 0.048461914 |
| lena32.bmp | lena32.bmp-G_0.8-H9e-005_af4.wfa                     | 98304  | 32768  |        | 12 | 4848  | 96  | 96  | 32 | 64  | 16.05205263 | 0.562 | 5040  | 0.051269531 |
| lena32.bmp | lena32.bmp-G_0.8-H0.0001_af4.wfa                     | 98304  | 32768  |        | 12 | 4848  | 96  | 96  | 32 | 64  | 16.05205263 | 0.422 | 5040  | 0.051269531 |
| lena32.bmp | lena32.bmp-G_1-H0.0001_af4.wfa                       | 98304  | 32768  |        | 12 | 4848  | 96  | 96  | 32 | 64  | 16.02538724 | 0.531 | 5040  | 0.051269531 |



|            |  |        |        |        |    |       |     |     |    |     |             |       |       |             |
|------------|--|--------|--------|--------|----|-------|-----|-----|----|-----|-------------|-------|-------|-------------|
| lena32.bmp | lena32.bmp-G_1-H7e-005_af1.wfa                       | 393216 | 131072 |        | 25 | 20240 | 200 | 200 | 32 | 128 | 18.5145511  | 3.297 | 20640 | 0.052490234 |
| lena32.bmp | lena32.bmp-G_0.8-H7e-005_af1.wfa                     | 393216 | 131072 |        | 25 | 20240 | 200 | 200 | 32 | 128 | 18.41325854 | 3.39  | 20640 | 0.052490234 |
| lena32.bmp | lena32.bmp-G_1-H5e-005_af3.wfa                       | 393216 | 131072 |        | 25 | 20240 | 200 | 200 | 32 | 128 | 18.41059918 | 3.282 | 20640 | 0.052490234 |
| lena32.bmp | lena32.bmp-G_0.8-H5e-005_af3.wfa                     | 393216 | 131072 |        | 25 | 20240 | 200 | 200 | 32 | 128 | 18.40735857 | 3.297 | 20640 | 0.052490234 |
| lena32.bmp | lena32.bmp-G_0.8-H4e-005_af3.wfa                     | 393216 | 131072 |        | 25 | 20240 | 200 | 200 | 32 | 128 | 18.37430047 | 3.297 | 20640 | 0.052490234 |
| lena32.bmp | lena32.bmp-G_0.6-H4e-005_af2.wfa                     | 393216 | 131072 |        | 25 | 20240 | 200 | 200 | 32 | 128 | 18.12293185 | 3.297 | 20640 | 0.052490234 |
| lena32.bmp | lena32.bmp-withWavelet_haar-G_1-H2e-005_af2.wfa      | 393216 | 131072 | 131072 | 25 | 20240 | 200 | 200 | 32 | 128 | 17.10902389 | 3.329 | 20640 | 0.052490234 |
| lena32.bmp | lena32.bmp-withWavelet_rbio1.1-G_1-H2e-005_af2.wfa   | 393216 | 131072 | 131072 | 25 | 20240 | 200 | 200 | 32 | 128 | 17.10902389 | 3.515 | 20640 | 0.052490234 |
| lena32.bmp | lena32.bmp-withWavelet_sym1-G_1-H2e-005_af2.wfa      | 393216 | 131072 | 131072 | 25 | 20240 | 200 | 200 | 32 | 128 | 17.10902389 | 3.328 | 20640 | 0.052490234 |
| lena32.bmp | lena32.bmp-withWavelet_bior1.1-G_1-H2e-005_af2.wfa   | 393216 | 131072 | 131072 | 25 | 20240 | 200 | 200 | 32 | 128 | 17.10902389 | 3.391 | 20640 | 0.052490234 |
| lena32.bmp | lena32.bmp-withWavelet_haar-G_1-H3e-005_af2.wfa      | 393216 | 131072 | 131072 | 25 | 20240 | 200 | 200 | 32 | 128 | 17.08668458 | 3.453 | 20640 | 0.052490234 |
| lena32.bmp | lena32.bmp-withWavelet_rbio1.1-G_1-H3e-005_af2.wfa   | 393216 | 131072 | 131072 | 25 | 20240 | 200 | 200 | 32 | 128 | 17.08668458 | 4.063 | 20640 | 0.052490234 |
| lena32.bmp | lena32.bmp-withWavelet_sym1-G_1-H3e-005_af2.wfa      | 393216 | 131072 | 131072 | 25 | 20240 | 200 | 200 | 32 | 128 | 17.08668458 | 4.391 | 20640 | 0.052490234 |
| lena32.bmp | lena32.bmp-withWavelet_bior1.1-G_1-H3e-005_af2.wfa   | 393216 | 131072 | 131072 | 25 | 20240 | 200 | 200 | 32 | 128 | 17.08668458 | 3.578 | 20640 | 0.052490234 |
| lena32.bmp | lena32.bmp-withWavelet_haar-G_0.8-H3e-005_af5.wfa    | 393216 | 131072 | 131072 | 25 | 20240 | 200 | 200 | 32 | 128 | 16.88937402 | 3.515 | 20640 | 0.052490234 |
| lena32.bmp | lena32.bmp-withWavelet_rbio1.1-G_0.8-H3e-005_af5.wfa | 393216 | 131072 | 131072 | 25 | 20240 | 200 | 200 | 32 | 128 | 16.88937402 | 3.766 | 20640 | 0.052490234 |
| lena32.bmp | lena32.bmp-withWavelet_sym1-G_0.8-H3e-005_af5.wfa    | 393216 | 131072 | 131072 | 25 | 20240 | 200 | 200 | 32 | 128 | 16.88937402 | 3.313 | 20640 | 0.052490234 |
| lena32.bmp | lena32.bmp-withWavelet_bior1.1-G_0.8-H3e-005_af5.wfa | 393216 | 131072 | 131072 | 25 | 20240 | 200 | 200 | 32 | 128 | 16.88937402 | 3.5   | 20640 | 0.052490234 |
| lena32.bmp | lena32.bmp-withWavelet_haar-G_0.6-H6e-005_af3.wfa    | 393216 | 131072 | 131072 | 25 | 20240 | 200 | 200 | 32 | 128 | 16.50967639 | 3.234 | 20640 | 0.052490234 |
| lena32.bmp | lena32.bmp-withWavelet_rbio1.1-G_0.6-H6e-005_af3.wfa | 393216 | 131072 | 131072 | 25 | 20240 | 200 | 200 | 32 | 128 | 16.50967639 | 3.204 | 20640 | 0.052490234 |
| lena32.bmp | lena32.bmp-withWavelet_sym1-G_0.6-H6e-005_af3.wfa    | 393216 | 131072 | 131072 | 25 | 20240 | 200 | 200 | 32 | 128 | 16.50967639 | 3.219 | 20640 | 0.052490234 |
| lena32.bmp | lena32.bmp-withWavelet_bior1.1-G_0.6-H6e-005_af3.wfa | 393216 | 131072 | 131072 | 25 | 20240 | 200 | 200 | 32 | 128 | 16.50967639 | 3.203 | 20640 | 0.052490234 |
| lena32.bmp | lena32.bmp-withWavelet_haar-G_0.6-H7e-005_af3.wfa    | 393216 | 131072 | 131072 | 25 | 20240 | 200 | 200 | 32 | 128 | 16.42055771 | 3.344 | 20640 | 0.052490234 |
| lena32.bmp | lena32.bmp-withWavelet_rbio1.1-G_0.6-H7e-005_af3.wfa | 393216 | 131072 | 131072 | 25 | 20240 | 200 | 200 | 32 | 128 | 16.42055771 | 3.297 | 20640 | 0.052490234 |
| lena32.bmp | lena32.bmp-withWavelet_sym1-G_0.6-H7e-005_af3.wfa    | 393216 | 131072 | 131072 | 25 | 20240 | 200 | 200 | 32 | 128 | 16.42055771 | 3.281 | 20640 | 0.052490234 |
| lena32.bmp | lena32.bmp-withWavelet_bior1.1-G_0.6-H7e-005_af3.wfa | 393216 | 131072 | 131072 | 25 | 20240 | 200 | 200 | 32 | 128 | 16.42055771 | 3.297 | 20640 | 0.052490234 |
| lena32.bmp | lena32.bmp-withWavelet_haar-G_0.6-H7e-005_af4.wfa    | 393216 | 131072 | 131072 | 25 | 20240 | 200 | 200 | 32 | 128 | 16.09243498 | 3.281 | 20640 | 0.052490234 |
| lena32.bmp | lena32.bmp-withWavelet_rbio1.1-G_0.6-H7e-005_af4.wfa | 393216 | 131072 | 131072 | 25 | 20240 | 200 | 200 | 32 | 128 | 16.09243498 | 3.313 | 20640 | 0.052490234 |
| lena32.bmp | lena32.bmp-withWavelet_sym1-G_0.6-H7e-005_af4.wfa    | 393216 | 131072 | 131072 | 25 | 20240 | 200 | 200 | 32 | 128 | 16.09243498 | 3.312 | 20640 | 0.052490234 |
| lena32.bmp | lena32.bmp-withWavelet_bior1.1-G_0.6-H7e-005_af4.wfa | 393216 | 131072 | 131072 | 25 | 20240 | 200 | 200 | 32 | 128 | 16.09243498 | 3.437 | 20640 | 0.052490234 |
| lena32.bmp | lena32.bmp-withWavelet_haar-G_0.6-H3e-005_af5.wfa    | 393216 | 131072 | 131072 | 25 | 20240 | 200 | 200 | 32 | 128 | 15.92433951 | 3.344 | 20640 | 0.052490234 |

|            |  |        |        |        |    |       |     |     |    |     |             |       |       |             |
|------------|--|--------|--------|--------|----|-------|-----|-----|----|-----|-------------|-------|-------|-------------|
| lena32.bmp | lena32.bmp-withWavelet_rbio1.1-G_0.6-H3e-005_af5.wfa | 393216 | 131072 | 131072 | 25 | 20240 | 200 | 200 | 32 | 128 | 15.92433951 | 3.313 | 20640 | 0.052490234 |
| lena32.bmp | lena32.bmp-withWavelet_sym1-G_0.6-H3e-005_af5.wfa    | 393216 | 131072 | 131072 | 25 | 20240 | 200 | 200 | 32 | 128 | 15.92433951 | 3.297 | 20640 | 0.052490234 |
| lena32.bmp | lena32.bmp-withWavelet_bior1.1-G_0.6-H3e-005_af5.wfa | 393216 | 131072 | 131072 | 25 | 20240 | 200 | 200 | 32 | 128 | 15.92433951 | 3.453 | 20640 | 0.052490234 |
| lena32.bmp | lena32.bmp-G_1-H3e-005_af5.wfa                       | 393216 | 131072 |        | 26 | 21872 | 208 | 208 | 32 | 128 | 18.52934041 | 3.515 | 22288 | 0.056681315 |
| lena32.bmp | lena32.bmp-G_0.8-H3e-005_af5.wfa                     | 393216 | 131072 |        | 26 | 21872 | 208 | 208 | 32 | 128 | 18.52549334 | 3.422 | 22288 | 0.056681315 |
| lena32.bmp | lena32.bmp-G_0.8-H6e-005_af1.wfa                     | 393216 | 131072 |        | 26 | 21872 | 208 | 208 | 32 | 128 | 18.45778774 | 3.687 | 22288 | 0.056681315 |
| lena32.bmp | lena32.bmp-G_0.6-H3e-005_af5.wfa                     | 393216 | 131072 |        | 26 | 21872 | 208 | 208 | 32 | 128 | 18.13610006 | 3.422 | 22288 | 0.056681315 |
| lena32.bmp | lena32.bmp-G_0.6-H4e-005_af3.wfa                     | 393216 | 131072 |        | 26 | 21872 | 208 | 208 | 32 | 128 | 18.0667751  | 3.39  | 22288 | 0.056681315 |
| lena32.bmp | lena32.bmp-withWavelet_haar-G_1-H5e-005_af4.wfa      | 393216 | 131072 | 131072 | 26 | 21872 | 208 | 208 | 32 | 128 | 16.59470052 | 3.422 | 22288 | 0.056681315 |
| lena32.bmp | lena32.bmp-withWavelet_rbio1.1-G_1-H5e-005_af4.wfa   | 393216 | 131072 | 131072 | 26 | 21872 | 208 | 208 | 32 | 128 | 16.59470052 | 3.406 | 22288 | 0.056681315 |
| lena32.bmp | lena32.bmp-withWavelet_sym1-G_1-H5e-005_af4.wfa      | 393216 | 131072 | 131072 | 26 | 21872 | 208 | 208 | 32 | 128 | 16.59470052 | 3.406 | 22288 | 0.056681315 |
| lena32.bmp | lena32.bmp-withWavelet_bior1.1-G_1-H5e-005_af4.wfa   | 393216 | 131072 | 131072 | 26 | 21872 | 208 | 208 | 32 | 128 | 16.59470052 | 3.422 | 22288 | 0.056681315 |
| lena32.bmp | lena32.bmp-withWavelet_haar-G_0.8-H5e-005_af4.wfa    | 393216 | 131072 | 131072 | 26 | 21872 | 208 | 208 | 32 | 128 | 16.54529434 | 3.391 | 22288 | 0.056681315 |
| lena32.bmp | lena32.bmp-withWavelet_rbio1.1-G_0.8-H5e-005_af4.wfa | 393216 | 131072 | 131072 | 26 | 21872 | 208 | 208 | 32 | 128 | 16.54529434 | 3.406 | 22288 | 0.056681315 |
| lena32.bmp | lena32.bmp-withWavelet_sym1-G_0.8-H5e-005_af4.wfa    | 393216 | 131072 | 131072 | 26 | 21872 | 208 | 208 | 32 | 128 | 16.54529434 | 3.438 | 22288 | 0.056681315 |
| lena32.bmp | lena32.bmp-withWavelet_bior1.1-G_0.8-H5e-005_af4.wfa | 393216 | 131072 | 131072 | 26 | 21872 | 208 | 208 | 32 | 128 | 16.54529434 | 3.406 | 22288 | 0.056681315 |
| lena32.bmp | lena32.bmp-withWavelet_haar-G_1-H4e-005_af5.wfa      | 393216 | 131072 | 131072 | 26 | 21872 | 208 | 208 | 32 | 128 | 16.4005389  | 3.407 | 22288 | 0.056681315 |
| lena32.bmp | lena32.bmp-withWavelet_rbio1.1-G_1-H4e-005_af5.wfa   | 393216 | 131072 | 131072 | 26 | 21872 | 208 | 208 | 32 | 128 | 16.4005389  | 3.437 | 22288 | 0.056681315 |
| lena32.bmp | lena32.bmp-withWavelet_sym1-G_1-H4e-005_af5.wfa      | 393216 | 131072 | 131072 | 26 | 21872 | 208 | 208 | 32 | 128 | 16.4005389  | 3.422 | 22288 | 0.056681315 |
| lena32.bmp | lena32.bmp-withWavelet_bior1.1-G_1-H4e-005_af5.wfa   | 393216 | 131072 | 131072 | 26 | 21872 | 208 | 208 | 32 | 128 | 16.4005389  | 3.39  | 22288 | 0.056681315 |
| lena32.bmp | lena32.bmp-G_0.6-H0.0001_af4.wfa                     | 98304  | 32768  |        | 13 | 5648  | 104 | 104 | 32 | 64  | 16.18235903 | 0.454 | 5856  | 0.059570313 |
| lena32.bmp | lena32.bmp-G_0.6-H9e-005_af4.wfa                     | 98304  | 32768  |        | 13 | 5648  | 104 | 104 | 32 | 64  | 16.18024847 | 0.547 | 5856  | 0.059570313 |
| lena32.bmp | lena32.bmp-G_1-H8e-005_af4.wfa                       | 98304  | 32768  |        | 13 | 5648  | 104 | 104 | 32 | 64  | 16.10865289 | 0.5   | 5856  | 0.059570313 |
| lena32.bmp | lena32.bmp-G_1-H9e-005_af4.wfa                       | 98304  | 32768  |        | 13 | 5648  | 104 | 104 | 32 | 64  | 16.10434994 | 0.547 | 5856  | 0.059570313 |
| lena32.bmp | lena32.bmp-G_1-H3e-005_af2.wfa                       | 393216 | 131072 |        | 27 | 23568 | 216 | 216 | 32 | 128 | 18.6845526  | 4.172 | 24000 | 0.061035156 |
| lena32.bmp | lena32.bmp-G_0.8-H3e-005_af2.wfa                     | 393216 | 131072 |        | 27 | 23568 | 216 | 216 | 32 | 128 | 18.67368064 | 3.687 | 24000 | 0.061035156 |
| lena32.bmp | lena32.bmp-G_1-H4e-005_af3.wfa                       | 393216 | 131072 |        | 27 | 23568 | 216 | 216 | 32 | 128 | 18.437232   | 3.64  | 24000 | 0.061035156 |
| lena32.bmp | lena32.bmp-G_0.6-H6e-005_af1.wfa                     | 393216 | 131072 |        | 27 | 23568 | 216 | 216 | 32 | 128 | 18.11953563 | 3.609 | 24000 | 0.061035156 |
| lena32.bmp | lena32.bmp-G_0.6-H3e-005_af3.wfa                     | 393216 | 131072 |        | 27 | 23568 | 216 | 216 | 32 | 128 | 17.9222649  | 4.016 | 24000 | 0.061035156 |
| lena32.bmp | lena32.bmp-withWavelet_haar-G_0.8-H2e-005_af2.wfa    | 393216 | 131072 | 131072 | 27 | 23568 | 216 | 216 | 32 | 128 | 16.84702613 | 3.672 | 24000 | 0.061035156 |
| lena32.bmp | lena32.bmp-withWavelet_rbio1.1-G_0.8-H2e-005_af2.wfa | 393216 | 131072 | 131072 | 27 | 23568 | 216 | 216 | 32 | 128 | 16.84702613 | 3.75  | 24000 | 0.061035156 |

|            |  |        |        |        |    |       |     |     |    |     |             |       |       |             |
|------------|--|--------|--------|--------|----|-------|-----|-----|----|-----|-------------|-------|-------|-------------|
| lena32.bmp | lena32.bmp-withWavelet_sym1-G_0.8-H2e-005_af2.wfa    | 393216 | 131072 | 131072 | 27 | 23568 | 216 | 216 | 32 | 128 | 16.84702613 | 3.984 | 24000 | 0.061035156 |
| lena32.bmp | lena32.bmp-withWavelet_bior1.1-G_0.8-H2e-005_af2.wfa | 393216 | 131072 | 131072 | 27 | 23568 | 216 | 216 | 32 | 128 | 16.84702613 | 3.688 | 24000 | 0.061035156 |
| lena32.bmp | lena32.bmp-withWavelet_haar-G_1-H3e-005_af5.wfa      | 393216 | 131072 | 131072 | 27 | 23568 | 216 | 216 | 32 | 128 | 16.56652757 | 3.765 | 24000 | 0.061035156 |
| lena32.bmp | lena32.bmp-withWavelet_rbio1.1-G_1-H3e-005_af5.wfa   | 393216 | 131072 | 131072 | 27 | 23568 | 216 | 216 | 32 | 128 | 16.56652757 | 3.703 | 24000 | 0.061035156 |
| lena32.bmp | lena32.bmp-withWavelet_sym1-G_1-H3e-005_af5.wfa      | 393216 | 131072 | 131072 | 27 | 23568 | 216 | 216 | 32 | 128 | 16.56652757 | 3.656 | 24000 | 0.061035156 |
| lena32.bmp | lena32.bmp-withWavelet_bior1.1-G_1-H3e-005_af5.wfa   | 393216 | 131072 | 131072 | 27 | 23568 | 216 | 216 | 32 | 128 | 16.56652757 | 3.75  | 24000 | 0.061035156 |
| lena32.bmp | lena32.bmp-withWavelet_haar-G_0.6-H5e-005_af1.wfa    | 393216 | 131072 | 131072 | 27 | 23568 | 216 | 216 | 32 | 128 | 16.12948236 | 3.64  | 24000 | 0.061035156 |
| lena32.bmp | lena32.bmp-withWavelet_rbio1.1-G_0.6-H5e-005_af1.wfa | 393216 | 131072 | 131072 | 27 | 23568 | 216 | 216 | 32 | 128 | 16.12948236 | 3.625 | 24000 | 0.061035156 |
| lena32.bmp | lena32.bmp-withWavelet_sym1-G_0.6-H5e-005_af1.wfa    | 393216 | 131072 | 131072 | 27 | 23568 | 216 | 216 | 32 | 128 | 16.12948236 | 3.719 | 24000 | 0.061035156 |
| lena32.bmp | lena32.bmp-withWavelet_bior1.1-G_0.6-H5e-005_af1.wfa | 393216 | 131072 | 131072 | 27 | 23568 | 216 | 216 | 32 | 128 | 16.12948236 | 3.641 | 24000 | 0.061035156 |
| lena32.bmp | lena32.bmp-withWavelet_haar-G_0.6-H2e-005_af2.wfa    | 393216 | 131072 | 131072 | 27 | 23568 | 216 | 216 | 32 | 128 | 16.06265225 | 3.875 | 24000 | 0.061035156 |
| lena32.bmp | lena32.bmp-withWavelet_rbio1.1-G_0.6-H2e-005_af2.wfa | 393216 | 131072 | 131072 | 27 | 23568 | 216 | 216 | 32 | 128 | 16.06265225 | 3.859 | 24000 | 0.061035156 |
| lena32.bmp | lena32.bmp-withWavelet_sym1-G_0.6-H2e-005_af2.wfa    | 393216 | 131072 | 131072 | 27 | 23568 | 216 | 216 | 32 | 128 | 16.06265225 | 3.859 | 24000 | 0.061035156 |
| lena32.bmp | lena32.bmp-withWavelet_bior1.1-G_0.6-H2e-005_af2.wfa | 393216 | 131072 | 131072 | 27 | 23568 | 216 | 216 | 32 | 128 | 16.06265225 | 3.875 | 24000 | 0.061035156 |
| lena32.bmp | lena32.bmp-withWavelet_haar-G_0.6-H6e-005_af4.wfa    | 393216 | 131072 | 131072 | 27 | 23568 | 216 | 216 | 32 | 128 | 15.89312604 | 3.609 | 24000 | 0.061035156 |
| lena32.bmp | lena32.bmp-withWavelet_rbio1.1-G_0.6-H6e-005_af4.wfa | 393216 | 131072 | 131072 | 27 | 23568 | 216 | 216 | 32 | 128 | 15.89312604 | 3.594 | 24000 | 0.061035156 |
| lena32.bmp | lena32.bmp-withWavelet_sym1-G_0.6-H6e-005_af4.wfa    | 393216 | 131072 | 131072 | 27 | 23568 | 216 | 216 | 32 | 128 | 15.89312604 | 3.969 | 24000 | 0.061035156 |
| lena32.bmp | lena32.bmp-withWavelet_bior1.1-G_0.6-H6e-005_af4.wfa | 393216 | 131072 | 131072 | 27 | 23568 | 216 | 216 | 32 | 128 | 15.89312604 | 3.563 | 24000 | 0.061035156 |
| lena32.bmp | lena32.bmp-G_1-H2e-005_af5.wfa                       | 393216 | 131072 |        | 28 | 25328 | 224 | 224 | 32 | 128 | 18.71646107 | 3.86  | 25776 | 0.065551758 |
| lena32.bmp | lena32.bmp-G_1-H2e-005_af2.wfa                       | 393216 | 131072 |        | 28 | 25328 | 224 | 224 | 32 | 128 | 18.67512923 | 3.891 | 25776 | 0.065551758 |
| lena32.bmp | lena32.bmp-G_0.8-H2e-005_af2.wfa                     | 393216 | 131072 |        | 28 | 25328 | 224 | 224 | 32 | 128 | 18.66543469 | 3.875 | 25776 | 0.065551758 |
| lena32.bmp | lena32.bmp-G_1-H3e-005_af3.wfa                       | 393216 | 131072 |        | 28 | 25328 | 224 | 224 | 32 | 128 | 18.56915062 | 4.703 | 25776 | 0.065551758 |
| lena32.bmp | lena32.bmp-G_0.8-H3e-005_af3.wfa                     | 393216 | 131072 |        | 28 | 25328 | 224 | 224 | 32 | 128 | 18.55495545 | 3.937 | 25776 | 0.065551758 |
| lena32.bmp | lena32.bmp-G_1-H6e-005_af1.wfa                       | 393216 | 131072 |        | 28 | 25328 | 224 | 224 | 32 | 128 | 18.53522834 | 3.781 | 25776 | 0.065551758 |
| lena32.bmp | lena32.bmp-G_0.6-H5e-005_af1.wfa                     | 393216 | 131072 |        | 28 | 25328 | 224 | 224 | 32 | 128 | 18.21480843 | 3.766 | 25776 | 0.065551758 |
| lena32.bmp | lena32.bmp-G_0.6-H2e-005_af2.wfa                     | 393216 | 131072 |        | 28 | 25328 | 224 | 224 | 32 | 128 | 18.21183062 | 4.031 | 25776 | 0.065551758 |
| lena32.bmp | lena32.bmp-G_0.6-H3e-005_af2.wfa                     | 393216 | 131072 |        | 28 | 25328 | 224 | 224 | 32 | 128 | 18.21183062 | 3.797 | 25776 | 0.065551758 |
| lena32.bmp | lena32.bmp-withWavelet_haar-G_1-H4e-005_af4.wfa      | 393216 | 131072 | 131072 | 28 | 25328 | 224 | 224 | 32 | 128 | 16.53049199 | 3.797 | 25776 | 0.065551758 |
| lena32.bmp | lena32.bmp-withWavelet_rbio1.1-G_1-H4e-005_af4.wfa   | 393216 | 131072 | 131072 | 28 | 25328 | 224 | 224 | 32 | 128 | 16.53049199 | 3.86  | 25776 | 0.065551758 |
| lena32.bmp | lena32.bmp-withWavelet_sym1-G_1-H4e-005_af4.wfa      | 393216 | 131072 | 131072 | 28 | 25328 | 224 | 224 | 32 | 128 | 16.53049199 | 3.828 | 25776 | 0.065551758 |
| lena32.bmp | lena32.bmp-withWavelet_bior1.1-G_1-H4e-005_af4.wfa   | 393216 | 131072 | 131072 | 28 | 25328 | 224 | 224 | 32 | 128 | 16.53049199 | 3.906 | 25776 | 0.065551758 |

|            |  |        |        |        |    |       |     |     |    |     |             |       |       |             |
|------------|--|--------|--------|--------|----|-------|-----|-----|----|-----|-------------|-------|-------|-------------|
| lena32.bmp | lena32.bmp-withWavelet_haar-G_0.8-H4e-005_af4.wfa    | 393216 | 131072 | 131072 | 28 | 25328 | 224 | 224 | 32 | 128 | 16.48691153 | 3.781 | 25776 | 0.065551758 |
| lena32.bmp | lena32.bmp-withWavelet_rbio1.1-G_0.8-H4e-005_af4.wfa | 393216 | 131072 | 131072 | 28 | 25328 | 224 | 224 | 32 | 128 | 16.48691153 | 3.797 | 25776 | 0.065551758 |
| lena32.bmp | lena32.bmp-withWavelet_sym1-G_0.8-H4e-005_af4.wfa    | 393216 | 131072 | 131072 | 28 | 25328 | 224 | 224 | 32 | 128 | 16.48691153 | 3.797 | 25776 | 0.065551758 |
| lena32.bmp | lena32.bmp-withWavelet_bior1.1-G_0.8-H4e-005_af4.wfa | 393216 | 131072 | 131072 | 28 | 25328 | 224 | 224 | 32 | 128 | 16.48691153 | 3.797 | 25776 | 0.065551758 |
| lena32.bmp | lena32.bmp-withWavelet_haar-G_0.6-H1e-005_af2.wfa    | 393216 | 131072 | 131072 | 28 | 25328 | 224 | 224 | 32 | 128 | 15.92851441 | 3.781 | 25776 | 0.065551758 |
| lena32.bmp | lena32.bmp-withWavelet_rbio1.1-G_0.6-H1e-005_af2.wfa | 393216 | 131072 | 131072 | 28 | 25328 | 224 | 224 | 32 | 128 | 15.92851441 | 3.828 | 25776 | 0.065551758 |
| lena32.bmp | lena32.bmp-withWavelet_sym1-G_0.6-H1e-005_af2.wfa    | 393216 | 131072 | 131072 | 28 | 25328 | 224 | 224 | 32 | 128 | 15.92851441 | 3.875 | 25776 | 0.065551758 |
| lena32.bmp | lena32.bmp-withWavelet_bior1.1-G_0.6-H1e-005_af2.wfa | 393216 | 131072 | 131072 | 28 | 25328 | 224 | 224 | 32 | 128 | 15.92851441 | 3.875 | 25776 | 0.065551758 |
| lena32.bmp | lena32.bmp-withWavelet_haar-G_0.6-H5e-005_af4.wfa    | 393216 | 131072 | 131072 | 28 | 25328 | 224 | 224 | 32 | 128 | 15.88658265 | 3.75  | 25776 | 0.065551758 |
| lena32.bmp | lena32.bmp-withWavelet_rbio1.1-G_0.6-H5e-005_af4.wfa | 393216 | 131072 | 131072 | 28 | 25328 | 224 | 224 | 32 | 128 | 15.88658265 | 3.828 | 25776 | 0.065551758 |
| lena32.bmp | lena32.bmp-withWavelet_sym1-G_0.6-H5e-005_af4.wfa    | 393216 | 131072 | 131072 | 28 | 25328 | 224 | 224 | 32 | 128 | 15.88658265 | 3.796 | 25776 | 0.065551758 |
| lena32.bmp | lena32.bmp-withWavelet_bior1.1-G_0.6-H5e-005_af4.wfa | 393216 | 131072 | 131072 | 28 | 25328 | 224 | 224 | 32 | 128 | 15.88658265 | 3.781 | 25776 | 0.065551758 |
| lena32.bmp | lena32.bmp-withWavelet_haar-G_0.6-H2e-005_af5.wfa    | 393216 | 131072 | 131072 | 28 | 25328 | 224 | 224 | 32 | 128 | 15.79096006 | 4.015 | 25776 | 0.065551758 |
| lena32.bmp | lena32.bmp-withWavelet_rbio1.1-G_0.6-H2e-005_af5.wfa | 393216 | 131072 | 131072 | 28 | 25328 | 224 | 224 | 32 | 128 | 15.79096006 | 4.829 | 25776 | 0.065551758 |
| lena32.bmp | lena32.bmp-withWavelet_sym1-G_0.6-H2e-005_af5.wfa    | 393216 | 131072 | 131072 | 28 | 25328 | 224 | 224 | 32 | 128 | 15.79096006 | 4.875 | 25776 | 0.065551758 |
| lena32.bmp | lena32.bmp-withWavelet_bior1.1-G_0.6-H2e-005_af5.wfa | 393216 | 131072 | 131072 | 28 | 25328 | 224 | 224 | 32 | 128 | 15.79096006 | 4     | 25776 | 0.065551758 |
| lena32.bmp | lena32.bmp-G_0.6-H8e-005_af4.wfa                     | 98304  | 32768  |        | 14 | 6512  | 112 | 112 | 32 | 64  | 16.26568863 | 0.422 | 6736  | 0.068522135 |
| lena32.bmp | lena32.bmp-G_0.6-H7e-005_af4.wfa                     | 98304  | 32768  |        | 14 | 6512  | 112 | 112 | 32 | 64  | 16.24963891 | 0.437 | 6736  | 0.068522135 |
| lena32.bmp | lena32.bmp-G_0.6-H6e-005_af4.wfa                     | 98304  | 32768  |        | 14 | 6512  | 112 | 112 | 32 | 64  | 16.24325928 | 0.468 | 6736  | 0.068522135 |
| lena32.bmp | lena32.bmp-G_0.8-H8e-005_af4.wfa                     | 98304  | 32768  |        | 14 | 6512  | 112 | 112 | 32 | 64  | 16.21774306 | 0.437 | 6736  | 0.068522135 |
| lena32.bmp | lena32.bmp-G_0.8-H7e-005_af4.wfa                     | 98304  | 32768  |        | 14 | 6512  | 112 | 112 | 32 | 64  | 16.204983   | 0.484 | 6736  | 0.068522135 |
| lena32.bmp | lena32.bmp-G_1-H7e-005_af4.wfa                       | 98304  | 32768  |        | 14 | 6512  | 112 | 112 | 32 | 64  | 16.16828661 | 0.438 | 6736  | 0.068522135 |
| lena32.bmp | lena32.bmp-G_0.8-H2e-005_af5.wfa                     | 393216 | 131072 |        | 29 | 27152 | 232 | 232 | 32 | 128 | 18.69398653 | 4.141 | 27616 | 0.07023112  |
| lena32.bmp | lena32.bmp-G_1-H5e-005_af1.wfa                       | 393216 | 131072 |        | 29 | 27152 | 232 | 232 | 32 | 128 | 18.60247995 | 4.047 | 27616 | 0.07023112  |
| lena32.bmp | lena32.bmp-G_0.8-H5e-005_af1.wfa                     | 393216 | 131072 |        | 29 | 27152 | 232 | 232 | 32 | 128 | 18.59404706 | 4.047 | 27616 | 0.07023112  |
| lena32.bmp | lena32.bmp-G_0.6-H2e-005_af3.wfa                     | 393216 | 131072 |        | 29 | 27152 | 232 | 232 | 32 | 128 | 18.24740034 | 4.312 | 27616 | 0.07023112  |
| lena32.bmp | lena32.bmp-withWavelet_haar-G_1-H1e-005_af2.wfa      | 393216 | 131072 | 131072 | 29 | 27152 | 232 | 232 | 32 | 128 | 16.58419417 | 4.188 | 27616 | 0.07023112  |
| lena32.bmp | lena32.bmp-withWavelet_rbio1.1-G_1-H1e-005_af2.wfa   | 393216 | 131072 | 131072 | 29 | 27152 | 232 | 232 | 32 | 128 | 16.58419417 | 4.094 | 27616 | 0.07023112  |
| lena32.bmp | lena32.bmp-withWavelet_sym1-G_1-H1e-005_af2.wfa      | 393216 | 131072 | 131072 | 29 | 27152 | 232 | 232 | 32 | 128 | 16.58419417 | 4.109 | 27616 | 0.07023112  |
| lena32.bmp | lena32.bmp-withWavelet_bior1.1-G_1-H1e-005_af2.wfa   | 393216 | 131072 | 131072 | 29 | 27152 | 232 | 232 | 32 | 128 | 16.58419417 | 4.125 | 27616 | 0.07023112  |
| lena32.bmp | lena32.bmp-withWavelet_haar-G_0.8-H1e-005_af2.wfa    | 393216 | 131072 | 131072 | 29 | 27152 | 232 | 232 | 32 | 128 | 16.58088783 | 4.25  | 27616 | 0.07023112  |

|            |  |        |        |        |    |       |     |     |    |     |             |       |       |             |
|------------|--|--------|--------|--------|----|-------|-----|-----|----|-----|-------------|-------|-------|-------------|
| lena32.bmp | lena32.bmp-withWavelet_rbio1.1-G_0.8-H1e-005_af2.wfa | 393216 | 131072 | 131072 | 29 | 27152 | 232 | 232 | 32 | 128 | 16.58088783 | 4.078 | 27616 | 0.07023112  |
| lena32.bmp | lena32.bmp-withWavelet_sym1-G_0.8-H1e-005_af2.wfa    | 393216 | 131072 | 131072 | 29 | 27152 | 232 | 232 | 32 | 128 | 16.58088783 | 4.062 | 27616 | 0.07023112  |
| lena32.bmp | lena32.bmp-withWavelet_bior1.1-G_0.8-H1e-005_af2.wfa | 393216 | 131072 | 131072 | 29 | 27152 | 232 | 232 | 32 | 128 | 16.58088783 | 4.265 | 27616 | 0.07023112  |
| lena32.bmp | lena32.bmp-withWavelet_haar-G_1-H2e-005_af5.wfa      | 393216 | 131072 | 131072 | 29 | 27152 | 232 | 232 | 32 | 128 | 16.48134794 | 4.187 | 27616 | 0.07023112  |
| lena32.bmp | lena32.bmp-withWavelet_rbio1.1-G_1-H2e-005_af5.wfa   | 393216 | 131072 | 131072 | 29 | 27152 | 232 | 232 | 32 | 128 | 16.48134794 | 4.141 | 27616 | 0.07023112  |
| lena32.bmp | lena32.bmp-withWavelet_sym1-G_1-H2e-005_af5.wfa      | 393216 | 131072 | 131072 | 29 | 27152 | 232 | 232 | 32 | 128 | 16.48134794 | 4.282 | 27616 | 0.07023112  |
| lena32.bmp | lena32.bmp-withWavelet_bior1.1-G_1-H2e-005_af5.wfa   | 393216 | 131072 | 131072 | 29 | 27152 | 232 | 232 | 32 | 128 | 16.48134794 | 4.078 | 27616 | 0.07023112  |
| lena32.bmp | lena32.bmp-withWavelet_haar-G_0.8-H2e-005_af5.wfa    | 393216 | 131072 | 131072 | 29 | 27152 | 232 | 232 | 32 | 128 | 16.47552175 | 5.172 | 27616 | 0.07023112  |
| lena32.bmp | lena32.bmp-withWavelet_rbio1.1-G_0.8-H2e-005_af5.wfa | 393216 | 131072 | 131072 | 29 | 27152 | 232 | 232 | 32 | 128 | 16.47552175 | 5.172 | 27616 | 0.07023112  |
| lena32.bmp | lena32.bmp-withWavelet_sym1-G_0.8-H2e-005_af5.wfa    | 393216 | 131072 | 131072 | 29 | 27152 | 232 | 232 | 32 | 128 | 16.47552175 | 4.297 | 27616 | 0.07023112  |
| lena32.bmp | lena32.bmp-withWavelet_bior1.1-G_0.8-H2e-005_af5.wfa | 393216 | 131072 | 131072 | 29 | 27152 | 232 | 232 | 32 | 128 | 16.47552175 | 4.297 | 27616 | 0.07023112  |
| lena32.bmp | lena32.bmp-withWavelet_haar-G_1-H5e-005_af3.wfa      | 393216 | 131072 | 131072 | 29 | 27152 | 232 | 232 | 32 | 128 | 16.29449    | 4.188 | 27616 | 0.07023112  |
| lena32.bmp | lena32.bmp-withWavelet_rbio1.1-G_1-H5e-005_af3.wfa   | 393216 | 131072 | 131072 | 29 | 27152 | 232 | 232 | 32 | 128 | 16.29449    | 4.047 | 27616 | 0.07023112  |
| lena32.bmp | lena32.bmp-withWavelet_sym1-G_1-H5e-005_af3.wfa      | 393216 | 131072 | 131072 | 29 | 27152 | 232 | 232 | 32 | 128 | 16.29449    | 4.125 | 27616 | 0.07023112  |
| lena32.bmp | lena32.bmp-withWavelet_bior1.1-G_1-H5e-005_af3.wfa   | 393216 | 131072 | 131072 | 29 | 27152 | 232 | 232 | 32 | 128 | 16.29449    | 4.063 | 27616 | 0.07023112  |
| lena32.bmp | lena32.bmp-withWavelet_haar-G_0.8-H5e-005_af3.wfa    | 393216 | 131072 | 131072 | 29 | 27152 | 232 | 232 | 32 | 128 | 16.29363365 | 4.047 | 27616 | 0.07023112  |
| lena32.bmp | lena32.bmp-withWavelet_rbio1.1-G_0.8-H5e-005_af3.wfa | 393216 | 131072 | 131072 | 29 | 27152 | 232 | 232 | 32 | 128 | 16.29363365 | 4.047 | 27616 | 0.07023112  |
| lena32.bmp | lena32.bmp-withWavelet_sym1-G_0.8-H5e-005_af3.wfa    | 393216 | 131072 | 131072 | 29 | 27152 | 232 | 232 | 32 | 128 | 16.29363365 | 4.078 | 27616 | 0.07023112  |
| lena32.bmp | lena32.bmp-withWavelet_bior1.1-G_0.8-H5e-005_af3.wfa | 393216 | 131072 | 131072 | 29 | 27152 | 232 | 232 | 32 | 128 | 16.29363365 | 4.078 | 27616 | 0.07023112  |
| lena32.bmp | lena32.bmp-G_0.8-H4e-005_af1.wfa                     | 393216 | 131072 |        | 30 | 29040 | 240 | 240 | 32 | 128 | 18.59875933 | 4.235 | 29520 | 0.075073242 |
| lena32.bmp | lena32.bmp-G_0.6-H2e-005_af5.wfa                     | 393216 | 131072 |        | 30 | 29040 | 240 | 240 | 32 | 128 | 18.52140435 | 4.407 | 29520 | 0.075073242 |
| lena32.bmp | lena32.bmp-G_0.6-H1e-005_af3.wfa                     | 393216 | 131072 |        | 30 | 29040 | 240 | 240 | 32 | 128 | 18.3074124  | 4.234 | 29520 | 0.075073242 |
| lena32.bmp | lena32.bmp-G_0.6-H4e-005_af1.wfa                     | 393216 | 131072 |        | 30 | 29040 | 240 | 240 | 32 | 128 | 18.23407351 | 4.188 | 29520 | 0.075073242 |
| lena32.bmp | lena32.bmp-G_0.6-H3e-005_af1.wfa                     | 393216 | 131072 |        | 30 | 29040 | 240 | 240 | 32 | 128 | 18.23231448 | 4.188 | 29520 | 0.075073242 |
| lena32.bmp | lena32.bmp-withWavelet_haar-G_1-H1e-005_af5.wfa      | 393216 | 131072 | 131072 | 30 | 29040 | 240 | 240 | 32 | 128 | 16.58886837 | 4.219 | 29520 | 0.075073242 |
| lena32.bmp | lena32.bmp-withWavelet_rbio1.1-G_1-H1e-005_af5.wfa   | 393216 | 131072 | 131072 | 30 | 29040 | 240 | 240 | 32 | 128 | 16.58886837 | 4.281 | 29520 | 0.075073242 |
| lena32.bmp | lena32.bmp-withWavelet_sym1-G_1-H1e-005_af5.wfa      | 393216 | 131072 | 131072 | 30 | 29040 | 240 | 240 | 32 | 128 | 16.58886837 | 4.203 | 29520 | 0.075073242 |
| lena32.bmp | lena32.bmp-withWavelet_bior1.1-G_1-H1e-005_af5.wfa   | 393216 | 131072 | 131072 | 30 | 29040 | 240 | 240 | 32 | 128 | 16.58886837 | 4.407 | 29520 | 0.075073242 |
| lena32.bmp | lena32.bmp-withWavelet_haar-G_1-H3e-005_af4.wfa      | 393216 | 131072 | 131072 | 30 | 29040 | 240 | 240 | 32 | 128 | 16.33155198 | 5.578 | 29520 | 0.075073242 |
| lena32.bmp | lena32.bmp-withWavelet_rbio1.1-G_1-H3e-005_af4.wfa   | 393216 | 131072 | 131072 | 30 | 29040 | 240 | 240 | 32 | 128 | 16.33155198 | 5.156 | 29520 | 0.075073242 |
| lena32.bmp | lena32.bmp-withWavelet_sym1-G_1-H3e-005_af4.wfa      | 393216 | 131072 | 131072 | 30 | 29040 | 240 | 240 | 32 | 128 | 16.33155198 | 4.968 | 29520 | 0.075073242 |



|            |  |        |        |        |    |       |     |     |    |     |             |       |       |             |
|------------|--|--------|--------|--------|----|-------|-----|-----|----|-----|-------------|-------|-------|-------------|
| lena32.bmp | lena32.bmp-withWavelet_sym1-G_0.6-H5e-005_af3.wfa    | 393216 | 131072 | 131072 | 30 | 29040 | 240 | 240 | 32 | 128 | 15.71374913 | 4.203 | 29520 | 0.075073242 |
| lena32.bmp | lena32.bmp-withWavelet_bior1.1-G_0.6-H5e-005_af3.wfa | 393216 | 131072 | 131072 | 30 | 29040 | 240 | 240 | 32 | 128 | 15.71374913 | 4.281 | 29520 | 0.075073242 |
| lena32.bmp | lena32.bmp-withWavelet_haar-G_0.6-H1e-005_af5.wfa    | 393216 | 131072 | 131072 | 30 | 29040 | 240 | 240 | 32 | 128 | 15.51412139 | 4.234 | 29520 | 0.075073242 |
| lena32.bmp | lena32.bmp-withWavelet_rbio1.1-G_0.6-H1e-005_af5.wfa | 393216 | 131072 | 131072 | 30 | 29040 | 240 | 240 | 32 | 128 | 15.51412139 | 4.297 | 29520 | 0.075073242 |
| lena32.bmp | lena32.bmp-withWavelet_sym1-G_0.6-H1e-005_af5.wfa    | 393216 | 131072 | 131072 | 30 | 29040 | 240 | 240 | 32 | 128 | 15.51412139 | 4.422 | 29520 | 0.075073242 |
| lena32.bmp | lena32.bmp-withWavelet_bior1.1-G_0.6-H1e-005_af5.wfa | 393216 | 131072 | 131072 | 30 | 29040 | 240 | 240 | 32 | 128 | 15.51412139 | 4.281 | 29520 | 0.075073242 |
| lena32.bmp | lena32.bmp-withWavelet_haar-G_0.8-H0.0001_af5.wfa    | 98304  | 32768  | 32768  | 15 | 7440  | 120 | 120 | 32 | 64  | 16.32125938 | 0.453 | 7680  | 0.078125    |
| lena32.bmp | lena32.bmp-withWavelet_rbio1.1-G_0.8-H0.0001_af5.wfa | 98304  | 32768  | 32768  | 15 | 7440  | 120 | 120 | 32 | 64  | 16.32125938 | 0.532 | 7680  | 0.078125    |
| lena32.bmp | lena32.bmp-withWavelet_sym1-G_0.8-H0.0001_af5.wfa    | 98304  | 32768  | 32768  | 15 | 7440  | 120 | 120 | 32 | 64  | 16.32125938 | 0.438 | 7680  | 0.078125    |
| lena32.bmp | lena32.bmp-withWavelet_bior1.1-G_0.8-H0.0001_af5.wfa | 98304  | 32768  | 32768  | 15 | 7440  | 120 | 120 | 32 | 64  | 16.32125938 | 0.5   | 7680  | 0.078125    |
| lena32.bmp | lena32.bmp-withWavelet_haar-G_1-H0.0001_af5.wfa      | 98304  | 32768  | 32768  | 15 | 7440  | 120 | 120 | 32 | 64  | 16.30305699 | 0.453 | 7680  | 0.078125    |
| lena32.bmp | lena32.bmp-withWavelet_rbio1.1-G_1-H0.0001_af5.wfa   | 98304  | 32768  | 32768  | 15 | 7440  | 120 | 120 | 32 | 64  | 16.30305699 | 0.563 | 7680  | 0.078125    |
| lena32.bmp | lena32.bmp-withWavelet_sym1-G_1-H0.0001_af5.wfa      | 98304  | 32768  | 32768  | 15 | 7440  | 120 | 120 | 32 | 64  | 16.30305699 | 0.516 | 7680  | 0.078125    |
| lena32.bmp | lena32.bmp-withWavelet_bior1.1-G_1-H0.0001_af5.wfa   | 98304  | 32768  | 32768  | 15 | 7440  | 120 | 120 | 32 | 64  | 16.30305699 | 0.453 | 7680  | 0.078125    |
| lena32.bmp | lena32.bmp-G_0.6-H5e-005_af4.wfa                     | 98304  | 32768  |        | 15 | 7440  | 120 | 120 | 32 | 64  | 16.29113128 | 0.516 | 7680  | 0.078125    |
| lena32.bmp | lena32.bmp-G_0.8-H6e-005_af4.wfa                     | 98304  | 32768  |        | 15 | 7440  | 120 | 120 | 32 | 64  | 16.26773592 | 0.453 | 7680  | 0.078125    |
| lena32.bmp | lena32.bmp-G_0.8-H4e-005_af4.wfa                     | 98304  | 32768  |        | 15 | 7440  | 120 | 120 | 32 | 64  | 16.24518001 | 0.516 | 7680  | 0.078125    |
| lena32.bmp | lena32.bmp-G_1-H6e-005_af4.wfa                       | 98304  | 32768  |        | 15 | 7440  | 120 | 120 | 32 | 64  | 16.24437441 | 0.469 | 7680  | 0.078125    |
| lena32.bmp | lena32.bmp-G_1-H4e-005_af4.wfa                       | 98304  | 32768  |        | 15 | 7440  | 120 | 120 | 32 | 64  | 16.2095011  | 0.437 | 7680  | 0.078125    |
| lena32.bmp | lena32.bmp-withWavelet_haar-G_0.6-H0.0001_af5.wfa    | 98304  | 32768  | 32768  | 15 | 7440  | 120 | 120 | 32 | 64  | 16.1212139  | 0.484 | 7680  | 0.078125    |
| lena32.bmp | lena32.bmp-withWavelet_rbio1.1-G_0.6-H0.0001_af5.wfa | 98304  | 32768  | 32768  | 15 | 7440  | 120 | 120 | 32 | 64  | 16.1212139  | 0.485 | 7680  | 0.078125    |
| lena32.bmp | lena32.bmp-withWavelet_sym1-G_0.6-H0.0001_af5.wfa    | 98304  | 32768  | 32768  | 15 | 7440  | 120 | 120 | 32 | 64  | 16.1212139  | 0.468 | 7680  | 0.078125    |
| lena32.bmp | lena32.bmp-withWavelet_bior1.1-G_0.6-H0.0001_af5.wfa | 98304  | 32768  | 32768  | 15 | 7440  | 120 | 120 | 32 | 64  | 16.1212139  | 0.484 | 7680  | 0.078125    |
| lena32.bmp | lena32.bmp-withWavelet_haar-G_0.6-H9e-005_af5.wfa    | 98304  | 32768  | 32768  | 15 | 7440  | 120 | 120 | 32 | 64  | 15.86776645 | 0.437 | 7680  | 0.078125    |
| lena32.bmp | lena32.bmp-withWavelet_rbio1.1-G_0.6-H9e-005_af5.wfa | 98304  | 32768  | 32768  | 15 | 7440  | 120 | 120 | 32 | 64  | 15.86776645 | 0.64  | 7680  | 0.078125    |
| lena32.bmp | lena32.bmp-withWavelet_sym1-G_0.6-H9e-005_af5.wfa    | 98304  | 32768  | 32768  | 15 | 7440  | 120 | 120 | 32 | 64  | 15.86776645 | 0.453 | 7680  | 0.078125    |
| lena32.bmp | lena32.bmp-withWavelet_bior1.1-G_0.6-H9e-005_af5.wfa | 98304  | 32768  | 32768  | 15 | 7440  | 120 | 120 | 32 | 64  | 15.86776645 | 0.453 | 7680  | 0.078125    |
| lena32.bmp | lena32.bmp-G_1-H1e-005_af2.wfa                       | 393216 | 131072 |        | 31 | 30992 | 248 | 248 | 32 | 128 | 18.83715444 | 4.563 | 31488 | 0.080078125 |
| lena32.bmp | lena32.bmp-G_1-H2e-005_af3.wfa                       | 393216 | 131072 |        | 31 | 30992 | 248 | 248 | 32 | 128 | 18.70876501 | 4.828 | 31488 | 0.080078125 |
| lena32.bmp | lena32.bmp-G_1-H4e-005_af1.wfa                       | 393216 | 131072 |        | 31 | 30992 | 248 | 248 | 32 | 128 | 18.64603738 | 4.5   | 31488 | 0.080078125 |
| lena32.bmp | lena32.bmp-G_0.6-H1e-005_af2.wfa                     | 393216 | 131072 |        | 31 | 30992 | 248 | 248 | 32 | 128 | 18.4548868  | 4.531 | 31488 | 0.080078125 |

|            |  |        |        |        |    |       |     |     |    |     |             |       |       |             |
|------------|--|--------|--------|--------|----|-------|-----|-----|----|-----|-------------|-------|-------|-------------|
| lena32.bmp | lena32.bmp-withWavelet_haar-G_0.8-H1e-005_af5.wfa    | 393216 | 131072 | 131072 | 31 | 30992 | 248 | 248 | 32 | 128 | 16.446315   | 4.5   | 31488 | 0.080078125 |
| lena32.bmp | lena32.bmp-withWavelet_rbio1.1-G_0.8-H1e-005_af5.wfa | 393216 | 131072 | 131072 | 31 | 30992 | 248 | 248 | 32 | 128 | 16.446315   | 4.531 | 31488 | 0.080078125 |
| lena32.bmp | lena32.bmp-withWavelet_sym1-G_0.8-H1e-005_af5.wfa    | 393216 | 131072 | 131072 | 31 | 30992 | 248 | 248 | 32 | 128 | 16.446315   | 4.516 | 31488 | 0.080078125 |
| lena32.bmp | lena32.bmp-withWavelet_bior1.1-G_0.8-H1e-005_af5.wfa | 393216 | 131072 | 131072 | 31 | 30992 | 248 | 248 | 32 | 128 | 16.446315   | 4.531 | 31488 | 0.080078125 |
| lena32.bmp | lena32.bmp-withWavelet_haar-G_0.8-H4e-005_af1.wfa    | 393216 | 131072 | 131072 | 31 | 30992 | 248 | 248 | 32 | 128 | 16.00835914 | 4.563 | 31488 | 0.080078125 |
| lena32.bmp | lena32.bmp-withWavelet_rbio1.1-G_0.8-H4e-005_af1.wfa | 393216 | 131072 | 131072 | 31 | 30992 | 248 | 248 | 32 | 128 | 16.00835914 | 4.594 | 31488 | 0.080078125 |
| lena32.bmp | lena32.bmp-withWavelet_sym1-G_0.8-H4e-005_af1.wfa    | 393216 | 131072 | 131072 | 31 | 30992 | 248 | 248 | 32 | 128 | 16.00835914 | 4.516 | 31488 | 0.080078125 |
| lena32.bmp | lena32.bmp-withWavelet_bior1.1-G_0.8-H4e-005_af1.wfa | 393216 | 131072 | 131072 | 31 | 30992 | 248 | 248 | 32 | 128 | 16.00835914 | 4.484 | 31488 | 0.080078125 |
| lena32.bmp | lena32.bmp-G_0.8-H1e-005_af2.wfa                     | 393216 | 131072 |        | 32 | 33008 | 256 | 256 | 32 | 128 | 18.85725542 | 4.687 | 33520 | 0.085245768 |
| lena32.bmp | lena32.bmp-G_0.8-H3e-005_af1.wfa                     | 393216 | 131072 |        | 32 | 33008 | 256 | 256 | 32 | 128 | 18.69256694 | 5.328 | 33520 | 0.085245768 |
| lena32.bmp | lena32.bmp-G_1-H1e-005_af3.wfa                       | 393216 | 131072 |        | 32 | 33008 | 256 | 256 | 32 | 128 | 18.65935203 | 4.797 | 33520 | 0.085245768 |
| lena32.bmp | lena32.bmp-G_0.8-H1e-005_af3.wfa                     | 393216 | 131072 |        | 32 | 33008 | 256 | 256 | 32 | 128 | 18.65521444 | 5.719 | 33520 | 0.085245768 |
| lena32.bmp | lena32.bmp-G_0.8-H2e-005_af3.wfa                     | 393216 | 131072 |        | 32 | 33008 | 256 | 256 | 32 | 128 | 18.65521444 | 5.797 | 33520 | 0.085245768 |
| lena32.bmp | lena32.bmp-G_0.6-H2e-005_af1.wfa                     | 393216 | 131072 |        | 32 | 33008 | 256 | 256 | 32 | 128 | 18.28022763 | 5.859 | 33520 | 0.085245768 |
| lena32.bmp | lena32.bmp-withWavelet_haar-G_1-H3e-005_af3.wfa      | 393216 | 131072 | 131072 | 32 | 33008 | 256 | 256 | 32 | 128 | 16.06457395 | 5.5   | 33520 | 0.085245768 |
| lena32.bmp | lena32.bmp-withWavelet_rbio1.1-G_1-H3e-005_af3.wfa   | 393216 | 131072 | 131072 | 32 | 33008 | 256 | 256 | 32 | 128 | 16.06457395 | 6.203 | 33520 | 0.085245768 |
| lena32.bmp | lena32.bmp-withWavelet_sym1-G_1-H3e-005_af3.wfa      | 393216 | 131072 | 131072 | 32 | 33008 | 256 | 256 | 32 | 128 | 16.06457395 | 5.796 | 33520 | 0.085245768 |
| lena32.bmp | lena32.bmp-withWavelet_bior1.1-G_1-H3e-005_af3.wfa   | 393216 | 131072 | 131072 | 32 | 33008 | 256 | 256 | 32 | 128 | 16.06457395 | 6.266 | 33520 | 0.085245768 |
| lena32.bmp | lena32.bmp-withWavelet_haar-G_0.8-H3e-005_af3.wfa    | 393216 | 131072 | 131072 | 32 | 33008 | 256 | 256 | 32 | 128 | 16.06422009 | 5.546 | 33520 | 0.085245768 |
| lena32.bmp | lena32.bmp-withWavelet_rbio1.1-G_0.8-H3e-005_af3.wfa | 393216 | 131072 | 131072 | 32 | 33008 | 256 | 256 | 32 | 128 | 16.06422009 | 4.75  | 33520 | 0.085245768 |
| lena32.bmp | lena32.bmp-withWavelet_sym1-G_0.8-H3e-005_af3.wfa    | 393216 | 131072 | 131072 | 32 | 33008 | 256 | 256 | 32 | 128 | 16.06422009 | 5.391 | 33520 | 0.085245768 |
| lena32.bmp | lena32.bmp-withWavelet_bior1.1-G_0.8-H3e-005_af3.wfa | 393216 | 131072 | 131072 | 32 | 33008 | 256 | 256 | 32 | 128 | 16.06422009 | 4.672 | 33520 | 0.085245768 |
| lena32.bmp | lena32.bmp-withWavelet_haar-G_0.6-H3e-005_af4.wfa    | 393216 | 131072 | 131072 | 32 | 33008 | 256 | 256 | 32 | 128 | 15.68664726 | 4.688 | 33520 | 0.085245768 |
| lena32.bmp | lena32.bmp-withWavelet_rbio1.1-G_0.6-H3e-005_af4.wfa | 393216 | 131072 | 131072 | 32 | 33008 | 256 | 256 | 32 | 128 | 15.68664726 | 4.719 | 33520 | 0.085245768 |
| lena32.bmp | lena32.bmp-withWavelet_sym1-G_0.6-H3e-005_af4.wfa    | 393216 | 131072 | 131072 | 32 | 33008 | 256 | 256 | 32 | 128 | 15.68664726 | 4.734 | 33520 | 0.085245768 |
| lena32.bmp | lena32.bmp-withWavelet_bior1.1-G_0.6-H3e-005_af4.wfa | 393216 | 131072 | 131072 | 32 | 33008 | 256 | 256 | 32 | 128 | 15.68664726 | 5.063 | 33520 | 0.085245768 |
| lena32.bmp | lena32.bmp-withWavelet_haar-G_0.6-H3e-005_af3.wfa    | 393216 | 131072 | 131072 | 32 | 33008 | 256 | 256 | 32 | 128 | 15.68377602 | 6.375 | 33520 | 0.085245768 |
| lena32.bmp | lena32.bmp-withWavelet_rbio1.1-G_0.6-H3e-005_af3.wfa | 393216 | 131072 | 131072 | 32 | 33008 | 256 | 256 | 32 | 128 | 15.68377602 | 4.672 | 33520 | 0.085245768 |
| lena32.bmp | lena32.bmp-withWavelet_sym1-G_0.6-H3e-005_af3.wfa    | 393216 | 131072 | 131072 | 32 | 33008 | 256 | 256 | 32 | 128 | 15.68377602 | 5.188 | 33520 | 0.085245768 |
| lena32.bmp | lena32.bmp-withWavelet_bior1.1-G_0.6-H3e-005_af3.wfa | 393216 | 131072 | 131072 | 32 | 33008 | 256 | 256 | 32 | 128 | 15.68377602 | 4.781 | 33520 | 0.085245768 |
| lena32.bmp | lena32.bmp-withWavelet_haar-G_1-H0.0001_af2.wfa      | 98304  | 32768  | 32768  | 16 | 8432  | 128 | 128 | 32 | 64  | 17.44714118 | 0.453 | 8688  | 0.088378906 |



|            |  |        |        |        |    |       |     |     |    |     |             |       |       |             |
|------------|--|--------|--------|--------|----|-------|-----|-----|----|-----|-------------|-------|-------|-------------|
| lena32.bmp | lena32.bmp-withWavelet_rbio1.1-G_1-H0.0001_af2.wfa   | 98304  | 32768  | 32768  | 16 | 8432  | 128 | 128 | 32 | 64  | 17.44714118 | 0.562 | 8688  | 0.088378906 |
| lena32.bmp | lena32.bmp-withWavelet_sym1-G_1-H0.0001_af2.wfa      | 98304  | 32768  | 32768  | 16 | 8432  | 128 | 128 | 32 | 64  | 17.44714118 | 0.469 | 8688  | 0.088378906 |
| lena32.bmp | lena32.bmp-withWavelet_bior1.1-G_1-H0.0001_af2.wfa   | 98304  | 32768  | 32768  | 16 | 8432  | 128 | 128 | 32 | 64  | 17.44714118 | 0.468 | 8688  | 0.088378906 |
| lena32.bmp | lena32.bmp-G_0.8-H5e-005_af4.wfa                     | 98304  | 32768  |        | 16 | 8432  | 128 | 128 | 32 | 64  | 16.33876212 | 0.453 | 8688  | 0.088378906 |
| lena32.bmp | lena32.bmp-G_0.6-H4e-005_af4.wfa                     | 98304  | 32768  |        | 16 | 8432  | 128 | 128 | 32 | 64  | 16.33422912 | 0.453 | 8688  | 0.088378906 |
| lena32.bmp | lena32.bmp-G_0.6-H3e-005_af4.wfa                     | 98304  | 32768  |        | 16 | 8432  | 128 | 128 | 32 | 64  | 16.32172007 | 0.453 | 8688  | 0.088378906 |
| lena32.bmp | lena32.bmp-G_1-H5e-005_af4.wfa                       | 98304  | 32768  |        | 16 | 8432  | 128 | 128 | 32 | 64  | 16.31304722 | 0.453 | 8688  | 0.088378906 |
| lena32.bmp | lena32.bmp-G_1-H3e-005_af4.wfa                       | 98304  | 32768  |        | 16 | 8432  | 128 | 128 | 32 | 64  | 16.27620131 | 0.484 | 8688  | 0.088378906 |
| lena32.bmp | lena32.bmp-withWavelet_haar-G_1-H9e-005_af5.wfa      | 98304  | 32768  | 32768  | 16 | 8432  | 128 | 128 | 32 | 64  | 16.26440882 | 0.563 | 8688  | 0.088378906 |
| lena32.bmp | lena32.bmp-withWavelet_rbio1.1-G_1-H9e-005_af5.wfa   | 98304  | 32768  | 32768  | 16 | 8432  | 128 | 128 | 32 | 64  | 16.26440882 | 0.454 | 8688  | 0.088378906 |
| lena32.bmp | lena32.bmp-withWavelet_sym1-G_1-H9e-005_af5.wfa      | 98304  | 32768  | 32768  | 16 | 8432  | 128 | 128 | 32 | 64  | 16.26440882 | 0.531 | 8688  | 0.088378906 |
| lena32.bmp | lena32.bmp-withWavelet_bior1.1-G_1-H9e-005_af5.wfa   | 98304  | 32768  | 32768  | 16 | 8432  | 128 | 128 | 32 | 64  | 16.26440882 | 0.562 | 8688  | 0.088378906 |
| lena32.bmp | lena32.bmp-withWavelet_haar-G_0.6-H8e-005_af5.wfa    | 98304  | 32768  | 32768  | 16 | 8432  | 128 | 128 | 32 | 64  | 16.21112922 | 0.469 | 8688  | 0.088378906 |
| lena32.bmp | lena32.bmp-withWavelet_rbio1.1-G_0.6-H8e-005_af5.wfa | 98304  | 32768  | 32768  | 16 | 8432  | 128 | 128 | 32 | 64  | 16.21112922 | 0.531 | 8688  | 0.088378906 |
| lena32.bmp | lena32.bmp-withWavelet_sym1-G_0.6-H8e-005_af5.wfa    | 98304  | 32768  | 32768  | 16 | 8432  | 128 | 128 | 32 | 64  | 16.21112922 | 0.453 | 8688  | 0.088378906 |
| lena32.bmp | lena32.bmp-withWavelet_bior1.1-G_0.6-H8e-005_af5.wfa | 98304  | 32768  | 32768  | 16 | 8432  | 128 | 128 | 32 | 64  | 16.21112922 | 0.453 | 8688  | 0.088378906 |
| lena32.bmp | lena32.bmp-G_1-H2e-005_af1.wfa                       | 393216 | 131072 |        | 33 | 35088 | 264 | 264 | 32 | 128 | 18.68612663 | 5.188 | 35616 | 0.090576172 |
| lena32.bmp | lena32.bmp-G_1-H3e-005_af1.wfa                       | 393216 | 131072 |        | 33 | 35088 | 264 | 264 | 32 | 128 | 18.68208625 | 5.312 | 35616 | 0.090576172 |
| lena32.bmp | lena32.bmp-withWavelet_haar-G_1-H2e-005_af3.wfa      | 393216 | 131072 | 131072 | 33 | 35088 | 264 | 264 | 32 | 128 | 16.03563858 | 5.156 | 35616 | 0.090576172 |
| lena32.bmp | lena32.bmp-withWavelet_rbio1.1-G_1-H2e-005_af3.wfa   | 393216 | 131072 | 131072 | 33 | 35088 | 264 | 264 | 32 | 128 | 16.03563858 | 5.14  | 35616 | 0.090576172 |
| lena32.bmp | lena32.bmp-withWavelet_sym1-G_1-H2e-005_af3.wfa      | 393216 | 131072 | 131072 | 33 | 35088 | 264 | 264 | 32 | 128 | 16.03563858 | 5.359 | 35616 | 0.090576172 |
| lena32.bmp | lena32.bmp-withWavelet_bior1.1-G_1-H2e-005_af3.wfa   | 393216 | 131072 | 131072 | 33 | 35088 | 264 | 264 | 32 | 128 | 16.03563858 | 5.953 | 35616 | 0.090576172 |
| lena32.bmp | lena32.bmp-withWavelet_haar-G_0.8-H2e-005_af3.wfa    | 393216 | 131072 | 131072 | 33 | 35088 | 264 | 264 | 32 | 128 | 16.03551924 | 5.094 | 35616 | 0.090576172 |
| lena32.bmp | lena32.bmp-withWavelet_rbio1.1-G_0.8-H2e-005_af3.wfa | 393216 | 131072 | 131072 | 33 | 35088 | 264 | 264 | 32 | 128 | 16.03551924 | 5.625 | 35616 | 0.090576172 |
| lena32.bmp | lena32.bmp-withWavelet_sym1-G_0.8-H2e-005_af3.wfa    | 393216 | 131072 | 131072 | 33 | 35088 | 264 | 264 | 32 | 128 | 16.03551924 | 5.079 | 35616 | 0.090576172 |
| lena32.bmp | lena32.bmp-withWavelet_bior1.1-G_0.8-H2e-005_af3.wfa | 393216 | 131072 | 131072 | 33 | 35088 | 264 | 264 | 32 | 128 | 16.03551924 | 5.187 | 35616 | 0.090576172 |
| lena32.bmp | lena32.bmp-withWavelet_haar-G_1-H3e-005_af1.wfa      | 393216 | 131072 | 131072 | 33 | 35088 | 264 | 264 | 32 | 128 | 15.90965692 | 5.844 | 35616 | 0.090576172 |
| lena32.bmp | lena32.bmp-withWavelet_rbio1.1-G_1-H3e-005_af1.wfa   | 393216 | 131072 | 131072 | 33 | 35088 | 264 | 264 | 32 | 128 | 15.90965692 | 6.047 | 35616 | 0.090576172 |
| lena32.bmp | lena32.bmp-withWavelet_sym1-G_1-H3e-005_af1.wfa      | 393216 | 131072 | 131072 | 33 | 35088 | 264 | 264 | 32 | 128 | 15.90965692 | 6.407 | 35616 | 0.090576172 |
| lena32.bmp | lena32.bmp-withWavelet_bior1.1-G_1-H3e-005_af1.wfa   | 393216 | 131072 | 131072 | 33 | 35088 | 264 | 264 | 32 | 128 | 15.90965692 | 6.781 | 35616 | 0.090576172 |
| lena32.bmp | lena32.bmp-withWavelet_haar-G_0.8-H3e-005_af1.wfa    | 393216 | 131072 | 131072 | 33 | 35088 | 264 | 264 | 32 | 128 | 15.90902228 | 5.141 | 35616 | 0.090576172 |

|            |  |        |        |        |    |       |     |     |    |     |             |       |       |             |
|------------|--|--------|--------|--------|----|-------|-----|-----|----|-----|-------------|-------|-------|-------------|
| lena32.bmp | lena32.bmp-withWavelet_rbio1.1-G_0.8-H3e-005_af1.wfa | 393216 | 131072 | 131072 | 33 | 35088 | 264 | 264 | 32 | 128 | 15.90902228 | 5.125 | 35616 | 0.090576172 |
| lena32.bmp | lena32.bmp-withWavelet_sym1-G_0.8-H3e-005_af1.wfa    | 393216 | 131072 | 131072 | 33 | 35088 | 264 | 264 | 32 | 128 | 15.90902228 | 5.14  | 35616 | 0.090576172 |
| lena32.bmp | lena32.bmp-withWavelet_bior1.1-G_0.8-H3e-005_af1.wfa | 393216 | 131072 | 131072 | 33 | 35088 | 264 | 264 | 32 | 128 | 15.90902228 | 6.344 | 35616 | 0.090576172 |
| lena32.bmp | lena32.bmp-withWavelet_haar-G_1-H2e-005_af1.wfa      | 393216 | 131072 | 131072 | 33 | 35088 | 264 | 264 | 32 | 128 | 15.90030805 | 5.094 | 35616 | 0.090576172 |
| lena32.bmp | lena32.bmp-withWavelet_rbio1.1-G_1-H2e-005_af1.wfa   | 393216 | 131072 | 131072 | 33 | 35088 | 264 | 264 | 32 | 128 | 15.90030805 | 6.422 | 35616 | 0.090576172 |
| lena32.bmp | lena32.bmp-withWavelet_sym1-G_1-H2e-005_af1.wfa      | 393216 | 131072 | 131072 | 33 | 35088 | 264 | 264 | 32 | 128 | 15.90030805 | 6.093 | 35616 | 0.090576172 |
| lena32.bmp | lena32.bmp-withWavelet_bior1.1-G_1-H2e-005_af1.wfa   | 393216 | 131072 | 131072 | 33 | 35088 | 264 | 264 | 32 | 128 | 15.90030805 | 5.953 | 35616 | 0.090576172 |
| lena32.bmp | lena32.bmp-withWavelet_haar-G_0.8-H2e-005_af1.wfa    | 393216 | 131072 | 131072 | 33 | 35088 | 264 | 264 | 32 | 128 | 15.89960412 | 6.032 | 35616 | 0.090576172 |
| lena32.bmp | lena32.bmp-withWavelet_rbio1.1-G_0.8-H2e-005_af1.wfa | 393216 | 131072 | 131072 | 33 | 35088 | 264 | 264 | 32 | 128 | 15.89960412 | 5.719 | 35616 | 0.090576172 |
| lena32.bmp | lena32.bmp-withWavelet_sym1-G_0.8-H2e-005_af1.wfa    | 393216 | 131072 | 131072 | 33 | 35088 | 264 | 264 | 32 | 128 | 15.89960412 | 5.39  | 35616 | 0.090576172 |
| lena32.bmp | lena32.bmp-withWavelet_bior1.1-G_0.8-H2e-005_af1.wfa | 393216 | 131072 | 131072 | 33 | 35088 | 264 | 264 | 32 | 128 | 15.89960412 | 5.109 | 35616 | 0.090576172 |
| lena32.bmp | lena32.bmp-withWavelet_haar-G_0.6-H3e-005_af1.wfa    | 393216 | 131072 | 131072 | 33 | 35088 | 264 | 264 | 32 | 128 | 15.70576927 | 5.609 | 35616 | 0.090576172 |
| lena32.bmp | lena32.bmp-withWavelet_rbio1.1-G_0.6-H3e-005_af1.wfa | 393216 | 131072 | 131072 | 33 | 35088 | 264 | 264 | 32 | 128 | 15.70576927 | 5.906 | 35616 | 0.090576172 |
| lena32.bmp | lena32.bmp-withWavelet_sym1-G_0.6-H3e-005_af1.wfa    | 393216 | 131072 | 131072 | 33 | 35088 | 264 | 264 | 32 | 128 | 15.70576927 | 5.578 | 35616 | 0.090576172 |
| lena32.bmp | lena32.bmp-withWavelet_bior1.1-G_0.6-H3e-005_af1.wfa | 393216 | 131072 | 131072 | 33 | 35088 | 264 | 264 | 32 | 128 | 15.70576927 | 5.063 | 35616 | 0.090576172 |
| lena32.bmp | lena32.bmp-withWavelet_haar-G_0.6-H2e-005_af1.wfa    | 393216 | 131072 | 131072 | 33 | 35088 | 264 | 264 | 32 | 128 | 15.7046018  | 5.312 | 35616 | 0.090576172 |
| lena32.bmp | lena32.bmp-withWavelet_rbio1.1-G_0.6-H2e-005_af1.wfa | 393216 | 131072 | 131072 | 33 | 35088 | 264 | 264 | 32 | 128 | 15.7046018  | 5.313 | 35616 | 0.090576172 |
| lena32.bmp | lena32.bmp-withWavelet_sym1-G_0.6-H2e-005_af1.wfa    | 393216 | 131072 | 131072 | 33 | 35088 | 264 | 264 | 32 | 128 | 15.7046018  | 5.344 | 35616 | 0.090576172 |
| lena32.bmp | lena32.bmp-withWavelet_bior1.1-G_0.6-H2e-005_af1.wfa | 393216 | 131072 | 131072 | 33 | 35088 | 264 | 264 | 32 | 128 | 15.7046018  | 5.344 | 35616 | 0.090576172 |
| lena32.bmp | lena32.bmp-withWavelet_haar-G_0.6-H2e-005_af4.wfa    | 393216 | 131072 | 131072 | 33 | 35088 | 264 | 264 | 32 | 128 | 15.69192048 | 5.265 | 35616 | 0.090576172 |
| lena32.bmp | lena32.bmp-withWavelet_rbio1.1-G_0.6-H2e-005_af4.wfa | 393216 | 131072 | 131072 | 33 | 35088 | 264 | 264 | 32 | 128 | 15.69192048 | 5.297 | 35616 | 0.090576172 |
| lena32.bmp | lena32.bmp-withWavelet_sym1-G_0.6-H2e-005_af4.wfa    | 393216 | 131072 | 131072 | 33 | 35088 | 264 | 264 | 32 | 128 | 15.69192048 | 5.282 | 35616 | 0.090576172 |
| lena32.bmp | lena32.bmp-withWavelet_bior1.1-G_0.6-H2e-005_af4.wfa | 393216 | 131072 | 131072 | 33 | 35088 | 264 | 264 | 32 | 128 | 15.69192048 | 6.516 | 35616 | 0.090576172 |
| lena32.bmp | lena32.bmp-withWavelet_haar-G_0.6-H2e-005_af3.wfa    | 393216 | 131072 | 131072 | 33 | 35088 | 264 | 264 | 32 | 128 | 15.6841435  | 6.031 | 35616 | 0.090576172 |
| lena32.bmp | lena32.bmp-withWavelet_rbio1.1-G_0.6-H2e-005_af3.wfa | 393216 | 131072 | 131072 | 33 | 35088 | 264 | 264 | 32 | 128 | 15.6841435  | 5.281 | 35616 | 0.090576172 |
| lena32.bmp | lena32.bmp-withWavelet_sym1-G_0.6-H2e-005_af3.wfa    | 393216 | 131072 | 131072 | 33 | 35088 | 264 | 264 | 32 | 128 | 15.6841435  | 5.406 | 35616 | 0.090576172 |
| lena32.bmp | lena32.bmp-withWavelet_bior1.1-G_0.6-H2e-005_af3.wfa | 393216 | 131072 | 131072 | 33 | 35088 | 264 | 264 | 32 | 128 | 15.6841435  | 5.36  | 35616 | 0.090576172 |
| lena32.bmp | lena32.bmp-G_0.8-H1e-005_af5.wfa                     | 393216 | 131072 |        | 34 | 37232 | 272 | 272 | 32 | 128 | 18.98480598 | 5.453 | 37776 | 0.096069336 |
| lena32.bmp | lena32.bmp-G_1-H1e-005_af5.wfa                       | 393216 | 131072 |        | 34 | 37232 | 272 | 272 | 32 | 128 | 18.98471432 | 5.266 | 37776 | 0.096069336 |
| lena32.bmp | lena32.bmp-G_0.6-H1e-005_af5.wfa                     | 393216 | 131072 |        | 34 | 37232 | 272 | 272 | 32 | 128 | 18.95242082 | 6.282 | 37776 | 0.096069336 |
| lena32.bmp | lena32.bmp-G_0.8-H2e-005_af1.wfa                     | 393216 | 131072 |        | 34 | 37232 | 272 | 272 | 32 | 128 | 18.69417333 | 5.984 | 37776 | 0.096069336 |

|            |  |        |        |        |    |       |     |     |    |     |             |       |       |             |
|------------|--|--------|--------|--------|----|-------|-----|-----|----|-----|-------------|-------|-------|-------------|
| lena32.bmp | lena32.bmp-G_0.6-H1e-005_af1.wfa                     | 393216 | 131072 |        | 34 | 37232 | 272 | 272 | 32 | 128 | 18.29398436 | 5.281 | 37776 | 0.096069336 |
| lena32.bmp | lena32.bmp-withWavelet_haar-G_1-H1e-005_af3.wfa      | 393216 | 131072 | 131072 | 34 | 37232 | 272 | 272 | 32 | 128 | 16.00757532 | 5.281 | 37776 | 0.096069336 |
| lena32.bmp | lena32.bmp-withWavelet_rbio1.1-G_1-H1e-005_af3.wfa   | 393216 | 131072 | 131072 | 34 | 37232 | 272 | 272 | 32 | 128 | 16.00757532 | 5.266 | 37776 | 0.096069336 |
| lena32.bmp | lena32.bmp-withWavelet_sym1-G_1-H1e-005_af3.wfa      | 393216 | 131072 | 131072 | 34 | 37232 | 272 | 272 | 32 | 128 | 16.00757532 | 6.031 | 37776 | 0.096069336 |
| lena32.bmp | lena32.bmp-withWavelet_bior1.1-G_1-H1e-005_af3.wfa   | 393216 | 131072 | 131072 | 34 | 37232 | 272 | 272 | 32 | 128 | 16.00757532 | 5.328 | 37776 | 0.096069336 |
| lena32.bmp | lena32.bmp-withWavelet_haar-G_0.8-H1e-005_af3.wfa    | 393216 | 131072 | 131072 | 34 | 37232 | 272 | 272 | 32 | 128 | 16.00748012 | 5.265 | 37776 | 0.096069336 |
| lena32.bmp | lena32.bmp-withWavelet_rbio1.1-G_0.8-H1e-005_af3.wfa | 393216 | 131072 | 131072 | 34 | 37232 | 272 | 272 | 32 | 128 | 16.00748012 | 5.391 | 37776 | 0.096069336 |
| lena32.bmp | lena32.bmp-withWavelet_sym1-G_0.8-H1e-005_af3.wfa    | 393216 | 131072 | 131072 | 34 | 37232 | 272 | 272 | 32 | 128 | 16.00748012 | 5.86  | 37776 | 0.096069336 |
| lena32.bmp | lena32.bmp-withWavelet_bior1.1-G_0.8-H1e-005_af3.wfa | 393216 | 131072 | 131072 | 34 | 37232 | 272 | 272 | 32 | 128 | 16.00748012 | 5.25  | 37776 | 0.096069336 |
| lena32.bmp | lena32.bmp-withWavelet_haar-G_0.6-H1e-005_af3.wfa    | 393216 | 131072 | 131072 | 34 | 37232 | 272 | 272 | 32 | 128 | 15.63623708 | 5.25  | 37776 | 0.096069336 |
| lena32.bmp | lena32.bmp-withWavelet_rbio1.1-G_0.6-H1e-005_af3.wfa | 393216 | 131072 | 131072 | 34 | 37232 | 272 | 272 | 32 | 128 | 15.63623708 | 5.297 | 37776 | 0.096069336 |
| lena32.bmp | lena32.bmp-withWavelet_sym1-G_0.6-H1e-005_af3.wfa    | 393216 | 131072 | 131072 | 34 | 37232 | 272 | 272 | 32 | 128 | 15.63623708 | 5.797 | 37776 | 0.096069336 |
| lena32.bmp | lena32.bmp-withWavelet_bior1.1-G_0.6-H1e-005_af3.wfa | 393216 | 131072 | 131072 | 34 | 37232 | 272 | 272 | 32 | 128 | 15.63623708 | 5.313 | 37776 | 0.096069336 |
| lena32.bmp | lena32.bmp-withWavelet_haar-G_0.8-H8e-005_af2.wfa    | 98304  | 32768  | 32768  | 17 | 9488  | 136 | 136 | 32 | 64  | 17.45069471 | 0.485 | 9760  | 0.099283854 |
| lena32.bmp | lena32.bmp-withWavelet_rbio1.1-G_0.8-H8e-005_af2.wfa | 98304  | 32768  | 32768  | 17 | 9488  | 136 | 136 | 32 | 64  | 17.45069471 | 0.547 | 9760  | 0.099283854 |
| lena32.bmp | lena32.bmp-withWavelet_sym1-G_0.8-H8e-005_af2.wfa    | 98304  | 32768  | 32768  | 17 | 9488  | 136 | 136 | 32 | 64  | 17.45069471 | 0.484 | 9760  | 0.099283854 |
| lena32.bmp | lena32.bmp-withWavelet_bior1.1-G_0.8-H8e-005_af2.wfa | 98304  | 32768  | 32768  | 17 | 9488  | 136 | 136 | 32 | 64  | 17.45069471 | 0.485 | 9760  | 0.099283854 |
| lena32.bmp | lena32.bmp-withWavelet_haar-G_1-H9e-005_af2.wfa      | 98304  | 32768  | 32768  | 17 | 9488  | 136 | 136 | 32 | 64  | 17.14707117 | 0.469 | 9760  | 0.099283854 |
| lena32.bmp | lena32.bmp-withWavelet_rbio1.1-G_1-H9e-005_af2.wfa   | 98304  | 32768  | 32768  | 17 | 9488  | 136 | 136 | 32 | 64  | 17.14707117 | 0.687 | 9760  | 0.099283854 |
| lena32.bmp | lena32.bmp-withWavelet_sym1-G_1-H9e-005_af2.wfa      | 98304  | 32768  | 32768  | 17 | 9488  | 136 | 136 | 32 | 64  | 17.14707117 | 0.547 | 9760  | 0.099283854 |
| lena32.bmp | lena32.bmp-withWavelet_bior1.1-G_1-H9e-005_af2.wfa   | 98304  | 32768  | 32768  | 17 | 9488  | 136 | 136 | 32 | 64  | 17.14707117 | 0.469 | 9760  | 0.099283854 |
| lena32.bmp | lena32.bmp-withWavelet_haar-G_1-H8e-005_af5.wfa      | 98304  | 32768  | 32768  | 17 | 9488  | 136 | 136 | 32 | 64  | 17.06262475 | 0.671 | 9760  | 0.099283854 |
| lena32.bmp | lena32.bmp-withWavelet_rbio1.1-G_1-H8e-005_af5.wfa   | 98304  | 32768  | 32768  | 17 | 9488  | 136 | 136 | 32 | 64  | 17.06262475 | 0.547 | 9760  | 0.099283854 |
| lena32.bmp | lena32.bmp-withWavelet_sym1-G_1-H8e-005_af5.wfa      | 98304  | 32768  | 32768  | 17 | 9488  | 136 | 136 | 32 | 64  | 17.06262475 | 0.609 | 9760  | 0.099283854 |
| lena32.bmp | lena32.bmp-withWavelet_bior1.1-G_1-H8e-005_af5.wfa   | 98304  | 32768  | 32768  | 17 | 9488  | 136 | 136 | 32 | 64  | 17.06262475 | 0.484 | 9760  | 0.099283854 |
| lena32.bmp | lena32.bmp-withWavelet_haar-G_0.8-H8e-005_af5.wfa    | 98304  | 32768  | 32768  | 17 | 9488  | 136 | 136 | 32 | 64  | 16.88660038 | 0.5   | 9760  | 0.099283854 |
| lena32.bmp | lena32.bmp-withWavelet_rbio1.1-G_0.8-H8e-005_af5.wfa | 98304  | 32768  | 32768  | 17 | 9488  | 136 | 136 | 32 | 64  | 16.88660038 | 0.719 | 9760  | 0.099283854 |
| lena32.bmp | lena32.bmp-withWavelet_sym1-G_0.8-H8e-005_af5.wfa    | 98304  | 32768  | 32768  | 17 | 9488  | 136 | 136 | 32 | 64  | 16.88660038 | 0.484 | 9760  | 0.099283854 |
| lena32.bmp | lena32.bmp-withWavelet_bior1.1-G_0.8-H8e-005_af5.wfa | 98304  | 32768  | 32768  | 17 | 9488  | 136 | 136 | 32 | 64  | 16.88660038 | 0.485 | 9760  | 0.099283854 |
| lena32.bmp | lena32.bmp-withWavelet_haar-G_0.8-H9e-005_af5.wfa    | 98304  | 32768  | 32768  | 17 | 9488  | 136 | 136 | 32 | 64  | 16.65268006 | 0.579 | 9760  | 0.099283854 |
| lena32.bmp | lena32.bmp-withWavelet_rbio1.1-G_0.8-H9e-005_af5.wfa | 98304  | 32768  | 32768  | 17 | 9488  | 136 | 136 | 32 | 64  | 16.65268006 | 0.484 | 9760  | 0.099283854 |

|            |  |        |        |        |    |       |     |     |    |     |             |       |       |             |
|------------|--|--------|--------|--------|----|-------|-----|-----|----|-----|-------------|-------|-------|-------------|
| lena32.bmp | lena32.bmp-withWavelet_sym1-G_0.8-H9e-005_af5.wfa    | 98304  | 32768  | 32768  | 17 | 9488  | 136 | 136 | 32 | 64  | 16.65268006 | 0.5   | 9760  | 0.099283854 |
| lena32.bmp | lena32.bmp-withWavelet_bior1.1-G_0.8-H9e-005_af5.wfa | 98304  | 32768  | 32768  | 17 | 9488  | 136 | 136 | 32 | 64  | 16.65268006 | 0.563 | 9760  | 0.099283854 |
| lena32.bmp | lena32.bmp-G_0.6-H2e-005_af4.wfa                     | 98304  | 32768  |        | 17 | 9488  | 136 | 136 | 32 | 64  | 16.35523915 | 0.516 | 9760  | 0.099283854 |
| lena32.bmp | lena32.bmp-G_0.6-H1e-005_af4.wfa                     | 98304  | 32768  |        | 17 | 9488  | 136 | 136 | 32 | 64  | 16.35523915 | 0.5   | 9760  | 0.099283854 |
| lena32.bmp | lena32.bmp-G_0.8-H3e-005_af4.wfa                     | 98304  | 32768  |        | 17 | 9488  | 136 | 136 | 32 | 64  | 16.33442741 | 0.485 | 9760  | 0.099283854 |
| lena32.bmp | lena32.bmp-G_0.8-H1e-005_af4.wfa                     | 98304  | 32768  |        | 17 | 9488  | 136 | 136 | 32 | 64  | 16.33442741 | 0.485 | 9760  | 0.099283854 |
| lena32.bmp | lena32.bmp-G_0.8-H2e-005_af4.wfa                     | 98304  | 32768  |        | 17 | 9488  | 136 | 136 | 32 | 64  | 16.33442741 | 0.484 | 9760  | 0.099283854 |
| lena32.bmp | lena32.bmp-G_1-H2e-005_af4.wfa                       | 98304  | 32768  |        | 17 | 9488  | 136 | 136 | 32 | 64  | 16.2991228  | 0.484 | 9760  | 0.099283854 |
| lena32.bmp | lena32.bmp-G_1-H1e-005_af4.wfa                       | 98304  | 32768  |        | 17 | 9488  | 136 | 136 | 32 | 64  | 16.2991228  | 0.609 | 9760  | 0.099283854 |
| lena32.bmp | lena32.bmp-G_1-H1e-005_af1.wfa                       | 393216 | 131072 |        | 35 | 39440 | 280 | 280 | 32 | 128 | 18.69788657 | 5.828 | 40000 | 0.10172526  |
| lena32.bmp | lena32.bmp-G_0.8-H1e-005_af1.wfa                     | 393216 | 131072 |        | 35 | 39440 | 280 | 280 | 32 | 128 | 18.6956109  | 5.813 | 40000 | 0.10172526  |
| lena32.bmp | lena32.bmp-withWavelet_haar-G_1-H2e-005_af4.wfa      | 393216 | 131072 | 131072 | 35 | 39440 | 280 | 280 | 32 | 128 | 15.89154421 | 5.797 | 40000 | 0.10172526  |
| lena32.bmp | lena32.bmp-withWavelet_rbio1.1-G_1-H2e-005_af4.wfa   | 393216 | 131072 | 131072 | 35 | 39440 | 280 | 280 | 32 | 128 | 15.89154421 | 6.687 | 40000 | 0.10172526  |
| lena32.bmp | lena32.bmp-withWavelet_sym1-G_1-H2e-005_af4.wfa      | 393216 | 131072 | 131072 | 35 | 39440 | 280 | 280 | 32 | 128 | 15.89154421 | 5.89  | 40000 | 0.10172526  |
| lena32.bmp | lena32.bmp-withWavelet_bior1.1-G_1-H2e-005_af4.wfa   | 393216 | 131072 | 131072 | 35 | 39440 | 280 | 280 | 32 | 128 | 15.89154421 | 6.032 | 40000 | 0.10172526  |
| lena32.bmp | lena32.bmp-withWavelet_haar-G_0.8-H2e-005_af4.wfa    | 393216 | 131072 | 131072 | 35 | 39440 | 280 | 280 | 32 | 128 | 15.8710521  | 5.813 | 40000 | 0.10172526  |
| lena32.bmp | lena32.bmp-withWavelet_rbio1.1-G_0.8-H2e-005_af4.wfa | 393216 | 131072 | 131072 | 35 | 39440 | 280 | 280 | 32 | 128 | 15.8710521  | 6.219 | 40000 | 0.10172526  |
| lena32.bmp | lena32.bmp-withWavelet_sym1-G_0.8-H2e-005_af4.wfa    | 393216 | 131072 | 131072 | 35 | 39440 | 280 | 280 | 32 | 128 | 15.8710521  | 5.954 | 40000 | 0.10172526  |
| lena32.bmp | lena32.bmp-withWavelet_bior1.1-G_0.8-H2e-005_af4.wfa | 393216 | 131072 | 131072 | 35 | 39440 | 280 | 280 | 32 | 128 | 15.8710521  | 6.063 | 40000 | 0.10172526  |
| lena32.bmp | lena32.bmp-withWavelet_haar-G_0.6-H1e-005_af4.wfa    | 393216 | 131072 | 131072 | 35 | 39440 | 280 | 280 | 32 | 128 | 15.772119   | 5.796 | 40000 | 0.10172526  |
| lena32.bmp | lena32.bmp-withWavelet_rbio1.1-G_0.6-H1e-005_af4.wfa | 393216 | 131072 | 131072 | 35 | 39440 | 280 | 280 | 32 | 128 | 15.772119   | 6.406 | 40000 | 0.10172526  |
| lena32.bmp | lena32.bmp-withWavelet_sym1-G_0.6-H1e-005_af4.wfa    | 393216 | 131072 | 131072 | 35 | 39440 | 280 | 280 | 32 | 128 | 15.772119   | 6.234 | 40000 | 0.10172526  |
| lena32.bmp | lena32.bmp-withWavelet_bior1.1-G_0.6-H1e-005_af4.wfa | 393216 | 131072 | 131072 | 35 | 39440 | 280 | 280 | 32 | 128 | 15.772119   | 5.844 | 40000 | 0.10172526  |
| lena32.bmp | lena32.bmp-withWavelet_haar-G_0.6-H1e-005_af1.wfa    | 393216 | 131072 | 131072 | 35 | 39440 | 280 | 280 | 32 | 128 | 15.66771372 | 5.953 | 40000 | 0.10172526  |
| lena32.bmp | lena32.bmp-withWavelet_rbio1.1-G_0.6-H1e-005_af1.wfa | 393216 | 131072 | 131072 | 35 | 39440 | 280 | 280 | 32 | 128 | 15.66771372 | 6.282 | 40000 | 0.10172526  |
| lena32.bmp | lena32.bmp-withWavelet_sym1-G_0.6-H1e-005_af1.wfa    | 393216 | 131072 | 131072 | 35 | 39440 | 280 | 280 | 32 | 128 | 15.66771372 | 6     | 40000 | 0.10172526  |
| lena32.bmp | lena32.bmp-withWavelet_bior1.1-G_0.6-H1e-005_af1.wfa | 393216 | 131072 | 131072 | 35 | 39440 | 280 | 280 | 32 | 128 | 15.66771372 | 5.922 | 40000 | 0.10172526  |
| lena32.bmp | lena32.bmp-withWavelet_haar-G_0.8-H1e-005_af4.wfa    | 393216 | 131072 | 131072 | 36 | 41712 | 288 | 288 | 32 | 128 | 15.87360246 | 5.875 | 42288 | 0.107543945 |
| lena32.bmp | lena32.bmp-withWavelet_rbio1.1-G_0.8-H1e-005_af4.wfa | 393216 | 131072 | 131072 | 36 | 41712 | 288 | 288 | 32 | 128 | 15.87360246 | 6.641 | 42288 | 0.107543945 |
| lena32.bmp | lena32.bmp-withWavelet_sym1-G_0.8-H1e-005_af4.wfa    | 393216 | 131072 | 131072 | 36 | 41712 | 288 | 288 | 32 | 128 | 15.87360246 | 5.906 | 42288 | 0.107543945 |
| lena32.bmp | lena32.bmp-withWavelet_bior1.1-G_0.8-H1e-005_af4.wfa | 393216 | 131072 | 131072 | 36 | 41712 | 288 | 288 | 32 | 128 | 15.87360246 | 6.422 | 42288 | 0.107543945 |

|            |  |        |        |        |    |       |     |     |    |     |             |       |       |             |
|------------|--|--------|--------|--------|----|-------|-----|-----|----|-----|-------------|-------|-------|-------------|
| lena32.bmp | lena32.bmp-withWavelet_haar-G_1-H1e-005_af1.wfa      | 393216 | 131072 | 131072 | 36 | 41712 | 288 | 288 | 32 | 128 | 15.81772842 | 6     | 42288 | 0.107543945 |
| lena32.bmp | lena32.bmp-withWavelet_rbio1.1-G_1-H1e-005_af1.wfa   | 393216 | 131072 | 131072 | 36 | 41712 | 288 | 288 | 32 | 128 | 15.81772842 | 6.594 | 42288 | 0.107543945 |
| lena32.bmp | lena32.bmp-withWavelet_sym1-G_1-H1e-005_af1.wfa      | 393216 | 131072 | 131072 | 36 | 41712 | 288 | 288 | 32 | 128 | 15.81772842 | 6.188 | 42288 | 0.107543945 |
| lena32.bmp | lena32.bmp-withWavelet_bior1.1-G_1-H1e-005_af1.wfa   | 393216 | 131072 | 131072 | 36 | 41712 | 288 | 288 | 32 | 128 | 15.81772842 | 5.984 | 42288 | 0.107543945 |
| lena32.bmp | lena32.bmp-withWavelet_haar-G_0.8-H1e-005_af1.wfa    | 393216 | 131072 | 131072 | 36 | 41712 | 288 | 288 | 32 | 128 | 15.81768716 | 6.157 | 42288 | 0.107543945 |
| lena32.bmp | lena32.bmp-withWavelet_rbio1.1-G_0.8-H1e-005_af1.wfa | 393216 | 131072 | 131072 | 36 | 41712 | 288 | 288 | 32 | 128 | 15.81768716 | 5.922 | 42288 | 0.107543945 |
| lena32.bmp | lena32.bmp-withWavelet_sym1-G_0.8-H1e-005_af1.wfa    | 393216 | 131072 | 131072 | 36 | 41712 | 288 | 288 | 32 | 128 | 15.81768716 | 5.969 | 42288 | 0.107543945 |
| lena32.bmp | lena32.bmp-withWavelet_bior1.1-G_0.8-H1e-005_af1.wfa | 393216 | 131072 | 131072 | 36 | 41712 | 288 | 288 | 32 | 128 | 15.81768716 | 6.563 | 42288 | 0.107543945 |
| lena32.bmp | lena32.bmp-G_1-H0.0001_af5.wfa                       | 98304  | 32768  |        | 18 | 10608 | 144 | 144 | 32 | 64  | 18.19996724 | 0.516 | 10896 | 0.110839844 |
| lena32.bmp | lena32.bmp-G_0.8-H0.0001_af5.wfa                     | 98304  | 32768  |        | 18 | 10608 | 144 | 144 | 32 | 64  | 18.19643408 | 0.5   | 10896 | 0.110839844 |
| lena32.bmp | lena32.bmp-G_0.6-H0.0001_af2.wfa                     | 98304  | 32768  |        | 18 | 10608 | 144 | 144 | 32 | 64  | 18.17938428 | 0.5   | 10896 | 0.110839844 |
| lena32.bmp | lena32.bmp-G_0.8-H9e-005_af5.wfa                     | 98304  | 32768  |        | 18 | 10608 | 144 | 144 | 32 | 64  | 18.17130754 | 0.5   | 10896 | 0.110839844 |
| lena32.bmp | lena32.bmp-G_0.6-H0.0001_af5.wfa                     | 98304  | 32768  |        | 18 | 10608 | 144 | 144 | 32 | 64  | 18.09433903 | 0.516 | 10896 | 0.110839844 |
| lena32.bmp | lena32.bmp-G_0.6-H0.0001_af3.wfa                     | 98304  | 32768  |        | 18 | 10608 | 144 | 144 | 32 | 64  | 17.76580553 | 0.5   | 10896 | 0.110839844 |
| lena32.bmp | lena32.bmp-withWavelet_haar-G_0.8-H0.0001_af2.wfa    | 98304  | 32768  | 32768  | 18 | 10608 | 144 | 144 | 32 | 64  | 17.14716202 | 0.5   | 10896 | 0.110839844 |
| lena32.bmp | lena32.bmp-withWavelet_rbio1.1-G_0.8-H0.0001_af2.wfa | 98304  | 32768  | 32768  | 18 | 10608 | 144 | 144 | 32 | 64  | 17.14716202 | 0.672 | 10896 | 0.110839844 |
| lena32.bmp | lena32.bmp-withWavelet_sym1-G_0.8-H0.0001_af2.wfa    | 98304  | 32768  | 32768  | 18 | 10608 | 144 | 144 | 32 | 64  | 17.14716202 | 0.5   | 10896 | 0.110839844 |
| lena32.bmp | lena32.bmp-withWavelet_bior1.1-G_0.8-H0.0001_af2.wfa | 98304  | 32768  | 32768  | 18 | 10608 | 144 | 144 | 32 | 64  | 17.14716202 | 0.5   | 10896 | 0.110839844 |
| lena32.bmp | lena32.bmp-withWavelet_haar-G_1-H8e-005_af2.wfa      | 98304  | 32768  | 32768  | 18 | 10608 | 144 | 144 | 32 | 64  | 17.11270656 | 0.5   | 10896 | 0.110839844 |
| lena32.bmp | lena32.bmp-withWavelet_rbio1.1-G_1-H8e-005_af2.wfa   | 98304  | 32768  | 32768  | 18 | 10608 | 144 | 144 | 32 | 64  | 17.11270656 | 0.484 | 10896 | 0.110839844 |
| lena32.bmp | lena32.bmp-withWavelet_sym1-G_1-H8e-005_af2.wfa      | 98304  | 32768  | 32768  | 18 | 10608 | 144 | 144 | 32 | 64  | 17.11270656 | 0.781 | 10896 | 0.110839844 |
| lena32.bmp | lena32.bmp-withWavelet_bior1.1-G_1-H8e-005_af2.wfa   | 98304  | 32768  | 32768  | 18 | 10608 | 144 | 144 | 32 | 64  | 17.11270656 | 0.5   | 10896 | 0.110839844 |
| lena32.bmp | lena32.bmp-withWavelet_haar-G_0.8-H9e-005_af2.wfa    | 98304  | 32768  | 32768  | 18 | 10608 | 144 | 144 | 32 | 64  | 17.02243162 | 0.532 | 10896 | 0.110839844 |
| lena32.bmp | lena32.bmp-withWavelet_rbio1.1-G_0.8-H9e-005_af2.wfa | 98304  | 32768  | 32768  | 18 | 10608 | 144 | 144 | 32 | 64  | 17.02243162 | 0.531 | 10896 | 0.110839844 |
| lena32.bmp | lena32.bmp-withWavelet_sym1-G_0.8-H9e-005_af2.wfa    | 98304  | 32768  | 32768  | 18 | 10608 | 144 | 144 | 32 | 64  | 17.02243162 | 0.64  | 10896 | 0.110839844 |
| lena32.bmp | lena32.bmp-withWavelet_bior1.1-G_0.8-H9e-005_af2.wfa | 98304  | 32768  | 32768  | 18 | 10608 | 144 | 144 | 32 | 64  | 17.02243162 | 0.485 | 10896 | 0.110839844 |
| lena32.bmp | lena32.bmp-withWavelet_haar-G_0.6-H9e-005_af2.wfa    | 98304  | 32768  | 32768  | 18 | 10608 | 144 | 144 | 32 | 64  | 16.94732397 | 0.484 | 10896 | 0.110839844 |
| lena32.bmp | lena32.bmp-withWavelet_rbio1.1-G_0.6-H9e-005_af2.wfa | 98304  | 32768  | 32768  | 18 | 10608 | 144 | 144 | 32 | 64  | 16.94732397 | 0.484 | 10896 | 0.110839844 |
| lena32.bmp | lena32.bmp-withWavelet_sym1-G_0.6-H9e-005_af2.wfa    | 98304  | 32768  | 32768  | 18 | 10608 | 144 | 144 | 32 | 64  | 16.94732397 | 0.516 | 10896 | 0.110839844 |
| lena32.bmp | lena32.bmp-withWavelet_bior1.1-G_0.6-H9e-005_af2.wfa | 98304  | 32768  | 32768  | 18 | 10608 | 144 | 144 | 32 | 64  | 16.94732397 | 0.609 | 10896 | 0.110839844 |
| lena32.bmp | lena32.bmp-withWavelet_haar-G_0.6-H0.0001_af2.wfa    | 98304  | 32768  | 32768  | 18 | 10608 | 144 | 144 | 32 | 64  | 16.94732397 | 0.5   | 10896 | 0.110839844 |

|            |  |        |        |        |    |       |     |     |    |     |             |       |       |             |
|------------|--|--------|--------|--------|----|-------|-----|-----|----|-----|-------------|-------|-------|-------------|
| lena32.bmp | lena32.bmp-withWavelet_rbio1.1-G_0.6-H0.0001_af2.wfa | 98304  | 32768  | 32768  | 18 | 10608 | 144 | 144 | 32 | 64  | 16.94732397 | 0.516 | 10896 | 0.110839844 |
| lena32.bmp | lena32.bmp-withWavelet_sym1-G_0.6-H0.0001_af2.wfa    | 98304  | 32768  | 32768  | 18 | 10608 | 144 | 144 | 32 | 64  | 16.94732397 | 0.531 | 10896 | 0.110839844 |
| lena32.bmp | lena32.bmp-withWavelet_bior1.1-G_0.6-H0.0001_af2.wfa | 98304  | 32768  | 32768  | 18 | 10608 | 144 | 144 | 32 | 64  | 16.94732397 | 0.594 | 10896 | 0.110839844 |
| lena32.bmp | lena32.bmp-withWavelet_haar-G_0.8-H7e-005_af5.wfa    | 98304  | 32768  | 32768  | 18 | 10608 | 144 | 144 | 32 | 64  | 16.87374911 | 0.609 | 10896 | 0.110839844 |
| lena32.bmp | lena32.bmp-withWavelet_rbio1.1-G_0.8-H7e-005_af5.wfa | 98304  | 32768  | 32768  | 18 | 10608 | 144 | 144 | 32 | 64  | 16.87374911 | 0.625 | 10896 | 0.110839844 |
| lena32.bmp | lena32.bmp-withWavelet_sym1-G_0.8-H7e-005_af5.wfa    | 98304  | 32768  | 32768  | 18 | 10608 | 144 | 144 | 32 | 64  | 16.87374911 | 0.5   | 10896 | 0.110839844 |
| lena32.bmp | lena32.bmp-withWavelet_bior1.1-G_0.8-H7e-005_af5.wfa | 98304  | 32768  | 32768  | 18 | 10608 | 144 | 144 | 32 | 64  | 16.87374911 | 0.485 | 10896 | 0.110839844 |
| lena32.bmp | lena32.bmp-withWavelet_haar-G_0.6-H9e-005_af1.wfa    | 98304  | 32768  | 32768  | 18 | 10608 | 144 | 144 | 32 | 64  | 16.85728221 | 0.64  | 10896 | 0.110839844 |
| lena32.bmp | lena32.bmp-withWavelet_rbio1.1-G_0.6-H9e-005_af1.wfa | 98304  | 32768  | 32768  | 18 | 10608 | 144 | 144 | 32 | 64  | 16.85728221 | 0.547 | 10896 | 0.110839844 |
| lena32.bmp | lena32.bmp-withWavelet_sym1-G_0.6-H9e-005_af1.wfa    | 98304  | 32768  | 32768  | 18 | 10608 | 144 | 144 | 32 | 64  | 16.85728221 | 0.516 | 10896 | 0.110839844 |
| lena32.bmp | lena32.bmp-withWavelet_bior1.1-G_0.6-H9e-005_af1.wfa | 98304  | 32768  | 32768  | 18 | 10608 | 144 | 144 | 32 | 64  | 16.85728221 | 0.484 | 10896 | 0.110839844 |
| lena32.bmp | lena32.bmp-withWavelet_haar-G_0.6-H0.0001_af1.wfa    | 98304  | 32768  | 32768  | 18 | 10608 | 144 | 144 | 32 | 64  | 16.85728221 | 0.484 | 10896 | 0.110839844 |
| lena32.bmp | lena32.bmp-withWavelet_rbio1.1-G_0.6-H0.0001_af1.wfa | 98304  | 32768  | 32768  | 18 | 10608 | 144 | 144 | 32 | 64  | 16.85728221 | 0.484 | 10896 | 0.110839844 |
| lena32.bmp | lena32.bmp-withWavelet_sym1-G_0.6-H0.0001_af1.wfa    | 98304  | 32768  | 32768  | 18 | 10608 | 144 | 144 | 32 | 64  | 16.85728221 | 0.578 | 10896 | 0.110839844 |
| lena32.bmp | lena32.bmp-withWavelet_bior1.1-G_0.6-H0.0001_af1.wfa | 98304  | 32768  | 32768  | 18 | 10608 | 144 | 144 | 32 | 64  | 16.85728221 | 0.954 | 10896 | 0.110839844 |
| lena32.bmp | lena32.bmp-withWavelet_haar-G_1-H7e-005_af5.wfa      | 98304  | 32768  | 32768  | 18 | 10608 | 144 | 144 | 32 | 64  | 16.61514408 | 0.485 | 10896 | 0.110839844 |
| lena32.bmp | lena32.bmp-withWavelet_rbio1.1-G_1-H7e-005_af5.wfa   | 98304  | 32768  | 32768  | 18 | 10608 | 144 | 144 | 32 | 64  | 16.61514408 | 0.563 | 10896 | 0.110839844 |
| lena32.bmp | lena32.bmp-withWavelet_sym1-G_1-H7e-005_af5.wfa      | 98304  | 32768  | 32768  | 18 | 10608 | 144 | 144 | 32 | 64  | 16.61514408 | 0.547 | 10896 | 0.110839844 |
| lena32.bmp | lena32.bmp-withWavelet_bior1.1-G_1-H7e-005_af5.wfa   | 98304  | 32768  | 32768  | 18 | 10608 | 144 | 144 | 32 | 64  | 16.61514408 | 0.5   | 10896 | 0.110839844 |
| lena32.bmp | lena32.bmp-withWavelet_haar-G_1-H1e-005_af4.wfa      | 393216 | 131072 | 131072 | 37 | 44048 | 296 | 296 | 32 | 128 | 15.80017752 | 6.859 | 44640 | 0.113525391 |
| lena32.bmp | lena32.bmp-withWavelet_rbio1.1-G_1-H1e-005_af4.wfa   | 393216 | 131072 | 131072 | 37 | 44048 | 296 | 296 | 32 | 128 | 15.80017752 | 6.36  | 44640 | 0.113525391 |
| lena32.bmp | lena32.bmp-withWavelet_sym1-G_1-H1e-005_af4.wfa      | 393216 | 131072 | 131072 | 37 | 44048 | 296 | 296 | 32 | 128 | 15.80017752 | 6.703 | 44640 | 0.113525391 |
| lena32.bmp | lena32.bmp-withWavelet_bior1.1-G_1-H1e-005_af4.wfa   | 393216 | 131072 | 131072 | 37 | 44048 | 296 | 296 | 32 | 128 | 15.80017752 | 6.422 | 44640 | 0.113525391 |
| lena32.bmp | lena32.bmp-G_0.8-H0.0001_af2.wfa                     | 98304  | 32768  |        | 19 | 11792 | 152 | 152 | 32 | 64  | 18.44227046 | 0.531 | 12096 | 0.123046875 |
| lena32.bmp | lena32.bmp-G_1-H9e-005_af5.wfa                       | 98304  | 32768  |        | 19 | 11792 | 152 | 152 | 32 | 64  | 18.34945596 | 0.672 | 12096 | 0.123046875 |
| lena32.bmp | lena32.bmp-G_1-H0.0001_af2.wfa                       | 98304  | 32768  |        | 19 | 11792 | 152 | 152 | 32 | 64  | 18.345211   | 0.547 | 12096 | 0.123046875 |
| lena32.bmp | lena32.bmp-G_1-H8e-005_af5.wfa                       | 98304  | 32768  |        | 19 | 11792 | 152 | 152 | 32 | 64  | 18.34114924 | 0.562 | 12096 | 0.123046875 |
| lena32.bmp | lena32.bmp-G_1-H9e-005_af2.wfa                       | 98304  | 32768  |        | 19 | 11792 | 152 | 152 | 32 | 64  | 18.31957539 | 0.734 | 12096 | 0.123046875 |
| lena32.bmp | lena32.bmp-G_0.8-H9e-005_af2.wfa                     | 98304  | 32768  |        | 19 | 11792 | 152 | 152 | 32 | 64  | 18.31675619 | 0.593 | 12096 | 0.123046875 |
| lena32.bmp | lena32.bmp-G_0.6-H9e-005_af5.wfa                     | 98304  | 32768  |        | 19 | 11792 | 152 | 152 | 32 | 64  | 18.2844693  | 0.531 | 12096 | 0.123046875 |
| lena32.bmp | lena32.bmp-G_0.6-H9e-005_af2.wfa                     | 98304  | 32768  |        | 19 | 11792 | 152 | 152 | 32 | 64  | 18.13990117 | 0.516 | 12096 | 0.123046875 |

|            |  |       |       |       |    |       |     |     |    |    |             |       |       |             |
|------------|--|-------|-------|-------|----|-------|-----|-----|----|----|-------------|-------|-------|-------------|
| lena32.bmp | lena32.bmp-G_0.8-H0.0001_af3.wfa                     | 98304 | 32768 |       | 19 | 11792 | 152 | 152 | 32 | 64 | 18.11491539 | 0.625 | 12096 | 0.123046875 |
| lena32.bmp | lena32.bmp-G_1-H0.0001_af3.wfa                       | 98304 | 32768 |       | 19 | 11792 | 152 | 152 | 32 | 64 | 18.10613047 | 0.672 | 12096 | 0.123046875 |
| lena32.bmp | lena32.bmp-G_0.6-H7e-005_af5.wfa                     | 98304 | 32768 |       | 19 | 11792 | 152 | 152 | 32 | 64 | 18.01235029 | 0.532 | 12096 | 0.123046875 |
| lena32.bmp | lena32.bmp-withWavelet_haar-G_1-H6e-005_af2.wfa      | 98304 | 32768 | 32768 | 19 | 11792 | 152 | 152 | 32 | 64 | 17.55309423 | 0.532 | 12096 | 0.123046875 |
| lena32.bmp | lena32.bmp-withWavelet_rbio1.1-G_1-H6e-005_af2.wfa   | 98304 | 32768 | 32768 | 19 | 11792 | 152 | 152 | 32 | 64 | 17.55309423 | 0.516 | 12096 | 0.123046875 |
| lena32.bmp | lena32.bmp-withWavelet_sym1-G_1-H6e-005_af2.wfa      | 98304 | 32768 | 32768 | 19 | 11792 | 152 | 152 | 32 | 64 | 17.55309423 | 0.5   | 12096 | 0.123046875 |
| lena32.bmp | lena32.bmp-withWavelet_bior1.1-G_1-H6e-005_af2.wfa   | 98304 | 32768 | 32768 | 19 | 11792 | 152 | 152 | 32 | 64 | 17.55309423 | 0.781 | 12096 | 0.123046875 |
| lena32.bmp | lena32.bmp-withWavelet_haar-G_0.8-H7e-005_af2.wfa    | 98304 | 32768 | 32768 | 19 | 11792 | 152 | 152 | 32 | 64 | 17.54903582 | 0.547 | 12096 | 0.123046875 |
| lena32.bmp | lena32.bmp-withWavelet_rbio1.1-G_0.8-H7e-005_af2.wfa | 98304 | 32768 | 32768 | 19 | 11792 | 152 | 152 | 32 | 64 | 17.54903582 | 0.547 | 12096 | 0.123046875 |
| lena32.bmp | lena32.bmp-withWavelet_sym1-G_0.8-H7e-005_af2.wfa    | 98304 | 32768 | 32768 | 19 | 11792 | 152 | 152 | 32 | 64 | 17.54903582 | 0.531 | 12096 | 0.123046875 |
| lena32.bmp | lena32.bmp-withWavelet_bior1.1-G_0.8-H7e-005_af2.wfa | 98304 | 32768 | 32768 | 19 | 11792 | 152 | 152 | 32 | 64 | 17.54903582 | 0.625 | 12096 | 0.123046875 |
| lena32.bmp | lena32.bmp-withWavelet_haar-G_0.8-H6e-005_af2.wfa    | 98304 | 32768 | 32768 | 19 | 11792 | 152 | 152 | 32 | 64 | 17.53582046 | 0.578 | 12096 | 0.123046875 |
| lena32.bmp | lena32.bmp-withWavelet_rbio1.1-G_0.8-H6e-005_af2.wfa | 98304 | 32768 | 32768 | 19 | 11792 | 152 | 152 | 32 | 64 | 17.53582046 | 0.531 | 12096 | 0.123046875 |
| lena32.bmp | lena32.bmp-withWavelet_sym1-G_0.8-H6e-005_af2.wfa    | 98304 | 32768 | 32768 | 19 | 11792 | 152 | 152 | 32 | 64 | 17.53582046 | 0.531 | 12096 | 0.123046875 |
| lena32.bmp | lena32.bmp-withWavelet_bior1.1-G_0.8-H6e-005_af2.wfa | 98304 | 32768 | 32768 | 19 | 11792 | 152 | 152 | 32 | 64 | 17.53582046 | 0.641 | 12096 | 0.123046875 |
| lena32.bmp | lena32.bmp-withWavelet_haar-G_1-H7e-005_af2.wfa      | 98304 | 32768 | 32768 | 19 | 11792 | 152 | 152 | 32 | 64 | 17.52182252 | 0.531 | 12096 | 0.123046875 |
| lena32.bmp | lena32.bmp-withWavelet_rbio1.1-G_1-H7e-005_af2.wfa   | 98304 | 32768 | 32768 | 19 | 11792 | 152 | 152 | 32 | 64 | 17.52182252 | 0.641 | 12096 | 0.123046875 |
| lena32.bmp | lena32.bmp-withWavelet_sym1-G_1-H7e-005_af2.wfa      | 98304 | 32768 | 32768 | 19 | 11792 | 152 | 152 | 32 | 64 | 17.52182252 | 0.516 | 12096 | 0.123046875 |
| lena32.bmp | lena32.bmp-withWavelet_bior1.1-G_1-H7e-005_af2.wfa   | 98304 | 32768 | 32768 | 19 | 11792 | 152 | 152 | 32 | 64 | 17.52182252 | 0.532 | 12096 | 0.123046875 |
| lena32.bmp | lena32.bmp-withWavelet_rbio1.1-G_1-H0.0001_af1.wfa   | 98304 | 32768 | 32768 | 19 | 11792 | 152 | 152 | 32 | 64 | 17.08575146 | 0.531 | 12096 | 0.123046875 |
| lena32.bmp | lena32.bmp-withWavelet_sym1-G_1-H0.0001_af1.wfa      | 98304 | 32768 | 32768 | 19 | 11792 | 152 | 152 | 32 | 64 | 17.08575146 | 0.657 | 12096 | 0.123046875 |
| lena32.bmp | lena32.bmp-withWavelet_bior1.1-G_1-H0.0001_af1.wfa   | 98304 | 32768 | 32768 | 19 | 11792 | 152 | 152 | 32 | 64 | 17.08575146 | 0.625 | 12096 | 0.123046875 |
| lena32.bmp | lena32.bmp-withWavelet_haar-G_0.8-H9e-005_af1.wfa    | 98304 | 32768 | 32768 | 19 | 11792 | 152 | 152 | 32 | 64 | 17.07283938 | 0.671 | 12096 | 0.123046875 |
| lena32.bmp | lena32.bmp-withWavelet_rbio1.1-G_0.8-H9e-005_af1.wfa | 98304 | 32768 | 32768 | 19 | 11792 | 152 | 152 | 32 | 64 | 17.07283938 | 0.515 | 12096 | 0.123046875 |
| lena32.bmp | lena32.bmp-withWavelet_sym1-G_0.8-H9e-005_af1.wfa    | 98304 | 32768 | 32768 | 19 | 11792 | 152 | 152 | 32 | 64 | 17.07283938 | 0.656 | 12096 | 0.123046875 |
| lena32.bmp | lena32.bmp-withWavelet_bior1.1-G_0.8-H9e-005_af1.wfa | 98304 | 32768 | 32768 | 19 | 11792 | 152 | 152 | 32 | 64 | 17.07283938 | 0.578 | 12096 | 0.123046875 |
| lena32.bmp | lena32.bmp-withWavelet_haar-G_0.8-H0.0001_af1.wfa    | 98304 | 32768 | 32768 | 19 | 11792 | 152 | 152 | 32 | 64 | 17.07283938 | 0.531 | 12096 | 0.123046875 |
| lena32.bmp | lena32.bmp-withWavelet_rbio1.1-G_0.8-H0.0001_af1.wfa | 98304 | 32768 | 32768 | 19 | 11792 | 152 | 152 | 32 | 64 | 17.07283938 | 0.531 | 12096 | 0.123046875 |
| lena32.bmp | lena32.bmp-withWavelet_sym1-G_0.8-H0.0001_af1.wfa    | 98304 | 32768 | 32768 | 19 | 11792 | 152 | 152 | 32 | 64 | 17.07283938 | 0.547 | 12096 | 0.123046875 |
| lena32.bmp | lena32.bmp-withWavelet_bior1.1-G_0.8-H0.0001_af1.wfa | 98304 | 32768 | 32768 | 19 | 11792 | 152 | 152 | 32 | 64 | 17.07283938 | 0.61  | 12096 | 0.123046875 |
| lena32.bmp | lena32.bmp-withWavelet_haar-G_0.6-H8e-005_af2.wfa    | 98304 | 32768 | 32768 | 19 | 11792 | 152 | 152 | 32 | 64 | 16.93366902 | 0.547 | 12096 | 0.123046875 |

|            |  |       |       |       |    |       |     |     |    |    |             |       |       |             |
|------------|--|-------|-------|-------|----|-------|-----|-----|----|----|-------------|-------|-------|-------------|
| lena32.bmp | lena32.bmp-withWavelet_rbio1.1-G_0.6-H8e-005_af2.wfa | 98304 | 32768 | 32768 | 19 | 11792 | 152 | 152 | 32 | 64 | 16.93366902 | 0.547 | 12096 | 0.123046875 |
| lena32.bmp | lena32.bmp-withWavelet_sym1-G_0.6-H8e-005_af2.wfa    | 98304 | 32768 | 32768 | 19 | 11792 | 152 | 152 | 32 | 64 | 16.93366902 | 0.531 | 12096 | 0.123046875 |
| lena32.bmp | lena32.bmp-withWavelet_bior1.1-G_0.6-H8e-005_af2.wfa | 98304 | 32768 | 32768 | 19 | 11792 | 152 | 152 | 32 | 64 | 16.93366902 | 0.516 | 12096 | 0.123046875 |
| lena32.bmp | lena32.bmp-withWavelet_haar-G_0.6-H6e-005_af2.wfa    | 98304 | 32768 | 32768 | 19 | 11792 | 152 | 152 | 32 | 64 | 16.87096767 | 0.516 | 12096 | 0.123046875 |
| lena32.bmp | lena32.bmp-withWavelet_rbio1.1-G_0.6-H6e-005_af2.wfa | 98304 | 32768 | 32768 | 19 | 11792 | 152 | 152 | 32 | 64 | 16.87096767 | 0.532 | 12096 | 0.123046875 |
| lena32.bmp | lena32.bmp-withWavelet_sym1-G_0.6-H6e-005_af2.wfa    | 98304 | 32768 | 32768 | 19 | 11792 | 152 | 152 | 32 | 64 | 16.87096767 | 0.516 | 12096 | 0.123046875 |
| lena32.bmp | lena32.bmp-withWavelet_bior1.1-G_0.6-H6e-005_af2.wfa | 98304 | 32768 | 32768 | 19 | 11792 | 152 | 152 | 32 | 64 | 16.87096767 | 0.656 | 12096 | 0.123046875 |
| lena32.bmp | lena32.bmp-withWavelet_haar-G_0.6-H7e-005_af2.wfa    | 98304 | 32768 | 32768 | 19 | 11792 | 152 | 152 | 32 | 64 | 16.87096767 | 0.516 | 12096 | 0.123046875 |
| lena32.bmp | lena32.bmp-withWavelet_rbio1.1-G_0.6-H7e-005_af2.wfa | 98304 | 32768 | 32768 | 19 | 11792 | 152 | 152 | 32 | 64 | 16.87096767 | 0.531 | 12096 | 0.123046875 |
| lena32.bmp | lena32.bmp-withWavelet_sym1-G_0.6-H7e-005_af2.wfa    | 98304 | 32768 | 32768 | 19 | 11792 | 152 | 152 | 32 | 64 | 16.87096767 | 0.532 | 12096 | 0.123046875 |
| lena32.bmp | lena32.bmp-withWavelet_bior1.1-G_0.6-H7e-005_af2.wfa | 98304 | 32768 | 32768 | 19 | 11792 | 152 | 152 | 32 | 64 | 16.87096767 | 0.515 | 12096 | 0.123046875 |
| lena32.bmp | lena32.bmp-withWavelet_haar-G_0.6-H7e-005_af5.wfa    | 98304 | 32768 | 32768 | 19 | 11792 | 152 | 152 | 32 | 64 | 16.72879684 | 0.563 | 12096 | 0.123046875 |
| lena32.bmp | lena32.bmp-withWavelet_rbio1.1-G_0.6-H7e-005_af5.wfa | 98304 | 32768 | 32768 | 19 | 11792 | 152 | 152 | 32 | 64 | 16.72879684 | 0.843 | 12096 | 0.123046875 |
| lena32.bmp | lena32.bmp-withWavelet_sym1-G_0.6-H7e-005_af5.wfa    | 98304 | 32768 | 32768 | 19 | 11792 | 152 | 152 | 32 | 64 | 16.72879684 | 0.547 | 12096 | 0.123046875 |
| lena32.bmp | lena32.bmp-withWavelet_bior1.1-G_0.6-H7e-005_af5.wfa | 98304 | 32768 | 32768 | 19 | 11792 | 152 | 152 | 32 | 64 | 16.72879684 | 0.593 | 12096 | 0.123046875 |
| lena32.bmp | lena32.bmp-G_0.8-H8e-005_af5.wfa                     | 98304 | 32768 |       | 20 | 13040 | 160 | 160 | 32 | 64 | 18.51802572 | 0.64  | 13360 | 0.135904948 |
| lena32.bmp | lena32.bmp-G_1-H8e-005_af2.wfa                       | 98304 | 32768 |       | 20 | 13040 | 160 | 160 | 32 | 64 | 18.38173139 | 0.579 | 13360 | 0.135904948 |
| lena32.bmp | lena32.bmp-G_0.8-H8e-005_af2.wfa                     | 98304 | 32768 |       | 20 | 13040 | 160 | 160 | 32 | 64 | 18.37792526 | 0.656 | 13360 | 0.135904948 |
| lena32.bmp | lena32.bmp-G_1-H7e-005_af5.wfa                       | 98304 | 32768 |       | 20 | 13040 | 160 | 160 | 32 | 64 | 18.32976098 | 0.547 | 13360 | 0.135904948 |
| lena32.bmp | lena32.bmp-G_0.6-H8e-005_af5.wfa                     | 98304 | 32768 |       | 20 | 13040 | 160 | 160 | 32 | 64 | 18.28886992 | 0.531 | 13360 | 0.135904948 |
| lena32.bmp | lena32.bmp-G_0.6-H8e-005_af2.wfa                     | 98304 | 32768 |       | 20 | 13040 | 160 | 160 | 32 | 64 | 18.26934504 | 0.531 | 13360 | 0.135904948 |
| lena32.bmp | lena32.bmp-G_0.6-H7e-005_af2.wfa                     | 98304 | 32768 |       | 20 | 13040 | 160 | 160 | 32 | 64 | 18.1697754  | 0.531 | 13360 | 0.135904948 |
| lena32.bmp | lena32.bmp-G_0.6-H9e-005_af3.wfa                     | 98304 | 32768 |       | 20 | 13040 | 160 | 160 | 32 | 64 | 17.95823221 | 0.61  | 13360 | 0.135904948 |
| lena32.bmp | lena32.bmp-withWavelet_haar-G_1-H5e-005_af2.wfa      | 98304 | 32768 | 32768 | 20 | 13040 | 160 | 160 | 32 | 64 | 17.66116024 | 0.563 | 13360 | 0.135904948 |
| lena32.bmp | lena32.bmp-withWavelet_rbio1.1-G_1-H5e-005_af2.wfa   | 98304 | 32768 | 32768 | 20 | 13040 | 160 | 160 | 32 | 64 | 17.66116024 | 0.531 | 13360 | 0.135904948 |
| lena32.bmp | lena32.bmp-withWavelet_sym1-G_1-H5e-005_af2.wfa      | 98304 | 32768 | 32768 | 20 | 13040 | 160 | 160 | 32 | 64 | 17.66116024 | 0.532 | 13360 | 0.135904948 |
| lena32.bmp | lena32.bmp-withWavelet_bior1.1-G_1-H5e-005_af2.wfa   | 98304 | 32768 | 32768 | 20 | 13040 | 160 | 160 | 32 | 64 | 17.66116024 | 0.547 | 13360 | 0.135904948 |
| lena32.bmp | lena32.bmp-withWavelet_haar-G_0.8-H5e-005_af2.wfa    | 98304 | 32768 | 32768 | 20 | 13040 | 160 | 160 | 32 | 64 | 17.523093   | 0.672 | 13360 | 0.135904948 |
| lena32.bmp | lena32.bmp-withWavelet_rbio1.1-G_0.8-H5e-005_af2.wfa | 98304 | 32768 | 32768 | 20 | 13040 | 160 | 160 | 32 | 64 | 17.523093   | 0.531 | 13360 | 0.135904948 |
| lena32.bmp | lena32.bmp-withWavelet_sym1-G_0.8-H5e-005_af2.wfa    | 98304 | 32768 | 32768 | 20 | 13040 | 160 | 160 | 32 | 64 | 17.523093   | 0.531 | 13360 | 0.135904948 |
| lena32.bmp | lena32.bmp-withWavelet_bior1.1-G_0.8-H5e-005_af2.wfa | 98304 | 32768 | 32768 | 20 | 13040 | 160 | 160 | 32 | 64 | 17.523093   | 0.532 | 13360 | 0.135904948 |





|            |  |       |       |       |    |       |     |     |    |    |             |       |       |             |
|------------|--|-------|-------|-------|----|-------|-----|-----|----|----|-------------|-------|-------|-------------|
| lena32.bmp | lena32.bmp-withWavelet_bior1.1-G_0.6-H6e-005_af5.wfa | 98304 | 32768 | 32768 | 20 | 13040 | 160 | 160 | 32 | 64 | 16.50674646 | 0.516 | 13360 | 0.135904948 |
| lena32.bmp | lena32.bmp-withWavelet_haar-G_0.6-H5e-005_af5.wfa    | 98304 | 32768 | 32768 | 20 | 13040 | 160 | 160 | 32 | 64 | 16.49959228 | 0.547 | 13360 | 0.135904948 |
| lena32.bmp | lena32.bmp-withWavelet_rbio1.1-G_0.6-H5e-005_af5.wfa | 98304 | 32768 | 32768 | 20 | 13040 | 160 | 160 | 32 | 64 | 16.49959228 | 0.515 | 13360 | 0.135904948 |
| lena32.bmp | lena32.bmp-withWavelet_sym1-G_0.6-H5e-005_af5.wfa    | 98304 | 32768 | 32768 | 20 | 13040 | 160 | 160 | 32 | 64 | 16.49959228 | 0.531 | 13360 | 0.135904948 |
| lena32.bmp | lena32.bmp-withWavelet_bior1.1-G_0.6-H5e-005_af5.wfa | 98304 | 32768 | 32768 | 20 | 13040 | 160 | 160 | 32 | 64 | 16.49959228 | 0.531 | 13360 | 0.135904948 |
| lena32.bmp | lena32.bmp-G_1-H7e-005_af2.wfa                       | 98304 | 32768 |       | 21 | 14352 | 168 | 168 | 32 | 64 | 18.46609072 | 0.641 | 14688 | 0.149414063 |
| lena32.bmp | lena32.bmp-G_0.8-H6e-005_af2.wfa                     | 98304 | 32768 |       | 21 | 14352 | 168 | 168 | 32 | 64 | 18.46024477 | 0.578 | 14688 | 0.149414063 |
| lena32.bmp | lena32.bmp-G_0.8-H7e-005_af2.wfa                     | 98304 | 32768 |       | 21 | 14352 | 168 | 168 | 32 | 64 | 18.46024477 | 0.797 | 14688 | 0.149414063 |
| lena32.bmp | lena32.bmp-G_0.8-H7e-005_af5.wfa                     | 98304 | 32768 |       | 21 | 14352 | 168 | 168 | 32 | 64 | 18.44198454 | 0.64  | 14688 | 0.149414063 |
| lena32.bmp | lena32.bmp-G_0.8-H0.0001_af1.wfa                     | 98304 | 32768 |       | 21 | 14352 | 168 | 168 | 32 | 64 | 18.43003377 | 0.563 | 14688 | 0.149414063 |
| lena32.bmp | lena32.bmp-G_1-H0.0001_af1.wfa                       | 98304 | 32768 |       | 21 | 14352 | 168 | 168 | 32 | 64 | 18.42061589 | 0.563 | 14688 | 0.149414063 |
| lena32.bmp | lena32.bmp-G_1-H7e-005_af3.wfa                       | 98304 | 32768 |       | 21 | 14352 | 168 | 168 | 32 | 64 | 18.41131246 | 0.578 | 14688 | 0.149414063 |
| lena32.bmp | lena32.bmp-G_1-H8e-005_af3.wfa                       | 98304 | 32768 |       | 21 | 14352 | 168 | 168 | 32 | 64 | 18.41131246 | 0.562 | 14688 | 0.149414063 |
| lena32.bmp | lena32.bmp-G_0.8-H7e-005_af3.wfa                     | 98304 | 32768 |       | 21 | 14352 | 168 | 168 | 32 | 64 | 18.40470951 | 0.64  | 14688 | 0.149414063 |
| lena32.bmp | lena32.bmp-G_0.8-H6e-005_af5.wfa                     | 98304 | 32768 |       | 21 | 14352 | 168 | 168 | 32 | 64 | 18.40321445 | 0.563 | 14688 | 0.149414063 |
| lena32.bmp | lena32.bmp-G_1-H9e-005_af3.wfa                       | 98304 | 32768 |       | 21 | 14352 | 168 | 168 | 32 | 64 | 18.37271002 | 0.796 | 14688 | 0.149414063 |
| lena32.bmp | lena32.bmp-G_0.8-H8e-005_af3.wfa                     | 98304 | 32768 |       | 21 | 14352 | 168 | 168 | 32 | 64 | 18.36493384 | 0.578 | 14688 | 0.149414063 |
| lena32.bmp | lena32.bmp-G_0.8-H9e-005_af3.wfa                     | 98304 | 32768 |       | 21 | 14352 | 168 | 168 | 32 | 64 | 18.36493384 | 0.75  | 14688 | 0.149414063 |
| lena32.bmp | lena32.bmp-G_0.6-H0.0001_af1.wfa                     | 98304 | 32768 |       | 21 | 14352 | 168 | 168 | 32 | 64 | 18.2407141  | 0.594 | 14688 | 0.149414063 |
| lena32.bmp | lena32.bmp-G_0.6-H6e-005_af2.wfa                     | 98304 | 32768 |       | 21 | 14352 | 168 | 168 | 32 | 64 | 18.22862239 | 0.594 | 14688 | 0.149414063 |
| lena32.bmp | lena32.bmp-G_0.6-H8e-005_af3.wfa                     | 98304 | 32768 |       | 21 | 14352 | 168 | 168 | 32 | 64 | 18.07125366 | 0.688 | 14688 | 0.149414063 |
| lena32.bmp | lena32.bmp-G_0.6-H7e-005_af3.wfa                     | 98304 | 32768 |       | 21 | 14352 | 168 | 168 | 32 | 64 | 17.98064487 | 0.547 | 14688 | 0.149414063 |
| lena32.bmp | lena32.bmp-withWavelet_haar-G_1-H8e-005_af4.wfa      | 98304 | 32768 | 32768 | 21 | 14352 | 168 | 168 | 32 | 64 | 17.13697652 | 0.563 | 14688 | 0.149414063 |
| lena32.bmp | lena32.bmp-withWavelet_rbio1.1-G_1-H8e-005_af4.wfa   | 98304 | 32768 | 32768 | 21 | 14352 | 168 | 168 | 32 | 64 | 17.13697652 | 0.563 | 14688 | 0.149414063 |
| lena32.bmp | lena32.bmp-withWavelet_sym1-G_1-H8e-005_af4.wfa      | 98304 | 32768 | 32768 | 21 | 14352 | 168 | 168 | 32 | 64 | 17.13697652 | 0.578 | 14688 | 0.149414063 |
| lena32.bmp | lena32.bmp-withWavelet_bior1.1-G_1-H8e-005_af4.wfa   | 98304 | 32768 | 32768 | 21 | 14352 | 168 | 168 | 32 | 64 | 17.13697652 | 0.562 | 14688 | 0.149414063 |
| lena32.bmp | lena32.bmp-withWavelet_haar-G_0.8-H8e-005_af4.wfa    | 98304 | 32768 | 32768 | 21 | 14352 | 168 | 168 | 32 | 64 | 17.09641746 | 0.563 | 14688 | 0.149414063 |
| lena32.bmp | lena32.bmp-withWavelet_rbio1.1-G_0.8-H8e-005_af4.wfa | 98304 | 32768 | 32768 | 21 | 14352 | 168 | 168 | 32 | 64 | 17.09641746 | 0.625 | 14688 | 0.149414063 |
| lena32.bmp | lena32.bmp-withWavelet_sym1-G_0.8-H8e-005_af4.wfa    | 98304 | 32768 | 32768 | 21 | 14352 | 168 | 168 | 32 | 64 | 17.09641746 | 0.563 | 14688 | 0.149414063 |
| lena32.bmp | lena32.bmp-withWavelet_bior1.1-G_0.8-H8e-005_af4.wfa | 98304 | 32768 | 32768 | 21 | 14352 | 168 | 168 | 32 | 64 | 17.09641746 | 0.625 | 14688 | 0.149414063 |
| lena32.bmp | lena32.bmp-withWavelet_haar-G_1-H8e-005_af1.wfa      | 98304 | 32768 | 32768 | 21 | 14352 | 168 | 168 | 32 | 64 | 17.07214017 | 0.609 | 14688 | 0.149414063 |



|            |  |       |       |       |    |       |     |     |    |    |             |       |       |             |
|------------|--|-------|-------|-------|----|-------|-----|-----|----|----|-------------|-------|-------|-------------|
| lena32.bmp | lena32.bmp-withWavelet_haar-G_0.6-H0.0001_af4.wfa    | 98304 | 32768 | 32768 | 21 | 14352 | 168 | 168 | 32 | 64 | 16.81562356 | 0.594 | 14688 | 0.149414063 |
| lena32.bmp | lena32.bmp-withWavelet_rbio1.1-G_0.6-H0.0001_af4.wfa | 98304 | 32768 | 32768 | 21 | 14352 | 168 | 168 | 32 | 64 | 16.81562356 | 0.672 | 14688 | 0.149414063 |
| lena32.bmp | lena32.bmp-withWavelet_sym1-G_0.6-H0.0001_af4.wfa    | 98304 | 32768 | 32768 | 21 | 14352 | 168 | 168 | 32 | 64 | 16.81562356 | 0.609 | 14688 | 0.149414063 |
| lena32.bmp | lena32.bmp-withWavelet_bior1.1-G_0.6-H0.0001_af4.wfa | 98304 | 32768 | 32768 | 21 | 14352 | 168 | 168 | 32 | 64 | 16.81562356 | 0.594 | 14688 | 0.149414063 |
| lena32.bmp | lena32.bmp-withWavelet_haar-G_0.6-H9e-005_af4.wfa    | 98304 | 32768 | 32768 | 21 | 14352 | 168 | 168 | 32 | 64 | 16.77727486 | 0.563 | 14688 | 0.149414063 |
| lena32.bmp | lena32.bmp-withWavelet_rbio1.1-G_0.6-H9e-005_af4.wfa | 98304 | 32768 | 32768 | 21 | 14352 | 168 | 168 | 32 | 64 | 16.77727486 | 0.719 | 14688 | 0.149414063 |
| lena32.bmp | lena32.bmp-withWavelet_sym1-G_0.6-H9e-005_af4.wfa    | 98304 | 32768 | 32768 | 21 | 14352 | 168 | 168 | 32 | 64 | 16.77727486 | 0.563 | 14688 | 0.149414063 |
| lena32.bmp | lena32.bmp-withWavelet_bior1.1-G_0.6-H9e-005_af4.wfa | 98304 | 32768 | 32768 | 21 | 14352 | 168 | 168 | 32 | 64 | 16.77727486 | 0.562 | 14688 | 0.149414063 |
| lena32.bmp | lena32.bmp-G_1-H9e-005_af1.wfa                       | 98304 | 32768 |       | 22 | 15728 | 176 | 176 | 32 | 64 | 18.53438563 | 0.641 | 16080 | 0.163574219 |
| lena32.bmp | lena32.bmp-G_0.8-H9e-005_af1.wfa                     | 98304 | 32768 |       | 22 | 15728 | 176 | 176 | 32 | 64 | 18.52500051 | 0.594 | 16080 | 0.163574219 |
| lena32.bmp | lena32.bmp-G_1-H6e-005_af5.wfa                       | 98304 | 32768 |       | 22 | 15728 | 176 | 176 | 32 | 64 | 18.51020615 | 0.625 | 16080 | 0.163574219 |
| lena32.bmp | lena32.bmp-G_1-H6e-005_af2.wfa                       | 98304 | 32768 |       | 22 | 15728 | 176 | 176 | 32 | 64 | 18.48817351 | 0.625 | 16080 | 0.163574219 |
| lena32.bmp | lena32.bmp-G_0.6-H6e-005_af5.wfa                     | 98304 | 32768 |       | 22 | 15728 | 176 | 176 | 32 | 64 | 18.36877744 | 0.657 | 16080 | 0.163574219 |
| lena32.bmp | lena32.bmp-G_0.6-H5e-005_af5.wfa                     | 98304 | 32768 |       | 22 | 15728 | 176 | 176 | 32 | 64 | 18.28741748 | 0.656 | 16080 | 0.163574219 |
| lena32.bmp | lena32.bmp-G_0.6-H9e-005_af1.wfa                     | 98304 | 32768 |       | 22 | 15728 | 176 | 176 | 32 | 64 | 18.27242432 | 0.594 | 16080 | 0.163574219 |
| lena32.bmp | lena32.bmp-withWavelet_haar-G_1-H4e-005_af2.wfa      | 98304 | 32768 | 32768 | 22 | 15728 | 176 | 176 | 32 | 64 | 17.46650845 | 0.61  | 16080 | 0.163574219 |
| lena32.bmp | lena32.bmp-withWavelet_rbio1.1-G_1-H4e-005_af2.wfa   | 98304 | 32768 | 32768 | 22 | 15728 | 176 | 176 | 32 | 64 | 17.46650845 | 0.578 | 16080 | 0.163574219 |
| lena32.bmp | lena32.bmp-withWavelet_sym1-G_1-H4e-005_af2.wfa      | 98304 | 32768 | 32768 | 22 | 15728 | 176 | 176 | 32 | 64 | 17.46650845 | 0.609 | 16080 | 0.163574219 |
| lena32.bmp | lena32.bmp-withWavelet_bior1.1-G_1-H4e-005_af2.wfa   | 98304 | 32768 | 32768 | 22 | 15728 | 176 | 176 | 32 | 64 | 17.46650845 | 0.61  | 16080 | 0.163574219 |
| lena32.bmp | lena32.bmp-withWavelet_haar-G_1-H7e-005_af4.wfa      | 98304 | 32768 | 32768 | 22 | 15728 | 176 | 176 | 32 | 64 | 17.16249104 | 0.61  | 16080 | 0.163574219 |
| lena32.bmp | lena32.bmp-withWavelet_rbio1.1-G_1-H7e-005_af4.wfa   | 98304 | 32768 | 32768 | 22 | 15728 | 176 | 176 | 32 | 64 | 17.16249104 | 0.61  | 16080 | 0.163574219 |
| lena32.bmp | lena32.bmp-withWavelet_sym1-G_1-H7e-005_af4.wfa      | 98304 | 32768 | 32768 | 22 | 15728 | 176 | 176 | 32 | 64 | 17.16249104 | 0.671 | 16080 | 0.163574219 |
| lena32.bmp | lena32.bmp-withWavelet_bior1.1-G_1-H7e-005_af4.wfa   | 98304 | 32768 | 32768 | 22 | 15728 | 176 | 176 | 32 | 64 | 17.16249104 | 0.765 | 16080 | 0.163574219 |
| lena32.bmp | lena32.bmp-withWavelet_haar-G_0.8-H7e-005_af4.wfa    | 98304 | 32768 | 32768 | 22 | 15728 | 176 | 176 | 32 | 64 | 17.12340406 | 0.594 | 16080 | 0.163574219 |
| lena32.bmp | lena32.bmp-withWavelet_rbio1.1-G_0.8-H7e-005_af4.wfa | 98304 | 32768 | 32768 | 22 | 15728 | 176 | 176 | 32 | 64 | 17.12340406 | 0.578 | 16080 | 0.163574219 |
| lena32.bmp | lena32.bmp-withWavelet_sym1-G_0.8-H7e-005_af4.wfa    | 98304 | 32768 | 32768 | 22 | 15728 | 176 | 176 | 32 | 64 | 17.12340406 | 0.688 | 16080 | 0.163574219 |
| lena32.bmp | lena32.bmp-withWavelet_bior1.1-G_0.8-H7e-005_af4.wfa | 98304 | 32768 | 32768 | 22 | 15728 | 176 | 176 | 32 | 64 | 17.12340406 | 0.75  | 16080 | 0.163574219 |
| lena32.bmp | lena32.bmp-withWavelet_haar-G_1-H0.0001_af3.wfa      | 98304 | 32768 | 32768 | 22 | 15728 | 176 | 176 | 32 | 64 | 17.06537532 | 0.625 | 16080 | 0.163574219 |
| lena32.bmp | lena32.bmp-withWavelet_rbio1.1-G_1-H0.0001_af3.wfa   | 98304 | 32768 | 32768 | 22 | 15728 | 176 | 176 | 32 | 64 | 17.06537532 | 0.609 | 16080 | 0.163574219 |
| lena32.bmp | lena32.bmp-withWavelet_sym1-G_1-H0.0001_af3.wfa      | 98304 | 32768 | 32768 | 22 | 15728 | 176 | 176 | 32 | 64 | 17.06537532 | 1.078 | 16080 | 0.163574219 |
| lena32.bmp | lena32.bmp-withWavelet_bior1.1-G_1-H0.0001_af3.wfa   | 98304 | 32768 | 32768 | 22 | 15728 | 176 | 176 | 32 | 64 | 17.06537532 | 0.578 | 16080 | 0.163574219 |



|            |  |       |       |       |    |       |     |     |    |    |             |       |       |             |
|------------|--|-------|-------|-------|----|-------|-----|-----|----|----|-------------|-------|-------|-------------|
| lena32.bmp | lena32.bmp-withWavelet_bior1.1-G_0.8-H5e-005_af5.wfa | 98304 | 32768 | 32768 | 22 | 15728 | 176 | 176 | 32 | 64 | 16.85938039 | 0.656 | 16080 | 0.163574219 |
| lena32.bmp | lena32.bmp-withWavelet_haar-G_0.6-H4e-005_af5.wfa    | 98304 | 32768 | 32768 | 22 | 15728 | 176 | 176 | 32 | 64 | 15.89514477 | 0.594 | 16080 | 0.163574219 |
| lena32.bmp | lena32.bmp-withWavelet_rbio1.1-G_0.6-H4e-005_af5.wfa | 98304 | 32768 | 32768 | 22 | 15728 | 176 | 176 | 32 | 64 | 15.89514477 | 0.578 | 16080 | 0.163574219 |
| lena32.bmp | lena32.bmp-withWavelet_sym1-G_0.6-H4e-005_af5.wfa    | 98304 | 32768 | 32768 | 22 | 15728 | 176 | 176 | 32 | 64 | 15.89514477 | 0.657 | 16080 | 0.163574219 |
| lena32.bmp | lena32.bmp-withWavelet_bior1.1-G_0.6-H4e-005_af5.wfa | 98304 | 32768 | 32768 | 22 | 15728 | 176 | 176 | 32 | 64 | 15.89514477 | 0.578 | 16080 | 0.163574219 |
| lena32.bmp | lena32.bmp-G_1-H8e-005_af1.wfa                       | 98304 | 32768 |       | 23 | 17168 | 184 | 184 | 32 | 64 | 18.6549097  | 0.687 | 17536 | 0.178385417 |
| lena32.bmp | lena32.bmp-G_0.8-H8e-005_af1.wfa                     | 98304 | 32768 |       | 23 | 17168 | 184 | 184 | 32 | 64 | 18.64385107 | 1.296 | 17536 | 0.178385417 |
| lena32.bmp | lena32.bmp-G_1-H5e-005_af5.wfa                       | 98304 | 32768 |       | 23 | 17168 | 184 | 184 | 32 | 64 | 18.62841087 | 0.75  | 17536 | 0.178385417 |
| lena32.bmp | lena32.bmp-G_1-H5e-005_af2.wfa                       | 98304 | 32768 |       | 23 | 17168 | 184 | 184 | 32 | 64 | 18.55025095 | 0.75  | 17536 | 0.178385417 |
| lena32.bmp | lena32.bmp-G_0.8-H5e-005_af2.wfa                     | 98304 | 32768 |       | 23 | 17168 | 184 | 184 | 32 | 64 | 18.54481295 | 0.718 | 17536 | 0.178385417 |
| lena32.bmp | lena32.bmp-G_1-H6e-005_af3.wfa                       | 98304 | 32768 |       | 23 | 17168 | 184 | 184 | 32 | 64 | 18.52658458 | 0.703 | 17536 | 0.178385417 |
| lena32.bmp | lena32.bmp-G_0.8-H6e-005_af3.wfa                     | 98304 | 32768 |       | 23 | 17168 | 184 | 184 | 32 | 64 | 18.5205665  | 0.719 | 17536 | 0.178385417 |
| lena32.bmp | lena32.bmp-G_0.6-H4e-005_af5.wfa                     | 98304 | 32768 |       | 23 | 17168 | 184 | 184 | 32 | 64 | 18.3780451  | 0.687 | 17536 | 0.178385417 |
| lena32.bmp | lena32.bmp-G_0.6-H8e-005_af1.wfa                     | 98304 | 32768 |       | 23 | 17168 | 184 | 184 | 32 | 64 | 18.37262728 | 0.687 | 17536 | 0.178385417 |
| lena32.bmp | lena32.bmp-G_0.6-H6e-005_af3.wfa                     | 98304 | 32768 |       | 23 | 17168 | 184 | 184 | 32 | 64 | 18.3579217  | 0.672 | 17536 | 0.178385417 |
| lena32.bmp | lena32.bmp-withWavelet_haar-G_0.8-H4e-005_af2.wfa    | 98304 | 32768 | 32768 | 23 | 17168 | 184 | 184 | 32 | 64 | 17.41815067 | 0.719 | 17536 | 0.178385417 |
| lena32.bmp | lena32.bmp-withWavelet_rbio1.1-G_0.8-H4e-005_af2.wfa | 98304 | 32768 | 32768 | 23 | 17168 | 184 | 184 | 32 | 64 | 17.41815067 | 0.703 | 17536 | 0.178385417 |
| lena32.bmp | lena32.bmp-withWavelet_sym1-G_0.8-H4e-005_af2.wfa    | 98304 | 32768 | 32768 | 23 | 17168 | 184 | 184 | 32 | 64 | 17.41815067 | 0.781 | 17536 | 0.178385417 |
| lena32.bmp | lena32.bmp-withWavelet_bior1.1-G_0.8-H4e-005_af2.wfa | 98304 | 32768 | 32768 | 23 | 17168 | 184 | 184 | 32 | 64 | 17.41815067 | 0.688 | 17536 | 0.178385417 |
| lena32.bmp | lena32.bmp-withWavelet_haar-G_1-H9e-005_af3.wfa      | 98304 | 32768 | 32768 | 23 | 17168 | 184 | 184 | 32 | 64 | 17.02470876 | 1     | 17536 | 0.178385417 |
| lena32.bmp | lena32.bmp-withWavelet_rbio1.1-G_1-H9e-005_af3.wfa   | 98304 | 32768 | 32768 | 23 | 17168 | 184 | 184 | 32 | 64 | 17.02470876 | 0.86  | 17536 | 0.178385417 |
| lena32.bmp | lena32.bmp-withWavelet_sym1-G_1-H9e-005_af3.wfa      | 98304 | 32768 | 32768 | 23 | 17168 | 184 | 184 | 32 | 64 | 17.02470876 | 0.688 | 17536 | 0.178385417 |
| lena32.bmp | lena32.bmp-withWavelet_bior1.1-G_1-H9e-005_af3.wfa   | 98304 | 32768 | 32768 | 23 | 17168 | 184 | 184 | 32 | 64 | 17.02470876 | 0.703 | 17536 | 0.178385417 |
| lena32.bmp | lena32.bmp-withWavelet_haar-G_1-H7e-005_af3.wfa      | 98304 | 32768 | 32768 | 23 | 17168 | 184 | 184 | 32 | 64 | 17.0177091  | 0.687 | 17536 | 0.178385417 |
| lena32.bmp | lena32.bmp-withWavelet_rbio1.1-G_1-H7e-005_af3.wfa   | 98304 | 32768 | 32768 | 23 | 17168 | 184 | 184 | 32 | 64 | 17.0177091  | 0.703 | 17536 | 0.178385417 |
| lena32.bmp | lena32.bmp-withWavelet_sym1-G_1-H7e-005_af3.wfa      | 98304 | 32768 | 32768 | 23 | 17168 | 184 | 184 | 32 | 64 | 17.0177091  | 0.703 | 17536 | 0.178385417 |
| lena32.bmp | lena32.bmp-withWavelet_bior1.1-G_1-H7e-005_af3.wfa   | 98304 | 32768 | 32768 | 23 | 17168 | 184 | 184 | 32 | 64 | 17.0177091  | 0.781 | 17536 | 0.178385417 |
| lena32.bmp | lena32.bmp-withWavelet_haar-G_1-H8e-005_af3.wfa      | 98304 | 32768 | 32768 | 23 | 17168 | 184 | 184 | 32 | 64 | 17.0177091  | 0.718 | 17536 | 0.178385417 |
| lena32.bmp | lena32.bmp-withWavelet_rbio1.1-G_1-H8e-005_af3.wfa   | 98304 | 32768 | 32768 | 23 | 17168 | 184 | 184 | 32 | 64 | 17.0177091  | 0.688 | 17536 | 0.178385417 |
| lena32.bmp | lena32.bmp-withWavelet_sym1-G_1-H8e-005_af3.wfa      | 98304 | 32768 | 32768 | 23 | 17168 | 184 | 184 | 32 | 64 | 17.0177091  | 0.687 | 17536 | 0.178385417 |
| lena32.bmp | lena32.bmp-withWavelet_bior1.1-G_1-H8e-005_af3.wfa   | 98304 | 32768 | 32768 | 23 | 17168 | 184 | 184 | 32 | 64 | 17.0177091  | 0.687 | 17536 | 0.178385417 |

|            |  |       |       |       |    |       |     |     |    |    |             |       |       |             |
|------------|--|-------|-------|-------|----|-------|-----|-----|----|----|-------------|-------|-------|-------------|
| lena32.bmp | lena32.bmp-withWavelet_haar-G_0.8-H7e-005_af3.wfa    | 98304 | 32768 | 32768 | 23 | 17168 | 184 | 184 | 32 | 64 | 16.99956395 | 0.734 | 17536 | 0.178385417 |
| lena32.bmp | lena32.bmp-withWavelet_rbio1.1-G_0.8-H7e-005_af3.wfa | 98304 | 32768 | 32768 | 23 | 17168 | 184 | 184 | 32 | 64 | 16.99956395 | 0.75  | 17536 | 0.178385417 |
| lena32.bmp | lena32.bmp-withWavelet_sym1-G_0.8-H7e-005_af3.wfa    | 98304 | 32768 | 32768 | 23 | 17168 | 184 | 184 | 32 | 64 | 16.99956395 | 0.984 | 17536 | 0.178385417 |
| lena32.bmp | lena32.bmp-withWavelet_bior1.1-G_0.8-H7e-005_af3.wfa | 98304 | 32768 | 32768 | 23 | 17168 | 184 | 184 | 32 | 64 | 16.99956395 | 0.891 | 17536 | 0.178385417 |
| lena32.bmp | lena32.bmp-withWavelet_haar-G_0.8-H8e-005_af3.wfa    | 98304 | 32768 | 32768 | 23 | 17168 | 184 | 184 | 32 | 64 | 16.99956395 | 0.813 | 17536 | 0.178385417 |
| lena32.bmp | lena32.bmp-withWavelet_rbio1.1-G_0.8-H8e-005_af3.wfa | 98304 | 32768 | 32768 | 23 | 17168 | 184 | 184 | 32 | 64 | 16.99956395 | 0.718 | 17536 | 0.178385417 |
| lena32.bmp | lena32.bmp-withWavelet_sym1-G_0.8-H8e-005_af3.wfa    | 98304 | 32768 | 32768 | 23 | 17168 | 184 | 184 | 32 | 64 | 16.99956395 | 0.797 | 17536 | 0.178385417 |
| lena32.bmp | lena32.bmp-withWavelet_bior1.1-G_0.8-H8e-005_af3.wfa | 98304 | 32768 | 32768 | 23 | 17168 | 184 | 184 | 32 | 64 | 16.99956395 | 0.75  | 17536 | 0.178385417 |
| lena32.bmp | lena32.bmp-withWavelet_haar-G_0.6-H8e-005_af3.wfa    | 98304 | 32768 | 32768 | 23 | 17168 | 184 | 184 | 32 | 64 | 16.94566716 | 0.703 | 17536 | 0.178385417 |
| lena32.bmp | lena32.bmp-withWavelet_rbio1.1-G_0.6-H8e-005_af3.wfa | 98304 | 32768 | 32768 | 23 | 17168 | 184 | 184 | 32 | 64 | 16.94566716 | 0.688 | 17536 | 0.178385417 |
| lena32.bmp | lena32.bmp-withWavelet_sym1-G_0.6-H8e-005_af3.wfa    | 98304 | 32768 | 32768 | 23 | 17168 | 184 | 184 | 32 | 64 | 16.94566716 | 0.859 | 17536 | 0.178385417 |
| lena32.bmp | lena32.bmp-withWavelet_bior1.1-G_0.6-H8e-005_af3.wfa | 98304 | 32768 | 32768 | 23 | 17168 | 184 | 184 | 32 | 64 | 16.94566716 | 0.75  | 17536 | 0.178385417 |
| lena32.bmp | lena32.bmp-withWavelet_haar-G_0.6-H4e-005_af2.wfa    | 98304 | 32768 | 32768 | 23 | 17168 | 184 | 184 | 32 | 64 | 16.89597799 | 0.703 | 17536 | 0.178385417 |
| lena32.bmp | lena32.bmp-withWavelet_rbio1.1-G_0.6-H4e-005_af2.wfa | 98304 | 32768 | 32768 | 23 | 17168 | 184 | 184 | 32 | 64 | 16.89597799 | 0.735 | 17536 | 0.178385417 |
| lena32.bmp | lena32.bmp-withWavelet_sym1-G_0.6-H4e-005_af2.wfa    | 98304 | 32768 | 32768 | 23 | 17168 | 184 | 184 | 32 | 64 | 16.89597799 | 0.766 | 17536 | 0.178385417 |
| lena32.bmp | lena32.bmp-withWavelet_bior1.1-G_0.6-H4e-005_af2.wfa | 98304 | 32768 | 32768 | 23 | 17168 | 184 | 184 | 32 | 64 | 16.89597799 | 0.734 | 17536 | 0.178385417 |
| lena32.bmp | lena32.bmp-withWavelet_haar-G_0.6-H8e-005_af4.wfa    | 98304 | 32768 | 32768 | 23 | 17168 | 184 | 184 | 32 | 64 | 16.71743533 | 0.687 | 17536 | 0.178385417 |
| lena32.bmp | lena32.bmp-withWavelet_rbio1.1-G_0.6-H8e-005_af4.wfa | 98304 | 32768 | 32768 | 23 | 17168 | 184 | 184 | 32 | 64 | 16.71743533 | 0.688 | 17536 | 0.178385417 |
| lena32.bmp | lena32.bmp-withWavelet_sym1-G_0.6-H8e-005_af4.wfa    | 98304 | 32768 | 32768 | 23 | 17168 | 184 | 184 | 32 | 64 | 16.71743533 | 0.719 | 17536 | 0.178385417 |
| lena32.bmp | lena32.bmp-withWavelet_bior1.1-G_0.6-H8e-005_af4.wfa | 98304 | 32768 | 32768 | 23 | 17168 | 184 | 184 | 32 | 64 | 16.71743533 | 0.782 | 17536 | 0.178385417 |
| lena32.bmp | lena32.bmp-G_1-H4e-005_af2.wfa                       | 98304 | 32768 |       | 24 | 18672 | 192 | 192 | 32 | 64 | 18.73511792 | 0.75  | 19056 | 0.193847656 |
| lena32.bmp | lena32.bmp-G_0.8-H4e-005_af2.wfa                     | 98304 | 32768 |       | 24 | 18672 | 192 | 192 | 32 | 64 | 18.73440525 | 0.734 | 19056 | 0.193847656 |
| lena32.bmp | lena32.bmp-G_1-H4e-005_af5.wfa                       | 98304 | 32768 |       | 24 | 18672 | 192 | 192 | 32 | 64 | 18.71946982 | 0.765 | 19056 | 0.193847656 |
| lena32.bmp | lena32.bmp-G_0.8-H5e-005_af5.wfa                     | 98304 | 32768 |       | 24 | 18672 | 192 | 192 | 32 | 64 | 18.71079546 | 0.703 | 19056 | 0.193847656 |
| lena32.bmp | lena32.bmp-G_0.8-H4e-005_af5.wfa                     | 98304 | 32768 |       | 24 | 18672 | 192 | 192 | 32 | 64 | 18.66726955 | 0.719 | 19056 | 0.193847656 |
| lena32.bmp | lena32.bmp-G_0.6-H5e-005_af2.wfa                     | 98304 | 32768 |       | 24 | 18672 | 192 | 192 | 32 | 64 | 18.4857459  | 0.704 | 19056 | 0.193847656 |
| lena32.bmp | lena32.bmp-G_0.6-H7e-005_af1.wfa                     | 98304 | 32768 |       | 24 | 18672 | 192 | 192 | 32 | 64 | 18.42704287 | 0.703 | 19056 | 0.193847656 |
| lena32.bmp | lena32.bmp-G_0.6-H5e-005_af3.wfa                     | 98304 | 32768 |       | 24 | 18672 | 192 | 192 | 32 | 64 | 18.39201966 | 0.718 | 19056 | 0.193847656 |
| lena32.bmp | lena32.bmp-withWavelet_haar-G_0.8-H3e-005_af2.wfa    | 98304 | 32768 | 32768 | 24 | 18672 | 192 | 192 | 32 | 64 | 17.39621396 | 0.719 | 19056 | 0.193847656 |
| lena32.bmp | lena32.bmp-withWavelet_rbio1.1-G_0.8-H3e-005_af2.wfa | 98304 | 32768 | 32768 | 24 | 18672 | 192 | 192 | 32 | 64 | 17.39621396 | 0.718 | 19056 | 0.193847656 |
| lena32.bmp | lena32.bmp-withWavelet_sym1-G_0.8-H3e-005_af2.wfa    | 98304 | 32768 | 32768 | 24 | 18672 | 192 | 192 | 32 | 64 | 17.39621396 | 0.718 | 19056 | 0.193847656 |

|            |  |       |       |       |    |       |     |     |    |    |             |       |       |             |
|------------|--|-------|-------|-------|----|-------|-----|-----|----|----|-------------|-------|-------|-------------|
| lena32.bmp | lena32.bmp-withWavelet_bior1.1-G_0.8-H3e-005_af2.wfa | 98304 | 32768 | 32768 | 24 | 18672 | 192 | 192 | 32 | 64 | 17.39621396 | 0.719 | 19056 | 0.193847656 |
| lena32.bmp | lena32.bmp-withWavelet_haar-G_1-H6e-005_af4.wfa      | 98304 | 32768 | 32768 | 24 | 18672 | 192 | 192 | 32 | 64 | 17.14324694 | 0.704 | 19056 | 0.193847656 |
| lena32.bmp | lena32.bmp-withWavelet_rbio1.1-G_1-H6e-005_af4.wfa   | 98304 | 32768 | 32768 | 24 | 18672 | 192 | 192 | 32 | 64 | 17.14324694 | 0.718 | 19056 | 0.193847656 |
| lena32.bmp | lena32.bmp-withWavelet_sym1-G_1-H6e-005_af4.wfa      | 98304 | 32768 | 32768 | 24 | 18672 | 192 | 192 | 32 | 64 | 17.14324694 | 0.812 | 19056 | 0.193847656 |
| lena32.bmp | lena32.bmp-withWavelet_bior1.1-G_1-H6e-005_af4.wfa   | 98304 | 32768 | 32768 | 24 | 18672 | 192 | 192 | 32 | 64 | 17.14324694 | 0.703 | 19056 | 0.193847656 |
| lena32.bmp | lena32.bmp-withWavelet_haar-G_0.8-H6e-005_af4.wfa    | 98304 | 32768 | 32768 | 24 | 18672 | 192 | 192 | 32 | 64 | 17.04039091 | 0.719 | 19056 | 0.193847656 |
| lena32.bmp | lena32.bmp-withWavelet_rbio1.1-G_0.8-H6e-005_af4.wfa | 98304 | 32768 | 32768 | 24 | 18672 | 192 | 192 | 32 | 64 | 17.04039091 | 0.734 | 19056 | 0.193847656 |
| lena32.bmp | lena32.bmp-withWavelet_sym1-G_0.8-H6e-005_af4.wfa    | 98304 | 32768 | 32768 | 24 | 18672 | 192 | 192 | 32 | 64 | 17.04039091 | 0.703 | 19056 | 0.193847656 |
| lena32.bmp | lena32.bmp-withWavelet_bior1.1-G_0.8-H6e-005_af4.wfa | 98304 | 32768 | 32768 | 24 | 18672 | 192 | 192 | 32 | 64 | 17.04039091 | 0.719 | 19056 | 0.193847656 |
| lena32.bmp | lena32.bmp-withWavelet_haar-G_1-H5e-005_af1.wfa      | 98304 | 32768 | 32768 | 24 | 18672 | 192 | 192 | 32 | 64 | 17.03799543 | 0.704 | 19056 | 0.193847656 |
| lena32.bmp | lena32.bmp-withWavelet_rbio1.1-G_1-H5e-005_af1.wfa   | 98304 | 32768 | 32768 | 24 | 18672 | 192 | 192 | 32 | 64 | 17.03799543 | 0.703 | 19056 | 0.193847656 |
| lena32.bmp | lena32.bmp-withWavelet_sym1-G_1-H5e-005_af1.wfa      | 98304 | 32768 | 32768 | 24 | 18672 | 192 | 192 | 32 | 64 | 17.03799543 | 0.812 | 19056 | 0.193847656 |
| lena32.bmp | lena32.bmp-withWavelet_bior1.1-G_1-H5e-005_af1.wfa   | 98304 | 32768 | 32768 | 24 | 18672 | 192 | 192 | 32 | 64 | 17.03799543 | 0.719 | 19056 | 0.193847656 |
| lena32.bmp | lena32.bmp-withWavelet_haar-G_0.8-H5e-005_af1.wfa    | 98304 | 32768 | 32768 | 24 | 18672 | 192 | 192 | 32 | 64 | 17.02003955 | 0.765 | 19056 | 0.193847656 |
| lena32.bmp | lena32.bmp-withWavelet_rbio1.1-G_0.8-H5e-005_af1.wfa | 98304 | 32768 | 32768 | 24 | 18672 | 192 | 192 | 32 | 64 | 17.02003955 | 0.703 | 19056 | 0.193847656 |
| lena32.bmp | lena32.bmp-withWavelet_sym1-G_0.8-H5e-005_af1.wfa    | 98304 | 32768 | 32768 | 24 | 18672 | 192 | 192 | 32 | 64 | 17.02003955 | 0.718 | 19056 | 0.193847656 |
| lena32.bmp | lena32.bmp-withWavelet_bior1.1-G_0.8-H5e-005_af1.wfa | 98304 | 32768 | 32768 | 24 | 18672 | 192 | 192 | 32 | 64 | 17.02003955 | 0.703 | 19056 | 0.193847656 |
| lena32.bmp | lena32.bmp-withWavelet_haar-G_1-H6e-005_af3.wfa      | 98304 | 32768 | 32768 | 24 | 18672 | 192 | 192 | 32 | 64 | 16.99074773 | 0.703 | 19056 | 0.193847656 |
| lena32.bmp | lena32.bmp-withWavelet_rbio1.1-G_1-H6e-005_af3.wfa   | 98304 | 32768 | 32768 | 24 | 18672 | 192 | 192 | 32 | 64 | 16.99074773 | 0.719 | 19056 | 0.193847656 |
| lena32.bmp | lena32.bmp-withWavelet_sym1-G_1-H6e-005_af3.wfa      | 98304 | 32768 | 32768 | 24 | 18672 | 192 | 192 | 32 | 64 | 16.99074773 | 1.079 | 19056 | 0.193847656 |
| lena32.bmp | lena32.bmp-withWavelet_bior1.1-G_1-H6e-005_af3.wfa   | 98304 | 32768 | 32768 | 24 | 18672 | 192 | 192 | 32 | 64 | 16.99074773 | 0.969 | 19056 | 0.193847656 |
| lena32.bmp | lena32.bmp-withWavelet_haar-G_0.8-H6e-005_af3.wfa    | 98304 | 32768 | 32768 | 24 | 18672 | 192 | 192 | 32 | 64 | 16.97329026 | 0.812 | 19056 | 0.193847656 |
| lena32.bmp | lena32.bmp-withWavelet_rbio1.1-G_0.8-H6e-005_af3.wfa | 98304 | 32768 | 32768 | 24 | 18672 | 192 | 192 | 32 | 64 | 16.97329026 | 0.797 | 19056 | 0.193847656 |
| lena32.bmp | lena32.bmp-withWavelet_sym1-G_0.8-H6e-005_af3.wfa    | 98304 | 32768 | 32768 | 24 | 18672 | 192 | 192 | 32 | 64 | 16.97329026 | 0.75  | 19056 | 0.193847656 |
| lena32.bmp | lena32.bmp-withWavelet_bior1.1-G_0.8-H6e-005_af3.wfa | 98304 | 32768 | 32768 | 24 | 18672 | 192 | 192 | 32 | 64 | 16.97329026 | 0.797 | 19056 | 0.193847656 |
| lena32.bmp | lena32.bmp-withWavelet_haar-G_0.8-H4e-005_af5.wfa    | 98304 | 32768 | 32768 | 24 | 18672 | 192 | 192 | 32 | 64 | 16.86230252 | 0.703 | 19056 | 0.193847656 |
| lena32.bmp | lena32.bmp-withWavelet_rbio1.1-G_0.8-H4e-005_af5.wfa | 98304 | 32768 | 32768 | 24 | 18672 | 192 | 192 | 32 | 64 | 16.86230252 | 0.703 | 19056 | 0.193847656 |
| lena32.bmp | lena32.bmp-withWavelet_sym1-G_0.8-H4e-005_af5.wfa    | 98304 | 32768 | 32768 | 24 | 18672 | 192 | 192 | 32 | 64 | 16.86230252 | 0.781 | 19056 | 0.193847656 |
| lena32.bmp | lena32.bmp-withWavelet_bior1.1-G_0.8-H4e-005_af5.wfa | 98304 | 32768 | 32768 | 24 | 18672 | 192 | 192 | 32 | 64 | 16.86230252 | 0.765 | 19056 | 0.193847656 |
| lena32.bmp | lena32.bmp-withWavelet_haar-G_0.6-H3e-005_af2.wfa    | 98304 | 32768 | 32768 | 24 | 18672 | 192 | 192 | 32 | 64 | 16.85090722 | 0.734 | 19056 | 0.193847656 |
| lena32.bmp | lena32.bmp-withWavelet_rbio1.1-G_0.6-H3e-005_af2.wfa | 98304 | 32768 | 32768 | 24 | 18672 | 192 | 192 | 32 | 64 | 16.85090722 | 1.266 | 19056 | 0.193847656 |



|            |  |       |       |       |    |       |     |     |    |    |             |       |       |             |
|------------|--|-------|-------|-------|----|-------|-----|-----|----|----|-------------|-------|-------|-------------|
| lena32.bmp | lena32.bmp-withWavelet_sym1-G_0.6-H3e-005_af2.wfa    | 98304 | 32768 | 32768 | 24 | 18672 | 192 | 192 | 32 | 64 | 16.85090722 | 1     | 19056 | 0.193847656 |
| lena32.bmp | lena32.bmp-withWavelet_bior1.1-G_0.6-H3e-005_af2.wfa | 98304 | 32768 | 32768 | 24 | 18672 | 192 | 192 | 32 | 64 | 16.85090722 | 0.75  | 19056 | 0.193847656 |
| lena32.bmp | lena32.bmp-G_0.8-H9e-005_af4.wfa                     | 24576 | 8192  |       | 12 | 4848  | 96  | 96  | 32 | 32 | 15.99781017 | 0.156 | 5040  | 0.205078125 |
| lena32.bmp | lena32.bmp-G_0.8-H0.0001_af4.wfa                     | 24576 | 8192  |       | 12 | 4848  | 96  | 96  | 32 | 32 | 15.99781017 | 0.11  | 5040  | 0.205078125 |
| lena32.bmp | lena32.bmp-G_1-H0.0001_af4.wfa                       | 24576 | 8192  |       | 12 | 4848  | 96  | 96  | 32 | 32 | 15.96680766 | 0.093 | 5040  | 0.205078125 |
| lena32.bmp | lena32.bmp-G_1-H7e-005_af1.wfa                       | 98304 | 32768 |       | 25 | 20240 | 200 | 200 | 32 | 64 | 18.9322267  | 0.781 | 20640 | 0.209960938 |
| lena32.bmp | lena32.bmp-G_0.8-H7e-005_af1.wfa                     | 98304 | 32768 |       | 25 | 20240 | 200 | 200 | 32 | 64 | 18.82828536 | 0.86  | 20640 | 0.209960938 |
| lena32.bmp | lena32.bmp-G_0.8-H5e-005_af3.wfa                     | 98304 | 32768 |       | 25 | 20240 | 200 | 200 | 32 | 64 | 18.78417448 | 0.75  | 20640 | 0.209960938 |
| lena32.bmp | lena32.bmp-G_1-H5e-005_af3.wfa                       | 98304 | 32768 |       | 25 | 20240 | 200 | 200 | 32 | 64 | 18.78246225 | 0.75  | 20640 | 0.209960938 |
| lena32.bmp | lena32.bmp-G_0.8-H4e-005_af3.wfa                     | 98304 | 32768 |       | 25 | 20240 | 200 | 200 | 32 | 64 | 18.73872782 | 0.796 | 20640 | 0.209960938 |
| lena32.bmp | lena32.bmp-G_0.6-H4e-005_af2.wfa                     | 98304 | 32768 |       | 25 | 20240 | 200 | 200 | 32 | 64 | 18.58053236 | 0.75  | 20640 | 0.209960938 |
| lena32.bmp | lena32.bmp-withWavelet_haar-G_1-H2e-005_af2.wfa      | 98304 | 32768 | 32768 | 25 | 20240 | 200 | 200 | 32 | 64 | 17.29727929 | 0.781 | 20640 | 0.209960938 |
| lena32.bmp | lena32.bmp-withWavelet_rbio1.1-G_1-H2e-005_af2.wfa   | 98304 | 32768 | 32768 | 25 | 20240 | 200 | 200 | 32 | 64 | 17.29727929 | 0.766 | 20640 | 0.209960938 |
| lena32.bmp | lena32.bmp-withWavelet_sym1-G_1-H2e-005_af2.wfa      | 98304 | 32768 | 32768 | 25 | 20240 | 200 | 200 | 32 | 64 | 17.29727929 | 0.765 | 20640 | 0.209960938 |
| lena32.bmp | lena32.bmp-withWavelet_bior1.1-G_1-H2e-005_af2.wfa   | 98304 | 32768 | 32768 | 25 | 20240 | 200 | 200 | 32 | 64 | 17.29727929 | 0.75  | 20640 | 0.209960938 |
| lena32.bmp | lena32.bmp-withWavelet_haar-G_1-H3e-005_af2.wfa      | 98304 | 32768 | 32768 | 25 | 20240 | 200 | 200 | 32 | 64 | 17.26870627 | 1.032 | 20640 | 0.209960938 |
| lena32.bmp | lena32.bmp-withWavelet_rbio1.1-G_1-H3e-005_af2.wfa   | 98304 | 32768 | 32768 | 25 | 20240 | 200 | 200 | 32 | 64 | 17.26870627 | 1.031 | 20640 | 0.209960938 |
| lena32.bmp | lena32.bmp-withWavelet_sym1-G_1-H3e-005_af2.wfa      | 98304 | 32768 | 32768 | 25 | 20240 | 200 | 200 | 32 | 64 | 17.26870627 | 1.047 | 20640 | 0.209960938 |
| lena32.bmp | lena32.bmp-withWavelet_bior1.1-G_1-H3e-005_af2.wfa   | 98304 | 32768 | 32768 | 25 | 20240 | 200 | 200 | 32 | 64 | 17.26870627 | 1.063 | 20640 | 0.209960938 |
| lena32.bmp | lena32.bmp-withWavelet_haar-G_0.8-H3e-005_af5.wfa    | 98304 | 32768 | 32768 | 25 | 20240 | 200 | 200 | 32 | 64 | 17.06200593 | 0.781 | 20640 | 0.209960938 |
| lena32.bmp | lena32.bmp-withWavelet_rbio1.1-G_0.8-H3e-005_af5.wfa | 98304 | 32768 | 32768 | 25 | 20240 | 200 | 200 | 32 | 64 | 17.06200593 | 0.812 | 20640 | 0.209960938 |
| lena32.bmp | lena32.bmp-withWavelet_sym1-G_0.8-H3e-005_af5.wfa    | 98304 | 32768 | 32768 | 25 | 20240 | 200 | 200 | 32 | 64 | 17.06200593 | 0.797 | 20640 | 0.209960938 |
| lena32.bmp | lena32.bmp-withWavelet_bior1.1-G_0.8-H3e-005_af5.wfa | 98304 | 32768 | 32768 | 25 | 20240 | 200 | 200 | 32 | 64 | 17.06200593 | 0.859 | 20640 | 0.209960938 |
| lena32.bmp | lena32.bmp-withWavelet_haar-G_0.6-H6e-005_af3.wfa    | 98304 | 32768 | 32768 | 25 | 20240 | 200 | 200 | 32 | 64 | 16.86267095 | 0.782 | 20640 | 0.209960938 |
| lena32.bmp | lena32.bmp-withWavelet_rbio1.1-G_0.6-H6e-005_af3.wfa | 98304 | 32768 | 32768 | 25 | 20240 | 200 | 200 | 32 | 64 | 16.86267095 | 0.735 | 20640 | 0.209960938 |
| lena32.bmp | lena32.bmp-withWavelet_sym1-G_0.6-H6e-005_af3.wfa    | 98304 | 32768 | 32768 | 25 | 20240 | 200 | 200 | 32 | 64 | 16.86267095 | 0.781 | 20640 | 0.209960938 |
| lena32.bmp | lena32.bmp-withWavelet_bior1.1-G_0.6-H6e-005_af3.wfa | 98304 | 32768 | 32768 | 25 | 20240 | 200 | 200 | 32 | 64 | 16.86267095 | 0.734 | 20640 | 0.209960938 |
| lena32.bmp | lena32.bmp-withWavelet_haar-G_0.6-H7e-005_af3.wfa    | 98304 | 32768 | 32768 | 25 | 20240 | 200 | 200 | 32 | 64 | 16.79709306 | 0.75  | 20640 | 0.209960938 |
| lena32.bmp | lena32.bmp-withWavelet_rbio1.1-G_0.6-H7e-005_af3.wfa | 98304 | 32768 | 32768 | 25 | 20240 | 200 | 200 | 32 | 64 | 16.79709306 | 0.766 | 20640 | 0.209960938 |
| lena32.bmp | lena32.bmp-withWavelet_sym1-G_0.6-H7e-005_af3.wfa    | 98304 | 32768 | 32768 | 25 | 20240 | 200 | 200 | 32 | 64 | 16.79709306 | 0.75  | 20640 | 0.209960938 |
| lena32.bmp | lena32.bmp-withWavelet_bior1.1-G_0.6-H7e-005_af3.wfa | 98304 | 32768 | 32768 | 25 | 20240 | 200 | 200 | 32 | 64 | 16.79709306 | 0.75  | 20640 | 0.209960938 |

|            |  |       |       |       |    |       |     |     |    |    |             |       |       |             |
|------------|--|-------|-------|-------|----|-------|-----|-----|----|----|-------------|-------|-------|-------------|
| lena32.bmp | lena32.bmp-withWavelet_haar-G_0.6-H7e-005_af4.wfa    | 98304 | 32768 | 32768 | 25 | 20240 | 200 | 200 | 32 | 64 | 16.75009081 | 0.766 | 20640 | 0.209960938 |
| lena32.bmp | lena32.bmp-withWavelet_rbio1.1-G_0.6-H7e-005_af4.wfa | 98304 | 32768 | 32768 | 25 | 20240 | 200 | 200 | 32 | 64 | 16.75009081 | 0.75  | 20640 | 0.209960938 |
| lena32.bmp | lena32.bmp-withWavelet_sym1-G_0.6-H7e-005_af4.wfa    | 98304 | 32768 | 32768 | 25 | 20240 | 200 | 200 | 32 | 64 | 16.75009081 | 0.75  | 20640 | 0.209960938 |
| lena32.bmp | lena32.bmp-withWavelet_bior1.1-G_0.6-H7e-005_af4.wfa | 98304 | 32768 | 32768 | 25 | 20240 | 200 | 200 | 32 | 64 | 16.75009081 | 0.859 | 20640 | 0.209960938 |
| lena32.bmp | lena32.bmp-withWavelet_haar-G_0.6-H3e-005_af5.wfa    | 98304 | 32768 | 32768 | 25 | 20240 | 200 | 200 | 32 | 64 | 16.34776211 | 0.75  | 20640 | 0.209960938 |
| lena32.bmp | lena32.bmp-withWavelet_rbio1.1-G_0.6-H3e-005_af5.wfa | 98304 | 32768 | 32768 | 25 | 20240 | 200 | 200 | 32 | 64 | 16.34776211 | 0.75  | 20640 | 0.209960938 |
| lena32.bmp | lena32.bmp-withWavelet_sym1-G_0.6-H3e-005_af5.wfa    | 98304 | 32768 | 32768 | 25 | 20240 | 200 | 200 | 32 | 64 | 16.34776211 | 0.75  | 20640 | 0.209960938 |
| lena32.bmp | lena32.bmp-withWavelet_bior1.1-G_0.6-H3e-005_af5.wfa | 98304 | 32768 | 32768 | 25 | 20240 | 200 | 200 | 32 | 64 | 16.34776211 | 0.75  | 20640 | 0.209960938 |
| lena32.bmp | lena32.bmp-G_0.8-H6e-005_af1.wfa                     | 98304 | 32768 |       | 26 | 21872 | 208 | 208 | 32 | 64 | 18.90964444 | 1.125 | 22288 | 0.22672526  |
| lena32.bmp | lena32.bmp-G_0.8-H3e-005_af5.wfa                     | 98304 | 32768 |       | 26 | 21872 | 208 | 208 | 32 | 64 | 18.88205412 | 0.797 | 22288 | 0.22672526  |
| lena32.bmp | lena32.bmp-G_1-H3e-005_af5.wfa                       | 98304 | 32768 |       | 26 | 21872 | 208 | 208 | 32 | 64 | 18.8797301  | 0.89  | 22288 | 0.22672526  |
| lena32.bmp | lena32.bmp-G_0.6-H3e-005_af5.wfa                     | 98304 | 32768 |       | 26 | 21872 | 208 | 208 | 32 | 64 | 18.62681498 | 0.765 | 22288 | 0.22672526  |
| lena32.bmp | lena32.bmp-G_0.6-H4e-005_af3.wfa                     | 98304 | 32768 |       | 26 | 21872 | 208 | 208 | 32 | 64 | 18.57290712 | 0.781 | 22288 | 0.22672526  |
| lena32.bmp | lena32.bmp-withWavelet_haar-G_1-H5e-005_af4.wfa      | 98304 | 32768 | 32768 | 26 | 21872 | 208 | 208 | 32 | 64 | 17.01084316 | 0.766 | 22288 | 0.22672526  |
| lena32.bmp | lena32.bmp-withWavelet_rbio1.1-G_1-H5e-005_af4.wfa   | 98304 | 32768 | 32768 | 26 | 21872 | 208 | 208 | 32 | 64 | 17.01084316 | 0.781 | 22288 | 0.22672526  |
| lena32.bmp | lena32.bmp-withWavelet_sym1-G_1-H5e-005_af4.wfa      | 98304 | 32768 | 32768 | 26 | 21872 | 208 | 208 | 32 | 64 | 17.01084316 | 0.984 | 22288 | 0.22672526  |
| lena32.bmp | lena32.bmp-withWavelet_bior1.1-G_1-H5e-005_af4.wfa   | 98304 | 32768 | 32768 | 26 | 21872 | 208 | 208 | 32 | 64 | 17.01084316 | 0.781 | 22288 | 0.22672526  |
| lena32.bmp | lena32.bmp-withWavelet_haar-G_0.8-H5e-005_af4.wfa    | 98304 | 32768 | 32768 | 26 | 21872 | 208 | 208 | 32 | 64 | 16.97740936 | 0.782 | 22288 | 0.22672526  |
| lena32.bmp | lena32.bmp-withWavelet_rbio1.1-G_0.8-H5e-005_af4.wfa | 98304 | 32768 | 32768 | 26 | 21872 | 208 | 208 | 32 | 64 | 16.97740936 | 0.781 | 22288 | 0.22672526  |
| lena32.bmp | lena32.bmp-withWavelet_sym1-G_0.8-H5e-005_af4.wfa    | 98304 | 32768 | 32768 | 26 | 21872 | 208 | 208 | 32 | 64 | 16.97740936 | 0.765 | 22288 | 0.22672526  |
| lena32.bmp | lena32.bmp-withWavelet_bior1.1-G_0.8-H5e-005_af4.wfa | 98304 | 32768 | 32768 | 26 | 21872 | 208 | 208 | 32 | 64 | 16.97740936 | 0.766 | 22288 | 0.22672526  |
| lena32.bmp | lena32.bmp-withWavelet_haar-G_1-H4e-005_af5.wfa      | 98304 | 32768 | 32768 | 26 | 21872 | 208 | 208 | 32 | 64 | 16.62764266 | 0.781 | 22288 | 0.22672526  |
| lena32.bmp | lena32.bmp-withWavelet_rbio1.1-G_1-H4e-005_af5.wfa   | 98304 | 32768 | 32768 | 26 | 21872 | 208 | 208 | 32 | 64 | 16.62764266 | 0.782 | 22288 | 0.22672526  |
| lena32.bmp | lena32.bmp-withWavelet_sym1-G_1-H4e-005_af5.wfa      | 98304 | 32768 | 32768 | 26 | 21872 | 208 | 208 | 32 | 64 | 16.62764266 | 0.813 | 22288 | 0.22672526  |
| lena32.bmp | lena32.bmp-withWavelet_bior1.1-G_1-H4e-005_af5.wfa   | 98304 | 32768 | 32768 | 26 | 21872 | 208 | 208 | 32 | 64 | 16.62764266 | 0.781 | 22288 | 0.22672526  |
| lena32.bmp | lena32.bmp-G_0.6-H0.0001_af4.wfa                     | 24576 | 8192  |       | 13 | 5648  | 104 | 104 | 32 | 32 | 16.15856789 | 0.093 | 5856  | 0.23828125  |
| lena32.bmp | lena32.bmp-G_0.6-H9e-005_af4.wfa                     | 24576 | 8192  |       | 13 | 5648  | 104 | 104 | 32 | 32 | 16.14541522 | 0.094 | 5856  | 0.23828125  |
| lena32.bmp | lena32.bmp-G_1-H9e-005_af4.wfa                       | 24576 | 8192  |       | 13 | 5648  | 104 | 104 | 32 | 32 | 16.06996716 | 0.125 | 5856  | 0.23828125  |
| lena32.bmp | lena32.bmp-G_1-H8e-005_af4.wfa                       | 24576 | 8192  |       | 13 | 5648  | 104 | 104 | 32 | 32 | 16.06578218 | 0.094 | 5856  | 0.23828125  |
| lena32.bmp | lena32.bmp-G_1-H3e-005_af2.wfa                       | 98304 | 32768 |       | 27 | 23568 | 216 | 216 | 32 | 64 | 18.95951846 | 1.141 | 24000 | 0.244140625 |
| lena32.bmp | lena32.bmp-G_0.8-H3e-005_af2.wfa                     | 98304 | 32768 |       | 27 | 23568 | 216 | 216 | 32 | 64 | 18.9567656  | 0.844 | 24000 | 0.244140625 |

|            |  |       |       |       |    |       |     |     |    |    |             |       |       |             |
|------------|--|-------|-------|-------|----|-------|-----|-----|----|----|-------------|-------|-------|-------------|
| lena32.bmp | lena32.bmp-G_1-H4e-005_af3.wfa                       | 98304 | 32768 |       | 27 | 23568 | 216 | 216 | 32 | 64 | 18.87653991 | 0.953 | 24000 | 0.244140625 |
| lena32.bmp | lena32.bmp-G_0.6-H6e-005_af1.wfa                     | 98304 | 32768 |       | 27 | 23568 | 216 | 216 | 32 | 64 | 18.68759709 | 0.844 | 24000 | 0.244140625 |
| lena32.bmp | lena32.bmp-G_0.6-H3e-005_af3.wfa                     | 98304 | 32768 |       | 27 | 23568 | 216 | 216 | 32 | 64 | 18.42272052 | 0.875 | 24000 | 0.244140625 |
| lena32.bmp | lena32.bmp-withWavelet_haar-G_0.8-H2e-005_af2.wfa    | 98304 | 32768 | 32768 | 27 | 23568 | 216 | 216 | 32 | 64 | 17.06544111 | 1.047 | 24000 | 0.244140625 |
| lena32.bmp | lena32.bmp-withWavelet_rbio1.1-G_0.8-H2e-005_af2.wfa | 98304 | 32768 | 32768 | 27 | 23568 | 216 | 216 | 32 | 64 | 17.06544111 | 0.859 | 24000 | 0.244140625 |
| lena32.bmp | lena32.bmp-withWavelet_sym1-G_0.8-H2e-005_af2.wfa    | 98304 | 32768 | 32768 | 27 | 23568 | 216 | 216 | 32 | 64 | 17.06544111 | 0.844 | 24000 | 0.244140625 |
| lena32.bmp | lena32.bmp-withWavelet_bior1.1-G_0.8-H2e-005_af2.wfa | 98304 | 32768 | 32768 | 27 | 23568 | 216 | 216 | 32 | 64 | 17.06544111 | 1.093 | 24000 | 0.244140625 |
| lena32.bmp | lena32.bmp-withWavelet_haar-G_1-H3e-005_af5.wfa      | 98304 | 32768 | 32768 | 27 | 23568 | 216 | 216 | 32 | 64 | 16.80503011 | 1.25  | 24000 | 0.244140625 |
| lena32.bmp | lena32.bmp-withWavelet_rbio1.1-G_1-H3e-005_af5.wfa   | 98304 | 32768 | 32768 | 27 | 23568 | 216 | 216 | 32 | 64 | 16.80503011 | 0.813 | 24000 | 0.244140625 |
| lena32.bmp | lena32.bmp-withWavelet_sym1-G_1-H3e-005_af5.wfa      | 98304 | 32768 | 32768 | 27 | 23568 | 216 | 216 | 32 | 64 | 16.80503011 | 0.812 | 24000 | 0.244140625 |
| lena32.bmp | lena32.bmp-withWavelet_bior1.1-G_1-H3e-005_af5.wfa   | 98304 | 32768 | 32768 | 27 | 23568 | 216 | 216 | 32 | 64 | 16.80503011 | 1.015 | 24000 | 0.244140625 |
| lena32.bmp | lena32.bmp-withWavelet_haar-G_0.6-H6e-005_af4.wfa    | 98304 | 32768 | 32768 | 27 | 23568 | 216 | 216 | 32 | 64 | 16.59538758 | 0.828 | 24000 | 0.244140625 |
| lena32.bmp | lena32.bmp-withWavelet_rbio1.1-G_0.6-H6e-005_af4.wfa | 98304 | 32768 | 32768 | 27 | 23568 | 216 | 216 | 32 | 64 | 16.59538758 | 0.828 | 24000 | 0.244140625 |
| lena32.bmp | lena32.bmp-withWavelet_sym1-G_0.6-H6e-005_af4.wfa    | 98304 | 32768 | 32768 | 27 | 23568 | 216 | 216 | 32 | 64 | 16.59538758 | 0.812 | 24000 | 0.244140625 |
| lena32.bmp | lena32.bmp-withWavelet_bior1.1-G_0.6-H6e-005_af4.wfa | 98304 | 32768 | 32768 | 27 | 23568 | 216 | 216 | 32 | 64 | 16.59538758 | 0.812 | 24000 | 0.244140625 |
| lena32.bmp | lena32.bmp-withWavelet_haar-G_0.6-H5e-005_af1.wfa    | 98304 | 32768 | 32768 | 27 | 23568 | 216 | 216 | 32 | 64 | 16.54949708 | 0.828 | 24000 | 0.244140625 |
| lena32.bmp | lena32.bmp-withWavelet_rbio1.1-G_0.6-H5e-005_af1.wfa | 98304 | 32768 | 32768 | 27 | 23568 | 216 | 216 | 32 | 64 | 16.54949708 | 0.828 | 24000 | 0.244140625 |
| lena32.bmp | lena32.bmp-withWavelet_sym1-G_0.6-H5e-005_af1.wfa    | 98304 | 32768 | 32768 | 27 | 23568 | 216 | 216 | 32 | 64 | 16.54949708 | 0.812 | 24000 | 0.244140625 |
| lena32.bmp | lena32.bmp-withWavelet_bior1.1-G_0.6-H5e-005_af1.wfa | 98304 | 32768 | 32768 | 27 | 23568 | 216 | 216 | 32 | 64 | 16.54949708 | 0.829 | 24000 | 0.244140625 |
| lena32.bmp | lena32.bmp-withWavelet_haar-G_0.6-H2e-005_af2.wfa    | 98304 | 32768 | 32768 | 27 | 23568 | 216 | 216 | 32 | 64 | 16.50132092 | 0.985 | 24000 | 0.244140625 |
| lena32.bmp | lena32.bmp-withWavelet_rbio1.1-G_0.6-H2e-005_af2.wfa | 98304 | 32768 | 32768 | 27 | 23568 | 216 | 216 | 32 | 64 | 16.50132092 | 0.953 | 24000 | 0.244140625 |
| lena32.bmp | lena32.bmp-withWavelet_sym1-G_0.6-H2e-005_af2.wfa    | 98304 | 32768 | 32768 | 27 | 23568 | 216 | 216 | 32 | 64 | 16.50132092 | 0.907 | 24000 | 0.244140625 |
| lena32.bmp | lena32.bmp-withWavelet_bior1.1-G_0.6-H2e-005_af2.wfa | 98304 | 32768 | 32768 | 27 | 23568 | 216 | 216 | 32 | 64 | 16.50132092 | 0.907 | 24000 | 0.244140625 |
| lena32.bmp | lena32.bmp-G_1-H2e-005_af5.wfa                       | 98304 | 32768 |       | 28 | 25328 | 224 | 224 | 32 | 64 | 19.2088499  | 1.297 | 25776 | 0.262207031 |
| lena32.bmp | lena32.bmp-G_1-H3e-005_af3.wfa                       | 98304 | 32768 |       | 28 | 25328 | 224 | 224 | 32 | 64 | 19.1202483  | 1.187 | 25776 | 0.262207031 |
| lena32.bmp | lena32.bmp-G_0.8-H3e-005_af3.wfa                     | 98304 | 32768 |       | 28 | 25328 | 224 | 224 | 32 | 64 | 19.11011287 | 0.938 | 25776 | 0.262207031 |
| lena32.bmp | lena32.bmp-G_1-H2e-005_af2.wfa                       | 98304 | 32768 |       | 28 | 25328 | 224 | 224 | 32 | 64 | 19.05641573 | 0.906 | 25776 | 0.262207031 |
| lena32.bmp | lena32.bmp-G_0.8-H2e-005_af2.wfa                     | 98304 | 32768 |       | 28 | 25328 | 224 | 224 | 32 | 64 | 19.05382365 | 0.86  | 25776 | 0.262207031 |
| lena32.bmp | lena32.bmp-G_1-H6e-005_af1.wfa                       | 98304 | 32768 |       | 28 | 25328 | 224 | 224 | 32 | 64 | 19.05099045 | 0.86  | 25776 | 0.262207031 |
| lena32.bmp | lena32.bmp-G_0.6-H5e-005_af1.wfa                     | 98304 | 32768 |       | 28 | 25328 | 224 | 224 | 32 | 64 | 18.81773194 | 0.89  | 25776 | 0.262207031 |
| lena32.bmp | lena32.bmp-G_0.6-H2e-005_af2.wfa                     | 98304 | 32768 |       | 28 | 25328 | 224 | 224 | 32 | 64 | 18.734719   | 0.937 | 25776 | 0.262207031 |

|            |  |       |       |       |    |       |     |     |    |    |             |       |       |             |
|------------|--|-------|-------|-------|----|-------|-----|-----|----|----|-------------|-------|-------|-------------|
| lena32.bmp | lena32.bmp-G_0.6-H3e-005_af2.wfa                     | 98304 | 32768 |       | 28 | 25328 | 224 | 224 | 32 | 64 | 18.734719   | 0.844 | 25776 | 0.262207031 |
| lena32.bmp | lena32.bmp-withWavelet_haar-G_1-H4e-005_af4.wfa      | 98304 | 32768 | 32768 | 28 | 25328 | 224 | 224 | 32 | 64 | 16.97061327 | 0.969 | 25776 | 0.262207031 |
| lena32.bmp | lena32.bmp-withWavelet_rbio1.1-G_1-H4e-005_af4.wfa   | 98304 | 32768 | 32768 | 28 | 25328 | 224 | 224 | 32 | 64 | 16.97061327 | 0.89  | 25776 | 0.262207031 |
| lena32.bmp | lena32.bmp-withWavelet_sym1-G_1-H4e-005_af4.wfa      | 98304 | 32768 | 32768 | 28 | 25328 | 224 | 224 | 32 | 64 | 16.97061327 | 0.922 | 25776 | 0.262207031 |
| lena32.bmp | lena32.bmp-withWavelet_bior1.1-G_1-H4e-005_af4.wfa   | 98304 | 32768 | 32768 | 28 | 25328 | 224 | 224 | 32 | 64 | 16.97061327 | 0.844 | 25776 | 0.262207031 |
| lena32.bmp | lena32.bmp-withWavelet_haar-G_0.8-H4e-005_af4.wfa    | 98304 | 32768 | 32768 | 28 | 25328 | 224 | 224 | 32 | 64 | 16.93585231 | 0.843 | 25776 | 0.262207031 |
| lena32.bmp | lena32.bmp-withWavelet_rbio1.1-G_0.8-H4e-005_af4.wfa | 98304 | 32768 | 32768 | 28 | 25328 | 224 | 224 | 32 | 64 | 16.93585231 | 0.859 | 25776 | 0.262207031 |
| lena32.bmp | lena32.bmp-withWavelet_sym1-G_0.8-H4e-005_af4.wfa    | 98304 | 32768 | 32768 | 28 | 25328 | 224 | 224 | 32 | 64 | 16.93585231 | 1     | 25776 | 0.262207031 |
| lena32.bmp | lena32.bmp-withWavelet_bior1.1-G_0.8-H4e-005_af4.wfa | 98304 | 32768 | 32768 | 28 | 25328 | 224 | 224 | 32 | 64 | 16.93585231 | 0.953 | 25776 | 0.262207031 |
| lena32.bmp | lena32.bmp-withWavelet_haar-G_0.6-H5e-005_af4.wfa    | 98304 | 32768 | 32768 | 28 | 25328 | 224 | 224 | 32 | 64 | 16.60156016 | 0.844 | 25776 | 0.262207031 |
| lena32.bmp | lena32.bmp-withWavelet_rbio1.1-G_0.6-H5e-005_af4.wfa | 98304 | 32768 | 32768 | 28 | 25328 | 224 | 224 | 32 | 64 | 16.60156016 | 1     | 25776 | 0.262207031 |
| lena32.bmp | lena32.bmp-withWavelet_sym1-G_0.6-H5e-005_af4.wfa    | 98304 | 32768 | 32768 | 28 | 25328 | 224 | 224 | 32 | 64 | 16.60156016 | 0.843 | 25776 | 0.262207031 |
| lena32.bmp | lena32.bmp-withWavelet_bior1.1-G_0.6-H5e-005_af4.wfa | 98304 | 32768 | 32768 | 28 | 25328 | 224 | 224 | 32 | 64 | 16.60156016 | 0.859 | 25776 | 0.262207031 |
| lena32.bmp | lena32.bmp-withWavelet_haar-G_0.6-H1e-005_af2.wfa    | 98304 | 32768 | 32768 | 28 | 25328 | 224 | 224 | 32 | 64 | 16.38804938 | 0.859 | 25776 | 0.262207031 |
| lena32.bmp | lena32.bmp-withWavelet_rbio1.1-G_0.6-H1e-005_af2.wfa | 98304 | 32768 | 32768 | 28 | 25328 | 224 | 224 | 32 | 64 | 16.38804938 | 0.922 | 25776 | 0.262207031 |
| lena32.bmp | lena32.bmp-withWavelet_sym1-G_0.6-H1e-005_af2.wfa    | 98304 | 32768 | 32768 | 28 | 25328 | 224 | 224 | 32 | 64 | 16.38804938 | 0.844 | 25776 | 0.262207031 |
| lena32.bmp | lena32.bmp-withWavelet_bior1.1-G_0.6-H1e-005_af2.wfa | 98304 | 32768 | 32768 | 28 | 25328 | 224 | 224 | 32 | 64 | 16.38804938 | 0.86  | 25776 | 0.262207031 |
| lena32.bmp | lena32.bmp-withWavelet_haar-G_0.6-H2e-005_af5.wfa    | 98304 | 32768 | 32768 | 28 | 25328 | 224 | 224 | 32 | 64 | 16.23803666 | 1.188 | 25776 | 0.262207031 |
| lena32.bmp | lena32.bmp-withWavelet_rbio1.1-G_0.6-H2e-005_af5.wfa | 98304 | 32768 | 32768 | 28 | 25328 | 224 | 224 | 32 | 64 | 16.23803666 | 0.922 | 25776 | 0.262207031 |
| lena32.bmp | lena32.bmp-withWavelet_sym1-G_0.6-H2e-005_af5.wfa    | 98304 | 32768 | 32768 | 28 | 25328 | 224 | 224 | 32 | 64 | 16.23803666 | 0.922 | 25776 | 0.262207031 |
| lena32.bmp | lena32.bmp-withWavelet_bior1.1-G_0.6-H2e-005_af5.wfa | 98304 | 32768 | 32768 | 28 | 25328 | 224 | 224 | 32 | 64 | 16.23803666 | 0.922 | 25776 | 0.262207031 |
| lena32.bmp | lena32.bmp-G_0.6-H8e-005_af4.wfa                     | 24576 | 8192  |       | 14 | 6512  | 112 | 112 | 32 | 32 | 16.25710345 | 0.094 | 6736  | 0.274088542 |
| lena32.bmp | lena32.bmp-G_0.6-H7e-005_af4.wfa                     | 24576 | 8192  |       | 14 | 6512  | 112 | 112 | 32 | 32 | 16.24114112 | 0.11  | 6736  | 0.274088542 |
| lena32.bmp | lena32.bmp-G_0.6-H6e-005_af4.wfa                     | 24576 | 8192  |       | 14 | 6512  | 112 | 112 | 32 | 32 | 16.22792896 | 0.11  | 6736  | 0.274088542 |
| lena32.bmp | lena32.bmp-G_0.8-H8e-005_af4.wfa                     | 24576 | 8192  |       | 14 | 6512  | 112 | 112 | 32 | 32 | 16.18837869 | 0.094 | 6736  | 0.274088542 |
| lena32.bmp | lena32.bmp-G_0.8-H7e-005_af4.wfa                     | 24576 | 8192  |       | 14 | 6512  | 112 | 112 | 32 | 32 | 16.17293293 | 0.11  | 6736  | 0.274088542 |
| lena32.bmp | lena32.bmp-G_1-H7e-005_af4.wfa                       | 24576 | 8192  |       | 14 | 6512  | 112 | 112 | 32 | 32 | 16.14060351 | 0.093 | 6736  | 0.274088542 |
| lena32.bmp | lena32.bmp-G_0.8-H2e-005_af5.wfa                     | 98304 | 32768 |       | 29 | 27152 | 232 | 232 | 32 | 64 | 19.16405078 | 1.047 | 27616 | 0.280924479 |
| lena32.bmp | lena32.bmp-G_1-H5e-005_af1.wfa                       | 98304 | 32768 |       | 29 | 27152 | 232 | 232 | 32 | 64 | 19.16237561 | 0.907 | 27616 | 0.280924479 |
| lena32.bmp | lena32.bmp-G_0.8-H5e-005_af1.wfa                     | 98304 | 32768 |       | 29 | 27152 | 232 | 232 | 32 | 64 | 19.15110101 | 0.922 | 27616 | 0.280924479 |
| lena32.bmp | lena32.bmp-G_0.6-H2e-005_af3.wfa                     | 98304 | 32768 |       | 29 | 27152 | 232 | 232 | 32 | 64 | 18.83785486 | 1.047 | 27616 | 0.280924479 |

|            |  |       |       |       |    |       |     |     |    |    |             |       |       |             |
|------------|--|-------|-------|-------|----|-------|-----|-----|----|----|-------------|-------|-------|-------------|
| lena32.bmp | lena32.bmp-withWavelet_haar-G_1-H1e-005_af2.wfa      | 98304 | 32768 | 32768 | 29 | 27152 | 232 | 232 | 32 | 64 | 16.86075502 | 0.953 | 27616 | 0.280924479 |
| lena32.bmp | lena32.bmp-withWavelet_rbio1.1-G_1-H1e-005_af2.wfa   | 98304 | 32768 | 32768 | 29 | 27152 | 232 | 232 | 32 | 64 | 16.86075502 | 1     | 27616 | 0.280924479 |
| lena32.bmp | lena32.bmp-withWavelet_sym1-G_1-H1e-005_af2.wfa      | 98304 | 32768 | 32768 | 29 | 27152 | 232 | 232 | 32 | 64 | 16.86075502 | 0.922 | 27616 | 0.280924479 |
| lena32.bmp | lena32.bmp-withWavelet_bior1.1-G_1-H1e-005_af2.wfa   | 98304 | 32768 | 32768 | 29 | 27152 | 232 | 232 | 32 | 64 | 16.86075502 | 1.047 | 27616 | 0.280924479 |
| lena32.bmp | lena32.bmp-withWavelet_haar-G_0.8-H1e-005_af2.wfa    | 98304 | 32768 | 32768 | 29 | 27152 | 232 | 232 | 32 | 64 | 16.85961376 | 0.922 | 27616 | 0.280924479 |
| lena32.bmp | lena32.bmp-withWavelet_rbio1.1-G_0.8-H1e-005_af2.wfa | 98304 | 32768 | 32768 | 29 | 27152 | 232 | 232 | 32 | 64 | 16.85961376 | 0.89  | 27616 | 0.280924479 |
| lena32.bmp | lena32.bmp-withWavelet_sym1-G_0.8-H1e-005_af2.wfa    | 98304 | 32768 | 32768 | 29 | 27152 | 232 | 232 | 32 | 64 | 16.85961376 | 0.906 | 27616 | 0.280924479 |
| lena32.bmp | lena32.bmp-withWavelet_bior1.1-G_0.8-H1e-005_af2.wfa | 98304 | 32768 | 32768 | 29 | 27152 | 232 | 232 | 32 | 64 | 16.85961376 | 1.016 | 27616 | 0.280924479 |
| lena32.bmp | lena32.bmp-withWavelet_haar-G_0.8-H2e-005_af5.wfa    | 98304 | 32768 | 32768 | 29 | 27152 | 232 | 232 | 32 | 64 | 16.73899756 | 1.234 | 27616 | 0.280924479 |
| lena32.bmp | lena32.bmp-withWavelet_rbio1.1-G_0.8-H2e-005_af5.wfa | 98304 | 32768 | 32768 | 29 | 27152 | 232 | 232 | 32 | 64 | 16.73899756 | 1.328 | 27616 | 0.280924479 |
| lena32.bmp | lena32.bmp-withWavelet_sym1-G_0.8-H2e-005_af5.wfa    | 98304 | 32768 | 32768 | 29 | 27152 | 232 | 232 | 32 | 64 | 16.73899756 | 0.984 | 27616 | 0.280924479 |
| lena32.bmp | lena32.bmp-withWavelet_bior1.1-G_0.8-H2e-005_af5.wfa | 98304 | 32768 | 32768 | 29 | 27152 | 232 | 232 | 32 | 64 | 16.73899756 | 1.156 | 27616 | 0.280924479 |
| lena32.bmp | lena32.bmp-withWavelet_haar-G_1-H2e-005_af5.wfa      | 98304 | 32768 | 32768 | 29 | 27152 | 232 | 232 | 32 | 64 | 16.7373062  | 0.953 | 27616 | 0.280924479 |
| lena32.bmp | lena32.bmp-withWavelet_rbio1.1-G_1-H2e-005_af5.wfa   | 98304 | 32768 | 32768 | 29 | 27152 | 232 | 232 | 32 | 64 | 16.7373062  | 0.921 | 27616 | 0.280924479 |
| lena32.bmp | lena32.bmp-withWavelet_sym1-G_1-H2e-005_af5.wfa      | 98304 | 32768 | 32768 | 29 | 27152 | 232 | 232 | 32 | 64 | 16.7373062  | 1.015 | 27616 | 0.280924479 |
| lena32.bmp | lena32.bmp-withWavelet_bior1.1-G_1-H2e-005_af5.wfa   | 98304 | 32768 | 32768 | 29 | 27152 | 232 | 232 | 32 | 64 | 16.7373062  | 0.922 | 27616 | 0.280924479 |
| lena32.bmp | lena32.bmp-withWavelet_haar-G_1-H5e-005_af3.wfa      | 98304 | 32768 | 32768 | 29 | 27152 | 232 | 232 | 32 | 64 | 16.62144927 | 0.953 | 27616 | 0.280924479 |
| lena32.bmp | lena32.bmp-withWavelet_rbio1.1-G_1-H5e-005_af3.wfa   | 98304 | 32768 | 32768 | 29 | 27152 | 232 | 232 | 32 | 64 | 16.62144927 | 0.906 | 27616 | 0.280924479 |
| lena32.bmp | lena32.bmp-withWavelet_sym1-G_1-H5e-005_af3.wfa      | 98304 | 32768 | 32768 | 29 | 27152 | 232 | 232 | 32 | 64 | 16.62144927 | 0.937 | 27616 | 0.280924479 |
| lena32.bmp | lena32.bmp-withWavelet_bior1.1-G_1-H5e-005_af3.wfa   | 98304 | 32768 | 32768 | 29 | 27152 | 232 | 232 | 32 | 64 | 16.62144927 | 1.156 | 27616 | 0.280924479 |
| lena32.bmp | lena32.bmp-withWavelet_haar-G_0.8-H5e-005_af3.wfa    | 98304 | 32768 | 32768 | 29 | 27152 | 232 | 232 | 32 | 64 | 16.62102177 | 0.984 | 27616 | 0.280924479 |
| lena32.bmp | lena32.bmp-withWavelet_rbio1.1-G_0.8-H5e-005_af3.wfa | 98304 | 32768 | 32768 | 29 | 27152 | 232 | 232 | 32 | 64 | 16.62102177 | 0.906 | 27616 | 0.280924479 |
| lena32.bmp | lena32.bmp-withWavelet_sym1-G_0.8-H5e-005_af3.wfa    | 98304 | 32768 | 32768 | 29 | 27152 | 232 | 232 | 32 | 64 | 16.62102177 | 0.969 | 27616 | 0.280924479 |
| lena32.bmp | lena32.bmp-withWavelet_bior1.1-G_0.8-H5e-005_af3.wfa | 98304 | 32768 | 32768 | 29 | 27152 | 232 | 232 | 32 | 64 | 16.62102177 | 0.906 | 27616 | 0.280924479 |
| lena32.bmp | lena32.bmp-G_0.8-H4e-005_af1.wfa                     | 98304 | 32768 |       | 30 | 29040 | 240 | 240 | 32 | 64 | 19.19545413 | 0.937 | 29520 | 0.300292969 |
| lena32.bmp | lena32.bmp-G_0.6-H2e-005_af5.wfa                     | 98304 | 32768 |       | 30 | 29040 | 240 | 240 | 32 | 64 | 19.15814687 | 1.031 | 29520 | 0.300292969 |
| lena32.bmp | lena32.bmp-G_0.6-H1e-005_af3.wfa                     | 98304 | 32768 |       | 30 | 29040 | 240 | 240 | 32 | 64 | 18.9461222  | 1.078 | 29520 | 0.300292969 |
| lena32.bmp | lena32.bmp-G_0.6-H4e-005_af1.wfa                     | 98304 | 32768 |       | 30 | 29040 | 240 | 240 | 32 | 64 | 18.84656094 | 1.047 | 29520 | 0.300292969 |
| lena32.bmp | lena32.bmp-G_0.6-H3e-005_af1.wfa                     | 98304 | 32768 |       | 30 | 29040 | 240 | 240 | 32 | 64 | 18.84041298 | 0.953 | 29520 | 0.300292969 |
| lena32.bmp | lena32.bmp-withWavelet_haar-G_1-H1e-005_af5.wfa      | 98304 | 32768 | 32768 | 30 | 29040 | 240 | 240 | 32 | 64 | 16.8877399  | 0.984 | 29520 | 0.300292969 |
| lena32.bmp | lena32.bmp-withWavelet_rbio1.1-G_1-H1e-005_af5.wfa   | 98304 | 32768 | 32768 | 30 | 29040 | 240 | 240 | 32 | 64 | 16.8877399  | 0.922 | 29520 | 0.300292969 |



|            |  |       |       |       |    |       |     |     |    |    |             |       |       |             |
|------------|--|-------|-------|-------|----|-------|-----|-----|----|----|-------------|-------|-------|-------------|
| lena32.bmp | lena32.bmp-withWavelet_rbio1.1-G_0.6-H4e-005_af3.wfa | 98304 | 32768 | 32768 | 30 | 29040 | 240 | 240 | 32 | 64 | 16.23487177 | 0.938 | 29520 | 0.300292969 |
| lena32.bmp | lena32.bmp-withWavelet_sym1-G_0.6-H4e-005_af3.wfa    | 98304 | 32768 | 32768 | 30 | 29040 | 240 | 240 | 32 | 64 | 16.23487177 | 0.953 | 29520 | 0.300292969 |
| lena32.bmp | lena32.bmp-withWavelet_bior1.1-G_0.6-H4e-005_af3.wfa | 98304 | 32768 | 32768 | 30 | 29040 | 240 | 240 | 32 | 64 | 16.23487177 | 0.953 | 29520 | 0.300292969 |
| lena32.bmp | lena32.bmp-withWavelet_haar-G_0.6-H5e-005_af3.wfa    | 98304 | 32768 | 32768 | 30 | 29040 | 240 | 240 | 32 | 64 | 16.23487177 | 1     | 29520 | 0.300292969 |
| lena32.bmp | lena32.bmp-withWavelet_rbio1.1-G_0.6-H5e-005_af3.wfa | 98304 | 32768 | 32768 | 30 | 29040 | 240 | 240 | 32 | 64 | 16.23487177 | 0.938 | 29520 | 0.300292969 |
| lena32.bmp | lena32.bmp-withWavelet_sym1-G_0.6-H5e-005_af3.wfa    | 98304 | 32768 | 32768 | 30 | 29040 | 240 | 240 | 32 | 64 | 16.23487177 | 0.938 | 29520 | 0.300292969 |
| lena32.bmp | lena32.bmp-withWavelet_bior1.1-G_0.6-H5e-005_af3.wfa | 98304 | 32768 | 32768 | 30 | 29040 | 240 | 240 | 32 | 64 | 16.23487177 | 0.953 | 29520 | 0.300292969 |
| lena32.bmp | lena32.bmp-withWavelet_haar-G_0.6-H1e-005_af5.wfa    | 98304 | 32768 | 32768 | 30 | 29040 | 240 | 240 | 32 | 64 | 15.97266307 | 0.969 | 29520 | 0.300292969 |
| lena32.bmp | lena32.bmp-withWavelet_rbio1.1-G_0.6-H1e-005_af5.wfa | 98304 | 32768 | 32768 | 30 | 29040 | 240 | 240 | 32 | 64 | 15.97266307 | 0.969 | 29520 | 0.300292969 |
| lena32.bmp | lena32.bmp-withWavelet_sym1-G_0.6-H1e-005_af5.wfa    | 98304 | 32768 | 32768 | 30 | 29040 | 240 | 240 | 32 | 64 | 15.97266307 | 0.969 | 29520 | 0.300292969 |
| lena32.bmp | lena32.bmp-withWavelet_bior1.1-G_0.6-H1e-005_af5.wfa | 98304 | 32768 | 32768 | 30 | 29040 | 240 | 240 | 32 | 64 | 15.97266307 | 1.046 | 29520 | 0.300292969 |
| lena32.bmp | lena32.bmp-withWavelet_haar-G_0.6-H0.0001_af5.wfa    | 24576 | 8192  | 8192  | 15 | 7440  | 120 | 120 | 32 | 32 | 17.31248584 | 0.109 | 7680  | 0.3125      |
| lena32.bmp | lena32.bmp-withWavelet_rbio1.1-G_0.6-H0.0001_af5.wfa | 24576 | 8192  | 8192  | 15 | 7440  | 120 | 120 | 32 | 32 | 17.31248584 | 0.125 | 7680  | 0.3125      |
| lena32.bmp | lena32.bmp-withWavelet_sym1-G_0.6-H0.0001_af5.wfa    | 24576 | 8192  | 8192  | 15 | 7440  | 120 | 120 | 32 | 32 | 17.31248584 | 0.109 | 7680  | 0.3125      |
| lena32.bmp | lena32.bmp-withWavelet_bior1.1-G_0.6-H0.0001_af5.wfa | 24576 | 8192  | 8192  | 15 | 7440  | 120 | 120 | 32 | 32 | 17.31248584 | 0.125 | 7680  | 0.3125      |
| lena32.bmp | lena32.bmp-withWavelet_haar-G_0.8-H0.0001_af5.wfa    | 24576 | 8192  | 8192  | 15 | 7440  | 120 | 120 | 32 | 32 | 17.15927395 | 0.11  | 7680  | 0.3125      |
| lena32.bmp | lena32.bmp-withWavelet_rbio1.1-G_0.8-H0.0001_af5.wfa | 24576 | 8192  | 8192  | 15 | 7440  | 120 | 120 | 32 | 32 | 17.15927395 | 0.109 | 7680  | 0.3125      |
| lena32.bmp | lena32.bmp-withWavelet_sym1-G_0.8-H0.0001_af5.wfa    | 24576 | 8192  | 8192  | 15 | 7440  | 120 | 120 | 32 | 32 | 17.15927395 | 0.11  | 7680  | 0.3125      |
| lena32.bmp | lena32.bmp-withWavelet_bior1.1-G_0.8-H0.0001_af5.wfa | 24576 | 8192  | 8192  | 15 | 7440  | 120 | 120 | 32 | 32 | 17.15927395 | 0.093 | 7680  | 0.3125      |
| lena32.bmp | lena32.bmp-withWavelet_haar-G_1-H0.0001_af5.wfa      | 24576 | 8192  | 8192  | 15 | 7440  | 120 | 120 | 32 | 32 | 17.11018241 | 0.109 | 7680  | 0.3125      |
| lena32.bmp | lena32.bmp-withWavelet_rbio1.1-G_1-H0.0001_af5.wfa   | 24576 | 8192  | 8192  | 15 | 7440  | 120 | 120 | 32 | 32 | 17.11018241 | 0.125 | 7680  | 0.3125      |
| lena32.bmp | lena32.bmp-withWavelet_sym1-G_1-H0.0001_af5.wfa      | 24576 | 8192  | 8192  | 15 | 7440  | 120 | 120 | 32 | 32 | 17.11018241 | 0.109 | 7680  | 0.3125      |
| lena32.bmp | lena32.bmp-withWavelet_bior1.1-G_1-H0.0001_af5.wfa   | 24576 | 8192  | 8192  | 15 | 7440  | 120 | 120 | 32 | 32 | 17.11018241 | 0.093 | 7680  | 0.3125      |
| lena32.bmp | lena32.bmp-withWavelet_haar-G_0.6-H9e-005_af5.wfa    | 24576 | 8192  | 8192  | 15 | 7440  | 120 | 120 | 32 | 32 | 16.9563837  | 0.094 | 7680  | 0.3125      |
| lena32.bmp | lena32.bmp-withWavelet_rbio1.1-G_0.6-H9e-005_af5.wfa | 24576 | 8192  | 8192  | 15 | 7440  | 120 | 120 | 32 | 32 | 16.9563837  | 0.093 | 7680  | 0.3125      |
| lena32.bmp | lena32.bmp-withWavelet_sym1-G_0.6-H9e-005_af5.wfa    | 24576 | 8192  | 8192  | 15 | 7440  | 120 | 120 | 32 | 32 | 16.9563837  | 0.094 | 7680  | 0.3125      |
| lena32.bmp | lena32.bmp-withWavelet_bior1.1-G_0.6-H9e-005_af5.wfa | 24576 | 8192  | 8192  | 15 | 7440  | 120 | 120 | 32 | 32 | 16.9563837  | 0.11  | 7680  | 0.3125      |
| lena32.bmp | lena32.bmp-G_0.6-H5e-005_af4.wfa                     | 24576 | 8192  |       | 15 | 7440  | 120 | 120 | 32 | 32 | 16.28268729 | 0.094 | 7680  | 0.3125      |
| lena32.bmp | lena32.bmp-G_0.8-H6e-005_af4.wfa                     | 24576 | 8192  |       | 15 | 7440  | 120 | 120 | 32 | 32 | 16.24203472 | 0.109 | 7680  | 0.3125      |
| lena32.bmp | lena32.bmp-G_0.8-H4e-005_af4.wfa                     | 24576 | 8192  |       | 15 | 7440  | 120 | 120 | 32 | 32 | 16.21133692 | 0.109 | 7680  | 0.3125      |
| lena32.bmp | lena32.bmp-G_1-H6e-005_af4.wfa                       | 24576 | 8192  |       | 15 | 7440  | 120 | 120 | 32 | 32 | 16.19996475 | 0.11  | 7680  | 0.3125      |

|            |  |       |       |       |    |       |     |     |    |    |             |       |       |             |
|------------|--|-------|-------|-------|----|-------|-----|-----|----|----|-------------|-------|-------|-------------|
| lena32.bmp | lena32.bmp-G_1-H4e-005_af4.wfa                       | 24576 | 8192  |       | 15 | 7440  | 120 | 120 | 32 | 32 | 16.16867539 | 0.11  | 7680  | 0.3125      |
| lena32.bmp | lena32.bmp-G_1-H1e-005_af2.wfa                       | 98304 | 32768 |       | 31 | 30992 | 248 | 248 | 32 | 64 | 19.38750251 | 1.015 | 31488 | 0.3203125   |
| lena32.bmp | lena32.bmp-G_1-H2e-005_af3.wfa                       | 98304 | 32768 |       | 31 | 30992 | 248 | 248 | 32 | 64 | 19.34725126 | 1.016 | 31488 | 0.3203125   |
| lena32.bmp | lena32.bmp-G_1-H4e-005_af1.wfa                       | 98304 | 32768 |       | 31 | 30992 | 248 | 248 | 32 | 64 | 19.25820592 | 1.11  | 31488 | 0.3203125   |
| lena32.bmp | lena32.bmp-G_0.6-H1e-005_af2.wfa                     | 98304 | 32768 |       | 31 | 30992 | 248 | 248 | 32 | 64 | 19.09873556 | 1.125 | 31488 | 0.3203125   |
| lena32.bmp | lena32.bmp-withWavelet_haar-G_0.8-H1e-005_af5.wfa    | 98304 | 32768 | 32768 | 31 | 30992 | 248 | 248 | 32 | 64 | 16.77348768 | 1.016 | 31488 | 0.3203125   |
| lena32.bmp | lena32.bmp-withWavelet_rbio1.1-G_0.8-H1e-005_af5.wfa | 98304 | 32768 | 32768 | 31 | 30992 | 248 | 248 | 32 | 64 | 16.77348768 | 1.172 | 31488 | 0.3203125   |
| lena32.bmp | lena32.bmp-withWavelet_sym1-G_0.8-H1e-005_af5.wfa    | 98304 | 32768 | 32768 | 31 | 30992 | 248 | 248 | 32 | 64 | 16.77348768 | 1.016 | 31488 | 0.3203125   |
| lena32.bmp | lena32.bmp-withWavelet_bior1.1-G_0.8-H1e-005_af5.wfa | 98304 | 32768 | 32768 | 31 | 30992 | 248 | 248 | 32 | 64 | 16.77348768 | 1     | 31488 | 0.3203125   |
| lena32.bmp | lena32.bmp-withWavelet_haar-G_0.8-H4e-005_af1.wfa    | 98304 | 32768 | 32768 | 31 | 30992 | 248 | 248 | 32 | 64 | 16.42015163 | 1     | 31488 | 0.3203125   |
| lena32.bmp | lena32.bmp-withWavelet_rbio1.1-G_0.8-H4e-005_af1.wfa | 98304 | 32768 | 32768 | 31 | 30992 | 248 | 248 | 32 | 64 | 16.42015163 | 1.016 | 31488 | 0.3203125   |
| lena32.bmp | lena32.bmp-withWavelet_sym1-G_0.8-H4e-005_af1.wfa    | 98304 | 32768 | 32768 | 31 | 30992 | 248 | 248 | 32 | 64 | 16.42015163 | 1     | 31488 | 0.3203125   |
| lena32.bmp | lena32.bmp-withWavelet_bior1.1-G_0.8-H4e-005_af1.wfa | 98304 | 32768 | 32768 | 31 | 30992 | 248 | 248 | 32 | 64 | 16.42015163 | 1.016 | 31488 | 0.3203125   |
| lena32.bmp | lena32.bmp-G_0.8-H1e-005_af2.wfa                     | 98304 | 32768 |       | 32 | 33008 | 256 | 256 | 32 | 64 | 19.45964002 | 1.047 | 33520 | 0.340983073 |
| lena32.bmp | lena32.bmp-G_0.8-H3e-005_af1.wfa                     | 98304 | 32768 |       | 32 | 33008 | 256 | 256 | 32 | 64 | 19.34363625 | 1.453 | 33520 | 0.340983073 |
| lena32.bmp | lena32.bmp-G_1-H1e-005_af3.wfa                       | 98304 | 32768 |       | 32 | 33008 | 256 | 256 | 32 | 64 | 19.32277561 | 1.203 | 33520 | 0.340983073 |
| lena32.bmp | lena32.bmp-G_0.8-H1e-005_af3.wfa                     | 98304 | 32768 |       | 32 | 33008 | 256 | 256 | 32 | 64 | 19.31907278 | 1.14  | 33520 | 0.340983073 |
| lena32.bmp | lena32.bmp-G_0.8-H2e-005_af3.wfa                     | 98304 | 32768 |       | 32 | 33008 | 256 | 256 | 32 | 64 | 19.31907278 | 1.079 | 33520 | 0.340983073 |
| lena32.bmp | lena32.bmp-G_0.6-H2e-005_af1.wfa                     | 98304 | 32768 |       | 32 | 33008 | 256 | 256 | 32 | 64 | 18.8945616  | 1.203 | 33520 | 0.340983073 |
| lena32.bmp | lena32.bmp-withWavelet_haar-G_0.6-H3e-005_af4.wfa    | 98304 | 32768 | 32768 | 32 | 33008 | 256 | 256 | 32 | 64 | 16.48333139 | 1.11  | 33520 | 0.340983073 |
| lena32.bmp | lena32.bmp-withWavelet_rbio1.1-G_0.6-H3e-005_af4.wfa | 98304 | 32768 | 32768 | 32 | 33008 | 256 | 256 | 32 | 64 | 16.48333139 | 1.218 | 33520 | 0.340983073 |
| lena32.bmp | lena32.bmp-withWavelet_sym1-G_0.6-H3e-005_af4.wfa    | 98304 | 32768 | 32768 | 32 | 33008 | 256 | 256 | 32 | 64 | 16.48333139 | 1.125 | 33520 | 0.340983073 |
| lena32.bmp | lena32.bmp-withWavelet_bior1.1-G_0.6-H3e-005_af4.wfa | 98304 | 32768 | 32768 | 32 | 33008 | 256 | 256 | 32 | 64 | 16.48333139 | 1.047 | 33520 | 0.340983073 |
| lena32.bmp | lena32.bmp-withWavelet_haar-G_1-H3e-005_af3.wfa      | 98304 | 32768 | 32768 | 32 | 33008 | 256 | 256 | 32 | 64 | 16.44079964 | 1.438 | 33520 | 0.340983073 |
| lena32.bmp | lena32.bmp-withWavelet_rbio1.1-G_1-H3e-005_af3.wfa   | 98304 | 32768 | 32768 | 32 | 33008 | 256 | 256 | 32 | 64 | 16.44079964 | 1.453 | 33520 | 0.340983073 |
| lena32.bmp | lena32.bmp-withWavelet_sym1-G_1-H3e-005_af3.wfa      | 98304 | 32768 | 32768 | 32 | 33008 | 256 | 256 | 32 | 64 | 16.44079964 | 1.469 | 33520 | 0.340983073 |
| lena32.bmp | lena32.bmp-withWavelet_bior1.1-G_1-H3e-005_af3.wfa   | 98304 | 32768 | 32768 | 32 | 33008 | 256 | 256 | 32 | 64 | 16.44079964 | 1.532 | 33520 | 0.340983073 |
| lena32.bmp | lena32.bmp-withWavelet_haar-G_0.8-H3e-005_af3.wfa    | 98304 | 32768 | 32768 | 32 | 33008 | 256 | 256 | 32 | 64 | 16.44064289 | 1.156 | 33520 | 0.340983073 |
| lena32.bmp | lena32.bmp-withWavelet_rbio1.1-G_0.8-H3e-005_af3.wfa | 98304 | 32768 | 32768 | 32 | 33008 | 256 | 256 | 32 | 64 | 16.44064289 | 1.266 | 33520 | 0.340983073 |
| lena32.bmp | lena32.bmp-withWavelet_sym1-G_0.8-H3e-005_af3.wfa    | 98304 | 32768 | 32768 | 32 | 33008 | 256 | 256 | 32 | 64 | 16.44064289 | 1.219 | 33520 | 0.340983073 |
| lena32.bmp | lena32.bmp-withWavelet_bior1.1-G_0.8-H3e-005_af3.wfa | 98304 | 32768 | 32768 | 32 | 33008 | 256 | 256 | 32 | 64 | 16.44064289 | 1.047 | 33520 | 0.340983073 |



|            |  |       |       |       |    |       |     |     |    |    |             |       |       |             |
|------------|--|-------|-------|-------|----|-------|-----|-----|----|----|-------------|-------|-------|-------------|
| lena32.bmp | lena32.bmp-withWavelet_haar-G_0.6-H3e-005_af3.wfa    | 98304 | 32768 | 32768 | 32 | 33008 | 256 | 256 | 32 | 64 | 16.18567676 | 1.188 | 33520 | 0.340983073 |
| lena32.bmp | lena32.bmp-withWavelet_rbio1.1-G_0.6-H3e-005_af3.wfa | 98304 | 32768 | 32768 | 32 | 33008 | 256 | 256 | 32 | 64 | 16.18567676 | 1.093 | 33520 | 0.340983073 |
| lena32.bmp | lena32.bmp-withWavelet_sym1-G_0.6-H3e-005_af3.wfa    | 98304 | 32768 | 32768 | 32 | 33008 | 256 | 256 | 32 | 64 | 16.18567676 | 1.062 | 33520 | 0.340983073 |
| lena32.bmp | lena32.bmp-withWavelet_bior1.1-G_0.6-H3e-005_af3.wfa | 98304 | 32768 | 32768 | 32 | 33008 | 256 | 256 | 32 | 64 | 16.18567676 | 1.093 | 33520 | 0.340983073 |
| lena32.bmp | lena32.bmp-withWavelet_haar-G_1-H0.0001_af2.wfa      | 24576 | 8192  | 8192  | 16 | 8432  | 128 | 128 | 32 | 32 | 19.11159846 | 0.109 | 8688  | 0.353515625 |
| lena32.bmp | lena32.bmp-withWavelet_rbio1.1-G_1-H0.0001_af2.wfa   | 24576 | 8192  | 8192  | 16 | 8432  | 128 | 128 | 32 | 32 | 19.11159846 | 0.094 | 8688  | 0.353515625 |
| lena32.bmp | lena32.bmp-withWavelet_sym1-G_1-H0.0001_af2.wfa      | 24576 | 8192  | 8192  | 16 | 8432  | 128 | 128 | 32 | 32 | 19.11159846 | 0.109 | 8688  | 0.353515625 |
| lena32.bmp | lena32.bmp-withWavelet_bior1.1-G_1-H0.0001_af2.wfa   | 24576 | 8192  | 8192  | 16 | 8432  | 128 | 128 | 32 | 32 | 19.11159846 | 0.109 | 8688  | 0.353515625 |
| lena32.bmp | lena32.bmp-withWavelet_haar-G_0.6-H8e-005_af5.wfa    | 24576 | 8192  | 8192  | 16 | 8432  | 128 | 128 | 32 | 32 | 17.52853742 | 0.109 | 8688  | 0.353515625 |
| lena32.bmp | lena32.bmp-withWavelet_rbio1.1-G_0.6-H8e-005_af5.wfa | 24576 | 8192  | 8192  | 16 | 8432  | 128 | 128 | 32 | 32 | 17.52853742 | 0.109 | 8688  | 0.353515625 |
| lena32.bmp | lena32.bmp-withWavelet_sym1-G_0.6-H8e-005_af5.wfa    | 24576 | 8192  | 8192  | 16 | 8432  | 128 | 128 | 32 | 32 | 17.52853742 | 0.094 | 8688  | 0.353515625 |
| lena32.bmp | lena32.bmp-withWavelet_bior1.1-G_0.6-H8e-005_af5.wfa | 24576 | 8192  | 8192  | 16 | 8432  | 128 | 128 | 32 | 32 | 17.52853742 | 0.11  | 8688  | 0.353515625 |
| lena32.bmp | lena32.bmp-withWavelet_haar-G_1-H9e-005_af5.wfa      | 24576 | 8192  | 8192  | 16 | 8432  | 128 | 128 | 32 | 32 | 17.21137878 | 0.141 | 8688  | 0.353515625 |
| lena32.bmp | lena32.bmp-withWavelet_rbio1.1-G_1-H9e-005_af5.wfa   | 24576 | 8192  | 8192  | 16 | 8432  | 128 | 128 | 32 | 32 | 17.21137878 | 0.109 | 8688  | 0.353515625 |
| lena32.bmp | lena32.bmp-withWavelet_sym1-G_1-H9e-005_af5.wfa      | 24576 | 8192  | 8192  | 16 | 8432  | 128 | 128 | 32 | 32 | 17.21137878 | 0.109 | 8688  | 0.353515625 |
| lena32.bmp | lena32.bmp-withWavelet_bior1.1-G_1-H9e-005_af5.wfa   | 24576 | 8192  | 8192  | 16 | 8432  | 128 | 128 | 32 | 32 | 17.21137878 | 0.312 | 8688  | 0.353515625 |
| lena32.bmp | lena32.bmp-G_0.6-H4e-005_af4.wfa                     | 24576 | 8192  |       | 16 | 8432  | 128 | 128 | 32 | 32 | 16.34160865 | 0.109 | 8688  | 0.353515625 |
| lena32.bmp | lena32.bmp-G_0.6-H3e-005_af4.wfa                     | 24576 | 8192  |       | 16 | 8432  | 128 | 128 | 32 | 32 | 16.31909559 | 0.109 | 8688  | 0.353515625 |
| lena32.bmp | lena32.bmp-G_0.8-H5e-005_af4.wfa                     | 24576 | 8192  |       | 16 | 8432  | 128 | 128 | 32 | 32 | 16.30561691 | 0.11  | 8688  | 0.353515625 |
| lena32.bmp | lena32.bmp-G_1-H5e-005_af4.wfa                       | 24576 | 8192  |       | 16 | 8432  | 128 | 128 | 32 | 32 | 16.27304817 | 0.11  | 8688  | 0.353515625 |
| lena32.bmp | lena32.bmp-G_1-H3e-005_af4.wfa                       | 24576 | 8192  |       | 16 | 8432  | 128 | 128 | 32 | 32 | 16.23279774 | 0.141 | 8688  | 0.353515625 |
| lena32.bmp | lena32.bmp-G_1-H2e-005_af1.wfa                       | 98304 | 32768 |       | 33 | 35088 | 264 | 264 | 32 | 64 | 19.36560318 | 1.141 | 35616 | 0.362304688 |
| lena32.bmp | lena32.bmp-G_1-H3e-005_af1.wfa                       | 98304 | 32768 |       | 33 | 35088 | 264 | 264 | 32 | 64 | 19.36122799 | 1.469 | 35616 | 0.362304688 |
| lena32.bmp | lena32.bmp-withWavelet_haar-G_0.6-H2e-005_af4.wfa    | 98304 | 32768 | 32768 | 33 | 35088 | 264 | 264 | 32 | 64 | 16.45527617 | 1.266 | 35616 | 0.362304688 |
| lena32.bmp | lena32.bmp-withWavelet_rbio1.1-G_0.6-H2e-005_af4.wfa | 98304 | 32768 | 32768 | 33 | 35088 | 264 | 264 | 32 | 64 | 16.45527617 | 1.687 | 35616 | 0.362304688 |
| lena32.bmp | lena32.bmp-withWavelet_sym1-G_0.6-H2e-005_af4.wfa    | 98304 | 32768 | 32768 | 33 | 35088 | 264 | 264 | 32 | 64 | 16.45527617 | 1.672 | 35616 | 0.362304688 |
| lena32.bmp | lena32.bmp-withWavelet_bior1.1-G_0.6-H2e-005_af4.wfa | 98304 | 32768 | 32768 | 33 | 35088 | 264 | 264 | 32 | 64 | 16.45527617 | 1.329 | 35616 | 0.362304688 |
| lena32.bmp | lena32.bmp-withWavelet_haar-G_1-H2e-005_af3.wfa      | 98304 | 32768 | 32768 | 33 | 35088 | 264 | 264 | 32 | 64 | 16.41378511 | 1.312 | 35616 | 0.362304688 |
| lena32.bmp | lena32.bmp-withWavelet_rbio1.1-G_1-H2e-005_af3.wfa   | 98304 | 32768 | 32768 | 33 | 35088 | 264 | 264 | 32 | 64 | 16.41378511 | 1.281 | 35616 | 0.362304688 |
| lena32.bmp | lena32.bmp-withWavelet_sym1-G_1-H2e-005_af3.wfa      | 98304 | 32768 | 32768 | 33 | 35088 | 264 | 264 | 32 | 64 | 16.41378511 | 1.141 | 35616 | 0.362304688 |
| lena32.bmp | lena32.bmp-withWavelet_bior1.1-G_1-H2e-005_af3.wfa   | 98304 | 32768 | 32768 | 33 | 35088 | 264 | 264 | 32 | 64 | 16.41378511 | 1.109 | 35616 | 0.362304688 |

|            |  |       |       |       |    |       |     |     |    |    |             |       |       |             |
|------------|--|-------|-------|-------|----|-------|-----|-----|----|----|-------------|-------|-------|-------------|
| lena32.bmp | lena32.bmp-withWavelet_haar-G_0.8-H2e-005_af3.wfa    | 98304 | 32768 | 32768 | 33 | 35088 | 264 | 264 | 32 | 64 | 16.4135908  | 1.25  | 35616 | 0.362304688 |
| lena32.bmp | lena32.bmp-withWavelet_rbio1.1-G_0.8-H2e-005_af3.wfa | 98304 | 32768 | 32768 | 33 | 35088 | 264 | 264 | 32 | 64 | 16.4135908  | 1.141 | 35616 | 0.362304688 |
| lena32.bmp | lena32.bmp-withWavelet_sym1-G_0.8-H2e-005_af3.wfa    | 98304 | 32768 | 32768 | 33 | 35088 | 264 | 264 | 32 | 64 | 16.4135908  | 1.422 | 35616 | 0.362304688 |
| lena32.bmp | lena32.bmp-withWavelet_bior1.1-G_0.8-H2e-005_af3.wfa | 98304 | 32768 | 32768 | 33 | 35088 | 264 | 264 | 32 | 64 | 16.4135908  | 1.297 | 35616 | 0.362304688 |
| lena32.bmp | lena32.bmp-withWavelet_haar-G_1-H3e-005_af1.wfa      | 98304 | 32768 | 32768 | 33 | 35088 | 264 | 264 | 32 | 64 | 16.34374214 | 1.188 | 35616 | 0.362304688 |
| lena32.bmp | lena32.bmp-withWavelet_rbio1.1-G_1-H3e-005_af1.wfa   | 98304 | 32768 | 32768 | 33 | 35088 | 264 | 264 | 32 | 64 | 16.34374214 | 1.297 | 35616 | 0.362304688 |
| lena32.bmp | lena32.bmp-withWavelet_sym1-G_1-H3e-005_af1.wfa      | 98304 | 32768 | 32768 | 33 | 35088 | 264 | 264 | 32 | 64 | 16.34374214 | 1.328 | 35616 | 0.362304688 |
| lena32.bmp | lena32.bmp-withWavelet_bior1.1-G_1-H3e-005_af1.wfa   | 98304 | 32768 | 32768 | 33 | 35088 | 264 | 264 | 32 | 64 | 16.34374214 | 1.547 | 35616 | 0.362304688 |
| lena32.bmp | lena32.bmp-withWavelet_haar-G_0.8-H3e-005_af1.wfa    | 98304 | 32768 | 32768 | 33 | 35088 | 264 | 264 | 32 | 64 | 16.34304942 | 1.156 | 35616 | 0.362304688 |
| lena32.bmp | lena32.bmp-withWavelet_rbio1.1-G_0.8-H3e-005_af1.wfa | 98304 | 32768 | 32768 | 33 | 35088 | 264 | 264 | 32 | 64 | 16.34304942 | 1.109 | 35616 | 0.362304688 |
| lena32.bmp | lena32.bmp-withWavelet_sym1-G_0.8-H3e-005_af1.wfa    | 98304 | 32768 | 32768 | 33 | 35088 | 264 | 264 | 32 | 64 | 16.34304942 | 1.359 | 35616 | 0.362304688 |
| lena32.bmp | lena32.bmp-withWavelet_bior1.1-G_0.8-H3e-005_af1.wfa | 98304 | 32768 | 32768 | 33 | 35088 | 264 | 264 | 32 | 64 | 16.34304942 | 1.281 | 35616 | 0.362304688 |
| lena32.bmp | lena32.bmp-withWavelet_haar-G_1-H2e-005_af1.wfa      | 98304 | 32768 | 32768 | 33 | 35088 | 264 | 264 | 32 | 64 | 16.33240837 | 1.235 | 35616 | 0.362304688 |
| lena32.bmp | lena32.bmp-withWavelet_rbio1.1-G_1-H2e-005_af1.wfa   | 98304 | 32768 | 32768 | 33 | 35088 | 264 | 264 | 32 | 64 | 16.33240837 | 1.547 | 35616 | 0.362304688 |
| lena32.bmp | lena32.bmp-withWavelet_sym1-G_1-H2e-005_af1.wfa      | 98304 | 32768 | 32768 | 33 | 35088 | 264 | 264 | 32 | 64 | 16.33240837 | 1.516 | 35616 | 0.362304688 |
| lena32.bmp | lena32.bmp-withWavelet_bior1.1-G_1-H2e-005_af1.wfa   | 98304 | 32768 | 32768 | 33 | 35088 | 264 | 264 | 32 | 64 | 16.33240837 | 1.344 | 35616 | 0.362304688 |
| lena32.bmp | lena32.bmp-withWavelet_haar-G_0.8-H2e-005_af1.wfa    | 98304 | 32768 | 32768 | 33 | 35088 | 264 | 264 | 32 | 64 | 16.33164083 | 1.281 | 35616 | 0.362304688 |
| lena32.bmp | lena32.bmp-withWavelet_rbio1.1-G_0.8-H2e-005_af1.wfa | 98304 | 32768 | 32768 | 33 | 35088 | 264 | 264 | 32 | 64 | 16.33164083 | 1.391 | 35616 | 0.362304688 |
| lena32.bmp | lena32.bmp-withWavelet_sym1-G_0.8-H2e-005_af1.wfa    | 98304 | 32768 | 32768 | 33 | 35088 | 264 | 264 | 32 | 64 | 16.33164083 | 1.157 | 35616 | 0.362304688 |
| lena32.bmp | lena32.bmp-withWavelet_bior1.1-G_0.8-H2e-005_af1.wfa | 98304 | 32768 | 32768 | 33 | 35088 | 264 | 264 | 32 | 64 | 16.33164083 | 1.11  | 35616 | 0.362304688 |
| lena32.bmp | lena32.bmp-withWavelet_haar-G_0.6-H2e-005_af3.wfa    | 98304 | 32768 | 32768 | 33 | 35088 | 264 | 264 | 32 | 64 | 16.1712315  | 1.219 | 35616 | 0.362304688 |
| lena32.bmp | lena32.bmp-withWavelet_rbio1.1-G_0.6-H2e-005_af3.wfa | 98304 | 32768 | 32768 | 33 | 35088 | 264 | 264 | 32 | 64 | 16.1712315  | 1.329 | 35616 | 0.362304688 |
| lena32.bmp | lena32.bmp-withWavelet_sym1-G_0.6-H2e-005_af3.wfa    | 98304 | 32768 | 32768 | 33 | 35088 | 264 | 264 | 32 | 64 | 16.1712315  | 1.313 | 35616 | 0.362304688 |
| lena32.bmp | lena32.bmp-withWavelet_bior1.1-G_0.6-H2e-005_af3.wfa | 98304 | 32768 | 32768 | 33 | 35088 | 264 | 264 | 32 | 64 | 16.1712315  | 1.313 | 35616 | 0.362304688 |
| lena32.bmp | lena32.bmp-withWavelet_haar-G_0.6-H3e-005_af1.wfa    | 98304 | 32768 | 32768 | 33 | 35088 | 264 | 264 | 32 | 64 | 16.14632996 | 1.171 | 35616 | 0.362304688 |
| lena32.bmp | lena32.bmp-withWavelet_rbio1.1-G_0.6-H3e-005_af1.wfa | 98304 | 32768 | 32768 | 33 | 35088 | 264 | 264 | 32 | 64 | 16.14632996 | 1.187 | 35616 | 0.362304688 |
| lena32.bmp | lena32.bmp-withWavelet_sym1-G_0.6-H3e-005_af1.wfa    | 98304 | 32768 | 32768 | 33 | 35088 | 264 | 264 | 32 | 64 | 16.14632996 | 1.14  | 35616 | 0.362304688 |
| lena32.bmp | lena32.bmp-withWavelet_bior1.1-G_0.6-H3e-005_af1.wfa | 98304 | 32768 | 32768 | 33 | 35088 | 264 | 264 | 32 | 64 | 16.14632996 | 1.265 | 35616 | 0.362304688 |
| lena32.bmp | lena32.bmp-withWavelet_haar-G_0.6-H2e-005_af1.wfa    | 98304 | 32768 | 32768 | 33 | 35088 | 264 | 264 | 32 | 64 | 16.14517813 | 1.312 | 35616 | 0.362304688 |
| lena32.bmp | lena32.bmp-withWavelet_rbio1.1-G_0.6-H2e-005_af1.wfa | 98304 | 32768 | 32768 | 33 | 35088 | 264 | 264 | 32 | 64 | 16.14517813 | 1.407 | 35616 | 0.362304688 |
| lena32.bmp | lena32.bmp-withWavelet_sym1-G_0.6-H2e-005_af1.wfa    | 98304 | 32768 | 32768 | 33 | 35088 | 264 | 264 | 32 | 64 | 16.14517813 | 1.296 | 35616 | 0.362304688 |

|            |  |       |       |       |    |       |     |     |    |    |             |       |       |             |
|------------|--|-------|-------|-------|----|-------|-----|-----|----|----|-------------|-------|-------|-------------|
| lena32.bmp | lena32.bmp-withWavelet_bior1.1-G_0.6-H2e-005_af1.wfa | 98304 | 32768 | 32768 | 33 | 35088 | 264 | 264 | 32 | 64 | 16.14517813 | 1.235 | 35616 | 0.362304688 |
| lena32.bmp | lena32.bmp-G_0.8-H1e-005_af5.wfa                     | 98304 | 32768 |       | 34 | 37232 | 272 | 272 | 32 | 64 | 19.80547165 | 1.203 | 37776 | 0.384277344 |
| lena32.bmp | lena32.bmp-G_1-H1e-005_af5.wfa                       | 98304 | 32768 |       | 34 | 37232 | 272 | 272 | 32 | 64 | 19.80469988 | 1.203 | 37776 | 0.384277344 |
| lena32.bmp | lena32.bmp-G_0.6-H1e-005_af5.wfa                     | 98304 | 32768 |       | 34 | 37232 | 272 | 272 | 32 | 64 | 19.77165176 | 1.344 | 37776 | 0.384277344 |
| lena32.bmp | lena32.bmp-G_0.8-H2e-005_af1.wfa                     | 98304 | 32768 |       | 34 | 37232 | 272 | 272 | 32 | 64 | 19.38093562 | 1.156 | 37776 | 0.384277344 |
| lena32.bmp | lena32.bmp-G_0.6-H1e-005_af1.wfa                     | 98304 | 32768 |       | 34 | 37232 | 272 | 272 | 32 | 64 | 18.93117188 | 1.219 | 37776 | 0.384277344 |
| lena32.bmp | lena32.bmp-withWavelet_haar-G_1-H1e-005_af3.wfa      | 98304 | 32768 | 32768 | 34 | 37232 | 272 | 272 | 32 | 64 | 16.40011588 | 1.219 | 37776 | 0.384277344 |
| lena32.bmp | lena32.bmp-withWavelet_rbio1.1-G_1-H1e-005_af3.wfa   | 98304 | 32768 | 32768 | 34 | 37232 | 272 | 272 | 32 | 64 | 16.40011588 | 1.172 | 37776 | 0.384277344 |
| lena32.bmp | lena32.bmp-withWavelet_sym1-G_1-H1e-005_af3.wfa      | 98304 | 32768 | 32768 | 34 | 37232 | 272 | 272 | 32 | 64 | 16.40011588 | 1.187 | 37776 | 0.384277344 |
| lena32.bmp | lena32.bmp-withWavelet_bior1.1-G_1-H1e-005_af3.wfa   | 98304 | 32768 | 32768 | 34 | 37232 | 272 | 272 | 32 | 64 | 16.40011588 | 1.204 | 37776 | 0.384277344 |
| lena32.bmp | lena32.bmp-withWavelet_haar-G_0.8-H1e-005_af3.wfa    | 98304 | 32768 | 32768 | 34 | 37232 | 272 | 272 | 32 | 64 | 16.39996457 | 1.172 | 37776 | 0.384277344 |
| lena32.bmp | lena32.bmp-withWavelet_rbio1.1-G_0.8-H1e-005_af3.wfa | 98304 | 32768 | 32768 | 34 | 37232 | 272 | 272 | 32 | 64 | 16.39996457 | 1.25  | 37776 | 0.384277344 |
| lena32.bmp | lena32.bmp-withWavelet_sym1-G_0.8-H1e-005_af3.wfa    | 98304 | 32768 | 32768 | 34 | 37232 | 272 | 272 | 32 | 64 | 16.39996457 | 1.25  | 37776 | 0.384277344 |
| lena32.bmp | lena32.bmp-withWavelet_bior1.1-G_0.8-H1e-005_af3.wfa | 98304 | 32768 | 32768 | 34 | 37232 | 272 | 272 | 32 | 64 | 16.39996457 | 1.172 | 37776 | 0.384277344 |
| lena32.bmp | lena32.bmp-withWavelet_haar-G_0.6-H1e-005_af3.wfa    | 98304 | 32768 | 32768 | 34 | 37232 | 272 | 272 | 32 | 64 | 16.13305953 | 1.266 | 37776 | 0.384277344 |
| lena32.bmp | lena32.bmp-withWavelet_rbio1.1-G_0.6-H1e-005_af3.wfa | 98304 | 32768 | 32768 | 34 | 37232 | 272 | 272 | 32 | 64 | 16.13305953 | 1.203 | 37776 | 0.384277344 |
| lena32.bmp | lena32.bmp-withWavelet_sym1-G_0.6-H1e-005_af3.wfa    | 98304 | 32768 | 32768 | 34 | 37232 | 272 | 272 | 32 | 64 | 16.13305953 | 1.172 | 37776 | 0.384277344 |
| lena32.bmp | lena32.bmp-withWavelet_bior1.1-G_0.6-H1e-005_af3.wfa | 98304 | 32768 | 32768 | 34 | 37232 | 272 | 272 | 32 | 64 | 16.13305953 | 1.235 | 37776 | 0.384277344 |
| lena32.bmp | lena32.bmp-withWavelet_haar-G_0.8-H8e-005_af2.wfa    | 24576 | 8192  | 8192  | 17 | 9488  | 136 | 136 | 32 | 32 | 19.23132545 | 0.11  | 9760  | 0.397135417 |
| lena32.bmp | lena32.bmp-withWavelet_rbio1.1-G_0.8-H8e-005_af2.wfa | 24576 | 8192  | 8192  | 17 | 9488  | 136 | 136 | 32 | 32 | 19.23132545 | 0.109 | 9760  | 0.397135417 |
| lena32.bmp | lena32.bmp-withWavelet_sym1-G_0.8-H8e-005_af2.wfa    | 24576 | 8192  | 8192  | 17 | 9488  | 136 | 136 | 32 | 32 | 19.23132545 | 0.109 | 9760  | 0.397135417 |
| lena32.bmp | lena32.bmp-withWavelet_bior1.1-G_0.8-H8e-005_af2.wfa | 24576 | 8192  | 8192  | 17 | 9488  | 136 | 136 | 32 | 32 | 19.23132545 | 0.203 | 9760  | 0.397135417 |
| lena32.bmp | lena32.bmp-withWavelet_haar-G_1-H9e-005_af2.wfa      | 24576 | 8192  | 8192  | 17 | 9488  | 136 | 136 | 32 | 32 | 18.93378078 | 0.109 | 9760  | 0.397135417 |
| lena32.bmp | lena32.bmp-withWavelet_rbio1.1-G_1-H9e-005_af2.wfa   | 24576 | 8192  | 8192  | 17 | 9488  | 136 | 136 | 32 | 32 | 18.93378078 | 0.141 | 9760  | 0.397135417 |
| lena32.bmp | lena32.bmp-withWavelet_sym1-G_1-H9e-005_af2.wfa      | 24576 | 8192  | 8192  | 17 | 9488  | 136 | 136 | 32 | 32 | 18.93378078 | 0.11  | 9760  | 0.397135417 |
| lena32.bmp | lena32.bmp-withWavelet_bior1.1-G_1-H9e-005_af2.wfa   | 24576 | 8192  | 8192  | 17 | 9488  | 136 | 136 | 32 | 32 | 18.93378078 | 0.125 | 9760  | 0.397135417 |
| lena32.bmp | lena32.bmp-withWavelet_haar-G_1-H8e-005_af5.wfa      | 24576 | 8192  | 8192  | 17 | 9488  | 136 | 136 | 32 | 32 | 18.58310057 | 0.109 | 9760  | 0.397135417 |
| lena32.bmp | lena32.bmp-withWavelet_rbio1.1-G_1-H8e-005_af5.wfa   | 24576 | 8192  | 8192  | 17 | 9488  | 136 | 136 | 32 | 32 | 18.58310057 | 0.171 | 9760  | 0.397135417 |
| lena32.bmp | lena32.bmp-withWavelet_sym1-G_1-H8e-005_af5.wfa      | 24576 | 8192  | 8192  | 17 | 9488  | 136 | 136 | 32 | 32 | 18.58310057 | 0.141 | 9760  | 0.397135417 |
| lena32.bmp | lena32.bmp-withWavelet_bior1.1-G_1-H8e-005_af5.wfa   | 24576 | 8192  | 8192  | 17 | 9488  | 136 | 136 | 32 | 32 | 18.58310057 | 0.218 | 9760  | 0.397135417 |
| lena32.bmp | lena32.bmp-withWavelet_haar-G_0.8-H8e-005_af5.wfa    | 24576 | 8192  | 8192  | 17 | 9488  | 136 | 136 | 32 | 32 | 18.31199323 | 0.109 | 9760  | 0.397135417 |

|            |  |       |       |       |    |       |     |     |    |    |             |       |       |             |
|------------|--|-------|-------|-------|----|-------|-----|-----|----|----|-------------|-------|-------|-------------|
| lena32.bmp | lena32.bmp-withWavelet_rbio1.1-G_0.8-H8e-005_af5.wfa | 24576 | 8192  | 8192  | 17 | 9488  | 136 | 136 | 32 | 32 | 18.31199323 | 0.125 | 9760  | 0.397135417 |
| lena32.bmp | lena32.bmp-withWavelet_sym1-G_0.8-H8e-005_af5.wfa    | 24576 | 8192  | 8192  | 17 | 9488  | 136 | 136 | 32 | 32 | 18.31199323 | 0.234 | 9760  | 0.397135417 |
| lena32.bmp | lena32.bmp-withWavelet_bior1.1-G_0.8-H8e-005_af5.wfa | 24576 | 8192  | 8192  | 17 | 9488  | 136 | 136 | 32 | 32 | 18.31199323 | 0.11  | 9760  | 0.397135417 |
| lena32.bmp | lena32.bmp-withWavelet_haar-G_0.8-H9e-005_af5.wfa    | 24576 | 8192  | 8192  | 17 | 9488  | 136 | 136 | 32 | 32 | 17.87443135 | 0.125 | 9760  | 0.397135417 |
| lena32.bmp | lena32.bmp-withWavelet_rbio1.1-G_0.8-H9e-005_af5.wfa | 24576 | 8192  | 8192  | 17 | 9488  | 136 | 136 | 32 | 32 | 17.87443135 | 0.11  | 9760  | 0.397135417 |
| lena32.bmp | lena32.bmp-withWavelet_sym1-G_0.8-H9e-005_af5.wfa    | 24576 | 8192  | 8192  | 17 | 9488  | 136 | 136 | 32 | 32 | 17.87443135 | 0.11  | 9760  | 0.397135417 |
| lena32.bmp | lena32.bmp-withWavelet_bior1.1-G_0.8-H9e-005_af5.wfa | 24576 | 8192  | 8192  | 17 | 9488  | 136 | 136 | 32 | 32 | 17.87443135 | 0.125 | 9760  | 0.397135417 |
| lena32.bmp | lena32.bmp-G_0.6-H2e-005_af4.wfa                     | 24576 | 8192  |       | 17 | 9488  | 136 | 136 | 32 | 32 | 16.36080858 | 0.14  | 9760  | 0.397135417 |
| lena32.bmp | lena32.bmp-G_0.6-H1e-005_af4.wfa                     | 24576 | 8192  |       | 17 | 9488  | 136 | 136 | 32 | 32 | 16.36080858 | 0.109 | 9760  | 0.397135417 |
| lena32.bmp | lena32.bmp-G_0.8-H3e-005_af4.wfa                     | 24576 | 8192  |       | 17 | 9488  | 136 | 136 | 32 | 32 | 16.30963435 | 0.265 | 9760  | 0.397135417 |
| lena32.bmp | lena32.bmp-G_0.8-H1e-005_af4.wfa                     | 24576 | 8192  |       | 17 | 9488  | 136 | 136 | 32 | 32 | 16.30963435 | 0.219 | 9760  | 0.397135417 |
| lena32.bmp | lena32.bmp-G_0.8-H2e-005_af4.wfa                     | 24576 | 8192  |       | 17 | 9488  | 136 | 136 | 32 | 32 | 16.30963435 | 0.11  | 9760  | 0.397135417 |
| lena32.bmp | lena32.bmp-G_1-H2e-005_af4.wfa                       | 24576 | 8192  |       | 17 | 9488  | 136 | 136 | 32 | 32 | 16.26602366 | 0.109 | 9760  | 0.397135417 |
| lena32.bmp | lena32.bmp-G_1-H1e-005_af4.wfa                       | 24576 | 8192  |       | 17 | 9488  | 136 | 136 | 32 | 32 | 16.26602366 | 0.109 | 9760  | 0.397135417 |
| lena32.bmp | lena32.bmp-G_1-H1e-005_af1.wfa                       | 98304 | 32768 |       | 35 | 39440 | 280 | 280 | 32 | 64 | 19.38549425 | 1.25  | 40000 | 0.406901042 |
| lena32.bmp | lena32.bmp-G_0.8-H1e-005_af1.wfa                     | 98304 | 32768 |       | 35 | 39440 | 280 | 280 | 32 | 64 | 19.38307347 | 1.281 | 40000 | 0.406901042 |
| lena32.bmp | lena32.bmp-withWavelet_haar-G_1-H2e-005_af4.wfa      | 98304 | 32768 | 32768 | 35 | 39440 | 280 | 280 | 32 | 64 | 16.39045792 | 1.609 | 40000 | 0.406901042 |
| lena32.bmp | lena32.bmp-withWavelet_rbio1.1-G_1-H2e-005_af4.wfa   | 98304 | 32768 | 32768 | 35 | 39440 | 280 | 280 | 32 | 64 | 16.39045792 | 1.282 | 40000 | 0.406901042 |
| lena32.bmp | lena32.bmp-withWavelet_sym1-G_1-H2e-005_af4.wfa      | 98304 | 32768 | 32768 | 35 | 39440 | 280 | 280 | 32 | 64 | 16.39045792 | 1.547 | 40000 | 0.406901042 |
| lena32.bmp | lena32.bmp-withWavelet_bior1.1-G_1-H2e-005_af4.wfa   | 98304 | 32768 | 32768 | 35 | 39440 | 280 | 280 | 32 | 64 | 16.39045792 | 1.359 | 40000 | 0.406901042 |
| lena32.bmp | lena32.bmp-withWavelet_haar-G_0.8-H2e-005_af4.wfa    | 98304 | 32768 | 32768 | 35 | 39440 | 280 | 280 | 32 | 64 | 16.37742026 | 1.328 | 40000 | 0.406901042 |
| lena32.bmp | lena32.bmp-withWavelet_rbio1.1-G_0.8-H2e-005_af4.wfa | 98304 | 32768 | 32768 | 35 | 39440 | 280 | 280 | 32 | 64 | 16.37742026 | 1.422 | 40000 | 0.406901042 |
| lena32.bmp | lena32.bmp-withWavelet_sym1-G_0.8-H2e-005_af4.wfa    | 98304 | 32768 | 32768 | 35 | 39440 | 280 | 280 | 32 | 64 | 16.37742026 | 1.391 | 40000 | 0.406901042 |
| lena32.bmp | lena32.bmp-withWavelet_bior1.1-G_0.8-H2e-005_af4.wfa | 98304 | 32768 | 32768 | 35 | 39440 | 280 | 280 | 32 | 64 | 16.37742026 | 1.343 | 40000 | 0.406901042 |
| lena32.bmp | lena32.bmp-withWavelet_haar-G_0.6-H1e-005_af4.wfa    | 98304 | 32768 | 32768 | 35 | 39440 | 280 | 280 | 32 | 64 | 16.33992348 | 1.313 | 40000 | 0.406901042 |
| lena32.bmp | lena32.bmp-withWavelet_rbio1.1-G_0.6-H1e-005_af4.wfa | 98304 | 32768 | 32768 | 35 | 39440 | 280 | 280 | 32 | 64 | 16.33992348 | 1.375 | 40000 | 0.406901042 |
| lena32.bmp | lena32.bmp-withWavelet_sym1-G_0.6-H1e-005_af4.wfa    | 98304 | 32768 | 32768 | 35 | 39440 | 280 | 280 | 32 | 64 | 16.33992348 | 1.672 | 40000 | 0.406901042 |
| lena32.bmp | lena32.bmp-withWavelet_bior1.1-G_0.6-H1e-005_af4.wfa | 98304 | 32768 | 32768 | 35 | 39440 | 280 | 280 | 32 | 64 | 16.33992348 | 1.438 | 40000 | 0.406901042 |
| lena32.bmp | lena32.bmp-withWavelet_haar-G_0.6-H1e-005_af1.wfa    | 98304 | 32768 | 32768 | 35 | 39440 | 280 | 280 | 32 | 64 | 16.09881458 | 1.265 | 40000 | 0.406901042 |
| lena32.bmp | lena32.bmp-withWavelet_rbio1.1-G_0.6-H1e-005_af1.wfa | 98304 | 32768 | 32768 | 35 | 39440 | 280 | 280 | 32 | 64 | 16.09881458 | 1.265 | 40000 | 0.406901042 |
| lena32.bmp | lena32.bmp-withWavelet_sym1-G_0.6-H1e-005_af1.wfa    | 98304 | 32768 | 32768 | 35 | 39440 | 280 | 280 | 32 | 64 | 16.09881458 | 1.297 | 40000 | 0.406901042 |

|            |  |       |       |       |    |       |     |     |    |    |             |       |       |             |
|------------|--|-------|-------|-------|----|-------|-----|-----|----|----|-------------|-------|-------|-------------|
| lena32.bmp | lena32.bmp-withWavelet_bior1.1-G_0.6-H1e-005_af1.wfa | 98304 | 32768 | 32768 | 35 | 39440 | 280 | 280 | 32 | 64 | 16.09881458 | 1.328 | 40000 | 0.406901042 |
| lena32.bmp | lena32.bmp-withWavelet_haar-G_0.8-H1e-005_af4.wfa    | 98304 | 32768 | 32768 | 36 | 41712 | 288 | 288 | 32 | 64 | 16.37090501 | 1.343 | 42288 | 0.430175781 |
| lena32.bmp | lena32.bmp-withWavelet_rbio1.1-G_0.8-H1e-005_af4.wfa | 98304 | 32768 | 32768 | 36 | 41712 | 288 | 288 | 32 | 64 | 16.37090501 | 1.312 | 42288 | 0.430175781 |
| lena32.bmp | lena32.bmp-withWavelet_sym1-G_0.8-H1e-005_af4.wfa    | 98304 | 32768 | 32768 | 36 | 41712 | 288 | 288 | 32 | 64 | 16.37090501 | 1.437 | 42288 | 0.430175781 |
| lena32.bmp | lena32.bmp-withWavelet_bior1.1-G_0.8-H1e-005_af4.wfa | 98304 | 32768 | 32768 | 36 | 41712 | 288 | 288 | 32 | 64 | 16.37090501 | 1.297 | 42288 | 0.430175781 |
| lena32.bmp | lena32.bmp-withWavelet_haar-G_1-H1e-005_af1.wfa      | 98304 | 32768 | 32768 | 36 | 41712 | 288 | 288 | 32 | 64 | 16.26366037 | 1.312 | 42288 | 0.430175781 |
| lena32.bmp | lena32.bmp-withWavelet_rbio1.1-G_1-H1e-005_af1.wfa   | 98304 | 32768 | 32768 | 36 | 41712 | 288 | 288 | 32 | 64 | 16.26366037 | 1.422 | 42288 | 0.430175781 |
| lena32.bmp | lena32.bmp-withWavelet_sym1-G_1-H1e-005_af1.wfa      | 98304 | 32768 | 32768 | 36 | 41712 | 288 | 288 | 32 | 64 | 16.26366037 | 1.563 | 42288 | 0.430175781 |
| lena32.bmp | lena32.bmp-withWavelet_bior1.1-G_1-H1e-005_af1.wfa   | 98304 | 32768 | 32768 | 36 | 41712 | 288 | 288 | 32 | 64 | 16.26366037 | 1.297 | 42288 | 0.430175781 |
| lena32.bmp | lena32.bmp-withWavelet_haar-G_0.8-H1e-005_af1.wfa    | 98304 | 32768 | 32768 | 36 | 41712 | 288 | 288 | 32 | 64 | 16.26361031 | 1.375 | 42288 | 0.430175781 |
| lena32.bmp | lena32.bmp-withWavelet_rbio1.1-G_0.8-H1e-005_af1.wfa | 98304 | 32768 | 32768 | 36 | 41712 | 288 | 288 | 32 | 64 | 16.26361031 | 1.375 | 42288 | 0.430175781 |
| lena32.bmp | lena32.bmp-withWavelet_sym1-G_0.8-H1e-005_af1.wfa    | 98304 | 32768 | 32768 | 36 | 41712 | 288 | 288 | 32 | 64 | 16.26361031 | 1.343 | 42288 | 0.430175781 |
| lena32.bmp | lena32.bmp-withWavelet_bior1.1-G_0.8-H1e-005_af1.wfa | 98304 | 32768 | 32768 | 36 | 41712 | 288 | 288 | 32 | 64 | 16.26361031 | 1.328 | 42288 | 0.430175781 |
| lena32.bmp | lena32.bmp-G_0.6-H0.0001_af2.wfa                     | 24576 | 8192  |       | 18 | 10608 | 144 | 144 | 32 | 32 | 19.95956194 | 0.109 | 10896 | 0.443359375 |
| lena32.bmp | lena32.bmp-G_0.6-H0.0001_af3.wfa                     | 24576 | 8192  |       | 18 | 10608 | 144 | 144 | 32 | 32 | 19.50710695 | 0.109 | 10896 | 0.443359375 |
| lena32.bmp | lena32.bmp-G_0.6-H0.0001_af5.wfa                     | 24576 | 8192  |       | 18 | 10608 | 144 | 144 | 32 | 32 | 19.41425089 | 0.125 | 10896 | 0.443359375 |
| lena32.bmp | lena32.bmp-G_0.8-H0.0001_af5.wfa                     | 24576 | 8192  |       | 18 | 10608 | 144 | 144 | 32 | 32 | 19.23075665 | 0.125 | 10896 | 0.443359375 |
| lena32.bmp | lena32.bmp-G_1-H0.0001_af5.wfa                       | 24576 | 8192  |       | 18 | 10608 | 144 | 144 | 32 | 32 | 19.2164033  | 0.109 | 10896 | 0.443359375 |
| lena32.bmp | lena32.bmp-G_0.8-H9e-005_af5.wfa                     | 24576 | 8192  |       | 18 | 10608 | 144 | 144 | 32 | 32 | 19.19148561 | 0.109 | 10896 | 0.443359375 |
| lena32.bmp | lena32.bmp-withWavelet_haar-G_0.6-H9e-005_af2.wfa    | 24576 | 8192  | 8192  | 18 | 10608 | 144 | 144 | 32 | 32 | 19.05182866 | 0.109 | 10896 | 0.443359375 |
| lena32.bmp | lena32.bmp-withWavelet_rbio1.1-G_0.6-H9e-005_af2.wfa | 24576 | 8192  | 8192  | 18 | 10608 | 144 | 144 | 32 | 32 | 19.05182866 | 0.125 | 10896 | 0.443359375 |
| lena32.bmp | lena32.bmp-withWavelet_sym1-G_0.6-H9e-005_af2.wfa    | 24576 | 8192  | 8192  | 18 | 10608 | 144 | 144 | 32 | 32 | 19.05182866 | 0.109 | 10896 | 0.443359375 |
| lena32.bmp | lena32.bmp-withWavelet_bior1.1-G_0.6-H9e-005_af2.wfa | 24576 | 8192  | 8192  | 18 | 10608 | 144 | 144 | 32 | 32 | 19.05182866 | 0.141 | 10896 | 0.443359375 |
| lena32.bmp | lena32.bmp-withWavelet_haar-G_0.6-H0.0001_af2.wfa    | 24576 | 8192  | 8192  | 18 | 10608 | 144 | 144 | 32 | 32 | 19.05182866 | 0.156 | 10896 | 0.443359375 |
| lena32.bmp | lena32.bmp-withWavelet_rbio1.1-G_0.6-H0.0001_af2.wfa | 24576 | 8192  | 8192  | 18 | 10608 | 144 | 144 | 32 | 32 | 19.05182866 | 0.11  | 10896 | 0.443359375 |
| lena32.bmp | lena32.bmp-withWavelet_sym1-G_0.6-H0.0001_af2.wfa    | 24576 | 8192  | 8192  | 18 | 10608 | 144 | 144 | 32 | 32 | 19.05182866 | 0.11  | 10896 | 0.443359375 |
| lena32.bmp | lena32.bmp-withWavelet_bior1.1-G_0.6-H0.0001_af2.wfa | 24576 | 8192  | 8192  | 18 | 10608 | 144 | 144 | 32 | 32 | 19.05182866 | 0.109 | 10896 | 0.443359375 |
| lena32.bmp | lena32.bmp-withWavelet_haar-G_1-H8e-005_af2.wfa      | 24576 | 8192  | 8192  | 18 | 10608 | 144 | 144 | 32 | 32 | 19.02694518 | 0.109 | 10896 | 0.443359375 |
| lena32.bmp | lena32.bmp-withWavelet_rbio1.1-G_1-H8e-005_af2.wfa   | 24576 | 8192  | 8192  | 18 | 10608 | 144 | 144 | 32 | 32 | 19.02694518 | 0.125 | 10896 | 0.443359375 |
| lena32.bmp | lena32.bmp-withWavelet_sym1-G_1-H8e-005_af2.wfa      | 24576 | 8192  | 8192  | 18 | 10608 | 144 | 144 | 32 | 32 | 19.02694518 | 0.125 | 10896 | 0.443359375 |
| lena32.bmp | lena32.bmp-withWavelet_bior1.1-G_1-H8e-005_af2.wfa   | 24576 | 8192  | 8192  | 18 | 10608 | 144 | 144 | 32 | 32 | 19.02694518 | 0.125 | 10896 | 0.443359375 |

|            |  |       |       |       |    |       |     |     |    |    |             |       |       |             |
|------------|--|-------|-------|-------|----|-------|-----|-----|----|----|-------------|-------|-------|-------------|
| lena32.bmp | lena32.bmp-withWavelet_haar-G_0.8-H0.0001_af2.wfa    | 24576 | 8192  | 8192  | 18 | 10608 | 144 | 144 | 32 | 32 | 18.85404026 | 0.109 | 10896 | 0.443359375 |
| lena32.bmp | lena32.bmp-withWavelet_rbio1.1-G_0.8-H0.0001_af2.wfa | 24576 | 8192  | 8192  | 18 | 10608 | 144 | 144 | 32 | 32 | 18.85404026 | 0.125 | 10896 | 0.443359375 |
| lena32.bmp | lena32.bmp-withWavelet_sym1-G_0.8-H0.0001_af2.wfa    | 24576 | 8192  | 8192  | 18 | 10608 | 144 | 144 | 32 | 32 | 18.85404026 | 0.109 | 10896 | 0.443359375 |
| lena32.bmp | lena32.bmp-withWavelet_bior1.1-G_0.8-H0.0001_af2.wfa | 24576 | 8192  | 8192  | 18 | 10608 | 144 | 144 | 32 | 32 | 18.85404026 | 0.172 | 10896 | 0.443359375 |
| lena32.bmp | lena32.bmp-withWavelet_haar-G_0.8-H7e-005_af5.wfa    | 24576 | 8192  | 8192  | 18 | 10608 | 144 | 144 | 32 | 32 | 18.64827908 | 0.11  | 10896 | 0.443359375 |
| lena32.bmp | lena32.bmp-withWavelet_rbio1.1-G_0.8-H7e-005_af5.wfa | 24576 | 8192  | 8192  | 18 | 10608 | 144 | 144 | 32 | 32 | 18.64827908 | 0.172 | 10896 | 0.443359375 |
| lena32.bmp | lena32.bmp-withWavelet_sym1-G_0.8-H7e-005_af5.wfa    | 24576 | 8192  | 8192  | 18 | 10608 | 144 | 144 | 32 | 32 | 18.64827908 | 0.109 | 10896 | 0.443359375 |
| lena32.bmp | lena32.bmp-withWavelet_bior1.1-G_0.8-H7e-005_af5.wfa | 24576 | 8192  | 8192  | 18 | 10608 | 144 | 144 | 32 | 32 | 18.64827908 | 0.125 | 10896 | 0.443359375 |
| lena32.bmp | lena32.bmp-withWavelet_haar-G_0.8-H9e-005_af2.wfa    | 24576 | 8192  | 8192  | 18 | 10608 | 144 | 144 | 32 | 32 | 18.63852434 | 0.125 | 10896 | 0.443359375 |
| lena32.bmp | lena32.bmp-withWavelet_rbio1.1-G_0.8-H9e-005_af2.wfa | 24576 | 8192  | 8192  | 18 | 10608 | 144 | 144 | 32 | 32 | 18.63852434 | 0.141 | 10896 | 0.443359375 |
| lena32.bmp | lena32.bmp-withWavelet_sym1-G_0.8-H9e-005_af2.wfa    | 24576 | 8192  | 8192  | 18 | 10608 | 144 | 144 | 32 | 32 | 18.63852434 | 0.141 | 10896 | 0.443359375 |
| lena32.bmp | lena32.bmp-withWavelet_bior1.1-G_0.8-H9e-005_af2.wfa | 24576 | 8192  | 8192  | 18 | 10608 | 144 | 144 | 32 | 32 | 18.63852434 | 0.109 | 10896 | 0.443359375 |
| lena32.bmp | lena32.bmp-withWavelet_haar-G_1-H7e-005_af5.wfa      | 24576 | 8192  | 8192  | 18 | 10608 | 144 | 144 | 32 | 32 | 17.99205507 | 0.109 | 10896 | 0.443359375 |
| lena32.bmp | lena32.bmp-withWavelet_rbio1.1-G_1-H7e-005_af5.wfa   | 24576 | 8192  | 8192  | 18 | 10608 | 144 | 144 | 32 | 32 | 17.99205507 | 0.11  | 10896 | 0.443359375 |
| lena32.bmp | lena32.bmp-withWavelet_sym1-G_1-H7e-005_af5.wfa      | 24576 | 8192  | 8192  | 18 | 10608 | 144 | 144 | 32 | 32 | 17.99205507 | 0.125 | 10896 | 0.443359375 |
| lena32.bmp | lena32.bmp-withWavelet_bior1.1-G_1-H7e-005_af5.wfa   | 24576 | 8192  | 8192  | 18 | 10608 | 144 | 144 | 32 | 32 | 17.99205507 | 0.234 | 10896 | 0.443359375 |
| lena32.bmp | lena32.bmp-withWavelet_haar-G_1-H1e-005_af4.wfa      | 98304 | 32768 | 32768 | 37 | 44048 | 296 | 296 | 32 | 64 | 16.24953722 | 1.516 | 44640 | 0.454101563 |
| lena32.bmp | lena32.bmp-withWavelet_rbio1.1-G_1-H1e-005_af4.wfa   | 98304 | 32768 | 32768 | 37 | 44048 | 296 | 296 | 32 | 64 | 16.24953722 | 1.453 | 44640 | 0.454101563 |
| lena32.bmp | lena32.bmp-withWavelet_sym1-G_1-H1e-005_af4.wfa      | 98304 | 32768 | 32768 | 37 | 44048 | 296 | 296 | 32 | 64 | 16.24953722 | 1.515 | 44640 | 0.454101563 |
| lena32.bmp | lena32.bmp-withWavelet_bior1.1-G_1-H1e-005_af4.wfa   | 98304 | 32768 | 32768 | 37 | 44048 | 296 | 296 | 32 | 64 | 16.24953722 | 1.39  | 44640 | 0.454101563 |
| lena32.bmp | lena32.bmp-G_0.8-H0.0001_af2.wfa                     | 24576 | 8192  |       | 19 | 11792 | 152 | 152 | 32 | 32 | 19.92515178 | 0.11  | 12096 | 0.4921875   |
| lena32.bmp | lena32.bmp-G_0.6-H9e-005_af2.wfa                     | 24576 | 8192  |       | 19 | 11792 | 152 | 152 | 32 | 32 | 19.79965222 | 0.125 | 12096 | 0.4921875   |
| lena32.bmp | lena32.bmp-withWavelet_haar-G_1-H7e-005_af2.wfa      | 24576 | 8192  | 8192  | 19 | 11792 | 152 | 152 | 32 | 32 | 19.77326221 | 0.11  | 12096 | 0.4921875   |
| lena32.bmp | lena32.bmp-withWavelet_rbio1.1-G_1-H7e-005_af2.wfa   | 24576 | 8192  | 8192  | 19 | 11792 | 152 | 152 | 32 | 32 | 19.77326221 | 0.125 | 12096 | 0.4921875   |
| lena32.bmp | lena32.bmp-withWavelet_sym1-G_1-H7e-005_af2.wfa      | 24576 | 8192  | 8192  | 19 | 11792 | 152 | 152 | 32 | 32 | 19.77326221 | 0.125 | 12096 | 0.4921875   |
| lena32.bmp | lena32.bmp-withWavelet_bior1.1-G_1-H7e-005_af2.wfa   | 24576 | 8192  | 8192  | 19 | 11792 | 152 | 152 | 32 | 32 | 19.77326221 | 0.11  | 12096 | 0.4921875   |
| lena32.bmp | lena32.bmp-withWavelet_haar-G_0.8-H7e-005_af2.wfa    | 24576 | 8192  | 8192  | 19 | 11792 | 152 | 152 | 32 | 32 | 19.77315949 | 0.203 | 12096 | 0.4921875   |
| lena32.bmp | lena32.bmp-withWavelet_rbio1.1-G_0.8-H7e-005_af2.wfa | 24576 | 8192  | 8192  | 19 | 11792 | 152 | 152 | 32 | 32 | 19.77315949 | 0.125 | 12096 | 0.4921875   |
| lena32.bmp | lena32.bmp-withWavelet_sym1-G_0.8-H7e-005_af2.wfa    | 24576 | 8192  | 8192  | 19 | 11792 | 152 | 152 | 32 | 32 | 19.77315949 | 0.141 | 12096 | 0.4921875   |
| lena32.bmp | lena32.bmp-withWavelet_bior1.1-G_0.8-H7e-005_af2.wfa | 24576 | 8192  | 8192  | 19 | 11792 | 152 | 152 | 32 | 32 | 19.77315949 | 0.125 | 12096 | 0.4921875   |
| lena32.bmp | lena32.bmp-withWavelet_haar-G_0.8-H6e-005_af2.wfa    | 24576 | 8192  | 8192  | 19 | 11792 | 152 | 152 | 32 | 32 | 19.73415463 | 0.125 | 12096 | 0.4921875   |

|            |  |       |      |      |    |       |     |     |    |    |             |       |       |           |
|------------|--|-------|------|------|----|-------|-----|-----|----|----|-------------|-------|-------|-----------|
| lena32.bmp | lena32.bmp-withWavelet_rbio1.1-G_0.8-H6e-005_af2.wfa | 24576 | 8192 | 8192 | 19 | 11792 | 152 | 152 | 32 | 32 | 19.73415463 | 0.109 | 12096 | 0.4921875 |
| lena32.bmp | lena32.bmp-withWavelet_sym1-G_0.8-H6e-005_af2.wfa    | 24576 | 8192 | 8192 | 19 | 11792 | 152 | 152 | 32 | 32 | 19.73415463 | 0.141 | 12096 | 0.4921875 |
| lena32.bmp | lena32.bmp-withWavelet_bior1.1-G_0.8-H6e-005_af2.wfa | 24576 | 8192 | 8192 | 19 | 11792 | 152 | 152 | 32 | 32 | 19.73415463 | 0.125 | 12096 | 0.4921875 |
| lena32.bmp | lena32.bmp-withWavelet_haar-G_1-H6e-005_af2.wfa      | 24576 | 8192 | 8192 | 19 | 11792 | 152 | 152 | 32 | 32 | 19.71935093 | 0.125 | 12096 | 0.4921875 |
| lena32.bmp | lena32.bmp-withWavelet_rbio1.1-G_1-H6e-005_af2.wfa   | 24576 | 8192 | 8192 | 19 | 11792 | 152 | 152 | 32 | 32 | 19.71935093 | 0.109 | 12096 | 0.4921875 |
| lena32.bmp | lena32.bmp-withWavelet_sym1-G_1-H6e-005_af2.wfa      | 24576 | 8192 | 8192 | 19 | 11792 | 152 | 152 | 32 | 32 | 19.71935093 | 0.125 | 12096 | 0.4921875 |
| lena32.bmp | lena32.bmp-withWavelet_bior1.1-G_1-H6e-005_af2.wfa   | 24576 | 8192 | 8192 | 19 | 11792 | 152 | 152 | 32 | 32 | 19.71935093 | 0.219 | 12096 | 0.4921875 |
| lena32.bmp | lena32.bmp-G_1-H8e-005_af5.wfa                       | 24576 | 8192 |      | 19 | 11792 | 152 | 152 | 32 | 32 | 19.65833409 | 0.125 | 12096 | 0.4921875 |
| lena32.bmp | lena32.bmp-G_1-H9e-005_af5.wfa                       | 24576 | 8192 |      | 19 | 11792 | 152 | 152 | 32 | 32 | 19.64186529 | 0.109 | 12096 | 0.4921875 |
| lena32.bmp | lena32.bmp-G_0.8-H0.0001_af3.wfa                     | 24576 | 8192 |      | 19 | 11792 | 152 | 152 | 32 | 32 | 19.56163316 | 0.11  | 12096 | 0.4921875 |
| lena32.bmp | lena32.bmp-G_1-H0.0001_af2.wfa                       | 24576 | 8192 |      | 19 | 11792 | 152 | 152 | 32 | 32 | 19.56153153 | 0.125 | 12096 | 0.4921875 |
| lena32.bmp | lena32.bmp-G_0.8-H9e-005_af2.wfa                     | 24576 | 8192 |      | 19 | 11792 | 152 | 152 | 32 | 32 | 19.52582123 | 0.109 | 12096 | 0.4921875 |
| lena32.bmp | lena32.bmp-G_1-H0.0001_af3.wfa                       | 24576 | 8192 |      | 19 | 11792 | 152 | 152 | 32 | 32 | 19.52383207 | 0.156 | 12096 | 0.4921875 |
| lena32.bmp | lena32.bmp-G_1-H9e-005_af2.wfa                       | 24576 | 8192 |      | 19 | 11792 | 152 | 152 | 32 | 32 | 19.49678826 | 0.156 | 12096 | 0.4921875 |
| lena32.bmp | lena32.bmp-withWavelet_haar-G_0.6-H8e-005_af2.wfa    | 24576 | 8192 | 8192 | 19 | 11792 | 152 | 152 | 32 | 32 | 19.3825927  | 0.11  | 12096 | 0.4921875 |
| lena32.bmp | lena32.bmp-withWavelet_rbio1.1-G_0.6-H8e-005_af2.wfa | 24576 | 8192 | 8192 | 19 | 11792 | 152 | 152 | 32 | 32 | 19.3825927  | 0.109 | 12096 | 0.4921875 |
| lena32.bmp | lena32.bmp-withWavelet_sym1-G_0.6-H8e-005_af2.wfa    | 24576 | 8192 | 8192 | 19 | 11792 | 152 | 152 | 32 | 32 | 19.3825927  | 0.125 | 12096 | 0.4921875 |
| lena32.bmp | lena32.bmp-withWavelet_bior1.1-G_0.6-H8e-005_af2.wfa | 24576 | 8192 | 8192 | 19 | 11792 | 152 | 152 | 32 | 32 | 19.3825927  | 0.125 | 12096 | 0.4921875 |
| lena32.bmp | lena32.bmp-G_0.6-H7e-005_af5.wfa                     | 24576 | 8192 |      | 19 | 11792 | 152 | 152 | 32 | 32 | 19.37856239 | 0.109 | 12096 | 0.4921875 |
| lena32.bmp | lena32.bmp-withWavelet_haar-G_0.6-H7e-005_af5.wfa    | 24576 | 8192 | 8192 | 19 | 11792 | 152 | 152 | 32 | 32 | 19.29449275 | 0.125 | 12096 | 0.4921875 |
| lena32.bmp | lena32.bmp-withWavelet_rbio1.1-G_0.6-H7e-005_af5.wfa | 24576 | 8192 | 8192 | 19 | 11792 | 152 | 152 | 32 | 32 | 19.29449275 | 0.125 | 12096 | 0.4921875 |
| lena32.bmp | lena32.bmp-withWavelet_sym1-G_0.6-H7e-005_af5.wfa    | 24576 | 8192 | 8192 | 19 | 11792 | 152 | 152 | 32 | 32 | 19.29449275 | 0.125 | 12096 | 0.4921875 |
| lena32.bmp | lena32.bmp-withWavelet_bior1.1-G_0.6-H7e-005_af5.wfa | 24576 | 8192 | 8192 | 19 | 11792 | 152 | 152 | 32 | 32 | 19.29449275 | 0.125 | 12096 | 0.4921875 |
| lena32.bmp | lena32.bmp-withWavelet_haar-G_0.6-H6e-005_af2.wfa    | 24576 | 8192 | 8192 | 19 | 11792 | 152 | 152 | 32 | 32 | 18.99841778 | 0.125 | 12096 | 0.4921875 |
| lena32.bmp | lena32.bmp-withWavelet_rbio1.1-G_0.6-H6e-005_af2.wfa | 24576 | 8192 | 8192 | 19 | 11792 | 152 | 152 | 32 | 32 | 18.99841778 | 0.109 | 12096 | 0.4921875 |
| lena32.bmp | lena32.bmp-withWavelet_sym1-G_0.6-H6e-005_af2.wfa    | 24576 | 8192 | 8192 | 19 | 11792 | 152 | 152 | 32 | 32 | 18.99841778 | 0.109 | 12096 | 0.4921875 |
| lena32.bmp | lena32.bmp-withWavelet_bior1.1-G_0.6-H6e-005_af2.wfa | 24576 | 8192 | 8192 | 19 | 11792 | 152 | 152 | 32 | 32 | 18.99841778 | 0.125 | 12096 | 0.4921875 |
| lena32.bmp | lena32.bmp-withWavelet_haar-G_0.6-H7e-005_af2.wfa    | 24576 | 8192 | 8192 | 19 | 11792 | 152 | 152 | 32 | 32 | 18.99841778 | 0.125 | 12096 | 0.4921875 |
| lena32.bmp | lena32.bmp-withWavelet_rbio1.1-G_0.6-H7e-005_af2.wfa | 24576 | 8192 | 8192 | 19 | 11792 | 152 | 152 | 32 | 32 | 18.99841778 | 0.125 | 12096 | 0.4921875 |
| lena32.bmp | lena32.bmp-withWavelet_sym1-G_0.6-H7e-005_af2.wfa    | 24576 | 8192 | 8192 | 19 | 11792 | 152 | 152 | 32 | 32 | 18.99841778 | 0.125 | 12096 | 0.4921875 |
| lena32.bmp | lena32.bmp-withWavelet_bior1.1-G_0.6-H7e-005_af2.wfa | 24576 | 8192 | 8192 | 19 | 11792 | 152 | 152 | 32 | 32 | 18.99841778 | 0.125 | 12096 | 0.4921875 |

|            |  |       |      |      |    |       |     |     |    |    |             |       |       |             |
|------------|--|-------|------|------|----|-------|-----|-----|----|----|-------------|-------|-------|-------------|
| lena32.bmp | lena32.bmp-G_0.6-H7e-005_af2.wfa                     | 24576 | 8192 |      | 20 | 13040 | 160 | 160 | 32 | 32 | 19.97427566 | 0.125 | 13360 | 0.543619792 |
| lena32.bmp | lena32.bmp-withWavelet_haar-G_1-H5e-005_af2.wfa      | 24576 | 8192 | 8192 | 20 | 13040 | 160 | 160 | 32 | 32 | 19.93632321 | 0.125 | 13360 | 0.543619792 |
| lena32.bmp | lena32.bmp-withWavelet_rbio1.1-G_1-H5e-005_af2.wfa   | 24576 | 8192 | 8192 | 20 | 13040 | 160 | 160 | 32 | 32 | 19.93632321 | 0.109 | 13360 | 0.543619792 |
| lena32.bmp | lena32.bmp-withWavelet_sym1-G_1-H5e-005_af2.wfa      | 24576 | 8192 | 8192 | 20 | 13040 | 160 | 160 | 32 | 32 | 19.93632321 | 0.125 | 13360 | 0.543619792 |
| lena32.bmp | lena32.bmp-withWavelet_bior1.1-G_1-H5e-005_af2.wfa   | 24576 | 8192 | 8192 | 20 | 13040 | 160 | 160 | 32 | 32 | 19.93632321 | 0.125 | 13360 | 0.543619792 |
| lena32.bmp | lena32.bmp-withWavelet_haar-G_0.8-H5e-005_af2.wfa    | 24576 | 8192 | 8192 | 20 | 13040 | 160 | 160 | 32 | 32 | 19.93054856 | 0.125 | 13360 | 0.543619792 |
| lena32.bmp | lena32.bmp-withWavelet_rbio1.1-G_0.8-H5e-005_af2.wfa | 24576 | 8192 | 8192 | 20 | 13040 | 160 | 160 | 32 | 32 | 19.93054856 | 0.125 | 13360 | 0.543619792 |
| lena32.bmp | lena32.bmp-withWavelet_sym1-G_0.8-H5e-005_af2.wfa    | 24576 | 8192 | 8192 | 20 | 13040 | 160 | 160 | 32 | 32 | 19.93054856 | 0.125 | 13360 | 0.543619792 |
| lena32.bmp | lena32.bmp-withWavelet_bior1.1-G_0.8-H5e-005_af2.wfa | 24576 | 8192 | 8192 | 20 | 13040 | 160 | 160 | 32 | 32 | 19.93054856 | 0.109 | 13360 | 0.543619792 |
| lena32.bmp | lena32.bmp-G_0.6-H8e-005_af2.wfa                     | 24576 | 8192 |      | 20 | 13040 | 160 | 160 | 32 | 32 | 19.92831544 | 0.109 | 13360 | 0.543619792 |
| lena32.bmp | lena32.bmp-G_0.6-H9e-005_af3.wfa                     | 24576 | 8192 |      | 20 | 13040 | 160 | 160 | 32 | 32 | 19.92461274 | 0.187 | 13360 | 0.543619792 |
| lena32.bmp | lena32.bmp-G_1-H7e-005_af5.wfa                       | 24576 | 8192 |      | 20 | 13040 | 160 | 160 | 32 | 32 | 19.78809051 | 0.109 | 13360 | 0.543619792 |
| lena32.bmp | lena32.bmp-withWavelet_haar-G_0.6-H6e-005_af5.wfa    | 24576 | 8192 | 8192 | 20 | 13040 | 160 | 160 | 32 | 32 | 19.67476026 | 0.125 | 13360 | 0.543619792 |
| lena32.bmp | lena32.bmp-withWavelet_rbio1.1-G_0.6-H6e-005_af5.wfa | 24576 | 8192 | 8192 | 20 | 13040 | 160 | 160 | 32 | 32 | 19.67476026 | 0.125 | 13360 | 0.543619792 |
| lena32.bmp | lena32.bmp-withWavelet_sym1-G_0.6-H6e-005_af5.wfa    | 24576 | 8192 | 8192 | 20 | 13040 | 160 | 160 | 32 | 32 | 19.67476026 | 0.125 | 13360 | 0.543619792 |
| lena32.bmp | lena32.bmp-withWavelet_bior1.1-G_0.6-H6e-005_af5.wfa | 24576 | 8192 | 8192 | 20 | 13040 | 160 | 160 | 32 | 32 | 19.67476026 | 0.125 | 13360 | 0.543619792 |
| lena32.bmp | lena32.bmp-G_0.8-H8e-005_af2.wfa                     | 24576 | 8192 |      | 20 | 13040 | 160 | 160 | 32 | 32 | 19.66466618 | 0.14  | 13360 | 0.543619792 |
| lena32.bmp | lena32.bmp-G_1-H8e-005_af2.wfa                       | 24576 | 8192 |      | 20 | 13040 | 160 | 160 | 32 | 32 | 19.64885157 | 0.125 | 13360 | 0.543619792 |
| lena32.bmp | lena32.bmp-withWavelet_haar-G_0.6-H5e-005_af5.wfa    | 24576 | 8192 | 8192 | 20 | 13040 | 160 | 160 | 32 | 32 | 19.54672523 | 0.125 | 13360 | 0.543619792 |
| lena32.bmp | lena32.bmp-withWavelet_rbio1.1-G_0.6-H5e-005_af5.wfa | 24576 | 8192 | 8192 | 20 | 13040 | 160 | 160 | 32 | 32 | 19.54672523 | 0.125 | 13360 | 0.543619792 |
| lena32.bmp | lena32.bmp-withWavelet_sym1-G_0.6-H5e-005_af5.wfa    | 24576 | 8192 | 8192 | 20 | 13040 | 160 | 160 | 32 | 32 | 19.54672523 | 0.125 | 13360 | 0.543619792 |
| lena32.bmp | lena32.bmp-withWavelet_bior1.1-G_0.6-H5e-005_af5.wfa | 24576 | 8192 | 8192 | 20 | 13040 | 160 | 160 | 32 | 32 | 19.54672523 | 0.125 | 13360 | 0.543619792 |
| lena32.bmp | lena32.bmp-withWavelet_haar-G_1-H6e-005_af5.wfa      | 24576 | 8192 | 8192 | 20 | 13040 | 160 | 160 | 32 | 32 | 19.48429505 | 0.125 | 13360 | 0.543619792 |
| lena32.bmp | lena32.bmp-withWavelet_rbio1.1-G_1-H6e-005_af5.wfa   | 24576 | 8192 | 8192 | 20 | 13040 | 160 | 160 | 32 | 32 | 19.48429505 | 0.297 | 13360 | 0.543619792 |
| lena32.bmp | lena32.bmp-withWavelet_sym1-G_1-H6e-005_af5.wfa      | 24576 | 8192 | 8192 | 20 | 13040 | 160 | 160 | 32 | 32 | 19.48429505 | 0.125 | 13360 | 0.543619792 |
| lena32.bmp | lena32.bmp-withWavelet_bior1.1-G_1-H6e-005_af5.wfa   | 24576 | 8192 | 8192 | 20 | 13040 | 160 | 160 | 32 | 32 | 19.48429505 | 0.125 | 13360 | 0.543619792 |
| lena32.bmp | lena32.bmp-G_0.8-H6e-005_af5.wfa                     | 24576 | 8192 |      | 21 | 14352 | 168 | 168 | 32 | 32 | 19.97279738 | 0.141 | 14688 | 0.59765625  |
| lena32.bmp | lena32.bmp-G_0.8-H6e-005_af2.wfa                     | 24576 | 8192 |      | 21 | 14352 | 168 | 168 | 32 | 32 | 19.95157466 | 0.14  | 14688 | 0.59765625  |
| lena32.bmp | lena32.bmp-G_0.8-H7e-005_af2.wfa                     | 24576 | 8192 |      | 21 | 14352 | 168 | 168 | 32 | 32 | 19.95157466 | 0.141 | 14688 | 0.59765625  |
| lena32.bmp | lena32.bmp-G_1-H7e-005_af2.wfa                       | 24576 | 8192 |      | 21 | 14352 | 168 | 168 | 32 | 32 | 19.92190929 | 0.125 | 14688 | 0.59765625  |
| lena32.bmp | lena32.bmp-withWavelet_haar-G_0.8-H6e-005_af5.wfa    | 24576 | 8192 | 8192 | 21 | 14352 | 168 | 168 | 32 | 32 | 19.7053097  | 0.125 | 14688 | 0.59765625  |



|            |  |       |      |      |    |       |     |     |    |    |             |       |       |             |
|------------|--|-------|------|------|----|-------|-----|-----|----|----|-------------|-------|-------|-------------|
| lena32.bmp | lena32.bmp-withWavelet_rbio1.1-G_0.8-H6e-005_af5.wfa | 24576 | 8192 | 8192 | 21 | 14352 | 168 | 168 | 32 | 32 | 19.7053097  | 0.125 | 14688 | 0.59765625  |
| lena32.bmp | lena32.bmp-withWavelet_sym1-G_0.8-H6e-005_af5.wfa    | 24576 | 8192 | 8192 | 21 | 14352 | 168 | 168 | 32 | 32 | 19.7053097  | 0.141 | 14688 | 0.59765625  |
| lena32.bmp | lena32.bmp-withWavelet_bior1.1-G_0.8-H6e-005_af5.wfa | 24576 | 8192 | 8192 | 21 | 14352 | 168 | 168 | 32 | 32 | 19.7053097  | 0.141 | 14688 | 0.59765625  |
| lena32.bmp | lena32.bmp-withWavelet_haar-G_0.8-H5e-005_af5.wfa    | 24576 | 8192 | 8192 | 22 | 15728 | 176 | 176 | 32 | 32 | 19.7411947  | 0.14  | 16080 | 0.654296875 |
| lena32.bmp | lena32.bmp-withWavelet_rbio1.1-G_0.8-H5e-005_af5.wfa | 24576 | 8192 | 8192 | 22 | 15728 | 176 | 176 | 32 | 32 | 19.7411947  | 0.141 | 16080 | 0.654296875 |
| lena32.bmp | lena32.bmp-withWavelet_sym1-G_0.8-H5e-005_af5.wfa    | 24576 | 8192 | 8192 | 22 | 15728 | 176 | 176 | 32 | 32 | 19.7411947  | 0.125 | 16080 | 0.654296875 |
| lena32.bmp | lena32.bmp-withWavelet_bior1.1-G_0.8-H5e-005_af5.wfa | 24576 | 8192 | 8192 | 22 | 15728 | 176 | 176 | 32 | 32 | 19.7411947  | 0.141 | 16080 | 0.654296875 |
| lena32.bmp | lena32.bmp-withWavelet_haar-G_0.6-H4e-005_af5.wfa    | 24576 | 8192 | 8192 | 22 | 15728 | 176 | 176 | 32 | 32 | 19.10169183 | 0.141 | 16080 | 0.654296875 |
| lena32.bmp | lena32.bmp-withWavelet_rbio1.1-G_0.6-H4e-005_af5.wfa | 24576 | 8192 | 8192 | 22 | 15728 | 176 | 176 | 32 | 32 | 19.10169183 | 0.125 | 16080 | 0.654296875 |
| lena32.bmp | lena32.bmp-withWavelet_sym1-G_0.6-H4e-005_af5.wfa    | 24576 | 8192 | 8192 | 22 | 15728 | 176 | 176 | 32 | 32 | 19.10169183 | 0.141 | 16080 | 0.654296875 |
| lena32.bmp | lena32.bmp-withWavelet_bior1.1-G_0.6-H4e-005_af5.wfa | 24576 | 8192 | 8192 | 22 | 15728 | 176 | 176 | 32 | 32 | 19.10169183 | 0.141 | 16080 | 0.654296875 |
| lena32.bmp | lena32.bmp-withWavelet_haar-G_0.6-H5e-005_af4.wfa    | 24576 | 8192 | 8192 | 28 | 25328 | 224 | 224 | 32 | 32 | 25.36667507 | 0.203 | 25776 | 1.048828125 |
| lena32.bmp | lena32.bmp-withWavelet_rbio1.1-G_0.6-H5e-005_af4.wfa | 24576 | 8192 | 8192 | 28 | 25328 | 224 | 224 | 32 | 32 | 25.36667507 | 0.187 | 25776 | 1.048828125 |
| lena32.bmp | lena32.bmp-withWavelet_sym1-G_0.6-H5e-005_af4.wfa    | 24576 | 8192 | 8192 | 28 | 25328 | 224 | 224 | 32 | 32 | 25.36667507 | 0.281 | 25776 | 1.048828125 |
| lena32.bmp | lena32.bmp-withWavelet_bior1.1-G_0.6-H5e-005_af4.wfa | 24576 | 8192 | 8192 | 28 | 25328 | 224 | 224 | 32 | 32 | 25.36667507 | 0.187 | 25776 | 1.048828125 |
| lena32.bmp | lena32.bmp-G_0.8-H3e-005_af3.wfa                     | 24576 | 8192 |      | 28 | 25328 | 224 | 224 | 32 | 32 | 23.99803098 | 0.344 | 25776 | 1.048828125 |
| lena32.bmp | lena32.bmp-G_1-H3e-005_af3.wfa                       | 24576 | 8192 |      | 28 | 25328 | 224 | 224 | 32 | 32 | 23.97559474 | 0.313 | 25776 | 1.048828125 |
| lena32.bmp | lena32.bmp-G_0.6-H5e-005_af1.wfa                     | 24576 | 8192 |      | 28 | 25328 | 224 | 224 | 32 | 32 | 23.93043002 | 0.187 | 25776 | 1.048828125 |
| lena32.bmp | lena32.bmp-withWavelet_haar-G_0.8-H4e-005_af4.wfa    | 24576 | 8192 | 8192 | 28 | 25328 | 224 | 224 | 32 | 32 | 23.6740749  | 0.187 | 25776 | 1.048828125 |
| lena32.bmp | lena32.bmp-withWavelet_rbio1.1-G_0.8-H4e-005_af4.wfa | 24576 | 8192 | 8192 | 28 | 25328 | 224 | 224 | 32 | 32 | 23.6740749  | 0.203 | 25776 | 1.048828125 |
| lena32.bmp | lena32.bmp-withWavelet_sym1-G_0.8-H4e-005_af4.wfa    | 24576 | 8192 | 8192 | 28 | 25328 | 224 | 224 | 32 | 32 | 23.6740749  | 0.187 | 25776 | 1.048828125 |
| lena32.bmp | lena32.bmp-withWavelet_bior1.1-G_0.8-H4e-005_af4.wfa | 24576 | 8192 | 8192 | 28 | 25328 | 224 | 224 | 32 | 32 | 23.6740749  | 0.187 | 25776 | 1.048828125 |
| lena32.bmp | lena32.bmp-G_1-H2e-005_af5.wfa                       | 24576 | 8192 |      | 28 | 25328 | 224 | 224 | 32 | 32 | 23.65845879 | 0.187 | 25776 | 1.048828125 |
| lena32.bmp | lena32.bmp-withWavelet_haar-G_1-H4e-005_af4.wfa      | 24576 | 8192 | 8192 | 28 | 25328 | 224 | 224 | 32 | 32 | 23.54659354 | 0.188 | 25776 | 1.048828125 |
| lena32.bmp | lena32.bmp-withWavelet_rbio1.1-G_1-H4e-005_af4.wfa   | 24576 | 8192 | 8192 | 28 | 25328 | 224 | 224 | 32 | 32 | 23.54659354 | 0.187 | 25776 | 1.048828125 |
| lena32.bmp | lena32.bmp-withWavelet_sym1-G_1-H4e-005_af4.wfa      | 24576 | 8192 | 8192 | 28 | 25328 | 224 | 224 | 32 | 32 | 23.54659354 | 0.203 | 25776 | 1.048828125 |
| lena32.bmp | lena32.bmp-withWavelet_bior1.1-G_1-H4e-005_af4.wfa   | 24576 | 8192 | 8192 | 28 | 25328 | 224 | 224 | 32 | 32 | 23.54659354 | 0.188 | 25776 | 1.048828125 |
| lena32.bmp | lena32.bmp-G_1-H6e-005_af1.wfa                       | 24576 | 8192 |      | 28 | 25328 | 224 | 224 | 32 | 32 | 23.53588946 | 0.187 | 25776 | 1.048828125 |
| lena32.bmp | lena32.bmp-withWavelet_haar-G_0.6-H1e-005_af2.wfa    | 24576 | 8192 | 8192 | 28 | 25328 | 224 | 224 | 32 | 32 | 23.13483466 | 0.203 | 25776 | 1.048828125 |
| lena32.bmp | lena32.bmp-withWavelet_rbio1.1-G_0.6-H1e-005_af2.wfa | 24576 | 8192 | 8192 | 28 | 25328 | 224 | 224 | 32 | 32 | 23.13483466 | 0.188 | 25776 | 1.048828125 |
| lena32.bmp | lena32.bmp-withWavelet_sym1-G_0.6-H1e-005_af2.wfa    | 24576 | 8192 | 8192 | 28 | 25328 | 224 | 224 | 32 | 32 | 23.13483466 | 0.235 | 25776 | 1.048828125 |

|            |  |       |      |      |    |       |     |     |    |    |             |       |       |             |
|------------|--|-------|------|------|----|-------|-----|-----|----|----|-------------|-------|-------|-------------|
| lena32.bmp | lena32.bmp-withWavelet_bior1.1-G_0.6-H1e-005_af2.wfa | 24576 | 8192 | 8192 | 28 | 25328 | 224 | 224 | 32 | 32 | 23.13483466 | 0.203 | 25776 | 1.048828125 |
| lena32.bmp | lena32.bmp-G_0.6-H2e-005_af2.wfa                     | 24576 | 8192 |      | 28 | 25328 | 224 | 224 | 32 | 32 | 22.78118759 | 0.219 | 25776 | 1.048828125 |
| lena32.bmp | lena32.bmp-G_0.6-H3e-005_af2.wfa                     | 24576 | 8192 |      | 28 | 25328 | 224 | 224 | 32 | 32 | 22.78118758 | 0.187 | 25776 | 1.048828125 |
| lena32.bmp | lena32.bmp-G_0.8-H2e-005_af2.wfa                     | 24576 | 8192 |      | 28 | 25328 | 224 | 224 | 32 | 32 | 22.46285093 | 0.203 | 25776 | 1.048828125 |
| lena32.bmp | lena32.bmp-G_1-H2e-005_af2.wfa                       | 24576 | 8192 |      | 28 | 25328 | 224 | 224 | 32 | 32 | 22.43541069 | 0.266 | 25776 | 1.048828125 |
| lena32.bmp | lena32.bmp-withWavelet_haar-G_0.6-H2e-005_af5.wfa    | 24576 | 8192 | 8192 | 28 | 25328 | 224 | 224 | 32 | 32 | 22.07537527 | 0.281 | 25776 | 1.048828125 |
| lena32.bmp | lena32.bmp-withWavelet_rbio1.1-G_0.6-H2e-005_af5.wfa | 24576 | 8192 | 8192 | 28 | 25328 | 224 | 224 | 32 | 32 | 22.07537527 | 0.219 | 25776 | 1.048828125 |
| lena32.bmp | lena32.bmp-withWavelet_sym1-G_0.6-H2e-005_af5.wfa    | 24576 | 8192 | 8192 | 28 | 25328 | 224 | 224 | 32 | 32 | 22.07537527 | 0.218 | 25776 | 1.048828125 |
| lena32.bmp | lena32.bmp-withWavelet_bior1.1-G_0.6-H2e-005_af5.wfa | 24576 | 8192 | 8192 | 28 | 25328 | 224 | 224 | 32 | 32 | 22.07537527 | 0.218 | 25776 | 1.048828125 |
| lena32.bmp | lena32.bmp-withWavelet_haar-G_0.8-H5e-005_af3.wfa    | 24576 | 8192 | 8192 | 29 | 27152 | 232 | 232 | 32 | 32 | 24.9108275  | 0.203 | 27616 | 1.123697917 |
| lena32.bmp | lena32.bmp-withWavelet_rbio1.1-G_0.8-H5e-005_af3.wfa | 24576 | 8192 | 8192 | 29 | 27152 | 232 | 232 | 32 | 32 | 24.9108275  | 0.203 | 27616 | 1.123697917 |
| lena32.bmp | lena32.bmp-withWavelet_sym1-G_0.8-H5e-005_af3.wfa    | 24576 | 8192 | 8192 | 29 | 27152 | 232 | 232 | 32 | 32 | 24.9108275  | 0.203 | 27616 | 1.123697917 |
| lena32.bmp | lena32.bmp-withWavelet_bior1.1-G_0.8-H5e-005_af3.wfa | 24576 | 8192 | 8192 | 29 | 27152 | 232 | 232 | 32 | 32 | 24.9108275  | 0.218 | 27616 | 1.123697917 |
| lena32.bmp | lena32.bmp-withWavelet_haar-G_1-H5e-005_af3.wfa      | 24576 | 8192 | 8192 | 29 | 27152 | 232 | 232 | 32 | 32 | 24.90798402 | 0.203 | 27616 | 1.123697917 |
| lena32.bmp | lena32.bmp-withWavelet_rbio1.1-G_1-H5e-005_af3.wfa   | 24576 | 8192 | 8192 | 29 | 27152 | 232 | 232 | 32 | 32 | 24.90798402 | 0.204 | 27616 | 1.123697917 |
| lena32.bmp | lena32.bmp-withWavelet_sym1-G_1-H5e-005_af3.wfa      | 24576 | 8192 | 8192 | 29 | 27152 | 232 | 232 | 32 | 32 | 24.90798402 | 0.203 | 27616 | 1.123697917 |
| lena32.bmp | lena32.bmp-withWavelet_bior1.1-G_1-H5e-005_af3.wfa   | 24576 | 8192 | 8192 | 29 | 27152 | 232 | 232 | 32 | 32 | 24.90798402 | 0.219 | 27616 | 1.123697917 |
| lena32.bmp | lena32.bmp-G_1-H5e-005_af1.wfa                       | 24576 | 8192 |      | 29 | 27152 | 232 | 232 | 32 | 32 | 24.19037868 | 0.203 | 27616 | 1.123697917 |
| lena32.bmp | lena32.bmp-G_0.6-H2e-005_af3.wfa                     | 24576 | 8192 |      | 29 | 27152 | 232 | 232 | 32 | 32 | 24.16508009 | 0.219 | 27616 | 1.123697917 |
| lena32.bmp | lena32.bmp-G_0.8-H5e-005_af1.wfa                     | 24576 | 8192 |      | 29 | 27152 | 232 | 232 | 32 | 32 | 24.12522164 | 0.219 | 27616 | 1.123697917 |
| lena32.bmp | lena32.bmp-G_0.8-H2e-005_af5.wfa                     | 24576 | 8192 |      | 29 | 27152 | 232 | 232 | 32 | 32 | 23.26007123 | 0.203 | 27616 | 1.123697917 |
| lena32.bmp | lena32.bmp-withWavelet_haar-G_0.8-H1e-005_af2.wfa    | 24576 | 8192 | 8192 | 29 | 27152 | 232 | 232 | 32 | 32 | 23.0461725  | 0.343 | 27616 | 1.123697917 |
| lena32.bmp | lena32.bmp-withWavelet_rbio1.1-G_0.8-H1e-005_af2.wfa | 24576 | 8192 | 8192 | 29 | 27152 | 232 | 232 | 32 | 32 | 23.0461725  | 0.203 | 27616 | 1.123697917 |
| lena32.bmp | lena32.bmp-withWavelet_sym1-G_0.8-H1e-005_af2.wfa    | 24576 | 8192 | 8192 | 29 | 27152 | 232 | 232 | 32 | 32 | 23.0461725  | 0.266 | 27616 | 1.123697917 |
| lena32.bmp | lena32.bmp-withWavelet_bior1.1-G_0.8-H1e-005_af2.wfa | 24576 | 8192 | 8192 | 29 | 27152 | 232 | 232 | 32 | 32 | 23.0461725  | 0.359 | 27616 | 1.123697917 |
| lena32.bmp | lena32.bmp-withWavelet_haar-G_1-H1e-005_af2.wfa      | 24576 | 8192 | 8192 | 29 | 27152 | 232 | 232 | 32 | 32 | 23.03662243 | 0.218 | 27616 | 1.123697917 |
| lena32.bmp | lena32.bmp-withWavelet_rbio1.1-G_1-H1e-005_af2.wfa   | 24576 | 8192 | 8192 | 29 | 27152 | 232 | 232 | 32 | 32 | 23.03662243 | 0.218 | 27616 | 1.123697917 |
| lena32.bmp | lena32.bmp-withWavelet_sym1-G_1-H1e-005_af2.wfa      | 24576 | 8192 | 8192 | 29 | 27152 | 232 | 232 | 32 | 32 | 23.03662243 | 0.219 | 27616 | 1.123697917 |
| lena32.bmp | lena32.bmp-withWavelet_bior1.1-G_1-H1e-005_af2.wfa   | 24576 | 8192 | 8192 | 29 | 27152 | 232 | 232 | 32 | 32 | 23.03662243 | 0.297 | 27616 | 1.123697917 |
| lena32.bmp | lena32.bmp-withWavelet_haar-G_0.8-H2e-005_af5.wfa    | 24576 | 8192 | 8192 | 29 | 27152 | 232 | 232 | 32 | 32 | 21.83640172 | 0.328 | 27616 | 1.123697917 |
| lena32.bmp | lena32.bmp-withWavelet_rbio1.1-G_0.8-H2e-005_af5.wfa | 24576 | 8192 | 8192 | 29 | 27152 | 232 | 232 | 32 | 32 | 21.83640172 | 0.422 | 27616 | 1.123697917 |

|            |  |       |      |      |    |       |     |     |    |    |             |       |       |             |
|------------|--|-------|------|------|----|-------|-----|-----|----|----|-------------|-------|-------|-------------|
| lena32.bmp | lena32.bmp-withWavelet_sym1-G_0.8-H2e-005_af5.wfa    | 24576 | 8192 | 8192 | 29 | 27152 | 232 | 232 | 32 | 32 | 21.83640172 | 0.328 | 27616 | 1.123697917 |
| lena32.bmp | lena32.bmp-withWavelet_bior1.1-G_0.8-H2e-005_af5.wfa | 24576 | 8192 | 8192 | 29 | 27152 | 232 | 232 | 32 | 32 | 21.83640172 | 0.234 | 27616 | 1.123697917 |
| lena32.bmp | lena32.bmp-withWavelet_haar-G_1-H2e-005_af5.wfa      | 24576 | 8192 | 8192 | 29 | 27152 | 232 | 232 | 32 | 32 | 21.81358049 | 0.437 | 27616 | 1.123697917 |
| lena32.bmp | lena32.bmp-withWavelet_rbio1.1-G_1-H2e-005_af5.wfa   | 24576 | 8192 | 8192 | 29 | 27152 | 232 | 232 | 32 | 32 | 21.81358049 | 0.204 | 27616 | 1.123697917 |
| lena32.bmp | lena32.bmp-withWavelet_sym1-G_1-H2e-005_af5.wfa      | 24576 | 8192 | 8192 | 29 | 27152 | 232 | 232 | 32 | 32 | 21.81358049 | 0.39  | 27616 | 1.123697917 |
| lena32.bmp | lena32.bmp-withWavelet_bior1.1-G_1-H2e-005_af5.wfa   | 24576 | 8192 | 8192 | 29 | 27152 | 232 | 232 | 32 | 32 | 21.81358049 | 0.203 | 27616 | 1.123697917 |
| lena32.bmp | lena32.bmp-withWavelet_haar-G_0.6-H4e-005_af4.wfa    | 24576 | 8192 | 8192 | 30 | 29040 | 240 | 240 | 32 | 32 | 27.7687864  | 0.203 | 29520 | 1.201171875 |
| lena32.bmp | lena32.bmp-withWavelet_rbio1.1-G_0.6-H4e-005_af4.wfa | 24576 | 8192 | 8192 | 30 | 29040 | 240 | 240 | 32 | 32 | 27.7687864  | 0.203 | 29520 | 1.201171875 |
| lena32.bmp | lena32.bmp-withWavelet_sym1-G_0.6-H4e-005_af4.wfa    | 24576 | 8192 | 8192 | 30 | 29040 | 240 | 240 | 32 | 32 | 27.7687864  | 0.218 | 29520 | 1.201171875 |
| lena32.bmp | lena32.bmp-withWavelet_bior1.1-G_0.6-H4e-005_af4.wfa | 24576 | 8192 | 8192 | 30 | 29040 | 240 | 240 | 32 | 32 | 27.7687864  | 0.219 | 29520 | 1.201171875 |
| lena32.bmp | lena32.bmp-withWavelet_haar-G_0.6-H4e-005_af1.wfa    | 24576 | 8192 | 8192 | 30 | 29040 | 240 | 240 | 32 | 32 | 27.43394019 | 0.219 | 29520 | 1.201171875 |
| lena32.bmp | lena32.bmp-withWavelet_rbio1.1-G_0.6-H4e-005_af1.wfa | 24576 | 8192 | 8192 | 30 | 29040 | 240 | 240 | 32 | 32 | 27.43394019 | 0.25  | 29520 | 1.201171875 |
| lena32.bmp | lena32.bmp-withWavelet_sym1-G_0.6-H4e-005_af1.wfa    | 24576 | 8192 | 8192 | 30 | 29040 | 240 | 240 | 32 | 32 | 27.43394019 | 0.375 | 29520 | 1.201171875 |
| lena32.bmp | lena32.bmp-withWavelet_bior1.1-G_0.6-H4e-005_af1.wfa | 24576 | 8192 | 8192 | 30 | 29040 | 240 | 240 | 32 | 32 | 27.43394019 | 0.203 | 29520 | 1.201171875 |
| lena32.bmp | lena32.bmp-withWavelet_haar-G_0.6-H4e-005_af3.wfa    | 24576 | 8192 | 8192 | 30 | 29040 | 240 | 240 | 32 | 32 | 26.52654924 | 0.219 | 29520 | 1.201171875 |
| lena32.bmp | lena32.bmp-withWavelet_rbio1.1-G_0.6-H4e-005_af3.wfa | 24576 | 8192 | 8192 | 30 | 29040 | 240 | 240 | 32 | 32 | 26.52654924 | 0.25  | 29520 | 1.201171875 |
| lena32.bmp | lena32.bmp-withWavelet_sym1-G_0.6-H4e-005_af3.wfa    | 24576 | 8192 | 8192 | 30 | 29040 | 240 | 240 | 32 | 32 | 26.52654924 | 0.204 | 29520 | 1.201171875 |
| lena32.bmp | lena32.bmp-withWavelet_bior1.1-G_0.6-H4e-005_af3.wfa | 24576 | 8192 | 8192 | 30 | 29040 | 240 | 240 | 32 | 32 | 26.52654924 | 0.203 | 29520 | 1.201171875 |
| lena32.bmp | lena32.bmp-withWavelet_haar-G_0.6-H5e-005_af3.wfa    | 24576 | 8192 | 8192 | 30 | 29040 | 240 | 240 | 32 | 32 | 26.52654924 | 0.25  | 29520 | 1.201171875 |
| lena32.bmp | lena32.bmp-withWavelet_rbio1.1-G_0.6-H5e-005_af3.wfa | 24576 | 8192 | 8192 | 30 | 29040 | 240 | 240 | 32 | 32 | 26.52654924 | 0.25  | 29520 | 1.201171875 |
| lena32.bmp | lena32.bmp-withWavelet_sym1-G_0.6-H5e-005_af3.wfa    | 24576 | 8192 | 8192 | 30 | 29040 | 240 | 240 | 32 | 32 | 26.52654924 | 0.203 | 29520 | 1.201171875 |
| lena32.bmp | lena32.bmp-withWavelet_bior1.1-G_0.6-H5e-005_af3.wfa | 24576 | 8192 | 8192 | 30 | 29040 | 240 | 240 | 32 | 32 | 26.52654924 | 0.204 | 29520 | 1.201171875 |
| lena32.bmp | lena32.bmp-withWavelet_haar-G_1-H4e-005_af1.wfa      | 24576 | 8192 | 8192 | 30 | 29040 | 240 | 240 | 32 | 32 | 26.44444047 | 0.203 | 29520 | 1.201171875 |
| lena32.bmp | lena32.bmp-withWavelet_rbio1.1-G_1-H4e-005_af1.wfa   | 24576 | 8192 | 8192 | 30 | 29040 | 240 | 240 | 32 | 32 | 26.44444047 | 0.203 | 29520 | 1.201171875 |
| lena32.bmp | lena32.bmp-withWavelet_sym1-G_1-H4e-005_af1.wfa      | 24576 | 8192 | 8192 | 30 | 29040 | 240 | 240 | 32 | 32 | 26.44444047 | 0.359 | 29520 | 1.201171875 |
| lena32.bmp | lena32.bmp-withWavelet_bior1.1-G_1-H4e-005_af1.wfa   | 24576 | 8192 | 8192 | 30 | 29040 | 240 | 240 | 32 | 32 | 26.44444047 | 0.203 | 29520 | 1.201171875 |
| lena32.bmp | lena32.bmp-withWavelet_haar-G_0.8-H4e-005_af3.wfa    | 24576 | 8192 | 8192 | 30 | 29040 | 240 | 240 | 32 | 32 | 25.90250392 | 0.25  | 29520 | 1.201171875 |
| lena32.bmp | lena32.bmp-withWavelet_rbio1.1-G_0.8-H4e-005_af3.wfa | 24576 | 8192 | 8192 | 30 | 29040 | 240 | 240 | 32 | 32 | 25.90250392 | 0.218 | 29520 | 1.201171875 |
| lena32.bmp | lena32.bmp-withWavelet_sym1-G_0.8-H4e-005_af3.wfa    | 24576 | 8192 | 8192 | 30 | 29040 | 240 | 240 | 32 | 32 | 25.90250392 | 0.219 | 29520 | 1.201171875 |
| lena32.bmp | lena32.bmp-withWavelet_bior1.1-G_0.8-H4e-005_af3.wfa | 24576 | 8192 | 8192 | 30 | 29040 | 240 | 240 | 32 | 32 | 25.90250392 | 0.219 | 29520 | 1.201171875 |
| lena32.bmp | lena32.bmp-withWavelet_haar-G_1-H4e-005_af3.wfa      | 24576 | 8192 | 8192 | 30 | 29040 | 240 | 240 | 32 | 32 | 25.89654196 | 0.204 | 29520 | 1.201171875 |

|            |  |       |      |      |    |       |     |     |    |    |             |       |       |             |
|------------|--|-------|------|------|----|-------|-----|-----|----|----|-------------|-------|-------|-------------|
| lena32.bmp | lena32.bmp-withWavelet_rbio1.1-G_1-H4e-005_af3.wfa   | 24576 | 8192 | 8192 | 30 | 29040 | 240 | 240 | 32 | 32 | 25.89654196 | 0.218 | 29520 | 1.201171875 |
| lena32.bmp | lena32.bmp-withWavelet_sym1-G_1-H4e-005_af3.wfa      | 24576 | 8192 | 8192 | 30 | 29040 | 240 | 240 | 32 | 32 | 25.89654196 | 0.219 | 29520 | 1.201171875 |
| lena32.bmp | lena32.bmp-withWavelet_bior1.1-G_1-H4e-005_af3.wfa   | 24576 | 8192 | 8192 | 30 | 29040 | 240 | 240 | 32 | 32 | 25.89654196 | 0.203 | 29520 | 1.201171875 |
| lena32.bmp | lena32.bmp-G_0.6-H2e-005_af5.wfa                     | 24576 | 8192 |      | 30 | 29040 | 240 | 240 | 32 | 32 | 25.57379824 | 0.234 | 29520 | 1.201171875 |
| lena32.bmp | lena32.bmp-withWavelet_haar-G_0.8-H3e-005_af4.wfa    | 24576 | 8192 | 8192 | 30 | 29040 | 240 | 240 | 32 | 32 | 25.07750121 | 0.219 | 29520 | 1.201171875 |
| lena32.bmp | lena32.bmp-withWavelet_rbio1.1-G_0.8-H3e-005_af4.wfa | 24576 | 8192 | 8192 | 30 | 29040 | 240 | 240 | 32 | 32 | 25.07750121 | 0.219 | 29520 | 1.201171875 |
| lena32.bmp | lena32.bmp-withWavelet_sym1-G_0.8-H3e-005_af4.wfa    | 24576 | 8192 | 8192 | 30 | 29040 | 240 | 240 | 32 | 32 | 25.07750121 | 0.203 | 29520 | 1.201171875 |
| lena32.bmp | lena32.bmp-withWavelet_bior1.1-G_0.8-H3e-005_af4.wfa | 24576 | 8192 | 8192 | 30 | 29040 | 240 | 240 | 32 | 32 | 25.07750121 | 0.204 | 29520 | 1.201171875 |
| lena32.bmp | lena32.bmp-withWavelet_haar-G_1-H3e-005_af4.wfa      | 24576 | 8192 | 8192 | 30 | 29040 | 240 | 240 | 32 | 32 | 24.90090465 | 0.313 | 29520 | 1.201171875 |
| lena32.bmp | lena32.bmp-withWavelet_rbio1.1-G_1-H3e-005_af4.wfa   | 24576 | 8192 | 8192 | 30 | 29040 | 240 | 240 | 32 | 32 | 24.90090465 | 0.453 | 29520 | 1.201171875 |
| lena32.bmp | lena32.bmp-withWavelet_sym1-G_1-H3e-005_af4.wfa      | 24576 | 8192 | 8192 | 30 | 29040 | 240 | 240 | 32 | 32 | 24.90090465 | 0.531 | 29520 | 1.201171875 |
| lena32.bmp | lena32.bmp-withWavelet_bior1.1-G_1-H3e-005_af4.wfa   | 24576 | 8192 | 8192 | 30 | 29040 | 240 | 240 | 32 | 32 | 24.90090465 | 0.359 | 29520 | 1.201171875 |
| lena32.bmp | lena32.bmp-G_0.6-H1e-005_af3.wfa                     | 24576 | 8192 |      | 30 | 29040 | 240 | 240 | 32 | 32 | 24.82975327 | 0.297 | 29520 | 1.201171875 |
| lena32.bmp | lena32.bmp-G_0.8-H4e-005_af1.wfa                     | 24576 | 8192 |      | 30 | 29040 | 240 | 240 | 32 | 32 | 24.71100163 | 0.203 | 29520 | 1.201171875 |
| lena32.bmp | lena32.bmp-G_0.6-H4e-005_af1.wfa                     | 24576 | 8192 |      | 30 | 29040 | 240 | 240 | 32 | 32 | 24.2935495  | 0.203 | 29520 | 1.201171875 |
| lena32.bmp | lena32.bmp-G_0.6-H3e-005_af1.wfa                     | 24576 | 8192 |      | 30 | 29040 | 240 | 240 | 32 | 32 | 24.23334781 | 0.203 | 29520 | 1.201171875 |
| lena32.bmp | lena32.bmp-withWavelet_haar-G_0.6-H1e-005_af5.wfa    | 24576 | 8192 | 8192 | 30 | 29040 | 240 | 240 | 32 | 32 | 22.95984543 | 0.203 | 29520 | 1.201171875 |
| lena32.bmp | lena32.bmp-withWavelet_rbio1.1-G_0.6-H1e-005_af5.wfa | 24576 | 8192 | 8192 | 30 | 29040 | 240 | 240 | 32 | 32 | 22.95984543 | 0.203 | 29520 | 1.201171875 |
| lena32.bmp | lena32.bmp-withWavelet_sym1-G_0.6-H1e-005_af5.wfa    | 24576 | 8192 | 8192 | 30 | 29040 | 240 | 240 | 32 | 32 | 22.95984543 | 0.36  | 29520 | 1.201171875 |
| lena32.bmp | lena32.bmp-withWavelet_bior1.1-G_0.6-H1e-005_af5.wfa | 24576 | 8192 | 8192 | 30 | 29040 | 240 | 240 | 32 | 32 | 22.95984543 | 0.203 | 29520 | 1.201171875 |
| lena32.bmp | lena32.bmp-withWavelet_haar-G_1-H1e-005_af5.wfa      | 24576 | 8192 | 8192 | 30 | 29040 | 240 | 240 | 32 | 32 | 22.94164357 | 0.219 | 29520 | 1.201171875 |
| lena32.bmp | lena32.bmp-withWavelet_rbio1.1-G_1-H1e-005_af5.wfa   | 24576 | 8192 | 8192 | 30 | 29040 | 240 | 240 | 32 | 32 | 22.94164357 | 0.25  | 29520 | 1.201171875 |
| lena32.bmp | lena32.bmp-withWavelet_sym1-G_1-H1e-005_af5.wfa      | 24576 | 8192 | 8192 | 30 | 29040 | 240 | 240 | 32 | 32 | 22.94164357 | 0.203 | 29520 | 1.201171875 |
| lena32.bmp | lena32.bmp-withWavelet_bior1.1-G_1-H1e-005_af5.wfa   | 24576 | 8192 | 8192 | 30 | 29040 | 240 | 240 | 32 | 32 | 22.94164357 | 0.203 | 29520 | 1.201171875 |
| lena32.bmp | lena32.bmp-withWavelet_haar-G_0.8-H4e-005_af1.wfa    | 24576 | 8192 | 8192 | 31 | 30992 | 248 | 248 | 32 | 32 | 28.62459165 | 0.219 | 31488 | 1.28125     |
| lena32.bmp | lena32.bmp-withWavelet_rbio1.1-G_0.8-H4e-005_af1.wfa | 24576 | 8192 | 8192 | 31 | 30992 | 248 | 248 | 32 | 32 | 28.62459165 | 0.218 | 31488 | 1.28125     |
| lena32.bmp | lena32.bmp-withWavelet_sym1-G_0.8-H4e-005_af1.wfa    | 24576 | 8192 | 8192 | 31 | 30992 | 248 | 248 | 32 | 32 | 28.62459165 | 0.219 | 31488 | 1.28125     |
| lena32.bmp | lena32.bmp-withWavelet_bior1.1-G_0.8-H4e-005_af1.wfa | 24576 | 8192 | 8192 | 31 | 30992 | 248 | 248 | 32 | 32 | 28.62459165 | 0.219 | 31488 | 1.28125     |
| lena32.bmp | lena32.bmp-G_1-H2e-005_af3.wfa                       | 24576 | 8192 |      | 31 | 30992 | 248 | 248 | 32 | 32 | 25.51791053 | 0.437 | 31488 | 1.28125     |
| lena32.bmp | lena32.bmp-G_0.6-H1e-005_af2.wfa                     | 24576 | 8192 |      | 31 | 30992 | 248 | 248 | 32 | 32 | 25.22474509 | 0.312 | 31488 | 1.28125     |
| lena32.bmp | lena32.bmp-G_1-H4e-005_af1.wfa                       | 24576 | 8192 |      | 31 | 30992 | 248 | 248 | 32 | 32 | 25.11143917 | 0.234 | 31488 | 1.28125     |

|            |  |       |      |      |    |       |     |     |    |    |             |       |       |             |
|------------|--|-------|------|------|----|-------|-----|-----|----|----|-------------|-------|-------|-------------|
| lena32.bmp | lena32.bmp-G_1-H1e-005_af2.wfa                       | 24576 | 8192 |      | 31 | 30992 | 248 | 248 | 32 | 32 | 24.66501369 | 0.359 | 31488 | 1.28125     |
| lena32.bmp | lena32.bmp-withWavelet_haar-G_0.8-H1e-005_af5.wfa    | 24576 | 8192 | 8192 | 31 | 30992 | 248 | 248 | 32 | 32 | 23.75721077 | 0.219 | 31488 | 1.28125     |
| lena32.bmp | lena32.bmp-withWavelet_rbio1.1-G_0.8-H1e-005_af5.wfa | 24576 | 8192 | 8192 | 31 | 30992 | 248 | 248 | 32 | 32 | 23.75721077 | 0.234 | 31488 | 1.28125     |
| lena32.bmp | lena32.bmp-withWavelet_sym1-G_0.8-H1e-005_af5.wfa    | 24576 | 8192 | 8192 | 31 | 30992 | 248 | 248 | 32 | 32 | 23.75721077 | 0.218 | 31488 | 1.28125     |
| lena32.bmp | lena32.bmp-withWavelet_bior1.1-G_0.8-H1e-005_af5.wfa | 24576 | 8192 | 8192 | 31 | 30992 | 248 | 248 | 32 | 32 | 23.75721077 | 0.375 | 31488 | 1.28125     |
| lena32.bmp | lena32.bmp-withWavelet_haar-G_0.6-H3e-005_af4.wfa    | 24576 | 8192 | 8192 | 32 | 33008 | 256 | 256 | 32 | 32 | 30.20625514 | 0.25  | 33520 | 1.363932292 |
| lena32.bmp | lena32.bmp-withWavelet_rbio1.1-G_0.6-H3e-005_af4.wfa | 24576 | 8192 | 8192 | 32 | 33008 | 256 | 256 | 32 | 32 | 30.20625514 | 0.25  | 33520 | 1.363932292 |
| lena32.bmp | lena32.bmp-withWavelet_sym1-G_0.6-H3e-005_af4.wfa    | 24576 | 8192 | 8192 | 32 | 33008 | 256 | 256 | 32 | 32 | 30.20625514 | 0.234 | 33520 | 1.363932292 |
| lena32.bmp | lena32.bmp-withWavelet_bior1.1-G_0.6-H3e-005_af4.wfa | 24576 | 8192 | 8192 | 32 | 33008 | 256 | 256 | 32 | 32 | 30.20625514 | 0.25  | 33520 | 1.363932292 |
| lena32.bmp | lena32.bmp-withWavelet_haar-G_0.6-H3e-005_af3.wfa    | 24576 | 8192 | 8192 | 32 | 33008 | 256 | 256 | 32 | 32 | 28.50615324 | 0.281 | 33520 | 1.363932292 |
| lena32.bmp | lena32.bmp-withWavelet_rbio1.1-G_0.6-H3e-005_af3.wfa | 24576 | 8192 | 8192 | 32 | 33008 | 256 | 256 | 32 | 32 | 28.50615324 | 0.25  | 33520 | 1.363932292 |
| lena32.bmp | lena32.bmp-withWavelet_sym1-G_0.6-H3e-005_af3.wfa    | 24576 | 8192 | 8192 | 32 | 33008 | 256 | 256 | 32 | 32 | 28.50615324 | 0.25  | 33520 | 1.363932292 |
| lena32.bmp | lena32.bmp-withWavelet_bior1.1-G_0.6-H3e-005_af3.wfa | 24576 | 8192 | 8192 | 32 | 33008 | 256 | 256 | 32 | 32 | 28.50615324 | 0.235 | 33520 | 1.363932292 |
| lena32.bmp | lena32.bmp-withWavelet_haar-G_0.8-H3e-005_af3.wfa    | 24576 | 8192 | 8192 | 32 | 33008 | 256 | 256 | 32 | 32 | 27.9558433  | 0.266 | 33520 | 1.363932292 |
| lena32.bmp | lena32.bmp-withWavelet_rbio1.1-G_0.8-H3e-005_af3.wfa | 24576 | 8192 | 8192 | 32 | 33008 | 256 | 256 | 32 | 32 | 27.9558433  | 0.265 | 33520 | 1.363932292 |
| lena32.bmp | lena32.bmp-withWavelet_sym1-G_0.8-H3e-005_af3.wfa    | 24576 | 8192 | 8192 | 32 | 33008 | 256 | 256 | 32 | 32 | 27.9558433  | 0.25  | 33520 | 1.363932292 |
| lena32.bmp | lena32.bmp-withWavelet_bior1.1-G_0.8-H3e-005_af3.wfa | 24576 | 8192 | 8192 | 32 | 33008 | 256 | 256 | 32 | 32 | 27.9558433  | 0.25  | 33520 | 1.363932292 |
| lena32.bmp | lena32.bmp-withWavelet_haar-G_1-H3e-005_af3.wfa      | 24576 | 8192 | 8192 | 32 | 33008 | 256 | 256 | 32 | 32 | 27.95341769 | 0.359 | 33520 | 1.363932292 |
| lena32.bmp | lena32.bmp-withWavelet_rbio1.1-G_1-H3e-005_af3.wfa   | 24576 | 8192 | 8192 | 32 | 33008 | 256 | 256 | 32 | 32 | 27.95341769 | 0.422 | 33520 | 1.363932292 |
| lena32.bmp | lena32.bmp-withWavelet_sym1-G_1-H3e-005_af3.wfa      | 24576 | 8192 | 8192 | 32 | 33008 | 256 | 256 | 32 | 32 | 27.95341769 | 0.422 | 33520 | 1.363932292 |
| lena32.bmp | lena32.bmp-withWavelet_bior1.1-G_1-H3e-005_af3.wfa   | 24576 | 8192 | 8192 | 32 | 33008 | 256 | 256 | 32 | 32 | 27.95341769 | 0.359 | 33520 | 1.363932292 |
| lena32.bmp | lena32.bmp-G_0.8-H1e-005_af3.wfa                     | 24576 | 8192 |      | 32 | 33008 | 256 | 256 | 32 | 32 | 25.80363816 | 0.266 | 33520 | 1.363932292 |
| lena32.bmp | lena32.bmp-G_0.8-H2e-005_af3.wfa                     | 24576 | 8192 |      | 32 | 33008 | 256 | 256 | 32 | 32 | 25.80363816 | 0.266 | 33520 | 1.363932292 |
| lena32.bmp | lena32.bmp-G_1-H1e-005_af3.wfa                       | 24576 | 8192 |      | 32 | 33008 | 256 | 256 | 32 | 32 | 25.79865898 | 0.25  | 33520 | 1.363932292 |
| lena32.bmp | lena32.bmp-G_0.8-H3e-005_af1.wfa                     | 24576 | 8192 |      | 32 | 33008 | 256 | 256 | 32 | 32 | 25.75055387 | 0.297 | 33520 | 1.363932292 |
| lena32.bmp | lena32.bmp-G_0.8-H1e-005_af2.wfa                     | 24576 | 8192 |      | 32 | 33008 | 256 | 256 | 32 | 32 | 25.39278198 | 0.391 | 33520 | 1.363932292 |
| lena32.bmp | lena32.bmp-G_0.6-H2e-005_af1.wfa                     | 24576 | 8192 |      | 32 | 33008 | 256 | 256 | 32 | 32 | 24.41724104 | 0.312 | 33520 | 1.363932292 |
| lena32.bmp | lena32.bmp-withWavelet_haar-G_0.6-H2e-005_af1.wfa    | 24576 | 8192 | 8192 | 33 | 35088 | 264 | 264 | 32 | 32 | 32.96808169 | 0.297 | 35616 | 1.44921875  |
| lena32.bmp | lena32.bmp-withWavelet_rbio1.1-G_0.6-H2e-005_af1.wfa | 24576 | 8192 | 8192 | 33 | 35088 | 264 | 264 | 32 | 32 | 32.96808169 | 0.312 | 35616 | 1.44921875  |
| lena32.bmp | lena32.bmp-withWavelet_sym1-G_0.6-H2e-005_af1.wfa    | 24576 | 8192 | 8192 | 33 | 35088 | 264 | 264 | 32 | 32 | 32.96808169 | 0.313 | 35616 | 1.44921875  |
| lena32.bmp | lena32.bmp-withWavelet_bior1.1-G_0.6-H2e-005_af1.wfa | 24576 | 8192 | 8192 | 33 | 35088 | 264 | 264 | 32 | 32 | 32.96808169 | 0.328 | 35616 | 1.44921875  |

|            |  |       |      |      |    |       |     |     |    |    |             |       |       |            |
|------------|--|-------|------|------|----|-------|-----|-----|----|----|-------------|-------|-------|------------|
| lena32.bmp | lena32.bmp-withWavelet_haar-G_0.6-H3e-005_af1.wfa    | 24576 | 8192 | 8192 | 33 | 35088 | 264 | 264 | 32 | 32 | 32.95237524 | 0.297 | 35616 | 1.44921875 |
| lena32.bmp | lena32.bmp-withWavelet_rbio1.1-G_0.6-H3e-005_af1.wfa | 24576 | 8192 | 8192 | 33 | 35088 | 264 | 264 | 32 | 32 | 32.95237524 | 0.25  | 35616 | 1.44921875 |
| lena32.bmp | lena32.bmp-withWavelet_sym1-G_0.6-H3e-005_af1.wfa    | 24576 | 8192 | 8192 | 33 | 35088 | 264 | 264 | 32 | 32 | 32.95237524 | 0.281 | 35616 | 1.44921875 |
| lena32.bmp | lena32.bmp-withWavelet_bior1.1-G_0.6-H3e-005_af1.wfa | 24576 | 8192 | 8192 | 33 | 35088 | 264 | 264 | 32 | 32 | 32.95237524 | 0.265 | 35616 | 1.44921875 |
| lena32.bmp | lena32.bmp-withWavelet_haar-G_0.8-H2e-005_af1.wfa    | 24576 | 8192 | 8192 | 33 | 35088 | 264 | 264 | 32 | 32 | 32.32020697 | 0.25  | 35616 | 1.44921875 |
| lena32.bmp | lena32.bmp-withWavelet_rbio1.1-G_0.8-H2e-005_af1.wfa | 24576 | 8192 | 8192 | 33 | 35088 | 264 | 264 | 32 | 32 | 32.32020697 | 0.25  | 35616 | 1.44921875 |
| lena32.bmp | lena32.bmp-withWavelet_sym1-G_0.8-H2e-005_af1.wfa    | 24576 | 8192 | 8192 | 33 | 35088 | 264 | 264 | 32 | 32 | 32.32020697 | 0.265 | 35616 | 1.44921875 |
| lena32.bmp | lena32.bmp-withWavelet_bior1.1-G_0.8-H2e-005_af1.wfa | 24576 | 8192 | 8192 | 33 | 35088 | 264 | 264 | 32 | 32 | 32.32020697 | 0.282 | 35616 | 1.44921875 |
| lena32.bmp | lena32.bmp-withWavelet_haar-G_1-H2e-005_af1.wfa      | 24576 | 8192 | 8192 | 33 | 35088 | 264 | 264 | 32 | 32 | 32.30580932 | 0.25  | 35616 | 1.44921875 |
| lena32.bmp | lena32.bmp-withWavelet_rbio1.1-G_1-H2e-005_af1.wfa   | 24576 | 8192 | 8192 | 33 | 35088 | 264 | 264 | 32 | 32 | 32.30580932 | 0.484 | 35616 | 1.44921875 |
| lena32.bmp | lena32.bmp-withWavelet_sym1-G_1-H2e-005_af1.wfa      | 24576 | 8192 | 8192 | 33 | 35088 | 264 | 264 | 32 | 32 | 32.30580932 | 0.391 | 35616 | 1.44921875 |
| lena32.bmp | lena32.bmp-withWavelet_bior1.1-G_1-H2e-005_af1.wfa   | 24576 | 8192 | 8192 | 33 | 35088 | 264 | 264 | 32 | 32 | 32.30580932 | 0.329 | 35616 | 1.44921875 |
| lena32.bmp | lena32.bmp-withWavelet_haar-G_0.8-H3e-005_af1.wfa    | 24576 | 8192 | 8192 | 33 | 35088 | 264 | 264 | 32 | 32 | 32.11604696 | 0.25  | 35616 | 1.44921875 |
| lena32.bmp | lena32.bmp-withWavelet_rbio1.1-G_0.8-H3e-005_af1.wfa | 24576 | 8192 | 8192 | 33 | 35088 | 264 | 264 | 32 | 32 | 32.11604696 | 0.266 | 35616 | 1.44921875 |
| lena32.bmp | lena32.bmp-withWavelet_sym1-G_0.8-H3e-005_af1.wfa    | 24576 | 8192 | 8192 | 33 | 35088 | 264 | 264 | 32 | 32 | 32.11604696 | 0.297 | 35616 | 1.44921875 |
| lena32.bmp | lena32.bmp-withWavelet_bior1.1-G_0.8-H3e-005_af1.wfa | 24576 | 8192 | 8192 | 33 | 35088 | 264 | 264 | 32 | 32 | 32.11604696 | 0.406 | 35616 | 1.44921875 |
| lena32.bmp | lena32.bmp-withWavelet_haar-G_1-H3e-005_af1.wfa      | 24576 | 8192 | 8192 | 33 | 35088 | 264 | 264 | 32 | 32 | 32.09990422 | 0.312 | 35616 | 1.44921875 |
| lena32.bmp | lena32.bmp-withWavelet_rbio1.1-G_1-H3e-005_af1.wfa   | 24576 | 8192 | 8192 | 33 | 35088 | 264 | 264 | 32 | 32 | 32.09990422 | 0.297 | 35616 | 1.44921875 |
| lena32.bmp | lena32.bmp-withWavelet_sym1-G_1-H3e-005_af1.wfa      | 24576 | 8192 | 8192 | 33 | 35088 | 264 | 264 | 32 | 32 | 32.09990422 | 0.296 | 35616 | 1.44921875 |
| lena32.bmp | lena32.bmp-withWavelet_bior1.1-G_1-H3e-005_af1.wfa   | 24576 | 8192 | 8192 | 33 | 35088 | 264 | 264 | 32 | 32 | 32.09990422 | 0.437 | 35616 | 1.44921875 |
| lena32.bmp | lena32.bmp-withWavelet_haar-G_0.6-H2e-005_af4.wfa    | 24576 | 8192 | 8192 | 33 | 35088 | 264 | 264 | 32 | 32 | 31.71932039 | 0.391 | 35616 | 1.44921875 |
| lena32.bmp | lena32.bmp-withWavelet_rbio1.1-G_0.6-H2e-005_af4.wfa | 24576 | 8192 | 8192 | 33 | 35088 | 264 | 264 | 32 | 32 | 31.71932039 | 0.375 | 35616 | 1.44921875 |
| lena32.bmp | lena32.bmp-withWavelet_sym1-G_0.6-H2e-005_af4.wfa    | 24576 | 8192 | 8192 | 33 | 35088 | 264 | 264 | 32 | 32 | 31.71932039 | 0.36  | 35616 | 1.44921875 |
| lena32.bmp | lena32.bmp-withWavelet_bior1.1-G_0.6-H2e-005_af4.wfa | 24576 | 8192 | 8192 | 33 | 35088 | 264 | 264 | 32 | 32 | 31.71932039 | 0.297 | 35616 | 1.44921875 |
| lena32.bmp | lena32.bmp-withWavelet_haar-G_0.6-H2e-005_af3.wfa    | 24576 | 8192 | 8192 | 33 | 35088 | 264 | 264 | 32 | 32 | 29.00910363 | 0.328 | 35616 | 1.44921875 |
| lena32.bmp | lena32.bmp-withWavelet_rbio1.1-G_0.6-H2e-005_af3.wfa | 24576 | 8192 | 8192 | 33 | 35088 | 264 | 264 | 32 | 32 | 29.00910363 | 0.281 | 35616 | 1.44921875 |
| lena32.bmp | lena32.bmp-withWavelet_sym1-G_0.6-H2e-005_af3.wfa    | 24576 | 8192 | 8192 | 33 | 35088 | 264 | 264 | 32 | 32 | 29.00910363 | 0.282 | 35616 | 1.44921875 |
| lena32.bmp | lena32.bmp-withWavelet_bior1.1-G_0.6-H2e-005_af3.wfa | 24576 | 8192 | 8192 | 33 | 35088 | 264 | 264 | 32 | 32 | 29.00910363 | 0.312 | 35616 | 1.44921875 |
| lena32.bmp | lena32.bmp-withWavelet_haar-G_0.8-H2e-005_af3.wfa    | 24576 | 8192 | 8192 | 33 | 35088 | 264 | 264 | 32 | 32 | 28.44521785 | 0.25  | 35616 | 1.44921875 |
| lena32.bmp | lena32.bmp-withWavelet_rbio1.1-G_0.8-H2e-005_af3.wfa | 24576 | 8192 | 8192 | 33 | 35088 | 264 | 264 | 32 | 32 | 28.44521785 | 0.421 | 35616 | 1.44921875 |
| lena32.bmp | lena32.bmp-withWavelet_sym1-G_0.8-H2e-005_af3.wfa    | 24576 | 8192 | 8192 | 33 | 35088 | 264 | 264 | 32 | 32 | 28.44521785 | 0.281 | 35616 | 1.44921875 |

|            |  |       |      |      |    |       |     |     |    |    |             |       |       |             |
|------------|--|-------|------|------|----|-------|-----|-----|----|----|-------------|-------|-------|-------------|
| lena32.bmp | lena32.bmp-withWavelet_bior1.1-G_0.8-H2e-005_af3.wfa | 24576 | 8192 | 8192 | 33 | 35088 | 264 | 264 | 32 | 32 | 28.44521785 | 0.485 | 35616 | 1.44921875  |
| lena32.bmp | lena32.bmp-withWavelet_haar-G_1-H2e-005_af3.wfa      | 24576 | 8192 | 8192 | 33 | 35088 | 264 | 264 | 32 | 32 | 28.44418147 | 0.282 | 35616 | 1.44921875  |
| lena32.bmp | lena32.bmp-withWavelet_rbio1.1-G_1-H2e-005_af3.wfa   | 24576 | 8192 | 8192 | 33 | 35088 | 264 | 264 | 32 | 32 | 28.44418147 | 0.265 | 35616 | 1.44921875  |
| lena32.bmp | lena32.bmp-withWavelet_sym1-G_1-H2e-005_af3.wfa      | 24576 | 8192 | 8192 | 33 | 35088 | 264 | 264 | 32 | 32 | 28.44418147 | 0.25  | 35616 | 1.44921875  |
| lena32.bmp | lena32.bmp-withWavelet_bior1.1-G_1-H2e-005_af3.wfa   | 24576 | 8192 | 8192 | 33 | 35088 | 264 | 264 | 32 | 32 | 28.44418147 | 0.297 | 35616 | 1.44921875  |
| lena32.bmp | lena32.bmp-G_1-H3e-005_af1.wfa                       | 24576 | 8192 |      | 33 | 35088 | 264 | 264 | 32 | 32 | 26.19612364 | 0.36  | 35616 | 1.44921875  |
| lena32.bmp | lena32.bmp-G_1-H2e-005_af1.wfa                       | 24576 | 8192 |      | 33 | 35088 | 264 | 264 | 32 | 32 | 26.19349385 | 0.328 | 35616 | 1.44921875  |
| lena32.bmp | lena32.bmp-G_0.6-H1e-005_af5.wfa                     | 24576 | 8192 |      | 34 | 37232 | 272 | 272 | 32 | 32 | 32.52393879 | 0.375 | 37776 | 1.537109375 |
| lena32.bmp | lena32.bmp-G_0.8-H1e-005_af5.wfa                     | 24576 | 8192 |      | 34 | 37232 | 272 | 272 | 32 | 32 | 32.36513069 | 0.266 | 37776 | 1.537109375 |
| lena32.bmp | lena32.bmp-G_1-H1e-005_af5.wfa                       | 24576 | 8192 |      | 34 | 37232 | 272 | 272 | 32 | 32 | 32.35498358 | 0.266 | 37776 | 1.537109375 |
| lena32.bmp | lena32.bmp-withWavelet_haar-G_0.6-H1e-005_af3.wfa    | 24576 | 8192 | 8192 | 34 | 37232 | 272 | 272 | 32 | 32 | 29.72034563 | 0.266 | 37776 | 1.537109375 |
| lena32.bmp | lena32.bmp-withWavelet_rbio1.1-G_0.6-H1e-005_af3.wfa | 24576 | 8192 | 8192 | 34 | 37232 | 272 | 272 | 32 | 32 | 29.72034563 | 0.297 | 37776 | 1.537109375 |
| lena32.bmp | lena32.bmp-withWavelet_sym1-G_0.6-H1e-005_af3.wfa    | 24576 | 8192 | 8192 | 34 | 37232 | 272 | 272 | 32 | 32 | 29.72034563 | 0.281 | 37776 | 1.537109375 |
| lena32.bmp | lena32.bmp-withWavelet_bior1.1-G_0.6-H1e-005_af3.wfa | 24576 | 8192 | 8192 | 34 | 37232 | 272 | 272 | 32 | 32 | 29.72034563 | 0.25  | 37776 | 1.537109375 |
| lena32.bmp | lena32.bmp-withWavelet_haar-G_0.8-H1e-005_af3.wfa    | 24576 | 8192 | 8192 | 34 | 37232 | 272 | 272 | 32 | 32 | 29.06939713 | 0.266 | 37776 | 1.537109375 |
| lena32.bmp | lena32.bmp-withWavelet_rbio1.1-G_0.8-H1e-005_af3.wfa | 24576 | 8192 | 8192 | 34 | 37232 | 272 | 272 | 32 | 32 | 29.06939713 | 0.297 | 37776 | 1.537109375 |
| lena32.bmp | lena32.bmp-withWavelet_sym1-G_0.8-H1e-005_af3.wfa    | 24576 | 8192 | 8192 | 34 | 37232 | 272 | 272 | 32 | 32 | 29.06939713 | 0.281 | 37776 | 1.537109375 |
| lena32.bmp | lena32.bmp-withWavelet_bior1.1-G_0.8-H1e-005_af3.wfa | 24576 | 8192 | 8192 | 34 | 37232 | 272 | 272 | 32 | 32 | 29.06939713 | 0.265 | 37776 | 1.537109375 |
| lena32.bmp | lena32.bmp-withWavelet_haar-G_1-H1e-005_af3.wfa      | 24576 | 8192 | 8192 | 34 | 37232 | 272 | 272 | 32 | 32 | 29.06839538 | 0.265 | 37776 | 1.537109375 |
| lena32.bmp | lena32.bmp-withWavelet_rbio1.1-G_1-H1e-005_af3.wfa   | 24576 | 8192 | 8192 | 34 | 37232 | 272 | 272 | 32 | 32 | 29.06839538 | 0.312 | 37776 | 1.537109375 |
| lena32.bmp | lena32.bmp-withWavelet_sym1-G_1-H1e-005_af3.wfa      | 24576 | 8192 | 8192 | 34 | 37232 | 272 | 272 | 32 | 32 | 29.06839538 | 0.438 | 37776 | 1.537109375 |
| lena32.bmp | lena32.bmp-withWavelet_bior1.1-G_1-H1e-005_af3.wfa   | 24576 | 8192 | 8192 | 34 | 37232 | 272 | 272 | 32 | 32 | 29.06839538 | 0.359 | 37776 | 1.537109375 |
| lena32.bmp | lena32.bmp-G_0.8-H2e-005_af1.wfa                     | 24576 | 8192 |      | 34 | 37232 | 272 | 272 | 32 | 32 | 26.33458404 | 0.531 | 37776 | 1.537109375 |
| lena32.bmp | lena32.bmp-G_0.6-H1e-005_af1.wfa                     | 24576 | 8192 |      | 34 | 37232 | 272 | 272 | 32 | 32 | 24.70824209 | 0.266 | 37776 | 1.537109375 |
| lena32.bmp | lena32.bmp-withWavelet_haar-G_0.6-H1e-005_af4.wfa    | 24576 | 8192 | 8192 | 35 | 39440 | 280 | 280 | 32 | 32 | 37.5586727  | 0.297 | 40000 | 1.627604167 |
| lena32.bmp | lena32.bmp-withWavelet_rbio1.1-G_0.6-H1e-005_af4.wfa | 24576 | 8192 | 8192 | 35 | 39440 | 280 | 280 | 32 | 32 | 37.5586727  | 0.297 | 40000 | 1.627604167 |
| lena32.bmp | lena32.bmp-withWavelet_sym1-G_0.6-H1e-005_af4.wfa    | 24576 | 8192 | 8192 | 35 | 39440 | 280 | 280 | 32 | 32 | 37.5586727  | 0.36  | 40000 | 1.627604167 |
| lena32.bmp | lena32.bmp-withWavelet_bior1.1-G_0.6-H1e-005_af4.wfa | 24576 | 8192 | 8192 | 35 | 39440 | 280 | 280 | 32 | 32 | 37.5586727  | 0.297 | 40000 | 1.627604167 |
| lena32.bmp | lena32.bmp-withWavelet_haar-G_0.6-H1e-005_af1.wfa    | 24576 | 8192 | 8192 | 35 | 39440 | 280 | 280 | 32 | 32 | 36.17382542 | 0.375 | 40000 | 1.627604167 |
| lena32.bmp | lena32.bmp-withWavelet_rbio1.1-G_0.6-H1e-005_af1.wfa | 24576 | 8192 | 8192 | 35 | 39440 | 280 | 280 | 32 | 32 | 36.17382542 | 0.297 | 40000 | 1.627604167 |
| lena32.bmp | lena32.bmp-withWavelet_sym1-G_0.6-H1e-005_af1.wfa    | 24576 | 8192 | 8192 | 35 | 39440 | 280 | 280 | 32 | 32 | 36.17382542 | 0.281 | 40000 | 1.627604167 |

|            |  |       |      |      |    |       |     |     |    |    |             |       |       |             |
|------------|--|-------|------|------|----|-------|-----|-----|----|----|-------------|-------|-------|-------------|
| lena32.bmp | lena32.bmp-withWavelet_bior1.1-G_0.6-H1e-005_af1.wfa | 24576 | 8192 | 8192 | 35 | 39440 | 280 | 280 | 32 | 32 | 36.17382542 | 0.391 | 40000 | 1.627604167 |
| lena32.bmp | lena32.bmp-withWavelet_haar-G_0.8-H2e-005_af4.wfa    | 24576 | 8192 | 8192 | 35 | 39440 | 280 | 280 | 32 | 32 | 35.63900701 | 0.281 | 40000 | 1.627604167 |
| lena32.bmp | lena32.bmp-withWavelet_rbio1.1-G_0.8-H2e-005_af4.wfa | 24576 | 8192 | 8192 | 35 | 39440 | 280 | 280 | 32 | 32 | 35.63900701 | 0.547 | 40000 | 1.627604167 |
| lena32.bmp | lena32.bmp-withWavelet_sym1-G_0.8-H2e-005_af4.wfa    | 24576 | 8192 | 8192 | 35 | 39440 | 280 | 280 | 32 | 32 | 35.63900701 | 0.297 | 40000 | 1.627604167 |
| lena32.bmp | lena32.bmp-withWavelet_bior1.1-G_0.8-H2e-005_af4.wfa | 24576 | 8192 | 8192 | 35 | 39440 | 280 | 280 | 32 | 32 | 35.63900701 | 0.297 | 40000 | 1.627604167 |
| lena32.bmp | lena32.bmp-withWavelet_haar-G_1-H2e-005_af4.wfa      | 24576 | 8192 | 8192 | 35 | 39440 | 280 | 280 | 32 | 32 | 34.60197969 | 0.281 | 40000 | 1.627604167 |
| lena32.bmp | lena32.bmp-withWavelet_rbio1.1-G_1-H2e-005_af4.wfa   | 24576 | 8192 | 8192 | 35 | 39440 | 280 | 280 | 32 | 32 | 34.60197969 | 0.297 | 40000 | 1.627604167 |
| lena32.bmp | lena32.bmp-withWavelet_sym1-G_1-H2e-005_af4.wfa      | 24576 | 8192 | 8192 | 35 | 39440 | 280 | 280 | 32 | 32 | 34.60197969 | 0.281 | 40000 | 1.627604167 |
| lena32.bmp | lena32.bmp-withWavelet_bior1.1-G_1-H2e-005_af4.wfa   | 24576 | 8192 | 8192 | 35 | 39440 | 280 | 280 | 32 | 32 | 34.60197969 | 0.313 | 40000 | 1.627604167 |
| lena32.bmp | lena32.bmp-G_1-H1e-005_af1.wfa                       | 24576 | 8192 |      | 35 | 39440 | 280 | 280 | 32 | 32 | 26.35323818 | 0.484 | 40000 | 1.627604167 |
| lena32.bmp | lena32.bmp-G_0.8-H1e-005_af1.wfa                     | 24576 | 8192 |      | 35 | 39440 | 280 | 280 | 32 | 32 | 26.35306424 | 0.484 | 40000 | 1.627604167 |
| lena32.bmp | lena32.bmp-withWavelet_haar-G_0.8-H1e-005_af4.wfa    | 24576 | 8192 | 8192 | 36 | 41712 | 288 | 288 | 32 | 32 | 38.9932872  | 0.281 | 42288 | 1.720703125 |
| lena32.bmp | lena32.bmp-withWavelet_rbio1.1-G_0.8-H1e-005_af4.wfa | 24576 | 8192 | 8192 | 36 | 41712 | 288 | 288 | 32 | 32 | 38.9932872  | 0.328 | 42288 | 1.720703125 |
| lena32.bmp | lena32.bmp-withWavelet_sym1-G_0.8-H1e-005_af4.wfa    | 24576 | 8192 | 8192 | 36 | 41712 | 288 | 288 | 32 | 32 | 38.9932872  | 0.344 | 42288 | 1.720703125 |
| lena32.bmp | lena32.bmp-withWavelet_bior1.1-G_0.8-H1e-005_af4.wfa | 24576 | 8192 | 8192 | 36 | 41712 | 288 | 288 | 32 | 32 | 38.9932872  | 0.313 | 42288 | 1.720703125 |
| lena32.bmp | lena32.bmp-withWavelet_haar-G_0.8-H1e-005_af1.wfa    | 24576 | 8192 | 8192 | 36 | 41712 | 288 | 288 | 32 | 32 | 38.73756019 | 0.281 | 42288 | 1.720703125 |
| lena32.bmp | lena32.bmp-withWavelet_rbio1.1-G_0.8-H1e-005_af1.wfa | 24576 | 8192 | 8192 | 36 | 41712 | 288 | 288 | 32 | 32 | 38.73756019 | 0.296 | 42288 | 1.720703125 |
| lena32.bmp | lena32.bmp-withWavelet_sym1-G_0.8-H1e-005_af1.wfa    | 24576 | 8192 | 8192 | 36 | 41712 | 288 | 288 | 32 | 32 | 38.73756019 | 0.406 | 42288 | 1.720703125 |
| lena32.bmp | lena32.bmp-withWavelet_bior1.1-G_0.8-H1e-005_af1.wfa | 24576 | 8192 | 8192 | 36 | 41712 | 288 | 288 | 32 | 32 | 38.73756019 | 0.437 | 42288 | 1.720703125 |
| lena32.bmp | lena32.bmp-withWavelet_haar-G_1-H1e-005_af1.wfa      | 24576 | 8192 | 8192 | 36 | 41712 | 288 | 288 | 32 | 32 | 38.73176912 | 0.344 | 42288 | 1.720703125 |
| lena32.bmp | lena32.bmp-withWavelet_rbio1.1-G_1-H1e-005_af1.wfa   | 24576 | 8192 | 8192 | 36 | 41712 | 288 | 288 | 32 | 32 | 38.73176912 | 0.297 | 42288 | 1.720703125 |
| lena32.bmp | lena32.bmp-withWavelet_sym1-G_1-H1e-005_af1.wfa      | 24576 | 8192 | 8192 | 36 | 41712 | 288 | 288 | 32 | 32 | 38.73176912 | 0.312 | 42288 | 1.720703125 |
| lena32.bmp | lena32.bmp-withWavelet_bior1.1-G_1-H1e-005_af1.wfa   | 24576 | 8192 | 8192 | 36 | 41712 | 288 | 288 | 32 | 32 | 38.73176912 | 0.297 | 42288 | 1.720703125 |
| lena32.bmp | lena32.bmp-withWavelet_haar-G_1-H1e-005_af4.wfa      | 24576 | 8192 | 8192 | 37 | 44048 | 296 | 296 | 32 | 32 | 265.086003  | 0.328 | 44640 | 1.81640625  |
| lena32.bmp | lena32.bmp-withWavelet_rbio1.1-G_1-H1e-005_af4.wfa   | 24576 | 8192 | 8192 | 37 | 44048 | 296 | 296 | 32 | 32 | 265.086003  | 0.312 | 44640 | 1.81640625  |
| lena32.bmp | lena32.bmp-withWavelet_sym1-G_1-H1e-005_af4.wfa      | 24576 | 8192 | 8192 | 37 | 44048 | 296 | 296 | 32 | 32 | 265.086003  | 0.407 | 44640 | 1.81640625  |
| lena32.bmp | lena32.bmp-withWavelet_bior1.1-G_1-H1e-005_af4.wfa   | 24576 | 8192 | 8192 | 37 | 44048 | 296 | 296 | 32 | 32 | 265.086003  | 0.297 | 44640 | 1.81640625  |

**Tabela III.12 – Decodificação para squares32.bmp**

| Img           | Img codificada                    | IBytes  | GByte  | WletBy | #Stes | Wby | IBy | FBy | ResCo | ResDe | PSNR        | Time  | Total | %           |
|---------------|-----------------------------------|---------|--------|--------|-------|-----|-----|-----|-------|-------|-------------|-------|-------|-------------|
| squares32.bmp | squares32.bmp-G_1-H1e-007_af1.wfa | 1572864 | 524288 |        | 2     | 368 | 16  | 16  | 32    | 256   | 260.6788786 | 5.734 | 400   | 0.000254313 |
| squares32.bmp | squares32.bmp-G_1-H1e-007_af2.wfa | 1572864 | 524288 |        | 2     | 368 | 16  | 16  | 32    | 256   | 260.6788786 | 5.75  | 400   | 0.000254313 |





|               |   |         |        |        |   |     |    |    |    |     |             |       |     |             |
|---------------|---|---------|--------|--------|---|-----|----|----|----|-----|-------------|-------|-----|-------------|
| squares32.bmp | squares32.bmp-G_0.8-H1e-005_af2.wfa                   | 1572864 | 524288 |        | 2 | 368 | 16 | 16 | 32 | 256 | 274.0705755 | 6.031 | 400 | 0.000254313 |
| squares32.bmp | squares32.bmp-G_0.8-H1e-005_af3.wfa                   | 1572864 | 524288 |        | 2 | 368 | 16 | 16 | 32 | 256 | 274.0705755 | 6.078 | 400 | 0.000254313 |
| squares32.bmp | squares32.bmp-G_0.8-H1e-005_af4.wfa                   | 1572864 | 524288 |        | 2 | 368 | 16 | 16 | 32 | 256 | 274.0705755 | 6.047 | 400 | 0.000254313 |
| squares32.bmp | squares32.bmp-G_0.8-H0.0001_af1.wfa                   | 1572864 | 524288 |        | 2 | 368 | 16 | 16 | 32 | 256 | 274.0705755 | 5.687 | 400 | 0.000254313 |
| squares32.bmp | squares32.bmp-G_0.8-H0.0001_af2.wfa                   | 1572864 | 524288 |        | 2 | 368 | 16 | 16 | 32 | 256 | 274.0705755 | 5.687 | 400 | 0.000254313 |
| squares32.bmp | squares32.bmp-G_0.8-H0.0001_af3.wfa                   | 1572864 | 524288 |        | 2 | 368 | 16 | 16 | 32 | 256 | 274.0705755 | 5.718 | 400 | 0.000254313 |
| squares32.bmp | squares32.bmp-G_0.8-H0.0001_af4.wfa                   | 1572864 | 524288 |        | 2 | 368 | 16 | 16 | 32 | 256 | 274.0705755 | 5.844 | 400 | 0.000254313 |
| squares32.bmp | squares32.bmp-G_0.6-H1e-007_af1.wfa                   | 1572864 | 524288 |        | 2 | 368 | 16 | 16 | 32 | 256 | 283.0130249 | 5.922 | 400 | 0.000254313 |
| squares32.bmp | squares32.bmp-G_0.6-H1e-007_af2.wfa                   | 1572864 | 524288 |        | 2 | 368 | 16 | 16 | 32 | 256 | 283.0130249 | 5.984 | 400 | 0.000254313 |
| squares32.bmp | squares32.bmp-G_0.6-H1e-007_af3.wfa                   | 1572864 | 524288 |        | 2 | 368 | 16 | 16 | 32 | 256 | 283.0130249 | 5.907 | 400 | 0.000254313 |
| squares32.bmp | squares32.bmp-G_0.6-H1e-007_af4.wfa                   | 1572864 | 524288 |        | 2 | 368 | 16 | 16 | 32 | 256 | 283.0130249 | 6.031 | 400 | 0.000254313 |
| squares32.bmp | squares32.bmp-G_0.6-H1e-006_af1.wfa                   | 1572864 | 524288 |        | 2 | 368 | 16 | 16 | 32 | 256 | 283.0130249 | 5.891 | 400 | 0.000254313 |
| squares32.bmp | squares32.bmp-G_0.6-H1e-006_af2.wfa                   | 1572864 | 524288 |        | 2 | 368 | 16 | 16 | 32 | 256 | 283.0130249 | 5.953 | 400 | 0.000254313 |
| squares32.bmp | squares32.bmp-G_0.6-H1e-006_af3.wfa                   | 1572864 | 524288 |        | 2 | 368 | 16 | 16 | 32 | 256 | 283.0130249 | 5.953 | 400 | 0.000254313 |
| squares32.bmp | squares32.bmp-G_0.6-H1e-006_af4.wfa                   | 1572864 | 524288 |        | 2 | 368 | 16 | 16 | 32 | 256 | 283.0130249 | 5.891 | 400 | 0.000254313 |
| squares32.bmp | squares32.bmp-G_0.6-H1e-005_af1.wfa                   | 1572864 | 524288 |        | 2 | 368 | 16 | 16 | 32 | 256 | 283.0130249 | 6.031 | 400 | 0.000254313 |
| squares32.bmp | squares32.bmp-G_0.6-H1e-005_af2.wfa                   | 1572864 | 524288 |        | 2 | 368 | 16 | 16 | 32 | 256 | 283.0130249 | 6.015 | 400 | 0.000254313 |
| squares32.bmp | squares32.bmp-G_0.6-H1e-005_af3.wfa                   | 1572864 | 524288 |        | 2 | 368 | 16 | 16 | 32 | 256 | 283.0130249 | 5.859 | 400 | 0.000254313 |
| squares32.bmp | squares32.bmp-G_0.6-H1e-005_af4.wfa                   | 1572864 | 524288 |        | 2 | 368 | 16 | 16 | 32 | 256 | 283.0130249 | 5.89  | 400 | 0.000254313 |
| squares32.bmp | squares32.bmp-G_0.6-H0.0001_af1.wfa                   | 1572864 | 524288 |        | 2 | 368 | 16 | 16 | 32 | 256 | 283.0130249 | 5.907 | 400 | 0.000254313 |
| squares32.bmp | squares32.bmp-G_0.6-H0.0001_af2.wfa                   | 1572864 | 524288 |        | 2 | 368 | 16 | 16 | 32 | 256 | 283.0130249 | 5.953 | 400 | 0.000254313 |
| squares32.bmp | squares32.bmp-G_0.6-H0.0001_af3.wfa                   | 1572864 | 524288 |        | 2 | 368 | 16 | 16 | 32 | 256 | 283.0130249 | 5.719 | 400 | 0.000254313 |
| squares32.bmp | squares32.bmp-G_0.6-H0.0001_af4.wfa                   | 1572864 | 524288 |        | 2 | 368 | 16 | 16 | 32 | 256 | 283.0130249 | 5.75  | 400 | 0.000254313 |
| squares32.bmp | squares32.bmp-G_0.6-H1e-007_af5.wfa                   | 1572864 | 524288 |        | 2 | 368 | 16 | 16 | 32 | 256 | 284.2501766 | 6.125 | 400 | 0.000254313 |
| squares32.bmp | squares32.bmp-G_0.6-H1e-006_af5.wfa                   | 1572864 | 524288 |        | 2 | 368 | 16 | 16 | 32 | 256 | 284.2501766 | 5.844 | 400 | 0.000254313 |
| squares32.bmp | squares32.bmp-G_0.6-H1e-005_af5.wfa                   | 1572864 | 524288 |        | 2 | 368 | 16 | 16 | 32 | 256 | 284.2501766 | 5.875 | 400 | 0.000254313 |
| squares32.bmp | squares32.bmp-G_0.6-H0.0001_af5.wfa                   | 1572864 | 524288 |        | 2 | 368 | 16 | 16 | 32 | 256 | 284.2501766 | 5.765 | 400 | 0.000254313 |
| squares32.bmp | squares32.bmp-withWavelet_haar-G_1-H1e-007_af1.wfa    | 1572864 | 524288 | 524288 | 3 | 528 | 24 | 24 | 32 | 256 | 267.0279234 | 5.906 | 576 | 0.000366211 |
| squares32.bmp | squares32.bmp-withWavelet_rbio1.1-G_1-H1e-007_af1.wfa | 1572864 | 524288 | 524288 | 3 | 528 | 24 | 24 | 32 | 256 | 267.0279234 | 6.031 | 576 | 0.000366211 |
| squares32.bmp | squares32.bmp-withWavelet_sym1-G_1-H1e-007_af1.wfa    | 1572864 | 524288 | 524288 | 3 | 528 | 24 | 24 | 32 | 256 | 267.0279234 | 5.797 | 576 | 0.000366211 |
| squares32.bmp | squares32.bmp-withWavelet_bior1.1-G_1-H1e-007_af1.wfa | 1572864 | 524288 | 524288 | 3 | 528 | 24 | 24 | 32 | 256 | 267.0279234 | 5.782 | 576 | 0.000366211 |



















|               |                                     |        |        |  |   |     |    |    |    |     |             |       |     |             |
|---------------|-------------------------------------|--------|--------|--|---|-----|----|----|----|-----|-------------|-------|-----|-------------|
| squares32.bmp | squares32.bmp-G_1-H0.0001_af1.wfa   | 393216 | 131072 |  | 2 | 368 | 16 | 16 | 32 | 128 | 261.6967921 | 1.562 | 400 | 0.001017253 |
| squares32.bmp | squares32.bmp-G_1-H0.0001_af2.wfa   | 393216 | 131072 |  | 2 | 368 | 16 | 16 | 32 | 128 | 261.6967921 | 1.406 | 400 | 0.001017253 |
| squares32.bmp | squares32.bmp-G_1-H0.0001_af3.wfa   | 393216 | 131072 |  | 2 | 368 | 16 | 16 | 32 | 128 | 261.6967921 | 1.453 | 400 | 0.001017253 |
| squares32.bmp | squares32.bmp-G_1-H0.0001_af4.wfa   | 393216 | 131072 |  | 2 | 368 | 16 | 16 | 32 | 128 | 261.6967921 | 1.406 | 400 | 0.001017253 |
| squares32.bmp | squares32.bmp-G_1-H1e-007_af5.wfa   | 393216 | 131072 |  | 2 | 368 | 16 | 16 | 32 | 128 | 263.4526578 | 1.515 | 400 | 0.001017253 |
| squares32.bmp | squares32.bmp-G_1-H1e-006_af5.wfa   | 393216 | 131072 |  | 2 | 368 | 16 | 16 | 32 | 128 | 263.4526578 | 1.469 | 400 | 0.001017253 |
| squares32.bmp | squares32.bmp-G_1-H1e-005_af5.wfa   | 393216 | 131072 |  | 2 | 368 | 16 | 16 | 32 | 128 | 263.4526578 | 1.453 | 400 | 0.001017253 |
| squares32.bmp | squares32.bmp-G_1-H0.0001_af5.wfa   | 393216 | 131072 |  | 2 | 368 | 16 | 16 | 32 | 128 | 263.4526578 | 1.375 | 400 | 0.001017253 |
| squares32.bmp | squares32.bmp-G_0.8-H1e-007_af5.wfa | 393216 | 131072 |  | 2 | 368 | 16 | 16 | 32 | 128 | 272.3391285 | 1.735 | 400 | 0.001017253 |
| squares32.bmp | squares32.bmp-G_0.8-H1e-006_af5.wfa | 393216 | 131072 |  | 2 | 368 | 16 | 16 | 32 | 128 | 272.3391285 | 1.5   | 400 | 0.001017253 |
| squares32.bmp | squares32.bmp-G_0.8-H1e-005_af5.wfa | 393216 | 131072 |  | 2 | 368 | 16 | 16 | 32 | 128 | 272.3391285 | 1.407 | 400 | 0.001017253 |
| squares32.bmp | squares32.bmp-G_0.8-H0.0001_af5.wfa | 393216 | 131072 |  | 2 | 368 | 16 | 16 | 32 | 128 | 272.3391285 | 1.406 | 400 | 0.001017253 |
| squares32.bmp | squares32.bmp-G_0.8-H1e-007_af1.wfa | 393216 | 131072 |  | 2 | 368 | 16 | 16 | 32 | 128 | 275.3042779 | 1.391 | 400 | 0.001017253 |
| squares32.bmp | squares32.bmp-G_0.8-H1e-007_af2.wfa | 393216 | 131072 |  | 2 | 368 | 16 | 16 | 32 | 128 | 275.3042779 | 1.422 | 400 | 0.001017253 |
| squares32.bmp | squares32.bmp-G_0.8-H1e-007_af3.wfa | 393216 | 131072 |  | 2 | 368 | 16 | 16 | 32 | 128 | 275.3042779 | 1.531 | 400 | 0.001017253 |
| squares32.bmp | squares32.bmp-G_0.8-H1e-007_af4.wfa | 393216 | 131072 |  | 2 | 368 | 16 | 16 | 32 | 128 | 275.3042779 | 1.454 | 400 | 0.001017253 |
| squares32.bmp | squares32.bmp-G_0.8-H1e-006_af1.wfa | 393216 | 131072 |  | 2 | 368 | 16 | 16 | 32 | 128 | 275.3042779 | 1.453 | 400 | 0.001017253 |
| squares32.bmp | squares32.bmp-G_0.8-H1e-006_af2.wfa | 393216 | 131072 |  | 2 | 368 | 16 | 16 | 32 | 128 | 275.3042779 | 1.718 | 400 | 0.001017253 |
| squares32.bmp | squares32.bmp-G_0.8-H1e-006_af3.wfa | 393216 | 131072 |  | 2 | 368 | 16 | 16 | 32 | 128 | 275.3042779 | 1.469 | 400 | 0.001017253 |
| squares32.bmp | squares32.bmp-G_0.8-H1e-006_af4.wfa | 393216 | 131072 |  | 2 | 368 | 16 | 16 | 32 | 128 | 275.3042779 | 1.516 | 400 | 0.001017253 |
| squares32.bmp | squares32.bmp-G_0.8-H1e-005_af1.wfa | 393216 | 131072 |  | 2 | 368 | 16 | 16 | 32 | 128 | 275.3042779 | 1.437 | 400 | 0.001017253 |
| squares32.bmp | squares32.bmp-G_0.8-H1e-005_af2.wfa | 393216 | 131072 |  | 2 | 368 | 16 | 16 | 32 | 128 | 275.3042779 | 1.688 | 400 | 0.001017253 |
| squares32.bmp | squares32.bmp-G_0.8-H1e-005_af3.wfa | 393216 | 131072 |  | 2 | 368 | 16 | 16 | 32 | 128 | 275.3042779 | 1.453 | 400 | 0.001017253 |
| squares32.bmp | squares32.bmp-G_0.8-H1e-005_af4.wfa | 393216 | 131072 |  | 2 | 368 | 16 | 16 | 32 | 128 | 275.3042779 | 1.407 | 400 | 0.001017253 |
| squares32.bmp | squares32.bmp-G_0.8-H0.0001_af1.wfa | 393216 | 131072 |  | 2 | 368 | 16 | 16 | 32 | 128 | 275.3042779 | 1.39  | 400 | 0.001017253 |
| squares32.bmp | squares32.bmp-G_0.8-H0.0001_af2.wfa | 393216 | 131072 |  | 2 | 368 | 16 | 16 | 32 | 128 | 275.3042779 | 1.437 | 400 | 0.001017253 |
| squares32.bmp | squares32.bmp-G_0.8-H0.0001_af3.wfa | 393216 | 131072 |  | 2 | 368 | 16 | 16 | 32 | 128 | 275.3042779 | 1.438 | 400 | 0.001017253 |
| squares32.bmp | squares32.bmp-G_0.8-H0.0001_af4.wfa | 393216 | 131072 |  | 2 | 368 | 16 | 16 | 32 | 128 | 275.3042779 | 1.391 | 400 | 0.001017253 |
| squares32.bmp | squares32.bmp-G_0.6-H1e-007_af1.wfa | 393216 | 131072 |  | 2 | 368 | 16 | 16 | 32 | 128 | 284.3287788 | 1.61  | 400 | 0.001017253 |
| squares32.bmp | squares32.bmp-G_0.6-H1e-007_af2.wfa | 393216 | 131072 |  | 2 | 368 | 16 | 16 | 32 | 128 | 284.3287788 | 1.454 | 400 | 0.001017253 |
| squares32.bmp | squares32.bmp-G_0.6-H1e-007_af3.wfa | 393216 | 131072 |  | 2 | 368 | 16 | 16 | 32 | 128 | 284.3287788 | 1.421 | 400 | 0.001017253 |



















|               |   |        |        |        |   |     |    |    |    |     |             |       |     |             |
|---------------|---|--------|--------|--------|---|-----|----|----|----|-----|-------------|-------|-----|-------------|
| squares32.bmp | squares32.bmp-withWavelet_bior1.1-G_0.6-H1e-006_af5.wfa | 393216 | 131072 | 131072 | 3 | 528 | 24 | 24 | 32 | 128 | 296.933141  | 1.485 | 576 | 0.001464844 |
| squares32.bmp | squares32.bmp-withWavelet_haar-G_0.6-H1e-005_af5.wfa    | 393216 | 131072 | 131072 | 3 | 528 | 24 | 24 | 32 | 128 | 296.933141  | 1.422 | 576 | 0.001464844 |
| squares32.bmp | squares32.bmp-withWavelet_rbio1.1-G_0.6-H1e-005_af5.wfa | 393216 | 131072 | 131072 | 3 | 528 | 24 | 24 | 32 | 128 | 296.933141  | 1.469 | 576 | 0.001464844 |
| squares32.bmp | squares32.bmp-withWavelet_sym1-G_0.6-H1e-005_af5.wfa    | 393216 | 131072 | 131072 | 3 | 528 | 24 | 24 | 32 | 128 | 296.933141  | 1.516 | 576 | 0.001464844 |
| squares32.bmp | squares32.bmp-withWavelet_bior1.1-G_0.6-H1e-005_af5.wfa | 393216 | 131072 | 131072 | 3 | 528 | 24 | 24 | 32 | 128 | 296.933141  | 1.453 | 576 | 0.001464844 |
| squares32.bmp | squares32.bmp-withWavelet_haar-G_0.6-H0.0001_af5.wfa    | 393216 | 131072 | 131072 | 3 | 528 | 24 | 24 | 32 | 128 | 296.933141  | 1.469 | 576 | 0.001464844 |
| squares32.bmp | squares32.bmp-withWavelet_rbio1.1-G_0.6-H0.0001_af5.wfa | 393216 | 131072 | 131072 | 3 | 528 | 24 | 24 | 32 | 128 | 296.933141  | 1.391 | 576 | 0.001464844 |
| squares32.bmp | squares32.bmp-withWavelet_sym1-G_0.6-H0.0001_af5.wfa    | 393216 | 131072 | 131072 | 3 | 528 | 24 | 24 | 32 | 128 | 296.933141  | 1.391 | 576 | 0.001464844 |
| squares32.bmp | squares32.bmp-withWavelet_bior1.1-G_0.6-H0.0001_af5.wfa | 393216 | 131072 | 131072 | 3 | 528 | 24 | 24 | 32 | 128 | 296.933141  | 1.421 | 576 | 0.001464844 |
| squares32.bmp | squares32.bmp-G_1-H1e-007_af1.wfa                       | 98304  | 32768  |        | 2 | 368 | 16 | 16 | 32 | 64  | 262.8518618 | 0.359 | 400 | 0.00406901  |
| squares32.bmp | squares32.bmp-G_1-H1e-007_af2.wfa                       | 98304  | 32768  |        | 2 | 368 | 16 | 16 | 32 | 64  | 262.8518618 | 0.343 | 400 | 0.00406901  |
| squares32.bmp | squares32.bmp-G_1-H1e-007_af3.wfa                       | 98304  | 32768  |        | 2 | 368 | 16 | 16 | 32 | 64  | 262.8518618 | 0.344 | 400 | 0.00406901  |
| squares32.bmp | squares32.bmp-G_1-H1e-007_af4.wfa                       | 98304  | 32768  |        | 2 | 368 | 16 | 16 | 32 | 64  | 262.8518618 | 0.344 | 400 | 0.00406901  |
| squares32.bmp | squares32.bmp-G_1-H1e-006_af1.wfa                       | 98304  | 32768  |        | 2 | 368 | 16 | 16 | 32 | 64  | 262.8518618 | 0.515 | 400 | 0.00406901  |
| squares32.bmp | squares32.bmp-G_1-H1e-006_af2.wfa                       | 98304  | 32768  |        | 2 | 368 | 16 | 16 | 32 | 64  | 262.8518618 | 0.359 | 400 | 0.00406901  |
| squares32.bmp | squares32.bmp-G_1-H1e-006_af3.wfa                       | 98304  | 32768  |        | 2 | 368 | 16 | 16 | 32 | 64  | 262.8518618 | 0.375 | 400 | 0.00406901  |
| squares32.bmp | squares32.bmp-G_1-H1e-006_af4.wfa                       | 98304  | 32768  |        | 2 | 368 | 16 | 16 | 32 | 64  | 262.8518618 | 0.344 | 400 | 0.00406901  |
| squares32.bmp | squares32.bmp-G_1-H1e-005_af1.wfa                       | 98304  | 32768  |        | 2 | 368 | 16 | 16 | 32 | 64  | 262.8518618 | 0.453 | 400 | 0.00406901  |
| squares32.bmp | squares32.bmp-G_1-H1e-005_af2.wfa                       | 98304  | 32768  |        | 2 | 368 | 16 | 16 | 32 | 64  | 262.8518618 | 0.562 | 400 | 0.00406901  |
| squares32.bmp | squares32.bmp-G_1-H1e-005_af3.wfa                       | 98304  | 32768  |        | 2 | 368 | 16 | 16 | 32 | 64  | 262.8518618 | 0.422 | 400 | 0.00406901  |
| squares32.bmp | squares32.bmp-G_1-H1e-005_af4.wfa                       | 98304  | 32768  |        | 2 | 368 | 16 | 16 | 32 | 64  | 262.8518618 | 0.359 | 400 | 0.00406901  |
| squares32.bmp | squares32.bmp-G_1-H0.0001_af1.wfa                       | 98304  | 32768  |        | 2 | 368 | 16 | 16 | 32 | 64  | 262.8518618 | 0.375 | 400 | 0.00406901  |
| squares32.bmp | squares32.bmp-G_1-H0.0001_af2.wfa                       | 98304  | 32768  |        | 2 | 368 | 16 | 16 | 32 | 64  | 262.8518618 | 0.344 | 400 | 0.00406901  |
| squares32.bmp | squares32.bmp-G_1-H0.0001_af3.wfa                       | 98304  | 32768  |        | 2 | 368 | 16 | 16 | 32 | 64  | 262.8518618 | 0.36  | 400 | 0.00406901  |
| squares32.bmp | squares32.bmp-G_1-H0.0001_af4.wfa                       | 98304  | 32768  |        | 2 | 368 | 16 | 16 | 32 | 64  | 262.8518618 | 0.359 | 400 | 0.00406901  |
| squares32.bmp | squares32.bmp-G_1-H1e-007_af5.wfa                       | 98304  | 32768  |        | 2 | 368 | 16 | 16 | 32 | 64  | 264.5540184 | 0.344 | 400 | 0.00406901  |
| squares32.bmp | squares32.bmp-G_1-H1e-006_af5.wfa                       | 98304  | 32768  |        | 2 | 368 | 16 | 16 | 32 | 64  | 264.5540184 | 0.375 | 400 | 0.00406901  |
| squares32.bmp | squares32.bmp-G_1-H1e-005_af5.wfa                       | 98304  | 32768  |        | 2 | 368 | 16 | 16 | 32 | 64  | 264.5540184 | 0.391 | 400 | 0.00406901  |
| squares32.bmp | squares32.bmp-G_1-H0.0001_af5.wfa                       | 98304  | 32768  |        | 2 | 368 | 16 | 16 | 32 | 64  | 264.5540184 | 0.36  | 400 | 0.00406901  |
| squares32.bmp | squares32.bmp-G_0.8-H1e-007_af5.wfa                     | 98304  | 32768  |        | 2 | 368 | 16 | 16 | 32 | 64  | 273.8041201 | 0.828 | 400 | 0.00406901  |
| squares32.bmp | squares32.bmp-G_0.8-H1e-006_af5.wfa                     | 98304  | 32768  |        | 2 | 368 | 16 | 16 | 32 | 64  | 273.8041201 | 0.39  | 400 | 0.00406901  |























|               |   |       |      |      |   |     |    |    |    |    |             |       |     |             |
|---------------|---|-------|------|------|---|-----|----|----|----|----|-------------|-------|-----|-------------|
| squares32.bmp | squares32.bmp-G_0.8-H1e-005_af1.wfa                   | 24576 | 8192 |      | 2 | 368 | 16 | 16 | 32 | 32 | 278.4719047 | 0.094 | 400 | 0.016276042 |
| squares32.bmp | squares32.bmp-G_0.8-H1e-005_af2.wfa                   | 24576 | 8192 |      | 2 | 368 | 16 | 16 | 32 | 32 | 278.4719047 | 0.078 | 400 | 0.016276042 |
| squares32.bmp | squares32.bmp-G_0.8-H1e-005_af3.wfa                   | 24576 | 8192 |      | 2 | 368 | 16 | 16 | 32 | 32 | 278.4719047 | 0.093 | 400 | 0.016276042 |
| squares32.bmp | squares32.bmp-G_0.8-H1e-005_af4.wfa                   | 24576 | 8192 |      | 2 | 368 | 16 | 16 | 32 | 32 | 278.4719047 | 0.078 | 400 | 0.016276042 |
| squares32.bmp | squares32.bmp-G_0.8-H0.0001_af1.wfa                   | 24576 | 8192 |      | 2 | 368 | 16 | 16 | 32 | 32 | 278.4719047 | 0.093 | 400 | 0.016276042 |
| squares32.bmp | squares32.bmp-G_0.8-H0.0001_af2.wfa                   | 24576 | 8192 |      | 2 | 368 | 16 | 16 | 32 | 32 | 278.4719047 | 0.094 | 400 | 0.016276042 |
| squares32.bmp | squares32.bmp-G_0.8-H0.0001_af3.wfa                   | 24576 | 8192 |      | 2 | 368 | 16 | 16 | 32 | 32 | 278.4719047 | 0.078 | 400 | 0.016276042 |
| squares32.bmp | squares32.bmp-G_0.8-H0.0001_af4.wfa                   | 24576 | 8192 |      | 2 | 368 | 16 | 16 | 32 | 32 | 278.4719047 | 0.093 | 400 | 0.016276042 |
| squares32.bmp | squares32.bmp-G_0.6-H1e-007_af1.wfa                   | 24576 | 8192 |      | 2 | 368 | 16 | 16 | 32 | 32 | 287.7631975 | 0.218 | 400 | 0.016276042 |
| squares32.bmp | squares32.bmp-G_0.6-H1e-007_af2.wfa                   | 24576 | 8192 |      | 2 | 368 | 16 | 16 | 32 | 32 | 287.7631975 | 0.094 | 400 | 0.016276042 |
| squares32.bmp | squares32.bmp-G_0.6-H1e-007_af3.wfa                   | 24576 | 8192 |      | 2 | 368 | 16 | 16 | 32 | 32 | 287.7631975 | 0.094 | 400 | 0.016276042 |
| squares32.bmp | squares32.bmp-G_0.6-H1e-007_af4.wfa                   | 24576 | 8192 |      | 2 | 368 | 16 | 16 | 32 | 32 | 287.7631975 | 0.079 | 400 | 0.016276042 |
| squares32.bmp | squares32.bmp-G_0.6-H1e-006_af1.wfa                   | 24576 | 8192 |      | 2 | 368 | 16 | 16 | 32 | 32 | 287.7631975 | 0.078 | 400 | 0.016276042 |
| squares32.bmp | squares32.bmp-G_0.6-H1e-006_af2.wfa                   | 24576 | 8192 |      | 2 | 368 | 16 | 16 | 32 | 32 | 287.7631975 | 0.093 | 400 | 0.016276042 |
| squares32.bmp | squares32.bmp-G_0.6-H1e-006_af3.wfa                   | 24576 | 8192 |      | 2 | 368 | 16 | 16 | 32 | 32 | 287.7631975 | 0.094 | 400 | 0.016276042 |
| squares32.bmp | squares32.bmp-G_0.6-H1e-006_af4.wfa                   | 24576 | 8192 |      | 2 | 368 | 16 | 16 | 32 | 32 | 287.7631975 | 0.094 | 400 | 0.016276042 |
| squares32.bmp | squares32.bmp-G_0.6-H1e-005_af1.wfa                   | 24576 | 8192 |      | 2 | 368 | 16 | 16 | 32 | 32 | 287.7631975 | 0.094 | 400 | 0.016276042 |
| squares32.bmp | squares32.bmp-G_0.6-H1e-005_af2.wfa                   | 24576 | 8192 |      | 2 | 368 | 16 | 16 | 32 | 32 | 287.7631975 | 0.094 | 400 | 0.016276042 |
| squares32.bmp | squares32.bmp-G_0.6-H1e-005_af3.wfa                   | 24576 | 8192 |      | 2 | 368 | 16 | 16 | 32 | 32 | 287.7631975 | 0.078 | 400 | 0.016276042 |
| squares32.bmp | squares32.bmp-G_0.6-H1e-005_af4.wfa                   | 24576 | 8192 |      | 2 | 368 | 16 | 16 | 32 | 32 | 287.7631975 | 0.078 | 400 | 0.016276042 |
| squares32.bmp | squares32.bmp-G_0.6-H0.0001_af1.wfa                   | 24576 | 8192 |      | 2 | 368 | 16 | 16 | 32 | 32 | 287.7631975 | 0.094 | 400 | 0.016276042 |
| squares32.bmp | squares32.bmp-G_0.6-H0.0001_af2.wfa                   | 24576 | 8192 |      | 2 | 368 | 16 | 16 | 32 | 32 | 287.7631975 | 0.094 | 400 | 0.016276042 |
| squares32.bmp | squares32.bmp-G_0.6-H0.0001_af3.wfa                   | 24576 | 8192 |      | 2 | 368 | 16 | 16 | 32 | 32 | 287.7631975 | 0.078 | 400 | 0.016276042 |
| squares32.bmp | squares32.bmp-G_0.6-H0.0001_af4.wfa                   | 24576 | 8192 |      | 2 | 368 | 16 | 16 | 32 | 32 | 287.7631975 | 0.094 | 400 | 0.016276042 |
| squares32.bmp | squares32.bmp-G_0.6-H1e-007_af5.wfa                   | 24576 | 8192 |      | 2 | 368 | 16 | 16 | 32 | 32 | 289.0926607 | 0.078 | 400 | 0.016276042 |
| squares32.bmp | squares32.bmp-G_0.6-H1e-006_af5.wfa                   | 24576 | 8192 |      | 2 | 368 | 16 | 16 | 32 | 32 | 289.0926607 | 0.078 | 400 | 0.016276042 |
| squares32.bmp | squares32.bmp-G_0.6-H1e-005_af5.wfa                   | 24576 | 8192 |      | 2 | 368 | 16 | 16 | 32 | 32 | 289.0926607 | 0.078 | 400 | 0.016276042 |
| squares32.bmp | squares32.bmp-G_0.6-H0.0001_af5.wfa                   | 24576 | 8192 |      | 2 | 368 | 16 | 16 | 32 | 32 | 289.0926607 | 0.094 | 400 | 0.016276042 |
| squares32.bmp | squares32.bmp-withWavelet_haar-G_1-H1e-007_af1.wfa    | 24576 | 8192 | 8192 | 3 | 528 | 24 | 24 | 32 | 32 | 273.6097396 | 0.093 | 576 | 0.0234375   |
| squares32.bmp | squares32.bmp-withWavelet_rbio1.1-G_1-H1e-007_af1.wfa | 24576 | 8192 | 8192 | 3 | 528 | 24 | 24 | 32 | 32 | 273.6097396 | 0.078 | 576 | 0.0234375   |
| squares32.bmp | squares32.bmp-withWavelet_sym1-G_1-H1e-007_af1.wfa    | 24576 | 8192 | 8192 | 3 | 528 | 24 | 24 | 32 | 32 | 273.6097396 | 0.078 | 576 | 0.0234375   |

















|               |   |       |      |      |   |     |    |    |    |    |             |       |     |           |
|---------------|---|-------|------|------|---|-----|----|----|----|----|-------------|-------|-----|-----------|
| squares32.bmp | squares32.bmp-withWavelet_haar-G_0.6-H0.0001_af2.wfa    | 24576 | 8192 | 8192 | 3 | 528 | 24 | 24 | 32 | 32 | 297.7950286 | 0.094 | 576 | 0.0234375 |
| squares32.bmp | squares32.bmp-withWavelet_rbio1.1-G_0.6-H0.0001_af2.wfa | 24576 | 8192 | 8192 | 3 | 528 | 24 | 24 | 32 | 32 | 297.7950286 | 0.078 | 576 | 0.0234375 |
| squares32.bmp | squares32.bmp-withWavelet_sym1-G_0.6-H0.0001_af2.wfa    | 24576 | 8192 | 8192 | 3 | 528 | 24 | 24 | 32 | 32 | 297.7950286 | 0.093 | 576 | 0.0234375 |
| squares32.bmp | squares32.bmp-withWavelet_bior1.1-G_0.6-H0.0001_af2.wfa | 24576 | 8192 | 8192 | 3 | 528 | 24 | 24 | 32 | 32 | 297.7950286 | 0.094 | 576 | 0.0234375 |
| squares32.bmp | squares32.bmp-withWavelet_haar-G_0.6-H1e-007_af5.wfa    | 24576 | 8192 | 8192 | 3 | 528 | 24 | 24 | 32 | 32 | 299.6955793 | 0.094 | 576 | 0.0234375 |
| squares32.bmp | squares32.bmp-withWavelet_rbio1.1-G_0.6-H1e-007_af5.wfa | 24576 | 8192 | 8192 | 3 | 528 | 24 | 24 | 32 | 32 | 299.6955793 | 0.094 | 576 | 0.0234375 |
| squares32.bmp | squares32.bmp-withWavelet_sym1-G_0.6-H1e-007_af5.wfa    | 24576 | 8192 | 8192 | 3 | 528 | 24 | 24 | 32 | 32 | 299.6955793 | 0.078 | 576 | 0.0234375 |
| squares32.bmp | squares32.bmp-withWavelet_bior1.1-G_0.6-H1e-007_af5.wfa | 24576 | 8192 | 8192 | 3 | 528 | 24 | 24 | 32 | 32 | 299.6955793 | 0.11  | 576 | 0.0234375 |
| squares32.bmp | squares32.bmp-withWavelet_haar-G_0.6-H1e-006_af5.wfa    | 24576 | 8192 | 8192 | 3 | 528 | 24 | 24 | 32 | 32 | 299.6955793 | 0.093 | 576 | 0.0234375 |
| squares32.bmp | squares32.bmp-withWavelet_rbio1.1-G_0.6-H1e-006_af5.wfa | 24576 | 8192 | 8192 | 3 | 528 | 24 | 24 | 32 | 32 | 299.6955793 | 0.094 | 576 | 0.0234375 |
| squares32.bmp | squares32.bmp-withWavelet_sym1-G_0.6-H1e-006_af5.wfa    | 24576 | 8192 | 8192 | 3 | 528 | 24 | 24 | 32 | 32 | 299.6955793 | 0.093 | 576 | 0.0234375 |
| squares32.bmp | squares32.bmp-withWavelet_bior1.1-G_0.6-H1e-006_af5.wfa | 24576 | 8192 | 8192 | 3 | 528 | 24 | 24 | 32 | 32 | 299.6955793 | 0.078 | 576 | 0.0234375 |
| squares32.bmp | squares32.bmp-withWavelet_haar-G_0.6-H1e-005_af5.wfa    | 24576 | 8192 | 8192 | 3 | 528 | 24 | 24 | 32 | 32 | 299.6955793 | 0.078 | 576 | 0.0234375 |
| squares32.bmp | squares32.bmp-withWavelet_rbio1.1-G_0.6-H1e-005_af5.wfa | 24576 | 8192 | 8192 | 3 | 528 | 24 | 24 | 32 | 32 | 299.6955793 | 0.094 | 576 | 0.0234375 |
| squares32.bmp | squares32.bmp-withWavelet_sym1-G_0.6-H1e-005_af5.wfa    | 24576 | 8192 | 8192 | 3 | 528 | 24 | 24 | 32 | 32 | 299.6955793 | 0.094 | 576 | 0.0234375 |
| squares32.bmp | squares32.bmp-withWavelet_bior1.1-G_0.6-H1e-005_af5.wfa | 24576 | 8192 | 8192 | 3 | 528 | 24 | 24 | 32 | 32 | 299.6955793 | 0.078 | 576 | 0.0234375 |
| squares32.bmp | squares32.bmp-withWavelet_haar-G_0.6-H0.0001_af5.wfa    | 24576 | 8192 | 8192 | 3 | 528 | 24 | 24 | 32 | 32 | 299.6955793 | 0.078 | 576 | 0.0234375 |
| squares32.bmp | squares32.bmp-withWavelet_rbio1.1-G_0.6-H0.0001_af5.wfa | 24576 | 8192 | 8192 | 3 | 528 | 24 | 24 | 32 | 32 | 299.6955793 | 0.094 | 576 | 0.0234375 |
| squares32.bmp | squares32.bmp-withWavelet_sym1-G_0.6-H0.0001_af5.wfa    | 24576 | 8192 | 8192 | 3 | 528 | 24 | 24 | 32 | 32 | 299.6955793 | 0.093 | 576 | 0.0234375 |
| squares32.bmp | squares32.bmp-withWavelet_bior1.1-G_0.6-H0.0001_af5.wfa | 24576 | 8192 | 8192 | 3 | 528 | 24 | 24 | 32 | 32 | 299.6955793 | 0.093 | 576 | 0.0234375 |

**Tabela III.13 – Decodificação para mandrill32.bmp**

| Img            | Img codificada   | lBytes | GSByte | WletBy | #Stes | Wby   | lBy | FBy | ResCo | ResDe | PSNR        | Time  | Total | %           |
|----------------|--|--------|--------|--------|-------|-------|-----|-----|-------|-------|-------------|-------|-------|-------------|
| mandrill32.bmp | mandrill32.bmp-G_1-H3e-005_af5.wfa                       | 393216 | 131072 |        | 21    | 14352 | 168 | 168 | 32    | 128   | 20.00031996 | 2.422 | 14688 | 0.037353516 |
| mandrill32.bmp | mandrill32.bmp-G_0.8-H3e-005_af2.wfa                     | 393216 | 131072 |        | 22    | 15728 | 176 | 176 | 32    | 128   | 20.03513904 | 2.531 | 16080 | 0.040893555 |
| mandrill32.bmp | mandrill32.bmp-G_1-H3e-005_af2.wfa                       | 393216 | 131072 |        | 22    | 15728 | 176 | 176 | 32    | 128   | 20.03933893 | 2.485 | 16080 | 0.040893555 |
| mandrill32.bmp | mandrill32.bmp-G_0.8-H2e-005_af5.wfa                     | 393216 | 131072 |        | 23    | 17168 | 184 | 184 | 32    | 128   | 20.1294709  | 3.016 | 17536 | 0.044596354 |
| mandrill32.bmp | mandrill32.bmp-G_1-H2e-005_af5.wfa                       | 393216 | 131072 |        | 23    | 17168 | 184 | 184 | 32    | 128   | 20.13259386 | 3.125 | 17536 | 0.044596354 |
| mandrill32.bmp | mandrill32.bmp-G_0.8-H2e-005_af2.wfa                     | 393216 | 131072 |        | 24    | 18672 | 192 | 192 | 32    | 128   | 20.14116819 | 3.282 | 19056 | 0.048461914 |
| mandrill32.bmp | mandrill32.bmp-G_1-H2e-005_af2.wfa                       | 393216 | 131072 |        | 24    | 18672 | 192 | 192 | 32    | 128   | 20.14643489 | 4.063 | 19056 | 0.048461914 |
| mandrill32.bmp | mandrill32.bmp-withWavelet_haar-G_0.8-H9e-005_af1.wfa    | 98304  | 32768  | 32768  | 13    | 5648  | 104 | 104 | 32    | 64    | 20.00207676 | 0.813 | 5856  | 0.059570313 |
| mandrill32.bmp | mandrill32.bmp-withWavelet_rbio1.1-G_0.8-H9e-005_af1.wfa | 98304  | 32768  | 32768  | 13    | 5648  | 104 | 104 | 32    | 64    | 20.00207676 | 0.812 | 5856  | 0.059570313 |

|                |  |        |        |       |    |       |     |     |    |     |             |       |       |             |
|----------------|--|--------|--------|-------|----|-------|-----|-----|----|-----|-------------|-------|-------|-------------|
| mandrill32.bmp | mandrill32.bmp-withWavelet_sym1-G_0.8-H9e-005_af1.wfa    | 98304  | 32768  | 32768 | 13 | 5648  | 104 | 104 | 32 | 64  | 20.00207676 | 0.813 | 5856  | 0.059570313 |
| mandrill32.bmp | mandrill32.bmp-withWavelet_bior1.1-G_0.8-H9e-005_af1.wfa | 98304  | 32768  | 32768 | 13 | 5648  | 104 | 104 | 32 | 64  | 20.00207676 | 0.812 | 5856  | 0.059570313 |
| mandrill32.bmp | mandrill32.bmp-withWavelet_haar-G_0.8-H0.0001_af1.wfa    | 98304  | 32768  | 32768 | 13 | 5648  | 104 | 104 | 32 | 64  | 20.00207676 | 0.813 | 5856  | 0.059570313 |
| mandrill32.bmp | mandrill32.bmp-withWavelet_rbio1.1-G_0.8-H0.0001_af1.wfa | 98304  | 32768  | 32768 | 13 | 5648  | 104 | 104 | 32 | 64  | 20.00207676 | 0.813 | 5856  | 0.059570313 |
| mandrill32.bmp | mandrill32.bmp-withWavelet_sym1-G_0.8-H0.0001_af1.wfa    | 98304  | 32768  | 32768 | 13 | 5648  | 104 | 104 | 32 | 64  | 20.00207676 | 0.812 | 5856  | 0.059570313 |
| mandrill32.bmp | mandrill32.bmp-withWavelet_bior1.1-G_0.8-H0.0001_af1.wfa | 98304  | 32768  | 32768 | 13 | 5648  | 104 | 104 | 32 | 64  | 20.00207676 | 0.813 | 5856  | 0.059570313 |
| mandrill32.bmp | mandrill32.bmp-withWavelet_haar-G_1-H9e-005_af1.wfa      | 98304  | 32768  | 32768 | 13 | 5648  | 104 | 104 | 32 | 64  | 20.00286022 | 0.484 | 5856  | 0.059570313 |
| mandrill32.bmp | mandrill32.bmp-withWavelet_rbio1.1-G_1-H9e-005_af1.wfa   | 98304  | 32768  | 32768 | 13 | 5648  | 104 | 104 | 32 | 64  | 20.00286022 | 0.594 | 5856  | 0.059570313 |
| mandrill32.bmp | mandrill32.bmp-withWavelet_sym1-G_1-H9e-005_af1.wfa      | 98304  | 32768  | 32768 | 13 | 5648  | 104 | 104 | 32 | 64  | 20.00286022 | 0.578 | 5856  | 0.059570313 |
| mandrill32.bmp | mandrill32.bmp-withWavelet_bior1.1-G_1-H9e-005_af1.wfa   | 98304  | 32768  | 32768 | 13 | 5648  | 104 | 104 | 32 | 64  | 20.00286022 | 0.484 | 5856  | 0.059570313 |
| mandrill32.bmp | mandrill32.bmp-G_0.8-H2e-005_af1.wfa                     | 393216 | 131072 |       | 27 | 23568 | 216 | 216 | 32 | 128 | 20.01358477 | 3.734 | 24000 | 0.061035156 |
| mandrill32.bmp | mandrill32.bmp-G_1-H2e-005_af1.wfa                       | 393216 | 131072 |       | 27 | 23568 | 216 | 216 | 32 | 128 | 20.0146281  | 4.828 | 24000 | 0.061035156 |
| mandrill32.bmp | mandrill32.bmp-G_1-H1e-005_af5.wfa                       | 393216 | 131072 |       | 27 | 23568 | 216 | 216 | 32 | 128 | 20.28956893 | 4.11  | 24000 | 0.061035156 |
| mandrill32.bmp | mandrill32.bmp-G_0.8-H1e-005_af3.wfa                     | 393216 | 131072 |       | 28 | 25328 | 224 | 224 | 32 | 128 | 20.00330975 | 3.844 | 25776 | 0.065551758 |
| mandrill32.bmp | mandrill32.bmp-G_1-H1e-005_af3.wfa                       | 393216 | 131072 |       | 28 | 25328 | 224 | 224 | 32 | 128 | 20.00526783 | 3.969 | 25776 | 0.065551758 |
| mandrill32.bmp | mandrill32.bmp-G_0.6-H1e-005_af5.wfa                     | 393216 | 131072 |       | 28 | 25328 | 224 | 224 | 32 | 128 | 20.07393519 | 3.765 | 25776 | 0.065551758 |
| mandrill32.bmp | mandrill32.bmp-G_0.8-H1e-005_af2.wfa                     | 393216 | 131072 |       | 28 | 25328 | 224 | 224 | 32 | 128 | 20.29398023 | 4.484 | 25776 | 0.065551758 |
| mandrill32.bmp | mandrill32.bmp-G_1-H1e-005_af2.wfa                       | 393216 | 131072 |       | 28 | 25328 | 224 | 224 | 32 | 128 | 20.29938654 | 4.312 | 25776 | 0.065551758 |
| mandrill32.bmp | mandrill32.bmp-G_0.8-H1e-005_af5.wfa                     | 393216 | 131072 |       | 28 | 25328 | 224 | 224 | 32 | 128 | 20.3360003  | 4.312 | 25776 | 0.065551758 |
| mandrill32.bmp | mandrill32.bmp-G_0.6-H1e-005_af1.wfa                     | 393216 | 131072 |       | 29 | 27152 | 232 | 232 | 32 | 128 | 20.01621245 | 4.235 | 27616 | 0.07023112  |
| mandrill32.bmp | mandrill32.bmp-G_0.6-H8e-005_af1.wfa                     | 98304  | 32768  |       | 15 | 7440  | 120 | 120 | 32 | 64  | 20.0121614  | 0.828 | 7680  | 0.078125    |
| mandrill32.bmp | mandrill32.bmp-G_1-H8e-005_af1.wfa                       | 98304  | 32768  |       | 15 | 7440  | 120 | 120 | 32 | 64  | 20.04559785 | 0.828 | 7680  | 0.078125    |
| mandrill32.bmp | mandrill32.bmp-G_0.8-H8e-005_af1.wfa                     | 98304  | 32768  |       | 15 | 7440  | 120 | 120 | 32 | 64  | 20.0544052  | 0.844 | 7680  | 0.078125    |
| mandrill32.bmp | mandrill32.bmp-G_0.6-H8e-005_af2.wfa                     | 98304  | 32768  |       | 15 | 7440  | 120 | 120 | 32 | 64  | 20.12962629 | 0.844 | 7680  | 0.078125    |
| mandrill32.bmp | mandrill32.bmp-G_1-H8e-005_af2.wfa                       | 98304  | 32768  |       | 15 | 7440  | 120 | 120 | 32 | 64  | 20.16010446 | 0.875 | 7680  | 0.078125    |
| mandrill32.bmp | mandrill32.bmp-G_0.8-H8e-005_af2.wfa                     | 98304  | 32768  |       | 15 | 7440  | 120 | 120 | 32 | 64  | 20.16584119 | 0.828 | 7680  | 0.078125    |
| mandrill32.bmp | mandrill32.bmp-G_0.8-H1e-005_af1.wfa                     | 393216 | 131072 |       | 31 | 30992 | 248 | 248 | 32 | 128 | 20.13174279 | 4.672 | 31488 | 0.080078125 |
| mandrill32.bmp | mandrill32.bmp-G_1-H1e-005_af1.wfa                       | 393216 | 131072 |       | 31 | 30992 | 248 | 248 | 32 | 128 | 20.13330402 | 4.531 | 31488 | 0.080078125 |
| mandrill32.bmp | mandrill32.bmp-G_0.6-H7e-005_af1.wfa                     | 98304  | 32768  |       | 16 | 8432  | 128 | 128 | 32 | 64  | 20.04896085 | 0.859 | 8688  | 0.088378906 |
| mandrill32.bmp | mandrill32.bmp-G_0.6-H6e-005_af2.wfa                     | 98304  | 32768  |       | 16 | 8432  | 128 | 128 | 32 | 64  | 20.06752531 | 2.782 | 8688  | 0.088378906 |
| mandrill32.bmp | mandrill32.bmp-G_0.6-H7e-005_af2.wfa                     | 98304  | 32768  |       | 16 | 8432  | 128 | 128 | 32 | 64  | 20.07160941 | 0.843 | 8688  | 0.088378906 |



|                |                                      |       |       |  |    |       |     |     |    |    |             |       |       |             |
|----------------|--------------------------------------|-------|-------|--|----|-------|-----|-----|----|----|-------------|-------|-------|-------------|
| mandrill32.bmp | mandrill32.bmp-G_0.6-H6e-005_af5.wfa | 98304 | 32768 |  | 16 | 8432  | 128 | 128 | 32 | 64 | 20.09674079 | 2.797 | 8688  | 0.088378906 |
| mandrill32.bmp | mandrill32.bmp-G_1-H6e-005_af5.wfa   | 98304 | 32768 |  | 16 | 8432  | 128 | 128 | 32 | 64 | 20.12652255 | 0.469 | 8688  | 0.088378906 |
| mandrill32.bmp | mandrill32.bmp-G_0.8-H6e-005_af5.wfa | 98304 | 32768 |  | 16 | 8432  | 128 | 128 | 32 | 64 | 20.13317516 | 0.906 | 8688  | 0.088378906 |
| mandrill32.bmp | mandrill32.bmp-G_1-H7e-005_af2.wfa   | 98304 | 32768 |  | 16 | 8432  | 128 | 128 | 32 | 64 | 20.19056041 | 0.531 | 8688  | 0.088378906 |
| mandrill32.bmp | mandrill32.bmp-G_1-H5e-005_af5.wfa   | 98304 | 32768 |  | 16 | 8432  | 128 | 128 | 32 | 64 | 20.23340943 | 0.609 | 8688  | 0.088378906 |
| mandrill32.bmp | mandrill32.bmp-G_0.6-H4e-005_af5.wfa | 98304 | 32768 |  | 17 | 9488  | 136 | 136 | 32 | 64 | 20.22749057 | 0.625 | 9760  | 0.099283854 |
| mandrill32.bmp | mandrill32.bmp-G_0.6-H5e-005_af5.wfa | 98304 | 32768 |  | 17 | 9488  | 136 | 136 | 32 | 64 | 20.22749057 | 0.578 | 9760  | 0.099283854 |
| mandrill32.bmp | mandrill32.bmp-G_1-H4e-005_af5.wfa   | 98304 | 32768 |  | 17 | 9488  | 136 | 136 | 32 | 64 | 20.27491404 | 0.5   | 9760  | 0.099283854 |
| mandrill32.bmp | mandrill32.bmp-G_0.8-H4e-005_af5.wfa | 98304 | 32768 |  | 17 | 9488  | 136 | 136 | 32 | 64 | 20.28054    | 0.5   | 9760  | 0.099283854 |
| mandrill32.bmp | mandrill32.bmp-G_0.8-H5e-005_af5.wfa | 98304 | 32768 |  | 17 | 9488  | 136 | 136 | 32 | 64 | 20.28054    | 0.5   | 9760  | 0.099283854 |
| mandrill32.bmp | mandrill32.bmp-G_1-H6e-005_af2.wfa   | 98304 | 32768 |  | 17 | 9488  | 136 | 136 | 32 | 64 | 20.33414354 | 0.578 | 9760  | 0.099283854 |
| mandrill32.bmp | mandrill32.bmp-G_0.8-H6e-005_af2.wfa | 98304 | 32768 |  | 17 | 9488  | 136 | 136 | 32 | 64 | 20.34231584 | 1     | 9760  | 0.099283854 |
| mandrill32.bmp | mandrill32.bmp-G_0.8-H7e-005_af2.wfa | 98304 | 32768 |  | 17 | 9488  | 136 | 136 | 32 | 64 | 20.38751556 | 0.531 | 9760  | 0.099283854 |
| mandrill32.bmp | mandrill32.bmp-G_0.6-H5e-005_af3.wfa | 98304 | 32768 |  | 18 | 10608 | 144 | 144 | 32 | 64 | 20.06187648 | 0.562 | 10896 | 0.110839844 |
| mandrill32.bmp | mandrill32.bmp-G_1-H7e-005_af1.wfa   | 98304 | 32768 |  | 18 | 10608 | 144 | 144 | 32 | 64 | 20.28460053 | 0.562 | 10896 | 0.110839844 |
| mandrill32.bmp | mandrill32.bmp-G_0.8-H7e-005_af1.wfa | 98304 | 32768 |  | 18 | 10608 | 144 | 144 | 32 | 64 | 20.29740226 | 0.859 | 10896 | 0.110839844 |
| mandrill32.bmp | mandrill32.bmp-G_1-H5e-005_af2.wfa   | 98304 | 32768 |  | 18 | 10608 | 144 | 144 | 32 | 64 | 20.35259695 | 0.563 | 10896 | 0.110839844 |
| mandrill32.bmp | mandrill32.bmp-G_0.8-H5e-005_af2.wfa | 98304 | 32768 |  | 18 | 10608 | 144 | 144 | 32 | 64 | 20.35519213 | 0.656 | 10896 | 0.110839844 |
| mandrill32.bmp | mandrill32.bmp-G_1-H5e-005_af3.wfa   | 98304 | 32768 |  | 19 | 11792 | 152 | 152 | 32 | 64 | 20.23890745 | 0.562 | 12096 | 0.123046875 |
| mandrill32.bmp | mandrill32.bmp-G_0.8-H5e-005_af3.wfa | 98304 | 32768 |  | 19 | 11792 | 152 | 152 | 32 | 64 | 20.24573153 | 0.594 | 12096 | 0.123046875 |
| mandrill32.bmp | mandrill32.bmp-G_0.6-H6e-005_af1.wfa | 98304 | 32768 |  | 19 | 11792 | 152 | 152 | 32 | 64 | 20.48564016 | 2.312 | 12096 | 0.123046875 |
| mandrill32.bmp | mandrill32.bmp-G_1-H6e-005_af1.wfa   | 98304 | 32768 |  | 19 | 11792 | 152 | 152 | 32 | 64 | 20.49396569 | 0.562 | 12096 | 0.123046875 |
| mandrill32.bmp | mandrill32.bmp-G_0.6-H5e-005_af2.wfa | 98304 | 32768 |  | 19 | 11792 | 152 | 152 | 32 | 64 | 20.49465433 | 0.968 | 12096 | 0.123046875 |
| mandrill32.bmp | mandrill32.bmp-G_0.8-H6e-005_af1.wfa | 98304 | 32768 |  | 19 | 11792 | 152 | 152 | 32 | 64 | 20.50286751 | 0.531 | 12096 | 0.123046875 |
| mandrill32.bmp | mandrill32.bmp-G_0.6-H4e-005_af3.wfa | 98304 | 32768 |  | 20 | 13040 | 160 | 160 | 32 | 64 | 20.24515767 | 0.594 | 13360 | 0.135904948 |
| mandrill32.bmp | mandrill32.bmp-G_1-H4e-005_af3.wfa   | 98304 | 32768 |  | 20 | 13040 | 160 | 160 | 32 | 64 | 20.27063717 | 0.578 | 13360 | 0.135904948 |
| mandrill32.bmp | mandrill32.bmp-G_0.8-H4e-005_af3.wfa | 98304 | 32768 |  | 20 | 13040 | 160 | 160 | 32 | 64 | 20.27658016 | 0.609 | 13360 | 0.135904948 |
| mandrill32.bmp | mandrill32.bmp-G_0.6-H5e-005_af1.wfa | 98304 | 32768 |  | 20 | 13040 | 160 | 160 | 32 | 64 | 20.32043945 | 0.61  | 13360 | 0.135904948 |
| mandrill32.bmp | mandrill32.bmp-G_0.6-H3e-005_af5.wfa | 98304 | 32768 |  | 20 | 13040 | 160 | 160 | 32 | 64 | 20.43953438 | 0.546 | 13360 | 0.135904948 |
| mandrill32.bmp | mandrill32.bmp-G_1-H5e-005_af1.wfa   | 98304 | 32768 |  | 20 | 13040 | 160 | 160 | 32 | 64 | 20.45177635 | 0.578 | 13360 | 0.135904948 |
| mandrill32.bmp | mandrill32.bmp-G_0.8-H5e-005_af1.wfa | 98304 | 32768 |  | 20 | 13040 | 160 | 160 | 32 | 64 | 20.46991036 | 0.531 | 13360 | 0.135904948 |

|                |  |       |       |      |    |       |  |     |     |    |    |             |       |       |             |
|----------------|--|-------|-------|------|----|-------|--|-----|-----|----|----|-------------|-------|-------|-------------|
| mandrill32.bmp | mandrill32.bmp-G_0.6-H4e-005_af2.wfa                     | 98304 | 32768 |      | 20 | 13040 |  | 160 | 160 | 32 | 64 | 20.5200334  | 0.562 | 13360 | 0.135904948 |
| mandrill32.bmp | mandrill32.bmp-G_1-H4e-005_af2.wfa                       | 98304 | 32768 |      | 20 | 13040 |  | 160 | 160 | 32 | 64 | 20.58506539 | 0.563 | 13360 | 0.135904948 |
| mandrill32.bmp | mandrill32.bmp-G_0.6-H3e-005_af3.wfa                     | 98304 | 32768 |      | 21 | 14352 |  | 168 | 168 | 32 | 64 | 20.35360808 | 0.625 | 14688 | 0.149414063 |
| mandrill32.bmp | mandrill32.bmp-G_1-H3e-005_af3.wfa                       | 98304 | 32768 |      | 21 | 14352 |  | 168 | 168 | 32 | 64 | 20.38019638 | 0.579 | 14688 | 0.149414063 |
| mandrill32.bmp | mandrill32.bmp-G_0.8-H3e-005_af3.wfa                     | 98304 | 32768 |      | 21 | 14352 |  | 168 | 168 | 32 | 64 | 20.38763806 | 0.579 | 14688 | 0.149414063 |
| mandrill32.bmp | mandrill32.bmp-G_0.6-H4e-005_af1.wfa                     | 98304 | 32768 |      | 21 | 14352 |  | 168 | 168 | 32 | 64 | 20.51517241 | 0.593 | 14688 | 0.149414063 |
| mandrill32.bmp | mandrill32.bmp-G_1-H4e-005_af1.wfa                       | 98304 | 32768 |      | 21 | 14352 |  | 168 | 168 | 32 | 64 | 20.55340464 | 0.625 | 14688 | 0.149414063 |
| mandrill32.bmp | mandrill32.bmp-G_0.8-H4e-005_af1.wfa                     | 98304 | 32768 |      | 21 | 14352 |  | 168 | 168 | 32 | 64 | 20.56040022 | 0.594 | 14688 | 0.149414063 |
| mandrill32.bmp | mandrill32.bmp-G_0.8-H4e-005_af2.wfa                     | 98304 | 32768 |      | 21 | 14352 |  | 168 | 168 | 32 | 64 | 20.71046675 | 0.718 | 14688 | 0.149414063 |
| mandrill32.bmp | mandrill32.bmp-G_0.8-H3e-005_af5.wfa                     | 98304 | 32768 |      | 21 | 14352 |  | 168 | 168 | 32 | 64 | 20.76519881 | 0.703 | 14688 | 0.149414063 |
| mandrill32.bmp | mandrill32.bmp-G_1-H3e-005_af5.wfa                       | 98304 | 32768 |      | 21 | 14352 |  | 168 | 168 | 32 | 64 | 20.77697487 | 0.562 | 14688 | 0.149414063 |
| mandrill32.bmp | mandrill32.bmp-G_0.6-H2e-005_af5.wfa                     | 98304 | 32768 |      | 22 | 15728 |  | 176 | 176 | 32 | 64 | 20.70522429 | 0.594 | 16080 | 0.163574219 |
| mandrill32.bmp | mandrill32.bmp-G_0.6-H3e-005_af2.wfa                     | 98304 | 32768 |      | 22 | 15728 |  | 176 | 176 | 32 | 64 | 20.77399009 | 0.594 | 16080 | 0.163574219 |
| mandrill32.bmp | mandrill32.bmp-G_1-H3e-005_af2.wfa                       | 98304 | 32768 |      | 22 | 15728 |  | 176 | 176 | 32 | 64 | 20.88355019 | 0.594 | 16080 | 0.163574219 |
| mandrill32.bmp | mandrill32.bmp-G_0.8-H3e-005_af2.wfa                     | 98304 | 32768 |      | 22 | 15728 |  | 176 | 176 | 32 | 64 | 20.88694274 | 0.609 | 16080 | 0.163574219 |
| mandrill32.bmp | mandrill32.bmp-withWavelet_haar-G_1-H0.0001_af2.wfa      | 24576 | 8192  | 8192 | 11 | 4112  |  | 88  | 88  | 32 | 32 | 20.14588315 | 0.109 | 4288  | 0.174479167 |
| mandrill32.bmp | mandrill32.bmp-withWavelet_rbio1.1-G_1-H0.0001_af2.wfa   | 24576 | 8192  | 8192 | 11 | 4112  |  | 88  | 88  | 32 | 32 | 20.14588315 | 0.094 | 4288  | 0.174479167 |
| mandrill32.bmp | mandrill32.bmp-withWavelet_sym1-G_1-H0.0001_af2.wfa      | 24576 | 8192  | 8192 | 11 | 4112  |  | 88  | 88  | 32 | 32 | 20.14588315 | 0.109 | 4288  | 0.174479167 |
| mandrill32.bmp | mandrill32.bmp-withWavelet_bior1.1-G_1-H0.0001_af2.wfa   | 24576 | 8192  | 8192 | 11 | 4112  |  | 88  | 88  | 32 | 32 | 20.14588315 | 0.093 | 4288  | 0.174479167 |
| mandrill32.bmp | mandrill32.bmp-withWavelet_haar-G_0.8-H0.0001_af2.wfa    | 24576 | 8192  | 8192 | 11 | 4112  |  | 88  | 88  | 32 | 32 | 20.15054354 | 0.109 | 4288  | 0.174479167 |
| mandrill32.bmp | mandrill32.bmp-withWavelet_rbio1.1-G_0.8-H0.0001_af2.wfa | 24576 | 8192  | 8192 | 11 | 4112  |  | 88  | 88  | 32 | 32 | 20.15054354 | 0.11  | 4288  | 0.174479167 |
| mandrill32.bmp | mandrill32.bmp-withWavelet_sym1-G_0.8-H0.0001_af2.wfa    | 24576 | 8192  | 8192 | 11 | 4112  |  | 88  | 88  | 32 | 32 | 20.15054354 | 0.094 | 4288  | 0.174479167 |
| mandrill32.bmp | mandrill32.bmp-withWavelet_bior1.1-G_0.8-H0.0001_af2.wfa | 24576 | 8192  | 8192 | 11 | 4112  |  | 88  | 88  | 32 | 32 | 20.15054354 | 0.093 | 4288  | 0.174479167 |
| mandrill32.bmp | mandrill32.bmp-G_0.8-H3e-005_af1.wfa                     | 98304 | 32768 |      | 23 | 17168 |  | 184 | 184 | 32 | 64 | 20.72568702 | 0.688 | 17536 | 0.178385417 |
| mandrill32.bmp | mandrill32.bmp-G_1-H2e-005_af5.wfa                       | 98304 | 32768 |      | 23 | 17168 |  | 184 | 184 | 32 | 64 | 20.99428555 | 0.704 | 17536 | 0.178385417 |
| mandrill32.bmp | mandrill32.bmp-G_0.8-H2e-005_af5.wfa                     | 98304 | 32768 |      | 23 | 17168 |  | 184 | 184 | 32 | 64 | 20.99957654 | 0.703 | 17536 | 0.178385417 |
| mandrill32.bmp | mandrill32.bmp-G_0.6-H2e-005_af3.wfa                     | 98304 | 32768 |      | 24 | 18672 |  | 192 | 192 | 32 | 64 | 20.64952466 | 0.75  | 19056 | 0.193847656 |
| mandrill32.bmp | mandrill32.bmp-G_1-H3e-005_af1.wfa                       | 98304 | 32768 |      | 24 | 18672 |  | 192 | 192 | 32 | 64 | 20.79604938 | 0.719 | 19056 | 0.193847656 |
| mandrill32.bmp | mandrill32.bmp-G_1-H2e-005_af2.wfa                       | 98304 | 32768 |      | 24 | 18672 |  | 192 | 192 | 32 | 64 | 21.02182694 | 0.922 | 19056 | 0.193847656 |
| mandrill32.bmp | mandrill32.bmp-G_0.8-H2e-005_af2.wfa                     | 98304 | 32768 |      | 24 | 18672 |  | 192 | 192 | 32 | 64 | 21.02378929 | 0.719 | 19056 | 0.193847656 |
| mandrill32.bmp | mandrill32.bmp-withWavelet_haar-G_1-H8e-005_af2.wfa      | 24576 | 8192  | 8192 | 12 | 4848  |  | 96  | 96  | 32 | 32 | 20.73105162 | 0.125 | 5040  | 0.205078125 |

|                |  |       |       |      |    |       |     |     |    |    |             |       |       |             |
|----------------|--|-------|-------|------|----|-------|-----|-----|----|----|-------------|-------|-------|-------------|
| mandrill32.bmp | mandrill32.bmp-withWavelet_rbio1.1-G_1-H8e-005_af2.wfa   | 24576 | 8192  | 8192 | 12 | 4848  | 96  | 96  | 32 | 32 | 20.73105162 | 0.125 | 5040  | 0.205078125 |
| mandrill32.bmp | mandrill32.bmp-withWavelet_sym1-G_1-H8e-005_af2.wfa      | 24576 | 8192  | 8192 | 12 | 4848  | 96  | 96  | 32 | 32 | 20.73105162 | 0.11  | 5040  | 0.205078125 |
| mandrill32.bmp | mandrill32.bmp-withWavelet_bior1.1-G_1-H8e-005_af2.wfa   | 24576 | 8192  | 8192 | 12 | 4848  | 96  | 96  | 32 | 32 | 20.73105162 | 0.109 | 5040  | 0.205078125 |
| mandrill32.bmp | mandrill32.bmp-withWavelet_haar-G_1-H9e-005_af2.wfa      | 24576 | 8192  | 8192 | 12 | 4848  | 96  | 96  | 32 | 32 | 20.73105162 | 0.422 | 5040  | 0.205078125 |
| mandrill32.bmp | mandrill32.bmp-withWavelet_rbio1.1-G_1-H9e-005_af2.wfa   | 24576 | 8192  | 8192 | 12 | 4848  | 96  | 96  | 32 | 32 | 20.73105162 | 0.125 | 5040  | 0.205078125 |
| mandrill32.bmp | mandrill32.bmp-withWavelet_sym1-G_1-H9e-005_af2.wfa      | 24576 | 8192  | 8192 | 12 | 4848  | 96  | 96  | 32 | 32 | 20.73105162 | 0.109 | 5040  | 0.205078125 |
| mandrill32.bmp | mandrill32.bmp-withWavelet_bior1.1-G_1-H9e-005_af2.wfa   | 24576 | 8192  | 8192 | 12 | 4848  | 96  | 96  | 32 | 32 | 20.73105162 | 0.094 | 5040  | 0.205078125 |
| mandrill32.bmp | mandrill32.bmp-withWavelet_haar-G_0.8-H9e-005_af2.wfa    | 24576 | 8192  | 8192 | 12 | 4848  | 96  | 96  | 32 | 32 | 20.73787323 | 0.11  | 5040  | 0.205078125 |
| mandrill32.bmp | mandrill32.bmp-withWavelet_rbio1.1-G_0.8-H9e-005_af2.wfa | 24576 | 8192  | 8192 | 12 | 4848  | 96  | 96  | 32 | 32 | 20.73787323 | 0.39  | 5040  | 0.205078125 |
| mandrill32.bmp | mandrill32.bmp-withWavelet_sym1-G_0.8-H9e-005_af2.wfa    | 24576 | 8192  | 8192 | 12 | 4848  | 96  | 96  | 32 | 32 | 20.73787323 | 0.312 | 5040  | 0.205078125 |
| mandrill32.bmp | mandrill32.bmp-withWavelet_bior1.1-G_0.8-H9e-005_af2.wfa | 24576 | 8192  | 8192 | 12 | 4848  | 96  | 96  | 32 | 32 | 20.73787323 | 0.109 | 5040  | 0.205078125 |
| mandrill32.bmp | mandrill32.bmp-withWavelet_haar-G_0.6-H9e-005_af2.wfa    | 24576 | 8192  | 8192 | 12 | 4848  | 96  | 96  | 32 | 32 | 20.79868845 | 0.11  | 5040  | 0.205078125 |
| mandrill32.bmp | mandrill32.bmp-withWavelet_rbio1.1-G_0.6-H9e-005_af2.wfa | 24576 | 8192  | 8192 | 12 | 4848  | 96  | 96  | 32 | 32 | 20.79868845 | 0.11  | 5040  | 0.205078125 |
| mandrill32.bmp | mandrill32.bmp-withWavelet_sym1-G_0.6-H9e-005_af2.wfa    | 24576 | 8192  | 8192 | 12 | 4848  | 96  | 96  | 32 | 32 | 20.79868845 | 0.11  | 5040  | 0.205078125 |
| mandrill32.bmp | mandrill32.bmp-withWavelet_bior1.1-G_0.6-H9e-005_af2.wfa | 24576 | 8192  | 8192 | 12 | 4848  | 96  | 96  | 32 | 32 | 20.79868845 | 0.11  | 5040  | 0.205078125 |
| mandrill32.bmp | mandrill32.bmp-G_1-H2e-005_af3.wfa                       | 98304 | 32768 |      | 25 | 20240 | 200 | 200 | 32 | 64 | 20.73549894 | 0.766 | 20640 | 0.209960938 |
| mandrill32.bmp | mandrill32.bmp-G_0.8-H2e-005_af3.wfa                     | 98304 | 32768 |      | 25 | 20240 | 200 | 200 | 32 | 64 | 20.73922962 | 0.766 | 20640 | 0.209960938 |
| mandrill32.bmp | mandrill32.bmp-G_0.6-H3e-005_af1.wfa                     | 98304 | 32768 |      | 25 | 20240 | 200 | 200 | 32 | 64 | 20.88323131 | 0.766 | 20640 | 0.209960938 |
| mandrill32.bmp | mandrill32.bmp-G_1-H0.0001_af5.wfa                       | 24576 | 8192  |      | 12 | 4848  | 96  | 96  | 32 | 32 | 21.40192847 | 0.109 | 5040  | 0.205078125 |
| mandrill32.bmp | mandrill32.bmp-G_0.8-H0.0001_af5.wfa                     | 24576 | 8192  |      | 12 | 4848  | 96  | 96  | 32 | 32 | 21.42205697 | 0.094 | 5040  | 0.205078125 |
| mandrill32.bmp | mandrill32.bmp-G_0.6-H2e-005_af2.wfa                     | 98304 | 32768 |      | 25 | 20240 | 200 | 200 | 32 | 64 | 20.94884451 | 0.875 | 20640 | 0.209960938 |
| mandrill32.bmp | mandrill32.bmp-G_1-H9e-005_af5.wfa                       | 24576 | 8192  |      | 12 | 4848  | 96  | 96  | 32 | 32 | 21.6349561  | 0.125 | 5040  | 0.205078125 |
| mandrill32.bmp | mandrill32.bmp-G_0.8-H9e-005_af5.wfa                     | 24576 | 8192  |      | 12 | 4848  | 96  | 96  | 32 | 32 | 21.65761758 | 0.407 | 5040  | 0.205078125 |
| mandrill32.bmp | mandrill32.bmp-G_0.6-H0.0001_af3.wfa                     | 24576 | 8192  |      | 12 | 4848  | 96  | 96  | 32 | 32 | 21.71704867 | 0.094 | 5040  | 0.205078125 |
| mandrill32.bmp | mandrill32.bmp-G_0.6-H0.0001_af5.wfa                     | 24576 | 8192  |      | 12 | 4848  | 96  | 96  | 32 | 32 | 21.84663486 | 0.125 | 5040  | 0.205078125 |
| mandrill32.bmp | mandrill32.bmp-withWavelet_haar-G_0.8-H8e-005_af2.wfa    | 24576 | 8192  | 8192 | 13 | 5648  | 104 | 104 | 32 | 32 | 20.84989036 | 0.125 | 5856  | 0.23828125  |
| mandrill32.bmp | mandrill32.bmp-withWavelet_rbio1.1-G_0.8-H8e-005_af2.wfa | 24576 | 8192  | 8192 | 13 | 5648  | 104 | 104 | 32 | 32 | 20.84989036 | 0.125 | 5856  | 0.23828125  |
| mandrill32.bmp | mandrill32.bmp-withWavelet_sym1-G_0.8-H8e-005_af2.wfa    | 24576 | 8192  | 8192 | 13 | 5648  | 104 | 104 | 32 | 32 | 20.84989036 | 0.125 | 5856  | 0.23828125  |
| mandrill32.bmp | mandrill32.bmp-withWavelet_bior1.1-G_0.8-H8e-005_af2.wfa | 24576 | 8192  | 8192 | 13 | 5648  | 104 | 104 | 32 | 32 | 20.84989036 | 0.141 | 5856  | 0.23828125  |
| mandrill32.bmp | mandrill32.bmp-withWavelet_haar-G_0.6-H8e-005_af2.wfa    | 24576 | 8192  | 8192 | 13 | 5648  | 104 | 104 | 32 | 32 | 20.9484194  | 0.14  | 5856  | 0.23828125  |
| mandrill32.bmp | mandrill32.bmp-withWavelet_rbio1.1-G_0.6-H8e-005_af2.wfa | 24576 | 8192  | 8192 | 13 | 5648  | 104 | 104 | 32 | 32 | 20.9484194  | 0.454 | 5856  | 0.23828125  |

|                |  |       |       |      |    |       |     |     |    |    |             |       |       |             |
|----------------|--|-------|-------|------|----|-------|-----|-----|----|----|-------------|-------|-------|-------------|
| mandrill32.bmp | mandrill32.bmp-withWavelet_sym1-G_0.6-H8e-005_af2.wfa    | 24576 | 8192  | 8192 | 13 | 5648  | 104 | 104 | 32 | 32 | 20.9484194  | 0.25  | 5856  | 0.23828125  |
| mandrill32.bmp | mandrill32.bmp-withWavelet_bior1.1-G_0.6-H8e-005_af2.wfa | 24576 | 8192  | 8192 | 13 | 5648  | 104 | 104 | 32 | 32 | 20.9484194  | 0.328 | 5856  | 0.23828125  |
| mandrill32.bmp | mandrill32.bmp-G_0.6-H1e-005_af3.wfa                     | 98304 | 32768 |      | 27 | 23568 | 216 | 216 | 32 | 64 | 20.76298003 | 1.203 | 24000 | 0.244140625 |
| mandrill32.bmp | mandrill32.bmp-G_0.6-H2e-005_af1.wfa                     | 98304 | 32768 |      | 27 | 23568 | 216 | 216 | 32 | 64 | 20.87542359 | 0.844 | 24000 | 0.244140625 |
| mandrill32.bmp | mandrill32.bmp-G_1-H2e-005_af1.wfa                       | 98304 | 32768 |      | 27 | 23568 | 216 | 216 | 32 | 64 | 20.92371333 | 1.109 | 24000 | 0.244140625 |
| mandrill32.bmp | mandrill32.bmp-G_0.8-H2e-005_af1.wfa                     | 98304 | 32768 |      | 27 | 23568 | 216 | 216 | 32 | 64 | 20.92446867 | 0.875 | 24000 | 0.244140625 |
| mandrill32.bmp | mandrill32.bmp-G_0.6-H1e-005_af2.wfa                     | 98304 | 32768 |      | 27 | 23568 | 216 | 216 | 32 | 64 | 21.0223811  | 0.843 | 24000 | 0.244140625 |
| mandrill32.bmp | mandrill32.bmp-G_1-H1e-005_af5.wfa                       | 98304 | 32768 |      | 27 | 23568 | 216 | 216 | 32 | 64 | 21.25755761 | 0.844 | 24000 | 0.244140625 |
| mandrill32.bmp | mandrill32.bmp-G_1-H9e-005_af1.wfa                       | 24576 | 8192  |      | 13 | 5648  | 104 | 104 | 32 | 32 | 21.89322649 | 0.093 | 5856  | 0.23828125  |
| mandrill32.bmp | mandrill32.bmp-G_0.8-H9e-005_af1.wfa                     | 24576 | 8192  |      | 13 | 5648  | 104 | 104 | 32 | 32 | 21.90516555 | 0.109 | 5856  | 0.23828125  |
| mandrill32.bmp | mandrill32.bmp-G_1-H8e-005_af5.wfa                       | 24576 | 8192  |      | 13 | 5648  | 104 | 104 | 32 | 32 | 21.9403686  | 0.14  | 5856  | 0.23828125  |
| mandrill32.bmp | mandrill32.bmp-G_0.8-H8e-005_af5.wfa                     | 24576 | 8192  |      | 13 | 5648  | 104 | 104 | 32 | 32 | 21.96737201 | 0.109 | 5856  | 0.23828125  |
| mandrill32.bmp | mandrill32.bmp-G_0.6-H0.0001_af1.wfa                     | 24576 | 8192  |      | 13 | 5648  | 104 | 104 | 32 | 32 | 22.00156136 | 0.125 | 5856  | 0.23828125  |
| mandrill32.bmp | mandrill32.bmp-G_1-H0.0001_af2.wfa                       | 24576 | 8192  |      | 13 | 5648  | 104 | 104 | 32 | 32 | 22.07275461 | 0.109 | 5856  | 0.23828125  |
| mandrill32.bmp | mandrill32.bmp-G_1-H0.0001_af1.wfa                       | 24576 | 8192  |      | 13 | 5648  | 104 | 104 | 32 | 32 | 22.09028333 | 0.11  | 5856  | 0.23828125  |
| mandrill32.bmp | mandrill32.bmp-G_0.8-H0.0001_af2.wfa                     | 24576 | 8192  |      | 13 | 5648  | 104 | 104 | 32 | 32 | 22.09290992 | 0.093 | 5856  | 0.23828125  |
| mandrill32.bmp | mandrill32.bmp-G_1-H9e-005_af3.wfa                       | 24576 | 8192  |      | 13 | 5648  | 104 | 104 | 32 | 32 | 22.11019541 | 0.109 | 5856  | 0.23828125  |
| mandrill32.bmp | mandrill32.bmp-G_1-H0.0001_af3.wfa                       | 24576 | 8192  |      | 13 | 5648  | 104 | 104 | 32 | 32 | 22.11019541 | 0.109 | 5856  | 0.23828125  |
| mandrill32.bmp | mandrill32.bmp-G_0.8-H9e-005_af3.wfa                     | 24576 | 8192  |      | 13 | 5648  | 104 | 104 | 32 | 32 | 22.12456667 | 0.125 | 5856  | 0.23828125  |
| mandrill32.bmp | mandrill32.bmp-G_0.8-H0.0001_af3.wfa                     | 24576 | 8192  |      | 13 | 5648  | 104 | 104 | 32 | 32 | 22.12456667 | 0.156 | 5856  | 0.23828125  |
| mandrill32.bmp | mandrill32.bmp-G_0.6-H8e-005_af5.wfa                     | 24576 | 8192  |      | 13 | 5648  | 104 | 104 | 32 | 32 | 22.12718402 | 0.437 | 5856  | 0.23828125  |
| mandrill32.bmp | mandrill32.bmp-G_0.6-H9e-005_af3.wfa                     | 24576 | 8192  |      | 13 | 5648  | 104 | 104 | 32 | 32 | 22.19630617 | 0.125 | 5856  | 0.23828125  |
| mandrill32.bmp | mandrill32.bmp-withWavelet_haar-G_1-H9e-005_af3.wfa      | 24576 | 8192  | 8192 | 13 | 5648  | 104 | 104 | 32 | 32 | 22.4166707  | 0.11  | 5856  | 0.23828125  |
| mandrill32.bmp | mandrill32.bmp-withWavelet_rbio1.1-G_1-H9e-005_af3.wfa   | 24576 | 8192  | 8192 | 13 | 5648  | 104 | 104 | 32 | 32 | 22.4166707  | 0.11  | 5856  | 0.23828125  |
| mandrill32.bmp | mandrill32.bmp-withWavelet_sym1-G_1-H9e-005_af3.wfa      | 24576 | 8192  | 8192 | 13 | 5648  | 104 | 104 | 32 | 32 | 22.4166707  | 0.11  | 5856  | 0.23828125  |
| mandrill32.bmp | mandrill32.bmp-withWavelet_bior1.1-G_1-H9e-005_af3.wfa   | 24576 | 8192  | 8192 | 13 | 5648  | 104 | 104 | 32 | 32 | 22.4166707  | 0.11  | 5856  | 0.23828125  |
| mandrill32.bmp | mandrill32.bmp-withWavelet_haar-G_1-H0.0001_af3.wfa      | 24576 | 8192  | 8192 | 13 | 5648  | 104 | 104 | 32 | 32 | 22.4166707  | 0.125 | 5856  | 0.23828125  |
| mandrill32.bmp | mandrill32.bmp-withWavelet_rbio1.1-G_1-H0.0001_af3.wfa   | 24576 | 8192  | 8192 | 13 | 5648  | 104 | 104 | 32 | 32 | 22.4166707  | 0.109 | 5856  | 0.23828125  |
| mandrill32.bmp | mandrill32.bmp-withWavelet_sym1-G_1-H0.0001_af3.wfa      | 24576 | 8192  | 8192 | 13 | 5648  | 104 | 104 | 32 | 32 | 22.4166707  | 0.157 | 5856  | 0.23828125  |
| mandrill32.bmp | mandrill32.bmp-withWavelet_bior1.1-G_1-H0.0001_af3.wfa   | 24576 | 8192  | 8192 | 13 | 5648  | 104 | 104 | 32 | 32 | 22.4166707  | 0.11  | 5856  | 0.23828125  |
| mandrill32.bmp | mandrill32.bmp-withWavelet_haar-G_0.8-H9e-005_af3.wfa    | 24576 | 8192  | 8192 | 13 | 5648  | 104 | 104 | 32 | 32 | 22.42540217 | 0.437 | 5856  | 0.23828125  |



|                |  |       |       |      |    |       |     |     |    |    |             |       |       |             |
|----------------|--|-------|-------|------|----|-------|-----|-----|----|----|-------------|-------|-------|-------------|
| mandrill32.bmp | mandrill32.bmp-G_1-H1e-005_af3.wfa                       | 98304 | 32768 |      | 28 | 25328 | 224 | 224 | 32 | 64 | 20.85842766 | 0.937 | 25776 | 0.262207031 |
| mandrill32.bmp | mandrill32.bmp-G_0.8-H1e-005_af3.wfa                     | 98304 | 32768 |      | 28 | 25328 | 224 | 224 | 32 | 64 | 20.85955257 | 0.938 | 25776 | 0.262207031 |
| mandrill32.bmp | mandrill32.bmp-withWavelet_haar-G_0.6-H0.0001_af4.wfa    | 24576 | 8192  | 8192 | 13 | 5648  | 104 | 104 | 32 | 32 | 23.11668923 | 0.11  | 5856  | 0.23828125  |
| mandrill32.bmp | mandrill32.bmp-withWavelet_rbio1.1-G_0.6-H0.0001_af4.wfa | 24576 | 8192  | 8192 | 13 | 5648  | 104 | 104 | 32 | 32 | 23.11668923 | 0.11  | 5856  | 0.23828125  |
| mandrill32.bmp | mandrill32.bmp-withWavelet_sym1-G_0.6-H0.0001_af4.wfa    | 24576 | 8192  | 8192 | 13 | 5648  | 104 | 104 | 32 | 32 | 23.11668923 | 0.125 | 5856  | 0.23828125  |
| mandrill32.bmp | mandrill32.bmp-withWavelet_bior1.1-G_0.6-H0.0001_af4.wfa | 24576 | 8192  | 8192 | 13 | 5648  | 104 | 104 | 32 | 32 | 23.11668923 | 0.109 | 5856  | 0.23828125  |
| mandrill32.bmp | mandrill32.bmp-G_0.6-H1e-005_af5.wfa                     | 98304 | 32768 |      | 28 | 25328 | 224 | 224 | 32 | 64 | 21.15616772 | 0.875 | 25776 | 0.262207031 |
| mandrill32.bmp | mandrill32.bmp-G_1-H1e-005_af2.wfa                       | 98304 | 32768 |      | 28 | 25328 | 224 | 224 | 32 | 64 | 21.29151182 | 0.938 | 25776 | 0.262207031 |
| mandrill32.bmp | mandrill32.bmp-G_0.8-H1e-005_af2.wfa                     | 98304 | 32768 |      | 28 | 25328 | 224 | 224 | 32 | 64 | 21.29268855 | 1.188 | 25776 | 0.262207031 |
| mandrill32.bmp | mandrill32.bmp-G_0.8-H1e-005_af5.wfa                     | 98304 | 32768 |      | 28 | 25328 | 224 | 224 | 32 | 64 | 21.34300772 | 0.907 | 25776 | 0.262207031 |
| mandrill32.bmp | mandrill32.bmp-withWavelet_haar-G_1-H6e-005_af2.wfa      | 24576 | 8192  | 8192 | 14 | 6512  | 112 | 112 | 32 | 32 | 20.9619786  | 0.125 | 6736  | 0.274088542 |
| mandrill32.bmp | mandrill32.bmp-withWavelet_rbio1.1-G_1-H6e-005_af2.wfa   | 24576 | 8192  | 8192 | 14 | 6512  | 112 | 112 | 32 | 32 | 20.9619786  | 0.11  | 6736  | 0.274088542 |
| mandrill32.bmp | mandrill32.bmp-withWavelet_sym1-G_1-H6e-005_af2.wfa      | 24576 | 8192  | 8192 | 14 | 6512  | 112 | 112 | 32 | 32 | 20.9619786  | 0.109 | 6736  | 0.274088542 |
| mandrill32.bmp | mandrill32.bmp-withWavelet_bior1.1-G_1-H6e-005_af2.wfa   | 24576 | 8192  | 8192 | 14 | 6512  | 112 | 112 | 32 | 32 | 20.9619786  | 0.11  | 6736  | 0.274088542 |
| mandrill32.bmp | mandrill32.bmp-withWavelet_haar-G_1-H7e-005_af2.wfa      | 24576 | 8192  | 8192 | 14 | 6512  | 112 | 112 | 32 | 32 | 20.9619786  | 0.281 | 6736  | 0.274088542 |
| mandrill32.bmp | mandrill32.bmp-withWavelet_rbio1.1-G_1-H7e-005_af2.wfa   | 24576 | 8192  | 8192 | 14 | 6512  | 112 | 112 | 32 | 32 | 20.9619786  | 0.344 | 6736  | 0.274088542 |
| mandrill32.bmp | mandrill32.bmp-withWavelet_sym1-G_1-H7e-005_af2.wfa      | 24576 | 8192  | 8192 | 14 | 6512  | 112 | 112 | 32 | 32 | 20.9619786  | 0.296 | 6736  | 0.274088542 |
| mandrill32.bmp | mandrill32.bmp-withWavelet_bior1.1-G_1-H7e-005_af2.wfa   | 24576 | 8192  | 8192 | 14 | 6512  | 112 | 112 | 32 | 32 | 20.9619786  | 0.453 | 6736  | 0.274088542 |
| mandrill32.bmp | mandrill32.bmp-withWavelet_haar-G_0.8-H6e-005_af2.wfa    | 24576 | 8192  | 8192 | 14 | 6512  | 112 | 112 | 32 | 32 | 20.97745146 | 0.125 | 6736  | 0.274088542 |
| mandrill32.bmp | mandrill32.bmp-withWavelet_rbio1.1-G_0.8-H6e-005_af2.wfa | 24576 | 8192  | 8192 | 14 | 6512  | 112 | 112 | 32 | 32 | 20.97745146 | 0.296 | 6736  | 0.274088542 |
| mandrill32.bmp | mandrill32.bmp-withWavelet_sym1-G_0.8-H6e-005_af2.wfa    | 24576 | 8192  | 8192 | 14 | 6512  | 112 | 112 | 32 | 32 | 20.97745146 | 0.25  | 6736  | 0.274088542 |
| mandrill32.bmp | mandrill32.bmp-withWavelet_bior1.1-G_0.8-H6e-005_af2.wfa | 24576 | 8192  | 8192 | 14 | 6512  | 112 | 112 | 32 | 32 | 20.97745146 | 0.296 | 6736  | 0.274088542 |
| mandrill32.bmp | mandrill32.bmp-withWavelet_haar-G_0.8-H7e-005_af2.wfa    | 24576 | 8192  | 8192 | 14 | 6512  | 112 | 112 | 32 | 32 | 20.97745146 | 0.094 | 6736  | 0.274088542 |
| mandrill32.bmp | mandrill32.bmp-withWavelet_rbio1.1-G_0.8-H7e-005_af2.wfa | 24576 | 8192  | 8192 | 14 | 6512  | 112 | 112 | 32 | 32 | 20.97745146 | 0.344 | 6736  | 0.274088542 |
| mandrill32.bmp | mandrill32.bmp-withWavelet_sym1-G_0.8-H7e-005_af2.wfa    | 24576 | 8192  | 8192 | 14 | 6512  | 112 | 112 | 32 | 32 | 20.97745146 | 0.281 | 6736  | 0.274088542 |
| mandrill32.bmp | mandrill32.bmp-withWavelet_bior1.1-G_0.8-H7e-005_af2.wfa | 24576 | 8192  | 8192 | 14 | 6512  | 112 | 112 | 32 | 32 | 20.97745146 | 0.437 | 6736  | 0.274088542 |
| mandrill32.bmp | mandrill32.bmp-withWavelet_haar-G_0.6-H6e-005_af2.wfa    | 24576 | 8192  | 8192 | 14 | 6512  | 112 | 112 | 32 | 32 | 21.06159309 | 0.344 | 6736  | 0.274088542 |
| mandrill32.bmp | mandrill32.bmp-withWavelet_rbio1.1-G_0.6-H6e-005_af2.wfa | 24576 | 8192  | 8192 | 14 | 6512  | 112 | 112 | 32 | 32 | 21.06159309 | 0.344 | 6736  | 0.274088542 |
| mandrill32.bmp | mandrill32.bmp-withWavelet_sym1-G_0.6-H6e-005_af2.wfa    | 24576 | 8192  | 8192 | 14 | 6512  | 112 | 112 | 32 | 32 | 21.06159309 | 0.328 | 6736  | 0.274088542 |
| mandrill32.bmp | mandrill32.bmp-withWavelet_bior1.1-G_0.6-H6e-005_af2.wfa | 24576 | 8192  | 8192 | 14 | 6512  | 112 | 112 | 32 | 32 | 21.06159309 | 0.36  | 6736  | 0.274088542 |
| mandrill32.bmp | mandrill32.bmp-withWavelet_haar-G_0.6-H7e-005_af2.wfa    | 24576 | 8192  | 8192 | 14 | 6512  | 112 | 112 | 32 | 32 | 21.15074439 | 0.141 | 6736  | 0.274088542 |

|                |  |       |       |      |    |       |     |     |    |    |             |       |       |             |
|----------------|--|-------|-------|------|----|-------|-----|-----|----|----|-------------|-------|-------|-------------|
| mandrill32.bmp | mandrill32.bmp-withWavelet_rbio1.1-G_0.6-H7e-005_af2.wfa | 24576 | 8192  | 8192 | 14 | 6512  | 112 | 112 | 32 | 32 | 21.15074439 | 0.125 | 6736  | 0.274088542 |
| mandrill32.bmp | mandrill32.bmp-withWavelet_sym1-G_0.6-H7e-005_af2.wfa    | 24576 | 8192  | 8192 | 14 | 6512  | 112 | 112 | 32 | 32 | 21.15074439 | 0.14  | 6736  | 0.274088542 |
| mandrill32.bmp | mandrill32.bmp-withWavelet_bior1.1-G_0.6-H7e-005_af2.wfa | 24576 | 8192  | 8192 | 14 | 6512  | 112 | 112 | 32 | 32 | 21.15074439 | 0.141 | 6736  | 0.274088542 |
| mandrill32.bmp | mandrill32.bmp-G_0.6-H1e-005_af1.wfa                     | 98304 | 32768 |      | 29 | 27152 | 232 | 232 | 32 | 64 | 20.97245409 | 0.953 | 27616 | 0.280924479 |
| mandrill32.bmp | mandrill32.bmp-G_0.6-H9e-005_af5.wfa                     | 24576 | 8192  |      | 14 | 6512  | 112 | 112 | 32 | 32 | 22.0993085  | 0.109 | 6736  | 0.274088542 |
| mandrill32.bmp | mandrill32.bmp-G_0.8-H7e-005_af5.wfa                     | 24576 | 8192  |      | 14 | 6512  | 112 | 112 | 32 | 32 | 22.14160993 | 0.266 | 6736  | 0.274088542 |
| mandrill32.bmp | mandrill32.bmp-G_1-H7e-005_af5.wfa                       | 24576 | 8192  |      | 14 | 6512  | 112 | 112 | 32 | 32 | 22.24619443 | 0.391 | 6736  | 0.274088542 |
| mandrill32.bmp | mandrill32.bmp-G_1-H8e-005_af3.wfa                       | 24576 | 8192  |      | 14 | 6512  | 112 | 112 | 32 | 32 | 22.32241591 | 0.141 | 6736  | 0.274088542 |
| mandrill32.bmp | mandrill32.bmp-G_0.6-H7e-005_af3.wfa                     | 24576 | 8192  |      | 14 | 6512  | 112 | 112 | 32 | 32 | 22.32426488 | 0.125 | 6736  | 0.274088542 |
| mandrill32.bmp | mandrill32.bmp-G_0.8-H8e-005_af3.wfa                     | 24576 | 8192  |      | 14 | 6512  | 112 | 112 | 32 | 32 | 22.33639534 | 0.141 | 6736  | 0.274088542 |
| mandrill32.bmp | mandrill32.bmp-G_0.8-H0.0001_af1.wfa                     | 24576 | 8192  |      | 14 | 6512  | 112 | 112 | 32 | 32 | 22.37247418 | 0.156 | 6736  | 0.274088542 |
| mandrill32.bmp | mandrill32.bmp-G_0.6-H9e-005_af1.wfa                     | 24576 | 8192  |      | 14 | 6512  | 112 | 112 | 32 | 32 | 22.42183253 | 0.422 | 6736  | 0.274088542 |
| mandrill32.bmp | mandrill32.bmp-G_0.6-H8e-005_af3.wfa                     | 24576 | 8192  |      | 14 | 6512  | 112 | 112 | 32 | 32 | 22.4268807  | 0.421 | 6736  | 0.274088542 |
| mandrill32.bmp | mandrill32.bmp-G_1-H9e-005_af2.wfa                       | 24576 | 8192  |      | 14 | 6512  | 112 | 112 | 32 | 32 | 22.48138446 | 0.469 | 6736  | 0.274088542 |
| mandrill32.bmp | mandrill32.bmp-G_0.8-H9e-005_af2.wfa                     | 24576 | 8192  |      | 14 | 6512  | 112 | 112 | 32 | 32 | 22.50393479 | 0.125 | 6736  | 0.274088542 |
| mandrill32.bmp | mandrill32.bmp-withWavelet_haar-G_1-H8e-005_af3.wfa      | 24576 | 8192  | 8192 | 14 | 6512  | 112 | 112 | 32 | 32 | 22.53142946 | 0.125 | 6736  | 0.274088542 |
| mandrill32.bmp | mandrill32.bmp-withWavelet_rbio1.1-G_1-H8e-005_af3.wfa   | 24576 | 8192  | 8192 | 14 | 6512  | 112 | 112 | 32 | 32 | 22.53142946 | 0.109 | 6736  | 0.274088542 |
| mandrill32.bmp | mandrill32.bmp-withWavelet_sym1-G_1-H8e-005_af3.wfa      | 24576 | 8192  | 8192 | 14 | 6512  | 112 | 112 | 32 | 32 | 22.53142946 | 0.109 | 6736  | 0.274088542 |
| mandrill32.bmp | mandrill32.bmp-withWavelet_bior1.1-G_1-H8e-005_af3.wfa   | 24576 | 8192  | 8192 | 14 | 6512  | 112 | 112 | 32 | 32 | 22.53142946 | 0.125 | 6736  | 0.274088542 |
| mandrill32.bmp | mandrill32.bmp-G_0.6-H9e-005_af2.wfa                     | 24576 | 8192  |      | 14 | 6512  | 112 | 112 | 32 | 32 | 22.67231768 | 0.094 | 6736  | 0.274088542 |
| mandrill32.bmp | mandrill32.bmp-G_0.6-H0.0001_af2.wfa                     | 24576 | 8192  |      | 14 | 6512  | 112 | 112 | 32 | 32 | 22.67231768 | 0.141 | 6736  | 0.274088542 |
| mandrill32.bmp | mandrill32.bmp-G_1-H6e-005_af4.wfa                       | 24576 | 8192  |      | 15 | 7440  | 120 | 120 | 32 | 32 | 20.34310546 | 0.109 | 7680  | 0.3125      |
| mandrill32.bmp | mandrill32.bmp-G_0.8-H6e-005_af4.wfa                     | 24576 | 8192  |      | 15 | 7440  | 120 | 120 | 32 | 32 | 20.35425148 | 0.391 | 7680  | 0.3125      |
| mandrill32.bmp | mandrill32.bmp-G_1-H7e-005_af4.wfa                       | 24576 | 8192  |      | 15 | 7440  | 120 | 120 | 32 | 32 | 20.41474079 | 0.344 | 7680  | 0.3125      |
| mandrill32.bmp | mandrill32.bmp-G_0.8-H7e-005_af4.wfa                     | 24576 | 8192  |      | 15 | 7440  | 120 | 120 | 32 | 32 | 20.43851163 | 0.312 | 7680  | 0.3125      |
| mandrill32.bmp | mandrill32.bmp-withWavelet_haar-G_1-H7e-005_af1.wfa      | 24576 | 8192  | 8192 | 14 | 6512  | 112 | 112 | 32 | 32 | 23.38049022 | 0.312 | 6736  | 0.274088542 |
| mandrill32.bmp | mandrill32.bmp-withWavelet_rbio1.1-G_1-H7e-005_af1.wfa   | 24576 | 8192  | 8192 | 14 | 6512  | 112 | 112 | 32 | 32 | 23.38049022 | 0.094 | 6736  | 0.274088542 |
| mandrill32.bmp | mandrill32.bmp-withWavelet_sym1-G_1-H7e-005_af1.wfa      | 24576 | 8192  | 8192 | 14 | 6512  | 112 | 112 | 32 | 32 | 23.38049022 | 0.422 | 6736  | 0.274088542 |
| mandrill32.bmp | mandrill32.bmp-withWavelet_bior1.1-G_1-H7e-005_af1.wfa   | 24576 | 8192  | 8192 | 14 | 6512  | 112 | 112 | 32 | 32 | 23.38049022 | 0.344 | 6736  | 0.274088542 |
| mandrill32.bmp | mandrill32.bmp-withWavelet_haar-G_1-H8e-005_af1.wfa      | 24576 | 8192  | 8192 | 14 | 6512  | 112 | 112 | 32 | 32 | 23.38049022 | 0.14  | 6736  | 0.274088542 |
| mandrill32.bmp | mandrill32.bmp-withWavelet_rbio1.1-G_1-H8e-005_af1.wfa   | 24576 | 8192  | 8192 | 14 | 6512  | 112 | 112 | 32 | 32 | 23.38049022 | 0.14  | 6736  | 0.274088542 |

|                |  |       |       |      |    |       |     |     |    |    |             |       |       |             |
|----------------|--|-------|-------|------|----|-------|-----|-----|----|----|-------------|-------|-------|-------------|
| mandrill32.bmp | mandrill32.bmp-withWavelet_sym1-G_1-H8e-005_af1.wfa      | 24576 | 8192  | 8192 | 14 | 6512  | 112 | 112 | 32 | 32 | 23.38049022 | 0.109 | 6736  | 0.274088542 |
| mandrill32.bmp | mandrill32.bmp-withWavelet_bior1.1-G_1-H8e-005_af1.wfa   | 24576 | 8192  | 8192 | 14 | 6512  | 112 | 112 | 32 | 32 | 23.38049022 | 0.141 | 6736  | 0.274088542 |
| mandrill32.bmp | mandrill32.bmp-G_1-H8e-005_af4.wfa                       | 24576 | 8192  |      | 15 | 7440  | 120 | 120 | 32 | 32 | 20.50771691 | 0.109 | 7680  | 0.3125      |
| mandrill32.bmp | mandrill32.bmp-withWavelet_haar-G_0.8-H7e-005_af1.wfa    | 24576 | 8192  | 8192 | 14 | 6512  | 112 | 112 | 32 | 32 | 23.40141868 | 0.375 | 6736  | 0.274088542 |
| mandrill32.bmp | mandrill32.bmp-withWavelet_rbio1.1-G_0.8-H7e-005_af1.wfa | 24576 | 8192  | 8192 | 14 | 6512  | 112 | 112 | 32 | 32 | 23.40141868 | 0.344 | 6736  | 0.274088542 |
| mandrill32.bmp | mandrill32.bmp-withWavelet_sym1-G_0.8-H7e-005_af1.wfa    | 24576 | 8192  | 8192 | 14 | 6512  | 112 | 112 | 32 | 32 | 23.40141868 | 0.391 | 6736  | 0.274088542 |
| mandrill32.bmp | mandrill32.bmp-withWavelet_bior1.1-G_0.8-H7e-005_af1.wfa | 24576 | 8192  | 8192 | 14 | 6512  | 112 | 112 | 32 | 32 | 23.40141868 | 0.36  | 6736  | 0.274088542 |
| mandrill32.bmp | mandrill32.bmp-withWavelet_haar-G_0.8-H8e-005_af1.wfa    | 24576 | 8192  | 8192 | 14 | 6512  | 112 | 112 | 32 | 32 | 23.40141868 | 0.11  | 6736  | 0.274088542 |
| mandrill32.bmp | mandrill32.bmp-withWavelet_rbio1.1-G_0.8-H8e-005_af1.wfa | 24576 | 8192  | 8192 | 14 | 6512  | 112 | 112 | 32 | 32 | 23.40141868 | 0.109 | 6736  | 0.274088542 |
| mandrill32.bmp | mandrill32.bmp-withWavelet_sym1-G_0.8-H8e-005_af1.wfa    | 24576 | 8192  | 8192 | 14 | 6512  | 112 | 112 | 32 | 32 | 23.40141868 | 0.109 | 6736  | 0.274088542 |
| mandrill32.bmp | mandrill32.bmp-withWavelet_bior1.1-G_0.8-H8e-005_af1.wfa | 24576 | 8192  | 8192 | 14 | 6512  | 112 | 112 | 32 | 32 | 23.40141868 | 0.125 | 6736  | 0.274088542 |
| mandrill32.bmp | mandrill32.bmp-G_0.8-H8e-005_af4.wfa                     | 24576 | 8192  |      | 15 | 7440  | 120 | 120 | 32 | 32 | 20.53719818 | 0.125 | 7680  | 0.3125      |
| mandrill32.bmp | mandrill32.bmp-withWavelet_haar-G_0.6-H7e-005_af1.wfa    | 24576 | 8192  | 8192 | 14 | 6512  | 112 | 112 | 32 | 32 | 23.45783429 | 0.125 | 6736  | 0.274088542 |
| mandrill32.bmp | mandrill32.bmp-withWavelet_rbio1.1-G_0.6-H7e-005_af1.wfa | 24576 | 8192  | 8192 | 14 | 6512  | 112 | 112 | 32 | 32 | 23.45783429 | 0.125 | 6736  | 0.274088542 |
| mandrill32.bmp | mandrill32.bmp-withWavelet_sym1-G_0.6-H7e-005_af1.wfa    | 24576 | 8192  | 8192 | 14 | 6512  | 112 | 112 | 32 | 32 | 23.45783429 | 0.141 | 6736  | 0.274088542 |
| mandrill32.bmp | mandrill32.bmp-withWavelet_bior1.1-G_0.6-H7e-005_af1.wfa | 24576 | 8192  | 8192 | 14 | 6512  | 112 | 112 | 32 | 32 | 23.45783429 | 0.125 | 6736  | 0.274088542 |
| mandrill32.bmp | mandrill32.bmp-withWavelet_haar-G_0.6-H8e-005_af1.wfa    | 24576 | 8192  | 8192 | 14 | 6512  | 112 | 112 | 32 | 32 | 23.45783429 | 0.125 | 6736  | 0.274088542 |
| mandrill32.bmp | mandrill32.bmp-withWavelet_rbio1.1-G_0.6-H8e-005_af1.wfa | 24576 | 8192  | 8192 | 14 | 6512  | 112 | 112 | 32 | 32 | 23.45783429 | 0.11  | 6736  | 0.274088542 |
| mandrill32.bmp | mandrill32.bmp-withWavelet_sym1-G_0.6-H8e-005_af1.wfa    | 24576 | 8192  | 8192 | 14 | 6512  | 112 | 112 | 32 | 32 | 23.45783429 | 0.141 | 6736  | 0.274088542 |
| mandrill32.bmp | mandrill32.bmp-withWavelet_bior1.1-G_0.6-H8e-005_af1.wfa | 24576 | 8192  | 8192 | 14 | 6512  | 112 | 112 | 32 | 32 | 23.45783429 | 0.109 | 6736  | 0.274088542 |
| mandrill32.bmp | mandrill32.bmp-withWavelet_haar-G_0.6-H9e-005_af1.wfa    | 24576 | 8192  | 8192 | 14 | 6512  | 112 | 112 | 32 | 32 | 23.45783429 | 0.109 | 6736  | 0.274088542 |
| mandrill32.bmp | mandrill32.bmp-withWavelet_rbio1.1-G_0.6-H9e-005_af1.wfa | 24576 | 8192  | 8192 | 14 | 6512  | 112 | 112 | 32 | 32 | 23.45783429 | 0.125 | 6736  | 0.274088542 |
| mandrill32.bmp | mandrill32.bmp-withWavelet_sym1-G_0.6-H9e-005_af1.wfa    | 24576 | 8192  | 8192 | 14 | 6512  | 112 | 112 | 32 | 32 | 23.45783429 | 0.11  | 6736  | 0.274088542 |
| mandrill32.bmp | mandrill32.bmp-withWavelet_bior1.1-G_0.6-H9e-005_af1.wfa | 24576 | 8192  | 8192 | 14 | 6512  | 112 | 112 | 32 | 32 | 23.45783429 | 0.125 | 6736  | 0.274088542 |
| mandrill32.bmp | mandrill32.bmp-withWavelet_haar-G_0.6-H9e-005_af4.wfa    | 24576 | 8192  | 8192 | 14 | 6512  | 112 | 112 | 32 | 32 | 23.77178698 | 0.109 | 6736  | 0.274088542 |
| mandrill32.bmp | mandrill32.bmp-withWavelet_rbio1.1-G_0.6-H9e-005_af4.wfa | 24576 | 8192  | 8192 | 14 | 6512  | 112 | 112 | 32 | 32 | 23.77178698 | 0.125 | 6736  | 0.274088542 |
| mandrill32.bmp | mandrill32.bmp-withWavelet_sym1-G_0.6-H9e-005_af4.wfa    | 24576 | 8192  | 8192 | 14 | 6512  | 112 | 112 | 32 | 32 | 23.77178698 | 0.109 | 6736  | 0.274088542 |
| mandrill32.bmp | mandrill32.bmp-withWavelet_bior1.1-G_0.6-H9e-005_af4.wfa | 24576 | 8192  | 8192 | 14 | 6512  | 112 | 112 | 32 | 32 | 23.77178698 | 0.125 | 6736  | 0.274088542 |
| mandrill32.bmp | mandrill32.bmp-G_0.8-H1e-005_af1.wfa                     | 98304 | 32768 |      | 31 | 30992 | 248 | 248 | 32 | 64 | 21.11766788 | 1.156 | 31488 | 0.3203125   |
| mandrill32.bmp | mandrill32.bmp-G_1-H1e-005_af1.wfa                       | 98304 | 32768 |      | 31 | 30992 | 248 | 248 | 32 | 64 | 21.11853537 | 1.125 | 31488 | 0.3203125   |
| mandrill32.bmp | mandrill32.bmp-G_1-H7e-005_af3.wfa                       | 24576 | 8192  |      | 15 | 7440  | 120 | 120 | 32 | 32 | 22.23668871 | 0.453 | 7680  | 0.3125      |



|                |  |       |      |      |    |      |     |     |    |    |             |       |      |             |
|----------------|--|-------|------|------|----|------|-----|-----|----|----|-------------|-------|------|-------------|
| mandrill32.bmp | mandrill32.bmp-G_0.8-H7e-005_af3.wfa                     | 24576 | 8192 |      | 15 | 7440 | 120 | 120 | 32 | 32 | 22.26371897 | 0.437 | 7680 | 0.3125      |
| mandrill32.bmp | mandrill32.bmp-G_1-H8e-005_af1.wfa                       | 24576 | 8192 |      | 15 | 7440 | 120 | 120 | 32 | 32 | 22.60476565 | 0.125 | 7680 | 0.3125      |
| mandrill32.bmp | mandrill32.bmp-G_0.8-H8e-005_af1.wfa                     | 24576 | 8192 |      | 15 | 7440 | 120 | 120 | 32 | 32 | 22.6311562  | 0.125 | 7680 | 0.3125      |
| mandrill32.bmp | mandrill32.bmp-G_0.6-H7e-005_af5.wfa                     | 24576 | 8192 |      | 15 | 7440 | 120 | 120 | 32 | 32 | 22.64996964 | 0.109 | 7680 | 0.3125      |
| mandrill32.bmp | mandrill32.bmp-G_0.6-H8e-005_af1.wfa                     | 24576 | 8192 |      | 15 | 7440 | 120 | 120 | 32 | 32 | 22.78462935 | 0.125 | 7680 | 0.3125      |
| mandrill32.bmp | mandrill32.bmp-G_1-H8e-005_af2.wfa                       | 24576 | 8192 |      | 15 | 7440 | 120 | 120 | 32 | 32 | 22.89883596 | 0.109 | 7680 | 0.3125      |
| mandrill32.bmp | mandrill32.bmp-G_0.8-H8e-005_af2.wfa                     | 24576 | 8192 |      | 15 | 7440 | 120 | 120 | 32 | 32 | 22.92613303 | 0.187 | 7680 | 0.3125      |
| mandrill32.bmp | mandrill32.bmp-G_0.6-H8e-005_af2.wfa                     | 24576 | 8192 |      | 15 | 7440 | 120 | 120 | 32 | 32 | 23.03610459 | 0.141 | 7680 | 0.3125      |
| mandrill32.bmp | mandrill32.bmp-withWavelet_haar-G_0.8-H8e-005_af3.wfa    | 24576 | 8192 | 8192 | 15 | 7440 | 120 | 120 | 32 | 32 | 23.06437536 | 0.14  | 7680 | 0.3125      |
| mandrill32.bmp | mandrill32.bmp-withWavelet_rbio1.1-G_0.8-H8e-005_af3.wfa | 24576 | 8192 | 8192 | 15 | 7440 | 120 | 120 | 32 | 32 | 23.06437536 | 0.157 | 7680 | 0.3125      |
| mandrill32.bmp | mandrill32.bmp-withWavelet_sym1-G_0.8-H8e-005_af3.wfa    | 24576 | 8192 | 8192 | 15 | 7440 | 120 | 120 | 32 | 32 | 23.06437536 | 0.141 | 7680 | 0.3125      |
| mandrill32.bmp | mandrill32.bmp-withWavelet_bior1.1-G_0.8-H8e-005_af3.wfa | 24576 | 8192 | 8192 | 15 | 7440 | 120 | 120 | 32 | 32 | 23.06437536 | 0.156 | 7680 | 0.3125      |
| mandrill32.bmp | mandrill32.bmp-withWavelet_haar-G_0.6-H8e-005_af3.wfa    | 24576 | 8192 | 8192 | 15 | 7440 | 120 | 120 | 32 | 32 | 23.15755406 | 0.312 | 7680 | 0.3125      |
| mandrill32.bmp | mandrill32.bmp-withWavelet_rbio1.1-G_0.6-H8e-005_af3.wfa | 24576 | 8192 | 8192 | 15 | 7440 | 120 | 120 | 32 | 32 | 23.15755406 | 0.344 | 7680 | 0.3125      |
| mandrill32.bmp | mandrill32.bmp-withWavelet_sym1-G_0.6-H8e-005_af3.wfa    | 24576 | 8192 | 8192 | 15 | 7440 | 120 | 120 | 32 | 32 | 23.15755406 | 0.297 | 7680 | 0.3125      |
| mandrill32.bmp | mandrill32.bmp-withWavelet_bior1.1-G_0.6-H8e-005_af3.wfa | 24576 | 8192 | 8192 | 15 | 7440 | 120 | 120 | 32 | 32 | 23.15755406 | 0.453 | 7680 | 0.3125      |
| mandrill32.bmp | mandrill32.bmp-withWavelet_haar-G_0.6-H9e-005_af3.wfa    | 24576 | 8192 | 8192 | 15 | 7440 | 120 | 120 | 32 | 32 | 23.15755406 | 0.109 | 7680 | 0.3125      |
| mandrill32.bmp | mandrill32.bmp-withWavelet_rbio1.1-G_0.6-H9e-005_af3.wfa | 24576 | 8192 | 8192 | 15 | 7440 | 120 | 120 | 32 | 32 | 23.15755406 | 0.094 | 7680 | 0.3125      |
| mandrill32.bmp | mandrill32.bmp-withWavelet_sym1-G_0.6-H9e-005_af3.wfa    | 24576 | 8192 | 8192 | 15 | 7440 | 120 | 120 | 32 | 32 | 23.15755406 | 0.109 | 7680 | 0.3125      |
| mandrill32.bmp | mandrill32.bmp-withWavelet_bior1.1-G_0.6-H9e-005_af3.wfa | 24576 | 8192 | 8192 | 15 | 7440 | 120 | 120 | 32 | 32 | 23.15755406 | 0.125 | 7680 | 0.3125      |
| mandrill32.bmp | mandrill32.bmp-G_1-H4e-005_af4.wfa                       | 24576 | 8192 |      | 16 | 8432 | 128 | 128 | 32 | 32 | 20.48338322 | 0.125 | 8688 | 0.353515625 |
| mandrill32.bmp | mandrill32.bmp-G_0.8-H4e-005_af4.wfa                     | 24576 | 8192 |      | 16 | 8432 | 128 | 128 | 32 | 32 | 20.51054534 | 0.11  | 8688 | 0.353515625 |
| mandrill32.bmp | mandrill32.bmp-G_1-H5e-005_af4.wfa                       | 24576 | 8192 |      | 16 | 8432 | 128 | 128 | 32 | 32 | 20.53561784 | 0.11  | 8688 | 0.353515625 |
| mandrill32.bmp | mandrill32.bmp-G_0.8-H5e-005_af4.wfa                     | 24576 | 8192 |      | 16 | 8432 | 128 | 128 | 32 | 32 | 20.5743447  | 0.109 | 8688 | 0.353515625 |
| mandrill32.bmp | mandrill32.bmp-withWavelet_haar-G_1-H6e-005_af1.wfa      | 24576 | 8192 | 8192 | 15 | 7440 | 120 | 120 | 32 | 32 | 23.48549519 | 0.11  | 7680 | 0.3125      |
| mandrill32.bmp | mandrill32.bmp-withWavelet_rbio1.1-G_1-H6e-005_af1.wfa   | 24576 | 8192 | 8192 | 15 | 7440 | 120 | 120 | 32 | 32 | 23.48549519 | 0.125 | 7680 | 0.3125      |
| mandrill32.bmp | mandrill32.bmp-withWavelet_sym1-G_1-H6e-005_af1.wfa      | 24576 | 8192 | 8192 | 15 | 7440 | 120 | 120 | 32 | 32 | 23.48549519 | 0.11  | 7680 | 0.3125      |
| mandrill32.bmp | mandrill32.bmp-withWavelet_bior1.1-G_1-H6e-005_af1.wfa   | 24576 | 8192 | 8192 | 15 | 7440 | 120 | 120 | 32 | 32 | 23.48549519 | 0.109 | 7680 | 0.3125      |
| mandrill32.bmp | mandrill32.bmp-withWavelet_haar-G_1-H3e-005_af5.wfa      | 24576 | 8192 | 8192 | 16 | 8432 | 128 | 128 | 32 | 32 | 20.92679607 | 0.11  | 8688 | 0.353515625 |
| mandrill32.bmp | mandrill32.bmp-withWavelet_rbio1.1-G_1-H3e-005_af5.wfa   | 24576 | 8192 | 8192 | 16 | 8432 | 128 | 128 | 32 | 32 | 20.92679607 | 0.109 | 8688 | 0.353515625 |
| mandrill32.bmp | mandrill32.bmp-withWavelet_sym1-G_1-H3e-005_af5.wfa      | 24576 | 8192 | 8192 | 16 | 8432 | 128 | 128 | 32 | 32 | 20.92679607 | 0.11  | 8688 | 0.353515625 |

|                |  |       |      |      |    |      |     |     |    |    |             |       |      |             |
|----------------|--|-------|------|------|----|------|-----|-----|----|----|-------------|-------|------|-------------|
| mandrill32.bmp | mandrill32.bmp-withWavelet_bior1.1-G_1-H3e-005_af5.wfa   | 24576 | 8192 | 8192 | 16 | 8432 | 128 | 128 | 32 | 32 | 20.92679607 | 0.093 | 8688 | 0.353515625 |
| mandrill32.bmp | mandrill32.bmp-withWavelet_haar-G_1-H9e-005_af4.wfa      | 24576 | 8192 | 8192 | 15 | 7440 | 120 | 120 | 32 | 32 | 23.83083418 | 0.125 | 7680 | 0.3125      |
| mandrill32.bmp | mandrill32.bmp-withWavelet_rbio1.1-G_1-H9e-005_af4.wfa   | 24576 | 8192 | 8192 | 15 | 7440 | 120 | 120 | 32 | 32 | 23.83083418 | 0.125 | 7680 | 0.3125      |
| mandrill32.bmp | mandrill32.bmp-withWavelet_sym1-G_1-H9e-005_af4.wfa      | 24576 | 8192 | 8192 | 15 | 7440 | 120 | 120 | 32 | 32 | 23.83083418 | 0.14  | 7680 | 0.3125      |
| mandrill32.bmp | mandrill32.bmp-withWavelet_bior1.1-G_1-H9e-005_af4.wfa   | 24576 | 8192 | 8192 | 15 | 7440 | 120 | 120 | 32 | 32 | 23.83083418 | 0.125 | 7680 | 0.3125      |
| mandrill32.bmp | mandrill32.bmp-withWavelet_haar-G_1-H0.0001_af4.wfa      | 24576 | 8192 | 8192 | 15 | 7440 | 120 | 120 | 32 | 32 | 23.83083418 | 0.125 | 7680 | 0.3125      |
| mandrill32.bmp | mandrill32.bmp-withWavelet_rbio1.1-G_1-H0.0001_af4.wfa   | 24576 | 8192 | 8192 | 15 | 7440 | 120 | 120 | 32 | 32 | 23.83083418 | 0.125 | 7680 | 0.3125      |
| mandrill32.bmp | mandrill32.bmp-withWavelet_sym1-G_1-H0.0001_af4.wfa      | 24576 | 8192 | 8192 | 15 | 7440 | 120 | 120 | 32 | 32 | 23.83083418 | 0.109 | 7680 | 0.3125      |
| mandrill32.bmp | mandrill32.bmp-withWavelet_bior1.1-G_1-H0.0001_af4.wfa   | 24576 | 8192 | 8192 | 15 | 7440 | 120 | 120 | 32 | 32 | 23.83083418 | 0.11  | 7680 | 0.3125      |
| mandrill32.bmp | mandrill32.bmp-withWavelet_haar-G_0.6-H8e-005_af4.wfa    | 24576 | 8192 | 8192 | 15 | 7440 | 120 | 120 | 32 | 32 | 23.85714884 | 0.438 | 7680 | 0.3125      |
| mandrill32.bmp | mandrill32.bmp-withWavelet_rbio1.1-G_0.6-H8e-005_af4.wfa | 24576 | 8192 | 8192 | 15 | 7440 | 120 | 120 | 32 | 32 | 23.85714884 | 0.11  | 7680 | 0.3125      |
| mandrill32.bmp | mandrill32.bmp-withWavelet_sym1-G_0.6-H8e-005_af4.wfa    | 24576 | 8192 | 8192 | 15 | 7440 | 120 | 120 | 32 | 32 | 23.85714884 | 0.125 | 7680 | 0.3125      |
| mandrill32.bmp | mandrill32.bmp-withWavelet_bior1.1-G_0.6-H8e-005_af4.wfa | 24576 | 8192 | 8192 | 15 | 7440 | 120 | 120 | 32 | 32 | 23.85714884 | 0.125 | 7680 | 0.3125      |
| mandrill32.bmp | mandrill32.bmp-withWavelet_haar-G_0.8-H9e-005_af4.wfa    | 24576 | 8192 | 8192 | 15 | 7440 | 120 | 120 | 32 | 32 | 23.86774002 | 0.125 | 7680 | 0.3125      |
| mandrill32.bmp | mandrill32.bmp-withWavelet_rbio1.1-G_0.8-H9e-005_af4.wfa | 24576 | 8192 | 8192 | 15 | 7440 | 120 | 120 | 32 | 32 | 23.86774002 | 0.484 | 7680 | 0.3125      |
| mandrill32.bmp | mandrill32.bmp-withWavelet_sym1-G_0.8-H9e-005_af4.wfa    | 24576 | 8192 | 8192 | 15 | 7440 | 120 | 120 | 32 | 32 | 23.86774002 | 0.125 | 7680 | 0.3125      |
| mandrill32.bmp | mandrill32.bmp-withWavelet_bior1.1-G_0.8-H9e-005_af4.wfa | 24576 | 8192 | 8192 | 15 | 7440 | 120 | 120 | 32 | 32 | 23.86774002 | 0.344 | 7680 | 0.3125      |
| mandrill32.bmp | mandrill32.bmp-withWavelet_haar-G_0.8-H0.0001_af4.wfa    | 24576 | 8192 | 8192 | 15 | 7440 | 120 | 120 | 32 | 32 | 23.86774002 | 0.125 | 7680 | 0.3125      |
| mandrill32.bmp | mandrill32.bmp-withWavelet_rbio1.1-G_0.8-H0.0001_af4.wfa | 24576 | 8192 | 8192 | 15 | 7440 | 120 | 120 | 32 | 32 | 23.86774002 | 0.125 | 7680 | 0.3125      |
| mandrill32.bmp | mandrill32.bmp-withWavelet_sym1-G_0.8-H0.0001_af4.wfa    | 24576 | 8192 | 8192 | 15 | 7440 | 120 | 120 | 32 | 32 | 23.86774002 | 0.109 | 7680 | 0.3125      |
| mandrill32.bmp | mandrill32.bmp-withWavelet_bior1.1-G_0.8-H0.0001_af4.wfa | 24576 | 8192 | 8192 | 15 | 7440 | 120 | 120 | 32 | 32 | 23.86774002 | 0.109 | 7680 | 0.3125      |
| mandrill32.bmp | mandrill32.bmp-withWavelet_haar-G_0.8-H6e-005_af1.wfa    | 24576 | 8192 | 8192 | 15 | 7440 | 120 | 120 | 32 | 32 | 23.90200811 | 0.093 | 7680 | 0.3125      |
| mandrill32.bmp | mandrill32.bmp-withWavelet_rbio1.1-G_0.8-H6e-005_af1.wfa | 24576 | 8192 | 8192 | 15 | 7440 | 120 | 120 | 32 | 32 | 23.90200811 | 0.11  | 7680 | 0.3125      |
| mandrill32.bmp | mandrill32.bmp-withWavelet_sym1-G_0.8-H6e-005_af1.wfa    | 24576 | 8192 | 8192 | 15 | 7440 | 120 | 120 | 32 | 32 | 23.90200811 | 0.094 | 7680 | 0.3125      |
| mandrill32.bmp | mandrill32.bmp-withWavelet_bior1.1-G_0.8-H6e-005_af1.wfa | 24576 | 8192 | 8192 | 15 | 7440 | 120 | 120 | 32 | 32 | 23.90200811 | 0.109 | 7680 | 0.3125      |
| mandrill32.bmp | mandrill32.bmp-withWavelet_haar-G_0.6-H6e-005_af1.wfa    | 24576 | 8192 | 8192 | 15 | 7440 | 120 | 120 | 32 | 32 | 23.97293164 | 1.016 | 7680 | 0.3125      |
| mandrill32.bmp | mandrill32.bmp-withWavelet_rbio1.1-G_0.6-H6e-005_af1.wfa | 24576 | 8192 | 8192 | 15 | 7440 | 120 | 120 | 32 | 32 | 23.97293164 | 0.953 | 7680 | 0.3125      |
| mandrill32.bmp | mandrill32.bmp-withWavelet_sym1-G_0.6-H6e-005_af1.wfa    | 24576 | 8192 | 8192 | 15 | 7440 | 120 | 120 | 32 | 32 | 23.97293164 | 0.938 | 7680 | 0.3125      |
| mandrill32.bmp | mandrill32.bmp-withWavelet_bior1.1-G_0.6-H6e-005_af1.wfa | 24576 | 8192 | 8192 | 15 | 7440 | 120 | 120 | 32 | 32 | 23.97293164 | 0.391 | 7680 | 0.3125      |
| mandrill32.bmp | mandrill32.bmp-withWavelet_haar-G_1-H5e-005_af2.wfa      | 24576 | 8192 | 8192 | 16 | 8432 | 128 | 128 | 32 | 32 | 21.40076805 | 0.109 | 8688 | 0.353515625 |
| mandrill32.bmp | mandrill32.bmp-withWavelet_rbio1.1-G_1-H5e-005_af2.wfa   | 24576 | 8192 | 8192 | 16 | 8432 | 128 | 128 | 32 | 32 | 21.40076805 | 0.11  | 8688 | 0.353515625 |

|                |  |       |      |      |    |      |     |     |    |    |             |       |      |             |
|----------------|--|-------|------|------|----|------|-----|-----|----|----|-------------|-------|------|-------------|
| mandrill32.bmp | mandrill32.bmp-withWavelet_sym1-G_1-H5e-005_af2.wfa      | 24576 | 8192 | 8192 | 16 | 8432 | 128 | 128 | 32 | 32 | 21.40076805 | 0.125 | 8688 | 0.353515625 |
| mandrill32.bmp | mandrill32.bmp-withWavelet_bior1.1-G_1-H5e-005_af2.wfa   | 24576 | 8192 | 8192 | 16 | 8432 | 128 | 128 | 32 | 32 | 21.40076805 | 0.125 | 8688 | 0.353515625 |
| mandrill32.bmp | mandrill32.bmp-withWavelet_haar-G_0.8-H5e-005_af2.wfa    | 24576 | 8192 | 8192 | 16 | 8432 | 128 | 128 | 32 | 32 | 21.40816913 | 0.125 | 8688 | 0.353515625 |
| mandrill32.bmp | mandrill32.bmp-withWavelet_rbio1.1-G_0.8-H5e-005_af2.wfa | 24576 | 8192 | 8192 | 16 | 8432 | 128 | 128 | 32 | 32 | 21.40816913 | 0.109 | 8688 | 0.353515625 |
| mandrill32.bmp | mandrill32.bmp-withWavelet_sym1-G_0.8-H5e-005_af2.wfa    | 24576 | 8192 | 8192 | 16 | 8432 | 128 | 128 | 32 | 32 | 21.40816913 | 0.109 | 8688 | 0.353515625 |
| mandrill32.bmp | mandrill32.bmp-withWavelet_bior1.1-G_0.8-H5e-005_af2.wfa | 24576 | 8192 | 8192 | 16 | 8432 | 128 | 128 | 32 | 32 | 21.40816913 | 0.109 | 8688 | 0.353515625 |
| mandrill32.bmp | mandrill32.bmp-withWavelet_haar-G_0.6-H5e-005_af2.wfa    | 24576 | 8192 | 8192 | 16 | 8432 | 128 | 128 | 32 | 32 | 21.45173763 | 0.406 | 8688 | 0.353515625 |
| mandrill32.bmp | mandrill32.bmp-withWavelet_rbio1.1-G_0.6-H5e-005_af2.wfa | 24576 | 8192 | 8192 | 16 | 8432 | 128 | 128 | 32 | 32 | 21.45173763 | 0.25  | 8688 | 0.353515625 |
| mandrill32.bmp | mandrill32.bmp-withWavelet_sym1-G_0.6-H5e-005_af2.wfa    | 24576 | 8192 | 8192 | 16 | 8432 | 128 | 128 | 32 | 32 | 21.45173763 | 0.484 | 8688 | 0.353515625 |
| mandrill32.bmp | mandrill32.bmp-withWavelet_bior1.1-G_0.6-H5e-005_af2.wfa | 24576 | 8192 | 8192 | 16 | 8432 | 128 | 128 | 32 | 32 | 21.45173763 | 0.14  | 8688 | 0.353515625 |
| mandrill32.bmp | mandrill32.bmp-G_0.6-H7e-005_af1.wfa                     | 24576 | 8192 |      | 16 | 8432 | 128 | 128 | 32 | 32 | 22.76353218 | 0.125 | 8688 | 0.353515625 |
| mandrill32.bmp | mandrill32.bmp-G_1-H6e-005_af5.wfa                       | 24576 | 8192 |      | 16 | 8432 | 128 | 128 | 32 | 32 | 22.79135    | 0.094 | 8688 | 0.353515625 |
| mandrill32.bmp | mandrill32.bmp-G_0.8-H6e-005_af5.wfa                     | 24576 | 8192 |      | 16 | 8432 | 128 | 128 | 32 | 32 | 22.82295687 | 0.344 | 8688 | 0.353515625 |
| mandrill32.bmp | mandrill32.bmp-G_1-H7e-005_af2.wfa                       | 24576 | 8192 |      | 16 | 8432 | 128 | 128 | 32 | 32 | 22.94231236 | 0.407 | 8688 | 0.353515625 |
| mandrill32.bmp | mandrill32.bmp-G_0.6-H6e-005_af2.wfa                     | 24576 | 8192 |      | 16 | 8432 | 128 | 128 | 32 | 32 | 22.97050756 | 0.375 | 8688 | 0.353515625 |
| mandrill32.bmp | mandrill32.bmp-G_0.6-H6e-005_af5.wfa                     | 24576 | 8192 |      | 16 | 8432 | 128 | 128 | 32 | 32 | 22.97227518 | 0.375 | 8688 | 0.353515625 |
| mandrill32.bmp | mandrill32.bmp-G_0.6-H7e-005_af2.wfa                     | 24576 | 8192 |      | 16 | 8432 | 128 | 128 | 32 | 32 | 23.01568871 | 0.11  | 8688 | 0.353515625 |
| mandrill32.bmp | mandrill32.bmp-G_1-H5e-005_af5.wfa                       | 24576 | 8192 |      | 16 | 8432 | 128 | 128 | 32 | 32 | 23.03950406 | 0.14  | 8688 | 0.353515625 |
| mandrill32.bmp | mandrill32.bmp-G_0.6-H1e-005_af4.wfa                     | 24576 | 8192 |      | 17 | 9488 | 136 | 136 | 32 | 32 | 20.52117731 | 0.109 | 9760 | 0.397135417 |
| mandrill32.bmp | mandrill32.bmp-G_0.6-H2e-005_af4.wfa                     | 24576 | 8192 |      | 17 | 9488 | 136 | 136 | 32 | 32 | 20.52117731 | 0.125 | 9760 | 0.397135417 |
| mandrill32.bmp | mandrill32.bmp-withWavelet_haar-G_1-H6e-005_af3.wfa      | 24576 | 8192 | 8192 | 16 | 8432 | 128 | 128 | 32 | 32 | 23.39792342 | 0.125 | 8688 | 0.353515625 |
| mandrill32.bmp | mandrill32.bmp-withWavelet_rbio1.1-G_1-H6e-005_af3.wfa   | 24576 | 8192 | 8192 | 16 | 8432 | 128 | 128 | 32 | 32 | 23.39792342 | 0.109 | 8688 | 0.353515625 |
| mandrill32.bmp | mandrill32.bmp-withWavelet_sym1-G_1-H6e-005_af3.wfa      | 24576 | 8192 | 8192 | 16 | 8432 | 128 | 128 | 32 | 32 | 23.39792342 | 0.11  | 8688 | 0.353515625 |
| mandrill32.bmp | mandrill32.bmp-withWavelet_bior1.1-G_1-H6e-005_af3.wfa   | 24576 | 8192 | 8192 | 16 | 8432 | 128 | 128 | 32 | 32 | 23.39792342 | 0.109 | 8688 | 0.353515625 |
| mandrill32.bmp | mandrill32.bmp-withWavelet_haar-G_1-H7e-005_af3.wfa      | 24576 | 8192 | 8192 | 16 | 8432 | 128 | 128 | 32 | 32 | 23.39792342 | 0.375 | 8688 | 0.353515625 |
| mandrill32.bmp | mandrill32.bmp-withWavelet_rbio1.1-G_1-H7e-005_af3.wfa   | 24576 | 8192 | 8192 | 16 | 8432 | 128 | 128 | 32 | 32 | 23.39792342 | 0.453 | 8688 | 0.353515625 |
| mandrill32.bmp | mandrill32.bmp-withWavelet_sym1-G_1-H7e-005_af3.wfa      | 24576 | 8192 | 8192 | 16 | 8432 | 128 | 128 | 32 | 32 | 23.39792342 | 0.328 | 8688 | 0.353515625 |
| mandrill32.bmp | mandrill32.bmp-withWavelet_bior1.1-G_1-H7e-005_af3.wfa   | 24576 | 8192 | 8192 | 16 | 8432 | 128 | 128 | 32 | 32 | 23.39792342 | 0.453 | 8688 | 0.353515625 |
| mandrill32.bmp | mandrill32.bmp-withWavelet_haar-G_0.8-H6e-005_af3.wfa    | 24576 | 8192 | 8192 | 16 | 8432 | 128 | 128 | 32 | 32 | 23.41573564 | 0.297 | 8688 | 0.353515625 |
| mandrill32.bmp | mandrill32.bmp-withWavelet_rbio1.1-G_0.8-H6e-005_af3.wfa | 24576 | 8192 | 8192 | 16 | 8432 | 128 | 128 | 32 | 32 | 23.41573564 | 0.453 | 8688 | 0.353515625 |
| mandrill32.bmp | mandrill32.bmp-withWavelet_sym1-G_0.8-H6e-005_af3.wfa    | 24576 | 8192 | 8192 | 16 | 8432 | 128 | 128 | 32 | 32 | 23.41573564 | 0.187 | 8688 | 0.353515625 |



|                |  |       |      |      |    |      |     |     |    |    |             |       |      |             |
|----------------|--|-------|------|------|----|------|-----|-----|----|----|-------------|-------|------|-------------|
| mandrill32.bmp | mandrill32.bmp-withWavelet_sym1-G_0.8-H5e-005_af1.wfa    | 24576 | 8192 | 8192 | 16 | 8432 | 128 | 128 | 32 | 32 | 24.29649207 | 0.11  | 8688 | 0.353515625 |
| mandrill32.bmp | mandrill32.bmp-withWavelet_bior1.1-G_0.8-H5e-005_af1.wfa | 24576 | 8192 | 8192 | 16 | 8432 | 128 | 128 | 32 | 32 | 24.29649207 | 0.109 | 8688 | 0.353515625 |
| mandrill32.bmp | mandrill32.bmp-withWavelet_haar-G_1-H5e-005_af1.wfa      | 24576 | 8192 | 8192 | 16 | 8432 | 128 | 128 | 32 | 32 | 24.33706762 | 0.109 | 8688 | 0.353515625 |
| mandrill32.bmp | mandrill32.bmp-withWavelet_rbio1.1-G_1-H5e-005_af1.wfa   | 24576 | 8192 | 8192 | 16 | 8432 | 128 | 128 | 32 | 32 | 24.33706762 | 0.11  | 8688 | 0.353515625 |
| mandrill32.bmp | mandrill32.bmp-withWavelet_sym1-G_1-H5e-005_af1.wfa      | 24576 | 8192 | 8192 | 16 | 8432 | 128 | 128 | 32 | 32 | 24.33706762 | 0.125 | 8688 | 0.353515625 |
| mandrill32.bmp | mandrill32.bmp-withWavelet_bior1.1-G_1-H5e-005_af1.wfa   | 24576 | 8192 | 8192 | 16 | 8432 | 128 | 128 | 32 | 32 | 24.33706762 | 0.11  | 8688 | 0.353515625 |
| mandrill32.bmp | mandrill32.bmp-withWavelet_haar-G_0.6-H5e-005_af1.wfa    | 24576 | 8192 | 8192 | 16 | 8432 | 128 | 128 | 32 | 32 | 24.3713863  | 0.109 | 8688 | 0.353515625 |
| mandrill32.bmp | mandrill32.bmp-withWavelet_rbio1.1-G_0.6-H5e-005_af1.wfa | 24576 | 8192 | 8192 | 16 | 8432 | 128 | 128 | 32 | 32 | 24.3713863  | 0.125 | 8688 | 0.353515625 |
| mandrill32.bmp | mandrill32.bmp-withWavelet_sym1-G_0.6-H5e-005_af1.wfa    | 24576 | 8192 | 8192 | 16 | 8432 | 128 | 128 | 32 | 32 | 24.3713863  | 0.156 | 8688 | 0.353515625 |
| mandrill32.bmp | mandrill32.bmp-withWavelet_bior1.1-G_0.6-H5e-005_af1.wfa | 24576 | 8192 | 8192 | 16 | 8432 | 128 | 128 | 32 | 32 | 24.3713863  | 0.484 | 8688 | 0.353515625 |
| mandrill32.bmp | mandrill32.bmp-withWavelet_haar-G_1-H3e-005_af2.wfa      | 24576 | 8192 | 8192 | 17 | 9488 | 136 | 136 | 32 | 32 | 22.47475653 | 0.125 | 9760 | 0.397135417 |
| mandrill32.bmp | mandrill32.bmp-withWavelet_rbio1.1-G_1-H3e-005_af2.wfa   | 24576 | 8192 | 8192 | 17 | 9488 | 136 | 136 | 32 | 32 | 22.47475653 | 0.109 | 9760 | 0.397135417 |
| mandrill32.bmp | mandrill32.bmp-withWavelet_sym1-G_1-H3e-005_af2.wfa      | 24576 | 8192 | 8192 | 17 | 9488 | 136 | 136 | 32 | 32 | 22.47475653 | 0.109 | 9760 | 0.397135417 |
| mandrill32.bmp | mandrill32.bmp-withWavelet_bior1.1-G_1-H3e-005_af2.wfa   | 24576 | 8192 | 8192 | 17 | 9488 | 136 | 136 | 32 | 32 | 22.47475653 | 0.109 | 9760 | 0.397135417 |
| mandrill32.bmp | mandrill32.bmp-G_1-H6e-005_af3.wfa                       | 24576 | 8192 |      | 17 | 9488 | 136 | 136 | 32 | 32 | 22.51009255 | 0.125 | 9760 | 0.397135417 |
| mandrill32.bmp | mandrill32.bmp-withWavelet_haar-G_0.8-H3e-005_af2.wfa    | 24576 | 8192 | 8192 | 17 | 9488 | 136 | 136 | 32 | 32 | 22.51379358 | 0.109 | 9760 | 0.397135417 |
| mandrill32.bmp | mandrill32.bmp-withWavelet_rbio1.1-G_0.8-H3e-005_af2.wfa | 24576 | 8192 | 8192 | 17 | 9488 | 136 | 136 | 32 | 32 | 22.51379358 | 0.109 | 9760 | 0.397135417 |
| mandrill32.bmp | mandrill32.bmp-withWavelet_sym1-G_0.8-H3e-005_af2.wfa    | 24576 | 8192 | 8192 | 17 | 9488 | 136 | 136 | 32 | 32 | 22.51379358 | 0.172 | 9760 | 0.397135417 |
| mandrill32.bmp | mandrill32.bmp-withWavelet_bior1.1-G_0.8-H3e-005_af2.wfa | 24576 | 8192 | 8192 | 17 | 9488 | 136 | 136 | 32 | 32 | 22.51379358 | 0.125 | 9760 | 0.397135417 |
| mandrill32.bmp | mandrill32.bmp-G_0.8-H6e-005_af3.wfa                     | 24576 | 8192 |      | 17 | 9488 | 136 | 136 | 32 | 32 | 22.54066048 | 0.329 | 9760 | 0.397135417 |
| mandrill32.bmp | mandrill32.bmp-withWavelet_haar-G_0.6-H3e-005_af2.wfa    | 24576 | 8192 | 8192 | 17 | 9488 | 136 | 136 | 32 | 32 | 22.60899353 | 0.125 | 9760 | 0.397135417 |
| mandrill32.bmp | mandrill32.bmp-withWavelet_rbio1.1-G_0.6-H3e-005_af2.wfa | 24576 | 8192 | 8192 | 17 | 9488 | 136 | 136 | 32 | 32 | 22.60899353 | 0.109 | 9760 | 0.397135417 |
| mandrill32.bmp | mandrill32.bmp-withWavelet_sym1-G_0.6-H3e-005_af2.wfa    | 24576 | 8192 | 8192 | 17 | 9488 | 136 | 136 | 32 | 32 | 22.60899353 | 0.109 | 9760 | 0.397135417 |
| mandrill32.bmp | mandrill32.bmp-withWavelet_bior1.1-G_0.6-H3e-005_af2.wfa | 24576 | 8192 | 8192 | 17 | 9488 | 136 | 136 | 32 | 32 | 22.60899353 | 0.125 | 9760 | 0.397135417 |
| mandrill32.bmp | mandrill32.bmp-G_0.6-H6e-005_af3.wfa                     | 24576 | 8192 |      | 17 | 9488 | 136 | 136 | 32 | 32 | 22.6459394  | 0.391 | 9760 | 0.397135417 |
| mandrill32.bmp | mandrill32.bmp-G_1-H4e-005_af5.wfa                       | 24576 | 8192 |      | 17 | 9488 | 136 | 136 | 32 | 32 | 23.15031791 | 0.109 | 9760 | 0.397135417 |
| mandrill32.bmp | mandrill32.bmp-G_0.8-H4e-005_af5.wfa                     | 24576 | 8192 |      | 17 | 9488 | 136 | 136 | 32 | 32 | 23.18561551 | 0.125 | 9760 | 0.397135417 |
| mandrill32.bmp | mandrill32.bmp-G_0.8-H5e-005_af5.wfa                     | 24576 | 8192 |      | 17 | 9488 | 136 | 136 | 32 | 32 | 23.18561551 | 0.109 | 9760 | 0.397135417 |
| mandrill32.bmp | mandrill32.bmp-G_1-H6e-005_af2.wfa                       | 24576 | 8192 |      | 17 | 9488 | 136 | 136 | 32 | 32 | 23.30968706 | 0.109 | 9760 | 0.397135417 |
| mandrill32.bmp | mandrill32.bmp-G_0.8-H6e-005_af2.wfa                     | 24576 | 8192 |      | 17 | 9488 | 136 | 136 | 32 | 32 | 23.33977641 | 0.14  | 9760 | 0.397135417 |
| mandrill32.bmp | mandrill32.bmp-G_0.8-H7e-005_af2.wfa                     | 24576 | 8192 |      | 17 | 9488 | 136 | 136 | 32 | 32 | 23.38905781 | 0.453 | 9760 | 0.397135417 |



|                |  |       |      |      |    |       |     |     |    |    |             |       |       |             |
|----------------|--|-------|------|------|----|-------|-----|-----|----|----|-------------|-------|-------|-------------|
| mandrill32.bmp | mandrill32.bmp-G_1-H3e-005_af4.wfa                       | 24576 | 8192 |      | 19 | 11792 | 152 | 152 | 32 | 32 | 20.66202107 | 0.125 | 12096 | 0.4921875   |
| mandrill32.bmp | mandrill32.bmp-G_0.8-H3e-005_af4.wfa                     | 24576 | 8192 |      | 19 | 11792 | 152 | 152 | 32 | 32 | 20.7090584  | 0.14  | 12096 | 0.4921875   |
| mandrill32.bmp | mandrill32.bmp-G_1-H7e-005_af1.wfa                       | 24576 | 8192 |      | 18 | 10608 | 144 | 144 | 32 | 32 | 23.27438281 | 0.453 | 10896 | 0.443359375 |
| mandrill32.bmp | mandrill32.bmp-G_0.8-H7e-005_af1.wfa                     | 24576 | 8192 |      | 18 | 10608 | 144 | 144 | 32 | 32 | 23.30676912 | 0.453 | 10896 | 0.443359375 |
| mandrill32.bmp | mandrill32.bmp-G_1-H5e-005_af2.wfa                       | 24576 | 8192 |      | 18 | 10608 | 144 | 144 | 32 | 32 | 23.35132523 | 0.141 | 10896 | 0.443359375 |
| mandrill32.bmp | mandrill32.bmp-G_0.8-H5e-005_af2.wfa                     | 24576 | 8192 |      | 18 | 10608 | 144 | 144 | 32 | 32 | 23.40132657 | 0.125 | 10896 | 0.443359375 |
| mandrill32.bmp | mandrill32.bmp-withWavelet_haar-G_0.8-H5e-005_af3.wfa    | 24576 | 8192 | 8192 | 18 | 10608 | 144 | 144 | 32 | 32 | 23.64569939 | 0.172 | 10896 | 0.443359375 |
| mandrill32.bmp | mandrill32.bmp-withWavelet_rbio1.1-G_0.8-H5e-005_af3.wfa | 24576 | 8192 | 8192 | 18 | 10608 | 144 | 144 | 32 | 32 | 23.64569939 | 0.11  | 10896 | 0.443359375 |
| mandrill32.bmp | mandrill32.bmp-withWavelet_sym1-G_0.8-H5e-005_af3.wfa    | 24576 | 8192 | 8192 | 18 | 10608 | 144 | 144 | 32 | 32 | 23.64569939 | 0.11  | 10896 | 0.443359375 |
| mandrill32.bmp | mandrill32.bmp-withWavelet_bior1.1-G_0.8-H5e-005_af3.wfa | 24576 | 8192 | 8192 | 18 | 10608 | 144 | 144 | 32 | 32 | 23.64569939 | 0.125 | 10896 | 0.443359375 |
| mandrill32.bmp | mandrill32.bmp-withWavelet_haar-G_0.6-H5e-005_af3.wfa    | 24576 | 8192 | 8192 | 18 | 10608 | 144 | 144 | 32 | 32 | 23.84622096 | 0.125 | 10896 | 0.443359375 |
| mandrill32.bmp | mandrill32.bmp-withWavelet_rbio1.1-G_0.6-H5e-005_af3.wfa | 24576 | 8192 | 8192 | 18 | 10608 | 144 | 144 | 32 | 32 | 23.84622096 | 0.109 | 10896 | 0.443359375 |
| mandrill32.bmp | mandrill32.bmp-withWavelet_sym1-G_0.6-H5e-005_af3.wfa    | 24576 | 8192 | 8192 | 18 | 10608 | 144 | 144 | 32 | 32 | 23.84622096 | 0.125 | 10896 | 0.443359375 |
| mandrill32.bmp | mandrill32.bmp-withWavelet_bior1.1-G_0.6-H5e-005_af3.wfa | 24576 | 8192 | 8192 | 18 | 10608 | 144 | 144 | 32 | 32 | 23.84622096 | 0.109 | 10896 | 0.443359375 |
| mandrill32.bmp | mandrill32.bmp-withWavelet_haar-G_0.8-H2e-005_af2.wfa    | 24576 | 8192 | 8192 | 19 | 11792 | 152 | 152 | 32 | 32 | 22.6948551  | 0.125 | 12096 | 0.4921875   |
| mandrill32.bmp | mandrill32.bmp-withWavelet_rbio1.1-G_0.8-H2e-005_af2.wfa | 24576 | 8192 | 8192 | 19 | 11792 | 152 | 152 | 32 | 32 | 22.6948551  | 0.125 | 12096 | 0.4921875   |
| mandrill32.bmp | mandrill32.bmp-withWavelet_sym1-G_0.8-H2e-005_af2.wfa    | 24576 | 8192 | 8192 | 19 | 11792 | 152 | 152 | 32 | 32 | 22.6948551  | 0.125 | 12096 | 0.4921875   |
| mandrill32.bmp | mandrill32.bmp-withWavelet_bior1.1-G_0.8-H2e-005_af2.wfa | 24576 | 8192 | 8192 | 19 | 11792 | 152 | 152 | 32 | 32 | 22.6948551  | 0.141 | 12096 | 0.4921875   |
| mandrill32.bmp | mandrill32.bmp-withWavelet_haar-G_1-H6e-005_af4.wfa      | 24576 | 8192 | 8192 | 18 | 10608 | 144 | 144 | 32 | 32 | 25.26204805 | 0.125 | 10896 | 0.443359375 |
| mandrill32.bmp | mandrill32.bmp-withWavelet_rbio1.1-G_1-H6e-005_af4.wfa   | 24576 | 8192 | 8192 | 18 | 10608 | 144 | 144 | 32 | 32 | 25.26204805 | 0.125 | 10896 | 0.443359375 |
| mandrill32.bmp | mandrill32.bmp-withWavelet_sym1-G_1-H6e-005_af4.wfa      | 24576 | 8192 | 8192 | 18 | 10608 | 144 | 144 | 32 | 32 | 25.26204805 | 0.11  | 10896 | 0.443359375 |
| mandrill32.bmp | mandrill32.bmp-withWavelet_bior1.1-G_1-H6e-005_af4.wfa   | 24576 | 8192 | 8192 | 18 | 10608 | 144 | 144 | 32 | 32 | 25.26204805 | 0.109 | 10896 | 0.443359375 |
| mandrill32.bmp | mandrill32.bmp-withWavelet_haar-G_1-H7e-005_af4.wfa      | 24576 | 8192 | 8192 | 18 | 10608 | 144 | 144 | 32 | 32 | 25.26204805 | 0.344 | 10896 | 0.443359375 |
| mandrill32.bmp | mandrill32.bmp-withWavelet_rbio1.1-G_1-H7e-005_af4.wfa   | 24576 | 8192 | 8192 | 18 | 10608 | 144 | 144 | 32 | 32 | 25.26204805 | 0.281 | 10896 | 0.443359375 |
| mandrill32.bmp | mandrill32.bmp-withWavelet_sym1-G_1-H7e-005_af4.wfa      | 24576 | 8192 | 8192 | 18 | 10608 | 144 | 144 | 32 | 32 | 25.26204805 | 0.469 | 10896 | 0.443359375 |
| mandrill32.bmp | mandrill32.bmp-withWavelet_bior1.1-G_1-H7e-005_af4.wfa   | 24576 | 8192 | 8192 | 18 | 10608 | 144 | 144 | 32 | 32 | 25.26204805 | 0.453 | 10896 | 0.443359375 |
| mandrill32.bmp | mandrill32.bmp-withWavelet_haar-G_0.8-H4e-005_af1.wfa    | 24576 | 8192 | 8192 | 18 | 10608 | 144 | 144 | 32 | 32 | 25.30042058 | 0.125 | 10896 | 0.443359375 |
| mandrill32.bmp | mandrill32.bmp-withWavelet_rbio1.1-G_0.8-H4e-005_af1.wfa | 24576 | 8192 | 8192 | 18 | 10608 | 144 | 144 | 32 | 32 | 25.30042058 | 0.125 | 10896 | 0.443359375 |
| mandrill32.bmp | mandrill32.bmp-withWavelet_sym1-G_0.8-H4e-005_af1.wfa    | 24576 | 8192 | 8192 | 18 | 10608 | 144 | 144 | 32 | 32 | 25.30042058 | 0.125 | 10896 | 0.443359375 |
| mandrill32.bmp | mandrill32.bmp-withWavelet_bior1.1-G_0.8-H4e-005_af1.wfa | 24576 | 8192 | 8192 | 18 | 10608 | 144 | 144 | 32 | 32 | 25.30042058 | 0.125 | 10896 | 0.443359375 |
| mandrill32.bmp | mandrill32.bmp-withWavelet_haar-G_1-H2e-005_af2.wfa      | 24576 | 8192 | 8192 | 19 | 11792 | 152 | 152 | 32 | 32 | 22.79802051 | 0.234 | 12096 | 0.4921875   |

|                |  |       |      |      |    |       |     |     |    |    |             |       |       |             |
|----------------|--|-------|------|------|----|-------|-----|-----|----|----|-------------|-------|-------|-------------|
| mandrill32.bmp | mandrill32.bmp-withWavelet_rbio1.1-G_1-H2e-005_af2.wfa   | 24576 | 8192 | 8192 | 19 | 11792 | 152 | 152 | 32 | 32 | 22.79802051 | 0.281 | 12096 | 0.4921875   |
| mandrill32.bmp | mandrill32.bmp-withWavelet_sym1-G_1-H2e-005_af2.wfa      | 24576 | 8192 | 8192 | 19 | 11792 | 152 | 152 | 32 | 32 | 22.79802051 | 0.125 | 12096 | 0.4921875   |
| mandrill32.bmp | mandrill32.bmp-withWavelet_bior1.1-G_1-H2e-005_af2.wfa   | 24576 | 8192 | 8192 | 19 | 11792 | 152 | 152 | 32 | 32 | 22.79802051 | 0.125 | 12096 | 0.4921875   |
| mandrill32.bmp | mandrill32.bmp-withWavelet_haar-G_0.6-H5e-005_af4.wfa    | 24576 | 8192 | 8192 | 18 | 10608 | 144 | 144 | 32 | 32 | 25.31489384 | 0.125 | 10896 | 0.443359375 |
| mandrill32.bmp | mandrill32.bmp-withWavelet_rbio1.1-G_0.6-H5e-005_af4.wfa | 24576 | 8192 | 8192 | 18 | 10608 | 144 | 144 | 32 | 32 | 25.31489384 | 0.11  | 10896 | 0.443359375 |
| mandrill32.bmp | mandrill32.bmp-withWavelet_sym1-G_0.6-H5e-005_af4.wfa    | 24576 | 8192 | 8192 | 18 | 10608 | 144 | 144 | 32 | 32 | 25.31489384 | 0.109 | 10896 | 0.443359375 |
| mandrill32.bmp | mandrill32.bmp-withWavelet_bior1.1-G_0.6-H5e-005_af4.wfa | 24576 | 8192 | 8192 | 18 | 10608 | 144 | 144 | 32 | 32 | 25.31489384 | 0.125 | 10896 | 0.443359375 |
| mandrill32.bmp | mandrill32.bmp-withWavelet_haar-G_0.8-H6e-005_af4.wfa    | 24576 | 8192 | 8192 | 18 | 10608 | 144 | 144 | 32 | 32 | 25.32175024 | 0.313 | 10896 | 0.443359375 |
| mandrill32.bmp | mandrill32.bmp-withWavelet_rbio1.1-G_0.8-H6e-005_af4.wfa | 24576 | 8192 | 8192 | 18 | 10608 | 144 | 144 | 32 | 32 | 25.32175024 | 0.407 | 10896 | 0.443359375 |
| mandrill32.bmp | mandrill32.bmp-withWavelet_sym1-G_0.8-H6e-005_af4.wfa    | 24576 | 8192 | 8192 | 18 | 10608 | 144 | 144 | 32 | 32 | 25.32175024 | 0.344 | 10896 | 0.443359375 |
| mandrill32.bmp | mandrill32.bmp-withWavelet_bior1.1-G_0.8-H6e-005_af4.wfa | 24576 | 8192 | 8192 | 18 | 10608 | 144 | 144 | 32 | 32 | 25.32175024 | 0.547 | 10896 | 0.443359375 |
| mandrill32.bmp | mandrill32.bmp-withWavelet_haar-G_0.8-H7e-005_af4.wfa    | 24576 | 8192 | 8192 | 18 | 10608 | 144 | 144 | 32 | 32 | 25.32175024 | 0.453 | 10896 | 0.443359375 |
| mandrill32.bmp | mandrill32.bmp-withWavelet_rbio1.1-G_0.8-H7e-005_af4.wfa | 24576 | 8192 | 8192 | 18 | 10608 | 144 | 144 | 32 | 32 | 25.32175024 | 0.469 | 10896 | 0.443359375 |
| mandrill32.bmp | mandrill32.bmp-withWavelet_sym1-G_0.8-H7e-005_af4.wfa    | 24576 | 8192 | 8192 | 18 | 10608 | 144 | 144 | 32 | 32 | 25.32175024 | 0.454 | 10896 | 0.443359375 |
| mandrill32.bmp | mandrill32.bmp-withWavelet_bior1.1-G_0.8-H7e-005_af4.wfa | 24576 | 8192 | 8192 | 18 | 10608 | 144 | 144 | 32 | 32 | 25.32175024 | 0.454 | 10896 | 0.443359375 |
| mandrill32.bmp | mandrill32.bmp-G_1-H2e-005_af4.wfa                       | 24576 | 8192 |      | 20 | 13040 | 160 | 160 | 32 | 32 | 20.73135149 | 0.125 | 13360 | 0.543619792 |
| mandrill32.bmp | mandrill32.bmp-G_1-H5e-005_af3.wfa                       | 24576 | 8192 |      | 19 | 11792 | 152 | 152 | 32 | 32 | 23.13049491 | 0.125 | 12096 | 0.4921875   |
| mandrill32.bmp | mandrill32.bmp-G_0.8-H5e-005_af3.wfa                     | 24576 | 8192 |      | 19 | 11792 | 152 | 152 | 32 | 32 | 23.15819697 | 0.125 | 12096 | 0.4921875   |
| mandrill32.bmp | mandrill32.bmp-G_1-H6e-005_af1.wfa                       | 24576 | 8192 |      | 19 | 11792 | 152 | 152 | 32 | 32 | 23.78754937 | 0.125 | 12096 | 0.4921875   |
| mandrill32.bmp | mandrill32.bmp-G_0.8-H6e-005_af1.wfa                     | 24576 | 8192 |      | 19 | 11792 | 152 | 152 | 32 | 32 | 23.81552804 | 0.125 | 12096 | 0.4921875   |
| mandrill32.bmp | mandrill32.bmp-G_0.6-H6e-005_af1.wfa                     | 24576 | 8192 |      | 19 | 11792 | 152 | 152 | 32 | 32 | 23.94721752 | 0.657 | 12096 | 0.4921875   |
| mandrill32.bmp | mandrill32.bmp-withWavelet_haar-G_1-H5e-005_af3.wfa      | 24576 | 8192 | 8192 | 19 | 11792 | 152 | 152 | 32 | 32 | 24.0165381  | 0.141 | 12096 | 0.4921875   |
| mandrill32.bmp | mandrill32.bmp-withWavelet_rbio1.1-G_1-H5e-005_af3.wfa   | 24576 | 8192 | 8192 | 19 | 11792 | 152 | 152 | 32 | 32 | 24.0165381  | 0.125 | 12096 | 0.4921875   |
| mandrill32.bmp | mandrill32.bmp-withWavelet_sym1-G_1-H5e-005_af3.wfa      | 24576 | 8192 | 8192 | 19 | 11792 | 152 | 152 | 32 | 32 | 24.0165381  | 0.109 | 12096 | 0.4921875   |
| mandrill32.bmp | mandrill32.bmp-withWavelet_bior1.1-G_1-H5e-005_af3.wfa   | 24576 | 8192 | 8192 | 19 | 11792 | 152 | 152 | 32 | 32 | 24.0165381  | 0.125 | 12096 | 0.4921875   |
| mandrill32.bmp | mandrill32.bmp-G_0.6-H5e-005_af2.wfa                     | 24576 | 8192 |      | 19 | 11792 | 152 | 152 | 32 | 32 | 24.13728353 | 0.735 | 12096 | 0.4921875   |
| mandrill32.bmp | mandrill32.bmp-G_0.8-H2e-005_af4.wfa                     | 24576 | 8192 |      | 21 | 14352 | 168 | 168 | 32 | 32 | 20.78550467 | 0.125 | 14688 | 0.59765625  |
| mandrill32.bmp | mandrill32.bmp-G_0.8-H1e-005_af4.wfa                     | 24576 | 8192 |      | 21 | 14352 | 168 | 168 | 32 | 32 | 20.78550467 | 0.281 | 14688 | 0.59765625  |
| mandrill32.bmp | mandrill32.bmp-G_1-H4e-005_af3.wfa                       | 24576 | 8192 |      | 20 | 13040 | 160 | 160 | 32 | 32 | 23.20417175 | 0.125 | 13360 | 0.543619792 |
| mandrill32.bmp | mandrill32.bmp-withWavelet_haar-G_1-H4e-005_af4.wfa      | 24576 | 8192 | 8192 | 19 | 11792 | 152 | 152 | 32 | 32 | 25.64294537 | 0.25  | 12096 | 0.4921875   |
| mandrill32.bmp | mandrill32.bmp-withWavelet_rbio1.1-G_1-H4e-005_af4.wfa   | 24576 | 8192 | 8192 | 19 | 11792 | 152 | 152 | 32 | 32 | 25.64294537 | 0.125 | 12096 | 0.4921875   |



|                |  |       |      |      |    |       |     |     |    |    |             |       |       |             |
|----------------|--|-------|------|------|----|-------|-----|-----|----|----|-------------|-------|-------|-------------|
| mandrill32.bmp | mandrill32.bmp-withWavelet_sym1-G_1-H4e-005_af4.wfa      | 24576 | 8192 | 8192 | 19 | 11792 | 152 | 152 | 32 | 32 | 25.64294537 | 0.156 | 12096 | 0.4921875   |
| mandrill32.bmp | mandrill32.bmp-withWavelet_bior1.1-G_1-H4e-005_af4.wfa   | 24576 | 8192 | 8192 | 19 | 11792 | 152 | 152 | 32 | 32 | 25.64294537 | 0.25  | 12096 | 0.4921875   |
| mandrill32.bmp | mandrill32.bmp-withWavelet_haar-G_1-H5e-005_af4.wfa      | 24576 | 8192 | 8192 | 19 | 11792 | 152 | 152 | 32 | 32 | 25.64294537 | 0.109 | 12096 | 0.4921875   |
| mandrill32.bmp | mandrill32.bmp-withWavelet_rbio1.1-G_1-H5e-005_af4.wfa   | 24576 | 8192 | 8192 | 19 | 11792 | 152 | 152 | 32 | 32 | 25.64294537 | 0.157 | 12096 | 0.4921875   |
| mandrill32.bmp | mandrill32.bmp-withWavelet_sym1-G_1-H5e-005_af4.wfa      | 24576 | 8192 | 8192 | 19 | 11792 | 152 | 152 | 32 | 32 | 25.64294537 | 0.125 | 12096 | 0.4921875   |
| mandrill32.bmp | mandrill32.bmp-withWavelet_bior1.1-G_1-H5e-005_af4.wfa   | 24576 | 8192 | 8192 | 19 | 11792 | 152 | 152 | 32 | 32 | 25.64294537 | 0.125 | 12096 | 0.4921875   |
| mandrill32.bmp | mandrill32.bmp-G_0.8-H4e-005_af3.wfa                     | 24576 | 8192 |      | 20 | 13040 | 160 | 160 | 32 | 32 | 23.22998744 | 0.141 | 13360 | 0.543619792 |
| mandrill32.bmp | mandrill32.bmp-withWavelet_haar-G_0.8-H4e-005_af4.wfa    | 24576 | 8192 | 8192 | 19 | 11792 | 152 | 152 | 32 | 32 | 25.70813451 | 0.156 | 12096 | 0.4921875   |
| mandrill32.bmp | mandrill32.bmp-withWavelet_rbio1.1-G_0.8-H4e-005_af4.wfa | 24576 | 8192 | 8192 | 19 | 11792 | 152 | 152 | 32 | 32 | 25.70813451 | 0.125 | 12096 | 0.4921875   |
| mandrill32.bmp | mandrill32.bmp-withWavelet_sym1-G_0.8-H4e-005_af4.wfa    | 24576 | 8192 | 8192 | 19 | 11792 | 152 | 152 | 32 | 32 | 25.70813451 | 0.125 | 12096 | 0.4921875   |
| mandrill32.bmp | mandrill32.bmp-withWavelet_bior1.1-G_0.8-H4e-005_af4.wfa | 24576 | 8192 | 8192 | 19 | 11792 | 152 | 152 | 32 | 32 | 25.70813451 | 0.11  | 12096 | 0.4921875   |
| mandrill32.bmp | mandrill32.bmp-withWavelet_haar-G_0.8-H5e-005_af4.wfa    | 24576 | 8192 | 8192 | 19 | 11792 | 152 | 152 | 32 | 32 | 25.70813451 | 0.125 | 12096 | 0.4921875   |
| mandrill32.bmp | mandrill32.bmp-withWavelet_rbio1.1-G_0.8-H5e-005_af4.wfa | 24576 | 8192 | 8192 | 19 | 11792 | 152 | 152 | 32 | 32 | 25.70813451 | 0.125 | 12096 | 0.4921875   |
| mandrill32.bmp | mandrill32.bmp-withWavelet_sym1-G_0.8-H5e-005_af4.wfa    | 24576 | 8192 | 8192 | 19 | 11792 | 152 | 152 | 32 | 32 | 25.70813451 | 0.125 | 12096 | 0.4921875   |
| mandrill32.bmp | mandrill32.bmp-withWavelet_bior1.1-G_0.8-H5e-005_af4.wfa | 24576 | 8192 | 8192 | 19 | 11792 | 152 | 152 | 32 | 32 | 25.70813451 | 0.125 | 12096 | 0.4921875   |
| mandrill32.bmp | mandrill32.bmp-G_0.6-H4e-005_af3.wfa                     | 24576 | 8192 |      | 20 | 13040 | 160 | 160 | 32 | 32 | 23.30800441 | 0.172 | 13360 | 0.543619792 |
| mandrill32.bmp | mandrill32.bmp-withWavelet_haar-G_0.6-H4e-005_af4.wfa    | 24576 | 8192 | 8192 | 19 | 11792 | 152 | 152 | 32 | 32 | 25.83950542 | 0.125 | 12096 | 0.4921875   |
| mandrill32.bmp | mandrill32.bmp-withWavelet_rbio1.1-G_0.6-H4e-005_af4.wfa | 24576 | 8192 | 8192 | 19 | 11792 | 152 | 152 | 32 | 32 | 25.83950542 | 0.14  | 12096 | 0.4921875   |
| mandrill32.bmp | mandrill32.bmp-withWavelet_sym1-G_0.6-H4e-005_af4.wfa    | 24576 | 8192 | 8192 | 19 | 11792 | 152 | 152 | 32 | 32 | 25.83950542 | 0.125 | 12096 | 0.4921875   |
| mandrill32.bmp | mandrill32.bmp-withWavelet_bior1.1-G_0.6-H4e-005_af4.wfa | 24576 | 8192 | 8192 | 19 | 11792 | 152 | 152 | 32 | 32 | 25.83950542 | 0.125 | 12096 | 0.4921875   |
| mandrill32.bmp | mandrill32.bmp-G_1-H5e-005_af1.wfa                       | 24576 | 8192 |      | 20 | 13040 | 160 | 160 | 32 | 32 | 23.73174061 | 0.125 | 13360 | 0.543619792 |
| mandrill32.bmp | mandrill32.bmp-G_0.6-H5e-005_af1.wfa                     | 24576 | 8192 |      | 20 | 13040 | 160 | 160 | 32 | 32 | 23.76481056 | 0.125 | 13360 | 0.543619792 |
| mandrill32.bmp | mandrill32.bmp-G_0.8-H5e-005_af1.wfa                     | 24576 | 8192 |      | 20 | 13040 | 160 | 160 | 32 | 32 | 23.77155632 | 0.125 | 13360 | 0.543619792 |
| mandrill32.bmp | mandrill32.bmp-G_1-H4e-005_af2.wfa                       | 24576 | 8192 |      | 20 | 13040 | 160 | 160 | 32 | 32 | 23.95906158 | 0.141 | 13360 | 0.543619792 |
| mandrill32.bmp | mandrill32.bmp-G_0.6-H3e-005_af5.wfa                     | 24576 | 8192 |      | 20 | 13040 | 160 | 160 | 32 | 32 | 24.05184304 | 0.125 | 13360 | 0.543619792 |
| mandrill32.bmp | mandrill32.bmp-withWavelet_haar-G_1-H4e-005_af3.wfa      | 24576 | 8192 | 8192 | 20 | 13040 | 160 | 160 | 32 | 32 | 24.4179027  | 0.11  | 13360 | 0.543619792 |
| mandrill32.bmp | mandrill32.bmp-withWavelet_rbio1.1-G_1-H4e-005_af3.wfa   | 24576 | 8192 | 8192 | 20 | 13040 | 160 | 160 | 32 | 32 | 24.4179027  | 0.125 | 13360 | 0.543619792 |
| mandrill32.bmp | mandrill32.bmp-withWavelet_sym1-G_1-H4e-005_af3.wfa      | 24576 | 8192 | 8192 | 20 | 13040 | 160 | 160 | 32 | 32 | 24.4179027  | 0.125 | 13360 | 0.543619792 |
| mandrill32.bmp | mandrill32.bmp-withWavelet_bior1.1-G_1-H4e-005_af3.wfa   | 24576 | 8192 | 8192 | 20 | 13040 | 160 | 160 | 32 | 32 | 24.4179027  | 0.125 | 13360 | 0.543619792 |
| mandrill32.bmp | mandrill32.bmp-withWavelet_haar-G_0.8-H4e-005_af3.wfa    | 24576 | 8192 | 8192 | 20 | 13040 | 160 | 160 | 32 | 32 | 24.42748455 | 0.297 | 13360 | 0.543619792 |
| mandrill32.bmp | mandrill32.bmp-withWavelet_rbio1.1-G_0.8-H4e-005_af3.wfa | 24576 | 8192 | 8192 | 20 | 13040 | 160 | 160 | 32 | 32 | 24.42748455 | 0.125 | 13360 | 0.543619792 |

|                |  |       |      |      |    |       |     |     |    |    |             |       |       |             |
|----------------|--|-------|------|------|----|-------|-----|-----|----|----|-------------|-------|-------|-------------|
| mandrill32.bmp | mandrill32.bmp-withWavelet_sym1-G_0.8-H4e-005_af3.wfa    | 24576 | 8192 | 8192 | 20 | 13040 | 160 | 160 | 32 | 32 | 24.42748455 | 0.125 | 13360 | 0.543619792 |
| mandrill32.bmp | mandrill32.bmp-withWavelet_bior1.1-G_0.8-H4e-005_af3.wfa | 24576 | 8192 | 8192 | 20 | 13040 | 160 | 160 | 32 | 32 | 24.42748455 | 0.172 | 13360 | 0.543619792 |
| mandrill32.bmp | mandrill32.bmp-G_0.6-H4e-005_af2.wfa                     | 24576 | 8192 |      | 20 | 13040 | 160 | 160 | 32 | 32 | 24.435603   | 0.156 | 13360 | 0.543619792 |
| mandrill32.bmp | mandrill32.bmp-G_1-H1e-005_af4.wfa                       | 24576 | 8192 |      | 22 | 15728 | 176 | 176 | 32 | 32 | 20.80351984 | 0.125 | 16080 | 0.654296875 |
| mandrill32.bmp | mandrill32.bmp-withWavelet_haar-G_1-H3e-005_af1.wfa      | 24576 | 8192 | 8192 | 20 | 13040 | 160 | 160 | 32 | 32 | 25.62686953 | 0.172 | 13360 | 0.543619792 |
| mandrill32.bmp | mandrill32.bmp-withWavelet_rbio1.1-G_1-H3e-005_af1.wfa   | 24576 | 8192 | 8192 | 20 | 13040 | 160 | 160 | 32 | 32 | 25.62686953 | 0.125 | 13360 | 0.543619792 |
| mandrill32.bmp | mandrill32.bmp-withWavelet_sym1-G_1-H3e-005_af1.wfa      | 24576 | 8192 | 8192 | 20 | 13040 | 160 | 160 | 32 | 32 | 25.62686953 | 0.125 | 13360 | 0.543619792 |
| mandrill32.bmp | mandrill32.bmp-withWavelet_bior1.1-G_1-H3e-005_af1.wfa   | 24576 | 8192 | 8192 | 20 | 13040 | 160 | 160 | 32 | 32 | 25.62686953 | 0.109 | 13360 | 0.543619792 |
| mandrill32.bmp | mandrill32.bmp-withWavelet_haar-G_0.6-H2e-005_af2.wfa    | 24576 | 8192 | 8192 | 21 | 14352 | 168 | 168 | 32 | 32 | 23.32968112 | 0.141 | 14688 | 0.59765625  |
| mandrill32.bmp | mandrill32.bmp-withWavelet_rbio1.1-G_0.6-H2e-005_af2.wfa | 24576 | 8192 | 8192 | 21 | 14352 | 168 | 168 | 32 | 32 | 23.32968112 | 0.141 | 14688 | 0.59765625  |
| mandrill32.bmp | mandrill32.bmp-withWavelet_sym1-G_0.6-H2e-005_af2.wfa    | 24576 | 8192 | 8192 | 21 | 14352 | 168 | 168 | 32 | 32 | 23.32968112 | 0.141 | 14688 | 0.59765625  |
| mandrill32.bmp | mandrill32.bmp-withWavelet_bior1.1-G_0.6-H2e-005_af2.wfa | 24576 | 8192 | 8192 | 21 | 14352 | 168 | 168 | 32 | 32 | 23.32968112 | 0.141 | 14688 | 0.59765625  |
| mandrill32.bmp | mandrill32.bmp-withWavelet_haar-G_0.8-H3e-005_af1.wfa    | 24576 | 8192 | 8192 | 20 | 13040 | 160 | 160 | 32 | 32 | 25.66235034 | 0.125 | 13360 | 0.543619792 |
| mandrill32.bmp | mandrill32.bmp-withWavelet_rbio1.1-G_0.8-H3e-005_af1.wfa | 24576 | 8192 | 8192 | 20 | 13040 | 160 | 160 | 32 | 32 | 25.66235034 | 0.125 | 13360 | 0.543619792 |
| mandrill32.bmp | mandrill32.bmp-withWavelet_sym1-G_0.8-H3e-005_af1.wfa    | 24576 | 8192 | 8192 | 20 | 13040 | 160 | 160 | 32 | 32 | 25.66235034 | 0.125 | 13360 | 0.543619792 |
| mandrill32.bmp | mandrill32.bmp-withWavelet_bior1.1-G_0.8-H3e-005_af1.wfa | 24576 | 8192 | 8192 | 20 | 13040 | 160 | 160 | 32 | 32 | 25.66235034 | 0.125 | 13360 | 0.543619792 |
| mandrill32.bmp | mandrill32.bmp-G_1-H3e-005_af3.wfa                       | 24576 | 8192 |      | 21 | 14352 | 168 | 168 | 32 | 32 | 23.48335449 | 0.125 | 14688 | 0.59765625  |
| mandrill32.bmp | mandrill32.bmp-G_0.8-H3e-005_af3.wfa                     | 24576 | 8192 |      | 21 | 14352 | 168 | 168 | 32 | 32 | 23.51309025 | 0.141 | 14688 | 0.59765625  |
| mandrill32.bmp | mandrill32.bmp-G_0.6-H3e-005_af3.wfa                     | 24576 | 8192 |      | 21 | 14352 | 168 | 168 | 32 | 32 | 23.61783004 | 0.125 | 14688 | 0.59765625  |
| mandrill32.bmp | mandrill32.bmp-G_1-H4e-005_af1.wfa                       | 24576 | 8192 |      | 21 | 14352 | 168 | 168 | 32 | 32 | 24.05652318 | 0.125 | 14688 | 0.59765625  |
| mandrill32.bmp | mandrill32.bmp-G_0.8-H4e-005_af1.wfa                     | 24576 | 8192 |      | 21 | 14352 | 168 | 168 | 32 | 32 | 24.08685855 | 0.141 | 14688 | 0.59765625  |
| mandrill32.bmp | mandrill32.bmp-G_0.6-H4e-005_af1.wfa                     | 24576 | 8192 |      | 21 | 14352 | 168 | 168 | 32 | 32 | 24.23055214 | 0.156 | 14688 | 0.59765625  |
| mandrill32.bmp | mandrill32.bmp-G_0.8-H4e-005_af2.wfa                     | 24576 | 8192 |      | 21 | 14352 | 168 | 168 | 32 | 32 | 24.36814429 | 0.171 | 14688 | 0.59765625  |
| mandrill32.bmp | mandrill32.bmp-G_1-H3e-005_af5.wfa                       | 24576 | 8192 |      | 21 | 14352 | 168 | 168 | 32 | 32 | 24.49607618 | 0.141 | 14688 | 0.59765625  |
| mandrill32.bmp | mandrill32.bmp-G_0.8-H3e-005_af5.wfa                     | 24576 | 8192 |      | 21 | 14352 | 168 | 168 | 32 | 32 | 24.52009839 | 0.156 | 14688 | 0.59765625  |
| mandrill32.bmp | mandrill32.bmp-withWavelet_haar-G_1-H3e-005_af3.wfa      | 24576 | 8192 | 8192 | 21 | 14352 | 168 | 168 | 32 | 32 | 24.89366639 | 0.141 | 14688 | 0.59765625  |
| mandrill32.bmp | mandrill32.bmp-withWavelet_rbio1.1-G_1-H3e-005_af3.wfa   | 24576 | 8192 | 8192 | 21 | 14352 | 168 | 168 | 32 | 32 | 24.89366639 | 0.125 | 14688 | 0.59765625  |
| mandrill32.bmp | mandrill32.bmp-withWavelet_sym1-G_1-H3e-005_af3.wfa      | 24576 | 8192 | 8192 | 21 | 14352 | 168 | 168 | 32 | 32 | 24.89366639 | 0.125 | 14688 | 0.59765625  |
| mandrill32.bmp | mandrill32.bmp-withWavelet_bior1.1-G_1-H3e-005_af3.wfa   | 24576 | 8192 | 8192 | 21 | 14352 | 168 | 168 | 32 | 32 | 24.89366639 | 0.171 | 14688 | 0.59765625  |
| mandrill32.bmp | mandrill32.bmp-withWavelet_haar-G_0.8-H3e-005_af3.wfa    | 24576 | 8192 | 8192 | 21 | 14352 | 168 | 168 | 32 | 32 | 24.92195838 | 0.203 | 14688 | 0.59765625  |
| mandrill32.bmp | mandrill32.bmp-withWavelet_rbio1.1-G_0.8-H3e-005_af3.wfa | 24576 | 8192 | 8192 | 21 | 14352 | 168 | 168 | 32 | 32 | 24.92195838 | 0.188 | 14688 | 0.59765625  |

|                |  |       |      |      |    |       |     |     |    |    |             |       |       |             |
|----------------|--|-------|------|------|----|-------|-----|-----|----|----|-------------|-------|-------|-------------|
| mandrill32.bmp | mandrill32.bmp-withWavelet_sym1-G_0.8-H3e-005_af3.wfa    | 24576 | 8192 | 8192 | 21 | 14352 | 168 | 168 | 32 | 32 | 24.92195838 | 0.14  | 14688 | 0.59765625  |
| mandrill32.bmp | mandrill32.bmp-withWavelet_bior1.1-G_0.8-H3e-005_af3.wfa | 24576 | 8192 | 8192 | 21 | 14352 | 168 | 168 | 32 | 32 | 24.92195838 | 0.204 | 14688 | 0.59765625  |
| mandrill32.bmp | mandrill32.bmp-withWavelet_haar-G_0.6-H3e-005_af3.wfa    | 24576 | 8192 | 8192 | 21 | 14352 | 168 | 168 | 32 | 32 | 25.09977264 | 0.141 | 14688 | 0.59765625  |
| mandrill32.bmp | mandrill32.bmp-withWavelet_rbio1.1-G_0.6-H3e-005_af3.wfa | 24576 | 8192 | 8192 | 21 | 14352 | 168 | 168 | 32 | 32 | 25.09977264 | 0.141 | 14688 | 0.59765625  |
| mandrill32.bmp | mandrill32.bmp-withWavelet_sym1-G_0.6-H3e-005_af3.wfa    | 24576 | 8192 | 8192 | 21 | 14352 | 168 | 168 | 32 | 32 | 25.09977264 | 0.125 | 14688 | 0.59765625  |
| mandrill32.bmp | mandrill32.bmp-withWavelet_bior1.1-G_0.6-H3e-005_af3.wfa | 24576 | 8192 | 8192 | 21 | 14352 | 168 | 168 | 32 | 32 | 25.09977264 | 0.125 | 14688 | 0.59765625  |
| mandrill32.bmp | mandrill32.bmp-withWavelet_haar-G_0.6-H4e-005_af3.wfa    | 24576 | 8192 | 8192 | 21 | 14352 | 168 | 168 | 32 | 32 | 25.09977264 | 0.125 | 14688 | 0.59765625  |
| mandrill32.bmp | mandrill32.bmp-withWavelet_rbio1.1-G_0.6-H4e-005_af3.wfa | 24576 | 8192 | 8192 | 21 | 14352 | 168 | 168 | 32 | 32 | 25.09977264 | 0.141 | 14688 | 0.59765625  |
| mandrill32.bmp | mandrill32.bmp-withWavelet_sym1-G_0.6-H4e-005_af3.wfa    | 24576 | 8192 | 8192 | 21 | 14352 | 168 | 168 | 32 | 32 | 25.09977264 | 0.14  | 14688 | 0.59765625  |
| mandrill32.bmp | mandrill32.bmp-withWavelet_bior1.1-G_0.6-H4e-005_af3.wfa | 24576 | 8192 | 8192 | 21 | 14352 | 168 | 168 | 32 | 32 | 25.09977264 | 0.141 | 14688 | 0.59765625  |
| mandrill32.bmp | mandrill32.bmp-withWavelet_haar-G_0.6-H2e-005_af5.wfa    | 24576 | 8192 | 8192 | 22 | 15728 | 176 | 176 | 32 | 32 | 23.320971   | 0.125 | 16080 | 0.654296875 |
| mandrill32.bmp | mandrill32.bmp-withWavelet_rbio1.1-G_0.6-H2e-005_af5.wfa | 24576 | 8192 | 8192 | 22 | 15728 | 176 | 176 | 32 | 32 | 23.320971   | 0.14  | 16080 | 0.654296875 |
| mandrill32.bmp | mandrill32.bmp-withWavelet_sym1-G_0.6-H2e-005_af5.wfa    | 24576 | 8192 | 8192 | 22 | 15728 | 176 | 176 | 32 | 32 | 23.320971   | 0.125 | 16080 | 0.654296875 |
| mandrill32.bmp | mandrill32.bmp-withWavelet_bior1.1-G_0.6-H2e-005_af5.wfa | 24576 | 8192 | 8192 | 22 | 15728 | 176 | 176 | 32 | 32 | 23.320971   | 0.125 | 16080 | 0.654296875 |
| mandrill32.bmp | mandrill32.bmp-withWavelet_haar-G_0.6-H3e-005_af1.wfa    | 24576 | 8192 | 8192 | 21 | 14352 | 168 | 168 | 32 | 32 | 26.25797604 | 0.125 | 14688 | 0.59765625  |
| mandrill32.bmp | mandrill32.bmp-withWavelet_rbio1.1-G_0.6-H3e-005_af1.wfa | 24576 | 8192 | 8192 | 21 | 14352 | 168 | 168 | 32 | 32 | 26.25797604 | 0.125 | 14688 | 0.59765625  |
| mandrill32.bmp | mandrill32.bmp-withWavelet_sym1-G_0.6-H3e-005_af1.wfa    | 24576 | 8192 | 8192 | 21 | 14352 | 168 | 168 | 32 | 32 | 26.25797604 | 0.141 | 14688 | 0.59765625  |
| mandrill32.bmp | mandrill32.bmp-withWavelet_bior1.1-G_0.6-H3e-005_af1.wfa | 24576 | 8192 | 8192 | 21 | 14352 | 168 | 168 | 32 | 32 | 26.25797604 | 0.125 | 14688 | 0.59765625  |
| mandrill32.bmp | mandrill32.bmp-withWavelet_haar-G_1-H3e-005_af4.wfa      | 24576 | 8192 | 8192 | 21 | 14352 | 168 | 168 | 32 | 32 | 26.54261766 | 0.125 | 14688 | 0.59765625  |
| mandrill32.bmp | mandrill32.bmp-withWavelet_rbio1.1-G_1-H3e-005_af4.wfa   | 24576 | 8192 | 8192 | 21 | 14352 | 168 | 168 | 32 | 32 | 26.54261766 | 0.125 | 14688 | 0.59765625  |
| mandrill32.bmp | mandrill32.bmp-withWavelet_sym1-G_1-H3e-005_af4.wfa      | 24576 | 8192 | 8192 | 21 | 14352 | 168 | 168 | 32 | 32 | 26.54261766 | 0.125 | 14688 | 0.59765625  |
| mandrill32.bmp | mandrill32.bmp-withWavelet_bior1.1-G_1-H3e-005_af4.wfa   | 24576 | 8192 | 8192 | 21 | 14352 | 168 | 168 | 32 | 32 | 26.54261766 | 0.141 | 14688 | 0.59765625  |
| mandrill32.bmp | mandrill32.bmp-withWavelet_haar-G_0.8-H3e-005_af4.wfa    | 24576 | 8192 | 8192 | 21 | 14352 | 168 | 168 | 32 | 32 | 26.61904733 | 0.156 | 14688 | 0.59765625  |
| mandrill32.bmp | mandrill32.bmp-withWavelet_rbio1.1-G_0.8-H3e-005_af4.wfa | 24576 | 8192 | 8192 | 21 | 14352 | 168 | 168 | 32 | 32 | 26.61904733 | 0.141 | 14688 | 0.59765625  |
| mandrill32.bmp | mandrill32.bmp-withWavelet_sym1-G_0.8-H3e-005_af4.wfa    | 24576 | 8192 | 8192 | 21 | 14352 | 168 | 168 | 32 | 32 | 26.61904733 | 0.172 | 14688 | 0.59765625  |
| mandrill32.bmp | mandrill32.bmp-withWavelet_bior1.1-G_0.8-H3e-005_af4.wfa | 24576 | 8192 | 8192 | 21 | 14352 | 168 | 168 | 32 | 32 | 26.61904733 | 0.14  | 14688 | 0.59765625  |
| mandrill32.bmp | mandrill32.bmp-G_1-H3e-005_af2.wfa                       | 24576 | 8192 |      | 22 | 15728 | 176 | 176 | 32 | 32 | 24.95968501 | 0.141 | 16080 | 0.654296875 |
| mandrill32.bmp | mandrill32.bmp-G_0.8-H3e-005_af2.wfa                     | 24576 | 8192 |      | 22 | 15728 | 176 | 176 | 32 | 32 | 24.994484   | 0.125 | 16080 | 0.654296875 |
| mandrill32.bmp | mandrill32.bmp-G_0.6-H2e-005_af5.wfa                     | 24576 | 8192 |      | 22 | 15728 | 176 | 176 | 32 | 32 | 25.00899604 | 0.156 | 16080 | 0.654296875 |
| mandrill32.bmp | mandrill32.bmp-G_0.6-H3e-005_af2.wfa                     | 24576 | 8192 |      | 22 | 15728 | 176 | 176 | 32 | 32 | 25.29454561 | 0.125 | 16080 | 0.654296875 |
| mandrill32.bmp | mandrill32.bmp-G_0.8-H3e-005_af1.wfa                     | 24576 | 8192 |      | 23 | 17168 | 184 | 184 | 32 | 32 | 24.62058711 | 0.171 | 17536 | 0.713541667 |

|                |  |       |      |      |    |       |     |     |    |    |             |       |       |             |
|----------------|--|-------|------|------|----|-------|-----|-----|----|----|-------------|-------|-------|-------------|
| mandrill32.bmp | mandrill32.bmp-withWavelet_haar-G_0.6-H3e-005_af4.wfa    | 24576 | 8192 | 8192 | 22 | 15728 | 176 | 176 | 32 | 32 | 27.08283641 | 0.141 | 16080 | 0.654296875 |
| mandrill32.bmp | mandrill32.bmp-withWavelet_rbio1.1-G_0.6-H3e-005_af4.wfa | 24576 | 8192 | 8192 | 22 | 15728 | 176 | 176 | 32 | 32 | 27.08283641 | 0.171 | 16080 | 0.654296875 |
| mandrill32.bmp | mandrill32.bmp-withWavelet_sym1-G_0.6-H3e-005_af4.wfa    | 24576 | 8192 | 8192 | 22 | 15728 | 176 | 176 | 32 | 32 | 27.08283641 | 0.14  | 16080 | 0.654296875 |
| mandrill32.bmp | mandrill32.bmp-withWavelet_bior1.1-G_0.6-H3e-005_af4.wfa | 24576 | 8192 | 8192 | 22 | 15728 | 176 | 176 | 32 | 32 | 27.08283641 | 0.125 | 16080 | 0.654296875 |
| mandrill32.bmp | mandrill32.bmp-G_1-H2e-005_af5.wfa                       | 24576 | 8192 |      | 23 | 17168 | 184 | 184 | 32 | 32 | 25.30897269 | 0.156 | 17536 | 0.713541667 |
| mandrill32.bmp | mandrill32.bmp-G_0.8-H2e-005_af5.wfa                     | 24576 | 8192 |      | 23 | 17168 | 184 | 184 | 32 | 32 | 25.35520144 | 0.203 | 17536 | 0.713541667 |
| mandrill32.bmp | mandrill32.bmp-withWavelet_haar-G_1-H2e-005_af5.wfa      | 24576 | 8192 | 8192 | 24 | 18672 | 192 | 192 | 32 | 32 | 24.3523121  | 0.235 | 19056 | 0.775390625 |
| mandrill32.bmp | mandrill32.bmp-withWavelet_rbio1.1-G_1-H2e-005_af5.wfa   | 24576 | 8192 | 8192 | 24 | 18672 | 192 | 192 | 32 | 32 | 24.3523121  | 0.156 | 19056 | 0.775390625 |
| mandrill32.bmp | mandrill32.bmp-withWavelet_sym1-G_1-H2e-005_af5.wfa      | 24576 | 8192 | 8192 | 24 | 18672 | 192 | 192 | 32 | 32 | 24.3523121  | 0.156 | 19056 | 0.775390625 |
| mandrill32.bmp | mandrill32.bmp-withWavelet_bior1.1-G_1-H2e-005_af5.wfa   | 24576 | 8192 | 8192 | 24 | 18672 | 192 | 192 | 32 | 32 | 24.3523121  | 0.172 | 19056 | 0.775390625 |
| mandrill32.bmp | mandrill32.bmp-withWavelet_haar-G_0.8-H2e-005_af5.wfa    | 24576 | 8192 | 8192 | 24 | 18672 | 192 | 192 | 32 | 32 | 24.3757366  | 0.172 | 19056 | 0.775390625 |
| mandrill32.bmp | mandrill32.bmp-withWavelet_rbio1.1-G_0.8-H2e-005_af5.wfa | 24576 | 8192 | 8192 | 24 | 18672 | 192 | 192 | 32 | 32 | 24.3757366  | 0.156 | 19056 | 0.775390625 |
| mandrill32.bmp | mandrill32.bmp-withWavelet_sym1-G_0.8-H2e-005_af5.wfa    | 24576 | 8192 | 8192 | 24 | 18672 | 192 | 192 | 32 | 32 | 24.3757366  | 0.156 | 19056 | 0.775390625 |
| mandrill32.bmp | mandrill32.bmp-withWavelet_bior1.1-G_0.8-H2e-005_af5.wfa | 24576 | 8192 | 8192 | 24 | 18672 | 192 | 192 | 32 | 32 | 24.3757366  | 0.156 | 19056 | 0.775390625 |
| mandrill32.bmp | mandrill32.bmp-G_0.6-H2e-005_af3.wfa                     | 24576 | 8192 |      | 24 | 18672 | 192 | 192 | 32 | 32 | 24.53063761 | 0.172 | 19056 | 0.775390625 |
| mandrill32.bmp | mandrill32.bmp-G_1-H3e-005_af1.wfa                       | 24576 | 8192 |      | 24 | 18672 | 192 | 192 | 32 | 32 | 24.86857429 | 0.156 | 19056 | 0.775390625 |
| mandrill32.bmp | mandrill32.bmp-G_1-H2e-005_af2.wfa                       | 24576 | 8192 |      | 24 | 18672 | 192 | 192 | 32 | 32 | 25.38331534 | 0.219 | 19056 | 0.775390625 |
| mandrill32.bmp | mandrill32.bmp-G_0.8-H2e-005_af2.wfa                     | 24576 | 8192 |      | 24 | 18672 | 192 | 192 | 32 | 32 | 25.43367767 | 0.172 | 19056 | 0.775390625 |
| mandrill32.bmp | mandrill32.bmp-withWavelet_haar-G_1-H2e-005_af3.wfa      | 24576 | 8192 | 8192 | 24 | 18672 | 192 | 192 | 32 | 32 | 25.98033512 | 0.172 | 19056 | 0.775390625 |
| mandrill32.bmp | mandrill32.bmp-withWavelet_rbio1.1-G_1-H2e-005_af3.wfa   | 24576 | 8192 | 8192 | 24 | 18672 | 192 | 192 | 32 | 32 | 25.98033512 | 0.156 | 19056 | 0.775390625 |
| mandrill32.bmp | mandrill32.bmp-withWavelet_sym1-G_1-H2e-005_af3.wfa      | 24576 | 8192 | 8192 | 24 | 18672 | 192 | 192 | 32 | 32 | 25.98033512 | 0.187 | 19056 | 0.775390625 |
| mandrill32.bmp | mandrill32.bmp-withWavelet_bior1.1-G_1-H2e-005_af3.wfa   | 24576 | 8192 | 8192 | 24 | 18672 | 192 | 192 | 32 | 32 | 25.98033512 | 0.172 | 19056 | 0.775390625 |
| mandrill32.bmp | mandrill32.bmp-withWavelet_haar-G_0.8-H2e-005_af3.wfa    | 24576 | 8192 | 8192 | 24 | 18672 | 192 | 192 | 32 | 32 | 26.01235423 | 0.171 | 19056 | 0.775390625 |
| mandrill32.bmp | mandrill32.bmp-withWavelet_rbio1.1-G_0.8-H2e-005_af3.wfa | 24576 | 8192 | 8192 | 24 | 18672 | 192 | 192 | 32 | 32 | 26.01235423 | 0.218 | 19056 | 0.775390625 |
| mandrill32.bmp | mandrill32.bmp-withWavelet_sym1-G_0.8-H2e-005_af3.wfa    | 24576 | 8192 | 8192 | 24 | 18672 | 192 | 192 | 32 | 32 | 26.01235423 | 0.156 | 19056 | 0.775390625 |
| mandrill32.bmp | mandrill32.bmp-withWavelet_bior1.1-G_0.8-H2e-005_af3.wfa | 24576 | 8192 | 8192 | 24 | 18672 | 192 | 192 | 32 | 32 | 26.01235423 | 0.172 | 19056 | 0.775390625 |
| mandrill32.bmp | mandrill32.bmp-withWavelet_haar-G_0.6-H1e-005_af2.wfa    | 24576 | 8192 | 8192 | 25 | 20240 | 200 | 200 | 32 | 32 | 24.08171237 | 0.172 | 20640 | 0.83984375  |
| mandrill32.bmp | mandrill32.bmp-withWavelet_rbio1.1-G_0.6-H1e-005_af2.wfa | 24576 | 8192 | 8192 | 25 | 20240 | 200 | 200 | 32 | 32 | 24.08171237 | 0.234 | 20640 | 0.83984375  |
| mandrill32.bmp | mandrill32.bmp-withWavelet_sym1-G_0.6-H1e-005_af2.wfa    | 24576 | 8192 | 8192 | 25 | 20240 | 200 | 200 | 32 | 32 | 24.08171237 | 0.172 | 20640 | 0.83984375  |
| mandrill32.bmp | mandrill32.bmp-withWavelet_bior1.1-G_0.6-H1e-005_af2.wfa | 24576 | 8192 | 8192 | 25 | 20240 | 200 | 200 | 32 | 32 | 24.08171237 | 0.188 | 20640 | 0.83984375  |
| mandrill32.bmp | mandrill32.bmp-withWavelet_haar-G_0.6-H1e-005_af5.wfa    | 24576 | 8192 | 8192 | 25 | 20240 | 200 | 200 | 32 | 32 | 24.30206298 | 0.203 | 20640 | 0.83984375  |

|                |  |       |      |      |    |       |     |     |    |    |             |       |       |             |
|----------------|--|-------|------|------|----|-------|-----|-----|----|----|-------------|-------|-------|-------------|
| mandrill32.bmp | mandrill32.bmp-withWavelet_rbio1.1-G_0.6-H1e-005_af5.wfa | 24576 | 8192 | 8192 | 25 | 20240 | 200 | 200 | 32 | 32 | 24.30206298 | 0.171 | 20640 | 0.83984375  |
| mandrill32.bmp | mandrill32.bmp-withWavelet_sym1-G_0.6-H1e-005_af5.wfa    | 24576 | 8192 | 8192 | 25 | 20240 | 200 | 200 | 32 | 32 | 24.30206298 | 0.172 | 20640 | 0.83984375  |
| mandrill32.bmp | mandrill32.bmp-withWavelet_bior1.1-G_0.6-H1e-005_af5.wfa | 24576 | 8192 | 8192 | 25 | 20240 | 200 | 200 | 32 | 32 | 24.30206298 | 0.187 | 20640 | 0.83984375  |
| mandrill32.bmp | mandrill32.bmp-G_1-H2e-005_af3.wfa                       | 24576 | 8192 |      | 25 | 20240 | 200 | 200 | 32 | 32 | 24.55748941 | 0.187 | 20640 | 0.83984375  |
| mandrill32.bmp | mandrill32.bmp-G_0.8-H2e-005_af3.wfa                     | 24576 | 8192 |      | 25 | 20240 | 200 | 200 | 32 | 32 | 24.58010083 | 0.172 | 20640 | 0.83984375  |
| mandrill32.bmp | mandrill32.bmp-withWavelet_haar-G_1-H1e-005_af5.wfa      | 24576 | 8192 | 8192 | 25 | 20240 | 200 | 200 | 32 | 32 | 25.04142561 | 0.219 | 20640 | 0.83984375  |
| mandrill32.bmp | mandrill32.bmp-withWavelet_rbio1.1-G_1-H1e-005_af5.wfa   | 24576 | 8192 | 8192 | 25 | 20240 | 200 | 200 | 32 | 32 | 25.04142561 | 0.187 | 20640 | 0.83984375  |
| mandrill32.bmp | mandrill32.bmp-withWavelet_sym1-G_1-H1e-005_af5.wfa      | 24576 | 8192 | 8192 | 25 | 20240 | 200 | 200 | 32 | 32 | 25.04142561 | 0.187 | 20640 | 0.83984375  |
| mandrill32.bmp | mandrill32.bmp-withWavelet_bior1.1-G_1-H1e-005_af5.wfa   | 24576 | 8192 | 8192 | 25 | 20240 | 200 | 200 | 32 | 32 | 25.04142561 | 0.234 | 20640 | 0.83984375  |
| mandrill32.bmp | mandrill32.bmp-withWavelet_haar-G_0.8-H1e-005_af5.wfa    | 24576 | 8192 | 8192 | 25 | 20240 | 200 | 200 | 32 | 32 | 25.06822084 | 0.203 | 20640 | 0.83984375  |
| mandrill32.bmp | mandrill32.bmp-withWavelet_rbio1.1-G_0.8-H1e-005_af5.wfa | 24576 | 8192 | 8192 | 25 | 20240 | 200 | 200 | 32 | 32 | 25.06822084 | 0.188 | 20640 | 0.83984375  |
| mandrill32.bmp | mandrill32.bmp-withWavelet_sym1-G_0.8-H1e-005_af5.wfa    | 24576 | 8192 | 8192 | 25 | 20240 | 200 | 200 | 32 | 32 | 25.06822084 | 0.25  | 20640 | 0.83984375  |
| mandrill32.bmp | mandrill32.bmp-withWavelet_bior1.1-G_0.8-H1e-005_af5.wfa | 24576 | 8192 | 8192 | 25 | 20240 | 200 | 200 | 32 | 32 | 25.06822084 | 0.172 | 20640 | 0.83984375  |
| mandrill32.bmp | mandrill32.bmp-withWavelet_haar-G_1-H2e-005_af1.wfa      | 24576 | 8192 | 8192 | 24 | 18672 | 192 | 192 | 32 | 32 | 27.32208048 | 0.172 | 19056 | 0.775390625 |
| mandrill32.bmp | mandrill32.bmp-withWavelet_rbio1.1-G_1-H2e-005_af1.wfa   | 24576 | 8192 | 8192 | 24 | 18672 | 192 | 192 | 32 | 32 | 27.32208048 | 0.234 | 19056 | 0.775390625 |
| mandrill32.bmp | mandrill32.bmp-withWavelet_sym1-G_1-H2e-005_af1.wfa      | 24576 | 8192 | 8192 | 24 | 18672 | 192 | 192 | 32 | 32 | 27.32208048 | 0.171 | 19056 | 0.775390625 |
| mandrill32.bmp | mandrill32.bmp-withWavelet_bior1.1-G_1-H2e-005_af1.wfa   | 24576 | 8192 | 8192 | 24 | 18672 | 192 | 192 | 32 | 32 | 27.32208048 | 0.187 | 19056 | 0.775390625 |
| mandrill32.bmp | mandrill32.bmp-withWavelet_haar-G_0.8-H2e-005_af1.wfa    | 24576 | 8192 | 8192 | 24 | 18672 | 192 | 192 | 32 | 32 | 27.38180974 | 0.172 | 19056 | 0.775390625 |
| mandrill32.bmp | mandrill32.bmp-withWavelet_rbio1.1-G_0.8-H2e-005_af1.wfa | 24576 | 8192 | 8192 | 24 | 18672 | 192 | 192 | 32 | 32 | 27.38180974 | 0.172 | 19056 | 0.775390625 |
| mandrill32.bmp | mandrill32.bmp-withWavelet_sym1-G_0.8-H2e-005_af1.wfa    | 24576 | 8192 | 8192 | 24 | 18672 | 192 | 192 | 32 | 32 | 27.38180974 | 0.171 | 19056 | 0.775390625 |
| mandrill32.bmp | mandrill32.bmp-withWavelet_bior1.1-G_0.8-H2e-005_af1.wfa | 24576 | 8192 | 8192 | 24 | 18672 | 192 | 192 | 32 | 32 | 27.38180974 | 0.219 | 19056 | 0.775390625 |
| mandrill32.bmp | mandrill32.bmp-G_0.6-H3e-005_af1.wfa                     | 24576 | 8192 |      | 25 | 20240 | 200 | 200 | 32 | 32 | 25.3196374  | 0.172 | 20640 | 0.83984375  |
| mandrill32.bmp | mandrill32.bmp-withWavelet_haar-G_0.6-H2e-005_af1.wfa    | 24576 | 8192 | 8192 | 24 | 18672 | 192 | 192 | 32 | 32 | 27.57117904 | 0.172 | 19056 | 0.775390625 |
| mandrill32.bmp | mandrill32.bmp-withWavelet_rbio1.1-G_0.6-H2e-005_af1.wfa | 24576 | 8192 | 8192 | 24 | 18672 | 192 | 192 | 32 | 32 | 27.57117904 | 0.156 | 19056 | 0.775390625 |
| mandrill32.bmp | mandrill32.bmp-withWavelet_sym1-G_0.6-H2e-005_af1.wfa    | 24576 | 8192 | 8192 | 24 | 18672 | 192 | 192 | 32 | 32 | 27.57117904 | 0.172 | 19056 | 0.775390625 |
| mandrill32.bmp | mandrill32.bmp-withWavelet_bior1.1-G_0.6-H2e-005_af1.wfa | 24576 | 8192 | 8192 | 24 | 18672 | 192 | 192 | 32 | 32 | 27.57117904 | 0.156 | 19056 | 0.775390625 |
| mandrill32.bmp | mandrill32.bmp-G_0.6-H2e-005_af2.wfa                     | 24576 | 8192 |      | 25 | 20240 | 200 | 200 | 32 | 32 | 26.06430747 | 0.172 | 20640 | 0.83984375  |
| mandrill32.bmp | mandrill32.bmp-G_0.6-H1e-005_af3.wfa                     | 24576 | 8192 |      | 27 | 23568 | 216 | 216 | 32 | 32 | 24.95597988 | 0.313 | 24000 | 0.9765625   |
| mandrill32.bmp | mandrill32.bmp-withWavelet_haar-G_1-H1e-005_af2.wfa      | 24576 | 8192 | 8192 | 27 | 23568 | 216 | 216 | 32 | 32 | 25.0967617  | 0.204 | 24000 | 0.9765625   |
| mandrill32.bmp | mandrill32.bmp-withWavelet_rbio1.1-G_1-H1e-005_af2.wfa   | 24576 | 8192 | 8192 | 27 | 23568 | 216 | 216 | 32 | 32 | 25.0967617  | 0.203 | 24000 | 0.9765625   |
| mandrill32.bmp | mandrill32.bmp-withWavelet_sym1-G_1-H1e-005_af2.wfa      | 24576 | 8192 | 8192 | 27 | 23568 | 216 | 216 | 32 | 32 | 25.0967617  | 0.203 | 24000 | 0.9765625   |

|                |  |         |        |      |    |       |     |     |    |     |             |        |       |             |
|----------------|--|---------|--------|------|----|-------|-----|-----|----|-----|-------------|--------|-------|-------------|
| mandrill32.bmp | mandrill32.bmp-withWavelet_bior1.1-G_1-H1e-005_af2.wfa   | 24576   | 8192   | 8192 | 27 | 23568 | 216 | 216 | 32 | 32  | 25.0967617  | 0.203  | 24000 | 0.9765625   |
| mandrill32.bmp | mandrill32.bmp-withWavelet_haar-G_0.8-H1e-005_af2.wfa    | 24576   | 8192   | 8192 | 27 | 23568 | 216 | 216 | 32 | 32  | 25.12492213 | 0.187  | 24000 | 0.9765625   |
| mandrill32.bmp | mandrill32.bmp-withWavelet_rbio1.1-G_0.8-H1e-005_af2.wfa | 24576   | 8192   | 8192 | 27 | 23568 | 216 | 216 | 32 | 32  | 25.12492213 | 0.187  | 24000 | 0.9765625   |
| mandrill32.bmp | mandrill32.bmp-withWavelet_sym1-G_0.8-H1e-005_af2.wfa    | 24576   | 8192   | 8192 | 27 | 23568 | 216 | 216 | 32 | 32  | 25.12492213 | 0.187  | 24000 | 0.9765625   |
| mandrill32.bmp | mandrill32.bmp-withWavelet_bior1.1-G_0.8-H1e-005_af2.wfa | 24576   | 8192   | 8192 | 27 | 23568 | 216 | 216 | 32 | 32  | 25.12492213 | 0.203  | 24000 | 0.9765625   |
| mandrill32.bmp | mandrill32.bmp-withWavelet_haar-G_0.6-H2e-005_af3.wfa    | 24576   | 8192   | 8192 | 26 | 21872 | 208 | 208 | 32 | 32  | 27.21961815 | 0.172  | 22288 | 0.906901042 |
| mandrill32.bmp | mandrill32.bmp-withWavelet_rbio1.1-G_0.6-H2e-005_af3.wfa | 24576   | 8192   | 8192 | 26 | 21872 | 208 | 208 | 32 | 32  | 27.21961815 | 0.203  | 22288 | 0.906901042 |
| mandrill32.bmp | mandrill32.bmp-withWavelet_sym1-G_0.6-H2e-005_af3.wfa    | 24576   | 8192   | 8192 | 26 | 21872 | 208 | 208 | 32 | 32  | 27.21961815 | 0.172  | 22288 | 0.906901042 |
| mandrill32.bmp | mandrill32.bmp-withWavelet_bior1.1-G_0.6-H2e-005_af3.wfa | 24576   | 8192   | 8192 | 26 | 21872 | 208 | 208 | 32 | 32  | 27.21961815 | 0.188  | 22288 | 0.906901042 |
| mandrill32.bmp | mandrill32.bmp-G_1-H2e-005_af1.wfa                       | 24576   | 8192   |      | 27 | 23568 | 216 | 216 | 32 | 32  | 25.37182037 | 0.234  | 24000 | 0.9765625   |
| mandrill32.bmp | mandrill32.bmp-G_0.8-H2e-005_af1.wfa                     | 24576   | 8192   |      | 27 | 23568 | 216 | 216 | 32 | 32  | 25.38789872 | 0.203  | 24000 | 0.9765625   |
| mandrill32.bmp | mandrill32.bmp-G_0.6-H2e-005_af1.wfa                     | 24576   | 8192   |      | 27 | 23568 | 216 | 216 | 32 | 32  | 25.42861973 | 0.203  | 24000 | 0.9765625   |
| mandrill32.bmp | mandrill32.bmp-G_1-H1e-005_af5.wfa                       | 24576   | 8192   |      | 27 | 23568 | 216 | 216 | 32 | 32  | 26.30641487 | 0.203  | 24000 | 0.9765625   |
| mandrill32.bmp | mandrill32.bmp-G_0.6-H1e-005_af2.wfa                     | 24576   | 8192   |      | 27 | 23568 | 216 | 216 | 32 | 32  | 26.50790896 | 0.188  | 24000 | 0.9765625   |
| mandrill32.bmp | mandrill32.bmp-withWavelet_haar-G_1-H2e-005_af4.wfa      | 24576   | 8192   | 8192 | 26 | 21872 | 208 | 208 | 32 | 32  | 28.77954778 | 0.187  | 22288 | 0.906901042 |
| mandrill32.bmp | mandrill32.bmp-withWavelet_rbio1.1-G_1-H2e-005_af4.wfa   | 24576   | 8192   | 8192 | 26 | 21872 | 208 | 208 | 32 | 32  | 28.77954778 | 0.172  | 22288 | 0.906901042 |
| mandrill32.bmp | mandrill32.bmp-withWavelet_sym1-G_1-H2e-005_af4.wfa      | 24576   | 8192   | 8192 | 26 | 21872 | 208 | 208 | 32 | 32  | 28.77954778 | 0.188  | 22288 | 0.906901042 |
| mandrill32.bmp | mandrill32.bmp-withWavelet_bior1.1-G_1-H2e-005_af4.wfa   | 24576   | 8192   | 8192 | 26 | 21872 | 208 | 208 | 32 | 32  | 28.77954778 | 0.188  | 22288 | 0.906901042 |
| mandrill32.bmp | mandrill32.bmp-withWavelet_haar-G_0.8-H2e-005_af4.wfa    | 24576   | 8192   | 8192 | 26 | 21872 | 208 | 208 | 32 | 32  | 28.8810314  | 0.187  | 22288 | 0.906901042 |
| mandrill32.bmp | mandrill32.bmp-withWavelet_rbio1.1-G_0.8-H2e-005_af4.wfa | 24576   | 8192   | 8192 | 26 | 21872 | 208 | 208 | 32 | 32  | 28.8810314  | 0.188  | 22288 | 0.906901042 |
| mandrill32.bmp | mandrill32.bmp-withWavelet_sym1-G_0.8-H2e-005_af4.wfa    | 24576   | 8192   | 8192 | 26 | 21872 | 208 | 208 | 32 | 32  | 28.8810314  | 0.172  | 22288 | 0.906901042 |
| mandrill32.bmp | mandrill32.bmp-withWavelet_bior1.1-G_0.8-H2e-005_af4.wfa | 24576   | 8192   | 8192 | 26 | 21872 | 208 | 208 | 32 | 32  | 28.8810314  | 0.172  | 22288 | 0.906901042 |
| mandrill32.bmp | mandrill32.bmp-withWavelet_haar-G_0.6-H2e-005_af4.wfa    | 24576   | 8192   | 8192 | 26 | 21872 | 208 | 208 | 32 | 32  | 29.42657943 | 0.187  | 22288 | 0.906901042 |
| mandrill32.bmp | mandrill32.bmp-withWavelet_rbio1.1-G_0.6-H2e-005_af4.wfa | 24576   | 8192   | 8192 | 26 | 21872 | 208 | 208 | 32 | 32  | 29.42657943 | 0.172  | 22288 | 0.906901042 |
| mandrill32.bmp | mandrill32.bmp-withWavelet_sym1-G_0.6-H2e-005_af4.wfa    | 24576   | 8192   | 8192 | 26 | 21872 | 208 | 208 | 32 | 32  | 29.42657943 | 0.187  | 22288 | 0.906901042 |
| mandrill32.bmp | mandrill32.bmp-withWavelet_bior1.1-G_0.6-H2e-005_af4.wfa | 24576   | 8192   | 8192 | 26 | 21872 | 208 | 208 | 32 | 32  | 29.42657943 | 0.187  | 22288 | 0.906901042 |
| mandrill32.bmp | mandrill32.bmp-G_0.6-H3e-005_af4.wfa                     | 1572864 | 524288 |      | 5  | 1040  | 40  | 40  | 32 | 256 | 16.40947794 | 7.984  | 1120  | 0.000712077 |
| mandrill32.bmp | mandrill32.bmp-G_0.6-H4e-005_af4.wfa                     | 1572864 | 524288 |      | 5  | 1040  | 40  | 40  | 32 | 256 | 16.40947794 | 6.25   | 1120  | 0.000712077 |
| mandrill32.bmp | mandrill32.bmp-G_0.6-H5e-005_af4.wfa                     | 1572864 | 524288 |      | 5  | 1040  | 40  | 40  | 32 | 256 | 16.40947794 | 5.922  | 1120  | 0.000712077 |
| mandrill32.bmp | mandrill32.bmp-G_0.6-H6e-005_af4.wfa                     | 1572864 | 524288 |      | 5  | 1040  | 40  | 40  | 32 | 256 | 16.40947794 | 22.344 | 1120  | 0.000712077 |
| mandrill32.bmp | mandrill32.bmp-G_0.6-H7e-005_af4.wfa                     | 1572864 | 524288 |      | 5  | 1040  | 40  | 40  | 32 | 256 | 16.40947794 | 6.782  | 1120  | 0.000712077 |

|                |  |         |        |        |    |      |     |     |    |     |             |        |      |             |
|----------------|--|---------|--------|--------|----|------|-----|-----|----|-----|-------------|--------|------|-------------|
| mandrill32.bmp | mandrill32.bmp-G_0.6-H8e-005_af4.wfa                     | 1572864 | 524288 |        | 5  | 1040 | 40  | 40  | 32 | 256 | 16.40947794 | 6.391  | 1120 | 0.000712077 |
| mandrill32.bmp | mandrill32.bmp-G_0.6-H9e-005_af4.wfa                     | 1572864 | 524288 |        | 5  | 1040 | 40  | 40  | 32 | 256 | 16.40947794 | 6.719  | 1120 | 0.000712077 |
| mandrill32.bmp | mandrill32.bmp-G_0.6-H0.0001_af4.wfa                     | 1572864 | 524288 |        | 5  | 1040 | 40  | 40  | 32 | 256 | 16.40947794 | 6.359  | 1120 | 0.000712077 |
| mandrill32.bmp | mandrill32.bmp-withWavelet_haar-G_0.6-H4e-005_af5.wfa    | 1572864 | 524288 | 524288 | 15 | 7440 | 120 | 120 | 32 | 256 | 16.43077227 | 8.281  | 7680 | 0.004882813 |
| mandrill32.bmp | mandrill32.bmp-withWavelet_rbio1.1-G_0.6-H4e-005_af5.wfa | 1572864 | 524288 | 524288 | 15 | 7440 | 120 | 120 | 32 | 256 | 16.43077227 | 8.172  | 7680 | 0.004882813 |
| mandrill32.bmp | mandrill32.bmp-withWavelet_sym1-G_0.6-H4e-005_af5.wfa    | 1572864 | 524288 | 524288 | 15 | 7440 | 120 | 120 | 32 | 256 | 16.43077227 | 8.468  | 7680 | 0.004882813 |
| mandrill32.bmp | mandrill32.bmp-withWavelet_bior1.1-G_0.6-H4e-005_af5.wfa | 1572864 | 524288 | 524288 | 15 | 7440 | 120 | 120 | 32 | 256 | 16.43077227 | 8.141  | 7680 | 0.004882813 |
| mandrill32.bmp | mandrill32.bmp-withWavelet_haar-G_0.6-H5e-005_af5.wfa    | 1572864 | 524288 | 524288 | 14 | 6512 | 112 | 112 | 32 | 256 | 16.47027165 | 7.703  | 6736 | 0.004282633 |
| mandrill32.bmp | mandrill32.bmp-withWavelet_rbio1.1-G_0.6-H5e-005_af5.wfa | 1572864 | 524288 | 524288 | 14 | 6512 | 112 | 112 | 32 | 256 | 16.47027165 | 7.797  | 6736 | 0.004282633 |
| mandrill32.bmp | mandrill32.bmp-withWavelet_sym1-G_0.6-H5e-005_af5.wfa    | 1572864 | 524288 | 524288 | 14 | 6512 | 112 | 112 | 32 | 256 | 16.47027165 | 7.922  | 6736 | 0.004282633 |
| mandrill32.bmp | mandrill32.bmp-withWavelet_bior1.1-G_0.6-H5e-005_af5.wfa | 1572864 | 524288 | 524288 | 14 | 6512 | 112 | 112 | 32 | 256 | 16.47027165 | 7.703  | 6736 | 0.004282633 |
| mandrill32.bmp | mandrill32.bmp-withWavelet_haar-G_1-H4e-005_af5.wfa      | 1572864 | 524288 | 524288 | 14 | 6512 | 112 | 112 | 32 | 256 | 16.49630151 | 7.734  | 6736 | 0.004282633 |
| mandrill32.bmp | mandrill32.bmp-withWavelet_rbio1.1-G_1-H4e-005_af5.wfa   | 1572864 | 524288 | 524288 | 14 | 6512 | 112 | 112 | 32 | 256 | 16.49630151 | 7.765  | 6736 | 0.004282633 |
| mandrill32.bmp | mandrill32.bmp-withWavelet_sym1-G_1-H4e-005_af5.wfa      | 1572864 | 524288 | 524288 | 14 | 6512 | 112 | 112 | 32 | 256 | 16.49630151 | 7.75   | 6736 | 0.004282633 |
| mandrill32.bmp | mandrill32.bmp-withWavelet_bior1.1-G_1-H4e-005_af5.wfa   | 1572864 | 524288 | 524288 | 14 | 6512 | 112 | 112 | 32 | 256 | 16.49630151 | 7.812  | 6736 | 0.004282633 |
| mandrill32.bmp | mandrill32.bmp-withWavelet_haar-G_0.8-H4e-005_af5.wfa    | 1572864 | 524288 | 524288 | 14 | 6512 | 112 | 112 | 32 | 256 | 16.49757837 | 7.875  | 6736 | 0.004282633 |
| mandrill32.bmp | mandrill32.bmp-withWavelet_rbio1.1-G_0.8-H4e-005_af5.wfa | 1572864 | 524288 | 524288 | 14 | 6512 | 112 | 112 | 32 | 256 | 16.49757837 | 7.906  | 6736 | 0.004282633 |
| mandrill32.bmp | mandrill32.bmp-withWavelet_sym1-G_0.8-H4e-005_af5.wfa    | 1572864 | 524288 | 524288 | 14 | 6512 | 112 | 112 | 32 | 256 | 16.49757837 | 7.812  | 6736 | 0.004282633 |
| mandrill32.bmp | mandrill32.bmp-withWavelet_bior1.1-G_0.8-H4e-005_af5.wfa | 1572864 | 524288 | 524288 | 14 | 6512 | 112 | 112 | 32 | 256 | 16.49757837 | 7.828  | 6736 | 0.004282633 |
| mandrill32.bmp | mandrill32.bmp-withWavelet_haar-G_0.6-H6e-005_af5.wfa    | 1572864 | 524288 | 524288 | 13 | 5648 | 104 | 104 | 32 | 256 | 16.49952734 | 26.843 | 5856 | 0.003723145 |
| mandrill32.bmp | mandrill32.bmp-withWavelet_rbio1.1-G_0.6-H6e-005_af5.wfa | 1572864 | 524288 | 524288 | 13 | 5648 | 104 | 104 | 32 | 256 | 16.49952734 | 26.875 | 5856 | 0.003723145 |
| mandrill32.bmp | mandrill32.bmp-withWavelet_sym1-G_0.6-H6e-005_af5.wfa    | 1572864 | 524288 | 524288 | 13 | 5648 | 104 | 104 | 32 | 256 | 16.49952734 | 21.5   | 5856 | 0.003723145 |
| mandrill32.bmp | mandrill32.bmp-withWavelet_bior1.1-G_0.6-H6e-005_af5.wfa | 1572864 | 524288 | 524288 | 13 | 5648 | 104 | 104 | 32 | 256 | 16.49952734 | 8.343  | 5856 | 0.003723145 |
| mandrill32.bmp | mandrill32.bmp-withWavelet_haar-G_0.6-H7e-005_af5.wfa    | 1572864 | 524288 | 524288 | 12 | 4848 | 96  | 96  | 32 | 256 | 16.54203383 | 7.953  | 5040 | 0.003204346 |
| mandrill32.bmp | mandrill32.bmp-withWavelet_rbio1.1-G_0.6-H7e-005_af5.wfa | 1572864 | 524288 | 524288 | 12 | 4848 | 96  | 96  | 32 | 256 | 16.54203383 | 7.938  | 5040 | 0.003204346 |
| mandrill32.bmp | mandrill32.bmp-withWavelet_sym1-G_0.6-H7e-005_af5.wfa    | 1572864 | 524288 | 524288 | 12 | 4848 | 96  | 96  | 32 | 256 | 16.54203383 | 7.984  | 5040 | 0.003204346 |
| mandrill32.bmp | mandrill32.bmp-withWavelet_bior1.1-G_0.6-H7e-005_af5.wfa | 1572864 | 524288 | 524288 | 12 | 4848 | 96  | 96  | 32 | 256 | 16.54203383 | 8.203  | 5040 | 0.003204346 |
| mandrill32.bmp | mandrill32.bmp-withWavelet_haar-G_0.6-H8e-005_af5.wfa    | 1572864 | 524288 | 524288 | 12 | 4848 | 96  | 96  | 32 | 256 | 16.54203383 | 8.109  | 5040 | 0.003204346 |
| mandrill32.bmp | mandrill32.bmp-withWavelet_rbio1.1-G_0.6-H8e-005_af5.wfa | 1572864 | 524288 | 524288 | 12 | 4848 | 96  | 96  | 32 | 256 | 16.54203383 | 8.031  | 5040 | 0.003204346 |
| mandrill32.bmp | mandrill32.bmp-withWavelet_sym1-G_0.6-H8e-005_af5.wfa    | 1572864 | 524288 | 524288 | 12 | 4848 | 96  | 96  | 32 | 256 | 16.54203383 | 8.234  | 5040 | 0.003204346 |
| mandrill32.bmp | mandrill32.bmp-withWavelet_bior1.1-G_0.6-H8e-005_af5.wfa | 1572864 | 524288 | 524288 | 12 | 4848 | 96  | 96  | 32 | 256 | 16.54203383 | 8.062  | 5040 | 0.003204346 |





|                |  |         |        |        |    |      |     |     |    |     |             |        |      |             |
|----------------|--|---------|--------|--------|----|------|-----|-----|----|-----|-------------|--------|------|-------------|
| mandrill32.bmp | mandrill32.bmp-withWavelet_bior1.1-G_0.8-H6e-005_af5.wfa | 1572864 | 524288 | 524288 | 12 | 4848 | 96  | 96  | 32 | 256 | 16.5604135  | 26.015 | 5040 | 0.003204346 |
| mandrill32.bmp | mandrill32.bmp-withWavelet_haar-G_0.8-H7e-005_af5.wfa    | 1572864 | 524288 | 524288 | 12 | 4848 | 96  | 96  | 32 | 256 | 16.5604135  | 7.562  | 5040 | 0.003204346 |
| mandrill32.bmp | mandrill32.bmp-withWavelet_rbio1.1-G_0.8-H7e-005_af5.wfa | 1572864 | 524288 | 524288 | 12 | 4848 | 96  | 96  | 32 | 256 | 16.5604135  | 7.671  | 5040 | 0.003204346 |
| mandrill32.bmp | mandrill32.bmp-withWavelet_sym1-G_0.8-H7e-005_af5.wfa    | 1572864 | 524288 | 524288 | 12 | 4848 | 96  | 96  | 32 | 256 | 16.5604135  | 7.593  | 5040 | 0.003204346 |
| mandrill32.bmp | mandrill32.bmp-withWavelet_bior1.1-G_0.8-H7e-005_af5.wfa | 1572864 | 524288 | 524288 | 12 | 4848 | 96  | 96  | 32 | 256 | 16.5604135  | 7.969  | 5040 | 0.003204346 |
| mandrill32.bmp | mandrill32.bmp-withWavelet_haar-G_0.8-H8e-005_af5.wfa    | 1572864 | 524288 | 524288 | 12 | 4848 | 96  | 96  | 32 | 256 | 16.5604135  | 7.984  | 5040 | 0.003204346 |
| mandrill32.bmp | mandrill32.bmp-withWavelet_rbio1.1-G_0.8-H8e-005_af5.wfa | 1572864 | 524288 | 524288 | 12 | 4848 | 96  | 96  | 32 | 256 | 16.5604135  | 7.985  | 5040 | 0.003204346 |
| mandrill32.bmp | mandrill32.bmp-withWavelet_sym1-G_0.8-H8e-005_af5.wfa    | 1572864 | 524288 | 524288 | 12 | 4848 | 96  | 96  | 32 | 256 | 16.5604135  | 7.969  | 5040 | 0.003204346 |
| mandrill32.bmp | mandrill32.bmp-withWavelet_bior1.1-G_0.8-H8e-005_af5.wfa | 1572864 | 524288 | 524288 | 12 | 4848 | 96  | 96  | 32 | 256 | 16.5604135  | 8.016  | 5040 | 0.003204346 |
| mandrill32.bmp | mandrill32.bmp-withWavelet_haar-G_0.8-H9e-005_af5.wfa    | 1572864 | 524288 | 524288 | 12 | 4848 | 96  | 96  | 32 | 256 | 16.5604135  | 7.687  | 5040 | 0.003204346 |
| mandrill32.bmp | mandrill32.bmp-withWavelet_rbio1.1-G_0.8-H9e-005_af5.wfa | 1572864 | 524288 | 524288 | 12 | 4848 | 96  | 96  | 32 | 256 | 16.5604135  | 7.672  | 5040 | 0.003204346 |
| mandrill32.bmp | mandrill32.bmp-withWavelet_sym1-G_0.8-H9e-005_af5.wfa    | 1572864 | 524288 | 524288 | 12 | 4848 | 96  | 96  | 32 | 256 | 16.5604135  | 7.609  | 5040 | 0.003204346 |
| mandrill32.bmp | mandrill32.bmp-withWavelet_bior1.1-G_0.8-H9e-005_af5.wfa | 1572864 | 524288 | 524288 | 12 | 4848 | 96  | 96  | 32 | 256 | 16.5604135  | 7.656  | 5040 | 0.003204346 |
| mandrill32.bmp | mandrill32.bmp-withWavelet_haar-G_0.8-H0.0001_af5.wfa    | 1572864 | 524288 | 524288 | 12 | 4848 | 96  | 96  | 32 | 256 | 16.5604135  | 7.953  | 5040 | 0.003204346 |
| mandrill32.bmp | mandrill32.bmp-withWavelet_rbio1.1-G_0.8-H0.0001_af5.wfa | 1572864 | 524288 | 524288 | 12 | 4848 | 96  | 96  | 32 | 256 | 16.5604135  | 7.953  | 5040 | 0.003204346 |
| mandrill32.bmp | mandrill32.bmp-withWavelet_sym1-G_0.8-H0.0001_af5.wfa    | 1572864 | 524288 | 524288 | 12 | 4848 | 96  | 96  | 32 | 256 | 16.5604135  | 7.953  | 5040 | 0.003204346 |
| mandrill32.bmp | mandrill32.bmp-withWavelet_bior1.1-G_0.8-H0.0001_af5.wfa | 1572864 | 524288 | 524288 | 12 | 4848 | 96  | 96  | 32 | 256 | 16.5604135  | 7.938  | 5040 | 0.003204346 |
| mandrill32.bmp | mandrill32.bmp-withWavelet_haar-G_1-H5e-005_af5.wfa      | 1572864 | 524288 | 524288 | 13 | 5648 | 104 | 104 | 32 | 256 | 16.58966962 | 7.594  | 5856 | 0.003723145 |
| mandrill32.bmp | mandrill32.bmp-withWavelet_rbio1.1-G_1-H5e-005_af5.wfa   | 1572864 | 524288 | 524288 | 13 | 5648 | 104 | 104 | 32 | 256 | 16.58966962 | 7.515  | 5856 | 0.003723145 |
| mandrill32.bmp | mandrill32.bmp-withWavelet_sym1-G_1-H5e-005_af5.wfa      | 1572864 | 524288 | 524288 | 13 | 5648 | 104 | 104 | 32 | 256 | 16.58966962 | 7.718  | 5856 | 0.003723145 |
| mandrill32.bmp | mandrill32.bmp-withWavelet_bior1.1-G_1-H5e-005_af5.wfa   | 1572864 | 524288 | 524288 | 13 | 5648 | 104 | 104 | 32 | 256 | 16.58966962 | 7.547  | 5856 | 0.003723145 |
| mandrill32.bmp | mandrill32.bmp-withWavelet_haar-G_0.8-H5e-005_af5.wfa    | 1572864 | 524288 | 524288 | 13 | 5648 | 104 | 104 | 32 | 256 | 16.59319955 | 7.532  | 5856 | 0.003723145 |
| mandrill32.bmp | mandrill32.bmp-withWavelet_rbio1.1-G_0.8-H5e-005_af5.wfa | 1572864 | 524288 | 524288 | 13 | 5648 | 104 | 104 | 32 | 256 | 16.59319955 | 7.531  | 5856 | 0.003723145 |
| mandrill32.bmp | mandrill32.bmp-withWavelet_sym1-G_0.8-H5e-005_af5.wfa    | 1572864 | 524288 | 524288 | 13 | 5648 | 104 | 104 | 32 | 256 | 16.59319955 | 7.594  | 5856 | 0.003723145 |
| mandrill32.bmp | mandrill32.bmp-withWavelet_bior1.1-G_0.8-H5e-005_af5.wfa | 1572864 | 524288 | 524288 | 13 | 5648 | 104 | 104 | 32 | 256 | 16.59319955 | 7.312  | 5856 | 0.003723145 |
| mandrill32.bmp | mandrill32.bmp-G_1-H9e-005_af4.wfa                       | 1572864 | 524288 |        | 12 | 4848 | 96  | 96  | 32 | 256 | 16.69200262 | 8.094  | 5040 | 0.003204346 |
| mandrill32.bmp | mandrill32.bmp-G_1-H0.0001_af4.wfa                       | 1572864 | 524288 |        | 12 | 4848 | 96  | 96  | 32 | 256 | 16.69200262 | 8.015  | 5040 | 0.003204346 |
| mandrill32.bmp | mandrill32.bmp-G_0.8-H9e-005_af4.wfa                     | 1572864 | 524288 |        | 12 | 4848 | 96  | 96  | 32 | 256 | 16.70360616 | 8.156  | 5040 | 0.003204346 |
| mandrill32.bmp | mandrill32.bmp-G_0.8-H0.0001_af4.wfa                     | 1572864 | 524288 |        | 12 | 4848 | 96  | 96  | 32 | 256 | 16.70360616 | 7.953  | 5040 | 0.003204346 |
| mandrill32.bmp | mandrill32.bmp-withWavelet_haar-G_0.6-H0.0001_af2.wfa    | 1572864 | 524288 | 524288 | 10 | 3440 | 80  | 80  | 32 | 256 | 16.75786745 | 7.406  | 3600 | 0.002288818 |
| mandrill32.bmp | mandrill32.bmp-withWavelet_rbio1.1-G_0.6-H0.0001_af2.wfa | 1572864 | 524288 | 524288 | 10 | 3440 | 80  | 80  | 32 | 256 | 16.75786745 | 7.375  | 3600 | 0.002288818 |

|                |  |         |        |        |    |       |     |     |    |     |             |        |       |             |
|----------------|--|---------|--------|--------|----|-------|-----|-----|----|-----|-------------|--------|-------|-------------|
| mandrill32.bmp | mandrill32.bmp-withWavelet_sym1-G_0.6-H0.0001_af2.wfa    | 1572864 | 524288 | 524288 | 10 | 3440  | 80  | 80  | 32 | 256 | 16.75786745 | 7.375  | 3600  | 0.002288818 |
| mandrill32.bmp | mandrill32.bmp-withWavelet_bior1.1-G_0.6-H0.0001_af2.wfa | 1572864 | 524288 | 524288 | 10 | 3440  | 80  | 80  | 32 | 256 | 16.75786745 | 7.344  | 3600  | 0.002288818 |
| mandrill32.bmp | mandrill32.bmp-withWavelet_haar-G_0.6-H3e-005_af5.wfa    | 1572864 | 524288 | 524288 | 17 | 9488  | 136 | 136 | 32 | 256 | 16.80619252 | 8.813  | 9760  | 0.006205241 |
| mandrill32.bmp | mandrill32.bmp-withWavelet_rbio1.1-G_0.6-H3e-005_af5.wfa | 1572864 | 524288 | 524288 | 17 | 9488  | 136 | 136 | 32 | 256 | 16.80619252 | 8.625  | 9760  | 0.006205241 |
| mandrill32.bmp | mandrill32.bmp-withWavelet_sym1-G_0.6-H3e-005_af5.wfa    | 1572864 | 524288 | 524288 | 17 | 9488  | 136 | 136 | 32 | 256 | 16.80619252 | 8.766  | 9760  | 0.006205241 |
| mandrill32.bmp | mandrill32.bmp-withWavelet_bior1.1-G_0.6-H3e-005_af5.wfa | 1572864 | 524288 | 524288 | 17 | 9488  | 136 | 136 | 32 | 256 | 16.80619252 | 8.735  | 9760  | 0.006205241 |
| mandrill32.bmp | mandrill32.bmp-withWavelet_haar-G_0.6-H8e-005_af4.wfa    | 1572864 | 524288 | 524288 | 15 | 7440  | 120 | 120 | 32 | 256 | 16.82050367 | 9      | 7680  | 0.004882813 |
| mandrill32.bmp | mandrill32.bmp-withWavelet_rbio1.1-G_0.6-H8e-005_af4.wfa | 1572864 | 524288 | 524288 | 15 | 7440  | 120 | 120 | 32 | 256 | 16.82050367 | 9.453  | 7680  | 0.004882813 |
| mandrill32.bmp | mandrill32.bmp-withWavelet_sym1-G_0.6-H8e-005_af4.wfa    | 1572864 | 524288 | 524288 | 15 | 7440  | 120 | 120 | 32 | 256 | 16.82050367 | 9.031  | 7680  | 0.004882813 |
| mandrill32.bmp | mandrill32.bmp-withWavelet_bior1.1-G_0.6-H8e-005_af4.wfa | 1572864 | 524288 | 524288 | 15 | 7440  | 120 | 120 | 32 | 256 | 16.82050367 | 8.922  | 7680  | 0.004882813 |
| mandrill32.bmp | mandrill32.bmp-withWavelet_haar-G_0.6-H1e-005_af4.wfa    | 1572864 | 524288 | 524288 | 30 | 29040 | 240 | 240 | 32 | 256 | 16.82289007 | 22.531 | 29520 | 0.018768311 |
| mandrill32.bmp | mandrill32.bmp-withWavelet_rbio1.1-G_0.6-H1e-005_af4.wfa | 1572864 | 524288 | 524288 | 30 | 29040 | 240 | 240 | 32 | 256 | 16.82289007 | 22.14  | 29520 | 0.018768311 |
| mandrill32.bmp | mandrill32.bmp-withWavelet_sym1-G_0.6-H1e-005_af4.wfa    | 1572864 | 524288 | 524288 | 30 | 29040 | 240 | 240 | 32 | 256 | 16.82289007 | 24.734 | 29520 | 0.018768311 |
| mandrill32.bmp | mandrill32.bmp-withWavelet_bior1.1-G_0.6-H1e-005_af4.wfa | 1572864 | 524288 | 524288 | 30 | 29040 | 240 | 240 | 32 | 256 | 16.82289007 | 19.234 | 29520 | 0.018768311 |
| mandrill32.bmp | mandrill32.bmp-withWavelet_haar-G_0.6-H9e-005_af2.wfa    | 1572864 | 524288 | 524288 | 12 | 4848  | 96  | 96  | 32 | 256 | 16.84165075 | 8.031  | 5040  | 0.003204346 |
| mandrill32.bmp | mandrill32.bmp-withWavelet_rbio1.1-G_0.6-H9e-005_af2.wfa | 1572864 | 524288 | 524288 | 12 | 4848  | 96  | 96  | 32 | 256 | 16.84165075 | 8      | 5040  | 0.003204346 |
| mandrill32.bmp | mandrill32.bmp-withWavelet_sym1-G_0.6-H9e-005_af2.wfa    | 1572864 | 524288 | 524288 | 12 | 4848  | 96  | 96  | 32 | 256 | 16.84165075 | 8.016  | 5040  | 0.003204346 |
| mandrill32.bmp | mandrill32.bmp-withWavelet_bior1.1-G_0.6-H9e-005_af2.wfa | 1572864 | 524288 | 524288 | 12 | 4848  | 96  | 96  | 32 | 256 | 16.84165075 | 7.969  | 5040  | 0.003204346 |
| mandrill32.bmp | mandrill32.bmp-withWavelet_haar-G_1-H0.0001_af2.wfa      | 1572864 | 524288 | 524288 | 11 | 4112  | 88  | 88  | 32 | 256 | 16.86007244 | 7.296  | 4288  | 0.002726237 |
| mandrill32.bmp | mandrill32.bmp-withWavelet_rbio1.1-G_1-H0.0001_af2.wfa   | 1572864 | 524288 | 524288 | 11 | 4112  | 88  | 88  | 32 | 256 | 16.86007244 | 7.687  | 4288  | 0.002726237 |
| mandrill32.bmp | mandrill32.bmp-withWavelet_sym1-G_1-H0.0001_af2.wfa      | 1572864 | 524288 | 524288 | 11 | 4112  | 88  | 88  | 32 | 256 | 16.86007244 | 7.734  | 4288  | 0.002726237 |
| mandrill32.bmp | mandrill32.bmp-withWavelet_bior1.1-G_1-H0.0001_af2.wfa   | 1572864 | 524288 | 524288 | 11 | 4112  | 88  | 88  | 32 | 256 | 16.86007244 | 7.312  | 4288  | 0.002726237 |
| mandrill32.bmp | mandrill32.bmp-withWavelet_haar-G_0.8-H0.0001_af2.wfa    | 1572864 | 524288 | 524288 | 11 | 4112  | 88  | 88  | 32 | 256 | 16.86067472 | 7.672  | 4288  | 0.002726237 |
| mandrill32.bmp | mandrill32.bmp-withWavelet_rbio1.1-G_0.8-H0.0001_af2.wfa | 1572864 | 524288 | 524288 | 11 | 4112  | 88  | 88  | 32 | 256 | 16.86067472 | 7.672  | 4288  | 0.002726237 |
| mandrill32.bmp | mandrill32.bmp-withWavelet_sym1-G_0.8-H0.0001_af2.wfa    | 1572864 | 524288 | 524288 | 11 | 4112  | 88  | 88  | 32 | 256 | 16.86067472 | 7.688  | 4288  | 0.002726237 |
| mandrill32.bmp | mandrill32.bmp-withWavelet_bior1.1-G_0.8-H0.0001_af2.wfa | 1572864 | 524288 | 524288 | 11 | 4112  | 88  | 88  | 32 | 256 | 16.86067472 | 7.687  | 4288  | 0.002726237 |
| mandrill32.bmp | mandrill32.bmp-withWavelet_haar-G_0.6-H0.0001_af4.wfa    | 1572864 | 524288 | 524288 | 13 | 5648  | 104 | 104 | 32 | 256 | 16.86672718 | 8.297  | 5856  | 0.003723145 |
| mandrill32.bmp | mandrill32.bmp-withWavelet_rbio1.1-G_0.6-H0.0001_af4.wfa | 1572864 | 524288 | 524288 | 13 | 5648  | 104 | 104 | 32 | 256 | 16.86672718 | 8.328  | 5856  | 0.003723145 |
| mandrill32.bmp | mandrill32.bmp-withWavelet_sym1-G_0.6-H0.0001_af4.wfa    | 1572864 | 524288 | 524288 | 13 | 5648  | 104 | 104 | 32 | 256 | 16.86672718 | 8.344  | 5856  | 0.003723145 |
| mandrill32.bmp | mandrill32.bmp-withWavelet_bior1.1-G_0.6-H0.0001_af4.wfa | 1572864 | 524288 | 524288 | 13 | 5648  | 104 | 104 | 32 | 256 | 16.86672718 | 8.375  | 5856  | 0.003723145 |
| mandrill32.bmp | mandrill32.bmp-withWavelet_haar-G_0.8-H3e-005_af5.wfa    | 1572864 | 524288 | 524288 | 17 | 9488  | 136 | 136 | 32 | 256 | 16.86732311 | 9.437  | 9760  | 0.006205241 |

|                |  |         |        |        |    |       |     |     |    |     |             |        |       |             |
|----------------|--|---------|--------|--------|----|-------|-----|-----|----|-----|-------------|--------|-------|-------------|
| mandrill32.bmp | mandrill32.bmp-withWavelet_rbio1.1-G_0.8-H3e-005_af5.wfa | 1572864 | 524288 | 524288 | 17 | 9488  | 136 | 136 | 32 | 256 | 16.86732311 | 10.329 | 9760  | 0.006205241 |
| mandrill32.bmp | mandrill32.bmp-withWavelet_sym1-G_0.8-H3e-005_af5.wfa    | 1572864 | 524288 | 524288 | 17 | 9488  | 136 | 136 | 32 | 256 | 16.86732311 | 10.563 | 9760  | 0.006205241 |
| mandrill32.bmp | mandrill32.bmp-withWavelet_bior1.1-G_0.8-H3e-005_af5.wfa | 1572864 | 524288 | 524288 | 17 | 9488  | 136 | 136 | 32 | 256 | 16.86732311 | 9.203  | 9760  | 0.006205241 |
| mandrill32.bmp | mandrill32.bmp-withWavelet_haar-G_0.8-H9e-005_af2.wfa    | 1572864 | 524288 | 524288 | 12 | 4848  | 96  | 96  | 32 | 256 | 16.87263922 | 9.062  | 5040  | 0.003204346 |
| mandrill32.bmp | mandrill32.bmp-withWavelet_rbio1.1-G_0.8-H9e-005_af2.wfa | 1572864 | 524288 | 524288 | 12 | 4848  | 96  | 96  | 32 | 256 | 16.87263922 | 8.015  | 5040  | 0.003204346 |
| mandrill32.bmp | mandrill32.bmp-withWavelet_sym1-G_0.8-H9e-005_af2.wfa    | 1572864 | 524288 | 524288 | 12 | 4848  | 96  | 96  | 32 | 256 | 16.87263922 | 8.219  | 5040  | 0.003204346 |
| mandrill32.bmp | mandrill32.bmp-withWavelet_bior1.1-G_0.8-H9e-005_af2.wfa | 1572864 | 524288 | 524288 | 12 | 4848  | 96  | 96  | 32 | 256 | 16.87263922 | 8.64   | 5040  | 0.003204346 |
| mandrill32.bmp | mandrill32.bmp-withWavelet_haar-G_0.6-H1e-005_af5.wfa    | 1572864 | 524288 | 524288 | 25 | 20240 | 200 | 200 | 32 | 256 | 16.88533401 | 15.031 | 20640 | 0.013122559 |
| mandrill32.bmp | mandrill32.bmp-withWavelet_rbio1.1-G_0.6-H1e-005_af5.wfa | 1572864 | 524288 | 524288 | 25 | 20240 | 200 | 200 | 32 | 256 | 16.88533401 | 14.953 | 20640 | 0.013122559 |
| mandrill32.bmp | mandrill32.bmp-withWavelet_sym1-G_0.6-H1e-005_af5.wfa    | 1572864 | 524288 | 524288 | 25 | 20240 | 200 | 200 | 32 | 256 | 16.88533401 | 14.938 | 20640 | 0.013122559 |
| mandrill32.bmp | mandrill32.bmp-withWavelet_bior1.1-G_0.6-H1e-005_af5.wfa | 1572864 | 524288 | 524288 | 25 | 20240 | 200 | 200 | 32 | 256 | 16.88533401 | 17.125 | 20640 | 0.013122559 |
| mandrill32.bmp | mandrill32.bmp-withWavelet_haar-G_1-H8e-005_af2.wfa      | 1572864 | 524288 | 524288 | 12 | 4848  | 96  | 96  | 32 | 256 | 16.88595147 | 7.953  | 5040  | 0.003204346 |
| mandrill32.bmp | mandrill32.bmp-withWavelet_rbio1.1-G_1-H8e-005_af2.wfa   | 1572864 | 524288 | 524288 | 12 | 4848  | 96  | 96  | 32 | 256 | 16.88595147 | 7.968  | 5040  | 0.003204346 |
| mandrill32.bmp | mandrill32.bmp-withWavelet_sym1-G_1-H8e-005_af2.wfa      | 1572864 | 524288 | 524288 | 12 | 4848  | 96  | 96  | 32 | 256 | 16.88595147 | 7.969  | 5040  | 0.003204346 |
| mandrill32.bmp | mandrill32.bmp-withWavelet_bior1.1-G_1-H8e-005_af2.wfa   | 1572864 | 524288 | 524288 | 12 | 4848  | 96  | 96  | 32 | 256 | 16.88595147 | 8.015  | 5040  | 0.003204346 |
| mandrill32.bmp | mandrill32.bmp-withWavelet_haar-G_1-H9e-005_af2.wfa      | 1572864 | 524288 | 524288 | 12 | 4848  | 96  | 96  | 32 | 256 | 16.88595147 | 8.437  | 5040  | 0.003204346 |
| mandrill32.bmp | mandrill32.bmp-withWavelet_rbio1.1-G_1-H9e-005_af2.wfa   | 1572864 | 524288 | 524288 | 12 | 4848  | 96  | 96  | 32 | 256 | 16.88595147 | 8.313  | 5040  | 0.003204346 |
| mandrill32.bmp | mandrill32.bmp-withWavelet_sym1-G_1-H9e-005_af2.wfa      | 1572864 | 524288 | 524288 | 12 | 4848  | 96  | 96  | 32 | 256 | 16.88595147 | 8.25   | 5040  | 0.003204346 |
| mandrill32.bmp | mandrill32.bmp-withWavelet_bior1.1-G_1-H9e-005_af2.wfa   | 1572864 | 524288 | 524288 | 12 | 4848  | 96  | 96  | 32 | 256 | 16.88595147 | 10.359 | 5040  | 0.003204346 |
| mandrill32.bmp | mandrill32.bmp-withWavelet_haar-G_0.6-H8e-005_af2.wfa    | 1572864 | 524288 | 524288 | 13 | 5648  | 104 | 104 | 32 | 256 | 16.89384141 | 8.782  | 5856  | 0.003723145 |
| mandrill32.bmp | mandrill32.bmp-withWavelet_rbio1.1-G_0.6-H8e-005_af2.wfa | 1572864 | 524288 | 524288 | 13 | 5648  | 104 | 104 | 32 | 256 | 16.89384141 | 8.141  | 5856  | 0.003723145 |
| mandrill32.bmp | mandrill32.bmp-withWavelet_sym1-G_0.6-H8e-005_af2.wfa    | 1572864 | 524288 | 524288 | 13 | 5648  | 104 | 104 | 32 | 256 | 16.89384141 | 8.141  | 5856  | 0.003723145 |
| mandrill32.bmp | mandrill32.bmp-withWavelet_bior1.1-G_0.6-H8e-005_af2.wfa | 1572864 | 524288 | 524288 | 13 | 5648  | 104 | 104 | 32 | 256 | 16.89384141 | 8.047  | 5856  | 0.003723145 |
| mandrill32.bmp | mandrill32.bmp-withWavelet_haar-G_0.6-H3e-005_af4.wfa    | 1572864 | 524288 | 524288 | 22 | 15728 | 176 | 176 | 32 | 256 | 16.89685058 | 11.422 | 16080 | 0.010223389 |
| mandrill32.bmp | mandrill32.bmp-withWavelet_rbio1.1-G_0.6-H3e-005_af4.wfa | 1572864 | 524288 | 524288 | 22 | 15728 | 176 | 176 | 32 | 256 | 16.89685058 | 11.422 | 16080 | 0.010223389 |
| mandrill32.bmp | mandrill32.bmp-withWavelet_sym1-G_0.6-H3e-005_af4.wfa    | 1572864 | 524288 | 524288 | 22 | 15728 | 176 | 176 | 32 | 256 | 16.89685058 | 11.312 | 16080 | 0.010223389 |
| mandrill32.bmp | mandrill32.bmp-withWavelet_bior1.1-G_0.6-H3e-005_af4.wfa | 1572864 | 524288 | 524288 | 22 | 15728 | 176 | 176 | 32 | 256 | 16.89685058 | 11.407 | 16080 | 0.010223389 |
| mandrill32.bmp | mandrill32.bmp-withWavelet_haar-G_1-H3e-005_af5.wfa      | 1572864 | 524288 | 524288 | 16 | 8432  | 128 | 128 | 32 | 256 | 16.9042549  | 8.219  | 8688  | 0.005523682 |
| mandrill32.bmp | mandrill32.bmp-withWavelet_rbio1.1-G_1-H3e-005_af5.wfa   | 1572864 | 524288 | 524288 | 16 | 8432  | 128 | 128 | 32 | 256 | 16.9042549  | 8.343  | 8688  | 0.005523682 |
| mandrill32.bmp | mandrill32.bmp-withWavelet_sym1-G_1-H3e-005_af5.wfa      | 1572864 | 524288 | 524288 | 16 | 8432  | 128 | 128 | 32 | 256 | 16.9042549  | 8.39   | 8688  | 0.005523682 |
| mandrill32.bmp | mandrill32.bmp-withWavelet_bior1.1-G_1-H3e-005_af5.wfa   | 1572864 | 524288 | 524288 | 16 | 8432  | 128 | 128 | 32 | 256 | 16.9042549  | 8.172  | 8688  | 0.005523682 |

|                |  |         |        |        |    |       |     |     |    |     |             |        |       |             |
|----------------|--|---------|--------|--------|----|-------|-----|-----|----|-----|-------------|--------|-------|-------------|
| mandrill32.bmp | mandrill32.bmp-withWavelet_haar-G_0.6-H6e-005_af2.wfa    | 1572864 | 524288 | 524288 | 14 | 6512  | 112 | 112 | 32 | 256 | 16.91322529 | 29.781 | 6736  | 0.004282633 |
| mandrill32.bmp | mandrill32.bmp-withWavelet_rbio1.1-G_0.6-H6e-005_af2.wfa | 1572864 | 524288 | 524288 | 14 | 6512  | 112 | 112 | 32 | 256 | 16.91322529 | 27.313 | 6736  | 0.004282633 |
| mandrill32.bmp | mandrill32.bmp-withWavelet_sym1-G_0.6-H6e-005_af2.wfa    | 1572864 | 524288 | 524288 | 14 | 6512  | 112 | 112 | 32 | 256 | 16.91322529 | 27.188 | 6736  | 0.004282633 |
| mandrill32.bmp | mandrill32.bmp-withWavelet_bior1.1-G_0.6-H6e-005_af2.wfa | 1572864 | 524288 | 524288 | 14 | 6512  | 112 | 112 | 32 | 256 | 16.91322529 | 27.282 | 6736  | 0.004282633 |
| mandrill32.bmp | mandrill32.bmp-withWavelet_haar-G_0.8-H8e-005_af2.wfa    | 1572864 | 524288 | 524288 | 13 | 5648  | 104 | 104 | 32 | 256 | 16.91786676 | 8.328  | 5856  | 0.003723145 |
| mandrill32.bmp | mandrill32.bmp-withWavelet_rbio1.1-G_0.8-H8e-005_af2.wfa | 1572864 | 524288 | 524288 | 13 | 5648  | 104 | 104 | 32 | 256 | 16.91786676 | 8.266  | 5856  | 0.003723145 |
| mandrill32.bmp | mandrill32.bmp-withWavelet_sym1-G_0.8-H8e-005_af2.wfa    | 1572864 | 524288 | 524288 | 13 | 5648  | 104 | 104 | 32 | 256 | 16.91786676 | 8.296  | 5856  | 0.003723145 |
| mandrill32.bmp | mandrill32.bmp-withWavelet_bior1.1-G_0.8-H8e-005_af2.wfa | 1572864 | 524288 | 524288 | 13 | 5648  | 104 | 104 | 32 | 256 | 16.91786676 | 8.281  | 5856  | 0.003723145 |
| mandrill32.bmp | mandrill32.bmp-withWavelet_haar-G_0.6-H7e-005_af2.wfa    | 1572864 | 524288 | 524288 | 14 | 6512  | 112 | 112 | 32 | 256 | 16.92178612 | 8.64   | 6736  | 0.004282633 |
| mandrill32.bmp | mandrill32.bmp-withWavelet_rbio1.1-G_0.6-H7e-005_af2.wfa | 1572864 | 524288 | 524288 | 14 | 6512  | 112 | 112 | 32 | 256 | 16.92178612 | 8.453  | 6736  | 0.004282633 |
| mandrill32.bmp | mandrill32.bmp-withWavelet_sym1-G_0.6-H7e-005_af2.wfa    | 1572864 | 524288 | 524288 | 14 | 6512  | 112 | 112 | 32 | 256 | 16.92178612 | 8.468  | 6736  | 0.004282633 |
| mandrill32.bmp | mandrill32.bmp-withWavelet_bior1.1-G_0.6-H7e-005_af2.wfa | 1572864 | 524288 | 524288 | 14 | 6512  | 112 | 112 | 32 | 256 | 16.92178612 | 8.453  | 6736  | 0.004282633 |
| mandrill32.bmp | mandrill32.bmp-withWavelet_haar-G_0.6-H1e-005_af2.wfa    | 1572864 | 524288 | 524288 | 25 | 20240 | 200 | 200 | 32 | 256 | 16.94157306 | 19.375 | 20640 | 0.013122559 |
| mandrill32.bmp | mandrill32.bmp-withWavelet_rbio1.1-G_0.6-H1e-005_af2.wfa | 1572864 | 524288 | 524288 | 25 | 20240 | 200 | 200 | 32 | 256 | 16.94157306 | 14.765 | 20640 | 0.013122559 |
| mandrill32.bmp | mandrill32.bmp-withWavelet_sym1-G_0.6-H1e-005_af2.wfa    | 1572864 | 524288 | 524288 | 25 | 20240 | 200 | 200 | 32 | 256 | 16.94157306 | 14.781 | 20640 | 0.013122559 |
| mandrill32.bmp | mandrill32.bmp-withWavelet_bior1.1-G_0.6-H1e-005_af2.wfa | 1572864 | 524288 | 524288 | 25 | 20240 | 200 | 200 | 32 | 256 | 16.94157306 | 20     | 20640 | 0.013122559 |
| mandrill32.bmp | mandrill32.bmp-withWavelet_haar-G_0.8-H6e-005_af2.wfa    | 1572864 | 524288 | 524288 | 14 | 6512  | 112 | 112 | 32 | 256 | 16.94648504 | 19.375 | 6736  | 0.004282633 |
| mandrill32.bmp | mandrill32.bmp-withWavelet_rbio1.1-G_0.8-H6e-005_af2.wfa | 1572864 | 524288 | 524288 | 14 | 6512  | 112 | 112 | 32 | 256 | 16.94648504 | 14.203 | 6736  | 0.004282633 |
| mandrill32.bmp | mandrill32.bmp-withWavelet_sym1-G_0.8-H6e-005_af2.wfa    | 1572864 | 524288 | 524288 | 14 | 6512  | 112 | 112 | 32 | 256 | 16.94648504 | 19.062 | 6736  | 0.004282633 |
| mandrill32.bmp | mandrill32.bmp-withWavelet_bior1.1-G_0.8-H6e-005_af2.wfa | 1572864 | 524288 | 524288 | 14 | 6512  | 112 | 112 | 32 | 256 | 16.94648504 | 21.891 | 6736  | 0.004282633 |
| mandrill32.bmp | mandrill32.bmp-withWavelet_haar-G_0.8-H7e-005_af2.wfa    | 1572864 | 524288 | 524288 | 14 | 6512  | 112 | 112 | 32 | 256 | 16.94648504 | 8.25   | 6736  | 0.004282633 |
| mandrill32.bmp | mandrill32.bmp-withWavelet_rbio1.1-G_0.8-H7e-005_af2.wfa | 1572864 | 524288 | 524288 | 14 | 6512  | 112 | 112 | 32 | 256 | 16.94648504 | 8.219  | 6736  | 0.004282633 |
| mandrill32.bmp | mandrill32.bmp-withWavelet_sym1-G_0.8-H7e-005_af2.wfa    | 1572864 | 524288 | 524288 | 14 | 6512  | 112 | 112 | 32 | 256 | 16.94648504 | 8.172  | 6736  | 0.004282633 |
| mandrill32.bmp | mandrill32.bmp-withWavelet_bior1.1-G_0.8-H7e-005_af2.wfa | 1572864 | 524288 | 524288 | 14 | 6512  | 112 | 112 | 32 | 256 | 16.94648504 | 8.187  | 6736  | 0.004282633 |
| mandrill32.bmp | mandrill32.bmp-withWavelet_haar-G_1-H6e-005_af2.wfa      | 1572864 | 524288 | 524288 | 14 | 6512  | 112 | 112 | 32 | 256 | 16.94954602 | 9.516  | 6736  | 0.004282633 |
| mandrill32.bmp | mandrill32.bmp-withWavelet_rbio1.1-G_1-H6e-005_af2.wfa   | 1572864 | 524288 | 524288 | 14 | 6512  | 112 | 112 | 32 | 256 | 16.94954602 | 7.688  | 6736  | 0.004282633 |
| mandrill32.bmp | mandrill32.bmp-withWavelet_sym1-G_1-H6e-005_af2.wfa      | 1572864 | 524288 | 524288 | 14 | 6512  | 112 | 112 | 32 | 256 | 16.94954602 | 7.531  | 6736  | 0.004282633 |
| mandrill32.bmp | mandrill32.bmp-withWavelet_bior1.1-G_1-H6e-005_af2.wfa   | 1572864 | 524288 | 524288 | 14 | 6512  | 112 | 112 | 32 | 256 | 16.94954602 | 7.625  | 6736  | 0.004282633 |
| mandrill32.bmp | mandrill32.bmp-withWavelet_haar-G_1-H7e-005_af2.wfa      | 1572864 | 524288 | 524288 | 14 | 6512  | 112 | 112 | 32 | 256 | 16.94954602 | 8.203  | 6736  | 0.004282633 |
| mandrill32.bmp | mandrill32.bmp-withWavelet_rbio1.1-G_1-H7e-005_af2.wfa   | 1572864 | 524288 | 524288 | 14 | 6512  | 112 | 112 | 32 | 256 | 16.94954602 | 8.203  | 6736  | 0.004282633 |
| mandrill32.bmp | mandrill32.bmp-withWavelet_sym1-G_1-H7e-005_af2.wfa      | 1572864 | 524288 | 524288 | 14 | 6512  | 112 | 112 | 32 | 256 | 16.94954602 | 8.235  | 6736  | 0.004282633 |

|                |  |         |        |        |    |       |     |     |    |     |             |        |       |             |
|----------------|--|---------|--------|--------|----|-------|-----|-----|----|-----|-------------|--------|-------|-------------|
| mandrill32.bmp | mandrill32.bmp-withWavelet_bior1.1-G_1-H7e-005_af2.wfa   | 1572864 | 524288 | 524288 | 14 | 6512  | 112 | 112 | 32 | 256 | 16.94954602 | 8.187  | 6736  | 0.004282633 |
| mandrill32.bmp | mandrill32.bmp-withWavelet_haar-G_0.6-H1e-005_af1.wfa    | 1572864 | 524288 | 524288 | 32 | 33008 | 256 | 256 | 32 | 256 | 16.95069911 | 26.422 | 33520 | 0.021311442 |
| mandrill32.bmp | mandrill32.bmp-withWavelet_rbio1.1-G_0.6-H1e-005_af1.wfa | 1572864 | 524288 | 524288 | 32 | 33008 | 256 | 256 | 32 | 256 | 16.95069911 | 21.625 | 33520 | 0.021311442 |
| mandrill32.bmp | mandrill32.bmp-withWavelet_sym1-G_0.6-H1e-005_af1.wfa    | 1572864 | 524288 | 524288 | 32 | 33008 | 256 | 256 | 32 | 256 | 16.95069911 | 31.938 | 33520 | 0.021311442 |
| mandrill32.bmp | mandrill32.bmp-withWavelet_bior1.1-G_0.6-H1e-005_af1.wfa | 1572864 | 524288 | 524288 | 32 | 33008 | 256 | 256 | 32 | 256 | 16.95069911 | 21.688 | 33520 | 0.021311442 |
| mandrill32.bmp | mandrill32.bmp-withWavelet_haar-G_0.8-H5e-005_af2.wfa    | 1572864 | 524288 | 524288 | 16 | 8432  | 128 | 128 | 32 | 256 | 16.95834952 | 8.39   | 8688  | 0.005523682 |
| mandrill32.bmp | mandrill32.bmp-withWavelet_rbio1.1-G_0.8-H5e-005_af2.wfa | 1572864 | 524288 | 524288 | 16 | 8432  | 128 | 128 | 32 | 256 | 16.95834952 | 8.235  | 8688  | 0.005523682 |
| mandrill32.bmp | mandrill32.bmp-withWavelet_sym1-G_0.8-H5e-005_af2.wfa    | 1572864 | 524288 | 524288 | 16 | 8432  | 128 | 128 | 32 | 256 | 16.95834952 | 8.391  | 8688  | 0.005523682 |
| mandrill32.bmp | mandrill32.bmp-withWavelet_bior1.1-G_0.8-H5e-005_af2.wfa | 1572864 | 524288 | 524288 | 16 | 8432  | 128 | 128 | 32 | 256 | 16.95834952 | 8.266  | 8688  | 0.005523682 |
| mandrill32.bmp | mandrill32.bmp-withWavelet_haar-G_1-H5e-005_af2.wfa      | 1572864 | 524288 | 524288 | 16 | 8432  | 128 | 128 | 32 | 256 | 16.96043074 | 8.594  | 8688  | 0.005523682 |
| mandrill32.bmp | mandrill32.bmp-withWavelet_rbio1.1-G_1-H5e-005_af2.wfa   | 1572864 | 524288 | 524288 | 16 | 8432  | 128 | 128 | 32 | 256 | 16.96043074 | 8.547  | 8688  | 0.005523682 |
| mandrill32.bmp | mandrill32.bmp-withWavelet_sym1-G_1-H5e-005_af2.wfa      | 1572864 | 524288 | 524288 | 16 | 8432  | 128 | 128 | 32 | 256 | 16.96043074 | 8.844  | 8688  | 0.005523682 |
| mandrill32.bmp | mandrill32.bmp-withWavelet_bior1.1-G_1-H5e-005_af2.wfa   | 1572864 | 524288 | 524288 | 16 | 8432  | 128 | 128 | 32 | 256 | 16.96043074 | 8.453  | 8688  | 0.005523682 |
| mandrill32.bmp | mandrill32.bmp-withWavelet_haar-G_0.8-H1e-005_af4.wfa    | 1572864 | 524288 | 524288 | 32 | 33008 | 256 | 256 | 32 | 256 | 16.9765354  | 24.406 | 33520 | 0.021311442 |
| mandrill32.bmp | mandrill32.bmp-withWavelet_rbio1.1-G_0.8-H1e-005_af4.wfa | 1572864 | 524288 | 524288 | 32 | 33008 | 256 | 256 | 32 | 256 | 16.9765354  | 21.906 | 33520 | 0.021311442 |
| mandrill32.bmp | mandrill32.bmp-withWavelet_sym1-G_0.8-H1e-005_af4.wfa    | 1572864 | 524288 | 524288 | 32 | 33008 | 256 | 256 | 32 | 256 | 16.9765354  | 21.516 | 33520 | 0.021311442 |
| mandrill32.bmp | mandrill32.bmp-withWavelet_bior1.1-G_0.8-H1e-005_af4.wfa | 1572864 | 524288 | 524288 | 32 | 33008 | 256 | 256 | 32 | 256 | 16.9765354  | 21.812 | 33520 | 0.021311442 |
| mandrill32.bmp | mandrill32.bmp-withWavelet_haar-G_0.6-H2e-005_af4.wfa    | 1572864 | 524288 | 524288 | 26 | 21872 | 208 | 208 | 32 | 256 | 16.97706262 | 15.516 | 22288 | 0.014170329 |
| mandrill32.bmp | mandrill32.bmp-withWavelet_rbio1.1-G_0.6-H2e-005_af4.wfa | 1572864 | 524288 | 524288 | 26 | 21872 | 208 | 208 | 32 | 256 | 16.97706262 | 15.531 | 22288 | 0.014170329 |
| mandrill32.bmp | mandrill32.bmp-withWavelet_sym1-G_0.6-H2e-005_af4.wfa    | 1572864 | 524288 | 524288 | 26 | 21872 | 208 | 208 | 32 | 256 | 16.97706262 | 15.407 | 22288 | 0.014170329 |
| mandrill32.bmp | mandrill32.bmp-withWavelet_bior1.1-G_0.6-H2e-005_af4.wfa | 1572864 | 524288 | 524288 | 26 | 21872 | 208 | 208 | 32 | 256 | 16.97706262 | 15.343 | 22288 | 0.014170329 |
| mandrill32.bmp | mandrill32.bmp-G_0.8-H6e-005_af4.wfa                     | 1572864 | 524288 |        | 15 | 7440  | 120 | 120 | 32 | 256 | 16.98514458 | 17.078 | 7680  | 0.004882813 |
| mandrill32.bmp | mandrill32.bmp-G_1-H6e-005_af4.wfa                       | 1572864 | 524288 |        | 15 | 7440  | 120 | 120 | 32 | 256 | 16.9857913  | 8      | 7680  | 0.004882813 |
| mandrill32.bmp | mandrill32.bmp-withWavelet_haar-G_0.6-H5e-005_af2.wfa    | 1572864 | 524288 | 524288 | 16 | 8432  | 128 | 128 | 32 | 256 | 16.98743302 | 11.625 | 8688  | 0.005523682 |
| mandrill32.bmp | mandrill32.bmp-withWavelet_rbio1.1-G_0.6-H5e-005_af2.wfa | 1572864 | 524288 | 524288 | 16 | 8432  | 128 | 128 | 32 | 256 | 16.98743302 | 10.641 | 8688  | 0.005523682 |
| mandrill32.bmp | mandrill32.bmp-withWavelet_sym1-G_0.6-H5e-005_af2.wfa    | 1572864 | 524288 | 524288 | 16 | 8432  | 128 | 128 | 32 | 256 | 16.98743302 | 10.922 | 8688  | 0.005523682 |
| mandrill32.bmp | mandrill32.bmp-withWavelet_bior1.1-G_0.6-H5e-005_af2.wfa | 1572864 | 524288 | 524288 | 16 | 8432  | 128 | 128 | 32 | 256 | 16.98743302 | 9.938  | 8688  | 0.005523682 |
| mandrill32.bmp | mandrill32.bmp-withWavelet_haar-G_1-H1e-005_af4.wfa      | 1572864 | 524288 | 524288 | 32 | 33008 | 256 | 256 | 32 | 256 | 16.99885513 | 21.875 | 33520 | 0.021311442 |
| mandrill32.bmp | mandrill32.bmp-withWavelet_rbio1.1-G_1-H1e-005_af4.wfa   | 1572864 | 524288 | 524288 | 32 | 33008 | 256 | 256 | 32 | 256 | 16.99885513 | 21.469 | 33520 | 0.021311442 |
| mandrill32.bmp | mandrill32.bmp-withWavelet_sym1-G_1-H1e-005_af4.wfa      | 1572864 | 524288 | 524288 | 32 | 33008 | 256 | 256 | 32 | 256 | 16.99885513 | 21.344 | 33520 | 0.021311442 |
| mandrill32.bmp | mandrill32.bmp-withWavelet_bior1.1-G_1-H1e-005_af4.wfa   | 1572864 | 524288 | 524288 | 32 | 33008 | 256 | 256 | 32 | 256 | 16.99885513 | 21.031 | 33520 | 0.021311442 |

|                |  |         |        |        |    |       |     |     |    |     |             |        |       |             |
|----------------|--|---------|--------|--------|----|-------|-----|-----|----|-----|-------------|--------|-------|-------------|
| mandrill32.bmp | mandrill32.bmp-withWavelet_haar-G_0.6-H4e-005_af2.wfa    | 1572864 | 524288 | 524288 | 17 | 9488  | 136 | 136 | 32 | 256 | 17.0111042  | 9.047  | 9760  | 0.006205241 |
| mandrill32.bmp | mandrill32.bmp-withWavelet_rbio1.1-G_0.6-H4e-005_af2.wfa | 1572864 | 524288 | 524288 | 17 | 9488  | 136 | 136 | 32 | 256 | 17.0111042  | 9.109  | 9760  | 0.006205241 |
| mandrill32.bmp | mandrill32.bmp-withWavelet_sym1-G_0.6-H4e-005_af2.wfa    | 1572864 | 524288 | 524288 | 17 | 9488  | 136 | 136 | 32 | 256 | 17.0111042  | 8.968  | 9760  | 0.006205241 |
| mandrill32.bmp | mandrill32.bmp-withWavelet_bior1.1-G_0.6-H4e-005_af2.wfa | 1572864 | 524288 | 524288 | 17 | 9488  | 136 | 136 | 32 | 256 | 17.0111042  | 9.157  | 9760  | 0.006205241 |
| mandrill32.bmp | mandrill32.bmp-withWavelet_haar-G_0.6-H1e-005_af3.wfa    | 1572864 | 524288 | 524288 | 31 | 30992 | 248 | 248 | 32 | 256 | 17.01279353 | 21.547 | 31488 | 0.020019531 |
| mandrill32.bmp | mandrill32.bmp-withWavelet_rbio1.1-G_0.6-H1e-005_af3.wfa | 1572864 | 524288 | 524288 | 31 | 30992 | 248 | 248 | 32 | 256 | 17.01279353 | 20.547 | 31488 | 0.020019531 |
| mandrill32.bmp | mandrill32.bmp-withWavelet_sym1-G_0.6-H1e-005_af3.wfa    | 1572864 | 524288 | 524288 | 31 | 30992 | 248 | 248 | 32 | 256 | 17.01279353 | 25.875 | 31488 | 0.020019531 |
| mandrill32.bmp | mandrill32.bmp-withWavelet_bior1.1-G_0.6-H1e-005_af3.wfa | 1572864 | 524288 | 524288 | 31 | 30992 | 248 | 248 | 32 | 256 | 17.01279353 | 20.531 | 31488 | 0.020019531 |
| mandrill32.bmp | mandrill32.bmp-withWavelet_haar-G_0.8-H1e-005_af2.wfa    | 1572864 | 524288 | 524288 | 27 | 23568 | 216 | 216 | 32 | 256 | 17.0199084  | 16.313 | 24000 | 0.015258789 |
| mandrill32.bmp | mandrill32.bmp-withWavelet_rbio1.1-G_0.8-H1e-005_af2.wfa | 1572864 | 524288 | 524288 | 27 | 23568 | 216 | 216 | 32 | 256 | 17.0199084  | 16.375 | 24000 | 0.015258789 |
| mandrill32.bmp | mandrill32.bmp-withWavelet_sym1-G_0.8-H1e-005_af2.wfa    | 1572864 | 524288 | 524288 | 27 | 23568 | 216 | 216 | 32 | 256 | 17.0199084  | 16.484 | 24000 | 0.015258789 |
| mandrill32.bmp | mandrill32.bmp-withWavelet_bior1.1-G_0.8-H1e-005_af2.wfa | 1572864 | 524288 | 524288 | 27 | 23568 | 216 | 216 | 32 | 256 | 17.0199084  | 18.141 | 24000 | 0.015258789 |
| mandrill32.bmp | mandrill32.bmp-withWavelet_haar-G_0.6-H2e-005_af5.wfa    | 1572864 | 524288 | 524288 | 22 | 15728 | 176 | 176 | 32 | 256 | 17.02027951 | 11.266 | 16080 | 0.010223389 |
| mandrill32.bmp | mandrill32.bmp-withWavelet_rbio1.1-G_0.6-H2e-005_af5.wfa | 1572864 | 524288 | 524288 | 22 | 15728 | 176 | 176 | 32 | 256 | 17.02027951 | 11.375 | 16080 | 0.010223389 |
| mandrill32.bmp | mandrill32.bmp-withWavelet_sym1-G_0.6-H2e-005_af5.wfa    | 1572864 | 524288 | 524288 | 22 | 15728 | 176 | 176 | 32 | 256 | 17.02027951 | 11.297 | 16080 | 0.010223389 |
| mandrill32.bmp | mandrill32.bmp-withWavelet_bior1.1-G_0.6-H2e-005_af5.wfa | 1572864 | 524288 | 524288 | 22 | 15728 | 176 | 176 | 32 | 256 | 17.02027951 | 11.265 | 16080 | 0.010223389 |
| mandrill32.bmp | mandrill32.bmp-withWavelet_haar-G_1-H1e-005_af2.wfa      | 1572864 | 524288 | 524288 | 27 | 23568 | 216 | 216 | 32 | 256 | 17.02496331 | 18.578 | 24000 | 0.015258789 |
| mandrill32.bmp | mandrill32.bmp-withWavelet_rbio1.1-G_1-H1e-005_af2.wfa   | 1572864 | 524288 | 524288 | 27 | 23568 | 216 | 216 | 32 | 256 | 17.02496331 | 16.719 | 24000 | 0.015258789 |
| mandrill32.bmp | mandrill32.bmp-withWavelet_sym1-G_1-H1e-005_af2.wfa      | 1572864 | 524288 | 524288 | 27 | 23568 | 216 | 216 | 32 | 256 | 17.02496331 | 16.859 | 24000 | 0.015258789 |
| mandrill32.bmp | mandrill32.bmp-withWavelet_bior1.1-G_1-H1e-005_af2.wfa   | 1572864 | 524288 | 524288 | 27 | 23568 | 216 | 216 | 32 | 256 | 17.02496331 | 19.281 | 24000 | 0.015258789 |
| mandrill32.bmp | mandrill32.bmp-withWavelet_haar-G_0.6-H2e-005_af2.wfa    | 1572864 | 524288 | 524288 | 21 | 14352 | 168 | 168 | 32 | 256 | 17.03012773 | 10.938 | 14688 | 0.009338379 |
| mandrill32.bmp | mandrill32.bmp-withWavelet_rbio1.1-G_0.6-H2e-005_af2.wfa | 1572864 | 524288 | 524288 | 21 | 14352 | 168 | 168 | 32 | 256 | 17.03012773 | 10.859 | 14688 | 0.009338379 |
| mandrill32.bmp | mandrill32.bmp-withWavelet_sym1-G_0.6-H2e-005_af2.wfa    | 1572864 | 524288 | 524288 | 21 | 14352 | 168 | 168 | 32 | 256 | 17.03012773 | 10.953 | 14688 | 0.009338379 |
| mandrill32.bmp | mandrill32.bmp-withWavelet_bior1.1-G_0.6-H2e-005_af2.wfa | 1572864 | 524288 | 524288 | 21 | 14352 | 168 | 168 | 32 | 256 | 17.03012773 | 10.781 | 14688 | 0.009338379 |
| mandrill32.bmp | mandrill32.bmp-G_1-H7e-005_af4.wfa                       | 1572864 | 524288 |        | 15 | 7440  | 120 | 120 | 32 | 256 | 17.03258525 | 8.594  | 7680  | 0.004882813 |
| mandrill32.bmp | mandrill32.bmp-withWavelet_haar-G_1-H1e-005_af1.wfa      | 1572864 | 524288 | 524288 | 33 | 35088 | 264 | 264 | 32 | 256 | 17.03620516 | 25.422 | 35616 | 0.022644043 |
| mandrill32.bmp | mandrill32.bmp-withWavelet_rbio1.1-G_1-H1e-005_af1.wfa   | 1572864 | 524288 | 524288 | 33 | 35088 | 264 | 264 | 32 | 256 | 17.03620516 | 27.593 | 35616 | 0.022644043 |
| mandrill32.bmp | mandrill32.bmp-withWavelet_sym1-G_1-H1e-005_af1.wfa      | 1572864 | 524288 | 524288 | 33 | 35088 | 264 | 264 | 32 | 256 | 17.03620516 | 26.047 | 35616 | 0.022644043 |
| mandrill32.bmp | mandrill32.bmp-withWavelet_bior1.1-G_1-H1e-005_af1.wfa   | 1572864 | 524288 | 524288 | 33 | 35088 | 264 | 264 | 32 | 256 | 17.03620516 | 28.734 | 35616 | 0.022644043 |
| mandrill32.bmp | mandrill32.bmp-G_0.8-H7e-005_af4.wfa                     | 1572864 | 524288 |        | 15 | 7440  | 120 | 120 | 32 | 256 | 17.04188205 | 8.516  | 7680  | 0.004882813 |
| mandrill32.bmp | mandrill32.bmp-withWavelet_haar-G_0.6-H5e-005_af4.wfa    | 1572864 | 524288 | 524288 | 18 | 10608 | 144 | 144 | 32 | 256 | 17.04642389 | 8.875  | 10896 | 0.00692749  |

|                |  |         |        |        |    |       |     |     |    |     |             |        |       |             |
|----------------|--|---------|--------|--------|----|-------|-----|-----|----|-----|-------------|--------|-------|-------------|
| mandrill32.bmp | mandrill32.bmp-withWavelet_rbio1.1-G_0.6-H5e-005_af4.wfa | 1572864 | 524288 | 524288 | 18 | 10608 | 144 | 144 | 32 | 256 | 17.04642389 | 9.484  | 10896 | 0.00692749  |
| mandrill32.bmp | mandrill32.bmp-withWavelet_sym1-G_0.6-H5e-005_af4.wfa    | 1572864 | 524288 | 524288 | 18 | 10608 | 144 | 144 | 32 | 256 | 17.04642389 | 9.094  | 10896 | 0.00692749  |
| mandrill32.bmp | mandrill32.bmp-withWavelet_bior1.1-G_0.6-H5e-005_af4.wfa | 1572864 | 524288 | 524288 | 18 | 10608 | 144 | 144 | 32 | 256 | 17.04642389 | 9.188  | 10896 | 0.00692749  |
| mandrill32.bmp | mandrill32.bmp-withWavelet_haar-G_0.8-H4e-005_af2.wfa    | 1572864 | 524288 | 524288 | 17 | 9488  | 136 | 136 | 32 | 256 | 17.0465512  | 8.953  | 9760  | 0.006205241 |
| mandrill32.bmp | mandrill32.bmp-withWavelet_rbio1.1-G_0.8-H4e-005_af2.wfa | 1572864 | 524288 | 524288 | 17 | 9488  | 136 | 136 | 32 | 256 | 17.0465512  | 8.937  | 9760  | 0.006205241 |
| mandrill32.bmp | mandrill32.bmp-withWavelet_sym1-G_0.8-H4e-005_af2.wfa    | 1572864 | 524288 | 524288 | 17 | 9488  | 136 | 136 | 32 | 256 | 17.0465512  | 9.187  | 9760  | 0.006205241 |
| mandrill32.bmp | mandrill32.bmp-withWavelet_bior1.1-G_0.8-H4e-005_af2.wfa | 1572864 | 524288 | 524288 | 17 | 9488  | 136 | 136 | 32 | 256 | 17.0465512  | 8.984  | 9760  | 0.006205241 |
| mandrill32.bmp | mandrill32.bmp-withWavelet_haar-G_1-H4e-005_af2.wfa      | 1572864 | 524288 | 524288 | 17 | 9488  | 136 | 136 | 32 | 256 | 17.04983916 | 8.625  | 9760  | 0.006205241 |
| mandrill32.bmp | mandrill32.bmp-withWavelet_rbio1.1-G_1-H4e-005_af2.wfa   | 1572864 | 524288 | 524288 | 17 | 9488  | 136 | 136 | 32 | 256 | 17.04983916 | 8.766  | 9760  | 0.006205241 |
| mandrill32.bmp | mandrill32.bmp-withWavelet_sym1-G_1-H4e-005_af2.wfa      | 1572864 | 524288 | 524288 | 17 | 9488  | 136 | 136 | 32 | 256 | 17.04983916 | 8.672  | 9760  | 0.006205241 |
| mandrill32.bmp | mandrill32.bmp-withWavelet_bior1.1-G_1-H4e-005_af2.wfa   | 1572864 | 524288 | 524288 | 17 | 9488  | 136 | 136 | 32 | 256 | 17.04983916 | 8.578  | 9760  | 0.006205241 |
| mandrill32.bmp | mandrill32.bmp-G_1-H5e-005_af4.wfa                       | 1572864 | 524288 |        | 16 | 8432  | 128 | 128 | 32 | 256 | 17.05038988 | 8.563  | 8688  | 0.005523682 |
| mandrill32.bmp | mandrill32.bmp-G_1-H4e-005_af4.wfa                       | 1572864 | 524288 |        | 16 | 8432  | 128 | 128 | 32 | 256 | 17.05618171 | 8.469  | 8688  | 0.005523682 |
| mandrill32.bmp | mandrill32.bmp-withWavelet_haar-G_0.8-H1e-005_af1.wfa    | 1572864 | 524288 | 524288 | 32 | 33008 | 256 | 256 | 32 | 256 | 17.06002559 | 24.75  | 33520 | 0.021311442 |
| mandrill32.bmp | mandrill32.bmp-withWavelet_rbio1.1-G_0.8-H1e-005_af1.wfa | 1572864 | 524288 | 524288 | 32 | 33008 | 256 | 256 | 32 | 256 | 17.06002559 | 22.375 | 33520 | 0.021311442 |
| mandrill32.bmp | mandrill32.bmp-withWavelet_sym1-G_0.8-H1e-005_af1.wfa    | 1572864 | 524288 | 524288 | 32 | 33008 | 256 | 256 | 32 | 256 | 17.06002559 | 21.641 | 33520 | 0.021311442 |
| mandrill32.bmp | mandrill32.bmp-withWavelet_bior1.1-G_0.8-H1e-005_af1.wfa | 1572864 | 524288 | 524288 | 32 | 33008 | 256 | 256 | 32 | 256 | 17.06002559 | 24.547 | 33520 | 0.021311442 |
| mandrill32.bmp | mandrill32.bmp-G_0.8-H4e-005_af4.wfa                     | 1572864 | 524288 |        | 16 | 8432  | 128 | 128 | 32 | 256 | 17.0664842  | 8.515  | 8688  | 0.005523682 |
| mandrill32.bmp | mandrill32.bmp-G_0.8-H5e-005_af4.wfa                     | 1572864 | 524288 |        | 16 | 8432  | 128 | 128 | 32 | 256 | 17.06728897 | 8.297  | 8688  | 0.005523682 |
| mandrill32.bmp | mandrill32.bmp-withWavelet_haar-G_0.6-H6e-005_af4.wfa    | 1572864 | 524288 | 524288 | 17 | 9488  | 136 | 136 | 32 | 256 | 17.09265952 | 31.11  | 9760  | 0.006205241 |
| mandrill32.bmp | mandrill32.bmp-withWavelet_rbio1.1-G_0.6-H6e-005_af4.wfa | 1572864 | 524288 | 524288 | 17 | 9488  | 136 | 136 | 32 | 256 | 17.09265952 | 31.875 | 9760  | 0.006205241 |
| mandrill32.bmp | mandrill32.bmp-withWavelet_sym1-G_0.6-H6e-005_af4.wfa    | 1572864 | 524288 | 524288 | 17 | 9488  | 136 | 136 | 32 | 256 | 17.09265952 | 31.188 | 9760  | 0.006205241 |
| mandrill32.bmp | mandrill32.bmp-withWavelet_bior1.1-G_0.6-H6e-005_af4.wfa | 1572864 | 524288 | 524288 | 17 | 9488  | 136 | 136 | 32 | 256 | 17.09265952 | 30.734 | 9760  | 0.006205241 |
| mandrill32.bmp | mandrill32.bmp-withWavelet_haar-G_0.6-H7e-005_af4.wfa    | 1572864 | 524288 | 524288 | 17 | 9488  | 136 | 136 | 32 | 256 | 17.09265952 | 9.625  | 9760  | 0.006205241 |
| mandrill32.bmp | mandrill32.bmp-withWavelet_rbio1.1-G_0.6-H7e-005_af4.wfa | 1572864 | 524288 | 524288 | 17 | 9488  | 136 | 136 | 32 | 256 | 17.09265952 | 9.547  | 9760  | 0.006205241 |
| mandrill32.bmp | mandrill32.bmp-withWavelet_sym1-G_0.6-H7e-005_af4.wfa    | 1572864 | 524288 | 524288 | 17 | 9488  | 136 | 136 | 32 | 256 | 17.09265952 | 9.641  | 9760  | 0.006205241 |
| mandrill32.bmp | mandrill32.bmp-withWavelet_bior1.1-G_0.6-H7e-005_af4.wfa | 1572864 | 524288 | 524288 | 17 | 9488  | 136 | 136 | 32 | 256 | 17.09265952 | 9.547  | 9760  | 0.006205241 |
| mandrill32.bmp | mandrill32.bmp-G_1-H8e-005_af4.wfa                       | 1572864 | 524288 |        | 15 | 7440  | 120 | 120 | 32 | 256 | 17.09528585 | 8.828  | 7680  | 0.004882813 |
| mandrill32.bmp | mandrill32.bmp-withWavelet_haar-G_0.8-H6e-005_af4.wfa    | 1572864 | 524288 | 524288 | 18 | 10608 | 144 | 144 | 32 | 256 | 17.10259709 | 16.188 | 10896 | 0.00692749  |
| mandrill32.bmp | mandrill32.bmp-withWavelet_rbio1.1-G_0.8-H6e-005_af4.wfa | 1572864 | 524288 | 524288 | 18 | 10608 | 144 | 144 | 32 | 256 | 17.10259709 | 19.812 | 10896 | 0.00692749  |
| mandrill32.bmp | mandrill32.bmp-withWavelet_sym1-G_0.8-H6e-005_af4.wfa    | 1572864 | 524288 | 524288 | 18 | 10608 | 144 | 144 | 32 | 256 | 17.10259709 | 24.594 | 10896 | 0.00692749  |

|                |  |         |        |        |    |       |     |     |    |     |             |        |       |             |
|----------------|--|---------|--------|--------|----|-------|-----|-----|----|-----|-------------|--------|-------|-------------|
| mandrill32.bmp | mandrill32.bmp-withWavelet_bior1.1-G_0.8-H6e-005_af4.wfa | 1572864 | 524288 | 524288 | 18 | 10608 | 144 | 144 | 32 | 256 | 17.10259709 | 16.875 | 10896 | 0.00692749  |
| mandrill32.bmp | mandrill32.bmp-withWavelet_haar-G_0.8-H7e-005_af4.wfa    | 1572864 | 524288 | 524288 | 18 | 10608 | 144 | 144 | 32 | 256 | 17.10259709 | 9.594  | 10896 | 0.00692749  |
| mandrill32.bmp | mandrill32.bmp-withWavelet_rbio1.1-G_0.8-H7e-005_af4.wfa | 1572864 | 524288 | 524288 | 18 | 10608 | 144 | 144 | 32 | 256 | 17.10259709 | 9.531  | 10896 | 0.00692749  |
| mandrill32.bmp | mandrill32.bmp-withWavelet_sym1-G_0.8-H7e-005_af4.wfa    | 1572864 | 524288 | 524288 | 18 | 10608 | 144 | 144 | 32 | 256 | 17.10259709 | 9.593  | 10896 | 0.00692749  |
| mandrill32.bmp | mandrill32.bmp-withWavelet_bior1.1-G_0.8-H7e-005_af4.wfa | 1572864 | 524288 | 524288 | 18 | 10608 | 144 | 144 | 32 | 256 | 17.10259709 | 9.516  | 10896 | 0.00692749  |
| mandrill32.bmp | mandrill32.bmp-withWavelet_haar-G_0.8-H1e-005_af3.wfa    | 1572864 | 524288 | 524288 | 32 | 33008 | 256 | 256 | 32 | 256 | 17.10739609 | 21.547 | 33520 | 0.021311442 |
| mandrill32.bmp | mandrill32.bmp-withWavelet_rbio1.1-G_0.8-H1e-005_af3.wfa | 1572864 | 524288 | 524288 | 32 | 33008 | 256 | 256 | 32 | 256 | 17.10739609 | 24.109 | 33520 | 0.021311442 |
| mandrill32.bmp | mandrill32.bmp-withWavelet_sym1-G_0.8-H1e-005_af3.wfa    | 1572864 | 524288 | 524288 | 32 | 33008 | 256 | 256 | 32 | 256 | 17.10739609 | 21.469 | 33520 | 0.021311442 |
| mandrill32.bmp | mandrill32.bmp-withWavelet_bior1.1-G_0.8-H1e-005_af3.wfa | 1572864 | 524288 | 524288 | 32 | 33008 | 256 | 256 | 32 | 256 | 17.10739609 | 25.547 | 33520 | 0.021311442 |
| mandrill32.bmp | mandrill32.bmp-withWavelet_haar-G_0.8-H4e-005_af4.wfa    | 1572864 | 524288 | 524288 | 19 | 11792 | 152 | 152 | 32 | 256 | 17.10752709 | 10.281 | 12096 | 0.00769043  |
| mandrill32.bmp | mandrill32.bmp-withWavelet_rbio1.1-G_0.8-H4e-005_af4.wfa | 1572864 | 524288 | 524288 | 19 | 11792 | 152 | 152 | 32 | 256 | 17.10752709 | 10.078 | 12096 | 0.00769043  |
| mandrill32.bmp | mandrill32.bmp-withWavelet_sym1-G_0.8-H4e-005_af4.wfa    | 1572864 | 524288 | 524288 | 19 | 11792 | 152 | 152 | 32 | 256 | 17.10752709 | 10     | 12096 | 0.00769043  |
| mandrill32.bmp | mandrill32.bmp-withWavelet_bior1.1-G_0.8-H4e-005_af4.wfa | 1572864 | 524288 | 524288 | 19 | 11792 | 152 | 152 | 32 | 256 | 17.10752709 | 9.906  | 12096 | 0.00769043  |
| mandrill32.bmp | mandrill32.bmp-withWavelet_haar-G_0.8-H5e-005_af4.wfa    | 1572864 | 524288 | 524288 | 19 | 11792 | 152 | 152 | 32 | 256 | 17.10752709 | 9.922  | 12096 | 0.00769043  |
| mandrill32.bmp | mandrill32.bmp-withWavelet_rbio1.1-G_0.8-H5e-005_af4.wfa | 1572864 | 524288 | 524288 | 19 | 11792 | 152 | 152 | 32 | 256 | 17.10752709 | 9.672  | 12096 | 0.00769043  |
| mandrill32.bmp | mandrill32.bmp-withWavelet_sym1-G_0.8-H5e-005_af4.wfa    | 1572864 | 524288 | 524288 | 19 | 11792 | 152 | 152 | 32 | 256 | 17.10752709 | 9.969  | 12096 | 0.00769043  |
| mandrill32.bmp | mandrill32.bmp-withWavelet_bior1.1-G_0.8-H5e-005_af4.wfa | 1572864 | 524288 | 524288 | 19 | 11792 | 152 | 152 | 32 | 256 | 17.10752709 | 10.094 | 12096 | 0.00769043  |
| mandrill32.bmp | mandrill32.bmp-withWavelet_haar-G_0.8-H2e-005_af4.wfa    | 1572864 | 524288 | 524288 | 26 | 21872 | 208 | 208 | 32 | 256 | 17.10778685 | 15.485 | 22288 | 0.014170329 |
| mandrill32.bmp | mandrill32.bmp-withWavelet_rbio1.1-G_0.8-H2e-005_af4.wfa | 1572864 | 524288 | 524288 | 26 | 21872 | 208 | 208 | 32 | 256 | 17.10778685 | 15.546 | 22288 | 0.014170329 |
| mandrill32.bmp | mandrill32.bmp-withWavelet_sym1-G_0.8-H2e-005_af4.wfa    | 1572864 | 524288 | 524288 | 26 | 21872 | 208 | 208 | 32 | 256 | 17.10778685 | 15.469 | 22288 | 0.014170329 |
| mandrill32.bmp | mandrill32.bmp-withWavelet_bior1.1-G_0.8-H2e-005_af4.wfa | 1572864 | 524288 | 524288 | 26 | 21872 | 208 | 208 | 32 | 256 | 17.10778685 | 19.688 | 22288 | 0.014170329 |
| mandrill32.bmp | mandrill32.bmp-G_0.8-H8e-005_af4.wfa                     | 1572864 | 524288 |        | 15 | 7440  | 120 | 120 | 32 | 256 | 17.1083722  | 8.922  | 7680  | 0.004882813 |
| mandrill32.bmp | mandrill32.bmp-withWavelet_haar-G_1-H1e-005_af3.wfa      | 1572864 | 524288 | 524288 | 32 | 33008 | 256 | 256 | 32 | 256 | 17.10882099 | 24.953 | 33520 | 0.021311442 |
| mandrill32.bmp | mandrill32.bmp-withWavelet_rbio1.1-G_1-H1e-005_af3.wfa   | 1572864 | 524288 | 524288 | 32 | 33008 | 256 | 256 | 32 | 256 | 17.10882099 | 21.922 | 33520 | 0.021311442 |
| mandrill32.bmp | mandrill32.bmp-withWavelet_sym1-G_1-H1e-005_af3.wfa      | 1572864 | 524288 | 524288 | 32 | 33008 | 256 | 256 | 32 | 256 | 17.10882099 | 25.515 | 33520 | 0.021311442 |
| mandrill32.bmp | mandrill32.bmp-withWavelet_bior1.1-G_1-H1e-005_af3.wfa   | 1572864 | 524288 | 524288 | 32 | 33008 | 256 | 256 | 32 | 256 | 17.10882099 | 22.516 | 33520 | 0.021311442 |
| mandrill32.bmp | mandrill32.bmp-G_0.6-H1e-005_af4.wfa                     | 1572864 | 524288 |        | 17 | 9488  | 136 | 136 | 32 | 256 | 17.12032613 | 8.875  | 9760  | 0.006205241 |
| mandrill32.bmp | mandrill32.bmp-G_0.6-H2e-005_af4.wfa                     | 1572864 | 524288 |        | 17 | 9488  | 136 | 136 | 32 | 256 | 17.12032613 | 8.968  | 9760  | 0.006205241 |
| mandrill32.bmp | mandrill32.bmp-withWavelet_haar-G_1-H2e-005_af4.wfa      | 1572864 | 524288 | 524288 | 26 | 21872 | 208 | 208 | 32 | 256 | 17.12882648 | 17.391 | 22288 | 0.014170329 |
| mandrill32.bmp | mandrill32.bmp-withWavelet_rbio1.1-G_1-H2e-005_af4.wfa   | 1572864 | 524288 | 524288 | 26 | 21872 | 208 | 208 | 32 | 256 | 17.12882648 | 15.625 | 22288 | 0.014170329 |
| mandrill32.bmp | mandrill32.bmp-withWavelet_sym1-G_1-H2e-005_af4.wfa      | 1572864 | 524288 | 524288 | 26 | 21872 | 208 | 208 | 32 | 256 | 17.12882648 | 15.593 | 22288 | 0.014170329 |



|                |  |         |        |        |    |       |     |     |    |     |             |        |       |             |
|----------------|--|---------|--------|--------|----|-------|-----|-----|----|-----|-------------|--------|-------|-------------|
| mandrill32.bmp | mandrill32.bmp-withWavelet_bior1.1-G_1-H2e-005_af4.wfa   | 1572864 | 524288 | 524288 | 26 | 21872 | 208 | 208 | 32 | 256 | 17.12882648 | 15.547 | 22288 | 0.014170329 |
| mandrill32.bmp | mandrill32.bmp-withWavelet_haar-G_1-H6e-005_af4.wfa      | 1572864 | 524288 | 524288 | 18 | 10608 | 144 | 144 | 32 | 256 | 17.13003679 | 9.516  | 10896 | 0.00692749  |
| mandrill32.bmp | mandrill32.bmp-withWavelet_rbio1.1-G_1-H6e-005_af4.wfa   | 1572864 | 524288 | 524288 | 18 | 10608 | 144 | 144 | 32 | 256 | 17.13003679 | 9.094  | 10896 | 0.00692749  |
| mandrill32.bmp | mandrill32.bmp-withWavelet_sym1-G_1-H6e-005_af4.wfa      | 1572864 | 524288 | 524288 | 18 | 10608 | 144 | 144 | 32 | 256 | 17.13003679 | 9.109  | 10896 | 0.00692749  |
| mandrill32.bmp | mandrill32.bmp-withWavelet_bior1.1-G_1-H6e-005_af4.wfa   | 1572864 | 524288 | 524288 | 18 | 10608 | 144 | 144 | 32 | 256 | 17.13003679 | 8.984  | 10896 | 0.00692749  |
| mandrill32.bmp | mandrill32.bmp-withWavelet_haar-G_1-H7e-005_af4.wfa      | 1572864 | 524288 | 524288 | 18 | 10608 | 144 | 144 | 32 | 256 | 17.13003679 | 9.61   | 10896 | 0.00692749  |
| mandrill32.bmp | mandrill32.bmp-withWavelet_rbio1.1-G_1-H7e-005_af4.wfa   | 1572864 | 524288 | 524288 | 18 | 10608 | 144 | 144 | 32 | 256 | 17.13003679 | 9.562  | 10896 | 0.00692749  |
| mandrill32.bmp | mandrill32.bmp-withWavelet_sym1-G_1-H7e-005_af4.wfa      | 1572864 | 524288 | 524288 | 18 | 10608 | 144 | 144 | 32 | 256 | 17.13003679 | 9.562  | 10896 | 0.00692749  |
| mandrill32.bmp | mandrill32.bmp-withWavelet_bior1.1-G_1-H7e-005_af4.wfa   | 1572864 | 524288 | 524288 | 18 | 10608 | 144 | 144 | 32 | 256 | 17.13003679 | 9.515  | 10896 | 0.00692749  |
| mandrill32.bmp | mandrill32.bmp-withWavelet_haar-G_0.6-H3e-005_af2.wfa    | 1572864 | 524288 | 524288 | 17 | 9488  | 136 | 136 | 32 | 256 | 17.1308642  | 8.735  | 9760  | 0.006205241 |
| mandrill32.bmp | mandrill32.bmp-withWavelet_rbio1.1-G_0.6-H3e-005_af2.wfa | 1572864 | 524288 | 524288 | 17 | 9488  | 136 | 136 | 32 | 256 | 17.1308642  | 9.062  | 9760  | 0.006205241 |
| mandrill32.bmp | mandrill32.bmp-withWavelet_sym1-G_0.6-H3e-005_af2.wfa    | 1572864 | 524288 | 524288 | 17 | 9488  | 136 | 136 | 32 | 256 | 17.1308642  | 8.75   | 9760  | 0.006205241 |
| mandrill32.bmp | mandrill32.bmp-withWavelet_bior1.1-G_0.6-H3e-005_af2.wfa | 1572864 | 524288 | 524288 | 17 | 9488  | 136 | 136 | 32 | 256 | 17.1308642  | 8.844  | 9760  | 0.006205241 |
| mandrill32.bmp | mandrill32.bmp-withWavelet_haar-G_1-H4e-005_af4.wfa      | 1572864 | 524288 | 524288 | 19 | 11792 | 152 | 152 | 32 | 256 | 17.13538001 | 10.031 | 12096 | 0.00769043  |
| mandrill32.bmp | mandrill32.bmp-withWavelet_rbio1.1-G_1-H4e-005_af4.wfa   | 1572864 | 524288 | 524288 | 19 | 11792 | 152 | 152 | 32 | 256 | 17.13538001 | 13.032 | 12096 | 0.00769043  |
| mandrill32.bmp | mandrill32.bmp-withWavelet_sym1-G_1-H4e-005_af4.wfa      | 1572864 | 524288 | 524288 | 19 | 11792 | 152 | 152 | 32 | 256 | 17.13538001 | 10.172 | 12096 | 0.00769043  |
| mandrill32.bmp | mandrill32.bmp-withWavelet_bior1.1-G_1-H4e-005_af4.wfa   | 1572864 | 524288 | 524288 | 19 | 11792 | 152 | 152 | 32 | 256 | 17.13538001 | 9.922  | 12096 | 0.00769043  |
| mandrill32.bmp | mandrill32.bmp-withWavelet_haar-G_1-H5e-005_af4.wfa      | 1572864 | 524288 | 524288 | 19 | 11792 | 152 | 152 | 32 | 256 | 17.13538001 | 9.703  | 12096 | 0.00769043  |
| mandrill32.bmp | mandrill32.bmp-withWavelet_rbio1.1-G_1-H5e-005_af4.wfa   | 1572864 | 524288 | 524288 | 19 | 11792 | 152 | 152 | 32 | 256 | 17.13538001 | 10.156 | 12096 | 0.00769043  |
| mandrill32.bmp | mandrill32.bmp-withWavelet_sym1-G_1-H5e-005_af4.wfa      | 1572864 | 524288 | 524288 | 19 | 11792 | 152 | 152 | 32 | 256 | 17.13538001 | 9.86   | 12096 | 0.00769043  |
| mandrill32.bmp | mandrill32.bmp-withWavelet_bior1.1-G_1-H5e-005_af4.wfa   | 1572864 | 524288 | 524288 | 19 | 11792 | 152 | 152 | 32 | 256 | 17.13538001 | 10.688 | 12096 | 0.00769043  |
| mandrill32.bmp | mandrill32.bmp-withWavelet_haar-G_0.6-H2e-005_af3.wfa    | 1572864 | 524288 | 524288 | 26 | 21872 | 208 | 208 | 32 | 256 | 17.13778825 | 15.438 | 22288 | 0.014170329 |
| mandrill32.bmp | mandrill32.bmp-withWavelet_rbio1.1-G_0.6-H2e-005_af3.wfa | 1572864 | 524288 | 524288 | 26 | 21872 | 208 | 208 | 32 | 256 | 17.13778825 | 15.515 | 22288 | 0.014170329 |
| mandrill32.bmp | mandrill32.bmp-withWavelet_sym1-G_0.6-H2e-005_af3.wfa    | 1572864 | 524288 | 524288 | 26 | 21872 | 208 | 208 | 32 | 256 | 17.13778825 | 15.516 | 22288 | 0.014170329 |
| mandrill32.bmp | mandrill32.bmp-withWavelet_bior1.1-G_0.6-H2e-005_af3.wfa | 1572864 | 524288 | 524288 | 26 | 21872 | 208 | 208 | 32 | 256 | 17.13778825 | 15.36  | 22288 | 0.014170329 |
| mandrill32.bmp | mandrill32.bmp-G_1-H3e-005_af4.wfa                       | 1572864 | 524288 |        | 19 | 11792 | 152 | 152 | 32 | 256 | 17.15045197 | 9.829  | 12096 | 0.00769043  |
| mandrill32.bmp | mandrill32.bmp-withWavelet_haar-G_0.8-H9e-005_af4.wfa    | 1572864 | 524288 | 524288 | 15 | 7440  | 120 | 120 | 32 | 256 | 17.15110751 | 8.641  | 7680  | 0.004882813 |
| mandrill32.bmp | mandrill32.bmp-withWavelet_rbio1.1-G_0.8-H9e-005_af4.wfa | 1572864 | 524288 | 524288 | 15 | 7440  | 120 | 120 | 32 | 256 | 17.15110751 | 9.219  | 7680  | 0.004882813 |
| mandrill32.bmp | mandrill32.bmp-withWavelet_sym1-G_0.8-H9e-005_af4.wfa    | 1572864 | 524288 | 524288 | 15 | 7440  | 120 | 120 | 32 | 256 | 17.15110751 | 8.75   | 7680  | 0.004882813 |
| mandrill32.bmp | mandrill32.bmp-withWavelet_bior1.1-G_0.8-H9e-005_af4.wfa | 1572864 | 524288 | 524288 | 15 | 7440  | 120 | 120 | 32 | 256 | 17.15110751 | 8.563  | 7680  | 0.004882813 |
| mandrill32.bmp | mandrill32.bmp-withWavelet_haar-G_0.8-H0.0001_af4.wfa    | 1572864 | 524288 | 524288 | 15 | 7440  | 120 | 120 | 32 | 256 | 17.15110751 | 8.891  | 7680  | 0.004882813 |

|                |  |         |        |        |    |       |     |     |    |     |             |        |       |             |
|----------------|--|---------|--------|--------|----|-------|-----|-----|----|-----|-------------|--------|-------|-------------|
| mandrill32.bmp | mandrill32.bmp-withWavelet_rbio1.1-G_0.8-H0.0001_af4.wfa | 1572864 | 524288 | 524288 | 15 | 7440  | 120 | 120 | 32 | 256 | 17.15110751 | 8.906  | 7680  | 0.004882813 |
| mandrill32.bmp | mandrill32.bmp-withWavelet_sym1-G_0.8-H0.0001_af4.wfa    | 1572864 | 524288 | 524288 | 15 | 7440  | 120 | 120 | 32 | 256 | 17.15110751 | 8.875  | 7680  | 0.004882813 |
| mandrill32.bmp | mandrill32.bmp-withWavelet_bior1.1-G_0.8-H0.0001_af4.wfa | 1572864 | 524288 | 524288 | 15 | 7440  | 120 | 120 | 32 | 256 | 17.15110751 | 8.906  | 7680  | 0.004882813 |
| mandrill32.bmp | mandrill32.bmp-withWavelet_haar-G_0.6-H4e-005_af4.wfa    | 1572864 | 524288 | 524288 | 19 | 11792 | 152 | 152 | 32 | 256 | 17.15980228 | 10.609 | 12096 | 0.00769043  |
| mandrill32.bmp | mandrill32.bmp-withWavelet_rbio1.1-G_0.6-H4e-005_af4.wfa | 1572864 | 524288 | 524288 | 19 | 11792 | 152 | 152 | 32 | 256 | 17.15980228 | 9.875  | 12096 | 0.00769043  |
| mandrill32.bmp | mandrill32.bmp-withWavelet_sym1-G_0.6-H4e-005_af4.wfa    | 1572864 | 524288 | 524288 | 19 | 11792 | 152 | 152 | 32 | 256 | 17.15980228 | 10.078 | 12096 | 0.00769043  |
| mandrill32.bmp | mandrill32.bmp-withWavelet_bior1.1-G_0.6-H4e-005_af4.wfa | 1572864 | 524288 | 524288 | 19 | 11792 | 152 | 152 | 32 | 256 | 17.15980228 | 13.109 | 12096 | 0.00769043  |
| mandrill32.bmp | mandrill32.bmp-withWavelet_haar-G_0.6-H2e-005_af1.wfa    | 1572864 | 524288 | 524288 | 24 | 18672 | 192 | 192 | 32 | 256 | 17.16768276 | 13.797 | 19056 | 0.012115479 |
| mandrill32.bmp | mandrill32.bmp-withWavelet_rbio1.1-G_0.6-H2e-005_af1.wfa | 1572864 | 524288 | 524288 | 24 | 18672 | 192 | 192 | 32 | 256 | 17.16768276 | 13.859 | 19056 | 0.012115479 |
| mandrill32.bmp | mandrill32.bmp-withWavelet_sym1-G_0.6-H2e-005_af1.wfa    | 1572864 | 524288 | 524288 | 24 | 18672 | 192 | 192 | 32 | 256 | 17.16768276 | 13.735 | 19056 | 0.012115479 |
| mandrill32.bmp | mandrill32.bmp-withWavelet_bior1.1-G_0.6-H2e-005_af1.wfa | 1572864 | 524288 | 524288 | 24 | 18672 | 192 | 192 | 32 | 256 | 17.16768276 | 13.875 | 19056 | 0.012115479 |
| mandrill32.bmp | mandrill32.bmp-withWavelet_haar-G_1-H9e-005_af4.wfa      | 1572864 | 524288 | 524288 | 15 | 7440  | 120 | 120 | 32 | 256 | 17.17783004 | 8.953  | 7680  | 0.004882813 |
| mandrill32.bmp | mandrill32.bmp-withWavelet_rbio1.1-G_1-H9e-005_af4.wfa   | 1572864 | 524288 | 524288 | 15 | 7440  | 120 | 120 | 32 | 256 | 17.17783004 | 9.031  | 7680  | 0.004882813 |
| mandrill32.bmp | mandrill32.bmp-withWavelet_sym1-G_1-H9e-005_af4.wfa      | 1572864 | 524288 | 524288 | 15 | 7440  | 120 | 120 | 32 | 256 | 17.17783004 | 9.156  | 7680  | 0.004882813 |
| mandrill32.bmp | mandrill32.bmp-withWavelet_bior1.1-G_1-H9e-005_af4.wfa   | 1572864 | 524288 | 524288 | 15 | 7440  | 120 | 120 | 32 | 256 | 17.17783004 | 8.891  | 7680  | 0.004882813 |
| mandrill32.bmp | mandrill32.bmp-withWavelet_haar-G_1-H0.0001_af4.wfa      | 1572864 | 524288 | 524288 | 15 | 7440  | 120 | 120 | 32 | 256 | 17.17783004 | 8.937  | 7680  | 0.004882813 |
| mandrill32.bmp | mandrill32.bmp-withWavelet_rbio1.1-G_1-H0.0001_af4.wfa   | 1572864 | 524288 | 524288 | 15 | 7440  | 120 | 120 | 32 | 256 | 17.17783004 | 8.875  | 7680  | 0.004882813 |
| mandrill32.bmp | mandrill32.bmp-withWavelet_sym1-G_1-H0.0001_af4.wfa      | 1572864 | 524288 | 524288 | 15 | 7440  | 120 | 120 | 32 | 256 | 17.17783004 | 8.891  | 7680  | 0.004882813 |
| mandrill32.bmp | mandrill32.bmp-withWavelet_bior1.1-G_1-H0.0001_af4.wfa   | 1572864 | 524288 | 524288 | 15 | 7440  | 120 | 120 | 32 | 256 | 17.17783004 | 8.922  | 7680  | 0.004882813 |
| mandrill32.bmp | mandrill32.bmp-withWavelet_haar-G_0.8-H2e-005_af5.wfa    | 1572864 | 524288 | 524288 | 24 | 18672 | 192 | 192 | 32 | 256 | 17.1814687  | 13.844 | 19056 | 0.012115479 |
| mandrill32.bmp | mandrill32.bmp-withWavelet_rbio1.1-G_0.8-H2e-005_af5.wfa | 1572864 | 524288 | 524288 | 24 | 18672 | 192 | 192 | 32 | 256 | 17.1814687  | 13.796 | 19056 | 0.012115479 |
| mandrill32.bmp | mandrill32.bmp-withWavelet_sym1-G_0.8-H2e-005_af5.wfa    | 1572864 | 524288 | 524288 | 24 | 18672 | 192 | 192 | 32 | 256 | 17.1814687  | 13.86  | 19056 | 0.012115479 |
| mandrill32.bmp | mandrill32.bmp-withWavelet_bior1.1-G_0.8-H2e-005_af5.wfa | 1572864 | 524288 | 524288 | 24 | 18672 | 192 | 192 | 32 | 256 | 17.1814687  | 13.797 | 19056 | 0.012115479 |
| mandrill32.bmp | mandrill32.bmp-withWavelet_haar-G_1-H2e-005_af5.wfa      | 1572864 | 524288 | 524288 | 24 | 18672 | 192 | 192 | 32 | 256 | 17.18729362 | 13.766 | 19056 | 0.012115479 |
| mandrill32.bmp | mandrill32.bmp-withWavelet_rbio1.1-G_1-H2e-005_af5.wfa   | 1572864 | 524288 | 524288 | 24 | 18672 | 192 | 192 | 32 | 256 | 17.18729362 | 13.891 | 19056 | 0.012115479 |
| mandrill32.bmp | mandrill32.bmp-withWavelet_sym1-G_1-H2e-005_af5.wfa      | 1572864 | 524288 | 524288 | 24 | 18672 | 192 | 192 | 32 | 256 | 17.18729362 | 13.86  | 19056 | 0.012115479 |
| mandrill32.bmp | mandrill32.bmp-withWavelet_bior1.1-G_1-H2e-005_af5.wfa   | 1572864 | 524288 | 524288 | 24 | 18672 | 192 | 192 | 32 | 256 | 17.18729362 | 13.875 | 19056 | 0.012115479 |
| mandrill32.bmp | mandrill32.bmp-G_1-H2e-005_af4.wfa                       | 1572864 | 524288 |        | 20 | 13040 | 160 | 160 | 32 | 256 | 17.18957125 | 10.235 | 13360 | 0.008494059 |
| mandrill32.bmp | mandrill32.bmp-G_0.8-H3e-005_af4.wfa                     | 1572864 | 524288 |        | 19 | 11792 | 152 | 152 | 32 | 256 | 17.19238966 | 10.64  | 12096 | 0.00769043  |
| mandrill32.bmp | mandrill32.bmp-withWavelet_haar-G_0.8-H8e-005_af4.wfa    | 1572864 | 524288 | 524288 | 17 | 9488  | 136 | 136 | 32 | 256 | 17.19692738 | 9.657  | 9760  | 0.006205241 |
| mandrill32.bmp | mandrill32.bmp-withWavelet_rbio1.1-G_0.8-H8e-005_af4.wfa | 1572864 | 524288 | 524288 | 17 | 9488  | 136 | 136 | 32 | 256 | 17.19692738 | 9.594  | 9760  | 0.006205241 |

|                |  |         |        |        |    |       |     |     |    |     |             |        |       |             |
|----------------|--|---------|--------|--------|----|-------|-----|-----|----|-----|-------------|--------|-------|-------------|
| mandrill32.bmp | mandrill32.bmp-withWavelet_sym1-G_0.8-H8e-005_af4.wfa    | 1572864 | 524288 | 524288 | 17 | 9488  | 136 | 136 | 32 | 256 | 17.19692738 | 9.625  | 9760  | 0.006205241 |
| mandrill32.bmp | mandrill32.bmp-withWavelet_bior1.1-G_0.8-H8e-005_af4.wfa | 1572864 | 524288 | 524288 | 17 | 9488  | 136 | 136 | 32 | 256 | 17.19692738 | 9.562  | 9760  | 0.006205241 |
| mandrill32.bmp | mandrill32.bmp-withWavelet_haar-G_0.8-H3e-005_af2.wfa    | 1572864 | 524288 | 524288 | 17 | 9488  | 136 | 136 | 32 | 256 | 17.22108709 | 8.969  | 9760  | 0.006205241 |
| mandrill32.bmp | mandrill32.bmp-withWavelet_rbio1.1-G_0.8-H3e-005_af2.wfa | 1572864 | 524288 | 524288 | 17 | 9488  | 136 | 136 | 32 | 256 | 17.22108709 | 11.734 | 9760  | 0.006205241 |
| mandrill32.bmp | mandrill32.bmp-withWavelet_sym1-G_0.8-H3e-005_af2.wfa    | 1572864 | 524288 | 524288 | 17 | 9488  | 136 | 136 | 32 | 256 | 17.22108709 | 9.109  | 9760  | 0.006205241 |
| mandrill32.bmp | mandrill32.bmp-withWavelet_bior1.1-G_0.8-H3e-005_af2.wfa | 1572864 | 524288 | 524288 | 17 | 9488  | 136 | 136 | 32 | 256 | 17.22108709 | 9.578  | 9760  | 0.006205241 |
| mandrill32.bmp | mandrill32.bmp-withWavelet_haar-G_1-H8e-005_af4.wfa      | 1572864 | 524288 | 524288 | 17 | 9488  | 136 | 136 | 32 | 256 | 17.22144844 | 9.594  | 9760  | 0.006205241 |
| mandrill32.bmp | mandrill32.bmp-withWavelet_rbio1.1-G_1-H8e-005_af4.wfa   | 1572864 | 524288 | 524288 | 17 | 9488  | 136 | 136 | 32 | 256 | 17.22144844 | 9.547  | 9760  | 0.006205241 |
| mandrill32.bmp | mandrill32.bmp-withWavelet_sym1-G_1-H8e-005_af4.wfa      | 1572864 | 524288 | 524288 | 17 | 9488  | 136 | 136 | 32 | 256 | 17.22144844 | 9.562  | 9760  | 0.006205241 |
| mandrill32.bmp | mandrill32.bmp-withWavelet_bior1.1-G_1-H8e-005_af4.wfa   | 1572864 | 524288 | 524288 | 17 | 9488  | 136 | 136 | 32 | 256 | 17.22144844 | 9.562  | 9760  | 0.006205241 |
| mandrill32.bmp | mandrill32.bmp-G_0.8-H1e-005_af4.wfa                     | 1572864 | 524288 |        | 21 | 14352 | 168 | 168 | 32 | 256 | 17.22196343 | 11.437 | 14688 | 0.009338379 |
| mandrill32.bmp | mandrill32.bmp-G_0.8-H2e-005_af4.wfa                     | 1572864 | 524288 |        | 21 | 14352 | 168 | 168 | 32 | 256 | 17.22196343 | 10.891 | 14688 | 0.009338379 |
| mandrill32.bmp | mandrill32.bmp-withWavelet_haar-G_0.8-H3e-005_af4.wfa    | 1572864 | 524288 | 524288 | 21 | 14352 | 168 | 168 | 32 | 256 | 17.22674919 | 11.547 | 14688 | 0.009338379 |
| mandrill32.bmp | mandrill32.bmp-withWavelet_rbio1.1-G_0.8-H3e-005_af4.wfa | 1572864 | 524288 | 524288 | 21 | 14352 | 168 | 168 | 32 | 256 | 17.22674919 | 11.875 | 14688 | 0.009338379 |
| mandrill32.bmp | mandrill32.bmp-withWavelet_sym1-G_0.8-H3e-005_af4.wfa    | 1572864 | 524288 | 524288 | 21 | 14352 | 168 | 168 | 32 | 256 | 17.22674919 | 11.718 | 14688 | 0.009338379 |
| mandrill32.bmp | mandrill32.bmp-withWavelet_bior1.1-G_0.8-H3e-005_af4.wfa | 1572864 | 524288 | 524288 | 21 | 14352 | 168 | 168 | 32 | 256 | 17.22674919 | 11.61  | 14688 | 0.009338379 |
| mandrill32.bmp | mandrill32.bmp-G_1-H1e-005_af4.wfa                       | 1572864 | 524288 |        | 22 | 15728 | 176 | 176 | 32 | 256 | 17.22809448 | 11.516 | 16080 | 0.010223389 |
| mandrill32.bmp | mandrill32.bmp-withWavelet_haar-G_0.8-H1e-005_af5.wfa    | 1572864 | 524288 | 524288 | 25 | 20240 | 200 | 200 | 32 | 256 | 17.23215869 | 14.906 | 20640 | 0.013122559 |
| mandrill32.bmp | mandrill32.bmp-withWavelet_rbio1.1-G_0.8-H1e-005_af5.wfa | 1572864 | 524288 | 524288 | 25 | 20240 | 200 | 200 | 32 | 256 | 17.23215869 | 17.14  | 20640 | 0.013122559 |
| mandrill32.bmp | mandrill32.bmp-withWavelet_sym1-G_0.8-H1e-005_af5.wfa    | 1572864 | 524288 | 524288 | 25 | 20240 | 200 | 200 | 32 | 256 | 17.23215869 | 14.922 | 20640 | 0.013122559 |
| mandrill32.bmp | mandrill32.bmp-withWavelet_bior1.1-G_0.8-H1e-005_af5.wfa | 1572864 | 524288 | 524288 | 25 | 20240 | 200 | 200 | 32 | 256 | 17.23215869 | 14.781 | 20640 | 0.013122559 |
| mandrill32.bmp | mandrill32.bmp-withWavelet_haar-G_1-H1e-005_af5.wfa      | 1572864 | 524288 | 524288 | 25 | 20240 | 200 | 200 | 32 | 256 | 17.23904683 | 15.109 | 20640 | 0.013122559 |
| mandrill32.bmp | mandrill32.bmp-withWavelet_rbio1.1-G_1-H1e-005_af5.wfa   | 1572864 | 524288 | 524288 | 25 | 20240 | 200 | 200 | 32 | 256 | 17.23904683 | 14.672 | 20640 | 0.013122559 |
| mandrill32.bmp | mandrill32.bmp-withWavelet_sym1-G_1-H1e-005_af5.wfa      | 1572864 | 524288 | 524288 | 25 | 20240 | 200 | 200 | 32 | 256 | 17.23904683 | 17.125 | 20640 | 0.013122559 |
| mandrill32.bmp | mandrill32.bmp-withWavelet_bior1.1-G_1-H1e-005_af5.wfa   | 1572864 | 524288 | 524288 | 25 | 20240 | 200 | 200 | 32 | 256 | 17.23904683 | 14.797 | 20640 | 0.013122559 |
| mandrill32.bmp | mandrill32.bmp-withWavelet_haar-G_0.6-H9e-005_af4.wfa    | 1572864 | 524288 | 524288 | 14 | 6512  | 112 | 112 | 32 | 256 | 17.23947195 | 8.438  | 6736  | 0.004282633 |
| mandrill32.bmp | mandrill32.bmp-withWavelet_rbio1.1-G_0.6-H9e-005_af4.wfa | 1572864 | 524288 | 524288 | 14 | 6512  | 112 | 112 | 32 | 256 | 17.23947195 | 8.437  | 6736  | 0.004282633 |
| mandrill32.bmp | mandrill32.bmp-withWavelet_sym1-G_0.6-H9e-005_af4.wfa    | 1572864 | 524288 | 524288 | 14 | 6512  | 112 | 112 | 32 | 256 | 17.23947195 | 8.485  | 6736  | 0.004282633 |
| mandrill32.bmp | mandrill32.bmp-withWavelet_bior1.1-G_0.6-H9e-005_af4.wfa | 1572864 | 524288 | 524288 | 14 | 6512  | 112 | 112 | 32 | 256 | 17.23947195 | 8.437  | 6736  | 0.004282633 |
| mandrill32.bmp | mandrill32.bmp-withWavelet_haar-G_1-H3e-005_af2.wfa      | 1572864 | 524288 | 524288 | 17 | 9488  | 136 | 136 | 32 | 256 | 17.25026101 | 8.688  | 9760  | 0.006205241 |
| mandrill32.bmp | mandrill32.bmp-withWavelet_rbio1.1-G_1-H3e-005_af2.wfa   | 1572864 | 524288 | 524288 | 17 | 9488  | 136 | 136 | 32 | 256 | 17.25026101 | 8.657  | 9760  | 0.006205241 |

|                |  |         |        |        |    |       |     |     |    |     |             |        |       |             |
|----------------|--|---------|--------|--------|----|-------|-----|-----|----|-----|-------------|--------|-------|-------------|
| mandrill32.bmp | mandrill32.bmp-withWavelet_sym1-G_1-H3e-005_af2.wfa      | 1572864 | 524288 | 524288 | 17 | 9488  | 136 | 136 | 32 | 256 | 17.25026101 | 8.719  | 9760  | 0.006205241 |
| mandrill32.bmp | mandrill32.bmp-withWavelet_bior1.1-G_1-H3e-005_af2.wfa   | 1572864 | 524288 | 524288 | 17 | 9488  | 136 | 136 | 32 | 256 | 17.25026101 | 8.828  | 9760  | 0.006205241 |
| mandrill32.bmp | mandrill32.bmp-withWavelet_haar-G_1-H3e-005_af4.wfa      | 1572864 | 524288 | 524288 | 21 | 14352 | 168 | 168 | 32 | 256 | 17.25260696 | 10.875 | 14688 | 0.009338379 |
| mandrill32.bmp | mandrill32.bmp-withWavelet_rbio1.1-G_1-H3e-005_af4.wfa   | 1572864 | 524288 | 524288 | 21 | 14352 | 168 | 168 | 32 | 256 | 17.25260696 | 10.843 | 14688 | 0.009338379 |
| mandrill32.bmp | mandrill32.bmp-withWavelet_sym1-G_1-H3e-005_af4.wfa      | 1572864 | 524288 | 524288 | 21 | 14352 | 168 | 168 | 32 | 256 | 17.25260696 | 10.719 | 14688 | 0.009338379 |
| mandrill32.bmp | mandrill32.bmp-withWavelet_bior1.1-G_1-H3e-005_af4.wfa   | 1572864 | 524288 | 524288 | 21 | 14352 | 168 | 168 | 32 | 256 | 17.25260696 | 10.891 | 14688 | 0.009338379 |
| mandrill32.bmp | mandrill32.bmp-withWavelet_haar-G_0.6-H3e-005_af1.wfa    | 1572864 | 524288 | 524288 | 21 | 14352 | 168 | 168 | 32 | 256 | 17.25450144 | 10.954 | 14688 | 0.009338379 |
| mandrill32.bmp | mandrill32.bmp-withWavelet_rbio1.1-G_0.6-H3e-005_af1.wfa | 1572864 | 524288 | 524288 | 21 | 14352 | 168 | 168 | 32 | 256 | 17.25450144 | 10.718 | 14688 | 0.009338379 |
| mandrill32.bmp | mandrill32.bmp-withWavelet_sym1-G_0.6-H3e-005_af1.wfa    | 1572864 | 524288 | 524288 | 21 | 14352 | 168 | 168 | 32 | 256 | 17.25450144 | 10.891 | 14688 | 0.009338379 |
| mandrill32.bmp | mandrill32.bmp-withWavelet_bior1.1-G_0.6-H3e-005_af1.wfa | 1572864 | 524288 | 524288 | 21 | 14352 | 168 | 168 | 32 | 256 | 17.25450144 | 11.047 | 14688 | 0.009338379 |
| mandrill32.bmp | mandrill32.bmp-withWavelet_haar-G_0.8-H2e-005_af2.wfa    | 1572864 | 524288 | 524288 | 19 | 11792 | 152 | 152 | 32 | 256 | 17.26739507 | 9.828  | 12096 | 0.00769043  |
| mandrill32.bmp | mandrill32.bmp-withWavelet_rbio1.1-G_0.8-H2e-005_af2.wfa | 1572864 | 524288 | 524288 | 19 | 11792 | 152 | 152 | 32 | 256 | 17.26739507 | 9.922  | 12096 | 0.00769043  |
| mandrill32.bmp | mandrill32.bmp-withWavelet_sym1-G_0.8-H2e-005_af2.wfa    | 1572864 | 524288 | 524288 | 19 | 11792 | 152 | 152 | 32 | 256 | 17.26739507 | 9.922  | 12096 | 0.00769043  |
| mandrill32.bmp | mandrill32.bmp-withWavelet_bior1.1-G_0.8-H2e-005_af2.wfa | 1572864 | 524288 | 524288 | 19 | 11792 | 152 | 152 | 32 | 256 | 17.26739507 | 9.828  | 12096 | 0.00769043  |
| mandrill32.bmp | mandrill32.bmp-withWavelet_haar-G_0.6-H7e-005_af3.wfa    | 1572864 | 524288 | 524288 | 17 | 9488  | 136 | 136 | 32 | 256 | 17.27347978 | 9.281  | 9760  | 0.006205241 |
| mandrill32.bmp | mandrill32.bmp-withWavelet_rbio1.1-G_0.6-H7e-005_af3.wfa | 1572864 | 524288 | 524288 | 17 | 9488  | 136 | 136 | 32 | 256 | 17.27347978 | 9.547  | 9760  | 0.006205241 |
| mandrill32.bmp | mandrill32.bmp-withWavelet_sym1-G_0.6-H7e-005_af3.wfa    | 1572864 | 524288 | 524288 | 17 | 9488  | 136 | 136 | 32 | 256 | 17.27347978 | 9.625  | 9760  | 0.006205241 |
| mandrill32.bmp | mandrill32.bmp-withWavelet_bior1.1-G_0.6-H7e-005_af3.wfa | 1572864 | 524288 | 524288 | 17 | 9488  | 136 | 136 | 32 | 256 | 17.27347978 | 9.562  | 9760  | 0.006205241 |
| mandrill32.bmp | mandrill32.bmp-withWavelet_haar-G_1-H2e-005_af2.wfa      | 1572864 | 524288 | 524288 | 19 | 11792 | 152 | 152 | 32 | 256 | 17.27533308 | 9.969  | 12096 | 0.00769043  |
| mandrill32.bmp | mandrill32.bmp-withWavelet_rbio1.1-G_1-H2e-005_af2.wfa   | 1572864 | 524288 | 524288 | 19 | 11792 | 152 | 152 | 32 | 256 | 17.27533308 | 9.875  | 12096 | 0.00769043  |
| mandrill32.bmp | mandrill32.bmp-withWavelet_sym1-G_1-H2e-005_af2.wfa      | 1572864 | 524288 | 524288 | 19 | 11792 | 152 | 152 | 32 | 256 | 17.27533308 | 10.016 | 12096 | 0.00769043  |
| mandrill32.bmp | mandrill32.bmp-withWavelet_bior1.1-G_1-H2e-005_af2.wfa   | 1572864 | 524288 | 524288 | 19 | 11792 | 152 | 152 | 32 | 256 | 17.27533308 | 9.953  | 12096 | 0.00769043  |
| mandrill32.bmp | mandrill32.bmp-withWavelet_haar-G_0.8-H2e-005_af1.wfa    | 1572864 | 524288 | 524288 | 24 | 18672 | 192 | 192 | 32 | 256 | 17.27751671 | 14.063 | 19056 | 0.012115479 |
| mandrill32.bmp | mandrill32.bmp-withWavelet_rbio1.1-G_0.8-H2e-005_af1.wfa | 1572864 | 524288 | 524288 | 24 | 18672 | 192 | 192 | 32 | 256 | 17.27751671 | 13.875 | 19056 | 0.012115479 |
| mandrill32.bmp | mandrill32.bmp-withWavelet_sym1-G_0.8-H2e-005_af1.wfa    | 1572864 | 524288 | 524288 | 24 | 18672 | 192 | 192 | 32 | 256 | 17.27751671 | 17.516 | 19056 | 0.012115479 |
| mandrill32.bmp | mandrill32.bmp-withWavelet_bior1.1-G_0.8-H2e-005_af1.wfa | 1572864 | 524288 | 524288 | 24 | 18672 | 192 | 192 | 32 | 256 | 17.27751671 | 14.265 | 19056 | 0.012115479 |
| mandrill32.bmp | mandrill32.bmp-withWavelet_haar-G_1-H2e-005_af1.wfa      | 1572864 | 524288 | 524288 | 24 | 18672 | 192 | 192 | 32 | 256 | 17.29023794 | 17.985 | 19056 | 0.012115479 |
| mandrill32.bmp | mandrill32.bmp-withWavelet_rbio1.1-G_1-H2e-005_af1.wfa   | 1572864 | 524288 | 524288 | 24 | 18672 | 192 | 192 | 32 | 256 | 17.29023794 | 13.907 | 19056 | 0.012115479 |
| mandrill32.bmp | mandrill32.bmp-withWavelet_sym1-G_1-H2e-005_af1.wfa      | 1572864 | 524288 | 524288 | 24 | 18672 | 192 | 192 | 32 | 256 | 17.29023794 | 14.344 | 19056 | 0.012115479 |
| mandrill32.bmp | mandrill32.bmp-withWavelet_bior1.1-G_1-H2e-005_af1.wfa   | 1572864 | 524288 | 524288 | 24 | 18672 | 192 | 192 | 32 | 256 | 17.29023794 | 18.25  | 19056 | 0.012115479 |
| mandrill32.bmp | mandrill32.bmp-withWavelet_haar-G_0.6-H3e-005_af3.wfa    | 1572864 | 524288 | 524288 | 21 | 14352 | 168 | 168 | 32 | 256 | 17.3684097  | 10.797 | 14688 | 0.009338379 |

|                |  |         |        |        |    |       |     |     |    |     |             |        |       |             |
|----------------|--|---------|--------|--------|----|-------|-----|-----|----|-----|-------------|--------|-------|-------------|
| mandrill32.bmp | mandrill32.bmp-withWavelet_rbio1.1-G_0.6-H3e-005_af3.wfa | 1572864 | 524288 | 524288 | 21 | 14352 | 168 | 168 | 32 | 256 | 17.3684097  | 10.875 | 14688 | 0.009338379 |
| mandrill32.bmp | mandrill32.bmp-withWavelet_sym1-G_0.6-H3e-005_af3.wfa    | 1572864 | 524288 | 524288 | 21 | 14352 | 168 | 168 | 32 | 256 | 17.3684097  | 10.812 | 14688 | 0.009338379 |
| mandrill32.bmp | mandrill32.bmp-withWavelet_bior1.1-G_0.6-H3e-005_af3.wfa | 1572864 | 524288 | 524288 | 21 | 14352 | 168 | 168 | 32 | 256 | 17.3684097  | 11.734 | 14688 | 0.009338379 |
| mandrill32.bmp | mandrill32.bmp-withWavelet_haar-G_0.6-H4e-005_af3.wfa    | 1572864 | 524288 | 524288 | 21 | 14352 | 168 | 168 | 32 | 256 | 17.3684097  | 10.985 | 14688 | 0.009338379 |
| mandrill32.bmp | mandrill32.bmp-withWavelet_rbio1.1-G_0.6-H4e-005_af3.wfa | 1572864 | 524288 | 524288 | 21 | 14352 | 168 | 168 | 32 | 256 | 17.3684097  | 11.125 | 14688 | 0.009338379 |
| mandrill32.bmp | mandrill32.bmp-withWavelet_sym1-G_0.6-H4e-005_af3.wfa    | 1572864 | 524288 | 524288 | 21 | 14352 | 168 | 168 | 32 | 256 | 17.3684097  | 11.156 | 14688 | 0.009338379 |
| mandrill32.bmp | mandrill32.bmp-withWavelet_bior1.1-G_0.6-H4e-005_af3.wfa | 1572864 | 524288 | 524288 | 21 | 14352 | 168 | 168 | 32 | 256 | 17.3684097  | 11.078 | 14688 | 0.009338379 |
| mandrill32.bmp | mandrill32.bmp-G_1-H0.0001_af5.wfa                       | 1572864 | 524288 |        | 12 | 4848  | 96  | 96  | 32 | 256 | 17.4217539  | 7.937  | 5040  | 0.003204346 |
| mandrill32.bmp | mandrill32.bmp-G_0.8-H0.0001_af5.wfa                     | 1572864 | 524288 |        | 12 | 4848  | 96  | 96  | 32 | 256 | 17.42420014 | 7.985  | 5040  | 0.003204346 |
| mandrill32.bmp | mandrill32.bmp-withWavelet_haar-G_0.6-H4e-005_af1.wfa    | 1572864 | 524288 | 524288 | 17 | 9488  | 136 | 136 | 32 | 256 | 17.42540839 | 9.641  | 9760  | 0.006205241 |
| mandrill32.bmp | mandrill32.bmp-withWavelet_rbio1.1-G_0.6-H4e-005_af1.wfa | 1572864 | 524288 | 524288 | 17 | 9488  | 136 | 136 | 32 | 256 | 17.42540839 | 8.828  | 9760  | 0.006205241 |
| mandrill32.bmp | mandrill32.bmp-withWavelet_sym1-G_0.6-H4e-005_af1.wfa    | 1572864 | 524288 | 524288 | 17 | 9488  | 136 | 136 | 32 | 256 | 17.42540839 | 8.843  | 9760  | 0.006205241 |
| mandrill32.bmp | mandrill32.bmp-withWavelet_bior1.1-G_0.6-H4e-005_af1.wfa | 1572864 | 524288 | 524288 | 17 | 9488  | 136 | 136 | 32 | 256 | 17.42540839 | 8.907  | 9760  | 0.006205241 |
| mandrill32.bmp | mandrill32.bmp-withWavelet_haar-G_0.8-H3e-005_af1.wfa    | 1572864 | 524288 | 524288 | 20 | 13040 | 160 | 160 | 32 | 256 | 17.43435223 | 10.218 | 13360 | 0.008494059 |
| mandrill32.bmp | mandrill32.bmp-withWavelet_rbio1.1-G_0.8-H3e-005_af1.wfa | 1572864 | 524288 | 524288 | 20 | 13040 | 160 | 160 | 32 | 256 | 17.43435223 | 10.125 | 13360 | 0.008494059 |
| mandrill32.bmp | mandrill32.bmp-withWavelet_sym1-G_0.8-H3e-005_af1.wfa    | 1572864 | 524288 | 524288 | 20 | 13040 | 160 | 160 | 32 | 256 | 17.43435223 | 10.016 | 13360 | 0.008494059 |
| mandrill32.bmp | mandrill32.bmp-withWavelet_bior1.1-G_0.8-H3e-005_af1.wfa | 1572864 | 524288 | 524288 | 20 | 13040 | 160 | 160 | 32 | 256 | 17.43435223 | 10.188 | 13360 | 0.008494059 |
| mandrill32.bmp | mandrill32.bmp-withWavelet_haar-G_1-H3e-005_af1.wfa      | 1572864 | 524288 | 524288 | 20 | 13040 | 160 | 160 | 32 | 256 | 17.4450516  | 9.797  | 13360 | 0.008494059 |
| mandrill32.bmp | mandrill32.bmp-withWavelet_rbio1.1-G_1-H3e-005_af1.wfa   | 1572864 | 524288 | 524288 | 20 | 13040 | 160 | 160 | 32 | 256 | 17.4450516  | 9.922  | 13360 | 0.008494059 |
| mandrill32.bmp | mandrill32.bmp-withWavelet_sym1-G_1-H3e-005_af1.wfa      | 1572864 | 524288 | 524288 | 20 | 13040 | 160 | 160 | 32 | 256 | 17.4450516  | 9.969  | 13360 | 0.008494059 |
| mandrill32.bmp | mandrill32.bmp-withWavelet_bior1.1-G_1-H3e-005_af1.wfa   | 1572864 | 524288 | 524288 | 20 | 13040 | 160 | 160 | 32 | 256 | 17.4450516  | 10.125 | 13360 | 0.008494059 |
| mandrill32.bmp | mandrill32.bmp-withWavelet_haar-G_0.8-H2e-005_af3.wfa    | 1572864 | 524288 | 524288 | 24 | 18672 | 192 | 192 | 32 | 256 | 17.44519242 | 15.422 | 19056 | 0.012115479 |
| mandrill32.bmp | mandrill32.bmp-withWavelet_rbio1.1-G_0.8-H2e-005_af3.wfa | 1572864 | 524288 | 524288 | 24 | 18672 | 192 | 192 | 32 | 256 | 17.44519242 | 15.562 | 19056 | 0.012115479 |
| mandrill32.bmp | mandrill32.bmp-withWavelet_sym1-G_0.8-H2e-005_af3.wfa    | 1572864 | 524288 | 524288 | 24 | 18672 | 192 | 192 | 32 | 256 | 17.44519242 | 13.672 | 19056 | 0.012115479 |
| mandrill32.bmp | mandrill32.bmp-withWavelet_bior1.1-G_0.8-H2e-005_af3.wfa | 1572864 | 524288 | 524288 | 24 | 18672 | 192 | 192 | 32 | 256 | 17.44519242 | 13.797 | 19056 | 0.012115479 |
| mandrill32.bmp | mandrill32.bmp-withWavelet_haar-G_1-H2e-005_af3.wfa      | 1572864 | 524288 | 524288 | 24 | 18672 | 192 | 192 | 32 | 256 | 17.45520035 | 14.078 | 19056 | 0.012115479 |
| mandrill32.bmp | mandrill32.bmp-withWavelet_rbio1.1-G_1-H2e-005_af3.wfa   | 1572864 | 524288 | 524288 | 24 | 18672 | 192 | 192 | 32 | 256 | 17.45520035 | 13.813 | 19056 | 0.012115479 |
| mandrill32.bmp | mandrill32.bmp-withWavelet_sym1-G_1-H2e-005_af3.wfa      | 1572864 | 524288 | 524288 | 24 | 18672 | 192 | 192 | 32 | 256 | 17.45520035 | 14.094 | 19056 | 0.012115479 |
| mandrill32.bmp | mandrill32.bmp-withWavelet_bior1.1-G_1-H2e-005_af3.wfa   | 1572864 | 524288 | 524288 | 24 | 18672 | 192 | 192 | 32 | 256 | 17.45520035 | 13.828 | 19056 | 0.012115479 |
| mandrill32.bmp | mandrill32.bmp-withWavelet_haar-G_0.8-H4e-005_af1.wfa    | 1572864 | 524288 | 524288 | 18 | 10608 | 144 | 144 | 32 | 256 | 17.45724048 | 9.218  | 10896 | 0.00692749  |
| mandrill32.bmp | mandrill32.bmp-withWavelet_rbio1.1-G_0.8-H4e-005_af1.wfa | 1572864 | 524288 | 524288 | 18 | 10608 | 144 | 144 | 32 | 256 | 17.45724048 | 9.234  | 10896 | 0.00692749  |

|                |  |         |        |        |    |       |     |     |    |     |             |        |       |             |
|----------------|--|---------|--------|--------|----|-------|-----|-----|----|-----|-------------|--------|-------|-------------|
| mandrill32.bmp | mandrill32.bmp-withWavelet_sym1-G_0.8-H4e-005_af1.wfa    | 1572864 | 524288 | 524288 | 18 | 10608 | 144 | 144 | 32 | 256 | 17.45724048 | 9.344  | 10896 | 0.00692749  |
| mandrill32.bmp | mandrill32.bmp-withWavelet_bior1.1-G_0.8-H4e-005_af1.wfa | 1572864 | 524288 | 524288 | 18 | 10608 | 144 | 144 | 32 | 256 | 17.45724048 | 11     | 10896 | 0.00692749  |
| mandrill32.bmp | mandrill32.bmp-withWavelet_haar-G_0.6-H6e-005_af1.wfa    | 1572864 | 524288 | 524288 | 15 | 7440  | 120 | 120 | 32 | 256 | 17.46251014 | 28.953 | 7680  | 0.004882813 |
| mandrill32.bmp | mandrill32.bmp-withWavelet_rbio1.1-G_0.6-H6e-005_af1.wfa | 1572864 | 524288 | 524288 | 15 | 7440  | 120 | 120 | 32 | 256 | 17.46251014 | 28.64  | 7680  | 0.004882813 |
| mandrill32.bmp | mandrill32.bmp-withWavelet_sym1-G_0.6-H6e-005_af1.wfa    | 1572864 | 524288 | 524288 | 15 | 7440  | 120 | 120 | 32 | 256 | 17.46251014 | 33.094 | 7680  | 0.004882813 |
| mandrill32.bmp | mandrill32.bmp-withWavelet_bior1.1-G_0.6-H6e-005_af1.wfa | 1572864 | 524288 | 524288 | 15 | 7440  | 120 | 120 | 32 | 256 | 17.46251014 | 30.422 | 7680  | 0.004882813 |
| mandrill32.bmp | mandrill32.bmp-withWavelet_haar-G_0.8-H3e-005_af3.wfa    | 1572864 | 524288 | 524288 | 21 | 14352 | 168 | 168 | 32 | 256 | 17.48133154 | 11.812 | 14688 | 0.009338379 |
| mandrill32.bmp | mandrill32.bmp-withWavelet_rbio1.1-G_0.8-H3e-005_af3.wfa | 1572864 | 524288 | 524288 | 21 | 14352 | 168 | 168 | 32 | 256 | 17.48133154 | 13.047 | 14688 | 0.009338379 |
| mandrill32.bmp | mandrill32.bmp-withWavelet_sym1-G_0.8-H3e-005_af3.wfa    | 1572864 | 524288 | 524288 | 21 | 14352 | 168 | 168 | 32 | 256 | 17.48133154 | 13.969 | 14688 | 0.009338379 |
| mandrill32.bmp | mandrill32.bmp-withWavelet_bior1.1-G_0.8-H3e-005_af3.wfa | 1572864 | 524288 | 524288 | 21 | 14352 | 168 | 168 | 32 | 256 | 17.48133154 | 11.531 | 14688 | 0.009338379 |
| mandrill32.bmp | mandrill32.bmp-withWavelet_haar-G_1-H3e-005_af3.wfa      | 1572864 | 524288 | 524288 | 21 | 14352 | 168 | 168 | 32 | 256 | 17.49269195 | 10.813 | 14688 | 0.009338379 |
| mandrill32.bmp | mandrill32.bmp-withWavelet_rbio1.1-G_1-H3e-005_af3.wfa   | 1572864 | 524288 | 524288 | 21 | 14352 | 168 | 168 | 32 | 256 | 17.49269195 | 10.875 | 14688 | 0.009338379 |
| mandrill32.bmp | mandrill32.bmp-withWavelet_sym1-G_1-H3e-005_af3.wfa      | 1572864 | 524288 | 524288 | 21 | 14352 | 168 | 168 | 32 | 256 | 17.49269195 | 10.828 | 14688 | 0.009338379 |
| mandrill32.bmp | mandrill32.bmp-withWavelet_bior1.1-G_1-H3e-005_af3.wfa   | 1572864 | 524288 | 524288 | 21 | 14352 | 168 | 168 | 32 | 256 | 17.49269195 | 10.766 | 14688 | 0.009338379 |
| mandrill32.bmp | mandrill32.bmp-withWavelet_haar-G_0.6-H5e-005_af1.wfa    | 1572864 | 524288 | 524288 | 16 | 8432  | 128 | 128 | 32 | 256 | 17.49792775 | 11.547 | 8688  | 0.005523682 |
| mandrill32.bmp | mandrill32.bmp-withWavelet_rbio1.1-G_0.6-H5e-005_af1.wfa | 1572864 | 524288 | 524288 | 16 | 8432  | 128 | 128 | 32 | 256 | 17.49792775 | 9.61   | 8688  | 0.005523682 |
| mandrill32.bmp | mandrill32.bmp-withWavelet_sym1-G_0.6-H5e-005_af1.wfa    | 1572864 | 524288 | 524288 | 16 | 8432  | 128 | 128 | 32 | 256 | 17.49792775 | 10.281 | 8688  | 0.005523682 |
| mandrill32.bmp | mandrill32.bmp-withWavelet_bior1.1-G_0.6-H5e-005_af1.wfa | 1572864 | 524288 | 524288 | 16 | 8432  | 128 | 128 | 32 | 256 | 17.49792775 | 11.328 | 8688  | 0.005523682 |
| mandrill32.bmp | mandrill32.bmp-withWavelet_haar-G_0.6-H8e-005_af3.wfa    | 1572864 | 524288 | 524288 | 15 | 7440  | 120 | 120 | 32 | 256 | 17.50207253 | 8.5    | 7680  | 0.004882813 |
| mandrill32.bmp | mandrill32.bmp-withWavelet_rbio1.1-G_0.6-H8e-005_af3.wfa | 1572864 | 524288 | 524288 | 15 | 7440  | 120 | 120 | 32 | 256 | 17.50207253 | 8.735  | 7680  | 0.004882813 |
| mandrill32.bmp | mandrill32.bmp-withWavelet_sym1-G_0.6-H8e-005_af3.wfa    | 1572864 | 524288 | 524288 | 15 | 7440  | 120 | 120 | 32 | 256 | 17.50207253 | 8.5    | 7680  | 0.004882813 |
| mandrill32.bmp | mandrill32.bmp-withWavelet_bior1.1-G_0.6-H8e-005_af3.wfa | 1572864 | 524288 | 524288 | 15 | 7440  | 120 | 120 | 32 | 256 | 17.50207253 | 8.922  | 7680  | 0.004882813 |
| mandrill32.bmp | mandrill32.bmp-withWavelet_haar-G_0.6-H9e-005_af3.wfa    | 1572864 | 524288 | 524288 | 15 | 7440  | 120 | 120 | 32 | 256 | 17.50207253 | 8.859  | 7680  | 0.004882813 |
| mandrill32.bmp | mandrill32.bmp-withWavelet_rbio1.1-G_0.6-H9e-005_af3.wfa | 1572864 | 524288 | 524288 | 15 | 7440  | 120 | 120 | 32 | 256 | 17.50207253 | 8.859  | 7680  | 0.004882813 |
| mandrill32.bmp | mandrill32.bmp-withWavelet_sym1-G_0.6-H9e-005_af3.wfa    | 1572864 | 524288 | 524288 | 15 | 7440  | 120 | 120 | 32 | 256 | 17.50207253 | 8.891  | 7680  | 0.004882813 |
| mandrill32.bmp | mandrill32.bmp-withWavelet_bior1.1-G_0.6-H9e-005_af3.wfa | 1572864 | 524288 | 524288 | 15 | 7440  | 120 | 120 | 32 | 256 | 17.50207253 | 8.86   | 7680  | 0.004882813 |
| mandrill32.bmp | mandrill32.bmp-G_0.6-H0.0001_af3.wfa                     | 1572864 | 524288 |        | 12 | 4848  | 96  | 96  | 32 | 256 | 17.50747706 | 8.203  | 5040  | 0.003204346 |
| mandrill32.bmp | mandrill32.bmp-G_1-H9e-005_af5.wfa                       | 1572864 | 524288 |        | 12 | 4848  | 96  | 96  | 32 | 256 | 17.51011769 | 8.062  | 5040  | 0.003204346 |
| mandrill32.bmp | mandrill32.bmp-G_0.8-H9e-005_af5.wfa                     | 1572864 | 524288 |        | 12 | 4848  | 96  | 96  | 32 | 256 | 17.51361732 | 7.813  | 5040  | 0.003204346 |
| mandrill32.bmp | mandrill32.bmp-withWavelet_haar-G_0.8-H6e-005_af1.wfa    | 1572864 | 524288 | 524288 | 15 | 7440  | 120 | 120 | 32 | 256 | 17.51534116 | 8.032  | 7680  | 0.004882813 |
| mandrill32.bmp | mandrill32.bmp-withWavelet_sym1-G_0.8-H6e-005_af1.wfa    | 1572864 | 524288 | 524288 | 15 | 7440  | 120 | 120 | 32 | 256 | 17.51534116 | 8.812  | 7680  | 0.004882813 |

|                |  |         |        |        |    |       |     |     |    |     |             |        |       |             |
|----------------|--|---------|--------|--------|----|-------|-----|-----|----|-----|-------------|--------|-------|-------------|
| mandrill32.bmp | mandrill32.bmp-withWavelet_bior1.1-G_0.8-H6e-005_af1.wfa | 1572864 | 524288 | 524288 | 15 | 7440  | 120 | 120 | 32 | 256 | 17.51534116 | 11.031 | 7680  | 0.004882813 |
| mandrill32.bmp | mandrill32.bmp-G_0.6-H0.0001_af5.wfa                     | 1572864 | 524288 |        | 12 | 4848  | 96  | 96  | 32 | 256 | 17.52283792 | 7.938  | 5040  | 0.003204346 |
| mandrill32.bmp | mandrill32.bmp-withWavelet_haar-G_0.8-H8e-005_af3.wfa    | 1572864 | 524288 | 524288 | 15 | 7440  | 120 | 120 | 32 | 256 | 17.54193478 | 8.672  | 7680  | 0.004882813 |
| mandrill32.bmp | mandrill32.bmp-withWavelet_rbio1.1-G_0.8-H8e-005_af3.wfa | 1572864 | 524288 | 524288 | 15 | 7440  | 120 | 120 | 32 | 256 | 17.54193478 | 8.875  | 7680  | 0.004882813 |
| mandrill32.bmp | mandrill32.bmp-withWavelet_sym1-G_0.8-H8e-005_af3.wfa    | 1572864 | 524288 | 524288 | 15 | 7440  | 120 | 120 | 32 | 256 | 17.54193478 | 8.985  | 7680  | 0.004882813 |
| mandrill32.bmp | mandrill32.bmp-withWavelet_bior1.1-G_0.8-H8e-005_af3.wfa | 1572864 | 524288 | 524288 | 15 | 7440  | 120 | 120 | 32 | 256 | 17.54193478 | 8.891  | 7680  | 0.004882813 |
| mandrill32.bmp | mandrill32.bmp-withWavelet_haar-G_0.6-H6e-005_af3.wfa    | 1572864 | 524288 | 524288 | 17 | 9488  | 136 | 136 | 32 | 256 | 17.55375775 | 31.14  | 9760  | 0.006205241 |
| mandrill32.bmp | mandrill32.bmp-withWavelet_rbio1.1-G_0.6-H6e-005_af3.wfa | 1572864 | 524288 | 524288 | 17 | 9488  | 136 | 136 | 32 | 256 | 17.55375775 | 30.859 | 9760  | 0.006205241 |
| mandrill32.bmp | mandrill32.bmp-withWavelet_sym1-G_0.6-H6e-005_af3.wfa    | 1572864 | 524288 | 524288 | 17 | 9488  | 136 | 136 | 32 | 256 | 17.55375775 | 31.016 | 9760  | 0.006205241 |
| mandrill32.bmp | mandrill32.bmp-withWavelet_bior1.1-G_0.6-H6e-005_af3.wfa | 1572864 | 524288 | 524288 | 17 | 9488  | 136 | 136 | 32 | 256 | 17.55375775 | 30.906 | 9760  | 0.006205241 |
| mandrill32.bmp | mandrill32.bmp-G_0.6-H3e-005_af4.wfa                     | 393216  | 131072 |        | 5  | 1040  | 40  | 40  | 32 | 128 | 17.55687943 | 1.875  | 1120  | 0.002848307 |
| mandrill32.bmp | mandrill32.bmp-G_0.6-H4e-005_af4.wfa                     | 393216  | 131072 |        | 5  | 1040  | 40  | 40  | 32 | 128 | 17.55687943 | 1.875  | 1120  | 0.002848307 |
| mandrill32.bmp | mandrill32.bmp-G_0.6-H5e-005_af4.wfa                     | 393216  | 131072 |        | 5  | 1040  | 40  | 40  | 32 | 128 | 17.55687943 | 1.422  | 1120  | 0.002848307 |
| mandrill32.bmp | mandrill32.bmp-G_0.6-H6e-005_af4.wfa                     | 393216  | 131072 |        | 5  | 1040  | 40  | 40  | 32 | 128 | 17.55687943 | 4.922  | 1120  | 0.002848307 |
| mandrill32.bmp | mandrill32.bmp-G_0.6-H7e-005_af4.wfa                     | 393216  | 131072 |        | 5  | 1040  | 40  | 40  | 32 | 128 | 17.55687943 | 1.594  | 1120  | 0.002848307 |
| mandrill32.bmp | mandrill32.bmp-G_0.6-H8e-005_af4.wfa                     | 393216  | 131072 |        | 5  | 1040  | 40  | 40  | 32 | 128 | 17.55687943 | 1.906  | 1120  | 0.002848307 |
| mandrill32.bmp | mandrill32.bmp-G_0.6-H9e-005_af4.wfa                     | 393216  | 131072 |        | 5  | 1040  | 40  | 40  | 32 | 128 | 17.55687943 | 1.563  | 1120  | 0.002848307 |
| mandrill32.bmp | mandrill32.bmp-G_0.6-H0.0001_af4.wfa                     | 393216  | 131072 |        | 5  | 1040  | 40  | 40  | 32 | 128 | 17.55687943 | 1.532  | 1120  | 0.002848307 |
| mandrill32.bmp | mandrill32.bmp-withWavelet_haar-G_0.8-H5e-005_af1.wfa    | 1572864 | 524288 | 524288 | 16 | 8432  | 128 | 128 | 32 | 256 | 17.55833009 | 8.219  | 8688  | 0.005523682 |
| mandrill32.bmp | mandrill32.bmp-withWavelet_rbio1.1-G_0.8-H5e-005_af1.wfa | 1572864 | 524288 | 524288 | 16 | 8432  | 128 | 128 | 32 | 256 | 17.55833009 | 8.313  | 8688  | 0.005523682 |
| mandrill32.bmp | mandrill32.bmp-withWavelet_sym1-G_0.8-H5e-005_af1.wfa    | 1572864 | 524288 | 524288 | 16 | 8432  | 128 | 128 | 32 | 256 | 17.55833009 | 8.453  | 8688  | 0.005523682 |
| mandrill32.bmp | mandrill32.bmp-withWavelet_bior1.1-G_0.8-H5e-005_af1.wfa | 1572864 | 524288 | 524288 | 16 | 8432  | 128 | 128 | 32 | 256 | 17.55833009 | 8.172  | 8688  | 0.005523682 |
| mandrill32.bmp | mandrill32.bmp-withWavelet_haar-G_0.8-H4e-005_af3.wfa    | 1572864 | 524288 | 524288 | 20 | 13040 | 160 | 160 | 32 | 256 | 17.55860103 | 10.234 | 13360 | 0.008494059 |
| mandrill32.bmp | mandrill32.bmp-withWavelet_rbio1.1-G_0.8-H4e-005_af3.wfa | 1572864 | 524288 | 524288 | 20 | 13040 | 160 | 160 | 32 | 256 | 17.55860103 | 10.36  | 13360 | 0.008494059 |
| mandrill32.bmp | mandrill32.bmp-withWavelet_sym1-G_0.8-H4e-005_af3.wfa    | 1572864 | 524288 | 524288 | 20 | 13040 | 160 | 160 | 32 | 256 | 17.55860103 | 11.437 | 13360 | 0.008494059 |
| mandrill32.bmp | mandrill32.bmp-withWavelet_bior1.1-G_0.8-H4e-005_af3.wfa | 1572864 | 524288 | 524288 | 20 | 13040 | 160 | 160 | 32 | 256 | 17.55860103 | 11.188 | 13360 | 0.008494059 |
| mandrill32.bmp | mandrill32.bmp-withWavelet_haar-G_1-H4e-005_af3.wfa      | 1572864 | 524288 | 524288 | 20 | 13040 | 160 | 160 | 32 | 256 | 17.56238319 | 9.968  | 13360 | 0.008494059 |
| mandrill32.bmp | mandrill32.bmp-withWavelet_rbio1.1-G_1-H4e-005_af3.wfa   | 1572864 | 524288 | 524288 | 20 | 13040 | 160 | 160 | 32 | 256 | 17.56238319 | 10.016 | 13360 | 0.008494059 |
| mandrill32.bmp | mandrill32.bmp-withWavelet_sym1-G_1-H4e-005_af3.wfa      | 1572864 | 524288 | 524288 | 20 | 13040 | 160 | 160 | 32 | 256 | 17.56238319 | 10.062 | 13360 | 0.008494059 |
| mandrill32.bmp | mandrill32.bmp-withWavelet_bior1.1-G_1-H4e-005_af3.wfa   | 1572864 | 524288 | 524288 | 20 | 13040 | 160 | 160 | 32 | 256 | 17.56238319 | 10.157 | 13360 | 0.008494059 |
| mandrill32.bmp | mandrill32.bmp-G_0.6-H9e-005_af5.wfa                     | 1572864 | 524288 |        | 14 | 6512  | 112 | 112 | 32 | 256 | 17.56475045 | 8.469  | 6736  | 0.004282633 |

|                |  |         |        |        |    |       |     |     |    |     |             |        |       |             |
|----------------|--|---------|--------|--------|----|-------|-----|-----|----|-----|-------------|--------|-------|-------------|
| mandrill32.bmp | mandrill32.bmp-withWavelet_haar-G_0.6-H7e-005_af1.wfa    | 1572864 | 524288 | 524288 | 14 | 6512  | 112 | 112 | 32 | 256 | 17.56592379 | 8.484  | 6736  | 0.004282633 |
| mandrill32.bmp | mandrill32.bmp-withWavelet_rbio1.1-G_0.6-H7e-005_af1.wfa | 1572864 | 524288 | 524288 | 14 | 6512  | 112 | 112 | 32 | 256 | 17.56592379 | 8.484  | 6736  | 0.004282633 |
| mandrill32.bmp | mandrill32.bmp-withWavelet_sym1-G_0.6-H7e-005_af1.wfa    | 1572864 | 524288 | 524288 | 14 | 6512  | 112 | 112 | 32 | 256 | 17.56592379 | 8.515  | 6736  | 0.004282633 |
| mandrill32.bmp | mandrill32.bmp-withWavelet_bior1.1-G_0.6-H7e-005_af1.wfa | 1572864 | 524288 | 524288 | 14 | 6512  | 112 | 112 | 32 | 256 | 17.56592379 | 8.484  | 6736  | 0.004282633 |
| mandrill32.bmp | mandrill32.bmp-withWavelet_haar-G_0.6-H8e-005_af1.wfa    | 1572864 | 524288 | 524288 | 14 | 6512  | 112 | 112 | 32 | 256 | 17.56592379 | 8.469  | 6736  | 0.004282633 |
| mandrill32.bmp | mandrill32.bmp-withWavelet_rbio1.1-G_0.6-H8e-005_af1.wfa | 1572864 | 524288 | 524288 | 14 | 6512  | 112 | 112 | 32 | 256 | 17.56592379 | 8.469  | 6736  | 0.004282633 |
| mandrill32.bmp | mandrill32.bmp-withWavelet_sym1-G_0.6-H8e-005_af1.wfa    | 1572864 | 524288 | 524288 | 14 | 6512  | 112 | 112 | 32 | 256 | 17.56592379 | 8.515  | 6736  | 0.004282633 |
| mandrill32.bmp | mandrill32.bmp-withWavelet_bior1.1-G_0.6-H8e-005_af1.wfa | 1572864 | 524288 | 524288 | 14 | 6512  | 112 | 112 | 32 | 256 | 17.56592379 | 8.531  | 6736  | 0.004282633 |
| mandrill32.bmp | mandrill32.bmp-withWavelet_haar-G_0.6-H9e-005_af1.wfa    | 1572864 | 524288 | 524288 | 14 | 6512  | 112 | 112 | 32 | 256 | 17.56592379 | 8.468  | 6736  | 0.004282633 |
| mandrill32.bmp | mandrill32.bmp-withWavelet_rbio1.1-G_0.6-H9e-005_af1.wfa | 1572864 | 524288 | 524288 | 14 | 6512  | 112 | 112 | 32 | 256 | 17.56592379 | 8.453  | 6736  | 0.004282633 |
| mandrill32.bmp | mandrill32.bmp-withWavelet_sym1-G_0.6-H9e-005_af1.wfa    | 1572864 | 524288 | 524288 | 14 | 6512  | 112 | 112 | 32 | 256 | 17.56592379 | 8.453  | 6736  | 0.004282633 |
| mandrill32.bmp | mandrill32.bmp-withWavelet_bior1.1-G_0.6-H9e-005_af1.wfa | 1572864 | 524288 | 524288 | 14 | 6512  | 112 | 112 | 32 | 256 | 17.56592379 | 8.469  | 6736  | 0.004282633 |
| mandrill32.bmp | mandrill32.bmp-withWavelet_haar-G_1-H5e-005_af3.wfa      | 1572864 | 524288 | 524288 | 19 | 11792 | 152 | 152 | 32 | 256 | 17.56769885 | 10.062 | 12096 | 0.00769043  |
| mandrill32.bmp | mandrill32.bmp-withWavelet_rbio1.1-G_1-H5e-005_af3.wfa   | 1572864 | 524288 | 524288 | 19 | 11792 | 152 | 152 | 32 | 256 | 17.56769885 | 10.703 | 12096 | 0.00769043  |
| mandrill32.bmp | mandrill32.bmp-withWavelet_sym1-G_1-H5e-005_af3.wfa      | 1572864 | 524288 | 524288 | 19 | 11792 | 152 | 152 | 32 | 256 | 17.56769885 | 9.843  | 12096 | 0.00769043  |
| mandrill32.bmp | mandrill32.bmp-withWavelet_bior1.1-G_1-H5e-005_af3.wfa   | 1572864 | 524288 | 524288 | 19 | 11792 | 152 | 152 | 32 | 256 | 17.56769885 | 9.828  | 12096 | 0.00769043  |
| mandrill32.bmp | mandrill32.bmp-G_0.6-H0.0001_af1.wfa                     | 1572864 | 524288 |        | 13 | 5648  | 104 | 104 | 32 | 256 | 17.5683481  | 8.25   | 5856  | 0.003723145 |
| mandrill32.bmp | mandrill32.bmp-withWavelet_haar-G_1-H4e-005_af1.wfa      | 1572864 | 524288 | 524288 | 16 | 8432  | 128 | 128 | 32 | 256 | 17.57129248 | 8.438  | 8688  | 0.005523682 |
| mandrill32.bmp | mandrill32.bmp-withWavelet_rbio1.1-G_1-H4e-005_af1.wfa   | 1572864 | 524288 | 524288 | 16 | 8432  | 128 | 128 | 32 | 256 | 17.57129248 | 8.344  | 8688  | 0.005523682 |
| mandrill32.bmp | mandrill32.bmp-withWavelet_sym1-G_1-H4e-005_af1.wfa      | 1572864 | 524288 | 524288 | 16 | 8432  | 128 | 128 | 32 | 256 | 17.57129248 | 8.234  | 8688  | 0.005523682 |
| mandrill32.bmp | mandrill32.bmp-withWavelet_bior1.1-G_1-H4e-005_af1.wfa   | 1572864 | 524288 | 524288 | 16 | 8432  | 128 | 128 | 32 | 256 | 17.57129248 | 8.406  | 8688  | 0.005523682 |
| mandrill32.bmp | mandrill32.bmp-G_1-H9e-005_af1.wfa                       | 1572864 | 524288 |        | 13 | 5648  | 104 | 104 | 32 | 256 | 17.5785622  | 8.157  | 5856  | 0.003723145 |
| mandrill32.bmp | mandrill32.bmp-G_0.8-H9e-005_af1.wfa                     | 1572864 | 524288 |        | 13 | 5648  | 104 | 104 | 32 | 256 | 17.57987602 | 8.328  | 5856  | 0.003723145 |
| mandrill32.bmp | mandrill32.bmp-G_0.6-H8e-005_af5.wfa                     | 1572864 | 524288 |        | 13 | 5648  | 104 | 104 | 32 | 256 | 17.58381838 | 8.422  | 5856  | 0.003723145 |
| mandrill32.bmp | mandrill32.bmp-withWavelet_haar-G_1-H5e-005_af1.wfa      | 1572864 | 524288 | 524288 | 16 | 8432  | 128 | 128 | 32 | 256 | 17.58596311 | 8.422  | 8688  | 0.005523682 |
| mandrill32.bmp | mandrill32.bmp-withWavelet_rbio1.1-G_1-H5e-005_af1.wfa   | 1572864 | 524288 | 524288 | 16 | 8432  | 128 | 128 | 32 | 256 | 17.58596311 | 8.406  | 8688  | 0.005523682 |
| mandrill32.bmp | mandrill32.bmp-withWavelet_sym1-G_1-H5e-005_af1.wfa      | 1572864 | 524288 | 524288 | 16 | 8432  | 128 | 128 | 32 | 256 | 17.58596311 | 8.89   | 8688  | 0.005523682 |
| mandrill32.bmp | mandrill32.bmp-withWavelet_bior1.1-G_1-H5e-005_af1.wfa   | 1572864 | 524288 | 524288 | 16 | 8432  | 128 | 128 | 32 | 256 | 17.58596311 | 8.562  | 8688  | 0.005523682 |
| mandrill32.bmp | mandrill32.bmp-withWavelet_haar-G_0.6-H5e-005_af3.wfa    | 1572864 | 524288 | 524288 | 18 | 10608 | 144 | 144 | 32 | 256 | 17.58652969 | 9.187  | 10896 | 0.00692749  |
| mandrill32.bmp | mandrill32.bmp-withWavelet_rbio1.1-G_0.6-H5e-005_af3.wfa | 1572864 | 524288 | 524288 | 18 | 10608 | 144 | 144 | 32 | 256 | 17.58652969 | 8.89   | 10896 | 0.00692749  |
| mandrill32.bmp | mandrill32.bmp-withWavelet_sym1-G_0.6-H5e-005_af3.wfa    | 1572864 | 524288 | 524288 | 18 | 10608 | 144 | 144 | 32 | 256 | 17.58652969 | 9      | 10896 | 0.00692749  |



|                |  |         |        |        |    |       |     |     |    |     |             |        |       |             |
|----------------|--|---------|--------|--------|----|-------|-----|-----|----|-----|-------------|--------|-------|-------------|
| mandrill32.bmp | mandrill32.bmp-withWavelet_bior1.1-G_0.6-H5e-005_af3.wfa | 1572864 | 524288 | 524288 | 18 | 10608 | 144 | 144 | 32 | 256 | 17.58652969 | 8.984  | 10896 | 0.00692749  |
| mandrill32.bmp | mandrill32.bmp-G_1-H8e-005_af5.wfa                       | 1572864 | 524288 |        | 13 | 5648  | 104 | 104 | 32 | 256 | 17.60043601 | 8.328  | 5856  | 0.003723145 |
| mandrill32.bmp | mandrill32.bmp-G_0.8-H8e-005_af5.wfa                     | 1572864 | 524288 |        | 13 | 5648  | 104 | 104 | 32 | 256 | 17.60379216 | 8.328  | 5856  | 0.003723145 |
| mandrill32.bmp | mandrill32.bmp-withWavelet_haar-G_0.8-H6e-005_af3.wfa    | 1572864 | 524288 | 524288 | 16 | 8432  | 128 | 128 | 32 | 256 | 17.60589165 | 18.453 | 8688  | 0.005523682 |
| mandrill32.bmp | mandrill32.bmp-withWavelet_rbio1.1-G_0.8-H6e-005_af3.wfa | 1572864 | 524288 | 524288 | 16 | 8432  | 128 | 128 | 32 | 256 | 17.60589165 | 18.609 | 8688  | 0.005523682 |
| mandrill32.bmp | mandrill32.bmp-withWavelet_sym1-G_0.8-H6e-005_af3.wfa    | 1572864 | 524288 | 524288 | 16 | 8432  | 128 | 128 | 32 | 256 | 17.60589165 | 15.469 | 8688  | 0.005523682 |
| mandrill32.bmp | mandrill32.bmp-withWavelet_bior1.1-G_0.8-H6e-005_af3.wfa | 1572864 | 524288 | 524288 | 16 | 8432  | 128 | 128 | 32 | 256 | 17.60589165 | 18.281 | 8688  | 0.005523682 |
| mandrill32.bmp | mandrill32.bmp-withWavelet_haar-G_0.8-H7e-005_af3.wfa    | 1572864 | 524288 | 524288 | 16 | 8432  | 128 | 128 | 32 | 256 | 17.60589165 | 8.844  | 8688  | 0.005523682 |
| mandrill32.bmp | mandrill32.bmp-withWavelet_rbio1.1-G_0.8-H7e-005_af3.wfa | 1572864 | 524288 | 524288 | 16 | 8432  | 128 | 128 | 32 | 256 | 17.60589165 | 8.75   | 8688  | 0.005523682 |
| mandrill32.bmp | mandrill32.bmp-withWavelet_sym1-G_0.8-H7e-005_af3.wfa    | 1572864 | 524288 | 524288 | 16 | 8432  | 128 | 128 | 32 | 256 | 17.60589165 | 8.922  | 8688  | 0.005523682 |
| mandrill32.bmp | mandrill32.bmp-withWavelet_bior1.1-G_0.8-H7e-005_af3.wfa | 1572864 | 524288 | 524288 | 16 | 8432  | 128 | 128 | 32 | 256 | 17.60589165 | 8.734  | 8688  | 0.005523682 |
| mandrill32.bmp | mandrill32.bmp-withWavelet_haar-G_1-H6e-005_af3.wfa      | 1572864 | 524288 | 524288 | 16 | 8432  | 128 | 128 | 32 | 256 | 17.61046267 | 8.516  | 8688  | 0.005523682 |
| mandrill32.bmp | mandrill32.bmp-withWavelet_rbio1.1-G_1-H6e-005_af3.wfa   | 1572864 | 524288 | 524288 | 16 | 8432  | 128 | 128 | 32 | 256 | 17.61046267 | 8.406  | 8688  | 0.005523682 |
| mandrill32.bmp | mandrill32.bmp-withWavelet_sym1-G_1-H6e-005_af3.wfa      | 1572864 | 524288 | 524288 | 16 | 8432  | 128 | 128 | 32 | 256 | 17.61046267 | 8.453  | 8688  | 0.005523682 |
| mandrill32.bmp | mandrill32.bmp-withWavelet_bior1.1-G_1-H6e-005_af3.wfa   | 1572864 | 524288 | 524288 | 16 | 8432  | 128 | 128 | 32 | 256 | 17.61046267 | 8.297  | 8688  | 0.005523682 |
| mandrill32.bmp | mandrill32.bmp-withWavelet_haar-G_1-H7e-005_af3.wfa      | 1572864 | 524288 | 524288 | 16 | 8432  | 128 | 128 | 32 | 256 | 17.61046267 | 8.75   | 8688  | 0.005523682 |
| mandrill32.bmp | mandrill32.bmp-withWavelet_rbio1.1-G_1-H7e-005_af3.wfa   | 1572864 | 524288 | 524288 | 16 | 8432  | 128 | 128 | 32 | 256 | 17.61046267 | 8.781  | 8688  | 0.005523682 |
| mandrill32.bmp | mandrill32.bmp-withWavelet_sym1-G_1-H7e-005_af3.wfa      | 1572864 | 524288 | 524288 | 16 | 8432  | 128 | 128 | 32 | 256 | 17.61046267 | 8.766  | 8688  | 0.005523682 |
| mandrill32.bmp | mandrill32.bmp-withWavelet_bior1.1-G_1-H7e-005_af3.wfa   | 1572864 | 524288 | 524288 | 16 | 8432  | 128 | 128 | 32 | 256 | 17.61046267 | 8.797  | 8688  | 0.005523682 |
| mandrill32.bmp | mandrill32.bmp-withWavelet_haar-G_0.8-H7e-005_af1.wfa    | 1572864 | 524288 | 524288 | 14 | 6512  | 112 | 112 | 32 | 256 | 17.61725839 | 8.187  | 6736  | 0.004282633 |
| mandrill32.bmp | mandrill32.bmp-withWavelet_rbio1.1-G_0.8-H7e-005_af1.wfa | 1572864 | 524288 | 524288 | 14 | 6512  | 112 | 112 | 32 | 256 | 17.61725839 | 8.171  | 6736  | 0.004282633 |
| mandrill32.bmp | mandrill32.bmp-withWavelet_sym1-G_0.8-H7e-005_af1.wfa    | 1572864 | 524288 | 524288 | 14 | 6512  | 112 | 112 | 32 | 256 | 17.61725839 | 8.156  | 6736  | 0.004282633 |
| mandrill32.bmp | mandrill32.bmp-withWavelet_bior1.1-G_0.8-H7e-005_af1.wfa | 1572864 | 524288 | 524288 | 14 | 6512  | 112 | 112 | 32 | 256 | 17.61725839 | 8.203  | 6736  | 0.004282633 |
| mandrill32.bmp | mandrill32.bmp-withWavelet_haar-G_0.8-H8e-005_af1.wfa    | 1572864 | 524288 | 524288 | 14 | 6512  | 112 | 112 | 32 | 256 | 17.61725839 | 8.485  | 6736  | 0.004282633 |
| mandrill32.bmp | mandrill32.bmp-withWavelet_rbio1.1-G_0.8-H8e-005_af1.wfa | 1572864 | 524288 | 524288 | 14 | 6512  | 112 | 112 | 32 | 256 | 17.61725839 | 8.469  | 6736  | 0.004282633 |
| mandrill32.bmp | mandrill32.bmp-withWavelet_sym1-G_0.8-H8e-005_af1.wfa    | 1572864 | 524288 | 524288 | 14 | 6512  | 112 | 112 | 32 | 256 | 17.61725839 | 8.484  | 6736  | 0.004282633 |
| mandrill32.bmp | mandrill32.bmp-withWavelet_bior1.1-G_0.8-H8e-005_af1.wfa | 1572864 | 524288 | 524288 | 14 | 6512  | 112 | 112 | 32 | 256 | 17.61725839 | 8.468  | 6736  | 0.004282633 |
| mandrill32.bmp | mandrill32.bmp-withWavelet_haar-G_1-H6e-005_af1.wfa      | 1572864 | 524288 | 524288 | 15 | 7440  | 120 | 120 | 32 | 256 | 17.6185837  | 8.125  | 7680  | 0.004882813 |
| mandrill32.bmp | mandrill32.bmp-withWavelet_rbio1.1-G_1-H6e-005_af1.wfa   | 1572864 | 524288 | 524288 | 15 | 7440  | 120 | 120 | 32 | 256 | 17.6185837  | 8.391  | 7680  | 0.004882813 |
| mandrill32.bmp | mandrill32.bmp-withWavelet_sym1-G_1-H6e-005_af1.wfa      | 1572864 | 524288 | 524288 | 15 | 7440  | 120 | 120 | 32 | 256 | 17.6185837  | 8.203  | 7680  | 0.004882813 |
| mandrill32.bmp | mandrill32.bmp-withWavelet_bior1.1-G_1-H6e-005_af1.wfa   | 1572864 | 524288 | 524288 | 15 | 7440  | 120 | 120 | 32 | 256 | 17.6185837  | 8.172  | 7680  | 0.004882813 |

|                |  |         |        |        |    |       |     |     |    |     |             |        |       |             |
|----------------|--|---------|--------|--------|----|-------|-----|-----|----|-----|-------------|--------|-------|-------------|
| mandrill32.bmp | mandrill32.bmp-G_1-H0.0001_af2.wfa                       | 1572864 | 524288 |        | 13 | 5648  | 104 | 104 | 32 | 256 | 17.62701888 | 8.625  | 5856  | 0.003723145 |
| mandrill32.bmp | mandrill32.bmp-withWavelet_haar-G_1-H7e-005_af1.wfa      | 1572864 | 524288 | 524288 | 14 | 6512  | 112 | 112 | 32 | 256 | 17.62826379 | 8.172  | 6736  | 0.004282633 |
| mandrill32.bmp | mandrill32.bmp-withWavelet_rbio1.1-G_1-H7e-005_af1.wfa   | 1572864 | 524288 | 524288 | 14 | 6512  | 112 | 112 | 32 | 256 | 17.62826379 | 8.859  | 6736  | 0.004282633 |
| mandrill32.bmp | mandrill32.bmp-withWavelet_sym1-G_1-H7e-005_af1.wfa      | 1572864 | 524288 | 524288 | 14 | 6512  | 112 | 112 | 32 | 256 | 17.62826379 | 8.281  | 6736  | 0.004282633 |
| mandrill32.bmp | mandrill32.bmp-withWavelet_bior1.1-G_1-H7e-005_af1.wfa   | 1572864 | 524288 | 524288 | 14 | 6512  | 112 | 112 | 32 | 256 | 17.62826379 | 8.187  | 6736  | 0.004282633 |
| mandrill32.bmp | mandrill32.bmp-withWavelet_haar-G_1-H8e-005_af1.wfa      | 1572864 | 524288 | 524288 | 14 | 6512  | 112 | 112 | 32 | 256 | 17.62826379 | 8.532  | 6736  | 0.004282633 |
| mandrill32.bmp | mandrill32.bmp-withWavelet_rbio1.1-G_1-H8e-005_af1.wfa   | 1572864 | 524288 | 524288 | 14 | 6512  | 112 | 112 | 32 | 256 | 17.62826379 | 8.484  | 6736  | 0.004282633 |
| mandrill32.bmp | mandrill32.bmp-withWavelet_sym1-G_1-H8e-005_af1.wfa      | 1572864 | 524288 | 524288 | 14 | 6512  | 112 | 112 | 32 | 256 | 17.62826379 | 8.5    | 6736  | 0.004282633 |
| mandrill32.bmp | mandrill32.bmp-withWavelet_bior1.1-G_1-H8e-005_af1.wfa   | 1572864 | 524288 | 524288 | 14 | 6512  | 112 | 112 | 32 | 256 | 17.62826379 | 8.485  | 6736  | 0.004282633 |
| mandrill32.bmp | mandrill32.bmp-G_0.8-H0.0001_af2.wfa                     | 1572864 | 524288 |        | 13 | 5648  | 104 | 104 | 32 | 256 | 17.6287386  | 8.328  | 5856  | 0.003723145 |
| mandrill32.bmp | mandrill32.bmp-G_1-H0.0001_af1.wfa                       | 1572864 | 524288 |        | 13 | 5648  | 104 | 104 | 32 | 256 | 17.63027537 | 8.297  | 5856  | 0.003723145 |
| mandrill32.bmp | mandrill32.bmp-withWavelet_haar-G_0.6-H4e-005_af5.wfa    | 393216  | 131072 | 131072 | 15 | 7440  | 120 | 120 | 32 | 128 | 17.63051139 | 1.938  | 7680  | 0.01953125  |
| mandrill32.bmp | mandrill32.bmp-withWavelet_rbio1.1-G_0.6-H4e-005_af5.wfa | 393216  | 131072 | 131072 | 15 | 7440  | 120 | 120 | 32 | 128 | 17.63051139 | 2.015  | 7680  | 0.01953125  |
| mandrill32.bmp | mandrill32.bmp-withWavelet_sym1-G_0.6-H4e-005_af5.wfa    | 393216  | 131072 | 131072 | 15 | 7440  | 120 | 120 | 32 | 128 | 17.63051139 | 1.938  | 7680  | 0.01953125  |
| mandrill32.bmp | mandrill32.bmp-withWavelet_bior1.1-G_0.6-H4e-005_af5.wfa | 393216  | 131072 | 131072 | 15 | 7440  | 120 | 120 | 32 | 128 | 17.63051139 | 1.906  | 7680  | 0.01953125  |
| mandrill32.bmp | mandrill32.bmp-withWavelet_haar-G_0.6-H0.0001_af3.wfa    | 1572864 | 524288 | 524288 | 13 | 5648  | 104 | 104 | 32 | 256 | 17.63449773 | 8.297  | 5856  | 0.003723145 |
| mandrill32.bmp | mandrill32.bmp-withWavelet_rbio1.1-G_0.6-H0.0001_af3.wfa | 1572864 | 524288 | 524288 | 13 | 5648  | 104 | 104 | 32 | 256 | 17.63449773 | 8.312  | 5856  | 0.003723145 |
| mandrill32.bmp | mandrill32.bmp-withWavelet_sym1-G_0.6-H0.0001_af3.wfa    | 1572864 | 524288 | 524288 | 13 | 5648  | 104 | 104 | 32 | 256 | 17.63449773 | 8.312  | 5856  | 0.003723145 |
| mandrill32.bmp | mandrill32.bmp-withWavelet_bior1.1-G_0.6-H0.0001_af3.wfa | 1572864 | 524288 | 524288 | 13 | 5648  | 104 | 104 | 32 | 256 | 17.63449773 | 8.281  | 5856  | 0.003723145 |
| mandrill32.bmp | mandrill32.bmp-withWavelet_haar-G_0.8-H5e-005_af3.wfa    | 1572864 | 524288 | 524288 | 18 | 10608 | 144 | 144 | 32 | 256 | 17.63696178 | 9.172  | 10896 | 0.00692749  |
| mandrill32.bmp | mandrill32.bmp-withWavelet_rbio1.1-G_0.8-H5e-005_af3.wfa | 1572864 | 524288 | 524288 | 18 | 10608 | 144 | 144 | 32 | 256 | 17.63696178 | 9.141  | 10896 | 0.00692749  |
| mandrill32.bmp | mandrill32.bmp-withWavelet_sym1-G_0.8-H5e-005_af3.wfa    | 1572864 | 524288 | 524288 | 18 | 10608 | 144 | 144 | 32 | 256 | 17.63696178 | 8.969  | 10896 | 0.00692749  |
| mandrill32.bmp | mandrill32.bmp-withWavelet_bior1.1-G_0.8-H5e-005_af3.wfa | 1572864 | 524288 | 524288 | 18 | 10608 | 144 | 144 | 32 | 256 | 17.63696178 | 9.14   | 10896 | 0.00692749  |
| mandrill32.bmp | mandrill32.bmp-G_0.6-H9e-005_af1.wfa                     | 1572864 | 524288 |        | 14 | 6512  | 112 | 112 | 32 | 256 | 17.64173584 | 8.454  | 6736  | 0.004282633 |
| mandrill32.bmp | mandrill32.bmp-withWavelet_haar-G_1-H8e-005_af3.wfa      | 1572864 | 524288 | 524288 | 14 | 6512  | 112 | 112 | 32 | 256 | 17.64256505 | 8.437  | 6736  | 0.004282633 |
| mandrill32.bmp | mandrill32.bmp-withWavelet_rbio1.1-G_1-H8e-005_af3.wfa   | 1572864 | 524288 | 524288 | 14 | 6512  | 112 | 112 | 32 | 256 | 17.64256505 | 8.469  | 6736  | 0.004282633 |
| mandrill32.bmp | mandrill32.bmp-withWavelet_sym1-G_1-H8e-005_af3.wfa      | 1572864 | 524288 | 524288 | 14 | 6512  | 112 | 112 | 32 | 256 | 17.64256505 | 8.625  | 6736  | 0.004282633 |
| mandrill32.bmp | mandrill32.bmp-withWavelet_bior1.1-G_1-H8e-005_af3.wfa   | 1572864 | 524288 | 524288 | 14 | 6512  | 112 | 112 | 32 | 256 | 17.64256505 | 8.453  | 6736  | 0.004282633 |
| mandrill32.bmp | mandrill32.bmp-G_0.6-H9e-005_af3.wfa                     | 1572864 | 524288 |        | 13 | 5648  | 104 | 104 | 32 | 256 | 17.64812412 | 8.313  | 5856  | 0.003723145 |
| mandrill32.bmp | mandrill32.bmp-G_0.8-H7e-005_af5.wfa                     | 1572864 | 524288 |        | 14 | 6512  | 112 | 112 | 32 | 256 | 17.65005529 | 8.125  | 6736  | 0.004282633 |
| mandrill32.bmp | mandrill32.bmp-G_1-H9e-005_af3.wfa                       | 1572864 | 524288 |        | 13 | 5648  | 104 | 104 | 32 | 256 | 17.65106454 | 11.984 | 5856  | 0.003723145 |

|                |  |         |        |        |    |      |     |     |    |     |             |       |      |             |
|----------------|--|---------|--------|--------|----|------|-----|-----|----|-----|-------------|-------|------|-------------|
| mandrill32.bmp | mandrill32.bmp-G_1-H0.0001_af3.wfa                       | 1572864 | 524288 |        | 13 | 5648 | 104 | 104 | 32 | 256 | 17.65106454 | 8.281 | 5856 | 0.003723145 |
| mandrill32.bmp | mandrill32.bmp-G_0.8-H9e-005_af3.wfa                     | 1572864 | 524288 |        | 13 | 5648 | 104 | 104 | 32 | 256 | 17.65365354 | 8.172 | 5856 | 0.003723145 |
| mandrill32.bmp | mandrill32.bmp-G_0.8-H0.0001_af3.wfa                     | 1572864 | 524288 |        | 13 | 5648 | 104 | 104 | 32 | 256 | 17.65365354 | 8.266 | 5856 | 0.003723145 |
| mandrill32.bmp | mandrill32.bmp-withWavelet_haar-G_0.8-H9e-005_af3.wfa    | 1572864 | 524288 | 524288 | 13 | 5648 | 104 | 104 | 32 | 256 | 17.65418949 | 8.109 | 5856 | 0.003723145 |
| mandrill32.bmp | mandrill32.bmp-withWavelet_rbio1.1-G_0.8-H9e-005_af3.wfa | 1572864 | 524288 | 524288 | 13 | 5648 | 104 | 104 | 32 | 256 | 17.65418949 | 8.203 | 5856 | 0.003723145 |
| mandrill32.bmp | mandrill32.bmp-withWavelet_sym1-G_0.8-H9e-005_af3.wfa    | 1572864 | 524288 | 524288 | 13 | 5648 | 104 | 104 | 32 | 256 | 17.65418949 | 8.219 | 5856 | 0.003723145 |
| mandrill32.bmp | mandrill32.bmp-withWavelet_bior1.1-G_0.8-H9e-005_af3.wfa | 1572864 | 524288 | 524288 | 13 | 5648 | 104 | 104 | 32 | 256 | 17.65418949 | 8.422 | 5856 | 0.003723145 |
| mandrill32.bmp | mandrill32.bmp-withWavelet_haar-G_0.8-H0.0001_af3.wfa    | 1572864 | 524288 | 524288 | 13 | 5648 | 104 | 104 | 32 | 256 | 17.65418949 | 8.468 | 5856 | 0.003723145 |
| mandrill32.bmp | mandrill32.bmp-withWavelet_rbio1.1-G_0.8-H0.0001_af3.wfa | 1572864 | 524288 | 524288 | 13 | 5648 | 104 | 104 | 32 | 256 | 17.65418949 | 8.344 | 5856 | 0.003723145 |
| mandrill32.bmp | mandrill32.bmp-withWavelet_sym1-G_0.8-H0.0001_af3.wfa    | 1572864 | 524288 | 524288 | 13 | 5648 | 104 | 104 | 32 | 256 | 17.65418949 | 8.344 | 5856 | 0.003723145 |
| mandrill32.bmp | mandrill32.bmp-withWavelet_bior1.1-G_0.8-H0.0001_af3.wfa | 1572864 | 524288 | 524288 | 13 | 5648 | 104 | 104 | 32 | 256 | 17.65418949 | 8.296 | 5856 | 0.003723145 |
| mandrill32.bmp | mandrill32.bmp-withWavelet_haar-G_1-H9e-005_af3.wfa      | 1572864 | 524288 | 524288 | 13 | 5648 | 104 | 104 | 32 | 256 | 17.65469196 | 8.235 | 5856 | 0.003723145 |
| mandrill32.bmp | mandrill32.bmp-withWavelet_rbio1.1-G_1-H9e-005_af3.wfa   | 1572864 | 524288 | 524288 | 13 | 5648 | 104 | 104 | 32 | 256 | 17.65469196 | 8.469 | 5856 | 0.003723145 |
| mandrill32.bmp | mandrill32.bmp-withWavelet_sym1-G_1-H9e-005_af3.wfa      | 1572864 | 524288 | 524288 | 13 | 5648 | 104 | 104 | 32 | 256 | 17.65469196 | 8.297 | 5856 | 0.003723145 |
| mandrill32.bmp | mandrill32.bmp-withWavelet_bior1.1-G_1-H9e-005_af3.wfa   | 1572864 | 524288 | 524288 | 13 | 5648 | 104 | 104 | 32 | 256 | 17.65469196 | 8.266 | 5856 | 0.003723145 |
| mandrill32.bmp | mandrill32.bmp-withWavelet_haar-G_1-H0.0001_af3.wfa      | 1572864 | 524288 | 524288 | 13 | 5648 | 104 | 104 | 32 | 256 | 17.65469196 | 8.328 | 5856 | 0.003723145 |
| mandrill32.bmp | mandrill32.bmp-withWavelet_rbio1.1-G_1-H0.0001_af3.wfa   | 1572864 | 524288 | 524288 | 13 | 5648 | 104 | 104 | 32 | 256 | 17.65469196 | 8.313 | 5856 | 0.003723145 |
| mandrill32.bmp | mandrill32.bmp-withWavelet_sym1-G_1-H0.0001_af3.wfa      | 1572864 | 524288 | 524288 | 13 | 5648 | 104 | 104 | 32 | 256 | 17.65469196 | 8.39  | 5856 | 0.003723145 |
| mandrill32.bmp | mandrill32.bmp-withWavelet_bior1.1-G_1-H0.0001_af3.wfa   | 1572864 | 524288 | 524288 | 13 | 5648 | 104 | 104 | 32 | 256 | 17.65469196 | 8.312 | 5856 | 0.003723145 |
| mandrill32.bmp | mandrill32.bmp-G_1-H7e-005_af3.wfa                       | 1572864 | 524288 |        | 15 | 7440 | 120 | 120 | 32 | 256 | 17.6550496  | 8.61  | 7680 | 0.004882813 |
| mandrill32.bmp | mandrill32.bmp-G_0.8-H7e-005_af3.wfa                     | 1572864 | 524288 |        | 15 | 7440 | 120 | 120 | 32 | 256 | 17.65893559 | 8.547 | 7680 | 0.004882813 |
| mandrill32.bmp | mandrill32.bmp-G_0.6-H7e-005_af3.wfa                     | 1572864 | 524288 |        | 14 | 6512 | 112 | 112 | 32 | 256 | 17.65915325 | 8.484 | 6736 | 0.004282633 |
| mandrill32.bmp | mandrill32.bmp-withWavelet_haar-G_0.6-H5e-005_af5.wfa    | 393216  | 131072 | 131072 | 14 | 6512 | 112 | 112 | 32 | 128 | 17.66711762 | 1.859 | 6736 | 0.017130534 |
| mandrill32.bmp | mandrill32.bmp-withWavelet_rbio1.1-G_0.6-H5e-005_af5.wfa | 393216  | 131072 | 131072 | 14 | 6512 | 112 | 112 | 32 | 128 | 17.66711762 | 1.797 | 6736 | 0.017130534 |
| mandrill32.bmp | mandrill32.bmp-withWavelet_sym1-G_0.6-H5e-005_af5.wfa    | 393216  | 131072 | 131072 | 14 | 6512 | 112 | 112 | 32 | 128 | 17.66711762 | 1.812 | 6736 | 0.017130534 |
| mandrill32.bmp | mandrill32.bmp-withWavelet_bior1.1-G_0.6-H5e-005_af5.wfa | 393216  | 131072 | 131072 | 14 | 6512 | 112 | 112 | 32 | 128 | 17.66711762 | 1.813 | 6736 | 0.017130534 |
| mandrill32.bmp | mandrill32.bmp-withWavelet_haar-G_1-H0.0001_af1.wfa      | 1572864 | 524288 | 524288 | 13 | 5648 | 104 | 104 | 32 | 256 | 17.66901822 | 8.281 | 5856 | 0.003723145 |
| mandrill32.bmp | mandrill32.bmp-withWavelet_rbio1.1-G_1-H0.0001_af1.wfa   | 1572864 | 524288 | 524288 | 13 | 5648 | 104 | 104 | 32 | 256 | 17.66901822 | 8.36  | 5856 | 0.003723145 |
| mandrill32.bmp | mandrill32.bmp-withWavelet_sym1-G_1-H0.0001_af1.wfa      | 1572864 | 524288 | 524288 | 13 | 5648 | 104 | 104 | 32 | 256 | 17.66901822 | 8.313 | 5856 | 0.003723145 |
| mandrill32.bmp | mandrill32.bmp-withWavelet_bior1.1-G_1-H0.0001_af1.wfa   | 1572864 | 524288 | 524288 | 13 | 5648 | 104 | 104 | 32 | 256 | 17.66901822 | 7.969 | 5856 | 0.003723145 |
| mandrill32.bmp | mandrill32.bmp-G_1-H7e-005_af5.wfa                       | 1572864 | 524288 |        | 14 | 6512 | 112 | 112 | 32 | 256 | 17.6807984  | 8.125 | 6736 | 0.004282633 |

|                |  |         |        |        |    |      |     |     |    |     |             |        |      |             |
|----------------|--|---------|--------|--------|----|------|-----|-----|----|-----|-------------|--------|------|-------------|
| mandrill32.bmp | mandrill32.bmp-G_0.8-H0.0001_af1.wfa                     | 1572864 | 524288 |        | 14 | 6512 | 112 | 112 | 32 | 256 | 17.68762506 | 8.469  | 6736 | 0.004282633 |
| mandrill32.bmp | mandrill32.bmp-G_0.6-H7e-005_af5.wfa                     | 1572864 | 524288 |        | 15 | 7440 | 120 | 120 | 32 | 256 | 17.69278385 | 8.859  | 7680 | 0.004882813 |
| mandrill32.bmp | mandrill32.bmp-G_0.6-H6e-005_af3.wfa                     | 1572864 | 524288 |        | 17 | 9488 | 136 | 136 | 32 | 256 | 17.69320333 | 30.796 | 9760 | 0.006205241 |
| mandrill32.bmp | mandrill32.bmp-G_0.6-H9e-005_af2.wfa                     | 1572864 | 524288 |        | 14 | 6512 | 112 | 112 | 32 | 256 | 17.69592254 | 8.5    | 6736 | 0.004282633 |
| mandrill32.bmp | mandrill32.bmp-G_0.6-H0.0001_af2.wfa                     | 1572864 | 524288 |        | 14 | 6512 | 112 | 112 | 32 | 256 | 17.69592254 | 8.453  | 6736 | 0.004282633 |
| mandrill32.bmp | mandrill32.bmp-withWavelet_haar-G_1-H4e-005_af5.wfa      | 393216  | 131072 | 131072 | 14 | 6512 | 112 | 112 | 32 | 128 | 17.69700456 | 1.859  | 6736 | 0.017130534 |
| mandrill32.bmp | mandrill32.bmp-withWavelet_rbio1.1-G_1-H4e-005_af5.wfa   | 393216  | 131072 | 131072 | 14 | 6512 | 112 | 112 | 32 | 128 | 17.69700456 | 1.891  | 6736 | 0.017130534 |
| mandrill32.bmp | mandrill32.bmp-withWavelet_sym1-G_1-H4e-005_af5.wfa      | 393216  | 131072 | 131072 | 14 | 6512 | 112 | 112 | 32 | 128 | 17.69700456 | 1.844  | 6736 | 0.017130534 |
| mandrill32.bmp | mandrill32.bmp-withWavelet_bior1.1-G_1-H4e-005_af5.wfa   | 393216  | 131072 | 131072 | 14 | 6512 | 112 | 112 | 32 | 128 | 17.69700456 | 1.828  | 6736 | 0.017130534 |
| mandrill32.bmp | mandrill32.bmp-withWavelet_haar-G_0.8-H4e-005_af5.wfa    | 393216  | 131072 | 131072 | 14 | 6512 | 112 | 112 | 32 | 128 | 17.6983848  | 1.984  | 6736 | 0.017130534 |
| mandrill32.bmp | mandrill32.bmp-withWavelet_rbio1.1-G_0.8-H4e-005_af5.wfa | 393216  | 131072 | 131072 | 14 | 6512 | 112 | 112 | 32 | 128 | 17.6983848  | 1.86   | 6736 | 0.017130534 |
| mandrill32.bmp | mandrill32.bmp-withWavelet_sym1-G_0.8-H4e-005_af5.wfa    | 393216  | 131072 | 131072 | 14 | 6512 | 112 | 112 | 32 | 128 | 17.6983848  | 1.859  | 6736 | 0.017130534 |
| mandrill32.bmp | mandrill32.bmp-withWavelet_bior1.1-G_0.8-H4e-005_af5.wfa | 393216  | 131072 | 131072 | 14 | 6512 | 112 | 112 | 32 | 128 | 17.6983848  | 1.875  | 6736 | 0.017130534 |
| mandrill32.bmp | mandrill32.bmp-G_0.6-H8e-005_af3.wfa                     | 1572864 | 524288 |        | 14 | 6512 | 112 | 112 | 32 | 256 | 17.70108641 | 8.328  | 6736 | 0.004282633 |
| mandrill32.bmp | mandrill32.bmp-withWavelet_haar-G_0.6-H6e-005_af5.wfa    | 393216  | 131072 | 131072 | 13 | 5648 | 104 | 104 | 32 | 128 | 17.70213196 | 5.985  | 5856 | 0.014892578 |
| mandrill32.bmp | mandrill32.bmp-withWavelet_rbio1.1-G_0.6-H6e-005_af5.wfa | 393216  | 131072 | 131072 | 13 | 5648 | 104 | 104 | 32 | 128 | 17.70213196 | 6.094  | 5856 | 0.014892578 |
| mandrill32.bmp | mandrill32.bmp-withWavelet_sym1-G_0.6-H6e-005_af5.wfa    | 393216  | 131072 | 131072 | 13 | 5648 | 104 | 104 | 32 | 128 | 17.70213196 | 7.343  | 5856 | 0.014892578 |
| mandrill32.bmp | mandrill32.bmp-withWavelet_bior1.1-G_0.6-H6e-005_af5.wfa | 393216  | 131072 | 131072 | 13 | 5648 | 104 | 104 | 32 | 128 | 17.70213196 | 1.89   | 5856 | 0.014892578 |
| mandrill32.bmp | mandrill32.bmp-withWavelet_haar-G_0.6-H0.0001_af1.wfa    | 1572864 | 524288 | 524288 | 13 | 5648 | 104 | 104 | 32 | 256 | 17.70227822 | 8.266  | 5856 | 0.003723145 |
| mandrill32.bmp | mandrill32.bmp-withWavelet_rbio1.1-G_0.6-H0.0001_af1.wfa | 1572864 | 524288 | 524288 | 13 | 5648 | 104 | 104 | 32 | 256 | 17.70227822 | 8.39   | 5856 | 0.003723145 |
| mandrill32.bmp | mandrill32.bmp-withWavelet_sym1-G_0.6-H0.0001_af1.wfa    | 1572864 | 524288 | 524288 | 13 | 5648 | 104 | 104 | 32 | 256 | 17.70227822 | 8.485  | 5856 | 0.003723145 |
| mandrill32.bmp | mandrill32.bmp-withWavelet_bior1.1-G_0.6-H0.0001_af1.wfa | 1572864 | 524288 | 524288 | 13 | 5648 | 104 | 104 | 32 | 256 | 17.70227822 | 8.312  | 5856 | 0.003723145 |
| mandrill32.bmp | mandrill32.bmp-G_0.6-H7e-005_af1.wfa                     | 1572864 | 524288 |        | 16 | 8432 | 128 | 128 | 32 | 256 | 17.70730421 | 9.062  | 8688 | 0.005523682 |
| mandrill32.bmp | mandrill32.bmp-G_1-H8e-005_af3.wfa                       | 1572864 | 524288 |        | 14 | 6512 | 112 | 112 | 32 | 256 | 17.70968017 | 8.453  | 6736 | 0.004282633 |
| mandrill32.bmp | mandrill32.bmp-G_0.8-H8e-005_af3.wfa                     | 1572864 | 524288 |        | 14 | 6512 | 112 | 112 | 32 | 256 | 17.71134186 | 8.469  | 6736 | 0.004282633 |
| mandrill32.bmp | mandrill32.bmp-G_1-H9e-005_af2.wfa                       | 1572864 | 524288 |        | 14 | 6512 | 112 | 112 | 32 | 256 | 17.71509789 | 8.843  | 6736 | 0.004282633 |
| mandrill32.bmp | mandrill32.bmp-G_0.8-H9e-005_af2.wfa                     | 1572864 | 524288 |        | 14 | 6512 | 112 | 112 | 32 | 256 | 17.71533631 | 8.453  | 6736 | 0.004282633 |
| mandrill32.bmp | mandrill32.bmp-G_0.6-H8e-005_af1.wfa                     | 1572864 | 524288 |        | 15 | 7440 | 120 | 120 | 32 | 256 | 17.72608137 | 8.813  | 7680 | 0.004882813 |
| mandrill32.bmp | mandrill32.bmp-G_0.6-H7e-005_af2.wfa                     | 1572864 | 524288 |        | 16 | 8432 | 128 | 128 | 32 | 256 | 17.72848375 | 9      | 8688 | 0.005523682 |
| mandrill32.bmp | mandrill32.bmp-withWavelet_haar-G_0.8-H9e-005_af1.wfa    | 1572864 | 524288 | 524288 | 13 | 5648 | 104 | 104 | 32 | 256 | 17.73027913 | 8.282  | 5856 | 0.003723145 |
| mandrill32.bmp | mandrill32.bmp-withWavelet_rbio1.1-G_0.8-H9e-005_af1.wfa | 1572864 | 524288 | 524288 | 13 | 5648 | 104 | 104 | 32 | 256 | 17.73027913 | 8.344  | 5856 | 0.003723145 |

|                |  |         |        |        |    |       |     |     |    |     |             |        |       |             |
|----------------|--|---------|--------|--------|----|-------|-----|-----|----|-----|-------------|--------|-------|-------------|
| mandrill32.bmp | mandrill32.bmp-withWavelet_sym1-G_0.8-H9e-005_af1.wfa    | 1572864 | 524288 | 524288 | 13 | 5648  | 104 | 104 | 32 | 256 | 17.73027913 | 8.422  | 5856  | 0.003723145 |
| mandrill32.bmp | mandrill32.bmp-withWavelet_bior1.1-G_0.8-H9e-005_af1.wfa | 1572864 | 524288 | 524288 | 13 | 5648  | 104 | 104 | 32 | 256 | 17.73027913 | 8.563  | 5856  | 0.003723145 |
| mandrill32.bmp | mandrill32.bmp-withWavelet_haar-G_0.8-H0.0001_af1.wfa    | 1572864 | 524288 | 524288 | 13 | 5648  | 104 | 104 | 32 | 256 | 17.73027913 | 8.375  | 5856  | 0.003723145 |
| mandrill32.bmp | mandrill32.bmp-withWavelet_rbio1.1-G_0.8-H0.0001_af1.wfa | 1572864 | 524288 | 524288 | 13 | 5648  | 104 | 104 | 32 | 256 | 17.73027913 | 8.344  | 5856  | 0.003723145 |
| mandrill32.bmp | mandrill32.bmp-withWavelet_sym1-G_0.8-H0.0001_af1.wfa    | 1572864 | 524288 | 524288 | 13 | 5648  | 104 | 104 | 32 | 256 | 17.73027913 | 8.328  | 5856  | 0.003723145 |
| mandrill32.bmp | mandrill32.bmp-withWavelet_bior1.1-G_0.8-H0.0001_af1.wfa | 1572864 | 524288 | 524288 | 13 | 5648  | 104 | 104 | 32 | 256 | 17.73027913 | 8.328  | 5856  | 0.003723145 |
| mandrill32.bmp | mandrill32.bmp-withWavelet_haar-G_1-H9e-005_af1.wfa      | 1572864 | 524288 | 524288 | 13 | 5648  | 104 | 104 | 32 | 256 | 17.73351073 | 10.078 | 5856  | 0.003723145 |
| mandrill32.bmp | mandrill32.bmp-withWavelet_rbio1.1-G_1-H9e-005_af1.wfa   | 1572864 | 524288 | 524288 | 13 | 5648  | 104 | 104 | 32 | 256 | 17.73351073 | 10.562 | 5856  | 0.003723145 |
| mandrill32.bmp | mandrill32.bmp-withWavelet_sym1-G_1-H9e-005_af1.wfa      | 1572864 | 524288 | 524288 | 13 | 5648  | 104 | 104 | 32 | 256 | 17.73351073 | 8.406  | 5856  | 0.003723145 |
| mandrill32.bmp | mandrill32.bmp-withWavelet_bior1.1-G_1-H9e-005_af1.wfa   | 1572864 | 524288 | 524288 | 13 | 5648  | 104 | 104 | 32 | 256 | 17.73351073 | 8.579  | 5856  | 0.003723145 |
| mandrill32.bmp | mandrill32.bmp-G_0.6-H6e-005_af2.wfa                     | 1572864 | 524288 |        | 16 | 8432  | 128 | 128 | 32 | 256 | 17.73452004 | 30.719 | 8688  | 0.005523682 |
| mandrill32.bmp | mandrill32.bmp-withWavelet_haar-G_0.6-H7e-005_af5.wfa    | 393216  | 131072 | 131072 | 12 | 4848  | 96  | 96  | 32 | 128 | 17.73705477 | 1.844  | 5040  | 0.012817383 |
| mandrill32.bmp | mandrill32.bmp-withWavelet_rbio1.1-G_0.6-H7e-005_af5.wfa | 393216  | 131072 | 131072 | 12 | 4848  | 96  | 96  | 32 | 128 | 17.73705477 | 1.812  | 5040  | 0.012817383 |
| mandrill32.bmp | mandrill32.bmp-withWavelet_sym1-G_0.6-H7e-005_af5.wfa    | 393216  | 131072 | 131072 | 12 | 4848  | 96  | 96  | 32 | 128 | 17.73705477 | 1.859  | 5040  | 0.012817383 |
| mandrill32.bmp | mandrill32.bmp-withWavelet_bior1.1-G_0.6-H7e-005_af5.wfa | 393216  | 131072 | 131072 | 12 | 4848  | 96  | 96  | 32 | 128 | 17.73705477 | 1.828  | 5040  | 0.012817383 |
| mandrill32.bmp | mandrill32.bmp-withWavelet_haar-G_0.6-H8e-005_af5.wfa    | 393216  | 131072 | 131072 | 12 | 4848  | 96  | 96  | 32 | 128 | 17.73705477 | 1.828  | 5040  | 0.012817383 |
| mandrill32.bmp | mandrill32.bmp-withWavelet_rbio1.1-G_0.6-H8e-005_af5.wfa | 393216  | 131072 | 131072 | 12 | 4848  | 96  | 96  | 32 | 128 | 17.73705477 | 2.25   | 5040  | 0.012817383 |
| mandrill32.bmp | mandrill32.bmp-withWavelet_sym1-G_0.6-H8e-005_af5.wfa    | 393216  | 131072 | 131072 | 12 | 4848  | 96  | 96  | 32 | 128 | 17.73705477 | 1.906  | 5040  | 0.012817383 |
| mandrill32.bmp | mandrill32.bmp-withWavelet_bior1.1-G_0.6-H8e-005_af5.wfa | 393216  | 131072 | 131072 | 12 | 4848  | 96  | 96  | 32 | 128 | 17.73705477 | 1.828  | 5040  | 0.012817383 |
| mandrill32.bmp | mandrill32.bmp-withWavelet_haar-G_0.6-H9e-005_af5.wfa    | 393216  | 131072 | 131072 | 12 | 4848  | 96  | 96  | 32 | 128 | 17.73705477 | 1.828  | 5040  | 0.012817383 |
| mandrill32.bmp | mandrill32.bmp-withWavelet_rbio1.1-G_0.6-H9e-005_af5.wfa | 393216  | 131072 | 131072 | 12 | 4848  | 96  | 96  | 32 | 128 | 17.73705477 | 1.766  | 5040  | 0.012817383 |
| mandrill32.bmp | mandrill32.bmp-withWavelet_sym1-G_0.6-H9e-005_af5.wfa    | 393216  | 131072 | 131072 | 12 | 4848  | 96  | 96  | 32 | 128 | 17.73705477 | 1.813  | 5040  | 0.012817383 |
| mandrill32.bmp | mandrill32.bmp-withWavelet_bior1.1-G_0.6-H9e-005_af5.wfa | 393216  | 131072 | 131072 | 12 | 4848  | 96  | 96  | 32 | 128 | 17.73705477 | 1.813  | 5040  | 0.012817383 |
| mandrill32.bmp | mandrill32.bmp-withWavelet_haar-G_0.6-H0.0001_af5.wfa    | 393216  | 131072 | 131072 | 12 | 4848  | 96  | 96  | 32 | 128 | 17.73705477 | 1.859  | 5040  | 0.012817383 |
| mandrill32.bmp | mandrill32.bmp-withWavelet_rbio1.1-G_0.6-H0.0001_af5.wfa | 393216  | 131072 | 131072 | 12 | 4848  | 96  | 96  | 32 | 128 | 17.73705477 | 1.828  | 5040  | 0.012817383 |
| mandrill32.bmp | mandrill32.bmp-withWavelet_sym1-G_0.6-H0.0001_af5.wfa    | 393216  | 131072 | 131072 | 12 | 4848  | 96  | 96  | 32 | 128 | 17.73705477 | 1.813  | 5040  | 0.012817383 |
| mandrill32.bmp | mandrill32.bmp-withWavelet_bior1.1-G_0.6-H0.0001_af5.wfa | 393216  | 131072 | 131072 | 12 | 4848  | 96  | 96  | 32 | 128 | 17.73705477 | 1.828  | 5040  | 0.012817383 |
| mandrill32.bmp | mandrill32.bmp-G_1-H6e-005_af3.wfa                       | 1572864 | 524288 |        | 17 | 9488  | 136 | 136 | 32 | 256 | 17.74062632 | 8.594  | 9760  | 0.006205241 |
| mandrill32.bmp | mandrill32.bmp-G_0.8-H6e-005_af3.wfa                     | 1572864 | 524288 |        | 17 | 9488  | 136 | 136 | 32 | 256 | 17.74396203 | 15.484 | 9760  | 0.006205241 |
| mandrill32.bmp | mandrill32.bmp-G_0.6-H5e-005_af3.wfa                     | 1572864 | 524288 |        | 18 | 10608 | 144 | 144 | 32 | 256 | 17.7509933  | 9      | 10896 | 0.00692749  |
| mandrill32.bmp | mandrill32.bmp-withWavelet_haar-G_1-H6e-005_af5.wfa      | 393216  | 131072 | 131072 | 12 | 4848  | 96  | 96  | 32 | 128 | 17.75433846 | 1.734  | 5040  | 0.012817383 |



|                |  |         |        |        |    |       |     |     |    |     |             |        |       |             |
|----------------|--|---------|--------|--------|----|-------|-----|-----|----|-----|-------------|--------|-------|-------------|
| mandrill32.bmp | mandrill32.bmp-withWavelet_haar-G_0.8-H9e-005_af5.wfa    | 393216  | 131072 | 131072 | 12 | 4848  | 96  | 96  | 32 | 128 | 17.75921029 | 2.156  | 5040  | 0.012817383 |
| mandrill32.bmp | mandrill32.bmp-withWavelet_rbio1.1-G_0.8-H9e-005_af5.wfa | 393216  | 131072 | 131072 | 12 | 4848  | 96  | 96  | 32 | 128 | 17.75921029 | 2.203  | 5040  | 0.012817383 |
| mandrill32.bmp | mandrill32.bmp-withWavelet_sym1-G_0.8-H9e-005_af5.wfa    | 393216  | 131072 | 131072 | 12 | 4848  | 96  | 96  | 32 | 128 | 17.75921029 | 2.141  | 5040  | 0.012817383 |
| mandrill32.bmp | mandrill32.bmp-withWavelet_bior1.1-G_0.8-H9e-005_af5.wfa | 393216  | 131072 | 131072 | 12 | 4848  | 96  | 96  | 32 | 128 | 17.75921029 | 2.141  | 5040  | 0.012817383 |
| mandrill32.bmp | mandrill32.bmp-withWavelet_haar-G_0.8-H0.0001_af5.wfa    | 393216  | 131072 | 131072 | 12 | 4848  | 96  | 96  | 32 | 128 | 17.75921029 | 1.812  | 5040  | 0.012817383 |
| mandrill32.bmp | mandrill32.bmp-withWavelet_rbio1.1-G_0.8-H0.0001_af5.wfa | 393216  | 131072 | 131072 | 12 | 4848  | 96  | 96  | 32 | 128 | 17.75921029 | 1.796  | 5040  | 0.012817383 |
| mandrill32.bmp | mandrill32.bmp-withWavelet_sym1-G_0.8-H0.0001_af5.wfa    | 393216  | 131072 | 131072 | 12 | 4848  | 96  | 96  | 32 | 128 | 17.75921029 | 1.844  | 5040  | 0.012817383 |
| mandrill32.bmp | mandrill32.bmp-withWavelet_bior1.1-G_0.8-H0.0001_af5.wfa | 393216  | 131072 | 131072 | 12 | 4848  | 96  | 96  | 32 | 128 | 17.75921029 | 1.844  | 5040  | 0.012817383 |
| mandrill32.bmp | mandrill32.bmp-G_0.6-H6e-005_af5.wfa                     | 1572864 | 524288 |        | 16 | 8432  | 128 | 128 | 32 | 256 | 17.77297026 | 30.657 | 8688  | 0.005523682 |
| mandrill32.bmp | mandrill32.bmp-G_0.6-H8e-005_af2.wfa                     | 1572864 | 524288 |        | 15 | 7440  | 120 | 120 | 32 | 256 | 17.77592348 | 9.11   | 7680  | 0.004882813 |
| mandrill32.bmp | mandrill32.bmp-G_1-H8e-005_af1.wfa                       | 1572864 | 524288 |        | 15 | 7440  | 120 | 120 | 32 | 256 | 17.77841463 | 8.875  | 7680  | 0.004882813 |
| mandrill32.bmp | mandrill32.bmp-G_0.8-H8e-005_af1.wfa                     | 1572864 | 524288 |        | 15 | 7440  | 120 | 120 | 32 | 256 | 17.78186437 | 8.859  | 7680  | 0.004882813 |
| mandrill32.bmp | mandrill32.bmp-withWavelet_haar-G_1-H5e-005_af5.wfa      | 393216  | 131072 | 131072 | 13 | 5648  | 104 | 104 | 32 | 128 | 17.80475301 | 1.828  | 5856  | 0.014892578 |
| mandrill32.bmp | mandrill32.bmp-withWavelet_rbio1.1-G_1-H5e-005_af5.wfa   | 393216  | 131072 | 131072 | 13 | 5648  | 104 | 104 | 32 | 128 | 17.80475301 | 1.781  | 5856  | 0.014892578 |
| mandrill32.bmp | mandrill32.bmp-withWavelet_sym1-G_1-H5e-005_af5.wfa      | 393216  | 131072 | 131072 | 13 | 5648  | 104 | 104 | 32 | 128 | 17.80475301 | 1.875  | 5856  | 0.014892578 |
| mandrill32.bmp | mandrill32.bmp-withWavelet_bior1.1-G_1-H5e-005_af5.wfa   | 393216  | 131072 | 131072 | 13 | 5648  | 104 | 104 | 32 | 128 | 17.80475301 | 1.766  | 5856  | 0.014892578 |
| mandrill32.bmp | mandrill32.bmp-G_0.6-H4e-005_af5.wfa                     | 1572864 | 524288 |        | 17 | 9488  | 136 | 136 | 32 | 256 | 17.80756931 | 9.016  | 9760  | 0.006205241 |
| mandrill32.bmp | mandrill32.bmp-G_0.6-H5e-005_af5.wfa                     | 1572864 | 524288 |        | 17 | 9488  | 136 | 136 | 32 | 256 | 17.80756931 | 8.938  | 9760  | 0.006205241 |
| mandrill32.bmp | mandrill32.bmp-withWavelet_haar-G_0.8-H5e-005_af5.wfa    | 393216  | 131072 | 131072 | 13 | 5648  | 104 | 104 | 32 | 128 | 17.80945211 | 1.781  | 5856  | 0.014892578 |
| mandrill32.bmp | mandrill32.bmp-withWavelet_rbio1.1-G_0.8-H5e-005_af5.wfa | 393216  | 131072 | 131072 | 13 | 5648  | 104 | 104 | 32 | 128 | 17.80945211 | 1.797  | 5856  | 0.014892578 |
| mandrill32.bmp | mandrill32.bmp-withWavelet_sym1-G_0.8-H5e-005_af5.wfa    | 393216  | 131072 | 131072 | 13 | 5648  | 104 | 104 | 32 | 128 | 17.80945211 | 1.781  | 5856  | 0.014892578 |
| mandrill32.bmp | mandrill32.bmp-withWavelet_bior1.1-G_0.8-H5e-005_af5.wfa | 393216  | 131072 | 131072 | 13 | 5648  | 104 | 104 | 32 | 128 | 17.80945211 | 1.75   | 5856  | 0.014892578 |
| mandrill32.bmp | mandrill32.bmp-G_1-H6e-005_af5.wfa                       | 1572864 | 524288 |        | 16 | 8432  | 128 | 128 | 32 | 256 | 17.82133608 | 8.203  | 8688  | 0.005523682 |
| mandrill32.bmp | mandrill32.bmp-G_1-H8e-005_af2.wfa                       | 1572864 | 524288 |        | 15 | 7440  | 120 | 120 | 32 | 256 | 17.82158128 | 8.844  | 7680  | 0.004882813 |
| mandrill32.bmp | mandrill32.bmp-G_0.8-H8e-005_af2.wfa                     | 1572864 | 524288 |        | 15 | 7440  | 120 | 120 | 32 | 256 | 17.82168595 | 8.875  | 7680  | 0.004882813 |
| mandrill32.bmp | mandrill32.bmp-G_0.8-H6e-005_af5.wfa                     | 1572864 | 524288 |        | 16 | 8432  | 128 | 128 | 32 | 256 | 17.82327583 | 18.235 | 8688  | 0.005523682 |
| mandrill32.bmp | mandrill32.bmp-G_0.6-H4e-005_af3.wfa                     | 1572864 | 524288 |        | 20 | 13040 | 160 | 160 | 32 | 256 | 17.82533881 | 10.625 | 13360 | 0.008494059 |
| mandrill32.bmp | mandrill32.bmp-G_0.6-H5e-005_af1.wfa                     | 1572864 | 524288 |        | 20 | 13040 | 160 | 160 | 32 | 256 | 17.8343261  | 9.906  | 13360 | 0.008494059 |
| mandrill32.bmp | mandrill32.bmp-G_0.6-H3e-005_af4.wfa                     | 98304   | 32768  |        | 5  | 1040  | 40  | 40  | 32 | 64  | 17.8368153  | 0.453  | 1120  | 0.011393229 |
| mandrill32.bmp | mandrill32.bmp-G_0.6-H4e-005_af4.wfa                     | 98304   | 32768  |        | 5  | 1040  | 40  | 40  | 32 | 64  | 17.8368153  | 0.406  | 1120  | 0.011393229 |
| mandrill32.bmp | mandrill32.bmp-G_0.6-H5e-005_af4.wfa                     | 98304   | 32768  |        | 5  | 1040  | 40  | 40  | 32 | 64  | 17.8368153  | 0.36   | 1120  | 0.011393229 |

|                |                                      |         |        |  |    |       |  |     |     |    |     |             |        |       |             |
|----------------|--------------------------------------|---------|--------|--|----|-------|--|-----|-----|----|-----|-------------|--------|-------|-------------|
| mandrill32.bmp | mandrill32.bmp-G_0.6-H6e-005_af4.wfa | 98304   | 32768  |  | 5  | 1040  |  | 40  | 40  | 32 | 64  | 17.8368153  | 2.39   | 1120  | 0.011393229 |
| mandrill32.bmp | mandrill32.bmp-G_0.6-H7e-005_af4.wfa | 98304   | 32768  |  | 5  | 1040  |  | 40  | 40  | 32 | 64  | 17.8368153  | 0.735  | 1120  | 0.011393229 |
| mandrill32.bmp | mandrill32.bmp-G_0.6-H8e-005_af4.wfa | 98304   | 32768  |  | 5  | 1040  |  | 40  | 40  | 32 | 64  | 17.8368153  | 0.375  | 1120  | 0.011393229 |
| mandrill32.bmp | mandrill32.bmp-G_0.6-H9e-005_af4.wfa | 98304   | 32768  |  | 5  | 1040  |  | 40  | 40  | 32 | 64  | 17.8368153  | 0.766  | 1120  | 0.011393229 |
| mandrill32.bmp | mandrill32.bmp-G_0.6-H0.0001_af4.wfa | 98304   | 32768  |  | 5  | 1040  |  | 40  | 40  | 32 | 64  | 17.8368153  | 0.735  | 1120  | 0.011393229 |
| mandrill32.bmp | mandrill32.bmp-G_1-H7e-005_af2.wfa   | 1572864 | 524288 |  | 16 | 8432  |  | 128 | 128 | 32 | 256 | 17.83869055 | 8.828  | 8688  | 0.005523682 |
| mandrill32.bmp | mandrill32.bmp-G_1-H5e-005_af3.wfa   | 1572864 | 524288 |  | 19 | 11792 |  | 152 | 152 | 32 | 256 | 17.85254844 | 9.906  | 12096 | 0.00769043  |
| mandrill32.bmp | mandrill32.bmp-G_0.8-H5e-005_af3.wfa | 1572864 | 524288 |  | 19 | 11792 |  | 152 | 152 | 32 | 256 | 17.85305695 | 10.047 | 12096 | 0.00769043  |
| mandrill32.bmp | mandrill32.bmp-G_1-H7e-005_af1.wfa   | 1572864 | 524288 |  | 18 | 10608 |  | 144 | 144 | 32 | 256 | 17.86529691 | 9.594  | 10896 | 0.00692749  |
| mandrill32.bmp | mandrill32.bmp-G_0.8-H7e-005_af1.wfa | 1572864 | 524288 |  | 18 | 10608 |  | 144 | 144 | 32 | 256 | 17.86725773 | 9.578  | 10896 | 0.00692749  |
| mandrill32.bmp | mandrill32.bmp-G_1-H4e-005_af3.wfa   | 1572864 | 524288 |  | 20 | 13040 |  | 160 | 160 | 32 | 256 | 17.86831367 | 10.031 | 13360 | 0.008494059 |
| mandrill32.bmp | mandrill32.bmp-G_0.8-H4e-005_af3.wfa | 1572864 | 524288 |  | 20 | 13040 |  | 160 | 160 | 32 | 256 | 17.86859551 | 10.312 | 13360 | 0.008494059 |
| mandrill32.bmp | mandrill32.bmp-G_1-H5e-005_af5.wfa   | 1572864 | 524288 |  | 16 | 8432  |  | 128 | 128 | 32 | 256 | 17.86894206 | 10.359 | 8688  | 0.005523682 |
| mandrill32.bmp | mandrill32.bmp-G_0.6-H3e-005_af3.wfa | 1572864 | 524288 |  | 21 | 14352 |  | 168 | 168 | 32 | 256 | 17.87812038 | 11.453 | 14688 | 0.009338379 |
| mandrill32.bmp | mandrill32.bmp-G_0.8-H4e-005_af5.wfa | 1572864 | 524288 |  | 17 | 9488  |  | 136 | 136 | 32 | 256 | 17.88721623 | 8.969  | 9760  | 0.006205241 |
| mandrill32.bmp | mandrill32.bmp-G_0.8-H5e-005_af5.wfa | 1572864 | 524288 |  | 17 | 9488  |  | 136 | 136 | 32 | 256 | 17.88721623 | 8.86   | 9760  | 0.006205241 |
| mandrill32.bmp | mandrill32.bmp-G_1-H4e-005_af5.wfa   | 1572864 | 524288 |  | 17 | 9488  |  | 136 | 136 | 32 | 256 | 17.88830314 | 9.641  | 9760  | 0.006205241 |
| mandrill32.bmp | mandrill32.bmp-G_0.6-H3e-005_af5.wfa | 1572864 | 524288 |  | 20 | 13040 |  | 160 | 160 | 32 | 256 | 17.90120894 | 10.046 | 13360 | 0.008494059 |
| mandrill32.bmp | mandrill32.bmp-G_0.6-H4e-005_af2.wfa | 1572864 | 524288 |  | 20 | 13040 |  | 160 | 160 | 32 | 256 | 17.90211473 | 12.234 | 13360 | 0.008494059 |
| mandrill32.bmp | mandrill32.bmp-G_1-H6e-005_af2.wfa   | 1572864 | 524288 |  | 17 | 9488  |  | 136 | 136 | 32 | 256 | 17.90683037 | 9.313  | 9760  | 0.006205241 |
| mandrill32.bmp | mandrill32.bmp-G_0.8-H6e-005_af2.wfa | 1572864 | 524288 |  | 17 | 9488  |  | 136 | 136 | 32 | 256 | 17.90827634 | 11.859 | 9760  | 0.006205241 |
| mandrill32.bmp | mandrill32.bmp-G_0.6-H4e-005_af1.wfa | 1572864 | 524288 |  | 21 | 14352 |  | 168 | 168 | 32 | 256 | 17.90907133 | 10.953 | 14688 | 0.009338379 |
| mandrill32.bmp | mandrill32.bmp-G_0.8-H5e-005_af2.wfa | 1572864 | 524288 |  | 18 | 10608 |  | 144 | 144 | 32 | 256 | 17.91222796 | 9.203  | 10896 | 0.00692749  |
| mandrill32.bmp | mandrill32.bmp-G_0.6-H6e-005_af1.wfa | 1572864 | 524288 |  | 19 | 11792 |  | 152 | 152 | 32 | 256 | 17.91417625 | 34.406 | 12096 | 0.00769043  |
| mandrill32.bmp | mandrill32.bmp-G_0.6-H5e-005_af2.wfa | 1572864 | 524288 |  | 19 | 11792 |  | 152 | 152 | 32 | 256 | 17.9142906  | 14.203 | 12096 | 0.00769043  |
| mandrill32.bmp | mandrill32.bmp-G_1-H5e-005_af2.wfa   | 1572864 | 524288 |  | 18 | 10608 |  | 144 | 144 | 32 | 256 | 17.91475834 | 9.172  | 10896 | 0.00692749  |
| mandrill32.bmp | mandrill32.bmp-G_1-H3e-005_af3.wfa   | 1572864 | 524288 |  | 21 | 14352 |  | 168 | 168 | 32 | 256 | 17.92210812 | 10.703 | 14688 | 0.009338379 |
| mandrill32.bmp | mandrill32.bmp-G_0.8-H3e-005_af3.wfa | 1572864 | 524288 |  | 21 | 14352 |  | 168 | 168 | 32 | 256 | 17.92265985 | 14     | 14688 | 0.009338379 |
| mandrill32.bmp | mandrill32.bmp-G_1-H5e-005_af1.wfa   | 1572864 | 524288 |  | 20 | 13040 |  | 160 | 160 | 32 | 256 | 17.93731625 | 10.109 | 13360 | 0.008494059 |
| mandrill32.bmp | mandrill32.bmp-G_0.8-H7e-005_af2.wfa | 1572864 | 524288 |  | 17 | 9488  |  | 136 | 136 | 32 | 256 | 17.94245193 | 9.25   | 9760  | 0.006205241 |
| mandrill32.bmp | mandrill32.bmp-G_0.8-H5e-005_af1.wfa | 1572864 | 524288 |  | 20 | 13040 |  | 160 | 160 | 32 | 256 | 17.94952338 | 10.375 | 13360 | 0.008494059 |



|                |  |         |        |        |    |       |     |     |    |     |             |        |       |             |
|----------------|--|---------|--------|--------|----|-------|-----|-----|----|-----|-------------|--------|-------|-------------|
| mandrill32.bmp | mandrill32.bmp-withWavelet_haar-G_0.6-H4e-005_af5.wfa    | 98304   | 32768  | 32768  | 15 | 7440  | 120 | 120 | 32 | 64  | 17.97200961 | 0.485  | 7680  | 0.078125    |
| mandrill32.bmp | mandrill32.bmp-withWavelet_rbio1.1-G_0.6-H4e-005_af5.wfa | 98304   | 32768  | 32768  | 15 | 7440  | 120 | 120 | 32 | 64  | 17.97200961 | 0.484  | 7680  | 0.078125    |
| mandrill32.bmp | mandrill32.bmp-withWavelet_sym1-G_0.6-H4e-005_af5.wfa    | 98304   | 32768  | 32768  | 15 | 7440  | 120 | 120 | 32 | 64  | 17.97200961 | 0.469  | 7680  | 0.078125    |
| mandrill32.bmp | mandrill32.bmp-withWavelet_bior1.1-G_0.6-H4e-005_af5.wfa | 98304   | 32768  | 32768  | 15 | 7440  | 120 | 120 | 32 | 64  | 17.97200961 | 0.469  | 7680  | 0.078125    |
| mandrill32.bmp | mandrill32.bmp-G_1-H6e-005_af1.wfa                       | 1572864 | 524288 |        | 19 | 11792 | 152 | 152 | 32 | 256 | 17.97290851 | 9.969  | 12096 | 0.00769043  |
| mandrill32.bmp | mandrill32.bmp-G_0.8-H6e-005_af1.wfa                     | 1572864 | 524288 |        | 19 | 11792 | 152 | 152 | 32 | 256 | 17.97321668 | 9.516  | 12096 | 0.00769043  |
| mandrill32.bmp | mandrill32.bmp-G_0.6-H2e-005_af3.wfa                     | 1572864 | 524288 |        | 24 | 18672 | 192 | 192 | 32 | 256 | 17.98169741 | 15.766 | 19056 | 0.012115479 |
| mandrill32.bmp | mandrill32.bmp-G_0.8-H4e-005_af1.wfa                     | 1572864 | 524288 |        | 21 | 14352 | 168 | 168 | 32 | 256 | 17.98781854 | 10.656 | 14688 | 0.009338379 |
| mandrill32.bmp | mandrill32.bmp-G_1-H4e-005_af1.wfa                       | 1572864 | 524288 |        | 21 | 14352 | 168 | 168 | 32 | 256 | 17.98874769 | 10.968 | 14688 | 0.009338379 |
| mandrill32.bmp | mandrill32.bmp-withWavelet_haar-G_0.6-H5e-005_af5.wfa    | 98304   | 32768  | 32768  | 14 | 6512  | 112 | 112 | 32 | 64  | 17.99047874 | 0.453  | 6736  | 0.068522135 |
| mandrill32.bmp | mandrill32.bmp-withWavelet_rbio1.1-G_0.6-H5e-005_af5.wfa | 98304   | 32768  | 32768  | 14 | 6512  | 112 | 112 | 32 | 64  | 17.99047874 | 0.469  | 6736  | 0.068522135 |
| mandrill32.bmp | mandrill32.bmp-withWavelet_sym1-G_0.6-H5e-005_af5.wfa    | 98304   | 32768  | 32768  | 14 | 6512  | 112 | 112 | 32 | 64  | 17.99047874 | 0.453  | 6736  | 0.068522135 |
| mandrill32.bmp | mandrill32.bmp-withWavelet_bior1.1-G_0.6-H5e-005_af5.wfa | 98304   | 32768  | 32768  | 14 | 6512  | 112 | 112 | 32 | 64  | 17.99047874 | 0.454  | 6736  | 0.068522135 |
| mandrill32.bmp | mandrill32.bmp-G_1-H9e-005_af4.wfa                       | 393216  | 131072 |        | 12 | 4848  | 96  | 96  | 32 | 128 | 17.99564379 | 1.937  | 5040  | 0.012817383 |
| mandrill32.bmp | mandrill32.bmp-G_1-H0.0001_af4.wfa                       | 393216  | 131072 |        | 12 | 4848  | 96  | 96  | 32 | 128 | 17.99564379 | 1.797  | 5040  | 0.012817383 |
| mandrill32.bmp | mandrill32.bmp-G_0.6-H2e-005_af5.wfa                     | 1572864 | 524288 |        | 22 | 15728 | 176 | 176 | 32 | 256 | 18.00389939 | 11.609 | 16080 | 0.010223389 |
| mandrill32.bmp | mandrill32.bmp-G_0.8-H9e-005_af4.wfa                     | 393216  | 131072 |        | 12 | 4848  | 96  | 96  | 32 | 128 | 18.01116751 | 2.25   | 5040  | 0.012817383 |
| mandrill32.bmp | mandrill32.bmp-G_0.8-H0.0001_af4.wfa                     | 393216  | 131072 |        | 12 | 4848  | 96  | 96  | 32 | 128 | 18.01116751 | 1.813  | 5040  | 0.012817383 |
| mandrill32.bmp | mandrill32.bmp-G_0.6-H3e-005_af2.wfa                     | 1572864 | 524288 |        | 22 | 15728 | 176 | 176 | 32 | 256 | 18.01809978 | 11.938 | 16080 | 0.010223389 |
| mandrill32.bmp | mandrill32.bmp-withWavelet_haar-G_1-H4e-005_af5.wfa      | 98304   | 32768  | 32768  | 14 | 6512  | 112 | 112 | 32 | 64  | 18.02049622 | 0.453  | 6736  | 0.068522135 |
| mandrill32.bmp | mandrill32.bmp-withWavelet_rbio1.1-G_1-H4e-005_af5.wfa   | 98304   | 32768  | 32768  | 14 | 6512  | 112 | 112 | 32 | 64  | 18.02049622 | 0.469  | 6736  | 0.068522135 |
| mandrill32.bmp | mandrill32.bmp-withWavelet_sym1-G_1-H4e-005_af5.wfa      | 98304   | 32768  | 32768  | 14 | 6512  | 112 | 112 | 32 | 64  | 18.02049622 | 0.468  | 6736  | 0.068522135 |
| mandrill32.bmp | mandrill32.bmp-withWavelet_bior1.1-G_1-H4e-005_af5.wfa   | 98304   | 32768  | 32768  | 14 | 6512  | 112 | 112 | 32 | 64  | 18.02049622 | 0.437  | 6736  | 0.068522135 |
| mandrill32.bmp | mandrill32.bmp-withWavelet_haar-G_0.8-H4e-005_af5.wfa    | 98304   | 32768  | 32768  | 14 | 6512  | 112 | 112 | 32 | 64  | 18.02279227 | 0.469  | 6736  | 0.068522135 |
| mandrill32.bmp | mandrill32.bmp-withWavelet_rbio1.1-G_0.8-H4e-005_af5.wfa | 98304   | 32768  | 32768  | 14 | 6512  | 112 | 112 | 32 | 64  | 18.02279227 | 0.531  | 6736  | 0.068522135 |
| mandrill32.bmp | mandrill32.bmp-withWavelet_sym1-G_0.8-H4e-005_af5.wfa    | 98304   | 32768  | 32768  | 14 | 6512  | 112 | 112 | 32 | 64  | 18.02279227 | 0.453  | 6736  | 0.068522135 |
| mandrill32.bmp | mandrill32.bmp-withWavelet_bior1.1-G_0.8-H4e-005_af5.wfa | 98304   | 32768  | 32768  | 14 | 6512  | 112 | 112 | 32 | 64  | 18.02279227 | 0.469  | 6736  | 0.068522135 |
| mandrill32.bmp | mandrill32.bmp-withWavelet_haar-G_0.6-H0.0001_af2.wfa    | 393216  | 131072 | 131072 | 10 | 3440  | 80  | 80  | 32 | 128 | 18.02332458 | 1.687  | 3600  | 0.009155273 |
| mandrill32.bmp | mandrill32.bmp-withWavelet_rbio1.1-G_0.6-H0.0001_af2.wfa | 393216  | 131072 | 131072 | 10 | 3440  | 80  | 80  | 32 | 128 | 18.02332458 | 1.672  | 3600  | 0.009155273 |
| mandrill32.bmp | mandrill32.bmp-withWavelet_sym1-G_0.6-H0.0001_af2.wfa    | 393216  | 131072 | 131072 | 10 | 3440  | 80  | 80  | 32 | 128 | 18.02332458 | 1.734  | 3600  | 0.009155273 |
| mandrill32.bmp | mandrill32.bmp-withWavelet_bior1.1-G_0.6-H0.0001_af2.wfa | 393216  | 131072 | 131072 | 10 | 3440  | 80  | 80  | 32 | 128 | 18.02332458 | 1.672  | 3600  | 0.009155273 |

|                |  |         |        |       |    |       |     |     |    |     |             |        |       |             |
|----------------|--|---------|--------|-------|----|-------|-----|-----|----|-----|-------------|--------|-------|-------------|
| mandrill32.bmp | mandrill32.bmp-withWavelet_haar-G_0.6-H6e-005_af5.wfa    | 98304   | 32768  | 32768 | 13 | 5648  | 104 | 104 | 32 | 64  | 18.02381209 | 2.625  | 5856  | 0.059570313 |
| mandrill32.bmp | mandrill32.bmp-withWavelet_rbio1.1-G_0.6-H6e-005_af5.wfa | 98304   | 32768  | 32768 | 13 | 5648  | 104 | 104 | 32 | 64  | 18.02381209 | 2.609  | 5856  | 0.059570313 |
| mandrill32.bmp | mandrill32.bmp-withWavelet_sym1-G_0.6-H6e-005_af5.wfa    | 98304   | 32768  | 32768 | 13 | 5648  | 104 | 104 | 32 | 64  | 18.02381209 | 1.406  | 5856  | 0.059570313 |
| mandrill32.bmp | mandrill32.bmp-withWavelet_bior1.1-G_0.6-H6e-005_af5.wfa | 98304   | 32768  | 32768 | 13 | 5648  | 104 | 104 | 32 | 64  | 18.02381209 | 0.812  | 5856  | 0.059570313 |
| mandrill32.bmp | mandrill32.bmp-G_1-H4e-005_af2.wfa                       | 1572864 | 524288 |       | 20 | 13040 | 160 | 160 | 32 | 256 | 18.02419893 | 9.906  | 13360 | 0.008494059 |
| mandrill32.bmp | mandrill32.bmp-G_0.8-H3e-005_af1.wfa                     | 1572864 | 524288 |       | 23 | 17168 | 184 | 184 | 32 | 256 | 18.0502054  | 14.797 | 17536 | 0.011149089 |
| mandrill32.bmp | mandrill32.bmp-withWavelet_haar-G_0.6-H7e-005_af5.wfa    | 98304   | 32768  | 32768 | 12 | 4848  | 96  | 96  | 32 | 64  | 18.0513102  | 0.797  | 5040  | 0.051269531 |
| mandrill32.bmp | mandrill32.bmp-withWavelet_rbio1.1-G_0.6-H7e-005_af5.wfa | 98304   | 32768  | 32768 | 12 | 4848  | 96  | 96  | 32 | 64  | 18.0513102  | 0.813  | 5040  | 0.051269531 |
| mandrill32.bmp | mandrill32.bmp-withWavelet_sym1-G_0.6-H7e-005_af5.wfa    | 98304   | 32768  | 32768 | 12 | 4848  | 96  | 96  | 32 | 64  | 18.0513102  | 0.797  | 5040  | 0.051269531 |
| mandrill32.bmp | mandrill32.bmp-withWavelet_bior1.1-G_0.6-H7e-005_af5.wfa | 98304   | 32768  | 32768 | 12 | 4848  | 96  | 96  | 32 | 64  | 18.0513102  | 0.797  | 5040  | 0.051269531 |
| mandrill32.bmp | mandrill32.bmp-withWavelet_haar-G_0.6-H8e-005_af5.wfa    | 98304   | 32768  | 32768 | 12 | 4848  | 96  | 96  | 32 | 64  | 18.0513102  | 0.438  | 5040  | 0.051269531 |
| mandrill32.bmp | mandrill32.bmp-withWavelet_rbio1.1-G_0.6-H8e-005_af5.wfa | 98304   | 32768  | 32768 | 12 | 4848  | 96  | 96  | 32 | 64  | 18.0513102  | 0.797  | 5040  | 0.051269531 |
| mandrill32.bmp | mandrill32.bmp-withWavelet_sym1-G_0.6-H8e-005_af5.wfa    | 98304   | 32768  | 32768 | 12 | 4848  | 96  | 96  | 32 | 64  | 18.0513102  | 0.813  | 5040  | 0.051269531 |
| mandrill32.bmp | mandrill32.bmp-withWavelet_bior1.1-G_0.6-H8e-005_af5.wfa | 98304   | 32768  | 32768 | 12 | 4848  | 96  | 96  | 32 | 64  | 18.0513102  | 0.812  | 5040  | 0.051269531 |
| mandrill32.bmp | mandrill32.bmp-withWavelet_haar-G_0.6-H9e-005_af5.wfa    | 98304   | 32768  | 32768 | 12 | 4848  | 96  | 96  | 32 | 64  | 18.0513102  | 0.797  | 5040  | 0.051269531 |
| mandrill32.bmp | mandrill32.bmp-withWavelet_rbio1.1-G_0.6-H9e-005_af5.wfa | 98304   | 32768  | 32768 | 12 | 4848  | 96  | 96  | 32 | 64  | 18.0513102  | 0.797  | 5040  | 0.051269531 |
| mandrill32.bmp | mandrill32.bmp-withWavelet_sym1-G_0.6-H9e-005_af5.wfa    | 98304   | 32768  | 32768 | 12 | 4848  | 96  | 96  | 32 | 64  | 18.0513102  | 0.844  | 5040  | 0.051269531 |
| mandrill32.bmp | mandrill32.bmp-withWavelet_bior1.1-G_0.6-H9e-005_af5.wfa | 98304   | 32768  | 32768 | 12 | 4848  | 96  | 96  | 32 | 64  | 18.0513102  | 0.547  | 5040  | 0.051269531 |
| mandrill32.bmp | mandrill32.bmp-withWavelet_haar-G_0.6-H0.0001_af5.wfa    | 98304   | 32768  | 32768 | 12 | 4848  | 96  | 96  | 32 | 64  | 18.0513102  | 0.782  | 5040  | 0.051269531 |
| mandrill32.bmp | mandrill32.bmp-withWavelet_rbio1.1-G_0.6-H0.0001_af5.wfa | 98304   | 32768  | 32768 | 12 | 4848  | 96  | 96  | 32 | 64  | 18.0513102  | 0.813  | 5040  | 0.051269531 |
| mandrill32.bmp | mandrill32.bmp-withWavelet_sym1-G_0.6-H0.0001_af5.wfa    | 98304   | 32768  | 32768 | 12 | 4848  | 96  | 96  | 32 | 64  | 18.0513102  | 0.797  | 5040  | 0.051269531 |
| mandrill32.bmp | mandrill32.bmp-withWavelet_bior1.1-G_0.6-H0.0001_af5.wfa | 98304   | 32768  | 32768 | 12 | 4848  | 96  | 96  | 32 | 64  | 18.0513102  | 0.813  | 5040  | 0.051269531 |
| mandrill32.bmp | mandrill32.bmp-G_0.6-H1e-005_af3.wfa                     | 1572864 | 524288 |       | 27 | 23568 | 216 | 216 | 32 | 256 | 18.05395797 | 16.625 | 24000 | 0.015258789 |
| mandrill32.bmp | mandrill32.bmp-G_0.8-H2e-005_af3.wfa                     | 1572864 | 524288 |       | 25 | 20240 | 200 | 200 | 32 | 256 | 18.05748261 | 16.782 | 20640 | 0.013122559 |
| mandrill32.bmp | mandrill32.bmp-G_1-H2e-005_af3.wfa                       | 1572864 | 524288 |       | 25 | 20240 | 200 | 200 | 32 | 256 | 18.05870993 | 14.75  | 20640 | 0.013122559 |
| mandrill32.bmp | mandrill32.bmp-G_0.6-H3e-005_af1.wfa                     | 1572864 | 524288 |       | 25 | 20240 | 200 | 200 | 32 | 256 | 18.06089122 | 16.39  | 20640 | 0.013122559 |
| mandrill32.bmp | mandrill32.bmp-withWavelet_haar-G_1-H6e-005_af5.wfa      | 98304   | 32768  | 32768 | 12 | 4848  | 96  | 96  | 32 | 64  | 18.07025577 | 0.5    | 5040  | 0.051269531 |
| mandrill32.bmp | mandrill32.bmp-withWavelet_rbio1.1-G_1-H6e-005_af5.wfa   | 98304   | 32768  | 32768 | 12 | 4848  | 96  | 96  | 32 | 64  | 18.07025577 | 0.437  | 5040  | 0.051269531 |
| mandrill32.bmp | mandrill32.bmp-withWavelet_sym1-G_1-H6e-005_af5.wfa      | 98304   | 32768  | 32768 | 12 | 4848  | 96  | 96  | 32 | 64  | 18.07025577 | 0.422  | 5040  | 0.051269531 |
| mandrill32.bmp | mandrill32.bmp-withWavelet_bior1.1-G_1-H6e-005_af5.wfa   | 98304   | 32768  | 32768 | 12 | 4848  | 96  | 96  | 32 | 64  | 18.07025577 | 0.422  | 5040  | 0.051269531 |
| mandrill32.bmp | mandrill32.bmp-withWavelet_haar-G_1-H7e-005_af5.wfa      | 98304   | 32768  | 32768 | 12 | 4848  | 96  | 96  | 32 | 64  | 18.07025577 | 0.438  | 5040  | 0.051269531 |



|                |  |         |        |        |    |       |     |     |    |     |             |        |       |             |
|----------------|--|---------|--------|--------|----|-------|-----|-----|----|-----|-------------|--------|-------|-------------|
| mandrill32.bmp | mandrill32.bmp-withWavelet_bior1.1-G_0.8-H9e-005_af5.wfa | 98304   | 32768  | 32768  | 12 | 4848  | 96  | 96  | 32 | 64  | 18.07549564 | 0.438  | 5040  | 0.051269531 |
| mandrill32.bmp | mandrill32.bmp-withWavelet_haar-G_0.8-H0.0001_af5.wfa    | 98304   | 32768  | 32768  | 12 | 4848  | 96  | 96  | 32 | 64  | 18.07549564 | 0.828  | 5040  | 0.051269531 |
| mandrill32.bmp | mandrill32.bmp-withWavelet_rbio1.1-G_0.8-H0.0001_af5.wfa | 98304   | 32768  | 32768  | 12 | 4848  | 96  | 96  | 32 | 64  | 18.07549564 | 0.781  | 5040  | 0.051269531 |
| mandrill32.bmp | mandrill32.bmp-withWavelet_sym1-G_0.8-H0.0001_af5.wfa    | 98304   | 32768  | 32768  | 12 | 4848  | 96  | 96  | 32 | 64  | 18.07549564 | 0.813  | 5040  | 0.051269531 |
| mandrill32.bmp | mandrill32.bmp-withWavelet_bior1.1-G_0.8-H0.0001_af5.wfa | 98304   | 32768  | 32768  | 12 | 4848  | 96  | 96  | 32 | 64  | 18.07549564 | 0.781  | 5040  | 0.051269531 |
| mandrill32.bmp | mandrill32.bmp-G_0.6-H2e-005_af1.wfa                     | 1572864 | 524288 |        | 27 | 23568 | 216 | 216 | 32 | 256 | 18.07808052 | 16.609 | 24000 | 0.015258789 |
| mandrill32.bmp | mandrill32.bmp-G_0.6-H2e-005_af2.wfa                     | 1572864 | 524288 |        | 25 | 20240 | 200 | 200 | 32 | 256 | 18.07836578 | 14.828 | 20640 | 0.013122559 |
| mandrill32.bmp | mandrill32.bmp-G_0.8-H4e-005_af2.wfa                     | 1572864 | 524288 |        | 21 | 14352 | 168 | 168 | 32 | 256 | 18.08075439 | 10.907 | 14688 | 0.009338379 |
| mandrill32.bmp | mandrill32.bmp-G_0.6-H1e-005_af2.wfa                     | 1572864 | 524288 |        | 27 | 23568 | 216 | 216 | 32 | 256 | 18.09112689 | 16.516 | 24000 | 0.015258789 |
| mandrill32.bmp | mandrill32.bmp-G_0.8-H3e-005_af5.wfa                     | 1572864 | 524288 |        | 21 | 14352 | 168 | 168 | 32 | 256 | 18.10794351 | 11.593 | 14688 | 0.009338379 |
| mandrill32.bmp | mandrill32.bmp-G_0.6-H1e-005_af1.wfa                     | 1572864 | 524288 |        | 29 | 27152 | 232 | 232 | 32 | 256 | 18.11403024 | 18.531 | 27616 | 0.01755778  |
| mandrill32.bmp | mandrill32.bmp-G_0.8-H1e-005_af3.wfa                     | 1572864 | 524288 |        | 28 | 25328 | 224 | 224 | 32 | 256 | 18.11471129 | 17.047 | 25776 | 0.016387939 |
| mandrill32.bmp | mandrill32.bmp-G_0.8-H2e-005_af1.wfa                     | 1572864 | 524288 |        | 27 | 23568 | 216 | 216 | 32 | 256 | 18.11576663 | 16.844 | 24000 | 0.015258789 |
| mandrill32.bmp | mandrill32.bmp-G_1-H1e-005_af3.wfa                       | 1572864 | 524288 |        | 28 | 25328 | 224 | 224 | 32 | 256 | 18.11606591 | 17.422 | 25776 | 0.016387939 |
| mandrill32.bmp | mandrill32.bmp-G_1-H2e-005_af1.wfa                       | 1572864 | 524288 |        | 27 | 23568 | 216 | 216 | 32 | 256 | 18.11655582 | 16.765 | 24000 | 0.015258789 |
| mandrill32.bmp | mandrill32.bmp-G_1-H3e-005_af5.wfa                       | 1572864 | 524288 |        | 21 | 14352 | 168 | 168 | 32 | 256 | 18.12061098 | 10.828 | 14688 | 0.009338379 |
| mandrill32.bmp | mandrill32.bmp-withWavelet_haar-G_1-H5e-005_af5.wfa      | 98304   | 32768  | 32768  | 13 | 5648  | 104 | 104 | 32 | 64  | 18.12577816 | 0.453  | 5856  | 0.059570313 |
| mandrill32.bmp | mandrill32.bmp-withWavelet_rbio1.1-G_1-H5e-005_af5.wfa   | 98304   | 32768  | 32768  | 13 | 5648  | 104 | 104 | 32 | 64  | 18.12577816 | 0.422  | 5856  | 0.059570313 |
| mandrill32.bmp | mandrill32.bmp-withWavelet_sym1-G_1-H5e-005_af5.wfa      | 98304   | 32768  | 32768  | 13 | 5648  | 104 | 104 | 32 | 64  | 18.12577816 | 0.516  | 5856  | 0.059570313 |
| mandrill32.bmp | mandrill32.bmp-withWavelet_bior1.1-G_1-H5e-005_af5.wfa   | 98304   | 32768  | 32768  | 13 | 5648  | 104 | 104 | 32 | 64  | 18.12577816 | 0.438  | 5856  | 0.059570313 |
| mandrill32.bmp | mandrill32.bmp-withWavelet_haar-G_0.8-H5e-005_af5.wfa    | 98304   | 32768  | 32768  | 13 | 5648  | 104 | 104 | 32 | 64  | 18.13089525 | 0.437  | 5856  | 0.059570313 |
| mandrill32.bmp | mandrill32.bmp-withWavelet_rbio1.1-G_0.8-H5e-005_af5.wfa | 98304   | 32768  | 32768  | 13 | 5648  | 104 | 104 | 32 | 64  | 18.13089525 | 0.453  | 5856  | 0.059570313 |
| mandrill32.bmp | mandrill32.bmp-withWavelet_sym1-G_0.8-H5e-005_af5.wfa    | 98304   | 32768  | 32768  | 13 | 5648  | 104 | 104 | 32 | 64  | 18.13089525 | 0.422  | 5856  | 0.059570313 |
| mandrill32.bmp | mandrill32.bmp-withWavelet_bior1.1-G_0.8-H5e-005_af5.wfa | 98304   | 32768  | 32768  | 13 | 5648  | 104 | 104 | 32 | 64  | 18.13089525 | 0.484  | 5856  | 0.059570313 |
| mandrill32.bmp | mandrill32.bmp-G_0.8-H3e-005_af2.wfa                     | 1572864 | 524288 |        | 22 | 15728 | 176 | 176 | 32 | 256 | 18.13805973 | 11.234 | 16080 | 0.010223389 |
| mandrill32.bmp | mandrill32.bmp-G_0.6-H1e-005_af5.wfa                     | 1572864 | 524288 |        | 28 | 25328 | 224 | 224 | 32 | 256 | 18.14083561 | 17.359 | 25776 | 0.016387939 |
| mandrill32.bmp | mandrill32.bmp-G_1-H3e-005_af2.wfa                       | 1572864 | 524288 |        | 22 | 15728 | 176 | 176 | 32 | 256 | 18.14095441 | 11.094 | 16080 | 0.010223389 |
| mandrill32.bmp | mandrill32.bmp-withWavelet_haar-G_0.6-H3e-005_af5.wfa    | 393216  | 131072 | 131072 | 17 | 9488  | 136 | 136 | 32 | 128 | 18.14896472 | 2.046  | 9760  | 0.024820964 |
| mandrill32.bmp | mandrill32.bmp-withWavelet_rbio1.1-G_0.6-H3e-005_af5.wfa | 393216  | 131072 | 131072 | 17 | 9488  | 136 | 136 | 32 | 128 | 18.14896472 | 2.11   | 9760  | 0.024820964 |
| mandrill32.bmp | mandrill32.bmp-withWavelet_sym1-G_0.6-H3e-005_af5.wfa    | 393216  | 131072 | 131072 | 17 | 9488  | 136 | 136 | 32 | 128 | 18.14896472 | 2.047  | 9760  | 0.024820964 |
| mandrill32.bmp | mandrill32.bmp-withWavelet_bior1.1-G_0.6-H3e-005_af5.wfa | 393216  | 131072 | 131072 | 17 | 9488  | 136 | 136 | 32 | 128 | 18.14896472 | 2.094  | 9760  | 0.024820964 |

|                |  |         |        |        |    |       |     |     |    |     |             |        |       |             |
|----------------|--|---------|--------|--------|----|-------|-----|-----|----|-----|-------------|--------|-------|-------------|
| mandrill32.bmp | mandrill32.bmp-withWavelet_haar-G_1-H0.0001_af2.wfa      | 393216  | 131072 | 131072 | 11 | 4112  | 88  | 88  | 32 | 128 | 18.15846984 | 1.75   | 4288  | 0.010904948 |
| mandrill32.bmp | mandrill32.bmp-withWavelet_rbio1.1-G_1-H0.0001_af2.wfa   | 393216  | 131072 | 131072 | 11 | 4112  | 88  | 88  | 32 | 128 | 18.15846984 | 1.812  | 4288  | 0.010904948 |
| mandrill32.bmp | mandrill32.bmp-withWavelet_sym1-G_1-H0.0001_af2.wfa      | 393216  | 131072 | 131072 | 11 | 4112  | 88  | 88  | 32 | 128 | 18.15846984 | 1.766  | 4288  | 0.010904948 |
| mandrill32.bmp | mandrill32.bmp-withWavelet_bior1.1-G_1-H0.0001_af2.wfa   | 393216  | 131072 | 131072 | 11 | 4112  | 88  | 88  | 32 | 128 | 18.15846984 | 1.766  | 4288  | 0.010904948 |
| mandrill32.bmp | mandrill32.bmp-withWavelet_haar-G_0.8-H0.0001_af2.wfa    | 393216  | 131072 | 131072 | 11 | 4112  | 88  | 88  | 32 | 128 | 18.1593206  | 1.75   | 4288  | 0.010904948 |
| mandrill32.bmp | mandrill32.bmp-withWavelet_rbio1.1-G_0.8-H0.0001_af2.wfa | 393216  | 131072 | 131072 | 11 | 4112  | 88  | 88  | 32 | 128 | 18.1593206  | 1.75   | 4288  | 0.010904948 |
| mandrill32.bmp | mandrill32.bmp-withWavelet_sym1-G_0.8-H0.0001_af2.wfa    | 393216  | 131072 | 131072 | 11 | 4112  | 88  | 88  | 32 | 128 | 18.1593206  | 1.75   | 4288  | 0.010904948 |
| mandrill32.bmp | mandrill32.bmp-withWavelet_bior1.1-G_0.8-H0.0001_af2.wfa | 393216  | 131072 | 131072 | 11 | 4112  | 88  | 88  | 32 | 128 | 18.1593206  | 1.734  | 4288  | 0.010904948 |
| mandrill32.bmp | mandrill32.bmp-withWavelet_haar-G_0.6-H9e-005_af2.wfa    | 393216  | 131072 | 131072 | 12 | 4848  | 96  | 96  | 32 | 128 | 18.17401967 | 1.813  | 5040  | 0.012817383 |
| mandrill32.bmp | mandrill32.bmp-withWavelet_rbio1.1-G_0.6-H9e-005_af2.wfa | 393216  | 131072 | 131072 | 12 | 4848  | 96  | 96  | 32 | 128 | 18.17401967 | 1.797  | 5040  | 0.012817383 |
| mandrill32.bmp | mandrill32.bmp-withWavelet_sym1-G_0.6-H9e-005_af2.wfa    | 393216  | 131072 | 131072 | 12 | 4848  | 96  | 96  | 32 | 128 | 18.17401967 | 1.828  | 5040  | 0.012817383 |
| mandrill32.bmp | mandrill32.bmp-withWavelet_bior1.1-G_0.6-H9e-005_af2.wfa | 393216  | 131072 | 131072 | 12 | 4848  | 96  | 96  | 32 | 128 | 18.17401967 | 1.828  | 5040  | 0.012817383 |
| mandrill32.bmp | mandrill32.bmp-G_0.8-H1e-005_af1.wfa                     | 1572864 | 524288 |        | 31 | 30992 | 248 | 248 | 32 | 256 | 18.18718253 | 23.078 | 31488 | 0.020019531 |
| mandrill32.bmp | mandrill32.bmp-G_1-H1e-005_af1.wfa                       | 1572864 | 524288 |        | 31 | 30992 | 248 | 248 | 32 | 256 | 18.18831074 | 20.594 | 31488 | 0.020019531 |
| mandrill32.bmp | mandrill32.bmp-G_0.8-H2e-005_af5.wfa                     | 1572864 | 524288 |        | 23 | 17168 | 184 | 184 | 32 | 256 | 18.19735431 | 13.063 | 17536 | 0.011149089 |
| mandrill32.bmp | mandrill32.bmp-G_1-H2e-005_af5.wfa                       | 1572864 | 524288 |        | 23 | 17168 | 184 | 184 | 32 | 256 | 18.19977429 | 13.343 | 17536 | 0.011149089 |
| mandrill32.bmp | mandrill32.bmp-G_0.8-H2e-005_af2.wfa                     | 1572864 | 524288 |        | 24 | 18672 | 192 | 192 | 32 | 256 | 18.20434148 | 13.719 | 19056 | 0.012115479 |
| mandrill32.bmp | mandrill32.bmp-G_1-H2e-005_af2.wfa                       | 1572864 | 524288 |        | 24 | 18672 | 192 | 192 | 32 | 256 | 18.20804562 | 17.766 | 19056 | 0.012115479 |
| mandrill32.bmp | mandrill32.bmp-withWavelet_haar-G_0.8-H9e-005_af2.wfa    | 393216  | 131072 | 131072 | 12 | 4848  | 96  | 96  | 32 | 128 | 18.21205691 | 2.25   | 5040  | 0.012817383 |
| mandrill32.bmp | mandrill32.bmp-withWavelet_rbio1.1-G_0.8-H9e-005_af2.wfa | 393216  | 131072 | 131072 | 12 | 4848  | 96  | 96  | 32 | 128 | 18.21205691 | 2.172  | 5040  | 0.012817383 |
| mandrill32.bmp | mandrill32.bmp-withWavelet_sym1-G_0.8-H9e-005_af2.wfa    | 393216  | 131072 | 131072 | 12 | 4848  | 96  | 96  | 32 | 128 | 18.21205691 | 1.844  | 5040  | 0.012817383 |
| mandrill32.bmp | mandrill32.bmp-withWavelet_bior1.1-G_0.8-H9e-005_af2.wfa | 393216  | 131072 | 131072 | 12 | 4848  | 96  | 96  | 32 | 128 | 18.21205691 | 2.25   | 5040  | 0.012817383 |
| mandrill32.bmp | mandrill32.bmp-withWavelet_haar-G_0.8-H3e-005_af5.wfa    | 393216  | 131072 | 131072 | 17 | 9488  | 136 | 136 | 32 | 128 | 18.2229446  | 2.265  | 9760  | 0.024820964 |
| mandrill32.bmp | mandrill32.bmp-withWavelet_rbio1.1-G_0.8-H3e-005_af5.wfa | 393216  | 131072 | 131072 | 17 | 9488  | 136 | 136 | 32 | 128 | 18.2229446  | 2.203  | 9760  | 0.024820964 |
| mandrill32.bmp | mandrill32.bmp-withWavelet_sym1-G_0.8-H3e-005_af5.wfa    | 393216  | 131072 | 131072 | 17 | 9488  | 136 | 136 | 32 | 128 | 18.2229446  | 3      | 9760  | 0.024820964 |
| mandrill32.bmp | mandrill32.bmp-withWavelet_bior1.1-G_0.8-H3e-005_af5.wfa | 393216  | 131072 | 131072 | 17 | 9488  | 136 | 136 | 32 | 128 | 18.2229446  | 2.187  | 9760  | 0.024820964 |
| mandrill32.bmp | mandrill32.bmp-withWavelet_haar-G_1-H8e-005_af2.wfa      | 393216  | 131072 | 131072 | 12 | 4848  | 96  | 96  | 32 | 128 | 18.22846788 | 1.828  | 5040  | 0.012817383 |
| mandrill32.bmp | mandrill32.bmp-withWavelet_rbio1.1-G_1-H8e-005_af2.wfa   | 393216  | 131072 | 131072 | 12 | 4848  | 96  | 96  | 32 | 128 | 18.22846788 | 1.875  | 5040  | 0.012817383 |
| mandrill32.bmp | mandrill32.bmp-withWavelet_sym1-G_1-H8e-005_af2.wfa      | 393216  | 131072 | 131072 | 12 | 4848  | 96  | 96  | 32 | 128 | 18.22846788 | 1.828  | 5040  | 0.012817383 |
| mandrill32.bmp | mandrill32.bmp-withWavelet_bior1.1-G_1-H8e-005_af2.wfa   | 393216  | 131072 | 131072 | 12 | 4848  | 96  | 96  | 32 | 128 | 18.22846788 | 1.859  | 5040  | 0.012817383 |
| mandrill32.bmp | mandrill32.bmp-withWavelet_haar-G_1-H9e-005_af2.wfa      | 393216  | 131072 | 131072 | 12 | 4848  | 96  | 96  | 32 | 128 | 18.22846788 | 2.39   | 5040  | 0.012817383 |

|                |  |         |        |        |    |       |     |     |    |     |             |        |       |             |
|----------------|--|---------|--------|--------|----|-------|-----|-----|----|-----|-------------|--------|-------|-------------|
| mandrill32.bmp | mandrill32.bmp-withWavelet_rbio1.1-G_1-H9e-005_af2.wfa   | 393216  | 131072 | 131072 | 12 | 4848  | 96  | 96  | 32 | 128 | 18.22846788 | 1.828  | 5040  | 0.012817383 |
| mandrill32.bmp | mandrill32.bmp-withWavelet_sym1-G_1-H9e-005_af2.wfa      | 393216  | 131072 | 131072 | 12 | 4848  | 96  | 96  | 32 | 128 | 18.22846788 | 1.782  | 5040  | 0.012817383 |
| mandrill32.bmp | mandrill32.bmp-withWavelet_bior1.1-G_1-H9e-005_af2.wfa   | 393216  | 131072 | 131072 | 12 | 4848  | 96  | 96  | 32 | 128 | 18.22846788 | 1.859  | 5040  | 0.012817383 |
| mandrill32.bmp | mandrill32.bmp-withWavelet_haar-G_0.6-H8e-005_af2.wfa    | 393216  | 131072 | 131072 | 13 | 5648  | 104 | 104 | 32 | 128 | 18.23443056 | 1.922  | 5856  | 0.014892578 |
| mandrill32.bmp | mandrill32.bmp-withWavelet_rbio1.1-G_0.6-H8e-005_af2.wfa | 393216  | 131072 | 131072 | 13 | 5648  | 104 | 104 | 32 | 128 | 18.23443056 | 2.219  | 5856  | 0.014892578 |
| mandrill32.bmp | mandrill32.bmp-withWavelet_sym1-G_0.6-H8e-005_af2.wfa    | 393216  | 131072 | 131072 | 13 | 5648  | 104 | 104 | 32 | 128 | 18.23443056 | 2.297  | 5856  | 0.014892578 |
| mandrill32.bmp | mandrill32.bmp-withWavelet_bior1.1-G_0.6-H8e-005_af2.wfa | 393216  | 131072 | 131072 | 13 | 5648  | 104 | 104 | 32 | 128 | 18.23443056 | 2.266  | 5856  | 0.014892578 |
| mandrill32.bmp | mandrill32.bmp-withWavelet_haar-G_1-H3e-005_af5.wfa      | 393216  | 131072 | 131072 | 16 | 8432  | 128 | 128 | 32 | 128 | 18.25996676 | 2      | 8688  | 0.022094727 |
| mandrill32.bmp | mandrill32.bmp-withWavelet_rbio1.1-G_1-H3e-005_af5.wfa   | 393216  | 131072 | 131072 | 16 | 8432  | 128 | 128 | 32 | 128 | 18.25996676 | 1.937  | 8688  | 0.022094727 |
| mandrill32.bmp | mandrill32.bmp-withWavelet_sym1-G_1-H3e-005_af5.wfa      | 393216  | 131072 | 131072 | 16 | 8432  | 128 | 128 | 32 | 128 | 18.25996676 | 1.906  | 8688  | 0.022094727 |
| mandrill32.bmp | mandrill32.bmp-withWavelet_bior1.1-G_1-H3e-005_af5.wfa   | 393216  | 131072 | 131072 | 16 | 8432  | 128 | 128 | 32 | 128 | 18.25996676 | 1.953  | 8688  | 0.022094727 |
| mandrill32.bmp | mandrill32.bmp-withWavelet_haar-G_0.8-H8e-005_af2.wfa    | 393216  | 131072 | 131072 | 13 | 5648  | 104 | 104 | 32 | 128 | 18.26333441 | 1.89   | 5856  | 0.014892578 |
| mandrill32.bmp | mandrill32.bmp-withWavelet_rbio1.1-G_0.8-H8e-005_af2.wfa | 393216  | 131072 | 131072 | 13 | 5648  | 104 | 104 | 32 | 128 | 18.26333441 | 1.89   | 5856  | 0.014892578 |
| mandrill32.bmp | mandrill32.bmp-withWavelet_sym1-G_0.8-H8e-005_af2.wfa    | 393216  | 131072 | 131072 | 13 | 5648  | 104 | 104 | 32 | 128 | 18.26333441 | 1.953  | 5856  | 0.014892578 |
| mandrill32.bmp | mandrill32.bmp-withWavelet_bior1.1-G_0.8-H8e-005_af2.wfa | 393216  | 131072 | 131072 | 13 | 5648  | 104 | 104 | 32 | 128 | 18.26333441 | 1.922  | 5856  | 0.014892578 |
| mandrill32.bmp | mandrill32.bmp-withWavelet_haar-G_0.6-H6e-005_af2.wfa    | 393216  | 131072 | 131072 | 14 | 6512  | 112 | 112 | 32 | 128 | 18.26546031 | 6.469  | 6736  | 0.017130534 |
| mandrill32.bmp | mandrill32.bmp-withWavelet_rbio1.1-G_0.6-H6e-005_af2.wfa | 393216  | 131072 | 131072 | 14 | 6512  | 112 | 112 | 32 | 128 | 18.26546031 | 6.328  | 6736  | 0.017130534 |
| mandrill32.bmp | mandrill32.bmp-withWavelet_sym1-G_0.6-H6e-005_af2.wfa    | 393216  | 131072 | 131072 | 14 | 6512  | 112 | 112 | 32 | 128 | 18.26546031 | 6.11   | 6736  | 0.017130534 |
| mandrill32.bmp | mandrill32.bmp-withWavelet_bior1.1-G_0.6-H6e-005_af2.wfa | 393216  | 131072 | 131072 | 14 | 6512  | 112 | 112 | 32 | 128 | 18.26546031 | 6.172  | 6736  | 0.017130534 |
| mandrill32.bmp | mandrill32.bmp-withWavelet_haar-G_0.6-H7e-005_af2.wfa    | 393216  | 131072 | 131072 | 14 | 6512  | 112 | 112 | 32 | 128 | 18.28431882 | 1.984  | 6736  | 0.017130534 |
| mandrill32.bmp | mandrill32.bmp-withWavelet_rbio1.1-G_0.6-H7e-005_af2.wfa | 393216  | 131072 | 131072 | 14 | 6512  | 112 | 112 | 32 | 128 | 18.28431882 | 2      | 6736  | 0.017130534 |
| mandrill32.bmp | mandrill32.bmp-withWavelet_sym1-G_0.6-H7e-005_af2.wfa    | 393216  | 131072 | 131072 | 14 | 6512  | 112 | 112 | 32 | 128 | 18.28431882 | 2.016  | 6736  | 0.017130534 |
| mandrill32.bmp | mandrill32.bmp-withWavelet_bior1.1-G_0.6-H7e-005_af2.wfa | 393216  | 131072 | 131072 | 14 | 6512  | 112 | 112 | 32 | 128 | 18.28431882 | 1.953  | 6736  | 0.017130534 |
| mandrill32.bmp | mandrill32.bmp-G_1-H1e-005_af5.wfa                       | 1572864 | 524288 |        | 27 | 23568 | 216 | 216 | 32 | 256 | 18.29319648 | 16.813 | 24000 | 0.015258789 |
| mandrill32.bmp | mandrill32.bmp-G_0.8-H1e-005_af2.wfa                     | 1572864 | 524288 |        | 28 | 25328 | 224 | 224 | 32 | 256 | 18.29417801 | 17.188 | 25776 | 0.016387939 |
| mandrill32.bmp | mandrill32.bmp-G_1-H1e-005_af2.wfa                       | 1572864 | 524288 |        | 28 | 25328 | 224 | 224 | 32 | 256 | 18.2975971  | 17.578 | 25776 | 0.016387939 |
| mandrill32.bmp | mandrill32.bmp-withWavelet_haar-G_0.8-H6e-005_af2.wfa    | 393216  | 131072 | 131072 | 14 | 6512  | 112 | 112 | 32 | 128 | 18.3041817  | 2.734  | 6736  | 0.017130534 |
| mandrill32.bmp | mandrill32.bmp-withWavelet_rbio1.1-G_0.8-H6e-005_af2.wfa | 393216  | 131072 | 131072 | 14 | 6512  | 112 | 112 | 32 | 128 | 18.3041817  | 5.703  | 6736  | 0.017130534 |
| mandrill32.bmp | mandrill32.bmp-withWavelet_sym1-G_0.8-H6e-005_af2.wfa    | 393216  | 131072 | 131072 | 14 | 6512  | 112 | 112 | 32 | 128 | 18.3041817  | 3.984  | 6736  | 0.017130534 |
| mandrill32.bmp | mandrill32.bmp-withWavelet_bior1.1-G_0.8-H6e-005_af2.wfa | 393216  | 131072 | 131072 | 14 | 6512  | 112 | 112 | 32 | 128 | 18.3041817  | 3.359  | 6736  | 0.017130534 |
| mandrill32.bmp | mandrill32.bmp-withWavelet_haar-G_0.8-H7e-005_af2.wfa    | 393216  | 131072 | 131072 | 14 | 6512  | 112 | 112 | 32 | 128 | 18.3041817  | 2.266  | 6736  | 0.017130534 |

|                |  |         |        |        |    |       |     |     |    |     |             |        |       |             |
|----------------|--|---------|--------|--------|----|-------|-----|-----|----|-----|-------------|--------|-------|-------------|
| mandrill32.bmp | mandrill32.bmp-withWavelet_rbio1.1-G_0.8-H7e-005_af2.wfa | 393216  | 131072 | 131072 | 14 | 6512  | 112 | 112 | 32 | 128 | 18.3041817  | 2.266  | 6736  | 0.017130534 |
| mandrill32.bmp | mandrill32.bmp-withWavelet_sym1-G_0.8-H7e-005_af2.wfa    | 393216  | 131072 | 131072 | 14 | 6512  | 112 | 112 | 32 | 128 | 18.3041817  | 2.266  | 6736  | 0.017130534 |
| mandrill32.bmp | mandrill32.bmp-withWavelet_bior1.1-G_0.8-H7e-005_af2.wfa | 393216  | 131072 | 131072 | 14 | 6512  | 112 | 112 | 32 | 128 | 18.3041817  | 2.25   | 6736  | 0.017130534 |
| mandrill32.bmp | mandrill32.bmp-withWavelet_haar-G_1-H6e-005_af2.wfa      | 393216  | 131072 | 131072 | 14 | 6512  | 112 | 112 | 32 | 128 | 18.30763961 | 2.328  | 6736  | 0.017130534 |
| mandrill32.bmp | mandrill32.bmp-withWavelet_rbio1.1-G_1-H6e-005_af2.wfa   | 393216  | 131072 | 131072 | 14 | 6512  | 112 | 112 | 32 | 128 | 18.30763961 | 1.813  | 6736  | 0.017130534 |
| mandrill32.bmp | mandrill32.bmp-withWavelet_sym1-G_1-H6e-005_af2.wfa      | 393216  | 131072 | 131072 | 14 | 6512  | 112 | 112 | 32 | 128 | 18.30763961 | 1.797  | 6736  | 0.017130534 |
| mandrill32.bmp | mandrill32.bmp-withWavelet_bior1.1-G_1-H6e-005_af2.wfa   | 393216  | 131072 | 131072 | 14 | 6512  | 112 | 112 | 32 | 128 | 18.30763961 | 1.812  | 6736  | 0.017130534 |
| mandrill32.bmp | mandrill32.bmp-withWavelet_haar-G_1-H7e-005_af2.wfa      | 393216  | 131072 | 131072 | 14 | 6512  | 112 | 112 | 32 | 128 | 18.30763961 | 2.266  | 6736  | 0.017130534 |
| mandrill32.bmp | mandrill32.bmp-withWavelet_rbio1.1-G_1-H7e-005_af2.wfa   | 393216  | 131072 | 131072 | 14 | 6512  | 112 | 112 | 32 | 128 | 18.30763961 | 2.281  | 6736  | 0.017130534 |
| mandrill32.bmp | mandrill32.bmp-withWavelet_sym1-G_1-H7e-005_af2.wfa      | 393216  | 131072 | 131072 | 14 | 6512  | 112 | 112 | 32 | 128 | 18.30763961 | 2.25   | 6736  | 0.017130534 |
| mandrill32.bmp | mandrill32.bmp-withWavelet_bior1.1-G_1-H7e-005_af2.wfa   | 393216  | 131072 | 131072 | 14 | 6512  | 112 | 112 | 32 | 128 | 18.30763961 | 2.25   | 6736  | 0.017130534 |
| mandrill32.bmp | mandrill32.bmp-withWavelet_haar-G_0.6-H1e-005_af5.wfa    | 393216  | 131072 | 131072 | 25 | 20240 | 200 | 200 | 32 | 128 | 18.31767559 | 3.297  | 20640 | 0.052490234 |
| mandrill32.bmp | mandrill32.bmp-withWavelet_rbio1.1-G_0.6-H1e-005_af5.wfa | 393216  | 131072 | 131072 | 25 | 20240 | 200 | 200 | 32 | 128 | 18.31767559 | 3.422  | 20640 | 0.052490234 |
| mandrill32.bmp | mandrill32.bmp-withWavelet_sym1-G_0.6-H1e-005_af5.wfa    | 393216  | 131072 | 131072 | 25 | 20240 | 200 | 200 | 32 | 128 | 18.31767559 | 3.328  | 20640 | 0.052490234 |
| mandrill32.bmp | mandrill32.bmp-withWavelet_bior1.1-G_0.6-H1e-005_af5.wfa | 393216  | 131072 | 131072 | 25 | 20240 | 200 | 200 | 32 | 128 | 18.31767559 | 3.375  | 20640 | 0.052490234 |
| mandrill32.bmp | mandrill32.bmp-G_0.8-H1e-005_af5.wfa                     | 1572864 | 524288 |        | 28 | 25328 | 224 | 224 | 32 | 256 | 18.32000903 | 19.219 | 25776 | 0.016387939 |
| mandrill32.bmp | mandrill32.bmp-withWavelet_haar-G_0.8-H5e-005_af2.wfa    | 393216  | 131072 | 131072 | 16 | 8432  | 128 | 128 | 32 | 128 | 18.33381439 | 1.953  | 8688  | 0.022094727 |
| mandrill32.bmp | mandrill32.bmp-withWavelet_rbio1.1-G_0.8-H5e-005_af2.wfa | 393216  | 131072 | 131072 | 16 | 8432  | 128 | 128 | 32 | 128 | 18.33381439 | 1.968  | 8688  | 0.022094727 |
| mandrill32.bmp | mandrill32.bmp-withWavelet_sym1-G_0.8-H5e-005_af2.wfa    | 393216  | 131072 | 131072 | 16 | 8432  | 128 | 128 | 32 | 128 | 18.33381439 | 1.938  | 8688  | 0.022094727 |
| mandrill32.bmp | mandrill32.bmp-withWavelet_bior1.1-G_0.8-H5e-005_af2.wfa | 393216  | 131072 | 131072 | 16 | 8432  | 128 | 128 | 32 | 128 | 18.33381439 | 1.937  | 8688  | 0.022094727 |
| mandrill32.bmp | mandrill32.bmp-withWavelet_haar-G_1-H5e-005_af2.wfa      | 393216  | 131072 | 131072 | 16 | 8432  | 128 | 128 | 32 | 128 | 18.33673803 | 1.984  | 8688  | 0.022094727 |
| mandrill32.bmp | mandrill32.bmp-withWavelet_rbio1.1-G_1-H5e-005_af2.wfa   | 393216  | 131072 | 131072 | 16 | 8432  | 128 | 128 | 32 | 128 | 18.33673803 | 1.969  | 8688  | 0.022094727 |
| mandrill32.bmp | mandrill32.bmp-withWavelet_sym1-G_1-H5e-005_af2.wfa      | 393216  | 131072 | 131072 | 16 | 8432  | 128 | 128 | 32 | 128 | 18.33673803 | 1.969  | 8688  | 0.022094727 |
| mandrill32.bmp | mandrill32.bmp-withWavelet_bior1.1-G_1-H5e-005_af2.wfa   | 393216  | 131072 | 131072 | 16 | 8432  | 128 | 128 | 32 | 128 | 18.33673803 | 1.953  | 8688  | 0.022094727 |
| mandrill32.bmp | mandrill32.bmp-G_0.8-H6e-005_af4.wfa                     | 393216  | 131072 |        | 15 | 7440  | 120 | 120 | 32 | 128 | 18.36333314 | 7.422  | 7680  | 0.01953125  |
| mandrill32.bmp | mandrill32.bmp-withWavelet_haar-G_0.6-H0.0001_af2.wfa    | 98304   | 32768  | 32768  | 10 | 3440  | 80  | 80  | 32 | 64  | 18.367423   | 0.766  | 3600  | 0.036621094 |
| mandrill32.bmp | mandrill32.bmp-withWavelet_rbio1.1-G_0.6-H0.0001_af2.wfa | 98304   | 32768  | 32768  | 10 | 3440  | 80  | 80  | 32 | 64  | 18.367423   | 0.781  | 3600  | 0.036621094 |
| mandrill32.bmp | mandrill32.bmp-withWavelet_sym1-G_0.6-H0.0001_af2.wfa    | 98304   | 32768  | 32768  | 10 | 3440  | 80  | 80  | 32 | 64  | 18.367423   | 0.766  | 3600  | 0.036621094 |
| mandrill32.bmp | mandrill32.bmp-withWavelet_bior1.1-G_0.6-H0.0001_af2.wfa | 98304   | 32768  | 32768  | 10 | 3440  | 80  | 80  | 32 | 64  | 18.367423   | 0.781  | 3600  | 0.036621094 |
| mandrill32.bmp | mandrill32.bmp-G_1-H6e-005_af4.wfa                       | 393216  | 131072 |        | 15 | 7440  | 120 | 120 | 32 | 128 | 18.36761493 | 1.89   | 7680  | 0.01953125  |
| mandrill32.bmp | mandrill32.bmp-withWavelet_haar-G_0.6-H5e-005_af2.wfa    | 393216  | 131072 | 131072 | 16 | 8432  | 128 | 128 | 32 | 128 | 18.37580848 | 2.531  | 8688  | 0.022094727 |

|                |  |        |        |        |    |       |     |     |    |     |             |       |       |             |
|----------------|--|--------|--------|--------|----|-------|-----|-----|----|-----|-------------|-------|-------|-------------|
| mandrill32.bmp | mandrill32.bmp-withWavelet_rbio1.1-G_0.6-H5e-005_af2.wfa | 393216 | 131072 | 131072 | 16 | 8432  | 128 | 128 | 32 | 128 | 18.37580848 | 2.125 | 8688  | 0.022094727 |
| mandrill32.bmp | mandrill32.bmp-withWavelet_sym1-G_0.6-H5e-005_af2.wfa    | 393216 | 131072 | 131072 | 16 | 8432  | 128 | 128 | 32 | 128 | 18.37580848 | 3     | 8688  | 0.022094727 |
| mandrill32.bmp | mandrill32.bmp-withWavelet_bior1.1-G_0.6-H5e-005_af2.wfa | 393216 | 131072 | 131072 | 16 | 8432  | 128 | 128 | 32 | 128 | 18.37580848 | 2.5   | 8688  | 0.022094727 |
| mandrill32.bmp | mandrill32.bmp-withWavelet_haar-G_0.6-H1e-005_af4.wfa    | 393216 | 131072 | 131072 | 30 | 29040 | 240 | 240 | 32 | 128 | 18.39189457 | 4.36  | 29520 | 0.075073242 |
| mandrill32.bmp | mandrill32.bmp-withWavelet_rbio1.1-G_0.6-H1e-005_af4.wfa | 393216 | 131072 | 131072 | 30 | 29040 | 240 | 240 | 32 | 128 | 18.39189457 | 4.766 | 29520 | 0.075073242 |
| mandrill32.bmp | mandrill32.bmp-withWavelet_sym1-G_0.6-H1e-005_af4.wfa    | 393216 | 131072 | 131072 | 30 | 29040 | 240 | 240 | 32 | 128 | 18.39189457 | 4.297 | 29520 | 0.075073242 |
| mandrill32.bmp | mandrill32.bmp-withWavelet_bior1.1-G_0.6-H1e-005_af4.wfa | 393216 | 131072 | 131072 | 30 | 29040 | 240 | 240 | 32 | 128 | 18.39189457 | 4.219 | 29520 | 0.075073242 |
| mandrill32.bmp | mandrill32.bmp-withWavelet_haar-G_0.6-H1e-005_af2.wfa    | 393216 | 131072 | 131072 | 25 | 20240 | 200 | 200 | 32 | 128 | 18.39533591 | 3.296 | 20640 | 0.052490234 |
| mandrill32.bmp | mandrill32.bmp-withWavelet_rbio1.1-G_0.6-H1e-005_af2.wfa | 393216 | 131072 | 131072 | 25 | 20240 | 200 | 200 | 32 | 128 | 18.39533591 | 4.484 | 20640 | 0.052490234 |
| mandrill32.bmp | mandrill32.bmp-withWavelet_sym1-G_0.6-H1e-005_af2.wfa    | 393216 | 131072 | 131072 | 25 | 20240 | 200 | 200 | 32 | 128 | 18.39533591 | 3.312 | 20640 | 0.052490234 |
| mandrill32.bmp | mandrill32.bmp-withWavelet_bior1.1-G_0.6-H1e-005_af2.wfa | 393216 | 131072 | 131072 | 25 | 20240 | 200 | 200 | 32 | 128 | 18.39533591 | 3.328 | 20640 | 0.052490234 |
| mandrill32.bmp | mandrill32.bmp-G_1-H9e-005_af4.wfa                       | 98304  | 32768  |        | 12 | 4848  | 96  | 96  | 32 | 64  | 18.4052472  | 0.829 | 5040  | 0.051269531 |
| mandrill32.bmp | mandrill32.bmp-G_1-H0.0001_af4.wfa                       | 98304  | 32768  |        | 12 | 4848  | 96  | 96  | 32 | 64  | 18.4052472  | 0.781 | 5040  | 0.051269531 |
| mandrill32.bmp | mandrill32.bmp-G_1-H7e-005_af4.wfa                       | 393216 | 131072 |        | 15 | 7440  | 120 | 120 | 32 | 128 | 18.42227947 | 2.344 | 7680  | 0.01953125  |
| mandrill32.bmp | mandrill32.bmp-G_0.8-H9e-005_af4.wfa                     | 98304  | 32768  |        | 12 | 4848  | 96  | 96  | 32 | 64  | 18.42264656 | 0.453 | 5040  | 0.051269531 |
| mandrill32.bmp | mandrill32.bmp-G_0.8-H0.0001_af4.wfa                     | 98304  | 32768  |        | 12 | 4848  | 96  | 96  | 32 | 64  | 18.42264656 | 0.797 | 5040  | 0.051269531 |
| mandrill32.bmp | mandrill32.bmp-withWavelet_haar-G_0.6-H8e-005_af4.wfa    | 393216 | 131072 | 131072 | 15 | 7440  | 120 | 120 | 32 | 128 | 18.42366461 | 2.672 | 7680  | 0.01953125  |
| mandrill32.bmp | mandrill32.bmp-withWavelet_rbio1.1-G_0.6-H8e-005_af4.wfa | 393216 | 131072 | 131072 | 15 | 7440  | 120 | 120 | 32 | 128 | 18.42366461 | 2.344 | 7680  | 0.01953125  |
| mandrill32.bmp | mandrill32.bmp-withWavelet_sym1-G_0.6-H8e-005_af4.wfa    | 393216 | 131072 | 131072 | 15 | 7440  | 120 | 120 | 32 | 128 | 18.42366461 | 2.125 | 7680  | 0.01953125  |
| mandrill32.bmp | mandrill32.bmp-withWavelet_bior1.1-G_0.6-H8e-005_af4.wfa | 393216 | 131072 | 131072 | 15 | 7440  | 120 | 120 | 32 | 128 | 18.42366461 | 2.031 | 7680  | 0.01953125  |
| mandrill32.bmp | mandrill32.bmp-withWavelet_haar-G_0.6-H4e-005_af2.wfa    | 393216 | 131072 | 131072 | 17 | 9488  | 136 | 136 | 32 | 128 | 18.42435123 | 2.688 | 9760  | 0.024820964 |
| mandrill32.bmp | mandrill32.bmp-withWavelet_rbio1.1-G_0.6-H4e-005_af2.wfa | 393216 | 131072 | 131072 | 17 | 9488  | 136 | 136 | 32 | 128 | 18.42435123 | 2.063 | 9760  | 0.024820964 |
| mandrill32.bmp | mandrill32.bmp-withWavelet_sym1-G_0.6-H4e-005_af2.wfa    | 393216 | 131072 | 131072 | 17 | 9488  | 136 | 136 | 32 | 128 | 18.42435123 | 2.078 | 9760  | 0.024820964 |
| mandrill32.bmp | mandrill32.bmp-withWavelet_bior1.1-G_0.6-H4e-005_af2.wfa | 393216 | 131072 | 131072 | 17 | 9488  | 136 | 136 | 32 | 128 | 18.42435123 | 2.062 | 9760  | 0.024820964 |
| mandrill32.bmp | mandrill32.bmp-G_0.8-H7e-005_af4.wfa                     | 393216 | 131072 |        | 15 | 7440  | 120 | 120 | 32 | 128 | 18.43522121 | 2.343 | 7680  | 0.01953125  |
| mandrill32.bmp | mandrill32.bmp-withWavelet_haar-G_0.6-H1e-005_af1.wfa    | 393216 | 131072 | 131072 | 32 | 33008 | 256 | 256 | 32 | 128 | 18.44617187 | 5.406 | 33520 | 0.085245768 |
| mandrill32.bmp | mandrill32.bmp-withWavelet_rbio1.1-G_0.6-H1e-005_af1.wfa | 393216 | 131072 | 131072 | 32 | 33008 | 256 | 256 | 32 | 128 | 18.44617187 | 6.422 | 33520 | 0.085245768 |
| mandrill32.bmp | mandrill32.bmp-withWavelet_sym1-G_0.6-H1e-005_af1.wfa    | 393216 | 131072 | 131072 | 32 | 33008 | 256 | 256 | 32 | 128 | 18.44617187 | 4.891 | 33520 | 0.085245768 |
| mandrill32.bmp | mandrill32.bmp-withWavelet_bior1.1-G_0.6-H1e-005_af1.wfa | 393216 | 131072 | 131072 | 32 | 33008 | 256 | 256 | 32 | 128 | 18.44617187 | 5.36  | 33520 | 0.085245768 |
| mandrill32.bmp | mandrill32.bmp-G_1-H4e-005_af4.wfa                       | 393216 | 131072 |        | 16 | 8432  | 128 | 128 | 32 | 128 | 18.45420334 | 1.968 | 8688  | 0.022094727 |
| mandrill32.bmp | mandrill32.bmp-G_1-H5e-005_af4.wfa                       | 393216 | 131072 |        | 16 | 8432  | 128 | 128 | 32 | 128 | 18.45555857 | 2.047 | 8688  | 0.022094727 |



|                |  |        |        |        |    |       |     |     |    |     |             |       |       |             |
|----------------|--|--------|--------|--------|----|-------|-----|-----|----|-----|-------------|-------|-------|-------------|
| mandrill32.bmp | mandrill32.bmp-withWavelet_haar-G_0.8-H4e-005_af2.wfa    | 393216 | 131072 | 131072 | 17 | 9488  | 136 | 136 | 32 | 128 | 18.46271291 | 2.094 | 9760  | 0.024820964 |
| mandrill32.bmp | mandrill32.bmp-withWavelet_rbio1.1-G_0.8-H4e-005_af2.wfa | 393216 | 131072 | 131072 | 17 | 9488  | 136 | 136 | 32 | 128 | 18.46271291 | 2.328 | 9760  | 0.024820964 |
| mandrill32.bmp | mandrill32.bmp-withWavelet_sym1-G_0.8-H4e-005_af2.wfa    | 393216 | 131072 | 131072 | 17 | 9488  | 136 | 136 | 32 | 128 | 18.46271291 | 2.078 | 9760  | 0.024820964 |
| mandrill32.bmp | mandrill32.bmp-withWavelet_bior1.1-G_0.8-H4e-005_af2.wfa | 393216 | 131072 | 131072 | 17 | 9488  | 136 | 136 | 32 | 128 | 18.46271291 | 2.203 | 9760  | 0.024820964 |
| mandrill32.bmp | mandrill32.bmp-withWavelet_haar-G_1-H4e-005_af2.wfa      | 393216 | 131072 | 131072 | 17 | 9488  | 136 | 136 | 32 | 128 | 18.4669719  | 2.094 | 9760  | 0.024820964 |
| mandrill32.bmp | mandrill32.bmp-withWavelet_rbio1.1-G_1-H4e-005_af2.wfa   | 393216 | 131072 | 131072 | 17 | 9488  | 136 | 136 | 32 | 128 | 18.4669719  | 2.281 | 9760  | 0.024820964 |
| mandrill32.bmp | mandrill32.bmp-withWavelet_sym1-G_1-H4e-005_af2.wfa      | 393216 | 131072 | 131072 | 17 | 9488  | 136 | 136 | 32 | 128 | 18.4669719  | 2.047 | 9760  | 0.024820964 |
| mandrill32.bmp | mandrill32.bmp-withWavelet_bior1.1-G_1-H4e-005_af2.wfa   | 393216 | 131072 | 131072 | 17 | 9488  | 136 | 136 | 32 | 128 | 18.4669719  | 1.984 | 9760  | 0.024820964 |
| mandrill32.bmp | mandrill32.bmp-G_0.8-H4e-005_af4.wfa                     | 393216 | 131072 |        | 16 | 8432  | 128 | 128 | 32 | 128 | 18.46862944 | 2     | 8688  | 0.022094727 |
| mandrill32.bmp | mandrill32.bmp-G_0.8-H5e-005_af4.wfa                     | 393216 | 131072 |        | 16 | 8432  | 128 | 128 | 32 | 128 | 18.47863267 | 1.953 | 8688  | 0.022094727 |
| mandrill32.bmp | mandrill32.bmp-withWavelet_haar-G_0.6-H3e-005_af4.wfa    | 393216 | 131072 | 131072 | 22 | 15728 | 176 | 176 | 32 | 128 | 18.48174035 | 2.578 | 16080 | 0.040893555 |
| mandrill32.bmp | mandrill32.bmp-withWavelet_rbio1.1-G_0.6-H3e-005_af4.wfa | 393216 | 131072 | 131072 | 22 | 15728 | 176 | 176 | 32 | 128 | 18.48174035 | 2.563 | 16080 | 0.040893555 |
| mandrill32.bmp | mandrill32.bmp-withWavelet_sym1-G_0.6-H3e-005_af4.wfa    | 393216 | 131072 | 131072 | 22 | 15728 | 176 | 176 | 32 | 128 | 18.48174035 | 2.485 | 16080 | 0.040893555 |
| mandrill32.bmp | mandrill32.bmp-withWavelet_bior1.1-G_0.6-H3e-005_af4.wfa | 393216 | 131072 | 131072 | 22 | 15728 | 176 | 176 | 32 | 128 | 18.48174035 | 2.5   | 16080 | 0.040893555 |
| mandrill32.bmp | mandrill32.bmp-withWavelet_haar-G_0.6-H0.0001_af4.wfa    | 393216 | 131072 | 131072 | 13 | 5648  | 104 | 104 | 32 | 128 | 18.49053538 | 1.891 | 5856  | 0.014892578 |
| mandrill32.bmp | mandrill32.bmp-withWavelet_rbio1.1-G_0.6-H0.0001_af4.wfa | 393216 | 131072 | 131072 | 13 | 5648  | 104 | 104 | 32 | 128 | 18.49053538 | 1.859 | 5856  | 0.014892578 |
| mandrill32.bmp | mandrill32.bmp-withWavelet_sym1-G_0.6-H0.0001_af4.wfa    | 393216 | 131072 | 131072 | 13 | 5648  | 104 | 104 | 32 | 128 | 18.49053538 | 1.891 | 5856  | 0.014892578 |
| mandrill32.bmp | mandrill32.bmp-withWavelet_bior1.1-G_0.6-H0.0001_af4.wfa | 393216 | 131072 | 131072 | 13 | 5648  | 104 | 104 | 32 | 128 | 18.49053538 | 1.906 | 5856  | 0.014892578 |
| mandrill32.bmp | mandrill32.bmp-withWavelet_haar-G_0.8-H1e-005_af2.wfa    | 393216 | 131072 | 131072 | 27 | 23568 | 216 | 216 | 32 | 128 | 18.49116975 | 3.828 | 24000 | 0.061035156 |
| mandrill32.bmp | mandrill32.bmp-withWavelet_rbio1.1-G_0.8-H1e-005_af2.wfa | 393216 | 131072 | 131072 | 27 | 23568 | 216 | 216 | 32 | 128 | 18.49116975 | 3.703 | 24000 | 0.061035156 |
| mandrill32.bmp | mandrill32.bmp-withWavelet_sym1-G_0.8-H1e-005_af2.wfa    | 393216 | 131072 | 131072 | 27 | 23568 | 216 | 216 | 32 | 128 | 18.49116975 | 3.75  | 24000 | 0.061035156 |
| mandrill32.bmp | mandrill32.bmp-withWavelet_bior1.1-G_0.8-H1e-005_af2.wfa | 393216 | 131072 | 131072 | 27 | 23568 | 216 | 216 | 32 | 128 | 18.49116975 | 3.656 | 24000 | 0.061035156 |
| mandrill32.bmp | mandrill32.bmp-withWavelet_haar-G_0.6-H2e-005_af2.wfa    | 393216 | 131072 | 131072 | 21 | 14352 | 168 | 168 | 32 | 128 | 18.49300543 | 2.485 | 14688 | 0.037353516 |
| mandrill32.bmp | mandrill32.bmp-withWavelet_rbio1.1-G_0.6-H2e-005_af2.wfa | 393216 | 131072 | 131072 | 21 | 14352 | 168 | 168 | 32 | 128 | 18.49300543 | 2.422 | 14688 | 0.037353516 |
| mandrill32.bmp | mandrill32.bmp-withWavelet_sym1-G_0.6-H2e-005_af2.wfa    | 393216 | 131072 | 131072 | 21 | 14352 | 168 | 168 | 32 | 128 | 18.49300543 | 2.453 | 14688 | 0.037353516 |
| mandrill32.bmp | mandrill32.bmp-withWavelet_bior1.1-G_0.6-H2e-005_af2.wfa | 393216 | 131072 | 131072 | 21 | 14352 | 168 | 168 | 32 | 128 | 18.49300543 | 2.453 | 14688 | 0.037353516 |
| mandrill32.bmp | mandrill32.bmp-withWavelet_haar-G_1-H1e-005_af2.wfa      | 393216 | 131072 | 131072 | 27 | 23568 | 216 | 216 | 32 | 128 | 18.49750494 | 3.907 | 24000 | 0.061035156 |
| mandrill32.bmp | mandrill32.bmp-withWavelet_rbio1.1-G_1-H1e-005_af2.wfa   | 393216 | 131072 | 131072 | 27 | 23568 | 216 | 216 | 32 | 128 | 18.49750494 | 3.812 | 24000 | 0.061035156 |
| mandrill32.bmp | mandrill32.bmp-withWavelet_sym1-G_1-H1e-005_af2.wfa      | 393216 | 131072 | 131072 | 27 | 23568 | 216 | 216 | 32 | 128 | 18.49750494 | 3.828 | 24000 | 0.061035156 |
| mandrill32.bmp | mandrill32.bmp-withWavelet_bior1.1-G_1-H1e-005_af2.wfa   | 393216 | 131072 | 131072 | 27 | 23568 | 216 | 216 | 32 | 128 | 18.49750494 | 3.828 | 24000 | 0.061035156 |
| mandrill32.bmp | mandrill32.bmp-withWavelet_haar-G_0.6-H2e-005_af5.wfa    | 393216 | 131072 | 131072 | 22 | 15728 | 176 | 176 | 32 | 128 | 18.49801874 | 2.547 | 16080 | 0.040893555 |

|                |  |        |        |        |    |       |     |     |    |     |             |       |       |             |
|----------------|--|--------|--------|--------|----|-------|-----|-----|----|-----|-------------|-------|-------|-------------|
| mandrill32.bmp | mandrill32.bmp-withWavelet_rbio1.1-G_0.6-H2e-005_af5.wfa | 393216 | 131072 | 131072 | 22 | 15728 | 176 | 176 | 32 | 128 | 18.49801874 | 2.5   | 16080 | 0.040893555 |
| mandrill32.bmp | mandrill32.bmp-withWavelet_sym1-G_0.6-H2e-005_af5.wfa    | 393216 | 131072 | 131072 | 22 | 15728 | 176 | 176 | 32 | 128 | 18.49801874 | 2.5   | 16080 | 0.040893555 |
| mandrill32.bmp | mandrill32.bmp-withWavelet_bior1.1-G_0.6-H2e-005_af5.wfa | 393216 | 131072 | 131072 | 22 | 15728 | 176 | 176 | 32 | 128 | 18.49801874 | 2.516 | 16080 | 0.040893555 |
| mandrill32.bmp | mandrill32.bmp-G_1-H8e-005_af4.wfa                       | 393216 | 131072 |        | 15 | 7440  | 120 | 120 | 32 | 128 | 18.49855383 | 2.031 | 7680  | 0.01953125  |
| mandrill32.bmp | mandrill32.bmp-withWavelet_haar-G_0.8-H1e-005_af4.wfa    | 393216 | 131072 | 131072 | 32 | 33008 | 256 | 256 | 32 | 128 | 18.50491178 | 5.157 | 33520 | 0.085245768 |
| mandrill32.bmp | mandrill32.bmp-withWavelet_rbio1.1-G_0.8-H1e-005_af4.wfa | 393216 | 131072 | 131072 | 32 | 33008 | 256 | 256 | 32 | 128 | 18.50491178 | 6.25  | 33520 | 0.085245768 |
| mandrill32.bmp | mandrill32.bmp-withWavelet_sym1-G_0.8-H1e-005_af4.wfa    | 393216 | 131072 | 131072 | 32 | 33008 | 256 | 256 | 32 | 128 | 18.50491178 | 4.859 | 33520 | 0.085245768 |
| mandrill32.bmp | mandrill32.bmp-withWavelet_bior1.1-G_0.8-H1e-005_af4.wfa | 393216 | 131072 | 131072 | 32 | 33008 | 256 | 256 | 32 | 128 | 18.50491178 | 4.859 | 33520 | 0.085245768 |
| mandrill32.bmp | mandrill32.bmp-withWavelet_haar-G_1-H0.0001_af2.wfa      | 98304  | 32768  | 32768  | 11 | 4112  | 88  | 88  | 32 | 64  | 18.50845518 | 0.782 | 4288  | 0.043619792 |
| mandrill32.bmp | mandrill32.bmp-withWavelet_rbio1.1-G_1-H0.0001_af2.wfa   | 98304  | 32768  | 32768  | 11 | 4112  | 88  | 88  | 32 | 64  | 18.50845518 | 0.797 | 4288  | 0.043619792 |
| mandrill32.bmp | mandrill32.bmp-withWavelet_sym1-G_1-H0.0001_af2.wfa      | 98304  | 32768  | 32768  | 11 | 4112  | 88  | 88  | 32 | 64  | 18.50845518 | 0.781 | 4288  | 0.043619792 |
| mandrill32.bmp | mandrill32.bmp-withWavelet_bior1.1-G_1-H0.0001_af2.wfa   | 98304  | 32768  | 32768  | 11 | 4112  | 88  | 88  | 32 | 64  | 18.50845518 | 0.781 | 4288  | 0.043619792 |
| mandrill32.bmp | mandrill32.bmp-withWavelet_haar-G_0.8-H0.0001_af2.wfa    | 98304  | 32768  | 32768  | 11 | 4112  | 88  | 88  | 32 | 64  | 18.50948046 | 0.781 | 4288  | 0.043619792 |
| mandrill32.bmp | mandrill32.bmp-withWavelet_rbio1.1-G_0.8-H0.0001_af2.wfa | 98304  | 32768  | 32768  | 11 | 4112  | 88  | 88  | 32 | 64  | 18.50948046 | 0.796 | 4288  | 0.043619792 |
| mandrill32.bmp | mandrill32.bmp-withWavelet_sym1-G_0.8-H0.0001_af2.wfa    | 98304  | 32768  | 32768  | 11 | 4112  | 88  | 88  | 32 | 64  | 18.50948046 | 0.765 | 4288  | 0.043619792 |
| mandrill32.bmp | mandrill32.bmp-withWavelet_bior1.1-G_0.8-H0.0001_af2.wfa | 98304  | 32768  | 32768  | 11 | 4112  | 88  | 88  | 32 | 64  | 18.50948046 | 0.781 | 4288  | 0.043619792 |
| mandrill32.bmp | mandrill32.bmp-withWavelet_haar-G_0.6-H1e-005_af3.wfa    | 393216 | 131072 | 131072 | 31 | 30992 | 248 | 248 | 32 | 128 | 18.51035492 | 4.563 | 31488 | 0.080078125 |
| mandrill32.bmp | mandrill32.bmp-withWavelet_rbio1.1-G_0.6-H1e-005_af3.wfa | 393216 | 131072 | 131072 | 31 | 30992 | 248 | 248 | 32 | 128 | 18.51035492 | 4.578 | 31488 | 0.080078125 |
| mandrill32.bmp | mandrill32.bmp-withWavelet_sym1-G_0.6-H1e-005_af3.wfa    | 393216 | 131072 | 131072 | 31 | 30992 | 248 | 248 | 32 | 128 | 18.51035492 | 4.656 | 31488 | 0.080078125 |
| mandrill32.bmp | mandrill32.bmp-withWavelet_bior1.1-G_0.6-H1e-005_af3.wfa | 393216 | 131072 | 131072 | 31 | 30992 | 248 | 248 | 32 | 128 | 18.51035492 | 4.5   | 31488 | 0.080078125 |
| mandrill32.bmp | mandrill32.bmp-G_0.8-H8e-005_af4.wfa                     | 393216 | 131072 |        | 15 | 7440  | 120 | 120 | 32 | 128 | 18.51586137 | 2.031 | 7680  | 0.01953125  |
| mandrill32.bmp | mandrill32.bmp-G_0.6-H1e-005_af4.wfa                     | 393216 | 131072 |        | 17 | 9488  | 136 | 136 | 32 | 128 | 18.51591094 | 2.094 | 9760  | 0.024820964 |
| mandrill32.bmp | mandrill32.bmp-G_0.6-H2e-005_af4.wfa                     | 393216 | 131072 |        | 17 | 9488  | 136 | 136 | 32 | 128 | 18.51591094 | 2.016 | 9760  | 0.024820964 |
| mandrill32.bmp | mandrill32.bmp-withWavelet_haar-G_1-H1e-005_af4.wfa      | 393216 | 131072 | 131072 | 32 | 33008 | 256 | 256 | 32 | 128 | 18.52682667 | 4.953 | 33520 | 0.085245768 |
| mandrill32.bmp | mandrill32.bmp-withWavelet_rbio1.1-G_1-H1e-005_af4.wfa   | 393216 | 131072 | 131072 | 32 | 33008 | 256 | 256 | 32 | 128 | 18.52682667 | 4.797 | 33520 | 0.085245768 |
| mandrill32.bmp | mandrill32.bmp-withWavelet_sym1-G_1-H1e-005_af4.wfa      | 393216 | 131072 | 131072 | 32 | 33008 | 256 | 256 | 32 | 128 | 18.52682667 | 4.985 | 33520 | 0.085245768 |
| mandrill32.bmp | mandrill32.bmp-withWavelet_bior1.1-G_1-H1e-005_af4.wfa   | 393216 | 131072 | 131072 | 32 | 33008 | 256 | 256 | 32 | 128 | 18.52682667 | 4.797 | 33520 | 0.085245768 |
| mandrill32.bmp | mandrill32.bmp-withWavelet_haar-G_0.6-H2e-005_af4.wfa    | 393216 | 131072 | 131072 | 26 | 21872 | 208 | 208 | 32 | 128 | 18.5425583  | 3.484 | 22288 | 0.056681315 |
| mandrill32.bmp | mandrill32.bmp-withWavelet_rbio1.1-G_0.6-H2e-005_af4.wfa | 393216 | 131072 | 131072 | 26 | 21872 | 208 | 208 | 32 | 128 | 18.5425583  | 3.454 | 22288 | 0.056681315 |
| mandrill32.bmp | mandrill32.bmp-withWavelet_sym1-G_0.6-H2e-005_af4.wfa    | 393216 | 131072 | 131072 | 26 | 21872 | 208 | 208 | 32 | 128 | 18.5425583  | 3.468 | 22288 | 0.056681315 |
| mandrill32.bmp | mandrill32.bmp-withWavelet_bior1.1-G_0.6-H2e-005_af4.wfa | 393216 | 131072 | 131072 | 26 | 21872 | 208 | 208 | 32 | 128 | 18.5425583  | 3.406 | 22288 | 0.056681315 |

|                |  |        |        |        |    |       |     |     |    |     |             |       |       |             |
|----------------|--|--------|--------|--------|----|-------|-----|-----|----|-----|-------------|-------|-------|-------------|
| mandrill32.bmp | mandrill32.bmp-withWavelet_haar-G_1-H1e-005_af1.wfa      | 393216 | 131072 | 131072 | 33 | 35088 | 264 | 264 | 32 | 128 | 18.55400135 | 5.156 | 35616 | 0.090576172 |
| mandrill32.bmp | mandrill32.bmp-withWavelet_rbio1.1-G_1-H1e-005_af1.wfa   | 393216 | 131072 | 131072 | 33 | 35088 | 264 | 264 | 32 | 128 | 18.55400135 | 5.672 | 35616 | 0.090576172 |
| mandrill32.bmp | mandrill32.bmp-withWavelet_sym1-G_1-H1e-005_af1.wfa      | 393216 | 131072 | 131072 | 33 | 35088 | 264 | 264 | 32 | 128 | 18.55400135 | 5.953 | 35616 | 0.090576172 |
| mandrill32.bmp | mandrill32.bmp-withWavelet_bior1.1-G_1-H1e-005_af1.wfa   | 393216 | 131072 | 131072 | 33 | 35088 | 264 | 264 | 32 | 128 | 18.55400135 | 6.328 | 35616 | 0.090576172 |
| mandrill32.bmp | mandrill32.bmp-G_1-H3e-005_af4.wfa                       | 393216 | 131072 |        | 19 | 11792 | 152 | 152 | 32 | 128 | 18.57354058 | 2.219 | 12096 | 0.030761719 |
| mandrill32.bmp | mandrill32.bmp-withWavelet_haar-G_0.8-H1e-005_af1.wfa    | 393216 | 131072 | 131072 | 32 | 33008 | 256 | 256 | 32 | 128 | 18.58928304 | 4.922 | 33520 | 0.085245768 |
| mandrill32.bmp | mandrill32.bmp-withWavelet_rbio1.1-G_0.8-H1e-005_af1.wfa | 393216 | 131072 | 131072 | 32 | 33008 | 256 | 256 | 32 | 128 | 18.58928304 | 5.047 | 33520 | 0.085245768 |
| mandrill32.bmp | mandrill32.bmp-withWavelet_sym1-G_0.8-H1e-005_af1.wfa    | 393216 | 131072 | 131072 | 32 | 33008 | 256 | 256 | 32 | 128 | 18.58928304 | 5.063 | 33520 | 0.085245768 |
| mandrill32.bmp | mandrill32.bmp-withWavelet_bior1.1-G_0.8-H1e-005_af1.wfa | 393216 | 131072 | 131072 | 32 | 33008 | 256 | 256 | 32 | 128 | 18.58928304 | 5.171 | 33520 | 0.085245768 |
| mandrill32.bmp | mandrill32.bmp-withWavelet_haar-G_0.6-H9e-005_af2.wfa    | 98304  | 32768  | 32768  | 12 | 4848  | 96  | 96  | 32 | 64  | 18.61480671 | 0.86  | 5040  | 0.051269531 |
| mandrill32.bmp | mandrill32.bmp-withWavelet_rbio1.1-G_0.6-H9e-005_af2.wfa | 98304  | 32768  | 32768  | 12 | 4848  | 96  | 96  | 32 | 64  | 18.61480671 | 0.797 | 5040  | 0.051269531 |
| mandrill32.bmp | mandrill32.bmp-withWavelet_sym1-G_0.6-H9e-005_af2.wfa    | 98304  | 32768  | 32768  | 12 | 4848  | 96  | 96  | 32 | 64  | 18.61480671 | 0.797 | 5040  | 0.051269531 |
| mandrill32.bmp | mandrill32.bmp-withWavelet_bior1.1-G_0.6-H9e-005_af2.wfa | 98304  | 32768  | 32768  | 12 | 4848  | 96  | 96  | 32 | 64  | 18.61480671 | 0.782 | 5040  | 0.051269531 |
| mandrill32.bmp | mandrill32.bmp-G_1-H2e-005_af4.wfa                       | 393216 | 131072 |        | 20 | 13040 | 160 | 160 | 32 | 128 | 18.62074797 | 2.343 | 13360 | 0.033976237 |
| mandrill32.bmp | mandrill32.bmp-G_0.8-H3e-005_af4.wfa                     | 393216 | 131072 |        | 19 | 11792 | 152 | 152 | 32 | 128 | 18.62253333 | 2.375 | 12096 | 0.030761719 |
| mandrill32.bmp | mandrill32.bmp-withWavelet_haar-G_0.6-H3e-005_af5.wfa    | 98304  | 32768  | 32768  | 17 | 9488  | 136 | 136 | 32 | 64  | 18.62837626 | 0.485 | 9760  | 0.099283854 |
| mandrill32.bmp | mandrill32.bmp-withWavelet_rbio1.1-G_0.6-H3e-005_af5.wfa | 98304  | 32768  | 32768  | 17 | 9488  | 136 | 136 | 32 | 64  | 18.62837626 | 0.5   | 9760  | 0.099283854 |
| mandrill32.bmp | mandrill32.bmp-withWavelet_sym1-G_0.6-H3e-005_af5.wfa    | 98304  | 32768  | 32768  | 17 | 9488  | 136 | 136 | 32 | 64  | 18.62837626 | 0.532 | 9760  | 0.099283854 |
| mandrill32.bmp | mandrill32.bmp-withWavelet_bior1.1-G_0.6-H3e-005_af5.wfa | 98304  | 32768  | 32768  | 17 | 9488  | 136 | 136 | 32 | 64  | 18.62837626 | 0.5   | 9760  | 0.099283854 |
| mandrill32.bmp | mandrill32.bmp-withWavelet_haar-G_0.6-H3e-005_af2.wfa    | 393216 | 131072 | 131072 | 17 | 9488  | 136 | 136 | 32 | 128 | 18.62855324 | 2.078 | 9760  | 0.024820964 |
| mandrill32.bmp | mandrill32.bmp-withWavelet_rbio1.1-G_0.6-H3e-005_af2.wfa | 393216 | 131072 | 131072 | 17 | 9488  | 136 | 136 | 32 | 128 | 18.62855324 | 2.125 | 9760  | 0.024820964 |
| mandrill32.bmp | mandrill32.bmp-withWavelet_sym1-G_0.6-H3e-005_af2.wfa    | 393216 | 131072 | 131072 | 17 | 9488  | 136 | 136 | 32 | 128 | 18.62855324 | 2.047 | 9760  | 0.024820964 |
| mandrill32.bmp | mandrill32.bmp-withWavelet_bior1.1-G_0.6-H3e-005_af2.wfa | 393216 | 131072 | 131072 | 17 | 9488  | 136 | 136 | 32 | 128 | 18.62855324 | 2.015 | 9760  | 0.024820964 |
| mandrill32.bmp | mandrill32.bmp-withWavelet_haar-G_0.8-H9e-005_af2.wfa    | 98304  | 32768  | 32768  | 12 | 4848  | 96  | 96  | 32 | 64  | 18.63741802 | 0.875 | 5040  | 0.051269531 |
| mandrill32.bmp | mandrill32.bmp-withWavelet_rbio1.1-G_0.8-H9e-005_af2.wfa | 98304  | 32768  | 32768  | 12 | 4848  | 96  | 96  | 32 | 64  | 18.63741802 | 0.438 | 5040  | 0.051269531 |
| mandrill32.bmp | mandrill32.bmp-withWavelet_sym1-G_0.8-H9e-005_af2.wfa    | 98304  | 32768  | 32768  | 12 | 4848  | 96  | 96  | 32 | 64  | 18.63741802 | 0.782 | 5040  | 0.051269531 |
| mandrill32.bmp | mandrill32.bmp-withWavelet_bior1.1-G_0.8-H9e-005_af2.wfa | 98304  | 32768  | 32768  | 12 | 4848  | 96  | 96  | 32 | 64  | 18.63741802 | 0.828 | 5040  | 0.051269531 |
| mandrill32.bmp | mandrill32.bmp-withWavelet_haar-G_1-H8e-005_af2.wfa      | 98304  | 32768  | 32768  | 12 | 4848  | 96  | 96  | 32 | 64  | 18.64793366 | 0.797 | 5040  | 0.051269531 |
| mandrill32.bmp | mandrill32.bmp-withWavelet_rbio1.1-G_1-H8e-005_af2.wfa   | 98304  | 32768  | 32768  | 12 | 4848  | 96  | 96  | 32 | 64  | 18.64793366 | 0.797 | 5040  | 0.051269531 |
| mandrill32.bmp | mandrill32.bmp-withWavelet_sym1-G_1-H8e-005_af2.wfa      | 98304  | 32768  | 32768  | 12 | 4848  | 96  | 96  | 32 | 64  | 18.64793366 | 0.796 | 5040  | 0.051269531 |
| mandrill32.bmp | mandrill32.bmp-withWavelet_bior1.1-G_1-H8e-005_af2.wfa   | 98304  | 32768  | 32768  | 12 | 4848  | 96  | 96  | 32 | 64  | 18.64793366 | 0.797 | 5040  | 0.051269531 |

|                |  |        |        |        |    |       |     |     |    |     |             |       |       |             |
|----------------|--|--------|--------|--------|----|-------|-----|-----|----|-----|-------------|-------|-------|-------------|
| mandrill32.bmp | mandrill32.bmp-withWavelet_haar-G_1-H9e-005_af2.wfa      | 98304  | 32768  | 32768  | 12 | 4848  | 96  | 96  | 32 | 64  | 18.64793366 | 0.422 | 5040  | 0.051269531 |
| mandrill32.bmp | mandrill32.bmp-withWavelet_rbio1.1-G_1-H9e-005_af2.wfa   | 98304  | 32768  | 32768  | 12 | 4848  | 96  | 96  | 32 | 64  | 18.64793366 | 0.812 | 5040  | 0.051269531 |
| mandrill32.bmp | mandrill32.bmp-withWavelet_sym1-G_1-H9e-005_af2.wfa      | 98304  | 32768  | 32768  | 12 | 4848  | 96  | 96  | 32 | 64  | 18.64793366 | 0.875 | 5040  | 0.051269531 |
| mandrill32.bmp | mandrill32.bmp-withWavelet_bior1.1-G_1-H9e-005_af2.wfa   | 98304  | 32768  | 32768  | 12 | 4848  | 96  | 96  | 32 | 64  | 18.64793366 | 0.969 | 5040  | 0.051269531 |
| mandrill32.bmp | mandrill32.bmp-withWavelet_haar-G_0.8-H1e-005_af3.wfa    | 393216 | 131072 | 131072 | 32 | 33008 | 256 | 256 | 32 | 128 | 18.64814632 | 5.266 | 33520 | 0.085245768 |
| mandrill32.bmp | mandrill32.bmp-withWavelet_rbio1.1-G_0.8-H1e-005_af3.wfa | 393216 | 131072 | 131072 | 32 | 33008 | 256 | 256 | 32 | 128 | 18.64814632 | 4.75  | 33520 | 0.085245768 |
| mandrill32.bmp | mandrill32.bmp-withWavelet_sym1-G_0.8-H1e-005_af3.wfa    | 393216 | 131072 | 131072 | 32 | 33008 | 256 | 256 | 32 | 128 | 18.64814632 | 5.313 | 33520 | 0.085245768 |
| mandrill32.bmp | mandrill32.bmp-withWavelet_bior1.1-G_0.8-H1e-005_af3.wfa | 393216 | 131072 | 131072 | 32 | 33008 | 256 | 256 | 32 | 128 | 18.64814632 | 4.875 | 33520 | 0.085245768 |
| mandrill32.bmp | mandrill32.bmp-withWavelet_haar-G_1-H1e-005_af3.wfa      | 393216 | 131072 | 131072 | 32 | 33008 | 256 | 256 | 32 | 128 | 18.64986971 | 5     | 33520 | 0.085245768 |
| mandrill32.bmp | mandrill32.bmp-withWavelet_rbio1.1-G_1-H1e-005_af3.wfa   | 393216 | 131072 | 131072 | 32 | 33008 | 256 | 256 | 32 | 128 | 18.64986971 | 4.938 | 33520 | 0.085245768 |
| mandrill32.bmp | mandrill32.bmp-withWavelet_sym1-G_1-H1e-005_af3.wfa      | 393216 | 131072 | 131072 | 32 | 33008 | 256 | 256 | 32 | 128 | 18.64986971 | 5.563 | 33520 | 0.085245768 |
| mandrill32.bmp | mandrill32.bmp-withWavelet_bior1.1-G_1-H1e-005_af3.wfa   | 393216 | 131072 | 131072 | 32 | 33008 | 256 | 256 | 32 | 128 | 18.64986971 | 5.141 | 33520 | 0.085245768 |
| mandrill32.bmp | mandrill32.bmp-G_0.8-H2e-005_af4.wfa                     | 393216 | 131072 |        | 21 | 14352 | 168 | 168 | 32 | 128 | 18.65792847 | 2.719 | 14688 | 0.037353516 |
| mandrill32.bmp | mandrill32.bmp-G_0.8-H1e-005_af4.wfa                     | 393216 | 131072 |        | 21 | 14352 | 168 | 168 | 32 | 128 | 18.65792847 | 3     | 14688 | 0.037353516 |
| mandrill32.bmp | mandrill32.bmp-withWavelet_haar-G_0.6-H8e-005_af2.wfa    | 98304  | 32768  | 32768  | 13 | 5648  | 104 | 104 | 32 | 64  | 18.66457278 | 0.812 | 5856  | 0.059570313 |
| mandrill32.bmp | mandrill32.bmp-withWavelet_rbio1.1-G_0.6-H8e-005_af2.wfa | 98304  | 32768  | 32768  | 13 | 5648  | 104 | 104 | 32 | 64  | 18.66457278 | 0.437 | 5856  | 0.059570313 |
| mandrill32.bmp | mandrill32.bmp-withWavelet_sym1-G_0.6-H8e-005_af2.wfa    | 98304  | 32768  | 32768  | 13 | 5648  | 104 | 104 | 32 | 64  | 18.66457278 | 0.469 | 5856  | 0.059570313 |
| mandrill32.bmp | mandrill32.bmp-withWavelet_bior1.1-G_0.6-H8e-005_af2.wfa | 98304  | 32768  | 32768  | 13 | 5648  | 104 | 104 | 32 | 64  | 18.66457278 | 0.484 | 5856  | 0.059570313 |
| mandrill32.bmp | mandrill32.bmp-G_1-H1e-005_af4.wfa                       | 393216 | 131072 |        | 22 | 15728 | 176 | 176 | 32 | 128 | 18.66643721 | 2.875 | 16080 | 0.040893555 |
| mandrill32.bmp | mandrill32.bmp-withWavelet_haar-G_0.8-H8e-005_af2.wfa    | 98304  | 32768  | 32768  | 13 | 5648  | 104 | 104 | 32 | 64  | 18.67644157 | 0.813 | 5856  | 0.059570313 |
| mandrill32.bmp | mandrill32.bmp-withWavelet_rbio1.1-G_0.8-H8e-005_af2.wfa | 98304  | 32768  | 32768  | 13 | 5648  | 104 | 104 | 32 | 64  | 18.67644157 | 0.438 | 5856  | 0.059570313 |
| mandrill32.bmp | mandrill32.bmp-withWavelet_sym1-G_0.8-H8e-005_af2.wfa    | 98304  | 32768  | 32768  | 13 | 5648  | 104 | 104 | 32 | 64  | 18.67644157 | 0.813 | 5856  | 0.059570313 |
| mandrill32.bmp | mandrill32.bmp-withWavelet_bior1.1-G_0.8-H8e-005_af2.wfa | 98304  | 32768  | 32768  | 13 | 5648  | 104 | 104 | 32 | 64  | 18.67644157 | 0.813 | 5856  | 0.059570313 |
| mandrill32.bmp | mandrill32.bmp-withWavelet_haar-G_0.6-H5e-005_af4.wfa    | 393216 | 131072 | 131072 | 18 | 10608 | 144 | 144 | 32 | 128 | 18.67730659 | 2.062 | 10896 | 0.027709961 |
| mandrill32.bmp | mandrill32.bmp-withWavelet_rbio1.1-G_0.6-H5e-005_af4.wfa | 393216 | 131072 | 131072 | 18 | 10608 | 144 | 144 | 32 | 128 | 18.67730659 | 2.078 | 10896 | 0.027709961 |
| mandrill32.bmp | mandrill32.bmp-withWavelet_sym1-G_0.6-H5e-005_af4.wfa    | 393216 | 131072 | 131072 | 18 | 10608 | 144 | 144 | 32 | 128 | 18.67730659 | 2.078 | 10896 | 0.027709961 |
| mandrill32.bmp | mandrill32.bmp-withWavelet_bior1.1-G_0.6-H5e-005_af4.wfa | 393216 | 131072 | 131072 | 18 | 10608 | 144 | 144 | 32 | 128 | 18.67730659 | 2.125 | 10896 | 0.027709961 |
| mandrill32.bmp | mandrill32.bmp-withWavelet_haar-G_0.8-H2e-005_af4.wfa    | 393216 | 131072 | 131072 | 26 | 21872 | 208 | 208 | 32 | 128 | 18.68282929 | 3.485 | 22288 | 0.056681315 |
| mandrill32.bmp | mandrill32.bmp-withWavelet_rbio1.1-G_0.8-H2e-005_af4.wfa | 393216 | 131072 | 131072 | 26 | 21872 | 208 | 208 | 32 | 128 | 18.68282929 | 3.735 | 22288 | 0.056681315 |
| mandrill32.bmp | mandrill32.bmp-withWavelet_sym1-G_0.8-H2e-005_af4.wfa    | 393216 | 131072 | 131072 | 26 | 21872 | 208 | 208 | 32 | 128 | 18.68282929 | 3.516 | 22288 | 0.056681315 |
| mandrill32.bmp | mandrill32.bmp-withWavelet_bior1.1-G_0.8-H2e-005_af4.wfa | 393216 | 131072 | 131072 | 26 | 21872 | 208 | 208 | 32 | 128 | 18.68282929 | 3.703 | 22288 | 0.056681315 |

|                |  |        |        |        |    |       |     |     |    |     |             |       |       |             |
|----------------|--|--------|--------|--------|----|-------|-----|-----|----|-----|-------------|-------|-------|-------------|
| mandrill32.bmp | mandrill32.bmp-withWavelet_haar-G_0.8-H3e-005_af5.wfa    | 98304  | 32768  | 32768  | 17 | 9488  | 136 | 136 | 32 | 64  | 18.69589638 | 0.563 | 9760  | 0.099283854 |
| mandrill32.bmp | mandrill32.bmp-withWavelet_rbio1.1-G_0.8-H3e-005_af5.wfa | 98304  | 32768  | 32768  | 17 | 9488  | 136 | 136 | 32 | 64  | 18.69589638 | 0.562 | 9760  | 0.099283854 |
| mandrill32.bmp | mandrill32.bmp-withWavelet_sym1-G_0.8-H3e-005_af5.wfa    | 98304  | 32768  | 32768  | 17 | 9488  | 136 | 136 | 32 | 64  | 18.69589638 | 0.719 | 9760  | 0.099283854 |
| mandrill32.bmp | mandrill32.bmp-withWavelet_bior1.1-G_0.8-H3e-005_af5.wfa | 98304  | 32768  | 32768  | 17 | 9488  | 136 | 136 | 32 | 64  | 18.69589638 | 0.547 | 9760  | 0.099283854 |
| mandrill32.bmp | mandrill32.bmp-withWavelet_haar-G_0.8-H2e-005_af5.wfa    | 393216 | 131072 | 131072 | 24 | 18672 | 192 | 192 | 32 | 128 | 18.69709397 | 3.172 | 19056 | 0.048461914 |
| mandrill32.bmp | mandrill32.bmp-withWavelet_rbio1.1-G_0.8-H2e-005_af5.wfa | 393216 | 131072 | 131072 | 24 | 18672 | 192 | 192 | 32 | 128 | 18.69709397 | 3.109 | 19056 | 0.048461914 |
| mandrill32.bmp | mandrill32.bmp-withWavelet_sym1-G_0.8-H2e-005_af5.wfa    | 393216 | 131072 | 131072 | 24 | 18672 | 192 | 192 | 32 | 128 | 18.69709397 | 3.078 | 19056 | 0.048461914 |
| mandrill32.bmp | mandrill32.bmp-withWavelet_bior1.1-G_0.8-H2e-005_af5.wfa | 393216 | 131072 | 131072 | 24 | 18672 | 192 | 192 | 32 | 128 | 18.69709397 | 3.172 | 19056 | 0.048461914 |
| mandrill32.bmp | mandrill32.bmp-withWavelet_haar-G_0.6-H6e-005_af2.wfa    | 98304  | 32768  | 32768  | 14 | 6512  | 112 | 112 | 32 | 64  | 18.69730946 | 2.875 | 6736  | 0.068522135 |
| mandrill32.bmp | mandrill32.bmp-withWavelet_rbio1.1-G_0.6-H6e-005_af2.wfa | 98304  | 32768  | 32768  | 14 | 6512  | 112 | 112 | 32 | 64  | 18.69730946 | 2.094 | 6736  | 0.068522135 |
| mandrill32.bmp | mandrill32.bmp-withWavelet_sym1-G_0.6-H6e-005_af2.wfa    | 98304  | 32768  | 32768  | 14 | 6512  | 112 | 112 | 32 | 64  | 18.69730946 | 2.688 | 6736  | 0.068522135 |
| mandrill32.bmp | mandrill32.bmp-withWavelet_bior1.1-G_0.6-H6e-005_af2.wfa | 98304  | 32768  | 32768  | 14 | 6512  | 112 | 112 | 32 | 64  | 18.69730946 | 2.656 | 6736  | 0.068522135 |
| mandrill32.bmp | mandrill32.bmp-withWavelet_haar-G_1-H2e-005_af5.wfa      | 393216 | 131072 | 131072 | 24 | 18672 | 192 | 192 | 32 | 128 | 18.70418625 | 3.093 | 19056 | 0.048461914 |
| mandrill32.bmp | mandrill32.bmp-withWavelet_rbio1.1-G_1-H2e-005_af5.wfa   | 393216 | 131072 | 131072 | 24 | 18672 | 192 | 192 | 32 | 128 | 18.70418625 | 3.141 | 19056 | 0.048461914 |
| mandrill32.bmp | mandrill32.bmp-withWavelet_sym1-G_1-H2e-005_af5.wfa      | 393216 | 131072 | 131072 | 24 | 18672 | 192 | 192 | 32 | 128 | 18.70418625 | 3.125 | 19056 | 0.048461914 |
| mandrill32.bmp | mandrill32.bmp-withWavelet_bior1.1-G_1-H2e-005_af5.wfa   | 393216 | 131072 | 131072 | 24 | 18672 | 192 | 192 | 32 | 128 | 18.70418625 | 3.187 | 19056 | 0.048461914 |
| mandrill32.bmp | mandrill32.bmp-withWavelet_haar-G_1-H2e-005_af4.wfa      | 393216 | 131072 | 131072 | 26 | 21872 | 208 | 208 | 32 | 128 | 18.70531421 | 3.5   | 22288 | 0.056681315 |
| mandrill32.bmp | mandrill32.bmp-withWavelet_rbio1.1-G_1-H2e-005_af4.wfa   | 393216 | 131072 | 131072 | 26 | 21872 | 208 | 208 | 32 | 128 | 18.70531421 | 3.594 | 22288 | 0.056681315 |
| mandrill32.bmp | mandrill32.bmp-withWavelet_sym1-G_1-H2e-005_af4.wfa      | 393216 | 131072 | 131072 | 26 | 21872 | 208 | 208 | 32 | 128 | 18.70531421 | 3.484 | 22288 | 0.056681315 |
| mandrill32.bmp | mandrill32.bmp-withWavelet_bior1.1-G_1-H2e-005_af4.wfa   | 393216 | 131072 | 131072 | 26 | 21872 | 208 | 208 | 32 | 128 | 18.70531421 | 3.578 | 22288 | 0.056681315 |
| mandrill32.bmp | mandrill32.bmp-withWavelet_haar-G_1-H3e-005_af5.wfa      | 98304  | 32768  | 32768  | 16 | 8432  | 128 | 128 | 32 | 64  | 18.70781082 | 0.469 | 8688  | 0.088378906 |
| mandrill32.bmp | mandrill32.bmp-withWavelet_rbio1.1-G_1-H3e-005_af5.wfa   | 98304  | 32768  | 32768  | 16 | 8432  | 128 | 128 | 32 | 64  | 18.70781082 | 0.5   | 8688  | 0.088378906 |
| mandrill32.bmp | mandrill32.bmp-withWavelet_sym1-G_1-H3e-005_af5.wfa      | 98304  | 32768  | 32768  | 16 | 8432  | 128 | 128 | 32 | 64  | 18.70781082 | 0.5   | 8688  | 0.088378906 |
| mandrill32.bmp | mandrill32.bmp-withWavelet_bior1.1-G_1-H3e-005_af5.wfa   | 98304  | 32768  | 32768  | 16 | 8432  | 128 | 128 | 32 | 64  | 18.70781082 | 0.469 | 8688  | 0.088378906 |
| mandrill32.bmp | mandrill32.bmp-withWavelet_haar-G_0.6-H2e-005_af3.wfa    | 393216 | 131072 | 131072 | 26 | 21872 | 208 | 208 | 32 | 128 | 18.71111065 | 3.469 | 22288 | 0.056681315 |
| mandrill32.bmp | mandrill32.bmp-withWavelet_rbio1.1-G_0.6-H2e-005_af3.wfa | 393216 | 131072 | 131072 | 26 | 21872 | 208 | 208 | 32 | 128 | 18.71111065 | 3.516 | 22288 | 0.056681315 |
| mandrill32.bmp | mandrill32.bmp-withWavelet_sym1-G_0.6-H2e-005_af3.wfa    | 393216 | 131072 | 131072 | 26 | 21872 | 208 | 208 | 32 | 128 | 18.71111065 | 3.422 | 22288 | 0.056681315 |
| mandrill32.bmp | mandrill32.bmp-withWavelet_bior1.1-G_0.6-H2e-005_af3.wfa | 393216 | 131072 | 131072 | 26 | 21872 | 208 | 208 | 32 | 128 | 18.71111065 | 3.5   | 22288 | 0.056681315 |
| mandrill32.bmp | mandrill32.bmp-withWavelet_haar-G_0.8-H6e-005_af2.wfa    | 98304  | 32768  | 32768  | 14 | 6512  | 112 | 112 | 32 | 64  | 18.72546345 | 1.89  | 6736  | 0.068522135 |
| mandrill32.bmp | mandrill32.bmp-withWavelet_rbio1.1-G_0.8-H6e-005_af2.wfa | 98304  | 32768  | 32768  | 14 | 6512  | 112 | 112 | 32 | 64  | 18.72546345 | 1.688 | 6736  | 0.068522135 |
| mandrill32.bmp | mandrill32.bmp-withWavelet_sym1-G_0.8-H6e-005_af2.wfa    | 98304  | 32768  | 32768  | 14 | 6512  | 112 | 112 | 32 | 64  | 18.72546345 | 2.172 | 6736  | 0.068522135 |

|                |  |        |        |        |    |       |     |     |    |     |             |       |       |             |
|----------------|--|--------|--------|--------|----|-------|-----|-----|----|-----|-------------|-------|-------|-------------|
| mandrill32.bmp | mandrill32.bmp-withWavelet_bior1.1-G_0.8-H6e-005_af2.wfa | 98304  | 32768  | 32768  | 14 | 6512  | 112 | 112 | 32 | 64  | 18.72546345 | 1.172 | 6736  | 0.068522135 |
| mandrill32.bmp | mandrill32.bmp-withWavelet_haar-G_0.8-H7e-005_af2.wfa    | 98304  | 32768  | 32768  | 14 | 6512  | 112 | 112 | 32 | 64  | 18.72546345 | 0.5   | 6736  | 0.068522135 |
| mandrill32.bmp | mandrill32.bmp-withWavelet_rbio1.1-G_0.8-H7e-005_af2.wfa | 98304  | 32768  | 32768  | 14 | 6512  | 112 | 112 | 32 | 64  | 18.72546345 | 0.468 | 6736  | 0.068522135 |
| mandrill32.bmp | mandrill32.bmp-withWavelet_sym1-G_0.8-H7e-005_af2.wfa    | 98304  | 32768  | 32768  | 14 | 6512  | 112 | 112 | 32 | 64  | 18.72546345 | 0.468 | 6736  | 0.068522135 |
| mandrill32.bmp | mandrill32.bmp-withWavelet_bior1.1-G_0.8-H7e-005_af2.wfa | 98304  | 32768  | 32768  | 14 | 6512  | 112 | 112 | 32 | 64  | 18.72546345 | 0.453 | 6736  | 0.068522135 |
| mandrill32.bmp | mandrill32.bmp-withWavelet_haar-G_0.6-H6e-005_af4.wfa    | 393216 | 131072 | 131072 | 17 | 9488  | 136 | 136 | 32 | 128 | 18.72707934 | 7.078 | 9760  | 0.024820964 |
| mandrill32.bmp | mandrill32.bmp-withWavelet_rbio1.1-G_0.6-H6e-005_af4.wfa | 393216 | 131072 | 131072 | 17 | 9488  | 136 | 136 | 32 | 128 | 18.72707934 | 6.906 | 9760  | 0.024820964 |
| mandrill32.bmp | mandrill32.bmp-withWavelet_sym1-G_0.6-H6e-005_af4.wfa    | 393216 | 131072 | 131072 | 17 | 9488  | 136 | 136 | 32 | 128 | 18.72707934 | 6.953 | 9760  | 0.024820964 |
| mandrill32.bmp | mandrill32.bmp-withWavelet_bior1.1-G_0.6-H6e-005_af4.wfa | 393216 | 131072 | 131072 | 17 | 9488  | 136 | 136 | 32 | 128 | 18.72707934 | 7     | 9760  | 0.024820964 |
| mandrill32.bmp | mandrill32.bmp-withWavelet_haar-G_0.6-H7e-005_af4.wfa    | 393216 | 131072 | 131072 | 17 | 9488  | 136 | 136 | 32 | 128 | 18.72707934 | 2.235 | 9760  | 0.024820964 |
| mandrill32.bmp | mandrill32.bmp-withWavelet_rbio1.1-G_0.6-H7e-005_af4.wfa | 393216 | 131072 | 131072 | 17 | 9488  | 136 | 136 | 32 | 128 | 18.72707934 | 2.234 | 9760  | 0.024820964 |
| mandrill32.bmp | mandrill32.bmp-withWavelet_sym1-G_0.6-H7e-005_af4.wfa    | 393216 | 131072 | 131072 | 17 | 9488  | 136 | 136 | 32 | 128 | 18.72707934 | 2.218 | 9760  | 0.024820964 |
| mandrill32.bmp | mandrill32.bmp-withWavelet_bior1.1-G_0.6-H7e-005_af4.wfa | 393216 | 131072 | 131072 | 17 | 9488  | 136 | 136 | 32 | 128 | 18.72707934 | 2.203 | 9760  | 0.024820964 |
| mandrill32.bmp | mandrill32.bmp-withWavelet_haar-G_1-H6e-005_af2.wfa      | 98304  | 32768  | 32768  | 14 | 6512  | 112 | 112 | 32 | 64  | 18.72849221 | 0.562 | 6736  | 0.068522135 |
| mandrill32.bmp | mandrill32.bmp-withWavelet_rbio1.1-G_1-H6e-005_af2.wfa   | 98304  | 32768  | 32768  | 14 | 6512  | 112 | 112 | 32 | 64  | 18.72849221 | 0.437 | 6736  | 0.068522135 |
| mandrill32.bmp | mandrill32.bmp-withWavelet_sym1-G_1-H6e-005_af2.wfa      | 98304  | 32768  | 32768  | 14 | 6512  | 112 | 112 | 32 | 64  | 18.72849221 | 0.438 | 6736  | 0.068522135 |
| mandrill32.bmp | mandrill32.bmp-withWavelet_bior1.1-G_1-H6e-005_af2.wfa   | 98304  | 32768  | 32768  | 14 | 6512  | 112 | 112 | 32 | 64  | 18.72849221 | 0.437 | 6736  | 0.068522135 |
| mandrill32.bmp | mandrill32.bmp-withWavelet_haar-G_1-H7e-005_af2.wfa      | 98304  | 32768  | 32768  | 14 | 6512  | 112 | 112 | 32 | 64  | 18.72849221 | 0.453 | 6736  | 0.068522135 |
| mandrill32.bmp | mandrill32.bmp-withWavelet_rbio1.1-G_1-H7e-005_af2.wfa   | 98304  | 32768  | 32768  | 14 | 6512  | 112 | 112 | 32 | 64  | 18.72849221 | 0.469 | 6736  | 0.068522135 |
| mandrill32.bmp | mandrill32.bmp-withWavelet_sym1-G_1-H7e-005_af2.wfa      | 98304  | 32768  | 32768  | 14 | 6512  | 112 | 112 | 32 | 64  | 18.72849221 | 0.453 | 6736  | 0.068522135 |
| mandrill32.bmp | mandrill32.bmp-withWavelet_bior1.1-G_1-H7e-005_af2.wfa   | 98304  | 32768  | 32768  | 14 | 6512  | 112 | 112 | 32 | 64  | 18.72849221 | 0.485 | 6736  | 0.068522135 |
| mandrill32.bmp | mandrill32.bmp-withWavelet_haar-G_0.8-H3e-005_af2.wfa    | 393216 | 131072 | 131072 | 17 | 9488  | 136 | 136 | 32 | 128 | 18.73775269 | 2.062 | 9760  | 0.024820964 |
| mandrill32.bmp | mandrill32.bmp-withWavelet_rbio1.1-G_0.8-H3e-005_af2.wfa | 393216 | 131072 | 131072 | 17 | 9488  | 136 | 136 | 32 | 128 | 18.73775269 | 2.016 | 9760  | 0.024820964 |
| mandrill32.bmp | mandrill32.bmp-withWavelet_sym1-G_0.8-H3e-005_af2.wfa    | 393216 | 131072 | 131072 | 17 | 9488  | 136 | 136 | 32 | 128 | 18.73775269 | 2.735 | 9760  | 0.024820964 |
| mandrill32.bmp | mandrill32.bmp-withWavelet_bior1.1-G_0.8-H3e-005_af2.wfa | 393216 | 131072 | 131072 | 17 | 9488  | 136 | 136 | 32 | 128 | 18.73775269 | 2.078 | 9760  | 0.024820964 |
| mandrill32.bmp | mandrill32.bmp-withWavelet_haar-G_0.6-H2e-005_af1.wfa    | 393216 | 131072 | 131072 | 24 | 18672 | 192 | 192 | 32 | 128 | 18.7482739  | 3.046 | 19056 | 0.048461914 |
| mandrill32.bmp | mandrill32.bmp-withWavelet_rbio1.1-G_0.6-H2e-005_af1.wfa | 393216 | 131072 | 131072 | 24 | 18672 | 192 | 192 | 32 | 128 | 18.7482739  | 3.062 | 19056 | 0.048461914 |
| mandrill32.bmp | mandrill32.bmp-withWavelet_sym1-G_0.6-H2e-005_af1.wfa    | 393216 | 131072 | 131072 | 24 | 18672 | 192 | 192 | 32 | 128 | 18.7482739  | 3.141 | 19056 | 0.048461914 |
| mandrill32.bmp | mandrill32.bmp-withWavelet_bior1.1-G_0.6-H2e-005_af1.wfa | 393216 | 131072 | 131072 | 24 | 18672 | 192 | 192 | 32 | 128 | 18.7482739  | 3.11  | 19056 | 0.048461914 |
| mandrill32.bmp | mandrill32.bmp-withWavelet_haar-G_0.6-H7e-005_af2.wfa    | 98304  | 32768  | 32768  | 14 | 6512  | 112 | 112 | 32 | 64  | 18.75116866 | 0.829 | 6736  | 0.068522135 |
| mandrill32.bmp | mandrill32.bmp-withWavelet_rbio1.1-G_0.6-H7e-005_af2.wfa | 98304  | 32768  | 32768  | 14 | 6512  | 112 | 112 | 32 | 64  | 18.75116866 | 0.797 | 6736  | 0.068522135 |

|                |  |        |        |        |    |       |     |     |    |     |             |       |       |             |
|----------------|--|--------|--------|--------|----|-------|-----|-----|----|-----|-------------|-------|-------|-------------|
| mandrill32.bmp | mandrill32.bmp-withWavelet_sym1-G_0.6-H7e-005_af2.wfa    | 98304  | 32768  | 32768  | 14 | 6512  | 112 | 112 | 32 | 64  | 18.75116866 | 0.797 | 6736  | 0.068522135 |
| mandrill32.bmp | mandrill32.bmp-withWavelet_bior1.1-G_0.6-H7e-005_af2.wfa | 98304  | 32768  | 32768  | 14 | 6512  | 112 | 112 | 32 | 64  | 18.75116866 | 0.813 | 6736  | 0.068522135 |
| mandrill32.bmp | mandrill32.bmp-withWavelet_haar-G_0.8-H6e-005_af4.wfa    | 393216 | 131072 | 131072 | 18 | 10608 | 144 | 144 | 32 | 128 | 18.76360189 | 4.14  | 10896 | 0.027709961 |
| mandrill32.bmp | mandrill32.bmp-withWavelet_rbio1.1-G_0.8-H6e-005_af4.wfa | 393216 | 131072 | 131072 | 18 | 10608 | 144 | 144 | 32 | 128 | 18.76360189 | 5.313 | 10896 | 0.027709961 |
| mandrill32.bmp | mandrill32.bmp-withWavelet_sym1-G_0.8-H6e-005_af4.wfa    | 393216 | 131072 | 131072 | 18 | 10608 | 144 | 144 | 32 | 128 | 18.76360189 | 5.36  | 10896 | 0.027709961 |
| mandrill32.bmp | mandrill32.bmp-withWavelet_bior1.1-G_0.8-H6e-005_af4.wfa | 393216 | 131072 | 131072 | 18 | 10608 | 144 | 144 | 32 | 128 | 18.76360189 | 4.125 | 10896 | 0.027709961 |
| mandrill32.bmp | mandrill32.bmp-withWavelet_haar-G_0.8-H7e-005_af4.wfa    | 393216 | 131072 | 131072 | 18 | 10608 | 144 | 144 | 32 | 128 | 18.76360189 | 2.547 | 10896 | 0.027709961 |
| mandrill32.bmp | mandrill32.bmp-withWavelet_rbio1.1-G_0.8-H7e-005_af4.wfa | 393216 | 131072 | 131072 | 18 | 10608 | 144 | 144 | 32 | 128 | 18.76360189 | 2.547 | 10896 | 0.027709961 |
| mandrill32.bmp | mandrill32.bmp-withWavelet_sym1-G_0.8-H7e-005_af4.wfa    | 393216 | 131072 | 131072 | 18 | 10608 | 144 | 144 | 32 | 128 | 18.76360189 | 2.563 | 10896 | 0.027709961 |
| mandrill32.bmp | mandrill32.bmp-withWavelet_bior1.1-G_0.8-H7e-005_af4.wfa | 393216 | 131072 | 131072 | 18 | 10608 | 144 | 144 | 32 | 128 | 18.76360189 | 2.547 | 10896 | 0.027709961 |
| mandrill32.bmp | mandrill32.bmp-withWavelet_haar-G_0.8-H4e-005_af4.wfa    | 393216 | 131072 | 131072 | 19 | 11792 | 152 | 152 | 32 | 128 | 18.76458686 | 2.328 | 12096 | 0.030761719 |
| mandrill32.bmp | mandrill32.bmp-withWavelet_rbio1.1-G_0.8-H4e-005_af4.wfa | 393216 | 131072 | 131072 | 19 | 11792 | 152 | 152 | 32 | 128 | 18.76458686 | 2.438 | 12096 | 0.030761719 |
| mandrill32.bmp | mandrill32.bmp-withWavelet_sym1-G_0.8-H4e-005_af4.wfa    | 393216 | 131072 | 131072 | 19 | 11792 | 152 | 152 | 32 | 128 | 18.76458686 | 2.297 | 12096 | 0.030761719 |
| mandrill32.bmp | mandrill32.bmp-withWavelet_bior1.1-G_0.8-H4e-005_af4.wfa | 393216 | 131072 | 131072 | 19 | 11792 | 152 | 152 | 32 | 128 | 18.76458686 | 2.297 | 12096 | 0.030761719 |
| mandrill32.bmp | mandrill32.bmp-withWavelet_haar-G_0.8-H5e-005_af4.wfa    | 393216 | 131072 | 131072 | 19 | 11792 | 152 | 152 | 32 | 128 | 18.76458686 | 2.265 | 12096 | 0.030761719 |
| mandrill32.bmp | mandrill32.bmp-withWavelet_rbio1.1-G_0.8-H5e-005_af4.wfa | 393216 | 131072 | 131072 | 19 | 11792 | 152 | 152 | 32 | 128 | 18.76458686 | 2.281 | 12096 | 0.030761719 |
| mandrill32.bmp | mandrill32.bmp-withWavelet_sym1-G_0.8-H5e-005_af4.wfa    | 393216 | 131072 | 131072 | 19 | 11792 | 152 | 152 | 32 | 128 | 18.76458686 | 2.234 | 12096 | 0.030761719 |
| mandrill32.bmp | mandrill32.bmp-withWavelet_bior1.1-G_0.8-H5e-005_af4.wfa | 393216 | 131072 | 131072 | 19 | 11792 | 152 | 152 | 32 | 128 | 18.76458686 | 2.265 | 12096 | 0.030761719 |
| mandrill32.bmp | mandrill32.bmp-withWavelet_haar-G_1-H3e-005_af2.wfa      | 393216 | 131072 | 131072 | 17 | 9488  | 136 | 136 | 32 | 128 | 18.76809889 | 2.063 | 9760  | 0.024820964 |
| mandrill32.bmp | mandrill32.bmp-withWavelet_rbio1.1-G_1-H3e-005_af2.wfa   | 393216 | 131072 | 131072 | 17 | 9488  | 136 | 136 | 32 | 128 | 18.76809889 | 2.078 | 9760  | 0.024820964 |
| mandrill32.bmp | mandrill32.bmp-withWavelet_sym1-G_1-H3e-005_af2.wfa      | 393216 | 131072 | 131072 | 17 | 9488  | 136 | 136 | 32 | 128 | 18.76809889 | 2.031 | 9760  | 0.024820964 |
| mandrill32.bmp | mandrill32.bmp-withWavelet_bior1.1-G_1-H3e-005_af2.wfa   | 393216 | 131072 | 131072 | 17 | 9488  | 136 | 136 | 32 | 128 | 18.76809889 | 2.031 | 9760  | 0.024820964 |
| mandrill32.bmp | mandrill32.bmp-withWavelet_haar-G_0.8-H1e-005_af5.wfa    | 393216 | 131072 | 131072 | 25 | 20240 | 200 | 200 | 32 | 128 | 18.77033494 | 3.406 | 20640 | 0.052490234 |
| mandrill32.bmp | mandrill32.bmp-withWavelet_rbio1.1-G_0.8-H1e-005_af5.wfa | 393216 | 131072 | 131072 | 25 | 20240 | 200 | 200 | 32 | 128 | 18.77033494 | 3.594 | 20640 | 0.052490234 |
| mandrill32.bmp | mandrill32.bmp-withWavelet_sym1-G_0.8-H1e-005_af5.wfa    | 393216 | 131072 | 131072 | 25 | 20240 | 200 | 200 | 32 | 128 | 18.77033494 | 4.609 | 20640 | 0.052490234 |
| mandrill32.bmp | mandrill32.bmp-withWavelet_bior1.1-G_0.8-H1e-005_af5.wfa | 393216 | 131072 | 131072 | 25 | 20240 | 200 | 200 | 32 | 128 | 18.77033494 | 3.687 | 20640 | 0.052490234 |
| mandrill32.bmp | mandrill32.bmp-withWavelet_haar-G_0.6-H4e-005_af4.wfa    | 393216 | 131072 | 131072 | 19 | 11792 | 152 | 152 | 32 | 128 | 18.77270956 | 2.312 | 12096 | 0.030761719 |
| mandrill32.bmp | mandrill32.bmp-withWavelet_rbio1.1-G_0.6-H4e-005_af4.wfa | 393216 | 131072 | 131072 | 19 | 11792 | 152 | 152 | 32 | 128 | 18.77270956 | 2.422 | 12096 | 0.030761719 |
| mandrill32.bmp | mandrill32.bmp-withWavelet_sym1-G_0.6-H4e-005_af4.wfa    | 393216 | 131072 | 131072 | 19 | 11792 | 152 | 152 | 32 | 128 | 18.77270956 | 2.281 | 12096 | 0.030761719 |
| mandrill32.bmp | mandrill32.bmp-withWavelet_bior1.1-G_0.6-H4e-005_af4.wfa | 393216 | 131072 | 131072 | 19 | 11792 | 152 | 152 | 32 | 128 | 18.77270956 | 3.453 | 12096 | 0.030761719 |
| mandrill32.bmp | mandrill32.bmp-withWavelet_haar-G_1-H1e-005_af5.wfa      | 393216 | 131072 | 131072 | 25 | 20240 | 200 | 200 | 32 | 128 | 18.77894031 | 3.5   | 20640 | 0.052490234 |

|                |  |        |        |        |    |       |     |     |    |     |             |       |       |             |
|----------------|--|--------|--------|--------|----|-------|-----|-----|----|-----|-------------|-------|-------|-------------|
| mandrill32.bmp | mandrill32.bmp-withWavelet_rbio1.1-G_1-H1e-005_af5.wfa   | 393216 | 131072 | 131072 | 25 | 20240 | 200 | 200 | 32 | 128 | 18.77894031 | 3.36  | 20640 | 0.052490234 |
| mandrill32.bmp | mandrill32.bmp-withWavelet_sym1-G_1-H1e-005_af5.wfa      | 393216 | 131072 | 131072 | 25 | 20240 | 200 | 200 | 32 | 128 | 18.77894031 | 3.344 | 20640 | 0.052490234 |
| mandrill32.bmp | mandrill32.bmp-withWavelet_bior1.1-G_1-H1e-005_af5.wfa   | 393216 | 131072 | 131072 | 25 | 20240 | 200 | 200 | 32 | 128 | 18.77894031 | 3.532 | 20640 | 0.052490234 |
| mandrill32.bmp | mandrill32.bmp-withWavelet_haar-G_0.8-H5e-005_af2.wfa    | 98304  | 32768  | 32768  | 16 | 8432  | 128 | 128 | 32 | 64  | 18.77984118 | 0.5   | 8688  | 0.088378906 |
| mandrill32.bmp | mandrill32.bmp-withWavelet_rbio1.1-G_0.8-H5e-005_af2.wfa | 98304  | 32768  | 32768  | 16 | 8432  | 128 | 128 | 32 | 64  | 18.77984118 | 0.469 | 8688  | 0.088378906 |
| mandrill32.bmp | mandrill32.bmp-withWavelet_sym1-G_0.8-H5e-005_af2.wfa    | 98304  | 32768  | 32768  | 16 | 8432  | 128 | 128 | 32 | 64  | 18.77984118 | 0.5   | 8688  | 0.088378906 |
| mandrill32.bmp | mandrill32.bmp-withWavelet_bior1.1-G_0.8-H5e-005_af2.wfa | 98304  | 32768  | 32768  | 16 | 8432  | 128 | 128 | 32 | 64  | 18.77984118 | 0.485 | 8688  | 0.088378906 |
| mandrill32.bmp | mandrill32.bmp-withWavelet_haar-G_1-H5e-005_af2.wfa      | 98304  | 32768  | 32768  | 16 | 8432  | 128 | 128 | 32 | 64  | 18.78195564 | 0.484 | 8688  | 0.088378906 |
| mandrill32.bmp | mandrill32.bmp-withWavelet_rbio1.1-G_1-H5e-005_af2.wfa   | 98304  | 32768  | 32768  | 16 | 8432  | 128 | 128 | 32 | 64  | 18.78195564 | 0.5   | 8688  | 0.088378906 |
| mandrill32.bmp | mandrill32.bmp-withWavelet_sym1-G_1-H5e-005_af2.wfa      | 98304  | 32768  | 32768  | 16 | 8432  | 128 | 128 | 32 | 64  | 18.78195564 | 0.719 | 8688  | 0.088378906 |
| mandrill32.bmp | mandrill32.bmp-withWavelet_bior1.1-G_1-H5e-005_af2.wfa   | 98304  | 32768  | 32768  | 16 | 8432  | 128 | 128 | 32 | 64  | 18.78195564 | 0.5   | 8688  | 0.088378906 |
| mandrill32.bmp | mandrill32.bmp-G_0.8-H6e-005_af4.wfa                     | 98304  | 32768  |        | 15 | 7440  | 120 | 120 | 32 | 64  | 18.78285951 | 0.969 | 7680  | 0.078125    |
| mandrill32.bmp | mandrill32.bmp-G_1-H6e-005_af4.wfa                       | 98304  | 32768  |        | 15 | 7440  | 120 | 120 | 32 | 64  | 18.79135598 | 0.516 | 7680  | 0.078125    |
| mandrill32.bmp | mandrill32.bmp-withWavelet_haar-G_0.8-H2e-005_af2.wfa    | 393216 | 131072 | 131072 | 19 | 11792 | 152 | 152 | 32 | 128 | 18.79406969 | 2.234 | 12096 | 0.030761719 |
| mandrill32.bmp | mandrill32.bmp-withWavelet_rbio1.1-G_0.8-H2e-005_af2.wfa | 393216 | 131072 | 131072 | 19 | 11792 | 152 | 152 | 32 | 128 | 18.79406969 | 2.281 | 12096 | 0.030761719 |
| mandrill32.bmp | mandrill32.bmp-withWavelet_sym1-G_0.8-H2e-005_af2.wfa    | 393216 | 131072 | 131072 | 19 | 11792 | 152 | 152 | 32 | 128 | 18.79406969 | 2.282 | 12096 | 0.030761719 |
| mandrill32.bmp | mandrill32.bmp-withWavelet_bior1.1-G_0.8-H2e-005_af2.wfa | 393216 | 131072 | 131072 | 19 | 11792 | 152 | 152 | 32 | 128 | 18.79406969 | 2.25  | 12096 | 0.030761719 |
| mandrill32.bmp | mandrill32.bmp-withWavelet_haar-G_1-H6e-005_af4.wfa      | 393216 | 131072 | 131072 | 18 | 10608 | 144 | 144 | 32 | 128 | 18.79437578 | 2.094 | 10896 | 0.027709961 |
| mandrill32.bmp | mandrill32.bmp-withWavelet_rbio1.1-G_1-H6e-005_af4.wfa   | 393216 | 131072 | 131072 | 18 | 10608 | 144 | 144 | 32 | 128 | 18.79437578 | 2.172 | 10896 | 0.027709961 |
| mandrill32.bmp | mandrill32.bmp-withWavelet_sym1-G_1-H6e-005_af4.wfa      | 393216 | 131072 | 131072 | 18 | 10608 | 144 | 144 | 32 | 128 | 18.79437578 | 2.063 | 10896 | 0.027709961 |
| mandrill32.bmp | mandrill32.bmp-withWavelet_bior1.1-G_1-H6e-005_af4.wfa   | 393216 | 131072 | 131072 | 18 | 10608 | 144 | 144 | 32 | 128 | 18.79437578 | 2.094 | 10896 | 0.027709961 |
| mandrill32.bmp | mandrill32.bmp-withWavelet_haar-G_1-H7e-005_af4.wfa      | 393216 | 131072 | 131072 | 18 | 10608 | 144 | 144 | 32 | 128 | 18.79437578 | 2.562 | 10896 | 0.027709961 |
| mandrill32.bmp | mandrill32.bmp-withWavelet_rbio1.1-G_1-H7e-005_af4.wfa   | 393216 | 131072 | 131072 | 18 | 10608 | 144 | 144 | 32 | 128 | 18.79437578 | 2.547 | 10896 | 0.027709961 |
| mandrill32.bmp | mandrill32.bmp-withWavelet_sym1-G_1-H7e-005_af4.wfa      | 393216 | 131072 | 131072 | 18 | 10608 | 144 | 144 | 32 | 128 | 18.79437578 | 2.578 | 10896 | 0.027709961 |
| mandrill32.bmp | mandrill32.bmp-withWavelet_bior1.1-G_1-H7e-005_af4.wfa   | 393216 | 131072 | 131072 | 18 | 10608 | 144 | 144 | 32 | 128 | 18.79437578 | 2.563 | 10896 | 0.027709961 |
| mandrill32.bmp | mandrill32.bmp-withWavelet_haar-G_1-H4e-005_af4.wfa      | 393216 | 131072 | 131072 | 19 | 11792 | 152 | 152 | 32 | 128 | 18.79548154 | 2.313 | 12096 | 0.030761719 |
| mandrill32.bmp | mandrill32.bmp-withWavelet_rbio1.1-G_1-H4e-005_af4.wfa   | 393216 | 131072 | 131072 | 19 | 11792 | 152 | 152 | 32 | 128 | 18.79548154 | 3.062 | 12096 | 0.030761719 |
| mandrill32.bmp | mandrill32.bmp-withWavelet_sym1-G_1-H4e-005_af4.wfa      | 393216 | 131072 | 131072 | 19 | 11792 | 152 | 152 | 32 | 128 | 18.79548154 | 2.265 | 12096 | 0.030761719 |
| mandrill32.bmp | mandrill32.bmp-withWavelet_bior1.1-G_1-H4e-005_af4.wfa   | 393216 | 131072 | 131072 | 19 | 11792 | 152 | 152 | 32 | 128 | 18.79548154 | 2.406 | 12096 | 0.030761719 |
| mandrill32.bmp | mandrill32.bmp-withWavelet_haar-G_1-H5e-005_af4.wfa      | 393216 | 131072 | 131072 | 19 | 11792 | 152 | 152 | 32 | 128 | 18.79548154 | 2.25  | 12096 | 0.030761719 |
| mandrill32.bmp | mandrill32.bmp-withWavelet_rbio1.1-G_1-H5e-005_af4.wfa   | 393216 | 131072 | 131072 | 19 | 11792 | 152 | 152 | 32 | 128 | 18.79548154 | 2.281 | 12096 | 0.030761719 |



|                |  |        |        |        |    |       |     |     |    |     |             |       |       |             |
|----------------|--|--------|--------|--------|----|-------|-----|-----|----|-----|-------------|-------|-------|-------------|
| mandrill32.bmp | mandrill32.bmp-withWavelet_sym1-G_1-H5e-005_af4.wfa      | 393216 | 131072 | 131072 | 19 | 11792 | 152 | 152 | 32 | 128 | 18.79548154 | 2.234 | 12096 | 0.030761719 |
| mandrill32.bmp | mandrill32.bmp-withWavelet_bior1.1-G_1-H5e-005_af4.wfa   | 393216 | 131072 | 131072 | 19 | 11792 | 152 | 152 | 32 | 128 | 18.79548154 | 2.25  | 12096 | 0.030761719 |
| mandrill32.bmp | mandrill32.bmp-withWavelet_haar-G_1-H2e-005_af2.wfa      | 393216 | 131072 | 131072 | 19 | 11792 | 152 | 152 | 32 | 128 | 18.81433316 | 2.906 | 12096 | 0.030761719 |
| mandrill32.bmp | mandrill32.bmp-withWavelet_rbio1.1-G_1-H2e-005_af2.wfa   | 393216 | 131072 | 131072 | 19 | 11792 | 152 | 152 | 32 | 128 | 18.81433316 | 2.328 | 12096 | 0.030761719 |
| mandrill32.bmp | mandrill32.bmp-withWavelet_sym1-G_1-H2e-005_af2.wfa      | 393216 | 131072 | 131072 | 19 | 11792 | 152 | 152 | 32 | 128 | 18.81433316 | 2.359 | 12096 | 0.030761719 |
| mandrill32.bmp | mandrill32.bmp-withWavelet_bior1.1-G_1-H2e-005_af2.wfa   | 393216 | 131072 | 131072 | 19 | 11792 | 152 | 152 | 32 | 128 | 18.81433316 | 2.234 | 12096 | 0.030761719 |
| mandrill32.bmp | mandrill32.bmp-withWavelet_haar-G_0.8-H9e-005_af4.wfa    | 393216 | 131072 | 131072 | 15 | 7440  | 120 | 120 | 32 | 128 | 18.81473034 | 2.359 | 7680  | 0.01953125  |
| mandrill32.bmp | mandrill32.bmp-withWavelet_rbio1.1-G_0.8-H9e-005_af4.wfa | 393216 | 131072 | 131072 | 15 | 7440  | 120 | 120 | 32 | 128 | 18.81473034 | 2.625 | 7680  | 0.01953125  |
| mandrill32.bmp | mandrill32.bmp-withWavelet_sym1-G_0.8-H9e-005_af4.wfa    | 393216 | 131072 | 131072 | 15 | 7440  | 120 | 120 | 32 | 128 | 18.81473034 | 2.375 | 7680  | 0.01953125  |
| mandrill32.bmp | mandrill32.bmp-withWavelet_bior1.1-G_0.8-H9e-005_af4.wfa | 393216 | 131072 | 131072 | 15 | 7440  | 120 | 120 | 32 | 128 | 18.81473034 | 2.344 | 7680  | 0.01953125  |
| mandrill32.bmp | mandrill32.bmp-withWavelet_haar-G_0.8-H0.0001_af4.wfa    | 393216 | 131072 | 131072 | 15 | 7440  | 120 | 120 | 32 | 128 | 18.81473034 | 2     | 7680  | 0.01953125  |
| mandrill32.bmp | mandrill32.bmp-withWavelet_rbio1.1-G_0.8-H0.0001_af4.wfa | 393216 | 131072 | 131072 | 15 | 7440  | 120 | 120 | 32 | 128 | 18.81473034 | 2.031 | 7680  | 0.01953125  |
| mandrill32.bmp | mandrill32.bmp-withWavelet_sym1-G_0.8-H0.0001_af4.wfa    | 393216 | 131072 | 131072 | 15 | 7440  | 120 | 120 | 32 | 128 | 18.81473034 | 1.984 | 7680  | 0.01953125  |
| mandrill32.bmp | mandrill32.bmp-withWavelet_bior1.1-G_0.8-H0.0001_af4.wfa | 393216 | 131072 | 131072 | 15 | 7440  | 120 | 120 | 32 | 128 | 18.81473034 | 1.984 | 7680  | 0.01953125  |
| mandrill32.bmp | mandrill32.bmp-G_1-H7e-005_af4.wfa                       | 98304  | 32768  |        | 15 | 7440  | 120 | 120 | 32 | 64  | 18.83145416 | 0.516 | 7680  | 0.078125    |
| mandrill32.bmp | mandrill32.bmp-withWavelet_haar-G_1-H9e-005_af4.wfa      | 393216 | 131072 | 131072 | 15 | 7440  | 120 | 120 | 32 | 128 | 18.84419167 | 2.047 | 7680  | 0.01953125  |
| mandrill32.bmp | mandrill32.bmp-withWavelet_rbio1.1-G_1-H9e-005_af4.wfa   | 393216 | 131072 | 131072 | 15 | 7440  | 120 | 120 | 32 | 128 | 18.84419167 | 2.031 | 7680  | 0.01953125  |
| mandrill32.bmp | mandrill32.bmp-withWavelet_sym1-G_1-H9e-005_af4.wfa      | 393216 | 131072 | 131072 | 15 | 7440  | 120 | 120 | 32 | 128 | 18.84419167 | 2.016 | 7680  | 0.01953125  |
| mandrill32.bmp | mandrill32.bmp-withWavelet_bior1.1-G_1-H9e-005_af4.wfa   | 393216 | 131072 | 131072 | 15 | 7440  | 120 | 120 | 32 | 128 | 18.84419167 | 2.031 | 7680  | 0.01953125  |
| mandrill32.bmp | mandrill32.bmp-withWavelet_haar-G_1-H0.0001_af4.wfa      | 393216 | 131072 | 131072 | 15 | 7440  | 120 | 120 | 32 | 128 | 18.84419167 | 2.031 | 7680  | 0.01953125  |
| mandrill32.bmp | mandrill32.bmp-withWavelet_rbio1.1-G_1-H0.0001_af4.wfa   | 393216 | 131072 | 131072 | 15 | 7440  | 120 | 120 | 32 | 128 | 18.84419167 | 2.063 | 7680  | 0.01953125  |
| mandrill32.bmp | mandrill32.bmp-withWavelet_sym1-G_1-H0.0001_af4.wfa      | 393216 | 131072 | 131072 | 15 | 7440  | 120 | 120 | 32 | 128 | 18.84419167 | 2.219 | 7680  | 0.01953125  |
| mandrill32.bmp | mandrill32.bmp-withWavelet_bior1.1-G_1-H0.0001_af4.wfa   | 393216 | 131072 | 131072 | 15 | 7440  | 120 | 120 | 32 | 128 | 18.84419167 | 2.047 | 7680  | 0.01953125  |
| mandrill32.bmp | mandrill32.bmp-withWavelet_haar-G_0.6-H3e-005_af1.wfa    | 393216 | 131072 | 131072 | 21 | 14352 | 168 | 168 | 32 | 128 | 18.8446278  | 2.438 | 14688 | 0.037353516 |
| mandrill32.bmp | mandrill32.bmp-withWavelet_rbio1.1-G_0.6-H3e-005_af1.wfa | 393216 | 131072 | 131072 | 21 | 14352 | 168 | 168 | 32 | 128 | 18.8446278  | 2.484 | 14688 | 0.037353516 |
| mandrill32.bmp | mandrill32.bmp-withWavelet_sym1-G_0.6-H3e-005_af1.wfa    | 393216 | 131072 | 131072 | 21 | 14352 | 168 | 168 | 32 | 128 | 18.8446278  | 2.422 | 14688 | 0.037353516 |
| mandrill32.bmp | mandrill32.bmp-withWavelet_bior1.1-G_0.6-H3e-005_af1.wfa | 393216 | 131072 | 131072 | 21 | 14352 | 168 | 168 | 32 | 128 | 18.8446278  | 2.453 | 14688 | 0.037353516 |
| mandrill32.bmp | mandrill32.bmp-G_0.8-H7e-005_af4.wfa                     | 98304  | 32768  |        | 15 | 7440  | 120 | 120 | 32 | 64  | 18.84630378 | 0.485 | 7680  | 0.078125    |
| mandrill32.bmp | mandrill32.bmp-withWavelet_haar-G_0.6-H5e-005_af2.wfa    | 98304  | 32768  | 32768  | 16 | 8432  | 128 | 128 | 32 | 64  | 18.84737425 | 1.235 | 8688  | 0.088378906 |
| mandrill32.bmp | mandrill32.bmp-withWavelet_rbio1.1-G_0.6-H5e-005_af2.wfa | 98304  | 32768  | 32768  | 16 | 8432  | 128 | 128 | 32 | 64  | 18.84737425 | 1.188 | 8688  | 0.088378906 |
| mandrill32.bmp | mandrill32.bmp-withWavelet_sym1-G_0.6-H5e-005_af2.wfa    | 98304  | 32768  | 32768  | 16 | 8432  | 128 | 128 | 32 | 64  | 18.84737425 | 1.156 | 8688  | 0.088378906 |

|                |  |        |        |        |    |       |     |     |    |     |             |       |       |             |
|----------------|--|--------|--------|--------|----|-------|-----|-----|----|-----|-------------|-------|-------|-------------|
| mandrill32.bmp | mandrill32.bmp-withWavelet_bior1.1-G_0.6-H5e-005_af2.wfa | 98304  | 32768  | 32768  | 16 | 8432  | 128 | 128 | 32 | 64  | 18.84737425 | 0.594 | 8688  | 0.088378906 |
| mandrill32.bmp | mandrill32.bmp-withWavelet_haar-G_0.8-H3e-005_af4.wfa    | 393216 | 131072 | 131072 | 21 | 14352 | 168 | 168 | 32 | 128 | 18.84797089 | 2.672 | 14688 | 0.037353516 |
| mandrill32.bmp | mandrill32.bmp-withWavelet_rbio1.1-G_0.8-H3e-005_af4.wfa | 393216 | 131072 | 131072 | 21 | 14352 | 168 | 168 | 32 | 128 | 18.84797089 | 2.828 | 14688 | 0.037353516 |
| mandrill32.bmp | mandrill32.bmp-withWavelet_sym1-G_0.8-H3e-005_af4.wfa    | 393216 | 131072 | 131072 | 21 | 14352 | 168 | 168 | 32 | 128 | 18.84797089 | 3.156 | 14688 | 0.037353516 |
| mandrill32.bmp | mandrill32.bmp-withWavelet_bior1.1-G_0.8-H3e-005_af4.wfa | 393216 | 131072 | 131072 | 21 | 14352 | 168 | 168 | 32 | 128 | 18.84797089 | 2.735 | 14688 | 0.037353516 |
| mandrill32.bmp | mandrill32.bmp-withWavelet_haar-G_0.6-H7e-005_af3.wfa    | 393216 | 131072 | 131072 | 17 | 9488  | 136 | 136 | 32 | 128 | 18.85036013 | 2.312 | 9760  | 0.024820964 |
| mandrill32.bmp | mandrill32.bmp-withWavelet_rbio1.1-G_0.6-H7e-005_af3.wfa | 393216 | 131072 | 131072 | 17 | 9488  | 136 | 136 | 32 | 128 | 18.85036013 | 2.188 | 9760  | 0.024820964 |
| mandrill32.bmp | mandrill32.bmp-withWavelet_sym1-G_0.6-H7e-005_af3.wfa    | 393216 | 131072 | 131072 | 17 | 9488  | 136 | 136 | 32 | 128 | 18.85036013 | 2.188 | 9760  | 0.024820964 |
| mandrill32.bmp | mandrill32.bmp-withWavelet_bior1.1-G_0.6-H7e-005_af3.wfa | 393216 | 131072 | 131072 | 17 | 9488  | 136 | 136 | 32 | 128 | 18.85036013 | 2.234 | 9760  | 0.024820964 |
| mandrill32.bmp | mandrill32.bmp-G_1-H4e-005_af4.wfa                       | 98304  | 32768  |        | 16 | 8432  | 128 | 128 | 32 | 64  | 18.87123694 | 0.469 | 8688  | 0.088378906 |
| mandrill32.bmp | mandrill32.bmp-withWavelet_haar-G_1-H3e-005_af4.wfa      | 393216 | 131072 | 131072 | 21 | 14352 | 168 | 168 | 32 | 128 | 18.87838189 | 2.546 | 14688 | 0.037353516 |
| mandrill32.bmp | mandrill32.bmp-withWavelet_rbio1.1-G_1-H3e-005_af4.wfa   | 393216 | 131072 | 131072 | 21 | 14352 | 168 | 168 | 32 | 128 | 18.87838189 | 2.422 | 14688 | 0.037353516 |
| mandrill32.bmp | mandrill32.bmp-withWavelet_sym1-G_1-H3e-005_af4.wfa      | 393216 | 131072 | 131072 | 21 | 14352 | 168 | 168 | 32 | 128 | 18.87838189 | 2.5   | 14688 | 0.037353516 |
| mandrill32.bmp | mandrill32.bmp-withWavelet_bior1.1-G_1-H3e-005_af4.wfa   | 393216 | 131072 | 131072 | 21 | 14352 | 168 | 168 | 32 | 128 | 18.87838189 | 2.422 | 14688 | 0.037353516 |
| mandrill32.bmp | mandrill32.bmp-withWavelet_haar-G_0.8-H8e-005_af4.wfa    | 393216 | 131072 | 131072 | 17 | 9488  | 136 | 136 | 32 | 128 | 18.8800209  | 2.343 | 9760  | 0.024820964 |
| mandrill32.bmp | mandrill32.bmp-withWavelet_rbio1.1-G_0.8-H8e-005_af4.wfa | 393216 | 131072 | 131072 | 17 | 9488  | 136 | 136 | 32 | 128 | 18.8800209  | 2.172 | 9760  | 0.024820964 |
| mandrill32.bmp | mandrill32.bmp-withWavelet_sym1-G_0.8-H8e-005_af4.wfa    | 393216 | 131072 | 131072 | 17 | 9488  | 136 | 136 | 32 | 128 | 18.8800209  | 2.296 | 9760  | 0.024820964 |
| mandrill32.bmp | mandrill32.bmp-withWavelet_bior1.1-G_0.8-H8e-005_af4.wfa | 393216 | 131072 | 131072 | 17 | 9488  | 136 | 136 | 32 | 128 | 18.8800209  | 2.157 | 9760  | 0.024820964 |
| mandrill32.bmp | mandrill32.bmp-G_0.8-H4e-005_af4.wfa                     | 98304  | 32768  |        | 16 | 8432  | 128 | 128 | 32 | 64  | 18.88812493 | 0.485 | 8688  | 0.088378906 |
| mandrill32.bmp | mandrill32.bmp-G_1-H5e-005_af4.wfa                       | 98304  | 32768  |        | 16 | 8432  | 128 | 128 | 32 | 64  | 18.89205104 | 0.562 | 8688  | 0.088378906 |
| mandrill32.bmp | mandrill32.bmp-withWavelet_haar-G_0.8-H2e-005_af1.wfa    | 393216 | 131072 | 131072 | 24 | 18672 | 192 | 192 | 32 | 128 | 18.89452789 | 3.094 | 19056 | 0.048461914 |
| mandrill32.bmp | mandrill32.bmp-withWavelet_rbio1.1-G_0.8-H2e-005_af1.wfa | 393216 | 131072 | 131072 | 24 | 18672 | 192 | 192 | 32 | 128 | 18.89452789 | 3.141 | 19056 | 0.048461914 |
| mandrill32.bmp | mandrill32.bmp-withWavelet_sym1-G_0.8-H2e-005_af1.wfa    | 393216 | 131072 | 131072 | 24 | 18672 | 192 | 192 | 32 | 128 | 18.89452789 | 3.078 | 19056 | 0.048461914 |
| mandrill32.bmp | mandrill32.bmp-withWavelet_bior1.1-G_0.8-H2e-005_af1.wfa | 393216 | 131072 | 131072 | 24 | 18672 | 192 | 192 | 32 | 128 | 18.89452789 | 4.047 | 19056 | 0.048461914 |
| mandrill32.bmp | mandrill32.bmp-withWavelet_haar-G_0.6-H4e-005_af2.wfa    | 98304  | 32768  | 32768  | 17 | 9488  | 136 | 136 | 32 | 64  | 18.90046364 | 0.64  | 9760  | 0.099283854 |
| mandrill32.bmp | mandrill32.bmp-withWavelet_rbio1.1-G_0.6-H4e-005_af2.wfa | 98304  | 32768  | 32768  | 17 | 9488  | 136 | 136 | 32 | 64  | 18.90046364 | 0.5   | 9760  | 0.099283854 |
| mandrill32.bmp | mandrill32.bmp-withWavelet_sym1-G_0.6-H4e-005_af2.wfa    | 98304  | 32768  | 32768  | 17 | 9488  | 136 | 136 | 32 | 64  | 18.90046364 | 0.531 | 9760  | 0.099283854 |
| mandrill32.bmp | mandrill32.bmp-withWavelet_bior1.1-G_0.6-H4e-005_af2.wfa | 98304  | 32768  | 32768  | 17 | 9488  | 136 | 136 | 32 | 64  | 18.90046364 | 0.5   | 9760  | 0.099283854 |
| mandrill32.bmp | mandrill32.bmp-withWavelet_haar-G_1-H8e-005_af4.wfa      | 393216 | 131072 | 131072 | 17 | 9488  | 136 | 136 | 32 | 128 | 18.90725761 | 2.218 | 9760  | 0.024820964 |
| mandrill32.bmp | mandrill32.bmp-withWavelet_rbio1.1-G_1-H8e-005_af4.wfa   | 393216 | 131072 | 131072 | 17 | 9488  | 136 | 136 | 32 | 128 | 18.90725761 | 2.172 | 9760  | 0.024820964 |
| mandrill32.bmp | mandrill32.bmp-withWavelet_sym1-G_1-H8e-005_af4.wfa      | 393216 | 131072 | 131072 | 17 | 9488  | 136 | 136 | 32 | 128 | 18.90725761 | 2.203 | 9760  | 0.024820964 |

|                |  |        |        |        |    |       |     |     |    |     |             |       |       |             |
|----------------|--|--------|--------|--------|----|-------|-----|-----|----|-----|-------------|-------|-------|-------------|
| mandrill32.bmp | mandrill32.bmp-withWavelet_bior1.1-G_1-H8e-005_af4.wfa   | 393216 | 131072 | 131072 | 17 | 9488  | 136 | 136 | 32 | 128 | 18.90725761 | 2.204 | 9760  | 0.024820964 |
| mandrill32.bmp | mandrill32.bmp-withWavelet_haar-G_1-H2e-005_af1.wfa      | 393216 | 131072 | 131072 | 24 | 18672 | 192 | 192 | 32 | 128 | 18.90959607 | 3.141 | 19056 | 0.048461914 |
| mandrill32.bmp | mandrill32.bmp-withWavelet_rbio1.1-G_1-H2e-005_af1.wfa   | 393216 | 131072 | 131072 | 24 | 18672 | 192 | 192 | 32 | 128 | 18.90959607 | 4.016 | 19056 | 0.048461914 |
| mandrill32.bmp | mandrill32.bmp-withWavelet_sym1-G_1-H2e-005_af1.wfa      | 393216 | 131072 | 131072 | 24 | 18672 | 192 | 192 | 32 | 128 | 18.90959607 | 3.297 | 19056 | 0.048461914 |
| mandrill32.bmp | mandrill32.bmp-withWavelet_bior1.1-G_1-H2e-005_af1.wfa   | 393216 | 131072 | 131072 | 24 | 18672 | 192 | 192 | 32 | 128 | 18.90959607 | 3.343 | 19056 | 0.048461914 |
| mandrill32.bmp | mandrill32.bmp-G_1-H8e-005_af4.wfa                       | 98304  | 32768  |        | 15 | 7440  | 120 | 120 | 32 | 64  | 18.91002672 | 0.828 | 7680  | 0.078125    |
| mandrill32.bmp | mandrill32.bmp-G_0.6-H1e-005_af4.wfa                     | 98304  | 32768  |        | 17 | 9488  | 136 | 136 | 32 | 64  | 18.91227883 | 0.532 | 9760  | 0.099283854 |
| mandrill32.bmp | mandrill32.bmp-G_0.6-H2e-005_af4.wfa                     | 98304  | 32768  |        | 17 | 9488  | 136 | 136 | 32 | 64  | 18.91227883 | 0.5   | 9760  | 0.099283854 |
| mandrill32.bmp | mandrill32.bmp-G_0.8-H5e-005_af4.wfa                     | 98304  | 32768  |        | 16 | 8432  | 128 | 128 | 32 | 64  | 18.9173327  | 0.469 | 8688  | 0.088378906 |
| mandrill32.bmp | mandrill32.bmp-withWavelet_haar-G_0.6-H9e-005_af4.wfa    | 393216 | 131072 | 131072 | 14 | 6512  | 112 | 112 | 32 | 128 | 18.91966326 | 1.937 | 6736  | 0.017130534 |
| mandrill32.bmp | mandrill32.bmp-withWavelet_rbio1.1-G_0.6-H9e-005_af4.wfa | 393216 | 131072 | 131072 | 14 | 6512  | 112 | 112 | 32 | 128 | 18.91966326 | 1.953 | 6736  | 0.017130534 |
| mandrill32.bmp | mandrill32.bmp-withWavelet_sym1-G_0.6-H9e-005_af4.wfa    | 393216 | 131072 | 131072 | 14 | 6512  | 112 | 112 | 32 | 128 | 18.91966326 | 1.891 | 6736  | 0.017130534 |
| mandrill32.bmp | mandrill32.bmp-withWavelet_bior1.1-G_0.6-H9e-005_af4.wfa | 393216 | 131072 | 131072 | 14 | 6512  | 112 | 112 | 32 | 128 | 18.91966326 | 1.891 | 6736  | 0.017130534 |
| mandrill32.bmp | mandrill32.bmp-withWavelet_haar-G_0.8-H4e-005_af2.wfa    | 98304  | 32768  | 32768  | 17 | 9488  | 136 | 136 | 32 | 64  | 18.92800146 | 0.484 | 9760  | 0.099283854 |
| mandrill32.bmp | mandrill32.bmp-withWavelet_rbio1.1-G_0.8-H4e-005_af2.wfa | 98304  | 32768  | 32768  | 17 | 9488  | 136 | 136 | 32 | 64  | 18.92800146 | 0.656 | 9760  | 0.099283854 |
| mandrill32.bmp | mandrill32.bmp-withWavelet_sym1-G_0.8-H4e-005_af2.wfa    | 98304  | 32768  | 32768  | 17 | 9488  | 136 | 136 | 32 | 64  | 18.92800146 | 0.532 | 9760  | 0.099283854 |
| mandrill32.bmp | mandrill32.bmp-withWavelet_bior1.1-G_0.8-H4e-005_af2.wfa | 98304  | 32768  | 32768  | 17 | 9488  | 136 | 136 | 32 | 64  | 18.92800146 | 0.531 | 9760  | 0.099283854 |
| mandrill32.bmp | mandrill32.bmp-G_0.8-H8e-005_af4.wfa                     | 98304  | 32768  |        | 15 | 7440  | 120 | 120 | 32 | 64  | 18.92854708 | 0.828 | 7680  | 0.078125    |
| mandrill32.bmp | mandrill32.bmp-withWavelet_haar-G_1-H4e-005_af2.wfa      | 98304  | 32768  | 32768  | 17 | 9488  | 136 | 136 | 32 | 64  | 18.93134894 | 0.516 | 9760  | 0.099283854 |
| mandrill32.bmp | mandrill32.bmp-withWavelet_rbio1.1-G_1-H4e-005_af2.wfa   | 98304  | 32768  | 32768  | 17 | 9488  | 136 | 136 | 32 | 64  | 18.93134894 | 0.515 | 9760  | 0.099283854 |
| mandrill32.bmp | mandrill32.bmp-withWavelet_sym1-G_1-H4e-005_af2.wfa      | 98304  | 32768  | 32768  | 17 | 9488  | 136 | 136 | 32 | 64  | 18.93134894 | 0.5   | 9760  | 0.099283854 |
| mandrill32.bmp | mandrill32.bmp-withWavelet_bior1.1-G_1-H4e-005_af2.wfa   | 98304  | 32768  | 32768  | 17 | 9488  | 136 | 136 | 32 | 64  | 18.93134894 | 0.485 | 9760  | 0.099283854 |
| mandrill32.bmp | mandrill32.bmp-G_0.6-H3e-005_af4.wfa                     | 24576  | 8192   |        | 5  | 1040  | 40  | 40  | 32 | 32  | 18.93946913 | 0.11  | 1120  | 0.045572917 |
| mandrill32.bmp | mandrill32.bmp-G_0.6-H4e-005_af4.wfa                     | 24576  | 8192   |        | 5  | 1040  | 40  | 40  | 32 | 32  | 18.93946913 | 0.094 | 1120  | 0.045572917 |
| mandrill32.bmp | mandrill32.bmp-G_0.6-H5e-005_af4.wfa                     | 24576  | 8192   |        | 5  | 1040  | 40  | 40  | 32 | 32  | 18.93946913 | 0.078 | 1120  | 0.045572917 |
| mandrill32.bmp | mandrill32.bmp-G_0.6-H6e-005_af4.wfa                     | 24576  | 8192   |        | 5  | 1040  | 40  | 40  | 32 | 32  | 18.93946913 | 0.281 | 1120  | 0.045572917 |
| mandrill32.bmp | mandrill32.bmp-G_0.6-H7e-005_af4.wfa                     | 24576  | 8192   |        | 5  | 1040  | 40  | 40  | 32 | 32  | 18.93946913 | 0.094 | 1120  | 0.045572917 |
| mandrill32.bmp | mandrill32.bmp-G_0.6-H8e-005_af4.wfa                     | 24576  | 8192   |        | 5  | 1040  | 40  | 40  | 32 | 32  | 18.93946913 | 0.406 | 1120  | 0.045572917 |
| mandrill32.bmp | mandrill32.bmp-G_0.6-H9e-005_af4.wfa                     | 24576  | 8192   |        | 5  | 1040  | 40  | 40  | 32 | 32  | 18.93946913 | 0.094 | 1120  | 0.045572917 |
| mandrill32.bmp | mandrill32.bmp-G_0.6-H0.0001_af4.wfa                     | 24576  | 8192   |        | 5  | 1040  | 40  | 40  | 32 | 32  | 18.93946913 | 0.094 | 1120  | 0.045572917 |
| mandrill32.bmp | mandrill32.bmp-G_1-H0.0001_af5.wfa                       | 393216 | 131072 |        | 12 | 4848  | 96  | 96  | 32 | 128 | 18.9448599  | 1.781 | 5040  | 0.012817383 |

|                |  |        |        |        |    |       |     |     |    |     |             |       |       |             |
|----------------|--|--------|--------|--------|----|-------|-----|-----|----|-----|-------------|-------|-------|-------------|
| mandrill32.bmp | mandrill32.bmp-G_0.8-H0.0001_af5.wfa                     | 393216 | 131072 |        | 12 | 4848  | 96  | 96  | 32 | 128 | 18.94855426 | 1.797 | 5040  | 0.012817383 |
| mandrill32.bmp | mandrill32.bmp-G_1-H3e-005_af4.wfa                       | 98304  | 32768  |        | 19 | 11792 | 152 | 152 | 32 | 64  | 18.99102209 | 0.532 | 12096 | 0.123046875 |
| mandrill32.bmp | mandrill32.bmp-withWavelet_haar-G_0.6-H3e-005_af3.wfa    | 393216 | 131072 | 131072 | 21 | 14352 | 168 | 168 | 32 | 128 | 18.9951941  | 2.422 | 14688 | 0.037353516 |
| mandrill32.bmp | mandrill32.bmp-withWavelet_rbio1.1-G_0.6-H3e-005_af3.wfa | 393216 | 131072 | 131072 | 21 | 14352 | 168 | 168 | 32 | 128 | 18.9951941  | 2.469 | 14688 | 0.037353516 |
| mandrill32.bmp | mandrill32.bmp-withWavelet_sym1-G_0.6-H3e-005_af3.wfa    | 393216 | 131072 | 131072 | 21 | 14352 | 168 | 168 | 32 | 128 | 18.9951941  | 2.593 | 14688 | 0.037353516 |
| mandrill32.bmp | mandrill32.bmp-withWavelet_bior1.1-G_0.6-H3e-005_af3.wfa | 393216 | 131072 | 131072 | 21 | 14352 | 168 | 168 | 32 | 128 | 18.9951941  | 2.422 | 14688 | 0.037353516 |
| mandrill32.bmp | mandrill32.bmp-withWavelet_haar-G_0.6-H4e-005_af3.wfa    | 393216 | 131072 | 131072 | 21 | 14352 | 168 | 168 | 32 | 128 | 18.9951941  | 2.547 | 14688 | 0.037353516 |
| mandrill32.bmp | mandrill32.bmp-withWavelet_rbio1.1-G_0.6-H4e-005_af3.wfa | 393216 | 131072 | 131072 | 21 | 14352 | 168 | 168 | 32 | 128 | 18.9951941  | 2.531 | 14688 | 0.037353516 |
| mandrill32.bmp | mandrill32.bmp-withWavelet_sym1-G_0.6-H4e-005_af3.wfa    | 393216 | 131072 | 131072 | 21 | 14352 | 168 | 168 | 32 | 128 | 18.9951941  | 2.563 | 14688 | 0.037353516 |
| mandrill32.bmp | mandrill32.bmp-withWavelet_bior1.1-G_0.6-H4e-005_af3.wfa | 393216 | 131072 | 131072 | 21 | 14352 | 168 | 168 | 32 | 128 | 18.9951941  | 2.484 | 14688 | 0.037353516 |
| mandrill32.bmp | mandrill32.bmp-withWavelet_haar-G_0.6-H1e-005_af5.wfa    | 98304  | 32768  | 32768  | 25 | 20240 | 200 | 200 | 32 | 64  | 19.03080435 | 0.859 | 20640 | 0.209960938 |
| mandrill32.bmp | mandrill32.bmp-withWavelet_rbio1.1-G_0.6-H1e-005_af5.wfa | 98304  | 32768  | 32768  | 25 | 20240 | 200 | 200 | 32 | 64  | 19.03080435 | 0.766 | 20640 | 0.209960938 |
| mandrill32.bmp | mandrill32.bmp-withWavelet_sym1-G_0.6-H1e-005_af5.wfa    | 98304  | 32768  | 32768  | 25 | 20240 | 200 | 200 | 32 | 64  | 19.03080435 | 0.813 | 20640 | 0.209960938 |
| mandrill32.bmp | mandrill32.bmp-withWavelet_bior1.1-G_0.6-H1e-005_af5.wfa | 98304  | 32768  | 32768  | 25 | 20240 | 200 | 200 | 32 | 64  | 19.03080435 | 0.766 | 20640 | 0.209960938 |
| mandrill32.bmp | mandrill32.bmp-G_0.8-H3e-005_af4.wfa                     | 98304  | 32768  |        | 19 | 11792 | 152 | 152 | 32 | 64  | 19.03903933 | 0.61  | 12096 | 0.123046875 |
| mandrill32.bmp | mandrill32.bmp-G_1-H2e-005_af4.wfa                       | 98304  | 32768  |        | 20 | 13040 | 160 | 160 | 32 | 64  | 19.04103181 | 0.531 | 13360 | 0.135904948 |
| mandrill32.bmp | mandrill32.bmp-withWavelet_haar-G_0.6-H1e-005_af2.wfa    | 98304  | 32768  | 32768  | 25 | 20240 | 200 | 200 | 32 | 64  | 19.05538945 | 0.782 | 20640 | 0.209960938 |
| mandrill32.bmp | mandrill32.bmp-withWavelet_rbio1.1-G_0.6-H1e-005_af2.wfa | 98304  | 32768  | 32768  | 25 | 20240 | 200 | 200 | 32 | 64  | 19.05538945 | 0.968 | 20640 | 0.209960938 |
| mandrill32.bmp | mandrill32.bmp-withWavelet_sym1-G_0.6-H1e-005_af2.wfa    | 98304  | 32768  | 32768  | 25 | 20240 | 200 | 200 | 32 | 64  | 19.05538945 | 0.766 | 20640 | 0.209960938 |
| mandrill32.bmp | mandrill32.bmp-withWavelet_bior1.1-G_0.6-H1e-005_af2.wfa | 98304  | 32768  | 32768  | 25 | 20240 | 200 | 200 | 32 | 64  | 19.05538945 | 0.766 | 20640 | 0.209960938 |
| mandrill32.bmp | mandrill32.bmp-withWavelet_haar-G_0.6-H4e-005_af1.wfa    | 393216 | 131072 | 131072 | 17 | 9488  | 136 | 136 | 32 | 128 | 19.06283512 | 2.313 | 9760  | 0.024820964 |
| mandrill32.bmp | mandrill32.bmp-withWavelet_rbio1.1-G_0.6-H4e-005_af1.wfa | 393216 | 131072 | 131072 | 17 | 9488  | 136 | 136 | 32 | 128 | 19.06283512 | 2.063 | 9760  | 0.024820964 |
| mandrill32.bmp | mandrill32.bmp-withWavelet_sym1-G_0.6-H4e-005_af1.wfa    | 393216 | 131072 | 131072 | 17 | 9488  | 136 | 136 | 32 | 128 | 19.06283512 | 2.063 | 9760  | 0.024820964 |
| mandrill32.bmp | mandrill32.bmp-withWavelet_bior1.1-G_0.6-H4e-005_af1.wfa | 393216 | 131072 | 131072 | 17 | 9488  | 136 | 136 | 32 | 128 | 19.06283512 | 2.109 | 9760  | 0.024820964 |
| mandrill32.bmp | mandrill32.bmp-G_0.6-H0.0001_af3.wfa                     | 393216 | 131072 |        | 12 | 4848  | 96  | 96  | 32 | 128 | 19.06735243 | 1.797 | 5040  | 0.012817383 |
| mandrill32.bmp | mandrill32.bmp-withWavelet_haar-G_0.8-H3e-005_af1.wfa    | 393216 | 131072 | 131072 | 20 | 13040 | 160 | 160 | 32 | 128 | 19.06988043 | 2.375 | 13360 | 0.033976237 |
| mandrill32.bmp | mandrill32.bmp-withWavelet_rbio1.1-G_0.8-H3e-005_af1.wfa | 393216 | 131072 | 131072 | 20 | 13040 | 160 | 160 | 32 | 128 | 19.06988043 | 2.281 | 13360 | 0.033976237 |
| mandrill32.bmp | mandrill32.bmp-withWavelet_sym1-G_0.8-H3e-005_af1.wfa    | 393216 | 131072 | 131072 | 20 | 13040 | 160 | 160 | 32 | 128 | 19.06988043 | 2.296 | 13360 | 0.033976237 |
| mandrill32.bmp | mandrill32.bmp-withWavelet_bior1.1-G_0.8-H3e-005_af1.wfa | 393216 | 131072 | 131072 | 20 | 13040 | 160 | 160 | 32 | 128 | 19.06988043 | 2.328 | 13360 | 0.033976237 |
| mandrill32.bmp | mandrill32.bmp-G_1-H9e-005_af5.wfa                       | 393216 | 131072 |        | 12 | 4848  | 96  | 96  | 32 | 128 | 19.0711857  | 1.859 | 5040  | 0.012817383 |
| mandrill32.bmp | mandrill32.bmp-G_0.8-H2e-005_af4.wfa                     | 98304  | 32768  |        | 21 | 14352 | 168 | 168 | 32 | 64  | 19.07341574 | 0.579 | 14688 | 0.149414063 |

|                |  |        |        |        |    |       |     |     |    |     |             |       |       |             |
|----------------|--|--------|--------|--------|----|-------|-----|-----|----|-----|-------------|-------|-------|-------------|
| mandrill32.bmp | mandrill32.bmp-G_0.8-H1e-005_af4.wfa                     | 98304  | 32768  |        | 21 | 14352 | 168 | 168 | 32 | 64  | 19.07341574 | 0.938 | 14688 | 0.149414063 |
| mandrill32.bmp | mandrill32.bmp-G_0.8-H9e-005_af5.wfa                     | 393216 | 131072 |        | 12 | 4848  | 96  | 96  | 32 | 128 | 19.0765988  | 2.156 | 5040  | 0.012817383 |
| mandrill32.bmp | mandrill32.bmp-G_1-H1e-005_af4.wfa                       | 98304  | 32768  |        | 22 | 15728 | 176 | 176 | 32 | 64  | 19.0819018  | 0.625 | 16080 | 0.163574219 |
| mandrill32.bmp | mandrill32.bmp-withWavelet_haar-G_1-H3e-005_af1.wfa      | 393216 | 131072 | 131072 | 20 | 13040 | 160 | 160 | 32 | 128 | 19.08298607 | 2.5   | 13360 | 0.033976237 |
| mandrill32.bmp | mandrill32.bmp-withWavelet_rbio1.1-G_1-H3e-005_af1.wfa   | 393216 | 131072 | 131072 | 20 | 13040 | 160 | 160 | 32 | 128 | 19.08298607 | 2.25  | 13360 | 0.033976237 |
| mandrill32.bmp | mandrill32.bmp-withWavelet_sym1-G_1-H3e-005_af1.wfa      | 393216 | 131072 | 131072 | 20 | 13040 | 160 | 160 | 32 | 128 | 19.08298607 | 2.297 | 13360 | 0.033976237 |
| mandrill32.bmp | mandrill32.bmp-withWavelet_bior1.1-G_1-H3e-005_af1.wfa   | 393216 | 131072 | 131072 | 20 | 13040 | 160 | 160 | 32 | 128 | 19.08298607 | 2.297 | 13360 | 0.033976237 |
| mandrill32.bmp | mandrill32.bmp-withWavelet_haar-G_0.6-H2e-005_af5.wfa    | 98304  | 32768  | 32768  | 22 | 15728 | 176 | 176 | 32 | 64  | 19.08620334 | 0.594 | 16080 | 0.163574219 |
| mandrill32.bmp | mandrill32.bmp-withWavelet_rbio1.1-G_0.6-H2e-005_af5.wfa | 98304  | 32768  | 32768  | 22 | 15728 | 176 | 176 | 32 | 64  | 19.08620334 | 0.593 | 16080 | 0.163574219 |
| mandrill32.bmp | mandrill32.bmp-withWavelet_sym1-G_0.6-H2e-005_af5.wfa    | 98304  | 32768  | 32768  | 22 | 15728 | 176 | 176 | 32 | 64  | 19.08620334 | 0.594 | 16080 | 0.163574219 |
| mandrill32.bmp | mandrill32.bmp-withWavelet_bior1.1-G_0.6-H2e-005_af5.wfa | 98304  | 32768  | 32768  | 22 | 15728 | 176 | 176 | 32 | 64  | 19.08620334 | 0.578 | 16080 | 0.163574219 |
| mandrill32.bmp | mandrill32.bmp-withWavelet_haar-G_0.8-H2e-005_af3.wfa    | 393216 | 131072 | 131072 | 24 | 18672 | 192 | 192 | 32 | 128 | 19.09270982 | 3.14  | 19056 | 0.048461914 |
| mandrill32.bmp | mandrill32.bmp-withWavelet_rbio1.1-G_0.8-H2e-005_af3.wfa | 393216 | 131072 | 131072 | 24 | 18672 | 192 | 192 | 32 | 128 | 19.09270982 | 4     | 19056 | 0.048461914 |
| mandrill32.bmp | mandrill32.bmp-withWavelet_sym1-G_0.8-H2e-005_af3.wfa    | 393216 | 131072 | 131072 | 24 | 18672 | 192 | 192 | 32 | 128 | 19.09270982 | 3.093 | 19056 | 0.048461914 |
| mandrill32.bmp | mandrill32.bmp-withWavelet_bior1.1-G_0.8-H2e-005_af3.wfa | 393216 | 131072 | 131072 | 24 | 18672 | 192 | 192 | 32 | 128 | 19.09270982 | 3.14  | 19056 | 0.048461914 |
| mandrill32.bmp | mandrill32.bmp-G_0.6-H0.0001_af5.wfa                     | 393216 | 131072 |        | 12 | 4848  | 96  | 96  | 32 | 128 | 19.09600921 | 1.843 | 5040  | 0.012817383 |
| mandrill32.bmp | mandrill32.bmp-withWavelet_haar-G_0.6-H6e-005_af1.wfa    | 393216 | 131072 | 131072 | 15 | 7440  | 120 | 120 | 32 | 128 | 19.09730259 | 8.578 | 7680  | 0.01953125  |
| mandrill32.bmp | mandrill32.bmp-withWavelet_rbio1.1-G_0.6-H6e-005_af1.wfa | 393216 | 131072 | 131072 | 15 | 7440  | 120 | 120 | 32 | 128 | 19.09730259 | 9.312 | 7680  | 0.01953125  |
| mandrill32.bmp | mandrill32.bmp-withWavelet_sym1-G_0.6-H6e-005_af1.wfa    | 393216 | 131072 | 131072 | 15 | 7440  | 120 | 120 | 32 | 128 | 19.09730259 | 6.875 | 7680  | 0.01953125  |
| mandrill32.bmp | mandrill32.bmp-withWavelet_bior1.1-G_0.6-H6e-005_af1.wfa | 393216 | 131072 | 131072 | 15 | 7440  | 120 | 120 | 32 | 128 | 19.09730259 | 6.797 | 7680  | 0.01953125  |
| mandrill32.bmp | mandrill32.bmp-withWavelet_haar-G_1-H2e-005_af3.wfa      | 393216 | 131072 | 131072 | 24 | 18672 | 192 | 192 | 32 | 128 | 19.10407737 | 3.125 | 19056 | 0.048461914 |
| mandrill32.bmp | mandrill32.bmp-withWavelet_rbio1.1-G_1-H2e-005_af3.wfa   | 393216 | 131072 | 131072 | 24 | 18672 | 192 | 192 | 32 | 128 | 19.10407737 | 3.062 | 19056 | 0.048461914 |
| mandrill32.bmp | mandrill32.bmp-withWavelet_sym1-G_1-H2e-005_af3.wfa      | 393216 | 131072 | 131072 | 24 | 18672 | 192 | 192 | 32 | 128 | 19.10407737 | 3.14  | 19056 | 0.048461914 |
| mandrill32.bmp | mandrill32.bmp-withWavelet_bior1.1-G_1-H2e-005_af3.wfa   | 393216 | 131072 | 131072 | 24 | 18672 | 192 | 192 | 32 | 128 | 19.10407737 | 3.172 | 19056 | 0.048461914 |
| mandrill32.bmp | mandrill32.bmp-withWavelet_haar-G_0.8-H4e-005_af1.wfa    | 393216 | 131072 | 131072 | 18 | 10608 | 144 | 144 | 32 | 128 | 19.11207813 | 2.157 | 10896 | 0.027709961 |
| mandrill32.bmp | mandrill32.bmp-withWavelet_rbio1.1-G_0.8-H4e-005_af1.wfa | 393216 | 131072 | 131072 | 18 | 10608 | 144 | 144 | 32 | 128 | 19.11207813 | 2.156 | 10896 | 0.027709961 |
| mandrill32.bmp | mandrill32.bmp-withWavelet_sym1-G_0.8-H4e-005_af1.wfa    | 393216 | 131072 | 131072 | 18 | 10608 | 144 | 144 | 32 | 128 | 19.11207813 | 2.109 | 10896 | 0.027709961 |
| mandrill32.bmp | mandrill32.bmp-withWavelet_bior1.1-G_0.8-H4e-005_af1.wfa | 393216 | 131072 | 131072 | 18 | 10608 | 144 | 144 | 32 | 128 | 19.11207813 | 2.109 | 10896 | 0.027709961 |
| mandrill32.bmp | mandrill32.bmp-withWavelet_haar-G_0.6-H8e-005_af3.wfa    | 393216 | 131072 | 131072 | 15 | 7440  | 120 | 120 | 32 | 128 | 19.12016565 | 2.329 | 7680  | 0.01953125  |
| mandrill32.bmp | mandrill32.bmp-withWavelet_rbio1.1-G_0.6-H8e-005_af3.wfa | 393216 | 131072 | 131072 | 15 | 7440  | 120 | 120 | 32 | 128 | 19.12016565 | 2.375 | 7680  | 0.01953125  |
| mandrill32.bmp | mandrill32.bmp-withWavelet_sym1-G_0.6-H8e-005_af3.wfa    | 393216 | 131072 | 131072 | 15 | 7440  | 120 | 120 | 32 | 128 | 19.12016565 | 2.375 | 7680  | 0.01953125  |

|                |  |        |        |        |    |       |     |     |    |     |             |       |       |             |
|----------------|--|--------|--------|--------|----|-------|-----|-----|----|-----|-------------|-------|-------|-------------|
| mandrill32.bmp | mandrill32.bmp-withWavelet_bior1.1-G_0.6-H8e-005_af3.wfa | 393216 | 131072 | 131072 | 15 | 7440  | 120 | 120 | 32 | 128 | 19.12016565 | 2.437 | 7680  | 0.01953125  |
| mandrill32.bmp | mandrill32.bmp-withWavelet_haar-G_0.6-H9e-005_af3.wfa    | 393216 | 131072 | 131072 | 15 | 7440  | 120 | 120 | 32 | 128 | 19.12016565 | 2.032 | 7680  | 0.01953125  |
| mandrill32.bmp | mandrill32.bmp-withWavelet_rbio1.1-G_0.6-H9e-005_af3.wfa | 393216 | 131072 | 131072 | 15 | 7440  | 120 | 120 | 32 | 128 | 19.12016565 | 2     | 7680  | 0.01953125  |
| mandrill32.bmp | mandrill32.bmp-withWavelet_sym1-G_0.6-H9e-005_af3.wfa    | 393216 | 131072 | 131072 | 15 | 7440  | 120 | 120 | 32 | 128 | 19.12016565 | 2.235 | 7680  | 0.01953125  |
| mandrill32.bmp | mandrill32.bmp-withWavelet_bior1.1-G_0.6-H9e-005_af3.wfa | 393216 | 131072 | 131072 | 15 | 7440  | 120 | 120 | 32 | 128 | 19.12016565 | 2     | 7680  | 0.01953125  |
| mandrill32.bmp | mandrill32.bmp-withWavelet_haar-G_0.6-H2e-005_af2.wfa    | 98304  | 32768  | 32768  | 21 | 14352 | 168 | 168 | 32 | 64  | 19.1299392  | 0.578 | 14688 | 0.149414063 |
| mandrill32.bmp | mandrill32.bmp-withWavelet_rbio1.1-G_0.6-H2e-005_af2.wfa | 98304  | 32768  | 32768  | 21 | 14352 | 168 | 168 | 32 | 64  | 19.1299392  | 0.609 | 14688 | 0.149414063 |
| mandrill32.bmp | mandrill32.bmp-withWavelet_sym1-G_0.6-H2e-005_af2.wfa    | 98304  | 32768  | 32768  | 21 | 14352 | 168 | 168 | 32 | 64  | 19.1299392  | 0.578 | 14688 | 0.149414063 |
| mandrill32.bmp | mandrill32.bmp-withWavelet_bior1.1-G_0.6-H2e-005_af2.wfa | 98304  | 32768  | 32768  | 21 | 14352 | 168 | 168 | 32 | 64  | 19.1299392  | 0.578 | 14688 | 0.149414063 |
| mandrill32.bmp | mandrill32.bmp-withWavelet_haar-G_0.8-H3e-005_af3.wfa    | 393216 | 131072 | 131072 | 21 | 14352 | 168 | 168 | 32 | 128 | 19.13478947 | 3.438 | 14688 | 0.037353516 |
| mandrill32.bmp | mandrill32.bmp-withWavelet_rbio1.1-G_0.8-H3e-005_af3.wfa | 393216 | 131072 | 131072 | 21 | 14352 | 168 | 168 | 32 | 128 | 19.13478947 | 3.468 | 14688 | 0.037353516 |
| mandrill32.bmp | mandrill32.bmp-withWavelet_sym1-G_0.8-H3e-005_af3.wfa    | 393216 | 131072 | 131072 | 21 | 14352 | 168 | 168 | 32 | 128 | 19.13478947 | 2.75  | 14688 | 0.037353516 |
| mandrill32.bmp | mandrill32.bmp-withWavelet_bior1.1-G_0.8-H3e-005_af3.wfa | 393216 | 131072 | 131072 | 21 | 14352 | 168 | 168 | 32 | 128 | 19.13478947 | 3.578 | 14688 | 0.037353516 |
| mandrill32.bmp | mandrill32.bmp-withWavelet_haar-G_1-H3e-005_af3.wfa      | 393216 | 131072 | 131072 | 21 | 14352 | 168 | 168 | 32 | 128 | 19.14731953 | 2.469 | 14688 | 0.037353516 |
| mandrill32.bmp | mandrill32.bmp-withWavelet_rbio1.1-G_1-H3e-005_af3.wfa   | 393216 | 131072 | 131072 | 21 | 14352 | 168 | 168 | 32 | 128 | 19.14731953 | 2.421 | 14688 | 0.037353516 |
| mandrill32.bmp | mandrill32.bmp-withWavelet_sym1-G_1-H3e-005_af3.wfa      | 393216 | 131072 | 131072 | 21 | 14352 | 168 | 168 | 32 | 128 | 19.14731953 | 2.406 | 14688 | 0.037353516 |
| mandrill32.bmp | mandrill32.bmp-withWavelet_bior1.1-G_1-H3e-005_af3.wfa   | 393216 | 131072 | 131072 | 21 | 14352 | 168 | 168 | 32 | 128 | 19.14731953 | 2.437 | 14688 | 0.037353516 |
| mandrill32.bmp | mandrill32.bmp-withWavelet_haar-G_0.6-H5e-005_af1.wfa    | 393216 | 131072 | 131072 | 16 | 8432  | 128 | 128 | 32 | 128 | 19.15771338 | 2.828 | 8688  | 0.022094727 |
| mandrill32.bmp | mandrill32.bmp-withWavelet_rbio1.1-G_0.6-H5e-005_af1.wfa | 393216 | 131072 | 131072 | 16 | 8432  | 128 | 128 | 32 | 128 | 19.15771338 | 2.046 | 8688  | 0.022094727 |
| mandrill32.bmp | mandrill32.bmp-withWavelet_sym1-G_0.6-H5e-005_af1.wfa    | 393216 | 131072 | 131072 | 16 | 8432  | 128 | 128 | 32 | 128 | 19.15771338 | 2.172 | 8688  | 0.022094727 |
| mandrill32.bmp | mandrill32.bmp-withWavelet_bior1.1-G_0.6-H5e-005_af1.wfa | 393216 | 131072 | 131072 | 16 | 8432  | 128 | 128 | 32 | 128 | 19.15771338 | 3.406 | 8688  | 0.022094727 |
| mandrill32.bmp | mandrill32.bmp-G_0.6-H9e-005_af5.wfa                     | 393216 | 131072 |        | 14 | 6512  | 112 | 112 | 32 | 128 | 19.15893583 | 2.094 | 6736  | 0.017130534 |
| mandrill32.bmp | mandrill32.bmp-G_0.6-H0.0001_af1.wfa                     | 393216 | 131072 |        | 13 | 5648  | 104 | 104 | 32 | 128 | 19.16038059 | 1.906 | 5856  | 0.014892578 |
| mandrill32.bmp | mandrill32.bmp-withWavelet_haar-G_0.8-H6e-005_af1.wfa    | 393216 | 131072 | 131072 | 15 | 7440  | 120 | 120 | 32 | 128 | 19.16273703 | 1.922 | 7680  | 0.01953125  |
| mandrill32.bmp | mandrill32.bmp-withWavelet_rbio1.1-G_0.8-H6e-005_af1.wfa | 393216 | 131072 | 131072 | 15 | 7440  | 120 | 120 | 32 | 128 | 19.16273703 | 1.938 | 7680  | 0.01953125  |
| mandrill32.bmp | mandrill32.bmp-withWavelet_sym1-G_0.8-H6e-005_af1.wfa    | 393216 | 131072 | 131072 | 15 | 7440  | 120 | 120 | 32 | 128 | 19.16273703 | 1.984 | 7680  | 0.01953125  |
| mandrill32.bmp | mandrill32.bmp-withWavelet_bior1.1-G_0.8-H6e-005_af1.wfa | 393216 | 131072 | 131072 | 15 | 7440  | 120 | 120 | 32 | 128 | 19.16273703 | 2.454 | 7680  | 0.01953125  |
| mandrill32.bmp | mandrill32.bmp-withWavelet_haar-G_0.8-H8e-005_af3.wfa    | 393216 | 131072 | 131072 | 15 | 7440  | 120 | 120 | 32 | 128 | 19.16639709 | 2.046 | 7680  | 0.01953125  |
| mandrill32.bmp | mandrill32.bmp-withWavelet_rbio1.1-G_0.8-H8e-005_af3.wfa | 393216 | 131072 | 131072 | 15 | 7440  | 120 | 120 | 32 | 128 | 19.16639709 | 2.031 | 7680  | 0.01953125  |
| mandrill32.bmp | mandrill32.bmp-withWavelet_sym1-G_0.8-H8e-005_af3.wfa    | 393216 | 131072 | 131072 | 15 | 7440  | 120 | 120 | 32 | 128 | 19.16639709 | 2.125 | 7680  | 0.01953125  |
| mandrill32.bmp | mandrill32.bmp-withWavelet_bior1.1-G_0.8-H8e-005_af3.wfa | 393216 | 131072 | 131072 | 15 | 7440  | 120 | 120 | 32 | 128 | 19.16639709 | 2.047 | 7680  | 0.01953125  |

|                |  |        |        |        |    |       |     |     |    |     |             |       |       |             |
|----------------|--|--------|--------|--------|----|-------|-----|-----|----|-----|-------------|-------|-------|-------------|
| mandrill32.bmp | mandrill32.bmp-withWavelet_haar-G_0.8-H1e-005_af2.wfa    | 98304  | 32768  | 32768  | 27 | 23568 | 216 | 216 | 32 | 64  | 19.17007378 | 0.86  | 24000 | 0.244140625 |
| mandrill32.bmp | mandrill32.bmp-withWavelet_rbio1.1-G_0.8-H1e-005_af2.wfa | 98304  | 32768  | 32768  | 27 | 23568 | 216 | 216 | 32 | 64  | 19.17007378 | 0.844 | 24000 | 0.244140625 |
| mandrill32.bmp | mandrill32.bmp-withWavelet_sym1-G_0.8-H1e-005_af2.wfa    | 98304  | 32768  | 32768  | 27 | 23568 | 216 | 216 | 32 | 64  | 19.17007378 | 0.843 | 24000 | 0.244140625 |
| mandrill32.bmp | mandrill32.bmp-withWavelet_bior1.1-G_0.8-H1e-005_af2.wfa | 98304  | 32768  | 32768  | 27 | 23568 | 216 | 216 | 32 | 64  | 19.17007378 | 0.875 | 24000 | 0.244140625 |
| mandrill32.bmp | mandrill32.bmp-G_1-H9e-005_af1.wfa                       | 393216 | 131072 |        | 13 | 5648  | 104 | 104 | 32 | 128 | 19.17157839 | 2.281 | 5856  | 0.014892578 |
| mandrill32.bmp | mandrill32.bmp-withWavelet_haar-G_1-H1e-005_af2.wfa      | 98304  | 32768  | 32768  | 27 | 23568 | 216 | 216 | 32 | 64  | 19.17207244 | 0.891 | 24000 | 0.244140625 |
| mandrill32.bmp | mandrill32.bmp-withWavelet_rbio1.1-G_1-H1e-005_af2.wfa   | 98304  | 32768  | 32768  | 27 | 23568 | 216 | 216 | 32 | 64  | 19.17207244 | 0.891 | 24000 | 0.244140625 |
| mandrill32.bmp | mandrill32.bmp-withWavelet_sym1-G_1-H1e-005_af2.wfa      | 98304  | 32768  | 32768  | 27 | 23568 | 216 | 216 | 32 | 64  | 19.17207244 | 0.875 | 24000 | 0.244140625 |
| mandrill32.bmp | mandrill32.bmp-withWavelet_bior1.1-G_1-H1e-005_af2.wfa   | 98304  | 32768  | 32768  | 27 | 23568 | 216 | 216 | 32 | 64  | 19.17207244 | 0.89  | 24000 | 0.244140625 |
| mandrill32.bmp | mandrill32.bmp-G_0.8-H9e-005_af1.wfa                     | 393216 | 131072 |        | 13 | 5648  | 104 | 104 | 32 | 128 | 19.1737695  | 1.937 | 5856  | 0.014892578 |
| mandrill32.bmp | mandrill32.bmp-G_0.6-H8e-005_af5.wfa                     | 393216 | 131072 |        | 13 | 5648  | 104 | 104 | 32 | 128 | 19.18731577 | 1.938 | 5856  | 0.014892578 |
| mandrill32.bmp | mandrill32.bmp-withWavelet_haar-G_0.6-H6e-005_af3.wfa    | 393216 | 131072 | 131072 | 17 | 9488  | 136 | 136 | 32 | 128 | 19.19907838 | 6.906 | 9760  | 0.024820964 |
| mandrill32.bmp | mandrill32.bmp-withWavelet_rbio1.1-G_0.6-H6e-005_af3.wfa | 393216 | 131072 | 131072 | 17 | 9488  | 136 | 136 | 32 | 128 | 19.19907838 | 6.922 | 9760  | 0.024820964 |
| mandrill32.bmp | mandrill32.bmp-withWavelet_sym1-G_0.6-H6e-005_af3.wfa    | 393216 | 131072 | 131072 | 17 | 9488  | 136 | 136 | 32 | 128 | 19.19907838 | 7.093 | 9760  | 0.024820964 |
| mandrill32.bmp | mandrill32.bmp-withWavelet_bior1.1-G_0.6-H6e-005_af3.wfa | 393216 | 131072 | 131072 | 17 | 9488  | 136 | 136 | 32 | 128 | 19.19907838 | 6.906 | 9760  | 0.024820964 |
| mandrill32.bmp | mandrill32.bmp-G_1-H8e-005_af5.wfa                       | 393216 | 131072 |        | 13 | 5648  | 104 | 104 | 32 | 128 | 19.20299996 | 1.921 | 5856  | 0.014892578 |
| mandrill32.bmp | mandrill32.bmp-G_0.8-H8e-005_af5.wfa                     | 393216 | 131072 |        | 13 | 5648  | 104 | 104 | 32 | 128 | 19.20830552 | 1.922 | 5856  | 0.014892578 |
| mandrill32.bmp | mandrill32.bmp-withWavelet_haar-G_0.6-H7e-005_af1.wfa    | 393216 | 131072 | 131072 | 14 | 6512  | 112 | 112 | 32 | 128 | 19.21570281 | 2     | 6736  | 0.017130534 |
| mandrill32.bmp | mandrill32.bmp-withWavelet_rbio1.1-G_0.6-H7e-005_af1.wfa | 393216 | 131072 | 131072 | 14 | 6512  | 112 | 112 | 32 | 128 | 19.21570281 | 1.984 | 6736  | 0.017130534 |
| mandrill32.bmp | mandrill32.bmp-withWavelet_sym1-G_0.6-H7e-005_af1.wfa    | 393216 | 131072 | 131072 | 14 | 6512  | 112 | 112 | 32 | 128 | 19.21570281 | 1.969 | 6736  | 0.017130534 |
| mandrill32.bmp | mandrill32.bmp-withWavelet_bior1.1-G_0.6-H7e-005_af1.wfa | 393216 | 131072 | 131072 | 14 | 6512  | 112 | 112 | 32 | 128 | 19.21570281 | 2.015 | 6736  | 0.017130534 |
| mandrill32.bmp | mandrill32.bmp-withWavelet_haar-G_0.6-H8e-005_af1.wfa    | 393216 | 131072 | 131072 | 14 | 6512  | 112 | 112 | 32 | 128 | 19.21570281 | 1.985 | 6736  | 0.017130534 |
| mandrill32.bmp | mandrill32.bmp-withWavelet_rbio1.1-G_0.6-H8e-005_af1.wfa | 393216 | 131072 | 131072 | 14 | 6512  | 112 | 112 | 32 | 128 | 19.21570281 | 2     | 6736  | 0.017130534 |
| mandrill32.bmp | mandrill32.bmp-withWavelet_sym1-G_0.6-H8e-005_af1.wfa    | 393216 | 131072 | 131072 | 14 | 6512  | 112 | 112 | 32 | 128 | 19.21570281 | 1.953 | 6736  | 0.017130534 |
| mandrill32.bmp | mandrill32.bmp-withWavelet_bior1.1-G_0.6-H8e-005_af1.wfa | 393216 | 131072 | 131072 | 14 | 6512  | 112 | 112 | 32 | 128 | 19.21570281 | 2     | 6736  | 0.017130534 |
| mandrill32.bmp | mandrill32.bmp-withWavelet_haar-G_0.6-H9e-005_af1.wfa    | 393216 | 131072 | 131072 | 14 | 6512  | 112 | 112 | 32 | 128 | 19.21570281 | 1.922 | 6736  | 0.017130534 |
| mandrill32.bmp | mandrill32.bmp-withWavelet_rbio1.1-G_0.6-H9e-005_af1.wfa | 393216 | 131072 | 131072 | 14 | 6512  | 112 | 112 | 32 | 128 | 19.21570281 | 1.922 | 6736  | 0.017130534 |
| mandrill32.bmp | mandrill32.bmp-withWavelet_sym1-G_0.6-H9e-005_af1.wfa    | 393216 | 131072 | 131072 | 14 | 6512  | 112 | 112 | 32 | 128 | 19.21570281 | 1.937 | 6736  | 0.017130534 |
| mandrill32.bmp | mandrill32.bmp-withWavelet_bior1.1-G_0.6-H9e-005_af1.wfa | 393216 | 131072 | 131072 | 14 | 6512  | 112 | 112 | 32 | 128 | 19.21570281 | 1.922 | 6736  | 0.017130534 |
| mandrill32.bmp | mandrill32.bmp-withWavelet_haar-G_0.8-H4e-005_af3.wfa    | 393216 | 131072 | 131072 | 20 | 13040 | 160 | 160 | 32 | 128 | 19.22473516 | 2.422 | 13360 | 0.033976237 |
| mandrill32.bmp | mandrill32.bmp-withWavelet_rbio1.1-G_0.8-H4e-005_af3.wfa | 393216 | 131072 | 131072 | 20 | 13040 | 160 | 160 | 32 | 128 | 19.22473516 | 2.391 | 13360 | 0.033976237 |

|                |  |        |        |        |    |       |     |     |    |     |             |       |       |             |
|----------------|--|--------|--------|--------|----|-------|-----|-----|----|-----|-------------|-------|-------|-------------|
| mandrill32.bmp | mandrill32.bmp-withWavelet_sym1-G_0.8-H4e-005_af3.wfa    | 393216 | 131072 | 131072 | 20 | 13040 | 160 | 160 | 32 | 128 | 19.22473516 | 2.375 | 13360 | 0.033976237 |
| mandrill32.bmp | mandrill32.bmp-withWavelet_bior1.1-G_0.8-H4e-005_af3.wfa | 393216 | 131072 | 131072 | 20 | 13040 | 160 | 160 | 32 | 128 | 19.22473516 | 3.062 | 13360 | 0.033976237 |
| mandrill32.bmp | mandrill32.bmp-withWavelet_haar-G_1-H5e-005_af3.wfa      | 393216 | 131072 | 131072 | 19 | 11792 | 152 | 152 | 32 | 128 | 19.22702566 | 2.328 | 12096 | 0.030761719 |
| mandrill32.bmp | mandrill32.bmp-withWavelet_rbio1.1-G_1-H5e-005_af3.wfa   | 393216 | 131072 | 131072 | 19 | 11792 | 152 | 152 | 32 | 128 | 19.22702566 | 2.375 | 12096 | 0.030761719 |
| mandrill32.bmp | mandrill32.bmp-withWavelet_sym1-G_1-H5e-005_af3.wfa      | 393216 | 131072 | 131072 | 19 | 11792 | 152 | 152 | 32 | 128 | 19.22702566 | 2.203 | 12096 | 0.030761719 |
| mandrill32.bmp | mandrill32.bmp-withWavelet_bior1.1-G_1-H5e-005_af3.wfa   | 393216 | 131072 | 131072 | 19 | 11792 | 152 | 152 | 32 | 128 | 19.22702566 | 2.297 | 12096 | 0.030761719 |
| mandrill32.bmp | mandrill32.bmp-withWavelet_haar-G_1-H4e-005_af3.wfa      | 393216 | 131072 | 131072 | 20 | 13040 | 160 | 160 | 32 | 128 | 19.22827723 | 2.265 | 13360 | 0.033976237 |
| mandrill32.bmp | mandrill32.bmp-withWavelet_rbio1.1-G_1-H4e-005_af3.wfa   | 393216 | 131072 | 131072 | 20 | 13040 | 160 | 160 | 32 | 128 | 19.22827723 | 2.297 | 13360 | 0.033976237 |
| mandrill32.bmp | mandrill32.bmp-withWavelet_sym1-G_1-H4e-005_af3.wfa      | 393216 | 131072 | 131072 | 20 | 13040 | 160 | 160 | 32 | 128 | 19.22827723 | 2.312 | 13360 | 0.033976237 |
| mandrill32.bmp | mandrill32.bmp-withWavelet_bior1.1-G_1-H4e-005_af3.wfa   | 393216 | 131072 | 131072 | 20 | 13040 | 160 | 160 | 32 | 128 | 19.22827723 | 2.313 | 13360 | 0.033976237 |
| mandrill32.bmp | mandrill32.bmp-withWavelet_haar-G_0.8-H5e-005_af1.wfa    | 393216 | 131072 | 131072 | 16 | 8432  | 128 | 128 | 32 | 128 | 19.23336388 | 1.969 | 8688  | 0.022094727 |
| mandrill32.bmp | mandrill32.bmp-withWavelet_rbio1.1-G_0.8-H5e-005_af1.wfa | 393216 | 131072 | 131072 | 16 | 8432  | 128 | 128 | 32 | 128 | 19.23336388 | 1.938 | 8688  | 0.022094727 |
| mandrill32.bmp | mandrill32.bmp-withWavelet_sym1-G_0.8-H5e-005_af1.wfa    | 393216 | 131072 | 131072 | 16 | 8432  | 128 | 128 | 32 | 128 | 19.23336388 | 2.046 | 8688  | 0.022094727 |
| mandrill32.bmp | mandrill32.bmp-withWavelet_bior1.1-G_0.8-H5e-005_af1.wfa | 393216 | 131072 | 131072 | 16 | 8432  | 128 | 128 | 32 | 128 | 19.23336388 | 1.938 | 8688  | 0.022094727 |
| mandrill32.bmp | mandrill32.bmp-G_1-H0.0001_af2.wfa                       | 393216 | 131072 |        | 13 | 5648  | 104 | 104 | 32 | 128 | 19.24334628 | 1.906 | 5856  | 0.014892578 |
| mandrill32.bmp | mandrill32.bmp-G_1-H0.0001_af1.wfa                       | 393216 | 131072 |        | 13 | 5648  | 104 | 104 | 32 | 128 | 19.2462868  | 1.875 | 5856  | 0.014892578 |
| mandrill32.bmp | mandrill32.bmp-G_0.8-H0.0001_af2.wfa                     | 393216 | 131072 |        | 13 | 5648  | 104 | 104 | 32 | 128 | 19.2463828  | 1.859 | 5856  | 0.014892578 |
| mandrill32.bmp | mandrill32.bmp-withWavelet_haar-G_1-H4e-005_af1.wfa      | 393216 | 131072 | 131072 | 16 | 8432  | 128 | 128 | 32 | 128 | 19.2476225  | 2.031 | 8688  | 0.022094727 |
| mandrill32.bmp | mandrill32.bmp-withWavelet_rbio1.1-G_1-H4e-005_af1.wfa   | 393216 | 131072 | 131072 | 16 | 8432  | 128 | 128 | 32 | 128 | 19.2476225  | 1.938 | 8688  | 0.022094727 |
| mandrill32.bmp | mandrill32.bmp-withWavelet_sym1-G_1-H4e-005_af1.wfa      | 393216 | 131072 | 131072 | 16 | 8432  | 128 | 128 | 32 | 128 | 19.2476225  | 1.969 | 8688  | 0.022094727 |
| mandrill32.bmp | mandrill32.bmp-withWavelet_bior1.1-G_1-H4e-005_af1.wfa   | 393216 | 131072 | 131072 | 16 | 8432  | 128 | 128 | 32 | 128 | 19.2476225  | 1.89  | 8688  | 0.022094727 |
| mandrill32.bmp | mandrill32.bmp-withWavelet_haar-G_0.6-H5e-005_af3.wfa    | 393216 | 131072 | 131072 | 18 | 10608 | 144 | 144 | 32 | 128 | 19.24902941 | 2.234 | 10896 | 0.027709961 |
| mandrill32.bmp | mandrill32.bmp-withWavelet_rbio1.1-G_0.6-H5e-005_af3.wfa | 393216 | 131072 | 131072 | 18 | 10608 | 144 | 144 | 32 | 128 | 19.24902941 | 2.172 | 10896 | 0.027709961 |
| mandrill32.bmp | mandrill32.bmp-withWavelet_sym1-G_0.6-H5e-005_af3.wfa    | 393216 | 131072 | 131072 | 18 | 10608 | 144 | 144 | 32 | 128 | 19.24902941 | 2.109 | 10896 | 0.027709961 |
| mandrill32.bmp | mandrill32.bmp-withWavelet_bior1.1-G_0.6-H5e-005_af3.wfa | 393216 | 131072 | 131072 | 18 | 10608 | 144 | 144 | 32 | 128 | 19.24902941 | 2.11  | 10896 | 0.027709961 |
| mandrill32.bmp | mandrill32.bmp-withWavelet_haar-G_0.6-H3e-005_af2.wfa    | 98304  | 32768  | 32768  | 17 | 9488  | 136 | 136 | 32 | 64  | 19.25886016 | 0.5   | 9760  | 0.099283854 |
| mandrill32.bmp | mandrill32.bmp-withWavelet_rbio1.1-G_0.6-H3e-005_af2.wfa | 98304  | 32768  | 32768  | 17 | 9488  | 136 | 136 | 32 | 64  | 19.25886016 | 0.5   | 9760  | 0.099283854 |
| mandrill32.bmp | mandrill32.bmp-withWavelet_sym1-G_0.6-H3e-005_af2.wfa    | 98304  | 32768  | 32768  | 17 | 9488  | 136 | 136 | 32 | 64  | 19.25886016 | 0.5   | 9760  | 0.099283854 |
| mandrill32.bmp | mandrill32.bmp-withWavelet_bior1.1-G_0.6-H3e-005_af2.wfa | 98304  | 32768  | 32768  | 17 | 9488  | 136 | 136 | 32 | 64  | 19.25886016 | 0.484 | 9760  | 0.099283854 |
| mandrill32.bmp | mandrill32.bmp-withWavelet_haar-G_0.8-H6e-005_af3.wfa    | 393216 | 131072 | 131072 | 16 | 8432  | 128 | 128 | 32 | 128 | 19.26390347 | 5.031 | 8688  | 0.022094727 |
| mandrill32.bmp | mandrill32.bmp-withWavelet_rbio1.1-G_0.8-H6e-005_af3.wfa | 393216 | 131072 | 131072 | 16 | 8432  | 128 | 128 | 32 | 128 | 19.26390347 | 7.75  | 8688  | 0.022094727 |



|                |  |        |        |        |    |       |     |     |    |     |             |       |       |             |
|----------------|--|--------|--------|--------|----|-------|-----|-----|----|-----|-------------|-------|-------|-------------|
| mandrill32.bmp | mandrill32.bmp-withWavelet_sym1-G_0.8-H6e-005_af3.wfa    | 393216 | 131072 | 131072 | 16 | 8432  | 128 | 128 | 32 | 128 | 19.26390347 | 4.031 | 8688  | 0.022094727 |
| mandrill32.bmp | mandrill32.bmp-withWavelet_bior1.1-G_0.8-H6e-005_af3.wfa | 393216 | 131072 | 131072 | 16 | 8432  | 128 | 128 | 32 | 128 | 19.26390347 | 4.969 | 8688  | 0.022094727 |
| mandrill32.bmp | mandrill32.bmp-withWavelet_haar-G_0.8-H7e-005_af3.wfa    | 393216 | 131072 | 131072 | 16 | 8432  | 128 | 128 | 32 | 128 | 19.26390347 | 2.391 | 8688  | 0.022094727 |
| mandrill32.bmp | mandrill32.bmp-withWavelet_rbio1.1-G_0.8-H7e-005_af3.wfa | 393216 | 131072 | 131072 | 16 | 8432  | 128 | 128 | 32 | 128 | 19.26390347 | 2.375 | 8688  | 0.022094727 |
| mandrill32.bmp | mandrill32.bmp-withWavelet_sym1-G_0.8-H7e-005_af3.wfa    | 393216 | 131072 | 131072 | 16 | 8432  | 128 | 128 | 32 | 128 | 19.26390347 | 2.391 | 8688  | 0.022094727 |
| mandrill32.bmp | mandrill32.bmp-withWavelet_bior1.1-G_0.8-H7e-005_af3.wfa | 393216 | 131072 | 131072 | 16 | 8432  | 128 | 128 | 32 | 128 | 19.26390347 | 2.406 | 8688  | 0.022094727 |
| mandrill32.bmp | mandrill32.bmp-withWavelet_haar-G_1-H6e-005_af3.wfa      | 393216 | 131072 | 131072 | 16 | 8432  | 128 | 128 | 32 | 128 | 19.2678457  | 1.921 | 8688  | 0.022094727 |
| mandrill32.bmp | mandrill32.bmp-withWavelet_rbio1.1-G_1-H6e-005_af3.wfa   | 393216 | 131072 | 131072 | 16 | 8432  | 128 | 128 | 32 | 128 | 19.2678457  | 1.922 | 8688  | 0.022094727 |
| mandrill32.bmp | mandrill32.bmp-withWavelet_sym1-G_1-H6e-005_af3.wfa      | 393216 | 131072 | 131072 | 16 | 8432  | 128 | 128 | 32 | 128 | 19.2678457  | 1.953 | 8688  | 0.022094727 |
| mandrill32.bmp | mandrill32.bmp-withWavelet_bior1.1-G_1-H6e-005_af3.wfa   | 393216 | 131072 | 131072 | 16 | 8432  | 128 | 128 | 32 | 128 | 19.2678457  | 1.922 | 8688  | 0.022094727 |
| mandrill32.bmp | mandrill32.bmp-withWavelet_haar-G_1-H7e-005_af3.wfa      | 393216 | 131072 | 131072 | 16 | 8432  | 128 | 128 | 32 | 128 | 19.2678457  | 2.421 | 8688  | 0.022094727 |
| mandrill32.bmp | mandrill32.bmp-withWavelet_rbio1.1-G_1-H7e-005_af3.wfa   | 393216 | 131072 | 131072 | 16 | 8432  | 128 | 128 | 32 | 128 | 19.2678457  | 2.375 | 8688  | 0.022094727 |
| mandrill32.bmp | mandrill32.bmp-withWavelet_sym1-G_1-H7e-005_af3.wfa      | 393216 | 131072 | 131072 | 16 | 8432  | 128 | 128 | 32 | 128 | 19.2678457  | 2.391 | 8688  | 0.022094727 |
| mandrill32.bmp | mandrill32.bmp-withWavelet_bior1.1-G_1-H7e-005_af3.wfa   | 393216 | 131072 | 131072 | 16 | 8432  | 128 | 128 | 32 | 128 | 19.2678457  | 2.375 | 8688  | 0.022094727 |
| mandrill32.bmp | mandrill32.bmp-withWavelet_haar-G_1-H8e-005_af3.wfa      | 393216 | 131072 | 131072 | 14 | 6512  | 112 | 112 | 32 | 128 | 19.26884735 | 1.937 | 6736  | 0.017130534 |
| mandrill32.bmp | mandrill32.bmp-withWavelet_rbio1.1-G_1-H8e-005_af3.wfa   | 393216 | 131072 | 131072 | 14 | 6512  | 112 | 112 | 32 | 128 | 19.26884735 | 1.984 | 6736  | 0.017130534 |
| mandrill32.bmp | mandrill32.bmp-withWavelet_sym1-G_1-H8e-005_af3.wfa      | 393216 | 131072 | 131072 | 14 | 6512  | 112 | 112 | 32 | 128 | 19.26884735 | 1.937 | 6736  | 0.017130534 |
| mandrill32.bmp | mandrill32.bmp-withWavelet_bior1.1-G_1-H8e-005_af3.wfa   | 393216 | 131072 | 131072 | 14 | 6512  | 112 | 112 | 32 | 128 | 19.26884735 | 1.969 | 6736  | 0.017130534 |
| mandrill32.bmp | mandrill32.bmp-withWavelet_haar-G_1-H5e-005_af1.wfa      | 393216 | 131072 | 131072 | 16 | 8432  | 128 | 128 | 32 | 128 | 19.26984336 | 2.015 | 8688  | 0.022094727 |
| mandrill32.bmp | mandrill32.bmp-withWavelet_rbio1.1-G_1-H5e-005_af1.wfa   | 393216 | 131072 | 131072 | 16 | 8432  | 128 | 128 | 32 | 128 | 19.26984336 | 1.969 | 8688  | 0.022094727 |
| mandrill32.bmp | mandrill32.bmp-withWavelet_sym1-G_1-H5e-005_af1.wfa      | 393216 | 131072 | 131072 | 16 | 8432  | 128 | 128 | 32 | 128 | 19.26984336 | 2     | 8688  | 0.022094727 |
| mandrill32.bmp | mandrill32.bmp-withWavelet_bior1.1-G_1-H5e-005_af1.wfa   | 393216 | 131072 | 131072 | 16 | 8432  | 128 | 128 | 32 | 128 | 19.26984336 | 2.047 | 8688  | 0.022094727 |
| mandrill32.bmp | mandrill32.bmp-withWavelet_haar-G_0.6-H1e-005_af1.wfa    | 98304  | 32768  | 32768  | 32 | 33008 | 256 | 256 | 32 | 64  | 19.27053808 | 1.11  | 33520 | 0.340983073 |
| mandrill32.bmp | mandrill32.bmp-withWavelet_rbio1.1-G_0.6-H1e-005_af1.wfa | 98304  | 32768  | 32768  | 32 | 33008 | 256 | 256 | 32 | 64  | 19.27053808 | 1.078 | 33520 | 0.340983073 |
| mandrill32.bmp | mandrill32.bmp-withWavelet_sym1-G_0.6-H1e-005_af1.wfa    | 98304  | 32768  | 32768  | 32 | 33008 | 256 | 256 | 32 | 64  | 19.27053808 | 1.063 | 33520 | 0.340983073 |
| mandrill32.bmp | mandrill32.bmp-withWavelet_bior1.1-G_0.6-H1e-005_af1.wfa | 98304  | 32768  | 32768  | 32 | 33008 | 256 | 256 | 32 | 64  | 19.27053808 | 1.281 | 33520 | 0.340983073 |
| mandrill32.bmp | mandrill32.bmp-withWavelet_haar-G_0.6-H0.0001_af3.wfa    | 393216 | 131072 | 131072 | 13 | 5648  | 104 | 104 | 32 | 128 | 19.27311116 | 1.922 | 5856  | 0.014892578 |
| mandrill32.bmp | mandrill32.bmp-withWavelet_rbio1.1-G_0.6-H0.0001_af3.wfa | 393216 | 131072 | 131072 | 13 | 5648  | 104 | 104 | 32 | 128 | 19.27311116 | 1.891 | 5856  | 0.014892578 |
| mandrill32.bmp | mandrill32.bmp-withWavelet_sym1-G_0.6-H0.0001_af3.wfa    | 393216 | 131072 | 131072 | 13 | 5648  | 104 | 104 | 32 | 128 | 19.27311116 | 1.953 | 5856  | 0.014892578 |
| mandrill32.bmp | mandrill32.bmp-withWavelet_bior1.1-G_0.6-H0.0001_af3.wfa | 393216 | 131072 | 131072 | 13 | 5648  | 104 | 104 | 32 | 128 | 19.27311116 | 1.875 | 5856  | 0.014892578 |
| mandrill32.bmp | mandrill32.bmp-withWavelet_G_0.6-H9e-005_af3.wfa         | 393216 | 131072 |        | 13 | 5648  | 104 | 104 | 32 | 128 | 19.27461654 | 1.891 | 5856  | 0.014892578 |

|                |  |        |        |        |    |      |     |     |    |     |             |       |      |             |
|----------------|--|--------|--------|--------|----|------|-----|-----|----|-----|-------------|-------|------|-------------|
| mandrill32.bmp | mandrill32.bmp-G_0.8-H7e-005_af5.wfa                     | 393216 | 131072 |        | 14 | 6512 | 112 | 112 | 32 | 128 | 19.2749925  | 2.25  | 6736 | 0.017130534 |
| mandrill32.bmp | mandrill32.bmp-G_1-H9e-005_af3.wfa                       | 393216 | 131072 |        | 13 | 5648 | 104 | 104 | 32 | 128 | 19.27597098 | 1.984 | 5856 | 0.014892578 |
| mandrill32.bmp | mandrill32.bmp-G_1-H0.0001_af3.wfa                       | 393216 | 131072 |        | 13 | 5648 | 104 | 104 | 32 | 128 | 19.27597098 | 1.859 | 5856 | 0.014892578 |
| mandrill32.bmp | mandrill32.bmp-G_0.8-H9e-005_af3.wfa                     | 393216 | 131072 |        | 13 | 5648 | 104 | 104 | 32 | 128 | 19.28006501 | 1.968 | 5856 | 0.014892578 |
| mandrill32.bmp | mandrill32.bmp-G_0.8-H0.0001_af3.wfa                     | 393216 | 131072 |        | 13 | 5648 | 104 | 104 | 32 | 128 | 19.28006501 | 1.859 | 5856 | 0.014892578 |
| mandrill32.bmp | mandrill32.bmp-withWavelet_haar-G_0.8-H7e-005_af1.wfa    | 393216 | 131072 | 131072 | 14 | 6512 | 112 | 112 | 32 | 128 | 19.28053487 | 2.25  | 6736 | 0.017130534 |
| mandrill32.bmp | mandrill32.bmp-withWavelet_rbio1.1-G_0.8-H7e-005_af1.wfa | 393216 | 131072 | 131072 | 14 | 6512 | 112 | 112 | 32 | 128 | 19.28053487 | 2.266 | 6736 | 0.017130534 |
| mandrill32.bmp | mandrill32.bmp-withWavelet_sym1-G_0.8-H7e-005_af1.wfa    | 393216 | 131072 | 131072 | 14 | 6512 | 112 | 112 | 32 | 128 | 19.28053487 | 2.281 | 6736 | 0.017130534 |
| mandrill32.bmp | mandrill32.bmp-withWavelet_bior1.1-G_0.8-H7e-005_af1.wfa | 393216 | 131072 | 131072 | 14 | 6512 | 112 | 112 | 32 | 128 | 19.28053487 | 2.296 | 6736 | 0.017130534 |
| mandrill32.bmp | mandrill32.bmp-withWavelet_haar-G_0.8-H8e-005_af1.wfa    | 393216 | 131072 | 131072 | 14 | 6512 | 112 | 112 | 32 | 128 | 19.28053487 | 1.953 | 6736 | 0.017130534 |
| mandrill32.bmp | mandrill32.bmp-withWavelet_rbio1.1-G_0.8-H8e-005_af1.wfa | 393216 | 131072 | 131072 | 14 | 6512 | 112 | 112 | 32 | 128 | 19.28053487 | 1.984 | 6736 | 0.017130534 |
| mandrill32.bmp | mandrill32.bmp-withWavelet_sym1-G_0.8-H8e-005_af1.wfa    | 393216 | 131072 | 131072 | 14 | 6512 | 112 | 112 | 32 | 128 | 19.28053487 | 1.922 | 6736 | 0.017130534 |
| mandrill32.bmp | mandrill32.bmp-withWavelet_bior1.1-G_0.8-H8e-005_af1.wfa | 393216 | 131072 | 131072 | 14 | 6512 | 112 | 112 | 32 | 128 | 19.28053487 | 1.969 | 6736 | 0.017130534 |
| mandrill32.bmp | mandrill32.bmp-G_0.6-H9e-005_af1.wfa                     | 393216 | 131072 |        | 14 | 6512 | 112 | 112 | 32 | 128 | 19.28134443 | 2.265 | 6736 | 0.017130534 |
| mandrill32.bmp | mandrill32.bmp-G_1-H7e-005_af3.wfa                       | 393216 | 131072 |        | 15 | 7440 | 120 | 120 | 32 | 128 | 19.28519147 | 2.344 | 7680 | 0.01953125  |
| mandrill32.bmp | mandrill32.bmp-withWavelet_haar-G_1-H6e-005_af1.wfa      | 393216 | 131072 | 131072 | 15 | 7440 | 120 | 120 | 32 | 128 | 19.28678101 | 1.922 | 7680 | 0.01953125  |
| mandrill32.bmp | mandrill32.bmp-withWavelet_rbio1.1-G_1-H6e-005_af1.wfa   | 393216 | 131072 | 131072 | 15 | 7440 | 120 | 120 | 32 | 128 | 19.28678101 | 1.906 | 7680 | 0.01953125  |
| mandrill32.bmp | mandrill32.bmp-withWavelet_sym1-G_1-H6e-005_af1.wfa      | 393216 | 131072 | 131072 | 15 | 7440 | 120 | 120 | 32 | 128 | 19.28678101 | 2.015 | 7680 | 0.01953125  |
| mandrill32.bmp | mandrill32.bmp-withWavelet_bior1.1-G_1-H6e-005_af1.wfa   | 393216 | 131072 | 131072 | 15 | 7440 | 120 | 120 | 32 | 128 | 19.28678101 | 1.906 | 7680 | 0.01953125  |
| mandrill32.bmp | mandrill32.bmp-withWavelet_haar-G_0.6-H8e-005_af4.wfa    | 98304  | 32768  | 32768  | 15 | 7440 | 120 | 120 | 32 | 64  | 19.28770812 | 0.484 | 7680 | 0.078125    |
| mandrill32.bmp | mandrill32.bmp-withWavelet_rbio1.1-G_0.6-H8e-005_af4.wfa | 98304  | 32768  | 32768  | 15 | 7440 | 120 | 120 | 32 | 64  | 19.28770812 | 0.5   | 7680 | 0.078125    |
| mandrill32.bmp | mandrill32.bmp-withWavelet_sym1-G_0.6-H8e-005_af4.wfa    | 98304  | 32768  | 32768  | 15 | 7440 | 120 | 120 | 32 | 64  | 19.28770812 | 0.86  | 7680 | 0.078125    |
| mandrill32.bmp | mandrill32.bmp-withWavelet_bior1.1-G_0.6-H8e-005_af4.wfa | 98304  | 32768  | 32768  | 15 | 7440 | 120 | 120 | 32 | 64  | 19.28770812 | 0.828 | 7680 | 0.078125    |
| mandrill32.bmp | mandrill32.bmp-G_0.6-H7e-005_af3.wfa                     | 393216 | 131072 |        | 14 | 6512 | 112 | 112 | 32 | 128 | 19.28945588 | 1.969 | 6736 | 0.017130534 |
| mandrill32.bmp | mandrill32.bmp-withWavelet_haar-G_1-H9e-005_af3.wfa      | 393216 | 131072 | 131072 | 13 | 5648 | 104 | 104 | 32 | 128 | 19.29050247 | 1.89  | 5856 | 0.014892578 |
| mandrill32.bmp | mandrill32.bmp-withWavelet_rbio1.1-G_1-H9e-005_af3.wfa   | 393216 | 131072 | 131072 | 13 | 5648 | 104 | 104 | 32 | 128 | 19.29050247 | 1.906 | 5856 | 0.014892578 |
| mandrill32.bmp | mandrill32.bmp-withWavelet_sym1-G_1-H9e-005_af3.wfa      | 393216 | 131072 | 131072 | 13 | 5648 | 104 | 104 | 32 | 128 | 19.29050247 | 1.906 | 5856 | 0.014892578 |
| mandrill32.bmp | mandrill32.bmp-withWavelet_bior1.1-G_1-H9e-005_af3.wfa   | 393216 | 131072 | 131072 | 13 | 5648 | 104 | 104 | 32 | 128 | 19.29050247 | 1.875 | 5856 | 0.014892578 |
| mandrill32.bmp | mandrill32.bmp-withWavelet_haar-G_1-H0.0001_af3.wfa      | 393216 | 131072 | 131072 | 13 | 5648 | 104 | 104 | 32 | 128 | 19.29050247 | 1.875 | 5856 | 0.014892578 |
| mandrill32.bmp | mandrill32.bmp-withWavelet_rbio1.1-G_1-H0.0001_af3.wfa   | 393216 | 131072 | 131072 | 13 | 5648 | 104 | 104 | 32 | 128 | 19.29050247 | 1.86  | 5856 | 0.014892578 |
| mandrill32.bmp | mandrill32.bmp-withWavelet_sym1-G_1-H0.0001_af3.wfa      | 393216 | 131072 | 131072 | 13 | 5648 | 104 | 104 | 32 | 128 | 19.29050247 | 2.281 | 5856 | 0.014892578 |

|                |  |        |        |        |    |       |     |     |    |     |             |       |       |             |
|----------------|--|--------|--------|--------|----|-------|-----|-----|----|-----|-------------|-------|-------|-------------|
| mandrill32.bmp | mandrill32.bmp-withWavelet_bior1.1-G_1-H0.0001_af3.wfa   | 393216 | 131072 | 131072 | 13 | 5648  | 104 | 104 | 32 | 128 | 19.29050247 | 1.906 | 5856  | 0.014892578 |
| mandrill32.bmp | mandrill32.bmp-withWavelet_haar-G_0.8-H9e-005_af3.wfa    | 393216 | 131072 | 131072 | 13 | 5648  | 104 | 104 | 32 | 128 | 19.29144253 | 2.25  | 5856  | 0.014892578 |
| mandrill32.bmp | mandrill32.bmp-withWavelet_rbio1.1-G_0.8-H9e-005_af3.wfa | 393216 | 131072 | 131072 | 13 | 5648  | 104 | 104 | 32 | 128 | 19.29144253 | 2.343 | 5856  | 0.014892578 |
| mandrill32.bmp | mandrill32.bmp-withWavelet_sym1-G_0.8-H9e-005_af3.wfa    | 393216 | 131072 | 131072 | 13 | 5648  | 104 | 104 | 32 | 128 | 19.29144253 | 2.375 | 5856  | 0.014892578 |
| mandrill32.bmp | mandrill32.bmp-withWavelet_bior1.1-G_0.8-H9e-005_af3.wfa | 393216 | 131072 | 131072 | 13 | 5648  | 104 | 104 | 32 | 128 | 19.29144253 | 2.36  | 5856  | 0.014892578 |
| mandrill32.bmp | mandrill32.bmp-withWavelet_haar-G_0.8-H0.0001_af3.wfa    | 393216 | 131072 | 131072 | 13 | 5648  | 104 | 104 | 32 | 128 | 19.29144253 | 1.875 | 5856  | 0.014892578 |
| mandrill32.bmp | mandrill32.bmp-withWavelet_rbio1.1-G_0.8-H0.0001_af3.wfa | 393216 | 131072 | 131072 | 13 | 5648  | 104 | 104 | 32 | 128 | 19.29144253 | 1.875 | 5856  | 0.014892578 |
| mandrill32.bmp | mandrill32.bmp-withWavelet_sym1-G_0.8-H0.0001_af3.wfa    | 393216 | 131072 | 131072 | 13 | 5648  | 104 | 104 | 32 | 128 | 19.29144253 | 1.891 | 5856  | 0.014892578 |
| mandrill32.bmp | mandrill32.bmp-withWavelet_bior1.1-G_0.8-H0.0001_af3.wfa | 393216 | 131072 | 131072 | 13 | 5648  | 104 | 104 | 32 | 128 | 19.29144253 | 1.875 | 5856  | 0.014892578 |
| mandrill32.bmp | mandrill32.bmp-G_0.8-H7e-005_af3.wfa                     | 393216 | 131072 |        | 15 | 7440  | 120 | 120 | 32 | 128 | 19.29147453 | 2.344 | 7680  | 0.01953125  |
| mandrill32.bmp | mandrill32.bmp-withWavelet_haar-G_1-H7e-005_af1.wfa      | 393216 | 131072 | 131072 | 14 | 6512  | 112 | 112 | 32 | 128 | 19.2935365  | 2.266 | 6736  | 0.017130534 |
| mandrill32.bmp | mandrill32.bmp-withWavelet_rbio1.1-G_1-H7e-005_af1.wfa   | 393216 | 131072 | 131072 | 14 | 6512  | 112 | 112 | 32 | 128 | 19.2935365  | 2.25  | 6736  | 0.017130534 |
| mandrill32.bmp | mandrill32.bmp-withWavelet_sym1-G_1-H7e-005_af1.wfa      | 393216 | 131072 | 131072 | 14 | 6512  | 112 | 112 | 32 | 128 | 19.2935365  | 2.25  | 6736  | 0.017130534 |
| mandrill32.bmp | mandrill32.bmp-withWavelet_bior1.1-G_1-H7e-005_af1.wfa   | 393216 | 131072 | 131072 | 14 | 6512  | 112 | 112 | 32 | 128 | 19.2935365  | 2.25  | 6736  | 0.017130534 |
| mandrill32.bmp | mandrill32.bmp-withWavelet_haar-G_1-H8e-005_af1.wfa      | 393216 | 131072 | 131072 | 14 | 6512  | 112 | 112 | 32 | 128 | 19.2935365  | 1.984 | 6736  | 0.017130534 |
| mandrill32.bmp | mandrill32.bmp-withWavelet_rbio1.1-G_1-H8e-005_af1.wfa   | 393216 | 131072 | 131072 | 14 | 6512  | 112 | 112 | 32 | 128 | 19.2935365  | 2     | 6736  | 0.017130534 |
| mandrill32.bmp | mandrill32.bmp-withWavelet_sym1-G_1-H8e-005_af1.wfa      | 393216 | 131072 | 131072 | 14 | 6512  | 112 | 112 | 32 | 128 | 19.2935365  | 1.937 | 6736  | 0.017130534 |
| mandrill32.bmp | mandrill32.bmp-withWavelet_bior1.1-G_1-H8e-005_af1.wfa   | 393216 | 131072 | 131072 | 14 | 6512  | 112 | 112 | 32 | 128 | 19.2935365  | 1.968 | 6736  | 0.017130534 |
| mandrill32.bmp | mandrill32.bmp-withWavelet_haar-G_0.8-H5e-005_af3.wfa    | 393216 | 131072 | 131072 | 18 | 10608 | 144 | 144 | 32 | 128 | 19.31326693 | 2.187 | 10896 | 0.027709961 |
| mandrill32.bmp | mandrill32.bmp-withWavelet_rbio1.1-G_0.8-H5e-005_af3.wfa | 393216 | 131072 | 131072 | 18 | 10608 | 144 | 144 | 32 | 128 | 19.31326693 | 2.078 | 10896 | 0.027709961 |
| mandrill32.bmp | mandrill32.bmp-withWavelet_sym1-G_0.8-H5e-005_af3.wfa    | 393216 | 131072 | 131072 | 18 | 10608 | 144 | 144 | 32 | 128 | 19.31326693 | 2.109 | 10896 | 0.027709961 |
| mandrill32.bmp | mandrill32.bmp-withWavelet_bior1.1-G_0.8-H5e-005_af3.wfa | 393216 | 131072 | 131072 | 18 | 10608 | 144 | 144 | 32 | 128 | 19.31326693 | 2.109 | 10896 | 0.027709961 |
| mandrill32.bmp | mandrill32.bmp-G_1-H7e-005_af5.wfa                       | 393216 | 131072 |        | 14 | 6512  | 112 | 112 | 32 | 128 | 19.32005506 | 2.25  | 6736  | 0.017130534 |
| mandrill32.bmp | mandrill32.bmp-withWavelet_haar-G_0.8-H2e-005_af5.wfa    | 98304  | 32768  | 32768  | 24 | 18672 | 192 | 192 | 32 | 64  | 19.32882822 | 0.75  | 19056 | 0.193847656 |
| mandrill32.bmp | mandrill32.bmp-withWavelet_rbio1.1-G_0.8-H2e-005_af5.wfa | 98304  | 32768  | 32768  | 24 | 18672 | 192 | 192 | 32 | 64  | 19.32882822 | 0.703 | 19056 | 0.193847656 |
| mandrill32.bmp | mandrill32.bmp-withWavelet_sym1-G_0.8-H2e-005_af5.wfa    | 98304  | 32768  | 32768  | 24 | 18672 | 192 | 192 | 32 | 64  | 19.32882822 | 0.719 | 19056 | 0.193847656 |
| mandrill32.bmp | mandrill32.bmp-withWavelet_bior1.1-G_0.8-H2e-005_af5.wfa | 98304  | 32768  | 32768  | 24 | 18672 | 192 | 192 | 32 | 64  | 19.32882822 | 0.703 | 19056 | 0.193847656 |
| mandrill32.bmp | mandrill32.bmp-withWavelet_haar-G_1-H0.0001_af1.wfa      | 393216 | 131072 | 131072 | 13 | 5648  | 104 | 104 | 32 | 128 | 19.33277251 | 1.859 | 5856  | 0.014892578 |
| mandrill32.bmp | mandrill32.bmp-withWavelet_rbio1.1-G_1-H0.0001_af1.wfa   | 393216 | 131072 | 131072 | 13 | 5648  | 104 | 104 | 32 | 128 | 19.33277251 | 1.891 | 5856  | 0.014892578 |
| mandrill32.bmp | mandrill32.bmp-withWavelet_sym1-G_1-H0.0001_af1.wfa      | 393216 | 131072 | 131072 | 13 | 5648  | 104 | 104 | 32 | 128 | 19.33277251 | 1.922 | 5856  | 0.014892578 |
| mandrill32.bmp | mandrill32.bmp-withWavelet_bior1.1-G_1-H0.0001_af1.wfa   | 393216 | 131072 | 131072 | 13 | 5648  | 104 | 104 | 32 | 128 | 19.33277251 | 1.906 | 5856  | 0.014892578 |

|                |  |        |        |       |    |       |     |     |    |     |             |       |       |             |
|----------------|--|--------|--------|-------|----|-------|-----|-----|----|-----|-------------|-------|-------|-------------|
| mandrill32.bmp | mandrill32.bmp-G_0.8-H0.0001_af1.wfa                     | 393216 | 131072 |       | 14 | 6512  | 112 | 112 | 32 | 128 | 19.3337895  | 1.907 | 6736  | 0.017130534 |
| mandrill32.bmp | mandrill32.bmp-withWavelet_haar-G_1-H2e-005_af5.wfa      | 98304  | 32768  | 32768 | 24 | 18672 | 192 | 192 | 32 | 64  | 19.33530347 | 0.719 | 19056 | 0.193847656 |
| mandrill32.bmp | mandrill32.bmp-withWavelet_rbio1.1-G_1-H2e-005_af5.wfa   | 98304  | 32768  | 32768 | 24 | 18672 | 192 | 192 | 32 | 64  | 19.33530347 | 0.703 | 19056 | 0.193847656 |
| mandrill32.bmp | mandrill32.bmp-withWavelet_sym1-G_1-H2e-005_af5.wfa      | 98304  | 32768  | 32768 | 24 | 18672 | 192 | 192 | 32 | 64  | 19.33530347 | 0.718 | 19056 | 0.193847656 |
| mandrill32.bmp | mandrill32.bmp-withWavelet_bior1.1-G_1-H2e-005_af5.wfa   | 98304  | 32768  | 32768 | 24 | 18672 | 192 | 192 | 32 | 64  | 19.33530347 | 0.719 | 19056 | 0.193847656 |
| mandrill32.bmp | mandrill32.bmp-withWavelet_haar-G_0.8-H3e-005_af2.wfa    | 98304  | 32768  | 32768 | 17 | 9488  | 136 | 136 | 32 | 64  | 19.34072521 | 0.5   | 9760  | 0.099283854 |
| mandrill32.bmp | mandrill32.bmp-withWavelet_rbio1.1-G_0.8-H3e-005_af2.wfa | 98304  | 32768  | 32768 | 17 | 9488  | 136 | 136 | 32 | 64  | 19.34072521 | 0.484 | 9760  | 0.099283854 |
| mandrill32.bmp | mandrill32.bmp-withWavelet_sym1-G_0.8-H3e-005_af2.wfa    | 98304  | 32768  | 32768 | 17 | 9488  | 136 | 136 | 32 | 64  | 19.34072521 | 0.985 | 9760  | 0.099283854 |
| mandrill32.bmp | mandrill32.bmp-withWavelet_bior1.1-G_0.8-H3e-005_af2.wfa | 98304  | 32768  | 32768 | 17 | 9488  | 136 | 136 | 32 | 64  | 19.34072521 | 0.5   | 9760  | 0.099283854 |
| mandrill32.bmp | mandrill32.bmp-withWavelet_haar-G_0.6-H0.0001_af4.wfa    | 98304  | 32768  | 32768 | 13 | 5648  | 104 | 104 | 32 | 64  | 19.34146554 | 0.813 | 5856  | 0.059570313 |
| mandrill32.bmp | mandrill32.bmp-withWavelet_rbio1.1-G_0.6-H0.0001_af4.wfa | 98304  | 32768  | 32768 | 13 | 5648  | 104 | 104 | 32 | 64  | 19.34146554 | 0.813 | 5856  | 0.059570313 |
| mandrill32.bmp | mandrill32.bmp-withWavelet_sym1-G_0.6-H0.0001_af4.wfa    | 98304  | 32768  | 32768 | 13 | 5648  | 104 | 104 | 32 | 64  | 19.34146554 | 0.813 | 5856  | 0.059570313 |
| mandrill32.bmp | mandrill32.bmp-withWavelet_bior1.1-G_0.6-H0.0001_af4.wfa | 98304  | 32768  | 32768 | 13 | 5648  | 104 | 104 | 32 | 64  | 19.34146554 | 0.813 | 5856  | 0.059570313 |
| mandrill32.bmp | mandrill32.bmp-withWavelet_haar-G_0.6-H1e-005_af3.wfa    | 98304  | 32768  | 32768 | 31 | 30992 | 248 | 248 | 32 | 64  | 19.34519898 | 1.063 | 31488 | 0.3203125   |
| mandrill32.bmp | mandrill32.bmp-withWavelet_rbio1.1-G_0.6-H1e-005_af3.wfa | 98304  | 32768  | 32768 | 31 | 30992 | 248 | 248 | 32 | 64  | 19.34519898 | 1.031 | 31488 | 0.3203125   |
| mandrill32.bmp | mandrill32.bmp-withWavelet_sym1-G_0.6-H1e-005_af3.wfa    | 98304  | 32768  | 32768 | 31 | 30992 | 248 | 248 | 32 | 64  | 19.34519898 | 1.047 | 31488 | 0.3203125   |
| mandrill32.bmp | mandrill32.bmp-withWavelet_bior1.1-G_0.6-H1e-005_af3.wfa | 98304  | 32768  | 32768 | 31 | 30992 | 248 | 248 | 32 | 64  | 19.34519898 | 1.141 | 31488 | 0.3203125   |
| mandrill32.bmp | mandrill32.bmp-G_0.6-H6e-005_af3.wfa                     | 393216 | 131072 |       | 17 | 9488  | 136 | 136 | 32 | 128 | 19.34802031 | 6.891 | 9760  | 0.024820964 |
| mandrill32.bmp | mandrill32.bmp-G_0.6-H7e-005_af5.wfa                     | 393216 | 131072 |       | 15 | 7440  | 120 | 120 | 32 | 128 | 19.3483463  | 2.078 | 7680  | 0.01953125  |
| mandrill32.bmp | mandrill32.bmp-withWavelet_haar-G_1-H1e-005_af1.wfa      | 98304  | 32768  | 32768 | 33 | 35088 | 264 | 264 | 32 | 64  | 19.35096614 | 1.141 | 35616 | 0.362304688 |
| mandrill32.bmp | mandrill32.bmp-withWavelet_rbio1.1-G_1-H1e-005_af1.wfa   | 98304  | 32768  | 32768 | 33 | 35088 | 264 | 264 | 32 | 64  | 19.35096614 | 1.406 | 35616 | 0.362304688 |
| mandrill32.bmp | mandrill32.bmp-withWavelet_sym1-G_1-H1e-005_af1.wfa      | 98304  | 32768  | 32768 | 33 | 35088 | 264 | 264 | 32 | 64  | 19.35096614 | 1.188 | 35616 | 0.362304688 |
| mandrill32.bmp | mandrill32.bmp-withWavelet_bior1.1-G_1-H1e-005_af1.wfa   | 98304  | 32768  | 32768 | 33 | 35088 | 264 | 264 | 32 | 64  | 19.35096614 | 1.203 | 35616 | 0.362304688 |
| mandrill32.bmp | mandrill32.bmp-G_0.6-H8e-005_af3.wfa                     | 393216 | 131072 |       | 14 | 6512  | 112 | 112 | 32 | 128 | 19.35214181 | 2.281 | 6736  | 0.017130534 |
| mandrill32.bmp | mandrill32.bmp-withWavelet_haar-G_1-H3e-005_af2.wfa      | 98304  | 32768  | 32768 | 17 | 9488  | 136 | 136 | 32 | 64  | 19.35270692 | 0.5   | 9760  | 0.099283854 |
| mandrill32.bmp | mandrill32.bmp-withWavelet_rbio1.1-G_1-H3e-005_af2.wfa   | 98304  | 32768  | 32768 | 17 | 9488  | 136 | 136 | 32 | 64  | 19.35270692 | 0.5   | 9760  | 0.099283854 |
| mandrill32.bmp | mandrill32.bmp-withWavelet_sym1-G_1-H3e-005_af2.wfa      | 98304  | 32768  | 32768 | 17 | 9488  | 136 | 136 | 32 | 64  | 19.35270692 | 0.516 | 9760  | 0.099283854 |
| mandrill32.bmp | mandrill32.bmp-withWavelet_bior1.1-G_1-H3e-005_af2.wfa   | 98304  | 32768  | 32768 | 17 | 9488  | 136 | 136 | 32 | 64  | 19.35270692 | 0.485 | 9760  | 0.099283854 |
| mandrill32.bmp | mandrill32.bmp-G_0.6-H9e-005_af2.wfa                     | 393216 | 131072 |       | 14 | 6512  | 112 | 112 | 32 | 128 | 19.35516912 | 1.953 | 6736  | 0.017130534 |
| mandrill32.bmp | mandrill32.bmp-G_0.6-H0.0001_af2.wfa                     | 393216 | 131072 |       | 14 | 6512  | 112 | 112 | 32 | 128 | 19.35516912 | 1.921 | 6736  | 0.017130534 |
| mandrill32.bmp | mandrill32.bmp-G_1-H8e-005_af3.wfa                       | 393216 | 131072 |       | 14 | 6512  | 112 | 112 | 32 | 128 | 19.3620903  | 1.969 | 6736  | 0.017130534 |

|                |  |        |        |        |    |       |     |     |    |     |             |       |       |             |
|----------------|--|--------|--------|--------|----|-------|-----|-----|----|-----|-------------|-------|-------|-------------|
| mandrill32.bmp | mandrill32.bmp-G_0.8-H8e-005_af3.wfa                     | 393216 | 131072 |        | 14 | 6512  | 112 | 112 | 32 | 128 | 19.36476236 | 1.969 | 6736  | 0.017130534 |
| mandrill32.bmp | mandrill32.bmp-withWavelet_haar-G_0.6-H1e-005_af4.wfa    | 98304  | 32768  | 32768  | 30 | 29040 | 240 | 240 | 32 | 64  | 19.36737665 | 0.984 | 29520 | 0.300292969 |
| mandrill32.bmp | mandrill32.bmp-withWavelet_rbio1.1-G_0.6-H1e-005_af4.wfa | 98304  | 32768  | 32768  | 30 | 29040 | 240 | 240 | 32 | 64  | 19.36737665 | 1.562 | 29520 | 0.300292969 |
| mandrill32.bmp | mandrill32.bmp-withWavelet_sym1-G_0.6-H1e-005_af4.wfa    | 98304  | 32768  | 32768  | 30 | 29040 | 240 | 240 | 32 | 64  | 19.36737665 | 0.984 | 29520 | 0.300292969 |
| mandrill32.bmp | mandrill32.bmp-withWavelet_bior1.1-G_0.6-H1e-005_af4.wfa | 98304  | 32768  | 32768  | 30 | 29040 | 240 | 240 | 32 | 64  | 19.36737665 | 0.969 | 29520 | 0.300292969 |
| mandrill32.bmp | mandrill32.bmp-withWavelet_haar-G_0.8-H1e-005_af4.wfa    | 98304  | 32768  | 32768  | 32 | 33008 | 256 | 256 | 32 | 64  | 19.37120452 | 1.281 | 33520 | 0.340983073 |
| mandrill32.bmp | mandrill32.bmp-withWavelet_rbio1.1-G_0.8-H1e-005_af4.wfa | 98304  | 32768  | 32768  | 32 | 33008 | 256 | 256 | 32 | 64  | 19.37120452 | 1.406 | 33520 | 0.340983073 |
| mandrill32.bmp | mandrill32.bmp-withWavelet_sym1-G_0.8-H1e-005_af4.wfa    | 98304  | 32768  | 32768  | 32 | 33008 | 256 | 256 | 32 | 64  | 19.37120452 | 1.156 | 33520 | 0.340983073 |
| mandrill32.bmp | mandrill32.bmp-withWavelet_bior1.1-G_0.8-H1e-005_af4.wfa | 98304  | 32768  | 32768  | 32 | 33008 | 256 | 256 | 32 | 64  | 19.37120452 | 1.094 | 33520 | 0.340983073 |
| mandrill32.bmp | mandrill32.bmp-withWavelet_haar-G_0.6-H0.0001_af1.wfa    | 393216 | 131072 | 131072 | 13 | 5648  | 104 | 104 | 32 | 128 | 19.37367947 | 1.875 | 5856  | 0.014892578 |
| mandrill32.bmp | mandrill32.bmp-withWavelet_rbio1.1-G_0.6-H0.0001_af1.wfa | 393216 | 131072 | 131072 | 13 | 5648  | 104 | 104 | 32 | 128 | 19.37367947 | 1.906 | 5856  | 0.014892578 |
| mandrill32.bmp | mandrill32.bmp-withWavelet_sym1-G_0.6-H0.0001_af1.wfa    | 393216 | 131072 | 131072 | 13 | 5648  | 104 | 104 | 32 | 128 | 19.37367947 | 1.906 | 5856  | 0.014892578 |
| mandrill32.bmp | mandrill32.bmp-withWavelet_bior1.1-G_0.6-H0.0001_af1.wfa | 393216 | 131072 | 131072 | 13 | 5648  | 104 | 104 | 32 | 128 | 19.37367947 | 1.875 | 5856  | 0.014892578 |
| mandrill32.bmp | mandrill32.bmp-G_1-H9e-005_af2.wfa                       | 393216 | 131072 |        | 14 | 6512  | 112 | 112 | 32 | 128 | 19.37620787 | 2.297 | 6736  | 0.017130534 |
| mandrill32.bmp | mandrill32.bmp-G_0.8-H9e-005_af2.wfa                     | 393216 | 131072 |        | 14 | 6512  | 112 | 112 | 32 | 128 | 19.37709773 | 1.922 | 6736  | 0.017130534 |
| mandrill32.bmp | mandrill32.bmp-withWavelet_haar-G_0.8-H1e-005_af1.wfa    | 98304  | 32768  | 32768  | 32 | 33008 | 256 | 256 | 32 | 64  | 19.38012201 | 1.109 | 33520 | 0.340983073 |
| mandrill32.bmp | mandrill32.bmp-withWavelet_rbio1.1-G_0.8-H1e-005_af1.wfa | 98304  | 32768  | 32768  | 32 | 33008 | 256 | 256 | 32 | 64  | 19.38012201 | 1.141 | 33520 | 0.340983073 |
| mandrill32.bmp | mandrill32.bmp-withWavelet_sym1-G_0.8-H1e-005_af1.wfa    | 98304  | 32768  | 32768  | 32 | 33008 | 256 | 256 | 32 | 64  | 19.38012201 | 1.531 | 33520 | 0.340983073 |
| mandrill32.bmp | mandrill32.bmp-withWavelet_bior1.1-G_0.8-H1e-005_af1.wfa | 98304  | 32768  | 32768  | 32 | 33008 | 256 | 256 | 32 | 64  | 19.38012201 | 1.188 | 33520 | 0.340983073 |
| mandrill32.bmp | mandrill32.bmp-G_0.6-H7e-005_af1.wfa                     | 393216 | 131072 |        | 16 | 8432  | 128 | 128 | 32 | 128 | 19.38345505 | 2.203 | 8688  | 0.022094727 |
| mandrill32.bmp | mandrill32.bmp-withWavelet_haar-G_1-H1e-005_af4.wfa      | 98304  | 32768  | 32768  | 32 | 33008 | 256 | 256 | 32 | 64  | 19.38827424 | 1.25  | 33520 | 0.340983073 |
| mandrill32.bmp | mandrill32.bmp-withWavelet_rbio1.1-G_1-H1e-005_af4.wfa   | 98304  | 32768  | 32768  | 32 | 33008 | 256 | 256 | 32 | 64  | 19.38827424 | 1.156 | 33520 | 0.340983073 |
| mandrill32.bmp | mandrill32.bmp-withWavelet_sym1-G_1-H1e-005_af4.wfa      | 98304  | 32768  | 32768  | 32 | 33008 | 256 | 256 | 32 | 64  | 19.38827424 | 1.109 | 33520 | 0.340983073 |
| mandrill32.bmp | mandrill32.bmp-withWavelet_bior1.1-G_1-H1e-005_af4.wfa   | 98304  | 32768  | 32768  | 32 | 33008 | 256 | 256 | 32 | 64  | 19.38827424 | 1.156 | 33520 | 0.340983073 |
| mandrill32.bmp | mandrill32.bmp-withWavelet_haar-G_0.8-H2e-005_af2.wfa    | 98304  | 32768  | 32768  | 19 | 11792 | 152 | 152 | 32 | 64  | 19.39011288 | 0.531 | 12096 | 0.123046875 |
| mandrill32.bmp | mandrill32.bmp-withWavelet_rbio1.1-G_0.8-H2e-005_af2.wfa | 98304  | 32768  | 32768  | 19 | 11792 | 152 | 152 | 32 | 64  | 19.39011288 | 0.532 | 12096 | 0.123046875 |
| mandrill32.bmp | mandrill32.bmp-withWavelet_sym1-G_0.8-H2e-005_af2.wfa    | 98304  | 32768  | 32768  | 19 | 11792 | 152 | 152 | 32 | 64  | 19.39011288 | 0.531 | 12096 | 0.123046875 |
| mandrill32.bmp | mandrill32.bmp-withWavelet_bior1.1-G_0.8-H2e-005_af2.wfa | 98304  | 32768  | 32768  | 19 | 11792 | 152 | 152 | 32 | 64  | 19.39011288 | 0.547 | 12096 | 0.123046875 |
| mandrill32.bmp | mandrill32.bmp-G_0.6-H8e-005_af1.wfa                     | 393216 | 131072 |        | 15 | 7440  | 120 | 120 | 32 | 128 | 19.40097066 | 2.031 | 7680  | 0.01953125  |
| mandrill32.bmp | mandrill32.bmp-withWavelet_haar-G_0.8-H9e-005_af1.wfa    | 393216 | 131072 | 131072 | 13 | 5648  | 104 | 104 | 32 | 128 | 19.40587717 | 1.891 | 5856  | 0.014892578 |
| mandrill32.bmp | mandrill32.bmp-withWavelet_rbio1.1-G_0.8-H9e-005_af1.wfa | 393216 | 131072 | 131072 | 13 | 5648  | 104 | 104 | 32 | 128 | 19.40587717 | 1.859 | 5856  | 0.014892578 |

|                |  |        |        |        |    |       |     |     |    |     |             |       |       |             |
|----------------|--|--------|--------|--------|----|-------|-----|-----|----|-----|-------------|-------|-------|-------------|
| mandrill32.bmp | mandrill32.bmp-withWavelet_sym1-G_0.8-H9e-005_af1.wfa    | 393216 | 131072 | 131072 | 13 | 5648  | 104 | 104 | 32 | 128 | 19.40587717 | 1.875 | 5856  | 0.014892578 |
| mandrill32.bmp | mandrill32.bmp-withWavelet_bior1.1-G_0.8-H9e-005_af1.wfa | 393216 | 131072 | 131072 | 13 | 5648  | 104 | 104 | 32 | 128 | 19.40587717 | 1.922 | 5856  | 0.014892578 |
| mandrill32.bmp | mandrill32.bmp-withWavelet_haar-G_0.8-H0.0001_af1.wfa    | 393216 | 131072 | 131072 | 13 | 5648  | 104 | 104 | 32 | 128 | 19.40587717 | 1.875 | 5856  | 0.014892578 |
| mandrill32.bmp | mandrill32.bmp-withWavelet_rbio1.1-G_0.8-H0.0001_af1.wfa | 393216 | 131072 | 131072 | 13 | 5648  | 104 | 104 | 32 | 128 | 19.40587717 | 1.89  | 5856  | 0.014892578 |
| mandrill32.bmp | mandrill32.bmp-withWavelet_sym1-G_0.8-H0.0001_af1.wfa    | 393216 | 131072 | 131072 | 13 | 5648  | 104 | 104 | 32 | 128 | 19.40587717 | 1.891 | 5856  | 0.014892578 |
| mandrill32.bmp | mandrill32.bmp-withWavelet_bior1.1-G_0.8-H0.0001_af1.wfa | 393216 | 131072 | 131072 | 13 | 5648  | 104 | 104 | 32 | 128 | 19.40587717 | 1.875 | 5856  | 0.014892578 |
| mandrill32.bmp | mandrill32.bmp-G_0.6-H7e-005_af2.wfa                     | 393216 | 131072 |        | 16 | 8432  | 128 | 128 | 32 | 128 | 19.40886132 | 2.125 | 8688  | 0.022094727 |
| mandrill32.bmp | mandrill32.bmp-withWavelet_haar-G_1-H9e-005_af1.wfa      | 393216 | 131072 | 131072 | 13 | 5648  | 104 | 104 | 32 | 128 | 19.40900313 | 1.984 | 5856  | 0.014892578 |
| mandrill32.bmp | mandrill32.bmp-withWavelet_rbio1.1-G_1-H9e-005_af1.wfa   | 393216 | 131072 | 131072 | 13 | 5648  | 104 | 104 | 32 | 128 | 19.40900313 | 2.25  | 5856  | 0.014892578 |
| mandrill32.bmp | mandrill32.bmp-withWavelet_sym1-G_1-H9e-005_af1.wfa      | 393216 | 131072 | 131072 | 13 | 5648  | 104 | 104 | 32 | 128 | 19.40900313 | 2.547 | 5856  | 0.014892578 |
| mandrill32.bmp | mandrill32.bmp-withWavelet_bior1.1-G_1-H9e-005_af1.wfa   | 393216 | 131072 | 131072 | 13 | 5648  | 104 | 104 | 32 | 128 | 19.40900313 | 2.297 | 5856  | 0.014892578 |
| mandrill32.bmp | mandrill32.bmp-G_1-H6e-005_af3.wfa                       | 393216 | 131072 |        | 17 | 9488  | 136 | 136 | 32 | 128 | 19.40903    | 2.032 | 9760  | 0.024820964 |
| mandrill32.bmp | mandrill32.bmp-withWavelet_haar-G_0.6-H2e-005_af4.wfa    | 98304  | 32768  | 32768  | 26 | 21872 | 208 | 208 | 32 | 64  | 19.41397656 | 0.875 | 22288 | 0.22672526  |
| mandrill32.bmp | mandrill32.bmp-withWavelet_rbio1.1-G_0.6-H2e-005_af4.wfa | 98304  | 32768  | 32768  | 26 | 21872 | 208 | 208 | 32 | 64  | 19.41397656 | 0.844 | 22288 | 0.22672526  |
| mandrill32.bmp | mandrill32.bmp-withWavelet_sym1-G_0.6-H2e-005_af4.wfa    | 98304  | 32768  | 32768  | 26 | 21872 | 208 | 208 | 32 | 64  | 19.41397656 | 0.796 | 22288 | 0.22672526  |
| mandrill32.bmp | mandrill32.bmp-withWavelet_bior1.1-G_0.6-H2e-005_af4.wfa | 98304  | 32768  | 32768  | 26 | 21872 | 208 | 208 | 32 | 64  | 19.41397656 | 0.781 | 22288 | 0.22672526  |
| mandrill32.bmp | mandrill32.bmp-G_0.8-H6e-005_af3.wfa                     | 393216 | 131072 |        | 17 | 9488  | 136 | 136 | 32 | 128 | 19.4144525  | 3.984 | 9760  | 0.024820964 |
| mandrill32.bmp | mandrill32.bmp-G_0.6-H6e-005_af2.wfa                     | 393216 | 131072 |        | 16 | 8432  | 128 | 128 | 32 | 128 | 19.41534069 | 6.859 | 8688  | 0.022094727 |
| mandrill32.bmp | mandrill32.bmp-withWavelet_haar-G_0.6-H7e-005_af5.wfa    | 24576  | 8192   | 8192   | 12 | 4848  | 96  | 96  | 32 | 32  | 19.41686389 | 0.11  | 5040  | 0.205078125 |
| mandrill32.bmp | mandrill32.bmp-withWavelet_rbio1.1-G_0.6-H7e-005_af5.wfa | 24576  | 8192   | 8192   | 12 | 4848  | 96  | 96  | 32 | 32  | 19.41686389 | 0.11  | 5040  | 0.205078125 |
| mandrill32.bmp | mandrill32.bmp-withWavelet_sym1-G_0.6-H7e-005_af5.wfa    | 24576  | 8192   | 8192   | 12 | 4848  | 96  | 96  | 32 | 32  | 19.41686389 | 0.125 | 5040  | 0.205078125 |
| mandrill32.bmp | mandrill32.bmp-withWavelet_bior1.1-G_0.6-H7e-005_af5.wfa | 24576  | 8192   | 8192   | 12 | 4848  | 96  | 96  | 32 | 32  | 19.41686389 | 0.125 | 5040  | 0.205078125 |
| mandrill32.bmp | mandrill32.bmp-withWavelet_haar-G_0.6-H8e-005_af5.wfa    | 24576  | 8192   | 8192   | 12 | 4848  | 96  | 96  | 32 | 32  | 19.41686389 | 0.453 | 5040  | 0.205078125 |
| mandrill32.bmp | mandrill32.bmp-withWavelet_rbio1.1-G_0.6-H8e-005_af5.wfa | 24576  | 8192   | 8192   | 12 | 4848  | 96  | 96  | 32 | 32  | 19.41686389 | 0.094 | 5040  | 0.205078125 |
| mandrill32.bmp | mandrill32.bmp-withWavelet_sym1-G_0.6-H8e-005_af5.wfa    | 24576  | 8192   | 8192   | 12 | 4848  | 96  | 96  | 32 | 32  | 19.41686389 | 0.094 | 5040  | 0.205078125 |
| mandrill32.bmp | mandrill32.bmp-withWavelet_bior1.1-G_0.6-H8e-005_af5.wfa | 24576  | 8192   | 8192   | 12 | 4848  | 96  | 96  | 32 | 32  | 19.41686389 | 0.094 | 5040  | 0.205078125 |
| mandrill32.bmp | mandrill32.bmp-withWavelet_haar-G_0.6-H9e-005_af5.wfa    | 24576  | 8192   | 8192   | 12 | 4848  | 96  | 96  | 32 | 32  | 19.41686389 | 0.109 | 5040  | 0.205078125 |
| mandrill32.bmp | mandrill32.bmp-withWavelet_rbio1.1-G_0.6-H9e-005_af5.wfa | 24576  | 8192   | 8192   | 12 | 4848  | 96  | 96  | 32 | 32  | 19.41686389 | 0.11  | 5040  | 0.205078125 |
| mandrill32.bmp | mandrill32.bmp-withWavelet_sym1-G_0.6-H9e-005_af5.wfa    | 24576  | 8192   | 8192   | 12 | 4848  | 96  | 96  | 32 | 32  | 19.41686389 | 0.125 | 5040  | 0.205078125 |
| mandrill32.bmp | mandrill32.bmp-withWavelet_bior1.1-G_0.6-H9e-005_af5.wfa | 24576  | 8192   | 8192   | 12 | 4848  | 96  | 96  | 32 | 32  | 19.41686389 | 0.109 | 5040  | 0.205078125 |
| mandrill32.bmp | mandrill32.bmp-withWavelet_haar-G_0.6-H0.0001_af5.wfa    | 24576  | 8192   | 8192   | 12 | 4848  | 96  | 96  | 32 | 32  | 19.41686389 | 0.094 | 5040  | 0.205078125 |

|                |  |       |       |       |    |       |     |     |    |    |             |       |       |             |
|----------------|--|-------|-------|-------|----|-------|-----|-----|----|----|-------------|-------|-------|-------------|
| mandrill32.bmp | mandrill32.bmp-withWavelet_rbio1.1-G_0.6-H0.0001_af5.wfa | 24576 | 8192  | 8192  | 12 | 4848  | 96  | 96  | 32 | 32 | 19.41686389 | 0.109 | 5040  | 0.205078125 |
| mandrill32.bmp | mandrill32.bmp-withWavelet_sym1-G_0.6-H0.0001_af5.wfa    | 24576 | 8192  | 8192  | 12 | 4848  | 96  | 96  | 32 | 32 | 19.41686389 | 0.109 | 5040  | 0.205078125 |
| mandrill32.bmp | mandrill32.bmp-withWavelet_bior1.1-G_0.6-H0.0001_af5.wfa | 24576 | 8192  | 8192  | 12 | 4848  | 96  | 96  | 32 | 32 | 19.41686389 | 0.11  | 5040  | 0.205078125 |
| mandrill32.bmp | mandrill32.bmp-withWavelet_haar-G_0.6-H3e-005_af4.wfa    | 98304 | 32768 | 32768 | 22 | 15728 | 176 | 176 | 32 | 64 | 19.41906833 | 0.609 | 16080 | 0.163574219 |
| mandrill32.bmp | mandrill32.bmp-withWavelet_rbio1.1-G_0.6-H3e-005_af4.wfa | 98304 | 32768 | 32768 | 22 | 15728 | 176 | 176 | 32 | 64 | 19.41906833 | 0.609 | 16080 | 0.163574219 |
| mandrill32.bmp | mandrill32.bmp-withWavelet_sym1-G_0.6-H3e-005_af4.wfa    | 98304 | 32768 | 32768 | 22 | 15728 | 176 | 176 | 32 | 64 | 19.41906833 | 0.593 | 16080 | 0.163574219 |
| mandrill32.bmp | mandrill32.bmp-withWavelet_bior1.1-G_0.6-H3e-005_af4.wfa | 98304 | 32768 | 32768 | 22 | 15728 | 176 | 176 | 32 | 64 | 19.41906833 | 0.594 | 16080 | 0.163574219 |
| mandrill32.bmp | mandrill32.bmp-withWavelet_haar-G_1-H6e-005_af5.wfa      | 24576 | 8192  | 8192  | 12 | 4848  | 96  | 96  | 32 | 32 | 19.42465871 | 0.109 | 5040  | 0.205078125 |
| mandrill32.bmp | mandrill32.bmp-withWavelet_rbio1.1-G_1-H6e-005_af5.wfa   | 24576 | 8192  | 8192  | 12 | 4848  | 96  | 96  | 32 | 32 | 19.42465871 | 0.094 | 5040  | 0.205078125 |
| mandrill32.bmp | mandrill32.bmp-withWavelet_sym1-G_1-H6e-005_af5.wfa      | 24576 | 8192  | 8192  | 12 | 4848  | 96  | 96  | 32 | 32 | 19.42465871 | 0.125 | 5040  | 0.205078125 |
| mandrill32.bmp | mandrill32.bmp-withWavelet_bior1.1-G_1-H6e-005_af5.wfa   | 24576 | 8192  | 8192  | 12 | 4848  | 96  | 96  | 32 | 32 | 19.42465871 | 0.094 | 5040  | 0.205078125 |
| mandrill32.bmp | mandrill32.bmp-withWavelet_haar-G_1-H7e-005_af5.wfa      | 24576 | 8192  | 8192  | 12 | 4848  | 96  | 96  | 32 | 32 | 19.42465871 | 0.422 | 5040  | 0.205078125 |
| mandrill32.bmp | mandrill32.bmp-withWavelet_rbio1.1-G_1-H7e-005_af5.wfa   | 24576 | 8192  | 8192  | 12 | 4848  | 96  | 96  | 32 | 32 | 19.42465871 | 0.125 | 5040  | 0.205078125 |
| mandrill32.bmp | mandrill32.bmp-withWavelet_sym1-G_1-H7e-005_af5.wfa      | 24576 | 8192  | 8192  | 12 | 4848  | 96  | 96  | 32 | 32 | 19.42465871 | 0.407 | 5040  | 0.205078125 |
| mandrill32.bmp | mandrill32.bmp-withWavelet_bior1.1-G_1-H7e-005_af5.wfa   | 24576 | 8192  | 8192  | 12 | 4848  | 96  | 96  | 32 | 32 | 19.42465871 | 0.422 | 5040  | 0.205078125 |
| mandrill32.bmp | mandrill32.bmp-withWavelet_haar-G_1-H8e-005_af5.wfa      | 24576 | 8192  | 8192  | 12 | 4848  | 96  | 96  | 32 | 32 | 19.42465871 | 0.109 | 5040  | 0.205078125 |
| mandrill32.bmp | mandrill32.bmp-withWavelet_rbio1.1-G_1-H8e-005_af5.wfa   | 24576 | 8192  | 8192  | 12 | 4848  | 96  | 96  | 32 | 32 | 19.42465871 | 0.093 | 5040  | 0.205078125 |
| mandrill32.bmp | mandrill32.bmp-withWavelet_sym1-G_1-H8e-005_af5.wfa      | 24576 | 8192  | 8192  | 12 | 4848  | 96  | 96  | 32 | 32 | 19.42465871 | 0.125 | 5040  | 0.205078125 |
| mandrill32.bmp | mandrill32.bmp-withWavelet_bior1.1-G_1-H8e-005_af5.wfa   | 24576 | 8192  | 8192  | 12 | 4848  | 96  | 96  | 32 | 32 | 19.42465871 | 0.11  | 5040  | 0.205078125 |
| mandrill32.bmp | mandrill32.bmp-withWavelet_haar-G_1-H9e-005_af5.wfa      | 24576 | 8192  | 8192  | 12 | 4848  | 96  | 96  | 32 | 32 | 19.42465871 | 0.109 | 5040  | 0.205078125 |
| mandrill32.bmp | mandrill32.bmp-withWavelet_rbio1.1-G_1-H9e-005_af5.wfa   | 24576 | 8192  | 8192  | 12 | 4848  | 96  | 96  | 32 | 32 | 19.42465871 | 0.109 | 5040  | 0.205078125 |
| mandrill32.bmp | mandrill32.bmp-withWavelet_sym1-G_1-H9e-005_af5.wfa      | 24576 | 8192  | 8192  | 12 | 4848  | 96  | 96  | 32 | 32 | 19.42465871 | 0.11  | 5040  | 0.205078125 |
| mandrill32.bmp | mandrill32.bmp-withWavelet_bior1.1-G_1-H9e-005_af5.wfa   | 24576 | 8192  | 8192  | 12 | 4848  | 96  | 96  | 32 | 32 | 19.42465871 | 0.109 | 5040  | 0.205078125 |
| mandrill32.bmp | mandrill32.bmp-withWavelet_haar-G_1-H0.0001_af5.wfa      | 24576 | 8192  | 8192  | 12 | 4848  | 96  | 96  | 32 | 32 | 19.42465871 | 0.093 | 5040  | 0.205078125 |
| mandrill32.bmp | mandrill32.bmp-withWavelet_rbio1.1-G_1-H0.0001_af5.wfa   | 24576 | 8192  | 8192  | 12 | 4848  | 96  | 96  | 32 | 32 | 19.42465871 | 0.094 | 5040  | 0.205078125 |
| mandrill32.bmp | mandrill32.bmp-withWavelet_sym1-G_1-H0.0001_af5.wfa      | 24576 | 8192  | 8192  | 12 | 4848  | 96  | 96  | 32 | 32 | 19.42465871 | 0.125 | 5040  | 0.205078125 |
| mandrill32.bmp | mandrill32.bmp-withWavelet_bior1.1-G_1-H0.0001_af5.wfa   | 24576 | 8192  | 8192  | 12 | 4848  | 96  | 96  | 32 | 32 | 19.42465871 | 0.093 | 5040  | 0.205078125 |
| mandrill32.bmp | mandrill32.bmp-G_1-H0.0001_af5.wfa                       | 98304 | 32768 |       | 12 | 4848  | 96  | 96  | 32 | 64 | 19.42496501 | 0.844 | 5040  | 0.051269531 |
| mandrill32.bmp | mandrill32.bmp-withWavelet_haar-G_1-H2e-005_af2.wfa      | 98304 | 32768 | 32768 | 19 | 11792 | 152 | 152 | 32 | 64 | 19.42517237 | 0.703 | 12096 | 0.123046875 |
| mandrill32.bmp | mandrill32.bmp-withWavelet_rbio1.1-G_1-H2e-005_af2.wfa   | 98304 | 32768 | 32768 | 19 | 11792 | 152 | 152 | 32 | 64 | 19.42517237 | 0.532 | 12096 | 0.123046875 |
| mandrill32.bmp | mandrill32.bmp-withWavelet_sym1-G_1-H2e-005_af2.wfa      | 98304 | 32768 | 32768 | 19 | 11792 | 152 | 152 | 32 | 64 | 19.42517237 | 0.531 | 12096 | 0.123046875 |

|                |  |        |        |       |    |       |     |     |    |     |             |       |       |             |
|----------------|--|--------|--------|-------|----|-------|-----|-----|----|-----|-------------|-------|-------|-------------|
| mandrill32.bmp | mandrill32.bmp-withWavelet_bior1.1-G_1-H2e-005_af2.wfa   | 98304  | 32768  | 32768 | 19 | 11792 | 152 | 152 | 32 | 64  | 19.42517237 | 0.547 | 12096 | 0.123046875 |
| mandrill32.bmp | mandrill32.bmp-withWavelet_haar-G_0.8-H6e-005_af5.wfa    | 24576  | 8192   | 8192  | 12 | 4848  | 96  | 96  | 32 | 32  | 19.4306797  | 0.359 | 5040  | 0.205078125 |
| mandrill32.bmp | mandrill32.bmp-withWavelet_rbio1.1-G_0.8-H6e-005_af5.wfa | 24576  | 8192   | 8192  | 12 | 4848  | 96  | 96  | 32 | 32  | 19.4306797  | 0.157 | 5040  | 0.205078125 |
| mandrill32.bmp | mandrill32.bmp-withWavelet_sym1-G_0.8-H6e-005_af5.wfa    | 24576  | 8192   | 8192  | 12 | 4848  | 96  | 96  | 32 | 32  | 19.4306797  | 0.797 | 5040  | 0.205078125 |
| mandrill32.bmp | mandrill32.bmp-withWavelet_bior1.1-G_0.8-H6e-005_af5.wfa | 24576  | 8192   | 8192  | 12 | 4848  | 96  | 96  | 32 | 32  | 19.4306797  | 0.922 | 5040  | 0.205078125 |
| mandrill32.bmp | mandrill32.bmp-withWavelet_haar-G_0.8-H7e-005_af5.wfa    | 24576  | 8192   | 8192  | 12 | 4848  | 96  | 96  | 32 | 32  | 19.4306797  | 0.437 | 5040  | 0.205078125 |
| mandrill32.bmp | mandrill32.bmp-withWavelet_rbio1.1-G_0.8-H7e-005_af5.wfa | 24576  | 8192   | 8192  | 12 | 4848  | 96  | 96  | 32 | 32  | 19.4306797  | 0.141 | 5040  | 0.205078125 |
| mandrill32.bmp | mandrill32.bmp-withWavelet_sym1-G_0.8-H7e-005_af5.wfa    | 24576  | 8192   | 8192  | 12 | 4848  | 96  | 96  | 32 | 32  | 19.4306797  | 0.438 | 5040  | 0.205078125 |
| mandrill32.bmp | mandrill32.bmp-withWavelet_bior1.1-G_0.8-H7e-005_af5.wfa | 24576  | 8192   | 8192  | 12 | 4848  | 96  | 96  | 32 | 32  | 19.4306797  | 0.219 | 5040  | 0.205078125 |
| mandrill32.bmp | mandrill32.bmp-withWavelet_haar-G_0.8-H8e-005_af5.wfa    | 24576  | 8192   | 8192  | 12 | 4848  | 96  | 96  | 32 | 32  | 19.4306797  | 0.109 | 5040  | 0.205078125 |
| mandrill32.bmp | mandrill32.bmp-withWavelet_rbio1.1-G_0.8-H8e-005_af5.wfa | 24576  | 8192   | 8192  | 12 | 4848  | 96  | 96  | 32 | 32  | 19.4306797  | 0.109 | 5040  | 0.205078125 |
| mandrill32.bmp | mandrill32.bmp-withWavelet_sym1-G_0.8-H8e-005_af5.wfa    | 24576  | 8192   | 8192  | 12 | 4848  | 96  | 96  | 32 | 32  | 19.4306797  | 0.109 | 5040  | 0.205078125 |
| mandrill32.bmp | mandrill32.bmp-withWavelet_bior1.1-G_0.8-H8e-005_af5.wfa | 24576  | 8192   | 8192  | 12 | 4848  | 96  | 96  | 32 | 32  | 19.4306797  | 0.109 | 5040  | 0.205078125 |
| mandrill32.bmp | mandrill32.bmp-withWavelet_haar-G_0.8-H9e-005_af5.wfa    | 24576  | 8192   | 8192  | 12 | 4848  | 96  | 96  | 32 | 32  | 19.4306797  | 0.438 | 5040  | 0.205078125 |
| mandrill32.bmp | mandrill32.bmp-withWavelet_rbio1.1-G_0.8-H9e-005_af5.wfa | 24576  | 8192   | 8192  | 12 | 4848  | 96  | 96  | 32 | 32  | 19.4306797  | 0.453 | 5040  | 0.205078125 |
| mandrill32.bmp | mandrill32.bmp-withWavelet_sym1-G_0.8-H9e-005_af5.wfa    | 24576  | 8192   | 8192  | 12 | 4848  | 96  | 96  | 32 | 32  | 19.4306797  | 0.438 | 5040  | 0.205078125 |
| mandrill32.bmp | mandrill32.bmp-withWavelet_bior1.1-G_0.8-H9e-005_af5.wfa | 24576  | 8192   | 8192  | 12 | 4848  | 96  | 96  | 32 | 32  | 19.4306797  | 0.375 | 5040  | 0.205078125 |
| mandrill32.bmp | mandrill32.bmp-withWavelet_haar-G_0.8-H0.0001_af5.wfa    | 24576  | 8192   | 8192  | 12 | 4848  | 96  | 96  | 32 | 32  | 19.4306797  | 0.141 | 5040  | 0.205078125 |
| mandrill32.bmp | mandrill32.bmp-withWavelet_rbio1.1-G_0.8-H0.0001_af5.wfa | 24576  | 8192   | 8192  | 12 | 4848  | 96  | 96  | 32 | 32  | 19.4306797  | 0.109 | 5040  | 0.205078125 |
| mandrill32.bmp | mandrill32.bmp-withWavelet_sym1-G_0.8-H0.0001_af5.wfa    | 24576  | 8192   | 8192  | 12 | 4848  | 96  | 96  | 32 | 32  | 19.4306797  | 0.125 | 5040  | 0.205078125 |
| mandrill32.bmp | mandrill32.bmp-withWavelet_bior1.1-G_0.8-H0.0001_af5.wfa | 24576  | 8192   | 8192  | 12 | 4848  | 96  | 96  | 32 | 32  | 19.4306797  | 0.109 | 5040  | 0.205078125 |
| mandrill32.bmp | mandrill32.bmp-G_0.8-H0.0001_af5.wfa                     | 98304  | 32768  |       | 12 | 4848  | 96  | 96  | 32 | 64  | 19.43101735 | 0.797 | 5040  | 0.051269531 |
| mandrill32.bmp | mandrill32.bmp-G_0.6-H5e-005_af3.wfa                     | 393216 | 131072 |       | 18 | 10608 | 144 | 144 | 32 | 128 | 19.43403999 | 2.094 | 10896 | 0.027709961 |
| mandrill32.bmp | mandrill32.bmp-withWavelet_haar-G_0.8-H1e-005_af3.wfa    | 98304  | 32768  | 32768 | 32 | 33008 | 256 | 256 | 32 | 64  | 19.45240297 | 1.093 | 33520 | 0.340983073 |
| mandrill32.bmp | mandrill32.bmp-withWavelet_rbio1.1-G_0.8-H1e-005_af3.wfa | 98304  | 32768  | 32768 | 32 | 33008 | 256 | 256 | 32 | 64  | 19.45240297 | 1.172 | 33520 | 0.340983073 |
| mandrill32.bmp | mandrill32.bmp-withWavelet_sym1-G_0.8-H1e-005_af3.wfa    | 98304  | 32768  | 32768 | 32 | 33008 | 256 | 256 | 32 | 64  | 19.45240297 | 1.062 | 33520 | 0.340983073 |
| mandrill32.bmp | mandrill32.bmp-withWavelet_bior1.1-G_0.8-H1e-005_af3.wfa | 98304  | 32768  | 32768 | 32 | 33008 | 256 | 256 | 32 | 64  | 19.45240297 | 1.109 | 33520 | 0.340983073 |
| mandrill32.bmp | mandrill32.bmp-withWavelet_haar-G_1-H1e-005_af3.wfa      | 98304  | 32768  | 32768 | 32 | 33008 | 256 | 256 | 32 | 64  | 19.45375885 | 1.14  | 33520 | 0.340983073 |
| mandrill32.bmp | mandrill32.bmp-withWavelet_rbio1.1-G_1-H1e-005_af3.wfa   | 98304  | 32768  | 32768 | 32 | 33008 | 256 | 256 | 32 | 64  | 19.45375885 | 1.172 | 33520 | 0.340983073 |
| mandrill32.bmp | mandrill32.bmp-withWavelet_sym1-G_1-H1e-005_af3.wfa      | 98304  | 32768  | 32768 | 32 | 33008 | 256 | 256 | 32 | 64  | 19.45375885 | 1.11  | 33520 | 0.340983073 |
| mandrill32.bmp | mandrill32.bmp-withWavelet_bior1.1-G_1-H1e-005_af3.wfa   | 98304  | 32768  | 32768 | 32 | 33008 | 256 | 256 | 32 | 64  | 19.45375885 | 1.172 | 33520 | 0.340983073 |



|                |  |        |        |       |    |       |     |     |    |     |             |       |       |             |
|----------------|--|--------|--------|-------|----|-------|-----|-----|----|-----|-------------|-------|-------|-------------|
| mandrill32.bmp | mandrill32.bmp-G_1-H8e-005_af1.wfa                       | 393216 | 131072 |       | 15 | 7440  | 120 | 120 | 32 | 128 | 19.46640441 | 2.031 | 7680  | 0.01953125  |
| mandrill32.bmp | mandrill32.bmp-G_0.6-H6e-005_af5.wfa                     | 393216 | 131072 |       | 16 | 8432  | 128 | 128 | 32 | 128 | 19.46844773 | 6.812 | 8688  | 0.022094727 |
| mandrill32.bmp | mandrill32.bmp-G_0.8-H8e-005_af1.wfa                     | 393216 | 131072 |       | 15 | 7440  | 120 | 120 | 32 | 128 | 19.47168302 | 2.032 | 7680  | 0.01953125  |
| mandrill32.bmp | mandrill32.bmp-G_0.6-H8e-005_af2.wfa                     | 393216 | 131072 |       | 15 | 7440  | 120 | 120 | 32 | 128 | 19.47725491 | 2.063 | 7680  | 0.01953125  |
| mandrill32.bmp | mandrill32.bmp-withWavelet_haar-G_0.8-H2e-005_af4.wfa    | 98304  | 32768  | 32768 | 26 | 21872 | 208 | 208 | 32 | 64  | 19.47976079 | 0.781 | 22288 | 0.22672526  |
| mandrill32.bmp | mandrill32.bmp-withWavelet_rbio1.1-G_0.8-H2e-005_af4.wfa | 98304  | 32768  | 32768 | 26 | 21872 | 208 | 208 | 32 | 64  | 19.47976079 | 0.781 | 22288 | 0.22672526  |
| mandrill32.bmp | mandrill32.bmp-withWavelet_sym1-G_0.8-H2e-005_af4.wfa    | 98304  | 32768  | 32768 | 26 | 21872 | 208 | 208 | 32 | 64  | 19.47976079 | 0.828 | 22288 | 0.22672526  |
| mandrill32.bmp | mandrill32.bmp-withWavelet_bior1.1-G_0.8-H2e-005_af4.wfa | 98304  | 32768  | 32768 | 26 | 21872 | 208 | 208 | 32 | 64  | 19.47976079 | 0.812 | 22288 | 0.22672526  |
| mandrill32.bmp | mandrill32.bmp-withWavelet_haar-G_0.8-H1e-005_af5.wfa    | 98304  | 32768  | 32768 | 25 | 20240 | 200 | 200 | 32 | 64  | 19.4814472  | 0.829 | 20640 | 0.209960938 |
| mandrill32.bmp | mandrill32.bmp-withWavelet_rbio1.1-G_0.8-H1e-005_af5.wfa | 98304  | 32768  | 32768 | 25 | 20240 | 200 | 200 | 32 | 64  | 19.4814472  | 0.906 | 20640 | 0.209960938 |
| mandrill32.bmp | mandrill32.bmp-withWavelet_sym1-G_0.8-H1e-005_af5.wfa    | 98304  | 32768  | 32768 | 25 | 20240 | 200 | 200 | 32 | 64  | 19.4814472  | 0.985 | 20640 | 0.209960938 |
| mandrill32.bmp | mandrill32.bmp-withWavelet_bior1.1-G_0.8-H1e-005_af5.wfa | 98304  | 32768  | 32768 | 25 | 20240 | 200 | 200 | 32 | 64  | 19.4814472  | 0.782 | 20640 | 0.209960938 |
| mandrill32.bmp | mandrill32.bmp-withWavelet_haar-G_1-H1e-005_af5.wfa      | 98304  | 32768  | 32768 | 25 | 20240 | 200 | 200 | 32 | 64  | 19.48899508 | 0.766 | 20640 | 0.209960938 |
| mandrill32.bmp | mandrill32.bmp-withWavelet_rbio1.1-G_1-H1e-005_af5.wfa   | 98304  | 32768  | 32768 | 25 | 20240 | 200 | 200 | 32 | 64  | 19.48899508 | 0.781 | 20640 | 0.209960938 |
| mandrill32.bmp | mandrill32.bmp-withWavelet_sym1-G_1-H1e-005_af5.wfa      | 98304  | 32768  | 32768 | 25 | 20240 | 200 | 200 | 32 | 64  | 19.48899508 | 0.781 | 20640 | 0.209960938 |
| mandrill32.bmp | mandrill32.bmp-withWavelet_bior1.1-G_1-H1e-005_af5.wfa   | 98304  | 32768  | 32768 | 25 | 20240 | 200 | 200 | 32 | 64  | 19.48899508 | 0.766 | 20640 | 0.209960938 |
| mandrill32.bmp | mandrill32.bmp-withWavelet_haar-G_1-H2e-005_af4.wfa      | 98304  | 32768  | 32768 | 26 | 21872 | 208 | 208 | 32 | 64  | 19.49660107 | 0.844 | 22288 | 0.22672526  |
| mandrill32.bmp | mandrill32.bmp-withWavelet_rbio1.1-G_1-H2e-005_af4.wfa   | 98304  | 32768  | 32768 | 26 | 21872 | 208 | 208 | 32 | 64  | 19.49660107 | 0.766 | 22288 | 0.22672526  |
| mandrill32.bmp | mandrill32.bmp-withWavelet_sym1-G_1-H2e-005_af4.wfa      | 98304  | 32768  | 32768 | 26 | 21872 | 208 | 208 | 32 | 64  | 19.49660107 | 0.782 | 22288 | 0.22672526  |
| mandrill32.bmp | mandrill32.bmp-withWavelet_bior1.1-G_1-H2e-005_af4.wfa   | 98304  | 32768  | 32768 | 26 | 21872 | 208 | 208 | 32 | 64  | 19.49660107 | 0.797 | 22288 | 0.22672526  |
| mandrill32.bmp | mandrill32.bmp-withWavelet_haar-G_0.6-H5e-005_af4.wfa    | 98304  | 32768  | 32768 | 18 | 10608 | 144 | 144 | 32 | 64  | 19.52576033 | 0.5   | 10896 | 0.110839844 |
| mandrill32.bmp | mandrill32.bmp-withWavelet_rbio1.1-G_0.6-H5e-005_af4.wfa | 98304  | 32768  | 32768 | 18 | 10608 | 144 | 144 | 32 | 64  | 19.52576033 | 0.516 | 10896 | 0.110839844 |
| mandrill32.bmp | mandrill32.bmp-withWavelet_sym1-G_0.6-H5e-005_af4.wfa    | 98304  | 32768  | 32768 | 18 | 10608 | 144 | 144 | 32 | 64  | 19.52576033 | 0.484 | 10896 | 0.110839844 |
| mandrill32.bmp | mandrill32.bmp-withWavelet_bior1.1-G_0.6-H5e-005_af4.wfa | 98304  | 32768  | 32768 | 18 | 10608 | 144 | 144 | 32 | 64  | 19.52576033 | 0.5   | 10896 | 0.110839844 |
| mandrill32.bmp | mandrill32.bmp-G_1-H6e-005_af5.wfa                       | 393216 | 131072 |       | 16 | 8432  | 128 | 128 | 32 | 128 | 19.52980837 | 1.937 | 8688  | 0.022094727 |
| mandrill32.bmp | mandrill32.bmp-G_0.6-H4e-005_af5.wfa                     | 393216 | 131072 |       | 17 | 9488  | 136 | 136 | 32 | 128 | 19.5321892  | 2.188 | 9760  | 0.024820964 |
| mandrill32.bmp | mandrill32.bmp-G_0.6-H5e-005_af5.wfa                     | 393216 | 131072 |       | 17 | 9488  | 136 | 136 | 32 | 128 | 19.5321892  | 2.094 | 9760  | 0.024820964 |
| mandrill32.bmp | mandrill32.bmp-G_0.8-H6e-005_af5.wfa                     | 393216 | 131072 |       | 16 | 8432  | 128 | 128 | 32 | 128 | 19.53318195 | 4.547 | 8688  | 0.022094727 |
| mandrill32.bmp | mandrill32.bmp-G_1-H8e-005_af2.wfa                       | 393216 | 131072 |       | 15 | 7440  | 120 | 120 | 32 | 128 | 19.53562722 | 2     | 7680  | 0.01953125  |
| mandrill32.bmp | mandrill32.bmp-G_0.8-H8e-005_af2.wfa                     | 393216 | 131072 |       | 15 | 7440  | 120 | 120 | 32 | 128 | 19.53667048 | 2.078 | 7680  | 0.01953125  |
| mandrill32.bmp | mandrill32.bmp-withWavelet_haar-G_1-H5e-005_af5.wfa      | 24576  | 8192   | 8192  | 13 | 5648  | 104 | 104 | 32 | 32  | 19.54991958 | 0.11  | 5856  | 0.23828125  |

|                |  |        |        |       |    |       |     |     |    |     |             |       |       |             |
|----------------|--|--------|--------|-------|----|-------|-----|-----|----|-----|-------------|-------|-------|-------------|
| mandrill32.bmp | mandrill32.bmp-withWavelet_rbio1.1-G_1-H5e-005_af5.wfa   | 24576  | 8192   | 8192  | 13 | 5648  | 104 | 104 | 32 | 32  | 19.54991958 | 0.094 | 5856  | 0.23828125  |
| mandrill32.bmp | mandrill32.bmp-withWavelet_sym1-G_1-H5e-005_af5.wfa      | 24576  | 8192   | 8192  | 13 | 5648  | 104 | 104 | 32 | 32  | 19.54991958 | 0.109 | 5856  | 0.23828125  |
| mandrill32.bmp | mandrill32.bmp-withWavelet_bior1.1-G_1-H5e-005_af5.wfa   | 24576  | 8192   | 8192  | 13 | 5648  | 104 | 104 | 32 | 32  | 19.54991958 | 0.11  | 5856  | 0.23828125  |
| mandrill32.bmp | mandrill32.bmp-G_0.6-H4e-005_af3.wfa                     | 393216 | 131072 |       | 20 | 13040 | 160 | 160 | 32 | 128 | 19.55033041 | 2.562 | 13360 | 0.033976237 |
| mandrill32.bmp | mandrill32.bmp-withWavelet_haar-G_0.8-H5e-005_af5.wfa    | 24576  | 8192   | 8192  | 13 | 5648  | 104 | 104 | 32 | 32  | 19.55567182 | 0.094 | 5856  | 0.23828125  |
| mandrill32.bmp | mandrill32.bmp-withWavelet_rbio1.1-G_0.8-H5e-005_af5.wfa | 24576  | 8192   | 8192  | 13 | 5648  | 104 | 104 | 32 | 32  | 19.55567182 | 0.093 | 5856  | 0.23828125  |
| mandrill32.bmp | mandrill32.bmp-withWavelet_sym1-G_0.8-H5e-005_af5.wfa    | 24576  | 8192   | 8192  | 13 | 5648  | 104 | 104 | 32 | 32  | 19.55567182 | 0.11  | 5856  | 0.23828125  |
| mandrill32.bmp | mandrill32.bmp-withWavelet_bior1.1-G_0.8-H5e-005_af5.wfa | 24576  | 8192   | 8192  | 13 | 5648  | 104 | 104 | 32 | 32  | 19.55567182 | 0.109 | 5856  | 0.23828125  |
| mandrill32.bmp | mandrill32.bmp-G_1-H7e-005_af2.wfa                       | 393216 | 131072 |       | 16 | 8432  | 128 | 128 | 32 | 128 | 19.56132161 | 2     | 8688  | 0.022094727 |
| mandrill32.bmp | mandrill32.bmp-withWavelet_haar-G_0.6-H7e-005_af3.wfa    | 98304  | 32768  | 32768 | 17 | 9488  | 136 | 136 | 32 | 64  | 19.56196175 | 0.875 | 9760  | 0.099283854 |
| mandrill32.bmp | mandrill32.bmp-withWavelet_rbio1.1-G_0.6-H7e-005_af3.wfa | 98304  | 32768  | 32768 | 17 | 9488  | 136 | 136 | 32 | 64  | 19.56196175 | 0.875 | 9760  | 0.099283854 |
| mandrill32.bmp | mandrill32.bmp-withWavelet_sym1-G_0.6-H7e-005_af3.wfa    | 98304  | 32768  | 32768 | 17 | 9488  | 136 | 136 | 32 | 64  | 19.56196175 | 0.859 | 9760  | 0.099283854 |
| mandrill32.bmp | mandrill32.bmp-withWavelet_bior1.1-G_0.6-H7e-005_af3.wfa | 98304  | 32768  | 32768 | 17 | 9488  | 136 | 136 | 32 | 64  | 19.56196175 | 0.89  | 9760  | 0.099283854 |
| mandrill32.bmp | mandrill32.bmp-withWavelet_haar-G_0.6-H6e-005_af4.wfa    | 98304  | 32768  | 32768 | 17 | 9488  | 136 | 136 | 32 | 64  | 19.56294935 | 2.813 | 9760  | 0.099283854 |
| mandrill32.bmp | mandrill32.bmp-withWavelet_rbio1.1-G_0.6-H6e-005_af4.wfa | 98304  | 32768  | 32768 | 17 | 9488  | 136 | 136 | 32 | 64  | 19.56294935 | 2.953 | 9760  | 0.099283854 |
| mandrill32.bmp | mandrill32.bmp-withWavelet_sym1-G_0.6-H6e-005_af4.wfa    | 98304  | 32768  | 32768 | 17 | 9488  | 136 | 136 | 32 | 64  | 19.56294935 | 2.86  | 9760  | 0.099283854 |
| mandrill32.bmp | mandrill32.bmp-withWavelet_bior1.1-G_0.6-H6e-005_af4.wfa | 98304  | 32768  | 32768 | 17 | 9488  | 136 | 136 | 32 | 64  | 19.56294935 | 2.781 | 9760  | 0.099283854 |
| mandrill32.bmp | mandrill32.bmp-withWavelet_haar-G_0.6-H7e-005_af4.wfa    | 98304  | 32768  | 32768 | 17 | 9488  | 136 | 136 | 32 | 64  | 19.56294935 | 0.875 | 9760  | 0.099283854 |
| mandrill32.bmp | mandrill32.bmp-withWavelet_rbio1.1-G_0.6-H7e-005_af4.wfa | 98304  | 32768  | 32768 | 17 | 9488  | 136 | 136 | 32 | 64  | 19.56294935 | 0.875 | 9760  | 0.099283854 |
| mandrill32.bmp | mandrill32.bmp-withWavelet_sym1-G_0.6-H7e-005_af4.wfa    | 98304  | 32768  | 32768 | 17 | 9488  | 136 | 136 | 32 | 64  | 19.56294935 | 0.875 | 9760  | 0.099283854 |
| mandrill32.bmp | mandrill32.bmp-withWavelet_bior1.1-G_0.6-H7e-005_af4.wfa | 98304  | 32768  | 32768 | 17 | 9488  | 136 | 136 | 32 | 64  | 19.56294935 | 0.875 | 9760  | 0.099283854 |
| mandrill32.bmp | mandrill32.bmp-withWavelet_haar-G_0.6-H2e-005_af1.wfa    | 98304  | 32768  | 32768 | 24 | 18672 | 192 | 192 | 32 | 64  | 19.5634483  | 0.75  | 19056 | 0.193847656 |
| mandrill32.bmp | mandrill32.bmp-withWavelet_rbio1.1-G_0.6-H2e-005_af1.wfa | 98304  | 32768  | 32768 | 24 | 18672 | 192 | 192 | 32 | 64  | 19.5634483  | 0.766 | 19056 | 0.193847656 |
| mandrill32.bmp | mandrill32.bmp-withWavelet_sym1-G_0.6-H2e-005_af1.wfa    | 98304  | 32768  | 32768 | 24 | 18672 | 192 | 192 | 32 | 64  | 19.5634483  | 0.719 | 19056 | 0.193847656 |
| mandrill32.bmp | mandrill32.bmp-withWavelet_bior1.1-G_0.6-H2e-005_af1.wfa | 98304  | 32768  | 32768 | 24 | 18672 | 192 | 192 | 32 | 64  | 19.5634483  | 0.718 | 19056 | 0.193847656 |
| mandrill32.bmp | mandrill32.bmp-G_1-H9e-005_af5.wfa                       | 98304  | 32768  |       | 12 | 4848  | 96  | 96  | 32 | 64  | 19.56836281 | 0.813 | 5040  | 0.051269531 |
| mandrill32.bmp | mandrill32.bmp-G_0.6-H0.0001_af3.wfa                     | 98304  | 32768  |       | 12 | 4848  | 96  | 96  | 32 | 64  | 19.56882533 | 0.797 | 5040  | 0.051269531 |
| mandrill32.bmp | mandrill32.bmp-withWavelet_haar-G_0.6-H2e-005_af3.wfa    | 98304  | 32768  | 32768 | 26 | 21872 | 208 | 208 | 32 | 64  | 19.57444645 | 0.781 | 22288 | 0.22672526  |
| mandrill32.bmp | mandrill32.bmp-withWavelet_rbio1.1-G_0.6-H2e-005_af3.wfa | 98304  | 32768  | 32768 | 26 | 21872 | 208 | 208 | 32 | 64  | 19.57444645 | 0.781 | 22288 | 0.22672526  |
| mandrill32.bmp | mandrill32.bmp-withWavelet_sym1-G_0.6-H2e-005_af3.wfa    | 98304  | 32768  | 32768 | 26 | 21872 | 208 | 208 | 32 | 64  | 19.57444645 | 0.782 | 22288 | 0.22672526  |
| mandrill32.bmp | mandrill32.bmp-withWavelet_bior1.1-G_0.6-H2e-005_af3.wfa | 98304  | 32768  | 32768 | 26 | 21872 | 208 | 208 | 32 | 64  | 19.57444645 | 0.781 | 22288 | 0.22672526  |

|                |  |        |        |       |    |       |     |     |    |     |             |       |       |             |
|----------------|--|--------|--------|-------|----|-------|-----|-----|----|-----|-------------|-------|-------|-------------|
| mandrill32.bmp | mandrill32.bmp-G_0.8-H9e-005_af5.wfa                     | 98304  | 32768  |       | 12 | 4848  | 96  | 96  | 32 | 64  | 19.57695437 | 0.453 | 5040  | 0.051269531 |
| mandrill32.bmp | mandrill32.bmp-G_0.6-H5e-005_af1.wfa                     | 393216 | 131072 |       | 20 | 13040 | 160 | 160 | 32 | 128 | 19.57934716 | 2.281 | 13360 | 0.033976237 |
| mandrill32.bmp | mandrill32.bmp-G_1-H5e-005_af3.wfa                       | 393216 | 131072 |       | 19 | 11792 | 152 | 152 | 32 | 128 | 19.5839202  | 2.328 | 12096 | 0.030761719 |
| mandrill32.bmp | mandrill32.bmp-G_0.8-H5e-005_af3.wfa                     | 393216 | 131072 |       | 19 | 11792 | 152 | 152 | 32 | 128 | 19.58496809 | 2.25  | 12096 | 0.030761719 |
| mandrill32.bmp | mandrill32.bmp-G_1-H5e-005_af5.wfa                       | 393216 | 131072 |       | 16 | 8432  | 128 | 128 | 32 | 128 | 19.60459477 | 2.547 | 8688  | 0.022094727 |
| mandrill32.bmp | mandrill32.bmp-withWavelet_haar-G_0.6-H4e-005_af4.wfa    | 98304  | 32768  | 32768 | 19 | 11792 | 152 | 152 | 32 | 64  | 19.60607527 | 0.547 | 12096 | 0.123046875 |
| mandrill32.bmp | mandrill32.bmp-withWavelet_rbio1.1-G_0.6-H4e-005_af4.wfa | 98304  | 32768  | 32768 | 19 | 11792 | 152 | 152 | 32 | 64  | 19.60607527 | 0.578 | 12096 | 0.123046875 |
| mandrill32.bmp | mandrill32.bmp-withWavelet_sym1-G_0.6-H4e-005_af4.wfa    | 98304  | 32768  | 32768 | 19 | 11792 | 152 | 152 | 32 | 64  | 19.60607527 | 0.61  | 12096 | 0.123046875 |
| mandrill32.bmp | mandrill32.bmp-withWavelet_bior1.1-G_0.6-H4e-005_af4.wfa | 98304  | 32768  | 32768 | 19 | 11792 | 152 | 152 | 32 | 64  | 19.60607527 | 0.563 | 12096 | 0.123046875 |
| mandrill32.bmp | mandrill32.bmp-G_1-H7e-005_af1.wfa                       | 393216 | 131072 |       | 18 | 10608 | 144 | 144 | 32 | 128 | 19.60611358 | 2.172 | 10896 | 0.027709961 |
| mandrill32.bmp | mandrill32.bmp-G_1-H4e-005_af3.wfa                       | 393216 | 131072 |       | 20 | 13040 | 160 | 160 | 32 | 128 | 19.6082852  | 2.265 | 13360 | 0.033976237 |
| mandrill32.bmp | mandrill32.bmp-G_0.8-H4e-005_af3.wfa                     | 393216 | 131072 |       | 20 | 13040 | 160 | 160 | 32 | 128 | 19.60895151 | 2.422 | 13360 | 0.033976237 |
| mandrill32.bmp | mandrill32.bmp-G_0.8-H7e-005_af1.wfa                     | 393216 | 131072 |       | 18 | 10608 | 144 | 144 | 32 | 128 | 19.61053067 | 2.562 | 10896 | 0.027709961 |
| mandrill32.bmp | mandrill32.bmp-G_0.6-H0.0001_af5.wfa                     | 98304  | 32768  |       | 12 | 4848  | 96  | 96  | 32 | 64  | 19.62680662 | 0.797 | 5040  | 0.051269531 |
| mandrill32.bmp | mandrill32.bmp-withWavelet_haar-G_0.6-H6e-005_af5.wfa    | 24576  | 8192   | 8192  | 13 | 5648  | 104 | 104 | 32 | 32  | 19.62871494 | 0.344 | 5856  | 0.23828125  |
| mandrill32.bmp | mandrill32.bmp-withWavelet_rbio1.1-G_0.6-H6e-005_af5.wfa | 24576  | 8192   | 8192  | 13 | 5648  | 104 | 104 | 32 | 32  | 19.62871494 | 0.328 | 5856  | 0.23828125  |
| mandrill32.bmp | mandrill32.bmp-withWavelet_sym1-G_0.6-H6e-005_af5.wfa    | 24576  | 8192   | 8192  | 13 | 5648  | 104 | 104 | 32 | 32  | 19.62871494 | 0.969 | 5856  | 0.23828125  |
| mandrill32.bmp | mandrill32.bmp-withWavelet_bior1.1-G_0.6-H6e-005_af5.wfa | 24576  | 8192   | 8192  | 13 | 5648  | 104 | 104 | 32 | 32  | 19.62871494 | 0.11  | 5856  | 0.23828125  |
| mandrill32.bmp | mandrill32.bmp-G_0.6-H3e-005_af3.wfa                     | 393216 | 131072 |       | 21 | 14352 | 168 | 168 | 32 | 128 | 19.63079923 | 2.453 | 14688 | 0.037353516 |
| mandrill32.bmp | mandrill32.bmp-withWavelet_haar-G_0.8-H4e-005_af4.wfa    | 98304  | 32768  | 32768 | 19 | 11792 | 152 | 152 | 32 | 64  | 19.63279226 | 0.563 | 12096 | 0.123046875 |
| mandrill32.bmp | mandrill32.bmp-withWavelet_rbio1.1-G_0.8-H4e-005_af4.wfa | 98304  | 32768  | 32768 | 19 | 11792 | 152 | 152 | 32 | 64  | 19.63279226 | 0.579 | 12096 | 0.123046875 |
| mandrill32.bmp | mandrill32.bmp-withWavelet_sym1-G_0.8-H4e-005_af4.wfa    | 98304  | 32768  | 32768 | 19 | 11792 | 152 | 152 | 32 | 64  | 19.63279226 | 0.562 | 12096 | 0.123046875 |
| mandrill32.bmp | mandrill32.bmp-withWavelet_bior1.1-G_0.8-H4e-005_af4.wfa | 98304  | 32768  | 32768 | 19 | 11792 | 152 | 152 | 32 | 64  | 19.63279226 | 0.688 | 12096 | 0.123046875 |
| mandrill32.bmp | mandrill32.bmp-withWavelet_haar-G_0.8-H5e-005_af4.wfa    | 98304  | 32768  | 32768 | 19 | 11792 | 152 | 152 | 32 | 64  | 19.63279226 | 0.531 | 12096 | 0.123046875 |
| mandrill32.bmp | mandrill32.bmp-withWavelet_rbio1.1-G_0.8-H5e-005_af4.wfa | 98304  | 32768  | 32768 | 19 | 11792 | 152 | 152 | 32 | 64  | 19.63279226 | 0.547 | 12096 | 0.123046875 |
| mandrill32.bmp | mandrill32.bmp-withWavelet_sym1-G_0.8-H5e-005_af4.wfa    | 98304  | 32768  | 32768 | 19 | 11792 | 152 | 152 | 32 | 64  | 19.63279226 | 0.547 | 12096 | 0.123046875 |
| mandrill32.bmp | mandrill32.bmp-withWavelet_bior1.1-G_0.8-H5e-005_af4.wfa | 98304  | 32768  | 32768 | 19 | 11792 | 152 | 152 | 32 | 64  | 19.63279226 | 0.547 | 12096 | 0.123046875 |
| mandrill32.bmp | mandrill32.bmp-G_0.8-H4e-005_af5.wfa                     | 393216 | 131072 |       | 17 | 9488  | 136 | 136 | 32 | 128 | 19.63351718 | 2.156 | 9760  | 0.024820964 |
| mandrill32.bmp | mandrill32.bmp-G_0.8-H5e-005_af5.wfa                     | 393216 | 131072 |       | 17 | 9488  | 136 | 136 | 32 | 128 | 19.63351718 | 2.078 | 9760  | 0.024820964 |
| mandrill32.bmp | mandrill32.bmp-G_1-H4e-005_af5.wfa                       | 393216 | 131072 |       | 17 | 9488  | 136 | 136 | 32 | 128 | 19.63438668 | 2.062 | 9760  | 0.024820964 |
| mandrill32.bmp | mandrill32.bmp-withWavelet_haar-G_0.8-H6e-005_af4.wfa    | 98304  | 32768  | 32768 | 18 | 10608 | 144 | 144 | 32 | 64  | 19.63450688 | 0.875 | 10896 | 0.110839844 |

|                |  |       |       |       |    |       |     |     |    |    |             |       |       |             |
|----------------|--|-------|-------|-------|----|-------|-----|-----|----|----|-------------|-------|-------|-------------|
| mandrill32.bmp | mandrill32.bmp-withWavelet_rbio1.1-G_0.8-H6e-005_af4.wfa | 98304 | 32768 | 32768 | 18 | 10608 | 144 | 144 | 32 | 64 | 19.63450688 | 1.093 | 10896 | 0.110839844 |
| mandrill32.bmp | mandrill32.bmp-withWavelet_sym1-G_0.8-H6e-005_af4.wfa    | 98304 | 32768 | 32768 | 18 | 10608 | 144 | 144 | 32 | 64 | 19.63450688 | 1.078 | 10896 | 0.110839844 |
| mandrill32.bmp | mandrill32.bmp-withWavelet_bior1.1-G_0.8-H6e-005_af4.wfa | 98304 | 32768 | 32768 | 18 | 10608 | 144 | 144 | 32 | 64 | 19.63450688 | 0.781 | 10896 | 0.110839844 |
| mandrill32.bmp | mandrill32.bmp-withWavelet_haar-G_0.8-H7e-005_af4.wfa    | 98304 | 32768 | 32768 | 18 | 10608 | 144 | 144 | 32 | 64 | 19.63450688 | 0.578 | 10896 | 0.110839844 |
| mandrill32.bmp | mandrill32.bmp-withWavelet_rbio1.1-G_0.8-H7e-005_af4.wfa | 98304 | 32768 | 32768 | 18 | 10608 | 144 | 144 | 32 | 64 | 19.63450688 | 0.843 | 10896 | 0.110839844 |
| mandrill32.bmp | mandrill32.bmp-withWavelet_sym1-G_0.8-H7e-005_af4.wfa    | 98304 | 32768 | 32768 | 18 | 10608 | 144 | 144 | 32 | 64 | 19.63450688 | 0.86  | 10896 | 0.110839844 |
| mandrill32.bmp | mandrill32.bmp-withWavelet_bior1.1-G_0.8-H7e-005_af4.wfa | 98304 | 32768 | 32768 | 18 | 10608 | 144 | 144 | 32 | 64 | 19.63450688 | 0.782 | 10896 | 0.110839844 |
| mandrill32.bmp | mandrill32.bmp-withWavelet_haar-G_0.8-H9e-005_af4.wfa    | 98304 | 32768 | 32768 | 15 | 7440  | 120 | 120 | 32 | 64 | 19.646331   | 0.5   | 7680  | 0.078125    |
| mandrill32.bmp | mandrill32.bmp-withWavelet_rbio1.1-G_0.8-H9e-005_af4.wfa | 98304 | 32768 | 32768 | 15 | 7440  | 120 | 120 | 32 | 64 | 19.646331   | 0.484 | 7680  | 0.078125    |
| mandrill32.bmp | mandrill32.bmp-withWavelet_sym1-G_0.8-H9e-005_af4.wfa    | 98304 | 32768 | 32768 | 15 | 7440  | 120 | 120 | 32 | 64 | 19.646331   | 0.453 | 7680  | 0.078125    |
| mandrill32.bmp | mandrill32.bmp-withWavelet_bior1.1-G_0.8-H9e-005_af4.wfa | 98304 | 32768 | 32768 | 15 | 7440  | 120 | 120 | 32 | 64 | 19.646331   | 0.844 | 7680  | 0.078125    |
| mandrill32.bmp | mandrill32.bmp-withWavelet_haar-G_0.8-H0.0001_af4.wfa    | 98304 | 32768 | 32768 | 15 | 7440  | 120 | 120 | 32 | 64 | 19.646331   | 0.812 | 7680  | 0.078125    |
| mandrill32.bmp | mandrill32.bmp-withWavelet_rbio1.1-G_0.8-H0.0001_af4.wfa | 98304 | 32768 | 32768 | 15 | 7440  | 120 | 120 | 32 | 64 | 19.646331   | 0.828 | 7680  | 0.078125    |
| mandrill32.bmp | mandrill32.bmp-withWavelet_sym1-G_0.8-H0.0001_af4.wfa    | 98304 | 32768 | 32768 | 15 | 7440  | 120 | 120 | 32 | 64 | 19.646331   | 0.828 | 7680  | 0.078125    |
| mandrill32.bmp | mandrill32.bmp-withWavelet_bior1.1-G_0.8-H0.0001_af4.wfa | 98304 | 32768 | 32768 | 15 | 7440  | 120 | 120 | 32 | 64 | 19.646331   | 0.844 | 7680  | 0.078125    |
| mandrill32.bmp | mandrill32.bmp-withWavelet_haar-G_1-H4e-005_af4.wfa      | 98304 | 32768 | 32768 | 19 | 11792 | 152 | 152 | 32 | 64 | 19.65506151 | 0.547 | 12096 | 0.123046875 |
| mandrill32.bmp | mandrill32.bmp-withWavelet_rbio1.1-G_1-H4e-005_af4.wfa   | 98304 | 32768 | 32768 | 19 | 11792 | 152 | 152 | 32 | 64 | 19.65506151 | 0.563 | 12096 | 0.123046875 |
| mandrill32.bmp | mandrill32.bmp-withWavelet_sym1-G_1-H4e-005_af4.wfa      | 98304 | 32768 | 32768 | 19 | 11792 | 152 | 152 | 32 | 64 | 19.65506151 | 0.547 | 12096 | 0.123046875 |
| mandrill32.bmp | mandrill32.bmp-withWavelet_bior1.1-G_1-H4e-005_af4.wfa   | 98304 | 32768 | 32768 | 19 | 11792 | 152 | 152 | 32 | 64 | 19.65506151 | 0.906 | 12096 | 0.123046875 |
| mandrill32.bmp | mandrill32.bmp-withWavelet_haar-G_1-H5e-005_af4.wfa      | 98304 | 32768 | 32768 | 19 | 11792 | 152 | 152 | 32 | 64 | 19.65506151 | 0.531 | 12096 | 0.123046875 |
| mandrill32.bmp | mandrill32.bmp-withWavelet_rbio1.1-G_1-H5e-005_af4.wfa   | 98304 | 32768 | 32768 | 19 | 11792 | 152 | 152 | 32 | 64 | 19.65506151 | 0.578 | 12096 | 0.123046875 |
| mandrill32.bmp | mandrill32.bmp-withWavelet_sym1-G_1-H5e-005_af4.wfa      | 98304 | 32768 | 32768 | 19 | 11792 | 152 | 152 | 32 | 64 | 19.65506151 | 0.531 | 12096 | 0.123046875 |
| mandrill32.bmp | mandrill32.bmp-withWavelet_bior1.1-G_1-H5e-005_af4.wfa   | 98304 | 32768 | 32768 | 19 | 11792 | 152 | 152 | 32 | 64 | 19.65506151 | 0.578 | 12096 | 0.123046875 |
| mandrill32.bmp | mandrill32.bmp-withWavelet_haar-G_1-H6e-005_af4.wfa      | 98304 | 32768 | 32768 | 18 | 10608 | 144 | 144 | 32 | 64 | 19.6565471  | 0.516 | 10896 | 0.110839844 |
| mandrill32.bmp | mandrill32.bmp-withWavelet_rbio1.1-G_1-H6e-005_af4.wfa   | 98304 | 32768 | 32768 | 18 | 10608 | 144 | 144 | 32 | 64 | 19.6565471  | 0.532 | 10896 | 0.110839844 |
| mandrill32.bmp | mandrill32.bmp-withWavelet_sym1-G_1-H6e-005_af4.wfa      | 98304 | 32768 | 32768 | 18 | 10608 | 144 | 144 | 32 | 64 | 19.6565471  | 0.5   | 10896 | 0.110839844 |
| mandrill32.bmp | mandrill32.bmp-withWavelet_bior1.1-G_1-H6e-005_af4.wfa   | 98304 | 32768 | 32768 | 18 | 10608 | 144 | 144 | 32 | 64 | 19.6565471  | 0.5   | 10896 | 0.110839844 |
| mandrill32.bmp | mandrill32.bmp-withWavelet_haar-G_1-H7e-005_af4.wfa      | 98304 | 32768 | 32768 | 18 | 10608 | 144 | 144 | 32 | 64 | 19.6565471  | 0.828 | 10896 | 0.110839844 |
| mandrill32.bmp | mandrill32.bmp-withWavelet_rbio1.1-G_1-H7e-005_af4.wfa   | 98304 | 32768 | 32768 | 18 | 10608 | 144 | 144 | 32 | 64 | 19.6565471  | 0.813 | 10896 | 0.110839844 |
| mandrill32.bmp | mandrill32.bmp-withWavelet_sym1-G_1-H7e-005_af4.wfa      | 98304 | 32768 | 32768 | 18 | 10608 | 144 | 144 | 32 | 64 | 19.6565471  | 0.797 | 10896 | 0.110839844 |
| mandrill32.bmp | mandrill32.bmp-withWavelet_bior1.1-G_1-H7e-005_af4.wfa   | 98304 | 32768 | 32768 | 18 | 10608 | 144 | 144 | 32 | 64 | 19.6565471  | 0.828 | 10896 | 0.110839844 |

|                |  |        |        |       |    |       |     |     |    |     |             |       |       |             |
|----------------|--|--------|--------|-------|----|-------|-----|-----|----|-----|-------------|-------|-------|-------------|
| mandrill32.bmp | mandrill32.bmp-withWavelet_haar-G_1-H4e-005_af5.wfa      | 24576  | 8192   | 8192  | 14 | 6512  | 112 | 112 | 32 | 32  | 19.65954451 | 0.11  | 6736  | 0.274088542 |
| mandrill32.bmp | mandrill32.bmp-withWavelet_rbio1.1-G_1-H4e-005_af5.wfa   | 24576  | 8192   | 8192  | 14 | 6512  | 112 | 112 | 32 | 32  | 19.65954451 | 0.109 | 6736  | 0.274088542 |
| mandrill32.bmp | mandrill32.bmp-withWavelet_sym1-G_1-H4e-005_af5.wfa      | 24576  | 8192   | 8192  | 14 | 6512  | 112 | 112 | 32 | 32  | 19.65954451 | 0.093 | 6736  | 0.274088542 |
| mandrill32.bmp | mandrill32.bmp-withWavelet_bior1.1-G_1-H4e-005_af5.wfa   | 24576  | 8192   | 8192  | 14 | 6512  | 112 | 112 | 32 | 32  | 19.65954451 | 0.094 | 6736  | 0.274088542 |
| mandrill32.bmp | mandrill32.bmp-withWavelet_haar-G_1-H9e-005_af4.wfa      | 98304  | 32768  | 32768 | 15 | 7440  | 120 | 120 | 32 | 64  | 19.6631254  | 0.828 | 7680  | 0.078125    |
| mandrill32.bmp | mandrill32.bmp-withWavelet_rbio1.1-G_1-H9e-005_af4.wfa   | 98304  | 32768  | 32768 | 15 | 7440  | 120 | 120 | 32 | 64  | 19.6631254  | 0.875 | 7680  | 0.078125    |
| mandrill32.bmp | mandrill32.bmp-withWavelet_sym1-G_1-H9e-005_af4.wfa      | 98304  | 32768  | 32768 | 15 | 7440  | 120 | 120 | 32 | 64  | 19.6631254  | 0.86  | 7680  | 0.078125    |
| mandrill32.bmp | mandrill32.bmp-withWavelet_bior1.1-G_1-H9e-005_af4.wfa   | 98304  | 32768  | 32768 | 15 | 7440  | 120 | 120 | 32 | 64  | 19.6631254  | 0.844 | 7680  | 0.078125    |
| mandrill32.bmp | mandrill32.bmp-withWavelet_haar-G_1-H0.0001_af4.wfa      | 98304  | 32768  | 32768 | 15 | 7440  | 120 | 120 | 32 | 64  | 19.6631254  | 0.844 | 7680  | 0.078125    |
| mandrill32.bmp | mandrill32.bmp-withWavelet_rbio1.1-G_1-H0.0001_af4.wfa   | 98304  | 32768  | 32768 | 15 | 7440  | 120 | 120 | 32 | 64  | 19.6631254  | 0.844 | 7680  | 0.078125    |
| mandrill32.bmp | mandrill32.bmp-withWavelet_sym1-G_1-H0.0001_af4.wfa      | 98304  | 32768  | 32768 | 15 | 7440  | 120 | 120 | 32 | 64  | 19.6631254  | 0.844 | 7680  | 0.078125    |
| mandrill32.bmp | mandrill32.bmp-withWavelet_bior1.1-G_1-H0.0001_af4.wfa   | 98304  | 32768  | 32768 | 15 | 7440  | 120 | 120 | 32 | 64  | 19.6631254  | 0.843 | 7680  | 0.078125    |
| mandrill32.bmp | mandrill32.bmp-withWavelet_haar-G_0.6-H3e-005_af1.wfa    | 98304  | 32768  | 32768 | 21 | 14352 | 168 | 168 | 32 | 64  | 19.66420837 | 0.578 | 14688 | 0.149414063 |
| mandrill32.bmp | mandrill32.bmp-withWavelet_rbio1.1-G_0.6-H3e-005_af1.wfa | 98304  | 32768  | 32768 | 21 | 14352 | 168 | 168 | 32 | 64  | 19.66420837 | 0.578 | 14688 | 0.149414063 |
| mandrill32.bmp | mandrill32.bmp-withWavelet_sym1-G_0.6-H3e-005_af1.wfa    | 98304  | 32768  | 32768 | 21 | 14352 | 168 | 168 | 32 | 64  | 19.66420837 | 0.562 | 14688 | 0.149414063 |
| mandrill32.bmp | mandrill32.bmp-withWavelet_bior1.1-G_0.6-H3e-005_af1.wfa | 98304  | 32768  | 32768 | 21 | 14352 | 168 | 168 | 32 | 64  | 19.66420837 | 0.578 | 14688 | 0.149414063 |
| mandrill32.bmp | mandrill32.bmp-G_1-H6e-005_af2.wfa                       | 393216 | 131072 |       | 17 | 9488  | 136 | 136 | 32 | 128 | 19.66594505 | 2.094 | 9760  | 0.024820964 |
| mandrill32.bmp | mandrill32.bmp-G_0.8-H6e-005_af2.wfa                     | 393216 | 131072 |       | 17 | 9488  | 136 | 136 | 32 | 128 | 19.66874555 | 2.297 | 9760  | 0.024820964 |
| mandrill32.bmp | mandrill32.bmp-withWavelet_haar-G_0.8-H4e-005_af5.wfa    | 24576  | 8192   | 8192  | 14 | 6512  | 112 | 112 | 32 | 32  | 19.67033274 | 0.11  | 6736  | 0.274088542 |
| mandrill32.bmp | mandrill32.bmp-withWavelet_rbio1.1-G_0.8-H4e-005_af5.wfa | 24576  | 8192   | 8192  | 14 | 6512  | 112 | 112 | 32 | 32  | 19.67033274 | 0.109 | 6736  | 0.274088542 |
| mandrill32.bmp | mandrill32.bmp-withWavelet_sym1-G_0.8-H4e-005_af5.wfa    | 24576  | 8192   | 8192  | 14 | 6512  | 112 | 112 | 32 | 32  | 19.67033274 | 0.109 | 6736  | 0.274088542 |
| mandrill32.bmp | mandrill32.bmp-withWavelet_bior1.1-G_0.8-H4e-005_af5.wfa | 24576  | 8192   | 8192  | 14 | 6512  | 112 | 112 | 32 | 32  | 19.67033274 | 0.093 | 6736  | 0.274088542 |
| mandrill32.bmp | mandrill32.bmp-G_0.8-H5e-005_af2.wfa                     | 393216 | 131072 |       | 18 | 10608 | 144 | 144 | 32 | 128 | 19.67463379 | 2.062 | 10896 | 0.027709961 |
| mandrill32.bmp | mandrill32.bmp-withWavelet_haar-G_0.8-H2e-005_af1.wfa    | 98304  | 32768  | 32768 | 24 | 18672 | 192 | 192 | 32 | 64  | 19.67473095 | 0.718 | 19056 | 0.193847656 |
| mandrill32.bmp | mandrill32.bmp-withWavelet_rbio1.1-G_0.8-H2e-005_af1.wfa | 98304  | 32768  | 32768 | 24 | 18672 | 192 | 192 | 32 | 64  | 19.67473095 | 0.718 | 19056 | 0.193847656 |
| mandrill32.bmp | mandrill32.bmp-withWavelet_sym1-G_0.8-H2e-005_af1.wfa    | 98304  | 32768  | 32768 | 24 | 18672 | 192 | 192 | 32 | 64  | 19.67473095 | 0.812 | 19056 | 0.193847656 |
| mandrill32.bmp | mandrill32.bmp-withWavelet_bior1.1-G_0.8-H2e-005_af1.wfa | 98304  | 32768  | 32768 | 24 | 18672 | 192 | 192 | 32 | 64  | 19.67473095 | 0.922 | 19056 | 0.193847656 |
| mandrill32.bmp | mandrill32.bmp-G_1-H5e-005_af2.wfa                       | 393216 | 131072 |       | 18 | 10608 | 144 | 144 | 32 | 128 | 19.67827699 | 2.172 | 10896 | 0.027709961 |
| mandrill32.bmp | mandrill32.bmp-G_0.6-H3e-005_af5.wfa                     | 393216 | 131072 |       | 20 | 13040 | 160 | 160 | 32 | 128 | 19.67869677 | 2.344 | 13360 | 0.033976237 |
| mandrill32.bmp | mandrill32.bmp-withWavelet_haar-G_0.6-H5e-005_af5.wfa    | 24576  | 8192   | 8192  | 14 | 6512  | 112 | 112 | 32 | 32  | 19.68665528 | 0.11  | 6736  | 0.274088542 |
| mandrill32.bmp | mandrill32.bmp-withWavelet_rbio1.1-G_0.6-H5e-005_af5.wfa | 24576  | 8192   | 8192  | 14 | 6512  | 112 | 112 | 32 | 32  | 19.68665528 | 0.11  | 6736  | 0.274088542 |

|                |  |        |        |       |    |       |     |     |    |     |             |       |       |             |
|----------------|--|--------|--------|-------|----|-------|-----|-----|----|-----|-------------|-------|-------|-------------|
| mandrill32.bmp | mandrill32.bmp-withWavelet_sym1-G_0.6-H5e-005_af5.wfa    | 24576  | 8192   | 8192  | 14 | 6512  | 112 | 112 | 32 | 32  | 19.68665528 | 0.11  | 6736  | 0.274088542 |
| mandrill32.bmp | mandrill32.bmp-withWavelet_bior1.1-G_0.6-H5e-005_af5.wfa | 24576  | 8192   | 8192  | 14 | 6512  | 112 | 112 | 32 | 32  | 19.68665528 | 0.094 | 6736  | 0.274088542 |
| mandrill32.bmp | mandrill32.bmp-withWavelet_haar-G_1-H2e-005_af1.wfa      | 98304  | 32768  | 32768 | 24 | 18672 | 192 | 192 | 32 | 64  | 19.68910497 | 0.781 | 19056 | 0.193847656 |
| mandrill32.bmp | mandrill32.bmp-withWavelet_rbio1.1-G_1-H2e-005_af1.wfa   | 98304  | 32768  | 32768 | 24 | 18672 | 192 | 192 | 32 | 64  | 19.68910497 | 0.906 | 19056 | 0.193847656 |
| mandrill32.bmp | mandrill32.bmp-withWavelet_sym1-G_1-H2e-005_af1.wfa      | 98304  | 32768  | 32768 | 24 | 18672 | 192 | 192 | 32 | 64  | 19.68910497 | 0.781 | 19056 | 0.193847656 |
| mandrill32.bmp | mandrill32.bmp-withWavelet_bior1.1-G_1-H2e-005_af1.wfa   | 98304  | 32768  | 32768 | 24 | 18672 | 192 | 192 | 32 | 64  | 19.68910497 | 0.781 | 19056 | 0.193847656 |
| mandrill32.bmp | mandrill32.bmp-G_1-H3e-005_af3.wfa                       | 393216 | 131072 |       | 21 | 14352 | 168 | 168 | 32 | 128 | 19.69087793 | 2.453 | 14688 | 0.037353516 |
| mandrill32.bmp | mandrill32.bmp-G_0.8-H3e-005_af3.wfa                     | 393216 | 131072 |       | 21 | 14352 | 168 | 168 | 32 | 128 | 19.69207574 | 2.484 | 14688 | 0.037353516 |
| mandrill32.bmp | mandrill32.bmp-G_0.6-H4e-005_af2.wfa                     | 393216 | 131072 |       | 20 | 13040 | 160 | 160 | 32 | 128 | 19.69470739 | 2.328 | 13360 | 0.033976237 |
| mandrill32.bmp | mandrill32.bmp-G_0.6-H5e-005_af2.wfa                     | 393216 | 131072 |       | 19 | 11792 | 152 | 152 | 32 | 128 | 19.69781906 | 3.734 | 12096 | 0.030761719 |
| mandrill32.bmp | mandrill32.bmp-G_1-H9e-005_af1.wfa                       | 98304  | 32768  |       | 13 | 5648  | 104 | 104 | 32 | 64  | 19.69785361 | 0.812 | 5856  | 0.059570313 |
| mandrill32.bmp | mandrill32.bmp-G_0.6-H4e-005_af1.wfa                     | 393216 | 131072 |       | 21 | 14352 | 168 | 168 | 32 | 128 | 19.7022123  | 2.516 | 14688 | 0.037353516 |
| mandrill32.bmp | mandrill32.bmp-G_0.8-H9e-005_af1.wfa                     | 98304  | 32768  |       | 13 | 5648  | 104 | 104 | 32 | 64  | 19.70228229 | 0.844 | 5856  | 0.059570313 |
| mandrill32.bmp | mandrill32.bmp-G_0.6-H6e-005_af1.wfa                     | 393216 | 131072 |       | 19 | 11792 | 152 | 152 | 32 | 128 | 19.70363215 | 8.75  | 12096 | 0.030761719 |
| mandrill32.bmp | mandrill32.bmp-G_0.6-H0.0001_af1.wfa                     | 98304  | 32768  |       | 13 | 5648  | 104 | 104 | 32 | 64  | 19.70368319 | 0.813 | 5856  | 0.059570313 |
| mandrill32.bmp | mandrill32.bmp-G_0.6-H9e-005_af5.wfa                     | 98304  | 32768  |       | 14 | 6512  | 112 | 112 | 32 | 64  | 19.7151502  | 0.812 | 6736  | 0.068522135 |
| mandrill32.bmp | mandrill32.bmp-withWavelet_haar-G_0.6-H8e-005_af3.wfa    | 98304  | 32768  | 32768 | 15 | 7440  | 120 | 120 | 32 | 64  | 19.71708917 | 0.485 | 7680  | 0.078125    |
| mandrill32.bmp | mandrill32.bmp-withWavelet_rbio1.1-G_0.6-H8e-005_af3.wfa | 98304  | 32768  | 32768 | 15 | 7440  | 120 | 120 | 32 | 64  | 19.71708917 | 0.469 | 7680  | 0.078125    |
| mandrill32.bmp | mandrill32.bmp-withWavelet_sym1-G_0.6-H8e-005_af3.wfa    | 98304  | 32768  | 32768 | 15 | 7440  | 120 | 120 | 32 | 64  | 19.71708917 | 0.485 | 7680  | 0.078125    |
| mandrill32.bmp | mandrill32.bmp-withWavelet_bior1.1-G_0.6-H8e-005_af3.wfa | 98304  | 32768  | 32768 | 15 | 7440  | 120 | 120 | 32 | 64  | 19.71708917 | 0.484 | 7680  | 0.078125    |
| mandrill32.bmp | mandrill32.bmp-withWavelet_haar-G_0.6-H9e-005_af3.wfa    | 98304  | 32768  | 32768 | 15 | 7440  | 120 | 120 | 32 | 64  | 19.71708917 | 0.828 | 7680  | 0.078125    |
| mandrill32.bmp | mandrill32.bmp-withWavelet_rbio1.1-G_0.6-H9e-005_af3.wfa | 98304  | 32768  | 32768 | 15 | 7440  | 120 | 120 | 32 | 64  | 19.71708917 | 0.828 | 7680  | 0.078125    |
| mandrill32.bmp | mandrill32.bmp-withWavelet_sym1-G_0.6-H9e-005_af3.wfa    | 98304  | 32768  | 32768 | 15 | 7440  | 120 | 120 | 32 | 64  | 19.71708917 | 0.843 | 7680  | 0.078125    |
| mandrill32.bmp | mandrill32.bmp-withWavelet_bior1.1-G_0.6-H9e-005_af3.wfa | 98304  | 32768  | 32768 | 15 | 7440  | 120 | 120 | 32 | 64  | 19.71708917 | 0.843 | 7680  | 0.078125    |
| mandrill32.bmp | mandrill32.bmp-withWavelet_haar-G_0.8-H3e-005_af4.wfa    | 98304  | 32768  | 32768 | 21 | 14352 | 168 | 168 | 32 | 64  | 19.71791217 | 0.641 | 14688 | 0.149414063 |
| mandrill32.bmp | mandrill32.bmp-withWavelet_rbio1.1-G_0.8-H3e-005_af4.wfa | 98304  | 32768  | 32768 | 21 | 14352 | 168 | 168 | 32 | 64  | 19.71791217 | 0.656 | 14688 | 0.149414063 |
| mandrill32.bmp | mandrill32.bmp-withWavelet_sym1-G_0.8-H3e-005_af4.wfa    | 98304  | 32768  | 32768 | 21 | 14352 | 168 | 168 | 32 | 64  | 19.71791217 | 0.688 | 14688 | 0.149414063 |
| mandrill32.bmp | mandrill32.bmp-withWavelet_bior1.1-G_0.8-H3e-005_af4.wfa | 98304  | 32768  | 32768 | 21 | 14352 | 168 | 168 | 32 | 64  | 19.71791217 | 0.688 | 14688 | 0.149414063 |
| mandrill32.bmp | mandrill32.bmp-G_0.8-H7e-005_af2.wfa                     | 393216 | 131072 |       | 17 | 9488  | 136 | 136 | 32 | 128 | 19.71819954 | 2.484 | 9760  | 0.024820964 |
| mandrill32.bmp | mandrill32.bmp-withWavelet_haar-G_0.6-H9e-005_af4.wfa    | 98304  | 32768  | 32768 | 14 | 6512  | 112 | 112 | 32 | 64  | 19.71934156 | 0.813 | 6736  | 0.068522135 |
| mandrill32.bmp | mandrill32.bmp-withWavelet_rbio1.1-G_0.6-H9e-005_af4.wfa | 98304  | 32768  | 32768 | 14 | 6512  | 112 | 112 | 32 | 64  | 19.71934156 | 0.812 | 6736  | 0.068522135 |

|                |  |        |        |       |    |       |     |     |    |     |             |       |       |             |
|----------------|--|--------|--------|-------|----|-------|-----|-----|----|-----|-------------|-------|-------|-------------|
| mandrill32.bmp | mandrill32.bmp-withWavelet_sym1-G_0.6-H9e-005_af4.wfa    | 98304  | 32768  | 32768 | 14 | 6512  | 112 | 112 | 32 | 64  | 19.71934156 | 0.812 | 6736  | 0.068522135 |
| mandrill32.bmp | mandrill32.bmp-withWavelet_bior1.1-G_0.6-H9e-005_af4.wfa | 98304  | 32768  | 32768 | 14 | 6512  | 112 | 112 | 32 | 64  | 19.71934156 | 0.812 | 6736  | 0.068522135 |
| mandrill32.bmp | mandrill32.bmp-G_1-H5e-005_af1.wfa                       | 393216 | 131072 |       | 20 | 13040 | 160 | 160 | 32 | 128 | 19.72039307 | 2.344 | 13360 | 0.033976237 |
| mandrill32.bmp | mandrill32.bmp-G_1-H8e-005_af5.wfa                       | 98304  | 32768  |       | 13 | 5648  | 104 | 104 | 32 | 64  | 19.72741434 | 0.797 | 5856  | 0.059570313 |
| mandrill32.bmp | mandrill32.bmp-withWavelet_haar-G_0.6-H3e-005_af3.wfa    | 98304  | 32768  | 32768 | 21 | 14352 | 168 | 168 | 32 | 64  | 19.73127744 | 0.578 | 14688 | 0.149414063 |
| mandrill32.bmp | mandrill32.bmp-withWavelet_rbio1.1-G_0.6-H3e-005_af3.wfa | 98304  | 32768  | 32768 | 21 | 14352 | 168 | 168 | 32 | 64  | 19.73127744 | 0.625 | 14688 | 0.149414063 |
| mandrill32.bmp | mandrill32.bmp-withWavelet_sym1-G_0.6-H3e-005_af3.wfa    | 98304  | 32768  | 32768 | 21 | 14352 | 168 | 168 | 32 | 64  | 19.73127744 | 0.578 | 14688 | 0.149414063 |
| mandrill32.bmp | mandrill32.bmp-withWavelet_bior1.1-G_0.6-H3e-005_af3.wfa | 98304  | 32768  | 32768 | 21 | 14352 | 168 | 168 | 32 | 64  | 19.73127744 | 0.578 | 14688 | 0.149414063 |
| mandrill32.bmp | mandrill32.bmp-withWavelet_haar-G_0.6-H4e-005_af3.wfa    | 98304  | 32768  | 32768 | 21 | 14352 | 168 | 168 | 32 | 64  | 19.73127744 | 0.609 | 14688 | 0.149414063 |
| mandrill32.bmp | mandrill32.bmp-withWavelet_rbio1.1-G_0.6-H4e-005_af3.wfa | 98304  | 32768  | 32768 | 21 | 14352 | 168 | 168 | 32 | 64  | 19.73127744 | 0.594 | 14688 | 0.149414063 |
| mandrill32.bmp | mandrill32.bmp-withWavelet_sym1-G_0.6-H4e-005_af3.wfa    | 98304  | 32768  | 32768 | 21 | 14352 | 168 | 168 | 32 | 64  | 19.73127744 | 0.641 | 14688 | 0.149414063 |
| mandrill32.bmp | mandrill32.bmp-withWavelet_bior1.1-G_0.6-H4e-005_af3.wfa | 98304  | 32768  | 32768 | 21 | 14352 | 168 | 168 | 32 | 64  | 19.73127744 | 0.594 | 14688 | 0.149414063 |
| mandrill32.bmp | mandrill32.bmp-G_0.8-H8e-005_af5.wfa                     | 98304  | 32768  |       | 13 | 5648  | 104 | 104 | 32 | 64  | 19.7365273  | 0.813 | 5856  | 0.059570313 |
| mandrill32.bmp | mandrill32.bmp-withWavelet_haar-G_0.8-H8e-005_af4.wfa    | 98304  | 32768  | 32768 | 17 | 9488  | 136 | 136 | 32 | 64  | 19.73690433 | 0.875 | 9760  | 0.099283854 |
| mandrill32.bmp | mandrill32.bmp-withWavelet_rbio1.1-G_0.8-H8e-005_af4.wfa | 98304  | 32768  | 32768 | 17 | 9488  | 136 | 136 | 32 | 64  | 19.73690433 | 0.875 | 9760  | 0.099283854 |
| mandrill32.bmp | mandrill32.bmp-withWavelet_sym1-G_0.8-H8e-005_af4.wfa    | 98304  | 32768  | 32768 | 17 | 9488  | 136 | 136 | 32 | 64  | 19.73690433 | 0.875 | 9760  | 0.099283854 |
| mandrill32.bmp | mandrill32.bmp-withWavelet_bior1.1-G_0.8-H8e-005_af4.wfa | 98304  | 32768  | 32768 | 17 | 9488  | 136 | 136 | 32 | 64  | 19.73690433 | 0.875 | 9760  | 0.099283854 |
| mandrill32.bmp | mandrill32.bmp-G_0.8-H5e-005_af1.wfa                     | 393216 | 131072 |       | 20 | 13040 | 160 | 160 | 32 | 128 | 19.7384593  | 2.25  | 13360 | 0.033976237 |
| mandrill32.bmp | mandrill32.bmp-withWavelet_haar-G_1-H3e-005_af4.wfa      | 98304  | 32768  | 32768 | 21 | 14352 | 168 | 168 | 32 | 64  | 19.73979228 | 0.594 | 14688 | 0.149414063 |
| mandrill32.bmp | mandrill32.bmp-withWavelet_rbio1.1-G_1-H3e-005_af4.wfa   | 98304  | 32768  | 32768 | 21 | 14352 | 168 | 168 | 32 | 64  | 19.73979228 | 0.578 | 14688 | 0.149414063 |
| mandrill32.bmp | mandrill32.bmp-withWavelet_sym1-G_1-H3e-005_af4.wfa      | 98304  | 32768  | 32768 | 21 | 14352 | 168 | 168 | 32 | 64  | 19.73979228 | 0.594 | 14688 | 0.149414063 |
| mandrill32.bmp | mandrill32.bmp-withWavelet_bior1.1-G_1-H3e-005_af4.wfa   | 98304  | 32768  | 32768 | 21 | 14352 | 168 | 168 | 32 | 64  | 19.73979228 | 0.594 | 14688 | 0.149414063 |
| mandrill32.bmp | mandrill32.bmp-G_0.6-H8e-005_af5.wfa                     | 98304  | 32768  |       | 13 | 5648  | 104 | 104 | 32 | 64  | 19.74589524 | 0.812 | 5856  | 0.059570313 |
| mandrill32.bmp | mandrill32.bmp-withWavelet_haar-G_0.8-H8e-005_af3.wfa    | 98304  | 32768  | 32768 | 15 | 7440  | 120 | 120 | 32 | 64  | 19.74838821 | 0.875 | 7680  | 0.078125    |
| mandrill32.bmp | mandrill32.bmp-withWavelet_rbio1.1-G_0.8-H8e-005_af3.wfa | 98304  | 32768  | 32768 | 15 | 7440  | 120 | 120 | 32 | 64  | 19.74838821 | 0.844 | 7680  | 0.078125    |
| mandrill32.bmp | mandrill32.bmp-withWavelet_sym1-G_0.8-H8e-005_af3.wfa    | 98304  | 32768  | 32768 | 15 | 7440  | 120 | 120 | 32 | 64  | 19.74838821 | 0.844 | 7680  | 0.078125    |
| mandrill32.bmp | mandrill32.bmp-withWavelet_bior1.1-G_0.8-H8e-005_af3.wfa | 98304  | 32768  | 32768 | 15 | 7440  | 120 | 120 | 32 | 64  | 19.74838821 | 0.843 | 7680  | 0.078125    |
| mandrill32.bmp | mandrill32.bmp-withWavelet_haar-G_1-H8e-005_af4.wfa      | 98304  | 32768  | 32768 | 17 | 9488  | 136 | 136 | 32 | 64  | 19.75414226 | 0.875 | 9760  | 0.099283854 |
| mandrill32.bmp | mandrill32.bmp-withWavelet_rbio1.1-G_1-H8e-005_af4.wfa   | 98304  | 32768  | 32768 | 17 | 9488  | 136 | 136 | 32 | 64  | 19.75414226 | 0.875 | 9760  | 0.099283854 |
| mandrill32.bmp | mandrill32.bmp-withWavelet_sym1-G_1-H8e-005_af4.wfa      | 98304  | 32768  | 32768 | 17 | 9488  | 136 | 136 | 32 | 64  | 19.75414226 | 0.86  | 9760  | 0.099283854 |
| mandrill32.bmp | mandrill32.bmp-withWavelet_bior1.1-G_1-H8e-005_af4.wfa   | 98304  | 32768  | 32768 | 17 | 9488  | 136 | 136 | 32 | 64  | 19.75414226 | 0.875 | 9760  | 0.099283854 |

|                |  |        |        |       |    |       |     |     |    |     |             |       |       |             |
|----------------|--|--------|--------|-------|----|-------|-----|-----|----|-----|-------------|-------|-------|-------------|
| mandrill32.bmp | mandrill32.bmp-G_1-H6e-005_af1.wfa                       | 393216 | 131072 |       | 19 | 11792 | 152 | 152 | 32 | 128 | 19.77100467 | 2.282 | 12096 | 0.030761719 |
| mandrill32.bmp | mandrill32.bmp-G_0.8-H6e-005_af1.wfa                     | 393216 | 131072 |       | 19 | 11792 | 152 | 152 | 32 | 128 | 19.77292603 | 2.172 | 12096 | 0.030761719 |
| mandrill32.bmp | mandrill32.bmp-G_1-H0.0001_af2.wfa                       | 98304  | 32768  |       | 13 | 5648  | 104 | 104 | 32 | 64  | 19.78582106 | 0.812 | 5856  | 0.059570313 |
| mandrill32.bmp | mandrill32.bmp-withWavelet_haar-G_0.6-H6e-005_af1.wfa    | 98304  | 32768  | 32768 | 15 | 7440  | 120 | 120 | 32 | 64  | 19.787926   | 1.703 | 7680  | 0.078125    |
| mandrill32.bmp | mandrill32.bmp-withWavelet_rbio1.1-G_0.6-H6e-005_af1.wfa | 98304  | 32768  | 32768 | 15 | 7440  | 120 | 120 | 32 | 64  | 19.787926   | 1.782 | 7680  | 0.078125    |
| mandrill32.bmp | mandrill32.bmp-withWavelet_sym1-G_0.6-H6e-005_af1.wfa    | 98304  | 32768  | 32768 | 15 | 7440  | 120 | 120 | 32 | 64  | 19.787926   | 2.922 | 7680  | 0.078125    |
| mandrill32.bmp | mandrill32.bmp-withWavelet_bior1.1-G_0.6-H6e-005_af1.wfa | 98304  | 32768  | 32768 | 15 | 7440  | 120 | 120 | 32 | 64  | 19.787926   | 2.843 | 7680  | 0.078125    |
| mandrill32.bmp | mandrill32.bmp-G_1-H0.0001_af1.wfa                       | 98304  | 32768  |       | 13 | 5648  | 104 | 104 | 32 | 64  | 19.79059141 | 0.812 | 5856  | 0.059570313 |
| mandrill32.bmp | mandrill32.bmp-G_0.8-H0.0001_af2.wfa                     | 98304  | 32768  |       | 13 | 5648  | 104 | 104 | 32 | 64  | 19.79222407 | 0.797 | 5856  | 0.059570313 |
| mandrill32.bmp | mandrill32.bmp-G_1-H9e-005_af4.wfa                       | 24576  | 8192   |       | 12 | 4848  | 96  | 96  | 32 | 32  | 19.79575768 | 0.094 | 5040  | 0.205078125 |
| mandrill32.bmp | mandrill32.bmp-G_1-H0.0001_af4.wfa                       | 24576  | 8192   |       | 12 | 4848  | 96  | 96  | 32 | 32  | 19.79575768 | 0.109 | 5040  | 0.205078125 |
| mandrill32.bmp | mandrill32.bmp-G_1-H4e-005_af1.wfa                       | 393216 | 131072 |       | 21 | 14352 | 168 | 168 | 32 | 128 | 19.79889231 | 2.469 | 14688 | 0.037353516 |
| mandrill32.bmp | mandrill32.bmp-G_0.8-H4e-005_af1.wfa                     | 393216 | 131072 |       | 21 | 14352 | 168 | 168 | 32 | 128 | 19.79934382 | 2.437 | 14688 | 0.037353516 |
| mandrill32.bmp | mandrill32.bmp-withWavelet_haar-G_0.6-H4e-005_af1.wfa    | 98304  | 32768  | 32768 | 17 | 9488  | 136 | 136 | 32 | 64  | 19.80123489 | 0.578 | 9760  | 0.099283854 |
| mandrill32.bmp | mandrill32.bmp-withWavelet_rbio1.1-G_0.6-H4e-005_af1.wfa | 98304  | 32768  | 32768 | 17 | 9488  | 136 | 136 | 32 | 64  | 19.80123489 | 0.5   | 9760  | 0.099283854 |
| mandrill32.bmp | mandrill32.bmp-withWavelet_sym1-G_0.6-H4e-005_af1.wfa    | 98304  | 32768  | 32768 | 17 | 9488  | 136 | 136 | 32 | 64  | 19.80123489 | 0.5   | 9760  | 0.099283854 |
| mandrill32.bmp | mandrill32.bmp-withWavelet_bior1.1-G_0.6-H4e-005_af1.wfa | 98304  | 32768  | 32768 | 17 | 9488  | 136 | 136 | 32 | 64  | 19.80123489 | 0.484 | 9760  | 0.099283854 |
| mandrill32.bmp | mandrill32.bmp-withWavelet_haar-G_1-H8e-005_af3.wfa      | 98304  | 32768  | 32768 | 14 | 6512  | 112 | 112 | 32 | 64  | 19.80504625 | 0.828 | 6736  | 0.068522135 |
| mandrill32.bmp | mandrill32.bmp-withWavelet_rbio1.1-G_1-H8e-005_af3.wfa   | 98304  | 32768  | 32768 | 14 | 6512  | 112 | 112 | 32 | 64  | 19.80504625 | 0.813 | 6736  | 0.068522135 |
| mandrill32.bmp | mandrill32.bmp-withWavelet_sym1-G_1-H8e-005_af3.wfa      | 98304  | 32768  | 32768 | 14 | 6512  | 112 | 112 | 32 | 64  | 19.80504625 | 0.484 | 6736  | 0.068522135 |
| mandrill32.bmp | mandrill32.bmp-withWavelet_bior1.1-G_1-H8e-005_af3.wfa   | 98304  | 32768  | 32768 | 14 | 6512  | 112 | 112 | 32 | 64  | 19.80504625 | 0.813 | 6736  | 0.068522135 |
| mandrill32.bmp | mandrill32.bmp-G_0.6-H2e-005_af3.wfa                     | 393216 | 131072 |       | 24 | 18672 | 192 | 192 | 32 | 128 | 19.80532164 | 3.094 | 19056 | 0.048461914 |
| mandrill32.bmp | mandrill32.bmp-withWavelet_haar-G_0.6-H0.0001_af3.wfa    | 98304  | 32768  | 32768 | 13 | 5648  | 104 | 104 | 32 | 64  | 19.81152994 | 0.844 | 5856  | 0.059570313 |
| mandrill32.bmp | mandrill32.bmp-withWavelet_rbio1.1-G_0.6-H0.0001_af3.wfa | 98304  | 32768  | 32768 | 13 | 5648  | 104 | 104 | 32 | 64  | 19.81152994 | 0.844 | 5856  | 0.059570313 |
| mandrill32.bmp | mandrill32.bmp-withWavelet_sym1-G_0.6-H0.0001_af3.wfa    | 98304  | 32768  | 32768 | 13 | 5648  | 104 | 104 | 32 | 64  | 19.81152994 | 0.828 | 5856  | 0.059570313 |
| mandrill32.bmp | mandrill32.bmp-withWavelet_bior1.1-G_0.6-H0.0001_af3.wfa | 98304  | 32768  | 32768 | 13 | 5648  | 104 | 104 | 32 | 64  | 19.81152994 | 0.812 | 5856  | 0.059570313 |
| mandrill32.bmp | mandrill32.bmp-G_0.8-H7e-005_af5.wfa                     | 98304  | 32768  |       | 14 | 6512  | 112 | 112 | 32 | 64  | 19.81418278 | 0.437 | 6736  | 0.068522135 |
| mandrill32.bmp | mandrill32.bmp-withWavelet_haar-G_0.8-H3e-005_af1.wfa    | 98304  | 32768  | 32768 | 20 | 13040 | 160 | 160 | 32 | 64  | 19.81836437 | 0.563 | 13360 | 0.135904948 |
| mandrill32.bmp | mandrill32.bmp-withWavelet_rbio1.1-G_0.8-H3e-005_af1.wfa | 98304  | 32768  | 32768 | 20 | 13040 | 160 | 160 | 32 | 64  | 19.81836437 | 0.547 | 13360 | 0.135904948 |
| mandrill32.bmp | mandrill32.bmp-withWavelet_sym1-G_0.8-H3e-005_af1.wfa    | 98304  | 32768  | 32768 | 20 | 13040 | 160 | 160 | 32 | 64  | 19.81836437 | 0.547 | 13360 | 0.135904948 |
| mandrill32.bmp | mandrill32.bmp-withWavelet_bior1.1-G_0.8-H3e-005_af1.wfa | 98304  | 32768  | 32768 | 20 | 13040 | 160 | 160 | 32 | 64  | 19.81836437 | 0.547 | 13360 | 0.135904948 |



|                |  |       |       |       |    |       |     |     |    |    |             |       |       |             |
|----------------|--|-------|-------|-------|----|-------|-----|-----|----|----|-------------|-------|-------|-------------|
| mandrill32.bmp | mandrill32.bmp-G_1-H9e-005_af3.wfa                       | 98304 | 32768 |       | 13 | 5648  | 104 | 104 | 32 | 64 | 19.81881966 | 0.891 | 5856  | 0.059570313 |
| mandrill32.bmp | mandrill32.bmp-G_1-H0.0001_af3.wfa                       | 98304 | 32768 |       | 13 | 5648  | 104 | 104 | 32 | 64 | 19.81881966 | 0.813 | 5856  | 0.059570313 |
| mandrill32.bmp | mandrill32.bmp-G_0.8-H9e-005_af4.wfa                     | 24576 | 8192  |       | 12 | 4848  | 96  | 96  | 32 | 32 | 19.82172185 | 0.453 | 5040  | 0.205078125 |
| mandrill32.bmp | mandrill32.bmp-G_0.8-H0.0001_af4.wfa                     | 24576 | 8192  |       | 12 | 4848  | 96  | 96  | 32 | 32 | 19.82172185 | 0.109 | 5040  | 0.205078125 |
| mandrill32.bmp | mandrill32.bmp-withWavelet_haar-G_1-H9e-005_af3.wfa      | 98304 | 32768 | 32768 | 13 | 5648  | 104 | 104 | 32 | 64 | 19.82280093 | 0.812 | 5856  | 0.059570313 |
| mandrill32.bmp | mandrill32.bmp-withWavelet_rbio1.1-G_1-H9e-005_af3.wfa   | 98304 | 32768 | 32768 | 13 | 5648  | 104 | 104 | 32 | 64 | 19.82280093 | 0.813 | 5856  | 0.059570313 |
| mandrill32.bmp | mandrill32.bmp-withWavelet_sym1-G_1-H9e-005_af3.wfa      | 98304 | 32768 | 32768 | 13 | 5648  | 104 | 104 | 32 | 64 | 19.82280093 | 0.797 | 5856  | 0.059570313 |
| mandrill32.bmp | mandrill32.bmp-withWavelet_bior1.1-G_1-H9e-005_af3.wfa   | 98304 | 32768 | 32768 | 13 | 5648  | 104 | 104 | 32 | 64 | 19.82280093 | 0.813 | 5856  | 0.059570313 |
| mandrill32.bmp | mandrill32.bmp-withWavelet_haar-G_1-H0.0001_af3.wfa      | 98304 | 32768 | 32768 | 13 | 5648  | 104 | 104 | 32 | 64 | 19.82280093 | 0.796 | 5856  | 0.059570313 |
| mandrill32.bmp | mandrill32.bmp-withWavelet_rbio1.1-G_1-H0.0001_af3.wfa   | 98304 | 32768 | 32768 | 13 | 5648  | 104 | 104 | 32 | 64 | 19.82280093 | 0.813 | 5856  | 0.059570313 |
| mandrill32.bmp | mandrill32.bmp-withWavelet_sym1-G_1-H0.0001_af3.wfa      | 98304 | 32768 | 32768 | 13 | 5648  | 104 | 104 | 32 | 64 | 19.82280093 | 0.813 | 5856  | 0.059570313 |
| mandrill32.bmp | mandrill32.bmp-withWavelet_bior1.1-G_1-H0.0001_af3.wfa   | 98304 | 32768 | 32768 | 13 | 5648  | 104 | 104 | 32 | 64 | 19.82280093 | 0.812 | 5856  | 0.059570313 |
| mandrill32.bmp | mandrill32.bmp-withWavelet_haar-G_0.8-H9e-005_af3.wfa    | 98304 | 32768 | 32768 | 13 | 5648  | 104 | 104 | 32 | 64 | 19.82415723 | 0.453 | 5856  | 0.059570313 |
| mandrill32.bmp | mandrill32.bmp-withWavelet_rbio1.1-G_0.8-H9e-005_af3.wfa | 98304 | 32768 | 32768 | 13 | 5648  | 104 | 104 | 32 | 64 | 19.82415723 | 0.485 | 5856  | 0.059570313 |
| mandrill32.bmp | mandrill32.bmp-withWavelet_sym1-G_0.8-H9e-005_af3.wfa    | 98304 | 32768 | 32768 | 13 | 5648  | 104 | 104 | 32 | 64 | 19.82415723 | 0.484 | 5856  | 0.059570313 |
| mandrill32.bmp | mandrill32.bmp-withWavelet_bior1.1-G_0.8-H9e-005_af3.wfa | 98304 | 32768 | 32768 | 13 | 5648  | 104 | 104 | 32 | 64 | 19.82415723 | 0.454 | 5856  | 0.059570313 |
| mandrill32.bmp | mandrill32.bmp-withWavelet_haar-G_0.8-H0.0001_af3.wfa    | 98304 | 32768 | 32768 | 13 | 5648  | 104 | 104 | 32 | 64 | 19.82415723 | 0.812 | 5856  | 0.059570313 |
| mandrill32.bmp | mandrill32.bmp-withWavelet_rbio1.1-G_0.8-H0.0001_af3.wfa | 98304 | 32768 | 32768 | 13 | 5648  | 104 | 104 | 32 | 64 | 19.82415723 | 0.797 | 5856  | 0.059570313 |
| mandrill32.bmp | mandrill32.bmp-withWavelet_sym1-G_0.8-H0.0001_af3.wfa    | 98304 | 32768 | 32768 | 13 | 5648  | 104 | 104 | 32 | 64 | 19.82415723 | 0.797 | 5856  | 0.059570313 |
| mandrill32.bmp | mandrill32.bmp-withWavelet_bior1.1-G_0.8-H0.0001_af3.wfa | 98304 | 32768 | 32768 | 13 | 5648  | 104 | 104 | 32 | 64 | 19.82415723 | 0.797 | 5856  | 0.059570313 |
| mandrill32.bmp | mandrill32.bmp-withWavelet_haar-G_0.6-H6e-005_af3.wfa    | 98304 | 32768 | 32768 | 17 | 9488  | 136 | 136 | 32 | 64 | 19.8242977  | 2.906 | 9760  | 0.099283854 |
| mandrill32.bmp | mandrill32.bmp-withWavelet_rbio1.1-G_0.6-H6e-005_af3.wfa | 98304 | 32768 | 32768 | 17 | 9488  | 136 | 136 | 32 | 64 | 19.8242977  | 2.859 | 9760  | 0.099283854 |
| mandrill32.bmp | mandrill32.bmp-withWavelet_sym1-G_0.6-H6e-005_af3.wfa    | 98304 | 32768 | 32768 | 17 | 9488  | 136 | 136 | 32 | 64 | 19.8242977  | 2.828 | 9760  | 0.099283854 |
| mandrill32.bmp | mandrill32.bmp-withWavelet_bior1.1-G_0.6-H6e-005_af3.wfa | 98304 | 32768 | 32768 | 17 | 9488  | 136 | 136 | 32 | 64 | 19.8242977  | 2.859 | 9760  | 0.099283854 |
| mandrill32.bmp | mandrill32.bmp-G_0.8-H9e-005_af3.wfa                     | 98304 | 32768 |       | 13 | 5648  | 104 | 104 | 32 | 64 | 19.82652188 | 0.828 | 5856  | 0.059570313 |
| mandrill32.bmp | mandrill32.bmp-G_0.8-H0.0001_af3.wfa                     | 98304 | 32768 |       | 13 | 5648  | 104 | 104 | 32 | 64 | 19.82652188 | 0.812 | 5856  | 0.059570313 |
| mandrill32.bmp | mandrill32.bmp-withWavelet_haar-G_1-H3e-005_af1.wfa      | 98304 | 32768 | 32768 | 20 | 13040 | 160 | 160 | 32 | 64 | 19.83055945 | 0.766 | 13360 | 0.135904948 |
| mandrill32.bmp | mandrill32.bmp-withWavelet_rbio1.1-G_1-H3e-005_af1.wfa   | 98304 | 32768 | 32768 | 20 | 13040 | 160 | 160 | 32 | 64 | 19.83055945 | 0.547 | 13360 | 0.135904948 |
| mandrill32.bmp | mandrill32.bmp-withWavelet_sym1-G_1-H3e-005_af1.wfa      | 98304 | 32768 | 32768 | 20 | 13040 | 160 | 160 | 32 | 64 | 19.83055945 | 0.532 | 13360 | 0.135904948 |
| mandrill32.bmp | mandrill32.bmp-withWavelet_bior1.1-G_1-H3e-005_af1.wfa   | 98304 | 32768 | 32768 | 20 | 13040 | 160 | 160 | 32 | 64 | 19.83055945 | 0.547 | 13360 | 0.135904948 |
| mandrill32.bmp | mandrill32.bmp-G_0.6-H9e-005_af3.wfa                     | 98304 | 32768 |       | 13 | 5648  | 104 | 104 | 32 | 64 | 19.83902542 | 0.813 | 5856  | 0.059570313 |

|                |  |        |        |       |    |       |     |     |    |     |             |       |       |             |
|----------------|--|--------|--------|-------|----|-------|-----|-----|----|-----|-------------|-------|-------|-------------|
| mandrill32.bmp | mandrill32.bmp-withWavelet_haar-G_0.8-H6e-005_af1.wfa    | 98304  | 32768  | 32768 | 15 | 7440  | 120 | 120 | 32 | 64  | 19.83970302 | 0.484 | 7680  | 0.078125    |
| mandrill32.bmp | mandrill32.bmp-withWavelet_rbio1.1-G_0.8-H6e-005_af1.wfa | 98304  | 32768  | 32768 | 15 | 7440  | 120 | 120 | 32 | 64  | 19.83970302 | 0.469 | 7680  | 0.078125    |
| mandrill32.bmp | mandrill32.bmp-withWavelet_sym1-G_0.8-H6e-005_af1.wfa    | 98304  | 32768  | 32768 | 15 | 7440  | 120 | 120 | 32 | 64  | 19.83970302 | 0.734 | 7680  | 0.078125    |
| mandrill32.bmp | mandrill32.bmp-withWavelet_bior1.1-G_0.8-H6e-005_af1.wfa | 98304  | 32768  | 32768 | 15 | 7440  | 120 | 120 | 32 | 64  | 19.83970302 | 0.703 | 7680  | 0.078125    |
| mandrill32.bmp | mandrill32.bmp-G_1-H7e-005_af3.wfa                       | 98304  | 32768  |       | 15 | 7440  | 120 | 120 | 32 | 64  | 19.8410517  | 0.5   | 7680  | 0.078125    |
| mandrill32.bmp | mandrill32.bmp-withWavelet_haar-G_0.8-H3e-005_af3.wfa    | 98304  | 32768  | 32768 | 21 | 14352 | 168 | 168 | 32 | 64  | 19.84599801 | 0.813 | 14688 | 0.149414063 |
| mandrill32.bmp | mandrill32.bmp-withWavelet_rbio1.1-G_0.8-H3e-005_af3.wfa | 98304  | 32768  | 32768 | 21 | 14352 | 168 | 168 | 32 | 64  | 19.84599801 | 0.953 | 14688 | 0.149414063 |
| mandrill32.bmp | mandrill32.bmp-withWavelet_sym1-G_0.8-H3e-005_af3.wfa    | 98304  | 32768  | 32768 | 21 | 14352 | 168 | 168 | 32 | 64  | 19.84599801 | 0.64  | 14688 | 0.149414063 |
| mandrill32.bmp | mandrill32.bmp-withWavelet_bior1.1-G_0.8-H3e-005_af3.wfa | 98304  | 32768  | 32768 | 21 | 14352 | 168 | 168 | 32 | 64  | 19.84599801 | 0.844 | 14688 | 0.149414063 |
| mandrill32.bmp | mandrill32.bmp-G_0.6-H2e-005_af5.wfa                     | 393216 | 131072 |       | 22 | 15728 | 176 | 176 | 32 | 128 | 19.84761706 | 2.562 | 16080 | 0.040893555 |
| mandrill32.bmp | mandrill32.bmp-G_1-H4e-005_af2.wfa                       | 393216 | 131072 |       | 20 | 13040 | 160 | 160 | 32 | 128 | 19.84959488 | 2.313 | 13360 | 0.033976237 |
| mandrill32.bmp | mandrill32.bmp-G_0.8-H7e-005_af3.wfa                     | 98304  | 32768  |       | 15 | 7440  | 120 | 120 | 32 | 64  | 19.85160475 | 0.532 | 7680  | 0.078125    |
| mandrill32.bmp | mandrill32.bmp-G_0.6-H7e-005_af3.wfa                     | 98304  | 32768  |       | 14 | 6512  | 112 | 112 | 32 | 64  | 19.85246061 | 0.812 | 6736  | 0.068522135 |
| mandrill32.bmp | mandrill32.bmp-withWavelet_haar-G_0.6-H5e-005_af1.wfa    | 98304  | 32768  | 32768 | 16 | 8432  | 128 | 128 | 32 | 64  | 19.85788701 | 0.75  | 8688  | 0.088378906 |
| mandrill32.bmp | mandrill32.bmp-withWavelet_rbio1.1-G_0.6-H5e-005_af1.wfa | 98304  | 32768  | 32768 | 16 | 8432  | 128 | 128 | 32 | 64  | 19.85788701 | 0.875 | 8688  | 0.088378906 |
| mandrill32.bmp | mandrill32.bmp-withWavelet_sym1-G_0.6-H5e-005_af1.wfa    | 98304  | 32768  | 32768 | 16 | 8432  | 128 | 128 | 32 | 64  | 19.85788701 | 0.625 | 8688  | 0.088378906 |
| mandrill32.bmp | mandrill32.bmp-withWavelet_bior1.1-G_0.6-H5e-005_af1.wfa | 98304  | 32768  | 32768 | 16 | 8432  | 128 | 128 | 32 | 64  | 19.85788701 | 1.188 | 8688  | 0.088378906 |
| mandrill32.bmp | mandrill32.bmp-withWavelet_haar-G_1-H3e-005_af3.wfa      | 98304  | 32768  | 32768 | 21 | 14352 | 168 | 168 | 32 | 64  | 19.85871868 | 0.594 | 14688 | 0.149414063 |
| mandrill32.bmp | mandrill32.bmp-withWavelet_rbio1.1-G_1-H3e-005_af3.wfa   | 98304  | 32768  | 32768 | 21 | 14352 | 168 | 168 | 32 | 64  | 19.85871868 | 0.563 | 14688 | 0.149414063 |
| mandrill32.bmp | mandrill32.bmp-withWavelet_sym1-G_1-H3e-005_af3.wfa      | 98304  | 32768  | 32768 | 21 | 14352 | 168 | 168 | 32 | 64  | 19.85871868 | 0.609 | 14688 | 0.149414063 |
| mandrill32.bmp | mandrill32.bmp-withWavelet_bior1.1-G_1-H3e-005_af3.wfa   | 98304  | 32768  | 32768 | 21 | 14352 | 168 | 168 | 32 | 64  | 19.85871868 | 0.563 | 14688 | 0.149414063 |
| mandrill32.bmp | mandrill32.bmp-G_0.6-H3e-005_af2.wfa                     | 393216 | 131072 |       | 22 | 15728 | 176 | 176 | 32 | 128 | 19.86617999 | 2.547 | 16080 | 0.040893555 |
| mandrill32.bmp | mandrill32.bmp-G_1-H7e-005_af5.wfa                       | 98304  | 32768  |       | 14 | 6512  | 112 | 112 | 32 | 64  | 19.86821761 | 0.469 | 6736  | 0.068522135 |
| mandrill32.bmp | mandrill32.bmp-withWavelet_haar-G_0.6-H4e-005_af5.wfa    | 24576  | 8192   | 8192  | 15 | 7440  | 120 | 120 | 32 | 32  | 19.87280733 | 0.11  | 7680  | 0.3125      |
| mandrill32.bmp | mandrill32.bmp-withWavelet_rbio1.1-G_0.6-H4e-005_af5.wfa | 24576  | 8192   | 8192  | 15 | 7440  | 120 | 120 | 32 | 32  | 19.87280733 | 0.11  | 7680  | 0.3125      |
| mandrill32.bmp | mandrill32.bmp-withWavelet_sym1-G_0.6-H4e-005_af5.wfa    | 24576  | 8192   | 8192  | 15 | 7440  | 120 | 120 | 32 | 32  | 19.87280733 | 0.11  | 7680  | 0.3125      |
| mandrill32.bmp | mandrill32.bmp-withWavelet_bior1.1-G_0.6-H4e-005_af5.wfa | 24576  | 8192   | 8192  | 15 | 7440  | 120 | 120 | 32 | 32  | 19.87280733 | 0.11  | 7680  | 0.3125      |
| mandrill32.bmp | mandrill32.bmp-withWavelet_haar-G_0.8-H2e-005_af3.wfa    | 98304  | 32768  | 32768 | 24 | 18672 | 192 | 192 | 32 | 64  | 19.87350164 | 0.719 | 19056 | 0.193847656 |
| mandrill32.bmp | mandrill32.bmp-withWavelet_rbio1.1-G_0.8-H2e-005_af3.wfa | 98304  | 32768  | 32768 | 24 | 18672 | 192 | 192 | 32 | 64  | 19.87350164 | 0.922 | 19056 | 0.193847656 |
| mandrill32.bmp | mandrill32.bmp-withWavelet_sym1-G_0.8-H2e-005_af3.wfa    | 98304  | 32768  | 32768 | 24 | 18672 | 192 | 192 | 32 | 64  | 19.87350164 | 0.703 | 19056 | 0.193847656 |
| mandrill32.bmp | mandrill32.bmp-withWavelet_bior1.1-G_0.8-H2e-005_af3.wfa | 98304  | 32768  | 32768 | 24 | 18672 | 192 | 192 | 32 | 64  | 19.87350164 | 0.734 | 19056 | 0.193847656 |

|                |  |       |       |       |    |       |     |     |    |    |             |       |       |             |
|----------------|--|-------|-------|-------|----|-------|-----|-----|----|----|-------------|-------|-------|-------------|
| mandrill32.bmp | mandrill32.bmp-withWavelet_haar-G_0.8-H6e-005_af3.wfa    | 98304 | 32768 | 32768 | 16 | 8432  | 128 | 128 | 32 | 64 | 19.87358694 | 0.828 | 8688  | 0.088378906 |
| mandrill32.bmp | mandrill32.bmp-withWavelet_rbio1.1-G_0.8-H6e-005_af3.wfa | 98304 | 32768 | 32768 | 16 | 8432  | 128 | 128 | 32 | 64 | 19.87358694 | 0.985 | 8688  | 0.088378906 |
| mandrill32.bmp | mandrill32.bmp-withWavelet_sym1-G_0.8-H6e-005_af3.wfa    | 98304 | 32768 | 32768 | 16 | 8432  | 128 | 128 | 32 | 64 | 19.87358694 | 0.844 | 8688  | 0.088378906 |
| mandrill32.bmp | mandrill32.bmp-withWavelet_bior1.1-G_0.8-H6e-005_af3.wfa | 98304 | 32768 | 32768 | 16 | 8432  | 128 | 128 | 32 | 64 | 19.87358694 | 1.016 | 8688  | 0.088378906 |
| mandrill32.bmp | mandrill32.bmp-withWavelet_haar-G_0.8-H7e-005_af3.wfa    | 98304 | 32768 | 32768 | 16 | 8432  | 128 | 128 | 32 | 64 | 19.87358694 | 0.578 | 8688  | 0.088378906 |
| mandrill32.bmp | mandrill32.bmp-withWavelet_rbio1.1-G_0.8-H7e-005_af3.wfa | 98304 | 32768 | 32768 | 16 | 8432  | 128 | 128 | 32 | 64 | 19.87358694 | 0.735 | 8688  | 0.088378906 |
| mandrill32.bmp | mandrill32.bmp-withWavelet_sym1-G_0.8-H7e-005_af3.wfa    | 98304 | 32768 | 32768 | 16 | 8432  | 128 | 128 | 32 | 64 | 19.87358694 | 0.578 | 8688  | 0.088378906 |
| mandrill32.bmp | mandrill32.bmp-withWavelet_bior1.1-G_0.8-H7e-005_af3.wfa | 98304 | 32768 | 32768 | 16 | 8432  | 128 | 128 | 32 | 64 | 19.87358694 | 0.813 | 8688  | 0.088378906 |
| mandrill32.bmp | mandrill32.bmp-withWavelet_haar-G_1-H6e-005_af3.wfa      | 98304 | 32768 | 32768 | 16 | 8432  | 128 | 128 | 32 | 64 | 19.87733201 | 0.469 | 8688  | 0.088378906 |
| mandrill32.bmp | mandrill32.bmp-withWavelet_rbio1.1-G_1-H6e-005_af3.wfa   | 98304 | 32768 | 32768 | 16 | 8432  | 128 | 128 | 32 | 64 | 19.87733201 | 0.469 | 8688  | 0.088378906 |
| mandrill32.bmp | mandrill32.bmp-withWavelet_sym1-G_1-H6e-005_af3.wfa      | 98304 | 32768 | 32768 | 16 | 8432  | 128 | 128 | 32 | 64 | 19.87733201 | 0.5   | 8688  | 0.088378906 |
| mandrill32.bmp | mandrill32.bmp-withWavelet_bior1.1-G_1-H6e-005_af3.wfa   | 98304 | 32768 | 32768 | 16 | 8432  | 128 | 128 | 32 | 64 | 19.87733201 | 0.484 | 8688  | 0.088378906 |
| mandrill32.bmp | mandrill32.bmp-withWavelet_haar-G_1-H7e-005_af3.wfa      | 98304 | 32768 | 32768 | 16 | 8432  | 128 | 128 | 32 | 64 | 19.87733201 | 0.812 | 8688  | 0.088378906 |
| mandrill32.bmp | mandrill32.bmp-withWavelet_rbio1.1-G_1-H7e-005_af3.wfa   | 98304 | 32768 | 32768 | 16 | 8432  | 128 | 128 | 32 | 64 | 19.87733201 | 0.829 | 8688  | 0.088378906 |
| mandrill32.bmp | mandrill32.bmp-withWavelet_sym1-G_1-H7e-005_af3.wfa      | 98304 | 32768 | 32768 | 16 | 8432  | 128 | 128 | 32 | 64 | 19.87733201 | 0.813 | 8688  | 0.088378906 |
| mandrill32.bmp | mandrill32.bmp-withWavelet_bior1.1-G_1-H7e-005_af3.wfa   | 98304 | 32768 | 32768 | 16 | 8432  | 128 | 128 | 32 | 64 | 19.87733201 | 0.812 | 8688  | 0.088378906 |
| mandrill32.bmp | mandrill32.bmp-withWavelet_haar-G_0.8-H4e-005_af1.wfa    | 98304 | 32768 | 32768 | 18 | 10608 | 144 | 144 | 32 | 64 | 19.88097798 | 0.516 | 10896 | 0.110839844 |
| mandrill32.bmp | mandrill32.bmp-withWavelet_rbio1.1-G_0.8-H4e-005_af1.wfa | 98304 | 32768 | 32768 | 18 | 10608 | 144 | 144 | 32 | 64 | 19.88097798 | 0.516 | 10896 | 0.110839844 |
| mandrill32.bmp | mandrill32.bmp-withWavelet_sym1-G_0.8-H4e-005_af1.wfa    | 98304 | 32768 | 32768 | 18 | 10608 | 144 | 144 | 32 | 64 | 19.88097798 | 0.532 | 10896 | 0.110839844 |
| mandrill32.bmp | mandrill32.bmp-withWavelet_bior1.1-G_0.8-H4e-005_af1.wfa | 98304 | 32768 | 32768 | 18 | 10608 | 144 | 144 | 32 | 64 | 19.88097798 | 0.5   | 10896 | 0.110839844 |
| mandrill32.bmp | mandrill32.bmp-withWavelet_haar-G_1-H2e-005_af3.wfa      | 98304 | 32768 | 32768 | 24 | 18672 | 192 | 192 | 32 | 64 | 19.88249598 | 0.718 | 19056 | 0.193847656 |
| mandrill32.bmp | mandrill32.bmp-withWavelet_rbio1.1-G_1-H2e-005_af3.wfa   | 98304 | 32768 | 32768 | 24 | 18672 | 192 | 192 | 32 | 64 | 19.88249598 | 0.718 | 19056 | 0.193847656 |
| mandrill32.bmp | mandrill32.bmp-withWavelet_sym1-G_1-H2e-005_af3.wfa      | 98304 | 32768 | 32768 | 24 | 18672 | 192 | 192 | 32 | 64 | 19.88249598 | 0.718 | 19056 | 0.193847656 |
| mandrill32.bmp | mandrill32.bmp-withWavelet_bior1.1-G_1-H2e-005_af3.wfa   | 98304 | 32768 | 32768 | 24 | 18672 | 192 | 192 | 32 | 64 | 19.88249598 | 0.719 | 19056 | 0.193847656 |
| mandrill32.bmp | mandrill32.bmp-withWavelet_haar-G_0.6-H7e-005_af1.wfa    | 98304 | 32768 | 32768 | 14 | 6512  | 112 | 112 | 32 | 64 | 19.88410058 | 0.812 | 6736  | 0.068522135 |
| mandrill32.bmp | mandrill32.bmp-withWavelet_rbio1.1-G_0.6-H7e-005_af1.wfa | 98304 | 32768 | 32768 | 14 | 6512  | 112 | 112 | 32 | 64 | 19.88410058 | 0.828 | 6736  | 0.068522135 |
| mandrill32.bmp | mandrill32.bmp-withWavelet_sym1-G_0.6-H7e-005_af1.wfa    | 98304 | 32768 | 32768 | 14 | 6512  | 112 | 112 | 32 | 64 | 19.88410058 | 0.813 | 6736  | 0.068522135 |
| mandrill32.bmp | mandrill32.bmp-withWavelet_bior1.1-G_0.6-H7e-005_af1.wfa | 98304 | 32768 | 32768 | 14 | 6512  | 112 | 112 | 32 | 64 | 19.88410058 | 0.813 | 6736  | 0.068522135 |
| mandrill32.bmp | mandrill32.bmp-withWavelet_haar-G_0.6-H8e-005_af1.wfa    | 98304 | 32768 | 32768 | 14 | 6512  | 112 | 112 | 32 | 64 | 19.88410058 | 0.812 | 6736  | 0.068522135 |
| mandrill32.bmp | mandrill32.bmp-withWavelet_rbio1.1-G_0.6-H8e-005_af1.wfa | 98304 | 32768 | 32768 | 14 | 6512  | 112 | 112 | 32 | 64 | 19.88410058 | 0.812 | 6736  | 0.068522135 |
| mandrill32.bmp | mandrill32.bmp-withWavelet_sym1-G_0.6-H8e-005_af1.wfa    | 98304 | 32768 | 32768 | 14 | 6512  | 112 | 112 | 32 | 64 | 19.88410058 | 0.828 | 6736  | 0.068522135 |

|                |  |        |        |       |    |       |     |     |    |     |             |       |       |             |
|----------------|--|--------|--------|-------|----|-------|-----|-----|----|-----|-------------|-------|-------|-------------|
| mandrill32.bmp | mandrill32.bmp-withWavelet_bior1.1-G_0.6-H8e-005_af1.wfa | 98304  | 32768  | 32768 | 14 | 6512  | 112 | 112 | 32 | 64  | 19.88410058 | 0.812 | 6736  | 0.068522135 |
| mandrill32.bmp | mandrill32.bmp-withWavelet_haar-G_0.6-H9e-005_af1.wfa    | 98304  | 32768  | 32768 | 14 | 6512  | 112 | 112 | 32 | 64  | 19.88410058 | 0.813 | 6736  | 0.068522135 |
| mandrill32.bmp | mandrill32.bmp-withWavelet_rbio1.1-G_0.6-H9e-005_af1.wfa | 98304  | 32768  | 32768 | 14 | 6512  | 112 | 112 | 32 | 64  | 19.88410058 | 0.812 | 6736  | 0.068522135 |
| mandrill32.bmp | mandrill32.bmp-withWavelet_sym1-G_0.6-H9e-005_af1.wfa    | 98304  | 32768  | 32768 | 14 | 6512  | 112 | 112 | 32 | 64  | 19.88410058 | 0.812 | 6736  | 0.068522135 |
| mandrill32.bmp | mandrill32.bmp-withWavelet_bior1.1-G_0.6-H9e-005_af1.wfa | 98304  | 32768  | 32768 | 14 | 6512  | 112 | 112 | 32 | 64  | 19.88410058 | 0.797 | 6736  | 0.068522135 |
| mandrill32.bmp | mandrill32.bmp-withWavelet_haar-G_0.6-H5e-005_af3.wfa    | 98304  | 32768  | 32768 | 18 | 10608 | 144 | 144 | 32 | 64  | 19.89110077 | 0.515 | 10896 | 0.110839844 |
| mandrill32.bmp | mandrill32.bmp-withWavelet_rbio1.1-G_0.6-H5e-005_af3.wfa | 98304  | 32768  | 32768 | 18 | 10608 | 144 | 144 | 32 | 64  | 19.89110077 | 0.515 | 10896 | 0.110839844 |
| mandrill32.bmp | mandrill32.bmp-withWavelet_sym1-G_0.6-H5e-005_af3.wfa    | 98304  | 32768  | 32768 | 18 | 10608 | 144 | 144 | 32 | 64  | 19.89110077 | 0.5   | 10896 | 0.110839844 |
| mandrill32.bmp | mandrill32.bmp-withWavelet_bior1.1-G_0.6-H5e-005_af3.wfa | 98304  | 32768  | 32768 | 18 | 10608 | 144 | 144 | 32 | 64  | 19.89110077 | 0.532 | 10896 | 0.110839844 |
| mandrill32.bmp | mandrill32.bmp-withWavelet_haar-G_1-H5e-005_af3.wfa      | 98304  | 32768  | 32768 | 19 | 11792 | 152 | 152 | 32 | 64  | 19.8915567  | 0.547 | 12096 | 0.123046875 |
| mandrill32.bmp | mandrill32.bmp-withWavelet_rbio1.1-G_1-H5e-005_af3.wfa   | 98304  | 32768  | 32768 | 19 | 11792 | 152 | 152 | 32 | 64  | 19.8915567  | 0.563 | 12096 | 0.123046875 |
| mandrill32.bmp | mandrill32.bmp-withWavelet_sym1-G_1-H5e-005_af3.wfa      | 98304  | 32768  | 32768 | 19 | 11792 | 152 | 152 | 32 | 64  | 19.8915567  | 0.531 | 12096 | 0.123046875 |
| mandrill32.bmp | mandrill32.bmp-withWavelet_bior1.1-G_1-H5e-005_af3.wfa   | 98304  | 32768  | 32768 | 19 | 11792 | 152 | 152 | 32 | 64  | 19.8915567  | 0.547 | 12096 | 0.123046875 |
| mandrill32.bmp | mandrill32.bmp-G_0.6-H9e-005_af1.wfa                     | 98304  | 32768  |       | 14 | 6512  | 112 | 112 | 32 | 64  | 19.90050772 | 0.469 | 6736  | 0.068522135 |
| mandrill32.bmp | mandrill32.bmp-G_0.8-H3e-005_af1.wfa                     | 393216 | 131072 |       | 23 | 17168 | 184 | 184 | 32 | 128 | 19.90227539 | 3.047 | 17536 | 0.044596354 |
| mandrill32.bmp | mandrill32.bmp-withWavelet_haar-G_0.8-H4e-005_af3.wfa    | 98304  | 32768  | 32768 | 20 | 13040 | 160 | 160 | 32 | 64  | 19.90330223 | 0.61  | 13360 | 0.135904948 |
| mandrill32.bmp | mandrill32.bmp-withWavelet_rbio1.1-G_0.8-H4e-005_af3.wfa | 98304  | 32768  | 32768 | 20 | 13040 | 160 | 160 | 32 | 64  | 19.90330223 | 0.703 | 13360 | 0.135904948 |
| mandrill32.bmp | mandrill32.bmp-withWavelet_sym1-G_0.8-H4e-005_af3.wfa    | 98304  | 32768  | 32768 | 20 | 13040 | 160 | 160 | 32 | 64  | 19.90330223 | 0.562 | 13360 | 0.135904948 |
| mandrill32.bmp | mandrill32.bmp-withWavelet_bior1.1-G_0.8-H4e-005_af3.wfa | 98304  | 32768  | 32768 | 20 | 13040 | 160 | 160 | 32 | 64  | 19.90330223 | 0.718 | 13360 | 0.135904948 |
| mandrill32.bmp | mandrill32.bmp-withWavelet_haar-G_1-H4e-005_af3.wfa      | 98304  | 32768  | 32768 | 20 | 13040 | 160 | 160 | 32 | 64  | 19.90666205 | 0.547 | 13360 | 0.135904948 |
| mandrill32.bmp | mandrill32.bmp-withWavelet_rbio1.1-G_1-H4e-005_af3.wfa   | 98304  | 32768  | 32768 | 20 | 13040 | 160 | 160 | 32 | 64  | 19.90666205 | 0.547 | 13360 | 0.135904948 |
| mandrill32.bmp | mandrill32.bmp-withWavelet_sym1-G_1-H4e-005_af3.wfa      | 98304  | 32768  | 32768 | 20 | 13040 | 160 | 160 | 32 | 64  | 19.90666205 | 0.546 | 13360 | 0.135904948 |
| mandrill32.bmp | mandrill32.bmp-withWavelet_bior1.1-G_1-H4e-005_af3.wfa   | 98304  | 32768  | 32768 | 20 | 13040 | 160 | 160 | 32 | 64  | 19.90666205 | 0.547 | 13360 | 0.135904948 |
| mandrill32.bmp | mandrill32.bmp-G_0.6-H1e-005_af3.wfa                     | 393216 | 131072 |       | 27 | 23568 | 216 | 216 | 32 | 128 | 19.91167779 | 4.375 | 24000 | 0.061035156 |
| mandrill32.bmp | mandrill32.bmp-G_0.8-H0.0001_af1.wfa                     | 98304  | 32768  |       | 14 | 6512  | 112 | 112 | 32 | 64  | 19.9117643  | 0.812 | 6736  | 0.068522135 |
| mandrill32.bmp | mandrill32.bmp-G_0.8-H2e-005_af3.wfa                     | 393216 | 131072 |       | 25 | 20240 | 200 | 200 | 32 | 128 | 19.91232123 | 3.25  | 20640 | 0.052490234 |
| mandrill32.bmp | mandrill32.bmp-G_1-H2e-005_af3.wfa                       | 393216 | 131072 |       | 25 | 20240 | 200 | 200 | 32 | 128 | 19.91378322 | 3.25  | 20640 | 0.052490234 |
| mandrill32.bmp | mandrill32.bmp-G_1-H8e-005_af3.wfa                       | 98304  | 32768  |       | 14 | 6512  | 112 | 112 | 32 | 64  | 19.91980955 | 0.812 | 6736  | 0.068522135 |
| mandrill32.bmp | mandrill32.bmp-withWavelet_haar-G_0.8-H5e-005_af1.wfa    | 98304  | 32768  | 32768 | 16 | 8432  | 128 | 128 | 32 | 64  | 19.9226775  | 0.5   | 8688  | 0.088378906 |
| mandrill32.bmp | mandrill32.bmp-withWavelet_rbio1.1-G_0.8-H5e-005_af1.wfa | 98304  | 32768  | 32768 | 16 | 8432  | 128 | 128 | 32 | 64  | 19.9226775  | 0.5   | 8688  | 0.088378906 |
| mandrill32.bmp | mandrill32.bmp-withWavelet_sym1-G_0.8-H5e-005_af1.wfa    | 98304  | 32768  | 32768 | 16 | 8432  | 128 | 128 | 32 | 64  | 19.9226775  | 0.5   | 8688  | 0.088378906 |

|                |  |        |        |       |    |       |     |     |    |     |             |       |       |             |
|----------------|--|--------|--------|-------|----|-------|-----|-----|----|-----|-------------|-------|-------|-------------|
| mandrill32.bmp | mandrill32.bmp-withWavelet_bior1.1-G_0.8-H5e-005_af1.wfa | 98304  | 32768  | 32768 | 16 | 8432  | 128 | 128 | 32 | 64  | 19.9226775  | 0.469 | 8688  | 0.088378906 |
| mandrill32.bmp | mandrill32.bmp-G_0.8-H8e-005_af3.wfa                     | 98304  | 32768  |       | 14 | 6512  | 112 | 112 | 32 | 64  | 19.9253499  | 0.828 | 6736  | 0.068522135 |
| mandrill32.bmp | mandrill32.bmp-withWavelet_haar-G_1-H0.0001_af1.wfa      | 98304  | 32768  | 32768 | 13 | 5648  | 104 | 104 | 32 | 64  | 19.92740351 | 0.828 | 5856  | 0.059570313 |
| mandrill32.bmp | mandrill32.bmp-withWavelet_rbio1.1-G_1-H0.0001_af1.wfa   | 98304  | 32768  | 32768 | 13 | 5648  | 104 | 104 | 32 | 64  | 19.92740351 | 0.812 | 5856  | 0.059570313 |
| mandrill32.bmp | mandrill32.bmp-withWavelet_sym1-G_1-H0.0001_af1.wfa      | 98304  | 32768  | 32768 | 13 | 5648  | 104 | 104 | 32 | 64  | 19.92740351 | 0.813 | 5856  | 0.059570313 |
| mandrill32.bmp | mandrill32.bmp-withWavelet_bior1.1-G_1-H0.0001_af1.wfa   | 98304  | 32768  | 32768 | 13 | 5648  | 104 | 104 | 32 | 64  | 19.92740351 | 0.828 | 5856  | 0.059570313 |
| mandrill32.bmp | mandrill32.bmp-G_0.6-H8e-005_af3.wfa                     | 98304  | 32768  |       | 14 | 6512  | 112 | 112 | 32 | 64  | 19.92887913 | 0.515 | 6736  | 0.068522135 |
| mandrill32.bmp | mandrill32.bmp-withWavelet_haar-G_1-H6e-005_af1.wfa      | 98304  | 32768  | 32768 | 15 | 7440  | 120 | 120 | 32 | 64  | 19.93226281 | 0.547 | 7680  | 0.078125    |
| mandrill32.bmp | mandrill32.bmp-withWavelet_rbio1.1-G_1-H6e-005_af1.wfa   | 98304  | 32768  | 32768 | 15 | 7440  | 120 | 120 | 32 | 64  | 19.93226281 | 0.454 | 7680  | 0.078125    |
| mandrill32.bmp | mandrill32.bmp-withWavelet_sym1-G_1-H6e-005_af1.wfa      | 98304  | 32768  | 32768 | 15 | 7440  | 120 | 120 | 32 | 64  | 19.93226281 | 0.64  | 7680  | 0.078125    |
| mandrill32.bmp | mandrill32.bmp-withWavelet_bior1.1-G_1-H6e-005_af1.wfa   | 98304  | 32768  | 32768 | 15 | 7440  | 120 | 120 | 32 | 64  | 19.93226281 | 0.468 | 7680  | 0.078125    |
| mandrill32.bmp | mandrill32.bmp-withWavelet_haar-G_1-H4e-005_af1.wfa      | 98304  | 32768  | 32768 | 16 | 8432  | 128 | 128 | 32 | 64  | 19.93307297 | 0.484 | 8688  | 0.088378906 |
| mandrill32.bmp | mandrill32.bmp-withWavelet_rbio1.1-G_1-H4e-005_af1.wfa   | 98304  | 32768  | 32768 | 16 | 8432  | 128 | 128 | 32 | 64  | 19.93307297 | 0.484 | 8688  | 0.088378906 |
| mandrill32.bmp | mandrill32.bmp-withWavelet_sym1-G_1-H4e-005_af1.wfa      | 98304  | 32768  | 32768 | 16 | 8432  | 128 | 128 | 32 | 64  | 19.93307297 | 0.469 | 8688  | 0.088378906 |
| mandrill32.bmp | mandrill32.bmp-withWavelet_bior1.1-G_1-H4e-005_af1.wfa   | 98304  | 32768  | 32768 | 16 | 8432  | 128 | 128 | 32 | 64  | 19.93307297 | 0.531 | 8688  | 0.088378906 |
| mandrill32.bmp | mandrill32.bmp-withWavelet_haar-G_0.8-H7e-005_af1.wfa    | 98304  | 32768  | 32768 | 14 | 6512  | 112 | 112 | 32 | 64  | 19.93729329 | 0.75  | 6736  | 0.068522135 |
| mandrill32.bmp | mandrill32.bmp-withWavelet_rbio1.1-G_0.8-H7e-005_af1.wfa | 98304  | 32768  | 32768 | 14 | 6512  | 112 | 112 | 32 | 64  | 19.93729329 | 0.469 | 6736  | 0.068522135 |
| mandrill32.bmp | mandrill32.bmp-withWavelet_sym1-G_0.8-H7e-005_af1.wfa    | 98304  | 32768  | 32768 | 14 | 6512  | 112 | 112 | 32 | 64  | 19.93729329 | 0.469 | 6736  | 0.068522135 |
| mandrill32.bmp | mandrill32.bmp-withWavelet_bior1.1-G_0.8-H7e-005_af1.wfa | 98304  | 32768  | 32768 | 14 | 6512  | 112 | 112 | 32 | 64  | 19.93729329 | 0.468 | 6736  | 0.068522135 |
| mandrill32.bmp | mandrill32.bmp-withWavelet_haar-G_0.8-H8e-005_af1.wfa    | 98304  | 32768  | 32768 | 14 | 6512  | 112 | 112 | 32 | 64  | 19.93729329 | 0.828 | 6736  | 0.068522135 |
| mandrill32.bmp | mandrill32.bmp-withWavelet_rbio1.1-G_0.8-H8e-005_af1.wfa | 98304  | 32768  | 32768 | 14 | 6512  | 112 | 112 | 32 | 64  | 19.93729329 | 0.812 | 6736  | 0.068522135 |
| mandrill32.bmp | mandrill32.bmp-withWavelet_sym1-G_0.8-H8e-005_af1.wfa    | 98304  | 32768  | 32768 | 14 | 6512  | 112 | 112 | 32 | 64  | 19.93729329 | 0.812 | 6736  | 0.068522135 |
| mandrill32.bmp | mandrill32.bmp-withWavelet_bior1.1-G_0.8-H8e-005_af1.wfa | 98304  | 32768  | 32768 | 14 | 6512  | 112 | 112 | 32 | 64  | 19.93729329 | 0.813 | 6736  | 0.068522135 |
| mandrill32.bmp | mandrill32.bmp-G_1-H3e-005_af1.wfa                       | 393216 | 131072 |       | 24 | 18672 | 192 | 192 | 32 | 128 | 19.93778723 | 3.047 | 19056 | 0.048461914 |
| mandrill32.bmp | mandrill32.bmp-G_0.8-H4e-005_af2.wfa                     | 393216 | 131072 |       | 21 | 14352 | 168 | 168 | 32 | 128 | 19.93916276 | 3.297 | 14688 | 0.037353516 |
| mandrill32.bmp | mandrill32.bmp-G_0.6-H7e-005_af5.wfa                     | 98304  | 32768  |       | 15 | 7440  | 120 | 120 | 32 | 64  | 19.94118865 | 0.859 | 7680  | 0.078125    |
| mandrill32.bmp | mandrill32.bmp-G_0.6-H3e-005_af1.wfa                     | 393216 | 131072 |       | 25 | 20240 | 200 | 200 | 32 | 128 | 19.94542213 | 3.281 | 20640 | 0.052490234 |
| mandrill32.bmp | mandrill32.bmp-withWavelet_haar-G_1-H7e-005_af1.wfa      | 98304  | 32768  | 32768 | 14 | 6512  | 112 | 112 | 32 | 64  | 19.94560828 | 0.453 | 6736  | 0.068522135 |
| mandrill32.bmp | mandrill32.bmp-withWavelet_rbio1.1-G_1-H7e-005_af1.wfa   | 98304  | 32768  | 32768 | 14 | 6512  | 112 | 112 | 32 | 64  | 19.94560828 | 0.485 | 6736  | 0.068522135 |
| mandrill32.bmp | mandrill32.bmp-withWavelet_sym1-G_1-H7e-005_af1.wfa      | 98304  | 32768  | 32768 | 14 | 6512  | 112 | 112 | 32 | 64  | 19.94560828 | 0.61  | 6736  | 0.068522135 |
| mandrill32.bmp | mandrill32.bmp-withWavelet_bior1.1-G_1-H7e-005_af1.wfa   | 98304  | 32768  | 32768 | 14 | 6512  | 112 | 112 | 32 | 64  | 19.94560828 | 0.453 | 6736  | 0.068522135 |

|                |  |        |        |       |    |       |     |     |    |     |             |       |       |             |
|----------------|--|--------|--------|-------|----|-------|-----|-----|----|-----|-------------|-------|-------|-------------|
| mandrill32.bmp | mandrill32.bmp-withWavelet_haar-G_1-H8e-005_af1.wfa      | 98304  | 32768  | 32768 | 14 | 6512  | 112 | 112 | 32 | 64  | 19.94560828 | 0.813 | 6736  | 0.068522135 |
| mandrill32.bmp | mandrill32.bmp-withWavelet_rbio1.1-G_1-H8e-005_af1.wfa   | 98304  | 32768  | 32768 | 14 | 6512  | 112 | 112 | 32 | 64  | 19.94560828 | 0.828 | 6736  | 0.068522135 |
| mandrill32.bmp | mandrill32.bmp-withWavelet_sym1-G_1-H8e-005_af1.wfa      | 98304  | 32768  | 32768 | 14 | 6512  | 112 | 112 | 32 | 64  | 19.94560828 | 0.828 | 6736  | 0.068522135 |
| mandrill32.bmp | mandrill32.bmp-withWavelet_bior1.1-G_1-H8e-005_af1.wfa   | 98304  | 32768  | 32768 | 14 | 6512  | 112 | 112 | 32 | 64  | 19.94560828 | 0.829 | 6736  | 0.068522135 |
| mandrill32.bmp | mandrill32.bmp-withWavelet_haar-G_0.6-H0.0001_af2.wfa    | 24576  | 8192   | 8192  | 10 | 3440  | 80  | 80  | 32 | 32  | 19.94585488 | 0.109 | 3600  | 0.146484375 |
| mandrill32.bmp | mandrill32.bmp-withWavelet_rbio1.1-G_0.6-H0.0001_af2.wfa | 24576  | 8192   | 8192  | 10 | 3440  | 80  | 80  | 32 | 32  | 19.94585488 | 0.109 | 3600  | 0.146484375 |
| mandrill32.bmp | mandrill32.bmp-withWavelet_sym1-G_0.6-H0.0001_af2.wfa    | 24576  | 8192   | 8192  | 10 | 3440  | 80  | 80  | 32 | 32  | 19.94585488 | 0.11  | 3600  | 0.146484375 |
| mandrill32.bmp | mandrill32.bmp-withWavelet_bior1.1-G_0.6-H0.0001_af2.wfa | 24576  | 8192   | 8192  | 10 | 3440  | 80  | 80  | 32 | 32  | 19.94585488 | 0.094 | 3600  | 0.146484375 |
| mandrill32.bmp | mandrill32.bmp-G_0.6-H6e-005_af3.wfa                     | 98304  | 32768  |       | 17 | 9488  | 136 | 136 | 32 | 64  | 19.94808261 | 2.829 | 9760  | 0.099283854 |
| mandrill32.bmp | mandrill32.bmp-withWavelet_haar-G_0.8-H5e-005_af3.wfa    | 98304  | 32768  | 32768 | 18 | 10608 | 144 | 144 | 32 | 64  | 19.95721995 | 0.594 | 10896 | 0.110839844 |
| mandrill32.bmp | mandrill32.bmp-withWavelet_rbio1.1-G_0.8-H5e-005_af3.wfa | 98304  | 32768  | 32768 | 18 | 10608 | 144 | 144 | 32 | 64  | 19.95721995 | 0.516 | 10896 | 0.110839844 |
| mandrill32.bmp | mandrill32.bmp-withWavelet_sym1-G_0.8-H5e-005_af3.wfa    | 98304  | 32768  | 32768 | 18 | 10608 | 144 | 144 | 32 | 64  | 19.95721995 | 0.5   | 10896 | 0.110839844 |
| mandrill32.bmp | mandrill32.bmp-withWavelet_bior1.1-G_0.8-H5e-005_af3.wfa | 98304  | 32768  | 32768 | 18 | 10608 | 144 | 144 | 32 | 64  | 19.95721995 | 0.5   | 10896 | 0.110839844 |
| mandrill32.bmp | mandrill32.bmp-G_0.6-H2e-005_af1.wfa                     | 393216 | 131072 |       | 27 | 23568 | 216 | 216 | 32 | 128 | 19.95764351 | 3.703 | 24000 | 0.061035156 |
| mandrill32.bmp | mandrill32.bmp-withWavelet_haar-G_1-H5e-005_af1.wfa      | 98304  | 32768  | 32768 | 16 | 8432  | 128 | 128 | 32 | 64  | 19.96020277 | 0.485 | 8688  | 0.088378906 |
| mandrill32.bmp | mandrill32.bmp-withWavelet_rbio1.1-G_1-H5e-005_af1.wfa   | 98304  | 32768  | 32768 | 16 | 8432  | 128 | 128 | 32 | 64  | 19.96020277 | 0.469 | 8688  | 0.088378906 |
| mandrill32.bmp | mandrill32.bmp-withWavelet_sym1-G_1-H5e-005_af1.wfa      | 98304  | 32768  | 32768 | 16 | 8432  | 128 | 128 | 32 | 64  | 19.96020277 | 0.485 | 8688  | 0.088378906 |
| mandrill32.bmp | mandrill32.bmp-withWavelet_bior1.1-G_1-H5e-005_af1.wfa   | 98304  | 32768  | 32768 | 16 | 8432  | 128 | 128 | 32 | 64  | 19.96020277 | 0.5   | 8688  | 0.088378906 |
| mandrill32.bmp | mandrill32.bmp-G_1-H9e-005_af2.wfa                       | 98304  | 32768  |       | 14 | 6512  | 112 | 112 | 32 | 64  | 19.96049828 | 0.453 | 6736  | 0.068522135 |
| mandrill32.bmp | mandrill32.bmp-G_0.8-H9e-005_af2.wfa                     | 98304  | 32768  |       | 14 | 6512  | 112 | 112 | 32 | 64  | 19.96454333 | 0.828 | 6736  | 0.068522135 |
| mandrill32.bmp | mandrill32.bmp-G_0.6-H9e-005_af2.wfa                     | 98304  | 32768  |       | 14 | 6512  | 112 | 112 | 32 | 64  | 19.96788457 | 0.812 | 6736  | 0.068522135 |
| mandrill32.bmp | mandrill32.bmp-G_0.6-H0.0001_af2.wfa                     | 98304  | 32768  |       | 14 | 6512  | 112 | 112 | 32 | 64  | 19.96788457 | 0.812 | 6736  | 0.068522135 |
| mandrill32.bmp | mandrill32.bmp-G_0.6-H2e-005_af2.wfa                     | 393216 | 131072 |       | 25 | 20240 | 200 | 200 | 32 | 128 | 19.96986332 | 3.266 | 20640 | 0.052490234 |
| mandrill32.bmp | mandrill32.bmp-withWavelet_haar-G_0.6-H0.0001_af1.wfa    | 98304  | 32768  | 32768 | 13 | 5648  | 104 | 104 | 32 | 64  | 19.97193345 | 0.797 | 5856  | 0.059570313 |
| mandrill32.bmp | mandrill32.bmp-withWavelet_rbio1.1-G_0.6-H0.0001_af1.wfa | 98304  | 32768  | 32768 | 13 | 5648  | 104 | 104 | 32 | 64  | 19.97193345 | 0.797 | 5856  | 0.059570313 |
| mandrill32.bmp | mandrill32.bmp-withWavelet_sym1-G_0.6-H0.0001_af1.wfa    | 98304  | 32768  | 32768 | 13 | 5648  | 104 | 104 | 32 | 64  | 19.97193345 | 0.812 | 5856  | 0.059570313 |
| mandrill32.bmp | mandrill32.bmp-withWavelet_bior1.1-G_0.6-H0.0001_af1.wfa | 98304  | 32768  | 32768 | 13 | 5648  | 104 | 104 | 32 | 64  | 19.97193345 | 0.813 | 5856  | 0.059570313 |
| mandrill32.bmp | mandrill32.bmp-G_1-H6e-005_af3.wfa                       | 98304  | 32768  |       | 17 | 9488  | 136 | 136 | 32 | 64  | 19.98180895 | 0.5   | 9760  | 0.099283854 |
| mandrill32.bmp | mandrill32.bmp-G_0.8-H3e-005_af5.wfa                     | 393216 | 131072 |       | 21 | 14352 | 168 | 168 | 32 | 128 | 19.98220475 | 2.687 | 14688 | 0.037353516 |
| mandrill32.bmp | mandrill32.bmp-G_0.8-H6e-005_af3.wfa                     | 98304  | 32768  |       | 17 | 9488  | 136 | 136 | 32 | 64  | 19.99228997 | 0.766 | 9760  | 0.099283854 |
| mandrill32.bmp | mandrill32.bmp-G_0.6-H1e-005_af2.wfa                     | 393216 | 131072 |       | 27 | 23568 | 216 | 216 | 32 | 128 | 19.99581134 | 3.703 | 24000 | 0.061035156 |

|                |  |       |      |      |    |       |     |     |    |    |             |       |       |             |
|----------------|--|-------|------|------|----|-------|-----|-----|----|----|-------------|-------|-------|-------------|
| mandrill32.bmp | mandrill32.bmp-G_1-H1e-005_af3.wfa                       | 24576 | 8192 |      | 28 | 25328 | 224 | 224 | 32 | 32 | 24.98241929 | 0.203 | 25776 | 1.048828125 |
| mandrill32.bmp | mandrill32.bmp-G_0.8-H1e-005_af3.wfa                     | 24576 | 8192 |      | 28 | 25328 | 224 | 224 | 32 | 32 | 25.00381562 | 0.219 | 25776 | 1.048828125 |
| mandrill32.bmp | mandrill32.bmp-G_0.6-H1e-005_af1.wfa                     | 24576 | 8192 |      | 29 | 27152 | 232 | 232 | 32 | 32 | 25.82177257 | 0.407 | 27616 | 1.123697917 |
| mandrill32.bmp | mandrill32.bmp-G_1-H1e-005_af1.wfa                       | 24576 | 8192 |      | 31 | 30992 | 248 | 248 | 32 | 32 | 26.16177464 | 0.313 | 31488 | 1.28125     |
| mandrill32.bmp | mandrill32.bmp-G_0.8-H1e-005_af1.wfa                     | 24576 | 8192 |      | 31 | 30992 | 248 | 248 | 32 | 32 | 26.17456527 | 0.297 | 31488 | 1.28125     |
| mandrill32.bmp | mandrill32.bmp-G_1-H1e-005_af2.wfa                       | 24576 | 8192 |      | 28 | 25328 | 224 | 224 | 32 | 32 | 26.54488945 | 0.203 | 25776 | 1.048828125 |
| mandrill32.bmp | mandrill32.bmp-G_0.8-H1e-005_af2.wfa                     | 24576 | 8192 |      | 28 | 25328 | 224 | 224 | 32 | 32 | 26.58694305 | 0.219 | 25776 | 1.048828125 |
| mandrill32.bmp | mandrill32.bmp-G_0.8-H1e-005_af5.wfa                     | 24576 | 8192 |      | 28 | 25328 | 224 | 224 | 32 | 32 | 26.76922274 | 0.188 | 25776 | 1.048828125 |
| mandrill32.bmp | mandrill32.bmp-G_0.6-H1e-005_af5.wfa                     | 24576 | 8192 |      | 28 | 25328 | 224 | 224 | 32 | 32 | 27.17386343 | 0.234 | 25776 | 1.048828125 |
| mandrill32.bmp | mandrill32.bmp-withWavelet_haar-G_0.6-H1e-005_af3.wfa    | 24576 | 8192 | 8192 | 31 | 30992 | 248 | 248 | 32 | 32 | 31.00844564 | 0.219 | 31488 | 1.28125     |
| mandrill32.bmp | mandrill32.bmp-withWavelet_rbio1.1-G_0.6-H1e-005_af3.wfa | 24576 | 8192 | 8192 | 31 | 30992 | 248 | 248 | 32 | 32 | 31.00844564 | 0.219 | 31488 | 1.28125     |
| mandrill32.bmp | mandrill32.bmp-withWavelet_sym1-G_0.6-H1e-005_af3.wfa    | 24576 | 8192 | 8192 | 31 | 30992 | 248 | 248 | 32 | 32 | 31.00844564 | 0.25  | 31488 | 1.28125     |
| mandrill32.bmp | mandrill32.bmp-withWavelet_bior1.1-G_0.6-H1e-005_af3.wfa | 24576 | 8192 | 8192 | 31 | 30992 | 248 | 248 | 32 | 32 | 31.00844564 | 0.281 | 31488 | 1.28125     |
| mandrill32.bmp | mandrill32.bmp-withWavelet_haar-G_1-H1e-005_af3.wfa      | 24576 | 8192 | 8192 | 32 | 33008 | 256 | 256 | 32 | 32 | 31.32122986 | 0.265 | 33520 | 1.363932292 |
| mandrill32.bmp | mandrill32.bmp-withWavelet_rbio1.1-G_1-H1e-005_af3.wfa   | 24576 | 8192 | 8192 | 32 | 33008 | 256 | 256 | 32 | 32 | 31.32122986 | 0.25  | 33520 | 1.363932292 |
| mandrill32.bmp | mandrill32.bmp-withWavelet_sym1-G_1-H1e-005_af3.wfa      | 24576 | 8192 | 8192 | 32 | 33008 | 256 | 256 | 32 | 32 | 31.32122986 | 0.25  | 33520 | 1.363932292 |
| mandrill32.bmp | mandrill32.bmp-withWavelet_bior1.1-G_1-H1e-005_af3.wfa   | 24576 | 8192 | 8192 | 32 | 33008 | 256 | 256 | 32 | 32 | 31.32122986 | 0.265 | 33520 | 1.363932292 |
| mandrill32.bmp | mandrill32.bmp-withWavelet_haar-G_0.8-H1e-005_af3.wfa    | 24576 | 8192 | 8192 | 32 | 33008 | 256 | 256 | 32 | 32 | 31.33667185 | 0.234 | 33520 | 1.363932292 |
| mandrill32.bmp | mandrill32.bmp-withWavelet_rbio1.1-G_0.8-H1e-005_af3.wfa | 24576 | 8192 | 8192 | 32 | 33008 | 256 | 256 | 32 | 32 | 31.33667185 | 0.25  | 33520 | 1.363932292 |
| mandrill32.bmp | mandrill32.bmp-withWavelet_sym1-G_0.8-H1e-005_af3.wfa    | 24576 | 8192 | 8192 | 32 | 33008 | 256 | 256 | 32 | 32 | 31.33667185 | 0.234 | 33520 | 1.363932292 |
| mandrill32.bmp | mandrill32.bmp-withWavelet_bior1.1-G_0.8-H1e-005_af3.wfa | 24576 | 8192 | 8192 | 32 | 33008 | 256 | 256 | 32 | 32 | 31.33667185 | 0.25  | 33520 | 1.363932292 |
| mandrill32.bmp | mandrill32.bmp-withWavelet_haar-G_0.8-H1e-005_af1.wfa    | 24576 | 8192 | 8192 | 32 | 33008 | 256 | 256 | 32 | 32 | 32.52621673 | 0.265 | 33520 | 1.363932292 |
| mandrill32.bmp | mandrill32.bmp-withWavelet_rbio1.1-G_0.8-H1e-005_af1.wfa | 24576 | 8192 | 8192 | 32 | 33008 | 256 | 256 | 32 | 32 | 32.52621673 | 0.265 | 33520 | 1.363932292 |
| mandrill32.bmp | mandrill32.bmp-withWavelet_sym1-G_0.8-H1e-005_af1.wfa    | 24576 | 8192 | 8192 | 32 | 33008 | 256 | 256 | 32 | 32 | 32.52621673 | 0.25  | 33520 | 1.363932292 |
| mandrill32.bmp | mandrill32.bmp-withWavelet_bior1.1-G_0.8-H1e-005_af1.wfa | 24576 | 8192 | 8192 | 32 | 33008 | 256 | 256 | 32 | 32 | 32.52621673 | 0.578 | 33520 | 1.363932292 |
| mandrill32.bmp | mandrill32.bmp-withWavelet_haar-G_0.6-H1e-005_af4.wfa    | 24576 | 8192 | 8192 | 30 | 29040 | 240 | 240 | 32 | 32 | 33.60847485 | 0.219 | 29520 | 1.201171875 |
| mandrill32.bmp | mandrill32.bmp-withWavelet_rbio1.1-G_0.6-H1e-005_af4.wfa | 24576 | 8192 | 8192 | 30 | 29040 | 240 | 240 | 32 | 32 | 33.60847485 | 0.313 | 29520 | 1.201171875 |
| mandrill32.bmp | mandrill32.bmp-withWavelet_sym1-G_0.6-H1e-005_af4.wfa    | 24576 | 8192 | 8192 | 30 | 29040 | 240 | 240 | 32 | 32 | 33.60847485 | 0.218 | 29520 | 1.201171875 |
| mandrill32.bmp | mandrill32.bmp-withWavelet_bior1.1-G_0.6-H1e-005_af4.wfa | 24576 | 8192 | 8192 | 30 | 29040 | 240 | 240 | 32 | 32 | 33.60847485 | 0.313 | 29520 | 1.201171875 |
| mandrill32.bmp | mandrill32.bmp-withWavelet_haar-G_0.6-H1e-005_af1.wfa    | 24576 | 8192 | 8192 | 32 | 33008 | 256 | 256 | 32 | 32 | 33.85140425 | 0.266 | 33520 | 1.363932292 |
| mandrill32.bmp | mandrill32.bmp-withWavelet_rbio1.1-G_0.6-H1e-005_af1.wfa | 24576 | 8192 | 8192 | 32 | 33008 | 256 | 256 | 32 | 32 | 33.85140425 | 0.328 | 33520 | 1.363932292 |

|                |  |       |      |      |    |       |     |     |    |    |             |       |       |             |
|----------------|--|-------|------|------|----|-------|-----|-----|----|----|-------------|-------|-------|-------------|
| mandrill32.bmp | mandrill32.bmp-withWavelet_sym1-G_0.6-H1e-005_af1.wfa    | 24576 | 8192 | 8192 | 32 | 33008 | 256 | 256 | 32 | 32 | 33.85140425 | 0.25  | 33520 | 1.363932292 |
| mandrill32.bmp | mandrill32.bmp-withWavelet_bior1.1-G_0.6-H1e-005_af1.wfa | 24576 | 8192 | 8192 | 32 | 33008 | 256 | 256 | 32 | 32 | 33.85140425 | 0.297 | 33520 | 1.363932292 |
| mandrill32.bmp | mandrill32.bmp-withWavelet_haar-G_1-H1e-005_af1.wfa      | 24576 | 8192 | 8192 | 33 | 35088 | 264 | 264 | 32 | 32 | 33.9626529  | 0.25  | 35616 | 1.44921875  |
| mandrill32.bmp | mandrill32.bmp-withWavelet_rbio1.1-G_1-H1e-005_af1.wfa   | 24576 | 8192 | 8192 | 33 | 35088 | 264 | 264 | 32 | 32 | 33.9626529  | 0.359 | 35616 | 1.44921875  |
| mandrill32.bmp | mandrill32.bmp-withWavelet_sym1-G_1-H1e-005_af1.wfa      | 24576 | 8192 | 8192 | 33 | 35088 | 264 | 264 | 32 | 32 | 33.9626529  | 0.516 | 35616 | 1.44921875  |
| mandrill32.bmp | mandrill32.bmp-withWavelet_bior1.1-G_1-H1e-005_af1.wfa   | 24576 | 8192 | 8192 | 33 | 35088 | 264 | 264 | 32 | 32 | 33.9626529  | 0.469 | 35616 | 1.44921875  |
| mandrill32.bmp | mandrill32.bmp-withWavelet_haar-G_1-H1e-005_af4.wfa      | 24576 | 8192 | 8192 | 32 | 33008 | 256 | 256 | 32 | 32 | 35.31308282 | 0.281 | 33520 | 1.363932292 |
| mandrill32.bmp | mandrill32.bmp-withWavelet_rbio1.1-G_1-H1e-005_af4.wfa   | 24576 | 8192 | 8192 | 32 | 33008 | 256 | 256 | 32 | 32 | 35.31308282 | 0.312 | 33520 | 1.363932292 |
| mandrill32.bmp | mandrill32.bmp-withWavelet_sym1-G_1-H1e-005_af4.wfa      | 24576 | 8192 | 8192 | 32 | 33008 | 256 | 256 | 32 | 32 | 35.31308282 | 0.235 | 33520 | 1.363932292 |
| mandrill32.bmp | mandrill32.bmp-withWavelet_bior1.1-G_1-H1e-005_af4.wfa   | 24576 | 8192 | 8192 | 32 | 33008 | 256 | 256 | 32 | 32 | 35.31308282 | 0.234 | 33520 | 1.363932292 |
| mandrill32.bmp | mandrill32.bmp-withWavelet_haar-G_0.8-H1e-005_af4.wfa    | 24576 | 8192 | 8192 | 32 | 33008 | 256 | 256 | 32 | 32 | 35.73772986 | 0.328 | 33520 | 1.363932292 |
| mandrill32.bmp | mandrill32.bmp-withWavelet_rbio1.1-G_0.8-H1e-005_af4.wfa | 24576 | 8192 | 8192 | 32 | 33008 | 256 | 256 | 32 | 32 | 35.73772986 | 0.36  | 33520 | 1.363932292 |
| mandrill32.bmp | mandrill32.bmp-withWavelet_sym1-G_0.8-H1e-005_af4.wfa    | 24576 | 8192 | 8192 | 32 | 33008 | 256 | 256 | 32 | 32 | 35.73772986 | 0.266 | 33520 | 1.363932292 |
| mandrill32.bmp | mandrill32.bmp-withWavelet_bior1.1-G_0.8-H1e-005_af4.wfa | 24576 | 8192 | 8192 | 32 | 33008 | 256 | 256 | 32 | 32 | 35.73772986 | 0.25  | 33520 | 1.363932292 |

**Tabela III.14 – Decodificação para peppers32.bmp**

| Img           | Img codificada  | lBytes | GSByte | WletBy | #Stes | Wby   | lBy | FBy | ResCo | ResDe | PSNR        | Time  | Total | %           |
|---------------|---|--------|--------|--------|-------|-------|-----|-----|-------|-------|-------------|-------|-------|-------------|
| peppers32.bmp | peppers32.bmp-withWavelet_bior1.1-G_1-H0.0001_af1.wfa   | 24576  | 8192   | 8192   | 21    | 14352 | 168 | 168 | 32    | 32    | 20.14144319 | 0.125 | 14688 | 0.59765625  |
| peppers32.bmp | peppers32.bmp-withWavelet_haar-G_0.8-H9e-005_af1.wfa    | 24576  | 8192   | 8192   | 22    | 15728 | 176 | 176 | 32    | 32    | 20.39800458 | 0.141 | 16080 | 0.654296875 |
| peppers32.bmp | peppers32.bmp-withWavelet_rbio1.1-G_0.8-H9e-005_af1.wfa | 24576  | 8192   | 8192   | 22    | 15728 | 176 | 176 | 32    | 32    | 20.39800458 | 0.125 | 16080 | 0.654296875 |
| peppers32.bmp | peppers32.bmp-withWavelet_sym1-G_0.8-H9e-005_af1.wfa    | 24576  | 8192   | 8192   | 22    | 15728 | 176 | 176 | 32    | 32    | 20.39800458 | 0.125 | 16080 | 0.654296875 |
| peppers32.bmp | peppers32.bmp-withWavelet_bior1.1-G_0.8-H9e-005_af1.wfa | 24576  | 8192   | 8192   | 22    | 15728 | 176 | 176 | 32    | 32    | 20.39800458 | 0.125 | 16080 | 0.654296875 |
| peppers32.bmp | peppers32.bmp-withWavelet_haar-G_0.6-H0.0001_af1.wfa    | 24576  | 8192   | 8192   | 22    | 15728 | 176 | 176 | 32    | 32    | 20.70753611 | 0.125 | 16080 | 0.654296875 |
| peppers32.bmp | peppers32.bmp-withWavelet_rbio1.1-G_0.6-H0.0001_af1.wfa | 24576  | 8192   | 8192   | 22    | 15728 | 176 | 176 | 32    | 32    | 20.70753611 | 0.141 | 16080 | 0.654296875 |
| peppers32.bmp | peppers32.bmp-withWavelet_sym1-G_0.6-H0.0001_af1.wfa    | 24576  | 8192   | 8192   | 22    | 15728 | 176 | 176 | 32    | 32    | 20.70753611 | 0.125 | 16080 | 0.654296875 |
| peppers32.bmp | peppers32.bmp-withWavelet_bior1.1-G_0.6-H0.0001_af1.wfa | 24576  | 8192   | 8192   | 22    | 15728 | 176 | 176 | 32    | 32    | 20.70753611 | 0.141 | 16080 | 0.654296875 |
| peppers32.bmp | peppers32.bmp-G_0.6-H9e-005_af1.wfa                     | 24576  | 8192   |        | 23    | 17168 | 184 | 184 | 32    | 32    | 20.14298933 | 0.156 | 17536 | 0.713541667 |
| peppers32.bmp | peppers32.bmp-withWavelet_haar-G_1-H9e-005_af1.wfa      | 24576  | 8192   | 8192   | 23    | 17168 | 184 | 184 | 32    | 32    | 20.34971546 | 0.157 | 17536 | 0.713541667 |
| peppers32.bmp | peppers32.bmp-withWavelet_rbio1.1-G_1-H9e-005_af1.wfa   | 24576  | 8192   | 8192   | 23    | 17168 | 184 | 184 | 32    | 32    | 20.34971546 | 0.156 | 17536 | 0.713541667 |
| peppers32.bmp | peppers32.bmp-withWavelet_sym1-G_1-H9e-005_af1.wfa      | 24576  | 8192   | 8192   | 23    | 17168 | 184 | 184 | 32    | 32    | 20.34971546 | 0.156 | 17536 | 0.713541667 |
| peppers32.bmp | peppers32.bmp-withWavelet_bior1.1-G_1-H9e-005_af1.wfa   | 24576  | 8192   | 8192   | 23    | 17168 | 184 | 184 | 32    | 32    | 20.34971546 | 0.156 | 17536 | 0.713541667 |
| peppers32.bmp | peppers32.bmp-withWavelet_haar-G_0.8-H0.0001_af4.wfa    | 24576  | 8192   | 8192   | 23    | 17168 | 184 | 184 | 32    | 32    | 20.54817772 | 0.157 | 17536 | 0.713541667 |



|               |   |       |      |      |    |       |     |     |    |    |             |       |       |             |
|---------------|---|-------|------|------|----|-------|-----|-----|----|----|-------------|-------|-------|-------------|
| peppers32.bmp | peppers32.bmp-withWavelet_rbio1.1-G_0.8-H0.0001_af4.wfa | 24576 | 8192 | 8192 | 23 | 17168 | 184 | 184 | 32 | 32 | 20.54817772 | 0.156 | 17536 | 0.713541667 |
| peppers32.bmp | peppers32.bmp-withWavelet_sym1-G_0.8-H0.0001_af4.wfa    | 24576 | 8192 | 8192 | 23 | 17168 | 184 | 184 | 32 | 32 | 20.54817772 | 0.156 | 17536 | 0.713541667 |
| peppers32.bmp | peppers32.bmp-withWavelet_bior1.1-G_0.8-H0.0001_af4.wfa | 24576 | 8192 | 8192 | 23 | 17168 | 184 | 184 | 32 | 32 | 20.54817772 | 0.156 | 17536 | 0.713541667 |
| peppers32.bmp | peppers32.bmp-withWavelet_haar-G_0.8-H0.0001_af3.wfa    | 24576 | 8192 | 8192 | 24 | 18672 | 192 | 192 | 32 | 32 | 20.09397637 | 0.203 | 19056 | 0.775390625 |
| peppers32.bmp | peppers32.bmp-withWavelet_rbio1.1-G_0.8-H0.0001_af3.wfa | 24576 | 8192 | 8192 | 24 | 18672 | 192 | 192 | 32 | 32 | 20.09397637 | 0.172 | 19056 | 0.775390625 |
| peppers32.bmp | peppers32.bmp-withWavelet_sym1-G_0.8-H0.0001_af3.wfa    | 24576 | 8192 | 8192 | 24 | 18672 | 192 | 192 | 32 | 32 | 20.09397637 | 0.172 | 19056 | 0.775390625 |
| peppers32.bmp | peppers32.bmp-withWavelet_bior1.1-G_0.8-H0.0001_af3.wfa | 24576 | 8192 | 8192 | 24 | 18672 | 192 | 192 | 32 | 32 | 20.09397637 | 0.187 | 19056 | 0.775390625 |
| peppers32.bmp | peppers32.bmp-G_0.8-H7e-005_af5.wfa                     | 24576 | 8192 |      | 24 | 18672 | 192 | 192 | 32 | 32 | 20.2325281  | 0.156 | 19056 | 0.775390625 |
| peppers32.bmp | peppers32.bmp-G_0.6-H7e-005_af5.wfa                     | 24576 | 8192 |      | 24 | 18672 | 192 | 192 | 32 | 32 | 20.46402125 | 0.156 | 19056 | 0.775390625 |
| peppers32.bmp | peppers32.bmp-withWavelet_haar-G_1-H9e-005_af4.wfa      | 24576 | 8192 | 8192 | 24 | 18672 | 192 | 192 | 32 | 32 | 20.98197713 | 0.172 | 19056 | 0.775390625 |
| peppers32.bmp | peppers32.bmp-withWavelet_rbio1.1-G_1-H9e-005_af4.wfa   | 24576 | 8192 | 8192 | 24 | 18672 | 192 | 192 | 32 | 32 | 20.98197713 | 0.156 | 19056 | 0.775390625 |
| peppers32.bmp | peppers32.bmp-withWavelet_sym1-G_1-H9e-005_af4.wfa      | 24576 | 8192 | 8192 | 24 | 18672 | 192 | 192 | 32 | 32 | 20.98197713 | 0.156 | 19056 | 0.775390625 |
| peppers32.bmp | peppers32.bmp-withWavelet_bior1.1-G_1-H9e-005_af4.wfa   | 24576 | 8192 | 8192 | 24 | 18672 | 192 | 192 | 32 | 32 | 20.98197713 | 0.156 | 19056 | 0.775390625 |
| peppers32.bmp | peppers32.bmp-withWavelet_haar-G_1-H0.0001_af4.wfa      | 24576 | 8192 | 8192 | 24 | 18672 | 192 | 192 | 32 | 32 | 20.98197713 | 0.172 | 19056 | 0.775390625 |
| peppers32.bmp | peppers32.bmp-withWavelet_rbio1.1-G_1-H0.0001_af4.wfa   | 24576 | 8192 | 8192 | 24 | 18672 | 192 | 192 | 32 | 32 | 20.98197713 | 0.156 | 19056 | 0.775390625 |
| peppers32.bmp | peppers32.bmp-withWavelet_sym1-G_1-H0.0001_af4.wfa      | 24576 | 8192 | 8192 | 24 | 18672 | 192 | 192 | 32 | 32 | 20.98197713 | 0.156 | 19056 | 0.775390625 |
| peppers32.bmp | peppers32.bmp-withWavelet_bior1.1-G_1-H0.0001_af4.wfa   | 24576 | 8192 | 8192 | 24 | 18672 | 192 | 192 | 32 | 32 | 20.98197713 | 0.156 | 19056 | 0.775390625 |
| peppers32.bmp | peppers32.bmp-withWavelet_haar-G_0.6-H9e-005_af1.wfa    | 24576 | 8192 | 8192 | 24 | 18672 | 192 | 192 | 32 | 32 | 21.17602888 | 0.156 | 19056 | 0.775390625 |
| peppers32.bmp | peppers32.bmp-withWavelet_rbio1.1-G_0.6-H9e-005_af1.wfa | 24576 | 8192 | 8192 | 24 | 18672 | 192 | 192 | 32 | 32 | 21.17602888 | 0.156 | 19056 | 0.775390625 |
| peppers32.bmp | peppers32.bmp-withWavelet_sym1-G_0.6-H9e-005_af1.wfa    | 24576 | 8192 | 8192 | 24 | 18672 | 192 | 192 | 32 | 32 | 21.17602888 | 0.156 | 19056 | 0.775390625 |
| peppers32.bmp | peppers32.bmp-withWavelet_bior1.1-G_0.6-H9e-005_af1.wfa | 24576 | 8192 | 8192 | 24 | 18672 | 192 | 192 | 32 | 32 | 21.17602888 | 0.156 | 19056 | 0.775390625 |
| peppers32.bmp | peppers32.bmp-withWavelet_bior1.1-G_1-H6e-005_af4.wfa   | 24576 | 8192 | 8192 | 24 | 18672 | 192 | 192 | 32 | 32 | 21.4284587  | 0.156 | 19056 | 0.775390625 |
| peppers32.bmp | peppers32.bmp-withWavelet_haar-G_0.6-H0.0001_af4.wfa    | 24576 | 8192 | 8192 | 24 | 18672 | 192 | 192 | 32 | 32 | 21.4284587  | 0.156 | 19056 | 0.775390625 |
| peppers32.bmp | peppers32.bmp-withWavelet_rbio1.1-G_0.6-H0.0001_af4.wfa | 24576 | 8192 | 8192 | 24 | 18672 | 192 | 192 | 32 | 32 | 21.4284587  | 0.172 | 19056 | 0.775390625 |
| peppers32.bmp | peppers32.bmp-withWavelet_sym1-G_0.6-H0.0001_af4.wfa    | 24576 | 8192 | 8192 | 24 | 18672 | 192 | 192 | 32 | 32 | 21.4284587  | 0.359 | 19056 | 0.775390625 |
| peppers32.bmp | peppers32.bmp-withWavelet_bior1.1-G_0.6-H0.0001_af4.wfa | 24576 | 8192 | 8192 | 24 | 18672 | 192 | 192 | 32 | 32 | 21.4284587  | 0.375 | 19056 | 0.775390625 |
| peppers32.bmp | peppers32.bmp-G_1-H0.0001_af1.wfa                       | 24576 | 8192 |      | 25 | 20240 | 200 | 200 | 32 | 32 | 20.06537494 | 0.172 | 20640 | 0.83984375  |
| peppers32.bmp | peppers32.bmp-G_0.6-H6e-005_af2.wfa                     | 24576 | 8192 |      | 25 | 20240 | 200 | 200 | 32 | 32 | 20.16286902 | 0.172 | 20640 | 0.83984375  |
| peppers32.bmp | peppers32.bmp-G_0.6-H7e-005_af2.wfa                     | 24576 | 8192 |      | 25 | 20240 | 200 | 200 | 32 | 32 | 20.20955477 | 0.172 | 20640 | 0.83984375  |
| peppers32.bmp | peppers32.bmp-G_0.6-H7e-005_af1.wfa                     | 24576 | 8192 |      | 25 | 20240 | 200 | 200 | 32 | 32 | 20.35161895 | 0.172 | 20640 | 0.83984375  |
| peppers32.bmp | peppers32.bmp-G_1-H6e-005_af5.wfa                       | 24576 | 8192 |      | 25 | 20240 | 200 | 200 | 32 | 32 | 20.60477979 | 0.172 | 20640 | 0.83984375  |

|               |   |       |      |      |    |       |     |     |    |    |             |       |       |             |
|---------------|---|-------|------|------|----|-------|-----|-----|----|----|-------------|-------|-------|-------------|
| peppers32.bmp | peppers32.bmp-G_0.8-H6e-005_af5.wfa                     | 24576 | 8192 |      | 25 | 20240 | 200 | 200 | 32 | 32 | 20.62354298 | 0.172 | 20640 | 0.83984375  |
| peppers32.bmp | peppers32.bmp-G_0.6-H6e-005_af5.wfa                     | 24576 | 8192 |      | 25 | 20240 | 200 | 200 | 32 | 32 | 20.85540626 | 0.172 | 20640 | 0.83984375  |
| peppers32.bmp | peppers32.bmp-withWavelet_haar-G_0.6-H0.0001_af3.wfa    | 24576 | 8192 | 8192 | 25 | 20240 | 200 | 200 | 32 | 32 | 21.19165288 | 0.156 | 20640 | 0.83984375  |
| peppers32.bmp | peppers32.bmp-withWavelet_rbio1.1-G_0.6-H0.0001_af3.wfa | 24576 | 8192 | 8192 | 25 | 20240 | 200 | 200 | 32 | 32 | 21.19165288 | 0.157 | 20640 | 0.83984375  |
| peppers32.bmp | peppers32.bmp-withWavelet_sym1-G_0.6-H0.0001_af3.wfa    | 24576 | 8192 | 8192 | 25 | 20240 | 200 | 200 | 32 | 32 | 21.19165288 | 0.172 | 20640 | 0.83984375  |
| peppers32.bmp | peppers32.bmp-withWavelet_haar-G_0.8-H9e-005_af4.wfa    | 24576 | 8192 | 8192 | 25 | 20240 | 200 | 200 | 32 | 32 | 21.67167578 | 0.172 | 20640 | 0.83984375  |
| peppers32.bmp | peppers32.bmp-withWavelet_rbio1.1-G_0.8-H9e-005_af4.wfa | 24576 | 8192 | 8192 | 25 | 20240 | 200 | 200 | 32 | 32 | 21.67167578 | 0.172 | 20640 | 0.83984375  |
| peppers32.bmp | peppers32.bmp-withWavelet_sym1-G_0.8-H9e-005_af4.wfa    | 24576 | 8192 | 8192 | 25 | 20240 | 200 | 200 | 32 | 32 | 21.67167578 | 0.157 | 20640 | 0.83984375  |
| peppers32.bmp | peppers32.bmp-withWavelet_bior1.1-G_0.8-H9e-005_af4.wfa | 24576 | 8192 | 8192 | 25 | 20240 | 200 | 200 | 32 | 32 | 21.67167578 | 0.156 | 20640 | 0.83984375  |
| peppers32.bmp | peppers32.bmp-G_1-H9e-005_af1.wfa                       | 24576 | 8192 |      | 26 | 21872 | 208 | 208 | 32 | 32 | 20.15284371 | 0.187 | 22288 | 0.906901042 |
| peppers32.bmp | peppers32.bmp-G_0.8-H9e-005_af1.wfa                     | 24576 | 8192 |      | 26 | 21872 | 208 | 208 | 32 | 32 | 20.17281766 | 0.265 | 22288 | 0.906901042 |
| peppers32.bmp | peppers32.bmp-withWavelet_haar-G_0.6-H9e-005_af4.wfa    | 24576 | 8192 | 8192 | 25 | 20240 | 200 | 200 | 32 | 32 | 22.19443792 | 0.156 | 20640 | 0.83984375  |
| peppers32.bmp | peppers32.bmp-withWavelet_rbio1.1-G_0.6-H9e-005_af4.wfa | 24576 | 8192 | 8192 | 25 | 20240 | 200 | 200 | 32 | 32 | 22.19443792 | 0.157 | 20640 | 0.83984375  |
| peppers32.bmp | peppers32.bmp-withWavelet_sym1-G_0.6-H9e-005_af4.wfa    | 24576 | 8192 | 8192 | 25 | 20240 | 200 | 200 | 32 | 32 | 22.19443792 | 0.156 | 20640 | 0.83984375  |
| peppers32.bmp | peppers32.bmp-withWavelet_bior1.1-G_0.6-H9e-005_af4.wfa | 24576 | 8192 | 8192 | 25 | 20240 | 200 | 200 | 32 | 32 | 22.19443792 | 0.172 | 20640 | 0.83984375  |
| peppers32.bmp | peppers32.bmp-G_0.6-H6e-005_af1.wfa                     | 24576 | 8192 |      | 26 | 21872 | 208 | 208 | 32 | 32 | 20.57726745 | 0.188 | 22288 | 0.906901042 |
| peppers32.bmp | peppers32.bmp-G_1-H5e-005_af5.wfa                       | 24576 | 8192 |      | 26 | 21872 | 208 | 208 | 32 | 32 | 20.90784066 | 0.172 | 22288 | 0.906901042 |
| peppers32.bmp | peppers32.bmp-withWavelet_haar-G_1-H8e-005_af3.wfa      | 24576 | 8192 | 8192 | 26 | 21872 | 208 | 208 | 32 | 32 | 20.94132645 | 0.172 | 22288 | 0.906901042 |
| peppers32.bmp | peppers32.bmp-withWavelet_rbio1.1-G_1-H8e-005_af3.wfa   | 24576 | 8192 | 8192 | 26 | 21872 | 208 | 208 | 32 | 32 | 20.94132645 | 0.172 | 22288 | 0.906901042 |
| peppers32.bmp | peppers32.bmp-withWavelet_sym1-G_1-H8e-005_af3.wfa      | 24576 | 8192 | 8192 | 26 | 21872 | 208 | 208 | 32 | 32 | 20.94132645 | 0.172 | 22288 | 0.906901042 |
| peppers32.bmp | peppers32.bmp-withWavelet_bior1.1-G_1-H8e-005_af3.wfa   | 24576 | 8192 | 8192 | 26 | 21872 | 208 | 208 | 32 | 32 | 20.94132645 | 0.172 | 22288 | 0.906901042 |
| peppers32.bmp | peppers32.bmp-G_0.8-H5e-005_af5.wfa                     | 24576 | 8192 |      | 26 | 21872 | 208 | 208 | 32 | 32 | 20.99844998 | 0.171 | 22288 | 0.906901042 |
| peppers32.bmp | peppers32.bmp-withWavelet_haar-G_1-H9e-005_af3.wfa      | 24576 | 8192 | 8192 | 26 | 21872 | 208 | 208 | 32 | 32 | 21.04572359 | 0.172 | 22288 | 0.906901042 |
| peppers32.bmp | peppers32.bmp-withWavelet_rbio1.1-G_1-H9e-005_af3.wfa   | 24576 | 8192 | 8192 | 26 | 21872 | 208 | 208 | 32 | 32 | 21.04572359 | 0.25  | 22288 | 0.906901042 |
| peppers32.bmp | peppers32.bmp-withWavelet_sym1-G_1-H9e-005_af3.wfa      | 24576 | 8192 | 8192 | 26 | 21872 | 208 | 208 | 32 | 32 | 21.04572359 | 0.188 | 22288 | 0.906901042 |
| peppers32.bmp | peppers32.bmp-withWavelet_bior1.1-G_1-H9e-005_af3.wfa   | 24576 | 8192 | 8192 | 26 | 21872 | 208 | 208 | 32 | 32 | 21.04572359 | 0.172 | 22288 | 0.906901042 |
| peppers32.bmp | peppers32.bmp-withWavelet_haar-G_0.8-H9e-005_af3.wfa    | 24576 | 8192 | 8192 | 26 | 21872 | 208 | 208 | 32 | 32 | 21.07587469 | 0.328 | 22288 | 0.906901042 |
| peppers32.bmp | peppers32.bmp-withWavelet_rbio1.1-G_0.8-H9e-005_af3.wfa | 24576 | 8192 | 8192 | 26 | 21872 | 208 | 208 | 32 | 32 | 21.07587469 | 0.25  | 22288 | 0.906901042 |
| peppers32.bmp | peppers32.bmp-withWavelet_sym1-G_0.8-H9e-005_af3.wfa    | 24576 | 8192 | 8192 | 26 | 21872 | 208 | 208 | 32 | 32 | 21.07587469 | 0.172 | 22288 | 0.906901042 |
| peppers32.bmp | peppers32.bmp-withWavelet_bior1.1-G_0.8-H9e-005_af3.wfa | 24576 | 8192 | 8192 | 26 | 21872 | 208 | 208 | 32 | 32 | 21.07587469 | 0.172 | 22288 | 0.906901042 |
| peppers32.bmp | peppers32.bmp-G_0.6-H5e-005_af5.wfa                     | 24576 | 8192 |      | 26 | 21872 | 208 | 208 | 32 | 32 | 21.26473221 | 0.172 | 22288 | 0.906901042 |

|               |   |       |      |      |    |       |     |     |    |    |             |       |       |             |
|---------------|---|-------|------|------|----|-------|-----|-----|----|----|-------------|-------|-------|-------------|
| peppers32.bmp | peppers32.bmp-withWavelet_haar-G_0.6-H9e-005_af3.wfa    | 24576 | 8192 | 8192 | 26 | 21872 | 208 | 208 | 32 | 32 | 21.86498781 | 0.187 | 22288 | 0.906901042 |
| peppers32.bmp | peppers32.bmp-withWavelet_rbio1.1-G_0.6-H9e-005_af3.wfa | 24576 | 8192 | 8192 | 26 | 21872 | 208 | 208 | 32 | 32 | 21.86498781 | 0.281 | 22288 | 0.906901042 |
| peppers32.bmp | peppers32.bmp-withWavelet_sym1-G_0.6-H9e-005_af3.wfa    | 24576 | 8192 | 8192 | 26 | 21872 | 208 | 208 | 32 | 32 | 21.86498781 | 0.203 | 22288 | 0.906901042 |
| peppers32.bmp | peppers32.bmp-withWavelet_bior1.1-G_0.6-H9e-005_af3.wfa | 24576 | 8192 | 8192 | 26 | 21872 | 208 | 208 | 32 | 32 | 21.86498781 | 0.172 | 22288 | 0.906901042 |
| peppers32.bmp | peppers32.bmp-withWavelet_haar-G_1-H8e-005_af4.wfa      | 24576 | 8192 | 8192 | 26 | 21872 | 208 | 208 | 32 | 32 | 22.00229463 | 0.172 | 22288 | 0.906901042 |
| peppers32.bmp | peppers32.bmp-withWavelet_rbio1.1-G_1-H8e-005_af4.wfa   | 24576 | 8192 | 8192 | 26 | 21872 | 208 | 208 | 32 | 32 | 22.00229463 | 0.171 | 22288 | 0.906901042 |
| peppers32.bmp | peppers32.bmp-withWavelet_sym1-G_1-H8e-005_af4.wfa      | 24576 | 8192 | 8192 | 26 | 21872 | 208 | 208 | 32 | 32 | 22.00229463 | 0.172 | 22288 | 0.906901042 |
| peppers32.bmp | peppers32.bmp-withWavelet_bior1.1-G_1-H8e-005_af4.wfa   | 24576 | 8192 | 8192 | 26 | 21872 | 208 | 208 | 32 | 32 | 22.00229463 | 0.172 | 22288 | 0.906901042 |
| peppers32.bmp | peppers32.bmp-G_1-H8e-005_af1.wfa                       | 24576 | 8192 |      | 27 | 23568 | 216 | 216 | 32 | 32 | 20.51034396 | 0.187 | 24000 | 0.9765625   |
| peppers32.bmp | peppers32.bmp-G_0.8-H8e-005_af1.wfa                     | 24576 | 8192 |      | 27 | 23568 | 216 | 216 | 32 | 32 | 20.52636956 | 0.188 | 24000 | 0.9765625   |
| peppers32.bmp | peppers32.bmp-withWavelet_haar-G_1-H8e-005_af1.wfa      | 24576 | 8192 | 8192 | 26 | 21872 | 208 | 208 | 32 | 32 | 22.13011912 | 0.172 | 22288 | 0.906901042 |
| peppers32.bmp | peppers32.bmp-withWavelet_rbio1.1-G_1-H8e-005_af1.wfa   | 24576 | 8192 | 8192 | 26 | 21872 | 208 | 208 | 32 | 32 | 22.13011912 | 0.171 | 22288 | 0.906901042 |
| peppers32.bmp | peppers32.bmp-withWavelet_sym1-G_1-H8e-005_af1.wfa      | 24576 | 8192 | 8192 | 26 | 21872 | 208 | 208 | 32 | 32 | 22.13011912 | 0.172 | 22288 | 0.906901042 |
| peppers32.bmp | peppers32.bmp-withWavelet_bior1.1-G_1-H8e-005_af1.wfa   | 24576 | 8192 | 8192 | 26 | 21872 | 208 | 208 | 32 | 32 | 22.13011912 | 0.172 | 22288 | 0.906901042 |
| peppers32.bmp | peppers32.bmp-withWavelet_haar-G_0.8-H8e-005_af1.wfa    | 24576 | 8192 | 8192 | 26 | 21872 | 208 | 208 | 32 | 32 | 22.15799502 | 0.172 | 22288 | 0.906901042 |
| peppers32.bmp | peppers32.bmp-withWavelet_rbio1.1-G_0.8-H8e-005_af1.wfa | 24576 | 8192 | 8192 | 26 | 21872 | 208 | 208 | 32 | 32 | 22.15799502 | 0.172 | 22288 | 0.906901042 |
| peppers32.bmp | peppers32.bmp-withWavelet_sym1-G_0.8-H8e-005_af1.wfa    | 24576 | 8192 | 8192 | 26 | 21872 | 208 | 208 | 32 | 32 | 22.15799502 | 0.172 | 22288 | 0.906901042 |
| peppers32.bmp | peppers32.bmp-withWavelet_bior1.1-G_0.8-H8e-005_af1.wfa | 24576 | 8192 | 8192 | 26 | 21872 | 208 | 208 | 32 | 32 | 22.15799502 | 0.172 | 22288 | 0.906901042 |
| peppers32.bmp | peppers32.bmp-G_1-H4e-005_af2.wfa                       | 24576 | 8192 |      | 27 | 23568 | 216 | 216 | 32 | 32 | 20.88776864 | 0.188 | 24000 | 0.9765625   |
| peppers32.bmp | peppers32.bmp-G_0.8-H4e-005_af2.wfa                     | 24576 | 8192 |      | 27 | 23568 | 216 | 216 | 32 | 32 | 20.91838155 | 0.187 | 24000 | 0.9765625   |
| peppers32.bmp | peppers32.bmp-G_0.6-H5e-005_af2.wfa                     | 24576 | 8192 |      | 27 | 23568 | 216 | 216 | 32 | 32 | 20.9224302  | 0.187 | 24000 | 0.9765625   |
| peppers32.bmp | peppers32.bmp-G_0.6-H4e-005_af2.wfa                     | 24576 | 8192 |      | 27 | 23568 | 216 | 216 | 32 | 32 | 20.9224302  | 0.187 | 24000 | 0.9765625   |
| peppers32.bmp | peppers32.bmp-withWavelet_haar-G_0.6-H8e-005_af1.wfa    | 24576 | 8192 | 8192 | 26 | 21872 | 208 | 208 | 32 | 32 | 22.57214031 | 0.172 | 22288 | 0.906901042 |
| peppers32.bmp | peppers32.bmp-withWavelet_rbio1.1-G_0.6-H8e-005_af1.wfa | 24576 | 8192 | 8192 | 26 | 21872 | 208 | 208 | 32 | 32 | 22.57214031 | 0.172 | 22288 | 0.906901042 |
| peppers32.bmp | peppers32.bmp-withWavelet_sym1-G_0.6-H8e-005_af1.wfa    | 24576 | 8192 | 8192 | 26 | 21872 | 208 | 208 | 32 | 32 | 22.57214031 | 0.157 | 22288 | 0.906901042 |
| peppers32.bmp | peppers32.bmp-withWavelet_bior1.1-G_0.6-H8e-005_af1.wfa | 24576 | 8192 | 8192 | 26 | 21872 | 208 | 208 | 32 | 32 | 22.57214031 | 0.172 | 22288 | 0.906901042 |
| peppers32.bmp | peppers32.bmp-G_1-H4e-005_af5.wfa                       | 24576 | 8192 |      | 27 | 23568 | 216 | 216 | 32 | 32 | 21.05399321 | 0.188 | 24000 | 0.9765625   |
| peppers32.bmp | peppers32.bmp-G_0.8-H4e-005_af5.wfa                     | 24576 | 8192 |      | 27 | 23568 | 216 | 216 | 32 | 32 | 21.09793423 | 0.188 | 24000 | 0.9765625   |
| peppers32.bmp | peppers32.bmp-G_0.6-H4e-005_af5.wfa                     | 24576 | 8192 |      | 27 | 23568 | 216 | 216 | 32 | 32 | 21.36079208 | 0.187 | 24000 | 0.9765625   |
| peppers32.bmp | peppers32.bmp-withWavelet_haar-G_0.6-H8e-005_af3.wfa    | 24576 | 8192 | 8192 | 27 | 23568 | 216 | 216 | 32 | 32 | 22.30297986 | 0.171 | 24000 | 0.9765625   |
| peppers32.bmp | peppers32.bmp-withWavelet_rbio1.1-G_0.6-H8e-005_af3.wfa | 24576 | 8192 | 8192 | 27 | 23568 | 216 | 216 | 32 | 32 | 22.30297986 | 0.187 | 24000 | 0.9765625   |

|               |   |       |      |      |    |       |     |     |    |    |             |       |       |             |
|---------------|---|-------|------|------|----|-------|-----|-----|----|----|-------------|-------|-------|-------------|
| peppers32.bmp | peppers32.bmp-withWavelet_sym1-G_0.6-H8e-005_af3.wfa    | 24576 | 8192 | 8192 | 27 | 23568 | 216 | 216 | 32 | 32 | 22.30297986 | 0.171 | 24000 | 0.9765625   |
| peppers32.bmp | peppers32.bmp-withWavelet_bior1.1-G_0.6-H8e-005_af3.wfa | 24576 | 8192 | 8192 | 27 | 23568 | 216 | 216 | 32 | 32 | 22.30297986 | 0.171 | 24000 | 0.9765625   |
| peppers32.bmp | peppers32.bmp-withWavelet_haar-G_1-H7e-005_af4.wfa      | 24576 | 8192 | 8192 | 27 | 23568 | 216 | 216 | 32 | 32 | 22.6361471  | 0.188 | 24000 | 0.9765625   |
| peppers32.bmp | peppers32.bmp-withWavelet_rbio1.1-G_1-H7e-005_af4.wfa   | 24576 | 8192 | 8192 | 27 | 23568 | 216 | 216 | 32 | 32 | 22.6361471  | 0.188 | 24000 | 0.9765625   |
| peppers32.bmp | peppers32.bmp-withWavelet_sym1-G_1-H7e-005_af4.wfa      | 24576 | 8192 | 8192 | 27 | 23568 | 216 | 216 | 32 | 32 | 22.6361471  | 0.187 | 24000 | 0.9765625   |
| peppers32.bmp | peppers32.bmp-withWavelet_bior1.1-G_1-H7e-005_af4.wfa   | 24576 | 8192 | 8192 | 27 | 23568 | 216 | 216 | 32 | 32 | 22.6361471  | 0.203 | 24000 | 0.9765625   |
| peppers32.bmp | peppers32.bmp-withWavelet_haar-G_0.8-H7e-005_af4.wfa    | 24576 | 8192 | 8192 | 27 | 23568 | 216 | 216 | 32 | 32 | 22.82044403 | 0.234 | 24000 | 0.9765625   |
| peppers32.bmp | peppers32.bmp-withWavelet_rbio1.1-G_0.8-H7e-005_af4.wfa | 24576 | 8192 | 8192 | 27 | 23568 | 216 | 216 | 32 | 32 | 22.82044403 | 0.188 | 24000 | 0.9765625   |
| peppers32.bmp | peppers32.bmp-withWavelet_sym1-G_0.8-H7e-005_af4.wfa    | 24576 | 8192 | 8192 | 27 | 23568 | 216 | 216 | 32 | 32 | 22.82044403 | 0.235 | 24000 | 0.9765625   |
| peppers32.bmp | peppers32.bmp-withWavelet_bior1.1-G_0.8-H7e-005_af4.wfa | 24576 | 8192 | 8192 | 27 | 23568 | 216 | 216 | 32 | 32 | 22.82044403 | 0.187 | 24000 | 0.9765625   |
| peppers32.bmp | peppers32.bmp-withWavelet_haar-G_1-H7e-005_af1.wfa      | 24576 | 8192 | 8192 | 27 | 23568 | 216 | 216 | 32 | 32 | 22.84393327 | 0.187 | 24000 | 0.9765625   |
| peppers32.bmp | peppers32.bmp-withWavelet_rbio1.1-G_1-H7e-005_af1.wfa   | 24576 | 8192 | 8192 | 27 | 23568 | 216 | 216 | 32 | 32 | 22.84393327 | 0.172 | 24000 | 0.9765625   |
| peppers32.bmp | peppers32.bmp-withWavelet_sym1-G_1-H7e-005_af1.wfa      | 24576 | 8192 | 8192 | 27 | 23568 | 216 | 216 | 32 | 32 | 22.84393327 | 0.188 | 24000 | 0.9765625   |
| peppers32.bmp | peppers32.bmp-withWavelet_bior1.1-G_1-H7e-005_af1.wfa   | 24576 | 8192 | 8192 | 27 | 23568 | 216 | 216 | 32 | 32 | 22.84393327 | 0.187 | 24000 | 0.9765625   |
| peppers32.bmp | peppers32.bmp-withWavelet_haar-G_0.8-H7e-005_af1.wfa    | 24576 | 8192 | 8192 | 27 | 23568 | 216 | 216 | 32 | 32 | 22.89195976 | 0.187 | 24000 | 0.9765625   |
| peppers32.bmp | peppers32.bmp-withWavelet_rbio1.1-G_0.8-H7e-005_af1.wfa | 24576 | 8192 | 8192 | 27 | 23568 | 216 | 216 | 32 | 32 | 22.89195976 | 0.172 | 24000 | 0.9765625   |
| peppers32.bmp | peppers32.bmp-withWavelet_sym1-G_0.8-H7e-005_af1.wfa    | 24576 | 8192 | 8192 | 27 | 23568 | 216 | 216 | 32 | 32 | 22.89195976 | 0.187 | 24000 | 0.9765625   |
| peppers32.bmp | peppers32.bmp-withWavelet_bior1.1-G_0.8-H7e-005_af1.wfa | 24576 | 8192 | 8192 | 27 | 23568 | 216 | 216 | 32 | 32 | 22.89195976 | 0.187 | 24000 | 0.9765625   |
| peppers32.bmp | peppers32.bmp-withWavelet_haar-G_0.8-H8e-005_af4.wfa    | 24576 | 8192 | 8192 | 27 | 23568 | 216 | 216 | 32 | 32 | 22.90037382 | 0.188 | 24000 | 0.9765625   |
| peppers32.bmp | peppers32.bmp-withWavelet_rbio1.1-G_0.8-H8e-005_af4.wfa | 24576 | 8192 | 8192 | 27 | 23568 | 216 | 216 | 32 | 32 | 22.90037382 | 0.187 | 24000 | 0.9765625   |
| peppers32.bmp | peppers32.bmp-withWavelet_sym1-G_0.8-H8e-005_af4.wfa    | 24576 | 8192 | 8192 | 27 | 23568 | 216 | 216 | 32 | 32 | 22.90037382 | 0.188 | 24000 | 0.9765625   |
| peppers32.bmp | peppers32.bmp-withWavelet_bior1.1-G_0.8-H8e-005_af4.wfa | 24576 | 8192 | 8192 | 27 | 23568 | 216 | 216 | 32 | 32 | 22.90037382 | 0.172 | 24000 | 0.9765625   |
| peppers32.bmp | peppers32.bmp-withWavelet_haar-G_0.6-H7e-005_af1.wfa    | 24576 | 8192 | 8192 | 27 | 23568 | 216 | 216 | 32 | 32 | 23.41816275 | 0.187 | 24000 | 0.9765625   |
| peppers32.bmp | peppers32.bmp-withWavelet_rbio1.1-G_0.6-H7e-005_af1.wfa | 24576 | 8192 | 8192 | 27 | 23568 | 216 | 216 | 32 | 32 | 23.41816275 | 0.172 | 24000 | 0.9765625   |
| peppers32.bmp | peppers32.bmp-withWavelet_sym1-G_0.6-H7e-005_af1.wfa    | 24576 | 8192 | 8192 | 27 | 23568 | 216 | 216 | 32 | 32 | 23.41816275 | 0.187 | 24000 | 0.9765625   |
| peppers32.bmp | peppers32.bmp-withWavelet_bior1.1-G_0.6-H7e-005_af1.wfa | 24576 | 8192 | 8192 | 27 | 23568 | 216 | 216 | 32 | 32 | 23.41816275 | 0.188 | 24000 | 0.9765625   |
| peppers32.bmp | peppers32.bmp-G_0.6-H1e-005_af4.wfa                     | 24576 | 8192 |      | 5  | 1040  | 40  | 40  | 32 | 32 | 13.77000269 | 0.094 | 1120  | 0.045572917 |
| peppers32.bmp | peppers32.bmp-G_0.6-H2e-005_af4.wfa                     | 24576 | 8192 |      | 5  | 1040  | 40  | 40  | 32 | 32 | 13.77000269 | 0.078 | 1120  | 0.045572917 |
| peppers32.bmp | peppers32.bmp-G_0.6-H3e-005_af4.wfa                     | 24576 | 8192 |      | 5  | 1040  | 40  | 40  | 32 | 32 | 13.77000269 | 0.094 | 1120  | 0.045572917 |
| peppers32.bmp | peppers32.bmp-G_0.6-H4e-005_af4.wfa                     | 24576 | 8192 |      | 5  | 1040  | 40  | 40  | 32 | 32 | 13.77000269 | 0.093 | 1120  | 0.045572917 |
| peppers32.bmp | peppers32.bmp-G_0.6-H5e-005_af4.wfa                     | 24576 | 8192 |      | 5  | 1040  | 40  | 40  | 32 | 32 | 13.77000269 | 0.078 | 1120  | 0.045572917 |

|               |   |         |        |        |    |       |     |     |    |     |             |       |       |             |
|---------------|---|---------|--------|--------|----|-------|-----|-----|----|-----|-------------|-------|-------|-------------|
| peppers32.bmp | peppers32.bmp-G_0.6-H6e-005_af4.wfa                     | 24576   | 8192   |        | 5  | 1040  | 40  | 40  | 32 | 32  | 13.77000269 | 0.172 | 1120  | 0.045572917 |
| peppers32.bmp | peppers32.bmp-G_0.6-H7e-005_af4.wfa                     | 24576   | 8192   |        | 5  | 1040  | 40  | 40  | 32 | 32  | 13.77000269 | 0.094 | 1120  | 0.045572917 |
| peppers32.bmp | peppers32.bmp-G_0.6-H8e-005_af4.wfa                     | 24576   | 8192   |        | 5  | 1040  | 40  | 40  | 32 | 32  | 13.77000269 | 0.078 | 1120  | 0.045572917 |
| peppers32.bmp | peppers32.bmp-G_0.6-H9e-005_af4.wfa                     | 24576   | 8192   |        | 5  | 1040  | 40  | 40  | 32 | 32  | 13.77000269 | 0.078 | 1120  | 0.045572917 |
| peppers32.bmp | peppers32.bmp-G_0.6-H0.0001_af4.wfa                     | 24576   | 8192   |        | 5  | 1040  | 40  | 40  | 32 | 32  | 13.77000269 | 0.094 | 1120  | 0.045572917 |
| peppers32.bmp | peppers32.bmp-withWavelet_haar-G_0.6-H5e-005_af5.wfa    | 1572864 | 524288 | 524288 | 19 | 11792 | 152 | 152 | 32 | 256 | 13.88366182 | 9.5   | 12096 | 0.00769043  |
| peppers32.bmp | peppers32.bmp-withWavelet_rbio1.1-G_0.6-H5e-005_af5.wfa | 1572864 | 524288 | 524288 | 19 | 11792 | 152 | 152 | 32 | 256 | 13.88366182 | 9.594 | 12096 | 0.00769043  |
| peppers32.bmp | peppers32.bmp-withWavelet_sym1-G_0.6-H5e-005_af5.wfa    | 1572864 | 524288 | 524288 | 19 | 11792 | 152 | 152 | 32 | 256 | 13.88366182 | 9.641 | 12096 | 0.00769043  |
| peppers32.bmp | peppers32.bmp-withWavelet_bior1.1-G_0.6-H5e-005_af5.wfa | 1572864 | 524288 | 524288 | 19 | 11792 | 152 | 152 | 32 | 256 | 13.88366182 | 9.485 | 12096 | 0.00769043  |
| peppers32.bmp | peppers32.bmp-withWavelet_haar-G_0.6-H7e-005_af5.wfa    | 1572864 | 524288 | 524288 | 17 | 9488  | 136 | 136 | 32 | 256 | 13.91503243 | 8.672 | 9760  | 0.006205241 |
| peppers32.bmp | peppers32.bmp-withWavelet_rbio1.1-G_0.6-H7e-005_af5.wfa | 1572864 | 524288 | 524288 | 17 | 9488  | 136 | 136 | 32 | 256 | 13.91503243 | 8.672 | 9760  | 0.006205241 |
| peppers32.bmp | peppers32.bmp-withWavelet_sym1-G_0.6-H7e-005_af5.wfa    | 1572864 | 524288 | 524288 | 17 | 9488  | 136 | 136 | 32 | 256 | 13.91503243 | 8.641 | 9760  | 0.006205241 |
| peppers32.bmp | peppers32.bmp-withWavelet_bior1.1-G_0.6-H7e-005_af5.wfa | 1572864 | 524288 | 524288 | 17 | 9488  | 136 | 136 | 32 | 256 | 13.91503243 | 8.61  | 9760  | 0.006205241 |
| peppers32.bmp | peppers32.bmp-withWavelet_haar-G_0.6-H6e-005_af5.wfa    | 1572864 | 524288 | 524288 | 18 | 10608 | 144 | 144 | 32 | 256 | 13.93451478 | 8.953 | 10896 | 0.00692749  |
| peppers32.bmp | peppers32.bmp-withWavelet_rbio1.1-G_0.6-H6e-005_af5.wfa | 1572864 | 524288 | 524288 | 18 | 10608 | 144 | 144 | 32 | 256 | 13.93451478 | 8.937 | 10896 | 0.00692749  |
| peppers32.bmp | peppers32.bmp-withWavelet_sym1-G_0.6-H6e-005_af5.wfa    | 1572864 | 524288 | 524288 | 18 | 10608 | 144 | 144 | 32 | 256 | 13.93451478 | 8.859 | 10896 | 0.00692749  |
| peppers32.bmp | peppers32.bmp-withWavelet_bior1.1-G_0.6-H6e-005_af5.wfa | 1572864 | 524288 | 524288 | 18 | 10608 | 144 | 144 | 32 | 256 | 13.93451478 | 8.828 | 10896 | 0.00692749  |
| peppers32.bmp | peppers32.bmp-G_0.6-H1e-005_af4.wfa                     | 98304   | 32768  |        | 5  | 1040  | 40  | 40  | 32 | 64  | 13.96106002 | 0.36  | 1120  | 0.011393229 |
| peppers32.bmp | peppers32.bmp-G_0.6-H2e-005_af4.wfa                     | 98304   | 32768  |        | 5  | 1040  | 40  | 40  | 32 | 64  | 13.96106002 | 0.359 | 1120  | 0.011393229 |
| peppers32.bmp | peppers32.bmp-G_0.6-H3e-005_af4.wfa                     | 98304   | 32768  |        | 5  | 1040  | 40  | 40  | 32 | 64  | 13.96106002 | 0.36  | 1120  | 0.011393229 |
| peppers32.bmp | peppers32.bmp-G_0.6-H4e-005_af4.wfa                     | 98304   | 32768  |        | 5  | 1040  | 40  | 40  | 32 | 64  | 13.96106002 | 0.344 | 1120  | 0.011393229 |
| peppers32.bmp | peppers32.bmp-G_0.6-H5e-005_af4.wfa                     | 98304   | 32768  |        | 5  | 1040  | 40  | 40  | 32 | 64  | 13.96106002 | 0.344 | 1120  | 0.011393229 |
| peppers32.bmp | peppers32.bmp-G_0.6-H6e-005_af4.wfa                     | 98304   | 32768  |        | 5  | 1040  | 40  | 40  | 32 | 64  | 13.96106002 | 0.359 | 1120  | 0.011393229 |
| peppers32.bmp | peppers32.bmp-G_0.6-H7e-005_af4.wfa                     | 98304   | 32768  |        | 5  | 1040  | 40  | 40  | 32 | 64  | 13.96106002 | 0.359 | 1120  | 0.011393229 |
| peppers32.bmp | peppers32.bmp-G_0.6-H8e-005_af4.wfa                     | 98304   | 32768  |        | 5  | 1040  | 40  | 40  | 32 | 64  | 13.96106002 | 0.344 | 1120  | 0.011393229 |
| peppers32.bmp | peppers32.bmp-G_0.6-H9e-005_af4.wfa                     | 98304   | 32768  |        | 5  | 1040  | 40  | 40  | 32 | 64  | 13.96106002 | 0.344 | 1120  | 0.011393229 |
| peppers32.bmp | peppers32.bmp-G_0.6-H0.0001_af4.wfa                     | 98304   | 32768  |        | 5  | 1040  | 40  | 40  | 32 | 64  | 13.96106002 | 0.36  | 1120  | 0.011393229 |
| peppers32.bmp | peppers32.bmp-withWavelet_haar-G_0.6-H8e-005_af5.wfa    | 98304   | 32768  | 32768  | 15 | 7440  | 120 | 120 | 32 | 64  | 13.9636721  | 0.453 | 7680  | 0.078125    |
| peppers32.bmp | peppers32.bmp-withWavelet_rbio1.1-G_0.6-H8e-005_af5.wfa | 98304   | 32768  | 32768  | 15 | 7440  | 120 | 120 | 32 | 64  | 13.9636721  | 0.531 | 7680  | 0.078125    |
| peppers32.bmp | peppers32.bmp-withWavelet_sym1-G_0.6-H8e-005_af5.wfa    | 98304   | 32768  | 32768  | 15 | 7440  | 120 | 120 | 32 | 64  | 13.9636721  | 0.453 | 7680  | 0.078125    |
| peppers32.bmp | peppers32.bmp-withWavelet_bior1.1-G_0.6-H8e-005_af5.wfa | 98304   | 32768  | 32768  | 15 | 7440  | 120 | 120 | 32 | 64  | 13.9636721  | 0.515 | 7680  | 0.078125    |

|               |   |         |        |        |    |       |     |     |    |     |             |        |       |             |
|---------------|---|---------|--------|--------|----|-------|-----|-----|----|-----|-------------|--------|-------|-------------|
| peppers32.bmp | peppers32.bmp-withWavelet_haar-G_0.6-H9e-005_af5.wfa    | 98304   | 32768  | 32768  | 15 | 7440  | 120 | 120 | 32 | 64  | 13.9636721  | 0.453  | 7680  | 0.078125    |
| peppers32.bmp | peppers32.bmp-withWavelet_rbio1.1-G_0.6-H9e-005_af5.wfa | 98304   | 32768  | 32768  | 15 | 7440  | 120 | 120 | 32 | 64  | 13.9636721  | 0.438  | 7680  | 0.078125    |
| peppers32.bmp | peppers32.bmp-withWavelet_sym1-G_0.6-H9e-005_af5.wfa    | 98304   | 32768  | 32768  | 15 | 7440  | 120 | 120 | 32 | 64  | 13.9636721  | 0.453  | 7680  | 0.078125    |
| peppers32.bmp | peppers32.bmp-withWavelet_bior1.1-G_0.6-H9e-005_af5.wfa | 98304   | 32768  | 32768  | 15 | 7440  | 120 | 120 | 32 | 64  | 13.9636721  | 0.453  | 7680  | 0.078125    |
| peppers32.bmp | peppers32.bmp-withWavelet_haar-G_0.6-H0.0001_af5.wfa    | 98304   | 32768  | 32768  | 15 | 7440  | 120 | 120 | 32 | 64  | 13.98685572 | 0.875  | 7680  | 0.078125    |
| peppers32.bmp | peppers32.bmp-withWavelet_rbio1.1-G_0.6-H0.0001_af5.wfa | 98304   | 32768  | 32768  | 15 | 7440  | 120 | 120 | 32 | 64  | 13.98685572 | 1.359  | 7680  | 0.078125    |
| peppers32.bmp | peppers32.bmp-withWavelet_sym1-G_0.6-H0.0001_af5.wfa    | 98304   | 32768  | 32768  | 15 | 7440  | 120 | 120 | 32 | 64  | 13.98685572 | 0.531  | 7680  | 0.078125    |
| peppers32.bmp | peppers32.bmp-withWavelet_bior1.1-G_0.6-H0.0001_af5.wfa | 98304   | 32768  | 32768  | 15 | 7440  | 120 | 120 | 32 | 64  | 13.98685572 | 0.453  | 7680  | 0.078125    |
| peppers32.bmp | peppers32.bmp-withWavelet_haar-G_0.6-H8e-005_af5.wfa    | 1572864 | 524288 | 524288 | 15 | 7440  | 120 | 120 | 32 | 256 | 13.99804399 | 8      | 7680  | 0.004882813 |
| peppers32.bmp | peppers32.bmp-withWavelet_rbio1.1-G_0.6-H8e-005_af5.wfa | 1572864 | 524288 | 524288 | 15 | 7440  | 120 | 120 | 32 | 256 | 13.99804399 | 7.985  | 7680  | 0.004882813 |
| peppers32.bmp | peppers32.bmp-withWavelet_sym1-G_0.6-H8e-005_af5.wfa    | 1572864 | 524288 | 524288 | 15 | 7440  | 120 | 120 | 32 | 256 | 13.99804399 | 8.11   | 7680  | 0.004882813 |
| peppers32.bmp | peppers32.bmp-withWavelet_bior1.1-G_0.6-H8e-005_af5.wfa | 1572864 | 524288 | 524288 | 15 | 7440  | 120 | 120 | 32 | 256 | 13.99804399 | 8.031  | 7680  | 0.004882813 |
| peppers32.bmp | peppers32.bmp-withWavelet_haar-G_0.6-H9e-005_af5.wfa    | 1572864 | 524288 | 524288 | 15 | 7440  | 120 | 120 | 32 | 256 | 13.99804399 | 7.968  | 7680  | 0.004882813 |
| peppers32.bmp | peppers32.bmp-withWavelet_rbio1.1-G_0.6-H9e-005_af5.wfa | 1572864 | 524288 | 524288 | 15 | 7440  | 120 | 120 | 32 | 256 | 13.99804399 | 7.968  | 7680  | 0.004882813 |
| peppers32.bmp | peppers32.bmp-withWavelet_sym1-G_0.6-H9e-005_af5.wfa    | 1572864 | 524288 | 524288 | 15 | 7440  | 120 | 120 | 32 | 256 | 13.99804399 | 8.016  | 7680  | 0.004882813 |
| peppers32.bmp | peppers32.bmp-withWavelet_bior1.1-G_0.6-H9e-005_af5.wfa | 1572864 | 524288 | 524288 | 15 | 7440  | 120 | 120 | 32 | 256 | 13.99804399 | 7.953  | 7680  | 0.004882813 |
| peppers32.bmp | peppers32.bmp-withWavelet_haar-G_0.6-H7e-005_af5.wfa    | 98304   | 32768  | 32768  | 17 | 9488  | 136 | 136 | 32 | 64  | 13.9983932  | 0.484  | 9760  | 0.099283854 |
| peppers32.bmp | peppers32.bmp-withWavelet_rbio1.1-G_0.6-H7e-005_af5.wfa | 98304   | 32768  | 32768  | 17 | 9488  | 136 | 136 | 32 | 64  | 13.9983932  | 0.484  | 9760  | 0.099283854 |
| peppers32.bmp | peppers32.bmp-withWavelet_sym1-G_0.6-H7e-005_af5.wfa    | 98304   | 32768  | 32768  | 17 | 9488  | 136 | 136 | 32 | 64  | 13.9983932  | 0.5    | 9760  | 0.099283854 |
| peppers32.bmp | peppers32.bmp-withWavelet_bior1.1-G_0.6-H7e-005_af5.wfa | 98304   | 32768  | 32768  | 17 | 9488  | 136 | 136 | 32 | 64  | 13.9983932  | 0.485  | 9760  | 0.099283854 |
| peppers32.bmp | peppers32.bmp-withWavelet_haar-G_0.6-H2e-005_af5.wfa    | 1572864 | 524288 | 524288 | 23 | 17168 | 184 | 184 | 32 | 256 | 14.00083331 | 12.938 | 17536 | 0.011149089 |
| peppers32.bmp | peppers32.bmp-withWavelet_rbio1.1-G_0.6-H2e-005_af5.wfa | 1572864 | 524288 | 524288 | 23 | 17168 | 184 | 184 | 32 | 256 | 14.00083331 | 12.89  | 17536 | 0.011149089 |
| peppers32.bmp | peppers32.bmp-withWavelet_sym1-G_0.6-H2e-005_af5.wfa    | 1572864 | 524288 | 524288 | 23 | 17168 | 184 | 184 | 32 | 256 | 14.00083331 | 12.843 | 17536 | 0.011149089 |
| peppers32.bmp | peppers32.bmp-withWavelet_bior1.1-G_0.6-H2e-005_af5.wfa | 1572864 | 524288 | 524288 | 23 | 17168 | 184 | 184 | 32 | 256 | 14.00083331 | 13     | 17536 | 0.011149089 |
| peppers32.bmp | peppers32.bmp-withWavelet_haar-G_0.6-H5e-005_af5.wfa    | 393216  | 131072 | 131072 | 19 | 11792 | 152 | 152 | 32 | 128 | 14.00576532 | 2.203  | 12096 | 0.030761719 |
| peppers32.bmp | peppers32.bmp-withWavelet_rbio1.1-G_0.6-H5e-005_af5.wfa | 393216  | 131072 | 131072 | 19 | 11792 | 152 | 152 | 32 | 128 | 14.00576532 | 2.188  | 12096 | 0.030761719 |
| peppers32.bmp | peppers32.bmp-withWavelet_sym1-G_0.6-H5e-005_af5.wfa    | 393216  | 131072 | 131072 | 19 | 11792 | 152 | 152 | 32 | 128 | 14.00576532 | 2.234  | 12096 | 0.030761719 |
| peppers32.bmp | peppers32.bmp-withWavelet_bior1.1-G_0.6-H5e-005_af5.wfa | 393216  | 131072 | 131072 | 19 | 11792 | 152 | 152 | 32 | 128 | 14.00576532 | 2.36   | 12096 | 0.030761719 |
| peppers32.bmp | peppers32.bmp-withWavelet_haar-G_0.6-H0.0001_af5.wfa    | 1572864 | 524288 | 524288 | 15 | 7440  | 120 | 120 | 32 | 256 | 14.01386901 | 8.828  | 7680  | 0.004882813 |
| peppers32.bmp | peppers32.bmp-withWavelet_rbio1.1-G_0.6-H0.0001_af5.wfa | 1572864 | 524288 | 524288 | 15 | 7440  | 120 | 120 | 32 | 256 | 14.01386901 | 7.797  | 7680  | 0.004882813 |
| peppers32.bmp | peppers32.bmp-withWavelet_sym1-G_0.6-H0.0001_af5.wfa    | 1572864 | 524288 | 524288 | 15 | 7440  | 120 | 120 | 32 | 256 | 14.01386901 | 7.813  | 7680  | 0.004882813 |

|               |   |         |        |        |    |       |     |     |    |     |             |        |       |             |
|---------------|---|---------|--------|--------|----|-------|-----|-----|----|-----|-------------|--------|-------|-------------|
| peppers32.bmp | peppers32.bmp-withWavelet_bior1.1-G_0.6-H0.0001_af5.wfa | 1572864 | 524288 | 524288 | 15 | 7440  | 120 | 120 | 32 | 256 | 14.01386901 | 7.828  | 7680  | 0.004882813 |
| peppers32.bmp | peppers32.bmp-withWavelet_haar-G_0.6-H5e-005_af5.wfa    | 98304   | 32768  | 32768  | 19 | 11792 | 152 | 152 | 32 | 64  | 14.0178408  | 0.516  | 12096 | 0.123046875 |
| peppers32.bmp | peppers32.bmp-withWavelet_rbio1.1-G_0.6-H5e-005_af5.wfa | 98304   | 32768  | 32768  | 19 | 11792 | 152 | 152 | 32 | 64  | 14.0178408  | 0.531  | 12096 | 0.123046875 |
| peppers32.bmp | peppers32.bmp-withWavelet_sym1-G_0.6-H5e-005_af5.wfa    | 98304   | 32768  | 32768  | 19 | 11792 | 152 | 152 | 32 | 64  | 14.0178408  | 0.609  | 12096 | 0.123046875 |
| peppers32.bmp | peppers32.bmp-withWavelet_bior1.1-G_0.6-H5e-005_af5.wfa | 98304   | 32768  | 32768  | 19 | 11792 | 152 | 152 | 32 | 64  | 14.0178408  | 0.563  | 12096 | 0.123046875 |
| peppers32.bmp | peppers32.bmp-withWavelet_haar-G_0.6-H7e-005_af5.wfa    | 393216  | 131072 | 131072 | 17 | 9488  | 136 | 136 | 32 | 128 | 14.02447405 | 2.032  | 9760  | 0.024820964 |
| peppers32.bmp | peppers32.bmp-withWavelet_rbio1.1-G_0.6-H7e-005_af5.wfa | 393216  | 131072 | 131072 | 17 | 9488  | 136 | 136 | 32 | 128 | 14.02447405 | 1.985  | 9760  | 0.024820964 |
| peppers32.bmp | peppers32.bmp-withWavelet_sym1-G_0.6-H7e-005_af5.wfa    | 393216  | 131072 | 131072 | 17 | 9488  | 136 | 136 | 32 | 128 | 14.02447405 | 2.031  | 9760  | 0.024820964 |
| peppers32.bmp | peppers32.bmp-withWavelet_bior1.1-G_0.6-H7e-005_af5.wfa | 393216  | 131072 | 131072 | 17 | 9488  | 136 | 136 | 32 | 128 | 14.02447405 | 2      | 9760  | 0.024820964 |
| peppers32.bmp | peppers32.bmp-withWavelet_haar-G_0.6-H6e-005_af5.wfa    | 98304   | 32768  | 32768  | 18 | 10608 | 144 | 144 | 32 | 64  | 14.03042648 | 0.5    | 10896 | 0.110839844 |
| peppers32.bmp | peppers32.bmp-withWavelet_rbio1.1-G_0.6-H6e-005_af5.wfa | 98304   | 32768  | 32768  | 18 | 10608 | 144 | 144 | 32 | 64  | 14.03042648 | 0.484  | 10896 | 0.110839844 |
| peppers32.bmp | peppers32.bmp-withWavelet_sym1-G_0.6-H6e-005_af5.wfa    | 98304   | 32768  | 32768  | 18 | 10608 | 144 | 144 | 32 | 64  | 14.03042648 | 0.531  | 10896 | 0.110839844 |
| peppers32.bmp | peppers32.bmp-withWavelet_bior1.1-G_0.6-H6e-005_af5.wfa | 98304   | 32768  | 32768  | 18 | 10608 | 144 | 144 | 32 | 64  | 14.03042648 | 0.5    | 10896 | 0.110839844 |
| peppers32.bmp | peppers32.bmp-withWavelet_haar-G_0.6-H6e-005_af5.wfa    | 393216  | 131072 | 131072 | 18 | 10608 | 144 | 144 | 32 | 128 | 14.04824336 | 2.078  | 10896 | 0.027709961 |
| peppers32.bmp | peppers32.bmp-withWavelet_rbio1.1-G_0.6-H6e-005_af5.wfa | 393216  | 131072 | 131072 | 18 | 10608 | 144 | 144 | 32 | 128 | 14.04824336 | 2.125  | 10896 | 0.027709961 |
| peppers32.bmp | peppers32.bmp-withWavelet_sym1-G_0.6-H6e-005_af5.wfa    | 393216  | 131072 | 131072 | 18 | 10608 | 144 | 144 | 32 | 128 | 14.04824336 | 2.063  | 10896 | 0.027709961 |
| peppers32.bmp | peppers32.bmp-withWavelet_bior1.1-G_0.6-H6e-005_af5.wfa | 393216  | 131072 | 131072 | 18 | 10608 | 144 | 144 | 32 | 128 | 14.04824336 | 2.047  | 10896 | 0.027709961 |
| peppers32.bmp | peppers32.bmp-withWavelet_haar-G_0.6-H3e-005_af5.wfa    | 1572864 | 524288 | 524288 | 21 | 14352 | 168 | 168 | 32 | 256 | 14.0698671  | 10.547 | 14688 | 0.009338379 |
| peppers32.bmp | peppers32.bmp-withWavelet_rbio1.1-G_0.6-H3e-005_af5.wfa | 1572864 | 524288 | 524288 | 21 | 14352 | 168 | 168 | 32 | 256 | 14.0698671  | 10.515 | 14688 | 0.009338379 |
| peppers32.bmp | peppers32.bmp-withWavelet_sym1-G_0.6-H3e-005_af5.wfa    | 1572864 | 524288 | 524288 | 21 | 14352 | 168 | 168 | 32 | 256 | 14.0698671  | 10.437 | 14688 | 0.009338379 |
| peppers32.bmp | peppers32.bmp-withWavelet_bior1.1-G_0.6-H3e-005_af5.wfa | 1572864 | 524288 | 524288 | 21 | 14352 | 168 | 168 | 32 | 256 | 14.0698671  | 10.531 | 14688 | 0.009338379 |
| peppers32.bmp | peppers32.bmp-withWavelet_haar-G_0.6-H8e-005_af5.wfa    | 393216  | 131072 | 131072 | 15 | 7440  | 120 | 120 | 32 | 128 | 14.08181516 | 1.859  | 7680  | 0.01953125  |
| peppers32.bmp | peppers32.bmp-withWavelet_rbio1.1-G_0.6-H8e-005_af5.wfa | 393216  | 131072 | 131072 | 15 | 7440  | 120 | 120 | 32 | 128 | 14.08181516 | 1.859  | 7680  | 0.01953125  |
| peppers32.bmp | peppers32.bmp-withWavelet_sym1-G_0.6-H8e-005_af5.wfa    | 393216  | 131072 | 131072 | 15 | 7440  | 120 | 120 | 32 | 128 | 14.08181516 | 1.922  | 7680  | 0.01953125  |
| peppers32.bmp | peppers32.bmp-withWavelet_bior1.1-G_0.6-H8e-005_af5.wfa | 393216  | 131072 | 131072 | 15 | 7440  | 120 | 120 | 32 | 128 | 14.08181516 | 1.875  | 7680  | 0.01953125  |
| peppers32.bmp | peppers32.bmp-withWavelet_haar-G_0.6-H9e-005_af5.wfa    | 393216  | 131072 | 131072 | 15 | 7440  | 120 | 120 | 32 | 128 | 14.08181516 | 1.875  | 7680  | 0.01953125  |
| peppers32.bmp | peppers32.bmp-withWavelet_rbio1.1-G_0.6-H9e-005_af5.wfa | 393216  | 131072 | 131072 | 15 | 7440  | 120 | 120 | 32 | 128 | 14.08181516 | 1.86   | 7680  | 0.01953125  |
| peppers32.bmp | peppers32.bmp-withWavelet_sym1-G_0.6-H9e-005_af5.wfa    | 393216  | 131072 | 131072 | 15 | 7440  | 120 | 120 | 32 | 128 | 14.08181516 | 1.891  | 7680  | 0.01953125  |
| peppers32.bmp | peppers32.bmp-withWavelet_bior1.1-G_0.6-H9e-005_af5.wfa | 393216  | 131072 | 131072 | 15 | 7440  | 120 | 120 | 32 | 128 | 14.08181516 | 1.938  | 7680  | 0.01953125  |
| peppers32.bmp | peppers32.bmp-withWavelet_haar-G_0.6-H0.0001_af5.wfa    | 393216  | 131072 | 131072 | 15 | 7440  | 120 | 120 | 32 | 128 | 14.09607907 | 2.406  | 7680  | 0.01953125  |
| peppers32.bmp | peppers32.bmp-withWavelet_rbio1.1-G_0.6-H0.0001_af5.wfa | 393216  | 131072 | 131072 | 15 | 7440  | 120 | 120 | 32 | 128 | 14.09607907 | 2      | 7680  | 0.01953125  |

|               |   |         |        |        |    |       |     |     |    |     |             |        |       |             |
|---------------|---|---------|--------|--------|----|-------|-----|-----|----|-----|-------------|--------|-------|-------------|
| peppers32.bmp | peppers32.bmp-withWavelet_sym1-G_0.6-H0.0001_af5.wfa    | 393216  | 131072 | 131072 | 15 | 7440  | 120 | 120 | 32 | 128 | 14.09607907 | 1.844  | 7680  | 0.01953125  |
| peppers32.bmp | peppers32.bmp-withWavelet_bior1.1-G_0.6-H0.0001_af5.wfa | 393216  | 131072 | 131072 | 15 | 7440  | 120 | 120 | 32 | 128 | 14.09607907 | 1.844  | 7680  | 0.01953125  |
| peppers32.bmp | peppers32.bmp-withWavelet_haar-G_0.6-H2e-005_af2.wfa    | 1572864 | 524288 | 524288 | 32 | 33008 | 256 | 256 | 32 | 256 | 14.11866237 | 20.937 | 33520 | 0.021311442 |
| peppers32.bmp | peppers32.bmp-withWavelet_rbio1.1-G_0.6-H2e-005_af2.wfa | 1572864 | 524288 | 524288 | 32 | 33008 | 256 | 256 | 32 | 256 | 14.11866237 | 25.281 | 33520 | 0.021311442 |
| peppers32.bmp | peppers32.bmp-withWavelet_sym1-G_0.6-H2e-005_af2.wfa    | 1572864 | 524288 | 524288 | 32 | 33008 | 256 | 256 | 32 | 256 | 14.11866237 | 20.859 | 33520 | 0.021311442 |
| peppers32.bmp | peppers32.bmp-withWavelet_bior1.1-G_0.6-H2e-005_af2.wfa | 1572864 | 524288 | 524288 | 32 | 33008 | 256 | 256 | 32 | 256 | 14.11866237 | 21.016 | 33520 | 0.021311442 |
| peppers32.bmp | peppers32.bmp-withWavelet_haar-G_0.6-H2e-005_af5.wfa    | 393216  | 131072 | 131072 | 23 | 17168 | 184 | 184 | 32 | 128 | 14.12647775 | 2.953  | 17536 | 0.044596354 |
| peppers32.bmp | peppers32.bmp-withWavelet_rbio1.1-G_0.6-H2e-005_af5.wfa | 393216  | 131072 | 131072 | 23 | 17168 | 184 | 184 | 32 | 128 | 14.12647775 | 2.937  | 17536 | 0.044596354 |
| peppers32.bmp | peppers32.bmp-withWavelet_sym1-G_0.6-H2e-005_af5.wfa    | 393216  | 131072 | 131072 | 23 | 17168 | 184 | 184 | 32 | 128 | 14.12647775 | 2.938  | 17536 | 0.044596354 |
| peppers32.bmp | peppers32.bmp-withWavelet_bior1.1-G_0.6-H2e-005_af5.wfa | 393216  | 131072 | 131072 | 23 | 17168 | 184 | 184 | 32 | 128 | 14.12647775 | 2.937  | 17536 | 0.044596354 |
| peppers32.bmp | peppers32.bmp-G_0.6-H1e-005_af4.wfa                     | 1572864 | 524288 |        | 5  | 1040  | 40  | 40  | 32 | 256 | 14.15251089 | 6.031  | 1120  | 0.000712077 |
| peppers32.bmp | peppers32.bmp-G_0.6-H2e-005_af4.wfa                     | 1572864 | 524288 |        | 5  | 1040  | 40  | 40  | 32 | 256 | 14.15251089 | 6      | 1120  | 0.000712077 |
| peppers32.bmp | peppers32.bmp-G_0.6-H3e-005_af4.wfa                     | 1572864 | 524288 |        | 5  | 1040  | 40  | 40  | 32 | 256 | 14.15251089 | 5.969  | 1120  | 0.000712077 |
| peppers32.bmp | peppers32.bmp-G_0.6-H4e-005_af4.wfa                     | 1572864 | 524288 |        | 5  | 1040  | 40  | 40  | 32 | 256 | 14.15251089 | 5.984  | 1120  | 0.000712077 |
| peppers32.bmp | peppers32.bmp-G_0.6-H5e-005_af4.wfa                     | 1572864 | 524288 |        | 5  | 1040  | 40  | 40  | 32 | 256 | 14.15251089 | 5.89   | 1120  | 0.000712077 |
| peppers32.bmp | peppers32.bmp-G_0.6-H6e-005_af4.wfa                     | 1572864 | 524288 |        | 5  | 1040  | 40  | 40  | 32 | 256 | 14.15251089 | 6.031  | 1120  | 0.000712077 |
| peppers32.bmp | peppers32.bmp-G_0.6-H7e-005_af4.wfa                     | 1572864 | 524288 |        | 5  | 1040  | 40  | 40  | 32 | 256 | 14.15251089 | 6.079  | 1120  | 0.000712077 |
| peppers32.bmp | peppers32.bmp-G_0.6-H8e-005_af4.wfa                     | 1572864 | 524288 |        | 5  | 1040  | 40  | 40  | 32 | 256 | 14.15251089 | 5.953  | 1120  | 0.000712077 |
| peppers32.bmp | peppers32.bmp-G_0.6-H9e-005_af4.wfa                     | 1572864 | 524288 |        | 5  | 1040  | 40  | 40  | 32 | 256 | 14.15251089 | 6      | 1120  | 0.000712077 |
| peppers32.bmp | peppers32.bmp-G_0.6-H0.0001_af4.wfa                     | 1572864 | 524288 |        | 5  | 1040  | 40  | 40  | 32 | 256 | 14.15251089 | 6.063  | 1120  | 0.000712077 |
| peppers32.bmp | peppers32.bmp-withWavelet_haar-G_1-H8e-005_af5.wfa      | 98304   | 32768  | 32768  | 14 | 6512  | 112 | 112 | 32 | 64  | 14.1536578  | 0.532  | 6736  | 0.068522135 |
| peppers32.bmp | peppers32.bmp-withWavelet_rbio1.1-G_1-H8e-005_af5.wfa   | 98304   | 32768  | 32768  | 14 | 6512  | 112 | 112 | 32 | 64  | 14.1536578  | 0.469  | 6736  | 0.068522135 |
| peppers32.bmp | peppers32.bmp-withWavelet_sym1-G_1-H8e-005_af5.wfa      | 98304   | 32768  | 32768  | 14 | 6512  | 112 | 112 | 32 | 64  | 14.1536578  | 0.5    | 6736  | 0.068522135 |
| peppers32.bmp | peppers32.bmp-withWavelet_bior1.1-G_1-H8e-005_af5.wfa   | 98304   | 32768  | 32768  | 14 | 6512  | 112 | 112 | 32 | 64  | 14.1536578  | 0.422  | 6736  | 0.068522135 |
| peppers32.bmp | peppers32.bmp-withWavelet_haar-G_1-H9e-005_af5.wfa      | 98304   | 32768  | 32768  | 14 | 6512  | 112 | 112 | 32 | 64  | 14.1536578  | 0.422  | 6736  | 0.068522135 |
| peppers32.bmp | peppers32.bmp-withWavelet_rbio1.1-G_1-H9e-005_af5.wfa   | 98304   | 32768  | 32768  | 14 | 6512  | 112 | 112 | 32 | 64  | 14.1536578  | 0.421  | 6736  | 0.068522135 |
| peppers32.bmp | peppers32.bmp-withWavelet_sym1-G_1-H9e-005_af5.wfa      | 98304   | 32768  | 32768  | 14 | 6512  | 112 | 112 | 32 | 64  | 14.1536578  | 0.422  | 6736  | 0.068522135 |
| peppers32.bmp | peppers32.bmp-withWavelet_bior1.1-G_1-H9e-005_af5.wfa   | 98304   | 32768  | 32768  | 14 | 6512  | 112 | 112 | 32 | 64  | 14.1536578  | 0.422  | 6736  | 0.068522135 |
| peppers32.bmp | peppers32.bmp-withWavelet_haar-G_1-H0.0001_af5.wfa      | 98304   | 32768  | 32768  | 14 | 6512  | 112 | 112 | 32 | 64  | 14.1536578  | 0.422  | 6736  | 0.068522135 |
| peppers32.bmp | peppers32.bmp-withWavelet_rbio1.1-G_1-H0.0001_af5.wfa   | 98304   | 32768  | 32768  | 14 | 6512  | 112 | 112 | 32 | 64  | 14.1536578  | 0.422  | 6736  | 0.068522135 |
| peppers32.bmp | peppers32.bmp-withWavelet_sym1-G_1-H0.0001_af5.wfa      | 98304   | 32768  | 32768  | 14 | 6512  | 112 | 112 | 32 | 64  | 14.1536578  | 0.531  | 6736  | 0.068522135 |



|               |   |         |        |        |    |       |     |     |    |     |             |        |       |             |
|---------------|---|---------|--------|--------|----|-------|-----|-----|----|-----|-------------|--------|-------|-------------|
| peppers32.bmp | peppers32.bmp-withWavelet_bior1.1-G_1-H0.0001_af5.wfa   | 98304   | 32768  | 32768  | 14 | 6512  | 112 | 112 | 32 | 64  | 14.1536578  | 0.437  | 6736  | 0.068522135 |
| peppers32.bmp | peppers32.bmp-withWavelet_haar-G_0.8-H8e-005_af5.wfa    | 98304   | 32768  | 32768  | 14 | 6512  | 112 | 112 | 32 | 64  | 14.15378356 | 0.437  | 6736  | 0.068522135 |
| peppers32.bmp | peppers32.bmp-withWavelet_rbio1.1-G_0.8-H8e-005_af5.wfa | 98304   | 32768  | 32768  | 14 | 6512  | 112 | 112 | 32 | 64  | 14.15378356 | 0.469  | 6736  | 0.068522135 |
| peppers32.bmp | peppers32.bmp-withWavelet_sym1-G_0.8-H8e-005_af5.wfa    | 98304   | 32768  | 32768  | 14 | 6512  | 112 | 112 | 32 | 64  | 14.15378356 | 0.422  | 6736  | 0.068522135 |
| peppers32.bmp | peppers32.bmp-withWavelet_bior1.1-G_0.8-H8e-005_af5.wfa | 98304   | 32768  | 32768  | 14 | 6512  | 112 | 112 | 32 | 64  | 14.15378356 | 0.532  | 6736  | 0.068522135 |
| peppers32.bmp | peppers32.bmp-withWavelet_haar-G_0.8-H9e-005_af5.wfa    | 98304   | 32768  | 32768  | 14 | 6512  | 112 | 112 | 32 | 64  | 14.15378356 | 0.422  | 6736  | 0.068522135 |
| peppers32.bmp | peppers32.bmp-withWavelet_rbio1.1-G_0.8-H9e-005_af5.wfa | 98304   | 32768  | 32768  | 14 | 6512  | 112 | 112 | 32 | 64  | 14.15378356 | 0.437  | 6736  | 0.068522135 |
| peppers32.bmp | peppers32.bmp-withWavelet_sym1-G_0.8-H9e-005_af5.wfa    | 98304   | 32768  | 32768  | 14 | 6512  | 112 | 112 | 32 | 64  | 14.15378356 | 0.422  | 6736  | 0.068522135 |
| peppers32.bmp | peppers32.bmp-withWavelet_bior1.1-G_0.8-H9e-005_af5.wfa | 98304   | 32768  | 32768  | 14 | 6512  | 112 | 112 | 32 | 64  | 14.15378356 | 0.484  | 6736  | 0.068522135 |
| peppers32.bmp | peppers32.bmp-withWavelet_haar-G_0.8-H0.0001_af5.wfa    | 98304   | 32768  | 32768  | 14 | 6512  | 112 | 112 | 32 | 64  | 14.15378356 | 0.468  | 6736  | 0.068522135 |
| peppers32.bmp | peppers32.bmp-withWavelet_rbio1.1-G_0.8-H0.0001_af5.wfa | 98304   | 32768  | 32768  | 14 | 6512  | 112 | 112 | 32 | 64  | 14.15378356 | 0.438  | 6736  | 0.068522135 |
| peppers32.bmp | peppers32.bmp-withWavelet_sym1-G_0.8-H0.0001_af5.wfa    | 98304   | 32768  | 32768  | 14 | 6512  | 112 | 112 | 32 | 64  | 14.15378356 | 0.437  | 6736  | 0.068522135 |
| peppers32.bmp | peppers32.bmp-withWavelet_bior1.1-G_0.8-H0.0001_af5.wfa | 98304   | 32768  | 32768  | 14 | 6512  | 112 | 112 | 32 | 64  | 14.15378356 | 0.437  | 6736  | 0.068522135 |
| peppers32.bmp | peppers32.bmp-G_0.6-H1e-005_af4.wfa                     | 393216  | 131072 |        | 5  | 1040  | 40  | 40  | 32 | 128 | 14.1756743  | 1.422  | 1120  | 0.002848307 |
| peppers32.bmp | peppers32.bmp-G_0.6-H2e-005_af4.wfa                     | 393216  | 131072 |        | 5  | 1040  | 40  | 40  | 32 | 128 | 14.1756743  | 1.422  | 1120  | 0.002848307 |
| peppers32.bmp | peppers32.bmp-G_0.6-H3e-005_af4.wfa                     | 393216  | 131072 |        | 5  | 1040  | 40  | 40  | 32 | 128 | 14.1756743  | 1.422  | 1120  | 0.002848307 |
| peppers32.bmp | peppers32.bmp-G_0.6-H4e-005_af4.wfa                     | 393216  | 131072 |        | 5  | 1040  | 40  | 40  | 32 | 128 | 14.1756743  | 1.422  | 1120  | 0.002848307 |
| peppers32.bmp | peppers32.bmp-G_0.6-H5e-005_af4.wfa                     | 393216  | 131072 |        | 5  | 1040  | 40  | 40  | 32 | 128 | 14.1756743  | 1.422  | 1120  | 0.002848307 |
| peppers32.bmp | peppers32.bmp-G_0.6-H6e-005_af4.wfa                     | 393216  | 131072 |        | 5  | 1040  | 40  | 40  | 32 | 128 | 14.1756743  | 1.625  | 1120  | 0.002848307 |
| peppers32.bmp | peppers32.bmp-G_0.6-H7e-005_af4.wfa                     | 393216  | 131072 |        | 5  | 1040  | 40  | 40  | 32 | 128 | 14.1756743  | 1.422  | 1120  | 0.002848307 |
| peppers32.bmp | peppers32.bmp-G_0.6-H8e-005_af4.wfa                     | 393216  | 131072 |        | 5  | 1040  | 40  | 40  | 32 | 128 | 14.1756743  | 1.437  | 1120  | 0.002848307 |
| peppers32.bmp | peppers32.bmp-G_0.6-H9e-005_af4.wfa                     | 393216  | 131072 |        | 5  | 1040  | 40  | 40  | 32 | 128 | 14.1756743  | 1.437  | 1120  | 0.002848307 |
| peppers32.bmp | peppers32.bmp-G_0.6-H0.0001_af4.wfa                     | 393216  | 131072 |        | 5  | 1040  | 40  | 40  | 32 | 128 | 14.1756743  | 1.422  | 1120  | 0.002848307 |
| peppers32.bmp | peppers32.bmp-withWavelet_haar-G_0.6-H4e-005_af5.wfa    | 1572864 | 524288 | 524288 | 19 | 11792 | 152 | 152 | 32 | 256 | 14.18716114 | 9.578  | 12096 | 0.00769043  |
| peppers32.bmp | peppers32.bmp-withWavelet_rbio1.1-G_0.6-H4e-005_af5.wfa | 1572864 | 524288 | 524288 | 19 | 11792 | 152 | 152 | 32 | 256 | 14.18716114 | 9.625  | 12096 | 0.00769043  |
| peppers32.bmp | peppers32.bmp-withWavelet_sym1-G_0.6-H4e-005_af5.wfa    | 1572864 | 524288 | 524288 | 19 | 11792 | 152 | 152 | 32 | 256 | 14.18716114 | 9.688  | 12096 | 0.00769043  |
| peppers32.bmp | peppers32.bmp-withWavelet_bior1.1-G_0.6-H4e-005_af5.wfa | 1572864 | 524288 | 524288 | 19 | 11792 | 152 | 152 | 32 | 256 | 14.18716114 | 9.609  | 12096 | 0.00769043  |
| peppers32.bmp | peppers32.bmp-withWavelet_haar-G_0.6-H3e-005_af2.wfa    | 1572864 | 524288 | 524288 | 28 | 25328 | 224 | 224 | 32 | 256 | 14.19772387 | 16.641 | 25776 | 0.016387939 |
| peppers32.bmp | peppers32.bmp-withWavelet_rbio1.1-G_0.6-H3e-005_af2.wfa | 1572864 | 524288 | 524288 | 28 | 25328 | 224 | 224 | 32 | 256 | 14.19772387 | 16.656 | 25776 | 0.016387939 |
| peppers32.bmp | peppers32.bmp-withWavelet_sym1-G_0.6-H3e-005_af2.wfa    | 1572864 | 524288 | 524288 | 28 | 25328 | 224 | 224 | 32 | 256 | 14.19772387 | 16.532 | 25776 | 0.016387939 |
| peppers32.bmp | peppers32.bmp-withWavelet_bior1.1-G_0.6-H3e-005_af2.wfa | 1572864 | 524288 | 524288 | 28 | 25328 | 224 | 224 | 32 | 256 | 14.19772387 | 16.765 | 25776 | 0.016387939 |

|               |   |         |        |        |    |       |     |     |    |     |             |        |       |             |
|---------------|---|---------|--------|--------|----|-------|-----|-----|----|-----|-------------|--------|-------|-------------|
| peppers32.bmp | peppers32.bmp-withWavelet_haar-G_0.8-H6e-005_af5.wfa    | 98304   | 32768  | 32768  | 18 | 10608 | 144 | 144 | 32 | 64  | 14.20235742 | 0.516  | 10896 | 0.110839844 |
| peppers32.bmp | peppers32.bmp-withWavelet_rbio1.1-G_0.8-H6e-005_af5.wfa | 98304   | 32768  | 32768  | 18 | 10608 | 144 | 144 | 32 | 64  | 14.20235742 | 0.531  | 10896 | 0.110839844 |
| peppers32.bmp | peppers32.bmp-withWavelet_sym1-G_0.8-H6e-005_af5.wfa    | 98304   | 32768  | 32768  | 18 | 10608 | 144 | 144 | 32 | 64  | 14.20235742 | 0.516  | 10896 | 0.110839844 |
| peppers32.bmp | peppers32.bmp-withWavelet_bior1.1-G_0.8-H6e-005_af5.wfa | 98304   | 32768  | 32768  | 18 | 10608 | 144 | 144 | 32 | 64  | 14.20235742 | 0.5    | 10896 | 0.110839844 |
| peppers32.bmp | peppers32.bmp-withWavelet_haar-G_0.6-H2e-005_af5.wfa    | 98304   | 32768  | 32768  | 23 | 17168 | 184 | 184 | 32 | 64  | 14.213316   | 0.687  | 17536 | 0.178385417 |
| peppers32.bmp | peppers32.bmp-withWavelet_rbio1.1-G_0.6-H2e-005_af5.wfa | 98304   | 32768  | 32768  | 23 | 17168 | 184 | 184 | 32 | 64  | 14.213316   | 0.688  | 17536 | 0.178385417 |
| peppers32.bmp | peppers32.bmp-withWavelet_sym1-G_0.6-H2e-005_af5.wfa    | 98304   | 32768  | 32768  | 23 | 17168 | 184 | 184 | 32 | 64  | 14.213316   | 0.688  | 17536 | 0.178385417 |
| peppers32.bmp | peppers32.bmp-withWavelet_bior1.1-G_0.6-H2e-005_af5.wfa | 98304   | 32768  | 32768  | 23 | 17168 | 184 | 184 | 32 | 64  | 14.213316   | 0.687  | 17536 | 0.178385417 |
| peppers32.bmp | peppers32.bmp-withWavelet_haar-G_0.6-H3e-005_af5.wfa    | 393216  | 131072 | 131072 | 21 | 14352 | 168 | 168 | 32 | 128 | 14.22392081 | 2.422  | 14688 | 0.037353516 |
| peppers32.bmp | peppers32.bmp-withWavelet_rbio1.1-G_0.6-H3e-005_af5.wfa | 393216  | 131072 | 131072 | 21 | 14352 | 168 | 168 | 32 | 128 | 14.22392081 | 2.406  | 14688 | 0.037353516 |
| peppers32.bmp | peppers32.bmp-withWavelet_sym1-G_0.6-H3e-005_af5.wfa    | 393216  | 131072 | 131072 | 21 | 14352 | 168 | 168 | 32 | 128 | 14.22392081 | 2.39   | 14688 | 0.037353516 |
| peppers32.bmp | peppers32.bmp-withWavelet_bior1.1-G_0.6-H3e-005_af5.wfa | 393216  | 131072 | 131072 | 21 | 14352 | 168 | 168 | 32 | 128 | 14.22392081 | 2.406  | 14688 | 0.037353516 |
| peppers32.bmp | peppers32.bmp-withWavelet_haar-G_0.6-H1e-005_af2.wfa    | 1572864 | 524288 | 524288 | 33 | 35088 | 264 | 264 | 32 | 256 | 14.23519349 | 22.407 | 35616 | 0.022644043 |
| peppers32.bmp | peppers32.bmp-withWavelet_rbio1.1-G_0.6-H1e-005_af2.wfa | 1572864 | 524288 | 524288 | 33 | 35088 | 264 | 264 | 32 | 256 | 14.23519349 | 22.531 | 35616 | 0.022644043 |
| peppers32.bmp | peppers32.bmp-withWavelet_sym1-G_0.6-H1e-005_af2.wfa    | 1572864 | 524288 | 524288 | 33 | 35088 | 264 | 264 | 32 | 256 | 14.23519349 | 24.922 | 35616 | 0.022644043 |
| peppers32.bmp | peppers32.bmp-withWavelet_bior1.1-G_0.6-H1e-005_af2.wfa | 1572864 | 524288 | 524288 | 33 | 35088 | 264 | 264 | 32 | 256 | 14.23519349 | 26.75  | 35616 | 0.022644043 |
| peppers32.bmp | peppers32.bmp-withWavelet_haar-G_0.8-H7e-005_af5.wfa    | 98304   | 32768  | 32768  | 16 | 8432  | 128 | 128 | 32 | 64  | 14.24437618 | 0.532  | 8688  | 0.088378906 |
| peppers32.bmp | peppers32.bmp-withWavelet_rbio1.1-G_0.8-H7e-005_af5.wfa | 98304   | 32768  | 32768  | 16 | 8432  | 128 | 128 | 32 | 64  | 14.24437618 | 0.468  | 8688  | 0.088378906 |
| peppers32.bmp | peppers32.bmp-withWavelet_sym1-G_0.8-H7e-005_af5.wfa    | 98304   | 32768  | 32768  | 16 | 8432  | 128 | 128 | 32 | 64  | 14.24437618 | 0.453  | 8688  | 0.088378906 |
| peppers32.bmp | peppers32.bmp-withWavelet_bior1.1-G_0.8-H7e-005_af5.wfa | 98304   | 32768  | 32768  | 16 | 8432  | 128 | 128 | 32 | 64  | 14.24437618 | 0.485  | 8688  | 0.088378906 |
| peppers32.bmp | peppers32.bmp-withWavelet_haar-G_1-H7e-005_af5.wfa      | 98304   | 32768  | 32768  | 16 | 8432  | 128 | 128 | 32 | 64  | 14.24511659 | 0.531  | 8688  | 0.088378906 |
| peppers32.bmp | peppers32.bmp-withWavelet_rbio1.1-G_1-H7e-005_af5.wfa   | 98304   | 32768  | 32768  | 16 | 8432  | 128 | 128 | 32 | 64  | 14.24511659 | 0.5    | 8688  | 0.088378906 |
| peppers32.bmp | peppers32.bmp-withWavelet_sym1-G_1-H7e-005_af5.wfa      | 98304   | 32768  | 32768  | 16 | 8432  | 128 | 128 | 32 | 64  | 14.24511659 | 0.469  | 8688  | 0.088378906 |
| peppers32.bmp | peppers32.bmp-withWavelet_bior1.1-G_1-H7e-005_af5.wfa   | 98304   | 32768  | 32768  | 16 | 8432  | 128 | 128 | 32 | 64  | 14.24511659 | 0.453  | 8688  | 0.088378906 |
| peppers32.bmp | peppers32.bmp-withWavelet_haar-G_0.8-H6e-005_af5.wfa    | 1572864 | 524288 | 524288 | 18 | 10608 | 144 | 144 | 32 | 256 | 14.24558779 | 8.953  | 10896 | 0.00692749  |
| peppers32.bmp | peppers32.bmp-withWavelet_rbio1.1-G_0.8-H6e-005_af5.wfa | 1572864 | 524288 | 524288 | 18 | 10608 | 144 | 144 | 32 | 256 | 14.24558779 | 8.921  | 10896 | 0.00692749  |
| peppers32.bmp | peppers32.bmp-withWavelet_sym1-G_0.8-H6e-005_af5.wfa    | 1572864 | 524288 | 524288 | 18 | 10608 | 144 | 144 | 32 | 256 | 14.24558779 | 8.937  | 10896 | 0.00692749  |
| peppers32.bmp | peppers32.bmp-withWavelet_bior1.1-G_0.8-H6e-005_af5.wfa | 1572864 | 524288 | 524288 | 18 | 10608 | 144 | 144 | 32 | 256 | 14.24558779 | 8.922  | 10896 | 0.00692749  |
| peppers32.bmp | peppers32.bmp-withWavelet_haar-G_1-H6e-005_af5.wfa      | 98304   | 32768  | 32768  | 17 | 9488  | 136 | 136 | 32 | 64  | 14.25282249 | 0.484  | 9760  | 0.099283854 |
| peppers32.bmp | peppers32.bmp-withWavelet_rbio1.1-G_1-H6e-005_af5.wfa   | 98304   | 32768  | 32768  | 17 | 9488  | 136 | 136 | 32 | 64  | 14.25282249 | 0.484  | 9760  | 0.099283854 |
| peppers32.bmp | peppers32.bmp-withWavelet_sym1-G_1-H6e-005_af5.wfa      | 98304   | 32768  | 32768  | 17 | 9488  | 136 | 136 | 32 | 64  | 14.25282249 | 0.5    | 9760  | 0.099283854 |

|               |   |         |        |        |    |       |     |     |    |     |             |       |       |             |
|---------------|---|---------|--------|--------|----|-------|-----|-----|----|-----|-------------|-------|-------|-------------|
| peppers32.bmp | peppers32.bmp-withWavelet_bior1.1-G_1-H6e-005_af5.wfa   | 98304   | 32768  | 32768  | 17 | 9488  | 136 | 136 | 32 | 64  | 14.25282249 | 0.516 | 9760  | 0.099283854 |
| peppers32.bmp | peppers32.bmp-withWavelet_haar-G_0.8-H8e-005_af5.wfa    | 1572864 | 524288 | 524288 | 14 | 6512  | 112 | 112 | 32 | 256 | 14.27026435 | 7.688 | 6736  | 0.004282633 |
| peppers32.bmp | peppers32.bmp-withWavelet_rbio1.1-G_0.8-H8e-005_af5.wfa | 1572864 | 524288 | 524288 | 14 | 6512  | 112 | 112 | 32 | 256 | 14.27026435 | 7.64  | 6736  | 0.004282633 |
| peppers32.bmp | peppers32.bmp-withWavelet_sym1-G_0.8-H8e-005_af5.wfa    | 1572864 | 524288 | 524288 | 14 | 6512  | 112 | 112 | 32 | 256 | 14.27026435 | 7.594 | 6736  | 0.004282633 |
| peppers32.bmp | peppers32.bmp-withWavelet_bior1.1-G_0.8-H8e-005_af5.wfa | 1572864 | 524288 | 524288 | 14 | 6512  | 112 | 112 | 32 | 256 | 14.27026435 | 7.531 | 6736  | 0.004282633 |
| peppers32.bmp | peppers32.bmp-withWavelet_haar-G_0.8-H9e-005_af5.wfa    | 1572864 | 524288 | 524288 | 14 | 6512  | 112 | 112 | 32 | 256 | 14.27026435 | 7.563 | 6736  | 0.004282633 |
| peppers32.bmp | peppers32.bmp-withWavelet_rbio1.1-G_0.8-H9e-005_af5.wfa | 1572864 | 524288 | 524288 | 14 | 6512  | 112 | 112 | 32 | 256 | 14.27026435 | 7.625 | 6736  | 0.004282633 |
| peppers32.bmp | peppers32.bmp-withWavelet_sym1-G_0.8-H9e-005_af5.wfa    | 1572864 | 524288 | 524288 | 14 | 6512  | 112 | 112 | 32 | 256 | 14.27026435 | 7.531 | 6736  | 0.004282633 |
| peppers32.bmp | peppers32.bmp-withWavelet_bior1.1-G_0.8-H9e-005_af5.wfa | 1572864 | 524288 | 524288 | 14 | 6512  | 112 | 112 | 32 | 256 | 14.27026435 | 7.547 | 6736  | 0.004282633 |
| peppers32.bmp | peppers32.bmp-withWavelet_haar-G_0.8-H0.0001_af5.wfa    | 1572864 | 524288 | 524288 | 14 | 6512  | 112 | 112 | 32 | 256 | 14.27026435 | 7.594 | 6736  | 0.004282633 |
| peppers32.bmp | peppers32.bmp-withWavelet_rbio1.1-G_0.8-H0.0001_af5.wfa | 1572864 | 524288 | 524288 | 14 | 6512  | 112 | 112 | 32 | 256 | 14.27026435 | 7.625 | 6736  | 0.004282633 |
| peppers32.bmp | peppers32.bmp-withWavelet_sym1-G_0.8-H0.0001_af5.wfa    | 1572864 | 524288 | 524288 | 14 | 6512  | 112 | 112 | 32 | 256 | 14.27026435 | 7.61  | 6736  | 0.004282633 |
| peppers32.bmp | peppers32.bmp-withWavelet_bior1.1-G_0.8-H0.0001_af5.wfa | 1572864 | 524288 | 524288 | 14 | 6512  | 112 | 112 | 32 | 256 | 14.27026435 | 7.672 | 6736  | 0.004282633 |
| peppers32.bmp | peppers32.bmp-withWavelet_haar-G_1-H8e-005_af5.wfa      | 1572864 | 524288 | 524288 | 14 | 6512  | 112 | 112 | 32 | 256 | 14.27099109 | 7.593 | 6736  | 0.004282633 |
| peppers32.bmp | peppers32.bmp-withWavelet_rbio1.1-G_1-H8e-005_af5.wfa   | 1572864 | 524288 | 524288 | 14 | 6512  | 112 | 112 | 32 | 256 | 14.27099109 | 7.5   | 6736  | 0.004282633 |
| peppers32.bmp | peppers32.bmp-withWavelet_sym1-G_1-H8e-005_af5.wfa      | 1572864 | 524288 | 524288 | 14 | 6512  | 112 | 112 | 32 | 256 | 14.27099109 | 7.516 | 6736  | 0.004282633 |
| peppers32.bmp | peppers32.bmp-withWavelet_bior1.1-G_1-H8e-005_af5.wfa   | 1572864 | 524288 | 524288 | 14 | 6512  | 112 | 112 | 32 | 256 | 14.27099109 | 7.531 | 6736  | 0.004282633 |
| peppers32.bmp | peppers32.bmp-withWavelet_haar-G_1-H9e-005_af5.wfa      | 1572864 | 524288 | 524288 | 14 | 6512  | 112 | 112 | 32 | 256 | 14.27099109 | 7.625 | 6736  | 0.004282633 |
| peppers32.bmp | peppers32.bmp-withWavelet_rbio1.1-G_1-H9e-005_af5.wfa   | 1572864 | 524288 | 524288 | 14 | 6512  | 112 | 112 | 32 | 256 | 14.27099109 | 7.578 | 6736  | 0.004282633 |
| peppers32.bmp | peppers32.bmp-withWavelet_sym1-G_1-H9e-005_af5.wfa      | 1572864 | 524288 | 524288 | 14 | 6512  | 112 | 112 | 32 | 256 | 14.27099109 | 7.625 | 6736  | 0.004282633 |
| peppers32.bmp | peppers32.bmp-withWavelet_bior1.1-G_1-H9e-005_af5.wfa   | 1572864 | 524288 | 524288 | 14 | 6512  | 112 | 112 | 32 | 256 | 14.27099109 | 7.532 | 6736  | 0.004282633 |
| peppers32.bmp | peppers32.bmp-withWavelet_haar-G_1-H0.0001_af5.wfa      | 1572864 | 524288 | 524288 | 14 | 6512  | 112 | 112 | 32 | 256 | 14.27099109 | 7.531 | 6736  | 0.004282633 |
| peppers32.bmp | peppers32.bmp-withWavelet_rbio1.1-G_1-H0.0001_af5.wfa   | 1572864 | 524288 | 524288 | 14 | 6512  | 112 | 112 | 32 | 256 | 14.27099109 | 7.484 | 6736  | 0.004282633 |
| peppers32.bmp | peppers32.bmp-withWavelet_sym1-G_1-H0.0001_af5.wfa      | 1572864 | 524288 | 524288 | 14 | 6512  | 112 | 112 | 32 | 256 | 14.27099109 | 7.515 | 6736  | 0.004282633 |
| peppers32.bmp | peppers32.bmp-withWavelet_bior1.1-G_1-H0.0001_af5.wfa   | 1572864 | 524288 | 524288 | 14 | 6512  | 112 | 112 | 32 | 256 | 14.27099109 | 7.484 | 6736  | 0.004282633 |
| peppers32.bmp | peppers32.bmp-withWavelet_haar-G_0.8-H5e-005_af5.wfa    | 98304   | 32768  | 32768  | 19 | 11792 | 152 | 152 | 32 | 64  | 14.29065057 | 0.531 | 12096 | 0.123046875 |
| peppers32.bmp | peppers32.bmp-withWavelet_rbio1.1-G_0.8-H5e-005_af5.wfa | 98304   | 32768  | 32768  | 19 | 11792 | 152 | 152 | 32 | 64  | 14.29065057 | 0.532 | 12096 | 0.123046875 |
| peppers32.bmp | peppers32.bmp-withWavelet_sym1-G_0.8-H5e-005_af5.wfa    | 98304   | 32768  | 32768  | 19 | 11792 | 152 | 152 | 32 | 64  | 14.29065057 | 0.532 | 12096 | 0.123046875 |
| peppers32.bmp | peppers32.bmp-withWavelet_bior1.1-G_0.8-H5e-005_af5.wfa | 98304   | 32768  | 32768  | 19 | 11792 | 152 | 152 | 32 | 64  | 14.29065057 | 0.562 | 12096 | 0.123046875 |
| peppers32.bmp | peppers32.bmp-withWavelet_haar-G_0.8-H7e-005_af5.wfa    | 1572864 | 524288 | 524288 | 16 | 8432  | 128 | 128 | 32 | 256 | 14.29093163 | 8.234 | 8688  | 0.005523682 |
| peppers32.bmp | peppers32.bmp-withWavelet_rbio1.1-G_0.8-H7e-005_af5.wfa | 1572864 | 524288 | 524288 | 16 | 8432  | 128 | 128 | 32 | 256 | 14.29093163 | 8.141 | 8688  | 0.005523682 |

|               |   |         |        |        |    |       |     |     |    |     |             |       |       |             |
|---------------|---|---------|--------|--------|----|-------|-----|-----|----|-----|-------------|-------|-------|-------------|
| peppers32.bmp | peppers32.bmp-withWavelet_sym1-G_0.8-H7e-005_af5.wfa    | 1572864 | 524288 | 524288 | 16 | 8432  | 128 | 128 | 32 | 256 | 14.29093163 | 8.281 | 8688  | 0.005523682 |
| peppers32.bmp | peppers32.bmp-withWavelet_bior1.1-G_0.8-H7e-005_af5.wfa | 1572864 | 524288 | 524288 | 16 | 8432  | 128 | 128 | 32 | 256 | 14.29093163 | 8.125 | 8688  | 0.005523682 |
| peppers32.bmp | peppers32.bmp-withWavelet_haar-G_1-H7e-005_af5.wfa      | 1572864 | 524288 | 524288 | 16 | 8432  | 128 | 128 | 32 | 256 | 14.2925176  | 8.172 | 8688  | 0.005523682 |
| peppers32.bmp | peppers32.bmp-withWavelet_rbio1.1-G_1-H7e-005_af5.wfa   | 1572864 | 524288 | 524288 | 16 | 8432  | 128 | 128 | 32 | 256 | 14.2925176  | 8.234 | 8688  | 0.005523682 |
| peppers32.bmp | peppers32.bmp-withWavelet_sym1-G_1-H7e-005_af5.wfa      | 1572864 | 524288 | 524288 | 16 | 8432  | 128 | 128 | 32 | 256 | 14.2925176  | 8.188 | 8688  | 0.005523682 |
| peppers32.bmp | peppers32.bmp-withWavelet_bior1.1-G_1-H7e-005_af5.wfa   | 1572864 | 524288 | 524288 | 16 | 8432  | 128 | 128 | 32 | 256 | 14.2925176  | 8.375 | 8688  | 0.005523682 |
| peppers32.bmp | peppers32.bmp-withWavelet_haar-G_1-H6e-005_af5.wfa      | 1572864 | 524288 | 524288 | 17 | 9488  | 136 | 136 | 32 | 256 | 14.30166326 | 8.781 | 9760  | 0.006205241 |
| peppers32.bmp | peppers32.bmp-withWavelet_rbio1.1-G_1-H6e-005_af5.wfa   | 1572864 | 524288 | 524288 | 17 | 9488  | 136 | 136 | 32 | 256 | 14.30166326 | 8.625 | 9760  | 0.006205241 |
| peppers32.bmp | peppers32.bmp-withWavelet_sym1-G_1-H6e-005_af5.wfa      | 1572864 | 524288 | 524288 | 17 | 9488  | 136 | 136 | 32 | 256 | 14.30166326 | 8.579 | 9760  | 0.006205241 |
| peppers32.bmp | peppers32.bmp-withWavelet_bior1.1-G_1-H6e-005_af5.wfa   | 1572864 | 524288 | 524288 | 17 | 9488  | 136 | 136 | 32 | 256 | 14.30166326 | 8.641 | 9760  | 0.006205241 |
| peppers32.bmp | peppers32.bmp-withWavelet_haar-G_1-H5e-005_af5.wfa      | 98304   | 32768  | 32768  | 19 | 11792 | 152 | 152 | 32 | 64  | 14.30329632 | 0.531 | 12096 | 0.123046875 |
| peppers32.bmp | peppers32.bmp-withWavelet_rbio1.1-G_1-H5e-005_af5.wfa   | 98304   | 32768  | 32768  | 19 | 11792 | 152 | 152 | 32 | 64  | 14.30329632 | 0.547 | 12096 | 0.123046875 |
| peppers32.bmp | peppers32.bmp-withWavelet_sym1-G_1-H5e-005_af5.wfa      | 98304   | 32768  | 32768  | 19 | 11792 | 152 | 152 | 32 | 64  | 14.30329632 | 0.547 | 12096 | 0.123046875 |
| peppers32.bmp | peppers32.bmp-withWavelet_bior1.1-G_1-H5e-005_af5.wfa   | 98304   | 32768  | 32768  | 19 | 11792 | 152 | 152 | 32 | 64  | 14.30329632 | 0.563 | 12096 | 0.123046875 |
| peppers32.bmp | peppers32.bmp-withWavelet_haar-G_0.8-H6e-005_af5.wfa    | 393216  | 131072 | 131072 | 18 | 10608 | 144 | 144 | 32 | 128 | 14.31125371 | 2.062 | 10896 | 0.027709961 |
| peppers32.bmp | peppers32.bmp-withWavelet_rbio1.1-G_0.8-H6e-005_af5.wfa | 393216  | 131072 | 131072 | 18 | 10608 | 144 | 144 | 32 | 128 | 14.31125371 | 2.062 | 10896 | 0.027709961 |
| peppers32.bmp | peppers32.bmp-withWavelet_sym1-G_0.8-H6e-005_af5.wfa    | 393216  | 131072 | 131072 | 18 | 10608 | 144 | 144 | 32 | 128 | 14.31125371 | 2.078 | 10896 | 0.027709961 |
| peppers32.bmp | peppers32.bmp-withWavelet_bior1.1-G_0.8-H6e-005_af5.wfa | 393216  | 131072 | 131072 | 18 | 10608 | 144 | 144 | 32 | 128 | 14.31125371 | 2.078 | 10896 | 0.027709961 |
| peppers32.bmp | peppers32.bmp-withWavelet_haar-G_0.6-H3e-005_af5.wfa    | 98304   | 32768  | 32768  | 21 | 14352 | 168 | 168 | 32 | 64  | 14.31955817 | 0.562 | 14688 | 0.149414063 |
| peppers32.bmp | peppers32.bmp-withWavelet_rbio1.1-G_0.6-H3e-005_af5.wfa | 98304   | 32768  | 32768  | 21 | 14352 | 168 | 168 | 32 | 64  | 14.31955817 | 0.641 | 14688 | 0.149414063 |
| peppers32.bmp | peppers32.bmp-withWavelet_sym1-G_0.6-H3e-005_af5.wfa    | 98304   | 32768  | 32768  | 21 | 14352 | 168 | 168 | 32 | 64  | 14.31955817 | 0.562 | 14688 | 0.149414063 |
| peppers32.bmp | peppers32.bmp-withWavelet_bior1.1-G_0.6-H3e-005_af5.wfa | 98304   | 32768  | 32768  | 21 | 14352 | 168 | 168 | 32 | 64  | 14.31955817 | 0.563 | 14688 | 0.149414063 |
| peppers32.bmp | peppers32.bmp-withWavelet_haar-G_0.6-H9e-005_af2.wfa    | 1572864 | 524288 | 524288 | 20 | 13040 | 160 | 160 | 32 | 256 | 14.32027695 | 9.891 | 13360 | 0.008494059 |
| peppers32.bmp | peppers32.bmp-withWavelet_rbio1.1-G_0.6-H9e-005_af2.wfa | 1572864 | 524288 | 524288 | 20 | 13040 | 160 | 160 | 32 | 256 | 14.32027695 | 9.75  | 13360 | 0.008494059 |
| peppers32.bmp | peppers32.bmp-withWavelet_sym1-G_0.6-H9e-005_af2.wfa    | 1572864 | 524288 | 524288 | 20 | 13040 | 160 | 160 | 32 | 256 | 14.32027695 | 9.86  | 13360 | 0.008494059 |
| peppers32.bmp | peppers32.bmp-withWavelet_bior1.1-G_0.6-H9e-005_af2.wfa | 1572864 | 524288 | 524288 | 20 | 13040 | 160 | 160 | 32 | 256 | 14.32027695 | 9.937 | 13360 | 0.008494059 |
| peppers32.bmp | peppers32.bmp-withWavelet_haar-G_0.8-H8e-005_af5.wfa    | 393216  | 131072 | 131072 | 14 | 6512  | 112 | 112 | 32 | 128 | 14.32603175 | 1.797 | 6736  | 0.017130534 |
| peppers32.bmp | peppers32.bmp-withWavelet_rbio1.1-G_0.8-H8e-005_af5.wfa | 393216  | 131072 | 131072 | 14 | 6512  | 112 | 112 | 32 | 128 | 14.32603175 | 1.765 | 6736  | 0.017130534 |
| peppers32.bmp | peppers32.bmp-withWavelet_sym1-G_0.8-H8e-005_af5.wfa    | 393216  | 131072 | 131072 | 14 | 6512  | 112 | 112 | 32 | 128 | 14.32603175 | 1.797 | 6736  | 0.017130534 |
| peppers32.bmp | peppers32.bmp-withWavelet_bior1.1-G_0.8-H8e-005_af5.wfa | 393216  | 131072 | 131072 | 14 | 6512  | 112 | 112 | 32 | 128 | 14.32603175 | 1.765 | 6736  | 0.017130534 |
| peppers32.bmp | peppers32.bmp-withWavelet_haar-G_0.8-H9e-005_af5.wfa    | 393216  | 131072 | 131072 | 14 | 6512  | 112 | 112 | 32 | 128 | 14.32603175 | 1.765 | 6736  | 0.017130534 |

|               |   |         |        |        |    |       |     |     |    |     |             |        |       |             |
|---------------|---|---------|--------|--------|----|-------|-----|-----|----|-----|-------------|--------|-------|-------------|
| peppers32.bmp | peppers32.bmp-withWavelet_rbio1.1-G_0.8-H9e-005_af5.wfa | 393216  | 131072 | 131072 | 14 | 6512  | 112 | 112 | 32 | 128 | 14.32603175 | 1.875  | 6736  | 0.017130534 |
| peppers32.bmp | peppers32.bmp-withWavelet_sym1-G_0.8-H9e-005_af5.wfa    | 393216  | 131072 | 131072 | 14 | 6512  | 112 | 112 | 32 | 128 | 14.32603175 | 1.75   | 6736  | 0.017130534 |
| peppers32.bmp | peppers32.bmp-withWavelet_bior1.1-G_0.8-H9e-005_af5.wfa | 393216  | 131072 | 131072 | 14 | 6512  | 112 | 112 | 32 | 128 | 14.32603175 | 1.766  | 6736  | 0.017130534 |
| peppers32.bmp | peppers32.bmp-withWavelet_haar-G_0.8-H0.0001_af5.wfa    | 393216  | 131072 | 131072 | 14 | 6512  | 112 | 112 | 32 | 128 | 14.32603175 | 1.813  | 6736  | 0.017130534 |
| peppers32.bmp | peppers32.bmp-withWavelet_rbio1.1-G_0.8-H0.0001_af5.wfa | 393216  | 131072 | 131072 | 14 | 6512  | 112 | 112 | 32 | 128 | 14.32603175 | 1.796  | 6736  | 0.017130534 |
| peppers32.bmp | peppers32.bmp-withWavelet_sym1-G_0.8-H0.0001_af5.wfa    | 393216  | 131072 | 131072 | 14 | 6512  | 112 | 112 | 32 | 128 | 14.32603175 | 1.766  | 6736  | 0.017130534 |
| peppers32.bmp | peppers32.bmp-withWavelet_bior1.1-G_0.8-H0.0001_af5.wfa | 393216  | 131072 | 131072 | 14 | 6512  | 112 | 112 | 32 | 128 | 14.32603175 | 1.781  | 6736  | 0.017130534 |
| peppers32.bmp | peppers32.bmp-withWavelet_haar-G_1-H8e-005_af5.wfa      | 393216  | 131072 | 131072 | 14 | 6512  | 112 | 112 | 32 | 128 | 14.32628756 | 1.875  | 6736  | 0.017130534 |
| peppers32.bmp | peppers32.bmp-withWavelet_rbio1.1-G_1-H8e-005_af5.wfa   | 393216  | 131072 | 131072 | 14 | 6512  | 112 | 112 | 32 | 128 | 14.32628756 | 1.829  | 6736  | 0.017130534 |
| peppers32.bmp | peppers32.bmp-withWavelet_sym1-G_1-H8e-005_af5.wfa      | 393216  | 131072 | 131072 | 14 | 6512  | 112 | 112 | 32 | 128 | 14.32628756 | 1.781  | 6736  | 0.017130534 |
| peppers32.bmp | peppers32.bmp-withWavelet_bior1.1-G_1-H8e-005_af5.wfa   | 393216  | 131072 | 131072 | 14 | 6512  | 112 | 112 | 32 | 128 | 14.32628756 | 1.766  | 6736  | 0.017130534 |
| peppers32.bmp | peppers32.bmp-withWavelet_haar-G_1-H9e-005_af5.wfa      | 393216  | 131072 | 131072 | 14 | 6512  | 112 | 112 | 32 | 128 | 14.32628756 | 1.766  | 6736  | 0.017130534 |
| peppers32.bmp | peppers32.bmp-withWavelet_rbio1.1-G_1-H9e-005_af5.wfa   | 393216  | 131072 | 131072 | 14 | 6512  | 112 | 112 | 32 | 128 | 14.32628756 | 1.921  | 6736  | 0.017130534 |
| peppers32.bmp | peppers32.bmp-withWavelet_sym1-G_1-H9e-005_af5.wfa      | 393216  | 131072 | 131072 | 14 | 6512  | 112 | 112 | 32 | 128 | 14.32628756 | 1.797  | 6736  | 0.017130534 |
| peppers32.bmp | peppers32.bmp-withWavelet_bior1.1-G_1-H9e-005_af5.wfa   | 393216  | 131072 | 131072 | 14 | 6512  | 112 | 112 | 32 | 128 | 14.32628756 | 1.765  | 6736  | 0.017130534 |
| peppers32.bmp | peppers32.bmp-withWavelet_haar-G_1-H0.0001_af5.wfa      | 393216  | 131072 | 131072 | 14 | 6512  | 112 | 112 | 32 | 128 | 14.32628756 | 1.781  | 6736  | 0.017130534 |
| peppers32.bmp | peppers32.bmp-withWavelet_rbio1.1-G_1-H0.0001_af5.wfa   | 393216  | 131072 | 131072 | 14 | 6512  | 112 | 112 | 32 | 128 | 14.32628756 | 1.765  | 6736  | 0.017130534 |
| peppers32.bmp | peppers32.bmp-withWavelet_sym1-G_1-H0.0001_af5.wfa      | 393216  | 131072 | 131072 | 14 | 6512  | 112 | 112 | 32 | 128 | 14.32628756 | 1.844  | 6736  | 0.017130534 |
| peppers32.bmp | peppers32.bmp-withWavelet_bior1.1-G_1-H0.0001_af5.wfa   | 393216  | 131072 | 131072 | 14 | 6512  | 112 | 112 | 32 | 128 | 14.32628756 | 1.828  | 6736  | 0.017130534 |
| peppers32.bmp | peppers32.bmp-withWavelet_haar-G_0.6-H4e-005_af5.wfa    | 393216  | 131072 | 131072 | 19 | 11792 | 152 | 152 | 32 | 128 | 14.33070948 | 2.187  | 12096 | 0.030761719 |
| peppers32.bmp | peppers32.bmp-withWavelet_rbio1.1-G_0.6-H4e-005_af5.wfa | 393216  | 131072 | 131072 | 19 | 11792 | 152 | 152 | 32 | 128 | 14.33070948 | 2.25   | 12096 | 0.030761719 |
| peppers32.bmp | peppers32.bmp-withWavelet_sym1-G_0.6-H4e-005_af5.wfa    | 393216  | 131072 | 131072 | 19 | 11792 | 152 | 152 | 32 | 128 | 14.33070948 | 2.188  | 12096 | 0.030761719 |
| peppers32.bmp | peppers32.bmp-withWavelet_bior1.1-G_0.6-H4e-005_af5.wfa | 393216  | 131072 | 131072 | 19 | 11792 | 152 | 152 | 32 | 128 | 14.33070948 | 2.313  | 12096 | 0.030761719 |
| peppers32.bmp | peppers32.bmp-withWavelet_haar-G_0.6-H2e-005_af2.wfa    | 393216  | 131072 | 131072 | 32 | 33008 | 256 | 256 | 32 | 128 | 14.33299765 | 5.032  | 33520 | 0.085245768 |
| peppers32.bmp | peppers32.bmp-withWavelet_rbio1.1-G_0.6-H2e-005_af2.wfa | 393216  | 131072 | 131072 | 32 | 33008 | 256 | 256 | 32 | 128 | 14.33299765 | 5.047  | 33520 | 0.085245768 |
| peppers32.bmp | peppers32.bmp-withWavelet_sym1-G_0.6-H2e-005_af2.wfa    | 393216  | 131072 | 131072 | 32 | 33008 | 256 | 256 | 32 | 128 | 14.33299765 | 4.656  | 33520 | 0.085245768 |
| peppers32.bmp | peppers32.bmp-withWavelet_bior1.1-G_0.6-H2e-005_af2.wfa | 393216  | 131072 | 131072 | 32 | 33008 | 256 | 256 | 32 | 128 | 14.33299765 | 4.687  | 33520 | 0.085245768 |
| peppers32.bmp | peppers32.bmp-withWavelet_haar-G_0.8-H5e-005_af5.wfa    | 1572864 | 524288 | 524288 | 19 | 11792 | 152 | 152 | 32 | 256 | 14.33404977 | 9.672  | 12096 | 0.00769043  |
| peppers32.bmp | peppers32.bmp-withWavelet_rbio1.1-G_0.8-H5e-005_af5.wfa | 1572864 | 524288 | 524288 | 19 | 11792 | 152 | 152 | 32 | 256 | 14.33404977 | 9.641  | 12096 | 0.00769043  |
| peppers32.bmp | peppers32.bmp-withWavelet_sym1-G_0.8-H5e-005_af5.wfa    | 1572864 | 524288 | 524288 | 19 | 11792 | 152 | 152 | 32 | 256 | 14.33404977 | 10.171 | 12096 | 0.00769043  |
| peppers32.bmp | peppers32.bmp-withWavelet_bior1.1-G_0.8-H5e-005_af5.wfa | 1572864 | 524288 | 524288 | 19 | 11792 | 152 | 152 | 32 | 256 | 14.33404977 | 9.578  | 12096 | 0.00769043  |

|               |   |         |        |        |    |       |     |     |    |     |             |        |       |             |
|---------------|---|---------|--------|--------|----|-------|-----|-----|----|-----|-------------|--------|-------|-------------|
| peppers32.bmp | peppers32.bmp-withWavelet_haar-G_1-H5e-005_af5.wfa      | 1572864 | 524288 | 524288 | 19 | 11792 | 152 | 152 | 32 | 256 | 14.34657052 | 9.625  | 12096 | 0.00769043  |
| peppers32.bmp | peppers32.bmp-withWavelet_rbio1.1-G_1-H5e-005_af5.wfa   | 1572864 | 524288 | 524288 | 19 | 11792 | 152 | 152 | 32 | 256 | 14.34657052 | 9.578  | 12096 | 0.00769043  |
| peppers32.bmp | peppers32.bmp-withWavelet_sym1-G_1-H5e-005_af5.wfa      | 1572864 | 524288 | 524288 | 19 | 11792 | 152 | 152 | 32 | 256 | 14.34657052 | 9.563  | 12096 | 0.00769043  |
| peppers32.bmp | peppers32.bmp-withWavelet_bior1.1-G_1-H5e-005_af5.wfa   | 1572864 | 524288 | 524288 | 19 | 11792 | 152 | 152 | 32 | 256 | 14.34657052 | 9.562  | 12096 | 0.00769043  |
| peppers32.bmp | peppers32.bmp-withWavelet_haar-G_0.8-H7e-005_af5.wfa    | 393216  | 131072 | 131072 | 16 | 8432  | 128 | 128 | 32 | 128 | 14.35395803 | 1.906  | 8688  | 0.022094727 |
| peppers32.bmp | peppers32.bmp-withWavelet_rbio1.1-G_0.8-H7e-005_af5.wfa | 393216  | 131072 | 131072 | 16 | 8432  | 128 | 128 | 32 | 128 | 14.35395803 | 1.984  | 8688  | 0.022094727 |
| peppers32.bmp | peppers32.bmp-withWavelet_sym1-G_0.8-H7e-005_af5.wfa    | 393216  | 131072 | 131072 | 16 | 8432  | 128 | 128 | 32 | 128 | 14.35395803 | 1.891  | 8688  | 0.022094727 |
| peppers32.bmp | peppers32.bmp-withWavelet_bior1.1-G_0.8-H7e-005_af5.wfa | 393216  | 131072 | 131072 | 16 | 8432  | 128 | 128 | 32 | 128 | 14.35395803 | 1.906  | 8688  | 0.022094727 |
| peppers32.bmp | peppers32.bmp-withWavelet_haar-G_1-H7e-005_af5.wfa      | 393216  | 131072 | 131072 | 16 | 8432  | 128 | 128 | 32 | 128 | 14.35507139 | 1.906  | 8688  | 0.022094727 |
| peppers32.bmp | peppers32.bmp-withWavelet_rbio1.1-G_1-H7e-005_af5.wfa   | 393216  | 131072 | 131072 | 16 | 8432  | 128 | 128 | 32 | 128 | 14.35507139 | 1.953  | 8688  | 0.022094727 |
| peppers32.bmp | peppers32.bmp-withWavelet_sym1-G_1-H7e-005_af5.wfa      | 393216  | 131072 | 131072 | 16 | 8432  | 128 | 128 | 32 | 128 | 14.35507139 | 1.891  | 8688  | 0.022094727 |
| peppers32.bmp | peppers32.bmp-withWavelet_bior1.1-G_1-H7e-005_af5.wfa   | 393216  | 131072 | 131072 | 16 | 8432  | 128 | 128 | 32 | 128 | 14.35507139 | 1.891  | 8688  | 0.022094727 |
| peppers32.bmp | peppers32.bmp-withWavelet_haar-G_1-H6e-005_af5.wfa      | 393216  | 131072 | 131072 | 17 | 9488  | 136 | 136 | 32 | 128 | 14.36470262 | 2.016  | 9760  | 0.024820964 |
| peppers32.bmp | peppers32.bmp-withWavelet_rbio1.1-G_1-H6e-005_af5.wfa   | 393216  | 131072 | 131072 | 17 | 9488  | 136 | 136 | 32 | 128 | 14.36470262 | 2.016  | 9760  | 0.024820964 |
| peppers32.bmp | peppers32.bmp-withWavelet_sym1-G_1-H6e-005_af5.wfa      | 393216  | 131072 | 131072 | 17 | 9488  | 136 | 136 | 32 | 128 | 14.36470262 | 2.062  | 9760  | 0.024820964 |
| peppers32.bmp | peppers32.bmp-withWavelet_bior1.1-G_1-H6e-005_af5.wfa   | 393216  | 131072 | 131072 | 17 | 9488  | 136 | 136 | 32 | 128 | 14.36470262 | 2.172  | 9760  | 0.024820964 |
| peppers32.bmp | peppers32.bmp-withWavelet_haar-G_0.6-H2e-005_af3.wfa    | 1572864 | 524288 | 524288 | 35 | 39440 | 280 | 280 | 32 | 256 | 14.37685735 | 28.969 | 40000 | 0.025431315 |
| peppers32.bmp | peppers32.bmp-withWavelet_rbio1.1-G_0.6-H2e-005_af3.wfa | 1572864 | 524288 | 524288 | 35 | 39440 | 280 | 280 | 32 | 256 | 14.37685735 | 25.64  | 40000 | 0.025431315 |
| peppers32.bmp | peppers32.bmp-withWavelet_sym1-G_0.6-H2e-005_af3.wfa    | 1572864 | 524288 | 524288 | 35 | 39440 | 280 | 280 | 32 | 256 | 14.37685735 | 28.156 | 40000 | 0.025431315 |
| peppers32.bmp | peppers32.bmp-withWavelet_bior1.1-G_0.6-H2e-005_af3.wfa | 1572864 | 524288 | 524288 | 35 | 39440 | 280 | 280 | 32 | 256 | 14.37685735 | 25.625 | 40000 | 0.025431315 |
| peppers32.bmp | peppers32.bmp-withWavelet_haar-G_0.6-H3e-005_af3.wfa    | 1572864 | 524288 | 524288 | 34 | 37232 | 272 | 272 | 32 | 256 | 14.38076664 | 23.484 | 37776 | 0.024017334 |
| peppers32.bmp | peppers32.bmp-withWavelet_rbio1.1-G_0.6-H3e-005_af3.wfa | 1572864 | 524288 | 524288 | 34 | 37232 | 272 | 272 | 32 | 256 | 14.38076664 | 23.532 | 37776 | 0.024017334 |
| peppers32.bmp | peppers32.bmp-withWavelet_sym1-G_0.6-H3e-005_af3.wfa    | 1572864 | 524288 | 524288 | 34 | 37232 | 272 | 272 | 32 | 256 | 14.38076664 | 26.359 | 37776 | 0.024017334 |
| peppers32.bmp | peppers32.bmp-withWavelet_bior1.1-G_0.6-H3e-005_af3.wfa | 1572864 | 524288 | 524288 | 34 | 37232 | 272 | 272 | 32 | 256 | 14.38076664 | 23.422 | 37776 | 0.024017334 |
| peppers32.bmp | peppers32.bmp-withWavelet_haar-G_1-H8e-005_af5.wfa      | 24576   | 8192   | 8192   | 14 | 6512  | 112 | 112 | 32 | 32  | 14.38433415 | 0.109  | 6736  | 0.274088542 |
| peppers32.bmp | peppers32.bmp-withWavelet_rbio1.1-G_1-H8e-005_af5.wfa   | 24576   | 8192   | 8192   | 14 | 6512  | 112 | 112 | 32 | 32  | 14.38433415 | 0.094  | 6736  | 0.274088542 |
| peppers32.bmp | peppers32.bmp-withWavelet_sym1-G_1-H8e-005_af5.wfa      | 24576   | 8192   | 8192   | 14 | 6512  | 112 | 112 | 32 | 32  | 14.38433415 | 0.094  | 6736  | 0.274088542 |
| peppers32.bmp | peppers32.bmp-withWavelet_bior1.1-G_1-H8e-005_af5.wfa   | 24576   | 8192   | 8192   | 14 | 6512  | 112 | 112 | 32 | 32  | 14.38433415 | 0.094  | 6736  | 0.274088542 |
| peppers32.bmp | peppers32.bmp-withWavelet_haar-G_1-H9e-005_af5.wfa      | 24576   | 8192   | 8192   | 14 | 6512  | 112 | 112 | 32 | 32  | 14.38433415 | 0.11   | 6736  | 0.274088542 |
| peppers32.bmp | peppers32.bmp-withWavelet_rbio1.1-G_1-H9e-005_af5.wfa   | 24576   | 8192   | 8192   | 14 | 6512  | 112 | 112 | 32 | 32  | 14.38433415 | 0.11   | 6736  | 0.274088542 |
| peppers32.bmp | peppers32.bmp-withWavelet_sym1-G_1-H9e-005_af5.wfa      | 24576   | 8192   | 8192   | 14 | 6512  | 112 | 112 | 32 | 32  | 14.38433415 | 0.109  | 6736  | 0.274088542 |

|               |   |         |        |        |    |       |     |     |    |     |             |        |       |             |
|---------------|---|---------|--------|--------|----|-------|-----|-----|----|-----|-------------|--------|-------|-------------|
| peppers32.bmp | peppers32.bmp-withWavelet_bior1.1-G_1-H9e-005_af5.wfa   | 24576   | 8192   | 8192   | 14 | 6512  | 112 | 112 | 32 | 32  | 14.38433415 | 0.125  | 6736  | 0.274088542 |
| peppers32.bmp | peppers32.bmp-withWavelet_haar-G_1-H0.0001_af5.wfa      | 24576   | 8192   | 8192   | 14 | 6512  | 112 | 112 | 32 | 32  | 14.38433415 | 0.11   | 6736  | 0.274088542 |
| peppers32.bmp | peppers32.bmp-withWavelet_rbio1.1-G_1-H0.0001_af5.wfa   | 24576   | 8192   | 8192   | 14 | 6512  | 112 | 112 | 32 | 32  | 14.38433415 | 0.094  | 6736  | 0.274088542 |
| peppers32.bmp | peppers32.bmp-withWavelet_sym1-G_1-H0.0001_af5.wfa      | 24576   | 8192   | 8192   | 14 | 6512  | 112 | 112 | 32 | 32  | 14.38433415 | 0.109  | 6736  | 0.274088542 |
| peppers32.bmp | peppers32.bmp-withWavelet_bior1.1-G_1-H0.0001_af5.wfa   | 24576   | 8192   | 8192   | 14 | 6512  | 112 | 112 | 32 | 32  | 14.38433415 | 0.093  | 6736  | 0.274088542 |
| peppers32.bmp | peppers32.bmp-withWavelet_haar-G_0.6-H4e-005_af5.wfa    | 98304   | 32768  | 32768  | 19 | 11792 | 152 | 152 | 32 | 64  | 14.38772585 | 0.531  | 12096 | 0.123046875 |
| peppers32.bmp | peppers32.bmp-withWavelet_rbio1.1-G_0.6-H4e-005_af5.wfa | 98304   | 32768  | 32768  | 19 | 11792 | 152 | 152 | 32 | 64  | 14.38772585 | 0.515  | 12096 | 0.123046875 |
| peppers32.bmp | peppers32.bmp-withWavelet_sym1-G_0.6-H4e-005_af5.wfa    | 98304   | 32768  | 32768  | 19 | 11792 | 152 | 152 | 32 | 64  | 14.38772585 | 0.563  | 12096 | 0.123046875 |
| peppers32.bmp | peppers32.bmp-withWavelet_bior1.1-G_0.6-H4e-005_af5.wfa | 98304   | 32768  | 32768  | 19 | 11792 | 152 | 152 | 32 | 64  | 14.38772585 | 0.515  | 12096 | 0.123046875 |
| peppers32.bmp | peppers32.bmp-withWavelet_haar-G_0.8-H8e-005_af5.wfa    | 24576   | 8192   | 8192   | 14 | 6512  | 112 | 112 | 32 | 32  | 14.39521689 | 0.094  | 6736  | 0.274088542 |
| peppers32.bmp | peppers32.bmp-withWavelet_rbio1.1-G_0.8-H8e-005_af5.wfa | 24576   | 8192   | 8192   | 14 | 6512  | 112 | 112 | 32 | 32  | 14.39521689 | 0.11   | 6736  | 0.274088542 |
| peppers32.bmp | peppers32.bmp-withWavelet_sym1-G_0.8-H8e-005_af5.wfa    | 24576   | 8192   | 8192   | 14 | 6512  | 112 | 112 | 32 | 32  | 14.39521689 | 0.109  | 6736  | 0.274088542 |
| peppers32.bmp | peppers32.bmp-withWavelet_bior1.1-G_0.8-H8e-005_af5.wfa | 24576   | 8192   | 8192   | 14 | 6512  | 112 | 112 | 32 | 32  | 14.39521689 | 0.109  | 6736  | 0.274088542 |
| peppers32.bmp | peppers32.bmp-withWavelet_haar-G_0.8-H9e-005_af5.wfa    | 24576   | 8192   | 8192   | 14 | 6512  | 112 | 112 | 32 | 32  | 14.39521689 | 0.093  | 6736  | 0.274088542 |
| peppers32.bmp | peppers32.bmp-withWavelet_rbio1.1-G_0.8-H9e-005_af5.wfa | 24576   | 8192   | 8192   | 14 | 6512  | 112 | 112 | 32 | 32  | 14.39521689 | 0.094  | 6736  | 0.274088542 |
| peppers32.bmp | peppers32.bmp-withWavelet_sym1-G_0.8-H9e-005_af5.wfa    | 24576   | 8192   | 8192   | 14 | 6512  | 112 | 112 | 32 | 32  | 14.39521689 | 0.109  | 6736  | 0.274088542 |
| peppers32.bmp | peppers32.bmp-withWavelet_bior1.1-G_0.8-H9e-005_af5.wfa | 24576   | 8192   | 8192   | 14 | 6512  | 112 | 112 | 32 | 32  | 14.39521689 | 0.109  | 6736  | 0.274088542 |
| peppers32.bmp | peppers32.bmp-withWavelet_haar-G_0.8-H0.0001_af5.wfa    | 24576   | 8192   | 8192   | 14 | 6512  | 112 | 112 | 32 | 32  | 14.39521689 | 0.11   | 6736  | 0.274088542 |
| peppers32.bmp | peppers32.bmp-withWavelet_rbio1.1-G_0.8-H0.0001_af5.wfa | 24576   | 8192   | 8192   | 14 | 6512  | 112 | 112 | 32 | 32  | 14.39521689 | 0.11   | 6736  | 0.274088542 |
| peppers32.bmp | peppers32.bmp-withWavelet_sym1-G_0.8-H0.0001_af5.wfa    | 24576   | 8192   | 8192   | 14 | 6512  | 112 | 112 | 32 | 32  | 14.39521689 | 0.125  | 6736  | 0.274088542 |
| peppers32.bmp | peppers32.bmp-withWavelet_bior1.1-G_0.8-H0.0001_af5.wfa | 24576   | 8192   | 8192   | 14 | 6512  | 112 | 112 | 32 | 32  | 14.39521689 | 0.11   | 6736  | 0.274088542 |
| peppers32.bmp | peppers32.bmp-withWavelet_haar-G_0.6-H4e-005_af2.wfa    | 1572864 | 524288 | 524288 | 25 | 20240 | 200 | 200 | 32 | 256 | 14.39846713 | 14.328 | 20640 | 0.013122559 |
| peppers32.bmp | peppers32.bmp-withWavelet_rbio1.1-G_0.6-H4e-005_af2.wfa | 1572864 | 524288 | 524288 | 25 | 20240 | 200 | 200 | 32 | 256 | 14.39846713 | 14.594 | 20640 | 0.013122559 |
| peppers32.bmp | peppers32.bmp-withWavelet_sym1-G_0.6-H4e-005_af2.wfa    | 1572864 | 524288 | 524288 | 25 | 20240 | 200 | 200 | 32 | 256 | 14.39846713 | 14.25  | 20640 | 0.013122559 |
| peppers32.bmp | peppers32.bmp-withWavelet_bior1.1-G_0.6-H4e-005_af2.wfa | 1572864 | 524288 | 524288 | 25 | 20240 | 200 | 200 | 32 | 256 | 14.39846713 | 14.391 | 20640 | 0.013122559 |
| peppers32.bmp | peppers32.bmp-withWavelet_haar-G_0.6-H1e-005_af5.wfa    | 1572864 | 524288 | 524288 | 28 | 25328 | 224 | 224 | 32 | 256 | 14.40119723 | 16.64  | 25776 | 0.016387939 |
| peppers32.bmp | peppers32.bmp-withWavelet_rbio1.1-G_0.6-H1e-005_af5.wfa | 1572864 | 524288 | 524288 | 28 | 25328 | 224 | 224 | 32 | 256 | 14.40119723 | 16.766 | 25776 | 0.016387939 |
| peppers32.bmp | peppers32.bmp-withWavelet_sym1-G_0.6-H1e-005_af5.wfa    | 1572864 | 524288 | 524288 | 28 | 25328 | 224 | 224 | 32 | 256 | 14.40119723 | 16.688 | 25776 | 0.016387939 |
| peppers32.bmp | peppers32.bmp-withWavelet_bior1.1-G_0.6-H1e-005_af5.wfa | 1572864 | 524288 | 524288 | 28 | 25328 | 224 | 224 | 32 | 256 | 14.40119723 | 16.75  | 25776 | 0.016387939 |
| peppers32.bmp | peppers32.bmp-withWavelet_haar-G_0.6-H4e-005_af3.wfa    | 1572864 | 524288 | 524288 | 32 | 33008 | 256 | 256 | 32 | 256 | 14.40414556 | 23.531 | 33520 | 0.021311442 |
| peppers32.bmp | peppers32.bmp-withWavelet_rbio1.1-G_0.6-H4e-005_af3.wfa | 1572864 | 524288 | 524288 | 32 | 33008 | 256 | 256 | 32 | 256 | 14.40414556 | 21.031 | 33520 | 0.021311442 |

|               |   |         |        |        |    |       |     |     |    |     |             |        |       |             |
|---------------|---|---------|--------|--------|----|-------|-----|-----|----|-----|-------------|--------|-------|-------------|
| peppers32.bmp | peppers32.bmp-withWavelet_sym1-G_0.6-H4e-005_af3.wfa    | 1572864 | 524288 | 524288 | 32 | 33008 | 256 | 256 | 32 | 256 | 14.40414556 | 26.109 | 33520 | 0.021311442 |
| peppers32.bmp | peppers32.bmp-withWavelet_bior1.1-G_0.6-H4e-005_af3.wfa | 1572864 | 524288 | 524288 | 32 | 33008 | 256 | 256 | 32 | 256 | 14.40414556 | 21.015 | 33520 | 0.021311442 |
| peppers32.bmp | peppers32.bmp-withWavelet_haar-G_0.8-H5e-005_af5.wfa    | 393216  | 131072 | 131072 | 19 | 11792 | 152 | 152 | 32 | 128 | 14.40558706 | 2.203  | 12096 | 0.030761719 |
| peppers32.bmp | peppers32.bmp-withWavelet_rbio1.1-G_0.8-H5e-005_af5.wfa | 393216  | 131072 | 131072 | 19 | 11792 | 152 | 152 | 32 | 128 | 14.40558706 | 2.266  | 12096 | 0.030761719 |
| peppers32.bmp | peppers32.bmp-withWavelet_sym1-G_0.8-H5e-005_af5.wfa    | 393216  | 131072 | 131072 | 19 | 11792 | 152 | 152 | 32 | 128 | 14.40558706 | 2.25   | 12096 | 0.030761719 |
| peppers32.bmp | peppers32.bmp-withWavelet_bior1.1-G_0.8-H5e-005_af5.wfa | 393216  | 131072 | 131072 | 19 | 11792 | 152 | 152 | 32 | 128 | 14.40558706 | 2.187  | 12096 | 0.030761719 |
| peppers32.bmp | peppers32.bmp-withWavelet_haar-G_1-H5e-005_af5.wfa      | 393216  | 131072 | 131072 | 19 | 11792 | 152 | 152 | 32 | 128 | 14.41725814 | 2.187  | 12096 | 0.030761719 |
| peppers32.bmp | peppers32.bmp-withWavelet_rbio1.1-G_1-H5e-005_af5.wfa   | 393216  | 131072 | 131072 | 19 | 11792 | 152 | 152 | 32 | 128 | 14.41725814 | 2.359  | 12096 | 0.030761719 |
| peppers32.bmp | peppers32.bmp-withWavelet_sym1-G_1-H5e-005_af5.wfa      | 393216  | 131072 | 131072 | 19 | 11792 | 152 | 152 | 32 | 128 | 14.41725814 | 2.188  | 12096 | 0.030761719 |
| peppers32.bmp | peppers32.bmp-withWavelet_bior1.1-G_1-H5e-005_af5.wfa   | 393216  | 131072 | 131072 | 19 | 11792 | 152 | 152 | 32 | 128 | 14.41725814 | 2.203  | 12096 | 0.030761719 |
| peppers32.bmp | peppers32.bmp-withWavelet_haar-G_0.6-H3e-005_af2.wfa    | 393216  | 131072 | 131072 | 28 | 25328 | 224 | 224 | 32 | 128 | 14.42127312 | 3.75   | 25776 | 0.065551758 |
| peppers32.bmp | peppers32.bmp-withWavelet_rbio1.1-G_0.6-H3e-005_af2.wfa | 393216  | 131072 | 131072 | 28 | 25328 | 224 | 224 | 32 | 128 | 14.42127312 | 3.829  | 25776 | 0.065551758 |
| peppers32.bmp | peppers32.bmp-withWavelet_sym1-G_0.6-H3e-005_af2.wfa    | 393216  | 131072 | 131072 | 28 | 25328 | 224 | 224 | 32 | 128 | 14.42127312 | 3.719  | 25776 | 0.065551758 |
| peppers32.bmp | peppers32.bmp-withWavelet_bior1.1-G_0.6-H3e-005_af2.wfa | 393216  | 131072 | 131072 | 28 | 25328 | 224 | 224 | 32 | 128 | 14.42127312 | 3.75   | 25776 | 0.065551758 |
| peppers32.bmp | peppers32.bmp-withWavelet_haar-G_0.6-H5e-005_af3.wfa    | 1572864 | 524288 | 524288 | 30 | 29040 | 240 | 240 | 32 | 256 | 14.42356949 | 18.547 | 29520 | 0.018768311 |
| peppers32.bmp | peppers32.bmp-withWavelet_rbio1.1-G_0.6-H5e-005_af3.wfa | 1572864 | 524288 | 524288 | 30 | 29040 | 240 | 240 | 32 | 256 | 14.42356949 | 18.625 | 29520 | 0.018768311 |
| peppers32.bmp | peppers32.bmp-withWavelet_sym1-G_0.6-H5e-005_af3.wfa    | 1572864 | 524288 | 524288 | 30 | 29040 | 240 | 240 | 32 | 256 | 14.42356949 | 18.64  | 29520 | 0.018768311 |
| peppers32.bmp | peppers32.bmp-withWavelet_bior1.1-G_0.6-H5e-005_af3.wfa | 1572864 | 524288 | 524288 | 30 | 29040 | 240 | 240 | 32 | 256 | 14.42356949 | 18.656 | 29520 | 0.018768311 |
| peppers32.bmp | peppers32.bmp-withWavelet_haar-G_0.6-H1e-005_af2.wfa    | 393216  | 131072 | 131072 | 33 | 35088 | 264 | 264 | 32 | 128 | 14.43967686 | 5.031  | 35616 | 0.090576172 |
| peppers32.bmp | peppers32.bmp-withWavelet_rbio1.1-G_0.6-H1e-005_af2.wfa | 393216  | 131072 | 131072 | 33 | 35088 | 264 | 264 | 32 | 128 | 14.43967686 | 5.484  | 35616 | 0.090576172 |
| peppers32.bmp | peppers32.bmp-withWavelet_sym1-G_0.6-H1e-005_af2.wfa    | 393216  | 131072 | 131072 | 33 | 35088 | 264 | 264 | 32 | 128 | 14.43967686 | 5.187  | 35616 | 0.090576172 |
| peppers32.bmp | peppers32.bmp-withWavelet_bior1.1-G_0.6-H1e-005_af2.wfa | 393216  | 131072 | 131072 | 33 | 35088 | 264 | 264 | 32 | 128 | 14.43967686 | 5.016  | 35616 | 0.090576172 |
| peppers32.bmp | peppers32.bmp-withWavelet_haar-G_0.8-H2e-005_af5.wfa    | 1572864 | 524288 | 524288 | 23 | 17168 | 184 | 184 | 32 | 256 | 14.45495076 | 12.938 | 17536 | 0.011149089 |
| peppers32.bmp | peppers32.bmp-withWavelet_rbio1.1-G_0.8-H2e-005_af5.wfa | 1572864 | 524288 | 524288 | 23 | 17168 | 184 | 184 | 32 | 256 | 14.45495076 | 12.937 | 17536 | 0.011149089 |
| peppers32.bmp | peppers32.bmp-withWavelet_sym1-G_0.8-H2e-005_af5.wfa    | 1572864 | 524288 | 524288 | 23 | 17168 | 184 | 184 | 32 | 256 | 14.45495076 | 12.922 | 17536 | 0.011149089 |
| peppers32.bmp | peppers32.bmp-withWavelet_bior1.1-G_0.8-H2e-005_af5.wfa | 1572864 | 524288 | 524288 | 23 | 17168 | 184 | 184 | 32 | 256 | 14.45495076 | 12.907 | 17536 | 0.011149089 |
| peppers32.bmp | peppers32.bmp-withWavelet_haar-G_1-H2e-005_af5.wfa      | 1572864 | 524288 | 524288 | 23 | 17168 | 184 | 184 | 32 | 256 | 14.46066165 | 12.828 | 17536 | 0.011149089 |
| peppers32.bmp | peppers32.bmp-withWavelet_rbio1.1-G_1-H2e-005_af5.wfa   | 1572864 | 524288 | 524288 | 23 | 17168 | 184 | 184 | 32 | 256 | 14.46066165 | 13.125 | 17536 | 0.011149089 |
| peppers32.bmp | peppers32.bmp-withWavelet_sym1-G_1-H2e-005_af5.wfa      | 1572864 | 524288 | 524288 | 23 | 17168 | 184 | 184 | 32 | 256 | 14.46066165 | 12.89  | 17536 | 0.011149089 |
| peppers32.bmp | peppers32.bmp-withWavelet_bior1.1-G_1-H2e-005_af5.wfa   | 1572864 | 524288 | 524288 | 23 | 17168 | 184 | 184 | 32 | 256 | 14.46066165 | 12.891 | 17536 | 0.011149089 |
| peppers32.bmp | peppers32.bmp-withWavelet_haar-G_0.6-H9e-005_af2.wfa    | 393216  | 131072 | 131072 | 20 | 13040 | 160 | 160 | 32 | 128 | 14.47618171 | 2.359  | 13360 | 0.033976237 |



|               |   |         |        |        |    |       |     |     |    |     |             |        |       |             |
|---------------|---|---------|--------|--------|----|-------|-----|-----|----|-----|-------------|--------|-------|-------------|
| peppers32.bmp | peppers32.bmp-withWavelet_rbio1.1-G_0.6-H9e-005_af2.wfa | 393216  | 131072 | 131072 | 20 | 13040 | 160 | 160 | 32 | 128 | 14.47618171 | 2.313  | 13360 | 0.033976237 |
| peppers32.bmp | peppers32.bmp-withWavelet_sym1-G_0.6-H9e-005_af2.wfa    | 393216  | 131072 | 131072 | 20 | 13040 | 160 | 160 | 32 | 128 | 14.47618171 | 2.297  | 13360 | 0.033976237 |
| peppers32.bmp | peppers32.bmp-withWavelet_bior1.1-G_0.6-H9e-005_af2.wfa | 393216  | 131072 | 131072 | 20 | 13040 | 160 | 160 | 32 | 128 | 14.47618171 | 2.312  | 13360 | 0.033976237 |
| peppers32.bmp | peppers32.bmp-withWavelet_haar-G_0.6-H2e-005_af4.wfa    | 1572864 | 524288 | 524288 | 35 | 39440 | 280 | 280 | 32 | 256 | 14.5030053  | 25.672 | 40000 | 0.025431315 |
| peppers32.bmp | peppers32.bmp-withWavelet_rbio1.1-G_0.6-H2e-005_af4.wfa | 1572864 | 524288 | 524288 | 35 | 39440 | 280 | 280 | 32 | 256 | 14.5030053  | 25.656 | 40000 | 0.025431315 |
| peppers32.bmp | peppers32.bmp-withWavelet_sym1-G_0.6-H2e-005_af4.wfa    | 1572864 | 524288 | 524288 | 35 | 39440 | 280 | 280 | 32 | 256 | 14.5030053  | 28.672 | 40000 | 0.025431315 |
| peppers32.bmp | peppers32.bmp-withWavelet_bior1.1-G_0.6-H2e-005_af4.wfa | 1572864 | 524288 | 524288 | 35 | 39440 | 280 | 280 | 32 | 256 | 14.5030053  | 25.625 | 40000 | 0.025431315 |
| peppers32.bmp | peppers32.bmp-withWavelet_haar-G_0.6-H7e-005_af3.wfa    | 1572864 | 524288 | 524288 | 28 | 25328 | 224 | 224 | 32 | 256 | 14.51811095 | 16.657 | 25776 | 0.016387939 |
| peppers32.bmp | peppers32.bmp-withWavelet_rbio1.1-G_0.6-H7e-005_af3.wfa | 1572864 | 524288 | 524288 | 28 | 25328 | 224 | 224 | 32 | 256 | 14.51811095 | 16.797 | 25776 | 0.016387939 |
| peppers32.bmp | peppers32.bmp-withWavelet_sym1-G_0.6-H7e-005_af3.wfa    | 1572864 | 524288 | 524288 | 28 | 25328 | 224 | 224 | 32 | 256 | 14.51811095 | 16.656 | 25776 | 0.016387939 |
| peppers32.bmp | peppers32.bmp-withWavelet_bior1.1-G_0.6-H7e-005_af3.wfa | 1572864 | 524288 | 524288 | 28 | 25328 | 224 | 224 | 32 | 256 | 14.51811095 | 16.719 | 25776 | 0.016387939 |
| peppers32.bmp | peppers32.bmp-withWavelet_haar-G_0.8-H2e-005_af5.wfa    | 98304   | 32768  | 32768  | 23 | 17168 | 184 | 184 | 32 | 64  | 14.53093291 | 0.688  | 17536 | 0.178385417 |
| peppers32.bmp | peppers32.bmp-withWavelet_rbio1.1-G_0.8-H2e-005_af5.wfa | 98304   | 32768  | 32768  | 23 | 17168 | 184 | 184 | 32 | 64  | 14.53093291 | 0.672  | 17536 | 0.178385417 |
| peppers32.bmp | peppers32.bmp-withWavelet_sym1-G_0.8-H2e-005_af5.wfa    | 98304   | 32768  | 32768  | 23 | 17168 | 184 | 184 | 32 | 64  | 14.53093291 | 0.687  | 17536 | 0.178385417 |
| peppers32.bmp | peppers32.bmp-withWavelet_bior1.1-G_0.8-H2e-005_af5.wfa | 98304   | 32768  | 32768  | 23 | 17168 | 184 | 184 | 32 | 64  | 14.53093291 | 0.719  | 17536 | 0.178385417 |
| peppers32.bmp | peppers32.bmp-withWavelet_haar-G_1-H2e-005_af5.wfa      | 98304   | 32768  | 32768  | 23 | 17168 | 184 | 184 | 32 | 64  | 14.53195948 | 0.672  | 17536 | 0.178385417 |
| peppers32.bmp | peppers32.bmp-withWavelet_rbio1.1-G_1-H2e-005_af5.wfa   | 98304   | 32768  | 32768  | 23 | 17168 | 184 | 184 | 32 | 64  | 14.53195948 | 0.672  | 17536 | 0.178385417 |
| peppers32.bmp | peppers32.bmp-withWavelet_sym1-G_1-H2e-005_af5.wfa      | 98304   | 32768  | 32768  | 23 | 17168 | 184 | 184 | 32 | 64  | 14.53195948 | 0.672  | 17536 | 0.178385417 |
| peppers32.bmp | peppers32.bmp-withWavelet_bior1.1-G_1-H2e-005_af5.wfa   | 98304   | 32768  | 32768  | 23 | 17168 | 184 | 184 | 32 | 64  | 14.53195948 | 0.672  | 17536 | 0.178385417 |
| peppers32.bmp | peppers32.bmp-withWavelet_haar-G_1-H4e-005_af2.wfa      | 1572864 | 524288 | 524288 | 26 | 21872 | 208 | 208 | 32 | 256 | 14.54350488 | 14.969 | 22288 | 0.014170329 |
| peppers32.bmp | peppers32.bmp-withWavelet_rbio1.1-G_1-H4e-005_af2.wfa   | 1572864 | 524288 | 524288 | 26 | 21872 | 208 | 208 | 32 | 256 | 14.54350488 | 14.891 | 22288 | 0.014170329 |
| peppers32.bmp | peppers32.bmp-withWavelet_sym1-G_1-H4e-005_af2.wfa      | 1572864 | 524288 | 524288 | 26 | 21872 | 208 | 208 | 32 | 256 | 14.54350488 | 14.938 | 22288 | 0.014170329 |
| peppers32.bmp | peppers32.bmp-withWavelet_bior1.1-G_1-H4e-005_af2.wfa   | 1572864 | 524288 | 524288 | 26 | 21872 | 208 | 208 | 32 | 256 | 14.54350488 | 14.968 | 22288 | 0.014170329 |
| peppers32.bmp | peppers32.bmp-withWavelet_haar-G_0.6-H9e-005_af2.wfa    | 98304   | 32768  | 32768  | 20 | 13040 | 160 | 160 | 32 | 64  | 14.54867363 | 0.532  | 13360 | 0.135904948 |
| peppers32.bmp | peppers32.bmp-withWavelet_rbio1.1-G_0.6-H9e-005_af2.wfa | 98304   | 32768  | 32768  | 20 | 13040 | 160 | 160 | 32 | 64  | 14.54867363 | 0.531  | 13360 | 0.135904948 |
| peppers32.bmp | peppers32.bmp-withWavelet_sym1-G_0.6-H9e-005_af2.wfa    | 98304   | 32768  | 32768  | 20 | 13040 | 160 | 160 | 32 | 64  | 14.54867363 | 0.531  | 13360 | 0.135904948 |
| peppers32.bmp | peppers32.bmp-withWavelet_bior1.1-G_0.6-H9e-005_af2.wfa | 98304   | 32768  | 32768  | 20 | 13040 | 160 | 160 | 32 | 64  | 14.54867363 | 0.531  | 13360 | 0.135904948 |
| peppers32.bmp | peppers32.bmp-withWavelet_haar-G_0.8-H2e-005_af5.wfa    | 393216  | 131072 | 131072 | 23 | 17168 | 184 | 184 | 32 | 128 | 14.55915476 | 3.015  | 17536 | 0.044596354 |
| peppers32.bmp | peppers32.bmp-withWavelet_rbio1.1-G_0.8-H2e-005_af5.wfa | 393216  | 131072 | 131072 | 23 | 17168 | 184 | 184 | 32 | 128 | 14.55915476 | 3      | 17536 | 0.044596354 |
| peppers32.bmp | peppers32.bmp-withWavelet_sym1-G_0.8-H2e-005_af5.wfa    | 393216  | 131072 | 131072 | 23 | 17168 | 184 | 184 | 32 | 128 | 14.55915476 | 2.937  | 17536 | 0.044596354 |
| peppers32.bmp | peppers32.bmp-withWavelet_bior1.1-G_0.8-H2e-005_af5.wfa | 393216  | 131072 | 131072 | 23 | 17168 | 184 | 184 | 32 | 128 | 14.55915476 | 2.984  | 17536 | 0.044596354 |

|               |   |         |        |        |    |       |     |     |    |     |             |        |       |             |
|---------------|---|---------|--------|--------|----|-------|-----|-----|----|-----|-------------|--------|-------|-------------|
| peppers32.bmp | peppers32.bmp-withWavelet_haar-G_0.8-H1e-005_af2.wfa    | 1572864 | 524288 | 524288 | 33 | 35088 | 264 | 264 | 32 | 256 | 14.55977214 | 27.547 | 35616 | 0.022644043 |
| peppers32.bmp | peppers32.bmp-withWavelet_rbio1.1-G_0.8-H1e-005_af2.wfa | 1572864 | 524288 | 524288 | 33 | 35088 | 264 | 264 | 32 | 256 | 14.55977214 | 22.344 | 35616 | 0.022644043 |
| peppers32.bmp | peppers32.bmp-withWavelet_sym1-G_0.8-H1e-005_af2.wfa    | 1572864 | 524288 | 524288 | 33 | 35088 | 264 | 264 | 32 | 256 | 14.55977214 | 24.672 | 35616 | 0.022644043 |
| peppers32.bmp | peppers32.bmp-withWavelet_bior1.1-G_0.8-H1e-005_af2.wfa | 1572864 | 524288 | 524288 | 33 | 35088 | 264 | 264 | 32 | 256 | 14.55977214 | 25.109 | 35616 | 0.022644043 |
| peppers32.bmp | peppers32.bmp-withWavelet_haar-G_0.6-H3e-005_af4.wfa    | 1572864 | 524288 | 524288 | 34 | 37232 | 272 | 272 | 32 | 256 | 14.56345802 | 25.5   | 37776 | 0.024017334 |
| peppers32.bmp | peppers32.bmp-withWavelet_rbio1.1-G_0.6-H3e-005_af4.wfa | 1572864 | 524288 | 524288 | 34 | 37232 | 272 | 272 | 32 | 256 | 14.56345802 | 23.375 | 37776 | 0.024017334 |
| peppers32.bmp | peppers32.bmp-withWavelet_sym1-G_0.6-H3e-005_af4.wfa    | 1572864 | 524288 | 524288 | 34 | 37232 | 272 | 272 | 32 | 256 | 14.56345802 | 23.375 | 37776 | 0.024017334 |
| peppers32.bmp | peppers32.bmp-withWavelet_bior1.1-G_0.6-H3e-005_af4.wfa | 1572864 | 524288 | 524288 | 34 | 37232 | 272 | 272 | 32 | 256 | 14.56345802 | 23.422 | 37776 | 0.024017334 |
| peppers32.bmp | peppers32.bmp-withWavelet_haar-G_0.6-H6e-005_af3.wfa    | 1572864 | 524288 | 524288 | 29 | 27152 | 232 | 232 | 32 | 256 | 14.56493371 | 17.875 | 27616 | 0.01755778  |
| peppers32.bmp | peppers32.bmp-withWavelet_rbio1.1-G_0.6-H6e-005_af3.wfa | 1572864 | 524288 | 524288 | 29 | 27152 | 232 | 232 | 32 | 256 | 14.56493371 | 17.844 | 27616 | 0.01755778  |
| peppers32.bmp | peppers32.bmp-withWavelet_sym1-G_0.6-H6e-005_af3.wfa    | 1572864 | 524288 | 524288 | 29 | 27152 | 232 | 232 | 32 | 256 | 14.56493371 | 18     | 27616 | 0.01755778  |
| peppers32.bmp | peppers32.bmp-withWavelet_bior1.1-G_0.6-H6e-005_af3.wfa | 1572864 | 524288 | 524288 | 29 | 27152 | 232 | 232 | 32 | 256 | 14.56493371 | 18     | 27616 | 0.01755778  |
| peppers32.bmp | peppers32.bmp-withWavelet_haar-G_1-H1e-005_af2.wfa      | 1572864 | 524288 | 524288 | 33 | 35088 | 264 | 264 | 32 | 256 | 14.5650996  | 23.532 | 35616 | 0.022644043 |
| peppers32.bmp | peppers32.bmp-withWavelet_rbio1.1-G_1-H1e-005_af2.wfa   | 1572864 | 524288 | 524288 | 33 | 35088 | 264 | 264 | 32 | 256 | 14.5650996  | 25.187 | 35616 | 0.022644043 |
| peppers32.bmp | peppers32.bmp-withWavelet_sym1-G_1-H1e-005_af2.wfa      | 1572864 | 524288 | 524288 | 33 | 35088 | 264 | 264 | 32 | 256 | 14.5650996  | 24.375 | 35616 | 0.022644043 |
| peppers32.bmp | peppers32.bmp-withWavelet_bior1.1-G_1-H1e-005_af2.wfa   | 1572864 | 524288 | 524288 | 33 | 35088 | 264 | 264 | 32 | 256 | 14.5650996  | 24.89  | 35616 | 0.022644043 |
| peppers32.bmp | peppers32.bmp-withWavelet_haar-G_1-H2e-005_af5.wfa      | 393216  | 131072 | 131072 | 23 | 17168 | 184 | 184 | 32 | 128 | 14.56514446 | 2.921  | 17536 | 0.044596354 |
| peppers32.bmp | peppers32.bmp-withWavelet_rbio1.1-G_1-H2e-005_af5.wfa   | 393216  | 131072 | 131072 | 23 | 17168 | 184 | 184 | 32 | 128 | 14.56514446 | 2.968  | 17536 | 0.044596354 |
| peppers32.bmp | peppers32.bmp-withWavelet_sym1-G_1-H2e-005_af5.wfa      | 393216  | 131072 | 131072 | 23 | 17168 | 184 | 184 | 32 | 128 | 14.56514446 | 2.969  | 17536 | 0.044596354 |
| peppers32.bmp | peppers32.bmp-withWavelet_bior1.1-G_1-H2e-005_af5.wfa   | 393216  | 131072 | 131072 | 23 | 17168 | 184 | 184 | 32 | 128 | 14.56514446 | 2.938  | 17536 | 0.044596354 |
| peppers32.bmp | peppers32.bmp-withWavelet_haar-G_0.6-H5e-005_af4.wfa    | 1572864 | 524288 | 524288 | 32 | 33008 | 256 | 256 | 32 | 256 | 14.57108223 | 22.906 | 33520 | 0.021311442 |
| peppers32.bmp | peppers32.bmp-withWavelet_rbio1.1-G_0.6-H5e-005_af4.wfa | 1572864 | 524288 | 524288 | 32 | 33008 | 256 | 256 | 32 | 256 | 14.57108223 | 20.765 | 33520 | 0.021311442 |
| peppers32.bmp | peppers32.bmp-withWavelet_sym1-G_0.6-H5e-005_af4.wfa    | 1572864 | 524288 | 524288 | 32 | 33008 | 256 | 256 | 32 | 256 | 14.57108223 | 20.984 | 33520 | 0.021311442 |
| peppers32.bmp | peppers32.bmp-withWavelet_bior1.1-G_0.6-H5e-005_af4.wfa | 1572864 | 524288 | 524288 | 32 | 33008 | 256 | 256 | 32 | 256 | 14.57108223 | 25.656 | 33520 | 0.021311442 |
| peppers32.bmp | peppers32.bmp-withWavelet_haar-G_0.6-H8e-005_af5.wfa    | 24576   | 8192   | 8192   | 15 | 7440  | 120 | 120 | 32 | 32  | 14.57299365 | 0.109  | 7680  | 0.3125      |
| peppers32.bmp | peppers32.bmp-withWavelet_rbio1.1-G_0.6-H8e-005_af5.wfa | 24576   | 8192   | 8192   | 15 | 7440  | 120 | 120 | 32 | 32  | 14.57299365 | 0.094  | 7680  | 0.3125      |
| peppers32.bmp | peppers32.bmp-withWavelet_sym1-G_0.6-H8e-005_af5.wfa    | 24576   | 8192   | 8192   | 15 | 7440  | 120 | 120 | 32 | 32  | 14.57299365 | 0.109  | 7680  | 0.3125      |
| peppers32.bmp | peppers32.bmp-withWavelet_bior1.1-G_0.6-H8e-005_af5.wfa | 24576   | 8192   | 8192   | 15 | 7440  | 120 | 120 | 32 | 32  | 14.57299365 | 0.203  | 7680  | 0.3125      |
| peppers32.bmp | peppers32.bmp-withWavelet_haar-G_0.6-H9e-005_af5.wfa    | 24576   | 8192   | 8192   | 15 | 7440  | 120 | 120 | 32 | 32  | 14.57299365 | 0.203  | 7680  | 0.3125      |
| peppers32.bmp | peppers32.bmp-withWavelet_rbio1.1-G_0.6-H9e-005_af5.wfa | 24576   | 8192   | 8192   | 15 | 7440  | 120 | 120 | 32 | 32  | 14.57299365 | 0.094  | 7680  | 0.3125      |
| peppers32.bmp | peppers32.bmp-withWavelet_sym1-G_0.6-H9e-005_af5.wfa    | 24576   | 8192   | 8192   | 15 | 7440  | 120 | 120 | 32 | 32  | 14.57299365 | 0.093  | 7680  | 0.3125      |

|               |   |         |        |        |    |       |     |     |    |     |             |        |       |             |
|---------------|---|---------|--------|--------|----|-------|-----|-----|----|-----|-------------|--------|-------|-------------|
| peppers32.bmp | peppers32.bmp-withWavelet_bior1.1-G_0.6-H9e-005_af5.wfa | 24576   | 8192   | 8192   | 15 | 7440  | 120 | 120 | 32 | 32  | 14.57299365 | 0.11   | 7680  | 0.3125      |
| peppers32.bmp | peppers32.bmp-withWavelet_haar-G_0.6-H1e-005_af5.wfa    | 393216  | 131072 | 131072 | 28 | 25328 | 224 | 224 | 32 | 128 | 14.58458727 | 3.781  | 25776 | 0.065551758 |
| peppers32.bmp | peppers32.bmp-withWavelet_rbio1.1-G_0.6-H1e-005_af5.wfa | 393216  | 131072 | 131072 | 28 | 25328 | 224 | 224 | 32 | 128 | 14.58458727 | 3.828  | 25776 | 0.065551758 |
| peppers32.bmp | peppers32.bmp-withWavelet_sym1-G_0.6-H1e-005_af5.wfa    | 393216  | 131072 | 131072 | 28 | 25328 | 224 | 224 | 32 | 128 | 14.58458727 | 3.735  | 25776 | 0.065551758 |
| peppers32.bmp | peppers32.bmp-withWavelet_bior1.1-G_0.6-H1e-005_af5.wfa | 393216  | 131072 | 131072 | 28 | 25328 | 224 | 224 | 32 | 128 | 14.58458727 | 3.75   | 25776 | 0.065551758 |
| peppers32.bmp | peppers32.bmp-withWavelet_haar-G_0.6-H0.0001_af2.wfa    | 1572864 | 524288 | 524288 | 18 | 10608 | 144 | 144 | 32 | 256 | 14.60733782 | 8.844  | 10896 | 0.00692749  |
| peppers32.bmp | peppers32.bmp-withWavelet_rbio1.1-G_0.6-H0.0001_af2.wfa | 1572864 | 524288 | 524288 | 18 | 10608 | 144 | 144 | 32 | 256 | 14.60733782 | 8.875  | 10896 | 0.00692749  |
| peppers32.bmp | peppers32.bmp-withWavelet_sym1-G_0.6-H0.0001_af2.wfa    | 1572864 | 524288 | 524288 | 18 | 10608 | 144 | 144 | 32 | 256 | 14.60733782 | 8.922  | 10896 | 0.00692749  |
| peppers32.bmp | peppers32.bmp-withWavelet_bior1.1-G_0.6-H0.0001_af2.wfa | 1572864 | 524288 | 524288 | 18 | 10608 | 144 | 144 | 32 | 256 | 14.60733782 | 8.921  | 10896 | 0.00692749  |
| peppers32.bmp | peppers32.bmp-withWavelet_haar-G_0.6-H4e-005_af4.wfa    | 1572864 | 524288 | 524288 | 33 | 35088 | 264 | 264 | 32 | 256 | 14.61300404 | 24.297 | 35616 | 0.022644043 |
| peppers32.bmp | peppers32.bmp-withWavelet_rbio1.1-G_0.6-H4e-005_af4.wfa | 1572864 | 524288 | 524288 | 33 | 35088 | 264 | 264 | 32 | 256 | 14.61300404 | 22.469 | 35616 | 0.022644043 |
| peppers32.bmp | peppers32.bmp-withWavelet_sym1-G_0.6-H4e-005_af4.wfa    | 1572864 | 524288 | 524288 | 33 | 35088 | 264 | 264 | 32 | 256 | 14.61300404 | 27.157 | 35616 | 0.022644043 |
| peppers32.bmp | peppers32.bmp-withWavelet_bior1.1-G_0.6-H4e-005_af4.wfa | 1572864 | 524288 | 524288 | 33 | 35088 | 264 | 264 | 32 | 256 | 14.61300404 | 22.469 | 35616 | 0.022644043 |
| peppers32.bmp | peppers32.bmp-G_1-H0.0001_af4.wfa                       | 24576   | 8192   |        | 13 | 5648  | 104 | 104 | 32 | 32  | 14.64750732 | 0.094  | 5856  | 0.23828125  |
| peppers32.bmp | peppers32.bmp-withWavelet_haar-G_0.6-H4e-005_af2.wfa    | 393216  | 131072 | 131072 | 25 | 20240 | 200 | 200 | 32 | 128 | 14.65074593 | 3.234  | 20640 | 0.052490234 |
| peppers32.bmp | peppers32.bmp-withWavelet_rbio1.1-G_0.6-H4e-005_af2.wfa | 393216  | 131072 | 131072 | 25 | 20240 | 200 | 200 | 32 | 128 | 14.65074593 | 3.203  | 20640 | 0.052490234 |
| peppers32.bmp | peppers32.bmp-withWavelet_sym1-G_0.6-H4e-005_af2.wfa    | 393216  | 131072 | 131072 | 25 | 20240 | 200 | 200 | 32 | 128 | 14.65074593 | 3.25   | 20640 | 0.052490234 |
| peppers32.bmp | peppers32.bmp-withWavelet_bior1.1-G_0.6-H4e-005_af2.wfa | 393216  | 131072 | 131072 | 25 | 20240 | 200 | 200 | 32 | 128 | 14.65074593 | 3.25   | 20640 | 0.052490234 |
| peppers32.bmp | peppers32.bmp-withWavelet_haar-G_0.6-H0.0001_af5.wfa    | 24576   | 8192   | 8192   | 15 | 7440  | 120 | 120 | 32 | 32  | 14.65226591 | 0.391  | 7680  | 0.3125      |
| peppers32.bmp | peppers32.bmp-withWavelet_rbio1.1-G_0.6-H0.0001_af5.wfa | 24576   | 8192   | 8192   | 15 | 7440  | 120 | 120 | 32 | 32  | 14.65226591 | 0.266  | 7680  | 0.3125      |
| peppers32.bmp | peppers32.bmp-withWavelet_sym1-G_0.6-H0.0001_af5.wfa    | 24576   | 8192   | 8192   | 15 | 7440  | 120 | 120 | 32 | 32  | 14.65226591 | 0.109  | 7680  | 0.3125      |
| peppers32.bmp | peppers32.bmp-withWavelet_bior1.1-G_0.6-H0.0001_af5.wfa | 24576   | 8192   | 8192   | 15 | 7440  | 120 | 120 | 32 | 32  | 14.65226591 | 0.109  | 7680  | 0.3125      |
| peppers32.bmp | peppers32.bmp-withWavelet_haar-G_0.6-H0.0001_af3.wfa    | 1572864 | 524288 | 524288 | 25 | 20240 | 200 | 200 | 32 | 256 | 14.66813372 | 14.406 | 20640 | 0.013122559 |
| peppers32.bmp | peppers32.bmp-withWavelet_rbio1.1-G_0.6-H0.0001_af3.wfa | 1572864 | 524288 | 524288 | 25 | 20240 | 200 | 200 | 32 | 256 | 14.66813372 | 14.25  | 20640 | 0.013122559 |
| peppers32.bmp | peppers32.bmp-withWavelet_sym1-G_0.6-H0.0001_af3.wfa    | 1572864 | 524288 | 524288 | 25 | 20240 | 200 | 200 | 32 | 256 | 14.66813372 | 14.344 | 20640 | 0.013122559 |
| peppers32.bmp | peppers32.bmp-withWavelet_haar-G_0.6-H2e-005_af3.wfa    | 393216  | 131072 | 131072 | 35 | 39440 | 280 | 280 | 32 | 128 | 14.67460221 | 6.172  | 40000 | 0.10172526  |
| peppers32.bmp | peppers32.bmp-withWavelet_rbio1.1-G_0.6-H2e-005_af3.wfa | 393216  | 131072 | 131072 | 35 | 39440 | 280 | 280 | 32 | 128 | 14.67460221 | 6.11   | 40000 | 0.10172526  |
| peppers32.bmp | peppers32.bmp-withWavelet_sym1-G_0.6-H2e-005_af3.wfa    | 393216  | 131072 | 131072 | 35 | 39440 | 280 | 280 | 32 | 128 | 14.67460221 | 5.766  | 40000 | 0.10172526  |
| peppers32.bmp | peppers32.bmp-withWavelet_bior1.1-G_0.6-H2e-005_af3.wfa | 393216  | 131072 | 131072 | 35 | 39440 | 280 | 280 | 32 | 128 | 14.67460221 | 5.703  | 40000 | 0.10172526  |
| peppers32.bmp | peppers32.bmp-withWavelet_haar-G_1-H4e-005_af2.wfa      | 393216  | 131072 | 131072 | 26 | 21872 | 208 | 208 | 32 | 128 | 14.67686962 | 3.453  | 22288 | 0.056681315 |
| peppers32.bmp | peppers32.bmp-withWavelet_rbio1.1-G_1-H4e-005_af2.wfa   | 393216  | 131072 | 131072 | 26 | 21872 | 208 | 208 | 32 | 128 | 14.67686962 | 3.375  | 22288 | 0.056681315 |

|               |   |         |        |        |    |       |     |     |    |     |             |        |       |             |
|---------------|---|---------|--------|--------|----|-------|-----|-----|----|-----|-------------|--------|-------|-------------|
| peppers32.bmp | peppers32.bmp-withWavelet_sym1-G_1-H4e-005_af2.wfa      | 393216  | 131072 | 131072 | 26 | 21872 | 208 | 208 | 32 | 128 | 14.67686962 | 3.5    | 22288 | 0.056681315 |
| peppers32.bmp | peppers32.bmp-withWavelet_bior1.1-G_1-H4e-005_af2.wfa   | 393216  | 131072 | 131072 | 26 | 21872 | 208 | 208 | 32 | 128 | 14.67686962 | 3.359  | 22288 | 0.056681315 |
| peppers32.bmp | peppers32.bmp-withWavelet_haar-G_0.6-H3e-005_af3.wfa    | 393216  | 131072 | 131072 | 34 | 37232 | 272 | 272 | 32 | 128 | 14.68141973 | 5.203  | 37776 | 0.096069336 |
| peppers32.bmp | peppers32.bmp-withWavelet_rbio1.1-G_0.6-H3e-005_af3.wfa | 393216  | 131072 | 131072 | 34 | 37232 | 272 | 272 | 32 | 128 | 14.68141973 | 5.64   | 37776 | 0.096069336 |
| peppers32.bmp | peppers32.bmp-withWavelet_sym1-G_0.6-H3e-005_af3.wfa    | 393216  | 131072 | 131072 | 34 | 37232 | 272 | 272 | 32 | 128 | 14.68141973 | 5.672  | 37776 | 0.096069336 |
| peppers32.bmp | peppers32.bmp-withWavelet_bior1.1-G_0.6-H3e-005_af3.wfa | 393216  | 131072 | 131072 | 34 | 37232 | 272 | 272 | 32 | 128 | 14.68141973 | 5.297  | 37776 | 0.096069336 |
| peppers32.bmp | peppers32.bmp-withWavelet_haar-G_0.6-H5e-005_af2.wfa    | 1572864 | 524288 | 524288 | 23 | 17168 | 184 | 184 | 32 | 256 | 14.68750504 | 12.781 | 17536 | 0.011149089 |
| peppers32.bmp | peppers32.bmp-withWavelet_rbio1.1-G_0.6-H5e-005_af2.wfa | 1572864 | 524288 | 524288 | 23 | 17168 | 184 | 184 | 32 | 256 | 14.68750504 | 12.969 | 17536 | 0.011149089 |
| peppers32.bmp | peppers32.bmp-withWavelet_sym1-G_0.6-H5e-005_af2.wfa    | 1572864 | 524288 | 524288 | 23 | 17168 | 184 | 184 | 32 | 256 | 14.68750504 | 12.985 | 17536 | 0.011149089 |
| peppers32.bmp | peppers32.bmp-withWavelet_bior1.1-G_0.6-H5e-005_af2.wfa | 1572864 | 524288 | 524288 | 23 | 17168 | 184 | 184 | 32 | 256 | 14.68750504 | 12.937 | 17536 | 0.011149089 |
| peppers32.bmp | peppers32.bmp-withWavelet_haar-G_1-H7e-005_af2.wfa      | 1572864 | 524288 | 524288 | 21 | 14352 | 168 | 168 | 32 | 256 | 14.69124538 | 10.5   | 14688 | 0.009338379 |
| peppers32.bmp | peppers32.bmp-withWavelet_rbio1.1-G_1-H7e-005_af2.wfa   | 1572864 | 524288 | 524288 | 21 | 14352 | 168 | 168 | 32 | 256 | 14.69124538 | 10.531 | 14688 | 0.009338379 |
| peppers32.bmp | peppers32.bmp-withWavelet_sym1-G_1-H7e-005_af2.wfa      | 1572864 | 524288 | 524288 | 21 | 14352 | 168 | 168 | 32 | 256 | 14.69124538 | 10.578 | 14688 | 0.009338379 |
| peppers32.bmp | peppers32.bmp-withWavelet_bior1.1-G_1-H7e-005_af2.wfa   | 1572864 | 524288 | 524288 | 21 | 14352 | 168 | 168 | 32 | 256 | 14.69124538 | 10.469 | 14688 | 0.009338379 |
| peppers32.bmp | peppers32.bmp-withWavelet_haar-G_0.8-H4e-005_af5.wfa    | 1572864 | 524288 | 524288 | 20 | 13040 | 160 | 160 | 32 | 256 | 14.69206485 | 9.829  | 13360 | 0.008494059 |
| peppers32.bmp | peppers32.bmp-withWavelet_rbio1.1-G_0.8-H4e-005_af5.wfa | 1572864 | 524288 | 524288 | 20 | 13040 | 160 | 160 | 32 | 256 | 14.69206485 | 9.906  | 13360 | 0.008494059 |
| peppers32.bmp | peppers32.bmp-withWavelet_sym1-G_0.8-H4e-005_af5.wfa    | 1572864 | 524288 | 524288 | 20 | 13040 | 160 | 160 | 32 | 256 | 14.69206485 | 10.484 | 13360 | 0.008494059 |
| peppers32.bmp | peppers32.bmp-withWavelet_bior1.1-G_0.8-H4e-005_af5.wfa | 1572864 | 524288 | 524288 | 20 | 13040 | 160 | 160 | 32 | 256 | 14.69206485 | 9.829  | 13360 | 0.008494059 |
| peppers32.bmp | peppers32.bmp-G_1-H9e-005_af4.wfa                       | 24576   | 8192   |        | 14 | 6512  | 112 | 112 | 32 | 32  | 14.69606047 | 0.094  | 6736  | 0.274088542 |
| peppers32.bmp | peppers32.bmp-withWavelet_haar-G_0.8-H4e-005_af5.wfa    | 98304   | 32768  | 32768  | 20 | 13040 | 160 | 160 | 32 | 64  | 14.69736605 | 0.547  | 13360 | 0.135904948 |
| peppers32.bmp | peppers32.bmp-withWavelet_rbio1.1-G_0.8-H4e-005_af5.wfa | 98304   | 32768  | 32768  | 20 | 13040 | 160 | 160 | 32 | 64  | 14.69736605 | 0.546  | 13360 | 0.135904948 |
| peppers32.bmp | peppers32.bmp-withWavelet_sym1-G_0.8-H4e-005_af5.wfa    | 98304   | 32768  | 32768  | 20 | 13040 | 160 | 160 | 32 | 64  | 14.69736605 | 0.547  | 13360 | 0.135904948 |
| peppers32.bmp | peppers32.bmp-withWavelet_bior1.1-G_0.8-H4e-005_af5.wfa | 98304   | 32768  | 32768  | 20 | 13040 | 160 | 160 | 32 | 64  | 14.69736605 | 0.532  | 13360 | 0.135904948 |
| peppers32.bmp | peppers32.bmp-withWavelet_haar-G_0.6-H8e-005_af3.wfa    | 1572864 | 524288 | 524288 | 27 | 23568 | 216 | 216 | 32 | 256 | 14.70132779 | 16.125 | 24000 | 0.015258789 |
| peppers32.bmp | peppers32.bmp-withWavelet_rbio1.1-G_0.6-H8e-005_af3.wfa | 1572864 | 524288 | 524288 | 27 | 23568 | 216 | 216 | 32 | 256 | 14.70132779 | 16.156 | 24000 | 0.015258789 |
| peppers32.bmp | peppers32.bmp-withWavelet_sym1-G_0.6-H8e-005_af3.wfa    | 1572864 | 524288 | 524288 | 27 | 23568 | 216 | 216 | 32 | 256 | 14.70132779 | 16.125 | 24000 | 0.015258789 |
| peppers32.bmp | peppers32.bmp-withWavelet_bior1.1-G_0.6-H8e-005_af3.wfa | 1572864 | 524288 | 524288 | 27 | 23568 | 216 | 216 | 32 | 256 | 14.70132779 | 16.219 | 24000 | 0.015258789 |
| peppers32.bmp | peppers32.bmp-withWavelet_haar-G_0.6-H4e-005_af3.wfa    | 393216  | 131072 | 131072 | 32 | 33008 | 256 | 256 | 32 | 128 | 14.70466663 | 4.703  | 33520 | 0.085245768 |
| peppers32.bmp | peppers32.bmp-withWavelet_rbio1.1-G_0.6-H4e-005_af3.wfa | 393216  | 131072 | 131072 | 32 | 33008 | 256 | 256 | 32 | 128 | 14.70466663 | 4.703  | 33520 | 0.085245768 |
| peppers32.bmp | peppers32.bmp-withWavelet_sym1-G_0.6-H4e-005_af3.wfa    | 393216  | 131072 | 131072 | 32 | 33008 | 256 | 256 | 32 | 128 | 14.70466663 | 5.031  | 33520 | 0.085245768 |
| peppers32.bmp | peppers32.bmp-withWavelet_bior1.1-G_0.6-H4e-005_af3.wfa | 393216  | 131072 | 131072 | 32 | 33008 | 256 | 256 | 32 | 128 | 14.70466663 | 4.656  | 33520 | 0.085245768 |

|               |   |         |        |        |    |       |     |     |    |     |             |        |       |             |
|---------------|---|---------|--------|--------|----|-------|-----|-----|----|-----|-------------|--------|-------|-------------|
| peppers32.bmp | peppers32.bmp-withWavelet_haar-G_1-H4e-005_af5.wfa      | 1572864 | 524288 | 524288 | 20 | 13040 | 160 | 160 | 32 | 256 | 14.71012395 | 9.812  | 13360 | 0.008494059 |
| peppers32.bmp | peppers32.bmp-withWavelet_rbio1.1-G_1-H4e-005_af5.wfa   | 1572864 | 524288 | 524288 | 20 | 13040 | 160 | 160 | 32 | 256 | 14.71012395 | 9.875  | 13360 | 0.008494059 |
| peppers32.bmp | peppers32.bmp-withWavelet_sym1-G_1-H4e-005_af5.wfa      | 1572864 | 524288 | 524288 | 20 | 13040 | 160 | 160 | 32 | 256 | 14.71012395 | 10.437 | 13360 | 0.008494059 |
| peppers32.bmp | peppers32.bmp-withWavelet_bior1.1-G_1-H4e-005_af5.wfa   | 1572864 | 524288 | 524288 | 20 | 13040 | 160 | 160 | 32 | 256 | 14.71012395 | 9.796  | 13360 | 0.008494059 |
| peppers32.bmp | peppers32.bmp-withWavelet_haar-G_1-H4e-005_af5.wfa      | 98304   | 32768  | 32768  | 20 | 13040 | 160 | 160 | 32 | 64  | 14.71095286 | 0.547  | 13360 | 0.135904948 |
| peppers32.bmp | peppers32.bmp-withWavelet_rbio1.1-G_1-H4e-005_af5.wfa   | 98304   | 32768  | 32768  | 20 | 13040 | 160 | 160 | 32 | 64  | 14.71095286 | 0.547  | 13360 | 0.135904948 |
| peppers32.bmp | peppers32.bmp-withWavelet_sym1-G_1-H4e-005_af5.wfa      | 98304   | 32768  | 32768  | 20 | 13040 | 160 | 160 | 32 | 64  | 14.71095286 | 0.547  | 13360 | 0.135904948 |
| peppers32.bmp | peppers32.bmp-withWavelet_bior1.1-G_1-H4e-005_af5.wfa   | 98304   | 32768  | 32768  | 20 | 13040 | 160 | 160 | 32 | 64  | 14.71095286 | 0.531  | 13360 | 0.135904948 |
| peppers32.bmp | peppers32.bmp-G_0.8-H0.0001_af4.wfa                     | 24576   | 8192   |        | 13 | 5648  | 104 | 104 | 32 | 32  | 14.71219104 | 0.11   | 5856  | 0.23828125  |
| peppers32.bmp | peppers32.bmp-withWavelet_haar-G_0.6-H0.0001_af2.wfa    | 98304   | 32768  | 32768  | 18 | 10608 | 144 | 144 | 32 | 64  | 14.71576329 | 0.562  | 10896 | 0.110839844 |
| peppers32.bmp | peppers32.bmp-withWavelet_rbio1.1-G_0.6-H0.0001_af2.wfa | 98304   | 32768  | 32768  | 18 | 10608 | 144 | 144 | 32 | 64  | 14.71576329 | 0.484  | 10896 | 0.110839844 |
| peppers32.bmp | peppers32.bmp-withWavelet_sym1-G_0.6-H0.0001_af2.wfa    | 98304   | 32768  | 32768  | 18 | 10608 | 144 | 144 | 32 | 64  | 14.71576329 | 0.5    | 10896 | 0.110839844 |
| peppers32.bmp | peppers32.bmp-withWavelet_bior1.1-G_0.6-H0.0001_af2.wfa | 98304   | 32768  | 32768  | 18 | 10608 | 144 | 144 | 32 | 64  | 14.71576329 | 0.5    | 10896 | 0.110839844 |
| peppers32.bmp | peppers32.bmp-withWavelet_haar-G_0.6-H9e-005_af3.wfa    | 1572864 | 524288 | 524288 | 26 | 21872 | 208 | 208 | 32 | 256 | 14.72205239 | 14.875 | 22288 | 0.014170329 |
| peppers32.bmp | peppers32.bmp-withWavelet_rbio1.1-G_0.6-H9e-005_af3.wfa | 1572864 | 524288 | 524288 | 26 | 21872 | 208 | 208 | 32 | 256 | 14.72205239 | 14.968 | 22288 | 0.014170329 |
| peppers32.bmp | peppers32.bmp-withWavelet_sym1-G_0.6-H9e-005_af3.wfa    | 1572864 | 524288 | 524288 | 26 | 21872 | 208 | 208 | 32 | 256 | 14.72205239 | 14.907 | 22288 | 0.014170329 |
| peppers32.bmp | peppers32.bmp-withWavelet_bior1.1-G_0.6-H9e-005_af3.wfa | 1572864 | 524288 | 524288 | 26 | 21872 | 208 | 208 | 32 | 256 | 14.72205239 | 14.907 | 22288 | 0.014170329 |
| peppers32.bmp | peppers32.bmp-withWavelet_haar-G_0.6-H5e-005_af3.wfa    | 393216  | 131072 | 131072 | 30 | 29040 | 240 | 240 | 32 | 128 | 14.72590034 | 4.172  | 29520 | 0.075073242 |
| peppers32.bmp | peppers32.bmp-withWavelet_rbio1.1-G_0.6-H5e-005_af3.wfa | 393216  | 131072 | 131072 | 30 | 29040 | 240 | 240 | 32 | 128 | 14.72590034 | 4.187  | 29520 | 0.075073242 |
| peppers32.bmp | peppers32.bmp-withWavelet_sym1-G_0.6-H5e-005_af3.wfa    | 393216  | 131072 | 131072 | 30 | 29040 | 240 | 240 | 32 | 128 | 14.72590034 | 4.156  | 29520 | 0.075073242 |
| peppers32.bmp | peppers32.bmp-withWavelet_bior1.1-G_0.6-H5e-005_af3.wfa | 393216  | 131072 | 131072 | 30 | 29040 | 240 | 240 | 32 | 128 | 14.72590034 | 4.265  | 29520 | 0.075073242 |
| peppers32.bmp | peppers32.bmp-withWavelet_haar-G_0.6-H6e-005_af4.wfa    | 1572864 | 524288 | 524288 | 30 | 29040 | 240 | 240 | 32 | 256 | 14.72811378 | 18.735 | 29520 | 0.018768311 |
| peppers32.bmp | peppers32.bmp-withWavelet_rbio1.1-G_0.6-H6e-005_af4.wfa | 1572864 | 524288 | 524288 | 30 | 29040 | 240 | 240 | 32 | 256 | 14.72811378 | 18.703 | 29520 | 0.018768311 |
| peppers32.bmp | peppers32.bmp-withWavelet_sym1-G_0.6-H6e-005_af4.wfa    | 1572864 | 524288 | 524288 | 30 | 29040 | 240 | 240 | 32 | 256 | 14.72811378 | 18.719 | 29520 | 0.018768311 |
| peppers32.bmp | peppers32.bmp-withWavelet_bior1.1-G_0.6-H6e-005_af4.wfa | 1572864 | 524288 | 524288 | 30 | 29040 | 240 | 240 | 32 | 256 | 14.72811378 | 18.609 | 29520 | 0.018768311 |
| peppers32.bmp | peppers32.bmp-G_0.8-H8e-005_af4.wfa                     | 24576   | 8192   |        | 15 | 7440  | 120 | 120 | 32 | 32  | 14.72898778 | 0.094  | 7680  | 0.3125      |
| peppers32.bmp | peppers32.bmp-withWavelet_haar-G_0.6-H0.0001_af2.wfa    | 393216  | 131072 | 131072 | 18 | 10608 | 144 | 144 | 32 | 128 | 14.73267987 | 2.266  | 10896 | 0.027709961 |
| peppers32.bmp | peppers32.bmp-withWavelet_rbio1.1-G_0.6-H0.0001_af2.wfa | 393216  | 131072 | 131072 | 18 | 10608 | 144 | 144 | 32 | 128 | 14.73267987 | 2.078  | 10896 | 0.027709961 |
| peppers32.bmp | peppers32.bmp-withWavelet_sym1-G_0.6-H0.0001_af2.wfa    | 393216  | 131072 | 131072 | 18 | 10608 | 144 | 144 | 32 | 128 | 14.73267987 | 2.14   | 10896 | 0.027709961 |
| peppers32.bmp | peppers32.bmp-withWavelet_bior1.1-G_0.6-H0.0001_af2.wfa | 393216  | 131072 | 131072 | 18 | 10608 | 144 | 144 | 32 | 128 | 14.73267987 | 2.062  | 10896 | 0.027709961 |
| peppers32.bmp | peppers32.bmp-withWavelet_haar-G_0.8-H3e-005_af5.wfa    | 1572864 | 524288 | 524288 | 19 | 11792 | 152 | 152 | 32 | 256 | 14.73309673 | 9.657  | 12096 | 0.00769043  |

|               |   |         |        |        |    |       |     |     |    |     |             |       |       |             |
|---------------|---|---------|--------|--------|----|-------|-----|-----|----|-----|-------------|-------|-------|-------------|
| peppers32.bmp | peppers32.bmp-withWavelet_rbio1.1-G_0.8-H3e-005_af5.wfa | 1572864 | 524288 | 524288 | 19 | 11792 | 152 | 152 | 32 | 256 | 14.73309673 | 9.578 | 12096 | 0.00769043  |
| peppers32.bmp | peppers32.bmp-withWavelet_sym1-G_0.8-H3e-005_af5.wfa    | 1572864 | 524288 | 524288 | 19 | 11792 | 152 | 152 | 32 | 256 | 14.73309673 | 9.547 | 12096 | 0.00769043  |
| peppers32.bmp | peppers32.bmp-withWavelet_bior1.1-G_0.8-H3e-005_af5.wfa | 1572864 | 524288 | 524288 | 19 | 11792 | 152 | 152 | 32 | 256 | 14.73309673 | 9.656 | 12096 | 0.00769043  |
| peppers32.bmp | peppers32.bmp-withWavelet_haar-G_1-H7e-005_af5.wfa      | 24576   | 8192   | 8192   | 16 | 8432  | 128 | 128 | 32 | 32  | 14.74117024 | 0.203 | 8688  | 0.353515625 |
| peppers32.bmp | peppers32.bmp-withWavelet_rbio1.1-G_1-H7e-005_af5.wfa   | 24576   | 8192   | 8192   | 16 | 8432  | 128 | 128 | 32 | 32  | 14.74117024 | 0.11  | 8688  | 0.353515625 |
| peppers32.bmp | peppers32.bmp-withWavelet_sym1-G_1-H7e-005_af5.wfa      | 24576   | 8192   | 8192   | 16 | 8432  | 128 | 128 | 32 | 32  | 14.74117024 | 0.11  | 8688  | 0.353515625 |
| peppers32.bmp | peppers32.bmp-withWavelet_bior1.1-G_1-H7e-005_af5.wfa   | 24576   | 8192   | 8192   | 16 | 8432  | 128 | 128 | 32 | 32  | 14.74117024 | 0.109 | 8688  | 0.353515625 |
| peppers32.bmp | peppers32.bmp-G_1-H3e-005_af4.wfa                       | 24576   | 8192   |        | 16 | 8432  | 128 | 128 | 32 | 32  | 14.74135698 | 0.109 | 8688  | 0.353515625 |
| peppers32.bmp | peppers32.bmp-G_1-H4e-005_af4.wfa                       | 24576   | 8192   |        | 16 | 8432  | 128 | 128 | 32 | 32  | 14.74135698 | 0.109 | 8688  | 0.353515625 |
| peppers32.bmp | peppers32.bmp-withWavelet_haar-G_1-H4e-005_af2.wfa      | 98304   | 32768  | 32768  | 26 | 21872 | 208 | 208 | 32 | 64  | 14.74138778 | 0.797 | 22288 | 0.22672526  |
| peppers32.bmp | peppers32.bmp-withWavelet_rbio1.1-G_1-H4e-005_af2.wfa   | 98304   | 32768  | 32768  | 26 | 21872 | 208 | 208 | 32 | 64  | 14.74138778 | 0.766 | 22288 | 0.22672526  |
| peppers32.bmp | peppers32.bmp-withWavelet_sym1-G_1-H4e-005_af2.wfa      | 98304   | 32768  | 32768  | 26 | 21872 | 208 | 208 | 32 | 64  | 14.74138778 | 0.781 | 22288 | 0.22672526  |
| peppers32.bmp | peppers32.bmp-withWavelet_bior1.1-G_1-H4e-005_af2.wfa   | 98304   | 32768  | 32768  | 26 | 21872 | 208 | 208 | 32 | 64  | 14.74138778 | 0.765 | 22288 | 0.22672526  |
| peppers32.bmp | peppers32.bmp-withWavelet_haar-G_0.8-H3e-005_af5.wfa    | 98304   | 32768  | 32768  | 19 | 11792 | 152 | 152 | 32 | 64  | 14.74170019 | 0.531 | 12096 | 0.123046875 |
| peppers32.bmp | peppers32.bmp-withWavelet_rbio1.1-G_0.8-H3e-005_af5.wfa | 98304   | 32768  | 32768  | 19 | 11792 | 152 | 152 | 32 | 64  | 14.74170019 | 0.578 | 12096 | 0.123046875 |
| peppers32.bmp | peppers32.bmp-withWavelet_sym1-G_0.8-H3e-005_af5.wfa    | 98304   | 32768  | 32768  | 19 | 11792 | 152 | 152 | 32 | 64  | 14.74170019 | 0.531 | 12096 | 0.123046875 |
| peppers32.bmp | peppers32.bmp-withWavelet_bior1.1-G_0.8-H3e-005_af5.wfa | 98304   | 32768  | 32768  | 19 | 11792 | 152 | 152 | 32 | 64  | 14.74170019 | 0.593 | 12096 | 0.123046875 |
| peppers32.bmp | peppers32.bmp-G_1-H5e-005_af4.wfa                       | 24576   | 8192   |        | 15 | 7440  | 120 | 120 | 32 | 32  | 14.74233236 | 0.109 | 7680  | 0.3125      |
| peppers32.bmp | peppers32.bmp-G_1-H6e-005_af4.wfa                       | 24576   | 8192   |        | 15 | 7440  | 120 | 120 | 32 | 32  | 14.74233236 | 0.11  | 7680  | 0.3125      |
| peppers32.bmp | peppers32.bmp-G_1-H7e-005_af4.wfa                       | 24576   | 8192   |        | 16 | 8432  | 128 | 128 | 32 | 32  | 14.74585077 | 0.109 | 8688  | 0.353515625 |
| peppers32.bmp | peppers32.bmp-withWavelet_haar-G_0.6-H3e-005_af2.wfa    | 98304   | 32768  | 32768  | 28 | 25328 | 224 | 224 | 32 | 64  | 14.74602604 | 0.86  | 25776 | 0.262207031 |
| peppers32.bmp | peppers32.bmp-withWavelet_rbio1.1-G_0.6-H3e-005_af2.wfa | 98304   | 32768  | 32768  | 28 | 25328 | 224 | 224 | 32 | 64  | 14.74602604 | 0.86  | 25776 | 0.262207031 |
| peppers32.bmp | peppers32.bmp-withWavelet_sym1-G_0.6-H3e-005_af2.wfa    | 98304   | 32768  | 32768  | 28 | 25328 | 224 | 224 | 32 | 64  | 14.74602604 | 0.906 | 25776 | 0.262207031 |
| peppers32.bmp | peppers32.bmp-withWavelet_bior1.1-G_0.6-H3e-005_af2.wfa | 98304   | 32768  | 32768  | 28 | 25328 | 224 | 224 | 32 | 64  | 14.74602604 | 0.844 | 25776 | 0.262207031 |
| peppers32.bmp | peppers32.bmp-withWavelet_haar-G_0.8-H7e-005_af5.wfa    | 24576   | 8192   | 8192   | 16 | 8432  | 128 | 128 | 32 | 32  | 14.75167793 | 0.109 | 8688  | 0.353515625 |
| peppers32.bmp | peppers32.bmp-withWavelet_rbio1.1-G_0.8-H7e-005_af5.wfa | 24576   | 8192   | 8192   | 16 | 8432  | 128 | 128 | 32 | 32  | 14.75167793 | 0.109 | 8688  | 0.353515625 |
| peppers32.bmp | peppers32.bmp-withWavelet_sym1-G_0.8-H7e-005_af5.wfa    | 24576   | 8192   | 8192   | 16 | 8432  | 128 | 128 | 32 | 32  | 14.75167793 | 0.187 | 8688  | 0.353515625 |
| peppers32.bmp | peppers32.bmp-withWavelet_bior1.1-G_0.8-H7e-005_af5.wfa | 24576   | 8192   | 8192   | 16 | 8432  | 128 | 128 | 32 | 32  | 14.75167793 | 0.109 | 8688  | 0.353515625 |
| peppers32.bmp | peppers32.bmp-withWavelet_haar-G_1-H7e-005_af2.wfa      | 98304   | 32768  | 32768  | 21 | 14352 | 168 | 168 | 32 | 64  | 14.7533305  | 0.688 | 14688 | 0.149414063 |
| peppers32.bmp | peppers32.bmp-withWavelet_rbio1.1-G_1-H7e-005_af2.wfa   | 98304   | 32768  | 32768  | 21 | 14352 | 168 | 168 | 32 | 64  | 14.7533305  | 0.625 | 14688 | 0.149414063 |
| peppers32.bmp | peppers32.bmp-withWavelet_sym1-G_1-H7e-005_af2.wfa      | 98304   | 32768  | 32768  | 21 | 14352 | 168 | 168 | 32 | 64  | 14.7533305  | 0.578 | 14688 | 0.149414063 |

|               |   |         |        |        |    |       |     |     |    |     |             |        |       |             |
|---------------|---|---------|--------|--------|----|-------|-----|-----|----|-----|-------------|--------|-------|-------------|
| peppers32.bmp | peppers32.bmp-withWavelet_bior1.1-G_1-H7e-005_af2.wfa   | 98304   | 32768  | 32768  | 21 | 14352 | 168 | 168 | 32 | 64  | 14.7533305  | 0.562  | 14688 | 0.149414063 |
| peppers32.bmp | peppers32.bmp-G_1-H1e-005_af4.wfa                       | 24576   | 8192   |        | 17 | 9488  | 136 | 136 | 32 | 32  | 14.755661   | 0.109  | 9760  | 0.397135417 |
| peppers32.bmp | peppers32.bmp-G_1-H2e-005_af4.wfa                       | 24576   | 8192   |        | 17 | 9488  | 136 | 136 | 32 | 32  | 14.755661   | 0.11   | 9760  | 0.397135417 |
| peppers32.bmp | peppers32.bmp-withWavelet_haar-G_1-H3e-005_af5.wfa      | 1572864 | 524288 | 524288 | 19 | 11792 | 152 | 152 | 32 | 256 | 14.75606596 | 9.562  | 12096 | 0.00769043  |
| peppers32.bmp | peppers32.bmp-withWavelet_rbio1.1-G_1-H3e-005_af5.wfa   | 1572864 | 524288 | 524288 | 19 | 11792 | 152 | 152 | 32 | 256 | 14.75606596 | 9.578  | 12096 | 0.00769043  |
| peppers32.bmp | peppers32.bmp-withWavelet_sym1-G_1-H3e-005_af5.wfa      | 1572864 | 524288 | 524288 | 19 | 11792 | 152 | 152 | 32 | 256 | 14.75606596 | 9.625  | 12096 | 0.00769043  |
| peppers32.bmp | peppers32.bmp-withWavelet_bior1.1-G_1-H3e-005_af5.wfa   | 1572864 | 524288 | 524288 | 19 | 11792 | 152 | 152 | 32 | 256 | 14.75606596 | 9.657  | 12096 | 0.00769043  |
| peppers32.bmp | peppers32.bmp-withWavelet_haar-G_1-H3e-005_af5.wfa      | 98304   | 32768  | 32768  | 19 | 11792 | 152 | 152 | 32 | 64  | 14.75696094 | 0.516  | 12096 | 0.123046875 |
| peppers32.bmp | peppers32.bmp-withWavelet_rbio1.1-G_1-H3e-005_af5.wfa   | 98304   | 32768  | 32768  | 19 | 11792 | 152 | 152 | 32 | 64  | 14.75696094 | 0.531  | 12096 | 0.123046875 |
| peppers32.bmp | peppers32.bmp-withWavelet_sym1-G_1-H3e-005_af5.wfa      | 98304   | 32768  | 32768  | 19 | 11792 | 152 | 152 | 32 | 64  | 14.75696094 | 0.515  | 12096 | 0.123046875 |
| peppers32.bmp | peppers32.bmp-withWavelet_bior1.1-G_1-H3e-005_af5.wfa   | 98304   | 32768  | 32768  | 19 | 11792 | 152 | 152 | 32 | 64  | 14.75696094 | 0.531  | 12096 | 0.123046875 |
| peppers32.bmp | peppers32.bmp-withWavelet_haar-G_0.6-H4e-005_af1.wfa    | 1572864 | 524288 | 524288 | 33 | 35088 | 264 | 264 | 32 | 256 | 14.75851863 | 22.469 | 35616 | 0.022644043 |
| peppers32.bmp | peppers32.bmp-withWavelet_rbio1.1-G_0.6-H4e-005_af1.wfa | 1572864 | 524288 | 524288 | 33 | 35088 | 264 | 264 | 32 | 256 | 14.75851863 | 22.532 | 35616 | 0.022644043 |
| peppers32.bmp | peppers32.bmp-withWavelet_sym1-G_0.6-H4e-005_af1.wfa    | 1572864 | 524288 | 524288 | 33 | 35088 | 264 | 264 | 32 | 256 | 14.75851863 | 22.422 | 35616 | 0.022644043 |
| peppers32.bmp | peppers32.bmp-withWavelet_bior1.1-G_0.6-H4e-005_af1.wfa | 1572864 | 524288 | 524288 | 33 | 35088 | 264 | 264 | 32 | 256 | 14.75851863 | 25.36  | 35616 | 0.022644043 |
| peppers32.bmp | peppers32.bmp-G_0.8-H9e-005_af4.wfa                     | 24576   | 8192   |        | 15 | 7440  | 120 | 120 | 32 | 32  | 14.7587339  | 0.109  | 7680  | 0.3125      |
| peppers32.bmp | peppers32.bmp-G_1-H8e-005_af4.wfa                       | 24576   | 8192   |        | 16 | 8432  | 128 | 128 | 32 | 32  | 14.76014431 | 0.11   | 8688  | 0.353515625 |
| peppers32.bmp | peppers32.bmp-withWavelet_haar-G_0.6-H2e-005_af2.wfa    | 98304   | 32768  | 32768  | 32 | 33008 | 256 | 256 | 32 | 64  | 14.76331165 | 1.093  | 33520 | 0.340983073 |
| peppers32.bmp | peppers32.bmp-withWavelet_rbio1.1-G_0.6-H2e-005_af2.wfa | 98304   | 32768  | 32768  | 32 | 33008 | 256 | 256 | 32 | 64  | 14.76331165 | 1.094  | 33520 | 0.340983073 |
| peppers32.bmp | peppers32.bmp-withWavelet_sym1-G_0.6-H2e-005_af2.wfa    | 98304   | 32768  | 32768  | 32 | 33008 | 256 | 256 | 32 | 64  | 14.76331165 | 1.093  | 33520 | 0.340983073 |
| peppers32.bmp | peppers32.bmp-withWavelet_bior1.1-G_0.6-H2e-005_af2.wfa | 98304   | 32768  | 32768  | 32 | 33008 | 256 | 256 | 32 | 64  | 14.76331165 | 1.047  | 33520 | 0.340983073 |
| peppers32.bmp | peppers32.bmp-withWavelet_haar-G_0.8-H1e-005_af2.wfa    | 393216  | 131072 | 131072 | 33 | 35088 | 264 | 264 | 32 | 128 | 14.76662328 | 5.157  | 35616 | 0.090576172 |
| peppers32.bmp | peppers32.bmp-withWavelet_rbio1.1-G_0.8-H1e-005_af2.wfa | 393216  | 131072 | 131072 | 33 | 35088 | 264 | 264 | 32 | 128 | 14.76662328 | 5      | 35616 | 0.090576172 |
| peppers32.bmp | peppers32.bmp-withWavelet_sym1-G_0.8-H1e-005_af2.wfa    | 393216  | 131072 | 131072 | 33 | 35088 | 264 | 264 | 32 | 128 | 14.76662328 | 4.984  | 35616 | 0.090576172 |
| peppers32.bmp | peppers32.bmp-withWavelet_bior1.1-G_0.8-H1e-005_af2.wfa | 393216  | 131072 | 131072 | 33 | 35088 | 264 | 264 | 32 | 128 | 14.76662328 | 4.969  | 35616 | 0.090576172 |
| peppers32.bmp | peppers32.bmp-withWavelet_haar-G_0.8-H8e-005_af2.wfa    | 1572864 | 524288 | 524288 | 20 | 13040 | 160 | 160 | 32 | 256 | 14.76771669 | 9.891  | 13360 | 0.008494059 |
| peppers32.bmp | peppers32.bmp-withWavelet_rbio1.1-G_0.8-H8e-005_af2.wfa | 1572864 | 524288 | 524288 | 20 | 13040 | 160 | 160 | 32 | 256 | 14.76771669 | 9.813  | 13360 | 0.008494059 |
| peppers32.bmp | peppers32.bmp-withWavelet_sym1-G_0.8-H8e-005_af2.wfa    | 1572864 | 524288 | 524288 | 20 | 13040 | 160 | 160 | 32 | 256 | 14.76771669 | 9.765  | 13360 | 0.008494059 |
| peppers32.bmp | peppers32.bmp-withWavelet_bior1.1-G_0.8-H8e-005_af2.wfa | 1572864 | 524288 | 524288 | 20 | 13040 | 160 | 160 | 32 | 256 | 14.76771669 | 10.563 | 13360 | 0.008494059 |
| peppers32.bmp | peppers32.bmp-withWavelet_haar-G_0.6-H1e-005_af2.wfa    | 98304   | 32768  | 32768  | 33 | 35088 | 264 | 264 | 32 | 64  | 14.76885402 | 1.218  | 35616 | 0.362304688 |
| peppers32.bmp | peppers32.bmp-withWavelet_rbio1.1-G_0.6-H1e-005_af2.wfa | 98304   | 32768  | 32768  | 33 | 35088 | 264 | 264 | 32 | 64  | 14.76885402 | 1.282  | 35616 | 0.362304688 |

|               |   |         |        |        |    |       |     |     |    |     |             |        |       |             |
|---------------|---|---------|--------|--------|----|-------|-----|-----|----|-----|-------------|--------|-------|-------------|
| peppers32.bmp | peppers32.bmp-withWavelet_sym1-G_0.6-H1e-005_af2.wfa    | 98304   | 32768  | 32768  | 33 | 35088 | 264 | 264 | 32 | 64  | 14.76885402 | 1.171  | 35616 | 0.362304688 |
| peppers32.bmp | peppers32.bmp-withWavelet_bior1.1-G_0.6-H1e-005_af2.wfa | 98304   | 32768  | 32768  | 33 | 35088 | 264 | 264 | 32 | 64  | 14.76885402 | 1.187  | 35616 | 0.362304688 |
| peppers32.bmp | peppers32.bmp-withWavelet_haar-G_0.8-H2e-005_af2.wfa    | 1572864 | 524288 | 524288 | 31 | 30992 | 248 | 248 | 32 | 256 | 14.76941613 | 20.062 | 31488 | 0.020019531 |
| peppers32.bmp | peppers32.bmp-withWavelet_rbio1.1-G_0.8-H2e-005_af2.wfa | 1572864 | 524288 | 524288 | 31 | 30992 | 248 | 248 | 32 | 256 | 14.76941613 | 19.937 | 31488 | 0.020019531 |
| peppers32.bmp | peppers32.bmp-withWavelet_sym1-G_0.8-H2e-005_af2.wfa    | 1572864 | 524288 | 524288 | 31 | 30992 | 248 | 248 | 32 | 256 | 14.76941613 | 20.047 | 31488 | 0.020019531 |
| peppers32.bmp | peppers32.bmp-withWavelet_bior1.1-G_0.8-H2e-005_af2.wfa | 1572864 | 524288 | 524288 | 31 | 30992 | 248 | 248 | 32 | 256 | 14.76941613 | 19.984 | 31488 | 0.020019531 |
| peppers32.bmp | peppers32.bmp-withWavelet_haar-G_1-H1e-005_af2.wfa      | 393216  | 131072 | 131072 | 33 | 35088 | 264 | 264 | 32 | 128 | 14.77212965 | 4.985  | 35616 | 0.090576172 |
| peppers32.bmp | peppers32.bmp-withWavelet_rbio1.1-G_1-H1e-005_af2.wfa   | 393216  | 131072 | 131072 | 33 | 35088 | 264 | 264 | 32 | 128 | 14.77212965 | 5.953  | 35616 | 0.090576172 |
| peppers32.bmp | peppers32.bmp-withWavelet_sym1-G_1-H1e-005_af2.wfa      | 393216  | 131072 | 131072 | 33 | 35088 | 264 | 264 | 32 | 128 | 14.77212965 | 5      | 35616 | 0.090576172 |
| peppers32.bmp | peppers32.bmp-withWavelet_bior1.1-G_1-H1e-005_af2.wfa   | 393216  | 131072 | 131072 | 33 | 35088 | 264 | 264 | 32 | 128 | 14.77212965 | 6.016  | 35616 | 0.090576172 |
| peppers32.bmp | peppers32.bmp-withWavelet_haar-G_0.6-H8e-005_af4.wfa    | 1572864 | 524288 | 524288 | 28 | 25328 | 224 | 224 | 32 | 256 | 14.77249347 | 16.734 | 25776 | 0.016387939 |
| peppers32.bmp | peppers32.bmp-withWavelet_rbio1.1-G_0.6-H8e-005_af4.wfa | 1572864 | 524288 | 524288 | 28 | 25328 | 224 | 224 | 32 | 256 | 14.77249347 | 16.64  | 25776 | 0.016387939 |
| peppers32.bmp | peppers32.bmp-withWavelet_sym1-G_0.6-H8e-005_af4.wfa    | 1572864 | 524288 | 524288 | 28 | 25328 | 224 | 224 | 32 | 256 | 14.77249347 | 16.875 | 25776 | 0.016387939 |
| peppers32.bmp | peppers32.bmp-withWavelet_bior1.1-G_0.6-H8e-005_af4.wfa | 1572864 | 524288 | 524288 | 28 | 25328 | 224 | 224 | 32 | 256 | 14.77249347 | 16.75  | 25776 | 0.016387939 |
| peppers32.bmp | peppers32.bmp-withWavelet_haar-G_0.6-H5e-005_af1.wfa    | 1572864 | 524288 | 524288 | 31 | 30992 | 248 | 248 | 32 | 256 | 14.77541497 | 19.969 | 31488 | 0.020019531 |
| peppers32.bmp | peppers32.bmp-withWavelet_rbio1.1-G_0.6-H5e-005_af1.wfa | 1572864 | 524288 | 524288 | 31 | 30992 | 248 | 248 | 32 | 256 | 14.77541497 | 19.969 | 31488 | 0.020019531 |
| peppers32.bmp | peppers32.bmp-withWavelet_sym1-G_0.6-H5e-005_af1.wfa    | 1572864 | 524288 | 524288 | 31 | 30992 | 248 | 248 | 32 | 256 | 14.77541497 | 20.141 | 31488 | 0.020019531 |
| peppers32.bmp | peppers32.bmp-withWavelet_bior1.1-G_0.6-H5e-005_af1.wfa | 1572864 | 524288 | 524288 | 31 | 30992 | 248 | 248 | 32 | 256 | 14.77541497 | 20.062 | 31488 | 0.020019531 |
| peppers32.bmp | peppers32.bmp-withWavelet_haar-G_0.6-H6e-005_af1.wfa    | 1572864 | 524288 | 524288 | 28 | 25328 | 224 | 224 | 32 | 256 | 14.78037721 | 16.531 | 25776 | 0.016387939 |
| peppers32.bmp | peppers32.bmp-withWavelet_rbio1.1-G_0.6-H6e-005_af1.wfa | 1572864 | 524288 | 524288 | 28 | 25328 | 224 | 224 | 32 | 256 | 14.78037721 | 16.688 | 25776 | 0.016387939 |
| peppers32.bmp | peppers32.bmp-withWavelet_sym1-G_0.6-H6e-005_af1.wfa    | 1572864 | 524288 | 524288 | 28 | 25328 | 224 | 224 | 32 | 256 | 14.78037721 | 16.875 | 25776 | 0.016387939 |
| peppers32.bmp | peppers32.bmp-withWavelet_bior1.1-G_0.6-H6e-005_af1.wfa | 1572864 | 524288 | 524288 | 28 | 25328 | 224 | 224 | 32 | 256 | 14.78037721 | 16.609 | 25776 | 0.016387939 |
| peppers32.bmp | peppers32.bmp-withWavelet_haar-G_0.8-H1e-005_af5.wfa    | 1572864 | 524288 | 524288 | 28 | 25328 | 224 | 224 | 32 | 256 | 14.78060977 | 16.594 | 25776 | 0.016387939 |
| peppers32.bmp | peppers32.bmp-withWavelet_rbio1.1-G_0.8-H1e-005_af5.wfa | 1572864 | 524288 | 524288 | 28 | 25328 | 224 | 224 | 32 | 256 | 14.78060977 | 16.75  | 25776 | 0.016387939 |
| peppers32.bmp | peppers32.bmp-withWavelet_sym1-G_0.8-H1e-005_af5.wfa    | 1572864 | 524288 | 524288 | 28 | 25328 | 224 | 224 | 32 | 256 | 14.78060977 | 16.625 | 25776 | 0.016387939 |
| peppers32.bmp | peppers32.bmp-withWavelet_bior1.1-G_0.8-H1e-005_af5.wfa | 1572864 | 524288 | 524288 | 28 | 25328 | 224 | 224 | 32 | 256 | 14.78060977 | 16.922 | 25776 | 0.016387939 |
| peppers32.bmp | peppers32.bmp-G_0.8-H4e-005_af4.wfa                     | 24576   | 8192   |        | 16 | 8432  | 128 | 128 | 32 | 32  | 14.78132782 | 0.093  | 8688  | 0.353515625 |
| peppers32.bmp | peppers32.bmp-G_0.8-H5e-005_af4.wfa                     | 24576   | 8192   |        | 16 | 8432  | 128 | 128 | 32 | 32  | 14.78132782 | 0.109  | 8688  | 0.353515625 |
| peppers32.bmp | peppers32.bmp-withWavelet_haar-G_0.8-H4e-005_af5.wfa    | 393216  | 131072 | 131072 | 20 | 13040 | 160 | 160 | 32 | 128 | 14.78190273 | 2.313  | 13360 | 0.033976237 |
| peppers32.bmp | peppers32.bmp-withWavelet_rbio1.1-G_0.8-H4e-005_af5.wfa | 393216  | 131072 | 131072 | 20 | 13040 | 160 | 160 | 32 | 128 | 14.78190273 | 2.281  | 13360 | 0.033976237 |
| peppers32.bmp | peppers32.bmp-withWavelet_sym1-G_0.8-H4e-005_af5.wfa    | 393216  | 131072 | 131072 | 20 | 13040 | 160 | 160 | 32 | 128 | 14.78190273 | 2.437  | 13360 | 0.033976237 |



|               |   |         |        |        |    |       |     |     |    |     |             |        |       |             |
|---------------|---|---------|--------|--------|----|-------|-----|-----|----|-----|-------------|--------|-------|-------------|
| peppers32.bmp | peppers32.bmp-withWavelet_bior1.1-G_0.8-H4e-005_af5.wfa | 393216  | 131072 | 131072 | 20 | 13040 | 160 | 160 | 32 | 128 | 14.78190273 | 2.265  | 13360 | 0.033976237 |
| peppers32.bmp | peppers32.bmp-withWavelet_haar-G_1-H6e-005_af5.wfa      | 24576   | 8192   | 8192   | 17 | 9488  | 136 | 136 | 32 | 32  | 14.78330373 | 0.125  | 9760  | 0.397135417 |
| peppers32.bmp | peppers32.bmp-withWavelet_rbio1.1-G_1-H6e-005_af5.wfa   | 24576   | 8192   | 8192   | 17 | 9488  | 136 | 136 | 32 | 32  | 14.78330373 | 0.11   | 9760  | 0.397135417 |
| peppers32.bmp | peppers32.bmp-withWavelet_sym1-G_1-H6e-005_af5.wfa      | 24576   | 8192   | 8192   | 17 | 9488  | 136 | 136 | 32 | 32  | 14.78330373 | 0.109  | 9760  | 0.397135417 |
| peppers32.bmp | peppers32.bmp-withWavelet_bior1.1-G_1-H6e-005_af5.wfa   | 24576   | 8192   | 8192   | 17 | 9488  | 136 | 136 | 32 | 32  | 14.78330373 | 0.11   | 9760  | 0.397135417 |
| peppers32.bmp | peppers32.bmp-withWavelet_haar-G_1-H1e-005_af5.wfa      | 1572864 | 524288 | 524288 | 28 | 25328 | 224 | 224 | 32 | 256 | 14.7866923  | 16.703 | 25776 | 0.016387939 |
| peppers32.bmp | peppers32.bmp-withWavelet_rbio1.1-G_1-H1e-005_af5.wfa   | 1572864 | 524288 | 524288 | 28 | 25328 | 224 | 224 | 32 | 256 | 14.7866923  | 16.641 | 25776 | 0.016387939 |
| peppers32.bmp | peppers32.bmp-withWavelet_sym1-G_1-H1e-005_af5.wfa      | 1572864 | 524288 | 524288 | 28 | 25328 | 224 | 224 | 32 | 256 | 14.7866923  | 16.735 | 25776 | 0.016387939 |
| peppers32.bmp | peppers32.bmp-withWavelet_bior1.1-G_1-H1e-005_af5.wfa   | 1572864 | 524288 | 524288 | 28 | 25328 | 224 | 224 | 32 | 256 | 14.7866923  | 16.688 | 25776 | 0.016387939 |
| peppers32.bmp | peppers32.bmp-withWavelet_haar-G_1-H8e-005_af2.wfa      | 1572864 | 524288 | 524288 | 20 | 13040 | 160 | 160 | 32 | 256 | 14.79120924 | 9.828  | 13360 | 0.008494059 |
| peppers32.bmp | peppers32.bmp-withWavelet_rbio1.1-G_1-H8e-005_af2.wfa   | 1572864 | 524288 | 524288 | 20 | 13040 | 160 | 160 | 32 | 256 | 14.79120924 | 9.813  | 13360 | 0.008494059 |
| peppers32.bmp | peppers32.bmp-withWavelet_sym1-G_1-H8e-005_af2.wfa      | 1572864 | 524288 | 524288 | 20 | 13040 | 160 | 160 | 32 | 256 | 14.79120924 | 9.969  | 13360 | 0.008494059 |
| peppers32.bmp | peppers32.bmp-withWavelet_bior1.1-G_1-H8e-005_af2.wfa   | 1572864 | 524288 | 524288 | 20 | 13040 | 160 | 160 | 32 | 256 | 14.79120924 | 9.782  | 13360 | 0.008494059 |
| peppers32.bmp | peppers32.bmp-withWavelet_haar-G_1-H2e-005_af2.wfa      | 1572864 | 524288 | 524288 | 31 | 30992 | 248 | 248 | 32 | 256 | 14.79734924 | 20.062 | 31488 | 0.020019531 |
| peppers32.bmp | peppers32.bmp-withWavelet_rbio1.1-G_1-H2e-005_af2.wfa   | 1572864 | 524288 | 524288 | 31 | 30992 | 248 | 248 | 32 | 256 | 14.79734924 | 20.062 | 31488 | 0.020019531 |
| peppers32.bmp | peppers32.bmp-withWavelet_sym1-G_1-H2e-005_af2.wfa      | 1572864 | 524288 | 524288 | 31 | 30992 | 248 | 248 | 32 | 256 | 14.79734924 | 20.188 | 31488 | 0.020019531 |
| peppers32.bmp | peppers32.bmp-withWavelet_bior1.1-G_1-H2e-005_af2.wfa   | 1572864 | 524288 | 524288 | 31 | 30992 | 248 | 248 | 32 | 256 | 14.79734924 | 20.047 | 31488 | 0.020019531 |
| peppers32.bmp | peppers32.bmp-G_0.8-H6e-005_af4.wfa                     | 24576   | 8192   |        | 16 | 8432  | 128 | 128 | 32 | 32  | 14.7981919  | 0.109  | 8688  | 0.353515625 |
| peppers32.bmp | peppers32.bmp-withWavelet_haar-G_1-H4e-005_af5.wfa      | 393216  | 131072 | 131072 | 20 | 13040 | 160 | 160 | 32 | 128 | 14.79871    | 2.39   | 13360 | 0.033976237 |
| peppers32.bmp | peppers32.bmp-withWavelet_rbio1.1-G_1-H4e-005_af5.wfa   | 393216  | 131072 | 131072 | 20 | 13040 | 160 | 160 | 32 | 128 | 14.79871    | 2.406  | 13360 | 0.033976237 |
| peppers32.bmp | peppers32.bmp-withWavelet_sym1-G_1-H4e-005_af5.wfa      | 393216  | 131072 | 131072 | 20 | 13040 | 160 | 160 | 32 | 128 | 14.79871    | 2.5    | 13360 | 0.033976237 |
| peppers32.bmp | peppers32.bmp-withWavelet_bior1.1-G_1-H4e-005_af5.wfa   | 393216  | 131072 | 131072 | 20 | 13040 | 160 | 160 | 32 | 128 | 14.79871    | 2.25   | 13360 | 0.033976237 |
| peppers32.bmp | peppers32.bmp-withWavelet_haar-G_1-H7e-005_af2.wfa      | 393216  | 131072 | 131072 | 21 | 14352 | 168 | 168 | 32 | 128 | 14.80070333 | 2.406  | 14688 | 0.037353516 |
| peppers32.bmp | peppers32.bmp-withWavelet_rbio1.1-G_1-H7e-005_af2.wfa   | 393216  | 131072 | 131072 | 21 | 14352 | 168 | 168 | 32 | 128 | 14.80070333 | 2.406  | 14688 | 0.037353516 |
| peppers32.bmp | peppers32.bmp-withWavelet_sym1-G_1-H7e-005_af2.wfa      | 393216  | 131072 | 131072 | 21 | 14352 | 168 | 168 | 32 | 128 | 14.80070333 | 2.484  | 14688 | 0.037353516 |
| peppers32.bmp | peppers32.bmp-withWavelet_bior1.1-G_1-H7e-005_af2.wfa   | 393216  | 131072 | 131072 | 21 | 14352 | 168 | 168 | 32 | 128 | 14.80070333 | 2.407  | 14688 | 0.037353516 |
| peppers32.bmp | peppers32.bmp-G_0.8-H7e-005_af4.wfa                     | 24576   | 8192   |        | 16 | 8432  | 128 | 128 | 32 | 32  | 14.80159892 | 0.109  | 8688  | 0.353515625 |
| peppers32.bmp | peppers32.bmp-G_0.8-H1e-005_af4.wfa                     | 24576   | 8192   |        | 16 | 8432  | 128 | 128 | 32 | 32  | 14.80581642 | 0.11   | 8688  | 0.353515625 |
| peppers32.bmp | peppers32.bmp-G_0.8-H2e-005_af4.wfa                     | 24576   | 8192   |        | 16 | 8432  | 128 | 128 | 32 | 32  | 14.80581642 | 0.11   | 8688  | 0.353515625 |
| peppers32.bmp | peppers32.bmp-G_0.8-H3e-005_af4.wfa                     | 24576   | 8192   |        | 16 | 8432  | 128 | 128 | 32 | 32  | 14.80581642 | 0.109  | 8688  | 0.353515625 |
| peppers32.bmp | peppers32.bmp-G_1-H0.0001_af4.wfa                       | 98304   | 32768  |        | 13 | 5648  | 104 | 104 | 32 | 64  | 14.81350095 | 0.422  | 5856  | 0.059570313 |

|               |   |         |        |        |    |       |     |     |    |     |             |        |       |             |
|---------------|---|---------|--------|--------|----|-------|-----|-----|----|-----|-------------|--------|-------|-------------|
| peppers32.bmp | peppers32.bmp-withWavelet_haar-G_0.8-H8e-005_af2.wfa    | 98304   | 32768  | 32768  | 20 | 13040 | 160 | 160 | 32 | 64  | 14.82198339 | 0.579  | 13360 | 0.135904948 |
| peppers32.bmp | peppers32.bmp-withWavelet_rbio1.1-G_0.8-H8e-005_af2.wfa | 98304   | 32768  | 32768  | 20 | 13040 | 160 | 160 | 32 | 64  | 14.82198339 | 0.531  | 13360 | 0.135904948 |
| peppers32.bmp | peppers32.bmp-withWavelet_sym1-G_0.8-H8e-005_af2.wfa    | 98304   | 32768  | 32768  | 20 | 13040 | 160 | 160 | 32 | 64  | 14.82198339 | 0.531  | 13360 | 0.135904948 |
| peppers32.bmp | peppers32.bmp-withWavelet_bior1.1-G_0.8-H8e-005_af2.wfa | 98304   | 32768  | 32768  | 20 | 13040 | 160 | 160 | 32 | 64  | 14.82198339 | 0.531  | 13360 | 0.135904948 |
| peppers32.bmp | peppers32.bmp-withWavelet_haar-G_0.8-H3e-005_af5.wfa    | 393216  | 131072 | 131072 | 19 | 11792 | 152 | 152 | 32 | 128 | 14.82245002 | 2.235  | 12096 | 0.030761719 |
| peppers32.bmp | peppers32.bmp-withWavelet_rbio1.1-G_0.8-H3e-005_af5.wfa | 393216  | 131072 | 131072 | 19 | 11792 | 152 | 152 | 32 | 128 | 14.82245002 | 2.219  | 12096 | 0.030761719 |
| peppers32.bmp | peppers32.bmp-withWavelet_sym1-G_0.8-H3e-005_af5.wfa    | 393216  | 131072 | 131072 | 19 | 11792 | 152 | 152 | 32 | 128 | 14.82245002 | 2.203  | 12096 | 0.030761719 |
| peppers32.bmp | peppers32.bmp-withWavelet_bior1.1-G_0.8-H3e-005_af5.wfa | 393216  | 131072 | 131072 | 19 | 11792 | 152 | 152 | 32 | 128 | 14.82245002 | 2.312  | 12096 | 0.030761719 |
| peppers32.bmp | peppers32.bmp-withWavelet_haar-G_1-H1e-005_af4.wfa      | 1572864 | 524288 | 524288 | 37 | 44048 | 296 | 296 | 32 | 256 | 14.82837138 | 32.812 | 44640 | 0.028381348 |
| peppers32.bmp | peppers32.bmp-withWavelet_rbio1.1-G_1-H1e-005_af4.wfa   | 1572864 | 524288 | 524288 | 37 | 44048 | 296 | 296 | 32 | 256 | 14.82837138 | 34.032 | 44640 | 0.028381348 |
| peppers32.bmp | peppers32.bmp-withWavelet_sym1-G_1-H1e-005_af4.wfa      | 1572864 | 524288 | 524288 | 37 | 44048 | 296 | 296 | 32 | 256 | 14.82837138 | 30.797 | 44640 | 0.028381348 |
| peppers32.bmp | peppers32.bmp-withWavelet_bior1.1-G_1-H1e-005_af4.wfa   | 1572864 | 524288 | 524288 | 37 | 44048 | 296 | 296 | 32 | 256 | 14.82837138 | 28.406 | 44640 | 0.028381348 |
| peppers32.bmp | peppers32.bmp-withWavelet_haar-G_0.6-H2e-005_af1.wfa    | 1572864 | 524288 | 524288 | 37 | 44048 | 296 | 296 | 32 | 256 | 14.82837138 | 31.312 | 44640 | 0.028381348 |
| peppers32.bmp | peppers32.bmp-withWavelet_rbio1.1-G_0.6-H2e-005_af1.wfa | 1572864 | 524288 | 524288 | 37 | 44048 | 296 | 296 | 32 | 256 | 14.82837138 | 28.391 | 44640 | 0.028381348 |
| peppers32.bmp | peppers32.bmp-withWavelet_sym1-G_0.6-H2e-005_af1.wfa    | 1572864 | 524288 | 524288 | 37 | 44048 | 296 | 296 | 32 | 256 | 14.82837138 | 31.453 | 44640 | 0.028381348 |
| peppers32.bmp | peppers32.bmp-withWavelet_bior1.1-G_0.6-H2e-005_af1.wfa | 1572864 | 524288 | 524288 | 37 | 44048 | 296 | 296 | 32 | 256 | 14.82837138 | 28.5   | 44640 | 0.028381348 |
| peppers32.bmp | peppers32.bmp-withWavelet_haar-G_0.8-H1e-005_af1.wfa    | 1572864 | 524288 | 524288 | 37 | 44048 | 296 | 296 | 32 | 256 | 14.82837138 | 31.437 | 44640 | 0.028381348 |
| peppers32.bmp | peppers32.bmp-withWavelet_rbio1.1-G_0.8-H1e-005_af1.wfa | 1572864 | 524288 | 524288 | 37 | 44048 | 296 | 296 | 32 | 256 | 14.82837138 | 33.391 | 44640 | 0.028381348 |
| peppers32.bmp | peppers32.bmp-withWavelet_sym1-G_0.8-H1e-005_af1.wfa    | 1572864 | 524288 | 524288 | 37 | 44048 | 296 | 296 | 32 | 256 | 14.82837138 | 28.578 | 44640 | 0.028381348 |
| peppers32.bmp | peppers32.bmp-withWavelet_bior1.1-G_0.8-H1e-005_af1.wfa | 1572864 | 524288 | 524288 | 37 | 44048 | 296 | 296 | 32 | 256 | 14.82837138 | 30.797 | 44640 | 0.028381348 |
| peppers32.bmp | peppers32.bmp-withWavelet_haar-G_1-H1e-005_af3.wfa      | 1572864 | 524288 | 524288 | 37 | 44048 | 296 | 296 | 32 | 256 | 14.82837138 | 28.609 | 44640 | 0.028381348 |
| peppers32.bmp | peppers32.bmp-withWavelet_rbio1.1-G_1-H1e-005_af3.wfa   | 1572864 | 524288 | 524288 | 37 | 44048 | 296 | 296 | 32 | 256 | 14.82837138 | 28.296 | 44640 | 0.028381348 |
| peppers32.bmp | peppers32.bmp-withWavelet_sym1-G_1-H1e-005_af3.wfa      | 1572864 | 524288 | 524288 | 37 | 44048 | 296 | 296 | 32 | 256 | 14.82837138 | 28.453 | 44640 | 0.028381348 |
| peppers32.bmp | peppers32.bmp-withWavelet_bior1.1-G_1-H1e-005_af3.wfa   | 1572864 | 524288 | 524288 | 37 | 44048 | 296 | 296 | 32 | 256 | 14.82837138 | 28.359 | 44640 | 0.028381348 |
| peppers32.bmp | peppers32.bmp-withWavelet_haar-G_0.8-H1e-005_af3.wfa    | 1572864 | 524288 | 524288 | 37 | 44048 | 296 | 296 | 32 | 256 | 14.82837138 | 31.312 | 44640 | 0.028381348 |
| peppers32.bmp | peppers32.bmp-withWavelet_rbio1.1-G_0.8-H1e-005_af3.wfa | 1572864 | 524288 | 524288 | 37 | 44048 | 296 | 296 | 32 | 256 | 14.82837138 | 30.672 | 44640 | 0.028381348 |
| peppers32.bmp | peppers32.bmp-withWavelet_sym1-G_0.8-H1e-005_af3.wfa    | 1572864 | 524288 | 524288 | 37 | 44048 | 296 | 296 | 32 | 256 | 14.82837138 | 31.328 | 44640 | 0.028381348 |
| peppers32.bmp | peppers32.bmp-withWavelet_bior1.1-G_0.8-H1e-005_af3.wfa | 1572864 | 524288 | 524288 | 37 | 44048 | 296 | 296 | 32 | 256 | 14.82837138 | 31.468 | 44640 | 0.028381348 |
| peppers32.bmp | peppers32.bmp-withWavelet_haar-G_0.6-H1e-005_af3.wfa    | 1572864 | 524288 | 524288 | 37 | 44048 | 296 | 296 | 32 | 256 | 14.82837138 | 33.437 | 44640 | 0.028381348 |
| peppers32.bmp | peppers32.bmp-withWavelet_rbio1.1-G_0.6-H1e-005_af3.wfa | 1572864 | 524288 | 524288 | 37 | 44048 | 296 | 296 | 32 | 256 | 14.82837138 | 28.359 | 44640 | 0.028381348 |
| peppers32.bmp | peppers32.bmp-withWavelet_sym1-G_0.6-H1e-005_af3.wfa    | 1572864 | 524288 | 524288 | 37 | 44048 | 296 | 296 | 32 | 256 | 14.82837138 | 34.047 | 44640 | 0.028381348 |

|               |   |         |        |        |    |       |     |     |    |     |             |        |       |             |
|---------------|---|---------|--------|--------|----|-------|-----|-----|----|-----|-------------|--------|-------|-------------|
| peppers32.bmp | peppers32.bmp-withWavelet_bior1.1-G_0.6-H1e-005_af3.wfa | 1572864 | 524288 | 524288 | 37 | 44048 | 296 | 296 | 32 | 256 | 14.82837138 | 31.593 | 44640 | 0.028381348 |
| peppers32.bmp | peppers32.bmp-withWavelet_haar-G_0.6-H1e-005_af1.wfa    | 1572864 | 524288 | 524288 | 37 | 44048 | 296 | 296 | 32 | 256 | 14.82837138 | 31.343 | 44640 | 0.028381348 |
| peppers32.bmp | peppers32.bmp-withWavelet_rbio1.1-G_0.6-H1e-005_af1.wfa | 1572864 | 524288 | 524288 | 37 | 44048 | 296 | 296 | 32 | 256 | 14.82837138 | 33.265 | 44640 | 0.028381348 |
| peppers32.bmp | peppers32.bmp-withWavelet_sym1-G_0.6-H1e-005_af1.wfa    | 1572864 | 524288 | 524288 | 37 | 44048 | 296 | 296 | 32 | 256 | 14.82837138 | 31.375 | 44640 | 0.028381348 |
| peppers32.bmp | peppers32.bmp-withWavelet_bior1.1-G_0.6-H1e-005_af1.wfa | 1572864 | 524288 | 524288 | 37 | 44048 | 296 | 296 | 32 | 256 | 14.82837138 | 33.297 | 44640 | 0.028381348 |
| peppers32.bmp | peppers32.bmp-withWavelet_haar-G_1-H1e-005_af1.wfa      | 1572864 | 524288 | 524288 | 37 | 44048 | 296 | 296 | 32 | 256 | 14.82837138 | 28.562 | 44640 | 0.028381348 |
| peppers32.bmp | peppers32.bmp-withWavelet_rbio1.1-G_1-H1e-005_af1.wfa   | 1572864 | 524288 | 524288 | 37 | 44048 | 296 | 296 | 32 | 256 | 14.82837138 | 28.328 | 44640 | 0.028381348 |
| peppers32.bmp | peppers32.bmp-withWavelet_sym1-G_1-H1e-005_af1.wfa      | 1572864 | 524288 | 524288 | 37 | 44048 | 296 | 296 | 32 | 256 | 14.82837138 | 31.125 | 44640 | 0.028381348 |
| peppers32.bmp | peppers32.bmp-withWavelet_bior1.1-G_1-H1e-005_af1.wfa   | 1572864 | 524288 | 524288 | 37 | 44048 | 296 | 296 | 32 | 256 | 14.82837138 | 28.907 | 44640 | 0.028381348 |
| peppers32.bmp | peppers32.bmp-withWavelet_haar-G_0.6-H1e-005_af4.wfa    | 1572864 | 524288 | 524288 | 37 | 44048 | 296 | 296 | 32 | 256 | 14.82837138 | 30.781 | 44640 | 0.028381348 |
| peppers32.bmp | peppers32.bmp-withWavelet_rbio1.1-G_0.6-H1e-005_af4.wfa | 1572864 | 524288 | 524288 | 37 | 44048 | 296 | 296 | 32 | 256 | 14.82837138 | 31.125 | 44640 | 0.028381348 |
| peppers32.bmp | peppers32.bmp-withWavelet_sym1-G_0.6-H1e-005_af4.wfa    | 1572864 | 524288 | 524288 | 37 | 44048 | 296 | 296 | 32 | 256 | 14.82837138 | 34.312 | 44640 | 0.028381348 |
| peppers32.bmp | peppers32.bmp-withWavelet_bior1.1-G_0.6-H1e-005_af4.wfa | 1572864 | 524288 | 524288 | 37 | 44048 | 296 | 296 | 32 | 256 | 14.82837138 | 31.547 | 44640 | 0.028381348 |
| peppers32.bmp | peppers32.bmp-withWavelet_haar-G_0.8-H1e-005_af4.wfa    | 1572864 | 524288 | 524288 | 37 | 44048 | 296 | 296 | 32 | 256 | 14.82837138 | 31.5   | 44640 | 0.028381348 |
| peppers32.bmp | peppers32.bmp-withWavelet_rbio1.1-G_0.8-H1e-005_af4.wfa | 1572864 | 524288 | 524288 | 37 | 44048 | 296 | 296 | 32 | 256 | 14.82837138 | 28.406 | 44640 | 0.028381348 |
| peppers32.bmp | peppers32.bmp-withWavelet_sym1-G_0.8-H1e-005_af4.wfa    | 1572864 | 524288 | 524288 | 37 | 44048 | 296 | 296 | 32 | 256 | 14.82837138 | 31.375 | 44640 | 0.028381348 |
| peppers32.bmp | peppers32.bmp-withWavelet_bior1.1-G_0.8-H1e-005_af4.wfa | 1572864 | 524288 | 524288 | 37 | 44048 | 296 | 296 | 32 | 256 | 14.82837138 | 34.015 | 44640 | 0.028381348 |
| peppers32.bmp | peppers32.bmp-withWavelet_haar-G_0.8-H9e-005_af2.wfa    | 1572864 | 524288 | 524288 | 18 | 10608 | 144 | 144 | 32 | 256 | 14.8284647  | 8.953  | 10896 | 0.00692749  |
| peppers32.bmp | peppers32.bmp-withWavelet_rbio1.1-G_0.8-H9e-005_af2.wfa | 1572864 | 524288 | 524288 | 18 | 10608 | 144 | 144 | 32 | 256 | 14.8284647  | 8.812  | 10896 | 0.00692749  |
| peppers32.bmp | peppers32.bmp-withWavelet_sym1-G_0.8-H9e-005_af2.wfa    | 1572864 | 524288 | 524288 | 18 | 10608 | 144 | 144 | 32 | 256 | 14.8284647  | 9      | 10896 | 0.00692749  |
| peppers32.bmp | peppers32.bmp-withWavelet_bior1.1-G_0.8-H9e-005_af2.wfa | 1572864 | 524288 | 524288 | 18 | 10608 | 144 | 144 | 32 | 256 | 14.8284647  | 9      | 10896 | 0.00692749  |
| peppers32.bmp | peppers32.bmp-withWavelet_haar-G_0.8-H0.0001_af2.wfa    | 1572864 | 524288 | 524288 | 18 | 10608 | 144 | 144 | 32 | 256 | 14.8284647  | 8.953  | 10896 | 0.00692749  |
| peppers32.bmp | peppers32.bmp-withWavelet_rbio1.1-G_0.8-H0.0001_af2.wfa | 1572864 | 524288 | 524288 | 18 | 10608 | 144 | 144 | 32 | 256 | 14.8284647  | 8.89   | 10896 | 0.00692749  |
| peppers32.bmp | peppers32.bmp-withWavelet_sym1-G_0.8-H0.0001_af2.wfa    | 1572864 | 524288 | 524288 | 18 | 10608 | 144 | 144 | 32 | 256 | 14.8284647  | 8.922  | 10896 | 0.00692749  |
| peppers32.bmp | peppers32.bmp-withWavelet_bior1.1-G_0.8-H0.0001_af2.wfa | 1572864 | 524288 | 524288 | 18 | 10608 | 144 | 144 | 32 | 256 | 14.8284647  | 8.938  | 10896 | 0.00692749  |
| peppers32.bmp | peppers32.bmp-withWavelet_haar-G_0.6-H7e-005_af3.wfa    | 393216  | 131072 | 131072 | 28 | 25328 | 224 | 224 | 32 | 128 | 14.83254404 | 3.75   | 25776 | 0.065551758 |
| peppers32.bmp | peppers32.bmp-withWavelet_rbio1.1-G_0.6-H7e-005_af3.wfa | 393216  | 131072 | 131072 | 28 | 25328 | 224 | 224 | 32 | 128 | 14.83254404 | 3.75   | 25776 | 0.065551758 |
| peppers32.bmp | peppers32.bmp-withWavelet_sym1-G_0.6-H7e-005_af3.wfa    | 393216  | 131072 | 131072 | 28 | 25328 | 224 | 224 | 32 | 128 | 14.83254404 | 3.75   | 25776 | 0.065551758 |
| peppers32.bmp | peppers32.bmp-withWavelet_bior1.1-G_0.6-H7e-005_af3.wfa | 393216  | 131072 | 131072 | 28 | 25328 | 224 | 224 | 32 | 128 | 14.83254404 | 3.75   | 25776 | 0.065551758 |
| peppers32.bmp | peppers32.bmp-withWavelet_haar-G_1-H9e-005_af2.wfa      | 1572864 | 524288 | 524288 | 18 | 10608 | 144 | 144 | 32 | 256 | 14.83662377 | 8.922  | 10896 | 0.00692749  |
| peppers32.bmp | peppers32.bmp-withWavelet_rbio1.1-G_1-H9e-005_af2.wfa   | 1572864 | 524288 | 524288 | 18 | 10608 | 144 | 144 | 32 | 256 | 14.83662377 | 8.984  | 10896 | 0.00692749  |

|               |   |         |        |        |    |       |     |     |    |     |             |        |       |             |
|---------------|---|---------|--------|--------|----|-------|-----|-----|----|-----|-------------|--------|-------|-------------|
| peppers32.bmp | peppers32.bmp-withWavelet_sym1-G_1-H9e-005_af2.wfa      | 1572864 | 524288 | 524288 | 18 | 10608 | 144 | 144 | 32 | 256 | 14.83662377 | 8.906  | 10896 | 0.00692749  |
| peppers32.bmp | peppers32.bmp-withWavelet_bior1.1-G_1-H9e-005_af2.wfa   | 1572864 | 524288 | 524288 | 18 | 10608 | 144 | 144 | 32 | 256 | 14.83662377 | 8.906  | 10896 | 0.00692749  |
| peppers32.bmp | peppers32.bmp-withWavelet_haar-G_1-H0.0001_af2.wfa      | 1572864 | 524288 | 524288 | 18 | 10608 | 144 | 144 | 32 | 256 | 14.83662377 | 8.86   | 10896 | 0.00692749  |
| peppers32.bmp | peppers32.bmp-withWavelet_rbio1.1-G_1-H0.0001_af2.wfa   | 1572864 | 524288 | 524288 | 18 | 10608 | 144 | 144 | 32 | 256 | 14.83662377 | 8.875  | 10896 | 0.00692749  |
| peppers32.bmp | peppers32.bmp-withWavelet_sym1-G_1-H0.0001_af2.wfa      | 1572864 | 524288 | 524288 | 18 | 10608 | 144 | 144 | 32 | 256 | 14.83662377 | 8.938  | 10896 | 0.00692749  |
| peppers32.bmp | peppers32.bmp-withWavelet_bior1.1-G_1-H0.0001_af2.wfa   | 1572864 | 524288 | 524288 | 18 | 10608 | 144 | 144 | 32 | 256 | 14.83662377 | 8.906  | 10896 | 0.00692749  |
| peppers32.bmp | peppers32.bmp-withWavelet_haar-G_1-H8e-005_af2.wfa      | 98304   | 32768  | 32768  | 20 | 13040 | 160 | 160 | 32 | 64  | 14.83731407 | 0.547  | 13360 | 0.135904948 |
| peppers32.bmp | peppers32.bmp-withWavelet_rbio1.1-G_1-H8e-005_af2.wfa   | 98304   | 32768  | 32768  | 20 | 13040 | 160 | 160 | 32 | 64  | 14.83731407 | 0.578  | 13360 | 0.135904948 |
| peppers32.bmp | peppers32.bmp-withWavelet_sym1-G_1-H8e-005_af2.wfa      | 98304   | 32768  | 32768  | 20 | 13040 | 160 | 160 | 32 | 64  | 14.83731407 | 0.656  | 13360 | 0.135904948 |
| peppers32.bmp | peppers32.bmp-withWavelet_bior1.1-G_1-H8e-005_af2.wfa   | 98304   | 32768  | 32768  | 20 | 13040 | 160 | 160 | 32 | 64  | 14.83731407 | 0.547  | 13360 | 0.135904948 |
| peppers32.bmp | peppers32.bmp-withWavelet_haar-G_1-H3e-005_af5.wfa      | 393216  | 131072 | 131072 | 19 | 11792 | 152 | 152 | 32 | 128 | 14.84452696 | 2.204  | 12096 | 0.030761719 |
| peppers32.bmp | peppers32.bmp-withWavelet_rbio1.1-G_1-H3e-005_af5.wfa   | 393216  | 131072 | 131072 | 19 | 11792 | 152 | 152 | 32 | 128 | 14.84452696 | 2.25   | 12096 | 0.030761719 |
| peppers32.bmp | peppers32.bmp-withWavelet_sym1-G_1-H3e-005_af5.wfa      | 393216  | 131072 | 131072 | 19 | 11792 | 152 | 152 | 32 | 128 | 14.84452696 | 2.188  | 12096 | 0.030761719 |
| peppers32.bmp | peppers32.bmp-withWavelet_bior1.1-G_1-H3e-005_af5.wfa   | 393216  | 131072 | 131072 | 19 | 11792 | 152 | 152 | 32 | 128 | 14.84452696 | 2.344  | 12096 | 0.030761719 |
| peppers32.bmp | peppers32.bmp-withWavelet_haar-G_0.8-H2e-005_af1.wfa    | 1572864 | 524288 | 524288 | 36 | 41712 | 288 | 288 | 32 | 256 | 14.84973022 | 29.485 | 42288 | 0.026885986 |
| peppers32.bmp | peppers32.bmp-withWavelet_rbio1.1-G_0.8-H2e-005_af1.wfa | 1572864 | 524288 | 524288 | 36 | 41712 | 288 | 288 | 32 | 256 | 14.84973022 | 32.047 | 42288 | 0.026885986 |
| peppers32.bmp | peppers32.bmp-withWavelet_sym1-G_0.8-H2e-005_af1.wfa    | 1572864 | 524288 | 524288 | 36 | 41712 | 288 | 288 | 32 | 256 | 14.84973022 | 29.484 | 42288 | 0.026885986 |
| peppers32.bmp | peppers32.bmp-withWavelet_bior1.1-G_0.8-H2e-005_af1.wfa | 1572864 | 524288 | 524288 | 36 | 41712 | 288 | 288 | 32 | 256 | 14.84973022 | 31.922 | 42288 | 0.026885986 |
| peppers32.bmp | peppers32.bmp-withWavelet_haar-G_1-H2e-005_af1.wfa      | 1572864 | 524288 | 524288 | 36 | 41712 | 288 | 288 | 32 | 256 | 14.84973533 | 29.359 | 42288 | 0.026885986 |
| peppers32.bmp | peppers32.bmp-withWavelet_rbio1.1-G_1-H2e-005_af1.wfa   | 1572864 | 524288 | 524288 | 36 | 41712 | 288 | 288 | 32 | 256 | 14.84973533 | 28.969 | 42288 | 0.026885986 |
| peppers32.bmp | peppers32.bmp-withWavelet_sym1-G_1-H2e-005_af1.wfa      | 1572864 | 524288 | 524288 | 36 | 41712 | 288 | 288 | 32 | 256 | 14.84973533 | 29.39  | 42288 | 0.026885986 |
| peppers32.bmp | peppers32.bmp-withWavelet_bior1.1-G_1-H2e-005_af1.wfa   | 1572864 | 524288 | 524288 | 36 | 41712 | 288 | 288 | 32 | 256 | 14.84973533 | 32.312 | 42288 | 0.026885986 |
| peppers32.bmp | peppers32.bmp-withWavelet_haar-G_0.6-H7e-005_af4.wfa    | 1572864 | 524288 | 524288 | 28 | 25328 | 224 | 224 | 32 | 256 | 14.8522742  | 16.641 | 25776 | 0.016387939 |
| peppers32.bmp | peppers32.bmp-withWavelet_rbio1.1-G_0.6-H7e-005_af4.wfa | 1572864 | 524288 | 524288 | 28 | 25328 | 224 | 224 | 32 | 256 | 14.8522742  | 16.547 | 25776 | 0.016387939 |
| peppers32.bmp | peppers32.bmp-withWavelet_sym1-G_0.6-H7e-005_af4.wfa    | 1572864 | 524288 | 524288 | 28 | 25328 | 224 | 224 | 32 | 256 | 14.8522742  | 16.891 | 25776 | 0.016387939 |
| peppers32.bmp | peppers32.bmp-withWavelet_bior1.1-G_0.6-H7e-005_af4.wfa | 1572864 | 524288 | 524288 | 28 | 25328 | 224 | 224 | 32 | 256 | 14.8522742  | 16.719 | 25776 | 0.016387939 |
| peppers32.bmp | peppers32.bmp-withWavelet_haar-G_0.6-H3e-005_af1.wfa    | 1572864 | 524288 | 524288 | 35 | 39440 | 280 | 280 | 32 | 256 | 14.85839556 | 25.61  | 40000 | 0.025431315 |
| peppers32.bmp | peppers32.bmp-withWavelet_rbio1.1-G_0.6-H3e-005_af1.wfa | 1572864 | 524288 | 524288 | 35 | 39440 | 280 | 280 | 32 | 256 | 14.85839556 | 28.25  | 40000 | 0.025431315 |
| peppers32.bmp | peppers32.bmp-withWavelet_sym1-G_0.6-H3e-005_af1.wfa    | 1572864 | 524288 | 524288 | 35 | 39440 | 280 | 280 | 32 | 256 | 14.85839556 | 25.703 | 40000 | 0.025431315 |
| peppers32.bmp | peppers32.bmp-withWavelet_bior1.1-G_0.6-H3e-005_af1.wfa | 1572864 | 524288 | 524288 | 35 | 39440 | 280 | 280 | 32 | 256 | 14.85839556 | 28.484 | 40000 | 0.025431315 |
| peppers32.bmp | peppers32.bmp-withWavelet_haar-G_0.6-H8e-005_af2.wfa    | 1572864 | 524288 | 524288 | 21 | 14352 | 168 | 168 | 32 | 256 | 14.85868122 | 10.547 | 14688 | 0.009338379 |

|               |   |         |        |        |    |       |     |     |    |     |             |        |       |             |
|---------------|---|---------|--------|--------|----|-------|-----|-----|----|-----|-------------|--------|-------|-------------|
| peppers32.bmp | peppers32.bmp-withWavelet_rbio1.1-G_0.6-H8e-005_af2.wfa | 1572864 | 524288 | 524288 | 21 | 14352 | 168 | 168 | 32 | 256 | 14.85868122 | 10.547 | 14688 | 0.009338379 |
| peppers32.bmp | peppers32.bmp-withWavelet_sym1-G_0.6-H8e-005_af2.wfa    | 1572864 | 524288 | 524288 | 21 | 14352 | 168 | 168 | 32 | 256 | 14.85868122 | 10.531 | 14688 | 0.009338379 |
| peppers32.bmp | peppers32.bmp-withWavelet_bior1.1-G_0.6-H8e-005_af2.wfa | 1572864 | 524288 | 524288 | 21 | 14352 | 168 | 168 | 32 | 256 | 14.85868122 | 10.515 | 14688 | 0.009338379 |
| peppers32.bmp | peppers32.bmp-withWavelet_haar-G_0.8-H9e-005_af2.wfa    | 98304   | 32768  | 32768  | 18 | 10608 | 144 | 144 | 32 | 64  | 14.86170464 | 0.484  | 10896 | 0.110839844 |
| peppers32.bmp | peppers32.bmp-withWavelet_rbio1.1-G_0.8-H9e-005_af2.wfa | 98304   | 32768  | 32768  | 18 | 10608 | 144 | 144 | 32 | 64  | 14.86170464 | 0.531  | 10896 | 0.110839844 |
| peppers32.bmp | peppers32.bmp-withWavelet_sym1-G_0.8-H9e-005_af2.wfa    | 98304   | 32768  | 32768  | 18 | 10608 | 144 | 144 | 32 | 64  | 14.86170464 | 0.484  | 10896 | 0.110839844 |
| peppers32.bmp | peppers32.bmp-withWavelet_bior1.1-G_0.8-H9e-005_af2.wfa | 98304   | 32768  | 32768  | 18 | 10608 | 144 | 144 | 32 | 64  | 14.86170464 | 0.485  | 10896 | 0.110839844 |
| peppers32.bmp | peppers32.bmp-withWavelet_haar-G_0.8-H0.0001_af2.wfa    | 98304   | 32768  | 32768  | 18 | 10608 | 144 | 144 | 32 | 64  | 14.86170464 | 0.5    | 10896 | 0.110839844 |
| peppers32.bmp | peppers32.bmp-withWavelet_rbio1.1-G_0.8-H0.0001_af2.wfa | 98304   | 32768  | 32768  | 18 | 10608 | 144 | 144 | 32 | 64  | 14.86170464 | 0.5    | 10896 | 0.110839844 |
| peppers32.bmp | peppers32.bmp-withWavelet_sym1-G_0.8-H0.0001_af2.wfa    | 98304   | 32768  | 32768  | 18 | 10608 | 144 | 144 | 32 | 64  | 14.86170464 | 0.484  | 10896 | 0.110839844 |
| peppers32.bmp | peppers32.bmp-withWavelet_bior1.1-G_0.8-H0.0001_af2.wfa | 98304   | 32768  | 32768  | 18 | 10608 | 144 | 144 | 32 | 64  | 14.86170464 | 0.531  | 10896 | 0.110839844 |
| peppers32.bmp | peppers32.bmp-G_1-H9e-005_af4.wfa                       | 98304   | 32768  |        | 14 | 6512  | 112 | 112 | 32 | 64  | 14.86531808 | 0.422  | 6736  | 0.068522135 |
| peppers32.bmp | peppers32.bmp-withWavelet_haar-G_0.6-H1e-005_af5.wfa    | 98304   | 32768  | 32768  | 28 | 25328 | 224 | 224 | 32 | 64  | 14.86543953 | 0.859  | 25776 | 0.262207031 |
| peppers32.bmp | peppers32.bmp-withWavelet_rbio1.1-G_0.6-H1e-005_af5.wfa | 98304   | 32768  | 32768  | 28 | 25328 | 224 | 224 | 32 | 64  | 14.86543953 | 0.86   | 25776 | 0.262207031 |
| peppers32.bmp | peppers32.bmp-withWavelet_sym1-G_0.6-H1e-005_af5.wfa    | 98304   | 32768  | 32768  | 28 | 25328 | 224 | 224 | 32 | 64  | 14.86543953 | 0.86   | 25776 | 0.262207031 |
| peppers32.bmp | peppers32.bmp-withWavelet_bior1.1-G_0.6-H1e-005_af5.wfa | 98304   | 32768  | 32768  | 28 | 25328 | 224 | 224 | 32 | 64  | 14.86543953 | 0.86   | 25776 | 0.262207031 |
| peppers32.bmp | peppers32.bmp-withWavelet_haar-G_1-H9e-005_af2.wfa      | 98304   | 32768  | 32768  | 18 | 10608 | 144 | 144 | 32 | 64  | 14.86643193 | 0.531  | 10896 | 0.110839844 |
| peppers32.bmp | peppers32.bmp-withWavelet_rbio1.1-G_1-H9e-005_af2.wfa   | 98304   | 32768  | 32768  | 18 | 10608 | 144 | 144 | 32 | 64  | 14.86643193 | 0.484  | 10896 | 0.110839844 |
| peppers32.bmp | peppers32.bmp-withWavelet_sym1-G_1-H9e-005_af2.wfa      | 98304   | 32768  | 32768  | 18 | 10608 | 144 | 144 | 32 | 64  | 14.86643193 | 0.484  | 10896 | 0.110839844 |
| peppers32.bmp | peppers32.bmp-withWavelet_bior1.1-G_1-H9e-005_af2.wfa   | 98304   | 32768  | 32768  | 18 | 10608 | 144 | 144 | 32 | 64  | 14.86643193 | 0.516  | 10896 | 0.110839844 |
| peppers32.bmp | peppers32.bmp-withWavelet_haar-G_1-H0.0001_af2.wfa      | 98304   | 32768  | 32768  | 18 | 10608 | 144 | 144 | 32 | 64  | 14.86643193 | 0.484  | 10896 | 0.110839844 |
| peppers32.bmp | peppers32.bmp-withWavelet_rbio1.1-G_1-H0.0001_af2.wfa   | 98304   | 32768  | 32768  | 18 | 10608 | 144 | 144 | 32 | 64  | 14.86643193 | 0.5    | 10896 | 0.110839844 |
| peppers32.bmp | peppers32.bmp-withWavelet_sym1-G_1-H0.0001_af2.wfa      | 98304   | 32768  | 32768  | 18 | 10608 | 144 | 144 | 32 | 64  | 14.86643193 | 0.5    | 10896 | 0.110839844 |
| peppers32.bmp | peppers32.bmp-withWavelet_bior1.1-G_1-H0.0001_af2.wfa   | 98304   | 32768  | 32768  | 18 | 10608 | 144 | 144 | 32 | 64  | 14.86643193 | 0.5    | 10896 | 0.110839844 |
| peppers32.bmp | peppers32.bmp-withWavelet_haar-G_0.8-H3e-005_af1.wfa    | 1572864 | 524288 | 524288 | 35 | 39440 | 280 | 280 | 32 | 256 | 14.87158075 | 25.703 | 40000 | 0.025431315 |
| peppers32.bmp | peppers32.bmp-withWavelet_rbio1.1-G_0.8-H3e-005_af1.wfa | 1572864 | 524288 | 524288 | 35 | 39440 | 280 | 280 | 32 | 256 | 14.87158075 | 28.578 | 40000 | 0.025431315 |
| peppers32.bmp | peppers32.bmp-withWavelet_sym1-G_0.8-H3e-005_af1.wfa    | 1572864 | 524288 | 524288 | 35 | 39440 | 280 | 280 | 32 | 256 | 14.87158075 | 25.796 | 40000 | 0.025431315 |
| peppers32.bmp | peppers32.bmp-withWavelet_bior1.1-G_0.8-H3e-005_af1.wfa | 1572864 | 524288 | 524288 | 35 | 39440 | 280 | 280 | 32 | 256 | 14.87158075 | 25.922 | 40000 | 0.025431315 |
| peppers32.bmp | peppers32.bmp-withWavelet_haar-G_1-H3e-005_af1.wfa      | 1572864 | 524288 | 524288 | 35 | 39440 | 280 | 280 | 32 | 256 | 14.87169391 | 25.594 | 40000 | 0.025431315 |
| peppers32.bmp | peppers32.bmp-withWavelet_rbio1.1-G_1-H3e-005_af1.wfa   | 1572864 | 524288 | 524288 | 35 | 39440 | 280 | 280 | 32 | 256 | 14.87169391 | 25.875 | 40000 | 0.025431315 |
| peppers32.bmp | peppers32.bmp-withWavelet_sym1-G_1-H3e-005_af1.wfa      | 1572864 | 524288 | 524288 | 35 | 39440 | 280 | 280 | 32 | 256 | 14.87169391 | 25.672 | 40000 | 0.025431315 |

|               |   |         |        |        |    |       |     |     |    |     |             |        |       |             |
|---------------|---|---------|--------|--------|----|-------|-----|-----|----|-----|-------------|--------|-------|-------------|
| peppers32.bmp | peppers32.bmp-withWavelet_bior1.1-G_1-H3e-005_af1.wfa   | 1572864 | 524288 | 524288 | 35 | 39440 | 280 | 280 | 32 | 256 | 14.87169391 | 25.766 | 40000 | 0.025431315 |
| peppers32.bmp | peppers32.bmp-withWavelet_haar-G_0.8-H8e-005_af2.wfa    | 393216  | 131072 | 131072 | 20 | 13040 | 160 | 160 | 32 | 128 | 14.87405766 | 2.25   | 13360 | 0.033976237 |
| peppers32.bmp | peppers32.bmp-withWavelet_rbio1.1-G_0.8-H8e-005_af2.wfa | 393216  | 131072 | 131072 | 20 | 13040 | 160 | 160 | 32 | 128 | 14.87405766 | 2.25   | 13360 | 0.033976237 |
| peppers32.bmp | peppers32.bmp-withWavelet_sym1-G_0.8-H8e-005_af2.wfa    | 393216  | 131072 | 131072 | 20 | 13040 | 160 | 160 | 32 | 128 | 14.87405766 | 2.266  | 13360 | 0.033976237 |
| peppers32.bmp | peppers32.bmp-withWavelet_bior1.1-G_0.8-H8e-005_af2.wfa | 393216  | 131072 | 131072 | 20 | 13040 | 160 | 160 | 32 | 128 | 14.87405766 | 2.437  | 13360 | 0.033976237 |
| peppers32.bmp | peppers32.bmp-G_0.8-H0.0001_af4.wfa                     | 98304   | 32768  |        | 13 | 5648  | 104 | 104 | 32 | 64  | 14.88340197 | 0.422  | 5856  | 0.059570313 |
| peppers32.bmp | peppers32.bmp-withWavelet_haar-G_0.6-H6e-005_af3.wfa    | 393216  | 131072 | 131072 | 29 | 27152 | 232 | 232 | 32 | 128 | 14.88559476 | 4.109  | 27616 | 0.07023112  |
| peppers32.bmp | peppers32.bmp-withWavelet_rbio1.1-G_0.6-H6e-005_af3.wfa | 393216  | 131072 | 131072 | 29 | 27152 | 232 | 232 | 32 | 128 | 14.88559476 | 4.093  | 27616 | 0.07023112  |
| peppers32.bmp | peppers32.bmp-withWavelet_sym1-G_0.6-H6e-005_af3.wfa    | 393216  | 131072 | 131072 | 29 | 27152 | 232 | 232 | 32 | 128 | 14.88559476 | 4.047  | 27616 | 0.07023112  |
| peppers32.bmp | peppers32.bmp-withWavelet_bior1.1-G_0.6-H6e-005_af3.wfa | 393216  | 131072 | 131072 | 29 | 27152 | 232 | 232 | 32 | 128 | 14.88559476 | 3.984  | 27616 | 0.07023112  |
| peppers32.bmp | peppers32.bmp-withWavelet_haar-G_0.8-H6e-005_af5.wfa    | 24576   | 8192   | 8192   | 18 | 10608 | 144 | 144 | 32 | 32  | 14.88580705 | 0.125  | 10896 | 0.443359375 |
| peppers32.bmp | peppers32.bmp-withWavelet_rbio1.1-G_0.8-H6e-005_af5.wfa | 24576   | 8192   | 8192   | 18 | 10608 | 144 | 144 | 32 | 32  | 14.88580705 | 0.109  | 10896 | 0.443359375 |
| peppers32.bmp | peppers32.bmp-withWavelet_sym1-G_0.8-H6e-005_af5.wfa    | 24576   | 8192   | 8192   | 18 | 10608 | 144 | 144 | 32 | 32  | 14.88580705 | 0.109  | 10896 | 0.443359375 |
| peppers32.bmp | peppers32.bmp-withWavelet_bior1.1-G_0.8-H6e-005_af5.wfa | 24576   | 8192   | 8192   | 18 | 10608 | 144 | 144 | 32 | 32  | 14.88580705 | 0.125  | 10896 | 0.443359375 |
| peppers32.bmp | peppers32.bmp-withWavelet_haar-G_1-H8e-005_af2.wfa      | 393216  | 131072 | 131072 | 20 | 13040 | 160 | 160 | 32 | 128 | 14.89627488 | 2.25   | 13360 | 0.033976237 |
| peppers32.bmp | peppers32.bmp-withWavelet_rbio1.1-G_1-H8e-005_af2.wfa   | 393216  | 131072 | 131072 | 20 | 13040 | 160 | 160 | 32 | 128 | 14.89627488 | 2.25   | 13360 | 0.033976237 |
| peppers32.bmp | peppers32.bmp-withWavelet_sym1-G_1-H8e-005_af2.wfa      | 393216  | 131072 | 131072 | 20 | 13040 | 160 | 160 | 32 | 128 | 14.89627488 | 2.235  | 13360 | 0.033976237 |
| peppers32.bmp | peppers32.bmp-withWavelet_bior1.1-G_1-H8e-005_af2.wfa   | 393216  | 131072 | 131072 | 20 | 13040 | 160 | 160 | 32 | 128 | 14.89627488 | 2.234  | 13360 | 0.033976237 |
| peppers32.bmp | peppers32.bmp-G_0.8-H8e-005_af4.wfa                     | 98304   | 32768  |        | 15 | 7440  | 120 | 120 | 32 | 64  | 14.8966479  | 0.453  | 7680  | 0.078125    |
| peppers32.bmp | peppers32.bmp-withWavelet_haar-G_0.8-H4e-005_af1.wfa    | 1572864 | 524288 | 524288 | 34 | 37232 | 272 | 272 | 32 | 256 | 14.89746816 | 23.438 | 37776 | 0.024017334 |
| peppers32.bmp | peppers32.bmp-withWavelet_rbio1.1-G_0.8-H4e-005_af1.wfa | 1572864 | 524288 | 524288 | 34 | 37232 | 272 | 272 | 32 | 256 | 14.89746816 | 25.797 | 37776 | 0.024017334 |
| peppers32.bmp | peppers32.bmp-withWavelet_sym1-G_0.8-H4e-005_af1.wfa    | 1572864 | 524288 | 524288 | 34 | 37232 | 272 | 272 | 32 | 256 | 14.89746816 | 23.516 | 37776 | 0.024017334 |
| peppers32.bmp | peppers32.bmp-withWavelet_bior1.1-G_0.8-H4e-005_af1.wfa | 1572864 | 524288 | 524288 | 34 | 37232 | 272 | 272 | 32 | 256 | 14.89746816 | 23.656 | 37776 | 0.024017334 |
| peppers32.bmp | peppers32.bmp-withWavelet_haar-G_1-H4e-005_af1.wfa      | 1572864 | 524288 | 524288 | 34 | 37232 | 272 | 272 | 32 | 256 | 14.90017943 | 23.593 | 37776 | 0.024017334 |
| peppers32.bmp | peppers32.bmp-withWavelet_rbio1.1-G_1-H4e-005_af1.wfa   | 1572864 | 524288 | 524288 | 34 | 37232 | 272 | 272 | 32 | 256 | 14.90017943 | 26.188 | 37776 | 0.024017334 |
| peppers32.bmp | peppers32.bmp-withWavelet_sym1-G_1-H4e-005_af1.wfa      | 1572864 | 524288 | 524288 | 34 | 37232 | 272 | 272 | 32 | 256 | 14.90017943 | 23.406 | 37776 | 0.024017334 |
| peppers32.bmp | peppers32.bmp-withWavelet_bior1.1-G_1-H4e-005_af1.wfa   | 1572864 | 524288 | 524288 | 34 | 37232 | 272 | 272 | 32 | 256 | 14.90017943 | 23.641 | 37776 | 0.024017334 |
| peppers32.bmp | peppers32.bmp-withWavelet_haar-G_0.6-H5e-005_af2.wfa    | 393216  | 131072 | 131072 | 23 | 17168 | 184 | 184 | 32 | 128 | 14.90178802 | 2.922  | 17536 | 0.044596354 |
| peppers32.bmp | peppers32.bmp-withWavelet_rbio1.1-G_0.6-H5e-005_af2.wfa | 393216  | 131072 | 131072 | 23 | 17168 | 184 | 184 | 32 | 128 | 14.90178802 | 2.953  | 17536 | 0.044596354 |
| peppers32.bmp | peppers32.bmp-withWavelet_sym1-G_0.6-H5e-005_af2.wfa    | 393216  | 131072 | 131072 | 23 | 17168 | 184 | 184 | 32 | 128 | 14.90178802 | 2.938  | 17536 | 0.044596354 |
| peppers32.bmp | peppers32.bmp-withWavelet_bior1.1-G_0.6-H5e-005_af2.wfa | 393216  | 131072 | 131072 | 23 | 17168 | 184 | 184 | 32 | 128 | 14.90178802 | 2.938  | 17536 | 0.044596354 |

|               |   |         |        |        |    |       |     |     |    |     |             |        |       |             |
|---------------|---|---------|--------|--------|----|-------|-----|-----|----|-----|-------------|--------|-------|-------------|
| peppers32.bmp | peppers32.bmp-G_1-H5e-005_af4.wfa                       | 98304   | 32768  |        | 15 | 7440  | 120 | 120 | 32 | 64  | 14.91535072 | 0.453  | 7680  | 0.078125    |
| peppers32.bmp | peppers32.bmp-G_1-H6e-005_af4.wfa                       | 98304   | 32768  |        | 15 | 7440  | 120 | 120 | 32 | 64  | 14.91535072 | 0.453  | 7680  | 0.078125    |
| peppers32.bmp | peppers32.bmp-G_1-H7e-005_af4.wfa                       | 98304   | 32768  |        | 16 | 8432  | 128 | 128 | 32 | 64  | 14.91535609 | 0.453  | 8688  | 0.088378906 |
| peppers32.bmp | peppers32.bmp-G_1-H3e-005_af4.wfa                       | 98304   | 32768  |        | 16 | 8432  | 128 | 128 | 32 | 64  | 14.91568728 | 0.469  | 8688  | 0.088378906 |
| peppers32.bmp | peppers32.bmp-G_1-H4e-005_af4.wfa                       | 98304   | 32768  |        | 16 | 8432  | 128 | 128 | 32 | 64  | 14.91568728 | 0.453  | 8688  | 0.088378906 |
| peppers32.bmp | peppers32.bmp-withWavelet_haar-G_0.6-H7e-005_af2.wfa    | 1572864 | 524288 | 524288 | 21 | 14352 | 168 | 168 | 32 | 256 | 14.91589422 | 10.516 | 14688 | 0.009338379 |
| peppers32.bmp | peppers32.bmp-withWavelet_rbio1.1-G_0.6-H7e-005_af2.wfa | 1572864 | 524288 | 524288 | 21 | 14352 | 168 | 168 | 32 | 256 | 14.91589422 | 10.578 | 14688 | 0.009338379 |
| peppers32.bmp | peppers32.bmp-withWavelet_sym1-G_0.6-H7e-005_af2.wfa    | 1572864 | 524288 | 524288 | 21 | 14352 | 168 | 168 | 32 | 256 | 14.91589422 | 10.625 | 14688 | 0.009338379 |
| peppers32.bmp | peppers32.bmp-withWavelet_bior1.1-G_0.6-H7e-005_af2.wfa | 1572864 | 524288 | 524288 | 21 | 14352 | 168 | 168 | 32 | 256 | 14.91589422 | 10.579 | 14688 | 0.009338379 |
| peppers32.bmp | peppers32.bmp-withWavelet_haar-G_0.6-H9e-005_af4.wfa    | 1572864 | 524288 | 524288 | 25 | 20240 | 200 | 200 | 32 | 256 | 14.91669932 | 14.375 | 20640 | 0.013122559 |
| peppers32.bmp | peppers32.bmp-withWavelet_rbio1.1-G_0.6-H9e-005_af4.wfa | 1572864 | 524288 | 524288 | 25 | 20240 | 200 | 200 | 32 | 256 | 14.91669932 | 14.282 | 20640 | 0.013122559 |
| peppers32.bmp | peppers32.bmp-withWavelet_sym1-G_0.6-H9e-005_af4.wfa    | 1572864 | 524288 | 524288 | 25 | 20240 | 200 | 200 | 32 | 256 | 14.91669932 | 14.282 | 20640 | 0.013122559 |
| peppers32.bmp | peppers32.bmp-withWavelet_bior1.1-G_0.6-H9e-005_af4.wfa | 1572864 | 524288 | 524288 | 25 | 20240 | 200 | 200 | 32 | 256 | 14.91669932 | 14.25  | 20640 | 0.013122559 |
| peppers32.bmp | peppers32.bmp-G_0.8-H9e-005_af4.wfa                     | 98304   | 32768  |        | 15 | 7440  | 120 | 120 | 32 | 64  | 14.91882076 | 0.469  | 7680  | 0.078125    |
| peppers32.bmp | peppers32.bmp-G_1-H1e-005_af4.wfa                       | 98304   | 32768  |        | 17 | 9488  | 136 | 136 | 32 | 64  | 14.92466759 | 0.484  | 9760  | 0.099283854 |
| peppers32.bmp | peppers32.bmp-G_1-H2e-005_af4.wfa                       | 98304   | 32768  |        | 17 | 9488  | 136 | 136 | 32 | 64  | 14.92466759 | 0.484  | 9760  | 0.099283854 |
| peppers32.bmp | peppers32.bmp-G_1-H8e-005_af4.wfa                       | 98304   | 32768  |        | 16 | 8432  | 128 | 128 | 32 | 64  | 14.92856325 | 0.469  | 8688  | 0.088378906 |
| peppers32.bmp | peppers32.bmp-withWavelet_haar-G_0.8-H2e-005_af3.wfa    | 1572864 | 524288 | 524288 | 36 | 41712 | 288 | 288 | 32 | 256 | 14.92988135 | 29.375 | 42288 | 0.026885986 |
| peppers32.bmp | peppers32.bmp-withWavelet_rbio1.1-G_0.8-H2e-005_af3.wfa | 1572864 | 524288 | 524288 | 36 | 41712 | 288 | 288 | 32 | 256 | 14.92988135 | 26.562 | 42288 | 0.026885986 |
| peppers32.bmp | peppers32.bmp-withWavelet_sym1-G_0.8-H2e-005_af3.wfa    | 1572864 | 524288 | 524288 | 36 | 41712 | 288 | 288 | 32 | 256 | 14.92988135 | 29.25  | 42288 | 0.026885986 |
| peppers32.bmp | peppers32.bmp-withWavelet_bior1.1-G_0.8-H2e-005_af3.wfa | 1572864 | 524288 | 524288 | 36 | 41712 | 288 | 288 | 32 | 256 | 14.92988135 | 28.468 | 42288 | 0.026885986 |
| peppers32.bmp | peppers32.bmp-withWavelet_haar-G_1-H2e-005_af3.wfa      | 1572864 | 524288 | 524288 | 36 | 41712 | 288 | 288 | 32 | 256 | 14.93196997 | 29.391 | 42288 | 0.026885986 |
| peppers32.bmp | peppers32.bmp-withWavelet_rbio1.1-G_1-H2e-005_af3.wfa   | 1572864 | 524288 | 524288 | 36 | 41712 | 288 | 288 | 32 | 256 | 14.93196997 | 31.438 | 42288 | 0.026885986 |
| peppers32.bmp | peppers32.bmp-withWavelet_sym1-G_1-H2e-005_af3.wfa      | 1572864 | 524288 | 524288 | 36 | 41712 | 288 | 288 | 32 | 256 | 14.93196997 | 29.531 | 42288 | 0.026885986 |
| peppers32.bmp | peppers32.bmp-withWavelet_bior1.1-G_1-H2e-005_af3.wfa   | 1572864 | 524288 | 524288 | 36 | 41712 | 288 | 288 | 32 | 256 | 14.93196997 | 31.797 | 42288 | 0.026885986 |
| peppers32.bmp | peppers32.bmp-withWavelet_haar-G_0.8-H9e-005_af2.wfa    | 393216  | 131072 | 131072 | 18 | 10608 | 144 | 144 | 32 | 128 | 14.9337153  | 2.219  | 10896 | 0.027709961 |
| peppers32.bmp | peppers32.bmp-withWavelet_rbio1.1-G_0.8-H9e-005_af2.wfa | 393216  | 131072 | 131072 | 18 | 10608 | 144 | 144 | 32 | 128 | 14.9337153  | 2.078  | 10896 | 0.027709961 |
| peppers32.bmp | peppers32.bmp-withWavelet_sym1-G_0.8-H9e-005_af2.wfa    | 393216  | 131072 | 131072 | 18 | 10608 | 144 | 144 | 32 | 128 | 14.9337153  | 2.063  | 10896 | 0.027709961 |
| peppers32.bmp | peppers32.bmp-withWavelet_bior1.1-G_0.8-H9e-005_af2.wfa | 393216  | 131072 | 131072 | 18 | 10608 | 144 | 144 | 32 | 128 | 14.9337153  | 2.063  | 10896 | 0.027709961 |
| peppers32.bmp | peppers32.bmp-withWavelet_haar-G_0.8-H0.0001_af2.wfa    | 393216  | 131072 | 131072 | 18 | 10608 | 144 | 144 | 32 | 128 | 14.9337153  | 2.047  | 10896 | 0.027709961 |
| peppers32.bmp | peppers32.bmp-withWavelet_rbio1.1-G_0.8-H0.0001_af2.wfa | 393216  | 131072 | 131072 | 18 | 10608 | 144 | 144 | 32 | 128 | 14.9337153  | 2.141  | 10896 | 0.027709961 |

|               |   |         |        |        |    |       |     |     |    |     |             |        |       |             |
|---------------|---|---------|--------|--------|----|-------|-----|-----|----|-----|-------------|--------|-------|-------------|
| peppers32.bmp | peppers32.bmp-withWavelet_sym1-G_0.8-H0.0001_af2.wfa    | 393216  | 131072 | 131072 | 18 | 10608 | 144 | 144 | 32 | 128 | 14.9337153  | 2.063  | 10896 | 0.027709961 |
| peppers32.bmp | peppers32.bmp-withWavelet_bior1.1-G_0.8-H0.0001_af2.wfa | 393216  | 131072 | 131072 | 18 | 10608 | 144 | 144 | 32 | 128 | 14.9337153  | 2.156  | 10896 | 0.027709961 |
| peppers32.bmp | peppers32.bmp-withWavelet_haar-G_0.6-H7e-005_af5.wfa    | 24576   | 8192   | 8192   | 17 | 9488  | 136 | 136 | 32 | 32  | 14.93810967 | 0.11   | 9760  | 0.397135417 |
| peppers32.bmp | peppers32.bmp-withWavelet_rbio1.1-G_0.6-H7e-005_af5.wfa | 24576   | 8192   | 8192   | 17 | 9488  | 136 | 136 | 32 | 32  | 14.93810967 | 0.109  | 9760  | 0.397135417 |
| peppers32.bmp | peppers32.bmp-withWavelet_sym1-G_0.6-H7e-005_af5.wfa    | 24576   | 8192   | 8192   | 17 | 9488  | 136 | 136 | 32 | 32  | 14.93810967 | 0.109  | 9760  | 0.397135417 |
| peppers32.bmp | peppers32.bmp-withWavelet_bior1.1-G_0.6-H7e-005_af5.wfa | 24576   | 8192   | 8192   | 17 | 9488  | 136 | 136 | 32 | 32  | 14.93810967 | 0.109  | 9760  | 0.397135417 |
| peppers32.bmp | peppers32.bmp-withWavelet_haar-G_0.6-H7e-005_af1.wfa    | 1572864 | 524288 | 524288 | 27 | 23568 | 216 | 216 | 32 | 256 | 14.94103291 | 15.984 | 24000 | 0.015258789 |
| peppers32.bmp | peppers32.bmp-withWavelet_rbio1.1-G_0.6-H7e-005_af1.wfa | 1572864 | 524288 | 524288 | 27 | 23568 | 216 | 216 | 32 | 256 | 14.94103291 | 16.062 | 24000 | 0.015258789 |
| peppers32.bmp | peppers32.bmp-withWavelet_sym1-G_0.6-H7e-005_af1.wfa    | 1572864 | 524288 | 524288 | 27 | 23568 | 216 | 216 | 32 | 256 | 14.94103291 | 15.937 | 24000 | 0.015258789 |
| peppers32.bmp | peppers32.bmp-withWavelet_bior1.1-G_0.6-H7e-005_af1.wfa | 1572864 | 524288 | 524288 | 27 | 23568 | 216 | 216 | 32 | 256 | 14.94103291 | 16.156 | 24000 | 0.015258789 |
| peppers32.bmp | peppers32.bmp-withWavelet_haar-G_1-H9e-005_af2.wfa      | 393216  | 131072 | 131072 | 18 | 10608 | 144 | 144 | 32 | 128 | 14.94166387 | 2.063  | 10896 | 0.027709961 |
| peppers32.bmp | peppers32.bmp-withWavelet_rbio1.1-G_1-H9e-005_af2.wfa   | 393216  | 131072 | 131072 | 18 | 10608 | 144 | 144 | 32 | 128 | 14.94166387 | 2.063  | 10896 | 0.027709961 |
| peppers32.bmp | peppers32.bmp-withWavelet_sym1-G_1-H9e-005_af2.wfa      | 393216  | 131072 | 131072 | 18 | 10608 | 144 | 144 | 32 | 128 | 14.94166387 | 2.047  | 10896 | 0.027709961 |
| peppers32.bmp | peppers32.bmp-withWavelet_bior1.1-G_1-H9e-005_af2.wfa   | 393216  | 131072 | 131072 | 18 | 10608 | 144 | 144 | 32 | 128 | 14.94166387 | 2.172  | 10896 | 0.027709961 |
| peppers32.bmp | peppers32.bmp-withWavelet_haar-G_1-H0.0001_af2.wfa      | 393216  | 131072 | 131072 | 18 | 10608 | 144 | 144 | 32 | 128 | 14.94166387 | 2.078  | 10896 | 0.027709961 |
| peppers32.bmp | peppers32.bmp-withWavelet_rbio1.1-G_1-H0.0001_af2.wfa   | 393216  | 131072 | 131072 | 18 | 10608 | 144 | 144 | 32 | 128 | 14.94166387 | 2.047  | 10896 | 0.027709961 |
| peppers32.bmp | peppers32.bmp-withWavelet_sym1-G_1-H0.0001_af2.wfa      | 393216  | 131072 | 131072 | 18 | 10608 | 144 | 144 | 32 | 128 | 14.94166387 | 2.047  | 10896 | 0.027709961 |
| peppers32.bmp | peppers32.bmp-withWavelet_bior1.1-G_1-H0.0001_af2.wfa   | 393216  | 131072 | 131072 | 18 | 10608 | 144 | 144 | 32 | 128 | 14.94166387 | 2.047  | 10896 | 0.027709961 |
| peppers32.bmp | peppers32.bmp-withWavelet_haar-G_0.6-H2e-005_af4.wfa    | 393216  | 131072 | 131072 | 35 | 39440 | 280 | 280 | 32 | 128 | 14.94438326 | 5.704  | 40000 | 0.10172526  |
| peppers32.bmp | peppers32.bmp-withWavelet_rbio1.1-G_0.6-H2e-005_af4.wfa | 393216  | 131072 | 131072 | 35 | 39440 | 280 | 280 | 32 | 128 | 14.94438326 | 6.125  | 40000 | 0.10172526  |
| peppers32.bmp | peppers32.bmp-withWavelet_sym1-G_0.6-H2e-005_af4.wfa    | 393216  | 131072 | 131072 | 35 | 39440 | 280 | 280 | 32 | 128 | 14.94438326 | 5.968  | 40000 | 0.10172526  |
| peppers32.bmp | peppers32.bmp-withWavelet_bior1.1-G_0.6-H2e-005_af4.wfa | 393216  | 131072 | 131072 | 35 | 39440 | 280 | 280 | 32 | 128 | 14.94438326 | 5.687  | 40000 | 0.10172526  |
| peppers32.bmp | peppers32.bmp-withWavelet_haar-G_0.8-H1e-005_af5.wfa    | 393216  | 131072 | 131072 | 28 | 25328 | 224 | 224 | 32 | 128 | 14.94671644 | 3.734  | 25776 | 0.065551758 |
| peppers32.bmp | peppers32.bmp-withWavelet_rbio1.1-G_0.8-H1e-005_af5.wfa | 393216  | 131072 | 131072 | 28 | 25328 | 224 | 224 | 32 | 128 | 14.94671644 | 3.719  | 25776 | 0.065551758 |
| peppers32.bmp | peppers32.bmp-withWavelet_sym1-G_0.8-H1e-005_af5.wfa    | 393216  | 131072 | 131072 | 28 | 25328 | 224 | 224 | 32 | 128 | 14.94671644 | 3.75   | 25776 | 0.065551758 |
| peppers32.bmp | peppers32.bmp-withWavelet_bior1.1-G_0.8-H1e-005_af5.wfa | 393216  | 131072 | 131072 | 28 | 25328 | 224 | 224 | 32 | 128 | 14.94671644 | 3.734  | 25776 | 0.065551758 |
| peppers32.bmp | peppers32.bmp-G_0.8-H4e-005_af4.wfa                     | 98304   | 32768  |        | 16 | 8432  | 128 | 128 | 32 | 64  | 14.94739303 | 0.453  | 8688  | 0.088378906 |
| peppers32.bmp | peppers32.bmp-G_0.8-H5e-005_af4.wfa                     | 98304   | 32768  |        | 16 | 8432  | 128 | 128 | 32 | 64  | 14.94739303 | 0.453  | 8688  | 0.088378906 |
| peppers32.bmp | peppers32.bmp-withWavelet_haar-G_1-H1e-005_af5.wfa      | 393216  | 131072 | 131072 | 28 | 25328 | 224 | 224 | 32 | 128 | 14.9526491  | 3.766  | 25776 | 0.065551758 |
| peppers32.bmp | peppers32.bmp-withWavelet_rbio1.1-G_1-H1e-005_af5.wfa   | 393216  | 131072 | 131072 | 28 | 25328 | 224 | 224 | 32 | 128 | 14.9526491  | 3.797  | 25776 | 0.065551758 |
| peppers32.bmp | peppers32.bmp-withWavelet_sym1-G_1-H1e-005_af5.wfa      | 393216  | 131072 | 131072 | 28 | 25328 | 224 | 224 | 32 | 128 | 14.9526491  | 3.75   | 25776 | 0.065551758 |



|               |   |         |        |        |    |       |     |     |    |     |             |        |       |             |
|---------------|---|---------|--------|--------|----|-------|-----|-----|----|-----|-------------|--------|-------|-------------|
| peppers32.bmp | peppers32.bmp-withWavelet_bior1.1-G_1-H1e-005_af5.wfa   | 393216  | 131072 | 131072 | 28 | 25328 | 224 | 224 | 32 | 128 | 14.9526491  | 3.75   | 25776 | 0.065551758 |
| peppers32.bmp | peppers32.bmp-withWavelet_haar-G_0.6-H8e-005_af1.wfa    | 1572864 | 524288 | 524288 | 26 | 21872 | 208 | 208 | 32 | 256 | 14.95454306 | 14.891 | 22288 | 0.014170329 |
| peppers32.bmp | peppers32.bmp-withWavelet_rbio1.1-G_0.6-H8e-005_af1.wfa | 1572864 | 524288 | 524288 | 26 | 21872 | 208 | 208 | 32 | 256 | 14.95454306 | 14.969 | 22288 | 0.014170329 |
| peppers32.bmp | peppers32.bmp-withWavelet_sym1-G_0.6-H8e-005_af1.wfa    | 1572864 | 524288 | 524288 | 26 | 21872 | 208 | 208 | 32 | 256 | 14.95454306 | 15.093 | 22288 | 0.014170329 |
| peppers32.bmp | peppers32.bmp-withWavelet_bior1.1-G_0.6-H8e-005_af1.wfa | 1572864 | 524288 | 524288 | 26 | 21872 | 208 | 208 | 32 | 256 | 14.95454306 | 15.047 | 22288 | 0.014170329 |
| peppers32.bmp | peppers32.bmp-G_0.8-H6e-005_af4.wfa                     | 98304   | 32768  |        | 16 | 8432  | 128 | 128 | 32 | 64  | 14.96023189 | 0.469  | 8688  | 0.088378906 |
| peppers32.bmp | peppers32.bmp-G_0.8-H7e-005_af4.wfa                     | 98304   | 32768  |        | 16 | 8432  | 128 | 128 | 32 | 64  | 14.96359082 | 0.532  | 8688  | 0.088378906 |
| peppers32.bmp | peppers32.bmp-G_0.8-H1e-005_af4.wfa                     | 98304   | 32768  |        | 16 | 8432  | 128 | 128 | 32 | 64  | 14.96788423 | 0.468  | 8688  | 0.088378906 |
| peppers32.bmp | peppers32.bmp-G_0.8-H2e-005_af4.wfa                     | 98304   | 32768  |        | 16 | 8432  | 128 | 128 | 32 | 64  | 14.96788423 | 0.453  | 8688  | 0.088378906 |
| peppers32.bmp | peppers32.bmp-G_0.8-H3e-005_af4.wfa                     | 98304   | 32768  |        | 16 | 8432  | 128 | 128 | 32 | 64  | 14.96788423 | 0.468  | 8688  | 0.088378906 |
| peppers32.bmp | peppers32.bmp-withWavelet_haar-G_0.8-H2e-005_af2.wfa    | 393216  | 131072 | 131072 | 31 | 30992 | 248 | 248 | 32 | 128 | 14.96914163 | 4.484  | 31488 | 0.080078125 |
| peppers32.bmp | peppers32.bmp-withWavelet_rbio1.1-G_0.8-H2e-005_af2.wfa | 393216  | 131072 | 131072 | 31 | 30992 | 248 | 248 | 32 | 128 | 14.96914163 | 4.453  | 31488 | 0.080078125 |
| peppers32.bmp | peppers32.bmp-withWavelet_sym1-G_0.8-H2e-005_af2.wfa    | 393216  | 131072 | 131072 | 31 | 30992 | 248 | 248 | 32 | 128 | 14.96914163 | 4.468  | 31488 | 0.080078125 |
| peppers32.bmp | peppers32.bmp-withWavelet_bior1.1-G_0.8-H2e-005_af2.wfa | 393216  | 131072 | 131072 | 31 | 30992 | 248 | 248 | 32 | 128 | 14.96914163 | 4.453  | 31488 | 0.080078125 |
| peppers32.bmp | peppers32.bmp-withWavelet_haar-G_0.6-H0.0001_af3.wfa    | 393216  | 131072 | 131072 | 25 | 20240 | 200 | 200 | 32 | 128 | 14.98323335 | 3.235  | 20640 | 0.052490234 |
| peppers32.bmp | peppers32.bmp-withWavelet_rbio1.1-G_0.6-H0.0001_af3.wfa | 393216  | 131072 | 131072 | 25 | 20240 | 200 | 200 | 32 | 128 | 14.98323335 | 3.265  | 20640 | 0.052490234 |
| peppers32.bmp | peppers32.bmp-withWavelet_sym1-G_0.6-H0.0001_af3.wfa    | 393216  | 131072 | 131072 | 25 | 20240 | 200 | 200 | 32 | 128 | 14.98323335 | 3.219  | 20640 | 0.052490234 |
| peppers32.bmp | peppers32.bmp-withWavelet_bior1.1-G_1-H6e-005_af4.wfa   | 1572864 | 524288 | 524288 | 24 | 18672 | 192 | 192 | 32 | 256 | 14.98326876 | 13.375 | 19056 | 0.012115479 |
| peppers32.bmp | peppers32.bmp-withWavelet_haar-G_0.6-H0.0001_af4.wfa    | 1572864 | 524288 | 524288 | 24 | 18672 | 192 | 192 | 32 | 256 | 14.98326876 | 13.625 | 19056 | 0.012115479 |
| peppers32.bmp | peppers32.bmp-withWavelet_rbio1.1-G_0.6-H0.0001_af4.wfa | 1572864 | 524288 | 524288 | 24 | 18672 | 192 | 192 | 32 | 256 | 14.98326876 | 14.172 | 19056 | 0.012115479 |
| peppers32.bmp | peppers32.bmp-withWavelet_sym1-G_0.6-H0.0001_af4.wfa    | 1572864 | 524288 | 524288 | 24 | 18672 | 192 | 192 | 32 | 256 | 14.98326876 | 14.781 | 19056 | 0.012115479 |
| peppers32.bmp | peppers32.bmp-withWavelet_bior1.1-G_0.6-H0.0001_af4.wfa | 1572864 | 524288 | 524288 | 24 | 18672 | 192 | 192 | 32 | 256 | 14.98326876 | 13.828 | 19056 | 0.012115479 |
| peppers32.bmp | peppers32.bmp-withWavelet_haar-G_0.6-H4e-005_af2.wfa    | 98304   | 32768  | 32768  | 25 | 20240 | 200 | 200 | 32 | 64  | 14.989747   | 0.75   | 20640 | 0.209960938 |
| peppers32.bmp | peppers32.bmp-withWavelet_rbio1.1-G_0.6-H4e-005_af2.wfa | 98304   | 32768  | 32768  | 25 | 20240 | 200 | 200 | 32 | 64  | 14.989747   | 0.859  | 20640 | 0.209960938 |
| peppers32.bmp | peppers32.bmp-withWavelet_sym1-G_0.6-H4e-005_af2.wfa    | 98304   | 32768  | 32768  | 25 | 20240 | 200 | 200 | 32 | 64  | 14.989747   | 0.75   | 20640 | 0.209960938 |
| peppers32.bmp | peppers32.bmp-withWavelet_bior1.1-G_0.6-H4e-005_af2.wfa | 98304   | 32768  | 32768  | 25 | 20240 | 200 | 200 | 32 | 64  | 14.989747   | 0.75   | 20640 | 0.209960938 |
| peppers32.bmp | peppers32.bmp-withWavelet_haar-G_0.6-H5e-005_af4.wfa    | 393216  | 131072 | 131072 | 32 | 33008 | 256 | 256 | 32 | 128 | 14.99669601 | 4.75   | 33520 | 0.085245768 |
| peppers32.bmp | peppers32.bmp-withWavelet_rbio1.1-G_0.6-H5e-005_af4.wfa | 393216  | 131072 | 131072 | 32 | 33008 | 256 | 256 | 32 | 128 | 14.99669601 | 5.063  | 33520 | 0.085245768 |
| peppers32.bmp | peppers32.bmp-withWavelet_sym1-G_0.6-H5e-005_af4.wfa    | 393216  | 131072 | 131072 | 32 | 33008 | 256 | 256 | 32 | 128 | 14.99669601 | 4.656  | 33520 | 0.085245768 |
| peppers32.bmp | peppers32.bmp-withWavelet_bior1.1-G_0.6-H5e-005_af4.wfa | 393216  | 131072 | 131072 | 32 | 33008 | 256 | 256 | 32 | 128 | 14.99669601 | 5      | 33520 | 0.085245768 |
| peppers32.bmp | peppers32.bmp-withWavelet_haar-G_1-H2e-005_af2.wfa      | 393216  | 131072 | 131072 | 31 | 30992 | 248 | 248 | 32 | 128 | 14.99719617 | 4.469  | 31488 | 0.080078125 |

|               |   |         |        |        |    |       |     |     |    |     |             |        |       |             |
|---------------|---|---------|--------|--------|----|-------|-----|-----|----|-----|-------------|--------|-------|-------------|
| peppers32.bmp | peppers32.bmp-withWavelet_rbio1.1-G_1-H2e-005_af2.wfa   | 393216  | 131072 | 131072 | 31 | 30992 | 248 | 248 | 32 | 128 | 14.99719617 | 4.469  | 31488 | 0.080078125 |
| peppers32.bmp | peppers32.bmp-withWavelet_sym1-G_1-H2e-005_af2.wfa      | 393216  | 131072 | 131072 | 31 | 30992 | 248 | 248 | 32 | 128 | 14.99719617 | 4.469  | 31488 | 0.080078125 |
| peppers32.bmp | peppers32.bmp-withWavelet_bior1.1-G_1-H2e-005_af2.wfa   | 393216  | 131072 | 131072 | 31 | 30992 | 248 | 248 | 32 | 128 | 14.99719617 | 4.609  | 31488 | 0.080078125 |
| peppers32.bmp | peppers32.bmp-G_1-H0.0001_af4.wfa                       | 1572864 | 524288 |        | 13 | 5648  | 104 | 104 | 32 | 256 | 15.00528708 | 7.421  | 5856  | 0.003723145 |
| peppers32.bmp | peppers32.bmp-withWavelet_haar-G_0.6-H8e-005_af3.wfa    | 393216  | 131072 | 131072 | 27 | 23568 | 216 | 216 | 32 | 128 | 15.00902903 | 3.61   | 24000 | 0.061035156 |
| peppers32.bmp | peppers32.bmp-withWavelet_rbio1.1-G_0.6-H8e-005_af3.wfa | 393216  | 131072 | 131072 | 27 | 23568 | 216 | 216 | 32 | 128 | 15.00902903 | 3.625  | 24000 | 0.061035156 |
| peppers32.bmp | peppers32.bmp-withWavelet_sym1-G_0.6-H8e-005_af3.wfa    | 393216  | 131072 | 131072 | 27 | 23568 | 216 | 216 | 32 | 128 | 15.00902903 | 3.593  | 24000 | 0.061035156 |
| peppers32.bmp | peppers32.bmp-withWavelet_bior1.1-G_0.6-H8e-005_af3.wfa | 393216  | 131072 | 131072 | 27 | 23568 | 216 | 216 | 32 | 128 | 15.00902903 | 3.593  | 24000 | 0.061035156 |
| peppers32.bmp | peppers32.bmp-withWavelet_haar-G_0.8-H3e-005_af2.wfa    | 1572864 | 524288 | 524288 | 28 | 25328 | 224 | 224 | 32 | 256 | 15.00959549 | 16.625 | 25776 | 0.016387939 |
| peppers32.bmp | peppers32.bmp-withWavelet_rbio1.1-G_0.8-H3e-005_af2.wfa | 1572864 | 524288 | 524288 | 28 | 25328 | 224 | 224 | 32 | 256 | 15.00959549 | 16.797 | 25776 | 0.016387939 |
| peppers32.bmp | peppers32.bmp-withWavelet_sym1-G_0.8-H3e-005_af2.wfa    | 1572864 | 524288 | 524288 | 28 | 25328 | 224 | 224 | 32 | 256 | 15.00959549 | 16.672 | 25776 | 0.016387939 |
| peppers32.bmp | peppers32.bmp-withWavelet_bior1.1-G_0.8-H3e-005_af2.wfa | 1572864 | 524288 | 524288 | 28 | 25328 | 224 | 224 | 32 | 256 | 15.00959549 | 16.657 | 25776 | 0.016387939 |
| peppers32.bmp | peppers32.bmp-withWavelet_haar-G_0.8-H5e-005_af1.wfa    | 1572864 | 524288 | 524288 | 32 | 33008 | 256 | 256 | 32 | 256 | 15.01171756 | 20.797 | 33520 | 0.021311442 |
| peppers32.bmp | peppers32.bmp-withWavelet_rbio1.1-G_0.8-H5e-005_af1.wfa | 1572864 | 524288 | 524288 | 32 | 33008 | 256 | 256 | 32 | 256 | 15.01171756 | 23.047 | 33520 | 0.021311442 |
| peppers32.bmp | peppers32.bmp-withWavelet_sym1-G_0.8-H5e-005_af1.wfa    | 1572864 | 524288 | 524288 | 32 | 33008 | 256 | 256 | 32 | 256 | 15.01171756 | 25.89  | 33520 | 0.021311442 |
| peppers32.bmp | peppers32.bmp-withWavelet_bior1.1-G_0.8-H5e-005_af1.wfa | 1572864 | 524288 | 524288 | 32 | 33008 | 256 | 256 | 32 | 256 | 15.01171756 | 23.031 | 33520 | 0.021311442 |
| peppers32.bmp | peppers32.bmp-withWavelet_haar-G_1-H5e-005_af1.wfa      | 1572864 | 524288 | 524288 | 32 | 33008 | 256 | 256 | 32 | 256 | 15.01217586 | 20.859 | 33520 | 0.021311442 |
| peppers32.bmp | peppers32.bmp-withWavelet_rbio1.1-G_1-H5e-005_af1.wfa   | 1572864 | 524288 | 524288 | 32 | 33008 | 256 | 256 | 32 | 256 | 15.01217586 | 20.891 | 33520 | 0.021311442 |
| peppers32.bmp | peppers32.bmp-withWavelet_sym1-G_1-H5e-005_af1.wfa      | 1572864 | 524288 | 524288 | 32 | 33008 | 256 | 256 | 32 | 256 | 15.01217586 | 20.828 | 33520 | 0.021311442 |
| peppers32.bmp | peppers32.bmp-withWavelet_bior1.1-G_1-H5e-005_af1.wfa   | 1572864 | 524288 | 524288 | 32 | 33008 | 256 | 256 | 32 | 256 | 15.01217586 | 22.907 | 33520 | 0.021311442 |
| peppers32.bmp | peppers32.bmp-withWavelet_haar-G_0.8-H1e-005_af2.wfa    | 98304   | 32768  | 32768  | 33 | 35088 | 264 | 264 | 32 | 64  | 15.01871527 | 1.25   | 35616 | 0.362304688 |
| peppers32.bmp | peppers32.bmp-withWavelet_rbio1.1-G_0.8-H1e-005_af2.wfa | 98304   | 32768  | 32768  | 33 | 35088 | 264 | 264 | 32 | 64  | 15.01871527 | 1.094  | 35616 | 0.362304688 |
| peppers32.bmp | peppers32.bmp-withWavelet_sym1-G_0.8-H1e-005_af2.wfa    | 98304   | 32768  | 32768  | 33 | 35088 | 264 | 264 | 32 | 64  | 15.01871527 | 1.11   | 35616 | 0.362304688 |
| peppers32.bmp | peppers32.bmp-withWavelet_bior1.1-G_0.8-H1e-005_af2.wfa | 98304   | 32768  | 32768  | 33 | 35088 | 264 | 264 | 32 | 64  | 15.01871527 | 1.156  | 35616 | 0.362304688 |
| peppers32.bmp | peppers32.bmp-withWavelet_haar-G_1-H1e-005_af2.wfa      | 98304   | 32768  | 32768  | 33 | 35088 | 264 | 264 | 32 | 64  | 15.01910466 | 1.125  | 35616 | 0.362304688 |
| peppers32.bmp | peppers32.bmp-withWavelet_rbio1.1-G_1-H1e-005_af2.wfa   | 98304   | 32768  | 32768  | 33 | 35088 | 264 | 264 | 32 | 64  | 15.01910466 | 1.203  | 35616 | 0.362304688 |
| peppers32.bmp | peppers32.bmp-withWavelet_sym1-G_1-H1e-005_af2.wfa      | 98304   | 32768  | 32768  | 33 | 35088 | 264 | 264 | 32 | 64  | 15.01910466 | 1.187  | 35616 | 0.362304688 |
| peppers32.bmp | peppers32.bmp-withWavelet_bior1.1-G_1-H1e-005_af2.wfa   | 98304   | 32768  | 32768  | 33 | 35088 | 264 | 264 | 32 | 64  | 15.01910466 | 1.125  | 35616 | 0.362304688 |
| peppers32.bmp | peppers32.bmp-withWavelet_haar-G_0.6-H3e-005_af4.wfa    | 393216  | 131072 | 131072 | 34 | 37232 | 272 | 272 | 32 | 128 | 15.02011524 | 5.219  | 37776 | 0.096069336 |
| peppers32.bmp | peppers32.bmp-withWavelet_rbio1.1-G_0.6-H3e-005_af4.wfa | 393216  | 131072 | 131072 | 34 | 37232 | 272 | 272 | 32 | 128 | 15.02011524 | 5.281  | 37776 | 0.096069336 |
| peppers32.bmp | peppers32.bmp-withWavelet_sym1-G_0.6-H3e-005_af4.wfa    | 393216  | 131072 | 131072 | 34 | 37232 | 272 | 272 | 32 | 128 | 15.02011524 | 5.579  | 37776 | 0.096069336 |

|               |   |         |        |        |    |       |     |     |    |     |             |        |       |             |
|---------------|---|---------|--------|--------|----|-------|-----|-----|----|-----|-------------|--------|-------|-------------|
| peppers32.bmp | peppers32.bmp-withWavelet_bior1.1-G_0.6-H3e-005_af4.wfa | 393216  | 131072 | 131072 | 34 | 37232 | 272 | 272 | 32 | 128 | 15.02011524 | 5.61   | 37776 | 0.096069336 |
| peppers32.bmp | peppers32.bmp-withWavelet_haar-G_0.8-H3e-005_af3.wfa    | 1572864 | 524288 | 524288 | 34 | 37232 | 272 | 272 | 32 | 256 | 15.02302975 | 23.563 | 37776 | 0.024017334 |
| peppers32.bmp | peppers32.bmp-withWavelet_rbio1.1-G_0.8-H3e-005_af3.wfa | 1572864 | 524288 | 524288 | 34 | 37232 | 272 | 272 | 32 | 256 | 15.02302975 | 26.375 | 37776 | 0.024017334 |
| peppers32.bmp | peppers32.bmp-withWavelet_sym1-G_0.8-H3e-005_af3.wfa    | 1572864 | 524288 | 524288 | 34 | 37232 | 272 | 272 | 32 | 256 | 15.02302975 | 23.484 | 37776 | 0.024017334 |
| peppers32.bmp | peppers32.bmp-withWavelet_bior1.1-G_0.8-H3e-005_af3.wfa | 1572864 | 524288 | 524288 | 34 | 37232 | 272 | 272 | 32 | 256 | 15.02302975 | 26     | 37776 | 0.024017334 |
| peppers32.bmp | peppers32.bmp-withWavelet_haar-G_1-H3e-005_af3.wfa      | 1572864 | 524288 | 524288 | 34 | 37232 | 272 | 272 | 32 | 256 | 15.0264683  | 23.5   | 37776 | 0.024017334 |
| peppers32.bmp | peppers32.bmp-withWavelet_rbio1.1-G_1-H3e-005_af3.wfa   | 1572864 | 524288 | 524288 | 34 | 37232 | 272 | 272 | 32 | 256 | 15.0264683  | 23.531 | 37776 | 0.024017334 |
| peppers32.bmp | peppers32.bmp-withWavelet_sym1-G_1-H3e-005_af3.wfa      | 1572864 | 524288 | 524288 | 34 | 37232 | 272 | 272 | 32 | 256 | 15.0264683  | 23.422 | 37776 | 0.024017334 |
| peppers32.bmp | peppers32.bmp-withWavelet_bior1.1-G_1-H3e-005_af3.wfa   | 1572864 | 524288 | 524288 | 34 | 37232 | 272 | 272 | 32 | 256 | 15.0264683  | 23.64  | 37776 | 0.024017334 |
| peppers32.bmp | peppers32.bmp-withWavelet_haar-G_0.6-H9e-005_af3.wfa    | 393216  | 131072 | 131072 | 26 | 21872 | 208 | 208 | 32 | 128 | 15.03650039 | 3.375  | 22288 | 0.056681315 |
| peppers32.bmp | peppers32.bmp-withWavelet_rbio1.1-G_0.6-H9e-005_af3.wfa | 393216  | 131072 | 131072 | 26 | 21872 | 208 | 208 | 32 | 128 | 15.03650039 | 3.359  | 22288 | 0.056681315 |
| peppers32.bmp | peppers32.bmp-withWavelet_sym1-G_0.6-H9e-005_af3.wfa    | 393216  | 131072 | 131072 | 26 | 21872 | 208 | 208 | 32 | 128 | 15.03650039 | 3.344  | 22288 | 0.056681315 |
| peppers32.bmp | peppers32.bmp-withWavelet_bior1.1-G_0.6-H9e-005_af3.wfa | 393216  | 131072 | 131072 | 26 | 21872 | 208 | 208 | 32 | 128 | 15.03650039 | 3.391  | 22288 | 0.056681315 |
| peppers32.bmp | peppers32.bmp-withWavelet_haar-G_0.6-H8e-005_af2.wfa    | 393216  | 131072 | 131072 | 21 | 14352 | 168 | 168 | 32 | 128 | 15.04541319 | 2.438  | 14688 | 0.037353516 |
| peppers32.bmp | peppers32.bmp-withWavelet_rbio1.1-G_0.6-H8e-005_af2.wfa | 393216  | 131072 | 131072 | 21 | 14352 | 168 | 168 | 32 | 128 | 15.04541319 | 2.437  | 14688 | 0.037353516 |
| peppers32.bmp | peppers32.bmp-withWavelet_sym1-G_0.6-H8e-005_af2.wfa    | 393216  | 131072 | 131072 | 21 | 14352 | 168 | 168 | 32 | 128 | 15.04541319 | 2.5    | 14688 | 0.037353516 |
| peppers32.bmp | peppers32.bmp-withWavelet_bior1.1-G_0.6-H8e-005_af2.wfa | 393216  | 131072 | 131072 | 21 | 14352 | 168 | 168 | 32 | 128 | 15.04541319 | 2.422  | 14688 | 0.037353516 |
| peppers32.bmp | peppers32.bmp-withWavelet_haar-G_0.6-H6e-005_af5.wfa    | 24576   | 8192   | 8192   | 18 | 10608 | 144 | 144 | 32 | 32  | 15.04638134 | 0.11   | 10896 | 0.443359375 |
| peppers32.bmp | peppers32.bmp-withWavelet_rbio1.1-G_0.6-H6e-005_af5.wfa | 24576   | 8192   | 8192   | 18 | 10608 | 144 | 144 | 32 | 32  | 15.04638134 | 0.125  | 10896 | 0.443359375 |
| peppers32.bmp | peppers32.bmp-withWavelet_sym1-G_0.6-H6e-005_af5.wfa    | 24576   | 8192   | 8192   | 18 | 10608 | 144 | 144 | 32 | 32  | 15.04638134 | 0.109  | 10896 | 0.443359375 |
| peppers32.bmp | peppers32.bmp-withWavelet_bior1.1-G_0.6-H6e-005_af5.wfa | 24576   | 8192   | 8192   | 18 | 10608 | 144 | 144 | 32 | 32  | 15.04638134 | 0.125  | 10896 | 0.443359375 |
| peppers32.bmp | peppers32.bmp-G_1-H0.0001_af4.wfa                       | 393216  | 131072 |        | 13 | 5648  | 104 | 104 | 32 | 128 | 15.04856273 | 1.735  | 5856  | 0.014892578 |
| peppers32.bmp | peppers32.bmp-withWavelet_haar-G_1-H1e-005_af5.wfa      | 98304   | 32768  | 32768  | 28 | 25328 | 224 | 224 | 32 | 64  | 15.05896039 | 0.859  | 25776 | 0.262207031 |
| peppers32.bmp | peppers32.bmp-withWavelet_rbio1.1-G_1-H1e-005_af5.wfa   | 98304   | 32768  | 32768  | 28 | 25328 | 224 | 224 | 32 | 64  | 15.05896039 | 0.86   | 25776 | 0.262207031 |
| peppers32.bmp | peppers32.bmp-withWavelet_sym1-G_1-H1e-005_af5.wfa      | 98304   | 32768  | 32768  | 28 | 25328 | 224 | 224 | 32 | 64  | 15.05896039 | 0.859  | 25776 | 0.262207031 |
| peppers32.bmp | peppers32.bmp-withWavelet_bior1.1-G_1-H1e-005_af5.wfa   | 98304   | 32768  | 32768  | 28 | 25328 | 224 | 224 | 32 | 64  | 15.05896039 | 0.859  | 25776 | 0.262207031 |
| peppers32.bmp | peppers32.bmp-withWavelet_haar-G_0.8-H1e-005_af5.wfa    | 98304   | 32768  | 32768  | 28 | 25328 | 224 | 224 | 32 | 64  | 15.0601822  | 0.844  | 25776 | 0.262207031 |
| peppers32.bmp | peppers32.bmp-withWavelet_rbio1.1-G_0.8-H1e-005_af5.wfa | 98304   | 32768  | 32768  | 28 | 25328 | 224 | 224 | 32 | 64  | 15.0601822  | 0.859  | 25776 | 0.262207031 |
| peppers32.bmp | peppers32.bmp-withWavelet_sym1-G_0.8-H1e-005_af5.wfa    | 98304   | 32768  | 32768  | 28 | 25328 | 224 | 224 | 32 | 64  | 15.0601822  | 0.859  | 25776 | 0.262207031 |
| peppers32.bmp | peppers32.bmp-withWavelet_bior1.1-G_0.8-H1e-005_af5.wfa | 98304   | 32768  | 32768  | 28 | 25328 | 224 | 224 | 32 | 64  | 15.0601822  | 0.844  | 25776 | 0.262207031 |
| peppers32.bmp | peppers32.bmp-withWavelet_haar-G_0.6-H4e-005_af1.wfa    | 393216  | 131072 | 131072 | 33 | 35088 | 264 | 264 | 32 | 128 | 15.06238492 | 4.969  | 35616 | 0.090576172 |

|               |   |         |        |        |    |       |     |     |    |     |             |        |       |             |
|---------------|---|---------|--------|--------|----|-------|-----|-----|----|-----|-------------|--------|-------|-------------|
| peppers32.bmp | peppers32.bmp-withWavelet_rbio1.1-G_0.6-H4e-005_af1.wfa | 393216  | 131072 | 131072 | 33 | 35088 | 264 | 264 | 32 | 128 | 15.06238492 | 5.375  | 35616 | 0.090576172 |
| peppers32.bmp | peppers32.bmp-withWavelet_sym1-G_0.6-H4e-005_af1.wfa    | 393216  | 131072 | 131072 | 33 | 35088 | 264 | 264 | 32 | 128 | 15.06238492 | 4.953  | 35616 | 0.090576172 |
| peppers32.bmp | peppers32.bmp-withWavelet_bior1.1-G_0.6-H4e-005_af1.wfa | 393216  | 131072 | 131072 | 33 | 35088 | 264 | 264 | 32 | 128 | 15.06238492 | 4.969  | 35616 | 0.090576172 |
| peppers32.bmp | peppers32.bmp-withWavelet_haar-G_0.6-H4e-005_af4.wfa    | 393216  | 131072 | 131072 | 33 | 35088 | 264 | 264 | 32 | 128 | 15.06890763 | 5.453  | 35616 | 0.090576172 |
| peppers32.bmp | peppers32.bmp-withWavelet_rbio1.1-G_0.6-H4e-005_af4.wfa | 393216  | 131072 | 131072 | 33 | 35088 | 264 | 264 | 32 | 128 | 15.06890763 | 5.047  | 35616 | 0.090576172 |
| peppers32.bmp | peppers32.bmp-withWavelet_sym1-G_0.6-H4e-005_af4.wfa    | 393216  | 131072 | 131072 | 33 | 35088 | 264 | 264 | 32 | 128 | 15.06890763 | 4.969  | 35616 | 0.090576172 |
| peppers32.bmp | peppers32.bmp-withWavelet_bior1.1-G_0.6-H4e-005_af4.wfa | 393216  | 131072 | 131072 | 33 | 35088 | 264 | 264 | 32 | 128 | 15.06890763 | 5.359  | 35616 | 0.090576172 |
| peppers32.bmp | peppers32.bmp-withWavelet_haar-G_1-H3e-005_af2.wfa      | 1572864 | 524288 | 524288 | 27 | 23568 | 216 | 216 | 32 | 256 | 15.071299   | 16     | 24000 | 0.015258789 |
| peppers32.bmp | peppers32.bmp-withWavelet_rbio1.1-G_1-H3e-005_af2.wfa   | 1572864 | 524288 | 524288 | 27 | 23568 | 216 | 216 | 32 | 256 | 15.071299   | 16.109 | 24000 | 0.015258789 |
| peppers32.bmp | peppers32.bmp-withWavelet_sym1-G_1-H3e-005_af2.wfa      | 1572864 | 524288 | 524288 | 27 | 23568 | 216 | 216 | 32 | 256 | 15.071299   | 16.219 | 24000 | 0.015258789 |
| peppers32.bmp | peppers32.bmp-withWavelet_bior1.1-G_1-H3e-005_af2.wfa   | 1572864 | 524288 | 524288 | 27 | 23568 | 216 | 216 | 32 | 256 | 15.071299   | 16.125 | 24000 | 0.015258789 |
| peppers32.bmp | peppers32.bmp-G_1-H9e-005_af4.wfa                       | 1572864 | 524288 |        | 14 | 6512  | 112 | 112 | 32 | 256 | 15.07239428 | 7.625  | 6736  | 0.004282633 |
| peppers32.bmp | peppers32.bmp-withWavelet_haar-G_1-H5e-005_af5.wfa      | 24576   | 8192   | 8192   | 19 | 11792 | 152 | 152 | 32 | 32  | 15.08075899 | 0.125  | 12096 | 0.4921875   |
| peppers32.bmp | peppers32.bmp-withWavelet_rbio1.1-G_1-H5e-005_af5.wfa   | 24576   | 8192   | 8192   | 19 | 11792 | 152 | 152 | 32 | 32  | 15.08075899 | 0.125  | 12096 | 0.4921875   |
| peppers32.bmp | peppers32.bmp-withWavelet_sym1-G_1-H5e-005_af5.wfa      | 24576   | 8192   | 8192   | 19 | 11792 | 152 | 152 | 32 | 32  | 15.08075899 | 0.109  | 12096 | 0.4921875   |
| peppers32.bmp | peppers32.bmp-withWavelet_bior1.1-G_1-H5e-005_af5.wfa   | 24576   | 8192   | 8192   | 19 | 11792 | 152 | 152 | 32 | 32  | 15.08075899 | 0.109  | 12096 | 0.4921875   |
| peppers32.bmp | peppers32.bmp-withWavelet_haar-G_0.6-H6e-005_af1.wfa    | 393216  | 131072 | 131072 | 28 | 25328 | 224 | 224 | 32 | 128 | 15.08422455 | 3.719  | 25776 | 0.065551758 |
| peppers32.bmp | peppers32.bmp-withWavelet_rbio1.1-G_0.6-H6e-005_af1.wfa | 393216  | 131072 | 131072 | 28 | 25328 | 224 | 224 | 32 | 128 | 15.08422455 | 3.765  | 25776 | 0.065551758 |
| peppers32.bmp | peppers32.bmp-withWavelet_sym1-G_0.6-H6e-005_af1.wfa    | 393216  | 131072 | 131072 | 28 | 25328 | 224 | 224 | 32 | 128 | 15.08422455 | 3.734  | 25776 | 0.065551758 |
| peppers32.bmp | peppers32.bmp-withWavelet_bior1.1-G_0.6-H6e-005_af1.wfa | 393216  | 131072 | 131072 | 28 | 25328 | 224 | 224 | 32 | 128 | 15.08422455 | 3.734  | 25776 | 0.065551758 |
| peppers32.bmp | peppers32.bmp-G_0.8-H0.0001_af4.wfa                     | 1572864 | 524288 |        | 13 | 5648  | 104 | 104 | 32 | 256 | 15.08708616 | 7.438  | 5856  | 0.003723145 |
| peppers32.bmp | peppers32.bmp-withWavelet_haar-G_1-H1e-005_af4.wfa      | 393216  | 131072 | 131072 | 37 | 44048 | 296 | 296 | 32 | 128 | 15.09355279 | 6.281  | 44640 | 0.113525391 |
| peppers32.bmp | peppers32.bmp-withWavelet_rbio1.1-G_1-H1e-005_af4.wfa   | 393216  | 131072 | 131072 | 37 | 44048 | 296 | 296 | 32 | 128 | 15.09355279 | 6.297  | 44640 | 0.113525391 |
| peppers32.bmp | peppers32.bmp-withWavelet_sym1-G_1-H1e-005_af4.wfa      | 393216  | 131072 | 131072 | 37 | 44048 | 296 | 296 | 32 | 128 | 15.09355279 | 6.718  | 44640 | 0.113525391 |
| peppers32.bmp | peppers32.bmp-withWavelet_bior1.1-G_1-H1e-005_af4.wfa   | 393216  | 131072 | 131072 | 37 | 44048 | 296 | 296 | 32 | 128 | 15.09355279 | 6.5    | 44640 | 0.113525391 |
| peppers32.bmp | peppers32.bmp-withWavelet_haar-G_0.8-H1e-005_af1.wfa    | 393216  | 131072 | 131072 | 37 | 44048 | 296 | 296 | 32 | 128 | 15.09355279 | 6.36   | 44640 | 0.113525391 |
| peppers32.bmp | peppers32.bmp-withWavelet_rbio1.1-G_0.8-H1e-005_af1.wfa | 393216  | 131072 | 131072 | 37 | 44048 | 296 | 296 | 32 | 128 | 15.09355279 | 6.297  | 44640 | 0.113525391 |
| peppers32.bmp | peppers32.bmp-withWavelet_sym1-G_0.8-H1e-005_af1.wfa    | 393216  | 131072 | 131072 | 37 | 44048 | 296 | 296 | 32 | 128 | 15.09355279 | 6.297  | 44640 | 0.113525391 |
| peppers32.bmp | peppers32.bmp-withWavelet_bior1.1-G_0.8-H1e-005_af1.wfa | 393216  | 131072 | 131072 | 37 | 44048 | 296 | 296 | 32 | 128 | 15.09355279 | 6.578  | 44640 | 0.113525391 |
| peppers32.bmp | peppers32.bmp-withWavelet_haar-G_0.6-H2e-005_af1.wfa    | 393216  | 131072 | 131072 | 37 | 44048 | 296 | 296 | 32 | 128 | 15.09355279 | 6.344  | 44640 | 0.113525391 |
| peppers32.bmp | peppers32.bmp-withWavelet_rbio1.1-G_0.6-H2e-005_af1.wfa | 393216  | 131072 | 131072 | 37 | 44048 | 296 | 296 | 32 | 128 | 15.09355279 | 6.672  | 44640 | 0.113525391 |



|               |   |         |        |        |    |       |     |     |    |     |             |        |       |             |
|---------------|---|---------|--------|--------|----|-------|-----|-----|----|-----|-------------|--------|-------|-------------|
| peppers32.bmp | peppers32.bmp-withWavelet_rbio1.1-G_0.6-H7e-005_af2.wfa | 393216  | 131072 | 131072 | 21 | 14352 | 168 | 168 | 32 | 128 | 15.10158175 | 2.391  | 14688 | 0.037353516 |
| peppers32.bmp | peppers32.bmp-withWavelet_sym1-G_0.6-H7e-005_af2.wfa    | 393216  | 131072 | 131072 | 21 | 14352 | 168 | 168 | 32 | 128 | 15.10158175 | 2.468  | 14688 | 0.037353516 |
| peppers32.bmp | peppers32.bmp-withWavelet_bior1.1-G_0.6-H7e-005_af2.wfa | 393216  | 131072 | 131072 | 21 | 14352 | 168 | 168 | 32 | 128 | 15.10158175 | 2.421  | 14688 | 0.037353516 |
| peppers32.bmp | peppers32.bmp-withWavelet_haar-G_0.8-H5e-005_af5.wfa    | 24576   | 8192   | 8192   | 19 | 11792 | 152 | 152 | 32 | 32  | 15.10625008 | 0.125  | 12096 | 0.4921875   |
| peppers32.bmp | peppers32.bmp-withWavelet_rbio1.1-G_0.8-H5e-005_af5.wfa | 24576   | 8192   | 8192   | 19 | 11792 | 152 | 152 | 32 | 32  | 15.10625008 | 0.156  | 12096 | 0.4921875   |
| peppers32.bmp | peppers32.bmp-withWavelet_sym1-G_0.8-H5e-005_af5.wfa    | 24576   | 8192   | 8192   | 19 | 11792 | 152 | 152 | 32 | 32  | 15.10625008 | 0.14   | 12096 | 0.4921875   |
| peppers32.bmp | peppers32.bmp-withWavelet_bior1.1-G_0.8-H5e-005_af5.wfa | 24576   | 8192   | 8192   | 19 | 11792 | 152 | 152 | 32 | 32  | 15.10625008 | 0.125  | 12096 | 0.4921875   |
| peppers32.bmp | peppers32.bmp-G_1-H9e-005_af4.wfa                       | 393216  | 131072 |        | 14 | 6512  | 112 | 112 | 32 | 128 | 15.1094112  | 1.828  | 6736  | 0.017130534 |
| peppers32.bmp | peppers32.bmp-G_0.8-H8e-005_af4.wfa                     | 1572864 | 524288 |        | 15 | 7440  | 120 | 120 | 32 | 256 | 15.11136591 | 7.938  | 7680  | 0.004882813 |
| peppers32.bmp | peppers32.bmp-withWavelet_haar-G_0.6-H5e-005_af1.wfa    | 393216  | 131072 | 131072 | 31 | 30992 | 248 | 248 | 32 | 128 | 15.1155412  | 4.438  | 31488 | 0.080078125 |
| peppers32.bmp | peppers32.bmp-withWavelet_rbio1.1-G_0.6-H5e-005_af1.wfa | 393216  | 131072 | 131072 | 31 | 30992 | 248 | 248 | 32 | 128 | 15.1155412  | 4.484  | 31488 | 0.080078125 |
| peppers32.bmp | peppers32.bmp-withWavelet_sym1-G_0.6-H5e-005_af1.wfa    | 393216  | 131072 | 131072 | 31 | 30992 | 248 | 248 | 32 | 128 | 15.1155412  | 4.438  | 31488 | 0.080078125 |
| peppers32.bmp | peppers32.bmp-withWavelet_bior1.1-G_0.6-H5e-005_af1.wfa | 393216  | 131072 | 131072 | 31 | 30992 | 248 | 248 | 32 | 128 | 15.1155412  | 4.593  | 31488 | 0.080078125 |
| peppers32.bmp | peppers32.bmp-withWavelet_haar-G_0.8-H2e-005_af1.wfa    | 393216  | 131072 | 131072 | 36 | 41712 | 288 | 288 | 32 | 128 | 15.11726771 | 6.391  | 42288 | 0.107543945 |
| peppers32.bmp | peppers32.bmp-withWavelet_rbio1.1-G_0.8-H2e-005_af1.wfa | 393216  | 131072 | 131072 | 36 | 41712 | 288 | 288 | 32 | 128 | 15.11726771 | 5.922  | 42288 | 0.107543945 |
| peppers32.bmp | peppers32.bmp-withWavelet_sym1-G_0.8-H2e-005_af1.wfa    | 393216  | 131072 | 131072 | 36 | 41712 | 288 | 288 | 32 | 128 | 15.11726771 | 6.203  | 42288 | 0.107543945 |
| peppers32.bmp | peppers32.bmp-withWavelet_bior1.1-G_0.8-H2e-005_af1.wfa | 393216  | 131072 | 131072 | 36 | 41712 | 288 | 288 | 32 | 128 | 15.11726771 | 5.89   | 42288 | 0.107543945 |
| peppers32.bmp | peppers32.bmp-withWavelet_haar-G_1-H2e-005_af1.wfa      | 393216  | 131072 | 131072 | 36 | 41712 | 288 | 288 | 32 | 128 | 15.11726854 | 5.891  | 42288 | 0.107543945 |
| peppers32.bmp | peppers32.bmp-withWavelet_rbio1.1-G_1-H2e-005_af1.wfa   | 393216  | 131072 | 131072 | 36 | 41712 | 288 | 288 | 32 | 128 | 15.11726854 | 6.359  | 42288 | 0.107543945 |
| peppers32.bmp | peppers32.bmp-withWavelet_sym1-G_1-H2e-005_af1.wfa      | 393216  | 131072 | 131072 | 36 | 41712 | 288 | 288 | 32 | 128 | 15.11726854 | 6.328  | 42288 | 0.107543945 |
| peppers32.bmp | peppers32.bmp-withWavelet_bior1.1-G_1-H2e-005_af1.wfa   | 393216  | 131072 | 131072 | 36 | 41712 | 288 | 288 | 32 | 128 | 15.11726854 | 6.156  | 42288 | 0.107543945 |
| peppers32.bmp | peppers32.bmp-G_1-H5e-005_af4.wfa                       | 1572864 | 524288 |        | 15 | 7440  | 120 | 120 | 32 | 256 | 15.12341112 | 8.031  | 7680  | 0.004882813 |
| peppers32.bmp | peppers32.bmp-G_1-H6e-005_af4.wfa                       | 1572864 | 524288 |        | 15 | 7440  | 120 | 120 | 32 | 256 | 15.12341112 | 7.906  | 7680  | 0.004882813 |
| peppers32.bmp | peppers32.bmp-withWavelet_haar-G_0.6-H9e-005_af1.wfa    | 1572864 | 524288 | 524288 | 24 | 18672 | 192 | 192 | 32 | 256 | 15.1253865  | 13.39  | 19056 | 0.012115479 |
| peppers32.bmp | peppers32.bmp-withWavelet_rbio1.1-G_0.6-H9e-005_af1.wfa | 1572864 | 524288 | 524288 | 24 | 18672 | 192 | 192 | 32 | 256 | 15.1253865  | 13.532 | 19056 | 0.012115479 |
| peppers32.bmp | peppers32.bmp-withWavelet_sym1-G_0.6-H9e-005_af1.wfa    | 1572864 | 524288 | 524288 | 24 | 18672 | 192 | 192 | 32 | 256 | 15.1253865  | 13.454 | 19056 | 0.012115479 |
| peppers32.bmp | peppers32.bmp-withWavelet_bior1.1-G_0.6-H9e-005_af1.wfa | 1572864 | 524288 | 524288 | 24 | 18672 | 192 | 192 | 32 | 256 | 15.1253865  | 13.438 | 19056 | 0.012115479 |
| peppers32.bmp | peppers32.bmp-G_1-H3e-005_af4.wfa                       | 1572864 | 524288 |        | 16 | 8432  | 128 | 128 | 32 | 256 | 15.12552601 | 8.14   | 8688  | 0.005523682 |
| peppers32.bmp | peppers32.bmp-G_1-H4e-005_af4.wfa                       | 1572864 | 524288 |        | 16 | 8432  | 128 | 128 | 32 | 256 | 15.12552601 | 8.172  | 8688  | 0.005523682 |
| peppers32.bmp | peppers32.bmp-G_0.8-H0.0001_af4.wfa                     | 393216  | 131072 |        | 13 | 5648  | 104 | 104 | 32 | 128 | 15.1261912  | 1.734  | 5856  | 0.014892578 |
| peppers32.bmp | peppers32.bmp-withWavelet_haar-G_0.6-H3e-005_af1.wfa    | 393216  | 131072 | 131072 | 35 | 39440 | 280 | 280 | 32 | 128 | 15.12700539 | 6.234  | 40000 | 0.10172526  |

|               |   |         |        |        |    |       |     |     |    |     |             |        |       |             |
|---------------|---|---------|--------|--------|----|-------|-----|-----|----|-----|-------------|--------|-------|-------------|
| peppers32.bmp | peppers32.bmp-withWavelet_rbio1.1-G_0.6-H3e-005_af1.wfa | 393216  | 131072 | 131072 | 35 | 39440 | 280 | 280 | 32 | 128 | 15.12700539 | 6      | 40000 | 0.10172526  |
| peppers32.bmp | peppers32.bmp-withWavelet_sym1-G_0.6-H3e-005_af1.wfa    | 393216  | 131072 | 131072 | 35 | 39440 | 280 | 280 | 32 | 128 | 15.12700539 | 5.735  | 40000 | 0.10172526  |
| peppers32.bmp | peppers32.bmp-withWavelet_bior1.1-G_0.6-H3e-005_af1.wfa | 393216  | 131072 | 131072 | 35 | 39440 | 280 | 280 | 32 | 128 | 15.12700539 | 5.906  | 40000 | 0.10172526  |
| peppers32.bmp | peppers32.bmp-G_0.8-H9e-005_af4.wfa                     | 1572864 | 524288 |        | 15 | 7440  | 120 | 120 | 32 | 256 | 15.13297047 | 7.968  | 7680  | 0.004882813 |
| peppers32.bmp | peppers32.bmp-G_1-H7e-005_af4.wfa                       | 1572864 | 524288 |        | 16 | 8432  | 128 | 128 | 32 | 256 | 15.1331347  | 8.094  | 8688  | 0.005523682 |
| peppers32.bmp | peppers32.bmp-withWavelet_haar-G_0.6-H6e-005_af4.wfa    | 393216  | 131072 | 131072 | 30 | 29040 | 240 | 240 | 32 | 128 | 15.13906765 | 4.172  | 29520 | 0.075073242 |
| peppers32.bmp | peppers32.bmp-withWavelet_rbio1.1-G_0.6-H6e-005_af4.wfa | 393216  | 131072 | 131072 | 30 | 29040 | 240 | 240 | 32 | 128 | 15.13906765 | 4.156  | 29520 | 0.075073242 |
| peppers32.bmp | peppers32.bmp-withWavelet_sym1-G_0.6-H6e-005_af4.wfa    | 393216  | 131072 | 131072 | 30 | 29040 | 240 | 240 | 32 | 128 | 15.13906765 | 4.219  | 29520 | 0.075073242 |
| peppers32.bmp | peppers32.bmp-withWavelet_bior1.1-G_0.6-H6e-005_af4.wfa | 393216  | 131072 | 131072 | 30 | 29040 | 240 | 240 | 32 | 128 | 15.13906765 | 4.125  | 29520 | 0.075073242 |
| peppers32.bmp | peppers32.bmp-G_1-H1e-005_af4.wfa                       | 1572864 | 524288 |        | 17 | 9488  | 136 | 136 | 32 | 256 | 15.14061155 | 8.922  | 9760  | 0.006205241 |
| peppers32.bmp | peppers32.bmp-G_1-H2e-005_af4.wfa                       | 1572864 | 524288 |        | 17 | 9488  | 136 | 136 | 32 | 256 | 15.14061155 | 8.735  | 9760  | 0.006205241 |
| peppers32.bmp | peppers32.bmp-withWavelet_haar-G_0.8-H3e-005_af1.wfa    | 393216  | 131072 | 131072 | 35 | 39440 | 280 | 280 | 32 | 128 | 15.14143545 | 5.86   | 40000 | 0.10172526  |
| peppers32.bmp | peppers32.bmp-withWavelet_rbio1.1-G_0.8-H3e-005_af1.wfa | 393216  | 131072 | 131072 | 35 | 39440 | 280 | 280 | 32 | 128 | 15.14143545 | 5.922  | 40000 | 0.10172526  |
| peppers32.bmp | peppers32.bmp-withWavelet_sym1-G_0.8-H3e-005_af1.wfa    | 393216  | 131072 | 131072 | 35 | 39440 | 280 | 280 | 32 | 128 | 15.14143545 | 5.766  | 40000 | 0.10172526  |
| peppers32.bmp | peppers32.bmp-withWavelet_bior1.1-G_0.8-H3e-005_af1.wfa | 393216  | 131072 | 131072 | 35 | 39440 | 280 | 280 | 32 | 128 | 15.14143545 | 5.688  | 40000 | 0.10172526  |
| peppers32.bmp | peppers32.bmp-withWavelet_haar-G_1-H3e-005_af1.wfa      | 393216  | 131072 | 131072 | 35 | 39440 | 280 | 280 | 32 | 128 | 15.14150991 | 6.11   | 40000 | 0.10172526  |
| peppers32.bmp | peppers32.bmp-withWavelet_rbio1.1-G_1-H3e-005_af1.wfa   | 393216  | 131072 | 131072 | 35 | 39440 | 280 | 280 | 32 | 128 | 15.14150991 | 6.078  | 40000 | 0.10172526  |
| peppers32.bmp | peppers32.bmp-withWavelet_sym1-G_1-H3e-005_af1.wfa      | 393216  | 131072 | 131072 | 35 | 39440 | 280 | 280 | 32 | 128 | 15.14150991 | 5.75   | 40000 | 0.10172526  |
| peppers32.bmp | peppers32.bmp-withWavelet_bior1.1-G_1-H3e-005_af1.wfa   | 393216  | 131072 | 131072 | 35 | 39440 | 280 | 280 | 32 | 128 | 15.14150991 | 6.141  | 40000 | 0.10172526  |
| peppers32.bmp | peppers32.bmp-withWavelet_haar-G_0.8-H5e-005_af3.wfa    | 1572864 | 524288 | 524288 | 32 | 33008 | 256 | 256 | 32 | 256 | 15.1428183  | 20.766 | 33520 | 0.021311442 |
| peppers32.bmp | peppers32.bmp-withWavelet_rbio1.1-G_0.8-H5e-005_af3.wfa | 1572864 | 524288 | 524288 | 32 | 33008 | 256 | 256 | 32 | 256 | 15.1428183  | 25.25  | 33520 | 0.021311442 |
| peppers32.bmp | peppers32.bmp-withWavelet_sym1-G_0.8-H5e-005_af3.wfa    | 1572864 | 524288 | 524288 | 32 | 33008 | 256 | 256 | 32 | 256 | 15.1428183  | 20.953 | 33520 | 0.021311442 |
| peppers32.bmp | peppers32.bmp-withWavelet_bior1.1-G_0.8-H5e-005_af3.wfa | 1572864 | 524288 | 524288 | 32 | 33008 | 256 | 256 | 32 | 256 | 15.1428183  | 25.312 | 33520 | 0.021311442 |
| peppers32.bmp | peppers32.bmp-G_1-H8e-005_af4.wfa                       | 1572864 | 524288 |        | 16 | 8432  | 128 | 128 | 32 | 256 | 15.14311323 | 8.297  | 8688  | 0.005523682 |
| peppers32.bmp | peppers32.bmp-G_0.8-H8e-005_af4.wfa                     | 393216  | 131072 |        | 15 | 7440  | 120 | 120 | 32 | 128 | 15.14464148 | 1.859  | 7680  | 0.01953125  |
| peppers32.bmp | peppers32.bmp-withWavelet_haar-G_1-H5e-005_af3.wfa      | 1572864 | 524288 | 524288 | 32 | 33008 | 256 | 256 | 32 | 256 | 15.14606714 | 21.093 | 33520 | 0.021311442 |
| peppers32.bmp | peppers32.bmp-withWavelet_rbio1.1-G_1-H5e-005_af3.wfa   | 1572864 | 524288 | 524288 | 32 | 33008 | 256 | 256 | 32 | 256 | 15.14606714 | 22.968 | 33520 | 0.021311442 |
| peppers32.bmp | peppers32.bmp-withWavelet_sym1-G_1-H5e-005_af3.wfa      | 1572864 | 524288 | 524288 | 32 | 33008 | 256 | 256 | 32 | 256 | 15.14606714 | 23.625 | 33520 | 0.021311442 |
| peppers32.bmp | peppers32.bmp-withWavelet_bior1.1-G_1-H5e-005_af3.wfa   | 1572864 | 524288 | 524288 | 32 | 33008 | 256 | 256 | 32 | 256 | 15.14606714 | 21.062 | 33520 | 0.021311442 |
| peppers32.bmp | peppers32.bmp-withWavelet_haar-G_1-H4e-005_af3.wfa      | 1572864 | 524288 | 524288 | 32 | 33008 | 256 | 256 | 32 | 256 | 15.14606714 | 23.828 | 33520 | 0.021311442 |
| peppers32.bmp | peppers32.bmp-withWavelet_rbio1.1-G_1-H4e-005_af3.wfa   | 1572864 | 524288 | 524288 | 32 | 33008 | 256 | 256 | 32 | 256 | 15.14606714 | 20.813 | 33520 | 0.021311442 |

|               |   |         |        |        |    |       |     |     |    |     |             |        |       |             |
|---------------|---|---------|--------|--------|----|-------|-----|-----|----|-----|-------------|--------|-------|-------------|
| peppers32.bmp | peppers32.bmp-withWavelet_sym1-G_1-H4e-005_af3.wfa      | 1572864 | 524288 | 524288 | 32 | 33008 | 256 | 256 | 32 | 256 | 15.14606714 | 20.984 | 33520 | 0.021311442 |
| peppers32.bmp | peppers32.bmp-withWavelet_bior1.1-G_1-H4e-005_af3.wfa   | 1572864 | 524288 | 524288 | 32 | 33008 | 256 | 256 | 32 | 256 | 15.14606714 | 23.14  | 33520 | 0.021311442 |
| peppers32.bmp | peppers32.bmp-G_1-H5e-005_af4.wfa                       | 393216  | 131072 |        | 15 | 7440  | 120 | 120 | 32 | 128 | 15.16133999 | 2.046  | 7680  | 0.01953125  |
| peppers32.bmp | peppers32.bmp-G_1-H6e-005_af4.wfa                       | 393216  | 131072 |        | 15 | 7440  | 120 | 120 | 32 | 128 | 15.16133999 | 1.922  | 7680  | 0.01953125  |
| peppers32.bmp | peppers32.bmp-G_1-H3e-005_af4.wfa                       | 393216  | 131072 |        | 16 | 8432  | 128 | 128 | 32 | 128 | 15.16245826 | 2.015  | 8688  | 0.022094727 |
| peppers32.bmp | peppers32.bmp-G_1-H4e-005_af4.wfa                       | 393216  | 131072 |        | 16 | 8432  | 128 | 128 | 32 | 128 | 15.16245826 | 1.906  | 8688  | 0.022094727 |
| peppers32.bmp | peppers32.bmp-withWavelet_haar-G_0.6-H5e-005_af2.wfa    | 98304   | 32768  | 32768  | 23 | 17168 | 184 | 184 | 32 | 64  | 15.16565962 | 0.688  | 17536 | 0.178385417 |
| peppers32.bmp | peppers32.bmp-withWavelet_rbio1.1-G_0.6-H5e-005_af2.wfa | 98304   | 32768  | 32768  | 23 | 17168 | 184 | 184 | 32 | 64  | 15.16565962 | 0.687  | 17536 | 0.178385417 |
| peppers32.bmp | peppers32.bmp-withWavelet_sym1-G_0.6-H5e-005_af2.wfa    | 98304   | 32768  | 32768  | 23 | 17168 | 184 | 184 | 32 | 64  | 15.16565962 | 0.719  | 17536 | 0.178385417 |
| peppers32.bmp | peppers32.bmp-withWavelet_bior1.1-G_0.6-H5e-005_af2.wfa | 98304   | 32768  | 32768  | 23 | 17168 | 184 | 184 | 32 | 64  | 15.16565962 | 0.671  | 17536 | 0.178385417 |
| peppers32.bmp | peppers32.bmp-G_1-H7e-005_af4.wfa                       | 393216  | 131072 |        | 16 | 8432  | 128 | 128 | 32 | 128 | 15.16579073 | 1.906  | 8688  | 0.022094727 |
| peppers32.bmp | peppers32.bmp-G_0.8-H4e-005_af4.wfa                     | 1572864 | 524288 |        | 16 | 8432  | 128 | 128 | 32 | 256 | 15.16584441 | 8.156  | 8688  | 0.005523682 |
| peppers32.bmp | peppers32.bmp-G_0.8-H5e-005_af4.wfa                     | 1572864 | 524288 |        | 16 | 8432  | 128 | 128 | 32 | 256 | 15.16584441 | 8.234  | 8688  | 0.005523682 |
| peppers32.bmp | peppers32.bmp-withWavelet_haar-G_0.8-H4e-005_af1.wfa    | 393216  | 131072 | 131072 | 34 | 37232 | 272 | 272 | 32 | 128 | 15.16640131 | 5.625  | 37776 | 0.096069336 |
| peppers32.bmp | peppers32.bmp-withWavelet_rbio1.1-G_0.8-H4e-005_af1.wfa | 393216  | 131072 | 131072 | 34 | 37232 | 272 | 272 | 32 | 128 | 15.16640131 | 5.657  | 37776 | 0.096069336 |
| peppers32.bmp | peppers32.bmp-withWavelet_sym1-G_0.8-H4e-005_af1.wfa    | 393216  | 131072 | 131072 | 34 | 37232 | 272 | 272 | 32 | 128 | 15.16640131 | 5.203  | 37776 | 0.096069336 |
| peppers32.bmp | peppers32.bmp-withWavelet_bior1.1-G_0.8-H4e-005_af1.wfa | 393216  | 131072 | 131072 | 34 | 37232 | 272 | 272 | 32 | 128 | 15.16640131 | 5.25   | 37776 | 0.096069336 |
| peppers32.bmp | peppers32.bmp-G_0.8-H9e-005_af4.wfa                     | 393216  | 131072 |        | 15 | 7440  | 120 | 120 | 32 | 128 | 15.16640151 | 1.875  | 7680  | 0.01953125  |
| peppers32.bmp | peppers32.bmp-withWavelet_haar-G_1-H4e-005_af1.wfa      | 393216  | 131072 | 131072 | 34 | 37232 | 272 | 272 | 32 | 128 | 15.16684523 | 5.703  | 37776 | 0.096069336 |
| peppers32.bmp | peppers32.bmp-withWavelet_rbio1.1-G_1-H4e-005_af1.wfa   | 393216  | 131072 | 131072 | 34 | 37232 | 272 | 272 | 32 | 128 | 15.16684523 | 5.578  | 37776 | 0.096069336 |
| peppers32.bmp | peppers32.bmp-withWavelet_sym1-G_1-H4e-005_af1.wfa      | 393216  | 131072 | 131072 | 34 | 37232 | 272 | 272 | 32 | 128 | 15.16684523 | 5.235  | 37776 | 0.096069336 |
| peppers32.bmp | peppers32.bmp-withWavelet_bior1.1-G_1-H4e-005_af1.wfa   | 393216  | 131072 | 131072 | 34 | 37232 | 272 | 272 | 32 | 128 | 15.16684523 | 5.219  | 37776 | 0.096069336 |
| peppers32.bmp | peppers32.bmp-G_1-H1e-005_af4.wfa                       | 393216  | 131072 |        | 17 | 9488  | 136 | 136 | 32 | 128 | 15.17389134 | 2      | 9760  | 0.024820964 |
| peppers32.bmp | peppers32.bmp-G_1-H2e-005_af4.wfa                       | 393216  | 131072 |        | 17 | 9488  | 136 | 136 | 32 | 128 | 15.17389134 | 2.031  | 9760  | 0.024820964 |
| peppers32.bmp | peppers32.bmp-G_0.8-H6e-005_af4.wfa                     | 1572864 | 524288 |        | 16 | 8432  | 128 | 128 | 32 | 256 | 15.1756703  | 8.156  | 8688  | 0.005523682 |
| peppers32.bmp | peppers32.bmp-G_1-H8e-005_af4.wfa                       | 393216  | 131072 |        | 16 | 8432  | 128 | 128 | 32 | 128 | 15.1776093  | 1.938  | 8688  | 0.022094727 |
| peppers32.bmp | peppers32.bmp-G_0.8-H7e-005_af4.wfa                     | 1572864 | 524288 |        | 16 | 8432  | 128 | 128 | 32 | 256 | 15.17938003 | 8.156  | 8688  | 0.005523682 |
| peppers32.bmp | peppers32.bmp-G_0.8-H1e-005_af4.wfa                     | 1572864 | 524288 |        | 16 | 8432  | 128 | 128 | 32 | 256 | 15.18429456 | 8.14   | 8688  | 0.005523682 |
| peppers32.bmp | peppers32.bmp-G_0.8-H2e-005_af4.wfa                     | 1572864 | 524288 |        | 16 | 8432  | 128 | 128 | 32 | 256 | 15.18429456 | 8.219  | 8688  | 0.005523682 |
| peppers32.bmp | peppers32.bmp-G_0.8-H3e-005_af4.wfa                     | 1572864 | 524288 |        | 16 | 8432  | 128 | 128 | 32 | 256 | 15.18429456 | 8.172  | 8688  | 0.005523682 |
| peppers32.bmp | peppers32.bmp-withWavelet_haar-G_0.8-H3e-005_af2.wfa    | 393216  | 131072 | 131072 | 28 | 25328 | 224 | 224 | 32 | 128 | 15.18456592 | 3.719  | 25776 | 0.065551758 |



|               |   |         |        |        |    |       |     |     |    |     |             |        |       |             |
|---------------|---|---------|--------|--------|----|-------|-----|-----|----|-----|-------------|--------|-------|-------------|
| peppers32.bmp | peppers32.bmp-withWavelet_rbio1.1-G_0.8-H3e-005_af2.wfa | 393216  | 131072 | 131072 | 28 | 25328 | 224 | 224 | 32 | 128 | 15.18456592 | 3.734  | 25776 | 0.065551758 |
| peppers32.bmp | peppers32.bmp-withWavelet_sym1-G_0.8-H3e-005_af2.wfa    | 393216  | 131072 | 131072 | 28 | 25328 | 224 | 224 | 32 | 128 | 15.18456592 | 3.782  | 25776 | 0.065551758 |
| peppers32.bmp | peppers32.bmp-withWavelet_bior1.1-G_0.8-H3e-005_af2.wfa | 393216  | 131072 | 131072 | 28 | 25328 | 224 | 224 | 32 | 128 | 15.18456592 | 3.734  | 25776 | 0.065551758 |
| peppers32.bmp | peppers32.bmp-withWavelet_haar-G_0.8-H2e-005_af3.wfa    | 393216  | 131072 | 131072 | 36 | 41712 | 288 | 288 | 32 | 128 | 15.18654859 | 5.86   | 42288 | 0.107543945 |
| peppers32.bmp | peppers32.bmp-withWavelet_rbio1.1-G_0.8-H2e-005_af3.wfa | 393216  | 131072 | 131072 | 36 | 41712 | 288 | 288 | 32 | 128 | 15.18654859 | 5.828  | 42288 | 0.107543945 |
| peppers32.bmp | peppers32.bmp-withWavelet_sym1-G_0.8-H2e-005_af3.wfa    | 393216  | 131072 | 131072 | 36 | 41712 | 288 | 288 | 32 | 128 | 15.18654859 | 5.828  | 42288 | 0.107543945 |
| peppers32.bmp | peppers32.bmp-withWavelet_bior1.1-G_0.8-H2e-005_af3.wfa | 393216  | 131072 | 131072 | 36 | 41712 | 288 | 288 | 32 | 128 | 15.18654859 | 6.422  | 42288 | 0.107543945 |
| peppers32.bmp | peppers32.bmp-withWavelet_haar-G_0.6-H8e-005_af2.wfa    | 98304   | 32768  | 32768  | 21 | 14352 | 168 | 168 | 32 | 64  | 15.18708452 | 0.563  | 14688 | 0.149414063 |
| peppers32.bmp | peppers32.bmp-withWavelet_rbio1.1-G_0.6-H8e-005_af2.wfa | 98304   | 32768  | 32768  | 21 | 14352 | 168 | 168 | 32 | 64  | 15.18708452 | 0.671  | 14688 | 0.149414063 |
| peppers32.bmp | peppers32.bmp-withWavelet_sym1-G_0.6-H8e-005_af2.wfa    | 98304   | 32768  | 32768  | 21 | 14352 | 168 | 168 | 32 | 64  | 15.18708452 | 0.562  | 14688 | 0.149414063 |
| peppers32.bmp | peppers32.bmp-withWavelet_bior1.1-G_0.6-H8e-005_af2.wfa | 98304   | 32768  | 32768  | 21 | 14352 | 168 | 168 | 32 | 64  | 15.18708452 | 0.641  | 14688 | 0.149414063 |
| peppers32.bmp | peppers32.bmp-withWavelet_haar-G_1-H2e-005_af3.wfa      | 393216  | 131072 | 131072 | 36 | 41712 | 288 | 288 | 32 | 128 | 15.18918983 | 5.891  | 42288 | 0.107543945 |
| peppers32.bmp | peppers32.bmp-withWavelet_rbio1.1-G_1-H2e-005_af3.wfa   | 393216  | 131072 | 131072 | 36 | 41712 | 288 | 288 | 32 | 128 | 15.18918983 | 5.829  | 42288 | 0.107543945 |
| peppers32.bmp | peppers32.bmp-withWavelet_sym1-G_1-H2e-005_af3.wfa      | 393216  | 131072 | 131072 | 36 | 41712 | 288 | 288 | 32 | 128 | 15.18918983 | 5.844  | 42288 | 0.107543945 |
| peppers32.bmp | peppers32.bmp-withWavelet_bior1.1-G_1-H2e-005_af3.wfa   | 393216  | 131072 | 131072 | 36 | 41712 | 288 | 288 | 32 | 128 | 15.18918983 | 5.86   | 42288 | 0.107543945 |
| peppers32.bmp | peppers32.bmp-G_0.8-H4e-005_af4.wfa                     | 393216  | 131072 |        | 16 | 8432  | 128 | 128 | 32 | 128 | 15.19884167 | 1.906  | 8688  | 0.022094727 |
| peppers32.bmp | peppers32.bmp-G_0.8-H5e-005_af4.wfa                     | 393216  | 131072 |        | 16 | 8432  | 128 | 128 | 32 | 128 | 15.19884167 | 1.906  | 8688  | 0.022094727 |
| peppers32.bmp | peppers32.bmp-withWavelet_haar-G_0.6-H7e-005_af2.wfa    | 98304   | 32768  | 32768  | 21 | 14352 | 168 | 168 | 32 | 64  | 15.20576783 | 0.563  | 14688 | 0.149414063 |
| peppers32.bmp | peppers32.bmp-withWavelet_rbio1.1-G_0.6-H7e-005_af2.wfa | 98304   | 32768  | 32768  | 21 | 14352 | 168 | 168 | 32 | 64  | 15.20576783 | 0.563  | 14688 | 0.149414063 |
| peppers32.bmp | peppers32.bmp-withWavelet_sym1-G_0.6-H7e-005_af2.wfa    | 98304   | 32768  | 32768  | 21 | 14352 | 168 | 168 | 32 | 64  | 15.20576783 | 0.562  | 14688 | 0.149414063 |
| peppers32.bmp | peppers32.bmp-withWavelet_bior1.1-G_0.6-H7e-005_af2.wfa | 98304   | 32768  | 32768  | 21 | 14352 | 168 | 168 | 32 | 64  | 15.20576783 | 0.562  | 14688 | 0.149414063 |
| peppers32.bmp | peppers32.bmp-G_0.8-H6e-005_af4.wfa                     | 393216  | 131072 |        | 16 | 8432  | 128 | 128 | 32 | 128 | 15.20967618 | 1.984  | 8688  | 0.022094727 |
| peppers32.bmp | peppers32.bmp-G_0.8-H7e-005_af4.wfa                     | 393216  | 131072 |        | 16 | 8432  | 128 | 128 | 32 | 128 | 15.21334151 | 1.906  | 8688  | 0.022094727 |
| peppers32.bmp | peppers32.bmp-G_0.8-H1e-005_af4.wfa                     | 393216  | 131072 |        | 16 | 8432  | 128 | 128 | 32 | 128 | 15.21813695 | 1.907  | 8688  | 0.022094727 |
| peppers32.bmp | peppers32.bmp-G_0.8-H2e-005_af4.wfa                     | 393216  | 131072 |        | 16 | 8432  | 128 | 128 | 32 | 128 | 15.21813695 | 1.891  | 8688  | 0.022094727 |
| peppers32.bmp | peppers32.bmp-G_0.8-H3e-005_af4.wfa                     | 393216  | 131072 |        | 16 | 8432  | 128 | 128 | 32 | 128 | 15.21813695 | 1.891  | 8688  | 0.022094727 |
| peppers32.bmp | peppers32.bmp-withWavelet_haar-G_0.6-H8e-005_af4.wfa    | 393216  | 131072 | 131072 | 28 | 25328 | 224 | 224 | 32 | 128 | 15.22034631 | 3.75   | 25776 | 0.065551758 |
| peppers32.bmp | peppers32.bmp-withWavelet_rbio1.1-G_0.6-H8e-005_af4.wfa | 393216  | 131072 | 131072 | 28 | 25328 | 224 | 224 | 32 | 128 | 15.22034631 | 3.719  | 25776 | 0.065551758 |
| peppers32.bmp | peppers32.bmp-withWavelet_sym1-G_0.6-H8e-005_af4.wfa    | 393216  | 131072 | 131072 | 28 | 25328 | 224 | 224 | 32 | 128 | 15.22034631 | 3.765  | 25776 | 0.065551758 |
| peppers32.bmp | peppers32.bmp-withWavelet_bior1.1-G_0.6-H8e-005_af4.wfa | 393216  | 131072 | 131072 | 28 | 25328 | 224 | 224 | 32 | 128 | 15.22034631 | 3.719  | 25776 | 0.065551758 |
| peppers32.bmp | peppers32.bmp-withWavelet_haar-G_0.8-H4e-005_af2.wfa    | 1572864 | 524288 | 524288 | 25 | 20240 | 200 | 200 | 32 | 256 | 15.23238767 | 14.343 | 20640 | 0.013122559 |

|               |   |         |        |        |    |       |     |     |    |     |             |        |       |             |
|---------------|---|---------|--------|--------|----|-------|-----|-----|----|-----|-------------|--------|-------|-------------|
| peppers32.bmp | peppers32.bmp-withWavelet_rbio1.1-G_0.8-H4e-005_af2.wfa | 1572864 | 524288 | 524288 | 25 | 20240 | 200 | 200 | 32 | 256 | 15.23238767 | 14.328 | 20640 | 0.013122559 |
| peppers32.bmp | peppers32.bmp-withWavelet_sym1-G_0.8-H4e-005_af2.wfa    | 1572864 | 524288 | 524288 | 25 | 20240 | 200 | 200 | 32 | 256 | 15.23238767 | 14.282 | 20640 | 0.013122559 |
| peppers32.bmp | peppers32.bmp-withWavelet_bior1.1-G_0.8-H4e-005_af2.wfa | 1572864 | 524288 | 524288 | 25 | 20240 | 200 | 200 | 32 | 256 | 15.23238767 | 14.406 | 20640 | 0.013122559 |
| peppers32.bmp | peppers32.bmp-withWavelet_haar-G_0.8-H2e-005_af2.wfa    | 98304   | 32768  | 32768  | 31 | 30992 | 248 | 248 | 32 | 64  | 15.24237455 | 1      | 31488 | 0.3203125   |
| peppers32.bmp | peppers32.bmp-withWavelet_rbio1.1-G_0.8-H2e-005_af2.wfa | 98304   | 32768  | 32768  | 31 | 30992 | 248 | 248 | 32 | 64  | 15.24237455 | 1      | 31488 | 0.3203125   |
| peppers32.bmp | peppers32.bmp-withWavelet_sym1-G_0.8-H2e-005_af2.wfa    | 98304   | 32768  | 32768  | 31 | 30992 | 248 | 248 | 32 | 64  | 15.24237455 | 1      | 31488 | 0.3203125   |
| peppers32.bmp | peppers32.bmp-withWavelet_bior1.1-G_0.8-H2e-005_af2.wfa | 98304   | 32768  | 32768  | 31 | 30992 | 248 | 248 | 32 | 64  | 15.24237455 | 1      | 31488 | 0.3203125   |
| peppers32.bmp | peppers32.bmp-withWavelet_haar-G_0.6-H5e-005_af5.wfa    | 24576   | 8192   | 8192   | 19 | 11792 | 152 | 152 | 32 | 32  | 15.24537781 | 0.125  | 12096 | 0.4921875   |
| peppers32.bmp | peppers32.bmp-withWavelet_rbio1.1-G_0.6-H5e-005_af5.wfa | 24576   | 8192   | 8192   | 19 | 11792 | 152 | 152 | 32 | 32  | 15.24537781 | 0.235  | 12096 | 0.4921875   |
| peppers32.bmp | peppers32.bmp-withWavelet_sym1-G_0.6-H5e-005_af5.wfa    | 24576   | 8192   | 8192   | 19 | 11792 | 152 | 152 | 32 | 32  | 15.24537781 | 0.11   | 12096 | 0.4921875   |
| peppers32.bmp | peppers32.bmp-withWavelet_bior1.1-G_0.6-H5e-005_af5.wfa | 24576   | 8192   | 8192   | 19 | 11792 | 152 | 152 | 32 | 32  | 15.24537781 | 0.125  | 12096 | 0.4921875   |
| peppers32.bmp | peppers32.bmp-withWavelet_haar-G_0.8-H7e-005_af3.wfa    | 1572864 | 524288 | 524288 | 29 | 27152 | 232 | 232 | 32 | 256 | 15.24764369 | 17.75  | 27616 | 0.01755778  |
| peppers32.bmp | peppers32.bmp-withWavelet_rbio1.1-G_0.8-H7e-005_af3.wfa | 1572864 | 524288 | 524288 | 29 | 27152 | 232 | 232 | 32 | 256 | 15.24764369 | 17.906 | 27616 | 0.01755778  |
| peppers32.bmp | peppers32.bmp-withWavelet_sym1-G_0.8-H7e-005_af3.wfa    | 1572864 | 524288 | 524288 | 29 | 27152 | 232 | 232 | 32 | 256 | 15.24764369 | 17.969 | 27616 | 0.01755778  |
| peppers32.bmp | peppers32.bmp-withWavelet_bior1.1-G_0.8-H7e-005_af3.wfa | 1572864 | 524288 | 524288 | 29 | 27152 | 232 | 232 | 32 | 256 | 15.24764369 | 17.813 | 27616 | 0.01755778  |
| peppers32.bmp | peppers32.bmp-withWavelet_haar-G_1-H3e-005_af2.wfa      | 393216  | 131072 | 131072 | 27 | 23568 | 216 | 216 | 32 | 128 | 15.24938114 | 3.625  | 24000 | 0.061035156 |
| peppers32.bmp | peppers32.bmp-withWavelet_rbio1.1-G_1-H3e-005_af2.wfa   | 393216  | 131072 | 131072 | 27 | 23568 | 216 | 216 | 32 | 128 | 15.24938114 | 3.625  | 24000 | 0.061035156 |
| peppers32.bmp | peppers32.bmp-withWavelet_sym1-G_1-H3e-005_af2.wfa      | 393216  | 131072 | 131072 | 27 | 23568 | 216 | 216 | 32 | 128 | 15.24938114 | 3.609  | 24000 | 0.061035156 |
| peppers32.bmp | peppers32.bmp-withWavelet_bior1.1-G_1-H3e-005_af2.wfa   | 393216  | 131072 | 131072 | 27 | 23568 | 216 | 216 | 32 | 128 | 15.24938114 | 3.641  | 24000 | 0.061035156 |
| peppers32.bmp | peppers32.bmp-withWavelet_haar-G_1-H2e-005_af2.wfa      | 98304   | 32768  | 32768  | 31 | 30992 | 248 | 248 | 32 | 64  | 15.25494576 | 1      | 31488 | 0.3203125   |
| peppers32.bmp | peppers32.bmp-withWavelet_rbio1.1-G_1-H2e-005_af2.wfa   | 98304   | 32768  | 32768  | 31 | 30992 | 248 | 248 | 32 | 64  | 15.25494576 | 1      | 31488 | 0.3203125   |
| peppers32.bmp | peppers32.bmp-withWavelet_sym1-G_1-H2e-005_af2.wfa      | 98304   | 32768  | 32768  | 31 | 30992 | 248 | 248 | 32 | 64  | 15.25494576 | 1      | 31488 | 0.3203125   |
| peppers32.bmp | peppers32.bmp-withWavelet_bior1.1-G_1-H2e-005_af2.wfa   | 98304   | 32768  | 32768  | 31 | 30992 | 248 | 248 | 32 | 64  | 15.25494576 | 1      | 31488 | 0.3203125   |
| peppers32.bmp | peppers32.bmp-withWavelet_haar-G_0.8-H4e-005_af3.wfa    | 1572864 | 524288 | 524288 | 31 | 30992 | 248 | 248 | 32 | 256 | 15.25813598 | 20.109 | 31488 | 0.020019531 |
| peppers32.bmp | peppers32.bmp-withWavelet_rbio1.1-G_0.8-H4e-005_af3.wfa | 1572864 | 524288 | 524288 | 31 | 30992 | 248 | 248 | 32 | 256 | 15.25813598 | 20.125 | 31488 | 0.020019531 |
| peppers32.bmp | peppers32.bmp-withWavelet_sym1-G_0.8-H4e-005_af3.wfa    | 1572864 | 524288 | 524288 | 31 | 30992 | 248 | 248 | 32 | 256 | 15.25813598 | 19.984 | 31488 | 0.020019531 |
| peppers32.bmp | peppers32.bmp-withWavelet_bior1.1-G_0.8-H4e-005_af3.wfa | 1572864 | 524288 | 524288 | 31 | 30992 | 248 | 248 | 32 | 256 | 15.25813598 | 20.078 | 31488 | 0.020019531 |
| peppers32.bmp | peppers32.bmp-withWavelet_haar-G_0.6-H7e-005_af4.wfa    | 393216  | 131072 | 131072 | 28 | 25328 | 224 | 224 | 32 | 128 | 15.25857143 | 3.812  | 25776 | 0.065551758 |
| peppers32.bmp | peppers32.bmp-withWavelet_rbio1.1-G_0.6-H7e-005_af4.wfa | 393216  | 131072 | 131072 | 28 | 25328 | 224 | 224 | 32 | 128 | 15.25857143 | 3.766  | 25776 | 0.065551758 |
| peppers32.bmp | peppers32.bmp-withWavelet_sym1-G_0.6-H7e-005_af4.wfa    | 393216  | 131072 | 131072 | 28 | 25328 | 224 | 224 | 32 | 128 | 15.25857143 | 3.75   | 25776 | 0.065551758 |
| peppers32.bmp | peppers32.bmp-withWavelet_bior1.1-G_0.6-H7e-005_af4.wfa | 393216  | 131072 | 131072 | 28 | 25328 | 224 | 224 | 32 | 128 | 15.25857143 | 3.734  | 25776 | 0.065551758 |

|               |   |         |        |        |    |       |     |     |    |     |             |        |       |             |
|---------------|---|---------|--------|--------|----|-------|-----|-----|----|-----|-------------|--------|-------|-------------|
| peppers32.bmp | peppers32.bmp-withWavelet_haar-G_0.8-H6e-005_af1.wfa    | 1572864 | 524288 | 524288 | 29 | 27152 | 232 | 232 | 32 | 256 | 15.26065792 | 17.781 | 27616 | 0.01755778  |
| peppers32.bmp | peppers32.bmp-withWavelet_rbio1.1-G_0.8-H6e-005_af1.wfa | 1572864 | 524288 | 524288 | 29 | 27152 | 232 | 232 | 32 | 256 | 15.26065792 | 17.875 | 27616 | 0.01755778  |
| peppers32.bmp | peppers32.bmp-withWavelet_sym1-G_0.8-H6e-005_af1.wfa    | 1572864 | 524288 | 524288 | 29 | 27152 | 232 | 232 | 32 | 256 | 15.26065792 | 17.859 | 27616 | 0.01755778  |
| peppers32.bmp | peppers32.bmp-withWavelet_bior1.1-G_0.8-H6e-005_af1.wfa | 1572864 | 524288 | 524288 | 29 | 27152 | 232 | 232 | 32 | 256 | 15.26065792 | 18.047 | 27616 | 0.01755778  |
| peppers32.bmp | peppers32.bmp-withWavelet_haar-G_0.8-H6e-005_af3.wfa    | 1572864 | 524288 | 524288 | 29 | 27152 | 232 | 232 | 32 | 256 | 15.2656815  | 17.781 | 27616 | 0.01755778  |
| peppers32.bmp | peppers32.bmp-withWavelet_rbio1.1-G_0.8-H6e-005_af3.wfa | 1572864 | 524288 | 524288 | 29 | 27152 | 232 | 232 | 32 | 256 | 15.2656815  | 18.062 | 27616 | 0.01755778  |
| peppers32.bmp | peppers32.bmp-withWavelet_sym1-G_0.8-H6e-005_af3.wfa    | 1572864 | 524288 | 524288 | 29 | 27152 | 232 | 232 | 32 | 256 | 15.2656815  | 17.828 | 27616 | 0.01755778  |
| peppers32.bmp | peppers32.bmp-withWavelet_bior1.1-G_0.8-H6e-005_af3.wfa | 1572864 | 524288 | 524288 | 29 | 27152 | 232 | 232 | 32 | 256 | 15.2656815  | 17.969 | 27616 | 0.01755778  |
| peppers32.bmp | peppers32.bmp-withWavelet_haar-G_1-H6e-005_af1.wfa      | 1572864 | 524288 | 524288 | 29 | 27152 | 232 | 232 | 32 | 256 | 15.26974959 | 17.796 | 27616 | 0.01755778  |
| peppers32.bmp | peppers32.bmp-withWavelet_rbio1.1-G_1-H6e-005_af1.wfa   | 1572864 | 524288 | 524288 | 29 | 27152 | 232 | 232 | 32 | 256 | 15.26974959 | 17.844 | 27616 | 0.01755778  |
| peppers32.bmp | peppers32.bmp-withWavelet_sym1-G_1-H6e-005_af1.wfa      | 1572864 | 524288 | 524288 | 29 | 27152 | 232 | 232 | 32 | 256 | 15.26974959 | 17.875 | 27616 | 0.01755778  |
| peppers32.bmp | peppers32.bmp-withWavelet_bior1.1-G_1-H6e-005_af1.wfa   | 1572864 | 524288 | 524288 | 29 | 27152 | 232 | 232 | 32 | 256 | 15.26974959 | 18     | 27616 | 0.01755778  |
| peppers32.bmp | peppers32.bmp-withWavelet_haar-G_1-H6e-005_af3.wfa      | 1572864 | 524288 | 524288 | 29 | 27152 | 232 | 232 | 32 | 256 | 15.27107991 | 17.781 | 27616 | 0.01755778  |
| peppers32.bmp | peppers32.bmp-withWavelet_rbio1.1-G_1-H6e-005_af3.wfa   | 1572864 | 524288 | 524288 | 29 | 27152 | 232 | 232 | 32 | 256 | 15.27107991 | 17.922 | 27616 | 0.01755778  |
| peppers32.bmp | peppers32.bmp-withWavelet_sym1-G_1-H6e-005_af3.wfa      | 1572864 | 524288 | 524288 | 29 | 27152 | 232 | 232 | 32 | 256 | 15.27107991 | 17.875 | 27616 | 0.01755778  |
| peppers32.bmp | peppers32.bmp-withWavelet_bior1.1-G_1-H6e-005_af3.wfa   | 1572864 | 524288 | 524288 | 29 | 27152 | 232 | 232 | 32 | 256 | 15.27107991 | 17.766 | 27616 | 0.01755778  |
| peppers32.bmp | peppers32.bmp-withWavelet_haar-G_0.8-H5e-005_af1.wfa    | 393216  | 131072 | 131072 | 32 | 33008 | 256 | 256 | 32 | 128 | 15.271965   | 5.046  | 33520 | 0.085245768 |
| peppers32.bmp | peppers32.bmp-withWavelet_rbio1.1-G_0.8-H5e-005_af1.wfa | 393216  | 131072 | 131072 | 32 | 33008 | 256 | 256 | 32 | 128 | 15.271965   | 4.641  | 33520 | 0.085245768 |
| peppers32.bmp | peppers32.bmp-withWavelet_sym1-G_0.8-H5e-005_af1.wfa    | 393216  | 131072 | 131072 | 32 | 33008 | 256 | 256 | 32 | 128 | 15.271965   | 4.672  | 33520 | 0.085245768 |
| peppers32.bmp | peppers32.bmp-withWavelet_bior1.1-G_0.8-H5e-005_af1.wfa | 393216  | 131072 | 131072 | 32 | 33008 | 256 | 256 | 32 | 128 | 15.271965   | 4.688  | 33520 | 0.085245768 |
| peppers32.bmp | peppers32.bmp-withWavelet_haar-G_1-H5e-005_af1.wfa      | 393216  | 131072 | 131072 | 32 | 33008 | 256 | 256 | 32 | 128 | 15.2720501  | 4.672  | 33520 | 0.085245768 |
| peppers32.bmp | peppers32.bmp-withWavelet_rbio1.1-G_1-H5e-005_af1.wfa   | 393216  | 131072 | 131072 | 32 | 33008 | 256 | 256 | 32 | 128 | 15.2720501  | 5.094  | 33520 | 0.085245768 |
| peppers32.bmp | peppers32.bmp-withWavelet_sym1-G_1-H5e-005_af1.wfa      | 393216  | 131072 | 131072 | 32 | 33008 | 256 | 256 | 32 | 128 | 15.2720501  | 5.125  | 33520 | 0.085245768 |
| peppers32.bmp | peppers32.bmp-withWavelet_bior1.1-G_1-H5e-005_af1.wfa   | 393216  | 131072 | 131072 | 32 | 33008 | 256 | 256 | 32 | 128 | 15.2720501  | 4.719  | 33520 | 0.085245768 |
| peppers32.bmp | peppers32.bmp-withWavelet_haar-G_0.8-H3e-005_af3.wfa    | 393216  | 131072 | 131072 | 34 | 37232 | 272 | 272 | 32 | 128 | 15.27358407 | 5.218  | 37776 | 0.096069336 |
| peppers32.bmp | peppers32.bmp-withWavelet_rbio1.1-G_0.8-H3e-005_af3.wfa | 393216  | 131072 | 131072 | 34 | 37232 | 272 | 272 | 32 | 128 | 15.27358407 | 5.469  | 37776 | 0.096069336 |
| peppers32.bmp | peppers32.bmp-withWavelet_sym1-G_0.8-H3e-005_af3.wfa    | 393216  | 131072 | 131072 | 34 | 37232 | 272 | 272 | 32 | 128 | 15.27358407 | 5.328  | 37776 | 0.096069336 |
| peppers32.bmp | peppers32.bmp-withWavelet_bior1.1-G_0.8-H3e-005_af3.wfa | 393216  | 131072 | 131072 | 34 | 37232 | 272 | 272 | 32 | 128 | 15.27358407 | 5.781  | 37776 | 0.096069336 |
| peppers32.bmp | peppers32.bmp-withWavelet_haar-G_1-H3e-005_af3.wfa      | 393216  | 131072 | 131072 | 34 | 37232 | 272 | 272 | 32 | 128 | 15.27778856 | 5.218  | 37776 | 0.096069336 |
| peppers32.bmp | peppers32.bmp-withWavelet_rbio1.1-G_1-H3e-005_af3.wfa   | 393216  | 131072 | 131072 | 34 | 37232 | 272 | 272 | 32 | 128 | 15.27778856 | 5.656  | 37776 | 0.096069336 |
| peppers32.bmp | peppers32.bmp-withWavelet_sym1-G_1-H3e-005_af3.wfa      | 393216  | 131072 | 131072 | 34 | 37232 | 272 | 272 | 32 | 128 | 15.27778856 | 5.641  | 37776 | 0.096069336 |

|               |   |         |        |        |    |       |     |     |    |     |             |        |       |             |
|---------------|---|---------|--------|--------|----|-------|-----|-----|----|-----|-------------|--------|-------|-------------|
| peppers32.bmp | peppers32.bmp-withWavelet_bior1.1-G_1-H3e-005_af3.wfa   | 393216  | 131072 | 131072 | 34 | 37232 | 272 | 272 | 32 | 128 | 15.27778856 | 5.672  | 37776 | 0.096069336 |
| peppers32.bmp | peppers32.bmp-withWavelet_haar-G_0.6-H8e-005_af1.wfa    | 393216  | 131072 | 131072 | 26 | 21872 | 208 | 208 | 32 | 128 | 15.28057273 | 3.391  | 22288 | 0.056681315 |
| peppers32.bmp | peppers32.bmp-withWavelet_rbio1.1-G_0.6-H8e-005_af1.wfa | 393216  | 131072 | 131072 | 26 | 21872 | 208 | 208 | 32 | 128 | 15.28057273 | 3.375  | 22288 | 0.056681315 |
| peppers32.bmp | peppers32.bmp-withWavelet_sym1-G_0.6-H8e-005_af1.wfa    | 393216  | 131072 | 131072 | 26 | 21872 | 208 | 208 | 32 | 128 | 15.28057273 | 3.36   | 22288 | 0.056681315 |
| peppers32.bmp | peppers32.bmp-withWavelet_bior1.1-G_0.6-H8e-005_af1.wfa | 393216  | 131072 | 131072 | 26 | 21872 | 208 | 208 | 32 | 128 | 15.28057273 | 3.468  | 22288 | 0.056681315 |
| peppers32.bmp | peppers32.bmp-withWavelet_haar-G_0.6-H0.0001_af1.wfa    | 1572864 | 524288 | 524288 | 22 | 15728 | 176 | 176 | 32 | 256 | 15.28645505 | 10.875 | 16080 | 0.010223389 |
| peppers32.bmp | peppers32.bmp-withWavelet_rbio1.1-G_0.6-H0.0001_af1.wfa | 1572864 | 524288 | 524288 | 22 | 15728 | 176 | 176 | 32 | 256 | 15.28645505 | 10.953 | 16080 | 0.010223389 |
| peppers32.bmp | peppers32.bmp-withWavelet_sym1-G_0.6-H0.0001_af1.wfa    | 1572864 | 524288 | 524288 | 22 | 15728 | 176 | 176 | 32 | 256 | 15.28645505 | 10.953 | 16080 | 0.010223389 |
| peppers32.bmp | peppers32.bmp-withWavelet_bior1.1-G_0.6-H0.0001_af1.wfa | 1572864 | 524288 | 524288 | 22 | 15728 | 176 | 176 | 32 | 256 | 15.28645505 | 10.875 | 16080 | 0.010223389 |
| peppers32.bmp | peppers32.bmp-withWavelet_haar-G_0.6-H7e-005_af1.wfa    | 393216  | 131072 | 131072 | 27 | 23568 | 216 | 216 | 32 | 128 | 15.30551936 | 3.593  | 24000 | 0.061035156 |
| peppers32.bmp | peppers32.bmp-withWavelet_rbio1.1-G_0.6-H7e-005_af1.wfa | 393216  | 131072 | 131072 | 27 | 23568 | 216 | 216 | 32 | 128 | 15.30551936 | 3.609  | 24000 | 0.061035156 |
| peppers32.bmp | peppers32.bmp-withWavelet_sym1-G_0.6-H7e-005_af1.wfa    | 393216  | 131072 | 131072 | 27 | 23568 | 216 | 216 | 32 | 128 | 15.30551936 | 3.609  | 24000 | 0.061035156 |
| peppers32.bmp | peppers32.bmp-withWavelet_bior1.1-G_0.6-H7e-005_af1.wfa | 393216  | 131072 | 131072 | 27 | 23568 | 216 | 216 | 32 | 128 | 15.30551936 | 3.641  | 24000 | 0.061035156 |
| peppers32.bmp | peppers32.bmp-withWavelet_haar-G_0.6-H9e-005_af4.wfa    | 393216  | 131072 | 131072 | 25 | 20240 | 200 | 200 | 32 | 128 | 15.3136649  | 3.234  | 20640 | 0.052490234 |
| peppers32.bmp | peppers32.bmp-withWavelet_rbio1.1-G_0.6-H9e-005_af4.wfa | 393216  | 131072 | 131072 | 25 | 20240 | 200 | 200 | 32 | 128 | 15.3136649  | 3.219  | 20640 | 0.052490234 |
| peppers32.bmp | peppers32.bmp-withWavelet_sym1-G_0.6-H9e-005_af4.wfa    | 393216  | 131072 | 131072 | 25 | 20240 | 200 | 200 | 32 | 128 | 15.3136649  | 3.234  | 20640 | 0.052490234 |
| peppers32.bmp | peppers32.bmp-withWavelet_bior1.1-G_0.6-H9e-005_af4.wfa | 393216  | 131072 | 131072 | 25 | 20240 | 200 | 200 | 32 | 128 | 15.3136649  | 3.234  | 20640 | 0.052490234 |
| peppers32.bmp | peppers32.bmp-withWavelet_haar-G_0.8-H2e-005_af4.wfa    | 1572864 | 524288 | 524288 | 34 | 37232 | 272 | 272 | 32 | 256 | 15.31513639 | 25.437 | 37776 | 0.024017334 |
| peppers32.bmp | peppers32.bmp-withWavelet_rbio1.1-G_0.8-H2e-005_af4.wfa | 1572864 | 524288 | 524288 | 34 | 37232 | 272 | 272 | 32 | 256 | 15.31513639 | 23.39  | 37776 | 0.024017334 |
| peppers32.bmp | peppers32.bmp-withWavelet_sym1-G_0.8-H2e-005_af4.wfa    | 1572864 | 524288 | 524288 | 34 | 37232 | 272 | 272 | 32 | 256 | 15.31513639 | 26.094 | 37776 | 0.024017334 |
| peppers32.bmp | peppers32.bmp-withWavelet_bior1.1-G_0.8-H2e-005_af4.wfa | 1572864 | 524288 | 524288 | 34 | 37232 | 272 | 272 | 32 | 256 | 15.31513639 | 23.328 | 37776 | 0.024017334 |
| peppers32.bmp | peppers32.bmp-withWavelet_haar-G_0.6-H6e-005_af2.wfa    | 1572864 | 524288 | 524288 | 21 | 14352 | 168 | 168 | 32 | 256 | 15.33359206 | 10.5   | 14688 | 0.009338379 |
| peppers32.bmp | peppers32.bmp-withWavelet_rbio1.1-G_0.6-H6e-005_af2.wfa | 1572864 | 524288 | 524288 | 21 | 14352 | 168 | 168 | 32 | 256 | 15.33359206 | 10.687 | 14688 | 0.009338379 |
| peppers32.bmp | peppers32.bmp-withWavelet_sym1-G_0.6-H6e-005_af2.wfa    | 1572864 | 524288 | 524288 | 21 | 14352 | 168 | 168 | 32 | 256 | 15.33359206 | 10.578 | 14688 | 0.009338379 |
| peppers32.bmp | peppers32.bmp-withWavelet_bior1.1-G_0.6-H6e-005_af2.wfa | 1572864 | 524288 | 524288 | 21 | 14352 | 168 | 168 | 32 | 256 | 15.33359206 | 10.578 | 14688 | 0.009338379 |
| peppers32.bmp | peppers32.bmp-withWavelet_haar-G_0.8-H3e-005_af2.wfa    | 98304   | 32768  | 32768  | 28 | 25328 | 224 | 224 | 32 | 64  | 15.34749093 | 0.859  | 25776 | 0.262207031 |
| peppers32.bmp | peppers32.bmp-withWavelet_rbio1.1-G_0.8-H3e-005_af2.wfa | 98304   | 32768  | 32768  | 28 | 25328 | 224 | 224 | 32 | 64  | 15.34749093 | 0.844  | 25776 | 0.262207031 |
| peppers32.bmp | peppers32.bmp-withWavelet_sym1-G_0.8-H3e-005_af2.wfa    | 98304   | 32768  | 32768  | 28 | 25328 | 224 | 224 | 32 | 64  | 15.34749093 | 0.859  | 25776 | 0.262207031 |
| peppers32.bmp | peppers32.bmp-withWavelet_bior1.1-G_0.8-H3e-005_af2.wfa | 98304   | 32768  | 32768  | 28 | 25328 | 224 | 224 | 32 | 64  | 15.34749093 | 0.844  | 25776 | 0.262207031 |
| peppers32.bmp | peppers32.bmp-withWavelet_haar-G_1-H7e-005_af3.wfa      | 1572864 | 524288 | 524288 | 28 | 25328 | 224 | 224 | 32 | 256 | 15.36236088 | 16.719 | 25776 | 0.016387939 |
| peppers32.bmp | peppers32.bmp-withWavelet_rbio1.1-G_1-H7e-005_af3.wfa   | 1572864 | 524288 | 524288 | 28 | 25328 | 224 | 224 | 32 | 256 | 15.36236088 | 16.734 | 25776 | 0.016387939 |

|               |   |         |        |        |    |       |     |     |    |     |             |        |       |             |
|---------------|---|---------|--------|--------|----|-------|-----|-----|----|-----|-------------|--------|-------|-------------|
| peppers32.bmp | peppers32.bmp-withWavelet_sym1-G_1-H7e-005_af3.wfa      | 1572864 | 524288 | 524288 | 28 | 25328 | 224 | 224 | 32 | 256 | 15.36236088 | 16.454 | 25776 | 0.016387939 |
| peppers32.bmp | peppers32.bmp-withWavelet_bior1.1-G_1-H7e-005_af3.wfa   | 1572864 | 524288 | 524288 | 28 | 25328 | 224 | 224 | 32 | 256 | 15.36236088 | 16.64  | 25776 | 0.016387939 |
| peppers32.bmp | peppers32.bmp-withWavelet_bior1.1-G_1-H6e-005_af4.wfa   | 393216  | 131072 | 131072 | 24 | 18672 | 192 | 192 | 32 | 128 | 15.37065519 | 3      | 19056 | 0.048461914 |
| peppers32.bmp | peppers32.bmp-withWavelet_haar-G_0.6-H0.0001_af4.wfa    | 393216  | 131072 | 131072 | 24 | 18672 | 192 | 192 | 32 | 128 | 15.37065519 | 3      | 19056 | 0.048461914 |
| peppers32.bmp | peppers32.bmp-withWavelet_rbio1.1-G_0.6-H0.0001_af4.wfa | 393216  | 131072 | 131072 | 24 | 18672 | 192 | 192 | 32 | 128 | 15.37065519 | 3.203  | 19056 | 0.048461914 |
| peppers32.bmp | peppers32.bmp-withWavelet_sym1-G_0.6-H0.0001_af4.wfa    | 393216  | 131072 | 131072 | 24 | 18672 | 192 | 192 | 32 | 128 | 15.37065519 | 3.704  | 19056 | 0.048461914 |
| peppers32.bmp | peppers32.bmp-withWavelet_bior1.1-G_0.6-H0.0001_af4.wfa | 393216  | 131072 | 131072 | 24 | 18672 | 192 | 192 | 32 | 128 | 15.37065519 | 3      | 19056 | 0.048461914 |
| peppers32.bmp | peppers32.bmp-withWavelet_haar-G_0.8-H4e-005_af4.wfa    | 1572864 | 524288 | 524288 | 32 | 33008 | 256 | 256 | 32 | 256 | 15.37221625 | 20.797 | 33520 | 0.021311442 |
| peppers32.bmp | peppers32.bmp-withWavelet_rbio1.1-G_0.8-H4e-005_af4.wfa | 1572864 | 524288 | 524288 | 32 | 33008 | 256 | 256 | 32 | 256 | 15.37221625 | 25.406 | 33520 | 0.021311442 |
| peppers32.bmp | peppers32.bmp-withWavelet_sym1-G_0.8-H4e-005_af4.wfa    | 1572864 | 524288 | 524288 | 32 | 33008 | 256 | 256 | 32 | 256 | 15.37221625 | 20.844 | 33520 | 0.021311442 |
| peppers32.bmp | peppers32.bmp-withWavelet_bior1.1-G_0.8-H4e-005_af4.wfa | 1572864 | 524288 | 524288 | 32 | 33008 | 256 | 256 | 32 | 256 | 15.37221625 | 25.406 | 33520 | 0.021311442 |
| peppers32.bmp | peppers32.bmp-withWavelet_haar-G_0.8-H3e-005_af4.wfa    | 1572864 | 524288 | 524288 | 33 | 35088 | 264 | 264 | 32 | 256 | 15.37318473 | 22.375 | 35616 | 0.022644043 |
| peppers32.bmp | peppers32.bmp-withWavelet_rbio1.1-G_0.8-H3e-005_af4.wfa | 1572864 | 524288 | 524288 | 33 | 35088 | 264 | 264 | 32 | 256 | 15.37318473 | 25.235 | 35616 | 0.022644043 |
| peppers32.bmp | peppers32.bmp-withWavelet_sym1-G_0.8-H3e-005_af4.wfa    | 1572864 | 524288 | 524288 | 33 | 35088 | 264 | 264 | 32 | 256 | 15.37318473 | 22.422 | 35616 | 0.022644043 |
| peppers32.bmp | peppers32.bmp-withWavelet_bior1.1-G_0.8-H3e-005_af4.wfa | 1572864 | 524288 | 524288 | 33 | 35088 | 264 | 264 | 32 | 256 | 15.37318473 | 22.391 | 35616 | 0.022644043 |
| peppers32.bmp | peppers32.bmp-withWavelet_haar-G_1-H5e-005_af2.wfa      | 1572864 | 524288 | 524288 | 24 | 18672 | 192 | 192 | 32 | 256 | 15.37401272 | 13.328 | 19056 | 0.012115479 |
| peppers32.bmp | peppers32.bmp-withWavelet_rbio1.1-G_1-H5e-005_af2.wfa   | 1572864 | 524288 | 524288 | 24 | 18672 | 192 | 192 | 32 | 256 | 15.37401272 | 13.375 | 19056 | 0.012115479 |
| peppers32.bmp | peppers32.bmp-withWavelet_sym1-G_1-H5e-005_af2.wfa      | 1572864 | 524288 | 524288 | 24 | 18672 | 192 | 192 | 32 | 256 | 15.37401272 | 13.344 | 19056 | 0.012115479 |
| peppers32.bmp | peppers32.bmp-withWavelet_bior1.1-G_1-H5e-005_af2.wfa   | 1572864 | 524288 | 524288 | 24 | 18672 | 192 | 192 | 32 | 256 | 15.37401272 | 13.375 | 19056 | 0.012115479 |
| peppers32.bmp | peppers32.bmp-withWavelet_haar-G_0.8-H8e-005_af3.wfa    | 1572864 | 524288 | 524288 | 28 | 25328 | 224 | 224 | 32 | 256 | 15.37565111 | 16.688 | 25776 | 0.016387939 |
| peppers32.bmp | peppers32.bmp-withWavelet_rbio1.1-G_0.8-H8e-005_af3.wfa | 1572864 | 524288 | 524288 | 28 | 25328 | 224 | 224 | 32 | 256 | 15.37565111 | 16.75  | 25776 | 0.016387939 |
| peppers32.bmp | peppers32.bmp-withWavelet_sym1-G_0.8-H8e-005_af3.wfa    | 1572864 | 524288 | 524288 | 28 | 25328 | 224 | 224 | 32 | 256 | 15.37565111 | 16.672 | 25776 | 0.016387939 |
| peppers32.bmp | peppers32.bmp-withWavelet_bior1.1-G_0.8-H8e-005_af3.wfa | 1572864 | 524288 | 524288 | 28 | 25328 | 224 | 224 | 32 | 256 | 15.37565111 | 16.625 | 25776 | 0.016387939 |
| peppers32.bmp | peppers32.bmp-withWavelet_haar-G_1-H2e-005_af4.wfa      | 1572864 | 524288 | 524288 | 34 | 37232 | 272 | 272 | 32 | 256 | 15.37689519 | 23.578 | 37776 | 0.024017334 |
| peppers32.bmp | peppers32.bmp-withWavelet_rbio1.1-G_1-H2e-005_af4.wfa   | 1572864 | 524288 | 524288 | 34 | 37232 | 272 | 272 | 32 | 256 | 15.37689519 | 29.047 | 37776 | 0.024017334 |
| peppers32.bmp | peppers32.bmp-withWavelet_sym1-G_1-H2e-005_af4.wfa      | 1572864 | 524288 | 524288 | 34 | 37232 | 272 | 272 | 32 | 256 | 15.37689519 | 23.531 | 37776 | 0.024017334 |
| peppers32.bmp | peppers32.bmp-withWavelet_bior1.1-G_1-H2e-005_af4.wfa   | 1572864 | 524288 | 524288 | 34 | 37232 | 272 | 272 | 32 | 256 | 15.37689519 | 23.5   | 37776 | 0.024017334 |
| peppers32.bmp | peppers32.bmp-withWavelet_haar-G_1-H3e-005_af2.wfa      | 98304   | 32768  | 32768  | 27 | 23568 | 216 | 216 | 32 | 64  | 15.37951086 | 0.828  | 24000 | 0.244140625 |
| peppers32.bmp | peppers32.bmp-withWavelet_rbio1.1-G_1-H3e-005_af2.wfa   | 98304   | 32768  | 32768  | 27 | 23568 | 216 | 216 | 32 | 64  | 15.37951086 | 0.859  | 24000 | 0.244140625 |
| peppers32.bmp | peppers32.bmp-withWavelet_sym1-G_1-H3e-005_af2.wfa      | 98304   | 32768  | 32768  | 27 | 23568 | 216 | 216 | 32 | 64  | 15.37951086 | 0.828  | 24000 | 0.244140625 |
| peppers32.bmp | peppers32.bmp-withWavelet_bior1.1-G_1-H3e-005_af2.wfa   | 98304   | 32768  | 32768  | 27 | 23568 | 216 | 216 | 32 | 64  | 15.37951086 | 0.828  | 24000 | 0.244140625 |

|               |   |         |        |        |    |       |     |     |    |     |             |        |       |             |
|---------------|---|---------|--------|--------|----|-------|-----|-----|----|-----|-------------|--------|-------|-------------|
| peppers32.bmp | peppers32.bmp-withWavelet_haar-G_0.8-H4e-005_af2.wfa    | 393216  | 131072 | 131072 | 25 | 20240 | 200 | 200 | 32 | 128 | 15.3922806  | 3.281  | 20640 | 0.052490234 |
| peppers32.bmp | peppers32.bmp-withWavelet_rbio1.1-G_0.8-H4e-005_af2.wfa | 393216  | 131072 | 131072 | 25 | 20240 | 200 | 200 | 32 | 128 | 15.3922806  | 3.25   | 20640 | 0.052490234 |
| peppers32.bmp | peppers32.bmp-withWavelet_sym1-G_0.8-H4e-005_af2.wfa    | 393216  | 131072 | 131072 | 25 | 20240 | 200 | 200 | 32 | 128 | 15.3922806  | 3.25   | 20640 | 0.052490234 |
| peppers32.bmp | peppers32.bmp-withWavelet_bior1.1-G_0.8-H4e-005_af2.wfa | 393216  | 131072 | 131072 | 25 | 20240 | 200 | 200 | 32 | 128 | 15.3922806  | 3.25   | 20640 | 0.052490234 |
| peppers32.bmp | peppers32.bmp-withWavelet_haar-G_0.8-H5e-005_af2.wfa    | 1572864 | 524288 | 524288 | 23 | 17168 | 184 | 184 | 32 | 256 | 15.39238649 | 12.891 | 17536 | 0.011149089 |
| peppers32.bmp | peppers32.bmp-withWavelet_rbio1.1-G_0.8-H5e-005_af2.wfa | 1572864 | 524288 | 524288 | 23 | 17168 | 184 | 184 | 32 | 256 | 15.39238649 | 12.891 | 17536 | 0.011149089 |
| peppers32.bmp | peppers32.bmp-withWavelet_sym1-G_0.8-H5e-005_af2.wfa    | 1572864 | 524288 | 524288 | 23 | 17168 | 184 | 184 | 32 | 256 | 15.39238649 | 12.891 | 17536 | 0.011149089 |
| peppers32.bmp | peppers32.bmp-withWavelet_bior1.1-G_0.8-H5e-005_af2.wfa | 1572864 | 524288 | 524288 | 23 | 17168 | 184 | 184 | 32 | 256 | 15.39238649 | 12.984 | 17536 | 0.011149089 |
| peppers32.bmp | peppers32.bmp-withWavelet_haar-G_0.8-H6e-005_af4.wfa    | 1572864 | 524288 | 524288 | 29 | 27152 | 232 | 232 | 32 | 256 | 15.39609332 | 17.922 | 27616 | 0.01755778  |
| peppers32.bmp | peppers32.bmp-withWavelet_rbio1.1-G_0.8-H6e-005_af4.wfa | 1572864 | 524288 | 524288 | 29 | 27152 | 232 | 232 | 32 | 256 | 15.39609332 | 17.828 | 27616 | 0.01755778  |
| peppers32.bmp | peppers32.bmp-withWavelet_sym1-G_0.8-H6e-005_af4.wfa    | 1572864 | 524288 | 524288 | 29 | 27152 | 232 | 232 | 32 | 256 | 15.39609332 | 18     | 27616 | 0.01755778  |
| peppers32.bmp | peppers32.bmp-withWavelet_bior1.1-G_0.8-H6e-005_af4.wfa | 1572864 | 524288 | 524288 | 29 | 27152 | 232 | 232 | 32 | 256 | 15.39609332 | 17.859 | 27616 | 0.01755778  |
| peppers32.bmp | peppers32.bmp-withWavelet_haar-G_0.8-H5e-005_af3.wfa    | 393216  | 131072 | 131072 | 32 | 33008 | 256 | 256 | 32 | 128 | 15.39689373 | 5.016  | 33520 | 0.085245768 |
| peppers32.bmp | peppers32.bmp-withWavelet_rbio1.1-G_0.8-H5e-005_af3.wfa | 393216  | 131072 | 131072 | 32 | 33008 | 256 | 256 | 32 | 128 | 15.39689373 | 4.657  | 33520 | 0.085245768 |
| peppers32.bmp | peppers32.bmp-withWavelet_sym1-G_0.8-H5e-005_af3.wfa    | 393216  | 131072 | 131072 | 32 | 33008 | 256 | 256 | 32 | 128 | 15.39689373 | 5.094  | 33520 | 0.085245768 |
| peppers32.bmp | peppers32.bmp-withWavelet_bior1.1-G_0.8-H5e-005_af3.wfa | 393216  | 131072 | 131072 | 32 | 33008 | 256 | 256 | 32 | 128 | 15.39689373 | 5.125  | 33520 | 0.085245768 |
| peppers32.bmp | peppers32.bmp-withWavelet_haar-G_1-H5e-005_af3.wfa      | 393216  | 131072 | 131072 | 32 | 33008 | 256 | 256 | 32 | 128 | 15.4009783  | 5.016  | 33520 | 0.085245768 |
| peppers32.bmp | peppers32.bmp-withWavelet_rbio1.1-G_1-H5e-005_af3.wfa   | 393216  | 131072 | 131072 | 32 | 33008 | 256 | 256 | 32 | 128 | 15.4009783  | 5.141  | 33520 | 0.085245768 |
| peppers32.bmp | peppers32.bmp-withWavelet_sym1-G_1-H5e-005_af3.wfa      | 393216  | 131072 | 131072 | 32 | 33008 | 256 | 256 | 32 | 128 | 15.4009783  | 4.641  | 33520 | 0.085245768 |
| peppers32.bmp | peppers32.bmp-withWavelet_bior1.1-G_1-H5e-005_af3.wfa   | 393216  | 131072 | 131072 | 32 | 33008 | 256 | 256 | 32 | 128 | 15.4009783  | 4.672  | 33520 | 0.085245768 |
| peppers32.bmp | peppers32.bmp-withWavelet_haar-G_1-H4e-005_af3.wfa      | 393216  | 131072 | 131072 | 32 | 33008 | 256 | 256 | 32 | 128 | 15.4009783  | 4.75   | 33520 | 0.085245768 |
| peppers32.bmp | peppers32.bmp-withWavelet_rbio1.1-G_1-H4e-005_af3.wfa   | 393216  | 131072 | 131072 | 32 | 33008 | 256 | 256 | 32 | 128 | 15.4009783  | 4.64   | 33520 | 0.085245768 |
| peppers32.bmp | peppers32.bmp-withWavelet_sym1-G_1-H4e-005_af3.wfa      | 393216  | 131072 | 131072 | 32 | 33008 | 256 | 256 | 32 | 128 | 15.4009783  | 4.641  | 33520 | 0.085245768 |
| peppers32.bmp | peppers32.bmp-withWavelet_bior1.1-G_1-H4e-005_af3.wfa   | 393216  | 131072 | 131072 | 32 | 33008 | 256 | 256 | 32 | 128 | 15.4009783  | 4.719  | 33520 | 0.085245768 |
| peppers32.bmp | peppers32.bmp-withWavelet_haar-G_0.6-H2e-005_af3.wfa    | 98304   | 32768  | 32768  | 35 | 39440 | 280 | 280 | 32 | 64  | 15.40436899 | 1.328  | 40000 | 0.406901042 |
| peppers32.bmp | peppers32.bmp-withWavelet_rbio1.1-G_0.6-H2e-005_af3.wfa | 98304   | 32768  | 32768  | 35 | 39440 | 280 | 280 | 32 | 64  | 15.40436899 | 1.36   | 40000 | 0.406901042 |
| peppers32.bmp | peppers32.bmp-withWavelet_sym1-G_0.6-H2e-005_af3.wfa    | 98304   | 32768  | 32768  | 35 | 39440 | 280 | 280 | 32 | 64  | 15.40436899 | 1.344  | 40000 | 0.406901042 |
| peppers32.bmp | peppers32.bmp-withWavelet_bior1.1-G_0.6-H2e-005_af3.wfa | 98304   | 32768  | 32768  | 35 | 39440 | 280 | 280 | 32 | 64  | 15.40436899 | 1.234  | 40000 | 0.406901042 |
| peppers32.bmp | peppers32.bmp-withWavelet_haar-G_0.8-H6e-005_af2.wfa    | 1572864 | 524288 | 524288 | 22 | 15728 | 176 | 176 | 32 | 256 | 15.41042083 | 10.984 | 16080 | 0.010223389 |
| peppers32.bmp | peppers32.bmp-withWavelet_rbio1.1-G_0.8-H6e-005_af2.wfa | 1572864 | 524288 | 524288 | 22 | 15728 | 176 | 176 | 32 | 256 | 15.41042083 | 10.938 | 16080 | 0.010223389 |
| peppers32.bmp | peppers32.bmp-withWavelet_sym1-G_0.8-H6e-005_af2.wfa    | 1572864 | 524288 | 524288 | 22 | 15728 | 176 | 176 | 32 | 256 | 15.41042083 | 10.844 | 16080 | 0.010223389 |

|               |   |         |        |        |    |       |     |     |    |     |             |        |       |             |
|---------------|---|---------|--------|--------|----|-------|-----|-----|----|-----|-------------|--------|-------|-------------|
| peppers32.bmp | peppers32.bmp-withWavelet_bior1.1-G_0.8-H6e-005_af2.wfa | 1572864 | 524288 | 524288 | 22 | 15728 | 176 | 176 | 32 | 256 | 15.41042083 | 11.047 | 16080 | 0.010223389 |
| peppers32.bmp | peppers32.bmp-withWavelet_haar-G_1-H3e-005_af4.wfa      | 1572864 | 524288 | 524288 | 33 | 35088 | 264 | 264 | 32 | 256 | 15.41086218 | 22.453 | 35616 | 0.022644043 |
| peppers32.bmp | peppers32.bmp-withWavelet_rbio1.1-G_1-H3e-005_af4.wfa   | 1572864 | 524288 | 524288 | 33 | 35088 | 264 | 264 | 32 | 256 | 15.41086218 | 25.188 | 35616 | 0.022644043 |
| peppers32.bmp | peppers32.bmp-withWavelet_sym1-G_1-H3e-005_af4.wfa      | 1572864 | 524288 | 524288 | 33 | 35088 | 264 | 264 | 32 | 256 | 15.41086218 | 22.25  | 35616 | 0.022644043 |
| peppers32.bmp | peppers32.bmp-withWavelet_bior1.1-G_1-H3e-005_af4.wfa   | 1572864 | 524288 | 524288 | 33 | 35088 | 264 | 264 | 32 | 256 | 15.41086218 | 27.344 | 35616 | 0.022644043 |
| peppers32.bmp | peppers32.bmp-withWavelet_haar-G_0.8-H8e-005_af4.wfa    | 1572864 | 524288 | 524288 | 27 | 23568 | 216 | 216 | 32 | 256 | 15.41139379 | 16.187 | 24000 | 0.015258789 |
| peppers32.bmp | peppers32.bmp-withWavelet_rbio1.1-G_0.8-H8e-005_af4.wfa | 1572864 | 524288 | 524288 | 27 | 23568 | 216 | 216 | 32 | 256 | 15.41139379 | 16.032 | 24000 | 0.015258789 |
| peppers32.bmp | peppers32.bmp-withWavelet_sym1-G_0.8-H8e-005_af4.wfa    | 1572864 | 524288 | 524288 | 27 | 23568 | 216 | 216 | 32 | 256 | 15.41139379 | 16.015 | 24000 | 0.015258789 |
| peppers32.bmp | peppers32.bmp-withWavelet_bior1.1-G_0.8-H8e-005_af4.wfa | 1572864 | 524288 | 524288 | 27 | 23568 | 216 | 216 | 32 | 256 | 15.41139379 | 16.172 | 24000 | 0.015258789 |
| peppers32.bmp | peppers32.bmp-withWavelet_haar-G_0.6-H9e-005_af1.wfa    | 393216  | 131072 | 131072 | 24 | 18672 | 192 | 192 | 32 | 128 | 15.41408573 | 3.156  | 19056 | 0.048461914 |
| peppers32.bmp | peppers32.bmp-withWavelet_rbio1.1-G_0.6-H9e-005_af1.wfa | 393216  | 131072 | 131072 | 24 | 18672 | 192 | 192 | 32 | 128 | 15.41408573 | 3.188  | 19056 | 0.048461914 |
| peppers32.bmp | peppers32.bmp-withWavelet_sym1-G_0.6-H9e-005_af1.wfa    | 393216  | 131072 | 131072 | 24 | 18672 | 192 | 192 | 32 | 128 | 15.41408573 | 3.031  | 19056 | 0.048461914 |
| peppers32.bmp | peppers32.bmp-withWavelet_bior1.1-G_0.6-H9e-005_af1.wfa | 393216  | 131072 | 131072 | 24 | 18672 | 192 | 192 | 32 | 128 | 15.41408573 | 3.093  | 19056 | 0.048461914 |
| peppers32.bmp | peppers32.bmp-withWavelet_haar-G_1-H4e-005_af4.wfa      | 1572864 | 524288 | 524288 | 31 | 30992 | 248 | 248 | 32 | 256 | 15.41485865 | 20.078 | 31488 | 0.020019531 |
| peppers32.bmp | peppers32.bmp-withWavelet_rbio1.1-G_1-H4e-005_af4.wfa   | 1572864 | 524288 | 524288 | 31 | 30992 | 248 | 248 | 32 | 256 | 15.41485865 | 20.078 | 31488 | 0.020019531 |
| peppers32.bmp | peppers32.bmp-withWavelet_sym1-G_1-H4e-005_af4.wfa      | 1572864 | 524288 | 524288 | 31 | 30992 | 248 | 248 | 32 | 256 | 15.41485865 | 19.969 | 31488 | 0.020019531 |
| peppers32.bmp | peppers32.bmp-withWavelet_bior1.1-G_1-H4e-005_af4.wfa   | 1572864 | 524288 | 524288 | 31 | 30992 | 248 | 248 | 32 | 256 | 15.41485865 | 20     | 31488 | 0.020019531 |
| peppers32.bmp | peppers32.bmp-withWavelet_haar-G_0.6-H3e-005_af3.wfa    | 98304   | 32768  | 32768  | 34 | 37232 | 272 | 272 | 32 | 64  | 15.41799198 | 1.235  | 37776 | 0.384277344 |
| peppers32.bmp | peppers32.bmp-withWavelet_rbio1.1-G_0.6-H3e-005_af3.wfa | 98304   | 32768  | 32768  | 34 | 37232 | 272 | 272 | 32 | 64  | 15.41799198 | 1.235  | 37776 | 0.384277344 |
| peppers32.bmp | peppers32.bmp-withWavelet_sym1-G_0.6-H3e-005_af3.wfa    | 98304   | 32768  | 32768  | 34 | 37232 | 272 | 272 | 32 | 64  | 15.41799198 | 1.265  | 37776 | 0.384277344 |
| peppers32.bmp | peppers32.bmp-withWavelet_bior1.1-G_0.6-H3e-005_af3.wfa | 98304   | 32768  | 32768  | 34 | 37232 | 272 | 272 | 32 | 64  | 15.41799198 | 1.172  | 37776 | 0.384277344 |
| peppers32.bmp | peppers32.bmp-withWavelet_haar-G_0.6-H4e-005_af3.wfa    | 98304   | 32768  | 32768  | 32 | 33008 | 256 | 256 | 32 | 64  | 15.4215242  | 1.172  | 33520 | 0.340983073 |
| peppers32.bmp | peppers32.bmp-withWavelet_rbio1.1-G_0.6-H4e-005_af3.wfa | 98304   | 32768  | 32768  | 32 | 33008 | 256 | 256 | 32 | 64  | 15.4215242  | 1.032  | 33520 | 0.340983073 |
| peppers32.bmp | peppers32.bmp-withWavelet_sym1-G_0.6-H4e-005_af3.wfa    | 98304   | 32768  | 32768  | 32 | 33008 | 256 | 256 | 32 | 64  | 15.4215242  | 1.172  | 33520 | 0.340983073 |
| peppers32.bmp | peppers32.bmp-withWavelet_bior1.1-G_0.6-H4e-005_af3.wfa | 98304   | 32768  | 32768  | 32 | 33008 | 256 | 256 | 32 | 64  | 15.4215242  | 1.078  | 33520 | 0.340983073 |
| peppers32.bmp | peppers32.bmp-withWavelet_haar-G_0.8-H7e-005_af1.wfa    | 1572864 | 524288 | 524288 | 27 | 23568 | 216 | 216 | 32 | 256 | 15.42937693 | 16.016 | 24000 | 0.015258789 |
| peppers32.bmp | peppers32.bmp-withWavelet_rbio1.1-G_0.8-H7e-005_af1.wfa | 1572864 | 524288 | 524288 | 27 | 23568 | 216 | 216 | 32 | 256 | 15.42937693 | 16.187 | 24000 | 0.015258789 |
| peppers32.bmp | peppers32.bmp-withWavelet_sym1-G_0.8-H7e-005_af1.wfa    | 1572864 | 524288 | 524288 | 27 | 23568 | 216 | 216 | 32 | 256 | 15.42937693 | 15.953 | 24000 | 0.015258789 |
| peppers32.bmp | peppers32.bmp-withWavelet_bior1.1-G_0.8-H7e-005_af1.wfa | 1572864 | 524288 | 524288 | 27 | 23568 | 216 | 216 | 32 | 256 | 15.42937693 | 16.141 | 24000 | 0.015258789 |
| peppers32.bmp | peppers32.bmp-withWavelet_haar-G_0.8-H5e-005_af4.wfa    | 1572864 | 524288 | 524288 | 29 | 27152 | 232 | 232 | 32 | 256 | 15.43234547 | 17.953 | 27616 | 0.01755778  |
| peppers32.bmp | peppers32.bmp-withWavelet_rbio1.1-G_0.8-H5e-005_af4.wfa | 1572864 | 524288 | 524288 | 29 | 27152 | 232 | 232 | 32 | 256 | 15.43234547 | 17.766 | 27616 | 0.01755778  |

|               |   |         |        |        |    |       |     |     |    |     |             |        |       |             |
|---------------|---|---------|--------|--------|----|-------|-----|-----|----|-----|-------------|--------|-------|-------------|
| peppers32.bmp | peppers32.bmp-withWavelet_sym1-G_0.8-H5e-005_af4.wfa    | 1572864 | 524288 | 524288 | 29 | 27152 | 232 | 232 | 32 | 256 | 15.43234547 | 17.922 | 27616 | 0.01755778  |
| peppers32.bmp | peppers32.bmp-withWavelet_bior1.1-G_0.8-H5e-005_af4.wfa | 1572864 | 524288 | 524288 | 29 | 27152 | 232 | 232 | 32 | 256 | 15.43234547 | 17.781 | 27616 | 0.01755778  |
| peppers32.bmp | peppers32.bmp-withWavelet_bior1.1-G_1-H0.0001_af1.wfa   | 1572864 | 524288 | 524288 | 21 | 14352 | 168 | 168 | 32 | 256 | 15.44130693 | 10.781 | 14688 | 0.009338379 |
| peppers32.bmp | peppers32.bmp-withWavelet_haar-G_1-H6e-005_af2.wfa      | 1572864 | 524288 | 524288 | 22 | 15728 | 176 | 176 | 32 | 256 | 15.44159716 | 10.86  | 16080 | 0.010223389 |
| peppers32.bmp | peppers32.bmp-withWavelet_rbio1.1-G_1-H6e-005_af2.wfa   | 1572864 | 524288 | 524288 | 22 | 15728 | 176 | 176 | 32 | 256 | 15.44159716 | 10.797 | 16080 | 0.010223389 |
| peppers32.bmp | peppers32.bmp-withWavelet_sym1-G_1-H6e-005_af2.wfa      | 1572864 | 524288 | 524288 | 22 | 15728 | 176 | 176 | 32 | 256 | 15.44159716 | 10.891 | 16080 | 0.010223389 |
| peppers32.bmp | peppers32.bmp-withWavelet_bior1.1-G_1-H6e-005_af2.wfa   | 1572864 | 524288 | 524288 | 22 | 15728 | 176 | 176 | 32 | 256 | 15.44159716 | 11.016 | 16080 | 0.010223389 |
| peppers32.bmp | peppers32.bmp-withWavelet_haar-G_1-H7e-005_af1.wfa      | 1572864 | 524288 | 524288 | 27 | 23568 | 216 | 216 | 32 | 256 | 15.44467446 | 15.954 | 24000 | 0.015258789 |
| peppers32.bmp | peppers32.bmp-withWavelet_rbio1.1-G_1-H7e-005_af1.wfa   | 1572864 | 524288 | 524288 | 27 | 23568 | 216 | 216 | 32 | 256 | 15.44467446 | 16.125 | 24000 | 0.015258789 |
| peppers32.bmp | peppers32.bmp-withWavelet_sym1-G_1-H7e-005_af1.wfa      | 1572864 | 524288 | 524288 | 27 | 23568 | 216 | 216 | 32 | 256 | 15.44467446 | 16.063 | 24000 | 0.015258789 |
| peppers32.bmp | peppers32.bmp-withWavelet_bior1.1-G_1-H7e-005_af1.wfa   | 1572864 | 524288 | 524288 | 27 | 23568 | 216 | 216 | 32 | 256 | 15.44467446 | 16.093 | 24000 | 0.015258789 |
| peppers32.bmp | peppers32.bmp-withWavelet_haar-G_0.6-H5e-005_af3.wfa    | 98304   | 32768  | 32768  | 30 | 29040 | 240 | 240 | 32 | 64  | 15.4486282  | 0.922  | 29520 | 0.300292969 |
| peppers32.bmp | peppers32.bmp-withWavelet_rbio1.1-G_0.6-H5e-005_af3.wfa | 98304   | 32768  | 32768  | 30 | 29040 | 240 | 240 | 32 | 64  | 15.4486282  | 0.922  | 29520 | 0.300292969 |
| peppers32.bmp | peppers32.bmp-withWavelet_sym1-G_0.6-H5e-005_af3.wfa    | 98304   | 32768  | 32768  | 30 | 29040 | 240 | 240 | 32 | 64  | 15.4486282  | 0.953  | 29520 | 0.300292969 |
| peppers32.bmp | peppers32.bmp-withWavelet_bior1.1-G_0.6-H5e-005_af3.wfa | 98304   | 32768  | 32768  | 30 | 29040 | 240 | 240 | 32 | 64  | 15.4486282  | 0.922  | 29520 | 0.300292969 |
| peppers32.bmp | peppers32.bmp-withWavelet_haar-G_0.8-H7e-005_af4.wfa    | 1572864 | 524288 | 524288 | 27 | 23568 | 216 | 216 | 32 | 256 | 15.44898636 | 16.094 | 24000 | 0.015258789 |
| peppers32.bmp | peppers32.bmp-withWavelet_rbio1.1-G_0.8-H7e-005_af4.wfa | 1572864 | 524288 | 524288 | 27 | 23568 | 216 | 216 | 32 | 256 | 15.44898636 | 16.062 | 24000 | 0.015258789 |
| peppers32.bmp | peppers32.bmp-withWavelet_sym1-G_0.8-H7e-005_af4.wfa    | 1572864 | 524288 | 524288 | 27 | 23568 | 216 | 216 | 32 | 256 | 15.44898636 | 16.094 | 24000 | 0.015258789 |
| peppers32.bmp | peppers32.bmp-withWavelet_bior1.1-G_0.8-H7e-005_af4.wfa | 1572864 | 524288 | 524288 | 27 | 23568 | 216 | 216 | 32 | 256 | 15.44898636 | 16.094 | 24000 | 0.015258789 |
| peppers32.bmp | peppers32.bmp-withWavelet_haar-G_0.8-H4e-005_af2.wfa    | 98304   | 32768  | 32768  | 25 | 20240 | 200 | 200 | 32 | 64  | 15.45815818 | 0.75   | 20640 | 0.209960938 |
| peppers32.bmp | peppers32.bmp-withWavelet_rbio1.1-G_0.8-H4e-005_af2.wfa | 98304   | 32768  | 32768  | 25 | 20240 | 200 | 200 | 32 | 64  | 15.45815818 | 0.735  | 20640 | 0.209960938 |
| peppers32.bmp | peppers32.bmp-withWavelet_sym1-G_0.8-H4e-005_af2.wfa    | 98304   | 32768  | 32768  | 25 | 20240 | 200 | 200 | 32 | 64  | 15.45815818 | 0.75   | 20640 | 0.209960938 |
| peppers32.bmp | peppers32.bmp-withWavelet_bior1.1-G_0.8-H4e-005_af2.wfa | 98304   | 32768  | 32768  | 25 | 20240 | 200 | 200 | 32 | 64  | 15.45815818 | 0.766  | 20640 | 0.209960938 |
| peppers32.bmp | peppers32.bmp-withWavelet_bior1.1-G_0.6-H0.0001_af3.wfa | 1572864 | 524288 | 524288 | 22 | 15728 | 176 | 176 | 32 | 256 | 15.46828836 | 10.86  | 16080 | 0.010223389 |
| peppers32.bmp | peppers32.bmp-withWavelet_haar-G_0.8-H9e-005_af4.wfa    | 1572864 | 524288 | 524288 | 25 | 20240 | 200 | 200 | 32 | 256 | 15.47772255 | 14.281 | 20640 | 0.013122559 |
| peppers32.bmp | peppers32.bmp-withWavelet_rbio1.1-G_0.8-H9e-005_af4.wfa | 1572864 | 524288 | 524288 | 25 | 20240 | 200 | 200 | 32 | 256 | 15.47772255 | 14.297 | 20640 | 0.013122559 |
| peppers32.bmp | peppers32.bmp-withWavelet_sym1-G_0.8-H9e-005_af4.wfa    | 1572864 | 524288 | 524288 | 25 | 20240 | 200 | 200 | 32 | 256 | 15.47772255 | 14.656 | 20640 | 0.013122559 |
| peppers32.bmp | peppers32.bmp-withWavelet_bior1.1-G_0.8-H9e-005_af4.wfa | 1572864 | 524288 | 524288 | 25 | 20240 | 200 | 200 | 32 | 256 | 15.47772255 | 14.281 | 20640 | 0.013122559 |
| peppers32.bmp | peppers32.bmp-withWavelet_haar-G_0.6-H7e-005_af3.wfa    | 98304   | 32768  | 32768  | 28 | 25328 | 224 | 224 | 32 | 64  | 15.47940142 | 0.86   | 25776 | 0.262207031 |
| peppers32.bmp | peppers32.bmp-withWavelet_rbio1.1-G_0.6-H7e-005_af3.wfa | 98304   | 32768  | 32768  | 28 | 25328 | 224 | 224 | 32 | 64  | 15.47940142 | 0.859  | 25776 | 0.262207031 |
| peppers32.bmp | peppers32.bmp-withWavelet_sym1-G_0.6-H7e-005_af3.wfa    | 98304   | 32768  | 32768  | 28 | 25328 | 224 | 224 | 32 | 64  | 15.47940142 | 0.844  | 25776 | 0.262207031 |



|               |   |         |        |        |    |       |     |     |    |     |             |        |       |             |
|---------------|---|---------|--------|--------|----|-------|-----|-----|----|-----|-------------|--------|-------|-------------|
| peppers32.bmp | peppers32.bmp-withWavelet_bior1.1-G_0.6-H7e-005_af3.wfa | 98304   | 32768  | 32768  | 28 | 25328 | 224 | 224 | 32 | 64  | 15.47940142 | 0.844  | 25776 | 0.262207031 |
| peppers32.bmp | peppers32.bmp-withWavelet_haar-G_0.8-H7e-005_af2.wfa    | 1572864 | 524288 | 524288 | 21 | 14352 | 168 | 168 | 32 | 256 | 15.48029885 | 10.532 | 14688 | 0.009338379 |
| peppers32.bmp | peppers32.bmp-withWavelet_rbio1.1-G_0.8-H7e-005_af2.wfa | 1572864 | 524288 | 524288 | 21 | 14352 | 168 | 168 | 32 | 256 | 15.48029885 | 10.562 | 14688 | 0.009338379 |
| peppers32.bmp | peppers32.bmp-withWavelet_sym1-G_0.8-H7e-005_af2.wfa    | 1572864 | 524288 | 524288 | 21 | 14352 | 168 | 168 | 32 | 256 | 15.48029885 | 10.547 | 14688 | 0.009338379 |
| peppers32.bmp | peppers32.bmp-withWavelet_bior1.1-G_0.8-H7e-005_af2.wfa | 1572864 | 524288 | 524288 | 21 | 14352 | 168 | 168 | 32 | 256 | 15.48029885 | 10.563 | 14688 | 0.009338379 |
| peppers32.bmp | peppers32.bmp-withWavelet_haar-G_1-H6e-005_af4.wfa      | 1572864 | 524288 | 524288 | 29 | 27152 | 232 | 232 | 32 | 256 | 15.48922044 | 18.032 | 27616 | 0.01755778  |
| peppers32.bmp | peppers32.bmp-withWavelet_rbio1.1-G_1-H6e-005_af4.wfa   | 1572864 | 524288 | 524288 | 29 | 27152 | 232 | 232 | 32 | 256 | 15.48922044 | 17.703 | 27616 | 0.01755778  |
| peppers32.bmp | peppers32.bmp-withWavelet_sym1-G_1-H6e-005_af4.wfa      | 1572864 | 524288 | 524288 | 29 | 27152 | 232 | 232 | 32 | 256 | 15.48922044 | 17.828 | 27616 | 0.01755778  |
| peppers32.bmp | peppers32.bmp-withWavelet_haar-G_1-H5e-005_af4.wfa      | 1572864 | 524288 | 524288 | 30 | 29040 | 240 | 240 | 32 | 256 | 15.4902492  | 18.703 | 29520 | 0.018768311 |
| peppers32.bmp | peppers32.bmp-withWavelet_rbio1.1-G_1-H5e-005_af4.wfa   | 1572864 | 524288 | 524288 | 30 | 29040 | 240 | 240 | 32 | 256 | 15.4902492  | 18.657 | 29520 | 0.018768311 |
| peppers32.bmp | peppers32.bmp-withWavelet_sym1-G_1-H5e-005_af4.wfa      | 1572864 | 524288 | 524288 | 30 | 29040 | 240 | 240 | 32 | 256 | 15.4902492  | 18.563 | 29520 | 0.018768311 |
| peppers32.bmp | peppers32.bmp-withWavelet_bior1.1-G_1-H5e-005_af4.wfa   | 1572864 | 524288 | 524288 | 30 | 29040 | 240 | 240 | 32 | 256 | 15.4902492  | 18.61  | 29520 | 0.018768311 |
| peppers32.bmp | peppers32.bmp-withWavelet_haar-G_0.8-H7e-005_af3.wfa    | 393216  | 131072 | 131072 | 29 | 27152 | 232 | 232 | 32 | 128 | 15.49689795 | 3.984  | 27616 | 0.07023112  |
| peppers32.bmp | peppers32.bmp-withWavelet_rbio1.1-G_0.8-H7e-005_af3.wfa | 393216  | 131072 | 131072 | 29 | 27152 | 232 | 232 | 32 | 128 | 15.49689795 | 4.047  | 27616 | 0.07023112  |
| peppers32.bmp | peppers32.bmp-withWavelet_sym1-G_0.8-H7e-005_af3.wfa    | 393216  | 131072 | 131072 | 29 | 27152 | 232 | 232 | 32 | 128 | 15.49689795 | 4.031  | 27616 | 0.07023112  |
| peppers32.bmp | peppers32.bmp-withWavelet_bior1.1-G_0.8-H7e-005_af3.wfa | 393216  | 131072 | 131072 | 29 | 27152 | 232 | 232 | 32 | 128 | 15.49689795 | 4      | 27616 | 0.07023112  |
| peppers32.bmp | peppers32.bmp-withWavelet_haar-G_0.8-H6e-005_af1.wfa    | 393216  | 131072 | 131072 | 29 | 27152 | 232 | 232 | 32 | 128 | 15.50377591 | 3.985  | 27616 | 0.07023112  |
| peppers32.bmp | peppers32.bmp-withWavelet_rbio1.1-G_0.8-H6e-005_af1.wfa | 393216  | 131072 | 131072 | 29 | 27152 | 232 | 232 | 32 | 128 | 15.50377591 | 4      | 27616 | 0.07023112  |
| peppers32.bmp | peppers32.bmp-withWavelet_sym1-G_0.8-H6e-005_af1.wfa    | 393216  | 131072 | 131072 | 29 | 27152 | 232 | 232 | 32 | 128 | 15.50377591 | 4.047  | 27616 | 0.07023112  |
| peppers32.bmp | peppers32.bmp-withWavelet_bior1.1-G_0.8-H6e-005_af1.wfa | 393216  | 131072 | 131072 | 29 | 27152 | 232 | 232 | 32 | 128 | 15.50377591 | 3.984  | 27616 | 0.07023112  |
| peppers32.bmp | peppers32.bmp-withWavelet_haar-G_0.8-H6e-005_af3.wfa    | 393216  | 131072 | 131072 | 29 | 27152 | 232 | 232 | 32 | 128 | 15.50496502 | 3.984  | 27616 | 0.07023112  |
| peppers32.bmp | peppers32.bmp-withWavelet_rbio1.1-G_0.8-H6e-005_af3.wfa | 393216  | 131072 | 131072 | 29 | 27152 | 232 | 232 | 32 | 128 | 15.50496502 | 3.984  | 27616 | 0.07023112  |
| peppers32.bmp | peppers32.bmp-withWavelet_sym1-G_0.8-H6e-005_af3.wfa    | 393216  | 131072 | 131072 | 29 | 27152 | 232 | 232 | 32 | 128 | 15.50496502 | 3.969  | 27616 | 0.07023112  |
| peppers32.bmp | peppers32.bmp-withWavelet_bior1.1-G_0.8-H6e-005_af3.wfa | 393216  | 131072 | 131072 | 29 | 27152 | 232 | 232 | 32 | 128 | 15.50496502 | 3.985  | 27616 | 0.07023112  |
| peppers32.bmp | peppers32.bmp-withWavelet_haar-G_0.8-H6e-005_af2.wfa    | 98304   | 32768  | 32768  | 22 | 15728 | 176 | 176 | 32 | 64  | 15.50588968 | 0.593  | 16080 | 0.163574219 |
| peppers32.bmp | peppers32.bmp-withWavelet_rbio1.1-G_0.8-H6e-005_af2.wfa | 98304   | 32768  | 32768  | 22 | 15728 | 176 | 176 | 32 | 64  | 15.50588968 | 0.579  | 16080 | 0.163574219 |
| peppers32.bmp | peppers32.bmp-withWavelet_sym1-G_0.8-H6e-005_af2.wfa    | 98304   | 32768  | 32768  | 22 | 15728 | 176 | 176 | 32 | 64  | 15.50588968 | 0.657  | 16080 | 0.163574219 |
| peppers32.bmp | peppers32.bmp-withWavelet_bior1.1-G_0.8-H6e-005_af2.wfa | 98304   | 32768  | 32768  | 22 | 15728 | 176 | 176 | 32 | 64  | 15.50588968 | 0.578  | 16080 | 0.163574219 |
| peppers32.bmp | peppers32.bmp-withWavelet_haar-G_0.8-H8e-005_af1.wfa    | 1572864 | 524288 | 524288 | 26 | 21872 | 208 | 208 | 32 | 256 | 15.50795408 | 15.078 | 22288 | 0.014170329 |
| peppers32.bmp | peppers32.bmp-withWavelet_rbio1.1-G_0.8-H8e-005_af1.wfa | 1572864 | 524288 | 524288 | 26 | 21872 | 208 | 208 | 32 | 256 | 15.50795408 | 14.969 | 22288 | 0.014170329 |
| peppers32.bmp | peppers32.bmp-withWavelet_sym1-G_0.8-H8e-005_af1.wfa    | 1572864 | 524288 | 524288 | 26 | 21872 | 208 | 208 | 32 | 256 | 15.50795408 | 14.907 | 22288 | 0.014170329 |

|               |   |         |        |        |    |       |     |     |    |     |             |        |       |             |
|---------------|---|---------|--------|--------|----|-------|-----|-----|----|-----|-------------|--------|-------|-------------|
| peppers32.bmp | peppers32.bmp-withWavelet_bior1.1-G_0.8-H8e-005_af1.wfa | 1572864 | 524288 | 524288 | 26 | 21872 | 208 | 208 | 32 | 256 | 15.50795408 | 14.921 | 22288 | 0.014170329 |
| peppers32.bmp | peppers32.bmp-withWavelet_haar-G_1-H6e-005_af3.wfa      | 393216  | 131072 | 131072 | 29 | 27152 | 232 | 232 | 32 | 128 | 15.50851201 | 3.969  | 27616 | 0.07023112  |
| peppers32.bmp | peppers32.bmp-withWavelet_rbio1.1-G_1-H6e-005_af3.wfa   | 393216  | 131072 | 131072 | 29 | 27152 | 232 | 232 | 32 | 128 | 15.50851201 | 3.984  | 27616 | 0.07023112  |
| peppers32.bmp | peppers32.bmp-withWavelet_sym1-G_1-H6e-005_af3.wfa      | 393216  | 131072 | 131072 | 29 | 27152 | 232 | 232 | 32 | 128 | 15.50851201 | 4.047  | 27616 | 0.07023112  |
| peppers32.bmp | peppers32.bmp-withWavelet_bior1.1-G_1-H6e-005_af3.wfa   | 393216  | 131072 | 131072 | 29 | 27152 | 232 | 232 | 32 | 128 | 15.50851201 | 3.953  | 27616 | 0.07023112  |
| peppers32.bmp | peppers32.bmp-withWavelet_haar-G_1-H6e-005_af1.wfa      | 393216  | 131072 | 131072 | 29 | 27152 | 232 | 232 | 32 | 128 | 15.50914887 | 3.984  | 27616 | 0.07023112  |
| peppers32.bmp | peppers32.bmp-withWavelet_rbio1.1-G_1-H6e-005_af1.wfa   | 393216  | 131072 | 131072 | 29 | 27152 | 232 | 232 | 32 | 128 | 15.50914887 | 3.985  | 27616 | 0.07023112  |
| peppers32.bmp | peppers32.bmp-withWavelet_sym1-G_1-H6e-005_af1.wfa      | 393216  | 131072 | 131072 | 29 | 27152 | 232 | 232 | 32 | 128 | 15.50914887 | 3.984  | 27616 | 0.07023112  |
| peppers32.bmp | peppers32.bmp-withWavelet_bior1.1-G_1-H6e-005_af1.wfa   | 393216  | 131072 | 131072 | 29 | 27152 | 232 | 232 | 32 | 128 | 15.50914887 | 4.047  | 27616 | 0.07023112  |
| peppers32.bmp | peppers32.bmp-withWavelet_haar-G_0.8-H4e-005_af3.wfa    | 393216  | 131072 | 131072 | 31 | 30992 | 248 | 248 | 32 | 128 | 15.51682194 | 4.531  | 31488 | 0.080078125 |
| peppers32.bmp | peppers32.bmp-withWavelet_rbio1.1-G_0.8-H4e-005_af3.wfa | 393216  | 131072 | 131072 | 31 | 30992 | 248 | 248 | 32 | 128 | 15.51682194 | 4.484  | 31488 | 0.080078125 |
| peppers32.bmp | peppers32.bmp-withWavelet_sym1-G_0.8-H4e-005_af3.wfa    | 393216  | 131072 | 131072 | 31 | 30992 | 248 | 248 | 32 | 128 | 15.51682194 | 4.438  | 31488 | 0.080078125 |
| peppers32.bmp | peppers32.bmp-withWavelet_bior1.1-G_0.8-H4e-005_af3.wfa | 393216  | 131072 | 131072 | 31 | 30992 | 248 | 248 | 32 | 128 | 15.51682194 | 4.562  | 31488 | 0.080078125 |
| peppers32.bmp | peppers32.bmp-withWavelet_haar-G_1-H5e-005_af2.wfa      | 98304   | 32768  | 32768  | 24 | 18672 | 192 | 192 | 32 | 64  | 15.51986521 | 0.782  | 19056 | 0.193847656 |
| peppers32.bmp | peppers32.bmp-withWavelet_rbio1.1-G_1-H5e-005_af2.wfa   | 98304   | 32768  | 32768  | 24 | 18672 | 192 | 192 | 32 | 64  | 15.51986521 | 0.734  | 19056 | 0.193847656 |
| peppers32.bmp | peppers32.bmp-withWavelet_sym1-G_1-H5e-005_af2.wfa      | 98304   | 32768  | 32768  | 24 | 18672 | 192 | 192 | 32 | 64  | 15.51986521 | 0.704  | 19056 | 0.193847656 |
| peppers32.bmp | peppers32.bmp-withWavelet_bior1.1-G_1-H5e-005_af2.wfa   | 98304   | 32768  | 32768  | 24 | 18672 | 192 | 192 | 32 | 64  | 15.51986521 | 0.703  | 19056 | 0.193847656 |
| peppers32.bmp | peppers32.bmp-withWavelet_haar-G_1-H6e-005_af2.wfa      | 98304   | 32768  | 32768  | 22 | 15728 | 176 | 176 | 32 | 64  | 15.52319421 | 0.578  | 16080 | 0.163574219 |
| peppers32.bmp | peppers32.bmp-withWavelet_rbio1.1-G_1-H6e-005_af2.wfa   | 98304   | 32768  | 32768  | 22 | 15728 | 176 | 176 | 32 | 64  | 15.52319421 | 0.625  | 16080 | 0.163574219 |
| peppers32.bmp | peppers32.bmp-withWavelet_sym1-G_1-H6e-005_af2.wfa      | 98304   | 32768  | 32768  | 22 | 15728 | 176 | 176 | 32 | 64  | 15.52319421 | 0.578  | 16080 | 0.163574219 |
| peppers32.bmp | peppers32.bmp-withWavelet_bior1.1-G_1-H6e-005_af2.wfa   | 98304   | 32768  | 32768  | 22 | 15728 | 176 | 176 | 32 | 64  | 15.52319421 | 0.594  | 16080 | 0.163574219 |
| peppers32.bmp | peppers32.bmp-withWavelet_haar-G_1-H5e-005_af2.wfa      | 393216  | 131072 | 131072 | 24 | 18672 | 192 | 192 | 32 | 128 | 15.52406716 | 3.016  | 19056 | 0.048461914 |
| peppers32.bmp | peppers32.bmp-withWavelet_rbio1.1-G_1-H5e-005_af2.wfa   | 393216  | 131072 | 131072 | 24 | 18672 | 192 | 192 | 32 | 128 | 15.52406716 | 3.031  | 19056 | 0.048461914 |
| peppers32.bmp | peppers32.bmp-withWavelet_sym1-G_1-H5e-005_af2.wfa      | 393216  | 131072 | 131072 | 24 | 18672 | 192 | 192 | 32 | 128 | 15.52406716 | 3      | 19056 | 0.048461914 |
| peppers32.bmp | peppers32.bmp-withWavelet_bior1.1-G_1-H5e-005_af2.wfa   | 393216  | 131072 | 131072 | 24 | 18672 | 192 | 192 | 32 | 128 | 15.52406716 | 3.031  | 19056 | 0.048461914 |
| peppers32.bmp | peppers32.bmp-withWavelet_haar-G_1-H7e-005_af4.wfa      | 1572864 | 524288 | 524288 | 27 | 23568 | 216 | 216 | 32 | 256 | 15.52836033 | 16.125 | 24000 | 0.015258789 |
| peppers32.bmp | peppers32.bmp-withWavelet_rbio1.1-G_1-H7e-005_af4.wfa   | 1572864 | 524288 | 524288 | 27 | 23568 | 216 | 216 | 32 | 256 | 15.52836033 | 16.016 | 24000 | 0.015258789 |
| peppers32.bmp | peppers32.bmp-withWavelet_sym1-G_1-H7e-005_af4.wfa      | 1572864 | 524288 | 524288 | 27 | 23568 | 216 | 216 | 32 | 256 | 15.52836033 | 16.062 | 24000 | 0.015258789 |
| peppers32.bmp | peppers32.bmp-withWavelet_bior1.1-G_1-H7e-005_af4.wfa   | 1572864 | 524288 | 524288 | 27 | 23568 | 216 | 216 | 32 | 256 | 15.52836033 | 15.922 | 24000 | 0.015258789 |
| peppers32.bmp | peppers32.bmp-withWavelet_haar-G_1-H1e-005_af4.wfa      | 98304   | 32768  | 32768  | 37 | 44048 | 296 | 296 | 32 | 64  | 15.53390214 | 1.469  | 44640 | 0.454101563 |
| peppers32.bmp | peppers32.bmp-withWavelet_rbio1.1-G_1-H1e-005_af4.wfa   | 98304   | 32768  | 32768  | 37 | 44048 | 296 | 296 | 32 | 64  | 15.53390214 | 1.437  | 44640 | 0.454101563 |



|               |   |        |        |        |    |       |     |     |    |     |             |       |       |             |
|---------------|---|--------|--------|--------|----|-------|-----|-----|----|-----|-------------|-------|-------|-------------|
| peppers32.bmp | peppers32.bmp-withWavelet_rbio1.1-G_1-H1e-005_af1.wfa   | 98304  | 32768  | 32768  | 37 | 44048 | 296 | 296 | 32 | 64  | 15.53390214 | 1.36  | 44640 | 0.454101563 |
| peppers32.bmp | peppers32.bmp-withWavelet_sym1-G_1-H1e-005_af1.wfa      | 98304  | 32768  | 32768  | 37 | 44048 | 296 | 296 | 32 | 64  | 15.53390214 | 1.375 | 44640 | 0.454101563 |
| peppers32.bmp | peppers32.bmp-withWavelet_bior1.1-G_1-H1e-005_af1.wfa   | 98304  | 32768  | 32768  | 37 | 44048 | 296 | 296 | 32 | 64  | 15.53390214 | 1.422 | 44640 | 0.454101563 |
| peppers32.bmp | peppers32.bmp-withWavelet_haar-G_0.8-H1e-005_af4.wfa    | 98304  | 32768  | 32768  | 37 | 44048 | 296 | 296 | 32 | 64  | 15.53390214 | 1.5   | 44640 | 0.454101563 |
| peppers32.bmp | peppers32.bmp-withWavelet_rbio1.1-G_0.8-H1e-005_af4.wfa | 98304  | 32768  | 32768  | 37 | 44048 | 296 | 296 | 32 | 64  | 15.53390214 | 1.407 | 44640 | 0.454101563 |
| peppers32.bmp | peppers32.bmp-withWavelet_sym1-G_0.8-H1e-005_af4.wfa    | 98304  | 32768  | 32768  | 37 | 44048 | 296 | 296 | 32 | 64  | 15.53390214 | 1.547 | 44640 | 0.454101563 |
| peppers32.bmp | peppers32.bmp-withWavelet_bior1.1-G_0.8-H1e-005_af4.wfa | 98304  | 32768  | 32768  | 37 | 44048 | 296 | 296 | 32 | 64  | 15.53390214 | 1.485 | 44640 | 0.454101563 |
| peppers32.bmp | peppers32.bmp-withWavelet_haar-G_0.8-H6e-005_af2.wfa    | 393216 | 131072 | 131072 | 22 | 15728 | 176 | 176 | 32 | 128 | 15.54356672 | 2.468 | 16080 | 0.040893555 |
| peppers32.bmp | peppers32.bmp-withWavelet_rbio1.1-G_0.8-H6e-005_af2.wfa | 393216 | 131072 | 131072 | 22 | 15728 | 176 | 176 | 32 | 128 | 15.54356672 | 2.531 | 16080 | 0.040893555 |
| peppers32.bmp | peppers32.bmp-withWavelet_sym1-G_0.8-H6e-005_af2.wfa    | 393216 | 131072 | 131072 | 22 | 15728 | 176 | 176 | 32 | 128 | 15.54356672 | 2.5   | 16080 | 0.040893555 |
| peppers32.bmp | peppers32.bmp-withWavelet_bior1.1-G_0.8-H6e-005_af2.wfa | 393216 | 131072 | 131072 | 22 | 15728 | 176 | 176 | 32 | 128 | 15.54356672 | 2.484 | 16080 | 0.040893555 |
| peppers32.bmp | peppers32.bmp-withWavelet_haar-G_0.8-H5e-005_af2.wfa    | 393216 | 131072 | 131072 | 23 | 17168 | 184 | 184 | 32 | 128 | 15.54522173 | 2.938 | 17536 | 0.044596354 |
| peppers32.bmp | peppers32.bmp-withWavelet_rbio1.1-G_0.8-H5e-005_af2.wfa | 393216 | 131072 | 131072 | 23 | 17168 | 184 | 184 | 32 | 128 | 15.54522173 | 3.062 | 17536 | 0.044596354 |
| peppers32.bmp | peppers32.bmp-withWavelet_sym1-G_0.8-H5e-005_af2.wfa    | 393216 | 131072 | 131072 | 23 | 17168 | 184 | 184 | 32 | 128 | 15.54522173 | 2.953 | 17536 | 0.044596354 |
| peppers32.bmp | peppers32.bmp-withWavelet_bior1.1-G_0.8-H5e-005_af2.wfa | 393216 | 131072 | 131072 | 23 | 17168 | 184 | 184 | 32 | 128 | 15.54522173 | 3.062 | 17536 | 0.044596354 |
| peppers32.bmp | peppers32.bmp-withWavelet_haar-G_0.6-H6e-005_af3.wfa    | 98304  | 32768  | 32768  | 29 | 27152 | 232 | 232 | 32 | 64  | 15.54559812 | 0.907 | 27616 | 0.280924479 |
| peppers32.bmp | peppers32.bmp-withWavelet_rbio1.1-G_0.6-H6e-005_af3.wfa | 98304  | 32768  | 32768  | 29 | 27152 | 232 | 232 | 32 | 64  | 15.54559812 | 0.891 | 27616 | 0.280924479 |
| peppers32.bmp | peppers32.bmp-withWavelet_sym1-G_0.6-H6e-005_af3.wfa    | 98304  | 32768  | 32768  | 29 | 27152 | 232 | 232 | 32 | 64  | 15.54559812 | 0.922 | 27616 | 0.280924479 |
| peppers32.bmp | peppers32.bmp-withWavelet_bior1.1-G_0.6-H6e-005_af3.wfa | 98304  | 32768  | 32768  | 29 | 27152 | 232 | 232 | 32 | 64  | 15.54559812 | 0.922 | 27616 | 0.280924479 |
| peppers32.bmp | peppers32.bmp-withWavelet_haar-G_0.8-H7e-005_af2.wfa    | 98304  | 32768  | 32768  | 21 | 14352 | 168 | 168 | 32 | 64  | 15.55711255 | 0.672 | 14688 | 0.149414063 |
| peppers32.bmp | peppers32.bmp-withWavelet_rbio1.1-G_0.8-H7e-005_af2.wfa | 98304  | 32768  | 32768  | 21 | 14352 | 168 | 168 | 32 | 64  | 15.55711255 | 0.562 | 14688 | 0.149414063 |
| peppers32.bmp | peppers32.bmp-withWavelet_sym1-G_0.8-H7e-005_af2.wfa    | 98304  | 32768  | 32768  | 21 | 14352 | 168 | 168 | 32 | 64  | 15.55711255 | 0.562 | 14688 | 0.149414063 |
| peppers32.bmp | peppers32.bmp-withWavelet_bior1.1-G_0.8-H7e-005_af2.wfa | 98304  | 32768  | 32768  | 21 | 14352 | 168 | 168 | 32 | 64  | 15.55711255 | 0.562 | 14688 | 0.149414063 |
| peppers32.bmp | peppers32.bmp-withWavelet_haar-G_1-H2e-005_af1.wfa      | 98304  | 32768  | 32768  | 36 | 41712 | 288 | 288 | 32 | 64  | 15.55778788 | 1.359 | 42288 | 0.430175781 |
| peppers32.bmp | peppers32.bmp-withWavelet_rbio1.1-G_1-H2e-005_af1.wfa   | 98304  | 32768  | 32768  | 36 | 41712 | 288 | 288 | 32 | 64  | 15.55778788 | 1.422 | 42288 | 0.430175781 |
| peppers32.bmp | peppers32.bmp-withWavelet_sym1-G_1-H2e-005_af1.wfa      | 98304  | 32768  | 32768  | 36 | 41712 | 288 | 288 | 32 | 64  | 15.55778788 | 1.281 | 42288 | 0.430175781 |
| peppers32.bmp | peppers32.bmp-withWavelet_bior1.1-G_1-H2e-005_af1.wfa   | 98304  | 32768  | 32768  | 36 | 41712 | 288 | 288 | 32 | 64  | 15.55778788 | 1.484 | 42288 | 0.430175781 |
| peppers32.bmp | peppers32.bmp-withWavelet_haar-G_0.8-H2e-005_af1.wfa    | 98304  | 32768  | 32768  | 36 | 41712 | 288 | 288 | 32 | 64  | 15.55778997 | 1.297 | 42288 | 0.430175781 |
| peppers32.bmp | peppers32.bmp-withWavelet_rbio1.1-G_0.8-H2e-005_af1.wfa | 98304  | 32768  | 32768  | 36 | 41712 | 288 | 288 | 32 | 64  | 15.55778997 | 1.5   | 42288 | 0.430175781 |
| peppers32.bmp | peppers32.bmp-withWavelet_sym1-G_0.8-H2e-005_af1.wfa    | 98304  | 32768  | 32768  | 36 | 41712 | 288 | 288 | 32 | 64  | 15.55778997 | 1.516 | 42288 | 0.430175781 |
| peppers32.bmp | peppers32.bmp-withWavelet_bior1.1-G_0.8-H2e-005_af1.wfa | 98304  | 32768  | 32768  | 36 | 41712 | 288 | 288 | 32 | 64  | 15.55778997 | 1.391 | 42288 | 0.430175781 |

|               |   |         |        |        |    |       |     |     |    |     |             |        |       |             |
|---------------|---|---------|--------|--------|----|-------|-----|-----|----|-----|-------------|--------|-------|-------------|
| peppers32.bmp | peppers32.bmp-withWavelet_haar-G_0.6-H3e-005_af1.wfa    | 98304   | 32768  | 32768  | 35 | 39440 | 280 | 280 | 32 | 64  | 15.56790469 | 1.312  | 40000 | 0.406901042 |
| peppers32.bmp | peppers32.bmp-withWavelet_rbio1.1-G_0.6-H3e-005_af1.wfa | 98304   | 32768  | 32768  | 35 | 39440 | 280 | 280 | 32 | 64  | 15.56790469 | 1.359  | 40000 | 0.406901042 |
| peppers32.bmp | peppers32.bmp-withWavelet_sym1-G_0.6-H3e-005_af1.wfa    | 98304   | 32768  | 32768  | 35 | 39440 | 280 | 280 | 32 | 64  | 15.56790469 | 1.265  | 40000 | 0.406901042 |
| peppers32.bmp | peppers32.bmp-withWavelet_bior1.1-G_0.6-H3e-005_af1.wfa | 98304   | 32768  | 32768  | 35 | 39440 | 280 | 280 | 32 | 64  | 15.56790469 | 1.266  | 40000 | 0.406901042 |
| peppers32.bmp | peppers32.bmp-withWavelet_haar-G_0.6-H6e-005_af2.wfa    | 393216  | 131072 | 131072 | 21 | 14352 | 168 | 168 | 32 | 128 | 15.57317799 | 2.422  | 14688 | 0.037353516 |
| peppers32.bmp | peppers32.bmp-withWavelet_rbio1.1-G_0.6-H6e-005_af2.wfa | 393216  | 131072 | 131072 | 21 | 14352 | 168 | 168 | 32 | 128 | 15.57317799 | 2.406  | 14688 | 0.037353516 |
| peppers32.bmp | peppers32.bmp-withWavelet_sym1-G_0.6-H6e-005_af2.wfa    | 393216  | 131072 | 131072 | 21 | 14352 | 168 | 168 | 32 | 128 | 15.57317799 | 2.422  | 14688 | 0.037353516 |
| peppers32.bmp | peppers32.bmp-withWavelet_bior1.1-G_0.6-H6e-005_af2.wfa | 393216  | 131072 | 131072 | 21 | 14352 | 168 | 168 | 32 | 128 | 15.57317799 | 2.516  | 14688 | 0.037353516 |
| peppers32.bmp | peppers32.bmp-withWavelet_haar-G_0.8-H5e-005_af2.wfa    | 98304   | 32768  | 32768  | 23 | 17168 | 184 | 184 | 32 | 64  | 15.57370438 | 0.672  | 17536 | 0.178385417 |
| peppers32.bmp | peppers32.bmp-withWavelet_rbio1.1-G_0.8-H5e-005_af2.wfa | 98304   | 32768  | 32768  | 23 | 17168 | 184 | 184 | 32 | 64  | 15.57370438 | 0.672  | 17536 | 0.178385417 |
| peppers32.bmp | peppers32.bmp-withWavelet_sym1-G_0.8-H5e-005_af2.wfa    | 98304   | 32768  | 32768  | 23 | 17168 | 184 | 184 | 32 | 64  | 15.57370438 | 0.672  | 17536 | 0.178385417 |
| peppers32.bmp | peppers32.bmp-withWavelet_bior1.1-G_0.8-H5e-005_af2.wfa | 98304   | 32768  | 32768  | 23 | 17168 | 184 | 184 | 32 | 64  | 15.57370438 | 0.781  | 17536 | 0.178385417 |
| peppers32.bmp | peppers32.bmp-withWavelet_haar-G_1-H6e-005_af2.wfa      | 393216  | 131072 | 131072 | 22 | 15728 | 176 | 176 | 32 | 128 | 15.57379058 | 2.485  | 16080 | 0.040893555 |
| peppers32.bmp | peppers32.bmp-withWavelet_rbio1.1-G_1-H6e-005_af2.wfa   | 393216  | 131072 | 131072 | 22 | 15728 | 176 | 176 | 32 | 128 | 15.57379058 | 2.484  | 16080 | 0.040893555 |
| peppers32.bmp | peppers32.bmp-withWavelet_sym1-G_1-H6e-005_af2.wfa      | 393216  | 131072 | 131072 | 22 | 15728 | 176 | 176 | 32 | 128 | 15.57379058 | 2.469  | 16080 | 0.040893555 |
| peppers32.bmp | peppers32.bmp-withWavelet_bior1.1-G_1-H6e-005_af2.wfa   | 393216  | 131072 | 131072 | 22 | 15728 | 176 | 176 | 32 | 128 | 15.57379058 | 2.5    | 16080 | 0.040893555 |
| peppers32.bmp | peppers32.bmp-withWavelet_haar-G_1-H8e-005_af1.wfa      | 1572864 | 524288 | 524288 | 26 | 21872 | 208 | 208 | 32 | 256 | 15.57518325 | 14.969 | 22288 | 0.014170329 |
| peppers32.bmp | peppers32.bmp-withWavelet_rbio1.1-G_1-H8e-005_af1.wfa   | 1572864 | 524288 | 524288 | 26 | 21872 | 208 | 208 | 32 | 256 | 15.57518325 | 14.906 | 22288 | 0.014170329 |
| peppers32.bmp | peppers32.bmp-withWavelet_sym1-G_1-H8e-005_af1.wfa      | 1572864 | 524288 | 524288 | 26 | 21872 | 208 | 208 | 32 | 256 | 15.57518325 | 14.86  | 22288 | 0.014170329 |
| peppers32.bmp | peppers32.bmp-withWavelet_bior1.1-G_1-H8e-005_af1.wfa   | 1572864 | 524288 | 524288 | 26 | 21872 | 208 | 208 | 32 | 256 | 15.57518325 | 14.875 | 22288 | 0.014170329 |
| peppers32.bmp | peppers32.bmp-withWavelet_haar-G_1-H3e-005_af1.wfa      | 98304   | 32768  | 32768  | 35 | 39440 | 280 | 280 | 32 | 64  | 15.57763336 | 1.375  | 40000 | 0.406901042 |
| peppers32.bmp | peppers32.bmp-withWavelet_rbio1.1-G_1-H3e-005_af1.wfa   | 98304   | 32768  | 32768  | 35 | 39440 | 280 | 280 | 32 | 64  | 15.57763336 | 1.297  | 40000 | 0.406901042 |
| peppers32.bmp | peppers32.bmp-withWavelet_sym1-G_1-H3e-005_af1.wfa      | 98304   | 32768  | 32768  | 35 | 39440 | 280 | 280 | 32 | 64  | 15.57763336 | 1.328  | 40000 | 0.406901042 |
| peppers32.bmp | peppers32.bmp-withWavelet_bior1.1-G_1-H3e-005_af1.wfa   | 98304   | 32768  | 32768  | 35 | 39440 | 280 | 280 | 32 | 64  | 15.57763336 | 1.359  | 40000 | 0.406901042 |
| peppers32.bmp | peppers32.bmp-withWavelet_haar-G_0.8-H3e-005_af1.wfa    | 98304   | 32768  | 32768  | 35 | 39440 | 280 | 280 | 32 | 64  | 15.57773655 | 1.313  | 40000 | 0.406901042 |
| peppers32.bmp | peppers32.bmp-withWavelet_rbio1.1-G_0.8-H3e-005_af1.wfa | 98304   | 32768  | 32768  | 35 | 39440 | 280 | 280 | 32 | 64  | 15.57773655 | 1.328  | 40000 | 0.406901042 |
| peppers32.bmp | peppers32.bmp-withWavelet_sym1-G_0.8-H3e-005_af1.wfa    | 98304   | 32768  | 32768  | 35 | 39440 | 280 | 280 | 32 | 64  | 15.57773655 | 1.297  | 40000 | 0.406901042 |
| peppers32.bmp | peppers32.bmp-withWavelet_bior1.1-G_0.8-H3e-005_af1.wfa | 98304   | 32768  | 32768  | 35 | 39440 | 280 | 280 | 32 | 64  | 15.57773655 | 1.313  | 40000 | 0.406901042 |
| peppers32.bmp | peppers32.bmp-withWavelet_haar-G_0.6-H4e-005_af1.wfa    | 98304   | 32768  | 32768  | 33 | 35088 | 264 | 264 | 32 | 64  | 15.58244379 | 1.141  | 35616 | 0.362304688 |
| peppers32.bmp | peppers32.bmp-withWavelet_rbio1.1-G_0.6-H4e-005_af1.wfa | 98304   | 32768  | 32768  | 33 | 35088 | 264 | 264 | 32 | 64  | 15.58244379 | 1.125  | 35616 | 0.362304688 |
| peppers32.bmp | peppers32.bmp-withWavelet_sym1-G_0.6-H4e-005_af1.wfa    | 98304   | 32768  | 32768  | 33 | 35088 | 264 | 264 | 32 | 64  | 15.58244379 | 1.125  | 35616 | 0.362304688 |

|               |   |        |        |        |    |       |     |     |    |     |             |       |       |             |
|---------------|---|--------|--------|--------|----|-------|-----|-----|----|-----|-------------|-------|-------|-------------|
| peppers32.bmp | peppers32.bmp-withWavelet_bior1.1-G_0.6-H4e-005_af1.wfa | 98304  | 32768  | 32768  | 33 | 35088 | 264 | 264 | 32 | 64  | 15.58244379 | 1.141 | 35616 | 0.362304688 |
| peppers32.bmp | peppers32.bmp-withWavelet_haar-G_1-H7e-005_af3.wfa      | 393216 | 131072 | 131072 | 28 | 25328 | 224 | 224 | 32 | 128 | 15.58878427 | 3.718 | 25776 | 0.065551758 |
| peppers32.bmp | peppers32.bmp-withWavelet_rbio1.1-G_1-H7e-005_af3.wfa   | 393216 | 131072 | 131072 | 28 | 25328 | 224 | 224 | 32 | 128 | 15.58878427 | 3.735 | 25776 | 0.065551758 |
| peppers32.bmp | peppers32.bmp-withWavelet_sym1-G_1-H7e-005_af3.wfa      | 393216 | 131072 | 131072 | 28 | 25328 | 224 | 224 | 32 | 128 | 15.58878427 | 3.703 | 25776 | 0.065551758 |
| peppers32.bmp | peppers32.bmp-withWavelet_bior1.1-G_1-H7e-005_af3.wfa   | 393216 | 131072 | 131072 | 28 | 25328 | 224 | 224 | 32 | 128 | 15.58878427 | 3.734 | 25776 | 0.065551758 |
| peppers32.bmp | peppers32.bmp-withWavelet_haar-G_1-H4e-005_af1.wfa      | 98304  | 32768  | 32768  | 34 | 37232 | 272 | 272 | 32 | 64  | 15.59005989 | 1.187 | 37776 | 0.384277344 |
| peppers32.bmp | peppers32.bmp-withWavelet_rbio1.1-G_1-H4e-005_af1.wfa   | 98304  | 32768  | 32768  | 34 | 37232 | 272 | 272 | 32 | 64  | 15.59005989 | 1.266 | 37776 | 0.384277344 |
| peppers32.bmp | peppers32.bmp-withWavelet_sym1-G_1-H4e-005_af1.wfa      | 98304  | 32768  | 32768  | 34 | 37232 | 272 | 272 | 32 | 64  | 15.59005989 | 1.234 | 37776 | 0.384277344 |
| peppers32.bmp | peppers32.bmp-withWavelet_bior1.1-G_1-H4e-005_af1.wfa   | 98304  | 32768  | 32768  | 34 | 37232 | 272 | 272 | 32 | 64  | 15.59005989 | 1.156 | 37776 | 0.384277344 |
| peppers32.bmp | peppers32.bmp-withWavelet_haar-G_0.8-H4e-005_af1.wfa    | 98304  | 32768  | 32768  | 34 | 37232 | 272 | 272 | 32 | 64  | 15.5905116  | 1.235 | 37776 | 0.384277344 |
| peppers32.bmp | peppers32.bmp-withWavelet_rbio1.1-G_0.8-H4e-005_af1.wfa | 98304  | 32768  | 32768  | 34 | 37232 | 272 | 272 | 32 | 64  | 15.5905116  | 1.25  | 37776 | 0.384277344 |
| peppers32.bmp | peppers32.bmp-withWavelet_sym1-G_0.8-H4e-005_af1.wfa    | 98304  | 32768  | 32768  | 34 | 37232 | 272 | 272 | 32 | 64  | 15.5905116  | 1.266 | 37776 | 0.384277344 |
| peppers32.bmp | peppers32.bmp-withWavelet_bior1.1-G_0.8-H4e-005_af1.wfa | 98304  | 32768  | 32768  | 34 | 37232 | 272 | 272 | 32 | 64  | 15.5905116  | 1.219 | 37776 | 0.384277344 |
| peppers32.bmp | peppers32.bmp-withWavelet_haar-G_0.6-H6e-005_af1.wfa    | 98304  | 32768  | 32768  | 28 | 25328 | 224 | 224 | 32 | 64  | 15.59576446 | 0.86  | 25776 | 0.262207031 |
| peppers32.bmp | peppers32.bmp-withWavelet_rbio1.1-G_0.6-H6e-005_af1.wfa | 98304  | 32768  | 32768  | 28 | 25328 | 224 | 224 | 32 | 64  | 15.59576446 | 0.859 | 25776 | 0.262207031 |
| peppers32.bmp | peppers32.bmp-withWavelet_sym1-G_0.6-H6e-005_af1.wfa    | 98304  | 32768  | 32768  | 28 | 25328 | 224 | 224 | 32 | 64  | 15.59576446 | 0.843 | 25776 | 0.262207031 |
| peppers32.bmp | peppers32.bmp-withWavelet_bior1.1-G_0.6-H6e-005_af1.wfa | 98304  | 32768  | 32768  | 28 | 25328 | 224 | 224 | 32 | 64  | 15.59576446 | 0.86  | 25776 | 0.262207031 |
| peppers32.bmp | peppers32.bmp-withWavelet_haar-G_0.6-H0.0001_af3.wfa    | 98304  | 32768  | 32768  | 25 | 20240 | 200 | 200 | 32 | 64  | 15.5963008  | 0.734 | 20640 | 0.209960938 |
| peppers32.bmp | peppers32.bmp-withWavelet_rbio1.1-G_0.6-H0.0001_af3.wfa | 98304  | 32768  | 32768  | 25 | 20240 | 200 | 200 | 32 | 64  | 15.5963008  | 0.75  | 20640 | 0.209960938 |
| peppers32.bmp | peppers32.bmp-withWavelet_sym1-G_0.6-H0.0001_af3.wfa    | 98304  | 32768  | 32768  | 25 | 20240 | 200 | 200 | 32 | 64  | 15.5963008  | 0.875 | 20640 | 0.209960938 |
| peppers32.bmp | peppers32.bmp-withWavelet_haar-G_0.6-H2e-005_af4.wfa    | 98304  | 32768  | 32768  | 35 | 39440 | 280 | 280 | 32 | 64  | 15.60602444 | 1.265 | 40000 | 0.406901042 |
| peppers32.bmp | peppers32.bmp-withWavelet_rbio1.1-G_0.6-H2e-005_af4.wfa | 98304  | 32768  | 32768  | 35 | 39440 | 280 | 280 | 32 | 64  | 15.60602444 | 1.313 | 40000 | 0.406901042 |
| peppers32.bmp | peppers32.bmp-withWavelet_sym1-G_0.6-H2e-005_af4.wfa    | 98304  | 32768  | 32768  | 35 | 39440 | 280 | 280 | 32 | 64  | 15.60602444 | 1.312 | 40000 | 0.406901042 |
| peppers32.bmp | peppers32.bmp-withWavelet_bior1.1-G_0.6-H2e-005_af4.wfa | 98304  | 32768  | 32768  | 35 | 39440 | 280 | 280 | 32 | 64  | 15.60602444 | 1.266 | 40000 | 0.406901042 |
| peppers32.bmp | peppers32.bmp-withWavelet_haar-G_0.6-H5e-005_af1.wfa    | 98304  | 32768  | 32768  | 31 | 30992 | 248 | 248 | 32 | 64  | 15.6065436  | 0.984 | 31488 | 0.3203125   |
| peppers32.bmp | peppers32.bmp-withWavelet_rbio1.1-G_0.6-H5e-005_af1.wfa | 98304  | 32768  | 32768  | 31 | 30992 | 248 | 248 | 32 | 64  | 15.6065436  | 1.016 | 31488 | 0.3203125   |
| peppers32.bmp | peppers32.bmp-withWavelet_sym1-G_0.6-H5e-005_af1.wfa    | 98304  | 32768  | 32768  | 31 | 30992 | 248 | 248 | 32 | 64  | 15.6065436  | 1     | 31488 | 0.3203125   |
| peppers32.bmp | peppers32.bmp-withWavelet_bior1.1-G_0.6-H5e-005_af1.wfa | 98304  | 32768  | 32768  | 31 | 30992 | 248 | 248 | 32 | 64  | 15.6065436  | 1     | 31488 | 0.3203125   |
| peppers32.bmp | peppers32.bmp-withWavelet_haar-G_0.8-H7e-005_af2.wfa    | 393216 | 131072 | 131072 | 21 | 14352 | 168 | 168 | 32 | 128 | 15.61251159 | 2.391 | 14688 | 0.037353516 |
| peppers32.bmp | peppers32.bmp-withWavelet_rbio1.1-G_0.8-H7e-005_af2.wfa | 393216 | 131072 | 131072 | 21 | 14352 | 168 | 168 | 32 | 128 | 15.61251159 | 2.406 | 14688 | 0.037353516 |
| peppers32.bmp | peppers32.bmp-withWavelet_sym1-G_0.8-H7e-005_af2.wfa    | 393216 | 131072 | 131072 | 21 | 14352 | 168 | 168 | 32 | 128 | 15.61251159 | 2.406 | 14688 | 0.037353516 |

|               |   |         |        |        |    |       |     |     |    |     |             |        |       |             |
|---------------|---|---------|--------|--------|----|-------|-----|-----|----|-----|-------------|--------|-------|-------------|
| peppers32.bmp | peppers32.bmp-withWavelet_bior1.1-G_0.8-H7e-005_af2.wfa | 393216  | 131072 | 131072 | 21 | 14352 | 168 | 168 | 32 | 128 | 15.61251159 | 2.406  | 14688 | 0.037353516 |
| peppers32.bmp | peppers32.bmp-withWavelet_haar-G_0.6-H8e-005_af3.wfa    | 98304   | 32768  | 32768  | 27 | 23568 | 216 | 216 | 32 | 64  | 15.61346459 | 0.828  | 24000 | 0.244140625 |
| peppers32.bmp | peppers32.bmp-withWavelet_rbio1.1-G_0.6-H8e-005_af3.wfa | 98304   | 32768  | 32768  | 27 | 23568 | 216 | 216 | 32 | 64  | 15.61346459 | 0.828  | 24000 | 0.244140625 |
| peppers32.bmp | peppers32.bmp-withWavelet_sym1-G_0.6-H8e-005_af3.wfa    | 98304   | 32768  | 32768  | 27 | 23568 | 216 | 216 | 32 | 64  | 15.61346459 | 0.813  | 24000 | 0.244140625 |
| peppers32.bmp | peppers32.bmp-withWavelet_bior1.1-G_0.6-H8e-005_af3.wfa | 98304   | 32768  | 32768  | 27 | 23568 | 216 | 216 | 32 | 64  | 15.61346459 | 0.828  | 24000 | 0.244140625 |
| peppers32.bmp | peppers32.bmp-withWavelet_haar-G_0.8-H2e-005_af4.wfa    | 393216  | 131072 | 131072 | 34 | 37232 | 272 | 272 | 32 | 128 | 15.6177772  | 5.234  | 37776 | 0.096069336 |
| peppers32.bmp | peppers32.bmp-withWavelet_rbio1.1-G_0.8-H2e-005_af4.wfa | 393216  | 131072 | 131072 | 34 | 37232 | 272 | 272 | 32 | 128 | 15.6177772  | 5.735  | 37776 | 0.096069336 |
| peppers32.bmp | peppers32.bmp-withWavelet_sym1-G_0.8-H2e-005_af4.wfa    | 393216  | 131072 | 131072 | 34 | 37232 | 272 | 272 | 32 | 128 | 15.6177772  | 5.313  | 37776 | 0.096069336 |
| peppers32.bmp | peppers32.bmp-withWavelet_bior1.1-G_0.8-H2e-005_af4.wfa | 393216  | 131072 | 131072 | 34 | 37232 | 272 | 272 | 32 | 128 | 15.6177772  | 5.203  | 37776 | 0.096069336 |
| peppers32.bmp | peppers32.bmp-withWavelet_haar-G_0.8-H8e-005_af3.wfa    | 393216  | 131072 | 131072 | 28 | 25328 | 224 | 224 | 32 | 128 | 15.62467704 | 3.766  | 25776 | 0.065551758 |
| peppers32.bmp | peppers32.bmp-withWavelet_rbio1.1-G_0.8-H8e-005_af3.wfa | 393216  | 131072 | 131072 | 28 | 25328 | 224 | 224 | 32 | 128 | 15.62467704 | 3.75   | 25776 | 0.065551758 |
| peppers32.bmp | peppers32.bmp-withWavelet_sym1-G_0.8-H8e-005_af3.wfa    | 393216  | 131072 | 131072 | 28 | 25328 | 224 | 224 | 32 | 128 | 15.62467704 | 3.765  | 25776 | 0.065551758 |
| peppers32.bmp | peppers32.bmp-withWavelet_bior1.1-G_0.8-H8e-005_af3.wfa | 393216  | 131072 | 131072 | 28 | 25328 | 224 | 224 | 32 | 128 | 15.62467704 | 3.75   | 25776 | 0.065551758 |
| peppers32.bmp | peppers32.bmp-withWavelet_haar-G_1-H5e-005_af1.wfa      | 98304   | 32768  | 32768  | 32 | 33008 | 256 | 256 | 32 | 64  | 15.62604493 | 1.141  | 33520 | 0.340983073 |
| peppers32.bmp | peppers32.bmp-withWavelet_rbio1.1-G_1-H5e-005_af1.wfa   | 98304   | 32768  | 32768  | 32 | 33008 | 256 | 256 | 32 | 64  | 15.62604493 | 1.078  | 33520 | 0.340983073 |
| peppers32.bmp | peppers32.bmp-withWavelet_sym1-G_1-H5e-005_af1.wfa      | 98304   | 32768  | 32768  | 32 | 33008 | 256 | 256 | 32 | 64  | 15.62604493 | 1.062  | 33520 | 0.340983073 |
| peppers32.bmp | peppers32.bmp-withWavelet_bior1.1-G_1-H5e-005_af1.wfa   | 98304   | 32768  | 32768  | 32 | 33008 | 256 | 256 | 32 | 64  | 15.62604493 | 1.094  | 33520 | 0.340983073 |
| peppers32.bmp | peppers32.bmp-withWavelet_haar-G_0.8-H5e-005_af1.wfa    | 98304   | 32768  | 32768  | 32 | 33008 | 256 | 256 | 32 | 64  | 15.62608065 | 1.094  | 33520 | 0.340983073 |
| peppers32.bmp | peppers32.bmp-withWavelet_rbio1.1-G_0.8-H5e-005_af1.wfa | 98304   | 32768  | 32768  | 32 | 33008 | 256 | 256 | 32 | 64  | 15.62608065 | 1.094  | 33520 | 0.340983073 |
| peppers32.bmp | peppers32.bmp-withWavelet_sym1-G_0.8-H5e-005_af1.wfa    | 98304   | 32768  | 32768  | 32 | 33008 | 256 | 256 | 32 | 64  | 15.62608065 | 1.047  | 33520 | 0.340983073 |
| peppers32.bmp | peppers32.bmp-withWavelet_bior1.1-G_0.8-H5e-005_af1.wfa | 98304   | 32768  | 32768  | 32 | 33008 | 256 | 256 | 32 | 64  | 15.62608065 | 1.094  | 33520 | 0.340983073 |
| peppers32.bmp | peppers32.bmp-withWavelet_haar-G_1-H8e-005_af4.wfa      | 1572864 | 524288 | 524288 | 26 | 21872 | 208 | 208 | 32 | 256 | 15.62758903 | 14.844 | 22288 | 0.014170329 |
| peppers32.bmp | peppers32.bmp-withWavelet_rbio1.1-G_1-H8e-005_af4.wfa   | 1572864 | 524288 | 524288 | 26 | 21872 | 208 | 208 | 32 | 256 | 15.62758903 | 14.938 | 22288 | 0.014170329 |
| peppers32.bmp | peppers32.bmp-withWavelet_sym1-G_1-H8e-005_af4.wfa      | 1572864 | 524288 | 524288 | 26 | 21872 | 208 | 208 | 32 | 256 | 15.62758903 | 14.984 | 22288 | 0.014170329 |
| peppers32.bmp | peppers32.bmp-withWavelet_bior1.1-G_1-H8e-005_af4.wfa   | 1572864 | 524288 | 524288 | 26 | 21872 | 208 | 208 | 32 | 256 | 15.62758903 | 14.969 | 22288 | 0.014170329 |
| peppers32.bmp | peppers32.bmp-withWavelet_haar-G_0.8-H2e-005_af3.wfa    | 98304   | 32768  | 32768  | 36 | 41712 | 288 | 288 | 32 | 64  | 15.63568484 | 1.297  | 42288 | 0.430175781 |
| peppers32.bmp | peppers32.bmp-withWavelet_rbio1.1-G_0.8-H2e-005_af3.wfa | 98304   | 32768  | 32768  | 36 | 41712 | 288 | 288 | 32 | 64  | 15.63568484 | 1.359  | 42288 | 0.430175781 |
| peppers32.bmp | peppers32.bmp-withWavelet_sym1-G_0.8-H2e-005_af3.wfa    | 98304   | 32768  | 32768  | 36 | 41712 | 288 | 288 | 32 | 64  | 15.63568484 | 1.375  | 42288 | 0.430175781 |
| peppers32.bmp | peppers32.bmp-withWavelet_bior1.1-G_0.8-H2e-005_af3.wfa | 98304   | 32768  | 32768  | 36 | 41712 | 288 | 288 | 32 | 64  | 15.63568484 | 1.297  | 42288 | 0.430175781 |
| peppers32.bmp | peppers32.bmp-withWavelet_haar-G_1-H2e-005_af3.wfa      | 98304   | 32768  | 32768  | 36 | 41712 | 288 | 288 | 32 | 64  | 15.63705196 | 1.547  | 42288 | 0.430175781 |
| peppers32.bmp | peppers32.bmp-withWavelet_rbio1.1-G_1-H2e-005_af3.wfa   | 98304   | 32768  | 32768  | 36 | 41712 | 288 | 288 | 32 | 64  | 15.63705196 | 1.39   | 42288 | 0.430175781 |

|               |   |        |        |        |    |       |     |     |    |     |             |       |       |             |
|---------------|---|--------|--------|--------|----|-------|-----|-----|----|-----|-------------|-------|-------|-------------|
| peppers32.bmp | peppers32.bmp-withWavelet_sym1-G_1-H2e-005_af3.wfa      | 98304  | 32768  | 32768  | 36 | 41712 | 288 | 288 | 32 | 64  | 15.63705196 | 1.406 | 42288 | 0.430175781 |
| peppers32.bmp | peppers32.bmp-withWavelet_bior1.1-G_1-H2e-005_af3.wfa   | 98304  | 32768  | 32768  | 36 | 41712 | 288 | 288 | 32 | 64  | 15.63705196 | 1.391 | 42288 | 0.430175781 |
| peppers32.bmp | peppers32.bmp-withWavelet_haar-G_0.6-H9e-005_af3.wfa    | 98304  | 32768  | 32768  | 26 | 21872 | 208 | 208 | 32 | 64  | 15.63983061 | 0.766 | 22288 | 0.22672526  |
| peppers32.bmp | peppers32.bmp-withWavelet_rbio1.1-G_0.6-H9e-005_af3.wfa | 98304  | 32768  | 32768  | 26 | 21872 | 208 | 208 | 32 | 64  | 15.63983061 | 0.765 | 22288 | 0.22672526  |
| peppers32.bmp | peppers32.bmp-withWavelet_sym1-G_0.6-H9e-005_af3.wfa    | 98304  | 32768  | 32768  | 26 | 21872 | 208 | 208 | 32 | 64  | 15.63983061 | 0.813 | 22288 | 0.22672526  |
| peppers32.bmp | peppers32.bmp-withWavelet_bior1.1-G_0.6-H9e-005_af3.wfa | 98304  | 32768  | 32768  | 26 | 21872 | 208 | 208 | 32 | 64  | 15.63983061 | 0.765 | 22288 | 0.22672526  |
| peppers32.bmp | peppers32.bmp-withWavelet_haar-G_1-H2e-005_af4.wfa      | 393216 | 131072 | 131072 | 34 | 37232 | 272 | 272 | 32 | 128 | 15.66492092 | 5.61  | 37776 | 0.096069336 |
| peppers32.bmp | peppers32.bmp-withWavelet_rbio1.1-G_1-H2e-005_af4.wfa   | 393216 | 131072 | 131072 | 34 | 37232 | 272 | 272 | 32 | 128 | 15.66492092 | 5.531 | 37776 | 0.096069336 |
| peppers32.bmp | peppers32.bmp-withWavelet_sym1-G_1-H2e-005_af4.wfa      | 393216 | 131072 | 131072 | 34 | 37232 | 272 | 272 | 32 | 128 | 15.66492092 | 5.437 | 37776 | 0.096069336 |
| peppers32.bmp | peppers32.bmp-withWavelet_bior1.1-G_1-H2e-005_af4.wfa   | 393216 | 131072 | 131072 | 34 | 37232 | 272 | 272 | 32 | 128 | 15.66492092 | 5.515 | 37776 | 0.096069336 |
| peppers32.bmp | peppers32.bmp-withWavelet_haar-G_0.8-H7e-005_af1.wfa    | 393216 | 131072 | 131072 | 27 | 23568 | 216 | 216 | 32 | 128 | 15.67432431 | 3.656 | 24000 | 0.061035156 |
| peppers32.bmp | peppers32.bmp-withWavelet_rbio1.1-G_0.8-H7e-005_af1.wfa | 393216 | 131072 | 131072 | 27 | 23568 | 216 | 216 | 32 | 128 | 15.67432431 | 3.719 | 24000 | 0.061035156 |
| peppers32.bmp | peppers32.bmp-withWavelet_sym1-G_0.8-H7e-005_af1.wfa    | 393216 | 131072 | 131072 | 27 | 23568 | 216 | 216 | 32 | 128 | 15.67432431 | 3.609 | 24000 | 0.061035156 |
| peppers32.bmp | peppers32.bmp-withWavelet_bior1.1-G_0.8-H7e-005_af1.wfa | 393216 | 131072 | 131072 | 27 | 23568 | 216 | 216 | 32 | 128 | 15.67432431 | 3.594 | 24000 | 0.061035156 |
| peppers32.bmp | peppers32.bmp-withWavelet_haar-G_1-H7e-005_af1.wfa      | 393216 | 131072 | 131072 | 27 | 23568 | 216 | 216 | 32 | 128 | 15.67982279 | 3.563 | 24000 | 0.061035156 |
| peppers32.bmp | peppers32.bmp-withWavelet_rbio1.1-G_1-H7e-005_af1.wfa   | 393216 | 131072 | 131072 | 27 | 23568 | 216 | 216 | 32 | 128 | 15.67982279 | 3.656 | 24000 | 0.061035156 |
| peppers32.bmp | peppers32.bmp-withWavelet_sym1-G_1-H7e-005_af1.wfa      | 393216 | 131072 | 131072 | 27 | 23568 | 216 | 216 | 32 | 128 | 15.67982279 | 3.625 | 24000 | 0.061035156 |
| peppers32.bmp | peppers32.bmp-withWavelet_bior1.1-G_1-H7e-005_af1.wfa   | 393216 | 131072 | 131072 | 27 | 23568 | 216 | 216 | 32 | 128 | 15.67982279 | 3.703 | 24000 | 0.061035156 |
| peppers32.bmp | peppers32.bmp-withWavelet_haar-G_0.8-H3e-005_af3.wfa    | 98304  | 32768  | 32768  | 34 | 37232 | 272 | 272 | 32 | 64  | 15.68439686 | 1.172 | 37776 | 0.384277344 |
| peppers32.bmp | peppers32.bmp-withWavelet_rbio1.1-G_0.8-H3e-005_af3.wfa | 98304  | 32768  | 32768  | 34 | 37232 | 272 | 272 | 32 | 64  | 15.68439686 | 1.156 | 37776 | 0.384277344 |
| peppers32.bmp | peppers32.bmp-withWavelet_sym1-G_0.8-H3e-005_af3.wfa    | 98304  | 32768  | 32768  | 34 | 37232 | 272 | 272 | 32 | 64  | 15.68439686 | 1.156 | 37776 | 0.384277344 |
| peppers32.bmp | peppers32.bmp-withWavelet_bior1.1-G_0.8-H3e-005_af3.wfa | 98304  | 32768  | 32768  | 34 | 37232 | 272 | 272 | 32 | 64  | 15.68439686 | 1.219 | 37776 | 0.384277344 |
| peppers32.bmp | peppers32.bmp-withWavelet_haar-G_1-H3e-005_af3.wfa      | 98304  | 32768  | 32768  | 34 | 37232 | 272 | 272 | 32 | 64  | 15.68635609 | 1.172 | 37776 | 0.384277344 |
| peppers32.bmp | peppers32.bmp-withWavelet_rbio1.1-G_1-H3e-005_af3.wfa   | 98304  | 32768  | 32768  | 34 | 37232 | 272 | 272 | 32 | 64  | 15.68635609 | 1.235 | 37776 | 0.384277344 |
| peppers32.bmp | peppers32.bmp-withWavelet_sym1-G_1-H3e-005_af3.wfa      | 98304  | 32768  | 32768  | 34 | 37232 | 272 | 272 | 32 | 64  | 15.68635609 | 1.203 | 37776 | 0.384277344 |
| peppers32.bmp | peppers32.bmp-withWavelet_bior1.1-G_1-H3e-005_af3.wfa   | 98304  | 32768  | 32768  | 34 | 37232 | 272 | 272 | 32 | 64  | 15.68635609 | 1.234 | 37776 | 0.384277344 |
| peppers32.bmp | peppers32.bmp-withWavelet_haar-G_0.8-H3e-005_af4.wfa    | 393216 | 131072 | 131072 | 33 | 35088 | 264 | 264 | 32 | 128 | 15.69095851 | 4.968 | 35616 | 0.090576172 |
| peppers32.bmp | peppers32.bmp-withWavelet_rbio1.1-G_0.8-H3e-005_af4.wfa | 393216 | 131072 | 131072 | 33 | 35088 | 264 | 264 | 32 | 128 | 15.69095851 | 5.312 | 35616 | 0.090576172 |
| peppers32.bmp | peppers32.bmp-withWavelet_sym1-G_0.8-H3e-005_af4.wfa    | 393216 | 131072 | 131072 | 33 | 35088 | 264 | 264 | 32 | 128 | 15.69095851 | 5.063 | 35616 | 0.090576172 |
| peppers32.bmp | peppers32.bmp-withWavelet_bior1.1-G_0.8-H3e-005_af4.wfa | 393216 | 131072 | 131072 | 33 | 35088 | 264 | 264 | 32 | 128 | 15.69095851 | 5.016 | 35616 | 0.090576172 |
| peppers32.bmp | peppers32.bmp-withWavelet_haar-G_0.6-H3e-005_af4.wfa    | 98304  | 32768  | 32768  | 34 | 37232 | 272 | 272 | 32 | 64  | 15.69222639 | 1.25  | 37776 | 0.384277344 |



|               |   |         |        |        |    |       |     |     |    |     |             |        |       |             |
|---------------|---|---------|--------|--------|----|-------|-----|-----|----|-----|-------------|--------|-------|-------------|
| peppers32.bmp | peppers32.bmp-withWavelet_rbio1.1-G_0.6-H3e-005_af4.wfa | 98304   | 32768  | 32768  | 34 | 37232 | 272 | 272 | 32 | 64  | 15.69222639 | 1.25   | 37776 | 0.384277344 |
| peppers32.bmp | peppers32.bmp-withWavelet_sym1-G_0.6-H3e-005_af4.wfa    | 98304   | 32768  | 32768  | 34 | 37232 | 272 | 272 | 32 | 64  | 15.69222639 | 1.188  | 37776 | 0.384277344 |
| peppers32.bmp | peppers32.bmp-withWavelet_bior1.1-G_0.6-H3e-005_af4.wfa | 98304   | 32768  | 32768  | 34 | 37232 | 272 | 272 | 32 | 64  | 15.69222639 | 1.156  | 37776 | 0.384277344 |
| peppers32.bmp | peppers32.bmp-withWavelet_haar-G_0.6-H4e-005_af4.wfa    | 98304   | 32768  | 32768  | 33 | 35088 | 264 | 264 | 32 | 64  | 15.6945345  | 1.297  | 35616 | 0.362304688 |
| peppers32.bmp | peppers32.bmp-withWavelet_rbio1.1-G_0.6-H4e-005_af4.wfa | 98304   | 32768  | 32768  | 33 | 35088 | 264 | 264 | 32 | 64  | 15.6945345  | 1.203  | 35616 | 0.362304688 |
| peppers32.bmp | peppers32.bmp-withWavelet_sym1-G_0.6-H4e-005_af4.wfa    | 98304   | 32768  | 32768  | 33 | 35088 | 264 | 264 | 32 | 64  | 15.6945345  | 1.157  | 35616 | 0.362304688 |
| peppers32.bmp | peppers32.bmp-withWavelet_bior1.1-G_0.6-H4e-005_af4.wfa | 98304   | 32768  | 32768  | 33 | 35088 | 264 | 264 | 32 | 64  | 15.6945345  | 1.125  | 35616 | 0.362304688 |
| peppers32.bmp | peppers32.bmp-withWavelet_haar-G_1-H3e-005_af4.wfa      | 393216  | 131072 | 131072 | 33 | 35088 | 264 | 264 | 32 | 128 | 15.69973943 | 4.937  | 35616 | 0.090576172 |
| peppers32.bmp | peppers32.bmp-withWavelet_rbio1.1-G_1-H3e-005_af4.wfa   | 393216  | 131072 | 131072 | 33 | 35088 | 264 | 264 | 32 | 128 | 15.69973943 | 4.985  | 35616 | 0.090576172 |
| peppers32.bmp | peppers32.bmp-withWavelet_sym1-G_1-H3e-005_af4.wfa      | 393216  | 131072 | 131072 | 33 | 35088 | 264 | 264 | 32 | 128 | 15.69973943 | 4.969  | 35616 | 0.090576172 |
| peppers32.bmp | peppers32.bmp-withWavelet_bior1.1-G_1-H3e-005_af4.wfa   | 393216  | 131072 | 131072 | 33 | 35088 | 264 | 264 | 32 | 128 | 15.69973943 | 5.407  | 35616 | 0.090576172 |
| peppers32.bmp | peppers32.bmp-withWavelet_haar-G_1-H3e-005_af5.wfa      | 24576   | 8192   | 8192   | 19 | 11792 | 152 | 152 | 32 | 32  | 15.70107579 | 0.125  | 12096 | 0.4921875   |
| peppers32.bmp | peppers32.bmp-withWavelet_rbio1.1-G_1-H3e-005_af5.wfa   | 24576   | 8192   | 8192   | 19 | 11792 | 152 | 152 | 32 | 32  | 15.70107579 | 0.125  | 12096 | 0.4921875   |
| peppers32.bmp | peppers32.bmp-withWavelet_sym1-G_1-H3e-005_af5.wfa      | 24576   | 8192   | 8192   | 19 | 11792 | 152 | 152 | 32 | 32  | 15.70107579 | 0.125  | 12096 | 0.4921875   |
| peppers32.bmp | peppers32.bmp-withWavelet_bior1.1-G_1-H3e-005_af5.wfa   | 24576   | 8192   | 8192   | 19 | 11792 | 152 | 152 | 32 | 32  | 15.70107579 | 0.125  | 12096 | 0.4921875   |
| peppers32.bmp | peppers32.bmp-withWavelet_haar-G_1-H4e-005_af4.wfa      | 393216  | 131072 | 131072 | 31 | 30992 | 248 | 248 | 32 | 128 | 15.70391416 | 4.5    | 31488 | 0.080078125 |
| peppers32.bmp | peppers32.bmp-withWavelet_rbio1.1-G_1-H4e-005_af4.wfa   | 393216  | 131072 | 131072 | 31 | 30992 | 248 | 248 | 32 | 128 | 15.70391416 | 4.453  | 31488 | 0.080078125 |
| peppers32.bmp | peppers32.bmp-withWavelet_sym1-G_1-H4e-005_af4.wfa      | 393216  | 131072 | 131072 | 31 | 30992 | 248 | 248 | 32 | 128 | 15.70391416 | 4.438  | 31488 | 0.080078125 |
| peppers32.bmp | peppers32.bmp-withWavelet_bior1.1-G_1-H4e-005_af4.wfa   | 393216  | 131072 | 131072 | 31 | 30992 | 248 | 248 | 32 | 128 | 15.70391416 | 4.547  | 31488 | 0.080078125 |
| peppers32.bmp | peppers32.bmp-withWavelet_haar-G_0.8-H9e-005_af1.wfa    | 1572864 | 524288 | 524288 | 22 | 15728 | 176 | 176 | 32 | 256 | 15.7125484  | 10.953 | 16080 | 0.010223389 |
| peppers32.bmp | peppers32.bmp-withWavelet_rbio1.1-G_0.8-H9e-005_af1.wfa | 1572864 | 524288 | 524288 | 22 | 15728 | 176 | 176 | 32 | 256 | 15.7125484  | 10.89  | 16080 | 0.010223389 |
| peppers32.bmp | peppers32.bmp-withWavelet_sym1-G_0.8-H9e-005_af1.wfa    | 1572864 | 524288 | 524288 | 22 | 15728 | 176 | 176 | 32 | 256 | 15.7125484  | 10.907 | 16080 | 0.010223389 |
| peppers32.bmp | peppers32.bmp-withWavelet_bior1.1-G_0.8-H9e-005_af1.wfa | 1572864 | 524288 | 524288 | 22 | 15728 | 176 | 176 | 32 | 256 | 15.7125484  | 10.922 | 16080 | 0.010223389 |
| peppers32.bmp | peppers32.bmp-withWavelet_haar-G_1-H8e-005_af3.wfa      | 1572864 | 524288 | 524288 | 26 | 21872 | 208 | 208 | 32 | 256 | 15.7177683  | 14.844 | 22288 | 0.014170329 |
| peppers32.bmp | peppers32.bmp-withWavelet_rbio1.1-G_1-H8e-005_af3.wfa   | 1572864 | 524288 | 524288 | 26 | 21872 | 208 | 208 | 32 | 256 | 15.7177683  | 15.094 | 22288 | 0.014170329 |
| peppers32.bmp | peppers32.bmp-withWavelet_sym1-G_1-H8e-005_af3.wfa      | 1572864 | 524288 | 524288 | 26 | 21872 | 208 | 208 | 32 | 256 | 15.7177683  | 14.875 | 22288 | 0.014170329 |
| peppers32.bmp | peppers32.bmp-withWavelet_bior1.1-G_1-H8e-005_af3.wfa   | 1572864 | 524288 | 524288 | 26 | 21872 | 208 | 208 | 32 | 256 | 15.7177683  | 14.969 | 22288 | 0.014170329 |
| peppers32.bmp | peppers32.bmp-withWavelet_haar-G_0.8-H0.0001_af4.wfa    | 1572864 | 524288 | 524288 | 23 | 17168 | 184 | 184 | 32 | 256 | 15.7209592  | 12.921 | 17536 | 0.011149089 |
| peppers32.bmp | peppers32.bmp-withWavelet_rbio1.1-G_0.8-H0.0001_af4.wfa | 1572864 | 524288 | 524288 | 23 | 17168 | 184 | 184 | 32 | 256 | 15.7209592  | 13.015 | 17536 | 0.011149089 |
| peppers32.bmp | peppers32.bmp-withWavelet_sym1-G_0.8-H0.0001_af4.wfa    | 1572864 | 524288 | 524288 | 23 | 17168 | 184 | 184 | 32 | 256 | 15.7209592  | 12.844 | 17536 | 0.011149089 |
| peppers32.bmp | peppers32.bmp-withWavelet_bior1.1-G_0.8-H0.0001_af4.wfa | 1572864 | 524288 | 524288 | 23 | 17168 | 184 | 184 | 32 | 256 | 15.7209592  | 12.938 | 17536 | 0.011149089 |

|               |   |         |        |        |    |       |     |     |    |     |             |        |       |             |
|---------------|---|---------|--------|--------|----|-------|-----|-----|----|-----|-------------|--------|-------|-------------|
| peppers32.bmp | peppers32.bmp-withWavelet_haar-G_0.6-H5e-005_af4.wfa    | 98304   | 32768  | 32768  | 32 | 33008 | 256 | 256 | 32 | 64  | 15.72482586 | 1.109  | 33520 | 0.340983073 |
| peppers32.bmp | peppers32.bmp-withWavelet_rbio1.1-G_0.6-H5e-005_af4.wfa | 98304   | 32768  | 32768  | 32 | 33008 | 256 | 256 | 32 | 64  | 15.72482586 | 1.047  | 33520 | 0.340983073 |
| peppers32.bmp | peppers32.bmp-withWavelet_sym1-G_0.6-H5e-005_af4.wfa    | 98304   | 32768  | 32768  | 32 | 33008 | 256 | 256 | 32 | 64  | 15.72482586 | 1.047  | 33520 | 0.340983073 |
| peppers32.bmp | peppers32.bmp-withWavelet_bior1.1-G_0.6-H5e-005_af4.wfa | 98304   | 32768  | 32768  | 32 | 33008 | 256 | 256 | 32 | 64  | 15.72482586 | 1.156  | 33520 | 0.340983073 |
| peppers32.bmp | peppers32.bmp-withWavelet_haar-G_1-H4e-005_af5.wfa      | 24576   | 8192   | 8192   | 20 | 13040 | 160 | 160 | 32 | 32  | 15.72894573 | 0.125  | 13360 | 0.543619792 |
| peppers32.bmp | peppers32.bmp-withWavelet_rbio1.1-G_1-H4e-005_af5.wfa   | 24576   | 8192   | 8192   | 20 | 13040 | 160 | 160 | 32 | 32  | 15.72894573 | 0.125  | 13360 | 0.543619792 |
| peppers32.bmp | peppers32.bmp-withWavelet_sym1-G_1-H4e-005_af5.wfa      | 24576   | 8192   | 8192   | 20 | 13040 | 160 | 160 | 32 | 32  | 15.72894573 | 0.125  | 13360 | 0.543619792 |
| peppers32.bmp | peppers32.bmp-withWavelet_bior1.1-G_1-H4e-005_af5.wfa   | 24576   | 8192   | 8192   | 20 | 13040 | 160 | 160 | 32 | 32  | 15.72894573 | 0.125  | 13360 | 0.543619792 |
| peppers32.bmp | peppers32.bmp-withWavelet_haar-G_0.8-H9e-005_af3.wfa    | 1572864 | 524288 | 524288 | 26 | 21872 | 208 | 208 | 32 | 256 | 15.72950436 | 14.985 | 22288 | 0.014170329 |
| peppers32.bmp | peppers32.bmp-withWavelet_rbio1.1-G_0.8-H9e-005_af3.wfa | 1572864 | 524288 | 524288 | 26 | 21872 | 208 | 208 | 32 | 256 | 15.72950436 | 14.891 | 22288 | 0.014170329 |
| peppers32.bmp | peppers32.bmp-withWavelet_sym1-G_0.8-H9e-005_af3.wfa    | 1572864 | 524288 | 524288 | 26 | 21872 | 208 | 208 | 32 | 256 | 15.72950436 | 15     | 22288 | 0.014170329 |
| peppers32.bmp | peppers32.bmp-withWavelet_bior1.1-G_0.8-H9e-005_af3.wfa | 1572864 | 524288 | 524288 | 26 | 21872 | 208 | 208 | 32 | 256 | 15.72950436 | 15.062 | 22288 | 0.014170329 |
| peppers32.bmp | peppers32.bmp-withWavelet_haar-G_0.8-H3e-005_af5.wfa    | 24576   | 8192   | 8192   | 19 | 11792 | 152 | 152 | 32 | 32  | 15.73124064 | 0.125  | 12096 | 0.4921875   |
| peppers32.bmp | peppers32.bmp-withWavelet_rbio1.1-G_0.8-H3e-005_af5.wfa | 24576   | 8192   | 8192   | 19 | 11792 | 152 | 152 | 32 | 32  | 15.73124064 | 0.11   | 12096 | 0.4921875   |
| peppers32.bmp | peppers32.bmp-withWavelet_sym1-G_0.8-H3e-005_af5.wfa    | 24576   | 8192   | 8192   | 19 | 11792 | 152 | 152 | 32 | 32  | 15.73124064 | 0.125  | 12096 | 0.4921875   |
| peppers32.bmp | peppers32.bmp-withWavelet_bior1.1-G_0.8-H3e-005_af5.wfa | 24576   | 8192   | 8192   | 19 | 11792 | 152 | 152 | 32 | 32  | 15.73124064 | 0.125  | 12096 | 0.4921875   |
| peppers32.bmp | peppers32.bmp-withWavelet_bior1.1-G_0.6-H0.0001_af3.wfa | 393216  | 131072 | 131072 | 22 | 15728 | 176 | 176 | 32 | 128 | 15.73143422 | 2.484  | 16080 | 0.040893555 |
| peppers32.bmp | peppers32.bmp-withWavelet_haar-G_0.8-H4e-005_af4.wfa    | 393216  | 131072 | 131072 | 32 | 33008 | 256 | 256 | 32 | 128 | 15.73294571 | 5.171  | 33520 | 0.085245768 |
| peppers32.bmp | peppers32.bmp-withWavelet_rbio1.1-G_0.8-H4e-005_af4.wfa | 393216  | 131072 | 131072 | 32 | 33008 | 256 | 256 | 32 | 128 | 15.73294571 | 4.703  | 33520 | 0.085245768 |
| peppers32.bmp | peppers32.bmp-withWavelet_sym1-G_0.8-H4e-005_af4.wfa    | 393216  | 131072 | 131072 | 32 | 33008 | 256 | 256 | 32 | 128 | 15.73294571 | 5.031  | 33520 | 0.085245768 |
| peppers32.bmp | peppers32.bmp-withWavelet_bior1.1-G_0.8-H4e-005_af4.wfa | 393216  | 131072 | 131072 | 32 | 33008 | 256 | 256 | 32 | 128 | 15.73294571 | 4.641  | 33520 | 0.085245768 |
| peppers32.bmp | peppers32.bmp-withWavelet_haar-G_0.8-H6e-005_af4.wfa    | 393216  | 131072 | 131072 | 29 | 27152 | 232 | 232 | 32 | 128 | 15.7410768  | 4.063  | 27616 | 0.07023112  |
| peppers32.bmp | peppers32.bmp-withWavelet_rbio1.1-G_0.8-H6e-005_af4.wfa | 393216  | 131072 | 131072 | 29 | 27152 | 232 | 232 | 32 | 128 | 15.7410768  | 4.063  | 27616 | 0.07023112  |
| peppers32.bmp | peppers32.bmp-withWavelet_sym1-G_0.8-H6e-005_af4.wfa    | 393216  | 131072 | 131072 | 29 | 27152 | 232 | 232 | 32 | 128 | 15.7410768  | 4.047  | 27616 | 0.07023112  |
| peppers32.bmp | peppers32.bmp-withWavelet_bior1.1-G_0.8-H6e-005_af4.wfa | 393216  | 131072 | 131072 | 29 | 27152 | 232 | 232 | 32 | 128 | 15.7410768  | 4      | 27616 | 0.07023112  |
| peppers32.bmp | peppers32.bmp-withWavelet_haar-G_1-H9e-005_af3.wfa      | 1572864 | 524288 | 524288 | 26 | 21872 | 208 | 208 | 32 | 256 | 15.74530807 | 15.063 | 22288 | 0.014170329 |
| peppers32.bmp | peppers32.bmp-withWavelet_rbio1.1-G_1-H9e-005_af3.wfa   | 1572864 | 524288 | 524288 | 26 | 21872 | 208 | 208 | 32 | 256 | 15.74530807 | 14.844 | 22288 | 0.014170329 |
| peppers32.bmp | peppers32.bmp-withWavelet_sym1-G_1-H9e-005_af3.wfa      | 1572864 | 524288 | 524288 | 26 | 21872 | 208 | 208 | 32 | 256 | 15.74530807 | 14.984 | 22288 | 0.014170329 |
| peppers32.bmp | peppers32.bmp-withWavelet_bior1.1-G_1-H9e-005_af3.wfa   | 1572864 | 524288 | 524288 | 26 | 21872 | 208 | 208 | 32 | 256 | 15.74530807 | 15.219 | 22288 | 0.014170329 |
| peppers32.bmp | peppers32.bmp-withWavelet_haar-G_0.6-H0.0001_af1.wfa    | 393216  | 131072 | 131072 | 22 | 15728 | 176 | 176 | 32 | 128 | 15.75061474 | 2.656  | 16080 | 0.040893555 |
| peppers32.bmp | peppers32.bmp-withWavelet_rbio1.1-G_0.6-H0.0001_af1.wfa | 393216  | 131072 | 131072 | 22 | 15728 | 176 | 176 | 32 | 128 | 15.75061474 | 2.485  | 16080 | 0.040893555 |

|               |   |        |        |        |    |       |     |     |    |     |             |       |       |             |
|---------------|---|--------|--------|--------|----|-------|-----|-----|----|-----|-------------|-------|-------|-------------|
| peppers32.bmp | peppers32.bmp-withWavelet_sym1-G_0.6-H0.0001_af1.wfa    | 393216 | 131072 | 131072 | 22 | 15728 | 176 | 176 | 32 | 128 | 15.75061474 | 2.516 | 16080 | 0.040893555 |
| peppers32.bmp | peppers32.bmp-withWavelet_bior1.1-G_0.6-H0.0001_af1.wfa | 393216 | 131072 | 131072 | 22 | 15728 | 176 | 176 | 32 | 128 | 15.75061474 | 2.578 | 16080 | 0.040893555 |
| peppers32.bmp | peppers32.bmp-withWavelet_haar-G_0.8-H4e-005_af5.wfa    | 24576  | 8192   | 8192   | 20 | 13040 | 160 | 160 | 32 | 32  | 15.75473048 | 0.125 | 13360 | 0.543619792 |
| peppers32.bmp | peppers32.bmp-withWavelet_rbio1.1-G_0.8-H4e-005_af5.wfa | 24576  | 8192   | 8192   | 20 | 13040 | 160 | 160 | 32 | 32  | 15.75473048 | 0.125 | 13360 | 0.543619792 |
| peppers32.bmp | peppers32.bmp-withWavelet_sym1-G_0.8-H4e-005_af5.wfa    | 24576  | 8192   | 8192   | 20 | 13040 | 160 | 160 | 32 | 32  | 15.75473048 | 0.125 | 13360 | 0.543619792 |
| peppers32.bmp | peppers32.bmp-withWavelet_bior1.1-G_0.8-H4e-005_af5.wfa | 24576  | 8192   | 8192   | 20 | 13040 | 160 | 160 | 32 | 32  | 15.75473048 | 0.125 | 13360 | 0.543619792 |
| peppers32.bmp | peppers32.bmp-withWavelet_haar-G_0.8-H8e-005_af1.wfa    | 393216 | 131072 | 131072 | 26 | 21872 | 208 | 208 | 32 | 128 | 15.75577747 | 3.375 | 22288 | 0.056681315 |
| peppers32.bmp | peppers32.bmp-withWavelet_rbio1.1-G_0.8-H8e-005_af1.wfa | 393216 | 131072 | 131072 | 26 | 21872 | 208 | 208 | 32 | 128 | 15.75577747 | 3.375 | 22288 | 0.056681315 |
| peppers32.bmp | peppers32.bmp-withWavelet_sym1-G_0.8-H8e-005_af1.wfa    | 393216 | 131072 | 131072 | 26 | 21872 | 208 | 208 | 32 | 128 | 15.75577747 | 3.375 | 22288 | 0.056681315 |
| peppers32.bmp | peppers32.bmp-withWavelet_bior1.1-G_0.8-H8e-005_af1.wfa | 393216 | 131072 | 131072 | 26 | 21872 | 208 | 208 | 32 | 128 | 15.75577747 | 3.406 | 22288 | 0.056681315 |
| peppers32.bmp | peppers32.bmp-withWavelet_haar-G_0.8-H8e-005_af4.wfa    | 393216 | 131072 | 131072 | 27 | 23568 | 216 | 216 | 32 | 128 | 15.77085112 | 3.609 | 24000 | 0.061035156 |
| peppers32.bmp | peppers32.bmp-withWavelet_rbio1.1-G_0.8-H8e-005_af4.wfa | 393216 | 131072 | 131072 | 27 | 23568 | 216 | 216 | 32 | 128 | 15.77085112 | 3.61  | 24000 | 0.061035156 |
| peppers32.bmp | peppers32.bmp-withWavelet_sym1-G_0.8-H8e-005_af4.wfa    | 393216 | 131072 | 131072 | 27 | 23568 | 216 | 216 | 32 | 128 | 15.77085112 | 3.641 | 24000 | 0.061035156 |
| peppers32.bmp | peppers32.bmp-withWavelet_bior1.1-G_0.8-H8e-005_af4.wfa | 393216 | 131072 | 131072 | 27 | 23568 | 216 | 216 | 32 | 128 | 15.77085112 | 3.609 | 24000 | 0.061035156 |
| peppers32.bmp | peppers32.bmp-withWavelet_haar-G_0.6-H6e-005_af4.wfa    | 98304  | 32768  | 32768  | 30 | 29040 | 240 | 240 | 32 | 64  | 15.77364551 | 0.969 | 29520 | 0.300292969 |
| peppers32.bmp | peppers32.bmp-withWavelet_rbio1.1-G_0.6-H6e-005_af4.wfa | 98304  | 32768  | 32768  | 30 | 29040 | 240 | 240 | 32 | 64  | 15.77364551 | 0.953 | 29520 | 0.300292969 |
| peppers32.bmp | peppers32.bmp-withWavelet_sym1-G_0.6-H6e-005_af4.wfa    | 98304  | 32768  | 32768  | 30 | 29040 | 240 | 240 | 32 | 64  | 15.77364551 | 0.953 | 29520 | 0.300292969 |
| peppers32.bmp | peppers32.bmp-withWavelet_bior1.1-G_0.6-H6e-005_af4.wfa | 98304  | 32768  | 32768  | 30 | 29040 | 240 | 240 | 32 | 64  | 15.77364551 | 0.938 | 29520 | 0.300292969 |
| peppers32.bmp | peppers32.bmp-withWavelet_haar-G_0.8-H5e-005_af3.wfa    | 98304  | 32768  | 32768  | 32 | 33008 | 256 | 256 | 32 | 64  | 15.77687491 | 1.031 | 33520 | 0.340983073 |
| peppers32.bmp | peppers32.bmp-withWavelet_rbio1.1-G_0.8-H5e-005_af3.wfa | 98304  | 32768  | 32768  | 32 | 33008 | 256 | 256 | 32 | 64  | 15.77687491 | 1.11  | 33520 | 0.340983073 |
| peppers32.bmp | peppers32.bmp-withWavelet_sym1-G_0.8-H5e-005_af3.wfa    | 98304  | 32768  | 32768  | 32 | 33008 | 256 | 256 | 32 | 64  | 15.77687491 | 1.079 | 33520 | 0.340983073 |
| peppers32.bmp | peppers32.bmp-withWavelet_bior1.1-G_0.8-H5e-005_af3.wfa | 98304  | 32768  | 32768  | 32 | 33008 | 256 | 256 | 32 | 64  | 15.77687491 | 1.156 | 33520 | 0.340983073 |
| peppers32.bmp | peppers32.bmp-withWavelet_haar-G_1-H5e-005_af3.wfa      | 98304  | 32768  | 32768  | 32 | 33008 | 256 | 256 | 32 | 64  | 15.77873348 | 1.109 | 33520 | 0.340983073 |
| peppers32.bmp | peppers32.bmp-withWavelet_rbio1.1-G_1-H5e-005_af3.wfa   | 98304  | 32768  | 32768  | 32 | 33008 | 256 | 256 | 32 | 64  | 15.77873348 | 1.125 | 33520 | 0.340983073 |
| peppers32.bmp | peppers32.bmp-withWavelet_sym1-G_1-H5e-005_af3.wfa      | 98304  | 32768  | 32768  | 32 | 33008 | 256 | 256 | 32 | 64  | 15.77873348 | 1.125 | 33520 | 0.340983073 |
| peppers32.bmp | peppers32.bmp-withWavelet_bior1.1-G_1-H5e-005_af3.wfa   | 98304  | 32768  | 32768  | 32 | 33008 | 256 | 256 | 32 | 64  | 15.77873348 | 1.047 | 33520 | 0.340983073 |
| peppers32.bmp | peppers32.bmp-withWavelet_haar-G_1-H4e-005_af3.wfa      | 98304  | 32768  | 32768  | 32 | 33008 | 256 | 256 | 32 | 64  | 15.77873348 | 1.157 | 33520 | 0.340983073 |
| peppers32.bmp | peppers32.bmp-withWavelet_rbio1.1-G_1-H4e-005_af3.wfa   | 98304  | 32768  | 32768  | 32 | 33008 | 256 | 256 | 32 | 64  | 15.77873348 | 1.031 | 33520 | 0.340983073 |
| peppers32.bmp | peppers32.bmp-withWavelet_sym1-G_1-H4e-005_af3.wfa      | 98304  | 32768  | 32768  | 32 | 33008 | 256 | 256 | 32 | 64  | 15.77873348 | 1.156 | 33520 | 0.340983073 |
| peppers32.bmp | peppers32.bmp-withWavelet_bior1.1-G_1-H4e-005_af3.wfa   | 98304  | 32768  | 32768  | 32 | 33008 | 256 | 256 | 32 | 64  | 15.77873348 | 1.14  | 33520 | 0.340983073 |
| peppers32.bmp | peppers32.bmp-withWavelet_haar-G_0.6-H8e-005_af1.wfa    | 98304  | 32768  | 32768  | 26 | 21872 | 208 | 208 | 32 | 64  | 15.78045411 | 0.859 | 22288 | 0.22672526  |

|               |   |         |        |        |    |       |     |     |    |     |             |        |       |             |
|---------------|---|---------|--------|--------|----|-------|-----|-----|----|-----|-------------|--------|-------|-------------|
| peppers32.bmp | peppers32.bmp-withWavelet_rbio1.1-G_0.6-H8e-005_af1.wfa | 98304   | 32768  | 32768  | 26 | 21872 | 208 | 208 | 32 | 64  | 15.78045411 | 0.766  | 22288 | 0.22672526  |
| peppers32.bmp | peppers32.bmp-withWavelet_sym1-G_0.6-H8e-005_af1.wfa    | 98304   | 32768  | 32768  | 26 | 21872 | 208 | 208 | 32 | 64  | 15.78045411 | 0.766  | 22288 | 0.22672526  |
| peppers32.bmp | peppers32.bmp-withWavelet_bior1.1-G_0.6-H8e-005_af1.wfa | 98304   | 32768  | 32768  | 26 | 21872 | 208 | 208 | 32 | 64  | 15.78045411 | 0.781  | 22288 | 0.22672526  |
| peppers32.bmp | peppers32.bmp-withWavelet_haar-G_0.8-H0.0001_af3.wfa    | 1572864 | 524288 | 524288 | 24 | 18672 | 192 | 192 | 32 | 256 | 15.78349601 | 13.453 | 19056 | 0.012115479 |
| peppers32.bmp | peppers32.bmp-withWavelet_rbio1.1-G_0.8-H0.0001_af3.wfa | 1572864 | 524288 | 524288 | 24 | 18672 | 192 | 192 | 32 | 256 | 15.78349601 | 13.422 | 19056 | 0.012115479 |
| peppers32.bmp | peppers32.bmp-withWavelet_sym1-G_0.8-H0.0001_af3.wfa    | 1572864 | 524288 | 524288 | 24 | 18672 | 192 | 192 | 32 | 256 | 15.78349601 | 13.485 | 19056 | 0.012115479 |
| peppers32.bmp | peppers32.bmp-withWavelet_bior1.1-G_0.8-H0.0001_af3.wfa | 1572864 | 524288 | 524288 | 24 | 18672 | 192 | 192 | 32 | 256 | 15.78349601 | 13.312 | 19056 | 0.012115479 |
| peppers32.bmp | peppers32.bmp-withWavelet_haar-G_0.6-H7e-005_af1.wfa    | 98304   | 32768  | 32768  | 27 | 23568 | 216 | 216 | 32 | 64  | 15.78619154 | 0.828  | 24000 | 0.244140625 |
| peppers32.bmp | peppers32.bmp-withWavelet_rbio1.1-G_0.6-H7e-005_af1.wfa | 98304   | 32768  | 32768  | 27 | 23568 | 216 | 216 | 32 | 64  | 15.78619154 | 0.813  | 24000 | 0.244140625 |
| peppers32.bmp | peppers32.bmp-withWavelet_sym1-G_0.6-H7e-005_af1.wfa    | 98304   | 32768  | 32768  | 27 | 23568 | 216 | 216 | 32 | 64  | 15.78619154 | 0.828  | 24000 | 0.244140625 |
| peppers32.bmp | peppers32.bmp-withWavelet_bior1.1-G_0.6-H7e-005_af1.wfa | 98304   | 32768  | 32768  | 27 | 23568 | 216 | 216 | 32 | 64  | 15.78619154 | 0.828  | 24000 | 0.244140625 |
| peppers32.bmp | peppers32.bmp-withWavelet_haar-G_1-H6e-005_af4.wfa      | 393216  | 131072 | 131072 | 29 | 27152 | 232 | 232 | 32 | 128 | 15.78655852 | 4.063  | 27616 | 0.07023112  |
| peppers32.bmp | peppers32.bmp-withWavelet_rbio1.1-G_1-H6e-005_af4.wfa   | 393216  | 131072 | 131072 | 29 | 27152 | 232 | 232 | 32 | 128 | 15.78655852 | 3.985  | 27616 | 0.07023112  |
| peppers32.bmp | peppers32.bmp-withWavelet_sym1-G_1-H6e-005_af4.wfa      | 393216  | 131072 | 131072 | 29 | 27152 | 232 | 232 | 32 | 128 | 15.78655852 | 3.984  | 27616 | 0.07023112  |
| peppers32.bmp | peppers32.bmp-withWavelet_haar-G_0.8-H9e-005_af4.wfa    | 393216  | 131072 | 131072 | 25 | 20240 | 200 | 200 | 32 | 128 | 15.78829727 | 3.234  | 20640 | 0.052490234 |
| peppers32.bmp | peppers32.bmp-withWavelet_rbio1.1-G_0.8-H9e-005_af4.wfa | 393216  | 131072 | 131072 | 25 | 20240 | 200 | 200 | 32 | 128 | 15.78829727 | 3.203  | 20640 | 0.052490234 |
| peppers32.bmp | peppers32.bmp-withWavelet_sym1-G_0.8-H9e-005_af4.wfa    | 393216  | 131072 | 131072 | 25 | 20240 | 200 | 200 | 32 | 128 | 15.78829727 | 3.219  | 20640 | 0.052490234 |
| peppers32.bmp | peppers32.bmp-withWavelet_bior1.1-G_0.8-H9e-005_af4.wfa | 393216  | 131072 | 131072 | 25 | 20240 | 200 | 200 | 32 | 128 | 15.78829727 | 3.25   | 20640 | 0.052490234 |
| peppers32.bmp | peppers32.bmp-withWavelet_haar-G_0.8-H7e-005_af4.wfa    | 393216  | 131072 | 131072 | 27 | 23568 | 216 | 216 | 32 | 128 | 15.78848943 | 3.61   | 24000 | 0.061035156 |
| peppers32.bmp | peppers32.bmp-withWavelet_rbio1.1-G_0.8-H7e-005_af4.wfa | 393216  | 131072 | 131072 | 27 | 23568 | 216 | 216 | 32 | 128 | 15.78848943 | 3.594  | 24000 | 0.061035156 |
| peppers32.bmp | peppers32.bmp-withWavelet_sym1-G_0.8-H7e-005_af4.wfa    | 393216  | 131072 | 131072 | 27 | 23568 | 216 | 216 | 32 | 128 | 15.78848943 | 3.609  | 24000 | 0.061035156 |
| peppers32.bmp | peppers32.bmp-withWavelet_bior1.1-G_0.8-H7e-005_af4.wfa | 393216  | 131072 | 131072 | 27 | 23568 | 216 | 216 | 32 | 128 | 15.78848943 | 3.672  | 24000 | 0.061035156 |
| peppers32.bmp | peppers32.bmp-withWavelet_haar-G_1-H9e-005_af4.wfa      | 1572864 | 524288 | 524288 | 24 | 18672 | 192 | 192 | 32 | 256 | 15.79028128 | 13.422 | 19056 | 0.012115479 |
| peppers32.bmp | peppers32.bmp-withWavelet_rbio1.1-G_1-H9e-005_af4.wfa   | 1572864 | 524288 | 524288 | 24 | 18672 | 192 | 192 | 32 | 256 | 15.79028128 | 13.313 | 19056 | 0.012115479 |
| peppers32.bmp | peppers32.bmp-withWavelet_sym1-G_1-H9e-005_af4.wfa      | 1572864 | 524288 | 524288 | 24 | 18672 | 192 | 192 | 32 | 256 | 15.79028128 | 13.391 | 19056 | 0.012115479 |
| peppers32.bmp | peppers32.bmp-withWavelet_bior1.1-G_1-H9e-005_af4.wfa   | 1572864 | 524288 | 524288 | 24 | 18672 | 192 | 192 | 32 | 256 | 15.79028128 | 13.359 | 19056 | 0.012115479 |
| peppers32.bmp | peppers32.bmp-withWavelet_haar-G_1-H0.0001_af4.wfa      | 1572864 | 524288 | 524288 | 24 | 18672 | 192 | 192 | 32 | 256 | 15.79028128 | 13.375 | 19056 | 0.012115479 |
| peppers32.bmp | peppers32.bmp-withWavelet_rbio1.1-G_1-H0.0001_af4.wfa   | 1572864 | 524288 | 524288 | 24 | 18672 | 192 | 192 | 32 | 256 | 15.79028128 | 13.391 | 19056 | 0.012115479 |
| peppers32.bmp | peppers32.bmp-withWavelet_sym1-G_1-H0.0001_af4.wfa      | 1572864 | 524288 | 524288 | 24 | 18672 | 192 | 192 | 32 | 256 | 15.79028128 | 13.61  | 19056 | 0.012115479 |
| peppers32.bmp | peppers32.bmp-withWavelet_bior1.1-G_1-H0.0001_af4.wfa   | 1572864 | 524288 | 524288 | 24 | 18672 | 192 | 192 | 32 | 256 | 15.79028128 | 13.344 | 19056 | 0.012115479 |
| peppers32.bmp | peppers32.bmp-withWavelet_haar-G_0.8-H5e-005_af4.wfa    | 393216  | 131072 | 131072 | 29 | 27152 | 232 | 232 | 32 | 128 | 15.79121245 | 4.016  | 27616 | 0.07023112  |

|               |   |        |        |        |    |       |     |     |    |     |             |       |       |             |
|---------------|---|--------|--------|--------|----|-------|-----|-----|----|-----|-------------|-------|-------|-------------|
| peppers32.bmp | peppers32.bmp-withWavelet_rbio1.1-G_0.8-H5e-005_af4.wfa | 393216 | 131072 | 131072 | 29 | 27152 | 232 | 232 | 32 | 128 | 15.79121245 | 4.078 | 27616 | 0.07023112  |
| peppers32.bmp | peppers32.bmp-withWavelet_sym1-G_0.8-H5e-005_af4.wfa    | 393216 | 131072 | 131072 | 29 | 27152 | 232 | 232 | 32 | 128 | 15.79121245 | 4.031 | 27616 | 0.07023112  |
| peppers32.bmp | peppers32.bmp-withWavelet_bior1.1-G_0.8-H5e-005_af4.wfa | 393216 | 131072 | 131072 | 29 | 27152 | 232 | 232 | 32 | 128 | 15.79121245 | 3.969 | 27616 | 0.07023112  |
| peppers32.bmp | peppers32.bmp-withWavelet_haar-G_1-H5e-005_af4.wfa      | 393216 | 131072 | 131072 | 30 | 29040 | 240 | 240 | 32 | 128 | 15.79657839 | 4.172 | 29520 | 0.075073242 |
| peppers32.bmp | peppers32.bmp-withWavelet_rbio1.1-G_1-H5e-005_af4.wfa   | 393216 | 131072 | 131072 | 30 | 29040 | 240 | 240 | 32 | 128 | 15.79657839 | 4.172 | 29520 | 0.075073242 |
| peppers32.bmp | peppers32.bmp-withWavelet_sym1-G_1-H5e-005_af4.wfa      | 393216 | 131072 | 131072 | 30 | 29040 | 240 | 240 | 32 | 128 | 15.79657839 | 4.313 | 29520 | 0.075073242 |
| peppers32.bmp | peppers32.bmp-withWavelet_bior1.1-G_1-H5e-005_af4.wfa   | 393216 | 131072 | 131072 | 30 | 29040 | 240 | 240 | 32 | 128 | 15.79657839 | 4.156 | 29520 | 0.075073242 |
| peppers32.bmp | peppers32.bmp-withWavelet_haar-G_1-H8e-005_af1.wfa      | 393216 | 131072 | 131072 | 26 | 21872 | 208 | 208 | 32 | 128 | 15.79702493 | 3.375 | 22288 | 0.056681315 |
| peppers32.bmp | peppers32.bmp-withWavelet_rbio1.1-G_1-H8e-005_af1.wfa   | 393216 | 131072 | 131072 | 26 | 21872 | 208 | 208 | 32 | 128 | 15.79702493 | 3.36  | 22288 | 0.056681315 |
| peppers32.bmp | peppers32.bmp-withWavelet_sym1-G_1-H8e-005_af1.wfa      | 393216 | 131072 | 131072 | 26 | 21872 | 208 | 208 | 32 | 128 | 15.79702493 | 3.36  | 22288 | 0.056681315 |
| peppers32.bmp | peppers32.bmp-withWavelet_bior1.1-G_1-H8e-005_af1.wfa   | 393216 | 131072 | 131072 | 26 | 21872 | 208 | 208 | 32 | 128 | 15.79702493 | 3.438 | 22288 | 0.056681315 |
| peppers32.bmp | peppers32.bmp-withWavelet_haar-G_1-H6e-005_af3.wfa      | 98304  | 32768  | 32768  | 29 | 27152 | 232 | 232 | 32 | 64  | 15.81409955 | 0.907 | 27616 | 0.280924479 |
| peppers32.bmp | peppers32.bmp-withWavelet_rbio1.1-G_1-H6e-005_af3.wfa   | 98304  | 32768  | 32768  | 29 | 27152 | 232 | 232 | 32 | 64  | 15.81409955 | 0.907 | 27616 | 0.280924479 |
| peppers32.bmp | peppers32.bmp-withWavelet_sym1-G_1-H6e-005_af3.wfa      | 98304  | 32768  | 32768  | 29 | 27152 | 232 | 232 | 32 | 64  | 15.81409955 | 0.906 | 27616 | 0.280924479 |
| peppers32.bmp | peppers32.bmp-withWavelet_bior1.1-G_1-H6e-005_af3.wfa   | 98304  | 32768  | 32768  | 29 | 27152 | 232 | 232 | 32 | 64  | 15.81409955 | 0.906 | 27616 | 0.280924479 |
| peppers32.bmp | peppers32.bmp-withWavelet_haar-G_0.8-H6e-005_af3.wfa    | 98304  | 32768  | 32768  | 29 | 27152 | 232 | 232 | 32 | 64  | 15.81430091 | 1.047 | 27616 | 0.280924479 |
| peppers32.bmp | peppers32.bmp-withWavelet_rbio1.1-G_0.8-H6e-005_af3.wfa | 98304  | 32768  | 32768  | 29 | 27152 | 232 | 232 | 32 | 64  | 15.81430091 | 0.906 | 27616 | 0.280924479 |
| peppers32.bmp | peppers32.bmp-withWavelet_sym1-G_0.8-H6e-005_af3.wfa    | 98304  | 32768  | 32768  | 29 | 27152 | 232 | 232 | 32 | 64  | 15.81430091 | 0.906 | 27616 | 0.280924479 |
| peppers32.bmp | peppers32.bmp-withWavelet_bior1.1-G_0.8-H6e-005_af3.wfa | 98304  | 32768  | 32768  | 29 | 27152 | 232 | 232 | 32 | 64  | 15.81430091 | 0.969 | 27616 | 0.280924479 |
| peppers32.bmp | peppers32.bmp-withWavelet_haar-G_1-H7e-005_af4.wfa      | 393216 | 131072 | 131072 | 27 | 23568 | 216 | 216 | 32 | 128 | 15.82383012 | 3.656 | 24000 | 0.061035156 |
| peppers32.bmp | peppers32.bmp-withWavelet_rbio1.1-G_1-H7e-005_af4.wfa   | 393216 | 131072 | 131072 | 27 | 23568 | 216 | 216 | 32 | 128 | 15.82383012 | 3.594 | 24000 | 0.061035156 |
| peppers32.bmp | peppers32.bmp-withWavelet_sym1-G_1-H7e-005_af4.wfa      | 393216 | 131072 | 131072 | 27 | 23568 | 216 | 216 | 32 | 128 | 15.82383012 | 3.609 | 24000 | 0.061035156 |
| peppers32.bmp | peppers32.bmp-withWavelet_bior1.1-G_1-H7e-005_af4.wfa   | 393216 | 131072 | 131072 | 27 | 23568 | 216 | 216 | 32 | 128 | 15.82383012 | 3.687 | 24000 | 0.061035156 |
| peppers32.bmp | peppers32.bmp-withWavelet_haar-G_0.8-H6e-005_af1.wfa    | 98304  | 32768  | 32768  | 29 | 27152 | 232 | 232 | 32 | 64  | 15.82459773 | 0.968 | 27616 | 0.280924479 |
| peppers32.bmp | peppers32.bmp-withWavelet_rbio1.1-G_0.8-H6e-005_af1.wfa | 98304  | 32768  | 32768  | 29 | 27152 | 232 | 232 | 32 | 64  | 15.82459773 | 0.906 | 27616 | 0.280924479 |
| peppers32.bmp | peppers32.bmp-withWavelet_sym1-G_0.8-H6e-005_af1.wfa    | 98304  | 32768  | 32768  | 29 | 27152 | 232 | 232 | 32 | 64  | 15.82459773 | 0.891 | 27616 | 0.280924479 |
| peppers32.bmp | peppers32.bmp-withWavelet_bior1.1-G_0.8-H6e-005_af1.wfa | 98304  | 32768  | 32768  | 29 | 27152 | 232 | 232 | 32 | 64  | 15.82459773 | 0.891 | 27616 | 0.280924479 |
| peppers32.bmp | peppers32.bmp-withWavelet_haar-G_1-H6e-005_af1.wfa      | 98304  | 32768  | 32768  | 29 | 27152 | 232 | 232 | 32 | 64  | 15.82509415 | 0.891 | 27616 | 0.280924479 |
| peppers32.bmp | peppers32.bmp-withWavelet_rbio1.1-G_1-H6e-005_af1.wfa   | 98304  | 32768  | 32768  | 29 | 27152 | 232 | 232 | 32 | 64  | 15.82509415 | 0.906 | 27616 | 0.280924479 |
| peppers32.bmp | peppers32.bmp-withWavelet_sym1-G_1-H6e-005_af1.wfa      | 98304  | 32768  | 32768  | 29 | 27152 | 232 | 232 | 32 | 64  | 15.82509415 | 0.891 | 27616 | 0.280924479 |
| peppers32.bmp | peppers32.bmp-withWavelet_bior1.1-G_1-H6e-005_af1.wfa   | 98304  | 32768  | 32768  | 29 | 27152 | 232 | 232 | 32 | 64  | 15.82509415 | 0.921 | 27616 | 0.280924479 |

|               |   |         |        |        |    |       |     |     |    |     |             |        |       |             |
|---------------|---|---------|--------|--------|----|-------|-----|-----|----|-----|-------------|--------|-------|-------------|
| peppers32.bmp | peppers32.bmp-withWavelet_haar-G_0.6-H6e-005_af2.wfa    | 98304   | 32768  | 32768  | 21 | 14352 | 168 | 168 | 32 | 64  | 15.83757836 | 0.61   | 14688 | 0.149414063 |
| peppers32.bmp | peppers32.bmp-withWavelet_rbio1.1-G_0.6-H6e-005_af2.wfa | 98304   | 32768  | 32768  | 21 | 14352 | 168 | 168 | 32 | 64  | 15.83757836 | 0.562  | 14688 | 0.149414063 |
| peppers32.bmp | peppers32.bmp-withWavelet_sym1-G_0.6-H6e-005_af2.wfa    | 98304   | 32768  | 32768  | 21 | 14352 | 168 | 168 | 32 | 64  | 15.83757836 | 0.578  | 14688 | 0.149414063 |
| peppers32.bmp | peppers32.bmp-withWavelet_bior1.1-G_0.6-H6e-005_af2.wfa | 98304   | 32768  | 32768  | 21 | 14352 | 168 | 168 | 32 | 64  | 15.83757836 | 0.579  | 14688 | 0.149414063 |
| peppers32.bmp | peppers32.bmp-withWavelet_haar-G_0.8-H0.0001_af1.wfa    | 1572864 | 524288 | 524288 | 21 | 14352 | 168 | 168 | 32 | 256 | 15.83758728 | 10.578 | 14688 | 0.009338379 |
| peppers32.bmp | peppers32.bmp-withWavelet_rbio1.1-G_0.8-H0.0001_af1.wfa | 1572864 | 524288 | 524288 | 21 | 14352 | 168 | 168 | 32 | 256 | 15.83758728 | 10.515 | 14688 | 0.009338379 |
| peppers32.bmp | peppers32.bmp-withWavelet_sym1-G_0.8-H0.0001_af1.wfa    | 1572864 | 524288 | 524288 | 21 | 14352 | 168 | 168 | 32 | 256 | 15.83758728 | 10.516 | 14688 | 0.009338379 |
| peppers32.bmp | peppers32.bmp-withWavelet_bior1.1-G_0.8-H0.0001_af1.wfa | 1572864 | 524288 | 524288 | 21 | 14352 | 168 | 168 | 32 | 256 | 15.83758728 | 10.516 | 14688 | 0.009338379 |
| peppers32.bmp | peppers32.bmp-withWavelet_haar-G_1-H9e-005_af2.wfa      | 24576   | 8192   | 8192   | 18 | 10608 | 144 | 144 | 32 | 32  | 15.84379041 | 0.109  | 10896 | 0.443359375 |
| peppers32.bmp | peppers32.bmp-withWavelet_rbio1.1-G_1-H9e-005_af2.wfa   | 24576   | 8192   | 8192   | 18 | 10608 | 144 | 144 | 32 | 32  | 15.84379041 | 0.109  | 10896 | 0.443359375 |
| peppers32.bmp | peppers32.bmp-withWavelet_sym1-G_1-H9e-005_af2.wfa      | 24576   | 8192   | 8192   | 18 | 10608 | 144 | 144 | 32 | 32  | 15.84379041 | 0.109  | 10896 | 0.443359375 |
| peppers32.bmp | peppers32.bmp-withWavelet_bior1.1-G_1-H9e-005_af2.wfa   | 24576   | 8192   | 8192   | 18 | 10608 | 144 | 144 | 32 | 32  | 15.84379041 | 0.125  | 10896 | 0.443359375 |
| peppers32.bmp | peppers32.bmp-withWavelet_haar-G_1-H0.0001_af2.wfa      | 24576   | 8192   | 8192   | 18 | 10608 | 144 | 144 | 32 | 32  | 15.84379041 | 0.109  | 10896 | 0.443359375 |
| peppers32.bmp | peppers32.bmp-withWavelet_rbio1.1-G_1-H0.0001_af2.wfa   | 24576   | 8192   | 8192   | 18 | 10608 | 144 | 144 | 32 | 32  | 15.84379041 | 0.109  | 10896 | 0.443359375 |
| peppers32.bmp | peppers32.bmp-withWavelet_sym1-G_1-H0.0001_af2.wfa      | 24576   | 8192   | 8192   | 18 | 10608 | 144 | 144 | 32 | 32  | 15.84379041 | 0.109  | 10896 | 0.443359375 |
| peppers32.bmp | peppers32.bmp-withWavelet_bior1.1-G_1-H0.0001_af2.wfa   | 24576   | 8192   | 8192   | 18 | 10608 | 144 | 144 | 32 | 32  | 15.84379041 | 0.11   | 10896 | 0.443359375 |
| peppers32.bmp | peppers32.bmp-withWavelet_haar-G_1-H7e-005_af3.wfa      | 98304   | 32768  | 32768  | 28 | 25328 | 224 | 224 | 32 | 64  | 15.84893677 | 0.89   | 25776 | 0.262207031 |
| peppers32.bmp | peppers32.bmp-withWavelet_rbio1.1-G_1-H7e-005_af3.wfa   | 98304   | 32768  | 32768  | 28 | 25328 | 224 | 224 | 32 | 64  | 15.84893677 | 0.859  | 25776 | 0.262207031 |
| peppers32.bmp | peppers32.bmp-withWavelet_sym1-G_1-H7e-005_af3.wfa      | 98304   | 32768  | 32768  | 28 | 25328 | 224 | 224 | 32 | 64  | 15.84893677 | 0.859  | 25776 | 0.262207031 |
| peppers32.bmp | peppers32.bmp-withWavelet_bior1.1-G_1-H7e-005_af3.wfa   | 98304   | 32768  | 32768  | 28 | 25328 | 224 | 224 | 32 | 64  | 15.84893677 | 0.86   | 25776 | 0.262207031 |
| peppers32.bmp | peppers32.bmp-withWavelet_haar-G_0.6-H7e-005_af4.wfa    | 98304   | 32768  | 32768  | 28 | 25328 | 224 | 224 | 32 | 64  | 15.85328461 | 0.891  | 25776 | 0.262207031 |
| peppers32.bmp | peppers32.bmp-withWavelet_rbio1.1-G_0.6-H7e-005_af4.wfa | 98304   | 32768  | 32768  | 28 | 25328 | 224 | 224 | 32 | 64  | 15.85328461 | 0.844  | 25776 | 0.262207031 |
| peppers32.bmp | peppers32.bmp-withWavelet_sym1-G_0.6-H7e-005_af4.wfa    | 98304   | 32768  | 32768  | 28 | 25328 | 224 | 224 | 32 | 64  | 15.85328461 | 0.844  | 25776 | 0.262207031 |
| peppers32.bmp | peppers32.bmp-withWavelet_bior1.1-G_0.6-H7e-005_af4.wfa | 98304   | 32768  | 32768  | 28 | 25328 | 224 | 224 | 32 | 64  | 15.85328461 | 0.859  | 25776 | 0.262207031 |
| peppers32.bmp | peppers32.bmp-withWavelet_haar-G_0.8-H7e-005_af3.wfa    | 98304   | 32768  | 32768  | 29 | 27152 | 232 | 232 | 32 | 64  | 15.85537917 | 0.906  | 27616 | 0.280924479 |
| peppers32.bmp | peppers32.bmp-withWavelet_rbio1.1-G_0.8-H7e-005_af3.wfa | 98304   | 32768  | 32768  | 29 | 27152 | 232 | 232 | 32 | 64  | 15.85537917 | 0.906  | 27616 | 0.280924479 |
| peppers32.bmp | peppers32.bmp-withWavelet_sym1-G_0.8-H7e-005_af3.wfa    | 98304   | 32768  | 32768  | 29 | 27152 | 232 | 232 | 32 | 64  | 15.85537917 | 0.891  | 27616 | 0.280924479 |
| peppers32.bmp | peppers32.bmp-withWavelet_bior1.1-G_0.8-H7e-005_af3.wfa | 98304   | 32768  | 32768  | 29 | 27152 | 232 | 232 | 32 | 64  | 15.85537917 | 0.906  | 27616 | 0.280924479 |
| peppers32.bmp | peppers32.bmp-withWavelet_haar-G_0.8-H9e-005_af2.wfa    | 24576   | 8192   | 8192   | 18 | 10608 | 144 | 144 | 32 | 32  | 15.86093241 | 0.109  | 10896 | 0.443359375 |
| peppers32.bmp | peppers32.bmp-withWavelet_rbio1.1-G_0.8-H9e-005_af2.wfa | 24576   | 8192   | 8192   | 18 | 10608 | 144 | 144 | 32 | 32  | 15.86093241 | 0.11   | 10896 | 0.443359375 |
| peppers32.bmp | peppers32.bmp-withWavelet_sym1-G_0.8-H9e-005_af2.wfa    | 24576   | 8192   | 8192   | 18 | 10608 | 144 | 144 | 32 | 32  | 15.86093241 | 0.109  | 10896 | 0.443359375 |

|               |   |        |        |        |    |       |     |     |    |     |             |       |       |             |
|---------------|---|--------|--------|--------|----|-------|-----|-----|----|-----|-------------|-------|-------|-------------|
| peppers32.bmp | peppers32.bmp-withWavelet_bior1.1-G_0.8-H9e-005_af2.wfa | 24576  | 8192   | 8192   | 18 | 10608 | 144 | 144 | 32 | 32  | 15.86093241 | 0.125 | 10896 | 0.443359375 |
| peppers32.bmp | peppers32.bmp-withWavelet_haar-G_0.8-H0.0001_af2.wfa    | 24576  | 8192   | 8192   | 18 | 10608 | 144 | 144 | 32 | 32  | 15.86093241 | 0.11  | 10896 | 0.443359375 |
| peppers32.bmp | peppers32.bmp-withWavelet_rbio1.1-G_0.8-H0.0001_af2.wfa | 24576  | 8192   | 8192   | 18 | 10608 | 144 | 144 | 32 | 32  | 15.86093241 | 0.11  | 10896 | 0.443359375 |
| peppers32.bmp | peppers32.bmp-withWavelet_sym1-G_0.8-H0.0001_af2.wfa    | 24576  | 8192   | 8192   | 18 | 10608 | 144 | 144 | 32 | 32  | 15.86093241 | 0.125 | 10896 | 0.443359375 |
| peppers32.bmp | peppers32.bmp-withWavelet_bior1.1-G_0.8-H0.0001_af2.wfa | 24576  | 8192   | 8192   | 18 | 10608 | 144 | 144 | 32 | 32  | 15.86093241 | 0.109 | 10896 | 0.443359375 |
| peppers32.bmp | peppers32.bmp-withWavelet_haar-G_0.6-H4e-005_af5.wfa    | 24576  | 8192   | 8192   | 19 | 11792 | 152 | 152 | 32 | 32  | 15.86919286 | 0.125 | 12096 | 0.4921875   |
| peppers32.bmp | peppers32.bmp-withWavelet_rbio1.1-G_0.6-H4e-005_af5.wfa | 24576  | 8192   | 8192   | 19 | 11792 | 152 | 152 | 32 | 32  | 15.86919286 | 0.125 | 12096 | 0.4921875   |
| peppers32.bmp | peppers32.bmp-withWavelet_sym1-G_0.6-H4e-005_af5.wfa    | 24576  | 8192   | 8192   | 19 | 11792 | 152 | 152 | 32 | 32  | 15.86919286 | 0.125 | 12096 | 0.4921875   |
| peppers32.bmp | peppers32.bmp-withWavelet_bior1.1-G_0.6-H4e-005_af5.wfa | 24576  | 8192   | 8192   | 19 | 11792 | 152 | 152 | 32 | 32  | 15.86919286 | 0.125 | 12096 | 0.4921875   |
| peppers32.bmp | peppers32.bmp-withWavelet_bior1.1-G_1-H0.0001_af1.wfa   | 393216 | 131072 | 131072 | 21 | 14352 | 168 | 168 | 32 | 128 | 15.87726527 | 2.422 | 14688 | 0.037353516 |
| peppers32.bmp | peppers32.bmp-withWavelet_haar-G_0.6-H9e-005_af4.wfa    | 98304  | 32768  | 32768  | 25 | 20240 | 200 | 200 | 32 | 64  | 15.88324909 | 0.75  | 20640 | 0.209960938 |
| peppers32.bmp | peppers32.bmp-withWavelet_rbio1.1-G_0.6-H9e-005_af4.wfa | 98304  | 32768  | 32768  | 25 | 20240 | 200 | 200 | 32 | 64  | 15.88324909 | 0.75  | 20640 | 0.209960938 |
| peppers32.bmp | peppers32.bmp-withWavelet_sym1-G_0.6-H9e-005_af4.wfa    | 98304  | 32768  | 32768  | 25 | 20240 | 200 | 200 | 32 | 64  | 15.88324909 | 0.75  | 20640 | 0.209960938 |
| peppers32.bmp | peppers32.bmp-withWavelet_bior1.1-G_0.6-H9e-005_af4.wfa | 98304  | 32768  | 32768  | 25 | 20240 | 200 | 200 | 32 | 64  | 15.88324909 | 0.734 | 20640 | 0.209960938 |
| peppers32.bmp | peppers32.bmp-withWavelet_haar-G_0.6-H8e-005_af4.wfa    | 98304  | 32768  | 32768  | 28 | 25328 | 224 | 224 | 32 | 64  | 15.89014889 | 0.891 | 25776 | 0.262207031 |
| peppers32.bmp | peppers32.bmp-withWavelet_rbio1.1-G_0.6-H8e-005_af4.wfa | 98304  | 32768  | 32768  | 28 | 25328 | 224 | 224 | 32 | 64  | 15.89014889 | 0.844 | 25776 | 0.262207031 |
| peppers32.bmp | peppers32.bmp-withWavelet_sym1-G_0.6-H8e-005_af4.wfa    | 98304  | 32768  | 32768  | 28 | 25328 | 224 | 224 | 32 | 64  | 15.89014889 | 0.844 | 25776 | 0.262207031 |
| peppers32.bmp | peppers32.bmp-withWavelet_bior1.1-G_0.6-H8e-005_af4.wfa | 98304  | 32768  | 32768  | 28 | 25328 | 224 | 224 | 32 | 64  | 15.89014889 | 0.844 | 25776 | 0.262207031 |
| peppers32.bmp | peppers32.bmp-withWavelet_bior1.1-G_1-H6e-005_af4.wfa   | 98304  | 32768  | 32768  | 24 | 18672 | 192 | 192 | 32 | 64  | 15.89165627 | 0.703 | 19056 | 0.193847656 |
| peppers32.bmp | peppers32.bmp-withWavelet_haar-G_0.6-H0.0001_af4.wfa    | 98304  | 32768  | 32768  | 24 | 18672 | 192 | 192 | 32 | 64  | 15.89165627 | 0.703 | 19056 | 0.193847656 |
| peppers32.bmp | peppers32.bmp-withWavelet_rbio1.1-G_0.6-H0.0001_af4.wfa | 98304  | 32768  | 32768  | 24 | 18672 | 192 | 192 | 32 | 64  | 15.89165627 | 0.828 | 19056 | 0.193847656 |
| peppers32.bmp | peppers32.bmp-withWavelet_sym1-G_0.6-H0.0001_af4.wfa    | 98304  | 32768  | 32768  | 24 | 18672 | 192 | 192 | 32 | 64  | 15.89165627 | 1.157 | 19056 | 0.193847656 |
| peppers32.bmp | peppers32.bmp-withWavelet_bior1.1-G_0.6-H0.0001_af4.wfa | 98304  | 32768  | 32768  | 24 | 18672 | 192 | 192 | 32 | 64  | 15.89165627 | 0.812 | 19056 | 0.193847656 |
| peppers32.bmp | peppers32.bmp-withWavelet_haar-G_1-H8e-005_af4.wfa      | 393216 | 131072 | 131072 | 26 | 21872 | 208 | 208 | 32 | 128 | 15.90932502 | 3.39  | 22288 | 0.056681315 |
| peppers32.bmp | peppers32.bmp-withWavelet_rbio1.1-G_1-H8e-005_af4.wfa   | 393216 | 131072 | 131072 | 26 | 21872 | 208 | 208 | 32 | 128 | 15.90932502 | 3.421 | 22288 | 0.056681315 |
| peppers32.bmp | peppers32.bmp-withWavelet_sym1-G_1-H8e-005_af4.wfa      | 393216 | 131072 | 131072 | 26 | 21872 | 208 | 208 | 32 | 128 | 15.90932502 | 3.469 | 22288 | 0.056681315 |
| peppers32.bmp | peppers32.bmp-withWavelet_bior1.1-G_1-H8e-005_af4.wfa   | 393216 | 131072 | 131072 | 26 | 21872 | 208 | 208 | 32 | 128 | 15.90932502 | 3.375 | 22288 | 0.056681315 |
| peppers32.bmp | peppers32.bmp-withWavelet_haar-G_0.8-H4e-005_af3.wfa    | 98304  | 32768  | 32768  | 31 | 30992 | 248 | 248 | 32 | 64  | 15.9264164  | 1     | 31488 | 0.3203125   |
| peppers32.bmp | peppers32.bmp-withWavelet_rbio1.1-G_0.8-H4e-005_af3.wfa | 98304  | 32768  | 32768  | 31 | 30992 | 248 | 248 | 32 | 64  | 15.9264164  | 1     | 31488 | 0.3203125   |
| peppers32.bmp | peppers32.bmp-withWavelet_sym1-G_0.8-H4e-005_af3.wfa    | 98304  | 32768  | 32768  | 31 | 30992 | 248 | 248 | 32 | 64  | 15.9264164  | 1.016 | 31488 | 0.3203125   |
| peppers32.bmp | peppers32.bmp-withWavelet_bior1.1-G_0.8-H4e-005_af3.wfa | 98304  | 32768  | 32768  | 31 | 30992 | 248 | 248 | 32 | 64  | 15.9264164  | 1.016 | 31488 | 0.3203125   |

|               |   |         |        |        |    |       |     |     |    |     |             |        |       |             |
|---------------|---|---------|--------|--------|----|-------|-----|-----|----|-----|-------------|--------|-------|-------------|
| peppers32.bmp | peppers32.bmp-withWavelet_haar-G_0.6-H9e-005_af1.wfa    | 98304   | 32768  | 32768  | 24 | 18672 | 192 | 192 | 32 | 64  | 15.92741899 | 0.719  | 19056 | 0.193847656 |
| peppers32.bmp | peppers32.bmp-withWavelet_rbio1.1-G_0.6-H9e-005_af1.wfa | 98304   | 32768  | 32768  | 24 | 18672 | 192 | 192 | 32 | 64  | 15.92741899 | 0.718  | 19056 | 0.193847656 |
| peppers32.bmp | peppers32.bmp-withWavelet_sym1-G_0.6-H9e-005_af1.wfa    | 98304   | 32768  | 32768  | 24 | 18672 | 192 | 192 | 32 | 64  | 15.92741899 | 0.703  | 19056 | 0.193847656 |
| peppers32.bmp | peppers32.bmp-withWavelet_bior1.1-G_0.6-H9e-005_af1.wfa | 98304   | 32768  | 32768  | 24 | 18672 | 192 | 192 | 32 | 64  | 15.92741899 | 0.735  | 19056 | 0.193847656 |
| peppers32.bmp | peppers32.bmp-withWavelet_haar-G_0.6-H0.0001_af2.wfa    | 24576   | 8192   | 8192   | 18 | 10608 | 144 | 144 | 32 | 32  | 15.93518628 | 0.109  | 10896 | 0.443359375 |
| peppers32.bmp | peppers32.bmp-withWavelet_rbio1.1-G_0.6-H0.0001_af2.wfa | 24576   | 8192   | 8192   | 18 | 10608 | 144 | 144 | 32 | 32  | 15.93518628 | 0.109  | 10896 | 0.443359375 |
| peppers32.bmp | peppers32.bmp-withWavelet_sym1-G_0.6-H0.0001_af2.wfa    | 24576   | 8192   | 8192   | 18 | 10608 | 144 | 144 | 32 | 32  | 15.93518628 | 0.109  | 10896 | 0.443359375 |
| peppers32.bmp | peppers32.bmp-withWavelet_bior1.1-G_0.6-H0.0001_af2.wfa | 24576   | 8192   | 8192   | 18 | 10608 | 144 | 144 | 32 | 32  | 15.93518628 | 0.109  | 10896 | 0.443359375 |
| peppers32.bmp | peppers32.bmp-withWavelet_haar-G_1-H8e-005_af3.wfa      | 393216  | 131072 | 131072 | 26 | 21872 | 208 | 208 | 32 | 128 | 15.96031127 | 3.344  | 22288 | 0.056681315 |
| peppers32.bmp | peppers32.bmp-withWavelet_rbio1.1-G_1-H8e-005_af3.wfa   | 393216  | 131072 | 131072 | 26 | 21872 | 208 | 208 | 32 | 128 | 15.96031127 | 3.375  | 22288 | 0.056681315 |
| peppers32.bmp | peppers32.bmp-withWavelet_sym1-G_1-H8e-005_af3.wfa      | 393216  | 131072 | 131072 | 26 | 21872 | 208 | 208 | 32 | 128 | 15.96031127 | 3.36   | 22288 | 0.056681315 |
| peppers32.bmp | peppers32.bmp-withWavelet_bior1.1-G_1-H8e-005_af3.wfa   | 393216  | 131072 | 131072 | 26 | 21872 | 208 | 208 | 32 | 128 | 15.96031127 | 3.375  | 22288 | 0.056681315 |
| peppers32.bmp | peppers32.bmp-withWavelet_haar-G_0.8-H8e-005_af3.wfa    | 98304   | 32768  | 32768  | 28 | 25328 | 224 | 224 | 32 | 64  | 15.9635381  | 0.844  | 25776 | 0.262207031 |
| peppers32.bmp | peppers32.bmp-withWavelet_rbio1.1-G_0.8-H8e-005_af3.wfa | 98304   | 32768  | 32768  | 28 | 25328 | 224 | 224 | 32 | 64  | 15.9635381  | 0.844  | 25776 | 0.262207031 |
| peppers32.bmp | peppers32.bmp-withWavelet_sym1-G_0.8-H8e-005_af3.wfa    | 98304   | 32768  | 32768  | 28 | 25328 | 224 | 224 | 32 | 64  | 15.9635381  | 0.859  | 25776 | 0.262207031 |
| peppers32.bmp | peppers32.bmp-withWavelet_bior1.1-G_0.8-H8e-005_af3.wfa | 98304   | 32768  | 32768  | 28 | 25328 | 224 | 224 | 32 | 64  | 15.9635381  | 0.86   | 25776 | 0.262207031 |
| peppers32.bmp | peppers32.bmp-withWavelet_haar-G_1-H7e-005_af1.wfa      | 98304   | 32768  | 32768  | 27 | 23568 | 216 | 216 | 32 | 64  | 15.96366117 | 0.813  | 24000 | 0.244140625 |
| peppers32.bmp | peppers32.bmp-withWavelet_rbio1.1-G_1-H7e-005_af1.wfa   | 98304   | 32768  | 32768  | 27 | 23568 | 216 | 216 | 32 | 64  | 15.96366117 | 0.828  | 24000 | 0.244140625 |
| peppers32.bmp | peppers32.bmp-withWavelet_sym1-G_1-H7e-005_af1.wfa      | 98304   | 32768  | 32768  | 27 | 23568 | 216 | 216 | 32 | 64  | 15.96366117 | 0.812  | 24000 | 0.244140625 |
| peppers32.bmp | peppers32.bmp-withWavelet_bior1.1-G_1-H7e-005_af1.wfa   | 98304   | 32768  | 32768  | 27 | 23568 | 216 | 216 | 32 | 64  | 15.96366117 | 0.828  | 24000 | 0.244140625 |
| peppers32.bmp | peppers32.bmp-withWavelet_haar-G_1-H9e-005_af1.wfa      | 1572864 | 524288 | 524288 | 23 | 17168 | 184 | 184 | 32 | 256 | 15.96694364 | 12.875 | 17536 | 0.011149089 |
| peppers32.bmp | peppers32.bmp-withWavelet_rbio1.1-G_1-H9e-005_af1.wfa   | 1572864 | 524288 | 524288 | 23 | 17168 | 184 | 184 | 32 | 256 | 15.96694364 | 12.922 | 17536 | 0.011149089 |
| peppers32.bmp | peppers32.bmp-withWavelet_sym1-G_1-H9e-005_af1.wfa      | 1572864 | 524288 | 524288 | 23 | 17168 | 184 | 184 | 32 | 256 | 15.96694364 | 12.891 | 17536 | 0.011149089 |
| peppers32.bmp | peppers32.bmp-withWavelet_bior1.1-G_1-H9e-005_af1.wfa   | 1572864 | 524288 | 524288 | 23 | 17168 | 184 | 184 | 32 | 256 | 15.96694364 | 13.015 | 17536 | 0.011149089 |
| peppers32.bmp | peppers32.bmp-withWavelet_haar-G_0.8-H7e-005_af1.wfa    | 98304   | 32768  | 32768  | 27 | 23568 | 216 | 216 | 32 | 64  | 15.96864127 | 0.829  | 24000 | 0.244140625 |
| peppers32.bmp | peppers32.bmp-withWavelet_rbio1.1-G_0.8-H7e-005_af1.wfa | 98304   | 32768  | 32768  | 27 | 23568 | 216 | 216 | 32 | 64  | 15.96864127 | 0.828  | 24000 | 0.244140625 |
| peppers32.bmp | peppers32.bmp-withWavelet_sym1-G_0.8-H7e-005_af1.wfa    | 98304   | 32768  | 32768  | 27 | 23568 | 216 | 216 | 32 | 64  | 15.96864127 | 0.813  | 24000 | 0.244140625 |
| peppers32.bmp | peppers32.bmp-withWavelet_bior1.1-G_0.8-H7e-005_af1.wfa | 98304   | 32768  | 32768  | 27 | 23568 | 216 | 216 | 32 | 64  | 15.96864127 | 0.86   | 24000 | 0.244140625 |
| peppers32.bmp | peppers32.bmp-withWavelet_haar-G_0.8-H9e-005_af3.wfa    | 393216  | 131072 | 131072 | 26 | 21872 | 208 | 208 | 32 | 128 | 15.97246781 | 3.391  | 22288 | 0.056681315 |
| peppers32.bmp | peppers32.bmp-withWavelet_rbio1.1-G_0.8-H9e-005_af3.wfa | 393216  | 131072 | 131072 | 26 | 21872 | 208 | 208 | 32 | 128 | 15.97246781 | 3.469  | 22288 | 0.056681315 |
| peppers32.bmp | peppers32.bmp-withWavelet_sym1-G_0.8-H9e-005_af3.wfa    | 393216  | 131072 | 131072 | 26 | 21872 | 208 | 208 | 32 | 128 | 15.97246781 | 3.344  | 22288 | 0.056681315 |



|               |   |         |        |        |    |       |     |     |    |     |             |        |       |             |
|---------------|---|---------|--------|--------|----|-------|-----|-----|----|-----|-------------|--------|-------|-------------|
| peppers32.bmp | peppers32.bmp-withWavelet_bior1.1-G_0.8-H9e-005_af3.wfa | 393216  | 131072 | 131072 | 26 | 21872 | 208 | 208 | 32 | 128 | 15.97246781 | 3.453  | 22288 | 0.056681315 |
| peppers32.bmp | peppers32.bmp-withWavelet_haar-G_1-H9e-005_af3.wfa      | 393216  | 131072 | 131072 | 26 | 21872 | 208 | 208 | 32 | 128 | 15.98765631 | 3.359  | 22288 | 0.056681315 |
| peppers32.bmp | peppers32.bmp-withWavelet_rbio1.1-G_1-H9e-005_af3.wfa   | 393216  | 131072 | 131072 | 26 | 21872 | 208 | 208 | 32 | 128 | 15.98765631 | 3.422  | 22288 | 0.056681315 |
| peppers32.bmp | peppers32.bmp-withWavelet_sym1-G_1-H9e-005_af3.wfa      | 393216  | 131072 | 131072 | 26 | 21872 | 208 | 208 | 32 | 128 | 15.98765631 | 3.375  | 22288 | 0.056681315 |
| peppers32.bmp | peppers32.bmp-withWavelet_bior1.1-G_1-H9e-005_af3.wfa   | 393216  | 131072 | 131072 | 26 | 21872 | 208 | 208 | 32 | 128 | 15.98765631 | 3.407  | 22288 | 0.056681315 |
| peppers32.bmp | peppers32.bmp-withWavelet_haar-G_0.8-H0.0001_af3.wfa    | 393216  | 131072 | 131072 | 24 | 18672 | 192 | 192 | 32 | 128 | 16.00414963 | 3.016  | 19056 | 0.048461914 |
| peppers32.bmp | peppers32.bmp-withWavelet_rbio1.1-G_0.8-H0.0001_af3.wfa | 393216  | 131072 | 131072 | 24 | 18672 | 192 | 192 | 32 | 128 | 16.00414963 | 3.047  | 19056 | 0.048461914 |
| peppers32.bmp | peppers32.bmp-withWavelet_sym1-G_0.8-H0.0001_af3.wfa    | 393216  | 131072 | 131072 | 24 | 18672 | 192 | 192 | 32 | 128 | 16.00414963 | 3.047  | 19056 | 0.048461914 |
| peppers32.bmp | peppers32.bmp-withWavelet_bior1.1-G_0.8-H0.0001_af3.wfa | 393216  | 131072 | 131072 | 24 | 18672 | 192 | 192 | 32 | 128 | 16.00414963 | 3.047  | 19056 | 0.048461914 |
| peppers32.bmp | peppers32.bmp-withWavelet_haar-G_1-H0.0001_af3.wfa      | 1572864 | 524288 | 524288 | 23 | 17168 | 184 | 184 | 32 | 256 | 16.03319882 | 12.891 | 17536 | 0.011149089 |
| peppers32.bmp | peppers32.bmp-withWavelet_rbio1.1-G_1-H0.0001_af3.wfa   | 1572864 | 524288 | 524288 | 23 | 17168 | 184 | 184 | 32 | 256 | 16.03319882 | 12.813 | 17536 | 0.011149089 |
| peppers32.bmp | peppers32.bmp-withWavelet_sym1-G_1-H0.0001_af3.wfa      | 1572864 | 524288 | 524288 | 23 | 17168 | 184 | 184 | 32 | 256 | 16.03319882 | 12.843 | 17536 | 0.011149089 |
| peppers32.bmp | peppers32.bmp-withWavelet_bior1.1-G_1-H0.0001_af3.wfa   | 1572864 | 524288 | 524288 | 23 | 17168 | 184 | 184 | 32 | 256 | 16.03319882 | 12.828 | 17536 | 0.011149089 |
| peppers32.bmp | peppers32.bmp-withWavelet_haar-G_0.8-H0.0001_af4.wfa    | 393216  | 131072 | 131072 | 23 | 17168 | 184 | 184 | 32 | 128 | 16.03674707 | 2.922  | 17536 | 0.044596354 |
| peppers32.bmp | peppers32.bmp-withWavelet_rbio1.1-G_0.8-H0.0001_af4.wfa | 393216  | 131072 | 131072 | 23 | 17168 | 184 | 184 | 32 | 128 | 16.03674707 | 2.953  | 17536 | 0.044596354 |
| peppers32.bmp | peppers32.bmp-withWavelet_sym1-G_0.8-H0.0001_af4.wfa    | 393216  | 131072 | 131072 | 23 | 17168 | 184 | 184 | 32 | 128 | 16.03674707 | 2.922  | 17536 | 0.044596354 |
| peppers32.bmp | peppers32.bmp-withWavelet_bior1.1-G_0.8-H0.0001_af4.wfa | 393216  | 131072 | 131072 | 23 | 17168 | 184 | 184 | 32 | 128 | 16.03674707 | 2.953  | 17536 | 0.044596354 |
| peppers32.bmp | peppers32.bmp-withWavelet_haar-G_0.8-H9e-005_af1.wfa    | 393216  | 131072 | 131072 | 22 | 15728 | 176 | 176 | 32 | 128 | 16.04114662 | 2.5    | 16080 | 0.040893555 |
| peppers32.bmp | peppers32.bmp-withWavelet_rbio1.1-G_0.8-H9e-005_af1.wfa | 393216  | 131072 | 131072 | 22 | 15728 | 176 | 176 | 32 | 128 | 16.04114662 | 2.562  | 16080 | 0.040893555 |
| peppers32.bmp | peppers32.bmp-withWavelet_sym1-G_0.8-H9e-005_af1.wfa    | 393216  | 131072 | 131072 | 22 | 15728 | 176 | 176 | 32 | 128 | 16.04114662 | 2.5    | 16080 | 0.040893555 |
| peppers32.bmp | peppers32.bmp-withWavelet_bior1.1-G_0.8-H9e-005_af1.wfa | 393216  | 131072 | 131072 | 22 | 15728 | 176 | 176 | 32 | 128 | 16.04114662 | 2.563  | 16080 | 0.040893555 |
| peppers32.bmp | peppers32.bmp-withWavelet_haar-G_1-H9e-005_af4.wfa      | 393216  | 131072 | 131072 | 24 | 18672 | 192 | 192 | 32 | 128 | 16.06004014 | 3.047  | 19056 | 0.048461914 |
| peppers32.bmp | peppers32.bmp-withWavelet_rbio1.1-G_1-H9e-005_af4.wfa   | 393216  | 131072 | 131072 | 24 | 18672 | 192 | 192 | 32 | 128 | 16.06004014 | 3.031  | 19056 | 0.048461914 |
| peppers32.bmp | peppers32.bmp-withWavelet_sym1-G_1-H9e-005_af4.wfa      | 393216  | 131072 | 131072 | 24 | 18672 | 192 | 192 | 32 | 128 | 16.06004014 | 3.046  | 19056 | 0.048461914 |
| peppers32.bmp | peppers32.bmp-withWavelet_bior1.1-G_1-H9e-005_af4.wfa   | 393216  | 131072 | 131072 | 24 | 18672 | 192 | 192 | 32 | 128 | 16.06004014 | 3.063  | 19056 | 0.048461914 |
| peppers32.bmp | peppers32.bmp-withWavelet_haar-G_1-H0.0001_af4.wfa      | 393216  | 131072 | 131072 | 24 | 18672 | 192 | 192 | 32 | 128 | 16.06004014 | 3.015  | 19056 | 0.048461914 |
| peppers32.bmp | peppers32.bmp-withWavelet_rbio1.1-G_1-H0.0001_af4.wfa   | 393216  | 131072 | 131072 | 24 | 18672 | 192 | 192 | 32 | 128 | 16.06004014 | 3.015  | 19056 | 0.048461914 |
| peppers32.bmp | peppers32.bmp-withWavelet_sym1-G_1-H0.0001_af4.wfa      | 393216  | 131072 | 131072 | 24 | 18672 | 192 | 192 | 32 | 128 | 16.06004014 | 3.047  | 19056 | 0.048461914 |
| peppers32.bmp | peppers32.bmp-withWavelet_bior1.1-G_1-H0.0001_af4.wfa   | 393216  | 131072 | 131072 | 24 | 18672 | 192 | 192 | 32 | 128 | 16.06004014 | 3.032  | 19056 | 0.048461914 |
| peppers32.bmp | peppers32.bmp-withWavelet_haar-G_0.8-H8e-005_af1.wfa    | 98304   | 32768  | 32768  | 26 | 21872 | 208 | 208 | 32 | 64  | 16.0605458  | 0.781  | 22288 | 0.22672526  |
| peppers32.bmp | peppers32.bmp-withWavelet_rbio1.1-G_0.8-H8e-005_af1.wfa | 98304   | 32768  | 32768  | 26 | 21872 | 208 | 208 | 32 | 64  | 16.0605458  | 0.782  | 22288 | 0.22672526  |

|               |   |         |        |        |    |       |     |     |    |     |             |        |       |             |
|---------------|---|---------|--------|--------|----|-------|-----|-----|----|-----|-------------|--------|-------|-------------|
| peppers32.bmp | peppers32.bmp-withWavelet_sym1-G_0.8-H8e-005_af1.wfa    | 98304   | 32768  | 32768  | 26 | 21872 | 208 | 208 | 32 | 64  | 16.0605458  | 0.812  | 22288 | 0.22672526  |
| peppers32.bmp | peppers32.bmp-withWavelet_bior1.1-G_0.8-H8e-005_af1.wfa | 98304   | 32768  | 32768  | 26 | 21872 | 208 | 208 | 32 | 64  | 16.0605458  | 0.765  | 22288 | 0.22672526  |
| peppers32.bmp | peppers32.bmp-withWavelet_haar-G_1-H8e-005_af1.wfa      | 98304   | 32768  | 32768  | 26 | 21872 | 208 | 208 | 32 | 64  | 16.08040264 | 0.766  | 22288 | 0.22672526  |
| peppers32.bmp | peppers32.bmp-withWavelet_rbio1.1-G_1-H8e-005_af1.wfa   | 98304   | 32768  | 32768  | 26 | 21872 | 208 | 208 | 32 | 64  | 16.08040264 | 0.921  | 22288 | 0.22672526  |
| peppers32.bmp | peppers32.bmp-withWavelet_sym1-G_1-H8e-005_af1.wfa      | 98304   | 32768  | 32768  | 26 | 21872 | 208 | 208 | 32 | 64  | 16.08040264 | 0.766  | 22288 | 0.22672526  |
| peppers32.bmp | peppers32.bmp-withWavelet_bior1.1-G_1-H8e-005_af1.wfa   | 98304   | 32768  | 32768  | 26 | 21872 | 208 | 208 | 32 | 64  | 16.08040264 | 0.765  | 22288 | 0.22672526  |
| peppers32.bmp | peppers32.bmp-withWavelet_haar-G_0.8-H2e-005_af4.wfa    | 98304   | 32768  | 32768  | 34 | 37232 | 272 | 272 | 32 | 64  | 16.08681503 | 1.172  | 37776 | 0.384277344 |
| peppers32.bmp | peppers32.bmp-withWavelet_rbio1.1-G_0.8-H2e-005_af4.wfa | 98304   | 32768  | 32768  | 34 | 37232 | 272 | 272 | 32 | 64  | 16.08681503 | 1.281  | 37776 | 0.384277344 |
| peppers32.bmp | peppers32.bmp-withWavelet_sym1-G_0.8-H2e-005_af4.wfa    | 98304   | 32768  | 32768  | 34 | 37232 | 272 | 272 | 32 | 64  | 16.08681503 | 1.14   | 37776 | 0.384277344 |
| peppers32.bmp | peppers32.bmp-withWavelet_bior1.1-G_0.8-H2e-005_af4.wfa | 98304   | 32768  | 32768  | 34 | 37232 | 272 | 272 | 32 | 64  | 16.08681503 | 1.157  | 37776 | 0.384277344 |
| peppers32.bmp | peppers32.bmp-withWavelet_bior1.1-G_0.6-H0.0001_af3.wfa | 98304   | 32768  | 32768  | 22 | 15728 | 176 | 176 | 32 | 64  | 16.08920128 | 0.578  | 16080 | 0.163574219 |
| peppers32.bmp | peppers32.bmp-withWavelet_haar-G_1-H2e-005_af4.wfa      | 98304   | 32768  | 32768  | 34 | 37232 | 272 | 272 | 32 | 64  | 16.09452047 | 1.203  | 37776 | 0.384277344 |
| peppers32.bmp | peppers32.bmp-withWavelet_rbio1.1-G_1-H2e-005_af4.wfa   | 98304   | 32768  | 32768  | 34 | 37232 | 272 | 272 | 32 | 64  | 16.09452047 | 1.375  | 37776 | 0.384277344 |
| peppers32.bmp | peppers32.bmp-withWavelet_sym1-G_1-H2e-005_af4.wfa      | 98304   | 32768  | 32768  | 34 | 37232 | 272 | 272 | 32 | 64  | 16.09452047 | 1.25   | 37776 | 0.384277344 |
| peppers32.bmp | peppers32.bmp-withWavelet_bior1.1-G_1-H2e-005_af4.wfa   | 98304   | 32768  | 32768  | 34 | 37232 | 272 | 272 | 32 | 64  | 16.09452047 | 1.266  | 37776 | 0.384277344 |
| peppers32.bmp | peppers32.bmp-withWavelet_haar-G_1-H0.0001_af1.wfa      | 1572864 | 524288 | 524288 | 22 | 15728 | 176 | 176 | 32 | 256 | 16.13218907 | 10.922 | 16080 | 0.010223389 |
| peppers32.bmp | peppers32.bmp-withWavelet_rbio1.1-G_1-H0.0001_af1.wfa   | 1572864 | 524288 | 524288 | 22 | 15728 | 176 | 176 | 32 | 256 | 16.13218907 | 10.954 | 16080 | 0.010223389 |
| peppers32.bmp | peppers32.bmp-withWavelet_sym1-G_1-H0.0001_af1.wfa      | 1572864 | 524288 | 524288 | 22 | 15728 | 176 | 176 | 32 | 256 | 16.13218907 | 10.859 | 16080 | 0.010223389 |
| peppers32.bmp | peppers32.bmp-withWavelet_haar-G_0.8-H9e-005_af4.wfa    | 98304   | 32768  | 32768  | 25 | 20240 | 200 | 200 | 32 | 64  | 16.13281066 | 0.75   | 20640 | 0.209960938 |
| peppers32.bmp | peppers32.bmp-withWavelet_rbio1.1-G_0.8-H9e-005_af4.wfa | 98304   | 32768  | 32768  | 25 | 20240 | 200 | 200 | 32 | 64  | 16.13281066 | 0.735  | 20640 | 0.209960938 |
| peppers32.bmp | peppers32.bmp-withWavelet_sym1-G_0.8-H9e-005_af4.wfa    | 98304   | 32768  | 32768  | 25 | 20240 | 200 | 200 | 32 | 64  | 16.13281066 | 0.734  | 20640 | 0.209960938 |
| peppers32.bmp | peppers32.bmp-withWavelet_bior1.1-G_0.8-H9e-005_af4.wfa | 98304   | 32768  | 32768  | 25 | 20240 | 200 | 200 | 32 | 64  | 16.13281066 | 0.735  | 20640 | 0.209960938 |
| peppers32.bmp | peppers32.bmp-withWavelet_haar-G_1-H3e-005_af4.wfa      | 98304   | 32768  | 32768  | 33 | 35088 | 264 | 264 | 32 | 64  | 16.1386304  | 1.219  | 35616 | 0.362304688 |
| peppers32.bmp | peppers32.bmp-withWavelet_rbio1.1-G_1-H3e-005_af4.wfa   | 98304   | 32768  | 32768  | 33 | 35088 | 264 | 264 | 32 | 64  | 16.1386304  | 1.25   | 35616 | 0.362304688 |
| peppers32.bmp | peppers32.bmp-withWavelet_sym1-G_1-H3e-005_af4.wfa      | 98304   | 32768  | 32768  | 33 | 35088 | 264 | 264 | 32 | 64  | 16.1386304  | 1.125  | 35616 | 0.362304688 |
| peppers32.bmp | peppers32.bmp-withWavelet_bior1.1-G_1-H3e-005_af4.wfa   | 98304   | 32768  | 32768  | 33 | 35088 | 264 | 264 | 32 | 64  | 16.1386304  | 1.156  | 35616 | 0.362304688 |
| peppers32.bmp | peppers32.bmp-withWavelet_haar-G_0.8-H0.0001_af1.wfa    | 393216  | 131072 | 131072 | 21 | 14352 | 168 | 168 | 32 | 128 | 16.14165175 | 2.422  | 14688 | 0.037353516 |
| peppers32.bmp | peppers32.bmp-withWavelet_rbio1.1-G_0.8-H0.0001_af1.wfa | 393216  | 131072 | 131072 | 21 | 14352 | 168 | 168 | 32 | 128 | 16.14165175 | 2.422  | 14688 | 0.037353516 |
| peppers32.bmp | peppers32.bmp-withWavelet_sym1-G_0.8-H0.0001_af1.wfa    | 393216  | 131072 | 131072 | 21 | 14352 | 168 | 168 | 32 | 128 | 16.14165175 | 2.547  | 14688 | 0.037353516 |
| peppers32.bmp | peppers32.bmp-withWavelet_bior1.1-G_0.8-H0.0001_af1.wfa | 393216  | 131072 | 131072 | 21 | 14352 | 168 | 168 | 32 | 128 | 16.14165175 | 2.422  | 14688 | 0.037353516 |
| peppers32.bmp | peppers32.bmp-withWavelet_haar-G_1-H4e-005_af4.wfa      | 98304   | 32768  | 32768  | 31 | 30992 | 248 | 248 | 32 | 64  | 16.14575225 | 1.063  | 31488 | 0.3203125   |

|               |   |        |        |        |    |       |     |     |    |     |             |       |       |             |
|---------------|---|--------|--------|--------|----|-------|-----|-----|----|-----|-------------|-------|-------|-------------|
| peppers32.bmp | peppers32.bmp-withWavelet_rbio1.1-G_1-H4e-005_af4.wfa   | 98304  | 32768  | 32768  | 31 | 30992 | 248 | 248 | 32 | 64  | 16.14575225 | 1.078 | 31488 | 0.3203125   |
| peppers32.bmp | peppers32.bmp-withWavelet_sym1-G_1-H4e-005_af4.wfa      | 98304  | 32768  | 32768  | 31 | 30992 | 248 | 248 | 32 | 64  | 16.14575225 | 1.015 | 31488 | 0.3203125   |
| peppers32.bmp | peppers32.bmp-withWavelet_bior1.1-G_1-H4e-005_af4.wfa   | 98304  | 32768  | 32768  | 31 | 30992 | 248 | 248 | 32 | 64  | 16.14575225 | 1     | 31488 | 0.3203125   |
| peppers32.bmp | peppers32.bmp-withWavelet_haar-G_0.8-H3e-005_af4.wfa    | 98304  | 32768  | 32768  | 33 | 35088 | 264 | 264 | 32 | 64  | 16.15197404 | 1.187 | 35616 | 0.362304688 |
| peppers32.bmp | peppers32.bmp-withWavelet_rbio1.1-G_0.8-H3e-005_af4.wfa | 98304  | 32768  | 32768  | 33 | 35088 | 264 | 264 | 32 | 64  | 16.15197404 | 1.187 | 35616 | 0.362304688 |
| peppers32.bmp | peppers32.bmp-withWavelet_sym1-G_0.8-H3e-005_af4.wfa    | 98304  | 32768  | 32768  | 33 | 35088 | 264 | 264 | 32 | 64  | 16.15197404 | 1.141 | 35616 | 0.362304688 |
| peppers32.bmp | peppers32.bmp-withWavelet_bior1.1-G_0.8-H3e-005_af4.wfa | 98304  | 32768  | 32768  | 33 | 35088 | 264 | 264 | 32 | 64  | 16.15197404 | 1.172 | 35616 | 0.362304688 |
| peppers32.bmp | peppers32.bmp-withWavelet_haar-G_1-H8e-005_af2.wfa      | 24576  | 8192   | 8192   | 20 | 13040 | 160 | 160 | 32 | 32  | 16.16020988 | 0.125 | 13360 | 0.543619792 |
| peppers32.bmp | peppers32.bmp-withWavelet_rbio1.1-G_1-H8e-005_af2.wfa   | 24576  | 8192   | 8192   | 20 | 13040 | 160 | 160 | 32 | 32  | 16.16020988 | 0.125 | 13360 | 0.543619792 |
| peppers32.bmp | peppers32.bmp-withWavelet_sym1-G_1-H8e-005_af2.wfa      | 24576  | 8192   | 8192   | 20 | 13040 | 160 | 160 | 32 | 32  | 16.16020988 | 0.125 | 13360 | 0.543619792 |
| peppers32.bmp | peppers32.bmp-withWavelet_bior1.1-G_1-H8e-005_af2.wfa   | 24576  | 8192   | 8192   | 20 | 13040 | 160 | 160 | 32 | 32  | 16.16020988 | 0.125 | 13360 | 0.543619792 |
| peppers32.bmp | peppers32.bmp-withWavelet_haar-G_1-H9e-005_af1.wfa      | 393216 | 131072 | 131072 | 23 | 17168 | 184 | 184 | 32 | 128 | 16.18442454 | 2.969 | 17536 | 0.044596354 |
| peppers32.bmp | peppers32.bmp-withWavelet_rbio1.1-G_1-H9e-005_af1.wfa   | 393216 | 131072 | 131072 | 23 | 17168 | 184 | 184 | 32 | 128 | 16.18442454 | 2.984 | 17536 | 0.044596354 |
| peppers32.bmp | peppers32.bmp-withWavelet_sym1-G_1-H9e-005_af1.wfa      | 393216 | 131072 | 131072 | 23 | 17168 | 184 | 184 | 32 | 128 | 16.18442454 | 2.922 | 17536 | 0.044596354 |
| peppers32.bmp | peppers32.bmp-withWavelet_bior1.1-G_1-H9e-005_af1.wfa   | 393216 | 131072 | 131072 | 23 | 17168 | 184 | 184 | 32 | 128 | 16.18442454 | 2.969 | 17536 | 0.044596354 |
| peppers32.bmp | peppers32.bmp-withWavelet_haar-G_0.8-H7e-005_af4.wfa    | 98304  | 32768  | 32768  | 27 | 23568 | 216 | 216 | 32 | 64  | 16.18455881 | 0.828 | 24000 | 0.244140625 |
| peppers32.bmp | peppers32.bmp-withWavelet_rbio1.1-G_0.8-H7e-005_af4.wfa | 98304  | 32768  | 32768  | 27 | 23568 | 216 | 216 | 32 | 64  | 16.18455881 | 1     | 24000 | 0.244140625 |
| peppers32.bmp | peppers32.bmp-withWavelet_sym1-G_0.8-H7e-005_af4.wfa    | 98304  | 32768  | 32768  | 27 | 23568 | 216 | 216 | 32 | 64  | 16.18455881 | 0.812 | 24000 | 0.244140625 |
| peppers32.bmp | peppers32.bmp-withWavelet_bior1.1-G_0.8-H7e-005_af4.wfa | 98304  | 32768  | 32768  | 27 | 23568 | 216 | 216 | 32 | 64  | 16.18455881 | 0.812 | 24000 | 0.244140625 |
| peppers32.bmp | peppers32.bmp-withWavelet_haar-G_0.8-H6e-005_af4.wfa    | 98304  | 32768  | 32768  | 29 | 27152 | 232 | 232 | 32 | 64  | 16.18774938 | 0.906 | 27616 | 0.280924479 |
| peppers32.bmp | peppers32.bmp-withWavelet_rbio1.1-G_0.8-H6e-005_af4.wfa | 98304  | 32768  | 32768  | 29 | 27152 | 232 | 232 | 32 | 64  | 16.18774938 | 0.906 | 27616 | 0.280924479 |
| peppers32.bmp | peppers32.bmp-withWavelet_sym1-G_0.8-H6e-005_af4.wfa    | 98304  | 32768  | 32768  | 29 | 27152 | 232 | 232 | 32 | 64  | 16.18774938 | 0.906 | 27616 | 0.280924479 |
| peppers32.bmp | peppers32.bmp-withWavelet_bior1.1-G_0.8-H6e-005_af4.wfa | 98304  | 32768  | 32768  | 29 | 27152 | 232 | 232 | 32 | 64  | 16.18774938 | 0.906 | 27616 | 0.280924479 |
| peppers32.bmp | peppers32.bmp-withWavelet_haar-G_0.8-H4e-005_af4.wfa    | 98304  | 32768  | 32768  | 32 | 33008 | 256 | 256 | 32 | 64  | 16.18777858 | 1.157 | 33520 | 0.340983073 |
| peppers32.bmp | peppers32.bmp-withWavelet_rbio1.1-G_0.8-H4e-005_af4.wfa | 98304  | 32768  | 32768  | 32 | 33008 | 256 | 256 | 32 | 64  | 16.18777858 | 1.094 | 33520 | 0.340983073 |
| peppers32.bmp | peppers32.bmp-withWavelet_sym1-G_0.8-H4e-005_af4.wfa    | 98304  | 32768  | 32768  | 32 | 33008 | 256 | 256 | 32 | 64  | 16.18777858 | 1.094 | 33520 | 0.340983073 |
| peppers32.bmp | peppers32.bmp-withWavelet_bior1.1-G_0.8-H4e-005_af4.wfa | 98304  | 32768  | 32768  | 32 | 33008 | 256 | 256 | 32 | 64  | 16.18777858 | 1.11  | 33520 | 0.340983073 |
| peppers32.bmp | peppers32.bmp-withWavelet_haar-G_0.8-H8e-005_af2.wfa    | 24576  | 8192   | 8192   | 20 | 13040 | 160 | 160 | 32 | 32  | 16.19202512 | 0.187 | 13360 | 0.543619792 |
| peppers32.bmp | peppers32.bmp-withWavelet_rbio1.1-G_0.8-H8e-005_af2.wfa | 24576  | 8192   | 8192   | 20 | 13040 | 160 | 160 | 32 | 32  | 16.19202512 | 0.125 | 13360 | 0.543619792 |
| peppers32.bmp | peppers32.bmp-withWavelet_sym1-G_0.8-H8e-005_af2.wfa    | 24576  | 8192   | 8192   | 20 | 13040 | 160 | 160 | 32 | 32  | 16.19202512 | 0.125 | 13360 | 0.543619792 |
| peppers32.bmp | peppers32.bmp-withWavelet_bior1.1-G_0.8-H8e-005_af2.wfa | 24576  | 8192   | 8192   | 20 | 13040 | 160 | 160 | 32 | 32  | 16.19202512 | 0.125 | 13360 | 0.543619792 |

|               |   |       |       |       |    |       |     |     |    |    |             |       |       |             |
|---------------|---|-------|-------|-------|----|-------|-----|-----|----|----|-------------|-------|-------|-------------|
| peppers32.bmp | peppers32.bmp-withWavelet_haar-G_1-H7e-005_af4.wfa      | 98304 | 32768 | 32768 | 27 | 23568 | 216 | 216 | 32 | 64 | 16.19386784 | 0.828 | 24000 | 0.244140625 |
| peppers32.bmp | peppers32.bmp-withWavelet_rbio1.1-G_1-H7e-005_af4.wfa   | 98304 | 32768 | 32768 | 27 | 23568 | 216 | 216 | 32 | 64 | 16.19386784 | 0.891 | 24000 | 0.244140625 |
| peppers32.bmp | peppers32.bmp-withWavelet_sym1-G_1-H7e-005_af4.wfa      | 98304 | 32768 | 32768 | 27 | 23568 | 216 | 216 | 32 | 64 | 16.19386784 | 0.828 | 24000 | 0.244140625 |
| peppers32.bmp | peppers32.bmp-withWavelet_bior1.1-G_1-H7e-005_af4.wfa   | 98304 | 32768 | 32768 | 27 | 23568 | 216 | 216 | 32 | 64 | 16.19386784 | 0.813 | 24000 | 0.244140625 |
| peppers32.bmp | peppers32.bmp-withWavelet_haar-G_0.8-H8e-005_af4.wfa    | 98304 | 32768 | 32768 | 27 | 23568 | 216 | 216 | 32 | 64 | 16.19584539 | 0.844 | 24000 | 0.244140625 |
| peppers32.bmp | peppers32.bmp-withWavelet_rbio1.1-G_0.8-H8e-005_af4.wfa | 98304 | 32768 | 32768 | 27 | 23568 | 216 | 216 | 32 | 64 | 16.19584539 | 0.812 | 24000 | 0.244140625 |
| peppers32.bmp | peppers32.bmp-withWavelet_sym1-G_0.8-H8e-005_af4.wfa    | 98304 | 32768 | 32768 | 27 | 23568 | 216 | 216 | 32 | 64 | 16.19584539 | 0.828 | 24000 | 0.244140625 |
| peppers32.bmp | peppers32.bmp-withWavelet_bior1.1-G_0.8-H8e-005_af4.wfa | 98304 | 32768 | 32768 | 27 | 23568 | 216 | 216 | 32 | 64 | 16.19584539 | 0.828 | 24000 | 0.244140625 |
| peppers32.bmp | peppers32.bmp-withWavelet_haar-G_0.6-H0.0001_af1.wfa    | 98304 | 32768 | 32768 | 22 | 15728 | 176 | 176 | 32 | 64 | 16.19960239 | 0.578 | 16080 | 0.163574219 |
| peppers32.bmp | peppers32.bmp-withWavelet_rbio1.1-G_0.6-H0.0001_af1.wfa | 98304 | 32768 | 32768 | 22 | 15728 | 176 | 176 | 32 | 64 | 16.19960239 | 0.579 | 16080 | 0.163574219 |
| peppers32.bmp | peppers32.bmp-withWavelet_sym1-G_0.6-H0.0001_af1.wfa    | 98304 | 32768 | 32768 | 22 | 15728 | 176 | 176 | 32 | 64 | 16.19960239 | 0.594 | 16080 | 0.163574219 |
| peppers32.bmp | peppers32.bmp-withWavelet_bior1.1-G_0.6-H0.0001_af1.wfa | 98304 | 32768 | 32768 | 22 | 15728 | 176 | 176 | 32 | 64 | 16.19960239 | 0.579 | 16080 | 0.163574219 |
| peppers32.bmp | peppers32.bmp-withWavelet_haar-G_1-H6e-005_af4.wfa      | 98304 | 32768 | 32768 | 29 | 27152 | 232 | 232 | 32 | 64 | 16.20172085 | 0.907 | 27616 | 0.280924479 |
| peppers32.bmp | peppers32.bmp-withWavelet_rbio1.1-G_1-H6e-005_af4.wfa   | 98304 | 32768 | 32768 | 29 | 27152 | 232 | 232 | 32 | 64 | 16.20172085 | 0.906 | 27616 | 0.280924479 |
| peppers32.bmp | peppers32.bmp-withWavelet_sym1-G_1-H6e-005_af4.wfa      | 98304 | 32768 | 32768 | 29 | 27152 | 232 | 232 | 32 | 64 | 16.20172085 | 0.984 | 27616 | 0.280924479 |
| peppers32.bmp | peppers32.bmp-withWavelet_haar-G_0.6-H3e-005_af5.wfa    | 24576 | 8192  | 8192  | 21 | 14352 | 168 | 168 | 32 | 32 | 16.20824936 | 0.125 | 14688 | 0.59765625  |
| peppers32.bmp | peppers32.bmp-withWavelet_rbio1.1-G_0.6-H3e-005_af5.wfa | 24576 | 8192  | 8192  | 21 | 14352 | 168 | 168 | 32 | 32 | 16.20824936 | 0.125 | 14688 | 0.59765625  |
| peppers32.bmp | peppers32.bmp-withWavelet_sym1-G_0.6-H3e-005_af5.wfa    | 24576 | 8192  | 8192  | 21 | 14352 | 168 | 168 | 32 | 32 | 16.20824936 | 0.125 | 14688 | 0.59765625  |
| peppers32.bmp | peppers32.bmp-withWavelet_bior1.1-G_0.6-H3e-005_af5.wfa | 24576 | 8192  | 8192  | 21 | 14352 | 168 | 168 | 32 | 32 | 16.20824936 | 0.156 | 14688 | 0.59765625  |
| peppers32.bmp | peppers32.bmp-withWavelet_haar-G_0.8-H5e-005_af4.wfa    | 98304 | 32768 | 32768 | 29 | 27152 | 232 | 232 | 32 | 64 | 16.20878613 | 0.906 | 27616 | 0.280924479 |
| peppers32.bmp | peppers32.bmp-withWavelet_rbio1.1-G_0.8-H5e-005_af4.wfa | 98304 | 32768 | 32768 | 29 | 27152 | 232 | 232 | 32 | 64 | 16.20878613 | 0.984 | 27616 | 0.280924479 |
| peppers32.bmp | peppers32.bmp-withWavelet_sym1-G_0.8-H5e-005_af4.wfa    | 98304 | 32768 | 32768 | 29 | 27152 | 232 | 232 | 32 | 64 | 16.20878613 | 0.907 | 27616 | 0.280924479 |
| peppers32.bmp | peppers32.bmp-withWavelet_bior1.1-G_0.8-H5e-005_af4.wfa | 98304 | 32768 | 32768 | 29 | 27152 | 232 | 232 | 32 | 64 | 16.20878613 | 0.891 | 27616 | 0.280924479 |
| peppers32.bmp | peppers32.bmp-withWavelet_haar-G_1-H5e-005_af4.wfa      | 98304 | 32768 | 32768 | 30 | 29040 | 240 | 240 | 32 | 64 | 16.21757394 | 0.937 | 29520 | 0.300292969 |
| peppers32.bmp | peppers32.bmp-withWavelet_rbio1.1-G_1-H5e-005_af4.wfa   | 98304 | 32768 | 32768 | 30 | 29040 | 240 | 240 | 32 | 64 | 16.21757394 | 0.937 | 29520 | 0.300292969 |
| peppers32.bmp | peppers32.bmp-withWavelet_sym1-G_1-H5e-005_af4.wfa      | 98304 | 32768 | 32768 | 30 | 29040 | 240 | 240 | 32 | 64 | 16.21757394 | 0.938 | 29520 | 0.300292969 |
| peppers32.bmp | peppers32.bmp-withWavelet_bior1.1-G_1-H5e-005_af4.wfa   | 98304 | 32768 | 32768 | 30 | 29040 | 240 | 240 | 32 | 64 | 16.21757394 | 0.938 | 29520 | 0.300292969 |
| peppers32.bmp | peppers32.bmp-withWavelet_haar-G_1-H8e-005_af3.wfa      | 98304 | 32768 | 32768 | 26 | 21872 | 208 | 208 | 32 | 64 | 16.22327112 | 0.765 | 22288 | 0.22672526  |
| peppers32.bmp | peppers32.bmp-withWavelet_rbio1.1-G_1-H8e-005_af3.wfa   | 98304 | 32768 | 32768 | 26 | 21872 | 208 | 208 | 32 | 64 | 16.22327112 | 0.766 | 22288 | 0.22672526  |
| peppers32.bmp | peppers32.bmp-withWavelet_sym1-G_1-H8e-005_af3.wfa      | 98304 | 32768 | 32768 | 26 | 21872 | 208 | 208 | 32 | 64 | 16.22327112 | 0.781 | 22288 | 0.22672526  |
| peppers32.bmp | peppers32.bmp-withWavelet_bior1.1-G_1-H8e-005_af3.wfa   | 98304 | 32768 | 32768 | 26 | 21872 | 208 | 208 | 32 | 64 | 16.22327112 | 0.781 | 22288 | 0.22672526  |

|               |   |        |        |        |    |       |     |     |    |     |             |       |       |             |
|---------------|---|--------|--------|--------|----|-------|-----|-----|----|-----|-------------|-------|-------|-------------|
| peppers32.bmp | peppers32.bmp-withWavelet_haar-G_1-H0.0001_af3.wfa      | 393216 | 131072 | 131072 | 23 | 17168 | 184 | 184 | 32 | 128 | 16.23507436 | 2.921 | 17536 | 0.044596354 |
| peppers32.bmp | peppers32.bmp-withWavelet_rbio1.1-G_1-H0.0001_af3.wfa   | 393216 | 131072 | 131072 | 23 | 17168 | 184 | 184 | 32 | 128 | 16.23507436 | 3     | 17536 | 0.044596354 |
| peppers32.bmp | peppers32.bmp-withWavelet_sym1-G_1-H0.0001_af3.wfa      | 393216 | 131072 | 131072 | 23 | 17168 | 184 | 184 | 32 | 128 | 16.23507436 | 2.953 | 17536 | 0.044596354 |
| peppers32.bmp | peppers32.bmp-withWavelet_bior1.1-G_1-H0.0001_af3.wfa   | 393216 | 131072 | 131072 | 23 | 17168 | 184 | 184 | 32 | 128 | 16.23507436 | 3.031 | 17536 | 0.044596354 |
| peppers32.bmp | peppers32.bmp-withWavelet_haar-G_0.8-H0.0001_af3.wfa    | 98304  | 32768  | 32768  | 24 | 18672 | 192 | 192 | 32 | 64  | 16.23904335 | 0.703 | 19056 | 0.193847656 |
| peppers32.bmp | peppers32.bmp-withWavelet_rbio1.1-G_0.8-H0.0001_af3.wfa | 98304  | 32768  | 32768  | 24 | 18672 | 192 | 192 | 32 | 64  | 16.23904335 | 0.734 | 19056 | 0.193847656 |
| peppers32.bmp | peppers32.bmp-withWavelet_sym1-G_0.8-H0.0001_af3.wfa    | 98304  | 32768  | 32768  | 24 | 18672 | 192 | 192 | 32 | 64  | 16.23904335 | 0.703 | 19056 | 0.193847656 |
| peppers32.bmp | peppers32.bmp-withWavelet_bior1.1-G_0.8-H0.0001_af3.wfa | 98304  | 32768  | 32768  | 24 | 18672 | 192 | 192 | 32 | 64  | 16.23904335 | 0.703 | 19056 | 0.193847656 |
| peppers32.bmp | peppers32.bmp-withWavelet_haar-G_0.8-H9e-005_af3.wfa    | 98304  | 32768  | 32768  | 26 | 21872 | 208 | 208 | 32 | 64  | 16.24717028 | 0.765 | 22288 | 0.22672526  |
| peppers32.bmp | peppers32.bmp-withWavelet_rbio1.1-G_0.8-H9e-005_af3.wfa | 98304  | 32768  | 32768  | 26 | 21872 | 208 | 208 | 32 | 64  | 16.24717028 | 0.766 | 22288 | 0.22672526  |
| peppers32.bmp | peppers32.bmp-withWavelet_sym1-G_0.8-H9e-005_af3.wfa    | 98304  | 32768  | 32768  | 26 | 21872 | 208 | 208 | 32 | 64  | 16.24717028 | 0.844 | 22288 | 0.22672526  |
| peppers32.bmp | peppers32.bmp-withWavelet_bior1.1-G_0.8-H9e-005_af3.wfa | 98304  | 32768  | 32768  | 26 | 21872 | 208 | 208 | 32 | 64  | 16.24717028 | 0.766 | 22288 | 0.22672526  |
| peppers32.bmp | peppers32.bmp-withWavelet_haar-G_1-H8e-005_af4.wfa      | 98304  | 32768  | 32768  | 26 | 21872 | 208 | 208 | 32 | 64  | 16.25493166 | 0.765 | 22288 | 0.22672526  |
| peppers32.bmp | peppers32.bmp-withWavelet_rbio1.1-G_1-H8e-005_af4.wfa   | 98304  | 32768  | 32768  | 26 | 21872 | 208 | 208 | 32 | 64  | 16.25493166 | 0.765 | 22288 | 0.22672526  |
| peppers32.bmp | peppers32.bmp-withWavelet_sym1-G_1-H8e-005_af4.wfa      | 98304  | 32768  | 32768  | 26 | 21872 | 208 | 208 | 32 | 64  | 16.25493166 | 0.781 | 22288 | 0.22672526  |
| peppers32.bmp | peppers32.bmp-withWavelet_bior1.1-G_1-H8e-005_af4.wfa   | 98304  | 32768  | 32768  | 26 | 21872 | 208 | 208 | 32 | 64  | 16.25493166 | 0.828 | 22288 | 0.22672526  |
| peppers32.bmp | peppers32.bmp-withWavelet_haar-G_1-H9e-005_af3.wfa      | 98304  | 32768  | 32768  | 26 | 21872 | 208 | 208 | 32 | 64  | 16.2556847  | 0.766 | 22288 | 0.22672526  |
| peppers32.bmp | peppers32.bmp-withWavelet_rbio1.1-G_1-H9e-005_af3.wfa   | 98304  | 32768  | 32768  | 26 | 21872 | 208 | 208 | 32 | 64  | 16.2556847  | 0.781 | 22288 | 0.22672526  |
| peppers32.bmp | peppers32.bmp-withWavelet_sym1-G_1-H9e-005_af3.wfa      | 98304  | 32768  | 32768  | 26 | 21872 | 208 | 208 | 32 | 64  | 16.2556847  | 0.782 | 22288 | 0.22672526  |
| peppers32.bmp | peppers32.bmp-withWavelet_bior1.1-G_1-H9e-005_af3.wfa   | 98304  | 32768  | 32768  | 26 | 21872 | 208 | 208 | 32 | 64  | 16.2556847  | 0.781 | 22288 | 0.22672526  |
| peppers32.bmp | peppers32.bmp-withWavelet_bior1.1-G_1-H0.0001_af1.wfa   | 98304  | 32768  | 32768  | 21 | 14352 | 168 | 168 | 32 | 64  | 16.28364939 | 0.562 | 14688 | 0.149414063 |
| peppers32.bmp | peppers32.bmp-withWavelet_haar-G_0.8-H9e-005_af1.wfa    | 98304  | 32768  | 32768  | 22 | 15728 | 176 | 176 | 32 | 64  | 16.3138017  | 0.578 | 16080 | 0.163574219 |
| peppers32.bmp | peppers32.bmp-withWavelet_rbio1.1-G_0.8-H9e-005_af1.wfa | 98304  | 32768  | 32768  | 22 | 15728 | 176 | 176 | 32 | 64  | 16.3138017  | 0.656 | 16080 | 0.163574219 |
| peppers32.bmp | peppers32.bmp-withWavelet_sym1-G_0.8-H9e-005_af1.wfa    | 98304  | 32768  | 32768  | 22 | 15728 | 176 | 176 | 32 | 64  | 16.3138017  | 0.578 | 16080 | 0.163574219 |
| peppers32.bmp | peppers32.bmp-withWavelet_bior1.1-G_0.8-H9e-005_af1.wfa | 98304  | 32768  | 32768  | 22 | 15728 | 176 | 176 | 32 | 64  | 16.3138017  | 0.578 | 16080 | 0.163574219 |
| peppers32.bmp | peppers32.bmp-withWavelet_haar-G_0.8-H0.0001_af4.wfa    | 98304  | 32768  | 32768  | 23 | 17168 | 184 | 184 | 32 | 64  | 16.31467834 | 0.843 | 17536 | 0.178385417 |
| peppers32.bmp | peppers32.bmp-withWavelet_rbio1.1-G_0.8-H0.0001_af4.wfa | 98304  | 32768  | 32768  | 23 | 17168 | 184 | 184 | 32 | 64  | 16.31467834 | 0.687 | 17536 | 0.178385417 |
| peppers32.bmp | peppers32.bmp-withWavelet_sym1-G_0.8-H0.0001_af4.wfa    | 98304  | 32768  | 32768  | 23 | 17168 | 184 | 184 | 32 | 64  | 16.31467834 | 0.719 | 17536 | 0.178385417 |
| peppers32.bmp | peppers32.bmp-withWavelet_bior1.1-G_0.8-H0.0001_af4.wfa | 98304  | 32768  | 32768  | 23 | 17168 | 184 | 184 | 32 | 64  | 16.31467834 | 0.688 | 17536 | 0.178385417 |
| peppers32.bmp | peppers32.bmp-withWavelet_haar-G_0.6-H9e-005_af2.wfa    | 24576  | 8192   | 8192   | 20 | 13040 | 160 | 160 | 32 | 32  | 16.32468685 | 0.125 | 13360 | 0.543619792 |
| peppers32.bmp | peppers32.bmp-withWavelet_rbio1.1-G_0.6-H9e-005_af2.wfa | 24576  | 8192   | 8192   | 20 | 13040 | 160 | 160 | 32 | 32  | 16.32468685 | 0.125 | 13360 | 0.543619792 |

|               |   |        |        |        |    |       |     |     |    |     |             |       |       |             |
|---------------|---|--------|--------|--------|----|-------|-----|-----|----|-----|-------------|-------|-------|-------------|
| peppers32.bmp | peppers32.bmp-withWavelet_sym1-G_0.6-H9e-005_af2.wfa    | 24576  | 8192   | 8192   | 20 | 13040 | 160 | 160 | 32 | 32  | 16.32468685 | 0.125 | 13360 | 0.543619792 |
| peppers32.bmp | peppers32.bmp-withWavelet_bior1.1-G_0.6-H9e-005_af2.wfa | 24576  | 8192   | 8192   | 20 | 13040 | 160 | 160 | 32 | 32  | 16.32468685 | 0.125 | 13360 | 0.543619792 |
| peppers32.bmp | peppers32.bmp-withWavelet_haar-G_1-H9e-005_af4.wfa      | 98304  | 32768  | 32768  | 24 | 18672 | 192 | 192 | 32 | 64  | 16.32526759 | 0.703 | 19056 | 0.193847656 |
| peppers32.bmp | peppers32.bmp-withWavelet_rbio1.1-G_1-H9e-005_af4.wfa   | 98304  | 32768  | 32768  | 24 | 18672 | 192 | 192 | 32 | 64  | 16.32526759 | 0.719 | 19056 | 0.193847656 |
| peppers32.bmp | peppers32.bmp-withWavelet_sym1-G_1-H9e-005_af4.wfa      | 98304  | 32768  | 32768  | 24 | 18672 | 192 | 192 | 32 | 64  | 16.32526759 | 0.734 | 19056 | 0.193847656 |
| peppers32.bmp | peppers32.bmp-withWavelet_bior1.1-G_1-H9e-005_af4.wfa   | 98304  | 32768  | 32768  | 24 | 18672 | 192 | 192 | 32 | 64  | 16.32526759 | 0.703 | 19056 | 0.193847656 |
| peppers32.bmp | peppers32.bmp-withWavelet_haar-G_1-H0.0001_af4.wfa      | 98304  | 32768  | 32768  | 24 | 18672 | 192 | 192 | 32 | 64  | 16.32526759 | 0.703 | 19056 | 0.193847656 |
| peppers32.bmp | peppers32.bmp-withWavelet_rbio1.1-G_1-H0.0001_af4.wfa   | 98304  | 32768  | 32768  | 24 | 18672 | 192 | 192 | 32 | 64  | 16.32526759 | 0.703 | 19056 | 0.193847656 |
| peppers32.bmp | peppers32.bmp-withWavelet_sym1-G_1-H0.0001_af4.wfa      | 98304  | 32768  | 32768  | 24 | 18672 | 192 | 192 | 32 | 64  | 16.32526759 | 0.703 | 19056 | 0.193847656 |
| peppers32.bmp | peppers32.bmp-withWavelet_bior1.1-G_1-H0.0001_af4.wfa   | 98304  | 32768  | 32768  | 24 | 18672 | 192 | 192 | 32 | 64  | 16.32526759 | 0.687 | 19056 | 0.193847656 |
| peppers32.bmp | peppers32.bmp-withWavelet_haar-G_1-H0.0001_af1.wfa      | 393216 | 131072 | 131072 | 22 | 15728 | 176 | 176 | 32 | 128 | 16.35291289 | 2.531 | 16080 | 0.040893555 |
| peppers32.bmp | peppers32.bmp-withWavelet_rbio1.1-G_1-H0.0001_af1.wfa   | 393216 | 131072 | 131072 | 22 | 15728 | 176 | 176 | 32 | 128 | 16.35291289 | 2.515 | 16080 | 0.040893555 |
| peppers32.bmp | peppers32.bmp-withWavelet_sym1-G_1-H0.0001_af1.wfa      | 393216 | 131072 | 131072 | 22 | 15728 | 176 | 176 | 32 | 128 | 16.35291289 | 2.5   | 16080 | 0.040893555 |
| peppers32.bmp | peppers32.bmp-withWavelet_haar-G_1-H0.0001_af3.wfa      | 98304  | 32768  | 32768  | 23 | 17168 | 184 | 184 | 32 | 64  | 16.38298803 | 0.687 | 17536 | 0.178385417 |
| peppers32.bmp | peppers32.bmp-withWavelet_rbio1.1-G_1-H0.0001_af3.wfa   | 98304  | 32768  | 32768  | 23 | 17168 | 184 | 184 | 32 | 64  | 16.38298803 | 0.687 | 17536 | 0.178385417 |
| peppers32.bmp | peppers32.bmp-withWavelet_sym1-G_1-H0.0001_af3.wfa      | 98304  | 32768  | 32768  | 23 | 17168 | 184 | 184 | 32 | 64  | 16.38298803 | 0.687 | 17536 | 0.178385417 |
| peppers32.bmp | peppers32.bmp-withWavelet_bior1.1-G_1-H0.0001_af3.wfa   | 98304  | 32768  | 32768  | 23 | 17168 | 184 | 184 | 32 | 64  | 16.38298803 | 0.672 | 17536 | 0.178385417 |
| peppers32.bmp | peppers32.bmp-withWavelet_haar-G_0.8-H0.0001_af1.wfa    | 98304  | 32768  | 32768  | 21 | 14352 | 168 | 168 | 32 | 64  | 16.4002383  | 0.547 | 14688 | 0.149414063 |
| peppers32.bmp | peppers32.bmp-withWavelet_rbio1.1-G_0.8-H0.0001_af1.wfa | 98304  | 32768  | 32768  | 21 | 14352 | 168 | 168 | 32 | 64  | 16.4002383  | 0.547 | 14688 | 0.149414063 |
| peppers32.bmp | peppers32.bmp-withWavelet_sym1-G_0.8-H0.0001_af1.wfa    | 98304  | 32768  | 32768  | 21 | 14352 | 168 | 168 | 32 | 64  | 16.4002383  | 0.563 | 14688 | 0.149414063 |
| peppers32.bmp | peppers32.bmp-withWavelet_bior1.1-G_0.8-H0.0001_af1.wfa | 98304  | 32768  | 32768  | 21 | 14352 | 168 | 168 | 32 | 64  | 16.4002383  | 0.563 | 14688 | 0.149414063 |
| peppers32.bmp | peppers32.bmp-withWavelet_haar-G_1-H9e-005_af1.wfa      | 98304  | 32768  | 32768  | 23 | 17168 | 184 | 184 | 32 | 64  | 16.41327197 | 0.672 | 17536 | 0.178385417 |
| peppers32.bmp | peppers32.bmp-withWavelet_rbio1.1-G_1-H9e-005_af1.wfa   | 98304  | 32768  | 32768  | 23 | 17168 | 184 | 184 | 32 | 64  | 16.41327197 | 0.719 | 17536 | 0.178385417 |
| peppers32.bmp | peppers32.bmp-withWavelet_sym1-G_1-H9e-005_af1.wfa      | 98304  | 32768  | 32768  | 23 | 17168 | 184 | 184 | 32 | 64  | 16.41327197 | 0.687 | 17536 | 0.178385417 |
| peppers32.bmp | peppers32.bmp-withWavelet_bior1.1-G_1-H9e-005_af1.wfa   | 98304  | 32768  | 32768  | 23 | 17168 | 184 | 184 | 32 | 64  | 16.41327197 | 0.672 | 17536 | 0.178385417 |
| peppers32.bmp | peppers32.bmp-withWavelet_haar-G_1-H7e-005_af2.wfa      | 24576  | 8192   | 8192   | 21 | 14352 | 168 | 168 | 32 | 32  | 16.42178294 | 0.125 | 14688 | 0.59765625  |
| peppers32.bmp | peppers32.bmp-withWavelet_rbio1.1-G_1-H7e-005_af2.wfa   | 24576  | 8192   | 8192   | 21 | 14352 | 168 | 168 | 32 | 32  | 16.42178294 | 0.141 | 14688 | 0.59765625  |
| peppers32.bmp | peppers32.bmp-withWavelet_sym1-G_1-H7e-005_af2.wfa      | 24576  | 8192   | 8192   | 21 | 14352 | 168 | 168 | 32 | 32  | 16.42178294 | 0.141 | 14688 | 0.59765625  |
| peppers32.bmp | peppers32.bmp-withWavelet_bior1.1-G_1-H7e-005_af2.wfa   | 24576  | 8192   | 8192   | 21 | 14352 | 168 | 168 | 32 | 32  | 16.42178294 | 0.125 | 14688 | 0.59765625  |
| peppers32.bmp | peppers32.bmp-withWavelet_haar-G_1-H2e-005_af5.wfa      | 24576  | 8192   | 8192   | 23 | 17168 | 184 | 184 | 32 | 32  | 16.4582175  | 0.156 | 17536 | 0.713541667 |
| peppers32.bmp | peppers32.bmp-withWavelet_rbio1.1-G_1-H2e-005_af5.wfa   | 24576  | 8192   | 8192   | 23 | 17168 | 184 | 184 | 32 | 32  | 16.4582175  | 0.156 | 17536 | 0.713541667 |

|               |   |         |        |       |    |       |     |     |    |     |             |        |       |             |
|---------------|---|---------|--------|-------|----|-------|-----|-----|----|-----|-------------|--------|-------|-------------|
| peppers32.bmp | peppers32.bmp-withWavelet_sym1-G_1-H2e-005_af5.wfa      | 24576   | 8192   | 8192  | 23 | 17168 | 184 | 184 | 32 | 32  | 16.4582175  | 0.157  | 17536 | 0.713541667 |
| peppers32.bmp | peppers32.bmp-withWavelet_bior1.1-G_1-H2e-005_af5.wfa   | 24576   | 8192   | 8192  | 23 | 17168 | 184 | 184 | 32 | 32  | 16.4582175  | 0.141  | 17536 | 0.713541667 |
| peppers32.bmp | peppers32.bmp-withWavelet_haar-G_0.8-H2e-005_af5.wfa    | 24576   | 8192   | 8192  | 23 | 17168 | 184 | 184 | 32 | 32  | 16.46790727 | 0.157  | 17536 | 0.713541667 |
| peppers32.bmp | peppers32.bmp-withWavelet_rbio1.1-G_0.8-H2e-005_af5.wfa | 24576   | 8192   | 8192  | 23 | 17168 | 184 | 184 | 32 | 32  | 16.46790727 | 0.156  | 17536 | 0.713541667 |
| peppers32.bmp | peppers32.bmp-withWavelet_sym1-G_0.8-H2e-005_af5.wfa    | 24576   | 8192   | 8192  | 23 | 17168 | 184 | 184 | 32 | 32  | 16.46790727 | 0.156  | 17536 | 0.713541667 |
| peppers32.bmp | peppers32.bmp-withWavelet_bior1.1-G_0.8-H2e-005_af5.wfa | 24576   | 8192   | 8192  | 23 | 17168 | 184 | 184 | 32 | 32  | 16.46790727 | 0.156  | 17536 | 0.713541667 |
| peppers32.bmp | peppers32.bmp-withWavelet_haar-G_1-H0.0001_af1.wfa      | 98304   | 32768  | 32768 | 22 | 15728 | 176 | 176 | 32 | 64  | 16.54186744 | 0.578  | 16080 | 0.163574219 |
| peppers32.bmp | peppers32.bmp-withWavelet_rbio1.1-G_1-H0.0001_af1.wfa   | 98304   | 32768  | 32768 | 22 | 15728 | 176 | 176 | 32 | 64  | 16.54186744 | 0.593  | 16080 | 0.163574219 |
| peppers32.bmp | peppers32.bmp-withWavelet_sym1-G_1-H0.0001_af1.wfa      | 98304   | 32768  | 32768 | 22 | 15728 | 176 | 176 | 32 | 64  | 16.54186744 | 0.578  | 16080 | 0.163574219 |
| peppers32.bmp | peppers32.bmp-withWavelet_haar-G_0.6-H2e-005_af5.wfa    | 24576   | 8192   | 8192  | 23 | 17168 | 184 | 184 | 32 | 32  | 16.58551741 | 0.188  | 17536 | 0.713541667 |
| peppers32.bmp | peppers32.bmp-withWavelet_rbio1.1-G_0.6-H2e-005_af5.wfa | 24576   | 8192   | 8192  | 23 | 17168 | 184 | 184 | 32 | 32  | 16.58551741 | 0.157  | 17536 | 0.713541667 |
| peppers32.bmp | peppers32.bmp-withWavelet_sym1-G_0.6-H2e-005_af5.wfa    | 24576   | 8192   | 8192  | 23 | 17168 | 184 | 184 | 32 | 32  | 16.58551741 | 0.157  | 17536 | 0.713541667 |
| peppers32.bmp | peppers32.bmp-withWavelet_bior1.1-G_0.6-H2e-005_af5.wfa | 24576   | 8192   | 8192  | 23 | 17168 | 184 | 184 | 32 | 32  | 16.58551741 | 0.172  | 17536 | 0.713541667 |
| peppers32.bmp | peppers32.bmp-withWavelet_haar-G_0.8-H7e-005_af2.wfa    | 24576   | 8192   | 8192  | 21 | 14352 | 168 | 168 | 32 | 32  | 17.09659641 | 0.125  | 14688 | 0.59765625  |
| peppers32.bmp | peppers32.bmp-withWavelet_rbio1.1-G_0.8-H7e-005_af2.wfa | 24576   | 8192   | 8192  | 21 | 14352 | 168 | 168 | 32 | 32  | 17.09659641 | 0.125  | 14688 | 0.59765625  |
| peppers32.bmp | peppers32.bmp-withWavelet_sym1-G_0.8-H7e-005_af2.wfa    | 24576   | 8192   | 8192  | 21 | 14352 | 168 | 168 | 32 | 32  | 17.09659641 | 0.125  | 14688 | 0.59765625  |
| peppers32.bmp | peppers32.bmp-withWavelet_bior1.1-G_0.8-H7e-005_af2.wfa | 24576   | 8192   | 8192  | 21 | 14352 | 168 | 168 | 32 | 32  | 17.09659641 | 0.125  | 14688 | 0.59765625  |
| peppers32.bmp | peppers32.bmp-G_0.6-H0.0001_af5.wfa                     | 1572864 | 524288 |       | 21 | 14352 | 168 | 168 | 32 | 256 | 17.12004286 | 12.875 | 14688 | 0.009338379 |
| peppers32.bmp | peppers32.bmp-withWavelet_haar-G_0.6-H7e-005_af2.wfa    | 24576   | 8192   | 8192  | 21 | 14352 | 168 | 168 | 32 | 32  | 17.16754164 | 0.125  | 14688 | 0.59765625  |
| peppers32.bmp | peppers32.bmp-withWavelet_rbio1.1-G_0.6-H7e-005_af2.wfa | 24576   | 8192   | 8192  | 21 | 14352 | 168 | 168 | 32 | 32  | 17.16754164 | 0.125  | 14688 | 0.59765625  |
| peppers32.bmp | peppers32.bmp-withWavelet_sym1-G_0.6-H7e-005_af2.wfa    | 24576   | 8192   | 8192  | 21 | 14352 | 168 | 168 | 32 | 32  | 17.16754164 | 0.125  | 14688 | 0.59765625  |
| peppers32.bmp | peppers32.bmp-withWavelet_bior1.1-G_0.6-H7e-005_af2.wfa | 24576   | 8192   | 8192  | 21 | 14352 | 168 | 168 | 32 | 32  | 17.16754164 | 0.125  | 14688 | 0.59765625  |
| peppers32.bmp | peppers32.bmp-G_0.6-H8e-005_af5.wfa                     | 1572864 | 524288 |       | 22 | 15728 | 176 | 176 | 32 | 256 | 17.17598381 | 10.954 | 16080 | 0.010223389 |
| peppers32.bmp | peppers32.bmp-G_0.6-H9e-005_af5.wfa                     | 1572864 | 524288 |       | 22 | 15728 | 176 | 176 | 32 | 256 | 17.17598381 | 10.937 | 16080 | 0.010223389 |
| peppers32.bmp | peppers32.bmp-withWavelet_haar-G_1-H4e-005_af2.wfa      | 24576   | 8192   | 8192  | 26 | 21872 | 208 | 208 | 32 | 32  | 17.19001841 | 0.172  | 22288 | 0.906901042 |
| peppers32.bmp | peppers32.bmp-withWavelet_rbio1.1-G_1-H4e-005_af2.wfa   | 24576   | 8192   | 8192  | 26 | 21872 | 208 | 208 | 32 | 32  | 17.19001841 | 0.172  | 22288 | 0.906901042 |
| peppers32.bmp | peppers32.bmp-withWavelet_sym1-G_1-H4e-005_af2.wfa      | 24576   | 8192   | 8192  | 26 | 21872 | 208 | 208 | 32 | 32  | 17.19001841 | 0.172  | 22288 | 0.906901042 |
| peppers32.bmp | peppers32.bmp-withWavelet_bior1.1-G_1-H4e-005_af2.wfa   | 24576   | 8192   | 8192  | 26 | 21872 | 208 | 208 | 32 | 32  | 17.19001841 | 0.188  | 22288 | 0.906901042 |
| peppers32.bmp | peppers32.bmp-G_0.6-H9e-005_af3.wfa                     | 1572864 | 524288 |       | 22 | 15728 | 176 | 176 | 32 | 256 | 17.20793206 | 11.015 | 16080 | 0.010223389 |
| peppers32.bmp | peppers32.bmp-G_0.6-H8e-005_af3.wfa                     | 1572864 | 524288 |       | 24 | 18672 | 192 | 192 | 32 | 256 | 17.23964084 | 13.484 | 19056 | 0.012115479 |
| peppers32.bmp | peppers32.bmp-G_0.6-H9e-005_af3.wfa                     | 98304   | 32768  |       | 22 | 15728 | 176 | 176 | 32 | 64  | 17.2570485  | 0.594  | 16080 | 0.163574219 |

|               |   |         |        |      |    |       |     |     |    |     |             |        |       |             |
|---------------|---|---------|--------|------|----|-------|-----|-----|----|-----|-------------|--------|-------|-------------|
| peppers32.bmp | peppers32.bmp-G_0.6-H0.0001_af3.wfa                     | 1572864 | 524288 |      | 22 | 15728 | 176 | 176 | 32 | 256 | 17.27541347 | 10.906 | 16080 | 0.010223389 |
| peppers32.bmp | peppers32.bmp-G_0.6-H0.0001_af5.wfa                     | 393216  | 131072 |      | 21 | 14352 | 168 | 168 | 32 | 128 | 17.28090842 | 2.797  | 14688 | 0.037353516 |
| peppers32.bmp | peppers32.bmp-G_1-H0.0001_af2.wfa                       | 1572864 | 524288 |      | 20 | 13040 | 160 | 160 | 32 | 256 | 17.30449976 | 9.813  | 13360 | 0.008494059 |
| peppers32.bmp | peppers32.bmp-G_0.6-H7e-005_af3.wfa                     | 1572864 | 524288 |      | 24 | 18672 | 192 | 192 | 32 | 256 | 17.31952087 | 13.391 | 19056 | 0.012115479 |
| peppers32.bmp | peppers32.bmp-withWavelet_haar-G_1-H6e-005_af2.wfa      | 24576   | 8192   | 8192 | 22 | 15728 | 176 | 176 | 32 | 32  | 17.32918876 | 0.125  | 16080 | 0.654296875 |
| peppers32.bmp | peppers32.bmp-withWavelet_rbio1.1-G_1-H6e-005_af2.wfa   | 24576   | 8192   | 8192 | 22 | 15728 | 176 | 176 | 32 | 32  | 17.32918876 | 0.281  | 16080 | 0.654296875 |
| peppers32.bmp | peppers32.bmp-withWavelet_sym1-G_1-H6e-005_af2.wfa      | 24576   | 8192   | 8192 | 22 | 15728 | 176 | 176 | 32 | 32  | 17.32918876 | 0.125  | 16080 | 0.654296875 |
| peppers32.bmp | peppers32.bmp-withWavelet_bior1.1-G_1-H6e-005_af2.wfa   | 24576   | 8192   | 8192 | 22 | 15728 | 176 | 176 | 32 | 32  | 17.32918876 | 0.125  | 16080 | 0.654296875 |
| peppers32.bmp | peppers32.bmp-G_0.6-H9e-005_af3.wfa                     | 393216  | 131072 |      | 22 | 15728 | 176 | 176 | 32 | 128 | 17.33504341 | 2.468  | 16080 | 0.040893555 |
| peppers32.bmp | peppers32.bmp-G_0.6-H8e-005_af2.wfa                     | 1572864 | 524288 |      | 23 | 17168 | 184 | 184 | 32 | 256 | 17.34374798 | 12.891 | 17536 | 0.011149089 |
| peppers32.bmp | peppers32.bmp-G_0.6-H0.0001_af5.wfa                     | 98304   | 32768  |      | 21 | 14352 | 168 | 168 | 32 | 64  | 17.34611584 | 0.578  | 14688 | 0.149414063 |
| peppers32.bmp | peppers32.bmp-G_0.6-H0.0001_af3.wfa                     | 98304   | 32768  |      | 22 | 15728 | 176 | 176 | 32 | 64  | 17.35622782 | 0.593  | 16080 | 0.163574219 |
| peppers32.bmp | peppers32.bmp-G_0.6-H8e-005_af5.wfa                     | 393216  | 131072 |      | 22 | 15728 | 176 | 176 | 32 | 128 | 17.36276576 | 2.5    | 16080 | 0.040893555 |
| peppers32.bmp | peppers32.bmp-G_0.6-H9e-005_af5.wfa                     | 393216  | 131072 |      | 22 | 15728 | 176 | 176 | 32 | 128 | 17.36276576 | 2.5    | 16080 | 0.040893555 |
| peppers32.bmp | peppers32.bmp-withWavelet_haar-G_0.6-H8e-005_af2.wfa    | 24576   | 8192   | 8192 | 21 | 14352 | 168 | 168 | 32 | 32  | 17.36794803 | 0.187  | 14688 | 0.59765625  |
| peppers32.bmp | peppers32.bmp-withWavelet_rbio1.1-G_0.6-H8e-005_af2.wfa | 24576   | 8192   | 8192 | 21 | 14352 | 168 | 168 | 32 | 32  | 17.36794803 | 0.141  | 14688 | 0.59765625  |
| peppers32.bmp | peppers32.bmp-withWavelet_sym1-G_0.6-H8e-005_af2.wfa    | 24576   | 8192   | 8192 | 21 | 14352 | 168 | 168 | 32 | 32  | 17.36794803 | 0.125  | 14688 | 0.59765625  |
| peppers32.bmp | peppers32.bmp-withWavelet_bior1.1-G_0.6-H8e-005_af2.wfa | 24576   | 8192   | 8192 | 21 | 14352 | 168 | 168 | 32 | 32  | 17.36794803 | 0.125  | 14688 | 0.59765625  |
| peppers32.bmp | peppers32.bmp-withWavelet_haar-G_0.8-H6e-005_af2.wfa    | 24576   | 8192   | 8192 | 22 | 15728 | 176 | 176 | 32 | 32  | 17.36871179 | 0.125  | 16080 | 0.654296875 |
| peppers32.bmp | peppers32.bmp-withWavelet_rbio1.1-G_0.8-H6e-005_af2.wfa | 24576   | 8192   | 8192 | 22 | 15728 | 176 | 176 | 32 | 32  | 17.36871179 | 0.125  | 16080 | 0.654296875 |
| peppers32.bmp | peppers32.bmp-withWavelet_sym1-G_0.8-H6e-005_af2.wfa    | 24576   | 8192   | 8192 | 22 | 15728 | 176 | 176 | 32 | 32  | 17.36871179 | 0.125  | 16080 | 0.654296875 |
| peppers32.bmp | peppers32.bmp-withWavelet_bior1.1-G_0.8-H6e-005_af2.wfa | 24576   | 8192   | 8192 | 22 | 15728 | 176 | 176 | 32 | 32  | 17.36871179 | 0.204  | 16080 | 0.654296875 |
| peppers32.bmp | peppers32.bmp-G_0.6-H5e-005_af3.wfa                     | 1572864 | 524288 |      | 26 | 21872 | 208 | 208 | 32 | 256 | 17.36907563 | 14.89  | 22288 | 0.014170329 |
| peppers32.bmp | peppers32.bmp-G_0.6-H6e-005_af3.wfa                     | 1572864 | 524288 |      | 25 | 20240 | 200 | 200 | 32 | 256 | 17.37660176 | 14.328 | 20640 | 0.013122559 |
| peppers32.bmp | peppers32.bmp-G_0.6-H7e-005_af5.wfa                     | 1572864 | 524288 |      | 24 | 18672 | 192 | 192 | 32 | 256 | 17.3822995  | 13.438 | 19056 | 0.012115479 |
| peppers32.bmp | peppers32.bmp-G_0.6-H8e-005_af3.wfa                     | 393216  | 131072 |      | 24 | 18672 | 192 | 192 | 32 | 128 | 17.38637834 | 3.078  | 19056 | 0.048461914 |
| peppers32.bmp | peppers32.bmp-G_0.6-H0.0001_af2.wfa                     | 1572864 | 524288 |      | 21 | 14352 | 168 | 168 | 32 | 256 | 17.38925502 | 10.563 | 14688 | 0.009338379 |
| peppers32.bmp | peppers32.bmp-G_0.6-H8e-005_af3.wfa                     | 98304   | 32768  |      | 24 | 18672 | 192 | 192 | 32 | 64  | 17.39741397 | 0.719  | 19056 | 0.193847656 |
| peppers32.bmp | peppers32.bmp-G_0.6-H0.0001_af3.wfa                     | 393216  | 131072 |      | 22 | 15728 | 176 | 176 | 32 | 128 | 17.41207643 | 2.563  | 16080 | 0.040893555 |
| peppers32.bmp | peppers32.bmp-G_1-H0.0001_af2.wfa                       | 393216  | 131072 |      | 20 | 13040 | 160 | 160 | 32 | 128 | 17.45756876 | 2.266  | 13360 | 0.033976237 |
| peppers32.bmp | peppers32.bmp-G_0.6-H7e-005_af3.wfa                     | 393216  | 131072 |      | 24 | 18672 | 192 | 192 | 32 | 128 | 17.47424863 | 3.14   | 19056 | 0.048461914 |



|               |                                     |         |        |  |    |       |     |     |    |     |             |        |       |             |
|---------------|-------------------------------------|---------|--------|--|----|-------|-----|-----|----|-----|-------------|--------|-------|-------------|
| peppers32.bmp | peppers32.bmp-G_1-H0.0001_af2.wfa   | 98304   | 32768  |  | 20 | 13040 | 160 | 160 | 32 | 64  | 17.48017145 | 0.531  | 13360 | 0.135904948 |
| peppers32.bmp | peppers32.bmp-G_0.6-H4e-005_af5.wfa | 1572864 | 524288 |  | 27 | 23568 | 216 | 216 | 32 | 256 | 17.48502898 | 16.187 | 24000 | 0.015258789 |
| peppers32.bmp | peppers32.bmp-G_0.6-H5e-005_af5.wfa | 1572864 | 524288 |  | 26 | 21872 | 208 | 208 | 32 | 256 | 17.4887561  | 14.968 | 22288 | 0.014170329 |
| peppers32.bmp | peppers32.bmp-G_0.6-H7e-005_af3.wfa | 98304   | 32768  |  | 24 | 18672 | 192 | 192 | 32 | 64  | 17.5077123  | 0.688  | 19056 | 0.193847656 |
| peppers32.bmp | peppers32.bmp-G_0.6-H9e-005_af2.wfa | 1572864 | 524288 |  | 23 | 17168 | 184 | 184 | 32 | 256 | 17.50892926 | 12.844 | 17536 | 0.011149089 |
| peppers32.bmp | peppers32.bmp-G_0.6-H8e-005_af2.wfa | 393216  | 131072 |  | 23 | 17168 | 184 | 184 | 32 | 128 | 17.5189515  | 2.922  | 17536 | 0.044596354 |
| peppers32.bmp | peppers32.bmp-G_0.6-H5e-005_af3.wfa | 393216  | 131072 |  | 26 | 21872 | 208 | 208 | 32 | 128 | 17.52703403 | 3.391  | 22288 | 0.056681315 |
| peppers32.bmp | peppers32.bmp-G_0.6-H6e-005_af3.wfa | 393216  | 131072 |  | 25 | 20240 | 200 | 200 | 32 | 128 | 17.53841228 | 3.266  | 20640 | 0.052490234 |
| peppers32.bmp | peppers32.bmp-G_0.8-H0.0001_af3.wfa | 98304   | 32768  |  | 21 | 14352 | 168 | 168 | 32 | 64  | 17.54273562 | 0.578  | 14688 | 0.149414063 |
| peppers32.bmp | peppers32.bmp-G_0.6-H8e-005_af5.wfa | 98304   | 32768  |  | 22 | 15728 | 176 | 176 | 32 | 64  | 17.54378241 | 0.594  | 16080 | 0.163574219 |
| peppers32.bmp | peppers32.bmp-G_0.6-H9e-005_af5.wfa | 98304   | 32768  |  | 22 | 15728 | 176 | 176 | 32 | 64  | 17.54378241 | 0.578  | 16080 | 0.163574219 |
| peppers32.bmp | peppers32.bmp-G_0.8-H0.0001_af3.wfa | 1572864 | 524288 |  | 21 | 14352 | 168 | 168 | 32 | 256 | 17.54789222 | 10.547 | 14688 | 0.009338379 |
| peppers32.bmp | peppers32.bmp-G_0.6-H0.0001_af2.wfa | 393216  | 131072 |  | 21 | 14352 | 168 | 168 | 32 | 128 | 17.54839331 | 2.422  | 14688 | 0.037353516 |
| peppers32.bmp | peppers32.bmp-G_0.6-H4e-005_af3.wfa | 1572864 | 524288 |  | 29 | 27152 | 232 | 232 | 32 | 256 | 17.55478067 | 17.86  | 27616 | 0.01755778  |
| peppers32.bmp | peppers32.bmp-G_0.6-H0.0001_af1.wfa | 1572864 | 524288 |  | 22 | 15728 | 176 | 176 | 32 | 256 | 17.55582358 | 10.89  | 16080 | 0.010223389 |
| peppers32.bmp | peppers32.bmp-G_0.6-H8e-005_af1.wfa | 1572864 | 524288 |  | 23 | 17168 | 184 | 184 | 32 | 256 | 17.56415276 | 12.875 | 17536 | 0.011149089 |
| peppers32.bmp | peppers32.bmp-G_1-H9e-005_af3.wfa   | 1572864 | 524288 |  | 23 | 17168 | 184 | 184 | 32 | 256 | 17.5650024  | 12.953 | 17536 | 0.011149089 |
| peppers32.bmp | peppers32.bmp-G_0.8-H9e-005_af3.wfa | 1572864 | 524288 |  | 23 | 17168 | 184 | 184 | 32 | 256 | 17.56503878 | 12.829 | 17536 | 0.011149089 |
| peppers32.bmp | peppers32.bmp-G_0.6-H5e-005_af1.wfa | 1572864 | 524288 |  | 28 | 25328 | 224 | 224 | 32 | 256 | 17.5757093  | 16.563 | 25776 | 0.016387939 |
| peppers32.bmp | peppers32.bmp-G_0.6-H6e-005_af2.wfa | 1572864 | 524288 |  | 25 | 20240 | 200 | 200 | 32 | 256 | 17.57679014 | 14.188 | 20640 | 0.013122559 |
| peppers32.bmp | peppers32.bmp-G_0.6-H7e-005_af2.wfa | 1572864 | 524288 |  | 25 | 20240 | 200 | 200 | 32 | 256 | 17.58431719 | 14.297 | 20640 | 0.013122559 |
| peppers32.bmp | peppers32.bmp-G_0.6-H6e-005_af1.wfa | 1572864 | 524288 |  | 26 | 21872 | 208 | 208 | 32 | 256 | 17.58736669 | 15.062 | 22288 | 0.014170329 |
| peppers32.bmp | peppers32.bmp-G_0.6-H3e-005_af3.wfa | 1572864 | 524288 |  | 30 | 29040 | 240 | 240 | 32 | 256 | 17.58762561 | 18.578 | 29520 | 0.018768311 |
| peppers32.bmp | peppers32.bmp-G_0.6-H0.0001_af2.wfa | 98304   | 32768  |  | 21 | 14352 | 168 | 168 | 32 | 64  | 17.59021353 | 0.563  | 14688 | 0.149414063 |
| peppers32.bmp | peppers32.bmp-G_0.6-H7e-005_af5.wfa | 393216  | 131072 |  | 24 | 18672 | 192 | 192 | 32 | 128 | 17.59245628 | 3.047  | 19056 | 0.048461914 |
| peppers32.bmp | peppers32.bmp-G_0.6-H6e-005_af5.wfa | 1572864 | 524288 |  | 25 | 20240 | 200 | 200 | 32 | 256 | 17.5935386  | 14.312 | 20640 | 0.013122559 |
| peppers32.bmp | peppers32.bmp-G_1-H0.0001_af3.wfa   | 98304   | 32768  |  | 22 | 15728 | 176 | 176 | 32 | 64  | 17.59466131 | 0.734  | 16080 | 0.163574219 |
| peppers32.bmp | peppers32.bmp-G_0.6-H8e-005_af2.wfa | 98304   | 32768  |  | 23 | 17168 | 184 | 184 | 32 | 64  | 17.59804993 | 0.688  | 17536 | 0.178385417 |
| peppers32.bmp | peppers32.bmp-G_1-H0.0001_af3.wfa   | 1572864 | 524288 |  | 22 | 15728 | 176 | 176 | 32 | 256 | 17.60002462 | 10.969 | 16080 | 0.010223389 |
| peppers32.bmp | peppers32.bmp-G_0.6-H5e-005_af3.wfa | 98304   | 32768  |  | 26 | 21872 | 208 | 208 | 32 | 64  | 17.60114744 | 0.781  | 22288 | 0.22672526  |
| peppers32.bmp | peppers32.bmp-G_0.6-H5e-005_af2.wfa | 1572864 | 524288 |  | 27 | 23568 | 216 | 216 | 32 | 256 | 17.60552173 | 16.187 | 24000 | 0.015258789 |

|               |   |         |        |      |    |       |     |     |    |     |             |        |       |             |
|---------------|---|---------|--------|------|----|-------|-----|-----|----|-----|-------------|--------|-------|-------------|
| peppers32.bmp | peppers32.bmp-G_0.6-H4e-005_af2.wfa                     | 1572864 | 524288 |      | 27 | 23568 | 216 | 216 | 32 | 256 | 17.60552173 | 16.187 | 24000 | 0.015258789 |
| peppers32.bmp | peppers32.bmp-G_1-H9e-005_af3.wfa                       | 98304   | 32768  |      | 23 | 17168 | 184 | 184 | 32 | 64  | 17.60878441 | 0.672  | 17536 | 0.178385417 |
| peppers32.bmp | peppers32.bmp-G_0.8-H9e-005_af3.wfa                     | 98304   | 32768  |      | 23 | 17168 | 184 | 184 | 32 | 64  | 17.61409304 | 0.703  | 17536 | 0.178385417 |
| peppers32.bmp | peppers32.bmp-G_0.6-H6e-005_af3.wfa                     | 98304   | 32768  |      | 25 | 20240 | 200 | 200 | 32 | 64  | 17.61560232 | 0.75   | 20640 | 0.209960938 |
| peppers32.bmp | peppers32.bmp-G_0.6-H7e-005_af1.wfa                     | 1572864 | 524288 |      | 25 | 20240 | 200 | 200 | 32 | 256 | 17.62729488 | 14.343 | 20640 | 0.013122559 |
| peppers32.bmp | peppers32.bmp-G_0.6-H9e-005_af1.wfa                     | 1572864 | 524288 |      | 23 | 17168 | 184 | 184 | 32 | 256 | 17.62914199 | 12.985 | 17536 | 0.011149089 |
| peppers32.bmp | peppers32.bmp-withWavelet_haar-G_0.8-H5e-005_af2.wfa    | 24576   | 8192   | 8192 | 23 | 17168 | 184 | 184 | 32 | 32  | 17.65318539 | 0.156  | 17536 | 0.713541667 |
| peppers32.bmp | peppers32.bmp-withWavelet_rbio1.1-G_0.8-H5e-005_af2.wfa | 24576   | 8192   | 8192 | 23 | 17168 | 184 | 184 | 32 | 32  | 17.65318539 | 0.156  | 17536 | 0.713541667 |
| peppers32.bmp | peppers32.bmp-withWavelet_sym1-G_0.8-H5e-005_af2.wfa    | 24576   | 8192   | 8192 | 23 | 17168 | 184 | 184 | 32 | 32  | 17.65318539 | 0.156  | 17536 | 0.713541667 |
| peppers32.bmp | peppers32.bmp-withWavelet_bior1.1-G_0.8-H5e-005_af2.wfa | 24576   | 8192   | 8192 | 23 | 17168 | 184 | 184 | 32 | 32  | 17.65318539 | 0.157  | 17536 | 0.713541667 |
| peppers32.bmp | peppers32.bmp-G_0.8-H8e-005_af3.wfa                     | 1572864 | 524288 |      | 24 | 18672 | 192 | 192 | 32 | 256 | 17.6617242  | 13.375 | 19056 | 0.012115479 |
| peppers32.bmp | peppers32.bmp-G_1-H8e-005_af3.wfa                       | 1572864 | 524288 |      | 24 | 18672 | 192 | 192 | 32 | 256 | 17.66200979 | 13.281 | 19056 | 0.012115479 |
| peppers32.bmp | peppers32.bmp-G_0.8-H0.0001_af3.wfa                     | 393216  | 131072 |      | 21 | 14352 | 168 | 168 | 32 | 128 | 17.67341339 | 2.515  | 14688 | 0.037353516 |
| peppers32.bmp | peppers32.bmp-G_0.6-H9e-005_af2.wfa                     | 393216  | 131072 |      | 23 | 17168 | 184 | 184 | 32 | 128 | 17.68465715 | 2.969  | 17536 | 0.044596354 |
| peppers32.bmp | peppers32.bmp-G_0.6-H2e-005_af2.wfa                     | 1572864 | 524288 |      | 28 | 25328 | 224 | 224 | 32 | 256 | 17.68658165 | 16.688 | 25776 | 0.016387939 |
| peppers32.bmp | peppers32.bmp-G_0.6-H3e-005_af2.wfa                     | 1572864 | 524288 |      | 28 | 25328 | 224 | 224 | 32 | 256 | 17.68658165 | 16.61  | 25776 | 0.016387939 |
| peppers32.bmp | peppers32.bmp-G_0.8-H7e-005_af3.wfa                     | 1572864 | 524288 |      | 24 | 18672 | 192 | 192 | 32 | 256 | 17.6947803  | 13.282 | 19056 | 0.012115479 |
| peppers32.bmp | peppers32.bmp-G_1-H9e-005_af3.wfa                       | 393216  | 131072 |      | 23 | 17168 | 184 | 184 | 32 | 128 | 17.69983089 | 2.907  | 17536 | 0.044596354 |
| peppers32.bmp | peppers32.bmp-G_1-H7e-005_af3.wfa                       | 1572864 | 524288 |      | 24 | 18672 | 192 | 192 | 32 | 256 | 17.70007395 | 13.406 | 19056 | 0.012115479 |
| peppers32.bmp | peppers32.bmp-G_0.8-H9e-005_af3.wfa                     | 393216  | 131072 |      | 23 | 17168 | 184 | 184 | 32 | 128 | 17.70077857 | 2.922  | 17536 | 0.044596354 |
| peppers32.bmp | peppers32.bmp-G_1-H8e-005_af2.wfa                       | 98304   | 32768  |      | 22 | 15728 | 176 | 176 | 32 | 64  | 17.70155117 | 0.579  | 16080 | 0.163574219 |
| peppers32.bmp | peppers32.bmp-G_1-H9e-005_af2.wfa                       | 98304   | 32768  |      | 22 | 15728 | 176 | 176 | 32 | 64  | 17.70155117 | 0.594  | 16080 | 0.163574219 |
| peppers32.bmp | peppers32.bmp-G_0.8-H8e-005_af2.wfa                     | 98304   | 32768  |      | 22 | 15728 | 176 | 176 | 32 | 64  | 17.70491269 | 0.578  | 16080 | 0.163574219 |
| peppers32.bmp | peppers32.bmp-G_0.8-H9e-005_af2.wfa                     | 98304   | 32768  |      | 22 | 15728 | 176 | 176 | 32 | 64  | 17.70491269 | 0.594  | 16080 | 0.163574219 |
| peppers32.bmp | peppers32.bmp-G_0.8-H0.0001_af2.wfa                     | 98304   | 32768  |      | 22 | 15728 | 176 | 176 | 32 | 64  | 17.70491269 | 0.593  | 16080 | 0.163574219 |
| peppers32.bmp | peppers32.bmp-G_0.6-H4e-005_af5.wfa                     | 393216  | 131072 |      | 27 | 23568 | 216 | 216 | 32 | 128 | 17.70822861 | 3.672  | 24000 | 0.061035156 |
| peppers32.bmp | peppers32.bmp-G_0.8-H8e-005_af2.wfa                     | 1572864 | 524288 |      | 22 | 15728 | 176 | 176 | 32 | 256 | 17.71225563 | 10.937 | 16080 | 0.010223389 |
| peppers32.bmp | peppers32.bmp-G_0.8-H9e-005_af2.wfa                     | 1572864 | 524288 |      | 22 | 15728 | 176 | 176 | 32 | 256 | 17.71225563 | 10.89  | 16080 | 0.010223389 |
| peppers32.bmp | peppers32.bmp-G_0.8-H0.0001_af2.wfa                     | 1572864 | 524288 |      | 22 | 15728 | 176 | 176 | 32 | 256 | 17.71225563 | 10.922 | 16080 | 0.010223389 |
| peppers32.bmp | peppers32.bmp-G_0.6-H5e-005_af5.wfa                     | 393216  | 131072 |      | 26 | 21872 | 208 | 208 | 32 | 128 | 17.7130092  | 3.359  | 22288 | 0.056681315 |
| peppers32.bmp | peppers32.bmp-G_1-H8e-005_af2.wfa                       | 1572864 | 524288 |      | 22 | 15728 | 176 | 176 | 32 | 256 | 17.71320992 | 10.844 | 16080 | 0.010223389 |

|               |   |         |        |      |    |       |     |     |    |     |             |        |       |             |
|---------------|---|---------|--------|------|----|-------|-----|-----|----|-----|-------------|--------|-------|-------------|
| peppers32.bmp | peppers32.bmp-G_1-H9e-005_af2.wfa                     | 1572864 | 524288 |      | 22 | 15728 | 176 | 176 | 32 | 256 | 17.71320992 | 10.937 | 16080 | 0.010223389 |
| peppers32.bmp | peppers32.bmp-G_1-H0.0001_af3.wfa                     | 393216  | 131072 |      | 22 | 15728 | 176 | 176 | 32 | 128 | 17.72605885 | 2.5    | 16080 | 0.040893555 |
| peppers32.bmp | peppers32.bmp-G_0.6-H4e-005_af3.wfa                   | 393216  | 131072 |      | 29 | 27152 | 232 | 232 | 32 | 128 | 17.7268875  | 3.984  | 27616 | 0.07023112  |
| peppers32.bmp | peppers32.bmp-G_0.6-H0.0001_af1.wfa                   | 393216  | 131072 |      | 22 | 15728 | 176 | 176 | 32 | 128 | 17.74813027 | 2.563  | 16080 | 0.040893555 |
| peppers32.bmp | peppers32.bmp-G_0.6-H4e-005_af1.wfa                   | 1572864 | 524288 |      | 29 | 27152 | 232 | 232 | 32 | 256 | 17.75443237 | 18.047 | 27616 | 0.01755778  |
| peppers32.bmp | peppers32.bmp-G_1-H8e-005_af3.wfa                     | 98304   | 32768  |      | 24 | 18672 | 192 | 192 | 32 | 64  | 17.75960078 | 0.703  | 19056 | 0.193847656 |
| peppers32.bmp | peppers32.bmp-G_0.6-H6e-005_af2.wfa                   | 393216  | 131072 |      | 25 | 20240 | 200 | 200 | 32 | 128 | 17.76234676 | 3.219  | 20640 | 0.052490234 |
| peppers32.bmp | peppers32.bmp-G_0.8-H8e-005_af3.wfa                   | 98304   | 32768  |      | 24 | 18672 | 192 | 192 | 32 | 64  | 17.76519659 | 0.688  | 19056 | 0.193847656 |
| peppers32.bmp | peppers32.bmp-G_0.6-H3e-005_af3.wfa                   | 393216  | 131072 |      | 30 | 29040 | 240 | 240 | 32 | 128 | 17.76635466 | 4.265  | 29520 | 0.075073242 |
| peppers32.bmp | peppers32.bmp-G_0.6-H8e-005_af1.wfa                   | 393216  | 131072 |      | 23 | 17168 | 184 | 184 | 32 | 128 | 17.76772806 | 2.953  | 17536 | 0.044596354 |
| peppers32.bmp | peppers32.bmp-G_0.8-H0.0001_af1.wfa                   | 1572864 | 524288 |      | 24 | 18672 | 192 | 192 | 32 | 256 | 17.77043503 | 13.36  | 19056 | 0.012115479 |
| peppers32.bmp | peppers32.bmp-G_0.6-H3e-005_af1.wfa                   | 1572864 | 524288 |      | 30 | 29040 | 240 | 240 | 32 | 256 | 17.77177066 | 18.61  | 29520 | 0.018768311 |
| peppers32.bmp | peppers32.bmp-G_0.6-H9e-005_af2.wfa                   | 98304   | 32768  |      | 23 | 17168 | 184 | 184 | 32 | 64  | 17.77885462 | 0.672  | 17536 | 0.178385417 |
| peppers32.bmp | peppers32.bmp-G_0.8-H7e-005_af3.wfa                   | 98304   | 32768  |      | 24 | 18672 | 192 | 192 | 32 | 64  | 17.77910146 | 0.703  | 19056 | 0.193847656 |
| peppers32.bmp | peppers32.bmp-G_0.8-H6e-005_af3.wfa                   | 1572864 | 524288 |      | 26 | 21872 | 208 | 208 | 32 | 256 | 17.77933418 | 14.828 | 22288 | 0.014170329 |
| peppers32.bmp | peppers32.bmp-G_0.6-H7e-005_af2.wfa                   | 393216  | 131072 |      | 25 | 20240 | 200 | 200 | 32 | 128 | 17.77973814 | 3.219  | 20640 | 0.052490234 |
| peppers32.bmp | peppers32.bmp-G_1-H7e-005_af3.wfa                     | 98304   | 32768  |      | 24 | 18672 | 192 | 192 | 32 | 64  | 17.78120206 | 0.703  | 19056 | 0.193847656 |
| peppers32.bmp | peppers32.bmp-withWavelet_haar-G_1-H5e-005_af2.wfa    | 24576   | 8192   | 8192 | 24 | 18672 | 192 | 192 | 32 | 32  | 17.78188933 | 0.156  | 19056 | 0.775390625 |
| peppers32.bmp | peppers32.bmp-withWavelet_rbio1.1-G_1-H5e-005_af2.wfa | 24576   | 8192   | 8192 | 24 | 18672 | 192 | 192 | 32 | 32  | 17.78188933 | 0.157  | 19056 | 0.775390625 |
| peppers32.bmp | peppers32.bmp-withWavelet_sym1-G_1-H5e-005_af2.wfa    | 24576   | 8192   | 8192 | 24 | 18672 | 192 | 192 | 32 | 32  | 17.78188933 | 0.156  | 19056 | 0.775390625 |
| peppers32.bmp | peppers32.bmp-withWavelet_bior1.1-G_1-H5e-005_af2.wfa | 24576   | 8192   | 8192 | 24 | 18672 | 192 | 192 | 32 | 32  | 17.78188933 | 0.156  | 19056 | 0.775390625 |
| peppers32.bmp | peppers32.bmp-G_1-H6e-005_af3.wfa                     | 1572864 | 524288 |      | 26 | 21872 | 208 | 208 | 32 | 256 | 17.78286014 | 14.89  | 22288 | 0.014170329 |
| peppers32.bmp | peppers32.bmp-G_0.6-H6e-005_af5.wfa                   | 393216  | 131072 |      | 25 | 20240 | 200 | 200 | 32 | 128 | 17.80176582 | 3.218  | 20640 | 0.052490234 |
| peppers32.bmp | peppers32.bmp-G_1-H8e-005_af3.wfa                     | 393216  | 131072 |      | 24 | 18672 | 192 | 192 | 32 | 128 | 17.80847739 | 3.031  | 19056 | 0.048461914 |
| peppers32.bmp | peppers32.bmp-G_0.8-H8e-005_af3.wfa                   | 393216  | 131072 |      | 24 | 18672 | 192 | 192 | 32 | 128 | 17.80914281 | 3.047  | 19056 | 0.048461914 |
| peppers32.bmp | peppers32.bmp-G_0.6-H5e-005_af2.wfa                   | 393216  | 131072 |      | 27 | 23568 | 216 | 216 | 32 | 128 | 17.81384002 | 3.735  | 24000 | 0.061035156 |
| peppers32.bmp | peppers32.bmp-G_0.6-H4e-005_af2.wfa                   | 393216  | 131072 |      | 27 | 23568 | 216 | 216 | 32 | 128 | 17.81384002 | 3.687  | 24000 | 0.061035156 |
| peppers32.bmp | peppers32.bmp-G_0.6-H3e-005_af5.wfa                   | 1572864 | 524288 |      | 28 | 25328 | 224 | 224 | 32 | 256 | 17.81710773 | 16.656 | 25776 | 0.016387939 |
| peppers32.bmp | peppers32.bmp-G_0.8-H9e-005_af1.wfa                   | 1572864 | 524288 |      | 26 | 21872 | 208 | 208 | 32 | 256 | 17.8191392  | 15.015 | 22288 | 0.014170329 |
| peppers32.bmp | peppers32.bmp-G_1-H9e-005_af1.wfa                     | 1572864 | 524288 |      | 26 | 21872 | 208 | 208 | 32 | 256 | 17.82046573 | 14.891 | 22288 | 0.014170329 |
| peppers32.bmp | peppers32.bmp-G_0.6-H5e-005_af1.wfa                   | 393216  | 131072 |      | 28 | 25328 | 224 | 224 | 32 | 128 | 17.82579096 | 3.734  | 25776 | 0.065551758 |

|               |   |         |        |      |    |       |     |     |    |     |             |        |       |             |
|---------------|---|---------|--------|------|----|-------|-----|-----|----|-----|-------------|--------|-------|-------------|
| peppers32.bmp | peppers32.bmp-G_0.6-H6e-005_af1.wfa                     | 393216  | 131072 |      | 26 | 21872 | 208 | 208 | 32 | 128 | 17.83330153 | 3.375  | 22288 | 0.056681315 |
| peppers32.bmp | peppers32.bmp-G_0.6-H9e-005_af1.wfa                     | 393216  | 131072 |      | 23 | 17168 | 184 | 184 | 32 | 128 | 17.83797513 | 3      | 17536 | 0.044596354 |
| peppers32.bmp | peppers32.bmp-G_0.6-H1e-005_af3.wfa                     | 1572864 | 524288 |      | 32 | 33008 | 256 | 256 | 32 | 256 | 17.83870685 | 20.906 | 33520 | 0.021311442 |
| peppers32.bmp | peppers32.bmp-G_0.6-H2e-005_af3.wfa                     | 1572864 | 524288 |      | 32 | 33008 | 256 | 256 | 32 | 256 | 17.83870685 | 20.969 | 33520 | 0.021311442 |
| peppers32.bmp | peppers32.bmp-G_0.8-H7e-005_af3.wfa                     | 393216  | 131072 |      | 24 | 18672 | 192 | 192 | 32 | 128 | 17.83947906 | 3.016  | 19056 | 0.048461914 |
| peppers32.bmp | peppers32.bmp-G_0.8-H8e-005_af2.wfa                     | 393216  | 131072 |      | 22 | 15728 | 176 | 176 | 32 | 128 | 17.83949282 | 2.516  | 16080 | 0.040893555 |
| peppers32.bmp | peppers32.bmp-G_0.8-H9e-005_af2.wfa                     | 393216  | 131072 |      | 22 | 15728 | 176 | 176 | 32 | 128 | 17.83949282 | 2.484  | 16080 | 0.040893555 |
| peppers32.bmp | peppers32.bmp-G_0.8-H0.0001_af2.wfa                     | 393216  | 131072 |      | 22 | 15728 | 176 | 176 | 32 | 128 | 17.83949282 | 2.5    | 16080 | 0.040893555 |
| peppers32.bmp | peppers32.bmp-G_1-H0.0001_af1.wfa                       | 1572864 | 524288 |      | 25 | 20240 | 200 | 200 | 32 | 256 | 17.83959836 | 14.329 | 20640 | 0.013122559 |
| peppers32.bmp | peppers32.bmp-G_1-H8e-005_af2.wfa                       | 393216  | 131072 |      | 22 | 15728 | 176 | 176 | 32 | 128 | 17.84006769 | 2.532  | 16080 | 0.040893555 |
| peppers32.bmp | peppers32.bmp-G_1-H9e-005_af2.wfa                       | 393216  | 131072 |      | 22 | 15728 | 176 | 176 | 32 | 128 | 17.84006769 | 2.5    | 16080 | 0.040893555 |
| peppers32.bmp | peppers32.bmp-G_0.6-H7e-005_af1.wfa                     | 393216  | 131072 |      | 25 | 20240 | 200 | 200 | 32 | 128 | 17.84252783 | 3.281  | 20640 | 0.052490234 |
| peppers32.bmp | peppers32.bmp-G_1-H7e-005_af3.wfa                       | 393216  | 131072 |      | 24 | 18672 | 192 | 192 | 32 | 128 | 17.84461284 | 3.016  | 19056 | 0.048461914 |
| peppers32.bmp | peppers32.bmp-G_0.8-H7e-005_af2.wfa                     | 1572864 | 524288 |      | 23 | 17168 | 184 | 184 | 32 | 256 | 17.84542086 | 12.875 | 17536 | 0.011149089 |
| peppers32.bmp | peppers32.bmp-G_1-H7e-005_af2.wfa                       | 1572864 | 524288 |      | 23 | 17168 | 184 | 184 | 32 | 256 | 17.84666511 | 12.907 | 17536 | 0.011149089 |
| peppers32.bmp | peppers32.bmp-G_0.6-H4e-005_af3.wfa                     | 98304   | 32768  |      | 29 | 27152 | 232 | 232 | 32 | 64  | 17.84815651 | 0.89   | 27616 | 0.280924479 |
| peppers32.bmp | peppers32.bmp-G_0.6-H7e-005_af5.wfa                     | 98304   | 32768  |      | 24 | 18672 | 192 | 192 | 32 | 64  | 17.84900249 | 0.703  | 19056 | 0.193847656 |
| peppers32.bmp | peppers32.bmp-withWavelet_haar-G_0.6-H5e-005_af2.wfa    | 24576   | 8192   | 8192 | 23 | 17168 | 184 | 184 | 32 | 32  | 17.85051286 | 0.157  | 17536 | 0.713541667 |
| peppers32.bmp | peppers32.bmp-withWavelet_rbio1.1-G_0.6-H5e-005_af2.wfa | 24576   | 8192   | 8192 | 23 | 17168 | 184 | 184 | 32 | 32  | 17.85051286 | 0.156  | 17536 | 0.713541667 |
| peppers32.bmp | peppers32.bmp-withWavelet_sym1-G_0.6-H5e-005_af2.wfa    | 24576   | 8192   | 8192 | 23 | 17168 | 184 | 184 | 32 | 32  | 17.85051286 | 0.203  | 17536 | 0.713541667 |
| peppers32.bmp | peppers32.bmp-withWavelet_bior1.1-G_0.6-H5e-005_af2.wfa | 24576   | 8192   | 8192 | 23 | 17168 | 184 | 184 | 32 | 32  | 17.85051286 | 0.157  | 17536 | 0.713541667 |
| peppers32.bmp | peppers32.bmp-G_0.8-H0.0001_af5.wfa                     | 1572864 | 524288 |      | 22 | 15728 | 176 | 176 | 32 | 256 | 17.85707395 | 10.907 | 16080 | 0.010223389 |
| peppers32.bmp | peppers32.bmp-G_0.8-H4e-005_af3.wfa                     | 1572864 | 524288 |      | 28 | 25328 | 224 | 224 | 32 | 256 | 17.86122074 | 16.532 | 25776 | 0.016387939 |
| peppers32.bmp | peppers32.bmp-G_0.8-H5e-005_af3.wfa                     | 1572864 | 524288 |      | 28 | 25328 | 224 | 224 | 32 | 256 | 17.86122074 | 16.703 | 25776 | 0.016387939 |
| peppers32.bmp | peppers32.bmp-G_1-H4e-005_af3.wfa                       | 1572864 | 524288 |      | 28 | 25328 | 224 | 224 | 32 | 256 | 17.86523889 | 16.625 | 25776 | 0.016387939 |
| peppers32.bmp | peppers32.bmp-G_1-H5e-005_af3.wfa                       | 1572864 | 524288 |      | 28 | 25328 | 224 | 224 | 32 | 256 | 17.86523889 | 16.703 | 25776 | 0.016387939 |
| peppers32.bmp | peppers32.bmp-G_1-H9e-005_af5.wfa                       | 1572864 | 524288 |      | 22 | 15728 | 176 | 176 | 32 | 256 | 17.86928604 | 10.875 | 16080 | 0.010223389 |
| peppers32.bmp | peppers32.bmp-G_1-H0.0001_af5.wfa                       | 1572864 | 524288 |      | 22 | 15728 | 176 | 176 | 32 | 256 | 17.86928604 | 10.922 | 16080 | 0.010223389 |
| peppers32.bmp | peppers32.bmp-G_1-H7e-005_af2.wfa                       | 98304   | 32768  |      | 23 | 17168 | 184 | 184 | 32 | 64  | 17.87119199 | 0.672  | 17536 | 0.178385417 |
| peppers32.bmp | peppers32.bmp-G_0.8-H7e-005_af2.wfa                     | 98304   | 32768  |      | 23 | 17168 | 184 | 184 | 32 | 64  | 17.8743881  | 0.672  | 17536 | 0.178385417 |
| peppers32.bmp | peppers32.bmp-G_0.8-H8e-005_af1.wfa                     | 1572864 | 524288 |      | 27 | 23568 | 216 | 216 | 32 | 256 | 17.87532705 | 16.328 | 24000 | 0.015258789 |

|               |                                     |         |        |  |    |       |     |     |    |     |             |        |       |             |
|---------------|-------------------------------------|---------|--------|--|----|-------|-----|-----|----|-----|-------------|--------|-------|-------------|
| peppers32.bmp | peppers32.bmp-G_0.8-H8e-005_af5.wfa | 1572864 | 524288 |  | 23 | 17168 | 184 | 184 | 32 | 256 | 17.87584266 | 12.907 | 17536 | 0.011149089 |
| peppers32.bmp | peppers32.bmp-G_0.8-H9e-005_af5.wfa | 1572864 | 524288 |  | 23 | 17168 | 184 | 184 | 32 | 256 | 17.87584266 | 12.953 | 17536 | 0.011149089 |
| peppers32.bmp | peppers32.bmp-G_1-H8e-005_af1.wfa   | 1572864 | 524288 |  | 27 | 23568 | 216 | 216 | 32 | 256 | 17.87647917 | 16.125 | 24000 | 0.015258789 |
| peppers32.bmp | peppers32.bmp-G_0.6-H0.0001_af1.wfa | 98304   | 32768  |  | 22 | 15728 | 176 | 176 | 32 | 64  | 17.88022149 | 0.625  | 16080 | 0.163574219 |
| peppers32.bmp | peppers32.bmp-G_1-H7e-005_af5.wfa   | 1572864 | 524288 |  | 23 | 17168 | 184 | 184 | 32 | 256 | 17.88616968 | 12.969 | 17536 | 0.011149089 |
| peppers32.bmp | peppers32.bmp-G_1-H8e-005_af5.wfa   | 1572864 | 524288 |  | 23 | 17168 | 184 | 184 | 32 | 256 | 17.88616968 | 12.86  | 17536 | 0.011149089 |
| peppers32.bmp | peppers32.bmp-G_0.6-H6e-005_af2.wfa | 98304   | 32768  |  | 25 | 20240 | 200 | 200 | 32 | 64  | 17.89865092 | 0.75   | 20640 | 0.209960938 |
| peppers32.bmp | peppers32.bmp-G_0.6-H2e-005_af2.wfa | 393216  | 131072 |  | 28 | 25328 | 224 | 224 | 32 | 128 | 17.90059575 | 3.86   | 25776 | 0.065551758 |
| peppers32.bmp | peppers32.bmp-G_0.6-H3e-005_af2.wfa | 393216  | 131072 |  | 28 | 25328 | 224 | 224 | 32 | 128 | 17.90059575 | 3.828  | 25776 | 0.065551758 |
| peppers32.bmp | peppers32.bmp-G_0.8-H6e-005_af3.wfa | 98304   | 32768  |  | 26 | 21872 | 208 | 208 | 32 | 64  | 17.92066786 | 0.766  | 22288 | 0.22672526  |
| peppers32.bmp | peppers32.bmp-G_1-H6e-005_af3.wfa   | 98304   | 32768  |  | 26 | 21872 | 208 | 208 | 32 | 64  | 17.92086626 | 0.89   | 22288 | 0.22672526  |
| peppers32.bmp | peppers32.bmp-G_0.8-H0.0001_af5.wfa | 98304   | 32768  |  | 22 | 15728 | 176 | 176 | 32 | 64  | 17.92476392 | 0.594  | 16080 | 0.163574219 |
| peppers32.bmp | peppers32.bmp-G_0.6-H3e-005_af3.wfa | 98304   | 32768  |  | 30 | 29040 | 240 | 240 | 32 | 64  | 17.92656991 | 0.938  | 29520 | 0.300292969 |
| peppers32.bmp | peppers32.bmp-G_0.8-H7e-005_af1.wfa | 1572864 | 524288 |  | 28 | 25328 | 224 | 224 | 32 | 256 | 17.9269671  | 16.718 | 25776 | 0.016387939 |
| peppers32.bmp | peppers32.bmp-G_1-H7e-005_af1.wfa   | 1572864 | 524288 |  | 28 | 25328 | 224 | 224 | 32 | 256 | 17.92786806 | 16.687 | 25776 | 0.016387939 |
| peppers32.bmp | peppers32.bmp-G_1-H9e-005_af5.wfa   | 98304   | 32768  |  | 22 | 15728 | 176 | 176 | 32 | 64  | 17.92795245 | 0.593  | 16080 | 0.163574219 |
| peppers32.bmp | peppers32.bmp-G_1-H0.0001_af5.wfa   | 98304   | 32768  |  | 22 | 15728 | 176 | 176 | 32 | 64  | 17.92795245 | 0.625  | 16080 | 0.163574219 |
| peppers32.bmp | peppers32.bmp-G_0.8-H0.0001_af1.wfa | 393216  | 131072 |  | 24 | 18672 | 192 | 192 | 32 | 128 | 17.93407845 | 3.063  | 19056 | 0.048461914 |
| peppers32.bmp | peppers32.bmp-G_0.8-H6e-005_af3.wfa | 393216  | 131072 |  | 26 | 21872 | 208 | 208 | 32 | 128 | 17.93627344 | 3.375  | 22288 | 0.056681315 |
| peppers32.bmp | peppers32.bmp-G_1-H6e-005_af3.wfa   | 393216  | 131072 |  | 26 | 21872 | 208 | 208 | 32 | 128 | 17.93955304 | 3.359  | 22288 | 0.056681315 |
| peppers32.bmp | peppers32.bmp-G_0.6-H7e-005_af2.wfa | 98304   | 32768  |  | 25 | 20240 | 200 | 200 | 32 | 64  | 17.94144713 | 0.735  | 20640 | 0.209960938 |
| peppers32.bmp | peppers32.bmp-G_0.6-H8e-005_af1.wfa | 98304   | 32768  |  | 23 | 17168 | 184 | 184 | 32 | 64  | 17.94489226 | 0.75   | 17536 | 0.178385417 |
| peppers32.bmp | peppers32.bmp-G_0.8-H0.0001_af1.wfa | 98304   | 32768  |  | 24 | 18672 | 192 | 192 | 32 | 64  | 17.94662579 | 0.781  | 19056 | 0.193847656 |
| peppers32.bmp | peppers32.bmp-G_0.8-H5e-005_af2.wfa | 1572864 | 524288 |  | 25 | 20240 | 200 | 200 | 32 | 256 | 17.94809654 | 14.297 | 20640 | 0.013122559 |
| peppers32.bmp | peppers32.bmp-G_1-H5e-005_af2.wfa   | 1572864 | 524288 |  | 25 | 20240 | 200 | 200 | 32 | 256 | 17.95323645 | 14.328 | 20640 | 0.013122559 |
| peppers32.bmp | peppers32.bmp-G_0.6-H2e-005_af5.wfa | 1572864 | 524288 |  | 30 | 29040 | 240 | 240 | 32 | 256 | 17.95610279 | 18.625 | 29520 | 0.018768311 |
| peppers32.bmp | peppers32.bmp-G_0.8-H3e-005_af3.wfa | 1572864 | 524288 |  | 30 | 29040 | 240 | 240 | 32 | 256 | 17.95654506 | 18.734 | 29520 | 0.018768311 |
| peppers32.bmp | peppers32.bmp-G_0.6-H4e-005_af1.wfa | 393216  | 131072 |  | 29 | 27152 | 232 | 232 | 32 | 128 | 17.95824174 | 4.015  | 27616 | 0.07023112  |
| peppers32.bmp | peppers32.bmp-G_0.8-H6e-005_af2.wfa | 1572864 | 524288 |  | 25 | 20240 | 200 | 200 | 32 | 256 | 17.96151372 | 14.234 | 20640 | 0.013122559 |
| peppers32.bmp | peppers32.bmp-G_1-H3e-005_af3.wfa   | 1572864 | 524288 |  | 30 | 29040 | 240 | 240 | 32 | 256 | 17.96196264 | 18.671 | 29520 | 0.018768311 |
| peppers32.bmp | peppers32.bmp-G_0.6-H1e-005_af1.wfa | 1572864 | 524288 |  | 33 | 35088 | 264 | 264 | 32 | 256 | 17.96413577 | 22.36  | 35616 | 0.022644043 |

|               |                                     |         |        |  |    |       |     |     |    |     |             |        |       |             |
|---------------|-------------------------------------|---------|--------|--|----|-------|-----|-----|----|-----|-------------|--------|-------|-------------|
| peppers32.bmp | peppers32.bmp-G_0.6-H2e-005_af1.wfa | 1572864 | 524288 |  | 33 | 35088 | 264 | 264 | 32 | 256 | 17.96413577 | 22.406 | 35616 | 0.022644043 |
| peppers32.bmp | peppers32.bmp-G_0.8-H6e-005_af1.wfa | 1572864 | 524288 |  | 29 | 27152 | 232 | 232 | 32 | 256 | 17.96442444 | 17.828 | 27616 | 0.01755778  |
| peppers32.bmp | peppers32.bmp-G_1-H6e-005_af1.wfa   | 1572864 | 524288 |  | 29 | 27152 | 232 | 232 | 32 | 256 | 17.96477284 | 17.922 | 27616 | 0.01755778  |
| peppers32.bmp | peppers32.bmp-G_1-H6e-005_af2.wfa   | 1572864 | 524288 |  | 25 | 20240 | 200 | 200 | 32 | 256 | 17.96541069 | 14.328 | 20640 | 0.013122559 |
| peppers32.bmp | peppers32.bmp-G_0.6-H3e-005_af1.wfa | 393216  | 131072 |  | 30 | 29040 | 240 | 240 | 32 | 128 | 17.96984143 | 4.188  | 29520 | 0.075073242 |
| peppers32.bmp | peppers32.bmp-G_0.8-H7e-005_af2.wfa | 393216  | 131072 |  | 23 | 17168 | 184 | 184 | 32 | 128 | 17.98331729 | 2.922  | 17536 | 0.044596354 |
| peppers32.bmp | peppers32.bmp-G_1-H7e-005_af2.wfa   | 393216  | 131072 |  | 23 | 17168 | 184 | 184 | 32 | 128 | 17.98415363 | 2.921  | 17536 | 0.044596354 |
| peppers32.bmp | peppers32.bmp-G_0.8-H9e-005_af1.wfa | 393216  | 131072 |  | 26 | 21872 | 208 | 208 | 32 | 128 | 17.99446077 | 3.343  | 22288 | 0.056681315 |
| peppers32.bmp | peppers32.bmp-G_1-H9e-005_af1.wfa   | 393216  | 131072 |  | 26 | 21872 | 208 | 208 | 32 | 128 | 17.99483544 | 3.39   | 22288 | 0.056681315 |
| peppers32.bmp | peppers32.bmp-G_0.8-H0.0001_af5.wfa | 393216  | 131072 |  | 22 | 15728 | 176 | 176 | 32 | 128 | 18.0007563  | 2.485  | 16080 | 0.040893555 |
| peppers32.bmp | peppers32.bmp-G_0.8-H7e-005_af5.wfa | 1572864 | 524288 |  | 24 | 18672 | 192 | 192 | 32 | 256 | 18.00727029 | 13.406 | 19056 | 0.012115479 |
| peppers32.bmp | peppers32.bmp-G_1-H9e-005_af5.wfa   | 393216  | 131072 |  | 22 | 15728 | 176 | 176 | 32 | 128 | 18.01234734 | 2.5    | 16080 | 0.040893555 |
| peppers32.bmp | peppers32.bmp-G_1-H0.0001_af5.wfa   | 393216  | 131072 |  | 22 | 15728 | 176 | 176 | 32 | 128 | 18.01234734 | 2.5    | 16080 | 0.040893555 |
| peppers32.bmp | peppers32.bmp-G_1-H0.0001_af1.wfa   | 393216  | 131072 |  | 25 | 20240 | 200 | 200 | 32 | 128 | 18.01379915 | 3.235  | 20640 | 0.052490234 |
| peppers32.bmp | peppers32.bmp-G_0.6-H9e-005_af1.wfa | 98304   | 32768  |  | 23 | 17168 | 184 | 184 | 32 | 64  | 18.02287563 | 0.672  | 17536 | 0.178385417 |
| peppers32.bmp | peppers32.bmp-G_0.6-H3e-005_af5.wfa | 393216  | 131072 |  | 28 | 25328 | 224 | 224 | 32 | 128 | 18.02611939 | 3.735  | 25776 | 0.065551758 |
| peppers32.bmp | peppers32.bmp-G_0.8-H5e-005_af1.wfa | 1572864 | 524288 |  | 32 | 33008 | 256 | 256 | 32 | 256 | 18.0268443  | 22.782 | 33520 | 0.021311442 |
| peppers32.bmp | peppers32.bmp-G_0.6-H1e-005_af3.wfa | 393216  | 131072 |  | 32 | 33008 | 256 | 256 | 32 | 128 | 18.02904205 | 4.719  | 33520 | 0.085245768 |
| peppers32.bmp | peppers32.bmp-G_0.6-H2e-005_af3.wfa | 393216  | 131072 |  | 32 | 33008 | 256 | 256 | 32 | 128 | 18.02904205 | 4.703  | 33520 | 0.085245768 |
| peppers32.bmp | peppers32.bmp-G_1-H1e-005_af3.wfa   | 1572864 | 524288 |  | 32 | 33008 | 256 | 256 | 32 | 256 | 18.0298852  | 20.813 | 33520 | 0.021311442 |
| peppers32.bmp | peppers32.bmp-G_1-H2e-005_af3.wfa   | 1572864 | 524288 |  | 32 | 33008 | 256 | 256 | 32 | 256 | 18.0298852  | 20.844 | 33520 | 0.021311442 |
| peppers32.bmp | peppers32.bmp-G_0.8-H4e-005_af3.wfa | 393216  | 131072 |  | 28 | 25328 | 224 | 224 | 32 | 128 | 18.03394505 | 3.766  | 25776 | 0.065551758 |
| peppers32.bmp | peppers32.bmp-G_0.8-H5e-005_af3.wfa | 393216  | 131072 |  | 28 | 25328 | 224 | 224 | 32 | 128 | 18.03394505 | 3.891  | 25776 | 0.065551758 |
| peppers32.bmp | peppers32.bmp-G_1-H4e-005_af3.wfa   | 393216  | 131072 |  | 28 | 25328 | 224 | 224 | 32 | 128 | 18.0379196  | 3.734  | 25776 | 0.065551758 |
| peppers32.bmp | peppers32.bmp-G_1-H5e-005_af3.wfa   | 393216  | 131072 |  | 28 | 25328 | 224 | 224 | 32 | 128 | 18.0379196  | 3.734  | 25776 | 0.065551758 |
| peppers32.bmp | peppers32.bmp-G_0.8-H8e-005_af5.wfa | 393216  | 131072 |  | 23 | 17168 | 184 | 184 | 32 | 128 | 18.04158129 | 3.016  | 17536 | 0.044596354 |
| peppers32.bmp | peppers32.bmp-G_0.8-H9e-005_af5.wfa | 393216  | 131072 |  | 23 | 17168 | 184 | 184 | 32 | 128 | 18.04158129 | 2.906  | 17536 | 0.044596354 |
| peppers32.bmp | peppers32.bmp-G_0.8-H2e-005_af3.wfa | 1572864 | 524288 |  | 32 | 33008 | 256 | 256 | 32 | 256 | 18.04321131 | 20.86  | 33520 | 0.021311442 |
| peppers32.bmp | peppers32.bmp-G_1-H5e-005_af1.wfa   | 1572864 | 524288 |  | 32 | 33008 | 256 | 256 | 32 | 256 | 18.04328888 | 22.875 | 33520 | 0.021311442 |
| peppers32.bmp | peppers32.bmp-G_0.6-H7e-005_af1.wfa | 98304   | 32768  |  | 25 | 20240 | 200 | 200 | 32 | 64  | 18.04445256 | 0.75   | 20640 | 0.209960938 |
| peppers32.bmp | peppers32.bmp-G_0.6-H5e-005_af2.wfa | 98304   | 32768  |  | 27 | 23568 | 216 | 216 | 32 | 64  | 18.04476572 | 0.828  | 24000 | 0.244140625 |

|               |                                     |         |        |  |    |       |     |     |    |     |             |        |       |             |
|---------------|-------------------------------------|---------|--------|--|----|-------|-----|-----|----|-----|-------------|--------|-------|-------------|
| peppers32.bmp | peppers32.bmp-G_0.6-H4e-005_af2.wfa | 98304   | 32768  |  | 27 | 23568 | 216 | 216 | 32 | 64  | 18.04476572 | 0.844  | 24000 | 0.244140625 |
| peppers32.bmp | peppers32.bmp-G_0.6-H5e-005_af5.wfa | 98304   | 32768  |  | 26 | 21872 | 208 | 208 | 32 | 64  | 18.04839059 | 0.766  | 22288 | 0.22672526  |
| peppers32.bmp | peppers32.bmp-G_0.6-H6e-005_af5.wfa | 98304   | 32768  |  | 25 | 20240 | 200 | 200 | 32 | 64  | 18.05039758 | 0.75   | 20640 | 0.209960938 |
| peppers32.bmp | peppers32.bmp-G_1-H7e-005_af5.wfa   | 393216  | 131072 |  | 23 | 17168 | 184 | 184 | 32 | 128 | 18.05100668 | 2.953  | 17536 | 0.044596354 |
| peppers32.bmp | peppers32.bmp-G_1-H8e-005_af5.wfa   | 393216  | 131072 |  | 23 | 17168 | 184 | 184 | 32 | 128 | 18.05100668 | 2.922  | 17536 | 0.044596354 |
| peppers32.bmp | peppers32.bmp-G_0.6-H4e-005_af5.wfa | 98304   | 32768  |  | 27 | 23568 | 216 | 216 | 32 | 64  | 18.05272886 | 0.812  | 24000 | 0.244140625 |
| peppers32.bmp | peppers32.bmp-G_1-H9e-005_af1.wfa   | 98304   | 32768  |  | 26 | 21872 | 208 | 208 | 32 | 64  | 18.05529172 | 0.875  | 22288 | 0.22672526  |
| peppers32.bmp | peppers32.bmp-G_0.8-H9e-005_af1.wfa | 98304   | 32768  |  | 26 | 21872 | 208 | 208 | 32 | 64  | 18.06029051 | 0.766  | 22288 | 0.22672526  |
| peppers32.bmp | peppers32.bmp-G_0.8-H8e-005_af1.wfa | 393216  | 131072 |  | 27 | 23568 | 216 | 216 | 32 | 128 | 18.06093645 | 3.625  | 24000 | 0.061035156 |
| peppers32.bmp | peppers32.bmp-G_1-H8e-005_af1.wfa   | 393216  | 131072 |  | 27 | 23568 | 216 | 216 | 32 | 128 | 18.06094233 | 3.718  | 24000 | 0.061035156 |
| peppers32.bmp | peppers32.bmp-G_1-H7e-005_af5.wfa   | 98304   | 32768  |  | 23 | 17168 | 184 | 184 | 32 | 64  | 18.06565637 | 0.688  | 17536 | 0.178385417 |
| peppers32.bmp | peppers32.bmp-G_1-H8e-005_af5.wfa   | 98304   | 32768  |  | 23 | 17168 | 184 | 184 | 32 | 64  | 18.06565637 | 0.672  | 17536 | 0.178385417 |
| peppers32.bmp | peppers32.bmp-G_1-H0.0001_af1.wfa   | 98304   | 32768  |  | 25 | 20240 | 200 | 200 | 32 | 64  | 18.06669835 | 0.828  | 20640 | 0.209960938 |
| peppers32.bmp | peppers32.bmp-G_0.8-H8e-005_af5.wfa | 98304   | 32768  |  | 23 | 17168 | 184 | 184 | 32 | 64  | 18.07097564 | 0.688  | 17536 | 0.178385417 |
| peppers32.bmp | peppers32.bmp-G_0.8-H9e-005_af5.wfa | 98304   | 32768  |  | 23 | 17168 | 184 | 184 | 32 | 64  | 18.07097564 | 0.75   | 17536 | 0.178385417 |
| peppers32.bmp | peppers32.bmp-G_0.8-H4e-005_af1.wfa | 1572864 | 524288 |  | 33 | 35088 | 264 | 264 | 32 | 256 | 18.07938056 | 24.531 | 35616 | 0.022644043 |
| peppers32.bmp | peppers32.bmp-G_0.8-H3e-005_af1.wfa | 1572864 | 524288 |  | 33 | 35088 | 264 | 264 | 32 | 256 | 18.07938056 | 24.609 | 35616 | 0.022644043 |
| peppers32.bmp | peppers32.bmp-G_1-H3e-005_af1.wfa   | 1572864 | 524288 |  | 33 | 35088 | 264 | 264 | 32 | 256 | 18.08049914 | 22.5   | 35616 | 0.022644043 |
| peppers32.bmp | peppers32.bmp-G_1-H4e-005_af1.wfa   | 1572864 | 524288 |  | 33 | 35088 | 264 | 264 | 32 | 256 | 18.08049914 | 24.265 | 35616 | 0.022644043 |
| peppers32.bmp | peppers32.bmp-G_0.8-H4e-005_af3.wfa | 98304   | 32768  |  | 28 | 25328 | 224 | 224 | 32 | 64  | 18.08457523 | 0.859  | 25776 | 0.262207031 |
| peppers32.bmp | peppers32.bmp-G_0.8-H5e-005_af3.wfa | 98304   | 32768  |  | 28 | 25328 | 224 | 224 | 32 | 64  | 18.08457523 | 0.844  | 25776 | 0.262207031 |
| peppers32.bmp | peppers32.bmp-G_1-H4e-005_af3.wfa   | 98304   | 32768  |  | 28 | 25328 | 224 | 224 | 32 | 64  | 18.08653736 | 0.891  | 25776 | 0.262207031 |
| peppers32.bmp | peppers32.bmp-G_1-H5e-005_af3.wfa   | 98304   | 32768  |  | 28 | 25328 | 224 | 224 | 32 | 64  | 18.08653736 | 0.844  | 25776 | 0.262207031 |
| peppers32.bmp | peppers32.bmp-G_0.6-H6e-005_af1.wfa | 98304   | 32768  |  | 26 | 21872 | 208 | 208 | 32 | 64  | 18.08739109 | 0.765  | 22288 | 0.22672526  |
| peppers32.bmp | peppers32.bmp-G_1-H6e-005_af2.wfa   | 98304   | 32768  |  | 25 | 20240 | 200 | 200 | 32 | 64  | 18.09118421 | 0.75   | 20640 | 0.209960938 |
| peppers32.bmp | peppers32.bmp-G_0.8-H6e-005_af2.wfa | 98304   | 32768  |  | 25 | 20240 | 200 | 200 | 32 | 64  | 18.09241317 | 0.735  | 20640 | 0.209960938 |
| peppers32.bmp | peppers32.bmp-G_0.8-H4e-005_af2.wfa | 1572864 | 524288 |  | 27 | 23568 | 216 | 216 | 32 | 256 | 18.09278021 | 16.188 | 24000 | 0.015258789 |
| peppers32.bmp | peppers32.bmp-G_0.8-H2e-005_af1.wfa | 1572864 | 524288 |  | 34 | 37232 | 272 | 272 | 32 | 256 | 18.09770128 | 23.625 | 37776 | 0.024017334 |
| peppers32.bmp | peppers32.bmp-G_1-H2e-005_af1.wfa   | 1572864 | 524288 |  | 34 | 37232 | 272 | 272 | 32 | 256 | 18.09772693 | 23.672 | 37776 | 0.024017334 |
| peppers32.bmp | peppers32.bmp-G_1-H4e-005_af2.wfa   | 1572864 | 524288 |  | 27 | 23568 | 216 | 216 | 32 | 256 | 18.10204977 | 16.031 | 24000 | 0.015258789 |
| peppers32.bmp | peppers32.bmp-G_0.6-H5e-005_af1.wfa | 98304   | 32768  |  | 28 | 25328 | 224 | 224 | 32 | 64  | 18.10407922 | 0.844  | 25776 | 0.262207031 |

|               |  |         |        |      |    |       |     |     |    |     |             |        |       |             |
|---------------|--|---------|--------|------|----|-------|-----|-----|----|-----|-------------|--------|-------|-------------|
| peppers32.bmp | peppers32.bmp-G_0.8-H1e-005_af3.wfa                      | 1572864 | 524288 |      | 34 | 37232 | 272 | 272 | 32 | 256 | 18.11090641 | 23.485 | 37776 | 0.024017334 |
| peppers32.bmp | peppers32.bmp-G_0.8-H5e-005_af2.wfa                      | 393216  | 131072 |      | 25 | 20240 | 200 | 200 | 32 | 128 | 18.11496923 | 3.266  | 20640 | 0.052490234 |
| peppers32.bmp | peppers32.bmp-G_1-H1e-005_af1.wfa                        | 1572864 | 524288 |      | 35 | 39440 | 280 | 280 | 32 | 256 | 18.11752441 | 25.75  | 40000 | 0.025431315 |
| peppers32.bmp | peppers32.bmp-G_0.8-H1e-005_af1.wfa                      | 1572864 | 524288 |      | 35 | 39440 | 280 | 280 | 32 | 256 | 18.1175279  | 31.438 | 40000 | 0.025431315 |
| peppers32.bmp | peppers32.bmp-G_0.8-H7e-005_af1.wfa                      | 393216  | 131072 |      | 28 | 25328 | 224 | 224 | 32 | 128 | 18.11874912 | 3.766  | 25776 | 0.065551758 |
| peppers32.bmp | peppers32.bmp-G_1-H7e-005_af1.wfa                        | 393216  | 131072 |      | 28 | 25328 | 224 | 224 | 32 | 128 | 18.11893913 | 3.734  | 25776 | 0.065551758 |
| peppers32.bmp | peppers32.bmp-G_1-H5e-005_af2.wfa                        | 393216  | 131072 |      | 25 | 20240 | 200 | 200 | 32 | 128 | 18.11995149 | 3.219  | 20640 | 0.052490234 |
| peppers32.bmp | peppers32.bmp-G_1-H5e-005_af2.wfa                        | 98304   | 32768  |      | 25 | 20240 | 200 | 200 | 32 | 64  | 18.12070751 | 0.75   | 20640 | 0.209960938 |
| peppers32.bmp | peppers32.bmp-G_0.8-H6e-005_af2.wfa                      | 393216  | 131072 |      | 25 | 20240 | 200 | 200 | 32 | 128 | 18.12094835 | 3.265  | 20640 | 0.052490234 |
| peppers32.bmp | peppers32.bmp-G_0.8-H5e-005_af2.wfa                      | 98304   | 32768  |      | 25 | 20240 | 200 | 200 | 32 | 64  | 18.12270015 | 0.734  | 20640 | 0.209960938 |
| peppers32.bmp | peppers32.bmp-G_1-H6e-005_af2.wfa                        | 393216  | 131072 |      | 25 | 20240 | 200 | 200 | 32 | 128 | 18.12464395 | 3.218  | 20640 | 0.052490234 |
| peppers32.bmp | peppers32.bmp-G_0.8-H5e-005_af5.wfa                      | 1572864 | 524288 |      | 26 | 21872 | 208 | 208 | 32 | 256 | 18.12490026 | 14.875 | 22288 | 0.014170329 |
| peppers32.bmp | peppers32.bmp-G_0.6-H1e-005_af2.wfa                      | 1572864 | 524288 |      | 32 | 33008 | 256 | 256 | 32 | 256 | 18.12602852 | 20.86  | 33520 | 0.021311442 |
| peppers32.bmp | peppers32.bmp-G_0.8-H3e-005_af2.wfa                      | 1572864 | 524288 |      | 28 | 25328 | 224 | 224 | 32 | 256 | 18.13200337 | 16.844 | 25776 | 0.016387939 |
| peppers32.bmp | peppers32.bmp-G_1-H6e-005_af5.wfa                        | 1572864 | 524288 |      | 25 | 20240 | 200 | 200 | 32 | 256 | 18.13365452 | 14.375 | 20640 | 0.013122559 |
| peppers32.bmp | peppers32.bmp-G_0.8-H4e-005_af5.wfa                      | 1572864 | 524288 |      | 27 | 23568 | 216 | 216 | 32 | 256 | 18.13523642 | 16.156 | 24000 | 0.015258789 |
| peppers32.bmp | peppers32.bmp-G_1-H3e-005_af2.wfa                        | 1572864 | 524288 |      | 28 | 25328 | 224 | 224 | 32 | 256 | 18.14035229 | 16.64  | 25776 | 0.016387939 |
| peppers32.bmp | peppers32.bmp-G_0.8-H3e-005_af3.wfa                      | 393216  | 131072 |      | 30 | 29040 | 240 | 240 | 32 | 128 | 18.14117913 | 4.156  | 29520 | 0.075073242 |
| peppers32.bmp | peppers32.bmp-G_1-H4e-005_af5.wfa                        | 1572864 | 524288 |      | 27 | 23568 | 216 | 216 | 32 | 256 | 18.14660893 | 16.078 | 24000 | 0.015258789 |
| peppers32.bmp | peppers32.bmp-G_1-H3e-005_af3.wfa                        | 393216  | 131072 |      | 30 | 29040 | 240 | 240 | 32 | 128 | 18.146632   | 4.172  | 29520 | 0.075073242 |
| peppers32.bmp | peppers32.bmp-G_0.8-H6e-005_af1.wfa                      | 393216  | 131072 |      | 29 | 27152 | 232 | 232 | 32 | 128 | 18.15964922 | 4.063  | 27616 | 0.07023112  |
| peppers32.bmp | peppers32.bmp-G_0.8-H6e-005_af5.wfa                      | 1572864 | 524288 |      | 25 | 20240 | 200 | 200 | 32 | 256 | 18.15992195 | 14.375 | 20640 | 0.013122559 |
| peppers32.bmp | peppers32.bmp-G_1-H6e-005_af1.wfa                        | 393216  | 131072 |      | 29 | 27152 | 232 | 232 | 32 | 128 | 18.16000763 | 4      | 27616 | 0.07023112  |
| peppers32.bmp | peppers32.bmp-G_0.6-H4e-005_af1.wfa                      | 98304   | 32768  |      | 29 | 27152 | 232 | 232 | 32 | 64  | 18.16304972 | 0.89   | 27616 | 0.280924479 |
| peppers32.bmp | peppers32.bmp-G_1-H8e-005_af1.wfa                        | 98304   | 32768  |      | 27 | 23568 | 216 | 216 | 32 | 64  | 18.16341204 | 0.875  | 24000 | 0.244140625 |
| peppers32.bmp | peppers32.bmp-G_0.8-H8e-005_af1.wfa                      | 98304   | 32768  |      | 27 | 23568 | 216 | 216 | 32 | 64  | 18.1677166  | 0.812  | 24000 | 0.244140625 |
| peppers32.bmp | peppers32.bmp-G_0.6-H3e-005_af1.wfa                      | 98304   | 32768  |      | 30 | 29040 | 240 | 240 | 32 | 64  | 18.17139554 | 0.938  | 29520 | 0.300292969 |
| peppers32.bmp | peppers32.bmp-withWavelet_haar-G_0.8-H4e-005_af2.wfa     | 24576   | 8192   | 8192 | 25 | 20240 | 200 | 200 | 32 | 32  | 18.172003   | 0.172  | 20640 | 0.83984375  |
| peppers32.bmp | peppers32.bmp-withWavelet_rbior1.1-G_0.8-H4e-005_af2.wfa | 24576   | 8192   | 8192 | 25 | 20240 | 200 | 200 | 32 | 32  | 18.172003   | 0.172  | 20640 | 0.83984375  |
| peppers32.bmp | peppers32.bmp-withWavelet_sym1-G_0.8-H4e-005_af2.wfa     | 24576   | 8192   | 8192 | 25 | 20240 | 200 | 200 | 32 | 32  | 18.172003   | 0.172  | 20640 | 0.83984375  |
| peppers32.bmp | peppers32.bmp-withWavelet_bior1.1-G_0.8-H4e-005_af2.wfa  | 24576   | 8192   | 8192 | 25 | 20240 | 200 | 200 | 32 | 32  | 18.172003   | 0.234  | 20640 | 0.83984375  |



|               |   |         |        |      |    |       |     |     |    |     |             |        |       |             |
|---------------|---|---------|--------|------|----|-------|-----|-----|----|-----|-------------|--------|-------|-------------|
| peppers32.bmp | peppers32.bmp-G_0.6-H2e-005_af2.wfa                     | 98304   | 32768  |      | 28 | 25328 | 224 | 224 | 32 | 64  | 18.17831917 | 0.859  | 25776 | 0.262207031 |
| peppers32.bmp | peppers32.bmp-G_0.6-H3e-005_af2.wfa                     | 98304   | 32768  |      | 28 | 25328 | 224 | 224 | 32 | 64  | 18.17831917 | 0.844  | 25776 | 0.262207031 |
| peppers32.bmp | peppers32.bmp-G_0.6-H1e-005_af1.wfa                     | 393216  | 131072 |      | 33 | 35088 | 264 | 264 | 32 | 128 | 18.17837297 | 5.469  | 35616 | 0.090576172 |
| peppers32.bmp | peppers32.bmp-G_0.6-H2e-005_af1.wfa                     | 393216  | 131072 |      | 33 | 35088 | 264 | 264 | 32 | 128 | 18.17837297 | 4.985  | 35616 | 0.090576172 |
| peppers32.bmp | peppers32.bmp-G_0.8-H7e-005_af5.wfa                     | 393216  | 131072 |      | 24 | 18672 | 192 | 192 | 32 | 128 | 18.17938407 | 3.047  | 19056 | 0.048461914 |
| peppers32.bmp | peppers32.bmp-G_0.6-H1e-005_af3.wfa                     | 98304   | 32768  |      | 32 | 33008 | 256 | 256 | 32 | 64  | 18.1831932  | 1.047  | 33520 | 0.340983073 |
| peppers32.bmp | peppers32.bmp-G_0.6-H2e-005_af3.wfa                     | 98304   | 32768  |      | 32 | 33008 | 256 | 256 | 32 | 64  | 18.1831932  | 1.031  | 33520 | 0.340983073 |
| peppers32.bmp | peppers32.bmp-G_0.6-H2e-005_af5.wfa                     | 393216  | 131072 |      | 30 | 29040 | 240 | 240 | 32 | 128 | 18.18407957 | 4.172  | 29520 | 0.075073242 |
| peppers32.bmp | peppers32.bmp-G_1-H5e-005_af5.wfa                       | 1572864 | 524288 |      | 26 | 21872 | 208 | 208 | 32 | 256 | 18.21522183 | 14.859 | 22288 | 0.014170329 |
| peppers32.bmp | peppers32.bmp-G_0.8-H7e-005_af5.wfa                     | 98304   | 32768  |      | 24 | 18672 | 192 | 192 | 32 | 64  | 18.22113467 | 0.703  | 19056 | 0.193847656 |
| peppers32.bmp | peppers32.bmp-G_1-H1e-005_af3.wfa                       | 393216  | 131072 |      | 32 | 33008 | 256 | 256 | 32 | 128 | 18.22689736 | 4.656  | 33520 | 0.085245768 |
| peppers32.bmp | peppers32.bmp-G_1-H2e-005_af3.wfa                       | 393216  | 131072 |      | 32 | 33008 | 256 | 256 | 32 | 128 | 18.22689736 | 5.016  | 33520 | 0.085245768 |
| peppers32.bmp | peppers32.bmp-G_0.8-H5e-005_af1.wfa                     | 393216  | 131072 |      | 32 | 33008 | 256 | 256 | 32 | 128 | 18.23492208 | 4.672  | 33520 | 0.085245768 |
| peppers32.bmp | peppers32.bmp-G_0.8-H2e-005_af3.wfa                     | 393216  | 131072 |      | 32 | 33008 | 256 | 256 | 32 | 128 | 18.23985459 | 4.718  | 33520 | 0.085245768 |
| peppers32.bmp | peppers32.bmp-G_0.8-H3e-005_af3.wfa                     | 98304   | 32768  |      | 30 | 29040 | 240 | 240 | 32 | 64  | 18.24133937 | 1      | 29520 | 0.300292969 |
| peppers32.bmp | peppers32.bmp-G_1-H3e-005_af3.wfa                       | 98304   | 32768  |      | 30 | 29040 | 240 | 240 | 32 | 64  | 18.24421325 | 0.938  | 29520 | 0.300292969 |
| peppers32.bmp | peppers32.bmp-G_1-H7e-005_af1.wfa                       | 98304   | 32768  |      | 28 | 25328 | 224 | 224 | 32 | 64  | 18.24770215 | 0.891  | 25776 | 0.262207031 |
| peppers32.bmp | peppers32.bmp-G_0.8-H7e-005_af1.wfa                     | 98304   | 32768  |      | 28 | 25328 | 224 | 224 | 32 | 64  | 18.24828023 | 0.86   | 25776 | 0.262207031 |
| peppers32.bmp | peppers32.bmp-G_1-H5e-005_af1.wfa                       | 393216  | 131072 |      | 32 | 33008 | 256 | 256 | 32 | 128 | 18.25080733 | 4.687  | 33520 | 0.085245768 |
| peppers32.bmp | peppers32.bmp-G_0.8-H4e-005_af2.wfa                     | 393216  | 131072 |      | 27 | 23568 | 216 | 216 | 32 | 128 | 18.28880808 | 3.703  | 24000 | 0.061035156 |
| peppers32.bmp | peppers32.bmp-G_0.8-H6e-005_af1.wfa                     | 98304   | 32768  |      | 29 | 27152 | 232 | 232 | 32 | 64  | 18.28924359 | 0.906  | 27616 | 0.280924479 |
| peppers32.bmp | peppers32.bmp-G_0.8-H4e-005_af1.wfa                     | 393216  | 131072 |      | 33 | 35088 | 264 | 264 | 32 | 128 | 18.29177039 | 5.437  | 35616 | 0.090576172 |
| peppers32.bmp | peppers32.bmp-G_0.8-H3e-005_af1.wfa                     | 393216  | 131072 |      | 33 | 35088 | 264 | 264 | 32 | 128 | 18.29177039 | 5.031  | 35616 | 0.090576172 |
| peppers32.bmp | peppers32.bmp-G_1-H3e-005_af1.wfa                       | 393216  | 131072 |      | 33 | 35088 | 264 | 264 | 32 | 128 | 18.29295809 | 5      | 35616 | 0.090576172 |
| peppers32.bmp | peppers32.bmp-G_1-H4e-005_af1.wfa                       | 393216  | 131072 |      | 33 | 35088 | 264 | 264 | 32 | 128 | 18.29295809 | 5.36   | 35616 | 0.090576172 |
| peppers32.bmp | peppers32.bmp-G_1-H4e-005_af2.wfa                       | 393216  | 131072 |      | 27 | 23568 | 216 | 216 | 32 | 128 | 18.29756604 | 3.609  | 24000 | 0.061035156 |
| peppers32.bmp | peppers32.bmp-G_1-H6e-005_af1.wfa                       | 98304   | 32768  |      | 29 | 27152 | 232 | 232 | 32 | 64  | 18.29825952 | 0.969  | 27616 | 0.280924479 |
| peppers32.bmp | peppers32.bmp-withWavelet_haar-G_0.6-H6e-005_af2.wfa    | 24576   | 8192   | 8192 | 21 | 14352 | 168 | 168 | 32 | 32  | 18.29889953 | 0.125  | 14688 | 0.59765625  |
| peppers32.bmp | peppers32.bmp-withWavelet_rbio1.1-G_0.6-H6e-005_af2.wfa | 24576   | 8192   | 8192 | 21 | 14352 | 168 | 168 | 32 | 32  | 18.29889953 | 0.266  | 14688 | 0.59765625  |
| peppers32.bmp | peppers32.bmp-withWavelet_sym1-G_0.6-H6e-005_af2.wfa    | 24576   | 8192   | 8192 | 21 | 14352 | 168 | 168 | 32 | 32  | 18.29889953 | 0.125  | 14688 | 0.59765625  |
| peppers32.bmp | peppers32.bmp-withWavelet_bior1.1-G_0.6-H6e-005_af2.wfa | 24576   | 8192   | 8192 | 21 | 14352 | 168 | 168 | 32 | 32  | 18.29889953 | 0.281  | 14688 | 0.59765625  |

|               |                                     |         |        |  |    |       |     |     |    |     |             |        |       |             |
|---------------|-------------------------------------|---------|--------|--|----|-------|-----|-----|----|-----|-------------|--------|-------|-------------|
| peppers32.bmp | peppers32.bmp-G_0.6-H3e-005_af5.wfa | 98304   | 32768  |  | 28 | 25328 | 224 | 224 | 32 | 64  | 18.30075114 | 0.844  | 25776 | 0.262207031 |
| peppers32.bmp | peppers32.bmp-G_0.6-H9e-005_af3.wfa | 24576   | 8192   |  | 22 | 15728 | 176 | 176 | 32 | 32  | 18.30580281 | 0.141  | 16080 | 0.654296875 |
| peppers32.bmp | peppers32.bmp-G_0.8-H2e-005_af1.wfa | 393216  | 131072 |  | 34 | 37232 | 272 | 272 | 32 | 128 | 18.31530698 | 6.281  | 37776 | 0.096069336 |
| peppers32.bmp | peppers32.bmp-G_1-H2e-005_af1.wfa   | 393216  | 131072 |  | 34 | 37232 | 272 | 272 | 32 | 128 | 18.31535754 | 6.422  | 37776 | 0.096069336 |
| peppers32.bmp | peppers32.bmp-G_0.8-H5e-005_af5.wfa | 393216  | 131072 |  | 26 | 21872 | 208 | 208 | 32 | 128 | 18.31570697 | 3.375  | 22288 | 0.056681315 |
| peppers32.bmp | peppers32.bmp-G_0.8-H3e-005_af5.wfa | 1572864 | 524288 |  | 29 | 27152 | 232 | 232 | 32 | 256 | 18.31977988 | 17.968 | 27616 | 0.01755778  |
| peppers32.bmp | peppers32.bmp-G_0.8-H1e-005_af3.wfa | 393216  | 131072 |  | 34 | 37232 | 272 | 272 | 32 | 128 | 18.3210886  | 5.203  | 37776 | 0.096069336 |
| peppers32.bmp | peppers32.bmp-G_1-H6e-005_af5.wfa   | 393216  | 131072 |  | 25 | 20240 | 200 | 200 | 32 | 128 | 18.32128092 | 3.328  | 20640 | 0.052490234 |
| peppers32.bmp | peppers32.bmp-G_0.8-H4e-005_af5.wfa | 393216  | 131072 |  | 27 | 23568 | 216 | 216 | 32 | 128 | 18.32803519 | 3.593  | 24000 | 0.061035156 |
| peppers32.bmp | peppers32.bmp-G_0.8-H3e-005_af2.wfa | 393216  | 131072 |  | 28 | 25328 | 224 | 224 | 32 | 128 | 18.33481469 | 3.813  | 25776 | 0.065551758 |
| peppers32.bmp | peppers32.bmp-G_1-H4e-005_af5.wfa   | 393216  | 131072 |  | 27 | 23568 | 216 | 216 | 32 | 128 | 18.33859735 | 3.703  | 24000 | 0.061035156 |
| peppers32.bmp | peppers32.bmp-G_1-H1e-005_af1.wfa   | 393216  | 131072 |  | 35 | 39440 | 280 | 280 | 32 | 128 | 18.33909336 | 5.844  | 40000 | 0.10172526  |
| peppers32.bmp | peppers32.bmp-G_0.8-H1e-005_af1.wfa | 393216  | 131072 |  | 35 | 39440 | 280 | 280 | 32 | 128 | 18.33909756 | 6.204  | 40000 | 0.10172526  |
| peppers32.bmp | peppers32.bmp-G_1-H3e-005_af2.wfa   | 393216  | 131072 |  | 28 | 25328 | 224 | 224 | 32 | 128 | 18.34310201 | 3.765  | 25776 | 0.065551758 |
| peppers32.bmp | peppers32.bmp-G_0.8-H6e-005_af5.wfa | 393216  | 131072 |  | 25 | 20240 | 200 | 200 | 32 | 128 | 18.34418323 | 3.359  | 20640 | 0.052490234 |
| peppers32.bmp | peppers32.bmp-G_0.8-H2e-005_af2.wfa | 1572864 | 524288 |  | 30 | 29040 | 240 | 240 | 32 | 256 | 18.34458892 | 18.578 | 29520 | 0.018768311 |
| peppers32.bmp | peppers32.bmp-G_1-H2e-005_af2.wfa   | 1572864 | 524288 |  | 30 | 29040 | 240 | 240 | 32 | 256 | 18.3548466  | 18.765 | 29520 | 0.018768311 |
| peppers32.bmp | peppers32.bmp-G_1-H1e-005_af3.wfa   | 98304   | 32768  |  | 32 | 33008 | 256 | 256 | 32 | 64  | 18.37661516 | 1.109  | 33520 | 0.340983073 |
| peppers32.bmp | peppers32.bmp-G_1-H2e-005_af3.wfa   | 98304   | 32768  |  | 32 | 33008 | 256 | 256 | 32 | 64  | 18.37661516 | 1.047  | 33520 | 0.340983073 |
| peppers32.bmp | peppers32.bmp-G_0.8-H2e-005_af5.wfa | 1572864 | 524288 |  | 30 | 29040 | 240 | 240 | 32 | 256 | 18.38168801 | 18.515 | 29520 | 0.018768311 |
| peppers32.bmp | peppers32.bmp-G_0.8-H2e-005_af3.wfa | 98304   | 32768  |  | 32 | 33008 | 256 | 256 | 32 | 64  | 18.38181859 | 1.125  | 33520 | 0.340983073 |
| peppers32.bmp | peppers32.bmp-G_0.6-H1e-005_af2.wfa | 393216  | 131072 |  | 32 | 33008 | 256 | 256 | 32 | 128 | 18.38744527 | 4.641  | 33520 | 0.085245768 |
| peppers32.bmp | peppers32.bmp-G_1-H6e-005_af5.wfa   | 98304   | 32768  |  | 25 | 20240 | 200 | 200 | 32 | 64  | 18.39231421 | 0.734  | 20640 | 0.209960938 |
| peppers32.bmp | peppers32.bmp-G_1-H2e-005_af5.wfa   | 1572864 | 524288 |  | 30 | 29040 | 240 | 240 | 32 | 256 | 18.39276269 | 18.578 | 29520 | 0.018768311 |
| peppers32.bmp | peppers32.bmp-G_1-H3e-005_af5.wfa   | 1572864 | 524288 |  | 30 | 29040 | 240 | 240 | 32 | 256 | 18.39276269 | 18.547 | 29520 | 0.018768311 |
| peppers32.bmp | peppers32.bmp-G_1-H5e-005_af5.wfa   | 393216  | 131072 |  | 26 | 21872 | 208 | 208 | 32 | 128 | 18.40395522 | 3.484  | 22288 | 0.056681315 |
| peppers32.bmp | peppers32.bmp-G_0.8-H6e-005_af5.wfa | 98304   | 32768  |  | 25 | 20240 | 200 | 200 | 32 | 64  | 18.40648316 | 0.734  | 20640 | 0.209960938 |
| peppers32.bmp | peppers32.bmp-G_0.8-H4e-005_af2.wfa | 98304   | 32768  |  | 27 | 23568 | 216 | 216 | 32 | 64  | 18.40736507 | 0.828  | 24000 | 0.244140625 |
| peppers32.bmp | peppers32.bmp-G_1-H4e-005_af2.wfa   | 98304   | 32768  |  | 27 | 23568 | 216 | 216 | 32 | 64  | 18.40823423 | 0.813  | 24000 | 0.244140625 |
| peppers32.bmp | peppers32.bmp-G_0.6-H1e-005_af1.wfa | 98304   | 32768  |  | 33 | 35088 | 264 | 264 | 32 | 64  | 18.41803964 | 1.141  | 35616 | 0.362304688 |
| peppers32.bmp | peppers32.bmp-G_0.6-H2e-005_af1.wfa | 98304   | 32768  |  | 33 | 35088 | 264 | 264 | 32 | 64  | 18.41803964 | 1.109  | 35616 | 0.362304688 |

|               |   |         |        |      |    |       |     |     |    |     |             |        |       |             |
|---------------|---|---------|--------|------|----|-------|-----|-----|----|-----|-------------|--------|-------|-------------|
| peppers32.bmp | peppers32.bmp-G_0.8-H5e-005_af1.wfa                     | 98304   | 32768  |      | 32 | 33008 | 256 | 256 | 32 | 64  | 18.42301821 | 1.172  | 33520 | 0.340983073 |
| peppers32.bmp | peppers32.bmp-G_0.8-H5e-005_af5.wfa                     | 98304   | 32768  |      | 26 | 21872 | 208 | 208 | 32 | 64  | 18.42482408 | 0.765  | 22288 | 0.22672526  |
| peppers32.bmp | peppers32.bmp-withWavelet_haar-G_0.6-H4e-005_af2.wfa    | 24576   | 8192   | 8192 | 25 | 20240 | 200 | 200 | 32 | 32  | 18.42950091 | 0.172  | 20640 | 0.83984375  |
| peppers32.bmp | peppers32.bmp-withWavelet_rbio1.1-G_0.6-H4e-005_af2.wfa | 24576   | 8192   | 8192 | 25 | 20240 | 200 | 200 | 32 | 32  | 18.42950091 | 0.156  | 20640 | 0.83984375  |
| peppers32.bmp | peppers32.bmp-withWavelet_sym1-G_0.6-H4e-005_af2.wfa    | 24576   | 8192   | 8192 | 25 | 20240 | 200 | 200 | 32 | 32  | 18.42950091 | 0.172  | 20640 | 0.83984375  |
| peppers32.bmp | peppers32.bmp-withWavelet_bior1.1-G_0.6-H4e-005_af2.wfa | 24576   | 8192   | 8192 | 25 | 20240 | 200 | 200 | 32 | 32  | 18.42950091 | 0.157  | 20640 | 0.83984375  |
| peppers32.bmp | peppers32.bmp-G_1-H5e-005_af1.wfa                       | 98304   | 32768  |      | 32 | 33008 | 256 | 256 | 32 | 64  | 18.43607763 | 1.125  | 33520 | 0.340983073 |
| peppers32.bmp | peppers32.bmp-G_1-H4e-005_af5.wfa                       | 98304   | 32768  |      | 27 | 23568 | 216 | 216 | 32 | 64  | 18.44531102 | 0.828  | 24000 | 0.244140625 |
| peppers32.bmp | peppers32.bmp-G_0.8-H4e-005_af5.wfa                     | 98304   | 32768  |      | 27 | 23568 | 216 | 216 | 32 | 64  | 18.44689279 | 0.828  | 24000 | 0.244140625 |
| peppers32.bmp | peppers32.bmp-G_1-H5e-005_af5.wfa                       | 98304   | 32768  |      | 26 | 21872 | 208 | 208 | 32 | 64  | 18.47308839 | 0.765  | 22288 | 0.22672526  |
| peppers32.bmp | peppers32.bmp-G_0.8-H1e-005_af2.wfa                     | 1572864 | 524288 |      | 32 | 33008 | 256 | 256 | 32 | 256 | 18.48006282 | 20.781 | 33520 | 0.021311442 |
| peppers32.bmp | peppers32.bmp-G_0.8-H3e-005_af2.wfa                     | 98304   | 32768  |      | 28 | 25328 | 224 | 224 | 32 | 64  | 18.4832615  | 0.86   | 25776 | 0.262207031 |
| peppers32.bmp | peppers32.bmp-G_1-H3e-005_af2.wfa                       | 98304   | 32768  |      | 28 | 25328 | 224 | 224 | 32 | 64  | 18.48484361 | 0.844  | 25776 | 0.262207031 |
| peppers32.bmp | peppers32.bmp-G_0.8-H0.0001_af3.wfa                     | 24576   | 8192   |      | 21 | 14352 | 168 | 168 | 32 | 32  | 18.48490792 | 0.141  | 14688 | 0.59765625  |
| peppers32.bmp | peppers32.bmp-G_1-H1e-005_af2.wfa                       | 1572864 | 524288 |      | 32 | 33008 | 256 | 256 | 32 | 256 | 18.49353024 | 20.828 | 33520 | 0.021311442 |
| peppers32.bmp | peppers32.bmp-G_0.8-H4e-005_af1.wfa                     | 98304   | 32768  |      | 33 | 35088 | 264 | 264 | 32 | 64  | 18.49672861 | 1.25   | 35616 | 0.362304688 |
| peppers32.bmp | peppers32.bmp-G_0.8-H3e-005_af1.wfa                     | 98304   | 32768  |      | 33 | 35088 | 264 | 264 | 32 | 64  | 18.49672861 | 1.172  | 35616 | 0.362304688 |
| peppers32.bmp | peppers32.bmp-G_1-H3e-005_af1.wfa                       | 98304   | 32768  |      | 33 | 35088 | 264 | 264 | 32 | 64  | 18.49770814 | 1.172  | 35616 | 0.362304688 |
| peppers32.bmp | peppers32.bmp-G_1-H4e-005_af1.wfa                       | 98304   | 32768  |      | 33 | 35088 | 264 | 264 | 32 | 64  | 18.49770814 | 1.125  | 35616 | 0.362304688 |
| peppers32.bmp | peppers32.bmp-G_0.8-H1e-005_af3.wfa                     | 98304   | 32768  |      | 34 | 37232 | 272 | 272 | 32 | 64  | 18.51431707 | 1.172  | 37776 | 0.384277344 |
| peppers32.bmp | peppers32.bmp-G_0.6-H0.0001_af3.wfa                     | 24576   | 8192   |      | 22 | 15728 | 176 | 176 | 32 | 32  | 18.53317177 | 0.125  | 16080 | 0.654296875 |
| peppers32.bmp | peppers32.bmp-G_0.8-H3e-005_af5.wfa                     | 393216  | 131072 |      | 29 | 27152 | 232 | 232 | 32 | 128 | 18.54067527 | 4.016  | 27616 | 0.07023112  |
| peppers32.bmp | peppers32.bmp-G_1-H2e-005_af1.wfa                       | 98304   | 32768  |      | 34 | 37232 | 272 | 272 | 32 | 64  | 18.54279605 | 1.235  | 37776 | 0.384277344 |
| peppers32.bmp | peppers32.bmp-G_0.8-H2e-005_af1.wfa                     | 98304   | 32768  |      | 34 | 37232 | 272 | 272 | 32 | 64  | 18.54293583 | 1.391  | 37776 | 0.384277344 |
| peppers32.bmp | peppers32.bmp-G_0.6-H2e-005_af5.wfa                     | 98304   | 32768  |      | 30 | 29040 | 240 | 240 | 32 | 64  | 18.56353222 | 0.938  | 29520 | 0.300292969 |
| peppers32.bmp | peppers32.bmp-G_0.8-H1e-005_af5.wfa                     | 1572864 | 524288 |      | 34 | 37232 | 272 | 272 | 32 | 256 | 18.56364241 | 26.406 | 37776 | 0.024017334 |
| peppers32.bmp | peppers32.bmp-G_0.6-H1e-005_af5.wfa                     | 1572864 | 524288 |      | 35 | 39440 | 280 | 280 | 32 | 256 | 18.56408073 | 25.719 | 40000 | 0.025431315 |
| peppers32.bmp | peppers32.bmp-G_1-H1e-005_af5.wfa                       | 1572864 | 524288 |      | 34 | 37232 | 272 | 272 | 32 | 256 | 18.56883479 | 27.406 | 37776 | 0.024017334 |
| peppers32.bmp | peppers32.bmp-G_1-H1e-005_af1.wfa                       | 98304   | 32768  |      | 35 | 39440 | 280 | 280 | 32 | 64  | 18.58606805 | 1.297  | 40000 | 0.406901042 |
| peppers32.bmp | peppers32.bmp-G_0.8-H1e-005_af1.wfa                     | 98304   | 32768  |      | 35 | 39440 | 280 | 280 | 32 | 64  | 18.58607385 | 1.312  | 40000 | 0.406901042 |
| peppers32.bmp | peppers32.bmp-G_0.8-H2e-005_af2.wfa                     | 393216  | 131072 |      | 30 | 29040 | 240 | 240 | 32 | 128 | 18.58679999 | 4.172  | 29520 | 0.075073242 |

|               |   |        |        |      |    |       |     |     |    |     |             |       |       |             |
|---------------|---|--------|--------|------|----|-------|-----|-----|----|-----|-------------|-------|-------|-------------|
| peppers32.bmp | peppers32.bmp-G_1-H2e-005_af2.wfa                     | 393216 | 131072 |      | 30 | 29040 | 240 | 240 | 32 | 128 | 18.59723147 | 4.157 | 29520 | 0.075073242 |
| peppers32.bmp | peppers32.bmp-G_1-H0.0001_af3.wfa                     | 24576  | 8192   |      | 22 | 15728 | 176 | 176 | 32 | 32  | 18.60488456 | 0.125 | 16080 | 0.654296875 |
| peppers32.bmp | peppers32.bmp-G_0.8-H2e-005_af5.wfa                   | 393216 | 131072 |      | 30 | 29040 | 240 | 240 | 32 | 128 | 18.61816321 | 4.141 | 29520 | 0.075073242 |
| peppers32.bmp | peppers32.bmp-G_1-H2e-005_af5.wfa                     | 393216 | 131072 |      | 30 | 29040 | 240 | 240 | 32 | 128 | 18.62993778 | 4.157 | 29520 | 0.075073242 |
| peppers32.bmp | peppers32.bmp-G_1-H3e-005_af5.wfa                     | 393216 | 131072 |      | 30 | 29040 | 240 | 240 | 32 | 128 | 18.62993778 | 4.266 | 29520 | 0.075073242 |
| peppers32.bmp | peppers32.bmp-G_1-H8e-005_af2.wfa                     | 24576  | 8192   |      | 22 | 15728 | 176 | 176 | 32 | 32  | 18.70994947 | 0.141 | 16080 | 0.654296875 |
| peppers32.bmp | peppers32.bmp-G_1-H9e-005_af2.wfa                     | 24576  | 8192   |      | 22 | 15728 | 176 | 176 | 32 | 32  | 18.70994947 | 0.125 | 16080 | 0.654296875 |
| peppers32.bmp | peppers32.bmp-G_0.8-H8e-005_af2.wfa                   | 24576  | 8192   |      | 22 | 15728 | 176 | 176 | 32 | 32  | 18.72702452 | 0.156 | 16080 | 0.654296875 |
| peppers32.bmp | peppers32.bmp-G_0.8-H9e-005_af2.wfa                   | 24576  | 8192   |      | 22 | 15728 | 176 | 176 | 32 | 32  | 18.72702452 | 0.125 | 16080 | 0.654296875 |
| peppers32.bmp | peppers32.bmp-G_0.8-H0.0001_af2.wfa                   | 24576  | 8192   |      | 22 | 15728 | 176 | 176 | 32 | 32  | 18.72702452 | 0.14  | 16080 | 0.654296875 |
| peppers32.bmp | peppers32.bmp-G_0.8-H1e-005_af2.wfa                   | 393216 | 131072 |      | 32 | 33008 | 256 | 256 | 32 | 128 | 18.74135522 | 4.703 | 33520 | 0.085245768 |
| peppers32.bmp | peppers32.bmp-G_0.8-H3e-005_af5.wfa                   | 98304  | 32768  |      | 29 | 27152 | 232 | 232 | 32 | 64  | 18.7457096  | 0.922 | 27616 | 0.280924479 |
| peppers32.bmp | peppers32.bmp-G_1-H9e-005_af3.wfa                     | 24576  | 8192   |      | 23 | 17168 | 184 | 184 | 32 | 32  | 18.75845658 | 0.156 | 17536 | 0.713541667 |
| peppers32.bmp | peppers32.bmp-G_1-H1e-005_af2.wfa                     | 393216 | 131072 |      | 32 | 33008 | 256 | 256 | 32 | 128 | 18.76668994 | 4.625 | 33520 | 0.085245768 |
| peppers32.bmp | peppers32.bmp-G_0.8-H9e-005_af3.wfa                   | 24576  | 8192   |      | 23 | 17168 | 184 | 184 | 32 | 32  | 18.77894841 | 0.156 | 17536 | 0.713541667 |
| peppers32.bmp | peppers32.bmp-G_0.8-H1e-005_af5.wfa                   | 393216 | 131072 |      | 34 | 37232 | 272 | 272 | 32 | 128 | 18.84374723 | 5.25  | 37776 | 0.096069336 |
| peppers32.bmp | peppers32.bmp-G_1-H0.0001_af2.wfa                     | 24576  | 8192   |      | 20 | 13040 | 160 | 160 | 32 | 32  | 18.84869768 | 0.125 | 13360 | 0.543619792 |
| peppers32.bmp | peppers32.bmp-G_1-H1e-005_af5.wfa                     | 393216 | 131072 |      | 34 | 37232 | 272 | 272 | 32 | 128 | 18.84929469 | 5.703 | 37776 | 0.096069336 |
| peppers32.bmp | peppers32.bmp-G_0.6-H1e-005_af5.wfa                   | 393216 | 131072 |      | 35 | 39440 | 280 | 280 | 32 | 128 | 18.86309178 | 5.703 | 40000 | 0.10172526  |
| peppers32.bmp | peppers32.bmp-withWavelet_haar-G_1-H3e-005_af2.wfa    | 24576  | 8192   | 8192 | 27 | 23568 | 216 | 216 | 32 | 32  | 18.87936265 | 0.187 | 24000 | 0.9765625   |
| peppers32.bmp | peppers32.bmp-withWavelet_rbio1.1-G_1-H3e-005_af2.wfa | 24576  | 8192   | 8192 | 27 | 23568 | 216 | 216 | 32 | 32  | 18.87936265 | 0.187 | 24000 | 0.9765625   |
| peppers32.bmp | peppers32.bmp-withWavelet_sym1-G_1-H3e-005_af2.wfa    | 24576  | 8192   | 8192 | 27 | 23568 | 216 | 216 | 32 | 32  | 18.87936265 | 0.188 | 24000 | 0.9765625   |
| peppers32.bmp | peppers32.bmp-withWavelet_bior1.1-G_1-H3e-005_af2.wfa | 24576  | 8192   | 8192 | 27 | 23568 | 216 | 216 | 32 | 32  | 18.87936265 | 0.187 | 24000 | 0.9765625   |
| peppers32.bmp | peppers32.bmp-G_0.8-H2e-005_af2.wfa                   | 98304  | 32768  |      | 30 | 29040 | 240 | 240 | 32 | 64  | 18.88934426 | 0.922 | 29520 | 0.300292969 |
| peppers32.bmp | peppers32.bmp-G_1-H2e-005_af2.wfa                     | 98304  | 32768  |      | 30 | 29040 | 240 | 240 | 32 | 64  | 18.89093124 | 0.938 | 29520 | 0.300292969 |
| peppers32.bmp | peppers32.bmp-G_0.8-H2e-005_af5.wfa                   | 98304  | 32768  |      | 30 | 29040 | 240 | 240 | 32 | 64  | 18.89161768 | 0.922 | 29520 | 0.300292969 |
| peppers32.bmp | peppers32.bmp-G_0.6-H1e-005_af2.wfa                   | 98304  | 32768  |      | 32 | 33008 | 256 | 256 | 32 | 64  | 18.89811219 | 1.079 | 33520 | 0.340983073 |
| peppers32.bmp | peppers32.bmp-G_1-H2e-005_af5.wfa                     | 98304  | 32768  |      | 30 | 29040 | 240 | 240 | 32 | 64  | 18.89852917 | 0.937 | 29520 | 0.300292969 |
| peppers32.bmp | peppers32.bmp-G_1-H3e-005_af5.wfa                     | 98304  | 32768  |      | 30 | 29040 | 240 | 240 | 32 | 64  | 18.89852917 | 0.938 | 29520 | 0.300292969 |
| peppers32.bmp | peppers32.bmp-withWavelet_haar-G_1-H1e-005_af5.wfa    | 24576  | 8192   | 8192 | 28 | 25328 | 224 | 224 | 32 | 32  | 18.94548717 | 0.188 | 25776 | 1.048828125 |
| peppers32.bmp | peppers32.bmp-withWavelet_rbio1.1-G_1-H1e-005_af5.wfa | 24576  | 8192   | 8192 | 28 | 25328 | 224 | 224 | 32 | 32  | 18.94548717 | 0.188 | 25776 | 1.048828125 |

|               |   |       |       |      |    |       |     |     |    |    |             |       |       |             |
|---------------|---|-------|-------|------|----|-------|-----|-----|----|----|-------------|-------|-------|-------------|
| peppers32.bmp | peppers32.bmp-withWavelet_sym1-G_1-H1e-005_af5.wfa      | 24576 | 8192  | 8192 | 28 | 25328 | 224 | 224 | 32 | 32 | 18.94548717 | 0.188 | 25776 | 1.048828125 |
| peppers32.bmp | peppers32.bmp-withWavelet_bior1.1-G_1-H1e-005_af5.wfa   | 24576 | 8192  | 8192 | 28 | 25328 | 224 | 224 | 32 | 32 | 18.94548717 | 0.188 | 25776 | 1.048828125 |
| peppers32.bmp | peppers32.bmp-G_0.6-H8e-005_af3.wfa                     | 24576 | 8192  |      | 24 | 18672 | 192 | 192 | 32 | 32 | 18.94854587 | 0.156 | 19056 | 0.775390625 |
| peppers32.bmp | peppers32.bmp-withWavelet_haar-G_0.8-H1e-005_af5.wfa    | 24576 | 8192  | 8192 | 28 | 25328 | 224 | 224 | 32 | 32 | 18.95877872 | 0.187 | 25776 | 1.048828125 |
| peppers32.bmp | peppers32.bmp-withWavelet_rbio1.1-G_0.8-H1e-005_af5.wfa | 24576 | 8192  | 8192 | 28 | 25328 | 224 | 224 | 32 | 32 | 18.95877872 | 0.188 | 25776 | 1.048828125 |
| peppers32.bmp | peppers32.bmp-withWavelet_sym1-G_0.8-H1e-005_af5.wfa    | 24576 | 8192  | 8192 | 28 | 25328 | 224 | 224 | 32 | 32 | 18.95877872 | 0.187 | 25776 | 1.048828125 |
| peppers32.bmp | peppers32.bmp-withWavelet_bior1.1-G_0.8-H1e-005_af5.wfa | 24576 | 8192  | 8192 | 28 | 25328 | 224 | 224 | 32 | 32 | 18.95877872 | 0.187 | 25776 | 1.048828125 |
| peppers32.bmp | peppers32.bmp-G_0.6-H0.0001_af5.wfa                     | 24576 | 8192  |      | 21 | 14352 | 168 | 168 | 32 | 32 | 18.96170212 | 0.172 | 14688 | 0.59765625  |
| peppers32.bmp | peppers32.bmp-G_1-H7e-005_af2.wfa                       | 24576 | 8192  |      | 23 | 17168 | 184 | 184 | 32 | 32 | 19.06669961 | 0.156 | 17536 | 0.713541667 |
| peppers32.bmp | peppers32.bmp-G_0.6-H0.0001_af2.wfa                     | 24576 | 8192  |      | 21 | 14352 | 168 | 168 | 32 | 32 | 19.08433451 | 0.125 | 14688 | 0.59765625  |
| peppers32.bmp | peppers32.bmp-G_0.8-H7e-005_af2.wfa                     | 24576 | 8192  |      | 23 | 17168 | 184 | 184 | 32 | 32 | 19.08480078 | 0.156 | 17536 | 0.713541667 |
| peppers32.bmp | peppers32.bmp-G_0.8-H1e-005_af2.wfa                     | 98304 | 32768 |      | 32 | 33008 | 256 | 256 | 32 | 64 | 19.11391719 | 1.063 | 33520 | 0.340983073 |
| peppers32.bmp | peppers32.bmp-G_1-H8e-005_af3.wfa                       | 24576 | 8192  |      | 24 | 18672 | 192 | 192 | 32 | 32 | 19.12088489 | 0.156 | 19056 | 0.775390625 |
| peppers32.bmp | peppers32.bmp-withWavelet_haar-G_0.8-H3e-005_af2.wfa    | 24576 | 8192  | 8192 | 28 | 25328 | 224 | 224 | 32 | 32 | 19.12138696 | 0.203 | 25776 | 1.048828125 |
| peppers32.bmp | peppers32.bmp-withWavelet_rbio1.1-G_0.8-H3e-005_af2.wfa | 24576 | 8192  | 8192 | 28 | 25328 | 224 | 224 | 32 | 32 | 19.12138696 | 0.187 | 25776 | 1.048828125 |
| peppers32.bmp | peppers32.bmp-withWavelet_sym1-G_0.8-H3e-005_af2.wfa    | 24576 | 8192  | 8192 | 28 | 25328 | 224 | 224 | 32 | 32 | 19.12138696 | 0.328 | 25776 | 1.048828125 |
| peppers32.bmp | peppers32.bmp-withWavelet_bior1.1-G_0.8-H3e-005_af2.wfa | 24576 | 8192  | 8192 | 28 | 25328 | 224 | 224 | 32 | 32 | 19.12138696 | 0.188 | 25776 | 1.048828125 |
| peppers32.bmp | peppers32.bmp-withWavelet_haar-G_0.6-H1e-005_af5.wfa    | 24576 | 8192  | 8192 | 28 | 25328 | 224 | 224 | 32 | 32 | 19.12326909 | 0.187 | 25776 | 1.048828125 |
| peppers32.bmp | peppers32.bmp-withWavelet_rbio1.1-G_0.6-H1e-005_af5.wfa | 24576 | 8192  | 8192 | 28 | 25328 | 224 | 224 | 32 | 32 | 19.12326909 | 0.203 | 25776 | 1.048828125 |
| peppers32.bmp | peppers32.bmp-withWavelet_sym1-G_0.6-H1e-005_af5.wfa    | 24576 | 8192  | 8192 | 28 | 25328 | 224 | 224 | 32 | 32 | 19.12326909 | 0.187 | 25776 | 1.048828125 |
| peppers32.bmp | peppers32.bmp-withWavelet_bior1.1-G_0.6-H1e-005_af5.wfa | 24576 | 8192  | 8192 | 28 | 25328 | 224 | 224 | 32 | 32 | 19.12326909 | 0.188 | 25776 | 1.048828125 |
| peppers32.bmp | peppers32.bmp-G_0.8-H8e-005_af3.wfa                     | 24576 | 8192  |      | 24 | 18672 | 192 | 192 | 32 | 32 | 19.14109906 | 0.172 | 19056 | 0.775390625 |
| peppers32.bmp | peppers32.bmp-G_0.6-H7e-005_af3.wfa                     | 24576 | 8192  |      | 24 | 18672 | 192 | 192 | 32 | 32 | 19.15768672 | 0.172 | 19056 | 0.775390625 |
| peppers32.bmp | peppers32.bmp-G_1-H7e-005_af3.wfa                       | 24576 | 8192  |      | 24 | 18672 | 192 | 192 | 32 | 32 | 19.16446398 | 0.297 | 19056 | 0.775390625 |
| peppers32.bmp | peppers32.bmp-G_0.8-H7e-005_af3.wfa                     | 24576 | 8192  |      | 24 | 18672 | 192 | 192 | 32 | 32 | 19.17714674 | 0.156 | 19056 | 0.775390625 |
| peppers32.bmp | peppers32.bmp-G_1-H1e-005_af2.wfa                       | 98304 | 32768 |      | 32 | 33008 | 256 | 256 | 32 | 64 | 19.18856747 | 1.078 | 33520 | 0.340983073 |
| peppers32.bmp | peppers32.bmp-G_1-H9e-005_af5.wfa                       | 24576 | 8192  |      | 22 | 15728 | 176 | 176 | 32 | 32 | 19.27238843 | 0.125 | 16080 | 0.654296875 |
| peppers32.bmp | peppers32.bmp-G_1-H0.0001_af5.wfa                       | 24576 | 8192  |      | 22 | 15728 | 176 | 176 | 32 | 32 | 19.27238843 | 0.125 | 16080 | 0.654296875 |
| peppers32.bmp | peppers32.bmp-G_0.8-H0.0001_af5.wfa                     | 24576 | 8192  |      | 22 | 15728 | 176 | 176 | 32 | 32 | 19.30190852 | 0.125 | 16080 | 0.654296875 |
| peppers32.bmp | peppers32.bmp-G_0.8-H1e-005_af5.wfa                     | 98304 | 32768 |      | 34 | 37232 | 272 | 272 | 32 | 64 | 19.30307861 | 1.203 | 37776 | 0.384277344 |
| peppers32.bmp | peppers32.bmp-G_1-H1e-005_af5.wfa                       | 98304 | 32768 |      | 34 | 37232 | 272 | 272 | 32 | 64 | 19.30766147 | 1.266 | 37776 | 0.384277344 |

|               |   |       |       |      |    |       |     |     |    |    |             |       |       |             |
|---------------|---|-------|-------|------|----|-------|-----|-----|----|----|-------------|-------|-------|-------------|
| peppers32.bmp | peppers32.bmp-G_0.6-H8e-005_af2.wfa                     | 24576 | 8192  |      | 23 | 17168 | 184 | 184 | 32 | 32 | 19.31209039 | 0.156 | 17536 | 0.713541667 |
| peppers32.bmp | peppers32.bmp-G_0.6-H1e-005_af5.wfa                     | 98304 | 32768 |      | 35 | 39440 | 280 | 280 | 32 | 64 | 19.4353711  | 1.437 | 40000 | 0.406901042 |
| peppers32.bmp | peppers32.bmp-withWavelet_haar-G_1-H0.0001_af3.wfa      | 24576 | 8192  | 8192 | 23 | 17168 | 184 | 184 | 32 | 32 | 19.45668433 | 0.156 | 17536 | 0.713541667 |
| peppers32.bmp | peppers32.bmp-withWavelet_rbio1.1-G_1-H0.0001_af3.wfa   | 24576 | 8192  | 8192 | 23 | 17168 | 184 | 184 | 32 | 32 | 19.45668433 | 0.157 | 17536 | 0.713541667 |
| peppers32.bmp | peppers32.bmp-withWavelet_sym1-G_1-H0.0001_af3.wfa      | 24576 | 8192  | 8192 | 23 | 17168 | 184 | 184 | 32 | 32 | 19.45668433 | 0.14  | 17536 | 0.713541667 |
| peppers32.bmp | peppers32.bmp-withWavelet_bior1.1-G_1-H0.0001_af3.wfa   | 24576 | 8192  | 8192 | 23 | 17168 | 184 | 184 | 32 | 32 | 19.45668433 | 0.156 | 17536 | 0.713541667 |
| peppers32.bmp | peppers32.bmp-G_1-H6e-005_af3.wfa                       | 24576 | 8192  |      | 26 | 21872 | 208 | 208 | 32 | 32 | 19.5696676  | 0.312 | 22288 | 0.906901042 |
| peppers32.bmp | peppers32.bmp-G_0.6-H6e-005_af3.wfa                     | 24576 | 8192  |      | 25 | 20240 | 200 | 200 | 32 | 32 | 19.57013851 | 0.172 | 20640 | 0.83984375  |
| peppers32.bmp | peppers32.bmp-G_0.8-H6e-005_af3.wfa                     | 24576 | 8192  |      | 26 | 21872 | 208 | 208 | 32 | 32 | 19.58113187 | 0.172 | 22288 | 0.906901042 |
| peppers32.bmp | peppers32.bmp-G_0.6-H8e-005_af5.wfa                     | 24576 | 8192  |      | 22 | 15728 | 176 | 176 | 32 | 32 | 19.61887187 | 0.125 | 16080 | 0.654296875 |
| peppers32.bmp | peppers32.bmp-G_0.6-H9e-005_af5.wfa                     | 24576 | 8192  |      | 22 | 15728 | 176 | 176 | 32 | 32 | 19.61887187 | 0.125 | 16080 | 0.654296875 |
| peppers32.bmp | peppers32.bmp-withWavelet_haar-G_0.6-H3e-005_af2.wfa    | 24576 | 8192  | 8192 | 28 | 25328 | 224 | 224 | 32 | 32 | 19.62936095 | 0.188 | 25776 | 1.048828125 |
| peppers32.bmp | peppers32.bmp-withWavelet_rbio1.1-G_0.6-H3e-005_af2.wfa | 24576 | 8192  | 8192 | 28 | 25328 | 224 | 224 | 32 | 32 | 19.62936095 | 0.188 | 25776 | 1.048828125 |
| peppers32.bmp | peppers32.bmp-withWavelet_sym1-G_0.6-H3e-005_af2.wfa    | 24576 | 8192  | 8192 | 28 | 25328 | 224 | 224 | 32 | 32 | 19.62936095 | 0.188 | 25776 | 1.048828125 |
| peppers32.bmp | peppers32.bmp-withWavelet_bior1.1-G_0.6-H3e-005_af2.wfa | 24576 | 8192  | 8192 | 28 | 25328 | 224 | 224 | 32 | 32 | 19.62936095 | 0.188 | 25776 | 1.048828125 |
| peppers32.bmp | peppers32.bmp-G_0.6-H5e-005_af3.wfa                     | 24576 | 8192  |      | 26 | 21872 | 208 | 208 | 32 | 32 | 19.63023897 | 0.187 | 22288 | 0.906901042 |
| peppers32.bmp | peppers32.bmp-G_0.6-H9e-005_af2.wfa                     | 24576 | 8192  |      | 23 | 17168 | 184 | 184 | 32 | 32 | 19.63707015 | 0.157 | 17536 | 0.713541667 |
| peppers32.bmp | peppers32.bmp-G_1-H6e-005_af2.wfa                       | 24576 | 8192  |      | 25 | 20240 | 200 | 200 | 32 | 32 | 19.71594479 | 0.172 | 20640 | 0.83984375  |
| peppers32.bmp | peppers32.bmp-G_0.8-H0.0001_af1.wfa                     | 24576 | 8192  |      | 24 | 18672 | 192 | 192 | 32 | 32 | 19.73469107 | 0.156 | 19056 | 0.775390625 |
| peppers32.bmp | peppers32.bmp-G_0.8-H6e-005_af2.wfa                     | 24576 | 8192  |      | 25 | 20240 | 200 | 200 | 32 | 32 | 19.73600335 | 0.172 | 20640 | 0.83984375  |
| peppers32.bmp | peppers32.bmp-G_0.6-H0.0001_af1.wfa                     | 24576 | 8192  |      | 22 | 15728 | 176 | 176 | 32 | 32 | 19.77491122 | 0.141 | 16080 | 0.654296875 |
| peppers32.bmp | peppers32.bmp-G_1-H7e-005_af5.wfa                       | 24576 | 8192  |      | 23 | 17168 | 184 | 184 | 32 | 32 | 19.79281316 | 0.141 | 17536 | 0.713541667 |
| peppers32.bmp | peppers32.bmp-G_1-H8e-005_af5.wfa                       | 24576 | 8192  |      | 23 | 17168 | 184 | 184 | 32 | 32 | 19.79281316 | 0.172 | 17536 | 0.713541667 |
| peppers32.bmp | peppers32.bmp-G_0.8-H8e-005_af5.wfa                     | 24576 | 8192  |      | 23 | 17168 | 184 | 184 | 32 | 32 | 19.84254675 | 0.156 | 17536 | 0.713541667 |
| peppers32.bmp | peppers32.bmp-G_0.8-H9e-005_af5.wfa                     | 24576 | 8192  |      | 23 | 17168 | 184 | 184 | 32 | 32 | 19.84254675 | 0.156 | 17536 | 0.713541667 |
| peppers32.bmp | peppers32.bmp-G_1-H5e-005_af2.wfa                       | 24576 | 8192  |      | 25 | 20240 | 200 | 200 | 32 | 32 | 19.85409531 | 0.234 | 20640 | 0.83984375  |
| peppers32.bmp | peppers32.bmp-withWavelet_haar-G_1-H0.0001_af1.wfa      | 24576 | 8192  | 8192 | 22 | 15728 | 176 | 176 | 32 | 32 | 19.87414729 | 0.188 | 16080 | 0.654296875 |
| peppers32.bmp | peppers32.bmp-withWavelet_rbio1.1-G_1-H0.0001_af1.wfa   | 24576 | 8192  | 8192 | 22 | 15728 | 176 | 176 | 32 | 32 | 19.87414729 | 0.125 | 16080 | 0.654296875 |
| peppers32.bmp | peppers32.bmp-withWavelet_sym1-G_1-H0.0001_af1.wfa      | 24576 | 8192  | 8192 | 22 | 15728 | 176 | 176 | 32 | 32 | 19.87414729 | 0.14  | 16080 | 0.654296875 |
| peppers32.bmp | peppers32.bmp-G_0.8-H5e-005_af2.wfa                     | 24576 | 8192  |      | 25 | 20240 | 200 | 200 | 32 | 32 | 19.87905425 | 0.172 | 20640 | 0.83984375  |
| peppers32.bmp | peppers32.bmp-withWavelet_bior1.1-G_0.6-H0.0001_af3.wfa | 24576 | 8192  | 8192 | 22 | 15728 | 176 | 176 | 32 | 32 | 19.89932508 | 0.125 | 16080 | 0.654296875 |

|               |   |       |      |      |    |       |     |     |    |    |             |       |       |             |
|---------------|---|-------|------|------|----|-------|-----|-----|----|----|-------------|-------|-------|-------------|
| peppers32.bmp | peppers32.bmp-withWavelet_haar-G_0.8-H0.0001_af1.wfa    | 24576 | 8192 | 8192 | 21 | 14352 | 168 | 168 | 32 | 32 | 19.91940025 | 0.125 | 14688 | 0.59765625  |
| peppers32.bmp | peppers32.bmp-withWavelet_rbio1.1-G_0.8-H0.0001_af1.wfa | 24576 | 8192 | 8192 | 21 | 14352 | 168 | 168 | 32 | 32 | 19.91940025 | 0.125 | 14688 | 0.59765625  |
| peppers32.bmp | peppers32.bmp-withWavelet_sym1-G_0.8-H0.0001_af1.wfa    | 24576 | 8192 | 8192 | 21 | 14352 | 168 | 168 | 32 | 32 | 19.91940025 | 0.265 | 14688 | 0.59765625  |
| peppers32.bmp | peppers32.bmp-withWavelet_bior1.1-G_0.8-H0.0001_af1.wfa | 24576 | 8192 | 8192 | 21 | 14352 | 168 | 168 | 32 | 32 | 19.91940025 | 0.14  | 14688 | 0.59765625  |
| peppers32.bmp | peppers32.bmp-G_0.6-H8e-005_af1.wfa                     | 24576 | 8192 |      | 23 | 17168 | 184 | 184 | 32 | 32 | 19.95754366 | 0.157 | 17536 | 0.713541667 |
| peppers32.bmp | peppers32.bmp-G_1-H4e-005_af3.wfa                       | 24576 | 8192 |      | 28 | 25328 | 224 | 224 | 32 | 32 | 20.12815943 | 0.187 | 25776 | 1.048828125 |
| peppers32.bmp | peppers32.bmp-G_1-H5e-005_af3.wfa                       | 24576 | 8192 |      | 28 | 25328 | 224 | 224 | 32 | 32 | 20.12815943 | 0.187 | 25776 | 1.048828125 |
| peppers32.bmp | peppers32.bmp-G_0.8-H4e-005_af3.wfa                     | 24576 | 8192 |      | 28 | 25328 | 224 | 224 | 32 | 32 | 20.1358986  | 0.329 | 25776 | 1.048828125 |
| peppers32.bmp | peppers32.bmp-G_0.8-H5e-005_af3.wfa                     | 24576 | 8192 |      | 28 | 25328 | 224 | 224 | 32 | 32 | 20.1358986  | 0.187 | 25776 | 1.048828125 |
| peppers32.bmp | peppers32.bmp-G_0.6-H4e-005_af3.wfa                     | 24576 | 8192 |      | 29 | 27152 | 232 | 232 | 32 | 32 | 20.24954424 | 0.187 | 27616 | 1.123697917 |
| peppers32.bmp | peppers32.bmp-withWavelet_haar-G_1-H2e-005_af2.wfa      | 24576 | 8192 | 8192 | 31 | 30992 | 248 | 248 | 32 | 32 | 20.39640076 | 0.219 | 31488 | 1.28125     |
| peppers32.bmp | peppers32.bmp-withWavelet_rbio1.1-G_1-H2e-005_af2.wfa   | 24576 | 8192 | 8192 | 31 | 30992 | 248 | 248 | 32 | 32 | 20.39640076 | 0.218 | 31488 | 1.28125     |
| peppers32.bmp | peppers32.bmp-withWavelet_sym1-G_1-H2e-005_af2.wfa      | 24576 | 8192 | 8192 | 31 | 30992 | 248 | 248 | 32 | 32 | 20.39640076 | 0.234 | 31488 | 1.28125     |
| peppers32.bmp | peppers32.bmp-withWavelet_bior1.1-G_1-H2e-005_af2.wfa   | 24576 | 8192 | 8192 | 31 | 30992 | 248 | 248 | 32 | 32 | 20.39640076 | 0.25  | 31488 | 1.28125     |
| peppers32.bmp | peppers32.bmp-withWavelet_haar-G_0.8-H2e-005_af2.wfa    | 24576 | 8192 | 8192 | 31 | 30992 | 248 | 248 | 32 | 32 | 20.4610793  | 0.219 | 31488 | 1.28125     |
| peppers32.bmp | peppers32.bmp-withWavelet_rbio1.1-G_0.8-H2e-005_af2.wfa | 24576 | 8192 | 8192 | 31 | 30992 | 248 | 248 | 32 | 32 | 20.4610793  | 0.219 | 31488 | 1.28125     |
| peppers32.bmp | peppers32.bmp-withWavelet_sym1-G_0.8-H2e-005_af2.wfa    | 24576 | 8192 | 8192 | 31 | 30992 | 248 | 248 | 32 | 32 | 20.4610793  | 0.219 | 31488 | 1.28125     |
| peppers32.bmp | peppers32.bmp-withWavelet_bior1.1-G_0.8-H2e-005_af2.wfa | 24576 | 8192 | 8192 | 31 | 30992 | 248 | 248 | 32 | 32 | 20.4610793  | 0.219 | 31488 | 1.28125     |
| peppers32.bmp | peppers32.bmp-G_0.6-H3e-005_af3.wfa                     | 24576 | 8192 |      | 30 | 29040 | 240 | 240 | 32 | 32 | 20.54615751 | 0.219 | 29520 | 1.201171875 |
| peppers32.bmp | peppers32.bmp-G_1-H3e-005_af3.wfa                       | 24576 | 8192 |      | 30 | 29040 | 240 | 240 | 32 | 32 | 20.63087306 | 0.203 | 29520 | 1.201171875 |
| peppers32.bmp | peppers32.bmp-G_0.8-H3e-005_af3.wfa                     | 24576 | 8192 |      | 30 | 29040 | 240 | 240 | 32 | 32 | 20.63961803 | 0.204 | 29520 | 1.201171875 |
| peppers32.bmp | peppers32.bmp-G_0.6-H5e-005_af1.wfa                     | 24576 | 8192 |      | 28 | 25328 | 224 | 224 | 32 | 32 | 20.82322403 | 0.187 | 25776 | 1.048828125 |
| peppers32.bmp | peppers32.bmp-G_0.8-H6e-005_af1.wfa                     | 24576 | 8192 |      | 29 | 27152 | 232 | 232 | 32 | 32 | 20.85482165 | 0.204 | 27616 | 1.123697917 |
| peppers32.bmp | peppers32.bmp-G_1-H7e-005_af1.wfa                       | 24576 | 8192 |      | 28 | 25328 | 224 | 224 | 32 | 32 | 20.86055302 | 0.188 | 25776 | 1.048828125 |
| peppers32.bmp | peppers32.bmp-G_0.8-H7e-005_af1.wfa                     | 24576 | 8192 |      | 28 | 25328 | 224 | 224 | 32 | 32 | 20.86500924 | 0.188 | 25776 | 1.048828125 |
| peppers32.bmp | peppers32.bmp-G_1-H6e-005_af1.wfa                       | 24576 | 8192 |      | 29 | 27152 | 232 | 232 | 32 | 32 | 21.0187707  | 0.203 | 27616 | 1.123697917 |
| peppers32.bmp | peppers32.bmp-G_0.6-H4e-005_af1.wfa                     | 24576 | 8192 |      | 29 | 27152 | 232 | 232 | 32 | 32 | 21.03011612 | 0.203 | 27616 | 1.123697917 |
| peppers32.bmp | peppers32.bmp-G_0.6-H1e-005_af3.wfa                     | 24576 | 8192 |      | 32 | 33008 | 256 | 256 | 32 | 32 | 21.05884549 | 0.235 | 33520 | 1.363932292 |
| peppers32.bmp | peppers32.bmp-G_0.6-H2e-005_af3.wfa                     | 24576 | 8192 |      | 32 | 33008 | 256 | 256 | 32 | 32 | 21.05884549 | 0.234 | 33520 | 1.363932292 |
| peppers32.bmp | peppers32.bmp-G_0.8-H2e-005_af3.wfa                     | 24576 | 8192 |      | 32 | 33008 | 256 | 256 | 32 | 32 | 21.10151363 | 0.25  | 33520 | 1.363932292 |
| peppers32.bmp | peppers32.bmp-G_0.6-H3e-005_af1.wfa                     | 24576 | 8192 |      | 30 | 29040 | 240 | 240 | 32 | 32 | 21.11390456 | 0.203 | 29520 | 1.201171875 |

|               |   |       |      |      |    |       |     |     |    |    |             |       |       |             |
|---------------|---|-------|------|------|----|-------|-----|-----|----|----|-------------|-------|-------|-------------|
| peppers32.bmp | peppers32.bmp-G_1-H1e-005_af3.wfa                       | 24576 | 8192 |      | 32 | 33008 | 256 | 256 | 32 | 32 | 21.15712293 | 0.25  | 33520 | 1.363932292 |
| peppers32.bmp | peppers32.bmp-G_1-H2e-005_af3.wfa                       | 24576 | 8192 |      | 32 | 33008 | 256 | 256 | 32 | 32 | 21.15712293 | 0.281 | 33520 | 1.363932292 |
| peppers32.bmp | peppers32.bmp-G_1-H3e-005_af2.wfa                       | 24576 | 8192 |      | 28 | 25328 | 224 | 224 | 32 | 32 | 21.19341674 | 0.187 | 25776 | 1.048828125 |
| peppers32.bmp | peppers32.bmp-G_0.8-H3e-005_af2.wfa                     | 24576 | 8192 |      | 28 | 25328 | 224 | 224 | 32 | 32 | 21.22165606 | 0.188 | 25776 | 1.048828125 |
| peppers32.bmp | peppers32.bmp-withWavelet_haar-G_0.6-H2e-005_af2.wfa    | 24576 | 8192 | 8192 | 32 | 33008 | 256 | 256 | 32 | 32 | 21.23708466 | 0.234 | 33520 | 1.363932292 |
| peppers32.bmp | peppers32.bmp-withWavelet_rbio1.1-G_0.6-H2e-005_af2.wfa | 24576 | 8192 | 8192 | 32 | 33008 | 256 | 256 | 32 | 32 | 21.23708466 | 0.266 | 33520 | 1.363932292 |
| peppers32.bmp | peppers32.bmp-withWavelet_sym1-G_0.6-H2e-005_af2.wfa    | 24576 | 8192 | 8192 | 32 | 33008 | 256 | 256 | 32 | 32 | 21.23708466 | 0.234 | 33520 | 1.363932292 |
| peppers32.bmp | peppers32.bmp-withWavelet_bior1.1-G_0.6-H2e-005_af2.wfa | 24576 | 8192 | 8192 | 32 | 33008 | 256 | 256 | 32 | 32 | 21.23708466 | 0.25  | 33520 | 1.363932292 |
| peppers32.bmp | peppers32.bmp-G_1-H5e-005_af1.wfa                       | 24576 | 8192 |      | 32 | 33008 | 256 | 256 | 32 | 32 | 21.40992676 | 0.25  | 33520 | 1.363932292 |
| peppers32.bmp | peppers32.bmp-G_0.6-H3e-005_af2.wfa                     | 24576 | 8192 |      | 28 | 25328 | 224 | 224 | 32 | 32 | 21.47634623 | 0.187 | 25776 | 1.048828125 |
| peppers32.bmp | peppers32.bmp-G_0.6-H2e-005_af2.wfa                     | 24576 | 8192 |      | 28 | 25328 | 224 | 224 | 32 | 32 | 21.47634623 | 0.187 | 25776 | 1.048828125 |
| peppers32.bmp | peppers32.bmp-G_0.8-H5e-005_af1.wfa                     | 24576 | 8192 |      | 32 | 33008 | 256 | 256 | 32 | 32 | 21.48151248 | 0.235 | 33520 | 1.363932292 |
| peppers32.bmp | peppers32.bmp-withWavelet_haar-G_1-H1e-005_af2.wfa      | 24576 | 8192 | 8192 | 33 | 35088 | 264 | 264 | 32 | 32 | 21.53370785 | 0.25  | 35616 | 1.44921875  |
| peppers32.bmp | peppers32.bmp-withWavelet_rbio1.1-G_1-H1e-005_af2.wfa   | 24576 | 8192 | 8192 | 33 | 35088 | 264 | 264 | 32 | 32 | 21.53370785 | 0.25  | 35616 | 1.44921875  |
| peppers32.bmp | peppers32.bmp-withWavelet_sym1-G_1-H1e-005_af2.wfa      | 24576 | 8192 | 8192 | 33 | 35088 | 264 | 264 | 32 | 32 | 21.53370785 | 0.265 | 35616 | 1.44921875  |
| peppers32.bmp | peppers32.bmp-withWavelet_bior1.1-G_1-H1e-005_af2.wfa   | 24576 | 8192 | 8192 | 33 | 35088 | 264 | 264 | 32 | 32 | 21.53370785 | 0.25  | 35616 | 1.44921875  |
| peppers32.bmp | peppers32.bmp-withWavelet_haar-G_0.8-H1e-005_af2.wfa    | 24576 | 8192 | 8192 | 33 | 35088 | 264 | 264 | 32 | 32 | 21.55064531 | 0.266 | 35616 | 1.44921875  |
| peppers32.bmp | peppers32.bmp-withWavelet_rbio1.1-G_0.8-H1e-005_af2.wfa | 24576 | 8192 | 8192 | 33 | 35088 | 264 | 264 | 32 | 32 | 21.55064531 | 0.25  | 35616 | 1.44921875  |
| peppers32.bmp | peppers32.bmp-withWavelet_sym1-G_0.8-H1e-005_af2.wfa    | 24576 | 8192 | 8192 | 33 | 35088 | 264 | 264 | 32 | 32 | 21.55064531 | 0.25  | 35616 | 1.44921875  |
| peppers32.bmp | peppers32.bmp-withWavelet_bior1.1-G_0.8-H1e-005_af2.wfa | 24576 | 8192 | 8192 | 33 | 35088 | 264 | 264 | 32 | 32 | 21.55064531 | 0.235 | 35616 | 1.44921875  |
| peppers32.bmp | peppers32.bmp-G_0.8-H1e-005_af3.wfa                     | 24576 | 8192 |      | 34 | 37232 | 272 | 272 | 32 | 32 | 21.62260242 | 0.265 | 37776 | 1.537109375 |
| peppers32.bmp | peppers32.bmp-G_1-H3e-005_af1.wfa                       | 24576 | 8192 |      | 33 | 35088 | 264 | 264 | 32 | 32 | 21.6782708  | 0.25  | 35616 | 1.44921875  |
| peppers32.bmp | peppers32.bmp-G_1-H4e-005_af1.wfa                       | 24576 | 8192 |      | 33 | 35088 | 264 | 264 | 32 | 32 | 21.6782708  | 0.266 | 35616 | 1.44921875  |
| peppers32.bmp | peppers32.bmp-G_0.8-H4e-005_af1.wfa                     | 24576 | 8192 |      | 33 | 35088 | 264 | 264 | 32 | 32 | 21.67939974 | 0.25  | 35616 | 1.44921875  |
| peppers32.bmp | peppers32.bmp-G_0.8-H3e-005_af1.wfa                     | 24576 | 8192 |      | 33 | 35088 | 264 | 264 | 32 | 32 | 21.67939974 | 0.266 | 35616 | 1.44921875  |
| peppers32.bmp | peppers32.bmp-withWavelet_haar-G_0.6-H1e-005_af2.wfa    | 24576 | 8192 | 8192 | 33 | 35088 | 264 | 264 | 32 | 32 | 21.73627726 | 0.281 | 35616 | 1.44921875  |
| peppers32.bmp | peppers32.bmp-withWavelet_rbio1.1-G_0.6-H1e-005_af2.wfa | 24576 | 8192 | 8192 | 33 | 35088 | 264 | 264 | 32 | 32 | 21.73627726 | 0.266 | 35616 | 1.44921875  |
| peppers32.bmp | peppers32.bmp-withWavelet_sym1-G_0.6-H1e-005_af2.wfa    | 24576 | 8192 | 8192 | 33 | 35088 | 264 | 264 | 32 | 32 | 21.73627726 | 0.25  | 35616 | 1.44921875  |
| peppers32.bmp | peppers32.bmp-withWavelet_bior1.1-G_0.6-H1e-005_af2.wfa | 24576 | 8192 | 8192 | 33 | 35088 | 264 | 264 | 32 | 32 | 21.73627726 | 0.266 | 35616 | 1.44921875  |
| peppers32.bmp | peppers32.bmp-G_0.6-H1e-005_af1.wfa                     | 24576 | 8192 |      | 33 | 35088 | 264 | 264 | 32 | 32 | 21.76815943 | 0.297 | 35616 | 1.44921875  |
| peppers32.bmp | peppers32.bmp-G_0.6-H2e-005_af1.wfa                     | 24576 | 8192 |      | 33 | 35088 | 264 | 264 | 32 | 32 | 21.76815943 | 0.25  | 35616 | 1.44921875  |



|               |   |       |      |      |    |       |     |     |    |    |             |       |       |             |
|---------------|---|-------|------|------|----|-------|-----|-----|----|----|-------------|-------|-------|-------------|
| peppers32.bmp | peppers32.bmp-G_0.6-H3e-005_af5.wfa                     | 24576 | 8192 |      | 28 | 25328 | 224 | 224 | 32 | 32 | 21.84427719 | 0.203 | 25776 | 1.048828125 |
| peppers32.bmp | peppers32.bmp-G_1-H2e-005_af1.wfa                       | 24576 | 8192 |      | 34 | 37232 | 272 | 272 | 32 | 32 | 21.90718121 | 0.281 | 37776 | 1.537109375 |
| peppers32.bmp | peppers32.bmp-G_0.8-H2e-005_af1.wfa                     | 24576 | 8192 |      | 34 | 37232 | 272 | 272 | 32 | 32 | 21.90780116 | 0.281 | 37776 | 1.537109375 |
| peppers32.bmp | peppers32.bmp-G_0.8-H1e-005_af1.wfa                     | 24576 | 8192 |      | 35 | 39440 | 280 | 280 | 32 | 32 | 22.14306072 | 0.312 | 40000 | 1.627604167 |
| peppers32.bmp | peppers32.bmp-G_1-H1e-005_af1.wfa                       | 24576 | 8192 |      | 35 | 39440 | 280 | 280 | 32 | 32 | 22.14307956 | 0.86  | 40000 | 1.627604167 |
| peppers32.bmp | peppers32.bmp-G_0.8-H3e-005_af5.wfa                     | 24576 | 8192 |      | 29 | 27152 | 232 | 232 | 32 | 32 | 22.16213208 | 0.203 | 27616 | 1.123697917 |
| peppers32.bmp | peppers32.bmp-withWavelet_haar-G_0.8-H8e-005_af3.wfa    | 24576 | 8192 | 8192 | 28 | 25328 | 224 | 224 | 32 | 32 | 22.48188851 | 0.187 | 25776 | 1.048828125 |
| peppers32.bmp | peppers32.bmp-withWavelet_rbio1.1-G_0.8-H8e-005_af3.wfa | 24576 | 8192 | 8192 | 28 | 25328 | 224 | 224 | 32 | 32 | 22.48188851 | 0.187 | 25776 | 1.048828125 |
| peppers32.bmp | peppers32.bmp-withWavelet_sym1-G_0.8-H8e-005_af3.wfa    | 24576 | 8192 | 8192 | 28 | 25328 | 224 | 224 | 32 | 32 | 22.48188851 | 0.203 | 25776 | 1.048828125 |
| peppers32.bmp | peppers32.bmp-withWavelet_bior1.1-G_0.8-H8e-005_af3.wfa | 24576 | 8192 | 8192 | 28 | 25328 | 224 | 224 | 32 | 32 | 22.48188851 | 0.281 | 25776 | 1.048828125 |
| peppers32.bmp | peppers32.bmp-withWavelet_haar-G_1-H7e-005_af3.wfa      | 24576 | 8192 | 8192 | 28 | 25328 | 224 | 224 | 32 | 32 | 22.48343051 | 0.188 | 25776 | 1.048828125 |
| peppers32.bmp | peppers32.bmp-withWavelet_rbio1.1-G_1-H7e-005_af3.wfa   | 24576 | 8192 | 8192 | 28 | 25328 | 224 | 224 | 32 | 32 | 22.48343051 | 0.188 | 25776 | 1.048828125 |
| peppers32.bmp | peppers32.bmp-withWavelet_sym1-G_1-H7e-005_af3.wfa      | 24576 | 8192 | 8192 | 28 | 25328 | 224 | 224 | 32 | 32 | 22.48343051 | 0.203 | 25776 | 1.048828125 |
| peppers32.bmp | peppers32.bmp-withWavelet_bior1.1-G_1-H7e-005_af3.wfa   | 24576 | 8192 | 8192 | 28 | 25328 | 224 | 224 | 32 | 32 | 22.48343051 | 0.187 | 25776 | 1.048828125 |
| peppers32.bmp | peppers32.bmp-withWavelet_haar-G_0.8-H5e-005_af4.wfa    | 24576 | 8192 | 8192 | 29 | 27152 | 232 | 232 | 32 | 32 | 22.73217791 | 0.203 | 27616 | 1.123697917 |
| peppers32.bmp | peppers32.bmp-withWavelet_rbio1.1-G_0.8-H5e-005_af4.wfa | 24576 | 8192 | 8192 | 29 | 27152 | 232 | 232 | 32 | 32 | 22.73217791 | 0.203 | 27616 | 1.123697917 |
| peppers32.bmp | peppers32.bmp-withWavelet_sym1-G_0.8-H5e-005_af4.wfa    | 24576 | 8192 | 8192 | 29 | 27152 | 232 | 232 | 32 | 32 | 22.73217791 | 0.203 | 27616 | 1.123697917 |
| peppers32.bmp | peppers32.bmp-withWavelet_bior1.1-G_0.8-H5e-005_af4.wfa | 24576 | 8192 | 8192 | 29 | 27152 | 232 | 232 | 32 | 32 | 22.73217791 | 0.203 | 27616 | 1.123697917 |
| peppers32.bmp | peppers32.bmp-G_1-H2e-005_af5.wfa                       | 24576 | 8192 |      | 30 | 29040 | 240 | 240 | 32 | 32 | 22.97836526 | 0.203 | 29520 | 1.201171875 |
| peppers32.bmp | peppers32.bmp-G_1-H3e-005_af5.wfa                       | 24576 | 8192 |      | 30 | 29040 | 240 | 240 | 32 | 32 | 22.97836526 | 0.203 | 29520 | 1.201171875 |
| peppers32.bmp | peppers32.bmp-G_1-H2e-005_af2.wfa                       | 24576 | 8192 |      | 30 | 29040 | 240 | 240 | 32 | 32 | 22.98086412 | 0.203 | 29520 | 1.201171875 |
| peppers32.bmp | peppers32.bmp-G_0.8-H2e-005_af5.wfa                     | 24576 | 8192 |      | 30 | 29040 | 240 | 240 | 32 | 32 | 23.00244455 | 0.344 | 29520 | 1.201171875 |
| peppers32.bmp | peppers32.bmp-G_0.8-H2e-005_af2.wfa                     | 24576 | 8192 |      | 30 | 29040 | 240 | 240 | 32 | 32 | 23.02199024 | 0.219 | 29520 | 1.201171875 |
| peppers32.bmp | peppers32.bmp-withWavelet_haar-G_1-H5e-005_af4.wfa      | 24576 | 8192 | 8192 | 30 | 29040 | 240 | 240 | 32 | 32 | 23.04788545 | 0.219 | 29520 | 1.201171875 |
| peppers32.bmp | peppers32.bmp-withWavelet_rbio1.1-G_1-H5e-005_af4.wfa   | 24576 | 8192 | 8192 | 30 | 29040 | 240 | 240 | 32 | 32 | 23.04788545 | 0.203 | 29520 | 1.201171875 |
| peppers32.bmp | peppers32.bmp-withWavelet_sym1-G_1-H5e-005_af4.wfa      | 24576 | 8192 | 8192 | 30 | 29040 | 240 | 240 | 32 | 32 | 23.04788545 | 0.203 | 29520 | 1.201171875 |
| peppers32.bmp | peppers32.bmp-withWavelet_bior1.1-G_1-H5e-005_af4.wfa   | 24576 | 8192 | 8192 | 30 | 29040 | 240 | 240 | 32 | 32 | 23.04788545 | 0.203 | 29520 | 1.201171875 |
| peppers32.bmp | peppers32.bmp-withWavelet_haar-G_1-H6e-005_af4.wfa      | 24576 | 8192 | 8192 | 29 | 27152 | 232 | 232 | 32 | 32 | 23.05195357 | 0.203 | 27616 | 1.123697917 |
| peppers32.bmp | peppers32.bmp-withWavelet_rbio1.1-G_1-H6e-005_af4.wfa   | 24576 | 8192 | 8192 | 29 | 27152 | 232 | 232 | 32 | 32 | 23.05195357 | 0.203 | 27616 | 1.123697917 |
| peppers32.bmp | peppers32.bmp-withWavelet_sym1-G_1-H6e-005_af4.wfa      | 24576 | 8192 | 8192 | 29 | 27152 | 232 | 232 | 32 | 32 | 23.05195357 | 0.203 | 27616 | 1.123697917 |
| peppers32.bmp | peppers32.bmp-withWavelet_haar-G_0.6-H7e-005_af3.wfa    | 24576 | 8192 | 8192 | 28 | 25328 | 224 | 224 | 32 | 32 | 23.11290916 | 0.188 | 25776 | 1.048828125 |

|               |   |       |      |      |    |       |     |     |    |    |             |       |       |             |
|---------------|---|-------|------|------|----|-------|-----|-----|----|----|-------------|-------|-------|-------------|
| peppers32.bmp | peppers32.bmp-withWavelet_rbio1.1-G_0.6-H7e-005_af3.wfa | 24576 | 8192 | 8192 | 28 | 25328 | 224 | 224 | 32 | 32 | 23.11290916 | 0.187 | 25776 | 1.048828125 |
| peppers32.bmp | peppers32.bmp-withWavelet_sym1-G_0.6-H7e-005_af3.wfa    | 24576 | 8192 | 8192 | 28 | 25328 | 224 | 224 | 32 | 32 | 23.11290916 | 0.188 | 25776 | 1.048828125 |
| peppers32.bmp | peppers32.bmp-withWavelet_bior1.1-G_0.6-H7e-005_af3.wfa | 24576 | 8192 | 8192 | 28 | 25328 | 224 | 224 | 32 | 32 | 23.11290916 | 0.187 | 25776 | 1.048828125 |
| peppers32.bmp | peppers32.bmp-G_0.6-H2e-005_af5.wfa                     | 24576 | 8192 |      | 30 | 29040 | 240 | 240 | 32 | 32 | 23.17354579 | 0.219 | 29520 | 1.201171875 |
| peppers32.bmp | peppers32.bmp-withWavelet_haar-G_0.8-H6e-005_af4.wfa    | 24576 | 8192 | 8192 | 29 | 27152 | 232 | 232 | 32 | 32 | 23.2981468  | 0.203 | 27616 | 1.123697917 |
| peppers32.bmp | peppers32.bmp-withWavelet_rbio1.1-G_0.8-H6e-005_af4.wfa | 24576 | 8192 | 8192 | 29 | 27152 | 232 | 232 | 32 | 32 | 23.2981468  | 0.203 | 27616 | 1.123697917 |
| peppers32.bmp | peppers32.bmp-withWavelet_sym1-G_0.8-H6e-005_af4.wfa    | 24576 | 8192 | 8192 | 29 | 27152 | 232 | 232 | 32 | 32 | 23.2981468  | 0.203 | 27616 | 1.123697917 |
| peppers32.bmp | peppers32.bmp-withWavelet_bior1.1-G_0.8-H6e-005_af4.wfa | 24576 | 8192 | 8192 | 29 | 27152 | 232 | 232 | 32 | 32 | 23.2981468  | 0.203 | 27616 | 1.123697917 |
| peppers32.bmp | peppers32.bmp-withWavelet_haar-G_0.8-H7e-005_af3.wfa    | 24576 | 8192 | 8192 | 29 | 27152 | 232 | 232 | 32 | 32 | 23.32712024 | 0.204 | 27616 | 1.123697917 |
| peppers32.bmp | peppers32.bmp-withWavelet_rbio1.1-G_0.8-H7e-005_af3.wfa | 24576 | 8192 | 8192 | 29 | 27152 | 232 | 232 | 32 | 32 | 23.32712024 | 0.203 | 27616 | 1.123697917 |
| peppers32.bmp | peppers32.bmp-withWavelet_sym1-G_0.8-H7e-005_af3.wfa    | 24576 | 8192 | 8192 | 29 | 27152 | 232 | 232 | 32 | 32 | 23.32712024 | 0.203 | 27616 | 1.123697917 |
| peppers32.bmp | peppers32.bmp-withWavelet_bior1.1-G_0.8-H7e-005_af3.wfa | 24576 | 8192 | 8192 | 29 | 27152 | 232 | 232 | 32 | 32 | 23.32712024 | 0.203 | 27616 | 1.123697917 |
| peppers32.bmp | peppers32.bmp-withWavelet_haar-G_0.8-H4e-005_af4.wfa    | 24576 | 8192 | 8192 | 32 | 33008 | 256 | 256 | 32 | 32 | 23.4466628  | 0.297 | 33520 | 1.363932292 |
| peppers32.bmp | peppers32.bmp-withWavelet_rbio1.1-G_0.8-H4e-005_af4.wfa | 24576 | 8192 | 8192 | 32 | 33008 | 256 | 256 | 32 | 32 | 23.4466628  | 0.25  | 33520 | 1.363932292 |
| peppers32.bmp | peppers32.bmp-withWavelet_sym1-G_0.8-H4e-005_af4.wfa    | 24576 | 8192 | 8192 | 32 | 33008 | 256 | 256 | 32 | 32 | 23.4466628  | 0.234 | 33520 | 1.363932292 |
| peppers32.bmp | peppers32.bmp-withWavelet_bior1.1-G_0.8-H4e-005_af4.wfa | 24576 | 8192 | 8192 | 32 | 33008 | 256 | 256 | 32 | 32 | 23.4466628  | 0.25  | 33520 | 1.363932292 |
| peppers32.bmp | peppers32.bmp-withWavelet_haar-G_1-H6e-005_af3.wfa      | 24576 | 8192 | 8192 | 29 | 27152 | 232 | 232 | 32 | 32 | 23.46096915 | 0.203 | 27616 | 1.123697917 |
| peppers32.bmp | peppers32.bmp-withWavelet_rbio1.1-G_1-H6e-005_af3.wfa   | 24576 | 8192 | 8192 | 29 | 27152 | 232 | 232 | 32 | 32 | 23.46096915 | 0.203 | 27616 | 1.123697917 |
| peppers32.bmp | peppers32.bmp-withWavelet_sym1-G_1-H6e-005_af3.wfa      | 24576 | 8192 | 8192 | 29 | 27152 | 232 | 232 | 32 | 32 | 23.46096915 | 0.204 | 27616 | 1.123697917 |
| peppers32.bmp | peppers32.bmp-withWavelet_bior1.1-G_1-H6e-005_af3.wfa   | 24576 | 8192 | 8192 | 29 | 27152 | 232 | 232 | 32 | 32 | 23.46096915 | 0.203 | 27616 | 1.123697917 |
| peppers32.bmp | peppers32.bmp-withWavelet_haar-G_0.8-H6e-005_af3.wfa    | 24576 | 8192 | 8192 | 29 | 27152 | 232 | 232 | 32 | 32 | 23.48025533 | 0.203 | 27616 | 1.123697917 |
| peppers32.bmp | peppers32.bmp-withWavelet_rbio1.1-G_0.8-H6e-005_af3.wfa | 24576 | 8192 | 8192 | 29 | 27152 | 232 | 232 | 32 | 32 | 23.48025533 | 0.203 | 27616 | 1.123697917 |
| peppers32.bmp | peppers32.bmp-withWavelet_sym1-G_0.8-H6e-005_af3.wfa    | 24576 | 8192 | 8192 | 29 | 27152 | 232 | 232 | 32 | 32 | 23.48025533 | 0.188 | 27616 | 1.123697917 |
| peppers32.bmp | peppers32.bmp-withWavelet_bior1.1-G_0.8-H6e-005_af3.wfa | 24576 | 8192 | 8192 | 29 | 27152 | 232 | 232 | 32 | 32 | 23.48025533 | 0.203 | 27616 | 1.123697917 |
| peppers32.bmp | peppers32.bmp-withWavelet_haar-G_1-H4e-005_af4.wfa      | 24576 | 8192 | 8192 | 31 | 30992 | 248 | 248 | 32 | 32 | 23.75887847 | 0.234 | 31488 | 1.28125     |
| peppers32.bmp | peppers32.bmp-withWavelet_rbio1.1-G_1-H4e-005_af4.wfa   | 24576 | 8192 | 8192 | 31 | 30992 | 248 | 248 | 32 | 32 | 23.75887847 | 0.219 | 31488 | 1.28125     |
| peppers32.bmp | peppers32.bmp-withWavelet_sym1-G_1-H4e-005_af4.wfa      | 24576 | 8192 | 8192 | 31 | 30992 | 248 | 248 | 32 | 32 | 23.75887847 | 0.219 | 31488 | 1.28125     |
| peppers32.bmp | peppers32.bmp-withWavelet_bior1.1-G_1-H4e-005_af4.wfa   | 24576 | 8192 | 8192 | 31 | 30992 | 248 | 248 | 32 | 32 | 23.75887847 | 0.218 | 31488 | 1.28125     |
| peppers32.bmp | peppers32.bmp-withWavelet_haar-G_1-H3e-005_af4.wfa      | 24576 | 8192 | 8192 | 33 | 35088 | 264 | 264 | 32 | 32 | 23.82619799 | 0.25  | 35616 | 1.44921875  |
| peppers32.bmp | peppers32.bmp-withWavelet_rbio1.1-G_1-H3e-005_af4.wfa   | 24576 | 8192 | 8192 | 33 | 35088 | 264 | 264 | 32 | 32 | 23.82619799 | 0.25  | 35616 | 1.44921875  |
| peppers32.bmp | peppers32.bmp-withWavelet_sym1-G_1-H3e-005_af4.wfa      | 24576 | 8192 | 8192 | 33 | 35088 | 264 | 264 | 32 | 32 | 23.82619799 | 0.25  | 35616 | 1.44921875  |

|               |   |       |      |      |    |       |     |     |    |    |             |       |       |             |
|---------------|---|-------|------|------|----|-------|-----|-----|----|----|-------------|-------|-------|-------------|
| peppers32.bmp | peppers32.bmp-withWavelet_bior1.1-G_1-H3e-005_af4.wfa   | 24576 | 8192 | 8192 | 33 | 35088 | 264 | 264 | 32 | 32 | 23.82619799 | 0.297 | 35616 | 1.44921875  |
| peppers32.bmp | peppers32.bmp-withWavelet_haar-G_0.6-H6e-005_af1.wfa    | 24576 | 8192 | 8192 | 28 | 25328 | 224 | 224 | 32 | 32 | 23.86098263 | 0.188 | 25776 | 1.048828125 |
| peppers32.bmp | peppers32.bmp-withWavelet_rbio1.1-G_0.6-H6e-005_af1.wfa | 24576 | 8192 | 8192 | 28 | 25328 | 224 | 224 | 32 | 32 | 23.86098263 | 0.188 | 25776 | 1.048828125 |
| peppers32.bmp | peppers32.bmp-withWavelet_sym1-G_0.6-H6e-005_af1.wfa    | 24576 | 8192 | 8192 | 28 | 25328 | 224 | 224 | 32 | 32 | 23.86098263 | 0.188 | 25776 | 1.048828125 |
| peppers32.bmp | peppers32.bmp-withWavelet_bior1.1-G_0.6-H6e-005_af1.wfa | 24576 | 8192 | 8192 | 28 | 25328 | 224 | 224 | 32 | 32 | 23.86098263 | 0.188 | 25776 | 1.048828125 |
| peppers32.bmp | peppers32.bmp-withWavelet_haar-G_0.6-H6e-005_af3.wfa    | 24576 | 8192 | 8192 | 29 | 27152 | 232 | 232 | 32 | 32 | 23.86269686 | 0.203 | 27616 | 1.123697917 |
| peppers32.bmp | peppers32.bmp-withWavelet_rbio1.1-G_0.6-H6e-005_af3.wfa | 24576 | 8192 | 8192 | 29 | 27152 | 232 | 232 | 32 | 32 | 23.86269686 | 0.203 | 27616 | 1.123697917 |
| peppers32.bmp | peppers32.bmp-withWavelet_sym1-G_0.6-H6e-005_af3.wfa    | 24576 | 8192 | 8192 | 29 | 27152 | 232 | 232 | 32 | 32 | 23.86269686 | 0.203 | 27616 | 1.123697917 |
| peppers32.bmp | peppers32.bmp-withWavelet_bior1.1-G_0.6-H6e-005_af3.wfa | 24576 | 8192 | 8192 | 29 | 27152 | 232 | 232 | 32 | 32 | 23.86269686 | 0.203 | 27616 | 1.123697917 |
| peppers32.bmp | peppers32.bmp-withWavelet_haar-G_0.6-H7e-005_af4.wfa    | 24576 | 8192 | 8192 | 28 | 25328 | 224 | 224 | 32 | 32 | 23.9184405  | 0.188 | 25776 | 1.048828125 |
| peppers32.bmp | peppers32.bmp-withWavelet_rbio1.1-G_0.6-H7e-005_af4.wfa | 24576 | 8192 | 8192 | 28 | 25328 | 224 | 224 | 32 | 32 | 23.9184405  | 0.204 | 25776 | 1.048828125 |
| peppers32.bmp | peppers32.bmp-withWavelet_sym1-G_0.6-H7e-005_af4.wfa    | 24576 | 8192 | 8192 | 28 | 25328 | 224 | 224 | 32 | 32 | 23.9184405  | 0.203 | 25776 | 1.048828125 |
| peppers32.bmp | peppers32.bmp-withWavelet_bior1.1-G_0.6-H7e-005_af4.wfa | 24576 | 8192 | 8192 | 28 | 25328 | 224 | 224 | 32 | 32 | 23.9184405  | 0.188 | 25776 | 1.048828125 |
| peppers32.bmp | peppers32.bmp-withWavelet_haar-G_0.8-H3e-005_af4.wfa    | 24576 | 8192 | 8192 | 33 | 35088 | 264 | 264 | 32 | 32 | 23.94878745 | 0.266 | 35616 | 1.44921875  |
| peppers32.bmp | peppers32.bmp-withWavelet_rbio1.1-G_0.8-H3e-005_af4.wfa | 24576 | 8192 | 8192 | 33 | 35088 | 264 | 264 | 32 | 32 | 23.94878745 | 0.25  | 35616 | 1.44921875  |
| peppers32.bmp | peppers32.bmp-withWavelet_sym1-G_0.8-H3e-005_af4.wfa    | 24576 | 8192 | 8192 | 33 | 35088 | 264 | 264 | 32 | 32 | 23.94878745 | 0.25  | 35616 | 1.44921875  |
| peppers32.bmp | peppers32.bmp-withWavelet_bior1.1-G_0.8-H3e-005_af4.wfa | 24576 | 8192 | 8192 | 33 | 35088 | 264 | 264 | 32 | 32 | 23.94878745 | 0.25  | 35616 | 1.44921875  |
| peppers32.bmp | peppers32.bmp-withWavelet_haar-G_1-H6e-005_af1.wfa      | 24576 | 8192 | 8192 | 29 | 27152 | 232 | 232 | 32 | 32 | 23.96973096 | 0.203 | 27616 | 1.123697917 |
| peppers32.bmp | peppers32.bmp-withWavelet_rbio1.1-G_1-H6e-005_af1.wfa   | 24576 | 8192 | 8192 | 29 | 27152 | 232 | 232 | 32 | 32 | 23.96973096 | 0.203 | 27616 | 1.123697917 |
| peppers32.bmp | peppers32.bmp-withWavelet_sym1-G_1-H6e-005_af1.wfa      | 24576 | 8192 | 8192 | 29 | 27152 | 232 | 232 | 32 | 32 | 23.96973096 | 0.203 | 27616 | 1.123697917 |
| peppers32.bmp | peppers32.bmp-withWavelet_bior1.1-G_1-H6e-005_af1.wfa   | 24576 | 8192 | 8192 | 29 | 27152 | 232 | 232 | 32 | 32 | 23.96973096 | 0.203 | 27616 | 1.123697917 |
| peppers32.bmp | peppers32.bmp-withWavelet_haar-G_0.8-H6e-005_af1.wfa    | 24576 | 8192 | 8192 | 29 | 27152 | 232 | 232 | 32 | 32 | 24.00336457 | 0.203 | 27616 | 1.123697917 |
| peppers32.bmp | peppers32.bmp-withWavelet_rbio1.1-G_0.8-H6e-005_af1.wfa | 24576 | 8192 | 8192 | 29 | 27152 | 232 | 232 | 32 | 32 | 24.00336457 | 0.203 | 27616 | 1.123697917 |
| peppers32.bmp | peppers32.bmp-withWavelet_sym1-G_0.8-H6e-005_af1.wfa    | 24576 | 8192 | 8192 | 29 | 27152 | 232 | 232 | 32 | 32 | 24.00336457 | 0.187 | 27616 | 1.123697917 |
| peppers32.bmp | peppers32.bmp-withWavelet_bior1.1-G_0.8-H6e-005_af1.wfa | 24576 | 8192 | 8192 | 29 | 27152 | 232 | 232 | 32 | 32 | 24.00336457 | 0.203 | 27616 | 1.123697917 |
| peppers32.bmp | peppers32.bmp-withWavelet_haar-G_1-H2e-005_af4.wfa      | 24576 | 8192 | 8192 | 34 | 37232 | 272 | 272 | 32 | 32 | 24.23736637 | 0.265 | 37776 | 1.537109375 |
| peppers32.bmp | peppers32.bmp-withWavelet_rbio1.1-G_1-H2e-005_af4.wfa   | 24576 | 8192 | 8192 | 34 | 37232 | 272 | 272 | 32 | 32 | 24.23736637 | 0.313 | 37776 | 1.537109375 |
| peppers32.bmp | peppers32.bmp-withWavelet_sym1-G_1-H2e-005_af4.wfa      | 24576 | 8192 | 8192 | 34 | 37232 | 272 | 272 | 32 | 32 | 24.23736637 | 0.265 | 37776 | 1.537109375 |
| peppers32.bmp | peppers32.bmp-withWavelet_bior1.1-G_1-H2e-005_af4.wfa   | 24576 | 8192 | 8192 | 34 | 37232 | 272 | 272 | 32 | 32 | 24.23736637 | 0.281 | 37776 | 1.537109375 |
| peppers32.bmp | peppers32.bmp-withWavelet_haar-G_0.6-H8e-005_af4.wfa    | 24576 | 8192 | 8192 | 28 | 25328 | 224 | 224 | 32 | 32 | 24.23909385 | 0.188 | 25776 | 1.048828125 |
| peppers32.bmp | peppers32.bmp-withWavelet_rbio1.1-G_0.6-H8e-005_af4.wfa | 24576 | 8192 | 8192 | 28 | 25328 | 224 | 224 | 32 | 32 | 24.23909385 | 0.188 | 25776 | 1.048828125 |

|               |   |       |      |      |    |       |     |     |    |    |             |       |       |             |
|---------------|---|-------|------|------|----|-------|-----|-----|----|----|-------------|-------|-------|-------------|
| peppers32.bmp | peppers32.bmp-withWavelet_sym1-G_0.6-H8e-005_af4.wfa    | 24576 | 8192 | 8192 | 28 | 25328 | 224 | 224 | 32 | 32 | 24.23909385 | 0.188 | 25776 | 1.048828125 |
| peppers32.bmp | peppers32.bmp-withWavelet_bior1.1-G_0.6-H8e-005_af4.wfa | 24576 | 8192 | 8192 | 28 | 25328 | 224 | 224 | 32 | 32 | 24.23909385 | 0.187 | 25776 | 1.048828125 |
| peppers32.bmp | peppers32.bmp-withWavelet_haar-G_0.8-H2e-005_af4.wfa    | 24576 | 8192 | 8192 | 34 | 37232 | 272 | 272 | 32 | 32 | 24.33121913 | 0.25  | 37776 | 1.537109375 |
| peppers32.bmp | peppers32.bmp-withWavelet_rbio1.1-G_0.8-H2e-005_af4.wfa | 24576 | 8192 | 8192 | 34 | 37232 | 272 | 272 | 32 | 32 | 24.33121913 | 0.265 | 37776 | 1.537109375 |
| peppers32.bmp | peppers32.bmp-withWavelet_sym1-G_0.8-H2e-005_af4.wfa    | 24576 | 8192 | 8192 | 34 | 37232 | 272 | 272 | 32 | 32 | 24.33121913 | 0.282 | 37776 | 1.537109375 |
| peppers32.bmp | peppers32.bmp-withWavelet_bior1.1-G_0.8-H2e-005_af4.wfa | 24576 | 8192 | 8192 | 34 | 37232 | 272 | 272 | 32 | 32 | 24.33121913 | 0.25  | 37776 | 1.537109375 |
| peppers32.bmp | peppers32.bmp-G_0.8-H1e-005_af2.wfa                     | 24576 | 8192 |      | 32 | 33008 | 256 | 256 | 32 | 32 | 24.38949425 | 0.25  | 33520 | 1.363932292 |
| peppers32.bmp | peppers32.bmp-withWavelet_haar-G_0.6-H5e-005_af3.wfa    | 24576 | 8192 | 8192 | 30 | 29040 | 240 | 240 | 32 | 32 | 24.68633934 | 0.203 | 29520 | 1.201171875 |
| peppers32.bmp | peppers32.bmp-withWavelet_rbio1.1-G_0.6-H5e-005_af3.wfa | 24576 | 8192 | 8192 | 30 | 29040 | 240 | 240 | 32 | 32 | 24.68633934 | 0.219 | 29520 | 1.201171875 |
| peppers32.bmp | peppers32.bmp-withWavelet_sym1-G_0.6-H5e-005_af3.wfa    | 24576 | 8192 | 8192 | 30 | 29040 | 240 | 240 | 32 | 32 | 24.68633934 | 0.219 | 29520 | 1.201171875 |
| peppers32.bmp | peppers32.bmp-withWavelet_bior1.1-G_0.6-H5e-005_af3.wfa | 24576 | 8192 | 8192 | 30 | 29040 | 240 | 240 | 32 | 32 | 24.68633934 | 0.219 | 29520 | 1.201171875 |
| peppers32.bmp | peppers32.bmp-withWavelet_haar-G_0.8-H4e-005_af3.wfa    | 24576 | 8192 | 8192 | 31 | 30992 | 248 | 248 | 32 | 32 | 24.6904835  | 0.234 | 31488 | 1.28125     |
| peppers32.bmp | peppers32.bmp-withWavelet_rbio1.1-G_0.8-H4e-005_af3.wfa | 24576 | 8192 | 8192 | 31 | 30992 | 248 | 248 | 32 | 32 | 24.6904835  | 0.219 | 31488 | 1.28125     |
| peppers32.bmp | peppers32.bmp-withWavelet_sym1-G_0.8-H4e-005_af3.wfa    | 24576 | 8192 | 8192 | 31 | 30992 | 248 | 248 | 32 | 32 | 24.6904835  | 0.219 | 31488 | 1.28125     |
| peppers32.bmp | peppers32.bmp-withWavelet_bior1.1-G_0.8-H4e-005_af3.wfa | 24576 | 8192 | 8192 | 31 | 30992 | 248 | 248 | 32 | 32 | 24.6904835  | 0.219 | 31488 | 1.28125     |
| peppers32.bmp | peppers32.bmp-G_1-H1e-005_af2.wfa                       | 24576 | 8192 |      | 32 | 33008 | 256 | 256 | 32 | 32 | 25.20459451 | 0.234 | 33520 | 1.363932292 |
| peppers32.bmp | peppers32.bmp-withWavelet_haar-G_0.6-H6e-005_af4.wfa    | 24576 | 8192 | 8192 | 30 | 29040 | 240 | 240 | 32 | 32 | 25.2847551  | 0.203 | 29520 | 1.201171875 |
| peppers32.bmp | peppers32.bmp-withWavelet_rbio1.1-G_0.6-H6e-005_af4.wfa | 24576 | 8192 | 8192 | 30 | 29040 | 240 | 240 | 32 | 32 | 25.2847551  | 0.219 | 29520 | 1.201171875 |
| peppers32.bmp | peppers32.bmp-withWavelet_sym1-G_0.6-H6e-005_af4.wfa    | 24576 | 8192 | 8192 | 30 | 29040 | 240 | 240 | 32 | 32 | 25.2847551  | 0.219 | 29520 | 1.201171875 |
| peppers32.bmp | peppers32.bmp-withWavelet_bior1.1-G_0.6-H6e-005_af4.wfa | 24576 | 8192 | 8192 | 30 | 29040 | 240 | 240 | 32 | 32 | 25.2847551  | 0.219 | 29520 | 1.201171875 |
| peppers32.bmp | peppers32.bmp-G_0.6-H1e-005_af2.wfa                     | 24576 | 8192 |      | 32 | 33008 | 256 | 256 | 32 | 32 | 25.48019821 | 0.25  | 33520 | 1.363932292 |
| peppers32.bmp | peppers32.bmp-withWavelet_haar-G_1-H4e-005_af3.wfa      | 24576 | 8192 | 8192 | 32 | 33008 | 256 | 256 | 32 | 32 | 25.99898936 | 0.25  | 33520 | 1.363932292 |
| peppers32.bmp | peppers32.bmp-withWavelet_rbio1.1-G_1-H4e-005_af3.wfa   | 24576 | 8192 | 8192 | 32 | 33008 | 256 | 256 | 32 | 32 | 25.99898936 | 0.25  | 33520 | 1.363932292 |
| peppers32.bmp | peppers32.bmp-withWavelet_sym1-G_1-H4e-005_af3.wfa      | 24576 | 8192 | 8192 | 32 | 33008 | 256 | 256 | 32 | 32 | 25.99898936 | 0.25  | 33520 | 1.363932292 |
| peppers32.bmp | peppers32.bmp-withWavelet_bior1.1-G_1-H4e-005_af3.wfa   | 24576 | 8192 | 8192 | 32 | 33008 | 256 | 256 | 32 | 32 | 25.99898936 | 0.25  | 33520 | 1.363932292 |
| peppers32.bmp | peppers32.bmp-withWavelet_haar-G_1-H5e-005_af3.wfa      | 24576 | 8192 | 8192 | 32 | 33008 | 256 | 256 | 32 | 32 | 25.99898936 | 0.375 | 33520 | 1.363932292 |
| peppers32.bmp | peppers32.bmp-withWavelet_rbio1.1-G_1-H5e-005_af3.wfa   | 24576 | 8192 | 8192 | 32 | 33008 | 256 | 256 | 32 | 32 | 25.99898936 | 0.297 | 33520 | 1.363932292 |
| peppers32.bmp | peppers32.bmp-withWavelet_sym1-G_1-H5e-005_af3.wfa      | 24576 | 8192 | 8192 | 32 | 33008 | 256 | 256 | 32 | 32 | 25.99898936 | 0.234 | 33520 | 1.363932292 |
| peppers32.bmp | peppers32.bmp-withWavelet_bior1.1-G_1-H5e-005_af3.wfa   | 24576 | 8192 | 8192 | 32 | 33008 | 256 | 256 | 32 | 32 | 25.99898936 | 0.25  | 33520 | 1.363932292 |
| peppers32.bmp | peppers32.bmp-withWavelet_haar-G_0.8-H5e-005_af3.wfa    | 24576 | 8192 | 8192 | 32 | 33008 | 256 | 256 | 32 | 32 | 26.0160098  | 0.375 | 33520 | 1.363932292 |
| peppers32.bmp | peppers32.bmp-withWavelet_rbio1.1-G_0.8-H5e-005_af3.wfa | 24576 | 8192 | 8192 | 32 | 33008 | 256 | 256 | 32 | 32 | 26.0160098  | 0.25  | 33520 | 1.363932292 |

|               |   |       |      |      |    |       |     |     |    |    |             |       |       |             |
|---------------|---|-------|------|------|----|-------|-----|-----|----|----|-------------|-------|-------|-------------|
| peppers32.bmp | peppers32.bmp-withWavelet_sym1-G_0.8-H5e-005_af3.wfa    | 24576 | 8192 | 8192 | 32 | 33008 | 256 | 256 | 32 | 32 | 26.0160098  | 0.219 | 33520 | 1.363932292 |
| peppers32.bmp | peppers32.bmp-withWavelet_bior1.1-G_0.8-H5e-005_af3.wfa | 24576 | 8192 | 8192 | 32 | 33008 | 256 | 256 | 32 | 32 | 26.0160098  | 0.25  | 33520 | 1.363932292 |
| peppers32.bmp | peppers32.bmp-G_1-H1e-005_af5.wfa                       | 24576 | 8192 |      | 34 | 37232 | 272 | 272 | 32 | 32 | 26.10604043 | 0.297 | 37776 | 1.537109375 |
| peppers32.bmp | peppers32.bmp-G_0.8-H1e-005_af5.wfa                     | 24576 | 8192 |      | 34 | 37232 | 272 | 272 | 32 | 32 | 26.11993746 | 0.266 | 37776 | 1.537109375 |
| peppers32.bmp | peppers32.bmp-withWavelet_haar-G_0.6-H4e-005_af3.wfa    | 24576 | 8192 | 8192 | 32 | 33008 | 256 | 256 | 32 | 32 | 26.35505131 | 0.547 | 33520 | 1.363932292 |
| peppers32.bmp | peppers32.bmp-withWavelet_rbio1.1-G_0.6-H4e-005_af3.wfa | 24576 | 8192 | 8192 | 32 | 33008 | 256 | 256 | 32 | 32 | 26.35505131 | 0.25  | 33520 | 1.363932292 |
| peppers32.bmp | peppers32.bmp-withWavelet_sym1-G_0.6-H4e-005_af3.wfa    | 24576 | 8192 | 8192 | 32 | 33008 | 256 | 256 | 32 | 32 | 26.35505131 | 0.25  | 33520 | 1.363932292 |
| peppers32.bmp | peppers32.bmp-withWavelet_bior1.1-G_0.6-H4e-005_af3.wfa | 24576 | 8192 | 8192 | 32 | 33008 | 256 | 256 | 32 | 32 | 26.35505131 | 0.234 | 33520 | 1.363932292 |
| peppers32.bmp | peppers32.bmp-withWavelet_haar-G_0.6-H5e-005_af1.wfa    | 24576 | 8192 | 8192 | 31 | 30992 | 248 | 248 | 32 | 32 | 27.13670621 | 0.235 | 31488 | 1.28125     |
| peppers32.bmp | peppers32.bmp-withWavelet_rbio1.1-G_0.6-H5e-005_af1.wfa | 24576 | 8192 | 8192 | 31 | 30992 | 248 | 248 | 32 | 32 | 27.13670621 | 0.219 | 31488 | 1.28125     |
| peppers32.bmp | peppers32.bmp-withWavelet_sym1-G_0.6-H5e-005_af1.wfa    | 24576 | 8192 | 8192 | 31 | 30992 | 248 | 248 | 32 | 32 | 27.13670621 | 0.234 | 31488 | 1.28125     |
| peppers32.bmp | peppers32.bmp-withWavelet_bior1.1-G_0.6-H5e-005_af1.wfa | 24576 | 8192 | 8192 | 31 | 30992 | 248 | 248 | 32 | 32 | 27.13670621 | 0.375 | 31488 | 1.28125     |
| peppers32.bmp | peppers32.bmp-withWavelet_haar-G_1-H5e-005_af1.wfa      | 24576 | 8192 | 8192 | 32 | 33008 | 256 | 256 | 32 | 32 | 27.18930755 | 0.25  | 33520 | 1.363932292 |
| peppers32.bmp | peppers32.bmp-withWavelet_rbio1.1-G_1-H5e-005_af1.wfa   | 24576 | 8192 | 8192 | 32 | 33008 | 256 | 256 | 32 | 32 | 27.18930755 | 0.25  | 33520 | 1.363932292 |
| peppers32.bmp | peppers32.bmp-withWavelet_sym1-G_1-H5e-005_af1.wfa      | 24576 | 8192 | 8192 | 32 | 33008 | 256 | 256 | 32 | 32 | 27.18930755 | 0.266 | 33520 | 1.363932292 |
| peppers32.bmp | peppers32.bmp-withWavelet_bior1.1-G_1-H5e-005_af1.wfa   | 24576 | 8192 | 8192 | 32 | 33008 | 256 | 256 | 32 | 32 | 27.18930755 | 0.25  | 33520 | 1.363932292 |
| peppers32.bmp | peppers32.bmp-withWavelet_haar-G_0.8-H5e-005_af1.wfa    | 24576 | 8192 | 8192 | 32 | 33008 | 256 | 256 | 32 | 32 | 27.19555394 | 0.25  | 33520 | 1.363932292 |
| peppers32.bmp | peppers32.bmp-withWavelet_rbio1.1-G_0.8-H5e-005_af1.wfa | 24576 | 8192 | 8192 | 32 | 33008 | 256 | 256 | 32 | 32 | 27.19555394 | 0.25  | 33520 | 1.363932292 |
| peppers32.bmp | peppers32.bmp-withWavelet_sym1-G_0.8-H5e-005_af1.wfa    | 24576 | 8192 | 8192 | 32 | 33008 | 256 | 256 | 32 | 32 | 27.19555394 | 0.234 | 33520 | 1.363932292 |
| peppers32.bmp | peppers32.bmp-withWavelet_bior1.1-G_0.8-H5e-005_af1.wfa | 24576 | 8192 | 8192 | 32 | 33008 | 256 | 256 | 32 | 32 | 27.19555394 | 0.25  | 33520 | 1.363932292 |
| peppers32.bmp | peppers32.bmp-withWavelet_haar-G_0.6-H5e-005_af4.wfa    | 24576 | 8192 | 8192 | 32 | 33008 | 256 | 256 | 32 | 32 | 27.56338852 | 0.25  | 33520 | 1.363932292 |
| peppers32.bmp | peppers32.bmp-withWavelet_rbio1.1-G_0.6-H5e-005_af4.wfa | 24576 | 8192 | 8192 | 32 | 33008 | 256 | 256 | 32 | 32 | 27.56338852 | 0.234 | 33520 | 1.363932292 |
| peppers32.bmp | peppers32.bmp-withWavelet_sym1-G_0.6-H5e-005_af4.wfa    | 24576 | 8192 | 8192 | 32 | 33008 | 256 | 256 | 32 | 32 | 27.56338852 | 0.25  | 33520 | 1.363932292 |
| peppers32.bmp | peppers32.bmp-withWavelet_bior1.1-G_0.6-H5e-005_af4.wfa | 24576 | 8192 | 8192 | 32 | 33008 | 256 | 256 | 32 | 32 | 27.56338852 | 0.25  | 33520 | 1.363932292 |
| peppers32.bmp | peppers32.bmp-withWavelet_haar-G_1-H3e-005_af3.wfa      | 24576 | 8192 | 8192 | 34 | 37232 | 272 | 272 | 32 | 32 | 28.05560891 | 0.265 | 37776 | 1.537109375 |
| peppers32.bmp | peppers32.bmp-withWavelet_rbio1.1-G_1-H3e-005_af3.wfa   | 24576 | 8192 | 8192 | 34 | 37232 | 272 | 272 | 32 | 32 | 28.05560891 | 0.297 | 37776 | 1.537109375 |
| peppers32.bmp | peppers32.bmp-withWavelet_sym1-G_1-H3e-005_af3.wfa      | 24576 | 8192 | 8192 | 34 | 37232 | 272 | 272 | 32 | 32 | 28.05560891 | 0.25  | 37776 | 1.537109375 |
| peppers32.bmp | peppers32.bmp-withWavelet_bior1.1-G_1-H3e-005_af3.wfa   | 24576 | 8192 | 8192 | 34 | 37232 | 272 | 272 | 32 | 32 | 28.05560891 | 0.313 | 37776 | 1.537109375 |
| peppers32.bmp | peppers32.bmp-withWavelet_haar-G_0.8-H3e-005_af3.wfa    | 24576 | 8192 | 8192 | 34 | 37232 | 272 | 272 | 32 | 32 | 28.08439612 | 0.265 | 37776 | 1.537109375 |
| peppers32.bmp | peppers32.bmp-withWavelet_rbio1.1-G_0.8-H3e-005_af3.wfa | 24576 | 8192 | 8192 | 34 | 37232 | 272 | 272 | 32 | 32 | 28.08439612 | 0.266 | 37776 | 1.537109375 |
| peppers32.bmp | peppers32.bmp-withWavelet_sym1-G_0.8-H3e-005_af3.wfa    | 24576 | 8192 | 8192 | 34 | 37232 | 272 | 272 | 32 | 32 | 28.08439612 | 0.25  | 37776 | 1.537109375 |

|               |   |       |      |      |    |       |     |     |    |    |             |       |       |             |
|---------------|---|-------|------|------|----|-------|-----|-----|----|----|-------------|-------|-------|-------------|
| peppers32.bmp | peppers32.bmp-withWavelet_bior1.1-G_0.8-H3e-005_af3.wfa | 24576 | 8192 | 8192 | 34 | 37232 | 272 | 272 | 32 | 32 | 28.08439612 | 0.281 | 37776 | 1.537109375 |
| peppers32.bmp | peppers32.bmp-withWavelet_haar-G_0.6-H3e-005_af3.wfa    | 24576 | 8192 | 8192 | 34 | 37232 | 272 | 272 | 32 | 32 | 28.24631722 | 0.266 | 37776 | 1.537109375 |
| peppers32.bmp | peppers32.bmp-withWavelet_rbio1.1-G_0.6-H3e-005_af3.wfa | 24576 | 8192 | 8192 | 34 | 37232 | 272 | 272 | 32 | 32 | 28.24631722 | 0.266 | 37776 | 1.537109375 |
| peppers32.bmp | peppers32.bmp-withWavelet_sym1-G_0.6-H3e-005_af3.wfa    | 24576 | 8192 | 8192 | 34 | 37232 | 272 | 272 | 32 | 32 | 28.24631722 | 0.281 | 37776 | 1.537109375 |
| peppers32.bmp | peppers32.bmp-withWavelet_bior1.1-G_0.6-H3e-005_af3.wfa | 24576 | 8192 | 8192 | 34 | 37232 | 272 | 272 | 32 | 32 | 28.24631722 | 0.266 | 37776 | 1.537109375 |
| peppers32.bmp | peppers32.bmp-withWavelet_haar-G_0.6-H2e-005_af3.wfa    | 24576 | 8192 | 8192 | 35 | 39440 | 280 | 280 | 32 | 32 | 28.86239877 | 0.297 | 40000 | 1.627604167 |
| peppers32.bmp | peppers32.bmp-withWavelet_rbio1.1-G_0.6-H2e-005_af3.wfa | 24576 | 8192 | 8192 | 35 | 39440 | 280 | 280 | 32 | 32 | 28.86239877 | 0.266 | 40000 | 1.627604167 |
| peppers32.bmp | peppers32.bmp-withWavelet_sym1-G_0.6-H2e-005_af3.wfa    | 24576 | 8192 | 8192 | 35 | 39440 | 280 | 280 | 32 | 32 | 28.86239877 | 0.282 | 40000 | 1.627604167 |
| peppers32.bmp | peppers32.bmp-withWavelet_bior1.1-G_0.6-H2e-005_af3.wfa | 24576 | 8192 | 8192 | 35 | 39440 | 280 | 280 | 32 | 32 | 28.86239877 | 0.266 | 40000 | 1.627604167 |
| peppers32.bmp | peppers32.bmp-G_0.6-H1e-005_af5.wfa                     | 24576 | 8192 |      | 35 | 39440 | 280 | 280 | 32 | 32 | 29.10219433 | 0.297 | 40000 | 1.627604167 |
| peppers32.bmp | peppers32.bmp-withWavelet_haar-G_0.6-H4e-005_af4.wfa    | 24576 | 8192 | 8192 | 33 | 35088 | 264 | 264 | 32 | 32 | 29.17633433 | 0.282 | 35616 | 1.44921875  |
| peppers32.bmp | peppers32.bmp-withWavelet_rbio1.1-G_0.6-H4e-005_af4.wfa | 24576 | 8192 | 8192 | 33 | 35088 | 264 | 264 | 32 | 32 | 29.17633433 | 0.25  | 35616 | 1.44921875  |
| peppers32.bmp | peppers32.bmp-withWavelet_sym1-G_0.6-H4e-005_af4.wfa    | 24576 | 8192 | 8192 | 33 | 35088 | 264 | 264 | 32 | 32 | 29.17633433 | 0.297 | 35616 | 1.44921875  |
| peppers32.bmp | peppers32.bmp-withWavelet_bior1.1-G_0.6-H4e-005_af4.wfa | 24576 | 8192 | 8192 | 33 | 35088 | 264 | 264 | 32 | 32 | 29.17633433 | 0.235 | 35616 | 1.44921875  |
| peppers32.bmp | peppers32.bmp-withWavelet_haar-G_0.6-H4e-005_af1.wfa    | 24576 | 8192 | 8192 | 33 | 35088 | 264 | 264 | 32 | 32 | 30.17681928 | 0.25  | 35616 | 1.44921875  |
| peppers32.bmp | peppers32.bmp-withWavelet_rbio1.1-G_0.6-H4e-005_af1.wfa | 24576 | 8192 | 8192 | 33 | 35088 | 264 | 264 | 32 | 32 | 30.17681928 | 0.281 | 35616 | 1.44921875  |
| peppers32.bmp | peppers32.bmp-withWavelet_sym1-G_0.6-H4e-005_af1.wfa    | 24576 | 8192 | 8192 | 33 | 35088 | 264 | 264 | 32 | 32 | 30.17681928 | 0.25  | 35616 | 1.44921875  |
| peppers32.bmp | peppers32.bmp-withWavelet_bior1.1-G_0.6-H4e-005_af1.wfa | 24576 | 8192 | 8192 | 33 | 35088 | 264 | 264 | 32 | 32 | 30.17681928 | 0.25  | 35616 | 1.44921875  |
| peppers32.bmp | peppers32.bmp-withWavelet_haar-G_1-H2e-005_af3.wfa      | 24576 | 8192 | 8192 | 36 | 41712 | 288 | 288 | 32 | 32 | 30.93677239 | 0.328 | 42288 | 1.720703125 |
| peppers32.bmp | peppers32.bmp-withWavelet_rbio1.1-G_1-H2e-005_af3.wfa   | 24576 | 8192 | 8192 | 36 | 41712 | 288 | 288 | 32 | 32 | 30.93677239 | 0.328 | 42288 | 1.720703125 |
| peppers32.bmp | peppers32.bmp-withWavelet_sym1-G_1-H2e-005_af3.wfa      | 24576 | 8192 | 8192 | 36 | 41712 | 288 | 288 | 32 | 32 | 30.93677239 | 0.312 | 42288 | 1.720703125 |
| peppers32.bmp | peppers32.bmp-withWavelet_bior1.1-G_1-H2e-005_af3.wfa   | 24576 | 8192 | 8192 | 36 | 41712 | 288 | 288 | 32 | 32 | 30.93677239 | 0.328 | 42288 | 1.720703125 |
| peppers32.bmp | peppers32.bmp-withWavelet_haar-G_0.8-H2e-005_af3.wfa    | 24576 | 8192 | 8192 | 36 | 41712 | 288 | 288 | 32 | 32 | 30.97275174 | 0.312 | 42288 | 1.720703125 |
| peppers32.bmp | peppers32.bmp-withWavelet_rbio1.1-G_0.8-H2e-005_af3.wfa | 24576 | 8192 | 8192 | 36 | 41712 | 288 | 288 | 32 | 32 | 30.97275174 | 0.313 | 42288 | 1.720703125 |
| peppers32.bmp | peppers32.bmp-withWavelet_sym1-G_0.8-H2e-005_af3.wfa    | 24576 | 8192 | 8192 | 36 | 41712 | 288 | 288 | 32 | 32 | 30.97275174 | 0.313 | 42288 | 1.720703125 |
| peppers32.bmp | peppers32.bmp-withWavelet_bior1.1-G_0.8-H2e-005_af3.wfa | 24576 | 8192 | 8192 | 36 | 41712 | 288 | 288 | 32 | 32 | 30.97275174 | 0.297 | 42288 | 1.720703125 |
| peppers32.bmp | peppers32.bmp-withWavelet_haar-G_0.6-H3e-005_af4.wfa    | 24576 | 8192 | 8192 | 34 | 37232 | 272 | 272 | 32 | 32 | 31.71000212 | 0.312 | 37776 | 1.537109375 |
| peppers32.bmp | peppers32.bmp-withWavelet_rbio1.1-G_0.6-H3e-005_af4.wfa | 24576 | 8192 | 8192 | 34 | 37232 | 272 | 272 | 32 | 32 | 31.71000212 | 0.297 | 37776 | 1.537109375 |
| peppers32.bmp | peppers32.bmp-withWavelet_sym1-G_0.6-H3e-005_af4.wfa    | 24576 | 8192 | 8192 | 34 | 37232 | 272 | 272 | 32 | 32 | 31.71000212 | 0.25  | 37776 | 1.537109375 |
| peppers32.bmp | peppers32.bmp-withWavelet_bior1.1-G_0.6-H3e-005_af4.wfa | 24576 | 8192 | 8192 | 34 | 37232 | 272 | 272 | 32 | 32 | 31.71000212 | 0.25  | 37776 | 1.537109375 |
| peppers32.bmp | peppers32.bmp-withWavelet_haar-G_1-H4e-005_af1.wfa      | 24576 | 8192 | 8192 | 34 | 37232 | 272 | 272 | 32 | 32 | 32.19159685 | 0.25  | 37776 | 1.537109375 |

|               |   |       |      |      |    |       |     |     |    |    |             |       |       |             |
|---------------|---|-------|------|------|----|-------|-----|-----|----|----|-------------|-------|-------|-------------|
| peppers32.bmp | peppers32.bmp-withWavelet_rbio1.1-G_1-H4e-005_af1.wfa   | 24576 | 8192 | 8192 | 34 | 37232 | 272 | 272 | 32 | 32 | 32.19159685 | 0.281 | 37776 | 1.537109375 |
| peppers32.bmp | peppers32.bmp-withWavelet_sym1-G_1-H4e-005_af1.wfa      | 24576 | 8192 | 8192 | 34 | 37232 | 272 | 272 | 32 | 32 | 32.19159685 | 0.25  | 37776 | 1.537109375 |
| peppers32.bmp | peppers32.bmp-withWavelet_bior1.1-G_1-H4e-005_af1.wfa   | 24576 | 8192 | 8192 | 34 | 37232 | 272 | 272 | 32 | 32 | 32.19159685 | 0.281 | 37776 | 1.537109375 |
| peppers32.bmp | peppers32.bmp-withWavelet_haar-G_0.8-H4e-005_af1.wfa    | 24576 | 8192 | 8192 | 34 | 37232 | 272 | 272 | 32 | 32 | 32.24815041 | 0.266 | 37776 | 1.537109375 |
| peppers32.bmp | peppers32.bmp-withWavelet_rbio1.1-G_0.8-H4e-005_af1.wfa | 24576 | 8192 | 8192 | 34 | 37232 | 272 | 272 | 32 | 32 | 32.24815041 | 0.266 | 37776 | 1.537109375 |
| peppers32.bmp | peppers32.bmp-withWavelet_sym1-G_0.8-H4e-005_af1.wfa    | 24576 | 8192 | 8192 | 34 | 37232 | 272 | 272 | 32 | 32 | 32.24815041 | 0.266 | 37776 | 1.537109375 |
| peppers32.bmp | peppers32.bmp-withWavelet_bior1.1-G_0.8-H4e-005_af1.wfa | 24576 | 8192 | 8192 | 34 | 37232 | 272 | 272 | 32 | 32 | 32.24815041 | 0.297 | 37776 | 1.537109375 |
| peppers32.bmp | peppers32.bmp-withWavelet_haar-G_1-H3e-005_af1.wfa      | 24576 | 8192 | 8192 | 35 | 39440 | 280 | 280 | 32 | 32 | 34.8427546  | 0.266 | 40000 | 1.627604167 |
| peppers32.bmp | peppers32.bmp-withWavelet_rbio1.1-G_1-H3e-005_af1.wfa   | 24576 | 8192 | 8192 | 35 | 39440 | 280 | 280 | 32 | 32 | 34.8427546  | 0.281 | 40000 | 1.627604167 |
| peppers32.bmp | peppers32.bmp-withWavelet_sym1-G_1-H3e-005_af1.wfa      | 24576 | 8192 | 8192 | 35 | 39440 | 280 | 280 | 32 | 32 | 34.8427546  | 0.281 | 40000 | 1.627604167 |
| peppers32.bmp | peppers32.bmp-withWavelet_bior1.1-G_1-H3e-005_af1.wfa   | 24576 | 8192 | 8192 | 35 | 39440 | 280 | 280 | 32 | 32 | 34.8427546  | 0.281 | 40000 | 1.627604167 |
| peppers32.bmp | peppers32.bmp-withWavelet_haar-G_0.8-H3e-005_af1.wfa    | 24576 | 8192 | 8192 | 35 | 39440 | 280 | 280 | 32 | 32 | 34.84623878 | 0.281 | 40000 | 1.627604167 |
| peppers32.bmp | peppers32.bmp-withWavelet_rbio1.1-G_0.8-H3e-005_af1.wfa | 24576 | 8192 | 8192 | 35 | 39440 | 280 | 280 | 32 | 32 | 34.84623878 | 0.297 | 40000 | 1.627604167 |
| peppers32.bmp | peppers32.bmp-withWavelet_sym1-G_0.8-H3e-005_af1.wfa    | 24576 | 8192 | 8192 | 35 | 39440 | 280 | 280 | 32 | 32 | 34.84623878 | 0.281 | 40000 | 1.627604167 |
| peppers32.bmp | peppers32.bmp-withWavelet_bior1.1-G_0.8-H3e-005_af1.wfa | 24576 | 8192 | 8192 | 35 | 39440 | 280 | 280 | 32 | 32 | 34.84623878 | 0.297 | 40000 | 1.627604167 |
| peppers32.bmp | peppers32.bmp-withWavelet_haar-G_0.6-H3e-005_af1.wfa    | 24576 | 8192 | 8192 | 35 | 39440 | 280 | 280 | 32 | 32 | 35.00898778 | 0.265 | 40000 | 1.627604167 |
| peppers32.bmp | peppers32.bmp-withWavelet_rbio1.1-G_0.6-H3e-005_af1.wfa | 24576 | 8192 | 8192 | 35 | 39440 | 280 | 280 | 32 | 32 | 35.00898778 | 0.297 | 40000 | 1.627604167 |
| peppers32.bmp | peppers32.bmp-withWavelet_sym1-G_0.6-H3e-005_af1.wfa    | 24576 | 8192 | 8192 | 35 | 39440 | 280 | 280 | 32 | 32 | 35.00898778 | 0.281 | 40000 | 1.627604167 |
| peppers32.bmp | peppers32.bmp-withWavelet_bior1.1-G_0.6-H3e-005_af1.wfa | 24576 | 8192 | 8192 | 35 | 39440 | 280 | 280 | 32 | 32 | 35.00898778 | 0.297 | 40000 | 1.627604167 |
| peppers32.bmp | peppers32.bmp-withWavelet_haar-G_0.6-H2e-005_af4.wfa    | 24576 | 8192 | 8192 | 35 | 39440 | 280 | 280 | 32 | 32 | 36.32300691 | 0.297 | 40000 | 1.627604167 |
| peppers32.bmp | peppers32.bmp-withWavelet_rbio1.1-G_0.6-H2e-005_af4.wfa | 24576 | 8192 | 8192 | 35 | 39440 | 280 | 280 | 32 | 32 | 36.32300691 | 0.281 | 40000 | 1.627604167 |
| peppers32.bmp | peppers32.bmp-withWavelet_sym1-G_0.6-H2e-005_af4.wfa    | 24576 | 8192 | 8192 | 35 | 39440 | 280 | 280 | 32 | 32 | 36.32300691 | 0.296 | 40000 | 1.627604167 |
| peppers32.bmp | peppers32.bmp-withWavelet_bior1.1-G_0.6-H2e-005_af4.wfa | 24576 | 8192 | 8192 | 35 | 39440 | 280 | 280 | 32 | 32 | 36.32300691 | 0.266 | 40000 | 1.627604167 |
| peppers32.bmp | peppers32.bmp-withWavelet_haar-G_1-H2e-005_af1.wfa      | 24576 | 8192 | 8192 | 36 | 41712 | 288 | 288 | 32 | 32 | 37.84099309 | 0.296 | 42288 | 1.720703125 |
| peppers32.bmp | peppers32.bmp-withWavelet_rbio1.1-G_1-H2e-005_af1.wfa   | 24576 | 8192 | 8192 | 36 | 41712 | 288 | 288 | 32 | 32 | 37.84099309 | 0.297 | 42288 | 1.720703125 |
| peppers32.bmp | peppers32.bmp-withWavelet_sym1-G_1-H2e-005_af1.wfa      | 24576 | 8192 | 8192 | 36 | 41712 | 288 | 288 | 32 | 32 | 37.84099309 | 0.297 | 42288 | 1.720703125 |
| peppers32.bmp | peppers32.bmp-withWavelet_bior1.1-G_1-H2e-005_af1.wfa   | 24576 | 8192 | 8192 | 36 | 41712 | 288 | 288 | 32 | 32 | 37.84099309 | 0.344 | 42288 | 1.720703125 |
| peppers32.bmp | peppers32.bmp-withWavelet_haar-G_0.8-H2e-005_af1.wfa    | 24576 | 8192 | 8192 | 36 | 41712 | 288 | 288 | 32 | 32 | 37.84133787 | 0.297 | 42288 | 1.720703125 |
| peppers32.bmp | peppers32.bmp-withWavelet_rbio1.1-G_0.8-H2e-005_af1.wfa | 24576 | 8192 | 8192 | 36 | 41712 | 288 | 288 | 32 | 32 | 37.84133787 | 0.328 | 42288 | 1.720703125 |
| peppers32.bmp | peppers32.bmp-withWavelet_sym1-G_0.8-H2e-005_af1.wfa    | 24576 | 8192 | 8192 | 36 | 41712 | 288 | 288 | 32 | 32 | 37.84133787 | 0.297 | 42288 | 1.720703125 |
| peppers32.bmp | peppers32.bmp-withWavelet_bior1.1-G_0.8-H2e-005_af1.wfa | 24576 | 8192 | 8192 | 36 | 41712 | 288 | 288 | 32 | 32 | 37.84133787 | 0.328 | 42288 | 1.720703125 |





|               |   |       |      |      |    |       |     |     |    |    |             |       |       |            |
|---------------|---|-------|------|------|----|-------|-----|-----|----|----|-------------|-------|-------|------------|
| peppers32.bmp | peppers32.bmp-withWavelet_bior1.1-G_0.6-H2e-005_af1.wfa | 24576 | 8192 | 8192 | 37 | 44048 | 296 | 296 | 32 | 32 | 257.3694734 | 0.312 | 44640 | 1.81640625 |
| peppers32.bmp | peppers32.bmp-withWavelet_haar-G_0.6-H1e-005_af3.wfa    | 24576 | 8192 | 8192 | 37 | 44048 | 296 | 296 | 32 | 32 | 261.085779  | 0.36  | 44640 | 1.81640625 |
| peppers32.bmp | peppers32.bmp-withWavelet_rbio1.1-G_0.6-H1e-005_af3.wfa | 24576 | 8192 | 8192 | 37 | 44048 | 296 | 296 | 32 | 32 | 261.085779  | 0.328 | 44640 | 1.81640625 |
| peppers32.bmp | peppers32.bmp-withWavelet_sym1-G_0.6-H1e-005_af3.wfa    | 24576 | 8192 | 8192 | 37 | 44048 | 296 | 296 | 32 | 32 | 261.085779  | 0.328 | 44640 | 1.81640625 |
| peppers32.bmp | peppers32.bmp-withWavelet_bior1.1-G_0.6-H1e-005_af3.wfa | 24576 | 8192 | 8192 | 37 | 44048 | 296 | 296 | 32 | 32 | 261.085779  | 0.328 | 44640 | 1.81640625 |
| peppers32.bmp | peppers32.bmp-withWavelet_haar-G_0.6-H1e-005_af1.wfa    | 24576 | 8192 | 8192 | 37 | 44048 | 296 | 296 | 32 | 32 | 261.5547447 | 0.329 | 44640 | 1.81640625 |
| peppers32.bmp | peppers32.bmp-withWavelet_rbio1.1-G_0.6-H1e-005_af1.wfa | 24576 | 8192 | 8192 | 37 | 44048 | 296 | 296 | 32 | 32 | 261.5547447 | 0.344 | 44640 | 1.81640625 |
| peppers32.bmp | peppers32.bmp-withWavelet_sym1-G_0.6-H1e-005_af1.wfa    | 24576 | 8192 | 8192 | 37 | 44048 | 296 | 296 | 32 | 32 | 261.5547447 | 0.328 | 44640 | 1.81640625 |
| peppers32.bmp | peppers32.bmp-withWavelet_bior1.1-G_0.6-H1e-005_af1.wfa | 24576 | 8192 | 8192 | 37 | 44048 | 296 | 296 | 32 | 32 | 261.5547447 | 0.343 | 44640 | 1.81640625 |

**Tabela III.15 – Decodificação para satellite32.bmp**

| Img             | Img codificada  | IBytes | GSByte | WletBy | #Stes | Wby   | IBy | FBy | ResCo | ResDe | PSNR        | Time  | Total | %           |
|-----------------|---|--------|--------|--------|-------|-------|-----|-----|-------|-------|-------------|-------|-------|-------------|
| satellite32.bmp | satellite32.bmp-withWavelet_haar-G_0.6-H0.0001_af1.wfa    | 24576  | 8192   | 8192   | 22    | 15728 | 176 | 176 | 32    | 32    | 20.08566219 | 0.125 | 16080 | 0.654296875 |
| satellite32.bmp | satellite32.bmp-withWavelet_rbio1.1-G_0.6-H0.0001_af1.wfa | 24576  | 8192   | 8192   | 22    | 15728 | 176 | 176 | 32    | 32    | 20.08566219 | 0.125 | 16080 | 0.654296875 |
| satellite32.bmp | satellite32.bmp-withWavelet_sym1-G_0.6-H0.0001_af1.wfa    | 24576  | 8192   | 8192   | 22    | 15728 | 176 | 176 | 32    | 32    | 20.08566219 | 0.141 | 16080 | 0.654296875 |
| satellite32.bmp | satellite32.bmp-withWavelet_bior1.1-G_0.6-H0.0001_af1.wfa | 24576  | 8192   | 8192   | 22    | 15728 | 176 | 176 | 32    | 32    | 20.08566219 | 0.125 | 16080 | 0.654296875 |
| satellite32.bmp | satellite32.bmp-withWavelet_haar-G_0.6-H9e-005_af1.wfa    | 24576  | 8192   | 8192   | 23    | 17168 | 184 | 184 | 32    | 32    | 20.46648904 | 0.157 | 17536 | 0.713541667 |
| satellite32.bmp | satellite32.bmp-withWavelet_rbio1.1-G_0.6-H9e-005_af1.wfa | 24576  | 8192   | 8192   | 23    | 17168 | 184 | 184 | 32    | 32    | 20.46648904 | 0.156 | 17536 | 0.713541667 |
| satellite32.bmp | satellite32.bmp-withWavelet_sym1-G_0.6-H9e-005_af1.wfa    | 24576  | 8192   | 8192   | 23    | 17168 | 184 | 184 | 32    | 32    | 20.46648904 | 0.156 | 17536 | 0.713541667 |
| satellite32.bmp | satellite32.bmp-withWavelet_bior1.1-G_0.6-H9e-005_af1.wfa | 24576  | 8192   | 8192   | 23    | 17168 | 184 | 184 | 32    | 32    | 20.46648904 | 0.14  | 17536 | 0.713541667 |
| satellite32.bmp | satellite32.bmp-withWavelet_haar-G_0.6-H9e-005_af4.wfa    | 24576  | 8192   | 8192   | 24    | 18672 | 192 | 192 | 32    | 32    | 20.6711845  | 0.156 | 19056 | 0.775390625 |
| satellite32.bmp | satellite32.bmp-withWavelet_rbio1.1-G_0.6-H9e-005_af4.wfa | 24576  | 8192   | 8192   | 24    | 18672 | 192 | 192 | 32    | 32    | 20.6711845  | 0.156 | 19056 | 0.775390625 |
| satellite32.bmp | satellite32.bmp-withWavelet_sym1-G_0.6-H9e-005_af4.wfa    | 24576  | 8192   | 8192   | 24    | 18672 | 192 | 192 | 32    | 32    | 20.6711845  | 0.172 | 19056 | 0.775390625 |
| satellite32.bmp | satellite32.bmp-withWavelet_bior1.1-G_0.6-H9e-005_af4.wfa | 24576  | 8192   | 8192   | 24    | 18672 | 192 | 192 | 32    | 32    | 20.6711845  | 0.156 | 19056 | 0.775390625 |
| satellite32.bmp | satellite32.bmp-withWavelet_haar-G_0.6-H0.0001_af4.wfa    | 24576  | 8192   | 8192   | 24    | 18672 | 192 | 192 | 32    | 32    | 20.74834744 | 0.172 | 19056 | 0.775390625 |
| satellite32.bmp | satellite32.bmp-withWavelet_rbio1.1-G_0.6-H0.0001_af4.wfa | 24576  | 8192   | 8192   | 24    | 18672 | 192 | 192 | 32    | 32    | 20.74834744 | 0.172 | 19056 | 0.775390625 |
| satellite32.bmp | satellite32.bmp-withWavelet_sym1-G_0.6-H0.0001_af4.wfa    | 24576  | 8192   | 8192   | 24    | 18672 | 192 | 192 | 32    | 32    | 20.74834744 | 0.156 | 19056 | 0.775390625 |
| satellite32.bmp | satellite32.bmp-withWavelet_bior1.1-G_0.6-H0.0001_af4.wfa | 24576  | 8192   | 8192   | 24    | 18672 | 192 | 192 | 32    | 32    | 20.74834744 | 0.156 | 19056 | 0.775390625 |
| satellite32.bmp | satellite32.bmp-withWavelet_haar-G_0.6-H7e-005_af4.wfa    | 24576  | 8192   | 8192   | 25    | 20240 | 200 | 200 | 32    | 32    | 21.14737168 | 0.171 | 20640 | 0.83984375  |
| satellite32.bmp | satellite32.bmp-withWavelet_rbio1.1-G_0.6-H7e-005_af4.wfa | 24576  | 8192   | 8192   | 25    | 20240 | 200 | 200 | 32    | 32    | 21.14737168 | 0.172 | 20640 | 0.83984375  |
| satellite32.bmp | satellite32.bmp-withWavelet_sym1-G_0.6-H7e-005_af4.wfa    | 24576  | 8192   | 8192   | 25    | 20240 | 200 | 200 | 32    | 32    | 21.14737168 | 0.172 | 20640 | 0.83984375  |

|                 |   |        |        |        |    |       |     |     |    |     |             |       |       |             |
|-----------------|---|--------|--------|--------|----|-------|-----|-----|----|-----|-------------|-------|-------|-------------|
| satellite32.bmp | satellite32.bmp-withWavelet_bior1.1-G_0.6-H7e-005_af4.wfa | 24576  | 8192   | 8192   | 25 | 20240 | 200 | 200 | 32 | 32  | 21.14737168 | 0.172 | 20640 | 0.83984375  |
| satellite32.bmp | satellite32.bmp-withWavelet_haar-G_0.6-H8e-005_af4.wfa    | 24576  | 8192   | 8192   | 25 | 20240 | 200 | 200 | 32 | 32  | 21.21069898 | 0.157 | 20640 | 0.83984375  |
| satellite32.bmp | satellite32.bmp-withWavelet_rbio1.1-G_0.6-H8e-005_af4.wfa | 24576  | 8192   | 8192   | 25 | 20240 | 200 | 200 | 32 | 32  | 21.21069898 | 0.172 | 20640 | 0.83984375  |
| satellite32.bmp | satellite32.bmp-withWavelet_sym1-G_0.6-H8e-005_af4.wfa    | 24576  | 8192   | 8192   | 25 | 20240 | 200 | 200 | 32 | 32  | 21.21069898 | 0.187 | 20640 | 0.83984375  |
| satellite32.bmp | satellite32.bmp-withWavelet_bior1.1-G_0.6-H8e-005_af4.wfa | 24576  | 8192   | 8192   | 25 | 20240 | 200 | 200 | 32 | 32  | 21.21069898 | 0.172 | 20640 | 0.83984375  |
| satellite32.bmp | satellite32.bmp-withWavelet_haar-G_0.6-H8e-005_af1.wfa    | 24576  | 8192   | 8192   | 25 | 20240 | 200 | 200 | 32 | 32  | 21.48898195 | 0.172 | 20640 | 0.83984375  |
| satellite32.bmp | satellite32.bmp-withWavelet_rbio1.1-G_0.6-H8e-005_af1.wfa | 24576  | 8192   | 8192   | 25 | 20240 | 200 | 200 | 32 | 32  | 21.48898195 | 0.172 | 20640 | 0.83984375  |
| satellite32.bmp | satellite32.bmp-withWavelet_sym1-G_0.6-H8e-005_af1.wfa    | 24576  | 8192   | 8192   | 25 | 20240 | 200 | 200 | 32 | 32  | 21.48898195 | 0.172 | 20640 | 0.83984375  |
| satellite32.bmp | satellite32.bmp-withWavelet_bior1.1-G_0.6-H8e-005_af1.wfa | 24576  | 8192   | 8192   | 25 | 20240 | 200 | 200 | 32 | 32  | 21.48898195 | 0.172 | 20640 | 0.83984375  |
| satellite32.bmp | satellite32.bmp-withWavelet_haar-G_0.6-H7e-005_af1.wfa    | 24576  | 8192   | 8192   | 25 | 20240 | 200 | 200 | 32 | 32  | 21.49118384 | 0.188 | 20640 | 0.83984375  |
| satellite32.bmp | satellite32.bmp-withWavelet_rbio1.1-G_0.6-H7e-005_af1.wfa | 24576  | 8192   | 8192   | 25 | 20240 | 200 | 200 | 32 | 32  | 21.49118384 | 0.172 | 20640 | 0.83984375  |
| satellite32.bmp | satellite32.bmp-withWavelet_sym1-G_0.6-H7e-005_af1.wfa    | 24576  | 8192   | 8192   | 25 | 20240 | 200 | 200 | 32 | 32  | 21.49118384 | 0.171 | 20640 | 0.83984375  |
| satellite32.bmp | satellite32.bmp-withWavelet_bior1.1-G_0.6-H7e-005_af1.wfa | 24576  | 8192   | 8192   | 25 | 20240 | 200 | 200 | 32 | 32  | 21.49118384 | 0.172 | 20640 | 0.83984375  |
| satellite32.bmp | satellite32.bmp-G_1-H2e-005_af5.wfa                       | 24576  | 8192   |        | 26 | 21872 | 208 | 208 | 32 | 32  | 20.71309326 | 0.187 | 22288 | 0.906901042 |
| satellite32.bmp | satellite32.bmp-withWavelet_haar-G_0.6-H7e-005_af3.wfa    | 24576  | 8192   | 8192   | 26 | 21872 | 208 | 208 | 32 | 32  | 20.87138892 | 0.188 | 22288 | 0.906901042 |
| satellite32.bmp | satellite32.bmp-withWavelet_rbio1.1-G_0.6-H7e-005_af3.wfa | 24576  | 8192   | 8192   | 26 | 21872 | 208 | 208 | 32 | 32  | 20.87138892 | 0.187 | 22288 | 0.906901042 |
| satellite32.bmp | satellite32.bmp-withWavelet_sym1-G_0.6-H7e-005_af3.wfa    | 24576  | 8192   | 8192   | 26 | 21872 | 208 | 208 | 32 | 32  | 20.87138892 | 0.172 | 22288 | 0.906901042 |
| satellite32.bmp | satellite32.bmp-withWavelet_bior1.1-G_0.6-H7e-005_af3.wfa | 24576  | 8192   | 8192   | 26 | 21872 | 208 | 208 | 32 | 32  | 20.87138892 | 0.188 | 22288 | 0.906901042 |
| satellite32.bmp | satellite32.bmp-withWavelet_haar-G_0.8-H7e-005_af1.wfa    | 24576  | 8192   | 8192   | 26 | 21872 | 208 | 208 | 32 | 32  | 21.53926395 | 0.188 | 22288 | 0.906901042 |
| satellite32.bmp | satellite32.bmp-withWavelet_rbio1.1-G_0.8-H7e-005_af1.wfa | 24576  | 8192   | 8192   | 26 | 21872 | 208 | 208 | 32 | 32  | 21.53926395 | 0.172 | 22288 | 0.906901042 |
| satellite32.bmp | satellite32.bmp-withWavelet_sym1-G_0.8-H7e-005_af1.wfa    | 24576  | 8192   | 8192   | 26 | 21872 | 208 | 208 | 32 | 32  | 21.53926395 | 0.172 | 22288 | 0.906901042 |
| satellite32.bmp | satellite32.bmp-withWavelet_bior1.1-G_0.8-H7e-005_af1.wfa | 24576  | 8192   | 8192   | 26 | 21872 | 208 | 208 | 32 | 32  | 21.53926395 | 0.188 | 22288 | 0.906901042 |
| satellite32.bmp | satellite32.bmp-withWavelet_haar-G_0.6-H6e-005_af4.wfa    | 24576  | 8192   | 8192   | 26 | 21872 | 208 | 208 | 32 | 32  | 21.57887169 | 0.187 | 22288 | 0.906901042 |
| satellite32.bmp | satellite32.bmp-withWavelet_rbio1.1-G_0.6-H6e-005_af4.wfa | 24576  | 8192   | 8192   | 26 | 21872 | 208 | 208 | 32 | 32  | 21.57887169 | 0.171 | 22288 | 0.906901042 |
| satellite32.bmp | satellite32.bmp-withWavelet_sym1-G_0.6-H6e-005_af4.wfa    | 24576  | 8192   | 8192   | 26 | 21872 | 208 | 208 | 32 | 32  | 21.57887169 | 0.188 | 22288 | 0.906901042 |
| satellite32.bmp | satellite32.bmp-withWavelet_bior1.1-G_0.6-H6e-005_af4.wfa | 24576  | 8192   | 8192   | 26 | 21872 | 208 | 208 | 32 | 32  | 21.57887169 | 0.187 | 22288 | 0.906901042 |
| satellite32.bmp | satellite32.bmp-withWavelet_haar-G_0.6-H6e-005_af3.wfa    | 24576  | 8192   | 8192   | 27 | 23568 | 216 | 216 | 32 | 32  | 21.34737169 | 0.187 | 24000 | 0.9765625   |
| satellite32.bmp | satellite32.bmp-withWavelet_rbio1.1-G_0.6-H6e-005_af3.wfa | 24576  | 8192   | 8192   | 27 | 23568 | 216 | 216 | 32 | 32  | 21.34737169 | 0.171 | 24000 | 0.9765625   |
| satellite32.bmp | satellite32.bmp-withWavelet_sym1-G_0.6-H6e-005_af3.wfa    | 24576  | 8192   | 8192   | 27 | 23568 | 216 | 216 | 32 | 32  | 21.34737169 | 0.188 | 24000 | 0.9765625   |
| satellite32.bmp | satellite32.bmp-withWavelet_bior1.1-G_0.6-H6e-005_af3.wfa | 24576  | 8192   | 8192   | 27 | 23568 | 216 | 216 | 32 | 32  | 21.34737169 | 0.187 | 24000 | 0.9765625   |
| satellite32.bmp | satellite32.bmp-withWavelet_haar-G_0.6-H3e-005_af2.wfa    | 393216 | 131072 | 131072 | 28 | 25328 | 224 | 224 | 32 | 128 | 13.26026003 | 3.797 | 25776 | 0.065551758 |

|                 |   |         |        |        |    |       |     |     |    |     |             |        |       |             |
|-----------------|---|---------|--------|--------|----|-------|-----|-----|----|-----|-------------|--------|-------|-------------|
| satellite32.bmp | satellite32.bmp-withWavelet_rbio1.1-G_0.6-H3e-005_af2.wfa | 393216  | 131072 | 131072 | 28 | 25328 | 224 | 224 | 32 | 128 | 13.26026003 | 3.797  | 25776 | 0.065551758 |
| satellite32.bmp | satellite32.bmp-withWavelet_sym1-G_0.6-H3e-005_af2.wfa    | 393216  | 131072 | 131072 | 28 | 25328 | 224 | 224 | 32 | 128 | 13.26026003 | 3.781  | 25776 | 0.065551758 |
| satellite32.bmp | satellite32.bmp-withWavelet_bior1.1-G_0.6-H3e-005_af2.wfa | 393216  | 131072 | 131072 | 28 | 25328 | 224 | 224 | 32 | 128 | 13.26026003 | 3.781  | 25776 | 0.065551758 |
| satellite32.bmp | satellite32.bmp-withWavelet_haar-G_0.6-H3e-005_af2.wfa    | 1572864 | 524288 | 524288 | 28 | 25328 | 224 | 224 | 32 | 256 | 13.3448091  | 16.781 | 25776 | 0.016387939 |
| satellite32.bmp | satellite32.bmp-withWavelet_rbio1.1-G_0.6-H3e-005_af2.wfa | 1572864 | 524288 | 524288 | 28 | 25328 | 224 | 224 | 32 | 256 | 13.3448091  | 16.781 | 25776 | 0.016387939 |
| satellite32.bmp | satellite32.bmp-withWavelet_sym1-G_0.6-H3e-005_af2.wfa    | 1572864 | 524288 | 524288 | 28 | 25328 | 224 | 224 | 32 | 256 | 13.3448091  | 16.86  | 25776 | 0.016387939 |
| satellite32.bmp | satellite32.bmp-withWavelet_bior1.1-G_0.6-H3e-005_af2.wfa | 1572864 | 524288 | 524288 | 28 | 25328 | 224 | 224 | 32 | 256 | 13.3448091  | 17.422 | 25776 | 0.016387939 |
| satellite32.bmp | satellite32.bmp-withWavelet_haar-G_0.6-H1e-005_af2.wfa    | 393216  | 131072 | 131072 | 33 | 35088 | 264 | 264 | 32 | 128 | 13.46954554 | 5.562  | 35616 | 0.090576172 |
| satellite32.bmp | satellite32.bmp-withWavelet_rbio1.1-G_0.6-H1e-005_af2.wfa | 393216  | 131072 | 131072 | 33 | 35088 | 264 | 264 | 32 | 128 | 13.46954554 | 5.062  | 35616 | 0.090576172 |
| satellite32.bmp | satellite32.bmp-withWavelet_sym1-G_0.6-H1e-005_af2.wfa    | 393216  | 131072 | 131072 | 33 | 35088 | 264 | 264 | 32 | 128 | 13.46954554 | 5.031  | 35616 | 0.090576172 |
| satellite32.bmp | satellite32.bmp-withWavelet_bior1.1-G_0.6-H1e-005_af2.wfa | 393216  | 131072 | 131072 | 33 | 35088 | 264 | 264 | 32 | 128 | 13.46954554 | 5.062  | 35616 | 0.090576172 |
| satellite32.bmp | satellite32.bmp-withWavelet_haar-G_0.6-H4e-005_af2.wfa    | 393216  | 131072 | 131072 | 23 | 17168 | 184 | 184 | 32 | 128 | 13.53787431 | 2.953  | 17536 | 0.044596354 |
| satellite32.bmp | satellite32.bmp-withWavelet_rbio1.1-G_0.6-H4e-005_af2.wfa | 393216  | 131072 | 131072 | 23 | 17168 | 184 | 184 | 32 | 128 | 13.53787431 | 2.938  | 17536 | 0.044596354 |
| satellite32.bmp | satellite32.bmp-withWavelet_sym1-G_0.6-H4e-005_af2.wfa    | 393216  | 131072 | 131072 | 23 | 17168 | 184 | 184 | 32 | 128 | 13.53787431 | 2.969  | 17536 | 0.044596354 |
| satellite32.bmp | satellite32.bmp-withWavelet_bior1.1-G_0.6-H4e-005_af2.wfa | 393216  | 131072 | 131072 | 23 | 17168 | 184 | 184 | 32 | 128 | 13.53787431 | 2.985  | 17536 | 0.044596354 |
| satellite32.bmp | satellite32.bmp-withWavelet_haar-G_0.6-H2e-005_af2.wfa    | 393216  | 131072 | 131072 | 29 | 27152 | 232 | 232 | 32 | 128 | 13.54034271 | 4.032  | 27616 | 0.07023112  |
| satellite32.bmp | satellite32.bmp-withWavelet_rbio1.1-G_0.6-H2e-005_af2.wfa | 393216  | 131072 | 131072 | 29 | 27152 | 232 | 232 | 32 | 128 | 13.54034271 | 4.062  | 27616 | 0.07023112  |
| satellite32.bmp | satellite32.bmp-withWavelet_sym1-G_0.6-H2e-005_af2.wfa    | 393216  | 131072 | 131072 | 29 | 27152 | 232 | 232 | 32 | 128 | 13.54034271 | 4      | 27616 | 0.07023112  |
| satellite32.bmp | satellite32.bmp-withWavelet_bior1.1-G_0.6-H2e-005_af2.wfa | 393216  | 131072 | 131072 | 29 | 27152 | 232 | 232 | 32 | 128 | 13.54034271 | 4.032  | 27616 | 0.07023112  |
| satellite32.bmp | satellite32.bmp-withWavelet_haar-G_0.6-H1e-005_af5.wfa    | 393216  | 131072 | 131072 | 24 | 18672 | 192 | 192 | 32 | 128 | 13.56985089 | 3.063  | 19056 | 0.048461914 |
| satellite32.bmp | satellite32.bmp-withWavelet_rbio1.1-G_0.6-H1e-005_af5.wfa | 393216  | 131072 | 131072 | 24 | 18672 | 192 | 192 | 32 | 128 | 13.56985089 | 3.063  | 19056 | 0.048461914 |
| satellite32.bmp | satellite32.bmp-withWavelet_sym1-G_0.6-H1e-005_af5.wfa    | 393216  | 131072 | 131072 | 24 | 18672 | 192 | 192 | 32 | 128 | 13.56985089 | 3.063  | 19056 | 0.048461914 |
| satellite32.bmp | satellite32.bmp-withWavelet_bior1.1-G_0.6-H1e-005_af5.wfa | 393216  | 131072 | 131072 | 24 | 18672 | 192 | 192 | 32 | 128 | 13.56985089 | 3.062  | 19056 | 0.048461914 |
| satellite32.bmp | satellite32.bmp-withWavelet_haar-G_0.6-H1e-005_af2.wfa    | 1572864 | 524288 | 524288 | 33 | 35088 | 264 | 264 | 32 | 256 | 13.60268921 | 25.86  | 35616 | 0.022644043 |
| satellite32.bmp | satellite32.bmp-withWavelet_rbio1.1-G_0.6-H1e-005_af2.wfa | 1572864 | 524288 | 524288 | 33 | 35088 | 264 | 264 | 32 | 256 | 13.60268921 | 22.781 | 35616 | 0.022644043 |
| satellite32.bmp | satellite32.bmp-withWavelet_sym1-G_0.6-H1e-005_af2.wfa    | 1572864 | 524288 | 524288 | 33 | 35088 | 264 | 264 | 32 | 256 | 13.60268921 | 22.563 | 35616 | 0.022644043 |
| satellite32.bmp | satellite32.bmp-withWavelet_bior1.1-G_0.6-H1e-005_af2.wfa | 1572864 | 524288 | 524288 | 33 | 35088 | 264 | 264 | 32 | 256 | 13.60268921 | 22.515 | 35616 | 0.022644043 |
| satellite32.bmp | satellite32.bmp-withWavelet_haar-G_0.6-H4e-005_af2.wfa    | 1572864 | 524288 | 524288 | 23 | 17168 | 184 | 184 | 32 | 256 | 13.65030055 | 13.156 | 17536 | 0.011149089 |
| satellite32.bmp | satellite32.bmp-withWavelet_rbio1.1-G_0.6-H4e-005_af2.wfa | 1572864 | 524288 | 524288 | 23 | 17168 | 184 | 184 | 32 | 256 | 13.65030055 | 12.953 | 17536 | 0.011149089 |
| satellite32.bmp | satellite32.bmp-withWavelet_sym1-G_0.6-H4e-005_af2.wfa    | 1572864 | 524288 | 524288 | 23 | 17168 | 184 | 184 | 32 | 256 | 13.65030055 | 13.125 | 17536 | 0.011149089 |
| satellite32.bmp | satellite32.bmp-withWavelet_bior1.1-G_0.6-H4e-005_af2.wfa | 1572864 | 524288 | 524288 | 23 | 17168 | 184 | 184 | 32 | 256 | 13.65030055 | 12.891 | 17536 | 0.011149089 |

|                 |   |         |        |        |    |       |     |     |    |     |             |        |       |             |
|-----------------|---|---------|--------|--------|----|-------|-----|-----|----|-----|-------------|--------|-------|-------------|
| satellite32.bmp | satellite32.bmp-withWavelet_haar-G_0.6-H2e-005_af2.wfa    | 1572864 | 524288 | 524288 | 29 | 27152 | 232 | 232 | 32 | 256 | 13.65916878 | 17.906 | 27616 | 0.01755778  |
| satellite32.bmp | satellite32.bmp-withWavelet_rbio1.1-G_0.6-H2e-005_af2.wfa | 1572864 | 524288 | 524288 | 29 | 27152 | 232 | 232 | 32 | 256 | 13.65916878 | 17.937 | 27616 | 0.01755778  |
| satellite32.bmp | satellite32.bmp-withWavelet_sym1-G_0.6-H2e-005_af2.wfa    | 1572864 | 524288 | 524288 | 29 | 27152 | 232 | 232 | 32 | 256 | 13.65916878 | 18.062 | 27616 | 0.01755778  |
| satellite32.bmp | satellite32.bmp-withWavelet_bior1.1-G_0.6-H2e-005_af2.wfa | 1572864 | 524288 | 524288 | 29 | 27152 | 232 | 232 | 32 | 256 | 13.65916878 | 18.015 | 27616 | 0.01755778  |
| satellite32.bmp | satellite32.bmp-withWavelet_haar-G_0.6-H4e-005_af1.wfa    | 393216  | 131072 | 131072 | 33 | 35088 | 264 | 264 | 32 | 128 | 13.68489541 | 5.047  | 35616 | 0.090576172 |
| satellite32.bmp | satellite32.bmp-withWavelet_rbio1.1-G_0.6-H4e-005_af1.wfa | 393216  | 131072 | 131072 | 33 | 35088 | 264 | 264 | 32 | 128 | 13.68489541 | 5.031  | 35616 | 0.090576172 |
| satellite32.bmp | satellite32.bmp-withWavelet_sym1-G_0.6-H4e-005_af1.wfa    | 393216  | 131072 | 131072 | 33 | 35088 | 264 | 264 | 32 | 128 | 13.68489541 | 5.031  | 35616 | 0.090576172 |
| satellite32.bmp | satellite32.bmp-withWavelet_bior1.1-G_0.6-H4e-005_af1.wfa | 393216  | 131072 | 131072 | 33 | 35088 | 264 | 264 | 32 | 128 | 13.68489541 | 5.032  | 35616 | 0.090576172 |
| satellite32.bmp | satellite32.bmp-withWavelet_haar-G_0.6-H5e-005_af3.wfa    | 393216  | 131072 | 131072 | 28 | 25328 | 224 | 224 | 32 | 128 | 13.6891349  | 3.781  | 25776 | 0.065551758 |
| satellite32.bmp | satellite32.bmp-withWavelet_rbio1.1-G_0.6-H5e-005_af3.wfa | 393216  | 131072 | 131072 | 28 | 25328 | 224 | 224 | 32 | 128 | 13.6891349  | 3.75   | 25776 | 0.065551758 |
| satellite32.bmp | satellite32.bmp-withWavelet_sym1-G_0.6-H5e-005_af3.wfa    | 393216  | 131072 | 131072 | 28 | 25328 | 224 | 224 | 32 | 128 | 13.6891349  | 3.782  | 25776 | 0.065551758 |
| satellite32.bmp | satellite32.bmp-withWavelet_bior1.1-G_0.6-H5e-005_af3.wfa | 393216  | 131072 | 131072 | 28 | 25328 | 224 | 224 | 32 | 128 | 13.6891349  | 3.781  | 25776 | 0.065551758 |
| satellite32.bmp | satellite32.bmp-withWavelet_haar-G_0.6-H5e-005_af1.wfa    | 393216  | 131072 | 131072 | 32 | 33008 | 256 | 256 | 32 | 128 | 13.70604747 | 4.687  | 33520 | 0.085245768 |
| satellite32.bmp | satellite32.bmp-withWavelet_rbio1.1-G_0.6-H5e-005_af1.wfa | 393216  | 131072 | 131072 | 32 | 33008 | 256 | 256 | 32 | 128 | 13.70604747 | 4.734  | 33520 | 0.085245768 |
| satellite32.bmp | satellite32.bmp-withWavelet_sym1-G_0.6-H5e-005_af1.wfa    | 393216  | 131072 | 131072 | 32 | 33008 | 256 | 256 | 32 | 128 | 13.70604747 | 4.719  | 33520 | 0.085245768 |
| satellite32.bmp | satellite32.bmp-withWavelet_bior1.1-G_0.6-H5e-005_af1.wfa | 393216  | 131072 | 131072 | 32 | 33008 | 256 | 256 | 32 | 128 | 13.70604747 | 4.719  | 33520 | 0.085245768 |
| satellite32.bmp | satellite32.bmp-withWavelet_haar-G_0.6-H3e-005_af1.wfa    | 393216  | 131072 | 131072 | 35 | 39440 | 280 | 280 | 32 | 128 | 13.71027717 | 5.719  | 40000 | 0.10172526  |
| satellite32.bmp | satellite32.bmp-withWavelet_rbio1.1-G_0.6-H3e-005_af1.wfa | 393216  | 131072 | 131072 | 35 | 39440 | 280 | 280 | 32 | 128 | 13.71027717 | 5.719  | 40000 | 0.10172526  |
| satellite32.bmp | satellite32.bmp-withWavelet_sym1-G_0.6-H3e-005_af1.wfa    | 393216  | 131072 | 131072 | 35 | 39440 | 280 | 280 | 32 | 128 | 13.71027717 | 6.297  | 40000 | 0.10172526  |
| satellite32.bmp | satellite32.bmp-withWavelet_bior1.1-G_0.6-H3e-005_af1.wfa | 393216  | 131072 | 131072 | 35 | 39440 | 280 | 280 | 32 | 128 | 13.71027717 | 5.719  | 40000 | 0.10172526  |
| satellite32.bmp | satellite32.bmp-withWavelet_haar-G_0.6-H1e-005_af5.wfa    | 1572864 | 524288 | 524288 | 24 | 18672 | 192 | 192 | 32 | 256 | 13.71327394 | 14.109 | 19056 | 0.012115479 |
| satellite32.bmp | satellite32.bmp-withWavelet_rbio1.1-G_0.6-H1e-005_af5.wfa | 1572864 | 524288 | 524288 | 24 | 18672 | 192 | 192 | 32 | 256 | 13.71327394 | 13.438 | 19056 | 0.012115479 |
| satellite32.bmp | satellite32.bmp-withWavelet_sym1-G_0.6-H1e-005_af5.wfa    | 1572864 | 524288 | 524288 | 24 | 18672 | 192 | 192 | 32 | 256 | 13.71327394 | 13.406 | 19056 | 0.012115479 |
| satellite32.bmp | satellite32.bmp-withWavelet_bior1.1-G_0.6-H1e-005_af5.wfa | 1572864 | 524288 | 524288 | 24 | 18672 | 192 | 192 | 32 | 256 | 13.71327394 | 13.437 | 19056 | 0.012115479 |
| satellite32.bmp | satellite32.bmp-withWavelet_haar-G_0.6-H5e-005_af2.wfa    | 393216  | 131072 | 131072 | 21 | 14352 | 168 | 168 | 32 | 128 | 13.71487812 | 2.468  | 14688 | 0.037353516 |
| satellite32.bmp | satellite32.bmp-withWavelet_rbio1.1-G_0.6-H5e-005_af2.wfa | 393216  | 131072 | 131072 | 21 | 14352 | 168 | 168 | 32 | 128 | 13.71487812 | 2.453  | 14688 | 0.037353516 |
| satellite32.bmp | satellite32.bmp-withWavelet_sym1-G_0.6-H5e-005_af2.wfa    | 393216  | 131072 | 131072 | 21 | 14352 | 168 | 168 | 32 | 128 | 13.71487812 | 2.469  | 14688 | 0.037353516 |
| satellite32.bmp | satellite32.bmp-withWavelet_bior1.1-G_0.6-H5e-005_af2.wfa | 393216  | 131072 | 131072 | 21 | 14352 | 168 | 168 | 32 | 128 | 13.71487812 | 2.422  | 14688 | 0.037353516 |
| satellite32.bmp | satellite32.bmp-withWavelet_haar-G_0.6-H3e-005_af2.wfa    | 98304   | 32768  | 32768  | 28 | 25328 | 224 | 224 | 32 | 64  | 13.73503367 | 0.859  | 25776 | 0.262207031 |
| satellite32.bmp | satellite32.bmp-withWavelet_rbio1.1-G_0.6-H3e-005_af2.wfa | 98304   | 32768  | 32768  | 28 | 25328 | 224 | 224 | 32 | 64  | 13.73503367 | 0.859  | 25776 | 0.262207031 |
| satellite32.bmp | satellite32.bmp-withWavelet_sym1-G_0.6-H3e-005_af2.wfa    | 98304   | 32768  | 32768  | 28 | 25328 | 224 | 224 | 32 | 64  | 13.73503367 | 0.859  | 25776 | 0.262207031 |

|                 |   |         |        |        |    |       |     |     |    |     |             |        |       |             |
|-----------------|---|---------|--------|--------|----|-------|-----|-----|----|-----|-------------|--------|-------|-------------|
| satellite32.bmp | satellite32.bmp-withWavelet_bior1.1-G_0.6-H3e-005_af2.wfa | 98304   | 32768  | 32768  | 28 | 25328 | 224 | 224 | 32 | 64  | 13.73503367 | 0.875  | 25776 | 0.262207031 |
| satellite32.bmp | satellite32.bmp-withWavelet_haar-G_0.6-H2e-005_af4.wfa    | 393216  | 131072 | 131072 | 34 | 37232 | 272 | 272 | 32 | 128 | 13.74268612 | 5.781  | 37776 | 0.096069336 |
| satellite32.bmp | satellite32.bmp-withWavelet_rbio1.1-G_0.6-H2e-005_af4.wfa | 393216  | 131072 | 131072 | 34 | 37232 | 272 | 272 | 32 | 128 | 13.74268612 | 5.312  | 37776 | 0.096069336 |
| satellite32.bmp | satellite32.bmp-withWavelet_sym1-G_0.6-H2e-005_af4.wfa    | 393216  | 131072 | 131072 | 34 | 37232 | 272 | 272 | 32 | 128 | 13.74268612 | 5.812  | 37776 | 0.096069336 |
| satellite32.bmp | satellite32.bmp-withWavelet_bior1.1-G_0.6-H2e-005_af4.wfa | 393216  | 131072 | 131072 | 34 | 37232 | 272 | 272 | 32 | 128 | 13.74268612 | 5.297  | 37776 | 0.096069336 |
| satellite32.bmp | satellite32.bmp-withWavelet_haar-G_0.6-H3e-005_af4.wfa    | 393216  | 131072 | 131072 | 34 | 37232 | 272 | 272 | 32 | 128 | 13.76008904 | 5.25   | 37776 | 0.096069336 |
| satellite32.bmp | satellite32.bmp-withWavelet_rbio1.1-G_0.6-H3e-005_af4.wfa | 393216  | 131072 | 131072 | 34 | 37232 | 272 | 272 | 32 | 128 | 13.76008904 | 5.235  | 37776 | 0.096069336 |
| satellite32.bmp | satellite32.bmp-withWavelet_sym1-G_0.6-H3e-005_af4.wfa    | 393216  | 131072 | 131072 | 34 | 37232 | 272 | 272 | 32 | 128 | 13.76008904 | 5.875  | 37776 | 0.096069336 |
| satellite32.bmp | satellite32.bmp-withWavelet_bior1.1-G_0.6-H3e-005_af4.wfa | 393216  | 131072 | 131072 | 34 | 37232 | 272 | 272 | 32 | 128 | 13.76008904 | 5.297  | 37776 | 0.096069336 |
| satellite32.bmp | satellite32.bmp-withWavelet_haar-G_0.6-H4e-005_af1.wfa    | 1572864 | 524288 | 524288 | 33 | 35088 | 264 | 264 | 32 | 256 | 13.76049235 | 22.609 | 35616 | 0.022644043 |
| satellite32.bmp | satellite32.bmp-withWavelet_rbio1.1-G_0.6-H4e-005_af1.wfa | 1572864 | 524288 | 524288 | 33 | 35088 | 264 | 264 | 32 | 256 | 13.76049235 | 22.546 | 35616 | 0.022644043 |
| satellite32.bmp | satellite32.bmp-withWavelet_sym1-G_0.6-H4e-005_af1.wfa    | 1572864 | 524288 | 524288 | 33 | 35088 | 264 | 264 | 32 | 256 | 13.76049235 | 22.563 | 35616 | 0.022644043 |
| satellite32.bmp | satellite32.bmp-withWavelet_bior1.1-G_0.6-H4e-005_af1.wfa | 1572864 | 524288 | 524288 | 33 | 35088 | 264 | 264 | 32 | 256 | 13.76049235 | 22.563 | 35616 | 0.022644043 |
| satellite32.bmp | satellite32.bmp-withWavelet_haar-G_0.6-H5e-005_af1.wfa    | 1572864 | 524288 | 524288 | 32 | 33008 | 256 | 256 | 32 | 256 | 13.76158714 | 21.047 | 33520 | 0.021311442 |
| satellite32.bmp | satellite32.bmp-withWavelet_rbio1.1-G_0.6-H5e-005_af1.wfa | 1572864 | 524288 | 524288 | 32 | 33008 | 256 | 256 | 32 | 256 | 13.76158714 | 21.109 | 33520 | 0.021311442 |
| satellite32.bmp | satellite32.bmp-withWavelet_sym1-G_0.6-H5e-005_af1.wfa    | 1572864 | 524288 | 524288 | 32 | 33008 | 256 | 256 | 32 | 256 | 13.76158714 | 21.125 | 33520 | 0.021311442 |
| satellite32.bmp | satellite32.bmp-withWavelet_bior1.1-G_0.6-H5e-005_af1.wfa | 1572864 | 524288 | 524288 | 32 | 33008 | 256 | 256 | 32 | 256 | 13.76158714 | 21.125 | 33520 | 0.021311442 |
| satellite32.bmp | satellite32.bmp-withWavelet_haar-G_0.6-H2e-005_af4.wfa    | 1572864 | 524288 | 524288 | 34 | 37232 | 272 | 272 | 32 | 256 | 13.76439563 | 26.75  | 37776 | 0.024017334 |
| satellite32.bmp | satellite32.bmp-withWavelet_rbio1.1-G_0.6-H2e-005_af4.wfa | 1572864 | 524288 | 524288 | 34 | 37232 | 272 | 272 | 32 | 256 | 13.76439563 | 23.703 | 37776 | 0.024017334 |
| satellite32.bmp | satellite32.bmp-withWavelet_sym1-G_0.6-H2e-005_af4.wfa    | 1572864 | 524288 | 524288 | 34 | 37232 | 272 | 272 | 32 | 256 | 13.76439563 | 26.766 | 37776 | 0.024017334 |
| satellite32.bmp | satellite32.bmp-withWavelet_bior1.1-G_0.6-H2e-005_af4.wfa | 1572864 | 524288 | 524288 | 34 | 37232 | 272 | 272 | 32 | 256 | 13.76439563 | 23.672 | 37776 | 0.024017334 |
| satellite32.bmp | satellite32.bmp-withWavelet_haar-G_0.6-H2e-005_af5.wfa    | 393216  | 131072 | 131072 | 20 | 13040 | 160 | 160 | 32 | 128 | 13.7657667  | 2.312  | 13360 | 0.033976237 |
| satellite32.bmp | satellite32.bmp-withWavelet_rbio1.1-G_0.6-H2e-005_af5.wfa | 393216  | 131072 | 131072 | 20 | 13040 | 160 | 160 | 32 | 128 | 13.7657667  | 2.281  | 13360 | 0.033976237 |
| satellite32.bmp | satellite32.bmp-withWavelet_sym1-G_0.6-H2e-005_af5.wfa    | 393216  | 131072 | 131072 | 20 | 13040 | 160 | 160 | 32 | 128 | 13.7657667  | 2.266  | 13360 | 0.033976237 |
| satellite32.bmp | satellite32.bmp-withWavelet_bior1.1-G_0.6-H2e-005_af5.wfa | 393216  | 131072 | 131072 | 20 | 13040 | 160 | 160 | 32 | 128 | 13.7657667  | 2.266  | 13360 | 0.033976237 |
| satellite32.bmp | satellite32.bmp-withWavelet_haar-G_0.6-H5e-005_af3.wfa    | 1572864 | 524288 | 524288 | 28 | 25328 | 224 | 224 | 32 | 256 | 13.76681871 | 16.781 | 25776 | 0.016387939 |
| satellite32.bmp | satellite32.bmp-withWavelet_rbio1.1-G_0.6-H5e-005_af3.wfa | 1572864 | 524288 | 524288 | 28 | 25328 | 224 | 224 | 32 | 256 | 13.76681871 | 16.75  | 25776 | 0.016387939 |
| satellite32.bmp | satellite32.bmp-withWavelet_sym1-G_0.6-H5e-005_af3.wfa    | 1572864 | 524288 | 524288 | 28 | 25328 | 224 | 224 | 32 | 256 | 13.76681871 | 16.812 | 25776 | 0.016387939 |
| satellite32.bmp | satellite32.bmp-withWavelet_bior1.1-G_0.6-H5e-005_af3.wfa | 1572864 | 524288 | 524288 | 28 | 25328 | 224 | 224 | 32 | 256 | 13.76681871 | 16.75  | 25776 | 0.016387939 |
| satellite32.bmp | satellite32.bmp-withWavelet_haar-G_0.6-H3e-005_af5.wfa    | 393216  | 131072 | 131072 | 19 | 11792 | 152 | 152 | 32 | 128 | 13.76795117 | 2.265  | 12096 | 0.030761719 |
| satellite32.bmp | satellite32.bmp-withWavelet_rbio1.1-G_0.6-H3e-005_af5.wfa | 393216  | 131072 | 131072 | 19 | 11792 | 152 | 152 | 32 | 128 | 13.76795117 | 2.235  | 12096 | 0.030761719 |

|                 |   |        |        |        |    |       |     |     |    |     |             |       |       |             |
|-----------------|---|--------|--------|--------|----|-------|-----|-----|----|-----|-------------|-------|-------|-------------|
| satellite32.bmp | satellite32.bmp-withWavelet_sym1-G_0.6-H3e-005_af5.wfa    | 393216 | 131072 | 131072 | 19 | 11792 | 152 | 152 | 32 | 128 | 13.76795117 | 2.235 | 12096 | 0.030761719 |
| satellite32.bmp | satellite32.bmp-withWavelet_bior1.1-G_0.6-H3e-005_af5.wfa | 393216 | 131072 | 131072 | 19 | 11792 | 152 | 152 | 32 | 128 | 13.76795117 | 2.344 | 12096 | 0.030761719 |
| satellite32.bmp | satellite32.bmp-withWavelet_haar-G_0.6-H1e-005_af4.wfa    | 393216 | 131072 | 131072 | 36 | 41712 | 288 | 288 | 32 | 128 | 13.77859046 | 6.422 | 42288 | 0.107543945 |
| satellite32.bmp | satellite32.bmp-withWavelet_rbio1.1-G_0.6-H1e-005_af4.wfa | 393216 | 131072 | 131072 | 36 | 41712 | 288 | 288 | 32 | 128 | 13.77859046 | 5.906 | 42288 | 0.107543945 |
| satellite32.bmp | satellite32.bmp-withWavelet_sym1-G_0.6-H1e-005_af4.wfa    | 393216 | 131072 | 131072 | 36 | 41712 | 288 | 288 | 32 | 128 | 13.77859046 | 5.937 | 42288 | 0.107543945 |
| satellite32.bmp | satellite32.bmp-withWavelet_bior1.1-G_0.6-H1e-005_af4.wfa | 393216 | 131072 | 131072 | 36 | 41712 | 288 | 288 | 32 | 128 | 13.77859046 | 5.891 | 42288 | 0.107543945 |
| satellite32.bmp | satellite32.bmp-withWavelet_haar-G_0.6-H2e-005_af3.wfa    | 393216 | 131072 | 131072 | 32 | 33008 | 256 | 256 | 32 | 128 | 13.77936539 | 4.687 | 33520 | 0.085245768 |
| satellite32.bmp | satellite32.bmp-withWavelet_rbio1.1-G_0.6-H2e-005_af3.wfa | 393216 | 131072 | 131072 | 32 | 33008 | 256 | 256 | 32 | 128 | 13.77936539 | 4.641 | 33520 | 0.085245768 |
| satellite32.bmp | satellite32.bmp-withWavelet_sym1-G_0.6-H2e-005_af3.wfa    | 393216 | 131072 | 131072 | 32 | 33008 | 256 | 256 | 32 | 128 | 13.77936539 | 5.703 | 33520 | 0.085245768 |
| satellite32.bmp | satellite32.bmp-withWavelet_bior1.1-G_0.6-H2e-005_af3.wfa | 393216 | 131072 | 131072 | 32 | 33008 | 256 | 256 | 32 | 128 | 13.77936539 | 4.688 | 33520 | 0.085245768 |
| satellite32.bmp | satellite32.bmp-withWavelet_haar-G_0.6-H3e-005_af3.wfa    | 393216 | 131072 | 131072 | 32 | 33008 | 256 | 256 | 32 | 128 | 13.77936539 | 4.937 | 33520 | 0.085245768 |
| satellite32.bmp | satellite32.bmp-withWavelet_rbio1.1-G_0.6-H3e-005_af3.wfa | 393216 | 131072 | 131072 | 32 | 33008 | 256 | 256 | 32 | 128 | 13.77936539 | 4.719 | 33520 | 0.085245768 |
| satellite32.bmp | satellite32.bmp-withWavelet_sym1-G_0.6-H3e-005_af3.wfa    | 393216 | 131072 | 131072 | 32 | 33008 | 256 | 256 | 32 | 128 | 13.77936539 | 4.719 | 33520 | 0.085245768 |
| satellite32.bmp | satellite32.bmp-withWavelet_bior1.1-G_0.6-H3e-005_af3.wfa | 393216 | 131072 | 131072 | 32 | 33008 | 256 | 256 | 32 | 128 | 13.77936539 | 4.657 | 33520 | 0.085245768 |
| satellite32.bmp | satellite32.bmp-withWavelet_haar-G_0.6-H6e-005_af1.wfa    | 393216 | 131072 | 131072 | 31 | 30992 | 248 | 248 | 32 | 128 | 13.78438553 | 4.516 | 31488 | 0.080078125 |
| satellite32.bmp | satellite32.bmp-withWavelet_rbio1.1-G_0.6-H6e-005_af1.wfa | 393216 | 131072 | 131072 | 31 | 30992 | 248 | 248 | 32 | 128 | 13.78438553 | 4.5   | 31488 | 0.080078125 |
| satellite32.bmp | satellite32.bmp-withWavelet_sym1-G_0.6-H6e-005_af1.wfa    | 393216 | 131072 | 131072 | 31 | 30992 | 248 | 248 | 32 | 128 | 13.78438553 | 4.515 | 31488 | 0.080078125 |
| satellite32.bmp | satellite32.bmp-withWavelet_bior1.1-G_0.6-H6e-005_af1.wfa | 393216 | 131072 | 131072 | 31 | 30992 | 248 | 248 | 32 | 128 | 13.78438553 | 4.515 | 31488 | 0.080078125 |
| satellite32.bmp | satellite32.bmp-withWavelet_haar-G_0.6-H5e-005_af4.wfa    | 393216 | 131072 | 131072 | 32 | 33008 | 256 | 256 | 32 | 128 | 13.78846674 | 4.718 | 33520 | 0.085245768 |
| satellite32.bmp | satellite32.bmp-withWavelet_rbio1.1-G_0.6-H5e-005_af4.wfa | 393216 | 131072 | 131072 | 32 | 33008 | 256 | 256 | 32 | 128 | 13.78846674 | 4.719 | 33520 | 0.085245768 |
| satellite32.bmp | satellite32.bmp-withWavelet_sym1-G_0.6-H5e-005_af4.wfa    | 393216 | 131072 | 131072 | 32 | 33008 | 256 | 256 | 32 | 128 | 13.78846674 | 4.719 | 33520 | 0.085245768 |
| satellite32.bmp | satellite32.bmp-withWavelet_bior1.1-G_0.6-H5e-005_af4.wfa | 393216 | 131072 | 131072 | 32 | 33008 | 256 | 256 | 32 | 128 | 13.78846674 | 4.688 | 33520 | 0.085245768 |
| satellite32.bmp | satellite32.bmp-withWavelet_haar-G_0.6-H4e-005_af4.wfa    | 393216 | 131072 | 131072 | 33 | 35088 | 264 | 264 | 32 | 128 | 13.79403382 | 5.625 | 35616 | 0.090576172 |
| satellite32.bmp | satellite32.bmp-withWavelet_rbio1.1-G_0.6-H4e-005_af4.wfa | 393216 | 131072 | 131072 | 33 | 35088 | 264 | 264 | 32 | 128 | 13.79403382 | 5.063 | 35616 | 0.090576172 |
| satellite32.bmp | satellite32.bmp-withWavelet_sym1-G_0.6-H4e-005_af4.wfa    | 393216 | 131072 | 131072 | 33 | 35088 | 264 | 264 | 32 | 128 | 13.79403382 | 5.515 | 35616 | 0.090576172 |
| satellite32.bmp | satellite32.bmp-withWavelet_bior1.1-G_0.6-H4e-005_af4.wfa | 393216 | 131072 | 131072 | 33 | 35088 | 264 | 264 | 32 | 128 | 13.79403382 | 5.64  | 35616 | 0.090576172 |
| satellite32.bmp | satellite32.bmp-withWavelet_haar-G_1-H3e-005_af2.wfa      | 393216 | 131072 | 131072 | 26 | 21872 | 208 | 208 | 32 | 128 | 13.80907624 | 3.407 | 22288 | 0.056681315 |
| satellite32.bmp | satellite32.bmp-withWavelet_rbio1.1-G_1-H3e-005_af2.wfa   | 393216 | 131072 | 131072 | 26 | 21872 | 208 | 208 | 32 | 128 | 13.80907624 | 3.422 | 22288 | 0.056681315 |
| satellite32.bmp | satellite32.bmp-withWavelet_sym1-G_1-H3e-005_af2.wfa      | 393216 | 131072 | 131072 | 26 | 21872 | 208 | 208 | 32 | 128 | 13.80907624 | 3.406 | 22288 | 0.056681315 |
| satellite32.bmp | satellite32.bmp-withWavelet_bior1.1-G_1-H3e-005_af2.wfa   | 393216 | 131072 | 131072 | 26 | 21872 | 208 | 208 | 32 | 128 | 13.80907624 | 3.406 | 22288 | 0.056681315 |
| satellite32.bmp | satellite32.bmp-withWavelet_haar-G_0.8-H1e-005_af1.wfa    | 393216 | 131072 | 131072 | 37 | 44048 | 296 | 296 | 32 | 128 | 13.81083908 | 6.312 | 44640 | 0.113525391 |



|                 |   |         |        |        |    |       |     |     |    |     |             |        |       |             |
|-----------------|---|---------|--------|--------|----|-------|-----|-----|----|-----|-------------|--------|-------|-------------|
| satellite32.bmp | satellite32.bmp-withWavelet_haar-G_0.6-H3e-005_af4.wfa    | 1572864 | 524288 | 524288 | 34 | 37232 | 272 | 272 | 32 | 256 | 13.82028681 | 23.843 | 37776 | 0.024017334 |
| satellite32.bmp | satellite32.bmp-withWavelet_rbio1.1-G_0.6-H3e-005_af4.wfa | 1572864 | 524288 | 524288 | 34 | 37232 | 272 | 272 | 32 | 256 | 13.82028681 | 23.766 | 37776 | 0.024017334 |
| satellite32.bmp | satellite32.bmp-withWavelet_sym1-G_0.6-H3e-005_af4.wfa    | 1572864 | 524288 | 524288 | 34 | 37232 | 272 | 272 | 32 | 256 | 13.82028681 | 23.766 | 37776 | 0.024017334 |
| satellite32.bmp | satellite32.bmp-withWavelet_bior1.1-G_0.6-H3e-005_af4.wfa | 1572864 | 524288 | 524288 | 34 | 37232 | 272 | 272 | 32 | 256 | 13.82028681 | 23.766 | 37776 | 0.024017334 |
| satellite32.bmp | satellite32.bmp-withWavelet_haar-G_0.6-H1e-005_af4.wfa    | 1572864 | 524288 | 524288 | 36 | 41712 | 288 | 288 | 32 | 256 | 13.8211022  | 26.75  | 42288 | 0.026885986 |
| satellite32.bmp | satellite32.bmp-withWavelet_rbio1.1-G_0.6-H1e-005_af4.wfa | 1572864 | 524288 | 524288 | 36 | 41712 | 288 | 288 | 32 | 256 | 13.8211022  | 26.687 | 42288 | 0.026885986 |
| satellite32.bmp | satellite32.bmp-withWavelet_sym1-G_0.6-H1e-005_af4.wfa    | 1572864 | 524288 | 524288 | 36 | 41712 | 288 | 288 | 32 | 256 | 13.8211022  | 29.688 | 42288 | 0.026885986 |
| satellite32.bmp | satellite32.bmp-withWavelet_bior1.1-G_0.6-H1e-005_af4.wfa | 1572864 | 524288 | 524288 | 36 | 41712 | 288 | 288 | 32 | 256 | 13.8211022  | 26.625 | 42288 | 0.026885986 |
| satellite32.bmp | satellite32.bmp-withWavelet_haar-G_0.6-H6e-005_af2.wfa    | 393216  | 131072 | 131072 | 19 | 11792 | 152 | 152 | 32 | 128 | 13.82280982 | 2.234  | 12096 | 0.030761719 |
| satellite32.bmp | satellite32.bmp-withWavelet_rbio1.1-G_0.6-H6e-005_af2.wfa | 393216  | 131072 | 131072 | 19 | 11792 | 152 | 152 | 32 | 128 | 13.82280982 | 2.297  | 12096 | 0.030761719 |
| satellite32.bmp | satellite32.bmp-withWavelet_sym1-G_0.6-H6e-005_af2.wfa    | 393216  | 131072 | 131072 | 19 | 11792 | 152 | 152 | 32 | 128 | 13.82280982 | 2.219  | 12096 | 0.030761719 |
| satellite32.bmp | satellite32.bmp-withWavelet_bior1.1-G_0.6-H6e-005_af2.wfa | 393216  | 131072 | 131072 | 19 | 11792 | 152 | 152 | 32 | 128 | 13.82280982 | 2.25   | 12096 | 0.030761719 |
| satellite32.bmp | satellite32.bmp-withWavelet_haar-G_0.8-H3e-005_af1.wfa    | 393216  | 131072 | 131072 | 36 | 41712 | 288 | 288 | 32 | 128 | 13.84109193 | 5.938  | 42288 | 0.107543945 |
| satellite32.bmp | satellite32.bmp-withWavelet_rbio1.1-G_0.8-H3e-005_af1.wfa | 393216  | 131072 | 131072 | 36 | 41712 | 288 | 288 | 32 | 128 | 13.84109193 | 5.937  | 42288 | 0.107543945 |
| satellite32.bmp | satellite32.bmp-withWavelet_sym1-G_0.8-H3e-005_af1.wfa    | 393216  | 131072 | 131072 | 36 | 41712 | 288 | 288 | 32 | 128 | 13.84109193 | 5.875  | 42288 | 0.107543945 |
| satellite32.bmp | satellite32.bmp-withWavelet_bior1.1-G_0.8-H3e-005_af1.wfa | 393216  | 131072 | 131072 | 36 | 41712 | 288 | 288 | 32 | 128 | 13.84109193 | 5.906  | 42288 | 0.107543945 |
| satellite32.bmp | satellite32.bmp-withWavelet_haar-G_0.6-H4e-005_af4.wfa    | 1572864 | 524288 | 524288 | 33 | 35088 | 264 | 264 | 32 | 256 | 13.84123613 | 22.688 | 35616 | 0.022644043 |
| satellite32.bmp | satellite32.bmp-withWavelet_rbio1.1-G_0.6-H4e-005_af4.wfa | 1572864 | 524288 | 524288 | 33 | 35088 | 264 | 264 | 32 | 256 | 13.84123613 | 22.579 | 35616 | 0.022644043 |
| satellite32.bmp | satellite32.bmp-withWavelet_sym1-G_0.6-H4e-005_af4.wfa    | 1572864 | 524288 | 524288 | 33 | 35088 | 264 | 264 | 32 | 256 | 13.84123613 | 22.641 | 35616 | 0.022644043 |
| satellite32.bmp | satellite32.bmp-withWavelet_bior1.1-G_0.6-H4e-005_af4.wfa | 1572864 | 524288 | 524288 | 33 | 35088 | 264 | 264 | 32 | 256 | 13.84123613 | 22.609 | 35616 | 0.022644043 |
| satellite32.bmp | satellite32.bmp-withWavelet_haar-G_1-H3e-005_af1.wfa      | 393216  | 131072 | 131072 | 36 | 41712 | 288 | 288 | 32 | 128 | 13.84302719 | 6.343  | 42288 | 0.107543945 |
| satellite32.bmp | satellite32.bmp-withWavelet_rbio1.1-G_1-H3e-005_af1.wfa   | 393216  | 131072 | 131072 | 36 | 41712 | 288 | 288 | 32 | 128 | 13.84302719 | 5.875  | 42288 | 0.107543945 |
| satellite32.bmp | satellite32.bmp-withWavelet_sym1-G_1-H3e-005_af1.wfa      | 393216  | 131072 | 131072 | 36 | 41712 | 288 | 288 | 32 | 128 | 13.84302719 | 5.906  | 42288 | 0.107543945 |
| satellite32.bmp | satellite32.bmp-withWavelet_bior1.1-G_1-H3e-005_af1.wfa   | 393216  | 131072 | 131072 | 36 | 41712 | 288 | 288 | 32 | 128 | 13.84302719 | 6.25   | 42288 | 0.107543945 |
| satellite32.bmp | satellite32.bmp-withWavelet_haar-G_0.8-H1e-005_af4.wfa    | 393216  | 131072 | 131072 | 36 | 41712 | 288 | 288 | 32 | 128 | 13.84789608 | 5.969  | 42288 | 0.107543945 |
| satellite32.bmp | satellite32.bmp-withWavelet_rbio1.1-G_0.8-H1e-005_af4.wfa | 393216  | 131072 | 131072 | 36 | 41712 | 288 | 288 | 32 | 128 | 13.84789608 | 5.922  | 42288 | 0.107543945 |
| satellite32.bmp | satellite32.bmp-withWavelet_sym1-G_0.8-H1e-005_af4.wfa    | 393216  | 131072 | 131072 | 36 | 41712 | 288 | 288 | 32 | 128 | 13.84789608 | 5.86   | 42288 | 0.107543945 |
| satellite32.bmp | satellite32.bmp-withWavelet_bior1.1-G_0.8-H1e-005_af4.wfa | 393216  | 131072 | 131072 | 36 | 41712 | 288 | 288 | 32 | 128 | 13.84789608 | 6.375  | 42288 | 0.107543945 |
| satellite32.bmp | satellite32.bmp-withWavelet_haar-G_0.8-H4e-005_af2.wfa    | 393216  | 131072 | 131072 | 25 | 20240 | 200 | 200 | 32 | 128 | 13.86388743 | 3.282  | 20640 | 0.052490234 |
| satellite32.bmp | satellite32.bmp-withWavelet_rbio1.1-G_0.8-H4e-005_af2.wfa | 393216  | 131072 | 131072 | 25 | 20240 | 200 | 200 | 32 | 128 | 13.86388743 | 3.25   | 20640 | 0.052490234 |
| satellite32.bmp | satellite32.bmp-withWavelet_sym1-G_0.8-H4e-005_af2.wfa    | 393216  | 131072 | 131072 | 25 | 20240 | 200 | 200 | 32 | 128 | 13.86388743 | 3.297  | 20640 | 0.052490234 |



|                 |   |         |        |        |    |       |     |     |    |     |             |        |       |             |
|-----------------|---|---------|--------|--------|----|-------|-----|-----|----|-----|-------------|--------|-------|-------------|
| satellite32.bmp | satellite32.bmp-withWavelet_bior1.1-G_0.8-H4e-005_af2.wfa | 393216  | 131072 | 131072 | 25 | 20240 | 200 | 200 | 32 | 128 | 13.86388743 | 3.281  | 20640 | 0.052490234 |
| satellite32.bmp | satellite32.bmp-withWavelet_haar-G_0.6-H5e-005_af4.wfa    | 1572864 | 524288 | 524288 | 32 | 33008 | 256 | 256 | 32 | 256 | 13.86977198 | 20.812 | 33520 | 0.021311442 |
| satellite32.bmp | satellite32.bmp-withWavelet_rbio1.1-G_0.6-H5e-005_af4.wfa | 1572864 | 524288 | 524288 | 32 | 33008 | 256 | 256 | 32 | 256 | 13.86977198 | 21.094 | 33520 | 0.021311442 |
| satellite32.bmp | satellite32.bmp-withWavelet_sym1-G_0.6-H5e-005_af4.wfa    | 1572864 | 524288 | 524288 | 32 | 33008 | 256 | 256 | 32 | 256 | 13.86977198 | 21.234 | 33520 | 0.021311442 |
| satellite32.bmp | satellite32.bmp-withWavelet_bior1.1-G_0.6-H5e-005_af4.wfa | 1572864 | 524288 | 524288 | 32 | 33008 | 256 | 256 | 32 | 256 | 13.86977198 | 21.078 | 33520 | 0.021311442 |
| satellite32.bmp | satellite32.bmp-withWavelet_haar-G_1-H1e-005_af4.wfa      | 393216  | 131072 | 131072 | 36 | 41712 | 288 | 288 | 32 | 128 | 13.87127674 | 5.875  | 42288 | 0.107543945 |
| satellite32.bmp | satellite32.bmp-withWavelet_rbio1.1-G_1-H1e-005_af4.wfa   | 393216  | 131072 | 131072 | 36 | 41712 | 288 | 288 | 32 | 128 | 13.87127674 | 6.484  | 42288 | 0.107543945 |
| satellite32.bmp | satellite32.bmp-withWavelet_sym1-G_1-H1e-005_af4.wfa      | 393216  | 131072 | 131072 | 36 | 41712 | 288 | 288 | 32 | 128 | 13.87127674 | 6.328  | 42288 | 0.107543945 |
| satellite32.bmp | satellite32.bmp-withWavelet_bior1.1-G_1-H1e-005_af4.wfa   | 393216  | 131072 | 131072 | 36 | 41712 | 288 | 288 | 32 | 128 | 13.87127674 | 6      | 42288 | 0.107543945 |
| satellite32.bmp | satellite32.bmp-withWavelet_haar-G_0.6-H5e-005_af2.wfa    | 1572864 | 524288 | 524288 | 21 | 14352 | 168 | 168 | 32 | 256 | 13.88287288 | 10.562 | 14688 | 0.009338379 |
| satellite32.bmp | satellite32.bmp-withWavelet_rbio1.1-G_0.6-H5e-005_af2.wfa | 1572864 | 524288 | 524288 | 21 | 14352 | 168 | 168 | 32 | 256 | 13.88287288 | 10.594 | 14688 | 0.009338379 |
| satellite32.bmp | satellite32.bmp-withWavelet_sym1-G_0.6-H5e-005_af2.wfa    | 1572864 | 524288 | 524288 | 21 | 14352 | 168 | 168 | 32 | 256 | 13.88287288 | 10.657 | 14688 | 0.009338379 |
| satellite32.bmp | satellite32.bmp-withWavelet_bior1.1-G_0.6-H5e-005_af2.wfa | 1572864 | 524288 | 524288 | 21 | 14352 | 168 | 168 | 32 | 256 | 13.88287288 | 10.594 | 14688 | 0.009338379 |
| satellite32.bmp | satellite32.bmp-withWavelet_haar-G_0.6-H3e-005_af1.wfa    | 1572864 | 524288 | 524288 | 35 | 39440 | 280 | 280 | 32 | 256 | 13.8836551  | 29.109 | 40000 | 0.025431315 |
| satellite32.bmp | satellite32.bmp-withWavelet_rbio1.1-G_0.6-H3e-005_af1.wfa | 1572864 | 524288 | 524288 | 35 | 39440 | 280 | 280 | 32 | 256 | 13.8836551  | 25.968 | 40000 | 0.025431315 |
| satellite32.bmp | satellite32.bmp-withWavelet_sym1-G_0.6-H3e-005_af1.wfa    | 1572864 | 524288 | 524288 | 35 | 39440 | 280 | 280 | 32 | 256 | 13.8836551  | 25.89  | 40000 | 0.025431315 |
| satellite32.bmp | satellite32.bmp-withWavelet_bior1.1-G_0.6-H3e-005_af1.wfa | 1572864 | 524288 | 524288 | 35 | 39440 | 280 | 280 | 32 | 256 | 13.8836551  | 26.125 | 40000 | 0.025431315 |
| satellite32.bmp | satellite32.bmp-withWavelet_haar-G_0.6-H1e-005_af3.wfa    | 393216  | 131072 | 131072 | 34 | 37232 | 272 | 272 | 32 | 128 | 13.895355   | 5.266  | 37776 | 0.096069336 |
| satellite32.bmp | satellite32.bmp-withWavelet_rbio1.1-G_0.6-H1e-005_af3.wfa | 393216  | 131072 | 131072 | 34 | 37232 | 272 | 272 | 32 | 128 | 13.895355   | 5.735  | 37776 | 0.096069336 |
| satellite32.bmp | satellite32.bmp-withWavelet_sym1-G_0.6-H1e-005_af3.wfa    | 393216  | 131072 | 131072 | 34 | 37232 | 272 | 272 | 32 | 128 | 13.895355   | 5.421  | 37776 | 0.096069336 |
| satellite32.bmp | satellite32.bmp-withWavelet_bior1.1-G_0.6-H1e-005_af3.wfa | 393216  | 131072 | 131072 | 34 | 37232 | 272 | 272 | 32 | 128 | 13.895355   | 5.75   | 37776 | 0.096069336 |
| satellite32.bmp | satellite32.bmp-withWavelet_haar-G_1-H2e-005_af4.wfa      | 393216  | 131072 | 131072 | 35 | 39440 | 280 | 280 | 32 | 128 | 13.90165675 | 5.719  | 40000 | 0.10172526  |
| satellite32.bmp | satellite32.bmp-withWavelet_rbio1.1-G_1-H2e-005_af4.wfa   | 393216  | 131072 | 131072 | 35 | 39440 | 280 | 280 | 32 | 128 | 13.90165675 | 6.203  | 40000 | 0.10172526  |
| satellite32.bmp | satellite32.bmp-withWavelet_sym1-G_1-H2e-005_af4.wfa      | 393216  | 131072 | 131072 | 35 | 39440 | 280 | 280 | 32 | 128 | 13.90165675 | 5.718  | 40000 | 0.10172526  |
| satellite32.bmp | satellite32.bmp-withWavelet_bior1.1-G_1-H2e-005_af4.wfa   | 393216  | 131072 | 131072 | 35 | 39440 | 280 | 280 | 32 | 128 | 13.90165675 | 5.75   | 40000 | 0.10172526  |
| satellite32.bmp | satellite32.bmp-withWavelet_haar-G_1-H4e-005_af2.wfa      | 393216  | 131072 | 131072 | 25 | 20240 | 200 | 200 | 32 | 128 | 13.9024604  | 3.266  | 20640 | 0.052490234 |
| satellite32.bmp | satellite32.bmp-withWavelet_rbio1.1-G_1-H4e-005_af2.wfa   | 393216  | 131072 | 131072 | 25 | 20240 | 200 | 200 | 32 | 128 | 13.9024604  | 3.265  | 20640 | 0.052490234 |
| satellite32.bmp | satellite32.bmp-withWavelet_sym1-G_1-H4e-005_af2.wfa      | 393216  | 131072 | 131072 | 25 | 20240 | 200 | 200 | 32 | 128 | 13.9024604  | 3.266  | 20640 | 0.052490234 |
| satellite32.bmp | satellite32.bmp-withWavelet_bior1.1-G_1-H4e-005_af2.wfa   | 393216  | 131072 | 131072 | 25 | 20240 | 200 | 200 | 32 | 128 | 13.9024604  | 3.266  | 20640 | 0.052490234 |
| satellite32.bmp | satellite32.bmp-withWavelet_haar-G_0.6-H6e-005_af1.wfa    | 1572864 | 524288 | 524288 | 31 | 30992 | 248 | 248 | 32 | 256 | 13.91356151 | 20.234 | 31488 | 0.020019531 |
| satellite32.bmp | satellite32.bmp-withWavelet_rbio1.1-G_0.6-H6e-005_af1.wfa | 1572864 | 524288 | 524288 | 31 | 30992 | 248 | 248 | 32 | 256 | 13.91356151 | 20.328 | 31488 | 0.020019531 |

|                 |   |         |        |        |    |       |     |     |    |     |             |        |       |             |
|-----------------|---|---------|--------|--------|----|-------|-----|-----|----|-----|-------------|--------|-------|-------------|
| satellite32.bmp | satellite32.bmp-withWavelet_sym1-G_0.6-H6e-005_af1.wfa    | 1572864 | 524288 | 524288 | 31 | 30992 | 248 | 248 | 32 | 256 | 13.91356151 | 20.328 | 31488 | 0.020019531 |
| satellite32.bmp | satellite32.bmp-withWavelet_bior1.1-G_0.6-H6e-005_af1.wfa | 1572864 | 524288 | 524288 | 31 | 30992 | 248 | 248 | 32 | 256 | 13.91356151 | 20.234 | 31488 | 0.020019531 |
| satellite32.bmp | satellite32.bmp-withWavelet_haar-G_0.8-H2e-005_af4.wfa    | 393216  | 131072 | 131072 | 34 | 37232 | 272 | 272 | 32 | 128 | 13.91923979 | 5.281  | 37776 | 0.096069336 |
| satellite32.bmp | satellite32.bmp-withWavelet_rbio1.1-G_0.8-H2e-005_af4.wfa | 393216  | 131072 | 131072 | 34 | 37232 | 272 | 272 | 32 | 128 | 13.91923979 | 5.297  | 37776 | 0.096069336 |
| satellite32.bmp | satellite32.bmp-withWavelet_sym1-G_0.8-H2e-005_af4.wfa    | 393216  | 131072 | 131072 | 34 | 37232 | 272 | 272 | 32 | 128 | 13.91923979 | 5.844  | 37776 | 0.096069336 |
| satellite32.bmp | satellite32.bmp-withWavelet_bior1.1-G_0.8-H2e-005_af4.wfa | 393216  | 131072 | 131072 | 34 | 37232 | 272 | 272 | 32 | 128 | 13.91923979 | 5.297  | 37776 | 0.096069336 |
| satellite32.bmp | satellite32.bmp-withWavelet_haar-G_0.6-H4e-005_af3.wfa    | 393216  | 131072 | 131072 | 29 | 27152 | 232 | 232 | 32 | 128 | 13.92146922 | 4.047  | 27616 | 0.07023112  |
| satellite32.bmp | satellite32.bmp-withWavelet_rbio1.1-G_0.6-H4e-005_af3.wfa | 393216  | 131072 | 131072 | 29 | 27152 | 232 | 232 | 32 | 128 | 13.92146922 | 4.031  | 27616 | 0.07023112  |
| satellite32.bmp | satellite32.bmp-withWavelet_sym1-G_0.6-H4e-005_af3.wfa    | 393216  | 131072 | 131072 | 29 | 27152 | 232 | 232 | 32 | 128 | 13.92146922 | 4.032  | 27616 | 0.07023112  |
| satellite32.bmp | satellite32.bmp-withWavelet_bior1.1-G_0.6-H4e-005_af3.wfa | 393216  | 131072 | 131072 | 29 | 27152 | 232 | 232 | 32 | 128 | 13.92146922 | 4.047  | 27616 | 0.07023112  |
| satellite32.bmp | satellite32.bmp-withWavelet_haar-G_0.6-H2e-005_af3.wfa    | 1572864 | 524288 | 524288 | 32 | 33008 | 256 | 256 | 32 | 256 | 13.93796019 | 20.968 | 33520 | 0.021311442 |
| satellite32.bmp | satellite32.bmp-withWavelet_rbio1.1-G_0.6-H2e-005_af3.wfa | 1572864 | 524288 | 524288 | 32 | 33008 | 256 | 256 | 32 | 256 | 13.93796019 | 21.141 | 33520 | 0.021311442 |
| satellite32.bmp | satellite32.bmp-withWavelet_sym1-G_0.6-H2e-005_af3.wfa    | 1572864 | 524288 | 524288 | 32 | 33008 | 256 | 256 | 32 | 256 | 13.93796019 | 21     | 33520 | 0.021311442 |
| satellite32.bmp | satellite32.bmp-withWavelet_bior1.1-G_0.6-H2e-005_af3.wfa | 1572864 | 524288 | 524288 | 32 | 33008 | 256 | 256 | 32 | 256 | 13.93796019 | 21.031 | 33520 | 0.021311442 |
| satellite32.bmp | satellite32.bmp-withWavelet_haar-G_0.6-H3e-005_af3.wfa    | 1572864 | 524288 | 524288 | 32 | 33008 | 256 | 256 | 32 | 256 | 13.93796019 | 21.125 | 33520 | 0.021311442 |
| satellite32.bmp | satellite32.bmp-withWavelet_rbio1.1-G_0.6-H3e-005_af3.wfa | 1572864 | 524288 | 524288 | 32 | 33008 | 256 | 256 | 32 | 256 | 13.93796019 | 21.094 | 33520 | 0.021311442 |
| satellite32.bmp | satellite32.bmp-withWavelet_sym1-G_0.6-H3e-005_af3.wfa    | 1572864 | 524288 | 524288 | 32 | 33008 | 256 | 256 | 32 | 256 | 13.93796019 | 20.921 | 33520 | 0.021311442 |
| satellite32.bmp | satellite32.bmp-withWavelet_bior1.1-G_0.6-H3e-005_af3.wfa | 1572864 | 524288 | 524288 | 32 | 33008 | 256 | 256 | 32 | 256 | 13.93796019 | 21.094 | 33520 | 0.021311442 |
| satellite32.bmp | satellite32.bmp-withWavelet_haar-G_0.8-H4e-005_af1.wfa    | 393216  | 131072 | 131072 | 34 | 37232 | 272 | 272 | 32 | 128 | 13.93818533 | 5.688  | 37776 | 0.096069336 |
| satellite32.bmp | satellite32.bmp-withWavelet_rbio1.1-G_0.8-H4e-005_af1.wfa | 393216  | 131072 | 131072 | 34 | 37232 | 272 | 272 | 32 | 128 | 13.93818533 | 5.265  | 37776 | 0.096069336 |
| satellite32.bmp | satellite32.bmp-withWavelet_sym1-G_0.8-H4e-005_af1.wfa    | 393216  | 131072 | 131072 | 34 | 37232 | 272 | 272 | 32 | 128 | 13.93818533 | 5.766  | 37776 | 0.096069336 |
| satellite32.bmp | satellite32.bmp-withWavelet_bior1.1-G_0.8-H4e-005_af1.wfa | 393216  | 131072 | 131072 | 34 | 37232 | 272 | 272 | 32 | 128 | 13.93818533 | 5.297  | 37776 | 0.096069336 |
| satellite32.bmp | satellite32.bmp-withWavelet_haar-G_0.6-H4e-005_af2.wfa    | 98304   | 32768  | 32768  | 23 | 17168 | 184 | 184 | 32 | 64  | 13.93984909 | 0.688  | 17536 | 0.178385417 |
| satellite32.bmp | satellite32.bmp-withWavelet_rbio1.1-G_0.6-H4e-005_af2.wfa | 98304   | 32768  | 32768  | 23 | 17168 | 184 | 184 | 32 | 64  | 13.93984909 | 0.672  | 17536 | 0.178385417 |
| satellite32.bmp | satellite32.bmp-withWavelet_sym1-G_0.6-H4e-005_af2.wfa    | 98304   | 32768  | 32768  | 23 | 17168 | 184 | 184 | 32 | 64  | 13.93984909 | 0.688  | 17536 | 0.178385417 |
| satellite32.bmp | satellite32.bmp-withWavelet_bior1.1-G_0.6-H4e-005_af2.wfa | 98304   | 32768  | 32768  | 23 | 17168 | 184 | 184 | 32 | 64  | 13.93984909 | 0.704  | 17536 | 0.178385417 |
| satellite32.bmp | satellite32.bmp-withWavelet_haar-G_1-H4e-005_af1.wfa      | 393216  | 131072 | 131072 | 34 | 37232 | 272 | 272 | 32 | 128 | 13.94100579 | 5.734  | 37776 | 0.096069336 |
| satellite32.bmp | satellite32.bmp-withWavelet_rbio1.1-G_1-H4e-005_af1.wfa   | 393216  | 131072 | 131072 | 34 | 37232 | 272 | 272 | 32 | 128 | 13.94100579 | 5.265  | 37776 | 0.096069336 |
| satellite32.bmp | satellite32.bmp-withWavelet_sym1-G_1-H4e-005_af1.wfa      | 393216  | 131072 | 131072 | 34 | 37232 | 272 | 272 | 32 | 128 | 13.94100579 | 5.281  | 37776 | 0.096069336 |
| satellite32.bmp | satellite32.bmp-withWavelet_bior1.1-G_1-H4e-005_af1.wfa   | 393216  | 131072 | 131072 | 34 | 37232 | 272 | 272 | 32 | 128 | 13.94100579 | 5.297  | 37776 | 0.096069336 |
| satellite32.bmp | satellite32.bmp-withWavelet_haar-G_0.8-H2e-005_af2.wfa    | 393216  | 131072 | 131072 | 30 | 29040 | 240 | 240 | 32 | 128 | 13.94398758 | 4.204  | 29520 | 0.075073242 |

|                 |   |         |        |        |    |       |     |     |    |     |             |       |       |             |
|-----------------|---|---------|--------|--------|----|-------|-----|-----|----|-----|-------------|-------|-------|-------------|
| satellite32.bmp | satellite32.bmp-withWavelet_rbio1.1-G_0.8-H2e-005_af2.wfa | 393216  | 131072 | 131072 | 30 | 29040 | 240 | 240 | 32 | 128 | 13.94398758 | 4.172 | 29520 | 0.075073242 |
| satellite32.bmp | satellite32.bmp-withWavelet_sym1-G_0.8-H2e-005_af2.wfa    | 393216  | 131072 | 131072 | 30 | 29040 | 240 | 240 | 32 | 128 | 13.94398758 | 4.187 | 29520 | 0.075073242 |
| satellite32.bmp | satellite32.bmp-withWavelet_bior1.1-G_0.8-H2e-005_af2.wfa | 393216  | 131072 | 131072 | 30 | 29040 | 240 | 240 | 32 | 128 | 13.94398758 | 4.188 | 29520 | 0.075073242 |
| satellite32.bmp | satellite32.bmp-withWavelet_haar-G_1-H2e-005_af2.wfa      | 393216  | 131072 | 131072 | 30 | 29040 | 240 | 240 | 32 | 128 | 13.95444247 | 4.187 | 29520 | 0.075073242 |
| satellite32.bmp | satellite32.bmp-withWavelet_rbio1.1-G_1-H2e-005_af2.wfa   | 393216  | 131072 | 131072 | 30 | 29040 | 240 | 240 | 32 | 128 | 13.95444247 | 4.187 | 29520 | 0.075073242 |
| satellite32.bmp | satellite32.bmp-withWavelet_sym1-G_1-H2e-005_af2.wfa      | 393216  | 131072 | 131072 | 30 | 29040 | 240 | 240 | 32 | 128 | 13.95444247 | 4.188 | 29520 | 0.075073242 |
| satellite32.bmp | satellite32.bmp-withWavelet_bior1.1-G_1-H2e-005_af2.wfa   | 393216  | 131072 | 131072 | 30 | 29040 | 240 | 240 | 32 | 128 | 13.95444247 | 4.188 | 29520 | 0.075073242 |
| satellite32.bmp | satellite32.bmp-withWavelet_haar-G_0.6-H2e-005_af5.wfa    | 1572864 | 524288 | 524288 | 20 | 13040 | 160 | 160 | 32 | 256 | 13.96381883 | 9.828 | 13360 | 0.008494059 |
| satellite32.bmp | satellite32.bmp-withWavelet_rbio1.1-G_0.6-H2e-005_af5.wfa | 1572864 | 524288 | 524288 | 20 | 13040 | 160 | 160 | 32 | 256 | 13.96381883 | 9.797 | 13360 | 0.008494059 |
| satellite32.bmp | satellite32.bmp-withWavelet_sym1-G_0.6-H2e-005_af5.wfa    | 1572864 | 524288 | 524288 | 20 | 13040 | 160 | 160 | 32 | 256 | 13.96381883 | 9.859 | 13360 | 0.008494059 |
| satellite32.bmp | satellite32.bmp-withWavelet_bior1.1-G_0.6-H2e-005_af5.wfa | 1572864 | 524288 | 524288 | 20 | 13040 | 160 | 160 | 32 | 256 | 13.96381883 | 9.891 | 13360 | 0.008494059 |
| satellite32.bmp | satellite32.bmp-withWavelet_haar-G_0.6-H3e-005_af5.wfa    | 1572864 | 524288 | 524288 | 19 | 11792 | 152 | 152 | 32 | 256 | 13.96477653 | 9.625 | 12096 | 0.00769043  |
| satellite32.bmp | satellite32.bmp-withWavelet_rbio1.1-G_0.6-H3e-005_af5.wfa | 1572864 | 524288 | 524288 | 19 | 11792 | 152 | 152 | 32 | 256 | 13.96477653 | 9.625 | 12096 | 0.00769043  |
| satellite32.bmp | satellite32.bmp-withWavelet_sym1-G_0.6-H3e-005_af5.wfa    | 1572864 | 524288 | 524288 | 19 | 11792 | 152 | 152 | 32 | 256 | 13.96477653 | 9.625 | 12096 | 0.00769043  |
| satellite32.bmp | satellite32.bmp-withWavelet_bior1.1-G_0.6-H3e-005_af5.wfa | 1572864 | 524288 | 524288 | 19 | 11792 | 152 | 152 | 32 | 256 | 13.96477653 | 9.688 | 12096 | 0.00769043  |
| satellite32.bmp | satellite32.bmp-withWavelet_haar-G_1-H1e-005_af2.wfa      | 393216  | 131072 | 131072 | 31 | 30992 | 248 | 248 | 32 | 128 | 13.96835244 | 4.468 | 31488 | 0.080078125 |
| satellite32.bmp | satellite32.bmp-withWavelet_rbio1.1-G_1-H1e-005_af2.wfa   | 393216  | 131072 | 131072 | 31 | 30992 | 248 | 248 | 32 | 128 | 13.96835244 | 4.531 | 31488 | 0.080078125 |
| satellite32.bmp | satellite32.bmp-withWavelet_sym1-G_1-H1e-005_af2.wfa      | 393216  | 131072 | 131072 | 31 | 30992 | 248 | 248 | 32 | 128 | 13.96835244 | 4.484 | 31488 | 0.080078125 |
| satellite32.bmp | satellite32.bmp-withWavelet_bior1.1-G_1-H1e-005_af2.wfa   | 393216  | 131072 | 131072 | 31 | 30992 | 248 | 248 | 32 | 128 | 13.96835244 | 4.485 | 31488 | 0.080078125 |
| satellite32.bmp | satellite32.bmp-withWavelet_haar-G_0.6-H6e-005_af3.wfa    | 393216  | 131072 | 131072 | 27 | 23568 | 216 | 216 | 32 | 128 | 13.96963438 | 3.609 | 24000 | 0.061035156 |
| satellite32.bmp | satellite32.bmp-withWavelet_rbio1.1-G_0.6-H6e-005_af3.wfa | 393216  | 131072 | 131072 | 27 | 23568 | 216 | 216 | 32 | 128 | 13.96963438 | 3.672 | 24000 | 0.061035156 |
| satellite32.bmp | satellite32.bmp-withWavelet_sym1-G_0.6-H6e-005_af3.wfa    | 393216  | 131072 | 131072 | 27 | 23568 | 216 | 216 | 32 | 128 | 13.96963438 | 3.656 | 24000 | 0.061035156 |
| satellite32.bmp | satellite32.bmp-withWavelet_bior1.1-G_0.6-H6e-005_af3.wfa | 393216  | 131072 | 131072 | 27 | 23568 | 216 | 216 | 32 | 128 | 13.96963438 | 3.657 | 24000 | 0.061035156 |
| satellite32.bmp | satellite32.bmp-withWavelet_haar-G_0.8-H3e-005_af4.wfa    | 393216  | 131072 | 131072 | 33 | 35088 | 264 | 264 | 32 | 128 | 13.96991179 | 5.469 | 35616 | 0.090576172 |
| satellite32.bmp | satellite32.bmp-withWavelet_rbio1.1-G_0.8-H3e-005_af4.wfa | 393216  | 131072 | 131072 | 33 | 35088 | 264 | 264 | 32 | 128 | 13.96991179 | 5.063 | 35616 | 0.090576172 |
| satellite32.bmp | satellite32.bmp-withWavelet_sym1-G_0.8-H3e-005_af4.wfa    | 393216  | 131072 | 131072 | 33 | 35088 | 264 | 264 | 32 | 128 | 13.96991179 | 5.5   | 35616 | 0.090576172 |
| satellite32.bmp | satellite32.bmp-withWavelet_bior1.1-G_0.8-H3e-005_af4.wfa | 393216  | 131072 | 131072 | 33 | 35088 | 264 | 264 | 32 | 128 | 13.96991179 | 5.031 | 35616 | 0.090576172 |
| satellite32.bmp | satellite32.bmp-withWavelet_haar-G_0.8-H4e-005_af4.wfa    | 393216  | 131072 | 131072 | 33 | 35088 | 264 | 264 | 32 | 128 | 13.96991179 | 5.047 | 35616 | 0.090576172 |
| satellite32.bmp | satellite32.bmp-withWavelet_rbio1.1-G_0.8-H4e-005_af4.wfa | 393216  | 131072 | 131072 | 33 | 35088 | 264 | 264 | 32 | 128 | 13.96991179 | 5.328 | 35616 | 0.090576172 |
| satellite32.bmp | satellite32.bmp-withWavelet_sym1-G_0.8-H4e-005_af4.wfa    | 393216  | 131072 | 131072 | 33 | 35088 | 264 | 264 | 32 | 128 | 13.96991179 | 5.093 | 35616 | 0.090576172 |
| satellite32.bmp | satellite32.bmp-withWavelet_bior1.1-G_0.8-H4e-005_af4.wfa | 393216  | 131072 | 131072 | 33 | 35088 | 264 | 264 | 32 | 128 | 13.96991179 | 5.109 | 35616 | 0.090576172 |

|                 |   |         |        |        |    |       |     |     |    |     |             |        |       |             |
|-----------------|---|---------|--------|--------|----|-------|-----|-----|----|-----|-------------|--------|-------|-------------|
| satellite32.bmp | satellite32.bmp-withWavelet_haar-G_0.8-H5e-005_af4.wfa    | 393216  | 131072 | 131072 | 33 | 35088 | 264 | 264 | 32 | 128 | 13.96991179 | 5.047  | 35616 | 0.090576172 |
| satellite32.bmp | satellite32.bmp-withWavelet_rbio1.1-G_0.8-H5e-005_af4.wfa | 393216  | 131072 | 131072 | 33 | 35088 | 264 | 264 | 32 | 128 | 13.96991179 | 5.047  | 35616 | 0.090576172 |
| satellite32.bmp | satellite32.bmp-withWavelet_sym1-G_0.8-H5e-005_af4.wfa    | 393216  | 131072 | 131072 | 33 | 35088 | 264 | 264 | 32 | 128 | 13.96991179 | 5.062  | 35616 | 0.090576172 |
| satellite32.bmp | satellite32.bmp-withWavelet_bior1.1-G_0.8-H5e-005_af4.wfa | 393216  | 131072 | 131072 | 33 | 35088 | 264 | 264 | 32 | 128 | 13.96991179 | 5.062  | 35616 | 0.090576172 |
| satellite32.bmp | satellite32.bmp-withWavelet_haar-G_0.6-H1e-005_af5.wfa    | 98304   | 32768  | 32768  | 24 | 18672 | 192 | 192 | 32 | 64  | 13.97931333 | 0.719  | 19056 | 0.193847656 |
| satellite32.bmp | satellite32.bmp-withWavelet_rbio1.1-G_0.6-H1e-005_af5.wfa | 98304   | 32768  | 32768  | 24 | 18672 | 192 | 192 | 32 | 64  | 13.97931333 | 0.703  | 19056 | 0.193847656 |
| satellite32.bmp | satellite32.bmp-withWavelet_sym1-G_0.6-H1e-005_af5.wfa    | 98304   | 32768  | 32768  | 24 | 18672 | 192 | 192 | 32 | 64  | 13.97931333 | 0.703  | 19056 | 0.193847656 |
| satellite32.bmp | satellite32.bmp-withWavelet_bior1.1-G_0.6-H1e-005_af5.wfa | 98304   | 32768  | 32768  | 24 | 18672 | 192 | 192 | 32 | 64  | 13.97931333 | 0.703  | 19056 | 0.193847656 |
| satellite32.bmp | satellite32.bmp-withWavelet_haar-G_0.6-H7e-005_af3.wfa    | 393216  | 131072 | 131072 | 26 | 21872 | 208 | 208 | 32 | 128 | 13.97933364 | 3.391  | 22288 | 0.056681315 |
| satellite32.bmp | satellite32.bmp-withWavelet_rbio1.1-G_0.6-H7e-005_af3.wfa | 393216  | 131072 | 131072 | 26 | 21872 | 208 | 208 | 32 | 128 | 13.97933364 | 3.422  | 22288 | 0.056681315 |
| satellite32.bmp | satellite32.bmp-withWavelet_sym1-G_0.6-H7e-005_af3.wfa    | 393216  | 131072 | 131072 | 26 | 21872 | 208 | 208 | 32 | 128 | 13.97933364 | 3.422  | 22288 | 0.056681315 |
| satellite32.bmp | satellite32.bmp-withWavelet_bior1.1-G_0.6-H7e-005_af3.wfa | 393216  | 131072 | 131072 | 26 | 21872 | 208 | 208 | 32 | 128 | 13.97933364 | 3.422  | 22288 | 0.056681315 |
| satellite32.bmp | satellite32.bmp-withWavelet_haar-G_0.8-H1e-005_af5.wfa    | 393216  | 131072 | 131072 | 26 | 21872 | 208 | 208 | 32 | 128 | 13.98532688 | 3.391  | 22288 | 0.056681315 |
| satellite32.bmp | satellite32.bmp-withWavelet_rbio1.1-G_0.8-H1e-005_af5.wfa | 393216  | 131072 | 131072 | 26 | 21872 | 208 | 208 | 32 | 128 | 13.98532688 | 3.391  | 22288 | 0.056681315 |
| satellite32.bmp | satellite32.bmp-withWavelet_sym1-G_0.8-H1e-005_af5.wfa    | 393216  | 131072 | 131072 | 26 | 21872 | 208 | 208 | 32 | 128 | 13.98532688 | 3.422  | 22288 | 0.056681315 |
| satellite32.bmp | satellite32.bmp-withWavelet_bior1.1-G_0.8-H1e-005_af5.wfa | 393216  | 131072 | 131072 | 26 | 21872 | 208 | 208 | 32 | 128 | 13.98532688 | 3.39   | 22288 | 0.056681315 |
| satellite32.bmp | satellite32.bmp-withWavelet_haar-G_0.8-H1e-005_af3.wfa    | 393216  | 131072 | 131072 | 34 | 37232 | 272 | 272 | 32 | 128 | 13.99397362 | 5.282  | 37776 | 0.096069336 |
| satellite32.bmp | satellite32.bmp-withWavelet_rbio1.1-G_0.8-H1e-005_af3.wfa | 393216  | 131072 | 131072 | 34 | 37232 | 272 | 272 | 32 | 128 | 13.99397362 | 5.343  | 37776 | 0.096069336 |
| satellite32.bmp | satellite32.bmp-withWavelet_sym1-G_0.8-H1e-005_af3.wfa    | 393216  | 131072 | 131072 | 34 | 37232 | 272 | 272 | 32 | 128 | 13.99397362 | 5.235  | 37776 | 0.096069336 |
| satellite32.bmp | satellite32.bmp-withWavelet_bior1.1-G_0.8-H1e-005_af3.wfa | 393216  | 131072 | 131072 | 34 | 37232 | 272 | 272 | 32 | 128 | 13.99397362 | 5.266  | 37776 | 0.096069336 |
| satellite32.bmp | satellite32.bmp-withWavelet_haar-G_1-H1e-005_af3.wfa      | 393216  | 131072 | 131072 | 34 | 37232 | 272 | 272 | 32 | 128 | 13.9946714  | 5.281  | 37776 | 0.096069336 |
| satellite32.bmp | satellite32.bmp-withWavelet_rbio1.1-G_1-H1e-005_af3.wfa   | 393216  | 131072 | 131072 | 34 | 37232 | 272 | 272 | 32 | 128 | 13.9946714  | 5.282  | 37776 | 0.096069336 |
| satellite32.bmp | satellite32.bmp-withWavelet_sym1-G_1-H1e-005_af3.wfa      | 393216  | 131072 | 131072 | 34 | 37232 | 272 | 272 | 32 | 128 | 13.9946714  | 5.297  | 37776 | 0.096069336 |
| satellite32.bmp | satellite32.bmp-withWavelet_bior1.1-G_1-H1e-005_af3.wfa   | 393216  | 131072 | 131072 | 34 | 37232 | 272 | 272 | 32 | 128 | 13.9946714  | 5.265  | 37776 | 0.096069336 |
| satellite32.bmp | satellite32.bmp-withWavelet_haar-G_0.8-H1e-005_af4.wfa    | 1572864 | 524288 | 524288 | 36 | 41712 | 288 | 288 | 32 | 256 | 13.99527057 | 26.625 | 42288 | 0.026885986 |
| satellite32.bmp | satellite32.bmp-withWavelet_rbio1.1-G_0.8-H1e-005_af4.wfa | 1572864 | 524288 | 524288 | 36 | 41712 | 288 | 288 | 32 | 256 | 13.99527057 | 26.625 | 42288 | 0.026885986 |
| satellite32.bmp | satellite32.bmp-withWavelet_sym1-G_0.8-H1e-005_af4.wfa    | 1572864 | 524288 | 524288 | 36 | 41712 | 288 | 288 | 32 | 256 | 13.99527057 | 26.625 | 42288 | 0.026885986 |
| satellite32.bmp | satellite32.bmp-withWavelet_bior1.1-G_0.8-H1e-005_af4.wfa | 1572864 | 524288 | 524288 | 36 | 41712 | 288 | 288 | 32 | 256 | 13.99527057 | 26.687 | 42288 | 0.026885986 |
| satellite32.bmp | satellite32.bmp-withWavelet_haar-G_1-H5e-005_af1.wfa      | 393216  | 131072 | 131072 | 33 | 35088 | 264 | 264 | 32 | 128 | 13.9979875  | 5.047  | 35616 | 0.090576172 |
| satellite32.bmp | satellite32.bmp-withWavelet_rbio1.1-G_1-H5e-005_af1.wfa   | 393216  | 131072 | 131072 | 33 | 35088 | 264 | 264 | 32 | 128 | 13.9979875  | 5.031  | 35616 | 0.090576172 |
| satellite32.bmp | satellite32.bmp-withWavelet_sym1-G_1-H5e-005_af1.wfa      | 393216  | 131072 | 131072 | 33 | 35088 | 264 | 264 | 32 | 128 | 13.9979875  | 5.657  | 35616 | 0.090576172 |

|                 |   |         |        |        |    |       |     |     |    |     |             |        |       |             |
|-----------------|---|---------|--------|--------|----|-------|-----|-----|----|-----|-------------|--------|-------|-------------|
| satellite32.bmp | satellite32.bmp-withWavelet_bior1.1-G_1-H5e-005_af1.wfa   | 393216  | 131072 | 131072 | 33 | 35088 | 264 | 264 | 32 | 128 | 13.9979875  | 5.016  | 35616 | 0.090576172 |
| satellite32.bmp | satellite32.bmp-withWavelet_haar-G_0.8-H1e-005_af1.wfa    | 1572864 | 524288 | 524288 | 37 | 44048 | 296 | 296 | 32 | 256 | 14.00224408 | 28.547 | 44640 | 0.028381348 |
| satellite32.bmp | satellite32.bmp-withWavelet_rbio1.1-G_0.8-H1e-005_af1.wfa | 1572864 | 524288 | 524288 | 37 | 44048 | 296 | 296 | 32 | 256 | 14.00224408 | 28.625 | 44640 | 0.028381348 |
| satellite32.bmp | satellite32.bmp-withWavelet_sym1-G_0.8-H1e-005_af1.wfa    | 1572864 | 524288 | 524288 | 37 | 44048 | 296 | 296 | 32 | 256 | 14.00224408 | 28.547 | 44640 | 0.028381348 |
| satellite32.bmp | satellite32.bmp-withWavelet_bior1.1-G_0.8-H1e-005_af1.wfa | 1572864 | 524288 | 524288 | 37 | 44048 | 296 | 296 | 32 | 256 | 14.00224408 | 31.641 | 44640 | 0.028381348 |
| satellite32.bmp | satellite32.bmp-withWavelet_haar-G_0.8-H2e-005_af1.wfa    | 1572864 | 524288 | 524288 | 37 | 44048 | 296 | 296 | 32 | 256 | 14.00224408 | 28.484 | 44640 | 0.028381348 |
| satellite32.bmp | satellite32.bmp-withWavelet_rbio1.1-G_0.8-H2e-005_af1.wfa | 1572864 | 524288 | 524288 | 37 | 44048 | 296 | 296 | 32 | 256 | 14.00224408 | 28.562 | 44640 | 0.028381348 |
| satellite32.bmp | satellite32.bmp-withWavelet_sym1-G_0.8-H2e-005_af1.wfa    | 1572864 | 524288 | 524288 | 37 | 44048 | 296 | 296 | 32 | 256 | 14.00224408 | 28.719 | 44640 | 0.028381348 |
| satellite32.bmp | satellite32.bmp-withWavelet_bior1.1-G_0.8-H2e-005_af1.wfa | 1572864 | 524288 | 524288 | 37 | 44048 | 296 | 296 | 32 | 256 | 14.00224408 | 28.562 | 44640 | 0.028381348 |
| satellite32.bmp | satellite32.bmp-withWavelet_haar-G_1-H2e-005_af1.wfa      | 1572864 | 524288 | 524288 | 37 | 44048 | 296 | 296 | 32 | 256 | 14.00224408 | 28.484 | 44640 | 0.028381348 |
| satellite32.bmp | satellite32.bmp-withWavelet_rbio1.1-G_1-H2e-005_af1.wfa   | 1572864 | 524288 | 524288 | 37 | 44048 | 296 | 296 | 32 | 256 | 14.00224408 | 28.532 | 44640 | 0.028381348 |
| satellite32.bmp | satellite32.bmp-withWavelet_sym1-G_1-H2e-005_af1.wfa      | 1572864 | 524288 | 524288 | 37 | 44048 | 296 | 296 | 32 | 256 | 14.00224408 | 28.547 | 44640 | 0.028381348 |
| satellite32.bmp | satellite32.bmp-withWavelet_bior1.1-G_1-H2e-005_af1.wfa   | 1572864 | 524288 | 524288 | 37 | 44048 | 296 | 296 | 32 | 256 | 14.00224408 | 28.719 | 44640 | 0.028381348 |
| satellite32.bmp | satellite32.bmp-withWavelet_haar-G_0.6-H1e-005_af1.wfa    | 1572864 | 524288 | 524288 | 37 | 44048 | 296 | 296 | 32 | 256 | 14.00224408 | 28.609 | 44640 | 0.028381348 |
| satellite32.bmp | satellite32.bmp-withWavelet_rbio1.1-G_0.6-H1e-005_af1.wfa | 1572864 | 524288 | 524288 | 37 | 44048 | 296 | 296 | 32 | 256 | 14.00224408 | 31.453 | 44640 | 0.028381348 |
| satellite32.bmp | satellite32.bmp-withWavelet_sym1-G_0.6-H1e-005_af1.wfa    | 1572864 | 524288 | 524288 | 37 | 44048 | 296 | 296 | 32 | 256 | 14.00224408 | 28.75  | 44640 | 0.028381348 |
| satellite32.bmp | satellite32.bmp-withWavelet_bior1.1-G_0.6-H1e-005_af1.wfa | 1572864 | 524288 | 524288 | 37 | 44048 | 296 | 296 | 32 | 256 | 14.00224408 | 28.562 | 44640 | 0.028381348 |
| satellite32.bmp | satellite32.bmp-withWavelet_haar-G_0.6-H2e-005_af1.wfa    | 1572864 | 524288 | 524288 | 37 | 44048 | 296 | 296 | 32 | 256 | 14.00224408 | 28.547 | 44640 | 0.028381348 |
| satellite32.bmp | satellite32.bmp-withWavelet_rbio1.1-G_0.6-H2e-005_af1.wfa | 1572864 | 524288 | 524288 | 37 | 44048 | 296 | 296 | 32 | 256 | 14.00224408 | 28.656 | 44640 | 0.028381348 |
| satellite32.bmp | satellite32.bmp-withWavelet_sym1-G_0.6-H2e-005_af1.wfa    | 1572864 | 524288 | 524288 | 37 | 44048 | 296 | 296 | 32 | 256 | 14.00224408 | 28.594 | 44640 | 0.028381348 |
| satellite32.bmp | satellite32.bmp-withWavelet_bior1.1-G_0.6-H2e-005_af1.wfa | 1572864 | 524288 | 524288 | 37 | 44048 | 296 | 296 | 32 | 256 | 14.00224408 | 28.531 | 44640 | 0.028381348 |
| satellite32.bmp | satellite32.bmp-withWavelet_haar-G_1-H1e-005_af1.wfa      | 1572864 | 524288 | 524288 | 37 | 44048 | 296 | 296 | 32 | 256 | 14.00224408 | 28.657 | 44640 | 0.028381348 |
| satellite32.bmp | satellite32.bmp-withWavelet_rbio1.1-G_1-H1e-005_af1.wfa   | 1572864 | 524288 | 524288 | 37 | 44048 | 296 | 296 | 32 | 256 | 14.00224408 | 28.782 | 44640 | 0.028381348 |
| satellite32.bmp | satellite32.bmp-withWavelet_sym1-G_1-H1e-005_af1.wfa      | 1572864 | 524288 | 524288 | 37 | 44048 | 296 | 296 | 32 | 256 | 14.00224408 | 28.672 | 44640 | 0.028381348 |
| satellite32.bmp | satellite32.bmp-withWavelet_bior1.1-G_1-H1e-005_af1.wfa   | 1572864 | 524288 | 524288 | 37 | 44048 | 296 | 296 | 32 | 256 | 14.00224408 | 28.578 | 44640 | 0.028381348 |
| satellite32.bmp | satellite32.bmp-withWavelet_haar-G_0.6-H6e-005_af2.wfa    | 1572864 | 524288 | 524288 | 19 | 11792 | 152 | 152 | 32 | 256 | 14.00352373 | 9.75   | 12096 | 0.00769043  |
| satellite32.bmp | satellite32.bmp-withWavelet_rbio1.1-G_0.6-H6e-005_af2.wfa | 1572864 | 524288 | 524288 | 19 | 11792 | 152 | 152 | 32 | 256 | 14.00352373 | 9.75   | 12096 | 0.00769043  |
| satellite32.bmp | satellite32.bmp-withWavelet_sym1-G_0.6-H6e-005_af2.wfa    | 1572864 | 524288 | 524288 | 19 | 11792 | 152 | 152 | 32 | 256 | 14.00352373 | 9.719  | 12096 | 0.00769043  |
| satellite32.bmp | satellite32.bmp-withWavelet_bior1.1-G_0.6-H6e-005_af2.wfa | 1572864 | 524288 | 524288 | 19 | 11792 | 152 | 152 | 32 | 256 | 14.00352373 | 9.797  | 12096 | 0.00769043  |
| satellite32.bmp | satellite32.bmp-withWavelet_haar-G_0.8-H5e-005_af2.wfa    | 393216  | 131072 | 131072 | 23 | 17168 | 184 | 184 | 32 | 128 | 14.00956127 | 2.953  | 17536 | 0.044596354 |
| satellite32.bmp | satellite32.bmp-withWavelet_rbio1.1-G_0.8-H5e-005_af2.wfa | 393216  | 131072 | 131072 | 23 | 17168 | 184 | 184 | 32 | 128 | 14.00956127 | 2.953  | 17536 | 0.044596354 |

|                 |   |         |        |        |    |       |     |     |    |     |             |        |       |             |
|-----------------|---|---------|--------|--------|----|-------|-----|-----|----|-----|-------------|--------|-------|-------------|
| satellite32.bmp | satellite32.bmp-withWavelet_sym1-G_0.8-H5e-005_af2.wfa    | 393216  | 131072 | 131072 | 23 | 17168 | 184 | 184 | 32 | 128 | 14.00956127 | 2.969  | 17536 | 0.044596354 |
| satellite32.bmp | satellite32.bmp-withWavelet_bior1.1-G_0.8-H5e-005_af2.wfa | 393216  | 131072 | 131072 | 23 | 17168 | 184 | 184 | 32 | 128 | 14.00956127 | 3.078  | 17536 | 0.044596354 |
| satellite32.bmp | satellite32.bmp-withWavelet_haar-G_0.6-H1e-005_af2.wfa    | 98304   | 32768  | 32768  | 33 | 35088 | 264 | 264 | 32 | 64  | 14.02085181 | 1.172  | 35616 | 0.362304688 |
| satellite32.bmp | satellite32.bmp-withWavelet_rbio1.1-G_0.6-H1e-005_af2.wfa | 98304   | 32768  | 32768  | 33 | 35088 | 264 | 264 | 32 | 64  | 14.02085181 | 1.125  | 35616 | 0.362304688 |
| satellite32.bmp | satellite32.bmp-withWavelet_sym1-G_0.6-H1e-005_af2.wfa    | 98304   | 32768  | 32768  | 33 | 35088 | 264 | 264 | 32 | 64  | 14.02085181 | 1.157  | 35616 | 0.362304688 |
| satellite32.bmp | satellite32.bmp-withWavelet_bior1.1-G_0.6-H1e-005_af2.wfa | 98304   | 32768  | 32768  | 33 | 35088 | 264 | 264 | 32 | 64  | 14.02085181 | 1.109  | 35616 | 0.362304688 |
| satellite32.bmp | satellite32.bmp-withWavelet_haar-G_0.8-H1e-005_af2.wfa    | 1572864 | 524288 | 524288 | 32 | 33008 | 256 | 256 | 32 | 256 | 14.02874513 | 23.953 | 33520 | 0.021311442 |
| satellite32.bmp | satellite32.bmp-withWavelet_rbio1.1-G_0.8-H1e-005_af2.wfa | 1572864 | 524288 | 524288 | 32 | 33008 | 256 | 256 | 32 | 256 | 14.02874513 | 21.031 | 33520 | 0.021311442 |
| satellite32.bmp | satellite32.bmp-withWavelet_sym1-G_0.8-H1e-005_af2.wfa    | 1572864 | 524288 | 524288 | 32 | 33008 | 256 | 256 | 32 | 256 | 14.02874513 | 20.907 | 33520 | 0.021311442 |
| satellite32.bmp | satellite32.bmp-withWavelet_bior1.1-G_0.8-H1e-005_af2.wfa | 1572864 | 524288 | 524288 | 32 | 33008 | 256 | 256 | 32 | 256 | 14.02874513 | 21.047 | 33520 | 0.021311442 |
| satellite32.bmp | satellite32.bmp-withWavelet_haar-G_0.8-H5e-005_af1.wfa    | 393216  | 131072 | 131072 | 32 | 33008 | 256 | 256 | 32 | 128 | 14.03296781 | 5.14   | 33520 | 0.085245768 |
| satellite32.bmp | satellite32.bmp-withWavelet_rbio1.1-G_0.8-H5e-005_af1.wfa | 393216  | 131072 | 131072 | 32 | 33008 | 256 | 256 | 32 | 128 | 14.03296781 | 4.719  | 33520 | 0.085245768 |
| satellite32.bmp | satellite32.bmp-withWavelet_sym1-G_0.8-H5e-005_af1.wfa    | 393216  | 131072 | 131072 | 32 | 33008 | 256 | 256 | 32 | 128 | 14.03296781 | 4.704  | 33520 | 0.085245768 |
| satellite32.bmp | satellite32.bmp-withWavelet_bior1.1-G_0.8-H5e-005_af1.wfa | 393216  | 131072 | 131072 | 32 | 33008 | 256 | 256 | 32 | 128 | 14.03296781 | 4.703  | 33520 | 0.085245768 |
| satellite32.bmp | satellite32.bmp-withWavelet_haar-G_0.8-H3e-005_af1.wfa    | 1572864 | 524288 | 524288 | 36 | 41712 | 288 | 288 | 32 | 256 | 14.03478977 | 26.531 | 42288 | 0.026885986 |
| satellite32.bmp | satellite32.bmp-withWavelet_rbio1.1-G_0.8-H3e-005_af1.wfa | 1572864 | 524288 | 524288 | 36 | 41712 | 288 | 288 | 32 | 256 | 14.03478977 | 26.562 | 42288 | 0.026885986 |
| satellite32.bmp | satellite32.bmp-withWavelet_sym1-G_0.8-H3e-005_af1.wfa    | 1572864 | 524288 | 524288 | 36 | 41712 | 288 | 288 | 32 | 256 | 14.03478977 | 26.562 | 42288 | 0.026885986 |
| satellite32.bmp | satellite32.bmp-withWavelet_bior1.1-G_0.8-H3e-005_af1.wfa | 1572864 | 524288 | 524288 | 36 | 41712 | 288 | 288 | 32 | 256 | 14.03478977 | 26.547 | 42288 | 0.026885986 |
| satellite32.bmp | satellite32.bmp-withWavelet_haar-G_1-H3e-005_af1.wfa      | 1572864 | 524288 | 524288 | 36 | 41712 | 288 | 288 | 32 | 256 | 14.03673238 | 29.89  | 42288 | 0.026885986 |
| satellite32.bmp | satellite32.bmp-withWavelet_rbio1.1-G_1-H3e-005_af1.wfa   | 1572864 | 524288 | 524288 | 36 | 41712 | 288 | 288 | 32 | 256 | 14.03673238 | 26.687 | 42288 | 0.026885986 |
| satellite32.bmp | satellite32.bmp-withWavelet_sym1-G_1-H3e-005_af1.wfa      | 1572864 | 524288 | 524288 | 36 | 41712 | 288 | 288 | 32 | 256 | 14.03673238 | 26.625 | 42288 | 0.026885986 |
| satellite32.bmp | satellite32.bmp-withWavelet_bior1.1-G_1-H3e-005_af1.wfa   | 1572864 | 524288 | 524288 | 36 | 41712 | 288 | 288 | 32 | 256 | 14.03673238 | 26.594 | 42288 | 0.026885986 |
| satellite32.bmp | satellite32.bmp-withWavelet_haar-G_1-H5e-005_af2.wfa      | 393216  | 131072 | 131072 | 23 | 17168 | 184 | 184 | 32 | 128 | 14.03708666 | 2.953  | 17536 | 0.044596354 |
| satellite32.bmp | satellite32.bmp-withWavelet_rbio1.1-G_1-H5e-005_af2.wfa   | 393216  | 131072 | 131072 | 23 | 17168 | 184 | 184 | 32 | 128 | 14.03708666 | 2.953  | 17536 | 0.044596354 |
| satellite32.bmp | satellite32.bmp-withWavelet_sym1-G_1-H5e-005_af2.wfa      | 393216  | 131072 | 131072 | 23 | 17168 | 184 | 184 | 32 | 128 | 14.03708666 | 2.969  | 17536 | 0.044596354 |
| satellite32.bmp | satellite32.bmp-withWavelet_bior1.1-G_1-H5e-005_af2.wfa   | 393216  | 131072 | 131072 | 23 | 17168 | 184 | 184 | 32 | 128 | 14.03708666 | 2.969  | 17536 | 0.044596354 |
| satellite32.bmp | satellite32.bmp-withWavelet_haar-G_1-H3e-005_af4.wfa      | 393216  | 131072 | 131072 | 33 | 35088 | 264 | 264 | 32 | 128 | 14.03876677 | 5.031  | 35616 | 0.090576172 |
| satellite32.bmp | satellite32.bmp-withWavelet_rbio1.1-G_1-H3e-005_af4.wfa   | 393216  | 131072 | 131072 | 33 | 35088 | 264 | 264 | 32 | 128 | 14.03876677 | 5.031  | 35616 | 0.090576172 |
| satellite32.bmp | satellite32.bmp-withWavelet_sym1-G_1-H3e-005_af4.wfa      | 393216  | 131072 | 131072 | 33 | 35088 | 264 | 264 | 32 | 128 | 14.03876677 | 5.031  | 35616 | 0.090576172 |
| satellite32.bmp | satellite32.bmp-withWavelet_bior1.1-G_1-H3e-005_af4.wfa   | 393216  | 131072 | 131072 | 33 | 35088 | 264 | 264 | 32 | 128 | 14.03876677 | 5.015  | 35616 | 0.090576172 |
| satellite32.bmp | satellite32.bmp-withWavelet_haar-G_1-H4e-005_af4.wfa      | 393216  | 131072 | 131072 | 33 | 35088 | 264 | 264 | 32 | 128 | 14.03876677 | 5.438  | 35616 | 0.090576172 |

|                 |   |         |        |        |    |       |     |     |    |     |             |        |       |             |
|-----------------|---|---------|--------|--------|----|-------|-----|-----|----|-----|-------------|--------|-------|-------------|
| satellite32.bmp | satellite32.bmp-withWavelet_rbio1.1-G_1-H4e-005_af4.wfa   | 393216  | 131072 | 131072 | 33 | 35088 | 264 | 264 | 32 | 128 | 14.03876677 | 5.093  | 35616 | 0.090576172 |
| satellite32.bmp | satellite32.bmp-withWavelet_sym1-G_1-H4e-005_af4.wfa      | 393216  | 131072 | 131072 | 33 | 35088 | 264 | 264 | 32 | 128 | 14.03876677 | 5.594  | 35616 | 0.090576172 |
| satellite32.bmp | satellite32.bmp-withWavelet_bior1.1-G_1-H4e-005_af4.wfa   | 393216  | 131072 | 131072 | 33 | 35088 | 264 | 264 | 32 | 128 | 14.03876677 | 5.579  | 35616 | 0.090576172 |
| satellite32.bmp | satellite32.bmp-withWavelet_haar-G_0.6-H7e-005_af2.wfa    | 393216  | 131072 | 131072 | 17 | 9488  | 136 | 136 | 32 | 128 | 14.04455531 | 2.094  | 9760  | 0.024820964 |
| satellite32.bmp | satellite32.bmp-withWavelet_rbio1.1-G_0.6-H7e-005_af2.wfa | 393216  | 131072 | 131072 | 17 | 9488  | 136 | 136 | 32 | 128 | 14.04455531 | 2.047  | 9760  | 0.024820964 |
| satellite32.bmp | satellite32.bmp-withWavelet_sym1-G_0.6-H7e-005_af2.wfa    | 393216  | 131072 | 131072 | 17 | 9488  | 136 | 136 | 32 | 128 | 14.04455531 | 2.047  | 9760  | 0.024820964 |
| satellite32.bmp | satellite32.bmp-withWavelet_bior1.1-G_0.6-H7e-005_af2.wfa | 393216  | 131072 | 131072 | 17 | 9488  | 136 | 136 | 32 | 128 | 14.04455531 | 2.078  | 9760  | 0.024820964 |
| satellite32.bmp | satellite32.bmp-withWavelet_haar-G_0.8-H2e-005_af4.wfa    | 1572864 | 524288 | 524288 | 34 | 37232 | 272 | 272 | 32 | 256 | 14.05050531 | 26.891 | 37776 | 0.024017334 |
| satellite32.bmp | satellite32.bmp-withWavelet_rbio1.1-G_0.8-H2e-005_af4.wfa | 1572864 | 524288 | 524288 | 34 | 37232 | 272 | 272 | 32 | 256 | 14.05050531 | 23.672 | 37776 | 0.024017334 |
| satellite32.bmp | satellite32.bmp-withWavelet_sym1-G_0.8-H2e-005_af4.wfa    | 1572864 | 524288 | 524288 | 34 | 37232 | 272 | 272 | 32 | 256 | 14.05050531 | 26.657 | 37776 | 0.024017334 |
| satellite32.bmp | satellite32.bmp-withWavelet_bior1.1-G_0.8-H2e-005_af4.wfa | 1572864 | 524288 | 524288 | 34 | 37232 | 272 | 272 | 32 | 256 | 14.05050531 | 23.719 | 37776 | 0.024017334 |
| satellite32.bmp | satellite32.bmp-withWavelet_haar-G_1-H1e-005_af4.wfa      | 1572864 | 524288 | 524288 | 36 | 41712 | 288 | 288 | 32 | 256 | 14.05773975 | 26.453 | 42288 | 0.026885986 |
| satellite32.bmp | satellite32.bmp-withWavelet_rbio1.1-G_1-H1e-005_af4.wfa   | 1572864 | 524288 | 524288 | 36 | 41712 | 288 | 288 | 32 | 256 | 14.05773975 | 26.578 | 42288 | 0.026885986 |
| satellite32.bmp | satellite32.bmp-withWavelet_sym1-G_1-H1e-005_af4.wfa      | 1572864 | 524288 | 524288 | 36 | 41712 | 288 | 288 | 32 | 256 | 14.05773975 | 26.64  | 42288 | 0.026885986 |
| satellite32.bmp | satellite32.bmp-withWavelet_bior1.1-G_1-H1e-005_af4.wfa   | 1572864 | 524288 | 524288 | 36 | 41712 | 288 | 288 | 32 | 256 | 14.05773975 | 26.578 | 42288 | 0.026885986 |
| satellite32.bmp | satellite32.bmp-withWavelet_haar-G_1-H3e-005_af2.wfa      | 98304   | 32768  | 32768  | 26 | 21872 | 208 | 208 | 32 | 64  | 14.05989661 | 0.781  | 22288 | 0.22672526  |
| satellite32.bmp | satellite32.bmp-withWavelet_rbio1.1-G_1-H3e-005_af2.wfa   | 98304   | 32768  | 32768  | 26 | 21872 | 208 | 208 | 32 | 64  | 14.05989661 | 0.782  | 22288 | 0.22672526  |
| satellite32.bmp | satellite32.bmp-withWavelet_sym1-G_1-H3e-005_af2.wfa      | 98304   | 32768  | 32768  | 26 | 21872 | 208 | 208 | 32 | 64  | 14.05989661 | 0.782  | 22288 | 0.22672526  |
| satellite32.bmp | satellite32.bmp-withWavelet_bior1.1-G_1-H3e-005_af2.wfa   | 98304   | 32768  | 32768  | 26 | 21872 | 208 | 208 | 32 | 64  | 14.05989661 | 0.766  | 22288 | 0.22672526  |
| satellite32.bmp | satellite32.bmp-withWavelet_haar-G_0.8-H6e-005_af2.wfa    | 393216  | 131072 | 131072 | 22 | 15728 | 176 | 176 | 32 | 128 | 14.06440923 | 2.719  | 16080 | 0.040893555 |
| satellite32.bmp | satellite32.bmp-withWavelet_rbio1.1-G_0.8-H6e-005_af2.wfa | 393216  | 131072 | 131072 | 22 | 15728 | 176 | 176 | 32 | 128 | 14.06440923 | 2.515  | 16080 | 0.040893555 |
| satellite32.bmp | satellite32.bmp-withWavelet_sym1-G_0.8-H6e-005_af2.wfa    | 393216  | 131072 | 131072 | 22 | 15728 | 176 | 176 | 32 | 128 | 14.06440923 | 2.5    | 16080 | 0.040893555 |
| satellite32.bmp | satellite32.bmp-withWavelet_bior1.1-G_0.8-H6e-005_af2.wfa | 393216  | 131072 | 131072 | 22 | 15728 | 176 | 176 | 32 | 128 | 14.06440923 | 2.485  | 16080 | 0.040893555 |
| satellite32.bmp | satellite32.bmp-withWavelet_haar-G_0.6-H2e-005_af2.wfa    | 98304   | 32768  | 32768  | 29 | 27152 | 232 | 232 | 32 | 64  | 14.06894919 | 0.922  | 27616 | 0.280924479 |
| satellite32.bmp | satellite32.bmp-withWavelet_rbio1.1-G_0.6-H2e-005_af2.wfa | 98304   | 32768  | 32768  | 29 | 27152 | 232 | 232 | 32 | 64  | 14.06894919 | 0.922  | 27616 | 0.280924479 |
| satellite32.bmp | satellite32.bmp-withWavelet_sym1-G_0.6-H2e-005_af2.wfa    | 98304   | 32768  | 32768  | 29 | 27152 | 232 | 232 | 32 | 64  | 14.06894919 | 0.906  | 27616 | 0.280924479 |
| satellite32.bmp | satellite32.bmp-withWavelet_bior1.1-G_0.6-H2e-005_af2.wfa | 98304   | 32768  | 32768  | 29 | 27152 | 232 | 232 | 32 | 64  | 14.06894919 | 0.922  | 27616 | 0.280924479 |
| satellite32.bmp | satellite32.bmp-withWavelet_haar-G_1-H3e-005_af2.wfa      | 1572864 | 524288 | 524288 | 26 | 21872 | 208 | 208 | 32 | 256 | 14.07131639 | 14.984 | 22288 | 0.014170329 |
| satellite32.bmp | satellite32.bmp-withWavelet_rbio1.1-G_1-H3e-005_af2.wfa   | 1572864 | 524288 | 524288 | 26 | 21872 | 208 | 208 | 32 | 256 | 14.07131639 | 14.969 | 22288 | 0.014170329 |
| satellite32.bmp | satellite32.bmp-withWavelet_sym1-G_1-H3e-005_af2.wfa      | 1572864 | 524288 | 524288 | 26 | 21872 | 208 | 208 | 32 | 256 | 14.07131639 | 14.953 | 22288 | 0.014170329 |
| satellite32.bmp | satellite32.bmp-withWavelet_bior1.1-G_1-H3e-005_af2.wfa   | 1572864 | 524288 | 524288 | 26 | 21872 | 208 | 208 | 32 | 256 | 14.07131639 | 14.969 | 22288 | 0.014170329 |

|                 |   |         |        |        |    |       |     |     |    |     |             |        |       |             |
|-----------------|---|---------|--------|--------|----|-------|-----|-----|----|-----|-------------|--------|-------|-------------|
| satellite32.bmp | satellite32.bmp-withWavelet_haar-G_0.8-H2e-005_af5.wfa    | 393216  | 131072 | 131072 | 20 | 13040 | 160 | 160 | 32 | 128 | 14.07509107 | 2.297  | 13360 | 0.033976237 |
| satellite32.bmp | satellite32.bmp-withWavelet_rbio1.1-G_0.8-H2e-005_af5.wfa | 393216  | 131072 | 131072 | 20 | 13040 | 160 | 160 | 32 | 128 | 14.07509107 | 2.297  | 13360 | 0.033976237 |
| satellite32.bmp | satellite32.bmp-withWavelet_sym1-G_0.8-H2e-005_af5.wfa    | 393216  | 131072 | 131072 | 20 | 13040 | 160 | 160 | 32 | 128 | 14.07509107 | 2.25   | 13360 | 0.033976237 |
| satellite32.bmp | satellite32.bmp-withWavelet_bior1.1-G_0.8-H2e-005_af5.wfa | 393216  | 131072 | 131072 | 20 | 13040 | 160 | 160 | 32 | 128 | 14.07509107 | 2.266  | 13360 | 0.033976237 |
| satellite32.bmp | satellite32.bmp-withWavelet_haar-G_0.8-H3e-005_af2.wfa    | 1572864 | 524288 | 524288 | 26 | 21872 | 208 | 208 | 32 | 256 | 14.07857839 | 14.953 | 22288 | 0.014170329 |
| satellite32.bmp | satellite32.bmp-withWavelet_rbio1.1-G_0.8-H3e-005_af2.wfa | 1572864 | 524288 | 524288 | 26 | 21872 | 208 | 208 | 32 | 256 | 14.07857839 | 15.015 | 22288 | 0.014170329 |
| satellite32.bmp | satellite32.bmp-withWavelet_sym1-G_0.8-H3e-005_af2.wfa    | 1572864 | 524288 | 524288 | 26 | 21872 | 208 | 208 | 32 | 256 | 14.07857839 | 15.015 | 22288 | 0.014170329 |
| satellite32.bmp | satellite32.bmp-withWavelet_bior1.1-G_0.8-H3e-005_af2.wfa | 1572864 | 524288 | 524288 | 26 | 21872 | 208 | 208 | 32 | 256 | 14.07857839 | 15.031 | 22288 | 0.014170329 |
| satellite32.bmp | satellite32.bmp-withWavelet_haar-G_0.6-H4e-005_af3.wfa    | 1572864 | 524288 | 524288 | 29 | 27152 | 232 | 232 | 32 | 256 | 14.08072109 | 18     | 27616 | 0.01755778  |
| satellite32.bmp | satellite32.bmp-withWavelet_rbio1.1-G_0.6-H4e-005_af3.wfa | 1572864 | 524288 | 524288 | 29 | 27152 | 232 | 232 | 32 | 256 | 14.08072109 | 18.094 | 27616 | 0.01755778  |
| satellite32.bmp | satellite32.bmp-withWavelet_sym1-G_0.6-H4e-005_af3.wfa    | 1572864 | 524288 | 524288 | 29 | 27152 | 232 | 232 | 32 | 256 | 14.08072109 | 18.156 | 27616 | 0.01755778  |
| satellite32.bmp | satellite32.bmp-withWavelet_bior1.1-G_0.6-H4e-005_af3.wfa | 1572864 | 524288 | 524288 | 29 | 27152 | 232 | 232 | 32 | 256 | 14.08072109 | 18.11  | 27616 | 0.01755778  |
| satellite32.bmp | satellite32.bmp-withWavelet_haar-G_0.8-H3e-005_af2.wfa    | 98304   | 32768  | 32768  | 26 | 21872 | 208 | 208 | 32 | 64  | 14.08320992 | 0.766  | 22288 | 0.22672526  |
| satellite32.bmp | satellite32.bmp-withWavelet_rbio1.1-G_0.8-H3e-005_af2.wfa | 98304   | 32768  | 32768  | 26 | 21872 | 208 | 208 | 32 | 64  | 14.08320992 | 0.781  | 22288 | 0.22672526  |
| satellite32.bmp | satellite32.bmp-withWavelet_sym1-G_0.8-H3e-005_af2.wfa    | 98304   | 32768  | 32768  | 26 | 21872 | 208 | 208 | 32 | 64  | 14.08320992 | 0.781  | 22288 | 0.22672526  |
| satellite32.bmp | satellite32.bmp-withWavelet_bior1.1-G_0.8-H3e-005_af2.wfa | 98304   | 32768  | 32768  | 26 | 21872 | 208 | 208 | 32 | 64  | 14.08320992 | 0.765  | 22288 | 0.22672526  |
| satellite32.bmp | satellite32.bmp-withWavelet_haar-G_0.6-H5e-005_af2.wfa    | 98304   | 32768  | 32768  | 21 | 14352 | 168 | 168 | 32 | 64  | 14.09161959 | 0.579  | 14688 | 0.149414063 |
| satellite32.bmp | satellite32.bmp-withWavelet_rbio1.1-G_0.6-H5e-005_af2.wfa | 98304   | 32768  | 32768  | 21 | 14352 | 168 | 168 | 32 | 64  | 14.09161959 | 0.579  | 14688 | 0.149414063 |
| satellite32.bmp | satellite32.bmp-withWavelet_sym1-G_0.6-H5e-005_af2.wfa    | 98304   | 32768  | 32768  | 21 | 14352 | 168 | 168 | 32 | 64  | 14.09161959 | 0.562  | 14688 | 0.149414063 |
| satellite32.bmp | satellite32.bmp-withWavelet_bior1.1-G_0.6-H5e-005_af2.wfa | 98304   | 32768  | 32768  | 21 | 14352 | 168 | 168 | 32 | 64  | 14.09161959 | 0.579  | 14688 | 0.149414063 |
| satellite32.bmp | satellite32.bmp-withWavelet_haar-G_0.6-H3e-005_af5.wfa    | 98304   | 32768  | 32768  | 19 | 11792 | 152 | 152 | 32 | 64  | 14.09162601 | 0.531  | 12096 | 0.123046875 |
| satellite32.bmp | satellite32.bmp-withWavelet_rbio1.1-G_0.6-H3e-005_af5.wfa | 98304   | 32768  | 32768  | 19 | 11792 | 152 | 152 | 32 | 64  | 14.09162601 | 0.531  | 12096 | 0.123046875 |
| satellite32.bmp | satellite32.bmp-withWavelet_sym1-G_0.6-H3e-005_af5.wfa    | 98304   | 32768  | 32768  | 19 | 11792 | 152 | 152 | 32 | 64  | 14.09162601 | 0.531  | 12096 | 0.123046875 |
| satellite32.bmp | satellite32.bmp-withWavelet_bior1.1-G_0.6-H3e-005_af5.wfa | 98304   | 32768  | 32768  | 19 | 11792 | 152 | 152 | 32 | 64  | 14.09162601 | 0.531  | 12096 | 0.123046875 |
| satellite32.bmp | satellite32.bmp-withWavelet_haar-G_1-H2e-005_af4.wfa      | 1572864 | 524288 | 524288 | 35 | 39440 | 280 | 280 | 32 | 256 | 14.0949263  | 25.875 | 40000 | 0.025431315 |
| satellite32.bmp | satellite32.bmp-withWavelet_rbio1.1-G_1-H2e-005_af4.wfa   | 1572864 | 524288 | 524288 | 35 | 39440 | 280 | 280 | 32 | 256 | 14.0949263  | 25.797 | 40000 | 0.025431315 |
| satellite32.bmp | satellite32.bmp-withWavelet_sym1-G_1-H2e-005_af4.wfa      | 1572864 | 524288 | 524288 | 35 | 39440 | 280 | 280 | 32 | 256 | 14.0949263  | 26.344 | 40000 | 0.025431315 |
| satellite32.bmp | satellite32.bmp-withWavelet_bior1.1-G_1-H2e-005_af4.wfa   | 1572864 | 524288 | 524288 | 35 | 39440 | 280 | 280 | 32 | 256 | 14.0949263  | 25.828 | 40000 | 0.025431315 |
| satellite32.bmp | satellite32.bmp-withWavelet_haar-G_1-H5e-005_af4.wfa      | 393216  | 131072 | 131072 | 32 | 33008 | 256 | 256 | 32 | 128 | 14.09566048 | 4.735  | 33520 | 0.085245768 |
| satellite32.bmp | satellite32.bmp-withWavelet_rbio1.1-G_1-H5e-005_af4.wfa   | 393216  | 131072 | 131072 | 32 | 33008 | 256 | 256 | 32 | 128 | 14.09566048 | 5.219  | 33520 | 0.085245768 |
| satellite32.bmp | satellite32.bmp-withWavelet_sym1-G_1-H5e-005_af4.wfa      | 393216  | 131072 | 131072 | 32 | 33008 | 256 | 256 | 32 | 128 | 14.09566048 | 4.687  | 33520 | 0.085245768 |



|                 |   |         |        |        |    |       |     |     |    |     |             |        |       |             |
|-----------------|---|---------|--------|--------|----|-------|-----|-----|----|-----|-------------|--------|-------|-------------|
| satellite32.bmp | satellite32.bmp-withWavelet_bior1.1-G_1-H5e-005_af4.wfa   | 393216  | 131072 | 131072 | 32 | 33008 | 256 | 256 | 32 | 128 | 14.09566048 | 4.719  | 33520 | 0.085245768 |
| satellite32.bmp | satellite32.bmp-withWavelet_haar-G_0.6-H7e-005_af3.wfa    | 1572864 | 524288 | 524288 | 26 | 21872 | 208 | 208 | 32 | 256 | 14.09791272 | 15.031 | 22288 | 0.014170329 |
| satellite32.bmp | satellite32.bmp-withWavelet_rbio1.1-G_0.6-H7e-005_af3.wfa | 1572864 | 524288 | 524288 | 26 | 21872 | 208 | 208 | 32 | 256 | 14.09791272 | 15.094 | 22288 | 0.014170329 |
| satellite32.bmp | satellite32.bmp-withWavelet_sym1-G_0.6-H7e-005_af3.wfa    | 1572864 | 524288 | 524288 | 26 | 21872 | 208 | 208 | 32 | 256 | 14.09791272 | 15     | 22288 | 0.014170329 |
| satellite32.bmp | satellite32.bmp-withWavelet_bior1.1-G_0.6-H7e-005_af3.wfa | 1572864 | 524288 | 524288 | 26 | 21872 | 208 | 208 | 32 | 256 | 14.09791272 | 17.219 | 22288 | 0.014170329 |
| satellite32.bmp | satellite32.bmp-withWavelet_haar-G_0.6-H1e-005_af3.wfa    | 1572864 | 524288 | 524288 | 34 | 37232 | 272 | 272 | 32 | 256 | 14.10566247 | 23.765 | 37776 | 0.024017334 |
| satellite32.bmp | satellite32.bmp-withWavelet_rbio1.1-G_0.6-H1e-005_af3.wfa | 1572864 | 524288 | 524288 | 34 | 37232 | 272 | 272 | 32 | 256 | 14.10566247 | 23.781 | 37776 | 0.024017334 |
| satellite32.bmp | satellite32.bmp-withWavelet_sym1-G_0.6-H1e-005_af3.wfa    | 1572864 | 524288 | 524288 | 34 | 37232 | 272 | 272 | 32 | 256 | 14.10566247 | 23.719 | 37776 | 0.024017334 |
| satellite32.bmp | satellite32.bmp-withWavelet_bior1.1-G_0.6-H1e-005_af3.wfa | 1572864 | 524288 | 524288 | 34 | 37232 | 272 | 272 | 32 | 256 | 14.10566247 | 23.719 | 37776 | 0.024017334 |
| satellite32.bmp | satellite32.bmp-withWavelet_haar-G_0.6-H2e-005_af5.wfa    | 98304   | 32768  | 32768  | 20 | 13040 | 160 | 160 | 32 | 64  | 14.10618179 | 0.547  | 13360 | 0.135904948 |
| satellite32.bmp | satellite32.bmp-withWavelet_rbio1.1-G_0.6-H2e-005_af5.wfa | 98304   | 32768  | 32768  | 20 | 13040 | 160 | 160 | 32 | 64  | 14.10618179 | 0.562  | 13360 | 0.135904948 |
| satellite32.bmp | satellite32.bmp-withWavelet_sym1-G_0.6-H2e-005_af5.wfa    | 98304   | 32768  | 32768  | 20 | 13040 | 160 | 160 | 32 | 64  | 14.10618179 | 0.547  | 13360 | 0.135904948 |
| satellite32.bmp | satellite32.bmp-withWavelet_bior1.1-G_0.6-H2e-005_af5.wfa | 98304   | 32768  | 32768  | 20 | 13040 | 160 | 160 | 32 | 64  | 14.10618179 | 0.531  | 13360 | 0.135904948 |
| satellite32.bmp | satellite32.bmp-withWavelet_haar-G_0.8-H3e-005_af4.wfa    | 1572864 | 524288 | 524288 | 33 | 35088 | 264 | 264 | 32 | 256 | 14.11079516 | 22.594 | 35616 | 0.022644043 |
| satellite32.bmp | satellite32.bmp-withWavelet_rbio1.1-G_0.8-H3e-005_af4.wfa | 1572864 | 524288 | 524288 | 33 | 35088 | 264 | 264 | 32 | 256 | 14.11079516 | 22.625 | 35616 | 0.022644043 |
| satellite32.bmp | satellite32.bmp-withWavelet_sym1-G_0.8-H3e-005_af4.wfa    | 1572864 | 524288 | 524288 | 33 | 35088 | 264 | 264 | 32 | 256 | 14.11079516 | 22.547 | 35616 | 0.022644043 |
| satellite32.bmp | satellite32.bmp-withWavelet_bior1.1-G_0.8-H3e-005_af4.wfa | 1572864 | 524288 | 524288 | 33 | 35088 | 264 | 264 | 32 | 256 | 14.11079516 | 22.593 | 35616 | 0.022644043 |
| satellite32.bmp | satellite32.bmp-withWavelet_haar-G_0.8-H4e-005_af4.wfa    | 1572864 | 524288 | 524288 | 33 | 35088 | 264 | 264 | 32 | 256 | 14.11079516 | 22.688 | 35616 | 0.022644043 |
| satellite32.bmp | satellite32.bmp-withWavelet_rbio1.1-G_0.8-H4e-005_af4.wfa | 1572864 | 524288 | 524288 | 33 | 35088 | 264 | 264 | 32 | 256 | 14.11079516 | 22.672 | 35616 | 0.022644043 |
| satellite32.bmp | satellite32.bmp-withWavelet_sym1-G_0.8-H4e-005_af4.wfa    | 1572864 | 524288 | 524288 | 33 | 35088 | 264 | 264 | 32 | 256 | 14.11079516 | 22.609 | 35616 | 0.022644043 |
| satellite32.bmp | satellite32.bmp-withWavelet_bior1.1-G_0.8-H4e-005_af4.wfa | 1572864 | 524288 | 524288 | 33 | 35088 | 264 | 264 | 32 | 256 | 14.11079516 | 22.625 | 35616 | 0.022644043 |
| satellite32.bmp | satellite32.bmp-withWavelet_haar-G_0.8-H5e-005_af4.wfa    | 1572864 | 524288 | 524288 | 33 | 35088 | 264 | 264 | 32 | 256 | 14.11079516 | 22.656 | 35616 | 0.022644043 |
| satellite32.bmp | satellite32.bmp-withWavelet_rbio1.1-G_0.8-H5e-005_af4.wfa | 1572864 | 524288 | 524288 | 33 | 35088 | 264 | 264 | 32 | 256 | 14.11079516 | 22.578 | 35616 | 0.022644043 |
| satellite32.bmp | satellite32.bmp-withWavelet_sym1-G_0.8-H5e-005_af4.wfa    | 1572864 | 524288 | 524288 | 33 | 35088 | 264 | 264 | 32 | 256 | 14.11079516 | 22.766 | 35616 | 0.022644043 |
| satellite32.bmp | satellite32.bmp-withWavelet_bior1.1-G_0.8-H5e-005_af4.wfa | 1572864 | 524288 | 524288 | 33 | 35088 | 264 | 264 | 32 | 256 | 14.11079516 | 22.625 | 35616 | 0.022644043 |
| satellite32.bmp | satellite32.bmp-withWavelet_haar-G_0.8-H4e-005_af2.wfa    | 98304   | 32768  | 32768  | 25 | 20240 | 200 | 200 | 32 | 64  | 14.11270529 | 0.75   | 20640 | 0.209960938 |
| satellite32.bmp | satellite32.bmp-withWavelet_rbio1.1-G_0.8-H4e-005_af2.wfa | 98304   | 32768  | 32768  | 25 | 20240 | 200 | 200 | 32 | 64  | 14.11270529 | 0.75   | 20640 | 0.209960938 |
| satellite32.bmp | satellite32.bmp-withWavelet_sym1-G_0.8-H4e-005_af2.wfa    | 98304   | 32768  | 32768  | 25 | 20240 | 200 | 200 | 32 | 64  | 14.11270529 | 0.766  | 20640 | 0.209960938 |
| satellite32.bmp | satellite32.bmp-withWavelet_bior1.1-G_0.8-H4e-005_af2.wfa | 98304   | 32768  | 32768  | 25 | 20240 | 200 | 200 | 32 | 64  | 14.11270529 | 0.75   | 20640 | 0.209960938 |
| satellite32.bmp | satellite32.bmp-withWavelet_haar-G_0.6-H6e-005_af3.wfa    | 1572864 | 524288 | 524288 | 27 | 23568 | 216 | 216 | 32 | 256 | 14.11349411 | 16.297 | 24000 | 0.015258789 |
| satellite32.bmp | satellite32.bmp-withWavelet_rbio1.1-G_0.6-H6e-005_af3.wfa | 1572864 | 524288 | 524288 | 27 | 23568 | 216 | 216 | 32 | 256 | 14.11349411 | 16.234 | 24000 | 0.015258789 |

|                 |   |         |        |        |    |       |     |     |    |     |             |        |       |             |
|-----------------|---|---------|--------|--------|----|-------|-----|-----|----|-----|-------------|--------|-------|-------------|
| satellite32.bmp | satellite32.bmp-withWavelet_sym1-G_0.6-H6e-005_af3.wfa    | 1572864 | 524288 | 524288 | 27 | 23568 | 216 | 216 | 32 | 256 | 14.11349411 | 16.265 | 24000 | 0.015258789 |
| satellite32.bmp | satellite32.bmp-withWavelet_bior1.1-G_0.6-H6e-005_af3.wfa | 1572864 | 524288 | 524288 | 27 | 23568 | 216 | 216 | 32 | 256 | 14.11349411 | 16.297 | 24000 | 0.015258789 |
| satellite32.bmp | satellite32.bmp-withWavelet_haar-G_0.8-H4e-005_af2.wfa    | 1572864 | 524288 | 524288 | 25 | 20240 | 200 | 200 | 32 | 256 | 14.12420682 | 14.468 | 20640 | 0.013122559 |
| satellite32.bmp | satellite32.bmp-withWavelet_rbio1.1-G_0.8-H4e-005_af2.wfa | 1572864 | 524288 | 524288 | 25 | 20240 | 200 | 200 | 32 | 256 | 14.12420682 | 15.031 | 20640 | 0.013122559 |
| satellite32.bmp | satellite32.bmp-withWavelet_sym1-G_0.8-H4e-005_af2.wfa    | 1572864 | 524288 | 524288 | 25 | 20240 | 200 | 200 | 32 | 256 | 14.12420682 | 14.453 | 20640 | 0.013122559 |
| satellite32.bmp | satellite32.bmp-withWavelet_bior1.1-G_0.8-H4e-005_af2.wfa | 1572864 | 524288 | 524288 | 25 | 20240 | 200 | 200 | 32 | 256 | 14.12420682 | 14.421 | 20640 | 0.013122559 |
| satellite32.bmp | satellite32.bmp-withWavelet_haar-G_1-H4e-005_af2.wfa      | 98304   | 32768  | 32768  | 25 | 20240 | 200 | 200 | 32 | 64  | 14.1335876  | 0.75   | 20640 | 0.209960938 |
| satellite32.bmp | satellite32.bmp-withWavelet_rbio1.1-G_1-H4e-005_af2.wfa   | 98304   | 32768  | 32768  | 25 | 20240 | 200 | 200 | 32 | 64  | 14.1335876  | 0.766  | 20640 | 0.209960938 |
| satellite32.bmp | satellite32.bmp-withWavelet_sym1-G_1-H4e-005_af2.wfa      | 98304   | 32768  | 32768  | 25 | 20240 | 200 | 200 | 32 | 64  | 14.1335876  | 0.75   | 20640 | 0.209960938 |
| satellite32.bmp | satellite32.bmp-withWavelet_bior1.1-G_1-H4e-005_af2.wfa   | 98304   | 32768  | 32768  | 25 | 20240 | 200 | 200 | 32 | 64  | 14.1335876  | 0.75   | 20640 | 0.209960938 |
| satellite32.bmp | satellite32.bmp-withWavelet_haar-G_0.8-H4e-005_af1.wfa    | 1572864 | 524288 | 524288 | 34 | 37232 | 272 | 272 | 32 | 256 | 14.13369212 | 26.89  | 37776 | 0.024017334 |
| satellite32.bmp | satellite32.bmp-withWavelet_rbio1.1-G_0.8-H4e-005_af1.wfa | 1572864 | 524288 | 524288 | 34 | 37232 | 272 | 272 | 32 | 256 | 14.13369212 | 23.781 | 37776 | 0.024017334 |
| satellite32.bmp | satellite32.bmp-withWavelet_sym1-G_0.8-H4e-005_af1.wfa    | 1572864 | 524288 | 524288 | 34 | 37232 | 272 | 272 | 32 | 256 | 14.13369212 | 26.765 | 37776 | 0.024017334 |
| satellite32.bmp | satellite32.bmp-withWavelet_bior1.1-G_0.8-H4e-005_af1.wfa | 1572864 | 524288 | 524288 | 34 | 37232 | 272 | 272 | 32 | 256 | 14.13369212 | 23.844 | 37776 | 0.024017334 |
| satellite32.bmp | satellite32.bmp-withWavelet_haar-G_1-H4e-005_af1.wfa      | 1572864 | 524288 | 524288 | 34 | 37232 | 272 | 272 | 32 | 256 | 14.13848099 | 27.172 | 37776 | 0.024017334 |
| satellite32.bmp | satellite32.bmp-withWavelet_rbio1.1-G_1-H4e-005_af1.wfa   | 1572864 | 524288 | 524288 | 34 | 37232 | 272 | 272 | 32 | 256 | 14.13848099 | 23.828 | 37776 | 0.024017334 |
| satellite32.bmp | satellite32.bmp-withWavelet_sym1-G_1-H4e-005_af1.wfa      | 1572864 | 524288 | 524288 | 34 | 37232 | 272 | 272 | 32 | 256 | 14.13848099 | 27.109 | 37776 | 0.024017334 |
| satellite32.bmp | satellite32.bmp-withWavelet_bior1.1-G_1-H4e-005_af1.wfa   | 1572864 | 524288 | 524288 | 34 | 37232 | 272 | 272 | 32 | 256 | 14.13848099 | 23.89  | 37776 | 0.024017334 |
| satellite32.bmp | satellite32.bmp-withWavelet_haar-G_0.6-H4e-005_af5.wfa    | 393216  | 131072 | 131072 | 15 | 7440  | 120 | 120 | 32 | 128 | 14.13919044 | 1.86   | 7680  | 0.01953125  |
| satellite32.bmp | satellite32.bmp-withWavelet_rbio1.1-G_0.6-H4e-005_af5.wfa | 393216  | 131072 | 131072 | 15 | 7440  | 120 | 120 | 32 | 128 | 14.13919044 | 1.891  | 7680  | 0.01953125  |
| satellite32.bmp | satellite32.bmp-withWavelet_sym1-G_0.6-H4e-005_af5.wfa    | 393216  | 131072 | 131072 | 15 | 7440  | 120 | 120 | 32 | 128 | 14.13919044 | 1.86   | 7680  | 0.01953125  |
| satellite32.bmp | satellite32.bmp-withWavelet_bior1.1-G_0.6-H4e-005_af5.wfa | 393216  | 131072 | 131072 | 15 | 7440  | 120 | 120 | 32 | 128 | 14.13919044 | 1.906  | 7680  | 0.01953125  |
| satellite32.bmp | satellite32.bmp-withWavelet_haar-G_0.6-H6e-005_af2.wfa    | 98304   | 32768  | 32768  | 19 | 11792 | 152 | 152 | 32 | 64  | 14.15226846 | 0.516  | 12096 | 0.123046875 |
| satellite32.bmp | satellite32.bmp-withWavelet_rbio1.1-G_0.6-H6e-005_af2.wfa | 98304   | 32768  | 32768  | 19 | 11792 | 152 | 152 | 32 | 64  | 14.15226846 | 0.516  | 12096 | 0.123046875 |
| satellite32.bmp | satellite32.bmp-withWavelet_sym1-G_0.6-H6e-005_af2.wfa    | 98304   | 32768  | 32768  | 19 | 11792 | 152 | 152 | 32 | 64  | 14.15226846 | 0.531  | 12096 | 0.123046875 |
| satellite32.bmp | satellite32.bmp-withWavelet_bior1.1-G_0.6-H6e-005_af2.wfa | 98304   | 32768  | 32768  | 19 | 11792 | 152 | 152 | 32 | 64  | 14.15226846 | 0.531  | 12096 | 0.123046875 |
| satellite32.bmp | satellite32.bmp-withWavelet_haar-G_1-H4e-005_af2.wfa      | 1572864 | 524288 | 524288 | 25 | 20240 | 200 | 200 | 32 | 256 | 14.17585527 | 14.438 | 20640 | 0.013122559 |
| satellite32.bmp | satellite32.bmp-withWavelet_rbio1.1-G_1-H4e-005_af2.wfa   | 1572864 | 524288 | 524288 | 25 | 20240 | 200 | 200 | 32 | 256 | 14.17585527 | 14.391 | 20640 | 0.013122559 |
| satellite32.bmp | satellite32.bmp-withWavelet_sym1-G_1-H4e-005_af2.wfa      | 1572864 | 524288 | 524288 | 25 | 20240 | 200 | 200 | 32 | 256 | 14.17585527 | 14.407 | 20640 | 0.013122559 |
| satellite32.bmp | satellite32.bmp-withWavelet_bior1.1-G_1-H4e-005_af2.wfa   | 1572864 | 524288 | 524288 | 25 | 20240 | 200 | 200 | 32 | 256 | 14.17585527 | 14.437 | 20640 | 0.013122559 |
| satellite32.bmp | satellite32.bmp-withWavelet_haar-G_0.8-H1e-005_af2.wfa    | 98304   | 32768  | 32768  | 32 | 33008 | 256 | 256 | 32 | 64  | 14.18312541 | 1.047  | 33520 | 0.340983073 |

|                 |   |         |        |        |    |       |     |     |    |     |             |        |       |             |
|-----------------|---|---------|--------|--------|----|-------|-----|-----|----|-----|-------------|--------|-------|-------------|
| satellite32.bmp | satellite32.bmp-withWavelet_rbio1.1-G_0.8-H1e-005_af2.wfa | 98304   | 32768  | 32768  | 32 | 33008 | 256 | 256 | 32 | 64  | 14.18312541 | 1.046  | 33520 | 0.340983073 |
| satellite32.bmp | satellite32.bmp-withWavelet_sym1-G_0.8-H1e-005_af2.wfa    | 98304   | 32768  | 32768  | 32 | 33008 | 256 | 256 | 32 | 64  | 14.18312541 | 1.031  | 33520 | 0.340983073 |
| satellite32.bmp | satellite32.bmp-withWavelet_bior1.1-G_0.8-H1e-005_af2.wfa | 98304   | 32768  | 32768  | 32 | 33008 | 256 | 256 | 32 | 64  | 14.18312541 | 1.047  | 33520 | 0.340983073 |
| satellite32.bmp | satellite32.bmp-withWavelet_haar-G_0.8-H2e-005_af2.wfa    | 1572864 | 524288 | 524288 | 30 | 29040 | 240 | 240 | 32 | 256 | 14.18584118 | 18.797 | 29520 | 0.018768311 |
| satellite32.bmp | satellite32.bmp-withWavelet_rbio1.1-G_0.8-H2e-005_af2.wfa | 1572864 | 524288 | 524288 | 30 | 29040 | 240 | 240 | 32 | 256 | 14.18584118 | 18.86  | 29520 | 0.018768311 |
| satellite32.bmp | satellite32.bmp-withWavelet_sym1-G_0.8-H2e-005_af2.wfa    | 1572864 | 524288 | 524288 | 30 | 29040 | 240 | 240 | 32 | 256 | 14.18584118 | 18.672 | 29520 | 0.018768311 |
| satellite32.bmp | satellite32.bmp-withWavelet_bior1.1-G_0.8-H2e-005_af2.wfa | 1572864 | 524288 | 524288 | 30 | 29040 | 240 | 240 | 32 | 256 | 14.18584118 | 19.266 | 29520 | 0.018768311 |
| satellite32.bmp | satellite32.bmp-withWavelet_haar-G_1-H2e-005_af2.wfa      | 1572864 | 524288 | 524288 | 30 | 29040 | 240 | 240 | 32 | 256 | 14.19981811 | 19.188 | 29520 | 0.018768311 |
| satellite32.bmp | satellite32.bmp-withWavelet_rbio1.1-G_1-H2e-005_af2.wfa   | 1572864 | 524288 | 524288 | 30 | 29040 | 240 | 240 | 32 | 256 | 14.19981811 | 18.688 | 29520 | 0.018768311 |
| satellite32.bmp | satellite32.bmp-withWavelet_sym1-G_1-H2e-005_af2.wfa      | 1572864 | 524288 | 524288 | 30 | 29040 | 240 | 240 | 32 | 256 | 14.19981811 | 18.813 | 29520 | 0.018768311 |
| satellite32.bmp | satellite32.bmp-withWavelet_bior1.1-G_1-H2e-005_af2.wfa   | 1572864 | 524288 | 524288 | 30 | 29040 | 240 | 240 | 32 | 256 | 14.19981811 | 18.781 | 29520 | 0.018768311 |
| satellite32.bmp | satellite32.bmp-withWavelet_haar-G_1-H5e-005_af1.wfa      | 1572864 | 524288 | 524288 | 33 | 35088 | 264 | 264 | 32 | 256 | 14.20273838 | 25.937 | 35616 | 0.022644043 |
| satellite32.bmp | satellite32.bmp-withWavelet_rbio1.1-G_1-H5e-005_af1.wfa   | 1572864 | 524288 | 524288 | 33 | 35088 | 264 | 264 | 32 | 256 | 14.20273838 | 22.609 | 35616 | 0.022644043 |
| satellite32.bmp | satellite32.bmp-withWavelet_sym1-G_1-H5e-005_af1.wfa      | 1572864 | 524288 | 524288 | 33 | 35088 | 264 | 264 | 32 | 256 | 14.20273838 | 25.859 | 35616 | 0.022644043 |
| satellite32.bmp | satellite32.bmp-withWavelet_bior1.1-G_1-H5e-005_af1.wfa   | 1572864 | 524288 | 524288 | 33 | 35088 | 264 | 264 | 32 | 256 | 14.20273838 | 22.625 | 35616 | 0.022644043 |
| satellite32.bmp | satellite32.bmp-withWavelet_haar-G_0.8-H1e-005_af3.wfa    | 1572864 | 524288 | 524288 | 34 | 37232 | 272 | 272 | 32 | 256 | 14.20487056 | 23.75  | 37776 | 0.024017334 |
| satellite32.bmp | satellite32.bmp-withWavelet_rbio1.1-G_0.8-H1e-005_af3.wfa | 1572864 | 524288 | 524288 | 34 | 37232 | 272 | 272 | 32 | 256 | 14.20487056 | 23.734 | 37776 | 0.024017334 |
| satellite32.bmp | satellite32.bmp-withWavelet_sym1-G_0.8-H1e-005_af3.wfa    | 1572864 | 524288 | 524288 | 34 | 37232 | 272 | 272 | 32 | 256 | 14.20487056 | 23.719 | 37776 | 0.024017334 |
| satellite32.bmp | satellite32.bmp-withWavelet_bior1.1-G_0.8-H1e-005_af3.wfa | 1572864 | 524288 | 524288 | 34 | 37232 | 272 | 272 | 32 | 256 | 14.20487056 | 23.719 | 37776 | 0.024017334 |
| satellite32.bmp | satellite32.bmp-withWavelet_haar-G_1-H1e-005_af3.wfa      | 1572864 | 524288 | 524288 | 34 | 37232 | 272 | 272 | 32 | 256 | 14.20552785 | 23.766 | 37776 | 0.024017334 |
| satellite32.bmp | satellite32.bmp-withWavelet_rbio1.1-G_1-H1e-005_af3.wfa   | 1572864 | 524288 | 524288 | 34 | 37232 | 272 | 272 | 32 | 256 | 14.20552785 | 23.672 | 37776 | 0.024017334 |
| satellite32.bmp | satellite32.bmp-withWavelet_sym1-G_1-H1e-005_af3.wfa      | 1572864 | 524288 | 524288 | 34 | 37232 | 272 | 272 | 32 | 256 | 14.20552785 | 24.047 | 37776 | 0.024017334 |
| satellite32.bmp | satellite32.bmp-withWavelet_bior1.1-G_1-H1e-005_af3.wfa   | 1572864 | 524288 | 524288 | 34 | 37232 | 272 | 272 | 32 | 256 | 14.20552785 | 24.141 | 37776 | 0.024017334 |
| satellite32.bmp | satellite32.bmp-withWavelet_haar-G_1-H1e-005_af2.wfa      | 1572864 | 524288 | 524288 | 31 | 30992 | 248 | 248 | 32 | 256 | 14.20725003 | 20.047 | 31488 | 0.020019531 |
| satellite32.bmp | satellite32.bmp-withWavelet_rbio1.1-G_1-H1e-005_af2.wfa   | 1572864 | 524288 | 524288 | 31 | 30992 | 248 | 248 | 32 | 256 | 14.20725003 | 20.109 | 31488 | 0.020019531 |
| satellite32.bmp | satellite32.bmp-withWavelet_sym1-G_1-H1e-005_af2.wfa      | 1572864 | 524288 | 524288 | 31 | 30992 | 248 | 248 | 32 | 256 | 14.20725003 | 20.171 | 31488 | 0.020019531 |
| satellite32.bmp | satellite32.bmp-withWavelet_bior1.1-G_1-H1e-005_af2.wfa   | 1572864 | 524288 | 524288 | 31 | 30992 | 248 | 248 | 32 | 256 | 14.20725003 | 20.11  | 31488 | 0.020019531 |
| satellite32.bmp | satellite32.bmp-withWavelet_haar-G_0.8-H3e-005_af5.wfa    | 393216  | 131072 | 131072 | 17 | 9488  | 136 | 136 | 32 | 128 | 14.22085504 | 2.047  | 9760  | 0.024820964 |
| satellite32.bmp | satellite32.bmp-withWavelet_rbio1.1-G_0.8-H3e-005_af5.wfa | 393216  | 131072 | 131072 | 17 | 9488  | 136 | 136 | 32 | 128 | 14.22085504 | 2      | 9760  | 0.024820964 |
| satellite32.bmp | satellite32.bmp-withWavelet_sym1-G_0.8-H3e-005_af5.wfa    | 393216  | 131072 | 131072 | 17 | 9488  | 136 | 136 | 32 | 128 | 14.22085504 | 2      | 9760  | 0.024820964 |
| satellite32.bmp | satellite32.bmp-withWavelet_bior1.1-G_0.8-H3e-005_af5.wfa | 393216  | 131072 | 131072 | 17 | 9488  | 136 | 136 | 32 | 128 | 14.22085504 | 2.11   | 9760  | 0.024820964 |

|                 |   |         |        |        |    |       |     |     |    |     |             |        |       |             |
|-----------------|---|---------|--------|--------|----|-------|-----|-----|----|-----|-------------|--------|-------|-------------|
| satellite32.bmp | satellite32.bmp-withWavelet_haar-G_1-H3e-005_af4.wfa      | 1572864 | 524288 | 524288 | 33 | 35088 | 264 | 264 | 32 | 256 | 14.22097692 | 22.594 | 35616 | 0.022644043 |
| satellite32.bmp | satellite32.bmp-withWavelet_rbio1.1-G_1-H3e-005_af4.wfa   | 1572864 | 524288 | 524288 | 33 | 35088 | 264 | 264 | 32 | 256 | 14.22097692 | 22.547 | 35616 | 0.022644043 |
| satellite32.bmp | satellite32.bmp-withWavelet_sym1-G_1-H3e-005_af4.wfa      | 1572864 | 524288 | 524288 | 33 | 35088 | 264 | 264 | 32 | 256 | 14.22097692 | 22.563 | 35616 | 0.022644043 |
| satellite32.bmp | satellite32.bmp-withWavelet_bior1.1-G_1-H3e-005_af4.wfa   | 1572864 | 524288 | 524288 | 33 | 35088 | 264 | 264 | 32 | 256 | 14.22097692 | 22.672 | 35616 | 0.022644043 |
| satellite32.bmp | satellite32.bmp-withWavelet_haar-G_1-H4e-005_af4.wfa      | 1572864 | 524288 | 524288 | 33 | 35088 | 264 | 264 | 32 | 256 | 14.22097692 | 22.547 | 35616 | 0.022644043 |
| satellite32.bmp | satellite32.bmp-withWavelet_rbio1.1-G_1-H4e-005_af4.wfa   | 1572864 | 524288 | 524288 | 33 | 35088 | 264 | 264 | 32 | 256 | 14.22097692 | 22.453 | 35616 | 0.022644043 |
| satellite32.bmp | satellite32.bmp-withWavelet_sym1-G_1-H4e-005_af4.wfa      | 1572864 | 524288 | 524288 | 33 | 35088 | 264 | 264 | 32 | 256 | 14.22097692 | 22.532 | 35616 | 0.022644043 |
| satellite32.bmp | satellite32.bmp-withWavelet_bior1.1-G_1-H4e-005_af4.wfa   | 1572864 | 524288 | 524288 | 33 | 35088 | 264 | 264 | 32 | 256 | 14.22097692 | 22.609 | 35616 | 0.022644043 |
| satellite32.bmp | satellite32.bmp-withWavelet_haar-G_0.8-H2e-005_af3.wfa    | 393216  | 131072 | 131072 | 32 | 33008 | 256 | 256 | 32 | 128 | 14.22499298 | 4.703  | 33520 | 0.085245768 |
| satellite32.bmp | satellite32.bmp-withWavelet_rbio1.1-G_0.8-H2e-005_af3.wfa | 393216  | 131072 | 131072 | 32 | 33008 | 256 | 256 | 32 | 128 | 14.22499298 | 4.703  | 33520 | 0.085245768 |
| satellite32.bmp | satellite32.bmp-withWavelet_sym1-G_0.8-H2e-005_af3.wfa    | 393216  | 131072 | 131072 | 32 | 33008 | 256 | 256 | 32 | 128 | 14.22499298 | 4.703  | 33520 | 0.085245768 |
| satellite32.bmp | satellite32.bmp-withWavelet_bior1.1-G_0.8-H2e-005_af3.wfa | 393216  | 131072 | 131072 | 32 | 33008 | 256 | 256 | 32 | 128 | 14.22499298 | 4.687  | 33520 | 0.085245768 |
| satellite32.bmp | satellite32.bmp-withWavelet_haar-G_0.8-H5e-005_af2.wfa    | 98304   | 32768  | 32768  | 23 | 17168 | 184 | 184 | 32 | 64  | 14.22625863 | 0.688  | 17536 | 0.178385417 |
| satellite32.bmp | satellite32.bmp-withWavelet_rbio1.1-G_0.8-H5e-005_af2.wfa | 98304   | 32768  | 32768  | 23 | 17168 | 184 | 184 | 32 | 64  | 14.22625863 | 0.688  | 17536 | 0.178385417 |
| satellite32.bmp | satellite32.bmp-withWavelet_sym1-G_0.8-H5e-005_af2.wfa    | 98304   | 32768  | 32768  | 23 | 17168 | 184 | 184 | 32 | 64  | 14.22625863 | 0.688  | 17536 | 0.178385417 |
| satellite32.bmp | satellite32.bmp-withWavelet_bior1.1-G_0.8-H5e-005_af2.wfa | 98304   | 32768  | 32768  | 23 | 17168 | 184 | 184 | 32 | 64  | 14.22625863 | 0.687  | 17536 | 0.178385417 |
| satellite32.bmp | satellite32.bmp-withWavelet_haar-G_0.8-H2e-005_af5.wfa    | 98304   | 32768  | 32768  | 20 | 13040 | 160 | 160 | 32 | 64  | 14.22906049 | 0.546  | 13360 | 0.135904948 |
| satellite32.bmp | satellite32.bmp-withWavelet_rbio1.1-G_0.8-H2e-005_af5.wfa | 98304   | 32768  | 32768  | 20 | 13040 | 160 | 160 | 32 | 64  | 14.22906049 | 0.531  | 13360 | 0.135904948 |
| satellite32.bmp | satellite32.bmp-withWavelet_sym1-G_0.8-H2e-005_af5.wfa    | 98304   | 32768  | 32768  | 20 | 13040 | 160 | 160 | 32 | 64  | 14.22906049 | 0.531  | 13360 | 0.135904948 |
| satellite32.bmp | satellite32.bmp-withWavelet_bior1.1-G_0.8-H2e-005_af5.wfa | 98304   | 32768  | 32768  | 20 | 13040 | 160 | 160 | 32 | 64  | 14.22906049 | 0.531  | 13360 | 0.135904948 |
| satellite32.bmp | satellite32.bmp-withWavelet_haar-G_0.8-H1e-005_af1.wfa    | 98304   | 32768  | 32768  | 37 | 44048 | 296 | 296 | 32 | 64  | 14.23026403 | 1.406  | 44640 | 0.454101563 |
| satellite32.bmp | satellite32.bmp-withWavelet_rbio1.1-G_0.8-H1e-005_af1.wfa | 98304   | 32768  | 32768  | 37 | 44048 | 296 | 296 | 32 | 64  | 14.23026403 | 1.406  | 44640 | 0.454101563 |
| satellite32.bmp | satellite32.bmp-withWavelet_sym1-G_0.8-H1e-005_af1.wfa    | 98304   | 32768  | 32768  | 37 | 44048 | 296 | 296 | 32 | 64  | 14.23026403 | 1.39   | 44640 | 0.454101563 |
| satellite32.bmp | satellite32.bmp-withWavelet_bior1.1-G_0.8-H1e-005_af1.wfa | 98304   | 32768  | 32768  | 37 | 44048 | 296 | 296 | 32 | 64  | 14.23026403 | 1.5    | 44640 | 0.454101563 |
| satellite32.bmp | satellite32.bmp-withWavelet_haar-G_0.8-H2e-005_af1.wfa    | 98304   | 32768  | 32768  | 37 | 44048 | 296 | 296 | 32 | 64  | 14.23026403 | 1.515  | 44640 | 0.454101563 |
| satellite32.bmp | satellite32.bmp-withWavelet_rbio1.1-G_0.8-H2e-005_af1.wfa | 98304   | 32768  | 32768  | 37 | 44048 | 296 | 296 | 32 | 64  | 14.23026403 | 1.375  | 44640 | 0.454101563 |
| satellite32.bmp | satellite32.bmp-withWavelet_sym1-G_0.8-H2e-005_af1.wfa    | 98304   | 32768  | 32768  | 37 | 44048 | 296 | 296 | 32 | 64  | 14.23026403 | 1.391  | 44640 | 0.454101563 |
| satellite32.bmp | satellite32.bmp-withWavelet_bior1.1-G_0.8-H2e-005_af1.wfa | 98304   | 32768  | 32768  | 37 | 44048 | 296 | 296 | 32 | 64  | 14.23026403 | 1.407  | 44640 | 0.454101563 |
| satellite32.bmp | satellite32.bmp-withWavelet_haar-G_1-H2e-005_af1.wfa      | 98304   | 32768  | 32768  | 37 | 44048 | 296 | 296 | 32 | 64  | 14.23026403 | 1.515  | 44640 | 0.454101563 |
| satellite32.bmp | satellite32.bmp-withWavelet_rbio1.1-G_1-H2e-005_af1.wfa   | 98304   | 32768  | 32768  | 37 | 44048 | 296 | 296 | 32 | 64  | 14.23026403 | 1.375  | 44640 | 0.454101563 |
| satellite32.bmp | satellite32.bmp-withWavelet_sym1-G_1-H2e-005_af1.wfa      | 98304   | 32768  | 32768  | 37 | 44048 | 296 | 296 | 32 | 64  | 14.23026403 | 1.484  | 44640 | 0.454101563 |

|                 |   |         |        |        |    |       |     |     |    |     |             |        |       |             |
|-----------------|---|---------|--------|--------|----|-------|-----|-----|----|-----|-------------|--------|-------|-------------|
| satellite32.bmp | satellite32.bmp-withWavelet_bior1.1-G_1-H2e-005_af1.wfa   | 98304   | 32768  | 32768  | 37 | 44048 | 296 | 296 | 32 | 64  | 14.23026403 | 1.406  | 44640 | 0.454101563 |
| satellite32.bmp | satellite32.bmp-withWavelet_haar-G_0.6-H1e-005_af1.wfa    | 98304   | 32768  | 32768  | 37 | 44048 | 296 | 296 | 32 | 64  | 14.23026403 | 1.391  | 44640 | 0.454101563 |
| satellite32.bmp | satellite32.bmp-withWavelet_rbio1.1-G_0.6-H1e-005_af1.wfa | 98304   | 32768  | 32768  | 37 | 44048 | 296 | 296 | 32 | 64  | 14.23026403 | 1.406  | 44640 | 0.454101563 |
| satellite32.bmp | satellite32.bmp-withWavelet_sym1-G_0.6-H1e-005_af1.wfa    | 98304   | 32768  | 32768  | 37 | 44048 | 296 | 296 | 32 | 64  | 14.23026403 | 1.375  | 44640 | 0.454101563 |
| satellite32.bmp | satellite32.bmp-withWavelet_bior1.1-G_0.6-H1e-005_af1.wfa | 98304   | 32768  | 32768  | 37 | 44048 | 296 | 296 | 32 | 64  | 14.23026403 | 1.406  | 44640 | 0.454101563 |
| satellite32.bmp | satellite32.bmp-withWavelet_haar-G_0.6-H2e-005_af1.wfa    | 98304   | 32768  | 32768  | 37 | 44048 | 296 | 296 | 32 | 64  | 14.23026403 | 1.515  | 44640 | 0.454101563 |
| satellite32.bmp | satellite32.bmp-withWavelet_rbio1.1-G_0.6-H2e-005_af1.wfa | 98304   | 32768  | 32768  | 37 | 44048 | 296 | 296 | 32 | 64  | 14.23026403 | 1.39   | 44640 | 0.454101563 |
| satellite32.bmp | satellite32.bmp-withWavelet_sym1-G_0.6-H2e-005_af1.wfa    | 98304   | 32768  | 32768  | 37 | 44048 | 296 | 296 | 32 | 64  | 14.23026403 | 1.531  | 44640 | 0.454101563 |
| satellite32.bmp | satellite32.bmp-withWavelet_bior1.1-G_0.6-H2e-005_af1.wfa | 98304   | 32768  | 32768  | 37 | 44048 | 296 | 296 | 32 | 64  | 14.23026403 | 1.422  | 44640 | 0.454101563 |
| satellite32.bmp | satellite32.bmp-withWavelet_haar-G_1-H1e-005_af1.wfa      | 98304   | 32768  | 32768  | 37 | 44048 | 296 | 296 | 32 | 64  | 14.23026403 | 1.391  | 44640 | 0.454101563 |
| satellite32.bmp | satellite32.bmp-withWavelet_rbio1.1-G_1-H1e-005_af1.wfa   | 98304   | 32768  | 32768  | 37 | 44048 | 296 | 296 | 32 | 64  | 14.23026403 | 1.39   | 44640 | 0.454101563 |
| satellite32.bmp | satellite32.bmp-withWavelet_sym1-G_1-H1e-005_af1.wfa      | 98304   | 32768  | 32768  | 37 | 44048 | 296 | 296 | 32 | 64  | 14.23026403 | 1.375  | 44640 | 0.454101563 |
| satellite32.bmp | satellite32.bmp-withWavelet_bior1.1-G_1-H1e-005_af1.wfa   | 98304   | 32768  | 32768  | 37 | 44048 | 296 | 296 | 32 | 64  | 14.23026403 | 1.547  | 44640 | 0.454101563 |
| satellite32.bmp | satellite32.bmp-withWavelet_haar-G_0.8-H5e-005_af1.wfa    | 1572864 | 524288 | 524288 | 32 | 33008 | 256 | 256 | 32 | 256 | 14.23231833 | 24.141 | 33520 | 0.021311442 |
| satellite32.bmp | satellite32.bmp-withWavelet_rbio1.1-G_0.8-H5e-005_af1.wfa | 1572864 | 524288 | 524288 | 32 | 33008 | 256 | 256 | 32 | 256 | 14.23231833 | 21.156 | 33520 | 0.021311442 |
| satellite32.bmp | satellite32.bmp-withWavelet_sym1-G_0.8-H5e-005_af1.wfa    | 1572864 | 524288 | 524288 | 32 | 33008 | 256 | 256 | 32 | 256 | 14.23231833 | 21.078 | 33520 | 0.021311442 |
| satellite32.bmp | satellite32.bmp-withWavelet_bior1.1-G_0.8-H5e-005_af1.wfa | 1572864 | 524288 | 524288 | 32 | 33008 | 256 | 256 | 32 | 256 | 14.23231833 | 21.047 | 33520 | 0.021311442 |
| satellite32.bmp | satellite32.bmp-withWavelet_haar-G_1-H2e-005_af3.wfa      | 393216  | 131072 | 131072 | 32 | 33008 | 256 | 256 | 32 | 128 | 14.23649822 | 4.688  | 33520 | 0.085245768 |
| satellite32.bmp | satellite32.bmp-withWavelet_rbio1.1-G_1-H2e-005_af3.wfa   | 393216  | 131072 | 131072 | 32 | 33008 | 256 | 256 | 32 | 128 | 14.23649822 | 4.703  | 33520 | 0.085245768 |
| satellite32.bmp | satellite32.bmp-withWavelet_sym1-G_1-H2e-005_af3.wfa      | 393216  | 131072 | 131072 | 32 | 33008 | 256 | 256 | 32 | 128 | 14.23649822 | 4.672  | 33520 | 0.085245768 |
| satellite32.bmp | satellite32.bmp-withWavelet_bior1.1-G_1-H2e-005_af3.wfa   | 393216  | 131072 | 131072 | 32 | 33008 | 256 | 256 | 32 | 128 | 14.23649822 | 4.672  | 33520 | 0.085245768 |
| satellite32.bmp | satellite32.bmp-withWavelet_haar-G_0.6-H1e-005_af4.wfa    | 98304   | 32768  | 32768  | 36 | 41712 | 288 | 288 | 32 | 64  | 14.2371051  | 1.438  | 42288 | 0.430175781 |
| satellite32.bmp | satellite32.bmp-withWavelet_rbio1.1-G_0.6-H1e-005_af4.wfa | 98304   | 32768  | 32768  | 36 | 41712 | 288 | 288 | 32 | 64  | 14.2371051  | 1.297  | 42288 | 0.430175781 |
| satellite32.bmp | satellite32.bmp-withWavelet_sym1-G_0.6-H1e-005_af4.wfa    | 98304   | 32768  | 32768  | 36 | 41712 | 288 | 288 | 32 | 64  | 14.2371051  | 1.375  | 42288 | 0.430175781 |
| satellite32.bmp | satellite32.bmp-withWavelet_bior1.1-G_0.6-H1e-005_af4.wfa | 98304   | 32768  | 32768  | 36 | 41712 | 288 | 288 | 32 | 64  | 14.2371051  | 1.297  | 42288 | 0.430175781 |
| satellite32.bmp | satellite32.bmp-withWavelet_haar-G_0.6-H5e-005_af5.wfa    | 393216  | 131072 | 131072 | 13 | 5648  | 104 | 104 | 32 | 128 | 14.24088987 | 1.75   | 5856  | 0.014892578 |
| satellite32.bmp | satellite32.bmp-withWavelet_rbio1.1-G_0.6-H5e-005_af5.wfa | 393216  | 131072 | 131072 | 13 | 5648  | 104 | 104 | 32 | 128 | 14.24088987 | 1.75   | 5856  | 0.014892578 |
| satellite32.bmp | satellite32.bmp-withWavelet_sym1-G_0.6-H5e-005_af5.wfa    | 393216  | 131072 | 131072 | 13 | 5648  | 104 | 104 | 32 | 128 | 14.24088987 | 1.734  | 5856  | 0.014892578 |
| satellite32.bmp | satellite32.bmp-withWavelet_bior1.1-G_0.6-H5e-005_af5.wfa | 393216  | 131072 | 131072 | 13 | 5648  | 104 | 104 | 32 | 128 | 14.24088987 | 1.75   | 5856  | 0.014892578 |
| satellite32.bmp | satellite32.bmp-withWavelet_haar-G_0.8-H1e-005_af5.wfa    | 1572864 | 524288 | 524288 | 26 | 21872 | 208 | 208 | 32 | 256 | 14.24381072 | 15.046 | 22288 | 0.014170329 |
| satellite32.bmp | satellite32.bmp-withWavelet_rbio1.1-G_0.8-H1e-005_af5.wfa | 1572864 | 524288 | 524288 | 26 | 21872 | 208 | 208 | 32 | 256 | 14.24381072 | 15     | 22288 | 0.014170329 |

|                 |   |         |        |        |    |       |     |     |    |     |             |        |       |             |
|-----------------|---|---------|--------|--------|----|-------|-----|-----|----|-----|-------------|--------|-------|-------------|
| satellite32.bmp | satellite32.bmp-withWavelet_sym1-G_0.8-H1e-005_af5.wfa    | 1572864 | 524288 | 524288 | 26 | 21872 | 208 | 208 | 32 | 256 | 14.24381072 | 14.984 | 22288 | 0.014170329 |
| satellite32.bmp | satellite32.bmp-withWavelet_bior1.1-G_0.8-H1e-005_af5.wfa | 1572864 | 524288 | 524288 | 26 | 21872 | 208 | 208 | 32 | 256 | 14.24381072 | 14.969 | 22288 | 0.014170329 |
| satellite32.bmp | satellite32.bmp-withWavelet_haar-G_0.8-H6e-005_af2.wfa    | 98304   | 32768  | 32768  | 22 | 15728 | 176 | 176 | 32 | 64  | 14.24415629 | 0.578  | 16080 | 0.163574219 |
| satellite32.bmp | satellite32.bmp-withWavelet_rbio1.1-G_0.8-H6e-005_af2.wfa | 98304   | 32768  | 32768  | 22 | 15728 | 176 | 176 | 32 | 64  | 14.24415629 | 0.578  | 16080 | 0.163574219 |
| satellite32.bmp | satellite32.bmp-withWavelet_sym1-G_0.8-H6e-005_af2.wfa    | 98304   | 32768  | 32768  | 22 | 15728 | 176 | 176 | 32 | 64  | 14.24415629 | 0.578  | 16080 | 0.163574219 |
| satellite32.bmp | satellite32.bmp-withWavelet_bior1.1-G_0.8-H6e-005_af2.wfa | 98304   | 32768  | 32768  | 22 | 15728 | 176 | 176 | 32 | 64  | 14.24415629 | 0.594  | 16080 | 0.163574219 |
| satellite32.bmp | satellite32.bmp-withWavelet_haar-G_0.6-H3e-005_af1.wfa    | 98304   | 32768  | 32768  | 35 | 39440 | 280 | 280 | 32 | 64  | 14.24647354 | 1.297  | 40000 | 0.406901042 |
| satellite32.bmp | satellite32.bmp-withWavelet_rbio1.1-G_0.6-H3e-005_af1.wfa | 98304   | 32768  | 32768  | 35 | 39440 | 280 | 280 | 32 | 64  | 14.24647354 | 1.282  | 40000 | 0.406901042 |
| satellite32.bmp | satellite32.bmp-withWavelet_sym1-G_0.6-H3e-005_af1.wfa    | 98304   | 32768  | 32768  | 35 | 39440 | 280 | 280 | 32 | 64  | 14.24647354 | 1.25   | 40000 | 0.406901042 |
| satellite32.bmp | satellite32.bmp-withWavelet_bior1.1-G_0.6-H3e-005_af1.wfa | 98304   | 32768  | 32768  | 35 | 39440 | 280 | 280 | 32 | 64  | 14.24647354 | 1.265  | 40000 | 0.406901042 |
| satellite32.bmp | satellite32.bmp-withWavelet_haar-G_1-H1e-005_af5.wfa      | 393216  | 131072 | 131072 | 25 | 20240 | 200 | 200 | 32 | 128 | 14.2493536  | 3.282  | 20640 | 0.052490234 |
| satellite32.bmp | satellite32.bmp-withWavelet_rbio1.1-G_1-H1e-005_af5.wfa   | 393216  | 131072 | 131072 | 25 | 20240 | 200 | 200 | 32 | 128 | 14.2493536  | 3.282  | 20640 | 0.052490234 |
| satellite32.bmp | satellite32.bmp-withWavelet_sym1-G_1-H1e-005_af5.wfa      | 393216  | 131072 | 131072 | 25 | 20240 | 200 | 200 | 32 | 128 | 14.2493536  | 3.265  | 20640 | 0.052490234 |
| satellite32.bmp | satellite32.bmp-withWavelet_bior1.1-G_1-H1e-005_af5.wfa   | 393216  | 131072 | 131072 | 25 | 20240 | 200 | 200 | 32 | 128 | 14.2493536  | 3.297  | 20640 | 0.052490234 |
| satellite32.bmp | satellite32.bmp-withWavelet_haar-G_1-H5e-005_af2.wfa      | 98304   | 32768  | 32768  | 23 | 17168 | 184 | 184 | 32 | 64  | 14.25362918 | 0.672  | 17536 | 0.178385417 |
| satellite32.bmp | satellite32.bmp-withWavelet_rbio1.1-G_1-H5e-005_af2.wfa   | 98304   | 32768  | 32768  | 23 | 17168 | 184 | 184 | 32 | 64  | 14.25362918 | 0.687  | 17536 | 0.178385417 |
| satellite32.bmp | satellite32.bmp-withWavelet_sym1-G_1-H5e-005_af2.wfa      | 98304   | 32768  | 32768  | 23 | 17168 | 184 | 184 | 32 | 64  | 14.25362918 | 0.687  | 17536 | 0.178385417 |
| satellite32.bmp | satellite32.bmp-withWavelet_bior1.1-G_1-H5e-005_af2.wfa   | 98304   | 32768  | 32768  | 23 | 17168 | 184 | 184 | 32 | 64  | 14.25362918 | 0.703  | 17536 | 0.178385417 |
| satellite32.bmp | satellite32.bmp-withWavelet_haar-G_0.6-H7e-005_af2.wfa    | 1572864 | 524288 | 524288 | 17 | 9488  | 136 | 136 | 32 | 256 | 14.25990787 | 8.906  | 9760  | 0.006205241 |
| satellite32.bmp | satellite32.bmp-withWavelet_rbio1.1-G_0.6-H7e-005_af2.wfa | 1572864 | 524288 | 524288 | 17 | 9488  | 136 | 136 | 32 | 256 | 14.25990787 | 8.797  | 9760  | 0.006205241 |
| satellite32.bmp | satellite32.bmp-withWavelet_sym1-G_0.6-H7e-005_af2.wfa    | 1572864 | 524288 | 524288 | 17 | 9488  | 136 | 136 | 32 | 256 | 14.25990787 | 8.781  | 9760  | 0.006205241 |
| satellite32.bmp | satellite32.bmp-withWavelet_bior1.1-G_0.6-H7e-005_af2.wfa | 1572864 | 524288 | 524288 | 17 | 9488  | 136 | 136 | 32 | 256 | 14.25990787 | 8.922  | 9760  | 0.006205241 |
| satellite32.bmp | satellite32.bmp-withWavelet_haar-G_1-H6e-005_af2.wfa      | 393216  | 131072 | 131072 | 20 | 13040 | 160 | 160 | 32 | 128 | 14.26281525 | 2.281  | 13360 | 0.033976237 |
| satellite32.bmp | satellite32.bmp-withWavelet_rbio1.1-G_1-H6e-005_af2.wfa   | 393216  | 131072 | 131072 | 20 | 13040 | 160 | 160 | 32 | 128 | 14.26281525 | 2.281  | 13360 | 0.033976237 |
| satellite32.bmp | satellite32.bmp-withWavelet_sym1-G_1-H6e-005_af2.wfa      | 393216  | 131072 | 131072 | 20 | 13040 | 160 | 160 | 32 | 128 | 14.26281525 | 2.281  | 13360 | 0.033976237 |
| satellite32.bmp | satellite32.bmp-withWavelet_bior1.1-G_1-H6e-005_af2.wfa   | 393216  | 131072 | 131072 | 20 | 13040 | 160 | 160 | 32 | 128 | 14.26281525 | 2.282  | 13360 | 0.033976237 |
| satellite32.bmp | satellite32.bmp-withWavelet_haar-G_0.8-H3e-005_af1.wfa    | 98304   | 32768  | 32768  | 36 | 41712 | 288 | 288 | 32 | 64  | 14.26768397 | 1.313  | 42288 | 0.430175781 |
| satellite32.bmp | satellite32.bmp-withWavelet_rbio1.1-G_0.8-H3e-005_af1.wfa | 98304   | 32768  | 32768  | 36 | 41712 | 288 | 288 | 32 | 64  | 14.26768397 | 1.296  | 42288 | 0.430175781 |
| satellite32.bmp | satellite32.bmp-withWavelet_sym1-G_0.8-H3e-005_af1.wfa    | 98304   | 32768  | 32768  | 36 | 41712 | 288 | 288 | 32 | 64  | 14.26768397 | 1.313  | 42288 | 0.430175781 |
| satellite32.bmp | satellite32.bmp-withWavelet_bior1.1-G_0.8-H3e-005_af1.wfa | 98304   | 32768  | 32768  | 36 | 41712 | 288 | 288 | 32 | 64  | 14.26768397 | 1.297  | 42288 | 0.430175781 |
| satellite32.bmp | satellite32.bmp-withWavelet_haar-G_1-H3e-005_af1.wfa      | 98304   | 32768  | 32768  | 36 | 41712 | 288 | 288 | 32 | 64  | 14.26893724 | 1.328  | 42288 | 0.430175781 |

|                 |   |         |        |        |    |       |     |     |    |     |             |        |       |             |
|-----------------|---|---------|--------|--------|----|-------|-----|-----|----|-----|-------------|--------|-------|-------------|
| satellite32.bmp | satellite32.bmp-withWavelet_rbio1.1-G_1-H3e-005_af1.wfa   | 98304   | 32768  | 32768  | 36 | 41712 | 288 | 288 | 32 | 64  | 14.26893724 | 1.282  | 42288 | 0.430175781 |
| satellite32.bmp | satellite32.bmp-withWavelet_sym1-G_1-H3e-005_af1.wfa      | 98304   | 32768  | 32768  | 36 | 41712 | 288 | 288 | 32 | 64  | 14.26893724 | 1.297  | 42288 | 0.430175781 |
| satellite32.bmp | satellite32.bmp-withWavelet_bior1.1-G_1-H3e-005_af1.wfa   | 98304   | 32768  | 32768  | 36 | 41712 | 288 | 288 | 32 | 64  | 14.26893724 | 1.281  | 42288 | 0.430175781 |
| satellite32.bmp | satellite32.bmp-withWavelet_haar-G_0.8-H1e-005_af5.wfa    | 98304   | 32768  | 32768  | 26 | 21872 | 208 | 208 | 32 | 64  | 14.27337505 | 0.765  | 22288 | 0.22672526  |
| satellite32.bmp | satellite32.bmp-withWavelet_rbio1.1-G_0.8-H1e-005_af5.wfa | 98304   | 32768  | 32768  | 26 | 21872 | 208 | 208 | 32 | 64  | 14.27337505 | 0.766  | 22288 | 0.22672526  |
| satellite32.bmp | satellite32.bmp-withWavelet_sym1-G_0.8-H1e-005_af5.wfa    | 98304   | 32768  | 32768  | 26 | 21872 | 208 | 208 | 32 | 64  | 14.27337505 | 0.765  | 22288 | 0.22672526  |
| satellite32.bmp | satellite32.bmp-withWavelet_bior1.1-G_0.8-H1e-005_af5.wfa | 98304   | 32768  | 32768  | 26 | 21872 | 208 | 208 | 32 | 64  | 14.27337505 | 0.781  | 22288 | 0.22672526  |
| satellite32.bmp | satellite32.bmp-withWavelet_haar-G_0.8-H2e-005_af2.wfa    | 98304   | 32768  | 32768  | 30 | 29040 | 240 | 240 | 32 | 64  | 14.27392131 | 0.953  | 29520 | 0.300292969 |
| satellite32.bmp | satellite32.bmp-withWavelet_rbio1.1-G_0.8-H2e-005_af2.wfa | 98304   | 32768  | 32768  | 30 | 29040 | 240 | 240 | 32 | 64  | 14.27392131 | 0.953  | 29520 | 0.300292969 |
| satellite32.bmp | satellite32.bmp-withWavelet_sym1-G_0.8-H2e-005_af2.wfa    | 98304   | 32768  | 32768  | 30 | 29040 | 240 | 240 | 32 | 64  | 14.27392131 | 0.953  | 29520 | 0.300292969 |
| satellite32.bmp | satellite32.bmp-withWavelet_bior1.1-G_0.8-H2e-005_af2.wfa | 98304   | 32768  | 32768  | 30 | 29040 | 240 | 240 | 32 | 64  | 14.27392131 | 0.953  | 29520 | 0.300292969 |
| satellite32.bmp | satellite32.bmp-withWavelet_haar-G_0.6-H1e-005_af3.wfa    | 98304   | 32768  | 32768  | 34 | 37232 | 272 | 272 | 32 | 64  | 14.27488705 | 1.172  | 37776 | 0.384277344 |
| satellite32.bmp | satellite32.bmp-withWavelet_rbio1.1-G_0.6-H1e-005_af3.wfa | 98304   | 32768  | 32768  | 34 | 37232 | 272 | 272 | 32 | 64  | 14.27488705 | 1.203  | 37776 | 0.384277344 |
| satellite32.bmp | satellite32.bmp-withWavelet_sym1-G_0.6-H1e-005_af3.wfa    | 98304   | 32768  | 32768  | 34 | 37232 | 272 | 272 | 32 | 64  | 14.27488705 | 1.156  | 37776 | 0.384277344 |
| satellite32.bmp | satellite32.bmp-withWavelet_bior1.1-G_0.6-H1e-005_af3.wfa | 98304   | 32768  | 32768  | 34 | 37232 | 272 | 272 | 32 | 64  | 14.27488705 | 1.156  | 37776 | 0.384277344 |
| satellite32.bmp | satellite32.bmp-withWavelet_haar-G_1-H2e-005_af2.wfa      | 98304   | 32768  | 32768  | 30 | 29040 | 240 | 240 | 32 | 64  | 14.27816355 | 0.937  | 29520 | 0.300292969 |
| satellite32.bmp | satellite32.bmp-withWavelet_rbio1.1-G_1-H2e-005_af2.wfa   | 98304   | 32768  | 32768  | 30 | 29040 | 240 | 240 | 32 | 64  | 14.27816355 | 0.953  | 29520 | 0.300292969 |
| satellite32.bmp | satellite32.bmp-withWavelet_sym1-G_1-H2e-005_af2.wfa      | 98304   | 32768  | 32768  | 30 | 29040 | 240 | 240 | 32 | 64  | 14.27816355 | 0.937  | 29520 | 0.300292969 |
| satellite32.bmp | satellite32.bmp-withWavelet_bior1.1-G_1-H2e-005_af2.wfa   | 98304   | 32768  | 32768  | 30 | 29040 | 240 | 240 | 32 | 64  | 14.27816355 | 0.937  | 29520 | 0.300292969 |
| satellite32.bmp | satellite32.bmp-withWavelet_haar-G_0.8-H1e-005_af4.wfa    | 98304   | 32768  | 32768  | 36 | 41712 | 288 | 288 | 32 | 64  | 14.27976527 | 1.297  | 42288 | 0.430175781 |
| satellite32.bmp | satellite32.bmp-withWavelet_rbio1.1-G_0.8-H1e-005_af4.wfa | 98304   | 32768  | 32768  | 36 | 41712 | 288 | 288 | 32 | 64  | 14.27976527 | 1.406  | 42288 | 0.430175781 |
| satellite32.bmp | satellite32.bmp-withWavelet_sym1-G_0.8-H1e-005_af4.wfa    | 98304   | 32768  | 32768  | 36 | 41712 | 288 | 288 | 32 | 64  | 14.27976527 | 1.281  | 42288 | 0.430175781 |
| satellite32.bmp | satellite32.bmp-withWavelet_bior1.1-G_0.8-H1e-005_af4.wfa | 98304   | 32768  | 32768  | 36 | 41712 | 288 | 288 | 32 | 64  | 14.27976527 | 1.281  | 42288 | 0.430175781 |
| satellite32.bmp | satellite32.bmp-withWavelet_haar-G_0.6-H7e-005_af1.wfa    | 393216  | 131072 | 131072 | 25 | 20240 | 200 | 200 | 32 | 128 | 14.28209398 | 3.281  | 20640 | 0.052490234 |
| satellite32.bmp | satellite32.bmp-withWavelet_rbio1.1-G_0.6-H7e-005_af1.wfa | 393216  | 131072 | 131072 | 25 | 20240 | 200 | 200 | 32 | 128 | 14.28209398 | 3.281  | 20640 | 0.052490234 |
| satellite32.bmp | satellite32.bmp-withWavelet_sym1-G_0.6-H7e-005_af1.wfa    | 393216  | 131072 | 131072 | 25 | 20240 | 200 | 200 | 32 | 128 | 14.28209398 | 3.282  | 20640 | 0.052490234 |
| satellite32.bmp | satellite32.bmp-withWavelet_bior1.1-G_0.6-H7e-005_af1.wfa | 393216  | 131072 | 131072 | 25 | 20240 | 200 | 200 | 32 | 128 | 14.28209398 | 3.265  | 20640 | 0.052490234 |
| satellite32.bmp | satellite32.bmp-withWavelet_haar-G_1-H5e-005_af4.wfa      | 1572864 | 524288 | 524288 | 32 | 33008 | 256 | 256 | 32 | 256 | 14.28864651 | 20.969 | 33520 | 0.021311442 |
| satellite32.bmp | satellite32.bmp-withWavelet_rbio1.1-G_1-H5e-005_af4.wfa   | 1572864 | 524288 | 524288 | 32 | 33008 | 256 | 256 | 32 | 256 | 14.28864651 | 21.109 | 33520 | 0.021311442 |
| satellite32.bmp | satellite32.bmp-withWavelet_sym1-G_1-H5e-005_af4.wfa      | 1572864 | 524288 | 524288 | 32 | 33008 | 256 | 256 | 32 | 256 | 14.28864651 | 21.11  | 33520 | 0.021311442 |
| satellite32.bmp | satellite32.bmp-withWavelet_bior1.1-G_1-H5e-005_af4.wfa   | 1572864 | 524288 | 524288 | 32 | 33008 | 256 | 256 | 32 | 256 | 14.28864651 | 20.875 | 33520 | 0.021311442 |

|                 |   |         |        |        |    |       |     |     |    |     |             |        |       |             |
|-----------------|---|---------|--------|--------|----|-------|-----|-----|----|-----|-------------|--------|-------|-------------|
| satellite32.bmp | satellite32.bmp-withWavelet_haar-G_0.6-H5e-005_af4.wfa    | 98304   | 32768  | 32768  | 32 | 33008 | 256 | 256 | 32 | 64  | 14.29575264 | 1.063  | 33520 | 0.340983073 |
| satellite32.bmp | satellite32.bmp-withWavelet_rbio1.1-G_0.6-H5e-005_af4.wfa | 98304   | 32768  | 32768  | 32 | 33008 | 256 | 256 | 32 | 64  | 14.29575264 | 1.032  | 33520 | 0.340983073 |
| satellite32.bmp | satellite32.bmp-withWavelet_sym1-G_0.6-H5e-005_af4.wfa    | 98304   | 32768  | 32768  | 32 | 33008 | 256 | 256 | 32 | 64  | 14.29575264 | 1.047  | 33520 | 0.340983073 |
| satellite32.bmp | satellite32.bmp-withWavelet_bior1.1-G_0.6-H5e-005_af4.wfa | 98304   | 32768  | 32768  | 32 | 33008 | 256 | 256 | 32 | 64  | 14.29575264 | 1.063  | 33520 | 0.340983073 |
| satellite32.bmp | satellite32.bmp-withWavelet_haar-G_1-H1e-005_af4.wfa      | 98304   | 32768  | 32768  | 36 | 41712 | 288 | 288 | 32 | 64  | 14.29761684 | 1.406  | 42288 | 0.430175781 |
| satellite32.bmp | satellite32.bmp-withWavelet_rbio1.1-G_1-H1e-005_af4.wfa   | 98304   | 32768  | 32768  | 36 | 41712 | 288 | 288 | 32 | 64  | 14.29761684 | 1.282  | 42288 | 0.430175781 |
| satellite32.bmp | satellite32.bmp-withWavelet_sym1-G_1-H1e-005_af4.wfa      | 98304   | 32768  | 32768  | 36 | 41712 | 288 | 288 | 32 | 64  | 14.29761684 | 1.297  | 42288 | 0.430175781 |
| satellite32.bmp | satellite32.bmp-withWavelet_bior1.1-G_1-H1e-005_af4.wfa   | 98304   | 32768  | 32768  | 36 | 41712 | 288 | 288 | 32 | 64  | 14.29761684 | 1.328  | 42288 | 0.430175781 |
| satellite32.bmp | satellite32.bmp-withWavelet_haar-G_0.6-H8e-005_af1.wfa    | 393216  | 131072 | 131072 | 25 | 20240 | 200 | 200 | 32 | 128 | 14.29859916 | 3.297  | 20640 | 0.052490234 |
| satellite32.bmp | satellite32.bmp-withWavelet_rbio1.1-G_0.6-H8e-005_af1.wfa | 393216  | 131072 | 131072 | 25 | 20240 | 200 | 200 | 32 | 128 | 14.29859916 | 3.297  | 20640 | 0.052490234 |
| satellite32.bmp | satellite32.bmp-withWavelet_sym1-G_0.6-H8e-005_af1.wfa    | 393216  | 131072 | 131072 | 25 | 20240 | 200 | 200 | 32 | 128 | 14.29859916 | 3.25   | 20640 | 0.052490234 |
| satellite32.bmp | satellite32.bmp-withWavelet_bior1.1-G_0.6-H8e-005_af1.wfa | 393216  | 131072 | 131072 | 25 | 20240 | 200 | 200 | 32 | 128 | 14.29859916 | 3.297  | 20640 | 0.052490234 |
| satellite32.bmp | satellite32.bmp-withWavelet_haar-G_0.8-H5e-005_af2.wfa    | 1572864 | 524288 | 524288 | 23 | 17168 | 184 | 184 | 32 | 256 | 14.3042312  | 13.031 | 17536 | 0.011149089 |
| satellite32.bmp | satellite32.bmp-withWavelet_rbio1.1-G_0.8-H5e-005_af2.wfa | 1572864 | 524288 | 524288 | 23 | 17168 | 184 | 184 | 32 | 256 | 14.3042312  | 13     | 17536 | 0.011149089 |
| satellite32.bmp | satellite32.bmp-withWavelet_sym1-G_0.8-H5e-005_af2.wfa    | 1572864 | 524288 | 524288 | 23 | 17168 | 184 | 184 | 32 | 256 | 14.3042312  | 13.063 | 17536 | 0.011149089 |
| satellite32.bmp | satellite32.bmp-withWavelet_bior1.1-G_0.8-H5e-005_af2.wfa | 1572864 | 524288 | 524288 | 23 | 17168 | 184 | 184 | 32 | 256 | 14.3042312  | 13     | 17536 | 0.011149089 |
| satellite32.bmp | satellite32.bmp-withWavelet_haar-G_0.6-H4e-005_af1.wfa    | 98304   | 32768  | 32768  | 33 | 35088 | 264 | 264 | 32 | 64  | 14.30481063 | 1.125  | 35616 | 0.362304688 |
| satellite32.bmp | satellite32.bmp-withWavelet_rbio1.1-G_0.6-H4e-005_af1.wfa | 98304   | 32768  | 32768  | 33 | 35088 | 264 | 264 | 32 | 64  | 14.30481063 | 1.25   | 35616 | 0.362304688 |
| satellite32.bmp | satellite32.bmp-withWavelet_sym1-G_0.6-H4e-005_af1.wfa    | 98304   | 32768  | 32768  | 33 | 35088 | 264 | 264 | 32 | 64  | 14.30481063 | 1.234  | 35616 | 0.362304688 |
| satellite32.bmp | satellite32.bmp-withWavelet_bior1.1-G_0.6-H4e-005_af1.wfa | 98304   | 32768  | 32768  | 33 | 35088 | 264 | 264 | 32 | 64  | 14.30481063 | 1.141  | 35616 | 0.362304688 |
| satellite32.bmp | satellite32.bmp-withWavelet_haar-G_0.6-H3e-005_af4.wfa    | 98304   | 32768  | 32768  | 34 | 37232 | 272 | 272 | 32 | 64  | 14.31121031 | 1.172  | 37776 | 0.384277344 |
| satellite32.bmp | satellite32.bmp-withWavelet_rbio1.1-G_0.6-H3e-005_af4.wfa | 98304   | 32768  | 32768  | 34 | 37232 | 272 | 272 | 32 | 64  | 14.31121031 | 1.188  | 37776 | 0.384277344 |
| satellite32.bmp | satellite32.bmp-withWavelet_sym1-G_0.6-H3e-005_af4.wfa    | 98304   | 32768  | 32768  | 34 | 37232 | 272 | 272 | 32 | 64  | 14.31121031 | 1.172  | 37776 | 0.384277344 |
| satellite32.bmp | satellite32.bmp-withWavelet_bior1.1-G_0.6-H3e-005_af4.wfa | 98304   | 32768  | 32768  | 34 | 37232 | 272 | 272 | 32 | 64  | 14.31121031 | 1.188  | 37776 | 0.384277344 |
| satellite32.bmp | satellite32.bmp-withWavelet_haar-G_0.8-H6e-005_af1.wfa    | 393216  | 131072 | 131072 | 28 | 25328 | 224 | 224 | 32 | 128 | 14.32000155 | 3.797  | 25776 | 0.065551758 |
| satellite32.bmp | satellite32.bmp-withWavelet_rbio1.1-G_0.8-H6e-005_af1.wfa | 393216  | 131072 | 131072 | 28 | 25328 | 224 | 224 | 32 | 128 | 14.32000155 | 3.782  | 25776 | 0.065551758 |
| satellite32.bmp | satellite32.bmp-withWavelet_sym1-G_0.8-H6e-005_af1.wfa    | 393216  | 131072 | 131072 | 28 | 25328 | 224 | 224 | 32 | 128 | 14.32000155 | 3.765  | 25776 | 0.065551758 |
| satellite32.bmp | satellite32.bmp-withWavelet_bior1.1-G_0.8-H6e-005_af1.wfa | 393216  | 131072 | 131072 | 28 | 25328 | 224 | 224 | 32 | 128 | 14.32000155 | 3.797  | 25776 | 0.065551758 |
| satellite32.bmp | satellite32.bmp-withWavelet_haar-G_1-H1e-005_af2.wfa      | 98304   | 32768  | 32768  | 31 | 30992 | 248 | 248 | 32 | 64  | 14.32065299 | 1.015  | 31488 | 0.3203125   |
| satellite32.bmp | satellite32.bmp-withWavelet_rbio1.1-G_1-H1e-005_af2.wfa   | 98304   | 32768  | 32768  | 31 | 30992 | 248 | 248 | 32 | 64  | 14.32065299 | 1      | 31488 | 0.3203125   |
| satellite32.bmp | satellite32.bmp-withWavelet_sym1-G_1-H1e-005_af2.wfa      | 98304   | 32768  | 32768  | 31 | 30992 | 248 | 248 | 32 | 64  | 14.32065299 | 1.016  | 31488 | 0.3203125   |



|                 |   |         |        |        |    |       |     |     |    |     |             |        |       |             |
|-----------------|---|---------|--------|--------|----|-------|-----|-----|----|-----|-------------|--------|-------|-------------|
| satellite32.bmp | satellite32.bmp-withWavelet_bior1.1-G_1-H1e-005_af2.wfa   | 98304   | 32768  | 32768  | 31 | 30992 | 248 | 248 | 32 | 64  | 14.32065299 | 1      | 31488 | 0.3203125   |
| satellite32.bmp | satellite32.bmp-withWavelet_haar-G_1-H5e-005_af2.wfa      | 1572864 | 524288 | 524288 | 23 | 17168 | 184 | 184 | 32 | 256 | 14.3212812  | 13     | 17536 | 0.011149089 |
| satellite32.bmp | satellite32.bmp-withWavelet_rbio1.1-G_1-H5e-005_af2.wfa   | 1572864 | 524288 | 524288 | 23 | 17168 | 184 | 184 | 32 | 256 | 14.3212812  | 12.953 | 17536 | 0.011149089 |
| satellite32.bmp | satellite32.bmp-withWavelet_sym1-G_1-H5e-005_af2.wfa      | 1572864 | 524288 | 524288 | 23 | 17168 | 184 | 184 | 32 | 256 | 14.3212812  | 12.985 | 17536 | 0.011149089 |
| satellite32.bmp | satellite32.bmp-withWavelet_bior1.1-G_1-H5e-005_af2.wfa   | 1572864 | 524288 | 524288 | 23 | 17168 | 184 | 184 | 32 | 256 | 14.3212812  | 12.906 | 17536 | 0.011149089 |
| satellite32.bmp | satellite32.bmp-withWavelet_haar-G_0.6-H2e-005_af4.wfa    | 98304   | 32768  | 32768  | 34 | 37232 | 272 | 272 | 32 | 64  | 14.32136898 | 1.188  | 37776 | 0.384277344 |
| satellite32.bmp | satellite32.bmp-withWavelet_rbio1.1-G_0.6-H2e-005_af4.wfa | 98304   | 32768  | 32768  | 34 | 37232 | 272 | 272 | 32 | 64  | 14.32136898 | 1.172  | 37776 | 0.384277344 |
| satellite32.bmp | satellite32.bmp-withWavelet_sym1-G_0.6-H2e-005_af4.wfa    | 98304   | 32768  | 32768  | 34 | 37232 | 272 | 272 | 32 | 64  | 14.32136898 | 1.203  | 37776 | 0.384277344 |
| satellite32.bmp | satellite32.bmp-withWavelet_bior1.1-G_0.6-H2e-005_af4.wfa | 98304   | 32768  | 32768  | 34 | 37232 | 272 | 272 | 32 | 64  | 14.32136898 | 1.172  | 37776 | 0.384277344 |
| satellite32.bmp | satellite32.bmp-withWavelet_haar-G_1-H6e-005_af1.wfa      | 393216  | 131072 | 131072 | 28 | 25328 | 224 | 224 | 32 | 128 | 14.32647328 | 3.844  | 25776 | 0.065551758 |
| satellite32.bmp | satellite32.bmp-withWavelet_rbio1.1-G_1-H6e-005_af1.wfa   | 393216  | 131072 | 131072 | 28 | 25328 | 224 | 224 | 32 | 128 | 14.32647328 | 3.797  | 25776 | 0.065551758 |
| satellite32.bmp | satellite32.bmp-withWavelet_sym1-G_1-H6e-005_af1.wfa      | 393216  | 131072 | 131072 | 28 | 25328 | 224 | 224 | 32 | 128 | 14.32647328 | 3.797  | 25776 | 0.065551758 |
| satellite32.bmp | satellite32.bmp-withWavelet_bior1.1-G_1-H6e-005_af1.wfa   | 393216  | 131072 | 131072 | 28 | 25328 | 224 | 224 | 32 | 128 | 14.32647328 | 3.844  | 25776 | 0.065551758 |
| satellite32.bmp | satellite32.bmp-withWavelet_haar-G_1-H2e-005_af4.wfa      | 98304   | 32768  | 32768  | 35 | 39440 | 280 | 280 | 32 | 64  | 14.32811258 | 1.343  | 40000 | 0.406901042 |
| satellite32.bmp | satellite32.bmp-withWavelet_rbio1.1-G_1-H2e-005_af4.wfa   | 98304   | 32768  | 32768  | 35 | 39440 | 280 | 280 | 32 | 64  | 14.32811258 | 1.265  | 40000 | 0.406901042 |
| satellite32.bmp | satellite32.bmp-withWavelet_sym1-G_1-H2e-005_af4.wfa      | 98304   | 32768  | 32768  | 35 | 39440 | 280 | 280 | 32 | 64  | 14.32811258 | 1.25   | 40000 | 0.406901042 |
| satellite32.bmp | satellite32.bmp-withWavelet_bior1.1-G_1-H2e-005_af4.wfa   | 98304   | 32768  | 32768  | 35 | 39440 | 280 | 280 | 32 | 64  | 14.32811258 | 1.313  | 40000 | 0.406901042 |
| satellite32.bmp | satellite32.bmp-withWavelet_haar-G_0.6-H4e-005_af5.wfa    | 98304   | 32768  | 32768  | 15 | 7440  | 120 | 120 | 32 | 64  | 14.33613276 | 0.469  | 7680  | 0.078125    |
| satellite32.bmp | satellite32.bmp-withWavelet_rbio1.1-G_0.6-H4e-005_af5.wfa | 98304   | 32768  | 32768  | 15 | 7440  | 120 | 120 | 32 | 64  | 14.33613276 | 0.453  | 7680  | 0.078125    |
| satellite32.bmp | satellite32.bmp-withWavelet_sym1-G_0.6-H4e-005_af5.wfa    | 98304   | 32768  | 32768  | 15 | 7440  | 120 | 120 | 32 | 64  | 14.33613276 | 0.453  | 7680  | 0.078125    |
| satellite32.bmp | satellite32.bmp-withWavelet_bior1.1-G_0.6-H4e-005_af5.wfa | 98304   | 32768  | 32768  | 15 | 7440  | 120 | 120 | 32 | 64  | 14.33613276 | 0.469  | 7680  | 0.078125    |
| satellite32.bmp | satellite32.bmp-withWavelet_haar-G_0.6-H5e-005_af1.wfa    | 98304   | 32768  | 32768  | 32 | 33008 | 256 | 256 | 32 | 64  | 14.33878972 | 1.109  | 33520 | 0.340983073 |
| satellite32.bmp | satellite32.bmp-withWavelet_rbio1.1-G_0.6-H5e-005_af1.wfa | 98304   | 32768  | 32768  | 32 | 33008 | 256 | 256 | 32 | 64  | 14.33878972 | 1.047  | 33520 | 0.340983073 |
| satellite32.bmp | satellite32.bmp-withWavelet_sym1-G_0.6-H5e-005_af1.wfa    | 98304   | 32768  | 32768  | 32 | 33008 | 256 | 256 | 32 | 64  | 14.33878972 | 1.063  | 33520 | 0.340983073 |
| satellite32.bmp | satellite32.bmp-withWavelet_bior1.1-G_0.6-H5e-005_af1.wfa | 98304   | 32768  | 32768  | 32 | 33008 | 256 | 256 | 32 | 64  | 14.33878972 | 1.062  | 33520 | 0.340983073 |
| satellite32.bmp | satellite32.bmp-withWavelet_haar-G_0.6-H2e-005_af3.wfa    | 98304   | 32768  | 32768  | 32 | 33008 | 256 | 256 | 32 | 64  | 14.34603051 | 1.047  | 33520 | 0.340983073 |
| satellite32.bmp | satellite32.bmp-withWavelet_rbio1.1-G_0.6-H2e-005_af3.wfa | 98304   | 32768  | 32768  | 32 | 33008 | 256 | 256 | 32 | 64  | 14.34603051 | 1.125  | 33520 | 0.340983073 |
| satellite32.bmp | satellite32.bmp-withWavelet_sym1-G_0.6-H2e-005_af3.wfa    | 98304   | 32768  | 32768  | 32 | 33008 | 256 | 256 | 32 | 64  | 14.34603051 | 1.047  | 33520 | 0.340983073 |
| satellite32.bmp | satellite32.bmp-withWavelet_bior1.1-G_0.6-H2e-005_af3.wfa | 98304   | 32768  | 32768  | 32 | 33008 | 256 | 256 | 32 | 64  | 14.34603051 | 1.047  | 33520 | 0.340983073 |
| satellite32.bmp | satellite32.bmp-withWavelet_haar-G_0.6-H3e-005_af3.wfa    | 98304   | 32768  | 32768  | 32 | 33008 | 256 | 256 | 32 | 64  | 14.34603051 | 1.047  | 33520 | 0.340983073 |
| satellite32.bmp | satellite32.bmp-withWavelet_rbio1.1-G_0.6-H3e-005_af3.wfa | 98304   | 32768  | 32768  | 32 | 33008 | 256 | 256 | 32 | 64  | 14.34603051 | 1.141  | 33520 | 0.340983073 |

|                 |   |         |        |        |    |       |     |     |    |     |             |        |       |             |
|-----------------|---|---------|--------|--------|----|-------|-----|-----|----|-----|-------------|--------|-------|-------------|
| satellite32.bmp | satellite32.bmp-withWavelet_sym1-G_0.6-H3e-005_af3.wfa    | 98304   | 32768  | 32768  | 32 | 33008 | 256 | 256 | 32 | 64  | 14.34603051 | 1.047  | 33520 | 0.340983073 |
| satellite32.bmp | satellite32.bmp-withWavelet_bior1.1-G_0.6-H3e-005_af3.wfa | 98304   | 32768  | 32768  | 32 | 33008 | 256 | 256 | 32 | 64  | 14.34603051 | 1.047  | 33520 | 0.340983073 |
| satellite32.bmp | satellite32.bmp-withWavelet_haar-G_0.6-H7e-005_af2.wfa    | 98304   | 32768  | 32768  | 17 | 9488  | 136 | 136 | 32 | 64  | 14.34985969 | 0.469  | 9760  | 0.099283854 |
| satellite32.bmp | satellite32.bmp-withWavelet_rbio1.1-G_0.6-H7e-005_af2.wfa | 98304   | 32768  | 32768  | 17 | 9488  | 136 | 136 | 32 | 64  | 14.34985969 | 0.485  | 9760  | 0.099283854 |
| satellite32.bmp | satellite32.bmp-withWavelet_sym1-G_0.6-H7e-005_af2.wfa    | 98304   | 32768  | 32768  | 17 | 9488  | 136 | 136 | 32 | 64  | 14.34985969 | 0.484  | 9760  | 0.099283854 |
| satellite32.bmp | satellite32.bmp-withWavelet_bior1.1-G_0.6-H7e-005_af2.wfa | 98304   | 32768  | 32768  | 17 | 9488  | 136 | 136 | 32 | 64  | 14.34985969 | 0.484  | 9760  | 0.099283854 |
| satellite32.bmp | satellite32.bmp-withWavelet_haar-G_1-H2e-005_af5.wfa      | 393216  | 131072 | 131072 | 19 | 11792 | 152 | 152 | 32 | 128 | 14.35609888 | 2.266  | 12096 | 0.030761719 |
| satellite32.bmp | satellite32.bmp-withWavelet_rbio1.1-G_1-H2e-005_af5.wfa   | 393216  | 131072 | 131072 | 19 | 11792 | 152 | 152 | 32 | 128 | 14.35609888 | 2.234  | 12096 | 0.030761719 |
| satellite32.bmp | satellite32.bmp-withWavelet_sym1-G_1-H2e-005_af5.wfa      | 393216  | 131072 | 131072 | 19 | 11792 | 152 | 152 | 32 | 128 | 14.35609888 | 2.234  | 12096 | 0.030761719 |
| satellite32.bmp | satellite32.bmp-withWavelet_bior1.1-G_1-H2e-005_af5.wfa   | 393216  | 131072 | 131072 | 19 | 11792 | 152 | 152 | 32 | 128 | 14.35609888 | 2.235  | 12096 | 0.030761719 |
| satellite32.bmp | satellite32.bmp-withWavelet_haar-G_0.8-H6e-005_af2.wfa    | 1572864 | 524288 | 524288 | 22 | 15728 | 176 | 176 | 32 | 256 | 14.36147238 | 11.14  | 16080 | 0.010223389 |
| satellite32.bmp | satellite32.bmp-withWavelet_rbio1.1-G_0.8-H6e-005_af2.wfa | 1572864 | 524288 | 524288 | 22 | 15728 | 176 | 176 | 32 | 256 | 14.36147238 | 11.172 | 16080 | 0.010223389 |
| satellite32.bmp | satellite32.bmp-withWavelet_sym1-G_0.8-H6e-005_af2.wfa    | 1572864 | 524288 | 524288 | 22 | 15728 | 176 | 176 | 32 | 256 | 14.36147238 | 11.25  | 16080 | 0.010223389 |
| satellite32.bmp | satellite32.bmp-withWavelet_bior1.1-G_0.8-H6e-005_af2.wfa | 1572864 | 524288 | 524288 | 22 | 15728 | 176 | 176 | 32 | 256 | 14.36147238 | 11.187 | 16080 | 0.010223389 |
| satellite32.bmp | satellite32.bmp-withWavelet_haar-G_0.8-H3e-005_af5.wfa    | 98304   | 32768  | 32768  | 17 | 9488  | 136 | 136 | 32 | 64  | 14.36325577 | 0.485  | 9760  | 0.099283854 |
| satellite32.bmp | satellite32.bmp-withWavelet_rbio1.1-G_0.8-H3e-005_af5.wfa | 98304   | 32768  | 32768  | 17 | 9488  | 136 | 136 | 32 | 64  | 14.36325577 | 0.484  | 9760  | 0.099283854 |
| satellite32.bmp | satellite32.bmp-withWavelet_sym1-G_0.8-H3e-005_af5.wfa    | 98304   | 32768  | 32768  | 17 | 9488  | 136 | 136 | 32 | 64  | 14.36325577 | 0.484  | 9760  | 0.099283854 |
| satellite32.bmp | satellite32.bmp-withWavelet_bior1.1-G_0.8-H3e-005_af5.wfa | 98304   | 32768  | 32768  | 17 | 9488  | 136 | 136 | 32 | 64  | 14.36325577 | 0.5    | 9760  | 0.099283854 |
| satellite32.bmp | satellite32.bmp-withWavelet_haar-G_0.8-H3e-005_af3.wfa    | 393216  | 131072 | 131072 | 31 | 30992 | 248 | 248 | 32 | 128 | 14.36332355 | 4.485  | 31488 | 0.080078125 |
| satellite32.bmp | satellite32.bmp-withWavelet_rbio1.1-G_0.8-H3e-005_af3.wfa | 393216  | 131072 | 131072 | 31 | 30992 | 248 | 248 | 32 | 128 | 14.36332355 | 4.515  | 31488 | 0.080078125 |
| satellite32.bmp | satellite32.bmp-withWavelet_sym1-G_0.8-H3e-005_af3.wfa    | 393216  | 131072 | 131072 | 31 | 30992 | 248 | 248 | 32 | 128 | 14.36332355 | 4.484  | 31488 | 0.080078125 |
| satellite32.bmp | satellite32.bmp-withWavelet_bior1.1-G_0.8-H3e-005_af3.wfa | 393216  | 131072 | 131072 | 31 | 30992 | 248 | 248 | 32 | 128 | 14.36332355 | 4.5    | 31488 | 0.080078125 |
| satellite32.bmp | satellite32.bmp-withWavelet_haar-G_0.8-H4e-005_af3.wfa    | 393216  | 131072 | 131072 | 31 | 30992 | 248 | 248 | 32 | 128 | 14.36332355 | 4.531  | 31488 | 0.080078125 |
| satellite32.bmp | satellite32.bmp-withWavelet_rbio1.1-G_0.8-H4e-005_af3.wfa | 393216  | 131072 | 131072 | 31 | 30992 | 248 | 248 | 32 | 128 | 14.36332355 | 4.531  | 31488 | 0.080078125 |
| satellite32.bmp | satellite32.bmp-withWavelet_sym1-G_0.8-H4e-005_af3.wfa    | 393216  | 131072 | 131072 | 31 | 30992 | 248 | 248 | 32 | 128 | 14.36332355 | 4.516  | 31488 | 0.080078125 |
| satellite32.bmp | satellite32.bmp-withWavelet_bior1.1-G_0.8-H4e-005_af3.wfa | 393216  | 131072 | 131072 | 31 | 30992 | 248 | 248 | 32 | 128 | 14.36332355 | 4.516  | 31488 | 0.080078125 |
| satellite32.bmp | satellite32.bmp-withWavelet_haar-G_0.8-H7e-005_af2.wfa    | 393216  | 131072 | 131072 | 17 | 9488  | 136 | 136 | 32 | 128 | 14.36767866 | 2.093  | 9760  | 0.024820964 |
| satellite32.bmp | satellite32.bmp-withWavelet_rbio1.1-G_0.8-H7e-005_af2.wfa | 393216  | 131072 | 131072 | 17 | 9488  | 136 | 136 | 32 | 128 | 14.36767866 | 2.093  | 9760  | 0.024820964 |
| satellite32.bmp | satellite32.bmp-withWavelet_sym1-G_0.8-H7e-005_af2.wfa    | 393216  | 131072 | 131072 | 17 | 9488  | 136 | 136 | 32 | 128 | 14.36767866 | 2.093  | 9760  | 0.024820964 |
| satellite32.bmp | satellite32.bmp-withWavelet_bior1.1-G_0.8-H7e-005_af2.wfa | 393216  | 131072 | 131072 | 17 | 9488  | 136 | 136 | 32 | 128 | 14.36767866 | 2.125  | 9760  | 0.024820964 |
| satellite32.bmp | satellite32.bmp-withWavelet_haar-G_0.8-H2e-005_af4.wfa    | 98304   | 32768  | 32768  | 34 | 37232 | 272 | 272 | 32 | 64  | 14.36774595 | 1.219  | 37776 | 0.384277344 |

|                 |   |        |        |        |    |       |     |     |    |     |             |       |       |             |
|-----------------|---|--------|--------|--------|----|-------|-----|-----|----|-----|-------------|-------|-------|-------------|
| satellite32.bmp | satellite32.bmp-withWavelet_rbio1.1-G_0.8-H2e-005_af4.wfa | 98304  | 32768  | 32768  | 34 | 37232 | 272 | 272 | 32 | 64  | 14.36774595 | 1.172 | 37776 | 0.384277344 |
| satellite32.bmp | satellite32.bmp-withWavelet_sym1-G_0.8-H2e-005_af4.wfa    | 98304  | 32768  | 32768  | 34 | 37232 | 272 | 272 | 32 | 64  | 14.36774595 | 1.203 | 37776 | 0.384277344 |
| satellite32.bmp | satellite32.bmp-withWavelet_bior1.1-G_0.8-H2e-005_af4.wfa | 98304  | 32768  | 32768  | 34 | 37232 | 272 | 272 | 32 | 64  | 14.36774595 | 1.172 | 37776 | 0.384277344 |
| satellite32.bmp | satellite32.bmp-withWavelet_haar-G_0.6-H6e-005_af4.wfa    | 393216 | 131072 | 131072 | 26 | 21872 | 208 | 208 | 32 | 128 | 14.3713596  | 3.391 | 22288 | 0.056681315 |
| satellite32.bmp | satellite32.bmp-withWavelet_rbio1.1-G_0.6-H6e-005_af4.wfa | 393216 | 131072 | 131072 | 26 | 21872 | 208 | 208 | 32 | 128 | 14.3713596  | 3.391 | 22288 | 0.056681315 |
| satellite32.bmp | satellite32.bmp-withWavelet_sym1-G_0.6-H6e-005_af4.wfa    | 393216 | 131072 | 131072 | 26 | 21872 | 208 | 208 | 32 | 128 | 14.3713596  | 3.406 | 22288 | 0.056681315 |
| satellite32.bmp | satellite32.bmp-withWavelet_bior1.1-G_0.6-H6e-005_af4.wfa | 393216 | 131072 | 131072 | 26 | 21872 | 208 | 208 | 32 | 128 | 14.3713596  | 3.422 | 22288 | 0.056681315 |
| satellite32.bmp | satellite32.bmp-withWavelet_haar-G_0.8-H4e-005_af1.wfa    | 98304  | 32768  | 32768  | 34 | 37232 | 272 | 272 | 32 | 64  | 14.37150815 | 1.171 | 37776 | 0.384277344 |
| satellite32.bmp | satellite32.bmp-withWavelet_rbio1.1-G_0.8-H4e-005_af1.wfa | 98304  | 32768  | 32768  | 34 | 37232 | 272 | 272 | 32 | 64  | 14.37150815 | 1.188 | 37776 | 0.384277344 |
| satellite32.bmp | satellite32.bmp-withWavelet_sym1-G_0.8-H4e-005_af1.wfa    | 98304  | 32768  | 32768  | 34 | 37232 | 272 | 272 | 32 | 64  | 14.37150815 | 1.172 | 37776 | 0.384277344 |
| satellite32.bmp | satellite32.bmp-withWavelet_bior1.1-G_0.8-H4e-005_af1.wfa | 98304  | 32768  | 32768  | 34 | 37232 | 272 | 272 | 32 | 64  | 14.37150815 | 1.172 | 37776 | 0.384277344 |
| satellite32.bmp | satellite32.bmp-withWavelet_haar-G_1-H4e-005_af1.wfa      | 98304  | 32768  | 32768  | 34 | 37232 | 272 | 272 | 32 | 64  | 14.37329661 | 1.172 | 37776 | 0.384277344 |
| satellite32.bmp | satellite32.bmp-withWavelet_rbio1.1-G_1-H4e-005_af1.wfa   | 98304  | 32768  | 32768  | 34 | 37232 | 272 | 272 | 32 | 64  | 14.37329661 | 1.219 | 37776 | 0.384277344 |
| satellite32.bmp | satellite32.bmp-withWavelet_sym1-G_1-H4e-005_af1.wfa      | 98304  | 32768  | 32768  | 34 | 37232 | 272 | 272 | 32 | 64  | 14.37329661 | 1.235 | 37776 | 0.384277344 |
| satellite32.bmp | satellite32.bmp-withWavelet_bior1.1-G_1-H4e-005_af1.wfa   | 98304  | 32768  | 32768  | 34 | 37232 | 272 | 272 | 32 | 64  | 14.37329661 | 1.187 | 37776 | 0.384277344 |
| satellite32.bmp | satellite32.bmp-withWavelet_haar-G_1-H3e-005_af3.wfa      | 393216 | 131072 | 131072 | 31 | 30992 | 248 | 248 | 32 | 128 | 14.37479363 | 4.61  | 31488 | 0.080078125 |
| satellite32.bmp | satellite32.bmp-withWavelet_rbio1.1-G_1-H3e-005_af3.wfa   | 393216 | 131072 | 131072 | 31 | 30992 | 248 | 248 | 32 | 128 | 14.37479363 | 4.484 | 31488 | 0.080078125 |
| satellite32.bmp | satellite32.bmp-withWavelet_sym1-G_1-H3e-005_af3.wfa      | 393216 | 131072 | 131072 | 31 | 30992 | 248 | 248 | 32 | 128 | 14.37479363 | 4.484 | 31488 | 0.080078125 |
| satellite32.bmp | satellite32.bmp-withWavelet_bior1.1-G_1-H3e-005_af3.wfa   | 393216 | 131072 | 131072 | 31 | 30992 | 248 | 248 | 32 | 128 | 14.37479363 | 4.5   | 31488 | 0.080078125 |
| satellite32.bmp | satellite32.bmp-withWavelet_haar-G_0.8-H1e-005_af3.wfa    | 98304  | 32768  | 32768  | 34 | 37232 | 272 | 272 | 32 | 64  | 14.37681646 | 1.172 | 37776 | 0.384277344 |
| satellite32.bmp | satellite32.bmp-withWavelet_rbio1.1-G_0.8-H1e-005_af3.wfa | 98304  | 32768  | 32768  | 34 | 37232 | 272 | 272 | 32 | 64  | 14.37681646 | 1.172 | 37776 | 0.384277344 |
| satellite32.bmp | satellite32.bmp-withWavelet_sym1-G_0.8-H1e-005_af3.wfa    | 98304  | 32768  | 32768  | 34 | 37232 | 272 | 272 | 32 | 64  | 14.37681646 | 1.188 | 37776 | 0.384277344 |
| satellite32.bmp | satellite32.bmp-withWavelet_bior1.1-G_0.8-H1e-005_af3.wfa | 98304  | 32768  | 32768  | 34 | 37232 | 272 | 272 | 32 | 64  | 14.37681646 | 1.172 | 37776 | 0.384277344 |
| satellite32.bmp | satellite32.bmp-withWavelet_haar-G_1-H1e-005_af3.wfa      | 98304  | 32768  | 32768  | 34 | 37232 | 272 | 272 | 32 | 64  | 14.37705947 | 1.25  | 37776 | 0.384277344 |
| satellite32.bmp | satellite32.bmp-withWavelet_rbio1.1-G_1-H1e-005_af3.wfa   | 98304  | 32768  | 32768  | 34 | 37232 | 272 | 272 | 32 | 64  | 14.37705947 | 1.187 | 37776 | 0.384277344 |
| satellite32.bmp | satellite32.bmp-withWavelet_sym1-G_1-H1e-005_af3.wfa      | 98304  | 32768  | 32768  | 34 | 37232 | 272 | 272 | 32 | 64  | 14.37705947 | 1.172 | 37776 | 0.384277344 |
| satellite32.bmp | satellite32.bmp-withWavelet_bior1.1-G_1-H1e-005_af3.wfa   | 98304  | 32768  | 32768  | 34 | 37232 | 272 | 272 | 32 | 64  | 14.37705947 | 1.187 | 37776 | 0.384277344 |
| satellite32.bmp | satellite32.bmp-withWavelet_haar-G_0.6-H6e-005_af1.wfa    | 98304  | 32768  | 32768  | 31 | 30992 | 248 | 248 | 32 | 64  | 14.37934631 | 1.031 | 31488 | 0.3203125   |
| satellite32.bmp | satellite32.bmp-withWavelet_rbio1.1-G_0.6-H6e-005_af1.wfa | 98304  | 32768  | 32768  | 31 | 30992 | 248 | 248 | 32 | 64  | 14.37934631 | 1.016 | 31488 | 0.3203125   |
| satellite32.bmp | satellite32.bmp-withWavelet_sym1-G_0.6-H6e-005_af1.wfa    | 98304  | 32768  | 32768  | 31 | 30992 | 248 | 248 | 32 | 64  | 14.37934631 | 1.016 | 31488 | 0.3203125   |
| satellite32.bmp | satellite32.bmp-withWavelet_bior1.1-G_0.6-H6e-005_af1.wfa | 98304  | 32768  | 32768  | 31 | 30992 | 248 | 248 | 32 | 64  | 14.37934631 | 1.015 | 31488 | 0.3203125   |

|                 |   |         |        |        |    |       |     |     |    |     |             |       |       |             |
|-----------------|---|---------|--------|--------|----|-------|-----|-----|----|-----|-------------|-------|-------|-------------|
| satellite32.bmp | satellite32.bmp-withWavelet_haar-G_0.6-H4e-005_af4.wfa    | 98304   | 32768  | 32768  | 33 | 35088 | 264 | 264 | 32 | 64  | 14.38774874 | 1.109 | 35616 | 0.362304688 |
| satellite32.bmp | satellite32.bmp-withWavelet_rbio1.1-G_0.6-H4e-005_af4.wfa | 98304   | 32768  | 32768  | 33 | 35088 | 264 | 264 | 32 | 64  | 14.38774874 | 1.141 | 35616 | 0.362304688 |
| satellite32.bmp | satellite32.bmp-withWavelet_sym1-G_0.6-H4e-005_af4.wfa    | 98304   | 32768  | 32768  | 33 | 35088 | 264 | 264 | 32 | 64  | 14.38774874 | 1.11  | 35616 | 0.362304688 |
| satellite32.bmp | satellite32.bmp-withWavelet_bior1.1-G_0.6-H4e-005_af4.wfa | 98304   | 32768  | 32768  | 33 | 35088 | 264 | 264 | 32 | 64  | 14.38774874 | 1.11  | 35616 | 0.362304688 |
| satellite32.bmp | satellite32.bmp-withWavelet_haar-G_0.8-H2e-005_af5.wfa    | 1572864 | 524288 | 524288 | 20 | 13040 | 160 | 160 | 32 | 256 | 14.39098034 | 9.844 | 13360 | 0.008494059 |
| satellite32.bmp | satellite32.bmp-withWavelet_rbio1.1-G_0.8-H2e-005_af5.wfa | 1572864 | 524288 | 524288 | 20 | 13040 | 160 | 160 | 32 | 256 | 14.39098034 | 9.781 | 13360 | 0.008494059 |
| satellite32.bmp | satellite32.bmp-withWavelet_sym1-G_0.8-H2e-005_af5.wfa    | 1572864 | 524288 | 524288 | 20 | 13040 | 160 | 160 | 32 | 256 | 14.39098034 | 9.86  | 13360 | 0.008494059 |
| satellite32.bmp | satellite32.bmp-withWavelet_bior1.1-G_0.8-H2e-005_af5.wfa | 1572864 | 524288 | 524288 | 20 | 13040 | 160 | 160 | 32 | 256 | 14.39098034 | 9.781 | 13360 | 0.008494059 |
| satellite32.bmp | satellite32.bmp-withWavelet_haar-G_0.6-H8e-005_af2.wfa    | 393216  | 131072 | 131072 | 14 | 6512  | 112 | 112 | 32 | 128 | 14.40407377 | 1.781 | 6736  | 0.017130534 |
| satellite32.bmp | satellite32.bmp-withWavelet_rbio1.1-G_0.6-H8e-005_af2.wfa | 393216  | 131072 | 131072 | 14 | 6512  | 112 | 112 | 32 | 128 | 14.40407377 | 1.828 | 6736  | 0.017130534 |
| satellite32.bmp | satellite32.bmp-withWavelet_sym1-G_0.6-H8e-005_af2.wfa    | 393216  | 131072 | 131072 | 14 | 6512  | 112 | 112 | 32 | 128 | 14.40407377 | 1.781 | 6736  | 0.017130534 |
| satellite32.bmp | satellite32.bmp-withWavelet_bior1.1-G_0.6-H8e-005_af2.wfa | 393216  | 131072 | 131072 | 14 | 6512  | 112 | 112 | 32 | 128 | 14.40407377 | 1.859 | 6736  | 0.017130534 |
| satellite32.bmp | satellite32.bmp-withWavelet_haar-G_0.8-H3e-005_af4.wfa    | 98304   | 32768  | 32768  | 33 | 35088 | 264 | 264 | 32 | 64  | 14.41054509 | 1.109 | 35616 | 0.362304688 |
| satellite32.bmp | satellite32.bmp-withWavelet_rbio1.1-G_0.8-H3e-005_af4.wfa | 98304   | 32768  | 32768  | 33 | 35088 | 264 | 264 | 32 | 64  | 14.41054509 | 1.141 | 35616 | 0.362304688 |
| satellite32.bmp | satellite32.bmp-withWavelet_sym1-G_0.8-H3e-005_af4.wfa    | 98304   | 32768  | 32768  | 33 | 35088 | 264 | 264 | 32 | 64  | 14.41054509 | 1.125 | 35616 | 0.362304688 |
| satellite32.bmp | satellite32.bmp-withWavelet_bior1.1-G_0.8-H3e-005_af4.wfa | 98304   | 32768  | 32768  | 33 | 35088 | 264 | 264 | 32 | 64  | 14.41054509 | 1.141 | 35616 | 0.362304688 |
| satellite32.bmp | satellite32.bmp-withWavelet_haar-G_0.8-H4e-005_af4.wfa    | 98304   | 32768  | 32768  | 33 | 35088 | 264 | 264 | 32 | 64  | 14.41054509 | 1.14  | 35616 | 0.362304688 |
| satellite32.bmp | satellite32.bmp-withWavelet_rbio1.1-G_0.8-H4e-005_af4.wfa | 98304   | 32768  | 32768  | 33 | 35088 | 264 | 264 | 32 | 64  | 14.41054509 | 1.125 | 35616 | 0.362304688 |
| satellite32.bmp | satellite32.bmp-withWavelet_sym1-G_0.8-H4e-005_af4.wfa    | 98304   | 32768  | 32768  | 33 | 35088 | 264 | 264 | 32 | 64  | 14.41054509 | 1.125 | 35616 | 0.362304688 |
| satellite32.bmp | satellite32.bmp-withWavelet_bior1.1-G_0.8-H4e-005_af4.wfa | 98304   | 32768  | 32768  | 33 | 35088 | 264 | 264 | 32 | 64  | 14.41054509 | 1.141 | 35616 | 0.362304688 |
| satellite32.bmp | satellite32.bmp-withWavelet_haar-G_0.8-H5e-005_af4.wfa    | 98304   | 32768  | 32768  | 33 | 35088 | 264 | 264 | 32 | 64  | 14.41054509 | 1.141 | 35616 | 0.362304688 |
| satellite32.bmp | satellite32.bmp-withWavelet_rbio1.1-G_0.8-H5e-005_af4.wfa | 98304   | 32768  | 32768  | 33 | 35088 | 264 | 264 | 32 | 64  | 14.41054509 | 1.141 | 35616 | 0.362304688 |
| satellite32.bmp | satellite32.bmp-withWavelet_sym1-G_0.8-H5e-005_af4.wfa    | 98304   | 32768  | 32768  | 33 | 35088 | 264 | 264 | 32 | 64  | 14.41054509 | 1.157 | 35616 | 0.362304688 |
| satellite32.bmp | satellite32.bmp-withWavelet_bior1.1-G_0.8-H5e-005_af4.wfa | 98304   | 32768  | 32768  | 33 | 35088 | 264 | 264 | 32 | 64  | 14.41054509 | 1.125 | 35616 | 0.362304688 |
| satellite32.bmp | satellite32.bmp-withWavelet_haar-G_0.8-H7e-005_af1.wfa    | 393216  | 131072 | 131072 | 26 | 21872 | 208 | 208 | 32 | 128 | 14.42492925 | 3.407 | 22288 | 0.056681315 |
| satellite32.bmp | satellite32.bmp-withWavelet_rbio1.1-G_0.8-H7e-005_af1.wfa | 393216  | 131072 | 131072 | 26 | 21872 | 208 | 208 | 32 | 128 | 14.42492925 | 3.407 | 22288 | 0.056681315 |
| satellite32.bmp | satellite32.bmp-withWavelet_sym1-G_0.8-H7e-005_af1.wfa    | 393216  | 131072 | 131072 | 26 | 21872 | 208 | 208 | 32 | 128 | 14.42492925 | 3.422 | 22288 | 0.056681315 |
| satellite32.bmp | satellite32.bmp-withWavelet_bior1.1-G_0.8-H7e-005_af1.wfa | 393216  | 131072 | 131072 | 26 | 21872 | 208 | 208 | 32 | 128 | 14.42492925 | 3.437 | 22288 | 0.056681315 |
| satellite32.bmp | satellite32.bmp-withWavelet_haar-G_0.6-H5e-005_af5.wfa    | 98304   | 32768  | 32768  | 13 | 5648  | 104 | 104 | 32 | 64  | 14.42685291 | 0.422 | 5856  | 0.059570313 |
| satellite32.bmp | satellite32.bmp-withWavelet_rbio1.1-G_0.6-H5e-005_af5.wfa | 98304   | 32768  | 32768  | 13 | 5648  | 104 | 104 | 32 | 64  | 14.42685291 | 0.422 | 5856  | 0.059570313 |
| satellite32.bmp | satellite32.bmp-withWavelet_sym1-G_0.6-H5e-005_af5.wfa    | 98304   | 32768  | 32768  | 13 | 5648  | 104 | 104 | 32 | 64  | 14.42685291 | 0.422 | 5856  | 0.059570313 |

|                 |   |         |        |        |    |       |     |     |    |     |             |        |       |             |
|-----------------|---|---------|--------|--------|----|-------|-----|-----|----|-----|-------------|--------|-------|-------------|
| satellite32.bmp | satellite32.bmp-withWavelet_bior1.1-G_0.6-H5e-005_af5.wfa | 98304   | 32768  | 32768  | 13 | 5648  | 104 | 104 | 32 | 64  | 14.42685291 | 0.422  | 5856  | 0.059570313 |
| satellite32.bmp | satellite32.bmp-withWavelet_haar-G_0.6-H9e-005_af1.wfa    | 393216  | 131072 | 131072 | 23 | 17168 | 184 | 184 | 32 | 128 | 14.43529127 | 2.953  | 17536 | 0.044596354 |
| satellite32.bmp | satellite32.bmp-withWavelet_rbio1.1-G_0.6-H9e-005_af1.wfa | 393216  | 131072 | 131072 | 23 | 17168 | 184 | 184 | 32 | 128 | 14.43529127 | 2.937  | 17536 | 0.044596354 |
| satellite32.bmp | satellite32.bmp-withWavelet_sym1-G_0.6-H9e-005_af1.wfa    | 393216  | 131072 | 131072 | 23 | 17168 | 184 | 184 | 32 | 128 | 14.43529127 | 2.953  | 17536 | 0.044596354 |
| satellite32.bmp | satellite32.bmp-withWavelet_bior1.1-G_0.6-H9e-005_af1.wfa | 393216  | 131072 | 131072 | 23 | 17168 | 184 | 184 | 32 | 128 | 14.43529127 | 2.968  | 17536 | 0.044596354 |
| satellite32.bmp | satellite32.bmp-withWavelet_haar-G_1-H5e-005_af1.wfa      | 98304   | 32768  | 32768  | 33 | 35088 | 264 | 264 | 32 | 64  | 14.43536054 | 1.141  | 35616 | 0.362304688 |
| satellite32.bmp | satellite32.bmp-withWavelet_rbio1.1-G_1-H5e-005_af1.wfa   | 98304   | 32768  | 32768  | 33 | 35088 | 264 | 264 | 32 | 64  | 14.43536054 | 1.125  | 35616 | 0.362304688 |
| satellite32.bmp | satellite32.bmp-withWavelet_sym1-G_1-H5e-005_af1.wfa      | 98304   | 32768  | 32768  | 33 | 35088 | 264 | 264 | 32 | 64  | 14.43536054 | 1.156  | 35616 | 0.362304688 |
| satellite32.bmp | satellite32.bmp-withWavelet_bior1.1-G_1-H5e-005_af1.wfa   | 98304   | 32768  | 32768  | 33 | 35088 | 264 | 264 | 32 | 64  | 14.43536054 | 1.11   | 35616 | 0.362304688 |
| satellite32.bmp | satellite32.bmp-withWavelet_haar-G_0.6-H4e-005_af5.wfa    | 1572864 | 524288 | 524288 | 15 | 7440  | 120 | 120 | 32 | 256 | 14.43942744 | 8.015  | 7680  | 0.004882813 |
| satellite32.bmp | satellite32.bmp-withWavelet_rbio1.1-G_0.6-H4e-005_af5.wfa | 1572864 | 524288 | 524288 | 15 | 7440  | 120 | 120 | 32 | 256 | 14.43942744 | 7.953  | 7680  | 0.004882813 |
| satellite32.bmp | satellite32.bmp-withWavelet_sym1-G_0.6-H4e-005_af5.wfa    | 1572864 | 524288 | 524288 | 15 | 7440  | 120 | 120 | 32 | 256 | 14.43942744 | 8.156  | 7680  | 0.004882813 |
| satellite32.bmp | satellite32.bmp-withWavelet_bior1.1-G_0.6-H4e-005_af5.wfa | 1572864 | 524288 | 524288 | 15 | 7440  | 120 | 120 | 32 | 256 | 14.43942744 | 8.015  | 7680  | 0.004882813 |
| satellite32.bmp | satellite32.bmp-withWavelet_haar-G_1-H4e-005_af3.wfa      | 393216  | 131072 | 131072 | 30 | 29040 | 240 | 240 | 32 | 128 | 14.43994111 | 4.188  | 29520 | 0.075073242 |
| satellite32.bmp | satellite32.bmp-withWavelet_rbio1.1-G_1-H4e-005_af3.wfa   | 393216  | 131072 | 131072 | 30 | 29040 | 240 | 240 | 32 | 128 | 14.43994111 | 4.172  | 29520 | 0.075073242 |
| satellite32.bmp | satellite32.bmp-withWavelet_sym1-G_1-H4e-005_af3.wfa      | 393216  | 131072 | 131072 | 30 | 29040 | 240 | 240 | 32 | 128 | 14.43994111 | 4.218  | 29520 | 0.075073242 |
| satellite32.bmp | satellite32.bmp-withWavelet_bior1.1-G_1-H4e-005_af3.wfa   | 393216  | 131072 | 131072 | 30 | 29040 | 240 | 240 | 32 | 128 | 14.43994111 | 4.406  | 29520 | 0.075073242 |
| satellite32.bmp | satellite32.bmp-withWavelet_haar-G_0.8-H2e-005_af3.wfa    | 1572864 | 524288 | 524288 | 32 | 33008 | 256 | 256 | 32 | 256 | 14.44369998 | 21.141 | 33520 | 0.021311442 |
| satellite32.bmp | satellite32.bmp-withWavelet_rbio1.1-G_0.8-H2e-005_af3.wfa | 1572864 | 524288 | 524288 | 32 | 33008 | 256 | 256 | 32 | 256 | 14.44369998 | 21.313 | 33520 | 0.021311442 |
| satellite32.bmp | satellite32.bmp-withWavelet_sym1-G_0.8-H2e-005_af3.wfa    | 1572864 | 524288 | 524288 | 32 | 33008 | 256 | 256 | 32 | 256 | 14.44369998 | 20.907 | 33520 | 0.021311442 |
| satellite32.bmp | satellite32.bmp-withWavelet_bior1.1-G_0.8-H2e-005_af3.wfa | 1572864 | 524288 | 524288 | 32 | 33008 | 256 | 256 | 32 | 256 | 14.44369998 | 21.063 | 33520 | 0.021311442 |
| satellite32.bmp | satellite32.bmp-withWavelet_haar-G_0.6-H8e-005_af4.wfa    | 393216  | 131072 | 131072 | 25 | 20240 | 200 | 200 | 32 | 128 | 14.44512371 | 3.297  | 20640 | 0.052490234 |
| satellite32.bmp | satellite32.bmp-withWavelet_rbio1.1-G_0.6-H8e-005_af4.wfa | 393216  | 131072 | 131072 | 25 | 20240 | 200 | 200 | 32 | 128 | 14.44512371 | 3.266  | 20640 | 0.052490234 |
| satellite32.bmp | satellite32.bmp-withWavelet_sym1-G_0.6-H8e-005_af4.wfa    | 393216  | 131072 | 131072 | 25 | 20240 | 200 | 200 | 32 | 128 | 14.44512371 | 3.297  | 20640 | 0.052490234 |
| satellite32.bmp | satellite32.bmp-withWavelet_bior1.1-G_0.6-H8e-005_af4.wfa | 393216  | 131072 | 131072 | 25 | 20240 | 200 | 200 | 32 | 128 | 14.44512371 | 3.296  | 20640 | 0.052490234 |
| satellite32.bmp | satellite32.bmp-withWavelet_haar-G_0.6-H6e-005_af5.wfa    | 393216  | 131072 | 131072 | 13 | 5648  | 104 | 104 | 32 | 128 | 14.4525316  | 1.75   | 5856  | 0.014892578 |
| satellite32.bmp | satellite32.bmp-withWavelet_rbio1.1-G_0.6-H6e-005_af5.wfa | 393216  | 131072 | 131072 | 13 | 5648  | 104 | 104 | 32 | 128 | 14.4525316  | 1.765  | 5856  | 0.014892578 |
| satellite32.bmp | satellite32.bmp-withWavelet_sym1-G_0.6-H6e-005_af5.wfa    | 393216  | 131072 | 131072 | 13 | 5648  | 104 | 104 | 32 | 128 | 14.4525316  | 1.75   | 5856  | 0.014892578 |
| satellite32.bmp | satellite32.bmp-withWavelet_bior1.1-G_0.6-H6e-005_af5.wfa | 393216  | 131072 | 131072 | 13 | 5648  | 104 | 104 | 32 | 128 | 14.4525316  | 1.75   | 5856  | 0.014892578 |
| satellite32.bmp | satellite32.bmp-withWavelet_haar-G_1-H2e-005_af3.wfa      | 1572864 | 524288 | 524288 | 32 | 33008 | 256 | 256 | 32 | 256 | 14.45722064 | 20.953 | 33520 | 0.021311442 |
| satellite32.bmp | satellite32.bmp-withWavelet_rbio1.1-G_1-H2e-005_af3.wfa   | 1572864 | 524288 | 524288 | 32 | 33008 | 256 | 256 | 32 | 256 | 14.45722064 | 20.969 | 33520 | 0.021311442 |

|                 |   |         |        |        |    |       |     |     |    |     |             |        |       |             |
|-----------------|---|---------|--------|--------|----|-------|-----|-----|----|-----|-------------|--------|-------|-------------|
| satellite32.bmp | satellite32.bmp-withWavelet_sym1-G_1-H2e-005_af3.wfa      | 1572864 | 524288 | 524288 | 32 | 33008 | 256 | 256 | 32 | 256 | 14.45722064 | 21.156 | 33520 | 0.021311442 |
| satellite32.bmp | satellite32.bmp-withWavelet_bior1.1-G_1-H2e-005_af3.wfa   | 1572864 | 524288 | 524288 | 32 | 33008 | 256 | 256 | 32 | 256 | 14.45722064 | 20.953 | 33520 | 0.021311442 |
| satellite32.bmp | satellite32.bmp-withWavelet_haar-G_0.8-H5e-005_af1.wfa    | 98304   | 32768  | 32768  | 32 | 33008 | 256 | 256 | 32 | 64  | 14.45900017 | 1.063  | 33520 | 0.340983073 |
| satellite32.bmp | satellite32.bmp-withWavelet_rbio1.1-G_0.8-H5e-005_af1.wfa | 98304   | 32768  | 32768  | 32 | 33008 | 256 | 256 | 32 | 64  | 14.45900017 | 1.079  | 33520 | 0.340983073 |
| satellite32.bmp | satellite32.bmp-withWavelet_sym1-G_0.8-H5e-005_af1.wfa    | 98304   | 32768  | 32768  | 32 | 33008 | 256 | 256 | 32 | 64  | 14.45900017 | 1.078  | 33520 | 0.340983073 |
| satellite32.bmp | satellite32.bmp-withWavelet_bior1.1-G_0.8-H5e-005_af1.wfa | 98304   | 32768  | 32768  | 32 | 33008 | 256 | 256 | 32 | 64  | 14.45900017 | 1.063  | 33520 | 0.340983073 |
| satellite32.bmp | satellite32.bmp-withWavelet_haar-G_1-H3e-005_af5.wfa      | 393216  | 131072 | 131072 | 17 | 9488  | 136 | 136 | 32 | 128 | 14.46053688 | 2.031  | 9760  | 0.024820964 |
| satellite32.bmp | satellite32.bmp-withWavelet_rbio1.1-G_1-H3e-005_af5.wfa   | 393216  | 131072 | 131072 | 17 | 9488  | 136 | 136 | 32 | 128 | 14.46053688 | 2.031  | 9760  | 0.024820964 |
| satellite32.bmp | satellite32.bmp-withWavelet_sym1-G_1-H3e-005_af5.wfa      | 393216  | 131072 | 131072 | 17 | 9488  | 136 | 136 | 32 | 128 | 14.46053688 | 2.078  | 9760  | 0.024820964 |
| satellite32.bmp | satellite32.bmp-withWavelet_bior1.1-G_1-H3e-005_af5.wfa   | 393216  | 131072 | 131072 | 17 | 9488  | 136 | 136 | 32 | 128 | 14.46053688 | 2.015  | 9760  | 0.024820964 |
| satellite32.bmp | satellite32.bmp-withWavelet_haar-G_0.6-H5e-005_af3.wfa    | 98304   | 32768  | 32768  | 28 | 25328 | 224 | 224 | 32 | 64  | 14.46556093 | 0.86   | 25776 | 0.262207031 |
| satellite32.bmp | satellite32.bmp-withWavelet_rbio1.1-G_0.6-H5e-005_af3.wfa | 98304   | 32768  | 32768  | 28 | 25328 | 224 | 224 | 32 | 64  | 14.46556093 | 0.859  | 25776 | 0.262207031 |
| satellite32.bmp | satellite32.bmp-withWavelet_sym1-G_0.6-H5e-005_af3.wfa    | 98304   | 32768  | 32768  | 28 | 25328 | 224 | 224 | 32 | 64  | 14.46556093 | 0.875  | 25776 | 0.262207031 |
| satellite32.bmp | satellite32.bmp-withWavelet_bior1.1-G_0.6-H5e-005_af3.wfa | 98304   | 32768  | 32768  | 28 | 25328 | 224 | 224 | 32 | 64  | 14.46556093 | 0.844  | 25776 | 0.262207031 |
| satellite32.bmp | satellite32.bmp-withWavelet_haar-G_0.8-H5e-005_af3.wfa    | 393216  | 131072 | 131072 | 29 | 27152 | 232 | 232 | 32 | 128 | 14.46626149 | 4.515  | 27616 | 0.07023112  |
| satellite32.bmp | satellite32.bmp-withWavelet_rbio1.1-G_0.8-H5e-005_af3.wfa | 393216  | 131072 | 131072 | 29 | 27152 | 232 | 232 | 32 | 128 | 14.46626149 | 4.032  | 27616 | 0.07023112  |
| satellite32.bmp | satellite32.bmp-withWavelet_sym1-G_0.8-H5e-005_af3.wfa    | 393216  | 131072 | 131072 | 29 | 27152 | 232 | 232 | 32 | 128 | 14.46626149 | 4.063  | 27616 | 0.07023112  |
| satellite32.bmp | satellite32.bmp-withWavelet_bior1.1-G_0.8-H5e-005_af3.wfa | 393216  | 131072 | 131072 | 29 | 27152 | 232 | 232 | 32 | 128 | 14.46626149 | 4.062  | 27616 | 0.07023112  |
| satellite32.bmp | satellite32.bmp-withWavelet_haar-G_0.6-H4e-005_af3.wfa    | 98304   | 32768  | 32768  | 29 | 27152 | 232 | 232 | 32 | 64  | 14.47555759 | 0.906  | 27616 | 0.280924479 |
| satellite32.bmp | satellite32.bmp-withWavelet_rbio1.1-G_0.6-H4e-005_af3.wfa | 98304   | 32768  | 32768  | 29 | 27152 | 232 | 232 | 32 | 64  | 14.47555759 | 0.906  | 27616 | 0.280924479 |
| satellite32.bmp | satellite32.bmp-withWavelet_sym1-G_0.6-H4e-005_af3.wfa    | 98304   | 32768  | 32768  | 29 | 27152 | 232 | 232 | 32 | 64  | 14.47555759 | 0.906  | 27616 | 0.280924479 |
| satellite32.bmp | satellite32.bmp-withWavelet_bior1.1-G_0.6-H4e-005_af3.wfa | 98304   | 32768  | 32768  | 29 | 27152 | 232 | 232 | 32 | 64  | 14.47555759 | 0.907  | 27616 | 0.280924479 |
| satellite32.bmp | satellite32.bmp-withWavelet_haar-G_0.6-H9e-005_af2.wfa    | 393216  | 131072 | 131072 | 12 | 4848  | 96  | 96  | 32 | 128 | 14.47665121 | 1.672  | 5040  | 0.012817383 |
| satellite32.bmp | satellite32.bmp-withWavelet_rbio1.1-G_0.6-H9e-005_af2.wfa | 393216  | 131072 | 131072 | 12 | 4848  | 96  | 96  | 32 | 128 | 14.47665121 | 1.719  | 5040  | 0.012817383 |
| satellite32.bmp | satellite32.bmp-withWavelet_sym1-G_0.6-H9e-005_af2.wfa    | 393216  | 131072 | 131072 | 12 | 4848  | 96  | 96  | 32 | 128 | 14.47665121 | 1.703  | 5040  | 0.012817383 |
| satellite32.bmp | satellite32.bmp-withWavelet_bior1.1-G_0.6-H9e-005_af2.wfa | 393216  | 131072 | 131072 | 12 | 4848  | 96  | 96  | 32 | 128 | 14.47665121 | 1.688  | 5040  | 0.012817383 |
| satellite32.bmp | satellite32.bmp-withWavelet_haar-G_1-H2e-005_af5.wfa      | 98304   | 32768  | 32768  | 19 | 11792 | 152 | 152 | 32 | 64  | 14.4775258  | 0.531  | 12096 | 0.123046875 |
| satellite32.bmp | satellite32.bmp-withWavelet_rbio1.1-G_1-H2e-005_af5.wfa   | 98304   | 32768  | 32768  | 19 | 11792 | 152 | 152 | 32 | 64  | 14.4775258  | 0.532  | 12096 | 0.123046875 |
| satellite32.bmp | satellite32.bmp-withWavelet_sym1-G_1-H2e-005_af5.wfa      | 98304   | 32768  | 32768  | 19 | 11792 | 152 | 152 | 32 | 64  | 14.4775258  | 0.531  | 12096 | 0.123046875 |
| satellite32.bmp | satellite32.bmp-withWavelet_bior1.1-G_1-H2e-005_af5.wfa   | 98304   | 32768  | 32768  | 19 | 11792 | 152 | 152 | 32 | 64  | 14.4775258  | 0.532  | 12096 | 0.123046875 |
| satellite32.bmp | satellite32.bmp-withWavelet_haar-G_1-H3e-005_af4.wfa      | 98304   | 32768  | 32768  | 33 | 35088 | 264 | 264 | 32 | 64  | 14.48709448 | 1.11   | 35616 | 0.362304688 |

|                 |   |         |        |        |    |       |     |     |    |     |             |        |       |             |
|-----------------|---|---------|--------|--------|----|-------|-----|-----|----|-----|-------------|--------|-------|-------------|
| satellite32.bmp | satellite32.bmp-withWavelet_rbio1.1-G_1-H3e-005_af4.wfa   | 98304   | 32768  | 32768  | 33 | 35088 | 264 | 264 | 32 | 64  | 14.48709448 | 1.141  | 35616 | 0.362304688 |
| satellite32.bmp | satellite32.bmp-withWavelet_sym1-G_1-H3e-005_af4.wfa      | 98304   | 32768  | 32768  | 33 | 35088 | 264 | 264 | 32 | 64  | 14.48709448 | 1.219  | 35616 | 0.362304688 |
| satellite32.bmp | satellite32.bmp-withWavelet_bior1.1-G_1-H3e-005_af4.wfa   | 98304   | 32768  | 32768  | 33 | 35088 | 264 | 264 | 32 | 64  | 14.48709448 | 1.125  | 35616 | 0.362304688 |
| satellite32.bmp | satellite32.bmp-withWavelet_haar-G_1-H4e-005_af4.wfa      | 98304   | 32768  | 32768  | 33 | 35088 | 264 | 264 | 32 | 64  | 14.48709448 | 1.109  | 35616 | 0.362304688 |
| satellite32.bmp | satellite32.bmp-withWavelet_rbio1.1-G_1-H4e-005_af4.wfa   | 98304   | 32768  | 32768  | 33 | 35088 | 264 | 264 | 32 | 64  | 14.48709448 | 1.109  | 35616 | 0.362304688 |
| satellite32.bmp | satellite32.bmp-withWavelet_sym1-G_1-H4e-005_af4.wfa      | 98304   | 32768  | 32768  | 33 | 35088 | 264 | 264 | 32 | 64  | 14.48709448 | 1.11   | 35616 | 0.362304688 |
| satellite32.bmp | satellite32.bmp-withWavelet_bior1.1-G_1-H4e-005_af4.wfa   | 98304   | 32768  | 32768  | 33 | 35088 | 264 | 264 | 32 | 64  | 14.48709448 | 1.109  | 35616 | 0.362304688 |
| satellite32.bmp | satellite32.bmp-withWavelet_haar-G_0.6-H7e-005_af1.wfa    | 1572864 | 524288 | 524288 | 25 | 20240 | 200 | 200 | 32 | 256 | 14.4886602  | 14.61  | 20640 | 0.013122559 |
| satellite32.bmp | satellite32.bmp-withWavelet_rbio1.1-G_0.6-H7e-005_af1.wfa | 1572864 | 524288 | 524288 | 25 | 20240 | 200 | 200 | 32 | 256 | 14.4886602  | 14.453 | 20640 | 0.013122559 |
| satellite32.bmp | satellite32.bmp-withWavelet_sym1-G_0.6-H7e-005_af1.wfa    | 1572864 | 524288 | 524288 | 25 | 20240 | 200 | 200 | 32 | 256 | 14.4886602  | 14.546 | 20640 | 0.013122559 |
| satellite32.bmp | satellite32.bmp-withWavelet_bior1.1-G_0.6-H7e-005_af1.wfa | 1572864 | 524288 | 524288 | 25 | 20240 | 200 | 200 | 32 | 256 | 14.4886602  | 14.578 | 20640 | 0.013122559 |
| satellite32.bmp | satellite32.bmp-withWavelet_haar-G_1-H6e-005_af2.wfa      | 98304   | 32768  | 32768  | 20 | 13040 | 160 | 160 | 32 | 64  | 14.48929813 | 0.547  | 13360 | 0.135904948 |
| satellite32.bmp | satellite32.bmp-withWavelet_rbio1.1-G_1-H6e-005_af2.wfa   | 98304   | 32768  | 32768  | 20 | 13040 | 160 | 160 | 32 | 64  | 14.48929813 | 0.547  | 13360 | 0.135904948 |
| satellite32.bmp | satellite32.bmp-withWavelet_sym1-G_1-H6e-005_af2.wfa      | 98304   | 32768  | 32768  | 20 | 13040 | 160 | 160 | 32 | 64  | 14.48929813 | 0.531  | 13360 | 0.135904948 |
| satellite32.bmp | satellite32.bmp-withWavelet_bior1.1-G_1-H6e-005_af2.wfa   | 98304   | 32768  | 32768  | 20 | 13040 | 160 | 160 | 32 | 64  | 14.48929813 | 0.547  | 13360 | 0.135904948 |
| satellite32.bmp | satellite32.bmp-withWavelet_haar-G_1-H5e-005_af3.wfa      | 393216  | 131072 | 131072 | 29 | 27152 | 232 | 232 | 32 | 128 | 14.48998592 | 4.031  | 27616 | 0.07023112  |
| satellite32.bmp | satellite32.bmp-withWavelet_rbio1.1-G_1-H5e-005_af3.wfa   | 393216  | 131072 | 131072 | 29 | 27152 | 232 | 232 | 32 | 128 | 14.48998592 | 4.032  | 27616 | 0.07023112  |
| satellite32.bmp | satellite32.bmp-withWavelet_sym1-G_1-H5e-005_af3.wfa      | 393216  | 131072 | 131072 | 29 | 27152 | 232 | 232 | 32 | 128 | 14.48998592 | 4      | 27616 | 0.07023112  |
| satellite32.bmp | satellite32.bmp-withWavelet_bior1.1-G_1-H5e-005_af3.wfa   | 393216  | 131072 | 131072 | 29 | 27152 | 232 | 232 | 32 | 128 | 14.48998592 | 4.094  | 27616 | 0.07023112  |
| satellite32.bmp | satellite32.bmp-withWavelet_haar-G_0.6-H7e-005_af5.wfa    | 393216  | 131072 | 131072 | 12 | 4848  | 96  | 96  | 32 | 128 | 14.49490659 | 1.687  | 5040  | 0.012817383 |
| satellite32.bmp | satellite32.bmp-withWavelet_rbio1.1-G_0.6-H7e-005_af5.wfa | 393216  | 131072 | 131072 | 12 | 4848  | 96  | 96  | 32 | 128 | 14.49490659 | 1.688  | 5040  | 0.012817383 |
| satellite32.bmp | satellite32.bmp-withWavelet_sym1-G_0.6-H7e-005_af5.wfa    | 393216  | 131072 | 131072 | 12 | 4848  | 96  | 96  | 32 | 128 | 14.49490659 | 1.703  | 5040  | 0.012817383 |
| satellite32.bmp | satellite32.bmp-withWavelet_bior1.1-G_0.6-H7e-005_af5.wfa | 393216  | 131072 | 131072 | 12 | 4848  | 96  | 96  | 32 | 128 | 14.49490659 | 1.687  | 5040  | 0.012817383 |
| satellite32.bmp | satellite32.bmp-withWavelet_haar-G_0.6-H7e-005_af4.wfa    | 393216  | 131072 | 131072 | 25 | 20240 | 200 | 200 | 32 | 128 | 14.49901016 | 3.281  | 20640 | 0.052490234 |
| satellite32.bmp | satellite32.bmp-withWavelet_rbio1.1-G_0.6-H7e-005_af4.wfa | 393216  | 131072 | 131072 | 25 | 20240 | 200 | 200 | 32 | 128 | 14.49901016 | 3.297  | 20640 | 0.052490234 |
| satellite32.bmp | satellite32.bmp-withWavelet_sym1-G_0.6-H7e-005_af4.wfa    | 393216  | 131072 | 131072 | 25 | 20240 | 200 | 200 | 32 | 128 | 14.49901016 | 3.312  | 20640 | 0.052490234 |
| satellite32.bmp | satellite32.bmp-withWavelet_bior1.1-G_0.6-H7e-005_af4.wfa | 393216  | 131072 | 131072 | 25 | 20240 | 200 | 200 | 32 | 128 | 14.49901016 | 3.297  | 20640 | 0.052490234 |
| satellite32.bmp | satellite32.bmp-withWavelet_haar-G_0.6-H0.0001_af1.wfa    | 393216  | 131072 | 131072 | 22 | 15728 | 176 | 176 | 32 | 128 | 14.49942199 | 2.516  | 16080 | 0.040893555 |
| satellite32.bmp | satellite32.bmp-withWavelet_rbio1.1-G_0.6-H0.0001_af1.wfa | 393216  | 131072 | 131072 | 22 | 15728 | 176 | 176 | 32 | 128 | 14.49942199 | 2.531  | 16080 | 0.040893555 |
| satellite32.bmp | satellite32.bmp-withWavelet_sym1-G_0.6-H0.0001_af1.wfa    | 393216  | 131072 | 131072 | 22 | 15728 | 176 | 176 | 32 | 128 | 14.49942199 | 2.547  | 16080 | 0.040893555 |
| satellite32.bmp | satellite32.bmp-withWavelet_bior1.1-G_0.6-H0.0001_af1.wfa | 393216  | 131072 | 131072 | 22 | 15728 | 176 | 176 | 32 | 128 | 14.49942199 | 2.515  | 16080 | 0.040893555 |

|                 |   |         |        |        |    |       |     |     |    |     |             |        |       |             |
|-----------------|---|---------|--------|--------|----|-------|-----|-----|----|-----|-------------|--------|-------|-------------|
| satellite32.bmp | satellite32.bmp-withWavelet_haar-G_1-H1e-005_af5.wfa      | 98304   | 32768  | 32768  | 25 | 20240 | 200 | 200 | 32 | 64  | 14.50323513 | 0.75   | 20640 | 0.209960938 |
| satellite32.bmp | satellite32.bmp-withWavelet_rbio1.1-G_1-H1e-005_af5.wfa   | 98304   | 32768  | 32768  | 25 | 20240 | 200 | 200 | 32 | 64  | 14.50323513 | 0.75   | 20640 | 0.209960938 |
| satellite32.bmp | satellite32.bmp-withWavelet_sym1-G_1-H1e-005_af5.wfa      | 98304   | 32768  | 32768  | 25 | 20240 | 200 | 200 | 32 | 64  | 14.50323513 | 0.75   | 20640 | 0.209960938 |
| satellite32.bmp | satellite32.bmp-withWavelet_bior1.1-G_1-H1e-005_af5.wfa   | 98304   | 32768  | 32768  | 25 | 20240 | 200 | 200 | 32 | 64  | 14.50323513 | 0.766  | 20640 | 0.209960938 |
| satellite32.bmp | satellite32.bmp-withWavelet_haar-G_0.6-H6e-005_af4.wfa    | 1572864 | 524288 | 524288 | 26 | 21872 | 208 | 208 | 32 | 256 | 14.5121835  | 17.218 | 22288 | 0.014170329 |
| satellite32.bmp | satellite32.bmp-withWavelet_rbio1.1-G_0.6-H6e-005_af4.wfa | 1572864 | 524288 | 524288 | 26 | 21872 | 208 | 208 | 32 | 256 | 14.5121835  | 15.094 | 22288 | 0.014170329 |
| satellite32.bmp | satellite32.bmp-withWavelet_sym1-G_0.6-H6e-005_af4.wfa    | 1572864 | 524288 | 524288 | 26 | 21872 | 208 | 208 | 32 | 256 | 14.5121835  | 15.109 | 22288 | 0.014170329 |
| satellite32.bmp | satellite32.bmp-withWavelet_bior1.1-G_0.6-H6e-005_af4.wfa | 1572864 | 524288 | 524288 | 26 | 21872 | 208 | 208 | 32 | 256 | 14.5121835  | 15.031 | 22288 | 0.014170329 |
| satellite32.bmp | satellite32.bmp-withWavelet_haar-G_0.6-H8e-005_af1.wfa    | 1572864 | 524288 | 524288 | 25 | 20240 | 200 | 200 | 32 | 256 | 14.5140858  | 14.5   | 20640 | 0.013122559 |
| satellite32.bmp | satellite32.bmp-withWavelet_rbio1.1-G_0.6-H8e-005_af1.wfa | 1572864 | 524288 | 524288 | 25 | 20240 | 200 | 200 | 32 | 256 | 14.5140858  | 14.5   | 20640 | 0.013122559 |
| satellite32.bmp | satellite32.bmp-withWavelet_sym1-G_0.6-H8e-005_af1.wfa    | 1572864 | 524288 | 524288 | 25 | 20240 | 200 | 200 | 32 | 256 | 14.5140858  | 14.5   | 20640 | 0.013122559 |
| satellite32.bmp | satellite32.bmp-withWavelet_bior1.1-G_0.6-H8e-005_af1.wfa | 1572864 | 524288 | 524288 | 25 | 20240 | 200 | 200 | 32 | 256 | 14.5140858  | 14.422 | 20640 | 0.013122559 |
| satellite32.bmp | satellite32.bmp-withWavelet_haar-G_0.8-H4e-005_af5.wfa    | 393216  | 131072 | 131072 | 14 | 6512  | 112 | 112 | 32 | 128 | 14.5144226  | 1.781  | 6736  | 0.017130534 |
| satellite32.bmp | satellite32.bmp-withWavelet_rbio1.1-G_0.8-H4e-005_af5.wfa | 393216  | 131072 | 131072 | 14 | 6512  | 112 | 112 | 32 | 128 | 14.5144226  | 1.813  | 6736  | 0.017130534 |
| satellite32.bmp | satellite32.bmp-withWavelet_sym1-G_0.8-H4e-005_af5.wfa    | 393216  | 131072 | 131072 | 14 | 6512  | 112 | 112 | 32 | 128 | 14.5144226  | 1.781  | 6736  | 0.017130534 |
| satellite32.bmp | satellite32.bmp-withWavelet_bior1.1-G_0.8-H4e-005_af5.wfa | 393216  | 131072 | 131072 | 14 | 6512  | 112 | 112 | 32 | 128 | 14.5144226  | 1.781  | 6736  | 0.017130534 |
| satellite32.bmp | satellite32.bmp-withWavelet_haar-G_1-H4e-005_af5.wfa      | 393216  | 131072 | 131072 | 14 | 6512  | 112 | 112 | 32 | 128 | 14.51507432 | 1.782  | 6736  | 0.017130534 |
| satellite32.bmp | satellite32.bmp-withWavelet_rbio1.1-G_1-H4e-005_af5.wfa   | 393216  | 131072 | 131072 | 14 | 6512  | 112 | 112 | 32 | 128 | 14.51507432 | 1.781  | 6736  | 0.017130534 |
| satellite32.bmp | satellite32.bmp-withWavelet_sym1-G_1-H4e-005_af5.wfa      | 393216  | 131072 | 131072 | 14 | 6512  | 112 | 112 | 32 | 128 | 14.51507432 | 1.766  | 6736  | 0.017130534 |
| satellite32.bmp | satellite32.bmp-withWavelet_bior1.1-G_1-H4e-005_af5.wfa   | 393216  | 131072 | 131072 | 14 | 6512  | 112 | 112 | 32 | 128 | 14.51507432 | 1.812  | 6736  | 0.017130534 |
| satellite32.bmp | satellite32.bmp-withWavelet_haar-G_0.6-H0.0001_af4.wfa    | 393216  | 131072 | 131072 | 24 | 18672 | 192 | 192 | 32 | 128 | 14.51709102 | 3.062  | 19056 | 0.048461914 |
| satellite32.bmp | satellite32.bmp-withWavelet_rbio1.1-G_0.6-H0.0001_af4.wfa | 393216  | 131072 | 131072 | 24 | 18672 | 192 | 192 | 32 | 128 | 14.51709102 | 3.11   | 19056 | 0.048461914 |
| satellite32.bmp | satellite32.bmp-withWavelet_sym1-G_0.6-H0.0001_af4.wfa    | 393216  | 131072 | 131072 | 24 | 18672 | 192 | 192 | 32 | 128 | 14.51709102 | 3.14   | 19056 | 0.048461914 |
| satellite32.bmp | satellite32.bmp-withWavelet_bior1.1-G_0.6-H0.0001_af4.wfa | 393216  | 131072 | 131072 | 24 | 18672 | 192 | 192 | 32 | 128 | 14.51709102 | 3.093  | 19056 | 0.048461914 |
| satellite32.bmp | satellite32.bmp-withWavelet_haar-G_1-H5e-005_af5.wfa      | 393216  | 131072 | 131072 | 14 | 6512  | 112 | 112 | 32 | 128 | 14.52267357 | 1.766  | 6736  | 0.017130534 |
| satellite32.bmp | satellite32.bmp-withWavelet_rbio1.1-G_1-H5e-005_af5.wfa   | 393216  | 131072 | 131072 | 14 | 6512  | 112 | 112 | 32 | 128 | 14.52267357 | 1.797  | 6736  | 0.017130534 |
| satellite32.bmp | satellite32.bmp-withWavelet_sym1-G_1-H5e-005_af5.wfa      | 393216  | 131072 | 131072 | 14 | 6512  | 112 | 112 | 32 | 128 | 14.52267357 | 1.782  | 6736  | 0.017130534 |
| satellite32.bmp | satellite32.bmp-withWavelet_bior1.1-G_1-H5e-005_af5.wfa   | 393216  | 131072 | 131072 | 14 | 6512  | 112 | 112 | 32 | 128 | 14.52267357 | 1.781  | 6736  | 0.017130534 |
| satellite32.bmp | satellite32.bmp-withWavelet_haar-G_0.8-H5e-005_af5.wfa    | 393216  | 131072 | 131072 | 13 | 5648  | 104 | 104 | 32 | 128 | 14.54078131 | 1.75   | 5856  | 0.014892578 |
| satellite32.bmp | satellite32.bmp-withWavelet_rbio1.1-G_0.8-H5e-005_af5.wfa | 393216  | 131072 | 131072 | 13 | 5648  | 104 | 104 | 32 | 128 | 14.54078131 | 1.766  | 5856  | 0.014892578 |
| satellite32.bmp | satellite32.bmp-withWavelet_sym1-G_0.8-H5e-005_af5.wfa    | 393216  | 131072 | 131072 | 13 | 5648  | 104 | 104 | 32 | 128 | 14.54078131 | 1.75   | 5856  | 0.014892578 |



|                 |   |         |        |        |    |       |     |     |    |     |             |        |       |             |
|-----------------|---|---------|--------|--------|----|-------|-----|-----|----|-----|-------------|--------|-------|-------------|
| satellite32.bmp | satellite32.bmp-withWavelet_bior1.1-G_0.8-H5e-005_af5.wfa | 393216  | 131072 | 131072 | 13 | 5648  | 104 | 104 | 32 | 128 | 14.54078131 | 1.766  | 5856  | 0.014892578 |
| satellite32.bmp | satellite32.bmp-withWavelet_haar-G_1-H5e-005_af4.wfa      | 98304   | 32768  | 32768  | 32 | 33008 | 256 | 256 | 32 | 64  | 14.54182302 | 1.063  | 33520 | 0.340983073 |
| satellite32.bmp | satellite32.bmp-withWavelet_rbio1.1-G_1-H5e-005_af4.wfa   | 98304   | 32768  | 32768  | 32 | 33008 | 256 | 256 | 32 | 64  | 14.54182302 | 1.062  | 33520 | 0.340983073 |
| satellite32.bmp | satellite32.bmp-withWavelet_sym1-G_1-H5e-005_af4.wfa      | 98304   | 32768  | 32768  | 32 | 33008 | 256 | 256 | 32 | 64  | 14.54182302 | 1.079  | 33520 | 0.340983073 |
| satellite32.bmp | satellite32.bmp-withWavelet_bior1.1-G_1-H5e-005_af4.wfa   | 98304   | 32768  | 32768  | 32 | 33008 | 256 | 256 | 32 | 64  | 14.54182302 | 1.047  | 33520 | 0.340983073 |
| satellite32.bmp | satellite32.bmp-withWavelet_haar-G_0.6-H9e-005_af5.wfa    | 393216  | 131072 | 131072 | 10 | 3440  | 80  | 80  | 32 | 128 | 14.54717147 | 1.563  | 3600  | 0.009155273 |
| satellite32.bmp | satellite32.bmp-withWavelet_rbio1.1-G_0.6-H9e-005_af5.wfa | 393216  | 131072 | 131072 | 10 | 3440  | 80  | 80  | 32 | 128 | 14.54717147 | 1.579  | 3600  | 0.009155273 |
| satellite32.bmp | satellite32.bmp-withWavelet_sym1-G_0.6-H9e-005_af5.wfa    | 393216  | 131072 | 131072 | 10 | 3440  | 80  | 80  | 32 | 128 | 14.54717147 | 1.578  | 3600  | 0.009155273 |
| satellite32.bmp | satellite32.bmp-withWavelet_bior1.1-G_0.6-H9e-005_af5.wfa | 393216  | 131072 | 131072 | 10 | 3440  | 80  | 80  | 32 | 128 | 14.54717147 | 1.594  | 3600  | 0.009155273 |
| satellite32.bmp | satellite32.bmp-withWavelet_haar-G_0.6-H0.0001_af5.wfa    | 393216  | 131072 | 131072 | 10 | 3440  | 80  | 80  | 32 | 128 | 14.54717147 | 1.609  | 3600  | 0.009155273 |
| satellite32.bmp | satellite32.bmp-withWavelet_rbio1.1-G_0.6-H0.0001_af5.wfa | 393216  | 131072 | 131072 | 10 | 3440  | 80  | 80  | 32 | 128 | 14.54717147 | 1.594  | 3600  | 0.009155273 |
| satellite32.bmp | satellite32.bmp-withWavelet_sym1-G_0.6-H0.0001_af5.wfa    | 393216  | 131072 | 131072 | 10 | 3440  | 80  | 80  | 32 | 128 | 14.54717147 | 1.578  | 3600  | 0.009155273 |
| satellite32.bmp | satellite32.bmp-withWavelet_bior1.1-G_0.6-H0.0001_af5.wfa | 393216  | 131072 | 131072 | 10 | 3440  | 80  | 80  | 32 | 128 | 14.54717147 | 1.578  | 3600  | 0.009155273 |
| satellite32.bmp | satellite32.bmp-withWavelet_haar-G_0.8-H7e-005_af2.wfa    | 98304   | 32768  | 32768  | 17 | 9488  | 136 | 136 | 32 | 64  | 14.54748209 | 0.5    | 9760  | 0.099283854 |
| satellite32.bmp | satellite32.bmp-withWavelet_rbio1.1-G_0.8-H7e-005_af2.wfa | 98304   | 32768  | 32768  | 17 | 9488  | 136 | 136 | 32 | 64  | 14.54748209 | 0.485  | 9760  | 0.099283854 |
| satellite32.bmp | satellite32.bmp-withWavelet_sym1-G_0.8-H7e-005_af2.wfa    | 98304   | 32768  | 32768  | 17 | 9488  | 136 | 136 | 32 | 64  | 14.54748209 | 0.5    | 9760  | 0.099283854 |
| satellite32.bmp | satellite32.bmp-withWavelet_bior1.1-G_0.8-H7e-005_af2.wfa | 98304   | 32768  | 32768  | 17 | 9488  | 136 | 136 | 32 | 64  | 14.54748209 | 0.484  | 9760  | 0.099283854 |
| satellite32.bmp | satellite32.bmp-withWavelet_haar-G_0.6-H5e-005_af5.wfa    | 1572864 | 524288 | 524288 | 13 | 5648  | 104 | 104 | 32 | 256 | 14.55232531 | 7.516  | 5856  | 0.003723145 |
| satellite32.bmp | satellite32.bmp-withWavelet_rbio1.1-G_0.6-H5e-005_af5.wfa | 1572864 | 524288 | 524288 | 13 | 5648  | 104 | 104 | 32 | 256 | 14.55232531 | 7.438  | 5856  | 0.003723145 |
| satellite32.bmp | satellite32.bmp-withWavelet_sym1-G_0.6-H5e-005_af5.wfa    | 1572864 | 524288 | 524288 | 13 | 5648  | 104 | 104 | 32 | 256 | 14.55232531 | 7.453  | 5856  | 0.003723145 |
| satellite32.bmp | satellite32.bmp-withWavelet_bior1.1-G_0.6-H5e-005_af5.wfa | 1572864 | 524288 | 524288 | 13 | 5648  | 104 | 104 | 32 | 256 | 14.55232531 | 7.438  | 5856  | 0.003723145 |
| satellite32.bmp | satellite32.bmp-withWavelet_haar-G_1-H1e-005_af5.wfa      | 1572864 | 524288 | 524288 | 25 | 20240 | 200 | 200 | 32 | 256 | 14.55495992 | 14.406 | 20640 | 0.013122559 |
| satellite32.bmp | satellite32.bmp-withWavelet_rbio1.1-G_1-H1e-005_af5.wfa   | 1572864 | 524288 | 524288 | 25 | 20240 | 200 | 200 | 32 | 256 | 14.55495992 | 14.422 | 20640 | 0.013122559 |
| satellite32.bmp | satellite32.bmp-withWavelet_sym1-G_1-H1e-005_af5.wfa      | 1572864 | 524288 | 524288 | 25 | 20240 | 200 | 200 | 32 | 256 | 14.55495992 | 14.391 | 20640 | 0.013122559 |
| satellite32.bmp | satellite32.bmp-withWavelet_bior1.1-G_1-H1e-005_af5.wfa   | 1572864 | 524288 | 524288 | 25 | 20240 | 200 | 200 | 32 | 256 | 14.55495992 | 14.406 | 20640 | 0.013122559 |
| satellite32.bmp | satellite32.bmp-withWavelet_haar-G_0.6-H8e-005_af4.wfa    | 1572864 | 524288 | 524288 | 25 | 20240 | 200 | 200 | 32 | 256 | 14.55552866 | 16.75  | 20640 | 0.013122559 |
| satellite32.bmp | satellite32.bmp-withWavelet_rbio1.1-G_0.6-H8e-005_af4.wfa | 1572864 | 524288 | 524288 | 25 | 20240 | 200 | 200 | 32 | 256 | 14.55552866 | 14.422 | 20640 | 0.013122559 |
| satellite32.bmp | satellite32.bmp-withWavelet_sym1-G_0.6-H8e-005_af4.wfa    | 1572864 | 524288 | 524288 | 25 | 20240 | 200 | 200 | 32 | 256 | 14.55552866 | 16.547 | 20640 | 0.013122559 |
| satellite32.bmp | satellite32.bmp-withWavelet_bior1.1-G_0.6-H8e-005_af4.wfa | 1572864 | 524288 | 524288 | 25 | 20240 | 200 | 200 | 32 | 256 | 14.55552866 | 14.516 | 20640 | 0.013122559 |
| satellite32.bmp | satellite32.bmp-G_0.8-H1e-005_af1.wfa                     | 393216  | 131072 |        | 1  | 272   | 8   | 8   | 32 | 128 | 14.55783279 | 0      | 288   | 0.000732422 |
| satellite32.bmp | satellite32.bmp-G_0.8-H1e-005_af2.wfa                     | 393216  | 131072 |        | 1  | 272   | 8   | 8   | 32 | 128 | 14.55783279 | 0      | 288   | 0.000732422 |



|                 |   |         |        |        |    |       |     |     |    |     |             |       |       |             |
|-----------------|---|---------|--------|--------|----|-------|-----|-----|----|-----|-------------|-------|-------|-------------|
| satellite32.bmp | satellite32.bmp-G_0.8-H7e-005_af4.wfa                     | 393216  | 131072 |        | 1  | 272   | 8   | 8   | 32 | 128 | 14.55783279 | 0     | 288   | 0.000732422 |
| satellite32.bmp | satellite32.bmp-G_0.8-H7e-005_af5.wfa                     | 393216  | 131072 |        | 1  | 272   | 8   | 8   | 32 | 128 | 14.55783279 | 0     | 288   | 0.000732422 |
| satellite32.bmp | satellite32.bmp-G_0.8-H8e-005_af1.wfa                     | 393216  | 131072 |        | 1  | 272   | 8   | 8   | 32 | 128 | 14.55783279 | 0     | 288   | 0.000732422 |
| satellite32.bmp | satellite32.bmp-G_0.8-H8e-005_af2.wfa                     | 393216  | 131072 |        | 1  | 272   | 8   | 8   | 32 | 128 | 14.55783279 | 0     | 288   | 0.000732422 |
| satellite32.bmp | satellite32.bmp-G_0.8-H8e-005_af3.wfa                     | 393216  | 131072 |        | 1  | 272   | 8   | 8   | 32 | 128 | 14.55783279 | 0     | 288   | 0.000732422 |
| satellite32.bmp | satellite32.bmp-G_0.8-H8e-005_af4.wfa                     | 393216  | 131072 |        | 1  | 272   | 8   | 8   | 32 | 128 | 14.55783279 | 0     | 288   | 0.000732422 |
| satellite32.bmp | satellite32.bmp-G_0.8-H8e-005_af5.wfa                     | 393216  | 131072 |        | 1  | 272   | 8   | 8   | 32 | 128 | 14.55783279 | 0     | 288   | 0.000732422 |
| satellite32.bmp | satellite32.bmp-G_0.8-H9e-005_af1.wfa                     | 393216  | 131072 |        | 1  | 272   | 8   | 8   | 32 | 128 | 14.55783279 | 0     | 288   | 0.000732422 |
| satellite32.bmp | satellite32.bmp-G_0.8-H9e-005_af2.wfa                     | 393216  | 131072 |        | 1  | 272   | 8   | 8   | 32 | 128 | 14.55783279 | 0     | 288   | 0.000732422 |
| satellite32.bmp | satellite32.bmp-G_0.8-H9e-005_af3.wfa                     | 393216  | 131072 |        | 1  | 272   | 8   | 8   | 32 | 128 | 14.55783279 | 0     | 288   | 0.000732422 |
| satellite32.bmp | satellite32.bmp-G_0.8-H9e-005_af4.wfa                     | 393216  | 131072 |        | 1  | 272   | 8   | 8   | 32 | 128 | 14.55783279 | 0     | 288   | 0.000732422 |
| satellite32.bmp | satellite32.bmp-G_0.8-H9e-005_af5.wfa                     | 393216  | 131072 |        | 1  | 272   | 8   | 8   | 32 | 128 | 14.55783279 | 0     | 288   | 0.000732422 |
| satellite32.bmp | satellite32.bmp-G_0.8-H0.0001_af1.wfa                     | 393216  | 131072 |        | 1  | 272   | 8   | 8   | 32 | 128 | 14.55783279 | 0     | 288   | 0.000732422 |
| satellite32.bmp | satellite32.bmp-G_0.8-H0.0001_af2.wfa                     | 393216  | 131072 |        | 1  | 272   | 8   | 8   | 32 | 128 | 14.55783279 | 0     | 288   | 0.000732422 |
| satellite32.bmp | satellite32.bmp-G_0.8-H0.0001_af3.wfa                     | 393216  | 131072 |        | 1  | 272   | 8   | 8   | 32 | 128 | 14.55783279 | 0     | 288   | 0.000732422 |
| satellite32.bmp | satellite32.bmp-G_0.8-H0.0001_af4.wfa                     | 393216  | 131072 |        | 1  | 272   | 8   | 8   | 32 | 128 | 14.55783279 | 0     | 288   | 0.000732422 |
| satellite32.bmp | satellite32.bmp-G_0.8-H0.0001_af5.wfa                     | 393216  | 131072 |        | 1  | 272   | 8   | 8   | 32 | 128 | 14.55783279 | 0     | 288   | 0.000732422 |
| satellite32.bmp | satellite32.bmp-withWavelet_haar-G_0.8-H3e-005_af5.wfa    | 1572864 | 524288 | 524288 | 17 | 9488  | 136 | 136 | 32 | 256 | 14.55810774 | 8.594 | 9760  | 0.006205241 |
| satellite32.bmp | satellite32.bmp-withWavelet_rbio1.1-G_0.8-H3e-005_af5.wfa | 1572864 | 524288 | 524288 | 17 | 9488  | 136 | 136 | 32 | 256 | 14.55810774 | 8.609 | 9760  | 0.006205241 |
| satellite32.bmp | satellite32.bmp-withWavelet_sym1-G_0.8-H3e-005_af5.wfa    | 1572864 | 524288 | 524288 | 17 | 9488  | 136 | 136 | 32 | 256 | 14.55810774 | 8.563 | 9760  | 0.006205241 |
| satellite32.bmp | satellite32.bmp-withWavelet_bior1.1-G_0.8-H3e-005_af5.wfa | 1572864 | 524288 | 524288 | 17 | 9488  | 136 | 136 | 32 | 256 | 14.55810774 | 8.609 | 9760  | 0.006205241 |
| satellite32.bmp | satellite32.bmp-withWavelet_haar-G_0.6-H9e-005_af4.wfa    | 393216  | 131072 | 131072 | 24 | 18672 | 192 | 192 | 32 | 128 | 14.55825869 | 3.125 | 19056 | 0.048461914 |
| satellite32.bmp | satellite32.bmp-withWavelet_rbio1.1-G_0.6-H9e-005_af4.wfa | 393216  | 131072 | 131072 | 24 | 18672 | 192 | 192 | 32 | 128 | 14.55825869 | 3.093 | 19056 | 0.048461914 |
| satellite32.bmp | satellite32.bmp-withWavelet_sym1-G_0.6-H9e-005_af4.wfa    | 393216  | 131072 | 131072 | 24 | 18672 | 192 | 192 | 32 | 128 | 14.55825869 | 3.11  | 19056 | 0.048461914 |
| satellite32.bmp | satellite32.bmp-withWavelet_bior1.1-G_0.6-H9e-005_af4.wfa | 393216  | 131072 | 131072 | 24 | 18672 | 192 | 192 | 32 | 128 | 14.55825869 | 3.093 | 19056 | 0.048461914 |
| satellite32.bmp | satellite32.bmp-withWavelet_haar-G_0.6-H6e-005_af3.wfa    | 98304   | 32768  | 32768  | 27 | 23568 | 216 | 216 | 32 | 64  | 14.55903186 | 0.844 | 24000 | 0.244140625 |
| satellite32.bmp | satellite32.bmp-withWavelet_rbio1.1-G_0.6-H6e-005_af3.wfa | 98304   | 32768  | 32768  | 27 | 23568 | 216 | 216 | 32 | 64  | 14.55903186 | 0.828 | 24000 | 0.244140625 |
| satellite32.bmp | satellite32.bmp-withWavelet_sym1-G_0.6-H6e-005_af3.wfa    | 98304   | 32768  | 32768  | 27 | 23568 | 216 | 216 | 32 | 64  | 14.55903186 | 0.844 | 24000 | 0.244140625 |
| satellite32.bmp | satellite32.bmp-withWavelet_bior1.1-G_0.6-H6e-005_af3.wfa | 98304   | 32768  | 32768  | 27 | 23568 | 216 | 216 | 32 | 64  | 14.55903186 | 0.828 | 24000 | 0.244140625 |
| satellite32.bmp | satellite32.bmp-withWavelet_haar-G_1-H3e-005_af5.wfa      | 98304   | 32768  | 32768  | 17 | 9488  | 136 | 136 | 32 | 64  | 14.56743809 | 0.5   | 9760  | 0.099283854 |
| satellite32.bmp | satellite32.bmp-withWavelet_rbio1.1-G_1-H3e-005_af5.wfa   | 98304   | 32768  | 32768  | 17 | 9488  | 136 | 136 | 32 | 64  | 14.56743809 | 0.5   | 9760  | 0.099283854 |

|                 |   |         |        |        |    |       |     |     |    |     |             |        |       |             |
|-----------------|---|---------|--------|--------|----|-------|-----|-----|----|-----|-------------|--------|-------|-------------|
| satellite32.bmp | satellite32.bmp-withWavelet_sym1-G_1-H3e-005_af5.wfa      | 98304   | 32768  | 32768  | 17 | 9488  | 136 | 136 | 32 | 64  | 14.56743809 | 0.5    | 9760  | 0.099283854 |
| satellite32.bmp | satellite32.bmp-withWavelet_bior1.1-G_1-H3e-005_af5.wfa   | 98304   | 32768  | 32768  | 17 | 9488  | 136 | 136 | 32 | 64  | 14.56743809 | 0.5    | 9760  | 0.099283854 |
| satellite32.bmp | satellite32.bmp-withWavelet_haar-G_0.6-H8e-005_af5.wfa    | 393216  | 131072 | 131072 | 10 | 3440  | 80  | 80  | 32 | 128 | 14.56893615 | 1.593  | 3600  | 0.009155273 |
| satellite32.bmp | satellite32.bmp-withWavelet_rbio1.1-G_0.6-H8e-005_af5.wfa | 393216  | 131072 | 131072 | 10 | 3440  | 80  | 80  | 32 | 128 | 14.56893615 | 1.625  | 3600  | 0.009155273 |
| satellite32.bmp | satellite32.bmp-withWavelet_sym1-G_0.6-H8e-005_af5.wfa    | 393216  | 131072 | 131072 | 10 | 3440  | 80  | 80  | 32 | 128 | 14.56893615 | 1.594  | 3600  | 0.009155273 |
| satellite32.bmp | satellite32.bmp-withWavelet_bior1.1-G_0.6-H8e-005_af5.wfa | 393216  | 131072 | 131072 | 10 | 3440  | 80  | 80  | 32 | 128 | 14.56893615 | 1.563  | 3600  | 0.009155273 |
| satellite32.bmp | satellite32.bmp-withWavelet_haar-G_0.6-H9e-005_af3.wfa    | 393216  | 131072 | 131072 | 20 | 13040 | 160 | 160 | 32 | 128 | 14.57264247 | 2.312  | 13360 | 0.033976237 |
| satellite32.bmp | satellite32.bmp-withWavelet_rbio1.1-G_0.6-H9e-005_af3.wfa | 393216  | 131072 | 131072 | 20 | 13040 | 160 | 160 | 32 | 128 | 14.57264247 | 2.282  | 13360 | 0.033976237 |
| satellite32.bmp | satellite32.bmp-withWavelet_sym1-G_0.6-H9e-005_af3.wfa    | 393216  | 131072 | 131072 | 20 | 13040 | 160 | 160 | 32 | 128 | 14.57264247 | 2.281  | 13360 | 0.033976237 |
| satellite32.bmp | satellite32.bmp-withWavelet_bior1.1-G_0.6-H9e-005_af3.wfa | 393216  | 131072 | 131072 | 20 | 13040 | 160 | 160 | 32 | 128 | 14.57264247 | 2.281  | 13360 | 0.033976237 |
| satellite32.bmp | satellite32.bmp-withWavelet_haar-G_1-H6e-005_af2.wfa      | 1572864 | 524288 | 524288 | 20 | 13040 | 160 | 160 | 32 | 256 | 14.57467179 | 9.844  | 13360 | 0.008494059 |
| satellite32.bmp | satellite32.bmp-withWavelet_rbio1.1-G_1-H6e-005_af2.wfa   | 1572864 | 524288 | 524288 | 20 | 13040 | 160 | 160 | 32 | 256 | 14.57467179 | 9.843  | 13360 | 0.008494059 |
| satellite32.bmp | satellite32.bmp-withWavelet_sym1-G_1-H6e-005_af2.wfa      | 1572864 | 524288 | 524288 | 20 | 13040 | 160 | 160 | 32 | 256 | 14.57467179 | 9.844  | 13360 | 0.008494059 |
| satellite32.bmp | satellite32.bmp-withWavelet_bior1.1-G_1-H6e-005_af2.wfa   | 1572864 | 524288 | 524288 | 20 | 13040 | 160 | 160 | 32 | 256 | 14.57467179 | 9.859  | 13360 | 0.008494059 |
| satellite32.bmp | satellite32.bmp-withWavelet_haar-G_1-H7e-005_af2.wfa      | 393216  | 131072 | 131072 | 14 | 6512  | 112 | 112 | 32 | 128 | 14.57826033 | 1.859  | 6736  | 0.017130534 |
| satellite32.bmp | satellite32.bmp-withWavelet_rbio1.1-G_1-H7e-005_af2.wfa   | 393216  | 131072 | 131072 | 14 | 6512  | 112 | 112 | 32 | 128 | 14.57826033 | 1.766  | 6736  | 0.017130534 |
| satellite32.bmp | satellite32.bmp-withWavelet_sym1-G_1-H7e-005_af2.wfa      | 393216  | 131072 | 131072 | 14 | 6512  | 112 | 112 | 32 | 128 | 14.57826033 | 1.828  | 6736  | 0.017130534 |
| satellite32.bmp | satellite32.bmp-withWavelet_bior1.1-G_1-H7e-005_af2.wfa   | 393216  | 131072 | 131072 | 14 | 6512  | 112 | 112 | 32 | 128 | 14.57826033 | 1.782  | 6736  | 0.017130534 |
| satellite32.bmp | satellite32.bmp-withWavelet_haar-G_0.6-H8e-005_af3.wfa    | 393216  | 131072 | 131072 | 21 | 14352 | 168 | 168 | 32 | 128 | 14.5807785  | 2.453  | 14688 | 0.037353516 |
| satellite32.bmp | satellite32.bmp-withWavelet_rbio1.1-G_0.6-H8e-005_af3.wfa | 393216  | 131072 | 131072 | 21 | 14352 | 168 | 168 | 32 | 128 | 14.5807785  | 2.484  | 14688 | 0.037353516 |
| satellite32.bmp | satellite32.bmp-withWavelet_sym1-G_0.6-H8e-005_af3.wfa    | 393216  | 131072 | 131072 | 21 | 14352 | 168 | 168 | 32 | 128 | 14.5807785  | 2.5    | 14688 | 0.037353516 |
| satellite32.bmp | satellite32.bmp-withWavelet_bior1.1-G_0.6-H8e-005_af3.wfa | 393216  | 131072 | 131072 | 21 | 14352 | 168 | 168 | 32 | 128 | 14.5807785  | 2.5    | 14688 | 0.037353516 |
| satellite32.bmp | satellite32.bmp-withWavelet_haar-G_0.8-H2e-005_af3.wfa    | 98304   | 32768  | 32768  | 32 | 33008 | 256 | 256 | 32 | 64  | 14.59359402 | 1.032  | 33520 | 0.340983073 |
| satellite32.bmp | satellite32.bmp-withWavelet_rbio1.1-G_0.8-H2e-005_af3.wfa | 98304   | 32768  | 32768  | 32 | 33008 | 256 | 256 | 32 | 64  | 14.59359402 | 1.078  | 33520 | 0.340983073 |
| satellite32.bmp | satellite32.bmp-withWavelet_sym1-G_0.8-H2e-005_af3.wfa    | 98304   | 32768  | 32768  | 32 | 33008 | 256 | 256 | 32 | 64  | 14.59359402 | 1.046  | 33520 | 0.340983073 |
| satellite32.bmp | satellite32.bmp-withWavelet_bior1.1-G_0.8-H2e-005_af3.wfa | 98304   | 32768  | 32768  | 32 | 33008 | 256 | 256 | 32 | 64  | 14.59359402 | 1.047  | 33520 | 0.340983073 |
| satellite32.bmp | satellite32.bmp-withWavelet_haar-G_0.6-H7e-005_af4.wfa    | 1572864 | 524288 | 524288 | 25 | 20240 | 200 | 200 | 32 | 256 | 14.59459634 | 14.609 | 20640 | 0.013122559 |
| satellite32.bmp | satellite32.bmp-withWavelet_rbio1.1-G_0.6-H7e-005_af4.wfa | 1572864 | 524288 | 524288 | 25 | 20240 | 200 | 200 | 32 | 256 | 14.59459634 | 14.453 | 20640 | 0.013122559 |
| satellite32.bmp | satellite32.bmp-withWavelet_sym1-G_0.6-H7e-005_af4.wfa    | 1572864 | 524288 | 524288 | 25 | 20240 | 200 | 200 | 32 | 256 | 14.59459634 | 16.484 | 20640 | 0.013122559 |
| satellite32.bmp | satellite32.bmp-withWavelet_bior1.1-G_0.6-H7e-005_af4.wfa | 1572864 | 524288 | 524288 | 25 | 20240 | 200 | 200 | 32 | 256 | 14.59459634 | 14.515 | 20640 | 0.013122559 |
| satellite32.bmp | satellite32.bmp-withWavelet_haar-G_0.6-H7e-005_af3.wfa    | 98304   | 32768  | 32768  | 26 | 21872 | 208 | 208 | 32 | 64  | 14.59671966 | 0.781  | 22288 | 0.22672526  |

|                 |   |         |        |        |    |       |     |     |    |     |             |        |       |             |
|-----------------|---|---------|--------|--------|----|-------|-----|-----|----|-----|-------------|--------|-------|-------------|
| satellite32.bmp | satellite32.bmp-withWavelet_rbio1.1-G_0.6-H7e-005_af3.wfa | 98304   | 32768  | 32768  | 26 | 21872 | 208 | 208 | 32 | 64  | 14.59671966 | 0.781  | 22288 | 0.22672526  |
| satellite32.bmp | satellite32.bmp-withWavelet_sym1-G_0.6-H7e-005_af3.wfa    | 98304   | 32768  | 32768  | 26 | 21872 | 208 | 208 | 32 | 64  | 14.59671966 | 0.782  | 22288 | 0.22672526  |
| satellite32.bmp | satellite32.bmp-withWavelet_bior1.1-G_0.6-H7e-005_af3.wfa | 98304   | 32768  | 32768  | 26 | 21872 | 208 | 208 | 32 | 64  | 14.59671966 | 0.828  | 22288 | 0.22672526  |
| satellite32.bmp | satellite32.bmp-withWavelet_haar-G_1-H2e-005_af3.wfa      | 98304   | 32768  | 32768  | 32 | 33008 | 256 | 256 | 32 | 64  | 14.59784761 | 1.047  | 33520 | 0.340983073 |
| satellite32.bmp | satellite32.bmp-withWavelet_rbio1.1-G_1-H2e-005_af3.wfa   | 98304   | 32768  | 32768  | 32 | 33008 | 256 | 256 | 32 | 64  | 14.59784761 | 1.046  | 33520 | 0.340983073 |
| satellite32.bmp | satellite32.bmp-withWavelet_sym1-G_1-H2e-005_af3.wfa      | 98304   | 32768  | 32768  | 32 | 33008 | 256 | 256 | 32 | 64  | 14.59784761 | 1.031  | 33520 | 0.340983073 |
| satellite32.bmp | satellite32.bmp-withWavelet_bior1.1-G_1-H2e-005_af3.wfa   | 98304   | 32768  | 32768  | 32 | 33008 | 256 | 256 | 32 | 64  | 14.59784761 | 1.078  | 33520 | 0.340983073 |
| satellite32.bmp | satellite32.bmp-withWavelet_haar-G_0.6-H8e-005_af2.wfa    | 98304   | 32768  | 32768  | 14 | 6512  | 112 | 112 | 32 | 64  | 14.60026831 | 0.438  | 6736  | 0.068522135 |
| satellite32.bmp | satellite32.bmp-withWavelet_rbio1.1-G_0.6-H8e-005_af2.wfa | 98304   | 32768  | 32768  | 14 | 6512  | 112 | 112 | 32 | 64  | 14.60026831 | 0.453  | 6736  | 0.068522135 |
| satellite32.bmp | satellite32.bmp-withWavelet_sym1-G_0.6-H8e-005_af2.wfa    | 98304   | 32768  | 32768  | 14 | 6512  | 112 | 112 | 32 | 64  | 14.60026831 | 0.437  | 6736  | 0.068522135 |
| satellite32.bmp | satellite32.bmp-withWavelet_bior1.1-G_0.6-H8e-005_af2.wfa | 98304   | 32768  | 32768  | 14 | 6512  | 112 | 112 | 32 | 64  | 14.60026831 | 0.469  | 6736  | 0.068522135 |
| satellite32.bmp | satellite32.bmp-withWavelet_haar-G_0.8-H6e-005_af1.wfa    | 1572864 | 524288 | 524288 | 28 | 25328 | 224 | 224 | 32 | 256 | 14.60112816 | 16.937 | 25776 | 0.016387939 |
| satellite32.bmp | satellite32.bmp-withWavelet_rbio1.1-G_0.8-H6e-005_af1.wfa | 1572864 | 524288 | 524288 | 28 | 25328 | 224 | 224 | 32 | 256 | 14.60112816 | 16.765 | 25776 | 0.016387939 |
| satellite32.bmp | satellite32.bmp-withWavelet_sym1-G_0.8-H6e-005_af1.wfa    | 1572864 | 524288 | 524288 | 28 | 25328 | 224 | 224 | 32 | 256 | 14.60112816 | 16.89  | 25776 | 0.016387939 |
| satellite32.bmp | satellite32.bmp-withWavelet_bior1.1-G_0.8-H6e-005_af1.wfa | 1572864 | 524288 | 524288 | 28 | 25328 | 224 | 224 | 32 | 256 | 14.60112816 | 16.829 | 25776 | 0.016387939 |
| satellite32.bmp | satellite32.bmp-withWavelet_haar-G_0.6-H6e-005_af5.wfa    | 98304   | 32768  | 32768  | 13 | 5648  | 104 | 104 | 32 | 64  | 14.60562413 | 0.437  | 5856  | 0.059570313 |
| satellite32.bmp | satellite32.bmp-withWavelet_rbio1.1-G_0.6-H6e-005_af5.wfa | 98304   | 32768  | 32768  | 13 | 5648  | 104 | 104 | 32 | 64  | 14.60562413 | 0.454  | 5856  | 0.059570313 |
| satellite32.bmp | satellite32.bmp-withWavelet_sym1-G_0.6-H6e-005_af5.wfa    | 98304   | 32768  | 32768  | 13 | 5648  | 104 | 104 | 32 | 64  | 14.60562413 | 0.437  | 5856  | 0.059570313 |
| satellite32.bmp | satellite32.bmp-withWavelet_bior1.1-G_0.6-H6e-005_af5.wfa | 98304   | 32768  | 32768  | 13 | 5648  | 104 | 104 | 32 | 64  | 14.60562413 | 0.422  | 5856  | 0.059570313 |
| satellite32.bmp | satellite32.bmp-G_0.6-H1e-005_af1.wfa                     | 393216  | 131072 |        | 1  | 272   | 8   | 8   | 32 | 128 | 14.60948192 | 0      | 288   | 0.000732422 |
| satellite32.bmp | satellite32.bmp-G_0.6-H1e-005_af2.wfa                     | 393216  | 131072 |        | 1  | 272   | 8   | 8   | 32 | 128 | 14.60948192 | 0      | 288   | 0.000732422 |
| satellite32.bmp | satellite32.bmp-G_0.6-H1e-005_af3.wfa                     | 393216  | 131072 |        | 1  | 272   | 8   | 8   | 32 | 128 | 14.60948192 | 0      | 288   | 0.000732422 |
| satellite32.bmp | satellite32.bmp-G_0.6-H1e-005_af4.wfa                     | 393216  | 131072 |        | 1  | 272   | 8   | 8   | 32 | 128 | 14.60948192 | 0      | 288   | 0.000732422 |
| satellite32.bmp | satellite32.bmp-G_0.6-H1e-005_af5.wfa                     | 393216  | 131072 |        | 1  | 272   | 8   | 8   | 32 | 128 | 14.60948192 | 0      | 288   | 0.000732422 |
| satellite32.bmp | satellite32.bmp-G_0.6-H2e-005_af1.wfa                     | 393216  | 131072 |        | 1  | 272   | 8   | 8   | 32 | 128 | 14.60948192 | 0      | 288   | 0.000732422 |
| satellite32.bmp | satellite32.bmp-G_0.6-H2e-005_af2.wfa                     | 393216  | 131072 |        | 1  | 272   | 8   | 8   | 32 | 128 | 14.60948192 | 0      | 288   | 0.000732422 |
| satellite32.bmp | satellite32.bmp-G_0.6-H2e-005_af3.wfa                     | 393216  | 131072 |        | 1  | 272   | 8   | 8   | 32 | 128 | 14.60948192 | 0      | 288   | 0.000732422 |
| satellite32.bmp | satellite32.bmp-G_0.6-H2e-005_af4.wfa                     | 393216  | 131072 |        | 1  | 272   | 8   | 8   | 32 | 128 | 14.60948192 | 0      | 288   | 0.000732422 |
| satellite32.bmp | satellite32.bmp-G_0.6-H2e-005_af5.wfa                     | 393216  | 131072 |        | 1  | 272   | 8   | 8   | 32 | 128 | 14.60948192 | 0      | 288   | 0.000732422 |
| satellite32.bmp | satellite32.bmp-G_0.6-H3e-005_af1.wfa                     | 393216  | 131072 |        | 1  | 272   | 8   | 8   | 32 | 128 | 14.60948192 | 0      | 288   | 0.000732422 |
| satellite32.bmp | satellite32.bmp-G_0.6-H3e-005_af2.wfa                     | 393216  | 131072 |        | 1  | 272   | 8   | 8   | 32 | 128 | 14.60948192 | 0      | 288   | 0.000732422 |



|                 |   |         |        |        |    |       |     |     |    |     |             |        |       |             |
|-----------------|---|---------|--------|--------|----|-------|-----|-----|----|-----|-------------|--------|-------|-------------|
| satellite32.bmp | satellite32.bmp-G_0.6-H9e-005_af4.wfa                     | 393216  | 131072 |        | 1  | 272   | 8   | 8   | 32 | 128 | 14.60948192 | 0      | 288   | 0.000732422 |
| satellite32.bmp | satellite32.bmp-G_0.6-H9e-005_af5.wfa                     | 393216  | 131072 |        | 1  | 272   | 8   | 8   | 32 | 128 | 14.60948192 | 0      | 288   | 0.000732422 |
| satellite32.bmp | satellite32.bmp-G_0.6-H0.0001_af1.wfa                     | 393216  | 131072 |        | 1  | 272   | 8   | 8   | 32 | 128 | 14.60948192 | 0      | 288   | 0.000732422 |
| satellite32.bmp | satellite32.bmp-G_0.6-H0.0001_af2.wfa                     | 393216  | 131072 |        | 1  | 272   | 8   | 8   | 32 | 128 | 14.60948192 | 0      | 288   | 0.000732422 |
| satellite32.bmp | satellite32.bmp-G_0.6-H0.0001_af3.wfa                     | 393216  | 131072 |        | 1  | 272   | 8   | 8   | 32 | 128 | 14.60948192 | 0      | 288   | 0.000732422 |
| satellite32.bmp | satellite32.bmp-G_0.6-H0.0001_af4.wfa                     | 393216  | 131072 |        | 1  | 272   | 8   | 8   | 32 | 128 | 14.60948192 | 0      | 288   | 0.000732422 |
| satellite32.bmp | satellite32.bmp-G_0.6-H0.0001_af5.wfa                     | 393216  | 131072 |        | 1  | 272   | 8   | 8   | 32 | 128 | 14.60948192 | 0      | 288   | 0.000732422 |
| satellite32.bmp | satellite32.bmp-withWavelet_haar-G_1-H6e-005_af1.wfa      | 1572864 | 524288 | 524288 | 28 | 25328 | 224 | 224 | 32 | 256 | 14.60992736 | 16.781 | 25776 | 0.016387939 |
| satellite32.bmp | satellite32.bmp-withWavelet_rbio1.1-G_1-H6e-005_af1.wfa   | 1572864 | 524288 | 524288 | 28 | 25328 | 224 | 224 | 32 | 256 | 14.60992736 | 16.75  | 25776 | 0.016387939 |
| satellite32.bmp | satellite32.bmp-withWavelet_sym1-G_1-H6e-005_af1.wfa      | 1572864 | 524288 | 524288 | 28 | 25328 | 224 | 224 | 32 | 256 | 14.60992736 | 16.704 | 25776 | 0.016387939 |
| satellite32.bmp | satellite32.bmp-withWavelet_bior1.1-G_1-H6e-005_af1.wfa   | 1572864 | 524288 | 524288 | 28 | 25328 | 224 | 224 | 32 | 256 | 14.60992736 | 16.859 | 25776 | 0.016387939 |
| satellite32.bmp | satellite32.bmp-withWavelet_haar-G_0.8-H3e-005_af3.wfa    | 1572864 | 524288 | 524288 | 31 | 30992 | 248 | 248 | 32 | 256 | 14.61376345 | 20.219 | 31488 | 0.020019531 |
| satellite32.bmp | satellite32.bmp-withWavelet_rbio1.1-G_0.8-H3e-005_af3.wfa | 1572864 | 524288 | 524288 | 31 | 30992 | 248 | 248 | 32 | 256 | 14.61376345 | 20.062 | 31488 | 0.020019531 |
| satellite32.bmp | satellite32.bmp-withWavelet_sym1-G_0.8-H3e-005_af3.wfa    | 1572864 | 524288 | 524288 | 31 | 30992 | 248 | 248 | 32 | 256 | 14.61376345 | 20.078 | 31488 | 0.020019531 |
| satellite32.bmp | satellite32.bmp-withWavelet_bior1.1-G_0.8-H3e-005_af3.wfa | 1572864 | 524288 | 524288 | 31 | 30992 | 248 | 248 | 32 | 256 | 14.61376345 | 20.078 | 31488 | 0.020019531 |
| satellite32.bmp | satellite32.bmp-withWavelet_haar-G_0.8-H4e-005_af3.wfa    | 1572864 | 524288 | 524288 | 31 | 30992 | 248 | 248 | 32 | 256 | 14.61376345 | 20.156 | 31488 | 0.020019531 |
| satellite32.bmp | satellite32.bmp-withWavelet_rbio1.1-G_0.8-H4e-005_af3.wfa | 1572864 | 524288 | 524288 | 31 | 30992 | 248 | 248 | 32 | 256 | 14.61376345 | 20.094 | 31488 | 0.020019531 |
| satellite32.bmp | satellite32.bmp-withWavelet_sym1-G_0.8-H4e-005_af3.wfa    | 1572864 | 524288 | 524288 | 31 | 30992 | 248 | 248 | 32 | 256 | 14.61376345 | 20.188 | 31488 | 0.020019531 |
| satellite32.bmp | satellite32.bmp-withWavelet_bior1.1-G_0.8-H4e-005_af3.wfa | 1572864 | 524288 | 524288 | 31 | 30992 | 248 | 248 | 32 | 256 | 14.61376345 | 20.25  | 31488 | 0.020019531 |
| satellite32.bmp | satellite32.bmp-withWavelet_haar-G_0.8-H8e-005_af2.wfa    | 393216  | 131072 | 131072 | 12 | 4848  | 96  | 96  | 32 | 128 | 14.61376373 | 1.703  | 5040  | 0.012817383 |
| satellite32.bmp | satellite32.bmp-withWavelet_rbio1.1-G_0.8-H8e-005_af2.wfa | 393216  | 131072 | 131072 | 12 | 4848  | 96  | 96  | 32 | 128 | 14.61376373 | 1.687  | 5040  | 0.012817383 |
| satellite32.bmp | satellite32.bmp-withWavelet_sym1-G_0.8-H8e-005_af2.wfa    | 393216  | 131072 | 131072 | 12 | 4848  | 96  | 96  | 32 | 128 | 14.61376373 | 1.703  | 5040  | 0.012817383 |
| satellite32.bmp | satellite32.bmp-withWavelet_bior1.1-G_0.8-H8e-005_af2.wfa | 393216  | 131072 | 131072 | 12 | 4848  | 96  | 96  | 32 | 128 | 14.61376373 | 1.719  | 5040  | 0.012817383 |
| satellite32.bmp | satellite32.bmp-withWavelet_haar-G_1-H4e-005_af5.wfa      | 98304   | 32768  | 32768  | 14 | 6512  | 112 | 112 | 32 | 64  | 14.61500046 | 0.437  | 6736  | 0.068522135 |
| satellite32.bmp | satellite32.bmp-withWavelet_rbio1.1-G_1-H4e-005_af5.wfa   | 98304   | 32768  | 32768  | 14 | 6512  | 112 | 112 | 32 | 64  | 14.61500046 | 0.438  | 6736  | 0.068522135 |
| satellite32.bmp | satellite32.bmp-withWavelet_sym1-G_1-H4e-005_af5.wfa      | 98304   | 32768  | 32768  | 14 | 6512  | 112 | 112 | 32 | 64  | 14.61500046 | 0.438  | 6736  | 0.068522135 |
| satellite32.bmp | satellite32.bmp-withWavelet_bior1.1-G_1-H4e-005_af5.wfa   | 98304   | 32768  | 32768  | 14 | 6512  | 112 | 112 | 32 | 64  | 14.61500046 | 0.437  | 6736  | 0.068522135 |
| satellite32.bmp | satellite32.bmp-withWavelet_haar-G_0.8-H4e-005_af5.wfa    | 98304   | 32768  | 32768  | 14 | 6512  | 112 | 112 | 32 | 64  | 14.61666205 | 0.438  | 6736  | 0.068522135 |
| satellite32.bmp | satellite32.bmp-withWavelet_rbio1.1-G_0.8-H4e-005_af5.wfa | 98304   | 32768  | 32768  | 14 | 6512  | 112 | 112 | 32 | 64  | 14.61666205 | 0.438  | 6736  | 0.068522135 |
| satellite32.bmp | satellite32.bmp-withWavelet_sym1-G_0.8-H4e-005_af5.wfa    | 98304   | 32768  | 32768  | 14 | 6512  | 112 | 112 | 32 | 64  | 14.61666205 | 0.437  | 6736  | 0.068522135 |
| satellite32.bmp | satellite32.bmp-withWavelet_bior1.1-G_0.8-H4e-005_af5.wfa | 98304   | 32768  | 32768  | 14 | 6512  | 112 | 112 | 32 | 64  | 14.61666205 | 0.437  | 6736  | 0.068522135 |

|                 |   |         |        |        |    |       |     |     |    |     |             |        |       |             |
|-----------------|---|---------|--------|--------|----|-------|-----|-----|----|-----|-------------|--------|-------|-------------|
| satellite32.bmp | satellite32.bmp-withWavelet_haar-G_1-H5e-005_af5.wfa      | 98304   | 32768  | 32768  | 14 | 6512  | 112 | 112 | 32 | 64  | 14.62047861 | 0.437  | 6736  | 0.068522135 |
| satellite32.bmp | satellite32.bmp-withWavelet_rbio1.1-G_1-H5e-005_af5.wfa   | 98304   | 32768  | 32768  | 14 | 6512  | 112 | 112 | 32 | 64  | 14.62047861 | 0.438  | 6736  | 0.068522135 |
| satellite32.bmp | satellite32.bmp-withWavelet_sym1-G_1-H5e-005_af5.wfa      | 98304   | 32768  | 32768  | 14 | 6512  | 112 | 112 | 32 | 64  | 14.62047861 | 0.438  | 6736  | 0.068522135 |
| satellite32.bmp | satellite32.bmp-withWavelet_bior1.1-G_1-H5e-005_af5.wfa   | 98304   | 32768  | 32768  | 14 | 6512  | 112 | 112 | 32 | 64  | 14.62047861 | 0.437  | 6736  | 0.068522135 |
| satellite32.bmp | satellite32.bmp-withWavelet_haar-G_0.8-H6e-005_af5.wfa    | 393216  | 131072 | 131072 | 11 | 4112  | 88  | 88  | 32 | 128 | 14.62282676 | 1.625  | 4288  | 0.010904948 |
| satellite32.bmp | satellite32.bmp-withWavelet_rbio1.1-G_0.8-H6e-005_af5.wfa | 393216  | 131072 | 131072 | 11 | 4112  | 88  | 88  | 32 | 128 | 14.62282676 | 1.625  | 4288  | 0.010904948 |
| satellite32.bmp | satellite32.bmp-withWavelet_sym1-G_0.8-H6e-005_af5.wfa    | 393216  | 131072 | 131072 | 11 | 4112  | 88  | 88  | 32 | 128 | 14.62282676 | 1.656  | 4288  | 0.010904948 |
| satellite32.bmp | satellite32.bmp-withWavelet_bior1.1-G_0.8-H6e-005_af5.wfa | 393216  | 131072 | 131072 | 11 | 4112  | 88  | 88  | 32 | 128 | 14.62282676 | 1.64   | 4288  | 0.010904948 |
| satellite32.bmp | satellite32.bmp-withWavelet_haar-G_1-H6e-005_af5.wfa      | 393216  | 131072 | 131072 | 11 | 4112  | 88  | 88  | 32 | 128 | 14.62425706 | 1.61   | 4288  | 0.010904948 |
| satellite32.bmp | satellite32.bmp-withWavelet_rbio1.1-G_1-H6e-005_af5.wfa   | 393216  | 131072 | 131072 | 11 | 4112  | 88  | 88  | 32 | 128 | 14.62425706 | 1.641  | 4288  | 0.010904948 |
| satellite32.bmp | satellite32.bmp-withWavelet_sym1-G_1-H6e-005_af5.wfa      | 393216  | 131072 | 131072 | 11 | 4112  | 88  | 88  | 32 | 128 | 14.62425706 | 1.625  | 4288  | 0.010904948 |
| satellite32.bmp | satellite32.bmp-withWavelet_bior1.1-G_1-H6e-005_af5.wfa   | 393216  | 131072 | 131072 | 11 | 4112  | 88  | 88  | 32 | 128 | 14.62425706 | 1.64   | 4288  | 0.010904948 |
| satellite32.bmp | satellite32.bmp-withWavelet_haar-G_0.8-H7e-005_af5.wfa    | 393216  | 131072 | 131072 | 10 | 3440  | 80  | 80  | 32 | 128 | 14.62470268 | 1.625  | 3600  | 0.009155273 |
| satellite32.bmp | satellite32.bmp-withWavelet_rbio1.1-G_0.8-H7e-005_af5.wfa | 393216  | 131072 | 131072 | 10 | 3440  | 80  | 80  | 32 | 128 | 14.62470268 | 1.562  | 3600  | 0.009155273 |
| satellite32.bmp | satellite32.bmp-withWavelet_sym1-G_0.8-H7e-005_af5.wfa    | 393216  | 131072 | 131072 | 10 | 3440  | 80  | 80  | 32 | 128 | 14.62470268 | 1.594  | 3600  | 0.009155273 |
| satellite32.bmp | satellite32.bmp-withWavelet_bior1.1-G_0.8-H7e-005_af5.wfa | 393216  | 131072 | 131072 | 10 | 3440  | 80  | 80  | 32 | 128 | 14.62470268 | 1.562  | 3600  | 0.009155273 |
| satellite32.bmp | satellite32.bmp-withWavelet_haar-G_1-H7e-005_af5.wfa      | 393216  | 131072 | 131072 | 10 | 3440  | 80  | 80  | 32 | 128 | 14.62528075 | 1.61   | 3600  | 0.009155273 |
| satellite32.bmp | satellite32.bmp-withWavelet_rbio1.1-G_1-H7e-005_af5.wfa   | 393216  | 131072 | 131072 | 10 | 3440  | 80  | 80  | 32 | 128 | 14.62528075 | 1.781  | 3600  | 0.009155273 |
| satellite32.bmp | satellite32.bmp-withWavelet_sym1-G_1-H7e-005_af5.wfa      | 393216  | 131072 | 131072 | 10 | 3440  | 80  | 80  | 32 | 128 | 14.62528075 | 1.625  | 3600  | 0.009155273 |
| satellite32.bmp | satellite32.bmp-withWavelet_bior1.1-G_1-H7e-005_af5.wfa   | 393216  | 131072 | 131072 | 10 | 3440  | 80  | 80  | 32 | 128 | 14.62528075 | 1.656  | 3600  | 0.009155273 |
| satellite32.bmp | satellite32.bmp-withWavelet_haar-G_1-H3e-005_af3.wfa      | 1572864 | 524288 | 524288 | 31 | 30992 | 248 | 248 | 32 | 256 | 14.62691257 | 20.11  | 31488 | 0.020019531 |
| satellite32.bmp | satellite32.bmp-withWavelet_rbio1.1-G_1-H3e-005_af3.wfa   | 1572864 | 524288 | 524288 | 31 | 30992 | 248 | 248 | 32 | 256 | 14.62691257 | 20.063 | 31488 | 0.020019531 |
| satellite32.bmp | satellite32.bmp-withWavelet_sym1-G_1-H3e-005_af3.wfa      | 1572864 | 524288 | 524288 | 31 | 30992 | 248 | 248 | 32 | 256 | 14.62691257 | 20.016 | 31488 | 0.020019531 |
| satellite32.bmp | satellite32.bmp-withWavelet_bior1.1-G_1-H3e-005_af3.wfa   | 1572864 | 524288 | 524288 | 31 | 30992 | 248 | 248 | 32 | 256 | 14.62691257 | 20.157 | 31488 | 0.020019531 |
| satellite32.bmp | satellite32.bmp-withWavelet_haar-G_0.6-H9e-005_af2.wfa    | 98304   | 32768  | 32768  | 12 | 4848  | 96  | 96  | 32 | 64  | 14.62780437 | 0.406  | 5040  | 0.051269531 |
| satellite32.bmp | satellite32.bmp-withWavelet_rbio1.1-G_0.6-H9e-005_af2.wfa | 98304   | 32768  | 32768  | 12 | 4848  | 96  | 96  | 32 | 64  | 14.62780437 | 0.406  | 5040  | 0.051269531 |
| satellite32.bmp | satellite32.bmp-withWavelet_sym1-G_0.6-H9e-005_af2.wfa    | 98304   | 32768  | 32768  | 12 | 4848  | 96  | 96  | 32 | 64  | 14.62780437 | 0.406  | 5040  | 0.051269531 |
| satellite32.bmp | satellite32.bmp-withWavelet_bior1.1-G_0.6-H9e-005_af2.wfa | 98304   | 32768  | 32768  | 12 | 4848  | 96  | 96  | 32 | 64  | 14.62780437 | 0.422  | 5040  | 0.051269531 |
| satellite32.bmp | satellite32.bmp-withWavelet_haar-G_0.8-H8e-005_af5.wfa    | 393216  | 131072 | 131072 | 9  | 2832  | 72  | 72  | 32 | 128 | 14.62793289 | 1.563  | 2976  | 0.007568359 |
| satellite32.bmp | satellite32.bmp-withWavelet_rbio1.1-G_0.8-H8e-005_af5.wfa | 393216  | 131072 | 131072 | 9  | 2832  | 72  | 72  | 32 | 128 | 14.62793289 | 1.578  | 2976  | 0.007568359 |
| satellite32.bmp | satellite32.bmp-withWavelet_sym1-G_0.8-H8e-005_af5.wfa    | 393216  | 131072 | 131072 | 9  | 2832  | 72  | 72  | 32 | 128 | 14.62793289 | 1.547  | 2976  | 0.007568359 |



|                 |   |        |        |        |    |       |     |     |    |     |             |       |       |             |
|-----------------|---|--------|--------|--------|----|-------|-----|-----|----|-----|-------------|-------|-------|-------------|
| satellite32.bmp | satellite32.bmp-withWavelet_bior1.1-G_0.8-H8e-005_af5.wfa | 393216 | 131072 | 131072 | 9  | 2832  | 72  | 72  | 32 | 128 | 14.62793289 | 1.563 | 2976  | 0.007568359 |
| satellite32.bmp | satellite32.bmp-withWavelet_haar-G_1-H8e-005_af2.wfa      | 393216 | 131072 | 131072 | 12 | 4848  | 96  | 96  | 32 | 128 | 14.63075473 | 1.75  | 5040  | 0.012817383 |
| satellite32.bmp | satellite32.bmp-withWavelet_rbio1.1-G_1-H8e-005_af2.wfa   | 393216 | 131072 | 131072 | 12 | 4848  | 96  | 96  | 32 | 128 | 14.63075473 | 1.688 | 5040  | 0.012817383 |
| satellite32.bmp | satellite32.bmp-withWavelet_sym1-G_1-H8e-005_af2.wfa      | 393216 | 131072 | 131072 | 12 | 4848  | 96  | 96  | 32 | 128 | 14.63075473 | 1.704 | 5040  | 0.012817383 |
| satellite32.bmp | satellite32.bmp-withWavelet_bior1.1-G_1-H8e-005_af2.wfa   | 393216 | 131072 | 131072 | 12 | 4848  | 96  | 96  | 32 | 128 | 14.63075473 | 1.703 | 5040  | 0.012817383 |
| satellite32.bmp | satellite32.bmp-withWavelet_haar-G_0.6-H7e-005_af5.wfa    | 98304  | 32768  | 32768  | 12 | 4848  | 96  | 96  | 32 | 64  | 14.63299427 | 0.422 | 5040  | 0.051269531 |
| satellite32.bmp | satellite32.bmp-withWavelet_rbio1.1-G_0.6-H7e-005_af5.wfa | 98304  | 32768  | 32768  | 12 | 4848  | 96  | 96  | 32 | 64  | 14.63299427 | 0.406 | 5040  | 0.051269531 |
| satellite32.bmp | satellite32.bmp-withWavelet_sym1-G_0.6-H7e-005_af5.wfa    | 98304  | 32768  | 32768  | 12 | 4848  | 96  | 96  | 32 | 64  | 14.63299427 | 0.422 | 5040  | 0.051269531 |
| satellite32.bmp | satellite32.bmp-withWavelet_bior1.1-G_0.6-H7e-005_af5.wfa | 98304  | 32768  | 32768  | 12 | 4848  | 96  | 96  | 32 | 64  | 14.63299427 | 0.594 | 5040  | 0.051269531 |
| satellite32.bmp | satellite32.bmp-withWavelet_haar-G_0.8-H5e-005_af5.wfa    | 98304  | 32768  | 32768  | 13 | 5648  | 104 | 104 | 32 | 64  | 14.64278334 | 0.421 | 5856  | 0.059570313 |
| satellite32.bmp | satellite32.bmp-withWavelet_rbio1.1-G_0.8-H5e-005_af5.wfa | 98304  | 32768  | 32768  | 13 | 5648  | 104 | 104 | 32 | 64  | 14.64278334 | 0.421 | 5856  | 0.059570313 |
| satellite32.bmp | satellite32.bmp-withWavelet_sym1-G_0.8-H5e-005_af5.wfa    | 98304  | 32768  | 32768  | 13 | 5648  | 104 | 104 | 32 | 64  | 14.64278334 | 0.422 | 5856  | 0.059570313 |
| satellite32.bmp | satellite32.bmp-withWavelet_bior1.1-G_0.8-H5e-005_af5.wfa | 98304  | 32768  | 32768  | 13 | 5648  | 104 | 104 | 32 | 64  | 14.64278334 | 0.422 | 5856  | 0.059570313 |
| satellite32.bmp | satellite32.bmp-withWavelet_haar-G_1-H0.0001_af2.wfa      | 393216 | 131072 | 131072 | 11 | 4112  | 88  | 88  | 32 | 128 | 14.64684714 | 1.813 | 4288  | 0.010904948 |
| satellite32.bmp | satellite32.bmp-withWavelet_rbio1.1-G_1-H0.0001_af2.wfa   | 393216 | 131072 | 131072 | 11 | 4112  | 88  | 88  | 32 | 128 | 14.64684714 | 1.625 | 4288  | 0.010904948 |
| satellite32.bmp | satellite32.bmp-withWavelet_sym1-G_1-H0.0001_af2.wfa      | 393216 | 131072 | 131072 | 11 | 4112  | 88  | 88  | 32 | 128 | 14.64684714 | 1.641 | 4288  | 0.010904948 |
| satellite32.bmp | satellite32.bmp-withWavelet_bior1.1-G_1-H0.0001_af2.wfa   | 393216 | 131072 | 131072 | 11 | 4112  | 88  | 88  | 32 | 128 | 14.64684714 | 1.64  | 4288  | 0.010904948 |
| satellite32.bmp | satellite32.bmp-withWavelet_haar-G_0.8-H6e-005_af1.wfa    | 98304  | 32768  | 32768  | 28 | 25328 | 224 | 224 | 32 | 64  | 14.64725358 | 0.844 | 25776 | 0.262207031 |
| satellite32.bmp | satellite32.bmp-withWavelet_rbio1.1-G_0.8-H6e-005_af1.wfa | 98304  | 32768  | 32768  | 28 | 25328 | 224 | 224 | 32 | 64  | 14.64725358 | 0.906 | 25776 | 0.262207031 |
| satellite32.bmp | satellite32.bmp-withWavelet_sym1-G_0.8-H6e-005_af1.wfa    | 98304  | 32768  | 32768  | 28 | 25328 | 224 | 224 | 32 | 64  | 14.64725358 | 0.844 | 25776 | 0.262207031 |
| satellite32.bmp | satellite32.bmp-withWavelet_bior1.1-G_0.8-H6e-005_af1.wfa | 98304  | 32768  | 32768  | 28 | 25328 | 224 | 224 | 32 | 64  | 14.64725358 | 0.86  | 25776 | 0.262207031 |
| satellite32.bmp | satellite32.bmp-withWavelet_haar-G_0.6-H7e-005_af1.wfa    | 98304  | 32768  | 32768  | 25 | 20240 | 200 | 200 | 32 | 64  | 14.64823968 | 0.813 | 20640 | 0.209960938 |
| satellite32.bmp | satellite32.bmp-withWavelet_rbio1.1-G_0.6-H7e-005_af1.wfa | 98304  | 32768  | 32768  | 25 | 20240 | 200 | 200 | 32 | 64  | 14.64823968 | 0.75  | 20640 | 0.209960938 |
| satellite32.bmp | satellite32.bmp-withWavelet_sym1-G_0.6-H7e-005_af1.wfa    | 98304  | 32768  | 32768  | 25 | 20240 | 200 | 200 | 32 | 64  | 14.64823968 | 0.765 | 20640 | 0.209960938 |
| satellite32.bmp | satellite32.bmp-withWavelet_bior1.1-G_0.6-H7e-005_af1.wfa | 98304  | 32768  | 32768  | 25 | 20240 | 200 | 200 | 32 | 64  | 14.64823968 | 0.735 | 20640 | 0.209960938 |
| satellite32.bmp | satellite32.bmp-withWavelet_haar-G_0.8-H9e-005_af5.wfa    | 393216 | 131072 | 131072 | 9  | 2832  | 72  | 72  | 32 | 128 | 14.65106496 | 1.563 | 2976  | 0.007568359 |
| satellite32.bmp | satellite32.bmp-withWavelet_rbio1.1-G_0.8-H9e-005_af5.wfa | 393216 | 131072 | 131072 | 9  | 2832  | 72  | 72  | 32 | 128 | 14.65106496 | 1.578 | 2976  | 0.007568359 |
| satellite32.bmp | satellite32.bmp-withWavelet_sym1-G_0.8-H9e-005_af5.wfa    | 393216 | 131072 | 131072 | 9  | 2832  | 72  | 72  | 32 | 128 | 14.65106496 | 1.594 | 2976  | 0.007568359 |
| satellite32.bmp | satellite32.bmp-withWavelet_bior1.1-G_0.8-H9e-005_af5.wfa | 393216 | 131072 | 131072 | 9  | 2832  | 72  | 72  | 32 | 128 | 14.65106496 | 1.547 | 2976  | 0.007568359 |
| satellite32.bmp | satellite32.bmp-withWavelet_haar-G_0.8-H0.0001_af5.wfa    | 393216 | 131072 | 131072 | 9  | 2832  | 72  | 72  | 32 | 128 | 14.65106496 | 1.563 | 2976  | 0.007568359 |
| satellite32.bmp | satellite32.bmp-withWavelet_rbio1.1-G_0.8-H0.0001_af5.wfa | 393216 | 131072 | 131072 | 9  | 2832  | 72  | 72  | 32 | 128 | 14.65106496 | 1.562 | 2976  | 0.007568359 |

|                 |   |         |        |        |    |       |     |     |    |     |             |        |       |             |
|-----------------|---|---------|--------|--------|----|-------|-----|-----|----|-----|-------------|--------|-------|-------------|
| satellite32.bmp | satellite32.bmp-withWavelet_sym1-G_0.8-H0.0001_af5.wfa    | 393216  | 131072 | 131072 | 9  | 2832  | 72  | 72  | 32 | 128 | 14.65106496 | 1.547  | 2976  | 0.007568359 |
| satellite32.bmp | satellite32.bmp-withWavelet_bior1.1-G_0.8-H0.0001_af5.wfa | 393216  | 131072 | 131072 | 9  | 2832  | 72  | 72  | 32 | 128 | 14.65106496 | 1.562  | 2976  | 0.007568359 |
| satellite32.bmp | satellite32.bmp-withWavelet_haar-G_1-H6e-005_af1.wfa      | 98304   | 32768  | 32768  | 28 | 25328 | 224 | 224 | 32 | 64  | 14.65179665 | 0.859  | 25776 | 0.262207031 |
| satellite32.bmp | satellite32.bmp-withWavelet_rbio1.1-G_1-H6e-005_af1.wfa   | 98304   | 32768  | 32768  | 28 | 25328 | 224 | 224 | 32 | 64  | 14.65179665 | 0.843  | 25776 | 0.262207031 |
| satellite32.bmp | satellite32.bmp-withWavelet_sym1-G_1-H6e-005_af1.wfa      | 98304   | 32768  | 32768  | 28 | 25328 | 224 | 224 | 32 | 64  | 14.65179665 | 0.86   | 25776 | 0.262207031 |
| satellite32.bmp | satellite32.bmp-withWavelet_bior1.1-G_1-H6e-005_af1.wfa   | 98304   | 32768  | 32768  | 28 | 25328 | 224 | 224 | 32 | 64  | 14.65179665 | 0.859  | 25776 | 0.262207031 |
| satellite32.bmp | satellite32.bmp-withWavelet_haar-G_1-H9e-005_af5.wfa      | 393216  | 131072 | 131072 | 9  | 2832  | 72  | 72  | 32 | 128 | 14.65305928 | 1.563  | 2976  | 0.007568359 |
| satellite32.bmp | satellite32.bmp-withWavelet_rbio1.1-G_1-H9e-005_af5.wfa   | 393216  | 131072 | 131072 | 9  | 2832  | 72  | 72  | 32 | 128 | 14.65305928 | 1.578  | 2976  | 0.007568359 |
| satellite32.bmp | satellite32.bmp-withWavelet_sym1-G_1-H9e-005_af5.wfa      | 393216  | 131072 | 131072 | 9  | 2832  | 72  | 72  | 32 | 128 | 14.65305928 | 1.562  | 2976  | 0.007568359 |
| satellite32.bmp | satellite32.bmp-withWavelet_bior1.1-G_1-H9e-005_af5.wfa   | 393216  | 131072 | 131072 | 9  | 2832  | 72  | 72  | 32 | 128 | 14.65305928 | 1.578  | 2976  | 0.007568359 |
| satellite32.bmp | satellite32.bmp-withWavelet_haar-G_1-H0.0001_af5.wfa      | 393216  | 131072 | 131072 | 9  | 2832  | 72  | 72  | 32 | 128 | 14.65305928 | 1.563  | 2976  | 0.007568359 |
| satellite32.bmp | satellite32.bmp-withWavelet_rbio1.1-G_1-H0.0001_af5.wfa   | 393216  | 131072 | 131072 | 9  | 2832  | 72  | 72  | 32 | 128 | 14.65305928 | 1.578  | 2976  | 0.007568359 |
| satellite32.bmp | satellite32.bmp-withWavelet_sym1-G_1-H0.0001_af5.wfa      | 393216  | 131072 | 131072 | 9  | 2832  | 72  | 72  | 32 | 128 | 14.65305928 | 1.547  | 2976  | 0.007568359 |
| satellite32.bmp | satellite32.bmp-withWavelet_bior1.1-G_1-H0.0001_af5.wfa   | 393216  | 131072 | 131072 | 9  | 2832  | 72  | 72  | 32 | 128 | 14.65305928 | 1.547  | 2976  | 0.007568359 |
| satellite32.bmp | satellite32.bmp-withWavelet_haar-G_0.6-H8e-005_af1.wfa    | 98304   | 32768  | 32768  | 25 | 20240 | 200 | 200 | 32 | 64  | 14.66080438 | 0.75   | 20640 | 0.209960938 |
| satellite32.bmp | satellite32.bmp-withWavelet_rbio1.1-G_0.6-H8e-005_af1.wfa | 98304   | 32768  | 32768  | 25 | 20240 | 200 | 200 | 32 | 64  | 14.66080438 | 0.75   | 20640 | 0.209960938 |
| satellite32.bmp | satellite32.bmp-withWavelet_sym1-G_0.6-H8e-005_af1.wfa    | 98304   | 32768  | 32768  | 25 | 20240 | 200 | 200 | 32 | 64  | 14.66080438 | 0.766  | 20640 | 0.209960938 |
| satellite32.bmp | satellite32.bmp-withWavelet_bior1.1-G_0.6-H8e-005_af1.wfa | 98304   | 32768  | 32768  | 25 | 20240 | 200 | 200 | 32 | 64  | 14.66080438 | 0.766  | 20640 | 0.209960938 |
| satellite32.bmp | satellite32.bmp-withWavelet_haar-G_1-H8e-005_af5.wfa      | 393216  | 131072 | 131072 | 9  | 2832  | 72  | 72  | 32 | 128 | 14.66118823 | 1.594  | 2976  | 0.007568359 |
| satellite32.bmp | satellite32.bmp-withWavelet_rbio1.1-G_1-H8e-005_af5.wfa   | 393216  | 131072 | 131072 | 9  | 2832  | 72  | 72  | 32 | 128 | 14.66118823 | 1.625  | 2976  | 0.007568359 |
| satellite32.bmp | satellite32.bmp-withWavelet_sym1-G_1-H8e-005_af5.wfa      | 393216  | 131072 | 131072 | 9  | 2832  | 72  | 72  | 32 | 128 | 14.66118823 | 1.562  | 2976  | 0.007568359 |
| satellite32.bmp | satellite32.bmp-withWavelet_bior1.1-G_1-H8e-005_af5.wfa   | 393216  | 131072 | 131072 | 9  | 2832  | 72  | 72  | 32 | 128 | 14.66118823 | 1.562  | 2976  | 0.007568359 |
| satellite32.bmp | satellite32.bmp-withWavelet_haar-G_0.8-H9e-005_af2.wfa    | 393216  | 131072 | 131072 | 11 | 4112  | 88  | 88  | 32 | 128 | 14.66889825 | 1.625  | 4288  | 0.010904948 |
| satellite32.bmp | satellite32.bmp-withWavelet_rbio1.1-G_0.8-H9e-005_af2.wfa | 393216  | 131072 | 131072 | 11 | 4112  | 88  | 88  | 32 | 128 | 14.66889825 | 1.828  | 4288  | 0.010904948 |
| satellite32.bmp | satellite32.bmp-withWavelet_sym1-G_0.8-H9e-005_af2.wfa    | 393216  | 131072 | 131072 | 11 | 4112  | 88  | 88  | 32 | 128 | 14.66889825 | 1.609  | 4288  | 0.010904948 |
| satellite32.bmp | satellite32.bmp-withWavelet_bior1.1-G_0.8-H9e-005_af2.wfa | 393216  | 131072 | 131072 | 11 | 4112  | 88  | 88  | 32 | 128 | 14.66889825 | 1.609  | 4288  | 0.010904948 |
| satellite32.bmp | satellite32.bmp-withWavelet_haar-G_0.8-H0.0001_af2.wfa    | 393216  | 131072 | 131072 | 11 | 4112  | 88  | 88  | 32 | 128 | 14.66889825 | 1.625  | 4288  | 0.010904948 |
| satellite32.bmp | satellite32.bmp-withWavelet_rbio1.1-G_0.8-H0.0001_af2.wfa | 393216  | 131072 | 131072 | 11 | 4112  | 88  | 88  | 32 | 128 | 14.66889825 | 1.641  | 4288  | 0.010904948 |
| satellite32.bmp | satellite32.bmp-withWavelet_sym1-G_0.8-H0.0001_af2.wfa    | 393216  | 131072 | 131072 | 11 | 4112  | 88  | 88  | 32 | 128 | 14.66889825 | 1.641  | 4288  | 0.010904948 |
| satellite32.bmp | satellite32.bmp-withWavelet_bior1.1-G_0.8-H0.0001_af2.wfa | 393216  | 131072 | 131072 | 11 | 4112  | 88  | 88  | 32 | 128 | 14.66889825 | 1.828  | 4288  | 0.010904948 |
| satellite32.bmp | satellite32.bmp-withWavelet_haar-G_0.6-H0.0001_af4.wfa    | 1572864 | 524288 | 524288 | 24 | 18672 | 192 | 192 | 32 | 256 | 14.67061604 | 13.468 | 19056 | 0.012115479 |

|                 |   |         |        |        |    |       |     |     |    |     |             |        |       |             |
|-----------------|---|---------|--------|--------|----|-------|-----|-----|----|-----|-------------|--------|-------|-------------|
| satellite32.bmp | satellite32.bmp-withWavelet_rbio1.1-G_0.6-H0.0001_af4.wfa | 1572864 | 524288 | 524288 | 24 | 18672 | 192 | 192 | 32 | 256 | 14.67061604 | 15.531 | 19056 | 0.012115479 |
| satellite32.bmp | satellite32.bmp-withWavelet_sym1-G_0.6-H0.0001_af4.wfa    | 1572864 | 524288 | 524288 | 24 | 18672 | 192 | 192 | 32 | 256 | 14.67061604 | 13.562 | 19056 | 0.012115479 |
| satellite32.bmp | satellite32.bmp-withWavelet_bior1.1-G_0.6-H0.0001_af4.wfa | 1572864 | 524288 | 524288 | 24 | 18672 | 192 | 192 | 32 | 256 | 14.67061604 | 13.5   | 19056 | 0.012115479 |
| satellite32.bmp | satellite32.bmp-withWavelet_haar-G_0.6-H0.0001_af2.wfa    | 393216  | 131072 | 131072 | 9  | 2832  | 72  | 72  | 32 | 128 | 14.67558028 | 1.547  | 2976  | 0.007568359 |
| satellite32.bmp | satellite32.bmp-withWavelet_rbio1.1-G_0.6-H0.0001_af2.wfa | 393216  | 131072 | 131072 | 9  | 2832  | 72  | 72  | 32 | 128 | 14.67558028 | 1.563  | 2976  | 0.007568359 |
| satellite32.bmp | satellite32.bmp-withWavelet_sym1-G_0.6-H0.0001_af2.wfa    | 393216  | 131072 | 131072 | 9  | 2832  | 72  | 72  | 32 | 128 | 14.67558028 | 1.547  | 2976  | 0.007568359 |
| satellite32.bmp | satellite32.bmp-withWavelet_bior1.1-G_0.6-H0.0001_af2.wfa | 393216  | 131072 | 131072 | 9  | 2832  | 72  | 72  | 32 | 128 | 14.67558028 | 1.563  | 2976  | 0.007568359 |
| satellite32.bmp | satellite32.bmp-withWavelet_haar-G_0.6-H9e-005_af5.wfa    | 98304   | 32768  | 32768  | 10 | 3440  | 80  | 80  | 32 | 64  | 14.6811952  | 0.391  | 3600  | 0.036621094 |
| satellite32.bmp | satellite32.bmp-withWavelet_rbio1.1-G_0.6-H9e-005_af5.wfa | 98304   | 32768  | 32768  | 10 | 3440  | 80  | 80  | 32 | 64  | 14.6811952  | 0.375  | 3600  | 0.036621094 |
| satellite32.bmp | satellite32.bmp-withWavelet_sym1-G_0.6-H9e-005_af5.wfa    | 98304   | 32768  | 32768  | 10 | 3440  | 80  | 80  | 32 | 64  | 14.6811952  | 0.375  | 3600  | 0.036621094 |
| satellite32.bmp | satellite32.bmp-withWavelet_bior1.1-G_0.6-H9e-005_af5.wfa | 98304   | 32768  | 32768  | 10 | 3440  | 80  | 80  | 32 | 64  | 14.6811952  | 0.39   | 3600  | 0.036621094 |
| satellite32.bmp | satellite32.bmp-withWavelet_haar-G_0.6-H0.0001_af5.wfa    | 98304   | 32768  | 32768  | 10 | 3440  | 80  | 80  | 32 | 64  | 14.6811952  | 0.391  | 3600  | 0.036621094 |
| satellite32.bmp | satellite32.bmp-withWavelet_rbio1.1-G_0.6-H0.0001_af5.wfa | 98304   | 32768  | 32768  | 10 | 3440  | 80  | 80  | 32 | 64  | 14.6811952  | 0.39   | 3600  | 0.036621094 |
| satellite32.bmp | satellite32.bmp-withWavelet_sym1-G_0.6-H0.0001_af5.wfa    | 98304   | 32768  | 32768  | 10 | 3440  | 80  | 80  | 32 | 64  | 14.6811952  | 0.375  | 3600  | 0.036621094 |
| satellite32.bmp | satellite32.bmp-withWavelet_bior1.1-G_0.6-H0.0001_af5.wfa | 98304   | 32768  | 32768  | 10 | 3440  | 80  | 80  | 32 | 64  | 14.6811952  | 0.375  | 3600  | 0.036621094 |
| satellite32.bmp | satellite32.bmp-withWavelet_haar-G_0.6-H8e-005_af5.wfa    | 98304   | 32768  | 32768  | 10 | 3440  | 80  | 80  | 32 | 64  | 14.68273057 | 0.39   | 3600  | 0.036621094 |
| satellite32.bmp | satellite32.bmp-withWavelet_rbio1.1-G_0.6-H8e-005_af5.wfa | 98304   | 32768  | 32768  | 10 | 3440  | 80  | 80  | 32 | 64  | 14.68273057 | 0.391  | 3600  | 0.036621094 |
| satellite32.bmp | satellite32.bmp-withWavelet_sym1-G_0.6-H8e-005_af5.wfa    | 98304   | 32768  | 32768  | 10 | 3440  | 80  | 80  | 32 | 64  | 14.68273057 | 0.391  | 3600  | 0.036621094 |
| satellite32.bmp | satellite32.bmp-withWavelet_bior1.1-G_0.6-H8e-005_af5.wfa | 98304   | 32768  | 32768  | 10 | 3440  | 80  | 80  | 32 | 64  | 14.68273057 | 0.39   | 3600  | 0.036621094 |
| satellite32.bmp | satellite32.bmp-withWavelet_haar-G_0.6-H9e-005_af4.wfa    | 1572864 | 524288 | 524288 | 24 | 18672 | 192 | 192 | 32 | 256 | 14.68622655 | 13.531 | 19056 | 0.012115479 |
| satellite32.bmp | satellite32.bmp-withWavelet_rbio1.1-G_0.6-H9e-005_af4.wfa | 1572864 | 524288 | 524288 | 24 | 18672 | 192 | 192 | 32 | 256 | 14.68622655 | 15.578 | 19056 | 0.012115479 |
| satellite32.bmp | satellite32.bmp-withWavelet_sym1-G_0.6-H9e-005_af4.wfa    | 1572864 | 524288 | 524288 | 24 | 18672 | 192 | 192 | 32 | 256 | 14.68622655 | 13.469 | 19056 | 0.012115479 |
| satellite32.bmp | satellite32.bmp-withWavelet_bior1.1-G_0.6-H9e-005_af4.wfa | 1572864 | 524288 | 524288 | 24 | 18672 | 192 | 192 | 32 | 256 | 14.68622655 | 13.5   | 19056 | 0.012115479 |
| satellite32.bmp | satellite32.bmp-withWavelet_haar-G_1-H9e-005_af2.wfa      | 393216  | 131072 | 131072 | 11 | 4112  | 88  | 88  | 32 | 128 | 14.68789167 | 1.704  | 4288  | 0.010904948 |
| satellite32.bmp | satellite32.bmp-withWavelet_rbio1.1-G_1-H9e-005_af2.wfa   | 393216  | 131072 | 131072 | 11 | 4112  | 88  | 88  | 32 | 128 | 14.68789167 | 1.625  | 4288  | 0.010904948 |
| satellite32.bmp | satellite32.bmp-withWavelet_sym1-G_1-H9e-005_af2.wfa      | 393216  | 131072 | 131072 | 11 | 4112  | 88  | 88  | 32 | 128 | 14.68789167 | 1.656  | 4288  | 0.010904948 |
| satellite32.bmp | satellite32.bmp-withWavelet_bior1.1-G_1-H9e-005_af2.wfa   | 393216  | 131072 | 131072 | 11 | 4112  | 88  | 88  | 32 | 128 | 14.68789167 | 1.625  | 4288  | 0.010904948 |
| satellite32.bmp | satellite32.bmp-G_0.8-H1e-005_af1.wfa                     | 98304   | 32768  |        | 1  | 272   | 8   | 8   | 32 | 64  | 14.69507021 | 0      | 288   | 0.002929688 |
| satellite32.bmp | satellite32.bmp-G_0.8-H1e-005_af2.wfa                     | 98304   | 32768  |        | 1  | 272   | 8   | 8   | 32 | 64  | 14.69507021 | 0      | 288   | 0.002929688 |
| satellite32.bmp | satellite32.bmp-G_0.8-H1e-005_af3.wfa                     | 98304   | 32768  |        | 1  | 272   | 8   | 8   | 32 | 64  | 14.69507021 | 0      | 288   | 0.002929688 |
| satellite32.bmp | satellite32.bmp-G_0.8-H1e-005_af4.wfa                     | 98304   | 32768  |        | 1  | 272   | 8   | 8   | 32 | 64  | 14.69507021 | 0      | 288   | 0.002929688 |



|                 |   |         |        |        |    |       |     |     |    |     |             |        |       |             |
|-----------------|---|---------|--------|--------|----|-------|-----|-----|----|-----|-------------|--------|-------|-------------|
| satellite32.bmp | satellite32.bmp-G_0.8-H8e-005_af1.wfa                     | 98304   | 32768  |        | 1  | 272   | 8   | 8   | 32 | 64  | 14.69507021 | 0      | 288   | 0.002929688 |
| satellite32.bmp | satellite32.bmp-G_0.8-H8e-005_af2.wfa                     | 98304   | 32768  |        | 1  | 272   | 8   | 8   | 32 | 64  | 14.69507021 | 0      | 288   | 0.002929688 |
| satellite32.bmp | satellite32.bmp-G_0.8-H8e-005_af3.wfa                     | 98304   | 32768  |        | 1  | 272   | 8   | 8   | 32 | 64  | 14.69507021 | 0      | 288   | 0.002929688 |
| satellite32.bmp | satellite32.bmp-G_0.8-H8e-005_af4.wfa                     | 98304   | 32768  |        | 1  | 272   | 8   | 8   | 32 | 64  | 14.69507021 | 0      | 288   | 0.002929688 |
| satellite32.bmp | satellite32.bmp-G_0.8-H8e-005_af5.wfa                     | 98304   | 32768  |        | 1  | 272   | 8   | 8   | 32 | 64  | 14.69507021 | 0      | 288   | 0.002929688 |
| satellite32.bmp | satellite32.bmp-G_0.8-H9e-005_af1.wfa                     | 98304   | 32768  |        | 1  | 272   | 8   | 8   | 32 | 64  | 14.69507021 | 0      | 288   | 0.002929688 |
| satellite32.bmp | satellite32.bmp-G_0.8-H9e-005_af2.wfa                     | 98304   | 32768  |        | 1  | 272   | 8   | 8   | 32 | 64  | 14.69507021 | 0      | 288   | 0.002929688 |
| satellite32.bmp | satellite32.bmp-G_0.8-H9e-005_af3.wfa                     | 98304   | 32768  |        | 1  | 272   | 8   | 8   | 32 | 64  | 14.69507021 | 0      | 288   | 0.002929688 |
| satellite32.bmp | satellite32.bmp-G_0.8-H9e-005_af4.wfa                     | 98304   | 32768  |        | 1  | 272   | 8   | 8   | 32 | 64  | 14.69507021 | 0      | 288   | 0.002929688 |
| satellite32.bmp | satellite32.bmp-G_0.8-H9e-005_af5.wfa                     | 98304   | 32768  |        | 1  | 272   | 8   | 8   | 32 | 64  | 14.69507021 | 0      | 288   | 0.002929688 |
| satellite32.bmp | satellite32.bmp-G_0.8-H0.0001_af1.wfa                     | 98304   | 32768  |        | 1  | 272   | 8   | 8   | 32 | 64  | 14.69507021 | 0      | 288   | 0.002929688 |
| satellite32.bmp | satellite32.bmp-G_0.8-H0.0001_af2.wfa                     | 98304   | 32768  |        | 1  | 272   | 8   | 8   | 32 | 64  | 14.69507021 | 0      | 288   | 0.002929688 |
| satellite32.bmp | satellite32.bmp-G_0.8-H0.0001_af3.wfa                     | 98304   | 32768  |        | 1  | 272   | 8   | 8   | 32 | 64  | 14.69507021 | 0      | 288   | 0.002929688 |
| satellite32.bmp | satellite32.bmp-G_0.8-H0.0001_af4.wfa                     | 98304   | 32768  |        | 1  | 272   | 8   | 8   | 32 | 64  | 14.69507021 | 0      | 288   | 0.002929688 |
| satellite32.bmp | satellite32.bmp-G_0.8-H0.0001_af5.wfa                     | 98304   | 32768  |        | 1  | 272   | 8   | 8   | 32 | 64  | 14.69507021 | 0      | 288   | 0.002929688 |
| satellite32.bmp | satellite32.bmp-withWavelet_haar-G_0.6-H0.0001_af3.wfa    | 393216  | 131072 | 131072 | 18 | 10608 | 144 | 144 | 32 | 128 | 14.69854056 | 2.079  | 10896 | 0.027709961 |
| satellite32.bmp | satellite32.bmp-withWavelet_rbio1.1-G_0.6-H0.0001_af3.wfa | 393216  | 131072 | 131072 | 18 | 10608 | 144 | 144 | 32 | 128 | 14.69854056 | 2.078  | 10896 | 0.027709961 |
| satellite32.bmp | satellite32.bmp-withWavelet_sym1-G_0.6-H0.0001_af3.wfa    | 393216  | 131072 | 131072 | 18 | 10608 | 144 | 144 | 32 | 128 | 14.69854056 | 2.125  | 10896 | 0.027709961 |
| satellite32.bmp | satellite32.bmp-withWavelet_bior1.1-G_0.6-H0.0001_af3.wfa | 393216  | 131072 | 131072 | 18 | 10608 | 144 | 144 | 32 | 128 | 14.69854056 | 2.078  | 10896 | 0.027709961 |
| satellite32.bmp | satellite32.bmp-withWavelet_haar-G_1-H4e-005_af3.wfa      | 1572864 | 524288 | 524288 | 30 | 29040 | 240 | 240 | 32 | 256 | 14.70186933 | 18.859 | 29520 | 0.018768311 |
| satellite32.bmp | satellite32.bmp-withWavelet_rbio1.1-G_1-H4e-005_af3.wfa   | 1572864 | 524288 | 524288 | 30 | 29040 | 240 | 240 | 32 | 256 | 14.70186933 | 18.671 | 29520 | 0.018768311 |
| satellite32.bmp | satellite32.bmp-withWavelet_sym1-G_1-H4e-005_af3.wfa      | 1572864 | 524288 | 524288 | 30 | 29040 | 240 | 240 | 32 | 256 | 14.70186933 | 18.75  | 29520 | 0.018768311 |
| satellite32.bmp | satellite32.bmp-withWavelet_bior1.1-G_1-H4e-005_af3.wfa   | 1572864 | 524288 | 524288 | 30 | 29040 | 240 | 240 | 32 | 256 | 14.70186933 | 18.766 | 29520 | 0.018768311 |
| satellite32.bmp | satellite32.bmp-withWavelet_haar-G_1-H7e-005_af2.wfa      | 98304   | 32768  | 32768  | 14 | 6512  | 112 | 112 | 32 | 64  | 14.70246764 | 0.469  | 6736  | 0.068522135 |
| satellite32.bmp | satellite32.bmp-withWavelet_rbio1.1-G_1-H7e-005_af2.wfa   | 98304   | 32768  | 32768  | 14 | 6512  | 112 | 112 | 32 | 64  | 14.70246764 | 0.438  | 6736  | 0.068522135 |
| satellite32.bmp | satellite32.bmp-withWavelet_sym1-G_1-H7e-005_af2.wfa      | 98304   | 32768  | 32768  | 14 | 6512  | 112 | 112 | 32 | 64  | 14.70246764 | 0.485  | 6736  | 0.068522135 |
| satellite32.bmp | satellite32.bmp-withWavelet_bior1.1-G_1-H7e-005_af2.wfa   | 98304   | 32768  | 32768  | 14 | 6512  | 112 | 112 | 32 | 64  | 14.70246764 | 0.422  | 6736  | 0.068522135 |
| satellite32.bmp | satellite32.bmp-withWavelet_haar-G_0.8-H3e-005_af3.wfa    | 98304   | 32768  | 32768  | 31 | 30992 | 248 | 248 | 32 | 64  | 14.70667011 | 1      | 31488 | 0.3203125   |
| satellite32.bmp | satellite32.bmp-withWavelet_rbio1.1-G_0.8-H3e-005_af3.wfa | 98304   | 32768  | 32768  | 31 | 30992 | 248 | 248 | 32 | 64  | 14.70667011 | 0.984  | 31488 | 0.3203125   |
| satellite32.bmp | satellite32.bmp-withWavelet_sym1-G_0.8-H3e-005_af3.wfa    | 98304   | 32768  | 32768  | 31 | 30992 | 248 | 248 | 32 | 64  | 14.70667011 | 1      | 31488 | 0.3203125   |
| satellite32.bmp | satellite32.bmp-withWavelet_bior1.1-G_0.8-H3e-005_af3.wfa | 98304   | 32768  | 32768  | 31 | 30992 | 248 | 248 | 32 | 64  | 14.70667011 | 1.015  | 31488 | 0.3203125   |

|                 |   |         |        |        |    |       |     |     |    |     |             |        |       |             |
|-----------------|---|---------|--------|--------|----|-------|-----|-----|----|-----|-------------|--------|-------|-------------|
| satellite32.bmp | satellite32.bmp-withWavelet_haar-G_0.8-H4e-005_af3.wfa    | 98304   | 32768  | 32768  | 31 | 30992 | 248 | 248 | 32 | 64  | 14.70667011 | 1.031  | 31488 | 0.3203125   |
| satellite32.bmp | satellite32.bmp-withWavelet_rbio1.1-G_0.8-H4e-005_af3.wfa | 98304   | 32768  | 32768  | 31 | 30992 | 248 | 248 | 32 | 64  | 14.70667011 | 1.031  | 31488 | 0.3203125   |
| satellite32.bmp | satellite32.bmp-withWavelet_sym1-G_0.8-H4e-005_af3.wfa    | 98304   | 32768  | 32768  | 31 | 30992 | 248 | 248 | 32 | 64  | 14.70667011 | 1.016  | 31488 | 0.3203125   |
| satellite32.bmp | satellite32.bmp-withWavelet_bior1.1-G_0.8-H4e-005_af3.wfa | 98304   | 32768  | 32768  | 31 | 30992 | 248 | 248 | 32 | 64  | 14.70667011 | 1.016  | 31488 | 0.3203125   |
| satellite32.bmp | satellite32.bmp-withWavelet_haar-G_0.6-H9e-005_af1.wfa    | 1572864 | 524288 | 524288 | 23 | 17168 | 184 | 184 | 32 | 256 | 14.7079935  | 13.062 | 17536 | 0.011149089 |
| satellite32.bmp | satellite32.bmp-withWavelet_rbio1.1-G_0.6-H9e-005_af1.wfa | 1572864 | 524288 | 524288 | 23 | 17168 | 184 | 184 | 32 | 256 | 14.7079935  | 13.016 | 17536 | 0.011149089 |
| satellite32.bmp | satellite32.bmp-withWavelet_sym1-G_0.6-H9e-005_af1.wfa    | 1572864 | 524288 | 524288 | 23 | 17168 | 184 | 184 | 32 | 256 | 14.7079935  | 13.031 | 17536 | 0.011149089 |
| satellite32.bmp | satellite32.bmp-withWavelet_bior1.1-G_0.6-H9e-005_af1.wfa | 1572864 | 524288 | 524288 | 23 | 17168 | 184 | 184 | 32 | 256 | 14.7079935  | 12.937 | 17536 | 0.011149089 |
| satellite32.bmp | satellite32.bmp-withWavelet_haar-G_1-H3e-005_af3.wfa      | 98304   | 32768  | 32768  | 31 | 30992 | 248 | 248 | 32 | 64  | 14.7110956  | 1      | 31488 | 0.3203125   |
| satellite32.bmp | satellite32.bmp-withWavelet_rbio1.1-G_1-H3e-005_af3.wfa   | 98304   | 32768  | 32768  | 31 | 30992 | 248 | 248 | 32 | 64  | 14.7110956  | 1.016  | 31488 | 0.3203125   |
| satellite32.bmp | satellite32.bmp-withWavelet_sym1-G_1-H3e-005_af3.wfa      | 98304   | 32768  | 32768  | 31 | 30992 | 248 | 248 | 32 | 64  | 14.7110956  | 1      | 31488 | 0.3203125   |
| satellite32.bmp | satellite32.bmp-withWavelet_bior1.1-G_1-H3e-005_af3.wfa   | 98304   | 32768  | 32768  | 31 | 30992 | 248 | 248 | 32 | 64  | 14.7110956  | 1.015  | 31488 | 0.3203125   |
| satellite32.bmp | satellite32.bmp-withWavelet_haar-G_0.8-H8e-005_af5.wfa    | 98304   | 32768  | 32768  | 9  | 2832  | 72  | 72  | 32 | 64  | 14.71359678 | 0.391  | 2976  | 0.030273438 |
| satellite32.bmp | satellite32.bmp-withWavelet_rbio1.1-G_0.8-H8e-005_af5.wfa | 98304   | 32768  | 32768  | 9  | 2832  | 72  | 72  | 32 | 64  | 14.71359678 | 0.391  | 2976  | 0.030273438 |
| satellite32.bmp | satellite32.bmp-withWavelet_sym1-G_0.8-H8e-005_af5.wfa    | 98304   | 32768  | 32768  | 9  | 2832  | 72  | 72  | 32 | 64  | 14.71359678 | 0.391  | 2976  | 0.030273438 |
| satellite32.bmp | satellite32.bmp-withWavelet_bior1.1-G_0.8-H8e-005_af5.wfa | 98304   | 32768  | 32768  | 9  | 2832  | 72  | 72  | 32 | 64  | 14.71359678 | 0.375  | 2976  | 0.030273438 |
| satellite32.bmp | satellite32.bmp-withWavelet_haar-G_0.8-H7e-005_af5.wfa    | 98304   | 32768  | 32768  | 10 | 3440  | 80  | 80  | 32 | 64  | 14.71782497 | 0.39   | 3600  | 0.036621094 |
| satellite32.bmp | satellite32.bmp-withWavelet_rbio1.1-G_0.8-H7e-005_af5.wfa | 98304   | 32768  | 32768  | 10 | 3440  | 80  | 80  | 32 | 64  | 14.71782497 | 0.39   | 3600  | 0.036621094 |
| satellite32.bmp | satellite32.bmp-withWavelet_sym1-G_0.8-H7e-005_af5.wfa    | 98304   | 32768  | 32768  | 10 | 3440  | 80  | 80  | 32 | 64  | 14.71782497 | 0.391  | 3600  | 0.036621094 |
| satellite32.bmp | satellite32.bmp-withWavelet_bior1.1-G_0.8-H7e-005_af5.wfa | 98304   | 32768  | 32768  | 10 | 3440  | 80  | 80  | 32 | 64  | 14.71782497 | 0.39   | 3600  | 0.036621094 |
| satellite32.bmp | satellite32.bmp-withWavelet_haar-G_0.8-H8e-005_af2.wfa    | 98304   | 32768  | 32768  | 12 | 4848  | 96  | 96  | 32 | 64  | 14.71829419 | 0.407  | 5040  | 0.051269531 |
| satellite32.bmp | satellite32.bmp-withWavelet_rbio1.1-G_0.8-H8e-005_af2.wfa | 98304   | 32768  | 32768  | 12 | 4848  | 96  | 96  | 32 | 64  | 14.71829419 | 0.407  | 5040  | 0.051269531 |
| satellite32.bmp | satellite32.bmp-withWavelet_sym1-G_0.8-H8e-005_af2.wfa    | 98304   | 32768  | 32768  | 12 | 4848  | 96  | 96  | 32 | 64  | 14.71829419 | 0.422  | 5040  | 0.051269531 |
| satellite32.bmp | satellite32.bmp-withWavelet_bior1.1-G_0.8-H8e-005_af2.wfa | 98304   | 32768  | 32768  | 12 | 4848  | 96  | 96  | 32 | 64  | 14.71829419 | 0.406  | 5040  | 0.051269531 |
| satellite32.bmp | satellite32.bmp-withWavelet_haar-G_1-H7e-005_af5.wfa      | 98304   | 32768  | 32768  | 10 | 3440  | 80  | 80  | 32 | 64  | 14.71944688 | 0.391  | 3600  | 0.036621094 |
| satellite32.bmp | satellite32.bmp-withWavelet_rbio1.1-G_1-H7e-005_af5.wfa   | 98304   | 32768  | 32768  | 10 | 3440  | 80  | 80  | 32 | 64  | 14.71944688 | 0.391  | 3600  | 0.036621094 |
| satellite32.bmp | satellite32.bmp-withWavelet_sym1-G_1-H7e-005_af5.wfa      | 98304   | 32768  | 32768  | 10 | 3440  | 80  | 80  | 32 | 64  | 14.71944688 | 0.391  | 3600  | 0.036621094 |
| satellite32.bmp | satellite32.bmp-withWavelet_bior1.1-G_1-H7e-005_af5.wfa   | 98304   | 32768  | 32768  | 10 | 3440  | 80  | 80  | 32 | 64  | 14.71944688 | 0.391  | 3600  | 0.036621094 |
| satellite32.bmp | satellite32.bmp-G_1-H1e-005_af4.wfa                       | 393216  | 131072 |        | 5  | 1040  | 40  | 40  | 32 | 128 | 14.71965721 | 1.438  | 1120  | 0.002848307 |
| satellite32.bmp | satellite32.bmp-G_1-H2e-005_af4.wfa                       | 393216  | 131072 |        | 5  | 1040  | 40  | 40  | 32 | 128 | 14.71965721 | 1.515  | 1120  | 0.002848307 |
| satellite32.bmp | satellite32.bmp-G_1-H3e-005_af4.wfa                       | 393216  | 131072 |        | 5  | 1040  | 40  | 40  | 32 | 128 | 14.71965721 | 1.437  | 1120  | 0.002848307 |







|                 |   |         |        |        |    |       |     |     |    |     |             |        |       |             |
|-----------------|---|---------|--------|--------|----|-------|-----|-----|----|-----|-------------|--------|-------|-------------|
| satellite32.bmp | satellite32.bmp-withWavelet_haar-G_0.8-H7e-005_af1.wfa    | 1572864 | 524288 | 524288 | 26 | 21872 | 208 | 208 | 32 | 256 | 14.72151904 | 15.047 | 22288 | 0.014170329 |
| satellite32.bmp | satellite32.bmp-withWavelet_rbio1.1-G_0.8-H7e-005_af1.wfa | 1572864 | 524288 | 524288 | 26 | 21872 | 208 | 208 | 32 | 256 | 14.72151904 | 15.047 | 22288 | 0.014170329 |
| satellite32.bmp | satellite32.bmp-withWavelet_sym1-G_0.8-H7e-005_af1.wfa    | 1572864 | 524288 | 524288 | 26 | 21872 | 208 | 208 | 32 | 256 | 14.72151904 | 15.125 | 22288 | 0.014170329 |
| satellite32.bmp | satellite32.bmp-withWavelet_bior1.1-G_0.8-H7e-005_af1.wfa | 1572864 | 524288 | 524288 | 26 | 21872 | 208 | 208 | 32 | 256 | 14.72151904 | 15.094 | 22288 | 0.014170329 |
| satellite32.bmp | satellite32.bmp-withWavelet_haar-G_0.8-H6e-005_af5.wfa    | 98304   | 32768  | 32768  | 11 | 4112  | 88  | 88  | 32 | 64  | 14.72451355 | 0.406  | 4288  | 0.043619792 |
| satellite32.bmp | satellite32.bmp-withWavelet_rbio1.1-G_0.8-H6e-005_af5.wfa | 98304   | 32768  | 32768  | 11 | 4112  | 88  | 88  | 32 | 64  | 14.72451355 | 0.406  | 4288  | 0.043619792 |
| satellite32.bmp | satellite32.bmp-withWavelet_sym1-G_0.8-H6e-005_af5.wfa    | 98304   | 32768  | 32768  | 11 | 4112  | 88  | 88  | 32 | 64  | 14.72451355 | 0.406  | 4288  | 0.043619792 |
| satellite32.bmp | satellite32.bmp-withWavelet_bior1.1-G_0.8-H6e-005_af5.wfa | 98304   | 32768  | 32768  | 11 | 4112  | 88  | 88  | 32 | 64  | 14.72451355 | 0.406  | 4288  | 0.043619792 |
| satellite32.bmp | satellite32.bmp-withWavelet_haar-G_1-H6e-005_af5.wfa      | 98304   | 32768  | 32768  | 11 | 4112  | 88  | 88  | 32 | 64  | 14.72629068 | 0.406  | 4288  | 0.043619792 |
| satellite32.bmp | satellite32.bmp-withWavelet_rbio1.1-G_1-H6e-005_af5.wfa   | 98304   | 32768  | 32768  | 11 | 4112  | 88  | 88  | 32 | 64  | 14.72629068 | 0.406  | 4288  | 0.043619792 |
| satellite32.bmp | satellite32.bmp-withWavelet_sym1-G_1-H6e-005_af5.wfa      | 98304   | 32768  | 32768  | 11 | 4112  | 88  | 88  | 32 | 64  | 14.72629068 | 0.406  | 4288  | 0.043619792 |
| satellite32.bmp | satellite32.bmp-withWavelet_bior1.1-G_1-H6e-005_af5.wfa   | 98304   | 32768  | 32768  | 11 | 4112  | 88  | 88  | 32 | 64  | 14.72629068 | 0.406  | 4288  | 0.043619792 |
| satellite32.bmp | satellite32.bmp-withWavelet_haar-G_0.6-H8e-005_af2.wfa    | 1572864 | 524288 | 524288 | 14 | 6512  | 112 | 112 | 32 | 256 | 14.73111797 | 7.61   | 6736  | 0.004282633 |
| satellite32.bmp | satellite32.bmp-withWavelet_rbio1.1-G_0.6-H8e-005_af2.wfa | 1572864 | 524288 | 524288 | 14 | 6512  | 112 | 112 | 32 | 256 | 14.73111797 | 7.718  | 6736  | 0.004282633 |
| satellite32.bmp | satellite32.bmp-withWavelet_sym1-G_0.6-H8e-005_af2.wfa    | 1572864 | 524288 | 524288 | 14 | 6512  | 112 | 112 | 32 | 256 | 14.73111797 | 7.563  | 6736  | 0.004282633 |
| satellite32.bmp | satellite32.bmp-withWavelet_bior1.1-G_0.6-H8e-005_af2.wfa | 1572864 | 524288 | 524288 | 14 | 6512  | 112 | 112 | 32 | 256 | 14.73111797 | 7.687  | 6736  | 0.004282633 |
| satellite32.bmp | satellite32.bmp-withWavelet_haar-G_1-H8e-005_af2.wfa      | 98304   | 32768  | 32768  | 12 | 4848  | 96  | 96  | 32 | 64  | 14.73404774 | 0.406  | 5040  | 0.051269531 |
| satellite32.bmp | satellite32.bmp-withWavelet_rbio1.1-G_1-H8e-005_af2.wfa   | 98304   | 32768  | 32768  | 12 | 4848  | 96  | 96  | 32 | 64  | 14.73404774 | 0.422  | 5040  | 0.051269531 |
| satellite32.bmp | satellite32.bmp-withWavelet_sym1-G_1-H8e-005_af2.wfa      | 98304   | 32768  | 32768  | 12 | 4848  | 96  | 96  | 32 | 64  | 14.73404774 | 0.406  | 5040  | 0.051269531 |
| satellite32.bmp | satellite32.bmp-withWavelet_bior1.1-G_1-H8e-005_af2.wfa   | 98304   | 32768  | 32768  | 12 | 4848  | 96  | 96  | 32 | 64  | 14.73404774 | 0.406  | 5040  | 0.051269531 |
| satellite32.bmp | satellite32.bmp-withWavelet_haar-G_1-H2e-005_af5.wfa      | 1572864 | 524288 | 524288 | 19 | 11792 | 152 | 152 | 32 | 256 | 14.73486506 | 9.578  | 12096 | 0.00769043  |
| satellite32.bmp | satellite32.bmp-withWavelet_rbio1.1-G_1-H2e-005_af5.wfa   | 1572864 | 524288 | 524288 | 19 | 11792 | 152 | 152 | 32 | 256 | 14.73486506 | 9.641  | 12096 | 0.00769043  |
| satellite32.bmp | satellite32.bmp-withWavelet_sym1-G_1-H2e-005_af5.wfa      | 1572864 | 524288 | 524288 | 19 | 11792 | 152 | 152 | 32 | 256 | 14.73486506 | 9.609  | 12096 | 0.00769043  |
| satellite32.bmp | satellite32.bmp-withWavelet_bior1.1-G_1-H2e-005_af5.wfa   | 1572864 | 524288 | 524288 | 19 | 11792 | 152 | 152 | 32 | 256 | 14.73486506 | 9.64   | 12096 | 0.00769043  |
| satellite32.bmp | satellite32.bmp-withWavelet_haar-G_0.8-H5e-005_af3.wfa    | 1572864 | 524288 | 524288 | 29 | 27152 | 232 | 232 | 32 | 256 | 14.73605108 | 18.063 | 27616 | 0.01755778  |
| satellite32.bmp | satellite32.bmp-withWavelet_rbio1.1-G_0.8-H5e-005_af3.wfa | 1572864 | 524288 | 524288 | 29 | 27152 | 232 | 232 | 32 | 256 | 14.73605108 | 17.922 | 27616 | 0.01755778  |
| satellite32.bmp | satellite32.bmp-withWavelet_sym1-G_0.8-H5e-005_af3.wfa    | 1572864 | 524288 | 524288 | 29 | 27152 | 232 | 232 | 32 | 256 | 14.73605108 | 18     | 27616 | 0.01755778  |
| satellite32.bmp | satellite32.bmp-withWavelet_bior1.1-G_0.8-H5e-005_af3.wfa | 1572864 | 524288 | 524288 | 29 | 27152 | 232 | 232 | 32 | 256 | 14.73605108 | 18.016 | 27616 | 0.01755778  |
| satellite32.bmp | satellite32.bmp-withWavelet_haar-G_0.8-H9e-005_af5.wfa    | 98304   | 32768  | 32768  | 9  | 2832  | 72  | 72  | 32 | 64  | 14.74174544 | 0.391  | 2976  | 0.030273438 |
| satellite32.bmp | satellite32.bmp-withWavelet_rbio1.1-G_0.8-H9e-005_af5.wfa | 98304   | 32768  | 32768  | 9  | 2832  | 72  | 72  | 32 | 64  | 14.74174544 | 0.375  | 2976  | 0.030273438 |
| satellite32.bmp | satellite32.bmp-withWavelet_sym1-G_0.8-H9e-005_af5.wfa    | 98304   | 32768  | 32768  | 9  | 2832  | 72  | 72  | 32 | 64  | 14.74174544 | 0.391  | 2976  | 0.030273438 |

|                 |   |         |        |        |    |       |     |     |    |     |             |        |       |             |
|-----------------|---|---------|--------|--------|----|-------|-----|-----|----|-----|-------------|--------|-------|-------------|
| satellite32.bmp | satellite32.bmp-withWavelet_bior1.1-G_0.8-H9e-005_af5.wfa | 98304   | 32768  | 32768  | 9  | 2832  | 72  | 72  | 32 | 64  | 14.74174544 | 0.375  | 2976  | 0.030273438 |
| satellite32.bmp | satellite32.bmp-withWavelet_haar-G_0.8-H0.0001_af5.wfa    | 98304   | 32768  | 32768  | 9  | 2832  | 72  | 72  | 32 | 64  | 14.74174544 | 0.391  | 2976  | 0.030273438 |
| satellite32.bmp | satellite32.bmp-withWavelet_rbio1.1-G_0.8-H0.0001_af5.wfa | 98304   | 32768  | 32768  | 9  | 2832  | 72  | 72  | 32 | 64  | 14.74174544 | 0.391  | 2976  | 0.030273438 |
| satellite32.bmp | satellite32.bmp-withWavelet_sym1-G_0.8-H0.0001_af5.wfa    | 98304   | 32768  | 32768  | 9  | 2832  | 72  | 72  | 32 | 64  | 14.74174544 | 0.375  | 2976  | 0.030273438 |
| satellite32.bmp | satellite32.bmp-withWavelet_bior1.1-G_0.8-H0.0001_af5.wfa | 98304   | 32768  | 32768  | 9  | 2832  | 72  | 72  | 32 | 64  | 14.74174544 | 0.375  | 2976  | 0.030273438 |
| satellite32.bmp | satellite32.bmp-withWavelet_haar-G_1-H9e-005_af5.wfa      | 98304   | 32768  | 32768  | 9  | 2832  | 72  | 72  | 32 | 64  | 14.74384063 | 0.375  | 2976  | 0.030273438 |
| satellite32.bmp | satellite32.bmp-withWavelet_rbio1.1-G_1-H9e-005_af5.wfa   | 98304   | 32768  | 32768  | 9  | 2832  | 72  | 72  | 32 | 64  | 14.74384063 | 0.39   | 2976  | 0.030273438 |
| satellite32.bmp | satellite32.bmp-withWavelet_sym1-G_1-H9e-005_af5.wfa      | 98304   | 32768  | 32768  | 9  | 2832  | 72  | 72  | 32 | 64  | 14.74384063 | 0.391  | 2976  | 0.030273438 |
| satellite32.bmp | satellite32.bmp-withWavelet_bior1.1-G_1-H9e-005_af5.wfa   | 98304   | 32768  | 32768  | 9  | 2832  | 72  | 72  | 32 | 64  | 14.74384063 | 0.375  | 2976  | 0.030273438 |
| satellite32.bmp | satellite32.bmp-withWavelet_haar-G_1-H0.0001_af5.wfa      | 98304   | 32768  | 32768  | 9  | 2832  | 72  | 72  | 32 | 64  | 14.74384063 | 0.391  | 2976  | 0.030273438 |
| satellite32.bmp | satellite32.bmp-withWavelet_rbio1.1-G_1-H0.0001_af5.wfa   | 98304   | 32768  | 32768  | 9  | 2832  | 72  | 72  | 32 | 64  | 14.74384063 | 0.375  | 2976  | 0.030273438 |
| satellite32.bmp | satellite32.bmp-withWavelet_sym1-G_1-H0.0001_af5.wfa      | 98304   | 32768  | 32768  | 9  | 2832  | 72  | 72  | 32 | 64  | 14.74384063 | 0.375  | 2976  | 0.030273438 |
| satellite32.bmp | satellite32.bmp-withWavelet_bior1.1-G_1-H0.0001_af5.wfa   | 98304   | 32768  | 32768  | 9  | 2832  | 72  | 72  | 32 | 64  | 14.74384063 | 0.39   | 2976  | 0.030273438 |
| satellite32.bmp | satellite32.bmp-G_1-H8e-005_af1.wfa                       | 393216  | 131072 |        | 6  | 1392  | 48  | 48  | 32 | 128 | 14.74741014 | 1.531  | 1488  | 0.00378418  |
| satellite32.bmp | satellite32.bmp-G_1-H9e-005_af1.wfa                       | 393216  | 131072 |        | 6  | 1392  | 48  | 48  | 32 | 128 | 14.7510007  | 1.547  | 1488  | 0.00378418  |
| satellite32.bmp | satellite32.bmp-withWavelet_haar-G_1-H8e-005_af5.wfa      | 98304   | 32768  | 32768  | 9  | 2832  | 72  | 72  | 32 | 64  | 14.75601451 | 0.391  | 2976  | 0.030273438 |
| satellite32.bmp | satellite32.bmp-withWavelet_rbio1.1-G_1-H8e-005_af5.wfa   | 98304   | 32768  | 32768  | 9  | 2832  | 72  | 72  | 32 | 64  | 14.75601451 | 0.391  | 2976  | 0.030273438 |
| satellite32.bmp | satellite32.bmp-withWavelet_sym1-G_1-H8e-005_af5.wfa      | 98304   | 32768  | 32768  | 9  | 2832  | 72  | 72  | 32 | 64  | 14.75601451 | 0.375  | 2976  | 0.030273438 |
| satellite32.bmp | satellite32.bmp-withWavelet_bior1.1-G_1-H8e-005_af5.wfa   | 98304   | 32768  | 32768  | 9  | 2832  | 72  | 72  | 32 | 64  | 14.75601451 | 0.39   | 2976  | 0.030273438 |
| satellite32.bmp | satellite32.bmp-withWavelet_haar-G_1-H5e-005_af3.wfa      | 1572864 | 524288 | 524288 | 29 | 27152 | 232 | 232 | 32 | 256 | 14.76008523 | 18.312 | 27616 | 0.01755778  |
| satellite32.bmp | satellite32.bmp-withWavelet_rbio1.1-G_1-H5e-005_af3.wfa   | 1572864 | 524288 | 524288 | 29 | 27152 | 232 | 232 | 32 | 256 | 14.76008523 | 18.391 | 27616 | 0.01755778  |
| satellite32.bmp | satellite32.bmp-withWavelet_sym1-G_1-H5e-005_af3.wfa      | 1572864 | 524288 | 524288 | 29 | 27152 | 232 | 232 | 32 | 256 | 14.76008523 | 18     | 27616 | 0.01755778  |
| satellite32.bmp | satellite32.bmp-withWavelet_bior1.1-G_1-H5e-005_af3.wfa   | 1572864 | 524288 | 524288 | 29 | 27152 | 232 | 232 | 32 | 256 | 14.76008523 | 18.062 | 27616 | 0.01755778  |
| satellite32.bmp | satellite32.bmp-withWavelet_haar-G_0.8-H7e-005_af1.wfa    | 98304   | 32768  | 32768  | 26 | 21872 | 208 | 208 | 32 | 64  | 14.76164315 | 0.781  | 22288 | 0.22672526  |
| satellite32.bmp | satellite32.bmp-withWavelet_rbio1.1-G_0.8-H7e-005_af1.wfa | 98304   | 32768  | 32768  | 26 | 21872 | 208 | 208 | 32 | 64  | 14.76164315 | 0.875  | 22288 | 0.22672526  |
| satellite32.bmp | satellite32.bmp-withWavelet_sym1-G_0.8-H7e-005_af1.wfa    | 98304   | 32768  | 32768  | 26 | 21872 | 208 | 208 | 32 | 64  | 14.76164315 | 0.781  | 22288 | 0.22672526  |
| satellite32.bmp | satellite32.bmp-withWavelet_bior1.1-G_0.8-H7e-005_af1.wfa | 98304   | 32768  | 32768  | 26 | 21872 | 208 | 208 | 32 | 64  | 14.76164315 | 0.782  | 22288 | 0.22672526  |
| satellite32.bmp | satellite32.bmp-withWavelet_haar-G_1-H0.0001_af2.wfa      | 98304   | 32768  | 32768  | 11 | 4112  | 88  | 88  | 32 | 64  | 14.7626911  | 0.438  | 4288  | 0.043619792 |
| satellite32.bmp | satellite32.bmp-withWavelet_rbio1.1-G_1-H0.0001_af2.wfa   | 98304   | 32768  | 32768  | 11 | 4112  | 88  | 88  | 32 | 64  | 14.7626911  | 0.407  | 4288  | 0.043619792 |
| satellite32.bmp | satellite32.bmp-withWavelet_sym1-G_1-H0.0001_af2.wfa      | 98304   | 32768  | 32768  | 11 | 4112  | 88  | 88  | 32 | 64  | 14.7626911  | 0.39   | 4288  | 0.043619792 |
| satellite32.bmp | satellite32.bmp-withWavelet_bior1.1-G_1-H0.0001_af2.wfa   | 98304   | 32768  | 32768  | 11 | 4112  | 88  | 88  | 32 | 64  | 14.7626911  | 0.406  | 4288  | 0.043619792 |

|                 |   |         |        |        |    |       |     |     |    |     |             |        |       |             |
|-----------------|---|---------|--------|--------|----|-------|-----|-----|----|-----|-------------|--------|-------|-------------|
| satellite32.bmp | satellite32.bmp-G_1-H7e-005_af1.wfa                       | 393216  | 131072 |        | 7  | 1808  | 56  | 56  | 32 | 128 | 14.77267746 | 1.562  | 1920  | 0.004882813 |
| satellite32.bmp | satellite32.bmp-withWavelet_haar-G_0.6-H0.0001_af1.wfa    | 1572864 | 524288 | 524288 | 22 | 15728 | 176 | 176 | 32 | 256 | 14.77596816 | 11.047 | 16080 | 0.010223389 |
| satellite32.bmp | satellite32.bmp-withWavelet_rbio1.1-G_0.6-H0.0001_af1.wfa | 1572864 | 524288 | 524288 | 22 | 15728 | 176 | 176 | 32 | 256 | 14.77596816 | 10.984 | 16080 | 0.010223389 |
| satellite32.bmp | satellite32.bmp-withWavelet_sym1-G_0.6-H0.0001_af1.wfa    | 1572864 | 524288 | 524288 | 22 | 15728 | 176 | 176 | 32 | 256 | 14.77596816 | 10.891 | 16080 | 0.010223389 |
| satellite32.bmp | satellite32.bmp-withWavelet_bior1.1-G_0.6-H0.0001_af1.wfa | 1572864 | 524288 | 524288 | 22 | 15728 | 176 | 176 | 32 | 256 | 14.77596816 | 10.984 | 16080 | 0.010223389 |
| satellite32.bmp | satellite32.bmp-withWavelet_haar-G_0.6-H0.0001_af2.wfa    | 98304   | 32768  | 32768  | 9  | 2832  | 72  | 72  | 32 | 64  | 14.77927432 | 0.391  | 2976  | 0.030273438 |
| satellite32.bmp | satellite32.bmp-withWavelet_rbio1.1-G_0.6-H0.0001_af2.wfa | 98304   | 32768  | 32768  | 9  | 2832  | 72  | 72  | 32 | 64  | 14.77927432 | 0.375  | 2976  | 0.030273438 |
| satellite32.bmp | satellite32.bmp-withWavelet_sym1-G_0.6-H0.0001_af2.wfa    | 98304   | 32768  | 32768  | 9  | 2832  | 72  | 72  | 32 | 64  | 14.77927432 | 0.39   | 2976  | 0.030273438 |
| satellite32.bmp | satellite32.bmp-withWavelet_bior1.1-G_0.6-H0.0001_af2.wfa | 98304   | 32768  | 32768  | 9  | 2832  | 72  | 72  | 32 | 64  | 14.77927432 | 0.39   | 2976  | 0.030273438 |
| satellite32.bmp | satellite32.bmp-withWavelet_haar-G_1-H4e-005_af3.wfa      | 98304   | 32768  | 32768  | 30 | 29040 | 240 | 240 | 32 | 64  | 14.784395   | 0.938  | 29520 | 0.300292969 |
| satellite32.bmp | satellite32.bmp-withWavelet_rbio1.1-G_1-H4e-005_af3.wfa   | 98304   | 32768  | 32768  | 30 | 29040 | 240 | 240 | 32 | 64  | 14.784395   | 0.938  | 29520 | 0.300292969 |
| satellite32.bmp | satellite32.bmp-withWavelet_sym1-G_1-H4e-005_af3.wfa      | 98304   | 32768  | 32768  | 30 | 29040 | 240 | 240 | 32 | 64  | 14.784395   | 0.953  | 29520 | 0.300292969 |
| satellite32.bmp | satellite32.bmp-withWavelet_bior1.1-G_1-H4e-005_af3.wfa   | 98304   | 32768  | 32768  | 30 | 29040 | 240 | 240 | 32 | 64  | 14.784395   | 0.938  | 29520 | 0.300292969 |
| satellite32.bmp | satellite32.bmp-withWavelet_haar-G_0.8-H9e-005_af2.wfa    | 98304   | 32768  | 32768  | 11 | 4112  | 88  | 88  | 32 | 64  | 14.7952455  | 0.39   | 4288  | 0.043619792 |
| satellite32.bmp | satellite32.bmp-withWavelet_rbio1.1-G_0.8-H9e-005_af2.wfa | 98304   | 32768  | 32768  | 11 | 4112  | 88  | 88  | 32 | 64  | 14.7952455  | 0.438  | 4288  | 0.043619792 |
| satellite32.bmp | satellite32.bmp-withWavelet_sym1-G_0.8-H9e-005_af2.wfa    | 98304   | 32768  | 32768  | 11 | 4112  | 88  | 88  | 32 | 64  | 14.7952455  | 0.407  | 4288  | 0.043619792 |
| satellite32.bmp | satellite32.bmp-withWavelet_bior1.1-G_0.8-H9e-005_af2.wfa | 98304   | 32768  | 32768  | 11 | 4112  | 88  | 88  | 32 | 64  | 14.7952455  | 0.39   | 4288  | 0.043619792 |
| satellite32.bmp | satellite32.bmp-withWavelet_haar-G_0.8-H0.0001_af2.wfa    | 98304   | 32768  | 32768  | 11 | 4112  | 88  | 88  | 32 | 64  | 14.7952455  | 0.406  | 4288  | 0.043619792 |
| satellite32.bmp | satellite32.bmp-withWavelet_rbio1.1-G_0.8-H0.0001_af2.wfa | 98304   | 32768  | 32768  | 11 | 4112  | 88  | 88  | 32 | 64  | 14.7952455  | 0.406  | 4288  | 0.043619792 |
| satellite32.bmp | satellite32.bmp-withWavelet_sym1-G_0.8-H0.0001_af2.wfa    | 98304   | 32768  | 32768  | 11 | 4112  | 88  | 88  | 32 | 64  | 14.7952455  | 0.406  | 4288  | 0.043619792 |
| satellite32.bmp | satellite32.bmp-withWavelet_bior1.1-G_0.8-H0.0001_af2.wfa | 98304   | 32768  | 32768  | 11 | 4112  | 88  | 88  | 32 | 64  | 14.7952455  | 0.453  | 4288  | 0.043619792 |
| satellite32.bmp | satellite32.bmp-withWavelet_haar-G_0.6-H8e-005_af3.wfa    | 1572864 | 524288 | 524288 | 21 | 14352 | 168 | 168 | 32 | 256 | 14.80285003 | 10.734 | 14688 | 0.009338379 |
| satellite32.bmp | satellite32.bmp-withWavelet_rbio1.1-G_0.6-H8e-005_af3.wfa | 1572864 | 524288 | 524288 | 21 | 14352 | 168 | 168 | 32 | 256 | 14.80285003 | 10.562 | 14688 | 0.009338379 |
| satellite32.bmp | satellite32.bmp-withWavelet_sym1-G_0.6-H8e-005_af3.wfa    | 1572864 | 524288 | 524288 | 21 | 14352 | 168 | 168 | 32 | 256 | 14.80285003 | 10.641 | 14688 | 0.009338379 |
| satellite32.bmp | satellite32.bmp-withWavelet_bior1.1-G_0.6-H8e-005_af3.wfa | 1572864 | 524288 | 524288 | 21 | 14352 | 168 | 168 | 32 | 256 | 14.80285003 | 10.672 | 14688 | 0.009338379 |
| satellite32.bmp | satellite32.bmp-withWavelet_haar-G_1-H9e-005_af2.wfa      | 98304   | 32768  | 32768  | 11 | 4112  | 88  | 88  | 32 | 64  | 14.811294   | 0.407  | 4288  | 0.043619792 |
| satellite32.bmp | satellite32.bmp-withWavelet_rbio1.1-G_1-H9e-005_af2.wfa   | 98304   | 32768  | 32768  | 11 | 4112  | 88  | 88  | 32 | 64  | 14.811294   | 0.406  | 4288  | 0.043619792 |
| satellite32.bmp | satellite32.bmp-withWavelet_sym1-G_1-H9e-005_af2.wfa      | 98304   | 32768  | 32768  | 11 | 4112  | 88  | 88  | 32 | 64  | 14.811294   | 0.406  | 4288  | 0.043619792 |
| satellite32.bmp | satellite32.bmp-withWavelet_bior1.1-G_1-H9e-005_af2.wfa   | 98304   | 32768  | 32768  | 11 | 4112  | 88  | 88  | 32 | 64  | 14.811294   | 0.406  | 4288  | 0.043619792 |
| satellite32.bmp | satellite32.bmp-withWavelet_haar-G_0.6-H9e-005_af1.wfa    | 98304   | 32768  | 32768  | 23 | 17168 | 184 | 184 | 32 | 64  | 14.81328541 | 0.687  | 17536 | 0.178385417 |
| satellite32.bmp | satellite32.bmp-withWavelet_rbio1.1-G_0.6-H9e-005_af1.wfa | 98304   | 32768  | 32768  | 23 | 17168 | 184 | 184 | 32 | 64  | 14.81328541 | 0.688  | 17536 | 0.178385417 |

|                 |   |         |        |        |    |       |     |     |    |     |             |       |       |             |
|-----------------|---|---------|--------|--------|----|-------|-----|-----|----|-----|-------------|-------|-------|-------------|
| satellite32.bmp | satellite32.bmp-withWavelet_sym1-G_0.6-H9e-005_af1.wfa    | 98304   | 32768  | 32768  | 23 | 17168 | 184 | 184 | 32 | 64  | 14.81328541 | 0.687 | 17536 | 0.178385417 |
| satellite32.bmp | satellite32.bmp-withWavelet_bior1.1-G_0.6-H9e-005_af1.wfa | 98304   | 32768  | 32768  | 23 | 17168 | 184 | 184 | 32 | 64  | 14.81328541 | 0.688 | 17536 | 0.178385417 |
| satellite32.bmp | satellite32.bmp-withWavelet_haar-G_1-H7e-005_af1.wfa      | 393216  | 131072 | 131072 | 23 | 17168 | 184 | 184 | 32 | 128 | 14.81506046 | 2.985 | 17536 | 0.044596354 |
| satellite32.bmp | satellite32.bmp-withWavelet_rbio1.1-G_1-H7e-005_af1.wfa   | 393216  | 131072 | 131072 | 23 | 17168 | 184 | 184 | 32 | 128 | 14.81506046 | 2.953 | 17536 | 0.044596354 |
| satellite32.bmp | satellite32.bmp-withWavelet_sym1-G_1-H7e-005_af1.wfa      | 393216  | 131072 | 131072 | 23 | 17168 | 184 | 184 | 32 | 128 | 14.81506046 | 3     | 17536 | 0.044596354 |
| satellite32.bmp | satellite32.bmp-withWavelet_bior1.1-G_1-H7e-005_af1.wfa   | 393216  | 131072 | 131072 | 23 | 17168 | 184 | 184 | 32 | 128 | 14.81506046 | 2.938 | 17536 | 0.044596354 |
| satellite32.bmp | satellite32.bmp-withWavelet_haar-G_0.8-H0.0001_af1.wfa    | 393216  | 131072 | 131072 | 21 | 14352 | 168 | 168 | 32 | 128 | 14.81982247 | 2.438 | 14688 | 0.037353516 |
| satellite32.bmp | satellite32.bmp-withWavelet_rbio1.1-G_0.8-H0.0001_af1.wfa | 393216  | 131072 | 131072 | 21 | 14352 | 168 | 168 | 32 | 128 | 14.81982247 | 2.453 | 14688 | 0.037353516 |
| satellite32.bmp | satellite32.bmp-withWavelet_sym1-G_0.8-H0.0001_af1.wfa    | 393216  | 131072 | 131072 | 21 | 14352 | 168 | 168 | 32 | 128 | 14.81982247 | 2.453 | 14688 | 0.037353516 |
| satellite32.bmp | satellite32.bmp-withWavelet_bior1.1-G_0.8-H0.0001_af1.wfa | 393216  | 131072 | 131072 | 21 | 14352 | 168 | 168 | 32 | 128 | 14.81982247 | 2.469 | 14688 | 0.037353516 |
| satellite32.bmp | satellite32.bmp-G_1-H1e-005_af4.wfa                       | 98304   | 32768  |        | 5  | 1040  | 40  | 40  | 32 | 64  | 14.8228624  | 0.36  | 1120  | 0.011393229 |
| satellite32.bmp | satellite32.bmp-G_1-H2e-005_af4.wfa                       | 98304   | 32768  |        | 5  | 1040  | 40  | 40  | 32 | 64  | 14.8228624  | 0.36  | 1120  | 0.011393229 |
| satellite32.bmp | satellite32.bmp-G_1-H3e-005_af4.wfa                       | 98304   | 32768  |        | 5  | 1040  | 40  | 40  | 32 | 64  | 14.8228624  | 0.375 | 1120  | 0.011393229 |
| satellite32.bmp | satellite32.bmp-G_1-H4e-005_af4.wfa                       | 98304   | 32768  |        | 5  | 1040  | 40  | 40  | 32 | 64  | 14.8228624  | 0.36  | 1120  | 0.011393229 |
| satellite32.bmp | satellite32.bmp-G_1-H5e-005_af4.wfa                       | 98304   | 32768  |        | 5  | 1040  | 40  | 40  | 32 | 64  | 14.8228624  | 0.359 | 1120  | 0.011393229 |
| satellite32.bmp | satellite32.bmp-G_1-H6e-005_af4.wfa                       | 98304   | 32768  |        | 5  | 1040  | 40  | 40  | 32 | 64  | 14.8228624  | 0.359 | 1120  | 0.011393229 |
| satellite32.bmp | satellite32.bmp-G_1-H7e-005_af4.wfa                       | 98304   | 32768  |        | 5  | 1040  | 40  | 40  | 32 | 64  | 14.8228624  | 0.343 | 1120  | 0.011393229 |
| satellite32.bmp | satellite32.bmp-G_1-H8e-005_af4.wfa                       | 98304   | 32768  |        | 5  | 1040  | 40  | 40  | 32 | 64  | 14.8228624  | 0.359 | 1120  | 0.011393229 |
| satellite32.bmp | satellite32.bmp-G_1-H9e-005_af4.wfa                       | 98304   | 32768  |        | 5  | 1040  | 40  | 40  | 32 | 64  | 14.8228624  | 0.36  | 1120  | 0.011393229 |
| satellite32.bmp | satellite32.bmp-G_1-H0.0001_af1.wfa                       | 98304   | 32768  |        | 5  | 1040  | 40  | 40  | 32 | 64  | 14.8228624  | 0.344 | 1120  | 0.011393229 |
| satellite32.bmp | satellite32.bmp-G_1-H0.0001_af4.wfa                       | 98304   | 32768  |        | 5  | 1040  | 40  | 40  | 32 | 64  | 14.8228624  | 0.359 | 1120  | 0.011393229 |
| satellite32.bmp | satellite32.bmp-withWavelet_haar-G_0.6-H6e-005_af5.wfa    | 1572864 | 524288 | 524288 | 13 | 5648  | 104 | 104 | 32 | 256 | 14.82311352 | 7.5   | 5856  | 0.003723145 |
| satellite32.bmp | satellite32.bmp-withWavelet_rbio1.1-G_0.6-H6e-005_af5.wfa | 1572864 | 524288 | 524288 | 13 | 5648  | 104 | 104 | 32 | 256 | 14.82311352 | 7.578 | 5856  | 0.003723145 |
| satellite32.bmp | satellite32.bmp-withWavelet_sym1-G_0.6-H6e-005_af5.wfa    | 1572864 | 524288 | 524288 | 13 | 5648  | 104 | 104 | 32 | 256 | 14.82311352 | 7.422 | 5856  | 0.003723145 |
| satellite32.bmp | satellite32.bmp-withWavelet_bior1.1-G_0.6-H6e-005_af5.wfa | 1572864 | 524288 | 524288 | 13 | 5648  | 104 | 104 | 32 | 256 | 14.82311352 | 7.484 | 5856  | 0.003723145 |
| satellite32.bmp | satellite32.bmp-withWavelet_haar-G_0.8-H8e-005_af1.wfa    | 393216  | 131072 | 131072 | 22 | 15728 | 176 | 176 | 32 | 128 | 14.8239192  | 2.5   | 16080 | 0.040893555 |
| satellite32.bmp | satellite32.bmp-withWavelet_rbio1.1-G_0.8-H8e-005_af1.wfa | 393216  | 131072 | 131072 | 22 | 15728 | 176 | 176 | 32 | 128 | 14.8239192  | 2.594 | 16080 | 0.040893555 |
| satellite32.bmp | satellite32.bmp-withWavelet_sym1-G_0.8-H8e-005_af1.wfa    | 393216  | 131072 | 131072 | 22 | 15728 | 176 | 176 | 32 | 128 | 14.8239192  | 2.5   | 16080 | 0.040893555 |
| satellite32.bmp | satellite32.bmp-withWavelet_bior1.1-G_0.8-H8e-005_af1.wfa | 393216  | 131072 | 131072 | 22 | 15728 | 176 | 176 | 32 | 128 | 14.8239192  | 2.5   | 16080 | 0.040893555 |
| satellite32.bmp | satellite32.bmp-withWavelet_haar-G_0.8-H5e-005_af3.wfa    | 98304   | 32768  | 32768  | 29 | 27152 | 232 | 232 | 32 | 64  | 14.82824898 | 0.937 | 27616 | 0.280924479 |
| satellite32.bmp | satellite32.bmp-withWavelet_rbio1.1-G_0.8-H5e-005_af3.wfa | 98304   | 32768  | 32768  | 29 | 27152 | 232 | 232 | 32 | 64  | 14.82824898 | 0.906 | 27616 | 0.280924479 |

|                 |   |         |        |        |    |       |     |     |    |     |             |       |       |             |
|-----------------|---|---------|--------|--------|----|-------|-----|-----|----|-----|-------------|-------|-------|-------------|
| satellite32.bmp | satellite32.bmp-withWavelet_sym1-G_0.8-H5e-005_af3.wfa    | 98304   | 32768  | 32768  | 29 | 27152 | 232 | 232 | 32 | 64  | 14.82824898 | 1.032 | 27616 | 0.280924479 |
| satellite32.bmp | satellite32.bmp-withWavelet_bior1.1-G_0.8-H5e-005_af3.wfa | 98304   | 32768  | 32768  | 29 | 27152 | 232 | 232 | 32 | 64  | 14.82824898 | 0.906 | 27616 | 0.280924479 |
| satellite32.bmp | satellite32.bmp-withWavelet_haar-G_0.8-H6e-005_af3.wfa    | 393216  | 131072 | 131072 | 25 | 20240 | 200 | 200 | 32 | 128 | 14.82830562 | 3.266 | 20640 | 0.052490234 |
| satellite32.bmp | satellite32.bmp-withWavelet_rbio1.1-G_0.8-H6e-005_af3.wfa | 393216  | 131072 | 131072 | 25 | 20240 | 200 | 200 | 32 | 128 | 14.82830562 | 3.297 | 20640 | 0.052490234 |
| satellite32.bmp | satellite32.bmp-withWavelet_sym1-G_0.8-H6e-005_af3.wfa    | 393216  | 131072 | 131072 | 25 | 20240 | 200 | 200 | 32 | 128 | 14.82830562 | 3.266 | 20640 | 0.052490234 |
| satellite32.bmp | satellite32.bmp-withWavelet_bior1.1-G_0.8-H6e-005_af3.wfa | 393216  | 131072 | 131072 | 25 | 20240 | 200 | 200 | 32 | 128 | 14.82830562 | 3.265 | 20640 | 0.052490234 |
| satellite32.bmp | satellite32.bmp-withWavelet_haar-G_0.6-H9e-005_af2.wfa    | 1572864 | 524288 | 524288 | 12 | 4848  | 96  | 96  | 32 | 256 | 14.83854605 | 7.188 | 5040  | 0.003204346 |
| satellite32.bmp | satellite32.bmp-withWavelet_rbio1.1-G_0.6-H9e-005_af2.wfa | 1572864 | 524288 | 524288 | 12 | 4848  | 96  | 96  | 32 | 256 | 14.83854605 | 7.172 | 5040  | 0.003204346 |
| satellite32.bmp | satellite32.bmp-withWavelet_sym1-G_0.6-H9e-005_af2.wfa    | 1572864 | 524288 | 524288 | 12 | 4848  | 96  | 96  | 32 | 256 | 14.83854605 | 7.171 | 5040  | 0.003204346 |
| satellite32.bmp | satellite32.bmp-withWavelet_bior1.1-G_0.6-H9e-005_af2.wfa | 1572864 | 524288 | 524288 | 12 | 4848  | 96  | 96  | 32 | 256 | 14.83854605 | 7.25  | 5040  | 0.003204346 |
| satellite32.bmp | satellite32.bmp-withWavelet_haar-G_0.8-H6e-005_af4.wfa    | 393216  | 131072 | 131072 | 24 | 18672 | 192 | 192 | 32 | 128 | 14.83987375 | 3.062 | 19056 | 0.048461914 |
| satellite32.bmp | satellite32.bmp-withWavelet_rbio1.1-G_0.8-H6e-005_af4.wfa | 393216  | 131072 | 131072 | 24 | 18672 | 192 | 192 | 32 | 128 | 14.83987375 | 3.078 | 19056 | 0.048461914 |
| satellite32.bmp | satellite32.bmp-withWavelet_sym1-G_0.8-H6e-005_af4.wfa    | 393216  | 131072 | 131072 | 24 | 18672 | 192 | 192 | 32 | 128 | 14.83987375 | 3.078 | 19056 | 0.048461914 |
| satellite32.bmp | satellite32.bmp-withWavelet_bior1.1-G_0.8-H6e-005_af4.wfa | 393216  | 131072 | 131072 | 24 | 18672 | 192 | 192 | 32 | 128 | 14.83987375 | 3.078 | 19056 | 0.048461914 |
| satellite32.bmp | satellite32.bmp-withWavelet_haar-G_1-H5e-005_af3.wfa      | 98304   | 32768  | 32768  | 29 | 27152 | 232 | 232 | 32 | 64  | 14.84483125 | 0.907 | 27616 | 0.280924479 |
| satellite32.bmp | satellite32.bmp-withWavelet_rbio1.1-G_1-H5e-005_af3.wfa   | 98304   | 32768  | 32768  | 29 | 27152 | 232 | 232 | 32 | 64  | 14.84483125 | 0.907 | 27616 | 0.280924479 |
| satellite32.bmp | satellite32.bmp-withWavelet_sym1-G_1-H5e-005_af3.wfa      | 98304   | 32768  | 32768  | 29 | 27152 | 232 | 232 | 32 | 64  | 14.84483125 | 0.922 | 27616 | 0.280924479 |
| satellite32.bmp | satellite32.bmp-withWavelet_bior1.1-G_1-H5e-005_af3.wfa   | 98304   | 32768  | 32768  | 29 | 27152 | 232 | 232 | 32 | 64  | 14.84483125 | 0.906 | 27616 | 0.280924479 |
| satellite32.bmp | satellite32.bmp-withWavelet_haar-G_1-H6e-005_af3.wfa      | 393216  | 131072 | 131072 | 25 | 20240 | 200 | 200 | 32 | 128 | 14.84485488 | 3.265 | 20640 | 0.052490234 |
| satellite32.bmp | satellite32.bmp-withWavelet_rbio1.1-G_1-H6e-005_af3.wfa   | 393216  | 131072 | 131072 | 25 | 20240 | 200 | 200 | 32 | 128 | 14.84485488 | 3.265 | 20640 | 0.052490234 |
| satellite32.bmp | satellite32.bmp-withWavelet_sym1-G_1-H6e-005_af3.wfa      | 393216  | 131072 | 131072 | 25 | 20240 | 200 | 200 | 32 | 128 | 14.84485488 | 3.25  | 20640 | 0.052490234 |
| satellite32.bmp | satellite32.bmp-withWavelet_bior1.1-G_1-H6e-005_af3.wfa   | 393216  | 131072 | 131072 | 25 | 20240 | 200 | 200 | 32 | 128 | 14.84485488 | 3.281 | 20640 | 0.052490234 |
| satellite32.bmp | satellite32.bmp-withWavelet_haar-G_0.6-H9e-005_af3.wfa    | 1572864 | 524288 | 524288 | 20 | 13040 | 160 | 160 | 32 | 256 | 14.84534299 | 9.89  | 13360 | 0.008494059 |
| satellite32.bmp | satellite32.bmp-withWavelet_rbio1.1-G_0.6-H9e-005_af3.wfa | 1572864 | 524288 | 524288 | 20 | 13040 | 160 | 160 | 32 | 256 | 14.84534299 | 9.907 | 13360 | 0.008494059 |
| satellite32.bmp | satellite32.bmp-withWavelet_sym1-G_0.6-H9e-005_af3.wfa    | 1572864 | 524288 | 524288 | 20 | 13040 | 160 | 160 | 32 | 256 | 14.84534299 | 9.891 | 13360 | 0.008494059 |
| satellite32.bmp | satellite32.bmp-withWavelet_bior1.1-G_0.6-H9e-005_af3.wfa | 1572864 | 524288 | 524288 | 20 | 13040 | 160 | 160 | 32 | 256 | 14.84534299 | 9.875 | 13360 | 0.008494059 |
| satellite32.bmp | satellite32.bmp-withWavelet_haar-G_1-H3e-005_af5.wfa      | 1572864 | 524288 | 524288 | 17 | 9488  | 136 | 136 | 32 | 256 | 14.84689382 | 8.656 | 9760  | 0.006205241 |
| satellite32.bmp | satellite32.bmp-withWavelet_rbio1.1-G_1-H3e-005_af5.wfa   | 1572864 | 524288 | 524288 | 17 | 9488  | 136 | 136 | 32 | 256 | 14.84689382 | 8.672 | 9760  | 0.006205241 |
| satellite32.bmp | satellite32.bmp-withWavelet_sym1-G_1-H3e-005_af5.wfa      | 1572864 | 524288 | 524288 | 17 | 9488  | 136 | 136 | 32 | 256 | 14.84689382 | 8.641 | 9760  | 0.006205241 |
| satellite32.bmp | satellite32.bmp-withWavelet_bior1.1-G_1-H3e-005_af5.wfa   | 1572864 | 524288 | 524288 | 17 | 9488  | 136 | 136 | 32 | 256 | 14.84689382 | 8.641 | 9760  | 0.006205241 |
| satellite32.bmp | satellite32.bmp-withWavelet_haar-G_1-H0.0001_af1.wfa      | 393216  | 131072 | 131072 | 22 | 15728 | 176 | 176 | 32 | 128 | 14.84693546 | 2.5   | 16080 | 0.040893555 |

|                 |   |         |        |        |    |       |     |     |    |     |             |       |       |             |
|-----------------|---|---------|--------|--------|----|-------|-----|-----|----|-----|-------------|-------|-------|-------------|
| satellite32.bmp | satellite32.bmp-withWavelet_rbio1.1-G_1-H0.0001_af1.wfa   | 393216  | 131072 | 131072 | 22 | 15728 | 176 | 176 | 32 | 128 | 14.84693546 | 2.484 | 16080 | 0.040893555 |
| satellite32.bmp | satellite32.bmp-withWavelet_sym1-G_1-H0.0001_af1.wfa      | 393216  | 131072 | 131072 | 22 | 15728 | 176 | 176 | 32 | 128 | 14.84693546 | 2.5   | 16080 | 0.040893555 |
| satellite32.bmp | satellite32.bmp-withWavelet_bior1.1-G_1-H0.0001_af1.wfa   | 393216  | 131072 | 131072 | 22 | 15728 | 176 | 176 | 32 | 128 | 14.84693546 | 2.516 | 16080 | 0.040893555 |
| satellite32.bmp | satellite32.bmp-withWavelet_haar-G_0.8-H9e-005_af1.wfa    | 393216  | 131072 | 131072 | 21 | 14352 | 168 | 168 | 32 | 128 | 14.84889477 | 2.437 | 14688 | 0.037353516 |
| satellite32.bmp | satellite32.bmp-withWavelet_rbio1.1-G_0.8-H9e-005_af1.wfa | 393216  | 131072 | 131072 | 21 | 14352 | 168 | 168 | 32 | 128 | 14.84889477 | 2.438 | 14688 | 0.037353516 |
| satellite32.bmp | satellite32.bmp-withWavelet_sym1-G_0.8-H9e-005_af1.wfa    | 393216  | 131072 | 131072 | 21 | 14352 | 168 | 168 | 32 | 128 | 14.84889477 | 2.515 | 14688 | 0.037353516 |
| satellite32.bmp | satellite32.bmp-withWavelet_bior1.1-G_0.8-H9e-005_af1.wfa | 393216  | 131072 | 131072 | 21 | 14352 | 168 | 168 | 32 | 128 | 14.84889477 | 2.437 | 14688 | 0.037353516 |
| satellite32.bmp | satellite32.bmp-withWavelet_haar-G_1-H8e-005_af1.wfa      | 393216  | 131072 | 131072 | 22 | 15728 | 176 | 176 | 32 | 128 | 14.85099262 | 2.469 | 16080 | 0.040893555 |
| satellite32.bmp | satellite32.bmp-withWavelet_rbio1.1-G_1-H8e-005_af1.wfa   | 393216  | 131072 | 131072 | 22 | 15728 | 176 | 176 | 32 | 128 | 14.85099262 | 2.516 | 16080 | 0.040893555 |
| satellite32.bmp | satellite32.bmp-withWavelet_sym1-G_1-H8e-005_af1.wfa      | 393216  | 131072 | 131072 | 22 | 15728 | 176 | 176 | 32 | 128 | 14.85099262 | 2.5   | 16080 | 0.040893555 |
| satellite32.bmp | satellite32.bmp-withWavelet_bior1.1-G_1-H8e-005_af1.wfa   | 393216  | 131072 | 131072 | 22 | 15728 | 176 | 176 | 32 | 128 | 14.85099262 | 2.5   | 16080 | 0.040893555 |
| satellite32.bmp | satellite32.bmp-G_1-H8e-005_af1.wfa                       | 98304   | 32768  |        | 6  | 1392  | 48  | 48  | 32 | 64  | 14.85395639 | 0.375 | 1488  | 0.015136719 |
| satellite32.bmp | satellite32.bmp-G_1-H9e-005_af1.wfa                       | 98304   | 32768  |        | 6  | 1392  | 48  | 48  | 32 | 64  | 14.85907427 | 0.359 | 1488  | 0.015136719 |
| satellite32.bmp | satellite32.bmp-withWavelet_haar-G_0.6-H0.0001_af1.wfa    | 98304   | 32768  | 32768  | 22 | 15728 | 176 | 176 | 32 | 64  | 14.85999514 | 0.593 | 16080 | 0.163574219 |
| satellite32.bmp | satellite32.bmp-withWavelet_rbio1.1-G_0.6-H0.0001_af1.wfa | 98304   | 32768  | 32768  | 22 | 15728 | 176 | 176 | 32 | 64  | 14.85999514 | 0.593 | 16080 | 0.163574219 |
| satellite32.bmp | satellite32.bmp-withWavelet_sym1-G_0.6-H0.0001_af1.wfa    | 98304   | 32768  | 32768  | 22 | 15728 | 176 | 176 | 32 | 64  | 14.85999514 | 0.578 | 16080 | 0.163574219 |
| satellite32.bmp | satellite32.bmp-withWavelet_bior1.1-G_0.6-H0.0001_af1.wfa | 98304   | 32768  | 32768  | 22 | 15728 | 176 | 176 | 32 | 64  | 14.85999514 | 0.578 | 16080 | 0.163574219 |
| satellite32.bmp | satellite32.bmp-withWavelet_haar-G_1-H6e-005_af4.wfa      | 393216  | 131072 | 131072 | 24 | 18672 | 192 | 192 | 32 | 128 | 14.86492129 | 3.062 | 19056 | 0.048461914 |
| satellite32.bmp | satellite32.bmp-withWavelet_rbio1.1-G_1-H6e-005_af4.wfa   | 393216  | 131072 | 131072 | 24 | 18672 | 192 | 192 | 32 | 128 | 14.86492129 | 3.078 | 19056 | 0.048461914 |
| satellite32.bmp | satellite32.bmp-withWavelet_sym1-G_1-H6e-005_af4.wfa      | 393216  | 131072 | 131072 | 24 | 18672 | 192 | 192 | 32 | 128 | 14.86492129 | 3.125 | 19056 | 0.048461914 |
| satellite32.bmp | satellite32.bmp-withWavelet_bior1.1-G_1-H6e-005_af4.wfa   | 393216  | 131072 | 131072 | 24 | 18672 | 192 | 192 | 32 | 128 | 14.86492129 | 3.063 | 19056 | 0.048461914 |
| satellite32.bmp | satellite32.bmp-withWavelet_haar-G_0.6-H7e-005_af5.wfa    | 1572864 | 524288 | 524288 | 12 | 4848  | 96  | 96  | 32 | 256 | 14.87259109 | 7.188 | 5040  | 0.003204346 |
| satellite32.bmp | satellite32.bmp-withWavelet_rbio1.1-G_0.6-H7e-005_af5.wfa | 1572864 | 524288 | 524288 | 12 | 4848  | 96  | 96  | 32 | 256 | 14.87259109 | 7.141 | 5040  | 0.003204346 |
| satellite32.bmp | satellite32.bmp-withWavelet_sym1-G_0.6-H7e-005_af5.wfa    | 1572864 | 524288 | 524288 | 12 | 4848  | 96  | 96  | 32 | 256 | 14.87259109 | 7.14  | 5040  | 0.003204346 |
| satellite32.bmp | satellite32.bmp-withWavelet_bior1.1-G_0.6-H7e-005_af5.wfa | 1572864 | 524288 | 524288 | 12 | 4848  | 96  | 96  | 32 | 256 | 14.87259109 | 7.125 | 5040  | 0.003204346 |
| satellite32.bmp | satellite32.bmp-G_1-H7e-005_af1.wfa                       | 98304   | 32768  |        | 7  | 1808  | 56  | 56  | 32 | 64  | 14.88291519 | 0.375 | 1920  | 0.01953125  |
| satellite32.bmp | satellite32.bmp-withWavelet_haar-G_1-H9e-005_af1.wfa      | 393216  | 131072 | 131072 | 21 | 14352 | 168 | 168 | 32 | 128 | 14.88769365 | 2.438 | 14688 | 0.037353516 |
| satellite32.bmp | satellite32.bmp-withWavelet_rbio1.1-G_1-H9e-005_af1.wfa   | 393216  | 131072 | 131072 | 21 | 14352 | 168 | 168 | 32 | 128 | 14.88769365 | 2.454 | 14688 | 0.037353516 |
| satellite32.bmp | satellite32.bmp-withWavelet_sym1-G_1-H9e-005_af1.wfa      | 393216  | 131072 | 131072 | 21 | 14352 | 168 | 168 | 32 | 128 | 14.88769365 | 2.453 | 14688 | 0.037353516 |
| satellite32.bmp | satellite32.bmp-withWavelet_bior1.1-G_1-H9e-005_af1.wfa   | 393216  | 131072 | 131072 | 21 | 14352 | 168 | 168 | 32 | 128 | 14.88769365 | 2.453 | 14688 | 0.037353516 |
| satellite32.bmp | satellite32.bmp-withWavelet_haar-G_0.8-H7e-005_af4.wfa    | 393216  | 131072 | 131072 | 22 | 15728 | 176 | 176 | 32 | 128 | 14.90239604 | 2.531 | 16080 | 0.040893555 |

|                 |   |         |        |        |    |       |     |     |    |     |             |       |       |             |
|-----------------|---|---------|--------|--------|----|-------|-----|-----|----|-----|-------------|-------|-------|-------------|
| satellite32.bmp | satellite32.bmp-withWavelet_rbio1.1-G_0.8-H7e-005_af4.wfa | 393216  | 131072 | 131072 | 22 | 15728 | 176 | 176 | 32 | 128 | 14.90239604 | 2.578 | 16080 | 0.040893555 |
| satellite32.bmp | satellite32.bmp-withWavelet_sym1-G_0.8-H7e-005_af4.wfa    | 393216  | 131072 | 131072 | 22 | 15728 | 176 | 176 | 32 | 128 | 14.90239604 | 2.484 | 16080 | 0.040893555 |
| satellite32.bmp | satellite32.bmp-withWavelet_bior1.1-G_0.8-H7e-005_af4.wfa | 393216  | 131072 | 131072 | 22 | 15728 | 176 | 176 | 32 | 128 | 14.90239604 | 2.484 | 16080 | 0.040893555 |
| satellite32.bmp | satellite32.bmp-withWavelet_haar-G_0.6-H6e-005_af4.wfa    | 98304   | 32768  | 32768  | 26 | 21872 | 208 | 208 | 32 | 64  | 14.9043893  | 0.812 | 22288 | 0.22672526  |
| satellite32.bmp | satellite32.bmp-withWavelet_rbio1.1-G_0.6-H6e-005_af4.wfa | 98304   | 32768  | 32768  | 26 | 21872 | 208 | 208 | 32 | 64  | 14.9043893  | 0.797 | 22288 | 0.22672526  |
| satellite32.bmp | satellite32.bmp-withWavelet_sym1-G_0.6-H6e-005_af4.wfa    | 98304   | 32768  | 32768  | 26 | 21872 | 208 | 208 | 32 | 64  | 14.9043893  | 0.797 | 22288 | 0.22672526  |
| satellite32.bmp | satellite32.bmp-withWavelet_bior1.1-G_0.6-H6e-005_af4.wfa | 98304   | 32768  | 32768  | 26 | 21872 | 208 | 208 | 32 | 64  | 14.9043893  | 0.782 | 22288 | 0.22672526  |
| satellite32.bmp | satellite32.bmp-G_1-H9e-005_af3.wfa                       | 393216  | 131072 |        | 11 | 4112  | 88  | 88  | 32 | 128 | 14.91598998 | 1.641 | 4288  | 0.010904948 |
| satellite32.bmp | satellite32.bmp-withWavelet_haar-G_0.8-H4e-005_af5.wfa    | 1572864 | 524288 | 524288 | 14 | 6512  | 112 | 112 | 32 | 256 | 14.9177891  | 7.625 | 6736  | 0.004282633 |
| satellite32.bmp | satellite32.bmp-withWavelet_rbio1.1-G_0.8-H4e-005_af5.wfa | 1572864 | 524288 | 524288 | 14 | 6512  | 112 | 112 | 32 | 256 | 14.9177891  | 7.641 | 6736  | 0.004282633 |
| satellite32.bmp | satellite32.bmp-withWavelet_sym1-G_0.8-H4e-005_af5.wfa    | 1572864 | 524288 | 524288 | 14 | 6512  | 112 | 112 | 32 | 256 | 14.9177891  | 7.562 | 6736  | 0.004282633 |
| satellite32.bmp | satellite32.bmp-withWavelet_bior1.1-G_0.8-H4e-005_af5.wfa | 1572864 | 524288 | 524288 | 14 | 6512  | 112 | 112 | 32 | 256 | 14.9177891  | 7.641 | 6736  | 0.004282633 |
| satellite32.bmp | satellite32.bmp-withWavelet_haar-G_1-H4e-005_af5.wfa      | 1572864 | 524288 | 524288 | 14 | 6512  | 112 | 112 | 32 | 256 | 14.91906461 | 7.625 | 6736  | 0.004282633 |
| satellite32.bmp | satellite32.bmp-withWavelet_rbio1.1-G_1-H4e-005_af5.wfa   | 1572864 | 524288 | 524288 | 14 | 6512  | 112 | 112 | 32 | 256 | 14.91906461 | 7.578 | 6736  | 0.004282633 |
| satellite32.bmp | satellite32.bmp-withWavelet_sym1-G_1-H4e-005_af5.wfa      | 1572864 | 524288 | 524288 | 14 | 6512  | 112 | 112 | 32 | 256 | 14.91906461 | 7.703 | 6736  | 0.004282633 |
| satellite32.bmp | satellite32.bmp-withWavelet_bior1.1-G_1-H4e-005_af5.wfa   | 1572864 | 524288 | 524288 | 14 | 6512  | 112 | 112 | 32 | 256 | 14.91906461 | 7.64  | 6736  | 0.004282633 |
| satellite32.bmp | satellite32.bmp-withWavelet_haar-G_1-H5e-005_af5.wfa      | 1572864 | 524288 | 524288 | 14 | 6512  | 112 | 112 | 32 | 256 | 14.92989433 | 7.625 | 6736  | 0.004282633 |
| satellite32.bmp | satellite32.bmp-withWavelet_rbio1.1-G_1-H5e-005_af5.wfa   | 1572864 | 524288 | 524288 | 14 | 6512  | 112 | 112 | 32 | 256 | 14.92989433 | 7.578 | 6736  | 0.004282633 |
| satellite32.bmp | satellite32.bmp-withWavelet_sym1-G_1-H5e-005_af5.wfa      | 1572864 | 524288 | 524288 | 14 | 6512  | 112 | 112 | 32 | 256 | 14.92989433 | 7.578 | 6736  | 0.004282633 |
| satellite32.bmp | satellite32.bmp-withWavelet_bior1.1-G_1-H5e-005_af5.wfa   | 1572864 | 524288 | 524288 | 14 | 6512  | 112 | 112 | 32 | 256 | 14.92989433 | 7.625 | 6736  | 0.004282633 |
| satellite32.bmp | satellite32.bmp-withWavelet_haar-G_0.8-H7e-005_af3.wfa    | 393216  | 131072 | 131072 | 23 | 17168 | 184 | 184 | 32 | 128 | 14.94205556 | 2.985 | 17536 | 0.044596354 |
| satellite32.bmp | satellite32.bmp-withWavelet_rbio1.1-G_0.8-H7e-005_af3.wfa | 393216  | 131072 | 131072 | 23 | 17168 | 184 | 184 | 32 | 128 | 14.94205556 | 2.953 | 17536 | 0.044596354 |
| satellite32.bmp | satellite32.bmp-withWavelet_sym1-G_0.8-H7e-005_af3.wfa    | 393216  | 131072 | 131072 | 23 | 17168 | 184 | 184 | 32 | 128 | 14.94205556 | 2.953 | 17536 | 0.044596354 |
| satellite32.bmp | satellite32.bmp-withWavelet_bior1.1-G_0.8-H7e-005_af3.wfa | 393216  | 131072 | 131072 | 23 | 17168 | 184 | 184 | 32 | 128 | 14.94205556 | 2.922 | 17536 | 0.044596354 |
| satellite32.bmp | satellite32.bmp-withWavelet_haar-G_1-H7e-005_af4.wfa      | 393216  | 131072 | 131072 | 22 | 15728 | 176 | 176 | 32 | 128 | 14.94898616 | 2.579 | 16080 | 0.040893555 |
| satellite32.bmp | satellite32.bmp-withWavelet_rbio1.1-G_1-H7e-005_af4.wfa   | 393216  | 131072 | 131072 | 22 | 15728 | 176 | 176 | 32 | 128 | 14.94898616 | 2.485 | 16080 | 0.040893555 |
| satellite32.bmp | satellite32.bmp-withWavelet_sym1-G_1-H7e-005_af4.wfa      | 393216  | 131072 | 131072 | 22 | 15728 | 176 | 176 | 32 | 128 | 14.94898616 | 2.5   | 16080 | 0.040893555 |
| satellite32.bmp | satellite32.bmp-withWavelet_bior1.1-G_1-H7e-005_af4.wfa   | 393216  | 131072 | 131072 | 22 | 15728 | 176 | 176 | 32 | 128 | 14.94898616 | 2.547 | 16080 | 0.040893555 |
| satellite32.bmp | satellite32.bmp-withWavelet_haar-G_0.8-H5e-005_af5.wfa    | 1572864 | 524288 | 524288 | 13 | 5648  | 104 | 104 | 32 | 256 | 14.95095343 | 7.5   | 5856  | 0.003723145 |
| satellite32.bmp | satellite32.bmp-withWavelet_rbio1.1-G_0.8-H5e-005_af5.wfa | 1572864 | 524288 | 524288 | 13 | 5648  | 104 | 104 | 32 | 256 | 14.95095343 | 7.469 | 5856  | 0.003723145 |
| satellite32.bmp | satellite32.bmp-withWavelet_sym1-G_0.8-H5e-005_af5.wfa    | 1572864 | 524288 | 524288 | 13 | 5648  | 104 | 104 | 32 | 256 | 14.95095343 | 7.484 | 5856  | 0.003723145 |

|                 |   |         |        |        |    |      |     |     |    |     |             |       |      |             |
|-----------------|---|---------|--------|--------|----|------|-----|-----|----|-----|-------------|-------|------|-------------|
| satellite32.bmp | satellite32.bmp-withWavelet_bior1.1-G_0.8-H5e-005_af5.wfa | 1572864 | 524288 | 524288 | 13 | 5648 | 104 | 104 | 32 | 256 | 14.95095343 | 7.5   | 5856 | 0.003723145 |
| satellite32.bmp | satellite32.bmp-withWavelet_haar-G_0.6-H9e-005_af5.wfa    | 1572864 | 524288 | 524288 | 10 | 3440 | 80  | 80  | 32 | 256 | 14.95112861 | 6.687 | 3600 | 0.002288818 |
| satellite32.bmp | satellite32.bmp-withWavelet_rbio1.1-G_0.6-H9e-005_af5.wfa | 1572864 | 524288 | 524288 | 10 | 3440 | 80  | 80  | 32 | 256 | 14.95112861 | 6.641 | 3600 | 0.002288818 |
| satellite32.bmp | satellite32.bmp-withWavelet_sym1-G_0.6-H9e-005_af5.wfa    | 1572864 | 524288 | 524288 | 10 | 3440 | 80  | 80  | 32 | 256 | 14.95112861 | 6.594 | 3600 | 0.002288818 |
| satellite32.bmp | satellite32.bmp-withWavelet_bior1.1-G_0.6-H9e-005_af5.wfa | 1572864 | 524288 | 524288 | 10 | 3440 | 80  | 80  | 32 | 256 | 14.95112861 | 6.61  | 3600 | 0.002288818 |
| satellite32.bmp | satellite32.bmp-withWavelet_haar-G_0.6-H0.0001_af5.wfa    | 1572864 | 524288 | 524288 | 10 | 3440 | 80  | 80  | 32 | 256 | 14.95112861 | 6.812 | 3600 | 0.002288818 |
| satellite32.bmp | satellite32.bmp-withWavelet_rbio1.1-G_0.6-H0.0001_af5.wfa | 1572864 | 524288 | 524288 | 10 | 3440 | 80  | 80  | 32 | 256 | 14.95112861 | 6.625 | 3600 | 0.002288818 |
| satellite32.bmp | satellite32.bmp-withWavelet_sym1-G_0.6-H0.0001_af5.wfa    | 1572864 | 524288 | 524288 | 10 | 3440 | 80  | 80  | 32 | 256 | 14.95112861 | 6.61  | 3600 | 0.002288818 |
| satellite32.bmp | satellite32.bmp-withWavelet_bior1.1-G_0.6-H0.0001_af5.wfa | 1572864 | 524288 | 524288 | 10 | 3440 | 80  | 80  | 32 | 256 | 14.95112861 | 6.61  | 3600 | 0.002288818 |
| satellite32.bmp | satellite32.bmp-G_1-H0.0001_af3.wfa                       | 393216  | 131072 |        | 11 | 4112 | 88  | 88  | 32 | 128 | 14.95254087 | 1.891 | 4288 | 0.010904948 |
| satellite32.bmp | satellite32.bmp-G_1-H8e-005_af3.wfa                       | 393216  | 131072 |        | 12 | 4848 | 96  | 96  | 32 | 128 | 14.95922305 | 1.703 | 5040 | 0.012817383 |
| satellite32.bmp | satellite32.bmp-G_0.8-H1e-005_af1.wfa                     | 1572864 | 524288 |        | 1  | 272  | 8   | 8   | 32 | 256 | 14.9702134  | 0     | 288  | 0.000183105 |
| satellite32.bmp | satellite32.bmp-G_0.8-H1e-005_af2.wfa                     | 1572864 | 524288 |        | 1  | 272  | 8   | 8   | 32 | 256 | 14.9702134  | 0     | 288  | 0.000183105 |
| satellite32.bmp | satellite32.bmp-G_0.8-H1e-005_af3.wfa                     | 1572864 | 524288 |        | 1  | 272  | 8   | 8   | 32 | 256 | 14.9702134  | 0     | 288  | 0.000183105 |
| satellite32.bmp | satellite32.bmp-G_0.8-H1e-005_af4.wfa                     | 1572864 | 524288 |        | 1  | 272  | 8   | 8   | 32 | 256 | 14.9702134  | 0     | 288  | 0.000183105 |
| satellite32.bmp | satellite32.bmp-G_0.8-H1e-005_af5.wfa                     | 1572864 | 524288 |        | 1  | 272  | 8   | 8   | 32 | 256 | 14.9702134  | 0     | 288  | 0.000183105 |
| satellite32.bmp | satellite32.bmp-G_0.8-H2e-005_af1.wfa                     | 1572864 | 524288 |        | 1  | 272  | 8   | 8   | 32 | 256 | 14.9702134  | 0     | 288  | 0.000183105 |
| satellite32.bmp | satellite32.bmp-G_0.8-H2e-005_af2.wfa                     | 1572864 | 524288 |        | 1  | 272  | 8   | 8   | 32 | 256 | 14.9702134  | 0     | 288  | 0.000183105 |
| satellite32.bmp | satellite32.bmp-G_0.8-H2e-005_af3.wfa                     | 1572864 | 524288 |        | 1  | 272  | 8   | 8   | 32 | 256 | 14.9702134  | 0     | 288  | 0.000183105 |
| satellite32.bmp | satellite32.bmp-G_0.8-H2e-005_af4.wfa                     | 1572864 | 524288 |        | 1  | 272  | 8   | 8   | 32 | 256 | 14.9702134  | 0     | 288  | 0.000183105 |
| satellite32.bmp | satellite32.bmp-G_0.8-H2e-005_af5.wfa                     | 1572864 | 524288 |        | 1  | 272  | 8   | 8   | 32 | 256 | 14.9702134  | 0     | 288  | 0.000183105 |
| satellite32.bmp | satellite32.bmp-G_0.8-H3e-005_af1.wfa                     | 1572864 | 524288 |        | 1  | 272  | 8   | 8   | 32 | 256 | 14.9702134  | 0     | 288  | 0.000183105 |
| satellite32.bmp | satellite32.bmp-G_0.8-H3e-005_af2.wfa                     | 1572864 | 524288 |        | 1  | 272  | 8   | 8   | 32 | 256 | 14.9702134  | 0.015 | 288  | 0.000183105 |
| satellite32.bmp | satellite32.bmp-G_0.8-H3e-005_af3.wfa                     | 1572864 | 524288 |        | 1  | 272  | 8   | 8   | 32 | 256 | 14.9702134  | 0     | 288  | 0.000183105 |
| satellite32.bmp | satellite32.bmp-G_0.8-H3e-005_af4.wfa                     | 1572864 | 524288 |        | 1  | 272  | 8   | 8   | 32 | 256 | 14.9702134  | 0     | 288  | 0.000183105 |
| satellite32.bmp | satellite32.bmp-G_0.8-H3e-005_af5.wfa                     | 1572864 | 524288 |        | 1  | 272  | 8   | 8   | 32 | 256 | 14.9702134  | 0     | 288  | 0.000183105 |
| satellite32.bmp | satellite32.bmp-G_0.8-H4e-005_af1.wfa                     | 1572864 | 524288 |        | 1  | 272  | 8   | 8   | 32 | 256 | 14.9702134  | 0     | 288  | 0.000183105 |
| satellite32.bmp | satellite32.bmp-G_0.8-H4e-005_af2.wfa                     | 1572864 | 524288 |        | 1  | 272  | 8   | 8   | 32 | 256 | 14.9702134  | 0     | 288  | 0.000183105 |
| satellite32.bmp | satellite32.bmp-G_0.8-H4e-005_af3.wfa                     | 1572864 | 524288 |        | 1  | 272  | 8   | 8   | 32 | 256 | 14.9702134  | 0     | 288  | 0.000183105 |
| satellite32.bmp | satellite32.bmp-G_0.8-H4e-005_af4.wfa                     | 1572864 | 524288 |        | 1  | 272  | 8   | 8   | 32 | 256 | 14.9702134  | 0     | 288  | 0.000183105 |
| satellite32.bmp | satellite32.bmp-G_0.8-H4e-005_af5.wfa                     | 1572864 | 524288 |        | 1  | 272  | 8   | 8   | 32 | 256 | 14.9702134  | 0     | 288  | 0.000183105 |





|                 |   |         |        |        |    |       |     |     |    |     |             |       |       |             |
|-----------------|---|---------|--------|--------|----|-------|-----|-----|----|-----|-------------|-------|-------|-------------|
| satellite32.bmp | satellite32.bmp-withWavelet_rbio1.1-G_0.6-H8e-005_af5.wfa | 1572864 | 524288 | 524288 | 10 | 3440  | 80  | 80  | 32 | 256 | 14.97145748 | 6.656 | 3600  | 0.002288818 |
| satellite32.bmp | satellite32.bmp-withWavelet_sym1-G_0.6-H8e-005_af5.wfa    | 1572864 | 524288 | 524288 | 10 | 3440  | 80  | 80  | 32 | 256 | 14.97145748 | 6.688 | 3600  | 0.002288818 |
| satellite32.bmp | satellite32.bmp-withWavelet_bior1.1-G_0.6-H8e-005_af5.wfa | 1572864 | 524288 | 524288 | 10 | 3440  | 80  | 80  | 32 | 256 | 14.97145748 | 6.734 | 3600  | 0.002288818 |
| satellite32.bmp | satellite32.bmp-withWavelet_haar-G_0.6-H8e-005_af4.wfa    | 98304   | 32768  | 32768  | 25 | 20240 | 200 | 200 | 32 | 64  | 14.9721504  | 0.797 | 20640 | 0.209960938 |
| satellite32.bmp | satellite32.bmp-withWavelet_rbio1.1-G_0.6-H8e-005_af4.wfa | 98304   | 32768  | 32768  | 25 | 20240 | 200 | 200 | 32 | 64  | 14.9721504  | 0.766 | 20640 | 0.209960938 |
| satellite32.bmp | satellite32.bmp-withWavelet_sym1-G_0.6-H8e-005_af4.wfa    | 98304   | 32768  | 32768  | 25 | 20240 | 200 | 200 | 32 | 64  | 14.9721504  | 0.75  | 20640 | 0.209960938 |
| satellite32.bmp | satellite32.bmp-withWavelet_bior1.1-G_0.6-H8e-005_af4.wfa | 98304   | 32768  | 32768  | 25 | 20240 | 200 | 200 | 32 | 64  | 14.9721504  | 0.766 | 20640 | 0.209960938 |
| satellite32.bmp | satellite32.bmp-withWavelet_haar-G_1-H7e-005_af2.wfa      | 1572864 | 524288 | 524288 | 14 | 6512  | 112 | 112 | 32 | 256 | 14.9730829  | 7.688 | 6736  | 0.004282633 |
| satellite32.bmp | satellite32.bmp-withWavelet_rbio1.1-G_1-H7e-005_af2.wfa   | 1572864 | 524288 | 524288 | 14 | 6512  | 112 | 112 | 32 | 256 | 14.9730829  | 7.593 | 6736  | 0.004282633 |
| satellite32.bmp | satellite32.bmp-withWavelet_sym1-G_1-H7e-005_af2.wfa      | 1572864 | 524288 | 524288 | 14 | 6512  | 112 | 112 | 32 | 256 | 14.9730829  | 7.688 | 6736  | 0.004282633 |
| satellite32.bmp | satellite32.bmp-withWavelet_bior1.1-G_1-H7e-005_af2.wfa   | 1572864 | 524288 | 524288 | 14 | 6512  | 112 | 112 | 32 | 256 | 14.9730829  | 7.546 | 6736  | 0.004282633 |
| satellite32.bmp | satellite32.bmp-withWavelet_haar-G_0.6-H0.0001_af3.wfa    | 1572864 | 524288 | 524288 | 18 | 10608 | 144 | 144 | 32 | 256 | 14.99214505 | 8.922 | 10896 | 0.00692749  |
| satellite32.bmp | satellite32.bmp-withWavelet_rbio1.1-G_0.6-H0.0001_af3.wfa | 1572864 | 524288 | 524288 | 18 | 10608 | 144 | 144 | 32 | 256 | 14.99214505 | 8.938 | 10896 | 0.00692749  |
| satellite32.bmp | satellite32.bmp-withWavelet_sym1-G_0.6-H0.0001_af3.wfa    | 1572864 | 524288 | 524288 | 18 | 10608 | 144 | 144 | 32 | 256 | 14.99214505 | 8.938 | 10896 | 0.00692749  |
| satellite32.bmp | satellite32.bmp-withWavelet_bior1.1-G_0.6-H0.0001_af3.wfa | 1572864 | 524288 | 524288 | 18 | 10608 | 144 | 144 | 32 | 256 | 14.99214505 | 8.938 | 10896 | 0.00692749  |
| satellite32.bmp | satellite32.bmp-withWavelet_haar-G_1-H7e-005_af3.wfa      | 393216  | 131072 | 131072 | 23 | 17168 | 184 | 184 | 32 | 128 | 14.99578604 | 2.969 | 17536 | 0.044596354 |
| satellite32.bmp | satellite32.bmp-withWavelet_rbio1.1-G_1-H7e-005_af3.wfa   | 393216  | 131072 | 131072 | 23 | 17168 | 184 | 184 | 32 | 128 | 14.99578604 | 2.953 | 17536 | 0.044596354 |
| satellite32.bmp | satellite32.bmp-withWavelet_sym1-G_1-H7e-005_af3.wfa      | 393216  | 131072 | 131072 | 23 | 17168 | 184 | 184 | 32 | 128 | 14.99578604 | 2.968 | 17536 | 0.044596354 |
| satellite32.bmp | satellite32.bmp-withWavelet_bior1.1-G_1-H7e-005_af3.wfa   | 393216  | 131072 | 131072 | 23 | 17168 | 184 | 184 | 32 | 128 | 14.99578604 | 2.938 | 17536 | 0.044596354 |
| satellite32.bmp | satellite32.bmp-withWavelet_haar-G_1-H8e-005_af3.wfa      | 393216  | 131072 | 131072 | 21 | 14352 | 168 | 168 | 32 | 128 | 15.00279416 | 2.61  | 14688 | 0.037353516 |
| satellite32.bmp | satellite32.bmp-withWavelet_rbio1.1-G_1-H8e-005_af3.wfa   | 393216  | 131072 | 131072 | 21 | 14352 | 168 | 168 | 32 | 128 | 15.00279416 | 2.453 | 14688 | 0.037353516 |
| satellite32.bmp | satellite32.bmp-withWavelet_sym1-G_1-H8e-005_af3.wfa      | 393216  | 131072 | 131072 | 21 | 14352 | 168 | 168 | 32 | 128 | 15.00279416 | 2.453 | 14688 | 0.037353516 |
| satellite32.bmp | satellite32.bmp-withWavelet_bior1.1-G_1-H8e-005_af3.wfa   | 393216  | 131072 | 131072 | 21 | 14352 | 168 | 168 | 32 | 128 | 15.00279416 | 2.468 | 14688 | 0.037353516 |
| satellite32.bmp | satellite32.bmp-withWavelet_haar-G_1-H8e-005_af4.wfa      | 393216  | 131072 | 131072 | 21 | 14352 | 168 | 168 | 32 | 128 | 15.00489284 | 2.438 | 14688 | 0.037353516 |
| satellite32.bmp | satellite32.bmp-withWavelet_rbio1.1-G_1-H8e-005_af4.wfa   | 393216  | 131072 | 131072 | 21 | 14352 | 168 | 168 | 32 | 128 | 15.00489284 | 2.531 | 14688 | 0.037353516 |
| satellite32.bmp | satellite32.bmp-withWavelet_sym1-G_1-H8e-005_af4.wfa      | 393216  | 131072 | 131072 | 21 | 14352 | 168 | 168 | 32 | 128 | 15.00489284 | 2.438 | 14688 | 0.037353516 |
| satellite32.bmp | satellite32.bmp-withWavelet_bior1.1-G_1-H8e-005_af4.wfa   | 393216  | 131072 | 131072 | 21 | 14352 | 168 | 168 | 32 | 128 | 15.00489284 | 2.453 | 14688 | 0.037353516 |
| satellite32.bmp | satellite32.bmp-withWavelet_haar-G_0.6-H0.0001_af4.wfa    | 98304   | 32768  | 32768  | 24 | 18672 | 192 | 192 | 32 | 64  | 15.00579333 | 0.703 | 19056 | 0.193847656 |
| satellite32.bmp | satellite32.bmp-withWavelet_rbio1.1-G_0.6-H0.0001_af4.wfa | 98304   | 32768  | 32768  | 24 | 18672 | 192 | 192 | 32 | 64  | 15.00579333 | 0.703 | 19056 | 0.193847656 |
| satellite32.bmp | satellite32.bmp-withWavelet_sym1-G_0.6-H0.0001_af4.wfa    | 98304   | 32768  | 32768  | 24 | 18672 | 192 | 192 | 32 | 64  | 15.00579333 | 0.719 | 19056 | 0.193847656 |
| satellite32.bmp | satellite32.bmp-withWavelet_bior1.1-G_0.6-H0.0001_af4.wfa | 98304   | 32768  | 32768  | 24 | 18672 | 192 | 192 | 32 | 64  | 15.00579333 | 0.719 | 19056 | 0.193847656 |

|                 |   |         |        |        |    |       |     |     |    |     |             |       |       |             |
|-----------------|---|---------|--------|--------|----|-------|-----|-----|----|-----|-------------|-------|-------|-------------|
| satellite32.bmp | satellite32.bmp-withWavelet_haar-G_1-H9e-005_af3.wfa      | 393216  | 131072 | 131072 | 21 | 14352 | 168 | 168 | 32 | 128 | 15.00784104 | 2.5   | 14688 | 0.037353516 |
| satellite32.bmp | satellite32.bmp-withWavelet_rbio1.1-G_1-H9e-005_af3.wfa   | 393216  | 131072 | 131072 | 21 | 14352 | 168 | 168 | 32 | 128 | 15.00784104 | 2.5   | 14688 | 0.037353516 |
| satellite32.bmp | satellite32.bmp-withWavelet_sym1-G_1-H9e-005_af3.wfa      | 393216  | 131072 | 131072 | 21 | 14352 | 168 | 168 | 32 | 128 | 15.00784104 | 2.672 | 14688 | 0.037353516 |
| satellite32.bmp | satellite32.bmp-withWavelet_bior1.1-G_1-H9e-005_af3.wfa   | 393216  | 131072 | 131072 | 21 | 14352 | 168 | 168 | 32 | 128 | 15.00784104 | 2.516 | 14688 | 0.037353516 |
| satellite32.bmp | satellite32.bmp-G_1-H0.0001_af2.wfa                       | 393216  | 131072 |        | 11 | 4112  | 88  | 88  | 32 | 128 | 15.0096926  | 1.641 | 4288  | 0.010904948 |
| satellite32.bmp | satellite32.bmp-G_1-H6e-005_af3.wfa                       | 393216  | 131072 |        | 13 | 5648  | 104 | 104 | 32 | 128 | 15.01115443 | 1.75  | 5856  | 0.014892578 |
| satellite32.bmp | satellite32.bmp-G_1-H7e-005_af3.wfa                       | 393216  | 131072 |        | 13 | 5648  | 104 | 104 | 32 | 128 | 15.01115443 | 1.781 | 5856  | 0.014892578 |
| satellite32.bmp | satellite32.bmp-withWavelet_haar-G_0.8-H8e-005_af3.wfa    | 393216  | 131072 | 131072 | 22 | 15728 | 176 | 176 | 32 | 128 | 15.01345164 | 2.5   | 16080 | 0.040893555 |
| satellite32.bmp | satellite32.bmp-withWavelet_rbio1.1-G_0.8-H8e-005_af3.wfa | 393216  | 131072 | 131072 | 22 | 15728 | 176 | 176 | 32 | 128 | 15.01345164 | 2.516 | 16080 | 0.040893555 |
| satellite32.bmp | satellite32.bmp-withWavelet_sym1-G_0.8-H8e-005_af3.wfa    | 393216  | 131072 | 131072 | 22 | 15728 | 176 | 176 | 32 | 128 | 15.01345164 | 2.516 | 16080 | 0.040893555 |
| satellite32.bmp | satellite32.bmp-withWavelet_bior1.1-G_0.8-H8e-005_af3.wfa | 393216  | 131072 | 131072 | 22 | 15728 | 176 | 176 | 32 | 128 | 15.01345164 | 2.531 | 16080 | 0.040893555 |
| satellite32.bmp | satellite32.bmp-withWavelet_haar-G_0.8-H8e-005_af4.wfa    | 393216  | 131072 | 131072 | 20 | 13040 | 160 | 160 | 32 | 128 | 15.01674434 | 2.265 | 13360 | 0.033976237 |
| satellite32.bmp | satellite32.bmp-withWavelet_rbio1.1-G_0.8-H8e-005_af4.wfa | 393216  | 131072 | 131072 | 20 | 13040 | 160 | 160 | 32 | 128 | 15.01674434 | 2.265 | 13360 | 0.033976237 |
| satellite32.bmp | satellite32.bmp-withWavelet_sym1-G_0.8-H8e-005_af4.wfa    | 393216  | 131072 | 131072 | 20 | 13040 | 160 | 160 | 32 | 128 | 15.01674434 | 2.281 | 13360 | 0.033976237 |
| satellite32.bmp | satellite32.bmp-withWavelet_bior1.1-G_0.8-H8e-005_af4.wfa | 393216  | 131072 | 131072 | 20 | 13040 | 160 | 160 | 32 | 128 | 15.01674434 | 2.281 | 13360 | 0.033976237 |
| satellite32.bmp | satellite32.bmp-withWavelet_haar-G_0.8-H9e-005_af4.wfa    | 393216  | 131072 | 131072 | 20 | 13040 | 160 | 160 | 32 | 128 | 15.01674434 | 2.265 | 13360 | 0.033976237 |
| satellite32.bmp | satellite32.bmp-withWavelet_rbio1.1-G_0.8-H9e-005_af4.wfa | 393216  | 131072 | 131072 | 20 | 13040 | 160 | 160 | 32 | 128 | 15.01674434 | 2.281 | 13360 | 0.033976237 |
| satellite32.bmp | satellite32.bmp-withWavelet_sym1-G_0.8-H9e-005_af4.wfa    | 393216  | 131072 | 131072 | 20 | 13040 | 160 | 160 | 32 | 128 | 15.01674434 | 2.266 | 13360 | 0.033976237 |
| satellite32.bmp | satellite32.bmp-withWavelet_bior1.1-G_0.8-H9e-005_af4.wfa | 393216  | 131072 | 131072 | 20 | 13040 | 160 | 160 | 32 | 128 | 15.01674434 | 2.282 | 13360 | 0.033976237 |
| satellite32.bmp | satellite32.bmp-withWavelet_haar-G_0.6-H9e-005_af3.wfa    | 98304   | 32768  | 32768  | 20 | 13040 | 160 | 160 | 32 | 64  | 15.01847775 | 0.546 | 13360 | 0.135904948 |
| satellite32.bmp | satellite32.bmp-withWavelet_rbio1.1-G_0.6-H9e-005_af3.wfa | 98304   | 32768  | 32768  | 20 | 13040 | 160 | 160 | 32 | 64  | 15.01847775 | 0.531 | 13360 | 0.135904948 |
| satellite32.bmp | satellite32.bmp-withWavelet_sym1-G_0.6-H9e-005_af3.wfa    | 98304   | 32768  | 32768  | 20 | 13040 | 160 | 160 | 32 | 64  | 15.01847775 | 0.531 | 13360 | 0.135904948 |
| satellite32.bmp | satellite32.bmp-withWavelet_bior1.1-G_0.6-H9e-005_af3.wfa | 98304   | 32768  | 32768  | 20 | 13040 | 160 | 160 | 32 | 64  | 15.01847775 | 0.531 | 13360 | 0.135904948 |
| satellite32.bmp | satellite32.bmp-withWavelet_haar-G_0.8-H8e-005_af2.wfa    | 1572864 | 524288 | 524288 | 12 | 4848  | 96  | 96  | 32 | 256 | 15.02612933 | 7.172 | 5040  | 0.003204346 |
| satellite32.bmp | satellite32.bmp-withWavelet_rbio1.1-G_0.8-H8e-005_af2.wfa | 1572864 | 524288 | 524288 | 12 | 4848  | 96  | 96  | 32 | 256 | 15.02612933 | 7.188 | 5040  | 0.003204346 |
| satellite32.bmp | satellite32.bmp-withWavelet_sym1-G_0.8-H8e-005_af2.wfa    | 1572864 | 524288 | 524288 | 12 | 4848  | 96  | 96  | 32 | 256 | 15.02612933 | 7.187 | 5040  | 0.003204346 |
| satellite32.bmp | satellite32.bmp-withWavelet_bior1.1-G_0.8-H8e-005_af2.wfa | 1572864 | 524288 | 524288 | 12 | 4848  | 96  | 96  | 32 | 256 | 15.02612933 | 7.188 | 5040  | 0.003204346 |
| satellite32.bmp | satellite32.bmp-withWavelet_haar-G_0.6-H7e-005_af4.wfa    | 98304   | 32768  | 32768  | 25 | 20240 | 200 | 200 | 32 | 64  | 15.02707252 | 0.75  | 20640 | 0.209960938 |
| satellite32.bmp | satellite32.bmp-withWavelet_rbio1.1-G_0.6-H7e-005_af4.wfa | 98304   | 32768  | 32768  | 25 | 20240 | 200 | 200 | 32 | 64  | 15.02707252 | 0.797 | 20640 | 0.209960938 |
| satellite32.bmp | satellite32.bmp-withWavelet_sym1-G_0.6-H7e-005_af4.wfa    | 98304   | 32768  | 32768  | 25 | 20240 | 200 | 200 | 32 | 64  | 15.02707252 | 0.781 | 20640 | 0.209960938 |
| satellite32.bmp | satellite32.bmp-withWavelet_bior1.1-G_0.6-H7e-005_af4.wfa | 98304   | 32768  | 32768  | 25 | 20240 | 200 | 200 | 32 | 64  | 15.02707252 | 0.75  | 20640 | 0.209960938 |



|                 |   |         |        |        |    |       |     |     |    |     |             |       |       |             |
|-----------------|---|---------|--------|--------|----|-------|-----|-----|----|-----|-------------|-------|-------|-------------|
| satellite32.bmp | satellite32.bmp-G_0.6-H7e-005_af1.wfa                     | 1572864 | 524288 |        | 1  | 272   | 8   | 8   | 32 | 256 | 15.03059979 | 0     | 288   | 0.000183105 |
| satellite32.bmp | satellite32.bmp-G_0.6-H7e-005_af2.wfa                     | 1572864 | 524288 |        | 1  | 272   | 8   | 8   | 32 | 256 | 15.03059979 | 0     | 288   | 0.000183105 |
| satellite32.bmp | satellite32.bmp-G_0.6-H7e-005_af3.wfa                     | 1572864 | 524288 |        | 1  | 272   | 8   | 8   | 32 | 256 | 15.03059979 | 0     | 288   | 0.000183105 |
| satellite32.bmp | satellite32.bmp-G_0.6-H7e-005_af4.wfa                     | 1572864 | 524288 |        | 1  | 272   | 8   | 8   | 32 | 256 | 15.03059979 | 0     | 288   | 0.000183105 |
| satellite32.bmp | satellite32.bmp-G_0.6-H7e-005_af5.wfa                     | 1572864 | 524288 |        | 1  | 272   | 8   | 8   | 32 | 256 | 15.03059979 | 0     | 288   | 0.000183105 |
| satellite32.bmp | satellite32.bmp-G_0.6-H8e-005_af1.wfa                     | 1572864 | 524288 |        | 1  | 272   | 8   | 8   | 32 | 256 | 15.03059979 | 0     | 288   | 0.000183105 |
| satellite32.bmp | satellite32.bmp-G_0.6-H8e-005_af2.wfa                     | 1572864 | 524288 |        | 1  | 272   | 8   | 8   | 32 | 256 | 15.03059979 | 0.016 | 288   | 0.000183105 |
| satellite32.bmp | satellite32.bmp-G_0.6-H8e-005_af3.wfa                     | 1572864 | 524288 |        | 1  | 272   | 8   | 8   | 32 | 256 | 15.03059979 | 0     | 288   | 0.000183105 |
| satellite32.bmp | satellite32.bmp-G_0.6-H8e-005_af4.wfa                     | 1572864 | 524288 |        | 1  | 272   | 8   | 8   | 32 | 256 | 15.03059979 | 0     | 288   | 0.000183105 |
| satellite32.bmp | satellite32.bmp-G_0.6-H8e-005_af5.wfa                     | 1572864 | 524288 |        | 1  | 272   | 8   | 8   | 32 | 256 | 15.03059979 | 0     | 288   | 0.000183105 |
| satellite32.bmp | satellite32.bmp-G_0.6-H9e-005_af1.wfa                     | 1572864 | 524288 |        | 1  | 272   | 8   | 8   | 32 | 256 | 15.03059979 | 0     | 288   | 0.000183105 |
| satellite32.bmp | satellite32.bmp-G_0.6-H9e-005_af2.wfa                     | 1572864 | 524288 |        | 1  | 272   | 8   | 8   | 32 | 256 | 15.03059979 | 0     | 288   | 0.000183105 |
| satellite32.bmp | satellite32.bmp-G_0.6-H9e-005_af3.wfa                     | 1572864 | 524288 |        | 1  | 272   | 8   | 8   | 32 | 256 | 15.03059979 | 0     | 288   | 0.000183105 |
| satellite32.bmp | satellite32.bmp-G_0.6-H9e-005_af4.wfa                     | 1572864 | 524288 |        | 1  | 272   | 8   | 8   | 32 | 256 | 15.03059979 | 0.015 | 288   | 0.000183105 |
| satellite32.bmp | satellite32.bmp-G_0.6-H9e-005_af5.wfa                     | 1572864 | 524288 |        | 1  | 272   | 8   | 8   | 32 | 256 | 15.03059979 | 0     | 288   | 0.000183105 |
| satellite32.bmp | satellite32.bmp-G_0.6-H0.0001_af1.wfa                     | 1572864 | 524288 |        | 1  | 272   | 8   | 8   | 32 | 256 | 15.03059979 | 0     | 288   | 0.000183105 |
| satellite32.bmp | satellite32.bmp-G_0.6-H0.0001_af2.wfa                     | 1572864 | 524288 |        | 1  | 272   | 8   | 8   | 32 | 256 | 15.03059979 | 0     | 288   | 0.000183105 |
| satellite32.bmp | satellite32.bmp-G_0.6-H0.0001_af3.wfa                     | 1572864 | 524288 |        | 1  | 272   | 8   | 8   | 32 | 256 | 15.03059979 | 0     | 288   | 0.000183105 |
| satellite32.bmp | satellite32.bmp-G_0.6-H0.0001_af4.wfa                     | 1572864 | 524288 |        | 1  | 272   | 8   | 8   | 32 | 256 | 15.03059979 | 0     | 288   | 0.000183105 |
| satellite32.bmp | satellite32.bmp-G_0.6-H0.0001_af5.wfa                     | 1572864 | 524288 |        | 1  | 272   | 8   | 8   | 32 | 256 | 15.03059979 | 0     | 288   | 0.000183105 |
| satellite32.bmp | satellite32.bmp-G_1-H4e-005_af3.wfa                       | 393216  | 131072 |        | 14 | 6512  | 112 | 112 | 32 | 128 | 15.03220144 | 1.796 | 6736  | 0.017130534 |
| satellite32.bmp | satellite32.bmp-G_1-H5e-005_af3.wfa                       | 393216  | 131072 |        | 14 | 6512  | 112 | 112 | 32 | 128 | 15.03220144 | 1.782 | 6736  | 0.017130534 |
| satellite32.bmp | satellite32.bmp-G_1-H3e-005_af3.wfa                       | 393216  | 131072 |        | 17 | 9488  | 136 | 136 | 32 | 128 | 15.03361162 | 2.016 | 9760  | 0.024820964 |
| satellite32.bmp | satellite32.bmp-withWavelet_haar-G_0.8-H9e-005_af3.wfa    | 393216  | 131072 | 131072 | 20 | 13040 | 160 | 160 | 32 | 128 | 15.0430599  | 2.281 | 13360 | 0.033976237 |
| satellite32.bmp | satellite32.bmp-withWavelet_rbio1.1-G_0.8-H9e-005_af3.wfa | 393216  | 131072 | 131072 | 20 | 13040 | 160 | 160 | 32 | 128 | 15.0430599  | 2.266 | 13360 | 0.033976237 |
| satellite32.bmp | satellite32.bmp-withWavelet_sym1-G_0.8-H9e-005_af3.wfa    | 393216  | 131072 | 131072 | 20 | 13040 | 160 | 160 | 32 | 128 | 15.0430599  | 2.266 | 13360 | 0.033976237 |
| satellite32.bmp | satellite32.bmp-withWavelet_bior1.1-G_0.8-H9e-005_af3.wfa | 393216  | 131072 | 131072 | 20 | 13040 | 160 | 160 | 32 | 128 | 15.0430599  | 2.282 | 13360 | 0.033976237 |
| satellite32.bmp | satellite32.bmp-G_1-H9e-005_af3.wfa                       | 98304   | 32768  |        | 11 | 4112  | 88  | 88  | 32 | 64  | 15.0445404  | 0.406 | 4288  | 0.043619792 |
| satellite32.bmp | satellite32.bmp-withWavelet_haar-G_1-H8e-005_af2.wfa      | 1572864 | 524288 | 524288 | 12 | 4848  | 96  | 96  | 32 | 256 | 15.04658773 | 7.157 | 5040  | 0.003204346 |
| satellite32.bmp | satellite32.bmp-withWavelet_rbio1.1-G_1-H8e-005_af2.wfa   | 1572864 | 524288 | 524288 | 12 | 4848  | 96  | 96  | 32 | 256 | 15.04658773 | 7.172 | 5040  | 0.003204346 |
| satellite32.bmp | satellite32.bmp-withWavelet_sym1-G_1-H8e-005_af2.wfa      | 1572864 | 524288 | 524288 | 12 | 4848  | 96  | 96  | 32 | 256 | 15.04658773 | 7.157 | 5040  | 0.003204346 |

|                 |   |         |        |        |    |       |     |     |    |     |             |       |       |             |
|-----------------|---|---------|--------|--------|----|-------|-----|-----|----|-----|-------------|-------|-------|-------------|
| satellite32.bmp | satellite32.bmp-withWavelet_bior1.1-G_1-H8e-005_af2.wfa   | 1572864 | 524288 | 524288 | 12 | 4848  | 96  | 96  | 32 | 256 | 15.04658773 | 7.204 | 5040  | 0.003204346 |
| satellite32.bmp | satellite32.bmp-withWavelet_haar-G_0.8-H7e-005_af5.wfa    | 1572864 | 524288 | 524288 | 10 | 3440  | 80  | 80  | 32 | 256 | 15.04675349 | 6.843 | 3600  | 0.002288818 |
| satellite32.bmp | satellite32.bmp-withWavelet_rbio1.1-G_0.8-H7e-005_af5.wfa | 1572864 | 524288 | 524288 | 10 | 3440  | 80  | 80  | 32 | 256 | 15.04675349 | 6.703 | 3600  | 0.002288818 |
| satellite32.bmp | satellite32.bmp-withWavelet_sym1-G_0.8-H7e-005_af5.wfa    | 1572864 | 524288 | 524288 | 10 | 3440  | 80  | 80  | 32 | 256 | 15.04675349 | 6.734 | 3600  | 0.002288818 |
| satellite32.bmp | satellite32.bmp-withWavelet_bior1.1-G_0.8-H7e-005_af5.wfa | 1572864 | 524288 | 524288 | 10 | 3440  | 80  | 80  | 32 | 256 | 15.04675349 | 6.656 | 3600  | 0.002288818 |
| satellite32.bmp | satellite32.bmp-withWavelet_haar-G_0.8-H6e-005_af5.wfa    | 1572864 | 524288 | 524288 | 11 | 4112  | 88  | 88  | 32 | 256 | 15.04729002 | 6.969 | 4288  | 0.002726237 |
| satellite32.bmp | satellite32.bmp-withWavelet_rbio1.1-G_0.8-H6e-005_af5.wfa | 1572864 | 524288 | 524288 | 11 | 4112  | 88  | 88  | 32 | 256 | 15.04729002 | 6.875 | 4288  | 0.002726237 |
| satellite32.bmp | satellite32.bmp-withWavelet_sym1-G_0.8-H6e-005_af5.wfa    | 1572864 | 524288 | 524288 | 11 | 4112  | 88  | 88  | 32 | 256 | 15.04729002 | 7.515 | 4288  | 0.002726237 |
| satellite32.bmp | satellite32.bmp-withWavelet_bior1.1-G_0.8-H6e-005_af5.wfa | 1572864 | 524288 | 524288 | 11 | 4112  | 88  | 88  | 32 | 256 | 15.04729002 | 6.922 | 4288  | 0.002726237 |
| satellite32.bmp | satellite32.bmp-withWavelet_haar-G_1-H7e-005_af5.wfa      | 1572864 | 524288 | 524288 | 10 | 3440  | 80  | 80  | 32 | 256 | 15.04795275 | 6.718 | 3600  | 0.002288818 |
| satellite32.bmp | satellite32.bmp-withWavelet_rbio1.1-G_1-H7e-005_af5.wfa   | 1572864 | 524288 | 524288 | 10 | 3440  | 80  | 80  | 32 | 256 | 15.04795275 | 6.672 | 3600  | 0.002288818 |
| satellite32.bmp | satellite32.bmp-withWavelet_sym1-G_1-H7e-005_af5.wfa      | 1572864 | 524288 | 524288 | 10 | 3440  | 80  | 80  | 32 | 256 | 15.04795275 | 6.672 | 3600  | 0.002288818 |
| satellite32.bmp | satellite32.bmp-withWavelet_bior1.1-G_1-H7e-005_af5.wfa   | 1572864 | 524288 | 524288 | 10 | 3440  | 80  | 80  | 32 | 256 | 15.04795275 | 6.703 | 3600  | 0.002288818 |
| satellite32.bmp | satellite32.bmp-withWavelet_haar-G_1-H6e-005_af5.wfa      | 1572864 | 524288 | 524288 | 11 | 4112  | 88  | 88  | 32 | 256 | 15.04980778 | 6.921 | 4288  | 0.002726237 |
| satellite32.bmp | satellite32.bmp-withWavelet_rbio1.1-G_1-H6e-005_af5.wfa   | 1572864 | 524288 | 524288 | 11 | 4112  | 88  | 88  | 32 | 256 | 15.04980778 | 6.907 | 4288  | 0.002726237 |
| satellite32.bmp | satellite32.bmp-withWavelet_sym1-G_1-H6e-005_af5.wfa      | 1572864 | 524288 | 524288 | 11 | 4112  | 88  | 88  | 32 | 256 | 15.04980778 | 6.859 | 4288  | 0.002726237 |
| satellite32.bmp | satellite32.bmp-withWavelet_bior1.1-G_1-H6e-005_af5.wfa   | 1572864 | 524288 | 524288 | 11 | 4112  | 88  | 88  | 32 | 256 | 15.04980778 | 6.875 | 4288  | 0.002726237 |
| satellite32.bmp | satellite32.bmp-withWavelet_haar-G_0.8-H8e-005_af5.wfa    | 1572864 | 524288 | 524288 | 9  | 2832  | 72  | 72  | 32 | 256 | 15.05196299 | 6.625 | 2976  | 0.00189209  |
| satellite32.bmp | satellite32.bmp-withWavelet_rbio1.1-G_0.8-H8e-005_af5.wfa | 1572864 | 524288 | 524288 | 9  | 2832  | 72  | 72  | 32 | 256 | 15.05196299 | 6.703 | 2976  | 0.00189209  |
| satellite32.bmp | satellite32.bmp-withWavelet_sym1-G_0.8-H8e-005_af5.wfa    | 1572864 | 524288 | 524288 | 9  | 2832  | 72  | 72  | 32 | 256 | 15.05196299 | 6.641 | 2976  | 0.00189209  |
| satellite32.bmp | satellite32.bmp-withWavelet_bior1.1-G_0.8-H8e-005_af5.wfa | 1572864 | 524288 | 524288 | 9  | 2832  | 72  | 72  | 32 | 256 | 15.05196299 | 6.672 | 2976  | 0.00189209  |
| satellite32.bmp | satellite32.bmp-G_1-H5e-005_af1.wfa                       | 393216  | 131072 |        | 15 | 7440  | 120 | 120 | 32 | 128 | 15.05708688 | 1.875 | 7680  | 0.01953125  |
| satellite32.bmp | satellite32.bmp-withWavelet_haar-G_1-H9e-005_af4.wfa      | 393216  | 131072 | 131072 | 20 | 13040 | 160 | 160 | 32 | 128 | 15.06033669 | 2.281 | 13360 | 0.033976237 |
| satellite32.bmp | satellite32.bmp-withWavelet_rbio1.1-G_1-H9e-005_af4.wfa   | 393216  | 131072 | 131072 | 20 | 13040 | 160 | 160 | 32 | 128 | 15.06033669 | 2.313 | 13360 | 0.033976237 |
| satellite32.bmp | satellite32.bmp-withWavelet_sym1-G_1-H9e-005_af4.wfa      | 393216  | 131072 | 131072 | 20 | 13040 | 160 | 160 | 32 | 128 | 15.06033669 | 2.344 | 13360 | 0.033976237 |
| satellite32.bmp | satellite32.bmp-withWavelet_bior1.1-G_1-H9e-005_af4.wfa   | 393216  | 131072 | 131072 | 20 | 13040 | 160 | 160 | 32 | 128 | 15.06033669 | 2.359 | 13360 | 0.033976237 |
| satellite32.bmp | satellite32.bmp-withWavelet_haar-G_1-H0.0001_af2.wfa      | 1572864 | 524288 | 524288 | 11 | 4112  | 88  | 88  | 32 | 256 | 15.06184702 | 7.609 | 4288  | 0.002726237 |
| satellite32.bmp | satellite32.bmp-withWavelet_rbio1.1-G_1-H0.0001_af2.wfa   | 1572864 | 524288 | 524288 | 11 | 4112  | 88  | 88  | 32 | 256 | 15.06184702 | 6.891 | 4288  | 0.002726237 |
| satellite32.bmp | satellite32.bmp-withWavelet_sym1-G_1-H0.0001_af2.wfa      | 1572864 | 524288 | 524288 | 11 | 4112  | 88  | 88  | 32 | 256 | 15.06184702 | 7.031 | 4288  | 0.002726237 |
| satellite32.bmp | satellite32.bmp-withWavelet_bior1.1-G_1-H0.0001_af2.wfa   | 1572864 | 524288 | 524288 | 11 | 4112  | 88  | 88  | 32 | 256 | 15.06184702 | 6.89  | 4288  | 0.002726237 |
| satellite32.bmp | satellite32.bmp-withWavelet_haar-G_0.6-H9e-005_af4.wfa    | 98304   | 32768  | 32768  | 24 | 18672 | 192 | 192 | 32 | 64  | 15.06428852 | 0.703 | 19056 | 0.193847656 |

|                 |   |         |        |        |    |       |     |     |    |     |             |       |       |             |
|-----------------|---|---------|--------|--------|----|-------|-----|-----|----|-----|-------------|-------|-------|-------------|
| satellite32.bmp | satellite32.bmp-withWavelet_rbio1.1-G_0.6-H9e-005_af4.wfa | 98304   | 32768  | 32768  | 24 | 18672 | 192 | 192 | 32 | 64  | 15.06428852 | 0.703 | 19056 | 0.193847656 |
| satellite32.bmp | satellite32.bmp-withWavelet_sym1-G_0.6-H9e-005_af4.wfa    | 98304   | 32768  | 32768  | 24 | 18672 | 192 | 192 | 32 | 64  | 15.06428852 | 0.703 | 19056 | 0.193847656 |
| satellite32.bmp | satellite32.bmp-withWavelet_bior1.1-G_0.6-H9e-005_af4.wfa | 98304   | 32768  | 32768  | 24 | 18672 | 192 | 192 | 32 | 64  | 15.06428852 | 0.703 | 19056 | 0.193847656 |
| satellite32.bmp | satellite32.bmp-withWavelet_haar-G_0.8-H9e-005_af5.wfa    | 1572864 | 524288 | 524288 | 9  | 2832  | 72  | 72  | 32 | 256 | 15.07402635 | 6.531 | 2976  | 0.00189209  |
| satellite32.bmp | satellite32.bmp-withWavelet_rbio1.1-G_0.8-H9e-005_af5.wfa | 1572864 | 524288 | 524288 | 9  | 2832  | 72  | 72  | 32 | 256 | 15.07402635 | 6.578 | 2976  | 0.00189209  |
| satellite32.bmp | satellite32.bmp-withWavelet_sym1-G_0.8-H9e-005_af5.wfa    | 1572864 | 524288 | 524288 | 9  | 2832  | 72  | 72  | 32 | 256 | 15.07402635 | 6.562 | 2976  | 0.00189209  |
| satellite32.bmp | satellite32.bmp-withWavelet_bior1.1-G_0.8-H9e-005_af5.wfa | 1572864 | 524288 | 524288 | 9  | 2832  | 72  | 72  | 32 | 256 | 15.07402635 | 6.547 | 2976  | 0.00189209  |
| satellite32.bmp | satellite32.bmp-withWavelet_haar-G_0.8-H0.0001_af5.wfa    | 1572864 | 524288 | 524288 | 9  | 2832  | 72  | 72  | 32 | 256 | 15.07402635 | 6.578 | 2976  | 0.00189209  |
| satellite32.bmp | satellite32.bmp-withWavelet_rbio1.1-G_0.8-H0.0001_af5.wfa | 1572864 | 524288 | 524288 | 9  | 2832  | 72  | 72  | 32 | 256 | 15.07402635 | 6.563 | 2976  | 0.00189209  |
| satellite32.bmp | satellite32.bmp-withWavelet_sym1-G_0.8-H0.0001_af5.wfa    | 1572864 | 524288 | 524288 | 9  | 2832  | 72  | 72  | 32 | 256 | 15.07402635 | 6.609 | 2976  | 0.00189209  |
| satellite32.bmp | satellite32.bmp-withWavelet_bior1.1-G_0.8-H0.0001_af5.wfa | 1572864 | 524288 | 524288 | 9  | 2832  | 72  | 72  | 32 | 256 | 15.07402635 | 6.547 | 2976  | 0.00189209  |
| satellite32.bmp | satellite32.bmp-withWavelet_haar-G_1-H9e-005_af5.wfa      | 1572864 | 524288 | 524288 | 9  | 2832  | 72  | 72  | 32 | 256 | 15.07621829 | 6.64  | 2976  | 0.00189209  |
| satellite32.bmp | satellite32.bmp-withWavelet_rbio1.1-G_1-H9e-005_af5.wfa   | 1572864 | 524288 | 524288 | 9  | 2832  | 72  | 72  | 32 | 256 | 15.07621829 | 6.578 | 2976  | 0.00189209  |
| satellite32.bmp | satellite32.bmp-withWavelet_sym1-G_1-H9e-005_af5.wfa      | 1572864 | 524288 | 524288 | 9  | 2832  | 72  | 72  | 32 | 256 | 15.07621829 | 6.594 | 2976  | 0.00189209  |
| satellite32.bmp | satellite32.bmp-withWavelet_bior1.1-G_1-H9e-005_af5.wfa   | 1572864 | 524288 | 524288 | 9  | 2832  | 72  | 72  | 32 | 256 | 15.07621829 | 6.547 | 2976  | 0.00189209  |
| satellite32.bmp | satellite32.bmp-withWavelet_haar-G_1-H0.0001_af5.wfa      | 1572864 | 524288 | 524288 | 9  | 2832  | 72  | 72  | 32 | 256 | 15.07621829 | 6.593 | 2976  | 0.00189209  |
| satellite32.bmp | satellite32.bmp-withWavelet_rbio1.1-G_1-H0.0001_af5.wfa   | 1572864 | 524288 | 524288 | 9  | 2832  | 72  | 72  | 32 | 256 | 15.07621829 | 6.547 | 2976  | 0.00189209  |
| satellite32.bmp | satellite32.bmp-withWavelet_sym1-G_1-H0.0001_af5.wfa      | 1572864 | 524288 | 524288 | 9  | 2832  | 72  | 72  | 32 | 256 | 15.07621829 | 6.546 | 2976  | 0.00189209  |
| satellite32.bmp | satellite32.bmp-withWavelet_bior1.1-G_1-H0.0001_af5.wfa   | 1572864 | 524288 | 524288 | 9  | 2832  | 72  | 72  | 32 | 256 | 15.07621829 | 6.609 | 2976  | 0.00189209  |
| satellite32.bmp | satellite32.bmp-withWavelet_haar-G_0.8-H9e-005_af2.wfa    | 1572864 | 524288 | 524288 | 11 | 4112  | 88  | 88  | 32 | 256 | 15.0836236  | 6.859 | 4288  | 0.002726237 |
| satellite32.bmp | satellite32.bmp-withWavelet_rbio1.1-G_0.8-H9e-005_af2.wfa | 1572864 | 524288 | 524288 | 11 | 4112  | 88  | 88  | 32 | 256 | 15.0836236  | 7.625 | 4288  | 0.002726237 |
| satellite32.bmp | satellite32.bmp-withWavelet_sym1-G_0.8-H9e-005_af2.wfa    | 1572864 | 524288 | 524288 | 11 | 4112  | 88  | 88  | 32 | 256 | 15.0836236  | 6.875 | 4288  | 0.002726237 |
| satellite32.bmp | satellite32.bmp-withWavelet_bior1.1-G_0.8-H9e-005_af2.wfa | 1572864 | 524288 | 524288 | 11 | 4112  | 88  | 88  | 32 | 256 | 15.0836236  | 6.922 | 4288  | 0.002726237 |
| satellite32.bmp | satellite32.bmp-withWavelet_haar-G_0.8-H0.0001_af2.wfa    | 1572864 | 524288 | 524288 | 11 | 4112  | 88  | 88  | 32 | 256 | 15.0836236  | 6.922 | 4288  | 0.002726237 |
| satellite32.bmp | satellite32.bmp-withWavelet_rbio1.1-G_0.8-H0.0001_af2.wfa | 1572864 | 524288 | 524288 | 11 | 4112  | 88  | 88  | 32 | 256 | 15.0836236  | 6.891 | 4288  | 0.002726237 |
| satellite32.bmp | satellite32.bmp-withWavelet_sym1-G_0.8-H0.0001_af2.wfa    | 1572864 | 524288 | 524288 | 11 | 4112  | 88  | 88  | 32 | 256 | 15.0836236  | 6.906 | 4288  | 0.002726237 |
| satellite32.bmp | satellite32.bmp-withWavelet_bior1.1-G_0.8-H0.0001_af2.wfa | 1572864 | 524288 | 524288 | 11 | 4112  | 88  | 88  | 32 | 256 | 15.0836236  | 7.672 | 4288  | 0.002726237 |
| satellite32.bmp | satellite32.bmp-withWavelet_haar-G_0.6-H8e-005_af3.wfa    | 98304   | 32768  | 32768  | 21 | 14352 | 168 | 168 | 32 | 64  | 15.0872968  | 0.562 | 14688 | 0.149414063 |
| satellite32.bmp | satellite32.bmp-withWavelet_rbio1.1-G_0.6-H8e-005_af3.wfa | 98304   | 32768  | 32768  | 21 | 14352 | 168 | 168 | 32 | 64  | 15.0872968  | 0.578 | 14688 | 0.149414063 |
| satellite32.bmp | satellite32.bmp-withWavelet_sym1-G_0.6-H8e-005_af3.wfa    | 98304   | 32768  | 32768  | 21 | 14352 | 168 | 168 | 32 | 64  | 15.0872968  | 0.578 | 14688 | 0.149414063 |
| satellite32.bmp | satellite32.bmp-withWavelet_bior1.1-G_0.6-H8e-005_af3.wfa | 98304   | 32768  | 32768  | 21 | 14352 | 168 | 168 | 32 | 64  | 15.0872968  | 0.594 | 14688 | 0.149414063 |

|                 |   |         |        |        |    |       |     |     |    |     |             |       |       |             |
|-----------------|---|---------|--------|--------|----|-------|-----|-----|----|-----|-------------|-------|-------|-------------|
| satellite32.bmp | satellite32.bmp-G_1-H0.0001_af3.wfa                       | 98304   | 32768  |        | 11 | 4112  | 88  | 88  | 32 | 64  | 15.08753687 | 0.438 | 4288  | 0.043619792 |
| satellite32.bmp | satellite32.bmp-withWavelet_haar-G_1-H8e-005_af5.wfa      | 1572864 | 524288 | 524288 | 9  | 2832  | 72  | 72  | 32 | 256 | 15.091408   | 6.656 | 2976  | 0.00189209  |
| satellite32.bmp | satellite32.bmp-withWavelet_rbio1.1-G_1-H8e-005_af5.wfa   | 1572864 | 524288 | 524288 | 9  | 2832  | 72  | 72  | 32 | 256 | 15.091408   | 6.782 | 2976  | 0.00189209  |
| satellite32.bmp | satellite32.bmp-withWavelet_sym1-G_1-H8e-005_af5.wfa      | 1572864 | 524288 | 524288 | 9  | 2832  | 72  | 72  | 32 | 256 | 15.091408   | 6.641 | 2976  | 0.00189209  |
| satellite32.bmp | satellite32.bmp-withWavelet_bior1.1-G_1-H8e-005_af5.wfa   | 1572864 | 524288 | 524288 | 9  | 2832  | 72  | 72  | 32 | 256 | 15.091408   | 6.657 | 2976  | 0.00189209  |
| satellite32.bmp | satellite32.bmp-withWavelet_haar-G_0.6-H0.0001_af2.wfa    | 1572864 | 524288 | 524288 | 9  | 2832  | 72  | 72  | 32 | 256 | 15.09679248 | 6.547 | 2976  | 0.00189209  |
| satellite32.bmp | satellite32.bmp-withWavelet_rbio1.1-G_0.6-H0.0001_af2.wfa | 1572864 | 524288 | 524288 | 9  | 2832  | 72  | 72  | 32 | 256 | 15.09679248 | 6.563 | 2976  | 0.00189209  |
| satellite32.bmp | satellite32.bmp-withWavelet_sym1-G_0.6-H0.0001_af2.wfa    | 1572864 | 524288 | 524288 | 9  | 2832  | 72  | 72  | 32 | 256 | 15.09679248 | 6.563 | 2976  | 0.00189209  |
| satellite32.bmp | satellite32.bmp-withWavelet_bior1.1-G_0.6-H0.0001_af2.wfa | 1572864 | 524288 | 524288 | 9  | 2832  | 72  | 72  | 32 | 256 | 15.09679248 | 6.594 | 2976  | 0.00189209  |
| satellite32.bmp | satellite32.bmp-G_1-H8e-005_af3.wfa                       | 98304   | 32768  |        | 12 | 4848  | 96  | 96  | 32 | 64  | 15.09684628 | 0.407 | 5040  | 0.051269531 |
| satellite32.bmp | satellite32.bmp-withWavelet_haar-G_1-H0.0001_af3.wfa      | 393216  | 131072 | 131072 | 19 | 11792 | 152 | 152 | 32 | 128 | 15.09732975 | 2.218 | 12096 | 0.030761719 |
| satellite32.bmp | satellite32.bmp-withWavelet_rbio1.1-G_1-H0.0001_af3.wfa   | 393216  | 131072 | 131072 | 19 | 11792 | 152 | 152 | 32 | 128 | 15.09732975 | 2.234 | 12096 | 0.030761719 |
| satellite32.bmp | satellite32.bmp-withWavelet_sym1-G_1-H0.0001_af3.wfa      | 393216  | 131072 | 131072 | 19 | 11792 | 152 | 152 | 32 | 128 | 15.09732975 | 2.234 | 12096 | 0.030761719 |
| satellite32.bmp | satellite32.bmp-withWavelet_bior1.1-G_1-H0.0001_af3.wfa   | 393216  | 131072 | 131072 | 19 | 11792 | 152 | 152 | 32 | 128 | 15.09732975 | 2.219 | 12096 | 0.030761719 |
| satellite32.bmp | satellite32.bmp-withWavelet_haar-G_1-H9e-005_af2.wfa      | 1572864 | 524288 | 524288 | 11 | 4112  | 88  | 88  | 32 | 256 | 15.10407801 | 6.938 | 4288  | 0.002726237 |
| satellite32.bmp | satellite32.bmp-withWavelet_rbio1.1-G_1-H9e-005_af2.wfa   | 1572864 | 524288 | 524288 | 11 | 4112  | 88  | 88  | 32 | 256 | 15.10407801 | 6.907 | 4288  | 0.002726237 |
| satellite32.bmp | satellite32.bmp-withWavelet_sym1-G_1-H9e-005_af2.wfa      | 1572864 | 524288 | 524288 | 11 | 4112  | 88  | 88  | 32 | 256 | 15.10407801 | 6.906 | 4288  | 0.002726237 |
| satellite32.bmp | satellite32.bmp-withWavelet_bior1.1-G_1-H9e-005_af2.wfa   | 1572864 | 524288 | 524288 | 11 | 4112  | 88  | 88  | 32 | 256 | 15.10407801 | 6.938 | 4288  | 0.002726237 |
| satellite32.bmp | satellite32.bmp-G_1-H2e-005_af3.wfa                       | 393216  | 131072 |        | 20 | 13040 | 160 | 160 | 32 | 128 | 15.11528287 | 2.266 | 13360 | 0.033976237 |
| satellite32.bmp | satellite32.bmp-G_1-H8e-005_af2.wfa                       | 393216  | 131072 |        | 12 | 4848  | 96  | 96  | 32 | 128 | 15.11657815 | 1.703 | 5040  | 0.012817383 |
| satellite32.bmp | satellite32.bmp-G_1-H9e-005_af2.wfa                       | 393216  | 131072 |        | 12 | 4848  | 96  | 96  | 32 | 128 | 15.11657815 | 1.688 | 5040  | 0.012817383 |
| satellite32.bmp | satellite32.bmp-G_1-H0.0001_af5.wfa                       | 393216  | 131072 |        | 10 | 3440  | 80  | 80  | 32 | 128 | 15.12470131 | 1.562 | 3600  | 0.009155273 |
| satellite32.bmp | satellite32.bmp-G_1-H4e-005_af1.wfa                       | 393216  | 131072 |        | 17 | 9488  | 136 | 136 | 32 | 128 | 15.12567561 | 2.016 | 9760  | 0.024820964 |
| satellite32.bmp | satellite32.bmp-withWavelet_haar-G_0.8-H0.0001_af3.wfa    | 393216  | 131072 | 131072 | 18 | 10608 | 144 | 144 | 32 | 128 | 15.1274967  | 2.078 | 10896 | 0.027709961 |
| satellite32.bmp | satellite32.bmp-withWavelet_rbio1.1-G_0.8-H0.0001_af3.wfa | 393216  | 131072 | 131072 | 18 | 10608 | 144 | 144 | 32 | 128 | 15.1274967  | 2.062 | 10896 | 0.027709961 |
| satellite32.bmp | satellite32.bmp-withWavelet_sym1-G_0.8-H0.0001_af3.wfa    | 393216  | 131072 | 131072 | 18 | 10608 | 144 | 144 | 32 | 128 | 15.1274967  | 2.187 | 10896 | 0.027709961 |
| satellite32.bmp | satellite32.bmp-withWavelet_bior1.1-G_0.8-H0.0001_af3.wfa | 393216  | 131072 | 131072 | 18 | 10608 | 144 | 144 | 32 | 128 | 15.1274967  | 2.047 | 10896 | 0.027709961 |
| satellite32.bmp | satellite32.bmp-G_1-H9e-005_af5.wfa                       | 393216  | 131072 |        | 11 | 4112  | 88  | 88  | 32 | 128 | 15.13105669 | 1.813 | 4288  | 0.010904948 |
| satellite32.bmp | satellite32.bmp-withWavelet_haar-G_0.8-H0.0001_af1.wfa    | 98304   | 32768  | 32768  | 21 | 14352 | 168 | 168 | 32 | 64  | 15.13321233 | 0.578 | 14688 | 0.149414063 |
| satellite32.bmp | satellite32.bmp-withWavelet_rbio1.1-G_0.8-H0.0001_af1.wfa | 98304   | 32768  | 32768  | 21 | 14352 | 168 | 168 | 32 | 64  | 15.13321233 | 0.563 | 14688 | 0.149414063 |
| satellite32.bmp | satellite32.bmp-withWavelet_sym1-G_0.8-H0.0001_af1.wfa    | 98304   | 32768  | 32768  | 21 | 14352 | 168 | 168 | 32 | 64  | 15.13321233 | 0.578 | 14688 | 0.149414063 |



|                 |   |         |        |        |    |       |     |     |    |     |             |        |       |             |
|-----------------|---|---------|--------|--------|----|-------|-----|-----|----|-----|-------------|--------|-------|-------------|
| satellite32.bmp | satellite32.bmp-withWavelet_bior1.1-G_0.8-H0.0001_af1.wfa | 98304   | 32768  | 32768  | 21 | 14352 | 168 | 168 | 32 | 64  | 15.13321233 | 0.562  | 14688 | 0.149414063 |
| satellite32.bmp | satellite32.bmp-withWavelet_haar-G_0.8-H6e-005_af3.wfa    | 1572864 | 524288 | 524288 | 25 | 20240 | 200 | 200 | 32 | 256 | 15.13395273 | 14.531 | 20640 | 0.013122559 |
| satellite32.bmp | satellite32.bmp-withWavelet_rbio1.1-G_0.8-H6e-005_af3.wfa | 1572864 | 524288 | 524288 | 25 | 20240 | 200 | 200 | 32 | 256 | 15.13395273 | 14.547 | 20640 | 0.013122559 |
| satellite32.bmp | satellite32.bmp-withWavelet_sym1-G_0.8-H6e-005_af3.wfa    | 1572864 | 524288 | 524288 | 25 | 20240 | 200 | 200 | 32 | 256 | 15.13395273 | 14.563 | 20640 | 0.013122559 |
| satellite32.bmp | satellite32.bmp-withWavelet_bior1.1-G_0.8-H6e-005_af3.wfa | 1572864 | 524288 | 524288 | 25 | 20240 | 200 | 200 | 32 | 256 | 15.13395273 | 14.469 | 20640 | 0.013122559 |
| satellite32.bmp | satellite32.bmp-G_1-H3e-005_af1.wfa                       | 393216  | 131072 |        | 18 | 10608 | 144 | 144 | 32 | 128 | 15.13952388 | 2.078  | 10896 | 0.027709961 |
| satellite32.bmp | satellite32.bmp-withWavelet_haar-G_1-H7e-005_af1.wfa      | 1572864 | 524288 | 524288 | 23 | 17168 | 184 | 184 | 32 | 256 | 15.14444726 | 13.094 | 17536 | 0.011149089 |
| satellite32.bmp | satellite32.bmp-withWavelet_rbio1.1-G_1-H7e-005_af1.wfa   | 1572864 | 524288 | 524288 | 23 | 17168 | 184 | 184 | 32 | 256 | 15.14444726 | 12.968 | 17536 | 0.011149089 |
| satellite32.bmp | satellite32.bmp-withWavelet_sym1-G_1-H7e-005_af1.wfa      | 1572864 | 524288 | 524288 | 23 | 17168 | 184 | 184 | 32 | 256 | 15.14444726 | 13.11  | 17536 | 0.011149089 |
| satellite32.bmp | satellite32.bmp-withWavelet_bior1.1-G_1-H7e-005_af1.wfa   | 1572864 | 524288 | 524288 | 23 | 17168 | 184 | 184 | 32 | 256 | 15.14444726 | 13.015 | 17536 | 0.011149089 |
| satellite32.bmp | satellite32.bmp-withWavelet_haar-G_0.8-H8e-005_af1.wfa    | 1572864 | 524288 | 524288 | 22 | 15728 | 176 | 176 | 32 | 256 | 15.14782849 | 10.984 | 16080 | 0.010223389 |
| satellite32.bmp | satellite32.bmp-withWavelet_rbio1.1-G_0.8-H8e-005_af1.wfa | 1572864 | 524288 | 524288 | 22 | 15728 | 176 | 176 | 32 | 256 | 15.14782849 | 11.062 | 16080 | 0.010223389 |
| satellite32.bmp | satellite32.bmp-withWavelet_sym1-G_0.8-H8e-005_af1.wfa    | 1572864 | 524288 | 524288 | 22 | 15728 | 176 | 176 | 32 | 256 | 15.14782849 | 11.015 | 16080 | 0.010223389 |
| satellite32.bmp | satellite32.bmp-withWavelet_bior1.1-G_0.8-H8e-005_af1.wfa | 1572864 | 524288 | 524288 | 22 | 15728 | 176 | 176 | 32 | 256 | 15.14782849 | 11.063 | 16080 | 0.010223389 |
| satellite32.bmp | satellite32.bmp-G_1-H1e-005_af3.wfa                       | 393216  | 131072 |        | 22 | 15728 | 176 | 176 | 32 | 128 | 15.14794101 | 2.563  | 16080 | 0.040893555 |
| satellite32.bmp | satellite32.bmp-withWavelet_haar-G_0.8-H0.0001_af1.wfa    | 1572864 | 524288 | 524288 | 21 | 14352 | 168 | 168 | 32 | 256 | 15.1529219  | 10.61  | 14688 | 0.009338379 |
| satellite32.bmp | satellite32.bmp-withWavelet_rbio1.1-G_0.8-H0.0001_af1.wfa | 1572864 | 524288 | 524288 | 21 | 14352 | 168 | 168 | 32 | 256 | 15.1529219  | 10.641 | 14688 | 0.009338379 |
| satellite32.bmp | satellite32.bmp-withWavelet_sym1-G_0.8-H0.0001_af1.wfa    | 1572864 | 524288 | 524288 | 21 | 14352 | 168 | 168 | 32 | 256 | 15.1529219  | 10.609 | 14688 | 0.009338379 |
| satellite32.bmp | satellite32.bmp-withWavelet_bior1.1-G_0.8-H0.0001_af1.wfa | 1572864 | 524288 | 524288 | 21 | 14352 | 168 | 168 | 32 | 256 | 15.1529219  | 10.593 | 14688 | 0.009338379 |
| satellite32.bmp | satellite32.bmp-withWavelet_haar-G_1-H6e-005_af3.wfa      | 1572864 | 524288 | 524288 | 25 | 20240 | 200 | 200 | 32 | 256 | 15.15374775 | 14.546 | 20640 | 0.013122559 |
| satellite32.bmp | satellite32.bmp-withWavelet_rbio1.1-G_1-H6e-005_af3.wfa   | 1572864 | 524288 | 524288 | 25 | 20240 | 200 | 200 | 32 | 256 | 15.15374775 | 14.516 | 20640 | 0.013122559 |
| satellite32.bmp | satellite32.bmp-withWavelet_sym1-G_1-H6e-005_af3.wfa      | 1572864 | 524288 | 524288 | 25 | 20240 | 200 | 200 | 32 | 256 | 15.15374775 | 14.437 | 20640 | 0.013122559 |
| satellite32.bmp | satellite32.bmp-withWavelet_bior1.1-G_1-H6e-005_af3.wfa   | 1572864 | 524288 | 524288 | 25 | 20240 | 200 | 200 | 32 | 256 | 15.15374775 | 14.437 | 20640 | 0.013122559 |
| satellite32.bmp | satellite32.bmp-G_1-H1e-005_af4.wfa                       | 1572864 | 524288 |        | 5  | 1040  | 40  | 40  | 32 | 256 | 15.15383457 | 6      | 1120  | 0.000712077 |
| satellite32.bmp | satellite32.bmp-G_1-H2e-005_af4.wfa                       | 1572864 | 524288 |        | 5  | 1040  | 40  | 40  | 32 | 256 | 15.15383457 | 5.953  | 1120  | 0.000712077 |
| satellite32.bmp | satellite32.bmp-G_1-H3e-005_af4.wfa                       | 1572864 | 524288 |        | 5  | 1040  | 40  | 40  | 32 | 256 | 15.15383457 | 5.937  | 1120  | 0.000712077 |
| satellite32.bmp | satellite32.bmp-G_1-H4e-005_af4.wfa                       | 1572864 | 524288 |        | 5  | 1040  | 40  | 40  | 32 | 256 | 15.15383457 | 5.953  | 1120  | 0.000712077 |
| satellite32.bmp | satellite32.bmp-G_1-H5e-005_af4.wfa                       | 1572864 | 524288 |        | 5  | 1040  | 40  | 40  | 32 | 256 | 15.15383457 | 5.984  | 1120  | 0.000712077 |
| satellite32.bmp | satellite32.bmp-G_1-H6e-005_af4.wfa                       | 1572864 | 524288 |        | 5  | 1040  | 40  | 40  | 32 | 256 | 15.15383457 | 6      | 1120  | 0.000712077 |
| satellite32.bmp | satellite32.bmp-G_1-H7e-005_af4.wfa                       | 1572864 | 524288 |        | 5  | 1040  | 40  | 40  | 32 | 256 | 15.15383457 | 6.063  | 1120  | 0.000712077 |
| satellite32.bmp | satellite32.bmp-G_1-H8e-005_af4.wfa                       | 1572864 | 524288 |        | 5  | 1040  | 40  | 40  | 32 | 256 | 15.15383457 | 6.109  | 1120  | 0.000712077 |

|                 |   |         |        |        |    |       |     |     |    |     |             |        |       |             |
|-----------------|---|---------|--------|--------|----|-------|-----|-----|----|-----|-------------|--------|-------|-------------|
| satellite32.bmp | satellite32.bmp-G_1-H9e-005_af4.wfa                       | 1572864 | 524288 |        | 5  | 1040  | 40  | 40  | 32 | 256 | 15.15383457 | 6.015  | 1120  | 0.000712077 |
| satellite32.bmp | satellite32.bmp-G_1-H0.0001_af1.wfa                       | 1572864 | 524288 |        | 5  | 1040  | 40  | 40  | 32 | 256 | 15.15383457 | 5.984  | 1120  | 0.000712077 |
| satellite32.bmp | satellite32.bmp-G_1-H0.0001_af4.wfa                       | 1572864 | 524288 |        | 5  | 1040  | 40  | 40  | 32 | 256 | 15.15383457 | 5.969  | 1120  | 0.000712077 |
| satellite32.bmp | satellite32.bmp-withWavelet_haar-G_0.8-H8e-005_af1.wfa    | 98304   | 32768  | 32768  | 22 | 15728 | 176 | 176 | 32 | 64  | 15.15592052 | 0.579  | 16080 | 0.163574219 |
| satellite32.bmp | satellite32.bmp-withWavelet_rbio1.1-G_0.8-H8e-005_af1.wfa | 98304   | 32768  | 32768  | 22 | 15728 | 176 | 176 | 32 | 64  | 15.15592052 | 0.578  | 16080 | 0.163574219 |
| satellite32.bmp | satellite32.bmp-withWavelet_sym1-G_0.8-H8e-005_af1.wfa    | 98304   | 32768  | 32768  | 22 | 15728 | 176 | 176 | 32 | 64  | 15.15592052 | 0.593  | 16080 | 0.163574219 |
| satellite32.bmp | satellite32.bmp-withWavelet_bior1.1-G_0.8-H8e-005_af1.wfa | 98304   | 32768  | 32768  | 22 | 15728 | 176 | 176 | 32 | 64  | 15.15592052 | 0.578  | 16080 | 0.163574219 |
| satellite32.bmp | satellite32.bmp-G_1-H6e-005_af3.wfa                       | 98304   | 32768  |        | 13 | 5648  | 104 | 104 | 32 | 64  | 15.15975292 | 0.422  | 5856  | 0.059570313 |
| satellite32.bmp | satellite32.bmp-G_1-H7e-005_af3.wfa                       | 98304   | 32768  |        | 13 | 5648  | 104 | 104 | 32 | 64  | 15.15975292 | 0.453  | 5856  | 0.059570313 |
| satellite32.bmp | satellite32.bmp-withWavelet_haar-G_0.8-H6e-005_af4.wfa    | 1572864 | 524288 | 524288 | 24 | 18672 | 192 | 192 | 32 | 256 | 15.16086445 | 13.563 | 19056 | 0.012115479 |
| satellite32.bmp | satellite32.bmp-withWavelet_rbio1.1-G_0.8-H6e-005_af4.wfa | 1572864 | 524288 | 524288 | 24 | 18672 | 192 | 192 | 32 | 256 | 15.16086445 | 13.531 | 19056 | 0.012115479 |
| satellite32.bmp | satellite32.bmp-withWavelet_sym1-G_0.8-H6e-005_af4.wfa    | 1572864 | 524288 | 524288 | 24 | 18672 | 192 | 192 | 32 | 256 | 15.16086445 | 13.5   | 19056 | 0.012115479 |
| satellite32.bmp | satellite32.bmp-withWavelet_bior1.1-G_0.8-H6e-005_af4.wfa | 1572864 | 524288 | 524288 | 24 | 18672 | 192 | 192 | 32 | 256 | 15.16086445 | 13.609 | 19056 | 0.012115479 |
| satellite32.bmp | satellite32.bmp-withWavelet_haar-G_0.8-H9e-005_af1.wfa    | 98304   | 32768  | 32768  | 21 | 14352 | 168 | 168 | 32 | 64  | 15.16643717 | 0.578  | 14688 | 0.149414063 |
| satellite32.bmp | satellite32.bmp-withWavelet_rbio1.1-G_0.8-H9e-005_af1.wfa | 98304   | 32768  | 32768  | 21 | 14352 | 168 | 168 | 32 | 64  | 15.16643717 | 0.562  | 14688 | 0.149414063 |
| satellite32.bmp | satellite32.bmp-withWavelet_sym1-G_0.8-H9e-005_af1.wfa    | 98304   | 32768  | 32768  | 21 | 14352 | 168 | 168 | 32 | 64  | 15.16643717 | 0.563  | 14688 | 0.149414063 |
| satellite32.bmp | satellite32.bmp-withWavelet_bior1.1-G_0.8-H9e-005_af1.wfa | 98304   | 32768  | 32768  | 21 | 14352 | 168 | 168 | 32 | 64  | 15.16643717 | 0.578  | 14688 | 0.149414063 |
| satellite32.bmp | satellite32.bmp-G_1-H0.0001_af2.wfa                       | 98304   | 32768  |        | 11 | 4112  | 88  | 88  | 32 | 64  | 15.16711567 | 0.406  | 4288  | 0.043619792 |
| satellite32.bmp | satellite32.bmp-withWavelet_haar-G_0.6-H0.0001_af3.wfa    | 98304   | 32768  | 32768  | 18 | 10608 | 144 | 144 | 32 | 64  | 15.17384147 | 0.484  | 10896 | 0.110839844 |
| satellite32.bmp | satellite32.bmp-withWavelet_rbio1.1-G_0.6-H0.0001_af3.wfa | 98304   | 32768  | 32768  | 18 | 10608 | 144 | 144 | 32 | 64  | 15.17384147 | 0.485  | 10896 | 0.110839844 |
| satellite32.bmp | satellite32.bmp-withWavelet_sym1-G_0.6-H0.0001_af3.wfa    | 98304   | 32768  | 32768  | 18 | 10608 | 144 | 144 | 32 | 64  | 15.17384147 | 0.5    | 10896 | 0.110839844 |
| satellite32.bmp | satellite32.bmp-withWavelet_bior1.1-G_0.6-H0.0001_af3.wfa | 98304   | 32768  | 32768  | 18 | 10608 | 144 | 144 | 32 | 64  | 15.17384147 | 0.5    | 10896 | 0.110839844 |
| satellite32.bmp | satellite32.bmp-withWavelet_haar-G_1-H8e-005_af1.wfa      | 98304   | 32768  | 32768  | 22 | 15728 | 176 | 176 | 32 | 64  | 15.17751805 | 0.578  | 16080 | 0.163574219 |
| satellite32.bmp | satellite32.bmp-withWavelet_rbio1.1-G_1-H8e-005_af1.wfa   | 98304   | 32768  | 32768  | 22 | 15728 | 176 | 176 | 32 | 64  | 15.17751805 | 0.593  | 16080 | 0.163574219 |
| satellite32.bmp | satellite32.bmp-withWavelet_sym1-G_1-H8e-005_af1.wfa      | 98304   | 32768  | 32768  | 22 | 15728 | 176 | 176 | 32 | 64  | 15.17751805 | 0.578  | 16080 | 0.163574219 |
| satellite32.bmp | satellite32.bmp-withWavelet_bior1.1-G_1-H8e-005_af1.wfa   | 98304   | 32768  | 32768  | 22 | 15728 | 176 | 176 | 32 | 64  | 15.17751805 | 0.578  | 16080 | 0.163574219 |
| satellite32.bmp | satellite32.bmp-withWavelet_haar-G_1-H0.0001_af1.wfa      | 1572864 | 524288 | 524288 | 22 | 15728 | 176 | 176 | 32 | 256 | 15.1832517  | 10.954 | 16080 | 0.010223389 |
| satellite32.bmp | satellite32.bmp-withWavelet_rbio1.1-G_1-H0.0001_af1.wfa   | 1572864 | 524288 | 524288 | 22 | 15728 | 176 | 176 | 32 | 256 | 15.1832517  | 10.968 | 16080 | 0.010223389 |
| satellite32.bmp | satellite32.bmp-withWavelet_sym1-G_1-H0.0001_af1.wfa      | 1572864 | 524288 | 524288 | 22 | 15728 | 176 | 176 | 32 | 256 | 15.1832517  | 10.969 | 16080 | 0.010223389 |
| satellite32.bmp | satellite32.bmp-withWavelet_bior1.1-G_1-H0.0001_af1.wfa   | 1572864 | 524288 | 524288 | 22 | 15728 | 176 | 176 | 32 | 256 | 15.1832517  | 11     | 16080 | 0.010223389 |
| satellite32.bmp | satellite32.bmp-G_1-H4e-005_af3.wfa                       | 98304   | 32768  |        | 14 | 6512  | 112 | 112 | 32 | 64  | 15.18357891 | 0.422  | 6736  | 0.068522135 |

|                 |   |         |        |        |    |       |     |     |    |     |             |        |       |             |
|-----------------|---|---------|--------|--------|----|-------|-----|-----|----|-----|-------------|--------|-------|-------------|
| satellite32.bmp | satellite32.bmp-G_1-H5e-005_af3.wfa                       | 98304   | 32768  |        | 14 | 6512  | 112 | 112 | 32 | 64  | 15.18357891 | 0.437  | 6736  | 0.068522135 |
| satellite32.bmp | satellite32.bmp-withWavelet_haar-G_1-H8e-005_af1.wfa      | 1572864 | 524288 | 524288 | 22 | 15728 | 176 | 176 | 32 | 256 | 15.18389015 | 11.031 | 16080 | 0.010223389 |
| satellite32.bmp | satellite32.bmp-withWavelet_rbio1.1-G_1-H8e-005_af1.wfa   | 1572864 | 524288 | 524288 | 22 | 15728 | 176 | 176 | 32 | 256 | 15.18389015 | 11.078 | 16080 | 0.010223389 |
| satellite32.bmp | satellite32.bmp-withWavelet_sym1-G_1-H8e-005_af1.wfa      | 1572864 | 524288 | 524288 | 22 | 15728 | 176 | 176 | 32 | 256 | 15.18389015 | 11.047 | 16080 | 0.010223389 |
| satellite32.bmp | satellite32.bmp-withWavelet_bior1.1-G_1-H8e-005_af1.wfa   | 1572864 | 524288 | 524288 | 22 | 15728 | 176 | 176 | 32 | 256 | 15.18389015 | 11.079 | 16080 | 0.010223389 |
| satellite32.bmp | satellite32.bmp-G_1-H8e-005_af1.wfa                       | 1572864 | 524288 |        | 6  | 1392  | 48  | 48  | 32 | 256 | 15.18415065 | 6.312  | 1488  | 0.000946045 |
| satellite32.bmp | satellite32.bmp-withWavelet_haar-G_1-H0.0001_af1.wfa      | 98304   | 32768  | 32768  | 22 | 15728 | 176 | 176 | 32 | 64  | 15.18598597 | 0.61   | 16080 | 0.163574219 |
| satellite32.bmp | satellite32.bmp-withWavelet_rbio1.1-G_1-H0.0001_af1.wfa   | 98304   | 32768  | 32768  | 22 | 15728 | 176 | 176 | 32 | 64  | 15.18598597 | 0.625  | 16080 | 0.163574219 |
| satellite32.bmp | satellite32.bmp-withWavelet_sym1-G_1-H0.0001_af1.wfa      | 98304   | 32768  | 32768  | 22 | 15728 | 176 | 176 | 32 | 64  | 15.18598597 | 0.594  | 16080 | 0.163574219 |
| satellite32.bmp | satellite32.bmp-withWavelet_bior1.1-G_1-H0.0001_af1.wfa   | 98304   | 32768  | 32768  | 22 | 15728 | 176 | 176 | 32 | 64  | 15.18598597 | 0.593  | 16080 | 0.163574219 |
| satellite32.bmp | satellite32.bmp-withWavelet_haar-G_0.8-H0.0001_af4.wfa    | 393216  | 131072 | 131072 | 18 | 10608 | 144 | 144 | 32 | 128 | 15.18739671 | 2.078  | 10896 | 0.027709961 |
| satellite32.bmp | satellite32.bmp-withWavelet_rbio1.1-G_0.8-H0.0001_af4.wfa | 393216  | 131072 | 131072 | 18 | 10608 | 144 | 144 | 32 | 128 | 15.18739671 | 2.078  | 10896 | 0.027709961 |
| satellite32.bmp | satellite32.bmp-withWavelet_sym1-G_0.8-H0.0001_af4.wfa    | 393216  | 131072 | 131072 | 18 | 10608 | 144 | 144 | 32 | 128 | 15.18739671 | 2.078  | 10896 | 0.027709961 |
| satellite32.bmp | satellite32.bmp-withWavelet_bior1.1-G_0.8-H0.0001_af4.wfa | 393216  | 131072 | 131072 | 18 | 10608 | 144 | 144 | 32 | 128 | 15.18739671 | 2.078  | 10896 | 0.027709961 |
| satellite32.bmp | satellite32.bmp-G_1-H9e-005_af1.wfa                       | 1572864 | 524288 |        | 6  | 1392  | 48  | 48  | 32 | 256 | 15.18783329 | 6.281  | 1488  | 0.000946045 |
| satellite32.bmp | satellite32.bmp-withWavelet_haar-G_0.8-H9e-005_af1.wfa    | 1572864 | 524288 | 524288 | 21 | 14352 | 168 | 168 | 32 | 256 | 15.18796022 | 10.609 | 14688 | 0.009338379 |
| satellite32.bmp | satellite32.bmp-withWavelet_rbio1.1-G_0.8-H9e-005_af1.wfa | 1572864 | 524288 | 524288 | 21 | 14352 | 168 | 168 | 32 | 256 | 15.18796022 | 10.579 | 14688 | 0.009338379 |
| satellite32.bmp | satellite32.bmp-withWavelet_sym1-G_0.8-H9e-005_af1.wfa    | 1572864 | 524288 | 524288 | 21 | 14352 | 168 | 168 | 32 | 256 | 15.18796022 | 10.547 | 14688 | 0.009338379 |
| satellite32.bmp | satellite32.bmp-withWavelet_bior1.1-G_0.8-H9e-005_af1.wfa | 1572864 | 524288 | 524288 | 21 | 14352 | 168 | 168 | 32 | 256 | 15.18796022 | 10.672 | 14688 | 0.009338379 |
| satellite32.bmp | satellite32.bmp-G_1-H3e-005_af3.wfa                       | 98304   | 32768  |        | 17 | 9488  | 136 | 136 | 32 | 64  | 15.1884045  | 0.5    | 9760  | 0.099283854 |
| satellite32.bmp | satellite32.bmp-withWavelet_haar-G_0.8-H7e-005_af3.wfa    | 1572864 | 524288 | 524288 | 23 | 17168 | 184 | 184 | 32 | 256 | 15.19057581 | 13.015 | 17536 | 0.011149089 |
| satellite32.bmp | satellite32.bmp-withWavelet_rbio1.1-G_0.8-H7e-005_af3.wfa | 1572864 | 524288 | 524288 | 23 | 17168 | 184 | 184 | 32 | 256 | 15.19057581 | 12.968 | 17536 | 0.011149089 |
| satellite32.bmp | satellite32.bmp-withWavelet_sym1-G_0.8-H7e-005_af3.wfa    | 1572864 | 524288 | 524288 | 23 | 17168 | 184 | 184 | 32 | 256 | 15.19057581 | 13.109 | 17536 | 0.011149089 |
| satellite32.bmp | satellite32.bmp-withWavelet_bior1.1-G_0.8-H7e-005_af3.wfa | 1572864 | 524288 | 524288 | 23 | 17168 | 184 | 184 | 32 | 256 | 15.19057581 | 12.938 | 17536 | 0.011149089 |
| satellite32.bmp | satellite32.bmp-G_1-H6e-005_af1.wfa                       | 98304   | 32768  |        | 14 | 6512  | 112 | 112 | 32 | 64  | 15.19299796 | 0.438  | 6736  | 0.068522135 |
| satellite32.bmp | satellite32.bmp-withWavelet_haar-G_1-H6e-005_af4.wfa      | 1572864 | 524288 | 524288 | 24 | 18672 | 192 | 192 | 32 | 256 | 15.19447522 | 13.438 | 19056 | 0.012115479 |
| satellite32.bmp | satellite32.bmp-withWavelet_rbio1.1-G_1-H6e-005_af4.wfa   | 1572864 | 524288 | 524288 | 24 | 18672 | 192 | 192 | 32 | 256 | 15.19447522 | 13.313 | 19056 | 0.012115479 |
| satellite32.bmp | satellite32.bmp-withWavelet_sym1-G_1-H6e-005_af4.wfa      | 1572864 | 524288 | 524288 | 24 | 18672 | 192 | 192 | 32 | 256 | 15.19447522 | 13.547 | 19056 | 0.012115479 |
| satellite32.bmp | satellite32.bmp-withWavelet_bior1.1-G_1-H6e-005_af4.wfa   | 1572864 | 524288 | 524288 | 24 | 18672 | 192 | 192 | 32 | 256 | 15.19447522 | 13.5   | 19056 | 0.012115479 |
| satellite32.bmp | satellite32.bmp-withWavelet_haar-G_0.8-H6e-005_af4.wfa    | 98304   | 32768  | 32768  | 24 | 18672 | 192 | 192 | 32 | 64  | 15.19849829 | 0.703  | 19056 | 0.193847656 |
| satellite32.bmp | satellite32.bmp-withWavelet_rbio1.1-G_0.8-H6e-005_af4.wfa | 98304   | 32768  | 32768  | 24 | 18672 | 192 | 192 | 32 | 64  | 15.19849829 | 0.704  | 19056 | 0.193847656 |

|                 |   |         |        |        |    |       |     |     |    |     |             |        |       |             |
|-----------------|---|---------|--------|--------|----|-------|-----|-----|----|-----|-------------|--------|-------|-------------|
| satellite32.bmp | satellite32.bmp-withWavelet_sym1-G_0.8-H6e-005_af4.wfa    | 98304   | 32768  | 32768  | 24 | 18672 | 192 | 192 | 32 | 64  | 15.19849829 | 0.703  | 19056 | 0.193847656 |
| satellite32.bmp | satellite32.bmp-withWavelet_bior1.1-G_0.8-H6e-005_af4.wfa | 98304   | 32768  | 32768  | 24 | 18672 | 192 | 192 | 32 | 64  | 15.19849829 | 0.703  | 19056 | 0.193847656 |
| satellite32.bmp | satellite32.bmp-withWavelet_haar-G_1-H7e-005_af1.wfa      | 98304   | 32768  | 32768  | 23 | 17168 | 184 | 184 | 32 | 64  | 15.20117775 | 0.703  | 17536 | 0.178385417 |
| satellite32.bmp | satellite32.bmp-withWavelet_rbio1.1-G_1-H7e-005_af1.wfa   | 98304   | 32768  | 32768  | 23 | 17168 | 184 | 184 | 32 | 64  | 15.20117775 | 0.671  | 17536 | 0.178385417 |
| satellite32.bmp | satellite32.bmp-withWavelet_sym1-G_1-H7e-005_af1.wfa      | 98304   | 32768  | 32768  | 23 | 17168 | 184 | 184 | 32 | 64  | 15.20117775 | 0.688  | 17536 | 0.178385417 |
| satellite32.bmp | satellite32.bmp-withWavelet_bior1.1-G_1-H7e-005_af1.wfa   | 98304   | 32768  | 32768  | 23 | 17168 | 184 | 184 | 32 | 64  | 15.20117775 | 0.688  | 17536 | 0.178385417 |
| satellite32.bmp | satellite32.bmp-withWavelet_haar-G_0.8-H7e-005_af4.wfa    | 98304   | 32768  | 32768  | 22 | 15728 | 176 | 176 | 32 | 64  | 15.20985101 | 0.593  | 16080 | 0.163574219 |
| satellite32.bmp | satellite32.bmp-withWavelet_rbio1.1-G_0.8-H7e-005_af4.wfa | 98304   | 32768  | 32768  | 22 | 15728 | 176 | 176 | 32 | 64  | 15.20985101 | 0.578  | 16080 | 0.163574219 |
| satellite32.bmp | satellite32.bmp-withWavelet_sym1-G_0.8-H7e-005_af4.wfa    | 98304   | 32768  | 32768  | 22 | 15728 | 176 | 176 | 32 | 64  | 15.20985101 | 0.578  | 16080 | 0.163574219 |
| satellite32.bmp | satellite32.bmp-withWavelet_bior1.1-G_0.8-H7e-005_af4.wfa | 98304   | 32768  | 32768  | 22 | 15728 | 176 | 176 | 32 | 64  | 15.20985101 | 0.594  | 16080 | 0.163574219 |
| satellite32.bmp | satellite32.bmp-G_1-H7e-005_af1.wfa                       | 1572864 | 524288 |        | 7  | 1808  | 56  | 56  | 32 | 256 | 15.21127158 | 6.422  | 1920  | 0.001220703 |
| satellite32.bmp | satellite32.bmp-withWavelet_haar-G_0.8-H6e-005_af3.wfa    | 98304   | 32768  | 32768  | 25 | 20240 | 200 | 200 | 32 | 64  | 15.21320401 | 0.766  | 20640 | 0.209960938 |
| satellite32.bmp | satellite32.bmp-withWavelet_rbio1.1-G_0.8-H6e-005_af3.wfa | 98304   | 32768  | 32768  | 25 | 20240 | 200 | 200 | 32 | 64  | 15.21320401 | 0.765  | 20640 | 0.209960938 |
| satellite32.bmp | satellite32.bmp-withWavelet_sym1-G_0.8-H6e-005_af3.wfa    | 98304   | 32768  | 32768  | 25 | 20240 | 200 | 200 | 32 | 64  | 15.21320401 | 0.766  | 20640 | 0.209960938 |
| satellite32.bmp | satellite32.bmp-withWavelet_bior1.1-G_0.8-H6e-005_af3.wfa | 98304   | 32768  | 32768  | 25 | 20240 | 200 | 200 | 32 | 64  | 15.21320401 | 0.75   | 20640 | 0.209960938 |
| satellite32.bmp | satellite32.bmp-G_1-H2e-005_af1.wfa                       | 393216  | 131072 |        | 21 | 14352 | 168 | 168 | 32 | 128 | 15.21489616 | 2.438  | 14688 | 0.037353516 |
| satellite32.bmp | satellite32.bmp-G_1-H1e-005_af1.wfa                       | 393216  | 131072 |        | 22 | 15728 | 176 | 176 | 32 | 128 | 15.22029026 | 2.547  | 16080 | 0.040893555 |
| satellite32.bmp | satellite32.bmp-G_1-H7e-005_af2.wfa                       | 393216  | 131072 |        | 14 | 6512  | 112 | 112 | 32 | 128 | 15.22038174 | 1.781  | 6736  | 0.017130534 |
| satellite32.bmp | satellite32.bmp-withWavelet_haar-G_1-H0.0001_af4.wfa      | 393216  | 131072 | 131072 | 18 | 10608 | 144 | 144 | 32 | 128 | 15.22154185 | 2.078  | 10896 | 0.027709961 |
| satellite32.bmp | satellite32.bmp-withWavelet_rbio1.1-G_1-H0.0001_af4.wfa   | 393216  | 131072 | 131072 | 18 | 10608 | 144 | 144 | 32 | 128 | 15.22154185 | 2.063  | 10896 | 0.027709961 |
| satellite32.bmp | satellite32.bmp-withWavelet_sym1-G_1-H0.0001_af4.wfa      | 393216  | 131072 | 131072 | 18 | 10608 | 144 | 144 | 32 | 128 | 15.22154185 | 2.078  | 10896 | 0.027709961 |
| satellite32.bmp | satellite32.bmp-withWavelet_bior1.1-G_1-H0.0001_af4.wfa   | 393216  | 131072 | 131072 | 18 | 10608 | 144 | 144 | 32 | 128 | 15.22154185 | 2.094  | 10896 | 0.027709961 |
| satellite32.bmp | satellite32.bmp-G_1-H5e-005_af1.wfa                       | 98304   | 32768  |        | 15 | 7440  | 120 | 120 | 32 | 64  | 15.22770664 | 0.438  | 7680  | 0.078125    |
| satellite32.bmp | satellite32.bmp-withWavelet_haar-G_1-H6e-005_af4.wfa      | 98304   | 32768  | 32768  | 24 | 18672 | 192 | 192 | 32 | 64  | 15.22868207 | 0.718  | 19056 | 0.193847656 |
| satellite32.bmp | satellite32.bmp-withWavelet_rbio1.1-G_1-H6e-005_af4.wfa   | 98304   | 32768  | 32768  | 24 | 18672 | 192 | 192 | 32 | 64  | 15.22868207 | 0.703  | 19056 | 0.193847656 |
| satellite32.bmp | satellite32.bmp-withWavelet_sym1-G_1-H6e-005_af4.wfa      | 98304   | 32768  | 32768  | 24 | 18672 | 192 | 192 | 32 | 64  | 15.22868207 | 0.703  | 19056 | 0.193847656 |
| satellite32.bmp | satellite32.bmp-withWavelet_bior1.1-G_1-H6e-005_af4.wfa   | 98304   | 32768  | 32768  | 24 | 18672 | 192 | 192 | 32 | 64  | 15.22868207 | 0.703  | 19056 | 0.193847656 |
| satellite32.bmp | satellite32.bmp-withWavelet_haar-G_1-H9e-005_af1.wfa      | 1572864 | 524288 | 524288 | 21 | 14352 | 168 | 168 | 32 | 256 | 15.23022301 | 10.75  | 14688 | 0.009338379 |
| satellite32.bmp | satellite32.bmp-withWavelet_rbio1.1-G_1-H9e-005_af1.wfa   | 1572864 | 524288 | 524288 | 21 | 14352 | 168 | 168 | 32 | 256 | 15.23022301 | 10.75  | 14688 | 0.009338379 |
| satellite32.bmp | satellite32.bmp-withWavelet_sym1-G_1-H9e-005_af1.wfa      | 1572864 | 524288 | 524288 | 21 | 14352 | 168 | 168 | 32 | 256 | 15.23022301 | 10.703 | 14688 | 0.009338379 |
| satellite32.bmp | satellite32.bmp-withWavelet_bior1.1-G_1-H9e-005_af1.wfa   | 1572864 | 524288 | 524288 | 21 | 14352 | 168 | 168 | 32 | 256 | 15.23022301 | 10.719 | 14688 | 0.009338379 |

|                 |   |         |        |        |    |       |     |     |    |     |             |        |       |             |
|-----------------|---|---------|--------|--------|----|-------|-----|-----|----|-----|-------------|--------|-------|-------------|
| satellite32.bmp | satellite32.bmp-withWavelet_haar-G_0.8-H7e-005_af4.wfa    | 1572864 | 524288 | 524288 | 22 | 15728 | 176 | 176 | 32 | 256 | 15.23032431 | 11.031 | 16080 | 0.010223389 |
| satellite32.bmp | satellite32.bmp-withWavelet_rbio1.1-G_0.8-H7e-005_af4.wfa | 1572864 | 524288 | 524288 | 22 | 15728 | 176 | 176 | 32 | 256 | 15.23032431 | 11.297 | 16080 | 0.010223389 |
| satellite32.bmp | satellite32.bmp-withWavelet_sym1-G_0.8-H7e-005_af4.wfa    | 1572864 | 524288 | 524288 | 22 | 15728 | 176 | 176 | 32 | 256 | 15.23032431 | 11.062 | 16080 | 0.010223389 |
| satellite32.bmp | satellite32.bmp-withWavelet_bior1.1-G_0.8-H7e-005_af4.wfa | 1572864 | 524288 | 524288 | 22 | 15728 | 176 | 176 | 32 | 256 | 15.23032431 | 11.031 | 16080 | 0.010223389 |
| satellite32.bmp | satellite32.bmp-withWavelet_haar-G_1-H6e-005_af3.wfa      | 98304   | 32768  | 32768  | 25 | 20240 | 200 | 200 | 32 | 64  | 15.23094729 | 0.765  | 20640 | 0.209960938 |
| satellite32.bmp | satellite32.bmp-withWavelet_rbio1.1-G_1-H6e-005_af3.wfa   | 98304   | 32768  | 32768  | 25 | 20240 | 200 | 200 | 32 | 64  | 15.23094729 | 0.75   | 20640 | 0.209960938 |
| satellite32.bmp | satellite32.bmp-withWavelet_sym1-G_1-H6e-005_af3.wfa      | 98304   | 32768  | 32768  | 25 | 20240 | 200 | 200 | 32 | 64  | 15.23094729 | 0.75   | 20640 | 0.209960938 |
| satellite32.bmp | satellite32.bmp-withWavelet_bior1.1-G_1-H6e-005_af3.wfa   | 98304   | 32768  | 32768  | 25 | 20240 | 200 | 200 | 32 | 64  | 15.23094729 | 0.75   | 20640 | 0.209960938 |
| satellite32.bmp | satellite32.bmp-G_1-H8e-005_af5.wfa                       | 393216  | 131072 |        | 13 | 5648  | 104 | 104 | 32 | 128 | 15.23853781 | 1.766  | 5856  | 0.014892578 |
| satellite32.bmp | satellite32.bmp-withWavelet_haar-G_1-H9e-005_af1.wfa      | 98304   | 32768  | 32768  | 21 | 14352 | 168 | 168 | 32 | 64  | 15.24011361 | 0.594  | 14688 | 0.149414063 |
| satellite32.bmp | satellite32.bmp-withWavelet_rbio1.1-G_1-H9e-005_af1.wfa   | 98304   | 32768  | 32768  | 21 | 14352 | 168 | 168 | 32 | 64  | 15.24011361 | 0.562  | 14688 | 0.149414063 |
| satellite32.bmp | satellite32.bmp-withWavelet_sym1-G_1-H9e-005_af1.wfa      | 98304   | 32768  | 32768  | 21 | 14352 | 168 | 168 | 32 | 64  | 15.24011361 | 0.578  | 14688 | 0.149414063 |
| satellite32.bmp | satellite32.bmp-withWavelet_bior1.1-G_1-H9e-005_af1.wfa   | 98304   | 32768  | 32768  | 21 | 14352 | 168 | 168 | 32 | 64  | 15.24011361 | 0.578  | 14688 | 0.149414063 |
| satellite32.bmp | satellite32.bmp-G_1-H7e-005_af5.wfa                       | 393216  | 131072 |        | 13 | 5648  | 104 | 104 | 32 | 128 | 15.24570956 | 1.734  | 5856  | 0.014892578 |
| satellite32.bmp | satellite32.bmp-withWavelet_haar-G_1-H7e-005_af4.wfa      | 98304   | 32768  | 32768  | 22 | 15728 | 176 | 176 | 32 | 64  | 15.25572777 | 0.579  | 16080 | 0.163574219 |
| satellite32.bmp | satellite32.bmp-withWavelet_rbio1.1-G_1-H7e-005_af4.wfa   | 98304   | 32768  | 32768  | 22 | 15728 | 176 | 176 | 32 | 64  | 15.25572777 | 0.593  | 16080 | 0.163574219 |
| satellite32.bmp | satellite32.bmp-withWavelet_sym1-G_1-H7e-005_af4.wfa      | 98304   | 32768  | 32768  | 22 | 15728 | 176 | 176 | 32 | 64  | 15.25572777 | 0.578  | 16080 | 0.163574219 |
| satellite32.bmp | satellite32.bmp-withWavelet_bior1.1-G_1-H7e-005_af4.wfa   | 98304   | 32768  | 32768  | 22 | 15728 | 176 | 176 | 32 | 64  | 15.25572777 | 0.578  | 16080 | 0.163574219 |
| satellite32.bmp | satellite32.bmp-G_1-H6e-005_af2.wfa                       | 393216  | 131072 |        | 15 | 7440  | 120 | 120 | 32 | 128 | 15.26807067 | 1.844  | 7680  | 0.01953125  |
| satellite32.bmp | satellite32.bmp-G_1-H2e-005_af3.wfa                       | 98304   | 32768  |        | 20 | 13040 | 160 | 160 | 32 | 64  | 15.28842057 | 0.532  | 13360 | 0.135904948 |
| satellite32.bmp | satellite32.bmp-withWavelet_haar-G_1-H7e-005_af4.wfa      | 1572864 | 524288 | 524288 | 22 | 15728 | 176 | 176 | 32 | 256 | 15.29195239 | 11.219 | 16080 | 0.010223389 |
| satellite32.bmp | satellite32.bmp-withWavelet_rbio1.1-G_1-H7e-005_af4.wfa   | 1572864 | 524288 | 524288 | 22 | 15728 | 176 | 176 | 32 | 256 | 15.29195239 | 11.031 | 16080 | 0.010223389 |
| satellite32.bmp | satellite32.bmp-withWavelet_sym1-G_1-H7e-005_af4.wfa      | 1572864 | 524288 | 524288 | 22 | 15728 | 176 | 176 | 32 | 256 | 15.29195239 | 11.093 | 16080 | 0.010223389 |
| satellite32.bmp | satellite32.bmp-withWavelet_bior1.1-G_1-H7e-005_af4.wfa   | 1572864 | 524288 | 524288 | 22 | 15728 | 176 | 176 | 32 | 256 | 15.29195239 | 11.156 | 16080 | 0.010223389 |
| satellite32.bmp | satellite32.bmp-G_1-H8e-005_af2.wfa                       | 98304   | 32768  |        | 12 | 4848  | 96  | 96  | 32 | 64  | 15.29301012 | 0.406  | 5040  | 0.051269531 |
| satellite32.bmp | satellite32.bmp-G_1-H9e-005_af2.wfa                       | 98304   | 32768  |        | 12 | 4848  | 96  | 96  | 32 | 64  | 15.29301012 | 0.407  | 5040  | 0.051269531 |
| satellite32.bmp | satellite32.bmp-G_1-H0.0001_af5.wfa                       | 98304   | 32768  |        | 10 | 3440  | 80  | 80  | 32 | 64  | 15.29540961 | 0.391  | 3600  | 0.036621094 |
| satellite32.bmp | satellite32.bmp-withWavelet_haar-G_0.8-H8e-005_af3.wfa    | 1572864 | 524288 | 524288 | 22 | 15728 | 176 | 176 | 32 | 256 | 15.30432614 | 11.093 | 16080 | 0.010223389 |
| satellite32.bmp | satellite32.bmp-withWavelet_rbio1.1-G_0.8-H8e-005_af3.wfa | 1572864 | 524288 | 524288 | 22 | 15728 | 176 | 176 | 32 | 256 | 15.30432614 | 11.031 | 16080 | 0.010223389 |
| satellite32.bmp | satellite32.bmp-withWavelet_sym1-G_0.8-H8e-005_af3.wfa    | 1572864 | 524288 | 524288 | 22 | 15728 | 176 | 176 | 32 | 256 | 15.30432614 | 11.078 | 16080 | 0.010223389 |
| satellite32.bmp | satellite32.bmp-withWavelet_bior1.1-G_0.8-H8e-005_af3.wfa | 1572864 | 524288 | 524288 | 22 | 15728 | 176 | 176 | 32 | 256 | 15.30432614 | 11.157 | 16080 | 0.010223389 |

|                 |   |         |        |        |    |       |     |     |    |     |             |        |       |             |
|-----------------|---|---------|--------|--------|----|-------|-----|-----|----|-----|-------------|--------|-------|-------------|
| satellite32.bmp | satellite32.bmp-G_1-H9e-005_af5.wfa                       | 98304   | 32768  |        | 11 | 4112  | 88  | 88  | 32 | 64  | 15.30997143 | 0.437  | 4288  | 0.043619792 |
| satellite32.bmp | satellite32.bmp-withWavelet_haar-G_1-H8e-005_af4.wfa      | 98304   | 32768  | 32768  | 21 | 14352 | 168 | 168 | 32 | 64  | 15.31973745 | 0.562  | 14688 | 0.149414063 |
| satellite32.bmp | satellite32.bmp-withWavelet_rbio1.1-G_1-H8e-005_af4.wfa   | 98304   | 32768  | 32768  | 21 | 14352 | 168 | 168 | 32 | 64  | 15.31973745 | 0.578  | 14688 | 0.149414063 |
| satellite32.bmp | satellite32.bmp-withWavelet_sym1-G_1-H8e-005_af4.wfa      | 98304   | 32768  | 32768  | 21 | 14352 | 168 | 168 | 32 | 64  | 15.31973745 | 0.562  | 14688 | 0.149414063 |
| satellite32.bmp | satellite32.bmp-withWavelet_bior1.1-G_1-H8e-005_af4.wfa   | 98304   | 32768  | 32768  | 21 | 14352 | 168 | 168 | 32 | 64  | 15.31973745 | 0.562  | 14688 | 0.149414063 |
| satellite32.bmp | satellite32.bmp-G_1-H1e-005_af3.wfa                       | 98304   | 32768  |        | 22 | 15728 | 176 | 176 | 32 | 64  | 15.3287935  | 0.593  | 16080 | 0.163574219 |
| satellite32.bmp | satellite32.bmp-withWavelet_haar-G_0.8-H8e-005_af4.wfa    | 98304   | 32768  | 32768  | 20 | 13040 | 160 | 160 | 32 | 64  | 15.32940333 | 0.531  | 13360 | 0.135904948 |
| satellite32.bmp | satellite32.bmp-withWavelet_rbio1.1-G_0.8-H8e-005_af4.wfa | 98304   | 32768  | 32768  | 20 | 13040 | 160 | 160 | 32 | 64  | 15.32940333 | 0.531  | 13360 | 0.135904948 |
| satellite32.bmp | satellite32.bmp-withWavelet_sym1-G_0.8-H8e-005_af4.wfa    | 98304   | 32768  | 32768  | 20 | 13040 | 160 | 160 | 32 | 64  | 15.32940333 | 0.531  | 13360 | 0.135904948 |
| satellite32.bmp | satellite32.bmp-withWavelet_bior1.1-G_0.8-H8e-005_af4.wfa | 98304   | 32768  | 32768  | 20 | 13040 | 160 | 160 | 32 | 64  | 15.32940333 | 0.531  | 13360 | 0.135904948 |
| satellite32.bmp | satellite32.bmp-withWavelet_haar-G_0.8-H9e-005_af4.wfa    | 98304   | 32768  | 32768  | 20 | 13040 | 160 | 160 | 32 | 64  | 15.32940333 | 0.531  | 13360 | 0.135904948 |
| satellite32.bmp | satellite32.bmp-withWavelet_rbio1.1-G_0.8-H9e-005_af4.wfa | 98304   | 32768  | 32768  | 20 | 13040 | 160 | 160 | 32 | 64  | 15.32940333 | 0.531  | 13360 | 0.135904948 |
| satellite32.bmp | satellite32.bmp-withWavelet_sym1-G_0.8-H9e-005_af4.wfa    | 98304   | 32768  | 32768  | 20 | 13040 | 160 | 160 | 32 | 64  | 15.32940333 | 0.531  | 13360 | 0.135904948 |
| satellite32.bmp | satellite32.bmp-withWavelet_bior1.1-G_0.8-H9e-005_af4.wfa | 98304   | 32768  | 32768  | 20 | 13040 | 160 | 160 | 32 | 64  | 15.32940333 | 0.531  | 13360 | 0.135904948 |
| satellite32.bmp | satellite32.bmp-G_1-H4e-005_af1.wfa                       | 98304   | 32768  |        | 17 | 9488  | 136 | 136 | 32 | 64  | 15.33191611 | 0.485  | 9760  | 0.099283854 |
| satellite32.bmp | satellite32.bmp-withWavelet_haar-G_1-H9e-005_af3.wfa      | 98304   | 32768  | 32768  | 21 | 14352 | 168 | 168 | 32 | 64  | 15.34180309 | 0.578  | 14688 | 0.149414063 |
| satellite32.bmp | satellite32.bmp-withWavelet_rbio1.1-G_1-H9e-005_af3.wfa   | 98304   | 32768  | 32768  | 21 | 14352 | 168 | 168 | 32 | 64  | 15.34180309 | 0.594  | 14688 | 0.149414063 |
| satellite32.bmp | satellite32.bmp-withWavelet_sym1-G_1-H9e-005_af3.wfa      | 98304   | 32768  | 32768  | 21 | 14352 | 168 | 168 | 32 | 64  | 15.34180309 | 0.563  | 14688 | 0.149414063 |
| satellite32.bmp | satellite32.bmp-withWavelet_bior1.1-G_1-H9e-005_af3.wfa   | 98304   | 32768  | 32768  | 21 | 14352 | 168 | 168 | 32 | 64  | 15.34180309 | 0.578  | 14688 | 0.149414063 |
| satellite32.bmp | satellite32.bmp-withWavelet_haar-G_0.8-H9e-005_af3.wfa    | 1572864 | 524288 | 524288 | 20 | 13040 | 160 | 160 | 32 | 256 | 15.34306481 | 9.86   | 13360 | 0.008494059 |
| satellite32.bmp | satellite32.bmp-withWavelet_rbio1.1-G_0.8-H9e-005_af3.wfa | 1572864 | 524288 | 524288 | 20 | 13040 | 160 | 160 | 32 | 256 | 15.34306481 | 9.812  | 13360 | 0.008494059 |
| satellite32.bmp | satellite32.bmp-withWavelet_sym1-G_0.8-H9e-005_af3.wfa    | 1572864 | 524288 | 524288 | 20 | 13040 | 160 | 160 | 32 | 256 | 15.34306481 | 9.906  | 13360 | 0.008494059 |
| satellite32.bmp | satellite32.bmp-withWavelet_bior1.1-G_0.8-H9e-005_af3.wfa | 1572864 | 524288 | 524288 | 20 | 13040 | 160 | 160 | 32 | 256 | 15.34306481 | 9.844  | 13360 | 0.008494059 |
| satellite32.bmp | satellite32.bmp-withWavelet_haar-G_0.8-H7e-005_af3.wfa    | 98304   | 32768  | 32768  | 23 | 17168 | 184 | 184 | 32 | 64  | 15.34665449 | 0.687  | 17536 | 0.178385417 |
| satellite32.bmp | satellite32.bmp-withWavelet_rbio1.1-G_0.8-H7e-005_af3.wfa | 98304   | 32768  | 32768  | 23 | 17168 | 184 | 184 | 32 | 64  | 15.34665449 | 0.688  | 17536 | 0.178385417 |
| satellite32.bmp | satellite32.bmp-withWavelet_sym1-G_0.8-H7e-005_af3.wfa    | 98304   | 32768  | 32768  | 23 | 17168 | 184 | 184 | 32 | 64  | 15.34665449 | 0.672  | 17536 | 0.178385417 |
| satellite32.bmp | satellite32.bmp-withWavelet_bior1.1-G_0.8-H7e-005_af3.wfa | 98304   | 32768  | 32768  | 23 | 17168 | 184 | 184 | 32 | 64  | 15.34665449 | 0.672  | 17536 | 0.178385417 |
| satellite32.bmp | satellite32.bmp-withWavelet_haar-G_1-H7e-005_af3.wfa      | 1572864 | 524288 | 524288 | 23 | 17168 | 184 | 184 | 32 | 256 | 15.34921165 | 13.11  | 17536 | 0.011149089 |
| satellite32.bmp | satellite32.bmp-withWavelet_rbio1.1-G_1-H7e-005_af3.wfa   | 1572864 | 524288 | 524288 | 23 | 17168 | 184 | 184 | 32 | 256 | 15.34921165 | 12.969 | 17536 | 0.011149089 |
| satellite32.bmp | satellite32.bmp-withWavelet_sym1-G_1-H7e-005_af3.wfa      | 1572864 | 524288 | 524288 | 23 | 17168 | 184 | 184 | 32 | 256 | 15.34921165 | 13.094 | 17536 | 0.011149089 |
| satellite32.bmp | satellite32.bmp-withWavelet_bior1.1-G_1-H7e-005_af3.wfa   | 1572864 | 524288 | 524288 | 23 | 17168 | 184 | 184 | 32 | 256 | 15.34921165 | 12.953 | 17536 | 0.011149089 |

|                 |   |         |        |        |    |       |     |     |    |     |             |        |       |             |
|-----------------|---|---------|--------|--------|----|-------|-----|-----|----|-----|-------------|--------|-------|-------------|
| satellite32.bmp | satellite32.bmp-withWavelet_haar-G_0.8-H8e-005_af4.wfa    | 1572864 | 524288 | 524288 | 20 | 13040 | 160 | 160 | 32 | 256 | 15.34949555 | 9.985  | 13360 | 0.008494059 |
| satellite32.bmp | satellite32.bmp-withWavelet_rbio1.1-G_0.8-H8e-005_af4.wfa | 1572864 | 524288 | 524288 | 20 | 13040 | 160 | 160 | 32 | 256 | 15.34949555 | 10     | 13360 | 0.008494059 |
| satellite32.bmp | satellite32.bmp-withWavelet_sym1-G_0.8-H8e-005_af4.wfa    | 1572864 | 524288 | 524288 | 20 | 13040 | 160 | 160 | 32 | 256 | 15.34949555 | 9.985  | 13360 | 0.008494059 |
| satellite32.bmp | satellite32.bmp-withWavelet_bior1.1-G_0.8-H8e-005_af4.wfa | 1572864 | 524288 | 524288 | 20 | 13040 | 160 | 160 | 32 | 256 | 15.34949555 | 9.922  | 13360 | 0.008494059 |
| satellite32.bmp | satellite32.bmp-withWavelet_haar-G_0.8-H9e-005_af4.wfa    | 1572864 | 524288 | 524288 | 20 | 13040 | 160 | 160 | 32 | 256 | 15.34949555 | 9.812  | 13360 | 0.008494059 |
| satellite32.bmp | satellite32.bmp-withWavelet_rbio1.1-G_0.8-H9e-005_af4.wfa | 1572864 | 524288 | 524288 | 20 | 13040 | 160 | 160 | 32 | 256 | 15.34949555 | 9.86   | 13360 | 0.008494059 |
| satellite32.bmp | satellite32.bmp-withWavelet_sym1-G_0.8-H9e-005_af4.wfa    | 1572864 | 524288 | 524288 | 20 | 13040 | 160 | 160 | 32 | 256 | 15.34949555 | 9.828  | 13360 | 0.008494059 |
| satellite32.bmp | satellite32.bmp-withWavelet_bior1.1-G_0.8-H9e-005_af4.wfa | 1572864 | 524288 | 524288 | 20 | 13040 | 160 | 160 | 32 | 256 | 15.34949555 | 9.875  | 13360 | 0.008494059 |
| satellite32.bmp | satellite32.bmp-withWavelet_haar-G_1-H8e-005_af3.wfa      | 98304   | 32768  | 32768  | 21 | 14352 | 168 | 168 | 32 | 64  | 15.35119835 | 0.578  | 14688 | 0.149414063 |
| satellite32.bmp | satellite32.bmp-withWavelet_rbio1.1-G_1-H8e-005_af3.wfa   | 98304   | 32768  | 32768  | 21 | 14352 | 168 | 168 | 32 | 64  | 15.35119835 | 0.563  | 14688 | 0.149414063 |
| satellite32.bmp | satellite32.bmp-withWavelet_sym1-G_1-H8e-005_af3.wfa      | 98304   | 32768  | 32768  | 21 | 14352 | 168 | 168 | 32 | 64  | 15.35119835 | 0.563  | 14688 | 0.149414063 |
| satellite32.bmp | satellite32.bmp-withWavelet_bior1.1-G_1-H8e-005_af3.wfa   | 98304   | 32768  | 32768  | 21 | 14352 | 168 | 168 | 32 | 64  | 15.35119835 | 0.563  | 14688 | 0.149414063 |
| satellite32.bmp | satellite32.bmp-withWavelet_haar-G_1-H8e-005_af4.wfa      | 1572864 | 524288 | 524288 | 21 | 14352 | 168 | 168 | 32 | 256 | 15.35205804 | 10.688 | 14688 | 0.009338379 |
| satellite32.bmp | satellite32.bmp-withWavelet_rbio1.1-G_1-H8e-005_af4.wfa   | 1572864 | 524288 | 524288 | 21 | 14352 | 168 | 168 | 32 | 256 | 15.35205804 | 10.859 | 14688 | 0.009338379 |
| satellite32.bmp | satellite32.bmp-withWavelet_sym1-G_1-H8e-005_af4.wfa      | 1572864 | 524288 | 524288 | 21 | 14352 | 168 | 168 | 32 | 256 | 15.35205804 | 10.766 | 14688 | 0.009338379 |
| satellite32.bmp | satellite32.bmp-withWavelet_bior1.1-G_1-H8e-005_af4.wfa   | 1572864 | 524288 | 524288 | 21 | 14352 | 168 | 168 | 32 | 256 | 15.35205804 | 10.734 | 14688 | 0.009338379 |
| satellite32.bmp | satellite32.bmp-G_1-H3e-005_af1.wfa                       | 98304   | 32768  |        | 18 | 10608 | 144 | 144 | 32 | 64  | 15.35399387 | 0.5    | 10896 | 0.110839844 |
| satellite32.bmp | satellite32.bmp-withWavelet_haar-G_1-H7e-005_af3.wfa      | 98304   | 32768  | 32768  | 23 | 17168 | 184 | 184 | 32 | 64  | 15.3583453  | 0.703  | 17536 | 0.178385417 |
| satellite32.bmp | satellite32.bmp-withWavelet_rbio1.1-G_1-H7e-005_af3.wfa   | 98304   | 32768  | 32768  | 23 | 17168 | 184 | 184 | 32 | 64  | 15.3583453  | 0.687  | 17536 | 0.178385417 |
| satellite32.bmp | satellite32.bmp-withWavelet_sym1-G_1-H7e-005_af3.wfa      | 98304   | 32768  | 32768  | 23 | 17168 | 184 | 184 | 32 | 64  | 15.3583453  | 0.687  | 17536 | 0.178385417 |
| satellite32.bmp | satellite32.bmp-withWavelet_bior1.1-G_1-H7e-005_af3.wfa   | 98304   | 32768  | 32768  | 23 | 17168 | 184 | 184 | 32 | 64  | 15.3583453  | 0.719  | 17536 | 0.178385417 |
| satellite32.bmp | satellite32.bmp-G_1-H9e-005_af3.wfa                       | 1572864 | 524288 |        | 11 | 4112  | 88  | 88  | 32 | 256 | 15.36600506 | 6.922  | 4288  | 0.002726237 |
| satellite32.bmp | satellite32.bmp-withWavelet_haar-G_1-H9e-005_af4.wfa      | 98304   | 32768  | 32768  | 20 | 13040 | 160 | 160 | 32 | 64  | 15.36893913 | 0.547  | 13360 | 0.135904948 |
| satellite32.bmp | satellite32.bmp-withWavelet_rbio1.1-G_1-H9e-005_af4.wfa   | 98304   | 32768  | 32768  | 20 | 13040 | 160 | 160 | 32 | 64  | 15.36893913 | 0.531  | 13360 | 0.135904948 |
| satellite32.bmp | satellite32.bmp-withWavelet_sym1-G_1-H9e-005_af4.wfa      | 98304   | 32768  | 32768  | 20 | 13040 | 160 | 160 | 32 | 64  | 15.36893913 | 0.547  | 13360 | 0.135904948 |
| satellite32.bmp | satellite32.bmp-withWavelet_bior1.1-G_1-H9e-005_af4.wfa   | 98304   | 32768  | 32768  | 20 | 13040 | 160 | 160 | 32 | 64  | 15.36893913 | 0.547  | 13360 | 0.135904948 |
| satellite32.bmp | satellite32.bmp-withWavelet_haar-G_1-H8e-005_af3.wfa      | 1572864 | 524288 | 524288 | 21 | 14352 | 168 | 168 | 32 | 256 | 15.37255447 | 10.719 | 14688 | 0.009338379 |
| satellite32.bmp | satellite32.bmp-withWavelet_rbio1.1-G_1-H8e-005_af3.wfa   | 1572864 | 524288 | 524288 | 21 | 14352 | 168 | 168 | 32 | 256 | 15.37255447 | 10.734 | 14688 | 0.009338379 |
| satellite32.bmp | satellite32.bmp-withWavelet_sym1-G_1-H8e-005_af3.wfa      | 1572864 | 524288 | 524288 | 21 | 14352 | 168 | 168 | 32 | 256 | 15.37255447 | 10.703 | 14688 | 0.009338379 |
| satellite32.bmp | satellite32.bmp-withWavelet_bior1.1-G_1-H8e-005_af3.wfa   | 1572864 | 524288 | 524288 | 21 | 14352 | 168 | 168 | 32 | 256 | 15.37255447 | 10.719 | 14688 | 0.009338379 |
| satellite32.bmp | satellite32.bmp-withWavelet_haar-G_1-H9e-005_af3.wfa      | 1572864 | 524288 | 524288 | 21 | 14352 | 168 | 168 | 32 | 256 | 15.37678927 | 10.609 | 14688 | 0.009338379 |

|                 |   |         |        |        |    |       |     |     |    |     |             |        |       |             |
|-----------------|---|---------|--------|--------|----|-------|-----|-----|----|-----|-------------|--------|-------|-------------|
| satellite32.bmp | satellite32.bmp-withWavelet_rbio1.1-G_1-H9e-005_af3.wfa   | 1572864 | 524288 | 524288 | 21 | 14352 | 168 | 168 | 32 | 256 | 15.37678927 | 10.797 | 14688 | 0.009338379 |
| satellite32.bmp | satellite32.bmp-withWavelet_sym1-G_1-H9e-005_af3.wfa      | 1572864 | 524288 | 524288 | 21 | 14352 | 168 | 168 | 32 | 256 | 15.37678927 | 10.75  | 14688 | 0.009338379 |
| satellite32.bmp | satellite32.bmp-withWavelet_bior1.1-G_1-H9e-005_af3.wfa   | 1572864 | 524288 | 524288 | 21 | 14352 | 168 | 168 | 32 | 256 | 15.37678927 | 10.922 | 14688 | 0.009338379 |
| satellite32.bmp | satellite32.bmp-G_1-H5e-005_af5.wfa                       | 393216  | 131072 |        | 15 | 7440  | 120 | 120 | 32 | 128 | 15.38230818 | 1.875  | 7680  | 0.01953125  |
| satellite32.bmp | satellite32.bmp-withWavelet_haar-G_0.8-H8e-005_af3.wfa    | 98304   | 32768  | 32768  | 22 | 15728 | 176 | 176 | 32 | 64  | 15.39476948 | 0.594  | 16080 | 0.163574219 |
| satellite32.bmp | satellite32.bmp-withWavelet_rbio1.1-G_0.8-H8e-005_af3.wfa | 98304   | 32768  | 32768  | 22 | 15728 | 176 | 176 | 32 | 64  | 15.39476948 | 0.594  | 16080 | 0.163574219 |
| satellite32.bmp | satellite32.bmp-withWavelet_sym1-G_0.8-H8e-005_af3.wfa    | 98304   | 32768  | 32768  | 22 | 15728 | 176 | 176 | 32 | 64  | 15.39476948 | 0.593  | 16080 | 0.163574219 |
| satellite32.bmp | satellite32.bmp-withWavelet_bior1.1-G_0.8-H8e-005_af3.wfa | 98304   | 32768  | 32768  | 22 | 15728 | 176 | 176 | 32 | 64  | 15.39476948 | 0.578  | 16080 | 0.163574219 |
| satellite32.bmp | satellite32.bmp-withWavelet_haar-G_0.8-H9e-005_af3.wfa    | 98304   | 32768  | 32768  | 20 | 13040 | 160 | 160 | 32 | 64  | 15.39976222 | 0.547  | 13360 | 0.135904948 |
| satellite32.bmp | satellite32.bmp-withWavelet_rbio1.1-G_0.8-H9e-005_af3.wfa | 98304   | 32768  | 32768  | 20 | 13040 | 160 | 160 | 32 | 64  | 15.39976222 | 0.547  | 13360 | 0.135904948 |
| satellite32.bmp | satellite32.bmp-withWavelet_sym1-G_0.8-H9e-005_af3.wfa    | 98304   | 32768  | 32768  | 20 | 13040 | 160 | 160 | 32 | 64  | 15.39976222 | 0.547  | 13360 | 0.135904948 |
| satellite32.bmp | satellite32.bmp-withWavelet_bior1.1-G_0.8-H9e-005_af3.wfa | 98304   | 32768  | 32768  | 20 | 13040 | 160 | 160 | 32 | 64  | 15.39976222 | 0.531  | 13360 | 0.135904948 |
| satellite32.bmp | satellite32.bmp-G_0.8-H1e-005_af1.wfa                     | 24576   | 8192   |        | 1  | 272   | 8   | 8   | 32 | 32  | 15.40562553 | 0.078  | 288   | 0.01171875  |
| satellite32.bmp | satellite32.bmp-G_0.8-H1e-005_af2.wfa                     | 24576   | 8192   |        | 1  | 272   | 8   | 8   | 32 | 32  | 15.40562553 | 0      | 288   | 0.01171875  |
| satellite32.bmp | satellite32.bmp-G_0.8-H1e-005_af3.wfa                     | 24576   | 8192   |        | 1  | 272   | 8   | 8   | 32 | 32  | 15.40562553 | 0      | 288   | 0.01171875  |
| satellite32.bmp | satellite32.bmp-G_0.8-H1e-005_af4.wfa                     | 24576   | 8192   |        | 1  | 272   | 8   | 8   | 32 | 32  | 15.40562553 | 0      | 288   | 0.01171875  |
| satellite32.bmp | satellite32.bmp-G_0.8-H1e-005_af5.wfa                     | 24576   | 8192   |        | 1  | 272   | 8   | 8   | 32 | 32  | 15.40562553 | 0      | 288   | 0.01171875  |
| satellite32.bmp | satellite32.bmp-G_0.8-H2e-005_af1.wfa                     | 24576   | 8192   |        | 1  | 272   | 8   | 8   | 32 | 32  | 15.40562553 | 0      | 288   | 0.01171875  |
| satellite32.bmp | satellite32.bmp-G_0.8-H2e-005_af2.wfa                     | 24576   | 8192   |        | 1  | 272   | 8   | 8   | 32 | 32  | 15.40562553 | 0      | 288   | 0.01171875  |
| satellite32.bmp | satellite32.bmp-G_0.8-H2e-005_af3.wfa                     | 24576   | 8192   |        | 1  | 272   | 8   | 8   | 32 | 32  | 15.40562553 | 0      | 288   | 0.01171875  |
| satellite32.bmp | satellite32.bmp-G_0.8-H2e-005_af4.wfa                     | 24576   | 8192   |        | 1  | 272   | 8   | 8   | 32 | 32  | 15.40562553 | 0      | 288   | 0.01171875  |
| satellite32.bmp | satellite32.bmp-G_0.8-H2e-005_af5.wfa                     | 24576   | 8192   |        | 1  | 272   | 8   | 8   | 32 | 32  | 15.40562553 | 0      | 288   | 0.01171875  |
| satellite32.bmp | satellite32.bmp-G_0.8-H3e-005_af1.wfa                     | 24576   | 8192   |        | 1  | 272   | 8   | 8   | 32 | 32  | 15.40562553 | 0      | 288   | 0.01171875  |
| satellite32.bmp | satellite32.bmp-G_0.8-H3e-005_af2.wfa                     | 24576   | 8192   |        | 1  | 272   | 8   | 8   | 32 | 32  | 15.40562553 | 0      | 288   | 0.01171875  |
| satellite32.bmp | satellite32.bmp-G_0.8-H3e-005_af3.wfa                     | 24576   | 8192   |        | 1  | 272   | 8   | 8   | 32 | 32  | 15.40562553 | 0      | 288   | 0.01171875  |
| satellite32.bmp | satellite32.bmp-G_0.8-H3e-005_af4.wfa                     | 24576   | 8192   |        | 1  | 272   | 8   | 8   | 32 | 32  | 15.40562553 | 0      | 288   | 0.01171875  |
| satellite32.bmp | satellite32.bmp-G_0.8-H3e-005_af5.wfa                     | 24576   | 8192   |        | 1  | 272   | 8   | 8   | 32 | 32  | 15.40562553 | 0      | 288   | 0.01171875  |
| satellite32.bmp | satellite32.bmp-G_0.8-H4e-005_af1.wfa                     | 24576   | 8192   |        | 1  | 272   | 8   | 8   | 32 | 32  | 15.40562553 | 0      | 288   | 0.01171875  |
| satellite32.bmp | satellite32.bmp-G_0.8-H4e-005_af2.wfa                     | 24576   | 8192   |        | 1  | 272   | 8   | 8   | 32 | 32  | 15.40562553 | 0      | 288   | 0.01171875  |
| satellite32.bmp | satellite32.bmp-G_0.8-H4e-005_af3.wfa                     | 24576   | 8192   |        | 1  | 272   | 8   | 8   | 32 | 32  | 15.40562553 | 0      | 288   | 0.01171875  |
| satellite32.bmp | satellite32.bmp-G_0.8-H4e-005_af4.wfa                     | 24576   | 8192   |        | 1  | 272   | 8   | 8   | 32 | 32  | 15.40562553 | 0      | 288   | 0.01171875  |





|                 |   |         |        |        |    |       |     |     |    |     |             |        |       |             |
|-----------------|---|---------|--------|--------|----|-------|-----|-----|----|-----|-------------|--------|-------|-------------|
| satellite32.bmp | satellite32.bmp-G_1-H0.0001_af3.wfa                       | 1572864 | 524288 |        | 11 | 4112  | 88  | 88  | 32 | 256 | 15.40587761 | 7.563  | 4288  | 0.002726237 |
| satellite32.bmp | satellite32.bmp-withWavelet_haar-G_1-H9e-005_af4.wfa      | 1572864 | 524288 | 524288 | 20 | 13040 | 160 | 160 | 32 | 256 | 15.40822881 | 9.969  | 13360 | 0.008494059 |
| satellite32.bmp | satellite32.bmp-withWavelet_rbio1.1-G_1-H9e-005_af4.wfa   | 1572864 | 524288 | 524288 | 20 | 13040 | 160 | 160 | 32 | 256 | 15.40822881 | 9.89   | 13360 | 0.008494059 |
| satellite32.bmp | satellite32.bmp-withWavelet_sym1-G_1-H9e-005_af4.wfa      | 1572864 | 524288 | 524288 | 20 | 13040 | 160 | 160 | 32 | 256 | 15.40822881 | 10.11  | 13360 | 0.008494059 |
| satellite32.bmp | satellite32.bmp-withWavelet_bior1.1-G_1-H9e-005_af4.wfa   | 1572864 | 524288 | 524288 | 20 | 13040 | 160 | 160 | 32 | 256 | 15.40822881 | 10.094 | 13360 | 0.008494059 |
| satellite32.bmp | satellite32.bmp-G_1-H8e-005_af3.wfa                       | 1572864 | 524288 |        | 12 | 4848  | 96  | 96  | 32 | 256 | 15.41172479 | 7.234  | 5040  | 0.003204346 |
| satellite32.bmp | satellite32.bmp-withWavelet_haar-G_1-H0.0001_af3.wfa      | 98304   | 32768  | 32768  | 19 | 11792 | 152 | 152 | 32 | 64  | 15.41505023 | 0.531  | 12096 | 0.123046875 |
| satellite32.bmp | satellite32.bmp-withWavelet_rbio1.1-G_1-H0.0001_af3.wfa   | 98304   | 32768  | 32768  | 19 | 11792 | 152 | 152 | 32 | 64  | 15.41505023 | 0.531  | 12096 | 0.123046875 |
| satellite32.bmp | satellite32.bmp-withWavelet_sym1-G_1-H0.0001_af3.wfa      | 98304   | 32768  | 32768  | 19 | 11792 | 152 | 152 | 32 | 64  | 15.41505023 | 0.531  | 12096 | 0.123046875 |
| satellite32.bmp | satellite32.bmp-withWavelet_bior1.1-G_1-H0.0001_af3.wfa   | 98304   | 32768  | 32768  | 19 | 11792 | 152 | 152 | 32 | 64  | 15.41505023 | 0.531  | 12096 | 0.123046875 |
| satellite32.bmp | satellite32.bmp-G_1-H7e-005_af2.wfa                       | 98304   | 32768  |        | 14 | 6512  | 112 | 112 | 32 | 64  | 15.41904604 | 0.422  | 6736  | 0.068522135 |
| satellite32.bmp | satellite32.bmp-G_1-H8e-005_af5.wfa                       | 98304   | 32768  |        | 13 | 5648  | 104 | 104 | 32 | 64  | 15.43378638 | 0.422  | 5856  | 0.059570313 |
| satellite32.bmp | satellite32.bmp-withWavelet_haar-G_0.8-H0.0001_af3.wfa    | 98304   | 32768  | 32768  | 18 | 10608 | 144 | 144 | 32 | 64  | 15.44141974 | 0.485  | 10896 | 0.110839844 |
| satellite32.bmp | satellite32.bmp-withWavelet_rbio1.1-G_0.8-H0.0001_af3.wfa | 98304   | 32768  | 32768  | 18 | 10608 | 144 | 144 | 32 | 64  | 15.44141974 | 0.5    | 10896 | 0.110839844 |
| satellite32.bmp | satellite32.bmp-withWavelet_sym1-G_0.8-H0.0001_af3.wfa    | 98304   | 32768  | 32768  | 18 | 10608 | 144 | 144 | 32 | 64  | 15.44141974 | 0.5    | 10896 | 0.110839844 |
| satellite32.bmp | satellite32.bmp-withWavelet_bior1.1-G_0.8-H0.0001_af3.wfa | 98304   | 32768  | 32768  | 18 | 10608 | 144 | 144 | 32 | 64  | 15.44141974 | 0.484  | 10896 | 0.110839844 |
| satellite32.bmp | satellite32.bmp-G_1-H2e-005_af1.wfa                       | 98304   | 32768  |        | 21 | 14352 | 168 | 168 | 32 | 64  | 15.4420519  | 0.579  | 14688 | 0.149414063 |
| satellite32.bmp | satellite32.bmp-G_1-H1e-005_af1.wfa                       | 98304   | 32768  |        | 22 | 15728 | 176 | 176 | 32 | 64  | 15.44823577 | 0.594  | 16080 | 0.163574219 |
| satellite32.bmp | satellite32.bmp-G_1-H7e-005_af5.wfa                       | 98304   | 32768  |        | 13 | 5648  | 104 | 104 | 32 | 64  | 15.45401236 | 0.422  | 5856  | 0.059570313 |
| satellite32.bmp | satellite32.bmp-G_1-H6e-005_af5.wfa                       | 393216  | 131072 |        | 15 | 7440  | 120 | 120 | 32 | 128 | 15.45456088 | 1.859  | 7680  | 0.01953125  |
| satellite32.bmp | satellite32.bmp-G_0.6-H1e-005_af1.wfa                     | 24576   | 8192   |        | 1  | 272   | 8   | 8   | 32 | 32  | 15.46197348 | 0      | 288   | 0.01171875  |
| satellite32.bmp | satellite32.bmp-G_0.6-H1e-005_af2.wfa                     | 24576   | 8192   |        | 1  | 272   | 8   | 8   | 32 | 32  | 15.46197348 | 0      | 288   | 0.01171875  |
| satellite32.bmp | satellite32.bmp-G_0.6-H1e-005_af3.wfa                     | 24576   | 8192   |        | 1  | 272   | 8   | 8   | 32 | 32  | 15.46197348 | 0      | 288   | 0.01171875  |
| satellite32.bmp | satellite32.bmp-G_0.6-H1e-005_af4.wfa                     | 24576   | 8192   |        | 1  | 272   | 8   | 8   | 32 | 32  | 15.46197348 | 0.016  | 288   | 0.01171875  |
| satellite32.bmp | satellite32.bmp-G_0.6-H1e-005_af5.wfa                     | 24576   | 8192   |        | 1  | 272   | 8   | 8   | 32 | 32  | 15.46197348 | 0      | 288   | 0.01171875  |
| satellite32.bmp | satellite32.bmp-G_0.6-H2e-005_af1.wfa                     | 24576   | 8192   |        | 1  | 272   | 8   | 8   | 32 | 32  | 15.46197348 | 0      | 288   | 0.01171875  |
| satellite32.bmp | satellite32.bmp-G_0.6-H2e-005_af2.wfa                     | 24576   | 8192   |        | 1  | 272   | 8   | 8   | 32 | 32  | 15.46197348 | 0      | 288   | 0.01171875  |
| satellite32.bmp | satellite32.bmp-G_0.6-H2e-005_af3.wfa                     | 24576   | 8192   |        | 1  | 272   | 8   | 8   | 32 | 32  | 15.46197348 | 0      | 288   | 0.01171875  |
| satellite32.bmp | satellite32.bmp-G_0.6-H2e-005_af4.wfa                     | 24576   | 8192   |        | 1  | 272   | 8   | 8   | 32 | 32  | 15.46197348 | 0      | 288   | 0.01171875  |
| satellite32.bmp | satellite32.bmp-G_0.6-H2e-005_af5.wfa                     | 24576   | 8192   |        | 1  | 272   | 8   | 8   | 32 | 32  | 15.46197348 | 0      | 288   | 0.01171875  |
| satellite32.bmp | satellite32.bmp-G_0.6-H3e-005_af1.wfa                     | 24576   | 8192   |        | 1  | 272   | 8   | 8   | 32 | 32  | 15.46197348 | 0      | 288   | 0.01171875  |



|                 |   |         |        |        |    |       |     |     |    |     |             |       |       |             |
|-----------------|---|---------|--------|--------|----|-------|-----|-----|----|-----|-------------|-------|-------|-------------|
| satellite32.bmp | satellite32.bmp-G_0.6-H9e-005_af3.wfa                     | 24576   | 8192   |        | 1  | 272   | 8   | 8   | 32 | 32  | 15.46197348 | 0     | 288   | 0.01171875  |
| satellite32.bmp | satellite32.bmp-G_0.6-H9e-005_af4.wfa                     | 24576   | 8192   |        | 1  | 272   | 8   | 8   | 32 | 32  | 15.46197348 | 0     | 288   | 0.01171875  |
| satellite32.bmp | satellite32.bmp-G_0.6-H9e-005_af5.wfa                     | 24576   | 8192   |        | 1  | 272   | 8   | 8   | 32 | 32  | 15.46197348 | 0     | 288   | 0.01171875  |
| satellite32.bmp | satellite32.bmp-G_0.6-H0.0001_af1.wfa                     | 24576   | 8192   |        | 1  | 272   | 8   | 8   | 32 | 32  | 15.46197348 | 0     | 288   | 0.01171875  |
| satellite32.bmp | satellite32.bmp-G_0.6-H0.0001_af2.wfa                     | 24576   | 8192   |        | 1  | 272   | 8   | 8   | 32 | 32  | 15.46197348 | 0     | 288   | 0.01171875  |
| satellite32.bmp | satellite32.bmp-G_0.6-H0.0001_af3.wfa                     | 24576   | 8192   |        | 1  | 272   | 8   | 8   | 32 | 32  | 15.46197348 | 0     | 288   | 0.01171875  |
| satellite32.bmp | satellite32.bmp-G_0.6-H0.0001_af4.wfa                     | 24576   | 8192   |        | 1  | 272   | 8   | 8   | 32 | 32  | 15.46197348 | 0     | 288   | 0.01171875  |
| satellite32.bmp | satellite32.bmp-G_0.6-H0.0001_af5.wfa                     | 24576   | 8192   |        | 1  | 272   | 8   | 8   | 32 | 32  | 15.46197348 | 0     | 288   | 0.01171875  |
| satellite32.bmp | satellite32.bmp-G_1-H0.0001_af2.wfa                       | 1572864 | 524288 |        | 11 | 4112  | 88  | 88  | 32 | 256 | 15.46327752 | 6.938 | 4288  | 0.002726237 |
| satellite32.bmp | satellite32.bmp-G_1-H6e-005_af3.wfa                       | 1572864 | 524288 |        | 13 | 5648  | 104 | 104 | 32 | 256 | 15.46765824 | 7.469 | 5856  | 0.003723145 |
| satellite32.bmp | satellite32.bmp-G_1-H7e-005_af3.wfa                       | 1572864 | 524288 |        | 13 | 5648  | 104 | 104 | 32 | 256 | 15.46765824 | 7.468 | 5856  | 0.003723145 |
| satellite32.bmp | satellite32.bmp-G_1-H5e-005_af2.wfa                       | 393216  | 131072 |        | 18 | 10608 | 144 | 144 | 32 | 128 | 15.47467578 | 2.078 | 10896 | 0.027709961 |
| satellite32.bmp | satellite32.bmp-withWavelet_haar-G_0.8-H0.0001_af3.wfa    | 1572864 | 524288 | 524288 | 18 | 10608 | 144 | 144 | 32 | 256 | 15.47894158 | 8.984 | 10896 | 0.00692749  |
| satellite32.bmp | satellite32.bmp-withWavelet_rbio1.1-G_0.8-H0.0001_af3.wfa | 1572864 | 524288 | 524288 | 18 | 10608 | 144 | 144 | 32 | 256 | 15.47894158 | 8.969 | 10896 | 0.00692749  |
| satellite32.bmp | satellite32.bmp-withWavelet_sym1-G_0.8-H0.0001_af3.wfa    | 1572864 | 524288 | 524288 | 18 | 10608 | 144 | 144 | 32 | 256 | 15.47894158 | 8.953 | 10896 | 0.00692749  |
| satellite32.bmp | satellite32.bmp-withWavelet_bior1.1-G_0.8-H0.0001_af3.wfa | 1572864 | 524288 | 524288 | 18 | 10608 | 144 | 144 | 32 | 256 | 15.47894158 | 8.969 | 10896 | 0.00692749  |
| satellite32.bmp | satellite32.bmp-G_1-H6e-005_af1.wfa                       | 1572864 | 524288 |        | 14 | 6512  | 112 | 112 | 32 | 256 | 15.4791811  | 7.547 | 6736  | 0.004282633 |
| satellite32.bmp | satellite32.bmp-withWavelet_haar-G_0.8-H0.0001_af4.wfa    | 98304   | 32768  | 32768  | 18 | 10608 | 144 | 144 | 32 | 64  | 15.47925214 | 0.5   | 10896 | 0.110839844 |
| satellite32.bmp | satellite32.bmp-withWavelet_rbio1.1-G_0.8-H0.0001_af4.wfa | 98304   | 32768  | 32768  | 18 | 10608 | 144 | 144 | 32 | 64  | 15.47925214 | 0.484 | 10896 | 0.110839844 |
| satellite32.bmp | satellite32.bmp-withWavelet_sym1-G_0.8-H0.0001_af4.wfa    | 98304   | 32768  | 32768  | 18 | 10608 | 144 | 144 | 32 | 64  | 15.47925214 | 0.5   | 10896 | 0.110839844 |
| satellite32.bmp | satellite32.bmp-withWavelet_bior1.1-G_0.8-H0.0001_af4.wfa | 98304   | 32768  | 32768  | 18 | 10608 | 144 | 144 | 32 | 64  | 15.47925214 | 0.5   | 10896 | 0.110839844 |
| satellite32.bmp | satellite32.bmp-G_1-H3e-005_af3.wfa                       | 1572864 | 524288 |        | 17 | 9488  | 136 | 136 | 32 | 256 | 15.48963351 | 8.688 | 9760  | 0.006205241 |
| satellite32.bmp | satellite32.bmp-G_1-H4e-005_af3.wfa                       | 1572864 | 524288 |        | 14 | 6512  | 112 | 112 | 32 | 256 | 15.49042411 | 7.594 | 6736  | 0.004282633 |
| satellite32.bmp | satellite32.bmp-G_1-H5e-005_af3.wfa                       | 1572864 | 524288 |        | 14 | 6512  | 112 | 112 | 32 | 256 | 15.49042411 | 7.641 | 6736  | 0.004282633 |
| satellite32.bmp | satellite32.bmp-withWavelet_haar-G_1-H0.0001_af3.wfa      | 1572864 | 524288 | 524288 | 19 | 11792 | 152 | 152 | 32 | 256 | 15.50244636 | 9.609 | 12096 | 0.00769043  |
| satellite32.bmp | satellite32.bmp-withWavelet_rbio1.1-G_1-H0.0001_af3.wfa   | 1572864 | 524288 | 524288 | 19 | 11792 | 152 | 152 | 32 | 256 | 15.50244636 | 9.641 | 12096 | 0.00769043  |
| satellite32.bmp | satellite32.bmp-withWavelet_sym1-G_1-H0.0001_af3.wfa      | 1572864 | 524288 | 524288 | 19 | 11792 | 152 | 152 | 32 | 256 | 15.50244636 | 9.656 | 12096 | 0.00769043  |
| satellite32.bmp | satellite32.bmp-withWavelet_bior1.1-G_1-H0.0001_af3.wfa   | 1572864 | 524288 | 524288 | 19 | 11792 | 152 | 152 | 32 | 256 | 15.50244636 | 9.61  | 12096 | 0.00769043  |
| satellite32.bmp | satellite32.bmp-G_1-H6e-005_af2.wfa                       | 98304   | 32768  |        | 15 | 7440  | 120 | 120 | 32 | 64  | 15.50338429 | 0.438 | 7680  | 0.078125    |
| satellite32.bmp | satellite32.bmp-withWavelet_haar-G_1-H0.0001_af4.wfa      | 98304   | 32768  | 32768  | 18 | 10608 | 144 | 144 | 32 | 64  | 15.50428357 | 0.484 | 10896 | 0.110839844 |
| satellite32.bmp | satellite32.bmp-withWavelet_rbio1.1-G_1-H0.0001_af4.wfa   | 98304   | 32768  | 32768  | 18 | 10608 | 144 | 144 | 32 | 64  | 15.50428357 | 0.484 | 10896 | 0.110839844 |

|                 |   |         |        |        |    |       |     |     |    |     |             |        |       |             |
|-----------------|---|---------|--------|--------|----|-------|-----|-----|----|-----|-------------|--------|-------|-------------|
| satellite32.bmp | satellite32.bmp-withWavelet_sym1-G_1-H0.0001_af4.wfa      | 98304   | 32768  | 32768  | 18 | 10608 | 144 | 144 | 32 | 64  | 15.50428357 | 0.563  | 10896 | 0.110839844 |
| satellite32.bmp | satellite32.bmp-withWavelet_bior1.1-G_1-H0.0001_af4.wfa   | 98304   | 32768  | 32768  | 18 | 10608 | 144 | 144 | 32 | 64  | 15.50428357 | 0.484  | 10896 | 0.110839844 |
| satellite32.bmp | satellite32.bmp-G_1-H5e-005_af1.wfa                       | 1572864 | 524288 |        | 15 | 7440  | 120 | 120 | 32 | 256 | 15.50710036 | 7.984  | 7680  | 0.004882813 |
| satellite32.bmp | satellite32.bmp-G_1-H4e-005_af2.wfa                       | 393216  | 131072 |        | 20 | 13040 | 160 | 160 | 32 | 128 | 15.53511647 | 2.297  | 13360 | 0.033976237 |
| satellite32.bmp | satellite32.bmp-withWavelet_haar-G_0.8-H0.0001_af4.wfa    | 1572864 | 524288 | 524288 | 18 | 10608 | 144 | 144 | 32 | 256 | 15.5678707  | 8.891  | 10896 | 0.00692749  |
| satellite32.bmp | satellite32.bmp-withWavelet_rbio1.1-G_0.8-H0.0001_af4.wfa | 1572864 | 524288 | 524288 | 18 | 10608 | 144 | 144 | 32 | 256 | 15.5678707  | 9.062  | 10896 | 0.00692749  |
| satellite32.bmp | satellite32.bmp-withWavelet_sym1-G_0.8-H0.0001_af4.wfa    | 1572864 | 524288 | 524288 | 18 | 10608 | 144 | 144 | 32 | 256 | 15.5678707  | 8.953  | 10896 | 0.00692749  |
| satellite32.bmp | satellite32.bmp-withWavelet_bior1.1-G_0.8-H0.0001_af4.wfa | 1572864 | 524288 | 524288 | 18 | 10608 | 144 | 144 | 32 | 256 | 15.5678707  | 8.922  | 10896 | 0.00692749  |
| satellite32.bmp | satellite32.bmp-G_1-H4e-005_af5.wfa                       | 393216  | 131072 |        | 17 | 9488  | 136 | 136 | 32 | 128 | 15.56963334 | 2.047  | 9760  | 0.024820964 |
| satellite32.bmp | satellite32.bmp-G_1-H4e-005_af1.wfa                       | 1572864 | 524288 |        | 17 | 9488  | 136 | 136 | 32 | 256 | 15.56987154 | 8.641  | 9760  | 0.006205241 |
| satellite32.bmp | satellite32.bmp-G_1-H8e-005_af2.wfa                       | 1572864 | 524288 |        | 12 | 4848  | 96  | 96  | 32 | 256 | 15.57709849 | 7.219  | 5040  | 0.003204346 |
| satellite32.bmp | satellite32.bmp-G_1-H9e-005_af2.wfa                       | 1572864 | 524288 |        | 12 | 4848  | 96  | 96  | 32 | 256 | 15.57709849 | 7.125  | 5040  | 0.003204346 |
| satellite32.bmp | satellite32.bmp-G_1-H2e-005_af3.wfa                       | 1572864 | 524288 |        | 20 | 13040 | 160 | 160 | 32 | 256 | 15.57720705 | 9.797  | 13360 | 0.008494059 |
| satellite32.bmp | satellite32.bmp-G_1-H3e-005_af1.wfa                       | 1572864 | 524288 |        | 18 | 10608 | 144 | 144 | 32 | 256 | 15.58277399 | 8.938  | 10896 | 0.00692749  |
| satellite32.bmp | satellite32.bmp-G_1-H0.0001_af5.wfa                       | 1572864 | 524288 |        | 10 | 3440  | 80  | 80  | 32 | 256 | 15.58793262 | 6.735  | 3600  | 0.002288818 |
| satellite32.bmp | satellite32.bmp-G_1-H3e-005_af2.wfa                       | 393216  | 131072 |        | 21 | 14352 | 168 | 168 | 32 | 128 | 15.58988164 | 2.438  | 14688 | 0.037353516 |
| satellite32.bmp | satellite32.bmp-G_1-H9e-005_af5.wfa                       | 1572864 | 524288 |        | 11 | 4112  | 88  | 88  | 32 | 256 | 15.59165118 | 7.703  | 4288  | 0.002726237 |
| satellite32.bmp | satellite32.bmp-G_1-H1e-005_af4.wfa                       | 24576   | 8192   |        | 5  | 1040  | 40  | 40  | 32 | 32  | 15.59912727 | 0.078  | 1120  | 0.045572917 |
| satellite32.bmp | satellite32.bmp-G_1-H2e-005_af4.wfa                       | 24576   | 8192   |        | 5  | 1040  | 40  | 40  | 32 | 32  | 15.59912727 | 0.094  | 1120  | 0.045572917 |
| satellite32.bmp | satellite32.bmp-G_1-H3e-005_af4.wfa                       | 24576   | 8192   |        | 5  | 1040  | 40  | 40  | 32 | 32  | 15.59912727 | 0.094  | 1120  | 0.045572917 |
| satellite32.bmp | satellite32.bmp-G_1-H4e-005_af4.wfa                       | 24576   | 8192   |        | 5  | 1040  | 40  | 40  | 32 | 32  | 15.59912727 | 0.078  | 1120  | 0.045572917 |
| satellite32.bmp | satellite32.bmp-G_1-H5e-005_af4.wfa                       | 24576   | 8192   |        | 5  | 1040  | 40  | 40  | 32 | 32  | 15.59912727 | 0.078  | 1120  | 0.045572917 |
| satellite32.bmp | satellite32.bmp-G_1-H6e-005_af4.wfa                       | 24576   | 8192   |        | 5  | 1040  | 40  | 40  | 32 | 32  | 15.59912727 | 0.297  | 1120  | 0.045572917 |
| satellite32.bmp | satellite32.bmp-G_1-H7e-005_af4.wfa                       | 24576   | 8192   |        | 5  | 1040  | 40  | 40  | 32 | 32  | 15.59912727 | 0.094  | 1120  | 0.045572917 |
| satellite32.bmp | satellite32.bmp-G_1-H8e-005_af4.wfa                       | 24576   | 8192   |        | 5  | 1040  | 40  | 40  | 32 | 32  | 15.59912727 | 0.078  | 1120  | 0.045572917 |
| satellite32.bmp | satellite32.bmp-G_1-H9e-005_af4.wfa                       | 24576   | 8192   |        | 5  | 1040  | 40  | 40  | 32 | 32  | 15.59912727 | 0.078  | 1120  | 0.045572917 |
| satellite32.bmp | satellite32.bmp-G_1-H0.0001_af1.wfa                       | 24576   | 8192   |        | 5  | 1040  | 40  | 40  | 32 | 32  | 15.59912727 | 0.078  | 1120  | 0.045572917 |
| satellite32.bmp | satellite32.bmp-G_1-H0.0001_af4.wfa                       | 24576   | 8192   |        | 5  | 1040  | 40  | 40  | 32 | 32  | 15.59912727 | 0.078  | 1120  | 0.045572917 |
| satellite32.bmp | satellite32.bmp-G_1-H1e-005_af3.wfa                       | 1572864 | 524288 |        | 22 | 15728 | 176 | 176 | 32 | 256 | 15.61063127 | 10.891 | 16080 | 0.010223389 |
| satellite32.bmp | satellite32.bmp-G_1-H2e-005_af2.wfa                       | 393216  | 131072 |        | 22 | 15728 | 176 | 176 | 32 | 128 | 15.61348573 | 2.516  | 16080 | 0.040893555 |
| satellite32.bmp | satellite32.bmp-withWavelet_haar-G_1-H0.0001_af4.wfa      | 1572864 | 524288 | 524288 | 18 | 10608 | 144 | 144 | 32 | 256 | 15.61672959 | 9      | 10896 | 0.00692749  |

|                 |   |         |        |        |    |       |     |     |    |     |             |        |       |             |
|-----------------|---|---------|--------|--------|----|-------|-----|-----|----|-----|-------------|--------|-------|-------------|
| satellite32.bmp | satellite32.bmp-withWavelet_rbio1.1-G_1-H0.0001_af4.wfa   | 1572864 | 524288 | 524288 | 18 | 10608 | 144 | 144 | 32 | 256 | 15.61672959 | 8.906  | 10896 | 0.00692749  |
| satellite32.bmp | satellite32.bmp-withWavelet_sym1-G_1-H0.0001_af4.wfa      | 1572864 | 524288 | 524288 | 18 | 10608 | 144 | 144 | 32 | 256 | 15.61672959 | 8.984  | 10896 | 0.00692749  |
| satellite32.bmp | satellite32.bmp-withWavelet_bior1.1-G_1-H0.0001_af4.wfa   | 1572864 | 524288 | 524288 | 18 | 10608 | 144 | 144 | 32 | 256 | 15.61672959 | 9.016  | 10896 | 0.00692749  |
| satellite32.bmp | satellite32.bmp-G_1-H8e-005_af1.wfa                       | 24576   | 8192   |        | 6  | 1392  | 48  | 48  | 32 | 32  | 15.63732566 | 0.094  | 1488  | 0.060546875 |
| satellite32.bmp | satellite32.bmp-G_1-H1e-005_af2.wfa                       | 393216  | 131072 |        | 23 | 17168 | 184 | 184 | 32 | 128 | 15.64032755 | 3      | 17536 | 0.044596354 |
| satellite32.bmp | satellite32.bmp-G_1-H9e-005_af1.wfa                       | 24576   | 8192   |        | 6  | 1392  | 48  | 48  | 32 | 32  | 15.64346594 | 0.078  | 1488  | 0.060546875 |
| satellite32.bmp | satellite32.bmp-G_1-H5e-005_af5.wfa                       | 98304   | 32768  |        | 15 | 7440  | 120 | 120 | 32 | 64  | 15.65493464 | 0.453  | 7680  | 0.078125    |
| satellite32.bmp | satellite32.bmp-G_1-H2e-005_af1.wfa                       | 1572864 | 524288 |        | 21 | 14352 | 168 | 168 | 32 | 256 | 15.66231909 | 10.578 | 14688 | 0.009338379 |
| satellite32.bmp | satellite32.bmp-G_1-H1e-005_af1.wfa                       | 1572864 | 524288 |        | 22 | 15728 | 176 | 176 | 32 | 256 | 15.66783009 | 10.969 | 16080 | 0.010223389 |
| satellite32.bmp | satellite32.bmp-G_1-H7e-005_af1.wfa                       | 24576   | 8192   |        | 7  | 1808  | 56  | 56  | 32 | 32  | 15.67742305 | 0.094  | 1920  | 0.078125    |
| satellite32.bmp | satellite32.bmp-G_1-H7e-005_af2.wfa                       | 1572864 | 524288 |        | 14 | 6512  | 112 | 112 | 32 | 256 | 15.68642898 | 7.578  | 6736  | 0.004282633 |
| satellite32.bmp | satellite32.bmp-G_1-H7e-005_af5.wfa                       | 1572864 | 524288 |        | 13 | 5648  | 104 | 104 | 32 | 256 | 15.70701872 | 7.484  | 5856  | 0.003723145 |
| satellite32.bmp | satellite32.bmp-G_1-H8e-005_af5.wfa                       | 1572864 | 524288 |        | 13 | 5648  | 104 | 104 | 32 | 256 | 15.70852052 | 7.5    | 5856  | 0.003723145 |
| satellite32.bmp | satellite32.bmp-withWavelet_haar-G_1-H8e-005_af5.wfa      | 24576   | 8192   | 8192   | 9  | 2832  | 72  | 72  | 32 | 32  | 15.71935951 | 0.094  | 2976  | 0.12109375  |
| satellite32.bmp | satellite32.bmp-withWavelet_rbio1.1-G_1-H8e-005_af5.wfa   | 24576   | 8192   | 8192   | 9  | 2832  | 72  | 72  | 32 | 32  | 15.71935951 | 0.094  | 2976  | 0.12109375  |
| satellite32.bmp | satellite32.bmp-withWavelet_sym1-G_1-H8e-005_af5.wfa      | 24576   | 8192   | 8192   | 9  | 2832  | 72  | 72  | 32 | 32  | 15.71935951 | 0.094  | 2976  | 0.12109375  |
| satellite32.bmp | satellite32.bmp-withWavelet_bior1.1-G_1-H8e-005_af5.wfa   | 24576   | 8192   | 8192   | 9  | 2832  | 72  | 72  | 32 | 32  | 15.71935951 | 0.094  | 2976  | 0.12109375  |
| satellite32.bmp | satellite32.bmp-G_1-H6e-005_af2.wfa                       | 1572864 | 524288 |        | 15 | 7440  | 120 | 120 | 32 | 256 | 15.72349779 | 8.063  | 7680  | 0.004882813 |
| satellite32.bmp | satellite32.bmp-G_1-H6e-005_af5.wfa                       | 98304   | 32768  |        | 15 | 7440  | 120 | 120 | 32 | 64  | 15.73622859 | 0.453  | 7680  | 0.078125    |
| satellite32.bmp | satellite32.bmp-G_1-H3e-005_af5.wfa                       | 393216  | 131072 |        | 19 | 11792 | 152 | 152 | 32 | 128 | 15.74213212 | 2.25   | 12096 | 0.030761719 |
| satellite32.bmp | satellite32.bmp-withWavelet_haar-G_0.8-H8e-005_af5.wfa    | 24576   | 8192   | 8192   | 9  | 2832  | 72  | 72  | 32 | 32  | 15.76251359 | 0.078  | 2976  | 0.12109375  |
| satellite32.bmp | satellite32.bmp-withWavelet_rbio1.1-G_0.8-H8e-005_af5.wfa | 24576   | 8192   | 8192   | 9  | 2832  | 72  | 72  | 32 | 32  | 15.76251359 | 0.078  | 2976  | 0.12109375  |
| satellite32.bmp | satellite32.bmp-withWavelet_sym1-G_0.8-H8e-005_af5.wfa    | 24576   | 8192   | 8192   | 9  | 2832  | 72  | 72  | 32 | 32  | 15.76251359 | 0.094  | 2976  | 0.12109375  |
| satellite32.bmp | satellite32.bmp-withWavelet_bior1.1-G_0.8-H8e-005_af5.wfa | 24576   | 8192   | 8192   | 9  | 2832  | 72  | 72  | 32 | 32  | 15.76251359 | 0.078  | 2976  | 0.12109375  |
| satellite32.bmp | satellite32.bmp-G_1-H5e-005_af2.wfa                       | 98304   | 32768  |        | 18 | 10608 | 144 | 144 | 32 | 64  | 15.76508119 | 0.5    | 10896 | 0.110839844 |
| satellite32.bmp | satellite32.bmp-withWavelet_haar-G_1-H7e-005_af5.wfa      | 24576   | 8192   | 8192   | 10 | 3440  | 80  | 80  | 32 | 32  | 15.7886989  | 0.078  | 3600  | 0.146484375 |
| satellite32.bmp | satellite32.bmp-withWavelet_rbio1.1-G_1-H7e-005_af5.wfa   | 24576   | 8192   | 8192   | 10 | 3440  | 80  | 80  | 32 | 32  | 15.7886989  | 0.093  | 3600  | 0.146484375 |
| satellite32.bmp | satellite32.bmp-withWavelet_sym1-G_1-H7e-005_af5.wfa      | 24576   | 8192   | 8192   | 10 | 3440  | 80  | 80  | 32 | 32  | 15.7886989  | 0.078  | 3600  | 0.146484375 |
| satellite32.bmp | satellite32.bmp-withWavelet_bior1.1-G_1-H7e-005_af5.wfa   | 24576   | 8192   | 8192   | 10 | 3440  | 80  | 80  | 32 | 32  | 15.7886989  | 0.093  | 3600  | 0.146484375 |
| satellite32.bmp | satellite32.bmp-withWavelet_haar-G_0.8-H7e-005_af5.wfa    | 24576   | 8192   | 8192   | 10 | 3440  | 80  | 80  | 32 | 32  | 15.79631025 | 0.093  | 3600  | 0.146484375 |
| satellite32.bmp | satellite32.bmp-withWavelet_rbio1.1-G_0.8-H7e-005_af5.wfa | 24576   | 8192   | 8192   | 10 | 3440  | 80  | 80  | 32 | 32  | 15.79631025 | 0.093  | 3600  | 0.146484375 |

|                 |   |         |        |      |    |       |     |     |    |     |             |       |       |             |
|-----------------|---|---------|--------|------|----|-------|-----|-----|----|-----|-------------|-------|-------|-------------|
| satellite32.bmp | satellite32.bmp-withWavelet_sym1-G_0.8-H7e-005_af5.wfa    | 24576   | 8192   | 8192 | 10 | 3440  | 80  | 80  | 32 | 32  | 15.79631025 | 0.094 | 3600  | 0.146484375 |
| satellite32.bmp | satellite32.bmp-withWavelet_bior1.1-G_0.8-H7e-005_af5.wfa | 24576   | 8192   | 8192 | 10 | 3440  | 80  | 80  | 32 | 32  | 15.79631025 | 0.093 | 3600  | 0.146484375 |
| satellite32.bmp | satellite32.bmp-withWavelet_haar-G_1-H9e-005_af5.wfa      | 24576   | 8192   | 8192 | 9  | 2832  | 72  | 72  | 32 | 32  | 15.80503291 | 0.094 | 2976  | 0.12109375  |
| satellite32.bmp | satellite32.bmp-withWavelet_rbio1.1-G_1-H9e-005_af5.wfa   | 24576   | 8192   | 8192 | 9  | 2832  | 72  | 72  | 32 | 32  | 15.80503291 | 0.078 | 2976  | 0.12109375  |
| satellite32.bmp | satellite32.bmp-withWavelet_sym1-G_1-H9e-005_af5.wfa      | 24576   | 8192   | 8192 | 9  | 2832  | 72  | 72  | 32 | 32  | 15.80503291 | 0.078 | 2976  | 0.12109375  |
| satellite32.bmp | satellite32.bmp-withWavelet_bior1.1-G_1-H9e-005_af5.wfa   | 24576   | 8192   | 8192 | 9  | 2832  | 72  | 72  | 32 | 32  | 15.80503291 | 0.078 | 2976  | 0.12109375  |
| satellite32.bmp | satellite32.bmp-withWavelet_haar-G_1-H0.0001_af5.wfa      | 24576   | 8192   | 8192 | 9  | 2832  | 72  | 72  | 32 | 32  | 15.80503291 | 0.094 | 2976  | 0.12109375  |
| satellite32.bmp | satellite32.bmp-withWavelet_rbio1.1-G_1-H0.0001_af5.wfa   | 24576   | 8192   | 8192 | 9  | 2832  | 72  | 72  | 32 | 32  | 15.80503291 | 0.094 | 2976  | 0.12109375  |
| satellite32.bmp | satellite32.bmp-withWavelet_sym1-G_1-H0.0001_af5.wfa      | 24576   | 8192   | 8192 | 9  | 2832  | 72  | 72  | 32 | 32  | 15.80503291 | 0.094 | 2976  | 0.12109375  |
| satellite32.bmp | satellite32.bmp-withWavelet_bior1.1-G_1-H0.0001_af5.wfa   | 24576   | 8192   | 8192 | 9  | 2832  | 72  | 72  | 32 | 32  | 15.80503291 | 0.093 | 2976  | 0.12109375  |
| satellite32.bmp | satellite32.bmp-withWavelet_haar-G_0.8-H9e-005_af5.wfa    | 24576   | 8192   | 8192 | 9  | 2832  | 72  | 72  | 32 | 32  | 15.8100535  | 0.094 | 2976  | 0.12109375  |
| satellite32.bmp | satellite32.bmp-withWavelet_rbio1.1-G_0.8-H9e-005_af5.wfa | 24576   | 8192   | 8192 | 9  | 2832  | 72  | 72  | 32 | 32  | 15.8100535  | 0.094 | 2976  | 0.12109375  |
| satellite32.bmp | satellite32.bmp-withWavelet_sym1-G_0.8-H9e-005_af5.wfa    | 24576   | 8192   | 8192 | 9  | 2832  | 72  | 72  | 32 | 32  | 15.8100535  | 0.094 | 2976  | 0.12109375  |
| satellite32.bmp | satellite32.bmp-withWavelet_bior1.1-G_0.8-H9e-005_af5.wfa | 24576   | 8192   | 8192 | 9  | 2832  | 72  | 72  | 32 | 32  | 15.8100535  | 0.093 | 2976  | 0.12109375  |
| satellite32.bmp | satellite32.bmp-withWavelet_haar-G_0.8-H0.0001_af5.wfa    | 24576   | 8192   | 8192 | 9  | 2832  | 72  | 72  | 32 | 32  | 15.8100535  | 0.094 | 2976  | 0.12109375  |
| satellite32.bmp | satellite32.bmp-withWavelet_rbio1.1-G_0.8-H0.0001_af5.wfa | 24576   | 8192   | 8192 | 9  | 2832  | 72  | 72  | 32 | 32  | 15.8100535  | 0.093 | 2976  | 0.12109375  |
| satellite32.bmp | satellite32.bmp-withWavelet_sym1-G_0.8-H0.0001_af5.wfa    | 24576   | 8192   | 8192 | 9  | 2832  | 72  | 72  | 32 | 32  | 15.8100535  | 0.094 | 2976  | 0.12109375  |
| satellite32.bmp | satellite32.bmp-withWavelet_bior1.1-G_0.8-H0.0001_af5.wfa | 24576   | 8192   | 8192 | 9  | 2832  | 72  | 72  | 32 | 32  | 15.8100535  | 0.094 | 2976  | 0.12109375  |
| satellite32.bmp | satellite32.bmp-G_1-H4e-005_af2.wfa                       | 98304   | 32768  |      | 20 | 13040 | 160 | 160 | 32 | 64  | 15.82822391 | 0.547 | 13360 | 0.135904948 |
| satellite32.bmp | satellite32.bmp-G_1-H5e-005_af5.wfa                       | 1572864 | 524288 |      | 15 | 7440  | 120 | 120 | 32 | 256 | 15.84401097 | 8.032 | 7680  | 0.004882813 |
| satellite32.bmp | satellite32.bmp-withWavelet_haar-G_0.6-H0.0001_af2.wfa    | 24576   | 8192   | 8192 | 9  | 2832  | 72  | 72  | 32 | 32  | 15.87830717 | 0.094 | 2976  | 0.12109375  |
| satellite32.bmp | satellite32.bmp-withWavelet_rbio1.1-G_0.6-H0.0001_af2.wfa | 24576   | 8192   | 8192 | 9  | 2832  | 72  | 72  | 32 | 32  | 15.87830717 | 0.093 | 2976  | 0.12109375  |
| satellite32.bmp | satellite32.bmp-withWavelet_sym1-G_0.6-H0.0001_af2.wfa    | 24576   | 8192   | 8192 | 9  | 2832  | 72  | 72  | 32 | 32  | 15.87830717 | 0.094 | 2976  | 0.12109375  |
| satellite32.bmp | satellite32.bmp-withWavelet_bior1.1-G_0.6-H0.0001_af2.wfa | 24576   | 8192   | 8192 | 9  | 2832  | 72  | 72  | 32 | 32  | 15.87830717 | 0.079 | 2976  | 0.12109375  |
| satellite32.bmp | satellite32.bmp-withWavelet_haar-G_0.6-H8e-005_af5.wfa    | 24576   | 8192   | 8192 | 10 | 3440  | 80  | 80  | 32 | 32  | 15.88068056 | 0.094 | 3600  | 0.146484375 |
| satellite32.bmp | satellite32.bmp-withWavelet_rbio1.1-G_0.6-H8e-005_af5.wfa | 24576   | 8192   | 8192 | 10 | 3440  | 80  | 80  | 32 | 32  | 15.88068056 | 0.078 | 3600  | 0.146484375 |
| satellite32.bmp | satellite32.bmp-withWavelet_sym1-G_0.6-H8e-005_af5.wfa    | 24576   | 8192   | 8192 | 10 | 3440  | 80  | 80  | 32 | 32  | 15.88068056 | 0.094 | 3600  | 0.146484375 |
| satellite32.bmp | satellite32.bmp-withWavelet_bior1.1-G_0.6-H8e-005_af5.wfa | 24576   | 8192   | 8192 | 10 | 3440  | 80  | 80  | 32 | 32  | 15.88068056 | 0.094 | 3600  | 0.146484375 |
| satellite32.bmp | satellite32.bmp-withWavelet_haar-G_1-H6e-005_af5.wfa      | 24576   | 8192   | 8192 | 11 | 4112  | 88  | 88  | 32 | 32  | 15.88123891 | 0.093 | 4288  | 0.174479167 |
| satellite32.bmp | satellite32.bmp-withWavelet_rbio1.1-G_1-H6e-005_af5.wfa   | 24576   | 8192   | 8192 | 11 | 4112  | 88  | 88  | 32 | 32  | 15.88123891 | 0.094 | 4288  | 0.174479167 |
| satellite32.bmp | satellite32.bmp-withWavelet_sym1-G_1-H6e-005_af5.wfa      | 24576   | 8192   | 8192 | 11 | 4112  | 88  | 88  | 32 | 32  | 15.88123891 | 0.125 | 4288  | 0.174479167 |

|                 |   |         |        |      |    |       |     |     |    |     |             |       |       |             |
|-----------------|---|---------|--------|------|----|-------|-----|-----|----|-----|-------------|-------|-------|-------------|
| satellite32.bmp | satellite32.bmp-withWavelet_bior1.1-G_1-H6e-005_af5.wfa   | 24576   | 8192   | 8192 | 11 | 4112  | 88  | 88  | 32 | 32  | 15.88123891 | 0.094 | 4288  | 0.174479167 |
| satellite32.bmp | satellite32.bmp-withWavelet_haar-G_0.8-H6e-005_af5.wfa    | 24576   | 8192   | 8192 | 11 | 4112  | 88  | 88  | 32 | 32  | 15.89141502 | 0.094 | 4288  | 0.174479167 |
| satellite32.bmp | satellite32.bmp-withWavelet_rbio1.1-G_0.8-H6e-005_af5.wfa | 24576   | 8192   | 8192 | 11 | 4112  | 88  | 88  | 32 | 32  | 15.89141502 | 0.094 | 4288  | 0.174479167 |
| satellite32.bmp | satellite32.bmp-withWavelet_sym1-G_0.8-H6e-005_af5.wfa    | 24576   | 8192   | 8192 | 11 | 4112  | 88  | 88  | 32 | 32  | 15.89141502 | 0.094 | 4288  | 0.174479167 |
| satellite32.bmp | satellite32.bmp-withWavelet_bior1.1-G_0.8-H6e-005_af5.wfa | 24576   | 8192   | 8192 | 11 | 4112  | 88  | 88  | 32 | 32  | 15.89141502 | 0.094 | 4288  | 0.174479167 |
| satellite32.bmp | satellite32.bmp-G_1-H4e-005_af5.wfa                       | 98304   | 32768  |      | 17 | 9488  | 136 | 136 | 32 | 64  | 15.89803536 | 0.484 | 9760  | 0.099283854 |
| satellite32.bmp | satellite32.bmp-G_1-H3e-005_af2.wfa                       | 98304   | 32768  |      | 21 | 14352 | 168 | 168 | 32 | 64  | 15.90692466 | 0.578 | 14688 | 0.149414063 |
| satellite32.bmp | satellite32.bmp-G_1-H6e-005_af5.wfa                       | 1572864 | 524288 |      | 15 | 7440  | 120 | 120 | 32 | 256 | 15.92275938 | 8     | 7680  | 0.004882813 |
| satellite32.bmp | satellite32.bmp-G_1-H9e-005_af3.wfa                       | 24576   | 8192   |      | 11 | 4112  | 88  | 88  | 32 | 32  | 15.93147167 | 0.093 | 4288  | 0.174479167 |
| satellite32.bmp | satellite32.bmp-G_1-H2e-005_af2.wfa                       | 98304   | 32768  |      | 22 | 15728 | 176 | 176 | 32 | 64  | 15.93479724 | 0.594 | 16080 | 0.163574219 |
| satellite32.bmp | satellite32.bmp-G_1-H5e-005_af2.wfa                       | 1572864 | 524288 |      | 18 | 10608 | 144 | 144 | 32 | 256 | 15.9352145  | 8.969 | 10896 | 0.00692749  |
| satellite32.bmp | satellite32.bmp-withWavelet_haar-G_0.6-H9e-005_af5.wfa    | 24576   | 8192   | 8192 | 10 | 3440  | 80  | 80  | 32 | 32  | 15.9559284  | 0.078 | 3600  | 0.146484375 |
| satellite32.bmp | satellite32.bmp-withWavelet_rbio1.1-G_0.6-H9e-005_af5.wfa | 24576   | 8192   | 8192 | 10 | 3440  | 80  | 80  | 32 | 32  | 15.9559284  | 0.078 | 3600  | 0.146484375 |
| satellite32.bmp | satellite32.bmp-withWavelet_sym1-G_0.6-H9e-005_af5.wfa    | 24576   | 8192   | 8192 | 10 | 3440  | 80  | 80  | 32 | 32  | 15.9559284  | 0.078 | 3600  | 0.146484375 |
| satellite32.bmp | satellite32.bmp-withWavelet_bior1.1-G_0.6-H9e-005_af5.wfa | 24576   | 8192   | 8192 | 10 | 3440  | 80  | 80  | 32 | 32  | 15.9559284  | 0.094 | 3600  | 0.146484375 |
| satellite32.bmp | satellite32.bmp-withWavelet_haar-G_0.6-H0.0001_af5.wfa    | 24576   | 8192   | 8192 | 10 | 3440  | 80  | 80  | 32 | 32  | 15.9559284  | 0.094 | 3600  | 0.146484375 |
| satellite32.bmp | satellite32.bmp-withWavelet_rbio1.1-G_0.6-H0.0001_af5.wfa | 24576   | 8192   | 8192 | 10 | 3440  | 80  | 80  | 32 | 32  | 15.9559284  | 0.093 | 3600  | 0.146484375 |
| satellite32.bmp | satellite32.bmp-withWavelet_sym1-G_0.6-H0.0001_af5.wfa    | 24576   | 8192   | 8192 | 10 | 3440  | 80  | 80  | 32 | 32  | 15.9559284  | 0.093 | 3600  | 0.146484375 |
| satellite32.bmp | satellite32.bmp-withWavelet_bior1.1-G_0.6-H0.0001_af5.wfa | 24576   | 8192   | 8192 | 10 | 3440  | 80  | 80  | 32 | 32  | 15.9559284  | 0.078 | 3600  | 0.146484375 |
| satellite32.bmp | satellite32.bmp-G_1-H0.0001_af3.wfa                       | 24576   | 8192   |      | 11 | 4112  | 88  | 88  | 32 | 32  | 15.97986678 | 0.109 | 4288  | 0.174479167 |
| satellite32.bmp | satellite32.bmp-G_1-H1e-005_af2.wfa                       | 98304   | 32768  |      | 23 | 17168 | 184 | 184 | 32 | 64  | 15.98303665 | 0.688 | 17536 | 0.178385417 |
| satellite32.bmp | satellite32.bmp-withWavelet_haar-G_0.6-H7e-005_af5.wfa    | 24576   | 8192   | 8192 | 12 | 4848  | 96  | 96  | 32 | 32  | 15.99389018 | 0.109 | 5040  | 0.205078125 |
| satellite32.bmp | satellite32.bmp-withWavelet_rbio1.1-G_0.6-H7e-005_af5.wfa | 24576   | 8192   | 8192 | 12 | 4848  | 96  | 96  | 32 | 32  | 15.99389018 | 0.094 | 5040  | 0.205078125 |
| satellite32.bmp | satellite32.bmp-withWavelet_sym1-G_0.6-H7e-005_af5.wfa    | 24576   | 8192   | 8192 | 12 | 4848  | 96  | 96  | 32 | 32  | 15.99389018 | 0.094 | 5040  | 0.205078125 |
| satellite32.bmp | satellite32.bmp-withWavelet_bior1.1-G_0.6-H7e-005_af5.wfa | 24576   | 8192   | 8192 | 12 | 4848  | 96  | 96  | 32 | 32  | 15.99389018 | 0.093 | 5040  | 0.205078125 |
| satellite32.bmp | satellite32.bmp-G_1-H4e-005_af2.wfa                       | 1572864 | 524288 |      | 20 | 13040 | 160 | 160 | 32 | 256 | 16.00495865 | 9.891 | 13360 | 0.008494059 |
| satellite32.bmp | satellite32.bmp-G_1-H8e-005_af3.wfa                       | 24576   | 8192   |      | 12 | 4848  | 96  | 96  | 32 | 32  | 16.01745617 | 0.094 | 5040  | 0.205078125 |
| satellite32.bmp | satellite32.bmp-withWavelet_haar-G_0.8-H5e-005_af5.wfa    | 24576   | 8192   | 8192 | 13 | 5648  | 104 | 104 | 32 | 32  | 16.02702103 | 0.093 | 5856  | 0.23828125  |
| satellite32.bmp | satellite32.bmp-withWavelet_rbio1.1-G_0.8-H5e-005_af5.wfa | 24576   | 8192   | 8192 | 13 | 5648  | 104 | 104 | 32 | 32  | 16.02702103 | 0.093 | 5856  | 0.23828125  |
| satellite32.bmp | satellite32.bmp-withWavelet_sym1-G_0.8-H5e-005_af5.wfa    | 24576   | 8192   | 8192 | 13 | 5648  | 104 | 104 | 32 | 32  | 16.02702103 | 0.093 | 5856  | 0.23828125  |
| satellite32.bmp | satellite32.bmp-withWavelet_bior1.1-G_0.8-H5e-005_af5.wfa | 24576   | 8192   | 8192 | 13 | 5648  | 104 | 104 | 32 | 32  | 16.02702103 | 0.109 | 5856  | 0.23828125  |



|                 |   |         |        |      |    |       |     |     |    |     |             |        |       |             |
|-----------------|---|---------|--------|------|----|-------|-----|-----|----|-----|-------------|--------|-------|-------------|
| satellite32.bmp | satellite32.bmp-G_1-H4e-005_af5.wfa                       | 1572864 | 524288 |      | 17 | 9488  | 136 | 136 | 32 | 256 | 16.03434821 | 8.641  | 9760  | 0.006205241 |
| satellite32.bmp | satellite32.bmp-G_1-H3e-005_af2.wfa                       | 1572864 | 524288 |      | 21 | 14352 | 168 | 168 | 32 | 256 | 16.05476696 | 10.594 | 14688 | 0.009338379 |
| satellite32.bmp | satellite32.bmp-withWavelet_haar-G_1-H9e-005_af2.wfa      | 24576   | 8192   | 8192 | 11 | 4112  | 88  | 88  | 32 | 32  | 16.07363098 | 0.094  | 4288  | 0.174479167 |
| satellite32.bmp | satellite32.bmp-withWavelet_rbio1.1-G_1-H9e-005_af2.wfa   | 24576   | 8192   | 8192 | 11 | 4112  | 88  | 88  | 32 | 32  | 16.07363098 | 0.094  | 4288  | 0.174479167 |
| satellite32.bmp | satellite32.bmp-withWavelet_sym1-G_1-H9e-005_af2.wfa      | 24576   | 8192   | 8192 | 11 | 4112  | 88  | 88  | 32 | 32  | 16.07363098 | 0.094  | 4288  | 0.174479167 |
| satellite32.bmp | satellite32.bmp-withWavelet_bior1.1-G_1-H9e-005_af2.wfa   | 24576   | 8192   | 8192 | 11 | 4112  | 88  | 88  | 32 | 32  | 16.07363098 | 0.094  | 4288  | 0.174479167 |
| satellite32.bmp | satellite32.bmp-withWavelet_haar-G_0.8-H9e-005_af2.wfa    | 24576   | 8192   | 8192 | 11 | 4112  | 88  | 88  | 32 | 32  | 16.07572016 | 0.094  | 4288  | 0.174479167 |
| satellite32.bmp | satellite32.bmp-withWavelet_rbio1.1-G_0.8-H9e-005_af2.wfa | 24576   | 8192   | 8192 | 11 | 4112  | 88  | 88  | 32 | 32  | 16.07572016 | 0.094  | 4288  | 0.174479167 |
| satellite32.bmp | satellite32.bmp-withWavelet_sym1-G_0.8-H9e-005_af2.wfa    | 24576   | 8192   | 8192 | 11 | 4112  | 88  | 88  | 32 | 32  | 16.07572016 | 0.094  | 4288  | 0.174479167 |
| satellite32.bmp | satellite32.bmp-withWavelet_bior1.1-G_0.8-H9e-005_af2.wfa | 24576   | 8192   | 8192 | 11 | 4112  | 88  | 88  | 32 | 32  | 16.07572016 | 0.094  | 4288  | 0.174479167 |
| satellite32.bmp | satellite32.bmp-withWavelet_haar-G_0.8-H0.0001_af2.wfa    | 24576   | 8192   | 8192 | 11 | 4112  | 88  | 88  | 32 | 32  | 16.07572016 | 0.094  | 4288  | 0.174479167 |
| satellite32.bmp | satellite32.bmp-withWavelet_rbio1.1-G_0.8-H0.0001_af2.wfa | 24576   | 8192   | 8192 | 11 | 4112  | 88  | 88  | 32 | 32  | 16.07572016 | 0.093  | 4288  | 0.174479167 |
| satellite32.bmp | satellite32.bmp-withWavelet_sym1-G_0.8-H0.0001_af2.wfa    | 24576   | 8192   | 8192 | 11 | 4112  | 88  | 88  | 32 | 32  | 16.07572016 | 0.094  | 4288  | 0.174479167 |
| satellite32.bmp | satellite32.bmp-withWavelet_bior1.1-G_0.8-H0.0001_af2.wfa | 24576   | 8192   | 8192 | 11 | 4112  | 88  | 88  | 32 | 32  | 16.07572016 | 0.11   | 4288  | 0.174479167 |
| satellite32.bmp | satellite32.bmp-G_1-H2e-005_af2.wfa                       | 1572864 | 524288 |      | 22 | 15728 | 176 | 176 | 32 | 256 | 16.07926381 | 10.922 | 16080 | 0.010223389 |
| satellite32.bmp | satellite32.bmp-G_1-H6e-005_af3.wfa                       | 24576   | 8192   |      | 13 | 5648  | 104 | 104 | 32 | 32  | 16.09596587 | 0.094  | 5856  | 0.23828125  |
| satellite32.bmp | satellite32.bmp-G_1-H7e-005_af3.wfa                       | 24576   | 8192   |      | 13 | 5648  | 104 | 104 | 32 | 32  | 16.09596587 | 0.11   | 5856  | 0.23828125  |
| satellite32.bmp | satellite32.bmp-G_1-H1e-005_af2.wfa                       | 1572864 | 524288 |      | 23 | 17168 | 184 | 184 | 32 | 256 | 16.10030726 | 13     | 17536 | 0.011149089 |
| satellite32.bmp | satellite32.bmp-withWavelet_haar-G_1-H4e-005_af5.wfa      | 24576   | 8192   | 8192 | 14 | 6512  | 112 | 112 | 32 | 32  | 16.11218039 | 0.094  | 6736  | 0.274088542 |
| satellite32.bmp | satellite32.bmp-withWavelet_rbio1.1-G_1-H4e-005_af5.wfa   | 24576   | 8192   | 8192 | 14 | 6512  | 112 | 112 | 32 | 32  | 16.11218039 | 0.109  | 6736  | 0.274088542 |
| satellite32.bmp | satellite32.bmp-withWavelet_sym1-G_1-H4e-005_af5.wfa      | 24576   | 8192   | 8192 | 14 | 6512  | 112 | 112 | 32 | 32  | 16.11218039 | 0.094  | 6736  | 0.274088542 |
| satellite32.bmp | satellite32.bmp-withWavelet_bior1.1-G_1-H4e-005_af5.wfa   | 24576   | 8192   | 8192 | 14 | 6512  | 112 | 112 | 32 | 32  | 16.11218039 | 0.109  | 6736  | 0.274088542 |
| satellite32.bmp | satellite32.bmp-withWavelet_haar-G_1-H8e-005_af2.wfa      | 24576   | 8192   | 8192 | 12 | 4848  | 96  | 96  | 32 | 32  | 16.11332229 | 0.093  | 5040  | 0.205078125 |
| satellite32.bmp | satellite32.bmp-withWavelet_rbio1.1-G_1-H8e-005_af2.wfa   | 24576   | 8192   | 8192 | 12 | 4848  | 96  | 96  | 32 | 32  | 16.11332229 | 0.094  | 5040  | 0.205078125 |
| satellite32.bmp | satellite32.bmp-withWavelet_sym1-G_1-H8e-005_af2.wfa      | 24576   | 8192   | 8192 | 12 | 4848  | 96  | 96  | 32 | 32  | 16.11332229 | 0.094  | 5040  | 0.205078125 |
| satellite32.bmp | satellite32.bmp-withWavelet_bior1.1-G_1-H8e-005_af2.wfa   | 24576   | 8192   | 8192 | 12 | 4848  | 96  | 96  | 32 | 32  | 16.11332229 | 0.094  | 5040  | 0.205078125 |
| satellite32.bmp | satellite32.bmp-G_1-H0.0001_af2.wfa                       | 24576   | 8192   |      | 11 | 4112  | 88  | 88  | 32 | 32  | 16.11414679 | 0.093  | 4288  | 0.174479167 |
| satellite32.bmp | satellite32.bmp-withWavelet_haar-G_0.8-H8e-005_af2.wfa    | 24576   | 8192   | 8192 | 12 | 4848  | 96  | 96  | 32 | 32  | 16.11749277 | 0.093  | 5040  | 0.205078125 |
| satellite32.bmp | satellite32.bmp-withWavelet_rbio1.1-G_0.8-H8e-005_af2.wfa | 24576   | 8192   | 8192 | 12 | 4848  | 96  | 96  | 32 | 32  | 16.11749277 | 0.094  | 5040  | 0.205078125 |
| satellite32.bmp | satellite32.bmp-withWavelet_sym1-G_0.8-H8e-005_af2.wfa    | 24576   | 8192   | 8192 | 12 | 4848  | 96  | 96  | 32 | 32  | 16.11749277 | 0.094  | 5040  | 0.205078125 |
| satellite32.bmp | satellite32.bmp-withWavelet_bior1.1-G_0.8-H8e-005_af2.wfa | 24576   | 8192   | 8192 | 12 | 4848  | 96  | 96  | 32 | 32  | 16.11749277 | 0.093  | 5040  | 0.205078125 |

|                 |   |         |        |      |    |       |     |     |    |     |             |       |       |             |
|-----------------|---|---------|--------|------|----|-------|-----|-----|----|-----|-------------|-------|-------|-------------|
| satellite32.bmp | satellite32.bmp-withWavelet_haar-G_0.6-H6e-005_af5.wfa    | 24576   | 8192   | 8192 | 13 | 5648  | 104 | 104 | 32 | 32  | 16.12410695 | 0.094 | 5856  | 0.23828125  |
| satellite32.bmp | satellite32.bmp-withWavelet_rbio1.1-G_0.6-H6e-005_af5.wfa | 24576   | 8192   | 8192 | 13 | 5648  | 104 | 104 | 32 | 32  | 16.12410695 | 0.109 | 5856  | 0.23828125  |
| satellite32.bmp | satellite32.bmp-withWavelet_sym1-G_0.6-H6e-005_af5.wfa    | 24576   | 8192   | 8192 | 13 | 5648  | 104 | 104 | 32 | 32  | 16.12410695 | 0.094 | 5856  | 0.23828125  |
| satellite32.bmp | satellite32.bmp-withWavelet_bior1.1-G_0.6-H6e-005_af5.wfa | 24576   | 8192   | 8192 | 13 | 5648  | 104 | 104 | 32 | 32  | 16.12410695 | 0.109 | 5856  | 0.23828125  |
| satellite32.bmp | satellite32.bmp-withWavelet_haar-G_0.8-H4e-005_af5.wfa    | 24576   | 8192   | 8192 | 14 | 6512  | 112 | 112 | 32 | 32  | 16.12955453 | 0.093 | 6736  | 0.274088542 |
| satellite32.bmp | satellite32.bmp-withWavelet_rbio1.1-G_0.8-H4e-005_af5.wfa | 24576   | 8192   | 8192 | 14 | 6512  | 112 | 112 | 32 | 32  | 16.12955453 | 0.094 | 6736  | 0.274088542 |
| satellite32.bmp | satellite32.bmp-withWavelet_sym1-G_0.8-H4e-005_af5.wfa    | 24576   | 8192   | 8192 | 14 | 6512  | 112 | 112 | 32 | 32  | 16.12955453 | 0.093 | 6736  | 0.274088542 |
| satellite32.bmp | satellite32.bmp-withWavelet_bior1.1-G_0.8-H4e-005_af5.wfa | 24576   | 8192   | 8192 | 14 | 6512  | 112 | 112 | 32 | 32  | 16.12955453 | 0.094 | 6736  | 0.274088542 |
| satellite32.bmp | satellite32.bmp-G_1-H4e-005_af3.wfa                       | 24576   | 8192   |      | 14 | 6512  | 112 | 112 | 32 | 32  | 16.13091173 | 0.094 | 6736  | 0.274088542 |
| satellite32.bmp | satellite32.bmp-G_1-H5e-005_af3.wfa                       | 24576   | 8192   |      | 14 | 6512  | 112 | 112 | 32 | 32  | 16.13091173 | 0.11  | 6736  | 0.274088542 |
| satellite32.bmp | satellite32.bmp-withWavelet_haar-G_1-H0.0001_af2.wfa      | 24576   | 8192   | 8192 | 11 | 4112  | 88  | 88  | 32 | 32  | 16.13774735 | 0.109 | 4288  | 0.174479167 |
| satellite32.bmp | satellite32.bmp-withWavelet_rbio1.1-G_1-H0.0001_af2.wfa   | 24576   | 8192   | 8192 | 11 | 4112  | 88  | 88  | 32 | 32  | 16.13774735 | 0.093 | 4288  | 0.174479167 |
| satellite32.bmp | satellite32.bmp-withWavelet_sym1-G_1-H0.0001_af2.wfa      | 24576   | 8192   | 8192 | 11 | 4112  | 88  | 88  | 32 | 32  | 16.13774735 | 0.093 | 4288  | 0.174479167 |
| satellite32.bmp | satellite32.bmp-withWavelet_bior1.1-G_1-H0.0001_af2.wfa   | 24576   | 8192   | 8192 | 11 | 4112  | 88  | 88  | 32 | 32  | 16.13774735 | 0.094 | 4288  | 0.174479167 |
| satellite32.bmp | satellite32.bmp-withWavelet_haar-G_1-H5e-005_af5.wfa      | 24576   | 8192   | 8192 | 14 | 6512  | 112 | 112 | 32 | 32  | 16.14830948 | 0.094 | 6736  | 0.274088542 |
| satellite32.bmp | satellite32.bmp-withWavelet_rbio1.1-G_1-H5e-005_af5.wfa   | 24576   | 8192   | 8192 | 14 | 6512  | 112 | 112 | 32 | 32  | 16.14830948 | 0.094 | 6736  | 0.274088542 |
| satellite32.bmp | satellite32.bmp-withWavelet_sym1-G_1-H5e-005_af5.wfa      | 24576   | 8192   | 8192 | 14 | 6512  | 112 | 112 | 32 | 32  | 16.14830948 | 0.11  | 6736  | 0.274088542 |
| satellite32.bmp | satellite32.bmp-withWavelet_bior1.1-G_1-H5e-005_af5.wfa   | 24576   | 8192   | 8192 | 14 | 6512  | 112 | 112 | 32 | 32  | 16.14830948 | 0.094 | 6736  | 0.274088542 |
| satellite32.bmp | satellite32.bmp-G_1-H3e-005_af5.wfa                       | 98304   | 32768  |      | 19 | 11792 | 152 | 152 | 32 | 64  | 16.14861229 | 0.531 | 12096 | 0.123046875 |
| satellite32.bmp | satellite32.bmp-withWavelet_haar-G_0.6-H9e-005_af2.wfa    | 24576   | 8192   | 8192 | 12 | 4848  | 96  | 96  | 32 | 32  | 16.14975665 | 0.094 | 5040  | 0.205078125 |
| satellite32.bmp | satellite32.bmp-withWavelet_rbio1.1-G_0.6-H9e-005_af2.wfa | 24576   | 8192   | 8192 | 12 | 4848  | 96  | 96  | 32 | 32  | 16.14975665 | 0.094 | 5040  | 0.205078125 |
| satellite32.bmp | satellite32.bmp-withWavelet_sym1-G_0.6-H9e-005_af2.wfa    | 24576   | 8192   | 8192 | 12 | 4848  | 96  | 96  | 32 | 32  | 16.14975665 | 0.094 | 5040  | 0.205078125 |
| satellite32.bmp | satellite32.bmp-withWavelet_bior1.1-G_0.6-H9e-005_af2.wfa | 24576   | 8192   | 8192 | 12 | 4848  | 96  | 96  | 32 | 32  | 16.14975665 | 0.093 | 5040  | 0.205078125 |
| satellite32.bmp | satellite32.bmp-G_1-H3e-005_af3.wfa                       | 24576   | 8192   |      | 17 | 9488  | 136 | 136 | 32 | 32  | 16.15927959 | 0.125 | 9760  | 0.397135417 |
| satellite32.bmp | satellite32.bmp-G_1-H2e-005_af5.wfa                       | 393216  | 131072 |      | 26 | 21872 | 208 | 208 | 32 | 128 | 16.20512776 | 3.422 | 22288 | 0.056681315 |
| satellite32.bmp | satellite32.bmp-G_1-H3e-005_af5.wfa                       | 1572864 | 524288 |      | 19 | 11792 | 152 | 152 | 32 | 256 | 16.2073003  | 9.594 | 12096 | 0.00769043  |
| satellite32.bmp | satellite32.bmp-G_1-H6e-005_af1.wfa                       | 24576   | 8192   |      | 14 | 6512  | 112 | 112 | 32 | 32  | 16.21932316 | 0.094 | 6736  | 0.274088542 |
| satellite32.bmp | satellite32.bmp-G_1-H5e-005_af1.wfa                       | 24576   | 8192   |      | 15 | 7440  | 120 | 120 | 32 | 32  | 16.28553601 | 0.109 | 7680  | 0.3125      |
| satellite32.bmp | satellite32.bmp-G_1-H0.0001_af5.wfa                       | 24576   | 8192   |      | 10 | 3440  | 80  | 80  | 32 | 32  | 16.2944332  | 0.094 | 3600  | 0.146484375 |
| satellite32.bmp | satellite32.bmp-G_1-H2e-005_af3.wfa                       | 24576   | 8192   |      | 20 | 13040 | 160 | 160 | 32 | 32  | 16.3121974  | 0.125 | 13360 | 0.543619792 |
| satellite32.bmp | satellite32.bmp-G_1-H8e-005_af2.wfa                       | 24576   | 8192   |      | 12 | 4848  | 96  | 96  | 32 | 32  | 16.32251579 | 0.094 | 5040  | 0.205078125 |

|                 |   |         |        |      |    |       |     |     |    |     |             |        |       |             |
|-----------------|---|---------|--------|------|----|-------|-----|-----|----|-----|-------------|--------|-------|-------------|
| satellite32.bmp | satellite32.bmp-G_1-H9e-005_af2.wfa                       | 24576   | 8192   |      | 12 | 4848  | 96  | 96  | 32 | 32  | 16.32251579 | 0.094  | 5040  | 0.205078125 |
| satellite32.bmp | satellite32.bmp-G_1-H9e-005_af5.wfa                       | 24576   | 8192   |      | 11 | 4112  | 88  | 88  | 32 | 32  | 16.33494085 | 0.094  | 4288  | 0.174479167 |
| satellite32.bmp | satellite32.bmp-withWavelet_haar-G_0.6-H5e-005_af5.wfa    | 24576   | 8192   | 8192 | 13 | 5648  | 104 | 104 | 32 | 32  | 16.35492389 | 0.109  | 5856  | 0.23828125  |
| satellite32.bmp | satellite32.bmp-withWavelet_rbio1.1-G_0.6-H5e-005_af5.wfa | 24576   | 8192   | 8192 | 13 | 5648  | 104 | 104 | 32 | 32  | 16.35492389 | 0.094  | 5856  | 0.23828125  |
| satellite32.bmp | satellite32.bmp-withWavelet_sym1-G_0.6-H5e-005_af5.wfa    | 24576   | 8192   | 8192 | 13 | 5648  | 104 | 104 | 32 | 32  | 16.35492389 | 0.093  | 5856  | 0.23828125  |
| satellite32.bmp | satellite32.bmp-withWavelet_bior1.1-G_0.6-H5e-005_af5.wfa | 24576   | 8192   | 8192 | 13 | 5648  | 104 | 104 | 32 | 32  | 16.35492389 | 0.156  | 5856  | 0.23828125  |
| satellite32.bmp | satellite32.bmp-withWavelet_haar-G_1-H3e-005_af5.wfa      | 24576   | 8192   | 8192 | 17 | 9488  | 136 | 136 | 32 | 32  | 16.38896565 | 0.109  | 9760  | 0.397135417 |
| satellite32.bmp | satellite32.bmp-withWavelet_rbio1.1-G_1-H3e-005_af5.wfa   | 24576   | 8192   | 8192 | 17 | 9488  | 136 | 136 | 32 | 32  | 16.38896565 | 0.11   | 9760  | 0.397135417 |
| satellite32.bmp | satellite32.bmp-withWavelet_sym1-G_1-H3e-005_af5.wfa      | 24576   | 8192   | 8192 | 17 | 9488  | 136 | 136 | 32 | 32  | 16.38896565 | 0.11   | 9760  | 0.397135417 |
| satellite32.bmp | satellite32.bmp-withWavelet_bior1.1-G_1-H3e-005_af5.wfa   | 24576   | 8192   | 8192 | 17 | 9488  | 136 | 136 | 32 | 32  | 16.38896565 | 0.11   | 9760  | 0.397135417 |
| satellite32.bmp | satellite32.bmp-G_1-H1e-005_af3.wfa                       | 24576   | 8192   |      | 22 | 15728 | 176 | 176 | 32 | 32  | 16.39036671 | 0.141  | 16080 | 0.654296875 |
| satellite32.bmp | satellite32.bmp-withWavelet_haar-G_1-H7e-005_af2.wfa      | 24576   | 8192   | 8192 | 14 | 6512  | 112 | 112 | 32 | 32  | 16.39631987 | 0.093  | 6736  | 0.274088542 |
| satellite32.bmp | satellite32.bmp-withWavelet_rbio1.1-G_1-H7e-005_af2.wfa   | 24576   | 8192   | 8192 | 14 | 6512  | 112 | 112 | 32 | 32  | 16.39631987 | 0.11   | 6736  | 0.274088542 |
| satellite32.bmp | satellite32.bmp-withWavelet_sym1-G_1-H7e-005_af2.wfa      | 24576   | 8192   | 8192 | 14 | 6512  | 112 | 112 | 32 | 32  | 16.39631987 | 0.109  | 6736  | 0.274088542 |
| satellite32.bmp | satellite32.bmp-withWavelet_bior1.1-G_1-H7e-005_af2.wfa   | 24576   | 8192   | 8192 | 14 | 6512  | 112 | 112 | 32 | 32  | 16.39631987 | 0.094  | 6736  | 0.274088542 |
| satellite32.bmp | satellite32.bmp-withWavelet_haar-G_0.6-H8e-005_af2.wfa    | 24576   | 8192   | 8192 | 14 | 6512  | 112 | 112 | 32 | 32  | 16.40896386 | 0.093  | 6736  | 0.274088542 |
| satellite32.bmp | satellite32.bmp-withWavelet_rbio1.1-G_0.6-H8e-005_af2.wfa | 24576   | 8192   | 8192 | 14 | 6512  | 112 | 112 | 32 | 32  | 16.40896386 | 0.188  | 6736  | 0.274088542 |
| satellite32.bmp | satellite32.bmp-withWavelet_sym1-G_0.6-H8e-005_af2.wfa    | 24576   | 8192   | 8192 | 14 | 6512  | 112 | 112 | 32 | 32  | 16.40896386 | 0.094  | 6736  | 0.274088542 |
| satellite32.bmp | satellite32.bmp-withWavelet_bior1.1-G_0.6-H8e-005_af2.wfa | 24576   | 8192   | 8192 | 14 | 6512  | 112 | 112 | 32 | 32  | 16.40896386 | 0.11   | 6736  | 0.274088542 |
| satellite32.bmp | satellite32.bmp-G_1-H8e-005_af5.wfa                       | 24576   | 8192   |      | 13 | 5648  | 104 | 104 | 32 | 32  | 16.5218323  | 0.093  | 5856  | 0.23828125  |
| satellite32.bmp | satellite32.bmp-G_1-H4e-005_af1.wfa                       | 24576   | 8192   |      | 17 | 9488  | 136 | 136 | 32 | 32  | 16.5285084  | 0.109  | 9760  | 0.397135417 |
| satellite32.bmp | satellite32.bmp-G_1-H7e-005_af2.wfa                       | 24576   | 8192   |      | 14 | 6512  | 112 | 112 | 32 | 32  | 16.55518564 | 0.109  | 6736  | 0.274088542 |
| satellite32.bmp | satellite32.bmp-G_1-H3e-005_af1.wfa                       | 24576   | 8192   |      | 18 | 10608 | 144 | 144 | 32 | 32  | 16.56100611 | 0.109  | 10896 | 0.443359375 |
| satellite32.bmp | satellite32.bmp-withWavelet_haar-G_0.6-H4e-005_af5.wfa    | 24576   | 8192   | 8192 | 15 | 7440  | 120 | 120 | 32 | 32  | 16.60599735 | 0.109  | 7680  | 0.3125      |
| satellite32.bmp | satellite32.bmp-withWavelet_rbio1.1-G_0.6-H4e-005_af5.wfa | 24576   | 8192   | 8192 | 15 | 7440  | 120 | 120 | 32 | 32  | 16.60599735 | 0.11   | 7680  | 0.3125      |
| satellite32.bmp | satellite32.bmp-withWavelet_sym1-G_0.6-H4e-005_af5.wfa    | 24576   | 8192   | 8192 | 15 | 7440  | 120 | 120 | 32 | 32  | 16.60599735 | 0.109  | 7680  | 0.3125      |
| satellite32.bmp | satellite32.bmp-withWavelet_bior1.1-G_0.6-H4e-005_af5.wfa | 24576   | 8192   | 8192 | 15 | 7440  | 120 | 120 | 32 | 32  | 16.60599735 | 0.11   | 7680  | 0.3125      |
| satellite32.bmp | satellite32.bmp-G_1-H2e-005_af5.wfa                       | 1572864 | 524288 |      | 26 | 21872 | 208 | 208 | 32 | 256 | 16.64167325 | 14.969 | 22288 | 0.014170329 |
| satellite32.bmp | satellite32.bmp-G_1-H7e-005_af5.wfa                       | 24576   | 8192   |      | 13 | 5648  | 104 | 104 | 32 | 32  | 16.65171238 | 0.094  | 5856  | 0.23828125  |
| satellite32.bmp | satellite32.bmp-withWavelet_haar-G_1-H2e-005_af5.wfa      | 24576   | 8192   | 8192 | 19 | 11792 | 152 | 152 | 32 | 32  | 16.66409812 | 0.125  | 12096 | 0.4921875   |
| satellite32.bmp | satellite32.bmp-withWavelet_rbio1.1-G_1-H2e-005_af5.wfa   | 24576   | 8192   | 8192 | 19 | 11792 | 152 | 152 | 32 | 32  | 16.66409812 | 0.125  | 12096 | 0.4921875   |

|                 |   |         |        |      |    |       |     |     |    |     |             |        |       |             |
|-----------------|---|---------|--------|------|----|-------|-----|-----|----|-----|-------------|--------|-------|-------------|
| satellite32.bmp | satellite32.bmp-withWavelet_sym1-G_1-H2e-005_af5.wfa      | 24576   | 8192   | 8192 | 19 | 11792 | 152 | 152 | 32 | 32  | 16.66409812 | 0.125  | 12096 | 0.4921875   |
| satellite32.bmp | satellite32.bmp-withWavelet_bior1.1-G_1-H2e-005_af5.wfa   | 24576   | 8192   | 8192 | 19 | 11792 | 152 | 152 | 32 | 32  | 16.66409812 | 0.125  | 12096 | 0.4921875   |
| satellite32.bmp | satellite32.bmp-G_1-H2e-005_af1.wfa                       | 24576   | 8192   |      | 21 | 14352 | 168 | 168 | 32 | 32  | 16.71725382 | 0.125  | 14688 | 0.59765625  |
| satellite32.bmp | satellite32.bmp-G_1-H1e-005_af1.wfa                       | 24576   | 8192   |      | 22 | 15728 | 176 | 176 | 32 | 32  | 16.72638268 | 0.172  | 16080 | 0.654296875 |
| satellite32.bmp | satellite32.bmp-G_1-H1e-005_af5.wfa                       | 393216  | 131072 |      | 33 | 35088 | 264 | 264 | 32 | 128 | 16.74567301 | 5.031  | 35616 | 0.090576172 |
| satellite32.bmp | satellite32.bmp-withWavelet_haar-G_0.8-H3e-005_af5.wfa    | 24576   | 8192   | 8192 | 17 | 9488  | 136 | 136 | 32 | 32  | 16.77458721 | 0.109  | 9760  | 0.397135417 |
| satellite32.bmp | satellite32.bmp-withWavelet_rbio1.1-G_0.8-H3e-005_af5.wfa | 24576   | 8192   | 8192 | 17 | 9488  | 136 | 136 | 32 | 32  | 16.77458721 | 0.109  | 9760  | 0.397135417 |
| satellite32.bmp | satellite32.bmp-withWavelet_sym1-G_0.8-H3e-005_af5.wfa    | 24576   | 8192   | 8192 | 17 | 9488  | 136 | 136 | 32 | 32  | 16.77458721 | 0.109  | 9760  | 0.397135417 |
| satellite32.bmp | satellite32.bmp-withWavelet_bior1.1-G_0.8-H3e-005_af5.wfa | 24576   | 8192   | 8192 | 17 | 9488  | 136 | 136 | 32 | 32  | 16.77458721 | 0.125  | 9760  | 0.397135417 |
| satellite32.bmp | satellite32.bmp-G_1-H6e-005_af2.wfa                       | 24576   | 8192   |      | 15 | 7440  | 120 | 120 | 32 | 32  | 16.79386532 | 0.11   | 7680  | 0.3125      |
| satellite32.bmp | satellite32.bmp-G_1-H2e-005_af5.wfa                       | 98304   | 32768  |      | 26 | 21872 | 208 | 208 | 32 | 64  | 16.87133501 | 0.781  | 22288 | 0.22672526  |
| satellite32.bmp | satellite32.bmp-withWavelet_haar-G_0.8-H7e-005_af2.wfa    | 24576   | 8192   | 8192 | 17 | 9488  | 136 | 136 | 32 | 32  | 16.98342388 | 0.109  | 9760  | 0.397135417 |
| satellite32.bmp | satellite32.bmp-withWavelet_rbio1.1-G_0.8-H7e-005_af2.wfa | 24576   | 8192   | 8192 | 17 | 9488  | 136 | 136 | 32 | 32  | 16.98342388 | 0.109  | 9760  | 0.397135417 |
| satellite32.bmp | satellite32.bmp-withWavelet_sym1-G_0.8-H7e-005_af2.wfa    | 24576   | 8192   | 8192 | 17 | 9488  | 136 | 136 | 32 | 32  | 16.98342388 | 0.11   | 9760  | 0.397135417 |
| satellite32.bmp | satellite32.bmp-withWavelet_bior1.1-G_0.8-H7e-005_af2.wfa | 24576   | 8192   | 8192 | 17 | 9488  | 136 | 136 | 32 | 32  | 16.98342388 | 0.109  | 9760  | 0.397135417 |
| satellite32.bmp | satellite32.bmp-G_1-H5e-005_af5.wfa                       | 24576   | 8192   |      | 15 | 7440  | 120 | 120 | 32 | 32  | 17.01710049 | 0.094  | 7680  | 0.3125      |
| satellite32.bmp | satellite32.bmp-G_1-H1e-005_af5.wfa                       | 1572864 | 524288 |      | 33 | 35088 | 264 | 264 | 32 | 256 | 17.12620888 | 22.609 | 35616 | 0.022644043 |
| satellite32.bmp | satellite32.bmp-withWavelet_haar-G_0.6-H7e-005_af2.wfa    | 24576   | 8192   | 8192 | 17 | 9488  | 136 | 136 | 32 | 32  | 17.14911972 | 0.11   | 9760  | 0.397135417 |
| satellite32.bmp | satellite32.bmp-withWavelet_rbio1.1-G_0.6-H7e-005_af2.wfa | 24576   | 8192   | 8192 | 17 | 9488  | 136 | 136 | 32 | 32  | 17.14911972 | 0.109  | 9760  | 0.397135417 |
| satellite32.bmp | satellite32.bmp-withWavelet_sym1-G_0.6-H7e-005_af2.wfa    | 24576   | 8192   | 8192 | 17 | 9488  | 136 | 136 | 32 | 32  | 17.14911972 | 0.109  | 9760  | 0.397135417 |
| satellite32.bmp | satellite32.bmp-withWavelet_bior1.1-G_0.6-H7e-005_af2.wfa | 24576   | 8192   | 8192 | 17 | 9488  | 136 | 136 | 32 | 32  | 17.14911972 | 0.109  | 9760  | 0.397135417 |
| satellite32.bmp | satellite32.bmp-G_1-H6e-005_af5.wfa                       | 24576   | 8192   |      | 15 | 7440  | 120 | 120 | 32 | 32  | 17.16812908 | 0.109  | 7680  | 0.3125      |
| satellite32.bmp | satellite32.bmp-withWavelet_haar-G_0.6-H3e-005_af5.wfa    | 24576   | 8192   | 8192 | 19 | 11792 | 152 | 152 | 32 | 32  | 17.21680713 | 0.125  | 12096 | 0.4921875   |
| satellite32.bmp | satellite32.bmp-withWavelet_rbio1.1-G_0.6-H3e-005_af5.wfa | 24576   | 8192   | 8192 | 19 | 11792 | 152 | 152 | 32 | 32  | 17.21680713 | 0.125  | 12096 | 0.4921875   |
| satellite32.bmp | satellite32.bmp-withWavelet_sym1-G_0.6-H3e-005_af5.wfa    | 24576   | 8192   | 8192 | 19 | 11792 | 152 | 152 | 32 | 32  | 17.21680713 | 0.125  | 12096 | 0.4921875   |
| satellite32.bmp | satellite32.bmp-withWavelet_bior1.1-G_0.6-H3e-005_af5.wfa | 24576   | 8192   | 8192 | 19 | 11792 | 152 | 152 | 32 | 32  | 17.21680713 | 0.125  | 12096 | 0.4921875   |
| satellite32.bmp | satellite32.bmp-withWavelet_haar-G_0.8-H2e-005_af5.wfa    | 24576   | 8192   | 8192 | 20 | 13040 | 160 | 160 | 32 | 32  | 17.26703293 | 0.125  | 13360 | 0.543619792 |
| satellite32.bmp | satellite32.bmp-withWavelet_rbio1.1-G_0.8-H2e-005_af5.wfa | 24576   | 8192   | 8192 | 20 | 13040 | 160 | 160 | 32 | 32  | 17.26703293 | 0.125  | 13360 | 0.543619792 |
| satellite32.bmp | satellite32.bmp-withWavelet_sym1-G_0.8-H2e-005_af5.wfa    | 24576   | 8192   | 8192 | 20 | 13040 | 160 | 160 | 32 | 32  | 17.26703293 | 0.125  | 13360 | 0.543619792 |
| satellite32.bmp | satellite32.bmp-withWavelet_bior1.1-G_0.8-H2e-005_af5.wfa | 24576   | 8192   | 8192 | 20 | 13040 | 160 | 160 | 32 | 32  | 17.26703293 | 0.125  | 13360 | 0.543619792 |
| satellite32.bmp | satellite32.bmp-withWavelet_haar-G_0.6-H2e-005_af5.wfa    | 24576   | 8192   | 8192 | 20 | 13040 | 160 | 160 | 32 | 32  | 17.3429472  | 0.125  | 13360 | 0.543619792 |

|                 |   |       |       |      |    |       |     |     |    |    |             |       |       |             |
|-----------------|---|-------|-------|------|----|-------|-----|-----|----|----|-------------|-------|-------|-------------|
| satellite32.bmp | satellite32.bmp-withWavelet_rbio1.1-G_0.6-H2e-005_af5.wfa | 24576 | 8192  | 8192 | 20 | 13040 | 160 | 160 | 32 | 32 | 17.3429472  | 0.125 | 13360 | 0.543619792 |
| satellite32.bmp | satellite32.bmp-withWavelet_sym1-G_0.6-H2e-005_af5.wfa    | 24576 | 8192  | 8192 | 20 | 13040 | 160 | 160 | 32 | 32 | 17.3429472  | 0.125 | 13360 | 0.543619792 |
| satellite32.bmp | satellite32.bmp-withWavelet_bior1.1-G_0.6-H2e-005_af5.wfa | 24576 | 8192  | 8192 | 20 | 13040 | 160 | 160 | 32 | 32 | 17.3429472  | 0.125 | 13360 | 0.543619792 |
| satellite32.bmp | satellite32.bmp-G_1-H5e-005_af2.wfa                       | 24576 | 8192  |      | 18 | 10608 | 144 | 144 | 32 | 32 | 17.36641134 | 0.125 | 10896 | 0.443359375 |
| satellite32.bmp | satellite32.bmp-G_1-H4e-005_af2.wfa                       | 24576 | 8192  |      | 20 | 13040 | 160 | 160 | 32 | 32 | 17.476186   | 0.125 | 13360 | 0.543619792 |
| satellite32.bmp | satellite32.bmp-G_1-H4e-005_af5.wfa                       | 24576 | 8192  |      | 17 | 9488  | 136 | 136 | 32 | 32 | 17.52109966 | 0.11  | 9760  | 0.397135417 |
| satellite32.bmp | satellite32.bmp-G_1-H3e-005_af2.wfa                       | 24576 | 8192  |      | 21 | 14352 | 168 | 168 | 32 | 32 | 17.68326006 | 0.125 | 14688 | 0.59765625  |
| satellite32.bmp | satellite32.bmp-withWavelet_haar-G_1-H6e-005_af2.wfa      | 24576 | 8192  | 8192 | 20 | 13040 | 160 | 160 | 32 | 32 | 17.75379929 | 0.125 | 13360 | 0.543619792 |
| satellite32.bmp | satellite32.bmp-withWavelet_rbio1.1-G_1-H6e-005_af2.wfa   | 24576 | 8192  | 8192 | 20 | 13040 | 160 | 160 | 32 | 32 | 17.75379929 | 0.125 | 13360 | 0.543619792 |
| satellite32.bmp | satellite32.bmp-withWavelet_sym1-G_1-H6e-005_af2.wfa      | 24576 | 8192  | 8192 | 20 | 13040 | 160 | 160 | 32 | 32 | 17.75379929 | 0.125 | 13360 | 0.543619792 |
| satellite32.bmp | satellite32.bmp-withWavelet_bior1.1-G_1-H6e-005_af2.wfa   | 24576 | 8192  | 8192 | 20 | 13040 | 160 | 160 | 32 | 32 | 17.75379929 | 0.125 | 13360 | 0.543619792 |
| satellite32.bmp | satellite32.bmp-G_1-H2e-005_af2.wfa                       | 24576 | 8192  |      | 22 | 15728 | 176 | 176 | 32 | 32 | 17.75505232 | 0.14  | 16080 | 0.654296875 |
| satellite32.bmp | satellite32.bmp-G_1-H1e-005_af5.wfa                       | 98304 | 32768 |      | 33 | 35088 | 264 | 264 | 32 | 64 | 17.77111352 | 1.203 | 35616 | 0.362304688 |
| satellite32.bmp | satellite32.bmp-withWavelet_haar-G_0.6-H6e-005_af2.wfa    | 24576 | 8192  | 8192 | 19 | 11792 | 152 | 152 | 32 | 32 | 17.87868568 | 0.125 | 12096 | 0.4921875   |
| satellite32.bmp | satellite32.bmp-withWavelet_rbio1.1-G_0.6-H6e-005_af2.wfa | 24576 | 8192  | 8192 | 19 | 11792 | 152 | 152 | 32 | 32 | 17.87868568 | 0.125 | 12096 | 0.4921875   |
| satellite32.bmp | satellite32.bmp-withWavelet_sym1-G_0.6-H6e-005_af2.wfa    | 24576 | 8192  | 8192 | 19 | 11792 | 152 | 152 | 32 | 32 | 17.87868568 | 0.125 | 12096 | 0.4921875   |
| satellite32.bmp | satellite32.bmp-withWavelet_bior1.1-G_0.6-H6e-005_af2.wfa | 24576 | 8192  | 8192 | 19 | 11792 | 152 | 152 | 32 | 32 | 17.87868568 | 0.125 | 12096 | 0.4921875   |
| satellite32.bmp | satellite32.bmp-G_1-H1e-005_af2.wfa                       | 24576 | 8192  |      | 23 | 17168 | 184 | 184 | 32 | 32 | 17.91114993 | 0.157 | 17536 | 0.713541667 |
| satellite32.bmp | satellite32.bmp-withWavelet_haar-G_1-H0.0001_af4.wfa      | 24576 | 8192  | 8192 | 18 | 10608 | 144 | 144 | 32 | 32 | 18.07758951 | 0.109 | 10896 | 0.443359375 |
| satellite32.bmp | satellite32.bmp-withWavelet_rbio1.1-G_1-H0.0001_af4.wfa   | 24576 | 8192  | 8192 | 18 | 10608 | 144 | 144 | 32 | 32 | 18.07758951 | 0.11  | 10896 | 0.443359375 |
| satellite32.bmp | satellite32.bmp-withWavelet_sym1-G_1-H0.0001_af4.wfa      | 24576 | 8192  | 8192 | 18 | 10608 | 144 | 144 | 32 | 32 | 18.07758951 | 0.141 | 10896 | 0.443359375 |
| satellite32.bmp | satellite32.bmp-withWavelet_bior1.1-G_1-H0.0001_af4.wfa   | 24576 | 8192  | 8192 | 18 | 10608 | 144 | 144 | 32 | 32 | 18.07758951 | 0.11  | 10896 | 0.443359375 |
| satellite32.bmp | satellite32.bmp-withWavelet_haar-G_0.8-H0.0001_af3.wfa    | 24576 | 8192  | 8192 | 18 | 10608 | 144 | 144 | 32 | 32 | 18.07933152 | 0.11  | 10896 | 0.443359375 |
| satellite32.bmp | satellite32.bmp-withWavelet_rbio1.1-G_0.8-H0.0001_af3.wfa | 24576 | 8192  | 8192 | 18 | 10608 | 144 | 144 | 32 | 32 | 18.07933152 | 0.125 | 10896 | 0.443359375 |
| satellite32.bmp | satellite32.bmp-withWavelet_sym1-G_0.8-H0.0001_af3.wfa    | 24576 | 8192  | 8192 | 18 | 10608 | 144 | 144 | 32 | 32 | 18.07933152 | 0.125 | 10896 | 0.443359375 |
| satellite32.bmp | satellite32.bmp-withWavelet_bior1.1-G_0.8-H0.0001_af3.wfa | 24576 | 8192  | 8192 | 18 | 10608 | 144 | 144 | 32 | 32 | 18.07933152 | 0.109 | 10896 | 0.443359375 |
| satellite32.bmp | satellite32.bmp-withWavelet_haar-G_0.6-H0.0001_af3.wfa    | 24576 | 8192  | 8192 | 18 | 10608 | 144 | 144 | 32 | 32 | 18.10692852 | 0.11  | 10896 | 0.443359375 |
| satellite32.bmp | satellite32.bmp-withWavelet_rbio1.1-G_0.6-H0.0001_af3.wfa | 24576 | 8192  | 8192 | 18 | 10608 | 144 | 144 | 32 | 32 | 18.10692852 | 0.11  | 10896 | 0.443359375 |
| satellite32.bmp | satellite32.bmp-withWavelet_sym1-G_0.6-H0.0001_af3.wfa    | 24576 | 8192  | 8192 | 18 | 10608 | 144 | 144 | 32 | 32 | 18.10692852 | 0.109 | 10896 | 0.443359375 |
| satellite32.bmp | satellite32.bmp-withWavelet_bior1.1-G_0.6-H0.0001_af3.wfa | 24576 | 8192  | 8192 | 18 | 10608 | 144 | 144 | 32 | 32 | 18.10692852 | 0.11  | 10896 | 0.443359375 |
| satellite32.bmp | satellite32.bmp-withWavelet_haar-G_0.8-H0.0001_af4.wfa    | 24576 | 8192  | 8192 | 18 | 10608 | 144 | 144 | 32 | 32 | 18.117809   | 0.125 | 10896 | 0.443359375 |

|                 |   |       |      |      |    |       |     |     |    |    |             |       |       |             |
|-----------------|---|-------|------|------|----|-------|-----|-----|----|----|-------------|-------|-------|-------------|
| satellite32.bmp | satellite32.bmp-withWavelet_rbio1.1-G_0.8-H0.0001_af4.wfa | 24576 | 8192 | 8192 | 18 | 10608 | 144 | 144 | 32 | 32 | 18.117809   | 0.109 | 10896 | 0.443359375 |
| satellite32.bmp | satellite32.bmp-withWavelet_sym1-G_0.8-H0.0001_af4.wfa    | 24576 | 8192 | 8192 | 18 | 10608 | 144 | 144 | 32 | 32 | 18.117809   | 0.109 | 10896 | 0.443359375 |
| satellite32.bmp | satellite32.bmp-withWavelet_bior1.1-G_0.8-H0.0001_af4.wfa | 24576 | 8192 | 8192 | 18 | 10608 | 144 | 144 | 32 | 32 | 18.117809   | 0.11  | 10896 | 0.443359375 |
| satellite32.bmp | satellite32.bmp-withWavelet_haar-G_0.6-H5e-005_af2.wfa    | 24576 | 8192 | 8192 | 21 | 14352 | 168 | 168 | 32 | 32 | 18.13986894 | 0.125 | 14688 | 0.59765625  |
| satellite32.bmp | satellite32.bmp-withWavelet_rbio1.1-G_0.6-H5e-005_af2.wfa | 24576 | 8192 | 8192 | 21 | 14352 | 168 | 168 | 32 | 32 | 18.13986894 | 0.141 | 14688 | 0.59765625  |
| satellite32.bmp | satellite32.bmp-withWavelet_sym1-G_0.6-H5e-005_af2.wfa    | 24576 | 8192 | 8192 | 21 | 14352 | 168 | 168 | 32 | 32 | 18.13986894 | 0.14  | 14688 | 0.59765625  |
| satellite32.bmp | satellite32.bmp-withWavelet_bior1.1-G_0.6-H5e-005_af2.wfa | 24576 | 8192 | 8192 | 21 | 14352 | 168 | 168 | 32 | 32 | 18.13986894 | 0.141 | 14688 | 0.59765625  |
| satellite32.bmp | satellite32.bmp-G_1-H3e-005_af5.wfa                       | 24576 | 8192 |      | 19 | 11792 | 152 | 152 | 32 | 32 | 18.15735352 | 0.125 | 12096 | 0.4921875   |
| satellite32.bmp | satellite32.bmp-withWavelet_haar-G_1-H0.0001_af3.wfa      | 24576 | 8192 | 8192 | 19 | 11792 | 152 | 152 | 32 | 32 | 18.2086697  | 0.141 | 12096 | 0.4921875   |
| satellite32.bmp | satellite32.bmp-withWavelet_rbio1.1-G_1-H0.0001_af3.wfa   | 24576 | 8192 | 8192 | 19 | 11792 | 152 | 152 | 32 | 32 | 18.2086697  | 0.125 | 12096 | 0.4921875   |
| satellite32.bmp | satellite32.bmp-withWavelet_sym1-G_1-H0.0001_af3.wfa      | 24576 | 8192 | 8192 | 19 | 11792 | 152 | 152 | 32 | 32 | 18.2086697  | 0.125 | 12096 | 0.4921875   |
| satellite32.bmp | satellite32.bmp-withWavelet_bior1.1-G_1-H0.0001_af3.wfa   | 24576 | 8192 | 8192 | 19 | 11792 | 152 | 152 | 32 | 32 | 18.2086697  | 0.125 | 12096 | 0.4921875   |
| satellite32.bmp | satellite32.bmp-withWavelet_haar-G_0.8-H5e-005_af2.wfa    | 24576 | 8192 | 8192 | 23 | 17168 | 184 | 184 | 32 | 32 | 18.26740338 | 0.156 | 17536 | 0.713541667 |
| satellite32.bmp | satellite32.bmp-withWavelet_rbio1.1-G_0.8-H5e-005_af2.wfa | 24576 | 8192 | 8192 | 23 | 17168 | 184 | 184 | 32 | 32 | 18.26740338 | 0.156 | 17536 | 0.713541667 |
| satellite32.bmp | satellite32.bmp-withWavelet_sym1-G_0.8-H5e-005_af2.wfa    | 24576 | 8192 | 8192 | 23 | 17168 | 184 | 184 | 32 | 32 | 18.26740338 | 0.156 | 17536 | 0.713541667 |
| satellite32.bmp | satellite32.bmp-withWavelet_bior1.1-G_0.8-H5e-005_af2.wfa | 24576 | 8192 | 8192 | 23 | 17168 | 184 | 184 | 32 | 32 | 18.26740338 | 0.156 | 17536 | 0.713541667 |
| satellite32.bmp | satellite32.bmp-withWavelet_haar-G_1-H5e-005_af2.wfa      | 24576 | 8192 | 8192 | 23 | 17168 | 184 | 184 | 32 | 32 | 18.29252342 | 0.156 | 17536 | 0.713541667 |
| satellite32.bmp | satellite32.bmp-withWavelet_rbio1.1-G_1-H5e-005_af2.wfa   | 24576 | 8192 | 8192 | 23 | 17168 | 184 | 184 | 32 | 32 | 18.29252342 | 0.156 | 17536 | 0.713541667 |
| satellite32.bmp | satellite32.bmp-withWavelet_sym1-G_1-H5e-005_af2.wfa      | 24576 | 8192 | 8192 | 23 | 17168 | 184 | 184 | 32 | 32 | 18.29252342 | 0.157 | 17536 | 0.713541667 |
| satellite32.bmp | satellite32.bmp-withWavelet_bior1.1-G_1-H5e-005_af2.wfa   | 24576 | 8192 | 8192 | 23 | 17168 | 184 | 184 | 32 | 32 | 18.29252342 | 0.156 | 17536 | 0.713541667 |
| satellite32.bmp | satellite32.bmp-withWavelet_haar-G_0.8-H6e-005_af2.wfa    | 24576 | 8192 | 8192 | 22 | 15728 | 176 | 176 | 32 | 32 | 18.3144838  | 0.125 | 16080 | 0.654296875 |
| satellite32.bmp | satellite32.bmp-withWavelet_rbio1.1-G_0.8-H6e-005_af2.wfa | 24576 | 8192 | 8192 | 22 | 15728 | 176 | 176 | 32 | 32 | 18.3144838  | 0.14  | 16080 | 0.654296875 |
| satellite32.bmp | satellite32.bmp-withWavelet_sym1-G_0.8-H6e-005_af2.wfa    | 24576 | 8192 | 8192 | 22 | 15728 | 176 | 176 | 32 | 32 | 18.3144838  | 0.141 | 16080 | 0.654296875 |
| satellite32.bmp | satellite32.bmp-withWavelet_bior1.1-G_0.8-H6e-005_af2.wfa | 24576 | 8192 | 8192 | 22 | 15728 | 176 | 176 | 32 | 32 | 18.3144838  | 0.125 | 16080 | 0.654296875 |
| satellite32.bmp | satellite32.bmp-withWavelet_haar-G_0.6-H1e-005_af5.wfa    | 24576 | 8192 | 8192 | 24 | 18672 | 192 | 192 | 32 | 32 | 18.4184805  | 0.156 | 19056 | 0.775390625 |
| satellite32.bmp | satellite32.bmp-withWavelet_rbio1.1-G_0.6-H1e-005_af5.wfa | 24576 | 8192 | 8192 | 24 | 18672 | 192 | 192 | 32 | 32 | 18.4184805  | 0.157 | 19056 | 0.775390625 |
| satellite32.bmp | satellite32.bmp-withWavelet_sym1-G_0.6-H1e-005_af5.wfa    | 24576 | 8192 | 8192 | 24 | 18672 | 192 | 192 | 32 | 32 | 18.4184805  | 0.156 | 19056 | 0.775390625 |
| satellite32.bmp | satellite32.bmp-withWavelet_bior1.1-G_0.6-H1e-005_af5.wfa | 24576 | 8192 | 8192 | 24 | 18672 | 192 | 192 | 32 | 32 | 18.4184805  | 0.157 | 19056 | 0.775390625 |
| satellite32.bmp | satellite32.bmp-withWavelet_haar-G_1-H9e-005_af4.wfa      | 24576 | 8192 | 8192 | 20 | 13040 | 160 | 160 | 32 | 32 | 18.59222254 | 0.125 | 13360 | 0.543619792 |
| satellite32.bmp | satellite32.bmp-withWavelet_rbio1.1-G_1-H9e-005_af4.wfa   | 24576 | 8192 | 8192 | 20 | 13040 | 160 | 160 | 32 | 32 | 18.59222254 | 0.11  | 13360 | 0.543619792 |
| satellite32.bmp | satellite32.bmp-withWavelet_sym1-G_1-H9e-005_af4.wfa      | 24576 | 8192 | 8192 | 20 | 13040 | 160 | 160 | 32 | 32 | 18.59222254 | 0.125 | 13360 | 0.543619792 |



|                 |   |       |      |      |    |       |     |     |    |    |             |       |       |             |
|-----------------|---|-------|------|------|----|-------|-----|-----|----|----|-------------|-------|-------|-------------|
| satellite32.bmp | satellite32.bmp-withWavelet_sym1-G_0.6-H8e-005_af3.wfa    | 24576 | 8192 | 8192 | 21 | 14352 | 168 | 168 | 32 | 32 | 18.7761441  | 0.125 | 14688 | 0.59765625  |
| satellite32.bmp | satellite32.bmp-withWavelet_bior1.1-G_0.6-H8e-005_af3.wfa | 24576 | 8192 | 8192 | 21 | 14352 | 168 | 168 | 32 | 32 | 18.7761441  | 0.125 | 14688 | 0.59765625  |
| satellite32.bmp | satellite32.bmp-withWavelet_haar-G_1-H8e-005_af4.wfa      | 24576 | 8192 | 8192 | 21 | 14352 | 168 | 168 | 32 | 32 | 18.86366014 | 0.125 | 14688 | 0.59765625  |
| satellite32.bmp | satellite32.bmp-withWavelet_rbio1.1-G_1-H8e-005_af4.wfa   | 24576 | 8192 | 8192 | 21 | 14352 | 168 | 168 | 32 | 32 | 18.86366014 | 0.125 | 14688 | 0.59765625  |
| satellite32.bmp | satellite32.bmp-withWavelet_sym1-G_1-H8e-005_af4.wfa      | 24576 | 8192 | 8192 | 21 | 14352 | 168 | 168 | 32 | 32 | 18.86366014 | 0.125 | 14688 | 0.59765625  |
| satellite32.bmp | satellite32.bmp-withWavelet_bior1.1-G_1-H8e-005_af4.wfa   | 24576 | 8192 | 8192 | 21 | 14352 | 168 | 168 | 32 | 32 | 18.86366014 | 0.125 | 14688 | 0.59765625  |
| satellite32.bmp | satellite32.bmp-withWavelet_haar-G_1-H4e-005_af2.wfa      | 24576 | 8192 | 8192 | 25 | 20240 | 200 | 200 | 32 | 32 | 18.87654375 | 0.172 | 20640 | 0.83984375  |
| satellite32.bmp | satellite32.bmp-withWavelet_rbio1.1-G_1-H4e-005_af2.wfa   | 24576 | 8192 | 8192 | 25 | 20240 | 200 | 200 | 32 | 32 | 18.87654375 | 0.172 | 20640 | 0.83984375  |
| satellite32.bmp | satellite32.bmp-withWavelet_sym1-G_1-H4e-005_af2.wfa      | 24576 | 8192 | 8192 | 25 | 20240 | 200 | 200 | 32 | 32 | 18.87654375 | 0.156 | 20640 | 0.83984375  |
| satellite32.bmp | satellite32.bmp-withWavelet_bior1.1-G_1-H4e-005_af2.wfa   | 24576 | 8192 | 8192 | 25 | 20240 | 200 | 200 | 32 | 32 | 18.87654375 | 0.172 | 20640 | 0.83984375  |
| satellite32.bmp | satellite32.bmp-withWavelet_haar-G_0.6-H4e-005_af2.wfa    | 24576 | 8192 | 8192 | 23 | 17168 | 184 | 184 | 32 | 32 | 18.9137299  | 0.156 | 17536 | 0.713541667 |
| satellite32.bmp | satellite32.bmp-withWavelet_rbio1.1-G_0.6-H4e-005_af2.wfa | 24576 | 8192 | 8192 | 23 | 17168 | 184 | 184 | 32 | 32 | 18.9137299  | 0.157 | 17536 | 0.713541667 |
| satellite32.bmp | satellite32.bmp-withWavelet_sym1-G_0.6-H4e-005_af2.wfa    | 24576 | 8192 | 8192 | 23 | 17168 | 184 | 184 | 32 | 32 | 18.9137299  | 0.156 | 17536 | 0.713541667 |
| satellite32.bmp | satellite32.bmp-withWavelet_bior1.1-G_0.6-H4e-005_af2.wfa | 24576 | 8192 | 8192 | 23 | 17168 | 184 | 184 | 32 | 32 | 18.9137299  | 0.156 | 17536 | 0.713541667 |
| satellite32.bmp | satellite32.bmp-withWavelet_haar-G_1-H7e-005_af4.wfa      | 24576 | 8192 | 8192 | 22 | 15728 | 176 | 176 | 32 | 32 | 19.02164881 | 0.141 | 16080 | 0.654296875 |
| satellite32.bmp | satellite32.bmp-withWavelet_rbio1.1-G_1-H7e-005_af4.wfa   | 24576 | 8192 | 8192 | 22 | 15728 | 176 | 176 | 32 | 32 | 19.02164881 | 0.125 | 16080 | 0.654296875 |
| satellite32.bmp | satellite32.bmp-withWavelet_sym1-G_1-H7e-005_af4.wfa      | 24576 | 8192 | 8192 | 22 | 15728 | 176 | 176 | 32 | 32 | 19.02164881 | 0.141 | 16080 | 0.654296875 |
| satellite32.bmp | satellite32.bmp-withWavelet_bior1.1-G_1-H7e-005_af4.wfa   | 24576 | 8192 | 8192 | 22 | 15728 | 176 | 176 | 32 | 32 | 19.02164881 | 0.141 | 16080 | 0.654296875 |
| satellite32.bmp | satellite32.bmp-withWavelet_haar-G_0.8-H7e-005_af4.wfa    | 24576 | 8192 | 8192 | 22 | 15728 | 176 | 176 | 32 | 32 | 19.06008969 | 0.125 | 16080 | 0.654296875 |
| satellite32.bmp | satellite32.bmp-withWavelet_rbio1.1-G_0.8-H7e-005_af4.wfa | 24576 | 8192 | 8192 | 22 | 15728 | 176 | 176 | 32 | 32 | 19.06008969 | 0.125 | 16080 | 0.654296875 |
| satellite32.bmp | satellite32.bmp-withWavelet_sym1-G_0.8-H7e-005_af4.wfa    | 24576 | 8192 | 8192 | 22 | 15728 | 176 | 176 | 32 | 32 | 19.06008969 | 0.14  | 16080 | 0.654296875 |
| satellite32.bmp | satellite32.bmp-withWavelet_bior1.1-G_0.8-H7e-005_af4.wfa | 24576 | 8192 | 8192 | 22 | 15728 | 176 | 176 | 32 | 32 | 19.06008969 | 0.125 | 16080 | 0.654296875 |
| satellite32.bmp | satellite32.bmp-withWavelet_haar-G_0.8-H8e-005_af3.wfa    | 24576 | 8192 | 8192 | 22 | 15728 | 176 | 176 | 32 | 32 | 19.07794105 | 0.125 | 16080 | 0.654296875 |
| satellite32.bmp | satellite32.bmp-withWavelet_rbio1.1-G_0.8-H8e-005_af3.wfa | 24576 | 8192 | 8192 | 22 | 15728 | 176 | 176 | 32 | 32 | 19.07794105 | 0.14  | 16080 | 0.654296875 |
| satellite32.bmp | satellite32.bmp-withWavelet_sym1-G_0.8-H8e-005_af3.wfa    | 24576 | 8192 | 8192 | 22 | 15728 | 176 | 176 | 32 | 32 | 19.07794105 | 0.125 | 16080 | 0.654296875 |
| satellite32.bmp | satellite32.bmp-withWavelet_bior1.1-G_0.8-H8e-005_af3.wfa | 24576 | 8192 | 8192 | 22 | 15728 | 176 | 176 | 32 | 32 | 19.07794105 | 0.125 | 16080 | 0.654296875 |
| satellite32.bmp | satellite32.bmp-withWavelet_haar-G_0.8-H4e-005_af2.wfa    | 24576 | 8192 | 8192 | 25 | 20240 | 200 | 200 | 32 | 32 | 19.13508004 | 0.172 | 20640 | 0.83984375  |
| satellite32.bmp | satellite32.bmp-withWavelet_rbio1.1-G_0.8-H4e-005_af2.wfa | 24576 | 8192 | 8192 | 25 | 20240 | 200 | 200 | 32 | 32 | 19.13508004 | 0.171 | 20640 | 0.83984375  |
| satellite32.bmp | satellite32.bmp-withWavelet_sym1-G_0.8-H4e-005_af2.wfa    | 24576 | 8192 | 8192 | 25 | 20240 | 200 | 200 | 32 | 32 | 19.13508004 | 0.172 | 20640 | 0.83984375  |
| satellite32.bmp | satellite32.bmp-withWavelet_bior1.1-G_0.8-H4e-005_af2.wfa | 24576 | 8192 | 8192 | 25 | 20240 | 200 | 200 | 32 | 32 | 19.13508004 | 0.172 | 20640 | 0.83984375  |
| satellite32.bmp | satellite32.bmp-withWavelet_haar-G_1-H7e-005_af3.wfa      | 24576 | 8192 | 8192 | 23 | 17168 | 184 | 184 | 32 | 32 | 19.18422436 | 0.172 | 17536 | 0.713541667 |



|                 |   |       |      |      |    |       |     |     |    |    |             |       |       |             |
|-----------------|---|-------|------|------|----|-------|-----|-----|----|----|-------------|-------|-------|-------------|
| satellite32.bmp | satellite32.bmp-withWavelet_rbio1.1-G_1-H7e-005_af3.wfa   | 24576 | 8192 | 8192 | 23 | 17168 | 184 | 184 | 32 | 32 | 19.18422436 | 0.156 | 17536 | 0.713541667 |
| satellite32.bmp | satellite32.bmp-withWavelet_sym1-G_1-H7e-005_af3.wfa      | 24576 | 8192 | 8192 | 23 | 17168 | 184 | 184 | 32 | 32 | 19.18422436 | 0.141 | 17536 | 0.713541667 |
| satellite32.bmp | satellite32.bmp-withWavelet_bior1.1-G_1-H7e-005_af3.wfa   | 24576 | 8192 | 8192 | 23 | 17168 | 184 | 184 | 32 | 32 | 19.18422436 | 0.156 | 17536 | 0.713541667 |
| satellite32.bmp | satellite32.bmp-withWavelet_haar-G_1-H3e-005_af2.wfa      | 24576 | 8192 | 8192 | 26 | 21872 | 208 | 208 | 32 | 32 | 19.31089157 | 0.172 | 22288 | 0.906901042 |
| satellite32.bmp | satellite32.bmp-withWavelet_rbio1.1-G_1-H3e-005_af2.wfa   | 24576 | 8192 | 8192 | 26 | 21872 | 208 | 208 | 32 | 32 | 19.31089157 | 0.187 | 22288 | 0.906901042 |
| satellite32.bmp | satellite32.bmp-withWavelet_sym1-G_1-H3e-005_af2.wfa      | 24576 | 8192 | 8192 | 26 | 21872 | 208 | 208 | 32 | 32 | 19.31089157 | 0.172 | 22288 | 0.906901042 |
| satellite32.bmp | satellite32.bmp-withWavelet_bior1.1-G_1-H3e-005_af2.wfa   | 24576 | 8192 | 8192 | 26 | 21872 | 208 | 208 | 32 | 32 | 19.31089157 | 0.172 | 22288 | 0.906901042 |
| satellite32.bmp | satellite32.bmp-withWavelet_haar-G_1-H9e-005_af1.wfa      | 24576 | 8192 | 8192 | 21 | 14352 | 168 | 168 | 32 | 32 | 19.33110449 | 0.125 | 14688 | 0.59765625  |
| satellite32.bmp | satellite32.bmp-withWavelet_rbio1.1-G_1-H9e-005_af1.wfa   | 24576 | 8192 | 8192 | 21 | 14352 | 168 | 168 | 32 | 32 | 19.33110449 | 0.125 | 14688 | 0.59765625  |
| satellite32.bmp | satellite32.bmp-withWavelet_sym1-G_1-H9e-005_af1.wfa      | 24576 | 8192 | 8192 | 21 | 14352 | 168 | 168 | 32 | 32 | 19.33110449 | 0.141 | 14688 | 0.59765625  |
| satellite32.bmp | satellite32.bmp-withWavelet_bior1.1-G_1-H9e-005_af1.wfa   | 24576 | 8192 | 8192 | 21 | 14352 | 168 | 168 | 32 | 32 | 19.33110449 | 0.125 | 14688 | 0.59765625  |
| satellite32.bmp | satellite32.bmp-withWavelet_haar-G_0.8-H3e-005_af2.wfa    | 24576 | 8192 | 8192 | 26 | 21872 | 208 | 208 | 32 | 32 | 19.33414308 | 0.172 | 22288 | 0.906901042 |
| satellite32.bmp | satellite32.bmp-withWavelet_rbio1.1-G_0.8-H3e-005_af2.wfa | 24576 | 8192 | 8192 | 26 | 21872 | 208 | 208 | 32 | 32 | 19.33414308 | 0.171 | 22288 | 0.906901042 |
| satellite32.bmp | satellite32.bmp-withWavelet_sym1-G_0.8-H3e-005_af2.wfa    | 24576 | 8192 | 8192 | 26 | 21872 | 208 | 208 | 32 | 32 | 19.33414308 | 0.172 | 22288 | 0.906901042 |
| satellite32.bmp | satellite32.bmp-withWavelet_bior1.1-G_0.8-H3e-005_af2.wfa | 24576 | 8192 | 8192 | 26 | 21872 | 208 | 208 | 32 | 32 | 19.33414308 | 0.172 | 22288 | 0.906901042 |
| satellite32.bmp | satellite32.bmp-withWavelet_haar-G_0.8-H9e-005_af1.wfa    | 24576 | 8192 | 8192 | 21 | 14352 | 168 | 168 | 32 | 32 | 19.4057174  | 0.125 | 14688 | 0.59765625  |
| satellite32.bmp | satellite32.bmp-withWavelet_rbio1.1-G_0.8-H9e-005_af1.wfa | 24576 | 8192 | 8192 | 21 | 14352 | 168 | 168 | 32 | 32 | 19.4057174  | 0.125 | 14688 | 0.59765625  |
| satellite32.bmp | satellite32.bmp-withWavelet_sym1-G_0.8-H9e-005_af1.wfa    | 24576 | 8192 | 8192 | 21 | 14352 | 168 | 168 | 32 | 32 | 19.4057174  | 0.141 | 14688 | 0.59765625  |
| satellite32.bmp | satellite32.bmp-withWavelet_bior1.1-G_0.8-H9e-005_af1.wfa | 24576 | 8192 | 8192 | 21 | 14352 | 168 | 168 | 32 | 32 | 19.4057174  | 0.125 | 14688 | 0.59765625  |
| satellite32.bmp | satellite32.bmp-withWavelet_haar-G_0.8-H7e-005_af3.wfa    | 24576 | 8192 | 8192 | 23 | 17168 | 184 | 184 | 32 | 32 | 19.44216177 | 0.156 | 17536 | 0.713541667 |
| satellite32.bmp | satellite32.bmp-withWavelet_rbio1.1-G_0.8-H7e-005_af3.wfa | 24576 | 8192 | 8192 | 23 | 17168 | 184 | 184 | 32 | 32 | 19.44216177 | 0.172 | 17536 | 0.713541667 |
| satellite32.bmp | satellite32.bmp-withWavelet_sym1-G_0.8-H7e-005_af3.wfa    | 24576 | 8192 | 8192 | 23 | 17168 | 184 | 184 | 32 | 32 | 19.44216177 | 0.157 | 17536 | 0.713541667 |
| satellite32.bmp | satellite32.bmp-withWavelet_bior1.1-G_0.8-H7e-005_af3.wfa | 24576 | 8192 | 8192 | 23 | 17168 | 184 | 184 | 32 | 32 | 19.44216177 | 0.157 | 17536 | 0.713541667 |
| satellite32.bmp | satellite32.bmp-withWavelet_haar-G_0.8-H0.0001_af1.wfa    | 24576 | 8192 | 8192 | 21 | 14352 | 168 | 168 | 32 | 32 | 19.47119317 | 0.125 | 14688 | 0.59765625  |
| satellite32.bmp | satellite32.bmp-withWavelet_rbio1.1-G_0.8-H0.0001_af1.wfa | 24576 | 8192 | 8192 | 21 | 14352 | 168 | 168 | 32 | 32 | 19.47119317 | 0.125 | 14688 | 0.59765625  |
| satellite32.bmp | satellite32.bmp-withWavelet_sym1-G_0.8-H0.0001_af1.wfa    | 24576 | 8192 | 8192 | 21 | 14352 | 168 | 168 | 32 | 32 | 19.47119317 | 0.125 | 14688 | 0.59765625  |
| satellite32.bmp | satellite32.bmp-withWavelet_bior1.1-G_0.8-H0.0001_af1.wfa | 24576 | 8192 | 8192 | 21 | 14352 | 168 | 168 | 32 | 32 | 19.47119317 | 0.125 | 14688 | 0.59765625  |
| satellite32.bmp | satellite32.bmp-withWavelet_haar-G_0.8-H1e-005_af5.wfa    | 24576 | 8192 | 8192 | 26 | 21872 | 208 | 208 | 32 | 32 | 19.5464112  | 0.172 | 22288 | 0.906901042 |
| satellite32.bmp | satellite32.bmp-withWavelet_rbio1.1-G_0.8-H1e-005_af5.wfa | 24576 | 8192 | 8192 | 26 | 21872 | 208 | 208 | 32 | 32 | 19.5464112  | 0.172 | 22288 | 0.906901042 |
| satellite32.bmp | satellite32.bmp-withWavelet_sym1-G_0.8-H1e-005_af5.wfa    | 24576 | 8192 | 8192 | 26 | 21872 | 208 | 208 | 32 | 32 | 19.5464112  | 0.172 | 22288 | 0.906901042 |
| satellite32.bmp | satellite32.bmp-withWavelet_bior1.1-G_0.8-H1e-005_af5.wfa | 24576 | 8192 | 8192 | 26 | 21872 | 208 | 208 | 32 | 32 | 19.5464112  | 0.172 | 22288 | 0.906901042 |

|                 |   |       |      |      |    |       |     |     |    |    |             |       |       |             |
|-----------------|---|-------|------|------|----|-------|-----|-----|----|----|-------------|-------|-------|-------------|
| satellite32.bmp | satellite32.bmp-withWavelet_haar-G_1-H6e-005_af4.wfa      | 24576 | 8192 | 8192 | 24 | 18672 | 192 | 192 | 32 | 32 | 19.59497748 | 0.171 | 19056 | 0.775390625 |
| satellite32.bmp | satellite32.bmp-withWavelet_rbio1.1-G_1-H6e-005_af4.wfa   | 24576 | 8192 | 8192 | 24 | 18672 | 192 | 192 | 32 | 32 | 19.59497748 | 0.156 | 19056 | 0.775390625 |
| satellite32.bmp | satellite32.bmp-withWavelet_sym1-G_1-H6e-005_af4.wfa      | 24576 | 8192 | 8192 | 24 | 18672 | 192 | 192 | 32 | 32 | 19.59497748 | 0.156 | 19056 | 0.775390625 |
| satellite32.bmp | satellite32.bmp-withWavelet_bior1.1-G_1-H6e-005_af4.wfa   | 24576 | 8192 | 8192 | 24 | 18672 | 192 | 192 | 32 | 32 | 19.59497748 | 0.172 | 19056 | 0.775390625 |
| satellite32.bmp | satellite32.bmp-withWavelet_haar-G_1-H8e-005_af1.wfa      | 24576 | 8192 | 8192 | 22 | 15728 | 176 | 176 | 32 | 32 | 19.64573303 | 0.125 | 16080 | 0.654296875 |
| satellite32.bmp | satellite32.bmp-withWavelet_rbio1.1-G_1-H8e-005_af1.wfa   | 24576 | 8192 | 8192 | 22 | 15728 | 176 | 176 | 32 | 32 | 19.64573303 | 0.125 | 16080 | 0.654296875 |
| satellite32.bmp | satellite32.bmp-withWavelet_sym1-G_1-H8e-005_af1.wfa      | 24576 | 8192 | 8192 | 22 | 15728 | 176 | 176 | 32 | 32 | 19.64573303 | 0.125 | 16080 | 0.654296875 |
| satellite32.bmp | satellite32.bmp-withWavelet_bior1.1-G_1-H8e-005_af1.wfa   | 24576 | 8192 | 8192 | 22 | 15728 | 176 | 176 | 32 | 32 | 19.64573303 | 0.125 | 16080 | 0.654296875 |
| satellite32.bmp | satellite32.bmp-withWavelet_haar-G_0.8-H6e-005_af4.wfa    | 24576 | 8192 | 8192 | 24 | 18672 | 192 | 192 | 32 | 32 | 19.68581422 | 0.156 | 19056 | 0.775390625 |
| satellite32.bmp | satellite32.bmp-withWavelet_rbio1.1-G_0.8-H6e-005_af4.wfa | 24576 | 8192 | 8192 | 24 | 18672 | 192 | 192 | 32 | 32 | 19.68581422 | 0.157 | 19056 | 0.775390625 |
| satellite32.bmp | satellite32.bmp-withWavelet_sym1-G_0.8-H6e-005_af4.wfa    | 24576 | 8192 | 8192 | 24 | 18672 | 192 | 192 | 32 | 32 | 19.68581422 | 0.203 | 19056 | 0.775390625 |
| satellite32.bmp | satellite32.bmp-withWavelet_bior1.1-G_0.8-H6e-005_af4.wfa | 24576 | 8192 | 8192 | 24 | 18672 | 192 | 192 | 32 | 32 | 19.68581422 | 0.156 | 19056 | 0.775390625 |
| satellite32.bmp | satellite32.bmp-withWavelet_haar-G_0.8-H8e-005_af1.wfa    | 24576 | 8192 | 8192 | 22 | 15728 | 176 | 176 | 32 | 32 | 19.68917081 | 0.125 | 16080 | 0.654296875 |
| satellite32.bmp | satellite32.bmp-withWavelet_rbio1.1-G_0.8-H8e-005_af1.wfa | 24576 | 8192 | 8192 | 22 | 15728 | 176 | 176 | 32 | 32 | 19.68917081 | 0.125 | 16080 | 0.654296875 |
| satellite32.bmp | satellite32.bmp-withWavelet_sym1-G_0.8-H8e-005_af1.wfa    | 24576 | 8192 | 8192 | 22 | 15728 | 176 | 176 | 32 | 32 | 19.68917081 | 0.125 | 16080 | 0.654296875 |
| satellite32.bmp | satellite32.bmp-withWavelet_bior1.1-G_0.8-H8e-005_af1.wfa | 24576 | 8192 | 8192 | 22 | 15728 | 176 | 176 | 32 | 32 | 19.68917081 | 0.125 | 16080 | 0.654296875 |
| satellite32.bmp | satellite32.bmp-withWavelet_haar-G_1-H6e-005_af3.wfa      | 24576 | 8192 | 8192 | 25 | 20240 | 200 | 200 | 32 | 32 | 19.78730655 | 0.172 | 20640 | 0.83984375  |
| satellite32.bmp | satellite32.bmp-withWavelet_rbio1.1-G_1-H6e-005_af3.wfa   | 24576 | 8192 | 8192 | 25 | 20240 | 200 | 200 | 32 | 32 | 19.78730655 | 0.172 | 20640 | 0.83984375  |
| satellite32.bmp | satellite32.bmp-withWavelet_sym1-G_1-H6e-005_af3.wfa      | 24576 | 8192 | 8192 | 25 | 20240 | 200 | 200 | 32 | 32 | 19.78730655 | 0.172 | 20640 | 0.83984375  |
| satellite32.bmp | satellite32.bmp-withWavelet_bior1.1-G_1-H6e-005_af3.wfa   | 24576 | 8192 | 8192 | 25 | 20240 | 200 | 200 | 32 | 32 | 19.78730655 | 0.157 | 20640 | 0.83984375  |
| satellite32.bmp | satellite32.bmp-withWavelet_haar-G_1-H0.0001_af1.wfa      | 24576 | 8192 | 8192 | 22 | 15728 | 176 | 176 | 32 | 32 | 19.7985701  | 0.125 | 16080 | 0.654296875 |
| satellite32.bmp | satellite32.bmp-withWavelet_rbio1.1-G_1-H0.0001_af1.wfa   | 24576 | 8192 | 8192 | 22 | 15728 | 176 | 176 | 32 | 32 | 19.7985701  | 0.14  | 16080 | 0.654296875 |
| satellite32.bmp | satellite32.bmp-withWavelet_sym1-G_1-H0.0001_af1.wfa      | 24576 | 8192 | 8192 | 22 | 15728 | 176 | 176 | 32 | 32 | 19.7985701  | 0.125 | 16080 | 0.654296875 |
| satellite32.bmp | satellite32.bmp-withWavelet_bior1.1-G_1-H0.0001_af1.wfa   | 24576 | 8192 | 8192 | 22 | 15728 | 176 | 176 | 32 | 32 | 19.7985701  | 0.125 | 16080 | 0.654296875 |
| satellite32.bmp | satellite32.bmp-withWavelet_haar-G_0.8-H6e-005_af3.wfa    | 24576 | 8192 | 8192 | 25 | 20240 | 200 | 200 | 32 | 32 | 19.8085691  | 0.172 | 20640 | 0.83984375  |
| satellite32.bmp | satellite32.bmp-withWavelet_rbio1.1-G_0.8-H6e-005_af3.wfa | 24576 | 8192 | 8192 | 25 | 20240 | 200 | 200 | 32 | 32 | 19.8085691  | 0.156 | 20640 | 0.83984375  |
| satellite32.bmp | satellite32.bmp-withWavelet_sym1-G_0.8-H6e-005_af3.wfa    | 24576 | 8192 | 8192 | 25 | 20240 | 200 | 200 | 32 | 32 | 19.8085691  | 0.156 | 20640 | 0.83984375  |
| satellite32.bmp | satellite32.bmp-withWavelet_bior1.1-G_0.8-H6e-005_af3.wfa | 24576 | 8192 | 8192 | 25 | 20240 | 200 | 200 | 32 | 32 | 19.8085691  | 0.171 | 20640 | 0.83984375  |
| satellite32.bmp | satellite32.bmp-withWavelet_haar-G_1-H7e-005_af1.wfa      | 24576 | 8192 | 8192 | 23 | 17168 | 184 | 184 | 32 | 32 | 19.95234319 | 0.157 | 17536 | 0.713541667 |
| satellite32.bmp | satellite32.bmp-withWavelet_rbio1.1-G_1-H7e-005_af1.wfa   | 24576 | 8192 | 8192 | 23 | 17168 | 184 | 184 | 32 | 32 | 19.95234319 | 0.156 | 17536 | 0.713541667 |
| satellite32.bmp | satellite32.bmp-withWavelet_sym1-G_1-H7e-005_af1.wfa      | 24576 | 8192 | 8192 | 23 | 17168 | 184 | 184 | 32 | 32 | 19.95234319 | 0.172 | 17536 | 0.713541667 |

|                 |   |       |      |      |    |       |     |     |    |    |             |       |       |             |
|-----------------|---|-------|------|------|----|-------|-----|-----|----|----|-------------|-------|-------|-------------|
| satellite32.bmp | satellite32.bmp-withWavelet_bior1.1-G_1-H7e-005_af1.wfa   | 24576 | 8192 | 8192 | 23 | 17168 | 184 | 184 | 32 | 32 | 19.95234319 | 0.156 | 17536 | 0.713541667 |
| satellite32.bmp | satellite32.bmp-withWavelet_haar-G_0.6-H3e-005_af2.wfa    | 24576 | 8192 | 8192 | 28 | 25328 | 224 | 224 | 32 | 32 | 19.98527837 | 0.187 | 25776 | 1.048828125 |
| satellite32.bmp | satellite32.bmp-withWavelet_rbio1.1-G_0.6-H3e-005_af2.wfa | 24576 | 8192 | 8192 | 28 | 25328 | 224 | 224 | 32 | 32 | 19.98527837 | 0.187 | 25776 | 1.048828125 |
| satellite32.bmp | satellite32.bmp-withWavelet_sym1-G_0.6-H3e-005_af2.wfa    | 24576 | 8192 | 8192 | 28 | 25328 | 224 | 224 | 32 | 32 | 19.98527837 | 0.188 | 25776 | 1.048828125 |
| satellite32.bmp | satellite32.bmp-withWavelet_bior1.1-G_0.6-H3e-005_af2.wfa | 24576 | 8192 | 8192 | 28 | 25328 | 224 | 224 | 32 | 32 | 19.98527837 | 0.203 | 25776 | 1.048828125 |
| satellite32.bmp | satellite32.bmp-withWavelet_haar-G_0.6-H2e-005_af2.wfa    | 24576 | 8192 | 8192 | 29 | 27152 | 232 | 232 | 32 | 32 | 21.19777079 | 0.203 | 27616 | 1.123697917 |
| satellite32.bmp | satellite32.bmp-withWavelet_rbio1.1-G_0.6-H2e-005_af2.wfa | 24576 | 8192 | 8192 | 29 | 27152 | 232 | 232 | 32 | 32 | 21.19777079 | 0.187 | 27616 | 1.123697917 |
| satellite32.bmp | satellite32.bmp-withWavelet_sym1-G_0.6-H2e-005_af2.wfa    | 24576 | 8192 | 8192 | 29 | 27152 | 232 | 232 | 32 | 32 | 21.19777079 | 0.203 | 27616 | 1.123697917 |
| satellite32.bmp | satellite32.bmp-withWavelet_bior1.1-G_0.6-H2e-005_af2.wfa | 24576 | 8192 | 8192 | 29 | 27152 | 232 | 232 | 32 | 32 | 21.19777079 | 0.203 | 27616 | 1.123697917 |
| satellite32.bmp | satellite32.bmp-withWavelet_haar-G_1-H2e-005_af2.wfa      | 24576 | 8192 | 8192 | 30 | 29040 | 240 | 240 | 32 | 32 | 21.40511367 | 0.219 | 29520 | 1.201171875 |
| satellite32.bmp | satellite32.bmp-withWavelet_rbio1.1-G_1-H2e-005_af2.wfa   | 24576 | 8192 | 8192 | 30 | 29040 | 240 | 240 | 32 | 32 | 21.40511367 | 0.219 | 29520 | 1.201171875 |
| satellite32.bmp | satellite32.bmp-withWavelet_sym1-G_1-H2e-005_af2.wfa      | 24576 | 8192 | 8192 | 30 | 29040 | 240 | 240 | 32 | 32 | 21.40511367 | 0.203 | 29520 | 1.201171875 |
| satellite32.bmp | satellite32.bmp-withWavelet_bior1.1-G_1-H2e-005_af2.wfa   | 24576 | 8192 | 8192 | 30 | 29040 | 240 | 240 | 32 | 32 | 21.40511367 | 0.218 | 29520 | 1.201171875 |
| satellite32.bmp | satellite32.bmp-withWavelet_haar-G_0.8-H2e-005_af2.wfa    | 24576 | 8192 | 8192 | 30 | 29040 | 240 | 240 | 32 | 32 | 21.4366565  | 0.219 | 29520 | 1.201171875 |
| satellite32.bmp | satellite32.bmp-withWavelet_rbio1.1-G_0.8-H2e-005_af2.wfa | 24576 | 8192 | 8192 | 30 | 29040 | 240 | 240 | 32 | 32 | 21.4366565  | 0.203 | 29520 | 1.201171875 |
| satellite32.bmp | satellite32.bmp-withWavelet_sym1-G_0.8-H2e-005_af2.wfa    | 24576 | 8192 | 8192 | 30 | 29040 | 240 | 240 | 32 | 32 | 21.4366565  | 0.203 | 29520 | 1.201171875 |
| satellite32.bmp | satellite32.bmp-withWavelet_bior1.1-G_0.8-H2e-005_af2.wfa | 24576 | 8192 | 8192 | 30 | 29040 | 240 | 240 | 32 | 32 | 21.4366565  | 0.219 | 29520 | 1.201171875 |
| satellite32.bmp | satellite32.bmp-withWavelet_haar-G_0.6-H5e-005_af3.wfa    | 24576 | 8192 | 8192 | 28 | 25328 | 224 | 224 | 32 | 32 | 21.6373014  | 0.187 | 25776 | 1.048828125 |
| satellite32.bmp | satellite32.bmp-withWavelet_rbio1.1-G_0.6-H5e-005_af3.wfa | 24576 | 8192 | 8192 | 28 | 25328 | 224 | 224 | 32 | 32 | 21.6373014  | 0.187 | 25776 | 1.048828125 |
| satellite32.bmp | satellite32.bmp-withWavelet_sym1-G_0.6-H5e-005_af3.wfa    | 24576 | 8192 | 8192 | 28 | 25328 | 224 | 224 | 32 | 32 | 21.6373014  | 0.188 | 25776 | 1.048828125 |
| satellite32.bmp | satellite32.bmp-withWavelet_bior1.1-G_0.6-H5e-005_af3.wfa | 24576 | 8192 | 8192 | 28 | 25328 | 224 | 224 | 32 | 32 | 21.6373014  | 0.187 | 25776 | 1.048828125 |
| satellite32.bmp | satellite32.bmp-withWavelet_haar-G_1-H5e-005_af3.wfa      | 24576 | 8192 | 8192 | 29 | 27152 | 232 | 232 | 32 | 32 | 21.7069191  | 0.203 | 27616 | 1.123697917 |
| satellite32.bmp | satellite32.bmp-withWavelet_rbio1.1-G_1-H5e-005_af3.wfa   | 24576 | 8192 | 8192 | 29 | 27152 | 232 | 232 | 32 | 32 | 21.7069191  | 0.203 | 27616 | 1.123697917 |
| satellite32.bmp | satellite32.bmp-withWavelet_sym1-G_1-H5e-005_af3.wfa      | 24576 | 8192 | 8192 | 29 | 27152 | 232 | 232 | 32 | 32 | 21.7069191  | 0.204 | 27616 | 1.123697917 |
| satellite32.bmp | satellite32.bmp-withWavelet_bior1.1-G_1-H5e-005_af3.wfa   | 24576 | 8192 | 8192 | 29 | 27152 | 232 | 232 | 32 | 32 | 21.7069191  | 0.203 | 27616 | 1.123697917 |
| satellite32.bmp | satellite32.bmp-withWavelet_haar-G_0.8-H5e-005_af3.wfa    | 24576 | 8192 | 8192 | 29 | 27152 | 232 | 232 | 32 | 32 | 21.70730723 | 0.203 | 27616 | 1.123697917 |
| satellite32.bmp | satellite32.bmp-withWavelet_rbio1.1-G_0.8-H5e-005_af3.wfa | 24576 | 8192 | 8192 | 29 | 27152 | 232 | 232 | 32 | 32 | 21.70730723 | 0.203 | 27616 | 1.123697917 |
| satellite32.bmp | satellite32.bmp-withWavelet_sym1-G_0.8-H5e-005_af3.wfa    | 24576 | 8192 | 8192 | 29 | 27152 | 232 | 232 | 32 | 32 | 21.70730723 | 0.203 | 27616 | 1.123697917 |
| satellite32.bmp | satellite32.bmp-withWavelet_bior1.1-G_0.8-H5e-005_af3.wfa | 24576 | 8192 | 8192 | 29 | 27152 | 232 | 232 | 32 | 32 | 21.70730723 | 0.204 | 27616 | 1.123697917 |
| satellite32.bmp | satellite32.bmp-withWavelet_haar-G_1-H1e-005_af2.wfa      | 24576 | 8192 | 8192 | 31 | 30992 | 248 | 248 | 32 | 32 | 21.87494123 | 0.235 | 31488 | 1.28125     |
| satellite32.bmp | satellite32.bmp-withWavelet_rbio1.1-G_1-H1e-005_af2.wfa   | 24576 | 8192 | 8192 | 31 | 30992 | 248 | 248 | 32 | 32 | 21.87494123 | 0.219 | 31488 | 1.28125     |

|                 |   |       |      |      |    |       |     |     |    |    |             |       |       |             |
|-----------------|---|-------|------|------|----|-------|-----|-----|----|----|-------------|-------|-------|-------------|
| satellite32.bmp | satellite32.bmp-withWavelet_sym1-G_1-H1e-005_af2.wfa      | 24576 | 8192 | 8192 | 31 | 30992 | 248 | 248 | 32 | 32 | 21.87494123 | 0.219 | 31488 | 1.28125     |
| satellite32.bmp | satellite32.bmp-withWavelet_bior1.1-G_1-H1e-005_af2.wfa   | 24576 | 8192 | 8192 | 31 | 30992 | 248 | 248 | 32 | 32 | 21.87494123 | 0.234 | 31488 | 1.28125     |
| satellite32.bmp | satellite32.bmp-withWavelet_haar-G_1-H4e-005_af3.wfa      | 24576 | 8192 | 8192 | 30 | 29040 | 240 | 240 | 32 | 32 | 22.09013456 | 0.203 | 29520 | 1.201171875 |
| satellite32.bmp | satellite32.bmp-withWavelet_rbio1.1-G_1-H4e-005_af3.wfa   | 24576 | 8192 | 8192 | 30 | 29040 | 240 | 240 | 32 | 32 | 22.09013456 | 0.218 | 29520 | 1.201171875 |
| satellite32.bmp | satellite32.bmp-withWavelet_sym1-G_1-H4e-005_af3.wfa      | 24576 | 8192 | 8192 | 30 | 29040 | 240 | 240 | 32 | 32 | 22.09013456 | 0.203 | 29520 | 1.201171875 |
| satellite32.bmp | satellite32.bmp-withWavelet_bior1.1-G_1-H4e-005_af3.wfa   | 24576 | 8192 | 8192 | 30 | 29040 | 240 | 240 | 32 | 32 | 22.09013456 | 0.219 | 29520 | 1.201171875 |
| satellite32.bmp | satellite32.bmp-withWavelet_haar-G_0.6-H4e-005_af3.wfa    | 24576 | 8192 | 8192 | 29 | 27152 | 232 | 232 | 32 | 32 | 22.15332348 | 0.203 | 27616 | 1.123697917 |
| satellite32.bmp | satellite32.bmp-withWavelet_rbio1.1-G_0.6-H4e-005_af3.wfa | 24576 | 8192 | 8192 | 29 | 27152 | 232 | 232 | 32 | 32 | 22.15332348 | 0.203 | 27616 | 1.123697917 |
| satellite32.bmp | satellite32.bmp-withWavelet_sym1-G_0.6-H4e-005_af3.wfa    | 24576 | 8192 | 8192 | 29 | 27152 | 232 | 232 | 32 | 32 | 22.15332348 | 0.203 | 27616 | 1.123697917 |
| satellite32.bmp | satellite32.bmp-withWavelet_bior1.1-G_0.6-H4e-005_af3.wfa | 24576 | 8192 | 8192 | 29 | 27152 | 232 | 232 | 32 | 32 | 22.15332348 | 0.203 | 27616 | 1.123697917 |
| satellite32.bmp | satellite32.bmp-withWavelet_haar-G_1-H3e-005_af3.wfa      | 24576 | 8192 | 8192 | 31 | 30992 | 248 | 248 | 32 | 32 | 22.51041129 | 0.219 | 31488 | 1.28125     |
| satellite32.bmp | satellite32.bmp-withWavelet_rbio1.1-G_1-H3e-005_af3.wfa   | 24576 | 8192 | 8192 | 31 | 30992 | 248 | 248 | 32 | 32 | 22.51041129 | 0.234 | 31488 | 1.28125     |
| satellite32.bmp | satellite32.bmp-withWavelet_sym1-G_1-H3e-005_af3.wfa      | 24576 | 8192 | 8192 | 31 | 30992 | 248 | 248 | 32 | 32 | 22.51041129 | 0.218 | 31488 | 1.28125     |
| satellite32.bmp | satellite32.bmp-withWavelet_bior1.1-G_1-H3e-005_af3.wfa   | 24576 | 8192 | 8192 | 31 | 30992 | 248 | 248 | 32 | 32 | 22.51041129 | 0.219 | 31488 | 1.28125     |
| satellite32.bmp | satellite32.bmp-withWavelet_haar-G_0.8-H3e-005_af3.wfa    | 24576 | 8192 | 8192 | 31 | 30992 | 248 | 248 | 32 | 32 | 22.54130695 | 0.219 | 31488 | 1.28125     |
| satellite32.bmp | satellite32.bmp-withWavelet_rbio1.1-G_0.8-H3e-005_af3.wfa | 24576 | 8192 | 8192 | 31 | 30992 | 248 | 248 | 32 | 32 | 22.54130695 | 0.234 | 31488 | 1.28125     |
| satellite32.bmp | satellite32.bmp-withWavelet_sym1-G_0.8-H3e-005_af3.wfa    | 24576 | 8192 | 8192 | 31 | 30992 | 248 | 248 | 32 | 32 | 22.54130695 | 0.219 | 31488 | 1.28125     |
| satellite32.bmp | satellite32.bmp-withWavelet_bior1.1-G_0.8-H3e-005_af3.wfa | 24576 | 8192 | 8192 | 31 | 30992 | 248 | 248 | 32 | 32 | 22.54130695 | 0.219 | 31488 | 1.28125     |
| satellite32.bmp | satellite32.bmp-withWavelet_haar-G_0.8-H4e-005_af3.wfa    | 24576 | 8192 | 8192 | 31 | 30992 | 248 | 248 | 32 | 32 | 22.54130695 | 0.235 | 31488 | 1.28125     |
| satellite32.bmp | satellite32.bmp-withWavelet_rbio1.1-G_0.8-H4e-005_af3.wfa | 24576 | 8192 | 8192 | 31 | 30992 | 248 | 248 | 32 | 32 | 22.54130695 | 0.547 | 31488 | 1.28125     |
| satellite32.bmp | satellite32.bmp-withWavelet_sym1-G_0.8-H4e-005_af3.wfa    | 24576 | 8192 | 8192 | 31 | 30992 | 248 | 248 | 32 | 32 | 22.54130695 | 0.218 | 31488 | 1.28125     |
| satellite32.bmp | satellite32.bmp-withWavelet_bior1.1-G_0.8-H4e-005_af3.wfa | 24576 | 8192 | 8192 | 31 | 30992 | 248 | 248 | 32 | 32 | 22.54130695 | 0.219 | 31488 | 1.28125     |
| satellite32.bmp | satellite32.bmp-withWavelet_haar-G_1-H6e-005_af1.wfa      | 24576 | 8192 | 8192 | 28 | 25328 | 224 | 224 | 32 | 32 | 22.57224401 | 0.203 | 25776 | 1.048828125 |
| satellite32.bmp | satellite32.bmp-withWavelet_rbio1.1-G_1-H6e-005_af1.wfa   | 24576 | 8192 | 8192 | 28 | 25328 | 224 | 224 | 32 | 32 | 22.57224401 | 0.187 | 25776 | 1.048828125 |
| satellite32.bmp | satellite32.bmp-withWavelet_sym1-G_1-H6e-005_af1.wfa      | 24576 | 8192 | 8192 | 28 | 25328 | 224 | 224 | 32 | 32 | 22.57224401 | 0.188 | 25776 | 1.048828125 |
| satellite32.bmp | satellite32.bmp-withWavelet_bior1.1-G_1-H6e-005_af1.wfa   | 24576 | 8192 | 8192 | 28 | 25328 | 224 | 224 | 32 | 32 | 22.57224401 | 0.203 | 25776 | 1.048828125 |
| satellite32.bmp | satellite32.bmp-withWavelet_haar-G_0.8-H6e-005_af1.wfa    | 24576 | 8192 | 8192 | 28 | 25328 | 224 | 224 | 32 | 32 | 22.58627249 | 0.187 | 25776 | 1.048828125 |
| satellite32.bmp | satellite32.bmp-withWavelet_rbio1.1-G_0.8-H6e-005_af1.wfa | 24576 | 8192 | 8192 | 28 | 25328 | 224 | 224 | 32 | 32 | 22.58627249 | 0.188 | 25776 | 1.048828125 |
| satellite32.bmp | satellite32.bmp-withWavelet_sym1-G_0.8-H6e-005_af1.wfa    | 24576 | 8192 | 8192 | 28 | 25328 | 224 | 224 | 32 | 32 | 22.58627249 | 0.187 | 25776 | 1.048828125 |
| satellite32.bmp | satellite32.bmp-withWavelet_bior1.1-G_0.8-H6e-005_af1.wfa | 24576 | 8192 | 8192 | 28 | 25328 | 224 | 224 | 32 | 32 | 22.58627249 | 0.188 | 25776 | 1.048828125 |
| satellite32.bmp | satellite32.bmp-withWavelet_haar-G_0.8-H1e-005_af2.wfa    | 24576 | 8192 | 8192 | 32 | 33008 | 256 | 256 | 32 | 32 | 22.76690356 | 0.235 | 33520 | 1.363932292 |

|                 |   |       |      |      |    |       |     |     |    |    |             |       |       |             |
|-----------------|---|-------|------|------|----|-------|-----|-----|----|----|-------------|-------|-------|-------------|
| satellite32.bmp | satellite32.bmp-withWavelet_rbio1.1-G_0.8-H1e-005_af2.wfa | 24576 | 8192 | 8192 | 32 | 33008 | 256 | 256 | 32 | 32 | 22.76690356 | 0.25  | 33520 | 1.363932292 |
| satellite32.bmp | satellite32.bmp-withWavelet_sym1-G_0.8-H1e-005_af2.wfa    | 24576 | 8192 | 8192 | 32 | 33008 | 256 | 256 | 32 | 32 | 22.76690356 | 0.235 | 33520 | 1.363932292 |
| satellite32.bmp | satellite32.bmp-withWavelet_bior1.1-G_0.8-H1e-005_af2.wfa | 24576 | 8192 | 8192 | 32 | 33008 | 256 | 256 | 32 | 32 | 22.76690356 | 0.234 | 33520 | 1.363932292 |
| satellite32.bmp | satellite32.bmp-withWavelet_haar-G_0.6-H1e-005_af2.wfa    | 24576 | 8192 | 8192 | 33 | 35088 | 264 | 264 | 32 | 32 | 23.73646804 | 0.25  | 35616 | 1.44921875  |
| satellite32.bmp | satellite32.bmp-withWavelet_rbio1.1-G_0.6-H1e-005_af2.wfa | 24576 | 8192 | 8192 | 33 | 35088 | 264 | 264 | 32 | 32 | 23.73646804 | 0.25  | 35616 | 1.44921875  |
| satellite32.bmp | satellite32.bmp-withWavelet_sym1-G_0.6-H1e-005_af2.wfa    | 24576 | 8192 | 8192 | 33 | 35088 | 264 | 264 | 32 | 32 | 23.73646804 | 0.297 | 35616 | 1.44921875  |
| satellite32.bmp | satellite32.bmp-withWavelet_bior1.1-G_0.6-H1e-005_af2.wfa | 24576 | 8192 | 8192 | 33 | 35088 | 264 | 264 | 32 | 32 | 23.73646804 | 0.234 | 35616 | 1.44921875  |
| satellite32.bmp | satellite32.bmp-withWavelet_haar-G_1-H2e-005_af3.wfa      | 24576 | 8192 | 8192 | 32 | 33008 | 256 | 256 | 32 | 32 | 23.79241574 | 0.235 | 33520 | 1.363932292 |
| satellite32.bmp | satellite32.bmp-withWavelet_rbio1.1-G_1-H2e-005_af3.wfa   | 24576 | 8192 | 8192 | 32 | 33008 | 256 | 256 | 32 | 32 | 23.79241574 | 0.235 | 33520 | 1.363932292 |
| satellite32.bmp | satellite32.bmp-withWavelet_sym1-G_1-H2e-005_af3.wfa      | 24576 | 8192 | 8192 | 32 | 33008 | 256 | 256 | 32 | 32 | 23.79241574 | 0.218 | 33520 | 1.363932292 |
| satellite32.bmp | satellite32.bmp-withWavelet_bior1.1-G_1-H2e-005_af3.wfa   | 24576 | 8192 | 8192 | 32 | 33008 | 256 | 256 | 32 | 32 | 23.79241574 | 0.25  | 33520 | 1.363932292 |
| satellite32.bmp | satellite32.bmp-withWavelet_haar-G_0.8-H2e-005_af3.wfa    | 24576 | 8192 | 8192 | 32 | 33008 | 256 | 256 | 32 | 32 | 23.83276892 | 0.234 | 33520 | 1.363932292 |
| satellite32.bmp | satellite32.bmp-withWavelet_rbio1.1-G_0.8-H2e-005_af3.wfa | 24576 | 8192 | 8192 | 32 | 33008 | 256 | 256 | 32 | 32 | 23.83276892 | 0.234 | 33520 | 1.363932292 |
| satellite32.bmp | satellite32.bmp-withWavelet_sym1-G_0.8-H2e-005_af3.wfa    | 24576 | 8192 | 8192 | 32 | 33008 | 256 | 256 | 32 | 32 | 23.83276892 | 0.219 | 33520 | 1.363932292 |
| satellite32.bmp | satellite32.bmp-withWavelet_bior1.1-G_0.8-H2e-005_af3.wfa | 24576 | 8192 | 8192 | 32 | 33008 | 256 | 256 | 32 | 32 | 23.83276892 | 0.234 | 33520 | 1.363932292 |
| satellite32.bmp | satellite32.bmp-withWavelet_haar-G_0.6-H2e-005_af3.wfa    | 24576 | 8192 | 8192 | 32 | 33008 | 256 | 256 | 32 | 32 | 24.13270075 | 0.25  | 33520 | 1.363932292 |
| satellite32.bmp | satellite32.bmp-withWavelet_rbio1.1-G_0.6-H2e-005_af3.wfa | 24576 | 8192 | 8192 | 32 | 33008 | 256 | 256 | 32 | 32 | 24.13270075 | 0.219 | 33520 | 1.363932292 |
| satellite32.bmp | satellite32.bmp-withWavelet_sym1-G_0.6-H2e-005_af3.wfa    | 24576 | 8192 | 8192 | 32 | 33008 | 256 | 256 | 32 | 32 | 24.13270075 | 0.235 | 33520 | 1.363932292 |
| satellite32.bmp | satellite32.bmp-withWavelet_bior1.1-G_0.6-H2e-005_af3.wfa | 24576 | 8192 | 8192 | 32 | 33008 | 256 | 256 | 32 | 32 | 24.13270075 | 0.234 | 33520 | 1.363932292 |
| satellite32.bmp | satellite32.bmp-withWavelet_haar-G_0.6-H3e-005_af3.wfa    | 24576 | 8192 | 8192 | 32 | 33008 | 256 | 256 | 32 | 32 | 24.13270075 | 0.234 | 33520 | 1.363932292 |
| satellite32.bmp | satellite32.bmp-withWavelet_rbio1.1-G_0.6-H3e-005_af3.wfa | 24576 | 8192 | 8192 | 32 | 33008 | 256 | 256 | 32 | 32 | 24.13270075 | 0.344 | 33520 | 1.363932292 |
| satellite32.bmp | satellite32.bmp-withWavelet_sym1-G_0.6-H3e-005_af3.wfa    | 24576 | 8192 | 8192 | 32 | 33008 | 256 | 256 | 32 | 32 | 24.13270075 | 0.234 | 33520 | 1.363932292 |
| satellite32.bmp | satellite32.bmp-withWavelet_bior1.1-G_0.6-H3e-005_af3.wfa | 24576 | 8192 | 8192 | 32 | 33008 | 256 | 256 | 32 | 32 | 24.13270075 | 0.234 | 33520 | 1.363932292 |
| satellite32.bmp | satellite32.bmp-withWavelet_haar-G_0.6-H6e-005_af1.wfa    | 24576 | 8192 | 8192 | 31 | 30992 | 248 | 248 | 32 | 32 | 25.32815814 | 0.219 | 31488 | 1.28125     |
| satellite32.bmp | satellite32.bmp-withWavelet_rbio1.1-G_0.6-H6e-005_af1.wfa | 24576 | 8192 | 8192 | 31 | 30992 | 248 | 248 | 32 | 32 | 25.32815814 | 0.219 | 31488 | 1.28125     |
| satellite32.bmp | satellite32.bmp-withWavelet_sym1-G_0.6-H6e-005_af1.wfa    | 24576 | 8192 | 8192 | 31 | 30992 | 248 | 248 | 32 | 32 | 25.32815814 | 0.218 | 31488 | 1.28125     |
| satellite32.bmp | satellite32.bmp-withWavelet_bior1.1-G_0.6-H6e-005_af1.wfa | 24576 | 8192 | 8192 | 31 | 30992 | 248 | 248 | 32 | 32 | 25.32815814 | 0.219 | 31488 | 1.28125     |
| satellite32.bmp | satellite32.bmp-withWavelet_haar-G_0.6-H5e-005_af1.wfa    | 24576 | 8192 | 8192 | 32 | 33008 | 256 | 256 | 32 | 32 | 26.37169281 | 0.234 | 33520 | 1.363932292 |
| satellite32.bmp | satellite32.bmp-withWavelet_rbio1.1-G_0.6-H5e-005_af1.wfa | 24576 | 8192 | 8192 | 32 | 33008 | 256 | 256 | 32 | 32 | 26.37169281 | 0.235 | 33520 | 1.363932292 |
| satellite32.bmp | satellite32.bmp-withWavelet_sym1-G_0.6-H5e-005_af1.wfa    | 24576 | 8192 | 8192 | 32 | 33008 | 256 | 256 | 32 | 32 | 26.37169281 | 0.234 | 33520 | 1.363932292 |
| satellite32.bmp | satellite32.bmp-withWavelet_bior1.1-G_0.6-H5e-005_af1.wfa | 24576 | 8192 | 8192 | 32 | 33008 | 256 | 256 | 32 | 32 | 26.37169281 | 0.234 | 33520 | 1.363932292 |

|                 |   |       |      |      |    |       |     |     |    |    |             |       |       |             |
|-----------------|---|-------|------|------|----|-------|-----|-----|----|----|-------------|-------|-------|-------------|
| satellite32.bmp | satellite32.bmp-withWavelet_haar-G_0.6-H1e-005_af3.wfa    | 24576 | 8192 | 8192 | 34 | 37232 | 272 | 272 | 32 | 32 | 26.45393515 | 0.265 | 37776 | 1.537109375 |
| satellite32.bmp | satellite32.bmp-withWavelet_rbio1.1-G_0.6-H1e-005_af3.wfa | 24576 | 8192 | 8192 | 34 | 37232 | 272 | 272 | 32 | 32 | 26.45393515 | 0.25  | 37776 | 1.537109375 |
| satellite32.bmp | satellite32.bmp-withWavelet_sym1-G_0.6-H1e-005_af3.wfa    | 24576 | 8192 | 8192 | 34 | 37232 | 272 | 272 | 32 | 32 | 26.45393515 | 0.266 | 37776 | 1.537109375 |
| satellite32.bmp | satellite32.bmp-withWavelet_bior1.1-G_0.6-H1e-005_af3.wfa | 24576 | 8192 | 8192 | 34 | 37232 | 272 | 272 | 32 | 32 | 26.45393515 | 0.266 | 37776 | 1.537109375 |
| satellite32.bmp | satellite32.bmp-withWavelet_haar-G_0.8-H5e-005_af1.wfa    | 24576 | 8192 | 8192 | 32 | 33008 | 256 | 256 | 32 | 32 | 26.47411019 | 0.234 | 33520 | 1.363932292 |
| satellite32.bmp | satellite32.bmp-withWavelet_rbio1.1-G_0.8-H5e-005_af1.wfa | 24576 | 8192 | 8192 | 32 | 33008 | 256 | 256 | 32 | 32 | 26.47411019 | 0.234 | 33520 | 1.363932292 |
| satellite32.bmp | satellite32.bmp-withWavelet_sym1-G_0.8-H5e-005_af1.wfa    | 24576 | 8192 | 8192 | 32 | 33008 | 256 | 256 | 32 | 32 | 26.47411019 | 0.25  | 33520 | 1.363932292 |
| satellite32.bmp | satellite32.bmp-withWavelet_bior1.1-G_0.8-H5e-005_af1.wfa | 24576 | 8192 | 8192 | 32 | 33008 | 256 | 256 | 32 | 32 | 26.47411019 | 0.234 | 33520 | 1.363932292 |
| satellite32.bmp | satellite32.bmp-withWavelet_haar-G_1-H1e-005_af3.wfa      | 24576 | 8192 | 8192 | 34 | 37232 | 272 | 272 | 32 | 32 | 27.01923152 | 0.265 | 37776 | 1.537109375 |
| satellite32.bmp | satellite32.bmp-withWavelet_rbio1.1-G_1-H1e-005_af3.wfa   | 24576 | 8192 | 8192 | 34 | 37232 | 272 | 272 | 32 | 32 | 27.01923152 | 0.25  | 37776 | 1.537109375 |
| satellite32.bmp | satellite32.bmp-withWavelet_sym1-G_1-H1e-005_af3.wfa      | 24576 | 8192 | 8192 | 34 | 37232 | 272 | 272 | 32 | 32 | 27.01923152 | 0.25  | 37776 | 1.537109375 |
| satellite32.bmp | satellite32.bmp-withWavelet_bior1.1-G_1-H1e-005_af3.wfa   | 24576 | 8192 | 8192 | 34 | 37232 | 272 | 272 | 32 | 32 | 27.01923152 | 0.266 | 37776 | 1.537109375 |
| satellite32.bmp | satellite32.bmp-withWavelet_haar-G_0.8-H1e-005_af3.wfa    | 24576 | 8192 | 8192 | 34 | 37232 | 272 | 272 | 32 | 32 | 27.0233995  | 0.266 | 37776 | 1.537109375 |
| satellite32.bmp | satellite32.bmp-withWavelet_rbio1.1-G_0.8-H1e-005_af3.wfa | 24576 | 8192 | 8192 | 34 | 37232 | 272 | 272 | 32 | 32 | 27.0233995  | 0.266 | 37776 | 1.537109375 |
| satellite32.bmp | satellite32.bmp-withWavelet_sym1-G_0.8-H1e-005_af3.wfa    | 24576 | 8192 | 8192 | 34 | 37232 | 272 | 272 | 32 | 32 | 27.0233995  | 0.25  | 37776 | 1.537109375 |
| satellite32.bmp | satellite32.bmp-withWavelet_bior1.1-G_0.8-H1e-005_af3.wfa | 24576 | 8192 | 8192 | 34 | 37232 | 272 | 272 | 32 | 32 | 27.0233995  | 0.266 | 37776 | 1.537109375 |
| satellite32.bmp | satellite32.bmp-withWavelet_haar-G_1-H5e-005_af4.wfa      | 24576 | 8192 | 8192 | 32 | 33008 | 256 | 256 | 32 | 32 | 27.3123736  | 0.219 | 33520 | 1.363932292 |
| satellite32.bmp | satellite32.bmp-withWavelet_rbio1.1-G_1-H5e-005_af4.wfa   | 24576 | 8192 | 8192 | 32 | 33008 | 256 | 256 | 32 | 32 | 27.3123736  | 0.235 | 33520 | 1.363932292 |
| satellite32.bmp | satellite32.bmp-withWavelet_sym1-G_1-H5e-005_af4.wfa      | 24576 | 8192 | 8192 | 32 | 33008 | 256 | 256 | 32 | 32 | 27.3123736  | 0.234 | 33520 | 1.363932292 |
| satellite32.bmp | satellite32.bmp-withWavelet_bior1.1-G_1-H5e-005_af4.wfa   | 24576 | 8192 | 8192 | 32 | 33008 | 256 | 256 | 32 | 32 | 27.3123736  | 0.234 | 33520 | 1.363932292 |
| satellite32.bmp | satellite32.bmp-withWavelet_haar-G_1-H5e-005_af1.wfa      | 24576 | 8192 | 8192 | 33 | 35088 | 264 | 264 | 32 | 32 | 27.42879382 | 0.25  | 35616 | 1.44921875  |
| satellite32.bmp | satellite32.bmp-withWavelet_rbio1.1-G_1-H5e-005_af1.wfa   | 24576 | 8192 | 8192 | 33 | 35088 | 264 | 264 | 32 | 32 | 27.42879382 | 0.25  | 35616 | 1.44921875  |
| satellite32.bmp | satellite32.bmp-withWavelet_sym1-G_1-H5e-005_af1.wfa      | 24576 | 8192 | 8192 | 33 | 35088 | 264 | 264 | 32 | 32 | 27.42879382 | 0.266 | 35616 | 1.44921875  |
| satellite32.bmp | satellite32.bmp-withWavelet_bior1.1-G_1-H5e-005_af1.wfa   | 24576 | 8192 | 8192 | 33 | 35088 | 264 | 264 | 32 | 32 | 27.42879382 | 0.25  | 35616 | 1.44921875  |
| satellite32.bmp | satellite32.bmp-G_1-H1e-005_af5.wfa                       | 24576 | 8192 |      | 33 | 35088 | 264 | 264 | 32 | 32 | 27.98984814 | 0.25  | 35616 | 1.44921875  |
| satellite32.bmp | satellite32.bmp-withWavelet_haar-G_0.6-H4e-005_af1.wfa    | 24576 | 8192 | 8192 | 33 | 35088 | 264 | 264 | 32 | 32 | 28.12968082 | 0.25  | 35616 | 1.44921875  |
| satellite32.bmp | satellite32.bmp-withWavelet_rbio1.1-G_0.6-H4e-005_af1.wfa | 24576 | 8192 | 8192 | 33 | 35088 | 264 | 264 | 32 | 32 | 28.12968082 | 0.234 | 35616 | 1.44921875  |
| satellite32.bmp | satellite32.bmp-withWavelet_sym1-G_0.6-H4e-005_af1.wfa    | 24576 | 8192 | 8192 | 33 | 35088 | 264 | 264 | 32 | 32 | 28.12968082 | 0.235 | 35616 | 1.44921875  |
| satellite32.bmp | satellite32.bmp-withWavelet_bior1.1-G_0.6-H4e-005_af1.wfa | 24576 | 8192 | 8192 | 33 | 35088 | 264 | 264 | 32 | 32 | 28.12968082 | 0.25  | 35616 | 1.44921875  |
| satellite32.bmp | satellite32.bmp-withWavelet_haar-G_1-H4e-005_af1.wfa      | 24576 | 8192 | 8192 | 34 | 37232 | 272 | 272 | 32 | 32 | 29.06759615 | 0.266 | 37776 | 1.537109375 |
| satellite32.bmp | satellite32.bmp-withWavelet_rbio1.1-G_1-H4e-005_af1.wfa   | 24576 | 8192 | 8192 | 34 | 37232 | 272 | 272 | 32 | 32 | 29.06759615 | 0.266 | 37776 | 1.537109375 |



|                 |   |       |      |      |    |       |     |     |    |    |             |       |       |             |
|-----------------|---|-------|------|------|----|-------|-----|-----|----|----|-------------|-------|-------|-------------|
| satellite32.bmp | satellite32.bmp-withWavelet_rbio1.1-G_0.6-H4e-005_af4.wfa | 24576 | 8192 | 8192 | 33 | 35088 | 264 | 264 | 32 | 32 | 30.46535137 | 0.25  | 35616 | 1.44921875  |
| satellite32.bmp | satellite32.bmp-withWavelet_sym1-G_0.6-H4e-005_af4.wfa    | 24576 | 8192 | 8192 | 33 | 35088 | 264 | 264 | 32 | 32 | 30.46535137 | 0.25  | 35616 | 1.44921875  |
| satellite32.bmp | satellite32.bmp-withWavelet_bior1.1-G_0.6-H4e-005_af4.wfa | 24576 | 8192 | 8192 | 33 | 35088 | 264 | 264 | 32 | 32 | 30.46535137 | 0.25  | 35616 | 1.44921875  |
| satellite32.bmp | satellite32.bmp-withWavelet_haar-G_0.8-H2e-005_af4.wfa    | 24576 | 8192 | 8192 | 34 | 37232 | 272 | 272 | 32 | 32 | 31.65091031 | 0.265 | 37776 | 1.537109375 |
| satellite32.bmp | satellite32.bmp-withWavelet_rbio1.1-G_0.8-H2e-005_af4.wfa | 24576 | 8192 | 8192 | 34 | 37232 | 272 | 272 | 32 | 32 | 31.65091031 | 0.25  | 37776 | 1.537109375 |
| satellite32.bmp | satellite32.bmp-withWavelet_sym1-G_0.8-H2e-005_af4.wfa    | 24576 | 8192 | 8192 | 34 | 37232 | 272 | 272 | 32 | 32 | 31.65091031 | 0.266 | 37776 | 1.537109375 |
| satellite32.bmp | satellite32.bmp-withWavelet_bior1.1-G_0.8-H2e-005_af4.wfa | 24576 | 8192 | 8192 | 34 | 37232 | 272 | 272 | 32 | 32 | 31.65091031 | 0.265 | 37776 | 1.537109375 |
| satellite32.bmp | satellite32.bmp-withWavelet_haar-G_0.6-H3e-005_af1.wfa    | 24576 | 8192 | 8192 | 35 | 39440 | 280 | 280 | 32 | 32 | 32.08848605 | 0.282 | 40000 | 1.627604167 |
| satellite32.bmp | satellite32.bmp-withWavelet_rbio1.1-G_0.6-H3e-005_af1.wfa | 24576 | 8192 | 8192 | 35 | 39440 | 280 | 280 | 32 | 32 | 32.08848605 | 0.281 | 40000 | 1.627604167 |
| satellite32.bmp | satellite32.bmp-withWavelet_sym1-G_0.6-H3e-005_af1.wfa    | 24576 | 8192 | 8192 | 35 | 39440 | 280 | 280 | 32 | 32 | 32.08848605 | 0.281 | 40000 | 1.627604167 |
| satellite32.bmp | satellite32.bmp-withWavelet_bior1.1-G_0.6-H3e-005_af1.wfa | 24576 | 8192 | 8192 | 35 | 39440 | 280 | 280 | 32 | 32 | 32.08848605 | 0.281 | 40000 | 1.627604167 |
| satellite32.bmp | satellite32.bmp-withWavelet_haar-G_1-H2e-005_af4.wfa      | 24576 | 8192 | 8192 | 35 | 39440 | 280 | 280 | 32 | 32 | 32.59138537 | 0.282 | 40000 | 1.627604167 |
| satellite32.bmp | satellite32.bmp-withWavelet_rbio1.1-G_1-H2e-005_af4.wfa   | 24576 | 8192 | 8192 | 35 | 39440 | 280 | 280 | 32 | 32 | 32.59138537 | 0.281 | 40000 | 1.627604167 |
| satellite32.bmp | satellite32.bmp-withWavelet_sym1-G_1-H2e-005_af4.wfa      | 24576 | 8192 | 8192 | 35 | 39440 | 280 | 280 | 32 | 32 | 32.59138537 | 0.281 | 40000 | 1.627604167 |
| satellite32.bmp | satellite32.bmp-withWavelet_bior1.1-G_1-H2e-005_af4.wfa   | 24576 | 8192 | 8192 | 35 | 39440 | 280 | 280 | 32 | 32 | 32.59138537 | 0.281 | 40000 | 1.627604167 |
| satellite32.bmp | satellite32.bmp-withWavelet_haar-G_0.6-H2e-005_af4.wfa    | 24576 | 8192 | 8192 | 34 | 37232 | 272 | 272 | 32 | 32 | 34.01265544 | 0.281 | 37776 | 1.537109375 |
| satellite32.bmp | satellite32.bmp-withWavelet_rbio1.1-G_0.6-H2e-005_af4.wfa | 24576 | 8192 | 8192 | 34 | 37232 | 272 | 272 | 32 | 32 | 34.01265544 | 0.266 | 37776 | 1.537109375 |
| satellite32.bmp | satellite32.bmp-withWavelet_sym1-G_0.6-H2e-005_af4.wfa    | 24576 | 8192 | 8192 | 34 | 37232 | 272 | 272 | 32 | 32 | 34.01265544 | 0.266 | 37776 | 1.537109375 |
| satellite32.bmp | satellite32.bmp-withWavelet_bior1.1-G_0.6-H2e-005_af4.wfa | 24576 | 8192 | 8192 | 34 | 37232 | 272 | 272 | 32 | 32 | 34.01265544 | 0.266 | 37776 | 1.537109375 |
| satellite32.bmp | satellite32.bmp-withWavelet_haar-G_0.6-H3e-005_af4.wfa    | 24576 | 8192 | 8192 | 34 | 37232 | 272 | 272 | 32 | 32 | 34.71087464 | 0.266 | 37776 | 1.537109375 |
| satellite32.bmp | satellite32.bmp-withWavelet_rbio1.1-G_0.6-H3e-005_af4.wfa | 24576 | 8192 | 8192 | 34 | 37232 | 272 | 272 | 32 | 32 | 34.71087464 | 0.266 | 37776 | 1.537109375 |
| satellite32.bmp | satellite32.bmp-withWavelet_sym1-G_0.6-H3e-005_af4.wfa    | 24576 | 8192 | 8192 | 34 | 37232 | 272 | 272 | 32 | 32 | 34.71087464 | 0.25  | 37776 | 1.537109375 |
| satellite32.bmp | satellite32.bmp-withWavelet_bior1.1-G_0.6-H3e-005_af4.wfa | 24576 | 8192 | 8192 | 34 | 37232 | 272 | 272 | 32 | 32 | 34.71087464 | 0.25  | 37776 | 1.537109375 |
| satellite32.bmp | satellite32.bmp-withWavelet_haar-G_1-H3e-005_af1.wfa      | 24576 | 8192 | 8192 | 36 | 41712 | 288 | 288 | 32 | 32 | 35.05853826 | 0.297 | 42288 | 1.720703125 |
| satellite32.bmp | satellite32.bmp-withWavelet_rbio1.1-G_1-H3e-005_af1.wfa   | 24576 | 8192 | 8192 | 36 | 41712 | 288 | 288 | 32 | 32 | 35.05853826 | 0.281 | 42288 | 1.720703125 |
| satellite32.bmp | satellite32.bmp-withWavelet_sym1-G_1-H3e-005_af1.wfa      | 24576 | 8192 | 8192 | 36 | 41712 | 288 | 288 | 32 | 32 | 35.05853826 | 0.281 | 42288 | 1.720703125 |
| satellite32.bmp | satellite32.bmp-withWavelet_bior1.1-G_1-H3e-005_af1.wfa   | 24576 | 8192 | 8192 | 36 | 41712 | 288 | 288 | 32 | 32 | 35.05853826 | 0.281 | 42288 | 1.720703125 |
| satellite32.bmp | satellite32.bmp-withWavelet_haar-G_0.8-H3e-005_af1.wfa    | 24576 | 8192 | 8192 | 36 | 41712 | 288 | 288 | 32 | 32 | 35.13629438 | 0.281 | 42288 | 1.720703125 |
| satellite32.bmp | satellite32.bmp-withWavelet_rbio1.1-G_0.8-H3e-005_af1.wfa | 24576 | 8192 | 8192 | 36 | 41712 | 288 | 288 | 32 | 32 | 35.13629438 | 0.265 | 42288 | 1.720703125 |
| satellite32.bmp | satellite32.bmp-withWavelet_sym1-G_0.8-H3e-005_af1.wfa    | 24576 | 8192 | 8192 | 36 | 41712 | 288 | 288 | 32 | 32 | 35.13629438 | 0.281 | 42288 | 1.720703125 |
| satellite32.bmp | satellite32.bmp-withWavelet_bior1.1-G_0.8-H3e-005_af1.wfa | 24576 | 8192 | 8192 | 36 | 41712 | 288 | 288 | 32 | 32 | 35.13629438 | 0.281 | 42288 | 1.720703125 |





|                 |   |       |      |      |    |       |     |     |    |    |             |       |       |            |
|-----------------|---|-------|------|------|----|-------|-----|-----|----|----|-------------|-------|-------|------------|
| satellite32.bmp | satellite32.bmp-withWavelet_bior1.1-G_0.6-H1e-005_af1.wfa | 24576 | 8192 | 8192 | 37 | 44048 | 296 | 296 | 32 | 32 | 269.3784627 | 0.312 | 44640 | 1.81640625 |
| satellite32.bmp | satellite32.bmp-withWavelet_haar-G_0.6-H2e-005_af1.wfa    | 24576 | 8192 | 8192 | 37 | 44048 | 296 | 296 | 32 | 32 | 276.9738381 | 0.328 | 44640 | 1.81640625 |
| satellite32.bmp | satellite32.bmp-withWavelet_rbio1.1-G_0.6-H2e-005_af1.wfa | 24576 | 8192 | 8192 | 37 | 44048 | 296 | 296 | 32 | 32 | 276.9738381 | 0.312 | 44640 | 1.81640625 |
| satellite32.bmp | satellite32.bmp-withWavelet_sym1-G_0.6-H2e-005_af1.wfa    | 24576 | 8192 | 8192 | 37 | 44048 | 296 | 296 | 32 | 32 | 276.9738381 | 0.297 | 44640 | 1.81640625 |
| satellite32.bmp | satellite32.bmp-withWavelet_bior1.1-G_0.6-H2e-005_af1.wfa | 24576 | 8192 | 8192 | 37 | 44048 | 296 | 296 | 32 | 32 | 276.9738381 | 0.297 | 44640 | 1.81640625 |

**Tabela III.16 – Decodificação para phi1\_32.bmp**

| Img         | Img codificada                    | lBytes  | GSByte | WletBy | #Stes | Wby | lBy | FBy | ResCo | ResDe | PSNR     | Time  | Total | %        |
|-------------|-----------------------------------|---------|--------|--------|-------|-----|-----|-----|-------|-------|----------|-------|-------|----------|
| phi1_32.bmp | phi1_32.bmp-G_0.6-H4e-005_af2.wfa | 1572864 | 524288 |        | 2     | 368 | 16  | 16  | 32    | 256   | 36.95378 | 5.859 | 400   | 0.000254 |
| phi1_32.bmp | phi1_32.bmp-G_0.6-H5e-005_af2.wfa | 1572864 | 524288 |        | 2     | 368 | 16  | 16  | 32    | 256   | 36.95378 | 5.828 | 400   | 0.000254 |
| phi1_32.bmp | phi1_32.bmp-G_0.6-H6e-005_af2.wfa | 1572864 | 524288 |        | 2     | 368 | 16  | 16  | 32    | 256   | 36.95378 | 5.828 | 400   | 0.000254 |
| phi1_32.bmp | phi1_32.bmp-G_0.6-H7e-005_af2.wfa | 1572864 | 524288 |        | 2     | 368 | 16  | 16  | 32    | 256   | 36.95378 | 5.844 | 400   | 0.000254 |
| phi1_32.bmp | phi1_32.bmp-G_0.6-H8e-005_af2.wfa | 1572864 | 524288 |        | 2     | 368 | 16  | 16  | 32    | 256   | 36.95378 | 5.875 | 400   | 0.000254 |
| phi1_32.bmp | phi1_32.bmp-G_0.6-H9e-005_af2.wfa | 1572864 | 524288 |        | 2     | 368 | 16  | 16  | 32    | 256   | 36.95378 | 5.829 | 400   | 0.000254 |
| phi1_32.bmp | phi1_32.bmp-G_0.6-H0.0001_af2.wfa | 1572864 | 524288 |        | 2     | 368 | 16  | 16  | 32    | 256   | 36.95378 | 5.843 | 400   | 0.000254 |
| phi1_32.bmp | phi1_32.bmp-G_0.8-H4e-005_af2.wfa | 1572864 | 524288 |        | 2     | 368 | 16  | 16  | 32    | 256   | 37.27705 | 5.859 | 400   | 0.000254 |
| phi1_32.bmp | phi1_32.bmp-G_0.8-H5e-005_af2.wfa | 1572864 | 524288 |        | 2     | 368 | 16  | 16  | 32    | 256   | 37.27705 | 5.828 | 400   | 0.000254 |
| phi1_32.bmp | phi1_32.bmp-G_0.8-H6e-005_af2.wfa | 1572864 | 524288 |        | 2     | 368 | 16  | 16  | 32    | 256   | 37.27705 | 5.829 | 400   | 0.000254 |
| phi1_32.bmp | phi1_32.bmp-G_0.8-H7e-005_af2.wfa | 1572864 | 524288 |        | 2     | 368 | 16  | 16  | 32    | 256   | 37.27705 | 5.89  | 400   | 0.000254 |
| phi1_32.bmp | phi1_32.bmp-G_0.8-H8e-005_af2.wfa | 1572864 | 524288 |        | 2     | 368 | 16  | 16  | 32    | 256   | 37.27705 | 5.828 | 400   | 0.000254 |
| phi1_32.bmp | phi1_32.bmp-G_0.8-H9e-005_af2.wfa | 1572864 | 524288 |        | 2     | 368 | 16  | 16  | 32    | 256   | 37.27705 | 5.875 | 400   | 0.000254 |
| phi1_32.bmp | phi1_32.bmp-G_0.8-H0.0001_af2.wfa | 1572864 | 524288 |        | 2     | 368 | 16  | 16  | 32    | 256   | 37.27705 | 5.891 | 400   | 0.000254 |
| phi1_32.bmp | phi1_32.bmp-G_1-H3e-005_af2.wfa   | 1572864 | 524288 |        | 2     | 368 | 16  | 16  | 32    | 256   | 37.36665 | 5.843 | 400   | 0.000254 |
| phi1_32.bmp | phi1_32.bmp-G_1-H4e-005_af2.wfa   | 1572864 | 524288 |        | 2     | 368 | 16  | 16  | 32    | 256   | 37.36665 | 5.812 | 400   | 0.000254 |
| phi1_32.bmp | phi1_32.bmp-G_1-H5e-005_af2.wfa   | 1572864 | 524288 |        | 2     | 368 | 16  | 16  | 32    | 256   | 37.36665 | 5.843 | 400   | 0.000254 |
| phi1_32.bmp | phi1_32.bmp-G_1-H6e-005_af2.wfa   | 1572864 | 524288 |        | 2     | 368 | 16  | 16  | 32    | 256   | 37.36665 | 5.844 | 400   | 0.000254 |
| phi1_32.bmp | phi1_32.bmp-G_1-H7e-005_af2.wfa   | 1572864 | 524288 |        | 2     | 368 | 16  | 16  | 32    | 256   | 37.36665 | 5.844 | 400   | 0.000254 |
| phi1_32.bmp | phi1_32.bmp-G_1-H8e-005_af2.wfa   | 1572864 | 524288 |        | 2     | 368 | 16  | 16  | 32    | 256   | 37.36665 | 5.812 | 400   | 0.000254 |
| phi1_32.bmp | phi1_32.bmp-G_1-H9e-005_af2.wfa   | 1572864 | 524288 |        | 2     | 368 | 16  | 16  | 32    | 256   | 37.36665 | 5.843 | 400   | 0.000254 |
| phi1_32.bmp | phi1_32.bmp-G_1-H0.0001_af2.wfa   | 1572864 | 524288 |        | 2     | 368 | 16  | 16  | 32    | 256   | 37.36665 | 5.843 | 400   | 0.000254 |







|             |   |         |        |        |   |     |    |    |    |     |          |       |     |          |
|-------------|---|---------|--------|--------|---|-----|----|----|----|-----|----------|-------|-----|----------|
| phi1_32.bmp | phi1_32.bmp-G_0.6-H3e-005_af1.wfa                     | 1572864 | 524288 |        | 2 | 368 | 16 | 16 | 32 | 256 | 45.34755 | 5.828 | 400 | 0.000254 |
| phi1_32.bmp | phi1_32.bmp-G_0.6-H3e-005_af3.wfa                     | 1572864 | 524288 |        | 2 | 368 | 16 | 16 | 32 | 256 | 45.34755 | 5.843 | 400 | 0.000254 |
| phi1_32.bmp | phi1_32.bmp-G_0.6-H3e-005_af4.wfa                     | 1572864 | 524288 |        | 2 | 368 | 16 | 16 | 32 | 256 | 45.34755 | 5.797 | 400 | 0.000254 |
| phi1_32.bmp | phi1_32.bmp-G_0.6-H4e-005_af1.wfa                     | 1572864 | 524288 |        | 2 | 368 | 16 | 16 | 32 | 256 | 45.34755 | 5.844 | 400 | 0.000254 |
| phi1_32.bmp | phi1_32.bmp-G_0.6-H4e-005_af3.wfa                     | 1572864 | 524288 |        | 2 | 368 | 16 | 16 | 32 | 256 | 45.34755 | 5.875 | 400 | 0.000254 |
| phi1_32.bmp | phi1_32.bmp-G_0.6-H4e-005_af4.wfa                     | 1572864 | 524288 |        | 2 | 368 | 16 | 16 | 32 | 256 | 45.34755 | 5.859 | 400 | 0.000254 |
| phi1_32.bmp | phi1_32.bmp-G_0.6-H5e-005_af1.wfa                     | 1572864 | 524288 |        | 2 | 368 | 16 | 16 | 32 | 256 | 45.34755 | 5.828 | 400 | 0.000254 |
| phi1_32.bmp | phi1_32.bmp-G_0.6-H5e-005_af3.wfa                     | 1572864 | 524288 |        | 2 | 368 | 16 | 16 | 32 | 256 | 45.34755 | 5.828 | 400 | 0.000254 |
| phi1_32.bmp | phi1_32.bmp-G_0.6-H5e-005_af4.wfa                     | 1572864 | 524288 |        | 2 | 368 | 16 | 16 | 32 | 256 | 45.34755 | 5.891 | 400 | 0.000254 |
| phi1_32.bmp | phi1_32.bmp-G_0.6-H6e-005_af1.wfa                     | 1572864 | 524288 |        | 2 | 368 | 16 | 16 | 32 | 256 | 45.34755 | 5.813 | 400 | 0.000254 |
| phi1_32.bmp | phi1_32.bmp-G_0.6-H6e-005_af3.wfa                     | 1572864 | 524288 |        | 2 | 368 | 16 | 16 | 32 | 256 | 45.34755 | 5.906 | 400 | 0.000254 |
| phi1_32.bmp | phi1_32.bmp-G_0.6-H6e-005_af4.wfa                     | 1572864 | 524288 |        | 2 | 368 | 16 | 16 | 32 | 256 | 45.34755 | 6.016 | 400 | 0.000254 |
| phi1_32.bmp | phi1_32.bmp-G_0.6-H7e-005_af1.wfa                     | 1572864 | 524288 |        | 2 | 368 | 16 | 16 | 32 | 256 | 45.34755 | 5.859 | 400 | 0.000254 |
| phi1_32.bmp | phi1_32.bmp-G_0.6-H7e-005_af3.wfa                     | 1572864 | 524288 |        | 2 | 368 | 16 | 16 | 32 | 256 | 45.34755 | 5.875 | 400 | 0.000254 |
| phi1_32.bmp | phi1_32.bmp-G_0.6-H7e-005_af4.wfa                     | 1572864 | 524288 |        | 2 | 368 | 16 | 16 | 32 | 256 | 45.34755 | 5.844 | 400 | 0.000254 |
| phi1_32.bmp | phi1_32.bmp-G_0.6-H8e-005_af1.wfa                     | 1572864 | 524288 |        | 2 | 368 | 16 | 16 | 32 | 256 | 45.34755 | 5.89  | 400 | 0.000254 |
| phi1_32.bmp | phi1_32.bmp-G_0.6-H8e-005_af3.wfa                     | 1572864 | 524288 |        | 2 | 368 | 16 | 16 | 32 | 256 | 45.34755 | 5.844 | 400 | 0.000254 |
| phi1_32.bmp | phi1_32.bmp-G_0.6-H8e-005_af4.wfa                     | 1572864 | 524288 |        | 2 | 368 | 16 | 16 | 32 | 256 | 45.34755 | 5.922 | 400 | 0.000254 |
| phi1_32.bmp | phi1_32.bmp-G_0.6-H9e-005_af1.wfa                     | 1572864 | 524288 |        | 2 | 368 | 16 | 16 | 32 | 256 | 45.34755 | 5.828 | 400 | 0.000254 |
| phi1_32.bmp | phi1_32.bmp-G_0.6-H9e-005_af3.wfa                     | 1572864 | 524288 |        | 2 | 368 | 16 | 16 | 32 | 256 | 45.34755 | 5.828 | 400 | 0.000254 |
| phi1_32.bmp | phi1_32.bmp-G_0.6-H9e-005_af4.wfa                     | 1572864 | 524288 |        | 2 | 368 | 16 | 16 | 32 | 256 | 45.34755 | 5.859 | 400 | 0.000254 |
| phi1_32.bmp | phi1_32.bmp-G_0.6-H0.0001_af1.wfa                     | 1572864 | 524288 |        | 2 | 368 | 16 | 16 | 32 | 256 | 45.34755 | 5.843 | 400 | 0.000254 |
| phi1_32.bmp | phi1_32.bmp-G_0.6-H0.0001_af3.wfa                     | 1572864 | 524288 |        | 2 | 368 | 16 | 16 | 32 | 256 | 45.34755 | 5.891 | 400 | 0.000254 |
| phi1_32.bmp | phi1_32.bmp-G_0.6-H0.0001_af4.wfa                     | 1572864 | 524288 |        | 2 | 368 | 16 | 16 | 32 | 256 | 45.34755 | 5.907 | 400 | 0.000254 |
| phi1_32.bmp | phi1_32.bmp-withWavelet_haar-G_0.6-H2e-005_af1.wfa    | 1572864 | 524288 | 524288 | 3 | 528 | 24 | 24 | 32 | 256 | 35.15118 | 5.891 | 576 | 0.000366 |
| phi1_32.bmp | phi1_32.bmp-withWavelet_rbio1.1-G_0.6-H2e-005_af1.wfa | 1572864 | 524288 | 524288 | 3 | 528 | 24 | 24 | 32 | 256 | 35.15118 | 5.859 | 576 | 0.000366 |
| phi1_32.bmp | phi1_32.bmp-withWavelet_sym1-G_0.6-H2e-005_af1.wfa    | 1572864 | 524288 | 524288 | 3 | 528 | 24 | 24 | 32 | 256 | 35.15118 | 5.938 | 576 | 0.000366 |
| phi1_32.bmp | phi1_32.bmp-withWavelet_bior1.1-G_0.6-H2e-005_af1.wfa | 1572864 | 524288 | 524288 | 3 | 528 | 24 | 24 | 32 | 256 | 35.15118 | 5.875 | 576 | 0.000366 |
| phi1_32.bmp | phi1_32.bmp-withWavelet_haar-G_0.6-H2e-005_af3.wfa    | 1572864 | 524288 | 524288 | 3 | 528 | 24 | 24 | 32 | 256 | 35.15118 | 5.891 | 576 | 0.000366 |
| phi1_32.bmp | phi1_32.bmp-withWavelet_rbio1.1-G_0.6-H2e-005_af3.wfa | 1572864 | 524288 | 524288 | 3 | 528 | 24 | 24 | 32 | 256 | 35.15118 | 5.968 | 576 | 0.000366 |
| phi1_32.bmp | phi1_32.bmp-withWavelet_sym1-G_0.6-H2e-005_af3.wfa    | 1572864 | 524288 | 524288 | 3 | 528 | 24 | 24 | 32 | 256 | 35.15118 | 5.922 | 576 | 0.000366 |

















|             |   |         |        |        |   |      |    |    |    |     |          |       |      |          |
|-------------|---|---------|--------|--------|---|------|----|----|----|-----|----------|-------|------|----------|
| phi1_32.bmp | phi1_32.bmp-withWavelet_haar-G_1-H0.0001_af1.wfa      | 1572864 | 524288 | 524288 | 3 | 528  | 24 | 24 | 32 | 256 | 38.11572 | 5.969 | 576  | 0.000366 |
| phi1_32.bmp | phi1_32.bmp-withWavelet_rbio1.1-G_1-H0.0001_af1.wfa   | 1572864 | 524288 | 524288 | 3 | 528  | 24 | 24 | 32 | 256 | 38.11572 | 5.859 | 576  | 0.000366 |
| phi1_32.bmp | phi1_32.bmp-withWavelet_sym1-G_1-H0.0001_af1.wfa      | 1572864 | 524288 | 524288 | 3 | 528  | 24 | 24 | 32 | 256 | 38.11572 | 5.859 | 576  | 0.000366 |
| phi1_32.bmp | phi1_32.bmp-withWavelet_bior1.1-G_1-H0.0001_af1.wfa   | 1572864 | 524288 | 524288 | 3 | 528  | 24 | 24 | 32 | 256 | 38.11572 | 5.844 | 576  | 0.000366 |
| phi1_32.bmp | phi1_32.bmp-withWavelet_haar-G_1-H0.0001_af3.wfa      | 1572864 | 524288 | 524288 | 3 | 528  | 24 | 24 | 32 | 256 | 38.11572 | 5.906 | 576  | 0.000366 |
| phi1_32.bmp | phi1_32.bmp-withWavelet_rbio1.1-G_1-H0.0001_af3.wfa   | 1572864 | 524288 | 524288 | 3 | 528  | 24 | 24 | 32 | 256 | 38.11572 | 5.907 | 576  | 0.000366 |
| phi1_32.bmp | phi1_32.bmp-withWavelet_sym1-G_1-H0.0001_af3.wfa      | 1572864 | 524288 | 524288 | 3 | 528  | 24 | 24 | 32 | 256 | 38.11572 | 5.922 | 576  | 0.000366 |
| phi1_32.bmp | phi1_32.bmp-withWavelet_bior1.1-G_1-H0.0001_af3.wfa   | 1572864 | 524288 | 524288 | 3 | 528  | 24 | 24 | 32 | 256 | 38.11572 | 6.016 | 576  | 0.000366 |
| phi1_32.bmp | phi1_32.bmp-G_1-H1e-005_af5.wfa                       | 1572864 | 524288 |        | 3 | 528  | 24 | 24 | 32 | 256 | 47.13254 | 5.875 | 576  | 0.000366 |
| phi1_32.bmp | phi1_32.bmp-G_1-H2e-005_af2.wfa                       | 1572864 | 524288 |        | 3 | 528  | 24 | 24 | 32 | 256 | 47.14804 | 5.875 | 576  | 0.000366 |
| phi1_32.bmp | phi1_32.bmp-G_0.6-H1e-005_af5.wfa                     | 1572864 | 524288 |        | 3 | 528  | 24 | 24 | 32 | 256 | 47.17623 | 5.859 | 576  | 0.000366 |
| phi1_32.bmp | phi1_32.bmp-G_0.8-H1e-005_af5.wfa                     | 1572864 | 524288 |        | 3 | 528  | 24 | 24 | 32 | 256 | 47.18181 | 5.906 | 576  | 0.000366 |
| phi1_32.bmp | phi1_32.bmp-G_0.6-H2e-005_af2.wfa                     | 1572864 | 524288 |        | 3 | 528  | 24 | 24 | 32 | 256 | 47.19096 | 5.906 | 576  | 0.000366 |
| phi1_32.bmp | phi1_32.bmp-G_0.6-H3e-005_af2.wfa                     | 1572864 | 524288 |        | 3 | 528  | 24 | 24 | 32 | 256 | 47.19096 | 5.922 | 576  | 0.000366 |
| phi1_32.bmp | phi1_32.bmp-G_0.8-H2e-005_af2.wfa                     | 1572864 | 524288 |        | 3 | 528  | 24 | 24 | 32 | 256 | 47.19703 | 5.875 | 576  | 0.000366 |
| phi1_32.bmp | phi1_32.bmp-G_0.8-H3e-005_af2.wfa                     | 1572864 | 524288 |        | 3 | 528  | 24 | 24 | 32 | 256 | 47.19703 | 5.891 | 576  | 0.000366 |
| phi1_32.bmp | phi1_32.bmp-withWavelet_haar-G_0.6-H1e-005_af1.wfa    | 1572864 | 524288 | 524288 | 4 | 752  | 32 | 32 | 32 | 256 | 38.93237 | 5.891 | 816  | 0.000519 |
| phi1_32.bmp | phi1_32.bmp-withWavelet_rbio1.1-G_0.6-H1e-005_af1.wfa | 1572864 | 524288 | 524288 | 4 | 752  | 32 | 32 | 32 | 256 | 38.93237 | 5.89  | 816  | 0.000519 |
| phi1_32.bmp | phi1_32.bmp-withWavelet_sym1-G_0.6-H1e-005_af1.wfa    | 1572864 | 524288 | 524288 | 4 | 752  | 32 | 32 | 32 | 256 | 38.93237 | 5.859 | 816  | 0.000519 |
| phi1_32.bmp | phi1_32.bmp-withWavelet_bior1.1-G_0.6-H1e-005_af1.wfa | 1572864 | 524288 | 524288 | 4 | 752  | 32 | 32 | 32 | 256 | 38.93237 | 5.86  | 816  | 0.000519 |
| phi1_32.bmp | phi1_32.bmp-withWavelet_haar-G_0.6-H1e-005_af3.wfa    | 1572864 | 524288 | 524288 | 4 | 752  | 32 | 32 | 32 | 256 | 38.93237 | 5.859 | 816  | 0.000519 |
| phi1_32.bmp | phi1_32.bmp-withWavelet_rbio1.1-G_0.6-H1e-005_af3.wfa | 1572864 | 524288 | 524288 | 4 | 752  | 32 | 32 | 32 | 256 | 38.93237 | 5.86  | 816  | 0.000519 |
| phi1_32.bmp | phi1_32.bmp-withWavelet_sym1-G_0.6-H1e-005_af3.wfa    | 1572864 | 524288 | 524288 | 4 | 752  | 32 | 32 | 32 | 256 | 38.93237 | 5.875 | 816  | 0.000519 |
| phi1_32.bmp | phi1_32.bmp-withWavelet_bior1.1-G_0.6-H1e-005_af3.wfa | 1572864 | 524288 | 524288 | 4 | 752  | 32 | 32 | 32 | 256 | 38.93237 | 5.891 | 816  | 0.000519 |
| phi1_32.bmp | phi1_32.bmp-G_1-H1e-005_af2.wfa                       | 1572864 | 524288 |        | 4 | 752  | 32 | 32 | 32 | 256 | 46.90344 | 5.891 | 816  | 0.000519 |
| phi1_32.bmp | phi1_32.bmp-G_0.6-H1e-005_af2.wfa                     | 1572864 | 524288 |        | 4 | 752  | 32 | 32 | 32 | 256 | 47.20074 | 5.875 | 816  | 0.000519 |
| phi1_32.bmp | phi1_32.bmp-G_0.8-H1e-005_af2.wfa                     | 1572864 | 524288 |        | 4 | 752  | 32 | 32 | 32 | 256 | 47.20794 | 5.844 | 816  | 0.000519 |
| phi1_32.bmp | phi1_32.bmp-withWavelet_haar-G_0.6-H1e-005_af4.wfa    | 1572864 | 524288 | 524288 | 5 | 1040 | 40 | 40 | 32 | 256 | 34.93839 | 5.953 | 1120 | 0.000712 |
| phi1_32.bmp | phi1_32.bmp-withWavelet_rbio1.1-G_0.6-H1e-005_af4.wfa | 1572864 | 524288 | 524288 | 5 | 1040 | 40 | 40 | 32 | 256 | 34.93839 | 6.016 | 1120 | 0.000712 |
| phi1_32.bmp | phi1_32.bmp-withWavelet_sym1-G_0.6-H1e-005_af4.wfa    | 1572864 | 524288 | 524288 | 5 | 1040 | 40 | 40 | 32 | 256 | 34.93839 | 5.938 | 1120 | 0.000712 |
| phi1_32.bmp | phi1_32.bmp-withWavelet_bior1.1-G_0.6-H1e-005_af4.wfa | 1572864 | 524288 | 524288 | 5 | 1040 | 40 | 40 | 32 | 256 | 34.93839 | 5.984 | 1120 | 0.000712 |









|             |   |         |        |        |   |      |    |    |    |     |          |       |      |          |
|-------------|---|---------|--------|--------|---|------|----|----|----|-----|----------|-------|------|----------|
| phi1_32.bmp | phi1_32.bmp-withWavelet_rbio1.1-G_1-H5e-005_af4.wfa | 1572864 | 524288 | 524288 | 5 | 1040 | 40 | 40 | 32 | 256 | 38.03681 | 6.047 | 1120 | 0.000712 |
| phi1_32.bmp | phi1_32.bmp-withWavelet_sym1-G_1-H5e-005_af4.wfa    | 1572864 | 524288 | 524288 | 5 | 1040 | 40 | 40 | 32 | 256 | 38.03681 | 6.016 | 1120 | 0.000712 |
| phi1_32.bmp | phi1_32.bmp-withWavelet_bior1.1-G_1-H5e-005_af4.wfa | 1572864 | 524288 | 524288 | 5 | 1040 | 40 | 40 | 32 | 256 | 38.03681 | 6.016 | 1120 | 0.000712 |
| phi1_32.bmp | phi1_32.bmp-withWavelet_haar-G_1-H6e-005_af4.wfa    | 1572864 | 524288 | 524288 | 5 | 1040 | 40 | 40 | 32 | 256 | 38.03681 | 5.984 | 1120 | 0.000712 |
| phi1_32.bmp | phi1_32.bmp-withWavelet_rbio1.1-G_1-H6e-005_af4.wfa | 1572864 | 524288 | 524288 | 5 | 1040 | 40 | 40 | 32 | 256 | 38.03681 | 5.969 | 1120 | 0.000712 |
| phi1_32.bmp | phi1_32.bmp-withWavelet_sym1-G_1-H6e-005_af4.wfa    | 1572864 | 524288 | 524288 | 5 | 1040 | 40 | 40 | 32 | 256 | 38.03681 | 6.015 | 1120 | 0.000712 |
| phi1_32.bmp | phi1_32.bmp-withWavelet_bior1.1-G_1-H6e-005_af4.wfa | 1572864 | 524288 | 524288 | 5 | 1040 | 40 | 40 | 32 | 256 | 38.03681 | 5.953 | 1120 | 0.000712 |
| phi1_32.bmp | phi1_32.bmp-withWavelet_haar-G_1-H7e-005_af4.wfa    | 1572864 | 524288 | 524288 | 5 | 1040 | 40 | 40 | 32 | 256 | 38.03681 | 6.079 | 1120 | 0.000712 |
| phi1_32.bmp | phi1_32.bmp-withWavelet_rbio1.1-G_1-H7e-005_af4.wfa | 1572864 | 524288 | 524288 | 5 | 1040 | 40 | 40 | 32 | 256 | 38.03681 | 6.016 | 1120 | 0.000712 |
| phi1_32.bmp | phi1_32.bmp-withWavelet_sym1-G_1-H7e-005_af4.wfa    | 1572864 | 524288 | 524288 | 5 | 1040 | 40 | 40 | 32 | 256 | 38.03681 | 5.969 | 1120 | 0.000712 |
| phi1_32.bmp | phi1_32.bmp-withWavelet_bior1.1-G_1-H7e-005_af4.wfa | 1572864 | 524288 | 524288 | 5 | 1040 | 40 | 40 | 32 | 256 | 38.03681 | 6.016 | 1120 | 0.000712 |
| phi1_32.bmp | phi1_32.bmp-withWavelet_haar-G_1-H8e-005_af4.wfa    | 1572864 | 524288 | 524288 | 5 | 1040 | 40 | 40 | 32 | 256 | 38.03681 | 5.984 | 1120 | 0.000712 |
| phi1_32.bmp | phi1_32.bmp-withWavelet_rbio1.1-G_1-H8e-005_af4.wfa | 1572864 | 524288 | 524288 | 5 | 1040 | 40 | 40 | 32 | 256 | 38.03681 | 5.953 | 1120 | 0.000712 |
| phi1_32.bmp | phi1_32.bmp-withWavelet_sym1-G_1-H8e-005_af4.wfa    | 1572864 | 524288 | 524288 | 5 | 1040 | 40 | 40 | 32 | 256 | 38.03681 | 6.063 | 1120 | 0.000712 |
| phi1_32.bmp | phi1_32.bmp-withWavelet_bior1.1-G_1-H8e-005_af4.wfa | 1572864 | 524288 | 524288 | 5 | 1040 | 40 | 40 | 32 | 256 | 38.03681 | 5.938 | 1120 | 0.000712 |
| phi1_32.bmp | phi1_32.bmp-withWavelet_haar-G_1-H9e-005_af4.wfa    | 1572864 | 524288 | 524288 | 5 | 1040 | 40 | 40 | 32 | 256 | 38.03681 | 6     | 1120 | 0.000712 |
| phi1_32.bmp | phi1_32.bmp-withWavelet_rbio1.1-G_1-H9e-005_af4.wfa | 1572864 | 524288 | 524288 | 5 | 1040 | 40 | 40 | 32 | 256 | 38.03681 | 5.985 | 1120 | 0.000712 |
| phi1_32.bmp | phi1_32.bmp-withWavelet_sym1-G_1-H9e-005_af4.wfa    | 1572864 | 524288 | 524288 | 5 | 1040 | 40 | 40 | 32 | 256 | 38.03681 | 5.984 | 1120 | 0.000712 |
| phi1_32.bmp | phi1_32.bmp-withWavelet_bior1.1-G_1-H9e-005_af4.wfa | 1572864 | 524288 | 524288 | 5 | 1040 | 40 | 40 | 32 | 256 | 38.03681 | 5.984 | 1120 | 0.000712 |
| phi1_32.bmp | phi1_32.bmp-withWavelet_haar-G_1-H0.0001_af4.wfa    | 1572864 | 524288 | 524288 | 5 | 1040 | 40 | 40 | 32 | 256 | 38.03681 | 5.953 | 1120 | 0.000712 |
| phi1_32.bmp | phi1_32.bmp-withWavelet_rbio1.1-G_1-H0.0001_af4.wfa | 1572864 | 524288 | 524288 | 5 | 1040 | 40 | 40 | 32 | 256 | 38.03681 | 5.953 | 1120 | 0.000712 |
| phi1_32.bmp | phi1_32.bmp-withWavelet_sym1-G_1-H0.0001_af4.wfa    | 1572864 | 524288 | 524288 | 5 | 1040 | 40 | 40 | 32 | 256 | 38.03681 | 5.953 | 1120 | 0.000712 |
| phi1_32.bmp | phi1_32.bmp-withWavelet_bior1.1-G_1-H0.0001_af4.wfa | 1572864 | 524288 | 524288 | 5 | 1040 | 40 | 40 | 32 | 256 | 38.03681 | 5.938 | 1120 | 0.000712 |
| phi1_32.bmp | phi1_32.bmp-G_0.6-H4e-005_af2.wfa                   | 393216  | 131072 |        | 2 | 368  | 16 | 16 | 32 | 128 | 38.08948 | 1.406 | 400  | 0.001017 |
| phi1_32.bmp | phi1_32.bmp-G_0.6-H5e-005_af2.wfa                   | 393216  | 131072 |        | 2 | 368  | 16 | 16 | 32 | 128 | 38.08948 | 1.39  | 400  | 0.001017 |
| phi1_32.bmp | phi1_32.bmp-G_0.6-H6e-005_af2.wfa                   | 393216  | 131072 |        | 2 | 368  | 16 | 16 | 32 | 128 | 38.08948 | 1.406 | 400  | 0.001017 |
| phi1_32.bmp | phi1_32.bmp-G_0.6-H7e-005_af2.wfa                   | 393216  | 131072 |        | 2 | 368  | 16 | 16 | 32 | 128 | 38.08948 | 1.406 | 400  | 0.001017 |
| phi1_32.bmp | phi1_32.bmp-G_0.6-H8e-005_af2.wfa                   | 393216  | 131072 |        | 2 | 368  | 16 | 16 | 32 | 128 | 38.08948 | 1.406 | 400  | 0.001017 |
| phi1_32.bmp | phi1_32.bmp-G_0.6-H9e-005_af2.wfa                   | 393216  | 131072 |        | 2 | 368  | 16 | 16 | 32 | 128 | 38.08948 | 1.407 | 400  | 0.001017 |
| phi1_32.bmp | phi1_32.bmp-G_0.6-H0.0001_af2.wfa                   | 393216  | 131072 |        | 2 | 368  | 16 | 16 | 32 | 128 | 38.08948 | 1.406 | 400  | 0.001017 |
| phi1_32.bmp | phi1_32.bmp-G_0.8-H4e-005_af2.wfa                   | 393216  | 131072 |        | 2 | 368  | 16 | 16 | 32 | 128 | 38.39068 | 1.391 | 400  | 0.001017 |

|             |   |         |        |        |   |      |    |    |    |     |          |       |      |          |
|-------------|---|---------|--------|--------|---|------|----|----|----|-----|----------|-------|------|----------|
| phi1_32.bmp | phi1_32.bmp-G_0.8-H5e-005_af2.wfa                     | 393216  | 131072 |        | 2 | 368  | 16 | 16 | 32 | 128 | 38.39068 | 1.437 | 400  | 0.001017 |
| phi1_32.bmp | phi1_32.bmp-G_0.8-H6e-005_af2.wfa                     | 393216  | 131072 |        | 2 | 368  | 16 | 16 | 32 | 128 | 38.39068 | 1.406 | 400  | 0.001017 |
| phi1_32.bmp | phi1_32.bmp-G_0.8-H7e-005_af2.wfa                     | 393216  | 131072 |        | 2 | 368  | 16 | 16 | 32 | 128 | 38.39068 | 1.406 | 400  | 0.001017 |
| phi1_32.bmp | phi1_32.bmp-G_0.8-H8e-005_af2.wfa                     | 393216  | 131072 |        | 2 | 368  | 16 | 16 | 32 | 128 | 38.39068 | 1.391 | 400  | 0.001017 |
| phi1_32.bmp | phi1_32.bmp-G_0.8-H9e-005_af2.wfa                     | 393216  | 131072 |        | 2 | 368  | 16 | 16 | 32 | 128 | 38.39068 | 1.406 | 400  | 0.001017 |
| phi1_32.bmp | phi1_32.bmp-G_0.8-H0.0001_af2.wfa                     | 393216  | 131072 |        | 2 | 368  | 16 | 16 | 32 | 128 | 38.39068 | 1.422 | 400  | 0.001017 |
| phi1_32.bmp | phi1_32.bmp-withWavelet_haar-G_0.6-H0.0001_af2.wfa    | 1572864 | 524288 | 524288 | 7 | 1808 | 56 | 56 | 32 | 256 | 32.01645 | 6.391 | 1920 | 0.001221 |
| phi1_32.bmp | phi1_32.bmp-withWavelet_rbio1.1-G_0.6-H0.0001_af2.wfa | 1572864 | 524288 | 524288 | 7 | 1808 | 56 | 56 | 32 | 256 | 32.01645 | 6.359 | 1920 | 0.001221 |
| phi1_32.bmp | phi1_32.bmp-withWavelet_sym1-G_0.6-H0.0001_af2.wfa    | 1572864 | 524288 | 524288 | 7 | 1808 | 56 | 56 | 32 | 256 | 32.01645 | 6.375 | 1920 | 0.001221 |
| phi1_32.bmp | phi1_32.bmp-withWavelet_bior1.1-G_0.6-H0.0001_af2.wfa | 1572864 | 524288 | 524288 | 7 | 1808 | 56 | 56 | 32 | 256 | 32.01645 | 6.329 | 1920 | 0.001221 |
| phi1_32.bmp | phi1_32.bmp-G_1-H3e-005_af2.wfa                       | 393216  | 131072 |        | 2 | 368  | 16 | 16 | 32 | 128 | 38.45942 | 1.422 | 400  | 0.001017 |
| phi1_32.bmp | phi1_32.bmp-G_1-H4e-005_af2.wfa                       | 393216  | 131072 |        | 2 | 368  | 16 | 16 | 32 | 128 | 38.45942 | 1.391 | 400  | 0.001017 |
| phi1_32.bmp | phi1_32.bmp-G_1-H5e-005_af2.wfa                       | 393216  | 131072 |        | 2 | 368  | 16 | 16 | 32 | 128 | 38.45942 | 1.437 | 400  | 0.001017 |
| phi1_32.bmp | phi1_32.bmp-G_1-H6e-005_af2.wfa                       | 393216  | 131072 |        | 2 | 368  | 16 | 16 | 32 | 128 | 38.45942 | 1.39  | 400  | 0.001017 |
| phi1_32.bmp | phi1_32.bmp-G_1-H7e-005_af2.wfa                       | 393216  | 131072 |        | 2 | 368  | 16 | 16 | 32 | 128 | 38.45942 | 1.391 | 400  | 0.001017 |
| phi1_32.bmp | phi1_32.bmp-G_1-H8e-005_af2.wfa                       | 393216  | 131072 |        | 2 | 368  | 16 | 16 | 32 | 128 | 38.45942 | 1.422 | 400  | 0.001017 |
| phi1_32.bmp | phi1_32.bmp-G_1-H9e-005_af2.wfa                       | 393216  | 131072 |        | 2 | 368  | 16 | 16 | 32 | 128 | 38.45942 | 1.406 | 400  | 0.001017 |
| phi1_32.bmp | phi1_32.bmp-G_1-H0.0001_af2.wfa                       | 393216  | 131072 |        | 2 | 368  | 16 | 16 | 32 | 128 | 38.45942 | 1.406 | 400  | 0.001017 |
| phi1_32.bmp | phi1_32.bmp-G_0.6-H2e-005_af5.wfa                     | 393216  | 131072 |        | 2 | 368  | 16 | 16 | 32 | 128 | 42.44892 | 1.407 | 400  | 0.001017 |
| phi1_32.bmp | phi1_32.bmp-G_0.6-H3e-005_af5.wfa                     | 393216  | 131072 |        | 2 | 368  | 16 | 16 | 32 | 128 | 42.44892 | 1.391 | 400  | 0.001017 |
| phi1_32.bmp | phi1_32.bmp-G_0.6-H4e-005_af5.wfa                     | 393216  | 131072 |        | 2 | 368  | 16 | 16 | 32 | 128 | 42.44892 | 1.39  | 400  | 0.001017 |
| phi1_32.bmp | phi1_32.bmp-G_0.6-H5e-005_af5.wfa                     | 393216  | 131072 |        | 2 | 368  | 16 | 16 | 32 | 128 | 42.44892 | 1.422 | 400  | 0.001017 |
| phi1_32.bmp | phi1_32.bmp-G_0.6-H6e-005_af5.wfa                     | 393216  | 131072 |        | 2 | 368  | 16 | 16 | 32 | 128 | 42.44892 | 1.406 | 400  | 0.001017 |
| phi1_32.bmp | phi1_32.bmp-G_0.6-H7e-005_af5.wfa                     | 393216  | 131072 |        | 2 | 368  | 16 | 16 | 32 | 128 | 42.44892 | 1.391 | 400  | 0.001017 |
| phi1_32.bmp | phi1_32.bmp-G_0.6-H8e-005_af5.wfa                     | 393216  | 131072 |        | 2 | 368  | 16 | 16 | 32 | 128 | 42.44892 | 1.39  | 400  | 0.001017 |
| phi1_32.bmp | phi1_32.bmp-G_0.6-H9e-005_af5.wfa                     | 393216  | 131072 |        | 2 | 368  | 16 | 16 | 32 | 128 | 42.44892 | 1.406 | 400  | 0.001017 |
| phi1_32.bmp | phi1_32.bmp-G_0.6-H0.0001_af5.wfa                     | 393216  | 131072 |        | 2 | 368  | 16 | 16 | 32 | 128 | 42.44892 | 1.391 | 400  | 0.001017 |
| phi1_32.bmp | phi1_32.bmp-G_1-H2e-005_af5.wfa                       | 393216  | 131072 |        | 2 | 368  | 16 | 16 | 32 | 128 | 42.60252 | 1.406 | 400  | 0.001017 |
| phi1_32.bmp | phi1_32.bmp-G_1-H3e-005_af5.wfa                       | 393216  | 131072 |        | 2 | 368  | 16 | 16 | 32 | 128 | 42.60252 | 1.391 | 400  | 0.001017 |
| phi1_32.bmp | phi1_32.bmp-G_1-H4e-005_af5.wfa                       | 393216  | 131072 |        | 2 | 368  | 16 | 16 | 32 | 128 | 42.60252 | 1.421 | 400  | 0.001017 |
| phi1_32.bmp | phi1_32.bmp-G_1-H5e-005_af5.wfa                       | 393216  | 131072 |        | 2 | 368  | 16 | 16 | 32 | 128 | 42.60252 | 1.421 | 400  | 0.001017 |

































|             |   |         |        |        |   |      |    |    |    |     |          |       |      |          |
|-------------|---|---------|--------|--------|---|------|----|----|----|-----|----------|-------|------|----------|
| phi1_32.bmp | phi1_32.bmp-withWavelet_sym1-G_1-H0.0001_af1.wfa      | 393216  | 131072 | 131072 | 3 | 528  | 24 | 24 | 32 | 128 | 39.94221 | 1.422 | 576  | 0.001465 |
| phi1_32.bmp | phi1_32.bmp-withWavelet_bior1.1-G_1-H0.0001_af1.wfa   | 393216  | 131072 | 131072 | 3 | 528  | 24 | 24 | 32 | 128 | 39.94221 | 1.406 | 576  | 0.001465 |
| phi1_32.bmp | phi1_32.bmp-withWavelet_haar-G_1-H0.0001_af3.wfa      | 393216  | 131072 | 131072 | 3 | 528  | 24 | 24 | 32 | 128 | 39.94221 | 1.406 | 576  | 0.001465 |
| phi1_32.bmp | phi1_32.bmp-withWavelet_rbio1.1-G_1-H0.0001_af3.wfa   | 393216  | 131072 | 131072 | 3 | 528  | 24 | 24 | 32 | 128 | 39.94221 | 1.422 | 576  | 0.001465 |
| phi1_32.bmp | phi1_32.bmp-withWavelet_sym1-G_1-H0.0001_af3.wfa      | 393216  | 131072 | 131072 | 3 | 528  | 24 | 24 | 32 | 128 | 39.94221 | 1.437 | 576  | 0.001465 |
| phi1_32.bmp | phi1_32.bmp-withWavelet_bior1.1-G_1-H0.0001_af3.wfa   | 393216  | 131072 | 131072 | 3 | 528  | 24 | 24 | 32 | 128 | 39.94221 | 1.422 | 576  | 0.001465 |
| phi1_32.bmp | phi1_32.bmp-withWavelet_haar-G_0.8-H1e-005_af2.wfa    | 1572864 | 524288 | 524288 | 9 | 2832 | 72 | 72 | 32 | 256 | 36.23031 | 6.594 | 2976 | 0.001892 |
| phi1_32.bmp | phi1_32.bmp-withWavelet_rbio1.1-G_0.8-H1e-005_af2.wfa | 1572864 | 524288 | 524288 | 9 | 2832 | 72 | 72 | 32 | 256 | 36.23031 | 6.625 | 2976 | 0.001892 |
| phi1_32.bmp | phi1_32.bmp-withWavelet_sym1-G_0.8-H1e-005_af2.wfa    | 1572864 | 524288 | 524288 | 9 | 2832 | 72 | 72 | 32 | 256 | 36.23031 | 6.578 | 2976 | 0.001892 |
| phi1_32.bmp | phi1_32.bmp-withWavelet_bior1.1-G_0.8-H1e-005_af2.wfa | 1572864 | 524288 | 524288 | 9 | 2832 | 72 | 72 | 32 | 256 | 36.23031 | 6.578 | 2976 | 0.001892 |
| phi1_32.bmp | phi1_32.bmp-withWavelet_haar-G_1-H1e-005_af2.wfa      | 1572864 | 524288 | 524288 | 9 | 2832 | 72 | 72 | 32 | 256 | 36.23039 | 6.547 | 2976 | 0.001892 |
| phi1_32.bmp | phi1_32.bmp-withWavelet_rbio1.1-G_1-H1e-005_af2.wfa   | 1572864 | 524288 | 524288 | 9 | 2832 | 72 | 72 | 32 | 256 | 36.23039 | 6.563 | 2976 | 0.001892 |
| phi1_32.bmp | phi1_32.bmp-withWavelet_sym1-G_1-H1e-005_af2.wfa      | 1572864 | 524288 | 524288 | 9 | 2832 | 72 | 72 | 32 | 256 | 36.23039 | 6.516 | 2976 | 0.001892 |
| phi1_32.bmp | phi1_32.bmp-withWavelet_bior1.1-G_1-H1e-005_af2.wfa   | 1572864 | 524288 | 524288 | 9 | 2832 | 72 | 72 | 32 | 256 | 36.23039 | 6.562 | 2976 | 0.001892 |
| phi1_32.bmp | phi1_32.bmp-withWavelet_haar-G_0.6-H1e-005_af2.wfa    | 1572864 | 524288 | 524288 | 9 | 2832 | 72 | 72 | 32 | 256 | 36.44608 | 6.609 | 2976 | 0.001892 |
| phi1_32.bmp | phi1_32.bmp-withWavelet_rbio1.1-G_0.6-H1e-005_af2.wfa | 1572864 | 524288 | 524288 | 9 | 2832 | 72 | 72 | 32 | 256 | 36.44608 | 6.563 | 2976 | 0.001892 |
| phi1_32.bmp | phi1_32.bmp-withWavelet_sym1-G_0.6-H1e-005_af2.wfa    | 1572864 | 524288 | 524288 | 9 | 2832 | 72 | 72 | 32 | 256 | 36.44608 | 6.547 | 2976 | 0.001892 |
| phi1_32.bmp | phi1_32.bmp-withWavelet_bior1.1-G_0.6-H1e-005_af2.wfa | 1572864 | 524288 | 524288 | 9 | 2832 | 72 | 72 | 32 | 256 | 36.44608 | 6.547 | 2976 | 0.001892 |
| phi1_32.bmp | phi1_32.bmp-G_1-H1e-005_af5.wfa                       | 393216  | 131072 |        | 3 | 528  | 24 | 24 | 32 | 128 | 47.438   | 1.407 | 576  | 0.001465 |
| phi1_32.bmp | phi1_32.bmp-G_1-H2e-005_af2.wfa                       | 393216  | 131072 |        | 3 | 528  | 24 | 24 | 32 | 128 | 47.44826 | 1.422 | 576  | 0.001465 |
| phi1_32.bmp | phi1_32.bmp-G_0.6-H1e-005_af5.wfa                     | 393216  | 131072 |        | 3 | 528  | 24 | 24 | 32 | 128 | 47.5356  | 1.422 | 576  | 0.001465 |
| phi1_32.bmp | phi1_32.bmp-G_0.8-H1e-005_af5.wfa                     | 393216  | 131072 |        | 3 | 528  | 24 | 24 | 32 | 128 | 47.53832 | 1.422 | 576  | 0.001465 |
| phi1_32.bmp | phi1_32.bmp-G_0.6-H2e-005_af2.wfa                     | 393216  | 131072 |        | 3 | 528  | 24 | 24 | 32 | 128 | 47.54868 | 1.391 | 576  | 0.001465 |
| phi1_32.bmp | phi1_32.bmp-G_0.6-H3e-005_af2.wfa                     | 393216  | 131072 |        | 3 | 528  | 24 | 24 | 32 | 128 | 47.54868 | 1.422 | 576  | 0.001465 |
| phi1_32.bmp | phi1_32.bmp-G_0.8-H2e-005_af2.wfa                     | 393216  | 131072 |        | 3 | 528  | 24 | 24 | 32 | 128 | 47.55179 | 1.391 | 576  | 0.001465 |
| phi1_32.bmp | phi1_32.bmp-G_0.8-H3e-005_af2.wfa                     | 393216  | 131072 |        | 3 | 528  | 24 | 24 | 32 | 128 | 47.55179 | 1.422 | 576  | 0.001465 |
| phi1_32.bmp | phi1_32.bmp-withWavelet_haar-G_0.6-H1e-005_af1.wfa    | 393216  | 131072 | 131072 | 4 | 752  | 32 | 32 | 32 | 128 | 40.80102 | 1.422 | 816  | 0.002075 |
| phi1_32.bmp | phi1_32.bmp-withWavelet_rbio1.1-G_0.6-H1e-005_af1.wfa | 393216  | 131072 | 131072 | 4 | 752  | 32 | 32 | 32 | 128 | 40.80102 | 1.39  | 816  | 0.002075 |
| phi1_32.bmp | phi1_32.bmp-withWavelet_sym1-G_0.6-H1e-005_af1.wfa    | 393216  | 131072 | 131072 | 4 | 752  | 32 | 32 | 32 | 128 | 40.80102 | 1.406 | 816  | 0.002075 |
| phi1_32.bmp | phi1_32.bmp-withWavelet_bior1.1-G_0.6-H1e-005_af1.wfa | 393216  | 131072 | 131072 | 4 | 752  | 32 | 32 | 32 | 128 | 40.80102 | 1.406 | 816  | 0.002075 |
| phi1_32.bmp | phi1_32.bmp-withWavelet_haar-G_0.6-H1e-005_af3.wfa    | 393216  | 131072 | 131072 | 4 | 752  | 32 | 32 | 32 | 128 | 40.80102 | 1.422 | 816  | 0.002075 |

|             |   |         |        |        |    |      |    |    |    |     |          |       |      |          |
|-------------|---|---------|--------|--------|----|------|----|----|----|-----|----------|-------|------|----------|
| phi1_32.bmp | phi1_32.bmp-withWavelet_rbio1.1-G_0.6-H1e-005_af3.wfa | 393216  | 131072 | 131072 | 4  | 752  | 32 | 32 | 32 | 128 | 40.80102 | 1.406 | 816  | 0.002075 |
| phi1_32.bmp | phi1_32.bmp-withWavelet_sym1-G_0.6-H1e-005_af3.wfa    | 393216  | 131072 | 131072 | 4  | 752  | 32 | 32 | 32 | 128 | 40.80102 | 1.406 | 816  | 0.002075 |
| phi1_32.bmp | phi1_32.bmp-withWavelet_bior1.1-G_0.6-H1e-005_af3.wfa | 393216  | 131072 | 131072 | 4  | 752  | 32 | 32 | 32 | 128 | 40.80102 | 1.422 | 816  | 0.002075 |
| phi1_32.bmp | phi1_32.bmp-withWavelet_haar-G_0.6-H0.0001_af5.wfa    | 1572864 | 524288 | 524288 | 11 | 4112 | 88 | 88 | 32 | 256 | 31.99602 | 6.906 | 4288 | 0.002726 |
| phi1_32.bmp | phi1_32.bmp-withWavelet_rbio1.1-G_0.6-H0.0001_af5.wfa | 1572864 | 524288 | 524288 | 11 | 4112 | 88 | 88 | 32 | 256 | 31.99602 | 6.906 | 4288 | 0.002726 |
| phi1_32.bmp | phi1_32.bmp-withWavelet_sym1-G_0.6-H0.0001_af5.wfa    | 1572864 | 524288 | 524288 | 11 | 4112 | 88 | 88 | 32 | 256 | 31.99602 | 6.89  | 4288 | 0.002726 |
| phi1_32.bmp | phi1_32.bmp-withWavelet_bior1.1-G_0.6-H0.0001_af5.wfa | 1572864 | 524288 | 524288 | 11 | 4112 | 88 | 88 | 32 | 256 | 31.99602 | 6.89  | 4288 | 0.002726 |
| phi1_32.bmp | phi1_32.bmp-withWavelet_haar-G_1-H0.0001_af5.wfa      | 1572864 | 524288 | 524288 | 11 | 4112 | 88 | 88 | 32 | 256 | 32.08217 | 6.922 | 4288 | 0.002726 |
| phi1_32.bmp | phi1_32.bmp-withWavelet_rbio1.1-G_1-H0.0001_af5.wfa   | 1572864 | 524288 | 524288 | 11 | 4112 | 88 | 88 | 32 | 256 | 32.08217 | 6.891 | 4288 | 0.002726 |
| phi1_32.bmp | phi1_32.bmp-withWavelet_sym1-G_1-H0.0001_af5.wfa      | 1572864 | 524288 | 524288 | 11 | 4112 | 88 | 88 | 32 | 256 | 32.08217 | 6.875 | 4288 | 0.002726 |
| phi1_32.bmp | phi1_32.bmp-withWavelet_bior1.1-G_1-H0.0001_af5.wfa   | 1572864 | 524288 | 524288 | 11 | 4112 | 88 | 88 | 32 | 256 | 32.08217 | 6.906 | 4288 | 0.002726 |
| phi1_32.bmp | phi1_32.bmp-withWavelet_haar-G_0.8-H0.0001_af5.wfa    | 1572864 | 524288 | 524288 | 11 | 4112 | 88 | 88 | 32 | 256 | 32.08231 | 6.922 | 4288 | 0.002726 |
| phi1_32.bmp | phi1_32.bmp-withWavelet_rbio1.1-G_0.8-H0.0001_af5.wfa | 1572864 | 524288 | 524288 | 11 | 4112 | 88 | 88 | 32 | 256 | 32.08231 | 7     | 4288 | 0.002726 |
| phi1_32.bmp | phi1_32.bmp-withWavelet_sym1-G_0.8-H0.0001_af5.wfa    | 1572864 | 524288 | 524288 | 11 | 4112 | 88 | 88 | 32 | 256 | 32.08231 | 6.922 | 4288 | 0.002726 |
| phi1_32.bmp | phi1_32.bmp-withWavelet_bior1.1-G_0.8-H0.0001_af5.wfa | 1572864 | 524288 | 524288 | 11 | 4112 | 88 | 88 | 32 | 256 | 32.08231 | 6.922 | 4288 | 0.002726 |
| phi1_32.bmp | phi1_32.bmp-withWavelet_haar-G_0.8-H9e-005_af5.wfa    | 1572864 | 524288 | 524288 | 11 | 4112 | 88 | 88 | 32 | 256 | 33.9357  | 7     | 4288 | 0.002726 |
| phi1_32.bmp | phi1_32.bmp-withWavelet_rbio1.1-G_0.8-H9e-005_af5.wfa | 1572864 | 524288 | 524288 | 11 | 4112 | 88 | 88 | 32 | 256 | 33.9357  | 6.875 | 4288 | 0.002726 |
| phi1_32.bmp | phi1_32.bmp-withWavelet_sym1-G_0.8-H9e-005_af5.wfa    | 1572864 | 524288 | 524288 | 11 | 4112 | 88 | 88 | 32 | 256 | 33.9357  | 6.875 | 4288 | 0.002726 |
| phi1_32.bmp | phi1_32.bmp-withWavelet_bior1.1-G_0.8-H9e-005_af5.wfa | 1572864 | 524288 | 524288 | 11 | 4112 | 88 | 88 | 32 | 256 | 33.9357  | 6.875 | 4288 | 0.002726 |
| phi1_32.bmp | phi1_32.bmp-withWavelet_haar-G_1-H9e-005_af5.wfa      | 1572864 | 524288 | 524288 | 11 | 4112 | 88 | 88 | 32 | 256 | 33.96111 | 6.875 | 4288 | 0.002726 |
| phi1_32.bmp | phi1_32.bmp-withWavelet_rbio1.1-G_1-H9e-005_af5.wfa   | 1572864 | 524288 | 524288 | 11 | 4112 | 88 | 88 | 32 | 256 | 33.96111 | 6.89  | 4288 | 0.002726 |
| phi1_32.bmp | phi1_32.bmp-withWavelet_sym1-G_1-H9e-005_af5.wfa      | 1572864 | 524288 | 524288 | 11 | 4112 | 88 | 88 | 32 | 256 | 33.96111 | 6.954 | 4288 | 0.002726 |
| phi1_32.bmp | phi1_32.bmp-withWavelet_bior1.1-G_1-H9e-005_af5.wfa   | 1572864 | 524288 | 524288 | 11 | 4112 | 88 | 88 | 32 | 256 | 33.96111 | 6.937 | 4288 | 0.002726 |
| phi1_32.bmp | phi1_32.bmp-withWavelet_haar-G_0.6-H9e-005_af5.wfa    | 1572864 | 524288 | 524288 | 11 | 4112 | 88 | 88 | 32 | 256 | 34.00217 | 6.906 | 4288 | 0.002726 |
| phi1_32.bmp | phi1_32.bmp-withWavelet_rbio1.1-G_0.6-H9e-005_af5.wfa | 1572864 | 524288 | 524288 | 11 | 4112 | 88 | 88 | 32 | 256 | 34.00217 | 6.844 | 4288 | 0.002726 |
| phi1_32.bmp | phi1_32.bmp-withWavelet_sym1-G_0.6-H9e-005_af5.wfa    | 1572864 | 524288 | 524288 | 11 | 4112 | 88 | 88 | 32 | 256 | 34.00217 | 6.89  | 4288 | 0.002726 |
| phi1_32.bmp | phi1_32.bmp-withWavelet_bior1.1-G_0.6-H9e-005_af5.wfa | 1572864 | 524288 | 524288 | 11 | 4112 | 88 | 88 | 32 | 256 | 34.00217 | 6.86  | 4288 | 0.002726 |
| phi1_32.bmp | phi1_32.bmp-G_1-H1e-005_af2.wfa                       | 393216  | 131072 |        | 4  | 752  | 32 | 32 | 32 | 128 | 47.10903 | 1.406 | 816  | 0.002075 |
| phi1_32.bmp | phi1_32.bmp-G_0.8-H1e-005_af2.wfa                     | 393216  | 131072 |        | 4  | 752  | 32 | 32 | 32 | 128 | 47.55144 | 1.407 | 816  | 0.002075 |
| phi1_32.bmp | phi1_32.bmp-G_0.6-H1e-005_af2.wfa                     | 393216  | 131072 |        | 4  | 752  | 32 | 32 | 32 | 128 | 47.55235 | 1.406 | 816  | 0.002075 |
| phi1_32.bmp | phi1_32.bmp-withWavelet_haar-G_0.6-H8e-005_af5.wfa    | 1572864 | 524288 | 524288 | 12 | 4848 | 96 | 96 | 32 | 256 | 31.98555 | 7.093 | 5040 | 0.003204 |













|             |   |         |        |        |    |      |     |     |    |     |          |       |      |          |
|-------------|---|---------|--------|--------|----|------|-----|-----|----|-----|----------|-------|------|----------|
| phi1_32.bmp | phi1_32.bmp-withWavelet_haar-G_0.8-H4e-005_af5.wfa    | 1572864 | 524288 | 524288 | 13 | 5648 | 104 | 104 | 32 | 256 | 33.53462 | 7.547 | 5856 | 0.003723 |
| phi1_32.bmp | phi1_32.bmp-withWavelet_rbio1.1-G_0.8-H4e-005_af5.wfa | 1572864 | 524288 | 524288 | 13 | 5648 | 104 | 104 | 32 | 256 | 33.53462 | 7.485 | 5856 | 0.003723 |
| phi1_32.bmp | phi1_32.bmp-withWavelet_sym1-G_0.8-H4e-005_af5.wfa    | 1572864 | 524288 | 524288 | 13 | 5648 | 104 | 104 | 32 | 256 | 33.53462 | 7.469 | 5856 | 0.003723 |
| phi1_32.bmp | phi1_32.bmp-withWavelet_bior1.1-G_0.8-H4e-005_af5.wfa | 1572864 | 524288 | 524288 | 13 | 5648 | 104 | 104 | 32 | 256 | 33.53462 | 7.469 | 5856 | 0.003723 |
| phi1_32.bmp | phi1_32.bmp-withWavelet_haar-G_0.8-H5e-005_af5.wfa    | 1572864 | 524288 | 524288 | 13 | 5648 | 104 | 104 | 32 | 256 | 33.53462 | 7.485 | 5856 | 0.003723 |
| phi1_32.bmp | phi1_32.bmp-withWavelet_rbio1.1-G_0.8-H5e-005_af5.wfa | 1572864 | 524288 | 524288 | 13 | 5648 | 104 | 104 | 32 | 256 | 33.53462 | 7.453 | 5856 | 0.003723 |
| phi1_32.bmp | phi1_32.bmp-withWavelet_sym1-G_0.8-H5e-005_af5.wfa    | 1572864 | 524288 | 524288 | 13 | 5648 | 104 | 104 | 32 | 256 | 33.53462 | 7.531 | 5856 | 0.003723 |
| phi1_32.bmp | phi1_32.bmp-withWavelet_bior1.1-G_0.8-H5e-005_af5.wfa | 1572864 | 524288 | 524288 | 13 | 5648 | 104 | 104 | 32 | 256 | 33.53462 | 7.5   | 5856 | 0.003723 |
| phi1_32.bmp | phi1_32.bmp-withWavelet_haar-G_0.6-H4e-005_af5.wfa    | 1572864 | 524288 | 524288 | 13 | 5648 | 104 | 104 | 32 | 256 | 33.53525 | 7.5   | 5856 | 0.003723 |
| phi1_32.bmp | phi1_32.bmp-withWavelet_rbio1.1-G_0.6-H4e-005_af5.wfa | 1572864 | 524288 | 524288 | 13 | 5648 | 104 | 104 | 32 | 256 | 33.53525 | 7.453 | 5856 | 0.003723 |
| phi1_32.bmp | phi1_32.bmp-withWavelet_sym1-G_0.6-H4e-005_af5.wfa    | 1572864 | 524288 | 524288 | 13 | 5648 | 104 | 104 | 32 | 256 | 33.53525 | 7.453 | 5856 | 0.003723 |
| phi1_32.bmp | phi1_32.bmp-withWavelet_bior1.1-G_0.6-H4e-005_af5.wfa | 1572864 | 524288 | 524288 | 13 | 5648 | 104 | 104 | 32 | 256 | 33.53525 | 7.453 | 5856 | 0.003723 |
| phi1_32.bmp | phi1_32.bmp-withWavelet_haar-G_0.6-H5e-005_af5.wfa    | 1572864 | 524288 | 524288 | 13 | 5648 | 104 | 104 | 32 | 256 | 33.53525 | 7.5   | 5856 | 0.003723 |
| phi1_32.bmp | phi1_32.bmp-withWavelet_rbio1.1-G_0.6-H5e-005_af5.wfa | 1572864 | 524288 | 524288 | 13 | 5648 | 104 | 104 | 32 | 256 | 33.53525 | 7.5   | 5856 | 0.003723 |
| phi1_32.bmp | phi1_32.bmp-withWavelet_sym1-G_0.6-H5e-005_af5.wfa    | 1572864 | 524288 | 524288 | 13 | 5648 | 104 | 104 | 32 | 256 | 33.53525 | 7.485 | 5856 | 0.003723 |
| phi1_32.bmp | phi1_32.bmp-withWavelet_bior1.1-G_0.6-H5e-005_af5.wfa | 1572864 | 524288 | 524288 | 13 | 5648 | 104 | 104 | 32 | 256 | 33.53525 | 7.485 | 5856 | 0.003723 |
| phi1_32.bmp | phi1_32.bmp-withWavelet_haar-G_1-H4e-005_af5.wfa      | 1572864 | 524288 | 524288 | 13 | 5648 | 104 | 104 | 32 | 256 | 33.55781 | 7.5   | 5856 | 0.003723 |
| phi1_32.bmp | phi1_32.bmp-withWavelet_rbio1.1-G_1-H4e-005_af5.wfa   | 1572864 | 524288 | 524288 | 13 | 5648 | 104 | 104 | 32 | 256 | 33.55781 | 7.485 | 5856 | 0.003723 |
| phi1_32.bmp | phi1_32.bmp-withWavelet_sym1-G_1-H4e-005_af5.wfa      | 1572864 | 524288 | 524288 | 13 | 5648 | 104 | 104 | 32 | 256 | 33.55781 | 7.531 | 5856 | 0.003723 |
| phi1_32.bmp | phi1_32.bmp-withWavelet_bior1.1-G_1-H4e-005_af5.wfa   | 1572864 | 524288 | 524288 | 13 | 5648 | 104 | 104 | 32 | 256 | 33.55781 | 7.453 | 5856 | 0.003723 |
| phi1_32.bmp | phi1_32.bmp-withWavelet_haar-G_1-H5e-005_af5.wfa      | 1572864 | 524288 | 524288 | 13 | 5648 | 104 | 104 | 32 | 256 | 33.55781 | 7.516 | 5856 | 0.003723 |
| phi1_32.bmp | phi1_32.bmp-withWavelet_rbio1.1-G_1-H5e-005_af5.wfa   | 1572864 | 524288 | 524288 | 13 | 5648 | 104 | 104 | 32 | 256 | 33.55781 | 7.453 | 5856 | 0.003723 |
| phi1_32.bmp | phi1_32.bmp-withWavelet_sym1-G_1-H5e-005_af5.wfa      | 1572864 | 524288 | 524288 | 13 | 5648 | 104 | 104 | 32 | 256 | 33.55781 | 7.453 | 5856 | 0.003723 |
| phi1_32.bmp | phi1_32.bmp-withWavelet_bior1.1-G_1-H5e-005_af5.wfa   | 1572864 | 524288 | 524288 | 13 | 5648 | 104 | 104 | 32 | 256 | 33.55781 | 7.468 | 5856 | 0.003723 |
| phi1_32.bmp | phi1_32.bmp-withWavelet_haar-G_0.6-H0.0001_af2.wfa    | 393216  | 131072 | 131072 | 7  | 1808 | 56  | 56  | 32 | 128 | 32.3598  | 1.547 | 1920 | 0.004883 |
| phi1_32.bmp | phi1_32.bmp-withWavelet_rbio1.1-G_0.6-H0.0001_af2.wfa | 393216  | 131072 | 131072 | 7  | 1808 | 56  | 56  | 32 | 128 | 32.3598  | 1.625 | 1920 | 0.004883 |
| phi1_32.bmp | phi1_32.bmp-withWavelet_sym1-G_0.6-H0.0001_af2.wfa    | 393216  | 131072 | 131072 | 7  | 1808 | 56  | 56  | 32 | 128 | 32.3598  | 1.5   | 1920 | 0.004883 |
| phi1_32.bmp | phi1_32.bmp-withWavelet_bior1.1-G_0.6-H0.0001_af2.wfa | 393216  | 131072 | 131072 | 7  | 1808 | 56  | 56  | 32 | 128 | 32.3598  | 1.516 | 1920 | 0.004883 |
| phi1_32.bmp | phi1_32.bmp-G_0.6-H4e-005_af2.wfa                     | 98304   | 32768  |        | 2  | 368  | 16  | 16  | 32 | 64  | 39.86883 | 0.359 | 400  | 0.004069 |
| phi1_32.bmp | phi1_32.bmp-G_0.6-H5e-005_af2.wfa                     | 98304   | 32768  |        | 2  | 368  | 16  | 16  | 32 | 64  | 39.86883 | 0.344 | 400  | 0.004069 |
| phi1_32.bmp | phi1_32.bmp-G_0.6-H6e-005_af2.wfa                     | 98304   | 32768  |        | 2  | 368  | 16  | 16  | 32 | 64  | 39.86883 | 0.344 | 400  | 0.004069 |









|             |   |         |        |        |    |      |     |     |    |     |          |       |      |          |
|-------------|---|---------|--------|--------|----|------|-----|-----|----|-----|----------|-------|------|----------|
| phi1_32.bmp | phi1_32.bmp-G_0.6-H7e-005_af1.wfa                     | 98304   | 32768  |        | 2  | 368  | 16  | 16  | 32 | 64  | 46.17089 | 0.343 | 400  | 0.004069 |
| phi1_32.bmp | phi1_32.bmp-G_0.6-H7e-005_af3.wfa                     | 98304   | 32768  |        | 2  | 368  | 16  | 16  | 32 | 64  | 46.17089 | 0.344 | 400  | 0.004069 |
| phi1_32.bmp | phi1_32.bmp-G_0.6-H7e-005_af4.wfa                     | 98304   | 32768  |        | 2  | 368  | 16  | 16  | 32 | 64  | 46.17089 | 0.344 | 400  | 0.004069 |
| phi1_32.bmp | phi1_32.bmp-G_0.6-H8e-005_af1.wfa                     | 98304   | 32768  |        | 2  | 368  | 16  | 16  | 32 | 64  | 46.17089 | 0.359 | 400  | 0.004069 |
| phi1_32.bmp | phi1_32.bmp-G_0.6-H8e-005_af3.wfa                     | 98304   | 32768  |        | 2  | 368  | 16  | 16  | 32 | 64  | 46.17089 | 0.344 | 400  | 0.004069 |
| phi1_32.bmp | phi1_32.bmp-G_0.6-H8e-005_af4.wfa                     | 98304   | 32768  |        | 2  | 368  | 16  | 16  | 32 | 64  | 46.17089 | 0.375 | 400  | 0.004069 |
| phi1_32.bmp | phi1_32.bmp-G_0.6-H9e-005_af1.wfa                     | 98304   | 32768  |        | 2  | 368  | 16  | 16  | 32 | 64  | 46.17089 | 0.36  | 400  | 0.004069 |
| phi1_32.bmp | phi1_32.bmp-G_0.6-H9e-005_af3.wfa                     | 98304   | 32768  |        | 2  | 368  | 16  | 16  | 32 | 64  | 46.17089 | 0.343 | 400  | 0.004069 |
| phi1_32.bmp | phi1_32.bmp-G_0.6-H9e-005_af4.wfa                     | 98304   | 32768  |        | 2  | 368  | 16  | 16  | 32 | 64  | 46.17089 | 0.343 | 400  | 0.004069 |
| phi1_32.bmp | phi1_32.bmp-G_0.6-H0.0001_af1.wfa                     | 98304   | 32768  |        | 2  | 368  | 16  | 16  | 32 | 64  | 46.17089 | 0.344 | 400  | 0.004069 |
| phi1_32.bmp | phi1_32.bmp-G_0.6-H0.0001_af3.wfa                     | 98304   | 32768  |        | 2  | 368  | 16  | 16  | 32 | 64  | 46.17089 | 0.343 | 400  | 0.004069 |
| phi1_32.bmp | phi1_32.bmp-G_0.6-H0.0001_af4.wfa                     | 98304   | 32768  |        | 2  | 368  | 16  | 16  | 32 | 64  | 46.17089 | 0.344 | 400  | 0.004069 |
| phi1_32.bmp | phi1_32.bmp-withWavelet_haar-G_0.8-H3e-005_af5.wfa    | 1572864 | 524288 | 524288 | 16 | 8432 | 128 | 128 | 32 | 256 | 36.91774 | 8.204 | 8688 | 0.005524 |
| phi1_32.bmp | phi1_32.bmp-withWavelet_rbio1.1-G_0.8-H3e-005_af5.wfa | 1572864 | 524288 | 524288 | 16 | 8432 | 128 | 128 | 32 | 256 | 36.91774 | 8.219 | 8688 | 0.005524 |
| phi1_32.bmp | phi1_32.bmp-withWavelet_sym1-G_0.8-H3e-005_af5.wfa    | 1572864 | 524288 | 524288 | 16 | 8432 | 128 | 128 | 32 | 256 | 36.91774 | 8.187 | 8688 | 0.005524 |
| phi1_32.bmp | phi1_32.bmp-withWavelet_bior1.1-G_0.8-H3e-005_af5.wfa | 1572864 | 524288 | 524288 | 16 | 8432 | 128 | 128 | 32 | 256 | 36.91774 | 8.172 | 8688 | 0.005524 |
| phi1_32.bmp | phi1_32.bmp-withWavelet_haar-G_1-H3e-005_af5.wfa      | 1572864 | 524288 | 524288 | 16 | 8432 | 128 | 128 | 32 | 256 | 36.93318 | 8.187 | 8688 | 0.005524 |
| phi1_32.bmp | phi1_32.bmp-withWavelet_rbio1.1-G_1-H3e-005_af5.wfa   | 1572864 | 524288 | 524288 | 16 | 8432 | 128 | 128 | 32 | 256 | 36.93318 | 8.219 | 8688 | 0.005524 |
| phi1_32.bmp | phi1_32.bmp-withWavelet_sym1-G_1-H3e-005_af5.wfa      | 1572864 | 524288 | 524288 | 16 | 8432 | 128 | 128 | 32 | 256 | 36.93318 | 8.171 | 8688 | 0.005524 |
| phi1_32.bmp | phi1_32.bmp-withWavelet_bior1.1-G_1-H3e-005_af5.wfa   | 1572864 | 524288 | 524288 | 16 | 8432 | 128 | 128 | 32 | 256 | 36.93318 | 8.234 | 8688 | 0.005524 |
| phi1_32.bmp | phi1_32.bmp-withWavelet_haar-G_0.6-H3e-005_af5.wfa    | 1572864 | 524288 | 524288 | 16 | 8432 | 128 | 128 | 32 | 256 | 37.83076 | 8.266 | 8688 | 0.005524 |
| phi1_32.bmp | phi1_32.bmp-withWavelet_rbio1.1-G_0.6-H3e-005_af5.wfa | 1572864 | 524288 | 524288 | 16 | 8432 | 128 | 128 | 32 | 256 | 37.83076 | 8.188 | 8688 | 0.005524 |
| phi1_32.bmp | phi1_32.bmp-withWavelet_sym1-G_0.6-H3e-005_af5.wfa    | 1572864 | 524288 | 524288 | 16 | 8432 | 128 | 128 | 32 | 256 | 37.83076 | 8.828 | 8688 | 0.005524 |
| phi1_32.bmp | phi1_32.bmp-withWavelet_bior1.1-G_0.6-H3e-005_af5.wfa | 1572864 | 524288 | 524288 | 16 | 8432 | 128 | 128 | 32 | 256 | 37.83076 | 8.203 | 8688 | 0.005524 |
| phi1_32.bmp | phi1_32.bmp-withWavelet_haar-G_0.6-H2e-005_af5.wfa    | 1572864 | 524288 | 524288 | 17 | 9488 | 136 | 136 | 32 | 256 | 35.19099 | 8.75  | 9760 | 0.006205 |
| phi1_32.bmp | phi1_32.bmp-withWavelet_rbio1.1-G_0.6-H2e-005_af5.wfa | 1572864 | 524288 | 524288 | 17 | 9488 | 136 | 136 | 32 | 256 | 35.19099 | 8.703 | 9760 | 0.006205 |
| phi1_32.bmp | phi1_32.bmp-withWavelet_sym1-G_0.6-H2e-005_af5.wfa    | 1572864 | 524288 | 524288 | 17 | 9488 | 136 | 136 | 32 | 256 | 35.19099 | 8.718 | 9760 | 0.006205 |
| phi1_32.bmp | phi1_32.bmp-withWavelet_bior1.1-G_0.6-H2e-005_af5.wfa | 1572864 | 524288 | 524288 | 17 | 9488 | 136 | 136 | 32 | 256 | 35.19099 | 8.719 | 9760 | 0.006205 |
| phi1_32.bmp | phi1_32.bmp-withWavelet_haar-G_0.8-H2e-005_af5.wfa    | 1572864 | 524288 | 524288 | 17 | 9488 | 136 | 136 | 32 | 256 | 36.80127 | 8.672 | 9760 | 0.006205 |
| phi1_32.bmp | phi1_32.bmp-withWavelet_rbio1.1-G_0.8-H2e-005_af5.wfa | 1572864 | 524288 | 524288 | 17 | 9488 | 136 | 136 | 32 | 256 | 36.80127 | 8.657 | 9760 | 0.006205 |
| phi1_32.bmp | phi1_32.bmp-withWavelet_sym1-G_0.8-H2e-005_af5.wfa    | 1572864 | 524288 | 524288 | 17 | 9488 | 136 | 136 | 32 | 256 | 36.80127 | 8.672 | 9760 | 0.006205 |



























|             |   |         |        |        |    |       |     |     |    |     |          |       |       |          |
|-------------|---|---------|--------|--------|----|-------|-----|-----|----|-----|----------|-------|-------|----------|
| phi1_32.bmp | phi1_32.bmp-G_1-H1e-005_af5.wfa                       | 98304   | 32768  |        | 3  | 528   | 24  | 24  | 32 | 64  | 47.12832 | 0.344 | 576   | 0.005859 |
| phi1_32.bmp | phi1_32.bmp-G_1-H2e-005_af2.wfa                       | 98304   | 32768  |        | 3  | 528   | 24  | 24  | 32 | 64  | 47.13338 | 0.344 | 576   | 0.005859 |
| phi1_32.bmp | phi1_32.bmp-G_0.6-H1e-005_af5.wfa                     | 98304   | 32768  |        | 3  | 528   | 24  | 24  | 32 | 64  | 47.25047 | 0.344 | 576   | 0.005859 |
| phi1_32.bmp | phi1_32.bmp-G_0.8-H1e-005_af5.wfa                     | 98304   | 32768  |        | 3  | 528   | 24  | 24  | 32 | 64  | 47.25077 | 0.359 | 576   | 0.005859 |
| phi1_32.bmp | phi1_32.bmp-G_0.6-H2e-005_af2.wfa                     | 98304   | 32768  |        | 3  | 528   | 24  | 24  | 32 | 64  | 47.26092 | 0.344 | 576   | 0.005859 |
| phi1_32.bmp | phi1_32.bmp-G_0.6-H3e-005_af2.wfa                     | 98304   | 32768  |        | 3  | 528   | 24  | 24  | 32 | 64  | 47.26092 | 0.344 | 576   | 0.005859 |
| phi1_32.bmp | phi1_32.bmp-G_0.8-H2e-005_af2.wfa                     | 98304   | 32768  |        | 3  | 528   | 24  | 24  | 32 | 64  | 47.26157 | 0.359 | 576   | 0.005859 |
| phi1_32.bmp | phi1_32.bmp-G_0.8-H3e-005_af2.wfa                     | 98304   | 32768  |        | 3  | 528   | 24  | 24  | 32 | 64  | 47.26157 | 0.454 | 576   | 0.005859 |
| phi1_32.bmp | phi1_32.bmp-withWavelet_haar-G_0.8-H1e-005_af5.wfa    | 1572864 | 524288 | 524288 | 19 | 11792 | 152 | 152 | 32 | 256 | 36.20902 | 9.609 | 12096 | 0.00769  |
| phi1_32.bmp | phi1_32.bmp-withWavelet_rbio1.1-G_0.8-H1e-005_af5.wfa | 1572864 | 524288 | 524288 | 19 | 11792 | 152 | 152 | 32 | 256 | 36.20902 | 9.625 | 12096 | 0.00769  |
| phi1_32.bmp | phi1_32.bmp-withWavelet_sym1-G_0.8-H1e-005_af5.wfa    | 1572864 | 524288 | 524288 | 19 | 11792 | 152 | 152 | 32 | 256 | 36.20902 | 9.765 | 12096 | 0.00769  |
| phi1_32.bmp | phi1_32.bmp-withWavelet_bior1.1-G_0.8-H1e-005_af5.wfa | 1572864 | 524288 | 524288 | 19 | 11792 | 152 | 152 | 32 | 256 | 36.20902 | 9.672 | 12096 | 0.00769  |
| phi1_32.bmp | phi1_32.bmp-withWavelet_haar-G_1-H1e-005_af5.wfa      | 1572864 | 524288 | 524288 | 19 | 11792 | 152 | 152 | 32 | 256 | 36.2092  | 9.703 | 12096 | 0.00769  |
| phi1_32.bmp | phi1_32.bmp-withWavelet_rbio1.1-G_1-H1e-005_af5.wfa   | 1572864 | 524288 | 524288 | 19 | 11792 | 152 | 152 | 32 | 256 | 36.2092  | 9.781 | 12096 | 0.00769  |
| phi1_32.bmp | phi1_32.bmp-withWavelet_sym1-G_1-H1e-005_af5.wfa      | 1572864 | 524288 | 524288 | 19 | 11792 | 152 | 152 | 32 | 256 | 36.2092  | 9.687 | 12096 | 0.00769  |
| phi1_32.bmp | phi1_32.bmp-withWavelet_bior1.1-G_1-H1e-005_af5.wfa   | 1572864 | 524288 | 524288 | 19 | 11792 | 152 | 152 | 32 | 256 | 36.2092  | 9.687 | 12096 | 0.00769  |
| phi1_32.bmp | phi1_32.bmp-withWavelet_haar-G_0.8-H1e-005_af2.wfa    | 393216  | 131072 | 131072 | 9  | 2832  | 72  | 72  | 32 | 128 | 37.20216 | 1.547 | 2976  | 0.007568 |
| phi1_32.bmp | phi1_32.bmp-withWavelet_rbio1.1-G_0.8-H1e-005_af2.wfa | 393216  | 131072 | 131072 | 9  | 2832  | 72  | 72  | 32 | 128 | 37.20216 | 1.547 | 2976  | 0.007568 |
| phi1_32.bmp | phi1_32.bmp-withWavelet_sym1-G_0.8-H1e-005_af2.wfa    | 393216  | 131072 | 131072 | 9  | 2832  | 72  | 72  | 32 | 128 | 37.20216 | 1.563 | 2976  | 0.007568 |
| phi1_32.bmp | phi1_32.bmp-withWavelet_bior1.1-G_0.8-H1e-005_af2.wfa | 393216  | 131072 | 131072 | 9  | 2832  | 72  | 72  | 32 | 128 | 37.20216 | 1.578 | 2976  | 0.007568 |
| phi1_32.bmp | phi1_32.bmp-withWavelet_haar-G_1-H1e-005_af2.wfa      | 393216  | 131072 | 131072 | 9  | 2832  | 72  | 72  | 32 | 128 | 37.20227 | 1.562 | 2976  | 0.007568 |
| phi1_32.bmp | phi1_32.bmp-withWavelet_rbio1.1-G_1-H1e-005_af2.wfa   | 393216  | 131072 | 131072 | 9  | 2832  | 72  | 72  | 32 | 128 | 37.20227 | 1.546 | 2976  | 0.007568 |
| phi1_32.bmp | phi1_32.bmp-withWavelet_sym1-G_1-H1e-005_af2.wfa      | 393216  | 131072 | 131072 | 9  | 2832  | 72  | 72  | 32 | 128 | 37.20227 | 1.563 | 2976  | 0.007568 |
| phi1_32.bmp | phi1_32.bmp-withWavelet_bior1.1-G_1-H1e-005_af2.wfa   | 393216  | 131072 | 131072 | 9  | 2832  | 72  | 72  | 32 | 128 | 37.20227 | 1.547 | 2976  | 0.007568 |
| phi1_32.bmp | phi1_32.bmp-withWavelet_haar-G_0.6-H1e-005_af2.wfa    | 393216  | 131072 | 131072 | 9  | 2832  | 72  | 72  | 32 | 128 | 37.47336 | 1.563 | 2976  | 0.007568 |
| phi1_32.bmp | phi1_32.bmp-withWavelet_rbio1.1-G_0.6-H1e-005_af2.wfa | 393216  | 131072 | 131072 | 9  | 2832  | 72  | 72  | 32 | 128 | 37.47336 | 1.546 | 2976  | 0.007568 |
| phi1_32.bmp | phi1_32.bmp-withWavelet_sym1-G_0.6-H1e-005_af2.wfa    | 393216  | 131072 | 131072 | 9  | 2832  | 72  | 72  | 32 | 128 | 37.47336 | 1.547 | 2976  | 0.007568 |
| phi1_32.bmp | phi1_32.bmp-withWavelet_bior1.1-G_0.6-H1e-005_af2.wfa | 393216  | 131072 | 131072 | 9  | 2832  | 72  | 72  | 32 | 128 | 37.47336 | 1.563 | 2976  | 0.007568 |
| phi1_32.bmp | phi1_32.bmp-withWavelet_haar-G_0.6-H1e-005_af5.wfa    | 1572864 | 524288 | 524288 | 19 | 11792 | 152 | 152 | 32 | 256 | 36.88129 | 9.656 | 12096 | 0.00769  |
| phi1_32.bmp | phi1_32.bmp-withWavelet_rbio1.1-G_0.6-H1e-005_af5.wfa | 1572864 | 524288 | 524288 | 19 | 11792 | 152 | 152 | 32 | 256 | 36.88129 | 9.687 | 12096 | 0.00769  |
| phi1_32.bmp | phi1_32.bmp-withWavelet_sym1-G_0.6-H1e-005_af5.wfa    | 1572864 | 524288 | 524288 | 19 | 11792 | 152 | 152 | 32 | 256 | 36.88129 | 9.672 | 12096 | 0.00769  |

|             |   |         |        |        |    |       |     |     |    |     |          |       |       |          |
|-------------|---|---------|--------|--------|----|-------|-----|-----|----|-----|----------|-------|-------|----------|
| phi1_32.bmp | phi1_32.bmp-withWavelet_bior1.1-G_0.6-H1e-005_af5.wfa | 1572864 | 524288 | 524288 | 19 | 11792 | 152 | 152 | 32 | 256 | 36.88129 | 9.75  | 12096 | 0.00769  |
| phi1_32.bmp | phi1_32.bmp-withWavelet_haar-G_0.6-H0.0001_af5.wfa    | 393216  | 131072 | 131072 | 11 | 4112  | 88  | 88  | 32 | 128 | 32.33829 | 1.656 | 4288  | 0.010905 |
| phi1_32.bmp | phi1_32.bmp-withWavelet_rbio1.1-G_0.6-H0.0001_af5.wfa | 393216  | 131072 | 131072 | 11 | 4112  | 88  | 88  | 32 | 128 | 32.33829 | 1.64  | 4288  | 0.010905 |
| phi1_32.bmp | phi1_32.bmp-withWavelet_sym1-G_0.6-H0.0001_af5.wfa    | 393216  | 131072 | 131072 | 11 | 4112  | 88  | 88  | 32 | 128 | 32.33829 | 1.64  | 4288  | 0.010905 |
| phi1_32.bmp | phi1_32.bmp-withWavelet_bior1.1-G_0.6-H0.0001_af5.wfa | 393216  | 131072 | 131072 | 11 | 4112  | 88  | 88  | 32 | 128 | 32.33829 | 1.61  | 4288  | 0.010905 |
| phi1_32.bmp | phi1_32.bmp-withWavelet_haar-G_1-H0.0001_af5.wfa      | 393216  | 131072 | 131072 | 11 | 4112  | 88  | 88  | 32 | 128 | 32.43159 | 1.625 | 4288  | 0.010905 |
| phi1_32.bmp | phi1_32.bmp-withWavelet_rbio1.1-G_1-H0.0001_af5.wfa   | 393216  | 131072 | 131072 | 11 | 4112  | 88  | 88  | 32 | 128 | 32.43159 | 1.625 | 4288  | 0.010905 |
| phi1_32.bmp | phi1_32.bmp-withWavelet_sym1-G_1-H0.0001_af5.wfa      | 393216  | 131072 | 131072 | 11 | 4112  | 88  | 88  | 32 | 128 | 32.43159 | 1.625 | 4288  | 0.010905 |
| phi1_32.bmp | phi1_32.bmp-withWavelet_bior1.1-G_1-H0.0001_af5.wfa   | 393216  | 131072 | 131072 | 11 | 4112  | 88  | 88  | 32 | 128 | 32.43159 | 1.64  | 4288  | 0.010905 |
| phi1_32.bmp | phi1_32.bmp-withWavelet_haar-G_0.8-H0.0001_af5.wfa    | 393216  | 131072 | 131072 | 11 | 4112  | 88  | 88  | 32 | 128 | 32.43174 | 1.656 | 4288  | 0.010905 |
| phi1_32.bmp | phi1_32.bmp-withWavelet_rbio1.1-G_0.8-H0.0001_af5.wfa | 393216  | 131072 | 131072 | 11 | 4112  | 88  | 88  | 32 | 128 | 32.43174 | 1.625 | 4288  | 0.010905 |
| phi1_32.bmp | phi1_32.bmp-withWavelet_sym1-G_0.8-H0.0001_af5.wfa    | 393216  | 131072 | 131072 | 11 | 4112  | 88  | 88  | 32 | 128 | 32.43174 | 1.641 | 4288  | 0.010905 |
| phi1_32.bmp | phi1_32.bmp-withWavelet_bior1.1-G_0.8-H0.0001_af5.wfa | 393216  | 131072 | 131072 | 11 | 4112  | 88  | 88  | 32 | 128 | 32.43174 | 1.672 | 4288  | 0.010905 |
| phi1_32.bmp | phi1_32.bmp-withWavelet_haar-G_0.6-H1e-005_af1.wfa    | 98304   | 32768  | 32768  | 4  | 752   | 32  | 32  | 32 | 64  | 42.83473 | 0.344 | 816   | 0.008301 |
| phi1_32.bmp | phi1_32.bmp-withWavelet_rbio1.1-G_0.6-H1e-005_af1.wfa | 98304   | 32768  | 32768  | 4  | 752   | 32  | 32  | 32 | 64  | 42.83473 | 0.344 | 816   | 0.008301 |
| phi1_32.bmp | phi1_32.bmp-withWavelet_sym1-G_0.6-H1e-005_af1.wfa    | 98304   | 32768  | 32768  | 4  | 752   | 32  | 32  | 32 | 64  | 42.83473 | 0.359 | 816   | 0.008301 |
| phi1_32.bmp | phi1_32.bmp-withWavelet_bior1.1-G_0.6-H1e-005_af1.wfa | 98304   | 32768  | 32768  | 4  | 752   | 32  | 32  | 32 | 64  | 42.83473 | 0.344 | 816   | 0.008301 |
| phi1_32.bmp | phi1_32.bmp-withWavelet_haar-G_0.6-H1e-005_af3.wfa    | 98304   | 32768  | 32768  | 4  | 752   | 32  | 32  | 32 | 64  | 42.83473 | 0.344 | 816   | 0.008301 |
| phi1_32.bmp | phi1_32.bmp-withWavelet_rbio1.1-G_0.6-H1e-005_af3.wfa | 98304   | 32768  | 32768  | 4  | 752   | 32  | 32  | 32 | 64  | 42.83473 | 0.344 | 816   | 0.008301 |
| phi1_32.bmp | phi1_32.bmp-withWavelet_sym1-G_0.6-H1e-005_af3.wfa    | 98304   | 32768  | 32768  | 4  | 752   | 32  | 32  | 32 | 64  | 42.83473 | 0.344 | 816   | 0.008301 |
| phi1_32.bmp | phi1_32.bmp-withWavelet_bior1.1-G_0.6-H1e-005_af3.wfa | 98304   | 32768  | 32768  | 4  | 752   | 32  | 32  | 32 | 64  | 42.83473 | 0.359 | 816   | 0.008301 |
| phi1_32.bmp | phi1_32.bmp-withWavelet_haar-G_0.8-H9e-005_af5.wfa    | 393216  | 131072 | 131072 | 11 | 4112  | 88  | 88  | 32 | 128 | 34.4685  | 1.656 | 4288  | 0.010905 |
| phi1_32.bmp | phi1_32.bmp-withWavelet_rbio1.1-G_0.8-H9e-005_af5.wfa | 393216  | 131072 | 131072 | 11 | 4112  | 88  | 88  | 32 | 128 | 34.4685  | 1.625 | 4288  | 0.010905 |
| phi1_32.bmp | phi1_32.bmp-withWavelet_sym1-G_0.8-H9e-005_af5.wfa    | 393216  | 131072 | 131072 | 11 | 4112  | 88  | 88  | 32 | 128 | 34.4685  | 1.625 | 4288  | 0.010905 |
| phi1_32.bmp | phi1_32.bmp-withWavelet_bior1.1-G_0.8-H9e-005_af5.wfa | 393216  | 131072 | 131072 | 11 | 4112  | 88  | 88  | 32 | 128 | 34.4685  | 1.672 | 4288  | 0.010905 |
| phi1_32.bmp | phi1_32.bmp-withWavelet_haar-G_1-H9e-005_af5.wfa      | 393216  | 131072 | 131072 | 11 | 4112  | 88  | 88  | 32 | 128 | 34.49721 | 1.641 | 4288  | 0.010905 |
| phi1_32.bmp | phi1_32.bmp-withWavelet_rbio1.1-G_1-H9e-005_af5.wfa   | 393216  | 131072 | 131072 | 11 | 4112  | 88  | 88  | 32 | 128 | 34.49721 | 1.625 | 4288  | 0.010905 |
| phi1_32.bmp | phi1_32.bmp-withWavelet_sym1-G_1-H9e-005_af5.wfa      | 393216  | 131072 | 131072 | 11 | 4112  | 88  | 88  | 32 | 128 | 34.49721 | 1.625 | 4288  | 0.010905 |
| phi1_32.bmp | phi1_32.bmp-withWavelet_bior1.1-G_1-H9e-005_af5.wfa   | 393216  | 131072 | 131072 | 11 | 4112  | 88  | 88  | 32 | 128 | 34.49721 | 1.64  | 4288  | 0.010905 |
| phi1_32.bmp | phi1_32.bmp-withWavelet_haar-G_0.6-H9e-005_af5.wfa    | 393216  | 131072 | 131072 | 11 | 4112  | 88  | 88  | 32 | 128 | 34.54397 | 1.641 | 4288  | 0.010905 |
| phi1_32.bmp | phi1_32.bmp-withWavelet_rbio1.1-G_0.6-H9e-005_af5.wfa | 393216  | 131072 | 131072 | 11 | 4112  | 88  | 88  | 32 | 128 | 34.54397 | 1.64  | 4288  | 0.010905 |

|             |   |        |        |        |    |      |    |    |    |     |          |       |      |          |
|-------------|---|--------|--------|--------|----|------|----|----|----|-----|----------|-------|------|----------|
| phi1_32.bmp | phi1_32.bmp-withWavelet_sym1-G_0.6-H9e-005_af5.wfa    | 393216 | 131072 | 131072 | 11 | 4112 | 88 | 88 | 32 | 128 | 34.54397 | 1.625 | 4288 | 0.010905 |
| phi1_32.bmp | phi1_32.bmp-withWavelet_bior1.1-G_0.6-H9e-005_af5.wfa | 393216 | 131072 | 131072 | 11 | 4112 | 88 | 88 | 32 | 128 | 34.54397 | 1.61  | 4288 | 0.010905 |
| phi1_32.bmp | phi1_32.bmp-G_1-H1e-005_af2.wfa                       | 98304  | 32768  |        | 4  | 752  | 32 | 32 | 32 | 64  | 46.81593 | 0.344 | 816  | 0.008301 |
| phi1_32.bmp | phi1_32.bmp-G_0.8-H1e-005_af2.wfa                     | 98304  | 32768  |        | 4  | 752  | 32 | 32 | 32 | 64  | 47.25524 | 0.344 | 816  | 0.008301 |
| phi1_32.bmp | phi1_32.bmp-G_0.6-H1e-005_af2.wfa                     | 98304  | 32768  |        | 4  | 752  | 32 | 32 | 32 | 64  | 47.25948 | 0.343 | 816  | 0.008301 |
| phi1_32.bmp | phi1_32.bmp-withWavelet_haar-G_0.6-H8e-005_af5.wfa    | 393216 | 131072 | 131072 | 12 | 4848 | 96 | 96 | 32 | 128 | 32.32701 | 1.672 | 5040 | 0.012817 |
| phi1_32.bmp | phi1_32.bmp-withWavelet_rbio1.1-G_0.6-H8e-005_af5.wfa | 393216 | 131072 | 131072 | 12 | 4848 | 96 | 96 | 32 | 128 | 32.32701 | 1.656 | 5040 | 0.012817 |
| phi1_32.bmp | phi1_32.bmp-withWavelet_sym1-G_0.6-H8e-005_af5.wfa    | 393216 | 131072 | 131072 | 12 | 4848 | 96 | 96 | 32 | 128 | 32.32701 | 1.672 | 5040 | 0.012817 |
| phi1_32.bmp | phi1_32.bmp-withWavelet_bior1.1-G_0.6-H8e-005_af5.wfa | 393216 | 131072 | 131072 | 12 | 4848 | 96 | 96 | 32 | 128 | 32.32701 | 1.688 | 5040 | 0.012817 |
| phi1_32.bmp | phi1_32.bmp-withWavelet_haar-G_1-H8e-005_af5.wfa      | 393216 | 131072 | 131072 | 12 | 4848 | 96 | 96 | 32 | 128 | 32.47729 | 1.688 | 5040 | 0.012817 |
| phi1_32.bmp | phi1_32.bmp-withWavelet_rbio1.1-G_1-H8e-005_af5.wfa   | 393216 | 131072 | 131072 | 12 | 4848 | 96 | 96 | 32 | 128 | 32.47729 | 1.688 | 5040 | 0.012817 |
| phi1_32.bmp | phi1_32.bmp-withWavelet_sym1-G_1-H8e-005_af5.wfa      | 393216 | 131072 | 131072 | 12 | 4848 | 96 | 96 | 32 | 128 | 32.47729 | 1.687 | 5040 | 0.012817 |
| phi1_32.bmp | phi1_32.bmp-withWavelet_bior1.1-G_1-H8e-005_af5.wfa   | 393216 | 131072 | 131072 | 12 | 4848 | 96 | 96 | 32 | 128 | 32.47729 | 1.687 | 5040 | 0.012817 |
| phi1_32.bmp | phi1_32.bmp-withWavelet_haar-G_0.8-H8e-005_af5.wfa    | 393216 | 131072 | 131072 | 12 | 4848 | 96 | 96 | 32 | 128 | 32.47793 | 1.688 | 5040 | 0.012817 |
| phi1_32.bmp | phi1_32.bmp-withWavelet_rbio1.1-G_0.8-H8e-005_af5.wfa | 393216 | 131072 | 131072 | 12 | 4848 | 96 | 96 | 32 | 128 | 32.47793 | 1.718 | 5040 | 0.012817 |
| phi1_32.bmp | phi1_32.bmp-withWavelet_sym1-G_0.8-H8e-005_af5.wfa    | 393216 | 131072 | 131072 | 12 | 4848 | 96 | 96 | 32 | 128 | 32.47793 | 1.704 | 5040 | 0.012817 |
| phi1_32.bmp | phi1_32.bmp-withWavelet_bior1.1-G_0.8-H8e-005_af5.wfa | 393216 | 131072 | 131072 | 12 | 4848 | 96 | 96 | 32 | 128 | 32.47793 | 1.703 | 5040 | 0.012817 |
| phi1_32.bmp | phi1_32.bmp-withWavelet_haar-G_0.6-H6e-005_af5.wfa    | 393216 | 131072 | 131072 | 12 | 4848 | 96 | 96 | 32 | 128 | 33.87756 | 1.687 | 5040 | 0.012817 |
| phi1_32.bmp | phi1_32.bmp-withWavelet_rbio1.1-G_0.6-H6e-005_af5.wfa | 393216 | 131072 | 131072 | 12 | 4848 | 96 | 96 | 32 | 128 | 33.87756 | 1.704 | 5040 | 0.012817 |
| phi1_32.bmp | phi1_32.bmp-withWavelet_sym1-G_0.6-H6e-005_af5.wfa    | 393216 | 131072 | 131072 | 12 | 4848 | 96 | 96 | 32 | 128 | 33.87756 | 1.718 | 5040 | 0.012817 |
| phi1_32.bmp | phi1_32.bmp-withWavelet_bior1.1-G_0.6-H6e-005_af5.wfa | 393216 | 131072 | 131072 | 12 | 4848 | 96 | 96 | 32 | 128 | 33.87756 | 1.703 | 5040 | 0.012817 |
| phi1_32.bmp | phi1_32.bmp-withWavelet_haar-G_0.8-H6e-005_af5.wfa    | 393216 | 131072 | 131072 | 12 | 4848 | 96 | 96 | 32 | 128 | 33.88499 | 1.687 | 5040 | 0.012817 |
| phi1_32.bmp | phi1_32.bmp-withWavelet_rbio1.1-G_0.8-H6e-005_af5.wfa | 393216 | 131072 | 131072 | 12 | 4848 | 96 | 96 | 32 | 128 | 33.88499 | 1.672 | 5040 | 0.012817 |
| phi1_32.bmp | phi1_32.bmp-withWavelet_sym1-G_0.8-H6e-005_af5.wfa    | 393216 | 131072 | 131072 | 12 | 4848 | 96 | 96 | 32 | 128 | 33.88499 | 1.672 | 5040 | 0.012817 |
| phi1_32.bmp | phi1_32.bmp-withWavelet_bior1.1-G_0.8-H6e-005_af5.wfa | 393216 | 131072 | 131072 | 12 | 4848 | 96 | 96 | 32 | 128 | 33.88499 | 1.719 | 5040 | 0.012817 |
| phi1_32.bmp | phi1_32.bmp-withWavelet_haar-G_1-H6e-005_af5.wfa      | 393216 | 131072 | 131072 | 12 | 4848 | 96 | 96 | 32 | 128 | 33.90738 | 1.687 | 5040 | 0.012817 |
| phi1_32.bmp | phi1_32.bmp-withWavelet_rbio1.1-G_1-H6e-005_af5.wfa   | 393216 | 131072 | 131072 | 12 | 4848 | 96 | 96 | 32 | 128 | 33.90738 | 1.688 | 5040 | 0.012817 |
| phi1_32.bmp | phi1_32.bmp-withWavelet_sym1-G_1-H6e-005_af5.wfa      | 393216 | 131072 | 131072 | 12 | 4848 | 96 | 96 | 32 | 128 | 33.90738 | 1.688 | 5040 | 0.012817 |
| phi1_32.bmp | phi1_32.bmp-withWavelet_bior1.1-G_1-H6e-005_af5.wfa   | 393216 | 131072 | 131072 | 12 | 4848 | 96 | 96 | 32 | 128 | 33.90738 | 1.703 | 5040 | 0.012817 |
| phi1_32.bmp | phi1_32.bmp-withWavelet_haar-G_0.6-H7e-005_af5.wfa    | 393216 | 131072 | 131072 | 12 | 4848 | 96 | 96 | 32 | 128 | 34.01092 | 1.687 | 5040 | 0.012817 |
| phi1_32.bmp | phi1_32.bmp-withWavelet_rbio1.1-G_0.6-H7e-005_af5.wfa | 393216 | 131072 | 131072 | 12 | 4848 | 96 | 96 | 32 | 128 | 34.01092 | 1.703 | 5040 | 0.012817 |











|             |   |        |        |        |    |      |     |     |    |     |          |       |      |          |
|-------------|---|--------|--------|--------|----|------|-----|-----|----|-----|----------|-------|------|----------|
| phi1_32.bmp | phi1_32.bmp-withWavelet_sym1-G_1-H9e-005_af4.wfa      | 98304  | 32768  | 32768  | 5  | 1040 | 40  | 40  | 32 | 64  | 42.13615 | 0.359 | 1120 | 0.011393 |
| phi1_32.bmp | phi1_32.bmp-withWavelet_bior1.1-G_1-H9e-005_af4.wfa   | 98304  | 32768  | 32768  | 5  | 1040 | 40  | 40  | 32 | 64  | 42.13615 | 0.359 | 1120 | 0.011393 |
| phi1_32.bmp | phi1_32.bmp-withWavelet_haar-G_1-H0.0001_af4.wfa      | 98304  | 32768  | 32768  | 5  | 1040 | 40  | 40  | 32 | 64  | 42.13615 | 0.359 | 1120 | 0.011393 |
| phi1_32.bmp | phi1_32.bmp-withWavelet_rbio1.1-G_1-H0.0001_af4.wfa   | 98304  | 32768  | 32768  | 5  | 1040 | 40  | 40  | 32 | 64  | 42.13615 | 0.344 | 1120 | 0.011393 |
| phi1_32.bmp | phi1_32.bmp-withWavelet_sym1-G_1-H0.0001_af4.wfa      | 98304  | 32768  | 32768  | 5  | 1040 | 40  | 40  | 32 | 64  | 42.13615 | 0.359 | 1120 | 0.011393 |
| phi1_32.bmp | phi1_32.bmp-withWavelet_bior1.1-G_1-H0.0001_af4.wfa   | 98304  | 32768  | 32768  | 5  | 1040 | 40  | 40  | 32 | 64  | 42.13615 | 0.359 | 1120 | 0.011393 |
| phi1_32.bmp | phi1_32.bmp-withWavelet_haar-G_0.8-H4e-005_af5.wfa    | 393216 | 131072 | 131072 | 13 | 5648 | 104 | 104 | 32 | 128 | 34.02332 | 1.781 | 5856 | 0.014893 |
| phi1_32.bmp | phi1_32.bmp-withWavelet_rbio1.1-G_0.8-H4e-005_af5.wfa | 393216 | 131072 | 131072 | 13 | 5648 | 104 | 104 | 32 | 128 | 34.02332 | 1.797 | 5856 | 0.014893 |
| phi1_32.bmp | phi1_32.bmp-withWavelet_sym1-G_0.8-H4e-005_af5.wfa    | 393216 | 131072 | 131072 | 13 | 5648 | 104 | 104 | 32 | 128 | 34.02332 | 1.766 | 5856 | 0.014893 |
| phi1_32.bmp | phi1_32.bmp-withWavelet_bior1.1-G_0.8-H4e-005_af5.wfa | 393216 | 131072 | 131072 | 13 | 5648 | 104 | 104 | 32 | 128 | 34.02332 | 1.75  | 5856 | 0.014893 |
| phi1_32.bmp | phi1_32.bmp-withWavelet_haar-G_0.8-H5e-005_af5.wfa    | 393216 | 131072 | 131072 | 13 | 5648 | 104 | 104 | 32 | 128 | 34.02332 | 1.797 | 5856 | 0.014893 |
| phi1_32.bmp | phi1_32.bmp-withWavelet_rbio1.1-G_0.8-H5e-005_af5.wfa | 393216 | 131072 | 131072 | 13 | 5648 | 104 | 104 | 32 | 128 | 34.02332 | 1.782 | 5856 | 0.014893 |
| phi1_32.bmp | phi1_32.bmp-withWavelet_sym1-G_0.8-H5e-005_af5.wfa    | 393216 | 131072 | 131072 | 13 | 5648 | 104 | 104 | 32 | 128 | 34.02332 | 1.781 | 5856 | 0.014893 |
| phi1_32.bmp | phi1_32.bmp-withWavelet_bior1.1-G_0.8-H5e-005_af5.wfa | 393216 | 131072 | 131072 | 13 | 5648 | 104 | 104 | 32 | 128 | 34.02332 | 1.765 | 5856 | 0.014893 |
| phi1_32.bmp | phi1_32.bmp-withWavelet_haar-G_0.6-H4e-005_af5.wfa    | 393216 | 131072 | 131072 | 13 | 5648 | 104 | 104 | 32 | 128 | 34.02414 | 1.765 | 5856 | 0.014893 |
| phi1_32.bmp | phi1_32.bmp-withWavelet_rbio1.1-G_0.6-H4e-005_af5.wfa | 393216 | 131072 | 131072 | 13 | 5648 | 104 | 104 | 32 | 128 | 34.02414 | 1.765 | 5856 | 0.014893 |
| phi1_32.bmp | phi1_32.bmp-withWavelet_sym1-G_0.6-H4e-005_af5.wfa    | 393216 | 131072 | 131072 | 13 | 5648 | 104 | 104 | 32 | 128 | 34.02414 | 1.766 | 5856 | 0.014893 |
| phi1_32.bmp | phi1_32.bmp-withWavelet_bior1.1-G_0.6-H4e-005_af5.wfa | 393216 | 131072 | 131072 | 13 | 5648 | 104 | 104 | 32 | 128 | 34.02414 | 1.75  | 5856 | 0.014893 |
| phi1_32.bmp | phi1_32.bmp-withWavelet_haar-G_0.6-H5e-005_af5.wfa    | 393216 | 131072 | 131072 | 13 | 5648 | 104 | 104 | 32 | 128 | 34.02414 | 1.766 | 5856 | 0.014893 |
| phi1_32.bmp | phi1_32.bmp-withWavelet_rbio1.1-G_0.6-H5e-005_af5.wfa | 393216 | 131072 | 131072 | 13 | 5648 | 104 | 104 | 32 | 128 | 34.02414 | 1.766 | 5856 | 0.014893 |
| phi1_32.bmp | phi1_32.bmp-withWavelet_sym1-G_0.6-H5e-005_af5.wfa    | 393216 | 131072 | 131072 | 13 | 5648 | 104 | 104 | 32 | 128 | 34.02414 | 1.765 | 5856 | 0.014893 |
| phi1_32.bmp | phi1_32.bmp-withWavelet_bior1.1-G_0.6-H5e-005_af5.wfa | 393216 | 131072 | 131072 | 13 | 5648 | 104 | 104 | 32 | 128 | 34.02414 | 1.765 | 5856 | 0.014893 |
| phi1_32.bmp | phi1_32.bmp-withWavelet_haar-G_1-H4e-005_af5.wfa      | 393216 | 131072 | 131072 | 13 | 5648 | 104 | 104 | 32 | 128 | 34.04929 | 1.797 | 5856 | 0.014893 |
| phi1_32.bmp | phi1_32.bmp-withWavelet_rbio1.1-G_1-H4e-005_af5.wfa   | 393216 | 131072 | 131072 | 13 | 5648 | 104 | 104 | 32 | 128 | 34.04929 | 1.797 | 5856 | 0.014893 |
| phi1_32.bmp | phi1_32.bmp-withWavelet_sym1-G_1-H4e-005_af5.wfa      | 393216 | 131072 | 131072 | 13 | 5648 | 104 | 104 | 32 | 128 | 34.04929 | 1.781 | 5856 | 0.014893 |
| phi1_32.bmp | phi1_32.bmp-withWavelet_bior1.1-G_1-H4e-005_af5.wfa   | 393216 | 131072 | 131072 | 13 | 5648 | 104 | 104 | 32 | 128 | 34.04929 | 1.797 | 5856 | 0.014893 |
| phi1_32.bmp | phi1_32.bmp-withWavelet_haar-G_1-H5e-005_af5.wfa      | 393216 | 131072 | 131072 | 13 | 5648 | 104 | 104 | 32 | 128 | 34.04929 | 1.765 | 5856 | 0.014893 |
| phi1_32.bmp | phi1_32.bmp-withWavelet_rbio1.1-G_1-H5e-005_af5.wfa   | 393216 | 131072 | 131072 | 13 | 5648 | 104 | 104 | 32 | 128 | 34.04929 | 1.766 | 5856 | 0.014893 |
| phi1_32.bmp | phi1_32.bmp-withWavelet_sym1-G_1-H5e-005_af5.wfa      | 393216 | 131072 | 131072 | 13 | 5648 | 104 | 104 | 32 | 128 | 34.04929 | 1.782 | 5856 | 0.014893 |
| phi1_32.bmp | phi1_32.bmp-withWavelet_bior1.1-G_1-H5e-005_af5.wfa   | 393216 | 131072 | 131072 | 13 | 5648 | 104 | 104 | 32 | 128 | 34.04929 | 1.781 | 5856 | 0.014893 |
| phi1_32.bmp | phi1_32.bmp-withWavelet_haar-G_0.6-H0.0001_af2.wfa    | 98304  | 32768  | 32768  | 7  | 1808 | 56  | 56  | 32 | 64  | 32.73981 | 0.359 | 1920 | 0.019531 |

|             |   |       |       |       |   |      |    |    |    |    |          |       |      |          |
|-------------|---|-------|-------|-------|---|------|----|----|----|----|----------|-------|------|----------|
| phi1_32.bmp | phi1_32.bmp-withWavelet_rbio1.1-G_0.6-H0.0001_af2.wfa | 98304 | 32768 | 32768 | 7 | 1808 | 56 | 56 | 32 | 64 | 32.73981 | 0.36  | 1920 | 0.019531 |
| phi1_32.bmp | phi1_32.bmp-withWavelet_sym1-G_0.6-H0.0001_af2.wfa    | 98304 | 32768 | 32768 | 7 | 1808 | 56 | 56 | 32 | 64 | 32.73981 | 0.375 | 1920 | 0.019531 |
| phi1_32.bmp | phi1_32.bmp-withWavelet_bior1.1-G_0.6-H0.0001_af2.wfa | 98304 | 32768 | 32768 | 7 | 1808 | 56 | 56 | 32 | 64 | 32.73981 | 0.375 | 1920 | 0.019531 |
| phi1_32.bmp | phi1_32.bmp-G_0.6-H4e-005_af2.wfa                     | 24576 | 8192  |       | 2 | 368  | 16 | 16 | 32 | 32 | 42.21464 | 0.093 | 400  | 0.016276 |
| phi1_32.bmp | phi1_32.bmp-G_0.6-H5e-005_af2.wfa                     | 24576 | 8192  |       | 2 | 368  | 16 | 16 | 32 | 32 | 42.21464 | 0.078 | 400  | 0.016276 |
| phi1_32.bmp | phi1_32.bmp-G_0.6-H6e-005_af2.wfa                     | 24576 | 8192  |       | 2 | 368  | 16 | 16 | 32 | 32 | 42.21464 | 0.079 | 400  | 0.016276 |
| phi1_32.bmp | phi1_32.bmp-G_0.6-H7e-005_af2.wfa                     | 24576 | 8192  |       | 2 | 368  | 16 | 16 | 32 | 32 | 42.21464 | 0.078 | 400  | 0.016276 |
| phi1_32.bmp | phi1_32.bmp-G_0.6-H8e-005_af2.wfa                     | 24576 | 8192  |       | 2 | 368  | 16 | 16 | 32 | 32 | 42.21464 | 0.094 | 400  | 0.016276 |
| phi1_32.bmp | phi1_32.bmp-G_0.6-H9e-005_af2.wfa                     | 24576 | 8192  |       | 2 | 368  | 16 | 16 | 32 | 32 | 42.21464 | 0.078 | 400  | 0.016276 |
| phi1_32.bmp | phi1_32.bmp-G_0.6-H0.0001_af2.wfa                     | 24576 | 8192  |       | 2 | 368  | 16 | 16 | 32 | 32 | 42.21464 | 0.093 | 400  | 0.016276 |
| phi1_32.bmp | phi1_32.bmp-G_0.8-H4e-005_af2.wfa                     | 24576 | 8192  |       | 2 | 368  | 16 | 16 | 32 | 32 | 42.43657 | 0.078 | 400  | 0.016276 |
| phi1_32.bmp | phi1_32.bmp-G_0.8-H5e-005_af2.wfa                     | 24576 | 8192  |       | 2 | 368  | 16 | 16 | 32 | 32 | 42.43657 | 0.078 | 400  | 0.016276 |
| phi1_32.bmp | phi1_32.bmp-G_0.8-H6e-005_af2.wfa                     | 24576 | 8192  |       | 2 | 368  | 16 | 16 | 32 | 32 | 42.43657 | 0.078 | 400  | 0.016276 |
| phi1_32.bmp | phi1_32.bmp-G_0.8-H7e-005_af2.wfa                     | 24576 | 8192  |       | 2 | 368  | 16 | 16 | 32 | 32 | 42.43657 | 0.094 | 400  | 0.016276 |
| phi1_32.bmp | phi1_32.bmp-G_0.8-H8e-005_af2.wfa                     | 24576 | 8192  |       | 2 | 368  | 16 | 16 | 32 | 32 | 42.43657 | 0.079 | 400  | 0.016276 |
| phi1_32.bmp | phi1_32.bmp-G_0.8-H9e-005_af2.wfa                     | 24576 | 8192  |       | 2 | 368  | 16 | 16 | 32 | 32 | 42.43657 | 0.094 | 400  | 0.016276 |
| phi1_32.bmp | phi1_32.bmp-G_0.8-H0.0001_af2.wfa                     | 24576 | 8192  |       | 2 | 368  | 16 | 16 | 32 | 32 | 42.43657 | 0.094 | 400  | 0.016276 |
| phi1_32.bmp | phi1_32.bmp-G_1-H3e-005_af2.wfa                       | 24576 | 8192  |       | 2 | 368  | 16 | 16 | 32 | 32 | 42.46337 | 0.094 | 400  | 0.016276 |
| phi1_32.bmp | phi1_32.bmp-G_1-H4e-005_af2.wfa                       | 24576 | 8192  |       | 2 | 368  | 16 | 16 | 32 | 32 | 42.46337 | 0.079 | 400  | 0.016276 |
| phi1_32.bmp | phi1_32.bmp-G_1-H5e-005_af2.wfa                       | 24576 | 8192  |       | 2 | 368  | 16 | 16 | 32 | 32 | 42.46337 | 0.093 | 400  | 0.016276 |
| phi1_32.bmp | phi1_32.bmp-G_1-H6e-005_af2.wfa                       | 24576 | 8192  |       | 2 | 368  | 16 | 16 | 32 | 32 | 42.46337 | 0.094 | 400  | 0.016276 |
| phi1_32.bmp | phi1_32.bmp-G_1-H7e-005_af2.wfa                       | 24576 | 8192  |       | 2 | 368  | 16 | 16 | 32 | 32 | 42.46337 | 0.078 | 400  | 0.016276 |
| phi1_32.bmp | phi1_32.bmp-G_1-H8e-005_af2.wfa                       | 24576 | 8192  |       | 2 | 368  | 16 | 16 | 32 | 32 | 42.46337 | 0.094 | 400  | 0.016276 |
| phi1_32.bmp | phi1_32.bmp-G_1-H9e-005_af2.wfa                       | 24576 | 8192  |       | 2 | 368  | 16 | 16 | 32 | 32 | 42.46337 | 0.093 | 400  | 0.016276 |
| phi1_32.bmp | phi1_32.bmp-G_1-H0.0001_af2.wfa                       | 24576 | 8192  |       | 2 | 368  | 16 | 16 | 32 | 32 | 42.46337 | 0.094 | 400  | 0.016276 |
| phi1_32.bmp | phi1_32.bmp-G_0.6-H2e-005_af5.wfa                     | 24576 | 8192  |       | 2 | 368  | 16 | 16 | 32 | 32 | 45.11082 | 0.078 | 400  | 0.016276 |
| phi1_32.bmp | phi1_32.bmp-G_0.6-H3e-005_af5.wfa                     | 24576 | 8192  |       | 2 | 368  | 16 | 16 | 32 | 32 | 45.11082 | 0.078 | 400  | 0.016276 |
| phi1_32.bmp | phi1_32.bmp-G_0.6-H4e-005_af5.wfa                     | 24576 | 8192  |       | 2 | 368  | 16 | 16 | 32 | 32 | 45.11082 | 0.078 | 400  | 0.016276 |
| phi1_32.bmp | phi1_32.bmp-G_0.6-H5e-005_af5.wfa                     | 24576 | 8192  |       | 2 | 368  | 16 | 16 | 32 | 32 | 45.11082 | 0.079 | 400  | 0.016276 |
| phi1_32.bmp | phi1_32.bmp-G_0.6-H6e-005_af5.wfa                     | 24576 | 8192  |       | 2 | 368  | 16 | 16 | 32 | 32 | 45.11082 | 0.079 | 400  | 0.016276 |
| phi1_32.bmp | phi1_32.bmp-G_0.6-H7e-005_af5.wfa                     | 24576 | 8192  |       | 2 | 368  | 16 | 16 | 32 | 32 | 45.11082 | 0.079 | 400  | 0.016276 |







|             |   |        |        |        |    |      |     |     |    |     |          |       |      |          |
|-------------|---|--------|--------|--------|----|------|-----|-----|----|-----|----------|-------|------|----------|
| phi1_32.bmp | phi1_32.bmp-G_0.6-H5e-005_af1.wfa                     | 24576  | 8192   |        | 2  | 368  | 16  | 16  | 32 | 32  | 47.36502 | 0.078 | 400  | 0.016276 |
| phi1_32.bmp | phi1_32.bmp-G_0.6-H5e-005_af3.wfa                     | 24576  | 8192   |        | 2  | 368  | 16  | 16  | 32 | 32  | 47.36502 | 0.078 | 400  | 0.016276 |
| phi1_32.bmp | phi1_32.bmp-G_0.6-H5e-005_af4.wfa                     | 24576  | 8192   |        | 2  | 368  | 16  | 16  | 32 | 32  | 47.36502 | 0.079 | 400  | 0.016276 |
| phi1_32.bmp | phi1_32.bmp-G_0.6-H6e-005_af1.wfa                     | 24576  | 8192   |        | 2  | 368  | 16  | 16  | 32 | 32  | 47.36502 | 0.078 | 400  | 0.016276 |
| phi1_32.bmp | phi1_32.bmp-G_0.6-H6e-005_af3.wfa                     | 24576  | 8192   |        | 2  | 368  | 16  | 16  | 32 | 32  | 47.36502 | 0.078 | 400  | 0.016276 |
| phi1_32.bmp | phi1_32.bmp-G_0.6-H6e-005_af4.wfa                     | 24576  | 8192   |        | 2  | 368  | 16  | 16  | 32 | 32  | 47.36502 | 0.078 | 400  | 0.016276 |
| phi1_32.bmp | phi1_32.bmp-G_0.6-H7e-005_af1.wfa                     | 24576  | 8192   |        | 2  | 368  | 16  | 16  | 32 | 32  | 47.36502 | 0.078 | 400  | 0.016276 |
| phi1_32.bmp | phi1_32.bmp-G_0.6-H7e-005_af3.wfa                     | 24576  | 8192   |        | 2  | 368  | 16  | 16  | 32 | 32  | 47.36502 | 0.078 | 400  | 0.016276 |
| phi1_32.bmp | phi1_32.bmp-G_0.6-H7e-005_af4.wfa                     | 24576  | 8192   |        | 2  | 368  | 16  | 16  | 32 | 32  | 47.36502 | 0.093 | 400  | 0.016276 |
| phi1_32.bmp | phi1_32.bmp-G_0.6-H8e-005_af1.wfa                     | 24576  | 8192   |        | 2  | 368  | 16  | 16  | 32 | 32  | 47.36502 | 0.078 | 400  | 0.016276 |
| phi1_32.bmp | phi1_32.bmp-G_0.6-H8e-005_af3.wfa                     | 24576  | 8192   |        | 2  | 368  | 16  | 16  | 32 | 32  | 47.36502 | 0.094 | 400  | 0.016276 |
| phi1_32.bmp | phi1_32.bmp-G_0.6-H8e-005_af4.wfa                     | 24576  | 8192   |        | 2  | 368  | 16  | 16  | 32 | 32  | 47.36502 | 0.093 | 400  | 0.016276 |
| phi1_32.bmp | phi1_32.bmp-G_0.6-H9e-005_af1.wfa                     | 24576  | 8192   |        | 2  | 368  | 16  | 16  | 32 | 32  | 47.36502 | 0.078 | 400  | 0.016276 |
| phi1_32.bmp | phi1_32.bmp-G_0.6-H9e-005_af3.wfa                     | 24576  | 8192   |        | 2  | 368  | 16  | 16  | 32 | 32  | 47.36502 | 0.078 | 400  | 0.016276 |
| phi1_32.bmp | phi1_32.bmp-G_0.6-H9e-005_af4.wfa                     | 24576  | 8192   |        | 2  | 368  | 16  | 16  | 32 | 32  | 47.36502 | 0.094 | 400  | 0.016276 |
| phi1_32.bmp | phi1_32.bmp-G_0.6-H0.0001_af1.wfa                     | 24576  | 8192   |        | 2  | 368  | 16  | 16  | 32 | 32  | 47.36502 | 0.078 | 400  | 0.016276 |
| phi1_32.bmp | phi1_32.bmp-G_0.6-H0.0001_af3.wfa                     | 24576  | 8192   |        | 2  | 368  | 16  | 16  | 32 | 32  | 47.36502 | 0.079 | 400  | 0.016276 |
| phi1_32.bmp | phi1_32.bmp-G_0.6-H0.0001_af4.wfa                     | 24576  | 8192   |        | 2  | 368  | 16  | 16  | 32 | 32  | 47.36502 | 0.078 | 400  | 0.016276 |
| phi1_32.bmp | phi1_32.bmp-withWavelet_haar-G_0.8-H3e-005_af5.wfa    | 393216 | 131072 | 131072 | 16 | 8432 | 128 | 128 | 32 | 128 | 38.05143 | 1.937 | 8688 | 0.022095 |
| phi1_32.bmp | phi1_32.bmp-withWavelet_rbio1.1-G_0.8-H3e-005_af5.wfa | 393216 | 131072 | 131072 | 16 | 8432 | 128 | 128 | 32 | 128 | 38.05143 | 1.906 | 8688 | 0.022095 |
| phi1_32.bmp | phi1_32.bmp-withWavelet_sym1-G_0.8-H3e-005_af5.wfa    | 393216 | 131072 | 131072 | 16 | 8432 | 128 | 128 | 32 | 128 | 38.05143 | 1.937 | 8688 | 0.022095 |
| phi1_32.bmp | phi1_32.bmp-withWavelet_bior1.1-G_0.8-H3e-005_af5.wfa | 393216 | 131072 | 131072 | 16 | 8432 | 128 | 128 | 32 | 128 | 38.05143 | 1.891 | 8688 | 0.022095 |
| phi1_32.bmp | phi1_32.bmp-withWavelet_haar-G_1-H3e-005_af5.wfa      | 393216 | 131072 | 131072 | 16 | 8432 | 128 | 128 | 32 | 128 | 38.07156 | 1.922 | 8688 | 0.022095 |
| phi1_32.bmp | phi1_32.bmp-withWavelet_rbio1.1-G_1-H3e-005_af5.wfa   | 393216 | 131072 | 131072 | 16 | 8432 | 128 | 128 | 32 | 128 | 38.07156 | 1.922 | 8688 | 0.022095 |
| phi1_32.bmp | phi1_32.bmp-withWavelet_sym1-G_1-H3e-005_af5.wfa      | 393216 | 131072 | 131072 | 16 | 8432 | 128 | 128 | 32 | 128 | 38.07156 | 1.922 | 8688 | 0.022095 |
| phi1_32.bmp | phi1_32.bmp-withWavelet_bior1.1-G_1-H3e-005_af5.wfa   | 393216 | 131072 | 131072 | 16 | 8432 | 128 | 128 | 32 | 128 | 38.07156 | 1.89  | 8688 | 0.022095 |
| phi1_32.bmp | phi1_32.bmp-withWavelet_haar-G_0.6-H3e-005_af5.wfa    | 393216 | 131072 | 131072 | 16 | 8432 | 128 | 128 | 32 | 128 | 39.26391 | 1.938 | 8688 | 0.022095 |
| phi1_32.bmp | phi1_32.bmp-withWavelet_rbio1.1-G_0.6-H3e-005_af5.wfa | 393216 | 131072 | 131072 | 16 | 8432 | 128 | 128 | 32 | 128 | 39.26391 | 1.953 | 8688 | 0.022095 |
| phi1_32.bmp | phi1_32.bmp-withWavelet_sym1-G_0.6-H3e-005_af5.wfa    | 393216 | 131072 | 131072 | 16 | 8432 | 128 | 128 | 32 | 128 | 39.26391 | 1.922 | 8688 | 0.022095 |
| phi1_32.bmp | phi1_32.bmp-withWavelet_bior1.1-G_0.6-H3e-005_af5.wfa | 393216 | 131072 | 131072 | 16 | 8432 | 128 | 128 | 32 | 128 | 39.26391 | 1.969 | 8688 | 0.022095 |
| phi1_32.bmp | phi1_32.bmp-withWavelet_haar-G_0.8-H2e-005_af5.wfa    | 393216 | 131072 | 131072 | 17 | 9488 | 136 | 136 | 32 | 128 | 37.90187 | 2.031 | 9760 | 0.024821 |



























|             |   |        |        |        |    |       |     |     |    |     |          |       |       |          |
|-------------|---|--------|--------|--------|----|-------|-----|-----|----|-----|----------|-------|-------|----------|
| phi1_32.bmp | phi1_32.bmp-withWavelet_sym1-G_1-H0.0001_af1.wfa      | 24576  | 8192   | 8192   | 3  | 528   | 24  | 24  | 32 | 32  | 46.26114 | 0.078 | 576   | 0.023438 |
| phi1_32.bmp | phi1_32.bmp-withWavelet_bior1.1-G_1-H0.0001_af1.wfa   | 24576  | 8192   | 8192   | 3  | 528   | 24  | 24  | 32 | 32  | 46.26114 | 0.078 | 576   | 0.023438 |
| phi1_32.bmp | phi1_32.bmp-withWavelet_haar-G_1-H0.0001_af3.wfa      | 24576  | 8192   | 8192   | 3  | 528   | 24  | 24  | 32 | 32  | 46.26114 | 0.078 | 576   | 0.023438 |
| phi1_32.bmp | phi1_32.bmp-withWavelet_rbio1.1-G_1-H0.0001_af3.wfa   | 24576  | 8192   | 8192   | 3  | 528   | 24  | 24  | 32 | 32  | 46.26114 | 0.078 | 576   | 0.023438 |
| phi1_32.bmp | phi1_32.bmp-withWavelet_sym1-G_1-H0.0001_af3.wfa      | 24576  | 8192   | 8192   | 3  | 528   | 24  | 24  | 32 | 32  | 46.26114 | 0.078 | 576   | 0.023438 |
| phi1_32.bmp | phi1_32.bmp-withWavelet_bior1.1-G_1-H0.0001_af3.wfa   | 24576  | 8192   | 8192   | 3  | 528   | 24  | 24  | 32 | 32  | 46.26114 | 0.078 | 576   | 0.023438 |
| phi1_32.bmp | phi1_32.bmp-G_1-H2e-005_af2.wfa                       | 24576  | 8192   |        | 3  | 528   | 24  | 24  | 32 | 32  | 47.90108 | 0.078 | 576   | 0.023438 |
| phi1_32.bmp | phi1_32.bmp-G_1-H1e-005_af5.wfa                       | 24576  | 8192   |        | 3  | 528   | 24  | 24  | 32 | 32  | 47.90467 | 0.078 | 576   | 0.023438 |
| phi1_32.bmp | phi1_32.bmp-G_0.8-H1e-005_af5.wfa                     | 24576  | 8192   |        | 3  | 528   | 24  | 24  | 32 | 32  | 48.07539 | 0.078 | 576   | 0.023438 |
| phi1_32.bmp | phi1_32.bmp-G_0.6-H1e-005_af5.wfa                     | 24576  | 8192   |        | 3  | 528   | 24  | 24  | 32 | 32  | 48.0785  | 0.079 | 576   | 0.023438 |
| phi1_32.bmp | phi1_32.bmp-G_0.8-H2e-005_af2.wfa                     | 24576  | 8192   |        | 3  | 528   | 24  | 24  | 32 | 32  | 48.08307 | 0.078 | 576   | 0.023438 |
| phi1_32.bmp | phi1_32.bmp-G_0.8-H3e-005_af2.wfa                     | 24576  | 8192   |        | 3  | 528   | 24  | 24  | 32 | 32  | 48.08307 | 0.078 | 576   | 0.023438 |
| phi1_32.bmp | phi1_32.bmp-G_0.6-H2e-005_af2.wfa                     | 24576  | 8192   |        | 3  | 528   | 24  | 24  | 32 | 32  | 48.08607 | 0.094 | 576   | 0.023438 |
| phi1_32.bmp | phi1_32.bmp-G_0.6-H3e-005_af2.wfa                     | 24576  | 8192   |        | 3  | 528   | 24  | 24  | 32 | 32  | 48.08607 | 0.079 | 576   | 0.023438 |
| phi1_32.bmp | phi1_32.bmp-withWavelet_haar-G_0.8-H1e-005_af5.wfa    | 393216 | 131072 | 131072 | 19 | 11792 | 152 | 152 | 32 | 128 | 37.17776 | 2.219 | 12096 | 0.030762 |
| phi1_32.bmp | phi1_32.bmp-withWavelet_rbio1.1-G_0.8-H1e-005_af5.wfa | 393216 | 131072 | 131072 | 19 | 11792 | 152 | 152 | 32 | 128 | 37.17776 | 2.25  | 12096 | 0.030762 |
| phi1_32.bmp | phi1_32.bmp-withWavelet_sym1-G_0.8-H1e-005_af5.wfa    | 393216 | 131072 | 131072 | 19 | 11792 | 152 | 152 | 32 | 128 | 37.17776 | 2.203 | 12096 | 0.030762 |
| phi1_32.bmp | phi1_32.bmp-withWavelet_bior1.1-G_0.8-H1e-005_af5.wfa | 393216 | 131072 | 131072 | 19 | 11792 | 152 | 152 | 32 | 128 | 37.17776 | 2.219 | 12096 | 0.030762 |
| phi1_32.bmp | phi1_32.bmp-withWavelet_haar-G_1-H1e-005_af5.wfa      | 393216 | 131072 | 131072 | 19 | 11792 | 152 | 152 | 32 | 128 | 37.17799 | 2.25  | 12096 | 0.030762 |
| phi1_32.bmp | phi1_32.bmp-withWavelet_rbio1.1-G_1-H1e-005_af5.wfa   | 393216 | 131072 | 131072 | 19 | 11792 | 152 | 152 | 32 | 128 | 37.17799 | 2.219 | 12096 | 0.030762 |
| phi1_32.bmp | phi1_32.bmp-withWavelet_sym1-G_1-H1e-005_af5.wfa      | 393216 | 131072 | 131072 | 19 | 11792 | 152 | 152 | 32 | 128 | 37.17799 | 2.219 | 12096 | 0.030762 |
| phi1_32.bmp | phi1_32.bmp-withWavelet_bior1.1-G_1-H1e-005_af5.wfa   | 393216 | 131072 | 131072 | 19 | 11792 | 152 | 152 | 32 | 128 | 37.17799 | 2.219 | 12096 | 0.030762 |
| phi1_32.bmp | phi1_32.bmp-withWavelet_haar-G_0.8-H1e-005_af2.wfa    | 98304  | 32768  | 32768  | 9  | 2832  | 72  | 72  | 32 | 64  | 38.59901 | 0.391 | 2976  | 0.030273 |
| phi1_32.bmp | phi1_32.bmp-withWavelet_rbio1.1-G_0.8-H1e-005_af2.wfa | 98304  | 32768  | 32768  | 9  | 2832  | 72  | 72  | 32 | 64  | 38.59901 | 0.39  | 2976  | 0.030273 |
| phi1_32.bmp | phi1_32.bmp-withWavelet_sym1-G_0.8-H1e-005_af2.wfa    | 98304  | 32768  | 32768  | 9  | 2832  | 72  | 72  | 32 | 64  | 38.59901 | 0.391 | 2976  | 0.030273 |
| phi1_32.bmp | phi1_32.bmp-withWavelet_bior1.1-G_0.8-H1e-005_af2.wfa | 98304  | 32768  | 32768  | 9  | 2832  | 72  | 72  | 32 | 64  | 38.59901 | 0.375 | 2976  | 0.030273 |
| phi1_32.bmp | phi1_32.bmp-withWavelet_haar-G_1-H1e-005_af2.wfa      | 98304  | 32768  | 32768  | 9  | 2832  | 72  | 72  | 32 | 64  | 38.59916 | 0.391 | 2976  | 0.030273 |
| phi1_32.bmp | phi1_32.bmp-withWavelet_rbio1.1-G_1-H1e-005_af2.wfa   | 98304  | 32768  | 32768  | 9  | 2832  | 72  | 72  | 32 | 64  | 38.59916 | 0.39  | 2976  | 0.030273 |
| phi1_32.bmp | phi1_32.bmp-withWavelet_sym1-G_1-H1e-005_af2.wfa      | 98304  | 32768  | 32768  | 9  | 2832  | 72  | 72  | 32 | 64  | 38.59916 | 0.391 | 2976  | 0.030273 |
| phi1_32.bmp | phi1_32.bmp-withWavelet_bior1.1-G_1-H1e-005_af2.wfa   | 98304  | 32768  | 32768  | 9  | 2832  | 72  | 72  | 32 | 64  | 38.59916 | 0.391 | 2976  | 0.030273 |
| phi1_32.bmp | phi1_32.bmp-withWavelet_haar-G_0.6-H1e-005_af5.wfa    | 393216 | 131072 | 131072 | 19 | 11792 | 152 | 152 | 32 | 128 | 38.02973 | 2.219 | 12096 | 0.030762 |

|             |   |        |        |        |    |       |     |     |    |     |          |       |       |          |
|-------------|---|--------|--------|--------|----|-------|-----|-----|----|-----|----------|-------|-------|----------|
| phi1_32.bmp | phi1_32.bmp-withWavelet_rbio1.1-G_0.6-H1e-005_af5.wfa | 393216 | 131072 | 131072 | 19 | 11792 | 152 | 152 | 32 | 128 | 38.02973 | 2.234 | 12096 | 0.030762 |
| phi1_32.bmp | phi1_32.bmp-withWavelet_sym1-G_0.6-H1e-005_af5.wfa    | 393216 | 131072 | 131072 | 19 | 11792 | 152 | 152 | 32 | 128 | 38.02973 | 2.25  | 12096 | 0.030762 |
| phi1_32.bmp | phi1_32.bmp-withWavelet_bior1.1-G_0.6-H1e-005_af5.wfa | 393216 | 131072 | 131072 | 19 | 11792 | 152 | 152 | 32 | 128 | 38.02973 | 2.219 | 12096 | 0.030762 |
| phi1_32.bmp | phi1_32.bmp-withWavelet_haar-G_0.6-H1e-005_af2.wfa    | 98304  | 32768  | 32768  | 9  | 2832  | 72  | 72  | 32 | 64  | 38.8583  | 0.391 | 2976  | 0.030273 |
| phi1_32.bmp | phi1_32.bmp-withWavelet_rbio1.1-G_0.6-H1e-005_af2.wfa | 98304  | 32768  | 32768  | 9  | 2832  | 72  | 72  | 32 | 64  | 38.8583  | 0.375 | 2976  | 0.030273 |
| phi1_32.bmp | phi1_32.bmp-withWavelet_sym1-G_0.6-H1e-005_af2.wfa    | 98304  | 32768  | 32768  | 9  | 2832  | 72  | 72  | 32 | 64  | 38.8583  | 0.375 | 2976  | 0.030273 |
| phi1_32.bmp | phi1_32.bmp-withWavelet_bior1.1-G_0.6-H1e-005_af2.wfa | 98304  | 32768  | 32768  | 9  | 2832  | 72  | 72  | 32 | 64  | 38.8583  | 0.39  | 2976  | 0.030273 |
| phi1_32.bmp | phi1_32.bmp-withWavelet_haar-G_0.6-H0.0001_af5.wfa    | 98304  | 32768  | 32768  | 11 | 4112  | 88  | 88  | 32 | 64  | 32.71807 | 0.39  | 4288  | 0.04362  |
| phi1_32.bmp | phi1_32.bmp-withWavelet_rbio1.1-G_0.6-H0.0001_af5.wfa | 98304  | 32768  | 32768  | 11 | 4112  | 88  | 88  | 32 | 64  | 32.71807 | 0.39  | 4288  | 0.04362  |
| phi1_32.bmp | phi1_32.bmp-withWavelet_sym1-G_0.6-H0.0001_af5.wfa    | 98304  | 32768  | 32768  | 11 | 4112  | 88  | 88  | 32 | 64  | 32.71807 | 0.406 | 4288  | 0.04362  |
| phi1_32.bmp | phi1_32.bmp-withWavelet_bior1.1-G_0.6-H0.0001_af5.wfa | 98304  | 32768  | 32768  | 11 | 4112  | 88  | 88  | 32 | 64  | 32.71807 | 0.39  | 4288  | 0.04362  |
| phi1_32.bmp | phi1_32.bmp-withWavelet_haar-G_1-H0.0001_af5.wfa      | 98304  | 32768  | 32768  | 11 | 4112  | 88  | 88  | 32 | 64  | 32.82183 | 0.422 | 4288  | 0.04362  |
| phi1_32.bmp | phi1_32.bmp-withWavelet_rbio1.1-G_1-H0.0001_af5.wfa   | 98304  | 32768  | 32768  | 11 | 4112  | 88  | 88  | 32 | 64  | 32.82183 | 0.391 | 4288  | 0.04362  |
| phi1_32.bmp | phi1_32.bmp-withWavelet_sym1-G_1-H0.0001_af5.wfa      | 98304  | 32768  | 32768  | 11 | 4112  | 88  | 88  | 32 | 64  | 32.82183 | 0.406 | 4288  | 0.04362  |
| phi1_32.bmp | phi1_32.bmp-withWavelet_bior1.1-G_1-H0.0001_af5.wfa   | 98304  | 32768  | 32768  | 11 | 4112  | 88  | 88  | 32 | 64  | 32.82183 | 0.391 | 4288  | 0.04362  |
| phi1_32.bmp | phi1_32.bmp-withWavelet_haar-G_0.8-H0.0001_af5.wfa    | 98304  | 32768  | 32768  | 11 | 4112  | 88  | 88  | 32 | 64  | 32.82208 | 0.406 | 4288  | 0.04362  |
| phi1_32.bmp | phi1_32.bmp-withWavelet_rbio1.1-G_0.8-H0.0001_af5.wfa | 98304  | 32768  | 32768  | 11 | 4112  | 88  | 88  | 32 | 64  | 32.82208 | 0.406 | 4288  | 0.04362  |
| phi1_32.bmp | phi1_32.bmp-withWavelet_sym1-G_0.8-H0.0001_af5.wfa    | 98304  | 32768  | 32768  | 11 | 4112  | 88  | 88  | 32 | 64  | 32.82208 | 0.406 | 4288  | 0.04362  |
| phi1_32.bmp | phi1_32.bmp-withWavelet_bior1.1-G_0.8-H0.0001_af5.wfa | 98304  | 32768  | 32768  | 11 | 4112  | 88  | 88  | 32 | 64  | 32.82208 | 0.406 | 4288  | 0.04362  |
| phi1_32.bmp | phi1_32.bmp-withWavelet_haar-G_0.8-H9e-005_af5.wfa    | 98304  | 32768  | 32768  | 11 | 4112  | 88  | 88  | 32 | 64  | 35.03506 | 0.39  | 4288  | 0.04362  |
| phi1_32.bmp | phi1_32.bmp-withWavelet_rbio1.1-G_0.8-H9e-005_af5.wfa | 98304  | 32768  | 32768  | 11 | 4112  | 88  | 88  | 32 | 64  | 35.03506 | 0.406 | 4288  | 0.04362  |
| phi1_32.bmp | phi1_32.bmp-withWavelet_sym1-G_0.8-H9e-005_af5.wfa    | 98304  | 32768  | 32768  | 11 | 4112  | 88  | 88  | 32 | 64  | 35.03506 | 0.391 | 4288  | 0.04362  |
| phi1_32.bmp | phi1_32.bmp-withWavelet_bior1.1-G_0.8-H9e-005_af5.wfa | 98304  | 32768  | 32768  | 11 | 4112  | 88  | 88  | 32 | 64  | 35.03506 | 0.422 | 4288  | 0.04362  |
| phi1_32.bmp | phi1_32.bmp-withWavelet_haar-G_1-H9e-005_af5.wfa      | 98304  | 32768  | 32768  | 11 | 4112  | 88  | 88  | 32 | 64  | 35.06706 | 0.407 | 4288  | 0.04362  |
| phi1_32.bmp | phi1_32.bmp-withWavelet_rbio1.1-G_1-H9e-005_af5.wfa   | 98304  | 32768  | 32768  | 11 | 4112  | 88  | 88  | 32 | 64  | 35.06706 | 0.406 | 4288  | 0.04362  |
| phi1_32.bmp | phi1_32.bmp-withWavelet_sym1-G_1-H9e-005_af5.wfa      | 98304  | 32768  | 32768  | 11 | 4112  | 88  | 88  | 32 | 64  | 35.06706 | 0.406 | 4288  | 0.04362  |
| phi1_32.bmp | phi1_32.bmp-withWavelet_bior1.1-G_1-H9e-005_af5.wfa   | 98304  | 32768  | 32768  | 11 | 4112  | 88  | 88  | 32 | 64  | 35.06706 | 0.406 | 4288  | 0.04362  |
| phi1_32.bmp | phi1_32.bmp-withWavelet_haar-G_0.6-H9e-005_af5.wfa    | 98304  | 32768  | 32768  | 11 | 4112  | 88  | 88  | 32 | 64  | 35.12197 | 0.407 | 4288  | 0.04362  |
| phi1_32.bmp | phi1_32.bmp-withWavelet_rbio1.1-G_0.6-H9e-005_af5.wfa | 98304  | 32768  | 32768  | 11 | 4112  | 88  | 88  | 32 | 64  | 35.12197 | 0.406 | 4288  | 0.04362  |
| phi1_32.bmp | phi1_32.bmp-withWavelet_sym1-G_0.6-H9e-005_af5.wfa    | 98304  | 32768  | 32768  | 11 | 4112  | 88  | 88  | 32 | 64  | 35.12197 | 0.39  | 4288  | 0.04362  |
| phi1_32.bmp | phi1_32.bmp-withWavelet_bior1.1-G_0.6-H9e-005_af5.wfa | 98304  | 32768  | 32768  | 11 | 4112  | 88  | 88  | 32 | 64  | 35.12197 | 0.407 | 4288  | 0.04362  |

|             |   |       |       |       |    |      |    |    |    |    |          |       |      |          |
|-------------|---|-------|-------|-------|----|------|----|----|----|----|----------|-------|------|----------|
| phi1_32.bmp | phi1_32.bmp-withWavelet_haar-G_0.6-H1e-005_af1.wfa    | 24576 | 8192  | 8192  | 4  | 752  | 32 | 32 | 32 | 32 | 46.75989 | 0.078 | 816  | 0.033203 |
| phi1_32.bmp | phi1_32.bmp-withWavelet_rbio1.1-G_0.6-H1e-005_af1.wfa | 24576 | 8192  | 8192  | 4  | 752  | 32 | 32 | 32 | 32 | 46.75989 | 0.078 | 816  | 0.033203 |
| phi1_32.bmp | phi1_32.bmp-withWavelet_sym1-G_0.6-H1e-005_af1.wfa    | 24576 | 8192  | 8192  | 4  | 752  | 32 | 32 | 32 | 32 | 46.75989 | 0.141 | 816  | 0.033203 |
| phi1_32.bmp | phi1_32.bmp-withWavelet_bior1.1-G_0.6-H1e-005_af1.wfa | 24576 | 8192  | 8192  | 4  | 752  | 32 | 32 | 32 | 32 | 46.75989 | 0.078 | 816  | 0.033203 |
| phi1_32.bmp | phi1_32.bmp-withWavelet_haar-G_0.6-H1e-005_af3.wfa    | 24576 | 8192  | 8192  | 4  | 752  | 32 | 32 | 32 | 32 | 46.75989 | 0.094 | 816  | 0.033203 |
| phi1_32.bmp | phi1_32.bmp-withWavelet_rbio1.1-G_0.6-H1e-005_af3.wfa | 24576 | 8192  | 8192  | 4  | 752  | 32 | 32 | 32 | 32 | 46.75989 | 0.125 | 816  | 0.033203 |
| phi1_32.bmp | phi1_32.bmp-withWavelet_sym1-G_0.6-H1e-005_af3.wfa    | 24576 | 8192  | 8192  | 4  | 752  | 32 | 32 | 32 | 32 | 46.75989 | 0.078 | 816  | 0.033203 |
| phi1_32.bmp | phi1_32.bmp-withWavelet_bior1.1-G_0.6-H1e-005_af3.wfa | 24576 | 8192  | 8192  | 4  | 752  | 32 | 32 | 32 | 32 | 46.75989 | 0.094 | 816  | 0.033203 |
| phi1_32.bmp | phi1_32.bmp-G_1-H1e-005_af2.wfa                       | 24576 | 8192  |       | 4  | 752  | 32 | 32 | 32 | 32 | 47.62276 | 0.078 | 816  | 0.033203 |
| phi1_32.bmp | phi1_32.bmp-G_0.8-H1e-005_af2.wfa                     | 24576 | 8192  |       | 4  | 752  | 32 | 32 | 32 | 32 | 48.08487 | 0.078 | 816  | 0.033203 |
| phi1_32.bmp | phi1_32.bmp-G_0.6-H1e-005_af2.wfa                     | 24576 | 8192  |       | 4  | 752  | 32 | 32 | 32 | 32 | 48.09317 | 0.078 | 816  | 0.033203 |
| phi1_32.bmp | phi1_32.bmp-withWavelet_haar-G_0.6-H8e-005_af5.wfa    | 98304 | 32768 | 32768 | 12 | 4848 | 96 | 96 | 32 | 64 | 32.70639 | 0.422 | 5040 | 0.05127  |
| phi1_32.bmp | phi1_32.bmp-withWavelet_rbio1.1-G_0.6-H8e-005_af5.wfa | 98304 | 32768 | 32768 | 12 | 4848 | 96 | 96 | 32 | 64 | 32.70639 | 0.407 | 5040 | 0.05127  |
| phi1_32.bmp | phi1_32.bmp-withWavelet_sym1-G_0.6-H8e-005_af5.wfa    | 98304 | 32768 | 32768 | 12 | 4848 | 96 | 96 | 32 | 64 | 32.70639 | 0.406 | 5040 | 0.05127  |
| phi1_32.bmp | phi1_32.bmp-withWavelet_bior1.1-G_0.6-H8e-005_af5.wfa | 98304 | 32768 | 32768 | 12 | 4848 | 96 | 96 | 32 | 64 | 32.70639 | 0.531 | 5040 | 0.05127  |
| phi1_32.bmp | phi1_32.bmp-withWavelet_haar-G_1-H8e-005_af5.wfa      | 98304 | 32768 | 32768 | 12 | 4848 | 96 | 96 | 32 | 64 | 32.87306 | 0.406 | 5040 | 0.05127  |
| phi1_32.bmp | phi1_32.bmp-withWavelet_rbio1.1-G_1-H8e-005_af5.wfa   | 98304 | 32768 | 32768 | 12 | 4848 | 96 | 96 | 32 | 64 | 32.87306 | 0.422 | 5040 | 0.05127  |
| phi1_32.bmp | phi1_32.bmp-withWavelet_sym1-G_1-H8e-005_af5.wfa      | 98304 | 32768 | 32768 | 12 | 4848 | 96 | 96 | 32 | 64 | 32.87306 | 0.422 | 5040 | 0.05127  |
| phi1_32.bmp | phi1_32.bmp-withWavelet_bior1.1-G_1-H8e-005_af5.wfa   | 98304 | 32768 | 32768 | 12 | 4848 | 96 | 96 | 32 | 64 | 32.87306 | 0.406 | 5040 | 0.05127  |
| phi1_32.bmp | phi1_32.bmp-withWavelet_haar-G_0.8-H8e-005_af5.wfa    | 98304 | 32768 | 32768 | 12 | 4848 | 96 | 96 | 32 | 64 | 32.8739  | 0.407 | 5040 | 0.05127  |
| phi1_32.bmp | phi1_32.bmp-withWavelet_rbio1.1-G_0.8-H8e-005_af5.wfa | 98304 | 32768 | 32768 | 12 | 4848 | 96 | 96 | 32 | 64 | 32.8739  | 0.406 | 5040 | 0.05127  |
| phi1_32.bmp | phi1_32.bmp-withWavelet_sym1-G_0.8-H8e-005_af5.wfa    | 98304 | 32768 | 32768 | 12 | 4848 | 96 | 96 | 32 | 64 | 32.8739  | 0.438 | 5040 | 0.05127  |
| phi1_32.bmp | phi1_32.bmp-withWavelet_bior1.1-G_0.8-H8e-005_af5.wfa | 98304 | 32768 | 32768 | 12 | 4848 | 96 | 96 | 32 | 64 | 32.8739  | 0.438 | 5040 | 0.05127  |
| phi1_32.bmp | phi1_32.bmp-withWavelet_haar-G_0.6-H6e-005_af5.wfa    | 98304 | 32768 | 32768 | 12 | 4848 | 96 | 96 | 32 | 64 | 34.39474 | 0.406 | 5040 | 0.05127  |
| phi1_32.bmp | phi1_32.bmp-withWavelet_rbio1.1-G_0.6-H6e-005_af5.wfa | 98304 | 32768 | 32768 | 12 | 4848 | 96 | 96 | 32 | 64 | 34.39474 | 0.422 | 5040 | 0.05127  |
| phi1_32.bmp | phi1_32.bmp-withWavelet_sym1-G_0.6-H6e-005_af5.wfa    | 98304 | 32768 | 32768 | 12 | 4848 | 96 | 96 | 32 | 64 | 34.39474 | 0.422 | 5040 | 0.05127  |
| phi1_32.bmp | phi1_32.bmp-withWavelet_bior1.1-G_0.6-H6e-005_af5.wfa | 98304 | 32768 | 32768 | 12 | 4848 | 96 | 96 | 32 | 64 | 34.39474 | 0.422 | 5040 | 0.05127  |
| phi1_32.bmp | phi1_32.bmp-withWavelet_haar-G_0.8-H6e-005_af5.wfa    | 98304 | 32768 | 32768 | 12 | 4848 | 96 | 96 | 32 | 64 | 34.40238 | 0.422 | 5040 | 0.05127  |
| phi1_32.bmp | phi1_32.bmp-withWavelet_rbio1.1-G_0.8-H6e-005_af5.wfa | 98304 | 32768 | 32768 | 12 | 4848 | 96 | 96 | 32 | 64 | 34.40238 | 0.422 | 5040 | 0.05127  |
| phi1_32.bmp | phi1_32.bmp-withWavelet_sym1-G_0.8-H6e-005_af5.wfa    | 98304 | 32768 | 32768 | 12 | 4848 | 96 | 96 | 32 | 64 | 34.40238 | 0.422 | 5040 | 0.05127  |
| phi1_32.bmp | phi1_32.bmp-withWavelet_bior1.1-G_0.8-H6e-005_af5.wfa | 98304 | 32768 | 32768 | 12 | 4848 | 96 | 96 | 32 | 64 | 34.40238 | 0.406 | 5040 | 0.05127  |













|             |   |       |       |       |    |      |     |     |    |    |          |       |      |          |
|-------------|---|-------|-------|-------|----|------|-----|-----|----|----|----------|-------|------|----------|
| phi1_32.bmp | phi1_32.bmp-withWavelet_bior1.1-G_1-H9e-005_af4.wfa   | 24576 | 8192  | 8192  | 5  | 1040 | 40  | 40  | 32 | 32 | 46.9318  | 0.094 | 1120 | 0.045573 |
| phi1_32.bmp | phi1_32.bmp-withWavelet_haar-G_1-H0.0001_af4.wfa      | 24576 | 8192  | 8192  | 5  | 1040 | 40  | 40  | 32 | 32 | 46.9318  | 0.094 | 1120 | 0.045573 |
| phi1_32.bmp | phi1_32.bmp-withWavelet_rbio1.1-G_1-H0.0001_af4.wfa   | 24576 | 8192  | 8192  | 5  | 1040 | 40  | 40  | 32 | 32 | 46.9318  | 0.078 | 1120 | 0.045573 |
| phi1_32.bmp | phi1_32.bmp-withWavelet_sym1-G_1-H0.0001_af4.wfa      | 24576 | 8192  | 8192  | 5  | 1040 | 40  | 40  | 32 | 32 | 46.9318  | 0.11  | 1120 | 0.045573 |
| phi1_32.bmp | phi1_32.bmp-withWavelet_bior1.1-G_1-H0.0001_af4.wfa   | 24576 | 8192  | 8192  | 5  | 1040 | 40  | 40  | 32 | 32 | 46.9318  | 0.078 | 1120 | 0.045573 |
| phi1_32.bmp | phi1_32.bmp-withWavelet_haar-G_0.6-H0.0001_af2.wfa    | 24576 | 8192  | 8192  | 7  | 1808 | 56  | 56  | 32 | 32 | 33.89225 | 0.094 | 1920 | 0.078125 |
| phi1_32.bmp | phi1_32.bmp-withWavelet_rbio1.1-G_0.6-H0.0001_af2.wfa | 24576 | 8192  | 8192  | 7  | 1808 | 56  | 56  | 32 | 32 | 33.89225 | 0.078 | 1920 | 0.078125 |
| phi1_32.bmp | phi1_32.bmp-withWavelet_sym1-G_0.6-H0.0001_af2.wfa    | 24576 | 8192  | 8192  | 7  | 1808 | 56  | 56  | 32 | 32 | 33.89225 | 0.078 | 1920 | 0.078125 |
| phi1_32.bmp | phi1_32.bmp-withWavelet_bior1.1-G_0.6-H0.0001_af2.wfa | 24576 | 8192  | 8192  | 7  | 1808 | 56  | 56  | 32 | 32 | 33.89225 | 0.094 | 1920 | 0.078125 |
| phi1_32.bmp | phi1_32.bmp-withWavelet_haar-G_0.8-H3e-005_af5.wfa    | 98304 | 32768 | 32768 | 16 | 8432 | 128 | 128 | 32 | 64 | 39.61473 | 0.453 | 8688 | 0.088379 |
| phi1_32.bmp | phi1_32.bmp-withWavelet_rbio1.1-G_0.8-H3e-005_af5.wfa | 98304 | 32768 | 32768 | 16 | 8432 | 128 | 128 | 32 | 64 | 39.61473 | 0.469 | 8688 | 0.088379 |
| phi1_32.bmp | phi1_32.bmp-withWavelet_sym1-G_0.8-H3e-005_af5.wfa    | 98304 | 32768 | 32768 | 16 | 8432 | 128 | 128 | 32 | 64 | 39.61473 | 0.454 | 8688 | 0.088379 |
| phi1_32.bmp | phi1_32.bmp-withWavelet_bior1.1-G_0.8-H3e-005_af5.wfa | 98304 | 32768 | 32768 | 16 | 8432 | 128 | 128 | 32 | 64 | 39.61473 | 0.453 | 8688 | 0.088379 |
| phi1_32.bmp | phi1_32.bmp-withWavelet_haar-G_1-H3e-005_af5.wfa      | 98304 | 32768 | 32768 | 16 | 8432 | 128 | 128 | 32 | 64 | 39.63539 | 0.453 | 8688 | 0.088379 |
| phi1_32.bmp | phi1_32.bmp-withWavelet_rbio1.1-G_1-H3e-005_af5.wfa   | 98304 | 32768 | 32768 | 16 | 8432 | 128 | 128 | 32 | 64 | 39.63539 | 0.469 | 8688 | 0.088379 |
| phi1_32.bmp | phi1_32.bmp-withWavelet_sym1-G_1-H3e-005_af5.wfa      | 98304 | 32768 | 32768 | 16 | 8432 | 128 | 128 | 32 | 64 | 39.63539 | 0.454 | 8688 | 0.088379 |
| phi1_32.bmp | phi1_32.bmp-withWavelet_bior1.1-G_1-H3e-005_af5.wfa   | 98304 | 32768 | 32768 | 16 | 8432 | 128 | 128 | 32 | 64 | 39.63539 | 0.468 | 8688 | 0.088379 |
| phi1_32.bmp | phi1_32.bmp-withWavelet_haar-G_0.6-H3e-005_af5.wfa    | 98304 | 32768 | 32768 | 16 | 8432 | 128 | 128 | 32 | 64 | 40.73851 | 0.469 | 8688 | 0.088379 |
| phi1_32.bmp | phi1_32.bmp-withWavelet_rbio1.1-G_0.6-H3e-005_af5.wfa | 98304 | 32768 | 32768 | 16 | 8432 | 128 | 128 | 32 | 64 | 40.73851 | 0.469 | 8688 | 0.088379 |
| phi1_32.bmp | phi1_32.bmp-withWavelet_sym1-G_0.6-H3e-005_af5.wfa    | 98304 | 32768 | 32768 | 16 | 8432 | 128 | 128 | 32 | 64 | 40.73851 | 0.469 | 8688 | 0.088379 |
| phi1_32.bmp | phi1_32.bmp-withWavelet_bior1.1-G_0.6-H3e-005_af5.wfa | 98304 | 32768 | 32768 | 16 | 8432 | 128 | 128 | 32 | 64 | 40.73851 | 0.469 | 8688 | 0.088379 |
| phi1_32.bmp | phi1_32.bmp-withWavelet_haar-G_0.8-H2e-005_af5.wfa    | 98304 | 32768 | 32768 | 17 | 9488 | 136 | 136 | 32 | 64 | 39.43471 | 0.485 | 9760 | 0.099284 |
| phi1_32.bmp | phi1_32.bmp-withWavelet_rbio1.1-G_0.8-H2e-005_af5.wfa | 98304 | 32768 | 32768 | 17 | 9488 | 136 | 136 | 32 | 64 | 39.43471 | 0.484 | 9760 | 0.099284 |
| phi1_32.bmp | phi1_32.bmp-withWavelet_sym1-G_0.8-H2e-005_af5.wfa    | 98304 | 32768 | 32768 | 17 | 9488 | 136 | 136 | 32 | 64 | 39.43471 | 0.5   | 9760 | 0.099284 |
| phi1_32.bmp | phi1_32.bmp-withWavelet_bior1.1-G_0.8-H2e-005_af5.wfa | 98304 | 32768 | 32768 | 17 | 9488 | 136 | 136 | 32 | 64 | 39.43471 | 0.484 | 9760 | 0.099284 |
| phi1_32.bmp | phi1_32.bmp-withWavelet_haar-G_1-H2e-005_af5.wfa      | 98304 | 32768 | 32768 | 17 | 9488 | 136 | 136 | 32 | 64 | 39.45016 | 0.515 | 9760 | 0.099284 |
| phi1_32.bmp | phi1_32.bmp-withWavelet_rbio1.1-G_1-H2e-005_af5.wfa   | 98304 | 32768 | 32768 | 17 | 9488 | 136 | 136 | 32 | 64 | 39.45016 | 0.5   | 9760 | 0.099284 |
| phi1_32.bmp | phi1_32.bmp-withWavelet_sym1-G_1-H2e-005_af5.wfa      | 98304 | 32768 | 32768 | 17 | 9488 | 136 | 136 | 32 | 64 | 39.45016 | 0.484 | 9760 | 0.099284 |
| phi1_32.bmp | phi1_32.bmp-withWavelet_bior1.1-G_1-H2e-005_af5.wfa   | 98304 | 32768 | 32768 | 17 | 9488 | 136 | 136 | 32 | 64 | 39.45016 | 0.5   | 9760 | 0.099284 |
| phi1_32.bmp | phi1_32.bmp-withWavelet_haar-G_0.6-H2e-005_af5.wfa    | 98304 | 32768 | 32768 | 17 | 9488 | 136 | 136 | 32 | 64 | 40.43499 | 0.484 | 9760 | 0.099284 |
| phi1_32.bmp | phi1_32.bmp-withWavelet_rbio1.1-G_0.6-H2e-005_af5.wfa | 98304 | 32768 | 32768 | 17 | 9488 | 136 | 136 | 32 | 64 | 40.43499 | 0.484 | 9760 | 0.099284 |







|             |   |       |       |       |    |       |     |     |    |    |          |       |       |          |
|-------------|---|-------|-------|-------|----|-------|-----|-----|----|----|----------|-------|-------|----------|
| phi1_32.bmp | phi1_32.bmp-withWavelet_bior1.1-G_0.8-H5e-005_af2.wfa | 24576 | 8192  | 8192  | 8  | 2288  | 64  | 64  | 32 | 32 | 48.65577 | 0.094 | 2416  | 0.098307 |
| phi1_32.bmp | phi1_32.bmp-withWavelet_haar-G_0.8-H6e-005_af2.wfa    | 24576 | 8192  | 8192  | 8  | 2288  | 64  | 64  | 32 | 32 | 48.65577 | 0.109 | 2416  | 0.098307 |
| phi1_32.bmp | phi1_32.bmp-withWavelet_rbio1.1-G_0.8-H6e-005_af2.wfa | 24576 | 8192  | 8192  | 8  | 2288  | 64  | 64  | 32 | 32 | 48.65577 | 0.094 | 2416  | 0.098307 |
| phi1_32.bmp | phi1_32.bmp-withWavelet_sym1-G_0.8-H6e-005_af2.wfa    | 24576 | 8192  | 8192  | 8  | 2288  | 64  | 64  | 32 | 32 | 48.65577 | 0.094 | 2416  | 0.098307 |
| phi1_32.bmp | phi1_32.bmp-withWavelet_bior1.1-G_0.8-H6e-005_af2.wfa | 24576 | 8192  | 8192  | 8  | 2288  | 64  | 64  | 32 | 32 | 48.65577 | 0.094 | 2416  | 0.098307 |
| phi1_32.bmp | phi1_32.bmp-withWavelet_haar-G_0.8-H7e-005_af2.wfa    | 24576 | 8192  | 8192  | 8  | 2288  | 64  | 64  | 32 | 32 | 48.65577 | 0.11  | 2416  | 0.098307 |
| phi1_32.bmp | phi1_32.bmp-withWavelet_rbio1.1-G_0.8-H7e-005_af2.wfa | 24576 | 8192  | 8192  | 8  | 2288  | 64  | 64  | 32 | 32 | 48.65577 | 0.094 | 2416  | 0.098307 |
| phi1_32.bmp | phi1_32.bmp-withWavelet_sym1-G_0.8-H7e-005_af2.wfa    | 24576 | 8192  | 8192  | 8  | 2288  | 64  | 64  | 32 | 32 | 48.65577 | 0.094 | 2416  | 0.098307 |
| phi1_32.bmp | phi1_32.bmp-withWavelet_bior1.1-G_0.8-H7e-005_af2.wfa | 24576 | 8192  | 8192  | 8  | 2288  | 64  | 64  | 32 | 32 | 48.65577 | 0.078 | 2416  | 0.098307 |
| phi1_32.bmp | phi1_32.bmp-withWavelet_haar-G_0.8-H8e-005_af2.wfa    | 24576 | 8192  | 8192  | 8  | 2288  | 64  | 64  | 32 | 32 | 48.65577 | 0.109 | 2416  | 0.098307 |
| phi1_32.bmp | phi1_32.bmp-withWavelet_rbio1.1-G_0.8-H8e-005_af2.wfa | 24576 | 8192  | 8192  | 8  | 2288  | 64  | 64  | 32 | 32 | 48.65577 | 0.078 | 2416  | 0.098307 |
| phi1_32.bmp | phi1_32.bmp-withWavelet_sym1-G_0.8-H8e-005_af2.wfa    | 24576 | 8192  | 8192  | 8  | 2288  | 64  | 64  | 32 | 32 | 48.65577 | 0.094 | 2416  | 0.098307 |
| phi1_32.bmp | phi1_32.bmp-withWavelet_bior1.1-G_0.8-H8e-005_af2.wfa | 24576 | 8192  | 8192  | 8  | 2288  | 64  | 64  | 32 | 32 | 48.65577 | 0.094 | 2416  | 0.098307 |
| phi1_32.bmp | phi1_32.bmp-withWavelet_haar-G_0.8-H9e-005_af2.wfa    | 24576 | 8192  | 8192  | 8  | 2288  | 64  | 64  | 32 | 32 | 48.65577 | 0.109 | 2416  | 0.098307 |
| phi1_32.bmp | phi1_32.bmp-withWavelet_rbio1.1-G_0.8-H9e-005_af2.wfa | 24576 | 8192  | 8192  | 8  | 2288  | 64  | 64  | 32 | 32 | 48.65577 | 0.094 | 2416  | 0.098307 |
| phi1_32.bmp | phi1_32.bmp-withWavelet_sym1-G_0.8-H9e-005_af2.wfa    | 24576 | 8192  | 8192  | 8  | 2288  | 64  | 64  | 32 | 32 | 48.65577 | 0.094 | 2416  | 0.098307 |
| phi1_32.bmp | phi1_32.bmp-withWavelet_bior1.1-G_0.8-H9e-005_af2.wfa | 24576 | 8192  | 8192  | 8  | 2288  | 64  | 64  | 32 | 32 | 48.65577 | 0.125 | 2416  | 0.098307 |
| phi1_32.bmp | phi1_32.bmp-withWavelet_haar-G_0.8-H0.0001_af2.wfa    | 24576 | 8192  | 8192  | 8  | 2288  | 64  | 64  | 32 | 32 | 48.65577 | 0.094 | 2416  | 0.098307 |
| phi1_32.bmp | phi1_32.bmp-withWavelet_rbio1.1-G_0.8-H0.0001_af2.wfa | 24576 | 8192  | 8192  | 8  | 2288  | 64  | 64  | 32 | 32 | 48.65577 | 0.093 | 2416  | 0.098307 |
| phi1_32.bmp | phi1_32.bmp-withWavelet_sym1-G_0.8-H0.0001_af2.wfa    | 24576 | 8192  | 8192  | 8  | 2288  | 64  | 64  | 32 | 32 | 48.65577 | 0.094 | 2416  | 0.098307 |
| phi1_32.bmp | phi1_32.bmp-withWavelet_bior1.1-G_0.8-H0.0001_af2.wfa | 24576 | 8192  | 8192  | 8  | 2288  | 64  | 64  | 32 | 32 | 48.65577 | 0.094 | 2416  | 0.098307 |
| phi1_32.bmp | phi1_32.bmp-withWavelet_haar-G_0.6-H1e-005_af5.wfa    | 98304 | 32768 | 32768 | 19 | 11792 | 152 | 152 | 32 | 64 | 39.73059 | 0.516 | 12096 | 0.123047 |
| phi1_32.bmp | phi1_32.bmp-withWavelet_rbio1.1-G_0.6-H1e-005_af5.wfa | 98304 | 32768 | 32768 | 19 | 11792 | 152 | 152 | 32 | 64 | 39.73059 | 0.563 | 12096 | 0.123047 |
| phi1_32.bmp | phi1_32.bmp-withWavelet_sym1-G_0.6-H1e-005_af5.wfa    | 98304 | 32768 | 32768 | 19 | 11792 | 152 | 152 | 32 | 64 | 39.73059 | 0.532 | 12096 | 0.123047 |
| phi1_32.bmp | phi1_32.bmp-withWavelet_bior1.1-G_0.6-H1e-005_af5.wfa | 98304 | 32768 | 32768 | 19 | 11792 | 152 | 152 | 32 | 64 | 39.73059 | 0.531 | 12096 | 0.123047 |
| phi1_32.bmp | phi1_32.bmp-withWavelet_haar-G_0.6-H1e-005_af2.wfa    | 24576 | 8192  | 8192  | 9  | 2832  | 72  | 72  | 32 | 32 | 46.71336 | 0.093 | 2976  | 0.121094 |
| phi1_32.bmp | phi1_32.bmp-withWavelet_rbio1.1-G_0.6-H1e-005_af2.wfa | 24576 | 8192  | 8192  | 9  | 2832  | 72  | 72  | 32 | 32 | 46.71336 | 0.094 | 2976  | 0.121094 |
| phi1_32.bmp | phi1_32.bmp-withWavelet_sym1-G_0.6-H1e-005_af2.wfa    | 24576 | 8192  | 8192  | 9  | 2832  | 72  | 72  | 32 | 32 | 46.71336 | 0.094 | 2976  | 0.121094 |
| phi1_32.bmp | phi1_32.bmp-withWavelet_bior1.1-G_0.6-H1e-005_af2.wfa | 24576 | 8192  | 8192  | 9  | 2832  | 72  | 72  | 32 | 32 | 46.71336 | 0.094 | 2976  | 0.121094 |
| phi1_32.bmp | phi1_32.bmp-withWavelet_haar-G_0.6-H0.0001_af5.wfa    | 24576 | 8192  | 8192  | 11 | 4112  | 88  | 88  | 32 | 32 | 33.83093 | 0.094 | 4288  | 0.174479 |
| phi1_32.bmp | phi1_32.bmp-withWavelet_rbio1.1-G_0.6-H0.0001_af5.wfa | 24576 | 8192  | 8192  | 11 | 4112  | 88  | 88  | 32 | 32 | 33.83093 | 0.094 | 4288  | 0.174479 |

|             |   |       |      |      |    |      |    |    |    |    |          |       |      |          |
|-------------|---|-------|------|------|----|------|----|----|----|----|----------|-------|------|----------|
| phi1_32.bmp | phi1_32.bmp-withWavelet_sym1-G_0.6-H0.0001_af5.wfa    | 24576 | 8192 | 8192 | 11 | 4112 | 88 | 88 | 32 | 32 | 33.83093 | 0.094 | 4288 | 0.174479 |
| phi1_32.bmp | phi1_32.bmp-withWavelet_bior1.1-G_0.6-H0.0001_af5.wfa | 24576 | 8192 | 8192 | 11 | 4112 | 88 | 88 | 32 | 32 | 33.83093 | 0.094 | 4288 | 0.174479 |
| phi1_32.bmp | phi1_32.bmp-withWavelet_haar-G_0.8-H0.0001_af5.wfa    | 24576 | 8192 | 8192 | 11 | 4112 | 88 | 88 | 32 | 32 | 33.97175 | 0.109 | 4288 | 0.174479 |
| phi1_32.bmp | phi1_32.bmp-withWavelet_rbio1.1-G_0.8-H0.0001_af5.wfa | 24576 | 8192 | 8192 | 11 | 4112 | 88 | 88 | 32 | 32 | 33.97175 | 0.094 | 4288 | 0.174479 |
| phi1_32.bmp | phi1_32.bmp-withWavelet_sym1-G_0.8-H0.0001_af5.wfa    | 24576 | 8192 | 8192 | 11 | 4112 | 88 | 88 | 32 | 32 | 33.97175 | 0.093 | 4288 | 0.174479 |
| phi1_32.bmp | phi1_32.bmp-withWavelet_bior1.1-G_0.8-H0.0001_af5.wfa | 24576 | 8192 | 8192 | 11 | 4112 | 88 | 88 | 32 | 32 | 33.97175 | 0.094 | 4288 | 0.174479 |
| phi1_32.bmp | phi1_32.bmp-withWavelet_haar-G_1-H0.0001_af5.wfa      | 24576 | 8192 | 8192 | 11 | 4112 | 88 | 88 | 32 | 32 | 33.9726  | 0.094 | 4288 | 0.174479 |
| phi1_32.bmp | phi1_32.bmp-withWavelet_rbio1.1-G_1-H0.0001_af5.wfa   | 24576 | 8192 | 8192 | 11 | 4112 | 88 | 88 | 32 | 32 | 33.9726  | 0.093 | 4288 | 0.174479 |
| phi1_32.bmp | phi1_32.bmp-withWavelet_sym1-G_1-H0.0001_af5.wfa      | 24576 | 8192 | 8192 | 11 | 4112 | 88 | 88 | 32 | 32 | 33.9726  | 0.094 | 4288 | 0.174479 |
| phi1_32.bmp | phi1_32.bmp-withWavelet_bior1.1-G_1-H0.0001_af5.wfa   | 24576 | 8192 | 8192 | 11 | 4112 | 88 | 88 | 32 | 32 | 33.9726  | 0.094 | 4288 | 0.174479 |
| phi1_32.bmp | phi1_32.bmp-withWavelet_haar-G_0.8-H1e-005_af2.wfa    | 24576 | 8192 | 8192 | 9  | 2832 | 72 | 72 | 32 | 32 | 49.34617 | 0.093 | 2976 | 0.121094 |
| phi1_32.bmp | phi1_32.bmp-withWavelet_rbio1.1-G_0.8-H1e-005_af2.wfa | 24576 | 8192 | 8192 | 9  | 2832 | 72 | 72 | 32 | 32 | 49.34617 | 0.093 | 2976 | 0.121094 |
| phi1_32.bmp | phi1_32.bmp-withWavelet_sym1-G_0.8-H1e-005_af2.wfa    | 24576 | 8192 | 8192 | 9  | 2832 | 72 | 72 | 32 | 32 | 49.34617 | 0.094 | 2976 | 0.121094 |
| phi1_32.bmp | phi1_32.bmp-withWavelet_bior1.1-G_0.8-H1e-005_af2.wfa | 24576 | 8192 | 8192 | 9  | 2832 | 72 | 72 | 32 | 32 | 49.34617 | 0.125 | 2976 | 0.121094 |
| phi1_32.bmp | phi1_32.bmp-withWavelet_haar-G_1-H1e-005_af2.wfa      | 24576 | 8192 | 8192 | 9  | 2832 | 72 | 72 | 32 | 32 | 49.3463  | 0.094 | 2976 | 0.121094 |
| phi1_32.bmp | phi1_32.bmp-withWavelet_rbio1.1-G_1-H1e-005_af2.wfa   | 24576 | 8192 | 8192 | 9  | 2832 | 72 | 72 | 32 | 32 | 49.3463  | 0.093 | 2976 | 0.121094 |
| phi1_32.bmp | phi1_32.bmp-withWavelet_sym1-G_1-H1e-005_af2.wfa      | 24576 | 8192 | 8192 | 9  | 2832 | 72 | 72 | 32 | 32 | 49.3463  | 0.094 | 2976 | 0.121094 |
| phi1_32.bmp | phi1_32.bmp-withWavelet_bior1.1-G_1-H1e-005_af2.wfa   | 24576 | 8192 | 8192 | 9  | 2832 | 72 | 72 | 32 | 32 | 49.3463  | 0.094 | 2976 | 0.121094 |
| phi1_32.bmp | phi1_32.bmp-withWavelet_haar-G_0.8-H9e-005_af5.wfa    | 24576 | 8192 | 8192 | 11 | 4112 | 88 | 88 | 32 | 32 | 36.28211 | 0.094 | 4288 | 0.174479 |
| phi1_32.bmp | phi1_32.bmp-withWavelet_rbio1.1-G_0.8-H9e-005_af5.wfa | 24576 | 8192 | 8192 | 11 | 4112 | 88 | 88 | 32 | 32 | 36.28211 | 0.109 | 4288 | 0.174479 |
| phi1_32.bmp | phi1_32.bmp-withWavelet_sym1-G_0.8-H9e-005_af5.wfa    | 24576 | 8192 | 8192 | 11 | 4112 | 88 | 88 | 32 | 32 | 36.28211 | 0.093 | 4288 | 0.174479 |
| phi1_32.bmp | phi1_32.bmp-withWavelet_bior1.1-G_0.8-H9e-005_af5.wfa | 24576 | 8192 | 8192 | 11 | 4112 | 88 | 88 | 32 | 32 | 36.28211 | 0.093 | 4288 | 0.174479 |
| phi1_32.bmp | phi1_32.bmp-withWavelet_haar-G_1-H9e-005_af5.wfa      | 24576 | 8192 | 8192 | 11 | 4112 | 88 | 88 | 32 | 32 | 36.32236 | 0.109 | 4288 | 0.174479 |
| phi1_32.bmp | phi1_32.bmp-withWavelet_rbio1.1-G_1-H9e-005_af5.wfa   | 24576 | 8192 | 8192 | 11 | 4112 | 88 | 88 | 32 | 32 | 36.32236 | 0.094 | 4288 | 0.174479 |
| phi1_32.bmp | phi1_32.bmp-withWavelet_sym1-G_1-H9e-005_af5.wfa      | 24576 | 8192 | 8192 | 11 | 4112 | 88 | 88 | 32 | 32 | 36.32236 | 0.094 | 4288 | 0.174479 |
| phi1_32.bmp | phi1_32.bmp-withWavelet_bior1.1-G_1-H9e-005_af5.wfa   | 24576 | 8192 | 8192 | 11 | 4112 | 88 | 88 | 32 | 32 | 36.32236 | 0.094 | 4288 | 0.174479 |
| phi1_32.bmp | phi1_32.bmp-withWavelet_haar-G_0.6-H9e-005_af5.wfa    | 24576 | 8192 | 8192 | 11 | 4112 | 88 | 88 | 32 | 32 | 36.41157 | 0.094 | 4288 | 0.174479 |
| phi1_32.bmp | phi1_32.bmp-withWavelet_rbio1.1-G_0.6-H9e-005_af5.wfa | 24576 | 8192 | 8192 | 11 | 4112 | 88 | 88 | 32 | 32 | 36.41157 | 0.093 | 4288 | 0.174479 |
| phi1_32.bmp | phi1_32.bmp-withWavelet_sym1-G_0.6-H9e-005_af5.wfa    | 24576 | 8192 | 8192 | 11 | 4112 | 88 | 88 | 32 | 32 | 36.41157 | 0.094 | 4288 | 0.174479 |
| phi1_32.bmp | phi1_32.bmp-withWavelet_bior1.1-G_0.6-H9e-005_af5.wfa | 24576 | 8192 | 8192 | 11 | 4112 | 88 | 88 | 32 | 32 | 36.41157 | 0.094 | 4288 | 0.174479 |
| phi1_32.bmp | phi1_32.bmp-withWavelet_haar-G_0.6-H8e-005_af5.wfa    | 24576 | 8192 | 8192 | 12 | 4848 | 96 | 96 | 32 | 32 | 33.81702 | 0.094 | 5040 | 0.205078 |





|             |   |       |      |      |    |      |     |     |    |    |          |       |      |          |
|-------------|---|-------|------|------|----|------|-----|-----|----|----|----------|-------|------|----------|
| phi1_32.bmp | phi1_32.bmp-withWavelet_haar-G_1-H7e-005_af5.wfa      | 24576 | 8192 | 8192 | 12 | 4848 | 96  | 96  | 32 | 32 | 35.8537  | 0.172 | 5040 | 0.205078 |
| phi1_32.bmp | phi1_32.bmp-withWavelet_rbio1.1-G_1-H7e-005_af5.wfa   | 24576 | 8192 | 8192 | 12 | 4848 | 96  | 96  | 32 | 32 | 35.8537  | 0.109 | 5040 | 0.205078 |
| phi1_32.bmp | phi1_32.bmp-withWavelet_sym1-G_1-H7e-005_af5.wfa      | 24576 | 8192 | 8192 | 12 | 4848 | 96  | 96  | 32 | 32 | 35.8537  | 0.093 | 5040 | 0.205078 |
| phi1_32.bmp | phi1_32.bmp-withWavelet_bior1.1-G_1-H7e-005_af5.wfa   | 24576 | 8192 | 8192 | 12 | 4848 | 96  | 96  | 32 | 32 | 35.8537  | 0.125 | 5040 | 0.205078 |
| phi1_32.bmp | phi1_32.bmp-withWavelet_haar-G_0.8-H4e-005_af5.wfa    | 24576 | 8192 | 8192 | 13 | 5648 | 104 | 104 | 32 | 32 | 35.827   | 0.11  | 5856 | 0.238281 |
| phi1_32.bmp | phi1_32.bmp-withWavelet_rbio1.1-G_0.8-H4e-005_af5.wfa | 24576 | 8192 | 8192 | 13 | 5648 | 104 | 104 | 32 | 32 | 35.827   | 0.094 | 5856 | 0.238281 |
| phi1_32.bmp | phi1_32.bmp-withWavelet_sym1-G_0.8-H4e-005_af5.wfa    | 24576 | 8192 | 8192 | 13 | 5648 | 104 | 104 | 32 | 32 | 35.827   | 0.11  | 5856 | 0.238281 |
| phi1_32.bmp | phi1_32.bmp-withWavelet_bior1.1-G_0.8-H4e-005_af5.wfa | 24576 | 8192 | 8192 | 13 | 5648 | 104 | 104 | 32 | 32 | 35.827   | 0.094 | 5856 | 0.238281 |
| phi1_32.bmp | phi1_32.bmp-withWavelet_haar-G_0.8-H5e-005_af5.wfa    | 24576 | 8192 | 8192 | 13 | 5648 | 104 | 104 | 32 | 32 | 35.827   | 0.11  | 5856 | 0.238281 |
| phi1_32.bmp | phi1_32.bmp-withWavelet_rbio1.1-G_0.8-H5e-005_af5.wfa | 24576 | 8192 | 8192 | 13 | 5648 | 104 | 104 | 32 | 32 | 35.827   | 0.094 | 5856 | 0.238281 |
| phi1_32.bmp | phi1_32.bmp-withWavelet_sym1-G_0.8-H5e-005_af5.wfa    | 24576 | 8192 | 8192 | 13 | 5648 | 104 | 104 | 32 | 32 | 35.827   | 0.109 | 5856 | 0.238281 |
| phi1_32.bmp | phi1_32.bmp-withWavelet_bior1.1-G_0.8-H5e-005_af5.wfa | 24576 | 8192 | 8192 | 13 | 5648 | 104 | 104 | 32 | 32 | 35.827   | 0.109 | 5856 | 0.238281 |
| phi1_32.bmp | phi1_32.bmp-withWavelet_haar-G_0.6-H4e-005_af5.wfa    | 24576 | 8192 | 8192 | 13 | 5648 | 104 | 104 | 32 | 32 | 35.83409 | 0.094 | 5856 | 0.238281 |
| phi1_32.bmp | phi1_32.bmp-withWavelet_rbio1.1-G_0.6-H4e-005_af5.wfa | 24576 | 8192 | 8192 | 13 | 5648 | 104 | 104 | 32 | 32 | 35.83409 | 0.11  | 5856 | 0.238281 |
| phi1_32.bmp | phi1_32.bmp-withWavelet_sym1-G_0.6-H4e-005_af5.wfa    | 24576 | 8192 | 8192 | 13 | 5648 | 104 | 104 | 32 | 32 | 35.83409 | 0.109 | 5856 | 0.238281 |
| phi1_32.bmp | phi1_32.bmp-withWavelet_bior1.1-G_0.6-H4e-005_af5.wfa | 24576 | 8192 | 8192 | 13 | 5648 | 104 | 104 | 32 | 32 | 35.83409 | 0.109 | 5856 | 0.238281 |
| phi1_32.bmp | phi1_32.bmp-withWavelet_haar-G_0.6-H5e-005_af5.wfa    | 24576 | 8192 | 8192 | 13 | 5648 | 104 | 104 | 32 | 32 | 35.83409 | 0.109 | 5856 | 0.238281 |
| phi1_32.bmp | phi1_32.bmp-withWavelet_rbio1.1-G_0.6-H5e-005_af5.wfa | 24576 | 8192 | 8192 | 13 | 5648 | 104 | 104 | 32 | 32 | 35.83409 | 0.109 | 5856 | 0.238281 |
| phi1_32.bmp | phi1_32.bmp-withWavelet_sym1-G_0.6-H5e-005_af5.wfa    | 24576 | 8192 | 8192 | 13 | 5648 | 104 | 104 | 32 | 32 | 35.83409 | 0.093 | 5856 | 0.238281 |
| phi1_32.bmp | phi1_32.bmp-withWavelet_bior1.1-G_0.6-H5e-005_af5.wfa | 24576 | 8192 | 8192 | 13 | 5648 | 104 | 104 | 32 | 32 | 35.83409 | 0.109 | 5856 | 0.238281 |
| phi1_32.bmp | phi1_32.bmp-withWavelet_haar-G_1-H4e-005_af5.wfa      | 24576 | 8192 | 8192 | 13 | 5648 | 104 | 104 | 32 | 32 | 35.86528 | 0.093 | 5856 | 0.238281 |
| phi1_32.bmp | phi1_32.bmp-withWavelet_rbio1.1-G_1-H4e-005_af5.wfa   | 24576 | 8192 | 8192 | 13 | 5648 | 104 | 104 | 32 | 32 | 35.86528 | 0.094 | 5856 | 0.238281 |
| phi1_32.bmp | phi1_32.bmp-withWavelet_sym1-G_1-H4e-005_af5.wfa      | 24576 | 8192 | 8192 | 13 | 5648 | 104 | 104 | 32 | 32 | 35.86528 | 0.094 | 5856 | 0.238281 |
| phi1_32.bmp | phi1_32.bmp-withWavelet_bior1.1-G_1-H4e-005_af5.wfa   | 24576 | 8192 | 8192 | 13 | 5648 | 104 | 104 | 32 | 32 | 35.86528 | 0.093 | 5856 | 0.238281 |
| phi1_32.bmp | phi1_32.bmp-withWavelet_haar-G_1-H5e-005_af5.wfa      | 24576 | 8192 | 8192 | 13 | 5648 | 104 | 104 | 32 | 32 | 35.86528 | 0.109 | 5856 | 0.238281 |
| phi1_32.bmp | phi1_32.bmp-withWavelet_rbio1.1-G_1-H5e-005_af5.wfa   | 24576 | 8192 | 8192 | 13 | 5648 | 104 | 104 | 32 | 32 | 35.86528 | 0.109 | 5856 | 0.238281 |
| phi1_32.bmp | phi1_32.bmp-withWavelet_sym1-G_1-H5e-005_af5.wfa      | 24576 | 8192 | 8192 | 13 | 5648 | 104 | 104 | 32 | 32 | 35.86528 | 0.11  | 5856 | 0.238281 |
| phi1_32.bmp | phi1_32.bmp-withWavelet_bior1.1-G_1-H5e-005_af5.wfa   | 24576 | 8192 | 8192 | 13 | 5648 | 104 | 104 | 32 | 32 | 35.86528 | 0.109 | 5856 | 0.238281 |
| phi1_32.bmp | phi1_32.bmp-withWavelet_haar-G_1-H3e-005_af5.wfa      | 24576 | 8192 | 8192 | 16 | 8432 | 128 | 128 | 32 | 32 | 45.71236 | 0.11  | 8688 | 0.353516 |
| phi1_32.bmp | phi1_32.bmp-withWavelet_rbio1.1-G_1-H3e-005_af5.wfa   | 24576 | 8192 | 8192 | 16 | 8432 | 128 | 128 | 32 | 32 | 45.71236 | 0.109 | 8688 | 0.353516 |
| phi1_32.bmp | phi1_32.bmp-withWavelet_sym1-G_1-H3e-005_af5.wfa      | 24576 | 8192 | 8192 | 16 | 8432 | 128 | 128 | 32 | 32 | 45.71236 | 0.11  | 8688 | 0.353516 |

|             |   |       |      |      |    |       |     |     |    |    |          |       |       |          |
|-------------|---|-------|------|------|----|-------|-----|-----|----|----|----------|-------|-------|----------|
| phi1_32.bmp | phi1_32.bmp-withWavelet_bior1.1-G_1-H3e-005_af5.wfa   | 24576 | 8192 | 8192 | 16 | 8432  | 128 | 128 | 32 | 32 | 45.71236 | 0.11  | 8688  | 0.353516 |
| phi1_32.bmp | phi1_32.bmp-withWavelet_haar-G_0.8-H3e-005_af5.wfa    | 24576 | 8192 | 8192 | 16 | 8432  | 128 | 128 | 32 | 32 | 45.7613  | 0.094 | 8688  | 0.353516 |
| phi1_32.bmp | phi1_32.bmp-withWavelet_rbio1.1-G_0.8-H3e-005_af5.wfa | 24576 | 8192 | 8192 | 16 | 8432  | 128 | 128 | 32 | 32 | 45.7613  | 0.343 | 8688  | 0.353516 |
| phi1_32.bmp | phi1_32.bmp-withWavelet_sym1-G_0.8-H3e-005_af5.wfa    | 24576 | 8192 | 8192 | 16 | 8432  | 128 | 128 | 32 | 32 | 45.7613  | 0.11  | 8688  | 0.353516 |
| phi1_32.bmp | phi1_32.bmp-withWavelet_bior1.1-G_0.8-H3e-005_af5.wfa | 24576 | 8192 | 8192 | 16 | 8432  | 128 | 128 | 32 | 32 | 45.7613  | 0.109 | 8688  | 0.353516 |
| phi1_32.bmp | phi1_32.bmp-withWavelet_haar-G_0.6-H3e-005_af5.wfa    | 24576 | 8192 | 8192 | 16 | 8432  | 128 | 128 | 32 | 32 | 46.51339 | 0.109 | 8688  | 0.353516 |
| phi1_32.bmp | phi1_32.bmp-withWavelet_rbio1.1-G_0.6-H3e-005_af5.wfa | 24576 | 8192 | 8192 | 16 | 8432  | 128 | 128 | 32 | 32 | 46.51339 | 0.11  | 8688  | 0.353516 |
| phi1_32.bmp | phi1_32.bmp-withWavelet_sym1-G_0.6-H3e-005_af5.wfa    | 24576 | 8192 | 8192 | 16 | 8432  | 128 | 128 | 32 | 32 | 46.51339 | 0.11  | 8688  | 0.353516 |
| phi1_32.bmp | phi1_32.bmp-withWavelet_bior1.1-G_0.6-H3e-005_af5.wfa | 24576 | 8192 | 8192 | 16 | 8432  | 128 | 128 | 32 | 32 | 46.51339 | 0.11  | 8688  | 0.353516 |
| phi1_32.bmp | phi1_32.bmp-withWavelet_haar-G_1-H2e-005_af5.wfa      | 24576 | 8192 | 8192 | 17 | 9488  | 136 | 136 | 32 | 32 | 45.79882 | 0.11  | 9760  | 0.397135 |
| phi1_32.bmp | phi1_32.bmp-withWavelet_rbio1.1-G_1-H2e-005_af5.wfa   | 24576 | 8192 | 8192 | 17 | 9488  | 136 | 136 | 32 | 32 | 45.79882 | 0.141 | 9760  | 0.397135 |
| phi1_32.bmp | phi1_32.bmp-withWavelet_sym1-G_1-H2e-005_af5.wfa      | 24576 | 8192 | 8192 | 17 | 9488  | 136 | 136 | 32 | 32 | 45.79882 | 0.11  | 9760  | 0.397135 |
| phi1_32.bmp | phi1_32.bmp-withWavelet_bior1.1-G_1-H2e-005_af5.wfa   | 24576 | 8192 | 8192 | 17 | 9488  | 136 | 136 | 32 | 32 | 45.79882 | 0.109 | 9760  | 0.397135 |
| phi1_32.bmp | phi1_32.bmp-withWavelet_haar-G_0.8-H2e-005_af5.wfa    | 24576 | 8192 | 8192 | 17 | 9488  | 136 | 136 | 32 | 32 | 45.84841 | 0.11  | 9760  | 0.397135 |
| phi1_32.bmp | phi1_32.bmp-withWavelet_rbio1.1-G_0.8-H2e-005_af5.wfa | 24576 | 8192 | 8192 | 17 | 9488  | 136 | 136 | 32 | 32 | 45.84841 | 0.109 | 9760  | 0.397135 |
| phi1_32.bmp | phi1_32.bmp-withWavelet_sym1-G_0.8-H2e-005_af5.wfa    | 24576 | 8192 | 8192 | 17 | 9488  | 136 | 136 | 32 | 32 | 45.84841 | 0.109 | 9760  | 0.397135 |
| phi1_32.bmp | phi1_32.bmp-withWavelet_bior1.1-G_0.8-H2e-005_af5.wfa | 24576 | 8192 | 8192 | 17 | 9488  | 136 | 136 | 32 | 32 | 45.84841 | 0.109 | 9760  | 0.397135 |
| phi1_32.bmp | phi1_32.bmp-withWavelet_haar-G_0.6-H2e-005_af5.wfa    | 24576 | 8192 | 8192 | 17 | 9488  | 136 | 136 | 32 | 32 | 46.7248  | 0.11  | 9760  | 0.397135 |
| phi1_32.bmp | phi1_32.bmp-withWavelet_rbio1.1-G_0.6-H2e-005_af5.wfa | 24576 | 8192 | 8192 | 17 | 9488  | 136 | 136 | 32 | 32 | 46.7248  | 0.109 | 9760  | 0.397135 |
| phi1_32.bmp | phi1_32.bmp-withWavelet_sym1-G_0.6-H2e-005_af5.wfa    | 24576 | 8192 | 8192 | 17 | 9488  | 136 | 136 | 32 | 32 | 46.7248  | 0.109 | 9760  | 0.397135 |
| phi1_32.bmp | phi1_32.bmp-withWavelet_bior1.1-G_0.6-H2e-005_af5.wfa | 24576 | 8192 | 8192 | 17 | 9488  | 136 | 136 | 32 | 32 | 46.7248  | 0.109 | 9760  | 0.397135 |
| phi1_32.bmp | phi1_32.bmp-withWavelet_haar-G_0.6-H1e-005_af5.wfa    | 24576 | 8192 | 8192 | 19 | 11792 | 152 | 152 | 32 | 32 | 47.82337 | 0.218 | 12096 | 0.492188 |
| phi1_32.bmp | phi1_32.bmp-withWavelet_rbio1.1-G_0.6-H1e-005_af5.wfa | 24576 | 8192 | 8192 | 19 | 11792 | 152 | 152 | 32 | 32 | 47.82337 | 0.125 | 12096 | 0.492188 |
| phi1_32.bmp | phi1_32.bmp-withWavelet_sym1-G_0.6-H1e-005_af5.wfa    | 24576 | 8192 | 8192 | 19 | 11792 | 152 | 152 | 32 | 32 | 47.82337 | 0.125 | 12096 | 0.492188 |
| phi1_32.bmp | phi1_32.bmp-withWavelet_bior1.1-G_0.6-H1e-005_af5.wfa | 24576 | 8192 | 8192 | 19 | 11792 | 152 | 152 | 32 | 32 | 47.82337 | 0.125 | 12096 | 0.492188 |
| phi1_32.bmp | phi1_32.bmp-withWavelet_haar-G_1-H1e-005_af5.wfa      | 24576 | 8192 | 8192 | 19 | 11792 | 152 | 152 | 32 | 32 | 50.06563 | 0.109 | 12096 | 0.492188 |
| phi1_32.bmp | phi1_32.bmp-withWavelet_rbio1.1-G_1-H1e-005_af5.wfa   | 24576 | 8192 | 8192 | 19 | 11792 | 152 | 152 | 32 | 32 | 50.06563 | 0.125 | 12096 | 0.492188 |
| phi1_32.bmp | phi1_32.bmp-withWavelet_sym1-G_1-H1e-005_af5.wfa      | 24576 | 8192 | 8192 | 19 | 11792 | 152 | 152 | 32 | 32 | 50.06563 | 0.125 | 12096 | 0.492188 |
| phi1_32.bmp | phi1_32.bmp-withWavelet_bior1.1-G_1-H1e-005_af5.wfa   | 24576 | 8192 | 8192 | 19 | 11792 | 152 | 152 | 32 | 32 | 50.06563 | 0.125 | 12096 | 0.492188 |
| phi1_32.bmp | phi1_32.bmp-withWavelet_haar-G_0.8-H1e-005_af5.wfa    | 24576 | 8192 | 8192 | 19 | 11792 | 152 | 152 | 32 | 32 | 50.0658  | 0.125 | 12096 | 0.492188 |
| phi1_32.bmp | phi1_32.bmp-withWavelet_rbio1.1-G_0.8-H1e-005_af5.wfa | 24576 | 8192 | 8192 | 19 | 11792 | 152 | 152 | 32 | 32 | 50.0658  | 0.125 | 12096 | 0.492188 |

|             |   |       |      |      |    |       |     |     |    |    |         |       |       |          |
|-------------|---|-------|------|------|----|-------|-----|-----|----|----|---------|-------|-------|----------|
| phi1_32.bmp | phi1_32.bmp-withWavelet_sym1-G_0.8-H1e-005_af5.wfa    | 24576 | 8192 | 8192 | 19 | 11792 | 152 | 152 | 32 | 32 | 50.0658 | 0.125 | 12096 | 0.492188 |
| phi1_32.bmp | phi1_32.bmp-withWavelet_bior1.1-G_0.8-H1e-005_af5.wfa | 24576 | 8192 | 8192 | 19 | 11792 | 152 | 152 | 32 | 32 | 50.0658 | 0.125 | 12096 | 0.492188 |

